



This is a digital copy of a book that was preserved for generations on library shelves before it was carefully scanned by Google as part of a project to make the world's books discoverable online.

It has survived long enough for the copyright to expire and the book to enter the public domain. A public domain book is one that was never subject to copyright or whose legal copyright term has expired. Whether a book is in the public domain may vary country to country. Public domain books are our gateways to the past, representing a wealth of history, culture and knowledge that's often difficult to discover.

Marks, notations and other marginalia present in the original volume will appear in this file - a reminder of this book's long journey from the publisher to a library and finally to you.

### Usage guidelines

Google is proud to partner with libraries to digitize public domain materials and make them widely accessible. Public domain books belong to the public and we are merely their custodians. Nevertheless, this work is expensive, so in order to keep providing this resource, we have taken steps to prevent abuse by commercial parties, including placing technical restrictions on automated querying.

We also ask that you:

- + *Make non-commercial use of the files* We designed Google Book Search for use by individuals, and we request that you use these files for personal, non-commercial purposes.
- + *Refrain from automated querying* Do not send automated queries of any sort to Google's system: If you are conducting research on machine translation, optical character recognition or other areas where access to a large amount of text is helpful, please contact us. We encourage the use of public domain materials for these purposes and may be able to help.
- + *Maintain attribution* The Google "watermark" you see on each file is essential for informing people about this project and helping them find additional materials through Google Book Search. Please do not remove it.
- + *Keep it legal* Whatever your use, remember that you are responsible for ensuring that what you are doing is legal. Do not assume that just because we believe a book is in the public domain for users in the United States, that the work is also in the public domain for users in other countries. Whether a book is still in copyright varies from country to country, and we can't offer guidance on whether any specific use of any specific book is allowed. Please do not assume that a book's appearance in Google Book Search means it can be used in any manner anywhere in the world. Copyright infringement liability can be quite severe.

### About Google Book Search

Google's mission is to organize the world's information and to make it universally accessible and useful. Google Book Search helps readers discover the world's books while helping authors and publishers reach new audiences. You can search through the full text of this book on the web at <http://books.google.com/>



## Über dieses Buch

Dies ist ein digitales Exemplar eines Buches, das seit Generationen in den Regalen der Bibliotheken aufbewahrt wurde, bevor es von Google im Rahmen eines Projekts, mit dem die Bücher dieser Welt online verfügbar gemacht werden sollen, sorgfältig gescannt wurde.

Das Buch hat das Urheberrecht überdauert und kann nun öffentlich zugänglich gemacht werden. Ein öffentlich zugängliches Buch ist ein Buch, das niemals Urheberrechten unterlag oder bei dem die Schutzfrist des Urheberrechts abgelaufen ist. Ob ein Buch öffentlich zugänglich ist, kann von Land zu Land unterschiedlich sein. Öffentlich zugängliche Bücher sind unser Tor zur Vergangenheit und stellen ein geschichtliches, kulturelles und wissenschaftliches Vermögen dar, das häufig nur schwierig zu entdecken ist.

Gebrauchsspuren, Anmerkungen und andere Randbemerkungen, die im Originalband enthalten sind, finden sich auch in dieser Datei – eine Erinnerung an die lange Reise, die das Buch vom Verleger zu einer Bibliothek und weiter zu Ihnen hinter sich gebracht hat.

## Nutzungsrichtlinien

Google ist stolz, mit Bibliotheken in partnerschaftlicher Zusammenarbeit öffentlich zugängliches Material zu digitalisieren und einer breiten Masse zugänglich zu machen. Öffentlich zugängliche Bücher gehören der Öffentlichkeit, und wir sind nur ihre Hüter. Nichtsdestotrotz ist diese Arbeit kostspielig. Um diese Ressource weiterhin zur Verfügung stellen zu können, haben wir Schritte unternommen, um den Missbrauch durch kommerzielle Parteien zu verhindern. Dazu gehören technische Einschränkungen für automatisierte Abfragen.

Wir bitten Sie um Einhaltung folgender Richtlinien:

- + *Nutzung der Dateien zu nichtkommerziellen Zwecken* Wir haben Google Buchsuche für Endanwender konzipiert und möchten, dass Sie diese Dateien nur für persönliche, nichtkommerzielle Zwecke verwenden.
- + *Keine automatisierten Abfragen* Senden Sie keine automatisierten Abfragen irgendwelcher Art an das Google-System. Wenn Sie Recherchen über maschinelle Übersetzung, optische Zeichenerkennung oder andere Bereiche durchführen, in denen der Zugang zu Text in großen Mengen nützlich ist, wenden Sie sich bitte an uns. Wir fördern die Nutzung des öffentlich zugänglichen Materials für diese Zwecke und können Ihnen unter Umständen helfen.
- + *Beibehaltung von Google-Markenelementen* Das "Wasserzeichen" von Google, das Sie in jeder Datei finden, ist wichtig zur Information über dieses Projekt und hilft den Anwendern weiteres Material über Google Buchsuche zu finden. Bitte entfernen Sie das Wasserzeichen nicht.
- + *Bewegen Sie sich innerhalb der Legalität* Unabhängig von Ihrem Verwendungszweck müssen Sie sich Ihrer Verantwortung bewusst sein, sicherzustellen, dass Ihre Nutzung legal ist. Gehen Sie nicht davon aus, dass ein Buch, das nach unserem Dafürhalten für Nutzer in den USA öffentlich zugänglich ist, auch für Nutzer in anderen Ländern öffentlich zugänglich ist. Ob ein Buch noch dem Urheberrecht unterliegt, ist von Land zu Land verschieden. Wir können keine Beratung leisten, ob eine bestimmte Nutzung eines bestimmten Buches gesetzlich zulässig ist. Gehen Sie nicht davon aus, dass das Erscheinen eines Buchs in Google Buchsuche bedeutet, dass es in jeder Form und überall auf der Welt verwendet werden kann. Eine Urheberrechtsverletzung kann schwerwiegende Folgen haben.

## Über Google Buchsuche

Das Ziel von Google besteht darin, die weltweiten Informationen zu organisieren und allgemein nutzbar und zugänglich zu machen. Google Buchsuche hilft Lesern dabei, die Bücher dieser Welt zu entdecken, und unterstützt Autoren und Verleger dabei, neue Zielgruppen zu erreichen. Den gesamten Buchtext können Sie im Internet unter <http://books.google.com> durchsuchen.





2-12-34 5 P.M.



ad geol. Savoy.

Austin F. Rogers



# Handbuch der Mineralogie.

*Vol. II*





Handbuch  
der  
Mineralogie

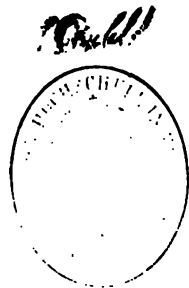
von

Fr. Aug. Quenstedt,  
Professor zu Tübingen.

*Austin F. Rogers*

Dritte verbesserte Auflage.

Mit vielen Holzschnitten.



Tübingen, 1877.

Verlag der G. Laupp'schen Buchhandlung.







## Vorrede.

Zur ersten Auflage. November 1854.

Nicht ohne Zögern habe ich mich an ein Werk gewagt, bei dessen Entwurf ich mir schon gestehen mußte, daß über einen in so vielen Lehr- und Handbüchern längst durcharbeiteten Stoff sonderlich Neues zu sagen, wenigstens unser in mineralogischer Hinsicht so karge Ausbeute lieferndes Schwabenland nicht der Ort sei. Dennoch bin ich als öffentlicher Lehrer der Mineralogie alljährlich berufen, mit der Entwicklung der Wissenschaft Schritt zu halten, und einer Anzahl zum Theil eifriger Zuhörer den Weg zur Sache zu zeigen, was bekanntlich gerade in der Gesteinskunde seine eigenthümliche Schwierigkeit hat, wenn man nicht ganz auf der Oberfläche bleiben will, wie leider heutiges Tages eine Reihe von Büchern es sich förmlich zur Aufgabe machen. Dazu kommt die übergroße Verschiedenheit der Methoden: so daß ich mich vergeblich nach einem Buche umseh, welches ich meinen Vorlesungen hätte zu Grunde legen können.

Ich selbst habe das Glück gehabt, den ersten mineralogischen Unterricht aus der lautersten Quelle zu schöpfen. Allein diese Quelle war nur den Zuhörern zugänglich, da es der Lehrer, wie einst Werner, stets ablehnte, etwas Zusammenhängendes über das ganze Gebiet durch den Druck zu veröffentlichen. Dieser Umstand hat wesentlich mit beigetragen, daß die scheinbar leichtere Methode von Mohs so schnellen Eingang fand: aber lasse ich auch gern der Concinnität des Ausdrucks, der Schärfe der Bestimmung und der Eleganz der Figuren alles Lob widerfahren, naturgemäß ist die Darstellung schon deshalb nicht, weil sie auf Umwegen schwieriger Symbole ohne alle Deduction an die Sache tritt, welche durch die Weiß'sche Methode so unmittelbar einleuchtet. Nun hat zwar Naumann gleich nach Mohs vieles Kystallographische zu verbessern und zu erleichtern gesucht, es bleibt aber hier auch immer noch versteckt, was unmittelbarer heraus gefehrt sein sollte.

Wir müssen daher einfach zu den Arenalnsdrücken, zur Zonenlehre und ihrer Deduction zurückkehren. Letztere zu übersehen, ist eine Projection nöthig, die öfter beigelegt wird, und woraus meist der Arenalnsdruck unmittelbar folgt. Diese Projectionenlehre ist vollständig dargestellt. Wer mehr darüber will, muß meine „Methode der Krystallographie“ lesen, welche 1840 bei Oslander herausgekommen ist. Auch die Art mit der Projection zu rechnen wird auseinander gesetzt. Eine akademische Broschüre vom Jahr 1848 handelt darüber etwas weitläufiger, aber sie ist nicht in den Buchhandel gekommen. Neumann's Projectionsmethode ist nur kurz gegeben. Uebrigens halte ich es auch für verfehlt, wenn Miller in England darauf abermals eine Bezeichnungsweise gründete. Das gibt immer nur wieder neue Schwierigkeiten.

In diesem Kampfe der Ansichten ist mir der Muth gewachsen, mit Nachfolgendem hervortreten. Das Ziel, was ich mir in chemischer, physikalischer und mathematischer Rücksicht stellte, war folgendes:

1) Jedes Mineral muß mit dem geringsten Aufwande chemischer Versuche und zwar schnell, erkannt werden.

Wenn die Mineralogie überhaupt eine wissenschaftliche Disciplin sein soll, so darf sie sich nicht ganz in das Schlepptau der Chemie nehmen lassen. Sie muß möglichst selbstständig ihren Weg verfolgen. Auch darf das nackte Wissen um den Stoff nicht ihr höchstes Ziel sein, wenn gleichwohl es bei allen irdischen Dingen das letzte ist. Der Mineraloge hat daher nicht nur den Reichthum der Stoffe in der Natur schlechthin aufzuweisen, sondern vor Allem die Art der Anhäufung ins Auge zu fassen, und durch kurze chemische Diagnosen zu bestimmen: welche lehren im Verein mit den übrigen Kennzeichen meist ebenso wenig irre leiten, als die strengste chemische Analyse. Die Ausführung der Analyse selbst gehört nicht in das mineralogische Gebiet. Doch ist es umgekehrt ungründlich, wenn man zu ihr schreitet ohne die mineralogischen Hilfsmittel erschöpft zu haben. Das macht so viele Analysen gänzlich unbrauchbar.

2) Die physikalischen Kennzeichen sollen von geschärften Sinnen aufgenommen, höchstens durch kleine Experimente unterstützt, sogleich zur naturhistorischen Erkennung führen.

Wir dürfen es zwar nicht verschmähen, die genauesten Bestimmungen über Härte, Gewicht, optische, magnetische, elektrische u. Eigenschaften, die der Physiker vom Fach oft mit dem größten Aufwand von Apparaten, mühsam herausbrachte, aufzunehmen, aber immer doch nur zu dem Zweck, um die Sinne dadurch zu schärfen, ein möglichst treues naturhistorisches Bild selbstständig auffassen zu lernen. Erst dadurch

wird die Mineralogie zur besten Lehrmeisterin für die Beobachtungskunst überhaupt. Sie ist die nothwendige Schule, in welcher sämtliche unorganische Körper zum weiteren Experiment geistig vorbereitet werden, ja man sieht es selbst den tüchtigsten chemischen und physikalischen Versuchenden nicht selten zu ihrem Nachtheil gar zu deutlich an, wenn diese Vorleschule nicht durchgemacht ist. Dabei kommt es nicht auf ein minutiöses Mehr oder Weniger in dem Abwägen der Eigenschaften an, sondern vielmehr auf die ganze Art des Totaleindrucks. Die Eindrücke berühren uns aber nicht, wenn wir ihren Werth nicht vorher tüchtig würdigen gelernt haben: so kann der Schimmer an irgend einem Punkte des Krystalls, das Dunkel- oder Hellwerden bei der Wendung einer Fläche u. augenblicklich auf die richtige Spur leiten, während alle andern Hilfsmittel, wenn auch die Exactität ihrer Ausführung noch so glänzend erscheint, höchstens auf Umwegen dahin führen. Es ist wahrlich kein geringer Vortheil, sogleich beim bloßen Anschauen eines Körpers um die Möglichkeiten den engsten Kreis ziehen zu können. Aber das ist die Aufgabe der Mineralogie, die sie bereits mit vielem Glück gelöst hat.

3) Die krystallographischen Hilfsmittel dürfen gerade keine tieferen mathematischen Kenntnisse erfordern, die Zonenlehre und ein schnelles Winkelmessen mit dem Handgoniometer müssen in den meisten Fällen ausreichen.

Die Krystallographie könnte man eine verkörperte Mathematik nennen. Aber sie ist ohne Leben, wenn sie nicht über die verknöcherten Symbole hinausgeht, und zur Zonenlehre fortschreitet. Die Zonenlehre an der Hand der Projection gibt uns allein das tiefere Verständniß. Das ist eine so einfache Wahrheit, daß es verwundert, warum sie so lange um ihre allgemeine Anerkennung ringen muß. Es bedarf dabei nicht jener übermäßigen Genauigkeit im Winkelmessen, die vielen Arbeiten den Schein von Gründlichkeit gibt, sondern Augenmaß und Anschauung reichen hin, aber nur dann, wenn der Beobachter die für Manche allerdings harte Uebungsschule einer gründlichen Projectiionslehre durchgemacht hat. Die dadurch erworbene Fertigkeit im Erkennen der Krystalle ist der Segen, welcher die darauf verwendete Mühe reichlich lohnt. Und wenn überhaupt das Bewußtsein, eine Wissenschaft ergründet zu haben, den Geist erhebt und veredelt, so läuft hier noch ein praktisches Interesse neben her. Denn es wird mit jedem Jahre klarer, daß nicht bloß der chemische Gehalt, sondern auch die krystallographische Form bei der Analyse der Stoffe eine wesentliche Rolle spielt.

Wie weit der Verfasser diesem Ziele nahe gekommen ist, hängt

nicht bloß vom Urtheil der Sachkenner, sondern auch der Anfänger ab, welche dem Buche sich zuwenden, um dadurch in das weitläufige mit vielen Schwierigkeiten durchwobene Gebiet eingeführt zu werden. Gar Manches wird als Ferment wirken, was endlich zu der Einsicht führen dürfte, wie Noth es thue, daß wir uns über eine gemeinsame Sprache einigen, die auch dem ferner stehenden Naturforscher die Formenlehre genießbar mache. An Figuren, die öfter Copien bekannter Werke sind, ist nicht gespart. Doch fehlt es auch nicht an neuen, wobei mir einer meiner jüngern Freunde, Hr. Dr. Doppel behilflich war, dessen Talente im Wiedergeben von Formen ich schätzen gelernt habe. Bei der Darstellung wurde stets auf das Nützliche hingewiesen, und eine Form gewählt, die es dem Leser ermöglicht, wenigstens viele Capitel in laufender Rede zu genießen. Freilich kommen auch Punkte vor, die nicht ohne tieferes und wiederholtes Nachdenken selbst Kopfbrechen überwunden werden dürften: der Geübte wird sie hochschätzen, und dem Ungeübten bringen sie wenigstens keine Nachtheile, da zwischenhinein das Leichtere immer wieder ein Ganzes bildet.

---

## Vorrede.

Zur zweiten Auflage. September 1862.

---

Nur selten gelangen bei uns wissenschaftliche Lehr- und Handbücher der Mineralogie von diesem Umfange zu einer zweiten Auflage. Mit der Gunst des Erfolges schwanden die Bedenken, welche bei dem ersten Unternehmen mich beunruhigten: ich kam einem Bedürfnisse entgegen, und dieses zu befriedigen, will ich nach Kräften mich weiter bemühen. Wie wahr die alten Worte »docendo discimus« seien, erkennt keiner mehr als der Schriftsteller, welcher zum zweiten Male an dasselbe Werk Hand anlegen soll. Er hat es nicht bloß mit den neuen Fortschritten zu thun, die leider mehr in die Breite als in die Tiefe gehen, sondern es gibt auch das längst Bekannte und Durchforschte immer wieder neue Seiten kund. Wie manches erscheint wenn gleich nicht geradezu falsch, so doch bei weiterem Nachdenken in einem andern Lichte: es muß der Inhalt auf Kosten der Form geändert werden. Das gelingt nicht immer. Dennoch glaube ich im Ganzen dieses umgearbeitete Werk als extensiv reichhaltiger und intensiv besser den Freunden des Faches empfehlen zu dürfen. Die Bogenzahl stieg von 46 auf 51, und die Figuren wurden um 90 vermehrt. Nicht bloß haben die optischen Eigenschaften wesentlich größere Berücksichtigung erfahren, sondern ich bin auch krystallographischen Erweiterungen gefolgt, soviel es der Umfang des Buches nur zuließ, wie Bergkrystall, Feldspath, Epidot &c. beweisen. Die chemischen Analysen wurden theilweis bis zum Spektroskop verfolgt; Geschichte, Geographie, Geognosie, Lithurgie &c. zu Hilfe genommen, wo es sich darum handelte, vollständigere Bilder zu entwerfen, und dem Leser zu zeigen, daß unsere Wissenschaft es nicht mit sterilen Formen, sondern mit einem reichen Inhalt zu thun habe, der unter den Gebildeten bei Jung und Alt zünden sollte.

---

## Vorrede zur dritten Auflage.

---

Selbstverständlich wurde das Buch auch diesmal, da seit der zweiten Auflage 1862 volle 15 Jahre dazwischen liegen, wieder ansehnlich erweitert: der Text stieg von 51 auf 63 Bogen, und die Holzschnitte nahmen um 104 Nummern zu. Am schwierigsten ist bei den umfangreichen Fortschritten das richtige Maß einzuhalten, damit es für Anfänger nicht zu breit, und für Geübtere nicht zu knapp werde. Das Urtheil darüber überlasse ich gern dem nachsichtigen Leser, da ich abermals nach Kräften bestrebt war, den Rahmen des Bildes ganz im Sinne der frühern Auflagen zu erweitern, und möglichst viel des Neuen hinzuzueben, was Mikroskopiker, Chemiker, Physiker, Krytallographen, Geologen und andere mehr praktische Forscher mit rühmlichem Eifer ans Licht förderten. Mußte ich auch bezüglich der Namen, die zuletzt noch alles zu überwuchern und dabei manches gute Alte wieder zu ersticken drohen, vorsichtige Auswahl treffen, so zeigt doch das 18 enggedruckte Seiten umfassende Register, über welche Menge von Worten man Aufklärung erwarten darf.

Ohnehin ist bei den beschreibenden Naturwissenschaften jetzt keiner mehr im Stande, Alles gleichmäßig zu umfassen, wir müssen uns vielmehr in das Wesen zu vertiefen suchen, und die Menge als unwichtigeres Beiwerk nebenher spielen lassen. Jene glücklichen Zeiten, wo ein Werner bei seinem Tode mit „317 wohlbegründeten Arten“ die Dryctognosie abschließen konnte, und die ins Leben einzuführen der Lehrer noch vermochte, sind längst vorüber. Jetzt würde man mit der zehnfachen Zahl schon deshalb nicht zu Stande kommen, weil Sammlungen, die alles das enthielten, wohl kaum gefunden werden.

Lübingen im April 1877.

Grunstedt.



## Geschichte der Mineralogie.



Das Wort **Mineral** kommt von ~~mina~~ Schacht, aus der Wurzel des Mittellateinischen „menare betreiben“ (Diez, etym. Wörterbuch der romanischen Sprachen 1853, pag. 229). Nach Agricola (de ortu et causis Subterraneorum lib. IV. 614) nannte schon Avicenna jene verborgene Kraft, welche die Dinge in der Erde versteinert, Grubenkraft (vim externo vocabulo mineralium nominat), und bald darauf um die Mitte des 11ten Jahrhunderts soll der englische Mönch Joh. de Garlandia ein liber de mineralibus geschrieben haben (Pfaff, Grundriß der Mineralogie 1860, pag. 1). Die Alten liebten die Steine als Schmuckfachen, welche besonders von den Aegyptiern verfertigt wurden. Schon das Gewand des Hohenpriesters schmückten 12 Edelsteine, 2. Mos. 28, 17 u. 39, 10. Zwar nennt Homer außer Bernstein (ήλεκτρον Odyss. 18. 205) keine Namen, allein die schlauen Phöniciere brachten den Griechen „tausenderlei Spielzeug“ (Odyss. 15. 418) aus den fernsten Gegenden, worunter auch Steine waren (Krause, Pyrgoteles oder die edlen Steine der Alten 1856, pag. 3). Gar merkwürdig ist ein altes dem Priester Onomatritos (500 v. Chr.) zugeschriebenes Gedicht Ὀρφεὺς περὶ λίθων, worin die Gemmen als Talismane (ἀλεξίφάρμακα) besungen werden. Es beginnt mit dem „strahlenden Krystall“, durch den die Sonne dürres Holz zu einem heiligen Feuer entflamme. Zu Homers Zeit bedeutete κρύσταλλος (Odyss. 14. 47) noch Eis, was jetzt passend auf Quarz übergetragen wird (Dr. Marx, Geschichte der Krystallkunde 1825). Außerdem lernen wir noch eine Menge Namen wie Opal, Jaspis, Topas, Achat, Obsidian, Gagat, Magnet u. zum ersten Male kennen. Herodot (II, 44; III, 128) erzählt uns bereits von Smaragden, Plato vom Diamant (ἀδάμας), der ihm ein „Goldknoten“ (χρυσὸν ὄζος) war, worin sich das edelste aller Metalle gleichsam verdichtet hatte. Aber erst Aristoteles (384—322) gab eine bündige Einteilung:

ὀρυκτὰ Steine und μεταλλεύατα Erze,

jene durch feuchten Dunst, diese durch trockenen Rauch entstanden (Meteoro-logica 3. 7). Agricola (de natura foss. pag. 574) mußte das schon einfach zu erklären: ὀρυκτὰ nominavit, quod qui velint his rebus uti, satis habent eas fodisse; materias vero metallicas μεταλλεύατα, quod eas praeterita excoquere sit necesse. Das Wort ὀρυκτὰ (fossilis) gab seit Werner den geläufigen Ausdruck für die Wissenschaft: **Oryctognosie**. Gleich nach Aristoteles schrieb sein Schüler Theophrast (310—225 v.

(Chr.) ein besonderes kleines Buch *περὶ τῶν λίθων*, worin man viele Namen aus der Beschreibung wieder erkennt, wie Gyps, Obsidian, Sapphir (Lazurstein) u. Welche unvollkommene Vorstellung die Alten über Bildung der Minerale hatten, beweist am besten der Bergkrytall. Schon 30 v. Chr. Geh. behauptet Diodorus Siculus (II, 52. pag. 168. Weff.) von den Krytallen Arabiens, sie beständen aus reinem Wasser, das nicht durch Kälte, sondern durch die Kraft eines göttlichen Feuers fest geworden sei. Auch Seneca (Quaest. nat. 3. 28) meinte, daß der Krytall aus Eis entstehe: wenn nämlich das himmlische Wasser frei von allen erdigen Theilen erhärte, so werde es durch die Hartnäckigkeit längerer Kälte immer dichter, bis es endlich nach Ausschluß aller Luft gänzlich in sich zusammengepreßt, und was vorher Feuchtigkeit war, in Stein verwandelt sei. Plinius der ältere († 79 n. Chr.), welcher seine Bücher (hist. nat. lib. 33—37) im Jahr 77 schloß, hob sogar schon einzelne Krytallformen etwas schärfer hervor, doch sind seine Mineralbeschreibungen so unvollkommen, daß wir nur wenige mit Sicherheit deuten können. Der Namen aber wurden uns viele überliefert und in unsern Compendien aufs Neue verwendet.

Nun trat eine große Lücke ein. Zwar theilte der Arabische Arzt Avicenna (980—1036) die Minerale in 4 Klassen: Steine, brennliche Fossilien, Salze und Metalle. Abul-Nihon Albirouny bestimmte sogar um jene Zeit viele specifische Gewichte auffallend genau (Poggendorfs Ann. 107. 222). Allein es waren Gelehrte, die nicht im Boden der Erfahrung wurzelten. Diese mußte erst auf mühsamere Weise gewonnen werden. Der deutsche Bergbau brach dazu die Bahn.

Nach Reiserstein (Geschichte und Literatur der Geognosie. Halle 1840) beginnt schon im 6ten Jahrhundert ein reger Bergbau der Slaven und Wenden in Böhmen und Mähren; 920 wurde der Kupferschiefer bei Frankenberg in Hessen, 935 der Erzstock des Rammelsberges bei Goslar, im 12ten Jahrhundert das Erzgebirge von Sachsen entdeckt. Ohne mineralogische Kenntniß konnte ein solcher ausgedehnter Bergbau gar nicht stattfinden, allein die Bergleute schrieben nichts nieder, sie waren „Männer vom Leder, und nicht von der Feder“. Wenn auch einiges den Gelehrten zu Ohren und Augen kam, wie dem Schwaben Albertus Magnus (1193—1280), der 5 Bücher de mineralibus et rebus metallicis schrieb, so sahen sie es doch immer im Spiegel alter Autoren. Das älteste deutsch geschriebene Werk über Naturgeschichte verfaßte Konrad von Regenberg (1309—1374), unter dem Titel „das Buch der Natur“ 1350 (editio Pfeiffer), allein trotz seiner vielen Auflagen fiel darin die Mineralbeschreibung nur sehr mager aus.

Erst das Bergbüchlein, ebenfalls deutsch geschrieben, schöpfte aus der reinen Quelle praktischer Erfahrung. Basilius Valentin, den man weiter nicht kennt, soll der Verfasser sein, aber wahrscheinlich haben mehrere daran gearbeitet. Doch waren es jedenfalls nicht classisch gebildete Bergleute, die etwa um das Jahr 1500 niederschrieben, was bis dahin die Erfahrung gelehrt hatte. Neue, dem Alterthum unbekannte Namen, wie

Quarz, Spath, Schiefer, Kiez u. treten uns hier zum ersten Male entgegen, die wir dann wieder bei **Georg Agricola** (1490—1555) *de natura fossilium* 1546 beschrieben finden. Dieser war Arzt zu Joachimsthal und Chemnitz, wo er von Bergwerken rings umgeben reiche Kenntnisse sammeln konnte, welche ihn beim Deuten alter Autoren leiteten. Werner nennt ihn den „Vater aller metallurgischen Wissenschaften“, der allerdings schon mit Gestalt, Blättrigkeit, Härte, Schwere, Farbe, Glanz u. der Minerale in einer Weise beschäftigt war, wie vor ihm keiner. **Johann Renntmann** zu Torgau (1518—1568) heißt der erste Sammler in Deutschland, wozu wahrscheinlich die Eisleibischen Bergwerke veranlaßten. Auch **Encelius de re metallica** 1551 ist schon vortrefflich. **Conrad Gesner** *de rerum fossilium figuris* Zürich 1565 liefert uns die ersten Abbildungen. Im 17ten Jahrhundert geschah zwar nicht sonderlich viel, doch verlor sich der erwachte Sinn für das Fach nicht wieder. **Boetius de Boot** schreibt eine *Gemmarum et Lapidum historia* 1609, leitet die Form der Krystalle von beigemischten Salzen ab, und sucht schon auf geometrischem Wege die Sechseckigkeit des Quarzes zu erklären. **Kepler** (*Harmonices mundi libri V* und *de Nive* 1619) suchte die gewachsenen Formen aus den Platonischen Körpern zu erklären. Besonders Aufsehen erregte der Doppelspath, welchen der Däne **Erasmus Bartholin** (*Experimenta Crystalli islandici diadematici* 1670) auf Island entdeckte, durch seine doppelten Bilder. Bartholin bestimmte die ebenen Winkel der Rhomboeder-Flächen durch Messung zu  $101^\circ$  und  $79^\circ$ , und fand die Kante durch Rechnung  $103^\circ 40'$ . Schon früher hatte er eine Abhandlung *de figura nivis* 1661 geschrieben, worin die Meinung des Cartesius vertheidigt wird: die Schneefesterne entstanden dadurch, daß sechs Wasserbläschen genau ein siebentes central gelagertes umgaben. Die Formen wurden von nun an Gegenstand gründlicher Nachdenkensk. Der berühmte **Huygens** († 1695) maß die Doppelspathkante schon sehr genau auf  $105^\circ$ , und suchte den blättrigen Bruch zu erklären. **Boyle** († 1691) wies den blättrigen Bruch noch bei vielen andern Krystallen nach, und war einer der ersten, der den Grund zum heutigen Chemismus legte (Kopp, Ueber die Verschiedenheit der Materie. Abh. Nede 1860. 10). Der Däne **Steno**, welcher in Italien lebte, hat durch sein Werk *de solido intra solidum naturaliter contento* 1669 Epoche gemacht. Er spricht beim Bergkrystall nicht bloß von 6seitigen Säulen und 6seitigen Pyramiden an den Enden, sondern behauptet auch, daß trotz der Verziehung der einzelnen Theile eine Constanz der Winkel stattfindet (*non mutatis angulis*). Er zeigt weiter, daß man durch Abstumpfen eines Würfels sämtliche Flächen des Eisenglanzes ableiten könne, und weist die dreifache Streifung der Würfel Flächen am Schwefelkies nach u. (Grundriß der Krystallographie pag. 3). So eilen einzelne Männer ihrer Zeit voraus! In der ersten Hälfte des 18ten Jahrhunderts machte besonders **Hentzel's Pyritologia** oder Kiez-Geschichte 1725 Aufsehen. Vielfache Erfahrungen hatten den praktischen Bergmann gelehrt, daß die Steine aus Wasser entstünden, die Metalle aber, und darunter besonders der Kiez („Sans in allen

Vassen“ 1. c. pag. 733), aus erzführenden Dünsten. Allein es fehlt dem Werke wesentlich an systematischer Ordnung, ein Mangel, der auch bei Schröter (Vollständige Einleitung in die Kenntniß und Geschichte der Steine und Versteinerungen 1774) noch zu rügen ist, obgleich hierin vieles, was die Vorgänger über Steine wußten, in einer anziehenden Weise zusammengestellt wurde.

Erst in der Mitte des vorigen Jahrhunderts liegen die Keime derjenigen drei Richtungen, die noch heute neben einander fortlaufen. Die **Krystallographische** ist unter ihnen die älteste und naturgemäße. Zwar muß man ihre Anfänge in das 17te Jahrhundert setzen, wo besonders der Arzt Guglielmini in Bologna (de salibus dissertatio epistolaris 1707) sich hervorthat, doch war der berühmte Linné (1707—1778) der erste, welcher die Krystalle mit Erfolg zum Eintheilungsgrunde nahm, das ist für jene Zeit kein geringer Ruhm, Systema naturae sive tria regna 1735, Imper. fol. Befangen in der alten Vorstellung, daß die Salze Krystallbildner seien, nannte er sie geradezu Väter, welche in den Gebirgsarten (Müttern) die Krystalle erzeugten. Er wählte nun unter den künstlichen Salzen einige Hauptformen heraus: *Muria* Rochsalz zeigte ihm Würfel, deshalb setzte er die Würfel des Flußspathes dahin; *Alumen* Alaun Oktaeder, daher ward Diamant zum *Alumen adamas*, aber auch der oktaedrische Flußspath *Alumen*! *Nitrum* Salpeter zeigte eine sechsseitige Säule, und freudig meinte er jetzt den verzweifelten Ausruf Hensel's »o Silex! Silex! quis te generavit?« sicher beantworten zu können, »figuram obtinet ipsissimam verissimamque Nitri!« Alles das ließ er sich behufs der Demonstration in Holz schneiden, und wurde so der Erfinder unserer Krystallmodelle. Dabei unterschied er im großen Mineralreiche passend drei Klassen:

Petrae (Felsen), Mineræ (Minerale), Fossilia (Versteinerungen).

Sedenfalls wurde **René de Vaisé** (*Essai de Cristallographie* 1772, p. XII) durch solch originelle Betrachtungsweise auf die Wichtigkeit der Krystalle geleitet. Dieser anspruchslöse Mann brachte sich bald in den Besitz der reichsten Krystallsammlung, welche damals existirte. Er bestätigte die Beständigkeit der Winkel, unterschied auch Grundformen von den abgeleiteten, und als der Künstler Carangeot die Figuren in Thon und Holz ihm modelliren wollte, verfiel dieser alsbald auf das Anlegegoniometer, weil ohne Winkelmaß die Modelle nicht richtig wurden. Welch gewaltige Fortschritte Vaisé machte, zeigt seine *Cristallographie ou description de formes propres à tous les corps du règne minéral* 1783. Aber um diese Zeit kam

**René Just Haüy**, geb. 1743 zu St. Just in der Picardie, † 1. Juni 1822 zu Paris, einer der größten Naturforscher seiner Zeit, der alle Mineralogen neben sich verbunkelte. Sein *Essai d'une théorie sur la structure des Cristaux* erschien 1784 unter dem Privilegium der Academie. Schon der schwedische Chemiker Torbern Bergman († 1784) hatte gefunden (Act. Upsal. 1773 Vol. I, 164), daß man aus allen Kalkspathkrystallen eine Primitivform (forma primitiva) herauschälen könne, und leitete durch

Aufsichtigung dann die andern Flächen ab. Ohne davon zu wissen, kam Haüy auf die gleiche Idee. Als er eines Tages bei DeFrance eine Kaltspathdruse besichtigte, brach eine reguläre sechsseitige Säule mit Gradendfläche ab. Diese zeigte in einer Endkante einen Blätterbruch (*poli de la Nature*), und Haüy brachte durch Versuche zu Hause glücklich ein Rhomboeder heraus (*Essai* pag. 10). Jetzt lag der Gedanke nahe, daß durch Aufsichtigung kleiner Rhomboederchen auf die Flächen der Kerngestalt andere Formen abgeleitet werden könnten. So verfiel er auf das Gesetz der Decreascenzen und alle die glänzenden Entdeckungen, welche seinen Namen verewigt haben. Nun konnten die Winkel nicht bloß mit dem Anleggoniometer gemessen, sondern auch berechnet werden, und diese Rechnungen führte er so scharfsinnig durch, daß in seinem *Traité de mineralogie* 1801 die Krystallographie ihrem Inhalte nach als eine fest abgeschlossene Wissenschaft dasteht, wenn auch ihre Form in Deutschland später ein ganz anderes Gewand bekam. Freilich waren nur talentvolle mathematische Köpfe befähigt, sie zu lesen, aber diese legen noch heute das Buch nicht ohne Bewunderung aus den Händen. Daraus läßt sich allein erklären, warum die Franzosen bis heute die Methode nicht ganz verlassen haben. Die 2te Auflage 1822 blieb schon gegen ihre Zeit zurück.

Die chemische Richtung ging ebenfalls von Schweden aus. Schon Wallerius (*Mineral-Riket* 1747) stellt die Stoffe an die Spitze, vor allem aber brach Ägel von Cronstedt (1722—1765) Berghauptmann in Stockholm die Bahn. Sein »*Försök til Mineralogie*« erschien 1758. Hier wurde das Löthrohr, wovon Bartholinus schon Kenntniß hatte, zuerst angewendet, aber nicht genannt; doch beschreibt es Engström 1765 in der englischen Uebersetzung. Von da an kam es dann durch Bergman und Jahn in den weitesten Gebrauch. Cronstedt stellte jeder Klasse und Ordnung die chemischen Kennzeichen voran, überhaupt zeichnet sich sein Büchelchen so vortheilhaft durch Kürze und Schärfe aus, daß er sich „weit über sein Zeitalter erhob.“ Der berühmte Bergman, „das Orakel unserer modernen Chemiker“, schrieb selbst eine *Sciagraphia regni mineralis, secundum principia proxima digesti* 1782, die, in verschiedene Sprachen übersezt, als das erste vollständige chemische System angesehen wird. Freilich könnte man das kleine Büchelchen, das auf den Wunsch Ferber's gedruckt wurde, eher eine Chemie nennen. Nachdem ferner durch Bauquelin und Klaproth (Beiträge zur chemischen Kenntniß der Mineralkörper. 6. Bd. 1795—1815) eine Menge trefflicher Analysen gewonnen waren, trat die Wichtigkeit der Chemie für Mineralogie in immer helleres Licht.

Den naturhistorischen Weg, gegen dessen Popularität die beiden genannten weit zurückblieben, eröffnete Abraham Gottlob Werner, 25. September 1750 zu Wefrau in der Oberlausiz geboren, 30. Juni 1817 zu Dresden gestorben (Lebensbeschreibung A. G. Werner's von Dr. Frißh 1825). Gleich seine erste kleine Schrift „von den äußerlichen Kennzeichen der Fossilien“ 1774 zeigt die Größe des aufgehenden Sternes. Welche Klarheit und Bestimmtheit im Ausdruck, und welch feiner Sinn für Auffassung der

Kennzeichen, verbunden mit logischer Ordnung! Die Kennzeichen selbst werden in vier Abtheilungen gebracht: äußere, innere, physikalische und empirische, darunter spielen aber die äußern, welche „zu ihrer Aufführung nur allein unsere Sinne nöthig haben“, die Hauptrolle. Denn ein Messer, Feuerstahl und Feile zur Prüfung der Härte, ein Magnet, ein Vergrößerungsglas und ein Fläschchen mit Scheidewasser bildeten sein mineralogisches Bestck. „Will man dazu noch ein Löthroßrgen thun, um damit in der Geschwindigkeit einige kleine Feuerversuche mit Fossilien anstellen zu können, so ist man zum Ueberfluß versehen.“ Farbe ist das erste, was in die Sinne fällt, Zusammenhang (cohaesio) das zweite: hier wird dann auch der regelmäßigen Gestalten oder Krystallisationen gedacht, sie werden treulich und oft sehr naturgemäß beschrieben, doch war Werner nicht Mathematiker und konnte daher auch zur tiefern Formenkenntniß nur wenig beitragen, dagegen wird Glanz, Bruch, Strich, Härte, Klang zc. in der besten Weise hervorgehoben. Auch das Anfühlen, die Kälte, Schwere, selbst der Geruch und Geschmack müssen zur Vervollständigung des Bildes beitragen. Ostern 1775 bekam er schon einen Ruf als Lehrer der Mineralogie und Bergbaukunst an die Bergakademie von Freiberg, wo er 42 Jahre mit einem Erfolg wirkte, wie sich nur Wenige rühmen können. Anfangs wurden Mineralogie und Bergbaukunst bei den Vorträgen vereinigt gelassen, doch schon im nächsten Jahre trat das Bedürfniß der Trennung ein. Etwa um 1779 schied er auch die Gebirgslehre, welche er in einer erweiterten Form zum ersten Male 1785 unter dem Namen *Geognosie* las, während schon 1780 die Mineralogie in ihrer Abgrenzung gegen die Gebirgslehre vorgetragen wurde. Leider hat Werner wenig geschrieben, bei seinen Vorlesungen legte er Cronstedt's *Försök til Mineralogie* zu Grunde, von der er 1780 den ersten Theil des ersten Bandes übersetzt und vermehrt herausgab. Sein vollständiges System schrieb zuerst Emmerling (*Lehrbuch der Mineralogie* 1793), aber gegen seinen Willen, später mit seinem Willen Hoffmann (*Handbuch der Mineralogie* 1811—13, fortgesetzt von Breithaupt 1815—17). Am Ende des 4ten Bandes findet sich „Werner's letztes Mineralsystem“ 1817, das sich nach seinem Tode unter seinen Schriften fand. Es enthält 317 meist wohl begründete Arten. Auf den Schultern dieses berühmten Lehrers erhoben sich die Mineralogen unseres Jahrhunderts. Sein „vorzüglichster Schüler“ war

Christian Samuel Weiß, geboren 26. Febr. 1780 zu Leipzig, also in demselben Jahre, wo zum ersten Mal auf einem deutschen Lehrstuhle die Mineralogie in ihrem selbstständigen Inhalte vorgetragen wurde. Gestorben 1ten Oktober 1856 zu Eger in Böhmen. Er ging bald über Werner hinaus und Haug zog ihn an, den er in Paris frühzeitig aufsuchte, dessen Lehrbuch über Physik und Mineralogie er übersetzte und mit Anmerkungen versah. Uns interessiert hauptsächlich das „Lehrbuch der Mineralogie vom Bürger Haug in 4 Bänden 1804—1810“, woran Karsten nur anfangs Theil hatte. Eine merkwürdige Abhandlung über die „dynamische Ansicht der Krystallisation“ finden wir I. pag. 365. Weiß po-

lemisirt hier gegen die atomistische Lehre Haüy's, und weist nach, daß nicht bloß den Flächen der Kerngestalt Blätterbrüche parallel gehen, sondern daß auch den secundären ein versteckter Durchgang der Blätter entspreche, daß mit einem Worte die Blätterbrüche das ganze Innere des Krystalls beherrschen. Sie hingen von gewissen „Krystallisationsrichtungen“ ab, welche im Innern des Krystalls wirken. Der Feldspath (Haüy Mineral. II, 711) wurde bereits 1804 in seiner naturgemäßen Stellung erkannt, und der Zusammenhang seiner Flächen nach Zonen gruppiert! Ja bei dem schon damals richtig gebedeuteten Epidot (III, 141) steht klar ausgesprochen, daß durch das Fallen einer Fläche in zwei Zonen ihre Lage geometrisch bestimmt sei (1806). Hierin liegen offenbar die Keime für die spätere Deductionslehre. 1808 zum ordentlichen Professor der Physik nach Leipzig berufen, wird bereits in einer lateinischen Dissertation, de indagando formarum crystallinarum caractere geometrico principale 1809, die neue Anordnung der Krystalle auseinander gesetzt. Wir finden nicht nur die Bedeutung der Azen hervorgehoben: *axis vero linea est omnis figurae dominatrix, circa quam omnia aequabiliter sunt disposita. Eam omnia spectant, eaque quasi communi vinculo et communi inter se contactu tenentur*, sondern das ganze System in seinen Grundzügen angedeutet; die Haüy'schen Primitivformen werden auf das reguläre Octaeder, Rhomboeder und Dihedraeder, Quadrat- und Oblongoctaeder zurückgeführt, nur Feldspath, Epidot, Gyps u. nicht untergebracht, sondern auf eine spätere Behandlung verwiesen, als zu den genannten vier Systemen nicht gehörig. Schon durch Cabinetsordre vom 6ten September 1810 wurde Weiß auf lebhaftes Andringen von L. v. Buch an die neu errichtete Universität Berlin gerufen, wo er 46 Jahre als geliebter Lehrer wirkte. Den Eintritt in die Akademie der Wissenschaften 1815 feierte er mit dem Abschluß seines Systems „übersichtliche Darstellung der verschiedenen natürlichen Abtheilungen der Krystallsysteme“: 1) reguläres, 2) viergliedriges, 3) zweiundzweigliedriges, 4) zweiundeingliedriges, 5) einundeingliedriges, 6) sechsgliedriges nebst dreiunddreigliedrigem System werden unterschieden, und beim regulären das Tetraedrische und Pentagondodekaedrische hervorgehoben. Damit war der wundervolle Bau der Krystalle in seinen Grundgesetzen erkannt. Eine Reihe monographischer Abhandlungen, welche nun alljährlich in jenen akad. Schriften folgten, haben uns mit den tiefern Verhältnissen bekannt gemacht. Prof. Neumann in Königsberg (Beiträge zur Krystallonomie 1823) trat in die Fußtapfen seines Lehrers und zeigte, wie man die Zonen und Richtungen in einem Bilde durch eine besondere Art von Projektion deutlich machen könne. Wie großen Werth der Lehrer selbst auf solche Darstellung legte, dieß zeigen seine Arbeiten seit dem Jahre 1834, wo durch eine Projektionsfigur der Abhandlung stets ihre letzte Vollenendung gegeben wird. Es ist dieß der einzige wahre Weg zur Erkenntniß der Sache. Das wird man um so mehr erkennen, je mehr wahre mineralogische Bildung überhaupt Wurzel schlägt. Ein scharfsinniger Vorgänger und Zeitgenosse war Medi-



cina Rath **Bernhardt** in Erfurt (Gehlen, Journal Chem. Phys. Min. 1807 IV. 220, V. 125, 409, 612), der uns schon sehr klare Ansichten über Systematik entwickelte, aber nicht von Aen sondern Kantenschnitten ausging. Er sprach sogar von Senkrechten aus dem Krystallmittelpunkt auf die Flächen gefällt (Gehlen, Journ. 1808 VIII. 272), eine Idee, die Neumann später ausführte. J. G. Graßmann (Zur physischen Krystallogonomie 1829) ging mit merkwürdiger Originalität von der Combinationslehre aus, die dann in Miller (Treatise on Crystallography 1839) einen so eifrigen Nachfolger fand, daß die Kürze und Eleganz der Darstellung namentlich von Physikern bevorzugt wird.

Während so die mathematische Richtung zum Abschluß kam, waren die Chemiker überaus thätig, auch ihrerseits das Nöthige beizutragen. Genaue Untersuchungen lehrten, daß die Stoffe nach bestimmten Aequivalentzahlen sich untereinander verbinden, **Berzelius** führte daher geradezu für jedes Element ein Symbol ein. So konnte dann die Zusammensetzung eines Minerals durch eine chemische Formel ausgedrückt werden. Diese Formeln werden freilich vielfach mißbraucht, daß aber im Ganzen die Sache dadurch gefördert wurde und wird, wer wollte das läugnen. Berzelius (Journ. Chem. et Phys. Bd. XV) selbst stellte schon im Jahre 1815 ein vollständiges chemisches Mineralsystem nach seinem electro-chemischen Princip auf, freilich auf Kosten aller naturhistorischen Verwandtschaften. Dem Chemiker, welcher die Minerale bloß der Stoffkenntniß wegen studirt, mag eine solche Zusammenstellung willkommen sein, der Mineralog sehnt sich aber immer wieder nach einem naturhistorischen Bande. Auch sind die Chemiker trotz ihres festen Principes unter sich ebensowenig einig geworden als die Naturhistoriker. Eines der letzten stammt von **Gustav Rose** (1798—1873), der sich immer mit Vorliebe der chemischen Richtung zuwendete, worin er so viel geleistet hat. „Das krystallo-chemische Mineralsystem 1852“ beginnt mit den einfachen Körpern und schließt mit den Sulphaten. Die chemischen Formeln gewannen sehr an Einfachheit, seit Prof. Fuchs darauf aufmerksam machte (Schweigger's Journ. für Chem. 1815 XV, 222), daß gewisse Stoffe andere vertreten könnten. Daraus entstand dann der Isomorphismus von Prof. **Mitscherlich** (Abh. der Berl. Akad. 1818, 49). Nimmt man dazu noch die Fortschritte, welche „durch die Anwendung des Löthrohrs in der Chemie und Mineralogie (1ste Aufl. 1821, vierte 1844)“ von Berzelius gemacht sind, so kann man sich nicht wundern, daß über die Mineralanalysen allein umfangreiche Werke erscheinen, wie das Handwörterbuch des chemischen Theils der Mineralogie von **Rammeisberg** 1841, mit 5 Supplementen 1843—1853, die in seinem Handbuch der Mineralchemie 1860 in systematischer Anordnung erscheinen. Eine neuere chemische Schule gab den Formeln zwar in großer Eile wieder eine andere Gestalt, aber in der Sache hat sich dabei wenig geändert. Demungeachtet darf der Mineraloge vom Fach, wenn er seinen Blick nicht trüben will, die Chemie nur als Helferin betrachten, die ihm beispringt, wenn seine andern Mittel nicht mehr ausreichen. Endlich ist auch

die naturhistorische Richtung schärfer ausgebildet, insonders von solchen, die weder mit chemischen noch mathematischen Kenntnissen ausgerüstet den populärsten Mittelweg suchten. Vor allem war es **Mohs**, dessen Talent in dieser Beziehung Bahn brach, der aber leider auch auf Nebendinge ein ungehörliches Gewicht legte. Schüler und Nachfolger **Werner's**, lieferte er schon 1804 „van der Muhl's Mineralienkabinet, geordnet und beschrieben“ in 3 Bänden, hielt sich darin aber durchaus auf dem **Werner'schen** Standpunkte. Wichtiger „die Charakteristik des naturhistorischen Mineralsystems. Dresden 1820 (2te Aufl. 1821)“, und besonders der „Grundriß der Mineralogie. 2 Bde. 1822—24“, von **Haidinger** ins Englische übersetzt (Treatise on Mineralogy 1825), woran die Krystallzeichnungen namentliches Verdienst haben. **Mohs** vernachlässigte das Chemische gänzlich und hielt sich bloß an äußere Kennzeichen, stellte unter andern eine Härtescala auf, faßte bei den Krystallen Grundformen heraus, legte Gewicht auf die Reihen der stumpfern und schärfern Körper, die in seiner Bezeichnung eine Hauptrolle spielen. Doch ist sein Krystallsystem ganz dem von **Weiß**, oder wenn man will dem von **Bernhardi** entnommen (Edinb. phil. Journ. 1823 VIII pag. 103 u. 275), und es hätte daher des bittern Streites über die Priorität nicht bedurft. Dabei schloß er sich den schärfern Messungen an, welche seit der Erfindung des Reflexionsgoniometer durch **Wollaston** 1809 möglich wurden. Bei den Messungen war ihm besonders **Haidinger** behülflich, und es stellte sich heraus, daß die zweiundeingliedrigen und eingliedrigen Systeme schiefwinklige Axen haben mußten, die **Mohs** zuerst (Schweigger Journal 1823 VII. 200) anführte. Allein schon **Kupfer** (Pogg. Ann. 1826 Band 8 pag. 75) zeigte, daß man die „Abweichung“ vom rechten Winkel öfter meiden könne, und jedenfalls verdienen wenigstens die Axen, welche sich den rechten möglichst nähern, vor den willkürlich schief angenommenen den Vorzug. Denn die Einfachheit der Axenausdrücke kann in solchen Fällen doch nicht allein entscheiden, sonst könnte man unter Umständen den allerschiefsten Stellungen den Vorzug geben wollen, wie die Zonenlehre beweist. **Haidinger** 1795 bis 1871, der berühmteste Schüler von **Mohs**, wandte sich mit Vorliebe und großem Glück auch dem physikalischen Theile zu, wie seine vielfachen interessanten Arbeiten über Dichroismus zc. beweisen (Poggendorff's Annalen 65. 1; 68. 205; 71. 221). In seinem Handbuche der bestimmenden Mineralogie, Wien 1845, ist der allgemeine Theil ausführlich behandelt, der specielle kommt aber zu mager weg, die übermäßige Concinnität führte **Mohs** und seine Schüler zu solchen Unbequemlichkeiten. Das Handbuch der Mineralogie von **Hausmann**, Göttingen 1828 und 1847, belehrt uns besonders mit litterarischen Ausweisen, führt aber leider auch wieder eine besondere krystallographische Sprache. Reich an Litteratur ist **Leonhard's** Handbuch der Drykognosie 1826, 2te Aufl. **C. F. Naumann** in Leipzig erwarb sich durch sein gediegenes Lehrbuch der Mineralogie, Berlin 1828, das freilich in **Mohs** eine wesentliche Stütze fand, und durch sein Lehrbuch der reinen und angewandten Krystallographie, Leipzig 1830, einen

solchen Ruf, daß nicht bloß seine Elemente der Mineralogie, 1846, noch kurz vor seinem Tode die neunte Auflage 1874 erlebten, sondern auch die meisten deutschen Mineralogen sich seiner Methode zuwenden. Leider ist sie zu abstract mathematisch, aber könnte man einiges unwesentliche Beiwerk abstreifen, so würde sie der Methode des Meisters in der Krystallographie ziemlich nahe treten. Mag auch die Sprache der Krystallographen noch so verschieden sein, so wird doch endlich das gemeinsame Gute sich herausklären. Die Weiß'schen Azen müssen zuletzt siegen.

---

## Structurlehre.

Pflanzen und Thieren gegenüber steht als Mineralindividuum, der Krystall. Derselbe wird nicht bloß von Ebenen begrenzt, sondern den äußern Ebenen gehen innen mehr oder weniger deutliche **Blätterdurchgänge** (Blätterbrüche) parallel, welche das Ganze beherrschen. Andere nach Werner bezeichnen es minder passend mit „Theilbarkeit oder Spaltbarkeit“ fissiles (Agricola de nat. foss. I. 572), die alten Bergleute mit Spath, was dem sanskritischen Spathion spaltbarer Steine verwandt ist. Solche **Blätterbrüche** geben sich beim Schlage durch einen spiegelglatten Sprung kund, der für die Bestimmung der Substanz von größter Wichtigkeit ist, und zugleich das wesentlichste Unterscheidungsmerkmal von der organischen Schöpfung liefert. Der Engländer Boyle († 1691) wurde durch die Diamantclover darauf aufmerksam gemacht. Mit ihrer Betrachtung muß um so mehr begonnen werden, als sie uns in ein Gebiet führt, das der Anschauung den reichsten Stoff bietet und das vernachlässigt bei vielen Zweigen der Naturwissenschaften sich bitter strafft. Schon Werner (Neuf. Kennz. Joff. 1774 pag. 227) hob die Gestalt der Bruchstücke des „blättrichen Bruchses“ scharfsinnig hervor.

### Betrachtung eines Blätterbruchs.

Nimmt man ein Stück Glimmer oder Talc, so lassen sich durch schnelles Zerbrechen davon so dünne Scheiben ablösen, daß sie im reflectirten Lichte rothe, selbst blaue Regenbogenfarben, wie die feinsten Glasblasen, zurückwerfen. Schon Newton (Optics 1706. 188) verglich sie mit den Farben der Seifenblasen, und Haüy berechnete die Dicke dieser Blättchen auf weniger als  $\frac{1}{100000}$  Zoll. Trotz der Leichtigkeit, mit welcher man die Lamellen von einander trennt, bilden sie doch zusammen eine compacte ungesonderte Masse, die Sonderung tritt erst mit dem Schlage oder Drucke ein. Man kann etwa folgende Stufen unterscheiden:

a) **Glimmerbruch** wird von keinem übertroffen, daher höchster Perlmutterglanz. Talc, Diallag, Blätterzeolith, Gyps, Diaspor, Graphit nähern sich ihm.

b) **Topasbruch** läßt sich selbst an diesem harten Edelstein noch leicht darstellen, steht aber dem Gyps schon entschieden nach. Kalkspath, Blende, der erste Feldspath- und Euklasbruch zeigen gleiche Deutlichkeit.

c) Apatitbruch kann man noch gut darstellen und leicht an seinem Glanz erkennen. Flußspath, der 2te Feldspathbruch, Schwerspath, Diamant, Korund und andere sind meist noch etwas deutlicher, stehen aber dem Topasbruch entschieden nach.

d) Beryllbruch liegt schon recht versteckt, er kann daher nicht mehr als wichtiges Merkmal genommen werden, obgleich man ihn zumal beim Kerzenlicht nicht wohl übersieht.

e) Quarzbruch ist noch versteckter und kaum wahrzunehmen, durch Erhitzen und plötzliches Abkühlen läßt er sich aber noch darstellen. Von practischem Nutzen ist diese Eigenschaft jedoch nicht mehr. Und wie wir schon angeführt haben, so geht wahrscheinlich jeder Fläche eines Krystalls irgend ein Grad von Blätterdurchgang parallel.

Mathematisch haben wir an solchen blättrigen Platten, wie Glimmer, Gyps, Topas zc. nichts festzuhalten, als daß rings um die Platte der Raum noch nicht geschlossen und nur nach einer Richtung eine der Dicke nach sehr variable Grenze stattfindet. Ob dick oder dünn, der **Parallelraum** (Krystallraum) zwischen den beiden Spiegeln ist für uns immer der gleiche. Dieses veränderliche Element macht dem Anfänger viel zu schaffen, es muß gleich von vorn herein durch die Art der Darstellung besiegt werden, Methode der Krystallographie 1840 pag. 3.

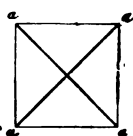
### Betrachtung zweier Blätterbrüche.

Sie bilden stets eine vierseitige Säule (Prisma) mit vier Flächen und vier Kanten. Alle Kanten sind untereinander parallel (machen eine Zone), die Flächen zu je zwei liegen einander gegenüber, ebenso die abwechselnden Kanten. Durch Verrücken der Blätterbrüche (wenn die Parallelräume dicker oder dünner werden) wird keine der Parallelitäten gestört, auch die Neigung der Flächen in den Kanten (Kantenwinkel) nicht, wie schon Steno erkannte. Parallelität und Winkel bleiben also constant, nur die Flächenbreite variirt. Flächen und Kanten nennt man die Glieder der Säule. Die **Säule** ist bereits nach zwei Dimensionen geschlossen, und nur nach einer noch offen, aber variabel dick. Ihre gegenüberliegenden Winkel (aa und bb) sind einander gleich, und da  $a + b = 2R$ , so ist sie durch einen gemessenen Winkel bestimmt, die Messung muß aber bekanntlich in einer Ebene stattfinden, die auf einer (und folglich auf allen vier) Kante senkrecht steht (Querschnitt).

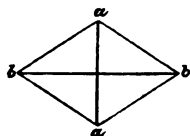
Nur nach dem Princip der Gleichheit und Ungleichheit kann die Einteilung gemacht werden: Flächen sind gleich, wenn sie gleiche physikalische Beschaffenheit haben: Blätterdurchgang, Glanz, Streifung, Härte, Elasticität zc.; Kanten sind gleich, wenn sie bei gleicher Zahl von Graden durch gleiche Flächen (und zwar in derselben Ordnung) erzeugt werden. Hiernach kann es nur viererlei vierseitige Säulen geben:

1) **Quadratsäule**, Flächen und Kanten gleich. Aus Holz

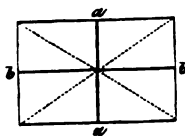
geschnitten macht man die Seiten congruent, dann ist der Querschnitt ein Quadrat, folglich sämtliche Kanten rechte Winkel (a). Es gibt unter den deutlichen Blätterbrüchen keine recht guten Beispiele: Rutil, Zirkon, Stapolith zc. In der Natur ist freilich auch diese Säule meist zu einem Oblongum verzogen.



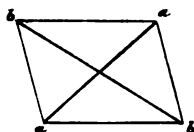
2) **Rhombsäule**, Flächen gleich und Kanten ungleich. Man schneidet die Flächen gewöhnlich congruent, dann ist der Querschnitt ein Rhombus mit zwei stumpfen (a) und zwei scharfen Winkeln (b). Feldspath, Hornblende, Schwertspath, Topas zc. In der Natur meist zu einem Rhomboid verzogen.



3) **Oblongsäule**, Flächen ungleich und Kanten gleich. Die eine Fläche dehnt sich mehr in die Breite als die andere, und da die Winkel rechte sein müssen, so ist der Querschnitt ein Oblongum: Feldspath, Augit, Enflas, Gyps liefern im 2 + 1gliederigen; Strahlzeolith, Kreuzstein, Olivin im 2gliederigen Systeme gute Beispiele.



4) **Rhomboidsäule**, Flächen und Kanten ungleich. Hier ist alles ungleich, folglich der Querschnitt ein Rhomboid: Arinit, Cyanit, Epidot, der muschelige und faserige Bruch des Gyps, Kupfervitriol, Albit zc. Uebrigens kommt diese Säule immer vor, wo sich zwei ungleiche Flächen schief schneiden.

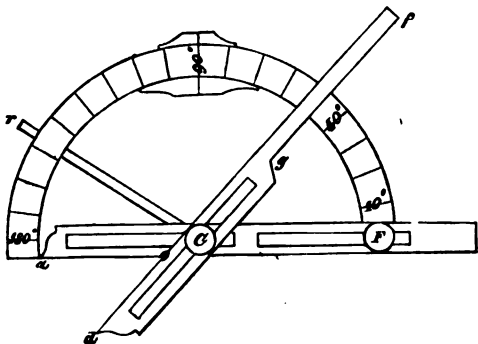


Man macht sich die Sache leicht an den beistehenden Querschnitten klar: die quadratische Säule hat rechtwinklige und gleiche Axen (Diagonalen); die rhombische rechtwinklige und ungleiche; die oblonge schiefwinklige und gleiche, doch kann man durch den Mittelpunkt auch rechtwinklige ungleiche ziehen; die rhomboidische schiefwinklige und ungleiche, hier sind gar keine rechtwinkligen Axen möglich. In der Natur beobachtet man meist nur eine Kante der Säule: sind in dieser Kante die Flächen gleich und rechtwinklig, so ist sie quadratisch; gleich und schiefwinklig, rhombisch; ungleich und rechtwinklig, oblong; ungleich und schiefwinklig, rhomboidisch.

Der Säulenwinkel wird auf zweierlei Weise gemessen: mittelst des Anleggoniometer, hierbei kann man jedoch um mehrere Grade irren; dagegen nähert man sich mittelst des Reflexionsgoniometer der Wahrheit bis auf wenige Minuten.

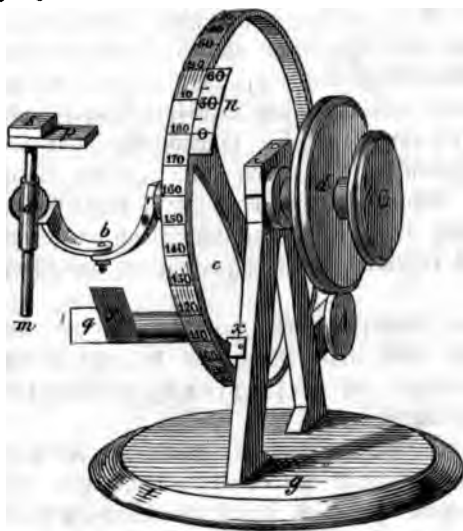
Das Anleggoniometer (Handgoniometer) fand der Künstler Sarangeot, welcher Modelle machte. Haüy hat es dann noch etwas verbessert. Dasselbe besteht aus einem gradirten Halbkreise (Rapporteur), in dessen Centrum C sich zwei Alhidaden befinden. Die eine af ist um C beweglich, die andere aF steht fest. Will man nun einen Kantenwinkel messen, so legt man die Kantenlinie senkrecht gegen die Ebene des

gradirten Halbkreises, und liest den Winkel an der Linie fg der beweglichen Alhidade ab. Denn da die Linie fg über g hinaus verlängert



genau in das Centrum C trifft, und da ao dem Durchmesser von Null nach 180° und do dem Radius fg parallel gehen, so muß der Kantenwinkel aod in unserem Falle 46° haben; was die Alhidade zeigt. Der Nullpunkt liegt im Mittelpunkte der Schraube F, er ist nicht angezeigt, da wegen der Breite der Alhidadenarme überhaupt nur Winkel bis

auf 15° Größe gemessen werden können. Um kleinen Krystallen leichter beizukommen, sind beide Alhidaden in den Schrauben C und F verschiebbar, auch hat der Halbkreis bei 90° ein Charnier, mittelst welchem man die linke Hälfte von 90°—180° zurückklagen kann, um so in die Krystalldrusen hineinzulangen. Zur Befestigung dieser beweglichen Hälften dient daher noch ein Arm Cr. Wenn es nöthig ist, schnell an Krystallen sich durch die Größe der Winkel zu orientiren, so liefert das Carangeot'sche Goniometer ein gutes Hilfsmittel, wofür die Winkel von einander wenigstens einige Grade Unterschied haben. Jedenfalls ist es zur Verfertigung der Holzmodelle sehr wichtig. Das Goniometer von Adelman ist



im Princip das Gleiche, nur steht hier der getheilte Halbkreis senkrecht und befestigt, darüber ein horizontales Lineal, gegen welches der Krystall orientirt wird. Stellt man die Kante des Winkels senkrecht auf das Papier, so kann man ihn leicht projectiren und mit dem Transporteur messen.

Das Reflexionsgoniometer wurde von Wollaston (Philos. Transact. 1809 pag. 253) erfunden, nachdem er schon früher (Philos. Trans. 1802 pag. 385) das Princip der Spiegelung in Anwendung gebracht hatte. Es gehört einige Uebung

dazu, sich seiner zu bedienen, liefert dann aber auch viel schärfere Resultate. Wir unterscheiden viererlei:



1) Das Gestell *g* ist unbeweglich, kann bei complicirten auch wohl durch Schrauben nivellirt werden. Oben vorn ist daran ein Nonius *n* befestigt, welcher mit seinem Nullpunkt die Grade anzeigt.

2) Der getheilte Kreis *c* steht am Gestell vertikal und kann mittelst der Scheibe *d* um seine Aze mit allem was daran hängt gedreht werden. Aber nur nach einer Richtung (nach vorn) hin, indem unten bei *x* eine Feder einschnappt, den Kreis einseitig arretirt und auf Null stellt.

3) Der Krystallträger *krbamp* durchbohrt mit seiner Aze *kr* das Centrum des getheilten Kreises *c*, und ist mittelst der Scheibe *k* so leicht drehbar, daß dadurch die Ruhe von jenem nicht gestört wird. Links ist an der Aze der erste Bogen *rb* fest, der zweite Bogen *ab* bewegt sich dagegen bei *b* um eine Aze, die senkrecht auf Aze *kr* steht. Mittelst dieser Drehung nach zwei Zonen kann ich zwar der Kante eines Krystalls schon jede beliebige Richtung im Raume geben, dennoch ist nochmals der Stift bei *a* in einem kurzen Gelenk parallel dem Charnier bei *b*, also auch senkrecht auf die Aze *kr*, beweglich. Senkrecht auf der Drehungsaxe von *a* ist eine Hülse befestigt, worin ein Stift *m* läuft, an dessen Ende eine kleine Platte *p* haftet, die senkrecht gegen die Aze des Stiftes *m* steht, und worauf der Krystall mit Wachs geklebt wird. Daneben liegt ein kleiner Spiegel *s*, der Platte *p* parallel. Da dieser ganze Apparat *krbamp* eine selbständige Bewegung hat, so kann ich den Krystall in jede Lage bringen.

4) Der Sextantenspiegel *qy* (Degen, Pogg. Annal. 1833 Bd. 27. 607), am Hinterfuße des Gestells befestigt, läßt sich um eine Aze *A* parallel der des eingetheilten Kreises drehen; *q* ist der schwarze Spiegel, in welchem man einen horizontalen Fensterrahmen oder eine noch fernere Horizontal-Linie mit dem Auge fixirt, *y* die senkrecht neben dem Spiegel sich erhebende Blendung, die das Auffinden der im Spiegel fixirten Linie auf der Fläche des Krystalls erleichtert. Wer einmal mit diesem vortrefflichen Instrumente gemessen hat, wird alle andern in den verschiedenen Lehrbüchern beschriebenen unpractischer finden.

Das Messen. Die größte Schwierigkeit bildet das Einstellen des Krystalles. Gewöhnlich geschieht das durch Hin- und Herprobiren. Allein sobald an unserem Instrument der Spiegel *s* genau senkrecht gegen den Stift *m* steht, so darf ich nur den Krystall mit einer seiner Flächen parallel demselben aufkleben, was bei herausgenommenem Stift durch Einspiegeln mit *s* sehr leicht bewerkstelligt werden kann. Fixire ich jetzt den Fensterrahmen auf der Krystallfläche, so wird er mit dem Bilde des Spiegels *q* im Allgemeinen nicht parallel gehen, diese Parallelität ist aber sogleich durch Bewegung des kurzen Charnieres *a* hergestellt, wovon man sich durch Drehung an der Scheibe *k* überzeugt, indem man die Rahmen zum Decken bringt. Dieses Einspielen ist der Beweis, daß Spiegel und Krystallfläche der Drehungsaxe *kr* parallel gehen. Da nun aber der Stift *m* bei dieser Stellung senkrecht gegen die Krystallfläche steht, so muß er es auch gegen *kr* sein, und wenn man jetzt den Krystall um die Aze

des Stiftes  $m$  dreht, so wird die Parallelität der Fensterrahmen nicht gestört, was zu gleicher Zeit wieder ein Beweis ist, daß der Spiegel  $s$  senkrecht gegen den Stift steht. Ist dieß geschehen, so drehe ich mit der Drehscheibe  $k$  die zweite Fläche dem Auge zu, sie wird das Bild des Rahmen nicht mit dem Spiegelbilde parallel stehen lassen, allein durch die Drehung des Stiftes  $m$  ist die Parallelität sogleich hergestellt. Da nun durch diese Drehung die erste Fläche nicht aus ihrer Parallelität mit der Ase  $kr$  der Drehscheibe herauskommen kann, so hat der Krystall seine richtige Stellung. Ich darf jetzt den getheilten Kreis nur einschnappen und das Rahmenbild des Sextantenspiegels mit dem einer Fläche des Krystalls zusammenfallen lassen, sodann bei  $d$  drehen und auf der zweiten Krystallfläche wieder zusammenfallen lassen, und auf dem Theilkreise die Grade ablesen.

Ueber verschiedene Abänderungen von Mitscherlich (Abh. Berl. Akad. 1843 pag. 189), Mohs, Babinet zc. siehe Dufrenoy (Traité Minér. I, 192) und H. Karsten (Lehrb. der Krystallographie 1861 pag. 118). Malus stellte die Meßscheibe horizontal und fixirte die Richtung des Sehens durch ein schwaches Fernrohr. Mitscherlich wendete das Fernrohr auf die verticale Meßscheibe an und orientirte den Krystall durch Schlitten und Schrauben. Babinet verband zwei Fernrohre mit einer großen horizontalen Meßscheibe, in deren Centrum der Krystall aufrecht steht. Die Azen der Fernrohre mit Fadentkrenz gehen der Scheibe parallel: das Fadentkrenz des 2ten (festen) Fernrohrs vertritt bloß die Stelle des zu spiegelnden Gegenstandes, wozu man passender einen Lichtspalt (Collimator) wählt, weil das Fadentkrenz zu schwach beleuchtet zu sein pflegt. Man kann damit, wie mit dem Goniometer von Charles (Ann. Chim. phys. 1850 XXIII. 177) zugleich die Brechungscoefficienten bestimmen. Haidinger (Sitzungsber. Wien. Akad. 1855, XXIII. 110) construirte ein aufschraubbares „Universalgoniometer“, mit welchem sich Krystallwinkel, Brechungssexponenten und optische Azen feststellen lassen. Für feinere Untersuchungen empfiehlt Heuser (Pogg. Ann. 87. 466) Theodolithen mit excentrischem Fernrohr, in dessen Centrum der Krystall aufrecht steht. Da hier der Winkel doppelt gemessen wird, so kann bei einer Kreiseintheilung zu 10 Minuten der Messungsfehler bis auf 2—3 Secunden eingeschränkt werden. Man hat auch Repetationsgoniometer construiert: ohne Schnapper wird der Theilkreis durch eine Pressionschraube gehalten, nach der ersten Messung arretirt, der Krystall eingestellt, die Schraube geöffnet, durch weiteres Drehen gemessen und so fort. So kann ich durch fortwährendes Drehen nach einer Richtung den Winkel  $n$  Mal messen, und den  $n$ -fachen Werth bekommen, wodurch die Messungsfehler auf ein Minimum reducirt werden.

Auch an Mikrostopen hat Brewster Vorrichtungen zu Winkelmessungen gemacht: es handelt sich dabei aber lediglich um Bestimmung ebener Winkel, aus welchen die Kante berechnet werden muß. Ein Fadentkrenz im Ocular mit einer horizontalen Meßscheibe in Verbindung gebracht genügt. Sollen die Schenkel des Winkels mit dem Faden zusammenfallen, so kann man das

Ocular oder die Unterlage drehen. Versteht sich, daß der Krystall gehörig centrirt sein muß. Deeson stellte sinniger Weise ein doppelbrechendes Prisma (Kalkspath) auf das Ocular, so daß die einen Schenkel beider Bilder in gerade Linie fallen, dreht dann, bis die andern Schenkel das Gleiche thun, und erlangt damit den Winkel oder sein Supplement.

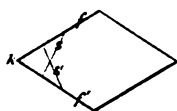
Hat man sich nun durch Messung überzeugt, ob die Kante  $90^\circ$  oder nicht habe, so weiß ich erst, ob die Säule gleichwinklig (quadratisch oder oblong) oder ungleichwinklig (rhombisch oder rhomboidisch) sei. Die weitere Bestimmung folgt lediglich aus der physikalischen Beschaffenheit der Flächen, die man entweder mit bloßem Auge beurtheilt, oder wozu man sich folgender drei Sätze (Symmetriegesetze) bedient:

Erstes Gesetz. Tritt zur Säule eine dritte Fläche, so muß diese die gleichen Glieder in gleicher (gerade abstumpfen), und die ungleichen in ungleicher Weise treffen (schief abstumpfen). Man kann den Satz auch umkehren, aber der rechte Winkel erleidet Ausnahmen. Habe ich z. B. eine quadratische Säule  $f/k$ , so muß die dritte hinzukommende Fläche  $s$  jede der  $f$  unter gleichen Winkeln ( $135^\circ$ ) treffen. Wäre die Säule eine oblonge  $fg$ , so muß nun  $s$  die Fläche  $g$  unter anderer Neigung schneiden als die  $f$ , eben weil beide verschieden sind. Oft ist der Unterschied nur sehr unbedeutend, aber er scheint nach scharfen Messungen da zu sein. So stumpft beim Feldspath  $n$  die rechtwinklige Kante der Oblongsäule  $P/M$  zwar fast unter gleichen Winkeln ab, doch haben genaue Messungen einen kleinen Unterschied ergeben: beim gläsernen Feldspath beträgt  $P/n$   $135^\circ 16'$  und  $M/n$   $134^\circ 44'$ , so daß  $n/n$  über  $P$   $90^\circ 32'$  hätte. Haüy legte ein großes Gewicht darauf, daß beim Kalkspath der blättrige Bruch  $P$  die Endkante  $a^1/e^2$  der regulären sechsseitigen Säule gerade abstumpfe, obgleich die Gradenfläche  $a^1$  sich wesentlich von  $e^2$  unterscheidet. Allein er berechnete unter dieser Annahme den Endkantenwinkel des Rhomboeders zu  $104^\circ 28'$ , während später schärfere Messungen entschieden  $105^\circ 5'$ , also reichlich  $\frac{1}{4}^\circ$  mehr fanden, und auch Messungen den Winkel  $P/a^1$   $135^\circ 23'$  und  $P/e^2$   $134^\circ 36'$  ergaben. Der rechte Winkel macht eine Ausnahme. Beim Gyps schneidet der erste Blätterbruch die einander ungleichen muscheligen und faserigen unter rechten Winkeln.

Zweites Gesetz. Wird ein Glied beschnitten, so muß jedes ihm gleiche Glied in gleicher Weise beschnitten werden, wenn keine hemiedrischen Verhältnisse obwalten. Ist also bei der quadratischen und oblongen Säule ein  $k$  geschnitten, so muß nothwendig auch das andere ebenso geschnitten sein. Wird dagegen bei der rhombischen und rhomboidischen die scharfe getroffen, so nicht nothwendig auch die stumpfe.

Corollarsatz. Trifft daher eine Fläche gleiche Glieder in verschiedener Weise, so erfordert sie nothwendig

eine Gegenfläche, welche diese Ungleichheit wieder hebt. Wäre z. B.  $f/f'$  die scharfe Kante einer rhombischen Säule, und würde diese von einer Fläche  $s$  unter ungleichen Winkeln getroffen, so muß nothwendig eine Gegenfläche  $s'$  kommen, welche sie unter entgegengesetzter Ungleichheit trifft, so daß  $s/f = s'/f'$  und  $s'/f = s/f'$  ist. Dadurch ist die Symmetrie vollständig hergestellt. Man sagt,  $s$  und  $s'$  schärfen die Kante  $k$  zu, obgleich die dadurch entstandene neue Kante  $s/s'$  stumpfer ist, als die alte weggenommene  $k$ . Man hätte ebensogut zu stumpfen sagen können.

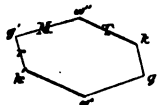


### Betrachtung dreier Blätterbrüche.

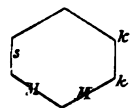
Hier gibt es nothwendig zwei Fälle:

a) Die drei Flächen schneiden sich in einer Säule, dieselbe ist sechseckig (**sechseckige Säule**) und hat sechs parallele Kanten. Man kann sie als eine vierseitige Säule mit abgestumpfter Kante betrachten. Abgestumpft heißt also eine Kante  $T/r$ , wenn die dritte hinzutretende Fläche  $M$  dieselbe so schneidet, daß die neu entstehenden Kanten  $M/r$  und  $M/T$  einander parallel gehen. Die Säule hat im allgemeinen dreierlei Winkel; sind zwei davon gemessen, so läßt sich der dritte durch Rechnung finden. Denn die Winkel im Querschnitt liegen in einem Sechseck, und betragen  $(2 \cdot 6 - 4)R = 8R$ . Da nun Winkel  $w = w'$ ,  $k = k'$ ,  $g = g'$  sein muß, so ist  $w + k + g = 4R$ . Die quadratische und oblonge Säule sind einer Abstumpfung nicht fähig, weil wenn die eine abgestumpft würde, auch die andere abgestumpft werden müßte, folglich kann es nur **dreierlei sechseckige Säulen** geben:

1) Die **unsymmetrische Säule**  $M/T$  mit schiefer Abstumpfung  $r$ ; **schief** heißt sie, weil Winkel  $r/M$  ( $g'$ ) von Winkel  $r/T$  ( $k'$ ) verschieden ist und sein muß, da Flächen  $T$  und  $M$  ungleiche Glieder sind. Der Epidot liefert ein gutes Beispiel;  $M/T$  ( $w'$ ) macht  $115^\circ 24'$ ,  $r/T$  ( $k$ ) dagegen  $128^\circ 18'$ , folglich  $M/r$  ( $g$ )  $= 360^\circ - 243^\circ 42' = 116^\circ 18'$ .



2) Die **symmetrische Säule**  $M/M$  mit gerader Abstumpfung  $s$  der scharfen Kante; **gerade**, weil die Winkel  $k$  und  $k$  gleich sein müssen. Ich brauche daher nur einen Winkel zu messen. Der Schwespath liefert ein gutes Beispiel:  $M/M$  bilden einen Winkel von  $101^\circ 42'$ , folglich ist  $k + k = 360^\circ - 101^\circ 42' = 258^\circ 18'$ , also  $k = 129^\circ 9'$ .



3) Die **reguläre sechseckige Säule**. Dieß ist der interessante Fall, wo alle Flächen und folglich alle Kanten einander gleich werden, also  $3w = 360^\circ$ ,  $w = 120^\circ$ . Im dreigliedrigen und sechsgliedrigen Systeme sehr häufig.

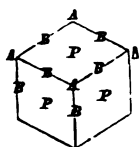


Bei den vier- und sechseckigen Säulen kommen wir bloß auf die Gliederzahlen 1, 2 und 3, sie sind daher zur Systematik noch nicht geeignet. Das wird nun aber anders im Falle

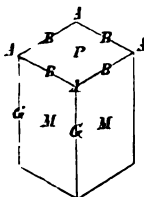
b) Die drei Flächen schneiden sich in einer Ecke d. h. in drei Säulen, dann bekommen wir ein **Hexaide** (Parallelepiped) mit dreierlei Flächen (Parallelogrammen), sechserlei Kanten, und viererlei Ecken. Hierin stecken drei Grundzahlen 3, 4, 6. Man verschafft sich diesen Körper leicht, wenn man an die vierseitigen Säulen sich Endflächen schneidet.

Wir sind hiermit bei den Hauy'schen Primitivformen angekommen, und können nichts Besseres thun, als dem alten Meister folgen. Er bezeichnete die Flächen mit PMT (PriMiTivform), der Reihe nach die Ecken mit den Vokalen, und die Kanten mit den Konsonanten. Wie die Glieder nun einander gleich werden, so gehen sie in gleiche Buchstaben über. Man kann die Sache nicht klarer darstellen.

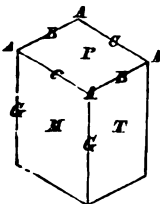
1) **Würfel** im Gleichgewicht hat drei congruente Flächen P (Quadrate), sechs rechtwinklige Kanten B, und vier dreikantige Ecken A, also bezeichnen die Grundzahlen 3, 4, 6 gleiche Glieder, daher **gleichgliedriges** oder **reguläres System Weiss**. Auch **sphäroedrisches**, weil man eine Kugel darum schreiben kann.



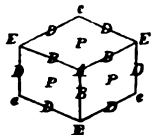
2) **Quadratssäule M/M** mit Geradenfläche P, welche M und G unter rechten Winkeln schneidet. Im Gleichgewicht ist P ein Quadrat, MM sind Rechtecke, doch bleibt die Länge GG' unbestimmt. Die 3 Flächen zerlegen sich also in 2+1 Flächen; die rechtwinkligen Kanten werden 4B+2G, und die Ecken bleiben 4A. Es herrscht die 4 vor, daher **viergliedriges System Weiss**. Weil man die Flächen MM ins Gleichgewicht bringen d. h. congruent machen kann, so ist der Name quadratisches System auch nicht unpassend.



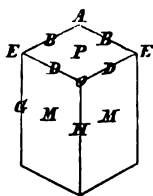
3) **Oblongssäule M/T** mit Geradenfläche P. Alle drei sind verschiedene Rechtecke, das Gleichgewicht bleibt unbestimmt; die rechtwinkligen Kanten zerlegen sich in 2B+2C+2G, die Ecken bleiben noch 4A. Es herrscht die 2 vor, daher **zwei- und zweigliedriges Weiss** oder kurzweg **zweigliedriges System**. Gewöhnlich schiebt man M und T so weit, daß sie eine passende ungleiche Ausdehnung haben, daher ist ihr Querschnitt ein Oblongum AAAA.



4) **Rhomboeder** im Gleichgewicht hat 3 congruente Flächen P (Rhomben), die schiefwinkligen Kanten zerlegen sich in 3B+3D, und die Ecken in 3E+1A. In der Ecke A (Endecke) laufen drei gleiche Kanten (dreikantige Ecke), und in den E (Seitenecken) 2D+B Kanten (2+1kantige Ecken) zusammen. Es herrscht die 3 vor, daher **dreigliedriges System Weiss**.

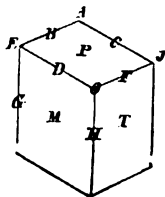


5) **Endrhoeder Weiss**, d. h. rhombische Säule M/M mit Schiefendenfläche P, Zweiundeneinflächner, prisme rhomboidale oblique. Die Schiefendenfläche auf die Säulentante H gerade aufgesetzt, weil D = D,



aber **schief** angelegt ist, weil D keine rechten Winkel sind. Die Kanten zerlegen sich in  $2B + 2D + H + G$ , also in  $2 + 2 + 1 + 1$  Linien, und die Ecken in  $2E + O + A$ . Der Krystall ist daher links wie rechts, aber vorn anders als hinten. Da weder 2 noch 1 herrscht, heißt es **zweiundeingliedriges** System Weiss. Es ist dieses eines der interessantesten. Feldspath, Hornblenden, Gyps.

6) **Henkenoeder** d. h. rhomboidische Säule M/T mit doppelschiefer Endfläche P, Einundeinsächner, Prisme doublement oblique, da Kante D von F verschieden ist: P



ist auf die Säulenkante H **schief an- und aufgelegt** (doppelschief). Kein Glied dem andern mehr gleich, daher **einundeingliedriges** Weiss oder kurzweg **eingliedriges** System. Es kommt nicht häufig vor und eine Gruppe darunter, die des Albits, lehnt sich durch ihre scheinbare Symmetrie noch ganz an die des Feldspaths an.

Stellen wir in nachfolgender Rubrik die Zahlen übersichtlich zusammen:

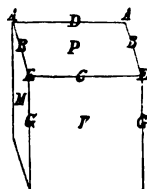
System	Flächen	Kanten	Ecken
1) Gleichgliedriges	3	6	4
2) Viergliedriges	$2 + 1$	$4 + 2$	4
3) Zweigliedriges	$1 + 1 + 1$	$2 + 2 + 2$	4
4) Dreigliedriges	3	$3 + 3$	$3 + 1$
5) Zweiundeingliedriges	$2 + 1$	$2 + 2 + 1 + 1$	$2 + 1 + 1$
6) Eingliedriges	$1 + 1 + 1$	$1 + 1 + 1 + 1 + 1 + 1$	$1 + 1 + 1 + 1$

Außer 5 sind alle Zahlen von 1—6 möglich. Es gibt jedoch noch mehrere andere Hexaïde, ich habe nur diese 6 gewählt, weil 2 und 3 mit dem Würfel in einem ähnlichen Zusammenhange stehen, als 5 und 6 mit dem Rhomboeder, denn 2 ist ein nach einer Richtung lang gezogener Würfel, wie 5 ein ebenso lang gezogenes Rhomboeder; 3 dagegen ein nach zwei Dimensionen verzogener Würfel, wie 6 ein ebenso verzogenes Rhomboeder. Nur mit dem Unterschiede, daß man bei 5 und 6 die Kantenswinkel nicht gleich denken darf.

Um jetzt die möglichen Hexaïde zu überschauen, müssen wir auf die vierseitigen Säulen zurückgehen, eine dritte Fläche daran legen, dürfen aber dabei unsere Symmetriesätze pag. 17 nicht verlegen. Im Allgemeinen lassen sich an jede Säule dreierlei Endflächen legen: Geradenfläche (Nr. 2), Schiefenfläche (Nr. 5), und Doppelschiefenfläche (Nr. 6), es entsteht dadurch eine gerade, schiefe und doppelschiefe Säule. Dies angewendet kann die

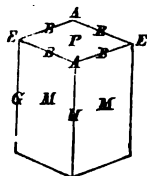
**Quadratsäule** gerade sein, weil die Geradenfläche alles in gleicher Weise unter rechten Winkeln trifft: das gibt uns das gleich- und viergliedrige System (Nr. 1 und Nr. 2). Quadratsäulen mit einer Schiefenfläche kann man nicht denken, denn diese müßte jedenfalls doppelt, links und rechts, auftreten; noch weniger sind doppelschiefe Quadratsäulen möglich.

**Oblongsäule** kann gerade sein, weil der rechte Winkel eine Ausnahme macht (Nr. 3). Da M und T verschieden sind, so darf P gegen M rechtwinklig bleiben und gegen T schiefwinklig werden, das gibt die **schiefe Oblongsäule** (Nr. 7), zum  $2+1$  gliedrigen System gehörig, d. h. vorn anders als hinten, aber links wie rechts. Aus demselben Grunde wie bei der Quadratsäule nicht eine, sondern nur zwei Schiefendflächen auftreten können, so müssen auch bei der Oblongsäule stets zwei doppelschiefe Flächen ans Ende treten. Daher ist auch das sogenannte siebente Mitscherlich'sche Krystallsystem (biklinometrisches) ein Uebing.



Nr. 7.

**Rhombsäule** kann gerade (Nr. 8) sein, und kommt als solche häufig im 2gliedrigen System vor. Denn wir haben hier  $2+1$  Fläche = MMP;  $4+1+1$  Kante = BBBBGH;  $2+2$  Ecken = AAEE, also die Zahlen 421 des zweigliedrigen Systems. Die **schiefe** zeigt Nr. 5; eine doppelschiefe ist unmöglich, weil die Doppelschiefendfläche P die gleichen Glieder MM ungleich schneiden müßte.



Nr. 8.

**Rhomboidsäule** mit Geradenfläche ist die gewendete **schiefe Oblongsäule** (Nr. 7), gibt also das sogenannte gewendete  $2+1$  gliedrige System; die **doppelschiefe** (Nr. 6) liefert das eingliedrige System in seiner unbestrittensten Form; eine schiefe ist nicht denkbar.

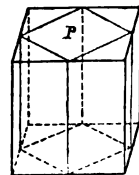
Die acht möglichen Hexaide begründen also nicht mehr als sechs Krystallsysteme: außer Würfel, Rhomboeder, Quadrat- und Rhomboidsäulen habe ich gerade und schiefe Rhomb- und Oblongsäulen. Diese 2mal 4 Fälle schließen alle Möglichkeiten ein: der Kreis um die Quadrat-, die Ellipse um die Oblong-, eine Symmetriecurve um die Rhomb- und die Symmetrielosigkeit der Rhomboidsäule mögen uns die 4 Säulensysteme sofort veranschaulichen.

Das zweigliedrige System hat das rechtwinklige Hexaid PMT Nr. 3 und die rhombische Säule mit Geradenfläche MMP Nr. 8 in sich. Sehen wir ihre Zahlen hin:

PMT hat: Flächen  $1+1+1$ ; Kanten  $2+2+2$ ; Ecken 4

MMP hat: Flächen  $2+1$ ; Kanten  $4+1+1$ ; Ecken  $2+2$

Da nun beide Hexaide in dem gleichen Systeme stecken, so muß dieses seine 1, 2 und 4 eben dahin legen, wo jenes die seinen hat, denn sonst gäbe es keine Symmetrie. Hüllen wir daher das eine in das andere, so müssen bei gemeinsamer Geradenfläche P sich die Säulen so gegen einander legen, daß die  $1+1$  Kante der rhombischen in die  $1+1$  Fläche der oblongen, die  $2+2$  Ecken und 2 Flächen jenes wie die  $2+2+2$  Kanten von diesem liegen, und die 4 Kanten sich den 4 Ecken gegenüberstellen, kurz es müssen die Flächen der oblongen Säule die Kanten der rhombischen abstumpfen. Schwerspath liefert ein gutes Beispiel.



Das zweiundeingliedrige System hat die rhombische Säule mit Schiefendfläche Nr. 5, und die oblonge mit Schiefendfläche Nr. 7 in sich. Da wir hier nur  $2+1$  haben, so sind verschiedene Einschachtelungen denkbar. Einen Fall sieht man leicht ein, nämlich den: läßt man die Schiefendfläche P in beiden zusammenfallen, so müssen die Flächen der oblongen wie die Kanten der rhombischen liegen. So viel 1 wir aber auch haben, so liegt nur eine einzige links und rechts, nämlich G in Nr. 5 und M in Nr. 7, alle andern liegen in der Vertikalzone von vorn nach hinten, also entweder vorn, oben oder hinten. Wenn nun beide zusammentreten sollen, so muß die seitliche 1 in beiden unter jeder Bedingung zusammenfallen, die 1 in der Vertikalzone können sich aber mehrfach gruppieren. Der einfache Grund, warum wir zwei Heraide mehr als Systeme haben, liegt darin, daß schon bei den vier möglichen Säulen pag. 13 die Rhomb- und Oblongsäule sich auseinander ableiten lassen, Grundriß der Krystallographie 1873 pag. 81.

Beispiel. Der Feldspath hat im Hendyoeber Nr. 5 MM nur wenig dagegen P außerordentlich blättrig. Die Ecke o könnte das Auge leicht für ein Rhomboeder A nehmen, da  $D=112^{\circ} 16'$  von  $H=118^{\circ} 48'$  nur reichlich  $6^{\circ}$  verschieden ist, was das Auge kaum bemerkt, allein wegen des ausgezeichneten Blätterbruchs P muß die Ecke O nicht bloß  $2+1$  flächig, sondern auch  $2+1$  kantig, also  $2+1$  gliedrig sein. Wäre diese Structurdivergenz nicht da, so könnte man sich leicht im Systeme irren. Der Eisenvitriol bildet eine rhombische Säule  $H=82^{\circ} 21'$ , die Schiefendfläche P, auch blättrig, macht hinten einen Winkel  $B=80^{\circ} 37'$ . Da die Differenz nur  $1^{\circ} 44'$  beträgt, so scheint die hintere Ecke A einem scharfen Rhomboeder anzugehören. Daher beschrieben Haüy und Mitscherlich ihn rhomboedrisch, erst scharfe Messungen von Mohs zeigten die  $2+1$  kantige Ecke und mithin das  $2+1$  gliedrige System.

Gyps bricht außerordentlich leicht in rhomboidischen Platten ( $113^{\circ} 46'$ ) mit muscheligen und faserigen Bruch, gegen welche der Hauptblätterbruch senkrecht steht. Die Glieder treten nur zu  $2+1$  auf. Nehmen wir in Nr. 7 M als den Hauptblätterbruch, T als den muscheligen, und P als den faserigen, so liegen alle 1 in der Vertikalzone P/T, nämlich P, T, C, D, nur eine einzige M liegt links und rechts, wenn man die T oder irgend eine andere 1 der Vertikalzone vor sich nimmt. Unter jeder Bedingung muß also der Hauptblätterbruch aufrecht links und rechts sich erheben, er stumpft die scharfe Säulentante des Hendyoeber im Feldspath ab, läßt man nun die T die stumpfe wegnehmen, so kann die faserige P noch auf der hintern oder vordern Seite eine Schiefendfläche bilden.

Das eingliedrige System hat die rhomboidische Säule mit doppelschiefer Endfläche Nr. 6. Arzinit und Kupfervitriol liefern für Hendyoeber gute Beispiele. Professor Mitscherlich (Bogg. Annalen 8. 427) wies bei der unterschwefligsauren Kalkerde  $\text{CaSH}^{\circ}$  eine oblonge Säule mit doppelschiefer Endfläche nach. Man machte daraus fälschlich ein 7tes Krystalssystem, das jedoch keine Existenz hat, da ja nicht einmal die recht-

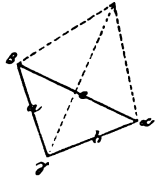


winkligen Kanten der oblongen Säule wegen der doppelschiefen Endfläche darüber gleich sein können. Uebrigens hat sich später auch gezeigt, daß die Winkel in der vermeintlichen Oblongsäule keineswegs rechte sind (Sitzb. Wien. Akad. 1862 Bd. 45 pag. 499).

Für den würflichen Blätterbruch bieten Stein Salz und Bleiglanz ausgezeichnete Beispiele; für das Rhomboeder Kalkspath, man muß hier die 3kantigen und 2 + 1kantigen Ecken wohl von einander unterscheiden. Die scheinbar würflichen Brüche des Anhydrits sind alle drei physikalisch verschieden, und daher zweigliedrig. Ueberhaupt laufen alle Untersuchungen der Hexaide auf die einer einzigen ihrer Ecken, eines körperlichen Dreiecks, hinaus, da den drei Flächen PMT und den drei Kanten dieser Ecke alle andern Glieder parallel laufen. Dr. Sohncke (Pogg. Ann. 1867 Bd. 132 pag. 75) kam auf abstractern Wege zu demselben Resultate, daß nur sechs Systeme möglich sind. Vergleiche auch Dr. v. Bezold Sitzungsber. math.-phys. Cl. Akad. München 1863 pag. 350; Frankenheim Pogg. Ann. 1856 Bd. 97 pag. 337; Möbius Verh. f. säch. Ges. Wissensch. 1849 pag. 65; Bravais Études cristallographiques 1851.

### Betrachtung des körperlichen Dreiecks.

Nennen wir in einem körperlichen Dreieck die Winkel in den Kanten  $\alpha\beta\gamma$ , und die Winkel in den Ebenen (schlecht-hin Seiten) beziehungsweise  $a\ b\ c$ , so wird in der sphärischen Trigonometrie bewiesen, daß wenn von diesen 6 Stücken drei beliebige bekannt sind, sich die übrigen drei durch Rechnung finden lassen. Der Astronom kann die ebenen Winkel (Seiten) genauer messen als die in den Kanten; bei dem Krystallographen ist es umgekehrt. Pfaß (Pogg. Ann. 102. 457) gibt ein Instrument zur Messung ebener Krystallwinkel an. Allein wenn man bedenkt, daß der Astronom heute am Himmel bis auf  $\frac{1}{10}$  Sekunde (d. h.  $\frac{1}{10}$  der Dicke eines Menschenhaars in gewöhnlicher Entfernung) geht, so bleibt der Krystallmesser noch weit zurück. Um die körperliche Ecke zu kennen, müssen wir also drei Kantenwinkel  $\alpha\beta\gamma$  gemessen haben, dann ist:



$$\sin \alpha : \sin \beta : \sin \gamma = \sin a : \sin b : \sin c$$

$$\text{I. } \cos a = \frac{\cos \alpha + \cos \beta \cdot \cos \gamma}{\sin \beta \cdot \sin \gamma}$$

$$\text{II. } \cos b = \frac{\cos \beta + \cos \alpha \cdot \cos \gamma}{\sin \alpha \cdot \sin \gamma}$$

$$\text{III. } \cos c = \frac{\cos \gamma + \cos \alpha \cdot \cos \beta}{\sin \alpha \cdot \sin \beta}$$

für Logarithmen  $\frac{1}{2} (\alpha + \beta + \gamma) = S$  und  $\frac{1}{2} (a + b + c) = s$  gesetzt:

$$1) \operatorname{tg} \frac{1}{2} a = \sqrt{\frac{-\cos S \cos (S-\alpha)}{\cos (S-\beta) \cos (S-\gamma)}}, \text{ bekannt } \alpha\beta\gamma.$$

$$2) \operatorname{tg} \frac{1}{2} \alpha = \sqrt{\frac{\sin(s-b) \sin(s-c)}{\sin s \sin(s-a)}}, \text{ bekannt } a b c.$$

$$3) \begin{cases} \operatorname{tg} \frac{1}{2} (b+c) = \frac{\cos \frac{1}{2} (\beta-\gamma)}{\cos \frac{1}{2} (\beta+\gamma)} \operatorname{tg} \frac{1}{2} a \\ \operatorname{tg} \frac{1}{2} (b-c) = \frac{\sin \frac{1}{2} (\beta-\gamma)}{\sin \frac{1}{2} (\beta+\gamma)} \operatorname{tg} \frac{1}{2} a, \text{ bekannt } a \beta \gamma. \end{cases}$$

$$4) \begin{cases} \operatorname{tg} \frac{1}{2} (\beta+\gamma) = \frac{\cos \frac{1}{2} (b-c)}{\cos \frac{1}{2} (b+c)} \cot \frac{1}{2} \alpha \\ \operatorname{tg} \frac{1}{2} (\beta-\gamma) = \frac{\sin \frac{1}{2} (b-c)}{\sin \frac{1}{2} (b+c)} \cot \frac{1}{2} \alpha, \text{ bekannt } \alpha b c. \end{cases}$$

$$5) \sin a = \frac{\sin \alpha \sin c}{\sin \gamma}, \text{ bekannt } \alpha \gamma c.$$

$$6) \sin \alpha = \frac{\sin a \sin \gamma}{\sin c}, \text{ bekannt } a c \gamma.$$

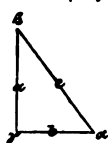
Die Formeln sind vollkommen symmetrisch, können daher leicht umgestellt werden.

Ist  $\alpha = \beta = \gamma = R$ , so ist  $\cos a = \cos b = \cos c = 0$ , also  $a = b = c = 90^\circ$ .

Ist  $\beta = \gamma = R$ , so ist  $\cos b = \cos c = 0$ , also  $b = c = 90^\circ$ ;

dagegen  $\cos a = \cos \alpha$ .

Ist  $\gamma = R$ , so ist  $\cos \gamma = 0$ ,  $\sin \gamma = 1$ , also



$$1) \cos c = \cot \alpha \cot \beta \quad (\text{III})$$

$$2) \cos c = \cos a \cos b$$

$$3) \operatorname{tg} a = \operatorname{tg} \alpha \sin b$$

$$4) \sin a = \sin \alpha \sin c \quad (5)$$

$$5) \cos \alpha = \cos a \sin \beta \quad (\text{I})$$

$$6) \operatorname{tg} b = \operatorname{tg} c \cos \alpha.$$

Damit ist die Rechnung der bei  $\gamma$  rechtwinkligen körperlichen Ecke beendet.

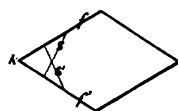
Ist  $\alpha = \beta = \gamma$ , wie beim Rhomboeder, so wird

$$\operatorname{tg} \frac{1}{2} a = \sqrt{\frac{-\cos \frac{1}{2} \alpha}{\cos \frac{1}{2} \alpha}}.$$

### Betrachtung von vier Blätterbrücken.

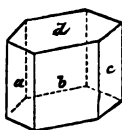
Hier sind drei Fälle möglich:

- a) Die vier Ebenen liegen in einer Zone. Das gibt eine **achteitige Säule**:  $ff'$  ist der Querschnitt einer geschobenen Säule, stumpfen nun  $s$  und  $s'$  die scharfe Kante  $k$  ab, so entsteht zwischen  $s/s'$  eine neue Kante. Man sagt, die Kante  $k$  ist durch  $ss'$  zugeshärft, und die entstandene Säule  $ff'ss'$  ist 8seitig. So kann man 5, 6 ...  $n$  Blätterbrücke verbinden, das gibt dann 2nseitige Säulen.



- b) Die vier Ebenen schneiden sich in vier Zonen, d. h. die vierte hinzukommende stumpft eine Kante des Heraides ab. Dadurch ent-

steht eine sechsseitige Säule mit Endfläche, oder ein **Bierzonenkörper**. Eine Zone  $abc$  ist sechsseitig, und die drei Zonen  $ad$ ,  $bd$ ,  $cd$  sind vierseitige. Da wir nun dreierlei sechsseitige Säulen haben pag. 18, so richten sich darnach auch die Bierzonenkörper:



Die reguläre sechsseitige Säule mit  $120^\circ$  kann nur mit Geradenfläche gedacht werden, da  $a=b=c$  sein und  $d$  alle in gleicher Weise schneiden muß;  $d$  ins Gleichgewicht gebracht ist ein reguläres Sechseck.

Die rhombische Säule mit gerader Abstumpfung kann eine Gerad- und eine Schiefenfläche haben: erstere entsteht aus der geraden rhombischen Säule Nr. 8 pag. 21; letztere aus dem Hendyoeber Nr. 5 pag. 19.

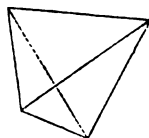
Endlich die rhomboidische Säule mit schiefer Abstumpfung kann auch eine gerade oder eine doppelt schiefe Endfläche haben. Erstere gehört dem 2+1gliedrigen Systeme an, wie man leicht sieht.

Diese fünf Bierzonenkörper kommen also im drei-, zwei-, zweiundein- und eingliedrigen Systeme vor, und ergeben sich aus den Hexaiden unmittelbar.

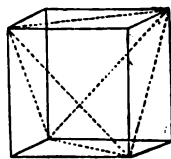
c) Die vier Ebenen schneiden sich in sechs Zonen, und bilden folglich das

### Oktaid.

Nimmt man eine Rübe oder Kartoffel, und macht vier beliebige Schnitte, von denen keiner dem andern parallel geht, so bekommt man ein **Tetraid**, jenen einzigen Körper unter den Krystallen, der sich immer im Gleichgewicht befindet. Das Tetraid wird von 4 Dreiecken begrenzt, hat 6 Kanten, von denen keine der andern parallel geht. Durch die Halbierungspunkte der Kanten lassen sich drei Linien (Aren) ziehen, welche je zwei gegenüberliegende Kanten verbindend sich in der Mitte des Körpers in einem Punkte halbieren. Wir haben also auch hier wieder die Grundzahlen 3, 4, 6. Außerdem noch 4 Ecken, in welchen je drei Kanten und Flächen zusammenlaufen.



Man kann in jedes Hexaid ein Tetraid einschreiben. Seine Kanten bilden die Hälften der 12 Flächendiagonalen, in jeder Hexaidfläche liegt eine Tetraidekante; seine Flächen liegen wie die abwechselnden Ecken, stumpfen also, wenn sie zusammen auftreten, diese ab. Da alles hälftig getheilt ist, so folgt von selbst, daß es ein Gegentetraid gibt, dessen

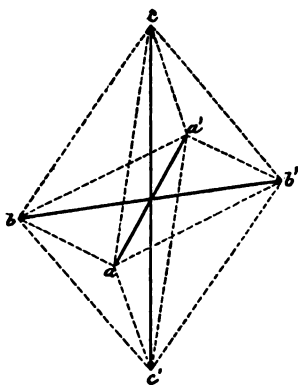


Kanten mit der übrigen Hälfte der Diagonalen zusammenfallen. Denkt man sich jetzt das Hexaid weg, so hat man zwei durchwachsene (einander umgekehrt gleiche) Tetraide, deren Kanten sich gerade so schneiden müssen als die Hexaiddiagonalen. Das beiden gemeinschaftliche Stück liefert das

gesuchte Oktaid. Hieraus leuchtet unmittelbar der Zusammenhang der Hexaide mit den Oktaiden hervor.

Oder einfacher: Haben wir ein beliebiges Tetraid geschnitten und legen es auf eine seiner Flächen, so steht eine dreiseitige Pyramide mit dreieckiger Basis vor uns. Halbiren wir die drei Endkanten der Pyramide, legen durch die drei Halbierungspunkte eine Ebene, so geht diese der Basis parallel, bildet also mit ihr einen Parallelraum. Schneiden wir nun die Ecke über der Parallelfläche weg, und behandeln alle vier Ecken in gleicher Weise, so haben wir das Tetraid in sein zugehöriges Oktaid verwandelt. Kurz wir halbiren sämtliche Kanten und verbinden die Halbierungspunkte, nehmen die Ecken weg, so ist das Oktaid da, und immer im Gleichgewicht. Die Flächen des Oktaides und Tetraides sind einander der Reihe nach ähnlich, nur ist die Oktaidfläche viermal kleiner als die des Tetraides, weil sie in diese eingeschrieben ist.

Das Oktaid hat 4 parallele Paare von Dreiecken  $abc$ ,  $ab'c$ ,  $a'bc$ ,



$a'b'c$ , von denen je eines mit der Tetraiderfläche zusammenfällt; 6 (respective 3) vierkantige Ecken  $a \cdot b \cdot c$ , die in den Mittelpunkten der Tetraiderkanten liegen; und 6 parallele Paare Kanten  $ca$ ,  $cb$ ,  $ca'$ ,  $cb'$ ,  $ab$ ,  $ab'$ , welche die eingeschriebenen Dreiecke der Tetraide bilden, also vier, sechs und drei Glieder. Die 12 Kanten gruppieren sich zu drei Parallelogrammen (Basalschnitten), die Diagonalen dieser Parallelogramme müssen sich halbiren; also im Basalschnitte  $aba'b'$  halbiren sich  $aa$ , und  $bb'$ ; im Basalschnitte  $aca'a'$  dagegen  $aa'$  und  $cc'$ , folglich müssen die Axen  $aa'$

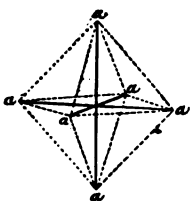
$bb'$  und  $cc'$  sämtlich sich im Mittelpunkte halbiren. Da die Punkte  $abc$   $a'b'c'$  in den Mittelpunkten der Kanten des zugehörigen Tetraides liegen, so müssen auch für dieses dieselben Axen Statt haben, was oben nicht bewiesen war.

Die Axen, auf welche Weiß schon im Jahre 1809 aufmerksam machte, liefern die naturgemäße Bezeichnungsart. Rechnen wir ihre Längen vom Mittelpunkte an, so drückt das Zeichen einer Fläche  $a : b : c$  oder kurz  $abc$  das wesentliche Verhältniß aus: die Fläche läßt sich bei gegebenen Axen ihrer Lage nach im Raume bestimmen.

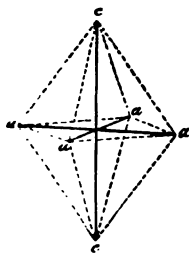
Die Eintheilung der Oktaide hebt die Systeme scharfer hervor, als die der Hexaide. In der „Methode der Krytallographie“ habe ich es nach mehreren abstrakten Principien versucht. Hier bleiben wir jedoch nur bei den concreten Fällen stehen, welche uns der bisherige Gang der Untersuchung an die Hand gibt. Darnach zeichnen wir achterlei aus mit denselben Zahlenverhältnissen, wie die Hexaide.

1) Das reguläre Oktaeder hat drei gleiche rechtwinklige Axen

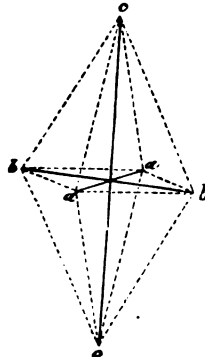
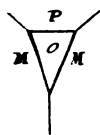
$a : a : a$ , folglich Quadrate zu Basalschnitten; 4 gleichseitige einander congruente Dreiecke; 6 gleiche Kanten  $109^{\circ} 28' 16''$ , und 3 vierkantige Ecken. Schreiben wir auf eine Fläche  $O$ , und auf die drei anliegenden 1 zc., so fallen auf 4 Flächen  $O$ , auf die vier abwechselnden 1. Läßt man z. B. die Eins wachsen, so bekommt man ein Tetraeder, und läßt man die Nullen, ein Gegentetraeder. Beide sind congruent und regulär, sie haben 4 gleichseitige Dreiecke, 4 dreikantige Ecken, und 6 Kanten  $70^{\circ} 31' 44''$ , das Supplement zum Okttaederwinkel. Schreiben wir in den Würfel sein Tetraeder ein, so entsteht ein reguläres, weil alle Diagonalen der Würfel Flächen einander gleich sind; folglich muß das Okttaeder die Würfel Ecken so abstumpfen, daß die Okttaederfläche  $o$  ein gleichseitiges Dreieck bildet, und umgekehrt die Würfel Fläche  $P$  die Okttaeder Ecken so, daß beim Okttaeder im Gleichgewicht ein Quadrat  $P$  entsteht.



2) Das viergliedrige Okttaeder hat 2+1 rechtwinklige Axen



$a : a : c$ , folglich zwei einander congruente Rhomben  $acac$ , und ein Quadrat  $aaaa$  (daher Quadratocttaeder) zum Basalschnitt; 4 gleichschenklige einander congruente Dreiecke; 4+2 Kanten, von denen 4 den rhombischen Basalschnitten (Endkanten) und 2 dem quadratischen (Seitenkanten) angehören; 1+2 Ecken, wovon 1 die aufrecht gedachte 4kantige Endecke, durch welche die Hauptaxe  $c$  geht, und 2 die 2+2kantigen Seitenecken bezeichnet.

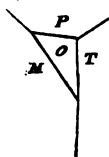


Das viergliedrige Tetraeder machen wir aus dem viergliedrigen Heraid Nr. 2 pag. 19, indem wir das zugehörige Tetraid einschreiben, es hat 4+2 Kanten, folglich 2+1kantige Ecken. Die Mittelpunkte der 2 Kanten werden durch die Axe  $c$  verbunden. Daraus geht hervor, daß das zugehörige Okttaeder die Ecken des viergliedrigen Heraides so abstumpft, daß ein gleichschenkliges Dreieck  $o$  entsteht, welches den Flächen des Okttaeders ähnlich ist. Stumpft das Heraid die Ecken des Okttaeders ab, so entstehen Schnitte, die den Basalschnitten ähnlich sind, also an den Endecken ein Quadrat, an den Seitenecken zwei congruente Rhomben.

3) Der zweigliedrigen Okttaeder sind zwei, Rhomben- und Oblongoktaeder.

a) Das Rhombenoktaeder hat 1+1+1 rechtwinklige Axen  $a : b : c$ , folglich drei einander nicht congruente Rhomben  $abab$ ,  $acac$ ,  $bcbc$  zu Basalschnitten; 4 ungleichseitige einander congruente Drei-

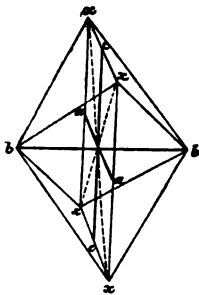
ecke abc; 2+2+2 Kanten, und 1+1+1 Ecken, in welchen 2+2 Kanten zusammenlaufen.



Das zugehörige zweigliedrige Tetraeder machen wir aus dem 2gliedrigen Hexaeder Nr. 3, pag. 19. Es ist 2+2+2kantig, mit ungleichkantigen Ecken und muß die Hexaederdecken so abstumpfen, daß ein ungleichseitiges Dreieck o entsteht, während die Hexaederflächen PMT an den Oktaedercken Rhomben bilden.

Vorstehende drei Oktaeder und Tetraeder sind die einzigen mit congruenten Flächen und rechtwinkligen Axen. Das gleichartige  $a : a : a$  hat keine Hauptstellung, man kann es nach jeder Axe  $a$  aufrecht stellen. Wird nun aber eine Axe  $a$  länger oder kürzer zu  $c$  gemacht, so entstehen viergliedrige Oktaeder, mit einer Hauptstellung, indem  $c$  wegen der Symmetrie immer aufrecht genommen werden muß. Ist  $c$  länger als  $a$ , so ist der Seitenkantenwinkel größer als der Endkantenwinkel, und das Oktaeder schärfer als das reguläre; ist dagegen  $c$  kürzer als  $a$ , so ist der Seitenkantenwinkel kleiner als der Endkantenwinkel, und das Oktaeder stumpfer als das reguläre. Stellte man das viergliedrige Oktaeder nach einer seiner Seitenaxen  $a$  aufrecht, so wären die Endkanten 2+2, und könnten dann für zweigliedrig gehalten werden. Sind endlich alle drei Axen verschieden lang, so ist die Stellung wieder dreideutig, weil sich keine Axe vor der andern auszeichnet.

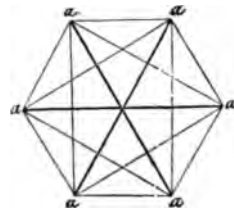
b) Das Oblongooktaeder hat 2+2 gleichschenklige Dreiecke, daher muß ein Basalschnitt, auf welchem sich die Basen der Dreiecke erheben, ein Oblongum mit gleichen aber schiefwinkligen Axen  $xx$  sein; die beiden übrigen Basalschnitte  $bxbx$  sind congruente Rhomben, deren Diagonalen sich rechtwinklig schneiden, daher steht die dritte Axe  $b$  auf den beiden schiefen  $x$  senkrecht. Die Kanten sind 4+1+1, und die Ecken 2+1, also zweigliedrig. Das zugehörige symmetrische Tetraëd entsteht aus der geraden rhombischen Säule Nr. 8 pag. 21, es ist gleichfalls 2+2flächig, 4+1+1kantig, und 2+2eckig. Da man die schiefen Axen



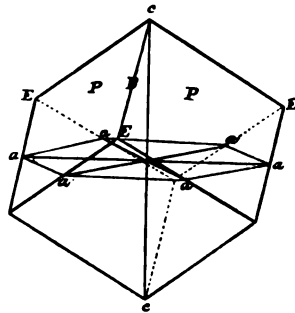
gerne meidet, so darf man im oblongen Basalschnitt nur die Seiten halbiren, und die Halbierungspunkte durch  $aa$  und  $cc$  verbinden, die auf einander senkrecht stehen;  $bb$  nach den Spitzen der gleichschenkligen Dreiecke gezogen steht ohnehin senkrecht auf den oblongen Basalschnitt. Dadurch bekommen die Flächen nicht mehr den einzigen Ausdruck  $x : x : b$ , sondern den doppelten  $a : b : ooc$  und  $b : c : ooa$ , es sind 2 rhombische Säulen, die man auch aus dem Rhombenoktaeder (und umgekehrt) ableiten kann, wie wir später sehen werden.

4) Das dreigliedrige Oktaeder ist 3+1flächig, die eine Fläche ist gleichseitig, und die drei Flächen sind gleichschenkl. Man macht es sich leicht, indem man an irgend einem Rhomboeder im Gleichgewicht durch

je 3 Seitenecken Flächen legt, welche die Endecke gerade abstumpfen. Es muß dann diese neue Fläche ein gleichseitiges Dreieck bilden, während die Rhomboederflächen zu gleichschenkligen werden. Die drei Basalschnitte sind drei congruente Oblongen, daher haben wir  $3+3$  Kanten, und drei gleiche Axen  $a:a:a$ , die sich aber unter gleichen schiefen Winkeln von  $60^\circ$  schneiden. Die drei gleichen Ecken sind  $2+2$ kantig und  $2+1+1$ flächig.

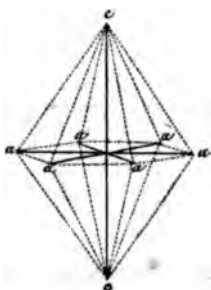


Wollen wir zu einem Rhomboeder das zugehörige dreigliedrige Octaeder suchen, so schreiben wir das dreigliedrige Tetraeder ein, dasselbe ist  $3+3$ kantig, denn es hat ein gleichseitiges Dreieck zur Basis, auf welchem sich drei gleichschenklige Dreiecke als Pyramide erheben, und aus diesem schneidet man dann das Octaeder. Wir lassen die Sache, weil sie zur Darstellung des Systems nicht nothwendig ist. Denn da das Rhomboeder vermöge der Congruenz der Flächen ins Gleichgewicht gebracht werden kann, so genügt es zur Bestimmung der drei gleichen und schiefen Axen  $a:a:a$ , welche von Mittelpunkt zu Mittelpunkt der Flächen gehen, wie die Axen der Würfel. Da aber durch diese Stellung die Symmetrie des Bildes gestört wird, und da ferner im Rhomboeder eine einzige 1 steckt, welche die Ecken A (Nr. 4 pag. 19) verbindet, so stellt man den Krystall nach dieser Linie AA aufrecht, und nimmt dieselbe als Hauptaxe  $cc$ , gegen welche die drei Flächen P und drei Endkanten B eine gleiche Neigung haben. Die Seitenkanten mit den Seitenecken liegen dann im Zickzack. Durch die Mitte der Zickzackkanten kann man ein reguläres Sechseck legen, denn jede Seite  $aa$  desselben geht der Diagonale EE parallel, ist also halb so groß, und da die drei horizontalen Diagonalen EE ein gleichseitiges Dreieck bilden, so muß das Sechseck, dessen drei gleiche Diagonalen  $aa$  sich im Mittelpunkt unter  $60^\circ$  halbiren, regulär sein. Die Rhomboederfläche geht also von  $a:a:\infty a:c$ . Die Axe  $c$  steht senkrecht gegen die Axenebene der  $a$ . Im Allgemeinen ist die Hauptaxe  $c$  von  $a$  verschieden, wenn jedoch das Rhomboeder einen Endkantenwinkel  $98^\circ 12' 48''$  hätte, so müßte  $c=a$  sein, ein nicht undenkbarer Fall.

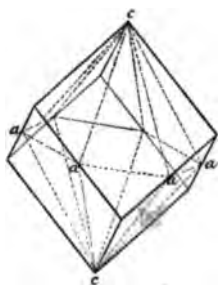


Macht man sich ein Axengestell dieses  $3+1$ axigen Systems, so treten die Rhomboederflächen nur in den abwechselnden Sextanten auf, die andere Hälfte bleibt leer; erst durch Füllung dieser entsteht das

Dihexaeder mit 6 parallelen Paaren gleichschenkliger Dreiecke, deren Basen  $a:a$  in der Ebene der Axen  $a$  liegen; 6 Endkanten gehen von  $a:c$ , so daß die Hauptecke in der Axe  $c$  6flächig und 6 kantig ist, die 6 Seitenecken sind  $2+2$ kantig. Man kann daher das Rhomboeder als den Halbfächner des Dihexaeder ansehen, und deshalb ist das dihex-



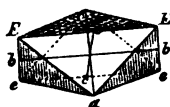
so sind ca die Endkanten und aa die Seitenkanten des eingeschriebenen Diheders. Diese gefällige Dihederform hat in der Endkante  $131^{\circ} 48' 37''$  (Winkel der gebrochenen Oktaederkante des



Leucitoeder  $a : a : \frac{1}{2}a$ ) und in der Seitenkante  $109^{\circ} 28' 16''$  (Winkel des regulären Oktaeder). Der Name Dihedron (Doppeltwürfel) kann daher auch auf diesen Ursprung anspielen, und jedenfalls ist das die leichteste Weise, sich den Körper zu schneiden. Nach unserm Gange der Entwicklung, den ich auch in der Methode der Kristallographie eingeschlagen habe, sollte man das Dihedron als ein Dirhomboider ansehen. Doch kommen andererseits beim Pyramidenwürfel  $a : \frac{1}{2}a : \infty a$  und bei mehreren 48flächern selbststän-

dige dihedrische Ecken vor. Auch sind beim Quarz und andern die Flächen so gleichartig, daß Weiß den Namen Quarzoider (Abh. Berl. Ak. 1814, pag. 324) für den Körper vorschlug. Später ist jedoch durch die Häidinger'schen Quarzwillinge die Ansicht wieder erschüttert. Auch mischt sich andererseits das Rhomboider so auffallend mit dem Dihedron (Eisenglanz, Korund), daß zwischen dreigliedrigem und sechsgliedrigem Systeme keine scharfe Grenze gezogen werden kann.

5) Die zweiundeingliedrigen Oktaeder sind auch wieder zweierlei Art:  $2+2$ flächig oder  $2+1+1$ flächig. Das  $2+1+1$ flächige (schiefes Oblongoktaeder) hat noch einen oblongen Basalschnitt, aber die Dreiecke darüber sind dreierlei: die gleichschenkligen  $1+1$  (EaE) haben EE zur gemeinsamen Basis, aber die Schenkel des einen sind länger als die des andern, die 2 (Eae) dagegen sind ungleichseitig und congruent.



Stellt man das Oblongoktaeder nach seiner 4kantigen Ecke (a) aufrecht, und bewegt die Axe a in der Axienebene ac aus ihrer senkrechten Stellung ein wenig heraus, so kommt das verlangte Oktaeder. Man erhält es aus der schiefen Rhombsäule Nr. 5, wenn man daraus sich das zugehörige Tetraid schneidet. Oder wenn es sich blos um die Existenz und nicht um die Entwicklung desselben handelt, so darf man nur an jenem Rhomboider die hintere Ecke A durch x so abstumpfen, daß

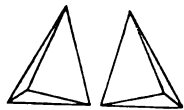


$x/M = x/M$ , beide aber verschieden von  $P/M = D$  sind. Wir haben dann einen oblongen Basalschnitt  $EEee$ , in welchem sich die Axen  $bb$  und  $cc$  rechtwinklig schneiden, dagegen die beiden andern Basalschnitte congruente Rhomboide bilden. Daraus folgt die Symmetrie des Krystalles von links und rechts, und eine Ebene  $acac$  muß senkrecht auf dem oblongen Basalschnitt  $EEee$  stehen, folglich auch  $b$  auf die Axen  $a$  und  $c$ . Dagegen zeigt die Rechnung, daß  $a$  und  $c$  sich unter schiefen Winkeln schneiden. Wir haben also drei verschiedene Axen  $abc$ , von denen je zwei  $ba$  und  $bc$  auf einander rechtwinklig,  $ac$  dagegen schiefwinklig stehen. Den stumpfen Winkel kehrt man gewöhnlich auf die Vorderseite  $a$ , und den scharfen auf die hintere  $a'$ . (In der Figur ist Axe  $cc$  etwas aus der Lage nach rechts gerückt, weil sie sonst nicht sichtbar würde, wenn man sie parallel  $Ee$  zeichnete, wie sie in der Natur geht.)

Das 2+2 flächige Oktaeder pag. 26 leitet man aus der schiefen Oblongsäule Nr. 7 pag. 21 ab: da die vordern Ecken  $EE$  andere sind als die hintern  $AA$ , so können die vier Flächen nicht mehr congruent sein, wie man leicht aus dem zugehörigen Tetraide sieht. Jedes Paar Ecken gibt ein Paar Flächen  $a:b:c$  vorn und  $a':b':c'$  hinten (Augitpaare Weiß, Klinodomen Naumann, Diöder de l'Isle), sämtliche Dreiecke ungleichseitig, weil die drei Kanten des Hexaides ungleich lang sind. Die von Ecke zu Ecke laufenden Oktaederaxen gehen den Kanten des zugehörigen Hexaides parallel, schneiden sich also wie diese unter zwei rechten und einem schiefen Winkel. Die Basalschnitte selbst sind zwei verschiedene Rhomben  $aba'b$  und  $bebe'$ , und ein Rhomboid  $aca'c$ . Auch dieses Oktaeder bleibt noch nach links und rechts symmetrisch, wird nur vorn anders als hinten, und jede zwei Augitpaare müssen ein solches geben, wofern sie nicht in einer Zone liegen.

6) Das eingliedrige Oktaeder hat weder zwei gleiche Flächen, noch zwei gleiche Kanten, alles tritt nur einzig auf, versteht sich immer, daß man das Parallele nicht mitzählt. Es entsteht aus dem Henthenoeber Nr. 6 d. h. aus dem allgemeinen Hexaide.

Betrachten wir die Tetraide für sich, so zerfallen sie in zwei merkwürdige Gruppen, in symmetrische und unsymmetrische. Zu den symmetrischen gehören das reguläre, viergliedrige, dreigliedrige, und von den zwei- und zweiundeingliedrigen die aus dem geraden und schiefen Oblongoktaeder abgeleiteten. Hier sind beide das Tetraid und Gegentetraid einander congruent. Anders ist es dagegen bei den unsymmetrischen. Schneidet man sich aus der Oblongsäule mit Gerabendfläche (Nr. 3) beide Tetraide, so sind sie zwar von gleichen Flächen und Kanten begrenzt, man kann sie aber nicht parallel neben einander stellen, sondern wenn man sie auf eine Fläche neben einander legt, so schaut das eine mit seiner Spitze nach links, das andere nach rechts: das eine ist also dem andern umgekehrt gleich und congruent. Ähnliche Unsymmetrie findet sich bei dem Tetraide der schiefen Oblongsäule (Nr. 7), es



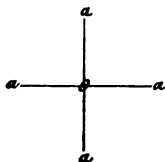
ist 2+2flächig. Endlich auch bei den 1+1+1+1flächigen. Naumann nennt die nicht regulären Sphenoid, Häubinger das unsymmetrisch zweigliedrige Tartaroid, weil es beim Weinstein (Tartarus) selbstständig vorkommt. Die genauere systematische Auseinandersetzung siehe Grundriß der Krystallographie pag. 94.

### Aren.

Nachdem wir uns überzeugt haben, daß aus je vier beliebigen sich in 6 Zonen schneidenden Flächen ein Oktaed entsteht, in welchem drei Linien (Aren) sich im Mittelpunkte halbiren, so können wir nun von diesen Linien sprechen. Die Aren gehen entweder alle drei von Ecke zu Ecke, oder nur eine von Ecke zu Ecke, die andern beiden den Seiten eines Basalschnittes parallel. Wie alles am Krystall beweglich gedacht werden muß, so auch diese Linien: es sind Richtungen, die in jedem Punkte des Krystalls wirken. Von ihrer Kenntniß, die wir lediglich dem verstorbenen Weiß verdanken, datirt eine Epoche der Krystallographie. Alles, was Spätere daran modelten, hat den Kern der Sache nur wieder verhüllt. Die Arenrichtungen allein sind die wirkenden Kräfte, als deren Resultanten die Flächen gedacht werden müssen; namentlich darf man auch nicht Arenebenen an ihre Stelle setzen.

I. Alle drei Aren wirken auf einander rechtwinklig (orthometrisch):

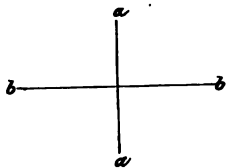
- 1) Gleiche Aren  $a:a:a$  bestimmen uns das **reguläre Oktaeder**, man darf sich nur zwei gleiche Linien  $aa$  und  $aa$ , die sich in  $o$  halbiren, auf das Blatt zeichnen, und dann eine dritte gleich lange Linie  $oa$  in  $o$  senkrecht gegen das Blatt erheben, so hat man die einfachste Anschauung vom regulären Oktaeder. Das Zeichen  $a:a:a$  ist so einfach, daß es weiter keiner Symbole bedarf, auch liegt darin von selbst, wegen der vier gleichen Quadranten,



die Vierdeutigkeit des Zeichens.

- 2) 2+1 Are  $a:a:c$  bestimmen uns das **viergliedrige Oktaeder**: man darf sich nur die aufrechte Are  $c$  (Hauptaxe) größer oder kleiner als  $a$  denken, so haben wir die Anschauung. Das Zeichen deutet gleich an, daß die Seitenkanten  $a:a$  von den Endkanten  $a:c$  verschieden seien, und daß die Dreiecke congruent und gleichschenkelig sein müssen.

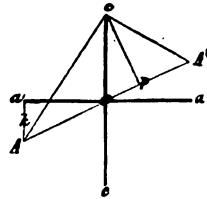
- 3) 1+1+1 Are  $a:b:c$  bestimmen uns das **zweigliedrige Oktaeder**: die aufrechte Hauptaxe nennt Weiß immer  $c$ , die nach vorn gehende  $a$  und die seitliche  $b$ . Wir ersieht daraus, daß die dreierlei Kanten  $a:b$  (Seitenkante),  $a:c$  (vordere Endkante) und  $b:c$  (seitliche Endkante) von einander verschieden, und folglich die vier Flächen ungleichseitige congruente Dreiecke sein müssen.



Anmerkung. Leider herrscht in der Benennung der Axen bei den Krystallographen keine Uebereinstimmung. Mohs und Naumann heißen die aufrechte Axe a (unser c), dagegen stimmt b Naumann mit b Weiß, aber mit c Mohs, und c Naumann mit a Weiß und b Mohs. Bei 2 + 1 gliedrigen Systemen nennt Naumann dann wieder die sogenannte Klinodiagonale  $b=1$ , welche consequenterweise c heißen müßte. Der Mathematiker wird übrigens die aufrechte Axe leichter als c merken, weil sie in der Coordinaten-Theorie der Axe der z entspricht, a und b dagegen der x und y. Abgesehen davon, daß beim viergliedrigen System die Symmetrie mit dem regulären verlangt, die beiden gleichen Axen noch a : a zu nennen und die aufrechte c. Und warum denn von der Bezeichnung des Begründers abweichen?

II. Nicht alle drei Axen wirken auf einander rechtwinklig (klinometrisch). Die Frage, ob die unbedeutende Schiefe einzelner Axen auf einander, welche nach scharfen Messungen anzunehmen man öfter gezwungen ist, nur von Störungen in der Ausbildung herrühre oder im tiefern Innern des Krystalls ihren Grund habe, ist noch nicht entschieden. Jedenfalls erwächst mit schiefen Axen eine größere Mühe des Rechnens: wo man daher rechtwinklige Axen nehmen kann, verdienen sie unbedingt den Vorzug. Sind dagegen schiefe Winkel unumgänglich, so wähle man die Axen wenigstens den rechtwinkligen möglichst nahe. So machte es Weiß. Mohs und Naumann dagegen sagen, da nun einmal schiefwinklige Axen gefunden werden, so nehmen wir sie auch recht schief. Dadurch erleiden die Flächen eine sehr verschiedene Bezeichnung, was das Verständniß außerordentlich erschwert.

4) Die ungleichen Axen  $A : b : c$  weichen in der Axenebene  $Ac$  nur um Weniges vom rechten Winkel ab, **zweieindeigliedriges Oktaeder**. Man stellt das Oktaeder gern so, daß der stumpfe Winkel  $coA$  nach vorn schaut, dann liegt der scharfe  $coA'$  hinten. Natürlich ist nun Kante  $A : c$  vorn von  $A' : c$  hinten verschieden, während die beiden seitlichen Endkanten  $b : c$  und die beiden Seitenkanten  $A : b$  links und rechts je einander noch gleich bleiben.



Die Oktaederflächen theilen sich daher in 2 + 2 ungleichseitige Dreiecke ( $Abc$  vorn und  $A'bc$  hinten), das System kann es nicht mehr zu vier gleichen Gliedern bringen. Da Axe b senkrecht auf Axenebene  $AcA'$  bleibt, so müssen  $boc$  und  $boA$  noch rechte Winkel sein. Behufs der Rechnung ziehe man eine Linie  $aa'$  senkrecht gegen  $cc$  und  $Aa$  parallel  $cc$ , so kann man mit der rechtwinkligen Axe  $oa$  rechnen, indem man das kleine Perpendikel  $aa = x$  als Correction in die Formel einführt. Der Winkel  $aoA$  zeigt die Abweichung vom rechten an. Mohs fällt dagegen ein Perpendikel  $ep$  auf  $AA'$ , und nannte den Winkel  $pco$  ( $=Aoa$ ) die Abweichung.

Man könnte sich bei diesem monoklinometrischen (monoklinen) Systeme zwei Axen, ja selbst alle drei einander gleich denken, und doch

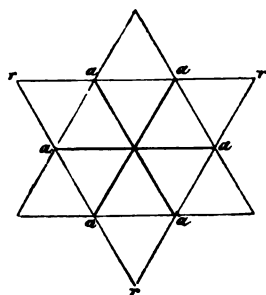
könnte es wegen der Schiefe zu keiner größern Gleichheit der Glieder als 2 kommen.

5) Von den ungleichen Axen  $A : B : c$  können je zwei  $Ac$  und  $Bc$  oder sogar alle auf einander schief stehen, **eingliedriges Oktaeder**. Hier muß alles ungleich sein. Zwar könnte man meinen, wenn noch ein Axenpaar  $AB$  auf einander senkrecht stünde, müßten beide Kanten  $AB$  links und rechts einander noch gleich bleiben. Allein man sieht sogleich, daß sie gegen die aufrechte  $c$ , welche auf Ebene  $AB$  doppelschief steht, nicht mehr symmetrisch liegen, folglich auch nicht mehr gleich sein können.

Raumann unterscheidet noch ein diklinometrisches (diklines) System, schiebt statt der linearen Dimensionen die Axenebenen unter: es muß dabei noch ein Paar Axenebenen z. B. Ebene  $AB$  auf  $Bc$  senkrecht stehen. Auf die Symmetrie des Krystalls hat das gar keinen Einfluß, und merkwürdiger Weise kann bei diesem Raumannschen System von den drei Lineardimensionen  $A : B : c$  keine auf der andern senkrecht bleiben. Man macht sich dieses leicht an einer Oblongsäule mit doppelschiefer Endfläche pag. 21 klar, an welcher keine der Kanten auf einander senkrecht stehen kann; und umgekehrt, wenn ein Paar der Kanten auf einander rechtwinklig steht, so kann kein Paar der Axenebenen einen rechten Winkel bilden. Das ist ein merkwürdiger Widerspruch! Method. Kryst. pag. 129.

III. Dreiundeinaxige Systeme. Die eine Hauptaxe  $c$  steht aufrecht und senkrecht gegen die drei gleichen Nebenachsen  $aaa$ , welche sich unter  $60^\circ$  schneiden.

6. a) **Sechsgliedriges System**. Denkt man sich die Axe  $c$  aufrecht, so kann man durch  $c : a : a : \infty a$  eine Fläche legen, die sechsmal wiederkehrt, also ein Dihexaeder bilden muß. Die Seitenkanten  $a : a$  sind von den Endkanten  $a : c$  verschieden.

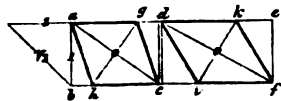


6. b) **Dreigliedriges System**. Denkt man sich dagegen nur die abwechselnden Sextanten ausgefüllt, so entsteht in  $c$  eine rhomboedrische Ecke. Man sieht leicht ein, daß die Ausfüllung der andern Hälfte ein Gegenrhomboeder  $rrr$  geben muß, das sich nur durch seine Stellung vom ersten unterscheidet. Bezeichnet man das eine mit  $\frac{1}{2}$  ( $c : a : a : \infty a$ ), so das andere  $\frac{1}{2}$  ( $c : a' : a' : \infty a$ ). Die Sache wird klar, wenn man das vergleicht, was oben pag. 29 beim Rhomboeder gesagt wurde. Wo es selbstverständlich ist, lasse man das  $\frac{1}{2}$  weg.

### Verfertigung der Oktaide.

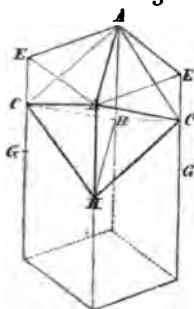
Da sich in jedes Hexaid ein Tetraid einschreiben läßt, aus diesem aber das Oktaid folgt, so könnte man auf solche Weise sich leicht alle Oktaide verschaffen, wenn man dazu nicht zu viel Holz brauchte, abgesehen davon, daß die Schnitte der Hexaide unnöthige Mühe bereiten. Zweckmäßiger ist es daher aus der Säule.

**Säulen** von gegebenem Verhältniß werden auf folgende Weise verfertigt:



Man hobelt einen Parallelraum  $aefb$ , nennt Dide  $ab=1$ , und construirt im rechtwinkligen Dreieck  $11$  die  $\sqrt{2}$ ; punktirt ferner das Oblongum  $abcd$ , worin  $ad = \sqrt{2}$ , errichtet im Mittelpunkt  $o$  auf der Diagonale  $ac$  das Perpendikel  $gh$ , zieht von  $g$  nach  $c$  und von  $h$  nach  $a$ , so ist  $agch$  ein Parallelogramm mit dem Oктаedrwinkel  $1 : \sqrt{2}$ , denn das Dreieck  $cog$  ist dem Dreieck  $adc$  ähnlich. Macht man  $de=bd=\sqrt{3}$ , und errichtet im Mittelpunkte des Oblongum  $edef$  wieder ein Perpendikel  $ik$  auf  $df$ , so ist aus denselben Gründen  $dkfi$  ein Parallelogramm  $1 : \sqrt{3}$  mit  $120^\circ$ . Auf diese Weise kann man jeden beliebigen Winkel construiren, und zur Verfertigung der Modelle verwerthen, ohne einen unnöthigen Hobelschnitt zu machen. Auch kommt stets der möglich größte Umfang heraus.

Das reguläre Oктаeder entsteht aus der geraden rhombischen



Säule von  $109\frac{1}{2}^\circ$  ( $1 : \sqrt{2}$ ), da dies der Oктаedrwinkel ist. Zu dem Ende trage man die kurze Diagonale  $AA$  nach  $AH$ , mache  $EG=AH$ , halbire diese in  $C$ , ziehe von  $C$  nach den vier Punkten  $AAHH$ , so entsteht das Oктаeder  $CAAHHC$ . Der Beweis ist leicht zu führen.

Biergliedrige Oктаeder entstehen aus geraden rhombischen Säulen von einem Winkel, der den Seitenkanten des verlangten Oктаeders entspricht. Man verfährt bei der Bereitung ganz wie vorhin. Legt man

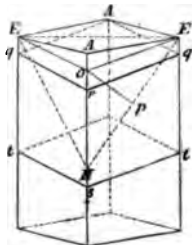
die kurze Diagonale  $AA$  nach  $AH$ , so entsteht ein scharfes, legt man dagegen die lange Diagonale  $EE$  nach  $EG$ , so entsteht ein stumpfes Oктаeder.

Würde man  $AH$  länger oder kürzer als  $AA$  machen, und  $EG=AH$  in  $C$  halbiren, so entstünde ein Oblongoктаeder.

Zweigliedrige Oктаeder macht man aus rhombischen Säulen mit Schiefendfläche. Wäre  $AEAE$  eine solche, so trüge man wieder  $AA$  nach  $AH$ , machte  $EG=AH$ , halbire in  $C$ , und zöge das Oктаeder  $CAAHHC$ .

Ein zweiundeingliedriges käme, sobald man  $AH$  größer oder kleiner als  $AA$  machte; das eingliedrige auf die gleiche Weise, nur muß statt der schiefen eine doppelschiefe Endfläche genommen werden.

Dreigliedrige Oктаeder macht man aus Rhomboedern. Rhomboeder aber am besten aus geraden rhombischen Säulen. Für stumpfe Rhomboeder muß man die Schiefendfläche auf die stumpfe Säulenkante setzen. Zu dem Ende trägt man  $EE$  nach  $EH$ , errichtet im Halbierungspunkt  $p$  ein Perpendikel  $op$ , so ist  $oEEH$  die Endfläche eines Rhomboeders von dem Endkantenwinkel der Kante  $H$ . Da die Rhomboederfläche  $oEE$



erst durch den Mittelpunkt der Geradenfläche  $AEAE$  geht, so kann man sie leicht durch das hintere  $A$  legen, man macht nur vorn  $Ao = or = Eq$ , so geht die Rhomboederfläche durch  $Aqrq$ . Mache ich dann ferner  $Hs = Ao$ , und ziehe durch  $s$  Parallelen, so ist  $stqrqtA$  das verlangte Rhomboeder.

Für scharfe Rhomboeder muß die Schiefenfläche auf die scharfe Säulenante gesetzt werden. Zu dem Ende nimm die kurze Diagonale  $AA'$  in den Zirkel, und mache  $AH = AA'$ , dann gibt das Perpendikel auf  $AH$  im Mittelpunkt  $p$  errichtet und bis zum Durchschnitte mit der stumpfen Kante verlängert den gesuchten Punkt  $o$ , welcher mit die Schiefe  $oH$  bestimmt. Um die Schiefenfläche von dieser Richtung durch  $E$  zu legen ziehe  $Eq$  der  $Ho$  parallel, mache  $E'r = 2Aq$ , so ist  $rqEq'$  die Fläche des gesuchten Rhomboeders mit scharfem Endkantenwinkel,  $Eq = qr$  ist die Länge der Kanten. Macht man dann  $Eq = Et = ts = sr'$ , so gibt Linie  $Er'$

die Hauptaxe eines scharfen Rhomboeders mit dem scharfen Säulenwinkel in der Endkante,  $r \cdot o \cdot s$  und  $q \cdot s' \cdot t$  die Seitenachsen.

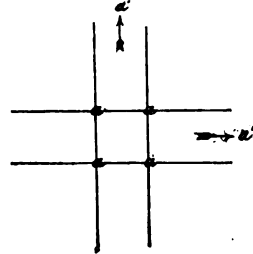
Die Zeichnung der Oktaide ist gewöhnlich eine geometrische d. h. eine orthographische Projection: man fällt von den Ecken der Oktaide Senkrechte auf die Zeichnungsebene, verbindet die Orte durch die erforderlichen 12 Kanten, so ist das Bild fertig. Denkt man das Auge im Unendlichen und so gegen Krystall- und Zeichnungsebene gestellt, daß ein Gesichtsstrahl durch den Mittelpunkt des Krystalls senkrecht gegen die Zeichnungsebene steht, so sieht man den Krystall in unserem geometrischen Bilde. Dasselbe erscheint zwar etwas verzogen, aber alle parallelen Kanten bleiben sich parallel. Da die Ecken der Oktaide den Endpunkten der drei Axen entsprechen, so fällt die Aufgabe mit der Projection der drei Axen  $abc$  zusammen. Wir wollen das hier nicht durchführen, und verweisen auf den Grundriß der Krystallographie pag. 363.

## Projectionenlehre.

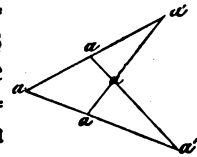
Wer von Krystallen schnell ein klares Bild bekommen will, muß sich vor allem mit der Projection vertraut machen. Ich habe sie in meiner „Methode der Krystallographie 1840“ und im Grundriß der bestimmenden und rechnenden Krystallographie 1873“ weitläufiger auseinander gesetzt. Sie besteht darin, daß ich alle Flächen durch einen Punkt (Scheitelpunkt) lege, und dieselben dann eine beliebige Ebene (Projectionsebene) schneiden lasse. Wenn ich aber alle Flächen durch einen Punkt lege, so müssen nothwendig die Parallelen zusammenfallen. Jeder zwischen zwei Parallelebenen liegende Raum (Krystallraum, Parallelraum) wird also durch eine Ebene (Reductionsebene) vertreten. Jede Reductionsebene

muß die Projectionsebene in einer geraden Linie (Sectionslinie) schneiden, nur die eine nicht, welche der Projectionsebene parallel geht. Ferner müssen die Flächen einer Zone durch eine gemeinsame Linie (Zonenaxe) gehen. Die Zonenaxen selbst strahlen alle vom Scheitelpunkte aus, treffen die Projectionsebene unter Punkten (Zonenpunkten), in welchen sich sämtliche Sectionslinien der zugehörigen Zone schneiden.

Beispiel. Legen wir durch die Basis des Quadratoctaeders eine Ebene  $aaaa$ , und verlängern dann die Seiten des Quadrats ins Beliebige, so liefern die vier sich kreuzenden Linien das Projectionsebild auf der zugehörigen Hexaaidfläche. Der Endpunkt  $c$  wird in der Mitte über der Projectionsebene gedacht, von hier strahlen die vier Endkanten  $ca$  aus, so daß  $aaaa$  ihre vier Zonenpunkte sind. Die Punkte  $a'a'$  liegen im Unendlichen, ihre Zonenaxe  $ca'$  geht also der Projectionsebene parallel.



Denken wir jetzt die vier Oктаederflächen über sich hinaus verlängert, aber fest in ihrer Lage, und bewegen nun die Projectionsebene beliebig dagegen, so muß im Allgemeinen das Projectionsebild  $aaaa'a'$  entstehen, worin  $aaaa$  noch die Endkanten, und  $a'a'$  die Seitenkantenzonepunkte bezeichnen. Man macht sich dieses leicht klar, wenn man vom Oктаeder die Enddecke beliebig wegschneidet, ohne daß eine Endkante der andern gleich getroffen wird. Diese Fläche wird dann das Trapezoid  $aaaa$  sein, dessen Seiten über sich hinaus verlängert zu den Zonenpunkten der Seitenkanten ( $a'a'$ ) führen. Der Endpunkt  $c$  hat immer außerhalb der Projectionsebene irgendwo in einem festen Punkte seine Lage, von dem dann alle Zonenaxen (in diesem Falle Oктаederkanten) nach den 6 Zonenpunkten hinstrahlen. Dieß eingesehen können wir wieder einen ganz allgemeinen Gang einschlagen.



Eine Fläche ist durch eine Linie dargestellt, so lange sie der Projectionsebene  $P$  nicht parallel geht.

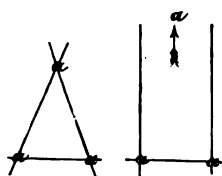
Zwei Flächen erzeugen ein Kreuz, solange die Projectionsebene die Zonenaxe schneidet; läuft dagegen die  $P$  der Zonenaxe parallel, so müssen die Sectionslinien auch einander parallel gehen, der Zonenpunkt  $a$  muß im Unendlichen liegen. Geht endlich  $P$  einer der Flächen parallel, so bleibt nur noch eine Sectionslinie.



Drei Flächen bilden entweder eine sechsseitige Säule, und zeichnen sich dann durch ein dreiliniiges Kreuz oder drei Parallelen aus, solange  $P$  eine vierte hinzutretende Ebene ist; oder ein



Hexaaid, dieses muß im Allgemeinen drei Zonenpunkte haben, wovon einer im Unendlichen liegen kann, wenn die  $P$  einer Hexaaidante parallel läuft, wie das in der zweiten Figur der



Fall ist, woran der Pfeil den im Unendlichen liegenden dritten Punkt anzeigt. Wird dagegen eine Hergaidfläche zur Projectionsebene, d. h. geht P einer Hergaidfläche parallel, so bleibt für das Projectionsebild nur ein einfaches Kreuz, weil die dritte Ebene nicht zum Schnitt kommt.

Vier Flächen geben dreierlei:

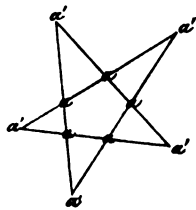
a) eine 8seitige Säule, durch ein vierlinigtes Kreuz, oder auch durch 4 Parallelen dargestellt;

b) einen Vierzonenkörper  $aaab$ , worin die 4te Ebene  $ab$  die Kante des Hergaides  $aab$  abstumpft. Es bezeichnet das offenbar nur eine sechsseitige Säule  $b$  mit Endfläche  $aaa$ . Endlich



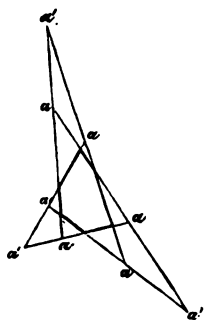
c) ein Oktaid, den allgemeinsten Fall: die vier Linien müssen sich in  $1+2+3=6$  Punkten schneiden, weil nirgends drei in eine Zone fallen. Wir sind damit bei unserm obigen Projectionsebild wieder angelangt, wo das Oktaid auf eine ganz beliebige Fläche projectirt wurde.

Fünf Flächen schneiden sich im Allgemeinen in  $1+2+3+4=10$



Punkten, wovon fünf  $aaaaa$  in einem Fünfeck, und fünf  $a'a'a'a'$  außerhalb des Fünfecks liegen. Es würde uns das zu jenem merkwürdigen Pentagonalssysteme führen, was zwar in der Krystallographie keine Existenz hat, das aber bei der Gebirgslehre durch E. de Beaumont mit so vielem

Scharfsinne Anwendung fand (Epochen der Natur pag. 229). Man kann diese Figur mit einem Federzuge (Druidenfuß) darstellen. Es entwickelt sich hier alles nach der Zahl 5. Vergleiche übrigens die pentagonalen Flächen beim Buntbleierz und Zink.



Sechs Flächen schneiden sich im Allgemeinen in  $1+2+3+4+5=15$  Punkten, wovon sechs in einem Sechseck, sechs ( $aaaaaa$ ) symmetrisch außerhalb des Sechsecks liegen, und die übrigen drei  $a'a'a'$  sich symmetrisch auf dem andern Raume vertheilen. Hierin entwickelt sich alles nach der Zahl 6, und man könnte es als den Ausgangspunkt des sechsgliedrigen Systems nehmen wollen, wenn dieß nicht zweckmäßiger aus dem regulären System selbst entwickelt würde. So ließe sich ins Unendliche fortfahren, für jede  $n$ te Linie würde zugleich die Zahl  $n$  die Hauptrolle spielen. Doch sind

das nur abstracte mathematische Sätze, die höchstens Schlaglichter auf das Wesen der Zahl in den Krystallen werfen.

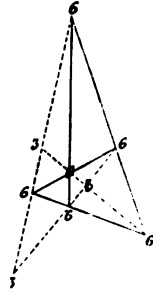
### Deduction.

Darunter verstand Weiß das Ableiten von Flächen aus gegebenen



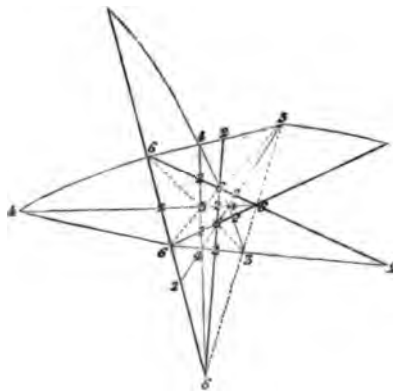
Zonen. Ohne diese Entwicklung ist gar kein tieferes Verständniß der Sache möglich. Die Flächen zeigen sich hierdurch als Resultanten von gegebenen Kräften. Säule, Hexaid und Bierzonenkörper lassen keine weitere Ableitung zu, weil die Zonenpunkte durch ihre eigenen Flächen schon alle untereinander verbunden sind. Erst beim Oktaide wird die Ableitung möglich, und deßhalb ist damit auch das ganze krystallographische System gegeben, wir dürfen nicht zu fünf oder gar mehr Flächen fortschreiten.

Das zugehörige Hexaid entsteht durch Verbindung der (6) Oktaidkanten. Es gibt das die drei neuen punktirten Linien, welche sich untereinander wieder in drei (3) neuen Punkten, den Rantenpunkten des Hexaides, schneiden. Da wir oben sahen, daß das Hexaid durch drei Linien, die sich in drei Punkten schneiden, dargestellt ist, so muß unser neuer Körper ein Hexaid sein. Zwei der Hexaidflächen verbinden die Punkte der abwechselnden Endkanten des Oktaides, müssen ihnen also parallel gehen, wie die dritte den Seitenkanten. Mit jedem beliebigen Oktaide ist daher auch ein auf diese Weise zugehöriges Hexaid gegeben. Jede Hexaidfläche muß am Oktaide als ein Parallelogramm erscheinen, weil sie nur in zwei Oktaidkanten liegt.

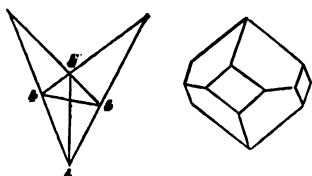


Das zugehörige Dodekaid verbindet die Hexaid- mit den Oktaidkanten, also die drei mit den sechs. Es sind nur sechs solcher neuen Linien möglich, daher hat der neue Körper auch nur sechs Parallelräume. Die sechs Linien schneiden sich in vier dreilinigen Zonenpunkten, mithin müssen die den Linien zugehörigen Flächen hier sechsseitige Säulen bilden. Außerdem schneidet jede Dodekaidlinie noch zwei Oktaidlinien in neuen noch nicht vorhandenen Punkten. Die Sektionslinien der drei Körper Hexaid, Oktaid und Dodekaid, zusammen  $3 + 4 + 6 = 13$  Linien, geben  $3 + 6 + 4 + 12 = 25$  Zonenpunkte:

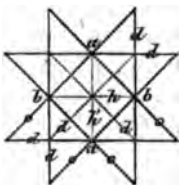
die 3 entsprechen den Hexaidkanten; die 6 den Oktaidkanten; die 4 den Dodekaidkanten, und die 12 den Diagonalzonen des Oktaides, welche in jedem Oktaiddreieck von der Spitze nach dem Halbierungspunkt der gegenüber liegenden Kante gezogen werden. Da jedes Dreieck drei solcher Diagonalen hat, so müssen  $3 \cdot 4 = 12$  vorhanden sein. Wir sind damit bei den schon oben pag. 20 erwähnten Grundzahlen 3, 4, 6, der Krystallsysteme angelangt, und man sieht auf diese Weise zugleich ein, daß die Sache nicht anders sein kann.



Verzeichnen wir das Dodekaid besonders, so besteht es aus einem



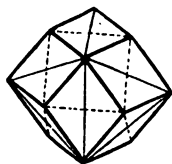
Oftaid 4444 mit zwei zugehörigen Hexaidflächen, welche die Seitenecken abstumpfen. Daraus folgen alle seine wesentlichen Eigenschaften. Das nebenstehende Dodekaid macht dieß deutlich. Will man endlich die Agenausdrücke finden, so darf man nur das ganze Dreikörpersystem auf eine der Hexaidflächen projiciren, um sogleich zu sehen, daß die Sectionslinien der beiden zugehörigen Hexaidflächen  $hh'$  zu Agn genommen, das Oftaid o den Ausdruck  $a:b:c$ , das Dodekaid d den Ausdruck  $a:c:oo b$ ,  $b:c:oo a$  habe.



Nur über die Ausdrücke der Flächen h und d des Mittelpunktes könnte man im Zweifel sein. Allein man darf die Flächen d z. B. nur parallel mit sich verrücken, so muß ihre Sectionslinie, sobald sie durch a gelegt ist, auch durch b gehen, und da d in der Age c liegt, so muß sie bei dieser Verrückung der c parallel bleiben, also  $a:b:oo c$  sein. Dagegen bekommt h den Ausdruck  $a:oo b:oo c$ , und  $h'=b:oo a:oo c$ , wenn man jede parallel mit sich verrückt und durch die Ageneinheiten a und b legt. Ehe wir weiter gehen, wird es gut sein, auch die

### Dodekaide

einer kurzen Betrachtung zu unterwerfen. Zunächst muß das Dodekaid ins Gleichgewicht gebracht werden! Zu dem Ende dürfen wir nur sein Oftaid ins Gleichgewicht bringen, so daß sämtliche Flächen Dreiecke sind. Alsdann lege die beiden Hexaidflächen durch die Mitte der Seitenkanten dieses Oftaides, und das Dodekaid im Gleichgewicht ist fertig. Hierauf beruht zu gleicher Zeit die Weise der Verfertigung. Beim Granatoeder z. B. ist das Oftaid viergliedrig mit rechtwinkligen Seitenkanten: ich darf mir daher nach Anleitung von pag. 35 nur aus der quadratischen Säule ein viergliedriges Oктаeder machen, die Seitenecken durch zugehörige Hexaidflächen abstumpfen, und das Granatoeder im Gleichgewicht ist gemacht.

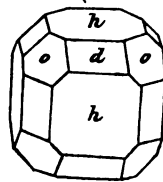


Das Dodekaid im Gleichgewicht wird von 6 Parallelogrammen begrenzt (die parallelen nicht gezählt), welche sich in 3 viertantigen Ecken, den Endpunkten der Agn entsprechend, und in 4 dreitantigen Ecken schneiden. Da jede Fläche in der Hexaid- und Oftaidkante zugleich liegt, so entspricht die (feine) Diagonale, welche die viertantigen Ecken verbindet, den Oftaidkanten, und die (punktirte), welche die dreitantigen verbindet, den Hexaidkanten. Man kann also in jedes Dodekaid das zugehörige Hexaid und Oftaid einschreiben. Daraus geht von selbst hervor, daß das Oftaid die dreitantigen und das Hexaid die viertantigen Ecken abstumpft. Und wieder kann es nur so vielerlei Dodekaide geben, als entsprechende Hexaide oder Oктаide möglich sind.

Das reguläre Dodekaid oder Granatoeder ist ein solches, in

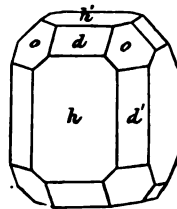
welches man einen Würfel und ein reguläres Oktaeder einschreiben kann, die Diagonalen sämmtlicher Flächen sind daher einander gleich, und folglich die Flächen congruent. Da die Kanten in vier sechsseitigen Säulen liegen, so müssen diese Säulen regulär sein, folglich Kanten von  $120^\circ$ . Der stumpfe ebene Winkel der Rhomben beträgt  $109^\circ 28' 16''$ , ist also so groß als die Kanten des Oktaeders. Das Paar, welches derselben Axe parallel geht, schneidet sich unter rechten Winkeln; daher hat das Oktaeder des Granatoeders in den Seitenkanten rechte Winkel, worauf seine Anfertigung beruhte.

Oktaeder, Würfel und Granatoeder treten öfter zusammen auf (Kiesglanz, Gold etc.): man mache einen Würfel  $h$ , stumpfe die Ecken durch das Oktaeder  $o$  gerade ab, indem man gleiche Kantenlängen wegschneidet, wodurch gleichseitige Dreiecke entstehen. Nimmt man dann mit dem Granatoeder  $d$  die Würfelkanten so weg, daß in ihm Rechtecke entstehen, was beweist, daß  $d$  in der Zone  $o/o$  und  $h/h$  liegt, so ist der Körper gemacht. Es sind in diesem merkwürdigen Modelle alle möglichen Zahlenverhältnisse des regulären Systems gegeben. Die 3 bildet den Würfel  $h$  mit achteckigen Flächen; die 4 das Oktaeder  $o$  mit sechseckigen Flächen; die 6 das Granatoeder  $d$  mit viereckigen Flächen. Die Kante  $h/d$  ist 12mal  $da$  (die diametral gegenüber liegenden nicht mitgezählt), in ihnen liegen alle möglichen Pyramidenwürfel, d. h. sie werden durch die Pyramidenwürfel abgestumpft; die Kante  $h/o$  nochmals 12mal, in ihnen liegen alle möglichen Leucitoide; die Kante  $o/d$  abermals 12mal, in ihnen liegen alle möglichen Pyramidenoktaeder; endlich bleiben noch die 24 Ecken, jede von den drei Flächen  $hdo$  und von den dreimal 12 Kanten begrenzt, auf ihrem Gipfel balanciren alle möglichen Achtundvierzig-Flächner. Eine andere Zahl und ein anderer Körper ist nicht denkbar.



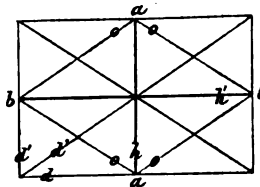
Das viergliedrige Dodekaid ist ein solches, in welches man ein viergliedriges Oktaeder einschreiben kann. Daher müssen sich die Flächen in  $4+2$  zerlegen: die 4 untereinander congruenten Rhomben bilden das nächste stumpfere Oktaeder, und die 2 eine quadratische Säule, welche die Seitenecken des viergliedrigen Oktaeders abstumpft. Weil die Flächen zweierlei sind, so pflegt man nicht von einem viergliedrigen Dodekaide zu sprechen, man denkt es immer in seine Theile zerlegt.

Wir können nun ganz wie beim regulären System die drei Körper miteinander verbinden: man nehme eine quadratische Säule  $h$  mit Geradenfläche  $h'$ , stumpfe die Ecken durch das Oktaid  $o$  so ab, daß die Flächen gleichschenklige Dreiecke bilden pag. 27, und lasse dann die Dodekaidflächen  $d$  die Kanten des Oktaides und Hexaides zugleich abstumpfen. Dann haben wir das viergliedrige Hauptoktaeder  $o = a : a : c$ , an welchem das Oktaeder des Dodekaides die Endkanten abstumpft, also das 1ste



stumpfere Oктаeder  $d = a : c : \infty a$  bildet; während  $d' = a : a : \infty c$  die erste quadratische Säule macht, welche die Seitenkanten von  $o$ , und  $h = a : \infty a : \infty c$  die zweite quadratische Säule, welche die Seitenecken von  $o$  abstumpft; während  $h' = c : \infty a : \infty a$  nur ein einziges Mal vorhanden als Geradenfläche auftritt.

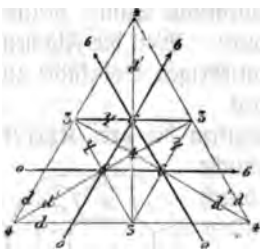
Das zweigliedrige Dodekaid ist ein solches, in welches man ein zweigliedriges Oктаeder einschreiben kann. Es müssen daher die Flächen sich in drei Paare  $2+2+2$  zerlegen. Das vordere Paar  $d$  geht von  $a : c : \infty b$ ; das seitliche  $d'$  von  $b : c : \infty a$ ; das dritte  $d''$  (die rhombische Säule)  $a : b : \infty c$ . Wir könnten hier nun wieder ganz in derselben Weise wie vorhin verfahren, und müßten dann von der Oblongsäule mit



Geradenfläche ausgehen. Je zwei Paare zusammen genommen bilden ein Oblongoktaeder pag. 28, an welchem das dritte zugehörige Paar die Seitenecken so abstumpfen muß, daß die Flächen Parallelogramme werden. Alles das leuchtet aus nebenstehender Projektionsfigur auf die Geradenfläche sogleich hervor, in welcher Axe  $c$  aufrecht gedacht wird. Das Bild stimmt vollkommen mit dem des regulären und viergliedrigen Systems überein, nur daß die Axen ungleich geworden sind.

Man kann übrigens zu einem andern ( $4+1+1$ flächigen) zweigliedrigen Dodekaide noch in der Weise gelangen, daß man zwei beliebige Ecken eines zweigliedrigen Oктаeders durch eine Oblongsäule abstumpft, weil in dieselbe sich ein Oblongoktaeder einschreiben läßt. Strahlzeolith, Kreuzstein u. liefern dazu gute Beispiele.

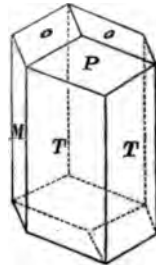
Das dreigliedrige Dodekaid ist ein solches, in welches man ein dreigliedriges Oктаeder einschreiben kann. Es muß also eine der vier sechsseitigen Säulen regulär bleiben, während die andern drei untereinander gleiche rhombische Säulen mit gerader Abstumpfung bilden. Denn da das dreigliedrige Oктаeder  $3+3$ kantig ist, so muß das zugehörige Dodekaid auch  $3+3$ flächig sein. Wir machen uns das leicht durch eine Projection der Körper auf eine Oктаidfläche klar, und können dabei vom regulären System ausgehen: wählen wir irgend



eine Fläche des regulären Oктаeders als Projectionsebene, und denken uns die drei an diese Fläche anliegenden ausgebreht, so müssen sich dieselben in einem Punkte schneiden, diesen Punkt nehmen wir als Scheitelpunkt der Projection. Dann gibt das gleichseitige Dreieck  $ooo$  die Sectionslinie der drei Oктаederflächen, während die vierte durch den Scheitelpunkt der Projectionsebene parallel gehen muß, weil wir sie als Projectionsebene gewählt haben. Die sechs Zonenaxen des Oктаeders strahlen also zu drei vom Scheitelpunkte nach den Ecken des Dreiecks  $ooo$ , aber die andern drei treffen die Zonenaxe nicht, sie liegen in der Richtung der Sectionslinien

666 im Unendlichen, was der Pfeil bezeichnen soll. Das Oктаeder ist als ein Rhomboeder mit Geradenfläche betrachtet. Das Hexaid hhh muß eine 6 des Dreiecks mit einer im Unendlichen liegenden 6 verbinden, also ein umschriebenes Dreieck geben, was ein nächstes stumpferes Rhomboeder bezeichnet. Endlich kommt das Granatoeder d, welches zunächst durch ein weiter umschriebenes Dreieck die Hexaidkante 3 mit der im Unendlichen liegenden 6 verbindet und ein zweites stumpferes Rhomboeder liefert; sodann die Verbindung der 3 mit der 6 des Oктаederdreiecks, was eine reguläre sechsseitige Säule gibt. Das ganze System zerlegt sich also in dieser Stellung in  $1+3+3+3+3$  Flächen. Denkt man sich nun statt des regulären Oктаeders ein dreigliedriges pag. 29, so werden drei Flächen gleichschenkelig, die vierte bleibt gleichseitig, und nehmen wir diese als Projectionsebene, so bleibt das Projectionsbild ganz das Gleiche, und die Flächen sind demnach in drei Rhomboeder, eine reguläre sechsseitige Säule und eine Geradenfläche zerlegt. Das Ganze dieser Behandlungsweise ist so elementar, und führt zugleich so tief in das Wesen der Sache, daß ein anderer leichter Weg nicht wohl gedacht werden kann.

Das zweiundeingliedrige Dodekaid ist ein solches, in welches man ein  $2+1$ gliedriges Oктаeder einschreiben kann. Man bekommt dieses wieder auf zweierlei Weise: 1) Läßt man von den drei Paaren eines zweigliedrigen Dodekaides eins different werden, so haben wir noch eine geschobene Säule mit einem seitlichen Augitartigen Paare, nur das dritte Paar zerlegt sich in eine Schiefendfläche und hintere Gegenfläche. Man kann darin ein  $2+2$ flächiges Oктаeder einschreiben. Das 2) Dodekaid hat ein schiefes Oblongoktaeder pag. 30 als eingeschriebenen Körper. Es kommt unter andern schön bei Hornblende vor: dieselbe bildet eine geschobene Säule T/T, deren scharfe Kante durch M gerade abgestumpft wird. Das Ende in der  $2+1$ flächigen Säule bildet die Schiefendfläche P mit dem Augitartigen Paare o/o. Da P auf M senkrecht steht, so bilden sie eine Oblongsäule, über welcher ein  $2+2$ flächiges Oктаeder o/o und T/T sich erhebt, man kann also in dieser Stellung ein  $2+1+1$ flächiges Oктаeder einschreiben.



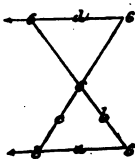
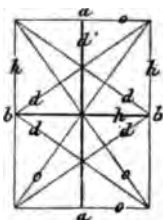
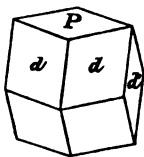
Die eingliedrigen Dodekaide lassen sich entweder nach zwei Paaren different denken, dann muß auch das dritte Paar different sein; oder wenn man beim Hornblende-Dodekaid o links von o rechts verschieben macht, so kann auch T links nicht mehr T rechts gleich sein.

Wenn die Dodekaide nach einer ihrer sechsseitigen Säulen sich in die Länge ziehen, so entstehen keine versteckten Kanten, und doch ist der Körper nicht im Gleichgewicht. Man sieht das an je einem Oктаide des Dodekaids, das gehörig ausgedehnt gedacht immer versteckte Kanten hat. Versteckte Kanten sind solche, die den drei Hauptaxen parallel gehen. Sorgt man dafür, daß die Oктаide keine versteckten Kanten haben, so ist auch das Gleichgewicht des Dodekaides vorhanden. An diesen Fall habe ich

„Methode der Krystallogr. pag. 47, § 55“ nicht gedacht, denn man kann nicht sagen, das Dodekaid sei im Gleichgewicht, sobald nur die Kanten der 4 sechsseitigen Säulen sichtbar sind.

### Projection der drei Körper auf die Dodekaidfläche.

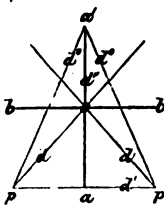
Nehmen wir beispielsweise das Granatoeder, schreiben den Würfel und das Oktaeder ein, und legen es auf eine seiner Flächen P, die zur Projectionsebene dienen soll. Verlängere die vier anliegenden, so schneiden dieselben sich im Scheitelpunkte, dddd sind also ihre Sectionslinien, die ein Parallelogramm von  $109^{\circ} 28' 16''$  bilden. Axe a entspricht der 5ten d', während die 6te (P) das Papier ist, oder vielmehr dem Papiere parallel geht.



Da die Hexaflächen h die vierkantigen Ecken abstumpfen, so liegt jede in zwei vierseitigen Säulen dd des Dodekaides. Von den 4 Oktaidflächen (o) gehen zwei durch den Mittelpunkt und zwei schließen das äußere Viereck. Letzteres ist ein wenig schwer einzusehen, doch ist dieser Weg für die Projection des Granatoeders der einleuchtendste. Man kann nun umgekehrt zuerst das Oktaeder projeciren, wie in nebenstehender Figur geschehen. Zu dem Ende bezeichne man die vier Flächen mit abcd, stelle es nach der Säule bc aufrecht, so daß die Kante ad der Projectionsebene parallel geht. Wir haben dann eine geschobene Säule bc, der scharfe Winkel vorn, mit einer Schiefenfläche a, und einer hintern Gegenfläche d, nur muß man dabei den gemeinsamen Scheitelpunkt immer fest im Auge haben. Dieß eingesehen folgt alles Andere von selbst, denn die Hexaflächen h müssen nun von 6 zu 6 gehen, und gerade die beiden in den endlichen 6 einander parallel werden, weil die Projectionsebene der Granatoederfläche parallel geht. Das Granatoeder verbindet endlich die 3 mit den 6, ganz wie in den frühern Figuren.

Nimmt man in der vorhergehenden Figur a und b als Axen, so gehen zwei o von  $a:c:oo$ , und zwei im Mittelpunkt von  $a:b:oo$ , vier Dodekaidflächen von  $\frac{1}{2} a:b:c$ , kurz man kann alles leicht ablesen.

Das Dodekaid kann in seiner Säulenstellung auch auf drei Axen bezogen werden, je nachdem man aber diese wählt, werden sie nicht immer auf einander rechtwinklig stehen. Würde ich z. B. das Rhomboeder des Granatoeder durch ein gleichseitiges Dreieck projecirt denken, wie pag. 42, so kann ich die Projectionsebene so um den Mittelpunkt o drehen, daß die neue Projection ein gleichschenkliges Dreieck a'pp bildet, in welchem der Mittelpunkt der Projection die Linie aa' halbirt. Der Zusammenhang bleibt dann immer der gleiche, wie unsere Figur zeigt. Nehme ich nun Axe bb parallel pp, so wird



$d = a : b : \infty c$ ,  $d' = a : \infty b : c$ ,  $d^0 = a' : \frac{1}{2} b : c$ , und  $d'' = b : \infty a : \infty c$ . Nur ständen dann die Axen  $ac$  auf einander schief ( $a/c$   $79^\circ 58\frac{1}{2}'$ ), Axen  $cb$  und  $ab$  wären aber noch rechtwinklig. Beim Hornblende-Dodekaëd findet das besondere Verhältniß Statt, daß die Dodekaëdante  $d^0/d^0$  sich gegen die Axe  $c$  gerade so neigt, als  $d'$  auf der Vorderseite, die Axen stehen daher bei ihm sämmtlich auf einander rechtwinklig. Das Bleibende in allen den verschiedenen Axenbezeichnungen sind die Zonen.

Durch die Projection des Hexaëdes, Octaëdes und Dodekaëdes sind uns so viele Punkte gegeben, daß wir daraus eine beliebige Menge von neuen Flächen ableiten können. Bevor wir dazu schreiten, möge das Wichtigste gesagt werden über die

### Berechnung.

Einiges habe ich darüber in Poggendorf's Annal. 1835, XXXIV. 503, XXXVI. 245 und in den „Beiträgen zur rechnenden Krystallographie 1848“, Atab.-Programm der philos. Fakultät zu Tübingen, das nicht im Buchhandel erschienen ist, gesagt. Das Ausführlichere siehe im Grundriß der rechnenden Krystallographie 1873 pag. 186.

I. Aus den bekannten Axenelementen und Flächen- ausdrücken werden die Winkel auf folgende Weise berechnet:

#### 1. Zonenpunktformel.

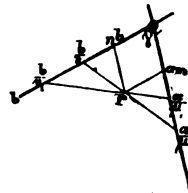
Sind die Sectionslinien  $\frac{a}{\mu} : \frac{b}{\nu}$  und  $\frac{a}{\mu'} : \frac{b}{\nu'}$  gegeben, so ist ihr Zonen-

$$\text{punkt } P = ma, nb = \frac{\nu, -\nu}{\mu\nu, -\mu, \nu} a, \frac{\mu - \mu'}{\mu\nu, -\mu, \nu} b.$$

Geben wir dem Punkte  $P$  die Coordinaten  $ma, nb$ , gleichgültig ob die Axen rechtwinklig oder schiefwinklig sind, so folgt die Formel sofort aus den beiden Gleichungen:

$$\frac{a}{\mu} : ma = \frac{b}{\nu} : nb$$

$$\frac{a}{\mu'} : ma = \frac{b}{\nu'} : nb.$$



Da  $\mu, \nu$ , rationale Größen sind, so müssen auch die Coordinaten der Zonenpunkte rationale Theile der Axen sein.

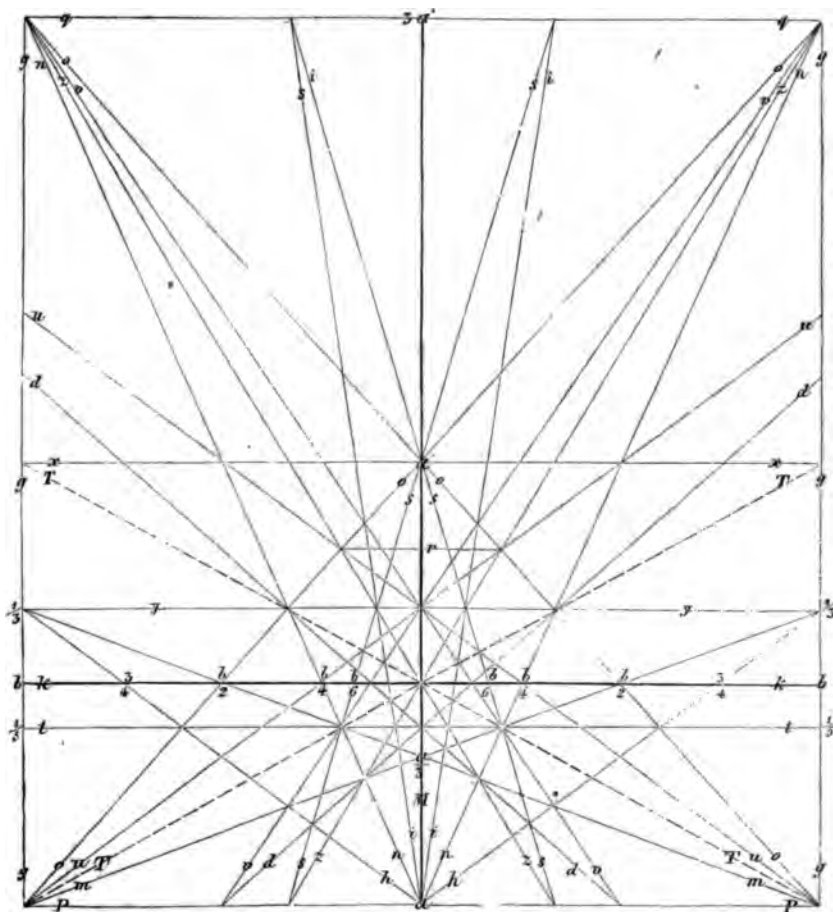
Beispiel. Suchen wir beim Feldspath im hintern rechten Quadranten den Zonenpunkt  $o/u = p$ , so ist zu substituiren für

$$o = \frac{a}{\mu} : \frac{b}{\nu} = \frac{a'}{1} : \frac{b}{2} \text{ und } u = \frac{a}{\mu'} : \frac{b}{\nu'} = \frac{a'}{3} : -\frac{b}{4}, \text{ also}$$

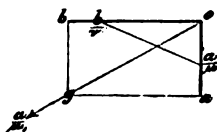
$$\mu = 1, \nu = 2, \mu' = 3, \nu' = -4, \text{ folglich}$$

$$p = \frac{-4-2}{1-4-3 \cdot 2} a : \frac{1-3}{1-4-3 \cdot 2} b = \frac{-6}{-10} a : \frac{-2}{-10} b = \frac{3}{5} a : \frac{1}{5} b.$$

## Projection des Feldspath's auf die Geradenfläche.



**Rantenzonengesetz.** Rantenzonenpunkte sind die Punkte der Sectionslinie der Säule  $a : b : \infty$ , diese haben nämlich die Eigenschaft, daß  $m = n$  wird. Gegeben ist wieder die allgemeine Linie  $\frac{a}{\mu} : \frac{b}{\nu}$ , construiren wir nun



aus den als bekannt angenommenen Axeneinheiten  $a$  und  $b$  das Parallelogramm  $aobg$ , so ist  $og$  die Sectionslinie der Säule, in welcher die Rantenzonen liegen, denn alle Punkte sind hierin um gleiche Vor-

zeichen von den Axen  $a$  und  $b$  entfernt.  $\frac{a}{\mu} : \frac{b}{\nu}$  ist

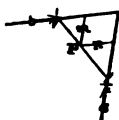
jetzt  $\frac{a}{1 \cdot \infty} : -\frac{b}{1 \cdot \infty}$  oder  $-\frac{a}{1 \cdot \infty} : \frac{b}{1 \cdot \infty}$  geworden, wir müssen daher  $\mu, = \pm \infty$  und  $\nu, = \mp \infty$  setzen, gibt





## 3. Controlformel.

Liegt ein Zonenpunkt  $P = ma, nb$  in einer Sectionslinie  $\frac{a}{\mu} : \frac{b}{\nu}$ , so



findet die Bedingungsgleichung statt:

$$m\mu + n\nu = 1.$$

Es folgt aus der Gleichung

$$\frac{1}{\mu} : m = \frac{1}{\nu} : \frac{1}{\nu} - n = \frac{1}{\nu} : \frac{1-n\nu}{\nu} = 1 : 1 - n\nu.$$

Dieser Satz dient zur Controlle der Projectionen und Rechnungen.

Vorstehende drei Sätze lassen sich leicht verallgemeinern. Man darf nur

$$\frac{a}{\mu} : \frac{b}{\nu} : \frac{c}{\pi} = \frac{\pi}{\mu} a : \frac{\pi}{\nu} b : c \text{ und}$$

$$ma, nb, pc = \frac{m}{p} a, \frac{n}{p} c, c \text{ zc. setzen, so folgt sofort}$$

$$1) \quad ma, nb, pc = \frac{\nu, \pi - \nu\pi}{\mu\nu, -\mu, \nu} a, \frac{\mu\pi, -\mu, \pi}{\mu\nu, -\mu, \nu} b, c \quad (\text{Zonenpunktformel});$$

$$2) \quad \frac{a}{\mu} : \frac{b}{\nu} : \frac{c}{\pi} = \frac{mn, -m, n}{n, p - np} a : \frac{mn, -m, n}{mp, -m, p} b : c \quad (\text{Sectionslinienformel});$$

$$3) \quad m\mu + n\nu + p\pi = 1 \quad (\text{Controlformel}).$$

Zonenpunkt- und Sectionslinienformel stehen in einem Invertirungsverhältniß d. h. die lateinischen Buchstaben  $mnp$  sind Multiplicatoren, die Griechischen  $\mu\nu\pi$  Divisoren. Setzt man in der Sectionslinienformel

$$a = \frac{1}{\alpha} \text{ zc., so bekommen wir}$$

$$\mu\alpha : \nu\beta : \pi\gamma = \frac{n, p - np}{mn, -m, n} \alpha : \frac{mp, -m, p}{mn, -m, n} \beta : \gamma,$$

also dieselbe Form, wie in der Zonenpunktformel, nur daß die lateinischen und griechischen Buchstaben sich vertauschen.

**Gedächtnisregel:** man setzt die Buchstaben  $\mu\nu$  und  $\mu, \nu$ , übereinander,  $\mu \nu \pi$  fängt unten rechts mit der Subtraction an, so kommt  $(\nu, -\nu)a$ ;  $\mu, \nu, \pi$ , geht im Ringe weiter, so wird  $(\mu - \mu)b$  das zweite Glied; das Dritte die Kreuzprodukte  $(\mu\nu, -\mu, \nu)c$ . Die Einfügung von  $\pi$  und  $\pi$ , erfieht man leicht.

Suche ich beim Feldspath den Schnittpunkt von  $n = a : \frac{1}{4}b$  mit

$$1 \ 4 \quad o = a' : \frac{1}{4}b \text{ derselben Seite, so ist}$$

$$-1 \ 2 \quad (2-4)a, (1+1)b, (2+4)c = \frac{a}{3}, \frac{b}{3}, c.$$

Für den Schnittpunkt von  $h = a : \frac{2}{3}b : c = \frac{1}{3}a : \frac{1}{3}b : \frac{1}{3}c$  mit  $o = a' :$

$\frac{1}{3}b : c$  wendet man wegen des Bruches  $\frac{2}{3}$  die große Formel an

$$\begin{array}{r} 3 \ 4 \ 3 \\ -1 \ 2 \ 1 \end{array} \quad (2 \cdot 3 - 4 \cdot 1)a, (3 \cdot 1 + 1 \cdot 3)b, (3 \cdot 2 + 1 \cdot 4)c$$

$$= 2a, 6b, 10c = \frac{a}{5}, \frac{3b}{5}, c.$$

Suche ich die Linie  $m = \frac{a}{3} : \frac{b}{2} : c$ , welche in die Kantenzone  $\frac{a}{5} : \frac{b}{5}$

rechts und  $a, b'$  links fällt, so habe ich nach der kleinen Formel

$$\frac{\frac{1}{2}}{1-1} (-1-\frac{1}{2})\alpha: (\frac{1}{2}-1)\beta: (-1\cdot\frac{1}{2}-1\cdot\frac{1}{2})\gamma = \frac{2}{3}\alpha: \frac{1}{3}\beta: \frac{2}{3}\gamma$$

$$= 3\alpha: 2\beta: \gamma = \frac{a}{3}: \frac{b}{2}: c = m.$$

Suchten wir dagegen  $n = a: \frac{1}{4}b: c$ , welche hinten im Zonenpunkte  $-1, \frac{1}{4} = -2, 1, 2$   $\frac{a'}{1}, \frac{b}{2}$  und vorn in  $\frac{3a}{7}, \frac{b}{7}$  liegt, so würden die Brüche etwas unbequem. Man darf dann nur durch Multiplication mit dem Nenner die drei ganzen Zahlen für die große Formel hinstellen, so kommt sofort

$$(1\cdot 2 - 1\cdot 7)\alpha: (-2\cdot 7 - 3\cdot 2)\beta: (-1\cdot 2 - 1\cdot 3)\gamma = 5\alpha: 20\beta: 5\gamma$$

$$= \alpha: 4\beta: \gamma = \frac{a}{1}: \frac{b}{4}: c = n.$$

### Anwendung des Rantenzonengesetzes.

In den Abhandlungen der Berl. Akad. der Wissensch. 1818 pag. 270 bewies Weiß nachstehende ausführliche Bezeichnung der Krystallflächen:

Wenn eine Fläche das allgemeine Zeichen  $1: \frac{1}{\mu}: \frac{1}{\nu}$  hat, bezogen auf

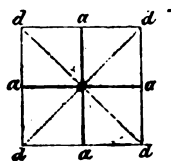
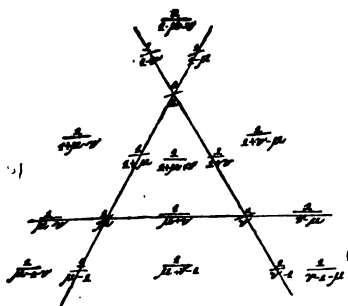
die drei Hauptaxen des Oktaëdes, welche von Ecke zu Ecke gehen, so kann man sich zwischen diesen **tetragonalen** Hauptaxen 6 **digonale** Zwischenaxen ziehen, die, wenn sie Rantenzonen sind, in

$$\frac{1}{\mu+1} \frac{1}{\nu+1} \frac{1}{\mu+\nu},$$

$$\frac{1}{\mu-1} \frac{1}{\nu-1} \frac{1}{\mu-\nu}$$

geschnitten werden müssen. Zieht man nun zwischen den tetragonalen und digonalen Axen die 4 **trigonalen** Zwischenaxen, so müssen sie als Rantenzonen in  $\frac{1}{1+\mu+\nu}, \frac{1}{1+\mu-\nu}, \frac{1}{\mu+\nu-1}, \frac{1}{1+\nu-\mu}$  geschnitten werden. Wir haben also nur zu beweisen, daß die digonalen und trigonalen Axen Rantenzonen sind, so ist die Richtigkeit des Satzes ersichtlich. Der Satz gilt ganz allgemein für rechtwinklige und schiefwinklige, gleiche und ungleiche Axen. Wir wollen ihn aber hier nur für das reguläre System ausführen.

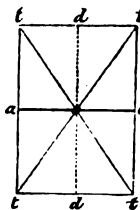
Am Würfel im Gleichgewicht gehen die drei Hauptaxen (tetragonale) durch die Mittelpunkte der Flächen, die 6 digonalen durch die Mittelpunkte der Kanten, die 4 trigonalen durch die Ecken, und alle halbiren sich im Mittelpunkt des Würfels. In jeder Ebene der Würfel-  
fläche liegen zwei digonale Axen  $d$  und zwei tetrago-



nale  $a$ . Setzen wir  $oa = 1$ , so ist  $od = \sqrt{2}$ . Aus der Projection leuchtet unmittelbar ein, daß die Sectionslinien  $d$  die Rantenzonen für  $aa$  sind.

Eine Linie  $\frac{a}{\mu} : \frac{a}{\nu}$  muß also die zwischenliegende  $d$  in  $\frac{d}{\mu + \nu}$ , und die außerhalb liegende in  $\frac{d}{\mu - \nu}$  schneiden; und dieß sagt der Weiß'sche Satz.

Projiciren wir jetzt den gleichen Würfel auf seine Dodekaidfläche, welche denselben halbirend durch zwei gegenüberliegende Kanten und Diagonalen des Würfels geht, so liegt in dieser Projection  $dd$  der Diagonale und  $aa$  der Kante parallel. Für  $oa = 1$  war  $od = \sqrt{2}$ , folglich wird  $ot = \sqrt{3}$ ;  $tt$  die trigonalen Zwischenaxen bilden dann aber offenbar die Rantenzonen für die Axen  $a$  und  $d$ .



Da nun jede allgemeine Fläche  $\frac{a}{1} : \frac{a}{\mu} : \frac{a}{\nu}$  die Rantenzone  $d$  mit der Summe oder Differenz im Nenner schneiden muß, so muß also auch unser  $d$  z. B. unter einem Zeichen  $\frac{d}{\mu + \nu}, \frac{d}{\mu - \nu}, \frac{d}{1 + \mu}$  oder irgend einem andern von der allgemeinen Fläche geschnitten sein, woraus die Addition der drei Zeichen folgt. Die tetragonalen Axen schneiden sich unter  $90^\circ$ , die digonale unter  $60^\circ$ , die trigonalen unter  $109^\circ 28' 16''$  (Oktaederwinkel). In der Würfelebene schneiden sich zwei digonale mit zwei tetragonalen unter  $45^\circ$ , in der Oktaederfläche liegen bloß drei digonale  $60^\circ$ , in der Granatoederfläche liegen alle drei: eine tetragonale und digonale  $90^\circ$  und 2 trigonale, die digonale unter  $35^\circ 15' 52''$  ( $\frac{1}{2}$  Tetraederwinkel) und die tetragonale unter  $70^\circ 31' 44''$  schneidend. Die tetragonale entspricht der Würfelkante, die digonale der Oktaederkante, die trigonale der Granatoederkante.

Die drei Linien sind insofern auch gut für das allgemeine Zeichen gewählt, als sie uns gleich die Orte am Oktaeder andeuten, wo sie zum Schnitt kommen.

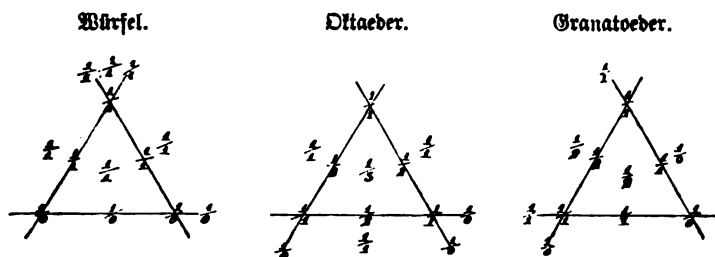
Beispiel. Das Oktaeder hat das Zeichen  $a : a : a$ , folglich ist  $\mu = \nu = 1$ , die der Oktaederfläche anliegenden digonalen Axen werden daher in  $\frac{1}{2}$  geschnitten, die drei übrigen aber in  $\frac{1}{1-1} = \frac{1}{0} = \infty$ , sie gehen

der Oktaederfläche parallel; die zwischenliegende trigonale Axe in  $\frac{1}{1+1+1}$

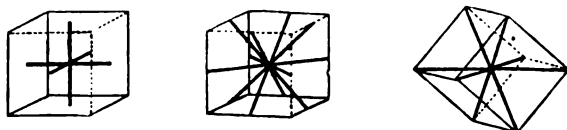
$= \frac{1}{3}$ , die drei außerhalb liegenden aber in  $\frac{1}{1+1-1} = 1$ . Das Gra-

natoeder:  $a : a : \infty a$  hat  $\nu = 0$ , folglich die zwischenliegende digonale Axe (das Perpendikel auf die Fläche)  $\frac{1}{2}$ , die der Fläche anliegenden trigonalen Axen  $\frac{1}{1+1-0} = \frac{1}{1+1+0} = \frac{1}{2}$ . Setzen wir die Zeichen der

drei Körper neben einander:



Wenn die drei Körper an einander treten, so fallen ihre Axenrichtungen zusammen, wenn also beim Würfel die mittlere trigonale Aze in 1 geschnitten wird, so beim Oktaeder in  $\frac{1}{3}$ , d. h. das Perpendikel vom Mittelpunkte auf die Fläche beträgt nur den dritten Theil von der Linie, welche vom Mittelpunkte nach der Ecke des umschriebenen Würfels gezogen wird; beim Granatoeder die Hälfte, die trigonale Aze geht hier vom Mittelpunkte nach den dreikantigen Ecken. Stellt man den Würfel nach einer seiner 4 trigonalen Axen aufrecht, und legt durch je drei der Zickzackdecken eine Oktaederfläche, so müssen diese die Aze in drei Theile theilen. Da die Sätze allgemein sind, so muß eine solche Dreitheilung der Aze auch für das Rhomboeder gelten. Dieser Satz ist daher für Rechnung und Zeichnung der Krystalle von größter Wichtigkeit und Einfachheit. Denn hat der Anfänger die erste Schwierigkeit überwunden, so ist kein elementarerer Satz in seiner Anwendung denkbar. Wir haben in diesen 3, 4, 6 Axen wieder die Grundzahlen der Krystallographie pag. 20, wie man z. B. am Würfel sieht.



### Rechnung mit dem Mittelpunkt.

Liegt einer der beiden Zonenpunkte, z. B. P, = m, a, n, b, im Mittelpunkte, so ist m, = n, = 0, folglich

$$\frac{a}{\mu} : \frac{b}{\nu} = \frac{(m-n)0}{-n} a : \frac{(m-n)0}{m} b = \frac{(m-n)}{-n\infty} a : \frac{(m-n)}{m\infty} b = \frac{-a}{m\infty} : \frac{b}{n\infty},$$

da die endliche Zahl gegen die unendliche verschwindet.

Beispiel. z Feldspath pag. 46 geht durch den Mittelpunkt und durch Punkt  $n \cdot m = (\frac{2}{3}a, \frac{1}{3}b)$ , folglich  $m = \frac{2}{3}$ ,  $n = \frac{1}{3}$ , gibt  $\frac{a}{\mu} : \frac{b}{\nu} =$

$-\frac{\frac{2}{3}-\frac{1}{3}}{\frac{1}{3}\infty} a : \frac{\frac{2}{3}-\frac{1}{3}}{\frac{2}{3}\infty} b = -\frac{2a}{\infty} : \frac{2b}{3\infty}$ . Würde ich eine Fläche  $2a : \frac{2}{3}b$  an das Axenkreuz und dieser die Fläche z parallel durch den Mittelpunkt legen, so wäre die Bedingung erfüllt. Statt  $2a : \frac{2}{3}b$  könnte ich aber auch die Fläche  $a : \frac{1}{3}b$  wählen, die Parallele würde zu der gleichen z führen.

Ich darf daher bei der Mittelpunktgleichung die 2 im Zähler, oder allgemein  $n-m$  durch Division entfernen. Das Minus deutet bloß an, daß wenn beim Herausrücken von  $z$  die Aze  $b$  im positiven Quadranten liegt,  $a$  nothwendig ein negatives Vorzeichen haben müsse.

### Anwendung der Zonenpunkt- und Sectionslinienformeln.

Haben wir die Flächen eines Systems auf eine beliebige Ebene projectirt, so kann man sämtliche Sectionslinien und Zonenpunkte auf die Azen desjenigen Oktaides beziehen, aus welchem die Flächen deducirt sind. Gehen wir von dem Oktaide 1 bis 4 aus, und setzen ganz allgemein

$$1 = \frac{1}{\mu} : \frac{1}{\nu}; \quad 2 = \frac{1}{\mu} : \frac{1}{\nu}; \quad 3 = \frac{1}{\mu} : \frac{1}{\nu}; \quad 4 = \frac{1}{\mu} : \frac{1}{\nu}.$$

Der Orientirung wegen haben wir die Azen mit  $aa'bb'$  bezeichnet, sie sind aber in der Rechnung durchaus nicht nothwendig und = 1 zu denken.

Die Hexaيدflächen 5 und 6 sind die Azen, auf welchen  $\frac{1}{\mu} \frac{1}{\nu} \frac{1}{\mu} \frac{1}{\nu}$  abgetragen wurden. Die dritte Hexaيدfläche 7 fällt nun in die Zonenpunkte 2 • 3 und 1 • 4. Für 2 ist  $\mu = \mu, \nu = -\nu$ , und für 3 ist  $\mu = -\mu, \nu = \nu$ ; das gibt

den Zonenpunkt  $2 \cdot 3 = \frac{\nu + \nu}{\mu\nu - \mu, \nu} a, \frac{\mu + \mu}{\mu\nu - \mu, \nu} b$ . Für 1 ist  $\mu = \mu, \nu = -\nu$ ,

für 4 ist  $\mu = -\mu, \nu = \nu$ , das gibt den Zonenpunkt  $1 \cdot 4 = \frac{\nu + \nu}{\mu\nu - \mu, \nu} a,$

$\frac{\mu + \mu}{\mu\nu - \mu, \nu} b$ . Für Fläche 7 wird also  $m = \frac{\nu + \nu}{N}, n = \frac{\mu + \mu}{N}$ ;  $m = \frac{\nu + \nu}{N},$

$n = -\frac{\mu + \mu}{N}$ ; worin  $N = \mu\nu - \mu, \nu$  und  $N = \mu\nu - \mu, \nu$  gesetzt ist, das gibt

$$7 = \frac{2a}{\mu - \mu, \nu} : \frac{2b'}{\nu, -\nu}.$$

Für die Dodekaيدfläche 8 im Punkte 2 • 3 und dem Mittelpunkte

5 • 6 gelegen ist  $m = n = \infty$ ;  $m = \frac{\nu + \nu}{N}, n = \frac{\mu + \mu}{N}$ , gibt

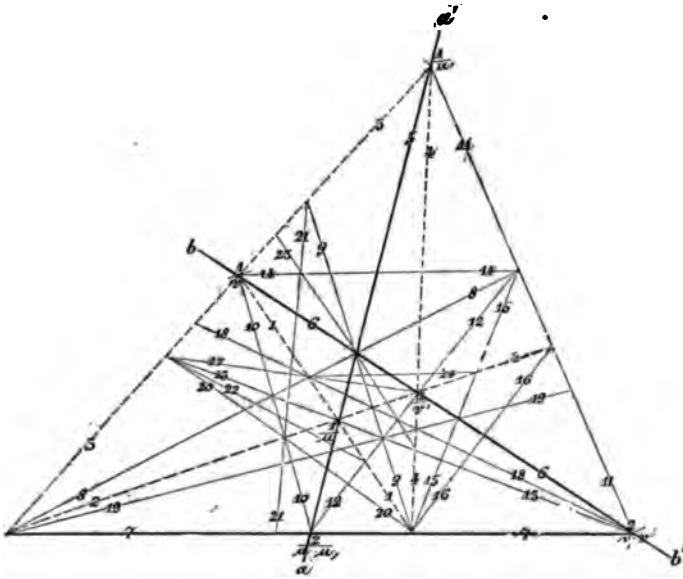
$$\begin{aligned} 8 &= -\frac{\nu + \nu - (\mu + \mu)}{(\mu + \mu)\infty} a : \frac{\nu + \nu - (\mu + \mu)}{(\nu + \nu)\infty} b \\ &= -\frac{a}{(\mu + \mu)\infty} : \frac{b}{(\nu + \nu)\infty} = -\frac{0}{\mu + \mu} a : \frac{0}{\nu + \nu} b, \end{aligned}$$

denn man darf bei Mittelpunktsrechnungen den gleichen Zähler in beiden Gliedern wegidividiren. Ebenso findet man  $9 = \frac{a}{(\mu + \mu)\infty} : \frac{b'}{(\nu + \nu)\infty}$ .

Die übrigen Dodekaيدflächen 10—13 kann man ablesen. Im Punkt 1 • 6 und 8 • 12 liegt  $14 = \frac{2a'}{3\mu + \mu} : \frac{b}{\nu}$ ; im Punkt 8 • 12 und 1 • 4 liegt

$15 = \frac{4a}{\mu - 3\mu} : \frac{4b'}{3\nu, -\nu}$ ; im Punkt 1 • 4 und 2 • 11 liegt  $16 =$

$\frac{3a}{\mu-2\mu} : \frac{3b'}{2\nu,-\nu}$ ; im Punkt 1 · 8 und 2 · 4 liegt 17 =  $\frac{a}{2\mu+\mu} : \frac{b'}{\nu}$ ;



im Punkt 1 · 8 und 6 · 7 liegt 18 =  $\frac{2a}{3\mu+\mu} : \frac{2b'}{\nu,-\nu}$ ; im Punkt 2 · 3 und 9 · 12 liegt 19 =  $\frac{4a}{3\mu-\mu} : \frac{4b'}{3\nu,-\nu}$ ; im Punkt 3 · 13 und 1 · 4 liegt 20 =  $\frac{3a}{2\mu-\mu} : \frac{3b}{2\nu-\nu}$ ; im Punkt 3 · 9 und 2 · 10 liegt 21 =  $\frac{4a}{\mu-3\mu} : \frac{4b}{5\nu+\nu}$ ; im Punkt 3 · 13 und 2 · 18 würde Fläche 25 =  $\frac{3a}{4\mu+\mu} : \frac{3b}{2\nu+\nu}$  liegen x.

Alle diese Zeichen, welche verschiedenen Körpern angehören, etwas näher ins Auge gefaßt findet man bald folgendes merkwürdige Gesetz: fangen wir bei der Säule  $\delta = \frac{1}{\mu+\mu}$  an, so folgt dann  $17 = \frac{1}{2\mu+\mu}$ ,  $18 = \frac{2}{3\mu+\mu}$ ,  $25 = \frac{3}{4\mu+\mu}$ ,  $21 = \frac{4}{5\nu+\nu}$ , . . . . .  $1 = \frac{1}{\mu} = \frac{\infty}{(\infty+1)\mu+\mu}$  bildet die Grenze. Darüber hinaus schlägt das Gesetz um, und beginnt wieder mit  $\frac{1}{\mu} = \frac{\infty}{(\infty-1)\mu-\mu}$ , . . . . .  $19 = \frac{4}{3\mu-\mu}$ ,  $20 = \frac{3}{2\mu-\mu}$ ,  $18 = \frac{2}{\nu,-\nu}$ . Unter unsern Zahlen ist keine einzige, welche diesem

Gesetze erster Ordnung nicht folgte, denn die Reichen  $21 = \frac{4}{\mu-3\mu}$  zc. sind  $= -\frac{4}{3\mu-\mu}$ , machen also keine Ausnahme. Eine solche überraschende Einfachheit hätte man bei der Complicität der Rechnung nicht erwartet. Setzt man  $\mu=\mu, \nu=\nu, 1$ , so gehen die gewöhnlichsten Zahlen hervor, welche bei Axenschnitten vorzukommen pflegen, c dabei immer in der Einheit geschnitten gedacht. Das reguläre System liefert dazu ein vortreffliches Beispiel.

Suchen wir jetzt die Flächen Punkt  $3 \cdot 13$  und  $1 \cdot 12$  gibt  $22 = \frac{5a}{4\mu+\mu} : \frac{5b}{3\nu-2\nu}$ ; Punkt  $5 \cdot 6$  und  $4 \cdot 13$  gibt  $23 = \frac{a}{(2\mu+2\mu)\infty}$ :  $\frac{b}{(v+\nu)\infty} = \frac{0}{2\mu+2\mu} a : \frac{0}{\nu+\nu} b$ ; Punkt  $2 \cdot 15$  und  $1 \cdot 8$  gibt  $24 = \frac{2a}{5\mu+3\mu} : \frac{2b}{3\nu+\nu}$  zc., so erkennen wir darin weitere Ordnungen, einzelne Glieder stimmen noch mit dem Gesetze erster Ordnung. Das Gesetz zweiter Ordnung beginnt aber mit

$$\begin{array}{ccccccc} 0 & 1 & 2 & & 5 & 4 & 3 \\ \frac{2\mu+2\mu}{3\mu+2\mu}, \frac{3\mu+2\mu}{4\mu+2\mu}, \dots; \dots & \frac{5}{3\mu-2\mu}, \frac{4}{2\mu-2\mu}, \frac{3}{\mu-2\mu}, \end{array}$$

Die dritte Ordnung heißt

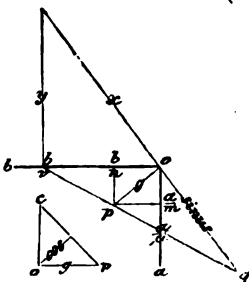
$$\begin{array}{ccccccc} 0 & 1 & 2 & & 7 & 6 & 5 \\ \frac{3\mu+3\mu}{4\mu+3\mu}, \frac{4\mu+3\mu}{5\mu+3\mu}, \dots; \dots & \frac{7}{4\mu-3\mu}, \frac{6}{3\mu-3\mu}, \frac{5}{2\mu-3\mu}, \end{array} \text{zc.}$$

### Rantenwinkelformel

$$\text{tg} = ab \sqrt{m^2 n^2 + n^2 a^2 + m^2 b^2} : (m\mu b^2 - n\nu a^2)$$

gilt bei ungleichen rechtwinkligen Axen ab für einen Zonenpunkt  $p = \frac{a}{m}, \frac{b}{n}$

und eine Sectionslinie  $\frac{a}{\mu} : \frac{b}{\nu}$ , und zwar ist immer der Winkel gemeint,



welchen die Ebene  $c : \frac{a}{\mu} : \frac{b}{\nu}$  mit der durch p gezogenen Mittelpunktsebene macht, deren Sectionslinie g ist,  $c = 1$  gesetzt. Offenbar ist der Cosinus dieses Winkels das Perpendikel vom Axenmittelpunkt o auf die Linie cp gefällt, folglich

$$\cos : oc = g : pc, \text{ oder}$$

$$\cos : 1 = g : \sqrt{1+g^2}, \cos = \frac{g}{\sqrt{1+g^2}}.$$

Der  $\sin = oq$  muß dann senkrecht auf g stehen. Zieht man die Hilfslinie y parallel ao, und verlängert oq um das Stück x bis zum Schnitt

mit y, so ist  $\sin : \sin + x = \frac{a}{\mu} : y$ ; folglich  $\sin = \frac{ax}{\mu y - a}$ , worin

$$y : \frac{b}{\nu} = \frac{b}{n} : \frac{a}{m}, y = \frac{mb^2}{n\nu a}, \text{ und } x : \frac{b}{\nu} = g : \frac{a}{m}, x = \frac{mbg}{\nu a}; \text{ folglich}$$



$$\sin : \cos = \operatorname{tg} = \frac{mnabg}{m\mu b^2 - n\nu a^2} : \frac{g}{\sqrt{1+g^2}} = mnab\sqrt{1+g^2} : m\mu b^2 - n\nu a^2,$$

da nun  $g = \sqrt{\frac{a^2}{m^2} + \frac{b^2}{n^2}}$ , so folgt obige Formel. Setzt man darin den Zonenpunkt  $ma, nb$ , so bekommt sie die Form

$$\operatorname{tg} = ab\sqrt{1+m^2a^2+n^2b^2} : n\mu b^2 - m\nu a^2.$$

Beispiel. Nehmen wir mit Weiß die Ären des Feldspathes pg. 46 rechtwinklig  $a : b = \sqrt{\frac{1}{3}} : \sqrt{13}$ , und suchen den Winkel T/o in der ersten Kantenzone, so ist  $p = \frac{a}{m}, \frac{b}{n} = \frac{a}{1}, \frac{b}{1}$ , folglich  $m = n = 1$ , und

$$o = \frac{a}{\mu} : \frac{b}{\nu} = \frac{b}{2} : \frac{a'}{-1}; \quad -1 \text{ weil die Sectionslinie in einen andern Quadranten greift als wo der Zonenpunkt liegt, folglich } \mu = -1 \text{ und } \nu = +2, \text{ daher } \operatorname{tg} = \sqrt{\frac{1}{3}} \cdot 13^{\frac{1}{2}} \sqrt{1 + \frac{1}{3} + 13} : -13 - 2 \cdot \frac{1}{3} \\ = \frac{1}{3} \sqrt{3+13+3 \cdot 13} : -\frac{5 \cdot 13}{3} = -\frac{1}{3} \sqrt{55} = -\sqrt{\frac{1}{9}}.$$

Für den Winkel T/m bleibt  $m = n = 1$ , aber es wird  $\mu = 3$  und  $\nu = -2$ , folglich  $\operatorname{tg} = \frac{1}{3} \sqrt{55} : 3 \cdot 13 + 2 \cdot \frac{1}{3} = +\sqrt{\frac{1}{9}}$ . Das + und - ist gar nicht weiter zu berücksichtigen, es zeigt bloß an, daß die Winkel auf verschiedenen Seiten der Mittelpunktschene T liegen.

In manchen Fällen ist es wünschenswerth, den ganzen Winkel  $\omega$  zweier beliebigen Ebenen zu finden. Das geschieht am besten mittelst Coordinaten.

Die Flächen  $\frac{a}{\mu} : \frac{b}{\nu} : c$  und  $\frac{a}{\mu'} : \frac{b}{\nu'} : c$  durch den Mittelpunkt gelegt erhalten

die Coordinatengleichung  $\frac{\mu x}{a} + \frac{\nu y}{b} + z = 0$  und  $\frac{\mu' x}{a} + \frac{\nu' y}{b} + z = 0$ , daraus folgt nach der bekannten Coordinatenformel

$$\cos \omega = - \frac{a^2 b^2 + \mu \mu' b^2 + \nu \nu' a^2}{\sqrt{a^2 b^2 + \mu^2 b^2 + \nu^2 a^2} \sqrt{a^2 b^2 + \mu'^2 b^2 + \nu'^2 a^2}} \quad (\text{Cosinusformel}).$$

Durch Substitution lassen sich wieder allerlei Unterfälle ableiten: für die

**Oblongoctaeder** wird  $\mu, \nu = 0$ , folglich  $\cos \omega = - \frac{ab}{\sqrt{a^2 + \mu^2} \sqrt{b^2 + \nu^2}}$ .

Suche ich die Neigung gegen eine Hexaëdfläche, so kommt der halbe Kantewinkel der Octaëde z. B. für  $\frac{a}{\mu} : \frac{b}{\nu}$  gegen  $b : \infty a$  wird  $\mu = 0, \nu = -\infty$ ,

$$\text{gibt } \cos \frac{1}{2} \omega = \frac{\nu a}{\sqrt{a^2 b^2 + \mu^2 b^2 + \nu^2 a^2}}. \quad \text{Das einfache Octaëder } \cos \frac{1}{2} (a : c)$$

$$= \frac{a}{\sqrt{a^2 b^2 + a^2 + b^2}}, \quad \cos \frac{1}{2} (b : c) = \frac{b}{\sqrt{a^2 b^2 + a^2 + b^2}}. \quad \text{Die dritte Formel}$$

$$\cos \frac{1}{2} (a : b) = \frac{\sqrt{a^2 + b^2}}{\sqrt{a^2 b^2 + a^2 + b^2}} \text{ gibt das Complement, also die Neigung}$$

zur Axe c. Die ganzen Winkel  $\cos(a:c) = -\frac{a^2b^2+b^2-a^2}{a^2b^2+a^2+b^2}$ ;

$\cos(b:c) = -\frac{a^2b^2-b^2+a^2}{a^2b^2+a^2+b^2}$ ;  $\cos(a:b) = -\frac{a^2b^2-b^2-a^2}{a^2b^2+a^2+b^2}$ . Wenn in der allgemeinen Formel die zweite Fläche durch den Mittelpunkt geht, so ist  $\mu = \mu, \infty$  und  $\nu = -\nu, \infty$ , folglich

$$\cos = \frac{\nu, a^2 - \mu, b^2}{\sqrt{a^2b^2 + \mu^2b^2 + \nu^2a^2} \sqrt{\mu^2b^2 + \nu^2a^2}}.$$

In dieser Formel bezeichnet  $\cos$  denselben Winkel, wie oben  $\text{tg}$ ;  $\mu$ , entspricht  $m$  und  $\nu$ , der  $\nu$ . Nur dürfen wir bei der Anwendung nicht die Zonenpunkte, sondern die Sectionslinien ins Auge fassen.

Die Seitenwinkel liegen auf der Projection zwischen zwei Zonenaxen, die von  $c$  nach  $P = ma, nb$  und  $P, = m, a, n, b$  gehen, in der rechnenden Krystallographie pag. 206 habe ich gezeigt, wie leicht sich die Formel

$$+ \cos = \frac{1 + mm, a^2 + nn, b^2}{\sqrt{1 + m^2a^2 + n^2b^2} \sqrt{1 + m^2a^2 + n^2b^2}} \text{ finde. Sie lautet allgemein}$$

$$\text{Seite } + \cos = \frac{mm, a^2 + nn, b^2 + pp, c^2}{\sqrt{m^2a^2 + n^2b^2 + p^2c^2} \sqrt{m^2a^2 + n^2b^2 + p^2c^2}}. \text{ Für das}$$

Gedächtniß brauche ich die zwei Zonenaxen nur übereinanderzusetzen

$\frac{ma + nb + pc}{m, a + n, b + p, c}$ , dann für den Zähler die correspondirenden Producte zu nehmen, und für den Nenner die beiden Wurzeln aus den Quadraten. Daraus ergibt sich durch Invertirung sogleich die

$$\text{Kante } + \cos = \frac{\mu, \alpha^2 + \nu, \beta^2 + \pi, \gamma^2}{\sqrt{\mu^2\alpha^2 + \nu^2\beta^2 + \pi^2\gamma^2} \sqrt{\mu^2\alpha^2 + \nu^2\beta^2 + \pi^2\gamma^2}}, \text{ worin}$$

$$\alpha = \frac{1}{a}, \beta = \frac{1}{b}, \gamma = \frac{1}{c} \text{ ist.}$$

Beispiel. Suche ich den ebenen Winkel (Seite), welchen beim Feldspath die Säule T/T auf P macht, so gehören die Kanten P/T links und rechts der ersten Kantenzone an, es ist also

$$m=n=1; m, = 1, n, = -1 \text{ gibt } \cos = \frac{a^2 - b^2 + 1}{a^2 + b^2 + 1} = -\frac{23}{55} \dots 114^\circ 43'.$$

Suche ich den Kantenwinkel von  $n/n = a : \frac{1}{4}b$ , so ist in der Kantenformel

$$\mu = 1, \nu = 4; \mu, = 1, \nu, = -4, \\ \cos = \frac{\alpha^2 - 16\beta^2 + 1}{\alpha^2 + 16\beta + 1} = \frac{\frac{1}{1^2} - \frac{16}{4^2} + 1}{\frac{1}{1^2} + \frac{16}{4^2} + 1} = 0 \dots 90^\circ.$$

Denn nach den Weiß'schen Näherungswinkeln ist

$$\alpha : \beta = \frac{1}{a} : \frac{1}{b} = \sqrt{\frac{1}{1^2}} : \sqrt{\frac{1}{4^2}}.$$

### Zweigliedriges System.

$$tg = ab \sqrt{m^2 n^2 + n^2 a^2 + m^2 b^2} : m \mu b^2 - n \nu a^2$$

Darans lassen sich mit Leichtigkeit die besondern Formeln ableiten. Für die Kantenzone ist  $n = m$ , folglich  $tg = ab \sqrt{m^2 + a^2 + b^2} : \mu b^2 - \nu a^2$

Oftaeder  $\left\{ \begin{array}{l} \text{vordere Endkante } tg = b \sqrt{\mu^2 + a^2} : \nu a \quad (m = \mu, n = \infty); \\ \text{seitliche Endkante } tg, = a \sqrt{\nu^2 + b^2} : \mu b \quad (m = \infty, n = \nu); \\ \text{Seitenkante } tgo = \sqrt{\nu^2 a^2 + \mu^2 b^2} : ab \quad (m = \mu 0, n = \nu 0). \end{array} \right.$

Für die Neigung der Fläche  $\frac{a}{\mu} : \frac{b}{\nu}$  gegen Axc  $c$  bildet das Perpendikel auf die Sectionslinie den  $\sin$ , während Axc  $c = \cos = 1$ . Aus der Aehnlichkeit der rechtwinkligen Dreiecke folgt so gleich

$$\sin : \cos = \frac{a}{\mu} \cdot \frac{b}{\nu} : \sqrt{\frac{a^2}{\mu^2} + \frac{b^2}{\nu^2}}$$

$= ab : \sqrt{\nu^2 a^2 + \mu^2 b^2} = tg$ . Da die Neigung zur Axc den halben Seitenkantenwinkel zu  $90^\circ$  ergänzt, so ist  $tgo = \sqrt{\nu^2 a^2 + \mu^2 b^2} : ab$ .

Aegenformel: Oftaeder  $a : b : c$  hat

$$\text{vord. Endk. } tg = \frac{b}{a} \sqrt{a^2 + 1}; \text{ seitl. Endk. } tg, = \frac{a}{b} \sqrt{b^2 + 1};$$

$$\text{Seitenkante } tgo = \sqrt{\frac{1}{a^2} + \frac{1}{b^2}}.$$

Aus je zweien können wir die Axc  $a$  und  $b$  bestimmen, wir bekommen:

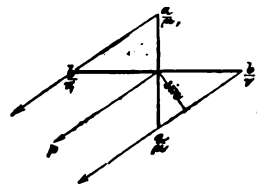
$$a = \sqrt{\frac{tg^2 tg,^2 - 1}{tg^2 + 1}} = \sqrt{\frac{tg^2 + 1}{tg^2 tgo^2 - 1}} = \sqrt{\frac{tg,^2 + 1}{tgo^2 + 1}}$$

$$b = \sqrt{\frac{tg^2 tg,^2 - 1}{tg,^2 + 1}} = \sqrt{\frac{tg^2 + 1}{tgo^2 + 1}} = \sqrt{\frac{tg,^2 + 1}{tgo^2 - 1}}$$

Beispiel. Schwefel. Nach Mitscherlich (Abh. Berl. Akad. 1822 pag. 45) ist am zweigliedrigen Schwefel die vordere Endkante  $106 \cdot 38$  ( $tg = tg 53 \cdot 19$ ), die seitliche Endkante  $84 \cdot 58$  ( $tg, = tg 42 \cdot 29$ ), die Seitenkante  $143 \cdot 16$  ( $tgo = tg 71 \cdot 38$ ).

$ltg^2 = 0,25577 \dots \text{ num. } 1,8021$ ,  $ltg^2 tg,^2 = 0,17937 \dots \text{ num. } 1,5114$   
 $ltg,^2 = 9,92360 \dots \text{ — } 0,8387$ ,  $ltg^2 tgo^2 = 1,21347 \dots \text{ — } 16,348$   
 $ltgo^2 = 0,95770 \dots \text{ — } 9,0719$ ,  $ltg,^2 tgo^2 = 0,88130 \dots \text{ — } 7,6084$ .  
 Dieß in die Formeln gesetzt gibt  $la = 9,63064$  und  $lb = 9,72213$ . Mitscherlich hat den dritten Winkel aus zweien berechnet; würde man den dritten zur Kontrolle messen und nach allen dreien berechnen, so kämen bessere Durchschnittswerthe.

Aegenschnitte. Sind von einer Oftaederfläche zwei Winkel bekannt:  $tg = b \sqrt{\mu^2 + a^2} : \nu a$  und  $tg, = a \sqrt{\nu^2 + b^2} : \mu b$ , so findet sich durch einfache Elimination



$$\mu = a\sqrt{\frac{1+tg^2}{tg^2tg_0^2-1}} \quad \text{und} \quad \nu = b\sqrt{\frac{1+tg_0^2}{tg^2tg_0^2-1}}.$$

Sie können aus den Axenformeln abgelesen werden. Beim Oktaeder *s* des Schwefels messen die Endkanten vorn  $127 \cdot 30$  und seitlich  $113 \cdot 11$ .  $tg\ 63 \cdot 45$  und  $tg\ 56 \cdot 35$  geben  $\mu = \nu = 0,33 = \frac{1}{3}$ , also  $s = 3a : 3a : c$ . Gewöhnlich kennt man eine Zone, dann braucht nur 1 Winkel gemessen zu werden: z. B.  $\omega$  Schwefel liegt in der Zone  $b : c$ , hat also  $\nu = 1$ ;  $\omega$  macht mit der Geradenfläche  $c$   $116^\circ$ , also die halbe Seitenkante  $64^\circ$ . Nach  $tg_0\ 64^\circ = \sqrt{\nu^2a^2 + \mu^2b^2} : ab$ , wird  $\nu = 1$  und  $\mu = \frac{a}{b} \sqrt{b^2tg_0^2\ 64 - 1} = 0,333 \dots$ ,  $\omega = b : c : 3a$ . Uebrigens bietet die Projection mittelst sphärischer Dreiecke so viel Hilfsmittel, daß ich mich dabei nicht aufhalten will.

### Viergliedriges System.

$$tg = \sqrt{m^2n^2 + (m^2 + n^2)a^2} : m\mu - n\nu,$$

denn wir dürfen in der zweigliedrigen Kantenwinkelformel nur  $a = b$  setzen.

$$a^2 = \frac{tg^2(m\mu - n\nu)^2 - m^2n^2}{m^2 + n^2}.$$

Kantenzone:  $tg = \sqrt{m^2 + 2a^2} : \mu - \nu$ , weil  $n = m$  wird.

$$\text{Oktaeder} \left\{ \begin{array}{l} \text{Endkante} \quad tg = \frac{1}{\mu} \sqrt{\mu^2 + a^2}, \mu = \nu = m, n = \infty; \\ \frac{a}{\mu} : \frac{a}{\mu} \quad \left\{ \begin{array}{l} \text{Seitenkante } tg_0 = \frac{\mu\sqrt{2}}{a}, m = n = \mu \cdot 0, \nu = -\mu. \end{array} \right. \end{array} \right.$$

Uebrigens folgt die Seitenkante unmittelbar aus der Formel pag. 57 im zweigliedrigen System, wenn man  $\mu = \nu$  und  $a = b$  setzt.

Oktaeder  $a : a$  hat

$$tg = \sqrt{1 + a^2}, a = \sqrt{tg^2 - 1}; \quad tg_0 = \frac{\sqrt{2}}{a}, \quad a = \frac{\sqrt{2}}{tg_0}.$$

$$\text{Oktaeder} \left\{ \begin{array}{l} \text{Endkante} \quad tg = \frac{1}{\mu} \sqrt{\mu^2 + 2a^2}; a^2 = \frac{\mu^2(tg^2 - 1)}{2}. \\ \frac{a}{\mu} : \infty a \quad \left\{ \begin{array}{l} \text{Seitenkante } tg_0 = \frac{\mu}{a}; \quad a = \frac{\mu}{tg_0} = \mu ctg_0. \end{array} \right. \end{array} \right.$$

Denn ich darf für die Endkante nur  $m = n = \mu$  und  $\nu = 0$  setzen.

Das erste stumpfere Oktaeder  $a : \infty a$  hat  $tg = \sqrt{1 + 2a^2}$  u.  $tg_0 = \frac{1}{a}$ .

Neigung der Fläche  $\frac{a}{\mu} : \frac{a}{\nu}$  gegen die Axe  $c$  ist  $tg = a : \sqrt{\mu^2 + \nu^2}$ , weil  $m = \mu \cdot 0$  und  $n = -\nu \cdot 0$ .

Beispiel. Zirkon nach Phillips  $84^\circ 20'$  in den Seitenkanten des Oktaeders, daher  $a = \sqrt{2} \cotg 42 \cdot 10 = 1,561$ . Der Endkantenwinkel wird  $123^\circ 18'$  angegeben, darnach  $a = \sqrt{tg^2 61 \cdot 37 \frac{1}{2} - 1} = 1,588$ . Nimmt

man von beiden Ären das Mittel, so ist  $a = 1,559$ . Nach dem ersten  $a$  würde der Endantenwinkel  $123^\circ 19'$  betragen, also um  $4'$  größer sein.

$$\text{Ranten } \mp \cos = (a^2 + \mu\mu, + \nu\nu) : \sqrt{a^2 + \mu^2 + \nu^2} \sqrt{a^2 + \mu^2 + \nu^2},$$

$$\text{Seiten } \pm \cos = (a^2 + m m, + n n) : \sqrt{a^2 + m^2 + n^2} \sqrt{a^2 + m^2 + n^2},$$

Giltig für Zonenpunkt  $ma, na$  und Sectionslinie  $\frac{a}{\mu} : \frac{a}{\nu}$ ;  $a = \frac{1}{\alpha}$ .

Die Formeln sind für diese Form immer vollständig reciproc.

Oftaederendkante  $a : c$  ist  $\mu = \nu = \mu, = 1, \nu = -1$ , gibt

$$\cos \omega = -\frac{a^2}{a^2 + 2}, \quad a^2 = -\frac{2 \cos \omega}{1 + \cos \omega} = -\frac{\cos \omega}{\cos \frac{1}{2} \omega}.$$

Seitenkante  $a : a$  ist  $\mu = \nu, = 1, \mu, = \nu = -1$ , gibt

$$\cos \omega = \frac{2 - a^2}{2 + a^2}; \text{ halbe Endkante } \cos \frac{1}{2} \omega = \sqrt{\frac{1}{a^2 + 2}} \text{ und halbe Seitenkante}$$

$\cos \frac{1}{2} \omega_0 = \sqrt{\frac{2}{a^2 + 2}}$ ; ergibt sich sofort aus den 2gliedrigen Formeln wenn man  $b = a$  setzt.

Suche ich den ebenen Winkel an der Spitze eines Oftaeders  $a : a$ , so bediene ich mich der Seitenformel, und setze  $m = 1, n = 0$  und  $m, = 0, n, = 1$ , so kommt  $\cos = \frac{a^2}{a^2 + 1} = \frac{1}{1 + a^2}$ . Im regulären System ist  $a = 1$ , der Winkel  $\cos = \frac{1}{2} = 60^\circ$ .

### Reguläres System.

$$\text{tg} = \sqrt{m^2 n^2 + m^2 + n^2} : m\mu - n\nu,$$

denn wir dürfen nur in der zweigliedrigen Winkelformel  $a = b = 1$  setzen. Eine Äre ist hier nicht mehr zu bestimmen.

Ärenpunkte  $\text{tg} = \sqrt{m^2 + 1} : \nu$ , denn  $m = \mu$  und  $n = \infty$ , und

Rantenzone  $\text{tg} = \sqrt{m^2 + 2} : \mu - \nu$ , denn  $m = n$  zu setzen.

Für die Granatoederkantenzone  $m = 1$ , folglich  $\text{tg} = \sqrt{3} : \mu - \nu$ . Für die Granatoederkante selbst  $\mu = 1$  und  $\nu = 0$ , folglich  $\text{tg} = \sqrt{3} = 60^\circ$ .

Für die Neigung der Flächen gegen die Ärenebene ist  $\text{tg} = \frac{1}{\nu} \sqrt{\mu^2 + 1}$ ,

denn  $m = \mu$ , und  $n = \infty$ . Für das Oftaeder, darin  $\mu = \nu = 1$ , gibt  $\text{tg} = \sqrt{2} = 54^\circ 44'$ .

$$\cos = -\frac{1 + \mu\mu, + \nu\nu,}{\sqrt{1 + \mu^2 + \nu^2} \sqrt{1 + \mu^2 + \nu^2}}. \text{ Die Rechnungen werden auch}$$

hiermit elegant: Oftaeder  $\mu = \nu = \mu, = 1, \nu = -1$  gibt  $\cos = -\frac{1}{2} = 109^\circ 28'$ ; Granatoeder  $\mu = \nu, = 1, \mu, = \nu = 0$  gibt  $\cos = -\frac{1}{2} = 60^\circ$ ; Leucitoeder  $\mu = \nu = \mu, = \frac{1}{2}, \nu = -\frac{1}{2}$  gibt  $\cos = -\frac{2}{3}$ . Halber Oftaederwinkel  $\cos \frac{1}{2} \omega = \sqrt{0,333}$ ; halber Granatoederwinkel  $\cos \frac{1}{2} \omega = \frac{1}{2}$ .

Allgemein  $\cos = - \frac{\mu\mu, + \nu\nu, + \pi\pi,}{\sqrt{\mu^2 + \nu^2 + \pi^2} \sqrt{\mu,^2 + \nu,^2 + \pi,^2}}$ . Wenn wir die Ranten ein und desselben Körpers ausrechnen wollen, so vereinfacht sich die Formel noch in

$$\cos = - \frac{\mu\mu, + \nu\nu, + \pi\pi,}{\mu^2 + \nu^2 + \pi^2},$$

weil die gestrichelten und ungestrichelten Buchstaben sich nicht unterscheiden. Suchten wir z. B. den Winkel der Fläche  $a : \frac{1}{2}b : \frac{1}{2}c$  mit  $\frac{1}{2}a : \frac{1}{2}b : c$ ,

so ist  $\frac{1}{2} \frac{2}{3} \frac{3}{1} \dots \cos = - \frac{1 \cdot 2 + 2 \cdot 3 + 3 \cdot 1}{2^2 + 3^2 + 1^2} = \frac{11}{14}$ .

Setzen wir die Zonenpunkte  $ma, nb, pc$ , so sind die

Seiten  $\cos = + \frac{mm, + nn, + pp,}{\sqrt{m^2 + n^2 + p^2} \sqrt{m,^2 + n,^2 + p,^2}}$ , eine vollständig re-

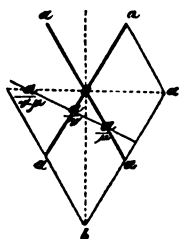
ciprofe Formel. Suchen wir den Seitenwinkel der Granatoberfläche, so ist  $m=n=1$  und  $m,=1, n,=-1$ , gibt

$$\cos = - \frac{1-1+1}{\sqrt{3} \cdot \sqrt{3}} = -\frac{1}{3} \dots 70^\circ 32' \text{ (Oktaederwinkel)}.$$

### Dreiuundeinziges System.

$$\text{tg} = \sqrt{3} \frac{\sqrt{m^2 n^2 + (3m^2 + n^2)a^2} : 3m\mu - n\nu.}{}$$

Es sei uns ein Argentreuz  $aa$  gegeben, das sich unter  $60^\circ$  schneidet, construirt ich dazu durch Parallelogramme die Rantenzonen  $ob$  und  $oa$ , so wird die Rantenzonenlinie  $oa$  im stumpfen Winkel gleich der Axe  $a$  sein, im scharfen dagegen ist  $ob = b = a\sqrt{3}$ . Ziehe ich nun eine



beliebige  $\frac{a}{\mu} : \frac{a}{\nu}$ , so muß diese nach dem Rantenzonen-gesetz die dritte  $a$  im stumpfen Winkel in  $\frac{a}{\nu-\mu}$ , die

zwischenliegende  $b$  im scharfen in  $\frac{b}{\mu+\nu}$  schneiden. Das Zeichen der Linie

ist also  $\frac{a}{\mu} : \frac{a}{\nu} : \frac{a}{\nu-\mu}$ , und da ich nun zwischen je zwei  $a$  eine Zwischenaxe  $b$ , also im Ganzen dreimal, legen kann, so werde ich die Schnitte in  $b$  durch einfache Addition der Nenner von  $a$  finden. Zwischen  $\frac{a}{\nu}$  und

$\frac{a}{\nu-\mu}$  liegt  $\frac{b}{2\nu-\mu}$ ; zwischen  $\frac{a}{\nu-\mu}$  und  $\frac{a}{\mu}$  liegt  $\frac{b}{\nu-2\mu}$ , die hier jenseits  $\frac{a}{\mu}$  fällt. Das vollständige Zeichen der Linie ist also

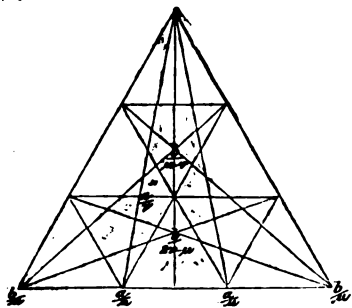
$$\frac{a}{\mu} : \frac{b}{\mu+\nu} : \frac{a}{\nu} : \frac{b}{2\nu-\mu} : \frac{a}{\nu-\mu} : \frac{b}{\nu-2\mu}.$$

Bei der Rechnung haben wir nur eines der  $b$  mit einem der  $a$  auszuzeichnen, die aber wie die punktierten Linien unserer Figur auf einander

senkrecht stehen müssen. Die allgemeine Linie in unserem Fall ist also durch das Zeichen  $\frac{a}{\nu-\mu} : \frac{b}{\mu+\nu}$  gegeben. Wollen wir mit diesem Zeichen rechnen, so ist in der zweigliedrigen Rantenwinkelformel  $b = a\sqrt{3}$  zu setzen, woraus obige hervorgeht. Hauptsache bei allen solchen Betrachtungen bleibt immer, daß man sich eine gute Projectionsfigur mache. Für unsere gewählten rechtwinkligen Axen bilden alsdann die zwischenliegenden  $a$  die Rantenzonen, will ich aber ihren Schnitt nach dem Rantenzonengesetz finden, so muß ich den gefundenen Ausdruck mit 2 multiplizieren, um ihn auf die Axe beziehen zu können: z. B. die Axe zwischen  $\frac{a}{\nu-\mu}$  und  $\frac{b}{\mu+\nu}$  hätte nach dem Rantenzonengesetz  $\frac{a}{2\nu}$ , auf die Axe  $a$  bezogen aber  $2 \cdot \frac{a}{2\nu} = \frac{a}{\nu}$ .

$$\text{Rhomboeeder} \quad \left\{ \begin{array}{l} \text{Endkante } \text{tg} = \sqrt{\frac{1}{3} + \frac{a^2}{\mu^2}}, \quad a = \mu\sqrt{\text{tg}^2 - \frac{1}{3}} \\ \frac{a}{\mu} : \frac{a}{\mu} : \infty a \quad \text{Neigung gegen die Axe } \text{tg}_0 = \frac{a}{\mu}\sqrt{\frac{3}{4}}. \end{array} \right.$$

Bei der Rechnung wählen wir am geschicktesten immer diejenige Rhomboederkante, welche in der Axe  $b$  liegt, für diese ist aber  $m = \infty$ ,  $n = \mu$ . Da nun ferner eine Rhomboederfläche  $\frac{a}{\mu} : \frac{a}{\mu} : \infty a$  die Axe  $b$  ebenfalls in  $\frac{b}{\mu}$  schneiden muß, ihr Zeichen auf rechtwinklige Axen bezogen also  $\frac{a}{\mu} : \frac{b}{\mu}$  wird, so ist  $\nu = \mu$  zu setzen, woraus die Endkantenformel folgt. Für die Neigung gegen Axe  $c$  ist  $\sin = \frac{b}{2\mu}$  und  $\cos = 1$ .



Beispiel. Bitterspath von Snarum ( $\text{MgCl}$ ) mißt  $107^\circ 28'$  in der Endkante, folglich (bei  $\mu = 1$ ) ist  $a = \sqrt{\text{tg}^2 53 \cdot 44 - \frac{1}{3}} = \sqrt{1,5244} = 1,235$ . Für die Neigung gegen die Axe  $\text{tg}_0 = a\sqrt{\frac{1}{3}} = 46^\circ 55'$ .

$$\text{Dihæaeder} \quad \left\{ \begin{array}{l} \text{Endkante } \text{tg} = \sqrt{3} \sqrt{1 + \frac{a^2}{\mu^2}}, \quad a = \mu\sqrt{\frac{1}{3}\text{tg}^2 - 1} \\ \frac{a}{\mu} : \frac{a}{\mu} : \infty a \quad \text{Seitenkante } \text{tg}_0 = \frac{\mu}{a}\sqrt{\frac{4}{3}}; \quad a = \frac{\mu}{\text{tg}_0}\sqrt{\frac{4}{3}}. \end{array} \right.$$

Da eine Endkante in dem Axenpunkte  $\frac{a}{\mu}$  liegen muß, so ist für diese  $m = \mu$ ,  $n = \infty$  und  $\mu = \nu$ . Die Seitenkante ergänzt die Neigung zur Axe  $c$  zu  $90^\circ$ .

Beispiel. Das Quarzdihexaeder hat nach Kupfer in der Seitenkante  $103^{\circ} 35'$  in der Endkante  $133^{\circ} 44'$ , folglich (für  $\mu = 1$ )

$$a = \frac{2}{\operatorname{tg} 51^{\circ} 47\frac{1}{2}' \sqrt{3}}; \lg \frac{2}{\sqrt{3}} = 0,06247, a = 0,9089 = \sqrt{0,8262}.$$

$$\text{Gibt } \operatorname{tg} = \sqrt{3} \sqrt{1,8262} = 66^{\circ} 52'.$$

$$\text{Dreikantner } \left\{ \begin{array}{l} \text{stumpfe Endl. } \operatorname{tg} = \frac{1}{\mu} \sqrt{\frac{1}{3}(2\nu - \mu)^2 + a^2} \\ \text{scharfe Endl. } \operatorname{tg} = \frac{1}{\nu - \mu} \sqrt{\frac{1}{3}(\mu + \nu)^2 + a^2} \\ \text{Seitenkante } \operatorname{ctg}_0 = \frac{1}{\nu} \sqrt{\frac{1}{3}(\nu - 2\mu)^2 + a^2} \end{array} \right.$$

$$\frac{a}{\mu} : \frac{a}{\nu} : \frac{a}{\nu - \mu}$$

$$\frac{b}{\mu + \nu} : \frac{b}{2\nu - \mu} : \frac{b}{\nu - 2\mu}$$

Zu dem Ende projectiren wir den Dreikantner, so liegen die dreierlei Winkel in der Axe b. Die stumpfe Endkante tg dem Projectionsmittelpunkte am nächsten liegend hat  $m = \infty$ ,  $n = \nu = 2\nu - \mu$ ; die scharfe Endkante tg, vom Mittelpunkte etwas entfernter hat  $m = \infty$ ,  $n = \nu = \mu + \nu$  und  $\mu = \nu - \mu$ ; endlich die entfernteste scharfe tg, hat  $m = \infty$ ,  $n = \nu = \nu - 2\mu$  und  $\mu = \nu$ , doch finde ich durch diese Formel die Neigung der Fläche zur Hauptaxe, welche das Complement zum halben Seitenkantenwinkel bildet, daher  $\operatorname{ctg}_0$ .

Beispiel. Kalkspath  $a = \sqrt{1,3702}$ . Suchen wir die Winkel des gewöhnlichen Dreikantner  $c : a : \frac{1}{2}a : \frac{1}{2}a$ , so ist  $\mu = 1$ ,  $\nu = 3$ ,  $\nu - \mu = 2$ ,  $\mu + \nu = 4$ ,  $2\nu - \mu = 5$ ,  $\nu - 2\mu = 1$ , folglich  $\mu \mu \nu$

$$\operatorname{tg} = \frac{\sqrt{\frac{1}{3} \cdot 5^2 + a^2}}{\sqrt{1,3702}} = \sqrt{9,7035}, \lg \operatorname{tg} = 0,49346 \dots 72^{\circ} 12'.$$

$$\operatorname{tg}_0 = \frac{1}{3} \frac{\sqrt{\frac{1}{3} \cdot 4^2 + a^2}}{\sqrt{1,3702}} = \sqrt{1,6759}, \lg \operatorname{tg}_0 = 0,11212 \dots 52^{\circ} 19'.$$

$$\operatorname{ctg}_0 = \frac{1}{3} \frac{\sqrt{\frac{1}{3} + a^2}}{\sqrt{1,3702}} = \sqrt{0,1893}, \lg \operatorname{ctg}_0 = 9,63857 \dots 66^{\circ} 30'.$$

Die ebenen Winkel findet man mittelst der Projection ohne Mühe.

Für die Rhomboeder  $\frac{a}{\mu} : \frac{a}{\mu} : \infty a$  beträgt der halbe Winkel an der Endkante

$$\operatorname{tg} = 3a : \sqrt{4\mu^2 + 3a^2}. \text{ Gibt für das Kalkspathrhomboeder}$$

$$\operatorname{tg} = 3a : \sqrt{4 + 3a^2} \dots 50^{\circ} 52\frac{1}{2}'.$$

$$\cos \omega = \mp \frac{a^2 + \mu\mu + \frac{1}{3}\nu\nu}{\sqrt{a^2 + \mu^2 + \frac{1}{3}\nu^2} \sqrt{a^2 + \mu^2 + \frac{1}{3}\nu^2}} \text{ gibt für}$$

$$\text{Rhomboederkanten } (\mu = \nu = \nu, = 1, \mu, = -1) \cos \omega = \frac{2 - 3a^2}{4 + 3a^2};$$

$$\text{Dihexendkanten } (\mu = \nu = \mu, = +1, \nu, = -1) \cos \omega = -\frac{2 + 3a^2}{4 + 3a^2};$$

$$\text{halbe Rhombendkanten } (\mu = \nu = 1, \mu, = -\infty, \nu, = 0) \cos \frac{1}{2}\omega = \sqrt{\frac{3}{3a^2 + 4}};$$

$$\text{halbe Dihexendkanten } (\mu = \nu = 1, \mu = 0, \nu, = -\infty) \cos \frac{1}{2}\omega = \sqrt{\frac{1}{3a^2 + 4}}.$$

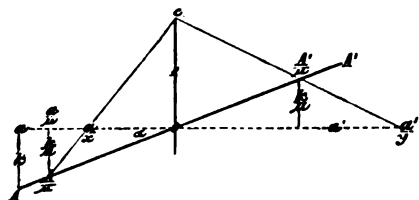
$$\text{Seite } \cos = \pm \frac{a^2 + mm + 3nn}{\sqrt{a^2 + m^2 + 3n^2} \sqrt{a^2 + m^2 + 3n^2}}.$$



### Zweingliedriges System.

$$tg = ab \sqrt{n^2(m+k)^2 + n^2a^2 + m^2b^2} : m(\mu+k)b^2 - nva^2.$$

Da  $\text{Ag}$  b auf c und A senkrecht und bloß A auf c schief steht, so wollen wir die Agenebene  $\text{Ac}$  zu Papier bringen, worin  $\text{oA}$  und  $\text{oA}'$  die Einheiten der schiefen Agn bezeichnen, 'substituiren wir dafür eine andere Agn-



einheit  $oa$  und  $oa'$ , welche rechtwinklig gegen  $c$  steht, so möge eine beliebige Zonenaxe  $c: \frac{A}{\mu}$  die rechtwinklige  $a$  in  $\frac{a}{x}$  schneiden. Setzen wir nun die senkrechte Abweichung  $Aa = k$  und Winkel  $A/a = \alpha$ , so ist  $k = A \cdot \sin \alpha$ . Ferner verhält sich

Beispiel. Feldspath pag. 46. Suchen wir den Winkel  $\alpha/T$ , so ist  $\alpha = \frac{a'}{1-k} : \frac{b}{2}$ , folglich nach dem Rantenzonengesetz die erste Rantenzone  $\alpha/T = \frac{a}{2-(1-k)} = \frac{a}{1+k}$ , also  $m=n=1+k$ ,  $\mu=-(1-k)=k-1$ ,  $\nu=2$ , dieß in die zweigliedrige Rantenwinkelformel gesetzt, gibt

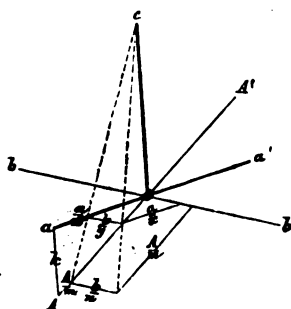
$$\operatorname{tg} = ab \sqrt{(1+k)^2 + a^2 + b^2} : (k-1)b^2 - 2a^2.$$

Suchten wir in der Diagonalzone von P den Winkel  $M/n$ , so wäre  $n = \frac{a}{1+k} : \frac{b}{4}$ , also  $m = 1 + k$ ,  $n = \infty$ ,  $\mu = 1 + k$ ,  $\nu = 4$ , folglich

$$\operatorname{tg} = \frac{b}{4a} \sqrt{(1+k)^2 + a}.$$

Für den Anfänger ist dieß der unmittelbarste Weg zum Ziele, einfacher wird es jedoch, wenn man sich gleich die allgemeine Formel hinstellt.

Ziehen wir nämlich vom Scheitelpunkte  $c$  eine Linie (Zonenaxe) nach einem beliebigen Punkte  $\frac{A}{m}, \frac{b}{n}$  in der schief gegen Aze  $c$  stehenden Projectionsebene, so möge durch diese Linie die rechtwinklig gegen  $c$  gedachte Projectionsebene in einem Zonenpunkte  $\frac{a}{x}, \frac{b}{y}$  geschnitten werden.



$\frac{A}{m}$  und  $\frac{a}{x}$  sind die senkrechten Abstände von  $b$  in den Agenebenen  $Ab$  und  $ab$ , daher muß, weil  $\frac{A}{m}$  zu  $\frac{a}{m+k}$  in der rechtwinklig gegen  $c$  gelegenen Ebene wird,  $\frac{a}{x} = \frac{a}{m+k}$ , oder  $x = m+k$  sein. Ebenso sind  $\frac{b}{n}$  und  $\frac{b}{y}$  die senkrechten Abstände von der Agenebene  $Aac$ , weil beide der ebenfalls auf  $Aac$  senkrechten Axe  $b$  parallel gehen. Zonenaxe und senkrechte Abstände liegen daher in einer Ebene, und schneiden die Agenebene  $Aac$  in der Linie  $c \frac{A}{x} \frac{a}{m}$ , und

da  $\frac{b}{n}$  in Ebene  $Ab$  der  $\frac{b}{y}$  in Ebene  $ab$  parallel geht, so ist

$\frac{b}{n} : \frac{b}{y} = c \dots \frac{A}{m} : c \dots \frac{a}{x} = \frac{a}{m} : \frac{a}{m+k}$ ; folglich vorn  $\frac{b}{y} = \frac{mb}{n(m+k)}$  und hinten  $\frac{b}{y} = \frac{mb}{n(m-k)}$ . Wir bedürfen übrigens dieses Apparates nicht einmal,

sondern da Zonenpunkt  $\frac{a}{x}, \frac{b}{y}$  im Durchschnitte zweier Ebenen  $\frac{A}{m} : \infty b : c$

und  $\frac{b}{n} : \infty A : c$  liegt, die in der Agenebene  $ab$  den Ausdruck  $\frac{a}{m+k} : \frac{b}{0} : c$

und  $\frac{b}{n} : \frac{a}{0+k} : c$  haben, so ist in der Zonenpunktformel nur  $\mu = m+k$ ,

$\nu = 0$  und  $\mu, = k, \nu, = n$  zu setzen, um sofort  $\frac{b}{y}$  zu bekommen. Eine

Fläche  $\frac{A}{\mu} : \frac{b}{\nu}$  und ein Zonenpunkt  $\frac{A}{m}, \frac{b}{n}$  bekommen daher in der neuen

rechtwinkligen Ebene den Ausdruck  $\frac{a}{\mu+k} : \frac{b}{\nu}$  und  $\left( \frac{a}{m+k}, \frac{mb}{n(m+k)} \right)$ ; substituieren wir demnach in der Rantenwinkelformel des zweigliedrigen Systems  $\mu = \mu+k, m = m+k$  und  $n = \frac{n(m+k)}{m}$ , so kommt obige

$$tg = ab \sqrt{n^2(m+k)^2 + n^2a^2 + m^2b^2} : m(\mu+k)b^2 - \nu a^2.$$

Suchen wir die Winkel der Ranten zonen  $\frac{A}{m}, \frac{b}{n}$ , so ist  $m = n$ , folglich

$$tg = ab \sqrt{(m+k)^2 + a^2 + b^2} : (\mu+k)b^2 - \nu a^2$$

für  $m = 1$  haben wir die erste Rantenzone; für den Winkel  $\alpha/T$  ist dann  $\mu = -1$  und  $\nu = 2$ , folglich wie oben

$$tg = ab \sqrt{(1+k)^2 + a^2 + b^2} : (k-1)b^2 - 2a^2.$$

Wir müssen von  $m+k$  das Zeichen  $+$  wählen, weil der Zonenpunkt vorn

liegt. Für P/T wird  $\mu=1$ ,  $\nu=0$ , folglich

$$\operatorname{tg} = a \sqrt{(1+k)^2 + a^2 + b^2} : (1+k)b.$$

Für die Diagonallzonen  $\frac{A}{m}, \frac{b}{\infty}$  der Schiefendflächen ist  $m=\mu$ ,

und  $n=\infty$ , folglich  $\operatorname{tg} = b\sqrt{(\mu+k)^2 + a^2} : \nu a$ .

Beispiel. Feldspath hat:

$$a : b : k = 2,128 : 3,598 : 0,04334 = \sqrt{4,529} : \sqrt{12,949} : \sqrt{0,001878};$$

$$\lg a = 0,32800, \lg b = 0,55612, \lg k = 8,63689.$$

Suchen wir den Winkel M/n, so ist  $\mu=1$ ,  $\nu=4$ , folglich

$\operatorname{tg} = b\sqrt{(1+k)^2 + a^2} : 4a = \frac{b}{4a} \sqrt{5,617}$  gibt  $45^\circ 3'$ , n stumpft also die rechtwinklige Kante zwischen P/M fast gerade ab, indem sie mit M den Winkel  $180^\circ - 45^\circ 3' = 134^\circ 57'$  macht, der stumpfe Winkel  $90^\circ 6'$  liegt also über P.

Auf der Hinterseite ist für Winkel o/M  $\mu=1$ ,  $\nu=2$  zu setzen, und da hinten das Zeichen — gilt,  $\operatorname{tg} = b\sqrt{(1-k)^2 + a^2} : 2a$ .

Die Zonenpunkte  $\frac{A}{\infty}, \frac{b}{n}$  geben die Neigung der Flächen gegen die Axenebene bc, für sie ist  $m=\infty$ ,  $n=n$ , also  $\operatorname{tg} = a\sqrt{n^2 + b^2} : (\mu+k)b$ .

Neigung gegen Axe c hat  $\operatorname{tg} = ab : \sqrt{(\mu+k)^2 b^2 + \nu^2 a^2}$ . Denn habe ich eine allgemeine Sectionslinie  $\frac{a}{\mu+k} : \frac{b}{\nu}$ , so ist das Perpendikel vom

Mittelpunkt darauf gefällt  $\sin = \frac{a}{\mu+k} \cdot \frac{b}{\nu} : \sqrt{\frac{a^2}{(\mu+k)^2} + \frac{b^2}{\nu^2}}$ , und  $\cos = c = 1$ .

Oder ich kann auch in der allgemeinen Formel des zweigliedrigen Systems  $m=(\mu+k)0$ ,  $n=\nu \cdot 0$ ,  $\mu=\mu+k$ ,  $\nu=-\nu$  setzen. Für die Neigung der Schiefendflächen gegen Axe c ist  $\nu=0$ , folglich vorn  $\operatorname{tg}=a : \mu+k$  und hinten  $\operatorname{tg}=a' : \mu-k$ .

Neigung von g/M ist  $\operatorname{tg} = ab : \sqrt{k^2 b^2 + a^2}$ . Denn da  $g=b : \infty A = b : \frac{A}{0}$ , so wird dies in der rechtwinkligen Projectionsebene  $b : \frac{a}{0+k}$ , und das Perpendikel vom Mittelpunkt auf diese Linie ist der sin für  $\cos=c=1$ . Oder allgemein für eine Linie  $\frac{b}{\nu} : \frac{a}{\mu+k}$  ist

$$\operatorname{tg} = ab : \sqrt{k^2 b^2 + \nu^2 a^2}.$$

Die Rechnung der Axenelemente a, b, k wird am einfachsten, wenn man den Säulenwinkel und die Winkel zweier Augitartigen Paare mißt. Hätten wir z. B. beim Feldspath den Säulenwinkel T/T =  $118^\circ 48'$ , n/n =  $90^\circ 6'$  und o/o =  $126^\circ 14'$  gefunden, so heiße  $\operatorname{tg} = \operatorname{tg} 59^\circ 24'$ ,  $\operatorname{tg}_o = \operatorname{tg} 63^\circ 7'$ . Nun ist aber

$$\operatorname{tg} 59^\circ 24' = \operatorname{tg} M/T = \frac{b}{a};$$

$$\operatorname{tg} 45^{\circ} 3' = \operatorname{tg} M/n = \frac{b}{4a} \sqrt{(1+k)^2 + a^2};$$

$$\operatorname{tg} 63^{\circ} 7' = \operatorname{tg}_0 M/o = \frac{b}{2a} \sqrt{(1-k)^2 + a^2}, \text{ folglich}$$

$$4\operatorname{tg}_0 = \operatorname{tg} \cdot \sqrt{(1+k)^2 + a^2}, \frac{16\operatorname{tg}_0^2}{\operatorname{tg}^2} - (1+k)^2 = a^2$$

$$2\operatorname{tg}_0 = \operatorname{tg} \sqrt{(1-k)^2 + a^2}, \frac{4\operatorname{tg}_0^2}{\operatorname{tg}^2} - (1-k)^2 = a^2$$

$$\frac{16\operatorname{tg}_0^2}{\operatorname{tg}^2} - (1+k)^2 = \frac{4\operatorname{tg}_0^2}{\operatorname{tg}^2} - (1-k)^2,$$

$$\frac{16\operatorname{tg}_0^2 - 4\operatorname{tg}_0^2}{\operatorname{tg}^2} = (1+k)^2 - (1-k)^2 = 4k$$

$$k = \frac{4\operatorname{tg}_0^2 - \operatorname{tg}_0^2}{\operatorname{tg}^2}, \text{ folglich}$$

$a^2$  bekannt, und  $b = a \operatorname{tg}$ . Der stumpfe Winkel der Axen liegt bei einem  $+k$  auf der Seite des ersten Gliedes, also hier auf der Seite von  $\operatorname{tg}$ .

$$l4 = 0,60206$$

$$l\operatorname{tg}^2 45 \cdot 3 = 0,00152$$

$$0,60358 \dots \text{ num. } 4,014$$

$$l\operatorname{tg}^2 63 \cdot 7 = 0,59005 \dots - 3,891$$

$$l0,123 = 9,08990$$

$$l16 = 1,20412$$

$$l\operatorname{tg}^2 59 \cdot 24 = 0,45624$$

$$l\operatorname{tg}_0^2 = 0,00152$$

$$lk = 8,63366 \dots \text{ num. } 0,04302$$

$$1,20564$$

$$lk^2 = 7,26732 \dots - 0,00186$$

$$l\operatorname{tg}^2 = 0,45624$$

$$0,74940 \dots \text{ num. } 5,6157$$

$$l(1+k)^2 0,03685 \dots - 1,0886$$

$$a^2 = 4,5271$$

$$la^2 = 0,6558$$

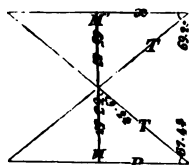
$$la = 0,3279 \dots \text{ num } a = 2,1276.$$

$$l\operatorname{tg} 59 \cdot 24 = 0,22812$$

$$lb = 0,55602 \dots \text{ num. } b = 3,5977.$$

Hätte man in der Feldspathprojection

$T/T = 59^{\circ} 24' = \operatorname{tg}$ ,  $P/T = 67^{\circ} 44' = \operatorname{tg}$ , und  $x/T = 69^{\circ} 20' = \operatorname{tg}_0$  gegeben, so bedient man sich am besten der sphärischen Trigonometrie. Im



rechtwinkligen sphärischen Dreieck MPT findet man die Seite  $M = 63 \cdot 53$ , da  $\cos M = \frac{\cos 67 \cdot 44}{\sin 59 \cdot 24}$ , ebenso

im sphärischen Dreieck MTx Seite  $M' = 65 \cdot 47$ . Jetzt macht man von dem Satz

$$\operatorname{tg} \omega = \frac{2 \sin \varphi \sin \varphi}{\sin(\varphi - \varphi)} = \frac{2}{\cotg \varphi - \cotg \varphi} \text{ (Basalformel)}$$

Gebrauch. Nach den eingeschriebenen Buchstaben ist

$$\begin{aligned} A : \sin \varphi &= c : \sin (\omega + \varphi) \\ A, : \sin \varphi, &= c : \sin (\omega - \varphi,) \end{aligned} \quad \left\{ \begin{array}{l} \frac{\sin \varphi}{\sin (\omega + \varphi)} = \frac{\sin \varphi,}{\sin (\omega - \varphi,)} \end{array} \right.$$

oder



$$\sin \varphi \cdot \sin \omega \cdot \cos \varphi, - \sin \varphi \cos \omega \cdot \sin \varphi, = \sin \varphi, \sin \omega \cdot \cos \varphi + \sin \varphi, \cos \omega \cdot \sin \varphi$$

$$\sin \varphi \cdot \sin \omega \cdot \cos \varphi, - \sin \varphi, \sin \omega \cdot \cos \varphi = 2 \sin \varphi \cdot \sin \varphi, \cdot \cos \omega.$$

Der Satz bleibt derselbe, wenn man unter  $\varphi \varphi,$  die Winkel gegen Aye AA' versteht.

In unfrem Falle wird  $\varphi = M = 63^\circ 53'$  und  $\varphi, = M' = 65^\circ 47'$ , folglich  $\text{tg} \omega = 88^\circ 50'$ . Da  $\varphi,$  größer als  $\varphi$ , so liegt der stumpfe Winkel  $\omega = 91^\circ 10'$  auf der Vorderseite. Die Abweichung von R beträgt also  $\omega - 90^\circ = \alpha = 1^\circ 10'$ . Jetzt verhält sich  $A : \sin 63 \cdot 53 = c : \sin 24 \cdot 57$  ( $2R - (63 \cdot 53 + 91 \cdot 10)$ ), also  $lA = 0,32809$ ,  $a = A \cdot \cos 1 \cdot 10 = 2,128$ ;  $k = A \cdot \sin 1 \cdot 10 = 0,0434$ ;  $b = a \cdot \text{tg} 59 \cdot 24 = 3,598$ .

Die Basalformel läßt sich leicht verallgemeinern: nähmen wir vorn eine Fläche  $c: \frac{a}{\mu}$  hinten  $c: \frac{a'}{\mu,}$ , so wäre  $\text{tg} \omega = \frac{(\mu + \mu,) \sin \varphi \cdot \sin \varphi,}{\mu \sin \varphi \cdot \cos \varphi, - \mu, \cos \varphi \cdot \sin \varphi,}$   
 $= \frac{\mu + \mu,}{\mu \cot \varphi, - \mu, \cot \varphi}$ . Hätte man die Neigung der Schiefendfläche gegen

Aye A und A' respective  $\varphi$  und  $\varphi,$  gesetzt, so würde

$$\text{tg} \omega = \frac{(\mu + \mu,) \sin \varphi \cdot \sin \varphi,}{\mu, \sin \varphi \cos \varphi, - \mu \cos \varphi \sin \varphi,} = \frac{\mu + \mu,}{\mu, \cot \varphi, - \mu \cot \varphi}.$$

Für den Fall  $\mu = \mu, = 1$  geht alles in die einfache Basalformel über.

$$\cos \omega = - \frac{a^2 b^2 + (\mu + k)^2 b^2 + \nu^2 a^2}{\sqrt{a^2 b^2 + (\mu + k)^2 b^2 + \nu^2 a^2} \sqrt{a^2 b^2 + (\mu, + k)^2 b^2 + \nu^2 a^2}}.$$

Für n Feldspath wird  $\mu = \mu, = 1$ ,  $\nu = 4$ ,  $\nu, = -4$  gibt

$$\cos n/n = \frac{a^2 b^2 + (1+k)^2 b^2 - 16a^2}{a^2 b^2 + (1+k)^2 b^2 + 16a^2} = 89^\circ 53 \frac{1}{2}'.$$

Halbe Winkel liegen in der Medianebene, für diesen Fall ist  $\mu, = 0$ ,  $\nu, = \infty$ , gibt

$$\cos \frac{1}{2} \omega = \frac{\nu a}{\sqrt{a^2 b^2 + (\mu + k)^2 b^2 + \nu^2 a^2}};$$

für Mn wird  $\mu = 1$ ,  $\nu = 4$  folgt

$$\cos M/n = \frac{4 a}{\sqrt{a^2 b^2 + (1+k)^2 b^2 + 16a^2}}.$$

Das eingliedrige System kommt selten vor, auch scheint es nicht sonderlich praktisch, hier anders als mit trigonometrischen Formeln zu rechnen. Will man jedoch, so substituirt man am besten rechtwinklige Aye, indem man die Ayezeichen irrational macht, wie ich das in den Beiträgen zur rechnenden Krystallographie pag. 20 auseinandergelegt habe.

## Kurze Darstellung der Systeme.

### Reguläres System.

Tessular-System. Werner (Tessella-Würfelchen), Tesseral-System Naumann. Cubic S. Gleichgliedriges, gleichaxiges, sphäroedrisches. Isometrisches Hausmann.

### Holoedrie (Vollzähligkeit).

1) **Oktäeder**  $a : a : a$  mit  $109^\circ 28' 16''$  in den Kanten und gleichseitigen Dreiecken;

2) **Würfel**  $a : \infty a : \infty a$  mit  $90^\circ$  in den Kanten und quadratischen Seiten; gegen die trigonale Axe macht die Fläche  $35^\circ 15' 52''$ , die Kante  $54^\circ 44' 8''$ .

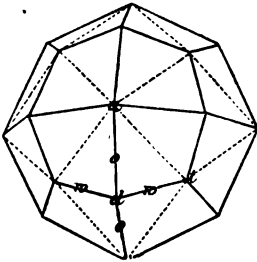
3) **Granatoeder**  $a : a : \infty a$  mit  $120^\circ$  in den Kanten und Rhomben von  $109^\circ 28' 16''$  wurden pag. 40 kennen gelehrt.

Setzen wir im Würfel die Hauptaxe von Mittelpunkt zu Mittelpunkt der Flächen d. h. die Kante = 1, so sind die sechs diagonalen Axen zwischen den Mittelpunkten der Kanten =  $\sqrt{2}$ , und die vier trigonalen =  $\sqrt{3}$ . Im Oktäeder die Hauptaxen = 1, die diagonalen zwischen den Mittelpunkten der Kanten =  $\frac{1}{2}\sqrt{2}$ , die trigonalen zwischen den Mittelpunkten der Flächen  $\frac{1}{2}\sqrt{3}$ . Im Granatoeder die Hauptaxen = 1, die diagonalen zwischen den Mittelpunkten der Flächen =  $\frac{1}{2}\sqrt{2}$ , die trigonalen zwischen den dreikantigen Ecken =  $\frac{1}{2}\sqrt{3}$ .

4) **Leucitoeder** (Tetritetraeder, Trapezoeder)  $a : a : \frac{1}{2}a$  mit 12 Parallelenräumen entsteht durch gerade Abstumpfung der Granatoederkanten. Man kann daher ein Granatoeder einschreiben, dessen Kanten den Längsdiagonalen entsprechen. Auf der Projection pag. 39 entsteht es durch Verbindung der Granatoederkanten (4) mit den Oktäederkanten (6). Die Flächen sind symmetrische Trapezoide (Deltoiden), welche durch die Granatoederkante halbiert werden. Kanten zweierlei: gebrochene Oktäeder-

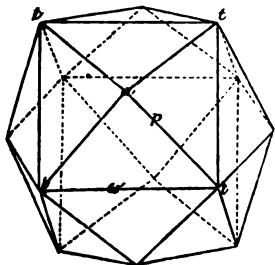
kanten  $\sigma = 131^\circ 48' 37''$ , wie die Kanten des eingeschriebenen Oktäeders, und gebrochene Würfelkanten  $\omega = 146^\circ 26' 34''$ , wie die Kanten des eingeschriebenen Würfels liegend. Setzt man die Hauptaxen = 1, welche die vierkantigen Ecken verbinden, so sind die die 2+2kantigen Ecken verbindende diagonalen =  $\frac{2}{3}\sqrt{2}$ , und die die dreikantigen Ecken verbindenden trigonalen Axen =  $\frac{1}{2}\sqrt{3}$ .

Es gibt, wiewohl seltener, auch Leucitoide  $a : a : \frac{1}{2}a$ ,  $a : a : \frac{1}{2}a$  2c., sie haben die typische Form der Leucitoeder, aber andere Dimensionen. Das Leucitoid  $a : a : \frac{1}{2}a$  kommt sehr ausgezeichnet beim Gold und Silber vor, die gebrochenen Oktäederkanten  $\sigma = 144^\circ 54'$ , die gebrochenen Wür-

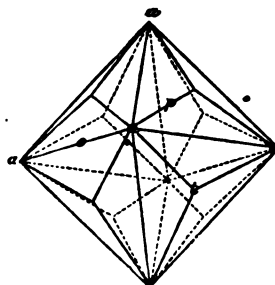


felstanten  $\omega = 129^\circ 31'$ , letztern Winkel machen auch die in einer Oktaeder-  
cke sich gegenüber liegenden Flächen. Die Summe der Kanten 48, die  
der Ecken und Flächen 50, denn letztere beträgt nach Legendre stets 2 mehr.

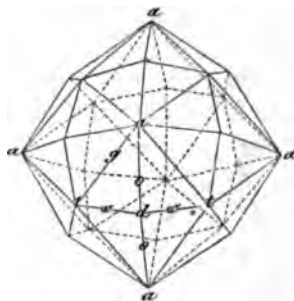
5) **Pyramidenwürfel** (Tetrakishexaeder) mit 12 Parallelräumen haben  
einen eingeschriebenen Würfel  $tttt$ , auf dessen  
Flächen sich je eine vierseitige Pyramide mit  
gleichschenkligen Dreiecken erhebt: daher acht  
Würfel-  $\omega$  und  $4 \cdot 6$  Pyramidenkanten  $p$ ; ferner  
acht Würfel-  $t$  und 6 vierkantige Pyramiden-  
ecken  $a$ . Der gewöhnlichste Pyramidenwürfel  
 $a:2a:\infty a$  hat merkwürdiger Weise lauter gleiche  
Kantenwinkel von  $143^\circ 7' 48''$ , die Würfecken  
 $t$  bilden also eine dihexaedrische Ecke, und man  
kann ihn als vier Dihexaeder ansehen, die sich durchwachsen haben. Sehen  
wir die die Pyramidenecken  $a$  verbindende Hauptaxe  $= 1$ , so ist die die  
Mittelpunkte der Würfelkanten verbindende digonale Axe  $= \frac{2}{3}\sqrt{2}$ , die die  
Würfecken verbindende trigonale Axe  $= \frac{2}{3}\sqrt{3}$ . Da die Hauptaxe die  
vierkantigen Endecken der Pyramiden miteinander verbindet, so beträgt  
die Höhe einer jeden Pyramide  $\frac{1}{3}$ . Der Pyramidenwürfel entsteht durch  
Zuschärfung der Würfelkanten. Der von  $a:2a:\infty a$  findet sich selbst-  
ständig beim Kupfer und Golde. Außerdem kommen noch vor mit  $\frac{2}{3}a$ ,  
 $\frac{1}{3}a$ ,  $3a$ ,  $5a$  u.



6) **Pyramidenoktaeder** (Triaiksoctaeder) mit 12 Parallelräumen haben  
ein eingeschriebenes Oktaeder  $aaa$ , auf dessen  
Flächen sich je eine dreiseitige Pyramide mit  
gleichschenkligen Dreiecken erhebt, daher 12 Ok-  
taeder-  $o$  und  $3 \cdot 8$  Pyramidenkanten  $p$ ; ferner  
sechs  $4+4$  kantige Oktaederecken  $a$  und acht drei-  
kantige Pyramidenecken  $t$ . Man führt dreierlei  
an:  $a:a:\frac{2}{3}a$ ,  $a:a:2a$ ,  $a:a:3a$ , sie kommen  
aber kaum anders als untergeordnet vor, indem  
sie die Oktaederkanten zuschärfen. Nehmen wir  
den mittlern  $a:a:2a$  als Musterform, so hat  
die Oktaederkante  $141^\circ 3'$  und die Pyramidenkante  $152^\circ 44'$ ; die in den  
Ecken  $a$  gegenüberliegenden schneiden sich unter  $90^\circ$ , der Körper besteht  
daher aus 4 sich durchdringenden Würfeln. Sehen wir an ihm die die  
 $4+4$  kantigen Oktaederecken verbindende Hauptaxe  $a = 1$ , so ist die die  
Mittelpunkte der Oktaederkanten  $o$  verbindende digonale Axe  $= \frac{1}{2}\sqrt{2}$ ,  
und die die Pyramidenecken  $t$  verbindende trigonale Axe  $= \frac{2}{3}\sqrt{3}$ . Da  
die trigonale Axe des Oktaeder  $= \frac{1}{3}\sqrt{3}$  ist, so beträgt die Höhe der  
Pyramiden  $\frac{1}{3}\sqrt{3}$ .



7) **Achtundvierzigflächner** (Hexakisoktaeder, Trigonpolyeder) mit 24  
Parallelräumen werden von 48 ungleichseitigen Dreiecken begrenzt. Der  
gewöhnliche darunter ist das Pyramidengranatoeder  $a:\frac{1}{2}a:\frac{1}{2}a$ ,



was durch Zuschärfung der Granatoederkanten entsteht. Es erhebt sich daher auf jeder Granatoederfläche statt eine 2+2kantige Pyramide von ungleichseitigen Dreiecken. Wir haben dreierlei Kanten: 24 Granatoederkanten  $g$   $158^\circ 13'$ , dem eingeschriebenen Granatoeder angehörig; 24 gebrochene Oktaederkanten  $o$   $149^\circ$ , und 24 gebrochene Würfelkanten  $\omega$   $158^\circ 13'$ . Es bilden also  $g$  und  $\omega$  wiederum eine dihexaedrische Ecke. Die dreierlei Ecken sind:

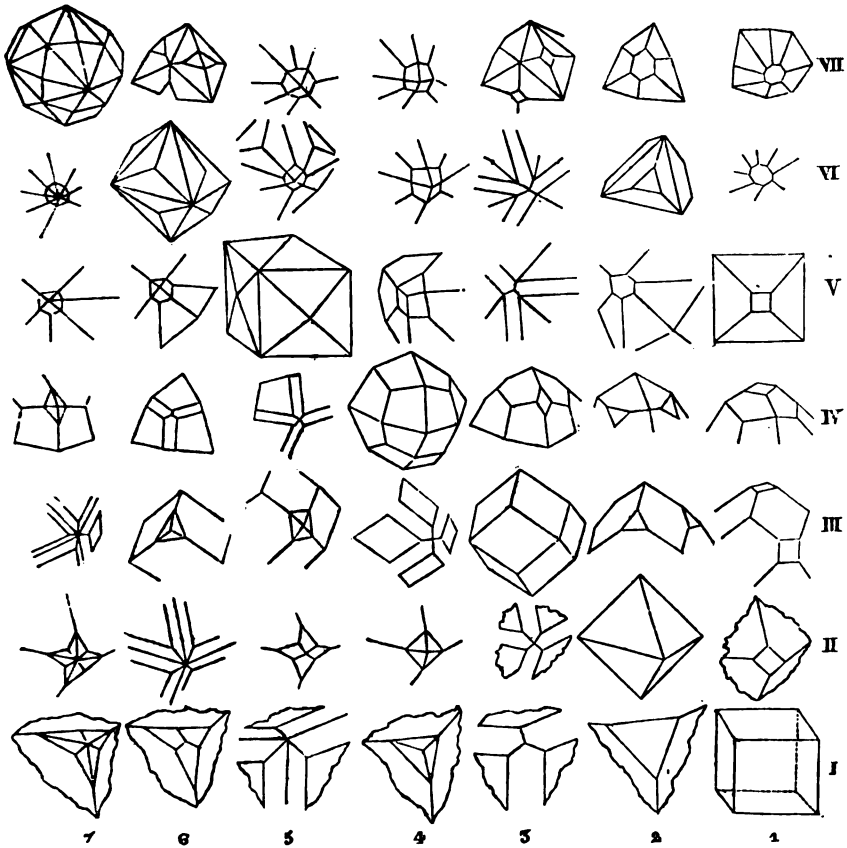
4+4kantige Oktaedercken  $a$ , durch welche die Hauptaxen  $= 1$  gehen; 2+2kantige Pyramidencken  $d$ , in den digonalen Axen  $= \frac{1}{2}\sqrt{2}$ , und 3+3kantige Würfelcken  $t$  in den trigonalen Axen  $= \frac{1}{2}\sqrt{3}$ . Noch ein zweites Pyramidengranatoeder  $a : \frac{1}{2}a : \frac{1}{2}a$  ist nicht selten; allgemein müssen sie den Ausdruck  $a : \frac{1}{m}a : \frac{1}{m+1}a$  haben. Alle andern Trigonpolyeder können als gebrochene Vierundzwanzigflächner angesehen werden.

Die 48-Flächner mit dreierlei Ecken und dreierlei Kanten enthalten die größtmögliche Zahl von gleichen Flächen. Nennen wir die Hauptaxen  $a$ , die digonalen  $d$ , und die trigonalen  $t$ , so liegen die 4+4kantigen Ecken in den Endpunkten von  $a$ , die 2+2kantigen von  $d$  und die 3+3kantigen von  $t$ . Die Granatoederkanten gehen von  $a$  nach  $t$ , die gebrochenen Oktaederkanten von  $a$  nach  $d$ , und die gebrochenen Würfelkanten von  $d$  nach  $t$ . Beim Pyramidenoktaeder fehlen die gebrochenen Würfelkanten  $dt$  und folglich die Ecken in  $d$ ; beim Pyramidenwürfel fehlen die gebrochenen Oktaederkanten  $ad$  und folglich auch die Ecken in  $d$ ; beim Leucitoeder fehlen die Granatoederkanten  $at$ , aber alle drei Ecken bleiben. Beim Granatoeder fehlen die gebrochenen Würfel- und Oktaederkanten  $ad$  und  $dt$ , folglich die Ecken in  $d$ ; beim Oktaeder fehlen die Granatoeder- und gebrochenen Würfelkanten, folglich die Ecken in  $d$  und  $t$ ; beim Würfel endlich fehlen die Granatoeder- und gebrochenen Oktaederkanten, folglich die Ecken in  $a$  und  $d$ . Ein anderer Fall ist nicht möglich.

Die sieben Körper treten nun öfter aneinander untergeordnet auf. Das läßt sich am leichtesten in nachstehendem Schema von  $7 \cdot 7 = 49$  Figuren übersehen, worin die sieben Körper die Diagonale bilden, im Centrum mit dem Leucitoeder.

Gehen wir die untere Horizontalreihe I durch, so beginnt sie mit dem Würfel I. 1; dann kommt I. 2 Würfel mit Oktaeder, das die Ecken wie 1:1:1 abstumpft; dann I. 3 Würfel mit Granatoeder, was die Kanten wie 1:1 gerade abstumpft; dann I. 4 Würfel mit Leucitoeder, welches die Ecken wie 2:2:1 dreiflächig zuschärft, und zwar Fläche auf Fläche aufgesetzt; I. 5 Würfel mit Pyramidenwürfel, welcher die Kanten im Verhältniß 1:2 zweiflächig zuschärft; I. 6 Würfel mit Pyramidenoktaeder, welches die Ecken dreiflächig im Verhältniß 2:1:1 zuschärft, daher Fläche auf Kante aufgesetzt; endlich I. 7 Würfel mit Pyramiden-

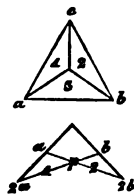




granatoeder, welches die Ecken im Verhältniß  $1 : \frac{1}{2} : 3$  sechsflächig zuschärft.

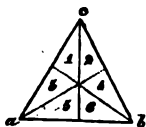
Nr. II • 1 ist Oктаeder mit Würfel, welcher die Oктаederflächen wie  $1 : 1 : 1$  gerade abstumpft; II • 2 ist das Oктаeder selbst; II • 3 Oктаeder mit Granatoeder, welches die Kanten wie  $1 : 1 : \infty$  gerade abstumpft u. In der Reihe III herrscht das Granatoeder, in IV das Leucitoeder, in V der Pyramidenwürfel, in VI das Pyramidenoktaeder, in VII das Pyramidengranatoeder. Außerdem kommt jeder Körper noch untergeordnet in einer der Vertikalreihen vor, in der er selbst liegt. Den Mittelpunkt nimmt das Leucitoeder IV • 4 ein, einzig unter allen dastehend.

Wenn zwei Körper sich miteinander verbinden, so fallen ihre dreierlei Axen (a d t) zusammen; weitere Einsicht zu bekommen, muß man projeciren. Suchen wir IV • 4, wie das Leucitoeder  $a : a : \frac{1}{2}a$  am Pyramidenoktaeder  $a : a : 2a$  auftritt. Wegen der Unterscheidung haben wir die drei gleichen Axen mit cba bezeichnet, c ist die aufrechte Axe. Wir brauchen nur einen Oktanten ins Auge zu fassen: die Fläche  $1 = c : a : 2b$  und  $2 = c : b : 2a$ , beide müssen sich im Kantenzonenpunkte  $p = \frac{1}{2}$  schneiden, folglich würde eine Fläche  $\frac{1}{2}a$ :



$\frac{1}{2}b:c$  die Kante  $p$  gerade abstumpfen. Nun geht aber die Leucitoederfläche von  $c:2a:2b = \frac{2}{3}c:\frac{1}{2}a:\frac{1}{2}b$ , folglich müssen die Pyramidenkanten des Pyramidenoktaeders vom Leucitoeder unter Kanten geschnitten werden, welche von der Axe  $t$  nach  $a$  divergiren, gemäß den Axenlängen  $c$  und  $\frac{2}{3}c$ . In IV • 6 stumpft ein Pyramidenoktaeder die gebrochene Würfelkante des Leucitoeders  $a:a:\frac{1}{2}a$  ab, die Kante geht  $c:\frac{d}{2+1}$ , folglich hat das Pyramidenoktaeder  $c:\frac{2}{3}a:\frac{2}{3}b = \frac{1}{2}a:a:a$ , wie aus seiner Projection sogleich ersichtlich ist.

Projiciren wir das Pyramidengranatoeder VII • 7 =  $a:\frac{1}{2}a:\frac{1}{2}a$ , und unterscheiden wieder die Axen in  $abc$ , so ist



$$1 = c:\frac{2}{3}a:3b = \frac{1}{2}c:\frac{1}{2}a:b;$$

$$2 = c:\frac{2}{3}b:3a = \frac{1}{2}c:\frac{1}{2}b:a;$$

$$3 = a:\frac{2}{3}c:3b = \frac{2}{3}a:c:2b;$$

$$4 = b:\frac{2}{3}c:3a = \frac{2}{3}b:c:2a;$$

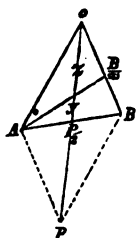
$$5 = a:\frac{2}{3}b:3c = \frac{1}{2}a:\frac{1}{2}b:c;$$

$$6 = b:\frac{2}{3}a:3c = \frac{1}{2}b:\frac{1}{2}a:c;$$

woraus sich die darunter stehende Projection des betreffenden Oktanten sogleich ergibt: Granatoederkante  $p$  liegt

in der Kantenzone  $1+1$ , weil  $\frac{2}{3}+\frac{1}{3}=1$  ist, folglich wird sie durch das Leucitoeder  $2a:2a:a$  abgestumpft; gebrochene Würfelkante  $5/6$  liegt in der Kantenzone  $\frac{1}{2}$ , folglich wird sie durch ein Pyramidenoktaeder  $\frac{2}{3}a:\frac{2}{3}b:c$  gerade abgestumpft. Da der gewöhnliche aber von  $\frac{1}{2}a:\frac{1}{2}b:c = \frac{2}{3}a:\frac{2}{3}b:\frac{1}{2}c$  geht, so muß derselbe die Kanten  $5/6$  unter Linien schneiden, die von  $d$  nach  $t$  convergiren, VII • 6. Die gebrochene Oktaederkante, worin 1 liegt, geht von  $c:\frac{2}{3}a$ , der Pyramidenwürfel aber von  $c:2a$ , also müssen die Kanten von  $d$  nach  $a$  divergiren, VII • 5.

Um diese Körper aus Holz modelliren zu können, schicken wir einige Säge voraus. Den ersten höchst eleganten verdanken wir Weiß über die



Theilung des Dreiecks. Gegeben ist ein beliebiges Dreieck  $AoB$ ; wir ziehen vom Anfangspunkte  $o$  nach dem Halbirungspunkte der  $AB$  in  $\frac{1}{2}p$  eine Linie, und wird diese von einer beliebigen  $A:\frac{1}{x}B$  geschnitten, so ist das Stück

$$y = \frac{x-1}{x+1} \cdot \frac{p}{2}. \text{ Denn die Linie } o \text{ nach } \frac{p}{2} \text{ ist die Kantenzone}$$

der Axen  $oA$  und  $oB$ , folglich

$$z = \frac{p}{1+x}, \text{ und } y = \frac{p}{2} - \frac{p}{1+x} = \frac{1+x-2}{1+x} \cdot \frac{p}{2} = \frac{x-1}{x+1} \cdot \frac{p}{2}. \text{ Nehmen}$$

wir  $\frac{p}{2}$  als Axeneinheit, so folgt  $y = \frac{x-1}{x+1}$  und  $\frac{1}{x} = \frac{1-y}{1+y}$ .

Anwendung. Wollen wir an das Oktaeder den Pyramidenwürfel  $a:\frac{1}{2}a:\infty a$  schneiden, so machen wir uns den Basalschnitt des

Oktaeders aaa. Der Pyramidenwürfel geht von  $a : \frac{1}{2}a$ ,

folglich muß er die gegenüberliegende Kante in  $\frac{1}{x} = \frac{1-2}{1+2} = \frac{1}{3}$

schneiden, die vier Oktaederkanten werden also im Verhältnis  $1 : \frac{1}{2} : \frac{1}{2} : \frac{1}{2}$  geschnitten. Für den Pyramiden-

würfel  $a : \frac{1}{2}a : \infty a$  ist  $\frac{1}{x} = \frac{1-3}{1+3} = \frac{1}{2}$ , also schneidet dieser die Kanten

im Verhältnis  $1 : \frac{1}{2} : \frac{1}{2} : \frac{1}{2}$ . Für das Leucitoeder machen wir uns den

Aufriß in der Granatoederfläche (Medianebene des Oktaeders senkrecht auf die Kante),  $a : a : \frac{1}{2}a$  schneidet dann

die Oktaederkanten  $1 : 1 : \frac{1}{2} : \frac{1}{2}$ , d. h. schärft die Oktaeder-

ecken zu. Das Pyramidenoktaeder geht von  $a : a : 2a$ , folglich muß es die Kante zuschärfen: wir stellen zu dem

Ende im Aufriß der Granatoederfläche die diagonale Axe d nach oben, so wird die gegenüberliegende Kante

wieder in  $\frac{1}{2}$ , folglich die Seitenecke wie  $1 : \frac{1}{2} : \frac{1}{2} : \infty$  geschnitten, denn  $\frac{1}{2}d$  bezeichnet an der Kante  $\frac{1}{2}$ . Diese Sätze sind ebenso einfach wie elegant.

Allgemeine Lösung. Gegeben Fläche  $c : \frac{a}{\mu} : \frac{b}{\nu}$ , und Zonen-

age  $c : p$ ,  $p = \frac{a}{m} : \frac{b}{n}$ . Legt man nun die Fläche durch

den Mittelpunkt, so ist das abgeschnittene Stück der

Zonenage  $l = \frac{mnk}{mn - \mu n - m\nu}$ , worin k die Länge der

Zonenage von c bis p bezeichnet. Zum Beweise verbindet man p mit

dem Mittelpunkte o, und verlängert op bis p', so ist  $op = p = \sqrt{\frac{a^2}{m^2} + \frac{b^2}{n^2}}$ ,

und setzen wir in der Zonenpunktformel pag. 45  $\mu = \infty m$  und  $\nu = \infty n$ ,

so ist Zonenpunkt  $p = \left( \frac{na}{\mu n + \nu m}, \frac{mb}{\mu n + \nu m} \right)$ , folglich

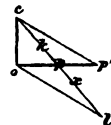
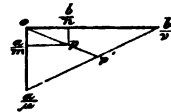
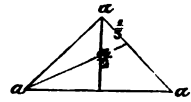
$$op, = p, = \frac{\sqrt{n^2 a^2 + m^2 b^2}}{\mu n + \nu m} = \frac{mnp}{\mu n + \nu m}.$$

Machen wir jetzt einen Aufriß durch copp,; legen die Fläche  $\frac{a}{\mu} : \frac{b}{\nu}$

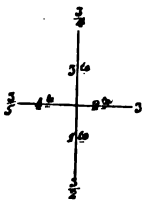
durch den Mittelpunkt o, so muß sie die verlängerte Zonenage op in l schneiden, sobald die Zonenage innerhalb der Ebene liegt, welchen Fall wir nur zu betrachten haben. Es verhält sich

$$\begin{aligned} x : p &= k : p, - p; \quad x = \frac{pk}{p, - p}; \quad cl = l = x + k = \frac{pk}{p, - p} + k \\ &= \frac{p, k}{p, - p} = \frac{mnp}{\mu n + \nu m} k : \left( \frac{mn}{\mu n + \nu m} - 1 \right) p = \frac{mnk}{mn - \mu n - m\nu}; \end{aligned}$$

$k = \sqrt{1 + \frac{a^2}{m^2} + \frac{b^2}{n^2}}$ . Setzen wir den Zonenpunkt  $p = ma, nb$ , so wird



$$l = \frac{k}{1 - m\mu - n\nu} \text{ und } k = \sqrt{1 + m^2a^2 + n^2b^2}.$$



Beispiele. Fragen wir, wie die Fläche  $a : \frac{1}{2}a : \frac{1}{2}a$  die Oктаederkanten schneidet, so betrachten wir die 4 Kanten als Zonenagen  $k$ , die sämmtlich untereinander gleich als Einheit genommen werden, denn wir wollen ja nur das Verhältniß des Schnittes finden. Da die Fläche des 48-Flächners im kleinsten  $a$  ( $\frac{1}{2}a$ ) zum Schnitt in der Ecke kommt, so müssen wir das Zeichen in  $3a : \frac{3}{2}a : a$  umwandeln, also  $\mu = \frac{1}{2}$

und  $\nu = \frac{2}{3}$  setzen, gibt die Formel  $\frac{k}{1 - \frac{1}{2}m - \frac{2}{3}n}$ . Läge die Fläche im vordern rechten Quadranten, so wäre für die erste Kante  $m=1, n=0$ , gibt  $\frac{2}{3}k$ ; für die 3te  $n=0, m=-1$  gibt  $\frac{2}{3}k$ ; für die 2te  $n=1, m=0$  gibt  $3k$ ; für die 4te  $n=-1, m=0$  gibt  $\frac{2}{3}k$ , also werden die Kanten der Reihe nach geschnitten  $\frac{2}{3} : 3 : \frac{2}{3} : \frac{2}{3} = \frac{1}{2} : 1 : \frac{1}{2} : \frac{1}{2}$ .

Um die Lage des Schnittes zu ermitteln, können wir nach pag. 49 zuvor die Ausdrücke in den dreierlei Azen adt suchen. So hat z. B. das Leucitoeder  $a : 2a : 2a$  in seinem Oktanten  $a : \frac{2}{3}d : \frac{1}{2}t$ , und der 48-Flächner  $a : 3a : \frac{3}{2}a$  bekommt  $a : \frac{2}{3}d : \frac{1}{2}t$ , also haben beide die Granatoederkante  $a : \frac{1}{2}t$  gemein, und da  $\frac{2}{3}d$  kleiner ist als  $\frac{2}{3}d$ , so muß der 48-Flächner die 2+2-kantige Ecke des Leucitoeders 4flächig zuschärfen. Die Pyramide des 48-Flächners erhebt sich auf der eingeschriebenen Granatoederfläche  $\frac{2}{3} - \frac{1}{2} = \frac{1}{6}$ , das Leucitoeder  $\frac{2}{3} - \frac{1}{2} = \frac{1}{6}$ . Nehmen wir die Pyramidenhöhe  $\frac{1}{6}$  als Einheit, so hat der 48-Flächner  $\frac{2}{3}$ , folglich nach dem Satze der Theilung des Dreiecks  $\frac{5-3}{5+3} = \frac{1}{4}$ , also werden die Kanten über dem eingeschriebenen Granatoeder im Leucitoeder wie  $1 : 1 : \frac{1}{4} : \frac{1}{4}$  geschnitten.

Nach diesen Vorbereitungen wird es leicht, die Körper zu machen: Pyramidenwürfel wird aus dem Würfel verfertigt, indem wir die Kante im Verhältniß von 2:1 zuschärfen, wir zeichnen die Linien alle vor, und legen den Schnitt von 2 durch den Mittelpunkt der Würfelfläche, damit die Pyramidencke dahin falle; Pyramidenoktaeder erhalten wir durch Zuschärfung der Oктаederkanten, indem wir die Ecke wie  $1 : \frac{1}{4} : \frac{1}{4} : \infty$  wegnehmen, d. h. die Kante zuschärfen, den Schnitt von 1 legen wir durch den Mittelpunkt der Oктаederfläche, damit die Pyramiden Spitze dort hinein falle; Pyramidengranatoeder machen wir aus dem Granatoeder, indem wir die dreikantige Ecke des Granatoeders in dem Verhältniß von  $1 : \frac{1}{4} : \infty$  wegnehmen, d. h. die Kante zuschärfen, den Schnitt 1 legen wir durch den Mittelpunkt der Granatoederfläche, damit die Pyramiden Spitze dorthin falle; Leucitoeder kann man durch gerade Abstumpfung der Granatoederkanten erhalten, indem man die Abstumpfungsfächen durch den Mittelpunkt zweier anliegenden Granatoederflächen legt. Am leichtesten und mit dem geringsten Holzaufwande macht man es aus der regulären sechsseitigen Säule. Man zeichnet darin die Deltoide nach ihrem diagonalen Verhältniß ein, dann hat man zu beiden Seiten die noth-

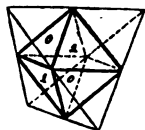
wendigen Punkte für den 3+3-Kantner, woran dann oben das Endrhomboeder abgemessen werden kann.

### Hemiedrie.

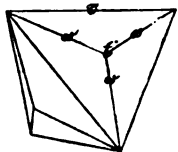
Darunter versteht man (im Gegensatz von Holoedrie) ein hälftiges Auftreten der Flächen, und zwar nach folgendem einfachen Gesetz: schreibe auf eine Fläche 0 und auf die anliegenden 1, auf die anliegenden von 1 wieder 0 zc., so wird die eine Hälfte der Flächen mit 0, die andere mit 1 beschrieben sein, läßt man dann die 0 verschwinden und die 1 wachsen, oder umgekehrt, so kommen die hälftflächigen Körper. Würfel und Granatoeder sind keiner Hemiedrie fähig, wie man aus dem Einschreiben von 0 und 1 leicht ersieht. Es gibt dreierlei Hemiedrien:

#### tetradrische, pyritodrische, gyroedrische.

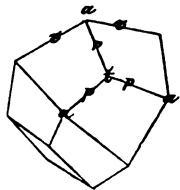
1) **Tetradrische Hemiedrie**, jetzt schlechthin Hemiedrie genannt. Die Flächen gehen einander nicht parallel (geneigtflächige Hemiedrie). Das **Tetraeder** entsteht aus dem Oktaeder und zwar aus jedem zwei: eines den 1111, das andere (Gegentetraeder) den 0000 angehörig. Man kann es in den Würfel schreiben, weil seine Kanten mit den Diagonalen der Würfel Flächen zusammenfallen. Der Würfel stumpft daher die 6 Tetraederkanten ab, das Gegentetraeder die 4 Ecken. Das Granatoeder schärft die Ecken dreiflächig zu, Fläche auf Fläche aufgesetzt, tritt daher wie der Würfel vollflächig auf. Der Pyramidenwürfel schärft die Ecken sechseckig zu, erscheint daher auch vollflächig.



Das Leucitoeder gibt ein **Pyramidentetraeder** (Trigondodakaeder). Zu dem Ende muß man die drei Flächen im Oktanten eines Oktaeders mit 0 beschreiben, die der anliegenden mit 1, es entstehen dann in der Oktaederecke Tetraederkanten  $\tau$ , und über den verschwindenden Oktanten 3+3-kantige Ecken. Die Deltoiden verwandeln sich also in Dreiecke, deren Ecken  $t$  den trigonalen Ären entsprechen, die Würfelkanten  $\omega$  bleiben. Man verfertigt sich den Körper leicht durch Zuspitzung der Tetraederkanten.

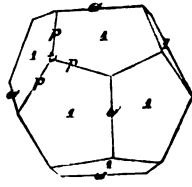
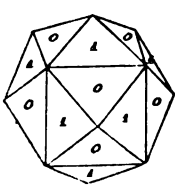


Das Pyramidenoktaeder gibt ein **Deltoiddodakaeder** (Deltaoeder). Läßt man hier die drei Flächen der abwechselnden Oktanten verschwinden, so muß über jedem verschwindenden eine dreikantige Ecke entstehen, in jeder Oktaederecke dagegen eine gebrochene Tetraederkante  $\tau$ . Die Flächen schärfen also die Tetraedercken dreiflächig zu, wie das Granatoeder, nur in andern Winkeln. Die Pyramidenkanten  $p$  bleiben, die gebrochenen Tetraederkanten  $\tau$  entstehen. Beim gewöhnlichen Pyramidenoktaeder  $a : a : 2a$  sind die neuen Ecken  $\tau\tau\tau$  rechtwinklig, also Würfecken.



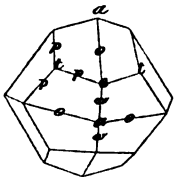
Der 48-Flächner gibt ein gebrochenes Pyramidentetraeder (Hexakistetraeder). Da wir die 48-Flächner als gebrochene Leucitoeder oder gebrochene Pyramidenoktaeder ansehen können, so muß bei gleicher Behandlung wie vorhin der allgemeinste Körper dieser Hemiedrie entstehen, welcher die Tetraedercken 6flächig zuschärft.

2) **Pyritoedrische Hemiedrie**, jetzt schlechthin Hemisymmetrie genannt. Die Flächen gehen einander parallel (parallelflächige Hemiedrie). Nur Pyramidenwürfel und Achtundvierzigflächner sind dieser fähig, die 5 übrigen Körper treten daran vollflächig auf.



**Pyritoeder** (Pentagondodekaeder) entstehen aus Pyramidenwürfeln. Läßt man die 0 verschwinden, so liegen jeder 1 fünf andere 1 an, die Flächen müssen daher zu symmetrischen Fünfecken werden: symmetrisch, weil eine der fünf sich von den übrigen

gen durch ihre Lage unterscheidet. Man sieht es leicht ein, wenn man in das Pyritoeder den zugehörigen Würfel einschreibt. Es treten dann 6 Würfelkanten  $\omega$  hervor, die die Kanten des Daches, das sich über jeder Würfelkante erhebt, bilden; außerdem zählen wir  $3 \cdot 8$  Kanten  $p$  in den Ecken  $t$  des Würfels. Die 8 Würfelcken sind 3kantig, und die 12 Ecken an beiden Enden der Dachkanten  $\omega$  2+1kantig. Jedes Fünfeck ist durch eine Diagonale halbirt, die von der Mitte der Würfelkante (Dachkante) nach der gegenüberliegenden Ecke geht. Man macht es aus dem Würfel, wie beim Pyramidenwürfel, nur muß die Hälfte der Flächen weggelassen werden. Der Würfel stumpft die 6 Dachkanten ab; das Oktaeder die 8 dreikantigen Würfelcken, sie bilden deshalb gleichseitige Dreiecke, und verwandeln durch ihren Schnitt die Pyritoederflächen in gleichschenklige Dreiecke.  $12+8$  Dreiecke sehen dem Ikosaeder der Geometrie ähnlich. Das Granatoeder stumpft die zwölf 2+1kantigen Ecken ab. Leucitoeder und Pyramidenoktaeder kommen selten und dann immer vollflächig vor, sie müssen in den dreikantigen Würfelcken auftreten. Schon Bernhardt in Gehlen's Journal 1807 sagte, daß das Pentagondodekaeder aus dem Pyramidenwürfel folge, wenn die Geseze nur zur Hälfte wirken, und nannte es „Keilwürfel“.

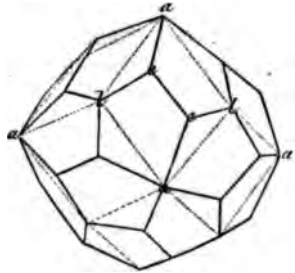


Das **gebrochene Pyritoeder** (Dyakisdodekaeder, Diploid) entsteht aus dem 48-Flächner. Da man diesen als einen gebrochenen Pyramidenwürfel ansehen kann, so muß man auf je zwei Flächen 0 und auf die drei anliegenden Paare 1 zc. schreiben. Der Körper kommt sehr schön selbstständig und untergeordnet beim Schwefelfiez vor. Die 8 Würfelcken  $t$  bleiben 3kantig, und da diese oft durch das Oktaeder abgestumpft werden, so kann man sich nach dem gleichseitigen Dreieck desselben leicht orientiren. Ueber der Mitte der Würfel-

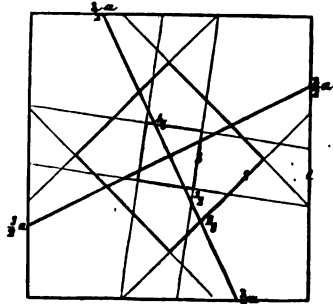
flächen entsteht eine  $2+2$ kantige Ecke  $a$ , und die übrigen 12 Ecken  $e$  sind  $2+1+1$ kantig. Sämmtliche Flächen bilden  $2+1+1$ kantige Trapezoide, mit der gebrochenen Würfelfante  $\omega$ , der Pyritotoederfante  $p$  und der Mediantfante  $o$ . Das gewöhnliche  $a : \frac{1}{2}a : \frac{1}{2}a$  macht man aus dem Granatoeder, indem man die Hälfte des gebrochenen Pyramidenwürfels wegläßt.

3) **Gyroedrische Hemiedrie** (gedrehte). Geneigtflächig und in der Natur, wenigstens im regulären Systeme, noch nicht bekannt. Der 48-Flächner ist nicht bloß der beiden genannten Hemiedrieen fähig, sondern auch (unter allen allein) noch dieser: schreibt man nämlich auf ein beliebiges Dreieck  $0$ , und auf die drei anliegenden 1 zc., so werden, wenn wir das gewöhnliche Pyramidengranatoeder nehmen, von den 4 Pyramidenflächen auf jeder Fläche des eingeschriebenen Granatoeders zwei in der Ecke einander gegenüberliegende verschwinden und die andern beiden wachsen. Wir bekommen ein Gyroeder und Gegengyroeder, die sich wie Bild und Spiegelbild verhalten. Wie in das Pyritoeder einen Würfel, so kann,

man in das **Gyroeder** ein Granatoeder einschreiben, wenn es aus dem Pyramidengranatoeder entstanden ist. Die Flächen stehen gegen die des eingeschriebenen Körpers gedreht, und sind unregelmäßige  $2+2+1$ kantige Fünfecke. Von den Ecken sind die 6 Oктаederecken  $a$  4kantig, die 8 Würfecken  $t$  3kantig, die übrigen 24  $e$  neben den Dachkanten  $1+1+1$ kantig. Wir haben daher im Ganzen  $3+4+12$  paarige Ecken, und  $12+24+24$  Kanten. Auf-

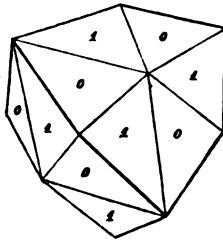
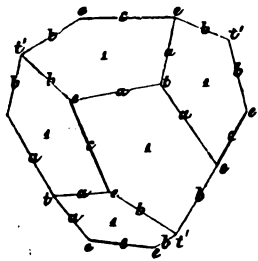


fallender Weise müssen daran alle übrigen sechs regulären Körper vollflächig auftreten: der Würfel stumpft die 6 vierkantigen Oктаederecken  $a$  ab; das Oктаeder die 8 dreikantigen Würfecken  $t$ ; das Leucitoeder die 24 Ecken  $e$ , worin an den Enden der Dachkanten die drei ungleichen Kanten zusammenstoßen; das Granatoeder stumpft die Dachkanten ab; ein vollständiger Pyramidenwürfel  $9a : 5a : \infty a$  würde die  $4 \cdot 6$  Kanten in den Oктаederecken abstumpfen, dann blieben für das Pyramidenoktaeder  $a : \frac{1}{2}a$  noch die übrigen  $3 \cdot 8$  Kanten in den Würfecken. Alles das macht man sich durch eine Pro-



jection der **obern Hälfte** auf die Würfel- und Oктаederflächen klar. Dann erscheinen drei Oктаederhälften (1, 2, 3), die gegen die Axen  $a$  verdreht stehen, woher der Name Gyroeder. Die Granatoederkantenzonen werden 3flächig.

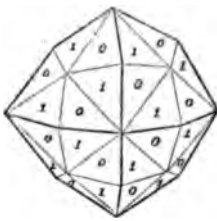
**Tetartoedrie**, Viertelflächigkeit. Wir kommen bei der Hemiedrie auf dreierlei Vierundzwanzigflächner: gebrochene Pyramidentetraeder, gebrochene Pyritoeder, Gyroeder. Jedes ist abermals einer Hemiedrie fähig, wie schon Mohs (Leichtsaßliche Anfangsgründe der Naturgeschichte des Mineral-



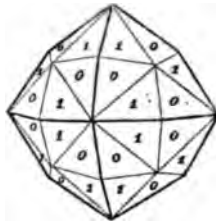
reichs. 2. Aufl. 1836. 83) auseinandergelegt, und die Häidinger Tetartoide nannte: es sind linke und rechte Dodekaide von tetraedrischem Habitus mit  $2+2+1$ seitigen Pentagonen,  $4+4+12$  Ecken und  $6+12+12$  Kanten. Die

stumpfen trigonalen Ecken  $t$  mit den drei gleichen Kanten  $a$  liegen über den Flächen, und die scharfen trigonalen Ecken  $t'$  mit den drei gleichen Kanten  $b$  über den Ecken des Tetraeders; es bleiben dann noch die Dachkanten  $c$ , welche wie beim Gyroeder die  $1+1+1$ kantigen Ecken  $e$  verbinden. Wie am Gyroeder die holoedrischen, so treten am Tetartoeder die tetraedrischen Körper vollflächig auf. Vollflächig bleibt ferner Würfel und Granatoeder; nur Pyramidenwürfel kann in den Ecken  $t$  nicht mehr vollflächig, sondern nur hälftflächig als Pyritoeder auftreten. Es folgt das aus der einseitigen Drehung des

Rhomboeder in den trigonalen Ecken. Ohnehin darf man die Pyramidenwürfel als gebrochene Pyramidentetraeder stellen, wie sich schon aus unserer Entwicklung pag. 25 folgern läßt. Wir haben daher hier den sonderbaren Fall, daß Tetraeder und Pyritoeder neben



gyroedrisch.



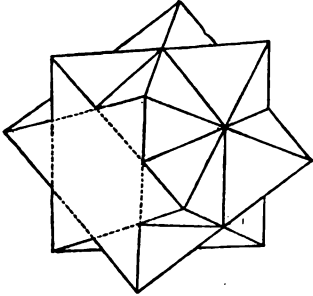
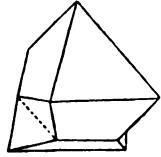
pyritoedrisch.

einander auftreten können. Aus dem Einschreiben von 0 und 1 geht klar hervor, daß wir nicht bloß beim tetraedrischen, sondern auch beim pyritoedrischen und gyroedrischen System zu Tetartoedern gelangen müssen, falls wir in beiden letztern nur die abwechselnden Oktanten wachsen lassen. Es entstehen dann aus dem Gyroeder zwei congruente Tetartoeder; das gebrochene Pyritoeder gibt dagegen ein rechtes und ein linkes, wie im Tetraedrischen d. h. die beiden Körper verhalten sich wie Bild und Spiegelbild, sind in Naumannscher Sprache »enantiomorph«. Die Projection der Tetartoeder stimmt vollständig mit der halber Gyroeder überein, woraus ebenfalls eine Drehung nach links oder nach rechts gegen die Ären einleuchtet. Hr. Rammelsberg (Pogg. Ann. 90. 15) beobachtete am Würfel des chlorsauren Natrons  $\text{NaOClO}_5$  tetraedrische und pyritoedrische Abstumpfung, und Naumann (Pogg. Ann. 95. 465) hat das als Tetartoedrie gedeutet. Da Dr. Marbach (Pogg. Ann. 91. 482) auch wirklich Circularpolarisation nach links wie nach rechts nachwies, so verdient die Sache Beachtung. Dr. Brezina (Miner. Mittheil. 1872 pag. 23) nennt noch andere.



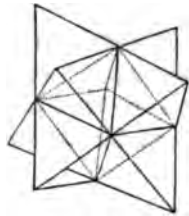
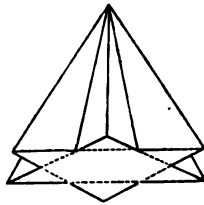
**Zwillingsgesetz.**

Es kann nur eins geben: zwei Oktaeder haben eine Fläche gemein, und liegen umgekehrt. Halbire ich das Oktaeder parallel einer Fläche, so bildet die Halbirungsfläche ein reguläres Sechseck, verdrehe ich nun die beiden Hälften gegeneinander um  $60^\circ$ , so entsteht der Zwilling. Es ist das Folge des Gesetzes. Nehme ich nämlich zwei gleiche Oktaeder, und lege sie mit zwei ihrer Flächen so

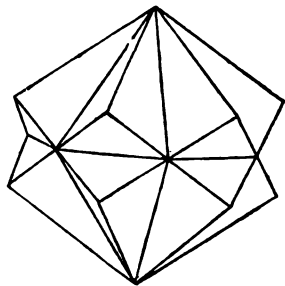


gegen einander, daß sich die Flächen decken, so finden sich die Individuen in Zwillingsstellung; drehe ich sie dagegen so weit, daß sich die Dreiecke symmetrisch kreuzen, so liegen die Individuen einander parallel, bilden daher nur ein Ganzes und keinen Zwilling. Da dieß die beiden möglichen symmetrischen Lagen sind, so ist das Wort umgekehrt unzweideutig, und drückt das Wesen besser aus als die Drehung. Die Oktaeder liegen meist aneinan-

der, verkürzen sich aber nach der sogenannten Zwillingsaxe, d. h. nach einer trigonalen Axt, die senkrecht auf der gemeinsamen Ebene (Zwillings-ebene) steht. Zuweilen kommen auch **Durchwachsungen** vor, wenn schon nicht so ideal, wie es vorstehende Figur darstellt. Das Tetraeder hat scheinbar **zwei**lei Zwillingsgesetze: nach dem einen kreuzen sich die Kanten rechtwinklig, und der gemeinsame Kern ist ein Oktaeder, wie wir es öfter beim Fahlerze finden. Das ist aber nur die Wiederherstellung des Gleichgewichts. Dagegen können sich zwei Tetraeder zu einem wirklichen Zwilling verbinden, indem sie eine Fläche gemein haben, und die übrigen drei sich kreuzen, dann ist das eine um  $60^\circ$  gegen das andere verdreht. Es entspricht das vollkommen dem Oktaedergesetz.



Die Würfel durchwachsen sich gewöhnlich, der gemeinsame Kern ist dann ein Dikhaeder, und die Flächen des einen Individuums schneiden die Ecken des andern im Kantenverhältniß  $1:1:2$ . Flußspath und Salmiak liefern vorzügliche Beispiele. Man sieht auch hier leicht ein, daß die gemeinsame Fläche die des Oktaeders ist, in welcher sich die Würfel gegen einander um  $60^\circ$  verdreht haben.



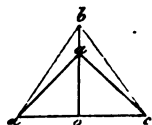
Die Granatoeder durchwachsen sich vorzüglich bei der Blende. Beim Silber tritt ein Leucitoid als Zwilling auf. Oft wiederholen sich Indi-

viduen unzählige Mal, so daß die ungeraden Stücke dem einen, und die geraden Stücke dem andern Individuum angehören. Es können sich auch Drillinge, Vierlinge und Fünflinge bilden, in letztem Falle setzt sich auf jede der 4 Oктаederflächen ein Individuum in Zwillingstellung. Alles dieß sind aber nur Wiederholungen ein und desselben Gesetzes.

Die Einheit der Zwillingsgesetze versteht man am leichtesten, wenn man symmetrisch gestaltete Tetraide in den verschiedenen Systemen herausgreift, und mit einer Fläche aneinanderlegt, wie das im Grundriß der Krystallographie pag. 93 auseinandergesetzt ist.

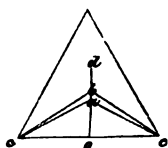
### N e k e.

Es ist bequem, wenn auch nicht so lehrreich, sich die regulären Körper aus Pappe oder Kartenpapier zu machen. (Kreuzer, leichtfällige Anleitung zum Zeichnen der Krystallflächen und Netze und zur Anfertigung der Krystallmodelle aus Pappe. 1858). Zu dem Ende muß man sich die Flächen construiren. Das Tetraeder aus 4 und das Oктаeder aus 8 gleichseitigen Dreiecken ergibt sich leicht. Die andern findet man auf der Projection, indem man die Fußpunkte der Kanten des Körpers sucht.



Gleichschenklige Dreiecke hat: der Pyramidenwürfel, der Endspitzenwinkel seiner Flächen liegt zwischen  $90^\circ$  (Würfel-  
fläche) und  $70^\circ 31\frac{1}{2}'$  (Granatoederfläche). Construiren wir uns also einen rechten Winkel  $\sin : \cos = 1 : 1 = oa : oa$ , so ist  $aa' = \sqrt{2}$ ; machen wir  $ob = aa' = \sqrt{2}$ , so ist Winkel  $b = 70^\circ 31\frac{1}{2}'$  der Winkel der Granatoederfläche.

Alle Dreiecke zwischen diesen beiden geben Pyramidenwürfel. Der gewöhnliche  $a : 2a : oa$  hat Dreiecke, worin die halbe Basis zur Höhe  $= 2 : \sqrt{5}$ , wie aus der Projection leicht folgt. Mache ich also ein rechtwinkliges Dreieck, worin die Katheten sich wie  $2 : 1$  verhalten, so ist die Hypotenuse  $\sqrt{5}$ . Die Endspitzenwinkel der Pyramidenoktaeder liegen zwischen  $120^\circ$  und  $109^\circ 28\frac{1}{2}'$ . Ziehe ich in einem gleich-



seitigen Dreieck nach dem Mittelpunkt  $a$ , so hat das Dreieck  $cac$   $120^\circ$ , folglich  $\sin : \cos = co : ao = 1 : \sqrt{\frac{1}{3}}$ ; die eine Grenze. Macht man jetzt  $od = oc$ , so ist  $cd = \sqrt{2}$ , trägt man  $\frac{1}{2}cd = \sqrt{\frac{1}{2}}$  nach  $ob$ , so ist  $cbc$  die andere

Grenze. Zwischen  $a$  und  $b$  liegen also die Spitzen sämtlicher möglichen Dreiecke. Die Dreiecke der Pyramidenoktaeder  $a : a : 2a$  haben das Verhältniß halbe Basis zur Höhe wie  $5 : 3$ , was man aus der Projection leicht abliest. Die Pyramidentetraeder liegen zwischen  $120^\circ$  und  $90^\circ$ , der halbe Endkantenwinkel hat  $\sin : \cos = 2\sqrt{2} : \sqrt{3}$ , ein leicht zu findendes Verhältniß.

Der Rhombus des Granatoeders hat  $\sqrt{2} : 1$ . Die Deltoide des Leucitoeders  $a : a : \frac{1}{2}a$  haben im scharfen Winkel der Oктаedercken  $\sqrt{2} : \sqrt{3}$ , und im stumpfen der Würfelcken  $\sqrt{2} : \frac{1}{2}\sqrt{3}$ , eine leicht zu construierende Größe. Die Flächen des Deltoïdtetraeders  $a : a : 2a$  haben im

stumpfen Winkel wie oben 5:3, im scharfen Winkel dagegen 5:5, folglich hat die 3kantige Tetraederecke rechte Winkel, wie die Rechnung des Winkels lehrt. Eine überraschende Thatsache.

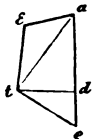
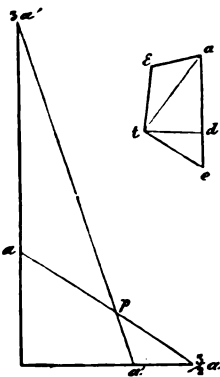
Die ungleichseitigen Dreiecke des Pyramidengranatoeders  $a : \frac{1}{2}a : \frac{1}{2}a$  pag. 70 sind durch drei Linien  $b : c : p = 1 : \frac{1}{2} : \frac{1}{2} \sqrt{14}$  gegeben, worin  $p$  das Perpendikel von der 2+2kantigen Pyramidenhecke  $d$  auf die Basis der Granatoederkante  $at$  ist. Denn die Pyramide erhebt sich  $(\frac{1}{2} - \frac{1}{2}) \sqrt{2} = \frac{1}{10} \sqrt{2}$  über der Granatoederfläche, die Kante des Granatoeders  $at = \frac{1}{2} \sqrt{3}$ , die gebrochene Oктаederkante  $ad = \frac{1}{2} \sqrt{13}$ . Uebrigens liegen die Dreiecke sämtlicher Pyramidengranatoeder zwischen den Dreiecken der Granatoederfläche von der Höhe  $\sqrt{\frac{1}{2}}$ , und der Leucitoederfläche von der Höhe  $\sqrt{\frac{1}{2}}$ . Da nun beide bekannt sind, so darf man nur ein beliebiges Zwischenstück wählen, um ein Pyramidengranatoeder zu bekommen, da ein jedes für die Anschauung genügt. Wenn die Zahlen für die Construction etwas unbequem werden, wie beim gebrochenen Pyramidentetraeder  $a : \frac{1}{2}a : \frac{1}{2}a$ , so darf ich in diesem Falle nur das Dreieck des zugehörigen 48-Flächners hinzeichnen, die gebrochene Würfelkante daran verlängern, und den Winkel an der gebrochenen Oктаederkante suchen, er ist  $\text{tg} = \sqrt{6,6666} = 68^\circ 50'$ . Trage ich diesen mit dem Transporteur an das andere Ende der Granatoederkante an, so ist das Dreieck gefunden. Für das gewöhnliche Pyramidengranatoeder tragen die ebenen Winkel des Dreiecks

$$\cos = \sqrt{\frac{2}{3}} \dots 36^\circ 48' \text{ Oктаederecke;}$$

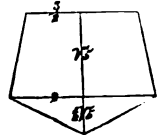
$$\cos = \sqrt{\frac{2}{3}} \dots 56^\circ 15' \text{ Würfeldecke;}$$

$$\cos = \sqrt{\frac{1}{3}} \dots 86^\circ 56' \text{ zweiundzweikantige Ecke.}$$

Von denselben sind beliebige zwei an eine Linie anzulegen, um sofort das Dreieck zu haben.

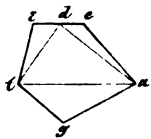


Das gewöhnliche Pyritoeder  $a : \frac{1}{2}a : \infty a$  hat bestehende Diagonalen.  $2 : \sqrt{5}$  sind bereits durch den zugehörigen Pyramidenwürfel bestimmt, die übrigen Linien finde ich leicht, indem ich nur einen Aufriß durch 4 Pyramidenhecken lege.



Die Fläche des gebrochenen Pyritoeder pag. 76  $a : \frac{1}{2}a : \frac{1}{2}a$  entwickeln wir aus dem Dreieck des gleichnamigen 48-Flächners, was wir kennen, wir brauchen dann außer der gebrochenen Würfelkante  $\omega$  nur die Mediankante  $o$  des gebrochenen Pentagons zu kennen, welche durch Verlängerung

der gebrochenen Oктаederkante der 48-Flächner  $= \frac{1}{2}\sqrt{13}$  entsteht. Machen wir uns den Aufriß in der Würfel-Fläche, so geht die Mediankante  $o$  von  $a : \frac{3}{2}a$ , ihr kommt von unten die Kante  $\omega = a' : 3a'$  entgegen, daraus ergibt sich der Zonenpunkt  $p = (\frac{3}{2}a, \frac{3}{2}a)$ , da Kante  $a\frac{3}{2}a = \frac{1}{2}\sqrt{13}$  ist, so muß  $ap : \frac{1}{2}\sqrt{13} = \frac{3}{2} : \frac{3}{2}$ ,  $ap = \frac{3}{2}\sqrt{13}$  sein. Ebenso leicht findet man die gebrochene Würfelkante  $a'p = \frac{1}{2}\sqrt{10}$ . Verzeichnen wir uns also das Dreieck  $adt$  des 48-Flächners, so ist die Kante  $ad = \frac{1}{2}\sqrt{13}$ , der Punkt  $t$  in der Würfel-Ecke bleibt, folglich verlängern wir  $ad$  über  $d$  um das Stück  $(\frac{3}{2} - \frac{1}{2})\sqrt{13} = \frac{1}{2}\sqrt{13}$  hinaus, beschreiben wir nun mit  $ae = a'p$  um  $e$  und mit  $te$  um  $t$  Kreisbögen, so wird der Punkt  $e$  bestimmt, und das  $2+1+1$ kantige Trapezoid  $aets$ , worin  $te = ts = p$  ist gefunden.



Die  $2+2+1$ kantigen Fünfecke des Gyroeder (Granatoeder, Neumann Beitr. Krystallogonomie 1823 pag. 113)  $a : \frac{1}{2}a : \frac{1}{2}a$  knüpfen wir ebenfalls an das Dreieck des zugehörigen Pyramidengranatoeders. Die Dachkante verhält sich zur Granatoederkante wie  $2 : 5$ , denn die Flächen der Dachkante gehen nach  $\frac{2}{5}d$ , und die quer gegen die Dachkante liegenden nach  $\frac{3}{5}d$ , woraus das Verhältniß folgt. Zeichne nun das Dreieck  $adt$ , lege durch  $d$  die Dachkante  $es = \frac{2}{5}at$  und zwar so, daß sie in  $d$  halbiert wird. Beschreibe dann mit  $ae$  um  $a$  und  $ts$  um  $t$  Kreisbogen, so ist  $atesg$  das gesuchte Fünfeck.

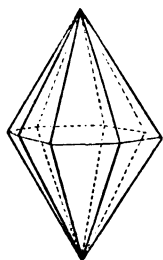
Fortschritt zu den folgenden Systemen. 1) Die Körper des regulären Systems haben nach ihren Hauptachsen eine dreifache Stellung; 2) stellen wir jetzt das Oктаeder nach Einer Axe aufrecht, d. h. legen wir es auf die Würfel-Fläche, so haben wir die 4gliedrige Ordnung; 3) auf die Oктаeder-Fläche gelegt kommt die 3gliedrige Ordnung; 4) auf die Granatoeder-Fläche gelegt zeigt sich zweigliedrige Ordnung; 5) auf Leucitoeder-, Pyramidenoktaeder- oder Pyramidenwürfel-Fläche gelegt kommt  $2+1$ gliedrige Ordnung, endlich 6) auf eine Fläche der 48-Flächner gelegt ist eingliedrige Ordnung. So führt uns jedes folgende System zugleich zur tiefern Einsicht in das reguläre.

### Viergliedriges System

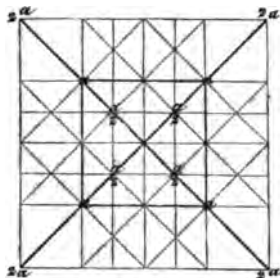
Pyramidales Mohs, Tetragonales Raumann, Monobimetrisches Hausmann.

Die Hauptaxe  $c$  wird länger oder kürzer als die Nebenachsen  $aa$ , wir bekommen dann scharfe oder stumpfe Oктаeder pag. 27. Das zugehörige Hexaid (viergliedriger Würfel) zerfällt in eine quadratische Säule (zweite Säule)  $a : \infty a : \infty c$  mit Geraden-Fläche  $c : \infty a : \infty a$ . Das zugehörige Dodekaëd pag. 41 gibt eine weitere quadratische Säule  $a : a : \infty c$  (erste Säule) mit dem nächsten stumpfern Oктаeder  $a : c : \infty a$ . Das Leucitoeder gibt das zweite stumpfere Oктаeder  $c : 2a : 2a$ , darunter liegt ein Vierundvierkantner (schlechthin Vierkantner)  $c : a : \frac{1}{2}a$ , daran gehen 4 Kanten von  $c : a$  und vier von  $c : \frac{1}{2}d$ , jene die scharfen, diese

die stumpfen Endkanten bildend. Acht ungleichseitige Dreiecke bilden das Maximum gleicher Flächen in diesem System. Selbstständig kommt ein solcher Körper kaum vor, man kann ihn als ein gebrochenes Oktaeder ansehen, daher nannte ihn schon der Engländer Hill im vorigen Jahrhundert Diocetaeder. Das Pyramidenoktaeder zerfällt in einen obern Vierkantner  $c : a : 2a$ , und in ein zweites schärferes Oktaeder  $c : \frac{1}{2}a : \frac{1}{2}a$ . Der Pyramidenwürfel gibt ein drittes stumpferes Oktaeder  $c : 2a : \infty a$ , ein nächstes schärferes Oktaeder  $c : \frac{1}{2}a : \infty a$ , und eine vier und vierkantige Säule  $a : 2a : \infty c$ , welche die quadratische Säule des Würfels zuschärft. Endlich geben die Polyeder dreierlei Vierkantner: zwei oberste Flächen dem gebrochenen Leucitoide, zwei unterste dem gebrochenen Pyramidenoktaeder entsprechend, und die beiden zwischenliegenden.



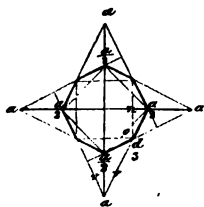
Häufig entwickelt sich die Oktaeder in einer fortlaufenden Reihe von stumpfern und schärfern, wie die nebenstehende Projection zeigt: Mohs (Gilberts Annalen 1821) wählte daraus ein Grundoktaeder, und gründete darauf eine nicht sonderlich zweckmäßige Bezeichnung, indem er  $a : a : c = P$  setzt, mit  $+n$  das  $n$ te schärfere und mit  $-n$  das  $n$ te stumpfere Oktaeder bezeichnete. Sein Schüler Haibinger gab das unbequeme Zeichen wieder auf, und näherte sich dem Naumann'schen Symbol. Beide legen die Oktaeder durch die Einheit  $a$ , und setzen der  $P$  den Axenschnitt von  $c$  vor. So einfach die Sache auch sein mag, so entschwindet sie doch immer wieder dem Gedächtniß. Hätte Naumann mit uns  $c = 1$  gesetzt, da sie die einzige Axe ist, so wären die Zeichen viel leichter zu behalten.



	Weiß.	Mohs.	Haib.	Naum.
$a : a$	$= c : a : a$	$= P$	$= P$	$= P$
$a : \infty a$	$= c : a : \infty a$	$= P-1$	$= P'$	$= P\infty$
$2a : 2a$	$= \frac{1}{2}c : a : a$	$= P-2$	$= \frac{1}{2}P$	$= \frac{1}{2}P$
$\frac{1}{2}a : \infty a$	$= 2c : a : \infty a$	$= P+1$	$= 2P'$	$= 2P\infty$
$\frac{1}{2}a : \frac{1}{2}a$	$= 2c : a : a$	$= P+2$	$= 2P$	$= 2P$
$0a : 0a$	$= \infty c : a : a$	$= P+\infty$	$= \infty P$	$= \infty P$
$0a : a$	$= \infty c : a : \infty a$	$= (P+\infty)$	$= \infty P'$	$= \infty P\infty$
$\infty a : \infty a$	$= c : \infty a : \infty a$	$= P-\infty$	$= 0P$	$= 0P$

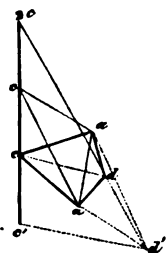
Sobald bei Mohs die Oktaeder nicht in diese Reihe gehören, so denkt er ebenfalls  $c$  verlängert und schreibt dann  $a : a : mc = Pm$ , entwickelt aber wieder darnach Reihen, so daß z. B.  $Pm-1 = mc : a : \infty a$ , d. h. das nächste stumpfere von  $Pm$  ist!

Vierkantner (Diocetaeder) bilden alle Ausdrücke, welche die Axen  $a$  ungleich schneiden. Da das, was einer der zwei Axen  $a$  geschieht,



auch der andern geschehen muß, so gehören notwendig jedem Quadranten zwei Sectionslinien an. Jede der vier gleichen Endkanten bestimmen ein Oктаeder. Hätten wir z. B.  $v = a : \frac{1}{2}a$ , so läge in den Endkanten  $c : \frac{1}{2}a$  das Oктаeder  $o = \frac{1}{2}a : \frac{1}{2}a$ , und in der Endkante  $c : \frac{1}{2}d$  das Oктаeder  $n = \frac{1}{2}a : \infty a$ .

Die abwechselnden Flächen des Vierkantners haben ein Quadrat zur Basis, schließen daher ein Oктаeder ein. Naumann nahm  $\frac{1}{2}a : \frac{1}{2}a = 2P$  als Grundoktaeder, und leitete daraus den Vierkantner ab, indem er dahinter das Vorzeichen der größern Axe  $a$  setzt, also  $c : a : \frac{1}{2}a = 2c : 2a : a = 2P2$ . Die vier und vierkantige Säule  $\infty c : a : \frac{1}{2}a = \infty c : 2a : a = \infty P2$ . Viel unnatürlicher ist das Zeichen von Mohs.



Es beruht auf folgender Darstellung: man habe ein beliebiges Grundoktaeder  $c : a : a$ , construire aus dem Dreieck der Oктаederfläche das Parallelogramm  $caad'$ , indem man  $ad'$  wechselseitig der  $ac$  parallel zieht, dann ist  $c'd'$  die diagonale Zwischenaxe  $d$ . Verlängert man die Axe  $oc$  bis  $2c$ , so bestimmt die Linie  $2c \cdot d'$  in der Ebene  $oaa$  einen Punkt  $d$ , welcher dem gesuchten Vierundvierkantner angehört. Es verhält sich aber  $c'd' : od = 3c : 2c$ ,  $od = \frac{2}{3}d$ , folglich muß nach dem Kantenzonengesetz der

Vierkantner  $a : 2a$  gehen, da  $1 + \frac{1}{2} = \frac{3}{2}$  ist. Hädinger gibt diesem Körper  $2c : a : 2a$  das Zeichen  $Z2$  und Mohs das allgemeine  $(P+n)^2$ , worin  $P+n$  allgemein das Oктаeder bezeichnet, und  $2$  die Zahl, um welche ich die Axe  $c$  verlängert habe. Allgemein

$$1) P \pm n)^m = a : ma : m2^{\frac{+n}{2}}c; \quad 2) qP \pm n = a : a : q2^{\frac{+n}{2}}c;$$

$$3) (qP \pm n)^m = a : ma : m \cdot q \cdot 2^{\frac{+n}{2}}c.$$

Beispiel.  $i$  Vesuvian  $= (P-2)^3$ , folglich nach erster Formel

$$m=3 \text{ u. } n=-2, \text{ oder } i = a : 3a : 3 \cdot 2^{-1}c = a : 3a : \frac{3}{2}c = \frac{1}{2}a : a : \frac{1}{2}c; \text{ z Ves}$$

uvian  $= (P-1)^3$ , folglich  $m=3, n=-1$ , oder  $z = a : 3a : 3 \cdot 2^{-\frac{1}{2}}c = \frac{1}{2}a\sqrt{2} : a\sqrt{2} : c$ . Es ist aber  $a\sqrt{2}$  die diagonale Zwischenaxe  $d$ , daher  $z = \frac{1}{2}d : d : c$ , woraus sich leicht mittelst der Sectionslinienformel pag. 47 die

$$\text{Arenschnitte } a \text{ berechnen lassen, nämlich } \frac{2}{3+1}a : \frac{2}{3-1}a : c = \frac{1}{2}a : a : c = z.$$

Beim Anatas ist  $r = \frac{2}{3}P - 4$ , folglich in der 2ten allgemeinen Formel

$q = \frac{2}{3}, n = -4$  zu setzen, gibt  $r = a : a : \frac{2}{3} \cdot 2^{-\frac{4}{2}}c = a : a : \frac{1}{3}c$ ; für die kleine Vierkantnerfläche an brasilianischen Krystallen  $s = (\frac{2}{3}P - 7)^4$  ist nach der dritten Formel  $q = \frac{2}{3}, n = -7, m = 4$ , folglich

$$s = a : 4a : 4 \cdot \frac{2}{3} \cdot 2^{-\frac{7}{2}}c = a : 4a : 4 \cdot \frac{2}{3} \cdot \frac{1}{8 \cdot \sqrt{2}}c = \frac{1}{2}a\sqrt{2} : 2a\sqrt{2} : \frac{1}{3}c =$$

$$\frac{1}{2}d : 2d : \frac{1}{3}c = \frac{2}{2+\frac{1}{2}}a : \frac{2}{2-\frac{1}{2}}a : \frac{1}{3}c = \frac{4}{5}a : \frac{4}{3}a : \frac{1}{3}c.$$

Wollte man ein kurzes und unzweideutiges Symbol für die Flächen, so müßte c, da sie einzig ist, = 1 gesetzt werden, aber nicht eines der a.

1) Oktaeder erster Ordnung  $c : ma : ma = mam$ ;  
zweiter Ordnung  $c : ma : ooa = maoo$ .

2) Säulen: 1ste Säule  $a : a : ooc = Oa : Oa : c = Oa0$ ;  
2te Säule  $a : ooa : ooc = Oa : a : c = Oa1$ .

3) Geradenfläche  $c : ooa : ooa = ooaoo$ .

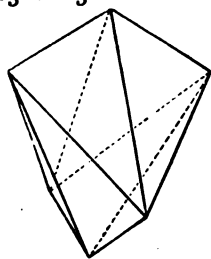
4) Vierundvierkantige Säulen  $a : ma : ooc = oa : \frac{ma}{oo} : c = Oam0$ .

5) Vierundvierkantner  $c : ma : na = man$ .

Es ist dabei ganz gleichgültig, welchen Buchstaben man vor- oder hintersezt, denn man darf nur  $c = 1$  und a hinten hinzudenken, so kommt immer das volle Zeichen. Gerade so bezeichnet man die Flächen des regulären Systems. Wir benützen diese Symbole nicht, weil wir sie überhaupt nicht für sonderlich nothwendig halten. Wenn man aber einmal Symbole macht, so kann nur auf diese Weise dem Irrthume des Gedächtnisses vorgebeugt werden.

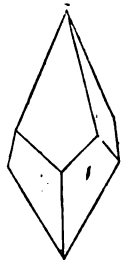
Hemiedrie. Ist zwar nicht mehr so wichtig, wie im regulären System, doch kommen einige interessante Fälle vor:

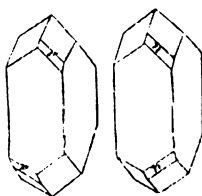
a) Tetraedrische Hemiedrie. Das viergliedrige Tetraeder (Sphenoid) haben wir schon oben pag. 27 kennen gelernt, es ist 4 + 2antig. Die Geradenfläche stumpft die 2 Kanten, die 2te quadratische Säule die 4 Kanten und die erste quadratische Säule die 4 Ecken ab. Der Vierkantner muß natürlich ein **gebrognes Tetraeder** (Disphen, tetragonales Stalenoeder) geben. Es wird von 8 ungleichseitigen Dreiecken eingeschlossen, hat daher 4 + 4 + 4 Kanten, von denen keine der andern parallel geht. Beim Kupferkies kommt diese Hemiedrie schön vor.



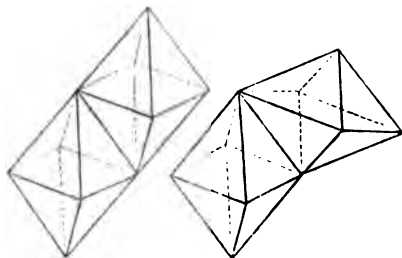
b) Pyritoedrische Hemiedrie würde aus dem Vierkantner ein zweigliedriges Oktaeder machen, und aus den Oktaedern zweigliedrige Paare. Zweigliedrige Oktaeder, worin b ein rationales Multiplum von a ist, könnten unter gewissen Umständen für hemiedrisch genommen werden.

c) Gyroedrie. Kommt ausgezeichnet bei Vierkantnern vor. Ich darf nur auf eine Fläche 0 schreiben, und auf die anliegende 1 zc. Den Körper hat Naumann **Trapezoeder** genannt. Es sind zwei an beiden Enden gegen einander verdrehte Oktaederhälften, wodurch an den Seitenecken 4 + 4 Zickzackanten entstehen. Man kann übrigens den Vierkantner auch in zwei viergliedrige Oktaeder von Zwischenstellung (die nicht zu den beiden Ordnungen von Oktaedern gehören) zerlegen, diese erzeugen dann keine Drehung. Sowie auch die vierundvierkantige Säule in zwei quadratische Säulen von Zwischenstellung zerfällt. Beispiele Tungstein und Scheelbleierz. Es kommen die Flächen nur selten untergeordnet vor. Man macht sich die





Sache am besten am **viereckigen Dodekaeder** klar:  $v$  zeigt die gedrehte Hemieddie, und  $n$  die nicht gedrehte; letztere gibt ein Oktaeder von Zwillingstellung, erstere ein Trapezoeder.



**Zwillinge.** Nimmt man zwei gleiche Oktaeder und legt sie mit ihren Endkanten in symmetrischer Lage aneinander, so sind zwei Stellungen möglich: entweder liegen die Oktaeder parallel (1), oder nicht parallel und umgekehrt (2), letzteres ist der Zwilling. Statt der Endkanten lassen sich auch die Flächen des nächsten stumpferen Oktaeders denken. Mathematisch ausgedrückt: beide Individuen haben die Fläche des nächsten stumpferen Oktaeders gemein, und

sind  $180^\circ$  um eine Linie (Zwillingsaxe) verdreht, die senkrecht auf der gemeinsamen Fläche steht. Bei diesen Zwillingen spiegeln zwei Flächen ein, welche eine geschobene Säule bilden, die andern beiden Flächen machen einspringende Winkel, wie die augitartigen Paare bei den Schwalbenschwanzzwillingen des Gypses. Beim Kupferkies, Scharfmanganerz u. kommen als Maximum Fünflinge vor, indem an jede der vier Endkanten des Hauptoktaeders sich ein Individuum legt. Siehe Zinnstein, Rutil.

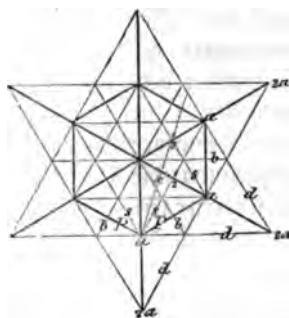
### Dreiundeinaxige Systeme.

Hexagonales Naumann, Monotrimetrisches Hausmann.

Es gibt deren zwei: dreigliedriges und sechsgliedriges System pag. 29. Beide gehen jedoch ineinander über, wie ihre Entwicklung aus dem regulären Systeme beweist.

#### a) Sechsgliedriges System.

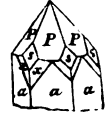
Dihexaedrisches.



Es geht aus dem Dihexaeder  $P=a:a:\infty:c$  pag. 30 hervor. Die Enddecke wird durch die Geradenfläche  $c:\infty:a:\infty$  gerade abgestumpft, welche wir zur Projectionsebene wählen. Die erste sechseckige Säule  $a:a:\infty:\infty$  stumpft die Seitenkanten gerade ab, ihre Sectionslinien fallen mit den Axen  $a$  zusammen; die 2te sechseckige Säule  $b=a:\frac{1}{2}a:a:\infty$  stumpft die Seitenecken ab, und ihre Sectionslinien fallen mit den Zwischenaxen  $b$  zusammen. Alle Zwischenlinien von  $a$  und  $b$  im Mittelpunkt gehören

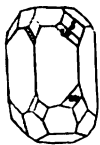
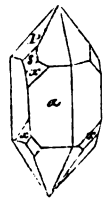
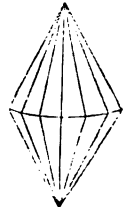


6 + 6 kantigen Säulen an, sie schneiden die sämtlichen  $a$  ungleich, und gehen der Axe  $c$  parallel. Stumpft man die Endkanten des Dihexaeders durch das nächste stumpfere Dihexaeder ab, so ergibt sich der Flächenausdruck  $d = 2a : a : 2a : c$ . Häufiger kommt das nächste schärfere  $s = a : \frac{1}{2}a : a : c$  vor, welches in zwei abwechselnde Endkanten des Dihexaeders fällt. Construiren wir uns aus **Pas nebenstehenden Körper**, so leuchtet ein, daß die Kanten  $P/s$  und  $s/a$  an jedem Ende des Krystalls 12mal vorhanden sind. Wird die Kante  $s/a$  durch  $x = a : \frac{1}{2}a : \frac{1}{2}a : c$  abgestumpft, so muß diese Fläche in jedem Sextanten zweimal auftreten, also die größtmögliche Flächenzahl, einen Sechsendsechskantner (kurz Sechskantner, dihexagonale Pyramide) geben. Denselben kann man als ein gebrochenes Dihexaeder ansehen, woran 6 Endkanten den Flächen und 6 den Endkanten des eingeschriebenen Dihexaeders entsprechen. Beim Beryll kommt eine solche Vollzähligkeit aber nur untergeordnet vor, man hat daher diese Körper mit 24 ungleichseitigen Dreiecken auch

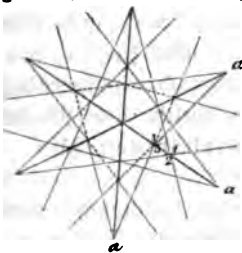


Berylluide genannt. Gewöhnlich geht man von ihnen als dem allgemeinsten Flächenausdruck  $c : \frac{a}{m} : \frac{a}{n} : \frac{a}{n-m}$  aus, und ge-

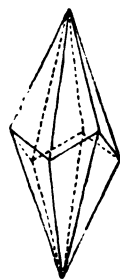
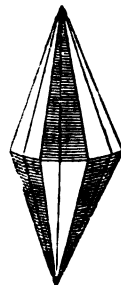
langt durch Hälftflächigkeit zu dem dreigliedrigen System. Zunächst ist wie bei dem Vierkantner beistehende doppelte Hemiedrie möglich: schreibt man nemlich auf eine Fläche des Sechskantners 1 und auf die anliegenden 0, so bilden die wachsenden 1 eine Gyroedrie, wie beim Quarze, wo die Trapezflächen  $x$  oben und unten an einer Säulenkante nicht mit einander correspondiren: in diesem ersten Falle ist die obere Dihexaederhälfte gegen die untere um weniger als  $60^\circ$  verdreht. Im zweiten Falle correspondiren, wie beim Apatit, die Hälftflächner  $u$  miteinander, dann ist es ein einfaches Dihexaeder von Zwischenstellung, das sämtliche Axen  $a$  ungleich schneidet. Denn aus der Projection des Sechskantners geht hervor, daß er aus zwei Dihexaedern von Zwischenstellung besteht, die sich symmetrisch kreuzen.



Theilen wir uns den Sechskantner nach dem eingeschriebenen Dihexaeder, d. h. schreiben wir auf eine gebrochene Dihexaederfläche 0, auf die anliegenden



1  $x$ , so geben die wachsenden 1 einen Dreiunddreikantner (kurz Dreikantner oder gebrochenes Rhomboeder), und wie aus der Projection folgt, so kann man jeden Sechsk-



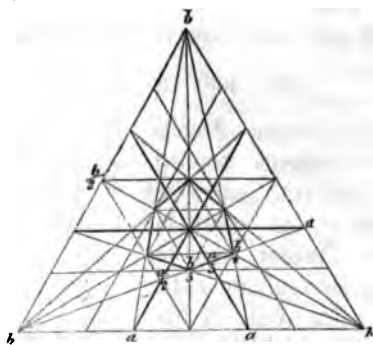
kantner aus zwei durchwachsenen Dreikantnern 1 und 0 entstanden denken: Dreikantner und Gegendreikantner, dieser ergänzt jenen zu einem Sechskantner. Auf dieselbe Weise kann man endlich das Rhomboeder als den Hälftflächner eines Dihexaeders ansehen pag. 29.

### b) Dreigliedriges System.

#### Rhomboedrisches.

Dasselbe hat zum allgemeinsten Körper obigen Dreikantner (Skalenoeder) von 12 ungleichseitigen Dreiecken begrenzt, in der 3+3kantigen Endecke laufen die drei stumpfen und drei scharfen Endkanten zusammen, während die sechs 2+1+1kantigen Seitenecken im Zickzack durch die Seitenkanten verbunden werden. Projiciren wir uns z. B. den gewöhnlichen Dreikantner des Kalkspathes

$$c : \frac{a}{1} : \frac{b}{4} : \frac{a}{3} : \frac{b}{5} : \frac{a}{2} : \frac{b}{1},$$



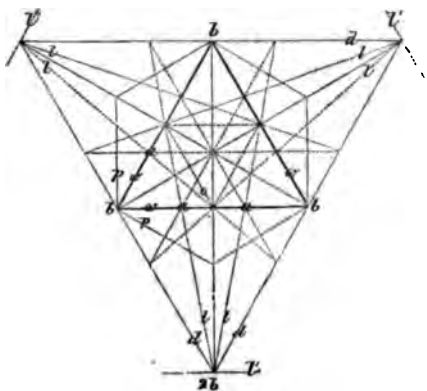
so geht die scharfe Endkante,  $c : \frac{1}{4}b$ , die stumpfe  $c : \frac{1}{3}b$ , die Seitenkante  $c : b$ . Eine Fläche  $b : b$  durch die Seitenkanten gelegt gibt das Hauptrhomboeder  $a : a : \infty a$ ; eine weitere durch die scharfen Endkanten  $\frac{1}{4}b : \frac{1}{4}b$  gibt  $\frac{1}{4}a : \frac{1}{4}a : \infty a$ ; endlich durch die stumpfen  $\frac{1}{3}b : \frac{1}{3}b$  gibt  $\frac{1}{3}a : \frac{1}{3}a : \infty a$ . Würde man diese dreierlei Kanten gerade abstumpfen, so gäbe die Abstumpfung der Seitenkanten die zweite sechsseitige Säule  $b = a : \frac{1}{4}a : a : \infty c$ ; die Abstumpfung der scharfen Endkante  $\frac{1}{4}b$

gäbe  $\frac{1}{4}a : \frac{1}{4}a : \infty a$ , und der stumpfen  $\frac{1}{3}b$  gäbe  $\frac{1}{3}a : \frac{1}{3}a : \infty a$ , so daß mit jedem Dreikantner außer der Säule und dem Hauptrhomboeder noch vier weitere Rhomboeder gegeben sind, die sich leicht aus dem Zeichen ableiten lassen. Da nun aber die Axenausdrücke der Körper des dreigliedrigen Systems nur die Hälfte der Sextanten füllen, so setzen viele dem Ausdrucke  $\frac{1}{2}$  vor, so daß also der Dreikantner  $\frac{1}{2}(c : a : \frac{1}{4}a : \frac{1}{4}a)$  und das Rhomboeder  $\frac{1}{2}(c : a : a : \infty a)$  geschrieben werden müßte. Wir lassen die Zahl  $\frac{1}{2}$ , so oft keine Irrungen möglich sind, weg, denn diese versteht sich im Systeme von selbst, dagegen muß die Lage im Sextanten mit Sorgfalt angedeutet werden. Zu dem Ende gibt man dem Rhomboeder in den Seitenkanten des Dreikantners das Zeichen  $a : a : \infty a$ , und alle Rhomboeder, die ihre Fläche wie dieses liegen haben, also  $\frac{2}{3}a : \frac{2}{3}a : \infty a$  und  $\frac{1}{4}a : \frac{1}{4}a : \infty a$  läßt man ungestrichelt. Davon ist nun aber nothwendig die zweite Ordnung der Rhomboeder zu unterscheiden, welche ihre Fläche wie die Kanten des Hauptrhomboeders legen, diese strichelt man, also:

$$\frac{1}{2}a' : \frac{1}{2}a' : \infty a' \text{ und } \frac{1}{4}a' : \frac{1}{4}a' : \infty a'.$$

Am schwierigsten ist die Unterscheidung der beiden Ordnungen von Dreikantnern: alle erster Ordnung, welche ihren stumpfen Endkanten-

winkel wie die Fläche des Hauptrhomboiders legen, werden nicht gestrichelt; dagegen bekommen diejenigen 2ter Ordnung Striche, welche ihren stumpfen Winkel, wie die Kanten des Hauptrhomboiders legen. Weiß (Abhandl. Berliner Akad. Wissensch. 1823 pag. 217) unterscheidet außerdem an jedem Rhomboider, also auch am Hauptrhomboider, 3 Abtheilungen. Die erste Abtheilung schärft die Seitenkanten des Rhomboiders zu, sie müssen



also ihre Sectionslinien innerhalb des Dreiecks  $\omega/\omega$  haben, und alle diese sind ungestrichelt, denn ihr stumpfer Endkantenwinkel liegt wie  $\omega$ . Die beiden andern Abtheilungen schärfen die Endkanten des Hauptrhomboiders zu, unter diesen bildet das Dihexaeder (mit gleichen Endkantenwinkeln), welches ebenfalls die Endkante von  $\omega$  zuschärft, den Wendepunkt: alle Dreikantner, deren Sectionslinien zwischen Rhomboider  $\omega$  und Dihexaeder  $p$  liegen, haben ihren stumpfen Winkel noch wie  $\omega$ , sie gehören also der ungestrichelten 2ten Abtheilung an. Dagegen müssen alle außerhalb des Dihexaeders  $p$  gelegenen, welche also die in  $\omega/\omega$  liegenden drei Endkanten des Dihexaeders zuschärfen, ihren stumpfen Winkel wie die Kanten von  $\omega$  legen, also der gestrichelten 3ten Abtheilung angehören. Man sagt daher kurz: die beiden ersten Abtheilungen zwischen 2ter Säule und Dihexaeder sind in Beziehung auf Rhomboider  $\omega$  erster Ordnung, die zwischen Dihexaeder und nächstem stumpfen Rhomboider aber 2ter Ordnung. Es versteht sich daraus von selbst, daß am gestrichelten Rhomboider die Dreikantner der beiden ersten Abtheilungen ebenfalls gestrichelt sein müssen, nur die dritte Abtheilung nicht gestrichelt wird. Am besten wird das Verhältniß klar, wenn man wieder auf das reguläre System zurückgeht, und sich die Hauptflächen in dreigliedriger Stellung projecirt:

1) Würfel gibt uns das Hauptrhomboider  $\omega = a : a : \infty a$  mit rechten Winkeln in den Endkanten.

2) Oktaeder zerfällt in die Geradenfläche und das nächste schärfere  $o = \frac{1}{2}a' : \frac{1}{2}a' : \infty a$ , denn sein Rhomboider hat die Endkantenwinkel des Tetraeders, muß also vom Würfel abgestumpft werden. Die Geradenfläche  $c : \infty a : \infty a : \infty a$  haben wir zur Projectionsebene gewählt.

3) Granatoeder liefert das erste stumpfere Rhomboider  $d = 2a' : 2a' : \infty a$ , und die 2te sechsseitige Säule  $b = a : \frac{1}{2}a : a : \infty c$ , weil es die Kante des Würfels abstumpft.

4) Leucitoeder 112, die Kanten des Granatoeders abstumpfsend, muß die erste Säule  $a = a : a : \infty a$  und das 2te stumpfere Rhomboider  $l' = \frac{1}{2}a : \frac{1}{2}a : \infty a$  geben. Außer diesen bleibt aber noch der Dreikantner  $l = a' : \frac{1}{2}a' : 2a'$ , gestrichelt, weil er in der ersten Abtheilung der Kanten-

zone des nächsten stumpferen Rhomboeders liegt, und seinen scharfen Winkel wie Würfel  $\omega$  hat.

5) Pyramidenwürfel 120 bildet oben an seiner Enddecke ein Dihexaeder  $p = 3a : \frac{3}{2}a : 3a$ , und darunter liegt der beim Kalkspath so gewöhnliche Dreikantner  $p' = a : \frac{1}{2}a : \frac{1}{2}a$ , denn er schärft ja die Zickzackkanten des Würfels zu.

6) Pyramidenoktaeder  $a : a : \frac{3}{2}a$  stumpft die gebrochenen Würfelkanten des Leucitoeders ab, daher muß das obere Rhomboeder  $t = 8a' : 8a' : \infty a$ , das darunter liegende  $t' = \frac{4}{3}a' : \frac{4}{3}a' : \infty a$  haben, denn dieses stumpft die stumpfe Endkante  $c : \frac{2}{3}b$  des Dreikantners  $l$  ab. Jetzt bleibt nur noch der Dreikantner  $t'' = 2a' : \frac{1}{2}a' : \frac{3}{2}a'$  über, der z. B. beim Kalkspath (Nro. 38) schon vorkommt.

7) Pyramidengranatoeder  $a : \frac{1}{2}a : \frac{1}{2}a$  gibt uns oben ein Dihexaeder  $g = 6a : 3a : 6a$ ; darunter liegt Dreikantner  $g' = 4a' : a' : \frac{1}{2}a'$ ; dann folgt  $g'' = a' : \frac{3}{2}a' : \frac{3}{2}a'$ ; endlich die 6 + 6kantige Säule  $g'' = a : \frac{1}{2}a : \frac{1}{2}a : \infty c$ .

Denkt man sich also am regulären System irgend eine der trigonalen Axen etwas länger oder kürzer als die übrigen drei, so muß sogleich das System dreigliedrig werden, obgleich der Zonenzusammenhang gleich bleibt. Jedenfalls gelangen wir auf diese Weise zu folgender Einteilung:

1) Rhomboeder 1ster Ordnung  $ma : ma : \infty a : c = mam$ ;

2ter Ordnung  $ma' : ma' : \infty a' : c = ma'm$ .

2) Sechseckige Säulen: 1ste Säule  $a : a : \infty a : \infty c = 0a0$ ;

2te Säule  $a : \frac{1}{2}a : a : \infty c = 0a\frac{1}{2}0$ .

3) Geradenflächen  $c : \infty a : \infty a : \infty a = \infty a\infty$ .

4) Sechsecksechskantige Säulen  $a : \frac{a}{m} : \frac{a}{m-1} : \infty c = 0a\frac{0}{m}$ .

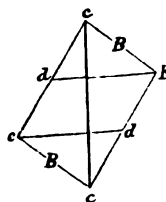
5) Dreikantner: 1ster Ordnung  $\frac{a}{m} : \frac{a}{n} : \frac{a}{n-m} : c = \frac{1}{m} a \frac{1}{n}$ ;

2ter Ordnung  $\frac{a'}{m} : \frac{a'}{n} : \frac{a'}{n-m} : c = \frac{1}{m} a' \frac{1}{n}$ .

6) Dihexaeder  $ma : \frac{1}{2}ma : ma = ma\frac{1}{2}m$ .

Blos der 6 + 6 Kantner kann aus dem regulären System nicht abgeleitet werden, man gelangt zu ihm durch ein dirhombloedrisches System. Siehe unten beim Zwilling.

**Rhomboeder.** Legt man eine Horizontalebene durch je drei der Zickzackecken, so theilen diese die ganze Axe  $c$  in drei gleiche Theile pag. 50. Es gilt diese Dreitheilung übrigens ganz allgemein für jedes Parallelepiped.



Häufig spricht man auch noch von seinen **Hauptschnitten**, d. h. drei Ebenen, welche respective den Flächen der zweiten sechseckigen Säule parallel gehen, also in der Axe  $c$ , der Endkante  $B$  und der schiefen Diagonale  $d$  liegen. Die Querlinien  $dE$  und  $de$  bilden die Durchschnitte obiger Horizontalebenen mit den Hauptschnitten, theilen daher  $cc$  in drei gleiche Theile und werden selbst im Verhältniß 1 : 2 geschnitten.

Mohs und Naumann bezeichnen nun die Rhomboeder so, daß sie alle in unserer Projection durch die Einheiten  $a:a$  gelegt denken, und dann das Verhältniß bezeichnen, unter welchem Aze  $c$  geschnitten wird.  $R$  bedeutet das Grundrhomboeder. Also

$$mR = a:a:oa:mc = \frac{a}{m} : \frac{a}{m} : oa:c.$$

Dies Zeichen ist wenigstens nur insofern zweideutig, als man immer merken muß, daß die Aze  $c$  und nicht die  $a$  verlängert gedacht werde.

Darnach wäre ein Zeichen  $\frac{1}{m}a$  besser. Mohs hat nun aber unglücklicherweise noch die Reihen hineinverwoben. Ein Rhomboeder  $3c:a:a:oa = 3R$  schreibt er  $\frac{3}{2}R+2$ , das soll heißen, daß 2te schärfere von einem Rhomboeder  $\frac{1}{2}R$ .  $R' = a':a':oa:c$  bezeichnet er mit  $-R$ , so ist also ein Rhomboeder  $-R-1 = \frac{1}{2}R = 2a:2a:oa:c$ , d. h. das nächste stumpfere vom Gegenrhomboeder.]

**Dreikantner (Stalenoeder).** Hier wird das Mohs'sche Zeichen wahrhaft hieroglyphisch, seine Schüler haben es daher längst verlassen, und sich dem Naumann'schen zugewendet. Dieser geht vom eingeschriebenen Rhomboeder der Seitenkanten des Dreikantners aus, verlängert die Hauptaxe  $c$ , und legt durch diesen Punkt und die Zickzackkanten Flächen. Das Symbol  $mRn$  be-

deutet daher ein Rhomboeder  $mR = \frac{a}{m} : \frac{a}{m} : oa:c$ , dessen Hauptaxe  $c$  bis  $nc$  verlängert ist, und von diesem Punkte  $nc$  werden 6 Flächen nach den Zickzackkanten des Rhomboeders  $mR$  gelegt. Leider sind durch dieses Zeichen für

die Fläche nur zwei Axenpunkte  $nc : \frac{a}{m}$  unmittelbar festgestellt, wir müssen also den dritten Ausdruck für die stumpfe Endkante  $nc:yb$  des Dreikantners suchen. Es verhält sich  $x : \frac{b}{2m} = pc:oc = \frac{1}{2}c:c$ ,  $x = \frac{2}{3m}b$ ; ferner  $\frac{2b}{3m} : yb = p : nc : o : nc = (n + \frac{1}{3})c : nc$ ,

$$yb = \frac{2nb}{3m(n + \frac{1}{3})}, y = \frac{2n}{3mn + m}.$$

Wir haben also damit

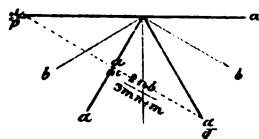
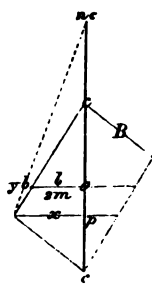
die drei Punkte  $nc : \frac{a}{m} : \frac{2nb}{3mn + m}$ . Projiciren wir dies, so findet sich

$$q = \left( \frac{3mn + m}{2n} - m \right) = \frac{mn + m}{2n}, \text{ und}$$

$$p = \left( m - \frac{mn + m}{2n} \right) = \frac{mn - m}{2n}, \text{ folglich}$$

$$\frac{a}{p} : \frac{a}{m} : \frac{a}{q} : nc = \frac{2n}{mn - m} a : \frac{a}{m} : \frac{2n}{mn + m} a : nc = \frac{2a}{mn - m} : \frac{a}{mn} : \frac{2a}{mn + m} : c = mRn.$$

Beispiel. Für  $R3$  ist  $m=1$ ,  $n=3$ , gibt  $a : \frac{1}{3}a : \frac{1}{3}a : c$ , den ge-



wöhnlichen Dreikantner;  $\frac{1}{4}R3$ ,  $m = \frac{1}{4}$ ,  $n = 3$ , gibt  $4a : \frac{1}{4}a : 2a : c = a : \frac{1}{4}a : \frac{1}{4}a : \frac{1}{4}c$ . Naumann bezeichnet ferner ein Dihexaeder  $a : a : \infty a : c = P$ , und  $a : a : \infty a : mc = mP$ . Den Sechskantner, welcher die Endkanten von  $mP$  zuschärft, schreibt er  $mPn = mc : a : na : \frac{n}{1-n}a$ . Dieses Zeichen läßt

uns doch wenigstens den Agenausdruck ablesen, indem  $m$  die Verlängerung von  $c$ , und  $n$  die Verlängerung des 2ten  $a$  bezeichnet. Der Ausdruck  $mP2 = mc : a : 2a : -2a = mc : 2a : a : 2a$  bezeichnet das nächste stumpfe Dihexaeder von  $mP$ . Hädinger setzt statt  $P$  den Buchstaben  $Q$  (Quarzoide).

Der Zusammenhang zwischen den allgemeinen Zeichen von Mohs und Weiß ist einfach folgender: hat eine Fläche den Ausdruck

$$\frac{a}{\mu} : \frac{b}{\mu + \nu} : \frac{a}{\nu} : \frac{b}{2\nu - \mu} : \frac{a}{\nu - \mu} : \frac{b}{\nu - 2\mu} : \frac{c}{\lambda}$$

worin  $b$  die Zwischenaxen pag. 60 bezeichnet, so kann man, wenn außer  $\frac{0}{\lambda}$  zwei beliebige gegeben sind, die übrigen vier durch einfache Addition

oder Subtraction der Nenner finden. Ist z. B.  $\frac{a}{\mu}$  und  $\frac{a}{\nu}$  gegeben, so findet sich der Nenner des dritten  $a$  durch Subtraction  $\nu - \mu$ . Der Nenner von je einem  $a$  ist stets  $\frac{1}{2}$  der Summe der anliegenden  $b$ , also

$$\nu = \frac{1}{2}(\mu + \nu + 2\nu - \mu), \quad \nu - \mu = \frac{1}{2}(2\nu - \mu + \nu - 2\mu),$$

$\mu = \frac{1}{2}(\mu + \nu - (\nu - 2\mu))$ . Die Nenner von  $b$  finden sich durch Addition der Nenner von den anliegenden  $a$ . Alles ist die Folge des Rantzenonengesetzes pag. 49.

Das allgemeine Mohs'sche Zeichen ist  $(P \pm n)^m$ , und wenn man dieses auf unser Zeichen zurückführen will, so findet der Zusammenhang statt:

$$(P \pm n)^m = \frac{1}{2}(-2)^{\pm n} c : \frac{b}{3m-1} : \frac{b}{3m+1}. \text{ Aus dem gegebenen } c \text{ und beiden } b \text{ kann man dann das volle Weiß'sche Zeichen leicht entwickeln.}$$

Beispiel. Im Dreikantner des Kalkspathes  $b^3 = (P-2)^3$  ist  $n = -2$  und  $m = 3$ , gibt

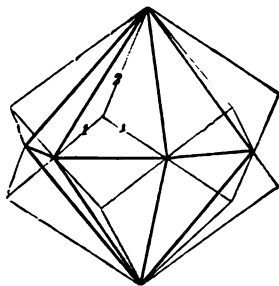
$$\frac{1}{2}(-2)^3 c : \frac{b}{9-1} : \frac{b}{9+1} = \frac{c}{8} : \frac{b}{8} : \frac{b}{10}.$$

Zwischen den beiden  $b$  muß  $\frac{a}{\frac{1}{2}(8+10)} = \frac{a}{9}$  liegen, folglich muß vor  $\frac{1}{2}b$  ein  $\frac{1}{2}a$  stehen, weil  $6+2=8$  ist, also folgt das Zeichen

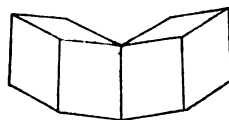
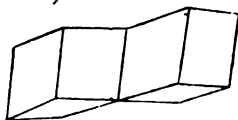
$$\frac{c}{8} : \frac{a}{2} : \frac{b}{8} : \frac{a}{6} : \frac{b}{10} : \frac{a}{4} : \frac{b}{2} = \frac{c}{4} : a : \frac{b}{4} : \frac{a}{3} : \frac{b}{5} : \frac{a}{2} : b.$$

Für  $e_2 = (P-1)^3$  ist  $n = -1$  und  $m = 3$ , also  $\frac{1}{2}(-2)^1 c = -\frac{1}{2}c$ , daher ist der Dreikantner  $\frac{1}{2}c : \frac{1}{4}b : \frac{1}{10}b$  zweiter Ordnung. Auf dieses Vorzeichen muß man deßhalb sehr achten. Wenn also  $n = 0$  ist, wie in den Zeichen  $(P)^3 = \frac{1}{2}c : \frac{1}{4}b : \frac{1}{10}b$ , so muß die Ordnung noch durch ein besonderes Vorzeichen angedeutet werden, es ist daher  $-(P)^3$  der Gegendreikantner von denselben Agenausdrücken.

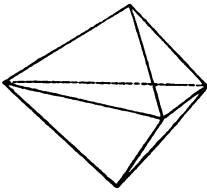
**Zwillinge.** Legt man zwei gleiche dreigliedrige Oktaeder pag. 29 mit ihrem gleichseitigen Dreieck auf einander, so gibt das das erste Zwillingsgesetz. Die Rhomboeder haben in dieser Weise die Hauptaxe c gemein, und sind gegen einander um  $60^\circ$  im Azimuth verdreht. Beim Kalkspath sind die beiden Zwillingeindividuen über einander gewachsen: es correspondiren dann beim Rhomboeder Flächen und Kanten an beiden Enden mit einander; beim Dreikantner die stumpfen mit den stumpfen, die scharfen mit den scharfen Endkanten. In den meisten Fällen



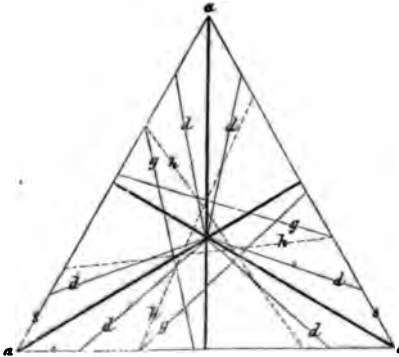
verrathen auch einspringende Winkel die Zwillingsgrenze. Durchwachsen sich die Rhomboeder, so stehen die Zickzackkanten des einen über die Flächen des andern hervor, die Kanten werden im Verhältniß  $1:1:2$  geschnitten, und das gemeinsame Kernstück ist ein Dihexaeder. Würden sich zwei Dreikantner durchwachsen (Dreikantner und Gegen dreikantner), so entstünde ein  $6+6$  Kantner. Legen wir obige dreigliedrigen Oktaeder mit ihren gleichschenkligen Dreiecken an einander, so kommt das zweite Zwillingsgesetz. Man kann auch zwei gleiche Rhomboeder nehmen: legt man diese mit ihren Endkanten in symmetrischer Lage an einander, so sind nur zwei Stellungen möglich: entweder liegen sie einander parallel, oder um  $180^\circ$  gegen einander verdreht (man sagt umgekehrt). Letztere eindeutige Stellung gibt den Zwilling. Gewöhnlich sind beide Rhomboeder verkürzt, man darf daher nur ein Rhomboeder parallel der Fläche des nächsten stumpfern halbiren, und beide Stücke auf der Halbiringsebene um  $180^\circ$  gegen einander verdrehen, so ist der Zwilling fertig. Es wird dadurch im Krystall eine zweigliedrige Ordnung hergestellt. Das steht in auffallender Analogie mit dem Oktaederzwilling des viergliedrigen Systems, der auch eine zweigliedrige Ordnung erzeugt, nur ist dort statt der Schiefendfläche ein augitartiges Paar auf der gemeinsamen Säule pag. 86. Oft wiederholen sich zahllose Platten über einander, die ungeraden gehören dem einen, die geraden dem andern Individuum an. Kalkspath liefert ein gutes Beispiel. Dihexaedrische Systeme sind weniger zu Zwillingbildungen geneigt. Das erste Hauptgesetz kann hier gar keinen Zwilling geben, weil die Sextanten durch die Flächen schon gleichmäßig ausgefüllt sind. Nur wenn, wie bei manchen Quarzen, die abwechselnden Dihexaederflächen glänzend und matt sind, entstehen jene höchst eigenthümlichen „damascirten“ Quarzzwillinge.



**Gyroedrie.** Nimmt man das Gyroeder pag. 77 in seiner dreigliedrigen Stellung, so bilden die drei obersten Flächen um die aufrechte trigonale Axe ein sogenanntes **Trigonoeder**, d. h. ein Rhomboeder, woran wie am Kalkspathzwillinge die untere Hälfte gegen die obere um  $60^\circ$



verdreht steht. Der Körper ist also eine Folge der Drehung, ohne daß man ihm Drehung ansieht. Die darunterliegenden Flächen geben zweierlei dreigliedrige Gyroide (Plagieder), Naumann's enantiomorphe Trapezoeder (Leonhard's Jahrb. 1856. 150): ein links- und ein rechts-gewundenes, wovon das eine das Spiegelbild des andern ist. Das Gyroid besteht aus zwei Rhomboederenden, die gegen einander weniger als  $60^\circ$  im Azimuth verdreht sind. Endlich kommt eine 3 + 3kantige Säule. Merkwürdiger Weise glaubte G. Rose (Abh. Berl. Acad. Wiss. 1844) beim Quarz eine solche Anordnung der Flächen nachweisen zu können. Das wäre eine der glänzendsten Errungenschaften der Krystallographie. Geht man, wie gewöhnlich, vom Sechskantner pag. 87 aus, so entsteht ein sechsgliedriges Gyroid (Diplagieder). Dieß läßt sich wegen seiner vierseitigen Flächen zwar nicht mehr mit 0 und 1 behandeln, allein man kann es doch auch als aus zwei Plagiedern entstanden denken, dann gäbe es einen tetartoedrischen Körper, wie Naumann wollte. Organischer scheint mir, es an das Gyroeder des regulären Systems anzuschließen. Man darf sich zu dem Ende nur die Hälfte projectiren, um sogleich einzusehen, daß im Trigonoeder s, ein Gyroid g, ein Gegengyroid h, und eine 3 + 3kantige Säule d, welche die abwechselnden Kanten der regulären sechseckigen Säule abstumpft, entsteht. Selbst die gewöhnliche sechseckige Säule kommt beim Turmalin nur hälftflächig vor, was man Hemimorphie nannte. Ja bei der Kalzspathsäule deuten die Aeffiguren nach Kobell (Sigh. Bay. Acad. Wiss. 1862 pag. 7) noch 3 + 3 Seiten an.



man kann es doch auch als aus zwei Plagiedern entstanden denken, dann gäbe es einen tetartoedrischen Körper, wie Naumann wollte. Organischer scheint mir, es an das Gyroeder des regulären Systems anzuschließen. Man darf sich zu dem Ende nur die Hälfte projectiren, um sogleich einzusehen, daß im Trigonoeder s, ein Gyroid g, ein Gegengyroid h, und eine 3 + 3kantige Säule d, welche die abwechselnden Kanten der regulären sechseckigen Säule abstumpft, entsteht. Selbst die gewöhnliche sechseckige Säule kommt beim Turmalin nur hälftflächig vor, was man Hemimorphie nannte. Ja bei der Kalzspathsäule deuten die Aeffiguren nach Kobell (Sigh. Bay. Acad. Wiss. 1862 pag. 7) noch 3 + 3 Seiten an.

### Zweiggliedriges System.

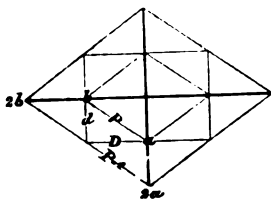
Prismatisches oder orthotypes Moß, rhombisches Naumann, trimetrisches Hausmann.

Es hat drei ungleiche rechtwinklige Axen abc, daher auch einundein-axiges System genannt. Axe c wird immer aufrecht gedacht und Hauptaxe genannt, während von den Nebenaxen a uns zugekehrt von vorn nach hinten und b von links nach rechts geht. Es ist hier nur von geringem Nutzen, aus dem regulären System die Körper abzuleiten, da wir es zu keiner vielseitigern Form als zum Oktaeder a : b : c pag. 30 bringen. Mögen wir die Axen auch schneiden, wie wir wollen, das allgemeinste Zeichen  $ma : nb : c$  kann nur mit vier Linien projectirt werden. Allen Oktaedern ist ein einziges rechtwinkliges Hexaid gemein,  $c : ooa : oob$ ,  $b : ooa : ooc$  und  $a : oob : ooc$ , es sind die dreierlei Flächen, welche die 2 + 3kantigen Ecken abstumpfen. Nur diese drei Ecken sind im Systeme

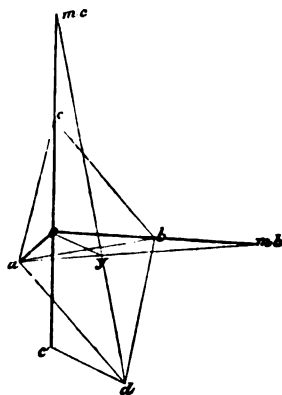


möglich. Dagegen hat jedes Oktaeder drei ihm zugehörige Paare, von denen nur eins verschiedenen Oktaedern gemeinsam sein kann. Jedes dieser Paare bildet eine rhombische Säule, deren Kante einer der drei Axen parallel geht, daher muß es drei Systeme von Paaren geben: 1stes System geht der Axe  $c$  parallel, also  $a:nb:\infty c$ , für  $n=1$  entsteht  $a:b:\infty c$  die Säule, von der man ausgeht; 2tes S. geht der  $b$  parallel, also  $c:ma:\infty b$ , und ist auf die vordere (stumpfe) Säulenkante gerade aufgesetzt; 3tes S.  $c:nb:\infty a$ . Haben wir also ein Oktaeder  $a:b:c$ , so bilden  $a:b:\infty c$ ,  $a:c:\infty b$  und  $b:c:\infty a$  die drei zugehörigen Paare, welche für sich ein zweigliedriges Dodekaëd pag. 42, mit dreierlei Parallelogrammen geben. Je zwei Paare davon bilden ein Oblongoktaeder. Wir bringen es also bloß zu drei einzelnen Flächen, drei Systemen von Paaren (Säulen) und zahlreichen Oktaedern.

Das allgemeine Symbol einer Fläche könnte man man oder nbm schreiben, wo dort am Ende  $b$  und hier a weggelassen gedacht würde, stets  $c=1$  gesetzt. Raumann bezeichnet das Hauptoktaeder mit einem Buchstaben  $P$  (Pyramide), ein Zeichen  $mP=mc:a:b$ , und  $\infty P=\infty c:a:b$ . Ist nun eine solche  $mP$  festgestellt, so verlängert er die  $b$  (Macrobiagonale) bis  $nb$ , und zeigt dieß durch einen Querstrich über  $P$  an, also  $mP_n=mc:nb:a$ . Das andere Mal denkt er die  $a$  (Brachydiagonale) bis  $na$  verlängert, und zeigt das durch ein Häkchen über  $P$  an, also  $mP_n=mc:na:b$ . Freilich vergißt man die Bedeutung des Häkchens und Striches leicht wieder. Noch ungleich gesuchter ist die Weise von Mohs: dieser geht auch vom Grundoktaeder  $P=a:b:c$  aus, denkt sich dann als nächstes stumpferes das zugehörige Oblongoktaeder  $d$  und  $D$ , und schreibt um dieses wieder ein Oktaeder  $2a:2b:c$ , dem er das Symbol  $P-1$  gibt, dann muß  $P-2=4a:4b:c=a:b:2^{-2}c$ , und  $P\pm n=a:b:2^{\pm n}c$  sein. Die Paare bezeichnet er mit



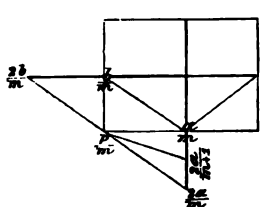
$Pr$  = Prisma, so daß  $Pr\pm n=a:\infty b:2^{\pm n}c$  und  $Pr\pm n=b:\infty a:2^{\pm n}c$  die zwei zugehörigen Paare zum Oktaeder  $P\pm n$  bilden. Zur Ableitung weiterer Oktaeder wird nun wie beim viergliedrigen System pag. 84 verfahren. Es sei eine allgemeine Oktaederfläche  $abc$  gegeben, wir construiren das Parallelogramm  $cadb$ , so ist  $c'd$  die diagonale Zwischenaxe. Axe  $oc$  bis  $mc$  verlängert, und von diesem Punkte nach  $d$  gezogen, muß die Linie  $mc:d$  die Axenebene  $aob$  in einem Punkt  $y$  treffen, der durch die Proportion  $c'd:yo=(m+1)c:mc$  bestimmt werden kann. Es ist aber  $c'd$  gleich der diagonalen Zwischenaxe  $d$ , folglich  $y=\frac{m}{m+1}d$ ; weil ferner  $y$  in der



Kantenzone liegt, so muß eine Linie von  $a$  nach  $\frac{m}{m+1}d$  gezogen die Axe  $b$  in  $mb$  schneiden. Das abgeleitete Oктаeder hat also den Ausdruck  $a:mb:mc = (P)m$ . Ganz auf dieselbe Weise finden wir das andere Oктаeder  $ma:b:mc = (P)m$ , weil dort die lange und hier die kurze Nebenaxe verlängert ist. Hätten wir statt des Oктаeders  $P$  ein Oктаeder  $P \pm n$  gewählt, so wäre  $(P \pm n)^m = a:mb:2^{\pm n}mc$  und  $(P \pm n)^m = ma:b:2^{\pm n}mc$  (Charakter. pag. 33). Mohs geht aber noch weiter, er leitet auch aus den Kanten der Oblongoktaeder andere Oктаeder ab. Haben wir demnach zwei Paare

$$Pr \pm n = a:ob:2^{\pm n}c \text{ und } Pr \pm n = b:oa:2^{\pm n}c,$$

und nehmen wir  $2^{\pm n}c$  als die Azeinheit  $c$ , so werden die Endkanten dieses Oblongoktaeders in der Kantenzone ( $a$ ,  $b$ ) liegen. Jetzt verlängern wir  $2^{\pm n}c$  um  $m$ mal, dann müssen die Projectionslinien dieser Flächen durch  $\frac{a}{m}$  und  $\frac{b}{m}$  gehen für die aufrechte Aze  $2^{\pm n}c$ . Endlich die Oктаeder-



fläche  $\frac{2a}{m} : \frac{2b}{m}$  gezogen, muß die Linie  $\frac{2a}{m+1}$  zwischen  $\frac{a}{m}$  und  $\frac{2a}{m}$  gelegen die Aze  $b$  in  $\frac{2b}{m-1}$  schneiden, weil  $\frac{m+1}{2} + \frac{m-1}{2} = m$  ist, nach dem bekannten Kantenzonengesetz, so daß ein Zeichen

$$(Pr \pm n)^m = \frac{2}{m+1} a : \frac{2}{m-1} b : 2^{\pm n} c,$$

$$(Pr \pm n)^m = \frac{2}{m-1} a : \frac{2}{m+1} b : 2^{\pm n} c \text{ wird. (Charakteristik$$

pag. 35.)

Beispiele. Zur Uebertragung der Mohs'schen in die Weiß'schen Formeln braucht man nur folgende 4 allgemeinste Ausdrücke:

$$1) (qP \pm n)^m = a:mb:mq2^{\pm n}c.$$

$$2) (qP \pm n)^m = ma:b:mq2^{\pm n}c.$$

$$3) (qPr \pm n)^m = \frac{2}{m+1} a : \frac{2}{m-1} b : q2^{\pm n}c.$$

$$4) (qPr \pm n)^m = \frac{2}{m-1} a : \frac{2}{m+1} b : q2^{\pm n}c.$$

An Braunmanganerz (Bogg. Ann. 7. 225) ist

$$g = (\frac{1}{3}P - 2)^3, \text{ folgl. } q = \frac{1}{3}, n = -2, m = 3,$$

gibt nach (1)  $g = a:3b:3 \cdot \frac{1}{3} \cdot 2^{-2}c = a:3b:c$ .

$m = P + 1$ , folglich  $q = m = n = 1$ , deßhalb geben Formel (1 und 2)

$$m = a:b:2c.$$

$h = (Pr - 1)^3$ , folglich in Formel (3)  $q = 1, n = -1, m = 3$ , gibt

$$h = \frac{2}{3+1} a : \frac{2}{3-1} b : 2^{-1}c = \frac{1}{2}a : b : \frac{1}{2}c.$$

$c = (\frac{2}{3}Pr - 1)^2$ , folglich in Formel (4)  $q = \frac{2}{3}$ ,  $n = -1$ ,  $m = 3$ , gibt

$$c = \frac{2}{3-1} a : \frac{2}{3+1} b : \frac{2}{3} \cdot 2^{-1} c = a : \frac{1}{2} b : \frac{1}{2} c.$$

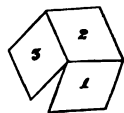
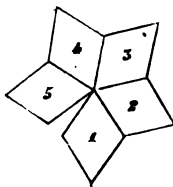
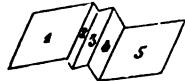
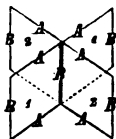
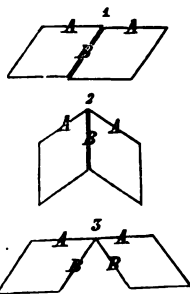
**Hemiedrie** kommt zwar selten im zweigliedrigen Systeme vor, allein es gibt doch eine ausgezeichnete tetraedrische beim weinsteinsäuren Kali (Weinstein, Tartarus), Haidinger nennt die zweigliedrigen Tetraeder pag. 28 daher **Tartaroides**, Naumann Rhombische **Sphenoide**. Vergleiche auch Zinkvitriol, Bittersalz, Braunmanganerz u. Pyritoedrische kann nicht vorkommen, weil überhaupt nur Paare parallel einer der Azen gehen.

**Zwillinge** spielen eine ausgezeichnete Rolle, sie richten sich gewöhnlich nach den rhombischen Säulen: die Krystalle haben irgend eine Säulenfläche gemein, und liegen umgekehrt, sie wachsen in dieser Stellung entweder aneinander, oder durcheinander. Man macht sich am leichtesten die Sache mit zwei einfachen rhombischen Säulen klar: Im 1ten Falle liegen beide parallel nebeneinander, und das ist kein Zwilling; im 2ten Falle haben sie B gemein, und A liegt umgekehrt, oder man sagt auch, das eine Individuum sei um das andere um  $180^\circ$  verdreht; im 3ten Falle haben sie A gemein, d. h. dieselben spiegeln, und die B liegen umgekehrt. Da aber im zweigliedrigen System  $A=B$  ist, so sind die Fälle 2 und 3 von einander nicht verschieden. Die Symmetrie bringt es mit sich, daß in der Ausdrucksweise „umgekehrt“ nichts Zweideutiges liegt.

Wachsen die Individuen in ihrer Zwillingsstellung durch einander, so fallen die Unterscheidungsmerkmale der beiden Fälle ganz weg, es ist ein und dasselbe Zwillingsgesetz.

Häufig reihen sich die Individuen in großer Zahl an einander, aber so daß die ungerader Zahl 1357 denen gerader Zahl 2468 parallel gehen. Es sind im Grunde nur zwei Individuen, welche sich in einander schränken. Nicht selten verengen sich die zwischenliegenden, werden oft so fein, daß sie nur an Streifungen erkannt werden, und zu der Meinung verleiten, man habe nur ein Individuum vor sich. Aragonit liefert vortreffliche Beispiele.

Drillinge bilden nur eine einfache Fortsetzung des Hauptgesetzes, und es hängt lediglich von der Größe des Säulenwinkels ab, wie viele sich um einen Punkt schaaren können. Beim Aragonit beträgt z. B. der Säulenwinkel  $116^\circ$  und  $64^\circ$ : schaaren sich also mit dem stumpfen Winkel drei Individuen, so bleibt noch ein Raum von  $360 - 3 \cdot 116 = 12^\circ$ , in welches kein vollständiges viertes geht; mit



scharfem Winkel können sich dagegen 5 an einander legen, und es bleibt noch ein Raum von  $360 - 5 \cdot 64 = 40^\circ$ , in welchen kein vollständiges sechstes hinein paßt. Siehe noch den Binarkies. Uebrigens brauchen die Individuen sich nicht bloß um einen Punkt anzuhäufen, sondern jedes kann wieder zu neuen Anlagerungen Anlaß geben, sie durchwachsen sich, und legen uns so eine Menge Schwierigkeiten in den Weg, die wir nicht immer zu durchschauen im Stande sind. Beträgt der stumpfe Säulenwinkel  $120^\circ$ , oder kommt er diesem nahe, so füllen drei Individuen mit ihren stumpfen Winkeln den Raum vollkommen aus; verwischen sich dann die Zwillingsgrenzen, so entsteht eine reguläre sechsseitige Säule, und vollständige sechs-gliedrige Entwicklung. So ist es z. B. beim Silberkupferglanz, Arsenkies, Chrysoberyll. Es wird auch hier durch den Drilling eine höhere Symmetrie hingestellt. Selten kommt es bei einem Systeme vor, daß sich nach verschiedenen Säulen Zwillingsverwachsungen zeigen, wie z. B. beim Arsenkies und Binarkies.

Eine eigenthümliche Verwandtniß hat es mit dem Kreuzstein und Staurolith, die dort nachzusehen sind.

### Zweiundeingliedriges System.

Hemiprismatisches oder Hemiorthotopes Mohs, Monoklinoebrisches Raumann, Hemirhombisches, Kinorhombisches, Augitisches.

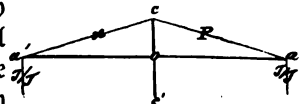
Hier bleiben nur noch Paare und Einzelflächen, daher die passendste Benennung von Weiß. Wie wir pag. 33 sahen, steht die Hauptaxe c häufig etwas schief gegen A, aber noch rechtwinklig auf b. Dreht man daher die Krystalle um die Axe b, so bleiben sie links wie rechts, sind aber vorn anders als hinten. Insofern ist die Richtung b einzig, dagegen können die Axen A und c in der Axenebene Ac, welche den Krystall symmetrisch halbt, verschieden gewählt werden. Unter diesen verschiedenen finden sich aber gewöhnlich zwei, welche vom senkrechten nur wenig abweichen, und diese wählte Weiß zuerst als Axen, bis dann Spätere davon abgingen, und ganz schiefe an ihre Stelle setzten. Daher die Verschiedenheit der Darstellung, welche das Verständniß nicht wenig hemmt.

Bei der Weiß'schen Axenwahl ist Winkel Aoa immer nur ein sehr kleiner, wir dürfen daher in den Symbolen die Unterschiede ganz vernachlässigen und statt der Fläche  $\frac{A}{\mu}$  die alte Bezeichnung  $\frac{a}{\mu}$  beibehalten, ob-

gleich wir nach Anleitung von pag. 63  $\frac{a}{\mu+k}$  setzen mußten. Die rohe

Beschreibung leidet unter dieser Vertauschung nicht. Vor allem steht die Medianebene  $ab:oa:oc$  (Längsfläche) fest, und sämtliche gegen sie senkrechte Flächen treten nur ein einziges Mal auf, sie gehen der Axe b parallel. Dazu gehören  $a:ob:oc$ ,  $c:oa:ob$ , die vordern Schiefendflächen  $c:ma:ob$  und die hintern Gegenflächen  $c:ma':ob$ . Alles was die Medianebene unter schiefen Winkeln schneidet, also symmetrisch dagegen liegt, tritt doppelt auf, bildet augitartige Paare (kurz

Augitpaare), Hauy's »sommet diédre« (Diedron). Nur eines dieser Paar-Systeme geht der Hauptaxe parallel, das wird zur Säule  $a:b:\infty$  genommen, von der man gewöhnlich ausgeht. In der Wahl der Säule weichen die Schriftsteller selten von einander ab, weil in der Regel dieselbe sich vor allen andern Augitpaaren ausdehnt, doch liegt im Allgemeinen kein genügender Grund vor, welches Paar man zur Säule wählen soll. Steht also die Medianebene, welche den Krystall symmetrisch theilt, und die Säule fest, so ist damit die Richtung der Axe  $b$  (senkrecht auf die Medianebene) und die der Axe  $c$  (der Säulentante von  $a:b:\infty$  entsprechend) gegeben, nur in der dritten  $a$  ist noch verschiedene Wahl möglich. Diese  $a$  hängt lediglich von den Schnitten ab, in welchen die Schiefendflächen und Augitpaare die Medianebene treffen. Wir dürfen daher die Schnitte nur auf der Medianebene ziehen, um von der Sache eine klare Vorstellung zu gewinnen, z. B. Feldspath: derselbe bildet eine geschobene Säule  $T/T = a:b:\infty$ , deren Kante der Richtung von  $cc'$  entspricht; der zweite Blätterbruch (Medianebene)  $M = b:oa:\infty$  stumpft die scharfe Säulentante gerade ab, folglich steht Axe  $b$  senkrecht auf  $M$  und Axe  $c$ . Die Schiefendfläche  $P = a:c:ob$  entspricht dem ersten Blätterbruch und ist vorn, die hintere Gegenfläche  $x = a':c:ob$  hinten auf die stumpfe Säulentante gerade aufgesetzt. Macht man sich nun den Aufriß in der Medianebene  $M$ , so muß die Axe  $cc'$  der Säulentante  $T/T$  parallel gehen. Die Linien  $P$  und  $x$  sind die Schnitte



der Endflächen mit der Medianebene, durch Rechnung findet man ihre Neigung gegen die Axe  $c$  pag. 66:  $P$  zu  $c$  macht  $63^\circ 53'$  und  $x$  zu  $c$   $65^\circ 47'$ . Wären beide Neigungen gegen Axe  $c$  gleich, so würde  $aa'$  gegen  $cc'$  senkrecht gezogen im Punkte  $o$  halbiert werden. Jetzt aber muß der Winkel  $aoc$  etwas größer sein als  $a'oc$ , sonst kann die Linie in  $o$  nicht halbiert werden. Das ganze Problem läuft also auf folgenden einfachen Satz hinaus: sind mir in der Medianebene zwei beliebige Linien  $ac$  und  $a'c$  gegeben, und ziehe ich im Winkel  $aca'$  eine beliebige Hauptaxe  $cc'$ , so kann ich durch einen beliebigen Punkt  $o$  eine Axe  $aa'$  d. h. eine Linie  $aa'$  legen, die in  $o$  halbiert wird. Raumann wählt beim Feldspath das vordere Augitpaar  $m$ , und das hintere  $o$ , deren Mediananten sehr verschieden gegen die Hauptaxe geneigt sind, weshalb die Axe  $a$  hinten mit  $c$  einen Winkel von  $63^\circ 53'$  macht, also um  $26^\circ 7'$  von einem rechten Winkel abweicht, während unsere Axenwahl hinten mit einem Winkel von  $88^\circ 50'$  nur um  $1^\circ 10'$  vom rechten abweicht. Nun werden zwar bei der Raumann'schen Axenwahl die Ausdrücke der Flächen etwas einfacher, weil Schiefendfläche  $P$  Basis  $c:oa:ob$  ist, allein da das Feldspathsystem ganz die gleiche Entwicklung wie Hornblende, Augit, Epidot zeigt, wo die Weiß'schen Axen, wenn etwa, so doch nur um ein Minimum von der Rechtwinkligkeit abweichen, so wird man den großen Vortheil, den rechte Winkel gewähren, nicht gegen die vagen schiefwinkligen aufgeben wollen. Denn vag sind die schiefwinkligen, weil

ich mit demselben Rechte und Vortheil auch ganz andere als Naumann nehmen dürfte, während die Weiß'sche Wahl meist nur ein einziges Mal getroffen werden kann, und insofern etwas Zwingendes hat. Von der Priorität und den zahllosen lehrreichen Beziehungen gar nicht zu reden, welche Weiß gerade im Feldspath mit so viel Genialität uns dargelegt hat.

Mohs nennt, wie wir pag. 33 sahen, den Winkel, welchen das Perpendikel von  $c$  auf  $a$  gefällt mit der Axe  $c$  macht, die Abweichung. Das ist nun zwar ganz gegen die gewöhnliche Vorstellung, es ist aber glücklicher Weise die gleiche Winkelgröße, um welche der Axenwinkel  $ac$  von einem rechten abweicht. Naumann nennt das  $2 + 1$ gliedrige Octaeder mit 2 Augitpaaren klinometrische Pyramide  $+P$ ;  $-P$  bezeichnet das vordere und  $+P$  das hintere Paar. Man sollte hier auch wieder nach Vorgängen von Haüy und Weiß die umgekehrte Bezeichnung erwarten.

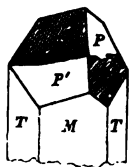
$$+mP = mc : a' : b, \text{ und } -mP = mc : a : b;$$

$$+mPn = mc : a' : nb, \text{ und } -mPn = mc : a : nb;$$

$$+(mPn) = mc : na' : b \text{ und } -(mPn) = mc : na : b.$$

Die Axen  $abc$  sind hier wie bei Weiß gedacht, nur mit dem Naumann'schen Axenwinkel  $ac$ . Wollen wir es daher auf die Weiß'schen Zeichen zurückführen, so müssen wir uns in den einzelnen Fällen eine Projection entwerfen, und darauf irgend einem Octaeder, aus welchem man deduciren kann, die Weiß'schen Axen unterlegen, woraus dann die andern Zeichen von selbst folgen, und umgekehrt. Beispiele siehe beim Feldspath, Epidot, Titanit.

**Zwillinge.** Das Hauptgesetz beruht darauf, daß die Zwillinge die zweigliedrige Symmetrie herstellen: die Krystalle haben also die Säule gemein und liegen mit ihren Enden umgekehrt. Es spiegelt dann alles ein, was in der Säulenzone liegt, namentlich auch die Medianebene beider Individuen, und es ist dabei gleichgültig, ob die Individuen durch einander wachsen, oder sich mit dieser oder jener Fläche aus der Säulenzone an einander legen. In Drusen des Granites der Fuchsberge bei



Striegau in Schlesien kommen prachtvolle **Feldspathzwillinge** mit Periklin und Epidot vor, woran am Ende der einspiegelnden Säulenflächen TMT die Flächen  $P$  und  $x$  ein so vollkommen ausgeglichenes Dach bilden, daß man das Mineral für 2gliedrig halten würde, wenn nicht die matten  $xx'$  und glänzenden  $PP'$  auf die richtige Spur führten. Man möchte sagen, Natur weise hier mit Fingern darauf hin, daß  $P$  analog den 2gliedrigen Paaren (und nicht deren Geradenflächen) zu nehmen sei. Ähnliches wiederholen Hornblende, Augit, Gyps. Zuweilen haben die Individuen eine der Schiefenflächen gemein (Epidot, Charnit, Titanit), es spielt dann aber immer noch die Medianebene ein. Bloß bei dem Bavenoer Zwillingengesetz des Feldspath's spielt die Medianebene nicht ein, diese Verwachsungen haben aber immer eine Neigung zur Vierlingsbildung, wodurch sogar eine viergliedrige Ordnung erreicht wird. Siehe Feldspath, Schwefel. Da die Zwillingsebene, mit welcher die Individuen verwachsen,

etwas Zufälliges ist, so kann man sagen, die Krystalle haben eine Fläche aus der Vertikalzone gemein, und liegen umgekehrt: beim Feldspath kann das die Fläche  $k = a : \infty b : \infty c$  (Carlsbader) oder  $P. = a : c : \infty b$  (Manebacher) sein. Wenn zwei Manebacher sich kreuzen, so entsteht ein Bierling.

### Eingliedriges System.

Anorthotypes Mohs, Di- und Trillinoedrisches Raumann oder kürzer Di- und Trillines, Tetartoprismatisches, Tetartorhombisches.

Hier bleibt nun keine Fläche der andern mehr gleich, und wir müssen die Axen mit  $aa'$   $bb'$  auszeichnen, um die Lage in den viererlei Oktanten ausdrücken zu können. Mit dem Worte „Fläche“ ist Alles bezeichnet, und es bedarf nicht der schwülstigen Kunstsprache Tetartopyramiden, Hemidoma, Hemiprisma zc. Aeginit und Kupfervitriol liefern die unsymmetrischsten Beispiele, wiewohl man erstern, weil  $M/P$   $90^\circ 5'$  bildet, als diklinometrisch nehmen könnte. Die eingliedrigen Feldspäthe (Albit, Anorthit zc.) haben durch ihre Analogie mit dem  $2 + 1$ gliedrigen Kalifeldspath noch ein besonderes Interesse, da sie häufig als Zwillinge mit Wiederholung der Individuen vorkommen. Dieselben stellen zunächst eine  $2 + 1$ gliedrige Ordnung her. Letztere Ordnung verwächst dann wieder nach den Zwillingsgesetzen des gewöhnlichen Feldspaths, so gelangen wir zuletzt zur zweigliedrigen, ja selbst viergliedrigen Ordnung. Die Substitution rechtwinkliger Hülfssagen ist nicht mehr praktisch, und es scheint am besten, die Winkel mittelst Trigonometrie auszurechnen.

### Saun's Bezeichnungsweise.

Sie ist noch heute in Frankreich und England die gangbarste, und beruht auf der Eigenschaft, daß sämtliche Kanten eines Krystalls von einer beliebigen Krystallfläche unter rationalen Verhältnissen geschnitten werden. Verweisen wir diesen Satz allgemein für rechtwinklige Axen.

Kantenschnittformel. Gegeben sei eine beliebige Linie  $\mu a : \nu b$ , diese werde von  $\mu_0 a : \nu_0 b$  und  $\mu_1 a : \nu_1 b$  in  $p$  und  $p'$  geschnitten, so ist das Stück zwischen  $pp'$ , =

$$\frac{\mu\mu_0\nu_0(\nu_0 - \nu) + \mu_0\mu_1\nu(\nu - \nu_0) + \mu\mu_1\nu_0(\nu - \nu_1)}{(\mu_0\nu - \mu\nu_0)(\mu_1\nu - \mu\nu_1)} \sqrt{\mu^2 a^2 + \nu^2 b^2}.$$

Denn es ist nach der Zonenpunktformel pag. 45

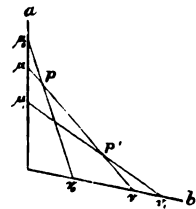
$$p = \frac{\mu\mu_0(\nu - \nu_0)}{\mu_0\nu - \mu\nu_0} a, \frac{\nu\nu_0(\mu_0 - \mu)}{\mu_0\nu - \mu\nu_0} b = ma, nb;$$

$$p' = \frac{\mu\mu_1(\nu - \nu_1)}{\mu_1\nu - \mu\nu_1} a, \frac{\nu\nu_1(\mu_1 - \mu)}{\mu_1\nu - \mu\nu_1} b = m_1a, n_1b.$$

$$pp' = \mu\nu - \mu p - \nu p'; \quad \mu\nu = \sqrt{\mu^2 a^2 + \nu^2 b^2}.$$

$$\mu p = \sqrt{n^2 b^2 + (\mu - m)^2 a^2} = \frac{\nu_0(\mu_0 - \mu)}{\mu_0\nu - \mu\nu_0} \sqrt{\mu^2 a^2 + \nu^2 b^2};$$

$$\nu p' = \sqrt{m_1^2 a^2 + (\nu - n_1)^2 b^2} = \frac{\mu_1(\nu - \nu_1)}{\mu_1\nu - \mu\nu_1} \sqrt{\mu^2 a^2 + \nu^2 b^2}, \text{ woraus sich } pp', \text{ wie}$$



oben ergibt. Es ist darin nur das Grundverhältniß der Linie  $\mu\nu$  irrational, das Vorzeichen derselben rational.

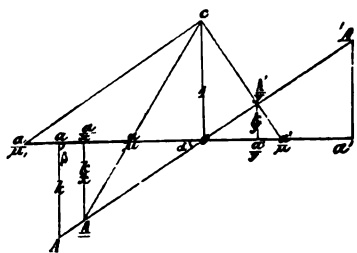
Gewöhnlich braucht man die Formel in dieser Allgemeinheit nicht, sondern setzt  $\nu_0 = 0$ , dann fällt  $p$  mit dem Punkte  $\mu$  zusammen, und

$$\mu p = \frac{\nu, (\mu, -\mu)}{\mu, \nu - \mu\nu} \sqrt{\mu^2 a^2 + \nu^2 b^2}. \text{ Setzen wir darin } \mu = \nu = 1, \nu = -1, \text{ so}$$

ist  $\mu p = \frac{1 - \mu}{1 + \mu} \sqrt{a^2 + b^2}$ , der bekannte Satz über die Theilung des Dreiecks pag. 72. Diese rationalen Schnitte sind Folge der Deduction.

Nimmt man nun z. B. ein beliebiges Gerad, so wird das Oktaëd die Kanten der Ecke unter irgend einem irrationalen Grundverhältniß  $A:B:C$  abstumpfen, jede andere deducirte Fläche muß diese irrationalen unter rationalen Verhältnissen schneiden. Die ganze Aufgabe läuft daher darauf hinaus, zu bestimmen, wie eine Fläche, welche drei bekannte Kanten unter bekannten Verhältnissen schneidet, die den Kanten zugehörigen Axen schneidet. Zur Lösung bedient man sich mit Vortheil folgenden Satzes über die Vertauschung der Projectionsebene:

Wollen wir Flächen, die auf die Geradenfläche projectirt sind, auf eine beliebige andere Fläche projectiren, so legen wir die neue Projectionsebene durch den Mittelpunkt des Krystalls, und verfahren wie beim 2+1gliedrigen System



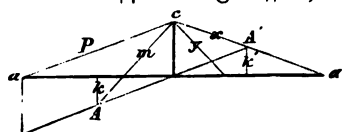
pag. 63. Soll die Kante  $c: \frac{a}{\mu}$  auf die

Fläche  $c: \frac{a}{\mu}$  projectirt werden, so lege diese durch den Mittelpunkt  $o$  nach  $oA$ , ziehe  $x$  der Axe  $c$  parallel, so ist  $x = A \sin \alpha$ , falls Axe  $c$  auf  $a$  rechtwinklig steht, falls schiefwinklig  $x = \frac{A \sin \alpha}{\sin \beta}$ . Folglich

$$\frac{x}{x} : \frac{a}{x} - \frac{a}{\mu} = 1 : \frac{a}{\mu}; x = \mu - x; \text{ hinten } y = \mu + x. \text{ Ebenso findet man}$$

in der Axe  $b$  die  $x = \nu + \lambda$ . Eine Fläche  $\frac{a}{\mu} : \frac{b}{\nu}$  hat also in der neuen Projectionsebene  $\frac{A}{\mu+x} : \frac{B}{\nu+\lambda}$ , und umgekehrt eine Fläche  $\frac{A}{\mu} : \frac{B}{\nu}$  wird  $\frac{a}{\mu+x} : \frac{b}{\nu+\lambda}$ .

Beispiel. Feldspath.



Raumann nimmt den Blätterbruch  $P$  als Basis, setzt die hintern  $o = +P = A:B':C$  und die vordern  $m = -P = A:B:C = 0,844 : 1 : 1,518 = 1 : 1,185 : 1,8$ ;  $P/c = 63^\circ 53'$ . Man darf nicht übersehen, daß

jetzt gegen die Ordnung im Zweigliedrigen die Klinodiagonale  $B$ , und die Orthodiagonale  $C$  (Raumann, Lehrbuch der Mi-



mineralogie 1828 tab. II fig. XXII) heißt. Nach Weiß'schen Axen ist  $a/c = 91^\circ 10'$ ,  
 folglich  $\alpha = 24^\circ 57'$ ,  $\beta = 88^\circ 50'$ , gibt  $\kappa = \frac{1,185 \cdot \sin 24^\circ 57'}{\sin 88^\circ 50'} = \frac{1}{2}$ . Da für diesen

Fall  $\lambda = 0$ , so wird  $o = \frac{a'}{1 - \frac{1}{2}} : b : c = 2a' : b : c$ ;  $m = \frac{a}{1 + \frac{1}{2}} : b : c = \frac{2}{3}a : b : c$ ;

$n = (2P\infty) = 2A : C : \infty B = 2C : B : \infty A (W.) = C : \frac{1}{2}B : \infty A = c : \frac{1}{2}b : \frac{a}{0 + \frac{1}{2}}$

$= c : \frac{1}{2}b : 2a$ ;  $x = P\infty = A : B' : \infty C = A' : C : \infty B (W.) = \frac{a'}{1 - \frac{1}{2}} : c : \infty b =$

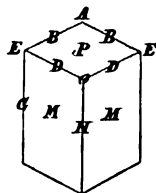
$2a' : c : \infty b$ ;  $y = 2P\infty = 2A : B' : \infty C = 2C : A' : \infty B (W.) = \frac{1}{2}A' : C : \infty B =$   
 $\frac{a'}{2 - \frac{1}{2}} : c : \infty b = \frac{2}{3}a' : c : \infty b$ ;  $t = -2P\infty = 2A : B : \infty C = 2C : A : \infty B (W.)$

$= \frac{1}{2}A : C : \infty B = \frac{a}{2 + \frac{1}{2}} : c : \infty b = \frac{2}{3}a : c : \infty b$ ;  $P = 0P = A : \infty B : \infty C =$

$C : \infty A : \infty B (W.) = c : \frac{a}{0 + \frac{1}{2}} : \infty b = c : 2a : \infty b$  zc. Daraus leuchtet ein,

daß A (Naumann) = c (Weiß), C(N) =  $\frac{1}{2}b(W.)$  und B(N) =  $\frac{1}{2}a(W.)$  zu

setzen sei, um die Weiß'schen Axenzeichen zu bekommen.  
 Franzosen und Engländer gehen beim Feldspath vom Hendyoeeder MMP aus, und bezeichnen die Kanten und Ecken wie Haupt, aber mit kleinen Buchstaben. Der Uebelstand ist nur der, daß man leicht vergißt, auf welche Kantenschnitte ihr Symbol deute. Meist ist die aufrechte Kante G unserer Axe c entsprechend in der Einheit gedacht. Es bedeutet also  $a^1$  den Kantenschnitt

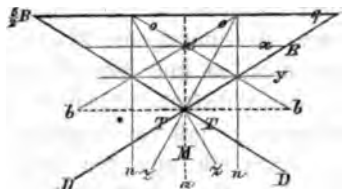


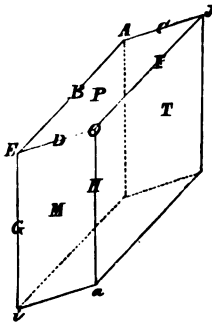
$B : B : H$  in der Ecke A;  $a^{\frac{1}{2}} = \frac{1}{2}B : \frac{1}{2}B : H$ ,  $a^{\frac{3}{2}} = \frac{3}{2}B : \frac{3}{2}B : H$ ;  
 $g^1 = B : D : \infty G$ ,  $g^2 = D : \frac{1}{2}B : \infty G$  oder  $\frac{1}{2}D : B : \infty G$ ,  
 denn in diesen Zeichen der Säule ist keine Verwechselung möglich;

$b^{\frac{1}{2}} = H : \frac{1}{2}B : \infty B$ ,  $e^{\frac{1}{2}} = G : \frac{1}{2}B : D$  zc. Um nun diese Ausdrücke auf Axen zu beziehen, dürfen wir nur das Hendyoeeder auf P projeciren, wir bekommen dann sofort die Naumann'schen Axenausdrücke. Denn in den Linien BD liegen jetzt die Kanten B und D, und in der aufrechten Axe c die G

und H. Fläche  $x = a^1$  schneidet  $B : B$ ;  $y = a^{\frac{1}{2}}$  schneidet  $\frac{1}{2}B : \frac{1}{2}B$ ;  $q = a^{\frac{3}{2}}$  schneidet  $\frac{3}{2}B : \frac{3}{2}B$ ;  $M = g^1$  hat Axe  $aa'$  zur Sectionslinie;  $z = g^2$  schneidet  $\infty C : B : \frac{1}{2}D$ ;  $o = b^{\frac{1}{2}}$  schneidet  $\frac{1}{2}B : \infty B$ ;

$n = e^{\frac{1}{2}}$  schneidet  $\frac{1}{2}B : \frac{1}{2}D$  zc. Man sieht leicht ein, es sind statt der Axen a und b die Linien BD, in welchen die Säulenflächen T die P schneiden, genommen. Die Symbole empfehlen sich durch ihre Einfachheit, und sind mindestens nicht schwieriger zu verstehen, als die Symbole mehrerer deutschen Mineralogen. Ja





wenn Einfachheit der Axen allein entscheiden würde, worauf Frankenheim (Pogg. Ann. 1855, 95. 247 u. 97. 287) ein übermäßiges Gewicht legt, so müßte man diese unbedingt den Naumann'schen vorziehen.

Hauy ging übrigens nicht vom Hendyhoeder, sondern von den drei Blätterbrüchen PMT aus, welche ein Hendyhoeder bilden, machte aber auf die Symmetrie

der Krystalle wohl aufmerksam. Fläche  $y = \frac{1}{2} = C : F : G$ . Axe c entspricht also den Kanten G und H; Axe a fällt mit Kante P/M zusammen; nur Kante P/T, der Sectionslinie von T entsprechend, fällt außerhalb der

dritten Axe. Hauy nahm also G als Einheit unserer Axe C;  $\frac{1}{2}a$  für die Kantenlängen  $M/P = D$ , und  $\frac{1}{2}B = \frac{1}{2}F$  für die von P/T. Daher muß  $x = \frac{1}{2} = G : 2C : 2F$  durch Axe  $a'$  gehen;  $q = \frac{1}{2} = G : 3C : 3F$  durch  $\frac{1}{2}a$ ;  $n = \frac{1}{2} = G : F : \infty C$ . Versteht man also das Zeichnen, so ist durch einen bloßen Linienzug auf der Projection die Aufgabe gelöst, mehr kann man nicht wünschen. Nur das Zeichnen macht einige Schwierigkeiten. Doch sind wir es dem Gründer der Krystallographie schuldig, der Auseinandersetzung ein Wort zu widmen. Hauy unterscheidet zweierlei Formen.

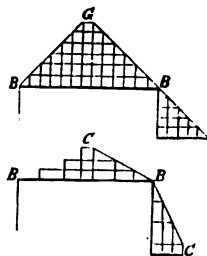
1) *Formes primitives* (Kernformen), es waren sechs: Parallelepipet (Hexaid), Oktaeder, Tetraeder, reguläre sechsseitige Säule, Granatoeder und Dihexaeder. Besonders spielten die ersten beiden mit ihren verschiedenen Winkeln eine Hauptrolle. Er wurde in der Wahl hauptsächlich durch den Blätterbruch geleitet: so ging er beim Flußpath nicht vom Würfel, sondern vom Oktaeder, bei der Blende vom Granatoeder aus, bloß wegen der Blättrigkeit.

2) *Molécules intégrantes* sind dreierlei: die 4flächigen Tetraeder; das 5flächig dreiseitige Prisma mit Geradendfläche; die sechsflächigen Parallelepipete. Es sind die einfachsten Raum umschließenden Körper, auf welche man durch weitere Theilung der Primitivformen kommt. So zerfällt z. B. das Rhomboeder durch die drei Hauptschnitte, welche der 2ten sechsseitigen Säule parallel gehen, in 6 Tetraeder. Das Granatoeder durch 6 von den vierkantigen Ecken aus bis zum Mittelpunkt geführte Spalten in 4 congruente Rhomboeder. Die Spalten müssen den 6 Krystallräumen parallel geführt werden. Diese integrierenden Moleküle haben übrigens nur eine theoretische Bedeutung. Dagegen ist noch eine weitere Benennung, die *Molécules soustractives*, von praktischer Wichtigkeit, es sind Parallelepipete meist der Primitivform ähnlich, oder doch darin steckend, durch deren Aufthürmung auf die Flächen der Primitivform er sich die secundären Flächen entstanden dachte.

Hauy sah nun den Krystall als einen Complex von lauter unter sich gleichen integrierenden Moleculen an, die sich zu subtractiven gruppiren. Letztere liegen alle unter einander parallel, und erzeugen so den Blätterbruch. Die integrierenden müssen außerordentlich klein gedacht werden, in

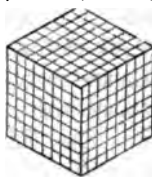
ihnen haben nur noch die Molécules élémentaires Platz, aus welchen die chemischen Stoffe bestehen. Den Keim eines Krystalls bildet ein einziges M. soustractive, sein Fortwachsen ist nur ein paralleles Anhäufen solcher unter sich gleichen Atome. Die Bestimmung dieses subtractiven Moleculs und die Weise, wie sie sich an einander reihen, ist Aufgabe der Krystallographie. Machen wir es an einigen Beispielen klar.

Bleiglantz, Steinsalz &c. haben einen dreifach blättrigen Bruch von gleicher Beschaffenheit, die sich unter rechten Winkeln schneiden, daher die Primitivform ein Würfel, und die subtractiven Molecul Würfelchen. Durch Decreascenzen (décroissements) auf den Kanten entstehen alle Körper der Kantenzonen (Granatoeder und Pyramidenwürfel). Gauy dachte sich lauter kleine Würfelchen parallel der Kernform aufgethürmt, wie man aus dem Aufriß beistehender Würfel Fläche leicht ersieht. Durch Decreascenzen um eine Reihe in die

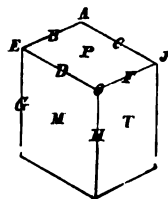


Höhe und Breite  $B$  entsteht die Granatoederfläche BG. Er dachte sich dabei in jeder höhern Schicht eine Reihe weniger, der Effect ist offenbar derselbe, als wenn ich die Würfelkanten im Verhältniß  $B : B : \infty B$  schneide; durch Decreascenzen um 2 Reihen in die Breite und eine in der Höhe  $B^2$  entstehen die Pyramidenwürfel-Fläche  $BC = 2B : B : \infty B$ ; durch Decreascenzen um 3 Reihen in die Breite und 2 in der Höhe entsteht die Fläche  $3B : 2B : \infty B$  &c. Die Decreascenzen auf den Ecken kann man doppelt nehmen: symmetrisch oder unsymmetrisch gegen eine Kante. Gauy dachte sich die Sache auch durch Aufthürmen, doch macht man es sich besser durch Weg-

nahme der Würfelchen klar. Das Zeichen  $\overset{\circ}{A}$  bedeutet, daß man ein Würfelchen von der Ecke wegzunehmen habe, der Effect wird die Oktaederfläche  $B : B : B$  sein, sie berührt die drei Ecken der folgenden Würfelschicht, nehme ich diese drei, so ruht die Fläche auf 6, dann auf 10, 15 &c., immer behält sie aber die gleiche Lage.  $^2A$  bedeutet eine Leucitoederfläche  $2B : 2B : B$ , und zwar werden die zwei Kanten links in 2 geschnitten;  $A^2$  bedeutet  $B : 3B : 3B$  und zwar  $3B$  in den zwei Kanten rechts. Für die unsymmetrischen Flächen mußten drei Buchstaben in der Klammer genommen werden: ( $^2B\overset{\circ}{B}B^3$ ) bezeichnet  $2B : B : 3B$ . Beim regulären System kann man nicht leicht irren, bei den übrigen muß man sich jedoch vorsichtig vor Kantenverwechselungen hüten. Wiederholen wir daher am allgemeinen Hexaid nochmals kurz die Zeichen:



An den Kanten BCDF können die Decreascenzen darüber (auf P) oder darunter (auf M und T) stattfinden; auf den Kanten G und H nur links oder rechts.



Daher die vier Stellungen der Zahlen an den Consonanten: oben, unten, links, rechts.  $\overset{m}{D}$  heißt eine Decreſcenz um  $m$  Reihen in die Breite auf  $P$ , also  $mF:H:\infty D$ . Bei Brüchen bezieht ſich der Zähler auf die Reihen der Breite, der Nenner auf die der Höhe, das liegt ſchon im allgemeinen Zeichen, da  $m$  ganze Zahlen wie Brüche bedeutet;  $H^n = nF:D:\infty H$ . An die Vokale der Ecken kann ich die Zahlen oben, links und rechts ſetzen, man denkt ſich dabei den Krystall ſo geſtellt, daß die in Rede ſtehende Ecke unmittelbar vor uns ſteht:

$$\overset{m}{O} = mD:mF:H; O^m = mF:mH:D; {}^mO = mD:mH:F,$$

die Decreſcenz um  $m$  Reihen in der Breite findet alſo auf derjenigen Fläche der Ecke ſtatt, wohin der Buchſtabe  $m$  an  $O$  geſtellt iſt. Ein Symbol  $A^m$  bedeutet  $mB:mH:C$ , denn man muß den Krystall ſo lange herumgedreht denken, bis  $A$  vor uns ſteht, deßhalb iſt  ${}^mE = mB:mG:D$ . Intermediäre Decreſcenzen ſind ſolche, worin alle drei Kanten der Ecke ungleich geſchnitten werden, oder wenn die Decreſcenz über die Kanten hinüber neigt. Dazu wurden drei Buchſtaben mit Klammer genommen:

$$(\overset{1}{O}D^1F^2) = H:D:2F; (\overset{1}{O}D^4F^1) = \frac{1}{3}H:4D:F = H:\frac{2}{3}D:3F.$$

Haüy legte auf die Entwicklung des rhomboedriſchen Systems ein beſonderes Gewicht, wir wollen daher zum Schluß noch einige Erläuterungen darüber geben, namentlich erweiſt ſich darin auch unſere Methode in ihrer vortheilhaften Einfachheit. Zu dem Ende projecire ſämmtliche Flächen auf eine der  $P$  des blättrigen Bruchs, dann kann man die Kanten des Rhomboeders als Azeinheiten  $AAA$  nehmen, welche ſich unter gleichen ſchiefen Winkeln von  $101^\circ 55'$  und  $78^\circ 5'$  ſchneiden. Denken wir uns die aufrechte dritte  $A$  nach vorn geneigt, ſo bilde  $a^1 = A:A'$  die Geradenfläche und die drei  $e^1 = A:A$  und  $A:A'$  das erſte ſchärfere Rhomboeder;  $b^1 = A':\infty A'$  und  $OA:OA'$  gehören dem erſten ſtumpfern Rhomboeder,  $d^1 = A:\infty A$  und  $OA:OA'$  der zweiten ſechsſeitigen Säule an. Die Flächen  $P$  bilden alſo das dreigliedrige Hexaid,  $a^1$  und  $e^1$  das zugehörige Oktaid,  $b^1$  mit  $d^1$  das zugehörige Dodekaid.

Das Leucitoeder  $e^2 = A':\frac{1}{2}A$  und  $2A:2A$  führt uns zur erſten ſechsſeitigen Säule, durch welche auf der Geradenfläche  $a^1$  die dreigliedrigen Aze beſtimmt werden, ich habe ſie deßhalb punktirt;  $a^2 = 2A':2A'$  und  $A':\frac{1}{2}A'$  liefert das zweite ſtumpfere Rhomboeder. Der Dreikantner  $e_2 = A:\frac{1}{2}A$ ,  $A:\frac{1}{2}A'$ ,  $2A:2A'$  iſt zweiter Ordnung  $\frac{1}{2}c:a':\frac{1}{2}a'$ , weil er ſeine ſtumpfen Endkanten wie die Kanten des Hauptrhomboiders legt. Nehmen wir, um die Figur nicht zu überladen, noch das Pyramidenrhomboeder, ſo liefert uns das den Dreikantner  $d^2 = \frac{1}{2}A:\infty A$ ,  $OA':\frac{1}{2}A$ ,  $2A:\infty A$  und Dihexaeder  $b^2 = \frac{1}{2}A':\infty A$ ,  $OA:\frac{1}{2}A$ ,  $2A':\infty A$ . So können wir mit Leichtigkeit alle Haüy'schen Zeichen eintragen, ſie führen uns zu den Zeichen des regulären Systems, und liefern den Beweis, daß der einfachſte Flächenausdruck nicht immer der beſte ſei. Wir müſſen vielmehr die Zeichen auf  $3+1$  Aze  $aaac$  zurückführen. Die punktirten

Linien  $e^2$  geben in ihren Durchschnitten mit  $a^1$  die drei neuen Axen  $a$ . Legen wir daher die  $a^1$  durch den neuen Axenmittelpunkt  $o$  (Durchschnitt der  $e^2e^2e^2$ ), so fällt dieselbe mit der Linie  $\frac{3a}{2} \frac{a}{2} = e^2$  zusammen,

von ihr kann man also die neuen Axenausdrücke unmittelbar ablesen. Auch die Axe  $c$ , welche auf  $a^1$  senkrecht steht, ist allen gemein. Wir brauchen

also nur noch eines der beiden andern  $a$  zu finden, welche in der gegen Axe  $c$  senkrechten Ebene  $a^1$  den  $oA'$  und  $oA'(e^2)$  correspondiren. Nach unserem obigen Satze pag. 102 muß aber eine Zonenaxe  $c : \frac{a}{\mu}$  die schiefe

Axe  $oA'$  in  $\frac{A'}{\mu+1}$  schneiden, daß + gilt, wenn die schiefe Axe  $A$  unter der rechtwinkligen  $a$  liegt. Aus der Betrachtung des Kaltspathrhomboeders folgt, daß die Kante des Rhomboeders  $mA = \frac{2}{3}\sqrt{3a^2+1}$  (m der Durchschnittpunkt P/P), die Querdiagonale  $AA = 2a$ , die schiefe Diagonale  $om = \frac{2}{3}\sqrt{3a^2+4}$ , folglich  $oA' = \sqrt{4a^2+4}$ . Wir müssen uns nun erinnern, daß unsere neue Axe  $co=c$  die ganze Hauptaxe von Ecke zu Ecke des Rhomboeders P bezeichnet, folglich muß als  $a$  auch das doppelte  $a$  genommen werden. Wählen wir nun die von  $c$  zur Hälfte der  $oA'$  gehende Linie als die, welche die Axe  $a$  zu bestimmen hat, so ist  $aA' = x = 1$ , wie beistehender Aufriß durch  $coA'$  zeigt.

Nennen wir jetzt in unserer Projection  $oa=a$ ,  $oA'=A'$ , und suchen aus ihren Ausdrücken die neuen für die Axen  $a$ , so ist nach dem Schema

$$a : \frac{A}{m} : \frac{A}{n} = a : \frac{a}{m+1} : \frac{a}{n+1} \text{ Rhomboeder}$$

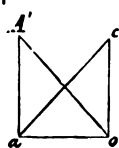
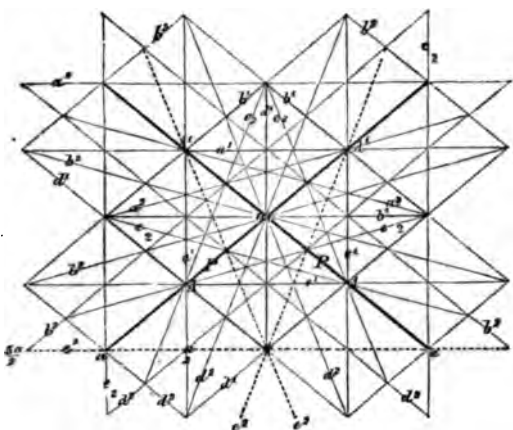
$$P = a : \frac{1}{2}A' : A' = a : \frac{1}{2-1}a : \frac{1}{1-1}a = a : a : \infty a.$$

$$a^1 = A' : A' : \infty a = \frac{1}{1-1}a : \frac{1}{1-1}a : \infty a = \infty a : \infty a : \infty a;$$

$$b^1 = 2a : A' : 2A' = 2a : \frac{1}{1-1}A' : \frac{1}{\frac{1}{2}-1}A' = 2a' : 2a' : \infty a;$$

$$d^2 = a : \frac{1}{2}A : A = a : \frac{1}{2+1}a : \frac{1}{1+1}a = a : \frac{1}{2}a : \frac{1}{2}a$$

der gewöhnliche Dreikantner. Also auch diese Uebertragung ist nicht mehr

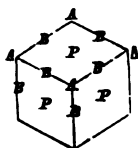


als ein Ablesen. Die Bestimmung von  $\kappa$  bedarf übrigens gar kein Rechnung. Denn wenn  $a^1$  zur Projectionsebene werden soll, so muß in Ausdruck  $A':A':\infty a$  zu  $\infty a:\infty a:\infty a$  werden, dieß kann aber nur se wenn die Bedingungsgleichung  $1-\kappa=0$ , d. h.  $\kappa=1$  ist. Eben so einfach ist der Satz umgedreht, aus dem drei- und einaxigen Flächenausdruck die Kantenschnitte zu finden, was wir dem Leser überlassen.

### Lévy's Bezeichnung.

Die neuern Franzosen und Engländer sind im Ganzen zwar bei i Bezeichnung Haüy's stehen geblieben, doch bedient man sich jetzt allgem der einfacheren Symbole von Lévy. Es wird das Lesen der Schrift erleichtert, wenn ich hier kurz die Zeichen zusammenstelle.

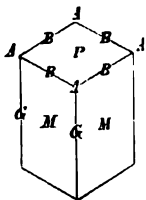
#### 1) Reguläres System.



Wird dasselbe auf die Kanten des Würfels BBB basi so ist mit dem Verständniß des Zeichens auch der Wei sche Agenausdruck gegeben. Die Würfel Fläche selbst hat d Buchstaben P als Zeichen. Oktaeder  $a^1=B:B:B=a:a:a$ . Granatoeder  $b^1=B:B:\infty B=a:a:\infty a$ . Leucitoel  $a^2=B:2B:2B=a:2a:2a$ ; Leucitoide  $a^n=B:nB:nB$ . Pyramidenoktael  $a^{\frac{1}{2}}=B:\frac{1}{2}B:\frac{1}{2}B=a:\frac{1}{2}a:\frac{1}{2}a$ ,  $a^{\frac{1}{n}}=B:\frac{1}{n}B:\frac{1}{n}B$ . Pyramidenwürfel  $b^2=B:2B:\infty B=a:2a:\infty a$ ,  $b^n=B:nB:\infty B$ . Achtundvierzigfläch  $b^{\frac{1}{2}}b^{\frac{1}{2}}b^{\frac{1}{2}}=a:\frac{1}{2}a:\frac{1}{2}a$ ,  $b^{\frac{1}{m}}b^{\frac{1}{n}}b^{\frac{1}{p}}=a:\frac{1}{m}a:\frac{1}{n}a$ .

Wenn man vom Oktaeder (Flußspath, Diamant) oder Granatoel (Blende) ausgeht, ist die Sache gar nicht so einfach, jedoch reicht un Kantenschnittsag pag. 101 dazu völlig aus.

#### 2) Viergliedriges System.



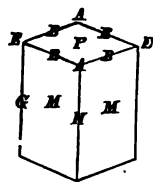
Sind die Zeichen so gewählt, daß die quadratis Säule MM in der Primitivform unserer zweiten quadri tischen Säule entspricht, wie z. B. Dufrenoy beim Vesuvi angenommen hat, so stimmt die Auslegung des Zeiche mit den Agn. Correspondirt dagegen M/M der ersi Säule, wie z. B. beim Zirkon, dann muß der Ranti zonenatz zu Hilfe genommen werden.

	2te Säule	1te Säule
$g^1 = B:B:\infty G$	$= a:a:\infty c$	oder $a:\infty a:\infty c$ .
$g^2 = 2B:B:\infty G$	$= 2a:a:\infty c$	oder $\frac{1}{2}a:a:\infty c$ .
$g^3 = 3B:B:\infty G$	$= 3a:a:\infty c$	oder $\frac{1}{3}a:a:\infty c$ .
$g^n = B:\frac{1}{n}B:\infty G$	$= a:\frac{1}{n}a:\infty c$	oder $\frac{a}{n+1}:\frac{a}{n-1}:\infty c$ .

	2te Säule	1ste Säule
$b^1 = B : G : \infty B$	$= a : c : \infty a$	oder $a : a : c.$
$b^{\frac{1}{2}} = \frac{1}{2}B : G : \infty B$	$= \frac{1}{2}a : c : \infty a$	oder $\frac{1}{2}a : \frac{1}{2}a : c.$
$b^2 = 2B : G : \infty B$	$= 2a : c : \infty a$	oder $2a : 2a : c.$
$b^n = nB : G : \infty B$	$= na : c : \infty a$	oder $na : na : c.$
$a^1 = B : B : G$	$= a : a : c$	oder $\frac{1}{2}a : \infty a : c.$
$a^2 = 2B : 2B : G$	$= 2a : 2a : c$	oder $a : \infty a : c.$
$a^n = nB : nB : G$	$= na : na : c$	oder $\frac{1}{2}na : \infty a : c.$
$a_2 = B : 2B : 2G$	$= \frac{1}{2}a : a : c$	oder $\frac{1}{2}a : a : c.$
$a_3 = B : 3B : 3G$	$= \frac{1}{3}a : a : c$	oder $\frac{1}{3}a : \frac{1}{3}a : c.$
$a_n = B : nB : nG$	$= \frac{1}{n}a : a : c$	oder $\frac{a}{n+1} : \frac{a}{n-1} : c.$
$b^{\frac{1}{2}} b^{\frac{1}{2}} g^1 = \frac{1}{2}B : \frac{1}{2}B : G$	$= \frac{1}{2}a : \frac{1}{2}a : c$	oder $\frac{a}{5} : a : c.$
$b^{\frac{1}{m}} b^{\frac{1}{n}} g^p = \frac{1}{m}B : \frac{1}{n}B : pG$	$= \frac{1}{m}a : \frac{1}{n}a : pc$	oder $\frac{a}{m+n} : \frac{a}{m-n} : pc.$

## 2) Zweigliedriges System.

Wenn Oblongsäule mit Geradenfläche PMT Primitivform ist, so stimmen die Zeichen mit unsern Azen. Wenn dagegen die bestehende gerade Rhombsäule MMP den Ausgang bildet, so muß man, wie im zweiten Fall des viergliedrigen Systems, das Kantenzonengesetz zur Bestimmung der Azen zu Hilfe nehmen.



$$\begin{aligned} g^1 &= B : B : \infty G &= b : \infty a : \infty c \\ g^2 &= B : \frac{1}{2}B : \infty G &= \frac{1}{2}b : a : \infty c \\ g^n &= B : \frac{1}{n}B : \infty G &= \frac{b}{n+1} : \frac{a}{n-1} : \infty c \end{aligned}$$

in der scharfen Säulen-  
kante gelegen.

$$\begin{aligned} h^1 &= B : B : \infty H &= a : \infty b : \infty c \\ h^2 &= B : \frac{1}{2}B : \infty H &= \frac{1}{2}a : b : \infty c \\ h^n &= B : \frac{1}{n}B : \infty H &= \frac{a}{n+1} : \frac{b}{n-1} : \infty c \end{aligned}$$

in der stumpfen Säulen-  
kante gelegen.

$$\begin{aligned} b^1 &= B : G : \infty B &= a : b : c \\ b^2 &= 2B : G : \infty B &= 2a : 2b : c \\ b^3 &= 3B : G : \infty B &= 3a : 3b : c \\ b^n &= nB : G : \infty B &= na : nb : c \end{aligned}$$

Topas liefert ein gutes Beispiel. Man muß stets vorsichtig untersuchen, was als Einheit von c anzunehmen ist.

$$\begin{aligned} a^1 &= B : B : H &= \frac{1}{2}a : \infty b : c \\ a^2 &= 2B : 2B : H &= a : \infty b : c \\ a^n &= nB : nB : H &= \frac{1}{2}na : \infty b : c \end{aligned}$$

Bilden Paare auf die stumpfe Säulen-  
kante aufgesetzt.

$$\begin{aligned} e^1 &= B : B : G &= \frac{1}{2}b : \infty a : c \\ e^2 &= 2B : 2B : G &= b : \infty a : c \\ e^n &= nB : nB : G &= \frac{1}{2}nb : \infty a : c \end{aligned}$$

Bilden Paare auf die scharfe Säulen-  
kante aufgesetzt.

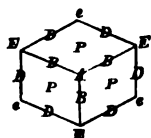
$$\begin{aligned}
 e_2 &= \frac{1}{2}B : B : G &= \frac{1}{2}b : a : c & \text{Oktaeder, die in der Dia-} \\
 e_3 &= \frac{1}{3}B : B : G &= \frac{1}{3}b : \frac{1}{3}a : c & \text{gonalzone des Hauptoktae-} \\
 e_n &= \frac{1}{n}B : B : G &= \frac{b}{n+1} : \frac{a}{n-1} : c & \text{ders liegen.} \\
 a_2 &= \frac{1}{2}B : B : H &= \frac{1}{2}a : b : c \\
 a_n &= \frac{1}{n}B : B : H &= \frac{a}{n+1} : \frac{b}{n-1} : c \\
 x \text{ Topas} &= b^1 b^4 g^{\frac{1}{2}} = B : 3B : \frac{1}{2}G = \frac{1}{2}b : \frac{1}{2}a : \frac{1}{2}c = 3a : \frac{3}{2}b : c; \text{ allgemein} \\
 b^{\frac{1}{m}} b^{\frac{1}{n}} g^p &= \frac{1}{m}B : \frac{1}{n}B : pG = \frac{b}{m+n} : \frac{a}{m-n} : pc, \\
 b^{\frac{1}{m}} b^{\frac{1}{n}} h^p &= \frac{1}{m}B : \frac{1}{n}B : pH = \frac{a}{m+n} : \frac{b}{m-n} : pc.
 \end{aligned}$$

#### 4) Zweiundeingliedriges System.

Ist völlig analog, nur kommen auf diese Weise die schiefen Rhomb'schen Axen, die man dann weiter auf die Weiß'schen nach pag. 102 zurückführt; wenn man es nicht vorzieht, sie gleich nach der Projection zu deduciren.

$$\begin{aligned}
 \text{Feldspath: } z &= g^2 = D : \frac{1}{2}B : \infty G = B : \frac{1}{2}D : \infty G = a : \frac{1}{2}b : \infty c; \\
 x &= a^1 = B : B : H = a' : c : \infty b; \quad y = a^{\frac{1}{2}} = \frac{1}{2}B : \frac{1}{2}B : H = \frac{1}{2}a' : c : \infty b; \\
 q &= a^{\frac{2}{3}} = \frac{2}{3}B : \frac{2}{3}B : H = \frac{2}{3}a' : c : \infty b; \quad o = b^{\frac{1}{2}} = \frac{1}{2}B : H : \infty B = a' : b : c; \\
 n &= e^{\frac{1}{2}} = \frac{1}{2}B : \frac{1}{2}D : G = \frac{1}{2}b : c : \infty a \text{ u.}
 \end{aligned}$$

#### 5) Dreigliedriges System.



Die Rhomboeder entstehen durch Decreascenzen auf den Ecken E und A, Grenzfälle bilden die Geradendfläche, erste sechsseitige Säule und das nächste stumpfere Rhomboeder:

$$\begin{aligned}
 e^{\frac{1}{2}} &= \frac{1}{2}D : \frac{1}{2}D : B = a' : a' \\
 e^1 &= D : D : B = \frac{1}{2}a' : \frac{1}{2}a' \\
 e^2 &= 2D : 2D : B = 0a : 0a \\
 e^3 &= 3D : 3D : B = \frac{1}{3}a : \frac{1}{3}a \\
 e^4 &= 4D : 4D : B = \frac{2}{3}a : \frac{2}{3}a \\
 e^n &= nD : nD : B; = \frac{n-2}{n+1}a : \frac{n-2}{n+1}a
 \end{aligned}$$

$n > 2$  gibt positive Vorzeichen, d. h. Rhomboeder erster Ordnung ohne Strich;  $n < 2$  negative, d. h. Rhomboeder zweiter Ordnung mit Strich.  $e^{\frac{1}{2}}$  ist Gegenrhomboeder.

$$\begin{aligned}
 a^{\frac{1}{2}} &= \frac{1}{2}B : \frac{1}{2}B : B = 5a' : 5a' \\
 a^1 &= B : B : B = \infty a : \infty a \\
 a^2 &= 2B : 2B : B = 4a : 4a \\
 a^n &= nB : nB : B = \frac{n+2}{n-1}a : \frac{n+2}{n-1}a
 \end{aligned}$$

$n > 1$  gibt positive Vorzeichen, d. h. Rhomboeder erster Ordnung;  $n < 1$  zweiter Ordnung.  $a^1$  = Geradendfläche;  $n = 0$  gibt das erste stumpfere Rhomboeder.



$$\begin{aligned} b^1 &= B : B : \infty B = 2a' : 2a' && \text{Dreikantner in den Endkanten des Rhom-} \\ b^2 &= 2B : B : \infty B = 3a : \frac{3}{2}a && \text{boeders sind zweiter Ordnung, sobald} \\ b^3 &= 3B : B : \infty B = 4a : \frac{4}{3}a && n < 2 \text{ und } n > 1; b^2 \text{ ist Dihexaeder. Da} \\ b^{\frac{5}{2}} &= \frac{5}{2}B : B : \infty B = \frac{5}{2}a' : \frac{5}{2}a' && 2B : B : \infty B = B : \frac{1}{2}B : \infty B, \text{ so ist } b^2 = \\ b^n &= (n+1)a : \frac{n+1}{n}a : \frac{n+1}{n-1}a && b^{\frac{1}{2}}, \text{ oder allgemein } b^n = b^{\frac{1}{n}}. \end{aligned}$$

$$\begin{aligned} d^1 &= D : \infty D : B = 0a : \frac{0}{2}a = \text{zweite Säule. Auch hier ist Zeichen } d^{\frac{m}{n}} = d^{\frac{n}{m}}. \\ d^2 &= 2D : \infty D : B = a : \frac{1}{2}a && \text{Die Dreikantner sind sämtlich 1ster} \\ d^3 &= 3D : \infty D : B = 2a : \frac{2}{3}a && \text{Ordnung und gehören der Seitenkanten-} \\ d^n &= (n-1)a : \frac{n-1}{n+1}a : \frac{n-1}{n}a && \text{zone des Rhomboeders an.} \end{aligned}$$

$$\begin{aligned} e_{\frac{1}{2}} &= B : D : 2D = \frac{1}{2}a' : \frac{1}{2}a' && \text{Dreikantner aus der Diagonalzone, } n < 3 \\ e_2 &= B : D : \frac{1}{2}D = a' : \frac{1}{2}a' && \text{gibt gestrichelte, } n=3 \text{ ein Dihexaeder, folg-} \\ e_3 &= B : D : \frac{1}{3}D = \frac{3}{2}a' : \frac{3}{2}a' && \text{lich } n > 3 \text{ ungestrichelte. Das volle Zeichen} \\ e_n &= B : D : \frac{1}{n}D = 2a : \frac{2}{n}a && \text{von } e^{\frac{1}{2}} = \frac{1}{2}a' : \frac{1}{2}a' : -a' = a' : \frac{1}{2}a' : \frac{1}{2}a'. \\ e_n &= \frac{n}{2}a : \frac{n}{n+1}a : \frac{n}{n-1}a && \text{Diese Umkehrung eines Agnenausdrucks mit} \\ &&& \text{— auf die andere Seite mit + leuchtet aus} \\ &&& \text{pag. 88 ein. Man muß die Zeichen } e^n \text{ oben wohl von } e_n \text{ unten unterscheiden!} \end{aligned}$$

$$d^{\frac{1}{m}} d^{\frac{1}{n}} b^{\frac{1}{p}} = mD : nD : pB = \frac{p-(m+n)}{n-m}a : \frac{p-(m+n)}{n+p}a : \frac{p-(m+n)}{m+p}a.$$

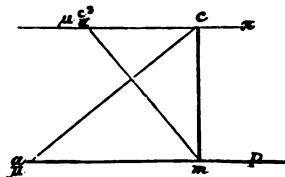
Siehe über diese allgemeinen Zeichen Weiß Abh. Berl. Akad. Wissensch. 1840 pag. 32 und 1822 pag. 261.

### Neumann's graphische Methode.

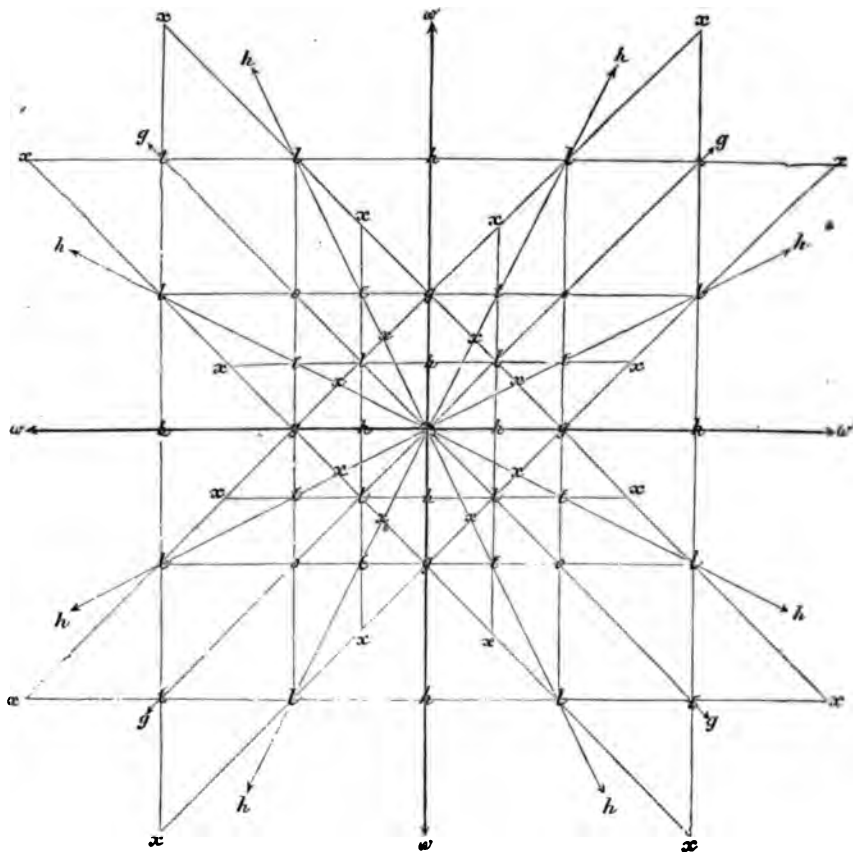
Sie ist in dessen „Beiträge zur Krystallonomie“, Berlin und Posen 1823, auseinander gesetzt. Leider erschien davon nur das erste Heft. Neumann hat uns hier zuerst mit der Idee von Projectionen vertraut gemacht, die aber in Deutschland lange ignoriert wurden. Dagegen haben die Engländer Whewell (Philosoph. Transact. 1825. 87) und Miller (Treatise on Crystallography, Cambridge 1839) die Bezeichnung sich angeeignet, und namentlich gründete Miller in der neuen Ausgabe von der »Elementary introduction to Mineralogy by the late William Philipps. London 1852« Symbole und Rechnung darauf.

Die Neumann'sche Projection beruht auf folgender Anschauungsweise:

Denken wir uns ein System von Flächen in ihrer Projectionslage, wie es pag. 36 auseinander gesetzt ist, legen eine Fläche  $\pi$  durch den Scheitelpunkt  $c$  parallel unserer Projectionsebene  $P$ , und fällen nun vom Mittelpunkt  $m$  des System's je ein Perpendikel auf die Flächen, so wird dieses Perpendikel über die Fläche hinaus verlängert die Projectionsebene  $\pi$  in einem



Punkte schneiden. Dieser Punkt ist der „Flächenort“, aus welchem die Zonenverhältnisse hervorgehen. Was bei unserer Projection durch eine Linie dargestellt ist, wird hier einfacher durch einen Punkt gegeben. Alle Flächen, die in einer Zone liegen, haben dann auf der Projectionsebene  $\pi$  ihre Flächenorte ebenfalls in einer Linie. Habe ich also eine Kante  $c : \frac{a}{\mu}$  auf die Projectionsebene  $\pi$  nach der Neumann'schen Methode zu projeciren, so ist ihr Ort  $\frac{\mu}{a}c^2$  von  $c$  entfernt. Denn heiße der Ort  $x$ , so verhält sich  $\frac{a}{\mu} : c = c : x$ , also  $x = \frac{\mu}{a} \cdot c^2$ . Für  $c = 1$  wird der Ort von  $\frac{a}{\mu}$  einfach zu  $\frac{\mu}{a}$ , und von  $\frac{a}{\mu} : \frac{b}{\nu} : c$  zu  $\frac{\mu}{a} \nu \frac{1}{b c}$ . Daraus ergibt sich von selbst, daß wenn ich die Projectionsebene  $\pi$  nicht durch die Einheit von  $c$ , sondern durch  $\frac{c}{\lambda}$  lege, eine Fläche  $\frac{a}{\mu} : \frac{b}{\nu} : c = \frac{\lambda a}{\mu} : \frac{\lambda b}{\nu} : c$  den Ort



$\frac{\mu}{a} \frac{\nu}{b} \frac{1}{c} = \frac{\mu}{a} \frac{\nu}{b} \frac{\lambda}{c}$  haben muß. Miller setzt nun statt des wirklichen Axen-  
 ausdrucks  $\frac{a}{\mu} : \frac{b}{\nu} : \frac{c}{\lambda}$  einfach die Symbole  $\mu\nu\lambda$ , und zwar immer in der  
 gleichen Reihenfolge von abc, so daß sich aus ihnen für uns die Axen-  
 ausdrücke sogleich ablesen lassen würden, wenn er in der Axenlegung mit  
 Weiß übereinstimmte, was leider nicht immer der Fall ist. Eine Weiß'sche  
 Fläche  $a : \frac{1}{2}b : \frac{1}{4}c$  bekommt dann das einfachere Symbol 123, wobei man  
 nur den Zähler 1 und die Axenfolge zu merken hat. Man darf dabei  
 freilich nicht vergessen, daß schon Bernhardt (Gehlen's Journ. 1807 V. 118)  
 ganz ähnliche Ideen entwickelt hatte. Die Sache wird noch klarer, wenn  
 wir auf die Entwicklung einer Projection selbst eingehen, wir wählen  
 dazu das reguläre System, unterscheiden aber des Verständnisses  
 wegen die Axen abc, welche den regulären aaa correspondiren. Sämmt-  
 liche Flächen sind auf die Würfel Fläche w projicirt. Von den drei

Würfel Flächen hat die horizontale ihren Ort im Mittelpunkte  
 (c) der Projection, die beiden vertikalen dagegen im Unendlichen ww.  
 Die Orte der

Granatoederflächen  $g = a : c : \infty b$  2c. ergeben sich ebenfalls  
 einfach, denn es sind die Orte Perpendikel vom Mittelpunkte m auf die  
 Kante c : a 2c. gefällt. Zwei g davon haben ihre Orte im Unendlichen,  
 ihre Ermittlung macht keine Schwierigkeit, da sie in der Mitte zwischen  
 den Unendlichen ww liegen müssen. Ebenso unmittelbar ergeben sich die  
 Orte der

Pyramidenwürfel  $h = a : \frac{1}{2}a : \infty a$ . Achte davon liegen in den  
 Axen,  $\frac{1}{2}a$  und  $2a$  vom Mittelpunkte entfernt, und vier im Unendlichen  
 zwischen den Würfel- und Granatoederorten. Die Orte der

Oktaederfläche  $o = a : b : c$  finde ich, indem ich die Punkte von  
 g mit w verbinde, deren Durchschnitt dann oooo gibt. Denn ziehe ich  
 von diesem o nach dem Mittelpunkte des Krystalls m, der unter der  
 Projectionsebene gedacht wird, so muß diese senkrecht auf  $a : b : c$  stehen,  
 da oogg die Ecken eines Würfels sind, der seine dem o gegenüber liegende  
 Ecke im Mittelpunkte m hat. Das Symbol der Fläche  $o = 111$  bedeutet  
 weiter nichts, als die Entfernung des Ortes o von den drei Axenebenen  
 ab, ac, bc: so bestimmt man die Wirkung dreier Kräfte im Raum. Um  
 also ganz allgemein den Ort einer Fläche  $\frac{a}{\mu} : \frac{b}{\nu} : c$  zu finden, suche ich

die Flächenorte von  $\frac{a}{\mu} : c : \infty b$  und  $\frac{b}{\nu} : c : \infty a$ , errichte aus beiden Punkten  
 Perpendikel gegen die respectiven Axen, so ist der Durchschnittspunkt der  
 verlangte Flächenort  $\frac{\mu}{a}, \frac{\nu}{b}, \frac{1}{c}$ . Das

Leucitoeder  $l = a : a : \frac{1}{2}a$  liegt mit seinen vier Oktaederflächen

zwischen o und c im Durchschnitte der Zonenlinien gg und oc; die übrigen acht Flächen fallen in den Durchschnitte der Zonenlinien gg und ow. Das

Pyramidenoktaeder  $t = a : a : 2a$  liegt in hl und gl und der Achtundvierzigflächner  $x = a : \frac{1}{2}a : \frac{1}{2}a$  in gg und ll. Vermöge seines AGENAUSDRUCKS muß das Symbol 123 sein, und die 4 äußersten x links und rechts sind auch 1 von der Agenebene ab, 2 von der Agenebene bc, und 3 von der ac entfernt. Dasselbe gilt für die übrigen x, wenn man je die kleinste Distanz 1 nennt: denn z. B. das mittlere x unten rechts hat  $\frac{1}{2}b \frac{1}{2}a c = \frac{1}{2} \frac{1}{2} 1 = 132$ .

Diese Neumann'sche Punktmethod e ist zwar compendiöser, als unsere lineare, allein sie kommt nicht so unmittelbar zur Anschauung. Da die Flächen, deren Orte in eine Linie fallen, in einer Zone liegen, so gewährt sie den Vortheil, daß man mit dem Lineal in der Hand die Zonen herausfinden kann, ohne sie vorher durch Linien versinnlichen zu müssen, aber man kann deßhalb auch leichter etwas übersehen.

Um die Figuren weniger auszudehnen, hat Neumann auch die Punkte auf einer Kugeloberfläche gezeichnet, wo alle Flächenorte einer Zone in ein und denselben größten Kreis fallen. Indessen entfernt man sich damit immer mehr von dem Zwecke, den die Projectionen eigentlich haben sollen: nämlich die Anschauung unmittelbar zu unterstützen. Doch gab Miller gerade dieser den Vorzug. Ich will daher noch den Zusammenhang zeigen, in welchem die Kugel- und Flächenprojection miteinander stehen, wie ich das im „Grundriß der Krystallographie“ pag. 139 auseinanderlegte. Man bedient sich dabei der sogenannten stereographischen Projection, wobei das Auge im Südpole gedacht wird, und die Projectionsebene dem Aequator entspricht. Alle Meridiane werden gerade Linien, die durch den Mittelpunkt gehen, während die übrigen Kreissegmenten entsprechen, deren Mittelpunkt zu bestimmen ist. Wählen wir als erstes Beispiel das

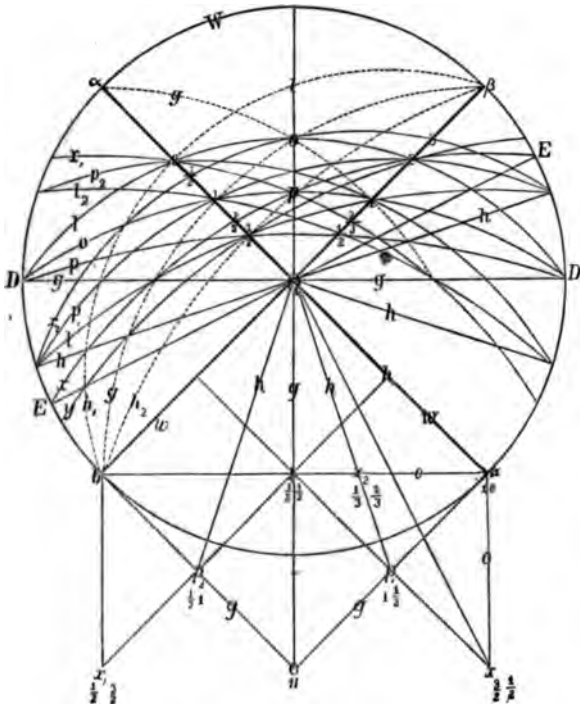
**Reguläre System**, und setzen beide Arten von Projectionen in vorliegender Weise zusammen, d. h. construiren wir uns mit den auf einander senkrecht stehenden AGEN  $Qa = a$  und  $Qb = b$  einen Kreis und ein Viereck, nennen die im gegenüberliegenden Quadranten  $Qa = \alpha$  und  $Qb = \beta$ ,

so liegt allgemein der Mittelpunkt eines beliebigen Sectionskreises  $\frac{\alpha}{\mu} : \frac{\beta}{\nu}$

oben, im Zonenpunkte  $ma, nb$  unten. Zwei Würselflächen  $\omega\omega$  liefern die AGEN, da ihr Mittelpunkt im Unendlichen liegt, während die dritte  $\omega$  den Tafelkreis bildet. Vom Granatoeder gehören zwei gg und vom Pyramidenwürfel  $2a : \infty a$  vier hhhh den Kreisdurchmessern an, die übrigen kann man als Coordinatenkreise betrachten, welche punktiert gezeichnet die AGEN als Sehne haben: beim Granatoeder durch 1, beim Pyramidenwürfel durch  $\frac{1}{2}$  und 2 gehen. Diese Zahlen geben auf den AGEN  $\alpha$  und  $\beta$  die Schnitte der Sectionskreise an. Kreisbogen g mit dem Mittelpunkt a hat also den Ausdruck  $\alpha : \infty\beta$ ; Kreisbogen  $h_1 = 2\alpha : \infty\beta$  hat den

Mittelpunkt in  $\frac{a}{2}$

und  $h_1 = \frac{1}{2}a : \infty\beta$  in 2a. Will man die Eintheilung weiter fortsetzen, so findet man  $\frac{1}{2}a$  durch Punkt  $\frac{1}{2}a$  und  $3a$  durch Punkt  $\frac{1}{2}a$ . Weitere Punkte braucht man für die gewöhnlichen Körper des regulären Systems nicht. Der Oktaeder-Kreis  $o = a : \beta$  mit dem Granatoeder  $g$  als Sehne hat den Mittelpunkt in  $o = a$ ,  $b = 1, 1$ , ich darf denselben nur mit  $Q$  verbinden, darauf durch  $Q$  die Senkrechte  $DD$  ziehen, und mit dem Birkel



von  $o$  nach  $D$  hinfassen. So finde ich allgemein jeden Kreis, z. B.  $x = \frac{1}{2}a$ ,  $\frac{1}{2}b$  mit  $Q$  verbunden, und  $EE$  dagegen senkrecht gelegt geht durch  $\frac{1}{2}a : 2\beta$ . Habe ich dagegen schon durch Coordinatenkreise die Punkte bestimmt, so brauche ich die Construction der Sehne  $EE$  nicht, sondern greife bloß mit der Birkelspitze von  $x$  aus nach  $\frac{1}{2}a$  oder nach  $2\beta$ . Auf diese Weise sind alle Kreise sofort gezogen, und mit der gleichen Sicherheit, wie die ebene Projection hinzustellen. Die Kreisfigur wird bloß zusammengezogener, und nicht übersichtlicher, obgleich die punktirten Coordinatenkreise, wenn die Figur ausgeführt wird, uns wesentliche Dienste thun, und die Zonenübersicht erleichtern. Da im regulären Systeme alle Axen gleich sind, und 1 gesetzt werden können, so ist  $\frac{1}{a} = a = 1$ , d. h.

die reciproken Axen  $a, \beta$  und  $a, b$  unterscheiden sich nicht von einander. Kreis und Flächenprojection sind durchaus gleich, Sections- und Zonenlinien fallen zusammen. Will ich also den Ort von  $o$  suchen, so ist er durch die Coordinatenkreise  $gg$  eben so leicht zu finden, als durch die Sectionslinien  $gg$ . Da nun alle Orte durch zwei Sectionslinien gegeben sind, die zu einer Axe parallel gehen, so ist damit die Aufgabe für das reguläre System gelöst. Jeder wird die weitem Kreise  $plx$  u. nach der Figur sich leicht bestimmen.

Anders wird es dagegen bei ungleichartigen Systemen, wo die reci-









Mit diesen Azen a und b operiren wir, indem wir, wie bei der Rechnung, zwei aufeinander senkrecht stehende auszeichnen, und darauf alles beziehen. Da die drei Sextanten einander vollkommen gleichen, so haben wir damit das Problem auf das Zweigliedrige zurückgeführt. Um den Zonenzusammenhang leichter aufzufassen, dürfen wir in der Projection auf die Würfel-*fläche* pag. 112 die drei Oктаederkantenzone nur mit Roth und die zwischenliegenden von o nach h gehenden Oктаederdiagonalzone mit Blau bezeichnen, um sofort einzusehen, daß die drei Kreisdurchmesser a (ol) den Oктаederkantenzone, und die Zwischendurchmesser b (og) den Oктаederdiagonalzone entsprechen, während der Kreis selbst eine Granatoederkantenzone darstellt. Azenpunkt b entspricht der Würfelkante  $\omega/\omega$ , daher ist  $\frac{1}{b} = \beta$  ihr Ort, und da die Granatoederfläche  $g' = 2a' : 2a'$  diese Kante gerade abstumpft, so ist  $\beta$  der Ort für die Rhomboederfläche dieses Dodekaeders. Punkt  $\beta$  finde ich, indem ich von b nach Q fahre, und die Kantenzone des Würfels  $\omega\omega$  ziehe. Würfelort  $\omega$  hat seinen Gegenpunkt in  $\frac{1}{2}b'$ , weil das  $2\beta$  gibt, da die Sectionslinie des Würfels  $\frac{a}{1} : \frac{b}{2} : \frac{a}{1}$  folglich die Kantenzone des Oктаeders  $\frac{1}{a} : \frac{2}{b} : \frac{1}{a} = \alpha : 2\beta : \alpha$  haben muß. Sectionslinie  $o = \frac{1}{2}a' : \frac{1}{2}b : \frac{1}{2}a'$  gibt von  $\frac{1}{2}b$  nach Q gespannt  $4\beta$  d. h. den Ort der Oктаederfläche, und der Mittelpunkt des Oктаederkantenzonekreises oo liegt in  $\frac{1}{2}b'$ . Mit dem Orte einer Rhomboederfläche ist zugleich der Kantenzonekreis ihres nächsten schärfern Rhomboeder gegeben:  $\frac{\beta}{2}$  hat ihren Gegenpunkt in  $2b'$ , durch welchen

die Sectionslinie des Leucitrhomboeders  $4a : 2b' : 4a$  geht, folglich  $\frac{\beta}{2}$  der Ort dieses Leucitrhomboeders, zu gleicher Zeit ist damit aber auch der Kantenzonekreis  $g'g'$  des Granatoeders gegeben. Denken wir uns die drei Zonenkreise des Granatoederrhomboiders vollständig gezogen, so liefern die Würfelkantenzonekreise  $\omega\omega$  das 1te stumpfere, und die Oктаederkantenzonekreise oo das 2te stumpfere Rhomboeder dazu. Wir haben hier das Umgekehrte, als bei der Linearprojection, wo das Oктаeder das schärfere und das Granatoeder das stumpfere vom Würfel geben. Was also die eine Projection nach außen, lehrt die andere nach innen.

Die eigentlichen Coordinatenkreise fallen den Dihexaedern von der Form  $ma : \frac{m}{2}a : ma$  zu: dahin gehört das Dihexaeder des Pyramidenwürfels  $3a : \frac{3}{2}a : 3a$ , wir dürfen bloß in  $\frac{3}{2}a'$  einsetzen, so gibt der Zonenkreis lh im Durchschnitt mit Würfelkantenkreise  $\omega\omega$  den Ort h. Dreikantner  $h' = \frac{1}{2}a : \frac{1}{2}a$  ergibt sich, wenn ich mit  $\frac{1}{2}a$  auf  $a'$  und mit  $\frac{1}{2}a$  auf a Coordinatenkreise ziehe und vice versa. Die Orte  $h'$  und  $h'$  liegen zu gleich in der Würfelkantenzone  $\omega\omega$ , was eine Controle für die Sicherheit abgibt.

Das Zweigliedrige System auf rechtwinkliche Azen bezogen wird ganz wie das Zweigliedrige behandelt. Wollen wir dagegen schiefe

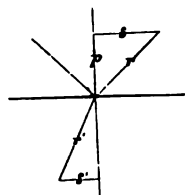


## Optische Eigenschaften.

Da dieselben sich der Structurlehre eng anknüpfen, so wollen wir gleich hier das Wichtigste darüber sagen. Hauptquellen sind: **Herschel**, Vom Licht, aus dem Englischen übersezt von Dr. Schmidt 1831. Dr. **Beer**, Einleitung in die höhere Optik 1853. Besonders klar **Pouillet's** Lehrbuch der Physik und Meteorologie, überarbeitet von Dr. Müller. Braunschweig 1843, 11te Aufl. 1872. Brewster, a Treatise on Optics. London 1853.

### Einfache Strahlenbrechung.

Tritt das Licht aus einem Medium in ein anderes, so wird es auf der Grenze plötzlich von seinem Wege abgelenkt, gebrochen, im dichtern Medium dem Perpendikel zu. Einfallswinkel heißt der, welchen Strahl  $r$  mit Perpendikel  $p$  macht. Einfallender, reflectirter und gebrochener Strahl liegen mit dem Perpendikel in einer Ebene. Der Einfallswinkel ist dem Reflexionswinkel gleich. Auf diesem Gesetz beruht das Reflexionsgoniometer pag. 14. Macht man  $r$  des einfallenden Strahls  $= r'$  am gebrochenen, und fällt von  $r$  und  $r'$  die Sinus  $s$  und  $s'$  auf Perpendikel  $p$ , so ist



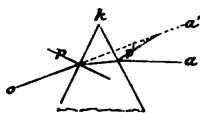
$s : s' = \sin \text{Einfallswinkel} : \sin \text{Brechungswinkel}$

eine constante Größe, **Brechungs exponent** oder **Index** genannt. Für Wasser  $= 4 : 3 = 1,336$ ; Crown Glas  $= 1,533$ ; Quarz  $= 1,548$ ; Flintglas  $= 1,6$ ; Sapphir  $= 1,768$ ; Granat  $= 1,815$ ; Diamant  $= 2,47$ ; Rothbleierz  $= 2,926$ . Je größer der Brechungs exponent, desto bedeutender ist auch die Vergrößerungskraft des Minerals, daher wurden von englischen Optikern früher Granat- und Diamantlinsen sehr empfohlen, und von Prichard verfertigt (Pogg. Ann. 1829 Bd. 15 pag. 517). Der Diamant zeigt auch eine viel geringere sphärische und chromatische Aberration als ihm gleiche Linsen von Glas, was den Werth noch sehr erhöhen würde, wenn nur die Verfertigung nicht so außerordentlichen Schwierigkeiten unterworfen wäre (Mohl Mikrophie pag. 47).

Wenn beim Wasser der Einfallswinkel  $90^\circ$  beträgt, so ist der Brechungswinkel erst  $48\frac{1}{2}^\circ$ , alles Licht, was unter einem größern Winkel aus Wasser in die Luft heraus will, wird im Wasserspiegel total reflectirt. Daher nennt man  $48\frac{1}{2}^\circ$  den Grenzwinkel. Diamant hat

sogar einen Grenzwinkel von  $23^{\circ} 53'$ , daher kann kaum mehr als der vierte Theil des Lichtes direct heraus, das übrige wird zuvor an der Oberfläche zurück- und im Steine hin- und hergeworfen, in Farben zerlegt, worauf vorzugsweise die Pracht seines Anblicks beruht.

Wenn schon durch parallele Flächen gesehen der Gegenstand etwas von seinem Orte rückt, so ist das noch in höherm Grad durch geneigte (Prisma) der Fall. Die brechende Kante  $k$  verschiebt die Sachen um so mehr, je größer ihr Winkel ist, und zwar nach der Gegend hin, wo



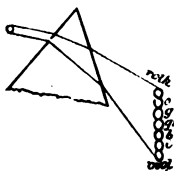
sie liegt. Fällt z. B. ein Lichtstrahl  $o$  auf die Fläche des Prisma's, so muß er beim Eintritt dem Perpendikel  $p$  zu, beim Austritt von  $p'$  ab gebrochen werden, also eine doppelte Ablenkung erfahren. Das Auge  $o$  meint nun den Gegenstand  $a$  in  $a'$  zu sehen:

bei horizontaler nach oben gerichteter Kante  $k$  wird das  $a$  bedeutend gehoben, bei vertikaler bedeutend zur Seite geschoben.

Anwendung. Nimm einen Aeginetkristall in die linke Hand und lege eine seiner scharfen Kanten aufrecht gegen einen Finger der rechten: siehst du nun direct gegen das Fensterlicht, so ist das Prisma dunkel, so wie du aber rechts um vom Fenster weg siehst, so wird es plötzlich ganz durchleuchtet, weil erst bei dieser schiefen Stellung zum Fenster das Licht direct ins Auge treten kann. Oder sieh durch die Endflächen eines brillantirten Quarzes senkrecht gegen ein Licht, so kannst du den Brillant leicht so stellen, daß in der Mitte nur ein einziges Licht wahrgenommen wird, bei jeder Wendung des Kopfes treten dann erst Reihen von Lichtern ins Auge. Zwillingssanten sind oft so stumpf einspringend oder auspringend, daß man sie sehr vorsichtig im Lichtreflex untersuchen muß, man legt dann die brechende Kante horizontal, geht in den Hintergrund des Zimmers, und sieht nun gegen die Helle. Auch das Kerzenlicht ist dazu sehr günstig.

Zerstreung des Lichtes findet stets Statt, sobald es durch das Prisma geht. Es entsteht ein Spectrum mit den bekannten sieben Farben, aus welchen das weiße Sonnenlicht besteht. Man sieht diese Farben nicht bloß durch das Prisma, sondern kann sie auch auf eine Wand fallen lassen. Das Lichtbündel zeigt sich dann in die Länge gezogen, und zwar um so länger, je größer der Einfallswinkel und Brechungswinkel und je ferner die Wand vom Prisma ist. Dann ist aber auch die Mineralsubstanz noch von wesentlichem Einfluß.

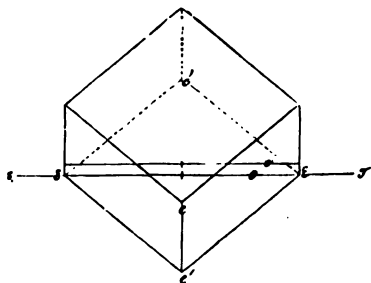
Das Roth, unter allen die brennendste Farbe, wird am wenigsten gebrochen, muß also allemal der brechenden Kante zu liegen. Die stärkste Brechung widerfährt dem Violett am entgegengesetzten Ende, dazwischen liegen vom rothen zum violetten Pole Orange, Gelb, Grün, Blau, Indigo. Grün und Blau stechen darunter am stärksten hervor. Ueber dem Roth hat Lila die kürzesten, unterm Violett Braun die längsten Wellen. Diese prismatischen Farben



sind einfache (homogene), und werden durch ein zweites Prisma gesehen nicht wieder zerlegt. Das Prisma ist daher ein treffliches Instrument, um zu untersuchen, welche Farben der Minerale **homogene** sind oder nicht. Auch die Wärmestrahlen sind im Spectrum sehr ungleich vertheilt: die meiste Wärme liegt noch über dem Rothem, wo das Auge keine Farbe mehr sieht; die geringste dagegen unter dem Violett, wo die unsichtbaren Strahlen noch chemisch wirken (chemische Strahlen). Aus der Länge des Spectrum geht hervor, daß die Farben der Lichtstrahlen verschieden gebrochen werden. Da nun aber die Substanzen in dieser Beziehung sich sehr verschieden verhalten, so gibt man immer die Differenz der Brechungsexponenten für rothes und violettes Licht an, und bekommt damit die totale Dispersion, die man wohl von der partiellen unterscheiden muß, welche einzelne sich näher liegende Farben haben. So hat Wasser für Violett 1,3309, für Roth 1,3441, also 0,0132 tot. Disp.; Flintglas 0,04, Diamant 0,056, Rothbleierz sogar 0,388—057. Diese starke Dispersion erhöht daher noch das schöne Farbenspiel geschliffener Gemmen. Die Verschiedenheit der totalen und partiellen Dispersion in verschiedenen Körpern hat den Achromatismus möglich gemacht: man kann zwei Prismen von Flint- und Crownsglas so construiren, daß sie den Lichtstrahl bloß ablenken und nicht zerstreuen.

### Doppelte Strahlenbrechung.

Alle Minerale, welche nicht im regulären System krystallisiren, zeigen dieselbe, d. h. man sieht durch sie statt eines zwei Bilder. Diese Bilder (Strahlen) sind beim 1gl., 2+1gl. und 2gl. Systeme beide außerordentlich (extraordinär); beim 4gl., 3gl. und 6gl. dagegen bleibt eines ordentlich (ordinär). Die merkwürdige Eigenschaft der Doppelbrechung entdeckte Bartholin pag. 3 am durchsichtigen Kalkspath von Island, welcher darnach Doppelspath genannt wurde. Derselbe bildet noch heute das wichtigste Hilfsmittel zum Stndium. Lege ein solches Rhomboeder mit seiner Fläche auf einen mit einem Punkt versehenen Strich ST, dann wirfst du im Allgemeinen 2 Bilder sehen: ein ordinäres o, was höher liegt, als das extraordinäre e. Bringe ich das Auge senkrecht über die Fläche, so fällt das ordinäre Bild o genau in die Verlängerung der äußern unbedeckten Linie. ST. Halte das Auge in dieser senkrechten Lage und drehe das Mineral im Azimuth, so bewegt sich das tiefer liegende extraordinäre Bild e gegen das feststehende ordinäre. Geht Linie ST der langen Diagonale  $ee'$  der Rhomboederfläche parallel, so ist die Entfernung der beiden Linien ein Maximum, bei der Drehung des Krystalls nähern sie sich und decken sich in dem Augenblicke, wo die ST der kurzen Diagonale ( $c' e'$ ) parallel



geht. In diesem sogenannten Hauptschnitte pag. 90 liegen also  $o$  und  $e$  in einer und derselben Ebene, eine vollkommene Deckung der Bilder findet aber nicht Statt, weil die kleinen Querstriche der Linien noch auseinander fallen. Soll auch dieß geschehen, so muß ich den Krystall heben und die Ecke  $c$  so gegen das Auge herauf drehen, daß ich parallel der Hauptaxe  $cc'$  durchsehe, dann fallen auch die Striche und folglich beide Bilder  $o$  und  $e$  genau zusammen. Diese Richtung  $cc'$ , welche der Hauptaxe des Krystalls entspricht, ist nur ein einziges Mal zu finden, es ist die Richtung der optischen Axe, welche also genau mit der krystallographischen Hauptaxe zusammenfällt. Senkrecht gegen diese Axe, also in der Ebene der krystallographischen Nebenaxen  $a$  gesehen, treten die Bilder am weitesten auseinander: hier wird der außerordentliche Strahl  $e = 1,483$  und der ordentliche  $o = 1,654$  (Differenz  $= 0,171$ ) gebrochen. Je größer bei einem Mineral diese Differenz, und je dicker der Krystall, desto weiter treten die Bilder auseinander. Aus beiden Gründen ist der Kalkspath besonders geschikt. Beim Bergkrystall ist  $o = 1,548$ , und  $e = 1,548$  bis  $1,558$ , also die Differenz  $= 0,01$  nur  $\frac{1}{10}$  von der des Kalkspathes. Die Stücke müssen 17mal dicker sein, wenn sie gleiche Wirkung wie beim Kalkspath hervorbringen sollen.

Das Prisma läßt die Bilder weiter auseinander treten, um so mehr, je größer der brechende Winkel und je entfernter der zu betrachtende Gegenstand. Es beruht dieß auf denselben Gründen, wie die Erzeugung des Spectrums pag. 122, nemlich auf der verschiedenen Brechbarkeit der sieben Farben. Das gewährt ein treffliches Mittel, Gläser von Gemmen zu unterscheiden. Nimmt man z. B. einen geschliffenen Bergkrystall und sieht damit nach einem entfernten Lichte, so zeigt jede Facette eine doppelte Flamme, das Glas aber nur eine einfache. Der Brasilianische Gesandte legte am 29ten Juli 1858 einen Brillanten von 819 Karat vor, welchen ein Franzose Dupoisat auf 50 Millionen schätzte: Haidinger stellte ein Licht auf den Tisch, der Stein zeigte doppelte Bilder, war also ein Topas von 50 fl. Werth! Topase und Diamanten haben das gleiche specifische Gewicht 3,5.

### Optische Axen.

Darunter versteht man diejenigen Richtungen im Krystall, nach welchen gesehen die beiden Bilder sich decken. Da nun im regulären System überhaupt keine doppelte Brechung vorkommt, so kann man hier auch von keiner optischen Axe reden. Brewster (Gilbert's Ann. 1821. 69. 1) hat zuerst den Zusammenhang mit der Krystallform nachgewiesen:

### Optisch einaxige Krystalle

sind alle im 4gl., 3gl. und 6gl. Systeme. Optische Axe fällt hier mit Hauptkrystallaxe  $c$  zusammen. Biot (Gilbert's Ann. 1820. Bd. 65. 1) unterschied zweierlei Fälle:

### Optisch zweiaxige Krystalle

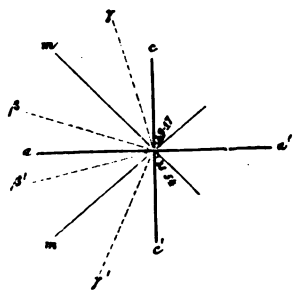
sind alle im 2gl., 2+1gl. und 1gl. Systeme. Nur zuweilen werden bei 1arigen scheinbare Ausnahmen wahrgenommen z. B. gelbes Blutlaugensalz, Kalkuranglimmer von Aetna, Königstein, Turmalin. Die optischen Azen fallen zwar mit den krystallographischen nicht zusammen, stehen aber damit in symmetrischer Lage, und vollständiger Abhängigkeit. Fresnel unterschied statt zwei nun drei Elasticitätsazen: 1) optische **Mittellinie** (bissectrice) halbirt den scharfen Winkel der optischen Azen; 2) optische **Senkrechte** halbirt den stumpfen Winkel der optischen Azen (daher auch 2te Mittellinie genannt), und steht in der Ebene derselben senkrecht auf die 1ste; 3) optische **Queraxe** (schlechthin Normale), steht senkrecht auf die Ebene der optischen Azen. Sie ist stets die Aze der mittlern Elasticität, während die größte und kleinste in der Ebene der optischen Azen liegt: fällt die **kleinste Elasticitätsaxe** mit der Mittellinie zusammen, so heißt der Krystall **positiv** + (Albit, Topas, Olivin, Gyps, Schwerspath, Eis &c.); mit der **größten negativ** — (Feldspath, Glimmer, Talk, Dichroit, Arragonit, Borax, Zucker &c.). Am einfachsten sind die Erscheinungen beim

**Zweigliedrigen S.** Die Elasticitätsagen fallen hier mit den kry-  
stallographischen zusammen, beide optische Axen müssen daher in einer der  
drei Agenebenen (Hauptschnitt) liegen. Ich brauche also diese nebst der  
optischen Mittellinie nur zu nennen, um sogleich orientirt zu sein. So  
bilden z. B. am Weißbleierz die — optischen Axen  $8^\circ$ , liegen in der

Axenebene  $ac$ , und  $c$  ist Mittellinie, folglich  $b$  Querage; bei dem damit isomorphen — Aragonit mit  $18^\circ$  liegen sie in der Axenebene  $bc$ , Axe  $c$  bleibt zwar Mittellinie, aber  $a$  wird Querage; beim + Schwerspath  $36^\circ 48'$  halbt  $a$  den Winkel, ist daher Mittellinie,  $ac$  Axenebene und  $b$  Querage; beim — Bittersalz  $50^\circ 52'$  halbt  $b$  den Winkel, und  $ab$  ist Ebene der optischen Axen, folglich die aufrechte  $c$  Querage. Wollte man ein Symbol, was jeder mit den gewöhnlichen Axen vertraute Mineraloge sogleich verstünde, so müßte man sagen: Weißbleierz —  $c$ ,  $ac$   $8^\circ$ ; Aragonit —  $c$ ,  $bc$   $18^\circ$ ; Schwerspath +  $a$ ,  $ca$   $36^\circ 48'$ ; Bittersalz —  $b$ ,  $ba$   $50^\circ 52'$ . Denn mit der Angabe der Mittellinie ( $-c$ ,  $-b$ ,  $+a$ ) und der Ebene der optischen Axen ( $ac$ ,  $bc$ ,  $ab$ ), ist die Lage des Winkels selbstverständlich. Durch die Mittellinie muß in der Ebene stets der scharfe Winkel halbt werden, und zwar für alle Farben. Denn wenn auch bald das Roth ( $\rho$ ) bald das Blau ( $v$ ) stärker gebrochen werden, also die Axen von Roth ( $\rho > v$ ) oder von Blau ( $\rho < v$ ) einen größern Winkel machen, so wird doch in der Symmetrie nichts geändert, die Farben gruppieren sich um die Mittellinie links wie rechts, und vorn wie hinten. Anders ist es beim

**Zweiundeingliedrigen S.**, wo die Symmetrie jedenfalls zwischen vorn und hinten aufgehoben wird. Zunächst muß man zwei Hauptfälle auseinanderhalten (Pogg. Ann. 81. 181):

a) optische Axen liegen in der **Medianebene**  $b:00a:00c$ , welche den Krystall in eine linke und rechte Hälfte theilt. Krystallage  $b$  bleibt also in allen Fällen **Querage**, und steht senkrecht auf der Ebene der optischen Axen. Diese haben aber in ihrer Ebene zu den krystallographischen Axen  $ac$  eine unsymmetrische Lage, was eigentlich krystallonomisch gar nicht anders sein kann. Es ist das der gewöhnliche Fall, wie es beim Diopsid, Euklas, Titanit, Gyps, Realgar zc. angetroffen wird. Um die Lage der optischen Axen zu bezeichnen, muß man den Winkel der Mittellinie  $m$



zur krystallographischen  $c$  angeben: also Augit +  $mc$   $38^\circ 54'$ ,  $\beta\gamma$   $58^\circ 58'$ , d. h. der Krystall ist positiv, und  $m$  tritt auf der Vorderseite nach oben heraus, wie die beiden optischen Axen  $\beta\gamma$ , deren Winkel durch  $m$  halbt ( $29^\circ 29'$ ) wird. Würde man den Euklas in der Haug'schen Weise stellen, wo  $P$  nach vorn liegt, so hätten wir +  $mc'$   $49^\circ 17'$ ,  $\beta'\gamma'$   $49^\circ 38'$ , welchen Winkel die Mittellinie  $m$  halbiren muß. Die Mittellinie mit den Axen  $\beta'\gamma'$  tritt also jetzt unten,

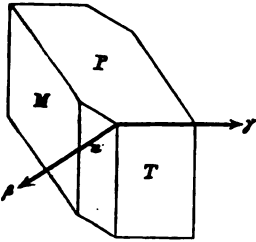
oder was dasselbe hinten heraus, wie die Striche andeuten sollen. Wenn bei dem 2gl. S. die optischen Axen noch physikalisch gleich ( $\beta = \gamma$ ) waren, so kann das hier nicht mehr der Fall sein, wie man aus der verschiedenen Vertheilung der Farben ersieht.

b) optische Axen liegen in einer **Schiefendfläche**. In diesem



Fälle kann entweder die Medianlinie (Klinodiagonale A Feldspath) oder die Axe b (Vorax) Mittellinie sein. Da nun alle Schiefendflächen der b parallel gehen, so ist ihre Lage durch die Neigung zur Axe c gegeben. Für die mediane Mittellinie m brauche ich nur den Winkel zur Axe c zu wissen: also Feldspath —mc'  $63^{\circ} 53'$ , d. h. die optischen Axen liegen in P, welche mit c den gleichen Winkel macht. In diesem Falle ist wieder  $\beta = \gamma$ ,  $\beta\beta 70^{\circ}$ , d. h. die optischen Axen schneiden sich unter  $70^{\circ}$ , und sind selbstverständlich jederseits von der Mittellinie m  $35^{\circ}$  entfernt. Beim Vorax macht die Schiefendfläche der optischen Axen etwa  $55^{\circ}$  gegen c, aber —b ist optische Mittellinie. Es ist in solchen Fällen immer besser, eine kleine Beschreibung statt kurzer Symbole zu geben, die man doch nur vergißt. Gänzlich unregelmäßig verhält sich endlich das

**Eingliedrige S.** Gleich beim Albit, der dem Feldspath entgegen positiv + ist, fällt die Mittellinie ungefähr in die Agenebene bc, und schneidet die aufrechte c etwa unter  $79^{\circ}$ . Das beste leicht zu controlirende Beispiel bietet **Aufservitriol**. Da entwirft man schnell eine kleine Figur, worin am Hensenoeder PMT die Fläche T so leicht am scheinbar rechten ebenen Winkel ( $88^{\circ} 48'$ ) erkannt wird, und gerade diese Kante P/T entspricht der einen optischen Axe  $\gamma$ ; die andere  $\beta$



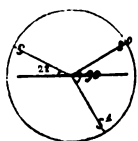
liegt auf n, welche die Säule M/T  $122^{\circ} 31'$  abstumpft, und halbirt fast genau den ebenen Winkel von P/n mit T/n ( $112^{\circ} 56'$ ). Kann man die Abstumpfungsfäche der scharfen Säulentante r benützen, so darf man nur im Krystalle mit dem Federmesser ihr parallel eine Furche ziehen, ein Stück abbrechen, auf einem gewöhnlichen Stein abschleifen, und in der Hand glatt reiben, um nach Verlauf von ein paar Minuten wenigstens ein rohes Bild der Axe  $\gamma$  im Polarisationsapparat zu sehen. Mehr braucht von Mineralogen nicht erwartet zu werden, das Feinere muß dem Physiker bleiben.

Merkwürdiger Weise fallen nach der Entdeckung Mitscherlich's (Pogg. Ann. 1826 VIII 220) beim Erwärmen des Gypses auf  $70^{\circ}$  R beide optische Axen zusammen, so daß der Krystall optisch einaxig wird. Die Geschwindigkeit, mit welcher sie sich gegen einander bewegen, ist jedoch bei beiden sehr verschieden (Pogg. Ann. 35. 22). Ueber  $70^{\circ}$  hinaus treten die Axen zwar wieder auseinander, aber in der Agenebene bc, welche gegen die Medianebene senkrecht steht. Bei Gypsen, wo das Paar  $1 = \frac{1}{2}a \frac{1}{2}b$  stark entwickelt ist (Helshausen bei Nagold), kann man eine Axe durch l im Polarisationsmikroskop sehen. Man darf solche nur mit Gummi auf Glas fitten, alsdann auf einer heißen Platte erwärmen, so gewahrt man eine Lemniscate, die sich beim Abkühlen zu einem laigen Wille zusammenzieht, und dann rechtwinklig entgegengesetzt wieder auseinander geht. Vollständig erkaltet sieht man bloß noch das Ringsystem einer der Axen. Auch Natriumsulfuret und besonders Glaubert zeigen nach Descloizeaux

das Phänomen. Dazu kommen dann noch eine Menge Silicate Feldspath, Klinochlor, Blätterzeolith, Brehnit, Brookit zc. von denen einige bei stärkerer und länger einwirkender Hitze sogar permanent werden, wodurch namentlich gewisse Kaliseldspathen so wichtig geworden sind, Descloizeau, Ann. des mines 1862 Bd. 2.

### Polarisirtes Licht.

Der eigenthümliche Name Polarisation rührt von Malus her, welcher 1808 zufällig mit einem doppelt brechenden Prisma das von den Fenstern des Palastes Luxemburg in Paris zurückgeworfene Licht der untergehenden Sonne betrachtete, und mit Staunen bemerkt, daß eines der doppelten Bilder bei der Drehung des Prismas trüber werde. Aber nicht bloß der Reflex, sondern auch durchsichtige Krystalle und organische Gewebe polarisiren, was bei letztern so weit geht, daß die Stärkezellen im Staube der Aegyptischen Gräber es noch zeigen. Wir unterscheiden hauptsächlich 2 Fälle:



- 1) Wenn ein Lichtstrahl  $s$  so einfällt und von einem durchsichtigen Mittel nach  $s^0$  so zurückgeworfen wird, daß der Strahl des durchgehenden Lichts  $s^1$  auf den reflectirten  $s^0$  senkrecht steht. Für Quarz beträgt der Einfallswinkel  $33^\circ$ , Glas  $35^\circ 25'$ , Kalkspath  $31^\circ 9'$ , Diamant  $21^\circ 59'$ . Der Lichtstrahl  $s$  ist also dann in zwei polarisirte Strahlen  $s^0$  und  $s^1$  zerlegt.

Man kann aus diesem „Polarisationswinkel“ auch den Brechungscoefficienten finden, Pfaff, Bogg. Ann. 127, 150.

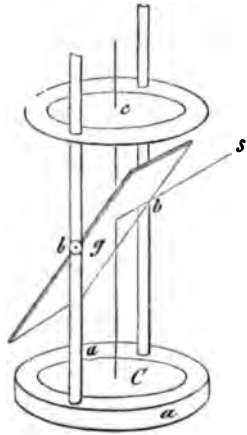
- 2) Wenn der Lichtstrahl durch ein krystallisirtes Mittel von doppeltbrechender Kraft geht. Daher sind die beiden Strahlen der optisch einaxigen und zweiaxigen Krystalle polarisirt.

Mittel, das polarisirte Licht vom unpolarisirten zu unterscheiden, gibt es vorzüglich drei:

- a) In gewissen Lagen der Einfallsebene wird bei einem bestimmten Einfallswinkel der Strahl von einem polirten Mittel nicht reflectirt. Man macht sich das am besten durch zwei Brettchen (Spiegel)  $b b$  klar, die mittelst eines Stabes  $a$ , welcher den Strahl vorstellt, verbunden sind. Schneidet man den Stab senkrecht gegen seine Axe bei  $a$  durch, und hülft das eine Stück in das andere ein, so gehen die Bretter bei der Drehung der Hülse  $a$  im Azimuth aus ihrer Parallelität. Nur in zwei Fällen, bei der Parallelität und bei einer Drehung um  $180^\circ$  wird das Licht  $s$  vollkommen auf beiden Spiegeln nach  $s'$  reflectirt; bei einer Drehung um  $90^\circ$  und  $270^\circ$  dagegen auf dem einen Spiegel nicht, und in allen Zwischenstellungen unvollkommen.

Mörrenberg'scher Polarisationsapparat: auf dem Fußgestell  $aa$  befindet sich ein horizontaler Spiegel  $C$ , darauf erheben sich zwei senkrechte Stäbe, zwischen welchen eine Glasplatte  $g$  (am besten von geschliffenem Spiegelglase) um zwei horizontale Zapfen  $b b$  beweglich ist.

Oben befindet sich ein Ring c, welcher, mit einer Glasplatte bedeckt, den zu betrachtenden Mineralen als Unterlage dient. Drehe ich nun das Glas g so, daß es verlängert den horizontalen Spiegel unter  $54^{\circ} 35'$  (dem Complement des Polarisationswinkels) schneiden würde, so wird ein Theil des Lichtstrahls s, der unter dem Polarisationwinkel von  $35^{\circ} 25'$  auffällt, senkrecht gegen den Spiegel C reflectirt. Der Spiegel wird also von polarisirtem Licht erleuchtet, und da nun die Gläser g und c durchlassen, so kann ein Mineral bei c im polarisirten Lichte beschaut werden. Näheres Pouillet Müller Lehrb. Phys. 1843 II. 266. Die Buchstaben aa, bb und cC sind orientirt, wie die gleichnamigen Axen eines Krystalls. Der polarisirte Strahl Cc schwingt parallel bb (Neusch, Pogg. Ann. 1854. 92. 200).



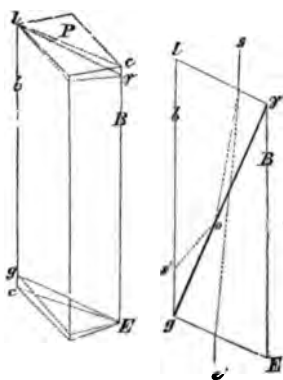
b) Der polarisirte Strahl wird in gewissen Lagen, wo der unpolarisirte zerlegt wird, nicht mehr durch doppelt brechende Minerale zerlegt.

Legt man auf das Glas c des eingestellten Polarisationsapparates ein durchstochenes Kartenblatt, betrachte es parallel Cc durch die horizontale Fläche eines Kalkspathrhomboiders, so wird im Allgemeinen der Punkt zwar doppelt erscheinen, allein in vier Lagen einfach, und zwar so oft die Ebene der langen und kurzen Diagonalen des Kalkspath's senkrecht gegen die Glasplatte g steht.

c) Der polarisirte Strahl ist unfähig, in einer bestimmten Lage durch eine Turmalinplatte, schwefelsaures Jodchinin (Herapathit, Sitzb. Wien. Akad. 1855 XV, 82) oder ein Nicol'sches Prisma zu gehen.

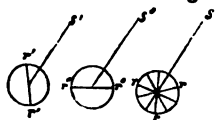
Schleift man nämlich aus grünem oder braunem Turmalin eine Platte längs der Säulenaxe c, und sieht damit nach jenem Punkte polarisirten Lichtes im Kartenblatt, so wird derselbe dunkel, sobald die Axe der Turmalinplatte in der Längsrichtung der Glasplatte g, d. h. in der Medianebene aa des Apparats, liegt; drehe ich dagegen Turmalinaxe c in die Queraxe bb des Apparats, so ist der Punkt am hellsten. Zwei solcher gegen einander verdrehbarer Platten bilden die bekannte Turmalinzeuge. Mit parallelen Axen c gegen einander gelegt sind sie durchsichtig, mit senkrecht gekreuzten dagegen undurchsichtig, vorausgesetzt, daß die Platten die gehörige Dicke haben.

Nicol'sches Prisma (Jameson's New Journal 1828 VI. 83). Nimm einen länglichen Isländischen Doppelspath, woran c die gleichantige Endfläche, durch welche die Hauptaxe geht, bezeichnet; B und b sind die stumpfen Ranten von  $105^{\circ} 5'$  der beiden ausgebreiteten Blätterbrüche. Bringt man sie durch Spaltung ins Gleichgewicht, so bildet daran der dritte Bruch P eine auf die stumpfe Kante B aufgesetzte Schiefenfläche. Dann ist Fläche lcbEcb ein Hauptschnitt des Rhomboeders mit dem



stumpfen Winkel  $P/B = l c B = 109^\circ 4'$  und dem scharfen  $P/b = Plb = 70^\circ 56'$ . Statt P muß eine neue Schiefendfläche in der Richtung ly und Eg geschliffen werden, welche senkrecht gegen den Hauptschnitt gelegen mit  $b 68^\circ$  folglich mit  $B 112^\circ$  macht, also von dem Blätterbruch P um nicht ganz  $3^\circ$  abweicht. Jetzt durchsäge den Krystall so, daß die Schnittfläche senkrecht auf dem Hauptschnitt und zugleich senkrecht auf der Linie ly steht, soll dieß mittelst eines Schnittes yg geschehen, so muß der Krystall so weit gespalten werden, daß  $ly : lg = 1 : 2,67$ . Man kittet beide Stücke wieder mit canadischem Balsam zusammen, wie der Hauptschnitt rechts zeigt. Kommt nun ein Strahl s, so wird derselbe in zwei Strahlen o und e zerlegt. So lange s die ungefähre Richtung der Rhomboederkanten b und B hat, ist der Winkel soy kleiner als  $22^\circ$ , für die Parallelität beträgt er sogar bloß  $14\frac{1}{2}^\circ$ , und in diesem Falle wird der ordentliche Strahl, der jedenfalls einen größern Brechungscoefficienten (1,654) als die Balsamschicht (1,536) hat, total nach  $s'$  reflectirt und von der schwarzen Firnißbede, womit man die Seitenflächen überzieht, verschluckt. Die Erklärung liegt im Grenzwinkel pag. 121. Ganz anders verhält sich dagegen der außerordentliche Strahl e, der für diese Richtung ungefähr denselben Brechungscoefficienten wie die Balsamschicht hat, jedenfalls keinen größern, sondern einen kleinern (bis 1,483), er geht also durch die Balsamschicht durch, und mit diesem beobachtet man. Die Aethertheilchen schwingen parallel dem Hauptschnitt. Durch seine Farblosigkeit hat das Prisma Vorzug vor einer Turmalinplatte, und wird besonders auch bei Mikroskopen angewendet. Foucault (Pogg. Ann. 1857. 102. 444) gibt ein noch einfacheres Verfahren an, und Häser (Pogg. Ann. 1861. 113. 100) andere Schnitte und Zwischenmittel.

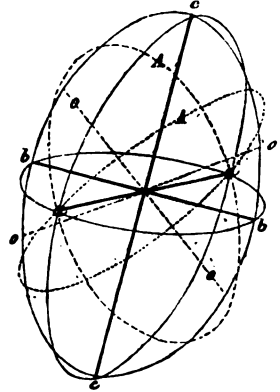
**Erklärung.** Man denkt sich, daß die Aethertheilchen eines unpolarisirten Lichtstrahles s senkrecht gegen den Strahl nach allen Richtungen, bei den polarisirten  $s'$  und  $s^o$  dagegen entweder nach der einen Richtung  $r^o r^o$  oder nach der andern  $r' r'$  zu schwingen gezwungen seien. Beide Richtungen  $r^o$  und  $r'$  stehen aufeinander senkrecht, man sagt, die Strahlen  $s^o$  und  $s'$  seien senkrecht zu einander polarisirt. Wenden wir dieß an.



Bei optisch einaxigen Krystallen construirte Fresnel um die beiden Elasticitätsachsen ca, die ihrer Richtung nach mit den gleichnamigen krystallographischen zusammenfallen, eine Ellipse, und drehte diese um die Axe cc. Sie grenzt ein Revolutionsellipsoid ab, dessen Querschnitt aaaa ein Kreis ist, parallel, welchem die Elasticität im Krystall nach allen Richtungen die gleiche bleibt. Da der ordinäre Strahl

o überall nach dem gleichen Gesetz gebrochen wird; so müssen seine Aethertheilchen parallel dem Querschnitte  $aa$  des Revolutionsellipsoids schwingen, denn nur so finden sie gleichen Widerstand; während die Ungleichheit des Widerstandes nach jeder andern Richtung das variable Gesetz des außerordentlichen Strahles bedingt. Nur wenn das Licht parallel der Axe  $c$  geht, liegen die Aetherschwingungen beider Strahlen  $o$  und  $e$  der Arenebene  $aaaa$  parallel, dieß gibt daher die Richtung der optischen Axen. Wenn das Revolutionsellipsoid uns ein Bild von den verschiedenen Fortpflanzungsgeschwindigkeiten des außerordentlichen Strahles gibt, so die Kugeloberfläche von den ordentlichen. Bei dem regulären System, wo alle drei Dimensionen gleich sind, kann daher keine doppelte Brechung Statt finden.

Bei optisch zweiaxigen Krystallen sind drei verschiedene Elasticitätsaxen  $a, b, c$  vorhanden. Construiert man damit die drei aufeinander senkrechten elliptischen Ebenen  $ab, ac, bc$ , so kann man in diesem dreiaxigen Ellipsoide mit der mittlern Elasticitätsaxe (d. h. der Axe von mittlerer Länge, die  $a$  sein mag) zwei Kreise  $aAa$  construiren, welche durch die Axe  $a$  gehen und symmetrisch gegen  $b$  und  $c$  liegen; senkrecht auf diese Kreisebenen stehen die beiden optischen Axen  $oo$ . Ihr scharfer Winkel wird entweder durch die kürzeste  $b$  (positiv) oder die längste Elasticitätsaxe  $c$  (negativ) halbirt, je nach der Beschaffenheit der Ellipsen. Jeder Kreis mit seiner senkrechten Axe  $oo$  bildet das Analogon eines optisch einaxigen Krystalls. Daher muß die optische Queraxe  $a$  die Axe mittlerer Elasticität sein, während die Mittellinie die kürzeste oder längste Elasticitätsaxe sein kann.



Setze ich durch eine Turmalinplatte gegen das Doppelbild im Kalkspath pag. 123, so schwindet bei aufrechter Turmalinaxe  $c$  das ordentliche Bild, und nur das außerordentliche bleibt sichtbar, folglich gehen in dieser Stellung die außerordentlichen Strahlen, welche schief zur Axe  $c$  schwingen, durch die Turmalinplatte durch. Lege ich dagegen  $c$  horizontal und die Arenebene  $aa$  aufrecht, so schwindet das außerordentliche Bild, es können nur die Strahlen, welche parallel  $aa$  schwingen, durch. Das ist nun auch der Grund, warum in der Turmalinzange mit gekreuzten Axen Dunkelheit entsteht: die eine Platte läßt nur die ordentlichen, die andere die außerordentlichen durch, folglich kann keines von beiden durch beide Platten zugleich gehen.

### Farbige Ringsysteme.

Nachdem Arago schon 1811 dem französischen Institute die merkwürdigen Farbenercheinungen dünner Glimmer- und Gypsblättchen, wie

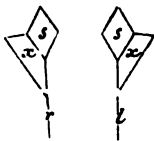
sie die Natur unmittelbar bietet, im polarisirten Lichte mitgetheilt hatte, fand Brewster (Philosoph. Transact. 1813. 101) ähnliche Erscheinungen an geschliffenen Krystallplatten, wenn polarisirtes Licht in schiefer Richtung durchgeht. Man hatte nun bald in zwei Turmalinplatten (Turmalinzange) kleine Polarisationsapparate gefunden. Aber mangelhaft. Erst durch das **Polarisationsmikroskop** von Amici, und besonders von Norrenberg, welches Grailich (kryst.-opt. Unters. pag. 43) beschrieb, ist dem Mineralogen ein practisches Instrument geboten. Die kleinsten Splitter reichen hier oft hin, um die Lage der Axenebenen zu finden, und nach den umfassenden Zusammenstellungen von Hrn. Descloizeaux (Annales des mines 1858. XIV) darf auch der Mineraloge solche wichtige Kennzeichen nicht übersehen, obgleich sie über die Grenze zur Physik hin streifen. Eine populäre Darstellung gab Prof. Dr. Bech in den Jahressheften Ver. bat. Naturf. Württembergs 1865 XXI, 255 und 1866 XXII, 207.

Optisch einaxige Krystalle. Schleift man einen Kalkpath senkrecht gegen die Hauptaxe  $c$ , und nimmt das Stück in eine Turmalinzange mit gekreuzten Axen, so erscheinen gegen das Tageslicht gesehen schönfarbige Kreise mit einem dunkeln Kreuz. Die Farben hängen mit der Dispersion und Absorption der Masse zusammen. Das schwarze Kreuz entspricht den Schwingungsebenen der Aethertheilchen im Turmalin. Bei



parallelen Turmalinaxen ist die Erscheinung nicht so schön, das Kreuz wird hell und die Farben schlagen in Complementärfarben um. Je dicker die Platte und je stärker die Differenz der Brechungssexponenten beider Strahlen, desto schmaler die Ringe. Daher sieht man bei dünnen Platten, namentlich wenn die Masse nicht stark doppelt bricht, wie z. B. das Eis, die Ringe nicht oder doch sehr breit. Im homogenen Lichte (Weingeist mit Steinsalz auf den Docht gestreut) schwinden die Farben, die Ringe sind bloß dunkel und hell. Wenn die Minerale nach der Geradendfläche einen blättrigen Bruch zeigen, wie z. B. der prachtvoll bei einer Temperatur von  $15^{\circ}$ — $20^{\circ}$  krystallisirte viergliedrige Nickelvitriol  $NiS + 7H$  (Pogg. Ann. 12. 144), das gelbe Blutlaugensalz, der einaxige Glimmer etc., so darf man sie nur spalten und unter das Polarisationsmikroskop bringen, um sofort die Erscheinung zu sehen.

Circularpolarisation, 1811 von Arago an Bergkrystall entdeckt und von Fresnel (Ann. Chim. 1825 XXVIII, 153) benannt, zeigt zwar auch Ringe mit einem schwarzen Kreuz, allein in der Mitte fehlen sie,

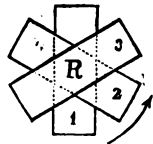


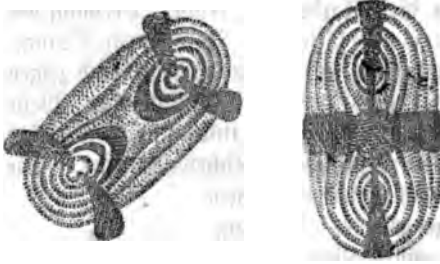
und statt dessen stellt sich eine gleichmäßige Färbung ein, welche bei der Drehung des Analysierers alle prismatischen Farben durchläuft. Bringt man solche Platten auf den Polarisationsapparat, wo ihn nur Strahlen, die parallel der optischen Axe gehen, treffen, also auch außen keine Ringe erscheinen, so zeigt durch ein Nicol'sches Prisma angesehen die ganze Fläche eine prachtvolle gleichartige Färbung, falls sie

gut parallel geschliffen ist. Gehen diese Farben bei rechter Drehung des Nicol'schen Prisma's oder der Turmalinplatte von Roth durch Orange, Gelb, Grün, Blau und Violett, so heißen sie rechts drehend, und zeigen sie dieselbe Farbenfolge bei linker links drehend. Auffallender Weise richtet sich das nach den Trapezflächen  $x$ :  $l$  ist ein links und  $r$  ein rechts drehender Krystall, entsprechend den Schrauben gleichen Namens. Die **Kirby'schen Spiralen** erhält man durch Aufeinanderlegen gleich vieler Platten von entgegengesetzter Drehung: wenn die Schwingungsebenen zusammenfallen, und die links drehende oben liegt, so kehren bei gekreuzten Nicoln die schwarzen Spiralarme sich im Sinne rechter Schrauben, und umgekehrt (Schrauf, Physik. Miner. II pag. 281). Bei Querschnitten von Amethysten kommen häufig solche Drehungen vor, zum Zeichen, daß sie aus Zwillingen bestehen. Nach Hrn. Descloizeaux zeigen Zinoberkrystalle 15—17mal stärkere Drehungskraft als Bergkrystall. Besonders lehrreich und leicht darzustellen ist das rhomboedrische Unterschwefelsaure Blei  $PbS_2O_6 + 4H$  (Sitzb. Wien. Akad. Bd. 64 Brezina). Solche Circularpolarisation hat Pasteur (Pogg. Ann. 80. 127) auch bei Lösungen von Krystallen nachgewiesen, wie z. B. der Rechts- und Links-Traubensäure, deren Flächen man es schon ansieht, wohin ihre Flüssigkeiten drehen werden! Schwefelsaures Strichnin in Krystallen und Lösungen, chlorsaures Natron (Pogg. Ann. 91. 484 und 94. 412) verhalten sich ähnlich. Bekanntlich ist Zuckerrösung rechts und Terpentinöl links drehend.

Neusch (Monatsh. Berl. Acad. 1869 pag. 530) legte dünne Blättchen von optisch zweiachsigem Glimmer, worin die Optische Axenebene mit der langen Seite zusammenfällt, treppenförmig (1 2 3) rechts gedreht über einander, und fand dann im Centrum R, wo die Blätter übereinander liegen, Erscheinungen, die lebhaft an Circularpolarisation erinnern, um so lebhafter je dünner und je größer die Zahl der Blättchen ist. Ordnet man die Treppe entgegengesetzt links, so kommt auch in der Polarisation die entgegengesetzte. Ohne Zweifel ein Schritt zu der schwierigen Erklärung.

Optisch zweiachsiges Krystalle zeigen senkrecht zu einer der optischen Axen geschnitten etwas elliptische Farbenringe mit einem schwarzen Strich, z. B. Aragonit. Bei der Drehung der Krystallplatte dreht sich auch der Strich, aber nach der entgegengesetzten Seite hin. Oft braucht man nicht ein Mal zu schleifen, z. B. farblose Topasgeschiebe von Brasilien darf man nur in der Richtung einer optischen Axe zwischen die Turmalinzange bringen, um die schöne Erscheinung zu sehen. Wenn der Winkel der optischen Axen scharf ist, wie beim Weißbleierz  $5^\circ 15'$ , Salpeter  $5^\circ 20'$  u., so sieht man senkrecht gegen die optische Mittellinie geschnitten, zwei Curvensysteme, welche die Eigenschaften der Lemniscaten haben, und deren Form sich bei Drehung der Krystallplatte nicht ändert,





wohl aber wird die Lage der beiden schwarzen Curven gegen die Lemniscaten stets ein andere. Eine Linie, welche die Centra der beiden Kreise verbindet, entspricht der Lage der optischen Axen. Wenn diese  $45^\circ$  von den aufeinander senkrechten Polarisationssebenen entfernt sind, so

ist die Mitte schön gefärbt, und die schwarzen Striche bilden nach außen offene Hyperbeln, so wie sie dagegen mit einer der Polarisationssebenen zusammenfallen, so erzeugt sich ein schwarzes Kreuz, was die Mitte gänzlich verbunkelt.

Hierin liegt ein praktisches Mittel, optisch einaxige Minerale von optisch zweiaxigen zu unterscheiden. Denn einaxige bleiben zwischen gekreuzten Turmalinplatten bei jeder Drehung dunkel, zweiaxige werden dagegen bei einer Kreisbrehung zwei Mal dunkel und zwei Mal hell. Noch bequemer hat man es auf dem Polarisationsapparate. Glimmer, Topas zc. liefern gute Beispiele. Besonders interessant ist der Glimmer, weil darunter sich auch optisch einaxige Blätter finden.

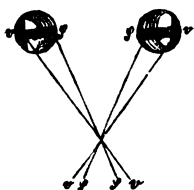
„Den Charakter der optischen Axen, ob selbe positiv oder negativ seien, findet man durch Kreuzung mit einer Platte von bekanntem Character. Werden die Ringe kleiner, so besitzen beide Substanzen gleichen Character, denn das Plattenpaar wirkt wie eine einzige dickere Platte. Werden die Ringe größer, so besitzen sie verschiedene Charactere, denn das Plattenpaar wirkt wie eine dünnere Platte.“ Indessen gibt es auch noch andere Mittel. Zur Bestimmung der optisch einaxigen bedient sich Grailich eines 2axigen Glimmerblättchens von einer Viertelundulation ( $\frac{1}{4}\lambda$ ), woran die Lage der optischen Axen (Hauptschnitts) durch einen Strich bezeichnet ist. Legt man dasselbe am Nörrenberg'schen Polarisationsmikroskop unter den obern Nicol (Analyseur), so wird das schwarze Kreuz bleiben, so oft der Hauptschnitt des Glimmerblattes mit einer der Polarisationssebenen zusammenfällt, in der Zwischenstellung löst sich jedoch das Kreuz in zwei schwarze Punkte auf; liegen die Punkte im Hauptschnitt des Glimmers, so ist das Mineral negativ (—), liegen sie senkrecht dagegen positiv (+): also **negativ drin, positiv draußen**. Bei optisch zweiaxigen bediente sich schon Biot der Quarzplatten, senkrecht gegen die Hauptaxe geschnitten, wie man sie zur Demonstration der Circularpolarisation zur Hand hat. Stellt man nun die Lemniscate möglichst schönfarbig ein, was bekanntlich der Fall ist, wenn ihre Längs- und Querausage  $45^\circ$  von den Schwingungsebenen des Polarisationsmikroskop entfernt stehen, und legt eine Quarzplatte unter den Analyseur, so kommen an negativen Mineralien mitten in der Lemniscate sehr lebhaft hyperbolische Interferenzkurven, wenn man die Quarzplatte um die Längsaxe



der Lenniscaten dreht; an positiven dagegen bei der Drehung um die Queraxe: also negativ längs, positiv quer.

Agengerstreuung macht man sich vorläufig am besten wieder durch eine Zeichnung der Agenebene klar: es ist dabei hauptsächlich auf die beiden extremen Farben des Spectrums Roth ( $\rho$ ) mit größern und Violett ( $\nu$ ) mit kleinern Lichtwellen Rücksicht zu nehmen. Das Violett schwindet häufig im Blau, man spricht daher von Roth und Blau. Wählen wir z. B. aus dem

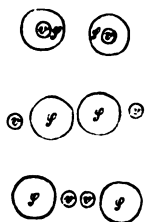
Zweigligedigen System eine Lenniscate vom Salpeter, und lassen die Polarisations Ebenen zusammenfallen, so daß das schwarze Kreuz entsteht. Ist die Platte nicht dünn genug, so darf man nur im Polarisationsmikroskop das Linsensystem heraus nehmen, und die Platte unmittelbar unter den Nicol (Analyseur) halten. In den beiden Augen, welche den Augenpunkten entsprechen, liegt links blau, grün, roth und rechts roth, grün blau.



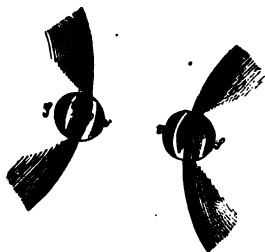
Sich die Augen hinzudenkend, sieht man sogleich, daß roth ( $\rho$ ) einen kleinern Winkel als blau ( $\nu$ ) mache ( $\rho < \nu$ ). Beim Seignette = Salz  $\text{KNaT}^2\text{H}^2$  liegt umgekehrt das rothe ( $\rho$ ) außen, und das blaue ( $\nu$ ) innen ( $\rho > \nu$ ), weil der Winkel der rothen Augen um  $20^\circ$  größer ist, als der der blauen.



Die Sache ist so augenfällig, daß man im kleinern Gesichtsfelde bei bekannter Farbenfolge sogleich weiß, wo die 2te Axe zu suchen sei. Sind die Winkel der rothen und blauen Augen nur einigermaßen anders, wie z. B. beim Weißbleierz, so kann die ganze Reihe der Regenbogenfarben zwischen  $\rho$  und  $\nu$  unterschieden werden. Nur bei einigen Salzen, wie z. B. beim schwefelsauren Kali  $\text{KS}$  vertheilen sich die Farben in beiden Augen gleich, und ich mag nicht entscheiden, ob nach Grailich  $\rho < \nu$  oder nach Descloizeaux  $\rho > \nu$  sei. Mittheilungen meines Collegen Neusch zufolge bezeichnete Möhrenberg diesen Fall 1, während 2 Salpeter nebst Aragonit, Bleivitriol, Cölestin, Schwefspath, Anhydrit, Chlorit, Strontianit, Struvit, Schwefel und 3 Seignettesalz nebst Topas, Chrysoberyll, Glimmer, Lepidolith, Staurolith, Weißbleierz, Witherit, Kieselzinkerz, Brookit haben würden: Zeichen, die im Hinblick auf die kleinen violetten  $\nu$  und die großen rothen  $\rho$  Lichtwellen selbstverständlich sind.



Die geschliffenen Platten im Azimuth gedreht, ändert die Lage der Farben, und bei  $45^\circ$  gewahrt man im Centrum des Auges zu beiden Seiten der dunkeln Hyperbeln ein Spectrum und Gegenspectrum. Beim Seignettesalz legt sich zunächst der Hyperbel roth  $\rho$  außerhalb und violett  $\nu$  (grün) innerhalb. Ein Blick zeigt auch hier, daß das Symbol  $\rho\nu\nu\rho$  sei.



Sieht man bloß auf die  $v\rho$  und  $\rho v$  neben den Hyperbeln, so hat es den Anschein, als wenn die Winkel von  $v$  größer wären als die von  $\rho$ . Hr. Descloizeaux (Ann. min. 1858. XIV) sagt daher bleue à l'extérieur et rouge à l'intérieur, und setzt dann gleich hinzu, factisch sei aber die Sache umgekehrt. Wir halten uns jedoch besser nur an die innern Spectra der Lemniscaten, und nicht zugleich an die äußern Gegenspectra. Zur Controle ist die Verdrehung um  $45^\circ$  sehr zu empfehlen. Beim zweigliedrigen System liegen die Azenfarben, mögen sie zerstreut sein wie da wolle, stets symmetrisch (nach vorn, hinten, links und rechts) gegen die Mittellinie; beim

**Zweiundeingliedrigen** System können dagegen die Farben sich nur noch nach links und rechts symmetrisch zeigen, nach vorn und hinten müssen sie unsymmetrisch gegen die Mittellinie vertheilt sein. Die Entdeckung dieser in der Natur der Sache so begründeten ungleichen Dispersion verdanken wir Möhrenberg. Liegen die

a) **Azen in der Medianebene** (dispersion inclinée), wie bei Gyps, Zucker, Diopsid, Eufas, schwefelsaurer Ammoniak-Magnesia, Titanit, Wollastonit, Kauschroth, so ist das allgemeine Symbol  $\rho v \rho v$ , d. h. die Azenwinkel der rothen und blauen Farben werden nicht durch ein und dieselbe Mittellinie halbirt, eben weil der Krystall vorn anders als hinten ist. Schon der Unterschied in der Lebhaftigkeit der Bilder zeigt das, ein

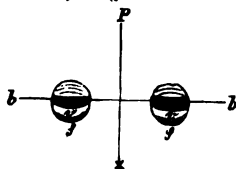


Kreisystem ist etwas bleicher als das andere. Untersucht man z. B. die beiden Azen im Gyps, so ist das eine prachtvoll rothgrün (vorn Neusch), das andere (hintere) verwischt gelbbau, die gleichen Farben sind folglich nach einer Seite geschoben. Allerdings fallen auch bei der Disp. inclinée meist die blauen Farben innerhalb der rothen oder umgekehrt, allein der Abstand  $v\rho$  bleibt nicht mehr gleich. Heusser (Pogg. Ann. 1854. 91. 400) hat das an dem Diopsid auseinander gesetzt. Darnach würden wieder eine Reihe von Fällen unterschieden werden können:

$v$	$\rho$	$\rho$	$v$
$\rho$	$v$	$v$	$\rho$
$v$	$\rho$	$v$	$\rho$
$\rho$	$v$	$\rho$	$v$

die alle den Unterschied von vorn und hinten beweisen. In der Angabe sollte übrigens nicht vernachlässigt sein, welches Bild vorn und hinten hinfällt. Nur bei den Zwillingen ist vorn und hinten gleich, wie das Hr. Ewald für den Diopsid nachwies. Aber schon der Mangel an Lemniscaten zeigt, daß man es nicht bloß mit einem Individuum zu thun habe.

b) **Azen in der Schiefenfläche** (dispersion horizontale). Hier

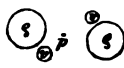
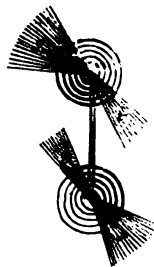
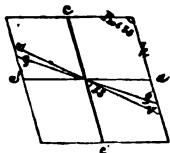


sind zwei Fälle, je nachdem die Mittellinie in der Medianebene oder senkrecht dagegen liegt. Zum ersten Falle, die Mittellinie in der Medianebene, gehört Adular, dann bleiben natürlich beide Azen links und rechts einander gleich, aber jeg-

liches Auge ist vorn anders als hinten. In unserer Stellung zeigt sich vor dem dunkeln Strich ein lebhaftes Blau  $v$ , und am vordern Kreisrande ein lebhaftes Roth  $q$ , die hintere Hälfte bleibt dagegen ganz matt. Bei der Drehung um  $45^\circ$  sieht man ferner, daß  $q > v$  ist. Wie es beim Zweigliedrigen nur annähernd eine centrale Farbenstellung gab (Schwefelsaures Kali), so gibt es auch hier nur annähernd eine lineare, indem die verschiedenen Farben in verschieden gegen Axe  $c$  geneigten Schiefendflächen liegen. Am Nörrenberg'schen Symbol werden also im Allgemeinen  $v$  und  $q$  auf verschiedenen Linien stehen, aber stets gegen eine Medianebene symmetrisch, wie das Zweiundeingliedrige System nothwendig verlangt. Denn auch im



zweiten Falle, wo die Mittellinie mit Axe  $b$  zusammenfällt, die Krystalle also senkrecht gegen  $b$  geschliffen werden müssen, wenn man Lemniscaten bekommen will, haben wir das 2+1gliedrige System nur in seiner gewendeten Stellung. Die Farben zeigen natürlich eine Drehung (Dispersion croisée ou tournante), weil die Form von einer andern Richtung (quer gegen die Medianebene) als der Feldspath angesehen werden muß. Der Borax liefert ein vortreffliches Beispiel, zumal da er nach dieser Richtung leicht spaltbar ist. Verzeichnen wir die Lage der Agenebene für die verschiedenen Farben  $qv$  auf die Medianebene  $b: \infty a: \infty c$ , so macht bekanntlich  $k = a: \infty b: \infty c$  mit  $P = a: c: \infty b$  einen Winkel von  $106^\circ 35'$ , oder  $P/c = 73^\circ 25'$ ;  $q/c' = 55^\circ$  und  $v/c' = 53^\circ$ , d. h. die Ebene der rothen Farben als Schiefendfläche gedacht fällt  $18^\circ$  unter die Schiefendfläche des Krystalls, und die Ebene der blauen liegt noch  $2^\circ$  darunter. Der scheinbare Winkel der rothen Agenebene beträgt  $59^\circ 30'$  der blauen  $56^\circ 50'$ . Im Polarisationsmikroskop sieht man bei medianer Stellung der Polarisationssebene einen gelben Farbenbüschel  $q$  unten rechts und oben links, einen blauen  $v$  dagegen unten links und oben rechts, auch bei einer Drehung um  $180^\circ$  bleibt die Lage gleich. Legt man dagegen die Rehrseite der Platte oben hin, so kehrt sich das Verhältniß um. In den Ringen sind überhaupt die Farben unregelmäßig vertheilt, und das Auge spaltet sich in vier Quadranten, jeglicher mit einer andern Farbensäule, namentlich liegt bei dünnen Platten das Blau unsymmetrisch. Wir sind damit bei der eingliedrigen Ordnung angelangt, die nach der Nörrenberg'schen Bezeichnung das Symbol erhalten würde, worin der kleinere Winkel des Blau nebst der Drehung durch die Stellung der Zeichen angedeutet ist. Da aber die Kreise von einem Zwischenpunkte  $p$  noch gleich weit entfernt sind, so lassen sie sich auf die 2+1gliedrige Ordnung zurückführen, was bei den

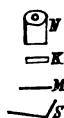


Eingliedrigen nicht mehr geht. Man kann sich davon am Kupfer-  
vitriol leicht überzeugen. Das Auge ist hier immer mehr oder weniger

in vier Farbenfelder getheilt, und bei einer Zwischenstellung von  $45^\circ$  gewahrt man blau, roth, gelb und grün;  $\varphi < v$ . Zur Symmetrie gelangt man bei keiner Lage. Die Farben des Auges sind also vorn anders als hinten, und links anders als rechts; bei den 2+1gliedrigen vorn anders als hinten, und links wie rechts; bei den 2gliedrigen vorn wie hinten und links wie rechts; bei den 4- und 3gliedrigen dagegen im Kreise gleich. Ein anderer Fall ist nicht möglich.

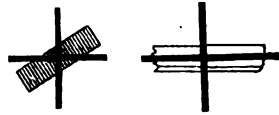
Nimmt man bei dem Schleifen einige Rücksicht auf die Hauptflächen des Krystalls, so läßt sich die Lage der Agenebenen leicht controliren: beim Topas bedarf es z. B. bloß eines geschlagenen Blättchens mit Spuren der Seitenflächen, um sogleich an der Lage der Lemniscaten zu erkennen, daß die Agenebene mit  $ac$  und nicht mit  $bc$  zusammenfalle. Der Borax läßt sich leicht nach  $M = b:oa:oc$  spalten,  $k$  und  $P$  machen daran Rhomboide von  $106^\circ 35'$ . Würde die Ebene der optischen Azen mit  $P$  zusammen fallen, wie Descloizeaux (Ann. des min. XI 330) angibt, so müßte der Hauptschnitt der Lemniscaten der Rhomboidlinie  $P$  parallel gehen, allein er schneidet sie ungefähr unter  $18^\circ$ , die Agenebene macht also nicht  $73^\circ$ , sondern  $55^\circ$  gegen Aze  $c$ . Man sieht sogar für diese Stellung, daß die Azen des Blau noch darunter liegen. So gibt es eine Reihe von Krystallen, besonders unter den künstlichen, die man nur unter das Polarisationsmikroskop legen darf, um sofort die Lage der Agenebene an dem schwarzen Streif zu erkennen. Reicht dieß nicht aus, so greift man zu Hrn. v. Kobell's

**Stauroskop** (Gelehr. Anzeig. Münch. Abt. 1855 Bd. 40. 145; Bd. 41. 66; 1856 Bd. 42. 70), d. h. man nimmt aus dem Polarisationsmikroskop das



Vinsensystem, behält bloß den Nicol  $N$  und die Polarisationsspiegel  $S$  bei, legt unter den Nicol einen rechtwinklig gegen die Hauptaxe geschliffenen Kalkspath  $K$ , so sieht man bei gekreuzten Polarisationsebenen ein dunkles Kreuz. Man kann den Kalkspath auch weglassen, und sich die Polarisationsebenen durch ein Fadentkrenz fixiren. Dann ist bei gekreuzten Polarisationsebenen das Gesichtsfeld dunkel. Legt man nun die Fläche eines doppeltbrechenden Minerals  $M$  dazwischen, so wird die Stelle im Allgemeinen hell oder farbig erscheinen, nur in zwei Lagen, wo die Polarisationsebenen mit denen des Instrumentes zusammenfallen, ist Dunkelheit. In diesen Lagen sieht man das Kalkspathkreuz durch das Mineral. Daß Platten regulärer Krystalle keinen Einfluß haben, versteht sich von selbst; ebenso die Geradenflächen optisch einaxiger Krystalle (4, 3 und 6gl.), das Kreuz bleibt bei jeder beliebigen Drehung der Platte dunkel. Bei allen symmetrisch halbirbaren Flächen fällt ein Arm des Kreuzes mit der Halbirungslinie zusammen. Rhomboederflächen lassen sich nach der schiefen Diagonale symmetrisch halbiren, und diese Linie nimmt ein Arm ein, folglich der andere die horizontale Diagonale; beim Dreiecke des Dipyraeder und Quadratoftaeder liegt einer im Perpendikel von der Spitze zur Basis; bei den Schiefenflächen des 2+1gliedrigen Systems in der

**Medianlinie** (Minodiagonale), also senkrecht auf Axe b. Das gibt ein vortrefflich Mittel, um das gewendete 2 + 1gliedrige (Epidot) vom 1gliedrigen (Gyanit) zu unterscheiden. Nimm eine pistaciengrüne **Epidotnadel**, wie man sie am Rosenlauiquetscher kauft, so bleibt sie dunkel in ihrer Längs- oder Querlage, in der Zwischenlage wird sie sogleich hell; eine Säule von **Gyanit** dagegen ist in dieser Lage vollkommen hell, und erst in der Zwischenstellung dunkel. Er hat keine Medianlinie, folglich kann er nicht gewendet 2 + 1gliedrig sein. Die Säulenflächen des zweigliedrigen Systems sind halbierbare Paare irgend eines Oblongoktaeders, folglich muß ein Kreuzarm der Axe parallel gehen, wie man sich beim Aragonit leicht überzeugt. Für die Säulen und Augitpaare des 2 + 1gliedrigen Systems gilt das nicht, sie sind nicht halbierbar, bleiben daher hell, wenn sie der Länge nach an einem dunkeln Kreuzarm liegen, und werden erst in einer bestimmten Lage der Zwischenstellung dunkel. Außer Gyps sind die kleinen **Adularsäulen** vom Zillerthal hier sehr brauchbar. Nur bei der Abstumpfungsfäche der vordern Seitenkante ( $k = a : \infty b : \infty c$ ) geht der dunkle Kreuzarm der Axe c parallel, wie Zucker und Weinsäure zeigt. Der zweite blättrige Bruch M verhält sich dagegen gänzlich unsymmetrisch, wie man an den kleinen glasigen Feldspathen der Sommaauswürflinge so leicht beweisen kann, hier ist Dunkelheit, so oft die rechtwinklige Kante P/M im Kreuzarme liegt, denn diese bestimmt ja die Lage der optischen Axen. Noch leichter kann man den ersten Blätterbruch des Gypses präpariren, wo ein Kreuzarm etwa  $20^\circ$  mit dem saßrigen und  $47^\circ$  mit dem muscheligen Bruch macht. Diese wenigen praktischen Andeutungen mögen genügen. Grassi (kryst.-opt. Unters. pag. 26) hat die Theorie mathematisch entwickelt. Dr. Brezina (Pogg. Ann. 1866 Bd. 128, 448; Bd. 130, 141) suchte das Stauroskop dadurch zu verbessern, daß er statt einer Kalkspathplatte zwei ein wenig schief gegen die Geradenfläche  $c : \infty a : \infty a$  schliiff. Werden diese nun so aufeinander gelegt, daß die beiden optischen Axen sich gegenüberstehen, so bekommt man statt des Kalkspathkreuzes einen dunkeln Balken, der in der Mitte sich knickt, sobald die zu untersuchende Krystallfläche mit ihrer Schwingungsebene zwischen die der gekreuzten Nikol tritt. (Schräuf, Physik. Mineral. 1868 II pag. 220).



Gyanit

Epidot

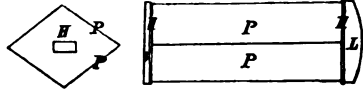
**Störungen** durch Druck und Lamellentextur kommen gar nicht selten vor. Brewster hat das schon längst beim Boracit, Alalcim, Steinsalz, Amethyst, Apophyllit u. nachgewiesen, was Biot Polarisation lamellaire nannte (Mém. Acad. de France 1843). Manche optisch einaxigen (Turmalin, Beryll, Apatit, gelbes Blutlaugensalz u.) zeigen bei der Drehung im Polarisationsmikroskop ein Auseinandergehen des schwarzen Kreuzes, was auf Zweiaxigkeit mit kleinen Axenwinkeln hinweist. Breithaupt (Leonhard's Jahrb. 1860. u.) führte die Ursache auf kleine Winkelunterschiede zurück, und gründete darauf 7 neue Krystallsysteme, wodurch er die Ge-

sammtzahl auf 13 zu erheben meinte. So sollen beim *Almandin* im *Leucitoeder* die 4 Winkel um eine Oктаedercke von den 8 in den übrigen um 6 Minuten abweichen, derselbe sei also „tetragonisirt“; *Boracit* dagegen „hexagonisirt“, indem die Winkel um eine der trigonalen Ecken von den übrigen dreien sogar bis auf 46 Minuten abweichen. Beide erwiesen sich daher richtig geschliffen optisch einaxig. Der piemontesische *Besuvian* sei optisch zweiaxig, weil das Oктаeder eine 2 + 1gliedrige („monasymmetrische“) Ordnung zeige: die vordere Fläche mache gegen  $\text{Axe} \approx 52^\circ 55'$ , die hintere  $52^\circ 47'$ , und die seitlichen  $52^\circ 50'$ . Hr. v. Kosscharow stimmt dem nicht bei. Am *Anatas* wird sogar eingliedrige („diasymmetrische“) Ordnung angenommen, indem alle vier Oктаederflächen sich verschieden gegen die Hauptaxe  $c$  neigten. Man sieht sofort ein, daß eine solche auf Nebenerscheinungen basirte Einteilung noch viel weiter führen müßte. Darf man auch Bemärlungen des großen Gesetzes nicht von vornherein gänzlich verwerfen, so werden sie doch nie als besondere Systeme sich Geltung verschaffen, sondern nur beweisen, daß in der Natur die absolute Vollkommenheit nirgends erreicht wird. Dagegen verdient das Experiment von Prof. Pfaff (Pogg. Ann. 107, 333, 108, 300) Beachtung, welcher bei optisch einaxigen Krystallen durch einen Druck quer auf die Axe das kreisförmige Ringsystem vorübergehend in ein elliptisches, beim Kalkspath sogar bleibend verändern konnte, wobei das schwarze Kreuz beim Drehen sich öffnete.

**Farben dünner Krystallblätter.** Schleift man optisch einaxige Krystalle parallel der optischen Axen, oder optisch zweiaxige parallel mit der Ebene der optischen Axen in dünne Blättchen, so zeigen sich im polarisirten Licht prachtvolle Farbenercheinungen. Am besten eignet sich in dieser Beziehung Gyps, weil sein deutlich blättriger Bruch parallel der optischen Axenebene liegt. Gleich dicke Blättchen erscheinen einfarbig (verändern aber ihre Farbe beim Erwärmen), ungleich dicke mehrfarbig: Beweis, daß die Farbe von der Dicke abhängt. Bei senkrecht gekreuzten Schwingungsebenen des Polarisationsapparates sind die Blättchen farblos, so bald die optische Mittellinie des Blättchens mit einer der Schwingungsebenen zusammenfällt. Dreht man das Gypsblatt im Azimuth aus dieser Stellung nach der einen oder andern Seite hin, so werden die Farben immer lebhafter, am lebhaftesten bei  $45^\circ$ . Ist auf diese Weise die lebhafteste Farbe eingestellt, so entstehen dann bei der Drehung des Nicol'schen Prismas um  $45^\circ$  die Complementärfarben. Kreuzt man zwei gleichfarbige Gypsblättchen so, daß die ungleichnamigen Axen zusammenfallen, so wird die gedeckte Stelle entfärbt. Dickere Gypsplatten werden beim Drehen nur hell und dunkel, zeigen aber gegen homogenes Licht gesehen dunkle hyperbolische Streifen, in der Lage, wo dünne Blättchen die schönsten Farben sehen lassen.

## Dichroismus.

Schon im bloßen Lichte zeigen manche Minerale Zweifarbigkeit, der Dichroit hat sogar seinen Namen darnach bekommen. Merkwürdiger jedoch ist die Verschiedenheit der Farben beider Bilder doppeltbrechender Mittel. Schon Brewster (Gilbert's Ann. 1820 Bd. 65 pag. 4) zeigte, daß von den beiden Kalkspathbildern das außerordentliche eine tiefere weniger leuchtende Farbe habe, als das ordentliche. Sieht man nun vollends durch Kalkspath einen Rubin an, so wird für gewisse Stellungen das eine Bild auf Kosten des andern rother. Im Maximum findet der Unterschied senkrecht gegen die Axe gesehen Statt, wo bekanntlich die Bilder am weitesten auseinander treten. Haidinger über Pleochroismus (Pogg. Ann. 65. 1) hat zu diesem Zweck ein kleines Instrument, **Dichrostop**, construirt. In seiner einfachsten Gestalt bedeckt man zwei Rhomboederflächen des Isländischen Doppelspathes mit schwarzem Firniß, schleift vorn und hinten eine Fläche H an, welche senkrecht gegen die Endkanten P/P des Rhomboeders steht: vorn klebt man mit Canadabalsam eine Vergrößerungslinse L, damit beide Bilder durch schwache Vergrößerung etwas deutlicher werden, hinten ein Spiegelglas s. Außerdem versieht man die Hinterseite mit einer Blende, worin eine kleine oblonge Lichtöffnung geschnitten wird, damit bei Beschauung größerer Krystalle zwei Farbenselder scharf getrennt sind, und die Farben deutlicher hervortreten. Die lange Seite des Oblongums legt man der langen Diagonale der Schnittfläche H parallel, und die kurze Seite macht man so lang, daß die beiden Bilder mit ihrer langen Seite aneinander stoßen. Durchsehend gewahren wir zwei Bilder: ein ordinäres o nach der langen Seite, und ein extraordinäres e nach der kurzen Seite schwingend. Um zu sehen, welches Bild e oder o sei, dürfen wir nur einen schwarzen Fleck auf weißes Papier machen, o ist dann glatt, ohne sichtbare Papierfasern, an e sieht man nicht bloß die Papierfaser, sondern es hat auch einen sehr deutlichen gelben und blauen Saum, die beide einander gegenüber liegen.



Nehmen wir jetzt einen kleinen Rubin von Ceylon, der in regulären sechsseitigen Säulen mit 3- und 6gliedrigen Endflächen krystallisirt, und kleben ihn horizontal der Axe c mit Wachs auf einen Nadelknopf: parallel der Axe c durchgesehen, also senkrecht gegen die **Geradenfläche** (Farbe der Basis), bleiben beide Bilder unverändert purpurroth, ihre Schwingungen gehen senkrecht gegen die Axe c, die Farben sind daher nicht verschieden, von Kleinigkeiten abgesehen. Legen wir jetzt die Rubinaxe c quer, d. h. der Schwingungsebene von o parallel, so wird o ganz bleich, e bleibt aber intensiv roth (Arenfarbe), wie vorher; die Schwingungen parallel der Rubinaxenebene a a fallen hier mit denen von e zusammen. Stellen wir daher





die Rubinare **a** **aufrecht**, so muß sich umgekehrt **e** entfärben, und **o** roth bleiben. Eine Folge davon ist, daß bei **schiefer** Stellung der Rubinare **c** gegen die lange Oblongseite, wenn die Drehung  $45^\circ$  beträgt, beide Bilder gleich aussehen, aber bleicher. Es macht sich bei dieser Drehung aus der horizontalen oder verticalen **Axenstellung** in die schiefe gerade so, als wenn das eine Bild sich auf Kosten des andern färbte, daher erscheinen im Gleichgewicht von  $45^\circ$  beide blasser. Die Farbe der Basis und Axenfarbe sind bei den optisch einaxigen Mineralen sehr wenig von der Farbe im bloßen Licht verschieden. Das Interesse liegt mehr in der Differenz der Farben beider Bilder, in welcher Beziehung sich die einzelnen Minerale nicht gleich verhalten. Man sagt daher, sie wirken mehr oder weniger auf das Dichrostop.

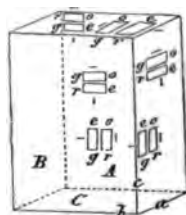
Nehmen wir jetzt einen brasilianischen Topas, wo möglich lilafarbig, der zweigliedrig in geschobenen Säulen von  $124^\circ$  mit sehr blättriger Geradenfläche krystallisirt. Die Säulenkante geht der **Axe c** parallel, die



kurze Diagonale des Blätterbruchs entspricht der **a**, und die lange der **b**. Sehen wir jetzt mit dem Dichrostop **parallel c** senkrecht gegen den blättrigen Bruch, so ist **o** schön lilafarbig, **e** lichtweingelb, vorausgesetzt, daß **b** der langen Oblongseite in der Blendung parallel liegt; umgekehrt ist aber **e** lila und **o** gelb, sobald die kurze **Axe a** der langen Oblongseite parallel geht. Gleichfarbig



werden dagegen beide Bilder für die **Zwischenstellung**, sobald eine der Säulenflächen ungefähr der langen Oblongkante parallel geht, und in diesem Falle schwächt sich das Lila ab, indem es sich unter beide Bilder gleichmäßig vertheilt. Gegen die scharfe Säulenkante gesehen ist bei horizontaler Lage der langen Oblongkante **o** gelb und **e** roth, bei verticaler dagegen **o** roth und **e** gelb. Gegen die stumpfe Säulenkante gesehen, tritt zwar der Unterschied nicht so scharf hervor, allein im richtigen Licht betrachtet ist doch das obere Bild entschieden blasser, als das untere, und beim Anschleifen möchte vielleicht der Unterschied noch stärker hervortreten. Zur Veranschaulichung dieser sechs Fälle mache man sich eine **Oblongsäule mit Geradenfläche**, deren Kanten respective den drei Axen **a b c** entsprechen, trage die Schwin-



gungsrichtungen durch Striche ein, dann sieht man, daß auf den Säulenflächen **AB** alle rothen Bilder **r** parallel der **Axe c** schwingen; auf **BC** alle gelben **g** parallel der **Axe a** **rc**. Will man jedoch kleine Unterschiede festhalten, so sind auf jeder Fläche für die **verticale** und **horizontale** Stellung des dichroskopischen Sehlochs zwei Farben zu unterscheiden auf **A** gelb parallel **b** und roth parallel **c** schwingend; auf **B** gelb parallel **a** und roth parallel **c** schwingend; auf **C** roth parallel **b** und gelb parallel **a** schwingend. Für die Zwischenstellung des Sehlochs ändern aber die Farben, jedoch gehört das Detail davon in die feineren Untersuchungen der Optik.



Irisiren finden wir besonders bei blättrigen Mineralien: auf Klüften zeigen sich sehr schönfarbige Ringsysteme (Newtonianische Farbenringe), ihr Dasein bloß einer dünnen Luftschicht dankend, die Interferenzen der Lichtwellen erzeugt; am blättrigen Gyps trifft man sie häufig, sogar beim Druck beweglich. Sie sind im reflectirten Lichte am sichtbarsten, bleichen und verschwinden beim durchgehenden. Die brillanten Farben dünner Blättchen, wie sie sich besonders beim Zerreißen des Talkes zeigen, finden auch durch Interferenz ihre Erklärung. Die Regenbogenachate von Oberstein irisiren beim durchfallenden Lichte, da hängt es wesentlich mit der Gesteinstruktur zusammen. Granaten von Piemont zeigen nach der Entdeckung von Sissonda auf ihren Flächen keine Streifen, welche Regenbogenfarben erzeugen; taucht man sie ins Wasser, so schwindet die Farbe so lange, bis sie wieder trocken sind.

Das Anlaufen bedingt ebenfalls nicht selten Regenbogenfarben, die in einem dünnen Niederschlage oder einer dünnen Bersezungsschicht ihre Erklärung finden. Prachtvoll bunt angelaufen und zwar pfauenschweifig findet sich: Steinkohle, Eisenglanz, Brauneisenstein, Kupferkies zc.; taubenhälsig gediegen Wismuth; regenbogenfarbig Grauspießglanz zc. Man kann die Ursache oft leicht verfolgen. Wenn man z. B. einen glänzenden Schwefelkies wiederholt befeuchtet und trocknen läßt, so überzieht er sich bald mit einer irisirenden Schicht in Folge chemischer Bersezung. Vergleiche hier die künstlichen Nobili'schen und Böttcher'schen Farben auf Metallplatten, die Färbung des Wismuths (Pogg. Ann. 74. 500), Kupferkieses, das Anlaufen des Stahles zc. Die Schicht kann auch einfarbig sein, so läuft Silber gelb an zc. Ein einfaches Bersehschießen der Oberflächenfarbe kommt besonders bei opaken Erzen vor, Magneteisen hat auf alten Bruchflächen eine etwas andere Farbe als innen, Buntkupfererz läuft an frischer Bruchfläche schon nach wenigen Tagen mehr roth an. Zuweilen zeigen sich auf verschiedenen Krystallflächen die Farben verschieden (Hausmann, Jahrb. 1848, 328), die so genannten Briefcouverte in Eisenfrischschladen liefern dazu das schönste Beispiel.

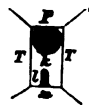
Ein inneres eigenthümliches von der Structur herrührendes Farbenspiel zeigen viele Minerale: die brennenden Tinten im Innern edler Opale; die prangenden Farben fossiler Perlmutter (Muschelmarmor von Kärnthen); der milde Schein der Faserstructur des Gypses und Ragenauges; das wogende Licht des Chrysoberylls und Korundes. Letzterer steigert sich sogar zum Asterismus, wo die Strahlen einen sechsseitigen Stern bilden, wie er im durchfallenden Lichte beim Canadischen Glimmer erscheint, und entschieden von eingesprenkten fremdartigen Krystallfasern herrührt. Namentlich überraschen die beweglichen Farben im Innern der verschiedenen Feldspathe: nach Brewster gehen die Reflexe unter dem Mikroskop von kleinen viereckigen Blättchen aus, die entweder leer oder mit Materie geringerer Brechkraft erfüllt sein müssen. Heß (Kastner's Archiv für Naturf. 1826 X. 270) und N. Nordenskjöld (Pogg. Ann. 1830. 19. 170)

haben sich damit vergeblich beschäftigt, erst meinem Kollegen Reusch (Pogg. Ann. 1862 Bd. 116, 391; Bd. 118, 228; Bd. 120, 98) ist es gelungen, den wahren Zusammenhang mit der Krystallform nachzuweisen. Im

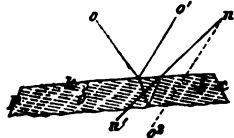
**Adular** vom Zillertal sieht man den bläulichen Lichtschein auf zwei Flächen  $k = a : \infty b : \infty c$  und  $y = c : \frac{1}{2}a' : \infty b$ . Ungefähr parallel  $y$  müssen die Krystalle geschliffen werden, um die Ringsysteme zu sehen. Legt man eine solche Platte auf ein dunkles Tuch, so daß  $x$  an der Oblongsäule P/M vordere Schiefendfläche



bildet, und erhebt das Auge senkrecht darüber, so sehen wir jenen bläulichen Schein. Drehen wir jetzt die Platte  $180^\circ$  um Linie P, so bleibt der Schein; drehen wir dagegen um M, so verschwindet er, weil dann  $x$  hintere Schiefendfläche wird. Drehen wir nun aber in dieser Lage, wo wir nichts sehen, die Platte um Linie P, bis etwa  $k$  horizontal sein würde, so kommt das Licht wieder, während wir bei solcher Manipulation nichts sehen, wenn wir von der ursprünglichen Lage der Platte ausgehen. Bringen wir nun die Platte nahe ans Auge, und sehen im Spiegel nach einem Lichte, so löst sich der blaue Schein in ein begrenztes „Nebelbild“ auf. Man kann dazu auch die öfter vorkommende Fläche  $k$  benutzen: ist  $l$  der Reflex eines Kerzenlichtes, so liegt darüber das kreis-



förmige Nebelbild, in welchem man kaum die Stelle der Flamme unterscheidet. Entfernt man dann das Stück vom Auge, so bedeckt das Nebelbild die ganze Fläche, und erregt jenen bekannten bläulichen Lichtschein. Also Nebelbild in der Nähe und Lichtschein bei Entfernung der Platte. Welch wesentliche Rolle die Richtung spielt, von welcher ich sehe, zeigt der prachtvolle Farbenschiller beim labradorisirenden Feldspath von Norwegen in seinen „Karlsbader Zwillingen“: obgleich  $k$  darin einspiegelt, so sieht man doch bei horizontalen  $k$  und medianer Stellung den Schiller nur auf einem Individuum. Alles das führte zu der bestimmten Vermuthung, daß das Nebelbild seine Existenz inneren Ungleichheiten danke, welche etwa nach der Fläche  $\delta$  des Murchisonit ( $\delta/k$  etwa  $10^\circ$ ) streichen: ein Strahl  $o$  wird dann auf der Oberfläche  $k$  nach  $o'$  reflectirt, im Innern aber von  $\delta$  nach  $n$ . Das Auge in  $n$  sieht also zwei Bilder: ein Reflexbild  $o''$  und darüber das Nebelbild  $n'$ . Schleift man den Adular parallel  $\delta$  an, so fallen Reflex- und Nebelbild zusammen.



**Labrador** hat seinen herrlichen Farbenschein (La-

bradorisiren) ebenfalls auf 2 Flächen M und  $\tau$ , die aber ganz unsymmetrisch liegen, wie es das 1gliedrige System erfordert: lege ich M horizontal,  $\tau$  hinten, und den stumpfen Winkel P/M links, so nimmt das Auge senkrecht darüber die schönsten Regenbogenfarben wahr. Drehe ich dann aus dieser Stellung das Stück um Axe M/ $\tau$  gegen das Licht, so geht der Farbenschein auf  $\tau$  über. Nehme ich dagegen umgekehrt  $\tau$  horizontal nach vorn, und den stumpfen Winkel P/M rechts, so hat bei senkrechtem Auge  $\tau$  die Farbe, welche bei der Drehung wieder auf M springt.

Man ist übrigens im Stande, jede der Flächen so im Azimuth zu drehen, daß die Farben immer wenn auch nicht in gleicher Intensität bleiben. Die Senkrechte beschreibt dann eine Kegeloberfläche. Auch der kupferfarbige Schiller von Hypersthen gehört zu den Nebelbildern: man darf nur den Blätterbruch poliren, das Auge nahe daran halten und gegen ein Licht sehen, dann bleibt die Kupferfarbe an einer Stelle. Entfernt man aber das Stück vom Auge, so nimmt nach und nach der Kupferschiller (Nebelbild) die ganze Fläche ein. Die Nebelbilder, wovon zwar schon Brewster beim Achat spricht, sind eine wichtige Errungenschaft, deren wahre Bedeutung wir erst Hrn. Reusch danken.

**Fluorescenz** (Fluoriren) hat vom Cumberlandischen grünen Flußspathe den Namen, welche Farbe eigenthümlich ins Blau schillert. Die Differenz der Farbe wird besonders deutlich erkannt, wenn man mittelst einer convergen Linse von einigen Zoll Brennweite einen Lichtkegel darauf fallen läßt, der dann sehr schön blau gefärbt erscheint (Prof. Hög, IV. Bericht Naturf.-Gesellsch. Bamberg. 1859. 38). Auch rohes Schieferöl, schwefelsaures Chinin, Uranglas zc. zeigen das merkwürdige Phänomen. Schon Gütthe (Farbenlehre 1810 II. pag. 342) stellte fluorescirendes Wasser durch Aufguß von Kastanienrinde dar, und Athanasius Kircher (*Mundus subterraneus* 1646 pag. 77) sah dieses »portentum Chamaeleontinae naturae« in Bechern aus dem früher officinellen »lignum nephriticum« geschnitten vor sich gehen. Stoddes (Philos. Transact. 1825) meinte, daß die unsichtbaren Strahlen jenseits des äußersten Violett, durch eine im Innern dieser Körper vor sich gehende Zerstreuung, in andere Strahlen verwandelt werden, welche in die Grenze der Brechbarkeit fallen, für welche die Netzhaut empfindlich ist: kurz Fluorescenz verwandelt Strahlen von hoher in solche von niedriger Brechbarkeit, und das von ihnen ausgehende Licht ist nicht polarisirt, wie das reflectirte.

### Glanz

wird durch Reflexion der Lichtstrahlen hervorgebracht. Bildet übrigens eine complicirte optische Erscheinung, die neuerlich Gegenstand vieler physikalischer Experimente geworden ist. Haubinger, Sitzungsberichte der Kais. Acad. Wissensch. 1849. Heft IV. pag. 137; Brücke daselbst 1861. XLIII; Wundt, Heidelberg. Jahrb. 1861. LIV.

Der Grad des Glanzes: ob stark glänzend, glänzend, wenig glänzend, schimmernd (Feuerstein), oder matt (Kreide), hängt meist von der Ebenheit der Oberfläche und bei Gemengen von der Größe des Korns ab. Wichtiger ist

die Art des Glanzes, welche von der Strahlenbrechung und Polarisation abhängen soll: 1) Metallglanz ist der intensivste und stets mit völliger Undurchsichtigkeit des Körpers verbunden. Gold, Silber, Kupfer, Bleiglanz zc. 2) Diamantglanz tritt mit der Durchsichtigkeit ein. Sowie Blende, Zinnstein, Rothgülden zc. durchsichtig werden, geht ihr zweifelhafter Metallglanz in Diamantglanz über. Diamant und

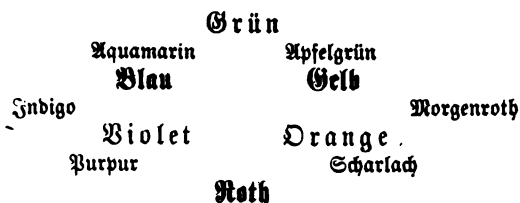
Weißbleierz die schönsten Beispiele. Gehört nur Körpern von starker Strahlenbrechung an. 3) Fettglanz gleicht Körpern mit fetten Oelen bestrichen. Gläolith und Pechstein liefern Muster. Dünnschliffe zeigen stets Einschlüsse fremder Mineralien oder Hohlräume. 4) Glasglanz, der Glanz des Glases und Bergkrystalls, findet sich bei den bei weitem meisten Mineralen, die nicht metallisch sind, und das Licht schwach brechen. Perlmutterglanz, von entfernter Ähnlichkeit mit Perlmutter, wird beim Blätterzeolith, Gyps, Glimmer zc. durch die Lagerung der Blätter, und Seidenglanz beim Weißbleierz, Faser-gyps, schillernden Asbest zc. durch die Faserstructur erzeugt. Früher schrieb man den Metallen die höchste Brechkraft zu, und brachte damit die Eigenthümlichkeit des Glanzes in Verbindung, was jetzt nicht mehr angenommen wird. Jamin über die Farben der Metalle Pogg. Ann. 74. 338. Von Spiegeln der Flächen hängt die Deutlichkeit der Bilder ab, welche man im reflectirten Lichte darauf sieht. Diese Bilder werden in eigenthümlicher Weise verändert, sobald man z. B. einen Alaunkrystall ins Wasser taucht, abtrocknet, und wieder darauf sieht, oder wenn man Flußspath mit Schwefelsäure, Kalkspath mit verdünnter Salpetersäure behandelt, Brewster in Fechners Centralblatt für Nat. und Anthropol. 1853. Nro. 42. Leuchten, Spiegeln und Glänzen hält Dr. Wundt scharf auseinander.

### Durchsichtigkeit

hängt von der Menge durchgehender Lichtstrahlen ab. Dabei muß die Gleichartigkeit der Masse wohl berücksichtigt werden, denn durch Risse und Sprünge können selbst die klarsten Minerale sich trüben. Wenn der Körper Lichtstrahlen zerstreut und verschluckt, so spielt natürlich auch die Dicke ein wesentliches Moment. Durchsichtig heißen Minerale, wenn man durch sie scharfe Umrisse erkennt, z. B. lesen kann: Edelsteine, Bergkrystall, Kalkspath, Gyps. Eine rauhe Oberfläche hindert diese Durchsichtigkeit zwar leicht, allein will man sie nicht durch Schleifen und Poliren entfernen, so darf man nur an gegenüberstehenden Enden Glasplatten mit kanadischem Balsam aufkleben. Für optische Versuche ein wichtiges Hilfsmittel. Halbdurchsichtige Minerale dürfen polirt nur verwaschene Umrisse zeigen, Durchscheinende lassen nur noch in dünnern Stücken einen Lichteindruck wahrnehmen, dieß endigt endlich mit der Durchscheintheit an den Ranten, wie im Hornstein, Kalkstein. Undurchsichtig heißen die Erze und Metalle, welche selbst an den kantigen Bruchstücken keinen Lichtschimmer mehr zeigen. Zwar weiß man, daß selbst die opaksten Körper, wie z. B. Gold, als dünner Schaum von wenigstens  $\frac{1}{270,000}$  Zoll Dicke zwischen Glasplatten gelegt ein grünliches Licht durchfallen lassen, seine Eisenglanzblättchen scheinen blutroth durch zc., doch nennt der Mineralog das alles undurchsichtig. Magneteisen zeigt sich bei den dünnsten Schliften immer schwarz, was das Erkennen im Mikroskop erleichtert.

### Farbe

spricht das Auge am unmittelbarsten an, daher legte auch Werner großes Gewicht darauf. Die Körper scheinen einen Theil der farbigen Lichtstrahlen zu verschlucken, und die übrigen müssen dann ebenfalls farbig zurückgeworfen werden. Das Studium der feineren Farbenschattirungen macht zwar große Mühe, wer jedoch mit Farbenmischungen überhaupt sich abgegeben hat, findet sich leicht durch. Bekanntlich nimmt der Künstler nur drei Grundfarben an: Roth, Gelb, Blau, weil er daraus alle andern mischen, und durch Zusatz von Weiß und Schwarz auch alle Töne hervorbringen kann. Stellt man dieselben in einen Kreis, so liegen dazwischen die drei Mischfarben Orange (gelbroth), Violet (blauröth), Grün; letzteres eine so vollkommene Durchbringung von Blau und Gelb, daß darin das Auge keine der Grundfarben wieder erkennt. Eine Mischung von allen drei Farben gibt Braun. Zwischen den Grund- und Mischfarben liegen dann wieder sechs andere: Scharlach, Morgenroth, Apfelgrün, Aquamarin, Indigo, Purpur, wie es nachstehendes Bild darstellt:

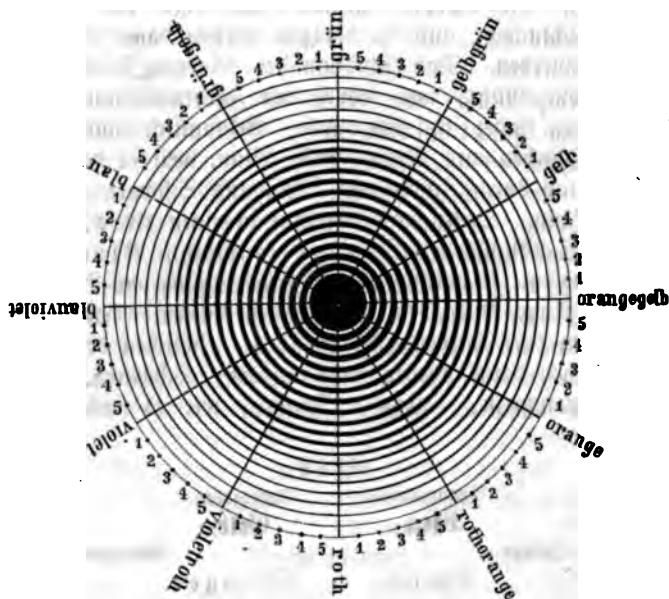


Newton nahm im Spectrum statt sechs zwar sieben Farben an (Indigo), allein mehr aus theoretischen Gründen, um in der Zahl Uebereinstimmung mit den 7 Tönen der Oktave zu bekommen. Da nun ferner zwischen Weiß und Schwarz die grauen Töne liegen, so sollte man 9 Hauptfarben unterscheiden, nämlich 5 Grundfarben (Weiß, Schwarz, Blau, Gelb, Roth) und 4 Mischfarben (Grau, Grün, Violet, Orange). Die mineralogische Sprache hat aber auf Violet und Orange kein Gewicht gelegt, statt dessen hebt sie Braun hervor, und so kam Werner zu folgenden 8 Characterfarben:

- 1) Schneeweiß: carrarischer Marmor, Alabaster, Schnee;
- 2) Aschgrau: Asche, Joisit, Schieferthon;
- 3) Sammtschwarz: Obsidian, Steinkohle, Turmalin;
- 4) Berlinerblau: Sapphir, Cyanit, Steinsalz;
- 5) Smaragdgrün: Smaragd, Malachit, Dioptas, Uwarowit;
- 6) Zitronengelb: Rauschgelb, Uranocer, Flußspath, Bernstein;
- 7) Carminroth: Rubin, Kupferblüthe, Zinnober;
- 8) Kastanienbraun: Niltiesel.

Chevreul, der als Director der Gobelinsfabrik in Paris mit den Farben sehr vertraut ward, hat in den Mémoires de l'Acad. de France 1861 XXXIII bestimmte Bezeichnungen einzuführen gesucht, und einer kürzern Abhandlung (des Couleurs, Paris 1864) prachthvolle Bilder hinzu-

gefügt. Er zieht in einem Kreise drei Radien unter  $120^\circ$ , welche roth (rouge), gelb (jaune), blau (bleu) bezeichnen. Dazwischen  $60^\circ$  von den



Grundfarben entfernt fallen orange (orangé), grün (vert), violet (violet), die Mischfarben erster Ordnung bildend. Zwischen diese sechs fallen dann Mischfarben zweiter Ordnung, die systematisch rothorange, orangegelb, gelbgrün, grünblau, blauviolett, violettroth, d. h. in der Richtung, wie die Farben im Spectrum verlaufen, und nie umgekehrt genannt werden. Man könnte nun wieder halbiren und zwölf Mischfarben dritter Ordnung zwischen schieben, allein Chevreul zieht es vor, statt dessen fünf Zahlen 1 2 3 4 5 einzuführen, wieder in der Richtung des Spectralfarbenlaufes. Auf diese Weise bekommen wir eine Scala (gamme) von

$$3 + 3 + 6 + 5 \cdot 12 = 72 \text{ Farbenskalancen,}$$

die sich durch Zeichen leicht fixiren lassen. Das Cochenilroth des dichten Zinnobers fällt auf 3 zwischen Roth und Rothorange, man sagt einfach 3 rouge. Amethyst fällt auf 5 zwischen Blauviolett und Violet, man spricht 5 bleu violet, und muß sich nur hüten, die Zahl nicht auf den folgenden Cardinalpunkt zu beziehen, sondern stets auf den vorhergehenden.

Der Ton, ob die Farbe blaß, hoch oder tief ist, wird durch eine Scala klar gemacht, die zwischen Weiß und Schwarz 20 Abstufungen darstellt, es ist das in unserer Figur durch 20 Kreise in gleichen Abständen angedeutet, die nach Innen immer schwärzer werden, denn je mehr sich der Farbestoff häuft, desto tiefer, je mehr er sich ver-

dünnt, desto bleicher muß er werden. Das schwarze Centrum 21 ist völlig schwarz, während der anliegende Kreis den 20ten Ton vorstellend, im Schwarz schon eine Farbe zeigt, je entsprechend dem zugehörigen Kreissector. Am andern Extrem dem Weißen nahe steht Ton 1, und in der Mitte Ton 10—12 zeigt sich die Farbe am höchsten. So hat der schwarze Eisenglanz von Elba 5 bleu 20 ton, d. h. seine Schwärze hat einen Stich ins Blauviolet; der gelbe brasilianische Topas 5 orange 3 ton d. h. seine Farbe, fällt links neben Orange gelb mit blasserem Ton, gebrannt wird er bleichroth 2 rouge 4 ton, während der männliche Rubin rouge 11 ton, also die brennendste reinste rothe Farbe, der lichte Talk vom Zillerthal 2 vert-bleu 1 ton den bleichsten Ton hat. Jede der 72 Farbennuancen mit 20 Tönen geben zusammen  $72 \cdot 20 = 1440$  Couleurs franches, Brillantfarben. Dazu kommt nun noch die viel größere Zahl der Trübfarben, welche mit Schwarz versetzt sind, und zwar nach der Scala  $\frac{1}{10}, \frac{1}{10}, \frac{1}{10}, \frac{1}{10}, \frac{1}{10}, \frac{1}{10}, \frac{1}{10}, \frac{1}{10}, \frac{1}{10}$ , die man sich zwischen Weiß und Schwarz construirt. Allmählig werden dadurch die brennendsten Farben dem Schwarzen zugeführt, und wir gelangen zu der außerordentlichen Zahl  $1440 + 9 \cdot 1440 = 14400$ . Wenn darnach dem Rastanienbraunen Nistiesel (jaspe égyptien) 3 orange  $\frac{1}{10}$  11 ton zugeschrieben wird, so heißt das, dem Sector 3 zwischen Orange und Orange-gelb im 11ten Ton ist  $\frac{1}{10}$  Schwarz zugelegt. Werner unterschied beim

1. Weiß, welches dem 1sten Tone obigen Farbkreises entsprechen würde, schnee-, röthlich-, gelblich-, grünlich-, blaulich- (milchweiß), graulich weiß. Aber eben so gut kann man von violettig- und orangeweiß sprechen, die beim Quarz schön vorkommen. Das Schneeweiß hängt wesentlich von der Structur ab: farblose Krystalle zu Pulver gestoßen, geben undurchsichtiges Weiß, wie sich also Schnee zum klaren Eise, so verhält sich weißer Statuenmarmor zum wasserhellen Doppelspath, Alabaster zum Fraueneis. Auch durch Verwitterung entstehen bei dem wasserhellen Zeolith Schneefarben, indem durch Wasserverlust ihre Atome gelockert werden. Am

2. Grau hebe ich nur das Perlgrau ein violettiges Grau (Porzellanjaspis) und Rauchgrau ein bräunlich Grau (Feuerstein) hervor.

3. Schwarz verdanken die Steine häufig kohligen und bituminösen Theilen oder Beimengungen von Magneteisen. Rabenschwarz hat einen Stich ins Grün, Pechschwarz einen Stich ins Gelb, was besonders am Pulver hervortritt.

4. Blau steht dem Schwarz am nächsten, besonders durch Kobalt, Eisen u. erzeugt. Da es neben Roth und Grün steht, so bilden diese hauptsächlich seine Nüancen. Das Lasurblau des Lasursteins hat einen Stich ins Roth, und beim Violblau des Amethystes und Fluspathes ist Roth und Blau ins Gleichgewicht getreten. Im Lavendelblau des Porzellanjaspis erkennt man Violblau mit viel Aschgrau. Pflaumenblau im Zirkon, Spinell u. ist ein röthlich Violblau. Smalteblau am Anhydrit ein reines lichtes Blau 4 bleu 7 ton. In-

digblau ein schwarzes Blau mit einem Stich ins Grün, Vivianit, 2 vert-bleu  $\frac{1}{2}$ , 9 ton. Entenblau ein schwarzes Blau mit viel Grün im dunkelfarbigen Talf. Himmelblau ein weißes Blau mit Grün, Linsenerz, Türkis, 5 vert-bleu 10 ton.

5. Grün hauptsächlich durch Chrom, Nickel, Kupfer, Eisen erzeugt. Aus Blau und Gelb bestehend streift es besonders nach diesen Seiten hin. Spangrün hat viel Blau in der Kupferfärbung des Amazonensteins. Seladongrün ist in der Grünerde vom Monte Baldo Spangrün mit Grau. Berggrün ein blasses Spangrün mit viel Grau, Farbe der grünen Keupermergel. Lauchgrün im Prasem von Breitenbrunn hat viel Schwarz. Apfelgrün im nickelgefärbten Chrysopras von Rosemüh ein reines blasses Grün, kaum mit einem Stich ins Gelb. Grasgrün ein reines Grün mit wenig Gelb, Strahlstein, Diopsid, Buntbleierz. Geht leicht ins Spargelgrün, Blaugrün mit viel Gelb, Apatit im Talf von Tyrol. Pistaciengrün, im Epidot von Arendal, das ächte Saffgrün der Maler, ein schwarzes Grün mit viel Gelb. Olivengrün im Olivin ist nicht so dicht, und hat auch Grau. Delgrün im Beryllstein hat auch viel Grau und Gelb. Zeisiggrün ein reines liches stark gelbliches Grün, Kalkuranglimmer.

6. Gelb besonders durch Eisenorydhydrat erzeugt, Grün und Roth als Nebensfarben. Schwefelgelb ein liches Gelb mit einem entschiedenen Stich ins Grün. Strohgelb blasses Gelb mit Grau, Rarpholith. Wachs gelb ist graubraun, Gelbbleierz. Honiggelb ist dunkel mit einem Stich ins Roth, Honigstein, Bernstein, Flußspath. Ochergelb röthlichbraun. Weingelb blos mit einem Stich ins Roth, Topas vom Schneckenstein. Isabellgelb hat viel Grau, Natrolith vom Hohentwiel, 1 Orange-jaune. Draniengelb die Farbe der reifen Pommeranzen, Strich des Realgar.

7. Roth rührt häufig von Eisenoryd her. Gelb und Blau als Nebensfarben. Morgenroth ein hohes Feuerroth mit Gelb, Realgar, Rothbleierz. Hyacinthroth das reine Gemisch von Gelb und Roth (Orange), hat aber im Hyacinth schon etwas Schwarz. Ziegelroth hat viel Schmutziggrau, Farbe des Eisenoryds in den gebrannten Ziegeln. Scharlachroth hochroth mit einem starken Stich ins Gelb, Zinnober. Fleischroth blaß gelbroth am Feldspath. Blutroth die Farbe des Pyrop's mit Gelb. Rosenroth ein blasses reines Roth, Rosenquarz. Pfirsichblüthroth im Lepidolith von Mähren hat viel Blau. Rolumbinroth im edlen Granat ist dunkel mit deutlichem Blau. Kirschroth neigt ins Schwarze beim Rothspiegglanz.

8. Braun. Das Nellenbraun im Rauchtopyas und Arinit zieht sich ins Violblau, das Haarbraun im Holzzinn ins Gelblichgrau, das Leberbraun im Granat von Drahwa ins Grün u.

Die Wichtigkeit der Farben ist bei verschiedenen Mineralen sehr verschieden, und namentlich muß man wohl unterscheiden, ob die Masse als solche farbig oder gefärbt



sei. Die gefärbten, wie die meisten Silicate und Salinischen Steine, sind an sich farblos oder weiß, und bekommen erst ihre Tinten durch eine fremdartige (metallische) Beimischung, die mehr oder weniger zufällig wegen ihrer Kleinheit noch nicht einmal überall bestimmt ermittelt werden konnte. Deshalb pflegen dann auch die verschiedensten Farben vorzukommen: so möchte beim Quarz, Flußspath, bei den Edelsteinen zc. keine Farbe fehlen, und wenn sie noch nicht gefunden ist, so darf man sie in Zukunft erwarten. Ganz anders verhalten sich die farbigen mit ihrer

Characterfarbe, die nicht bloß in ihren Nuancirungen enger begrenzt ist, sondern die Masse als solche kann gar nicht anders als bestimmfarbig erscheinen: Kupferlasur ist immer blau, Malachit grün, Bleiglanz grau zc. Hier hat dann die Farbe eine ganz andere Bedeutung, und ihr genaues Studium ist für das Erkennen unerlässlich.

Die Qualität der Farbe muß noch ganz besonders hervorgehoben werden, denn sie zeichnet sich trotz aller Zufälligkeiten doch nicht selten so specifisch aus, daß der Scharfblick eines Kenners mit Tact zu sondern weiß, was Laien kaum für möglich halten würden. Vor allem übt der Glanz seinen Einfluß: so wird durch den feuchten Glasglanz des Flußspathes die bunte Farbe in einer Weise modificirt, daß man sie überall wieder herauskennt; der halbmethallische Schimmer des Diallag's und seiner Verwandten läßt die Mannigfaltigkeit der Farben in einem allen gemeinjamen Schiller leuchten, der freilich oft sehr versteckt liegt. Besonders aber verdienen vor den nicht- und halb-methallischen Farben

die Metallfarben Auszeichnung, deren eigenthümlicher Eindruck offenbar durch den Glanz bedingt ist. Es sind alles Characterfarben, und wenn auch das Brennende und Extreme fehlt, so werden selbst die feinsten Abstufungen wichtig, da sie scharf der Substanz innewohnen, vorausgesetzt, daß ihr Gefüge keine Veränderung erleidet.

1. Roth. Kupferroth, die Farbe des Kupfers auf frischem Strich, enthält bedeutend Gelb, aber nur wenig Grau, 5 rouge-orangé  $\frac{1}{2}$  9 ton. Weniger Roth sind die glimmerartigen Blätter des Antimonnickel von Andreasberg, bleicher mit mehr Gelb und Grau der Kupfernickel. Das Roth im Buntkupfererz ist schon so gelbgrau, daß man es tombakbraun nennen kann. Das schönste

Tombakbraun kommt halbmethallisch bei verwitterten Glimmern (Ragengold) vor, es ist die Farbe der Messinglegirung mit viel Kupfer und wenig Zink, wobei also neben Graugelb immer noch ein Stich ins Roth bleibt. Sternbergit soll nach Zippe ausgezeichnet tombakbraun sein. Magnetkies hat zwar schon viel Gelb, aber doch immer einen solchen Stich ins Roth, daß man ihn noch zum Tombakbraun stellen darf. Blende, Hauerit zc. haben zwar auch viel Roth, sind aber kaum halbmethallisch. Violet ist der regulus Veneris eine Legirung von Kupfer und Antimon.

2. Gelb. Speisgelb, Gelb mit Grau, ausgezeichnet beim Schwefelkies; der Binarkies scheint schon etwas lichter. Messinggelb, die

ausgezeichnete Farbe des Kupferkieses, hat gegen Schwefelkies gehalten einen entschiedenen Stich ins Grün. Goldgelb ist das reinste metallische Gelb, in seiner intensivsten Farbe erinnert es mehr an Ocher- als Zitronengelb. Da dünne Goldblättchen grün durchscheinen, so mag daraus zum Theil die messinggelbe Farbe der Siebenbürgischen Goldblättchen sich erklären. Durch Legirung mit Silber folgen dann alle Stufen der Verblassung.

3. Weiß. Silberweiß, die Farbe des Silbers auf frischem Strich, hat einen entschiedenen Stich ins Gelb. Der Arsenikkies steht ihm zwar nahe, hat aber mehr Grau statt Gelb. Wismuth und Glanzkobalt von Tunaberg sind dagegen röthlichsilberweiß; Zinnweiß hat einen Stich ins Blau, Quecksilber, Antimon, Speiskobalt.

4. Grau hält die Mitte zwischen Weiß und Schwarz, und die Grenzen sind unsicher, so nennen Einige das Platin noch Weiß, Andere schon Grau. Das normale Grau ist

Bleigrau, die Farbe des frischen Bleies, sie ist bei den Erzen so verbreitet, und selbst in ihren feinern Abstufungen so wichtig, daß man es nicht unterlassen muß, die Hauptabänderung zur Vergleichung sich zusammen zu stellen:

Weißlichbleigrau ist das gebiegene Arsenik auf frischer Bruchfläche.

Gemeinbleigrau das Grauspießglanz, es hat einen Stich ins Blau, und unterscheidet sich dadurch vom Stahlgrau.

Frischbleigrau, die brennende Farbe des Bleiglanzes, zeigt einen entschiedenen Stich ins Roth, noch rother ist Molybdän.

Schwarzlichbleigrau ist das gemeine Bleigrau mit viel Schwarz, Glaserz, Kupferglas.

Stahlgrau ein fahles Grau ohne Blau: Zinckenit, Schrifterz, Wismuthglanz, die lichten Fahlerze.

5. Schwarz. Eisenschwarz mit viel Grau, Magneteisen 4 bleu  $\frac{1}{8}$  18 ton, Eisenglanz 5 bleu 20 ton.

Das entschiedene Blau und Grün fehlt also, beide treten aber häufig beim Anlaufen der Metallfarben auf.

Farbenzeichnung. Die Farben sind nicht immer im Minerale gleichmäßig vertheilt. Ausdrücke wie punktirt, gefleckt, gewolkt, gestammt, gestreift, marmorirt werden von selbst verständlich. Höchst eigenthümlich erscheinen die dendritischen Zeichnungen in Achaten und Kalksteinen, deren schwarze Mangansuperoxydfärbung sich wie Bäumchen verzweigt, welche namentlich in den Solnhöfer Schiefen den alten Petrefactologen viel zu schaffen machten. Die Färbung vertheilt sich darin nach dem Gesetz der Haarröhrchen. Aber auch in Krystallen sind öfter ungleiche Färbungen am Diopsid, Turmalin von Elba zc. sehr auffallend, sie verschwimmen gegenseitig in unregelmäßigen Grenzen, beim Smaragd scheiden sie sich dagegen zuweilen genau nach der Geradenfläche der sechsseitigen Säule.

**Strich.** Die Farbe des Pulvers ist namentlich bei Erzen nicht selten auffallend anders als die des unverletzten Minerals. Man nimmt das schon wahr bei einfachem Rigen mit dem Messer. Deutlicher wird die Sache, sobald man über die rauhe Fläche einer Biscuit-Platte hinfährt, wozu die Hinterseite einer porzellanenen Abdampfschüssel benützt werden kann. Die Alten wetzten sie naß auf Schleifsteinen, wobei die Farben am lebendigsten hervortreten, so verfiel man auf die Namen Blutstein (Hämatites), Milchstein (Galaktites) 2c.

### Specifisches Gewicht (Dichtigkeit).

Darunter versteht man das Verhältniß der Masse zum Volumen. Als Einheit wird destillirtes Wasser bei seiner größten Dichtigkeit genommen. Ein Cubikcentimeter Wasser wiegt dann 1 Gramm, und Quarz ist 2,65mal schwerer. Bei rohen Wägungen geht man jedoch bloß von der gewöhnlichen Temperatur aus. Obgleich Archimedes es entdeckte, und der Araber Abul Rihan im 11ten Jahrhundert das Eigengewicht von Metallen und Edelsteinen schon auffallend genau bestimmte, so hat doch erst unsere Zeit dieses wichtige Kennzeichen gehörig benützt (Wöttger, Tabellarische Uebersicht der specifischen Gewichte der Körper. 1837). Agricola nat. foss. pag. 577 unterschied nur laeves, graves, mediocres, und wußte nichts vom Wägen in Wasser.

Das absolute Gewicht  $g$  durch das Gewicht eines gleichen Volumens Wassers  $g-\gamma$  dividirt gibt das specifische Gewicht. Man bedient sich dabei der gewöhnlichen Wage der Chemiker, die bei 100 Gramm Belastung noch 0,5 Milligramm, also  $\frac{1}{200,000}$  Theil, angibt. Zu Löthrohrproben hat man feine Hebelwagen, die bei 2 Decigrammen Belastung 0,1 Milligramm noch deutlich anzeigen. 1 Quentchen = 3,6 Gramm. Steinheil (Abb. Münch. Akad. Wissensch. IV. 199) konnte sogar bei der Verfertigung des Normal-Kilogramm von Bergkry stall, welches die Neapolitanische Regierung ankaupte, noch 0,2 Milligramm, also den 10 Milliontel Theil (es wog 2 Kilogr.) angeben.

**Beispiel.** Ein Topas wog in der Luft 8,75 Grm. =  $g$ ; jetzt befestige man ihn an einem Coconfaden oder einem andern feinen Haar und wiege ihn unter Wasser, er wird dann um so viel leichter sein, als Wasser verdrängt ist, also 6,25 Grm. =  $\gamma$  wiegen. Das Gewicht des gleichen Volumen Wasser muß daher  $g-\gamma=2,5$  Grm. betragen, folglich

das specifische Gewicht  $\frac{g}{g-\gamma} = \frac{8,75}{2,5} = 3,5$ . Raimondi (Pogg. Ann. 1856.

99. 100) hat das Verfahren auf ingenioße Weise abgeändert, indem er beim Wägen im Wasser den Körper außerhalb der Wage befestigt, und so nach dem Archimedes'schen Princip gleich das Gewicht des verdrängten Wassers findet.

Klaproth wog auch in einem Fläschchen mit eingeriebenem Stöpsel, der oben ein Loch hat: zuerst bringe das mit Wasser gefüllte Fläschchen

auf der Wage ins Gleichgewicht, wirft das Mineralstück in die Flasche, so wird es gerade so viel Wasser verdrängen, als es groß ist, also  $\gamma$  wiegen. In der Luft gewogen war es aber  $g$ , woraus das Resultat erwächst. Solche kleine Flacons hat man im Handel vorrätzig (Zenzsch Pogg. Ann. 99. 131).

Ist das Mineral im Wasser löslich, so wiegt man z. B. Steinsalz in Terpentinöl (0,872), Gyps in Alkohol. Man muß dann aber die gefundene Zahl mit dem specifischen Gewicht der Flüssigkeit, in welcher man gewogen hat, multipliciren. Gadolin (Pogg. Ann. 106. 212) bestimmte mit Hülfe der Hebellänge; Schiff (Journ. prakt. Chem. 75. 222) mißt die verdrängte Flüssigkeit, und was der Abänderungen mehr sind.

Man kann das Eigengewicht auch durch Schweben ermitteln, wozu sich eine Lösung von salpetersaurem Quecksilberoxyd in Salpetersäure empfiehlt, die 2,9 Gew. hat. Darauf schwimmen Bergkrystalle, die durch Zusatz von Salpetersäure zum Sinken gebracht werden (Schafgotsch, Pogg. Ann. 116. 272).

So einfach das Verfahren auch erscheint, so stellen sich der genauen Ausführung doch Hindernisse aller Art entgegen. Namentlich spielt die Adhäsion des Wassers eine Rolle, sie macht fein vertheilte Niederschläge bald schwerer bald leichter als derbe Stücke (Osann, Pogg. Ann. 73. 222). Man hat daher neuerlich Benzin empfohlen, worin die Luft weniger adhäriert. Pulverisirte Minerale geben gewöhnlich sicherere Resultate, als ganze Stücke und haben diese ein sehr hohes specifisches Gewicht, so muß man sie möglichst groß wählen, weil Fehler im Wiegen dann geringern Einfluß haben. „Streng genommen sind die spec. Gewichte nur bei Anwendung gleicher Massen und gleicher Vertheilung vergleichbar.“

Zum **Werthen** denke an das spec. Gew. der Erde, welches Laplace 4,76, Reich 5,5 setzte. Nehmen wir im Mittel 5fach, so wäre es das der gewöhnlichsten Eisenerze: Eisenglanz, Magneteisen, Schwefelkies zc.

Am schwersten sind die gebiegenen Metalle: Iridium 22,4 Osmiridium 21,12, Platin gemünzt 22,1 und Gold 19,3, beide letztere in ihrem natürlichen Vorkommen aber immer leichter.

Wolfram 17,6, Quecksilber 13,6, Blei 11,39, Silber krystallisirt 10,8, Kupfer 8,96, Meteoreisen 7,79.

Hier schließen sich schon Erze an: Zinnober 8, Bleiglanz 7,5, Glaserz 7,2, Wolfram, Zinnstein 7, Weißbleierz 6,5 zc., die also alle über das Gewicht der Erde hinausreichen.

Das hohe Steingewicht bleibt dagegen immer unter dem 5fachen: Schwerspath 4,5, Birkon 4,4, Granat 4,3, Korund 4, Diamant 3,5.

Das gemeine Steingewicht sinkt auf die Hälfte des Erdgewichtes herab: Kalkspath 2,7, Quarz 2,65, Feldspath 2,58. Was darunter geht, sind schon

leichte Steine, wie Gyps 2,3, Blätterzeolith 2,2, Schwefel 2, Steinkohle 1,7 und leichter, Bernstein 1,1.

Eichenholz 0,93, trocknes Buchenholz 0,59, Tannenholz 0,55, Kork 0,24.

Schwefelsäure 1,85, Steinöl 0,9, Naphtha 0,75, Cupion 0,65.

Atmosphärische Luft 0,001299, Wasserstoff 0,00008937, d. h. 14½-mal leichter. Folglich Trieb: Wasserstoff = 1 : 0,000004. Gebiegen Triebium wäre also zweihundertfünfzigtausendmal schwerer als Wasserstoff. 1 Cubiccentimeter Wasser wiegt bei + 4° C. im Vacuum 1 Gramm, 1 Cubiccentimeter Luft bei 0° und 760 mm (28") Barometerstand 0,001299 Gramm. Die feinem Hilfsmittel müssen bei der Chemie und Physik studirt werden. Ueber die Fehler beim Wägen vergleiche Mohr Geschichte der Erde 1866 pag. 238. Tschermak (Sitzungsbericht Wien. Akad. Bd. 47) konstruirte eine kleine Taschewage mit Laufgewicht.

### Cohäsionsverhältnisse.

Die Atome (Molecule) hängen untereinander auf verschiedene Art zusammen, namentlich unterscheidet der Physiker drei Aggregatzustände

a) gasförmig oder elastischflüssig. Atmosphärische Luft bringt in alle Räume der Erde. Kohlensäure bricht besonders mit Quellen und Vulkanen hervor. Kohlenwasserstoff, Schwefelwasserstoff u. fehlen der Erde zwar nicht, allein sie fallen mehr dem Gebiete der Chemie anheim.

b) tropfbarflüssig. Meer, Seen und Flüsse mit ihren Quellen, die unter Umständen eine feste Form annehmen, fallen schon mehr in unser Gebiet. Quecksilber und Steinöl, als von festen Theilen der Erde eingeschlossen, sind nie bestritten worden.

c) fest, die Theile fließen nicht von selbst auseinander, sondern ihre Verschiebung setzt einen Widerstand entgegen, der bei verschiedenen Körpern sehr verschieden ausfällt, und ein wesentliches Kennzeichen abgibt. Man nennt es Härtegrad, der nach Grailich wesentlich von der Größe der Elasticität abhängt. Die alten Practiker bedienten sich der Feile, des Messers und des Stahles. So namentlich Werner. Erst Haüy drückte in seinem Traité de mineralogie die relative Härte durch Ritzen der Körper mit einander aus: „Kalkspath ritzt den Gyps, wird aber vom Flußspath geritzt“. Was dann Mohs zur bekannten Härtescala führte. Den Widerstand, welchen ein Körper dem andern beim Ritzen entgegenstellt, genau quantitativ zu messen, hat seine eigenthümliche noch nicht überwundene Schwierigkeit. Der jüngere Seebeck kam 1833 zuerst auf die Idee eines belasteten Hebels, was Dr. Franz (Pogg. Ann. 1850. 80. n) weiter verfolgte, und endlich in dem ziemlich complicirten Sklerometer von Grailich und Pelárek (Sitzungsber. Wien. Akad. 1854. XIII. n) zu einem gewissen Abschluß kam. Für Ermittelung feinerer physikalischen Eigenschaften sind solche complicirten Instrumente schon gut, für den practischen Mineralogen haben sie jedoch nicht die Bedeutung, die man ihnen wohl hin und wieder beilegt. Die von der Wiener Akademie 1873 gekrönte Preisschrift des Dr. Gyner (Untersuchungen über die Härte an Krystallflächen) lieferte sogar Härtecurven für die einzelnen Flächen,

welche der algebraischen Rechnung unterworfen wurden. Für die Vergleichung der verschiedenen Härtegrade ist die Mohs'sche

**Härtescala** allgemein eingeführt:

1) Talc, der grünlich weiße aus den Alpen mit dem Fingernagel ritzbar.

2) Steinsalz hat schon die Härte des Fingernagels, während der blättrige Gyps noch deutlich mit dem Nagel geritzt werden kann.

3) Kalkspath, besonders der blättrige von Erzgängen, läßt sich sehr leicht mit dem Messer ritzen. Freilich verschieden an verschiedenen Stellen.

4) Flußspath bei gehörigem Druck noch genügend angreifbar.

5) Apatit hat ungefähr Glashärte, läßt sich daher mit dem Messer bereits schwer beschädigen, aber wohl mit der Feile, wodurch man die Glasflüsse von ächten Steinen unterscheidet.

6) Feldspath, besonders der klare aus den Alpen, gibt mit dem Stahle schon glühende Funken, wenn auch nicht stark zündend.

7) Quarz mit dem Stahle gute Funken gebend.

8) Topas, mit ihm beginnt die Edelfsteinhärte.

9) Korund ist der härteste unter den Gemmen, weit davon folgt

10) Diamant, der daher bloß in seinem eigenen Pulver geschliffen werden kann.

Gewöhnlich setzt man bei Härteangaben bloß die Zahl hin, doch darf man darin keine mathematischen Abstufungen vermuthen, wozu die Decimalbrüche mancher Schriftsteller verleiten könnten. Zwischen Korund und Diamant soll bei weitem der größte Abstand sein, was der Schleifer vor allem aus der Art, wie dieser beim Schleifen angegriffen wird, wahrnimmt. Der ächte Smirgel ist Korund, und deßhalb findet er beim Schleifen harter Steine hauptsächlich Anwendung. Quarz ist unter den gemeinen Steinen der härteste, was über ihn hinausgeht, zählt schon zur Edelfsteinhärte. Unter dem Quarze stellt sich Zinnstein 7—6, Eisenglanz 6, Eisen 6—5 u. ein. Die meisten gebiegenen Metalle sind unter Kalkspathhärte, werden aber durch Legiren etwas härter. Schon Agricola de nat. foss. pag. 572 macht hier gute Mittheilungen.

Wenn man die Härte mit der Feile prüft, so wird vom Feldspath die Feile zwar schon polirt, allein aus Ton, Pulvermenge und Politur der Feile kann man dennoch auf die Härte zurückschließen.

Härteverschiedenheiten kommen öfter an ein und demselben Minerale vor, wie das in so auffallender Weise der Cyanit zeigt, der auf dem Blätterbruch längs der Säulenaxe 5 und quer auf den Säulenanten 7 hat. Auf dem blättrigen Bruche des Gypses kann man die Unterschiede schon mit der Feder wahrnehmen. Wenn man damit über die Spiegelfläche hinfährt, so bringt sie am leichtesten senkrecht gegen den Faserbruch ein. Beim Kalkspath fällt es gar mit dem Federmesser auf, was bereits Hühghens wußte: ritzt man nemlich den blättrigen Bruch längs der kurzen Diagonale von stumpfem Winkel zu stumpfem Winkel,

so bekommt man kein richtiges Pulver, wenn man an der Endedecke *c* ansetzt, und hinabfährt, entgegengesetzt von der Seitenecke aus umgibt sich der Strich dagegen sogleich mit viel Pulver. Auch greift die Feile die Hauptdecke leichter an, als die Seitenecken. Beim Bleiglanz kann man die Sache mit bloßer Hand nicht mehr wahrnehmen, doch soll die Masse parallel den Würfelkanten etwas härter sein, als parallel den Diagonalen. Franz stellt als allgemeines Gesetz auf, daß die härteste Richtung im Krystall den Blätterbrüchen parallel gehe, die weichste aber darauf senkrecht stehe. Die Härte metallischer Elemente soll proportional dem Eigengewicht dividirt durch das Atomgewicht sein Pogg. Ann. 1873 Bd. 150 pag. 644. Frankenheim Cohäsionslehre 1835 pag. 311; de crystallo-  
rum cohaesione 1829 und Baunsgärtners Zeitschrift für Physik. 9. 94. Seebeck in Hartmann's Jahrbüchern der Mineral. und Geol. 1. 123. Frankenheim Nov. Acta Leop. XIX. 2. pag. 471 gab 14 mögliche Anordnungsweisen der Atome, Sohnte Pogg. Ann. 1867 Bd. 132 pag. 75 hat derartige Betrachtungen weiter verfolgt.

### Qualitative Härte (Tenacität).

1) Spröde, lassen sich schwer beugen, aber leicht zerreißen. Will man von dem Mineral mit dem Messer etwas trennen, so fliegen die Theilchen mit Geräusch fort. Edle und halbedle Steine, Kalkspath etc.

2) Biegsam, lassen sich leicht beugen, aber schwer zerreißen: elastisch biegsam der Glimmer, welcher in seine vorige Lage zurückspringt, gemeinbiegsam der Talk, welcher das nicht thut.

3) Milde, die Minerale lassen sich zu Staube oder Blättchen krügen, die Stückchen bleiben aber auf dem Messer liegen. Gyps, Talk, Graupießglanz etc.

4) Geschmeidig, es lassen sich zerbrechliche Späne abschneiden, Wismuth, Glaserg, Hornsilber.

5) Dehnbar, die abgeschnittenen Späne sind streckbar (lassen sich zu Draht ziehen) und hämmerbar (lassen sich zu Blech platten): Gold, Silber, Platin, Eisen, Kupfer (Zink, Zinn), Blei. Vergoldete Silbermünzen scheinen auf frischer Schnittfläche vergoldet zu sein, weil sich eine Goldhaut über den Schnitt legt. Zu den Lyoner Treßsen macht man aus einer Unze Gold 60 Meilen lange Fäden (Reaumur Mém. Acad. 1713. 144). Platindrath innerhalb eines Silberbarren ausgedehnt, das Silber alsdann mit Salpetersäure gelöst, gibt Platinfäden, die das bloße Auge nicht sieht, und wovon 140 auf einen Coconsfaden gehen. Ein Kilogramm Wollaston'scher Platindrähte reicht drei Mal um den Aequator. Blei läßt sich platten, aber nicht strecken, Eisen besser strecken als platten.

6) Zersprengbarkeit ist sehr schwer, schwer, leicht oder sehr leicht. Dehnbare Metalle lassen sich gar nicht zerschlagen, sondern nur zerreißen. Hornblendeesteine, Gyps, Talk lassen sich schwer zerschlagen, Obsidian dagegen sehr leicht. Die Trennungsfläche, gleichsam „die Gestalt der innern Oberfläche“, heißt Bruch: man unterscheidet blättrigen,

fasrigen und dichten. Vom blättrigen haben wir schon pag. 11 geredet, da er innig mit der Krystallform zusammenhängt. Der fasrige zeigt nicht selten den prachtvollsten Seidenglanz. Es ist versteckte Krystallanhäufung, worin jede Faser der gleichen Aze zu entsprechen pflegt. Auch der dicke Bruch ist oft noch kryptokrystallinisch, wie dünngeschliffene Platten unter dem Mikroskop beweisen. Für das bloße Auge jedoch erscheint er auf der Sprungfläche

a) muscheligen, vom Schlagpunkte gehen regelmäßige concentrische Wellen aus, welche man nicht unpassend mit einer Muschel vergleichen hat. Nach der Art des Glanzes kann er Glas-, Opal- oder Feuersteinbruch sein.

b) splittig, auf der mehr oder weniger muscheligen Schlagfläche reißen sich grobe oder feine Splitter los: Serpentin, Hornstein, Chalcedon. Durchscheintheit hebt die Schieferchen deutlich hervor.

c) eben. Große Continuität, aber die Substanz schlammig, gewisse Kalksteine. Bleischweiß, Lydischer Stein, Carneol.

d) uneben, bei erdigen Massen; aber auch Zinnstein, Kupferties, Fahlerz u. stellt Werner dahin, was man jetzt besser kleinemuschelig nennt.

e) hackig, kommt nur durch Zerreißen geschmeidiger Metalle zum Vorschein, es ziehen sich dabei Fäden, welche am gebrochenen Ende etwas einbiegen. Stabeisen.

7) Zerreißbarkeit, sogenannte absolute Festigkeit, wird mit Stangen oder Drähten mittelst Gewicht geprüft. Stahl am festesten. Relative Festigkeit ist der Widerstand, welchen die Körper dem Zerbrechen entgegenstellen.

8) Tragkraft besonders für Bausteine wichtig. Ein Porphyrcylinder von einem Quadratfuß Fläche kann 5000 Ctr. tragen, Granit 1800, Marmor 450, Bimstein 71. Diese sogenannte rückwirkende Festigkeit ist beim Gußeisen fünfzehnmal stärker als beim Granit.

9) Porosität. Die Substanz enthält Zwischenräume, sogar Blasen mit Flüssigkeiten und Gas gefüllt. Manche Minerale kleben an der Zunge, entwickeln unter der Luftpumpe Gas, nehmen färbende Mittel auf (Achat). Eine Goldkugel mit Wasser angefüllt bekommt bei starkem Druck auf der Oberfläche thauähnliche Tropfen (Atad. zu Florenz 1661).

10) Zusammendrückbarkeit. Fundamente großer Gebäude drücken sich zusammen. Münzen erhalten durch den Stoß des Stempels ein Gepräge, wobei das Volumen kleiner, folglich das specifische Gewicht größer wird.

11) Elasticität, der zusammengedrückte Körper nimmt sein ursprüngliches Volumen wieder ein. Die Elasticitätsagen ergeben sich besonders durch den Klang und die Klangfiguren. Höchst interessant ist in dieser Beziehung eine Abhandlung von Savart (Pogg. Ann. 16. 377) über die Schallschwingungen des Bergkrystalls. Er schnitt kreisförmige Platten von einer Linie Dicke und 24 bis 27 Linien Durchmesser. Wären diese homogen wie Glas, so müßten sie alle unter gleichen Bedingungen gleiche Knotenlinien und gleiche Töne geben. Das war aber nicht der Fall,

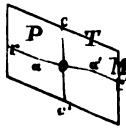


sondern die Töne auf den verschiedenen Flächen könnten um eine Quinte von einander abweichen. Alle Flächen mit gleichem kristallographischem Ausdruck verhalten sich gleich, nur mit der Ausnahme, daß am Dihexaeder die drei des einen Rhomboeder anders tönen, als die drei des andern, woraus hervorgehen würde, daß der Bergkrysalall rhomboedrisch sei. Auch Kalkspath und Spath Eisenstein wurden in die Untersuchung hineingezogen. Hier ist auch ein Wort zu sagen über die

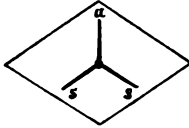
**Körnerprobe** von Neusch (Monatsber. Berl. Akad. 1867 pag. 441). Schon längst war es mir bekannt, daß wenn man mit einer Meißelspitze auf dichte Minerale, wie Feuerstein, Achat, Serpentin zc.



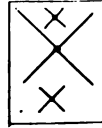
Achat



Gyps



Glimmer



Steinsalz



Kalkspath

plötzlich Schläge ausübe, sich zierliche Regel nach innen absondern, die beim Achat und Feuerstein so sicher und sichtlich ausfallen, daß sie schon für besondere Einschlüsse gehalten sind. Ferner wußte man beim Kalkspath, der wegen seiner verschiedenen Härteverhältnisse viel untersucht wurde, daß beim Stich mit einer Nadel sich ein gleichschenklisches mattes Dreieck abhebt, welches von dem Stiche oder Spitzschlage aus stets seine Basis nach oben zur Hauptecke kehrt, während die Schenkel den Rhomboederkanten parallel gehen; schon Huyghens verglich das mit den Schuppen von Fischen. Darnach hätte man meinen sollen, die Risse, welche vom Schlagpunkte ausstrahlen, folgten vorzugsweise dem Blätterbruche. Allein Neusch fand beim Steinsalz, das doch so blättrig ist, gerade das Gegenteil, die Risse folgen vom Schlagpunkte aus den Flächen des Granaeders. Es setzt das noch besondere Cohäsionsverhältnisse in der blättrigen Masse voraus. Beim Glimmer (Monatsb. Berl. Akad. 1869 pag. 83) wurde die Eigenschaft von praktischer Wichtigkeit, denn man kann hier mittelst der dreistrahligen Schlagfigur, welche sich selbst auf den dünnsten Platten durch den Stoß einer zarten Nadel darstellen läßt, den Verlauf der rhombischen oder regulären sechseckigen Säule erkennen, da die Strahlen sich unter 120° schneidend den Seiten parallel gehen. Ein Strahl von den dreien entspricht der Axe  $a$ , und ist daher besonders charakteristisch, senkrecht dagegen pflegt die Ebene der optischen Axen zu stehen; nur in seltenen Fällen fällt sie mit  $a$  zusammen, und scheidet dadurch eine kleine Gruppe von den zweiaxigen Glimmern ab, wozu namentlich Lithionglimmer gehört. Beim Gyps (Monatsb. Berl. Akad. 1868 pag. 135) wird die Schlagfigur schon etwas unsicherer, doch „setzt man eine Nähnadel senkrecht auf den Blätterbruch  $P$  im Punkte  $o$  ein, und gibt einen schwachen Schlag“, so kommt ein gerader deutlicher Riß  $cc'$ , welcher der gleichnamigen Axe entspricht, senkrecht eindringt, und folglich dem muscheligen

Brüche M parallel geht. Dagegen bildet der zweite Riß  $rr'$  eine unsicherere in  $a$  und  $a'$  geknickte Linie: die äußern Stücke davon  $ar$  und  $a'r'$  gehen einander mit dem fastrigen Bruche T parallel, und haben wie dieser Bruch überhaupt etwas Unstetes; der Zwischenriß  $aa'$  dagegen, welcher durch den Schlagpunkt  $o$  geht, bringt wieder bestimmter in die Masse ein, und würde einem versteckten Blätterbruch entsprechen, der auf der Hinterseite gelegen etwa einer Fläche  $c: \frac{2}{3}a': \infty b$  entspräche, die  $11^\circ 55'$  gegen die Hauptage geneigt wäre. Herr Reusch konnte diesen Bruch mittelst eines Lineals, dessen Kante der Schlaglinie parallel gelegt wird, wirklich darstellen.

### Magnetismus.

Die Hauptrolle spielt in der Natur das dichte Magneteisen, von den Alten ausschließlich Magnet genannt. Wenn dasselbe einige Zeit der Verwitterung ausgesetzt war, so zieht es Eisenfeilspäne an, bekommt einen Bart, wirkt also polar (attractorisch), aber immerhin nur schwach. Gegen künstlichen Magnetismus verhält es sich wie gehärteter Stahl (Greiß Pogg. Ann. 98. 478). Die Krystalle von Tyrol verhalten sich dagegen wie weiches Eisen, und werden nur vom Magnete angezogen (retractorisch), sie können damit z. B. aus dem Sande in großen Mengen ausgeschieden werden, wie unter andern der natürliche Magnet vom Berge Blagodat am Ural zum Reinigen des gewaschenen Goldsandcs benützt wird. Noch schwächer ist Magnetkies, das fast einfache Schwefeleisen. Wenn man daher eisenhaltige Minerale in der Deforydationsflamme des Löthrohrs zu kleinen Kugeln schmilzt, so werden diese magnetisch, weil sich Magneteisen oder Magnetkies bildet. Unter den künstlich gewonnenen gebiegenen Metallen zeichnen die Physiker außer Eisen noch Nickel, Mangan, Kobalt, Chrom aus. Wöhler hat ein magnetisches Chromoxyd  $Cr^2Cr$  künstlich dargestellt.

Schwachen Magnetismus zeigen noch eine Menge von Mineralen. Diese zu erkennen fand Haüy ein ingeniöses Mittel in der Methode des doppelten Magnetismus. Nähert man nämlich im magnetischen Meridian einer Magnetenadelspitze den gleichnamigen Pol eines Magnetstabes sehr vorsichtig, so stellt sich die Nadel senkrecht gegen den magnetischen Meridian. In dieser Nadelstellung bewirkt die Nähe eines nur wenig magnetischen Körpers am Pole sogleich ein Umschlagen der Nadel. Fournet und Delesse (Ann. de Chimie et Phys. 1849. 3 sér. 25. 184) haben sehr genaue Untersuchungen angestellt, und bestätigt, daß auch Eisenglanz und rother Glaszopf polarmagnetisch werden, wenn man sie mit starken Magneten in Berührung bringt. Eisenglanz von Elba fein pulverisirt kann man mit einem starken Magnet bis auf das letzte Körnchen wegnehmen, Beweis, daß das etwa beigemengte Magneteisen nicht der Grund sein kann. Blücker (Pogg. Ann. 74. 243) hat sogar die Intensität verschiedener Eisen-, Nickel- und Manganerze in Zahlen auszudrücken gesucht. Wenn selbst Felsen, wie Basalt, Serpentin, Thoneisenstein von Aalen zc.

sich magnetisch zeigen, so verdanken sie dieß entweder dem beigemischten Magneteisen, oder der Einwirkung des Erdmagnetismus. Schon Trebra entdeckte an den Schnarcher Klippen auf dem Brocken, Humboldt am Serpentin des Haidberges im Fichtelgebirge eine Ablenkung der Magnetnadel. Delesse behauptet, daß der polare Magnetismus von den Krystallen unabhängig sei. Tasche über den Magnetismus der Mineralien u. Gesteine Jahrb. k. k. geologischen Reichsanstalt 1857 Bd. 8 pag. 650. Melloni Pogg. Ann. 1856 Bd. 106 pag. 106, für Felsenlehre wichtig.

**Diamagnetismus.** Obgleich Brugmans schon 1778 erkannte, daß eine Wismuthnadel zwischen die Pole eines Magnets gebracht so abgestoßen wird, daß sie senkrecht gegen die Verbindungslinie beider Pole steht, so fand doch erst Faraday (Pogg. Ann. 69. 110), daß alle Körper an einem Coconsfaden zwischen die kräftigen Pole eines Elektromagneten gebracht entweder angezogen (axial) oder abgestoßen (aequatorial) werden. Körper die sich axial stellen, heißen magnetisch (paramagnetisch), und die sich äquatorial diamagnetisch. Für diese ist Wismuth, was für jene Eisen. Plücker (Pogg. Ann. 81. 110) zeigte weiter, daß diese Einwirkung bei Krystallen in eigenthümlicher Weise modificirt werde: es zeigen sich magnetische Arien, die im Allgemeinen mit den optischen zusammenfallen. Wismuth, Antimon, Arsenik stellen sich mit ihrer rhomboedrischen Hauptaxe als diamagnetische Körper äquatorial. Selbst geschmolzenes Wismuth langsam erkaltend und krystallisirend soll seine rhomboedrische Hauptaxe äquatorial stellen. Aequatorial stellte sich ferner die Hauptaxe des isländischen Doppelspath. Andere Kalkspathen verhielten sich freilich entgegengesetzt, woran wahrscheinlich Beimengung von Eisen Schuld war: Beweis genug für die Schwierigkeit dieser feinen Untersuchungen, welche hier zu verfolgen zu weit gehen würde. Es versteht sich dabei von selbst, daß wenn man aus einem solchen magnetisch einaxigen Krystalle eine Kugel schnitte, so würde diese Kugel an der Aze aufgehängt in jeder Stellung zwischen den Polen verharren; dagegen nach einem der Seitendurchmesser gelangte sie nicht eher zur Ruhe, bis die magnetische Aze von den Polen angezogen oder abgestoßen wäre, je nachdem sie paramagnetisch oder diamagnetisch ist. Schon der Erdmagnetismus kann beim Cyanit öfter eine Arienstellung der Säule nach Norden bewirken.

### Electricität.

Hat ihren Namen vom Bernstein (*ἤλεκτρον*), der gerieben kleine Körper anzieht und abstoßt, was schon die syrischen Frauen wußten, aber erst im 17ten Jahrhundert erfuhr man, daß auch andere Harze, Schwefel, Glas u. diese Eigenschaft haben.

Elektroskope dienen zur Wahrnehmung der Electricität. Sehr einfach ist das elektrische Pendel, Hollundermark an einem Coconsfaden aufgehängt, den man sich aus aufgedrehter Seide herauszieht. Noch empfindlicher sind Coconsfäden, Ragenhaare u. mit Wachs oder Siegelack an einem gläsernen Stabe befestigt. Hany (Ann. du Mus. 1810. XV

pag. 1) bediente sich der elektrischen Nadel, ein Messingdraht an beiden Enden zu einer Kugel verdickt schwingt horizontal in einem Glashütchen auf einer feinen Stahlspitze nach Art der Magnetsnabel. Man kann sie durch Berührung mit geriebenem Siegelack leicht laden. Behrens Goldblatt-Elektrometer (Gilbert's Annal. 23. 24) verbessert von Bohrenberger (daselbst 51. 100) und Fehner (Pogg. Annal. 41. 200) benutzte Rieß zu seinen Untersuchungen, auch Coulombs Drehwage kann zu einem sehr empfindlichen Apparat gemacht werden.

Leiter und Nichtleiter. Metalle und geschwefelte Erze sind gute Leiter, sie belegen sich mit Kupfer, wenn man sie zwischen Zinkblech klemmt und in Kupfervitriol taucht (Robell, Münchener Gelehrte. Anzeig. 1850 Nro. 89 u. 90). Auch salinische Erze isoliren nur unvollkommen. Salinische Steine und Silikate isoliren dagegen im Allgemeinen gut, wie auch Glas, Schwefel und Harze. Seide und trockne Luft isoliren, Wasser und Wasserdampf leiten. Daher ein feuchter Zustand der Luft dem Experiment hinderlich. Uebrigens weist Wiedemann (Pogg. Ann. 76. 104) auf sinnreiche Weise nach, daß die Krystalle die Elektricität nach verschiedenen Richtungen verschieden leiten: bestreut man eine Glas- oder Harzfläche mit schlechtleitendem Pulver (Lycopodium), befestigt senkrecht darauf eine feine Nadel, so wird bei Annäherung mit einer Leidener Flasche das Pulver von der elektrisirten Nadelspitze aus nach allen Seiten hin gleichmäßig zerstreut. Wendet man statt des Glases z. B. ein Gyps- oder anderes Krystallblatt an, so zerstreut sich das Pulver ungleich, am meisten nach zwei diametral einander entgegengesetzten Richtungen, am wenigsten senkrecht darauf. Es bildet sich um die Nadelspitze nicht ein Kreis sondern eine Ellipse, deren lange Axe senkrecht gegen den muscheligen Bruch steht. Es soll die Elektricität sich nach der Richtung am schnellsten verbreiten, in welcher das Licht sich relativ am schnellsten fortpflanzt.

Reibungselektricität ist positiv (Glaselekt.) oder negativ (Harzelekt.). Schwefel, Bernstein, Honigstein, Asphalt isoliren, zeigen daher in bloßer Hand gerieben Harzelektricität. Edelsteine nebst Diamant, Quarz, Glimmer, Feldspath, Hornblende und Augit, Zeolith, Granat, Kalkspath, Gyps, Flußspath, Schwerspath, Weißbleierz, Steinsalz u. isoliren ebenfalls, zeigen aber Harzelektricität. Malachit, Kupferlasur, Buntbleierz, Eisen- und Kupfervitriol, Rutil, Rothkupfererz u. isoliren nur unvollkommen und zeigen gerieben Harzelektricität. Graphit, Steinkohle, Magneteisen, Wolfram, Schwefelkies, Kupferkies, Bleiglanz, Fahlerz müssen isolirt gerieben werden, um Harzelektricität zu zeigen, weil die bloße Hand leitet, und die erregte Elektricität sogleich zur Erde führt.

Da gleiche Elektricitäten sich abstoßen, ungleiche anziehen, so darf man die Elektroskope nur mit bekannter Elektricität laden, um sogleich die Art der Elektricität zu erkennen. Beim Erfolge des Reibens kommt es freilich auch wesentlich auf die Beschaffenheit der geriebenen Fläche an: an ein und demselben Krystalle werden matte Flächen negativ, glatte positiv elektrisch. Beim Cyanit zeigen sich sogar einige Krystalle positiv,

andere negativ, ohne daß man einen äußern Grund in dem Aussehen der Flächen angeben könnte. Das führt dann zu feinen Distinctionen. Glatter Doppelspath wird sogar schon durch Druck zwischen den Fingern positiv elektrisch, und zeigt diese Elektricität noch nach vielen (11) Tagen, ebenso Aragonit, Flußspath, Topas zc. (Haüy Ann. Chin. Phys. 1817. V. 95). Am Glimmer zeigt bei der Spaltung die eine Hälfte sich positiv, die andere negativ elektrisch.

Thermoelektricität (Pyroelektricität). Wenn man edle Turmalinkrystalle erhitzt, so bekommen sie die merkwürdige Eigenschaft, kleine Körper anzuziehen und abzustößen, was schon die Indier lange wissen sollen, von denen es die Holländer in Erfahrung brachten. Haüy hat sich besonders Verdienste darum erworben. Er führt Turmalin, Boracit, Topas, Kieselzinkerz, Faserzeolith, Prehnit, Arinit, Sphen als thermoelektrisch auf. Brewster (Pogg. Ann. 2. 207) fügte noch mehrere hinzu, worunter Zucker und Weinsäure zu erwähnen ist. Dieser experimentirte sehr einfach, indem er bloß kleine Stücke der innern Membran von Arundo Phragmites die gewärmten Krystalle anziehen ließ. Später haben Köhler (Pogg. Ann. 17. 610), G. Rose (Pogg. Ann. 39. 285 und 59. 288) und Hankel (Pogg. Ann. 49. 402; 50. 227 und 61. 281) die Sache mit vollkommnern Instrumenten begründet.

Die Elektricität häuft sich besonders auf den Ecken und Ranten an, und bei Aenderung der Temperatur treten beide Elektricitäten am entgegengesetzten Ende auf. Die Linie, welche diese Pole verbindet, heißt elektrische Aze, sie fällt mit einer krystallographischen meist zusammen. Aber nicht die Wärme als solche, sondern die Veränderung der Wärme erregt die Elektricität. Man kann daher einen thermoelektrischen Krystall erwärmen, hält man ihn aber immer auf gleicher Temperaturhöhe, so zeigt sich nichts, erst bei zu- oder abnehmender Wärme tritt die Wirkung ein. Auch darf die Temperatur nicht zu hoch steigen. Gewöhnlich untersucht man bei abnehmender Wärme, und nennt dann den Pol mit Farzelektricität negativ (—), mit Glaselektricität positiv (+); bei zunehmender schlagen dagegen beide um, der + wird — und der — wird +. Rose und Rieß haben daher den negativen Pol auch analog genannt, weil bei abnehmender Temperatur Pol und Wärme das gleiche Vorzeichen (—) bekommen, der positive heißt dann antilog, weil die Elektricität ein anderes Zeichen (+) hat, als die abnehmende Wärme (—). Gewöhnlich faßt man die Krystalle in einer (isolirenden) Zange und erhitzt sie in der Weingeistlampe. Gauguin (Compt. rend. 1856. 42. 1204; 43. 918, 1122) umwickelte die Turmaline an beiden Enden mit Platindrähten, und brachte einen Draht mit der Erde, den andern mit dem Elektroskop in Verbindung, stellte sogar ganze Batterien von Krystallen auf, um die elektrische Stärke zu messen.

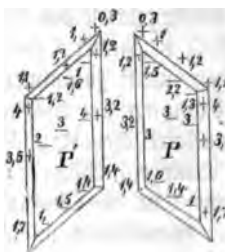
1) Terminalpolar mit 1 Aze, die Krystalle zeigen nur eine elektrische Aze, welche mit der Krystallaxe c zusammenfällt: Turmalin, Kieselzinkerz, Faserzeolith. Beide erstere sind zugleich hemiedrisch, und

meist kann man schon aus der Gruppierung der Flächen auf die Art des Poles schließen. Kieselzinterz zeigt sich bereits bei gewöhnlicher Temperatur elektrisch. Mit Ragenhaar läßt sich das schon zeigen.

2) Terminalpolar mit 4 Azen: Boracit, die glänzenden Tetraederflächen + (antilog). Vielleicht auch Helvin.

3) Terminalpolar mit 2 Linien, davon die eine an beiden Enden analog, die andere antilog ist: Arginit.

4) Centralpolar, die Enden der Aze a sind beide + (antilog), das Centrum aber — (analog); Topas und Brehmit. Hantel (Abh. math. Cl. Sächs. Ges. Wiss. 1872 X pag. 365) bewies gerade am Topase, den schon Haüy und Erman sorgfältig prüften, daß bei gut ausgebildeten Krystallen die Hauptaxen c sammt den kurzen Nebenaxen a an ihren beiden Enden positiv, die Enden der langen Nebenaxe b dagegen negativ sind, und zieht aus seinen langjährigen Beobachtungen den Schluß, daß die Polarität mit entgegengesetzten Elektricitäten an den Enden der Azen zu den Ausnahmefällen gehöre, und sich nur bei Krystallen mit hemiedrischen (hemimorphen) Flächen finde. Er bedient sich dabei eines verbesserten Goldblattelektrometers (Pogg. Ann. 84, 10), woran eine Scala mit Fernrohr angebracht ist. Die Krystalle in Platinsand oder Eisenfeile gelegt werden mit einer Weingeistlampe erwärmt, und dann äußerst vorsichtig mittelst eines Platindrahtes untersucht. Um ein allgemeines Bild davon zu geben,



**Ausschlag.** G. Rose (Monatsh. Berl. Akad. 1870 pag. 327) glaubte darnach Pyrit oder „erster und zweiter Stellung“ unterscheiden zu können, doch haben Versuche von Schrauf (Sitzb. Wien. Akad. 1870, 12te März) gezeigt, daß auch holoeidrische Minerale wie Bleiglanz, solche verschiedenen elektrischen Strömungen zeigen.

### Phosphorescenz.

Hat ihren Namen von einem Leuchten, was an das des Phosphors erinnert, aber auf keine bekannte Lichtquelle zurückgeführt werden kann. Placidus Heinrich (die Phosphorescenz der Körper, Nürnberg 1811) hat sich um die Kenntniß verdient gemacht. Die Versuche gehörig anzustellen, ist ein finsternes Zimmer nothwendig, in welchem man sich  $\frac{1}{2}$ —1 Stunde und noch länger aufhalten muß, um die Netzhaut für solche Eindrücke empfänglich zu machen. Albertus Magnus wußte schon um das Leuchten des Diamants. Aufsehen erregte jedoch erst die Entdeckung eines Schusters von Bologna 1604, welcher die dortigen Schwerspathknollen (Vologneser-Spath) durch Glühen mit Tragant schleim leuchtend machte. Mehanitus Geißler in Bonn füllte solche gepulverten Dinge in verschlossene Glasröhren, welche nur des Sonnenblicks bedürfen, um einen ganz zauberhaften Effect im Finstern hervorzubringen.

1) Durch mechanische Gewalt. Wenn man zwei Bergkrystalle an einander reibt, oder Glimmerblätter heftig zerreißt, so zeigen sich Funken. Zerklopft man Abends Zucker, so kann man die Erscheinung kaum übersehen, ebenso beim Dolomit und Marmor. Die gelbe Blende von Kapnit mit dem Messer geschabt leuchtet außerordentlich schön, und die Sache ist um so merkwürdiger, als andere ganz ähnliche Blenden von Ungarn das Phänomen nicht zeigen, es müssen hier also ganz besondere Verhältnisse mitwirken.

2) Durch Insolation. Man darf gewisse Diamanten nur kurz dem Sonnenlicht aussetzen, so leuchten sie im Finstern. Besonders auch der grüne Flußspath, Kalkspath, Aragonit, Schwerspath. Silikate leuchten dagegen nicht. Brennen erhöht die Eigenschaft noch, wie namentlich die Austerchalen beweisen. Auch durch starke elektrische Funken kann das Leuchten, an den Stellen, wo der Funken durchging, erzeugt werden.

3) Durch Erwärmen. Flußspath (grüner), Chilenischer Lazurstein, gewisse farbige Apatite (Phosphorit von Spanien) sind hier von hohem Interesse. Die eisenoxyd-rothen Apatit tafeln von Schlackenwald entwickeln schon am Tage vor dem Löthrohr eine prachtvolle grüne Farbe, die bei starker Feuerung über den Splitter hinzieht und verlöscht. Die Erscheinung hat mit dem sogenannten Aufglühen des Gadolinites Aehnlichkeit. Am grünen Flußspath kann man eigenthümliches Leuchten in gleicher Weise wahrnehmen, auch er verliert mit der Farbe die phosphorescirende Eigenschaft. Auffallenderweise soll er aber durch elektrische Schläge theilweis seine Farbe und damit seine phosphorescirende Kraft wieder bekommen (Pogg. Ann. 22. 503). Wenn man übrigens die Körper nur schwach,

3. B. in Del erhitzt, so geht die phosphorescirende Eigenschaft nicht verloren. Bei sehr hoher Temperatur fangen Kalkspathe und andere Minerale stark zu leuchten an, doch dürfte das wieder eine etwas andere Erscheinung sein. So eigenthümlich und interessant auch dieses Leuchten im Dunkeln sein mag, so gehört doch eine große Geduld und Aufmerksamkeit dazu, namentlich wenn die Eigenschaft sich nur schwach zeigt, auch mögen nicht alle Augen dazu gleich organisirt sein. Die Physiker vergleichen die Fluoreszenz der Resonanz, und die Phosphoreszenz dem Mittönen einzelner Atome.

### Wärme.

1. Wärmestrahlung. Die Wärmestrahlen werden wie die Lichtstrahlen von krystallisirten Mitteln reflectirt, gebrochen und polarisirt. Beim Brechen durch ein Prisma erleiden auch die Wärmestrahlen eine Zerstreuung: der Punkt größter Wärme liegt bei verschiedenen Mitteln verschieden, häufig noch außerhalb des Spectrums jenseits dem violetten Licht, so z. B. beim Steinsalzprisma, ein Beweis, daß Wärmestrahlen im Sonnenlicht stärker gebrochen werden, als Farben. Polarisation hat Melloni mit 2 Glimmerblättchen nachgewiesen: er ließ mittelst einer Steinsalzlense darauf Wärmestrahlen fallen, es gingen dann immer bei gekreuzten Polarisations Ebenen der Blättchen weniger Wärmestrahlen durch, als bei parallelen. Höchst eigenthümlich ist die Verschiedenheit in Rücksicht auf das Durchlassen der Wärmestrahlen: Steinsalz läßt die Wärmestrahlen bei weitem besser durch, als der klarste Bergkrystall, es ist für die Wärmestrahlen fast vollkommen durchsichtig (*diatherman*); Alaun und Eis lassen dagegen nur äußerst wenige durch, sie sind für Wärmestrahlen undurchsichtig (*atherman*). Auch Analogie mit der Färbung, also Wärmefärbung (*Thermanismus*), läßt sich nicht verkennen. Das Steinsalz hat keine Wärmefärbung, denn es läßt alle Strahlen mit gleicher Intensität durch, der Alaun dagegen läßt zwar die durch eine Glasplatte gegangenen Wärmestrahlen nicht durch, die durch eine Platte von Citronensäure gefallen aber vollkommen. Wie also grüne Farben von grünen Gläsern durchgelassen, von rothen absorbirt werden, ähnlich hier mit der Wärme.

2. Wärmeleitung. Die durch Berührung mitgetheilte Wärme wird von verschiedenen Körpern verschieden geleitet. Es hängt mit der Dichtigkeit zusammen: je schwerer, desto leitender. Metalle sind sehr gute Wärmeleiter, sie fühlen sich kalt an: Gold kälter als Eisen, dieses kälter als Blei. Noch schlechter leiten die Steine, aber unter diesen sind die Edelsteine kälter als Quarz. Deshalb hauchen die Juweliere geschliffene Gemmen an, die edlern davon nehmen den Hauch (Wasserniederschlag) nicht nur schwerer an (weil sie schneller warm werden), sondern verlieren ihn auch schneller. Gyps fühlt sich entschieden weniger kalt an als Marmor, noch weniger kalt Harze und Kohle, was uns auf den ersten Griff z. B. Bernstein von ähnlich aussehenden Chalcedonen unterscheiden läßt.

Die Wärmeleitungsfähigkeit ist sogar auch nach den ver-



schiedenen Krystallagen verschieden. Senarmont (Pogg. Ann. 73. 101; 74. 100 und 75. 56) überzog einfach eine homogene Glasplatte mit einer dünnen Wachsschicht, durchbohrte sie mit einem Loch, in welches ein schwach konisches Silberrohr eingetrieben wurde. Wurde nun dieses Silberrohr erwärmt, so gab das Schmelzen des Waxes graphisch den Gang der Wärme an, beim Glase war es ein Kreis. Nimmt man eine Gypsplatte, welche als schlechter Wärmeleiter besonders scharfe Schmelzkurven gibt, so bekommt man Ellipsen, deren längste Axe etwa  $50^\circ$  mit dem safrigen Bruch macht, Große Axe: Kleinen Axe = 125:100. Der Versuch gelingt ganz roh angestellt: man nehme eine dünne Gypsplatte mit freigelegtem muscheligen und safrigen Bruch, überziehe sie mit Wachs, mache einen zugespitzten Meißel glühend, und halte die glühende Spitze an die unbedeckte Seite der Gypsplatte, so bekommt man eine zierliche Schmelzellipse, deren lange Axe nicht genau dem muscheligen Bruche parallel geht. Senarmont fand, daß Kalspath auf der Geradenfläche c: ooa: ooa: ooa nur Wachskreise gebe, auf dem Blätterbruch dagegen Ellipsen die lange Axe parallel der kurzen Diagonale des Rhombus gestellt. Der Quarz hat auf der Säulenfläche Ellipsen von 10:13 in den Axen, die lange Ellipsenaxe steht parallel der Hauptaxe des Quarzes. An regulären Krystallen, wie z. B. beim Flußspath, konnten keine Unterschiede in der Wachskurve bemerkt werden. Hr. Pfaff in Erlangen (Sitzungsber. Münch. Akad. 1860. 685) hat die Sache direct durch Erwärmen von Wasser gemessen, und beim Bergkrystall längs der Axe c ein Leitungsvermögen gefunden, was „nur von wenigen Metallen übertroffen wird“. Man spürt das schon, wenn man Bergkrystallsäulen bloß ins Feuer hält.

3) Wärmecapacität (specifische Wärme). Um einen gewissen Temperaturgrad zu erlangen, bedürfen die einen Körper weniger zuströmende Wärme als die andern: 1  $\mathcal{A}$  Wasser von  $36^\circ$  gemischt mit 1  $\mathcal{A}$  Wasser von  $0^\circ$  geben 2  $\mathcal{A}$  Wasser von  $18^\circ$ ; aber 1  $\mathcal{A}$  Eisen von  $36^\circ$  mit 1  $\mathcal{A}$  Wasser von  $0^\circ$ , 2  $\mathcal{A}$  von  $4^\circ$ , das Wasser entzieht dem Eisen  $32^\circ$ , um sich auf  $4^\circ$  zu erhöhen, also 8mal mehr, daher hat Eisen nur  $\frac{1}{8}$  der specifischen Wärme des Wassers. Gyps 0,272, Topas 0,203, Feldspath 0,191, Quarz 0,188, Eisenglanz 0,169, Schwefelkies 0,128, Zinnstein 0,093, Graupiekglanz 0,087. Humusfreie Böden zeigen die niedrigste 0,2, humusreiche auf den Gipfeln der Alpen die höchste 0,4. Geringere Wärmecapacität bedingt größere Wärmeextreme in kalten Nächten. Reumann, Pogg. Ann. 23. 1; Regnault, Pogg. Ann. 51. 44 u. 218; 53. 60 u. 243. Nach Dulong umgekehrt proportional den Atomgewichten.

4. Latente Wärme. Wenn ein fester Körper in einen andern Aggregatzustand übergeht, so bindet er Wärme, welche für das Gefühl förmlich verschwindet; und umgekehrt wird Wärme frei. Wenn Eis thaut, braucht es Wärme, wenn aber Wasser friert, gibt es Wärme. Beim Krystallisiren der Körper wird daher immer Wärme frei, und wenn man 1  $\mathcal{A}$  Schnee mit 1  $\mathcal{A}$  Wasser von  $75^\circ$  C. mischt, so bekommt man 2  $\mathcal{A}$  Wasser von  $0^\circ$ , alle Wärme des heißen Wassers ist also für das Ther-

meter spurlos verschwunden. Die neueren Physiker sagen, Wärme ist Arbeit, die verbraucht oder erübrigt wird.

5. Wärme dehnt die Körper aus und schmilzt sie endlich. Auf der gleichmäßigen Ausdehnung des Quecksilbers beruht bekanntlich das Thermometer, das von  $-35^{\circ}$  bis  $+350^{\circ}$  einen richtigen Gang hat, weiter kann man nicht gehen, weil bei  $-40^{\circ}$  C das Quecksilber erstarrt, und bei  $400^{\circ}$  siedet. Die Ausdehnung beträgt beim Quecksilber zwischen  $0^{\circ} - 100^{\circ}$   $\frac{1}{100}$ , Zink  $\frac{1}{100}$ , Blei  $\frac{1}{100}$ , Silber  $\frac{1}{100}$ , Kupfer  $\frac{1}{100}$ , Gold  $\frac{1}{100}$ , Platin  $\frac{1}{100}$ . Trotz dieser geringen Dimensionsveränderungen hat Mitscherlich dennoch mit Hilfe der Winkel an Krystallen nachgewiesen, daß die Ausdehnung nach verschiedenen Axen verschieden ist. Beim Kalkspath (Pogg. Ann. 10. 187) fand sich bei  $100^{\circ}$  C. eine Volumensvergrößerung von 0,00196. Ein Krystall wurde in einem Quecksilberbade mit einem Reflexionsgoniometer in Verbindung gebracht, so daß er gemessen werden konnte, und hier fand sich bei  $100^{\circ}$  eine Verminderung des Endantenwinkels um  $8\frac{1}{2}$  Minute, er mußte sich also in Richtung der Hauptaxe c schneller ausdehnen, als in den Nebenaxen a. Die Rechnung würde eine Ausdehnung von 0,0034 nach der Hauptaxe geben. Da dieß mit der Volumensvergrößerung nicht stimmt, so zeigten direkte Messungen, daß die Krystalle, während sie sich nach c ausdehnen, nach a sogar zusammenziehen. Hr. Pfaff, (Pogg. Ann. 107. 180), der ein besonderes Instrument zur Messung construirte (Pogg. Ann. 104. 171), fand die Ausdehnungscoefficienten in c  $+0,002626$ , in a  $-0,000310$ , folglich die cubische Ausdehnung  $0,002626 - 2 \cdot 0,000310 = 0,002$ . Denn bekanntlich ist bei regulären und unkrystallinischen Körpern der cubische Ausdehnungscoefficient dreimal so groß, als der lineare (Pouillet's Lehrb. Phys. 1842. I. 218). Bei den andern krystallinischen Körpern dürfen wir uns bloß Würfel parallel den Axenebenen schneiden, um sogleich einzusehen, daß man auch hier nur die drei Ausdehnungscoefficienten addiren dürfe. Genau kann die Sache zwar nicht sein, denn es müssen an den Würfelflächen flache Curven entstehen. Jedenfalls dehnen sich ungleichaxige Krystalle nach diesen Richtungen auch ungleich aus, doch sollen sie nie in ein anderes System übergehen (Sigsb. Wien. Abt. 1859 Bd. 30 pag. 369). Beim Gyps wird der Winkel des Augitpaares l/l um  $8\frac{1}{2}'$ , und die Säule f/f um 11 Minuten stumpfer. Am Schwalbenschwanz-Zwilling (Pogg. Ann. 41. 218) konnte Mitscherlich senkrecht gegen Axe c geschliffen die Veränderung sogar von  $10^{\circ}$  zu  $10^{\circ}$  mit bloßem Auge verfolgen, indem die geschliffenen Geradenflächen je  $1\frac{1}{2}$  Minuten aus ihrem horizontalen Niveau wichen, was nur Folge einer ungleichen Ausdehnung sein kann. Die Ausdehnungscoefficienten (nach a 0,001559, b 0,003628, c 0,002275, cubische 0,0075) sind hier so groß, daß sie sogar die der meisten Metalle übertreffen, Kopp (Pogg. Ann. 1852. 86. 180).

## Schmelzbarkeit.

Durch Wärme kann wahrscheinlich jeder Körper aus dem festen in den flüssigen selbst gasförmigen Zustand überführt werden. Viele Substanzen bleiben bis zu einem gewissen Temperaturgrade fest, und gehen dann plötzlich in den tropfbarflüssigen Zustand über. Andere aber, wie Glas, Eisen *z.*, zeigen noch einen Mittelzustand, in welchem sie sich knetbar wie Wachs zeigen, also leicht gemischt (geschweißt) werden können. Zerlegen sich die Körper beim Schmelzen, wie der Kalkspath, so kann auch hier die Schmelzung in verschlossenem Gefäße bewerkstelligt werden. In Beziehung auf die Höhe der Temperatur findet jedoch große Verschiedenheit Statt: um zu schmelzen braucht Kohlen säure —  $100^{\circ}$  C., Quecksilber —  $39^{\circ}$ , Eis  $0^{\circ}$ , Phosphor  $+ 43^{\circ}$ , Schwefel  $109^{\circ}$ , Zinn  $230^{\circ}$ , Wismuth  $256^{\circ}$ , Blei  $334^{\circ}$ , Zink  $360^{\circ}$ , Antimon  $432^{\circ}$ , Silber  $1000^{\circ}$ , graues Gußeisen  $1200^{\circ}$ , Gold  $1250^{\circ}$ , weiches Eisen  $1500^{\circ}$ , gehämmertes Eisen  $1600^{\circ}$ , Platin  $2500^{\circ}$  C. Gediegen Eisen und Platin nennt der Mineraloge schon unschmelzbar, weil er es in gewöhnlicher Luft kaum zum Schmelzen bringen kann, obgleich das Platin mit Leuchtgas und Sauerstoff im großen verhüttet werden kann, und im Knallgebläse von Sauerstoff und Wasserstoff sogar verdampft, selbst Thon- und Kiesel-erde noch schmilzt. Der Schmelzraum im Bunsen'schen Gasbrenner  $2300^{\circ}$  C.

Zum Schmelzen der Minerale bedient man sich des Löthrohrs, was durch Berzelius (die Anwendung des Löthrohrs in der Chemie und Mineralogie, 4te Aufl. 1844) und Plattner (die Probierkunst mit dem Löthrohre, 3te Aufl. 1853) so bekannt geworden ist. Obwohl schon Barthelinus 1670 mittelst Glasrohr und Lampenflamme Stücken Doppelspath in „lebendigen Kalk“ verwandelte, so wurde es doch erst ein Jahrhundert später durch Cronstedt (Försök til Mineralogie 1758) in die Wissenschaft eingeführt. Hartort, (die Probierkunst mit dem Löthrohre 1827) lehrte die quantitative Silberprobe, was Plattner auf Gold, Kupfer, Blei, Wismuth, Zinn, Nickel, Kobalt ausdehnte. Letzterer brachte damit eine Oxydationsflamme hervor, die ein Platindrath von 0,1 Millimeter Dicke am vordern Ende zum Kugelschen schmolz. Nach Pisani soll 6 Vol. Alkohol in 1 Vol. Terpentinöl und wenigen Tropfen Aether das beste Lampenmaterial geben. Zu kleinen Versuchen, die auch Handlanger leicht anstellen können, ist es nicht unpraktisch, einen gewöhnlichen Glasblasetisch mittelst Anschrauben einer passenden feinen Spitze zur Erzeugung der Flamme zu benützen. Die Flamme ist an der vordern Spitze, wo Reductions- und Oxydationsflamme sich trennen, am heißesten. Man erkennt diesen Punkt an dem stärksten Erleuchten der Löthrohrprobe. Wenn man z. B. ein feines Platindrath hinein hält, so ist nur eine kleine Stelle, wo es weiß glüht. Die Probe legt man auf die lange Seite von Linden- oder Fichtenkohle, wo Jahresringe hervorstehen, oder faßt sie mit der Platinpincette. Pulverisirte Lindenkohle und Zucker zu gleichen Theilen mit Tragant schleim zu einem Räu-

cherkerzenteig getrocknet wird auch empfohlen. Plattner unterscheidet dreierlei Schmelzbarkeiten:

- 1) zu Kugeln schmelzbar, und zwar a) leicht, b) schwer;
- 2) an den Ranten schmelzbar, und zwar a) leicht, b) schwer;
- 3) unschmelzbar.

Freilich kommt es bei diesen Unterscheidungen wesentlich auch auf die Größe der Probe an. Kobell (Grundzüge der Mineralogie pag. 104) nimmt 6 Grade an:

1) Grauspießglanz, schmilzt sehr leicht in der bloßen Lichtflamme.

2) Natrolith vom Hohentwiel schmilzt in feinen Nadeln noch an dem untern hellblauen Saume der Lichtflamme. Vor der Löthrohrflamme kann man ihn dagegen in großen stumpfen Stücken noch zu Kugeln schmelzen.

3) Rother Granat aus dem Zillerthal schmilzt selbst in feinen Stücken nicht mehr an der Lichtflamme, aber kugelt sich noch vor dem Löthrohr auf Kohle.

4) Strahlstein vom Zillerthal ist nicht mehr zur Kugelnung zu bringen, doch schmilzt an dünne Splitter ein rundes Köpfchen.

5) Feldspath kann noch an den Ranten kleiner Stücke deutlich zur Schmelzung gebracht werden.

6) Bronzit von Kupferberg im Fichtelgebirge läßt sich zu haarfeinen Splintern spalten, die noch eine Schmelzung zulassen. Wäre dieß nicht der Fall, so würde man ihn schon zu folgendem zählen.

7) Quarz unschmelzbar.

## Chemische Kennzeichen.

Sie sind für das Erkennen der Minerale am wichtigsten, ohne sie könnte vieles nicht getrennt werden, was getrennt worden ist. Der Mineraloge kann daher nicht umhin, sich der chemischen Hilfsmittel zu bedienen, nur muß er dabei eingedenk sein, daß das Erkennen der Stoffe als solche ihm nicht Selbstzweck, sondern nur Beimittel zur Bestimmung sein soll. Dann wird er von selbst die gebührende Grenze sich stecken.

Stöchiometrie (*στοιχείον* Element, *μετρεῖν* messen). Das wichtigste chemische Gesetz ist, daß die Stoffe sich mit einander nach bestimmten Zahlenwerthen, die man Atomgewicht (Mischungsgewicht) nennt, verbinden (Ab. Strecker, Theorien und Experimente zur Bestimmung der Atomgewichte. 1859). Dieselben sind durch Versuche in folgender Weise ermittelt:

1)	Al	Aluminium	27,4	Al
2)	Sb	Antimonium	122	Ṡb, Sb, Ṡb
3)	As	Arsen	75	Ās, Ās, Ās
4)	Ba	Baryum	68,5	Ba
5)	Be	Beryllium	14	Be
6)	Pb	Blei	103,5	Ph, Pb, Pb
7)	B	Bor	11	B
8)	Br	Brom	80	BrH
9)	Cd	Cadmium	56	Cd
10)	Cs	Caesium	133	CsH
11)	Ca	Calcium	20	Ca
12)	Ce	Cerium	46	Ce, Ce Oxyd
13)	Cl	Chlor	35,5	ClH, Cl
14)	Cr	Chrom	26	Cr, Cr, Cr
15)	Di	Didym	48	Di
16)	Fe	Eisen	28	Fe, Fe, Fe, Fe, Fe
17)	Er	Erbium	56	Er
18)	Fl	Fluor	19	Fl H
19)	Au	Gold	197	Āu, Au Cl <sup>3</sup> ,
20)	Jn	Jndium	36	Jn, Jn
21)	J	Jod	127	J H, J
22)	Ir	Iridium	99	Ir, Ir
23)	K	Kalium	39	K, KCl, K

24) Co	Kobalt	30	Co, $\bar{C}o$ , $\bar{C}o$ , $\bar{C}o$ , $\bar{C}o$
25) C	Kohlenstoff	6	C, $\bar{C}$ , $\bar{C}$
26) Cu	Kupfer	31,7	Cu, $\bar{C}u$ , $\bar{C}u$
27) La	Lanthan	46,4	La
28) Li	Lithium	7	Li, LiCl
29) Mg	Magnesium	12	Mg
30) Mn	Mangan	27,5	Mn, $\bar{M}n$ , $\bar{M}n$ , $\bar{M}n$
31) Mo	Molybdän	46	Mo, $\bar{M}o$
32) Na	Natrium	23	Na, NaCl, $\bar{N}a$
33) Ni	Nickel	29	Ni, $\bar{N}i$ , $\bar{N}i$ , $\bar{N}i$ , $\bar{N}i$
34) Nb	Niobium	95	Nb, $\bar{N}b$
35) Os	Osmium	100	Os, $\bar{O}s$ , $\bar{O}s$
36) Pd	Palladium	53	Pd, $\bar{P}d$
37) P	Phosphor	31	P, $\bar{P}$ , $\bar{P}$
38) Pt	Platin	99	Pt, $\bar{P}t$ , $\bar{P}tCl^2$
39) Hg	Quecksilber	100	Hg
40) Rh	Rhodium	52	Rh
41) Rb	Rubidium	85,4	RbH
42) Ru	Ruthenium	52	Ru, $\bar{R}u$ , $\bar{R}u$ , $\bar{R}u$ , $\bar{R}u$
43) O	Sauerstoff	8	
44) S	Schwefel	16	S, $\bar{S}$ , $\bar{S}$ , $\bar{S}$
45) Se	Selen	39	Se, $\bar{S}e$
46) Ag	Silber	108	Ag, $\bar{A}g$
47) Si	Silicium	21	Si
48) N	Stickstoff	14	N, $\bar{N}$ , $\bar{N}$ , $\bar{N}$ , $\bar{N}$
49) Sr	Strontium	44	Sr
50) Ta	Tantal	68,8	Ta Säure
51) Te	Tellur	64	Te
52) Tl	Thallium	204	Tl, $\bar{T}l$
53) Th	Thorium	58	Th
54) Ti	Titan	25	Ti Säure
55) U	Uran	60	U, $\bar{U}$ Oxid
56) V	Vanadium	68,5	V, $\bar{V}$ , $\bar{V}$
57) H	Wasserstoff	1	H
58) Bi	Wismuth	208	Bi, $\bar{B}i$
59) W	Wolfram	92	W
60) Y	Yttrium	32	Y
61) Zn	Zink	32,5	Zn, $\bar{Z}n$
62) Sn	Zinn	59	Sn, $\bar{S}n$
63) Zr	Zirkonium	45	Zr.

Belopium ist nur eine Oxydationsstufe des Niobium; Therbium in der Yttererde des Gadolinit und Dianium in den Tantaliten scheinen nicht sicher. Die Spectralanalyse führt noch immer auf seltene Stoffe, erst neuerlich in der Blende der Pyrenäen auf Gallium, und eigenthümliche Absorptionslinien in den Zirkonen scheinen auf ein Argonium zu deuten, so daß die Zahl der Elemente wohl noch lange nicht abgeschlossen ist. Der Sauerstoff unserer Formeln wird durch Punkte, der Schwefel durch Striche bezeichnet, und der Strich durch den Buchstaben bedeutet ein Doppelatom.

### Chemische Formeln.

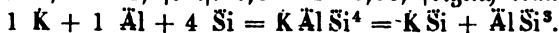
Feldspath enthält nach Berthier 64,2 Kiesel-erde, 18,4 Thonerde, 16,95 Kali.

Die Atomzahlen sind von:

Si =  $21 + 3 \cdot 8 = 45$ ; Al =  $28 + 3 \cdot 8 = 52$ ; K =  $39 + 8 = 47$ .  
Da sich die Stoffe nur proportional ihrer Atomzahl verbinden können, so muß der Feldspath enthalten:

$$\frac{64,2}{45} = 1,4 \text{ Si}; \quad \frac{18,4}{52} = 0,36 \text{ Al}; \quad \frac{16,95}{47} = 0,36 \text{ K}.$$

Setzen wir  $0,36 = 1$ , so ist  $1,4 = 4 \cdot 0,36$ , folglich kommt:



Man liebt es nämlich, nicht die Atome bloß neben einander zu setzen, sondern sie auch als mathematische Salze zu gruppieren. Will man die Kiesel-erde statt Si mit Si bezeichnen, so erhalten wir 6 Si statt 4 Si, weil 12 Atome Sauerstoff vorhanden sein müssen. Aber dann bedeutet das Atomsymbol Si nicht 21 sondern 14.

Kupferkies enthält nach H. Rose 35,87 Schwefel, 34,4 Kupfer, 30,47 Eisen; folglich

$$\frac{35,87}{16} = 2,24 \text{ S} + \frac{34,4}{31,7} = 1,08 \text{ Cu} + \frac{30,47}{28} = 1,08 \text{ Fe},$$

oder  $1 \text{ Fe} + 1 \text{ Cu} + 2 \text{ S} = \text{Fe} + \text{Cu} = 2 \text{ Fe} + 2 \text{ Cu} + 4 \text{ S} = \text{Cu Fe}$ . Da die Symbole bloße Zahlen bedeuten, so kann man aus ihnen leicht auf die procentische Zusammensetzung zurück schließen. Denn wenn der Kupferkies =  $\text{Fe Cu S}^2 = 28 + 32 + 32 = 92$  ist, so enthalten

92 Theile Kupferkies 28 Fe, folglich 100 Theile 30,4 Fe u.

Zu allen diesen einfachen Rechnungen sind die ganzen Zahlen H = 1 gesetzt bequemer als die Decimalbrüche 0 = 100, und dabei, wenigstens zur schnellen Controle, vollkommen ausreichend. Denn es liegt in der Natur der Sache, daß selbst die genauesten Wägungen nur Näherungswerte bieten.

Zur Ermittlung der Formel benützt man auch den Sauerstoff, und wenn man sich ein für allemal die Sauerstoffprocente der wichtigsten Basen und Säuren ausrechnet, so ist die Ausführung nur wenig unbequemer. Im obigen Feldspath  $\text{K Al Si}^4$  hat

Si 51,33, Al 46,2, K 16,98 p. C. Sauerstoff,  
das gibt die Proportionen:

$$100 : 51,33 = 64,2 : x = 34,22 = 12;$$

$$100 : 46,7 = 18,4 : y = 8,50 = 3;$$

$$100 : 16,9 = 16,9 : z = 2,85 = 1;$$

Wenn also K 1 Sauerstoff hat, so kommen auf Thonerde 3, gibt 1 Atom Al, und Kieselerde 12 oder 4 Atome Si.

Sind in dem Minerale vicarirende Bestandtheile, so darf man dieselben bei der Rechnung nur alle zusammen addiren. Enthält z. B. ein Bitterspath

45,4 Kohlen säure, 34,8 Kalkerde, 12,4 Magnesia, 7,4 Eisenoxydul,  
so beträgt seine atomistische Zusammensetzung:

$$\frac{45,4}{22} = 2,06 \text{ C}; \quad \frac{34,8}{28} = 1,24 \text{ Ca}; \quad \frac{12,4}{20} = 0,62 \text{ Mg}; \quad \frac{7,4}{36} = 0,2 \text{ Fe}.$$

Es kommen also auf 2,06 Säure  $1,24 + 0,62 + 0,2 = 2,06$  Basis, das Salz besteht daher aus  $\text{RC}$ , worin R bedeutet Ca, Mg, Fe. Wollte statt des Fe mehr Mg auftreten, so müßten es  $\frac{2}{3} \cdot 7,4 = 4$  p. C. Mg sein, weil  $\frac{2}{3} = 0,2$  ist, oder in Ca 5,6 p. C. Je kleiner die Atomzahl, desto weniger vicarirender Masse bedarf es. Es ist leicht einzusehen, daß die Rechnung auch mit dem Sauerstoff ausgeführt werden kann, wir dürfen ihn bloß von sämmtlichen R addiren.

Die Deutung der Symbole ist einfach:  $\text{K}^3\text{Si}^2 = 3 \text{ K} + 2 \text{ Si}$ ;  
 $3 \text{ AlSi}^2 = 3 \text{ Al} + 6 \text{ Si}$ , folglich Leucit  $\text{K}^3\text{Al}^3\text{Si}^3 = \text{K}^3\text{Si}^2 + 3 \text{ AlSi}^2$   
mit  $3 + 9 + 24 = 36$  Atome Sauerstoff.

Bournonit besteht aus  $\text{Pb}^2\text{Cu}^3\text{Sb}$ , man construirt daraus die weitläufigere Salzformel  $\text{Pb}^4\text{Sb} + \text{Cu}^2\text{Sb} = \text{Pb}^4\text{Cu}^2\text{Sb}^2\text{S}^{12}$ , indem man sämmtliche Symbole mit 2 multiplicirt.

Die vicarirenden Symbole stellt man wohl übereinander, das gibt aber ein großes Gesperr, daher ist es zweckmäßig, sie durch ein Komma getrennt neben einander zu setzen. Der Braunspath z. B. hat neben der  $\text{CaC}$  einen wesentlichen Gehalt an Bittererde, Eisen- und Manganoxydul, die sich in den mannigfaltigsten Verhältnissen vertreten, man schreibt ihn daher  $(\text{Ca}, \text{Mg}, \text{Fe}, \text{Mn}) \text{C}$ . Dester vertreten sich die einzelnen Stoffe unter bestimmten Verhältnissen, z. B. beim achten Dolomit findet sich  $\text{CaC} + \text{MgC}$ , hier kann man die C, wie in der Mathematik mittelst Klammer herausziehen, also  $(\text{Ca} + \text{Mg}) \text{C}$  schreiben. Die Klammern behandelt man ganz wie mathematische Zeichen. So schreibt G. Rose den Bournonit  $(2 \text{ Pb} + \text{Cu})^3\text{Sb}$ . Löst man die Klammer, so kommt  $2 \text{ Pb}^3\text{Sb} + \text{Cu}^3\text{Sb} = \text{Pb}^6\text{Cu}^3\text{Sb}^3 = \text{Pb}^2\text{Cu}^3\text{Sb}$ , wie oben. Wo Formeln einfache Verhältnisse so verstecken, scheint es zweckmäßiger, die bloßen Atomsymbole neben einander zu stellen.



### Chemische Constitution.

Die Symbole müssen möglichst einfach sein. Außerdem nimmt man Homorphie, specifische Wärme und specifisches Gewicht der Elemente im gasförmigen Zustande als leitende Wegweiser. Je weniger Sauerstoff desto basischer, je mehr desto saurer pflegt der Körper zu reagiren.

Nur wenige Minerale sind einfache Stoffe (Elemente), wie die Klasse der gediegenen Metalle, welche mit Gold, Silber, Platin zc. beginnt, oder ausnahmsweise der Diamant. Freilich treten dieselben in der Natur nie chemisch rein auf. Häufiger trifft man dagegen schon

Verbindungen erster Ordnung (binäre), worin sich zwei Stoffe, ein elektropositiver und elektronegativer, chemisch durchdrungen haben. Es entstehen dadurch Basen und Säuren. Der elektronegative Bestandtheil ist in den meisten Fällen Sauerstoff oder Schwefel, daher hat Berzelius mit Recht für jenen Punkte ( $\cdot$ ), für diesen Striche ( $\cdot$ ) als Zeichen eingeführt, die man über die Symbole setzt. Unter den Sauerstoffverbindungen zeichnen sich aus: Al, Fe, Mn, Sb, As, Si, Sn, Ti, Mn, seltener Pb, Cu, Zn, Mg, weil diese zu starke Basen sind. Noch wichtiger und häufiger sind die selbstständigen Schwefelverbindungen

Pb, Zn, Hg, As, Mn, Cd, Ni, Cu, Ga, Fe, Mn, Mo, Sb, As, Bi.

Wie Schwefel, so verhalten sich merkwürdiger Weise auch Selen, Tellur, Arsenik und Antimon, die vollkommen die Stelle des Schwefels zu vertreten scheinen. Beispiele liefern:

PbSe, AgSe, CuSe; PbTe, AgTe; FeAs<sup>2</sup>, NiAs, NiAs<sup>2</sup>, CoAs<sup>2</sup>; NiSb. Wenn sich Metalle mit Metallen verbinden, wie Au mit Ag, Pt mit Fe, Ag mit Hg zc., so pflegt dieß in den verschiedensten, nicht stöchiometrischen Verhältnissen zu geschehen, und man unterscheidet das als Legirungen.

Endlich erzeugen die sogenannten Salzbilder Cl, Fl, Br, I binäre Verbindungen, die in ihren Eigenschaften bereits den Salzen gleichen:

KaCl, NaCl, Hg<sup>2</sup>Cl, PbCl, AgCl, CaFl; AgBr; AgI.

Verbindungen zweiter Ordnung (doppelbinäre, einfache Salze). Zwei binäre Verbindungen, wovon die eine elektropositiv und die andere elektronegativ, vereinigen sich zu einem Salze, z. B. CaC. Dasselbe hat also immer dreierlei Stoffe: das basische Radical Ca, das saure Radical C und die beiden gemeinsame Substanz Sauerstoff. Beispiele sind MgAl, FeFe, H<sub>2</sub>Mn zc. Wegen der sie verbindenden Substanz heißen sie Sauerstoffsalze. Ganz ähnlich constituiren sich die Schwefelsalze Ag<sup>2</sup>As, PbSb, GaFe mit einer Sulphobase und Sulphosäure, worin der Schwefel das verbindende Glied macht. Im Kryolith 3 NaFl + AlFl<sup>3</sup> spielt sogar das Fluor den Vermittler. Nur ausnahmsweise ist das Radical gemeinam, wie im Rothspießglanz SbSb, Mallokit PbClPbO.

Verbindungen dritter Ordnung (Doppelsalze). Ein nor-

males Doppelsalz ist der Feldspath  $KSi + AlSi^3$ , worin das erste Salz  $KSi$  ohne Zweifel mehr basisch, das zweite  $AlSi^3$  mehr sauer ist. Zu einfachen und Doppelsalzen gesellt sich nicht selten noch Wasser. Freilich kann es dann der Isomorphismus theilweis zweifelhaft machen, wie man die Sache ansehen soll.

Beachtung verdienen die Resultate, welche Dr. Bödeker (Die Beziehungen zwischen Dichte und Zusammensetzung. 1860) auffindig machte, was eine einfache Vergleichung folgender Zahlen zeigt.

Es wiegen	1 Cub.Cent.	9 Cub.C.	Atomgewicht
Wasser	1 Gramm	9 Gramm	9
Platin	22	198	99
Blei	11,5	103,5	103
Zink	7,2	64,8	32
Strontium	2,5	22,5	44
Magnesium	1,75	15,75	12
Lithium	0,59	5,3	7
Kalium	0,865	7,78	39

Multipliziert man also die specifischen Gewichte mit 9, so stimmt das Atomgewicht von Wasser und Blei vollständig, Platin und Zink darf man nur halbiren, Strontium verdoppeln, Kali mit 5, Magnesium mit  $\frac{1}{2}$  und Lithium mit  $\frac{1}{3}$  multipliciren. Ob die Ansicht für die Mineralogie praktische Folgen habe, wird die Zeit lehren.

### Isomorphismus.

Ueber den Zusammenhang von Form und Inhalt wissen wir zwar wenig, doch scheint durch die Untersuchungen von Mitscherlich (Abhandl. Berl. Akad. Wissensch. 1819. pag. 427), woran übrigens auch G. Rose (Zeitschr. deutsch. geol. Gesellsch. 1868 pag. 621) wesentlichen Antheil hatte, wenigstens ein Anfang gemacht zu sein. Haug behauptete noch, daß Substanzen verschiedener Natur nie dieselbe Form annähmen, das reguläre System ausgenommen. Später fand Bernhardt (Gehlen's Journ. Chem. Phys. 1808 VIII. 2), daß, wenn nur wenig Eisenvitriol zum Zinkvitriol gemischt werde, ein Salz entstehe von der Form des Eisenvitriols, wenn Kupfervitriol so die Form des Kupfervitriols. Man ward daher der Meinung, daß eine Substanz so bedeutende Krystallisationskraft besitzen könne, um selbst bei geringer Quantität dem Ganzen die Form vorzuschreiben. Auf diese Weise suchte man sogar die rhomboedrischen Formen des Spatheisens, Galmei's u. zu erklären, weil sie alle nicht ganz frei sind von CaC. Mitscherlich leitete dagegen die Ansichten darüber auf ein ganz anderes Feld. Er zeigte, daß bei den Vitriolen der Wassergehalt der Grund sei, und daß überhaupt Verbindungen von gleicher chemischer Constitution geneigt seien, in gleicher Form aufzutreten. Lehrreich sind die Versuche von Hrn. Rammelsberg (Poggend. Annal. 91. 221), woraus zu folgen scheint, daß bei isomorphen Mischungen die Form des

unlöslichen Salzes sich zuerst geltend mache. Einige ausgezeichnete Beispiele im Mineralreiche sind folgende:

Rorund Al, Eisenglanz Fe, Chromoxyd Cr, Beryllerde Be, sämtliche im rhomboedrischen System von nahe gleichen Winkeln.

Antimon Sb, Arsenit As, Tellur Te, Wismuth Bi, zum Theil ausgezeichnet rhomboedrisch blättrig.

Kalkspath Ca C, Bitterspath Mg C, Spath Eisen Fe C, Manganspath Mn C, Salmei Zn C von der rhomboedrischen Form des Kalkspaths.

Aragonit Ca C, Weißbleierz Pb C, Witherit Ba C, Strontianit Sr C zweigliedrig mit häufiger Zwillingbildung.

Schwerspath Ba S, Gölstein Sr S, Bleivitriol Pb S zweigliedrig ohne Zwillingbildung. Vielleicht auch Anhydrit Ca S.

Magneteisen Fe Fe, Chromeisen Fe Cr, Spinell Mg Al u. dem regulären System angehörig, mit Neigung zur Zwillingbildung.

Wenn auch die Uebereinstimmung der Form keine absolute sein mag, und man statt Iso- mehr Plesiomorph sagen sollte, so liegen doch nicht bloß die Winkel nahe, sondern auch das ganze Ansehen ist gewöhnlich ein so verwandtes, daß man über die Deutung nicht zweifelhaft sein kann.

Etwas weiter greift schon das System der vicarirenden Bestandtheile, worauf bereits Fuchs (Schweigger's Journ. Chem. Phys. 1815. XV. 300) bei Gelegenheit des Gahlenits aufmerksam machte. Bei Salzen kommt nämlich häufig eine ganze Reihe von Stoffen vor, die sich gegenseitig proportional ihrer Atomzahl ersetzen, ohne in der Form wesentliche Veränderung herbeizuführen. Vor allem passiv beweisen sich die Basen. Kalkerde Ca kann nicht bloß durch Mg, Fe, Mn, Zn, Pb ersetzt werden, sondern man nimmt es auch nicht schwer, Ba, Sr, Cu, Co, Ce, Y an ihre Stelle zu setzen, so daß unter Umständen sämtliche basische Radicale von der Form R sich vertreten könnten. In dieser Allgemeinheit verliert das Gesetz offenbar an Bedeutung, denn die Substanz wird dadurch für die Form immer wirkungsloser. Activer greifen dagegen die Säuren ein: P und As liefern bei natürlichen und künstlichen Salzen viele Beispiele, ja sie gaben sogar den ersten Anstoß zur neuen Lehre; für S, Se, Cr wies dann Mitscherlich (Pogg. Ann. 12. 107 u. 18. 100) ganze Reihen von Salzen nach. Unter den Sulphosäuren zeichnen sich vor allen Sb, As, Bi aus, die nicht bloß für sich isomorph krystallisiren, sondern auch für einander vicariren.

Mosander meinte schon im Jahr 1829 (Pogg. Ann. 19. 219) beim Titan Eisen das Fe mit Fe Ti isomorph setzen zu dürfen, wo im Radical statt ein Atom Fe sich ein Atom Ti abgelagert habe. Damit war die mit so vieler Vorsicht begründete Mitscherlich'sche Hypothese auf ein viel unsichereres Feld gespielt, die dann consequent gegenüber jenem monomeren zu Scheerer's polymeren Isomorphismus führte (Pogg. Ann. 68. 219), wornach 3 H mit Mg isomorph sein sollen. Diese Vermu-

thung wird nur durch Beispiele aus der Gruppe der Serpentine und verwitterten Dichroite belegt, die als Asterskrystalle gar nicht zu Beweisen geeignet sein dürften. Aber man beruhigt sich heute auch dabei nicht, sondern läßt an die Stelle von a Atomen des einen Körpers b Atome eines andern treten, wenn nur die sich erscheidenden Mengen chemisch gleichwerthig sind (R. Jahrb. Min. 1865 pag. 528. Bulletin Soc. géol. Belg. 1875 pag. 164). Es gibt dazu Beispiele: Braunnangan  $\text{H Mn}$ , Brauneisen  $\text{H Fe}$ , Diaspor  $\text{H Al}$  sind alle drei zweigliedrig, nach einer Richtung  $b : \infty a : \infty$  blättrig und vollkommen im ältern Sinne isomorph. Zweigliedriger Chrysoberyll  $\text{Be Al}$  hat  $a : b : c = 0,81 : 1,72 : 1$  und Braunnangan  $1,55 : 1,83 : 1$ . Axen b und c sind ungefähr gleich, aber a Chrysoberyll ist  $\frac{1}{4}$  Braunnangan. Da nun beim Chrysoberyll  $w = 2a : b : c$  vorkommt, so könnte man das als Grundoktaeder nehmen und die Uebereinstimmung der Form wäre da. Dann würde mit Diaspor verglichen Beryllerde Be an die Stelle des gleichwerthigen Wassers H treten. Mit dem Chrysoberyll stimmt nun die Form des Olivin  $\text{Mg}^2\text{Si}$  wieder so vollkommen, daß man sie als das schönste Beispiel von Isomorphismus längst anführen könnte, wenn man ihre atomistische Zusammensetzung in Uebereinstimmung zu bringen vermöchte: denken wir aber Al an der Stelle von Mg Si, die beide sechswerthig sind, so ist das Licht aufgestellt Mg, Mg Si,  $\text{O}^4 = \text{Be, Al, O}^4$ . Wenn bei gleichem System eine der Axen in ungefähr rationalen Verhältnissen abweicht, während die andern beiden gleich bleiben, so hat Groth (Monatsh. Berl. Akad. 1870 pag. 257) das Morphotropie genannt, und besonders durch Beispiele aus der organischen Chemie erläutert:

Benzol  $\text{C}_6\text{H}_6$  mit  $a : b : c = 0,891 : 1 : 0,799$

Meforcin.  $\text{C}_6\text{H}_4\text{HO}$  mit  $a : b : c = 0,910 : 1 : 0,540$

unterschieden sich dadurch, daß 2 Atome H im Benzol durch Hydroxyl HO im Meforcin vertreten sind, dennoch blieben zwei Axen a b in beiden gleich, bloß Axe c ward im Meforcin etwa um ein Drittel kleiner. Leider steckt in solchen Annahmen ein willkürliches Element, da man für die Wahl der Grundform genügenden Spielraum besitzt, solche vermeintlichen Unterschiede auszugleichen.

Atomvolumen heißt das Atomgewicht dividirt durch das specifische Gewicht des Körpers.  $\text{Fe} = 350 \text{ Atomg.}, 7,8 \text{ spec. G.}, \text{ also } \frac{350}{7,8} = 44 \text{ Atomvolumen.}$  Ropp glaubte nun (Pogg. Ann. 52. 368) zwischen Kry stallformen und Atomvolumen (Molecularvolumen) bei isomorphen Mineralen einen entschiedenen Zusammenhang gefunden zu haben.

	Endkante	Axe c	Atomvolumen
Kalkspath	$105^\circ 5'$	0,854	$632 : 2,73 = 231.$
Dolomit	$106^\circ 15'$	0,833	$583 : 2,88 = 202.$
Manganspath	$106^\circ 51'$	0,822	$722 : 3,59 = 201.$
Spath Eisen	$107^\circ$	0,819	$715 : 3,8 = 188.$
Mefitinspath	$107^\circ 14'$	0,815	$625 : 3,36 = 186.$

	Endlante	Age c	Atomvolumen
Bitterspath	107°25'	0,812	535 : 2,95 = 181.
Galmei	107°40'	0,807	779 : 4,45 = 175.

Mit der Größe der Hauptaxe c nimmt das Atomvolumen ziemlich regelmäßig ab, so ist es auch bei der isomorphen Schwerspathreihe. Schröder (Ueber die Abhängigkeit zwischen chemischer Zusammensetzung, specif. Gew. u. Krystallform bei den Carbonspathen, Schulprogramm Gymn. Hildesheim 1855) hat die Sache noch weiter mit dem Calcul verfolgt. Vergleiche auch Pogg. Ann. Bd. 106, 226; 107, 113; Suppl. VI, 58. Jahrb. 1873. 561.

Da es nun aber oft vorkommt, daß Minerale von ungleicher Zusammensetzung dennoch ähnliche Krystallformen zeigen, so sind die Zahlen der Atomvolumen zwar nicht gleich (isoster), aber doch stehen sie öfter in einem einfachen Zahlenverhältniß, und dieß sind manche Naturforscher geneigt, als Grund der ähnlichen Formen zu nehmen. Dana (Silliman American Journal 2. ser. 1850. IX. 220. 407) dividirte sogar in solchen Fällen die Atomvolumenzahl entweder mit der Zahl der Säuren und Basen, oder mit der Anzahl der Elementaratome, und erhielt so allerdings, den Sauerstoff = 100 gesetzt, öfter nahe liegende Zahlen, z. B. der zweigliedrige

$$\text{Olivin} \quad \text{Mg}^2\text{Si} = 1327 \text{ Atg.}, 3,35 \text{ Spg.}, \frac{390}{10} = 39$$

$$\text{Chrysoberyll} \quad \text{BeAl}^2 = 2284 \text{ — } 3,7 \text{ — } \frac{617}{16} = 39.$$

Eine auffallende Formverwandtschaft findet Statt zwischen

$$\text{Aragonit} \quad \text{CaC} \quad 626 \text{ Atg.}, 2,93 \text{ Spg.}, \frac{215}{6} = 43$$

$$\text{K Salpeter} \quad \text{K}\ddot{\text{N}} \quad 1264 \text{ — } 1,94 \text{ — } \frac{651}{8} = 81$$

$$\text{Bournonit} \quad \text{Pb}^2\text{CuSb} \quad 5996 \text{ — } 5,77 \text{ — } \frac{1037}{11} = 94.$$

Es verhält sich 43 : 81 : 94 = 1 : 2 : 2. Die rhomboedrische Reihe

$$\text{Kalkspath} \quad \text{CaC} \quad 626 \text{ Atg.}, 2,72 \text{ Spg.}, \frac{250}{5} = 46$$

$$\text{Na Salpeter} \quad \text{Na}\ddot{\text{N}} \quad 1066 \text{ — } 2,2 \text{ — } \frac{485}{8} = 61$$

$$\text{Rothgülden} \quad \text{Ag}^3\text{Sb} \quad 6866 \text{ — } 5,82 \text{ — } \frac{1180}{10} = 118.$$

Die Zahlen verhalten sich etwa wie 2 : 3 : 5.

Es haben ferner Schwefel 97, Storodit 48; Cölestin 52, Binarkies 53; Birlon 46, Rutil 39; Anatas 43, Vesuvian 47; Quarz 54, Beryll 52, Chabasit 52, Feldspath 63, Albit 58, Oligoklas 57, Labrador 57, Anorthit 60.

Wenn nun schon bei diesen einfachern Fällen die Thatsache nicht schlagend ist, so verliert sie vollends an Bedeutung, sobald man fremdartige Minerale mit einander vergleicht: so haben Quarz und Schwerspath genau die Zahl 54, Staurolith und Zinkvitriol 44, Turmalin und Storodit 48. Ueberhaupt liegen nach Dana's Methode die gewonnenen Zahlen unter einander so nahe, daß man sie bei der Complication der Rechnung eher als ein Spiel des Zufalls als für etwas anderes ansehen kann. Dennoch wagt sich Hermann noch weiter (Erdmann's Journ. Pratt.

(Chem. 43. 22. 21): er meint, daß namentlich bei complicirten Silicaten, wie Turmalin, Glimmer, Epidot u. eine Heteromerie Statt finde, d. h. es seien darin Verbindungen von gleicher Form, aber verschiedener chemischer Constitution, zusammen krystallisirt. Das wird ihm schwer werden, nachzuweisen! Auch Hr. Kammelsberg geht in neuern Zeiten weiter als früher.

Im Ganzen scheinen demnach über den Isomorphismus noch keine wichtigen Aufschlüsse gewonnen zu sein, die uns erlaubten weiter fortzuschreiten. Daß dieser Isomorphismus keine vollkommene Uebereinstimmung in den Winkeln nach sich zieht, liegt in der Natur der Sache. Hier bleibt vielmehr für die einzelnen Substanzen ein Spielraum. Aber gerade dieser Spielraum erlaubt bei den Rhomboedern der Kalkspathgruppe einen Rückschluß auf den Inhalt, wie das am Ende des Kalkspath's auseinander gesetzt ist.

### Dimorphismus

ist die Eigenschaft einer Mineralmasse in zweierlei Systemen zu krystallisiren. Lange wußte man, daß Kalkspath und Aragonit aus der gleichen Masse  $\text{CaC}$  bestehen, und doch waren sie in Beziehung auf ihre mineralogischen Eigenschaften so verschieden, daß Thenard (Gilbert's Ann. 31. 207) den Aragonit als den einzigen Körper ansah, in welchem ein wirklicher Widerspruch zwischen der chemischen Analyse und der Krystallform bestehe. Der Triumph Stromeyers im Februar 1813 (Gilbert's Ann. 43. 221) war daher kein geringer, als derselbe in den Krystallen von Dag und Molina 4 p. C.  $\text{Sr C}$  nachwies, und diesen nach damaliger Ansicht für den Krystallbildner hielt, welcher die übrige Masse „gleichsam zwingen kann“, die gleiche Krystallform anzunehmen. Erst Mitscherlich zeigte 1823 am Schwefel bessere Gründe (Ann. de Chim. XIV. 264; Abh. Berl. Akad. Wiss. pag. 48). Der Schwefel nämlich krystallisirt bei der Sublimation 2gliedrig, bei der Schmelzung 2+1gliedrig, ist also ohne Widerrede zweiförmig (dimorph). Nun war der Widerspruch gelöst. G. Rose meinte sogar später, daß Aragonit sich nur aus warmen, Kalkspath aus kalten Lösungen bilde. Jedenfalls muß der Grund ihrer verschiedenen Krystallisation in den verschiedenen Einflüssen gesucht werden, unter welchen sie wuchsen. Gute Beispiele für Dimorphismus sind außer Schwefel und Kalkspath:

Kohlenstoff (Diamant und Graphit), arsenige Säure  $\text{As}$  und Antimonoxyd  $\text{Sb}$ , beide isomorph und dimorph regulär und zweigliedrig; Kupferglas  $\text{Cu}$  zweigliedrig und regulär; Schwefel- und Binarties  $\text{Fe}$ ; Salpeter  $\text{K N}$  zweigliedrig und rhomboedrisch. Früher meinte man auch Kalkgranat und Vesuvian; aber auf so complicirte Silicate ausgedehnt mußte die Sache mehr hypothetisch bleiben. Sogar

Trimorphie scheint bei der Titansäure  $\text{Ti}$  vorzukommen, wo der viergliedrige Rutil mit dem viergliedrigen Anatas nicht gut in Ueberein-

stimmung gebracht werden kann, und außer dem der Brookit ausgezeichnet zweigliedrig ist. Vergleiche auch Kauschgelb As.

Nickelvitriol  $\text{NiS} + 7\text{H}$  ist viergliedrig und zweigliedrig, mit Eisenvitriol zusammen fügt er sich sogar in die  $2+1$ gliedrige Form. Allein wenn man die vicarirenden Substanzen zu Hilfe nehmen will, dann greift das Gesetz wieder weit über die Grenzen. Mit dem Dimorphismus scheint die

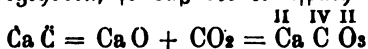
**Paramorphose**, Umstehen der Substanzen, in enger Verbindung zu stehen. Bekannt ist die Erscheinung beim Zucker: die frischen Bonbons sind amorph, zeigen einen glasartigen Bruch, nach einigen Wochen werden sie krystallinisch-safrig, bröckeln und lösen sich leichter. Aus denselben Gründen wird die glasige arsenige Säure durch längeres Stehen porcellanartig trüb, „die Molecule setzen sich um“. Die durch Schmelzung erhaltenen  $2+1$ gliedrigen Schwefelkrystalle verlieren nach wenigen Stunden ihre Durchsichtigkeit, man meint, daß sie zu einem Aggregat von 2gliedrigen Krystallen umstehen. Der zweigliedrige Nickelvitriol wird am Licht (besonders in directen Sonnenstrahlen) trübe, verwandelt sich in ein Aggregat von Quadratoktaedern. Schön ist die Erscheinung beim Quecksilberjodid (Pogg. Ann. 28. 110): die gelben zweigliedrigen durch Sublimation erhaltenen Krystalle werden vorsichtig behandelt beim Erwärmen, ja sogar bei Berührung, ruckweis roth, indem sie zur viergliedrigen Form umstehen. Aragonit zerfällt im Glascolben erhitzt zu Pulver, da das Pulver einen größeren Raum einnimmt, so scheint es aus kleinen Ralspathrhomboidern zu bestehen (Scheerer, der Paramorphismus und seine Bedeutung in der Chemie, Mineralogie u. Geognosie 1854).

Die neuere Chemie, welche mehr auf organischem Gebiete, als auf anorganischem Fortschritte machte, hat uns manche Aenderungen gebracht, deren Nothwendigkeit man nicht immer einsieht. Was zunächst das **Atomgewicht** betrifft, so knüpft sie mit Recht wieder an Berzelius an, der es nicht unterließ Wasser  $\text{H}$  und nicht  $\text{H}$  zu schreiben, wie die Davy'sche Schule, weil 2 Maß Wasserstoff mit 1 Maß Sauerstoff sich auf 2 Maß Wassergas verdichten. Er setzte aber Sauerstoff 100 und Wasserstoff 12,5 also  $\frac{1}{8}$ , weil er dabei das Doppelatom im Auge hatte. Eine Zeitlang glaubte man nun, wenn  $\text{H} = 1$  gesetzt würde, kämen für die übrigen Elemente lauter ganze und zwar kleine Zahlen, bloß für Chlor konnte man den Bruch nicht entbehren  $\text{Cl} = 35,5$ . Das ist jetzt zwar wieder anders geworden, je genauer die Untersuchungen, desto sicherer kommt man auf Brüche, aber bei dem Grundsatz, das leichteste  $= 1$  zu setzen, blieb man, doch leider nicht in Berzelius'scher Weise, sondern sie nehmen  $\text{H} = 1$ , folglich muß  $\text{H} = 2$ , und Sauerstoff statt 8 nun  $2 \cdot 8 = 16$  werden. Man muß daher beim Gebrauch des Atomgewichts sich versichern, ob der Schriftsteller  $\text{O} = 8$  oder  $\text{O} = 16$  setzt. Dazu kommt nun noch die verschiedene

Werthigkeit (valentia). Früher nahm man bloß die Salzsilber  $\text{Cl}$ ,

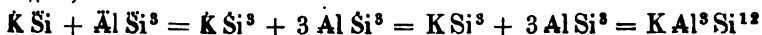
Br, J, Fl für einwerthig, d. h. sie vertraten ein Atom Wasserstoff H, jetzt hat man nun auch die Alkalien K, Na, Li, Cs, Rb noch gespalten, so daß K der ältern = 2K der neuern wird. Auch Silber Ag und das merkwürdige Thallium Tl wird einwerthig genommen. Dann gehört zu den zweiwerthigen: O, S, Se, Te, Ba, Sr, Ca, Mg, Be, Zn, Cd, Jn, Cu, Hg, Y, Er, Ce, La, Di, da ihre Oxyde die Form R annehmen. Dreiwertig treten gewöhnlich Bismuth Bi, Gold Au, Aluminium Al auf, mit der Form R d. h.  $2:6 = 1:3$ , während Fe, Mn, Ni, Co, Cr, Ur zwei- oder dreiwertig sind, d. h. die Form R oder R annehmen. So geht die Sache dann fort zum Vier- R, fünf- R und sechswerthigen R. Eine gewisse Willkür bleibt immer dabei, man sollte daher nicht unnöthig von dem Hergebrachten abweichen: so führte Berzelius für Kieselersde das Symbol Si ein, die Neueren nehmen Si an. An der Sache hat das nichts geändert, denn in allen den Schwankungen steht das eine fest, daß sich bei der Kieselersde Si:O = 7:8 verhält. Sehen wir nun O = 8, so muß für Si die Gleichung Si:O = 21:24 = 7:8 statt haben; für O = 16 Si:O = 42:48 = 7:8; für Si dagegen im ersten Fall Si:O = 14:16, im zweiten Si:O = 28:32. Daraus werden die verschiedenen Atomgewichte 14, 21, 28, 42 von selbst klar.

Obwohl die Chemie unseres Jahrhunderts auf dieser „Balanz“ basiert, so wurde sie doch zum Ueberfluß noch besonders durch Römische Zahlen hervorgehoben, so daß der Kalkspath



die gespreizte Formel erhielt, und nicht mehr kohlensaure Kalkerde, sondern kohlensaures Calcium genannt wird, als wenn Kohlsäure CO<sub>2</sub> und nicht CO<sub>2</sub> wäre. Gewiß sind für die anorganische Chemie solche Neuerungen unnöthig, da aus den Punkten der alten Schreibart ohne die sperrigen Zeichen das Zwei- und Vierwerthige ganz bestimmt hervorgeht. Wenn man ferner unter Atomen nur die kleinsten Theile der Elemente, und Moleculen dagegen die kleinsten Theile der Verbindungen verstehen will, so mag das sein, allein in den meisten Fällen braucht man von der alten Gewohnheit, die Worte promiscue zu gebrauchen, nicht abzugehen, weil nicht leicht Irrthum daraus entstehen kann.

Da der Werth der Symbole mit von ihrer Kürze abhängt, so hatte Berzelius für die Silicate besondere Formeln vorgeschlagen, wornach der Feldspath



das punktlöse Zeichen erhielt. Er dachte sich dabei alle Symbole von der Form R oder R, und konnte dann die Punkte als selbstverständlich weglassen. Das in der Mineralogie durchzuführen, würde leicht sein, denn ein Zeichen Ca C<sup>2</sup> für Kalkspath bedürfte keiner Erklärung. Die Atomzahlen müßten dann freilich andere werden, wir können sie aber sofort für O = 8 hinschreiben, nemlich

$$\text{K} = 39, \text{Al} = 9, \text{Si} = 7, \text{Ca} = 20, \text{C} = 3;$$



für  $O = 16$  würden die Zahlen doppelt so groß. Freilich müßte man dann mit Brüchen operiren, denn wäre  $Fe = Fe$ , so  $Fe = Fe\frac{1}{2}$ . Die Brüche vermied man, weil Atome nicht mehr getheilt werden könnten. Man hat daher diesen stabilen Standpunkt nicht durchgeführt, sondern den labilen bevorzugt.

Hier bot zunächst die Krystallform und der Isomorphismus scheinbare Anhaltspunkte: Thonerde (Korund) und Eisenoxyd (Eisenglanz) haben dieselbe Form, daher dachte man sich auch ihre „Molecule“ von dem gleichen Atombau Al und Fe. Für das Symbol der Kieselerde Si ließ sich zwar kein solcher Grund geltend machen, aber da sie im Feuer die stärkste aller Säuren ist, so lag die Idee nahe, ihr mit der stärksten Säure auf nassem Wege, mit Schwefelsäure S gleichen Atombau zu geben, zumal da das wichtigste aller Minerale, der Feldspath mit Alaun ein ganz analoges Gepräge bekam. Die neuere Chemie geht aber ganz davon ab, und besteht auf dem zweiatomigen Zeichen Si. Man stützt sich dabei auf die

**Dampfdichte** d. h. auf das spezifische Gewicht des Gases, welches bei allen gasförmigen Körpern mit den Atomgewichten zusammenfällt, wenn man die Dichtigkeit des Wasserstoffs  $= 1$  setzt. Da alle luftförmigen Körper den gleichen Ausdehnungscoefficienten,  $\frac{1}{273}$  für  $1^\circ C$ . haben, so spricht das ja für gleiche Moleculzahl in gleichem Volumen. Gewöhnlich nimmt man für die Dichte der Gase und Dämpfe die atmosphärische Luft, welche 14,5 mal schwerer als Wasserstoff ist, zur Einheit. Da nun Sauerstoff 1,1 wiegt, so ist auf Wasserstoff bezogen sein Gewicht  $1,1 \cdot 14,5 = 16$ . Das gelblichgrüne Chlorgas von 2,45 spec. Gew. gibt  $2,45 \cdot 14,5 = 35,5$  als Atomgewicht für Cl. Der Dampf vom Chlorkiesel hat 5,9 Dichtigkeit, gibt  $14,5 \cdot 5,9 = 85 = 35,5 \cdot 2 + 14 = 2 Cl + Si$ , was entschieden für das Symbol  $Si O^2$  sprechen würde, da Cl mit O gleichwerthig ist. Joddampf 8,7 gibt 126; Phosphordampf 4,35 gibt 63; Quecksilberdampf 6,97 gibt 100; Schwefelkohlenstoff  $CS^2$  2,64 gibt  $38 = 2 \cdot 16 + 6$  c. Leider kann nur ein Theil der Elemente auf diese Weise geprüft werden. Die unangenehmste Veränderung findet in der

**Sprache** für Säuren statt: man sagt nicht mehr Kohlensäure C, sondern Kohlensäure-Anhydrid, obwohl man Kohlensäure-Hydrid, die vermeintliche ächte Kohlensäure weder kennt noch darstellen kann. Nach dieser Schablone wird nun die bisherige Schwefelsäure S zum Schwefelsäure-Anhydrid, während das bisherige Schwefelsäure-Hydrat  $H^2S = SO^4H^2$  schlechtthin Schwefelsäure heißt. Bekanntlich ist die gewöhnliche Phosphorsäure P, das Phosphorsäure-Anhydrid, in der Natur dreibasisch, verwebt man das in das Symbol, so wird Phosphorsäure-Hydrat  $H^3P = H^6P^2O^3 = PO^4H^3$  zur Phosphorsäure schlechtthin. Anders macht es sich wieder bei der einbasischen Salpetersäure, denn verwebt man hier das Wasseratom mit der Säure und halbt, so entsteht  $H\ddot{N} = H^2O^6N^2 = NO^3H$ . Beim ersten Anblick meint man in diesen

Ummodelungen ganz was absonderliches zu haben, während in der That an der Sache sich nichts geändert hat. Zu beklagen ist es nur, daß man so ganz ohne Noth von der alten eingebürgerten Nomenclatur abging, man wäre es den Manen alter Meister schuldig gewesen, so viel als möglich das alte Gute zu schonen. Wie leicht wäre mit dem kürzern Worte „Hybrid“ alles vermieden, dann bliebe P Phosphorsäure im alten Sinne, und  $\text{PO}^4\text{H}^3$  würde Phosphorsäure-Hybrid.

Die Vertheilung des Sauerstoffes sowie der andern electro-negativen Elemente auf die einzelnen Atome ist durch die neue Anordnung nicht selten erschwert. Wenn z. B. A. d'Achiardi (Bullettino Com. geol. d'Italia 1871 pag. 174) für die gelben Kalkgranaten im Diorit von San Piero in Campo die Formel  $\text{Ca}^{54}\text{Al}^{24}\text{Fe}^{20}\text{Si}^{60}\text{O}^{240}$  gibt, so stußt man doch einen Augenblick, namentlich wenn darin noch ein Fehler, Statt  $\text{Fe}^{20}$  die Zahl  $\text{Fe}^{24}$  steht. Man muß die Atome erst umgestalten, und kann dann durch Punktiren sich überzeugen, ob kein Irrthum darin steckt, nemlich  $\text{Ca}^{54}\text{Al}^{12}\text{Fe}^{10}\text{Si}^{60}\text{O}^{240} = \text{Ca}^{54}\text{Al}^{12}\text{Fe}^{10}\text{Si}^{40} = \text{Ca}^{54}\text{Si}^{18} + \text{K}^{22}\text{Si}^{32}$ .

Isomerie (*isomergs* gleichtheilig) lehrt uns Körper kennen, die bei gleicher Zusammensetzung verschiedene Eigenschaften haben, wie das feste wachsartige Paraffin  $\text{CH}$  und das flüssige Steinöl. Die neuere Chemie sucht die Gründe in der verschiedenen Zahl (polymer) oder in der verschiedenen Anordnung (metamer) der Atome:

Cyanäure  $\text{H N C}_2\text{O}_2$  und Cyanursäure  $\text{H}_3\text{N}_3\text{C}_3\text{O}_3$

Delbildendes Gas  $\text{C}_4\text{H}_4$ , Propylen  $\text{C}_3\text{H}_6$ , Butyren  $\text{C}_4\text{H}_6$  zc.

haben gleiche procentische Zusammensetzung, aber verschiedene Atomzahl, sind daher polymer.

Essigsaures Methyloryd und Ameisensaures Aethyloryd

$\text{C}_4\text{H}_8\text{O}_4 + \text{C}_2\text{H}_4\text{O}$  und  $\text{C}_2\text{H}_4\text{O}_3 + \text{C}_4\text{H}_8\text{O}$

bestehen quantitativ beide aus  $\text{C}_6\text{H}_8\text{O}_4$ , sind daher metamer.

Typen heißen Musterverbindungen, womit man die Werthigkeit der andern vergleicht.

1. Salzsäuretypus  $\text{HCl}$ : Zum einfachen Salzsäuretypus zählen die Salze  $\text{NaCl}$ ,  $\text{KCl}$ ,  $\text{AgCl}$  zc.; zum zweifachen Flußspath  $\text{CaFl}$ , Hornblei  $\text{PbCl}$ , zum zwölfachen Kryolith  $\text{Na}^3\text{Fl}^3 + \text{AlFl}^3$ , da zwölf Fluor  $\text{Fl}^{12} = \text{Fl}^3 + \text{Fl}^3$  zwei sechswerthige Basen  $\text{Na}^3$  und  $\text{Al}$  sättigen.

2. Wassertypus  $\text{H}^2\text{O}$ : zum einfachen gehört Kalihydrat  $\text{KH}$ , weil man  $\text{K}$  in  $\text{K}^2$  gespalten hat, und das Ganze dann  $\text{KHO}$  setzen kann, worin der Sauerstoff  $\text{O}$  zwei einwerthige Atome  $\text{K}$  und  $\text{H}$  sättigt. Kalkerdehydrat  $\text{CaH} = \text{CaH}, \text{O}^2$  gehört daher zum zweifachen. Deshalb wird nun aber auch Kalkerde daher gesetzt  $\text{CO} = \frac{1}{2}(\text{C}^2\text{O}^2)$ ! Kieselsäure  $\text{SiH}^2$  ist vierfach, wie  $\text{Si} = \frac{1}{2}(\text{Si}^2, \text{O}^4)$ ; das künstliche Eisenorydhydrat  $\text{FeH}^3 = \text{Fe}^2\text{H}^6, \text{O}^6$  gehört zum sechsfachen, deshalb muß auch Eisenglanz  $\text{Fe}^2\text{O}^3 = \frac{1}{2}(\text{Fe}^4\text{O}^6)$  sein!

3. Ammoniatypus  $\text{H}_3\text{N}$  und 4. Sumpfgastypus  $\text{H}_4\text{C}$  sind besonders für die organische Chemie wichtig.

### Chemische Analyse.

Der Mineraloge soll chemische Hilfsmittel erst dann anwenden, wenn er mit den mineralogischen nicht zum Ziele kommt, und je virtueller er in seinem Fache sich ausbildet, desto weniger wird er ihrer bedürfen. In vielen Fällen ist es um das Wissen, ob dieser oder jener Stoff dem Minerale beigemischt sei, eine fast gleichgültige Sache. Jedenfalls ist nicht zu vergessen, daß in dem Augenblicke, wo wir das Feuer und die Säure zur Hand nehmen, wir in ein fremdes Gebiet hinüberstreifen, und wenn dieses voreilig geschieht, so können wir leicht und nicht ungestraft in Wege gerathen, die der tüchtige Mann des Faches nicht gehen sollte. Mohs hat daher die Chemie gänzlich unbeachtet gelassen.

Indeß ist praktisch genommen der Stoff wieder überaus wichtig und inniger mit den Eigenschaften der Minerale verwoben, als es bei Pflanzen und Thieren zu sein scheint. Man wird sich daher um so lieber mit den Mitteln vertraut machen, welche zu dieser Kenntniß führen, als wir gehörig mineralogisch vorbereitet meist nur der kleinsten Apparate bedürfen. Von diesen kann daher auch nur hier die Rede sein, das weitere muß der Chemie überlassen bleiben. Denn wenn es sich ein Mal nicht mehr um die Kenntnisse der Minerale, sondern um ihre letzten Stoffe handelt, so kann der Chemiker allein mit allen Mitteln seiner Wissenschaft uns Hilfe bringen, deren Resultate wir historisch aufzunehmen haben.

Beide, Mineralogen und Chemiker, werden um so mehr von einander lernen, je besser sie es verstehen, ihre Gebiete zu sondern.

### Untersuchung auf trockenem Wege.

#### Ohne Zuschläge.

Dazu gebraucht man das allbekannte Löthrohr pag. 169, Bunsen'sche Brenner und Weingeistlampe. Als besten Führer nehmen wir Plattner (Probiert. pag. 82). Kleine Proben erhitzt über der Weingeistlampe, was man auch durch Blasen mit dem Löthrohr noch verstärken kann:

1) In einerseits verschlossener Glasröhre: das Wasser entweicht, und setzt sich im Halse wieder ab; flüchtige Säuren werden namentlich bei stärkerer Hitze durch Röthen des Lackmuspapiers erkannt; Schwefel- und Kupferkies geben Schwefel ab, heiß braun, fast gelb aussehend; Arsenikies, Speisobalt sublimiren Arsenik unter Knoblauchgeruch; viele Minerale decrepitiren sehr stark, wie Spatheisenstein, was sich dabei in Magneteisen verwandelt; Zinnober sublimirt u.

2) In beiderseits offener Glasröhre. Lege die Probe hart an den Feuerrand, und wenn sie decrepitirt, pulverisire. Durch Reigen der Röhre hat man den Luftzug ganz in der Hand. Schwefel in den Schwefelmetallen verflüchtigt sich als schweflige Säure; Selenmetalle riechen nach Rettig; Arsenmetalle geben meist ein Sublimat von

arseniger Säure in kleinen Oктаedern; Antimonverbindungen bilden einen weißen Rauch, Antimonoxyd, ebenso Tellur. Quecksilber setzt sich in Kügelchen an die Röhrenwand.

3) Auf Kohle mit der Löthrohrflamme erkennt man Schwefel, Selen und Arsen meist durch den Geruch. Achte besonders auf die Beschläge! Antimon und Arsenik geben einen weißen Beschlag von Antimonoxyd und arseniger Säure; ersterer ist weniger flüchtig als letzterer, legt sich daher näher bei der Probe nieder, der ähnliche Tellurbeschlag färbt die Reductionsflamme grün; Wismuth beschlägt mit Oxyd, heiß und kalt gelb; der Beschlag des Bleies ist schwefelgelb und versflüchtigt sich in der Reductionsflamme mit blauem Schein; Zinkbeschlag ist heiß gelb, wird beim Erkalten weiß und leuchtet beim Darausblasen; Cadmium ist flüchtiger und gibt weiter von Zinkoxyd weg einen gelben bis braunen Beschlag; ja an der äußersten Grenze kann die Kohle davon bunt (pfausenschweifig) anlaufen.

4) In der Platinzange oder am Platinbraut untersucht man kleine Splitter, die man sich durch Zerschlagen in Papier oder Erhitzen im Kolben verschafft. Decrepitiren sie zu Pulver, so reibt Bergelius dasselbe mit Wasser an, tröpfelt etwas auf die Kohle, woraus sich beim Darausblasen eine dünne Platte bildet, die man in die Pincette nehmen kann. Man kann das Pulver auch feucht in der Hand anmachen. Dabei hat man vor allem auf die

Färbung der Flamme zu sehen. Natronsalze färben sie gelb, wenn man damit die Spitze der blauen Flamme berührt, Kalisalze violett, nur darf weder Natron noch Lithion zugegen sein, doch verdecken dieselben weniger, wenn man durch ein blaues Kobaltglas schaut. Lithion, Strontian und Kalk geben rothe Flammen. Das schöne Purpurroth der Lithionglimmer und Lithionfeldspath ist eine sehr ausgezeichnete Reaction, aber das Natron kann auch hier, wie beim Amblygonit, die Farbe decken. Strontianit und Cölestin färben auch gut, zu viel Baryt hindert aber. Die Orangen-Farbe der Kalk ist zwar minder schön, kommt aber bei Kalkspath, Flußpath, Gyps, Tafelspath vor. Gelblichgrün färbt Schwerspath und Witherit, ähnlich Molybdän MS<sup>2</sup>. Prachtvoll ist die smaragdgrüne Flamme von Kupfersalzen, Malachit, Dioptas, selbst wenn Kupfer unwesentlich ist, wie im Türkis. Phosphorsaure Salze erzeugen öfter schon für sich eine bläßblaugrüne Färbung, besonders wenn man sie in Schwefelsäure taucht, oder gar gepulvert mit Schwefelsäure einen Teig anrührt und in das Dehr eines Platindrahts streicht. Den etwaigen Wassergehalt entfernt man vorher durch Rösten. Vorsäure im Dehre eines Platindrahts gibt eine zeisiggrüne Flamme, selbst der natronhaltige Borax gibt auf Kohle entwässert, dann fein gepulvert und stark mit Schwefelsäure befeuchtet auf Platindraht noch intensive grüne Färbung, so lange freie Schwefelsäure vorhanden. Aurbrau färbt in der äußern Flamme Chlorkupfer, gleich allen in Salzsäure getauchten Kupfererzen, wird aber dann grün von gebildetem Kupferoxyd. Selen

auf Kohle verflüchtigt sich auch mit azurblauem Schein, Bleisalze auf Platindraht oder in der Pincette geben ein schön blaues Licht, mit bläulichem Licht entweichen die Beschläge von Bleioryd, Antimonoryd und arseniger Säure. Die Intensität der Flammenfarben kann auch durch Chlor Silber verstärkt werden, wenn man die Probe damit mischt, Dr. Werner (Färbung der Löthrohrflamme, Württ. Jahreshfte 1864 pag. 81).

**Spectralanalysen** von Kirchhoff und Bunsen (Pogg. Ann. 1860. CX. 101), machten mit Recht großes Aufsehen. Der Apparat (Spectroskop) besteht aus zwei schwachen Fernrohren, die ihre Objectivlinsen einem senkrecht gestellten Prisma zutehren. Statt des hintern Ocular findet sich eine enge aufrechte Spalte. Fällt dadurch Sonnenlicht ein, so sieht man durch's vordere Ocular ein horizontales Spectrum, links das rothe und rechts das violette Ende, mit den Frauenhofer'schen schwarzen Linien, falls das Instrument durch mehrere Glasprismen gehörig verstärkt ist. Wendet man jetzt den Spalt gegen eine nicht leuchtende Löthrohrflamme, in welche Stein Salz gehalten wird, so tritt im gelben Felde (an der Stelle von D Frauenhofer) eine markirte feuerartige Linie auf: es ist die Natronlinie Alpha ( $\text{Na}\alpha$ ), die fast keinem Spectrum fehlt, da Natron überall in der Luft verbreitet ist. Diese einzige Linie dient daher zum sichersten Anhaltspunkte. Links davon kommt im rothen Felde eine ausgezeichnete rothe Lithion  $\alpha$ , während die schwach gelbe Li $\beta$  auch links leicht übersehen wird. Das Kali gibt sich an den äußersten Enden durch roth  $\text{K}\alpha$  links, und schwach violet  $\text{K}\beta$  rechts zu erkennen. Man sieht besonders auf die rothe links, die noch weit hinter Li  $\alpha$  liegt. Strontian hat ebenfalls ein ganzes System rother Linien, aber auch eine breite Orange  $\text{Sr}\alpha$  noch links von  $\text{Na}\alpha$ , und weit rechts eine schmale blaue  $\text{Sr}\delta$ . Auch Kalk hat Orange  $\text{Ca}\alpha$ , aber dann noch eine markirte grüne  $\text{Ca}\beta$ , Baryt dagegen ein ganzes System grüner Linien. Die Erscheinung ist so markirt, daß man bei einiger Uebung die Stoffe, auch wenn sie nebeneinander vorkommen, unterscheiden lernt. Mit der kleinen Löthrohrflamme oder Weingeistlampe geht es freilich nur unvollkommen, es gehört vielmehr Gas mit dem bekannten Bunsen'schen Brenner (Pogg. Ann. 100. 88) dazu, was sehr heiß ist, dennoch wie eine Wasserstoffflamme nicht leuchtet, und die Färbung der hineingehaltenen Stoffe unverändert mittheilt. Auf diese Weise können kleine Mengen von Stoffen nachgewiesen werden, wie durch kein anderes Hilfsmittel: Lithion fand sich nicht nur in Mineralen und Gesteinen vieler Art, sondern auch in der Pflanzenasche, in Tabaksblättern, Weinreben und Milch der Kühe, welche solche Pflanzen fraßen. Strontian kam in den Kalksteinen der verschiedensten Formationen, was schon die Cölestinkrystalle in den Ammonitenkammern erwarten ließen. Unerwarteter Weise entdeckte Bunsen sofort zwei neue Alkalien Cäsium und Rubidium, von denen man bisher keine Ahnung gehabt hatte; später kamen Indium, Thallium und Gallium pag. 173 dazu. Selbst die Hoffnung der chemischen Analyse des Sonnen- und Sternlichtes wird angeregt. Denn sogar die edelsten Metalle geben Spectra mit „Abjorb-

tionsslinien“, wenn man an den Drahtenden (Elektroden) eines Ruhm-  
torff'schen Inductionsapparates Spitzen von Platin, Gold, Silber, Kupfer,  
Zink u. befestigt. Die Electricität befördert, wenn auch im Minimum,  
das Verdampfen der Metalle, Bunsen Pogg. Ann. 1875 Bd. 155 pag.  
230. Schon mit schwachen Spektroskopien entdeckt man in Flüssigkeiten  
und durchsichtigen Mineralien gegen das Sonnenlicht gehalten Absorb-  
tionslinien.

Veränderungen der Proben im Feuer sind verschieden:  
Granat schmilzt ruhig zu einer Kugel; Zeolithe schäumen und krümmen  
sich. Borax bläht sich Blumentohlartig, eben so Epidot, es scheint von  
der Entwicklung eines Gases zu kommen, was man jedoch nicht kennt;  
Roheisen und oxydische Eisenerze sprühen Funken, Salpeter auf Kohle  
verpufft. Das Schmelzproduct wird ein durchsichtiges Glas, ein por-  
cellanartiger Email oder eine Schlacke, so heißt der poröse löcherige Kör-  
per. Durch Reduction auf Kohle erzeugt sich bei Blei, Zinn, Wismuth,  
Kupfer, Silber eine Metallkugel (Regulus). Am Phosphorsauren Blei,  
Steinsalz u. bedecken sich die Perlen mit Facetten (krystallisiren). Der  
Schmelzproceß hängt bei Eisenerzen wesentlich mit der Oxydation zu-  
sammen. Bringt man z. B. eine feine Nadel von rothem Glaskopf (Fe)  
in die äußere Flamme, so ist sie unschmelzbar, in der innern da-  
gegen fängt sie an zu schmelzen und Funken zu sprühen, weil sich das  
Eisen in der Reductionsflamme in Magneteisen  $\text{Fe Fe}$  verwandelt. Schwe-  
fel- und Arsenmetalle in der äußern Flamme besonders in Pulverform  
auf Kohle behandelt rösten, d. h. sie geben etwas Schwefel und Arsen  
ab und verwandeln sich in schwefelsaure und arsenisaure Metalloxyde, die  
dann in der innern Flamme öfter gänzlich von Schwefel- und Arsengehalt  
reducirt werden können. Bei Gegenwart von Eisen folgen die Kugeln  
dem Magnet. Wenn so die Prüfung im bloßen Feuer beendet ist,  
schreitet man zur

### Prüfung mit Zuschlägen.

Borax, Phosphorsalz, Soda, Kobaltsolution  
sind die wichtigsten Löthrohrreagentien. Borax und Phosphorsalz  
nimmt man gewöhnlich mit dem Hacken eines Platindrahtes, seltner auf  
Kohle. Man darf den Draht nur erhitzen und in die Salze tauchen, so  
hängt sich sogleich die gehörige Menge an, die erhitzt zu einem farblosen  
Glas schmilzt, welches bei der Untersuchung die Dienste leistet. Ist zu  
viel färbendes Mittel hinzugethan, so stößt man den größten Theil der  
Perle ab und taucht den Draht von Neuem ins Salz, wonach dann  
lichtere Farbe kommt. Auch kann man die Perle leicht mit der Pincette  
pressen, um so die dünnere Masse durchsichtiger zu machen. Durch stoß-  
weises Daraufblasen (Plattern) werden die Perlen öfter unklar. Auch  
muß man vorsichtig zwischen Reductions- und Oxydationsflamme unter-  
scheiden.

Borax  $\text{Na B}^2\text{H}^{10}$  erhitzt bläht sich wurmförmig, das Wasser ent-

weicht und die überschüssige Vorsäure wirkt lösend, indem sie schwache Säuren austreibt, sich mit Oxyden verbindet und mit dem  $\text{NaB}^2$  klare Doppelsalze bildet. Wenn sich leicht reducirbare Oxyde von Zink, Cadmium, Blei, Wismuth, Nickel, Kupfer, Silber u. darin befinden, deren Metalle sich mit Platin legiren könnten, so muß die Reduction auf Kohle vorgenommen werden.

**Phosphorsalz** ( $\text{HAmNa}$ )  $\text{P} + 8\text{H}$  (Garnsalz, Marggraf Hist. Acad. Berlin 1746. 66), bei der Hitze entweicht Wasser und Ammoniak, es bleibt metaphosphorsaures Natron  $\text{NaP}$ , die freie feuerbeständige  $\text{P}$  hat eine stark lösende Kraft, nur die Kieselersde bleibt als ungelöstes Skelet zurück, und die Farben sind meist etwas anders als mit Borax, öfter sogar deutlicher. Interessant ist die Erzeugung mikroskopischer Krystalle in der gefärbten Glasperle (G. Rose, Monatsber. Berl. Akad. 1867 pag. 129; Journ. pract. Chem. 1870 I. 448).

**Soda**  $\text{NaC}$  ein weißes Pulver, das man mit Speichel anfeuchtet, und im Ballen der Hand mit der Probe mischt. Vorzüglich dient es auf Kohle zur Reduction der Metalloxyde von Molybdän, Wolfram, Antimon, Arsen, Tellur, Kupfer, Wismuth, Zinn, Blei, Zink, Radium, Nickel, Kobalt, Eisen sammt den edlen Metallen. Die Masse zieht sich zwar in die Kohle, allein man bricht das Stück aus, zerstoßt und schlämmt, und sucht dann die Metallblättchen mit der Loupe. Die Reduction geschieht erst in der Kohle, durch Kohlenoxydgas, was daselbst entwickelt wird. Noch leichter reduciren neutrales Oxyd saures Kali, Zucker, Cyankalium, letzteres breitet sich aber zu stark auf der Kohle aus, und zerstreut daher die Metallkörner zu sehr. Ferner wichtig ist Soda als Schmelzmittel: die Kieselersde schmilzt unter Drausen damit zusammen, und bildet über der Kohle eine klare Perle, wenn nicht zu viel Soda zugesetzt wird. Rutil  $\text{Ti}$  gibt zwar auch eine Perle, die aber undurchsichtig wird. Die Verbindungen von Wolfram- und Molybdänsäure gehen in die Kohle. Ebenso die Salze von Baryt- und Strontianerde, welche auch mit Soda zusammen schmelzen. Die meisten Kalkerdesalze dagegen werden, so fern ihre Säure stärker als Kohlensäure ist, zersezt, das gebildete Natronsalz zieht sich in die Kohle, und die Kalkerde bleibt auf der Kohle zurück. Als Aufschließungsmittel der Silicate gibt Soda an Kieselersäure Natron ab, es entstehen klare Gläser, so lange es einfache Silicate sind, aber bei größerem Zusatz von Soda werden die schwächern Basen durch das  $\text{Na}$  ausgeschieden, die Masse wird unklar und unschmelzbar. Will man z. B. Feldspath auf Kali untersuchen, so mischt man den gepulverten Feldspath mit 1 Theil Soda und 1 Theil Borax, schüttet ihn in eine kleine Kapsel von Filtrirpapier, das man mit Soda getränkt hat, und erhitzt das in einer Grube auf Kohle, bis es im Oxydationsfeuer zu einer durchsichtigen blasenfreien Kugel geschmolzen ist, diese gibt dann gehörig behandelt auf nassem Wege mit Platinchlorid die Reaction auf Kali.

**Kobaltlösung**  $\text{CoN}$ , eine nicht zu concentrirte Auflösung von

Salpetersaurem Kobaltoxydul in Wasser. Befuchtet man damit die erhitzte Probe, und bläst wieder darauf, so zeigt sich Thonerde durch eine schöne blaue, Talkerde durch rosenrothe Farbe an. Beryllerde wird hellbläulichgrau, Zirkonerde schmutzig violett, Zinkoxyd in den meisten seiner Salze nicht zu heftig geglüht und auch als Beschlag auf Kohle grün. Man kuetet die gepulverte Masse zu einem Brei, streicht auf Kohle, erhitzt schwach, und setzt dann von der Solution zu. In einzelnen Fällen ist es gut bei der Hand zu haben:

Salpeter  $\text{KN}$  in dünnen Säulen um in Glasflüssen Metalloxyde auf höchste Stufe der Oxydation zu bringen, man berührt die schmelzende Perle mit einer Salpaternadel.

Doppeltschwefelsaures Kali zur Entdeckung von Lithion und Vorsäure. Man pulvert das Mineral und mengt es mit 1 Theil Flußspath und  $1\frac{1}{2}$   $\text{KS}^2$  mit wenig Wasser zum Teige und streicht davon auf das Dohr eines Platindrahtes. Auch Brom, Jod, Fluor u. läßt sich damit erkennen. Weböky (Fresenius *Jtschr. anal. Chem.* IX) wendet es als Reagens und Aufschlußmittel geschwefelter Erze an.

Berglaste Vorsäure zur Auffindung von Phosphorsäure. Man löst darin die Probe auf Kohle und schiebt ein feines Eisendraht hinein. Das Eisen oxydirt sich auf Kosten der Phosphorsäure, es entsteht phosphorsaures Eisenoxydul und Phosphoreisen, welch letzteres zu einer brüchigen Kugel schmilzt. Freilich dürfen in der Probe keine Bestandtheile sein, die das Eisen reduciren könnten.

Zinn in Form von Stanniolstreifen, um das Reduciren von Metalloxyden zu erleichtern, man darf die glühende Perle nur damit berühren, aber dann nicht mehr zu lange darauf blasen.

Zuletzt wachsen freilich die Hilfsmittel zu einem förmlichen Laboratorium an, denn wer möchte die Grenzen ziehen, wenn man vollends noch weiter schreitet, zur

### Untersuchung auf nassem Wege.

In Beziehung auf Löslichkeit kann man dreierlei unterscheiden:

1) In Wasser lösliche Minerale, dahin gehören außer dem Steinsalz eine Menge Salze, die gewöhnlich Kunst besser darzustellen vermag als Natur, wie z. B. die Bitriole. Ja wenn sie sich auch irgendwo im Schoße der Erde einmal erzeugten, so dauerten sie wegen der Wassercirculation nicht lange. Selbst Massen, wie Steinsalz, sind vor solcher Gefahr nicht immer geschützt. Auch Saffolin und Arsenitblüthe lösen sich.

2) In Säuren lösliche. Gewöhnlich versucht man es mit Stücken, bei schwer löslichen ist aber Pulverisiren und sogar Schlämmen nothwendig, damit das Lösungsmittel möglichst viele Angriffspunkte bekomme, auch muß mit Erwärmen nachgeholfen werden. Für Erden, Eisen- und Manganverbindungen nimmt man Salzsäure. Zuweilen darf die Säure nicht concentrirt sein, wie beim Witherit. Löst sich die Sub-



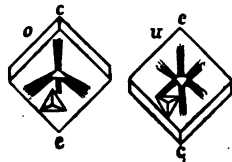
stanz mit Brausen und ohne Geruch, so ist Kohlensäure darin. Bei Mn oder Mn kann aber auch Chlor frei werden. Schwefelwasserstoff gibt sich durch seinen Geruch kund, und schwärzt ein mit Bleizuckerauflösung befeuchtetes Streifchen Papier. Metallische Verbindungen lösen sich leichter in Salpetersäure. Bei manchen Silicaten findet sich nur ein Theil löslich, der Rückstand wird dann behandelt wie

3) In Säuren unlösliche. Gewöhnliche Silicate. Dieselben müssen auf Kohlen in Sodapapier pag. 189 oder besser in einem Platintiegel mittelst starkem Feuer aufgeschloffen werden. Zu dem Ende wird die Probe fein gerieben und mit dem 3—4fachen Gewicht von Kohlensaurem Kali oder Natron oder 5—6fachen von Kohlensaurem Baryt gemischt. Das Kali tritt dann an die Si, die C entweicht unter Brausen, es entsteht ein basenreicheres Salz, was sich nun in Salzsäure auflösen läßt. Die Si erkennt man an der Gallertbildung, welche bei langsamem Abdampfen der Flüssigkeit entsteht. Bei Thonerdereichen Edelsteinen wird saures schwefelsaures Kali zum Auflösen empfohlen. Es gibt übrigens Monosilicate, wie Granat, Vesuvian, Epidot, Augit, Glimmer, welche schon durch bloßes Schmelzen ein lösliches Glas geben.

Ist das Mineral aufgeschloffen, so ist der Gang der Untersuchung der gleiche, welchen H. Rose (Ausführliches Handbuch der analytischen Chemie 1851) zuerst für die analytische Chemie überhaupt aufgestellt hat. Ein kleineres Werk schrieb Fresenius, Anleitung zur qualitativen chemischen Analyse. Braunschweig 14te Auflage.

**Netzfiguren.** Krystalle werden von lösenden Mitteln auf verschiedenen Flächen verschieden angegriffen, es entstehen dadurch mannigfache Figuren, die mit der Form im innigsten Zusammenhange stehen. Das Aetzen geschliffener Flächen von Meteorsteinen durch Widmannstätten 1808 machte zuerst aufmerksam. Daniell (Den's Jfis 1817 pag. 745) stellte schon mit allerlei Krystallen weitläufige Versuche an, die sich sogar auf Bergkrystall und Achat mit Flußsäure erstreckten, weil er wie Späterer hoffte, damit ein Licht für die Molecularstructur aufdecken zu können. Brewster (Edinburgh Transact. 1837 Bd. 14) gab sich besonders mit den mannigfachen **Lichtbildern** ab, welche schon nach der schwächsten Aetzung im reflectirten Kerzenlicht zum Vorschein kommen, und H. v. Kobell (Sitzb. Münch. Akad. 1862 I. 100) legte ihre Beziehung zu den Krystallformen übersichtlich dar. Bei klaren Mineralen kommen die Figuren auch im durchschimmernden Kerzenlichte zum Vorschein, wie beim **Asterismus**, worauf schon die Alten beim Korund aufmerksam waren, und der sich so ausgezeichnet beim Canadischen „Sternglimmer“ beobachten läßt, wo er von eingelagerten Krystallfasern herrührt. Bepinseln wir nun eine Rhomboederfläche o vom

Isländischen **Doppelspath** mit Salzsäure, so entstehen darauf unendlich viel dreiseitige Vertiefungen (Dr. G. Baumhauer Pogg. Ann. 138, 300), deren Basis der Querdiaagonale parallel geht, und deren Spitze sich gegen die Hauptdecke c kehrt.



Denn wenn schon die Dreiecke dem Umrisse nach leicht für gleichschenkelig gehalten werden könnten, so lassen doch die drei Linien in der Tiefe über die Gleichschenkligkeit nicht den geringsten Zweifel. Aus ihrer Symmetrie folgt, daß die Flächen des Kalkspathes links wie rechts aber oben anders als unten sind. Sieht man nun gegen eine brennende Kerze, so nimmt man ein dreistrahliges Lichtbild wahr, dessen oberer Arm in der schiefen Diagonale des Rhombus liegend sich gegen die Hauptede  $c$  kehrt, während die seitlichen sich symmetrisch gegen die scharfen Zitzackanten des Rhomboeders orientiren. Der Medianstrahl gibt sich auch noch durch einen kurzen untern Lichtbüschel als einzig zu erkennen. Dreht man das Plättchen, so daß  $c$  nach unten kommt, so folgen die Strahlen dieser Drehung mit mathematischer Bestimmtheit. Aegen wir jetzt auch die parallele Unterseite  $u$ , und sehen durch, so gewahren wir einen sechsstrahligen Stern, der aus zwei dreiseitigen  $180^\circ$  gegen einander verdrehten Sternen besteht. Will man die Verschiedenheiten der drei Strahlen deutlich wahrnehmen, so muß eine Seite stark geätzt werden, dann gabelt sich

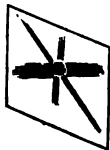


der längere, unpaarige Strahl, die kürzern paarigen grenzen sich nach außen etwas keulenförmig ab, senden aber an ihren Enden auch noch lichte Büschel ins Unbestimmte fort. Der mediane Winkel, welchen diese paarigen Arme einschließen, ist entschieden kleiner als die Winkel zu den Seiten. Geht man jedoch vom Kerzenlichte weiter fort, so wird der Medianwinkel deutlich größer, indem sich die Schenkel sichtlich nach außen bewegen, und ebenso wieder sich einander nähern, je näher man der Kerze tritt.

Bei den andern mit Kalkspath isomorphen Substanzen bringt man die Aetzfiguren nicht so leicht zu Stande. Am besten geeignet sind noch die klaren alpinischen Bitterspathe ( $\text{Ca, Mg}$ )  $\text{C}$ , durch Erwärmen in Salzsäure bilden sich zahlreiche Quersfurchen parallel der längern Diagonale, und im durchfallenden Lichte bleibt nur der Medianstrahl, die Seitenstrahlen verschwinden fast gänzlich, zum Zeichen, daß die Lichtbilder mit den Bittererscheinungen übereinstimmen. Besonders klar wird das auch an den



Rhomboidtafeln des Gypses, die man nur eine Zeitlang ins Wasser zu legen braucht, um sofort gegen ein Kerzenlicht gesehen einen dicken Strahl fast senkrecht gegen den aufrechten Muscheligen Bruch zu bekommen. Schon H. v. Kobell machte darauf aufmerksam. Deutliche Regenbogenfarben zeichnen den Lichtstreif aus, zum Beweise, daß der Angriff des Wassers leichter längs des Muscheligen Bruches von Statten ging. Ein zweiter schmalerer Strahl geht auf die schärfere Ede der Tafeln zu. Von einem dritten gegen den safrigen Bruch sehen wir nur unsichere Spuren. Defter zeigen auch ungeätzte Plättchen die Erscheinung, vielleicht weil die Stücke schon draußen von Feuchtigkeit angegriffen waren. Dies führt uns auf die

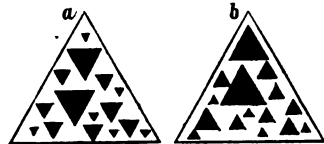


**Glimmer**, wovon der Xanthophyllit der Schischimskischen Berge im Ural nach Prof. v. Seremejew (Zahrb. 1871 pag. 589) so regelmäßige Vertiefungen zeigte, daß sie für Krystalle von Diamanten gehalten wurden, bis Prof. Knop (Zahrb. 1872. 188) den Irrthum aufdeckte. Schon die Bilder selbst, ihre Parallelstellung und das kreisförmige Plättchen auf der Spitze sprechen entschieden für Aetzfiguren, die ganz wohl auch im Gebirge durch langjährige Einwirkung von Säuren entstanden sein können. Bei andern Glimmern sind die Erscheinungen zwar nicht leicht so schön, doch wenn man mit Flußpath und heißer Schwefelsäure Glimmerblättchen behandelt, so kommen ähnliche Vertiefungen. H. Baumhauer (Sitzb. Münch. Akad. 1874. 148) hat beim Canadischen Sternglimmer aus der Symmetrie der Eindrücke, vorn anders als hinten und links wie rechts, sogar den Beweis genommen, daß die Tafeln zum 2 + 1gliedrigen Systeme gehören müssen. Mögen hier nun auch, da man immer starke Vergrößerungen anwenden muß, leicht Irrungen vorkommen, so leuchtet doch auch bei den Uralern der Unterschied zwischen hinten und vorn ein. Die Schlagfigur s läßt über die Lage der Symmetrieachsen keinen Zweifel.



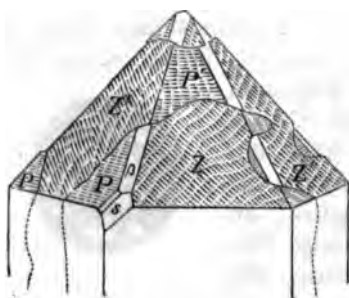
**Das Verbrennen der Diamanten im Sauerstoff** (G. Rose, Monatsber.

Berl. Akad. 1872. 510) ist nach den allgemeinen Erfahrungen nichts als eine Art Aetzen, da sie von der Oberfläche aus gleichmäßig angegriffen immer kleiner werden, bis sie endlich verschwinden. Solche gebrannten Stücke b zeigen auf



dem Blätterbruch der Oктаederflächen eine Menge kleiner vertieften gleichseitigen Dreiecke, welche dieselbe Lage wie die Oктаederdreiecke haben, mitten in der Vertiefung mit oder ohne Fläche. Die Dreiecke bilden die Basis einer nach innen dringenden hohlen dreiseitigen Ecke, die ihrer Lage nach einem Würfel oder Leucitoeder entsprechen muß, Rose meinte einer dreikantigen Ecke von  $a : a : \frac{1}{2}a$ . Merkwürdiger Weise findet man auf natürlichen Oктаederflächen a schon mit der Lupe ebenfalls kleine Dreiecke, die aber gerade die entgegengesetzte Stellung haben, oben statt der Ecke die Seite horizontal stellen, daher müssen die eindringenden Ecken einem Pyramidenoktaeder oder dem Granatoeder angehören. Wenn die Oктаederkante gerade abgestumpft ist, so spiegeln sie scheinbar mit diesen. Am

**Quarz** hat sich die Aetzung mit Flußsäure durch die Versuche von Leybold (Sitzb. Wien. Akad. Math. Cl. 1855 XV. 50) besonders wichtig erwiesen. Die physikalischen Unterschiede der beiden Rhomboeder P mit horizontalen und Z mit schiefen Aetzgrübchen treten in großer Deutlichkeit hervor. Sodann zeigen sich Zwillingslinien bei Exemplaren, wie bei den



klaren von Marmoros und den ziegelrothen von Compostella, die äußerlich davon nichts vermuthen lassen. Dazu kamen nun noch besondere Neßflächen, wie  $\beta$  in den Dihedraederkanten, und namentlich die Rhombenflächen  $s = a : \frac{1}{2}a : a : c$  mit einer kleinen obern Trapezfläche, welche im Voraus beurtheilen ließ, ob man links- oder rechtsdrehende Krystalle vor sich habe. Selbst die einfachsten Krystalle mit Dihedraeder und Säule ließen solche complicirte Flächen hervortreten. Hatten dieselben nicht Durchscheintheit genug, so wurden sie mit verdünnter Ochsen-galle (3 Theile Wasser) bestrichen, getrocknet; sodann gute Hausenblase in Wasser gekocht und durch feine Leinwand filtrirt mit einem Pinsel aufgetragen. Nach 16 Stunden konnte man ein Häutchen abziehen, das im durchfallenden Lichte bei 1000facher Vergrößerung noch die feinsten Zeichnungen erkennen ließ.

Bei künstlichen Salzen, die im Wasser löslich sind, kann man die Lichterscheinungen schon mit einem Pinselstrich herbeiführen. Auf den Oктаederflächen des Alauns bekam Kobell einen Dreizack, der vom Centrum nach den Ecken strahlte, weil die kleinen vertieften Dreiecke eine Lage haben, wie auf den Blätterbrüchen ungeähter Diamanten d. h. ihre Spitzen gegen die Oктаederkanten kehren, also umgekehrt wie bei gebrannten Diamanten. Wie klar solche Lichtbilder mit Gittern zusammenhängen,



zeigt das gelbe Blutlaugensalz, von dessen viergliedrigen Oктаedern man sich leicht Blätter  $c : ooa : ooa$  abspaltet: dieselben zeigen ungeäht ein Lichtkreuz mit Strahlen, die senkrecht gegen die Seiten des Quadrates stehen; es hängt das mit Streifen zusammen, die im Innern der Krystalle parallel mit den Quadratkanten laufen; sowie man sie aber mit Wasser bepinselt, stellt sich das Lichtkreuz in die Diagonalen, wie nebenstehendes Bild zeigt, und mit der Lupe gewahrt man zahlreiche oktaedrische Grübchen, welche ihre Kanten parallel den Diagonalen stellen.

### Wichtigste Reactionen.

Kali K. Violette Flamme auf Platindraht, durch dunkles Rohaltglas zu betrachten, damit sie durch Natron und Lithion nicht verdeckt werde. Da es sich jedoch leichter verflüchtigt als Na, so muß man die Probe dem Dochte zu bewegen. Durch Zusatz von Gyps oder Witherit wird das Kalisilicat aufgeschloffen, und die Färbung lebhafter. Schmilzt man Borax mit etwas Vor säure versetzt am Draht und setzt so viel Nickelorydul hinzu, daß das Glas beim Erkalten bräunlich erscheint, so bekommt es durch Kalisalz einen blauen Schein. Platinchlorid erzeugt in neutralen und sauren Lösungen einen citronengelben krystallinischen schweren Niederschlag von Kaliumplatinchlorid.

**Natron Na** färbt die Löthrohrflamme gelb, selbst bei Gegenwart von Kali und Lithion, allein die Flamme ist dem gewöhnlichen Lampenlicht so ähnlich, daß man sich vor Täuschung hüten muß. Auf nassem Wege suche man sich kleine Salzwürfel ( $\text{NaCl}$ ) zu verschaffen.

**Lithion Li** färbt die Löthrohrflamme purpurroth, nur hindert das Natron. Schwaches Feuer besser als starkes. Das gepulverte Lithionsilicat mit 1 Theil  $\text{CaFl}$  und  $1\frac{1}{2}$  Theile  $\text{KS}^2$  zu einem Teige anmacht und auf das Platinoehr gestrichen zeigt bei Lithionturmalin und Stapolith noch rothe Flamme.

**Baryterde Ba.** Schwefelsäure und alle löslichen schwefelsauren Salze (Gypsolution) erzeugen in den verdünntesten Barytlösungen sogleich einen feinen weißen Niederschlag von Schwerspath, der in Säuren und Alkalien unlöslich. Baryterde färbt die Löthrohrflamme gelblichgrün. Kieselfluorwasserstoff  $3 \text{HFl} + 2 \text{SiFl}^2$  gibt farblose krystallinische Niederschläge von  $\text{BaSiFl}^4$ .

**Strontianerde Sr.** Gibt mit S langamer einen Niederschlag von Cölestin, aber färbt die Löthrohrflamme sehr schön carminroth, was aber durch Kobaltglas nur anfangs sichtbar ist. Chlorstrontium löst sich in absolutem Alkohol, Chlorbaryum nicht. Gibt mit Kieselfluorwasserstoff keinen Niederschlag.

**Kalkerde Ca.** Oxalsäure bringt selbst in verdünnten neutralen Kalklösungen einen weißen Niederschlag von oxalsaurem Kalk hervor. Man muß aber Ba und Sr zuvor durch schwefelsaures Kali getrennt haben. Viele Kalkerde salze leuchten vor dem Löthrohr stark, und geben in Umschlitt getaucht gelbrothe Flammen. Zerlegen die Soda und Kalkerde bleibt auf der Kohle pag. 189.

**Kalkerde Mg** wird weder durch Schwefelsäure noch Oxalsäure gefällt, wohl aber bei Gegenwart von Ammoniak durch Phosphorsaures Natron, indem sich Struvit als weißes krystallinisches Pulver ausscheidet. Kobaltjolution erzeugt öfter rothe Farbe im Feuer pag. 190. Im Funken spectrum entspricht die Charakterlinie der Frauenhofer'schen Linie b, die aber einer Lustlinie nahe liegt, die Funken müssen daher durch Leuchtgas geleitet werden.

**Thonerde Al** läßt sich in ihren Verbindungen häufig daran erkennen, daß sie mit Kobaltjolution eine schönblaue Farbe annimmt. Kali fällt aus Auflösungen der Thonerde voluminöses Thonerdehydrat, das im Ueberschuß des Fällungsmittels leicht löslich. Ammoniak oder Salmiak fällen sie wieder.

**Beryllerde Be** löst sich in großer Menge im Borax zu klarem Glase, das bei völliger Sättigung durch Flattern milchweiß wird. Kohlen saures Ammoniak fällt die Beryllerde, löst sie aber wieder im Ueberschuß zugelegt, Thonerde dagegen nicht. Aus der verdünnten Auflösung in Kali fällt sie durchs Kochen, kann also so von der Thonerde getrennt werden.

**Yttererde Y** und Erbiumoxyd E verhalten sich vor dem Löth-

rohr unter einander gleich und wie Beryllerde. Kali fällt sie, löst sie aber nicht wieder im Ueberschuß. „Erbinerde gehört zu den wenigen Stoffen, die beim Glühen in fester Gestalt schon ein discontinuirliches Spectrum geben, dessen helle Linie No. 11 f Frauenhofer entspricht.

Zirkonerde Z auf Kohle leuchtet stärker, als irgend ein anderer Körper, mit Kobaltsolution wird sie schmutzig violett.

Thorerde Th im Borax in geringer Menge zu klarem Glase löslich, das unter der Abkühlung milchweiß wird.

Cerorydul Ce, Lanthanoryd La, Didymoryd D kommen meist zusammen vor, im Borax und Phosphorsalz außen rothe oder dunkelgelbe Gläser, je nach dem man mehr oder weniger zusetzt; in der innern Flamme wird die Phosphorsalzsperle farblos, und die Boraxperle kann emailweiß geflattert werden.

Mangan Mn, aus alkalischen Lösungen durch HS als Schwefelmangan gefällt, färbt Boraxglas intensiv violett, was sich kalt mehr röthet, in der Reductionsflamme kann es auf Kohle (besonders auf Zusatz von Zinn) farblos geblasen werden (Mn). Phosphorsalz wird nicht so stark gefärbt, und entfärbt sich in der innern Flamme leichter. Auf Platindraht oder Platinblech mit Soda zusammen geschmolzen heiß grün und durchsichtig, kalt blaugrün und undurchsichtig (Na Mn). Die kleinsten Mengen werden so erkannt, besonders auf Zusatz von Salpeter.

Eisen Fe gibt mit Borax in der äußern Flamme dunkelrothe Gläser Fe, die kalt gelb werden, in der innern grüne Fe. Die Oxyde reduciren sich auf Kohle zu magnetischer Kugel (Oxyd-Oxydul). Schwefel- und Arseneisen muß vorher geröstet werden, sie geben ebenfalls eine magnetische Schlacke. Fe wird von Kali gefällt und im Ueberschuß nicht gelöst und dadurch leicht von Al getrennt.

Kobalt Co gibt in beiden Flammen smaltelblaue Gläser. Geringe Mengen schmelzen mit Soda zu schwach rosenrother Masse, die kalt grau wird. Arsen- und schwefelhaltige Kobalterze muß man vorher rösten. Roth sind die auf nassem Wege erzeugten Salze.

Nickel Ni stark magnetisch. Borax im Oxydationsfeuer erhält heiß violette Farbe, die unter der Abkühlung rothbraun wird (Ni). Im Reductionsfeuer wird das Glas vom fein vertheilten Nickelmetall dunkel, die Theilchen ballen sich endlich, und das Glas wird klar. Nickelsalze sind grün.

Zink Zn gibt auf Kohle einen Beschlag von Zinkoryd, heiß gelb und kalt weiß, derselbe leuchtet stark beim Glühen. Kobaltsolution färbt den Beschlag grün. Mit Borax im Oxydationsfeuer heiß eine gelbe Perle, die kalt farblos wird, aber emailartig geflattert werden kann.

Cadmium Cd ist flüchtiger als Zink, beschlägt die Kohle rothbraun in dünnen Lagen orangefarbig, besonders wenn man das Pulver mit Soda mengt, und kurze Zeit reducirt.

Indium In färbt die Flamme schön blau.

Blei Pb. Reducirt sich aus vielen seiner Verbindungen schon ohne

Zusatz von Soda unter Brausen auf Kohle, und bedeckt dieselbe mit einem schwefelgelben Beschlag von Dryd, der immer nahe der Probe liegt, und ohne zu schmelzen in rothe Mennige übergeht. Schwefelsäure gibt in den Lösungen einen weißen Niederschlag von Bleivitriol, Ammoniaksalze hindern die Fällung. Schwefelwasserstoff gibt in allen Fällen einen schwarzen Niederschlag von Schwefelblei.

Zinn Sn auf Platindraht im Oxydationsfeuer mit Soda unter Brausen zu einer unschmelzbaren Masse anschwellend, auf Kohle reducirt, gibt einen weißen Beschlag, der sich nicht vertreiben läßt.

Wismuth Bi gibt auf Kohle einen Beschlag von Dryd, heiß orangengelb, kalt citronengelb; ohne farbigen Schein kann man ihn von einer Stelle zur andern treiben. Außerhalb des gelben befindet sich ein weißer Beschlag von kohlensaurem Wismuth. Mit Borax in der Oxydationsflamme ein opalartiges Glas.

Uran U gibt mit Phosphorsalz im Oxydationsfeuer ein gelblich-grünes Glas, im Reduktionsfeuer ein rein grünes.

Kupfer Cu im Oxydationsfeuer mit Borax grünes Glas, das kalt sich ins blau zieht, im Reduktionsfeuer (besonders mit Zinn) wird es farblos, nimmt aber unter der Abkühlung eine rothe Farbe an (Cu). Auf Kohle kann das Kupfer metallisch ausgefällt und das Glas farblos werden. Die Verbindungen geben auf Kohle häufig ein Kupfertorn, und verbrennen mit grünem und blauem Lichte.

Quecksilber Hg reducirt und verflüchtigt sich leicht auf Kohle, schon im Kolben sublimiren die Erze, mit Soda oder Zinn gemischt, Metall.

Silber Ag reducirt sich aus vielen seiner Verbindungen leicht auf Kohle. Mit Borax in der Oxydationsflamme zum Theil reducirt, zum Theil macht es das Glas opalartig. Enthalten die Proben nur wenig, so wird es mit Boraxglas und Blei aufgenommen und dann auf Knochenasche im Oxydationsfeuer abgetrieben.

Platin Pt, Palladium Pd, Rhodium Rh, Iridium Ir, Ruthenium Ra, Osmium Os kommen zusammen mit gediegenem Platin oder auf dessen Lagerstätten vor. Das Osmium greift im Feuer die Augen an, gibt sich mit Salpeter vor dem Löthrohr durch seinen Gestank zu erkennen, und macht schon die Weingeistlampe leuchtend wie ölbildendes Gas.

Gold Au reducirt sich leicht, bildet aber mit Kupfer und Silber oft Legirungen, die seine Farbe etwas ändern.

Titan Ti. Das Dryd Ti mit Soda auf Kohle unter Brausen zum dunkelgelben Glase löslich, welches ausglüht und unter der Abkühlung krystallisirt. Mit Phosphorsalz im Reduktionsfeuer gelbes Glas, das kalt schön violet, und außen wieder klar wird. Flattert man es opalisirend, so zeigt das Mikroskop Anatazkristalle darin. Bei Gegenwart von Eisen tritt das Violet erst auf Zusatz von Zinn oder besser Zink hervor.

Tantal Ta und Niobium Nb. Ihre Säuren in Borax gelöst

geben ein Glas, das nach Behandlung im Reductionsfeuer unklar geflattert werden kann. Schmilzt man die fein gepulverte Masse mit doppeltschwefelsaurem Kali, so scheiden sich bei der Behandlung im Wasser Tantal-, Niob- und Unterniobsäure aus. Das Tantal-, Niob- und Unterniobsäure Kali in Wasser gelöst mit Salzsäure angesäuert und Gall-äpfeltinctur versetzt, gibt für Ta hellgelben, Nb orangengelben und Nb dunkelorange-rothen Niederschlag. Niobsäure Nb kam bis jetzt in der Natur noch nicht mit Sicherheit vor (Pogg. Ann. 1861. 113. 201).

Antimon Sb schmilzt und verdampft leicht auf Kohle; und umgibt sich dabei mit weißem krystallinischem Antimonoxyd Sb. In der Glasröhre bildet sich Antimonrauch, der sich an die Röhre ansetzt, und durch Anwärmen von einer Stelle zur andern getrieben werden kann.

Arsen As verflüchtigt sich auf Kohle mit Knoblauchgeruch, und beschlägt die Kohle mit arseniger Säure. Der Beschlag ist weiß und liegt ferner von der Probe als der Antimonbeschlag.

Wolfram W. Die Wolframsäure gibt mit Phosphorsalz im Oxydationsfeuer ein gelblich Glas, im Reductionsfeuer wird es beim Abkühlen schön blau, aber Gegenwart von Eisen macht die Probe braunroth.

Molybdän Mo mit Borax im Oxydationsfeuer ein braunes Glas, mit Phosphorsalz ein grünes. Verpufft mit Salpeter auf Platinblech.

Vanadin V mit Phosphorsalz im Reductionsfeuer grünes, im Oxydationsfeuer gelbes Glas, wodurch er von Chrom unterscheidbar.

Chrom Cr gibt ein prachtvolles smaragdgrünes Glas. Mit Salpeter zusammengeschmolzen bildet sich Chromsaures Kali, was mit essigsaurem Blei einen gelben Niederschlag von chromsaurem Blei gibt.

Tellur Te schmilzt und verflüchtigt sich leicht, beschlägt die Kohle in weiter Entfernung mit telluriger Säure. Der Beschlag ist weiß, hat aber einen rothen Saum, mit der Oxydationsflamme läßt er sich von einer Stelle zur andern blasen, in der Reductionsflamme verschwindet er mit grünem Schein. Der Beschlag in offener Glasröhre ändert sich bei starkem Erhitzen zu telluriger Säure, die sich zu durchsichtigen Tröpfchen ballt. Concentrirte Schwefelsäure wird beim ersten Anwärmen schön roth gefärbt.

Sauerstoff O und Wasserstoff H geben zusammen Wasser A, was sich beim Erhitzen im Glascolben am obern Ende als feuchter Beschlag zu erkennen gibt.

Stickstoff N kommt besonders in der Salpetersäure und im Ammoniat vor. Erstere im Colben erhitzt gibt salpetrige Säure, leicht am Geruch erkennbar, oder verpufft in schmelzbaren Salzen auf Kohle; dieses verräth sich beim Erhitzen durch seinen Geruch besonders im Colben mit Soda behandelt, es sublimirt sich dann kohlensaures Ammoniat, welches geröthetes Lackmuspapier bläut.

Kohle C gepulvert verpufft mit Salpeter gemischt im Feuer. Die kohlen-sauren Salze brausen in Salz- oder Salpetersäure. Die entweichende Kohlen-säure trübt Kaltwasser. Ein Gewichtstheil Kohle erhitzt



80 Gewichtstheile Wasser von 0° auf 100°. Glühende Kohle flammt nicht, sondern die Flamme rührt von C und C her.

**Bor B.** Borsäure färbt die Löthrohrflamme grün, besonders wenn die Perle mit Schwefelsäure befeuchtet wird. Bei kleinen Mengen muß man das Pulver mit Flußspath und saurem schwefelsaurem Kali zu einem Teige gemischt aufs Dehr des Platindrahtes streichen. Chloride können täuschen.

**Silicium Si.** Kieselsäure gibt auf Kohle mit Soda eine klare Perle von Kieselsaurem Natron. Phosphorsalz kann dagegen die Kieselerde nicht lösen, sie zieht nur die Vasen aus, und die Kieselerde bleibt als ein Skelet zurück, was man heiß in der Perle schwimmen sieht, wobei man jedoch öfters die Lupe zur Hand nehmen muß.

**Schwefel S** gibt sich beim Erhitzen häufig durch seinen Geruch nach schwefeliger Säure zu erkennen. Ein kleiner Schwefelgehalt kann durch Zusammenschmelzen mit Soda und Kieselerde erkannt werden, wobei sich die Perle gelb oder braun durch Schwefelnatrium färbt; das Pulver der Probe mit 2 Soda und 1 Borax auf Kohle im Reductionsfeuer geschmolzen und auf blankem Silber mit Wasser befeuchtet, beschlägt das Silber gelb von Schwefelsilber. Sulphate mit Soda geben im Reductionsfeuer eine Hepar von leberbraunem Schwefelnatrium.

**Selen Se.** Selenverbindungen auf Kohle mit der Oxydationsflamme zur Rothglühitze gebracht und sogleich unter die Nase gehalten riechen nach verfaultem Rettig. Auf Kohle ein stahlgrauer Beschlag. In offener Glasröhre geröstet setzt sich das Selen in rother Farbe ab.

**Phosphor P** verbrennt schon an der Luft zu phosphoriger Säure P. Phosphorsäure färbt die Löthrohrflamme grün, besonders wenn das Salz in Schwefelsäure getaucht wird. Empfindlich ist auf nassem Wege die Reaction mit molybdänsaurem Ammoniak.

**Chlor Cl.** Löst man in Phosphorsalz Kupferoxyd und setzt die Probe zu, so kommt eine Lasurblaue Flamme von Chlorkupfer. Brom zeigt dieselbe Reaction. Chloralze in Salpetersäure gelöst geben mit Salpetersaurem Silber einen Niederschlag von Chlorsilber. Chloride von Alkalien und Metallen verflüchtigen sich leicht im Feuer.

**Brom Br** unterscheidet sich vom Chlor, wenn man seine Salze im Glascolben mit doppelt schwefelsaurem Kali zusammenschmilzt, der Colben füllt sich sodann mit stinkenden rothgelben Dämpfen.

**Jod J** mit Phosphorsalz und Kupferoxyd behandelt erzeugt eine schön grüne Farbe, mit  $\text{KS}^2$  im Glascolben erhitzt violette Dämpfe, die Stärkemehl blau färben. Darauf beruhen die Ozonometer, denn das Ozon der Luft oxydirt im KF das K, und macht J frei.

**Fluor Fl**, das sich niemals mit Sauerstoff verbindet, greift wegen seiner starken Verwandtschaft zur Kieselerde das Glas an. Manche Glimmer und Hornblenden darf man nur in Glascolben erhitzen, so entweicht Fluorkiesel, der durch Wasserdämpfe zerlegt einen Ring Kieselerde ablagert und Fernambutpapier strohgelb färbt. Uebergießt man die pul-

verifirte Probe im Platintiegel mit concentrirter Schwefelsäure, so wird beim Erwärmen Quarz geäht.

### Krystallbildung.

Wenn Körper aus flüssigem oder gasförmigem Zustand in festen übergehen, sondern sich ihre Atome symmetrisch, falls kein teigartiger Zwischenzustand stattfindet, wie beim Glase, und die Theile Zeit haben sich zu ordnen. Sonst entstehen amorphe Massen. Folglich sind die Krystalle chemische Produkte, welche sich im Schooße der Erde auf natürlichem Wege durch Intraposition der Molecule gebildet haben. Dabei nimmt es freilich oft Wunder, wie in dem Complex so vieler Zufälligkeiten sich dennoch Formen bilden konnten, die keine chemische Kunst bis jetzt auch nur annähernd nachzubilden vermag. Wer staunt nicht über die Pracht der Bergkrystalle und Feldspäthe in den Klüften der Schne Alpen, über die Reinheit der Granaten, Staurolithe, Cyanite zc. mitten im Schiefer, über den Formenreichthum der Drusenräume auf Erzgängen, ja selbst in den Kalk- und Thonschlamm der jüngsten Flözgebirge fanden die schönsten Individuen von Schwefelkies, Kalkspath, Schwerspath, Golestin zc. ihre Wege. Die Natur zeigt sich auch hier als eine Lehrmeisterin, welcher zu folgen wir kaum die ersten Spuren gefunden haben. Daher der unaufhörliche Streit und die widersprechendsten Theorien, zum Glück ist aber davon die Kenntniß der Sache bis auf einen gewissen Grad unabhängig.

1) Bei der Bildung auf nassem Wege darf nicht übersehen werden, daß im Grunde kein Stoff absolut unlöslich im Wasser ist, namentlich bei der allgemeinen Gegenwart von Kohlensäure, und daß die Krystallisation um so vollkommener vor sich gehe, je langsamer der Ausscheidungsproceß stattfindet. Masse und Zeit mit Hilfe von Wärme und Druck konnten daher Produkte liefern, die unsern beschränkten Mitteln beim ersten Anblick unglaublich erscheinen.

a) Durch einfaches Verdunsten pflegen sich die in Wasser löslichen Minerale gebildet zu haben, welche in der Erde keine sonderliche Rolle spielen, und die man künstlich häufig viel schöner machen kann. Löst man z. B. Kupfervitriol, Eisenvitriol, Alaun zc. im Wasser, und läßt es verdunsten, so schießen die Formen an. Freilich spielt dabei die Temperatur eine wichtige Rolle: Krystalle, die sich in einer Sommer nacht vergrößerten, schwinden am Tage zum Theil wieder, weil das wärmere Wasser mehr löst, als das kältere. Daher ist vor allem eine gleichmäßige Wärme nöthig, und ein Keller für kältere Proceßse sehr geeignet. Zu dem Ende wähle man einzelne wohlgebildete Individuen aus, und lege oder hänge sie an einem Faden in die Lösung. Die liegenden muß man öfter umwenden, damit sich die Flächen alle möglichst gleichmäßig ausdehnen. Je langsamer das Wasser verdunstet, desto mehr gelingt der Proceß; daher ein Vortheil, wenn man mit großen Massen arbeitet (chemische Fabriken). Mulder empfiehlt sehr hohe Gefäße, weil das Wachsen

auf einem herunterfallenden Strom beruhe, welcher seinen Ueberschuß auf die Kry stallen absetze, und dann wieder steige. Deshalb bekomme man in flachen Gefäßen viele aber kleine Kry stallen. Bayen (Compt. rend. 34. 616) will einen Circulirapparat.

Nimmt man einen Tropfen solcher Lösung unter das Mikroskop (Pogg. Ann. 36. 220), so entsteht plötzlich ein fester Punkt, welcher schnell wächst, ohne daß man in der Nähe des Kry stall's eine Bewegung oder Trübung erkennt, seine Umrisse bleiben immer scharf, von etwaigen Atomen, die sich hinzu bewegten, ist nirgends etwas erkennbar. Doch hat Knop (Erdmann's Journ. 1847. 41. 61) gezeigt, daß bei heiß gesättigten Alaunlösungen an den Gefäßrändern die größern Oktaeder kleine als Stäubchen erscheinende anziehen, die sich aber alle parallel an einander lagern. Es kann dieß wohl nur Folge der Anziehungskraft des Größern sein. Schon der Holländer Leeuwenhoek wurde 1685 von diesem mikroskopischen Spiele gefesselt.

Die Form hängt wesentlich von der Temperatur ab, aber wie es scheint nur deshalb, weil der Kry stall bei höherer Wärme genöthigt ist, weniger Kry stallisationswasser aufzunehmen als bei niederer, wie das Häidinger zuerst am schwefelsauren Natron nachwies, welches schon bei  $33^{\circ}$  C. ohne Wasser kry stallisirt. Mitscherlich hat dieß dann (Pogg. Ann. 11. 222) bei einer großen Menge namentlich von schwefel- und selen-sauren Salzen wieder erkannt. Die Kry stallen setzen sich auch lieber an rauhen als glatten Flächen an, daher legt man unter Umständen Fäden, Stäbe u. hinein.

b) Durch Lösung und Ausscheidung mittelst Verwandtschaft sind ohne Zweifel viele Minerale entstanden. In der Erde circuliren Wasser nach allen Seiten, sie führen diejenigen Substanzen, welche sie auf ihrem Wege zur Lösung vorfinden. Wenn nun zwei oder mehrere solcher Strömungen von verschiedenen Seiten her mit verschiedenem Gehalt in einem hohlen Raume zusammen kommen, so müssen dieselben ihre Stoffe gemäß der Verwandtschaft gegenseitig austauschen. Es fällt z. B. immer auf, daß der Gyps niemals auf Gängen oder Drusenräumen eine Rolle spielt, oder wenn er vorkommt, so verschieden als secundäres Produkt durch Zersetzung von Schwefelmetallen. Und doch ist keine Lösung in den Flözformationen gewöhnlicher, als Gypswasser. Nun kann man in manchen Schichten der Juraformation keinen Ammoniten durchschlagen, der nicht in seinen Kammern kry stallisirten Kalkspath  $\text{Ca C}$  und Schwerspath  $\text{Ba S}$  führe. Auf nassem Wege müssen die Sachen hineingeführt sein, denn sie liegen mitten in unveränderten Schlammgebirge, aber der schwefelsaure Baryt ist das unlöslichste aller Salze. Nehmen wir an, daß von einer Seite Gyps-, von anderer kohlensaure Wasser mit Baryterde kamen, so mußten diese beim Zusammenfluß Schwerspath fallen lassen; wenn Gypswasser mit Lösungen von kohlensauren Alkalien sich mischen, entsteht Kalkspath u. Bischof (Leonhard's Jahrb. 1844. 207) hat auf solche Weise die Erfüllung der Erzgänge, jener Hauptfundgrube von Kry stallen, zu erklären gesucht. Fließen Bi-

carbonate von Eisen, Mangan, Zink und Kalk mit Kieselsauren Alkalien zusammen, so geht kohlensaures Alkali in Lösung fort, Quarz, Spath-eisen, Manganspath, Bitterspath und Kalkspath scheiden sich aus. Da in allen Schwefelquellen sich Schwefelalkalien finden, und in diesen sich Schwefelantimon und Schwefelarsenik zc. lösen, so könnte das der Weg sein, auf welchem dieselben so häufig in die Erzgänge geführt wurden.

Glücklicher Weise ist es auch gelungen, die Sache zum Theil auf künstlichem Wege nachzuweisen: Masé (Compt. rend. XXXVI. 555) machte Schwerspath, Bleivitriol zc. durch doppelte Zersetzung, indem er sehr verdünnte Lösungen auf einander einwirken ließ, z. B. in Salpetersaures Blei ließ er an einem Faden langsam schwefelsaures Eisenoxydul eindringen zc. Noch einfacher gelangte Drevermann (Liebig, Ann. Chem. Pharm. 1853. 87. 120) zu seinem Zweck: er brachte je ein pulverförmiges Salz (neutrales chromsaures Kali und salpetersaures Bleioxyd) auf den Boden zweier ziemlich langer Glaszylinder, füllte sie sorgfältig mit Wasser, und stellte sie neben einander in ein größeres Becherglas, in welches soviel Wasser geschüttet wurde, daß dieses über beide Cylinder hinaus stand. Durch die nach oben stattfindende Diffusion war nach einigen Monaten das salpetersaure Bleioxyd in das Becherglas gelangt, und es bildeten sich am Rande des mit chromsaurem Kali gefüllten Cylinders schöne Kry-stalle von Rothbleierz, Melanochroit, Weißbleierz. Auf ähnliche Weise wurde Kalkspath und Aragonit (S. Rose Monatl. Abt. Wiss. 1860. 575) gemacht. Ja man hofft sogar durch Diffusion zweier Lösungen von Kiesels- und Thonerde in Kali noch Feldspath zu erhalten! Nicht so einfach ist das Verfahren von Bohl (l. c. 88. 114).

c) Auch der Einfluß schwacher Galvanischer Ströme scheint nach Becquerel's vielfachen Versuchen die KrySTALLISATIONSKRAFT wesentlich zu unterstützen (Compt. rend. 20. 1000; 34. 20 und 575). Aus einer concentrirten Lösung von Kupfervitriol und Steinsalz, mit 3 Volumen Wasser verdünnt, worin er ein mit Platindraht umwundenes Stück Bleiglanz eintauchte, hatte sich nach 7 Jahren Chlorblei in Würfeln abgeschieden. Wenn Bleiglanz allein auf die Lösung einwirkte, so erzeugten sich große Steinsalzkry-stalle, Chlorblei in Würfeln, Bleivitriol zc. Zu einfachen Versuchen biegt man die Glasröhre in Uform, füllt die Biegung mit Sand, gießt die verschiedenen Flüssigkeiten in die Schenkel und verbindet sie oben mit einem Kupferdraht. In der den Chemikern wohl-bekannten Zerlegungszelle von Bird (Grahams Lehrb. Chem. 1840. I. 411) kann aus einer Auflösung der Chloride von Eisen, Kupfer, Zinn, Zink, Wis-muth, Antimon, Blei, Silber das Metall mit vollkommenem Metallglatze und meist schön krySTALLISIRT ausgeschieden werden, selbst die Kieselerde erscheint aus den wässerigen Lösungen des Fluorkiesels in krySTALLINISCHEN Anfängen, ja Desprez glaubt mit einer schwachen galvanischen Batterie von Platindraht kleine Diamantkry-stalle erzeugt zu haben.

Bei diesen Bildungen auf nassem Wege ist nicht zu übersehen, daß unter einem höhern Druck die chemischen Prozesse anders werden können,

wie das Morlot am Dolomit nachzuweisen versucht hat. Senarmont (Ann. Chim. 1851. 32. 148) bekam aus Kiesellösungen mit einem geringen Zusatz von Salzsäure in verschlossenen Glasröhren bei Erhitzung von 200°—300° Quarzkrystalle und Daubrée (Études sur le métamorphisme 1860. p. 88) löste und krystallisirte durch überhitzte Wasser Silicate verschiedener Art.

2) Durch Sublimation entstehen in Vulkanen fortwährend noch viele Krystalle. Nicht bloß einfache Stoffe wie Schwefel, Arsenit, Quecksilber, Jod u. können sich verflüchtigen, und in den Höhlen der kalten Gesteine wieder verdichten, sondern vor allen sind die so sehr verbreiteten Chlorverbindungen ins Auge zu fassen. Chlornatrium, Chlorkalium und Chlorammonium verflüchtigen sich bekanntlich in allen Vulkanen, und setzen sich in den Kratern, nicht selten in großen Mengen, krystallinisch ab. Eisenglanz und Magneteisen erscheinen nicht bloß in Vulkanen, sondern in Töpferöfen und Salziedereien: sie sind als Chlorverbindungen verflüchtigt und dann durch heiße Wasserdämpfe zerlegt. Ähnlich könnte man aus Zinnchlorid und Titanchlorid von Zinnstein und Rutil entstanden denken. Selbst die Kieselerde wird von heißen Wasserdämpfen fortgerissen, wie der Versuch von Jeffreys beweist: derselbe ließ durch einen Fayence-Ofen eine große Menge Wasserdämpfe streichen, die am Ausgangsloch mehrere Pfunde Kieselerde in Gestalt von Schnee absetzten. Beweis dafür bildet auch die schneeweiße, seidenglänzende oder mehrlartige Kieselerde (Eisenamianth) der Hochöfen (Pogg. Ann. 85. 100). Hr. Daubrée (Compt. rend. 1854. XXXIX. 17. Juli) ließ Chloride dampfförmig oder rothglühend auf Vasen aller Art wirken, und erzielte dadurch höchst merkwürdige Resultate: Chlorkiesel gab dihexaedrische Krystalle von Quarz! Enthielten die Vasen Kali und Thonerde, so entstand sogar Feldspath; Cyanit, Granat, Beryll, Enklas, Korund u., selbst Turmalin konnten künstlich erzeugt werden, das wäre mehr als man noch vor wenigen Jahren zu erwarten wagte. Deville (Compt. rend. 1858. 46. 104) erlangte ähnliche Erfolge mit flüchtigen Fluormetallen:  $AlF_3$  auf B gab flüchtigen  $BF_3$  und krystallisirte Al; so kamen besonders Edelsteine Korund, Chrysoberyll, Spinell, Zirkon in ungewöhnlicher Deutlichkeit und Farbenpracht zu Stande. Es scheinen diese Versuche gewissen Feuertheorien sehr zu statten zu kommen. Ja man macht sich sogar mit den Gedanken vertraut, daß z. B. kleine Augite auf den Eisenglanztafeln von Plaidt in der Eifel nur durch Sublimation gerathen sein möchten.

3) Durch Schmelzung lassen sich mit Leichtigkeit viele Stoffe krystallinisch darstellen. Schon längst bekannt ist das Verfahren beim gebiegenen Schwefel und gereinigtem Wismuth: man schmilzt wo möglich größere Mengen, und läßt sie langsam erkalten, es setzt sich sofort die Masse ringsum krystallinisch ab. Wird dann die Decke durchgestoßen, das noch Flüssige abgegossen, so kommt beim Wismuth eine prachtvolle Druse, beim Schwefel ein zelliges Gewebe.

Manroß (Liebig's Ann. Pharm. 82. 340) schmolz 12 Theile schwefelsaures

Kali mit 52 Chlorbaryum zusammen, und bekam so Krystalle von Schwerspath, ebenso konnte er Gblestin und dreifachblättrigen Anhydrit erzeugen; Wolframsaures Natron mit Chlorcalcium oder Chlorblei gaben Krystalle von Tungstein und Scheelbleierz; Molybdänsaures Natron mit Chlorblei die schönsten durchsichtigen 2 mm großen Tafeln von Gelbbleierz zc. Erzeugung gewisser Krystalle gelingt besonders durch einen Zusatz von Kochsalz.

Ingenieur ist das Verfahren von Ebelmen (Compt. rendus 1851. XXXII 330): derselbe wählte Borax als Lösungsmittel, und setzte die Masse wochen- ja monatelang dem Feuer des Porzellanofens aus, der Borax verflüchtigt sich dann zum großen Theil, und die unverflüchtbare Masse bleibt krystallisirt zurück. So konnte er die werthvollsten Edelsteine, Korund und Sapphir, Spinell, Chrysoberyll zc. in meßbaren Krystallen darstellen.

Durch diese und andere Mittel ist der Chemiker im Stande, immer mehr Licht über Krystallbildung zu verbreiten, und mag er auch bis jetzt nur geringe Nachahmungen zeigen, so könnte doch vielleicht dereinst die Zeit kommen, wo die Natur in den meisten Formen von der Kunst erreicht, ja übertroffen würde. Dann wird man zwischen Mineralien und Chemikalien keine so bedeutende Scheidewand mehr ziehen wollen, als Mancher bis jetzt noch zu meinen scheint. Auch das

**Fortwachsen** der Krystalle bietet manche interessante Erscheinungen. Bei Quarz, Kalkspath, Schwerspath zc. findet man oftmals eine Anlagerung neuer Substanz auf alten verwitterten Ecken. Lösliche Salze an Ecken oder Ranten verstümmelt heilen in ihre Mutterlauge gelegt wieder, es findet dabei an verletzten Stellen eine besondere Thätigkeit statt. Alaun eignet sich dazu vorzüglich (Jordan, Müller's Archiv 1842. 46.). Pasteur (Pogg. Ann. 1857. 100. 157) zeigte es am doppelt apfelsauren Ammoniak, wobei er es in der Hand hatte hemiedrische und holoeidrische Flächen zu bekommen. Bei isomorphen Lösungen kann man sogar die Krystalle in verschiedenen Schichten aufbauen, den Kalialaun mit Chromalaun überfangen. Nach Hr. v. Hauer (Jahrb. geol. Reichsanst. 1859. Verhandl. 104) eignen sich besonders die schwefelsauren Doppelsalze der Magnesiumgruppe dazu, die „Reihenfolge, in welcher diese Ueberbildungen Statt finden können, hängt von dem relativen Löslichkeitsgrade ab.“ Es kann dabei die Schwefelsäure durch Selenäure, selbst Chromsäure ersetzt werden. Solche „Episomorphie“ wäre auch bei Mineralen denkbar. Wenn die Heteromerie pag. 180 begründet wäre, so sollte man auch verschiedene Substanzen derselben Form übereinander ablagern können, wie das reguläre System Beispiele bietet, allein das ließ sich bisher nicht erzielen. Hr. Dr. Scharff (aus der Naturgeschichte der Krystalle 1855) schreibt der Krystallbildung sogar gewisse Lebenskraft zu, nimmt ein theilweises Wachsen von Innen nach Außen an: junge Krystalle glänzen frisch, alte erscheinen wie abgestorben, die Tafeln des Schwerspaths gruppiren sich sogar mit „einem gewissen Selbstgefühl“: Ausdrücke, die wir dem sinnigen Betrachter nicht verargen wollen. Knop (Molecularconstitution und Wachsthum der Kryst-

Stalle 1867) und Hirschwald (N. Jahrb. Min. 1870. 100) haben auch den „Kry-  
stallgerippen“ besondere Aufmerksamkeit gewidmet, und darin verschiedene  
„Wachstumsgeetze“ finden wollen. Die

**Ausbildung** der Formen zeigt sich im Gebirge und an Handstücken  
sehr verschieden. Zu den vollkommensten gehören die eingesprengten  
Kry-  
stalle. Sie liegen in einer nachgiebigen Grundmasse, in welcher  
sie ringsum wachsen konnten. Zerschlägt man diese oder verwittert sie,  
so fallen die Individuen heraus. Die sogenannten porphyrischen Granite  
mit den grauen Feldspäthen, welche in allen Granitgebirgen eine so wich-  
tige Rolle spielen; der Gyps mit den rothen Quarzen von Spanien oder  
mit den Boraciten von Lüneburg; die alten Laven vom Vesuv voller  
Leucite liefern gute Beispiele. In den Alpen zeichnen sich besonders die  
Talk- und Chloritgiefier mit Granaten, Magneteisen, Staurolith, Tur-  
malin u. aus. So oft ein Kry-  
stall ringsum gebildet ist und keine An-  
satzstelle zeigt, muß er in einem Muttergestein seine Ausbildung erlangt  
haben. Die ältern Mineralogen, unter ihnen Linné, legten auf diese Er-  
scheinung ein übergroßes Gewicht, sie betrachteten die Gebirge geradezu  
als die Mütter (matres), welche von den männlichen Salzen (patres)  
befruchtet wären. Man kann die Sache auch künstlich nachbilden: eine  
Alaunlösung mit Thon gemischt ist nachgiebig genug, um die Ausbildung  
der Octaeder in ihrem ganzen Umfange nicht zu stören.

Kry-  
stalldrusen setzen sich dagegen in Höhlen und Spalten des  
Muttergesteins ab. Sie haben gewöhnlich eine Unterlage, die aus gleicher  
Substanz wie der Kry-  
stall besteht, gleichsam eine Wurzel, worauf die  
Individuen frei auswuchsen. Das anstehende Gestein kann daher gar nicht  
oder doch unvollkommener ausgebildet sein, als die freie Spitze. Die Berg-  
kry-  
stalle in den Alpen und die vielen Kry-  
stallisationen auf Erzgängen  
sind zu bekannt, als daß wir darüber viel sagen dürften. Zuweilen kann  
der Ansatzpunkt so unbedeutend sein, daß man Mühe hat ihn zu finden,  
wie einzelne Bleiglanz- und Bournonitkry-  
stalle von Neudorf auf dem  
Unterharz, oder Adulare in dem Alpengebirge. Aber schon die Reinheit  
ihrer Oberfläche deutet die Bildung im freien Raume entschieden an. Es  
war das oft nicht ohne Einfluß auf die Form. So findet man z. B.  
die Feldspäthe des Bavenoer Gesezes immer auf Drusen, die des Karls-  
bader stets eingesprengt; die Titanite in Drusen neigen zur Zwillingbil-  
dung, bei den eingesprengten im Sphenit findet sich nie ein solcher Zwilling.

Gestörte Bildung findet Statt bei eingesprengten, wenn die  
Mutter nicht nachgiebig genug war, bei Drusen, wenn es an hohlem  
Raum fehlte. Die Kry-  
stalle konnten dann zwar nicht zur gehörigen  
äußern Ausbildung kommen, allein die innere Structur hat darunter nicht  
gelitten, wie man das besonders deutlich an späthigen Mineralen erkennt,  
man sagt die Masse ist kry-  
stallinisch. Hauptsächlich gibt es zweierlei:  
das körnige und strahlige. Für das körnige bietet Cararischer Mar-  
mor, Dolomit, Magneteisenstein, Granit u. die schönsten Beispiele. Es  
haben sich die zahllosen Individuen so gedrängt, daß jedes dem andern

den Platz streitig macht, und da es gänzlich am Muttergestein fehlt, so konnte keines zur Form gelangen, obgleich alle krystallinisch wurden. Endlich werden die Körner so klein, daß die Frage entsteht, ob man die Masse noch krystallinisch ansehen solle oder nicht. Wenn das Körnige dem Eingesprenkten entspricht, so das Strahlige der Drusenform. Die Krystalle drängten sich in ihrem Streben nach freier Ausbildung so, daß sie sich gegenseitig der Länge nach drückten: der strahlige Kalkspath in Spalten der Kalkgebirge, die strahligen Quarze und Gypse in Gangtrümmern, viele Zeolithe zc. erläutern das Gesagte. Endlich werden die Strahlen zur feinsten Faser. Mit dem Fasrigen ist gar häufig eine halbkugelförmig gekrümmte Oberfläche verbunden, gegen welche die Fasern vom Centrum aus senkrecht strahlen. Unter den Eisenerzen zeigen der braune und rothe Glaskopf treffliche Beispiele. Kleinere Rundflächen nannte Werner traubig, größere nierenförmig. Es ist in dieser Glaskopffstructur, sowie in dem Fasrigen überhaupt ein letztes Verkümmern der Krystallbildung gar nicht zu verkennen, die dann durch zahllose Uebergänge von kugeligen, knolligen, garbenförmigen, rosettenförmigen und anders verkümmerten Krystallhaufen sich an das deutlich Krystallinische anschließen.

Bei Metallen und Erzen, welche in Dendriten, Blechen, zahn- und drahtförmig, in Platten und Klumpen anstehen, kann die Entscheidung, ob krystallinisch oder unkrystallinisch, öfter unmöglich werden. Werner war in Beschreibung aller dieser zufälligen äußern Gestalten sehr genau, indessen ergeben sie sich bei Beschreibung des Einzelnen so unmittelbar, daß wir darüber uns nicht weitläufig auszusprechen haben.

### Asterkrystalle (Pseudomorphosen).

Werner unterschied abgedrückte und incrustirte, welchen Breithaupt (Ueber die Aechtheit der Krystalle 1818) noch die metamorphischen hinzufügte, wozu besonders Brauneisenstein nach Schwefelkies und Spedstein nach Quarz den Anstoß gaben. Nehmen wir die incrustirten nur mit Vorsicht auf, so zerfallen die Dinge hauptsächlich in zwei wesentlich verschiedene Klassen: in chemisch veränderte und mechanisch erfüllte Formen. Da nun aber der Erfüllung stets eine chemische Zerstörung vorausgehen muß, so sind Mittelformen nothwendig (Epochen der Natur pag. 101).

Die Veränderung kann bei dimorphen Körpern zunächst ein einfaches „Absterben“ sein, wobei weder Stoff zu- noch wegkommt, die Atome gruppiren sich bloß anders (Paramorphose). Leicht kann man es bei amorphem Zucker (Bonbon) beobachten, derselbe wird nach wenigen Wochen strahlig und bröcklig, die Strahlen gehen von außen nach innen, werden also in der Mitte getrennt. Aehnlich die arsenichte Säure. Die Krystalle des durch Schmelzen erhaltenen 2 + 1gliedrigen Schwefels trüben sich beim Stehen schnell, weil sie bei gewöhnlicher Temperatur in die 2gliedrige Sublimationsform übergehen. Ebenso verändert sich das 2gliedrige schwefelsaure und selsensaure Nickeloxyd am Licht in lauter kleine



**Quadratottaeder.** Das gelbe Quecksilberjodid wird durch Berührung roth. Im Basalte von Schlackenwerth in Böhmen kommen Aragonite vor, die den Blätterbruch des Kalkspathes zeigen.

Gewöhnlicher ist ein Verlust an Stoff: haben die Minerale Wasser, so geben sie leicht einen Theil dieses Wassers ab, und trüben sich. So sind z. B. die Zeolithe wasserhell, allein ein geringerer Wasserverlust macht sie schneeweiß. Laumontit zerfällt zu Mehl. Eine Menge künstlicher Krystalle werden durch Wasserverlust unbrauchbar. Die Tagewasser laugen die Salze aus: so sind wenige Feldspäthe frisch und wohl erhalten, sie haben meist eine Trübung in Folge von Verlust des am leichtesten löslichen Kalisalzes, endlich zerfallen sie ganz zu Mehl (Porzellanerde). Einer der extremsten Fälle ist der, wo Rothgülden in Glaserz verwandelt wird, wie Mary ein Beispiel von der Grube „Junger Lazarus“ bei Marienberg, Blum von der Grube Churprinz bei Freiberg anführt, doch scheint dieß schon kein reiner Fall mehr zu sein.

Veränderung durch Aufnahme von Stoffen zeigt sich vortrefflich beim Anhydrit, der durch Verbindung mit Wasser zu Gyps wird. Gediegene Metalle können sich leicht oxydiren, wie Kupfer zu Kupferoxydul, und dieß kann dann weiter zum Malachit fortschreiten, wie so häufig bei den Kupfermassen im Ural geschieht. Der Martit von Brasilien scheint nichts weiter als Magneteisen zu sein, das durch Aufnahme von Sauerstoff zu Eisenoxyd ward. Eisenglanz wird leicht zu Brauneisenstein, die Manganerze haben meist eine Tendenz mehr Sauerstoff aufzunehmen. Wenn Bleivitriol die Stelle von Bleiglanz einnimmt, so scheint dieß zunächst nur eine einfache Aufnahme von Sauerstoff zu sein, die freilich nicht unvermittelt vor sich gehen konnte.

Ein Austausch von Stoffen fand am häufigsten Statt. Kann auch der Weg der Veränderung nicht immer sicher ermittelt, so doch häufig eine Möglichkeit construirt werden. Bei zu heterogenen Stoffen ist es gerathener, die Sache für mechanische Erfüllung zu halten. Außerordentlich häufig findet man Schwefelkieskrystalle in Brauneisenstein verwandelt. Das Doppelschwefeleisen  $\text{FeS}^2$  verwandelt sich dabei immer erst in Eisenvitriol  $\text{FeS} + 6 \text{H}$ ;  $\text{Fe}$  wird dann zu  $\text{Fe}$ , wie das so häufig bei Vitriollösungen geschieht. Eisenoxyd ist aber eine schwächere Basis als Oxydul, kann daher durch Kalk leicht seiner Schwefelsäure beraubt werden, wodurch dann  $\text{Fe H} = \text{Brauneisenstein}$  entsteht. Besonders leicht verwandelt sich auch Spatheisenstein  $\text{Fe C}$  an der bloßen Atmosphäre zu  $\text{Fe H}$ , die Lösungskraft des Wassers scheint hier allein das gelöste kohlensaure Eisen zur höhern Oxydation zu disponiren. Die verschiedenen Manganerze, besonders  $\text{Mn H}$ , sind immer zu höhern Oxydationen auf Kosten des Wassers geneigt. Complicirter werden die Verhältnisse schon bei Verwandlung des Olivins  $\text{Mg}^2 \text{Si}$  in Serpentin  $\text{Mg}^3 \text{Si}^4 \text{H}^6$ , und doch kann diese Veränderung nicht mehr geläugnet werden, denn wie sollte ein so normal amorpher Körper, wie Serpentin die Fähigkeit zum Krystallisiren erlangt haben. Bei Vergleichung der Formeln sieht man leicht,

daß 4 Atome Olivin =  $\text{Mg}^{12}\text{Si}^4$  zu Serpentin werden können, wenn dazu 6 H treten, und 3 Mg ausgeschieden werden, die als Mg C sich zwischen den Asterkrystallen abgeheft haben. Wasserdämpfe reichen also zur Verwandlung hin, aber trotz der Einfachheit ist dieser Weg wohl nicht eher bewiesen, als bis Versuche ihn nachgeahmt haben werden. Die kiesel-saure Magnesia spielt überhaupt eine große Rolle bei der Asterbildung. Da sie unter den alkalischen Erden die am schwersten lösliche ist, so wurde sie überall fallen gelassen, wo die Wasser andere Stoffe aufzunehmen Gelegenheit hatten. Bei Göpfersgrün ist selbst der Quarz verschwunden, und Speckstein an die Stelle der deutlichen Krystalle getreten. Noch auffälliger als alles dieses ist jedoch in vielen Fällen

Die mechanische Ausfüllung (Pleromorphose). Der aus Hornstein bestehende Haytorit kommt in einer Schönheit und Größe vor, die Verwunderung erregt, seine Form ist die des Datoliths, und da auf denselben Gängen zugleich Kalkspath und andere Minerale in Hornstein verändert waren, so kann man hier kaum an einen chemischen Austausch mehr denken. Auch auf sächsischen Gängen (Schneeberg) stecken glattflächige Kalkspathasterkrystalle unter einer rauen Kruste. Hier wurde offenbar durch Umhüllung des ursprünglichen Krystalles eine Form gebildet, welche die später folgende Kieselsubstanz mechanisch ausfüllte. In ähnlicher Weise füllt bei Ilmenau das Graumanganerz Mn, oder im Uebergangszustand von Sundwig Quarz und Roth-eisenstein die Formen von Dreikantnern des Kalkspaths. Am letztern Orte kann man die Formen, welche ausgefüllt wurden, noch abheben. Fremdartige Ueberzüge auf Krystallen sind auf Gängen eine so gewöhnliche Erscheinung, daß auf diese Weise Matrizen von den verschiedensten Krystallformen erzeugt werden konnten; man hat sie sogar Umhüllungspseudomorphosen (Perimorphosen) genannt, was nicht passend ist. Sind es dünne Hüllen, so zeigen sie freilich die Form des unterstützenden Krystalls, wie z. B. kleine Braunsparthromboeder häufig die Oberfläche großer Dreikantner von Kalkspath decken. Manchmal scheint die Hülle auch Folge der Zersetzung zu sein, wie z. B. die Kupferkieselschicht über dem Fahlerz von Zellerfeld angesehen werden könnte; das sind aber Ausnahmen. Uebrigens kommt häufig die Verlegenheit, ob man eine Bildung als mechanische oder chemische Ausfüllung ansehen soll. Könnten die Zinnsteinkörner in den Feldspathen von Cornwall nicht gar zu sicher von dem beigemischten Quarz unterschieden werden, zwischen welchen das Erz eindringt, so würde man hier eine Vermischung beider Geseze vermuthen. Andererseits muß man wieder die Sicherheit bewundern, mit welcher Formen selbst der löslichsten Substanzen sich ausfüllten. Einzig in dieser Art ist der sogenannte krystallisirte Sandstein auf der Unterseite der Sandsteinplatten und Steinmergel des Keuper, jene bekannten Würfel mit ihren eingedrückten Seiten sind ohne Zweifel Steinsalz gewesen, aber wie konnte in einem Schlamme die Ausfüllung mit solcher Bestimmtheit vollendet werden? (Epochen der Natur pag. 109.) Etwas sehr Auffallendes haben die

**Kernkrystalle** (Leonhard's Jahrb. 1860. 250) aus dem Marmor von Arendal, woran nicht selten papierdünne frische Granathüllen von der Form des Granatoeders ein Durcheinander von Marmor, Quarz, Epidot, Skapolith zc. umhüllen.

### Das Mikroskop.

welches auf dem organischen Gebiete so große Eroberungen gemacht hat, wird seit Brewster auch mit Erfolg auf Mineralieneinschlüsse angewendet. Um bei Felsen kleinere Gemengtheile zu erkennen, pulverisirte und schlemmte Cordier (Ann. Chim. Phys. 1816 III. 285) das Gestein, aber erst die Idee der Dünnschliffe, worauf Nicol (Bronn's N. Jahrb. 1833. 466) verfiel, und die durch den Optiker Britchard (Jahrb. 1842. 155) in den Handel kamen, eröffneten die bessere Bahn. Anfangs wurden hauptsächlich Kieselhölzer und Knochen untersucht, bis Sorby in Sheffield (Quart. Journ. Geol. Soc. 1851. VII. 1) die Aufmerksamkeit auch auf Gesteine und Minerale lenkte. Ganz besondere Schärfe bekommen die Bilder im polarisirten Lichte: ein Nicol unter dem Präparat, und ein zweiter über dem Objectiv oder Ocular, aber dann mit kleinerem Gesichtsfelde, läßt die Doppelbrechenden Mittel in den herrlichsten Farben erscheinen, nur was zufällig senkrecht gegen die optischen Axen geschliffen ist, ändert wie die amorphen und regulären Körper nicht. Auf dunkeln Grund bei gekreuzten Nicols treten die Farben am prächtigsten hervor, durch die Drehung des Analyseur um  $90^\circ$  schlagen sie aber in die Complementärfarben um. Außerdem haben die Dicke der Substanzen und ihre Schwingungsebenen noch den wesentlichsten Einfluß: dreht man das Präparat horizontal, so ändert sich die Farbe allmählig, und wird am brillantesten, wenn die Schwingungsebene  $45^\circ$  mit der des Nicol macht. Auch auf die Newtonianischen Farbenringe, welche sich an der Grenze zweier verschieden brechender Mittel erzeugen, muß geachtet werden.

Die richtige Mineralbestimmung unterm Mikroskop, sowohl im gewöhnlichen als polarisirten Lichte, ist jedenfalls viel schwieriger, als mit unbewaffnetem Auge, allein wo dies nicht hinreicht, geben die vergrößerten Schliffe noch wichtige Erkennungsmittel, namentlich für Felsen und Krystalleinschlüsse. Im Granit und Porphyr hat man gewöhnlich seine Noth die eingliedrigen Feldspäthe zu erkennen, mäßige Vergrößerung im polarisirten Licht gibt sogleich Aufklärung, wie bestehender Porphyr von Wurzeln an der Mulde zeigt: in der unsichern Grundmasse erkennt das bloße Auge zwar schon die dunkeln Glimmerflecke, allein die Plagioklase P geben sich erst durch die farbigen Streifen im polarisirten Lichte zu erkennen. Gleichmäßig aber brillant sind die Farben des Quarzes, denen fast nie die dunkeln Punkte von Hohlräumen mit Flüssigkeit fehlen. Der Feldspath F hat gewöhnlich etwas Trübes und Flockiges, besonders in Graniten und Gneusen.



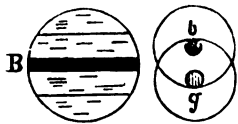
Das berühmte Gestein vom Weiffelberge bei St. Wendel in der Pfalz im Schimmer einem schwarzen Pechstein gleichend, aber mit Man-



deln von Regenbogen-Achat, wird gewöhnlich **Melaphyr** genannt: die Hauptmasse zeichnet sich durch eine Menge kleiner Stäbchen (Microlithe) aus, die auf das Licht weniger einwirken als ächter Plagioklas, und daher als Glas gedeutet werden, obwohl die oblongen Täfelchen in der Mitte mit einem dunkeln Schatten lebhaft an Krystalle erinnern. Zwischen diesen Stäbchen liegt noch eine bräunliche

Masse, welche sich mit der Hartnack'schen Immersionslinse No. 9 in regellose Pünktchen auflöst, und die eigentliche glasige Grundmasse bildet. Weder bloßes Auge noch Lupe nimmt davon die geringste Spur wahr. Deutlicher treten zwar die weißen Krystalle durch ihre Größe hervor, allein über den Bau, welcher in den Schliffen durch seine Streifen sich sofort als Plagioklas zu erkennen gibt, kann man kaum mehr als vermuthen. Die viereckigen Schlißflächen zeigen gewöhnlich eine lichte und eine dunkle Hälfte, was auf Bierlinge nach dem Karlsbader Gesetz hindeuten scheint. Die schwarzen Flecke sind Magneteisen, und zerklüftete Platten Olivin o.

Apatit, der die Böden so fruchtbar macht, fehlt fast keinem Vulkanischen Gestein, und läßt sich an seinen schlanken Nadeln mit sechsseitigem Querschnitt erkennen, während Nephelin kürzere und plumpere Säulen zu haben pflegt. Hornblende und Augit verrathen sich meist durch braune oder grüne Farbe. Die Hornblende ist nicht bloß safriger als Augit, sondern auch stark dichroitisch, was man nach Tschermak (Sigg. Wien. Abh. 1869 Bd. 60. 1 pag. 5) mit dem untern Nicol erkennt, den man stecken läßt, während der obere weggenommen wird. Man braucht nun aber den Nicol nicht zu drehen, sondern dreht viel bequemer das Präparat, wobei dann die Hornblendebälkchen ihre Farbe ändern, und zuweilen ganz dunkel werden. Zu dem Ende ist es gut, den Nicol symmetrisch zu stellen, so daß seine Polarisationsebene mit der Medianebene des Instruments zusammen fällt. Drehe ich nun die Hornblendebälke mit ihrer Axe c in die Medianebene, so ist sie dunkel. Ganz vortrefflich zum Studium ist der blaugrüne Pennin, welcher längs der Axe geschnitten



prachtvoll gelb durchscheint: das Gelb g kommt, sobald die Axe c median liegt, quer stellt sich das Blaugrün b wieder ein. Will ich beide Farben nebeneinander vergleichen, so nehme ich den Nicol heraus, stelle das Dichroskop median auf das

Deutlar, und schraube etwas hinab. Eine brillante Erscheinung, und zugleich die lehrreichste Anwendung des Dichroskops; man kann dabei das viereckige Diaphragma weglassen, oder auch bloß durch einen Kalkspath sehen. Die Farben sind viel lebendiger, als wenn man bloß direct betrachtet. Da man nun bei starker Vergrößerung die kleinsten Partikeln

figuriren kann, so darf man die Prüfung mit dem Dichroskop nie unterlassen. Merkwürdig treten an unserm Schliff zwischen das Gelb blaugrüne Streifen B, welche Zwillingsslamellen sein dürften. Die andern schmalen Querstriche rühren vom Blätterbruch her. Dazwischen liegen aber noch zahlreiche kurze Querstriche, die lebhaft an Striche wie vom Mikrometer erinnern, und deutlicher hervortreten, wenn man den untern Nicol einschiebt.

Olivin erscheint gewöhnlich ritzig, zahllose verzweigte Röhrchen dringen vom Rande aus ins Innere, welche den Zersetzungsprozess zu Serpentin beginnen, wie unser Stück vom Eisenrüttel bei Dottingen westlich Münsingen zeigt. Zittel gibt sogar in den Hohlräumen flüssige Kohlen Säure an, doch sind die Räume klein, aber in großer Zahl vorhanden, Züge bildend, wie der Zug b zeigt, der schief ins Innere dringt. Bei stärkerer Vergrößerung erscheinen viele schwarze Punkte von Magneteisen, und eigenthümlich gefingerte Flecke, so licht wie seine Farbe, wodurch wir ihn namentlich in Dünnschliffen leicht von andern grünen Begleitern unterscheiden. Lichter ist jedoch noch der Quarz, welcher zumal im Granit sich durch eine Masse von Hohlräumen unterscheidet. Eine der schönsten Eroberungen hat das Mikroskop am

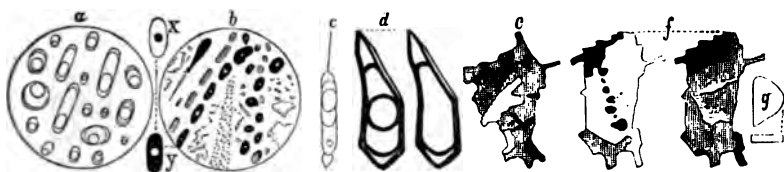


Leucit gemacht. Fast keiner der runden Krystalle ist frei von dunkeln Einschlüssen, wie man sie längst mit bloßem Auge bei den Krystallen von Borghetto beobachtete. Ich fand in alten Sammlungen ein graues Gestein mit weißen kugelförmigen Zeolithen auf großen Drusenräumen »Gismondin ou Abracite globulaire blanche de Schizzanello près de Rome«. Herr Rechtsconsulent Hahn machte davon einen Dünnschliff, und nun zeigte sich nichts als klare Leucite, kein einziger ohne die charakteristischen dunkeln Kügelchen, deren beim Herausdrauben immer wieder andere zum Vorschein kommen. Der Selce Romano vom Capo di Bove stimmt damit vollkommen überein. Einzelne große klare Krystalle sind dennoch mit winzigen Kügelchen übersät, und im polarisirten Lichte erscheint bei gekreuzten Nicoln ein eigenthümliches helles und dunkles Gitterwerk, wie es Birtel (Mikroskop. Beschaff. Min. 1873 pag. 152) so markirt zeichnete. Wenn sie einem Stück angehören, bemerkt man nur rechtwinkliche Streifung, aber bald breiter bald schmaler. Da die Schatten sehr lebhaft sind, so kann man mit ihnen am schärfsten den Moment treffen, wo sich die Polarisationsebenen des Nicol genau kreuzen. Ganz besonders scharf bei hellem Kerzenlichte, aber das Gitterwerk schwindet bei der Drehung im Kreise vier Mal, und kehrt vier Mal wieder. Die kleinen zeigen kein solch Getäfel, sondern nur schwarze Flecke, wovon die größern im Centrum mit einer lichten Stelle für Gasbläschen gehalten werden.



**Sorby** (Quart. Journ. geol. Soc. 1858 XIV pag. 453) unterschied zuerst Fluid-, Gas-, Vapour-, Stone- und Glass-cavities, ging bis auf 2000fache Vergrößerung, um darauf seine Schlüsse über die Bildung zu gründen. Die

**Flüssigkeitsporen** in den Brasilianischen Topasgeschiebern, besonders wenn sie einen grünlichen Schein haben, wie unserer, beobachtete und beschrieb Brewster schon 1823 (Edinburgh phil. Journ. IX. pag. 95). Er wies darin zweierlei Flüssigkeiten nach: eine äußere die Ecken der Höhlungen einnehmende mit dem Brechungssexponenten 1,3 (Dana's Cryptoline) und eine innere mit runder Libelle und 1,2 Brechungssexponenten (Brewsterline). Schon beim Erwärmen in der Hand verschwindet die Libelle, ohne daß sich beide Flüssigkeiten mischen, erscheint dann aber sogleich wieder, da ihre Umgebung 21mal ausdehnbarer ist als Wasser. Simmler (Pogg. Ann. 1858 Bd. 105, 66) vermuthete darin **flüssige Kohlensäure**, was Vogel sang (Pogg. Ann. 1869 Bd. 137, 66) durch Experimente, sowohl spectralanalytisch mit Geißler'schen Röhren als auch chemisch durch Trübung von Kaltwasser, bestätigte. Kein Mineral eignet sich zu diesen interessanten Beobachtungen besser, als der Topas, da er wegen seines ausgezeichneten Blätterbruchs leicht ohne Schliff in brauchbare Platten gespalten werden kann. Man sieht dann schon bei kleiner Vergrößerung eine Menge kohlschwarzer Punkte, die sich zahllos wie Milchstraßen am Himmel schief gegen den Blätterbruch in die Tiefe ziehen, und bei Veränderung der Focaldistanz colonnenweis über die Fläche ziehen. Die Größe der Punkte ist zwar außerordentlich verschieden, allein eine gewisse Größengruppirung läßt sich doch nicht verkennen. In der Mitte der Schwärze gewahren wir ein helles Pünktchen. Wenn wir den Spiegel dunkel stellen und im reflectirten Lichte die Sache betrachten, so wird plötzlich alles Dunkel hell, und das Helle dunkel, es scheint in den silberglänzenden Zellen ein kleiner schwarzer Nucleus zu schwimmen, der bei den länglichen Zellen sich in eine Längsreihe von Pünktchen auflöst. Von den schwarzen müssen die hellern, welche beim Wechsel des Lichtes wieder hell und dunkel werden, wohl unterschieden werden, sie enthalten deutlich obige zwei Flüssigkeiten mit Libelle. Diese Libelle verschwindet, sobald wir den Finger drauf halten, um sogleich wiederzukehren. Jetzt tauchen wir das Stück in heiß Wasser, sogleich verschwinden wieder alle Libellen, aber nach wenigen Secunden beginnt eine lebhafte Bewegung, als wenn kleine Infusionsthierchen vorüber huschten, es sind Gasblasen, welche beim Erkalten sich wieder an bestimmten Stellen sammeln. Zu unserm Erstaunen sehen wir nun, daß das meiste Leben nicht in den Blasen, sondern in den Platten Statt findet, welche sich ungefähr parallel dem Blätterbruch einlagern, und die man anfangs fast übersieht. Die Gasperlen lassen sich an ihrer Dunkelheit erkennen, und erzeugen an den Rändern schwarze Platten, welche im Ganzen bei dem Erkalten immer wieder dieselben Stellen einzunehmen streben. In nachfolgendem Bilde will ich einiges zusammenstellen und kurz erklären:



a im durchscheinenden Lichte helle Bläschen mit zwei Flüssigkeiten und einer Libelle; b Züge schwarzer Blasen von der verschiedensten Größe mit einem kleinen lichten Kern in durchfallendem (y), dagegen silberglänzend mit schwarzem Kern (x) in reflectirtem Lichte; c geschwänzte Blase mit einem Würfelkrytall in der äußern Flüssigkeit; d größere Blase (links) mit Libelle, die (rechts) verschwand, als ich den warmen Finger drauf bedeckte, und dann sofort wieder kam; e Flüssigkeitsplatte in reflectirtem Lichte, wobei die Blasen hell, und die äußere Flüssigkeit dunkel wird; f Platte in durchfallendem Lichte, die schwarze Stelle rechts bezeichnet Gas, das in der Wärme verschwindet, beim Erkalten aber wieder zum Vorschein kommt, wobei schnell bewegte dunkle Blasen (links) erscheinen, die sich wieder an alter Stelle sammeln, und dann ruhig bleiben; g Größe des Stückes, worin alles dieses und noch viel mehr gesehen wird.

Auch Quarz zeigt oftmals gute Beispiele: die meisten fand ich vor Jahren am Fuße des Großglockner auf dem Pasterzengletscher, woran schon das bloße Auge ganze Schaaren von Bläschen wahrnimmt, die der verberben Masse ein etwas trübes Ansehen geben, aber das vielgepriesene Zittern der Bläschen sieht man doch nicht häufig, auch Sorby fand es nur bei starker Vergrößerung. Auf die

**Glasporon** wird gewöhnlich ein großer Werth gelegt, weil man daraus folgern kann, ob die Masse einstmals in heißem Fluß war oder nicht, allein leider sind sie den Flüssigkeitsporon häufig so ähnlich, daß zu ihrer Unterscheidung große Übung gehört, zumal da sie gewöhnlich auch eine Blase haben, doch ist dieselbe nicht beweglich, öfter in zwei oder mehrere zertheilt, wie unsere Copie aus einem glasigen Feldspath der Besuvauwürfinge zeigt, im Innern und am Rande treten gern Kryställchen auf, die beim langsamen Erkalten sich ausbilden konnten. Sicherer jedoch ist die



**Fluidaltextur**, wie wir sie bei homogenen Basalten und namentlich Gläsern finden, was nebenstehender **Obsidian** vom **Raufasus** deutlich macht: man sieht in einer Grundmasse gebogene Fasern liegen, die jedem Widerstande auszuweichen scheinen. Darin schwimmen mehr oder weniger deutliche Mikrolithe, welche sich in ihrer Längsrichtung dem Strome möglichst anzupassen suchen. Wo nur irgend Gesteine und Minerale zur amorphen Glasmasse sich neigen, fehlt es nicht an solchen Merkmalen.



### Einteilung.

Leider hat man sich über die Einteilung der Minerale noch weniger vereinigen können, als über die der Pflanzen und Thiere. Das System hat hier aber auch geringere Bedeutung. Die ältern Mineralogen gruppirten mehr nach äußern Kennzeichen, und dieses Princip. werden wir wohl nicht aufgeben können, wenn die Mineralogie mehr sein soll, als eine bloße Domaine der Chemie. Den Umfang betreffend, so rechnete Mohs zum Mineralreich alles, was nicht Pflanze noch Thier ist, namentlich also Luft und Gase. Doch was kann ein Mineraloge weiter über diese sagen, als was der Physiker und Chemiker lehrt, zumal da man sie nicht sieht. Werner schloß sogar auch das Wasser aus. Dann bliebe weiter nichts als der feste Theil der Erde über. Darin sind vor allen die eigentlichen Steine von den figurirten Steinen (Petrefakten) zu trennen, welche letztere in der Petrefaktenkunde (Handbuch der Petrefaktenkunde. Tübingen 1852) abgehandelt werden. Die alte Klasse der Inflammabilien (brennlichen Fossilien), wenn man davon den ächt mineralischen Schwefel abzieht, ist eigentlich auch ein Fremdling, denn Kohle, Harze, Oele sind Producte des Pflanzen- und Thierreichs. Man kann sie sich höchstens als Anhang gefallen lassen. Das Uebrige bilden dann die Gebirgsarten und Mineralspecies: erstere handelt die **Petrographie**, letztere die **Mineralogie** ab. Freilich kommt man dabei oft in den Fall des Zweifels, was man Felsen, was Mineral nennen soll, doch sei dabei nicht zu engherzig, was thut's, wenn du etwas beiläufig beschreibst, das streng genommen nicht hingehört. Das ächte Mineral soll eine chemische Verbindung sein, die in allen ihren Punkten gleichartig (derb) ist. Die Gleichartigkeit gibt sich am sichersten durch den Krystall kund, und daher bilden die Krystalle den hauptsächlichsten Gegenstand. Freilich kommen neben den Krystallen auch safrige und dichte Massen von solcher Gleichartigkeit vor, daß man nicht umhin kann, sie als Species aufzuführen, doch leidet hier nicht selten die Sicherheit der Bestimmung, und ohne chemische Hilfe kommt man dann nicht zum Ziele.

Bei der Einteilung darf vor Allem auch das Pädagogische nicht aus den Augen gelassen werden, denn das System soll uns in die Sache auf dem besten Wege einführen. Wenn man daher mit dem Unwichtigsten unter allen, mit den Gasen oder mit dem Wasser anfängt, so scheint mir das sehr unpädagogisch. Da machte es Werner besser, er stellte gleich den König der Edelfsteine, den Diamant, an die Spitze.

Werner schied überhaupt vier Klassen:

I. Erdige Fossilien. 1) Demant. 2) Birkon. 3) Kieselgeschlecht. Hierunter handelt er die wichtigsten Silicate, wie Augit, Granat, Spinell, Korund, Beril, Pistazit, Quarz, Zeolith, Feldspath etc. ab. 4) Thon. 5) Talk. 6) Kalkgeschlecht, worunter Kalkspath, Apatit, Fluß, Gips, Boracit etc. begriffen wird. 7) Barit. 8) Stronthian. 9) Kryolith.



II. Salzige Fossilien, begreifen nur Soda, Salpeter, Steinsalz, Salmiak, Bitriol, Glaubersalz, Bittersalz.

III. Brennbare Fossilien. Schwefel, Erdöl, Kohlen, Graphit, Bernstein.

IV. Metallische Fossilien, werden nach ihrem Metallgehalt classificirt, 1) Platin. 2) Gold. 3) Quecksilber. 4) Silber. 5) Kupfer. 6) Eisen. 7) Blei. 8) Zinn. 9) Wismuth. 10) Zink. 11) Spiesglas. 12) Silvan. 13) Mangan. 14) Nickel. 15) Kobold. 16) Arsenik. 17) Molybdän. 18) Scheel. 19) Menak. 20) Uran. 21) Chrom. 22) Cerin. Auch

Haüy hat in seinem *Traité de minéralogie* Paris 1802 wesentlich dasselbe System mit 4 Klassen.

I. Säurehaltige Körper. 1) Kalk, und zwar wird mit dem Kalkspath begonnen, welcher Haüy mitten in sein System führt. 2) Baryt. 3) Strontianit zc.

II. Erdartige Fossilien: Quarz, Zirkon, Telesin, Glimmer zc.

III. Unmetallische brennbare Körper: Schwefel, Diamant, Bitumen, Kohle, Bernstein, Honigstein.

IV. Metallische Substanzen, ähnlich wie bei Werner nach den Metallen zusammengestellt.

Den Systemen dieser beiden Meister schließt sich das von

Weiß am engsten an (Karsten's Archiv für Min. Geogn. Bergb. u. Hüttenk. 1829, Bd. I pag. 5). Es werden 7 Ordnungen unterschieden.

1) Oxydische Steine oder Silicate, hier spielt Kiesel-erde die Hauptrolle. Sie gehören unbedingt an die Spitze des Reiches, nicht bloß weil sie auf der Erde die wichtigste Rolle spielen, sondern weil sie sich auch am meisten von den chemischen Kunstproducten entfernen, und der Nachahmung die größte Schwierigkeit in den Weg legen. Obenan der Quarz, die reine Kiesel-erde, denn durch kein anderes kann uns der Begriff eines Minerals deutlicher vorgeführt werden, als durch diesen. Feldspath, Glimmer, Hornblende führen uns sogleich zu den wichtigsten Fels-steinen, während Granat den Uebergang zu den Edelsteinen vermittelt, an deren Spitze ich den Diamant stelle, wenn er auch reiner Kohlenstoff sein mag.

2) Salinische Steine und

3) Salinische Erze umfassen beide sämtliche Basen mit Säuren, welche nicht Kiesel-säure sind. Erz (Metallbasis) und Stein (Erdbasis) kann wegen des Isomorphismus nicht gut auseinander gehalten werden, daher muß man in vielen Fällen beide mit einander vermischen. Am Ende finden Wasser und künstliche Salze ihren besten Platz.

4) Edle Metalle sind die einzigen einfachen Stoffe, welche in der Natur vorkommen.

5) Oxydische Erze begreifen Metalle mit Sauerstoff und Wasser, ohne eine Säure.

6) Geschwefelte Metalle haben statt des Sauerstoffs Schwefel,

es sind also Verbindungen von Sulphosäuren mit Sulphobasen. Statt des Schwefels kann aber auch Selen, Arsen, Antimon, Tellur auftreten.

7) Inflammabilien. Es ist gut, hierin nur das zusammenzustellen, was entschieden organischen Ursprungs ist. Namentlich scheide ich den Schwefel und Diamant davon. In dieser Weise bilden sie eine sehr natürliche Ordnung, die aber mehr der Geognosie als der Mineralogie angehört.

Im Ganzen kommen alle naturhistorischen Systeme wenigstens in vielen Gliedern immer wieder auf diese Einteilung zurück. Denn Einzelnes ist darin zu natürlich, als daß davon abgewichen werden könnte. Wo aber abgewichen wird, da trifft es meist gleichgültige Sachen. Am wenigsten zu billigen sind diejenigen Anordnungen, worin durch eine Menge neugeschaffener Worte das Gedächtniß beschwert wird.

Von rein chemischen Systemen sind die von Berzelius am bewährtesten. Sein erstes wurde 1816 durch Schweigger's Journal XV. 427 in Deutschland bekannt. Es ist nach dem elektropositiven Bestandtheile in zwei sehr ungleiche Klassen geordnet. 1ste Klasse enthält sämtliche Mineralien, 2te Klasse die Inflammabilien nebst den Ammoniaksalzen. Das System beginnt:

A. Sauerstoff.

B. Brennbare Körper.

1ste Ordnung. Metalloide: Schwefel und seine Verbindungen mit Sauerstoff; . . . Kohlenstoff und Kohlenäure zc.

2te Ordnung. Elektronegative Metalle: Arsenit nebst Dryden und Sulphureten; . . . Antimon, Nutil . . .

3te Ordnung. Elektropositive Metalle: Iridium, Platin, Gold nebst seinen Tellureten . . . Silber nebst Sulphureten, Antimonieten zc.

Blei: Sulphurete, Tellurete, Dryde zc.

Aluminium: Sulphate, Silicate, Hydrate. . . .

Magnesium: Sulphate, Carbonate, Borate, Silicate. . .

Calcium: Sulphate, Phosphate, Fluide, Carbonate, . . . Silicate.

Zuletzt Kalium mit Sulphaten, Nitraten und Silicaten.

Berzelius fühlte bald, daß durch den Isomorphismus der Basen sich doch trotz der scheinbar großen Consequenz ein sehr unangenehmer Spielraum der Stellung ergab. Er fügt daher gleich den Vorschlag zu folgendem andern bei, welches nach der elektronegativen Substanz eintheilt:

1ste Ordnung. Nichtoxydirte Körper:

1) Gediogene; 2) Sulphureta; 3) Arseniata; 4) Stibiata; 5) Tellureta; 6) Osmiata; 7) Aurota; 8) Hydrargyreta.

2te Ordnung. Oxydirte Körper:

1) Dryde mit oder ohne Wasser, a) Säuren, b) Basen; 2) Sulphate; 3) Nitrate; 4) Muriate und Muriocarbonate; 5) Phosphate; 6) Fluide und Fluosilicate; 7) Borate und Borosilicate; 8) Carbonate; 9) Arseniate; 10) Molybdate;

11) Chromate; 12) Wolframate; 13) Tantalate; 14) Titanate; 15) Silicate; 16) Aluminate.

Die Sache wurde später in Poggendorf's Annalen 1828. XII. 1 weiter ausgeführt, und neuerlich ist Haumelsberg (Pogg. Ann. 1847. 71. 477) wieder darauf zurückgekommen. Dennoch hat es bei den Mineralogen von Fach keine Wurzel schlagen können, weil die äußern Aehnlichkeiten doch zu wenig hervortreten.

Eben so wenig ist eine Eintheilung nach der bloßen Form naturgemäß, so angenehm sie für die Uebersicht der Krystalle auch sein mag. **G. Kose**, (das krystallochemische Mineralsystem, Leipzig 1852, sucht zwar beides zu verbinden, aber doch nur so weit, als der Isomorphismus zur Zusammenstellung nöthigt. Im Ganzen stimmt dessen Anlage mit dem zweiten System von Berzelius überein:

- I. Einfache Körper, 30 Nummern.
- II. Schwefel-, Selen-, Tellur-, Arsenit-, Antimon-Verbindungen, die in 51 Binäre und 36 Doppelbinäre gruppiert werden.
- III. Chlor-, Fluor-, Jod- und Brom-Verbindungen, 13 Nummern.
- IV. Sauerstoffverbindungen, diese zerfallen nun zwar in 26 Binäre und Doppelbinäre, allein für letztere bleiben mehr als 400 Nummern, also mehr als  $2\frac{1}{2}$ fach aller übrigen. Das ist eine große Ungleichheit. Aber noch ungleicher ist die Eintheilung von **Kose**
  - I. Klasse: Gase, Wasser, Säuren, Salze (Soda, Glaubersalz, Salpeter, Steinsalz, Vitriol u.).
  - II. Klasse: Haloiden (Gyps, Kryolith, Flußspath, Kalkspath); Baryte (Spatheisen, Schwerspath, Weißbleierz u.); Kerate (Horn-erz); Malachite; Glimmer (Kupferglimmer, Vivianit, Graphit, Talk, Glimmer); Spathe (Schillerspath, Cyanit, Spodumen, Zeolithe, Feldspath, Augit, Lasurstein); Gemmen (Andalusit, Corund, Demant, Topas, Smaragd, Quarz, Borazit, Granat, Gadolinit); Erze (Titanit, Rothkupfererz, Zinnstein, Magneteisen, Brauneisenstein, Manganerze); Metalle; Kiese; Glanze (Glaserz, Bleiglanz); Blenden (Blende, Rothgülden); Schwefel.
  - III. Klasse: Harze, Kohlen.

Im Ganzen gehen die Systeme nicht so weit auseinander, daß nicht eine Vereinigung aller auf eines in endlicher Aussicht stünde. Das wird aber nicht eher geschehen, bis irgend eines bei weitem die größte Anhängerzahl gefunden haben wird. Freilich können dazu nur innere Gründe führen. Aber wenn man einmal erkannt hat, daß in der Anordnung allein nicht das Wesen beruht, so wird man gern dem Vortheil nicht entgegen sein, welchen es gewähren muß, wenn alle Lehrer und Lehrbücher den gleichen Gang befolgen. Möge das bald kommen.

## Erste Klasse.

### Silicate oder eigentliche Steine.

Ob man Kiesel-erde Si oder Si schreibe, liegt gegenwärtig wieder im Streit. Berzelius nahm Si, weil Feldspath dadurch eine einfache dem wasserfreien Alaun entsprechende Formel erhält. Kopp (Pogg. Ann. 1856. 510) kam durch den Siedepunkt des flüssigen Chlorkiesel zur gleichen Ansicht. Dagegen bewies Marignac (Compt. rend. 1858. 46. 554), daß Fluosilicate mit Fluostannaten isomorph seien, darnach sollte Kiesel-erde (Si) wie Zinn-oxyd (Sn) geschrieben werden. G. Rose (Pogg. Ann. 107. 502) machte es sogar wahrscheinlich, daß Zirkon mit Zinnstein isomorph sei. Dann würde Zirkon, als  $ZrSi$  geschrieben, die Si in viergliedriger Form enthalten. Auch nach der Dampfdichte des Fluor- und Chlorsiliciums sollte man Si schreiben. Da es aber an der Sache nichts ändert, ob man Feldspath  $KAlSi^4$  oder  $KAlSi^6$ ; Augit  $R^3Si^2$  oder  $R^3Si^3 = RSi$  schreibe, so ist es für den Mineralogen in vielen Fällen gleichgültig. Das stabile Verhältniß von Si : O = 7 : 8 wird dadurch in nichts geändert.

Die Verbindungen mit Kiesel-erde spielen unbedingt auf der Erdoberfläche die erste Rolle, daher kann man mit keinem Minerale wohl passender anfangen, als mit der Kiesel-erde selbst (Quarz). Auf zweiter Linie steht die Thonerde Al, sechswerthig und isomorph mit Fe, Mn, Cr. Im Feuer bildet sie gegen Si immer die Base, wenn es aber an Kiesel-erde fehlt, so mag sie auch wohl die Rolle der Säure übernehmen. Auf dritter Linie folgen: Ka, Na, Li, Mg, Ca, Fe, Mn etc., die nur als Basen erscheinen. Alle diese Stoffe verbinden sich mit der Kiesel-erde in so mannigfaltigen Verhältnissen, daß letztere darin alle anorganischen Säuren weit übertrifft (Mammelsberg Pogg. Ann. 72. 55), und da es bis jetzt von den wenigsten Silicaten gelungen ist, die Bedingungen ihrer Erzeugung künstlich, eben so vollkommen wie die Natur, herbeizuführen, so entfernen sie sich von den gewöhnlichen Chemikalien am weitesten, und mahnen uns mehr an organische Producte, welche gleichfalls chemische Kunst nicht wachsen lassen kann. Auch das haben sie mit dem organischen Körper gemein, daß nur wenige Stoffe zur wunderbaren Mannigfaltigkeit ihrer Krystalle beitragen.

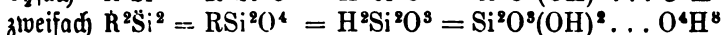
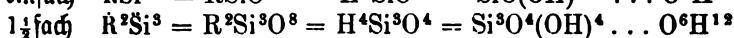
Kiesel-erde kennt man in zwei Modificationen: krystallinische 2,6 Gew., die häufigste, ist im Wasser, Kali und in Säuren unlöslich,

nur Flußsäure wirkt kräftig darauf ein; amorphe 2,2 Gew. findet sich gelöst in Quellen, Flüssen und Meeren: die Geysirquelle auf Island hat  $\frac{1}{100}$ , das Meer 3 Hunderttausendel, der Rhein ein 4 Hunderttausendel. Der Krater von Vulkano warf neuerlich eine weiße Asche aus mit 95,5 pC. Kiesel Erde von 2,2 Gew. Doch muß man dabei auch des Tridymit 2,3 Gew. gedenken. Heißes Wasser löst mehr als kaltes, und die Gegenwart von Säuren und Alkalien befördert ihre Lösung. Die Zeolithe enthalten sie im festen Zustande. Merkwürdiger Weise kann sie aber leicht durch Glühen in die unlösliche Modification übergeführt werden. Graham (Pogg. Ann. 123, 529) nannte gegenüber dem Crystallloid den Zustand Colloid, weil es wie Leim ( $\kappaόλλα$ ) nicht durch poröse Membranen geht. Da nun die Si auf nassem Wege nur die Rolle einer schwachen Säure spielt, auf trockenem dagegen alle übrigen Säuren austreibt, so hat man wohl Grund zu vermuthen, daß die Massen der Silicate unserer Erdrinde dem Feuer ihren Ursprung verdanken, wenn es auch noch nicht gelang, die krystallinische 2,6 durch Schmelzung (Pogg. Ann. 108), wohl aber durch überheiztes Wasser pag. 203 darzustellen. So feuerbeständig die Kiesel Erde sein mag, so wird sie doch, ähnlich der Bor säure, durch heiße Wasserdämpfe mit fortgerissen, wie der Versuch von Jeffreys beweist pag. 203. Kocht man die unlösliche Modification mit kohlen sauren Alkalien, so geht sie allmählig in die lösliche über, ohne daß sie Kohlen säure austreibt. Daraus läßt sich einsehen, daß bei Verwitterungsprozessen die Tagewasser, wenn sie in langer Berührung mit der unlöslichen Modification sind, dieselbe in die lösliche umsetzen und davon aufnehmen können. Bei Gegenwart von Ca C scheidet sie sich aus Wasser aus. Nach Deville (Compt. rend. LVI, 325) sind Kiesel Erde und Silicate, wie Schwefel, Selen u. »surfusibles« d. h. sie können durch Schmelzen und schnelles Erkalten glasig oder amorph werden, während Metalle schnell oder langsam erkaltet den gleichen Molecularzustand bewahren.

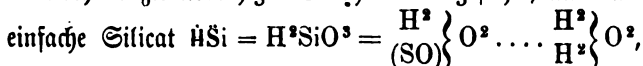
Die neueren Chemiker heißen in ihrer Sprache Si Kiesel säure anhydrid, und umgekehrt das Kiesel säure hydrat  $H^2Si = H_4O_4Si$  Kiesel säure von vierfachem Wassertypus  $4HOH = H_4O_4H_4$ , wobei Si vierwerthig gedacht sein muß, weil es nur so 4 H vertreten kann. Um nun das Kiesel säure anhydrid auf den gleichen Wassertypus bringen zu können, wird  $SO_2 = \frac{1}{2}(SiO_4Si)$  gedacht. Alle denkbaren Silicate werden unter den Polykiesel säuren untergebracht, von denen Rammelsberg (Ztschr. deutsch. geol. Gesellsch. 1869 XXI pag. 110) hauptsächlich fünf Sättigungsstufen annimmt:



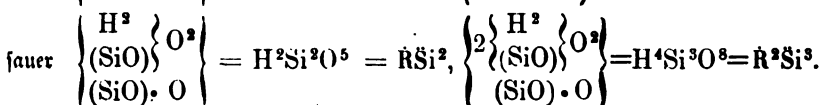
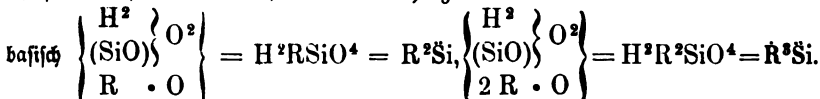
Das mittlere derselben mit doppeltem Sauerstoff in der Säure wird als einfaches Silikat angesehen, woraus dann halbe, drittel, anderhalb und zweifache folgen. Um diese nun, wie die Kiesel säure selbst ( $H^2Si$ ), beim Wassertypus unterzubringen, führt man zunächst nach dem Vorbilde der Organischen Chemie das einwerthige Radical Hydroxyl (OH) ein, und sieht dann sofort aus nachfolgenden Gleichungen



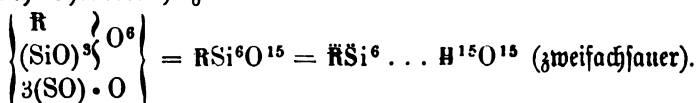
und den hintern Valenz-Formeln den Wassertypus, worin O das zweierwerthige und H das einwerthige Atom bezeichnen. Aber hiermit kommt man noch nicht zur Einheit, sondern es wird wegen der Halb- und Drittelsilicate noch ein zweierwerthiges Silicijl SO eingeführt, und nun lautet das



d. h. zweifacher Wassertypus. Soll dasselbe basisch werden, so muß Basis R, soll es sauer werden, Säure Si hinzutreten:



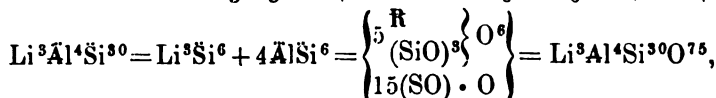
Das Spiel mit Formeln geht aber immer noch weiter, wenn namentlich Thonerde hinzutritt:



Wie die Auflösung der Formel zeigt, so sättigt  $\text{O}^6$  das Radical und Silicijl, die sich als gleichwerthig erweisen, weil auf jegliches drei Atome Sauerstoff kommen. Die 3 in der dritten Reihe bezieht sich natürlich nicht bloß auf SO, sondern auch auf O, so daß

$3(\text{SO}) \cdot \text{O} = \text{S}^3\text{O}^3 + \text{O}^3$  ist. Die Klammer um SO soll nur isofirt gedachtes Silicijl bezeichnen, woraus dann sofort der fünfzehnfache Wassertypus einleuchtet. Anwendung davon macht man beim

Petalit, der schon nach Berzelius  $\text{Li}^3\text{Al}^4\text{Si}^{20}$  hatte. Doch da das eine schlechte Formel gab, so nahm Ramsdäberg  $\text{Li}^3\text{Al}^4\text{Si}^{18}$  an. Heute geht man wieder mit Vergnügen auf den alten Berzelius zurück, und schreibt



wobei  $5 \text{R} = \text{Li}^3\text{Al}^4$  gesetzt wird, da  $\text{Li}^3$  nach alter Schreibart  $\text{Li}^6$  nach neuerer Schreibart ist. Wir haben also obige zweifachsaure „Structurformel“ bloß mit 5 zu multipliciren. Einfach ist die Sache nicht.

Da wäre es bei dem stabilen Sauerstoffverhältniß der Kieselersde am Ende besser, man gieng vom Silicijl Si d. h. doppelten Salzsäuretypus  $\text{HCl}$  aus, dann würde Kieselersde bald  $\text{Si} = \text{Si}^2$ , und bald  $\text{Si}^3\text{O}^3$ . Man könnte es sogar bei den alten Zeichen Si oder Si belassen, müßte dabei aber stets des stabilen Verhältnisses zwischen Oxygen und Silicium ge-

denken. Dann wäre Olivin  $Mg\ Si$ , Augit  $Ca\ Si\ 2c.$ , wobei das Atomgewicht  $Si = 15$ ,  $Si = 30$ ,  $Si = 45$  zu setzen ist. In diesem Sinne bediene ich mich statt der alten Schreibart  $Si$  so oft die Formeln einfacher werden der neuern  $Si$ . Die Sache ist gar nicht so ungeheuerlich, denn wenn ein und derselbe Stoff in verschiedene Krystallsysteme sich gestalten kann, so ließen sich in der Lagerung der Atome oder Molecule verschiedene Gewichtsverhältnisse noch viel leichter denken. Jedenfalls sind die Formeln dazu da, die Uebersicht und das Gedächtniß zu erleichtern, nicht zu erschweren.

Von den natürlichen Silicaten ist keines in Wasser löslich, nur künstliche mit viel Alkali lösen sich. Dagegen kann man mehrere in Salzsäure aufschließen, und zwar um so leichter, je stärker die Basis, je mehr Wasser und je weniger Kieselersde vorhanden ist, diese scheidet sich dabei aus, oder wird doch erst von vielem Wasser aufgenommen, während die Basen als Chlormetalle gelöst bleiben. Oft dienen auch andere Säuren. Läßt sich auf diese Weise nur ein Theil lösen, so muß man den Rückstand wie die unlöslichen behandeln. Zu dem Ende schmilzt man das Pulver mit dem 3fachen  $K\bar{C}$  ( $Na\bar{C}$ ,  $Ba\bar{C}$  2c.) zusammen, es entweicht dann  $\bar{C}$ , das zurückbleibende Glas läßt sich wegen des stärkern basischen Gehalts mit Säure auflösen. Für Aluminate ohne Kieselersde führt ein Zusammenschmelzen mit  $K\bar{S}^2$  zum Zweck; Zirkon und Cyanit können durch Kalihydrat im Silbertiegel aufgeschloffen werden. Um die Basen zu bestimmen, bedient man sich mit Vortheil der Flußsäure, aus Flußspath dargestellt. Beim Zusatz von concentrirter Schwefelsäure verflüchtigt sich dann in der Hitze der größte Theil der Kieselersde als Fluorkiesel und Kieselfluorwasserstoffsäure. Für die künstliche Darstellung der Silicate wird von Hrn. Daubrée pag. 203 besonders die farblose flüchtige Flüssigkeit des Chlorkiesels  $Si\ Cl^3$  empfohlen.

Mit Weiß unterscheiden wir folgende zehn zum Theil sehr natürliche Familien: 1) Quarz; 2) Feldspath; 3) Glimmer; 4) Hornblende; 5) Granat; 6) Edelsteine; 7) Zeolithe; 8) Skapolithe; 9) Haloidsteine; 10) Metallsteine.

## I. Quarze.

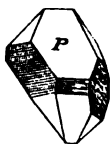
Das Wort Quarz kommt bei Griechen und Römern nicht vor, es ist ein bergmännischer Ausdruck des Mittelalters (Agricola Bermannus pag. 695 und 701), womit der gemeine Quarz auf den Erzgängen bezeichnet wurde. Weiß nahm das Wort im weitern Sinn, und begriff darunter Krystalle, Chalcedone und Opale. Dann kann ihnen aber an Mannigfaltigkeit kein zweites zur Seite gesetzt werden, welches so viel Licht über das Wesen eines Minerals verbreitete. Insofern wird man vergeblich nach einem bessern Ausgangspunkte des Systems suchen.

Krystallsystem  $3 + 1$ axig mit entschiedener Neigung zum dihexa-

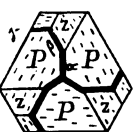
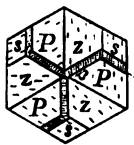
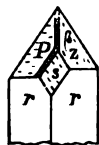
edrischen. Dihexaeder  $P = a : a : \infty a : c$   $133^\circ 44'$  Endf.,  $103^\circ 34'$  Seitent., Rhomboeder  $94^\circ 15'$  gibt

$$c : a = 1,1 : 1 = 1 : 0,9097 = 1 : \sqrt{0,8263}; lga = 9,95865.$$

Der ebene Winkel an der Spitze der gleichschenkligen Dreiecke  $39^\circ 18'$ , schon de Lisle nahm  $40^\circ$  an. Die Flächen meist sehr verzogen und mit allerlei unregelmäßigen Zeichnungen versehen, ihr Blätterbruch sehr versteckt und kaum bemerkbar. Dazu gesellt sich beständig die erste reguläre sechsseitige Säule  $r = a : a : \infty a : \infty c$ , daher von Hill Trihexaedria genannt. Die Säule an ihrer Querstreifung parallel der Axe  $a$ , und folglich senkrecht gegen  $r/r = c$  leicht erkennbar.



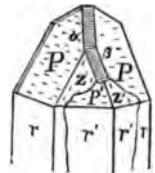
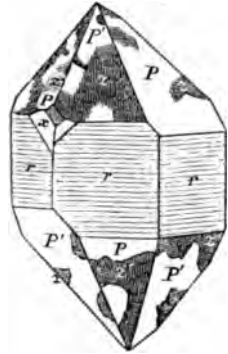
Hauy nahm das Dihexaeder als Dirhomboeder: einmal war es ihm für seine Decreescenzen bequemer; dann findet man aber auch z. B. bei den sogenannten Scepterquarzen von Ungarn ein Rhomboeder gegen das andere vorherrschend. Vorstehende kleine gelbe Bergkrystalle im Eisenglanz von Elba zeigen auf der Säule nur rhomboedrische Endigung. In der Dauphiné kommen sogar Dihexaeder vor, deren abwechselnde Flächen matt und glänzend erscheinen, ja in Indischen Stufen (Ztschr. deutsch. geol. Ges. 1873. 110) zeigt sich dieser Unterschied in den brennendsten Regenbogenfarben. Da nun auch die Klangfiguren pag. 158 und Aetzungen pag. 194 das bestätigen, so steht die Sache außer allem Zweifel. Ich habe viele geäht, und nur drei Dihexaederanten  $\beta$  angegriffen gefunden, so oft die Krystalle einfach waren.

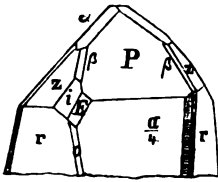


An der Rhombenfläche erscheint stets eine obere Trapezfläche  $\gamma$ , die auch dann noch vorhanden ist, wenn die Rhombenfläche fehlt. Laufen die Dihexaeder nicht in einer Spitze zusammen, sondern bildet sich am Ende eine Rhomboederkante  $P/P$  aus, so ist auch diese durch eine dritte Fläche  $\alpha$  angegriffen, alles mit wunderbarer Gefeglichkeit. Die Kessflächen zeigen undeutliche Querschuppen, und häufig eine mittlere Längslinie, welche sie in zwei Hälften theilt. Auch die Zwillinge sprechen für Rhomboeder. Schon Weiß machte 1816 (Magazin Gesellsch. naturf. Freunde zu Berlin VII. 100) auf merkwürdige Durchkreuzungszwillinge aus den Mandelsteinen der Faröerinseln aufmerksam, woran die Flächen des Hauptrhomboeders  $P$  von den Ecken eines andern durchbrochen werden: es haben beide Krystalle die Säulen gemein, und ihre Rhomboeder sind um  $60^\circ$  gegen einander im Azimuth verdreht. Dasselbe kommt in Kieselkugeln von Missouri u. vor. Dieses Gesetz fand eine erfreuliche Bestätigung durch die Dauphinéeer Zwillinge (Haidinger in Brewster's Edinburgh Journal of science 1824 Vol. I pag. 232), welche in ihrer Art zu den merkwürdigsten krystallographischen Erscheinungen gehören, die wir kennen. Sie finden sich gern mit Epidot. Es sind Dihexaeder mit Säulen, auf den Dihexaederflächen gewahrt man



aber sehr ausgezeichnete matte Platten, welche mit glänzenden zwar sehr unregelmäßig abwechseln, allein in den Kanten entspricht ohne Ausnahme der matten Stelle einerseits eine glänzende andererseits: denke man sich ein Dihedraeder mit drei glänzenden Flächen  $P$  und drei matten  $z$ , aber beliebig durchlöchert; in die Löcher lege sich nun ein zweites Individuum  $P'$  und  $z'$  doch so hinein, daß dieses seine matte Fläche  $z'$  habe, wo jenes seine glänzende  $P$  hatte, so ist das das gewöhnliche Weiß'sche Zwillingsgesetz. Einmal aufmerksam gemacht fanden sich die Zwillinge obgleich undeutlicher auch andern Orts, namentlich zahlreich in einem Quarzgange des Granits von Järschau bei Striegau im Riesengebirge, in der Schweiz auf den Riesentrystallen des Tiefengletscher 2c., und wenn man solche mit Säuren äßt, so bekommen sie ganz das Ansehen der Dauphineer. Darnach erklärte G. Rose pag. 93 das unregelmäßige Auftreten der Rhomben- und Trapezflächen durch allgemeine Zwillingbildung. Zuweilen gibt sich die „damascirte“ Zeichnung im reflectirten Lichte durch Complementärfarben roth und grün zu erkennen, die in den „Schillerquarzen vom Weißelberge“ bei St. Wendel (Jahrb. 1874. 20.) auch lebhafter werden können. Besonders deutlich kommen jedoch die Zwillinglinien durch Aetzung pag. 193 zum Vorschein, und zwar an Stücken, wo es das bloße Auge nicht vermuthen würde: so sitzt an nebenstehendem Bergkrystalle  $r$  ein Stückchen  $r'$  wie angeleimt, von welchem man vor der Aetzung nichts sah. Auf  $r$  erscheinen die Aetzflächen  $\alpha\beta$  dreimal sehr bestimmt, allein auf das Stückchen Kante von  $r'$  geht  $\beta$  nicht hinab, keine Spur von Angriff wird wahrgenommen. Es legt also  $r'$  seine ungeätzte Kante hin, wo  $r$  die geätzte, und seine horizontal gefurchte  $P$ , wo  $r'$  die schief gefurchte  $z$  hat. Herr Prof. Weibsthy (Ztschr. deutsch. geol. Ges. 1865. 349) machte Quarzkrystalle aus dem Granit von Striegau in Schlesien bekannt, die mit geätzten Zwillingen merkwürdig übereinstimmen: das Nebenrhomboeder  $z$  hat seine Aetzanten  $\alpha$ , und das Dihedraeder  $Pz$  die Aetzanten  $\beta$ , die Mittellinie darauf finden wir gerade so bei den künstlichen Flächen. Die drei quergestreiften Rhombenflächen  $s$  gehören dem gleichen Individuum an, die längsgestreifte  $s'$  dagegen dem zweiten, welches sich namentlich mit seinen großen Rhomboederflächen  $P'$  um den Gipfel lagert. Die Lage von  $s$  sollte bloß auf der Seite von  $\beta$  sein, auch fehlt die obere Trapezfläche. Diese ist nun an den merkwürdigen Krystallen vom Collo di Palombaja an der Südküste von Elba (Ztschr. deutsch. geol. Ges. 1870. 220) scheinbar vorhanden, denn wer sich mit Aetzen abgegeben hat, wird sogleich in  $\alpha = c : 2a' : 2a'$  und  $\beta = c : 2a : a$  (§)





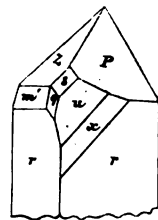
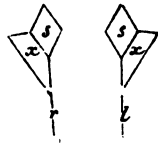
seine Bekannten wieder begrüßen, aber  $E = c : \frac{2}{3}a : \frac{1}{3}a$  ist nicht die Rhombenfläche, doch bietet  $i = c : \frac{1}{3}a : \frac{1}{3}a$  wieder ganz das Bild von der Negfläche  $\gamma$ . Flächen  $r$  sind die Säule und  $c : \frac{2}{3}a : \frac{1}{3}a$  das zweite schärfere Rhomboeder, das mit  $o = c : \frac{1}{3}a : \frac{1}{3}a$  und der Säule  $r = a : a : \infty$  in eine Zone fällt. Vergleiche auch Stelzner (Jahrb. 1871. 40), der solche Gebilde gern zusammen mit Flußspath auftreten läßt.

Rhombenflächen  $s = a : \frac{1}{2}a : a : c$  liegen in zwei abwechselnden Endkantenzone des Dihedraeders, stumpfen also die Kanten zwischen der Säule und dem Dihedraeder ab. Häufig zeigen dieselben eine Streifung, und diese geht nur der Kante  $P/r$ , und niemals der  $z/r$  parallel. In der Dauphiné finden sich öfter Exemplare, woran die  $s$  abwechselnde Ecken von  $rrPz$  abstumpfen, also wirkliche Rhomboeder bilden, darnach müßte man sie für rhomboedrische Ordnung halten. Allein unter den klaren ringsum ausgebildeten aus dem Marmaroscher Komitat in Oberungarn, besonders aber unter den noch schönern aus dem Uebergangskalk von New-York trifft man einzelne Exemplare, wo die Rhombenfläche an den beiden Enden der abwechselnden Säulenkanten sich wiederholt, wie in beistehenden Figuren. Dieses nimmt nun Rose als Normalfall. Wenn die Streifen der Rhombenflächen beobachtbar sind, so kann man sogar rechte und linke unterscheiden: die  $s$  der rechten sind von oben rechts nach links unten (Fig. a) und die der linken von oben links nach rechts unten gestreift (Fig. b). Alle Exemplare, wo die Rhombenflächen nicht in dieser Ordnung folgen, hält Rose für Zwillinge, wenn schon der Beweis nicht immer streng

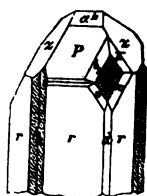
geführt werden kann; auch verwachsen, was man nicht erwarten sollte, nur zwei rechte oder zwei linke mit einander, wie aus der Streifung der Rhombenfläche folge. Doch fand Nauck (Zeitschr. deutsch. geol. 1854. VI. 234) im Dolomit des Strahlenberges bei Redwitz auf dem Fichtelgebirge häufig links und rechts gewundene mit einander verwachsen. Wenn nun das eine Zwillingseindividuum seine abgestumpfte Ecke hinlegt, wo das andere die nicht abgestumpfte hat, so können bei Verschiedenheit der Ausdehnung möglicher Weise alle Ecken, einige oder auch keine abgestumpft erscheinen. Wer bei dieser Annahme, wie ich selbst früher, Anstoß haben sollte, daß die Rhomboederhälften  $s$  oben und unten um  $60^\circ$  gegen einander verdreht sind, ein Trigonoeeder bilden, der wird durch die Gyroedrie vollständig befriedigt.

Trapezflächen  $x = a : \frac{1}{6}a : \frac{1}{6}a : c$  stumpfen eine der untern Kanten

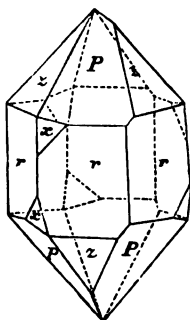
zwischen  $s/r$  ab, liegen also nur in einer Kantenzone des Dihexaeder, in welcher sie die Kante  $x/r = 168^\circ$  machen. Mit wunderbarer Gesetzmäßigkeit liegen sie unter P (nie unter z) und stumpfen entweder nur die linke oder die rechte Rhombenflächenkante ab, und danach zerfallen die Krystalle in rechts- ( $r$ ) und links- gewundene (l) (Weiß): rechtsgewundene, wenn man von der Rhombenfläche oben rechts quer über die Kantenzone der Trapezfläche zur Säule gelangt, oder wenn der Beobachter sich in den Mittelpunkt des Krystalls denkt und auf die Rhombenfläche sieht, so wird die Kante der rechten Seite abgestumpft;  $x$  kommt häufig ohne Rhombenfläche vor, und folgt auffallender Weise nicht der Streifung der Rhombenfläche. Darüber findet sich öfter eine zweite  $u = a : \frac{1}{4}a : \frac{1}{4}a$  rauh punktirt und matter als  $x$ , die Säulenfläche  $r$  unter  $161^\circ 31'$  schneidend, zuweilen auch selbstständig. Man hat sogar zwischen  $u$  und  $x$  noch eine schmale Abstumpfung  $y = a : \frac{1}{4}a : \frac{1}{4}a$  und zwischen  $x$  und  $r$   $v = a : \frac{1}{4}a : \frac{1}{4}a$  unterschieden. Von scharfer Bestimmung kann aber bei solchen Flächen nicht immer die Rede sein. Doch geht Hr. Descloizeaux (Ann. Chim. et Phys. 1855 XLV. 120) noch viel weiter: er fand besonders bei Exemplaren von Carrara und Brasilien unter  $v$  noch eine ganze Reihe von steilern „Blagiedern“  $n = \frac{1}{15}a : \frac{1}{15}a$ ,  $v_2 = \frac{1}{15}a : \frac{1}{15}a$ ,  $v_3 = \frac{1}{15}a : \frac{1}{15}a$ ,  $v_4 = \frac{1}{15}a : \frac{1}{15}a$ ;  $v_4/r = 178^\circ 7'$ ,  $v_3/r = 177^\circ 9'$ , was sich nur durch eine sehr stumpfe Kante von der Säule unterscheiden läßt. Alle gehören zur Reihe der Haupttrapeze, und nur nach ihnen richtet sich die Drehung. Sie liegen gegen die Streifung von  $s$ . Aber auch mit der Streifung correspondiren zuweilen kleine Gegentrapeze, welchen die optische Drehung nie folgt. So sieht man an den complicirten Schweizer Krystallen gar nicht selten die schon von Wackernagel bestimmte  $q = a' : \frac{1}{15}a' : \frac{1}{15}a'$ ; wegen ihrer Streifung und Kleinheit läßt sie sich gewöhnlich nicht messen, allein sie geht der Streifung von  $s$  parallel, und stumpft die Kante zwischen  $m'$  u ab, woraus sich ihr complicirter Ausdruck ergeben würde. Nun kommen in dieser Zonenrichtung  $s/q$  wieder eine ganze Reihe von Flächen vor, worunter auch eine Gegen-  $u' = a' : \frac{1}{4}a' : \frac{1}{4}a' : c$ , und Gegen-  $n' = a' : \frac{1}{15}a' : \frac{1}{15}a'$  nebst den einfachen  $o' = a' : \frac{1}{4}a' : \frac{1}{4}a'$ , welche der Haupttrapezreihe fehlt. Viele sind zu klein, als daß sie sich durch Messung bestimmen ließen, daher das Ungewisse, und vielleicht auch die vermeintliche Menge: Hr. Descloizeaux erhob ihre Zahl auf 16, darunter an einem riesigen Krystall von Piemont  $n_2 = c : a' : \frac{1}{15}a' : \frac{1}{15}a'$ , die mittelst Ausdruck in Siegellack gemessen werden konnte. Zu dieser Reihe gehören noch die obern Trapezflächen, Kante  $s/P$  abstumpfend. Länger bekannt ist  $t = a : \frac{1}{2}a : \frac{1}{2}a : c$ , sie kommt häufig zwischen den Feldspathzwillingen von Baveno vor, zumal wenn die kleinen glänzenden Bergkrystalle mit Flußpath einbrechen. Descloizeaux hat nicht bloß in dieser Zone, die im Sinne der Streifung liegt, sechs neue  $t_1$  bis  $t_6$  bestimmt, sondern



auch an der Gegentante eine ganze Reihe von  $\tau$  besonders von Traversella aufgeführt, die bis dahin noch gar nicht beachtet waren:  $\tau = a' : \frac{1}{2}a' : 3a' : c$  und  $\tau\tau = a' : \frac{1}{2}a' : 17a' : c$  bilden die Grenzzlieder, letztere  $\tau\tau/2 = 177^\circ 21'$  kommt dem Dihexaeder übermäßig nahe. Ob sie gleich den Streifen der Rhombenflächen  $s$  gegensinnig liegen, so müssen die Azenausdrücke doch gestrichelt werden, weil als Dreikantner gedacht der stumpfe Winkel wie der scharfe bei den Haupttrapezflächen liegt. Dieser Widerspruch ist für die systematische Darstellung nicht angenehm. Alle diese untergeordneten Flächen gruppieren sich ausschließlich um die Rhombenfläche  $s$ . Descloizeaux zeichnet sogar einen merkwürdigen Krystall aus Brasilien, woran  $s$  von 4 Flächen umgeben wird

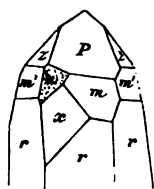


$v = \frac{1}{2}a : \frac{1}{2}a$ ,  $w = \frac{1}{10}a' : \frac{1}{2}a'$ ,  $t_2 = \frac{1}{2}a : 2a$ ,  $\tau = \frac{1}{2}a' : 3a'$ . Die Streifung der  $s$  genügt, ihn zu den rechts drehenden zu zählen. Der Krystall ist übrigens noch durch ein stumpferes Rhomboeder  $a^4 = 2a : 2a : a : c$  ausgezeichnet; ferner wie bei Carrara mit den hemiedrischen Säulenflächen  $d = a : \frac{1}{2}a : a : \infty c$  und  $k, = a : \frac{1}{2}a : \frac{1}{2}a : \infty c$ . In Bezug auf die Zahlenverhältnisse der Trapezflächen glaubt G. Rose auch wieder nur drei an jedem Ende des einfachen Krystalls annehmen zu sollen, die an den Enden der abwechselnden Säulenkanten auftreten, und allerdings findet man z. B. bei den Rauchtöpfen der Grimsel und des Chamounithales diese Anordnung in auffallender Weise bestätigt. Freilich kommen dann immer wieder Stücke vor, die dem Gesetze sich nicht fügen, aber dann zur Erklärung doch wenigstens zwillingsartige Grenzen zeigen. Auch hier muß es auffallen, daß nur Individuen der gleichen Drehung mit einander verwachsen, selten erscheinen Krystalle mit linken und rechten Trapezflächen. Interessant ist in dieser Beziehung ein brasilianischer Amethyst, der unter den



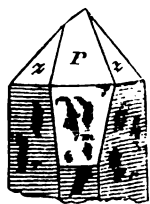
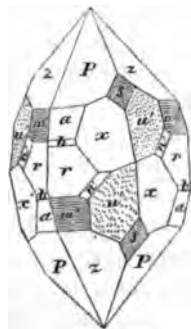
Flächen  $P$  einen vollständigen Dreiunddreikantner  $x$  hat, dennoch konnte G. Rose daran nicht die Spur einer Zwillingsgrenze wahrnehmen.

Schärfere Dihexaeder kommen eine ganze Reihe vor, nach



Descloizeaux von  $a : a : \frac{1}{2}c$  bis  $a : a : 46c$ , und an ihnen läßt sich die rhomboedrische Ordnung am besten nachweisen, wiewohl auch hier wieder die geringe Deutlichkeit der Flächenausbildung sich hinderlich in den Weg stellt. Bei den Schweizern ist die Fläche  $m = \frac{1}{2}a : \frac{1}{2}a : c : \infty a$  unterhalb  $P$  stark glänzend, sie fällt mit der Trapezfläche  $y$  in eine Zone; unter  $z$  liegt dagegen eine  $m'$  mit feinen aber markirten Horizontalstreifen. Sie ist häufig durch einen Horizontalstrich in 2 Theile getheilt: der untere  $\frac{1}{2}a' : \frac{1}{2}a' : \infty a : c$ , der obere dagegen  $\frac{1}{2}a' : \frac{1}{2}a' : \infty a : c$ , daher nahmen Haüy und viele Spätere es geradezu mit  $\frac{1}{2}a : \frac{1}{2}a$  für Dihexaeder. Manchmal gewinnen diese schärfern Flächen bedeutende Ausdehnung, dann kann ein

förmliches Rhomboeder entstehen: wie am St. Gotthardt mehrere quergestreifte, von G. Rose als  $\frac{1}{2}a' : \frac{1}{2}a' : \infty a : c$  und  $\frac{1}{2}a' : \frac{1}{2}a' : \infty a : c$  bestimmte; gestrichelt, da sie immer unter  $z$  liegen. An den so complicirten mit Sphen bei Dissentis lagernden Krystallen hat schon Häubinger  $a = \frac{1}{2}a : \frac{1}{2}a : \infty a : c$  bestimmt, G. Rose noch  $b = \frac{1}{2}a : \frac{1}{2}a : \infty a : c$ . Es sollen ferner unter  $P$   $\frac{1}{2}a : \frac{1}{2}a : \infty a$ ,  $\frac{1}{2}a : \frac{1}{2}a : \infty a$ , unter  $z$   $\frac{1}{2}a' : \frac{1}{2}a' : \infty a$  an andern Orten vorkommen, so daß es nicht an Menge wohl aber an Zonenverhältnissen mangelt. Daß diese Flächen alle rhomboedrisch auftreten, geht zuweilen aus den Zwillingen hervor. Denn man findet öfter die Rhomboederfläche plötzlich durch eine Grenze unterbrochen, über welche hinaus sie nicht fortgeht, was sich namentlich zwischen  $m$  und  $m'$  öfter ziemlich sicher entscheiden läßt. G. Rose geht aber noch weiter: bei Schweizerkrystallen ist oft die dreifach schärfere  $m$  (oder wenigstens in ihrer Region) mit matten fein quergestreiften Flecken bedeckt, die durch ihr Aussehen an das von  $m' = \frac{2}{3}a' : \frac{2}{3}a'$  lebhaft erinnern. Dies sollen daher Zwillinge sein, woran das eine Individuum seine  $m'$  in den Sextanten vom  $m$  des andern legt. Auffallender Weise treten alle rhomboedrischen Modificationen meist zwischen Dihexaeder und Säule. Nur in seltenen Fällen kommen stumpfere Dihexaeder vor, doch führte schon Hauy (Traité Minér. 2 ed. II. 340) einen *émarginée f* von Oberstein auf, die später unter  $\xi = c : 2a : a : 2a$  noch öfter gefunden wurden. In den schwarzen Kalken von Quebeck stumpft  $a' : a' : \frac{1}{2}c$  die Endkante des Hauptrhomboeders  $P$  ab; dazu fand dann Descloizeaux in Brasilien das Gegenstück  $a : a : \frac{1}{2}c$ , und  $a : a : \frac{2}{3}c$  und  $\frac{1}{3}c$  als große Seltenheiten. Am allerunsichersten möchte jedoch die



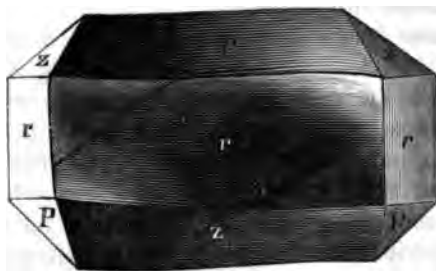
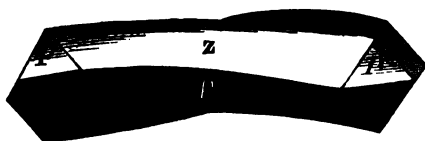
Geradendfläche sein, alles was davon angegeben wird, kann mit Grund angezweifelt werden, selbst die Beispiele von Descl. l. c. Fig. 59 und 60. Der Quarz hat nämlich die unvermuthete Eigenschaft, auf fremden Krystallen (Flußspath, Kalkspath, Schwerspath u.) leicht zu haften, und diese stören seine Krystallisation dergestalt, daß die Anlaßflächen nicht selten glatt und glänzend wie Krystallflächen erscheinen: so kauft man in Austerlitz Krystalle aus dem Waderanenthale, welche in ihrem Wachsthum durch die dortigen Kalkspathtafeln plötzlich und vollständig behindert sind. In diesen zahllosen Störungen kommen auch Kalkspath mit ihrer dreiseitig gestreiften Geradendfläche genau senkrecht gegen die Hauptaxe  $c$  des Quarzes zu liegen, und um die Täuschung voll zu machen, orientiren sich sogar die Spathstreifungen gegen die Nebenaxen des Quarzes, was vielleicht auch in einer gewissen Anziehung beider seinen Grund hat. Auf den Sächsischen Erzgängen gibt besonders der Flußspath Eindrücke und Asterflächen: die kleinen Bergkrystalle sitzen so leicht auf, daß man sie mit geringem Druck unverletzt abheben kann, wobei

dann die Aterflächen zum Vorschein kommen, die<sup>o</sup> zuweilen glänzende Geradendflächen nachahmen. Zu Beralston in Devonshire scheint Flussspath mit Quarz zugleich krystallisirt zu sein, wodurch treppenförmige Krystalle entstanden, die unter dem Namen Vabelquarz (G. Rose Pogg. Ann. C. 148) schon Haüy irre leiteten.

Uebergehen wir die Zuschärfungen der Dihexaederkanten, die besonders Weibsthy (Pogg. Ann. 99. 207) bestimmte, so bleiben nur die **hemiedrischen Säulen** über, wozu besonders der Marmor von Carrara die Exemplare lieferte. Zuweilen fällt zwar die Hemiedrie sehr auf, wie z. B. am obigen Brasilianer Krystall pag. 226. Die zweite Säule hat das Zeichen  $a : \frac{1}{2}a : a : \infty c$ , und zu der längst bekannten 6 + 6kantigen Säule  $d = a : \frac{1}{2}a : \frac{1}{2}a : \infty c$  ist jetzt noch eine ganze Reihe freilich viel unsicherer kleinerer Abstumpfungen gekommen, wie  $\infty c : \frac{1}{2}a : \frac{1}{2}a$ ,  $\frac{1}{2}a \frac{1}{2}a$ ,  $\frac{1}{2}a \frac{1}{2}a$ ,  $\frac{1}{2}a \frac{1}{2}a$ ,  $\frac{2}{3}a \frac{2}{3}a$ ,  $\frac{3}{4}a \frac{3}{4}a$  2c.

Da man trotz dem dihexaedrischen Ansehen den Quarz dirhombodrisch nehmen muß, so ist natürlich auf die Lage zu achten, ob die Flächen wie das Haupt- P oder wie das Nebenrhombodder z liegen. Die Rhombenflächen s liefern den Wendepunkt, da sie keiner Abtheilung angehören: was auf die Seite von P fällt gehört der Haupt- und was auf die von z der Nebenreihe an. Namentlich gilt das auch von obern und untern Trapezoedern, welche zwar im Allgemeinen bloß linken oder rechten Rhombodern von Zwischenstellung angehören, aber sechszählig gedacht einen Dreikantner bilden, der seine stumpfe Endkante entweder über P (Hauptreihe) oder über z (Nebenreihe) hat.

**Gewundene Bergkrystalle** nannte Weiß (Abh. Berl. Akad. 1836. 107) die

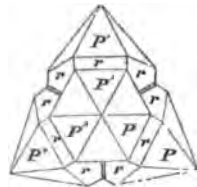
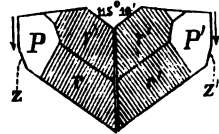
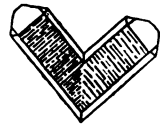


in der Schweiz nicht seltenen vierseitigen Tafeln, die an beiden Enden frei gegen die Regel mit einer der Seiten a aufwuchsen. Die Tafeln entstanden durch Ausdehnung zweier parallelen Säulenflächen r, woran die nebenliegenden r, und die gegenüberliegenden P und z Zuschärfungen bilden. Eine am freien Ende sehr ausgebildete Trapezfläche fehlt nie, und ihr entsprechend sind alle seitlichen Flächen (die Enden bei a und r nicht) **doppeltgewölbt**, entweder rechts oder links: legt man

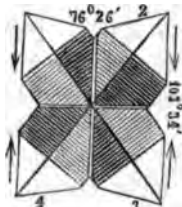
die Daumen in einer Diagonale der Tafeln gegenüber auf die obere, die Zeigefinger in der andern Diagonale auf die untere Fläche, drückt mit den Daumen hinunter und mit den Zeigefingern herauf, so würde bei Nachgiebigkeit der Masse die Doppelkrümmung entstehen; liegt der rechte Daumen dabei am Oberende, so entsteht ein rechts- am untern Ende ein linksgewundener. Wie stark diese Drehung für das bloße Auge ist, zeigt unsere Horizontalprojection am besten: die zwei Säulenflächen r treten oben links und

unten rechts hervor, daraus folgt, daß die Hauptaxe  $c$  gegen die Horizontalebene (Geradenfläche  $c:\infty a:\infty a:\infty a$ ) oben nach rechts und unten nach links neigt, nur in der Mitte steht sie senkrecht. Sie hat daher längs der Queraxe  $a$  von unten nach oben eine Schraubenbewegung gemacht, die Ebene  $a:\frac{1}{2}a:a:\infty c$  (zweite sechsseitige Säule), worin sie liegt, blieb sich dabei parallel. Oder da die Sache reciprok ist, so kann man auch sagen, die Queraxen  $a a a$  bewegten sich längs  $c$  in einer Schraube, die bei einem Meter Länge reichlich einen Umgang machen würde. Läßt man auf den gekrümmten Flächen einen horizontalen Fensterrahmen spiegeln, so geht derselbe der Durchschnittslinie der Trapez- mit der Säulenfläche parallel. Da nun diese Zone auf der einen Seite der obern, auf der andern der untern medianen Endkante des Dihexaeders parallel geht, so schneiden sich die Fensterrahmen unter  $84^{\circ} 34'$ , also unter demselben Winkel, wie die in den Dihexaederecken sich gegenüberliegenden Endkanten. Merkwürdig ist auf den krummen Schraubenflächen die unendliche Zahl paralleler Reflexbilder, die einem Parquethoden gleichen.

**Zwillinge.** Am häufigsten die schon genannten Dauphinéer, und da das unvollständige Auftreten der Rhomben- und Trapezflächen bloß Folge von Zwillingbildung ist, so gehört nur der geringste Theil der edlen Quarze zu den einfachen Krystallen. Als Seltenheit kommen auch Durchkreuzungen vor. Schon Weiß (Abh. Berl. Akad. 1829. 11) beschrieb aus der Dauphiné einen Zwilling, woran die Individuen das nächste stumpfere Dihexaeder  $f = 2a:a:2a:c$  gemein hatten und umgekehrt lagen, es spiegelt also von den Säulenflächen  $r$  nur eine ein, und die Hauptaxen  $c$  scheiden sich unter  $84^{\circ} 34'$ . Unerwartet häufig fand ihn Senzsch (Zeitschr. deutsch. Geol. Ges. 1854 VI. 248) auf Arsenikflöz von **Munzig** (zwei-  
schen Meißn und Siebenlehn), woran die Schärfe und Menge entschieden für das Gesetz spricht. Hr. D. Sella (Memor. Accad. Torino 1856. XVII) führt vor-  
treffliche Beispiele aus den Magneteisenlagern von Traversella auf. Bemerkenswerth ist dabei, daß die Rhomboeder  $P$  und  $z$  in den Zwillingindividuen nicht immer miteinander correspondiren. Auch wird ein Dihexaederzwilling (l. c. tab. V. Fig. 48—50) abgebildet, welcher wie beim Kalkspath das nächste stumpfere **Rhomboeder**  $a':a':\frac{1}{2}c$  gemein hat. Wenn er als **Kreuzzwilling** auftritt, so liegen jetzt statt der Säulenflächen die Säulenkanten  $r/r$  und  $r'/r'$  im Niveau des Blattes, während die unten ( $z', z'$ ) und oben ( $P, P'$ ) anstoßenden Flächen senkrecht gegen die Niveauebene stehen, und wie die Pfeile andeuten gehen die Rhomboederkanten  $P/P$  und  $P'/P'$  miteinander der gemeinsamen durch eine Doppellinie bezeichneten Zwillingsebene parallel. G. Rose (Pogg. Ann. 83. 461) wurde durch eine unscheinbare Quarzdruse aus dem Serpentin von Reichenstein in Schlesien überrascht, worauf sich Vier-

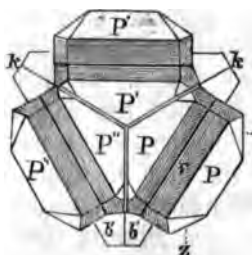


- linge fanden, an welchen die Dihexaederflächen  $PP$ ,  $P'P'$  und  $P''P''$  ein-  
spiegelten, und zwar hatten sich in rhomboedrischer Ordnung drei Nebenindi-  
viduen  $PP'P''$  an ein viertes Centralindividuum gelegt, außer der Spiege-  
lung einer  $P$  würde noch eine Fläche der zweiten sechsseitigen Säule ein spiegeln,  
wenn sie vorhanden wäre. Denn diese Zwillinge gehören auch zu der Abtheilung  
mit den Kanten im Niveau, welche sich unter  $103^{\circ} 34'$  schneiden. Greifen wir



eins der Kreuze heraus, wie es Jenzsch (Jahrb. 1872. 300) gethan, so ist das Verständniß sofort da: Stücke 1 und 2 (3 und 4) haben die senkrechten Dihexaederflächen gemein, welche die Pfeile bezeichnen, und beide gehen der doppelplinigen Zwillingsebene parallel; Stücke 2 und 3 (1 und 4) spiegeln mit ihren durch die Gegenpfeile bezeichneten Dihexaederflächen, und begrenzen sich mit der Ebene, welche auf die Zwillingsebene

senkrecht steht. Das Gesetz ist daher völlig analog dem Fünflinge beim Scharfmangan. Die Einwendungen von Hessenberg (Jahrbuch 1854. 300) sind nichtig. Wohl aber machte Hr. Dr. Ed. (Jahrb. deutsch. geol. Ges. 1866. 300) dazu noch eine wesentliche Beobachtung: derselbe fand in den



drei Ecken bei  $k$  das Flächenpaar des ersten stumpferen **Kalkspathrhomboiders**  $b' = c : 2a' : 2a' : \infty a$ , worauf sich die Quarzindividuen mit ihrer unteren Rhomboederfläche symmetrisch dergestalt gelagert hatten, daß die drei Zwillinge  $P/P$ ,  $P'/P'$ ,  $P''/P''$  nicht alterirt waren, ihre Zwillingsebene lag in der horizontalen Diagonale der Flächen des Kalkspathrhomboiders. Dagegen bemerkte er über dem Kalkspathe, daß die

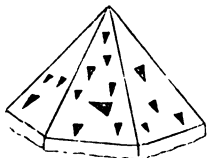
drei schmalen Säulenflächen in der Mitte geknickt einen stumpfen Winkel von  $174^{\circ} 46'$  mit einander machten: das mittlere Stück bestand aus drei Theilen, wie die Doppellinien zeigen. Es sind somit statt vier sechs Individuen, welche sich zu drei Zwillingen gruppieren, die der Kalkspath nach drei Richtungen unter  $120^{\circ}$  angezogen hat. Schon Breithaupt (Vollst. Abb. Miner. 1836 I. 300) hatte von Schneeberg Stufen, woran zahllose kleine Quarzdihexaeder mit Säule parallel einer Dihexaederfläche symmetrisch vom Kalkspath angezogen waren (l. c. 1847 III. 678 Fig. 344), aber so fremdartig wie in Schlesien oder nun vollends von der Grube Wolfgang Maassen bei Schneeberg (Rammelsberg, Monatsb. Berl. Akad. 1874. 304 Fig. 1. a.), woran bloß das innere Stück vorhanden ein förmliches Kalkspathrhomboider  $b'$  bildet, waren sie nicht. Endlich erwähnt Breithaupt (l. c. III. 300) auch noch Kreuzzwillinge von  $48^{\circ} 54'$ , welche mit einer Säulenfläche im Niveau die Rhombenfläche  $s = a : \frac{1}{2}a : a$  gemein haben, und umgekehrt liegen.

Hier muß ich auch an Rhomboeder im blauen Chalcedon von Treßzhan in Siebenbürgen erinnern, die zuweilen längs der Endkanten Kerben zeigen, so daß sie mit Doppellanten endigen, wie es sich zu Lizzo (Jahrb. 1875. 301) und Jbar sogar bei Dihexaedern findet. Letztere kann man als



Durchwachsung von zwei Dirhombodern ansehen, die ihre Gegenrhomboder z nach außen kehren.

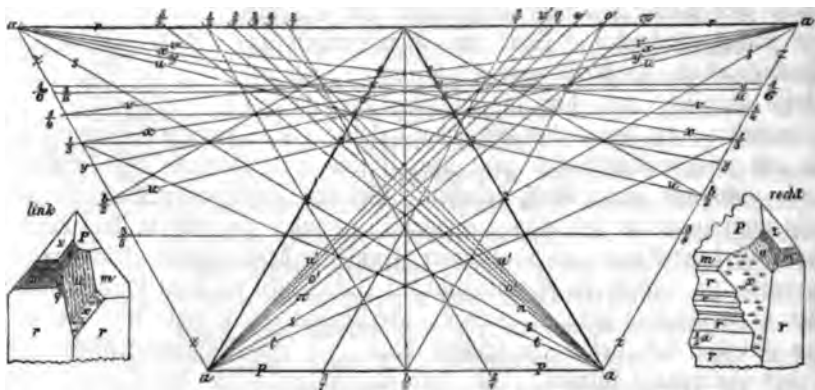
**Dreieckige Vertiefungen** finden sich auf allen Quarzen, besonders schön auf Amethysten. Gewöhnlich sind es kleine gleichschenklige Dreiecke mit den Winkeln der Dihexaederfläche, die aber umgekehrt stehen: ihre Basis entspricht dem Durchschnitt der Säule mit dem Dihexaeder, die Schenkel den Dihexaederkanten. Sind die Vertiefungen ungleichschenklich, so bleibt eine Seite immer noch der Basis parallel, von den andern entspricht eine der



Dihexaeder-, die zweite der Rhomboderkante. Es kommen Formen vor, die mit solchen Eindrücken ganz übersät sind, zum Beweise, daß die Krystalle nicht aus einem Guß bestehen. Bei den sogenannten Rappquarzen sieht man junge in den alten mehrfach in einander geschachtelt, kein Wunder, daß beim Aetzen mit verdünnter Flußsäure dann allerlei Zeichnungen hervortreten. Auch die Parallelität der Individuen im Schriftgranit muß hier in Erwägung gezogen werden: Breithaupt (Vollst. Abb. Min. 1847 III pag. 501 Fig. 300) liefert ein schönes Bild, wo eine Dihexaederfläche mit T des Feldspath's spiegelt, und eine Durchschnittslinie der Quarz- mit der Feldspathsäule der Feldspathkante T/y parallel geht. Gern erinnere ich an die prachtvollen Bergkrystalle von Lomniz zwischen Girsberg und Schmiedeberg im Riesengebirge, wo auf einer handgroßen Fläche des Feldspath's über hundert Individuen ihre Köpfe hervor strecken, alle parallel. Rhomben und Trapezflächen weisen an unserm Stücke (Epoch pag. 115) zwar nur auf linke Windung, allein ich habe auch andere Exemplare, worauf linke und rechte hervorschauen. In der Schweiz endigen dicke Säulen mit zahlreichen Dihexaederspizen wie gothische Kirchen. Schwierig sind die dreieckigen Linien zu erklären, welche sich auf den Dihexaederflächen in zarten Linien erheben (Lang Sitzungsber. Wien. Akad. XX. 1861). Hr. Berggrath Jenzich (zur Theorie des Quarzes 1861. Publication Königl. Preuß. Akad. Erfurt) hält es für Folge von ungleichen Neigungen der Flächen P und z gegen Axe c. Er knüpft ausführlich an die Breithaupt'schen Ideen pag. 139 an, und erklärt daraus sogar die Circularpolarisation. Die Literatur über die Quarzkrystallisation ist im letzten Decennium so vermehrt, daß ich die Grenzen weit überschreiten müßte, sollte ich auch nur das Wichtigste davon anführen. Am ausführlichsten handelt darüber Hr. Dr. E. Weiß (Abh. Nat. Gesellsch. Halle 1860. V. 68), derselbe bespricht 62 verschiedene Rhomboder, 52 Trapeze zc., zusammen 179 verschiedene Formen. Rechnet man ohne die Parallele nur jede mit 3 Flächen, so gibt das eine übermäßige Zahl, zu welcher besonders Hr. Descloizeaux pag. 225' (Naumann, Jahrb. 1856. 186) durch Herbeiziehung der complicirten Formen aus dem Marmor von Carrara, dem Magneteisen zu Traversella und den Achaten von Brasilien zc. das Material lieferte. Nehmen wir dazu den Quadro von D. Sella (Accad. Scienze Torino Febr. 1856), und was sonst Rath, Websky zc. von einzelnen Flächen noch an-

geben, so haben wir eine ziemlich vollständige Liste. Mancher fühlt sich überwältigt, doch will ich an der Hand der Projection zeigen, wie leicht bei einiger Uebung Kritik zur Einsicht führt. Zur

**Projection** bedarf es nur eines halben Sechsecks, aber möglichst groß, mit einer dicken P und zwei dünnen z: dann liegen links die linken Rhomben s und Haupttrapeze u y x v, rechts die rechten, wornach die



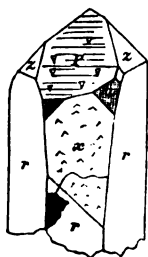
optischen Eigenschaften sich richten. Die linken und rechten Gegentrapeze  $\pi o' q a'$  fallen dazwischen neben P. Nur diese viererlei hat man je nach dem Bedürfnis einzutragen, dazu dann die zwei Ordnungen von Rhomboedern, wo man sie braucht.

1. **Winter Bergkrystall** von Wallis. Die drei Flächen P, m und x glänzen stark und geben  $P/m = 156^\circ$   $m/x = 169^\circ$ , wornach sich  $m = \frac{1}{2}a\frac{1}{2}$  erweist, und da  $xmz$  rechts eine Zone bilden, so ist  $x = \frac{1}{2}a\frac{1}{2}$  abgeleitet. Es zeigt im Mikroskop horizontal gestellte elliptische Punkte, während  $u = \frac{1}{2}a\frac{1}{2}$  eigenthümlich facettirte Warzen hat, und überdies mit Säule r links und Dihexaeder m rechts in eine Zone fällt. Unter  $m = \frac{1}{2}a\frac{1}{2}$  kommen noch zwei mikroskopische Dihexaeder vor, schärfer und stumpfer als  $\frac{2}{3}a\frac{2}{3}$ , in dessen Diagonalzone x fallen müßte. Unter z liegen zwei Rhomboeder, das untere  $m' = \frac{2}{3}a\frac{2}{3}$  erkennt man schon durch seine zarte Horizontalstreifung, auch gab die Messung  $m'z = 154^\circ 25'$ . Gemäß dieser Bestimmung muß die zarte Abstumpfung zwischen  $m'u$  der rechten Gegentrapezfläche  $q = \frac{2}{3}a\frac{2}{3}$  angehören, ihre Streifung folgt der Streifung von s, womit sie in eine Zone fällt. Daraus folgt mit Sicherheit, daß wir einen links gewundenen Krystall vor uns haben, wie ich mich an andern Exemplaren überzeugte. Obgleich dieser Ausdruck von  $q = c : a' : \frac{2}{3}a' : \frac{2}{3}a'$  sich nicht durch Einfachheit empfiehlt, so ist er doch unter den Gegentrapezen bei Schweizer Krystallen der gewöhnlichste. Viel seltner kommt die Abstumpfung von Kante  $x/m'$  welche sich durch ihren reichlichen Zonencomplex sogleich als  $u' = \frac{1}{2}a\frac{1}{2}$  ergeben würde. Zwischen q und s liegt noch eine kleine rhombische Abstumpfung; ist die schmale Rhomboederfläche über  $m' \frac{1}{2}a' \frac{1}{2}$ , wie es den Anschein hat, so ist die Trapezfläche  $\omega = \frac{1}{3}a' \frac{2}{3}$ . Gewöhnlich lassen sich solche kleine Dinge nicht

sicher messen, sie haben daher auch keinen besondern wissenschaftlichen Werth.

2. Der **rechte Bergkryhall** von Wallis läßt sich nach Betrachtung des linken schon mit einem Blick übersehen. Das Mikroskop ist für  $u$  und  $x$  sogleich entscheidend, facettirte Warzen ( $u$ ) und horizontale elliptische Punkte ( $x$ ) lassen gar keinen Zweifel, trotzdem daß beide dem bloßen Auge fast gleich matt erscheinen. Lege ich die Säule mit voriger parallel, so spiegeln  $m = \frac{1}{2}a\frac{1}{2}$  und  $m' = \frac{3}{2}a'\frac{2}{2}$  in beiden ein, so daß es mit Rücksicht auf ihr Ansehen keiner besondern Messung bedarf. Das linke Gegentrapez  $q = \frac{1}{2}a'\frac{3}{2}$  zwischen  $m'$  und  $u$  ist damit gegeben. Jetzt bleibt nur noch das Rhomboeder  $\frac{1}{2}a\frac{1}{2}$ , welches die breite Säule  $r$  treppenförmig macht, zum Messen sich schlecht eignet, aber mit  $x/r$  in eine Zone fällt.

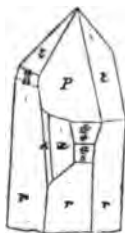
3. **Rauchtopas** aus der Schweiz mit rechten und scheinbar linken Haupttrapezen. Man bekommt das, sobald eine Trapezfläche die ganze Breite der Seiten einnimmt, dann bleibt für die schärfern Dihedraeder, wie in diesem Falle für  $m = \frac{1}{2}a\frac{1}{2}$ , nur noch ein dreiseitiger Raum, der zwar Ähnlichkeit mit Trapezflächen hat, aber schon durch seine Streifung und Horizontalkante  $P/m$  sich hinlänglich verräth. Das große Trapez  $x = \frac{1}{2}a\frac{1}{2}$  ist zwar fast eben so rauh als  $u = \frac{1}{2}a\frac{1}{2}$ , allein die Rauigkeiten erscheinen wie verworrene Erhabenheiten, ähnlich geschliffenen Schriftgranitplatten. Markirte Streifenstücke auf der Säule und dreieckige Vertiefungen auf  $P$  weisen auf verschiedene Individuen.



4. **Rauchtopas** mit drei linken Trapezflächen  $u y x$ ;  $u$  läßt sich durch ihr Ansehen und  $y$  durch Parallellegen gleich erkennen;  $x/y$  maß  $2^\circ 34'$ , woraus sich  $y = \frac{1}{2}a\frac{1}{2}$  ergibt. Das obere Dihedraeder in der Zone  $r$  um muß  $m = \frac{1}{2}a\frac{1}{2}$  sein, darunter aber sind viele Abfälle, gegen welche  $y$  bauchig abschneidet, nur einer davon liegt entschieden mit  $y r$  in einer Zone, woraus sich der für die Projection sehr gefügige Ausdruck  $\frac{1}{2}a\frac{1}{2}$  ergibt. Unter  $z$  liegen die horizontal gestreiften  $\frac{3}{2}a'\frac{2}{2}$ . Ein Strich über  $u$  deutet zwar noch eine höhere Trapezfläche an, aber sie läßt sich nicht messen, und bietet wenig Interesse.



5. **Glyroidflächen**, die in keine der Endkantenzonen des Dihedraeder fallen, waren früher nur wenig bekannt. Erst Hr. Descloizeaux hat sie nachgewiesen. Dahin gehört z. B.  $\alpha = c : \frac{1}{2}a' : \frac{1}{2}a'$ , zwischen  $x$  und  $r$  gelegen:  $\alpha/r = 176 \cdot 31$ ,  $\alpha/x = 131 \cdot 53$ . Man kann eine solche Fläche kaum noch eintragen. Nach der Zeichnung fällt sie zugleich mit dem Rhomboeder  $\frac{1}{2}a\frac{1}{2}$  in eine Zone, wodurch wenigstens ein Zonenpunkt unmittelbar festgestellt ist. Solcher »Faces isolées« werden eine ganze Menge angeführt, um  $x$  allein 9, zwischen  $x/P$ ,  $x/\frac{a}{13}$ ,  $x/\frac{a}{16}$  und  $x/\frac{a}{46}$  gelegen. Wie unpassend ihre Ausdrücke werden können, zeigt die Brasilianische



$o = d^1 d^{\frac{1}{2}} b^{\frac{1}{2}} r^{\frac{1}{2}} = \frac{1}{18} c : \frac{1}{4} a' : \frac{1}{11} a' : \frac{1}{11} a'$  zwischen  $\frac{a}{16}$  und  $\frac{a}{9}$ . Wir können sie daher füglich übergehen.

6. **Zwillinge**-Andeutungen findet man sehr oft, doch bleibt dabei meist einige Unsicherheit, die aber durch Aetzen in Flußsäure völlig gehoben wird. Es gibt nur trigonoedrisch geordnete Rhomben mit links oder rechts zu geordneten Trapezflächen. Was sich mehr oder weniger zeigt, erklärt der Zwilling. Unser Exemplar aus dem Wallis hat drei auf einander folgende linke Trapezflächen  $u u u$ . Die mittlere  $u$  mit den Nachbarflächen  $z P x r$  ist durch Streifen und dunkle Stellen derartig abgegrenzt, als wäre sie zwischen die beiden andern  $u$  aufgeklebt. Gerade die kleine glänzende Rhomboederfläche  $\frac{a}{3}$ , die ich vergrößert darunter setze, ist sehr merkwürdig durch einen matten Nebestreif von  $\frac{2}{3} a' \frac{2}{3}$ . Mit bloßen Augen nimmt man den schmalen Streif kaum wahr, allein unter dem Mikroskop außerordentlich deutlich. Daraus ergibt sich

auch die Fläche  $q = \frac{5}{11} a' \frac{5}{11}$ . Würde man diese Streifen übersehen, so müßte man sie in die Zone  $\frac{a}{9}/u$  stellen, und es käme dann  $\omega = \frac{5}{10} a' \frac{5}{10}$ . Zwar gibt Wackernagel eine solche Lage an, allein wenn der Quarz hemiedrisch ist, so kann das gar nicht sein. Ist Fläche  $x$  im Mikroskop erkannt, so ergibt sich Rhomboeder  $\frac{1}{4} a \frac{1}{4}$  aus der Zone  $x/r$ .

7. **Kry stall** abwechselnd mit drei rechten Trapezflächen  $x$ , drei matten Rhomboedern  $\frac{2}{3} a' \frac{2}{3}$ , drei glänzenden Rhomboedern  $\frac{1}{4} a \frac{1}{4}$ , und dreimal zwischen  $\frac{1}{4} a$  und  $\frac{2}{3} a'$  eine zarte Abstumpfung  $\omega = \frac{5}{10} a' \frac{5}{10}$ . Dabei herrscht  $P$  als Rhomboeder, kurz das Ganze zeigt dreigliedrige Ordnung, nur ein einziges mal unterhalb  $z$ , die sich durch die matte  $\frac{2}{3} a' \frac{2}{3}$  sicher bekundet, kommen drei glänzende Rhomboeder  $\frac{2}{3} a \frac{2}{3}$ ,  $\frac{1}{4} a \frac{1}{4}$ ,  $\frac{1}{4} a \frac{1}{4}$ , welche auf diese Seite nicht gehören. Zugleich liegt links neben  $\frac{2}{3} a'$  die schmale  $\omega = \frac{5}{10} a' \frac{5}{10}$ , ebenso rechts zwischen  $\frac{a}{3}$  und  $\frac{a}{3}$ . Aber auch in letzterer bemerkt

man mit der Lupe wieder ein Stückchen der gestrichelten  $\frac{2}{3} a' \frac{2}{3}$ , woraus bestimmt hervorgeht, daß das umkreiste Stückchen unter  $z$  fremdartig als Zwilling daran steht, und den Kry stall aus seiner rhomboedrischen Ordnung brachte. Zwischen  $\frac{a}{4}$  und der darunter folgenden  $\frac{2}{3} a'$  ist daher auch ein einspringender Winkel.

Optisch einaxig, attractiv + d. h. der ordentliche Strahl wird schwächer gebrochen als der außerordentliche,  $o = 1,5484$ ,  $e = 1,5582$ . Circularpolarisation pag. 132, nur dünne Platten zeigen in der Turmalinlänge ein Kreuz, dickere bloß farbige Flächen. Auch im Polari-

sationsmikroskop bleibt innen ein farbiger Fleck, wo das schwarze Kreuz nicht hinreicht. Dreht man den Nicol rechts, so durchlaufen die rechts gewundenen blau roth gelb, die links gewundenen blau gelb roth. Dieß hängt, wie schon Herschel bemerkte, von der Lage der Haupttrapezflächen  $ax$  ab, welche mit der Streifung von  $s$  in engster Verbindung stehen. Die Gegentrapeze scheinen ohne Einfluß. Legt man zwei gleich dicke links und rechts drehende Platten übereinander, so sieht man im Polarisationsmikroskop Airy'sche Spiralen. Nach Dorn (Pogg. Ann. 40. 614) gibt es auch an den Individuen mit linken und rechten Haupttrapezen Stellen, wo man Airy'sche Spiralen sieht, das würde dann der directeste Beweis für ihre Zwillingsnatur sein. Bei Brasilianischen Amethysten sieht man die Spiralen häufig. Auch die fortificationsartig gestreiften Quarze zeigen unregelmäßig concentrische Platten, welche abwechselnd zu den links und rechts drehenden gehören. Brewster Treatise on Optik pag. 286. Klare Bergkrystalle finden in der Optik mehrfache Anwendung. Einschlüsse von flüssiger Kohlensäure. Diamagnetisch (Monatsh. Berl. Akad. 1871. 148). Schwach thermoelectrische Nebenagen (Abh. t. Sächsischen Ges. Wiss. 1872 X 308).

Härte 7, parallel der  $Axe c$  schwerer schleifbar, als senkrecht. Gew. 2,65, bei fremdartiger Beimischung darüber oder darunter gehend. Das Steinheil'sche Normalkilogramm pag. 153 hat 2,6509. Krystallinische Kiesel Erde, die durch Erhitzen in die amorphe von 2,2 Gew. übergeführt werden kann (Pogg. Ann. 108. 1). Viele schöne Farben und besondere Klarheit zeichnen ihn aus. Reibt man Bergkrystalle leicht an einander, so geben sie in der Finsterniß leuchtende Funken. Glaselectricität.

Vor dem Löthrohr unschmelzbar, allein im Knallgebläse bekommt man amorphe Tropfen, die ins Wasser fallend nicht zerspringen, durchsichtig bleiben, dem Hammer großen Widerstand leisten, und ihre optischen Eigenschaften verlieren. Man hat sie zu mikroskopischen Linsen vorge schlagen (Gaudin Compt. rend. 1839. 711). Die Masse gepulvert löst sich im Aetkali. Mit  $Na C$  auf Kohle unter Brausen eine klare Glasperle, wenn man genug Quarz hinzusetzte ( $Ti$  gibt unklare Perlen). Setzt man nicht genug hinzu, so wird die Kohlensäure nur unvollständig ausgetrieben und die Perle deshalb nicht klar. Kiesel Erde im Ueberchuß wird dagegen gelöst, falls man die Masse nur noch schmelzen kann. Das Glas ist in Wasser löslich, erst wenn man noch eine andere Basis  $Ca$ ,  $Pb$  &c. hinzusetzt, wird es unlöslich. Silicate geben trübes Glas, sie müßten denn sehr reich an Kiesel Erde sein. Von Phosphorsalz wird Kiesel Erde nicht angegriffen, diese schwimmt unverändert als Skelet in der Phosphorsalzperle. Flußsäure äßt Quarz.

$Si = 46,6$   $Si + 53,4$   $O$ , oder  $Si : O = 21 : 24 = 7 : 8$ .

Bildung auf dreierlei Weise: 1) organisch. Die Nische von Fahren der Vogelfedern besteht mehr als  $\frac{1}{3}$  aus Kiesel Erde (Pogg. Ann. 70. 306); in den Seeschwämmen findet man oft große Mengen eigenthümlicher Kieselnadeln, die sich im Gebirge vortrefflich erhalten haben (Sand-

buch der Petrefactenk. pag. 467). Equiseten und Gräser lagern Mengen ab, die sich in den Knoten einiger Bambusrohre in porösen krystallinischen Klumpen ansammeln (Tabascheer Pogg. Ann. 13. 527). Auch die Oberhaut abdorrender Baumblätter, die Stacheln der Brennnesseln 2c. enthalten ein zusammenhängendes Gewebe amorpher Kiesel Erde. Besondere Bedeutung haben jedoch die kleinen Kieselpanzer, welche Ehrenberg zu den Thieren, Andere aber zu den Diatomeen ins Pflanzenreich stellen. Wenn diese Dinge coaguliren, so könnten sie allerdings zu Kieselknollen Veranlassung geben. 2) Auf nassem Wege haben sich nicht blos Kieselmassen angehäuft, sondern auch die schönsten Krystalle gebildet: dafür liefern z. B. die Bergkrystalle in den Kammern von Ammoniten des Lias den schönsten Beweis. Man findet nicht selten Krystalle mitten im Knollen des Feuersteins, der in der weißen Kreide sein Lager hat, wo von Feuerwirkung gewiß nicht die Rede sein kann. Zwar bekam Senarmont (Ann. Chim. 1851. XXXII. 142) in verschlossenen Glasröhren aus Wasser mit kiesel-sauren Alkalien, dem etwas Salzsäure zugelegt war, beim Erhitzen auf 200° bis 300° kleine Krystalle, allein dennoch bleibt noch Natur unsere Lehrmeisterin, denn es ist mehr als wahrscheinlich, daß jene prachtvollen zum Theil riesenhaften Krystalle auf den Spalten der Hochalpen ein Niederschlag aus wässriger Lösung sind. 3) Auf trockenem Wege kann man zwar krystallinische Bildung nicht ganz läugnen, wie unter andern die Quarzpartikeln in den Graniten und Porphyren, wenn anders dieselben heiße Laven bildeten, nur Feuerprodukte sein können, indessen die Masse der Krystalle verdankt dem Feuer keineswegs ihr Dasein. Ohne Zweifel haben auch überheizte Wasserdämpfe beim Abjaß in Spalten der Vulkane eine Rolle gespielt, wie noch in unsern Hochöfen Kiesel Erde in mehrlartigen Massen oder kleinen dendritischen Anflügen von 2,3 Gew., aber nicht in Krystallen vorkommt. Vergleiche den schneeweißen seidenglänzenden Eisenamianth (Pogg. Ann. 85. 402. Gurlt, Pyrogenete künstl. Mineral. 1857. 40). Bedenklich scheint mir das Krystallisiren von natürlicher Quarzmasse in Sammlungen (Leonhard's Jahrb. 1859. 440).

Die Verbreitung der Quarze von verschiedenstem Aussehen ist außerordentlich, namentlich im Ur- und Flözgebirge. Da er unter den gewöhnlichen Gesteinen der härteste ist, und sich allen chemischen Zersetzen auf das hartnäckigste widersetzt, so tritt er als Geschiebe, Kiez und Sand nicht selten massenhaft in den jüngern Formationen auf. Seiner großen Härte wegen wird er als Reib- und Glättstein, Mühlstein, Polirmittel 2c. gesucht. Das Sand-Blasverfahren zum Schneiden und Graviren harter Körper entdeckten die Amerikaner (Jahrb. 1873. 917). Bei Schmelzprozessen bildet er mit Fe und Ca eine Schlacke, die leicht vom Metall abfließt. Porzellan und Steingut, Glas und Smalte hängen in ihrem Werth von der Beschaffenheit des Quarzes wesentlich ab, der Anwendung als Halbedelsteine nicht zu gedenken.

Fuchs (Pogg. Ann. 31. 577) theilt die Quarze chemisch in drei Theile: In Kalilauge unlösliche, dahin gehört der krystallisirte, nebst Horn-

stein und Kiefelschiefer, man hat diese beiden auch wohl für versteckt kry stallinisch (kryptokry stallinisch) gehalten; in Kalilauge lösliche, das ist der Opal; endlich die Mischung aus löslicher und unlöslicher Kiefelerde, Chalcodon, Feuerstein. Nach Kammelsberg (Pogg. Ann. 112. 177) nicht ganz begründet.

### A. Kry stallinische Quarze.

Sie haben innerlich Glasglanz (Quarz hyalin) und einen glasartigen (muscheligen) Bruch, woran man sie auch verunreinigt leicht erkennt.

1. Bergkry stall, *κρύσταλλος* Eis, Seneca (Quest. nat. III. 22) und Plinius hist. nat. 37. 9 gelu vehementiore concreto; non alibi certe reperitur quam ubi maxime hibernae nives rigent; *glaciemque esse certum est* . . . laudata in Europae alpium jugis . . . E caelesti humore puraque nive id fieri necesse est; ideo caloris inpatiens, nisi in frigido potu abdicatur. Quare sexangulis nascatur lateribus non facile ratio inveniri potest . . . ita absolutus laterum laevor est ut nulla id arte possit aequari . . . nos liquido adfirmare possumus in cautibus Alpium nasci adeo inviis plerumque ut fune pendentem eam extrahant . . . (Scheuchzer Naturg. Schweizerland. III. 22; Philosoph. Transact. 1727. 220; Saussure Alpenreise III. 107). Diese und andere merkwürdige Worte des Plinius beweisen deutlich, daß die Römer mit dem Alpinischen Vorkommen sehr bekannt waren, und großen Luxus damit trieben. Als Nero vom Verluste seiner Herrschaft hörte, zerbrach er im Zorn seine zwei Kry stallbecher, „um sein Jahrhundert damit zu strafen, daß nicht ein anderer daraus trinken könnte.“ Die römischen Aerzte bedienten sich der Kry stallkugeln (Kühlkugeln) nach Art der Brenngläser, um damit die Wunden auszubrennen, Orpheus pag. 1. Cry stallus der Stain wirt aus eis Wegenberg 441. Daher nach Linné „natum ex aqua aetherea, Nitro fertili, in cryptis lapidosus diu retenta“. In den Alpen sind besonders zweierlei auszuzeichnen: wasserklare und schwarzbraune, durch flüchtige organische Substanz gefärbt (sogenannter Rauchtopas, Morion Plin. 37. 63), welche sich abdestiliren läßt (Pogg. Ann. 143. 172). Die gelben heißen schon beim Agricola (704) Citrin, sind aber nicht häufig (Cairngorm auf Arran). Im Handel kommen sie zwar viel von schönster weingelber Farbe unter dem falschen Namen Topas vor, doch sind das gebrannte Amethyste von Brasilien oder Rauchtopase von Schlesien.

Man findet häufig Einschlüsse von Chlorit, Strahlstein, Turmalin, Asbest, Rutil &c. Die grüne Farbe der Nadeln gleicht in Wasser eingefrorenem Graze (Scheuchzer Naturg. Schweizerlandes III. 62), was die Alten in ihrer Vorstellung vom Eise bestärken mußte; die von New-York enthalten sogar Stücke bituminöser Kohle. Noch auffallender als die festen sind die flüssigen und gasförmigen Einschlüsse. Schon Claudian machte 7 Epigramme de crystallo, cui-aqua inerat. Die Flüssigkeit zuweilen mit Würfelkry stallen läßt sich an einer beweglichen Luftblase erkennen, und besteht aus Wasser oder öartiger Substanz, 15 bis 20mal expan-

fibeler als Wasser (Davy Ann. Chim. XXI. 102), Simmler (Pogg. Ann. 105. 400) vermuthete schon liquide Kohlensäure. Erwärmt man daher ein wenig, so verschwindet die Blase pag. 213. Auf Madagaskar (Romé Delisle, Cristallogr. 1772. 100) kommen Stücke vor, die auf einem Quadratzoll Fläche wohl an Tausend feiner Blasen zeigen, dieselben könnten den emphysematischen Geruch erklären, welchen man beim Aueinanderreiben wahrnimmt (Dufrenoy Trait. Minér. II. 90).

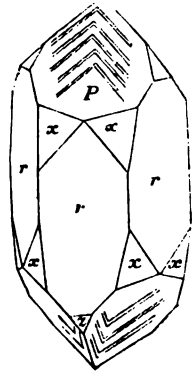
Die klaren werden zu Kronleuchtern, Ringsteinen (Majländer, Böhmische Steine), Brillengläsern u. verschliffen, unter letztern im Handel vorkommenden sollen immer viel mehr links- als rechtsdrehende sein (Pogg. Ann. 40. 619). Durch gehörige Verbindung verschiedener Prismen kann man sogar Distanzen und Höhen messen (Rochon's Micrometer). Jene mit eingeschlossenen grauen faserigen Krystallen (Haarsteine) machen einen besonders schönen Effect, und wenn auf den Sprüngen Regenbogenfarben vorkommen, so heißen sie irisirender Quarz, während Plinius 37. 52 unter dem Namen Iris Bergkrystallsäulen versteht, durch welche man wie durch ein Glasprisma ein Spectrum erzeugen könne. Früher stand Bergkrystall in bedeutend höherem Werth als jetzt. Zunächst drückten die Bergkrystalle von Madagaskar den Preis herab, wo man im Gebirge Besoure wasserhelle Krystalle von 26 Fuß im Umfange findet (Annales des voyages 1809. II. pag. 38)! Auch in Oberstein trifft man davon bei den Händlern Fässer voll der klarsten Geschiebe, woraus sie unter andern auch Gewichte schleifen. Silliman (Amer. Journ. XV. 34) erwähnt bei Waterbury 2 Fuß lange Säulen von 175 & Schwere. Da klingt es heute ganz fabelhaft, wenn im Jahre 1735 ein „Krystallkeller“ am Zinkenstod im Berner Oberlande für 45,000 fl. nur 1000 Etr. Krystalle lieferte. Im Bispthal von Oberwallis fanden sich Prismen von 1400 & (Gruner Versuch eines Verzeichniß der Mineralien des Schweizerlandes 1775. pag. 56) und noch heute stellen die zahlreichen Händler im Chamouni am Mont Blanc die prachtvollsten Krystalle zum Verkauf aus, die aber immerhin zu hohen Preisen weggehen. Denn sie pflegen in den unwegsamsten Gegenden der Hochgebirge vorzukommen, wo sie nur mit großer Mühe und Lebensgefahr von sogenannten Strahlern gewonnen werden (Saussure, Voy. Alp. III. 102). Riesige Rauchtopaze mit damascirten Flächen kamen im Herbst 1868 am Tiefengletscher südwestlich vom Rhonestock vor (Pogg. Ann. 136. 107): in einer linsenförmigen durch Sprengarbeit aufgeschlossenen Granithöhle von 6' Höhe, 15' Breite, 20' Tiefe mit Wandungen von derben rauchgrauen Quarzlagen, auf dem Boden in Gesellschaft von rothem Flußpath, Bleiglanz u., an 300 Etr. Krystalle ohne Ansatzfläche und meist bedeckt von Chloritsand. Der größte 0,69 m hoch und 1,22 m Umfang wiegt 267 &. Quarzgänge, wulstförmige Hervorragungen und hohler Klang deuten die Keller im Innern an. Kleinere Krystalle bringen die Gletscher in großer Zahl herab. Erwähnung verdienen die klaren Drusen im schneeweißen Marmor von Carrara, und die losen „Marmaroscher Diamanten“ im alttertiären Smilnoschiefer der Karpathen. Sie zeigen



die Rhombenflächen öfter in trigonoedrischer Ordnung, was namentlich durch Aetzung an beiden Enden mit größter Sicherheit hervortritt. Außer dem Riesengebirge sind unsere niedern deutschen Urgebirge arm an solchen Bildungen, nur daß man sie hin und wieder selbst von großer Klarheit in den Kalksteinen und Mergeln der Flözgebirge findet, und zwar meist um und um krystallisirt. Kleine Dihexaeder liegen in unserm schwäbischen Steinsalz versteckt. Die Rheinkiesel, welche die Goldwäscher sammeln, werden in Waldbirch verschliffen.

2. Amethyfst Plinius 37. 40, ἀμέθυστος nicht trunken, causam nominis afferunt, quod usque ad vini colorem accedens priusquam eum degustet in violam desinit fulgor . . . . Man muß bei dieser blauen Färbung aber an die rothen italienischen Weine denken. Es werden dann fünferlei aufgezählt, quintum ad viciniam crystalli descendit. Die schöne blaue Farbe des Amethyfstes muß man wohl als das wesentlichste Kennzeichen ansehen, man leitet sie von Mn ab, was nebst etwas Fe, Al u. ihn verunreinigt. Im Feuer verliert er seine schöne Farbe, geht durchs Gelbe und Grüne ins Farblose. Von dieser merkwürdigen Eigenschaft machen die Steinschneider Gebrauch, so daß viele der geschliffenen „Aquamarine und Goldtopase“ nichts weiter als entfärbte Amethyfte sind, denn in Oberstein kann man große Fässer mit solchen bunt durcheinander geworfenen Bruchstücken gefüllt sehen, da sie in vielen Centnern aus Minas geraes in den Handel kommen. Weil eisen saures Kali K Fe satt amethyfstblau gefärbt ist, und sich der Amethyfst sehr leicht farblos brennt, so hat man auch wohl an Eisenfärbung gedacht. Indeß da Mangan nur in der äußern Flamme violblaue, in der innern dagegen farblose Gläser gibt, das Eisen aber außen gelbe, innen grüne, und da ferner die Farbe des Mangans schon verschwunden ist, wenn die gelbe Eisenfarbe sich noch zeigt, so ist obiger Farbenwechsel auch bei Manganfärbung chemisch leicht erklärlich. Freilich behauptet Feinz (Pogg. Ann. 60. 222) in einem intensiv gefärbten Brasilianischen nur  $\frac{1}{100}$  p. C. Mangan gefunden zu haben, was zur Färbung nicht hinreichen könnte. Vergleiche auch die Entfärbung des Glases durch Braunstein.

Der Amethyfst gehört seiner Klarheit nach noch zu den halbedeln Gemmen, auch sind die Säulen gewöhnlich kurz und ihr Ende einfache Dihexaederspigen. Eigenthümliche fortificationsartige Streifungen, die bei Brasilianischen besonders deutlich hervortreten, deuten nach Brewster wechselnde links und rechts drehende Platten an (Schweigger-Seidel Journ. Chem. 1831. LXI. 1), so daß derselbe optisch alle diejenigen Quarze zu den Amethyften stellen wollte, welche diese Eigenschaft haben, mögen sie gefärbt oder nicht gefärbt sein, was mineralogisch aber nicht angeht. Schon auf den Krystallflächen werden die Rapseln durch lichtere oder dunklere Streifen angedeutet, die auf den Rhomboederflächen P den Endkanten P/P



parallel gehen. Außer dieser Oberflächenstreifung sieht man auch im Innern noch dunklere und lichtere Linien, welche alle dieser Richtung folgen. Das Dichroskop zerlegt zwar die Farben nach vielen Richtungen des Krystalls in Blau und Roth (Pogg. Ann. 70. 221), doch ist die Erscheinung nicht bei allen in gleicher Weise auffallend. Bemerkenswerth sind die linken und rechten Trapezflächen  $x$ , welche in Brasilien, am Weisfelberge (Rath, Pogg. Ann. Jubelband), auf den Färöer Inseln sehr regelmäßig wie bei Dreikantnern auftreten. Sie zeigen daher stellenweis auch Nyr'sche Spiralen, was sie optisch höchst interessant macht. Zwillinge mit einspringenden Winkeln in den Rhomboederanten von Idar. Wird im Feuer schon undurchsichtig (Tridymit), wenn Bergkrystalle noch ganz klar bleiben.

Früher standen Amethyste in bedeutendem Ansehen, allein in unserm Jahrhundert hat sie Brasilien in zu großer Menge geliefert, als daß sich die Preise hätten halten können, es mögen daher ihnen auch nur wenig Glasflüsse untergeschoben werden. Hauptfundorte liefern in Achattugeln: Oberstein, Theiß in Tyrol, der Schwarzwald bei Baden und Oppenau, auch die Brasilianischen gehören großen Achattugeln an, und die von Nertschinsk finden sich wenigstens mit Chalcedon. Sehr blaß sind die von Mursinsk aus Quarzgängen im Granit, bei Chemnitz in Ungarn kommen sie häufig auf Erzgängen vor. Am schönsten gefärbt sind die Geschiebe von Ceylon, sehr blaß dagegen die Haaramethyste von Botanybay in Neuhollland. Ueberhaupt verbreitet sich die Farbe oft unregelmäßig in der Masse, so daß dunkle Stellen an lichtern wolfig absetzen.

3. Gemeiner Quarz. Halb durchsichtig, kurze Säulen, aber scharfe dihexaedrische Enden. Die ungefärbten scharen sich zu prächtigen Drusen, welche auf Erzgängen ein gewöhnliches Gangmittel bilden. Bekannt sind die schönen Gersdorfer die dortigen Flußspäthe überzuckend, ähnlich kommen sie auf der Grube Clara bei Schappach auf Schwerspath vor, der Buntejandstein ist in manchen Gegenden des Schwarzwaldes (Ulach) von den Drusen ganz durchzogen, rein schneeweiß kommen sie in Chalcedonhöhlen des Mühlsteins von Waldbühl am südlichen Schwarzwalde vor. Wie colossal die Bildungen auch hier noch werden, zeigen die Quarzgänge in der Grauwacke am Streitfelde bei Eschach ohnweit Usingen in Nassau, die Köpfe der einzelnen Dihexaeder erreichen wohl einen Fuß Dicke, statt der Säule sind Absonderungen mit fortificationsartigen Streifen da, einzelne sehr unreine Lagen zeigen das allmähliche Wachsen deutlich an. Gemeiner Quarz gefärbt bekam allerlei Namen:

Prasem (πράσιος lauchgrün) Plinius. 37. 24 vilioris est turbae Prasius. Werner glaubte ihn in einem durch Strahlstein gefärbten Quarz mit Fettglanz von Breitenbrunn zwischen Schwarzenberg und Johannsgeorgenstadt wieder zu erkennen. Splitter zeigen im Mikroskop zahllose feine Hornblende-Nadeln. Man findet ihn als Laubwerk am Mosaisk.

Rother Eisenkiesel, besonders im Gyps von Südfrankreich und Spanien eingesprengt, daher um und um krystallisirt, außer Säule und

Dihydraeder kommt gar keine Fläche vor, diese aber in außerordentlicher Regelmäßigkeit. Wegen ihrer durch Eisenoxyd ziegelrothen Farbe von den ältern Mineralogen fälschlich Hyacinthen von Compostella genannt, weil sie zu St. Jago di Compostella in besonderer Schönheit vorkommen. Trotz ihrer Einfachheit zeigen sie nach Hr. Descloizeaux im polarisirten Lichte Zwillingungsverwachsungen, wie der Amethyst (Ann. Chim. 1855. XLV. 2). Im Indischen Salz schöne fleischrothe um und um gebildete Dihydraeder mit Säule.

Gelber Eisentiesel, durch Eisenoxydhydrat intensiv ochergelb, am schönsten in den Salbändern eines Kalkspathganges im Uebergangskalk von Hserlohn, wo er dreifingerdicke Platten von beliebiger Größe bildet. Die derben und unkrystallisirten können kaum noch wegen der Zufälligkeit ihrer Mischung Gegenstand mineralogischer Untersuchung sein.

Rauchquarz hat man wohl die rauchgrauen Krystalle aus dem mittlern Muschelkalk des Schwarzwaldbandes genannt, wo sie ringsum gebildet bei Deschelbronn zwischen Baihingen und Pforzheim sparsam auf den Aedern aufgefunden werden. Schon die Selecta Phys. oecon. 1754 III. 100 erwähnen sie, und nach Breithaupt (Paragenesis pag. 27) sollen sie etwas Schwefel enthalten. Ja bei Chanteloub (Haute Vienne) zeichnet man sogar einen bituminösen „Stintquarz“ aus.

Derbe meist nicht außkrystallisirte aber doch noch krystallinische Quarze, gewöhnlich mit vielen Flüssigkeitsporen, finden sich besonders eingesprenkt im Granit. Diese Körner können stellenweis sehr groß werden, namentlich wenn der (Gang-) Granit überhaupt sehr grobkörnig wird, wie z. B. zu Rabenstein bei Bodenmais im Baierschen Walde, wo sich der bekannte Rosenquarz (Rubinbalasse, Walch Naturf. 1775 VII. 201) von schönster rosenrother Farbe ausscheidet. Die Farbe soll nach Berthier vom Bitumen, nach Fuchs von 1,5 Ti herrühren. Katharinenburg. Milchquarz hat viel Trübes und einen starken Stich ins Blau. Sapphirquarz (Siderit) bildet im Gyps von Golling (Salzburg) mit Strahlstein und unreinem Kalkspath indigblaue Aedern, und ist von einer matten, graublauen erdigsafrigen Substanz durchzogen, die man für Krokydolith hält. Häufig haben diese derben einen Fettglanz, und heißen dann Fettquarz, wie bei Bodenmais, wo er aber leicht mit Dichroit verwechselt werden kann. Lichtgrün in den Achaten von Brasilien. Lévy (Descr. miner. I. 299) erwähnt sogar aus Peru smaragdgrüne. Aventurin wird viel genannt, aber findet sich selten schön: es ist ein durch Sprünge zum Körnigen sich neigender Quarz, meist röthlich. Von den Sprüngen her zeigen sich leuchtende Punkte. Geschiebe in Spanien, Puerto Cabello in Venezuela. Zu Katharinenburg werden Massen von Kositwansk im Altai zu Vasen verschliffen. Der Name kommt aus dem Französischen aventure, weil man durch Zufall im 17ten Jahrhundert ähnliche Glasflüsse erhielt. Berühmt unter den künstlichen ist der röthliche von der Insel Murano bei Venedig, der neuerlich wieder in den Handel kommt, dessen Darstellungsweise man anfangs nicht mehr kannte (Abhler in Pogg.

Ann. 58. 306), da er sich erst beim Wiederaanwärmen des Glases bildet. Es flimmern daraus zahlreiche kleine Otaeder von Kupfer hervor, welche sich im Glasflusse gebildet haben. Mit der Lupe erkennt man sehr deutlich gleichseitige Dreiecke an den kleinen Kryställchen. Wahrscheinlich durch Eisen reducirtes Kupferoxydul (Dingler Polyt. Journ. 1846. 99. 400). Pelouze (Compt. rend. 1865. 610) macht einen smaragdgrünen Chromavanturin, worin die Chromoxydblättchen sich gleich beim Säge bilden. Bekan (Sengst Pogg. Ann. 105. 337) soll ein eingliedriger Fetzquarz aus dem Melaphyr von Zwidaun sein.

Ragnauge hat man einen krystallinischen Quarz inwendig mit parallelen (Amianth?) Fasern durchzogen genannt. Diese Fasern zeigen einen schönen Seidenglanz, der aus dem Innern der krystallinischen Masse reflectirt. Am liebsten gibt man dem Steine einen muggelichen Schliß von der Form einer Kaffeebohne. Bei der Bewegung spielt das Licht nach Art des Lichts im Auge der Ragn. Die Singalesen (Ceylon) sind auf ihre grünlichen sehr stolz, auch kommen allerlei trübe rothe, braune, gelbliche Farben vor. Es mag wohl sein, daß ihn Plinius 37. 47 schon unter *Asteria* (*inclusam lucem pupilla quadam continet*) begreift, Lehmann, Berliner Abad. Wiss. 1754. 67. Dem Indischen ähnliche schillernde Quarze werden aus dem Serpentin von Treseburg im Bodethal und aus einem Hornblendegestein von Hof angeführt. Doch hat hier der Charakter schon sehr verloren, es ist nur gemeiner Quarz, worin etwas Asbest steckt oder geradezu Asbest, den etwas Quarz durchzieht.

Faserquarz. Zu strahligen und faserigen Bildungen zeigt zwar der Quarz gar keine besondere Neigung, doch kommen zu Issoir (Auvergne) faserige Amethyste vor. Die Steinkohle von Löbejün bei Halle durchziehen weiße Schnüre, die wie Faserquarz aussehen, aber aus Kiesel-erde bestehen. Ähnlich die Braunkohle von Teplitz. Am ausgezeichnetsten sind die lichtgelblichen Quarzschnüre im kieseligen Brauneisenstein von Zatafoo am Oranje River. Klaproth Beitr. VI. 255 fand darin 98,5 Si. Es sind fingerbreite Schnüre, die Faser senkrecht gegen das Salzband, wie der schönste Faserquarz. Nach Wibel (Zahrb. 1873. 107) sollen es Pseudomorphosen nach Krotydololith sein. Werners Faserkiesel (Fibrolith) gehört hier nicht hin, denn er enthält wesentlich kiesel-saure Thonerde.

### B. Chalcedone (Glasopfsquarze).

Chalcedonier Luther Off. Joh. 21, 19. Der Name stammt im Mittelalter von Chalcedon in Kleinasien (Byzanz gegenüber), von wo er in den Handel kam, da er am Fuße des Olympus bei Brussa gefunden wird. Der Stein selbst schon den ältesten Völkern unter verschiedenen Namen bekannt.

Eine dichte matt durchscheinende Quarzmasse mit fein splittigem Bruch, versteckter Faserung, und schönen wenn auch getrübbten Farben. Verbindet Hornstein mit Opal, und soll daher nach Fuchs ein Gemisch aus beiden sein, indem sich mit Kalilauge Opalmasse ausscheiden lasse.

Dafür scheint auch die Art seiner Verwitterung zu sprechen, indem er Schichtenweis ganz matt wird, sogar an der Zunge klebt; das kann nur durch Verlust von Substanz geschehen. Aber gerade diese Stücke sind für die Steinschleifer am wichtigsten, denn sie können auf das schönste mit färbenden Mitteln getränkt werden, was ihren Werth erhöht, den Mineralogen aber auch täuscht. Die meisten Chalcedone in Vulkanen und Mandelsteinen mögen wohl nur ein Produkt des Wassers sein. Längs der Faser undurchsichtiger, als quer. Beim Schleifen herrlich phosphorescirend.

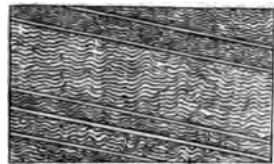
Ungestreifter Chalcedon bildet ausgezeichnete nieren-, trauben- und zapfenförmige Gestalten, eine Neigung zur undeutlichen Faserstructur ist oft zu erkennen, während die concentrische Schichtung ganz zurücktritt. Von besonders zartem etwas graulichweißem Ansehen finden sie sich in Drusenräumen der Vulkanischen Gesteine auf Island und den Faröer Inseln, in Ungarischen Erzgängen übersintern sie die feinsten Nadeln von Graupießglanz, dessen leichte Schmelzbarkeit an Bildung auf heißem Wege gar nicht denken läßt. Ausgezeichnet smalteblaue kennt man von Treßthau in Siebenbürgen, dabei kommen auch sehr schöne scheinbar würfelförmige Krystalle vor, die man ziemlich allgemein für Asterskrystalle hält, obwohl sie ausgezeichneten Quarzglanz haben, und gerade in Chalcedonkugeln der Amethyst sich gern rhomboedrisch ausbildet.



Die ausgehöhlten Ranten geben den Individuen das Ansehen, als wenn sie aus drei Rhomboedern Drillingsartig zusammengewachsen wären.

Gestreifter Chalcedon, der berühmte Achates, Plinius 37. 54, in magna fuit auctoritate nunc in nulla. Reperta primuni in Sicilia juxta flumen ejusdem nominis postea plurimis in terris numerosa varietatibus; vocatur enim jaspachates, cerachates, zmaragdachates, haemachates, leucachates, dendrachates. Breynius epistola de melonibus montis Carmel 1722 sind Achattugeln.

Große öfter mehrere Centner schwere Kugeln bestehen aus concentrischen Schichten, die wie die Anwachsstreifen von Holz mit bloßem Auge leicht erkannt werden. Zwischen diesen Schichten gewahrt man bei dünn geschliffenen Platten schon mit bloßem Auge äußerst gedrängte wellige Linien, die offenbar nichts als Niederschläge bedeuten. Daher verhält sich auch Achat nicht indifferent gegen das Licht (Philos. Transact. 1814. 187). Gefühlte Glasplatten im polarisirten Licht zeigen durch ihn gesehen ein Kreuz. Nach Hrn. Prof. Neusch hat die zarte Streifung auch die Wirkung der Gitter. Brewster zählte 17,000 Schichten auf 1 Zoll Dide (Pogg. Ann. 61. 186). Viele dieser Achattugeln führen nach Innen Anhäufungen von Amethyst, der aber mit bloßem Auge nie-  
mal als in der Achatmasse selbst bemerkt wird.



Erst mit dem Mikroskop treten im polarisirten Licht grelle Farben in dünnen Schichten auf, wie sie krystallinische Quarze zu zeigen pflegen. Dazwischen folgen dann die zahllosen Wellen, welche einer geträufelten Wasserfläche gleichen. Die Kiesel Erde muß sich von Innen her allmählig niedergeschlagen haben, so daß die innern Schichten jünger sind als die äußern. So lange die Kugelwand dünn war, kann man sich das Eindringen von Quarzsubstanz wohl erklären, allein je dicker die Wände, desto schwieriger die Sache, doch findet man häufig einen röhrenförmigen Zugang, der gewöhnlich zuletzt durch Amethyste als dem letzten der Niederschläge verstopft wird. Große Kugeln haben viele solcher Zugänge (Einspritzlöcher). Sie waren ursprünglich (wahrscheinlich durch Gasblasen gebildete) hohle Räume, gern an einer Seite schneidig, oder zu zwei und mehreren zusammengestossen. Solche Hohlkugeln mit einer papierdicken Achatwand und einer innern Amethystdruse finden wir bei Idar und Oberstein in ungeheurer Menge. Je nachdem die Ausfüllung nun vor sich ging, hat man den Abänderungen Namen gegeben, womit seit alter Zeit viel Spielerei getrieben ist. Die Phantasie erkannte darin allerlei Figuren: so spricht schon Plinius 37. s von einem im Alterthum hochberühmten Stein des Pyrrhus, in qua novem Musae et Apollo citharam tenens spectarentur. Im Mittelalter wurden es Heiligenbilder (Athan. Kircher Mundus subterraneus II. pag. 31) und heute beschäftigt uns wenigstens noch ihr feiner wunderbarer Bau: die prachtvollen Regenhogenaachte vom Weisselberge bei Oberkirchen ohnweit St. Wendel zeigen in dünnen Platten gegen das Licht gesehen die schönsten Regenhogenfarben, indem jeder Anwachsstreifen besondere Farben durchläßt, darin schwimmen schichtenweis zahllose rothe Punkte von Eisentiesel. Da eine durchgeschnittene Kugel gestreift erscheint, wie das Bild einer Bastion, so nannte Werner dieselben Fortificationsachat. Besonders grellfarbig mit Weiß und Roth setzen die Streifen auf jenem mächtigen sächsischen Achatgange bei Schlottwitz ohnweit Glashütte ab, daher heißt derselbe B and a chat, zumal da in kleinen Stücken die Streifen wenig Krümmung zeigen. Wo dieser Gang zertrümmert wird, haben sich zahllose scharfeckige Bruchstücke gebildet, die von schönem blauem krystallinischen Amethyst wieder zusammenge kittet sind, Trümmer a chat (Epochen der Natur pag. 258). Gar lieblich ist das weißgestreifte Smalteblau der Indischen (Leonhard's Jahrb. 1858. 32.), welche man in Oberstein bekommt. Ueberhaupt zeigen die Steine bestimmter Fundorte gern einen gemeinsamen Farbenscharakter. Die Muscheln des Quader sandsteins von Blackdown (Devonshire) sind oft in den feinsten, selbst gestreiften, Chalcedon verwandelt. Das würde grade nicht für Bildung durch Dampfdruck intermittirender Thermen sprechen (Pogg. Ann. 123. 108).

Onyx (Onyxel, *ὄνυξ* Nagel) heißen Theophrast und Plinius 37. 24 geschnittene Steine, die aus zwei bis drei Lagen bestehen, was die Vergleichung mit dem Nagel auf dem Fleische veranlaßte. Die Schönheit ihrer Farbe ist jedoch lediglich Kunstprodukt. Daher sind gerade die

matten und verwitterten Kugeln für die Steinschneider am werthvollsten. Arabischer Onyx Plinius 37. 24. Eine kohlschwarze Schicht wird von einer schneeweißen gedeckt. Sie dienen hauptsächlich zu Cameen oder Intaglien, d. h. aus der weißen Lage wird eine erhabene oder vertiefte Figur geschnitten, die sich prachtvoll auf der schwarzen Unterlage ausnimmt. Es sind uns viele von unvergleichlicher Schönheit aus dem Alterthume überkommen, wie der Farnesische Onyx (Abh. Berl. Akad. 1835. 407). Brasilien führt sie neuerlich in großer Menge aus, der Centner Cameenstein davon in Oberstein roh schon mit 2500 fl. bezahlt. Zugeschnittene Steine werden in mit Wasser verdünnten Honig gelegt, mehrere Wochen lang auf dem Ofen warm erhalten und dann in Schwefelsäure auf glühende Kohlen gestellt. Nach wenigen Stunden wird eine Lage die weichere schwarz, ohne Zweifel in Folge von Ausscheidung der Kohle des Honigs, die andere härtere schneeweiß: ein schlagender Beweis von der innern Verschiedenheit der Schichten. Freilich ist in Beziehung auf Reinheit der Werth der einzelnen außerordentlich verschieden. Die schönsten macht man aus dem Brasilianischen.

Carneol (caro Fleisch) oder Cornelius (Herzstein) nach seiner gelblichrothen Farbe genannt, die durch Glühen bedeutend erhöht wird, weil sich das färbende Eisenoxydhydrat in Eisenoxyd verwandelt, zumal wenn sie zuvor mit eisernen Nägeln in Salpetersäure gelegt werden. Uebrigens gehören nicht alle Carneole zu den gestreiften (Carneol-Onyxen). Der Name entstand im Mittelalter (Agricola 624), die Alten nannten ihn *Sarda* Plinius 37. 31: *primum Sardibus reperta . . . laudatissima circa Babyloniam, cum lapicidinae quaedam aperirentur, haerens in saxo cordis modo*. Sie behandelten ihn schon mit Oelen und Säuren. *Sardonix* Plinius 37. 33 *Romanis hanc gemmam fuisse celeberrimam . . . veluti carne ungui hominis inposita, et bestand also aus einer rothen und weißen Lage*. Der berühmte Ring des Polykrates war ein solcher, Plinius 37. 2, Augustus legte ihn in einem goldnen Horn auf dem Altar der Concordia nieder. Besonders schön sind die vom Weisselberge, welche aus drei Lagen bestehen: oben ziegelroth, in der Mitte schneeweiß, unten milchweiß mit feinen Punkten von Eisentiesel. Die dritte Lage wurde häufig zum Haare der Camee verwendet. Zu Warwick in Queensland kommen Geschiebe von ausgezeichneter Farbe vor. Die Indier machen ihn nach, indem sie mit Soda eine emailartige Schmelzrinde aufschmelzen. Gegenwärtig schleift man einfarbigen Carneol häufig zu Petschaften. Das Hebräische *Odem roth* 2 Mos. 28, 17 übersezt Luther durch *Sarber*, so ausgezeichnet war der Stein im Alterthum! Auch *Sard* heißt hebräisch roth.

Zwischen gestreiften und ungestreiften Chalcedonen ist zwar kein scharfer Gegensatz, doch nähern sich letztere durch die Feuersteine leichter dem Hornstein, und nehmen dabei allerlei bunte Farben an. *Mochha-keine* (nach dem Arabischen Hafen, von wo man sie früher bezog) oder *Moosachate* nennt man die Stücke mit schwarzen Dendriten, von einge-

drungenem Manganoryd herrührend, diese sind aber Algen und Moosen oft so täuschend ähnlich, daß die Frage noch gar nicht entschieden ist, ob nicht organische Einschlüsse sich darunter befinden. Im Carneol hielt man sogar lange das Färbende für organische Substanz (Pogg. Ann. 26. 555). Feinschmid widerlegt das zwar, allein es finden sich doch viele Achat unter Verhältnissen im Gebirge, wo organische Einschlüsse leicht denkbar wären. Göppert (Karsten's Archiv 1850. XXIII. 107) fand bei Oberstein nichts Organisches.

Plasma nannte Werner nach Vorgang der Antiquare lauch- bis berggrüne Gemmen aus den Ruinen Roms. Solche Massen kommen heute noch aus Calcutta nach Oberstein, auch hat man mehrere grüne Chalcedone z. B. die bekannten vom Hauslopf bei Oppenau im nördlichen Schwarzwalde so genannt. Klaproth (Beiträge IV. 300) fand in den antiken von Brussa am Fuße des Kleinasiatischen Olymp 96,7 Si, 0,5 Fe. Heliotrop, Sonnenwendel (Regenberg Buch der Nat. pag. 445) ist ein Plasma mit rothen Chalcedon-Punkten, die durchsichtiger sind als die grüne Masse, sie heißen daher bei den Händlern Blutjaspis. Die orientalischen, von Calcutta eingeführt, nehmen eine sehr schöne Politur an. Die Schottischen haben schon einen halbmatten Jaspisbruch. Heliotropum Plinius 37. 60 porraceo colore, sanguineis venis destincta konnte freilich ein ganz anderer Stein sein. Achatjaspis (oder schlechthin schon Jaspis) nennen die Steinschneider die unreinern stark gefärbten Achatmassen. Solcher (rother) Jaspis kommt unter andern ausgezeichnet in den grauen Dolomiten unter dem Buntensandstein des Schwarzwaldes vor (Schramberg, Alpirsbach), im Weißen Keuper sandstein von Schmiedefeld bei Sulzbach (Rocher). Cacholong (schöner Stein bedeutend soll mongolischer Abstammung sein, Cacholonius Wallerius Miner. 272) heißt der veränderte, welcher schichtenweis ganz matt wie Steinmark wird. Es ist Folge von Verwitterung, denn Fuchs (Pogg. Ann. 31. 577) hat gezeigt, daß gestreifter Chalcedon durch Kalilauge ähnliche matte Schichten bekomme. Faröer Inseln, Hüttenberg auf verwittertem Spathkiesstein. Sie kleben an der Zunge (Schröter Einleitung Geschichte der Steine I. 500).

Enhydros Plinius 37. 73 semper rotunditatis absolutae in candore est laevis, sed ad motum fluctuat intus in ea veluti in ovio liquor. Hier sind ohne Zweifel die kleinen nußgroßen grauweißen Chalcedonfugeln im verwitterten Mandelstein vom Monte Tondo in den Colli Verici südlich Vicenza verstanden, deren innere Höhle mit Flüssigkeit erfüllt ist, die durch die Wände durchscheint. Fortis fand sie wieder, aber schon Faujas St. Fond (Essai de Géologie 1809. 551) klagt, daß der Besitzer des Grundstücks nur äußerst schwierig Erlaubniß zum Nachgraben gebe. Solches Urwasser kommt zwar auch in den größern hohlen Achatfugeln vor, allein es kann wegen der Undurchsichtigkeit der Wände darin äußerlich nicht sichtbar gemacht werden.

Künstliche Färbung der Chalcedone. Die Sache scheint uralt zu sein (Nöggerath, Leonhard's Jahrb. 1847. 272). Plinius 37. 64 sagt



von einem Achat in ollam plenam olei conjectu cum pigmentis intra duas horas subfervescit unum colorem ex omnibus faciat minii. Noch auffallender lib. 37. 74 Cochlides (ohne Zweifel Achatfugeln)... fiunt verius quam nascuntur, in Arabia repertis ingentibus glaebis, quas melle excoqui tradunt septenis diebus noctibusque sine intermissione. Dabei kämen dann so viel Zufälligkeiten zum Vorschein, daß man sie Naturspiel (physes) hieße, weil man nicht allen Namen geben könne. In Italien mag sich diese Kunst durch Tradition forterhalten haben, denn früher kamen die sogenannten „Romaner“ nach Oberstein und kauften die gestreiften ungefärbten aber zugeschnittenen Steine auf, um ihnen in Rom erst die gehörige Färbung zu geben, bis endlich ein Achat Händler von Idar, man sagt im Schuldhurme von Paris (S. Lange, die Halbedelsteine 1868 pag. 63) durch einen Mitgefangenen Römer hinter das Geheimniß kam. Jedenfalls ward das Schwarzfärben 1819 in Oberstein bekannt. Die matten, welche zum Theil die Feuchtigkeit so stark aufsaugen, daß sie etwas an feuchter Lippe kleben, sollen am geeignetsten sein. Wie der arabische Onyx durch Honig und Schwefelsäure schwarz und weiß wird, so kann man den ungestreiften durch bloße Salzsäure schön citronengelb machen. Besonders gelingt das Blaufärben, vom reinsten Sapphirblau bis zu allen Schattirungen des Türkis hinab, durch Beizen mit Blutlaugensalz und Kochen in Eisenvitriol. Mit Chromsäure getränkt und erhitzt kommt Grün. Dadurch haben die Schleifereien zu Oberstein und Idar im Oldenburgischen Fürstenthum Birkenfeld, wo längs des Fließchens Idar mehr als 100 Achatmühlen stehen, jede mit 4—5 Rädern (Collini Journal d'une Voyage 1776), ein Rad schon eine Familie nährend, großen Aufschwung bekommen. Eine der merkwürdigsten Industrien Deutschlands, die sich gegenwärtig auch nach Pforzheim zc. fortgepflanzt hat. Alles was zur Familie des Quarzes gehört: Bergkry stall, Amethyst, Achat, Jaspis zc., wird hier geschliffen, polirt, gefärbt, und durch Handelsleute über die ganze Erde verbreitet. Besonders bildet die Schweiz einen wichtigen Markt: in den ärmlichsten Sennhütten (Col de Balin zc.) findet man davon reiche Niederlagen, die von leichtgläubigen Lusttreibenden als Produkte des Chamounithales und Berner Oberlandes fleißig ausgekauft werden. Jene allein zu Cameen brauchbaren Onyx, womit das Alterthum so ungeheuren Luxus trieb, und wovon uns herrliche Ueberbleibsel überliefert sind, wurden früher (schon 1497 im Gange) bloß in den Mandelsteinen um Idar und einem pechsteinartigen Melaphyr des Weißelberges bei Oberkirch gewonnen. Seit 1834 kommen sie aber aus Brasilien (Monte Video) in solchen Mengen, daß 1846 allein für 200,000 fl. rohe Steine in Oberstein versteigert sind, darunter Riesemandeln von 40 Ctr. Gewicht! Dort im Gebiete des Uruguay besonders um Porto Alegre bedecken die Mandelsteine ungeheure Strecken. Die Alten machten auch Gefäße daraus, wie die berühmte Mantuanische Vase aus Onyx. Schon Agricola (bei Lehmann III. 66) war der Meinung, daß die Vasa murrhina des Plinius hist. nat. 37. 8 eher in diese Sipp-

schaft gehörten, als wo anders hin; besonders wenn man an die Regenbogenachate denkt, die in den schönsten Farben schillern. Properz sagt daher *mureus onyx* (Museum Alterth. Wiss. 1808 II. 557), aber die Fundstellen kennt man nicht mehr.

**Jaspis** ein uraltes Wort, denn 2 Mos. 28, 30 heißt der 12te Stein im Amtsschildlein des Hohenpriesters *Jaschphe*, *Wedel*, *excercitat. de Jaspide sacrae scripturae* 1702. Plinius hist. nat. 37. 37 zählt eine ganze Menge schönfarbiger auf, darunter den Türkis (*aeri similem*), aber ohne Zweifel auch Quarze. Selbst Werner begriff darunter sehr verschiedene Dinge. Daher geht man am besten vom

**Kugeljaspis** Steffens aus, 2,6 Gew. Dieß sind offenbar feuersteinartige Kugelbildungen, aber durch Eisenoxyd intensiv ziegelroth, durch Eisenoxydhydrat ochergelb bis kastanienbraun gefärbt. Die Farben bilden Streifen und Flammen als Folge von Oberflächenzersehung. Der vollkommen muschelige Bruch hat einen eigenthümlichen matten Schimmer (ächten Jaspisbruch), und die Analyse gibt außer Eisenoxyd und Thonerde immerhin reichlich 95 Si an. Der braune Jaspis, *Memphitis* *Megenberg* 452, mit concentrisch lichten und dunkeln Streifen, die ungefähr der Kugeloberfläche parallel gehen, findet sich in großer Menge als Gesteine im Nil (Milkiefel) und im Sande der Wüste. Bei Kairo bildet er ein Conglomerat, das wahrscheinlich der Kreideformation angehört. Seine große Politurfähigkeit und Menge im Geburtslande des Moses mußte früh die Aufmerksamkeit auf sich ziehen, und daher könnten die Juden unter *Jaschphe* wohl diesen Stein verstanden haben, wenn es nicht etwa edler Opal war. Der rothe Jaspis kam auf dem *Alldinger Stollen* zu Augen bei Mülheim im Breisgau in großer Menge vor, er lag in den dortigen Bohnerzen, und schon die eingesprengten Polythalamien deuten entschieden auf einen Ursprung wie Feuerstein hin. In einem „grünen Jaspis“ von Ostindien sollen Algen mit erhaltenem Chlorophyll liegen (*Schaffner Flora* 1859).

Gemeiner Jaspis meist roth und braun, findet sich auf Erz-, besonders aber auf Eisensteingängen. Man findet darunter zwar noch mit ächtem Jaspisbruch, doch kann man häufig die Grenze einerseits zu dem Hornstein andererseits zum ungestreiften Chalcedon nicht sicher ziehen. *Achatjaspis* und *Opaljaspis* unterscheiden sich dagegen durch ihr Vorkommen.

**Bandjaspis** entbehrt gänzlich des Glanzes im Bruch, und ist immer lagerhaft. Wenn er mit Porphyr vorkommt, wie bei *Gnandstein* in Sachsen, so besteht er aus kieselreichem Thonstein; wenn er dagegen zur obern Thonschiefer- und Grauwackenformation gehört, wie am Ural und auf dem Oberharz, so nähert er sich den Kiefelschiefern, die durch Berührung mit Hyperit entstanden. Auf Schichtung deutet schon die Streifung von Roth und Berggrün hin. Der *Werner'sche Porzellanjaspis* von lavendelblauer Farbe ist ein gebrannter Schieferthon im Steinkohlengebirge, oder ein gebrannter Thon in der Braunkohlenformation. Die Masse ist mehr gefrittet als geschmolzen.

**Feuerstein** (Flint) 2,6 Gewicht lagert in Knollen im Rallgebirge. Sein sehr gleichartiger Bruch ist wie Jaspis, aber schimmert bei den guten etwas stärker. Die graue bis schwarze Farbe rührt in der Kreide blos von organischen Stoffen her, denn sie geben mit Kupferoxyd gegläht Kohlensäure und Wasser, und sind nach dem Brennen vollkommen weiß. Ehrenberg will sie sogar für coagulierte Kieselpanzer von Infusionsthieren ansehen, und hat ihre Spuren auch darin nachgewiesen. Doch muß man dabei nicht vergessen, daß die Kieselerde überhaupt sich gern zu Kugeln zusammenzieht, und fremde Gegenstände durchdringt. Daher wickelt auch der Feuerstein allerlei Petrefakten ein, und wenn man erwägt, wie mannigfaltig die Abänderungen der Kieselknollen in den verschiedenen Formationen sich zeigen, so hat im Allgemeinen die Concretion auf chemischem Wege größere Wahrscheinlichkeit. Verwitterung erzeugt auf der Oberfläche ein Kieselmehl, Passyit. Die weiße Kreide liefert die feinsten Feuersteine. So lange diese ihre Bergfeuchtigkeit haben, kann man sie durch geschickte Hammerschläge in beliebige Formen bringen, eine Kunst, die schon die alten Deutschen trefflich verstanden, da sie bei Unkenntniß passender Metalle ihre Pfeile und andere Waffen meist aus Feuerstein schlugen; die man in ihren Gräbern („Stein- und Weinformation“) bis zu Fußlänge und 4  $\mathcal{L}$  Schwere findet. Daraus läßt sich der niedrige Preis erklären, denn ein geschickter Arbeiter kann in drei Tagen 1000 Flintensteine schlagen. 98 p. C. Kieselerde enthaltend, wird er namentlich in England zu einem vortrefflichen Glase (Flintglas) und Steingut (Flintware) verwendet. Der englische Padding-stone besteht aus schwarzen Feuersteingeschieben, die durch einen stark gefritzten Kiesel sandstein mit einander verbunden sind (Tertiär, Epochen der Natur. 771). Das Gestein nimmt eine schöne Politur an und wird daher häufig geschliffen. Einzelne Geschiebe darunter gehen schon in den Kugeljaspis über. Dies zeigt sich noch mehr beim Feuerstein des obern weißen Jura. Bei Rehlheimwinger unterhalb der Einmündung der Altmühl in die Donau findet sich derselbe in den ausgezeichnetsten Kugeln von der Größe und Rundung einer Kanonenkugel, außen schneeweiß, porös und mit Cement verwechselbar. Dabei finden sich Stücke mit sehr regelmäßig concentrischen grauen und weißen Streifen, namentlich schön in der Fränkischen Schweiz bei Gailenreuth, die nur zu deutlich beweisen, wie nahe der Kugeljaspis mit Feuerstein verwandt sei. Im untern Muschelkalke gibt es oolithische Feuersteine; aus der Schweiz kamen nach Oberschwaben schwarze, welche Kalkspath eingesprengt haben, und daher punktweis mit Salzsäure brausen. Sie wurden schon von dem Rennthiervolke bei Schussenrieth zu kleinen Messern benutzt. Dr. Mühl (Württ. Jahresh. 1874. 100) hat sie „mikroskopisch durchforscht“, aber den makroskopischen Kalkspath doch übersehen. Bei antiquarischen Untersuchungen ist die Kenntniß der Fundorte von Wichtigkeit geworden.

**Chrysopras** im Serpentin von Schlesien, wo er am schönsten bei Gläsendorf nördlich Frankenstein in der „großen Chrysoprasader“ von

drei Meilen Länge (Meincke über den Chrysopras 1805. 14) vorkommt, apfelgrün durch 1 Proc. Nickeloryd. Sein splittriger Bruch namentlich der weißen ungefärbten Masse hält die Mitte zwischen Chalcedon und Hornstein. Er nimmt eine schöne Politur an, die schlechten können nachgefärbt werden, doch leidet die Farbe wenn man ihn nicht in feuchter Baumwolle aufbewahrt. Auch darf er beim Schleifen nicht zu heiß werden. Uebrigens haben jetzt gefärbte Achate feurigere Farbe. Der Name kommt Offenb. Joh. 21, 20, auch bei Plinius 37. 73 nach einer Lesart vor. Lehmann (Mémoires Acad. Berlin 1755. 202) trug ihn auf diesen Stein über. Schon in der St. Wenzelskapelle (14. Jahrh.) von Prag findet man große geschliffene Platten, (Agricola, Lehmann IV. 28 heißt sie Smaragd, Gesner de fig. lapid 1565 pag. 97 Pseudosmaragd), 1740 wurde ein Preussischer Officier bei der Windmühle von Rosemüh am Nordende der Ader wieder auf ihn aufmerksam, seinen Ruf bekam er durch Friedrich den Großen, welcher Sansouci damit schmückte. Da im Frankensteiner Serpentinegebirge zugleich Chalcedon und Opal bricht, so wird auch dieser durch Nickel apfelgrün gefärbt. Die Steine liegen sehr oberflächlich, werden sogar durch den Pflug zu Tage gefördert, und verwittern hier zu einer steinmarkartigen Masse (Chrysopraserde, Pimelith), welche nach Klaproth 35 Si, 38 A, 5 Al, 15,6 Ni enthält. Fühlt sich etwas fettig an, und kann fast mit dem Nagel gerigt werden. Die Zufälligkeit der Färbung nimmt den Analysen ihre Bedeutung. Roumeit von Roumea auf Neu-Caledonien (Ni, Mg)<sup>10</sup>Si<sup>8</sup> + 3 A ist eine ähnliche Masse.

Der Uebergang vom Chalcedon durch den Feuerstein in den Hornstein läßt sich in ausgezeichnete Weise unter andern im Muschelkalk des südlichen Schwarzwaldes (Adelshausen) erkennen: es scheiden sich dort im Kalk mehr als Kopfdicke sehr regelmäßige Feuerstein-Knollen aus, dieselben gleichen stellenweis dem schönsten Chalcedon, innen aber einem musterhaften grauen

**Hornstein** (Chert). Ein alter bergmännischer Name Agricola pag. 701: longe durissimum est, quod ex cornu ejus colorem non raro referre videtur nominatum, Latini silicem appellant. Doch versteht Plinius 36. 49 unter silex die verschiedensten Quarze. Werner unterschied zweierlei: einen splittrigen Hornstein, 2,6 Gew., durch seine todte einfache Farbe, den splittrigen Bruch und die Art der Durchscheinheit dem Horn gleichend. So findet er sich auch zuweilen auf Ergängen, hauptsächlich bildet er die Grundmasse gewisser Porphyre, Hornsteinporphyre, die freilich oft nicht frei vom Feldspath sind, und dann Petrosilex genannt wurden. Endlich rechnete Werner noch ausdrücklich die Feuersteine des obern Jura dahin, die in Franken und Schwaben sich in großer Menge finden, doch scheint es naturgemäßer, solche Kieselconcretionen beim Feuerstein zu lassen, die Gruppen werden dadurch natürlicher. Der muschelige Hornstein führt zum Jaspis, und läßt sich kaum feststellen. Holzstein heißen die verkieselten Hölzer, welche nicht in Opal verwandelt sind. Sie liegen in den Sandsteinen aller Flözgebirge, auch

hier ist die Holzstructur wichtiger als die Quarzsubstanz. Nach Fuchs enthält der Hornstein keine lösliche Kiefelerde (Opal). Auch das hohe Gewicht deutet mehr auf krySTALLINISCHE als auf amorphe Aggregate.

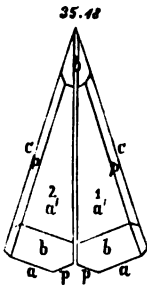
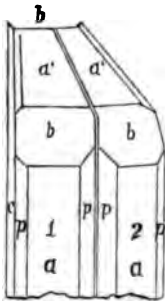
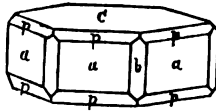
**Afterkryftalle.** Wie die Kiefelerde Pflanzen und Thierreste durchbringt, so bildet sie auch ausgezeichnete Afterkryftalle, und darunter spielt Hornstein eine Rolle. Der Faytorit von Devonshire hat die Form des Datoliths, mit glänzenden Flächen und meßbaren Winkeln. Die Gypslinsen aus den tertiären Süßwassermergeln von Passy bei Paris haben sich zu großen Haufen in Quarz verwandelt, bricht man sie von einander, so sind sie innen zwar häufig hohl, aber die äußere Grenze hat sich vollkommen erhalten. Im Rotheisenstein von Schwarzenberg in Sachsen sind ausgezeichnete Würfel eingesprengt, sie bestehen durch und durch aus Quarz, der seine Form dem Flußspath dankt. Besonders war früher das Schneeberger Revier durch seine Hornsteinafterkryftalle von Kalkspath berühmt, worin Klaproth Beitr. VI. 232 durch Schmelzen mit Kali 98,25 Si nachwies. Manche darunter sind nur roh überrindet, innen hohl oder schlecht ausgebildet; bei andern aber steckt unter einer leicht wegnehmbaren Kruste ein so wohlgebildeter Kryftall mit glänzenden Flächen, daß es uns recht klar wird, wie schwierig in einzelnen Fällen die Entscheidung werden kann, ob Afterkryftall oder nicht. Die Afterbildung beginnt bei den Quarzen meist mit Uebersinterung, welche der Verwitterung stärker widersteht, als der eingehüllte Kryftall. Wird letzterer dann ganz oder theilweis weggeführt, so entstehen hohle Räume in der Quarzmutter, und diese geben die scharfe Form des Kryftalls, während die Uebersinterung nur rohe Umrisse erzeugt, und eigentlich nicht als Afterkryftall angesehen werden sollte, wie so häufig geschieht. Freilich läßt sich nicht immer sicher unterscheiden, was der Uebersinterung und was der Ausfüllung genau angehöre. Besonders sind die Erzgänge reich an Beispielen, doch treffen wir auch in den Kieselconcretionen an: so findet man in dem rothen Kugeljaspis von Auggen sehr deutliche hohle Würfel (Würfeleindrücke); im Feuerstein des Muscheltalkes auf dem Aischfelde zwischen Alpirsbach und Dornhan theils Eindrücke, theils wirkliche Würfel von Feuerstein im Feuerstein: war das Kalkspath?

Kiefelfchiefer heißen die dichten gemeinen Quarze, welche ganze Lager im obern Thonschiefergebirge und untern Kohlenkalksteine machen. Der gemeine graue ist ganz hornsteinartig, aber plattet sich gut nach der Schichtung. Der edlere durch Kohle schwarz gefärbte, gern mit weißen Quarzadern durchzogene, soll der cotricula (Probierstein), Lapis Lydius oder Heraclius Plin. hist. nat. 33. 43 sein, weil er nach Theophrast (Cap. 78—80) im Fluß Imolus in Lydien als Geschiebe gefunden wurde. Kalt wirkten sie besser als warm, und die „Sonnen- wurde der Erdseite“ vorgezogen. Die Probiersteine waren früher wichtiger als heute, wo die chemische Kunst sie theilweis ersetzt: sie müssen hart und so dunkelfarbig als möglich sein, durch den Schliff zubereitet sich sammtartig anfühlen, und von Säuren nicht angegriffen werden: his coticulis periti, cum e

vena ut lima rapuerunt experimentum, protinus dicunt quantum auri sit in ea, quantum argenti vel aeris, scripulari differentia mirabili ratione non fallente. Die Sache grenze ans Wunder! Freilich liefen dabei auch viele Verwechselungen unter, namentlich mit Basalt (*basanos*), den Agricola bei Stolpe in Sachsen wieder fand, und Rentmann duritie adamantina beschrieb! Die guten Probiersteine der Pariser Juweliere sollen nach Dumas (Ann. Chim. Phys. 1875. 263) Holzsteine mit 4,4 Kohle und 84,4 Si sein.

Mühlstein (Meulière) hat man vorzugsweise in Frankreich die unregelmäßigen Quarzlager im Süßwasserkalk des Tertiärgebirges bei Ferté-sous-Jouarre und Montmirail genannt, sie sind porös, die Poren öfter mit Quarz erfüllt, und es soll keinen besseren Mühlstein als diesen geben, (Epochen der Natur pag. 688). Sie werden aus Stücken zusammengelegt und in eiserne Reife gefaßt.

**Tridymit** (*τρίδυμος* Drilling) nannte G. vom Rath (Monatss. Berl. Akad. 1868. 301). kleine kaum 1 mm große wasserhelle Krystalle aus Drusenräumen des Trachyts vom Berge San Cristobal bei Pachuca in Mexico. Später fanden sich zwar Täfelchen von 3 mm (Pogg. Ann. 1874 Bd. 152. 1), aber für so complicirte Zwillingsgestalten ist das immer noch eine unbequeme Größe. Die einfachen Krystalle bilden dihexaedrische Platten mit einer ausgedehnten Geradenfläche  $c = c : \infty a : \infty a$  und einer Säule  $a = a : a : \infty c$ . Die Kanten  $c/a$  sind durch das Dihexaeder  $p = a : a : c$  abgestumpft, woran die Seitenkanten  $124^\circ 42'$  und die Endkanten  $127^\circ 25'$  betragen, was das Axenverhältniß  $a : c = 0,605 : 1$  gibt.



35. 18

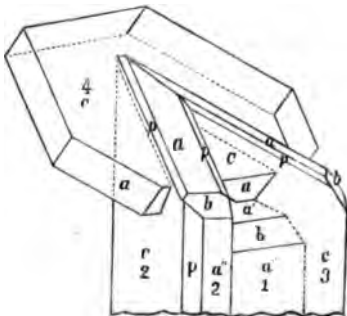
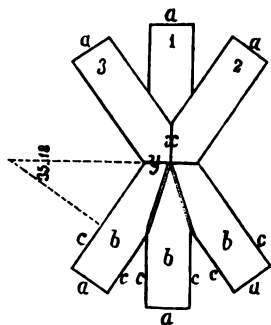
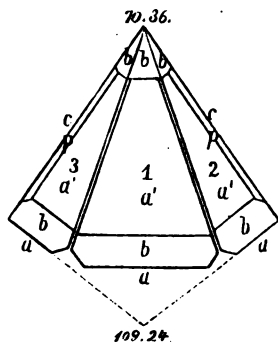
Die zweite sechsseitige Säule  $b = a : \frac{1}{2}a : \infty c$  kommt nur untergeordnet vor, und zwischen  $a$  und  $b$  noch untergeordneter  $i = a : \frac{1}{2}a : \infty c$  und  $l = a : \frac{1}{2}a : \infty c$ . Das Merkwürdigste jedoch sind die **Zwillinge**, welche viel mehr an das Zweigliedrige, als Sechsgliedrige erinnern, da sich die Tafeln aufrecht stellen, eine sonst nicht vorkommende Dihexaederfläche  $a : a : \frac{1}{2}c$  gemein haben, und umgekehrt liegen. Diese Dihexaeder neigen sich gegen die Axe  $c$   $72^\circ 21'$  und messen daher in den Seitenkanten  $35^\circ 18'$ , das weicht vom halben Tetraederwinkel ( $35^\circ 16'$ ) nur  $2'$  ab. Würde das Hauptdihexaeder  $p$   $124^\circ 40'$  in den Seitenkanten haben, also um  $2'$  kleiner sein, so hätten wir genau den Tetraederwinkel. Das sind jedenfalls interessante Beziehungen. Die Zwillingsgrenze ist durch eine Doppel Linie zwischen  $p/p$  angedeutet. Machen wir uns zum Verständniß einen

**Querschnitt**, so leuchtet ein, daß wenn sich  $c/c$  unter  $35^\circ 18'$  schneiden, die Säulenflächen  $a/a$  das Supplement von  $144^\circ 42'$  dazu bilden müssen, sobald sie sich

über den einspringenden Winkel  $p/p$  ausdehnen. Zum **Drillinge** fortschreitend müssen wir nicht etwa einen dritten Zwickel an eines der  $c$  ansetzen, denn das sind ja keine Zwillingflächen, sondern das Mittelstück (1), als den eigentlichen Träger, symmetrisch vervollständigen, wodurch dann auf beiden Seiten Platz für ein Zwillingstück gewonnen wird. Selbstverständlich haben wir jetzt oben den Tetraederwinkel  $70^\circ 36'$ , und unten, wenn wir uns zwischen  $a_2$  und  $a_3$  das Trapez vervollständigen, das Supplement den Oktaederwinkel von  $109^\circ 24'$ .

**Durchwachsen** die Drillinge, wie die drei Oblongen 1·2·3 zeigen, so stehen die Flächen  $a$  und  $c$  senkrecht gegen  $b$ . In den Winkeln kann sich natürlich nichts ändern: die großen bleiben  $109^\circ 24'$ , die kleinen  $35^\circ 18'$ ; die Doppelkanten links und rechts von 1 die wahren Zwillingsgrenzen. Würde jedoch der mittlere Träger verkrümmern oder gar verschwinden, so könnte man zwischen 2 und 3 die Fläche  $x$ , welche der  $c_1$  parallel geht, als neue Zwillingsgrenze ansehen, allein das wäre kein neues Gesetz, sondern im ersten involvirt. Gingen wir dann zum stumpfen Winkel, so müßte die senkrecht auf  $x$  stehende  $y$  die Begrenzung übernehmen. Aber diese Fläche hat keinen scharfen krystallogomischen Ausdruck. Denn da am Dihexaeder  $p$  gegen  $Axe c$   $27^\circ 39'$  neigt, so gibt  $\text{tg } 27^\circ 39' : \text{tg } 35^\circ 18' = 0,725$ . Die Neigung von Fläche  $y$  gegen Fläche  $a$  entspricht der Neigung der zu suchenden Dihexaederfläche gegen die Hauptaxe  $c$ . Wäre diese  $34^\circ 22'$ , so gäbe  $\text{tg } 27^\circ 39' : \text{tg } 34^\circ 22' = 0,75 = \frac{3}{4}$  d. h. ein Dihexaeder  $y = a : a : \frac{3}{4}c = \frac{3}{4}a : \frac{3}{4}a : c$  wäre die Zwillingsgrenze im stumpfen Winkel zwischen den Individuen 2 und 3, die sich unter  $111^\circ 16'$  schneiden müßten. Hr. vom Rath meinte  $110^\circ 8'$  gefunden zu haben, und danach ein zweites Zwillingsgesetz annehmen zu sollen, wobei die Individuen  $\frac{3}{4}a : \frac{3}{4}a$  gemein hätten, und umgekehrt lägen. Doch mag das auf sich beruhen. Zu den allermerkwürdigsten Thatsachen gehört

Die **Querkreuzung**: an den Drilling (123) gewöhnlicher Form setzt sich eine Tafel 4 an, deren Säulenfläche  $a$  sammt  $c$  mit der Säulenzone  $a'ba''$  des mittlern Individuums 1 in eine Zone fällt, und daher auch gegen die Seitenindividuen 2



und 3 symmetrisch liegen muß. Die Sache ist zwar nicht völlig klar, aber Hr. vom Rath knüpft hier in geistreicher Weise an den Tetraederwinkel der Flächen  $c/c$  von 2 und 3 an. Da  $c$  an Tafel 4 diese etwa unter  $70^\circ$  schneidet, so bilden die drei Geradenflächen  $ccc$  der Individuen 2 3 4 eine tetraedrische Ecke. Kame dazu noch eine fünfte von unten dagegen, so hätten wir den merkwürdigen Fall, daß vier Krystalle 2 3 4 5 mit ihren  $c$  als Kern ein Tetraeder einschließen. Fläche  $c$  auf 1 würde dazu eine Granatoederfläche liefern. Vielleicht bildet das den Schlüssel zum Verständniß dieser merkwürdigen Erscheinung. Da die Krystalle meist zu dünnen Platten zusammenschrumpfen, so könnte man sie Reducationsebenen vergleichen, die sich im Gesetz regulärer Körper zu durchschneiden streben.

Quarzhärte 7, Gew. 2,31. Mit 96 Si, die in gesättigter Natronlauge löslich ist. Blättchen in Drusenräumen des Trachyt des Drachensfelses bei Bonn und am Mont Dore. Am Vesuv in den Auswürflingen von 1822 kleine Täfelchen zu Kugeln auf Sanidin gruppiert. Am 7. September 1873 sogar als schneeweiße Asche vom thätigen Krater der Insel Vulcano in Menge ausgeworfen (Jahrb. 1875. 210). G. Rose (Sitzb. Berl. Akad. 1869. 400) glaubte ihn durch Schmelzen mit Phosphorsalz erhalten zu haben, und die sechsseitigen und runden matten Täfelchen, welche das Mikroskop in vielen Opalen nachweist, scheinen ebenfalls Tridymit zu sein, der bei Behandlung mit Kalilauge ungelöst zurückbleibt.

Asmanit (Asman Donnerkeil Indräs) wurde von Maskelyne am Britischen Museum im Meteoreisen von Breitenbach auf dem Erzgebirge bei Johann Georgenstadt entdeckt, welches wahrscheinlich demselben Falle wie Rittersgrün und Steinbach angehört (Klar und Wahr pag. 292). Im Eisengeflecht steckt lichtgrüner Bronzit und dieses farblose Fossil, welches jedoch erst zum Vorschein kommt, wenn man die Masse mit verdünnter Salzsäure wäscht. Dann zeigen sich Kügelchen, ähnlich dem Pallasischen Olivin, in seltenen Flächen mit Facetten bedeckt, welche auf 2gliedrige Säulen von  $120^\circ 20'$  deuten, deren ausgebildete Kante durch  $b:00a:00c$  abgestumpft würde. Die Geradenfläche  $c:00a:00b$  soll blättrig sein. Ein auf die scharfe Kante aufgesetztes Paar  $b:c:00a$  würde in  $c\ 63^\circ 53'$  machen (Weissbach, Berg. Hüttenz. 1873. 240). Optisch zweiachsig, Apatithärte, Fettglanz, Gew. 2,24, 96 bis 99 Si. Es scheint demnach ein geschmolzener Quarz zu sein, der beim Erkalten krystallinisch erstarrte, was künstlich noch nicht gelang.

### C. Opale (von $\psi$ Auge).

Amorphe Kieselserde. Der vollkommen muschelige Bruch glänzt wie Gallerte oder Harz (Quarz résinite). Spröde, trübe Farben, und alle Grade der Durchsichtigkeit, mit einem zwischen 3—12 pC. schwankenden Wassergehalt. Ein wenig weicher (Feldspathhärte) und leichter (2,1 Gew.) als Quarz, weil er, wie die geschmolzene und organisch ausgeschiedene



**Kieselerde**, zu der amorphen gehört, daher in Kalilauge löslich. Besonders in Vulkanischen Gesteinen zu finden. Man sieht sie als eine eingetrodnete Kieselgallerte an, die zufällig mehr oder weniger Wasser zurückhielt. Schließt oft Tridymit und Chalcedon ein. Behrens Mikroskopische Untersuchung der Opale (Sitzb. Wien. Akad. Bb. 64) und über ihr Spectrum (Jahrb. 1873. 210).

1) **Edler Opal** Plinius 37. 21 India sola et horum mater... est enim in his carbunculi tenuior ignis, est amethysti fulgens purpura, est zmaragdi virens mare, cuncta pariter incredibili mixtura lucentia. Agricola vergleicht ihn schön mit dem Farbenglanz der Halsfedern erzürnter Truthähne. Möglich daß auch der Name Jaspis Off. Johann. 4, 2 auf diesen man möchte sagen schönsten aller Steine zu deuten sei.

Farbe milchblau, aber aus der trüb durchscheinenden Masse leuchten im auffallenden Lichte die brennendsten Regenbogenfarben, worunter sich besonders Grün, Roth und Blau auszeichnen, die im durchfallenden matter und complementär werden. Nach Klaproth 10 H. Die milchige Trübe und das Farbenspiel ist offenbar erst Folge von Veränderung, denn es gibt Stücke von großer Klarheit, die sich allmählig trüben und zuletzt undurchsichtig (gemeiner Opal) werden. Haüy suchte den Farbenreflex durch kleine Sprünge, Brewster durch Zwischenräume von regelmäßigerer Gestalt zu erklären. Nach Behrens der einzige Körper, der durch Reflexion homogenes Licht gibt, daher die unvergleichliche Reinheit der Farbe. Der Werth hängt von der Schönheit des Farbenspieles ab. Plinius erzählt uns von dem im Alterthum so hochgeschätzten Opal des Konius, der zwar nur von der Größe einer Haselnuß dennoch nach einer Lesart auf 800,000 Athlr. geschätzt wurde. Hasselquist (Resa til Levanten, deutsch. Uebers. 1762. pag. 546) meinte, er sei in den Ruinen von Alexandrien wiedergefunden. Daher führte ihn Cronstedt (Werner's Uebers. 126) als Konius-Opal besonders auf. Im Kaiserlichen Schatze zu Wien findet sich ein ganz reiner von der Größe einer Mannesfaust (34 Loth), man sagt 2 Mill. Gulden Werth. Die Napoleoniden hatten für Opal eine ganz besondere Vorliebe, Murat's Gemahlin besaß den schönsten Opalschmuck der Welt. Aber Eugenie hielt ihn für Unglücksbringend. Man schleift ihn mit gerundeter Oberfläche. Die berühmtesten Opalbrüche finden sich beim Dorfe Czerweniza zwischen Kaschau und Eperies, wo sie in Schnüren und Nestern auf einem grauen sehr unansehnlichen Trachyt-Tuff (Opalmutter genannt) vorkommen. Nach Deudant soll sich sogar die Kieselweichigkeit zuweilen noch weich finden, auch Zeussner sprach vom „flüssigen Opal“ (Bronn's Jahrb. 1833. 217). Sie werden dort bergmännisch gewonnen, in den Orient ausgeführt, von wo sie unter dem Namen „Orientalischer Opal“ wieder zu uns gelangen. Nach Haidinger (Berichte III. 212) waren die Gruben um 10,650 fl. verpachtet, und 100—150 Arbeiter thätig. Neuerlich kommen sie auch aus Guatemala von Gracias a Dios in Handel. Auch Mexico (Jahrb. 1874. 222) und Queensland haben herrliche Abänderungen. Zu Hubertsburg in Sachsen findet er sich in

einem schieferigen Thongestein, derselbe ist aber durch starken Wasserverlust matt und undurchsichtig, klebt an der Zunge, hat starken Thongeruch und zeigt nur geringes Farbenspiel. Legt man ihn aber ins Wasser, so wird er nicht bloß vollkommen durchscheinend, sondern gewinnt auch an Farbenspiel. Daher nannten ihn die ältern Mineralogen *Lapis mutabilis* oder *oculus mundi* (Weltauge), die ohne Farbenspiel *Hydrophan*. Das eingesogene Wasser verdunstet aber bald, und dann nehmen sie sofort ihre matte Undurchsichtigkeit wieder an. In Del gekocht sollen sie jahrelang das Farbenspiel zeigen, und mit Wachs oder Wallrath getränkt, werden sie im Feuer durchsichtig (*Pyrophan*), weil dann das Wachs schmilzt. Zum Theil sind solche Dinge schwimmend leicht wie Tabasheer. Beim Schleifen entwickeln sie Bitumengeruch, schwärzen sich auch beim leichten Brennen. In Alkohol und dann in Wasser gelegt zeigen sie vorübergehend zierliche Dendriten. Wegen ihrer Porosität eignen sie sich vorzüglich zu Diffusionsversuchen (Neusch, Pogg. Ann. 124. 431).

2) Gemeiner Opal durch alle Uebergangsstufen auf das Engste mit dem Edlen verbunden, nimmt außer der Milchbläue allerlei andere trübe Farben an, und besitzt in vielen Abänderungen noch bedeutende Durchscheintheit. Das Farbenspiel verschwindet gänzlich. Zu den bekannteren Vorkommnissen gehören Feueropal in Porphyrhängen eines schwarzen Kalksteins von Zimapan in Mexico mit blaßtrüber hyacinthrother Farbe, die bei durchscheinenden Stücken stark in das Feuergelbe spielt. Klaproth (Beiträge IV. 159) fand 7,7 H., und 2,12 Gew. Der wachsgelbe Opal aus den verlassenen Goldgruben von Teltobanya (Raschau) läßt in zollthicken Stücken noch viel Licht durch, ein Muster für Opal. Wie der Feuerstein überzieht er sich an der Oberfläche in Folge von Verwitterung mit einer dicken weißen Rinde, dieselbe klebt stark an der Zunge und nimmt mit Zischen Wasser auf, wird aber nicht durchsichtig, verhält sich also ganz anders als *Hydrophan*. Solche matten Rinden finden sich noch bei andern gemeinen- und Halb-Opalen, man nennt sie auch wohl *Cacholong* pag. 246. Prachtvoll ist zuweilen die apfelgrüne Farbe des *Prasopal* von Rosomütz und Bernstein in Mähren, er verdankt seine Farbe wie der mitvorkommende *Chrysopras* dem Nickel. Ueberhaupt ist das Serpentinegebirge von Frankenstein in Schlesien reich an schönen Opalen, worunter der bläulich bis grünlich weiße



*Milchopal* von Rosomütz hervorsteht. Häufig findet sich darin *Tridymit*, der nach G. Rose beim Auflösen in Kali zurückbleibt. Abgeschlagene Splitter lassen die sechsseitigen trüben Flecke im Mikroskop erkennen. Ein rosenrother Opal im Süßwassertalk von Mehun und Quincy soll seine Farbe organischer Substanz verdanken. Die bittererdehaltigen heißen *Quincy*.

3) Halbopal nannte Werner die zwischen Kugelaspis und gemeinem Opal mitten inne stehenden Abänderungen, nur an den Ranten durchscheinend, wenig Glanz und trübe Farbe meist von weiß, grau und braun. Schon 1803 wurde durch Jordan der weiß- und braungestreifte

**Halbopal** von Steinheim bei Hanau bekannt, der nach Leonhard auf **Stangen** im körnigen Basalte (Anamesit) vorkommt. Er kann zwar als **Raster** dienen und doch geht er öfter in einem einzigen Handstück in **Chalcedon** und **Hornstein** über, Beweis genug, wie unsicher die Unterscheidung werden muß. Im **Klingsteintuff** von Hohentwiel am Bodensee kommen **Blöcke** von leberbrauner Farbe vor, die an Holzstructur erinnern. Vor allem reich sind jedoch die **Trachyt-** und **Porphyrstufte** von Ungarn, namentlich in der Gegend von **Tolay** und **Tellfebanya**, an Farbe intensiv grün, wachsgelb, braun u. Namentlich geben diese **Opale** auch das **Mittel** zu den versteinerten Hölzern, welche **Werner**

**Holzopal** nannte, in demselben findet sich meist ein Gemisch von gemeinem und Halb-Opal, und die Holzstructur hat nicht selten auf die ungleiche Vertheilung der Masse wesentlich eingewirkt. Besonders interessant durch das intensive Braun ihrer Farbe sind die Hölzer im **Bimsteintuff** von **Schaiba**: die Masse gleicht im Aussehen der erstarrten Brühhe von stark gebratenem Kalbfleisch. **Jaspopal** heißen die von unorganischem Gefüge.

Wenn Halbopale stark durch Eisen gefärbt sind und dabei zum **Matten** neigen, so nannte sie **Werner Opaljaspis**. Auch der zeisiggrüne **Chloropal** von **Unghwar** (**Unghwarit**) mit serpentinartigem Ansehen gehört zu den unreinen Opalen, die durch Verwitterung leicht leiden, wie **Hausmann** (**Leonh. Jahrb.** 1858. 100) im Basalt am **Meensfer Steinberge** zwischen **Göttingen** und **Münden** nachgewiesen hat. Analysen haben da nur einen localen Werth. Die Farbe erinnert auffallend an den ochrigen **Hypochlorit** (Grüneisenerde) von **Schneeberg**, der aber 13 **Wismuthoxyd** und 9,6 **Phosphorsäure** enthält. **Frenzel** (**Jahrb.** 1872. 100) gibt sogar 43 **Bi** an. Bei **Bräunsdorf** sind sie **Antimonhaltig** u. Wie **Opale** zum **Feuerstein** überspielen, zeigt

4. **Renilit Br.** vom **Rénilmontant** bei **Paris**, wo er **Knollen** (**Knollenstein**) im **Klebschiefer** bildet. Es sind offenbar allerlei unförmliche **Kieselconcretionen**, die sich nach Art des **Feuerstein** gebildet haben. Sie neigen etwas zur **Schieferung**, haben aber im **Querbruch** ganz den **Glanz** eines ausgezeichneten **Halbopals**, von welchen sie sich jedoch durch ihr geognostisches Vorkommen leicht unterscheiden. Am schönsten sind die leberbraunen der **Pariser Gegend**, namentlich auch ausgezeichnet durch ihre sonderbar verworrene **Knotung**. **Klaproth** gab darin 85,5 **Si**, 11 **A** u. an. Zu **Argenteuil** sind die **Knollen** grau, brausen aber nicht mit **Säure**. Bei **Paris** liegen dagegen **Süßwassermuscheln** darin, diese werden dann nicht bloß matt, sondern brausen auch, es sind **Kieselmergel**. Der bekannte und früher so berühmte **Schwimmstein** von **St. Ouen** ist nichts weiter als das **Kieselstelet** dieser **Muschelmenilite**, denn **Bulimus pusillus** sitzt noch unverändert darin. Wirft man ihn auf das **Wasser**, so zischt er stark und sinkt nach wenigen Minuten unter. Es gibt zwar auch nichtzischende, die gar nicht unterinken, diese scheinen aber künstlich mit einem fetten **Thon** überschmiert zu sein, der die Oberfläche der **Poren**

verstopft hat. Kieselmergelnollen bilden die Vermittelungsstufe zwischen ächtem Feuerstein und Menilit. Auch die Quarzconcretionen im Schieferkalk zeigen eine entschiedene Annäherung zum opalartigen Glanz, und doch sind sie oft ganz von Planorbis und Paludimenspecies durchwoben. Von höchst regelmäßiger Runzelung und auffallender Formenbildung sind die Kieselmergel aus dem Muschelskalk von Denselfingen in der Schweiz, die dann weiter sich an die Mergelnollen anschließen, worin die Kieselsäure schon stärker zurücktritt. Wer hier bloß nach mineralogischen Kennzeichen scheidet, geht in der Irre.

Ehrenberg (Pogg. Ann. 38. 455) sucht den Beweis zu führen, daß alle diese Kiesel (er nennt sie Halbopale) aus dem Polirschiefer, namentlich die von Bilin und Luschitz in Böhmen, „durch formlose Kieselmasse cementirte Infusorienschalen“ seien. Kieselpanzer von *Gaillonella varians*, *Navicula viridis* etc. kommen wenigstens in großer Menge im Tripel und Polirschiefer vor, so daß diese Kiesel Erde förmliche Infusorienlager (Handbuch der Petrefacten. pag. 691) bildet. Tripel (terra Tripolitana), eine gelbe magere Erde mit 90 Si, kommt über Tripoli aus Nordafrika in den Handel.

Polirschiefer lagern besonders ausgezeichnet im Tertiärgebirge bei Paris, in der Nachbarschaft der Basalte bei Bilin in Böhmen, am Habichtswalde bei Cassel zc. Sie haben einen thonigen Geruch, man könnte sie ihrem Aussehen nach für graue Mergel halten, allein mit Säure brausen sie nicht. Die compacten kleben so stark an der Zunge (Kieselschiefer von Paris), daß sie beim Wegreißen schmerzen, Klaproth (Beitr. IV. 110) wies darin 62,5 Si nach. Unsere deutschen zerfallen leicht zu Mehl, nur lagern rauhe Platten dazwischen (Saugschiefer), die zuletzt zu Menilitartigen Opalen werden. Der mehligte Schiefer fühlt sich sehr sanft an. Bei Randanne am Puy de Dôme wird in alten Torfmooren zwischen Vulkanen eine gelbliche Erde (Randanit) abgebaut, die sich in Alkali löst, sie hat ungefähr die Consistenz der Kreide, läßt sich aber mit dem Finger zu einem unaussprechlich feinen Mehl zerdrücken, welches bei der geringsten Bewegung die Luft mit feinen Staubwolken erfüllt: das sind Panzer von Infusionsthieren, wie sie sich an vielen Hundert Orten bis in die jüngsten Formationen herauf gefunden haben. Mit  $\frac{1}{10}$  Thon gemischt und gebrannt geben sie die bei den Alten so berühmten schwimmenden Ziegeln, die 1791 Fabroni aus dem Bergmehl von Santa Fiora in Toscana wieder herstellte (Pogg. Ann. 26. 508). Sie schwimmen wie Kork auf Wasser! Nach Klaproth (Beitr. VI. 501) enthalten sie 79 Si. Die Tiza in Mexico 240' mächtig enthält Süßwasser-Diatomeen, die Braunkohle dazwischen Spongiaceen. Die Infusorienerde in der Bünaburger Haide bei Oberohe von 40' Dicke ist ein wichtiger Handelsartikel geworden, wovon der Centner 1—10 Mark werth ist: als schlechter Wärmeleiter dient er zu feuerfesten Schränken; mit Nitroglycerin gemischt gibt er Dynamit, mit Harz Cement; mit Siegelack hindert er das Abtröpfeln; er liefert Formsand, Steinkitt, Wasserglas, Ziegeln zc.

5. Hyalith Br. wurde von Müller in den Höhlen basaltischer Gesteine der Umgegend von Frankfurt a. M. gefunden (Erlenbach) und daher lange wegen seines Aussehens Müller'sches Glas genannt. Er bildet kleintraubige Ueberzüge, die man wegen ihrer Klarheit nicht zum Opal stellen würde, wenn Buchholz nicht 6,3 H darin gefunden hätte, und ihr Gewicht (2,1) so leicht wäre. Mikroskopische Schliffe zeigen sehr vollkommen concentrische Schichtung, womit auch seine negative doppelte Strahlenbrechung zusammenhängt, Schulze (Jahrb. 1861. 400). Im Basalt von Balsch in Böhmen, im Serpentin von Schlessien (Jobten, Jordansmühle), auch in den Laven von Ischia u. findet er sich. Nach Humboldt tragen die Ameisen von Santiago in Hispanien Steinchen der Art mit ganz besonderer Auswahl in Haufen zusammen. Er hat einen ähnlichen Ursprung wie Kieselstein an den heißen Quellen Islands, dessen perlartige Oberfläche bald schimmernd bald mattweiß aussieht. Besonders lieblich ahmt der Perlstein von St. Fiora in Toscana auf traubiger Oberfläche den Schein der Perlen nach. Kieselguhr nennt man die weißen oder die Eisenoxydrothgefärbten Massen von Reitanes in Südisland, welche noch Wellenschläge zeigen, gleich dem Karlsbader Sprudelstein. Kieselkuff (Geyserit) heißen dagegen die unregelmäßigen Kieselmassen, welche sich um die Mündung des Geyser, der ein 1850tel Kiesel Erde gelöst enthält, abgelagert haben, Moos, Blätter, Thierreste u. einwickelnd. Nach Klaproth (Weitr. II. 111) enthalten sie 98 Si. Auch die schneeweißen Rückstände (Bianchetto) der Fumarolen entstehen nach Rammeisberg (Zeitschr. deutsch. geol. Gesellsch. XI. 400) aus reiner amorpher Kiesel Erde mit Wasser. Großartig sind die Ablagerungen im Yellowstone Nationalpark, wo an den Geyserbecken sich milchweiße Halbpale bilden, mit Spuren von Lithium und Strontian bei 96 Si, Dr. Endlich's Realit. Bleibt doch selbst in der Ackertrume auf kieselhaltigen Kalkböden nur Kiesel Erde als Verwitterungsproduct zurück.

Gefritteter Quarz kommt auf mannigfache Weise vor. Im Tertiärgebirge von Paris, im Braunkohlengebirge Norddeutschlands u. nehmen die Sandsteine oft ein Aussehen an, als wären die Quarzkörner zusammengeschmolzen. Wo der Basalt glühend heiß den Bunten Sandstein in Hessen (Wildenstein) durchbrach, hat er denselben nicht bloß entfärbt und zu Säulen abge sondert, sondern förmlich angeschmolzen, wie die Gesteine im Hochofen. Das merkwürdigste jedoch sind die Blitzröhren, die sich im Quadersandstein auf Sandwehen der Sennerhaide bei Desterholz im Fürstenthum Lippe, bei Dresden, Blankenburg am Harz u. finden, und neuerlich auch aus der Wüste zwischen der Oase Farafarah und Siwa von Rittel mitgebracht wurden. Der einschlagende Blitz hat lange verzweigte Röhren gebildet, die außen rauh von anbackenden Sandkörnern, innen aber einen spiegelnden Glanz von einer ausgezeichneten Quarzfrötte haben. Man kennt sie schon seit 1761 von Massel bei Breslau, Dr. Fiedler hat sie über 16 Fuß tief in die Erde verfolgt (Gilbert's Ann. 1822. Bd. 61. 201), und Wicke (Pogg. Ann. 106. 100) sah sie in Oldenburg unmit-

telbar nach dem Einschlagen des Blizes. Hartig, Notice sur un cas de formation de Fulgurites. 1874.

## II. Feldspäthe.

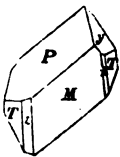
Feldspath gehört zwar zu den verbreitetsten Mineralen im Urgebirge, dennoch finden wir im Alterthum keinen Namen dafür. Agricola Bermannus pag. 701 scheint ihn unter Saxum Spatum zu begreifen, Rapproth (Beiträge VI. 242) wollte daher wieder Feldspath einführen, da Feldspath (Spathum campestre), der erst seit Denso 1750 in der Uebersetzung von Wallerius Mineralog. pag. 87 gebräuchlich ward, bloß durch Mißverständniß aufgefunden sei. Auch Haüy (Lehrb. Mineral. 1804. II. 600) war mit der Benennung nicht zufrieden, doch wagte er es kaum, dafür „Orthose“ in Vorschlag zu bringen, woraus später der Breithaupt'sche **Orthoklas** (ὀρθός grad) hervorging, der auf die Rechtwinklichkeit der Blätterbrüche P/M anspielen soll, gegenüber den schiefwinklichen **Plagioklasen** (πλάγιος schief, κλάω brechen). Unter den Späthen der härteste, daher Spatum scintillans, die Härte leitete Linné von ein wenig Eisenbeimischung her. Während die andern Späthe auf Gängen im Gebirge versteckt liegen, findet sich dieser in allen Urgebirgsgegenden auf Feldern. Seine Krystallisation hat zwar Haüy schon richtig erkannt, doch verdanken wir Weiß (Abh. der Berl. Akad. 1816, 1820, 1835 und 1838) eine Reihe von Abhandlungen, die uns mit den Fundamentalverhältnissen der Zonenlehre bekannt machten und die ganze Sache in dieser Beziehung zum Abschluß brachten. Nur rücksichtlich der Winkel und Zusammensetzung fand G. Rose 1823 (Sitzb. Ann. 73. 172) Abweichungen, und Kupfer bewies 1828, daß auch der Adular schiefe Aren habe (Pogg. Ann. 13. 200).

### 1. Feldspath.

**Uebersicht.** P 101, M 010, T 110, x 1°01, y 3°01, q 1°03, t 501, r 3°05, l 4°03, 9°04, k 100, o 1°21, n 141, z 130, g 011, m 321, u 3°41, v 3°81, h 343, s 1°61, d 581, i 1°12'1,  $\mu$  1°11, f 16°3'12, 11°0'1,  $\delta$  13°01, f 4°33,  $\pi$  47°01. T/T 118°48', T/x 140°40', T/y 134°19', P/T 112°16', P/k 116°7', P/x 129°40', P/y 99°38', P/q 145°47', P/t 139°, P/n 135°3', P/o 134°42', M/z 150°35', o/o 126°14', n/n 90°7', n/o 136°15', x/o 153°7', P/g 150°52', M/u 123°, k/y 144°15'.

$$a:b:k = 2,1276 : 3,5977 : 0,043; A/c \ 91^\circ 10'.$$

Unter Feldspath schlechthin wird vorzugsweise **Kalifeldspath** verstanden, ein ausgezeichnetes 2 + 1 gliedriges Krystallsystem, aber mit manchen Eigenthümlichkeiten. Der erste Blätterbruch  $P = a : c : \infty b$  macht mit dem etwas weniger deutlichen 2ten  $M = b : \infty a : \infty c \ 90^\circ$  (**Orthoklas**), das ist das wesentlichste Kennzeichen; P gibt sich häufig durch Sprünge und Newtonianische Farben zu erkennen. P gegen Are c  $63^\circ 53'$ . Die geschobene Säule  $T = a : b : \infty c$  macht



118° 48', M stumpft nicht bloß ihre scharfe Kante gerade ab, sondern P ist auch gerade auf die stumpfe Kante aufgesetzt, denn P/T beträgt vorn links und rechts 112° 16'. Und doch hatte der scharfsinnige Haux schon richtig erkannt, daß von den beiden Säulenflächen T die eine blättriger sei als die andere, man sieht es bei dem Amazonenstein vom Ural sehr deutlich, deshalb nannte er die blättrigste von beiden T, die andere weniger blättrige l, wodurch jene einundeinfantige Primitivform PMT pag. 104 entstand. Es verräth das noch eine Verwandtschaft mit den eingliedrigen Plagioklasen. Doch da man sich nicht bei allen Feldspäthen von diesem Unterschiede überzeugen kann, so muß man wohl bei dem Weiß'schen Symmetrie-bilde stehen bleiben, was auch die strengsten Messungen fordern. Die hintere Gegenfläche  $x = a' : c : \infty b$  dehnt sich zwar gern aus, ist aber gänzlich unblättrig, und macht die Winkel  $x$  zur Axe  $c = 65^\circ 47'$ , woraus nach pag. 66 folgt:

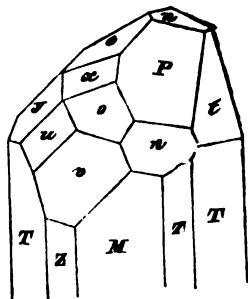
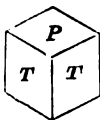
$$a : b : x = \sqrt{4,529} : \sqrt{12,949} : \sqrt{0,001878}, \alpha = 1^\circ 10'.$$

Weiß nahm  $x = 0$  (dann fällt A mit a zu rechtwinkligen Axen zusammen), T/T = 120° und P/T = P/x = 112°, woraus sich das schöne Axenverhältniß

$$a : b : c = \sqrt{13} : \sqrt{3 \cdot 13} : \sqrt{3}$$

fund, das zu so vielen interessanten Betrachtungen ihm Veranlassung gab. Aus den 5 Flächen PMT T x (Projectionsfigur pag. 46) wurden so dann alle deducirt: das hintere Augitpaar  $o = a' : \frac{1}{2}b : c$  fällt in die Diagonalzone von x, d. h. in Kante M/x und in die erste Kantenzone P/T. Das vordere Augitpaar  $n = a : c : \frac{1}{2}b$  liegt in der Diagonalzone von P und der Zone T/o. Diese für das System so wichtigen Flächen stumpfen nach Weiß'scher Annahme die rechtwinklige Kante P/M gerade ab, machen also unter sich eine wirkliche quadratische Säule n/n. Nach den Kupfer'schen Messungen würde n/n über P 90° 6' und P/n 135° 3' betragen, eine höchst unbedeutende Abweichung. Die dreifach schärfere  $y = \frac{1}{2}a' : c : \infty b$  fällt kreuzweis in die Zone T/o und bildet gewöhnlich ein fast rechtwinkliges Dreieck (89° 18'). Sehr häufig ist die Säule zehnfach durch  $z = a : \frac{1}{2}b : \infty c$ , die Kante M/T und n/o abstumpfend, und zwar diejenigen n und o, welche der Kante M/T oben und unten anliegen. Diese so häufig erscheinende z ist immer matt und daran leicht zu erkennen.

Sehr seltener findet sich  $k = a : \infty b : \infty c$ , welche die stumpfe Säulenkante grade abstumpft, und die zehnfache Säule zwölffach macht. Beim Abular kommt sie schön vor. Hinten  $q = 3a' : c : \infty b$  findet man oft beim Abular, selten vorn  $t = \frac{1}{2}a : c : \infty b$ , hinten  $r = \frac{1}{2}a' : c : \infty b$ . Ein zu PxTT zugehöriges Paar  $g = b : c : \infty a$  kommt zuweilen beim Abular vor, u =  $\frac{1}{2}a' : \frac{1}{2}b : c$  liegt in der Diagonalzone von y, darunter  $v = \frac{1}{2}a' : \frac{1}{2}b : c$ , m =  $\frac{1}{2}a : \frac{1}{2}b : c$  stumpft die vordere Kante P/T ab. Große Sel-



tenheit ist  $s = a' : \frac{1}{2}b : c$  hinten, sie soll sogar nur beim Anorthit vorkommen. Vorn  $i = a : \frac{1}{2}b : c$ ,  $h = a : \frac{1}{2}b : c$  und  $d = \frac{1}{2}a : \frac{1}{2}b : c$ . Beim Adular vom St. Gotthardt erwähnt v. d. Vorne eines Flächenpaares  $a' : b : c$ , das wie das 2gliedrige Oktaeder hinten auf die Säule T gerade aufgesetzt sein würde. Hefenberg fand vorn eine Schiefenfläche  $a : 110 : 00b$ ,  $127^\circ$  gegen P geneigt. Noch häufiger findet man hinten unter  $x$  eine raube



übermäßig steile  $\pi$ , die man auf  $a' : 470 : 00b$  schätzen darf, da sie nur reichlich  $2\frac{1}{2}^\circ$  gegen  $\text{Age } c$  geneigt ist. Unentfesselt findet sich am Schwarzenstein im Zillerthal selbst noch die Kante  $T/\pi$  abgestumpft. Lévy maß beim farbenspielenden Murchisonit, in Gesehien des Conglomerats von Exeter

(Olbred), hinten einen versteckten Blätterbruch  $\delta$ , der  $9^\circ 17'$  gegen  $\text{Age } c$  geneigt  $a' : 130 : 00b$  erhalten würde. Nicht ohne Interesse



sind die Störungsflächen  $\sigma$  an den Adularzwillingen von der Sella am St. Gotthardt. Sie glänzen stark, schneiden sich aber so stumpf, daß sie einen sehr ungefügigen Ausdruck bekommen. Der obere Winkel auf T beträgt etwa  $59^\circ$ , ja die Kante  $T/\sigma$  ist nicht selten nochmals abgestumpft. Gerade auf den Seitenflächen T bilden sich, wenn ein Zwillingstück durchsticht, gar oft von der Durchstichsstelle aus die

glänzendsten Knickflächen. Man könnte solche Zufälligkeiten ganz übergehen, wenn nicht die Sache in Rücksicht auf die complicirten Ausdrücke des Bergkrystalls einiges Interesse erweckte.

Der Feldspath kommt übrigens häufiger in Zwillingform als einfach vor, und zwar nach folgenden zwei Gesehen.

1. Karlsbader Zwillinge: zwei Individuen haben die sechseckige Säule TTM gemein und liegen mit ihren Endflächen P und  $x$  ( $y$ ) umgekehrt, so daß das  $x$  des einen mit P im andern



Individuum fast spiegelt pag. 100. Es ist dadurch eine völlige zweigliedrige Ordnung in den Flächen eingetreten. Gewöhnlich legen sie sich mit dem 2ten Blätterbruch M an einander, und nach ihm werden auch die

Säulen tafelartig zusammengedrückt. Da am Ende  $P/y = 99^\circ 38'$  zu herrschen pflegt, so dringt der Kopf des einen durch den Blätterbruch des andern durch, doch so, daß entweder auf der linken (linke Zwillinge) oder auf der rechten Seite (rechte) das P spiegelt. Die Sache wird besonders klar, wenn man die Stücke parallel von P quer durchschlägt. Solche Zwillinge sind in den porphyrischen Graniten aller Gegenden in Menge eingesprengt und kommen fast nie in Drusen vor. Wenn die Grundmasse verwittert, so fallen die Krystalle heraus, und man kann sie in großer Menge auf den Feldern zusammenlesen. Schon Valerius Cordus sprach von *Saxum durum candidis veluti tessellis* bei Karlsbad und Elbogen (Gesner de fig. lapid. 1565. 10). Nehmen die Granite dem Porphyry, wie bei Neubau und Fichtelberg an der Südostseite des Ochsenkopfes im Fichtelgebirge, oder am Berge Four-Labroux in der Auvergne,

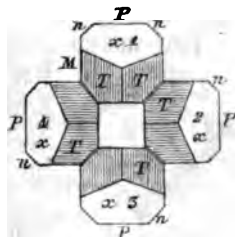
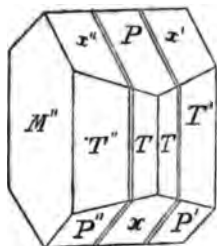
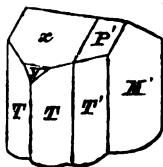


so kann man sie nicht bloß heraus schlagen, sondern sie sind auch noch viel schärfer und schöner als im Granit. Auch der Trachyt, besonders vom Drachensfels am Rhein, Bonn gegenüber, liefert treffliche von glasigem Feldspath. Aelter Krystalle mit Glimmer, sogar mit feinkörnigem Zinnstein und Quarz erfüllt kommen zu St. Agnes zc. in Cornwall vor, die fahlfarbigen im verwitterten Porphyr von Imenau im Thüringer Wald haben fast genau die Hälfte  $\text{CaC}$ , so daß von Feldspathmasse wenig zurückblieb. Wenn  $P$  gegen  $Ag$  c  $63^\circ 53'$ , und  $x$  gegen c  $65^\circ 47'$  machen würde, so könnte  $x$  des einen mit  $P'$  im andern Individuum nicht einspiegeln, sondern beide müßten sich unter einem augenfälligen Winkel von  $178^\circ 6'$  schneiden. Nun kommen freilich bei St. Pietro auf Elba sehr glänzende schneeweiße Zwillinge mit  $\text{TMP}xy$  vor, an denen  $x$  mit  $P'$  vollständig einzuspiegeln scheint, allein genaue Messungen haben doch das Gegentheil bewiesen. Sehr schöne Krystalle bildet A. d'Achiardi (Bollettino Com. geol. Italia 1871. 114) ab, die nach dem Adular hinüber schweifen (Semi-adularia).

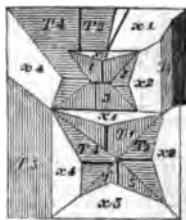
Ganz besonders prächtig kommen sie im Ural zu Alabashka bei Murzinsk vor (Koscharow, Mater. Riner. Rußl. 1867. V. 113). Es werden von dort sogenannte Drillinge abgebildet, die eigentlich keine sind, denn wenn auch das mittlere  $P$  als Träger erscheinen mag, an welchen sich links  $x''$  und rechts  $x'$  höchst regelmäßig angelagert haben, so liegen doch  $x''$  mit  $x'$  und  $P''$  mit  $P'$  vollständig parallel, bilden also ein Individuum. Solche Zufälligkeiten der Erscheinungen dürfen nicht als Gesetze ausgesprochen werden.

Wenn an den einfachen Krystallen  $P$  und  $M$  zu einer langen Oblongsäule sich ausdehnen, so pflegen sie einfach zu sein, obgleich sie in denselben Felsen sowohl im Porphyr als auch Granit und Trachyt neben obigen Zwillingen sich eingesprenzt finden. Das ist eine sehr auffallende Thatsache. Stehen dagegen diese Oblongsäulen in Drusenräumen, so bilden sie

2. Bavenoer Zwillinge, besonders schön zu Baveno schon vom Vater Pini 1779 am Südenbe des Lago Maggiore gefunden, Warmbrunn im Riesengebirge, Alabashka am Ural, Adular der Alpen zc. Diese Zwillinge haben  $n$  gemein und liegen umgekehrt, d. h. es spiegelt die fast quadratische Säule  $n/n$  bei beiden ein, nur legt der eine sein  $P$  hin, wo der andere sein  $M$  hat. Die Individuen 1 und 2 sind dann im Azimuth der Geradenfläche von der quadratischen Säule  $n/n$  um  $90^\circ$  gegen einander verdreht. Sie fordern zu ihrer Vollständigkeit noch zwei andere 3 und 4, welche den ganzen Kreis zu einer vollkommen viergliedrigen Ordnung schließen (Weiß Abhandl.



Verl. Ab. 1835). Ganz besonders regelmäßig zu Stohnsdorf östlich Warmbrunn und Schilbau. Von diesem Vierlinge stehen immer je zwei anliegende in Zwillingstellung, Folge davon ist, daß je zwei gegenüberstehende (1 und 3, 2 und 4) den ersten Blätterbruch P gemein haben und umgekehrt liegen. Einige nehmen dieß als ein drittes Zwillingsgesetz. Im Vierlinge legen daher immer je zwei Individuen ihr M wie die andern zwei ihr P haben, und wenn das erste seine Säulentrante



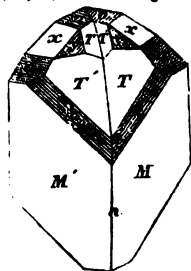
T/T nach Süd richtet, so daß 2te nach West, das 3te nach Nord, und das 4te nach Ost. Man kann diese Individuen nun durcheinander schieben, wie man will, wenn sie nur mit sich parallel bewegt werden, so bleibt es der unveränderte Vierling. Ja unter den Abularvierlingen am St. Gotthardt kommt nicht selten ein ganzes Gewirr von Individuen vor, aber man darf nur eines davon nach der Himmelsgegend orientiren, so ergeben sich die andern sogleich von selbst: mehr als ein Vierling kann es unmöglich werden. Im Grunde ist es nichts weiter als das Zwillingsgesetz

des 2gl. Systems, wenn man  $n/n$  als rhombische Säule denkt.

Daß die Ordnung viergliedrig sei, sieht man leicht ein. Denn  $n/n$  geben die erste, und P mit M die 2te quadratische Säule, alle übrigen im 2 + 1gliedrigen System ein Mal auftretenden Flächen (y, x, k z.) bilden ein Quadratoctaeder, und alle Paare (T, o, m z.) Vierundvierkantner.

Die Ausdehnung der Flächen ist freilich so verschiedenartig, daß der Feldspath dadurch zu einem der lehrreichsten Systeme wird. So zeigt z. B. bestehender Abular in seinem Hauptumriß das Individuum 3 mit PTMxz, allein an allen Seiten und in unserer Figur auch auf P brechen die grau gestreiften M des 2ten und 4ten-Individuums heraus, die vollkommen mit P ein spiegeln und sich unter einander mit ihrem P begrenzen, das senkrecht gegen P des Individuums 3 steht. Das 1ste Individuum pflegt man auf der Fläche der quadratischen Säule nicht wahrzunehmen. Wenn bloß zwei

Individuen zum Zwilling an einander treten, wie das bei Baveno, Warmbrunn und in den Alpen so häufig der Fall ist, so pflegt eine der n sich stark auszudehnen: man stellt die Sache so dar, als wenn ein Krystall diagonal der Oblongsäule PM durchgeschnitten und beide Hälften um  $180^\circ$  gegen einander verdreht wären, obgleich auch hier die Natur freier und erfinderischer in ihren Formen sich zeigt als die Kunst. Bei Baveno erscheint P wie gewaschen, M dagegen mit Chlorit beschmückt. Mit Chlorit bedeckt sind ferner T, z, o, die hintere Gegenfläche x nicht. Häufig orientirt der Albit, der sich nur auf die Flächen z T M lagert, und zwar



immer parallel den Säulentanten. Austerkrystalle mit feinkörnigem Glimmer erfüllt finden sich im grünen Busch des Girschberger Thals (Pogg. Ann. 80. 199), der Glimmer soll sich hier auf nassem Wege gebildet haben.

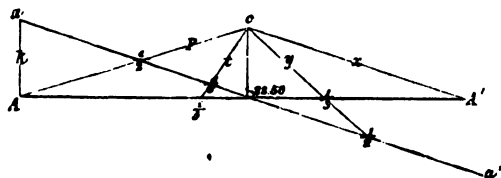
Ein drittes Gesetz, wornach die Individuen P gemein haben und umgekehrt liegen ist nur eine Folge vom Vierling, da sich 1 und 3, wie 2 und 4 in dieser Stellung finden, wenn man von dem error insensibilis abieht, der durch den Winkel von  $n/n = 90^\circ 6'$  hereinkommt. Man fand aber Prof. Blum (Jahrb. 1863. 222) in den zersehten Porphyrn von Manebach im Thüringer Walde um und umgebildete Krystalle, wo sonst das Bavenoer Gesetz ganz ungewöhnlich ist. Bald darauf fand sie Dr. Cohen in den Porphyrn des Ränberschläßchens bei Weinheim, und man warf sich nun bei der scheinbaren Selbstständigkeit dieses „Manebacher“ Gesetzes die Frage auf, ob die Vierlinge nicht lieber als Durchkreuzungen zweier Manebacher angesehen werden sollten. In den meisten Fällen läßt sich zwar die Sache nicht ausmachen, allein Scacchi (Pogg. Ann. 138. 555) fand am Vesuv einen Sanidinkrystall, der nach den schärfsten Messungen aus zwei Drillingen  $P^1P^2P^3$  und  $P^4P^5P^6$  bestand, die sich in der Doppel-  

  
linie P zusammengefeht hatten und umgekehrt lagen. Oben und unten fanden sich zwischen  $P^1/P^6 = P^3/P^4$  ein-  

  
springende Winkel von ungefähr  $179^\circ$ . Daraus würde folgen, daß die Drillingssebene n mit den anliegenden P einen scharfen Winkel  $44^\circ 45'$  d. h. das stumpfe Supplement  $135^\circ 15'$  machte, was in der Säule  $n/n$  über P  $90^\circ 30'$  gäbe. Denn man sieht leicht ein, daß dann  $n/P^1 + n/P^2 = 89^\circ 30'$  in der Zwillingsgrenze  $P/P^1 = 90^\circ 30'$  würde, woraus sich zwischen  $P^1$  und  $P^6$  eine Knickung von  $360^\circ - 2 \cdot 90^\circ 30' = 179^\circ$  ergäbe. Freilich weichen andere Feldspathmessungen davon wieder wesentlich ab. Als das Maximum der Zahl kann man die Achtlinge betrachten, welche nicht bloß bei den alpinischen Adularen (Jtschr. deutsch. geol. Ges. 1862 pag. 440 Fig. 5), bei Baveno (Abh. Sendenk. Ges. 1863 IV Fig. 9) und Striegau in Schlesien (Dr. Beder, Mineralvorkommen x. Dissert. 1868 pag. 19), sondern auch von ganz vorzüglicher Regelmäßigkeit bei den künstlichen Feldspathen von Sangerhausen (Pogg. Ann. 138. 555) beobachtet wurden. Wie die Horizontalprojection zeigt, so bestehen sie aus vier Bavenoer Zwillingen ( $P^1/P^2$ ,  $P^3/P^4$ ,  $P^5/P^6$ ,  $P^7/P^8$ ), die alle ihren scharfen Winkel nach außen kehren. Freilich nehmen die besten Messungen von Kotscharow (Materialien 1867 V. 119) für  $n/n$  über P nur  $90^\circ 7'$  an, wornach die Zwillingsebene n mit  $P^1$  und  $P^2$  einen Winkel  $44^\circ 56' 30''$  machte, der nur  $3\frac{1}{2}$  Minute vom rechten abweichen würde, was für  $P^1/P^2 = 89^\circ 53'$  und den einspringenden Winkel auf den vier Seiten  $179^\circ 46'$  geben würde.  


Denn man muß wohl dem Symmetriegesetz zufolge annehmen, daß der Achtling eine quadratische Ordnung eingesetzt habe. Die acht T erzeugen im Centrum eine starke Vertiefung, worin nach Hesseberg bei Baveno die langen auspringenden Kanten  $T^1/T^2 = 169^\circ 27' 30''$ , und die kurzen einspringenden  $T^2/T^3 = 118^\circ 49' 26''$  sind. Das parallele entgegengesetzte Ende müßte sich natürlich umgekehrt verhalten und statt der Einsenkung eine Ausstülpung zeigen. Näher darüber nachgedacht, ist es wahrscheinlich doch nichts weiter, als der einfache Vierling; denn wie schon die Richtung der P nach den vier Weltgegenden beweist, bilden die kreuzweis gegenüberliegenden Zwillinge einen Vierling: nähmen wir beispielsweise  $P^1 P^2 P^5 P^6$  als solchen Vierling, so hätte sich  $P^1$  in  $P^3$ ,  $P^2$  in  $P^4$ ,  $P^5$  in  $P^6$  und  $P^6$  in  $P^7$  fortgesetzt. Ein Knick auf den vier Seiten ist bis jetzt nur hypothetisch. Mögen die kleinen Winkeldifferenzen immerhin zum weitem Messen anreizen, für die Betrachtung im Ganzen behalten sie doch nur einen untergeordneten Werth.

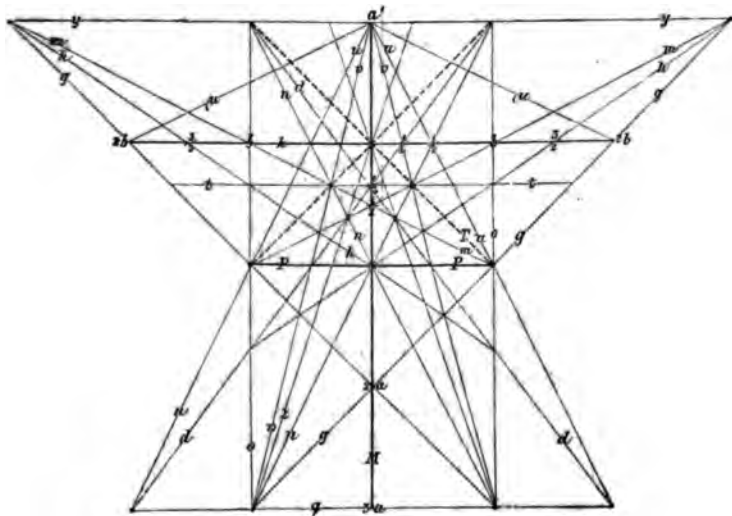
**Bemerkung zum Feldspathsystem.** Leider weichen seit Mohs die meisten krystallographischen Schriftsteller von unserer Weiß'schen Stellung ab, und meinen damit die Sache verbessert zu haben, während sie in der That nur gründlich verschlechtert ist. Wer einen Krystall gut entwickeln will, muß von gewöhnlich vorhandenen Flächen ausgehen, und das sind beim Feldspath  $PMTTxxy$ , aber nicht o geschweige m, welches man fast nie beobachtet. Ist  $o = a' : b : c$  und  $m = a : b : c$ , so kommen zwar einfachere Zahlenausdrücke pag. 102, wie Kupfer (Pogg. Ann. 1828. XIII. 222) nachwies, nemlich:  $P001, M010, k100, T110, x1'01, y2'01, t201, n021, q2'03, r4'03, z130, h023, i061, u2'21, v2'41, g1'12, s1'31, d241, \mu4'12$ , allein ich habe keinen solchen Ausgangspunkt, wie beim Ottaide  $PxTT$ , das fast stets vorhanden ist, und woran mittelst der Medianebene M sofort alle Verhältnisse klar deducirt werden können. Namentlich sieht man aus der kleinen Abweichung  $Aa = 1^\circ 10'$  sogleich ein, daß schiefe Xgen stattfinden müssen, während bei der größern von  $26^\circ 7'$  erst durch Rechnung festzustellen ist, daß keine Substitution rechtwinkliger Xgen möglich sei. Sollte von der alten Stellung durchaus abgewichen werden, so lägen die Flächen P und y, welche bei den Karlsbader Zwillingen eine so bevorzugte Endigung machen, jedenfalls näher. Man braucht in solchen Fällen nur einen Aufriß in der Medianebene



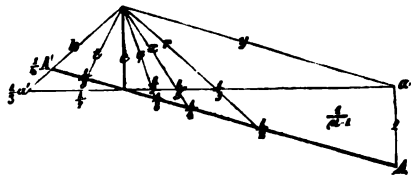
M zu machen, und die Durchschnitte der Schiefendflächen einzutragen, dann wird  $x = c : ooa : oob$  zur Basis,  $y = \frac{1}{2} A' : c = \frac{1}{3-1} a' : c$ ,  $t = \frac{1}{2} A : c =$

$\frac{1}{5+1} a : c$ . Alles kann sofort hingeschrieben werden:  $P = \frac{1}{2} a : c : oob$ ,  $o = ooa : \frac{1}{2} b : c$ ,  $n = \frac{1}{2} a : \frac{1}{2} b : c$ ,  $m = \frac{1}{2} a : \frac{1}{2} b : c$  u. Dann leuchtet weiter

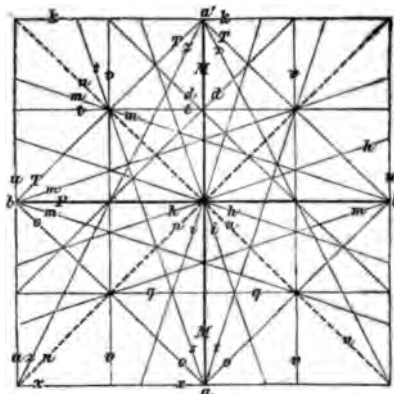
ein, daß die Aren a und b hälftig genommen die Ausdrücke an Einfachheit gewinnen, wie nachstehende Projection zeigt: x 001, M 010, k 100. P 101, y 1'01, T 110, o 011; n 121, m 211, g 112, u 1'21; z 130, q 103, t 301; s 031; v 1'41,  $\mu$  2'12, i 161, h 323, d 341. Wir haben hier ein zweites System von Bezeichnungen mindestens so einfach, als die Mohs'schen, aber naturgemäßer, weil ihnen eine „Grundform“ TTPy unterliegt, die an allen Krystallen sich darbietet. Andererseits ladet der Davener Zwilling zu einer nach der Oblongsäule P/M<sup>\*</sup> aufrechten Stellung ein. Weiß (Abh. Berl. Akad. Wissensch. 1835) hat dieses Problem schon sehr gründlich



abgehandelt. Da nun eine quadratische Säule bildet, so haben wir nicht nur den Vortheil gleicher Nebenzagen, sondern es fällt auch die optische Mittellinie fast genau mit der aufrechten Axe c zusammen. Blicken wir nun auf die zahllosen einfachen Oblongsäulen im Trachyt des Drachenseffens, und in den porphyrischen Graniten des Fichtelgebirges (Neubau), so hat eine solche Deutung allerdings vieles für sich. Weiß nahm in diesem Falle  $a : b : c = \sqrt{39} : \sqrt{39} : 1$ , dann ist P 100, M 010, n 110, y 101, k 3'01, x 501, r 301, q 901, t 7'01, T 3'41, o 541, z 3' · 12 · 1, u 141, v 181, m 11' · 4 · 1, s 5 · 12 · 1, d 7'81, g 13 · 4 · 1. Die Symbole erscheinen zwar verwickelt, allein wenn man projecirt, so ergeben sie sich mit wunderbarer Einfachheit und Eleganz, so daß man sie so lieb gewinnt, wie nachstehende einfachsten. Diese lassen sich sofort beim Anblick nebenstehenden Aufrißes nieder schreiben, woran y als Basis, x und k als gleichlautende Schiefenflächen vorn und hinten gewählt sind:  $k = \frac{1}{4} A' : c : \infty b$ ,  $x = \frac{1}{4} A : c : \infty b$ ,  $r = \frac{1}{4} A : c : \infty b$ ,  $q = \frac{1}{4} A : c : \infty b$ ,  $t = \frac{1}{4} A' : c : \infty b$ ,



$T = \frac{1}{2}A' : \frac{1}{2}b : c$ ,  $o = \frac{1}{2}A : \frac{1}{2}b : c$ ,  $z = \frac{1}{2}A' : \frac{1}{2}b : c$ ,  $u = c : \frac{1}{2}b : \infty A$ ,  
 $v = c : \frac{1}{2}b : \infty A$ ,  $m = \frac{1}{2}A' : \frac{1}{2}b : c$ ,  $s = \frac{1}{2}A : \frac{1}{2}b : c$ ,  $d = \frac{1}{2}A' : \frac{1}{2}b : c$ ,  
 $g = \frac{1}{2}A : \frac{1}{2}b : c$  zc. Fast in allen A und b steht der Divisor 4, ich  
darf also bei gleichen c nur mit 4 multipliciren, um sofort nachstehende  
einfache Projection mit y 001, P 100, M 010; T 1'11, o 111; x 101,



k 1'01, n 110, u 011; q 201, t 2'01  
v 021, r 102; s 131, z 1'31, g 311,  
m 3'11; d 2'21; h 310, i 130;  $\mu$   
041 zc. entwerfen zu können. Ein  
kleines Quadrat reicht hin, um alle  
diese schönen Verhältnisse vor Augen  
zu legen. Keine andere Arenwahl  
kann sich in Beziehung auf Einfach-  
heit (Hexaid, Oktaid, Dodekaid, Py-  
ramidenhexaid, Leucitoid zc.) damit  
messen. Dabei haben wir als Säule,  
Schiefenflächen, Oktaide grade die  
handgreiflichsten Flächen, welche bei  
jeglicher Demonstration uns stets

entgegen treten: und doch dürfen wir sie nicht wählen, weil die Weiß'sche  
ursprünglich und unzweideutiger als alle ist.

Zur optischen Untersuchung darf man die Bruchstücke nur senkrecht  
gegen die Oblongsäule P/M schleifen, denn die Ebene der optischen Axen  
entspricht ungefähr der Schiefenfläche P, deren schiefe Diagonale a : c  
die Mittellinie (m) bildet, welcher zu beiden Seiten die optischen Axen  
symmetrisch anliegen, Winkel von 57° bis 70° umschließend. Da der  
stumpfe ebene Winkel auf P 113° 16' beträgt, so würde das Perpendikel  
vom Mittelpunkte auf die Kanten P/T gefällt ungefähr ihre Lage be-  
zeichnen. Wir hätten also — m, mc' 63° 53'. Descloizeaux gibt beim  
Abular die Ebene noch 5° unter P an, also mc' 58° 53'. Auffallender  
Weise fand Heuser (Pogg. Ann. 91. 514) den Axenwinkel am glasigen Feld-  
spath der Eifel viel kleiner, und Descloizeaux (Mannuel de Mineralogie  
1862. I. 300) zeigte, daß durch Erwärmen die Axen in der Schiefenfläche  
sich nähern, ja zusammenfallen, und in der Medianebene M sogar aus-  
einandergehen. Steigt die Wärme nicht über 500°, so kehren sie beim  
Erkalten wieder in ihre ursprüngliche Stellung zurück, bei höherer Hitze  
bleibt die Stellung, um so ausgeprägter, je stärker das Feuer war. G.  
Rose (Jahrb. deutsch. geol. Ges. 1865. XVII. 400) nennt die Krystalle **antilog**,  
wenn die Axenebene in P liegt, und der Winkel beim Erwärmen kleiner,  
**analog**, wenn die Axenebene in M liegt, und der Winkel beim Erwärmen  
größer wird. Der künstliche Feldspath von Sangerhausen bestätigt das  
Gesetz, er ist stark analog, und zeigt in M einen großen Axenwinkel.  
Auch manche glasige Feldspäthe zeigen solche Gluthspuren, aber bei wei-  
tem die wenigsten. Sonderbarer Weise sind im Abular des Maderanena-  
thales am St. Gotthard die klaren Stellen antilog, die trübem analog,

als wenn diese Hitze erlitten hätten, und jene nicht. Orthoklase gehören zum negativen, Plagioklase zum positiven Systeme, mit Ausnahme des irregulären Anorthits.

Ein merkwürdiger Lichtschein von bläulicher Farbe zeigt sich ausgezeichnet beim Adular vom Zillerthal auf k und y. Beim Mondstein von Ceylon ist es mehr ein silberglänzender, perlmutterartiger Schimmer, und beim labradorisirenden Feldspath von Friedrichswärn spielen die schönsten Farben pag. 144.

Härte 6, Gew. 2,58, aber durch Verwitterung leichter werdend, weil sie Stoffe verlieren und statt dessen Wasser aufnehmen. Trübe Farben bis farblos. Glasglanz, auf dem ersten Blätterbruch aber Perlmutterglanz und viele Newtonianische Farben.

$R R Si_4 O_{16} = K Si + Al Si^3$  mit 16,6 K; 18,1 Al; 65,2 Si, doch ist ein Theil des Kali durch Natron oder Kalkerde ersetzt. Alex. Mitscherlich (Erdmann's Journ. 1860. 81. 114) fand 0,45 Baryterde im St. Gotthardter Adular und 2,33 Ba im glasigen Feldspath von Rieden bei Bonn. Vor dem Löthrohr schmilzt er schwer zu einem blasigen Glase, und gibt mit Kobaldfolution blaue Ranten an den Proben. In Soda lösen die gebildeten Silicate den Ueberschuß der Thonerde. Das Kali färbt die innere Löthrohrflamme violett, in Folge einer Reduction und Wiederoxydation des gebildeten Kaliums; Natron deckt zwar die Farbe mit Gelb, allein durch ein blaues Kobalddglas betrachtet, hebt sich das Violett wieder gut heraus. Löst man im Porzellanase Nickeloryd und setzt Kalifeldspath zu, so wird die Perle bläulich, bei Natronfeldspath behält sie ihre braune Farbe. Man schließt ihn mit K C oder Ba C auf. Der Fluß löst sich in Salzsäure, indem sich die Kieselerde in Gallertform ausscheidet. Aus der abfiltrirten Flüssigkeit fällt Ammoniak Thonerdehydrat, das bei Gegenwart von Kali- und Natronsalzen im Fällungsmittel ganz unlöslich ist. Etwas Kieselerde fällt zugleich mit der Thonerde. Die Flüssigkeit mit oxalsaurem Ammoniak behandelt gibt häufig etwas Ca C. Das Uebrige ist Kali- und Natronsalz. Die alten Chemiker waren über die Schmelzbarkeit höchlich verwundert, da sie neben der Si nur Thon-, Talk-, Baryt-, Kalkerde finden konnten, bis endlich Bauquelin (Journal des mines 1799 Nr. XLIX. 22) am grünen Feldspath von Sibirien einen Verlust von 16 p. C. nachwies, der in Kali bestand. Es war nach Leucit und Epidolith das dritte Kalihaltige Mineral. Nun kam auch Valentin Rose (Scherer, Allg. Journ. der Chemie 1802. VII. 244) mit dem gemeinen fleischrothen Feldspath von Lomnitz, der 12 p. C. Kali enthielt, jetzt giengen den Leuten die Augen auf, und man fieng sogar an, das Kali technisch auszubeuten, indem man Feldspath mit Fluß- und Kalkspath zusammenSchmolz, und mit heißem Wasser auslaugte (Dingler, Polyt. Journ. 150. 217).

Künstlicher Feldspath. Einfache Ca Si oder Fe Si krystallisiren leicht, setzt man aber Kalisilikat hinzu, so verlieren sie die Eigenschaft zu krystallisiren gänzlich, Thonerdesilikat vermindert diese noch mehr,

man bekommt nur ein Glas, das Fäden zieht und andere Silicate im Ueberschuß löst. Ja Silicate von Kali und Thonerde sind so zähflüssig, daß selbst beim langsamsten Erkalten weder die Masse noch der darin gelöste Körper krystallisirt. Daher glaubte auch Werner, Feldspath könne nur auf nassem Wege entstanden sein. Doch hatte schon Reaumur 1739 gefunden, daß Glas langsam erkaltet krystallinisch werde (entglaste) und steinartige Eigenschaften bekomme: es wird nämlich 1) schwerer schmelzbar; 2) härter; 3) schwerer; 4) Leiter der Electricität; 5) bildet es mit Säure eine Gallerte. Hall hat dargethan, daß alle Silicate geschmolzen Gläser geben, langsam erkaltet aber wieder Minerale, die zum Theil mit Quarz und Feldspath übereinstimmen (Jahrb. 1872. 200). Die Verschiedenheit des Gewichtes ist so groß, daß ein Feldspathkrystall von 2,55 Gew. als Glas nur 1,92, also 0,63 Differenz gab, G. Rose fand jedoch dieselbe beim Abular nur 0,188. Demungeachtet wollte es Mitscherlich nach den umfassendsten Versuchen (Pogg. Ann. 33. 200) nicht gelingen, Krystalle aus dem Feldspathglase zu bekommen. Endlich fand Heine 1834 (Pogg. Ann. 34. 201) beim Ausblasen eines Kupferrohrofens zu Sangerhausen auf Ofenbruch von schwarzer Blende kleine glasige farblose bis amethystblaue Krystalle von mehreren Linien Größe. Sie bilden sehr deutliche sechsseitige Säulen TTM, an welchen der erste Blätterbruch P allein herrscht. Beide Blätterbrüche P und M lassen sich erkennen, auch sind jetzt beiderlei Zwillinge bekannt. Die Analyse wies Kieselerde, Thonerde und Kali nach. Hausmann (Hdb. Min. 201) führt ein zweites Vorkommen aus dem Eisenhochofen zu Josephshütte bei Stolberg auf dem Unterharz an, Brechtel fand einige große Krystalle bei Glasfäßen, und Hr. Daubrée stellt ihn sogar willkürlich mittelst Chlorkiesel oder durch Uebergießen des Kaolin mit Alkalisilicatlösung von 400° dar, so daß an einer Bildung auf heißem Wege kaum gezweifelt werden kann. Auf Erzgängen fehlt er daher. Obgleich bei Baveno, wo er mit Quarz, Glimmer, und Feldspath bricht, die Quarze auf einer Seite mit einer dünnen Feldspathmasse überzuckert sind, wie wenn es aus Wasser niedergeschlagen wäre, so ist die Sache doch nicht deutlich. Dagegen werden im Todtliegenden und Porphyrconglomerate von Ober-Wiesla an der Straße von Chemnitz nach Freiberg Abulare mit Bergkrystall und Flußspath aufgeführt, die Knop und Volger (Leonhard's Jahrb. 1859. 200 und 1861. 1) als Bildungen auf nassem Wege ansehen. Auch kommt nach Whitney (Erdmann's Journ. prakt. Chem. 1860. 79. 202) in den Geoden mit Zeolithen auf den Kupfergruben von Keweenaw Point Orthoklas vor. „Wasserporen mit beweglichen Bläschen in Feldspath des Basaltes von Sichtenberg in Franken (Jahrb. 1867. 201) beweisen nur, daß auch im Feuer unter Druck Flüssigkeiten nicht fehlen.

Verwitterung findet beim Feldspath oft statt, er entfärbt sich, wird matt, weich, leicht, und zerfällt endlich zu Porzellanerde, die in ihrem reinsten Zustande ein schneeweißes mehligartiges Pulver bildet  $Al^3 Si^4 H^6$ . Würde man statt des Wassers  $K^2 Si^2$  setzen, so hätte man



wieder  $3K + 3Al + 12Si = 3$  Feldspath, daher scheint Wasser bloß das lösliche Kalisilicat ( $KSi^4$  Wasserglas in fünf Theilen Wasser löslich) anzulangen: Seilitz bei Meissen, Aue bei Schneeberg, Morl und Trotha bei Halle, St. Priest bei Limoges.

A. Frischer Feldspath, hat nicht das Rauhe des Sanidin, trübe Farben, ein frischfeuchtes Aussehen. Bildet im Urgebirge die Hauptmasse der Granite, Gneise und Porphyre. Auf Klüften und Ganggraniten schießt er nicht selten zu riesigen Krystallen an.

1. *Abular*. Pater Bini in Mailand entdeckte ihn auf dem Berge Sella zwischen Val Canaria und Hospiz am St. Gotthardt (Bergm. Journ. 1790. III. 1 pag. 269), den er fälschlich für den Mons Adula hielt. Selten auf Ergängen, eingesprengt in Kalkspath zu Dravicz. Es ist der klarste unter allen, der in prachtvollen Zwillingen, Drillingen und Vierlingen in Begleitung von Bergkrystallen bricht, namentlich ausgezeichnet auch im Zillerthal. Flächen z und M mit Chlorit bedeckt, matt ist z immer. Klare und meßbare Krystalle selten, Kupfer benützte zu seinen Messungen die kleinen vom Schwarzenstein im Zillerthal. Jener innere bläuliche Lichtschein pag. 144 öfter bemerkbar; solche Stücke rundlich geschliffen kommen im Handel als *Mondstein* vor. Sie sollen von Ceylon in Geschieben schon den Alten bekannt gewesen sein, doch zeigt sich bei diesen innen nicht das bläuliche Licht, sondern überhaupt ein Silberchein wie bei der Perlmutter. Auf M entdeckte Reusch zarte Streifen, welche Axe c unter  $10^\circ$  schneiden, und d correspondiren. Der *Sonnenstein* zeigt ein Farbenspiel zwischen gelb und roth. Lestern glaubt Dr. Fiedler an der Solunga in Sibirien (Pogg. Ann. 46. 100) wieder entdeckt zu haben, Scheerer (Pogg. Ann. 64. 100) beschreibt darunter einen Oligoklas von Tvedestrand. Der ächte, welchen Romé de l'Isle von der Insel Zedlowatow bei Archangel bekam, ist ein röthlicher Feldspath. Jedenfalls ist das blaue Licht der alpinischen Abulare (Schweiz und Tyrol) eine prachtvolle Erscheinung, die uns aber nur bei zwei Richtungen überrascht, sonst kaum bemerkt wird. Hyalophan aus dem Dolomit des Binnenthals im Oberwallis, 2,8 Gew., gleicht dem Abular vollkommen, enthält aber 15 Ba und bloß 52 Kieselersäure (Sartorius v. Waltershausen Pogg. Ann. 1855. 94. 110, Kennigott Jahrb. 1870. 100). Breithaupt's Dogoklas (Pogg. Ann. 1846. 67. 110) in Kalkspath von Hammond (New-York) mit Graphit gleicht dem Abular mit geflossener Oberfläche, hat aber 7,5 Na, das sich in Albittheilen zwischen Kaliseldspath klemmt (Zschermar, Jahrb. 1870. 200).

2. *Labradorisirender Feldspath* kommt in ausgezeichneter Weise im Birkon-Syenit von Friedrichswärn im südlichen Norwegen vor. Erst Laproth (Beiträge 1815 VI. 100) unterschied ihn vom Labrador, und beschränkte darauf die alte Benennung „opalisirender“ Feldspath. G. Rose (Gilbert's Ann. 1825 Bd. 73. 100) erkannte die Rechtwinklichkeit der Blätterbrüche. Er ist graulich, röthlich zc., sein innerer Farbenschein brennend grün und blau, ähnlich dem Labrador, mit dem er daher auch noch von Werner (Hoffmann, Handb. Miner. 1812 II. 200) verwechselt wurde.

Alein das Lichtspiel liegt auf *k* und *y* und nicht auf *M*. Der Murchisonit von Exeter soll auf *δ* schillern, und nach ihr deutlich blättrig sein (Descloizeaux, Mém. Inst. imper. XVIII. 100). Ein eigenthümlicher Seidenglanz auf *T* kommt bei Zinnwald vor (Leonhard's Jahrb. 1856. 40).

3. Amazonenstein fand Condamine 1745 in Geschieben am Amazonenstrom, soll dort aber grüner Nephrit sein (Jahrb. 1875. 100). Dann lernte man ihn an der Ostseite des Amenssees bei Miasl in ausgezeichneten Feldspathkrystallen kennen. Dieser hat eine schöne spangrüne Farbe, die von einer zufälligen Spur von Kupferoxyd herrührt, was sich beim Schmelzen mit Soda auf Kohle reducirt. Pulverisirt man die Perle, so findet sich nach Plattner im Pulver eine kleine Kupferplatte. Der schönen Farbe wegen wird er in Katharinenburg vielfach verschliffen. Auffallend ist an ihm, daß eines der *T* entschieden blättriger ist, als das andere. Es sollen übrigens unter ihnen Klinoklase mit verborgen sein, die 10' bis 20' vom rechten Winkel abweichen (Des Cloizeaux Manuel Min. 1874 II pag. XXXVI). Schließt zuweilen Albitkrystalle in nicht unbeträchtlicher Menge ein, woraus ein ansehnlicher Natrongehalt leicht zu erklären wäre.

4. Gemeiner Feldspath mit allerlei trüben Farben, worunter Fleischroth vorherrscht, selbst bei diesen gewahrt man zuweilen einen Lichtschein, sofern sie nur einigermaßen Durchscheinheit besitzen. Als Gemengtheil des Granites außerordentlich verbreitet, von besonderer Feinheit im Norden. „Das Roth geht zwar durch schwaches Glähen verloren, erscheint aber beim Erkalten wieder“. Wird der Granit in Gängen oder andern Auscheidungen grobkörnig, so wachsen die Feldspäthe nicht selten zu riesiger Größe an, so zu Rabenstein bei Bodenmais; die wohl ausgebildeten Krystalle von Alabachta bei Mursinnitz erreichen über 1 Fuß im Durchmesser; bei Miasl setzt die Flucht der Blätterbrüche *P* und *M* so regelmäßig und weit fort, daß ein ganzer Steinbruch in einem einzigen Krystall steht. Die mitbrechenden Quarzkrystalle erzeugen gewöhnlich Schriftgranit, worin die Dihegader alle einspiegeln, wenn sie, wie bei Hirschberg und Alabachta, mit ihren Köpfen aus dem Feldspath hervorragen. Zwillinge, welche die Säule *MMT* gemein haben, finden sich im Granit vom mittlern Korn häufig eingesprengt, dagegen die mit gemeinsamer Säule *n/n* meist nur auf Drusenräumen. Breithaupt's Mikroklin von Baveno und dem Krötenloch bei Schwarzbach im Hirschberger Thal des Riesengebirges zeigt auf den Säulenflächen glasklare Albitkrystalle, die wie aus der Feldspathmasse herausgeschwimmt erscheinen, und doch hatte der Hirschberger noch 5, der Bavenoer 1,25 Na (G. Rose Pogg. Ann. 80. 114). Letzterem sieht man namentlich die Verwitterung an, er ist matt und leichter (Gew. 2,39) geworden. Gar lieblich brechen die milchweißen Krystalle mit Turmalin auf Elba ein, zuweilen auf einer Druse mit einfachen Individuen und dreierlei Zwillingen: Karlsbader, Bavenoer und Manebacher. Der reine gemeine Feldspath, wo er in größern Mengen vorkommt, bildet einen Gegenstand des Bergbaues, besonders für die Glasur des Porzellans wichtig. Bei Siebenlehn in Sachsen

sehr schön blumigblättrig. Der graue im Kaltspath von Arendal hat ein geflossenes Ansehen, ganz wie Bargasit, und doch sitzt er satt im Kalte.

**B. Glasiger Feldspath**, Rose's Sanidin (*oark* Tafel, Klaproth Beiträge V. 14; VI. 22), besonders schön auch im Peperino von Rom, ist spröder und meist ungefärbt, man findet ihn nur in vulkanischen Gesteinen, und seine Uebereinstimmung mit dem künstlichen in Hochöfen gebildeten fällt auf. Der reinste möchte Werner's Eisspath sein, der sich besonders schön mit kohlschwarzen Hornblend-Nadeln in körnigen Blöcken an der Somma des Vesuvius findet. Wie wohl darunter auch andere farblose Dinge verwechselt wurden, woran jene Laven so reich sind. Einzelne Krystalle in kleinen Drusenräumen haben wahrhafte Edelsteinklarheit, daher sieht die Masse auch schneeweiß aus. Am Lacher See sind die „Sanidimbomben“ zwar sehr deutlich, aber grauer. Ihre Zusammensetzung stimmt mit den reinsten fast gänzlich natronfreien Adularabänderungen (S. Rose Pogg. Ann. 28. 147). Dagegen enthalten die großen im Trachyt vom Drachensfels am Rhein bei Bonn eingesprengten Krystalle 8 K und 4 Na, und trotzdem ist der Winkel der beiden Blätterbrüche ein rechter. S. Rose l. c. 151 hat sogar bei Eisspathen vom Vesuv, die mit schwarzem Augit und Glimmer nebst derbem Nephelin brachen, 10,5 Na auf 5,9 K gefunden, und schlug dafür den Namen Rhyacolith (*ρῡαξ* Lavaström) vor, weil der Säulenwinkel  $T/T$   $119^{\circ} 21'$ , also  $32'$  größer war als beim Adular, doch stehen die Blätterbrüche P und M noch auf einander senkrecht, und das scheint das entscheidende Moment zu sein. Zwar gaben die Analysen weniger Kieselersde, doch zweifelte Rose (Krystallogem. Mineral. pag. 88) später selbst an der Richtigkeit dieser Angabe. Bei Wehr im Brohlthal kommen in den Tuffen späthige Stücke von vielen Pfund Schwere vor, solche könnte man leicht mit Adular verwechseln, doch zeigen sie niemals chloritischen Anflug. Nach Descloizeaux liegen die optischen Axen in der Medianebene, und entfernen sich von einander schon bei mäßigem Erwärmen. Forchhammer's Baulit (Arablit) vom Baulaberge am Krabla mit 80 Si ein mit Quarz gemengter Feldspath (Bunjen).

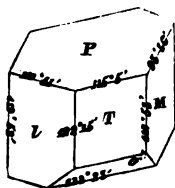
**Dichter Feldspath** (Feldstein Petrosilex). Hat den splittigen Bruch und das Aussehen eines ächten Hornsteins, allein er schmilzt an den Ranten, was der reine Quarz nicht thut. Durch Verwitterung erzeugt sich matter Thonstein. Die Analysen geben 70–80 und noch mehr Kieselersde an. Daher hat man vielleicht mit Recht den Feldstein nicht sowohl für einen dichten Feldspath, als vielmehr für einen dichten Granit gehalten, worin der freie Quarz den höhern Gehalt an Kieselersde erklären würde. Da nun Feldstein häufig die Grundmasse der rothen Porphyre bildet, so würden Feldstein, rothe Porphyre und Granit aus gleicher chemischer Substanz bestehen und nur durch ihre Structur sich von einander unterscheiden. In Schweden ist er unter dem Namen Hälleflinta (Felsenfeuerstein) bekannt, so kommt er ausgezeichnet neben den Magneteisenstein-

lagern von Dannemora zc. vor, besonders lieblich sind die dortigen fleischrothen. Ebenso gleicht Obsidian einem geschmolzenen und schnell erkalteten Trachyt.

## 2. Natronfeldspath.

Steht an der Spitze der Plagioklase. Lange war nur ein solcher bekannt, den G. Rose nach der weißen Farbe Albit (Cleavelandit Brooke) nannte (Gilbert's Ann. 1823. 73. 100). Er hat ganz die Feldspathformel, nur Statt K enthält er Na. 1824 machte Breithaupt den Periklin von Zöblitz bekannt, in welchem Ch. Gmelin 10 Na und 2,4 Ka fand, und da er bald darauf auch so vortrefflich krystallisirt in den Alpen vorkam (Pogg. Ann. 8. 88), so war man über diese Mittelspecies zwischen Albit und Feldspath sehr erfreut. Wochten auch spätere Analysen das Kali für unwesentlich halten, so verdient er doch wegen seines so verschiedenen Aussehens immerhin neben dem Albit genannt zu werden. 1826 gesellte Breithaupt (Pogg. Ann. 8. 100) Oligoklas von Arendal hinzu, den Berzelius schon vorher aus dem Granit von Stockholm als Natronspodumen untersucht hatte, und der einige Procent Kieselerde weniger gab als Albit. Uebergehen wir außerdem die vielen kleinlichen Unterscheidungen, welche man versucht hat, so ist vielleicht noch Abich's Andesin (Pogg. Ann. 51. 100) zu erwähnen, der in den Trachyten (Buch's Andesiten) der Anden eine Rolle spielt, und zu der glasigen Abänderung gehört. Merkwürdig, daß alle diese theilweis schon von ältern Mineralogen ausgezeichneten Minerale dem

Eingliedrigen System angehören, aber mit ihrer Form verschieden dem Feldspath analog bleiben (Neumann, Abh. Berl. Akad. 1830. 100). Der gut meßbare Albit hat eine rhomboidische Säule  $T/l = 122^\circ 15'$ ,  $T = a : b : \infty$  ist nach dem Perlmutterglanz zu schließen mindestens so blättrig als  $M = b : \infty a : \infty$ , während  $l = a : b' : \infty$  bloß Glasglanz zeigt. Dieser Ungleichheit der Säulenflächen entsprechend stumpft nun M die scharfe Säulentante ungleich ab, indem  $M/T = 117^\circ 53'$ , und



$M/l = 119^\circ 52'$  beträgt. Der erste Blätterbruch  $P = a : c : \infty b$  ist doppelt schief,  $P/T = 115^\circ 5'$  und  $P/l = 110^\circ 51'$ , folglich stehen auch die beiden Blätterbrüche  $P/M = 93^\circ 36'$  nicht mehr auf einander senkrecht, worin das Wesen beruht. Will man diese Winkel auf ein Modell eintragen, so muß man sie so schreiben, daß die stumpfere Endtante  $P/T$  an die stumpfe Kante  $P/M$  stößt, wie in nebenstehender Figur. Schon Breithaupt wies einen 4ten Blätterbruch  $o' = a' : \frac{1}{2}b' : c$  nach,  $o/P = 122^\circ 23'$ ,  $o/M = 112^\circ 11'$ , und gründete darauf seinen Tetartin ( $PMT o'$  sind blättrig). Allerdings läßt sich das bei etwas größern Krystallen von Schmirn im Zillerthal, wo  $o'$  mindestens so blättrig ist als T, erkennen. Es liegen  $PTo'$  in einer Zone, so daß T den scharfen Winkel von  $P/o' = 57^\circ 37'$  abstumpft. Hiermit ist auch die Streifung auf P erklärt, die schief dar-

über hingeht, stets der Kante P/T und nie der P/l parallel, da in letzterer keine blättrige o' liegt. Wohl kommen öfter P/l parallel sehr eigenthümlich feine schwarze Furchen vor, die man aber nicht mit der Streifung verwechseln darf. Häufig stumpft  $g' = b' : c : \infty a$  die Kante P/o' ab;  $x = a' : c : \infty b$ ,  $y = \frac{1}{2}a' : c : \infty b$ , vorn  $n' = a : \frac{1}{2}b' : c$ , und von der zehneitigen ist sowohl  $z = a : b : \infty c$  als  $z' = a : b' : \infty c$  vorhanden. Kurz wer die Flächen des Feldspath's kennt, kann auch diese eingliedrigen Krystalle entziffern. Was die Rechnung betrifft, so verfährt man am besten nach der sphärischen Trigonometrie, nur findet hier der Uebelstand statt, daß man schrittweis trianguliren muß, und nicht jeden beliebigen Winkel sogleich finden kann. Wer dieß will, muß den Weg einschlagen, welchen ich (Beiträge zur rechnenden Krystallogr., Tübingen 1848. Universitätsprogramm pag. 21) ausgeführt habe. Man kann da ganz allgemein nach den Gesetzen der Zonenlehre sämtliche Flächen auf rechtwinklige Aye ( $A = B = C = 1$ ), aber mit irrationalen Ausdrücken beziehen. Stricheln wir wie oben die Aye A hinten und die B links, so ist

$$P = \frac{A}{0,5} : \frac{B}{0,07}; T = \frac{A}{0,992} : \frac{B}{0,525} : \infty C : 1 = \frac{A}{0,992} : \frac{B'}{0,569} : \infty C;$$

$$x = \frac{A'}{0,491} : \frac{B}{0,093}; y = \frac{A'}{1,483} : \frac{B}{0,115}; o = \frac{A'}{0,491} : \frac{B}{0,64};$$

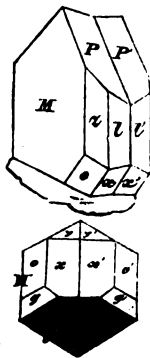
$$o' = \frac{A'}{0,491} : \frac{B'}{0,454}; n = \frac{A}{0,5} : \frac{B}{1,165}; n' = \frac{A}{0,5} : \frac{B'}{1,023};$$

$$g' = \frac{A}{0,004} : \frac{B'}{0,191}; g = \frac{A}{0,004} : \frac{B}{0,37}; z' = \frac{A}{0,992} : \frac{B'}{1,663};$$

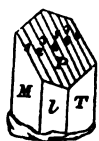
$$z = \frac{A}{0,992} : \frac{B}{1,619}.$$

Wir haben die Buchstaben ABC bloß gesetzt um zu orientiren. Das Rechnen geschieht nun mit der Winkelformel des regulären Systems pag. 59. Einfache Krystalle sind selten, die meisten bilden Zwillinge. Wir danken darüber Hrn. Dr. Kayser (Vogg. Ann. 34. 100) eine scharfsinnige Auseinandersetzung. Man spricht dabei viel, von den Diagonalen der Schiefendfläche P im Hensenoeder PTL: die lange entspricht der Aye b, die kurze dagegen der Naumann'schen Klinodiagonale, die wir  $\alpha$  oder kurzweg schiefe Diagonale nennen wollen, sie geht der Kante P/M parallel.

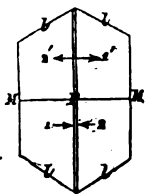
1. Albitzwilling. Zwei Individuen haben M (c und  $\alpha$ ) gemein und liegen umgekehrt. Zu dem Ende mache man sich zwei gleiche Modelle PTM aus Holz. Daran bildet M ein Parallelogramm. Beider M decken sich dann auf zweierlei Weise: ein Mal spiegeln alle 4 Parallelräume ein, die Individuen liegen also 'parallel'; das andere Mal spiegelt bloß M ein und P/P' machen einen aus- oder einspringenden Winkel von  $172^\circ 48' = 2 \cdot 86^\circ 24'$ . Eine Folge davon ist, daß in den Zwillingindividuen die



Axe  $c$  und schiefe Diagonale  $\alpha$  einander parallel gehen. Derselbe Zweck wird erreicht, wenn man ein Individuum in der Mitte parallel  $M$  durchsägt, und die Hälften um  $180^\circ$  gegen einander verdreht. Durch solche Zwillinge ist eine höhere 2 + 1gliedrige Ordnung hingestellt. Beim **Oligoklas** und **Labrador** setzen sich ganze Reihen von Individuen (8)



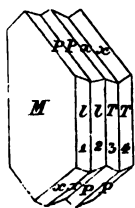
aneinander, woran je die  $P$  aller geraden und aller ungeraden mit einander einspiegeln. Es wird das durch Streifungen auf  $P$  angedeutet, die der schiefen Diagonale  $\alpha$  parallel gehen, aber oft so fein sind, daß sie nur der höchsten Aufmerksamkeit nicht entgehen. Diese „Zwillinge“ zu nennen scheint nicht ganz passend. Beim Zählen der Lamellen muß man übrigens sehr vorsichtig sein: denn häufig spiegeln z. B. 1 • 2 mit ihrem  $P$  ein, dann muß der Strich dazwischen, so zart er auch sein mag, einer dritten Lamelle angehören, die sowohl zu 1 als zu 2 in Zwillingstellung sich findet. Statt 1 • 2 ist dann 1 • 3 zu zählen, da 2 in den Strich fallen muß. **Durchkreuzungen** dürfen nicht irre leiten. So kommen in einem dolomitischen Kalk des Col de Bonhomme südwestlich vom Mt. Blanc kleine ringsum gebildete Krystalle vor, die Hesseberg (Sendenbergsche Nat. Gesellsch. 1858. II. pag. 163) beschrieb: auf  $P$  gewahrt man vor der Querlinie  $MM$  einen einspringenden, und dahinter einen ausspringenden Winkel, während 1 mit  $1'$  und 2 mit  $2'$  einspiegelt. Mit



vier Holzmodellen macht man sich leicht klar, daß es nur zwei Individuen nach dem gewöhnlichen Zwillingsgesetz sein können.

2. Albitzwilling analog den Karlsbadern: die Individuen haben die Säule  $MTL$  gemein, und liegen umgekehrt, d. h. der eine hat seinen Blätterbruch  $P$  hinten, der andere vorn. Lagern die Individuen wie gewöhnlich mit  $M$  aneinander, so kreuzen sich entweder die stumpfen Winkel  $P/M$  (rechte, weil der Blätterbruch  $P$  rechts liegt), oder die scharfen, linke. Also ganz die Abtheilungen wie beim Feldspath. Man kommt zu der Stellung, wenn man den einen um die Axe  $c$  (Säulenfante)  $180^\circ$  dreht.

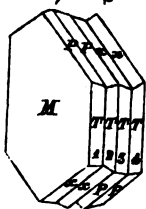
Kayser macht noch auf einen zweiten Fall aufmerksam: sie drehen sich  $180^\circ$  um eine Linie, die im  $M$  senkrecht auf Axe  $c$  steht, dann hätten die Individuen nur  $M$  aus der Säule gemein ( $c$  parallel und  $\alpha$  gekreuzt), die andern Säulenflächen  $T$  und  $L$  würden widersinnig liegen und nicht einspiegeln, auch würden sich die ungleichnamigen Ranten  $P/M$  in  $M$  kreuzen. Die Streifung  $P/T$  scheint zu beweisen, daß dieß beim einfachen Zwilling nicht vorkommt.



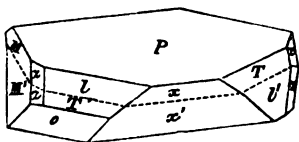
**Bierling.** Oft sind solche Zwillingeindividuen schon Zwillinge nach dem ersten Gesetz. Man kann die Sache einfach so ansehen, daß sich an den Karlsbader Albitzwilling (2 und 3) jederseits noch ein Individuum (1 und 4) nach dem gewöhnlichen Albitzgesetz anlagerte. Statt  $P$  haben wir dann an einem Ende einspringende, am andern aus-

springende Winkel. Wie die Individuen 2 und 3, so haben auch 1 und 4 die Säule Mtl gemein, und nur die Enden liegen umgekehrt. Folge davon ist, daß Individuum 1·3 und 2·4 ihre Säulen widersinnig legen, wenn dann aber z. B. zwischen 1 und 3 das zwischenliegende 2 verschwindend klein werden würde, welche Art Drillinge allerdings vorkommen, so würde das obigen 2ten Fall Kayser's vom Karlsbader Albit-Zwillingsgesetz geben.

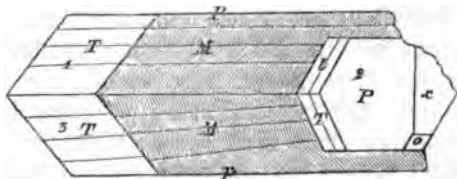
Es kommt z. B. bei Schmirner Vierlingen sehr schön vor, daß die Individuen 1·3 und 2·4 ihre Säulen gemein haben, dann liegen in den Säulen vorn alle T und hinten alle l, und die beiden Individuen 1 und 2 haben oben vorn ihren ausspringenden Winkel P/P, 3 und 4 aber hinten ihren einspringenden. Auf diese Weise ist die zweigliedrige Ordnung am vollkommensten erreicht, indem auch beide Enden des Vierlings gleich sind, und sich nicht ein Mal durch Ausspringen und Einspringen mehr unterscheiden. Wie sehr übrigens solche Vierlinge an den Karlsbader Zwillings sich anlehnen, das zeigen die schönen Stücke vom grünen Busche bei Hirschberg: dort überzieht Albit die ganze Vorder- und Hinterseite der Zwillingsssäule von Kalisfeldspath, so daß am Kalisfeldspath die einfache P und x stets analogen Zwillingsflächen am Albit entsprechen. Weitere Auseinandersetzungen im Grundriß der Krystallographie 419.



3. Periklingwillinge (Oligoklas, Labrador): die Individuen legen sich mit P so aneinander, daß die schiefe Diagonale  $\alpha$  beiden gemein ist, und auf M aus- und einspringende Winkel entstehen. Die Säulenflächen Tl liegen dabei widersinnig. Mathematisch gelangt man dazu, wenn sich ein Individuum  $180^\circ$  um eine Linie dreht, die in P senkrecht auf  $\alpha = P/M$  steht. Der Periklin kommt dem Albit entgegen immer in so kurzen Säulen vor, daß sich statt der stumpfen Säulenkante T/l die Schiefendflächen P/x in einer scharfen horizontalen Kante schneiden. Daher könnte man auch die einfachen Krystalle vom Schneeberge in Passsyrcher Periklin als Albit nennen (Tschermak, Miner. Mitth. 1874. 97). Sie sind sonst selten und meist auf M aus- oder einspringend nach Querlinien geknickt, die ungefähr der Kante P/M parallel gehen. Oft klemmen sich bloß Zwillingsstücke ein, und erzeugen wieder Reihenentwicklung, worin alle geraden und ungeraden Zahlen einander parallel gehen. Daß dabei die Säulenflächen widersinnig liegen, kann man deutlich beobachten, da T sehr blättrig ist, Perlmutterglanz und Newtonianische Farben zeigt.



4. Periklin (Albit) analog dem Bavenoer Zwillingsgesetz. Im Pfunders-Thal (Zwi-



ischen Sterzing und Brunnecken) kommen weiße Krystalle von  $\frac{1}{4}$  Fuß Länge mit Chlorit bedeckt vor, dieselben zeigen viele Knicke und Streifen auf M, was auf Zwillingbildung deutet. Solche legen sich nun zu zwei mit ihrem P nach dem Manebacher Gesetz so gegenüber, wie die Individuen 1 und 3 von der Seite zeigen. Es scheint P beiden so gemein zu sein, daß sowohl b als  $\alpha$  aufeinander fallen, es müssen daher in ihrer umgekehrten Lage T und l beide mit einander correspondiren. Dann entsteht auf M hüben ein ausspringender und drüben ein einspringender Winkel. Man drehe also bloß ein Individuum auf P um  $180^\circ$ . Würden T und l nicht correspondiren, d. h. würde man ein Individuum  $180^\circ$  um  $\alpha$  drehen, so gäbe es auf M weder aus- noch einspringende Winkel, was nicht der Fall. Nun legt sich dagegen ein dritter Zwilling (2), welcher seinen ersten Blätterbruch ungefähr so legt, wie die beiden ersten (1 und 3) ihren 2ten hatten. Wenn dazu nun ein 4tes käme, so wäre der Achtling geschlossen. Die Krystalle sind durch den Chlorit zu un- deutlich, als daß man ihre Lage genau ermitteln könnte. Auch sind im Ganzen derartige Untersuchungen so minutiös, daß von einer mathematischen Sicherheit überhaupt nicht die Rede sein kann. Aber aus der Gruppierung geht hervor, daß durch den Achtling eine viergliedrige Ordnung gleichsam angestrebt wird. Da auf den Säulen der Bavenoer Zwillinge häufig Albit ausschwißt, so stehen auch diese (natürlich ungefähr) nach dem gleichen Zwillingsgesetze. Uebrigens kommt der Albit von Schmirn, obgleich selten, so doch ganz vortrefflich wie Feldspath von Baveno nach n verwachsen vor (Grundr. Kryst. 427), und Neumann fand, daß dabei n/n' von beiden Zwillingstücken sich genau unter  $90^\circ$  schneiden.

a) Albit mit obigen Winkeln, Härte 6, Gew. 2,63. Spaltet man die Krystalle von Schmirn parallel M, so kommt im Polarisationsmikroskop das Bild einer Aze zum Vorschein. Nach Senarmont liegt die optische Agenebene ähnlich wie beim Kalifeldspath, aber b ist die + Mittellinie. Von großer Klarheit bricht er mit Bergkrystall am St. Gotthardt, zu Bourg d'Oisans, mit Mesitinspath am Hainzenberg im Zillertal, und besonders schön im Schmirner Thal (östlich des Brenner Paß) mit Kalkspath in Klüften eines grauen Dolomites, die er hauptsächlich liebt (Jahrb. 1862. 222). Zuweilen auch glasig in Trachyten. Schon L. v. Buch brachte das Ausschwißen an Säulen der Bavenoer Zwillinge zur Sprache (Haibinger, Pogg. Ann. 68. 471), was sich dann bei Hirschberg, Saar in Mähren 2c. ausgezeichnet wiederholte, und zwar stehen die klaren Individuen auf beiden Seiten der eisenhöflichen Säulenflächen Zwillingartig gegen einander gefehrt (Epochen der Natur pag. 87). In Canada (Township) soll er nach Hunt regelmäßig (fogar lamellenweis) mit Adular verwachsen, zu Perth lagert sich zwischen fleischrothen Avanturin-feldspath weißer Albit (Perthit, Ztschr. deutsch. geol. G. 1862. 151). Ganz besonders merkwürdig sind die sattelförmig gekrümmten Drusen des Schrifgranits von Lomniz. Man weiß da gar nicht mehr, was man Feldspath und was Albit nennen soll, ja die krummen Flächen des Feldspath's ließen sich



kaum richtig deuten, wenn nicht vorn an der Stirn die kleinen Albitsäulen die Anschauung leiteten. Rechter Albit lagert mehr auf Gängen. Was man früher im Granit und Syenit so nannte, ist Oligoklas.  $\text{Na Si} + \text{Al Si}^2$  mit 69,3 Si, 19,1 Al, 11,6 Na,  $\text{Na Al Si}_4 \text{O}_{16}$ , schwer schmelzbar wie Feldspath, färbt aber die Flamme gelb, das Gelb eines ruhig brennenden Kerzenlichtes. Kali wird öfter durch Natron verdrängt, es entstehen dann Asterkrystalle des Albits nach Feldspath (Vischof, Geol. II. 411), besonders in Contactgesteinen.

b) **Periklin** (*περικλιν* abschüssig Breith. Vollst. Charact. 1823. 278), in den Alpen leicht durch seine trübe Farbe und seine niedrigen Säulen vom Albit zu unterscheiden, wenn man auch auf die kleinen Winkelunterschiede ( $T/l = 120^\circ 37'$ ,  $P/M = 86^\circ 41'$ ) kein Gewicht legen will. Der Kaligehalt von 2,5 p. C. kann freilich nichts beweisen, da man heute weiß, wie leicht sich Natron und Kali austauschen. Vorzüglich gern mit Chlorit bedeckt im Tyroler Hochgebirge.

c) **Oligoklas** (*ολιγος* wenig), weil Breithaupt T und o weniger blättrig als beim Albit fand, Natronspodumen Verz., denn bei Stockholm kommt er in weißen großblättrigen Parthien vor, welche auf P eine Menge Zwillingstreifen zeigen. Er steht übrigens dem Albit so nahe, daß man ihn mineralogisch kaum trennen kann, daher wurde er auch lange nach Breithaupt's Bestimmung immer noch für Albit angesprochen. Doch ist er etwas kieselärmer und kalkreicher als Albit, vielleicht auch etwas schwerer 2,68 Gew., und jedenfalls etwas schmelzbarer. Scheerer fand im Sonnenstein von Tvedestrand 61,3 Si, 23,8 Al, 4,8 Ca, 8,5 Na, 1,3 Ka, darnach  $(\text{Na, Ca}) \text{Si} + \text{Al Si}^2$ , so daß die Formel im 2ten Gliede abweicht. Im Granite vom Riesengebirge, Schwarzwald zc. ganz gewöhnlich klein beigemengt (Pogg. Ann. 56. 617); in dem zum Bauen viel verwendeten Granit von Finnland (Rapakivi, Trebernstein) umgibt er die großen Feldspathkrystalle mit einer grünen Fülle; der bekannte grüne antike Porphyr (Lapis Lacedaemonius) enthält ihn. Jedenfalls begeht man keinen bedeutenden Fehler, wenn man solche Minerale noch zum Albit stellt. In den ursprünglich sogenannten Oligoklas im Kalkspath von Arendal einer trüben Masse von seifenartigem Ansehen gleichend mochte Hessenberg ausdrücklich wieder zum Albit gestellt wissen. Der Sonnenstein von Tvedestrand und Kragerö gleicht einem „Avanturinfeldspath“ mit rothen Eisenoxydblättchen. Er ist durchsichtig und mit zahllosen Zwillingstreifen bedeckt. Sein prächtiger rother Schiller erscheint auf dem 1ten Blätterbruch P, wenn man die Zwillingstreifen median und das Auge senkrecht darüber stellt;  $180^\circ$  im Azimuth gedreht verschwindet er, und tritt erst bei einer starken Neigung wieder hervor. Die Risse, welche den Schiller bedingen, kreuzen und accommodiren sich der ersten Rantenzone P/T.

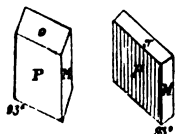
d) **Andesin** nannte Abich den glasigen „Albit“ aus den Trachyten der Anden, die L. v. Buch mit so vielem Nachdruck als ein besonderes Gestein (Andesit) von unsern europäischen Trachyten, die nur glasigen

Feldspath enthielten, geschieden wissen wollte (Pogg. Ann. 87. 100). Allein auch dieser Albit wurde heutiges Tages ein Pseudo-Albit von der Formel  $(Na, Ca)^2 Si^2 + 3 Al Si^2$  mit 59,6 Si, 24,3 Al, 1,6 Fe, 5,8 Ca, 1,1 Mg, 1,1 K, 6,5 Na. Mineralogisch hielt man ihn früher allgemein für ächten Albit. Andere Chemiker haben darüber wieder anders geurtheilt, und allerdings kann bei so verwandten Dingen die Analyse allein kaum entscheiden. Hunt (Zahrb. 1858. 100) stellt sie zum Oligoklas, der in Canada sogar schön blau vorkommt. Da die glasigen Oligoklase in vielen Trachyten eine Rolle spielen, so hat sie Eschermat dem Sanidin gegenüber wegen ihrer Kleinheit **Microtin** genannt.

### 3. Kalkfeldspäthe.

Die Kieselersäurearmen kommen meist mit Augit zusammen in glasigen wie frischen Gesteinen vor. Zwar sind sie nicht ganz frei von Natron und Kali, wie umgekehrt auch die Kali- Natronfeldspäthe nicht ganz der Kalkerde entbehren, allein die Kalkerde herrscht entschieden vor. Können durch bloße Säuren aufgeschlossen werden. Denkt man sie sich mit Wasser verbunden, so entstehen die Formeln einiger ausgezeichneten Zeolithe, was zu manchen Wechselwirkungen dieser beiden Mineralabtheilungen führte.

a) **Labrador.** Wegen seines schönen Farbenspiels wurden die Missionäre der deutschen Brüdergemeinde auf der St. Paulsinsel an der Labradorküste schon im vorigen Jahrhundert (1775) auf ihn aufmerksam. Er findet sich daselbst in Gefchieben, wie am Finnischen Meerbusen, wo er bei Petersburg zu Pflastersteinen dient. In Norwegen steigen östlich Bergen über den Gneusen des Nærödal Felsen von 3000' Höhe empor, die fast gänzlich aus diesem herrlichen Mineral bestehen (Pogg. Ann. 136. 100). Obgleich schon Klaproth (Beitr. VI. 100) darin 11 Ca nachwies, so verwechselte ihn Werner doch noch mit dem labradorisirenden Feldspath von Norwegen, erst seit G. Rose (Gilbert's Ann. 1823. 73. 100) wird diese Verwechselung allgemein vermieden. Krystallisirt wie Albit und fast mit den gleichen Winkeln P/M  $86^\circ 30'$ , P/T  $115^\circ$ , M/T  $119^\circ$ . Seit Hessel (Taschenbuch Miner. 1826. 100) meinte man, der dritte Blätterbruch T liege nicht wie beim Albit an der stumpfen, sondern an der scharfen Kante P/M, so daß sich Albit und Labrador wie links und rechts verhielten. Allein der blättrige Säulenbruch T ist beim Labrador kaum zu erkennen. Der dritte Blätterbruch fällt vielmehr mit der 2ten Schillerfläche  $\tau$  pag. 144 zusammen, M/ $\tau$   $134^\circ$ , P/ $\tau$   $108^\circ$ . Fläche  $\tau$  steht dem 4ten Blätterbruch o beim Albit analog: stellt man nach diesen parallel, so liegt allerdings der scharfe Winkel P/M beim Albit rechts, beim Labrador links. Das schöne Farbenspiel von Blau, Grün und Roth findet vorzugsweis auf M und  $\tau$  Statt, wodurch sich die Stücke leicht vom labradorisirenden Feldspath unterscheiden. P hat meist zahllose zarte Zwillingstreifen nach der Klinodiagonale a : c gemäß dem Albitgesetz, und kann darnach leicht mit

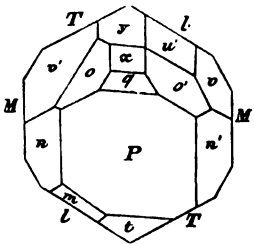


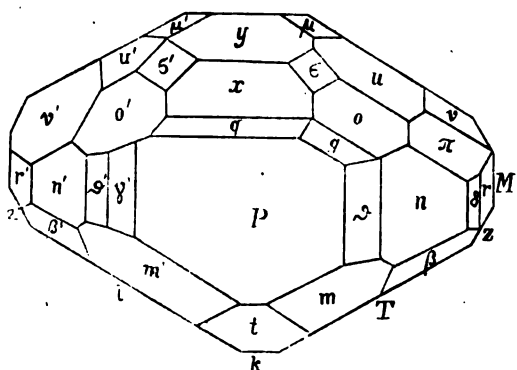
Albit. Labrador.

Oligoklas verwechselt werden. M seltener gebänderte Streifen gemäß dem Periklingesetz: stellt man die Bänder ungefähr median, so tritt bei horizontalem M und senkrechtem Auge das Farbenspiel der einen (1) hervor; kehrt man dann M gegen das Licht, so schwinden sie und die andern (2) werfen ihren Glanz. Dreht man das horizontale M  $180^\circ$  im Azimuth, so tritt nun umgekehrt die Farbe auf 2 heraus zc. Es ist das eine der interessantesten Vermischungen von zweierlei Zwillingsgesetzen. Hessel nannte sie uneigentlich Drillinge. Macht man Querschnitte gegen Kante P/M, so müssen sich darin natürlich Säulen von  $93^\circ 30'$  finden. Dünne Blätter scheinen stark durch, Farbe gewöhnlich schwarzgrau. Gew. 2,7 und Feldspathhärte. Er schmilzt etwas leichter als Feldspath zu blasigem Glase, und besteht aus (Ca, Na) Si + Al Si, etwa 54,6 Si, 27,9 Al, 12 Ca, 5,4 Na. Der frische durch HCl nur unvollkommen zersezbar, dagegen scheidet sich S Kieselpulver aus. Nordenskjöld (Pogg. Ann. 1830. 19. 179) machte seine Betrachtungen über das Farbenspiel an sehr klaren Stücken aus den Eisengruben von Djamo bei Lojo in Finnland. Die meisten andern zeigen kein Farbenspiel: so der wesentliche Gemengtheil augitischer Gebirgsarten, frisch in der Gabbro von Le Prese im Beltlin mit vielen Streifen auf P und Zwillingen analog dem Karlsbadergesetz; glasig in den Augitlaven, von besonderer Schönheit im Bal del Dove am Aetna. Der Stapolithähnliche Ershyt von Ershy in Finnland (Jahrb. 1858. 112) soll nach Nordenskjöld ein reiner Kalk Labrador Ca Al Si<sup>2</sup> sein. Doch ist Rath dagegen (Pogg. Ann. 144. 107).

b) Anorthit (ανορθος nicht rechtwinklig) G. Rose Gilbert's Ann. 73. 197, aus den Kalkblöcken oder den ihnen anhängenden Glimmerfelsen mit grünem Augit, welche zerstreut an den Abhängen der Somma liegen (Jahrb. 1853. 107). Kleine aber wohl gebildete glasige Krystalle mit großem Glanz und vielen Flächen. P/M  $85^\circ 48'$ , T/l  $120^\circ 30'$ , M/T  $117^\circ 28'$ , P/T  $110^\circ 57'$ , P/l =  $114^\circ 22'$ . Die Flächen der P sind blättrig, dagegen ist T glänzender als l, obgleich über die Blättrigkeit derselben nicht entschieden werden kann. Da der Winkel P/T kleiner ist als P/l, so läge T, umgekehrt wie beim Albit, der scharfen Kante der Blätterbrüche P/M an. Das scheint unwahrscheinlich, daher wäre es passender gewesen, G. Rose hätte die Buchstaben T und l vertauscht, und nicht gegenständig mit den Albitwinkeln genommen. Mit der Formenkenntniß des Feldspath sind diese überaus zierlichen Krystalle oft leichter als die Natronfeldspäthe zu entziffern. Außer PMTlk kommen die Schiefendflächen xyq und vorn die beim Feldspath so seltene  $t = \frac{1}{2}a : c : \infty b$  vor; ferner analoge Augitpaare oo', nn' uu', vv' und die Säule zz'. Vorn sieht man auch öfter  $mm' = \frac{1}{2}a : \frac{1}{2}b : c$ , kurz alles ahmt Feldspath nach.

H. v. Kotscharow (Material. Min. Rußl. 1862. IV. 200) hat die Ura-





lischen von Bogoslowitz und den Lepolith von Finnland wieder genau gemessen, und darin eine ganze Reihe neuer Flächen gefunden, wie nebenstehende Horizontalprojection zeigt, mit den Ausdrücken in Raumann'scher Stellung: P 001, M 010, k 100; x 1'01, y 2'01, q 2'03, t 201; T 110, l 11'0, z 130, z' 13'0;

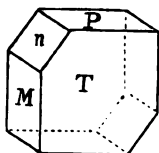
n 021, n' 02'1,  $\delta$  023,  $\delta'$  02'3, r 061, r' 06'1,  $\gamma$  01'3,  $\delta$  041; m 111, m' 11'1, o 1'11, o' 1'1'1, u 2'21, u' 2'2'1, g 1'12,  $\pi$  1'31,  $\beta$  241,  $\beta'$  24'1,  $\nu$  2'41,  $\nu'$  2'4'1,  $\mu$  4'21,  $\mu'$  4'2'1,  $\sigma$  4'23,  $\sigma'$  4'2'3. Er fand P/M 85° 50', P/T 110° 38' 50", P/l 114° 6' 10", n/n' 90° 35' 47" über P. H. v. Rath (Pogg. Ann. 138. 449) wies außer den gewöhnlichen Albitzwillingen mit einspringendem Winkel von 171° 36' auf P in den Sommauswürflingen noch einen Periklinartigen nach, woran aber nicht die kurzen Diagonalen a sondern die langen b zusammenfielen.

Gew. 2,76. Auf der Säulenfläche tritt im Polarisationsmikroskop ein sehr deutlicher Farbkreis auf. Die chemische Formel  $\text{Ca}^2 \text{Si} + 3 \text{Al Si} = \text{Ca Si} + \text{Al Si}$  weicht freilich von den gewöhnlichen Feldspathformeln wesentlich ab, was bei seiner Formenähnlichkeit unangenehm auffällt, doch fand Abich (Pogg. Ann. 51. 522) 44 Si, 35 Al, 19 Ca, aber bemerkt auch ausdrücklich, wie schwer es halte, reine Substanz zu bekommen. Als Monosilicat wird er mit HCl ohne oder mit Gallerte vollkommen aufgeschlossen. Shepard in Südcarolina (Silliman's Americ. Journ. 2. ser. II. 331) bewies, daß das weiße Mineral mit Feldspathform und einspringenden Winkeln auf P im Meteorstein von Juvinas Anorthit sei. Lang (Pogg. Ann. 133. 180) fand P/M 93°. Bournon's Indianit (Phil. Transact. 1802. 333) nach Brooke eine blättrige Säule von 95° 15', in Indien das Muttergestein des Korunds bildend, scheint auch nach der Analyse hierhin zu gehören. Labradorit (Chr. Smelin, chem. Untersf. Diploits 1825) von der Insel Amitot bei Labrador bildet blaßrosenrothe lgl. blättrige Gänge mit Winkeln von 93.30, 101.45, 109°. Gew. 2,7, Härte 5—6. Der grünliche Bytownit aus Gesehieben mit Hornblende und Quarz von Bytown in Obercanada soll hieher gehören, hat aber noch etwas Na.

**Zankit** aus den Eisensteingruben des Hrn. Tant von Arendal bildet große mit dem Anlegegoniometer meßbare flächenreiche Krystalle, welche durch Aufnahme von Wasser verwitterten, Descloizeaux Manuel Min. II. pag. XXVI. Lepolith (λέπος Rinde) ist zwar innen farblos und durchsichtig, hat aber außen eine dunkle Rinde, die, wenn sie tiefer ein-

bringt auf der Lind-saggrube bei Orrjärvi in Finnland den Lindsayit bildet. Er ist noch Flächenreicher als voriger. Daran schließen sich dann die Krystalle des röthlichen Amphodelit von Pargas, und der Sundsvit aus dem Kalkbruch von Nordsundsvik bei Rimito. Auch der Rosit (Rosellan) mit rosenrother Farbe im Fettquarz von Tunaberg gehört unzweifelhaft zu den Plagioklasen. Der blaßgelbe großblättrige

**Danburit** Shepard (Silliman Amer. Journ. 1839. XXXV. 137) aus dem Dolomit von Danbury in Connecticut scheint seinem ganzen Wesen nach ein eingliedriger Anorthit, denn annähernd schneiden sich die Blätterbrüche P/M unter  $93^\circ$ , P/n  $135^\circ$ , P/T  $126^\circ$ ,  $H = 7$ ,  $G = 2,95$ . Aber er hat 48 Si, 22 Ca und Statt der Thonerde 27,7 Borsäure, im Verhältniß  $Ca\ Si + B\ Si$ , was man mit Tschermak für Anorthitformel ansehen könnte.



**Saussurit** wurde von dem berühmten Alpenreisenden in Gschieben am Genfersee, bei Turin zc. Jade genannt, die sich leicht an dem grünen mitvorkommenden Diallag erkennen läßt. Eine graue, sehr zähe, hornsteinartige Substanz, 3,2 Gew. und Feldspathhärte. Schmilzt schwer an feinen Kanten. Klaproth (Beitr. IV. 276) gab darin 49 Si, 24 Al, 5,5 Na, 10,5 Ca zc. an. Gewöhnlich belegt man die dichte Feldspathmasse in den Gabbrogesteinen mit diesem Namen, vielleicht verhält sie sich zum Labrador, wie der Feldstein zum Feldspath. Zur Zeit ist es nicht möglich, alle ähnlichen dichten Gesteine zu sortiren.

### Feldspaththeorie.

Die oben erwähnte sonderbare Verwachsung von Albit mit Orthoklas führte auf die Vermuthung, daß Kali-, Natron- und Kalifeldspäthe durch regelmäßige Vermischung mit einander alle übrigen erzeugt haben könnten. Faßt man nebenstehenden Krystall ( $\frac{1}{2}$  nat. Größe), den ich schon in den „Epochen der Natur“ 1861 pag. 87 abbildete, näher ins Auge, so finden wir an den ziemlich großen Albiten genau dieselben Flächen, wie an dem Feldspath, dem sie aufsitzen, nemlich T, l, x, y, o, n, alle spiegeln nicht bloß vollkommen ein, so weit es sich an diesen rohen Riesengebirgern beurtheilen läßt, sondern die Albitindividuen der linken und rechten auf T und l lehnen sich auch ihre außerordentlich deutlichen Blätterbrüche mit Newtonianischen Farben einander zu, sie finden sich, obgleich durch den Kalifeldspath gehalten, dennoch in ihrer gewöhnlichen Zwillingstellung. Eine innige Beziehung der verschiedenen Massen zu einander, steht daher über allem Zweifel. Als nun beim Berthit pag. 278 der Lamellenwechsel bis ins Innerste mit dem Auge verfolgt, und auch durch chemische Analyse bestätigt werden konnte,



so war an der Thatsache nicht zu zweifeln: Kali- und Natronfeldspath verwachsen mit einander, ohne dabei ihre Selbstständigkeit aufzugeben. Das Natron im Kalifeldspath und umgekehrt macht uns geneigt, es nicht als Isomorphismus, sondern für Mischung und Durchdringung gesonderter Mineralspecies zu halten. Tschermak (Sitzungsber. Wien. Akad. 1864. L. 1 pag. 566) suchte das nun auch auf die Natron- und Kalifeldspäthe überzutragen, und damit namentlich die Streifung der „Viellinge“ auf P und M zu erklären: es gibt nur Natron- und Kalplagioklase, lautete sein Ausspruch, alle zwischenliegenden sind Mischungen derselben. Um dies klar zu machen, setzen wir die Formeln kurz nach der neuen Methode hin:

Albit  $\text{Na Al Si}_3 \text{O}_8$ , Oligoklas  $\text{R Al Si}_5 \text{O}_{14}$

Anfelin  $\text{R Al Si}_4 \text{O}_{12}$ , Labrador  $\text{R Al Si}_3 \text{O}_{10}$

Barytfeldspath  $\text{Ba Al Si}_2 \text{O}_8$ , Anorthit  $\text{Ca Al Si}_2 \text{O}_8$ .

Denken wir uns jetzt zwei gleichgroße Krystalle von Natron- und Kalifeldspath nach M in zahllose Platten gespalten, und wechselsweise zwischen einander gelegt, so haben wir die Figur eines „Viellings“, wie am Oligoklas und Labrador auf P voll zahlloser Zwillingstreifen, mit dem chemischen Gehalt

Albit + Anorthit =  $\text{Na Ca Al}_2 \text{Si}_5 \text{O}_{24} = \text{R Al Si}_4 \text{O}_{12} = \text{Anfelin}$ .

3 Albit + Anorthit =  $\text{Na}_3 \text{Ca Al}_4 \text{Si}_{20} \text{O}_{56} = \text{R Al Si}_5 \text{O}_{14} = \text{Oligoklas}$ .

Albit + 3 Anorthit =  $\text{Na Ca}_3 \text{Al}_4 \text{Si}_{12} \text{O}_{40} = \text{R Al Si}_3 \text{O}_{10} = \text{Labrador}$ .

Ist die Ansicht richtig, so müssen im Radicale R des Anfelin gleiche Aequivalente von Na und Ca sein, und in den andern mit den Moleculen die zugehörigen einsäurigen Basen steigen und fallen d. h. viel Natron setzt weniger Kalkerde und umgekehrt voraus. Rammelsberg (Pogg. Ann. 126. 46) glaubte das durch Vergleichung zahlreicher Analysen bis zur Evidenz nachweisen zu können. Am Adularähnlichen Hyalophan mit 10 Alkalien, 15 Ba, 22 Al, 52 Si, gibt die Rechnung  $\text{K Ba Al}^2 \text{Si}^6 = \text{K Al Si}^6 + \text{Ba Al Si}^2$ , wovon das eine Glied gewöhnlichen Adular, das andere einen supponirten Barytfeldspath gibt. Die frühere Ansicht vom Vicariren der Bestandtheile ist damit verlassen, und viele gehen mit Vergnügen dieser neuen Ansicht nach, drücken es sogar gleich in der Formel aus. So schreibt z. B. Herr Prof. Weissbach (Synopsis mineralogica 1875. 10):

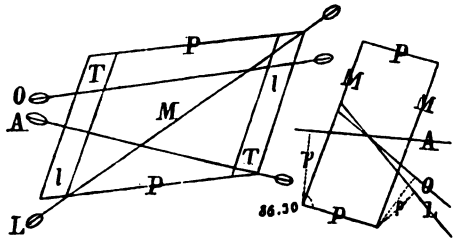
Mitroclin  $\text{K N Al}^2 \text{Si}^{12}$  d. h.  $\text{K Al Si}^6 + \text{Na Al Si}^6$ .

Tschermakit  $\text{Na}^3 \text{Mg Al}^4 \text{Si}^{20}$  d. h.  $3(\text{Na Al Si}^6) + \text{Mg Al Si}^2$ ,  
worin zum Albit ein Magnesiaanorthit treten würde.

Da Anorthit sich in concentrirter Salzsäure „leicht und vollständig zerlegt, Oligoklas davon so gut wie gar nicht angegriffen wird“, so muß das auffallen, denn man sollte erwarten, wenn eine natürliche Scheidung stattfände, sie auch chemisch sich bethätigen müßte. Ja Herr Prof. Sandberger (Sitzb. Münch. Akad. 1873. 146) konnte sogar aus dem Anfelin nicht bloß Kalk, sondern ebensogut Natron ausziehen. Dazu kommt nun noch der

**optische Einwand:** Herr Descloizeaux (Ann. de Chim. 5 sér. 1875 Bd. 4)

zeigte, wie Albit A, Oligoklas O und Labrador L ganz bestimmt sich nach der Lage ihrer optischen Axen unterscheiden lassen. Die Mittellinie (Bisectrix) tritt nicht, wie beim Orthoklas nach vorn, sondern nach der Seite heraus, und trifft im senkrechten Querschnitte der Blätterbrüche



PM die Fläche M beim Albit A unter  $75^\circ$ , Oligoklas O  $108^\circ 10'$ , Labrador L  $120^\circ 40'$ . Doch sind die Winkel der optischen Axen wenig vom Rechten unterschieden. Um die Lemniscaten im Del zu bekommen, darf man nur ein Perpendikel p von den Ecken aus auf die Mittellinien fallen, so sehen wir, daß beim Albit A die scharfen, beim Oligoklas O und Labrador L die stumpfen Kanten der Blätterbrüche abgestumpft werden müssen, um die gehörigen Platten zu erhalten, dann liegt die Ebene der optischen Axen, wie es die Linien AOL auf M andeuten, und zwar dergestalt, daß wenn beim Albit l rechts und T links liegt, beim Oligoklas und Labrador dieselben entgegengesetzt fallen, wie die doppelten Buchstaben Tl andeuten sollen. Dagegen bietet der Anorthit ganz irreguläre Beziehungen zu den Flächen, und ist dabei nicht positiv, wie genannte drei, sondern »toujours négative«.

#### 4. Lithionminerale.

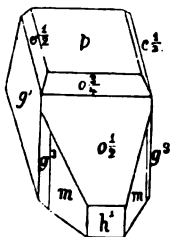
Das Lithion findet sich in nicht sonderlicher Menge, und wird häufig schon durch purpurrothe Färbung der Flamme erkannt, besonders „wenn man an glühende Splitter in der Pincette saures schwefelsaures Kali anschmilzt und weiter darauf bläst.“ Auch scheint es keine eigentlichen Lithionseldspäthe zu geben. Doch nennen wir hier vor allem den

**Petalit** (πétalos Blatt). Andrada (Scheerer's Journ. Chem. IV. 22) beschreibt ihn schon 1800 von der Insel Utö südlich Stockholm, aber man blieb darüber lange ungewiß, bis endlich wieder gefunden Arfvedson darin 1818 das Lithium (Lithion steinern), ein dem Steinreich ausschließlich angehöriges Alkali, entdeckte.

Zwei ungleiche Blätterbrüche bilden einen Winkel von  $141^\circ 30'$ , der erste davon ist deutlich, der zweite kann im dunkeln Zimmer noch zum ungefähren Messen benützt werden. Wenn Endflächen vorkommen, so stimmen sie mit Castor, und erweisen sich dadurch als gewendet 2 + 1-gliedrig. Der Querbruch eigenthümlich matt erinnert an den Querbruch vom Diabas. Milchweiß, öfter ein Stich ins röthliche durch Mangan, wie der mitvorkommende Lithionglimmer. Feldspathhärte. Gewicht aber nur 2,43.

Vor dem Löthrohr schmilzt er leichter als Feldspath und färbt dabei die innere Flamme schön purpurroth. Von Säuren wird er nicht angegriffen.  $\text{Li}^3 \text{Al}^3 \text{Si}^{20} = \text{Li Al Si}^{10}$  mit etwa 77 Si, 18 Al, ältere

Analysen gaben reichlich 5 Li an, allein Hagen (Pogg. Ann. 48. 331) hat bewiesen, daß dasselbe aus 2,7 Li und 2,2 Na bestehe. Das Mineral kommt in großen körnigen Massen mit Spodumen und Lithionglimmer



in Granitgängen vor, welche die Magnetkieslagerstätten von Utö durchsetzen. Breithaupt's *Kaifer* auf Elba, von quarzartigem Aussehen, ist nach G. Rose (Pogg. Ann. 79. 133) Petalit, aber mit wenig Natron, 2,7 Li. Nach den Messungen von Descloizeaux (Ann. Chim. 1864 III) bilden sie eine augitartige Säule m/m 87°, mit blättriger Schiefendfläche p.

Der rechte Winkel p/g' wird durch  $e\frac{1}{2} = a : c : \frac{1}{2} b$  abgestumpft, und der zweite Blätterbruch  $o\frac{1}{2} = \frac{1}{2} a : c :$

$\infty b$  macht mit p 141° 23', p/h' = 112° 26' b. h. p gegen die Axe c 67° 34'. Vergl. auch den äußerst seltenen Zygadit (Pogg. Ann. 69. 441) von Ratharina Neufang bei Andreasberg mit albitartigen Zwillingen (Ζυγάδην Paarweis) und Lithiongehalt.

**Spodumen** Andrada (σποδιος aschfarbig), Hauy's Triphan nach seinem 3fachen Blätterbruch, zwei undeutliche schneiden sich unter 87° und 93°, die scharfe Kante stumpft der erste gerade ab, wonach das Mineral gern strahlig und schaalig wird. Diese Winkel stimmen mit Augit, und neuerlich entdeckte Hartwall in den Quarzadern des Glimmerschiefers von Norwich in Massachusetts fußlange Strahlen und 1½ Zoll dicke Krystalle, deren Bildung dem Augit vollkommen entspricht (Silliman Americ. Journ. 2. ser. 10. 119 und 333). Berggrüne Farbe. Härte 6 bis 7, Gew. 3, 2. Man kann die Strahlen namentlich auch wegen ihrer schaaligen Absonderung leicht mit gewissem Diopsid und Epidot verwechseln, aber vor dem Löthrohr färbt er die Flamme purpurroth, da kleine Splitter leicht schmelzen.

(Li, Na)<sup>3</sup> Al<sup>4</sup> Si<sup>10</sup> mit 65 Si, 29 Al, 5,5 Li, 0,46 Na.

Eine solche Zusammensetzung läßt sich mit Augit schwer vereinigen, und doch bringt Rammelsberg (Pogg. Ann. 85. 333) das Atomvolumen 44 heraus, was genau das doppelte von Augit sei, und den Isomorphismus erkläre. Man könnte mit Rammelsberg vielleicht  $L^4 Al^4 Si^{16} = L Si + Al Si$  schreiben, eine Formel, die leichter zu merken wäre, und vollständige Analogie mit Almit hätte. Auf Utö kommt er in einem granitischen Gemenge mit rothem Feldspath vor, in Tyrol zu Baitigl bei Sterzing, Bifens, Killiney bei Dublin 2c.

Hauptmineral für Gewinnung des Lithion ist der Lithionglimmer von Rozena 3,6 Li. Es haben der seltene Amblygonit 6 Li, Triphylin 3,4 Li, Lithionturmalin, Rhodizit. Der Lithiongehalt in den Quellen wird von Ärzten geschätzt, so bei der Murquelle in Baden-Baden. Zu Redruth in Cornwall strömt sogar in 250 Faden Tiefe heißes Wasser von 50° C. hervor, was in 24 Stunden 3 Ctr. Li spendet. Wie die Spectralanalyse nachwies, so finden sich nicht selten Cäsium Cs und Rubidium Rb in Begleitung. Das merkwürdigste Mineral bildet in dieser Beziehung



**Bolkuz**, der begleitet von Rastor bei S. Pietro auf Elba in Granitgängen einbricht, die durch ihren milchweißen Feldspath, bunte Turmaline, honiggelbe Granaten, Beryll, hin und wieder auch Zinnstein zc. so berühmt geworden sind. Klar und nierenförmig wie Gyalith, mit Feldspathhärte, 2,9 Gew., liegt er lose in Drusen zerfressenem Quarz ähnlich. Mit Fluorammonium auf Platindraht erhitzt und in Salzsäure getaucht zeigt es im Spectroskop die zwei blauen Streifen des Cäsium. Salzsäure scheidet Kieselerde aus, und aus der Lösung fällt Platinchlorür  $\text{Cs Pt Cl}^2$ . Bisani (Cmpt. rend. LVIII. 714) fand 44 Si, 16 Al, 34 Cs, 3,9 Na 2,4 H, was etwa  $\text{Cs Si} + \text{Al Si} + \text{H}$  geben würde. Da es zuweilen Leucitoeder mit Würfeln zeigt, kann es nicht doppeltbrechend sein.

### III. G l i m m e r.

Ohne Zweifel von den Alten gekannt, aber man findet den Namen nicht. Agricola 696 begreift ihn unter mica et felium argentum, Ragensilber, weil seit alter Zeit in den glänzenden Blättchen der gemeine Mann Silber vermuthete. Von diesem Glänzen (Glimmern) stammt auch der alte bergmännische Name (mica Krume, micare Glitzen). Mineralogisch ist man selten im Zweifel, was man zur Glimmergruppe stellen soll, denn alle haben einen so ausgezeichneten Blätterbruch mit Perlmutterglanz, daß sie in dieser Beziehung von keinem andern Minerale erreicht geschweige denn übertroffen werden. Ueber das

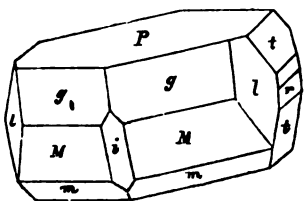
Krystallsystem herrscht häufig Zweifel. Haüy beschrieb ihn als rhombische Tafeln  $M = a : b : \infty c$  von  $120^\circ$ , deren scharfe Kante durch  $r = b : \infty a : \infty c$  abgestumpft wird. Die Geradenfläche  $P = c : \infty a : \infty b$  bildet den Blätterbruch, er springt daher „in scheibenförmige“ Stücke. Schwache Neigung zum Brechen nach den Säulen ist zuweilen durch Streifung auf P angedeutet.



Solche rhombischen Tafeln finden sich im Granit von Zwiesel und Lam in Bayern, man kann hier an der Rechtwinklichkeit der Säule zum Blätterbruch kaum zweifeln. Vom Baikalsee erwähnt Dufrenoy Rhombenoktaeder  $b^1 = a : b : c$ , welche mit P ungefähr  $95^\circ$  machen, dazu kommt eine Zuspitzung  $e^1 = \frac{1}{2} b : c : \infty a$ , die folglich auch gegen P  $95^\circ$  bilden muß, was zu einem dihexaedrischen Aussehen verleitet. Dagegen hat G. Rose (Pogg. Ann. 61. 333) schwärzlich grüne dichroitische (roth quer gegen die Axe) Glimmer aus den Somma-Blöcken gemessen, deren Säule  $M/M$   $120^\circ 46'$  betrug, deren Blätterbruch P aber schief gegen die Säulenflächen stand, und zwar  $P/M$   $98^\circ 40'$  und  $P/r$   $90^\circ$ . Darnach müßte, wenn die vermeintliche Säule M nicht Oktaeder  $e^1$  ist, der Glimmer 2 + 1gliedrig sein. Diese Winkel stimmen mit den alten Messungen von Phillips (Vesuv) ganz genau, der außerdem noch angibt: vorn zwei Augitpaare m und f mit den Winkeln  $P/f = 135^\circ 16'$  und  $P/m = 121^\circ 45'$ , hinten ebenfalls zwei g und h mit  $P/g = 107^\circ 5'$  und  $P/h = 83^\circ 2'$ . Ferner zwischen P und r, also aus der Diagonalzone

von P, drei Paare  $e n o$ ,  $P/e = 114^\circ 30'$ ,  $P/n = 94^\circ 30'$ ,  $P/o = 92^\circ 55'$ . Endlich noch ein eigenthümliches Paar l, scheinbar zwischen h und o gelegen,  $P/l = 100^\circ 20'$ . Indes fiel es auf, daß bei allen der ebene Winkel auf P genau  $120^\circ$  beträgt, daß sich darnach die Zwillinge richten, und daß die optische Mittellinie stets senkrecht auf dem blättrigen Bruch steht. Dieß brachte Hrn. Kosscharow (Materialien zur Mineralogie Rußlands 1884. II. 110) zunächst auf den Gedanken, den Vesuv'schen Glimmer zweigliedrig mit hemiedrischer Ausbildung zu nehmen (hinten anders als vorn) ausgehend von den Axen

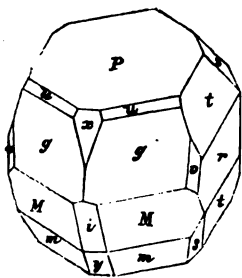
$$a : b : c = 0,57735 : 1 : 1,64656 = 0,351 : 0,607 : 1,$$



wird  $P = c : \infty a : \infty b$ ;  $g = a : b : c$ ,  $P/g = 108.54$ ;  $M = a : b : 2c$ ;  $r = b : \infty a : \infty c$ ;  $i = a : 2c : \infty b$ ;  $m = a' : b : \frac{1}{2}c$ ;  $f = a' : b : \frac{2}{3}c$ ;  $l = a : c : \frac{1}{2}b$ ;  $t = \frac{1}{2}b : c : \infty a$  in Zone  $M/l$  und  $P/r$ . Auffallender Weise ist die zugehörige Säulenfläche  $a : b : \infty c$  von  $120^\circ$  nicht da, sie müßte Kante  $M/m$  abstumpfen.

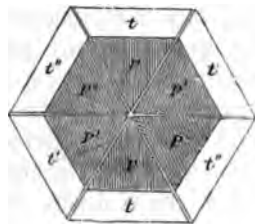
Aus diesem Winkel folgt weiter, daß ein Paar mit dem Ausdruck  $\frac{1}{2}b : c : \infty a$  gegen P dieselbe Neigung haben müßte, wie die Oктаeder  $g$  zu P. Mathematisch angesehen würde dadurch ein Dihexaeder entstehen, und merkwürdig genug sind die Krystalle wie andere vulkanische Glimmer optisch einaxig, worauf schon ein Magnesia-gehalt von 25 pCt. hinzudeuten scheint. Hessenberg (Abh. Sendeb. N. O. Frankfurt 1866. VI. 16) fand glücklicher Weise eine Rhomboederfläche, mit  $100^\circ$  gegen P, also  $10^\circ$  gegen die Axe, welche für  $a = 1$ ,  $c = 4.9$  gibt. Sie ist ohne Zweifel mit obiger l bei Phillips identisch, und darnach gruppirt sich alles vollkommen dreigliedrig, was dann Hr. v. Rath und Kosscharow (Zahrb. 1875. 327) vollständig bestätigten. Es gibt das eine Rhomboederenkante von  $62^\circ 57'$ . Daran würde sich dann der rhomboedrische Pennin mit  $63^\circ 15'$  vom Monte Rosa, und der Ripidolith aus dem Zillerthale vortrefflich anschließen. Bei der sechsseitigen Tafel darf man sich durch  $\frac{1}{2}m = a : \frac{1}{2}b : \infty c$  nicht beirren lassen.

Alnochlor von Achmatowsk kommt mit Perowskit eingesprengt in Kalkspath vor: Kosscharow (l. c. II. 12) konnte auch diese genau messen, obwohl die Flächen meist unvollkommen aussehen. Im ganzen scheinen



dieselben mit Vesuv'schen zu stimmen, wie ein Blick auf nebenstehende Figur zeigt, namentlich ist das reguläre Sechseck auf P wieder da, nach welchem sich die schönen „Sternzwillinge“ richten. Aber  $M/M = 121^\circ 28'$ ,  $P/M = 102^\circ 6'$ ,  $P/g = 113^\circ 57' 2c$ , was sich nicht in vollkommenen Einklang bringen läßt. Leicht kann nun daraus etwas ganz Schiefes gemacht werden, wenn man  $g$  nicht als Oктаeder, sondern als Säule  $= a : b : \infty c$  und  $M$  als Oктаeder  $= a' : b : c$  nimmt. Dann

bildet P mit Hauptaxe  $c\ 62^{\circ}\ 51'$  und  $a:b:c = 1:1,732:1,477$ , P 001, r 010, g 110, M 1'11, m 2'23, u 221, x 401, i 1'01, y 2'03, t 041, v 130, s 1'32. In dieser 2 + 1gliedrigen Stellung beschrieb sie auch **Hessenberg** l. c. pag. 28 aus dem Zillerthal. Sehr lehrreich sind die **Zwillinge** und **Drillinge**, welche auch bei andern Glimmern namentlich von **Zinnwalde** ausgezeichnet vorkommen, man erkennt sie an der Streifung längs der Axe b, gesellt sich dann t hinzu, so entsteht ein förmliches **Dihexaeder**. Das deutet entschieden auf zweigliedriges System, was auch die Farben der Lemniscaten zu beweisen scheinen, worin man zwischen vorn und hinten keine Verschiedenheit wahrnimmt. Die Unsymmetrie der Seiten, wie sie z. B. bei **Monroe** nördlich **New-York** (Pogg. Ann. 73. 600) in großen Tafeln vorkommt, darf uns nicht betreffen, der Character solcher Flächen ist ohnehin nicht einmal scharf. Der Mangel an guten Krystallen muß natürlich das krystallographische Interesse herabstimmen.



Optisch unterscheidet man längst ein- und zweiaxige Sorten, jene müßten 3 + lagigen, diese mindestens 2gliedrigen Systemen angehören. Allein schon ein kleiner Versuch mit den schönen braunen Platten von **Westpoint** nördlich **New-York** genügt, das Wißliche dieses Merkmals einzusehen: eine dünne Platte zeigt freilich bloß ein einaxiges Kreuz, aber sowie man sie etwas dicker nimmt, so ändert das Centrum bei der Drehung zwischen **Turmalinplatten** oder besser im **Nörrenberg'schen** Polarisationsmikroskop. Ja schon **Dove** hat nachgewiesen, daß wenn man gekühltes Glas im polarisirten Lichte durch die dünnsten Blättchen vom lagigen Glimmer betrachtet, so erscheint bei der Drehung des Blättchens auf dem Glase abwechselnd ein dunkles und helles Kreuz, was auf versteckte Zweiaxigkeit hinweist. Der Winkel  $\varphi$  zwischen den optischen Axen schwankt zwischen  $0-74^{\circ}$ , und läßt sich aus der Entfernung der Augen wenigstens im Allgemeinen beurtheilen. Nach **Senarmont** (Ann. Chim. et Phys. 1852 XXXIV. 171) ist hier eben so wenig Sicherheit zu erwarten, als bei der Krystallform. Wenn man dennoch von lagigen Glimmern (**Biotit**) spricht, so meint man eben 2axige mit möglichst kleinen Axenwinkeln. Derselbe zeigte ferner, daß auch beim optisch zweiaxigen zwei Fälle vorkämen: entweder läge die Ebene der optischen Axen in ac, welche zwei gegenüberliegende Kanten verbande; oder senkrecht dagegen, was man aus der Streifung auf P folgern könne. Durch die Schlagfigur von **Reusch** pag. 159 ist die Beurtheilung wesentlich erleichtert: da zeigt sich, daß in den gewöhnlichsten Fällen die Ebene der optischen Axen senkrecht gegen einen der drei Schlagstrahlen, also in der Ebene bc, liegt, und nur ausnahmsweise in einen Schlagstrahl, also senkrecht gegen bc in Ebene ac fällt. Die allermerkwürdigste Thatsache, durch eine Bemerkung **Senarmont's** beim Zusammenkrystallisiren isomorpher Salze veranlaßt, wies

Nörrenberg nach: schneidet man sich aus dünnen Blättchen ( $\frac{1}{2}$  Undulation) des zweiarigen Glimmers kleine quadratische Täfelchen, und schichtet sie wechselsweise um  $90^\circ$  verdreht aufeinander, so daß also alle geraden und alle ungeraden krystallographisch parallel stehen und ihre optischen Azebenen sich rechtwinklig kreuzen, so bekommt man schon bei  $12 + 12$  Platten statt des 2arigen ein vollständig 1ariges Bild. Sechsgliedrig gedacht wäre dieß nichts weiter als eine Zwillingsverwachsung. G. Rose (Sitzb. Berl. Akad. 1869. 211) zeigte, wie der Glimmer zu regelmäßigen Verwachsungen ganz besonders geneigt sei. Die Optiker sprechen viel von Glimmerplatten mit  $\frac{1}{2}$  Undulation ( $\frac{1}{2}$  pag. 134): dieselben verschafft man sich durch Probiren an bekannten Krystallen im Polarisationsmikroskop. Thun 2 Blättchen übereinander dieselbe Wirkung, so haben sie  $\frac{1}{2}$  2c. Vergleiche auch Blache Silliman Amer. Journ. 2. ser. 12. 6 und Dove Pogg. Ann. 89. 222. H. = 1 — 3, Gew. 2,78—3. Starker Perlmutterglanz auf dem blättrigen Bruch, quer kann man ihn gar nicht brechen. Trübe Farbe aber viel Durchscheintheit bis zur Farblosigkeit. Durchsichtige Blättchen zwischen den Fingern gerieben werden leicht elektrisch, und behalten die Electricität lange.

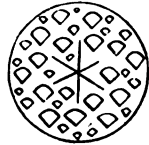
Vor dem Löthrohr leicht und schwer schmelzbar bis fast zum unerschmelzbaren. Von Säuren bald wenig, bald stark angegriffen. Si, Al, Ka, Mg, Li, Fe, H. Ein Fluorgehalt, zuerst im Glimmer von Utö bemerkt, nimmt mit dem Eisengehalt zu und ab, und soll die Stelle des Sauerstoffs vertreten. Die neuere Chemie (Ztschr. deutsch. geol. Ges. XIV. 400) bestrebt sich, sie als Monosilicate aufzufassen.

Der Glimmer spielt eine wichtige Rolle seit den ältesten Urgebirgssteinen bis in unsere brennenden Vulkane hinein. Die neuern sind ein wenig spröder und nicht so frisch als die ältern. Mitscherlich (Abh. Berl. Akad. Wiss. 1822. pag. 36) wies sogar eine glimmerartige Substanz nach, die sich früher in den Kupferschlacken von Garpenberg in Schweden gebildet hatte. Deßhalb müssen wohl die meisten Glimmerarten auf heißem Wege entstanden sein, wenigleich Andeutungen für nasse Bildung pag. 265 vorkommen, und namentlich die Talke auf eine großartige Metamorphose durch circulirende Gewässer hinzuweisen scheinen.

Nur wenige Minerale bilden eine so natürliche Gruppe durch ihr Aussehen, als die Glimmer, woran besonders der ausgezeichnete blättrige Bruch die Schuld trägt. Man kann die Masse schon mit dem bloßen Finger und nicht selten in so feine Blättchen theilen, daß sie wie die Oberfläche der Seifenblasen die brennendsten Regenbogenfarben reflectiren. Und doch sind sie ihrem Inhalte nach so verschieden, daß man alle möglichen Hypothesen versucht hat, um sie in ein Gesamtbild zu bringen. Chemiker, denen dieß nicht gelang, brachten die einzelnen Arten in sehr unnatürlicher Weise an verschiedenen Stellen unter. Das heißt aber der Sache Gewalt anthun. Andere meinten durch „heteromere“ Formeln (Journ. pract. Chem. 1851. Bd. 53. pag. 1) ein Licht aufzustecken.

1. Kaliglimmer, optisch negativ 2arig (Muskowit), unter allen bei

weitem der verbreitetste, daher Mica Agricola 608 in lapidibus, marmoribus, arenis lucet . . . . metallici nostri nominant vocabulo ex fele et argento composito. Unter Marmor muß man hier den Granit verstehen. Plinius 36. 48 jagt: in Arabia quoque esse lapidem vitri modo translucidum, quo utantur pro specularibus, das mag wohl Glimmer sein, obgleich man vor der Verwechslung mit Gyps nicht sicher ist, wie noch heute das Volk beide unter dem Namen Marienglas begreift. Durch Aetzen mit Flußsäure bekommt man bilaterale parallelstehende Figuren, links wie rechts und vorn anders als hinten, wie sie 2 + 1gliedrigen Blättern zukommen sollten. In hohem Grade elastisch biegsam. Härte 2—3, Gew. 2,8—3. Graue, gelbe, grüne, braune, röthliche u. Farben. Häufig scheinbar ganz undurchsichtig, aber mache man die Blätter nur dünne genug, so lassen sie Licht durch. Durch Verwitterung oder künstliches Glühen nehmen die schwarzen öfter ein tombakbraunes halbmatalisches Ansehen an (Razengold).



Wird weder von Schwefel- noch Salzsäure angegriffen, schmilzt im allgemeinen schwer, doch täuscht die Dünne der Blättchen leicht. Als ein wesentlicher Bestandtheil der Granite und Gneuse nähert er sich unter allen Glimmerarten am meisten dem Feldspath, daher hat H. Rose schon in Schweigger's Journ. 21. 181 die Formel  $K Si + 4 Al Si$  aufgestellt, die Analyse gab im Glimmer von Utö 47,5 Si, 37,2 Al, 3,2 Fe, 9,6 K, 0,56 Fl, 2,6 H. Ein brauner von Cornwall enthält sogar nach Turner 2,7 Fl. Freilich geben einzelne Analysen einen viel geringern Thonerdegehalt an. Rammelsberg schreibt sie  $H K Al Si^2 O^8 = (H, K) Si + Al Si = \text{Anorthit}$ , worin Wasser einen Theil des Kali vertritt. Nur die Glimmer im sächsischen Gneuse haben einen Ueberschuß an sauren Kieselsauren Basen  $\frac{1}{2} (R Si^2) + K Al Si^2$ . Dagegen soll der Paragonit, das lichte feinschuppige Muttergestein der Cyanite vom St. Gotthardt, mit 6,5 Na, ein gleichwerthiger Natronglimmer  $Na Al Si^2$  sein.

In Sibirien benutzt man die großen und klaren Abänderungen zu Fensterglas, daher Russisches Glas genannt. Die Amerikaner setzen sie in die Ofenthüren, um sich am Anblick des Feuers zu freuen, oder bei Hüttenwerken die Hitze zu controliren. Schon die alten Indianer am Ohio gaben sie den Todten Scheffelweis ins Grab. Empfehlen sich zu Cylinder der Gas- und Erdöllampen, und kommen zu uns aus Bengalen in Handel. Man kann sie schneiden und nähen, sie überfrieren im Winter nicht, zerspringen nicht bei starken Lusterschütterungen. Die grobkörnigen Granite von Bodenmais, Aschaffenburg, Schweden liefern auch große Platten. Meist sind jedoch die Blätter klein, nehmen in derben Stücken zuweilen ein blumig blättriges Gefüge an (Preßburg). Eigenthümliche Glimmerfugeln liegen auf sumpfigen Wiesen von Hermansschlag in Mähren, woran dunkler Magnesiaglimmer mit saßrigem Strahlstein concentrisch wechsellaagert.

2. Lithionglimmer schmilzt mit Aufwallen und färbt dabei die Flamme

schön purpurroth. Die pfirsichblüthrothen optisch negativ 2axigen Blätter aus dem Granit von Chursdorf gehören zu der seltneren zweiten Art mit der Argenebene in *ac*. Sie schmelzen schon im bloßen Kerzenlicht. Bunsen stellte daraus Rubidium dar, obgleich es nur 0,2 pC. (Seidel's. Jahrb. der Sitter. 1861 LIV. 274) nebst Spuren von Cäsium enthält. Ch. Gmelin machte zuerst auf Lithion im Glimmer aufmerksam (Gilbert's Ann. 64. 271), zugleich sind es die reichsten an Fluor, das bei denen von Murfinkst auf 10,4 pC. steigen soll. Ueber die Formel schwebt man noch im Unichern. Für diese Fluorreichsten mit 7,1 Fl schlug Rammelsberg (Li, Na, Ka) Fl + (Al, Mn) Si<sup>2</sup> vor. Jetzt der neuern Chemie zugewendet (Monatssb. Berl. Akad. 1873. 224) sucht er sie unter dem Typus R<sup>7</sup> R<sup>0</sup> Si<sup>20</sup> zu vereinigen, was sich der Formel R Si + Al Si, worin ein Theil Sauerstoff durch Fluor ersetzt wird, annähert. Concentrirte Schwefelsäure greift ihn schon an. Man kann hauptsächlich zweierlei Varietäten unterscheiden:

a) Lepidolith, Klaproth (Beitr. I. 220), eisenfrei, pfirsichblüthroth durch etwas Mangan, bildet derbe körnige Massen im Urgebirge, meist mit andern Lithionmineralen zusammen. Der erste für die Darstellung des Lithion so wichtige (Dingler polyt. Journ. 142. 222) kam vom Berge Gradisbo bei Rozna (sprich Roschna) Herrschaft Pernstein in Mähren (Bergmänn. Journ. VI. 1 pag. 285), und hieß nach seiner Farbe Lilalith (lilac Arabisch). Ueber ein Klasten mächtig begleitet er einen den Gneis durchsetzenden Ganggranit. Sehr schön großblättrig zu Chursdorf, Ust. Bei Scheitans am südlichen Ural verwächst er mit gelbem zweiaxigem Glimmer, bei Paris im Staate Maine mit grünem Turmalin.

b) Zinnwaldit nannte Haidinger die grauen auf den Zinnsteingängen von Sachsen, optisch 2axig,  $\varphi = 52^\circ$ , kommen in sechsseitigen Tafeln vor, welche gern mit den Ranten aufwachsen. Enthalten neben Li noch Cs und Rb, werden daher zur Gewinnung dieser seltenen Alkalien in Masse nach England ausgeführt. Ihr blättriger Bruch zeigt öfter federartige Streifung, was mit Zwillingungsverhältnissen zusammenhängt, wie Grailich (Sitzungsber. Wien. Akad. XXVII. 44) direct nachwies.



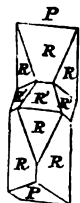
Mit Alkohol hat Stein aus Stücken von Altenberg organische Substanz ausgezogen. Interessant sind die grünschuppigen Säulen zwischen weißen Quarzkrystallen von Rozna, dieselben gleichen innen auf dem Blätterbruch einem Bergglimmer mit scharfen Umrissen der sechsseitigen Säule, um welche sich ein Kranz von schuppigen Strahlen angelegt hat. Der Kryophyllit im Granit von Massachusetts (Ztschr. d. geol. Ges. XIX. 220) hat sogar 4 Li „mehr als irgend ein anderer“, bei 13 K und 2,5 Fl.

3. Magnesiaglimmer. Optisch negativ einaxig (Diastit) und zweiaxig (Phlogopit). Obgleich seltener, ist doch der lauchgrüne (im reflectirten Lichte schwarze) aus dem Granit (Miascit) des Almgebirges am Südrail sehr bekannt. Rose gibt davon Krystalle von 6“ Höhe und 9“ Breite an, es kommen Platten von 34“ Durchmesser vor, ja Haug erwähnte schon von 25 Quadratzuß. Merkwürdiger Weise stimmen chemisch

die schwarzgrünen Krystalle in den Auswürflingen der Somma mit dem besten Magnesiaglimmer (Chodnew Pogg. Ann. 61. 101), und doch sind es mineralogisch die einzig meßbaren von 2 + 1gliedrigem Typus, der 2-gliedrig bedeutet wird; wonach sie nicht lagig sein könnten. Der Axenwinkel beträgt oft kaum  $1^\circ$ . Man mag daher immer noch von einaxigen sprechen, aber mit dem gehörigen Vorbehalt. Also in diesem Sinne Einaxig sind ferner die dunkelfarbigten Glimmer aus den Basaltischen Tuffen von Bilin (Rubellan), vom Lachersee, der schwäbischen Alb zc., denn die kleinsten durchsichtigen Splitter genügen zur Untersuchung im Körrenberg'schen Polarisationsapparat. Da sie nun auch im Kalkstein von Pargas, bei Sala, Monroe, in Grönland vorkommen, so fehlt es gerade nicht an ihrer Verbreitung. Außerlich kann man sie von den vorigen nicht unterscheiden, allein von concentrirter Schwefelsäure werden sie zersetzt, nur die Kieselerde bleibt in dünnen Blättchen zurück. Der Sibirische enthält nach H. Rose ( $Mg, Fe, Ka$ )<sup>8</sup> Si + ( $Al, Fe$ ) Si, etwa 40 Si, 19 Fe, 12,6 Al, 15,7 Mg, 5,6 K, Flußsäure, die alpinischen häufig etwas Titanhaltig. Rammelsberg (Ztschr. d. g. G. 1867. 100) schreibt die sibirischen ( $H, K$ )<sup>8</sup>  $Mg^9 Al^2 Si^9$ , und die Vesuvischen  $K Mg^7 Al^2 Si^7$ . Aber so verschieden auch die Formeln, immer sind es Silicate, dabei kann die Magnesia bis auf 26 pC. steigen. Ein großer Eisengehalt färbt sie meist dunkel, daher merkt man auch so leicht, wo einaxige mit zweiaxigen Glimmern verwachsen. Anders verhält sich der

**Phlogopit** (*φλογωπις* feuerfarbig) (Breith. Hdb. Mineral. 1841 II. 100) von hyacinthrother Farbe (mica blond du Canada) im Serpentin und Marmor. Der optische Axenwinkel  $\varphi = 5^\circ - 18^\circ$  zweiter Art liegt in ac. In Canada große Tafeln von halbmatalischem Glanz, 30 Mg, 9 K zc. führen etwa zur Formel  $K Mg^4 Al Si^4$  d. h. zu Monosilicaten. Sie zeichnen sich durch vorzüglichen Asterismus aus, der von eingelagerten Krystallnadeln herrührt, und beim Durchblicken gegen ein Licht einen sechs- oder zwölfseitigen Stern erzeugt (Sternglimmer).

4. **Chlorit**, *χλωρός* grün, von Werner nach seiner schwärzlich grünen (Berggrünen) Farbe genannt. In den Alpen wurde er schon von Saussure (Voyag. Alp. 1786 III. 100) ausgezeichnet. Bezüglich seiner äußern Kennzeichen hält er durchaus die Mitte zwischen Glimmer und Talc, daher ist die Entscheidung öfter nach einer der beiden Seiten hin nicht möglich. Durch sein Vorkommen neigt er sich mehr zum Talc. Die schönsten scheinbar rhomboedrischen und daher negativ optisch einaxigen Krystalle von entenblauer Farbe stammen aus den Penninischen Alpen bei Zermatt im Hintergrunde des Matterthales am Fuße des Monte Rosa (Pennin. Pogg. Ann. 50. 100). Ihre scharfen Rhomboeder  $63^\circ 15'$  in den Endkanten bilden öfter Zwillinge, welche den blättrigen Bruch gemein haben. Besonders bemerkenswerth ist ihr ausgezeichnete Dichroismus, indem sie quer gegen die Hauptaxe isabellgelb durchscheinen, wie man sich an kleinen Krystallen besonders aber durch geschliffene Platten überzeugt. Bei einer



Stellung werden die gelben Platten im polarisirten Lichte wieder grün. Ganz derselbe Dichroismus zeigt sich beim **Alinochlor**, der aber positiv optisch 2axig ist. Daher erhielt er bei Chester in Pennsylvanien diesen Namen, der dann auf die seitige übertragen wurde. Optisch scheint Werner's entenblauer Talk von Taberg (Tabergit) ebenfalls dahin zu gehören. Robell's **Rhipidolith** (*heute's Fächer*) vom Schwarzenstein im Zillerthal hat ebenfalls den schönsten Dichroismus, wird aber 1axig und 2axig gefunden. Er bildet in Northcarolina im Serpentin das Muttergestein des Korundes, und zeigt auf den sechsseitigen Tafeln Drillingsstreifen (Cooke). Der violette bis röthliche **Kammererit** begleitet den Uwarowit bei Bissersk auf Chromeisenstein (Schriften Russ. Kais. Mineral. Gesellsch. Petersb. 1842. I pag. LXXX) und gleicht insofern dem **Rhodochrom** (G. Rose Reise Ural. II. 187) von Kyshtimst und Baltimore. Er ist optisch einaxig, und unterscheidet sich dadurch von dem sonst ganz gleichen **Rotschubert** im südlichen Ural. Der gelblichweiße **Leuchtenbergit** von Slatoust ist wieder positiv 1axig, und daher dem Pennin verwandt (Kotsharow Material. V. 28). Das merkwürdigste in unsern Alpen liefern jene



**wurmförmigen sechsseitigen Säulen**, Volger's **Helminth**: im Alathal (Piemont) mit Granat und Diopsid sind sie lichtgrün, und so wohl gebildet, daß man ihre optische Zweiaxigkeit leicht erkennt; am St. Gotthardt werden sie bauchig und dunkel, am Crispalt im Tavetschthal kann man selbst den feinsten chloritischen Staub, der dort die Bergkristalle bedeckt, unter dem Mikroskop als Schnörkel erkennen. So leicht uns solche Merkmale leiten, so schwer wird es doch wieder alles sicher zu ordnen, namentlich auf der Grenze zum Talk hin.

Dieselbe und vielleicht noch größere Schwierigkeit tritt chemisch ein. Vor dem Löthrohr brennen sie sich weiß oder doch lichter, schmelzen aber schwer. Im Wesentlichen sind es wasserhaltige Talkglimmer, die ihre Färbung Eisen verdanken. Die Oxydationsstufe des Eisens läßt sich jedoch nicht mit Sicherheit bestimmen. Nach Rammelsberg (Pogg. Ann. 77. 406) gehört zu den eisenärmern daher lichtfarbigern Robell's (nicht Rose's) **Rhipidolith**  $3 \text{ Mg}^3 \text{ Si} + \text{Al}^2 \text{ Si} + 9 \text{ H}$  mit 31,5 Si, 16,7 Al, 3,4 Fe, 3 Fe, 32,6 Mg, 12,4 H, wovon sich der Pennin und Leuchtenbergit nicht unterscheidet. Der eisenreichere und daher dunkelfärbigere Chlorit, den G. Rose umgekehrt **Rhipidolith** zu nennen vorschlug,  $3 (\text{Mg}, \text{Fe})^3 \text{ Si} + (\text{Al}, \text{Fe})^3 \text{ Si} + 9 \text{ H}$ , unterscheidet sich nur durch den größern Gehalt an K: 25,4 Si, 18,5 Al, 13,2 Fe, 16,9 Fe, 17,1 Mg, 8,9 H. Der Chlorit von Mauléon in den Pyrenäen ist ganz eisenfrei, daher sehr hellgrün, wie die wurmförmigen Säulen im Alathal, und enthält nach Delessé 32,1 Si, 18,5 Al, 36,7 Mg, 12,1 H. Tabergit ist im Wesentlichen  $2 \text{ Mg}^3 \text{ Si} + \text{Al Si} + 5 \text{ H}$ . Auch der durch Chromoxyd smaragdgrün gefärbte Fuchsit, welcher am Greiner im Zillerthal ganz feinkörnigen Schiefer bildet, muß hier verglichen werden. Rammelsberg (Ztschr. d. g. Ges. XX. 67) sucht die Formel  $\text{Mg}^5 \text{ H Si}^2 + \text{Al H}^3$  wahrschein-



lich zu machen. Nur der Rhypidolith habe einen größern Gehalt an Thonerdehydrat.

Der schuppigkörnige Chlorit mit Magneteisen im Zillerthal und als Chloritschiefer an so vielen Orten der Hochalpen, wo sie besonders in gewaltigen Blöcken durch die Gletscher herabgeschoben werden, ist seinem Aussehen nach ein ausgezeichnete Chlorit, obgleich auch hier die Analysen abweichen. Ebenso der erdige Chlorit, so häufig auf Bergkrysalen und Abularen einen staubartigen Anflug bildend. Hier kann man auch der eisenküssigen Grünerde erwähnen, die in den Mandelsteinen des Monte Baldo bei Verona als Handelsartikel (Veronesische Erde, Deleszeit) gewonnen wird, und bereits den Römern bekannt war, denn man fand sie im Laden eines Farbenhändlers von Pompeji. Schon Bauquelin erkannte darin 52 Si, 7 Al, 23 Fe, 6 Mg, 7,5 Ka, 4 H. Die Cypriische hatte nach Klaproth (Beitr. IV. 333) sogar 18 K. Sie erscheint in vielen Mandelsteinen als ein thoniges Verwitterungsproduct (Augitkrysalle), das kiesel-saurem Eisenoxydul seine seladongrüne Farbe dankt. So muß man auch das färbende Princip der grünen Keupermergel, besonders aber der sogenannten chloritischen Punkte im Grün-sand und Grobkalk ansehen (Glaukonit). Berthier gibt in denen des Grün-sands von Havre 49,7 Si, 6,9 Al, 19,5 Fe, 10,6 K, 12 H an. In Amerika, England, Westphalen düngt man damit, und gewinnt allein in N. Jersey jährlich 40 Millionen Centner wegen des Kali und Phosphorgehalts. Metachlorit, schmale Trume im Schieferstein von Elbingerode und Aphrodit in den Nassauer Diabasen sind beide in Salzsäure löslich.

5. Talf. Das Wort soll aus dem Arabischen Talf stammen, und schon bei Avicenna vorkommen (Schröter Einleitung II. 333). Jedenfalls spielt das Mineral in der Medicin eine uralte Rolle. Agricola 705 schreibt es Talf oder Magnetis 608: non lapis ille, qui ferrum ad se trahit, sed similis argenti, etenim ex crustis, lapidum specularium (Gyps) modo constat, verum tenuissimis. Plinius hist. nat. 36. 25: quintum in Magnesia Asiae . . . deterrimus autem, candidus, neque attrahens ferrum. In der That ist der silberglänzende apfelgrüne bis entenblaue blättrige Talf vom Greiner im Zillerthal, Briançon u. zwar krummblättrig und gemein biegsam, allein wenn man ihn zwischen den Fingern zerbricht, so trennen sich die Flimmern so fein ab, daß sie rothe und grüne Regenbogenfarben reflectiren. Er ist — optisch 2axig (Axenwinkel  $70^{\circ}24'$ ), fühlt sich mild und fettig an, läßt sich mit dem Nagel ritzen, Gew. 2,74. Mit Siegel-lack gerieben theilt er demselben sogar Glas-elektricität (+) mit. Vor dem Löthrohr bringt man zwar dünne Splitter leicht zum Schmelzen, aber etwas dickere widerstehen gleich, mit Kobalt-solution bei starkem Feuer röthlich. Merkwürdiger Weise ist er frei von Thonerde, was schon Klaproth bewies.

$\text{Mg}^2\text{Si}^5 + 2\text{H}$ , mit 61,7 Si, 31,7 Mg, 1,7 Fe, 4,8 H. Da er das Wasser erst bei starker Hitze abgibt, so hält man ihn für basisch, und

nimmt man dann in der Kieselersde 16 Atome Sauerstoff an, so kommt ein Bisilicant  $\text{H Mg}^3 \text{Si}^4$ , wie beim Spedstein.

**Pyrophyllit** (Bogg. Ann. 15. 592) in Quarzgängen des Granits von Beresowst, Spaa, Westana Eisengrube in Schonen, — optisch 2axig. Gleicht vollkommen einem apfelgrünen excentrischstrahligen sehr blättrigen Talf, der sich aber vor dem Löthrohr außerordentlich aufblättert und wegen seines Thonerdegehalts mit Kobaltsolution blau wird. Dicht im Agalmatolith.

$\text{Mg}^3 \text{Si}^2 + 9 \text{Al Si}^2 + 9 \text{H}$ , mit 59,7 Si, 29,5 Al, 1,8 Fe, 4 Mg, 5,6 H, einfacher ein Bisilicat  $\text{Al H Si}^4$ , wenn man Mg vernachlässigt. Im Talcosit vom Berge Ida in Victoria (Neuholland), der ihm in allen wesentlichen Merkmalen gleicht, fehlt wirklich Magnesia gänzlich, Fr. Ulrich (Contributions Miner. Victoria 1870 pag. 24) gibt ihm die Formel  $\text{H}^3 \text{Al}^5 \text{Si}^6$ . Er bildet Schnüre im grünen Selwynit, der dicht mit splittrigem Bruch ebenfalls einem durch 7 G gefärbten Agalmatolithe gleicht. Exfoliation finden wir in Folge von Wasserverlust auch beim grauen Vermiculit (vermiculor Würmer erzeugen) von Millbury (Amer. Journ. 1824 VII. 55) der sich vor dem Schmelzen so bläht, daß die Kolben springen. Derselbe hat wieder 27,4 Mg und viel Eisen, etwa  $\text{H Mg Al Si}^2$ . In neuerer Zeit spielt er in den Talfgesteinen der Smirgelgruben von Zents Mine in North Carolina eine wichtige Rolle (Cooke, Proceedings of the Amer. Acad. of Arts. Dec. 1873), begleitet unter vielen andern von den tiefgelben unelastischen Blättern des Jefferisit, dessen optische Axen mit  $\varphi = 27^\circ$  in der Axe a c liegen, also zweiter Ordnung sind. Die Streifen deuten gewöhnlich auf Drillinge mit 17,6 Al, 10,5 Fe, 19,6 Mg, 13,7 H z., was etwa auf die Formel  $\text{K}^4 \text{K}^2 \text{Si}^5 \text{H}^6$  führt. Vergleiche auch den lichtbraunen finnländischen Thermophyllit von Hopanuo (Jahrb. 1859. 55), der im Feuer sich ebenfalls blättert, von talkigem Ansehen und metachloritischer Zusammensetzung.

Talf kommt in schiefrigen Gesteinen der Hochalpen vor, blättert sich krummflächig, oder geht ins Schuppigblättrige und Dichte über. Immer fühlen sich jedoch die Stücke außerordentlich fettig an, so daß man das zu Mehl geriebene Material zum Schmieren von Holzmaschinen, Glätten des Leders zc. anwenden kann. Besonders wohlthuend wirkt dieser erdige Talf auf die Haut, er dient daher zur Schminke, früher als Nervenstärkungsmittel. Sobald jedoch die kiesel-saure Magnesia zu größern Gebirgsstücken sich anhäuft, nennt man sie zwar auch noch Talfschiefer, die in den Alpen durch eingesprengten Strahlstein, Asbest, Cyanit, Staurolith zc. sich auszeichnen, allein diese sind dann nicht mehr rein, und es bleibt gewagt, solchen bestimmte chemische Formeln geben zu wollen: wie Damourit das Muttergestein des Cyanits zu Morbihan, oder Sterlingit von Sterling in Massachusetts (Cooke l. c. 39) mit eingesprengtem Spodumen. Beide zweiaxig und mit einem ansehnlichen Gehalt von 11 K sind zweiaxige etwas harte Talf, jener mit  $\varphi = 12^\circ$ , dieser mit  $\varphi = 70^\circ$ .

Oft kann man nicht entſcheiden, ob man die Sache zum Chlorit oder Talk ſtellen ſoll, ein ſolches Geſtein iſt der berühmte

Topfſtein, Scheuchzer's Lavezſtein (lebes Topf), den ſchon Theophrast von Siphnos anführt; lapis Comensis Plinius 36. 44 cavatur tornaturque in vasa coquendis cibis utilia, quod et in Comensi Italiae lapide viridi accidere scimus. Plinius ſpielt hier vielleicht auf die Stadt Plurz nördlich vom Comerſee an, die aus den Erträgen ihrer Topfſteinbrüche alljährlich 60,000 Dukaten einnahm. 1618 ſtürzte der unterwühlte Berg ein und begrub die Stadt mit Mann und Maus. Der feinkörnige Stein iſt grünlich, mit grauem Strich, aber wegen ſeiner Milde nicht Politurfähig. Wird zu feuerfeſten Töpfen gedreht, die man noch in alten Römischen Anſiedelungen findet. Im Wallis heißt er Giftſtein, der ſich beſonders zu Ofenplatten eignet, die ſchon 500 Jahre aushielten. Bildet Zwischenlager in den alpinen Schieferu.

Agalmatolith (Bildſtein) Klaproth Beiträge II. 184, wegen ſeines fetten Anfühlers chineſiſcher Speckſtein genannt, wahrſcheinlich dichter Pyrophyllit, der unter dem Mikroskope ſeine Blättchen zeigt (Jahrb. 1870. 188). Er hat einen feinsplittrigen Bruch, und iſt härter als Talk. Klaproth unterſcheidet einen grünlichen an den Ranten ſtark durchſcheinenden mit 54,5 Si, 34 Al, 6,2 K, 4 H, das würde ihn alſo trotz ſeiner Serpentinartigen Beſchaffenheit ganz vom Talkgeſlecht entfernen, und etwa zur Formel  $(K, H) Al Si^2$  führen. Der andere iſt röthlich und ſo ſtark fettig, daß der Mangel an Talkerde ſehr auffällt. Allein es ſind Gebirgsarten, und ohnehin läuft in den Sammlungen vieles unter dem Namen Bildſtein, was ächte Talle ſind. Die Chineſen verfertigen beſonders Gözenbilder daraus, die nach Moſchus duften, daher glaubte Beſtheim (Ueber die Vasa Murrhina 1791) darin das Material jener koſtbaren Gefäße pag. 247 entdeckt zu haben. Umgekehrt verhält es ſich mit dem

Meerſchaum (vielleicht aus dem Natoliſchen Wort Myrſen entſtanden), eine magere faſt erdige  $Mg Si H$ , die aber in engſter Beziehung mit Magnesiſt ſteht: Verwitterungsprodukte, die Formeln widerſtreiten. Bei Theben (Jahrb. 1850. 314) kommen ſie mit Serpentin als erdige Stücke vor, die innen ſogar aus Halbopal beſtehen. Er hängt an feuchter Lippe, wie das Melinum von Melos, iſt ſchwer zerſprengbar, aber nicht hart, und ſchwimmend leicht 0,9 Gew. ſo lange ſich die Poren nicht mit Waſſer gefüllt haben. Im Kolben brennt er ſich ſchwarz. Kleinaſien das Hauptvaterland, wo er 8 Stunden ſüdöſtlich Eskiſcher unterirdiſch in 10 m Tiefe gewonnen wird, die Stücke bis zu Fuß-Größe ſitzen in einer gelben Erde und laſſen ſich feucht leicht ſchneiden. Die berühmten Samiſchen Gefäße der Römer ſcheinen ſchon aus ihm gemacht zu ſein. Dieſe Kunſt ſetzte ſich ſodann auf die Türken fort, beſonders in Beziehung auf Pfeifenköpfe. Zu dem Ende wird die Maſſe geſtoßen, und mit Waſſer digerirt läßt man ſie in Gruben gähren, wobei ſich ein Geruch nach Schwefelwaſſerſtoff entwickelt. Sie kann dann geformt werden. Damit ſie aber beim Anrauchen Farbe bekomme, muß man die fertige Waare in Milch,

Leinöl oder Wachs sieden. Muhl a im Thüringer Wald und Lemgo in Westphalen beschäftigen sich besonders mit seiner Fabrication, wobei die Abfälle immer wieder benutzt werden. Er wird auch künstlich nachgemacht, indem man Stücke von kohlensaurer Magnesia mit Wasserglas tränkt (Dingler Pol. Journ. 147. 304). Der ähnliche Aphrodit (*αφρός* Schaum) von Longsbandsbytta  $4 \text{ Mg}^3 \text{ Si}^2 + 9 \text{ H}$  ist schwerer, 2,2 Gew.

Speckstein (Steatit). Der weiße welliggeschichtete von Briançon gleicht vollkommen einem dichten Talc. Davon verschieden ist der Englische Seifenstein, der auf Klüften des Serpentin's von Cap Lizard sich wie Seife schaben läßt, zur Bereitung des Englischen Porzellans benutzt wird und nach Klaproth (Beitr. V. 124) neben 24,7 Mg auch 9 Al enthält. Eine solche aber durch Nickel gefärbte Masse ist der schön apfelgrüne Pimelith von Rossmüh. In der Steyermärk'schen Braunkohle (Jahrb. 1871. 170) finden sich sogar plastische Thone mit 6,2 Mg. Werner rechnet zum Speckstein auch die sich fett anführenden steinmarkartigen Massen aus den alten Zinnsteingängen. Bei Altenberg kommen diese in Austerkrystallen (Prosopit Pogg. Ann. 101. 301) vor, die nach Scheerer die Zusammensetzung normaler Porzellanerde haben sollen, aber aus mikroskopischen Schüppchen bestehen. Descloizeaux (Mém. Inst. de France 1867. XVIII. 100) hat sie genau untersucht. Außerlich hält es schwer zwischen ihnen und den Talcerdehaltigen eine scharfe Grenze zu ziehen. In Deutschland trifft man die merkwürdigsten Specksteine in einem Lager zwischen Glimmerschiefer und Granit bei Göpfersgrün, östlich Wunsiedel im Fichtelgebirge (Nauck Pogg. Ann. 75. 100). Schon nach Klaproth enthält er etwa 59,5 Si, 30,5 Mg, 5,5 H, ist daher im wesentlichen kiesel-saure Talc-erde, obgleich manche Parthieen schon thonigen Bruch und Geruch nebst matter weißer Farbe zeigen. Auf Klüften glänzt jedoch häufig der fette Glanz des Talc's hervor. Durchs Brennen wird er hart, wie die Nürnberger Lava-Brenner (Elzner chem. techn. Mittheil. 1857. V. 100) beweisen, die jetzt allen andern Gasbrennern vorgezogen werden. Besonders interessant in jenem Specksteingebirge sind die Austerkrystalle von Bergkrystall: kleine jederdicke quergestreifte Säulen oben mit dihexaedrischer Endung stecken mitten im Speckstein, und springen beim Zerschlagen heraus. Niemals beobachtet man sie in Drusenräumen. Seltener und nicht so auffallend finden sich kleine sattelförmige Rhomboeder vom Aussehen des Brauns-pathe's, oder Oktaeder vom Flußspathe. In der grauliche von schwarzen Dendriten durchzogene Speckstein liegt so mitten zwischen Glimmerschiefer, Thonschiefer, Grünstein und Dolomit und frist denselben so allseitig an, daß das Ganze dem Laien als ein großartiger Faulungsprozeß erscheint, der das Gebirge allmählig ergriff. Schon Steffens (Handb. Kryptognozie. 1811. I. 307) hat dies trefflich darge- than, und Haüy nennt den Hergang mythisch. Der chemische Grund soll nach Bischof darin liegen, daß das Magnesiasilicat unter den alkalischen Erden die schwerlöslichste und schwer- zerlegbarste sei. Kohlensäurehaltige Wasser wirken auf Quarz ein, dessen Kiesel-erde sich mit Magnesi-ahydrat des Wassers verbindet, und Speckstein

absetzt. Dann wird auch das häufige Vorkommen anderer Speckstein-  
asterkrystalle, wie des Topases auf Zinnsteingängen von Ehrenfrieders-  
dorf, des Spinells vom Fassathale u. chemisch erklärlich. Am groß-  
artigsten zeigen sich jedoch diese Asterbildungen im

**Serpentin.** Agricola 632 sagt: in Misena non longe ab arce  
Lautersteinæ juxta Zeblicium oppidulum effoditur marmor subeine-  
reum, . . . hoc nostri appellant *Serpentariam* und hält ihn mit dem  
Griechischen Ophites Plinius 36. 11 cum sit serpentium maculis simile  
identisch. Fettigkeit und Milde, ein unkrystallinischer feinsplittiger Bruch,  
wie beim Hornstein, Durchscheintheit an den Kanten, allerlei trübe Farben  
von Gelb, Roth, Grün, Weiß, aber selten einfarbig, sondern geflammt  
und geadert, daher der alte Vergleich mit einer Schlangenhaut.  $H = 3$ ,  
Gew. = 2,6. Werner unterschied **edlen** und **gemeinen**. Grün ist zwar  
bei beiden Hauptfarbe, allein dieser bildet verunreinigte Felsen, jener  
dagegen nur beschränkte Gänge und Nester: schneeweiß bei Zöblig,  
wachs-gelb bei Tarasp, der mit Säure ein wenig braunt (Taraspit), zeis-  
siggrün bei Modum; apfelgrün (Williamsit) in Chester=County; dunkel-  
ölgrün bis smaragdgrün auf Corsica. Pikrolith bildet dünne Platten,  
die hart auf Handstücken haften, ein mattes jaspisartiges Ansehen haben,  
und das Licht polarisiren. Auch dünn geschnittene Serpentinplatten sind  
wie Chalcodon gegen das Licht nicht indifferent (Webster, Zeitschr. deutsch.  
geol. Ges. 1858. X. 337).

Serpentin =  $Mg^2 H^6 Si^4 = Mg^3 H^2 Si^2 = Mg^2 Si + Mg S + H^2$ ,  
daher erhält man nach dem Schmelzen bei langsamem Erkalten Olivin  
und Enstatit, wie im Pherzolith.

Serpentin bildet sehr eigenthümliche isolirte Bergkuppen, die auf der  
ganzen Erde im krystallinischen Gebirge zerstreut liegen, in den Alpen  
namentlich in Begleitung von Talk- und Chloritgesteinen vorkommen. Im  
Serpentinsfels von Erbdorf im Fichtelgebirge ist so viel Magneteisen  
fein vertheilt, daß er wie die Basalttuffe polarischen Magnetismus zeigt;  
zu Reichenstein in Schlesien bildet Serpentin das Muttergestein vom  
goldhaltigen Arsenkalkies, ja das Platin im Ural soll in ihm eingeprengt  
sein. Pyrop in Böhmen hauptsächlich im Serpentin. Zu Zöblig im  
Erzgebirge (Schmidt Gesch. Serpentinindustrie 1868) wird er vielfach verar-  
beitet, früher besonders zu Reibschalen für Apotheken, weil er gegen das  
Gift wirken sollte, noch Milins behauptete, in Serpentinbrüchen gäbe es  
nie eine Kröte oder ein anderes giftiges Thier. Der Serpentin von  
Oran dient noch heute in Paris zu den herrlichsten Ornamenten. Im  
besondern Grade nehmen die Asterkrystalle des edlen Serpentin's von  
Snarum bei Modum westlich Christiania auf einem Quarzlager im Gneis  
die Aufmerksamkeit in Anspruch. Daß die Masse des Serpentin's als  
solche nicht zu krystallisiren im Stande sei, scheint so gewiß als beim  
Speckstein, und doch kommen daselbst unmittelbar unter der Dammerde  
Asterkrystalle von Armbicke und 1½' Länge (Tannau Pogg. Ann. 42. 466)  
vor, welche genau mit Olivinform stimmen, sogar innen noch unzer-

setzten Olivin haben, wie ich seiner Zeit (Pogg. Ann. 36. 170) nachwies. So viel nun auch anfangs daran gezweifelt wurde, die chemische Untersuchung (Pogg. Ann. 82. 511) bestätigte es. Webster schliß Platten daraus, welche im polarisirten Licht die „pseudomorphe Structur aus allem Zweifel“ stellen. Am Monzoniberge im Fassathal kommen sie gleichfalls recht deutlich zuweilen von fast Zollgröße vor, ebenso könnte Dufrénoy's serpentinartiger **Villarsit** (Olivinhydrat) aus den Magneteisengruben von Traversella hier hingehören. Auch auf die grünen milden Asterbildungen, welche sich in Granit eingesprengt finden, muß das Augenmerk gelenkt werden. Aber da Olivin hier nicht zu Hause ist, so wird die Vorstellung eher auf Dichroit geleitet. Uebrigens zeigte schon G. Rose, daß auch Augit, Hornblende, Pyroxen u. in Serpentin übergehen. In New-York liegt die Tilly-Foster Magneteisengrube in Gneusen und Hornblendegesteinen, worin Chlorit, Glimmer, Hornblende, Chondroit, Kalk, Dolomit, Apatit u. pure in Serpentin verwandelt sind (Compt. rend. Bd. 80. 511). In Spanien nördlich Gibraltar bedeckt im Rondagebirge ächter Serpentin wohl 16 deutsche Quadratmeilen, worin der Kern noch als frischer Olivinfels beschrieben wird (Jahrb. 1875. 511). Auch der Dunit im Dungebirge von Neuseeland ist felsbildender Olivin, der mit Serpentin in engster Beziehung steht. Wenn die Gewässer mit ihrem Talkerdegehalt so stark auf die Veränderung der Gebirge einwirken können, so verlieren dadurch die Analysen sehr an Bedeutung, man darf wenigstens nicht aus jeder Kleinigkeit ein besonderes Mineral machen. Scheerer (Pogg. Ann. 71. 205) zeigte, daß auf der Eisengrube Åslat bei Arendal sowohl talkartige schuppige als dichte Substanzen, die er Neolith nennt, sich noch aus den Grubenwassern in Spalten des Gebirges bilden. Eine Analyse gab 52,3 Si, 31,2 Mg, 7,3 Al, 4 H u.

Schillernder Asbest (Chrysotil, *vilos* Faser) bildet Schnüre im Serpentin, zu Reichenstein in Schlesien wie zu Isracombe auf Tasmanien. Namentlich häufig auch in mikroskopischen Schnüren des Cozoon, wo er nicht mit organischer Textur verwechselt werden darf. Die sehr feine Faser steht senkrecht gegen das Salband, ist aber so compact, daß sie einen starken Seidenglanz zeigt, und sogar stellenweis bedeutende Durchscheinheit besitzt. Bewährte Chemiker behaupten, er habe genau die Zusammensetzung des Serpentin, und der starke Glanz der Faser scheint anzudeuten, daß wir es hier mit wirklichen krystallinischen Anfängen zu thun haben, daher fehlt dann aber auch der Masse das serpentinartige Ansehen. Er polarisirt das Licht (Pogg. Ann. 167. 100), die Faserrichtung bildet die optische Mittellinie. Davon verschieden ist der safrige Serpentin, wozu er auf Ablösungsflächen große Neigung hat. Metaxit von Reichenstein ist safrig und keilförmig, vorzüglich am Monte Rosa.

Schillerspath von der Baste (Vasit) bei Harzburg (Epochen der Natur pag. 142), auf den schon Trebra 1783 die Aufmerksamkeit lenkte, und den Apotheker Heyer in Braunschweig benannte (Köhler Pogg. Ann.

11. 199). Grüne glimmerartige Blätter mit einem messingfarbenen Schiller liegen in einem dunkelgrünen serpentinartigen Gestein (Schillerfels) eingesprenkt, ja die Blätter werden vielfach vom Schillerfels durchbrochen. Querbruch der Blättchen ohne Glanz und feinsplittrig, gleicht vollkommen dem Muttergestein. Man möchte daraus um so mehr mit Bestimmtheit vermuthen, daß es krystallisirter Schillerfels sei, als auch die Analyse beider sehr nahe die gleichen Bestandtheile gab,  $3 (\text{Mg, Fe}) \text{Si} + 2 (\text{Mg, Fe}) \text{H}^2$ . Die Formel weicht so wenig von der des Serpentin ab, daß man sie ohne einen wesentlichen Fehler zu begehen für gleich halten könnte. Wenn man aber bedenkt, wie an der Baste der Schillerfels mit den dortigen Gabbrogesteinen in engster Beziehung steht, so gewinnt es auch hier sehr an Wahrscheinlichkeit, daß wir es bloß mit einem veränderten Gestein zu thun haben. Streng (Sahrb. 1862. 513) beschrieb sie ausführlich, und meinte nachweisen zu können, daß sie aus „Protobastit“ (Augit) durch Aufnahme von Wasser entstanden, zumal da sie noch öfter davon umwachsen sind. Andern Orts lehren ähnliche Erscheinungen wieder. So treten z. B. im Schwarzwalde südlich vom Feldberge in den Umgebungen von Todtmoos viele Schillerfelsstuppen mit bronzefarbigem Diallag hervor, manche erinnern durch ihre Härte und Schwärze an den Basalt, auf den Verwitterungsklüften werden sie aber milder, ja bei Altenstein kommt ein kleiner Punkt vor, der wie der mildeste Serpentin von Zöblitz zum Verschleifen eine Zeit lang gewonnen wurde. Auch der apfelgrüne Marmolith von Hoboken (New-Jersey) wird als ein blättriger Serpentin beschrieben, doch zeigen die Blättchen im polarisirten Licht nur „äußerst geringe Reaction krystallinischer Structur“. Es gibt übrigens noch ein ganzes Heer von Namen:

Kerolith (Wachstein)  $2 \text{Mg}^3 \text{Si}^2 + 9 \text{H}$  vom Gumberge bei Frankenstein in Schlesien gleicht einem verwitterten Opal, der daselbst vorkommt. Pikrosmin Haidinger ( $\mu\pi\rho\sigma\varsigma$  bitter,  $\delta\sigma\mu\eta$  Geruch) von der Eisengrube Engelsburg bei Preßnitz in Böhmen gleicht dem dichten gemeinen grünen Asbest.  $2 \text{Mg}^3 \text{Si}^2 + 3 \text{H}$ . Haidinger gibt eine blättrige Säule von  $126^\circ 52'$  und ein blättriges Paar auf die stumpfe Kante aufgesetzt von  $117^\circ 49'$  an, doch sticht die asbestartige Faser stärker als der Blätterbruch hervor. Pikrophyll von Sala  $\text{Mg}^3 \text{Si}^2 + 2 \text{H}$  gleicht einem dunkelgrünen Salit, aber weich und verändert. Antigorit aus dem Val Antigorio in Piemont könnte auch an den dichten dunkelgrünen Asbest sich anschließen (Pogg. Ann. 49. 505). Hydrophit (Pogg. Ann. 51. 507) eine serpentinartige Bergmasse von Taberg in Smaland, hat einen kleinen Gehalt von Vanadium, und soll etwas wasserreicher als Serpentin sein (daher Wasser-Ophit). Monradit  $4 (\text{Mg, Fe})^3 \text{Si}^2 + 3 \text{H}$  von Bergensstift, eine feinkörnige Masse, aber  $\text{H} = 6$ , Gew. 3,27. Gumnit von Baltimore  $\text{Mg Si} + \text{Mg H}^3$  oraniengelb; gelblichweiß und opalartig glänzend im Fleimsferthal. Dermatit  $(\text{Mg, Fe})^3 \text{Si}^2 + 6 \text{H}$  aus dem Serpentin von Waldheim in Sachsen steht ihnen nahe. Retinalith mit Wachsglanz im Kalkstein von Grenville in Untercanada,  $\text{Mg}^5 \text{H}^4 \text{Si}^3$ .

Spada it 4 Mg Si + Mg H<sup>4</sup> ein mildes röthliches weiches Fossil mit Wollastonit von Capo di Bove bei Rom.

6. **Brucit** Bendant, Native Magnesia (Bruce, American mineralogical Journ. 1814. I. 26). Einen ausgezeichneten blättrigen Bruch, schneeweiß bis farblos, daher anfangs für Gyps gehalten. Optisch einaxig, nach Dana rhomboedrisch mit 82° 15' in den Endanten. Hermann's Teralith (Erdmann's Journ. Pratt. Chem. 1861. 82. 208) von Texas in Pennsylvanien wird zwar 2 + 1gliedrig beschrieben, ist aber auch optisch 1axig, und daher ohne Zweifel das Gleiche, zumal da die Krystalle gern ein unrhomboedrisches Ansehen haben (Hessenberg Sendeb. Naturf. Ges. 1861. IV. 42). Härte = 2, Gew. 2,4, fettig. Vor dem Löthrohr schmilzt er nicht, löst sich aber in Säuren vollkommen, Magnesiahydrat Mg H in 5000 Theilen Wasser löslich mit 70 Mg, 30 H, zieht auch wohl etwas Kohlensäure an. Im Serpentin von Hoboken (New-Jersey), zuweilen auch asbestartig zartfasrig (Nemalith), zu Swinaneß auf der Schottischen Insel Unst, Bischminsk bei Beresowak, im Pfitschergrund in großen Massen von Asbest gegittert (Zepharovich Min.-Lexicon. 76). Durch Aufnahme von Kohlensäure würde Magnesit entstehen. Auf Tilly-Foster Eisengrube Asterkrystalle nach Dolomit. Das künstliche Kalkerdehydrat Ca H scheint damit isomorph zu sein.

Hydrotalkit Mg H<sup>2</sup> gelblichweiße frumtblättrige sich fettig anfühlende Masse aus dem Serpentin von Snarum hat neben 34 H und 39 Mg noch 16 Al und 10 C. Identisch mit Bolknerit von Slatoust (Rammelsberg Pogg. Ann. 97. 208). Periklas von der Somma ist Talkerde ohne Wasser. Der sonderbare Pyrochroit aus der Magnetisengrube von Pajsberg im Filipstader Bergrevier bildet perlmutterglänzende Abern, die dem Brucit ähnlich sind aber 76 Manganoxydul enthalten, (Mn, Mg) H, Pogg. Ann. 122. 181.

7. **Margarit** (Perlglimmer) Fuchs, bei Sterzing am Ausgang des Pfitschthals und Topsham in Maine: ein fast schneeweißer Glimmer vom stärksten Perlmutterglanz in Chlorit eingeprengt. Optisch 2axig mit ausgezeichneten Farben im polarisirten Lichte, härter und spröder als der gewöhnliche Glimmer. Hermann fand 32,5 Si, 49,2 Al, 1,3 Fe, 7,4 Ca, 3,2 Mg, 1,7 Na, 4,9 H, was etwa zur Formel (Ca, Mg)<sup>2</sup> Si + 2 Al<sup>2</sup> Si + 2 H paßt. Dellacher (Ztsch. deutsch. geol. Ges. XIV. 702) wies in einem solchen von 2,9 Gew. 4,6 Ba nach. In ähnlichen weißen Blättchen des Smaragd führenden Glimmerschiefers von Salzburg gibt Sandberger (Jahrb. 1875. 208) sogar 5,7 Ba an, was für einen **Darhtglimmer** (Dellacherit) spricht, während die meisten andern **Kalkglimmer** mit 14 Ca zu sein scheinen. Diphanit aus den Smaragdgruben am Ural scheint das gleiche zu sein, sowie Emerylith im Smirgel von Nagos, Corundellith und Euphyllit mit Corund bei Unionville in Pennsylvanien. Hermann nimmt diese als Typus seiner Margarite, und stellt dazu den

Chloritoid (Chloritspath) von Rosoibrod im Ural, wo er mit Diaspor und Smirgel in frumtblättrigen Massen vorkommt, die dem



Chlorit durch ihre dunkelgrüne Farbe zwar sehr gleichen, aber fast Feldspathhärte und ein Gewicht 3,5 haben. 24,5 Si, 30,7 Al, 17,3 Fe, 3,7 Mg, 6,4 H. Im Ansehen und Härte gleicht ihm der Sismondin aus dem Granathaltigen Chloritschiefer von St. Marcel in Piemont vollkommen, etwas weniger der dunkel grünlich graue Masfoni aus dem Chloritschiefer von Rhode-Island (Erdmann's Journ. prakt. Chem. 58. 88).

Ottrelit von Ottrel südlich Stavelot (Lüttich) bildet dunkelgrüne glänzende Blättchen von  $\frac{1}{2}$  bis 1 Linien Durchmesser, die in zahlloser Menge in einen fettigen aber ganz unkrystallinischen grünlichgrauen Thonschiefer eingesprengt sind.  $H^3 Fe^2 Mn Al^2 Si^4$  (Zährb. 1869. 141). Der lichte lauchgrüne

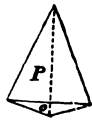
Brandisit vom Monzoniberge, wo er mit grünem Augit und schwarzem Spinell bricht, bildet Drusen von glimmerartigen sechsseitigen Tafeln, die nicht viel über Flußspathhärte haben.  $Mg Si + 2 Mg^2 Al^2 + H$ . Sein Aussehen mahnt in jeder Weise an Glimmer. Der röthlichbraune

Sphbertit (Clintonit) aus dem Kalkstein im Serpentin von Amity (New-York) hat einen glimmerartigen Bruch,  $Mg Si + Mg^2 Al^2 + H$ , die Magnesia durch Ca und Fe vertreten. G. Rose's wachsgelber

Xanthophyllit aus dem Talkschiefer von Slatoust mit Magnet Eisen hat Glas Härte und bei seinem glimmerartigen Aussehen nur 16,3 Si, 44 Al, 19,3 Mg, 13,3 Ca, 4,3 H, was sehr an den vorigen erinnert. Er hat eine Zeit lang Aufsehen erregt, weil darin mikroskopische Diamanten vermuthet wurden pag. 193.

Melanglimmer nennt Haidinger passend folgende drei:

Cronstedtit Steinmann, von dem Silbererz gange Adalbert zu Příbram in Böhmen. Es sind kleine rabenschwarze Krystalle, die zuweilen nach einem Ende sich rhomboedrisch (P) zuspitzen, während der deutlich blättrige Bruch o zwei Drittheil von der ganzen Rhomboederlänge wegschneidet. Gewöhnlich lagern sie sich excentrisch strahlig oder auf krummer Unterlage in gedrückten Säulen mit deutlichem Glimmerbruch nebeneinander. Härte = 2—3, Gew. 3,3. Sehr eisenreich. Kobell schlug die Formel  $Fe^3 Si + Fe^3 H$ , Janorsky  $Fe^3 Fe Si^2 H^4$  vor. Werners's Sideroschistolite von Conghonas do Campo in Brasilien ist zwar Sammtschwarz, aber hat doch noch einen grünen Strich, und soll nach Haussmann von Cronstedtit kaum verschieden sein. Auch der schwärzlichgrüne Strigovit aus dem Granit bei Striegau in Schlesien ist zu vergleichen, Hr. Websky (Zährb. d. g. Ges. 1873. 101) fand  $H R^2 K Si^2 + H^2$ .



Stilpnomelan von Gloeder wegen seines starken schwarzen Glanzes so genannt. Meist krummblättrig oder strahlig, mit grünlichem Strich. Härte = 3—4, Gew. 3,4.  $2 Fe^3 Si^2 + Al Si^2 + 6 H$ . Schmilzt ziemlich leicht. Von Obergrund bei Zuckmantel in Oesterreichisch Schlesien mit Kalkspath in einem Basaltähnlichen Thonschiefer. Auch der olivengrüne Thuringit von Saalfeld könnte wegen seines deutlichen Blätter-

Spada it  $4 \text{ Mg Si} + \text{Mg H}^4$  ein milches röthliches weiches Fossil mit Wollastonit von Capo di Bove bei Rom.

6. **Brucit** Beudant, Native Magnesia (Bruce, American mineralogical Journ. 1814. I. 28). Einen ausgezeichneten blättrigen Bruch, schneeweiß bis farblos, daher anfangs für Gyps gehalten. Optisch einaxig, nach Dana rhomboedrisch mit  $82^\circ 15'$  in den Endanten. Hermann's Teralith (Erdmann's Journ. prakt. Chem. 1861. 82. 200) von Texas in Pennsylvanien wird zwar 2 + 1gliedrig beschrieben, ist aber auch optisch laxig, und daher ohne Zweifel das Gleiche, zumal da die Krystalle gern ein unrhomboedrisches Ansehen haben (Hessenberg Sendeb. Naturf. Ges. 1861. IV. 42). Härte = 2, Gew. 2,4, fettig. Vor dem Löthrohr schmilzt er nicht, löst sich aber in Säuren vollkommen, Magnesiahydrat  $\text{Mg H}$  in 5000 Theilen Wasser löslich mit 70 Mg, 30 H, zieht auch wohl etwas Kohlensäure an. Im Serpentin von Hoboken (New-Jersey), zuweilen auch asbestartig zartfasrig (Nemalith), zu Swinaneß auf der Schottischen Insel Unst, Pischminsk bei Veresowsk, im Pfitschergrund in großen Massen von Asbest gegittert (Zepharovich Min.-Lexicon. 76). Durch Aufnahme von Kohlensäure würde Magnesit entstehen. Auf Tilly-Foster Eisengrube Asterkrystalle nach Dolomit. Das künstliche Kalkerdehydrat  $\text{Ca H}$  scheint damit isomorph zu sein.

Hydrotalkit  $\text{Mg H}^2$  gelblichweiße frumtblättrige sich fettig anfühlende Masse aus dem Serpentin von Snarum hat neben 34 H und 39 Mg noch 16 Al und 10 C. Identisch mit Bölknerit von Slatoust (Kammelsberg Pogg. Ann. 97. 200). Periklas von der Somma ist Talkerde ohne Wasser. Der sonderbare Pyrochroit aus der Magnetisengrube von Bajsberg im Filipstader Bergrevier bildet perlmutterglänzende Adern, die dem Brucit ähnlich sind aber 76 Manganoxydul enthalten, (Mn, Mg) H, Pogg. Ann. 122. 181.

7. **Margarit** (Perlglimmer) Fuchs, bei Sterzing am Ausgang des Pfitschthals und Topsham in Maine: ein fast schneeweißer Glimmer vom stärksten Perlmutterglanz in Chlorit eingesprengt. Optisch 2axig mit ausgezeichneten Farben im polarisirten Lichte, härter und spröder als der gewöhnliche Glimmer. Hermann fand 32,5 Si, 49,2 Al, 1,3 Fe, 7,4 Ca, 3,2 Mg, 1,7 Na, 4,9 H, was etwa zur Formel  $(\text{Ca, Mg})^2 \text{Si} + 2 \text{Al}^2 \text{Si} + 2 \text{H}$  paßt. Dellacher (Ztsch. deutsch. geol. Ges. XIV. 762) wies in einem solchen von 2,9 Gew. 4,6 Ba nach. In ähnlichen weißen Blättchen des Smaragd führenden Glimmerschiefers von Salzburg gibt Sandberger (Jahrb. 1875. 200) sogar 5,7 Ba an, was für einen **Darytglimmer** (Dellacherit) spricht, während die meisten andern **Kalkglimmer** mit 14 Ca zu sein scheinen. Diphanit aus den Smaragdgruben am Ural scheint das gleiche zu sein, sowie Emerylith im Smirgel von Nagos, Corundellith und Euphyllit mit Corund bei Unionville in Pennsylvanien. Hermann nimmt diese als Typus seiner Margarite, und stellt dazu den Chloritoid (Chloritspath) von Kosoibrod im Ural, wo er mit Diaspor und Smirgel in frumtblättrigen Massen vorkommt, die dem

Chlorit durch ihre dunkelgrüne Farbe zwar sehr gleichen, aber fast Feldspathhärte und ein Gewicht 3,5 haben. 24,5 Si, 30,7 Al, 17,3 Fe, 3,7 Mg, 6,4 H. Im Ansehen und Härte gleicht ihm der Sismondin aus dem Granathaltigen Chloritstiefer von St. Marcel in Piemont vollkommen, etwas weniger der dunkel grünlich graue Masonit aus dem Chloritstiefer von Rhode-Insel (Erdmann's Journ. prakt. Chem. 58. 80).

Ottrelit von Ottrez südlich Stavelot (Lüttich) bildet dunkelgrüne glänzende Blättchen von  $\frac{1}{2}$  bis 1 Linien Durchmesser, die in zahlloser Menge in einen fettigen aber ganz unkrystallinischen grünlichgrauen Thonschiefer eingesprenkt sind.  $H^3 Fe^2 Mn Al^2 Si^4$  (Zahrb. 1869. 341). Der lichte lauchgrüne

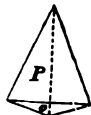
Brandisit vom Monzoniberge, wo er mit grünem Augit und schwarzem Spinell bricht, bildet Drusen von glimmerartigen sechsseitigen Tafeln, die nicht viel über Flußspathhärte haben.  $Mg Si + 2 Mg^3 Al^2 + H$ . Sein Aussehen mahnt in jeder Weise an Glimmer. Der röthlichbraune

Sphbertit (Clintonit) aus dem Kalkstein im Serpentin von Amity (New-York) hat einen glimmerartigen Bruch,  $Mg Si + Mg^3 Al^2 + H$ , die Magnesia durch Ca und Fe vertreten. G. Rose's wachsgelber

Xanthophyllit aus dem Talkstiefer von Slatoust mit Magnet-eisen hat Glashärte und bei seinem glimmerartigen Aussehen nur 16,3 Si, 44 Al, 19,3 Mg, 13,3 Ca, 4,3 H, was sehr an den vorigen erinnert. Er hat eine Zeit lang Aufsehen erregt, weil darin mikroskopische Diamanten vermuthet wurden pag. 193.

Melanglimmer nennt Haidinger passend folgende drei:

Cronstedtit Steinmann, von dem Silbererzgegne Adalbert zu Příbram in Böhmen. Es sind kleine rabenschwarze Krystalle, die zuweilen nach einem Ende sich rhomboedrisch (P) zuspitzen, während der deutlich blättrige Bruch o zwei Drittheil von der ganzen Rhomboederlänge wegschneidet. Gewöhnlich lagern sie sich excentrisch strahlig oder auf krummer Unterlage in gedrückten Säulen mit deutlichem Glimmerbruch nebeneinander. Härte = 2—3, Gew. 3,3. Sehr eisenreich. Kobell schlug die Formel  $Fe^3 Si + Fe^3 H$ , Janowsky  $Fe^3 Fe Si^2 H^4$  vor. Wernerk's Sideroschisolith von Congonhas do Campo in Brasilien ist zwar Sammtschwarz, aber hat doch noch einen grünen Strich, und soll nach Hausmann von Cronstedtit kaum verschieden sein. Auch der schwärzlichgrüne Strigovit aus dem Granit bei Striegau in Schlesien ist zu vergleichen, Hr. Websky (Ztschr. d. g. Ges. 1873. 333) fand  $H R^2 K Si^2 + H^2$ .



Stilpnomelan von Glocker wegen seines starken schwarzen Glanzes so genannt. Meist krummblättrig oder strahlig, mit grünlichem Strich. Härte = 3—4, Gew. 3,4.  $2 Fe^3 Si^2 + Al Si^2 + 6 H$ . Schmilzt ziemlich leicht. Von Obergrund bei Zuckmantel in Oesterreichisch Schlesien, mit Kalkspath in einem Basaltähnlichen Thonschiefer. Auch der oliven-grüne Thuringit von Saalfeld könnte wegen seines deutlicher Blätter-

bruchs hierher gestellt werden. Rammelsberg bestimmte ihn chemisch als einen wasserhaltigen Alvit  $3 \text{ Fe}^3 \text{ Si} + \text{Fe}^2 \text{ Si} + 9 \text{ H}$ .

Pyrosomalith Hausmann ( $\sigma\sigma\mu\sigma$ ) Geruch, weil es auf Kohle erhitzt einen sauren obgleich nicht sonderlich auffallenden Geruch verbreitet).



Längere reguläre sechsseitige Säulen, deren Geradenfläche fast glimmerartigblättrig. Brooke gibt zwei Dihexaeder über einander an (Pogg. Ann. 42. 288), Leberbraun, Härte 4, Gew. 3. Vor dem Löthrohr brennt er sich schwarz, schmilzt in kleinen Stücken ziemlich leicht zu einer magnetischen Kugel, 35,4 Si, 32,6 Fe, 23 Mn 6,5 Wasser und Chlor. Nach

Wöhler (Gött. Gelehr. Anz. 1870. 414)  $\text{Fe}^2 \text{ Cl}^3 + \text{Fe} + (\text{Fe}, \text{Mn})^{10} \text{ Si}^{20} + \text{H}^2$ . Mit Kalkspath im Magneteisenlager nur auf Bjelkesgrube bei Philipstadb in Wermeland (Erdmann's Journ. pratt. Chem. 1861. 83. 487) in großer Pracht p von kurzen Hornblendezwillingen umlagert.

**Nephrit** ( $\nu\epsilon\phi\rho\acute{o}\varsigma$  Niere) Nierenstein oder besser vielleicht von einem Nervenstärkenden Stein  $\nu\epsilon\phi\rho\acute{\iota}\varsigma$ , der bereits in den Lithicis des Orpheus vorkommt. Schon 1627 schrieb H. Clutius in Rostock eine Dissertatio lapidis nephritici. Man theilte ihm viele Heilkräfte zu, besonders auch gegen Hüftweh, daher lapis ischiaticus, pietra ischada, woraus das französische Wort Jade entstand. Freilich vermischte man vieles damit, aber im Allgemeinen wurde darunter ein licht- (Persien) oder dunkelgrüner (Neuseeland) Stein verstanden, der durch sein fettiges Anföhlen wohlthätig auf die Haut wirkte. Er kommt als Gebirgsart vor, und schon deshalb dürfte eine feste chemische Formel nicht zu erwarten sein. Von Ansehen zwar Serpentinartig, aber viel zäher und härter (Feldspath), Gew. 3. Ja in den berühmten Türkischen, zu Siegelsteinen, Säbelgriffen, Amuletten u. verchliffenen fand Rammelsberg 54,7 Si, 26 Mg, 16 Ca, 2,1 Fe, 1,4 Mn, es sind also wasserfreie Kalt-Magnesia-Silicate  $3 \text{ Mg Si} + \text{Ca Si}$ . Die Neuseeländer verfertigen sich, wie das durch Forster's Reise um die Welt bekannt wurde, aus einem ähnlichen grünen sehr klangvollen Steine Waffen (Beilsteine), wie unsere Vorfahren aus dem Feuerstein. Tamerlan's Grab in Samarkand ist mit einer dunkelgrünen »Jade oriental« bedeckt. Der Neuseeländische »Punamu«, von den jetzigen Maoris so hoch geschätzt, liegt nach Hochstetter (Sitzb. Wien. Akad. 1864) auf der Westseite der Südinself. Den Chinesischen Yu glaubt Schlaginweit (Sitzb. Münch. Akad. 1873. 280) im Hochgebirge des Kuenlun in verlassenem Brüchen entdeckt zu haben. Die frischen aus der Tiefe waren weicher, als die ausgetrockneten, sie werden dort durch die Gebirgsflüsse in Geschieben nach Ostturkistan gerollt. Geschiebe aus der Belaja im Sibirischen Sajangebirge stimmen durch ihre fast smaragdgrüne Farbe ganz vortrefflich mit den Neuseeländischen. In Europa ist nur ein einziges Mal zu Schwemjal bei Düben (Provinz Sachsen) ein kopfgroßes Geschiebe in der Alaunerde des Braunkohlengebirges gefunden (Breithaupt, Hndb. Miner. 1847 III. 611). Dagegen entdeckte Herr Desor (Bulletin Soc.

Neuchâtel 1863 VL. 200) in den Pfahlbauten von Estayer ein Nephritbeil in ein Hirschhorn geklemmt, sie kamen dann auch bei Meilen vor, nach Farbe und Inhalt den Neuseeländischen ähnlich (Saprb. 1865. 619). Es hat sich daran die Frage geknüpft, ob dieselben nicht durch Handel eingeführt sein könnten. Sie dürfen übrigens nicht mit Jadeit Damour (Compt. rend. 1865. 2b. 61 pag. 360) verwechselt werden, der ebenfalls fast smaragdgrün 23 Al und 13 Na enthält, und daher schon in der Alkoholflamme schmilzt, 3,3 Gew., kommt auch aus China. Nach Fischer (Nephrit und Jadeit 1875) scheinen diese Steine die Welt erobert zu haben: die ägyptischen Scarabäen sollen Jadeit sein, und auf dem Plateau der Cordilleren von Mexiko bis nahe an Peru heran werden Amulette von Chalchihuitl aus Zeiten der Tolteken höher als Gold geschätzt. Auch der Amazonenstein pag. 272 scheint dahin zu gehören, während der grüne Feldspath jetzt Microclin genannt wird. Damour's Chloromelanit ist noch dunkeler und schwerer 3,6, schmilzt aber auch leicht. Die Fundorte von beiden sind noch unbekannt.

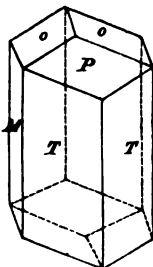
## IV. Hornblenden.

Alkalien treten zurück, auch die Thonerde spielt nur eine Nebenrolle. Dagegen haben wir gern beide Basen Mg und Ca nebeneinander. Hornblende fehlt zwar in den ältern krystallinischen Gesteinen nicht, spielt aber erst in den neuern (Plutonischen und Vulkanischen) ihre Hauptrolle. Gesehmolzen lösen sie sich in Salzsäure.

### 1. Hornblende.

Der Name ist nicht deutsch, sondern Cronstedt (Miner. § 88) nennt ihn zuerst. Er wurde eben von den Schweden mit der Blende verwechselt, wozu die blättrigen Brüche verleiteten (Blende noir luisante R. de l'Isle Essai Crist. 1772. 204). In Deutschland gebrauchte man dafür Hornfels, Schörl, Basalt 2c., alle unter Cornuus begriffen. Hauy's Amphibol (*ἀμφίβολος* zweideutig) d. h. mit Turmalin zu verwechseln.

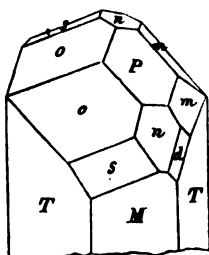
2 + 1 gliedrig mit Feldspathartiger Entwicklung:  $T = a : b : \infty c$  bildet eine sehr deutlich blättrige geschobene Säule von  $124^\circ 30'$ .  $M = b : \infty a : \infty c$  stumpft ihren scharfen Winkel gerade ab, hat aber nur undeutlichen Blätterbruch und daher auch keinen innern Glanz, wie T. Die Schiefendfläche  $P = a : c : \infty b$  ist gerade auf die stumpfe Kante aufgesetzt, und da  $P/T = 103^\circ 1'$ , so ist sie  $75^\circ 10'$  gegen Axe c geneigt. Statt der hintern Gesehnsfläche findet sich immer das Augitpaar  $o = a' : \frac{1}{2}b : c$  von  $148^\circ 30'$  unter einander, folglich  $P/o = 145^\circ 23'$ , und die Kante o/o neigt sich auf der Hinterseite  $73^\circ 37'$  gegen Axe c.



Schon Torb. Bergman nannte sie *Forma schoerlacea*, wozu er auch den Granat rechnete.

$$a : b : k = 3,579 : 6,803 : 0,052$$

$$\lg a = 0,55378, \lg b = 0,83269, \lg k = 8,71641.$$



Der Axenwinkel  $A/c$  beträgt vorn  $89^\circ 10'$ , also neigt sich A dem Feldspath entgegen hinten etwas hinab. Diese einfachen Dodekaeder  $PMT o$  kommen ausgezeichnet ringsum ausgebildet in den Basalttuffen vor. Daran treten untergeordnet

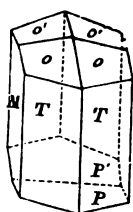
$$n = a : c : \frac{1}{4}b \text{ in Zone } P/M \text{ und } o/T;$$

$$s = a' : \frac{1}{4}b \text{ in Zone } o/M \text{ und } n/T;$$

$$m = \frac{1}{4}a : \frac{1}{4}b \text{ in Zone } P/T \text{ und } n/T;$$

$$d = \frac{1}{4}a : \frac{1}{4}b \text{ in Zone } m/M \text{ und } n/T \text{ liegend.}$$

Zwillinge nach dem Karlsbader Feldspathgesetz kommen ausgezeichnet



vor, die Krystalle haben die Fläche  $k = a : \infty b : \infty c$  gemein und liegen umgekehrt. Häufig läßt sich auch nicht die Spur eines einspringenden Winkels, nicht einmal der Zwillingsgrenze entdecken, so daß selbst Hant (Lehrb. Miner. 1806 III. 82) gegen R. de l'Isle die Hemitropie nicht anerkennen wollte. Allein an einem Ende findet sich ein Paar P und P', am andern aber ein Octaeder  $o o o' o'$ . Im letztern sind merkwürdiger Weise alle vier Winkel

gleich, also  $o/o = o'/o = 148^\circ 30'$ .

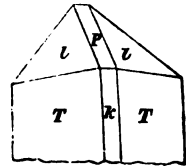
Da es an klaren Hornblenden fehlt, so sind sie optisch schwer zu untersuchen. Doch tritt nach Hrn. Descloizeaux (Ann. mines. 1858. XIV. 80) die optische Mittellinie (+ m) entgegengesetzt als beim Augit hinten zwischen  $a' c$  hinaus, unter  $15^\circ$  gegen c, weicht also von der Mittellinie beim Augit  $15^\circ + 38^\circ 54'$  ab. Die Ebene der optischen Axe liegt ebenfalls in M. Härte = 5—6, Gew. 2,8—3,2. Schwarze, grüne und weiße Farbe, aber stark dichroitisch pag. 210. Vor dem Löthrohr schmelzen sie nicht sonderlich schwer, die eisenhaltigen jedoch leichter. Man nahm sie bisher als  $\frac{2}{3}$  Silicate  $R^4 Si^3$ , worin die Basis hauptsächlich aus Ca, Mg, Fe besteht. Rammelsberg (Pogg. Ann. 103. 311) will sie dagegen durchaus mit Augit  $R^3 Si^2 = R Si$  gleichgestellt wissen. Schwierig läßt sich gerade bei den verbreitetsten eine bedeutende Menge von kalihaltiger Thonerde erklären, mit deren Zunahme die Kieselersde abzunehmen pflegt. Daher hat schon Wonsdorf die Vermuthung geäußert, Al möchte in der Formel die Si isomorph ersetzen, und Rammelsberg spricht geradezu von Bisilicaten und Bialuminaten,  $(R^3, Fe) (Si, Al)^2$ , wobei jedoch das Eisenoxyd zu den Basen gestellt wird. Die neuere Chemie macht jedoch keine Schwierigkeit Al = Al Al zu setzen. Ziemlich unerwartet kommt ein Gehalt an Flußsäure, der beim Pargasit auf 1,5 Proc. steigt.

Nach dem Vorkommen im Großen kann man vornehmlich dreierlei unterscheiden: 1) im Vulkan- und Basaltgestein; 2) im granitischen Ur-

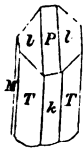
gebirge; 3) im Alpinischen Serpentin und Talkschiefer. Vorzügliche Abänderungen sind etwa folgende:

1) Basaltische Hornblende, pechschwarz, d. h. Lamellen zeigen einen Stich ins Braun, häufig mit gerundeten Kanten (gefloßen). Umundum auskrySTALLISIRT bildet das 2 + 1gliedrige Dodekaëd gewöhnlich die Hauptform (Amphibol dodécaèdre), und da hieran die drei Endkanten von o o P nicht wesentlich von einander abweichen, so sahe sie Romé de l'Isle noch für rhomboëdrischen Schörl an, aber die beiden Blätterbrüche in der sechsseitigen Säule orientiren leicht. Beim Anhauchen zeigen sie einen bittern Thongeruch. Gew. 3,27. Strube fand in denen aus dem Basalttuff von Bilin 40 Si, 11 Ca, 13,5 Mg, 13,7 Fe, (aber als Oxydul darin enthalten), 17,6 Al, 1,9 K, 1 Na, 1,1 Fl, Klaproth gibt sogar bei einer Fuldaischen 26 Al an. Es will zu diesen und andern Analysen keine Formel recht passen (Zeitschr. deutsch. geol. Ges. X. 10). Der Schwäbische Basalttuff bei Eningen, der Klingstein im Höhgau, der Trachyt des Siebengebirges, die vulkanischen Gesteine der Auvergne sind bekannte Fundorte. Am reichsten ist der gelbe Basalttuff von Wolfsberg nordwestlich Riez, am gefloßensten die Krystalle von Dockweiler. In den Auswürflingen des Vesuvus und Lacher Sees kommt sie in feinen schwarzen Nadeln vor.

2) Gemeine Hornblende, rabenschwarz, d. h. mit einem Stich ins Grün, die Farbe der Eisenoxydulsalze. Die krystallinische Masse zeigt Neigung zum Fasrigen. Den Säulen fehlt häufig die Abstumpfungsfäche der scharfen Kante (M), statt dessen kommt die der stumpfen  $k = a : \infty b : \infty c$  vor, wodurch die Strahlen ein schiffartiges stark längs gestreiftes Ansehen gewinnen. Als Endigung herrscht ein Paar  $l = a : c : \frac{1}{2}b$  aus der Diagonalzone von P, welche letztere auch wohl ihre Mediankante von  $148^{\circ} 16'$  abstumpft. Krystalle besonders schön bei Arendal. Gar zierlich sind die Tausende kurzer Zwillinge, welche die Pyrosmalithe von Philipstad pag. 304 umlagern, die kurzen Säulen sind durch zahllose Streifen rundlich, stark glänzend, die Zwillingserben aber absolut matt und ohne sichere Flächen-grenze. Die im Urgebirge eingesprenzte Hornblende, welche zur Bildung von Eyenit, Hornblendeschiefer, Grünstein, grünen Porphyrn u. beiträgt, gehört alle dieser Abänderung an. Höchst eigenthümlich sind die gefloßenen Krystalle im Kalkspath von Bargas, einer Inselgruppe südwestlich von Abo in Finnland (Bargasit), ihre Oberfläche erscheint wie ausgehöhl und angeschmolzen, mit Farbenänderungen vom hellsten bis ins schwarzeste Grün. Auch in Amerika kommen ähnliche Körner vor. Bonsdorf gab darin 45,7 Si, 13,8 Ca, 18,8 Mg, 7,3 Fe, 12,2 Al, 1,5 Fl an, ebenso haben sich auch die Vorkommen anderer Gegenden Thonerdehaltig erwiesen, eine gute Formel hat man daher noch nicht aufstellen können. Scheerer (Jahrb. 1856. 111) nimmt zur Theorie des polymeren Isomorphismus Zuflucht.



Uralit nannte G. Rose (Pogg. Ann. 22. 343) die grünlichen Augitkry-  
stalle aus den Augitporphyren (Grünstein) vom Ural. Sie haben die  
Form des Augits aber den blättrigen Bruch der Hornblende, ja bei dem  
tartarischen Dorfe Muldakajewsk ohnweit Miaszk führen die ringsumge-  
bildeten Krystalle noch einen unveränderten Kern von Augit. Rose nahm  
es anfangs als Beweis, daß Hornblende und Augit identisch seien. Sie



finden sich darauf bald sehr verbreitet, namentlich auch in großen  
aufgewachsenen Krystallen von Arendal in Norwegen, die mit  
Säure aus dem mitbrechenden Kalkspath herausgeätzt zu werden  
pflegen. Dieselben haben die 8seitige Säule T T k M des Augits,  
 $T/T = 87^{\circ} 6'$ , endigen aber mit der Schiefenfläche P und dem  
bei der gemeinen Hornblende so gewöhnlichen Paare l. Die  
Flächen der Augitsäule spiegeln nicht, dreht man sie aber ein wenig um  
die Axe c, so tritt aus dem Innern ein lebhaftes Licht heraus, was die  
Blätterbrüche der Hornblendensäule zwischen k und T anzeigt. Die Unter-  
brechung des Lichtes deutet vielleicht an, daß die Ausfüllung der Augit-  
form durch lauter kleine einander parallel liegende Hornblendekrystalle  
geschah, beide Hornblende- und Augitform haben sich genau symmetrisch  
in einander gefügt. Der Krystall müßte darnach zuerst als Augit ge-  
wachsen sein, dessen Atome sich später in Hornblende umlagerten (Para-  
morphose pag. 181). Dann wären es Afterkrystalle der Hornblende nach  
Augit. Am einfachsten könnte die Sache freilich scheinen, wenn man sie  
geradezu für Hornblendekrystalle hielte, an welchen die Augitsäule T T  
zur Ausbildung gekommen wäre. Doch kommen daselbst zugleich Augite  
von derselben Farbe vor, welche den Hornblendebruch nicht zeigen. So  
daß an Afterbildung nicht gezeifelt werden kann.

3) Strahlstein Wr., Actinote Hy. Langstrahlige Säulen mit  
T T M, häufig tremolithartige Zwillinge, welche meist ohne Ende im Al-  
pinischen Talkschiefer liegen, auffallend spröden Querbruch zeigen, weßhalb  
Werner die Alpinischen mit ihrer lichtgrünen Farbe und 3fachem Gew.  
glasigen Strahlstein nannte, im Gegensatz zu den gemeinen ex-  
centrischstrahligen auf den Sächsischen Erzgängen (Breitenbrunn und Ehren-  
friedersdorf). Werner's körniger Strahlstein ist meist augitisch. Die schön-  
grüne Farbe rührt von etwas Eisenoxydulsalz her, doch fand Klaproth  
schon bei den fast smaragdgrünen von Teinach in Steyermark 1 Gr. Sie  
sind entweder ganz frei von Thonerde, oder haben doch nur unbedeutende  
Menge, daher  $\text{Ca Si} + \text{Mg}^3 \text{Si}^2$ . Kupferit aus Transbaikalien (Jahrb.  
1867. 191) von völlig smaragdgrüner Farbe enthält 6 Fe, 1,2 Gr, 0,6 Ni.  
Nach Langier enthält der Zillerthäler 50 Si, 19 Mg, 9,7 Ca, 11 Fe,  
5 Gr (?) 2c. G. Rose (Reise Ural II. 363) schmolz solche, ließ sie langsam  
erkalten, und bekam dann statt der Hornblende kleine Augitnadeln! Zu  
ähnlichen Resultaten war Mitscherlich schon mit dem Tremolith gekommen.  
Da auch diese Krystalle einen kleinen Gehalt an Flußsäure haben, so sind  
Verluste beim Schmelzen nicht ganz zu vermeiden, doch würde man ein  
solches Resultat nicht erwarten.



**Tremolith** nannte Vater Pini die grauen bis schneeweißen, fast gänzlich eisenfreien Strahlen im Dolomit von Campolongo am St. Gotthardt. Pini wollte sie im Tremolathale gefunden haben, was man nicht direct bestreiten kann, wenn sie auch später da nicht wieder gefunden wurden. Buch 1809 (Gesammelte Schrift. II. 99) schrieb es absichtlicher Täuschung der Mineralienhändler zu. Die grauen bilden lange schilfartige Säulen, und wenn man sie quer durchbricht, so nimmt man nicht selten eine Zwillingsgrenze wahr, welche der Axe b entspricht, daher nannte sie Hauy Grammatit. Viele derselben sind hohl und mit Dolomit erfüllt. Die schneeweißen excentrischstrahligen werden zuletzt ganz Asbestartig. Schon Saussure erwähnt ihre Phosphorescenz beim Reiben mit einem Stahl &c. Sie sind übrigens durch alle Grade mit dem grünfarbigen Strahlstein verbunden. Kotscharowit (Jahrb. 1858. 99) im Bucharischen Basurstein wird vollständig durchsichtig und farblos, aber er soll optisch zweigliedrig sein, wie der

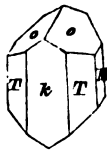
**Anthophyllit** (Anthophyllum Gewürznelke), nach der nelfenbraunen Farbe genannt, sehr schön mit Kupferkies bei Snarum. Den blättrigen Bruch von  $M = b : \infty a : \infty c$  kann man auch noch darstellen. Nicht zu verwechseln mit Broncit. Keine Kalkerde, ein wenig schwerer schmelzbar als Strahlstein,  $Fe\ Si + Mg^3\ Si^2$ , also eine ausgezeichnete Hornblendeformel.

**Arfvedsonit** Brooke, kommt mit Eudyalit in Grönland vor. Trotz seiner eigenthümlichen Zusammensetzung hat er den deutlichen Blätterbruch der Hornblende, aber die Säule T/T bildet nur  $123^\circ 55'$ , rathenschwarz,  $H = 6$ , Gew. 3,44. Schmilzt schon im bloßen Kerzenlicht, enthält  $Na\ Si + Fe^3\ Si$  mit 49,3 Si, 36 Fe, 8 Na &c., und erinnert dadurch an Almit. Hausmann gibt ihn auch im Birkonshenit von Frederiksvärn und Magneteisensteinlager von Arendal an, wo er mit Hornblende verwechselt wurde.

## 2. Augit Br.

**Augites** Plinius 37. 54, Hauy's Pyroxen (dem Feuer fremd), weil man ihn in jener Zeit auf nassem Wege entstanden dachte. Schon Romé de l'Isle unterschied ihn richtig als Schorl noire en prisme octaèdre II. 398, was auf das Wesen seiner Form deutet.

2 + 1 gliedrig mit hornblendartiger Entwicklung. Eine geschobene Säule  $T = a : b : \infty c$  wendet ihren scharfen Winkel  $87^\circ 6'$  nach vorn, sie ist zwar blättrig, aber viel undeutlicher als bei der Hornblende. Ihre scharfe vordere Kante pflegt immer durch  $k = a : \infty b : \infty c$  und ihre stumpfe durch  $M = b : \infty a : \infty c$  gerade abgestumpft zu sein, wodurch eine charakteristische achtsseitige Säule entsteht, an deren Ende auf der Hinterseite ein Paar  $o = a' : c : \frac{1}{2}b$  herrscht, das sich unter  $120^\circ 39'$  schneidet, wonach Weiß den schief gegen die Axe c geneigten Paaren überhaupt den passenden Namen augitartige Paare (kurz Augitpaare) gab. Die Schief-



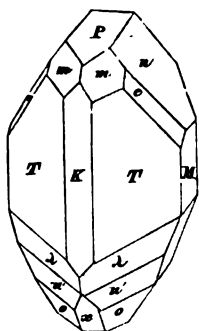
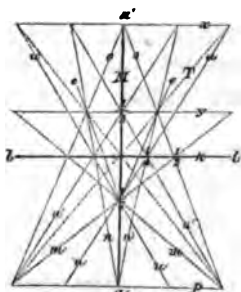
endfläche  $P = a : c : \infty b$  macht  $74^\circ$  gegen Axe  $c$ , die hintere Gegenfläche  $x = a' : c : \infty b$  dagegen  $74^\circ 37'$  gegen  $c$ , es muß sich daher die Axe  $A$  nicht wie bei der Hornblende hinten, sondern wie beim Feldspath vorn etwas hinab neigen, und  $A/c$  vorn  $90^\circ 20'$  machen. Daraus findet sich

$$a : b : k = 3,559 : 3,384 : 0,0207$$

$$\lg a = 0,55137, \lg b = 0,52938, \lg k = 8,31613.$$

Kotšcharow (Materialien IV. 228) fand die Neigung der Schiefendfläche vorn  $74^\circ 11' 30''$  und hinten  $74^\circ 30'$ , so daß die Differenz noch nicht  $19'$  betrüge.

Augit ist an Flächen viel reicher als Hornblende, besonders zeichnen

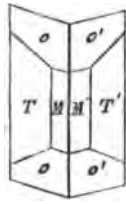


sich der lauchgrüne Fassait aus dem Fassait und Brossothale und der Diopsid aus. Es herrscht darin die Fläche  $n = a : c : \frac{1}{2}b$ ,  $82^\circ 43'$  über  $P$ , in deren Diagonalzone sie fällt. Vorn stumpft  $m = \frac{1}{2}a : \frac{1}{2}b : c$  die Kante  $P/T$  ab,  $m/m$   $131\frac{1}{2}^\circ$ . Hinten herrscht dagegen außer  $o$  das untere Augitpaar  $u' = \frac{1}{2}a' : \frac{1}{2}b : c$  mit  $96^\circ 36'$  in der Mediankante, der zuweilen auch vorn ein Paar  $u = \frac{1}{2}a : \frac{1}{2}b : c$  entsprechen soll, welches die Kante zwischen  $m$  und  $e = \frac{1}{2}a : \frac{1}{2}b : c$  abstumpfen würde. Ein noch schärferes Paar auf der Hinterseite bildet  $\lambda = \frac{1}{2}a' : \frac{1}{2}b : c$   $88^\circ 34'$ . Diese drei untereinander liegenden Flächenpaare  $o$  u'  $\lambda$  sind wichtig für die Orientirung in Hinten, indem ihre Kante mit  $T$  die scharfe Säulentante  $TT$  unter scharfem Winkel schneidet. Selten entspricht der  $n$  vorn hinten eine  $u' = a' : c : \frac{1}{2}b$ . Zuweilen zeigen sich auch undeutliche Anfänge von einer Geradendfläche  $e = c : \infty a : \infty b$ . In der Säule stumpft  $z = a : \frac{1}{2}b : \infty c$  die Kante  $M/T$  und  $z' = \frac{1}{2}a : b : \infty c$  die Kante  $k/T$  ab.

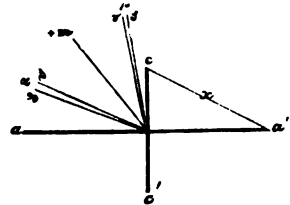
Auch die dreifach schärfere  $y = \frac{1}{2}a' : c : \infty b$  findet sich zuweilen. Hesseberg (Abh. Senck. Nat. Gesellsch. 1856. II. 178) gibt ein vollständiges Flächenverzeichnis: Geht man nach Raumann von dem  $2 + 1$ gliedrigen Ostaide  $o o m m$  aus, so sind die schiefen Axen  $a : b : c = 1,093 : 0,59 : 1$  und vorn  $a/c = 74^\circ 11'$ . Hiernach ergibt sich  $m$  111,  $o$  1'11,  $T$  110,  $P$  001,  $M$  010,  $k$  100,  $e$  1'02,  $x$  1'01,  $n$  021,  $n'$  1'21,  $u$  121,  $u'$  2'21,  $\lambda$  3'31,  $e$  131,  $z$  130,  $z'$  310,  $y$  2'01. Miller 011, 041, 3'01, 210, 120, 221, 4'83, 152. Hesseberg 1'12, 5'53, 3'13, 510, 3'12. Kotšcharow  $\rho$  3'32,  $\beta$  8'85,  $\lambda$  3'11,  $\gamma$  1'51,  $r$  552,  $\omega$  331,  $h$  441,  $\alpha$  312,  $l$  241,  $t$  351,  $x$  461. Nach rechtwinklichen Axen zusammengestellt, haben wir: 100, 010, 001; 110, 101, 1'01; 130, 310, 3'01; 1'21, 141, 411, 1'41, 1'10.1; 231, 321, 3'21, 341, 5'41, 251, 361, 541, 5'61, 651, 581, 761, 981, 7.10.1, 9.12.1, 11.16.5.

Zwillinge verdienen besondere Aufmerksamkeit, schon R. de l'Isle

bildete sie vorzüglich ab. Ihre Individuen setzen sich mit  $k = a : \infty b : \infty c$  an einander und liegen umgekehrt. Die basaltischen ringsum ausgebildeten zeigen dann an einem Ende einspringende Winkel. Bei den Alpinischen greift nicht selten diese Zwillingbildung so durch, daß man äußerst vorsichtig in der Deutung der Krystalle des Diopsides und Fassaits sein muß. Die Flächen  $m$  und  $l$  aus der ersten Rantenzone leisten hier durch ihre Winkel an der medianen Säulenkante, die vorn stumpf, hinten scharf sind, die besten Dienste. Die Zwillingsgrenze ist nicht selten so versteckt, daß die Optiker lange dadurch irre geführt wurden. Beim Strahlstein und Tremolith findet man mittelst Schliff sehr deutlich eine Querlinie. Zepharovich (Jahrb. 1871. 61) macht noch auf zwei andere ungewöhnliche aufmerksam: a) Fläche —  $P \infty = c : \frac{1}{2}a : \infty b$  gemein und umgekehrt. Sie durchwachsen sich. Es ist das eine unbekannte Fläche, welche die Mediankante von  $m = \frac{1}{2}a : \frac{1}{2}b : c$  abstumpfen würde; b) Fläche ( $P_2$ ) =  $c : \frac{1}{2}b : \infty a$  gemein und umgekehrt. Sie bilden ein Knie, oder durchwachsen sich. Auch diese Fläche 021 ist nicht bekannt, und auf die Seitenkante der Säule gerade aufgesetzt, es müßten daher die Flächen  $k = a : \infty b : \infty c$  in beiden Zwillingseindividen ein- spiegeln, wenn die Axen rechtwinklich wären. Doch rechnet Zepharovich eine Knickung von  $179^\circ 43' 50''$  aus.

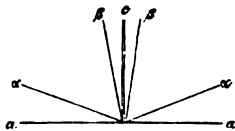


Die optischen Axen  $\alpha\beta$  liegen in der Axenebene  $ac$ , also parallel  $M$ , und machen unter sich etwa  $58^\circ 58'$ . cf. Tschermak Mineral. Mitth. 1871. 21. Da die Mittellinie (+ $m$ ) gegen Ase  $c$   $38^\circ 54'$  neigt, so ist  $\beta/c = 38^\circ 54' - 29^\circ 29' = 9^\circ 25'$ , beide optischen Axen  $\alpha\beta$  müssen also auf der vordern Seite (nicht auf der hintern) zwischen  $a$  und  $c$  heraustreten. Hüsser (Pogg. Ann. 1854. 91. 407) hat ihre Dispersion genau gemessen. Es gab



$\alpha$	$pc \dots 68^\circ 49' 2''$	$\beta$	$pc \dots 9^\circ 41' 11''$
	$vc \dots 68^\circ 6' 16''$		$vc \dots 9^\circ 56' 20''$
	$42' 46''$		$15' 9''$

Die Farben sind daher der Folge nach zwar wie bei 2gliedrigen Krystallen vertheilt, aber in  $\beta$  einander genäherter als in  $\alpha$ . Da man nun die Untersuchungen gewöhnlich an Diopsiden des Zillerthales anstellt, welche meist Zwillinge sind, so zeigt eine senkrecht gegen Ase  $c$  geschliffene Platte vorn dieselben Farbkreise mit einem schwarzen Streif, wie hinten, was an zweigliedrige Ordnung erinnert. Allein der Geübte merkt schon an dem Mangel von Lemniscaten, daß es Folge vom Zwilling sein muß (Ewald Pogg. Ann. 56. 171): man sieht in diesem Falle die beiden gleichen Axen  $\beta$ , und die von  $\alpha$  nicht, da ihr Winkel  $136^\circ 46'$  beträgt. Durchsichtige Säulen zeigen auf  $k$  100 schon unvorbereitet die beiden andern Bilder von  $\alpha$ ,



aber auch ohne Zernniscaten. Es liefert das zugleich ein vortreffliches Mittel, Zwillinge zu unterscheiden.

H = 4—6, Gew. 3,2—3,5. Wird durchsichtiger als Hornblende, aber zeigt sonst die gleichen Varietäten. Herrscht auch Grün und Schwarz, so kommen in den Vesuv'schen Auswürflingen doch gelbe bis weiße vor, die von Monticelli für Topas und Brehnit gehalten werden (v. Rath Pogg. Ann. Ergänz. VI. 337). Mehr Neigung zu körnigen als strahligen Bildungen, wodurch sie sich äußerlich von der Hornblende öfter leicht unterscheiden.

Chemisch läßt sich ein sicherer Unterschied von Hornblende und Augit kaum festsetzen, namentlich gibt es auch Thonerdefreie und Thonerdehaltige Varietäten, Flußsäure konnte jedoch G. Rose darin nicht nachweisen. Da sie aber im Allgemeinen etwas weniger Kiesel-erde als Hornblende enthalten, so gibt man ihnen wohl die Formel  $R^3 Si^2 = R Si$ , worin die Basis vorzüglich in Ca, Mg, Fe besteht. Nur darf man nicht vergessen, daß diesen hypothetischen Annahmen thatsächlich die Analysen oft durch- aus nicht entsprechen (Rammelsberg Pogg. Ann. 83. 488).

Das Vorkommen ist fast nie in Gebirgsarten, die freien Quarz oder mit Kiesel-erde gesättigte Feldspäthe enthalten, sondern sie bilden vielmehr mit Labrador, Olivin, Leucit, Nephelin u. Augitporphyr, Gabbro, Basalt, Leucitophyre, Nephelinge-Steine u. Noch besonders bemerkenswerth ist ihr Vorkommen in den Hochofenschlacken: die schönsten grauen Krystalle mit Winkeln von ungefähr  $87^\circ$  hat schon Röggerath von der Eisberger Eisenhütte bei Bigge in Westphalen beschrieben und Rammelsberg analysirt (Pogg. Ann. 74. 100). Auch der schönen lavendel-blauen Schlacken von Eisenhütten, die mit Coaks heizen (Neunkirchen bei Saarbrücken), kann man hier erwähnen: in ihren Drusenräumen finden



sich die schönsten achtfseitigen Säulen mit Geradenflächen. Obgleich das Matte und Bauchige der Flächen keine genaue Messung zuläßt, so scheint doch der Winkel der Hauptsäule nicht wesentlich vom rechten abzuweichen, deren Kanten gerade abgestumpft werden. Daher hat man die Säule quadratisch genommen und zum Symbolit Covell's gestellt (Gurt künstl. Mineral. 63), dem auch die Zusammensetzung nicht widerspricht. Nach Bischoff auf dem Mägdelsprung (Zeitschr. deutsch. Geol. Gesellschaft. V. 300) bilden sich die Krystalle hauptsächlich bei heftigem Ofengange. Wenn man dessen glühende Schlacke plötzlich durch kaltes Wasser abkühlt, so entsteht ein leichter zerreiblicher Wismutstein; beim Abkühlen auf trockener Unterlage ein durchsichtiges Glas; unter einer schützenden Decke von trockenem Sande obige Krystalle; in einer Grube mit warmem Kohlen-ge- stübbe kommt ein feinstrahliges Gefüge, woran Säulen von  $87^\circ$ ,  $124^\circ$  und andere Winkel erkennbar waren, was an Hornblende und Augit erinnert. In der Murg bei Freudenstadt finden sich ausgezeichnete strahlige- safrige Hochofenschlacken, die mit gewissen Strahlsteinen große äußere Aehnlichkeit haben. Hausmann (Götting. gelehrte Anzeigen. 1856. Nachr. pag. 201) hat solche als Chytrophyllit-  $R(Si, Al)$  und

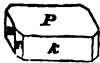
Chytostilbitischladen  $R^4$  (Si, Al)<sup>8</sup> unterschieden. Letztere stehen dem Hornblendetypus sehr nahe. Die Analyse der 8seitigen Säulen gab 41,1 Si, 10,9 Al, 20,6 Mn, 1,7 Fe, 23,7 Ca (Pogg. Ann. 74. 101). Kleine Augite auf dem Eisenglanz von Blaidt in der Eifel scheinen durch Sublimation entstanden zu sein. Bei den Ausbrüchen des Vesuvius 1822 und 1850 „haben sich Augit- und Hornblendekryrstalle durch Dampferhalationen auf Spalten gleichzeitig gebildet. Diese Neubildungen verbinden, gleich einem Cement, die Bruchstücke der primitiven Laven“ (Pogg. Ann. Ergbb. VI. 200).

1. Basaltischer Augit (blättriger Augit Wr.) kommt mit der basaltischen Hornblende zusammen in ringsum gebildeten schwarzen Kryrstallen TMko in Basalttuffen, Laven u. sehr ausgezeichnet vor. Am Pferdskopf in der Rhön stecken sie sogar zuweilen mitten in der Hornblende (Jahrb. 1859. 200). Die Bergmasse pflegt leichter zu verwittern, als die Kryrstalle, und dann kann man letztere in allen vulkanischen Gegenden in großer Menge sammeln. Sie liefern zugleich einen wesentlichen Bestandteil der Basalte, Mandelsteine und basaltischen Laven selbst. Der Gehalt an Thonerde steigt zwar nicht so hoch als bei der gleichnamigen Hornblende, doch immerhin auf 5—6 pC. Sie bilden sich noch ausgezeichnet schön in den heutigen Laven (Epochen der Natur pag. 169), und haben daselbst meist eine grünliche Farbe. Die aus dem Mandelstein des Fassathales zeigen eine Geradenfläche, sonst findet sich außer der 8seitigen Säule als Endigung selten mehr als das Augitpaar o. Diese gehen hier durch Verwitterung (C) leicht in grüne Austerkryrstalle über, die Brocchi schon 1811 kannte. Interessant die Kryrstalle im Meteorstein von Juvinas.

2. Gemeiner Augit mit dunkelgrüner bis rabenschwarzer Farbe. Die Zusammensetzung entspricht häufig der Formel (Ca, Mg, Fe) Si, dunkle enthalten nicht selten noch etwas Thonerde, wie die körnigen aus den Eisensteingruben von Arendal. Diesen sehr verwandt ist der rabenschwarze Jeffersonit von Sparta in New-Yersey, ein ausgezeichnete Augit, gern schaligblättrig, aber mit 4 Zn. Dem schwärzlichgrünen Ederbergit von Tunaberg fehlt die Talkerde, er hat dagegen 28 Fe, daher auch das hohe Gewicht von 3,5 erklärlich. Gruner hat sogar einen asbestartigen Augit mit 52,2 Fe analysirt, was fast genau einen Eisen-Augit  $Fe Si$  von 3,7 Gew. geben würde. Mit dem Lichterwerden der Farbe nimmt der Eisengehalt ab. So enthält der lauchgrüne, körnig abgeforderte Kokolith Andrada (κόκκος Kern) nach Bauquelin 7 Fe, Haüy Lehrb. Min. IV. 503. Er bildet in Südschweden Lager mit Kalkspath im Magnet Eisen. Rudernatsch gibt dagegen in dem dunkelgrünen Fassait neben 4,4 Al 12 Fe an, die Zwillinge mit den scharfen hintern Augitpaaren heißen wegen ihres thurmartigen Ansehens Pyrgom. Besonders schön krySTALLISIRT kommen diese bei Traversella in den Piemontesischen Alpen vor, quadratischen Säulen mit scharfen Endigungen gleichend. Die Lichtern vom Monzoniberg im Kalkspath mit schwarzem Spinell streifen schon an den Diopsid. Jene viel berühmte Fundstelle (Pogg.

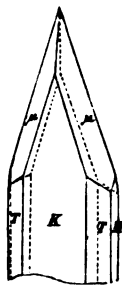
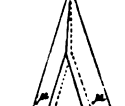
Ann. 128. 4.) liegt am Absturz eines 8570' hohen Berges von Syenit und Hypersthenit, wo auf der Grenze von Kalkstein und Dolomit der Fassait von Granat und Vesuvian begleitet wird, sie stecken wie der Gehlenit, Epidot, Spinell, Brandisit im Kalkspath, von dem sie oft nur mit Salzsäure befreit werden können. Nach dem Ramme zu stellen sich Brehnitugeln mit Aeginit ein. Ebenso der grüne und weiße Baikalit an den Quellen der Studjenta am Baikalsee. Auch der niedliche nadel-förmige Porricin (Ztschr. d. g. Ges. XVIII. 333) in den porösen Laven der Eifel soll hier hingehören.

3. Diopsid  $\text{Ca Si} + \text{Mg Si}$ , grün aber klar und durchsichtig, am Monte Rosa fast farblos, obgleich Exemplare zu optischen Versuchen brauchbar nicht zu den gewöhnlichen gehören. Haidinger (Sitzb. Wien. Akad. 1855. XVI) zeigte daran die conische Refraction. Der Haüy'sche Name soll nicht an die Durchsichtigkeit erinnern, sondern kommt von *dis* doppelt und *opsis* Ansicht, weil man über die Kernform doppelte Ansicht haben könne. Es pflegt die Oblongsäule  $kM$  zu herrschen, während die Säulenflächen  $T$  deren Kanten nur schwach abstumpfen,  $k$  ist bauchig gestreift. Die matten Schiefendflächen  $P$  und  $x$  fehlen nie, sind aber klein, die Paare  $m$  und  $u'$  dagegen stark ausgebeugt. Mit einem Ende aufgewachsen, welches blasser gefärbt zu sein pflegt, als das freie. Schönste Krystalle mit Granat in Spalten des Serpentin's Testa Ciavva (Kahlkopf) der Alp de la Mussa im Piemontesischen Aithale (Quellen der Stura), wo tiefer unten die Vesuviane lagern. Armlange und dicke Säulen im Chlorit vom Schwarzenstein im Zillertal, wurden früher verschliffen, sind aber jetzt selten geworden. Die Mineralgrube Achmatowsk nordwestlich Murjinsk liefert auf Gängen im Chloritschiefer die prachtvollsten Drusen klarer Krystalle mit Granat und Klinoklor. Sie werden zuletzt ganz weiß, am Vesuv in den Auswürflingen schön gelb (Monatsber. Berl. Akad. 1875. 344). In den Sommatblöcken mit meßbaren Glimmern. Geht wie der Strahlstein in Asbest über. Auch als Hüttenproduct aus dem Eisenhochofen zu Gammelbo (Westmanland). Hr. Daubrée bekam sie bei Behandlung des Kaolin mit überhitztem Wasser in kleinen einfachen und Zwillingsskrystallen (Etudes sur le Metamorph. 1860. 99). Der smaragdgrüne Lawrowit aus Transbaikalien dankt seine Farbe dem Vanadinegehalt, Kosscharow Water. V. 109.

4. Salit (d'Andrada Scheerer Journ. IV. 31) von der Salasilbergrube in Westmanland, berggrüne trübe strahlige Massen von der Zusammen-  

 setzung des Diopsides, aber in der Oblongsäule ist  $k = a : \infty b : \infty c$  entschieden blättrig, und dazu kommt eine noch deutlicher blättrige Schiefendfläche  $P = a : c : \infty b$ , welche auf  $M$  senkrecht steht, und sich leicht an den Querrissen erkennen läßt. Man hatte daher das Mineral lange mit Feldspath verwechselt, allein da es entschieden weicher ist, so nannte es Abilgaard Malakolith (*μαλακος* weich). Die blättrige  $k$  könnte man sich gefallen lassen, sie führt zum Diallag, aber die blättrige  $P$  überrascht, und doch darf man sie wegen

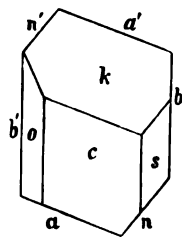
ihres Glanzes kaum für Absonderungsfläche halten. Nicht blos in Schweden, sondern auch die berggrünen Strahlen in der Muffa-Alp (Muffit), am Monte Rosa und von Gefrees im Fichtelgebirge zeigen diesen merkwürdigen Querbruch. Im Riesengebirge (Jahrb. 1875. 785) sollen sie sogar mikroskopische Gemengtheile mehrerer Schiefer bilden.

5. Akmit Berz. (ἀκμή Spitze) wurde von Ström im Quarz bei Eger ohnweit Rongsborg in feinglangen Strahlen eingewachsen gefunden (Pogg. Ann. V. 138), die dort sehr gemein sind. Schon die übermäßig gestreckten 8seitigen Säulen mit ihren Winkeln stimmen vollkommen mit Augit, k breiter als M, am Ende herrscht (außer  $o = a' : c : \frac{1}{2}b$ ) ein sehr scharfes Paar  $\mu = \frac{1}{2}a' : \frac{1}{2}b : c$ , und die Krystalle vorn wie hinten müssen Zwillinge sein, die Zwillingsgrenze in einer feinen Linie parallel der breiten k im Querbruch leicht verfolgbar. Durch das Zerschlagen des Quarzes bekommt man Endflächen, nach Hrn. v. Rath (Jahrb. 1860. 447) aber nur an einem Ende, das andere scheine aufgewachsen und dann erst vom Quarze umhüllt zu sein. Die bräunlich schwarzen Krystalle haben außen einen starken Flächenglanz, innen sind sie dagegen gänzlich matt, wie stark veränderte Afterskrystalle. Daraus mag sich auch theilweis die von Augit abweichende Zusammenziehung  $Na Si + Fe Si^2$  erklären lassen.



Verzelius fand 55,2 Si, 31,2 Fe, 10,4 Na. Schmilzt leicht zu einer magnetischen Perle. Schreiben wir  $\text{Na Si} + \text{Fe Si}^2$ , so kann man das zweite Glied, wie beim Spodumen pag. 268, als dreierwerthig vom ersten betrachten. Rammelsberg (Ztschr. d. g. Ges. XXI. 110) will daraus den Isomorphismus erklären.

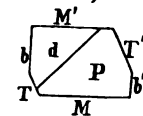
6. Rother Mangankiesel (Rhodonit, *родон* Rose) nach seiner Rosenfarbe, übrigens nicht mit Mn C zu verwechseln. Man findet ihn meist in derben feinkörnigen, hornsteinartigen Massen, doch kommt er zu Sanghanshytta in Bermeland blättrig im körnigen Eisenglanz vor mit dem Winkel der Augitsäule, auch gab die Analyse von Berzelius  $\text{Mn}^3 \text{Si}^2 = \text{Mn Si}$ . Der von Schabrowa bei Katharinenburg wird zu Gefäßen und andern Luxusfachen verschliffen; auch hier konnte G. Rose den Säulenwinkel messen. Aber wir dürfen dabei nicht übersehen, daß Jngelströms **Pajsbergit** von der Pajsberger Eisengrube bei Philipstad mit 42 Mn dieselben blättrigen Brüche, dieselbe rosenrothe Farbe hat, und trotz des Augitwinkels von Dauber (Pogg. Ann. 94. 398) eingliedrig befunden wurde. Nach Kokscharow (Material. IV. 178) haben wir eine rhomboidische Säule  $n/a = 106^\circ 19'$ , mit doppelsechiefer Endfläche c, die sehr blättrig ist. Der zweite Blätterbruch b stumpft die scharfe Säulenkante ab, und bildet den genannten Augitwinkel  $b/c = 87^\circ 39'$ . Würde man k als hintere Gegenfläche  $a':c:\infty b$  ansehen, so wäre  $s = a:\frac{1}{2}b:c$ , Winkel  $c/k = 148^\circ 45'$ . Der rosenrothe **Fowlerit** mit schwarzem Franklinit und



gelbem Polyhabelphit (Granat) ist mit gekloffener Oberfläche nach Art des Pargasit in Kaltspath eingesprengt, aber schon die zwei ungleich blättrigen Brüche mit dem Augitwinkel verrathen ihn als hierhin gehörig. Der röthlich graue Buxtonit von Mexico hat viel Kalk  $2 \text{ Mn Si} + \text{Ca S}$ , am Berge Civillina bei Vicenza gleichen sie excentrisch strahliger Hornblende. Auch der

Babingtonit Levy (Pogg. Ann. 5. 150) von Arendal gleicht einer rabenschwarzen Hornblende, an der Oberfläche aber glänzend wie schwarzer Turmalin,  $H = 6$ , Gew. 3,4, ist jedoch eingliedrig wie die vorigen: eine Säule  $M/T$  bildet etwa  $112^\circ 30'$ , den Blätterbruch von  $T$  kann man in Splintern darstellen. Die scharfe Kante wird durch  $b$  sehr ungleich abgestumpft, so daß  $b$  mit dem Blätterbruch  $T$  etwa  $155^\circ$  bildet. Dadurch entsteht dann in der Säule der Augitwinkel  $M/b' = 87^\circ 30'$ ,

wie die Horizontalprojection zeigt. Trotz der kleinen Krystalle hält es nicht schwer, sich ohne Messung zurecht zu finden, zumal da sie leicht nach dem deutlichen Blätterbruch  $P$  wegspringen, der ziemlich rechtwinklich gegen die Säule



zu stehen scheint,  $P/M \ 92\frac{1}{2}^\circ$ . Sodann fehlt selten die einseitige Endfläche  $d$ , welche mit  $P$  den stumpfen Winkel  $150\frac{1}{2}^\circ$  macht, nach ihrer Kante ist das Ende gestreift. Wenn auch die Winkel ein wenig abweichen, so findet doch im Ganzen erfreuliche Uebereinstimmung statt, wie auch neuerlich H. v. Rath (Pogg. Ann. Ergänz. V. 120) nachgewiesen hat. Schon die schwarze Farbe läßt vermuthen, daß  $\text{Mn}$  ganz fehle,  $\text{Ca}^2 \text{Fe Si}^{12}$ . Durch Verwitterung verlieren auch die rothen ihre Farbe, und bilden im Rieselschiefer am Schebenholze bei Elbingerode ein schwarzes, grünes, rothes Gestein, fast mit Jaspisbruch, woraus man sogar gewagt hat, verschiedene Mineralspecies zu machen. Die Schwärze entsteht offenbar durch Oxydation des Mangans, wie beim Klipsteinit Jahrb. 1866. 354. Der Cumingtonit von Massachusetts 3,4 Gew. ist theils strahlige Hornblende, theils Rhodonit. Der rabenschwarze Aegirin (nach einem skandinavischen Meergotte) bricht mit Glaeolith im Zirkonsyenit der äußersten Klippe (Lamö) des Brevig-Fiords. Er hat Natron, aber die 8seitige Säule des Augits, dem er auch vor dem Löthrohre gleicht. Nach Rammeisberg  $(\text{Ca}, \text{Na}, \text{Fe}) \text{Si} + \text{Fe Si}^3$ . Der rothbraune Schefferit scheint sich optisch wie Diopsid zu verhalten, Descloizeaux Mém. Inst. franc. XVIII. 167.

### 3. Blätteraugite,

woran  $k = a : oob : ooc$  blättriger ist als die Säule  $T = a : b : ooc$ . Optisch erweisen sie sich 2gliedrig. Man hat mehrere Varietäten unterschieden. Sie spielen in den Gabbrogesteinen eine auffallende Rolle, stets in Verbindung mit Labrador. Dahin gehören besonders folgende drei:

Hypersthen Haüy (*ὕπερ* über, *σθένος* Kraft), weil er sich durch stärkern Glanz und stärkere Härte von Hornblende unterscheiden sollte,



wozu ihn Werner (labradorische Hornblende) stellte. Als Haug den Unterschied von Hornblende nachgewiesen hatte, nannte ihn Werner Paulit von der St. Paulsinsel bei Labrador, von wo er damals einzig und allein bekannt wurde und zwar in Begleitung des prachtvoll farbespielenden Labrador's, welches Gestein den Namen Hypersthenfels führt (Pogg. Ann. 34. 30). Der deutliche Blätterbruch  $k$  zeigt einen halbmetalischen ins Kupferroth spiegelnden Schiller nach einseitiger Richtung; senkrecht dagegen steht der safrige Bruch  $M = b : \infty a : \infty c$ . Versteckt liegen die Brüche der Augitischen Säule  $T/F = 88^\circ$ . Nach Descloizeaux verhält er sich optisch zweigliedrig, und zwar liegt die Ebene der optischen Axen nicht wie bei Augit in  $ac$ , sondern in  $bc$  (petite diagonale) parallel dem Blätterbruch  $k$ . Freilich läßt sich das mit dem einseitigen Schiller (Nebelbild), der nach Dr. Rossmann (Jahrb. 1871 pag. 502) von eingelagerten Brookittäfelchen herrühren soll, nicht in Einklang bringen. Die Bilder sind charakteristisch, und schon mit der Lupe in dünnen Längsschliffen zu sehen: zahllose Oblongtäfelchen liegen längs der Faser, und ändern sich im polarisirten Lichte nicht, können daher nicht Brookit sein, quer dagegen schmale dunkle Täfelchen, und außerdem noch schwarze Flecke. Braune Farbe gewöhnlich, dichroitisch. Härte 6, Gew. 3,4. Vor dem Löthrohr schmilzt er schwer,  $Mg\ Si + Fe\ Si$ . Verwächst gern mit Hornblende und enthält meist Titaneisen. Außer der St. Paulsinsel ist der Hypersthenfels von Elfdalen berühmt, welcher verschliffen wird, Nadeln von Apatit und Olivin enthält. Prachtvoll sind die großen Blätter von Wolpersdorf bei Neurode in Schlesien, der von Penig in Sachsen neigt schon zum krummblättrigen, ist aber noch Kupferroth, im Gestein von Le Prese (Veltlin) ist er bereits so blättrig, daß diesen G. Rose schon zum Diallag im engeren Sinn stellte, obgleich die braune Farbe stark an Hypersthen erinnert. Harz, Hebriden, Amerika.



Bronzit (Alaprotz Beitr. V. 11) aus dem Serpentin von Kraubat in Steiermark, und später noch ausgezeichnet von Kupferberg auf dem Fichtelgebirge, in den Olivinmassen am Stempel bei Marburg zc. Nach seiner lichten tombakbraunen Farbe genannt; da diese ins Rostenbraune geht, so nannte ihn Werner blättrigen Anthophyllit. Die Fläche  $k$  bildet zwar noch den deutlichsten unter den Blätterbrüchen, allein sie ist eigenthümlich krummflächig und safrig, daher zeigt sich auch bei der Bewegung ein innerer Lichtschein, Gew. 3,27. Er steht an der Grenze der Schmelzbarkeit, aber da man von ihm leicht die feinsten Fasern spalten kann, so läßt sich an dieselben ein Köpfchen schmelzen.  $3\ Mg\ Si + Fe\ Si$ , doch wechselt der Eisengehalt. Im Serpentin von Kupferberg wird er durch Verwitterung so weich wie Talc (P h ä s t i n), fühlt sich auch fettig an, ohne Lichtschein und Faserstructur aufzugeben. Eine eigenthümliche Veränderung! Bronzite spielen in den Meteoriten neben Olivin eine besondere Rolle (Monatssb. Berl. Akad. 1870. 417). Im Meteoriten von Breitenbach bilden sie sogar, wie Olivin und Asmanit, runde Kugeln mit

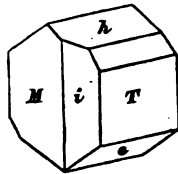
Facetten, bislang die einzigen bekannten Krystalle. In der 4  $\pi$  schwere Meteorit 17. Juni 1870 von Ibbenbüren in Westphalen hat 26 Mg, 17 Fe (Monatsh. Berl. Akad. 1872. 24) in der grauen Grundmasse, und besteht darnach ganz aus Bronzit. Beim Kloster Laach kommen in den Bomben kleine braune flächenreiche Krystalle vor mit den Winkeln des Augits  $T/T = 88^\circ 20'$ ,  $o/o = 121^\circ 8'$ , aber zweigliedrig mit 25 Fe, 18 Mg (Pogg. Ann. 138. 532), Fr. v. Rath nannte sie daher *Amblystegit* (*ἀμβλῖς* stumpf, *στῆγη* Dach), sie gehören ebenfalls einem eisenreichen Bronzit (Pogg. Ann. 139. 519). Gänzlich eisenfrei ist dagegen

*Enstatit* (*ἐνστατης* Segner), vom Berge Idjar bei Aloisthal in Mähren in einem grünen thonergebaltigen „Pseudophit“ (Sitzb. Wien. Akad. XVI. 100), wegen seiner Unschmelzbarkeit so genannt, die vom gänzlichen Eisenmangel herrührt, Mg Si mit 39 Mg. Grau, Härte 5—6, Gew. 3,2. Der Protobastit (Jahrb. 1862. 526) im Schillerfels der Baste am Harze scheint davon nicht verschieden. Ueber die Blätterbrüche sind die Schriftsteller nicht einig, es ist schwer zu entscheiden, ob man  $T/T$  oder  $k$  für deutlicher halten soll. Den asbestartigen Grunerit könnte man der Magnesia entgegen für einen reinen Eisenaugit Fe Si halten.

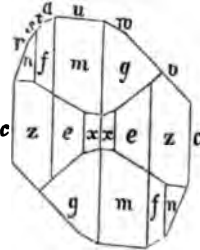
*Diallag* *Haüy* (*διαλλαγή* Veränderung), eine sehr gesuchte Benennung, die auf die Ungleichheit der Blätterbrüche anspielen soll. Hauptsächlich mit Labrador in der Gabbro. Der blättrige Bruch  $k = a : \infty b : \infty c$  wird so ausgezeichnet, daß er häufig an Glimmer erinnert, der Säulenbruch  $T$  nicht mehr erkennbar, aber nach  $M = b : \infty a : \infty c$  springt er säfrig weg. Gern grüne Farbe,  $H = 4-5$ , Gew. 3,2—3,4. Vor dem Löthrohr schmilzt er leichter als Bronzit, aber schwerer als Augit. Man gibt ihm die Formel des Augits ( $3 \text{ Mg} + 2 \text{ Ca} + \text{Fe}$ ) Si, obgleich der Winkel der Säule noch nicht nachgewiesen wurde. Es ist hier auch Schillerspath pag. 300, der aus Protobastit entstanden sein soll, zu vergleichen. Die Ebene der optischen Axen (Websky, Ztschr. v. g. Ges. XVI. 551) liegt entgegen den Bronziten wieder senkrecht gegen den Blätterbruch, also in der Medianebene, man darf nur ein Blättchen abspalten, so gibt das im Polarisationsmikroskop ein Ringsystem. Als Normalspecies sieht man den bronzefarbenen von Le Prese an, Kleinblättriger sind die berggrünen von der Baste im Harzburger Forst, am Rande mit nelfenbrauner Hornblende verwachsen (Pogg. Ann. 13. 101). Die grünen sind meist verdächtig, denn gerade die schönsten fast smaragdgrünen im Saussurit von Turin und Corsica (Saussure's Smaragdit) sollen nach Haidinger Gemische von Hornblende und Augit sein (Gilbert's Ann. 1823, Band 75. 505). Beide nicht selten mit einander so verwachsen, daß ihre Axen  $a, b, c$  respective zusammenfallen. Es erinnert an die Asterbildung des Uralits pag. 308 und ist um so merkwürdiger, da sich solche Verwachsungen bei der ganzen Diallaggruppe wiederholen. Gewöhnlich dringt die Hornblende in etwas anderer Farbe vom Rande her ein. Werner's *Omphacit* (*ὄμφαξ* unreife Traube) nach der grünen Farbe genannt, kommt körnig in Begleitung von rothem Granat und blauem

mit besonders schön bei Hof im Fichtelgebirge und am Bacher in Steyermark vor. Auch hier ist Hornblende mit Augit unregelmäßig miteinander gemischt. Am Bacher soll das zum Smaragdgrünen sich färbende Fossil Augit und das braunere Hornblende sein.

**Wollastonit Haüy** (Breslau Geologie, deutsch. III. 200). Schon 1793 brachte ihn Stüß am Wiener Museum in den blauen Kalken mit braunen Granaten und Buntkupfererz von Czislowa Tafelspath, Werner Kalkstein und Klaproth (Beitr. III. 200) lieferte die Analyse, welche auf  $\text{Ca Si}$  also augitische Zusammensetzung führte, allein das Krystallsystem kann damit nicht in Uebereinstimmung gebracht werden, es ist, wie im Epidot, gewendet 2 + 1gliedrig: die schneeweißen Strahlen aus Finnland und dem Banat zeigen 4blättrige Brüche, denen auch nicht selten sehr deutliche Krystallflächen entsprechen, die beiden entgegengesetzten aber einander ungleichen M/T schneiden sich nach Phillips unter  $95^\circ 20'$ , nach der deutlicher blättrigen Bruch werden die Massen breitstrahlig; ein dritter stumpft die stumpfe Säulenkante ungleich ab,  $i/T = 135^\circ 30'$  und  $i/M = 139^\circ 45'$ ; selbst ein 4ter, welcher die scharfe Säulenkante von  $84^\circ 40'$  abstumpft, schimmert öfter deutlich.



Später maß Brooke (Pogg. Ann. 23. 200) einen Krystall aus den Würfeln des Vesuvius, der ebenfalls 4 Blätterbrüche in einer Zone hatte, und wozu das Gegenstück im Museum von Neapel zu liegen scheint (Pogg. Ann. 138. 200), so daß wir es mit einem **Unicum** zu thun hätten, was die bisherige Unsicherheit über die Form zur Geringfügigkeit entschuldigt. Nach Herrn vom Rath haben diese Krystalle  $a : b : c = 1,053 : 0,9677$ , Axe  $a$  neigt sich vorn hinab, und bildet  $c = \alpha = 95^\circ 29' 49''$ . Wir haben hier also offenbar den Phillipschen Winkel M/T, der nur um  $10'$  weicht, und damit die gewendete 2 + 1gliedrige Stellung: die Säule  $e = a : b : \infty$  macht vorn den Augitwinkel  $e/e = 87^\circ 18'$ . Es liegen in der Säulenzone  $x$  120,  $z$  320,  $c$  100; vor der Endfläche  $u$  001 folgen in der Verbalzone vorn,  $v$  101 und  $w$  102, hinten  $t$  1'01,  $a$  1'02,  $s$  2'01,  $r$  3'01. Endlich die Augitpaare  $g$  101,  $m$  1'22,  $f$  1'11,  $n$  3'22. Bei den Krystallen von Capo di Bove liegen die optischen Axen in der Symmetrienebene, daher kann die Deutung von Rammelsberg (Pogg. Ann. 103. 202) nicht richtig sein. Vergleiche auch Kobell (Münch. Gelehrte Anz. 1843. II. 040) über den serpentinarartigen Spadaït von Capo di Bove.



Härte 4—5, Gew. 2,8. Weiße bis schneeweiße Farbe, durch Kratzen mit einem Messer und Erwärmen phosphorescirend. Sehr brüchig.

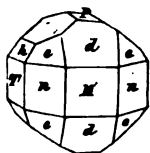
Vor dem Löthrohr schmilzt er ziemlich schwer zu einer klaren Perle, gibt dabei eine von Kalk herrührende schwache rothe Färbung der Flamme. Salzsäure zerlegt ihn und bildet eine Gallerte; dagegen ist das geschmolzene Glas unlöslich. 51,4 Si, 47,4 Ca. Im körnigen Kalkspath im

Banat und in Finnland (Perheniemi). Bei Auerbach an der Bergstraße im spätigen Kalke mit Granat. Verschieden davon ist das Vorkommen im Mandelstein von Dumbarton, in der Lava von Capo di Bove, in den Auswürflingen des Vesubs von Granat und Leucit begleitet. Eigentümlich die dendritischen Ablagerungen im Kalkstein von Berggießhübel. Knollen finden wir in den neuesten Laven von Santorin mit 8 Al, die als Al Al gedeutet wird (Fouqué, Compt. rend. 80. 681). Als Seltenheit in den Basalttuffen der rauhen Alp mal zufällig vorgekommen, die wahrscheinlich von gebrannten Kalk einschläffen herrühren.

#### 4. Olivin.

Werner schrieb 1790 im Bergmännischen Journal III. 2 pag. 54 eine besondere Abhandlung darüber, und hieß ihn nach seiner olivengrünen Farbe, schied aber den edlen Olivin als Chrysolith ab, doch vereinigte sie Haüy wieder unter dem in Frankreich bei den Steinschleifern gebräuchlichen Namen Peridot. Chrysolithus beschreibt Plinius 37. 42 als einen goldgelben Stein (aureo fulgore), daher nimmt es Wunder, daß die Mineralogen vor Werner alle harten durchsichtigen gelblichgrünen Steine, wie Olivin, Turmalin, Chrysoberyll, Beryll, Prehnit, Apatit, Zirkon, Flußspath zc. darunter begriffen, während derselbe besser auf die gelbe Farbe des Topases gepaßt hätte. Man scheint hauptsächlich durch Wallerius' Mineralogie in diesen Fehler gefallen zu sein.

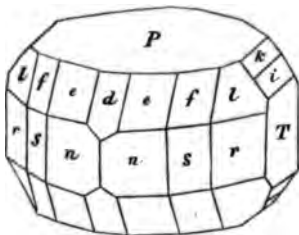
Zweigliedriges Krystallsystem: eine geschobene Säule  $n =$



$a : b : \infty c$  bildet vorn den stumpfen Winkel von  $130^\circ 2'$ . Dieselbe wird aber meist tafelartig durch die längsgestreifte Fläche  $M = a : \infty b : \infty c$ . Die matte  $T = b : \infty a : \infty c$  ist nur sehr versteckt blättrig. Die Geradenfläche  $P = c : \infty a : \infty b$  gewinnt selten an Ausdehnung. Ein auf die stumpfe Säulenkante aufgesetztes Paar  $d = a : c : \infty b$   $76^\circ 54'$  (in c) ist wegen des starken Glanzes leicht meßbar. Aus den Winkeln von  $n/n$  und  $d/d$  ergibt sich

$$a : b = 0,794 : 1,704 = \sqrt{0,6304} : \sqrt{2,908},$$

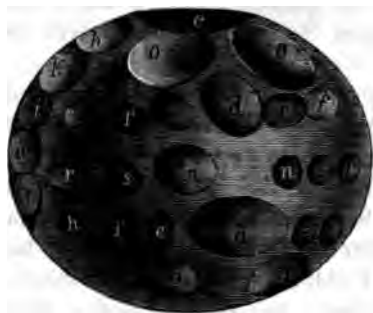
$$\lg a = 9,89983, \lg b = 0,23148.$$



Die glänzenden Oktaederflächen  $e = a : b : c$  mit  $139^\circ 54'$  in den vordern Endkanten fehlen selten, ihre seitliche Endkante wird durch die rauhen  $h = b : c : \infty a$  gerade abgestumpft, die sich unter  $119^\circ 12'$  schneiden; rauh ist ferner  $k = \frac{1}{2}b : c : \infty a$   $80^\circ 53'$ , da nun auch in derselben Zone P und T matt war, so kann man sich darnach leicht in die Stellung der Krystalle finden. Schöne deut-

liche Formen gehören übrigens zu den Seltenheiten, um so mehr überraschte es, als G. Rose (Pogg. Ann. 4. 106) aus dem **Pallas'schen Meteor-**

eisen, worin schon Chladni 1794 Olivin nennt, die flächenreichsten Krystalle beschrieb, welche außer  $nPT$ ,  $d$ ,  $e$ ,  $k$  noch  $i = \frac{1}{2}b : ooa : c$ ,  $f = a : c : \frac{1}{2}b$ ,  $l = a : c : \frac{1}{2}b$ ,  $s = a : \frac{1}{2}b : ooc$  und  $r = a : \frac{1}{2}b : ooc$  hatten. Sonderbarer Weise sind aber die meisten Krystalle gerundet, so daß sich die Facetten nicht schneiden, wie es Kotscharow (Material. V. Tab. 76 Fig. 8) treu darstellte. Die Form des Olivins hat große Aehnlichkeit mit der



des Chrysoberylls, aber Zwillinge kennt man kaum (am Besten), diese kommen jedoch bei den Asterkrystallen des Serpentin nach Olivin häufig vor pag. 299, sie haben  $h = b : c : ooa$  gemein. Ja bei diesen Asterkrystallen finden sich noch die Flächen  $\delta = \frac{1}{2}a : c : oob$ ,  $\epsilon = \frac{1}{2}a : b : c$ ,  $\phi = \frac{1}{2}a : \frac{1}{2}b : c$  und  $\lambda = \frac{1}{2}a : \frac{1}{2}b : c$ , welcher Reichthum an Sumit erinnert. Kotscharow (Material. VI. 22) hat alle bekannten Flächen in einem großen Bilde zusammengestellt. Die Ebene der optischen Axen fällt in  $ab$ , +  $a$  die Mittellinie, wovon man sich sofort an dünnen Krystallen ziemlich sicher überzeugt. Dies und die Zwillinge haben einige veranlaßt,  $a$  als Hauptaxe zu nehmen. Härte 7, Gew. 3,35, Glasglanz, große Durchsichtigkeit und gelblichgrüne Farbe. In Dünnschliffen zeigen die Pallassischen feine Kanäle parallel der Hauptaxe  $c$ , bei den irdischen sieht man oft Flüssigkeitsporen pag. 211.

Im Feuer bleibt er fast unverändert und schmilzt namentlich nicht vor dem Löthrohr, nur die mit starkem Eisengehalt werden angegriffen. Im Knallgebläse schmilzt er, gibt aber kein Glas, sondern krystallinische Substanz. Kalkerde ist ihm fremd,  $Mg^3 Si = Mg^2 Si$ , dagegen enthalten alle einen bedeutenden Gehalt an Fe, die irdischen auch etwas Nickel und Cobalt, und Berzelius gibt bei den Pallassischen und Böhmischen bis 0,2 Kupfer- und Zinnoxyd an, noch merkwürdiger arsenige Säure (Kummel Pogg. Ann. 49. 201 und 84. 202). „Salzsäure greift ihn nicht merklich an, dagegen wird das Pulver von Schwefelsäure vollkommen zur Gallerte zerlegt.“ 41,2 Si, 50,3 Mg, 8,5 Fe. Der Feldspath führende Basalt bildet fast die einzige Fundstätte, hier kommt er nicht bloß in einzelnen Körnern eingesprengt vor, sondern auch in kugelförmigen Haufen von  $\frac{1}{4}$  bis über 2' Durchmesser, wie am Dreißer Weiher bei Dockweiler in der Gifel, zu Naurod bei Wiesbaden u., vermischt mit bräunlichem Bronzit, grünem Diopsid und Chromeisen (Picotit). Solche Hauswerke sind schwer erklärlich, und erscheinen zumal bei der Unschmelzbarkeit wie fremdbartige Einschlüsse. Im Hypersthenfels von Elfdalen erkaunte G. Rose zuerst gelblichen Olivin, später fand er sich im Talkschiefer am Berge Itkul südlich Syberd bei Katharinenburg in olivengrünen durchsichtigen Stücken, bis Faustgröße (Erdmann's Journ. prakt. Chem. 1849. Bd. 46. pag. 222). Ein ähnliches derbes Mineral im Talkschiefer von Ryschtimst hat man Glin-

lit genannt, was „einigermaßen das Erscheinen des Serpentin Krystalls von Snarum erklärt“. Jetzt spricht man in Spanien und Neuhollland (Dunit) von Olivinbergen pag. 300, und zieht auch den Obergolith aus den Pyrenäen herbei, der vorwaltend aus Olivin neben Enstatit bestehen soll. Ja Daubrée (Compt. rend. 59. 722) führte durch Schmelzen den Serpentin wieder auf Olivin  $R^2 Si$  und Enstatit  $R Si$  zurück, bei jenem herrscht Mg und Fe, bei diesem Mg und Ca. Der Fluß nahm leicht Kieselersde auf, und wurde Enstatit. Auch der Pitrit von Teichen besteht zur Hälfte aus Olivin. Auf die schönen Olivine in den Höhlungen des Pallassischen Meteorsteins wurde oben aufmerksam gemacht, schon Biot zeigte, daß es keine glasige Masse, sondern eine krystallinische Substanz mit zwei optischen Axen sei, und neuerlich beweist Ebelmen (Erdmann's J. p. Ch. 1851. Bd. 54. pag. 162), daß man leicht gelbe durchsichtige Kry- stalle bekomme, wenn man in einem offenen Gefäß auf Platinblech 4,5 Si + 6,1 Mg + 6 B mit einander schmelze, woraus die leichte Bildung in Basalten erklärlich erscheint. In neuern Laven soll er dagegen nicht vorkommen, wohl aber erklärte Shepard (Silliman Amer. Journ. XXX. 200) die perlgraue Masse des Meteorsteins 1. Mai 1860 von New-Concord in Ohio durchaus für Olivin, obwohl er wie gewöhnliche Meteorstein- masse aussieht.

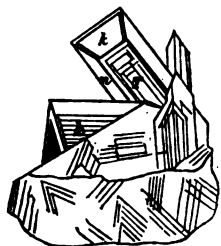
Chrysolith (edler Olivin) wird vielfach verschliffen, und angeblich aus Egypten und Brasilien in rohen Körnern eingeführt. Die geschliffenen kann man leicht mit Vesuvian verwechseln.

Hyalosiderit Walchner de Hyalosiderite Diff. 1822 (valos Glas) aus dem Mandelstein der Limburg bei Sasbach am Kaiserstuhl unmittelbar am Rhein. Ein Eisenolivin mit 29,7 Fe. Freilich haben die meisten stark durch Verwitterung gelitten, sie laufen dann ziegelroth an. Kleine Oktaeder mit den Flächen  $ks Tn$ . Schmilzt zu einer magnetischen Schlacke. Der Eulysit im Gneis von Lunaberg hat sogar 54,7 Fe. Kleine flächen- reiche blutrothe Krystalle finden sich in den Sanidinbomben am Laacher See.

Monticellit Brooke aus den Sommaauswürflingen gleicht wie der Forsterit daselbst einem farblosen Chrysolith, nach Scacchi aus  $Mg^3 Si + Ca^3 Si$  bestehend, aber nach G. v. Rath beträgt der Winkel  $n/n$  133°, ist also um 3° größer als beim Olivin. Bei Vesmeda am Monzoniberg ist er leicht mit Fassait zu verwechseln, sie bilden nicht selten Asterkrystalle, welche mit zahllosen Nadeln von Fassait erfüllt sind. Schon der Händler Augustin hat von dort sehr weiche serpentinöse Asterkrystalle verbreitet, mit einer Säule  $a : b : \infty$  von etwa 130° und einem zugehörigen Oktaeder  $a : b : c$ , deren Seiten durch  $b : \infty a : \infty$  gerade abgestumpft werden. Ich habe diese immer für ächten Olivin gehalten. Der nach seiner Froschlaichähnlichen Farbe genannte Batrachit Breithaupt's vom Rizoniberge in Südtirol, eine 2' mächtige Bank mit Kalispath und schwarzem Spinell im Syenit bildend, soll die gleiche Zusammensetzung haben, nur noch 3 pC. Fe enthalten, obgleich er als rhombische Säule von 115° mit schwachem Blätterbruch beschrieben wird. Breithaupt's Te-

**phroit** von Sparta in New-Jersey mit Franklinit und Rothzinkerz könnte ein Mangandryolith sein,  $(\text{Mn}, \text{Fe})^3 \text{Si}$ , allein die aschgraue körnige Substanz kennt man nicht krystallisirt. Vergleiche auch **Rnebelit**  $(\text{Mn} + 2 \text{Fe})^3 \text{Si}$ , der sich in Dalarne auf den Eisensteingruben massenhaft findet, und zur Darstellung von Spiegeleisen benutzt wird. Der grüngelbe **Voltonit** von Massachusetts ist fast reine  $\text{Mg}^3 \text{Si}$ .

**Eisenfrischschlacke (Fayalit).** Bei dem Frischprozeß des Eisens (Hausmann in Moll's N. Jahrb. Berg. Hütt. 1812. III. 22) bilden sich unter gewissen Umständen (Rossmann, Pogg. Ann. 137. 137) sehr blättrige krystallinische Schlacken von eisenschwarzer Farbe mit einem Stich ins Gelbe. Mitscherlich (Abh. Berl. Acad. 1822 pag. 29) hat davon zuerst nachgewiesen, daß sie nicht bloß die Formel eines ausgezeichneten Eisenolivins  $(\text{Fe}^3 \text{Si})$ , sondern auch die Form haben. Es sind treppenförmige Oblongoktaeder (Kastendrußen) mit  $n = a : b : \infty$   $130^\circ 28'$  und  $k = \frac{1}{2}b : c : \infty$   $81^\circ 17'$ , deren eine Ecke durch  $T = b : \infty a : \infty$  nicht selten so stark abgestumpft wird, daß es papierdünne Tafeln gibt. Solche Tafeln von Feldspathhärte haben aber immer Neigung sich zu zelligen Oblongoktaedern zu gruppiren, weshalb sie auch eine ausgezeichnete doppelte Streifung parallel  $T/n$  und  $T/k$  zeigen. Ein deutlicher Blätterbruch  $P = c : \infty a : \infty b$  stumpft die scharfe Kante  $k/k$  gerade ab, auf demselben erkennt man öfter in ausgezeichneter Weise die Absonderungstreifen der Tafeln, so daß derbe körnige Stücke auf ihren Bruchflächen Figuren zeigen ähnlich den Widmannstätten'schen an geäxtem Meteoreisen. Liegt  $T$  im Niveau der erkalteten Schlackenoberfläche, so zeigt sich eine merkwürdige **briefcouvertartige** Streifung. Auf der Hütte zu **Wasseraalengen** kommen gar liebliche Stücke der Art vor, ganz übersät mit zahllosen wirr durcheinander liegenden „Couverten“ gelb in den Längs- und roth in den Querstreifen schillernd. Dazwischen lagern sich auch blaue **Schäferde**, deren Winkel von etwa  $81^\circ$  einen Durchschnitt nach  $a : \infty b : \infty$  verräth.



Streifungen vom Mittelpunkte scheinen auf Zwillinge zu deuten. Donndorff (Leonh. Jahrb. 1860. 222) hat das alles vorzüglich auseinander gesetzt. Obgleich der Fayalit von der Azorischen Insel Fayal etwas leichter schmelzbar, härter und magnetischer ist als die Buddelschlacken im Allgemeinen, so ist doch sein Wesen so durchaus ähnlich, daß er wohl zweifelsohne zu den gleichen Kunstprodukten gehört, welche die Schiffe dort als Ballast hinführten. Die Farbe mancher solcher Schlacken gleicht dem Eisenglanz, ihre Krystalle haben auch wohl einen gelblichen Schmelzüberzug, was lebhaft an die rothe Hülle des Hyalofiderits erinnert. Miller gibt viele seltene Flächen an  $T$  010,  $P$  001,  $a$  100,  $n$  110,  $k$  021,  $d$  101,  $h$  011,  $i$  041,  $u$  230,  $s$  120,  $r$  130,  $v$  150,  $e$  111,  $f$  120,  $l$  131, die mit den gleichnamigen beim Olivin stimmen.

**Humit** aus den Sommalblöcken (1817 von Graf von Bournon nach





Im dritten häufigsten Typus, der seines Flächenreichtums wegen wahrscheinlich mit Phillips' schöner Figur stimmt, wornach  $r^8/r^8 = a/a = 129^\circ 40'$  ist, geht man von  $e^4 = a : b : \infty$   $158^\circ 24'$  und  $i^8 = b : 2c : \infty$   $141^\circ$  aus, dann folgt für

## Typus III.

$$a : b : c = 0,1907 : 1 : 0,1765.$$

Setzt ist nun  $n^4 = a : b : c$ ,

$$n^5 = a : c : \frac{1}{2}b, n^6 = a : c : \frac{1}{3}b,$$

$$n = a : c : \frac{1}{7}b; r^8 = a : \frac{1}{2}c : b,$$

$$r^7 = a : \frac{1}{3}c : \frac{1}{2}b, r^6 = a : \frac{1}{2}c : \frac{1}{3}b,$$

$$r^5 = a : \frac{1}{3}c : \frac{1}{7}b, r^4 = a : \frac{1}{2}c : \frac{1}{8}b,$$

$$r^3 = a : \frac{1}{2}c : \frac{1}{11}b, r^2 = a : \frac{1}{2}c : \frac{1}{18}b,$$

$$r = a : \frac{1}{2}c : \frac{1}{18}b; i^8 = b : 4c : \infty a,$$

$$i = b : 6c : \infty a; e^8 = a : \frac{1}{3}b : \infty c,$$

$$e^2 = a : \frac{1}{3}b : \infty c, e = a : \frac{1}{7}b : \infty c; m = a : \frac{5}{2}c : \frac{1}{3}b, m^2 = a : \frac{5}{2}c : 3b.$$

Werkwürdig ist an diesen Aen, daß bei gleicher  $b = 1$  die  $a$  und  $c$  sich der Reihe nach wie die Zahlen  $7 : 5 : 9$  verhalten. Denn

$$a = 0,245 \cdot 7 = 0,343 \cdot 5 = 0,19 \cdot 9 = 1,717$$

$$b = 0,227 \cdot 7 = 0,318 \cdot 5 = 0,176 \cdot 9 = 1,59.$$

Würde man daher von den Aen  $a : b : c = 1,717 : 1 : 1,59$  ausgehen, so blieben in allen Typen die Ausdrücke von  $b$  gleich, die  $a$  und  $c$  des ersten Typus müßte man aber mit 7, des zweiten mit 5 und des dritten mit 9 dividiren. Da sämtliche Ausdrücke rational bleiben, so steht krystallonomisch nichts im Wege, sie einem Systeme unterzuordnen.

Herr vom Rath (Pogg. Ann. 1871 Ergzb. V pag. 321) hat mit dem besten Material ausgerüstet die Sache nochmals einer vollständigen Kritik unterworfen. Derselbe geht von der Grundform  $n = a : b : c$  aus, dann ist beim

Typus I  $a : b : c = 1,08 : 1 : 4,4$ . Ungewöhnlicher Weise, wird dabei die größere Seitenaxe  $a$  und die kürzere  $b$  genannt, so daß Fläche  $B = a : \infty b : \infty c$

und  $A = c : \infty a : \infty b$  wird, wir sehen daher die linke Hälfte unseres copirten Krystalls von der Vorderseite, mit dem scharfen übrigens nicht vorhandenen Säulenwinkel von  $85^\circ 35'$ .

Es sind daran dann sofort folgende Zeichen klar:

$$n = a : b : c, \frac{1}{2}n = 3a : 3b : c; e = a : c : \infty b,$$

$$\frac{1}{2}e = 2a : c : \infty b, \frac{1}{3}e = 3a : c : \infty b, \frac{1}{4}e = 4a : c : \infty b,$$

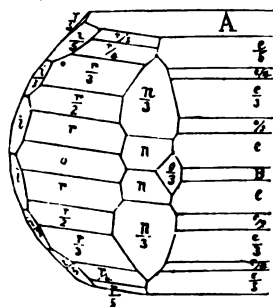
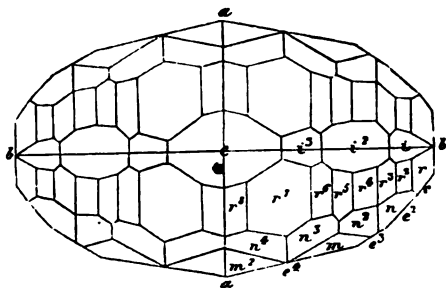
$$\frac{1}{5}e = 5a : c : \infty b; i = b : c : \infty a,$$

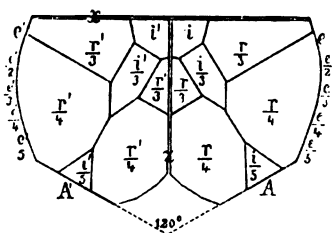
$$\frac{1}{2}i = 3b : c : \infty a, \frac{1}{3}i = 5b : c : \infty a; o =$$

$$2a : b : \infty c, r = 2a : b : c, \frac{1}{2}r = 2a : b : \frac{1}{2}c; \frac{1}{3}r = 2a : b : \frac{1}{3}c;$$

$$\frac{1}{4}r = 2a : b : \frac{1}{4}c; \frac{1}{5}r = 2a : b : \frac{1}{5}c; \frac{1}{6}o = 2a : 3b : \infty c.$$

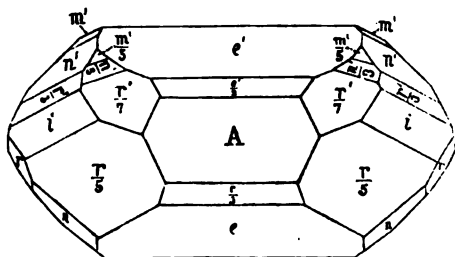
Gemiedrien kommen bei diesem Typus nicht vor, wohl aber Zwillinge, welche eine Fläche  $\frac{1}{2}e = \frac{1}{2}a : c : \infty b = z$  aus der vordern Verticalzone gemein haben und umgekehrt liegen. Die Zwillingsebene selbst ist auffallender Weise als





senkrecht auf  $z$  stehend, etwa  $\frac{1}{2}e = 7a : c : \infty b$  ist. H. v. Rath glaubt nun andere Zwillingstücke zu finden, worin er  $x$  aus derselben Verticalzone als Zwillingsebene und umgekehrt  $z$  als Berührungsfläche ansehen möchte. Sogar Drillinge, die sich mit ihrem stumpfen Winkel von  $120^\circ$  an einandersetzen, kommen vor.

Typus II  $a : b : c = 1,08 : 1 : 3,144$ .



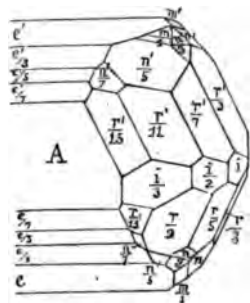
gewöhnlich erscheint derselbe durch regelmäßiges Fehlschlagen einzelner Flächen gewendet  $2 + 1$ gliedrig, wie nebenstehende Horizontalprojection auf  $A = c : \infty a : \infty b$  zeigt: die Grundform  $n = a : b : c$  erscheint daran vollständig, aber  $\frac{1}{2}n' = a' : b : \frac{1}{2}c$  hinten, und vorn nicht, wäh-

rend umgekehrt vorn  $r = a : \frac{1}{2}b : c$ , hinten dagegen  $\frac{1}{2}r' = a' : \frac{1}{2}b : \frac{1}{2}c$ , vorn  $\frac{1}{2}r = a : \frac{1}{2}b : \frac{1}{2}c$ , hinten  $\frac{1}{2}r' = a' : \frac{1}{2}b : \frac{1}{2}c$ . Die Augitpaare  $m' = \frac{1}{2}a' : \frac{1}{2}b : c$  und  $\frac{1}{2}m' = \frac{1}{2}a' : \frac{1}{2}b : \frac{1}{2}c$  liegen nur hinten, dagegen ist die vordere Verticalzone  $e = a : c : \infty b$  und  $\frac{1}{2}e = a : \frac{1}{2}c : \infty b$  vorn und hinten vertreten. Sonderbarer Weise kommt nun wieder der ganz analoge Zwilling vor, wonach die beiden Individuen sich mit einer Fläche aus der vordern Verticalzone  $\frac{1}{2}e = 5a : c : \infty b = x$  verbinden und umgekehrt liegen. Die Zwillingsebene halbiert diesmal den scharfen Winkel  $A/A' = 60^\circ 24'$ , woraus für den stumpfen Winkel  $119^\circ 36'$  folgt, es kommt daher die Säule der Zwillingflächen  $\frac{2}{3}/\frac{2}{3}$  wieder  $120^\circ$  sehr nahe.

Suchen wir jetzt wieder die auf  $c : 5a$  senkrechte Begrenzungsebene  $z$ , so ist dieselbe eine Reciproke  $\frac{1}{5R} = \frac{a}{5R^2}$ , wenn wir zuvor  $a : b : c = 0,3436 : 0,3181 : 1$  gemacht haben, was  $\frac{1}{5R^2} = 1,6938$  gibt, also  $\frac{2}{3} = 1,666$  nahe kommt. Rath nimmt nun diese  $\frac{2}{3}a : c : \infty b$  in einem zweiten Falle als Zwillingsebene, die auch als Kristallfläche auftritt. Da selbst Drillinge vorkommen, welche sich mit dem stumpfen Säulenwinkel in ein-

ander schieben, und dadurch mit den Flächen u ein Diagonalrechtliches Ansehen annehmen, so haben wir es auch hier wohl nur mit einem Zwillingseise zu thun.

Typus III  $a : b : c = 1,08 : 1 : 5,66 = 0,19 : 0,177 : 1$  tritt bei weitem am häufigsten auf, und gehört nicht bloß unter den Sumiten, sondern unter den Mineralien überhaupt zu den flächenreichsten. Auch hier findet wieder, wie beim zweiten Typus, eine Hineigung zum  $2 + 1$ -gliedrigen Statt. Zwar liegen in der Verticalzone vor wie hinter  $A = c : ooa : oob$  die Flächen  $e$  101,  $\frac{c}{3}$  103,  $\frac{c}{3}$  105,  $\frac{c}{3}$  107, auch können die Paare  $i$  012,  $\frac{1}{3}$  014,  $\frac{1}{3}$  016 von keiner Hemiedrie betroffen werden. Desto häufiger aber die Oktaederreihe  $r$  und  $m$ : denn während die Reihe von  $n$  111,  $\frac{r}{3}$  113,  $\frac{r}{3}$  115,  $\frac{r}{3}$  117 noch vollständig bleibt, wechseln die  $r$  zwischen vorn und hinten durchgängig ab:  $r$  121,  $\frac{r}{3}$  1'23,  $\frac{r}{6}$  125,  $\frac{r}{7}$  1'27,  $\frac{r}{9}$  129,  $\frac{r}{11}$  1'2.11,  $\frac{r}{13}$  1.2.13,  $\frac{r}{15}$  1'2.15. Ebenso  $m$ '3'21,  $\frac{m}{3}$  323,  $\frac{m}{9}$  3'29. Zwillingsebene ist die häufig als große Fläche auftretende  $\frac{c}{3}$ ,  $= 3a : oob : c$ , nur zeigt sich wegen des Unterschiedes zwischen vorn und hinten, häufiger die hintere  $\frac{c}{3}$  und selten die vordere  $\frac{c}{3}$ . Die reciproke Fläche  $\frac{a}{3a} = 0,92a$  nähert sich zwar der  $a : oob : c$ , weicht aber mehr ab, als bei den vorhergehenden Typen, daher wird von diesen Zwillingen nicht gesprochen.



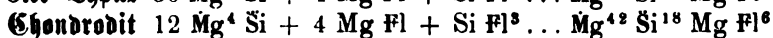
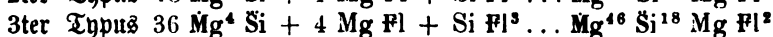
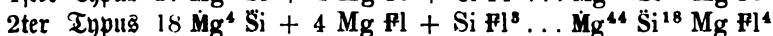
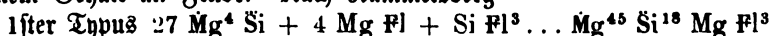
Im Ganzen kommen in allen drei Typen 137 Einzelflächen vor, worunter 14 Otktaeder, 16 Augitpaare, 12 Paar oob, 8 Paar ooa, 3 Säulen ooc, welche letztere nur im ersten Typus bekannt sind. Nur zweimal fallen im 2ten und 3ten Typus zwei Augitpaare zusammen  $II + \frac{r}{5} = III + \frac{r}{9}$  und  $II - \frac{m}{5} = III - \frac{m}{9}$ , so daß das Projectionsbild außer dem Arentkreuz 133 Linien zeigt.

Vergleichen wir nun diese Arten mit denen des Olivins, wo

$$a : b = 0,794 : 1,704 \text{ oder } 2a : b = 1,59 : 1,704$$

war, so stimmen sie vollkommen mit Sumit, wenn man  $2a \text{ (Ol.)} = c \text{ (Hum.)}$  und  $b \text{ (Ol.)} = a \text{ (Hum.)}$  setzt. So hat Kotscharow (Material. VI. 88) den Russischen Chondroit von Finnland, vom Ural und Transbaikalien dargestellt.

Vor dem Löthrohr unsmelzbar, im Wesentlichen  $Mg^4 Si$  aber mit einem Gehalt an Fluor. Nach Rammelsberg



(χρόνος Korn) Graf d'Ohsson Kongl. Vet. Acad. Handl. 1817  
pag. 206. Wachsgelbe Körner eingesprengt in den körnigen Ralf mit

Graphit von Sparta in New-Jersey, mit Bargasit von Bargas in Finnland 2c. Gute Krystalle selten. Nach Dana 2+1gliedrig: eine geschobene Säule von  $68^\circ$ , darauf ein vorderes Augitpaar von  $89^\circ$  und ein hinteres von  $80^\circ$  (in der Medianante) aufgesetzt. Wegen der Zusammensetzung aber dennoch wahrscheinlich mit dem zweiten Typus von Sumit stimmend, was auch Nordenskiöld (Pogg. Ann. 1855. 96. 110) und Kofscharow (Material. VI. 85) zu beweisen suchen. Kofscharow stellt den Flächenzusammenhang besonders klar dar. Doch würde es zu weit führen, das alles hier ausführlich vorzulegen, zumal da gute Krystalle gerade nicht viel in unsern deutschen Sammlungen sind.

### 5. Dichroit.

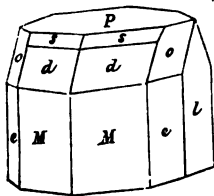
Find sich zuerst am Cabo de Gata in Fündlingen mit rothen edlen Granaten, die von basaltischer Lava eingeschlossen werden, Werner's Jolith (*Zov* Beilchen). Freilich kannten schon längst die Steinschleifer den Saphir d'eau (Buchsaphir, Gesner de fig. lap. 1565. 88) von Ceylon, welchen Werner als Peliom (πελιωμα Farbe des unterlaufenen Bluts) unterschied. Cordier (Journ. de phys. 1809. 208) machte zuerst auf Krystallform und Dichroismus aufmerksam, daher nannte ihn Haüy Cordierit. Bis auf Mohs wurden sie für Ggl. gehalten. Tannau (Pogg. Ann. 12. 408) hat die Krystallform am besten auseinander gesetzt. Sie sind ohne Zweifel

Zweigliedrig, aber die Krystalle nicht mit dem Goniometer meßbar: rhombische Säule  $M = a : b : \infty$  ungefähr  $120^\circ$ , Oktaeder  $d = a : b : c$  macht mit der Säule  $M$  einen Winkel  $M/d = 140^\circ$ . Daraus ergibt sich

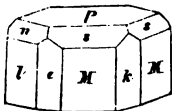
$$a : b = \sqrt{0,9388} : \sqrt{2,8164} = 0,869 : 1,678,$$

$$lga = 9,98628, lgb = 0,22484.$$

Die Geradenfläche  $P = c : \infty a : \infty b$  dehnt sich immer stark aus;  $l = b : \infty a : \infty c$  fehlt selten und ist etwas blättrig, sie bildet mit  $M$



den Winkeln nach eine reguläre sechsseitige Säule; da nun auch sämtliche gerade Abstumpfungen ihrer Kanten,  $k = a : \infty b : \infty c$  und  $e = a : \frac{1}{2}b : \infty c$ , nicht fehlen, so hielt Haüy ihn für Ggliedrig. Dazu kam nun noch, daß öfter das Oktaeder  $s = a : b : \frac{1}{2}c$  mit  $n = b : c : \infty a$  auftritt, welche auf der sechsseitigen Säule eine förmliche dihexaedrische Endigung bilden,  $s/M = 120^\circ 48'$ . Die zweigliedrige Ent-

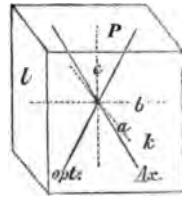


wicklung spricht sich aber besonders durch  $o = a : c : \frac{1}{2}b$ , und durch den Mangel von Flächen über  $l$  aus, so daß, wenn auch die optischen Kennzeichen uns nicht zu Hilfe kämen, wir über das System heute nicht mehr in

Zweifel sein würden. Neuerlich wurden bei Bodenmais auch Zwillinge bekannt.

Durch seinen „Dichroismus“ ward das Mineral seit Cordier

berühmt. Besonders geeignet sind dazu jene schön blauen Geschiebe von Ceylon, die man unmittelbar untersuchen kann. Will man jedoch die Sache gründlich nehmen, so muß daraus ein nach den Azen orientirter Würfel geschnitten werden, dessen Flächen den Pkl parallel gehen: quer durch P, also parallel der Aze c, gesehen, haben wir das stärkste Blau, dunkel Indigblau; quer durch k, also parallel der Aze a, wird das Blau entschieden blasser; endlich quer durch l, also parallel der Aze b, schwindet das Blau oft gänzlich, der Krystall erscheint schmutzig gelb oder farblos. Das dunkelste Blau tritt in der Richtung der optischen Mittellinie, welche mit c zusammenfällt, hervor, und der Mangel an Farbe in der Richtung der mit b zusammenfallenden optischen Senkrechte. Die negativen optischen Azen liegen nemlich nach Haidinger in der Azelebene bc und machen mit c einen Winkel von  $31^{\circ} 25'$ , nach Descloiszeaux variiert er nach den Fundorten. Ein Ceylonisches Geschiebe in Terpentinöl getaucht, läßt sofort im Polarisationsmikroskop ein Azenbild wahrnehmen. Dichroit absorbiert wie Turmalin polarisirtes Licht gänzlich, kann also ebenso benützt werden, allein da er optisch 2axig ist, so wirken die Platten sowohl längs als quer der Hauptaxe c geschliffen (Bogg. Ann. 1820 V. 10).



Gewicht 2,56, Härte 7—8, Violblau, Grün, bis farblos, muscheliger Bruch, wie Quarz, aber zum Fettglanz geneigt.

Vor dem Löthrohr schmilzt er schwierig an den Kanten.  $Mg^3 Al^3 Si^5$ , aber meist ein bedeutender Gehalt an Fe vorhanden.

Die meisten kommen uns von Bodenmais im bayerischen Walde, wo sie, mit Magnetkies derb im Granit brechend, ein Medailleur Wisger entdeckte und Walch (Naturforscher 1776 St. 7 pag. 201) als Leucosaphiri beschrieb. Die dortigen Krystalle sind innen grün und blau, aber außen schwärzlich. Ein vorzüglich blauer von Orijärvi bei Abo in Finnland im Kupferkies mit 2,6 Gew. ist Steinheilit genannt, ähnlich auch zu Evedestrand bei Brevig. In den Kupferkieslagern von Falun, dem Magneteisen von Arendal, im Granat von Grönland und Suddam.

Dichroit zog in neuern Zeiten noch in hohem Grade die Aufmerksamkeit auf sich durch die Leichtigkeit, mit welcher er verwittert und in Folge dessen Wasser aufnimmt. Da seine Zusammensetzung nichts Ausgezeichnetes hat, und die Säulen mit Geradenfläche immer an 6gliedrige Krystalle mahnen, so erklärt das die Schwierigkeit der richtigen Deutung (Bischof Lehrb. chem. phys. Geologie II. 209).

Falunit Hisinger aus dem grünen Talkschiefer der Kupfergruben von Falun. Eine Serpentinartige ölgrüne Masse mit splittigem Bruch bis auf Kalkspathhärte hinabgehend. Nach Haidinger überzieht er öfter noch unzersehten Dichroit, der in denselben Gruben vorkommt. Einige davon sollen Blätterdurchgänge zeigen (Triclasit Wallmann's), aber schimmern auch nur wachsglänzend, Hausmann beschreibt auch diesen zweigliedrig, nennt einen Säulenwinkel von  $120^{\circ} 32'$ , so wenig auch die

Beschreibung zum Dichroit passen mag. So soll auch der Weissit, Hausmann's schaliger Triclasit (Pogg. Ann. 14. 100) von dort 2+1gliedrig sein, sich aber sonst nicht unterscheiden lassen. Dagegen steht der harte Falunit dem unveränderten Dichroit schon näher, so daß in jenen berühmten Kupfergruben durch Aufnahme von Wasser (bis 14 H) eine ganze Reihe von Austerkrystallen, sich zu bilden scheint. Zu Haddam in Connecticut kommt der Chlorophyllit ebenfalls mit frischem Dichroit zusammen vor, das Mikroskop zeigt darin noch die größte Menge unverändert, der Verwitterungsprozeß gieng wie bei der Serpentinisirung des Olivins von zahllosen Rissen aus (Wichmann, Jahrb. 1875. 104).

Pinit Werner's fand sich zuerst im verwitterten Granit des Pinitollens zu Schneeberg, der nach dem Vater Pini seinen Namen bekommen hatte, weil Bergmeister Bauer im Granit dieselben Feldspathie wie bei Baveno fand. Die schwärzlichgrüne durch Eisen oder rothgefärbte Masse ist un- und umkrystallisirt, und bildet eine 12seitige Säule mit Geradenfläche. Die Winkel der Säule sind etwa  $150^\circ$ , daher nahm sie Haüy für die beiden regulären sechsseitigen Säulen. Freilich muß man sich hüten,



alles Pinitähnliche hier unterbringen zu wollen. Die Geradenfläche sonderet sich öfter schalig ab, so deutlich, daß man es für Blätterbruch halten könnte, daher wurden sie auch lange zum Glimmer gestellt. Die Analysen geben zwar Si und Al etwa wie beim Dichroit, aber statt der Kalkerde finden wir 6—12 Kali, welches in Verbindung mit 4—8 H die Veränderung bewirkt zu haben scheint. Analysen haben bei solchen veränderten Mineralen nur ein sehr bedingtes Gewicht. Besonders ausgezeichnet findet man die Krystalle zu Morat und andern Orten der Auvergne in feinkörnigem Granit eingesprengt. Hier herrscht öfter eine oblonge Säule, und ihr ganzer Habitus erinnert in auffallendem Grade an Dichroit, ja es kommen auch oktaedrische Abstumpfungen vor. Im Granit von Haddam in Connecticut findet sich Pinit mit Dichroit unter Verhältnissen zusammen, daß nach Shepard der eine aus dem andern entstanden zu sein scheint. Bei allen solchen zeigt das Mikroskop noch unangegriffene Krystallmasse. Steht dieß einmal fest, so sind dann auch eine Menge Serpentinartiger derber und krystallisirter Stücke erklärlich, welche sich an so vielen Stellen des Urgebirges namentlich in verwitterten Graniten finden: bei Forbach im Murgthal (grün), im Gneis am Schloßberge bei Freiburg, im Thonporphyr von Geroldsau südlich Baden-Baden an der Dörs (Dosit). Nordenfjöld's Gigantolith aus dem Granit von Lammella in Finnland; Pyrrargillit rothe derbe Masse von Helsingfors; Thomson's Bonsdorffit von Abo; Erdmann's Prasolith im Gneis von Bräcke bei Brevig, der Esmarkit ebendaher, Scheerer's Aspasolith von Kragerö, noch einen Kern von Dichroit enthaltend, der Iberit von Montoval bei Toledo, der grünlichstrahlige jette Killinit aus den Granitgängen von Killiney bei Dublin u., alle sind im Allgemeinen 12seitig, grün und Serpentinartig, und kommen

häufig noch in der Nähe vom Dichroit vor, umhüllen ihn sogar. Bischof findet den Grund dieser merkwürdigen Zersetzung in der schaaligen Bildung der Krystalle, zwischen deren Fugen das Wasser leicht eindringe, Kieselsäure und Magnesia entführe, und statt dessen Wasser, Kali, Kalk &c. absetze; nur Al und Fe werden gewöhnlich nicht alterirt. Von chemischen Formeln kann bei solchen Veränderungen wohl kaum die Rede sein.

Die gelblichgrünen Krystalle des Giesekit's von Grönland und des Libenerit's von Predazzo, beide in einem rothen Feldspathporphyr, bilden reguläre sechsseitige Säulen mit Geradendfläche, das stimmt mit Nephelin besser als mit Cordierit. Da jedoch jener mehr in vulkanischen Gesteinen zu Hause ist, so hat man auch an diesen gedacht. Der Gehalt ist etwa 50 Si, 30 Al, 9 Ka, 5 H, Entscheidung ist hier nur durch Forschungen auf der Lagerstätte möglich. Optisch verhalten sich beide durchaus amorph. Vergleiche auch Pinitoid (Jahrb. 1859. 718).

Nach dem Gesagten scheint Dichroit für Urgebirge das zu sein, was Olivin für vulkanische Gesteine: beide gehen durch Verwitterung in eine Serpentinartige Masse über. Daher stellt man Dichroit auch besser hier hin, als an das Ende der Edelsteine.

### Asbest.

*ἄσβεστος* unzerstörbar, der Name aus dem Alterthum überliefert, in der goldenen Laterne der Minerva zu Athen war ein solcher Docht aus Karystischem Flachse wie Pausanias berichtet. Plinius 19. 4 handelte ihn als *Linum vivum* bei den Pflanzen ab: *nascitur in desertis adustisque sole Indiae, ubi non cadunt imbres, inter diras serpentes, assuecitque vivere ardendo. Agricola 703* Federwis, plant, salamanderhar.

Man begreift darunter verschiedene faserige Fossile, die besonders mit Hornblende und Augit, doch auch mit Glimmern und andern in Beziehung stehen, aber immer etwas Wasser enthalten. Die Faser ist bald spröde bald gemein biegsam, weiß mit einem Stich ins Grün. Vor dem Löthrohr schmelzen einzelne Fasern nicht sonderlich schwer, größere Mengen widerstehen aber dem gewöhnlichen Feuer.

Amiant (*ἀμιαντος* unbesleckt, schon von Dioscorides gebraucht). Plinius 36. 31 *Amiantus alumini similis nihil igni deperdit. Agricola 609: quod ignis adeo non inquinat ipsius splendorem, ut etiamsi in eum conjicitur sordidus, nihil deperdens, nitidus et splendens extrahatur.* Höchst zartfaserig häufig mit einem seidenartigen Schiller. Im Wasser gehen die Fasern so leicht auseinander und zeigen sich so biegsam, daß sie „der schönsten weißen Seide“ gleichen. Ihr Hauptlager ist wie beim Strahlstein und Diopsid im Talkstiefer, von dem sie auch die Milde angenommen haben mögen. Ein Asbest aus der Tarantaise hatte nach Bonsdorf Strahlsteinbestandtheile 58,2 Si, 22,1 Mg, 15,5 Ca, 3,1 Fe; ein anderer von Schwarzenstein Diopsidmasse 55,9 Si, 20,3 Mg, 17,8 Ca, 4,3 Fe, freilich mit unwesentlichen Unterschieden.

Der feine Asbest (Bergflachs) kann mit Flachs zusammen gesponnen und gewoben werden. Bei Newjansk im Gouv. Perm bildet er einen ganzen Berg, und wurde früher verarbeitet (Ausland 1858. 40). Im Feuer brennt dann bloß der Flachs heraus, das Gewebe wird nicht zerstört. Die Alten sollen sich daher nach Plinius 19. 4 desselben zu Leichengewändern bedient haben, um beim Verbrennen die Asche der Todten von der des Holzes zu sondern. Die Gewänder, deren man mehrere wieder aufgefunden hat, waren aber so kostbar als Perlen. Kaiser Karl V hatte davon ein Tischzeug, das er zur Belustigung seiner Gäste nach eingenommener Mahlzeit ins Feuer werfen ließ. Heutiges Tages gehört Amiant in den Hochgebirgen zu den gewöhnlichen Erfunden, schon Dolomieu sammelte auf Corsika so viel, daß er sich desselben statt Heu zum Verpacken der Minerale bedienen konnte.

Bergforn entsteht, wenn die Faser sich verfilzt. Manche davon fühlen sich fett und kalt an, sie mischen sich mit Talz (Bergfleisch); andere mager und warm, werden schwimmend leicht, und könnten mit Meerschäum verwechselt werden. Auf Erzgängen und in den Hochalpen. Oft Asterbildungen.

Gemeiner Asbest, darunter versteht man die Abänderungen mit spröderer Faser, die Farbe meist grün, weil sie vom Strahlstein herkommt. Einige dieser Massen werden fest und brechen zu langen gestreiften, trummschaligen oder geraden Splintern, die in Serpentinartige Dinge übergehen. Am Schneeberge bei Sterzing unweit Claufen in Tyrol werden dieselben in Folge von Verwitterung holzbraun, und da trummschalige Stellen wie Aeste darin vorkommen, so nannte sie Werner Bergholz, aber trotz ihrer auffallenden Holzähnlichkeit besteht die Faser unter dem Mikroskop nur aus Kügelchen; die organische Zelle fehlt.

Es liegt in der Natur der Sache, daß der safrige und asbestartige Zustand einer Menge von Mineralien zukommen muß: denn die safrige Bildung beim Gyps, Aragonit, Weißbleierz zc. hat offenbar dieselbe Bedeutung. Nur liefert bei Silicaten die Analyse keinen so sichern Anhaltspunkt, daher die Zweifel in einzelnen Fällen. Oft aber können nachbarliche Minerale entscheiden: so kommt in der Dauphiné Epidot asbestartig vor.

Hyssolith Saussure Voy. Alp. Nro. 1696 gleicht grauen und blondfarbigen Menschenhaaren, aber trotz dieser Feinheit bleibt er glasig spröde, weil er auf Spalten der Feldspathgesteine mit Adular und Bergkrytall in den Hochalpen einbricht. Das Vorkommen muß wohl in einzelnen Fällen entscheiden, ob man sie für Strahlstein oder Diopsid halten soll. Ein ähnliches aber noch viel feinhaarigeres Fossil bildet der Breislakit, röthliche verworrene Fasern liegen in Drusenlöchern der Lava von Capo di Bove bei Rom und in der Lava della Scala am Vesuv. Nach Chapman's Messungen hat er die Winkel des Augits.

Krokydolith Hausmann (кроки's Flocke), durchzieht zu Zatafok am Cap das Magnet- und Brauneisen, wie schillernder Asbest pag. 300



den Serpentin. Indigblau, wie Vivianit, und viel zäher als Amiant kann man ihn zu den feinsten Fasern zerpalten, selbst feine Fäden verlangen zum Zerreißen noch einer merklichen Kraft, und die Reißfläche zersert sich gerade wie Pflanzenfaser. Vor dem Löthrohr schmelzen die Stücke zwar leicht, kommen aber nicht so stark zum Fluß, daß sie sich kugeln. Wenn daher irgend ein Mineral auf die dem Alterthum so wichtige Eigenschaft des Asbestes Anspruch machen kann, so dieses.  $50,3 \text{ Si}$ ,  $35 \text{ Fe}$ ,  $6,7 \text{ Na}$ ,  $2,2 \text{ Mg}$ ,  $5,8 \text{ H}$ ,  $3 \text{ Fe Si} + \text{R Si}^2 + 2 \text{ H}$ . Eine erdige Abänderung brachte Lichtenstein von der roode gebroken Klip an den Ufern des Oranje River mit. Auch blaue Beschläge am Sapphirquarz pag. 241, hat man dafür gehalten, daher nannte es Leonhard saßrigen Siderit, Alaproth (Beitr. VI. 207) Blau-eisenstein. Im Birkonshenit von Stavern im südlichen Norwegen verwachsen blaue Fasern innig mit Arfvedsonit pag. 309, der ihm durch seine Zusammensetzung gleicht.

## V. Granaten.

Die Thonerde spielt in ihnen eine wichtige Rolle. Härte und Schönheit der Farbe nähert sie den Edelsteinen, als welche sie auch häufig verschliffen werden. Sie sind schon sparsamer im Gebirge zu finden, als die Hauptglieder der bisher abgehandelten 4 Familien.

### 1. Granat.

Die Alten stellten ihn zum *Ἄγρας* Theophrast 31, Carbunculus Plinius 37. 25. Bei Albertus Magnus de mineral. II. 7 soll das Wort Granatus zuerst vorkommen, auch Agricola 625 erwähnt Carbunculi nigrioris aspectus, quos juniores vocarunt granatos, veteres Carchedonios. Durch Wallerius wird der Name geläufiger, man leitet ihn von der Farbe der Blüthe und Körner der Granatäpfel ab. Borax granatus Linné. Grenat ou Basalte Tessulaire de l'Isle Essai 272. Garnet.

Reguläres System. Rhombendodekaeder vorherrschend, dasselbe daher passend Granatoeder genannt. Um und um krystallisirt, besonders ausgezeichnet eingesprenkt in die Chloritthiefer am St. Gotthardt, Zillerthal, Falun. Niemals eine Ecke abgestumpft, daher Würfel und Ottaeder lange gänzlich unbekannt, was das Erkennen erleichtert. Erst Franz (Jahrb. 1858. 70) fand förmliche Würfel im Kalkspath des Ober-Plittschthales, G. Rose (Reise Ural II. 408) bei Pychminsk im Ural Verbindungen von Granatoeder, Ottaeder und Würfel, Pfaff (Pogg. Ann. 111. 273) von Sijenz. Mathe aber scharfkantige Ottaeder von lichten Farben von S. Piero auf Elba. Desto gewöhnlicher werden die Ranten durch das Leucitoeder  $a : a : \frac{1}{2}a$  gerade abgestumpft. Sehr wohlgebildete Krystalle kommen im Glimmerschiefer von Zimatasta in Südtirol, Acaiding in Con-

necticut, beim Grossular vom Wilui zc. vor. Nach der langen Diagonale der Leucitoederflächen häufig gestreift, wodurch die Granatflächen eingesezt werden. Die Verbindung von beiden findet sich in ausgezeichnete Weise bei den prachtvollen Krystallen der Muffa-Alp in Piemont, zu Achmatowsk am Ural, am St. Gotthardt, beim Melanit von Frascati zc. Dazu gesellt sich häufig das sehr gestreifte Pyramidengranatoeder  $a : \frac{1}{2}a : \frac{1}{3}a$ , die Kante zwischen Leucitoeder und Granatoeder abstumpfend; bei den braunen Krystallen von Drowicza im Banat soll es  $a : \frac{1}{2}a : \frac{1}{3}a$  sein; beim honiggelben Topazolith von der Muffa-Alp und den weißen Krystallen von Jordansmühl sogar  $a : \frac{1}{8}a : \frac{1}{4}a$ . Aplom (*ἀπλόος* einfach, Haüy Miner. IV. 441) sind grüne Kalkgranaten mit Streifung nach der kurzen Diagonale der Rhomben, was auf Würfel deutet, und daher von dem alten Meister als die einfachste Primitivform angesehen wurde. An der Muffa-Alp soll auch zuweilen ein Leucitoid  $a : a : \frac{1}{2}a$  in Verbindung mit dem Würfel brechen. Dasselbst fand Sissonda Krystalle, die auf ihren nach der Granatoederkante gestreiften Leucitoederflächen stark irisiren, die Farben verschwinden beim Naßmachen, und kommen nach dem Trocknen sogleich wieder zum Vorschein, Beweis, daß sie von der Interferenz des Lichtes durch die Streifung herrühren, und nicht etwa „bunt angelaufen“ sind (Jahrb. 1866. 100). Pyramidenwürfel  $a : \frac{1}{2}a : 00a$ ,  $\frac{1}{2}a : \frac{1}{3}a : 00a$  sind Seltenheiten, beide treten bei Pittkaranta miteinander auf (Kotzschmarow, Material. III. 55). Am Granat von Pfisch stumpft das Pyramidenoktaeder  $a : a : \frac{2}{3}a$  zuweilen die gebrochenen Würfelfanten des Leucitoeder ab. Nach Prof. Bauer (Ztschr. d. g. Ges. 1874. 106) sind überhaupt folgende Flächen bekannt: 100, 101, 111; 210, 320, 20.19.0; 112, 113, 115, 334; 221, 331, 332; 321, 431, 64.63.1.

Härte 7—8, Gew. 3,1—4,3. Sehr schöne Farben, starker Glanz, aber meist geringe Durchsichtigkeit, Strahlenbrechung 1,77.

Vor dem Löthrohr schmelzen sie im Durchschnitt nicht sonderlich schwer, die große Mannigfaltigkeit ihrer Zusammensetzung faßt man zusammen unter der Formel



„Einige Arten werden bereits durch Kochen mit Salzsäure zerlegt, wobei sich Kiesel-erde pulverförmig abscheidet. Die Kalkreichen müssen jedoch vorher einer starken Rothglühhitze ausgesetzt werden, dann aber bilden sie mit Säuren eine Gallerte; die übrigen müssen zu diesem Zwecke bis zum anfangenden Schmelzen geglüht, oder selbst geschmolzen werden.“

Ihre Fundstätte bilden hauptsächlich krystallinische Urgebirge, Urkalke und vulkanische Gesteine. Der norwegische Gneus ist besonders reich, und liefert deshalb gute Mühlsteine. Erzgänge lieben sie nicht, wohl aber bilden sie Platten in Erzlagern und Erzstöcken. Sehr merkwürdig sind auch Scheerer's Perimorphosen (Jahrb. 1858. 24): zu Arendal hüllen papierdünne Schalen von Granatsubstanz Marmor, Epidot, Hornblende, Magnet Eisen zc. ein, und bilden so eigenthümliche Austerkrystalle.

## A. Edler Granat.

Almandin, Eisenthongranat  $\text{Fe}^3 \text{Si}^2 \text{Al}$ , bei Jalun mit 39,7 Si, 19,7 Al, 39,7 Fe, 1,8 Mn, Alaproth fand im orientalischen sogar 27,2 Al. Dunkelrothe Farbe häufig mit einem Stich ins Blau (Kolombinroth), oder ins Gelb (Blutroth). Ueber Quarzhärte, Gewicht der Zillerthaler 4,1, von Haddam 4,2, der mangaureiche 4,27. Vorzugsweise im Glimmerschiefer bei Jalun und im Zillerthal bis zu Kopfgröße und darüber; viel genannt wird die Granatenwand am Granatenfögel (10,440') in den Detschthaler Fennern, ihm gegenüber liegt der Schneeberg, wo der Passerbach seine Quellen hat; klein im Glimmerfels (Kinzigt) der Farbmühle bei Wittichen im Schwarzwalde. Besonders geschätzt sind die orientalischen oder sirischen (nach einer frühern Stadt Sirian in Pegu), der Carbunculus des Plinius 37. 25 »optamos vero amethystizontas hoc est quorum extremus igniculus in amethysti violam exeat.« Neuere heißen sie Almandin (Agricola 625 corrupto vocabulo Almandini nominatur, quondam Alabandici, quod perficerentur Alabandis). „In den Römischen Ruinen hat man viele antike Granaten gefunden, theils rund, theils vertieft geschnitten.“ Letzteres sind die sogenannten Granatschüsseln, die man auf der Unterseite rundlich auszu-schleifen pflegt, damit sie mehr Durchscheinheit bekommen.

Pyrop blutroth, bei der Granatenschenke (Bergm. Journ. V. 1 pag. 122) und bei Meronitz in Böhmen bergmännisch gewonnen, wo sie wie Erbsen im verwitterten Serpentin liegen, ebenso bei Böblitz, Rosenberg 2c. in Sachsen. Agricola 625 (quos Graeci, ut etiam Ovidius, Metam. II. 2, quia valde ardent, ab ignis aspectu pyropos appellant) kennt bereits diese Fundorte. Rundliche Körner, ohne deutliche Krystallflächen, auffallender Weise sollen zuweilen bauchige Würfelflächen vorkommen. Gew. 3,7. Schmilzt entschieden schwerer als der Almandin, erhitzt wird er schwarz und undurchsichtig, nimmt aber beim Erkalten seine Farbe und Durchscheinheit wieder an. Auffallend ist ein Talerbe- und Chromgehalt, welchen er ohne Zweifel von dem Muttergestein aufnahm. Nach Roberg (Erdmann's Journ. 1848. 43. 122) 41,3 Si, 22,3 Al, 9,9 Fe, 15 Mg, 5,3 Ca, 4,2 Cr (Drydul), 2,6 Mn, also etwa die Formel  $(\text{Mg}, \text{Fe}, \text{Mn}, \text{Cr})^3 \text{Si} + \text{Al Si}$ . „Durch Schmelzung mit etwas Soda und Salpeter bewirkt in der essigsauren Lösung das Chrom eine Fällung durch essigsaures Blei“. Die Pyrope bilden einen nicht unwichtigen Handelsartikel. Sie werden nach ihrer Größe sortirt, 32er, 40er, 70er, 100er, 165er und 400er, je nachdem so viel auf ein Loth gehen. Nicht häufig findet man Stücke von 16—24 auf ein Loth und Exemplare von  $\frac{1}{2}$  Loth gehören schon zu den großen Seltenheiten.

Raneelstein, Ralkthongranat  $\text{Ca}^3 \text{Si}^2 \text{Al}$ , 40 Si, 23 Al, 30,6 Ca, 3,7 Fe. Hyacinthroth bis honiggelb, daher der Name (Raneel heißt holländisch Zimmt). Lange wurde er mit Hyacinth (Hoffmann Mineral. 1811. I. 100) verwechselt, Haüy nannte ihn daher Hessonit (ἡῶων weniger,

nemlich als Hyacinth). Er wird in eckigen mit viel Rissen durchzogenen Bruchstücken von 3,6 Gew., Kandiszucker gleichend, aus Ceylon eingeführt, wo er in ganzen Felsen ansteht. Sehr schön kommt die gleiche Farbe bei Granaten der Auswürflinge des Vesuvus vor. Schon Kobell bewies, daß die gelbrothen Krystalle mit Diopsid von Piemont, Achmatowst, und vom St. Gotthardt auch Ca als wesentlichen Gemengtheil enthalten, sie gehören in Beziehung auf Glanz und Durchsichtigkeit noch zu den edlen Sorten. Im Dolomit von Mexico kommen sie von schön rosenrother Farbe vor fast verwechselbar mit Spinell. Bei Auerbach an der Bergstraße und Jordansmühl in Schlesien werden sie sogar gänzlich farblos (weiß).

### B. Gemeiner Granat.

Grossular, von Werner nach der grünen Stachelbeerfarbe genannt  $\text{Ca}^2 \text{Si}^2 \text{Al}$ , ist meist ein ausgezeichnete Ralkthongranat, und häufig in Gesellschaft von Vesuvian, mit dem er fast gleiche Zusammensetzung hat. Wohl gebildete Leucitoeder und Granatoeder mit untergeordneten Polyedern 431 entdeckte Laxmann 1790 am Bach Ahtaragda in den Wilui-fluß bei Irkutsk mit Vesuvian und Ahtaragdit. Sonderbarer Weise finden sich darunter Pyramidentetraeder, die besonders gern in weiße zersehte Aterkrystalle übergiengen (Ztschr. d. g. Ges. XX. 100). Klaproth (Beitr. IV. 110) fand in den frischen 44 Si, 33,5 Ca, 8,5 Al, 12 Fe. Im Asbest vom Mt. Rosa werden sie fast smaragdgrün. Häufig bildet der grüne Granat größere Massen in Erzlagern, Serpentin und andern Gebirgen. Im Serpentin von Dobichaw in Oberungarn findet man wohlgebildete pistaciengrüne Krystalle, bei Miasz bildet er den Kern eines ganzen Serpentinbügels. Die grüne Farbe geht zuletzt ganz ins Weiße, wie bei Slatoust (G. Rose Reise Ural II. 102) oder am Monzoniberge. Dichte Massen solcher Lager nannte d'Andrada (Scheerer's Journ. IV. 24) Allorait (*άλλος* anders, *ροία* Hautfarbe), weil mit Phosphorsalz geschmolzen die Perle eine emailartige Oberfläche bekommt, welche beim Erkalten röthlichgelb, später grün, zuletzt gelblichweiß wird. Das gelblichgraue Gestein fand sich in der Wirumsgrube bei Drammen. Zu Wurliz und Pfunders grün (Miner. Taschenb. 1829. 220), am Schwarzenstein smaragdgrün, auf dem Wildkreuzjoch eigenthümlich roth und jaspisartig.

Kolophonit heißen die gelblichbraunen körnigen, welche von Ralkspath durchdrungen Nester in den Magneteisenlagern bei Arendal bilden. Farbe und firnigartiger Glanz erinnern allerdings auffallend an Kolophonium. Gew. 3,4, enthalten bis 29 Ca. Da jedoch in geschliffenen Platten viele Körner sich optisch zweiartig verhalten, so ist auch Vesuvian darunter. Die schönen leberbraunen Krystalle im blauen Ralkspath im Banat und viele andere schließen sich hier unmittelbar an. Rothosfit von Langbanzhjttan ist ein brauner derber Granat.

Melanit Karsten (*μέλας* schwarz) aus den vulkanischen Tuffen von Frascati bei Rom, wo man die schönen Granatoeder mit abgestumpften

Ranten auf den Feldern sammelt,  $\text{Ca}^3 \text{Si}^2 \text{Fe}$ , also ein Kalkeisengranat. Ihre schwarze Farbe erinnert an Spinell und Magneteisen. Ausgezeichnet glänzend finden sie sich in Drusenräumen der Sommablöcke, in Tuffgesteinen von Oberbergen am Kaiserstuhl: 34,6 Si, 28,1 Fe, 31,8 Ca zc. Der Perlerkopf im Brohlthal besteht aus „Rosen-Melanitgestein“. Die schwarze Farbe rührt wahrscheinlich von  $\text{Fe Fe}$  her, denn es gibt auch braune und grüne Granaten mit einem gleichen Gehalt an Eisenoxyd, wie es überhaupt nicht möglich ist, aus der Farbe allein sicher auf die Zusammensetzung zu schließen. Auch haben Asterbildungen nicht selten auf die glänzendsten Krystalle ihren Einfluß geübt. So finden sich bei Arendal prächtige rothbraune Leucitoeder mit Pyramidengranatoeder, welche innen ganz hohl und mit den fremdartigsten Mineralen locker erfüllt sind, ohne daß man außen etwas merkt. Die Form steht hier über dem Inhalt, welcher letzterer bei der Mannigfaltigkeit isomorpher Substanzen an Bedeutung durchaus einbüßt.

Mangangranat  $\text{Mn}^3 \text{Si}^2 \text{Al}$  aus dem Granit des Speffarts (Speffartin) bei Aschaffenburg, den Klaproth Beitr. II. 239 unter dem Namen granatförmiges Braunsteinerz (Braunsteintiesel) analysirte, dunkel hyacinthroth, Gew. 3,6. Klaproth gibt 35 Braunsteintalk an. Später fand er sich auch im Granit von Haddam, Broddbo, sogar mit Ottrelith im belgischen Thonschiefer (Jahrb. 1873. 103). Talkgranat vorwaltend  $\text{Mg}^3 \text{Si}^2 \text{Al}$ , 13,4 Mg, Gew. 3,16, schwarz von Arendal.

Uwarowit (Hes Bogg. Ann. 24. 300) auf Chromeisenstein von Scharnowskaja bei Bissersk (Katharinenburg) und Kyschtimsk im südlichen Ural, Texas in Pennsylvanien, ein ausgezeichnete Chromgranat  $\text{Ca}^3 \text{Si}^2 \text{Cr}$ , Gew. 3,4, smaragdgrün, dem Dioptas gleichend. In wohlgebildeten kleinen Granatoedern. Wegen des Chromoxyds unschmelzbar, 22,5 Cr, 30,3 Ca. In Canada smaragdgrüner Grossular mit 6 Cr.

## 2. Vesuvian Wz.

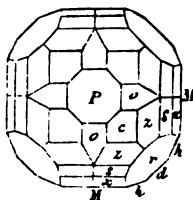
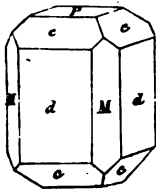
Wurde längst in Neapel als vesuvischer Edelstein verschliffen, Romé de l'Isle Crystall. II. 291 zählte ihn wegen seiner Form zum Hyacinth, und da derselbe auch mit Mejonit, Kreuzstein zc. Aehnlichkeit hat, so nannte ihn Haüy Idokras (*eidos* Gestalt, *κράσις* Mischung). Er steckt häufig in den Auswürflingen, und kommt auffallender Weise in der Auvergne und Elsaß nicht vor. Zepharovich (Sigsb. Wien. Akad. 1864 Bd. 49 pag. 6) bestimmte durch 1500 Messungen 45 verschiedene Flächenausdrücke

Wiergliedrig, Oктаeder  $c = a : a : c$   $129^\circ 21'$  Endkanten und  $74^\circ 27'$  Seitenkanten gibt

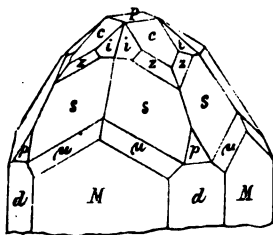
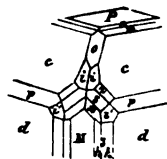
$$a = 1,861 = \sqrt{3,465}, \lg a = 0,26987.$$

Flächenübersicht: P 001, M 100, d 110, f 120, h 130, 530, 740; Nebenoktaeder 0101, u 201, 102, 301, 302; Oктаeder c 111, m 112,

n 113,  $\omega$  221, p 331, r 441, 114, 115, 116, 117, 118, 119, 1.1.10, 1.1.20, 335, 445, 885, 551; Dioctaeder z 121, s 131, x 141, v 151, i 132, i' 421, y 313, 747, 212, 423, 737, 383, 319, 315, 629, 171, 20.61.20. Siehe Grundriß Krystall. pag. 266.



für p 331 aus (Grundr. Krystall. 266). Oftmals findet man die Kante P/c durch  $n = 3a : 3a : c$  abgestumpft, auch eine  $m = 2a : 2a : c$  kommt vor, Philipp's führt sogar noch weitere unter c an, und namentlich  $p = c : \frac{1}{2}a : \frac{1}{2}a$ , nebst einem Vierkantner aus der Diagonalzone von o aber



Die Geradenfläche  $P = c : \infty a : \infty a$  nebst den beiden Quadratsäulen  $d = a : a : \infty c$  und  $M = a : \infty a : \infty c$  fehlen nie, und wie die Haüy'schen Buchstaben andeuten, ist die 2te Säule M zwar nicht deutlich blättrig, aber entschieden blättriger als die erste d, welche zwar vorzuherrschen pflegt, aber immer mit starker Längsstreifung bedeckt ist.  $o = a : c : \infty a$ ,  $h = a : \frac{1}{2}a : \infty c$  und  $s = a : c : \frac{1}{2}a$  findet man nicht selten untergeordnet.

Besonders reich mit Flächen bedeckt sind die Krystalle des Vesuv's. Schon Haüy zeichnete von dort ein enneacontaëdre (Neunzigfläch) aus, woran außer den genannten noch die Vierkantner  $z = a : c : \frac{1}{2}a$  und  $x = a : c : \frac{1}{2}a$ , und das Oктаeder  $r = \frac{1}{2}a : \frac{1}{2}a : c$  vorkommen. Zepharovich konnte diese Fläche 441 nicht wiederfinden, und gibt sie

für p 331 aus (Grundr. Krystall. 266). Oftmals findet man die Kante P/c durch  $n = 3a : 3a : c$  abgestumpft, auch eine  $m = 2a : 2a : c$  kommt vor, Philipp's führt sogar noch weitere unter c an, und namentlich  $p = c : \frac{1}{2}a : \frac{1}{2}a$ , nebst einem Vierkantner aus der Diagonalzone von o aber zwischen z und o gelegen. Lévy maß an den Vesuv'schen noch  $h^3 = a : \frac{1}{2}a : \infty c$ ,  $i = b^1 b^1 h^1 = a : \frac{1}{2}a : \frac{1}{2}c$ ;  $i' = c : \frac{1}{2}a : \frac{1}{2}a$ ,  $k = \frac{1}{2}a : \frac{1}{2}a : \frac{1}{2}c$  würde Kante i/c abstumpfen. Auch Hr. v. Kotschmarow (Material. Min. Rußl. 1851. I. 22) liefert uns vortrefflich: Beiträge über die russischen Vesuviane. Die genauesten Messungen konnten

an einem kleinen Krystall der Kumatshinskischen-Berge bei Poljakow'st angestellt werden, welche in der Endkante des Oктаeder c/c  $129^\circ 20\frac{1}{2}'$  ergaben: die starke Entwicklung von s 131 gibt dem Krystall ein ungewöhnlich 4 + 4kantiges Ansehen. Das Augenmerk ist besonders auf die Vierkantnerflächen  $\mu$  zu richten, dem s so nahe liegend, daß Winkel  $s/\mu = 179^\circ 45'$  gemessen wurden, welche von der Lage von s nur 15 Minuten

abweichen. Trotzdem sind sie scharf ausgebildet und gut erkennbar. Sie würden etwa den ungewöhnlichen Ausdruck  $100a : 303a : 305c$  geben. Wahrscheinlich sind es nur Störungen in der Bildung. Zu ähnlicher Erscheinung gehört auch die Menge von Längsstreifen in der Säule, welche die Krystalle nicht selten förmlich cylindrisch machen, und eine äußerliche Verwechselung mit Turmalin zulassen. Solche sondern sich

gar gern schaalig ab, indem durch Schlag ein Krystall aus dem andern herausgeschält werden kann (Eger bei Rongsberg). Zwillinge kennt man nicht. Breithaupt (Jahrb. 1860. 220) hielt die Vesuviane für Monasymmetrisch, d. h. die Endfläche P ist schief an die erste Säule d angelegt, macht mit der vordern Oктаederfläche  $142^{\circ} 55'$ , mit der hintern  $142^{\circ} 47'$  und mit den seitlichen je  $140^{\circ} 41'$ . Zepharovich bestätigte dasselbe zwar an den grünen Piemontesischen, machte aber mit Recht kein Gesetz daraus.

Härte 6—7, Gew. 3,4. Grüne, gelbe, braune Farben herrschenvor, letztere sind etwas schwerer 3,48. Auf der Grube Schmatowsk, wo Gänge von Kalkspath mit Chloritthiefer in Berührung kommen, findet er sich sogar roth wie Granat.

Vor dem Löthrohr schmilzt er leicht unter Blasenwerfen und verhält sich wie ein gemeiner Kalkthongranat  $\text{Ca}^3 \text{Si} + \text{Al Si}$ , worin ein Theil der Thonerde durch Fe vertreten ist. Man war früher der Granatgleichen Zusammensetzung so gewiß, daß man den gemeinen Kalkgranat sogar mit Vesuvian für dimorph hielt. Sind solche Behauptungen bei complicirten Silicaten immer nur mit größter Zweifelhaftigkeit auszusprechen, so hat Rammelsberg (Handwörterbuch IV. Supplem. 252) gezeigt, daß die Sache nur dann gelte, wenn man alles Eisen als Oxyd nehme, sonst würde man besser  $3 \text{R}^3 \text{Si} + 2 \text{R Si}$  setzen. Die große Verwandtschaft der Mischung wird namentlich auch durch das häufige Vorkommen am Vesuv, im Fassathal, in Sibirien u. mit Kalkgranat wahrscheinlich gemacht. Die neuern Analysen von Rammelsberg (Monatssb. Berl. Akad. 1873. 410) führten abermals auch andere Formeln  $(\text{H}, \text{Ca}, \text{Mg})^{19} (\text{Al}, \text{Fe})^4 \text{Si}^{14}$ , worin das Wasser einen verschiedenen Theil der Basen vertritt. Bemerkenswerth ist der Versuch von Magnus (Pogg. Ann. 20. 477), daß krystallisirter Vesuvian von 3,4 Gewicht zu Glas geschmolzen nur 2,9 wiegt; Magnus hatte sich ausdrücklich überzeugt, daß kein oder doch nur geringer Verlust dabei Statt gefunden, auch etwaige gebildete Blasen der Grund nicht sein konnten. Das Glas des Sibirischen vom Wilui war so schön geflossen, daß es seine Farbe durchaus nicht verändert hatte und noch zu Ringsteinen brauchbar blieb. Granat und Vesuvian sind zu diesen Versuchen, wegen ihres Wassermangels und leichter Schmelzbarkeit, besonders geeignet. Nach Fuchs wird das Glas von Salzsäure sogleich angegriffen und gesteht zu einer festen Gallerte, während das Pulver des ungeschmolzenen der Säure vollkommen widersteht.

Varietäten sind zwar nicht so mannigfach als beim Granat, doch gibt es allerlei Farben. Schwarzbraun bis Honiggelb kommen sie am Vesuv vor; braungrün sind die prachtvollen ringsum ausgebildeten Krystalle von 0,05 m am Wiluifluß (Wiluit), Endkante  $130^{\circ} 2'$ , Gew. 3,39, wo sie mit Grossular entdeckt wurden; durchscheinender zu Eger bei Rongsberg zuweilen in vollständiger quadratischer Säule mit Geradendfläche; Grasgrüne mit 2,7 pC. Wasser im Serpentin der Muffa-Alp in Piemont werden in Turin verschliffen, und können dann leicht mit Diopsid, Olivin und Epidot verwechselt werden; die braunen mit schlanken Säulen

von dort enthalten 7 Mn; Wachsgelbe mehr als zollgroße mit vorherrschenden Oктаederflächen brechen am Monzoniberge im Fassathal. An andern Punkten des Fassathals finden sich auch ringsum gebildete Krystalle von Zirkonartiger Farbe, die wegen der Verziehung ihrer Flächen schwer zu stellen sind. Egeran nannte Werner die braunen stark gestreiften Strahlen im körnigen Marmor des Granits von Haslau bei Eger in Böhmen, ähnliche Strahlen, aber mehr in dicken riesigen Krystallen finden sich zu Egg bei Christiansthal. Cyprin des Berzelius mit rothem Thulit im Quarz von Souland bei Tellemarken hat durch Kupferoxyd eine schöne himmelblaue Farbe bekommen. Frugardit von Frugard in Finnland hat 10,6 Talkerde, ist aber sonst wie der von Gökum in Roslagen in Schweden Vesuvian (Gökumit oder Loboit); Thomson's graulichgelber Xanthit körnig im Kalkstein von Amity soll drei blättrige Brüche und die Formel  $2\text{Ca}^2\text{Si} + (\text{Al}, \text{Fe})^2\text{Si}$  haben, nach Dana stimmt dagegen die Form mit Vesuvian. Zu Sandford in Maine kommt ein mächtiges Lager von 200' zwischen Granit und Trapp vor (Jahrb. 1857. 107). Alle liegen vorzugsweise im Urkalk, sofern dieser krystallinische Gesteine begrenzt, wie bei Auerbach an der Bergstraße (Scheerer Zeitschr. deutsch. geol. Ges. IV. 21). Schwarz am Monte Rosa mit vielen neuen Flächen.

### 3. Epidot H.

Von *ἐπιδιδωμι* zugeben, weil Haüy nicht die rhombische, sondern die rhomboidische Säule mit Geradenflächen als Primitivform fand, also in der rhombischen Säule auf einer Seite zugeben mußte. De l'Isle Crist. II. 401 beschreibt und bildet ihn sehr deutlich ab als Schorl vert du Dauphiné, Saussure's Delphinite, Werner vermischte ihn mit Strahlstein, und Andrada (Scheerer Journ. Chem. IV. 20) beschreibt schon 5 8 schwere Krystalle aus den Eisensteingruben von Arendal unter dem Namen Xanthikone. Roschardow, Hesseberg und Zepharovich (Sitzungsber. Wien. Akad. 1859. XXXIV. 400) untersuchten die Krystallformen. Neuerlich hat das prächtige Vorkommen aus dem Sulzbachthale im Pinzgau, wo an der sogenannten Knappenwand sich 5 Zoll lange und 1 Zoll dicke Krystalle im herrlichsten Glanze fanden, Klein (Jahrb. 1872. 112), Rath (Bogg. Ann. 115. 472) und Andere zu neuen Messungen angeregt.

Gewendet 2 + 1gliedrig, Weiß hat ihn bereits 1806 (Haüy's Lehrb. der Miner. III. 102) richtig erkannt, und in den Abh. Berl. Akad. 1818 pag. 242 ausführlich beschrieben. Aus dieser für alle Zeiten klassischen Darstellung geht hervor, daß die Krystalle nach ihren Schiefenflächen in die Länge gezogen sind, und daß diese also quer der Axe b parallel gelegt (gewendet) werden müssen, um sie mit dem Feldspath vergleichen zu können. Von den Schiefenflächen ist hinten  $M = \frac{1}{4}a' : \infty b$  oft sehr deutlich blättrig und darstellbar, während vorn  $T = \frac{1}{4}a : \infty b$  weniger deutlich bleibt,  $r = a : \infty b : \infty c$  ist gegen M schärfer geneigt als gegen T:

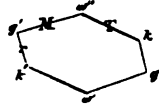


wir haben also eine rhomboidische Säule M/T von  $114\frac{1}{2}^\circ$ , deren scharfe Kante durch r schief abgestumpft wird. Auf die Säule ist meist ein vorherrschendes Paar  $n = a : b : \infty$  aufgesetzt, das sich unter dem Oктаederwinkel  $109\frac{1}{2}^\circ$  schneidet. Die Winkelangaben weichen etwas von einander ab, nach

Rohs M/T = 115.24, M/r = 116.18, T/r = 128.18, n/n = 109.27  
 Phillips . . . 115.41, . . . 114.40, . . . 129.39, . . . 109.10  
 Kupfer . . . 114.26, . . . 116.12, . . . 129.22, . . . 109.20

Agrenverhältniß nach Weiß  $a : b : c = \sqrt{150} : \sqrt{75} : 2$ .

Gegen wir der Rechnung die Kupfer'schen Messungen zu Grunde, so beträgt der Unterschied von rechtwinkligen Agren a/c nicht eine volle halbe Minute, die Agren kann man also im schärfsten Sinne des Wortes rechtwinklig nehmen, und



$$a : b = 6,097 : 4,322 = \sqrt{37,17} : \sqrt{18,68},$$

$$\lg a = 0,78510, \lg b = 0,63569.$$

Nach den Messungen von Roschkarow wird  $a : b = 6,326 : 4,43$  und der Winkel hinten auf der Seite von M nur  $90^\circ 2' 7''$ , was in die Grenzen des Irrthums fällt, Rath Bogg. Ann. 115. 477: für diesen Fall steht Aye a senkrecht auf T 100, es wird M 301, o 381, r 5'01, n 5'81 zc., und die Agren der optischen Elasticität fallen damit zusammen. Die Flächen M T r n n treten gern selbstständig auf bei Krystallen von Arenal, die scharfe Säulenkante von  $n/n = 70^\circ 33'$ , liegt dann vorn, und auf sie sind die Schiefendflächen gerade aufgesetzt. In der Dauphiné herrscht am Ende der gewendeten Säule  $P = b : \infty a : \infty$  vor, sie stumpft die stumpfe Säulenkante von  $n/n$  gerade ab, man kann daran die Strahlen leicht von Hornblende unterscheiden, muß sich aber vor Verwechselung mit Vesuvian in Acht nehmen. In der „Methode der Krystallographie pag. 348 Tab. VII Fig. 26—28“ habe ich außer diesen fünf noch folgende in das Bild gebracht:

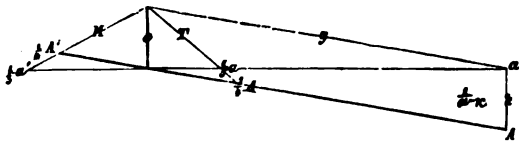
$$g = a : \infty b, d = a : \frac{1}{4}b, u = \frac{1}{4}a : \frac{1}{4}b, z = \frac{1}{4}a : \frac{1}{8}b,$$

$$h = \frac{1}{4}a' : \frac{1}{4}b, o = \frac{1}{4}a' : \frac{1}{8}b, x = \frac{1}{14}a' : \frac{1}{8}b, y = \frac{1}{14}a : \frac{1}{8}b,$$

$$q = \frac{1}{14}a : \frac{1}{8}b, l = \frac{1}{14}a : \infty b, s = \frac{1}{14}a' : \infty b, e = a : 2b : \infty.$$

Wenn schon die Ausdrücke etwas complicirt sein mögen, so kann man doch bei der Demonstration kaum anders als von der Säule  $n/n$  ausgehen, um dann die Schiefendfläche T und hintere Gegenfläche M sofort folgen zu lassen. Wer einfachere Agrenausdrücke suchen wollte, müßte jedenfalls bei der Säule  $n/n$  stehen bleiben, und schiefe Agren AA' von  $80^\circ 40'$  in der Schief-

endfläche  $g = a : c : \infty b$  legen. Dann wäre bei gleichen c und b,  $A = 6,175$ , und  $k = c = 1$ ;



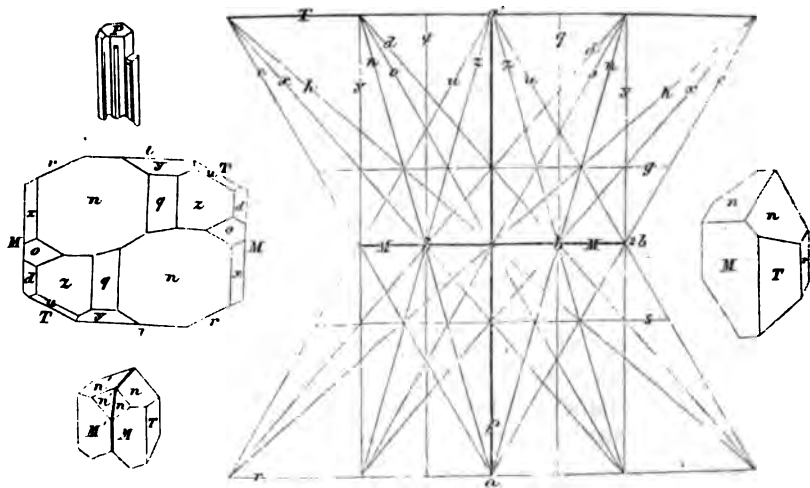
die Uebertragung der Agren a in A geschähe nach der Formel vorn  $\frac{1}{\mu - k}$

und hinten  $\frac{1}{\mu+k}$ . Mit Hilfe unseres kleinen Schemas kann man sie ablesen:

$g = \infty A : \infty b$ ,  $d = \infty A : \frac{1}{2}b$ ,  $u = \frac{1}{2}A : \frac{1}{2}b$ ,  $z = \frac{1}{2}A : \frac{1}{2}b$ ,  
 $h = \frac{1}{2}A' : \frac{1}{2}b$ ,  $o = \frac{1}{2}A' : \frac{1}{2}b$ ,  $x = \frac{1}{2}A' : \frac{1}{2}b$ ,  $y = \frac{1}{2}A : \frac{1}{2}b$ ,  
 $q = \frac{1}{2}A : \frac{1}{2}b$ ,  $l = \frac{1}{2}A : \infty b$ ,  $s = \frac{1}{2}A' : \infty b$ ,  $n = a : b : \infty c$ .

Die Ausdrücke sind jetzt Multipla von 4 geworden; würde man die Nebenagen auf ein Viertel herabsetzen  $A : b = 1,544 : 1,08$ , so kämen die einfachsten Zahlen:  $r$  100,  $g$  001,  $P$  010;  $M$  1'01,  $T$  101,  $n$  110,  $d$  011;  $u$  111,  $h$  1'11;  $z$  121,  $o$  1'21;  $e$  210;  $l$  301,  $s$  3'01;  $y$  321,  $x$  3'21;  $q$  341. Vollständiges Hexaid, Dodekaid und Oktaid gehen voran, welchen dann die übrigen Ausdrücke der einfachsten regulären Körper folgen. Dies wäre ich möchte sagen der nothwendige Fortschritt gewesen. Statt dessen nahm

Mohs willkürlich  $M = a : \infty b : \infty c$  aufrecht,  $r = a : c : \infty b$  und  $T = a' : c : \infty b$  als Schiefendflächen, und  $n = a : b : c$ . Er verlor damit die schöne Säule  $n/n$ , welche nothwendig zu einer guten Demonstration gehört, und legte so den Grundstein zu jener endlosen Verwirrung.



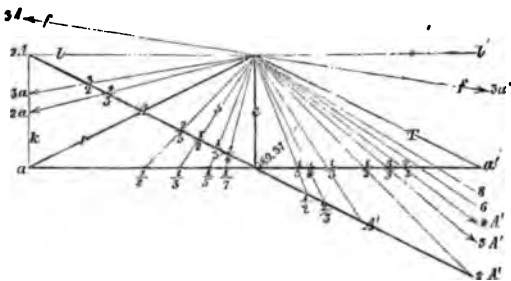
Zum Verständniß diene vorstehende Projection. Nach den Rechnungen von Zepharovich würde vorn  $c/a$   $90^\circ 23'$  (Mohs  $91^\circ 5'$ ) betragen, und  $a : b : c = 2,055 : 0,628 : 1$ .

Es bilden von obigen fünf Flächen  $TMnn$  ein Oktaid, und  $r$  in den Zonen  $n/n$  und  $M/T$  nebst dem Paare  $d = \frac{1}{2}a' : b$  in  $T/n$  und  $M/n$  die drei zugehörigen Hexaidflächen.  $P = b : \infty a : \infty c$  und  $g = \frac{1}{2}a' : \infty b$  sind zugehörige Dodekaidflächen;  $o = a : 2b : \infty c$  geht durch den Mittelpunkt  $P/M$  und durch die Oktaidkante  $T'n$ ;  $y = 2b : \infty a$  liegt ebenfalls in  $T/n$  und ferner in  $o/r$ ;  $z = a' : b$  liegt in der Diagonalzone  $T/P$  und in  $o/r$ ;  $u = a' : 2b$  abermals in  $T/P$  und  $d/r$ ;  $l = c : \infty a : \infty b$

ist die Geradenfläche, auf welche alle projectirt sind, denn sie liegt in den beiden Zonen  $u/o$ ;  $q = b : \infty a$  liegt in  $P/y$  und  $M/n$ ;  $x = \frac{1}{2}a : b$  in  $M/n$  und  $o/r$ ;  $h = a : 4b : \infty c$  geht vom Mittelpunkt nach  $d/r$ ;  $s = \frac{1}{2}a : \infty b$  liegt in  $T/r$  und  $u/o$ ;  $e = a : 2b$  in  $P/r$  und  $s/z$ . Aber hiermit nicht genug, hat

Miller abermals verstellt, nimmt  $T$  als Basis, und  $A : b : c = 1,142 : 0,632 : 1$ ,  $A/c = 64^\circ 36'$ .

Glücklicherweise ist  $b$  bei beiden gleich, machen wir uns daher in der Medianebene wieder einen Aufriß, so liege der scharfe Winkel  $a/c = 89^\circ 37'$  hinten, dann ist  $AA'$  die neue Axe,  $k = c = 1$ . Um Moß in Miller zu übertragen,



gilt vorn  $\frac{1}{\mu+k}$ . Leider correspondirt  $a$  dem  $2A$ , ich muß daher noch

mit  $2$  multipliciren. Also  $T = a' : c = 2 \cdot \frac{1}{1-k} A' : c = \infty A : c$ ;  $r =$

$a : c = 2 \cdot \frac{1}{1+k} A : c = A : c$ ;  $s = \frac{1}{2}a : c = 2 \cdot \frac{1}{3+1} A : c = \frac{1}{2}A : c$  u.

Da auch alle übrigen Flächen in irgend eine Diagonalzone fallen müssen, wie  $d = \frac{1}{2}a' : b : c = 2 \cdot \frac{1}{3-1} A' : b : c = A' : b : c$ , so ist die Aufgabe

bald zu lösen. Freilich verwirrt man sich leicht, indem der eine Schriftsteller vorn heißt, was der andere hinten, und in der Axenbenennung das bunteste Durcheinander herrscht. Kosschiarow (Matr. III. 208) blieb zwar bei dieser Anschauung, nahm aber mit Marignac den ersten Blätterbruch  $M 001$  zur Basis, wobei natürlich die Zeichen von  $d 111$  und  $n 1'11$  sich nicht änderten, die Axen aber in Weißsicher Benennung  $A : b : c = 1 : 0,633 : 1,142$  heißen. Klein und Rath folgen ihm, und fügen ihren Messungen Linearprojectionen bei, die uns vollkommen orientiren. Danach fanden sich an den Sulzbachern wieder sieben neue Flächen:  $p 016$ ,  $q 3'04$ ,  $\mu 1'16$ ,  $\chi 6'11$ ,  $\delta 1'41$ ,  $\zeta 5'21$ ,  $\lambda 1'1.15$ ; am Russischen nach M. v. Tarassow 313, 401, 3'05; bei Striegau nach Dr. Becker sogar 20.0.21, 61.60.61. Zepharovich (Sitzb. Wien. Akad. 1862 XLV. 1 pag. 387) stellte 57 verschiedene Flächenausdrücke zusammen. Das vollständigste Register lieferte Schrauf (Sitzb. Wien. Akad. 1871 LXIV. 1 pag. 159), aber um den Epidot mit der Kupferlasur in Parallele zu bringen, nimmt er  $y 2'11$  zur Säule  $a : b : c = \infty 103'16'$ ,  $o 011$  macht dann  $89^\circ 47'$  gegen  $l 100$ , und  $u 2'12$  hinten ein Augitpaar  $a' : b : c$  mit  $108^\circ 52'$  in der Medianante. Dann sind die Axen  $a : b : c = 0,79 : 1 : 1,638$  und die Axenschiefe nur  $90^\circ 25'$ . Klein brachte es auf 73 verschiedene Formen.

Sehr störend ist der stetige Augenwechsel. Man wird auch hier nicht anders zur Einheit gelangen, als zur ursprünglichen Weiß'schen Orientierung a vorn, b seitlich, c oben zurückzukehren.

Vereinigen wir außerdem übersichtlich, was früher Lévy (Minér. Houland. II. 144), Marignac (de la Rive Archiv. Scienc. phys. 1847. IV. 144), Kosscharow, Hesseberg, Zepharovich kannten, so haben wir noch folgende ansehnliche Reihe:

	Weiß.	D.	Rohs	Miller.		
g	101	001	3'01	1'01		
P	010	010	010	010	P/g	90°
r	100	100	101	101	r/g	98° 41'
M	3'01	1'01	100	100	M/r	115° 37'
T	501	101	1'01	001	TM	116° 15'
d	141	011	3'11	1'11	d/d	96°
n	110	110	111	111	n/n	70° 40'
u	541	111	2'12	012	u/u	109°
h	3'41	1'11	410	210	h/h	101° 43'
f	901	201	1'03	103	f/M	98° 38'
$\pi$	7'01	2'01	501	301		
i	301	102	5'03	1'03		
e	210	210	212	212	e/M	111° 6'
7	120	120	121	121		
l	13.01	301	001	102	l/T	153° 59'
s	11'01	3'01	301	201	s/M	145° 39'
k	703	103	2'01	1'02		
m	1'03	1'03	5'01	2'01		
3	1.16.1	041	3'21	1'21	3/l	105° 47'
8	150	150	151	151	8/n	152° 59'
9	160	160	161	161	9/l	96°
$\alpha$	5'03	2'03	11'01	5'01	$\alpha$ /T	126° 9'
$\lambda$	21.01	501	103	203		
$\tau$	19'01	5'01	201	302	$\tau$ /r	109° 57'
$\sigma$	17'03	5'03	701	401		
$\mu$	53.01	13.01	507	607		
$\beta$	29.01	701	102	304		
$\delta$	25.0.13	3.0.13	104	508		
o	3'81	1'21	210	110	o/T	102° 59'
z	581	121	111	011	z/M	104° 16'
$\varepsilon$	1'21	1'12	7'11	3'11		
q	7'41	2'11	511	311		
$\omega$	783	123	4'12	1'12		
v	1'83	1'23	5'11	2'11		
y	13.8.1	321	012	112	y/T	134° 55'
x	11'8.1	3'21	311	211	x/M	128° 5'
4	185	1'25	8'12	3'12		

	Reiß	D.	Reiß	Miller.		
9	5.16.1	141	1'21	021		
1	5.40.1	1.10.1	1'51	051		
2	7.24.3	163	4,32	1'32		
q	13.16.1	341	011	122	q/q	115° 14'
Q	11'.16.1	3'41	321	221	Q/M	66° 21'
R	7'.16.1	2'41	521	321	R/P	140° 23'
N	19'.24.1	5'61	432	332	N/z	169° 12'
6	29.16.1	741	112	324		
γ	9'83	3'23	610	310		
t	15.16.3	343	3'23	023		
5	7'.32.5	3'85	9'41	4'41		
D	17'.8.3	5'23	711	411	D/P	114° 7'
η	31.8.3	723	1'15	215		
φ	39.16.3	943	013	326		
z	59.32.7	13.8.7	2'25	3.4.10.		

Zwillinge haben den 2ten Blätterbruch  $T = \frac{1}{2}a:c:\infty b$  gemein und liegen umgekehrt, und da die Kante  $n/n = 109^\circ 20'$  gewöhnlich das Dach bildet, so zeigt sich dann ein einspringender Winkel  $n/n = 131^\circ 8'$  und der aus- und einspringende  $M/M' = 129^\circ 12'$ , dem Zwillingsgesetz des Cyanits ähnlich, zumal wenn die Krystalle strahlighlättrig werden. Dieselben bewegen Marignac, den Epidot nach T aufrecht zu stellen, wodurch  $T = a:\infty b:\infty c$  wird,  $z = a:b:\infty c$ ,  $M = \frac{1}{2}a:c:\infty b$  zc. Man hat dann den Vortheil, daß die zweigliedrige Ordnung sofort wie bei andern in die Augen springt. Wiederholungen (Ziellinge) nicht selten im Pinzgan, wobei durch Zwischenschiebung einer Lamelle die Krystalle leicht einfach aussehen. Seltener ist ein zweiter Zwilling, welcher M gemein hat (Jahrb. 1874. 12). Klein behauptet, daß den meisten scheinbar einfachen Krystallen Zwillingspartikeln eingesprenkt seien, welche sich bei Dünnschliffen verrathen.

Große Neigung zu schaaliger Absonderung, so daß man bei Krystallen von Arendal Kappe auf Kappe abnehmen kann, woran jede die gleichen Krystallflächen hat. In den Alpen, dem Fichtelgebirge werden sie gern schilfartig strahligh. Die optische Mittellinie geht in der Medianebene ungefähr dem zweiten Blätterbruch T parallel. Genauer geht Descloizeaux (Mém. Inst. impér. 1867 XVIII. 102) von den Blätterbrüchen  $M/T = 115^\circ 27'$  aus, dann liegt die Mittellinie der grünen Strahlen im scharfen Winkel, und macht mit T  $1^\circ 42'$  folglich mit M  $62^\circ 51'$ . Nach Renngott (Ueberf. 1858. 88) brauchbar wie Turmalin zu optischen Versuchen. Härte 6—7, Gewicht 3,2—3,5, die größere Schwere hängt vom größern Eisengehalt ab. Farbe meist trübe: pistaciengrün sind die undurchsichtigen, braun, aschgrau zc. Trichroismus: senkrecht zu T braun; senkrecht zu P, also parallel T, grün; nach der dritten senkrechten Dimension gelb.

Vor dem Löthrohr schmelzen sie unter Blasen und Krümmen, allein die Schlacke erstarrt gleich, daher nannte sie Klaproth unschmelzbar. Ihre

Formel  $R^3 Si + 2 R Si$  soll mit Skapolith stimmen. 2 H, kein Fe (Pogg. Ann. 76. 98). Neuere Formel  $H Ca^4 Al^3 Si^4$ .

Epidot gehört zu den verbreiteten Mineralen, besonders in schmalen Gängen des Hochgebirges der Alpen. Häufig in den Hornblendegechieben von Oberschwaben an der Saffgrünen Farbe zu erkennen. Hin und wieder spielt er auch in den Mandelsteinen eine Rolle, wie z. B. die mächtigen Gänge bei den Kupfergruben des Lake Superior beweisen, wo ein Amerikanisches Dorf Epidot heißt. In Neuholland (Victoria) bildet er mit Quarz und Hornblende Felsen (Epidosit). Dagegen ist er „am Vesuv noch nicht gefunden“.

a) Pistacit Wr. nach der saftgrünen Farbe der Pistaciennüsse genannt. Karsten's Thallit. Dieses dunkle Pistaciengrün mit einem starken Stich ins Gelbe ist in der That auch so charakteristisch, daß man die feinsten Nadeln in den Mandelgesteinen an der Farbe wieder erkennt. Die schönsten Krystalle finden sich in den Magnetisengruben von Arendal (Akanthifone), und im Pinzgau, reichlich mit Flächen begabt. Dann kommen die feinstrahligen von Bourg d'Oisans mit Geradenfläche P an der gewendeten Säule (Delphinit). Die Scorza der Wallachen in den Goldwäschen von Mnsfa in Siebenbürgen ist sandig. Diese grünen verdanken ihre Farbe wohl dem Reichthum an Eisenoryd  $Ca^3 Si + 2 (Al, Fe) Si$ . Bauquelin fand 24 Fe. Er schmilzt leicht zu einer blasigen Schlacke, die schnell unschmelzbar wird, und krümmt sich dabei etwas. Merkwürdig ein Gehalt an Zinnoryd, bei Finnländischen nahe 1 p. C. betragend.

b) Kalkepidot  $Ca^3 Si + 2 Al Si$ . Zu ihm gehören unter den Krystallen die braunen vom Montblancgebirge und die wachsgelb durchsichtigen vom Rothenkopf im Zillertal. Sie sind im Hochgebirge einzelt gar häufig zu finden. Aber noch verbreiteter ist der aschgraue strahlige, der in derben Stücken zu Weissenstein im Fichtelgebirge im Granit lagert, in den Alpen im Quarz zc. Sein erster Blätterbruch sondert sich schaallig ab. Vor dem Löthrohr schmilzt er in großen Blättern viel leichter als Pistacit, bläht sich dabei blumentohlartig auf, allein die poröse Schlacke wird eben so schnell unschmelzbar. Werner nannte diese *Joisit*, da Baron v. Jois in Laibach sie zuerst auf der Saualpe in Kärnthen (Saualpit) entdeckte. und Laproth (Beitr. IV. 100) darin 21 Ca neben 3 Fe fand. Descloizeaux (Ann. des min. 1859. XVI) beschreibt sie als 2gliedrige Säulen von  $116^\circ 16'$ , deren scharfe Kante durch den deutlich blättrigen Bruch gerade abgestumpft wird. In diesem Blätterbruch liegt die Ebene der optischen Axen mit der Mittellinie senkrecht gegen die stumpfe Säulenkante. Durch Erwärmen gehen die Axen zusammen, und in der senkrechten Ebene wieder auseinander. Dasselbe Verhalten zeigt auch Thulit.

c) Manganepidot, Werner's piemontesischer Braunstein (Piemontit), von firschrother Farbe. Cordier fand ihn bei St. Marcel im Aostathal. Seine Structur gleicht der vom Joisit, aber er schmilzt noch leichter, schwellt nicht auf, und die Schlacke hält sich lange im Fluß,

doch erstarrt sie zuletzt auch. Cordier fand 12 Mn und 19,5 Fe, spätere Analysen sogar 19 Mn, daher geben sie mit Borax in der äußern Flamme ein amethystfarbiges Glas, das man in der innern leicht farblos bläst.  $\text{Ca}^2 \text{Si} + 2 (\text{Al}, \text{Mn}, \text{Fe}) \text{Si}$ , 0,4 kupferhaltiges Zinn. Auch er hat basisches Wasser, daher nach Kammelsberg (Monatsh. Berl. Akad. 1873. 459)  $\text{H Ca}^4 \text{K}^3 \text{Si}^4$ . Der mitvorkommende Violan, nach der blauen Farbe benannt, verhält sich optisch wie Diopsid.

Brooke's rosenrother Thulit, im Quarz mit spangrünem Vesuvian zu Tellemarken und Traversella soll die Blätterbrüche und Zwillinge des Epidot's haben, seine Farbe verdankt er 1,6 Mn, ein derber rosenrother von Arendal enthielt 0,22 Vanadinsäure. Vor dem Löthrohr brennt er sich weiß, und verhält sich durchaus wie Epidot. Brewster's Withamit in gelbrothen Krystallen aus den Mandelsteinen von Glencoe bildet unsymmetrische sechsseitige Säulen  $M/T = 116^\circ 14'$  und  $T/r = 128^\circ 20'$  mit dem Säulenpaare  $n/n$  aufgesetzt, entspricht daher ganz der gewöhnlichen Form. Der sogenannte schwarze Sphen von Achmatowsk, lange zum Bucklandit gestellt (Kotjcharow Material. III. 200), ist ungewendet  $2 + 1$ -gliedr. Epidot.

Nach neuern Untersuchungen sollen auch Orthit (Allanit, Cerin etc.) die Krystallform des Epidots zeigen, und man hat sich daher bemüht, diesen complicirten Mischungen die einfache Formel des Epidots ( $\text{H}^2 \text{Ca Ca Fe Al}^3 \text{Si}^4$ ) zu geben. Ihrem Aussehen nach gehören sie aber zu den Metallsteinen.

#### 4. Staurolith.

*Σταυρός* auf die kreuzförmigen Zwillinge anspielend, Aldrovand und später de la Methérie bedienten sich bereits dieses Namens, welchen Haüy in Staurotide änderte. L'Isle Essai 165 hieß ihn Pierres de Croix, vom Präsident Robien 1751 massenhaft in der Bretagne entdeckt. Cronstedt Miner. § 75 Basler Tauffstein, „weil man ihn den Kindern nach der Taufe umhing.“ „Er gleicht einem Kreuze, und wird deswegen lapis crucifer genennet.“ Nach der rothen Granatfarbe heißen die von Cheronico am St. Gotthardt auch Granatoid.

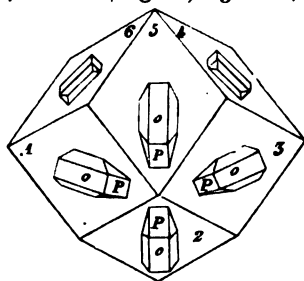
Zweigligedrig mit Winkeln, wie sie bei regulären Krystallen vorkommen, woraus Weiß (Abh. Berl. Academ. 1831. pag. 313) die ungewöhnlichen Zwillingbildungen begreifen lehrte. Einfache Krystalle machen eine geschobene Säule  $M = a : b : \infty 129^\circ 20'$ , deren scharfe Kante durch den ziemlich deutlichen Blätterbruch  $o = b : \infty a : \infty$  gerade abgestumpft wird. Eine Geradenfläche  $P = c : \infty a : \infty b$  fehlt nie. Solche  $MPo$  kommen in ungeheurer Zahl im glimmerigen Thonschiefer von Quimper in der Bretagne vor. Bei denen aus der Schweiz pflegt noch das Paar  $r = a : c : \infty b$  zu sein, die sich über  $P$  unter  $70^\circ 32'$ , dem Winkel des regulären Tetraeder, schneiden. Daraus würden die Axen

$$a : b : c = \sqrt{2} : 3 : 2$$

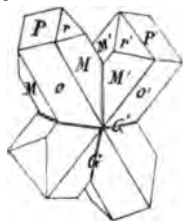


folgen. Nähme man  $o$  als Granatoederfläche, so würde  $P$  eine zweite, aber von  $o$  differente sein, stellt man diese  $oP$  einem rechtwinkligen Paare am Granatoeder parallel, so kann man statt den vordern Endanten des Oktaeders am Granatoeder die  $M$  als Leucitoideflächen  $a : a : \frac{1}{2}a$  ( $129^\circ 31'$ ) und die  $r$  als Leucitoederflächen  $a : a : \frac{1}{2}a$  (über  $P$   $70^\circ 31' 44'' = \text{Tetraederwinkel}$ ) nehmen, dann wären von den 12 Parallelräumen dieser Körper je  $\frac{1}{2}$  vorhanden, also eine Hektoedrie. Halten wir demnach den Staurolithsäulenwinkel als  $129^\circ 31' 16''$  und die Zuspitzung als  $70^\circ 31' 44''$  fest, so haben wir

1sten Zwilling: zwei Individuen kreuzen sich rechtwinklig, die stumpfen Säulenanten liegen im obern Niveau und würden beide durch  $a : \infty b : \infty c$  abgestumpft. Es spiegelt also der Blätterbruch  $o'$  des einen mit der Geradenfläche  $P$  des andern und umgekehrt ein. Die Blätterbrüche  $o/o$  bilden jetzt eine quadratische Säule, und stellt man diese einer der quadratischen Säulen des Granatoeders parallel, so bilden  $MM M'M'$  das darauffstehende Oktaeder der zugehörigen Leucitoidefläche  $a : a : \frac{1}{2}a$ , daher muß der einspringende Winkel  $M/M' = 144^\circ 51' 11''$  der Winkel der Oktaederkanten dieses Leucitoides sein. Die beiden Grenzebenen sind Würfelflächen, welche sich daher unter rechten Winkeln schneiden: am Staurolith würden sie den Ausdruck  $b : \frac{2}{3}c : \infty a$  bekommen, darum sagt man auch, die Zwillingeindividuen haben diese Fläche gemein, und liegen umgekehrt. Da nun das Granatoeder drei rechtwinklige Säulen hat, so kann ich in dreierlei Weise die quadratische ( $o/o$  oder  $P/P$ ) des Zwillinge denselben parallel stellen. Drei Zwillinge in dieser Stellung durchdrungen gedacht müßte daher ein vollständiges Leucitoid mit Granatoederflächen bilden.



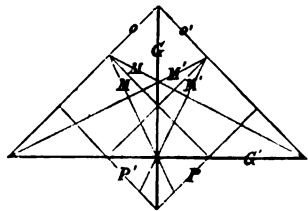
Dieses klar einzusehen lege man kleine Staurolithe mit ihrer Fläche  $o$  dergestalt auf die Granatoederflächen, daß noch  $P$  auf 1 mit 3, auf 2 mit 5, auf 3 mit 1, auf 4 mit 6, auf 5 mit 2 und auf 6 mit 4 spiegeln. Es haben dann die Staurolithindividuen eine solche Lage, daß wenn man Individuum auf 1 mit dem auf 3, auf 2 mit 5 und auf 4 mit 6 zusammengewachsen denkt, der erste Zwilling mit rechtwinkligem Kreuz entsteht; denkt man dagegen zwei in einer Granatoederkante anliegende Krystalle, z. B. 1 und 2, 2 und 3, 3 und 5 u. mit einander verwachsen so kommt der



2te Zwilling: die Individuen kreuzen sich unter  $60^\circ$ , es liegen aber die Kanten  $M/o$  im obern Niveau. Aus der Stellung am Granatoeder folgt, daß die Grenzebene  $G$  im scharfen Winkel Granatoederfläche sein muß, welche am Staurolith den Ausdruck  $c : a : \frac{2}{3}b$  hat, die Zwillingeindividuen haben also diese Fläche gemein und



liegen umgekehrt. Die zweite Grenzebene  $G'$ , von welcher schon Haug bewiesen hat, daß sie ein reguläres Sechseck bildet, gehört der Oktanterfläche an. Man überzeugt sich davon am leichtesten, wenn man den Zwilling auf die Würfel Fläche projecirt, wie in nebenstehender Figur. Auch übersieht man dann alle diese verwickelten Verhältnisse mit einem Blicke.  $P/P'$  und  $o/o'$  bilden den Granatoederkantenwinkel von  $120^\circ$ , er wird durch  $G$  halbirt;  $G$  halbirt ferner den einspringenden  $M/M'$   $129^\circ 31' 16''$  (oben neben  $G$ ), und den darunter liegenden  $M/M'$   $62^\circ 57' 51''$ , das Complement zum stumpfen ebenen Winkel des Leucitkörpers ( $117^\circ 2' 9''$ ). An der Grenzebene  $G'$  ist  $M/o' = M'/o = 148^\circ 31' 4'' = \frac{1}{2} (117^\circ 2' 9'') + 90$ . Diese  $G'$  hat am Staurolith den Ausdruck  $a : \frac{1}{2}c : oob$ , ist also gerade auf die stumpfe Säulenkaute aufgesetzt, und da sie ein reguläres Sechseck von  $120^\circ$  an der Staurolithsäule  $MMo$  bildet, so darf man auf ihr die Stücke nur um  $120^\circ$  gegen einander verdrehen, um auch zur Zwillingstellung zu gelangen. Vergleiche auch Websky Bogg. Ann. 118. 240.



Die optischen Axen  $+ 85^\circ$  liegen in der Ebene  $a : oob : ooc$ , die also den scharfen Säulenwinkel halbirt, Axe  $c$  Mittellinie.

Härte 7—8, Gew. 3,7, röthlich braun, die Farbe erinnert sehr an blutrothen Granat, nur ist sie etwas dunkler.

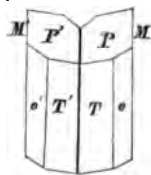
Blos im feinen Pulver kann er an den Kanten zu einer Schlacke geschmolzen werden, mit Soda unter Brausen eine gelbe Schlacke. Die Analyse führt zu verschiedenen Resultaten: von Cheronico 3,74 Gew.  $R^2 Si$ , 29 Si, 52 Al, 17,6 Fe; von Airolo 3,66 Gew.  $R^3 Si$ , 33,4 Si, 47,2 Al, 16,5 Fe; aus der Bretagne 3,53 Gew.  $R^3 Si^4$  39,2 Si, 44,9 Al, 15,1 Fe. Ein Magnesiagehalt fehlt nie. Man suchte diese Schwierigkeit unter anderm dadurch zu erklären, daß Si mit Al isomorph sei. Rammelsberg (Erdmann's Journ. 1861. 63. 338) schrieb sie dagegen ( $R_2 Al_3$ )  $Si_{11}$ . Erst Lechartier (Bull. Soc. Chim. 1865 III. 378) hat durch mikroskopische Untersuchung des Pulvers Quarz, welcher sich mit Flußsäure ausziehen läßt, als fremdartigen Bestandtheil nachgewiesen. Natürlich verräth sich das dann noch um so deutlicher in Dünnschliffen, und Hr. v. Lasaulx (Jahrb. 1872. 247) suchte nachzuweisen, daß nur der von Mt. Campione am St. Gotthardt chemisch rein sei, und zur Formel  $(Mg, Fe) Si + (Al, Fe)^2 Si$  führe. Die von Airolo enthalten außer Quarz noch Cyanit, Granat, Epidot u. eingeprengt. Auch Rammelsberg (Monatsh. Berl. Akad. 1873 pag. 157) kam nun auf die Form  $R R^2 Si^2$ . Peters (Sitzb. Wien. Akad. April 1868) gibt Schliffe von St. Radegund bei Graz. Die sächsischen Garbenschiefer (Jahrb. 1870. 112) sollen Anfänge von Staurolithkrystallen enthalten.

## 5. Cyanit Wr.

*K'aros* blau. Saussure der jüngere beschreibt ihn 1789 als *Sappare*, welche Benennung schon unter Jacob VI. (1600) in Schottland geläufig war. Vor Werner (Bergm. Journ. 1790. III. 1, pag. 149) hieß er gewöhnlich blauer Schörl, Haüy nannte ihn Disthen (*σθένος* Kraft), doppelkräftig, weil manche Krystalle gerieben auf Flächen von gleicher Glätte positiv, andere negativ elektrisch würden.

Eingliedrige Krystalle bilden lange Strahlen, nach Phillips Messungen: in der geschobenen Säule T/M  $106^{\circ} 15'$ , die breitere M sehr deutlich blättrig und glänzend, T zwar auch blättrig aber matt. Die scharfe Kante wird durch o schief abgestumpft, M/o  $131^{\circ} 25'$  und T/o  $122^{\circ} 20'$ . Untergeordnet und unsicher durch starke Längsstreifung pflegen die Abstumpfungen der stumpfen Säulenkaute T/M zu sein, deren Haüy zwei k und l angibt. Das System muß also zum gewendet 2 + 1-gliedrigen oder eingliedrigen gehören. Eine blättrige Endfläche kommt zwar vor, sie soll in P/M  $100^{\circ} 50'$  und in P/T  $93^{\circ} 15'$  machen, leider spiegelt sie aber selten gut, jedoch erzeugt sie auf M eine ausgezeichnete Querstreifung, welche die Kante M/o unter  $90^{\circ} 15'$  schneiden müßte, also fast senkrecht gegen die Säulenaxe stünde. Darnach scheint also das System eingliedrig und die von Haüy angegebenen Abstumpfungen, die am Monte Campione bei Faïdo (Jahrb. 1866. 104) vorkommen, von P/T zu beiden Seiten müßten dann ungleichwerthig sein. Das Staurviskop pag. 139 bestätigt das.

Zwillinge kommen häufig vor, sie haben den Blätterbruch M gemein, und liegen umgekehrt. Nach Mohs gewöhnlich der, woran sowohl T/T' als P/P' einspringende Winkel bilden. In diesem Falle müssen die Flächen M und M' so aneinander liegen, daß die Kante T/M mit T'/M' und die Kante P/M mit P'/M' parallel geht, es ist also ein Gemeinhaben von M im vollsten Sinne des Wortes:



der Zwilling entsteht, wenn man beide Individuen auf M um  $180^{\circ}$  gegen einander verdreht. Dagegen behauptete G. Rose (Kryst. chem. Mineral. pag. 79), daß eine

zweite Art, wo zwar T und T' auch einspringende Winkel bilden, aber P und P' scheinbar mit einander einpiegeln, gewöhnlicher sei. In diesem Falle muß man das eine Zwillingeindivuum  $180^{\circ}$  um die Axe P/M drehen. Da Kanten P/M und o/M auf M ein Parallelogramm von  $90^{\circ} 15'$  bilden, so müssen sich, entweder wenn  $M/P \neq M'/P'$  gedacht würde, die Säulenkaute M/o mit M'/o' unter  $30^{\circ}$  schneiden; oder wenn  $M/o \neq M'/o'$ , die Kanten P/M und P'/M' unter  $30^{\circ}$ . Die Unterschiede beider möglichen Fälle sind so gering, daß sich nicht leicht die Wahrheit wird ermitteln lassen. Endlich ist auch eine

dritte Art möglich: ein Individuum dreht sich  $180^{\circ}$  um die Säulenkaute M/T, dann werden alle Säulenflächen einpiegeln, nur die

Endflächen P unter 30° Kreuzung der Kanten P/M mit P'/M' einen einspringenden Winkel bilden. Da nun das Ende gewöhnlich fehlt, so erscheinen dem Auge solche Krystalle einfach, Blücher weist aber (Pogg. Ann. 82. 11) ein optisches Mittel nach, sie zu erkennen: es zeigen sich nämlich zwischen gekreuzten Turmalinplatten eigenthümliche hyperbolische Linien, welche sich bei einfachen Individuen niemals finden. Auch das Staurostop liefert ein treffliches Unterscheidungsmittel, denn Zwillinge werden bei der Drehung in gewissen Lagen nicht dunkel wie die einfachen Krystalle, v. Kobell (Sitzb. Bay. Acad. Wiss. 1861 XIV. 1 pag. 272). Kreuzungen der Strahlen unter 60° wurden von Renngott auch als Zwillinge angesehen.

Die optische Mittellinie steht senkrecht gegen den Blätterbruch M, die Ebene der optischen Axe geht durch den stumpfen Winkel des Parallelogramms von 90° 15' und schneidet die Kante M/T unter 30°. Die Axen selbst schneiden sich unter 81° 48'.

Auf das Dichrostop wirken die Krystalle sehr stark: senkrecht gegen den Blätterbruch sind die Bilder zwar kaum von einander verschieden, allein gegen T gesehen wird das eine Bild auf Kosten des andern prachtvoll blau, und zwar bei aufrechter Säulenlage das ordinäre, bei liegender das extraordinäre. Hängt man den Krystall an einem Coconsfaden in einer Papierschleife auf, so stellt er sich mit Declination und Inclination wie eine Magnetnadel (Blücher Pogg. Ann. 77. 110), „er ist eine wahre Compaßnadel“, und richtet dabei immer dasselbe Ende nach Norden! Zu diesem interessanten Experiment gehört jedoch eine vorsichtige Wahl der Individuen, bei allen glückt es wohl nicht.

Nicht minder auffallend sind die großen Verschiedenheiten der Härte: auf dem Blätterbruch M läßt er sich parallel der Säulenkaute M/T, also senkrecht gegen die Faserstreifung, mit einem gewöhnlichen Messer noch gut ritzen ( $H = 4-5$ ), parallel der Faser, also senkrecht gegen die Kante, kommt man dagegen beim stärksten Druck nicht mehr hinein ( $H = 6$ ), auf den übrigen Säulenflächen erreicht er sogar, besonders gegen die Säulenkaute, die Härte des Quarzes = 7! Gew. 3,5—3,7. Blaue Farbe, ins Weißliche bis Farblose, seltener graulich. Atomvolumen 45,3, das doppelte des Quarzes.

Vor dem Löthrohr unschmelzbar, brennt sich aber weiß, mit Kobalt-solution stark geglüht blau. Zum Aufschließen eignet sich Aethylhydrat am besten.  $\text{Al}^3 \text{Si}^2 = \text{Al Si} = 62,6 \text{ Al}, 37 \text{ Si} \text{ 1 Fe}$ , doch schwanken die Angaben etwas. Jedenfalls ist die Zusammensetzung Staurolithartig, daher verwachsen beide häufig der Länge nach mit einander, und zwar spiegelt gewöhnlich der blättrige Bruch M mit der ebenfalls blättrigen Abstumpfungsfäche der scharfen Säulenkaute o am Staurolith (Germar Taschenb. Min. 1817 XI. 111): so bei den schönen Krystallen von Cheronico, die im weißen Glimmerschiefer auf dem Dolomit von Campolongo lagern (Studer Geol. Schweiz I. 117). Bei Faïdo und Airolo in Paragonit-schiefer mit zahllosen makro- und mikroskopischen Krystallen (Pogg. Ann.

147. 202). Im Pfiffcher Thal bei Sterzing in Tyrol breite blaue Strahlen im Quarz, die oft in auffallender Weise krummschalig werden. Sie zersplittern sich zu schmalen Strahlen von weißer, rother, grauer und schwarzer Farbe, was Werner *Rhätieit* nannte. Klare Krystalle in den Goldseifen des südlichen Ural zusammen mit Eulass (Kotischarow Materialien III. 100). In Connecticut, Delaware und Pennsylvanien sollen nach Genth (Jahrb. 1874. 505) Cyanit und Fibrolith Umwandlungsproducte vom Rorund sein.

Sillimanit Boven Al Si, von der Zusammensetzung des Cyanit's, wird von vielen dafür gehalten. Die langstrahligen nelftenbraunen Krystalle bilden Säulen von  $98^\circ$ , die mit  $o/l = 97^\circ 6'$  beim Cyanit stimmen, auch wird ihr stumpfer Winkel durch einen deutlichen Blätterbruch abgestumpft, aber die andern Blätterbrüche scheinen zu fehlen. Freilich ist er nach allen Richtungen gleich hart und das Gewicht beträgt blos 3,24. Auf Gängen im Gneise bei Saybrook (Connecticut). Optisch verhält er sich 2gliedrig, was mit Cyanit nicht in Uebereinstimmung zu bringen ist. Daher wird er vom Hrn. Descloizeaux für ein besonderes Mineral gehalten, wozu nicht blos Wörthit (Hef. Pogg. Ann. 21. 18), der in strahligen Klumpen in den Nordischen Geschieben gefunden ward, und der ähnliche Monrolith von Monroe zu gehören scheint, sondern vielleicht auch Buchholzit und Fibrolith. Nach Damour (Cmpt. rend. 1865 Bd. 61. 200) wurde Sillimanit-Fibrolith zu celtischen Waffen verarbeitet. Gieseke's Sapphirin  $Mg^3 Al^4 Si$  aus dem Glimmerschiefer von Fischenæs in Grönland bildet kurze blaue etwas blättrige Strahlen, worin Stromeyer  $14,5 Si$  fand. Man hat dabei wohl an unreinen Cyanit gedacht, doch ist  $16 Mg$  etwas viel.

## 6. Andalufit.

Von Bournon 1789 Spath adamantin d'un rouge violet genannt, die Stücke stammten vom Gebirge Forez; Lamétherie (Journ. de Phys. An. 6. 306) erhielt ihn von Andalusien in Spanien.

Zweigliedrige wenig blättrige Säulen  $M = a : b : \infty$  von  $90^\circ 50'$  (Haidinger, Pogg. Ann. 61. 200) mit Geradenfläche  $P = c : \infty a : \infty b$ , die ein quadratisches Aussehen haben, und von besonderer Schönheit mehrere Zoll dick und mehrfach länger im Quarzgestein von Eisens südwestlich Innßbruck brechen. Hin und wieder findet sich eine kleine Abstumpfung der Ecken über der stumpfen Säulenkante  $a : c : \infty b 109^\circ 4'$ , wornach  $a : b = \sqrt{1,97} : \sqrt{2,03}$  sich verhalten würde. Auch Zuschärfungen  $b : c : \infty a$  auf die scharfe Säulenkante, sowie Abstumpfungs- und Zuschärfungsflächen der stumpfen Säulenkante 2c. werden angegeben. Bei Nertschinsk Zwillinge, welche die Säule gemein haben und umgekehrt liegen.

Gewöhnlich stark mit Glimmer bedeckt, welcher auch die Krystalle durchdringt, ihnen talkartige Weichheit gibt, daher die alte Benennung

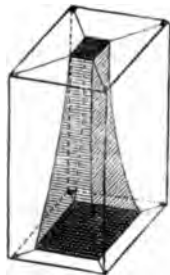
**Micaphyllit.** Die frischen gehen etwas über Quarzhärte hinaus, 3,17 Gewicht. Meist trübe grüne, röthliche, graue Farbe mit geringer Durchscheinheit. Trotzdem wirken namentlich die rothen auf das Dichroskop. Besonders aber die grünen durchsichtigen aus Brasilien und Nertschinsk, welche grüne und rothe Bilder geben. Optisch +, a Mittellinie.

Vor dem Löthrohr unschmelzbar, wird mit Kobaltsolution schön blau, lange galt er für  $Al^4 Si^2$ , jetzt  $Al Si$ , Thonerde steigt bis auf 60 p. C.; ältere Analysen geben einen bedeutenden Gehalt von Kali, nach Bauquelin bei den spanischen sogar 8 Procent. Er kommt besonders in Quarzgesteinen vor, nicht blos in den Alpen, und daher häufig in den Gletschergeschieben von Oberschwaben, sondern von rother Farbe mit Fettglanz und großer Härte zu Goldenstein in Nähren, Herzogau im Bayerischen Walde, Killiney bei Dublin. Besonders frisch im glimmerreichen Thonschiefer von Sibirien. Auffallend ist es, daß die trüben so häufig steinmarkartig weich werden.

Buchholzit im Quarz von Eisens wurde für feinsäsrigen Andalusit gehalten, der sehr an Katzenauge erinnert. Auch Bournon's Fibrolit mit Korund zu Carnatit in Ostindien und in Geschieben der Goldseifen von Beechworth (Victoria) wird dahin gerechnet. Im Quarz kommt ferner der Xenolith  $Al Si$  von Peterhoff in Finnland und der Bamlit  $Al^2 Si^3$  von Bamle in Norwegen vor, beide scheinen ohnedieß wegen ihrer säsrigen Bildung dem Buchholzit sehr nahe zu stehen. Ein viel höheres Interesse gewährt dagegen

**Chiasolith**,  $Si^2$  durchkreuzen, Karsten Mineral. Tabell. 1800 pag. 73, so genannt, weil im Innern der Thonschiefer den griechischen Buchstaben X bildet, Macle R. de l'Isle Essay 166 (macula Fleck), Aldrovand im Museum metall. 1648. pag. 881 bildet bereits die Spanischen von Santiago di Compostella in Galizien als Lapis crucifer ab, und Werner gab ihm den nicht unpassenden Namen Hohlspath.

Er findet sich nur im Thonschiefer in Andalusitartigen Säulen von  $91^\circ 50'$ , die beim Zerbrechen einen deutlichen Blätterbruch wahrnehmen lassen. Auf dem Querbruch nimmt man in günstigen Fällen ein Kreuz von Thonschiefer wahr (crucem Domini salutis humanae symbolum, Mercati Metallotheca vaticana 1717 pag. 237), das sich in der Mitte und in den 4 Kanten verdickt. Manche wollen darin Zwillingbildung erblicken. Daher sehen die Kanten außen gewöhnlich schwarz aus. An ein und derselben Säule vermehrt sich dann nicht selten die Thonschiefermasse so, daß sie das ganze Innere edig ausfüllt. Die Oberfläche glänzt bei den Französischen mit einer dünnen Glimmerschicht. Feldspathhärte, Gew. 3, halbdurchsichtig mit einem Stich ins Gelbe. Vor dem Löthrohr schmilzt er nicht. Arfvedson fand bei dem Bretagner sogar 11,3 Ka, deßhalb war man früher geneigt  $K^2 Si^2$  in die Formel aufzunehmen, einen Theil der Schuld mag der



niemals ganz Kalifreie Thonschiefer tragen, denn Bunsen (Pogg. Ann. 47. 100) fand  $\text{Al}^4 \text{Si}^3$ , 39,1 Si, 58,7 Al und keine Spur von Kali in der reinen Masse.

In den Thonschiefern dießseits und jenseits des Atlantischen Oceans findet sich das Mineral häufig massenweis, zumal nahe dem Urgebirge: in Deutschland sind besonders die dünnen Säulen von Gefrees im Fichtelgebirge bekannt, Leonhard gibt sie auch im Thonschiefer bei Baden am Schwarzwalde an, Germar am Unterharze bei Bräunrode und Greifenhagen 2c. Ebenso fein sind sie in einem röthlichen Thonschiefer vom Cap der guten Hoffnung eingesprenkt. In Thonschiefergeschieben von Transbaitalien zeigen sie Trichroismus (Kotscharow Material. V. 110). Viel dicker enthält sie der Thonschiefer der Bretagne von Salles de Rohan bei St. Brieux. In den Pyrenäen erreichen sie sogar fast Fußlänge und 2 Zoll Dicke, sie werden dort verschliffen und wegen ihrer Kreuzfigur seit langer Zeit als Amulette getragen. Die Amerikanischen von Chesterfield gleichen fingerdicken Cylindern, und man würde sie nicht für das halten, was sie sind, wenn nicht der Querschnitt die Kreuze zeigte. Die sogenannten Frucht- und Knotenschiefer sollen Anfangsbildungen von Andalufiten sein.

Vergleiche wegen seines Aussehens auch Charpentier's Couzera nit aus den grauen krystallinischen Kalken der Pyrenäen, dessen lange vierseitige fast quadratischen Säulen innen öfter ebenfalls hohl und mit dem Muttergestein ausgefüllt sind, das wie der Carrarische Marmor zum Bergtalke gehört. Freiesleben's Talksteinmark aus dem Porphyr von Rochlitz in Sachsen hat zwar die Zusammensetzung des Cyanits  $\text{Al Si}^2$ , gehört aber seinem Aussehen nach zu den Thonen. G. Rose führt hier auch den Agalmatolith pag. 297 als  $\text{Al Si}^3$  auf. Vergleiche auch den asbestartigen Glimbelit (Sipb. Bayer. Akad. 1870 I. 100) auf Thonschiefer von Steben.

## VI. Edelsteine.

Die Gemmen bilden eine gute Gruppe unter den Silicaten, welche man nicht zerreißen sollte, wenn auch ihre Grenzglieder nur schwach verbunden sein mögen. Große Härte (es sind die härtesten irdischen Stoffe), hohes Steingewicht, prächtige Farben und Klarheit, verbunden mit starkem Glanz, eine nicht gewöhnliche Zusammensetzung zeichnen sie aus. Den edlern unter ihnen fehlt die gemeinere Kieselserde ganz, und Thonerde bekommt das Uebergewicht. Bergman vermuthete sogar eine besondere „Edelerde“, Hausmann eine „Hartsteinsubstanz“ darin. Ja die Krone derselben, der Diamant, besteht aus Kohlenstoff, und dennoch ist hier sein natürlicher Platz. Trotz ihres spärlichen Vorkommens sind die Edelsteine schon den ältesten Völkern bekannt, und ihre Namen uns überliefert, obgleich wir nicht immer wissen, was darunter verstanden wurde. Auch konnten die Alten bei dem mangelhaften Stande der Wissenschaft sich

selbst über die Sachen nicht klar sein. Brückmann's Abhandlung von Edelsteinen 2te Aufl. 1773 ist noch jetzt sehr brauchbar.

### 1. Diamant.

Bei den Griechen *ἀδάμας* (unbezwungbar), wie alles harte, arabisch *mas*, *Jahalom* *Demant* Luther 2 Mos. 28, 18. Plinius hist. nat. 37. 18 spricht über *adamas* sehr ausführlich: „den größten Preis unter den menschlichen Dingen hat der Diamant, lange nur den Königen und auch unter diesen bloß wenigen bekannt. . . . Nur im feinsten Golde erzeugt er sich . . . Sechs Arten sind bekannt . . . Darunter die Indischen und Arabischen von unaussprechlicher Härte, auf den Ambos gelegt, stoßen sie den Schlag so zurück, daß Eisen und Ambos in Stücke zerspringt, auch das Feuer besiegen sie, denn sie entglühen nicht einmal (*numquam incalescens*) . . . . Diese Macht über Stahl und Feuer wird durch *Boßblut* gebrochen, aber nur wenn sie durch frisches und warmes gebeizt sind, und auch so erst nach vielen Schlägen, und immer noch Ambose und Hammer sprengend . . . . Nur ein Gott kann dieses unermeßliche Geheimniß dem Menschen mitgetheilt haben . . . . Und wenn er nun glücklich zum Reißen gebracht wird, so zerspringt er in so kleine Stücke, daß man sie kaum sehen kann. Das war der Standpunkt des Alterthums. Im Mittelalter besingen Dichter (*Parcival*) das Wunder, und nach *Albertus Magnus* (*de miner. pag. 7*) wird das Blut um so wirksamer, wenn der Boß vorher Wein getrunken oder *Petersilie* gegessen habe.“

**Reguläres Krystallsystem**, deutlich oktaedrisch blättrig, wovon die Steinschneider profitiren, indem es dadurch allein möglich gemacht ist, rauhe Stellen schnell wegzuspalten. Oktaeder  $a:a:a$  bei den Ostindischen, Granatoeder  $a:a:∞a$  bei den Brasilianischen gewöhnlich, aber stark gerundet und kaum meßbar. Die meisten Granatoeder nach der kurzen Diagonale (Kante des eingeschriebenen Würfels) der Rhomben geknickt, wodurch ein sehr verzogener Pyramidenwürfel entsteht. Seltener herrscht die Knicung nach der Längsdiagonale, was ein bauchiges Pyramidenoktaeder gibt. Die Knicung nach beiden Diagonalen gibt ein Pyramidengranatoeder, das wegen der Flächenrundung sich der Kugel- und Eiform nähert. Eine gleiche Deutlichkeit beider, der gebrochenen Würfel- und Oktaederkanten, ist aber durchaus nicht gewöhnlich, in der Kugel prägt sich also das Oktaeder oder Granatoeder vorherrschend aus, jenes der Ostindische, dieses der Brasilianische Typus. Würfel kommt selten vor, und Leucitoeder wird gar nicht angeführt. Zuweilen haben sie auch Neigung zum Tetraedrischen, Dana (*Syst. Miner.* 1868. 11) führt sogar einen flächenreichen Zwilling an, der mit seinen Tetraederkanten sich rechtwinklich kreuzt. Andere Zwillinge, stark nach der trigonalen Aze verkürzt, sind häufig. Sieht man daran den blättrigen Bruch, so macht

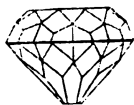


er einspringende Winkel auf den Seiten, während drei der Zwillingssage parallel gehende Granatoeberflächen in beiden Individuen einspiegeln, aber sich doch durch die verschiedene Streifung unterscheiden lassen. Mag daher auch, wie häufig geschieht, die Zwillingsgrenze noch so stark verwachsen, so wird man doch leicht auf die Spur geführt. Geschliffene Platten zeigen öfter zahllose Zwillingstreifen, wie Labrador, es scheint das von neben einander gelagerten Lamellen herzukommen. Denn in gewissen Richtungen leuchten nach Brewster die einen Lamellen, die andern nicht. Unter den ersten Diamantlinsen gaben daher einige doppelte und dreifache Bilder. Auch im polarisirten Licht nimmt man öfter blaue Streifen wahr. Krystalle mit vertieften Kanten. Rauigkeiten der Flächen mit labyrinthischen Gängen und harzartigen Unebenheiten zc.

Härte 10, und zwar von allen Steinen bei weitem der härteste. Die ostindischen gelten für härter als die Brasilianer. Am härtesten die Divelsteene (Teufelssteine) der Holländer. Man rechnet, daß er beim Verarbeiten 50mal mehr Zeit in Anspruch nimmt, als der nächstharte Sapphir (Kluge Handb. Edelst. pag. 19). Nur der künstlich krystallisirte Bor scheint ihm gleich zu kommen. Daher wurde er früher bloß etwas polirt (Spigsteine), wobei man von der natürlichen Krystallform Nutzen zog. Die Akrasse des kaiserlichen Mantels Karls des Großen ist noch mit solchen ungeschliffenen Steinen besetzt. 1373 gab es in Nürnberg Diamantpolirer. Erst Ludwig van Berquen aus Brügge in Flandern fand 1456, daß man ihn in seinem eigenen Pulver (Demantbort) schleifen könne. Anfangs machte man Tafelsteine, d. h. stumpfte die Ostindischen Oktaeder an zwei entgegengesetzten Ecken mehr oder weniger ab. 1520 kamen **Rosetten** (Rautensteine) auf. Ihr Schnitt richtet sich nach



der rhomboedrischen Stellung: die untere flache Basis entspricht dem blättrigen Bruch, und die Spitze endigt mit 6 Sternfacetten, außerdem sind noch 18 Quersfacetten da, die sich zu  $6 + 12$  gruppieren. Liegen die 6 unter den Flächen der Sternfacetten, so folgen im Rande 12, liegen aber die 6 unter den Kanten, so fallen die 12 zwischen die beiden 6. Besonders sind die Zwillinge zu solchen Rosetten brauchbar, man spaltet sie nur nach der Zwillingsebene, dann gibt die nach der kurzen Diagonale gebrochene Granatoeberfläche den Anhaltspunkt für die 6 Sternfacetten. Cardinal Mazarin ließ zuerst



**Brillanten** schleifen. Ihr Schliff richtet sich nach der oktaedrischen Stellung: der flachere Obertheil (Krone) endigt mit einer Geradendfläche (Würfelfl.), darunter folgen  $8 + 8 + 8$ , oder  $8 + 8 + 16$  Facetten; der spitzere Untertheil ist dem obern ähnlich, aber am Unterende nur durch eine ganz feine Endfläche (Kalette) abgestumpft; der Gürtel (Rand) trennt beide Theile von einander. Ein guter Brillantenschliff weicht nie vom Zahlen-gesetz 8 ab. Die Brillanten faßt man meist à jour, d. h. man gibt ihnen keine Unterlage, wie den Rosetten. Das Schleifen ist sehr zeit-raubend, und wenn man sie nicht mit feinen Meißeln durch einen schnellen



- aber starken Schlag spalten kann, so muß man sie mit einem feinen Stahlbraht mittelst Diamantpulver und Del durchsägen. In Amsterdam unterscheidet man daher **Spalter**, welchen die Steine zum Anrichten mittelst Schlag zugewogen werden; **Schneider** müssen sie auf Kittstöcken befestigen und durch Gegeneinanderreiben matte Facetten auf ihnen erzeugen, die dann von den **Polirern** auf gußeisernen Scheiben mit Demantbort und Olivenöl glänzend gemacht werden. Der Regent in der Krone Frankreichs wiegt 136 Karat, roh wog er 410 Karat, er hat also durch den Schliff, der 2 Jahre währte,  $\frac{2}{3}$  an Größe verloren. Daß Diamanten Glas schneiden, daran ist die doppelte Krümmung der Krystallkanten schuld, die einen einzigen Punkt zum Schnitt kommen läßt. (Wollaston, Gilbert's Ann. 58. 99.)

Gewicht 3,55, genau das des Topases, daher sind auch Brasilianische Topasgesteine damit verwechselt worden. Indische 3,521, Brasilianische 3,444. Farblos, doch nehmen sie eine schwarze, nellenbraune, graue, gelbliche, grünliche u. Färbung an, die wenn rein theuer gezahlt wird. Doch hat es damit eine eigene Verwandtniß, das Auge wird getäuscht: namentlich zeigen die grünen unter dem Mikroskop häufig bloß Flecken, wie Fliegenmist, oder Verzweigungen wie Conserven. Göppert nennt sie daher *Protococcus adamantinus*. Auch die nellenbraunen sind oft bloß getüpfelt oder geflammt, statt durch und durch gefärbt. Solche Unsicherheit zeigt sich auch bei schwarzen, sie glänzen im reflectirten Licht, wie Graphit, und zeigen doch beim Durchsehen grasgrüne Stellen. Uebrigens kommen auch tiefschwarze vor mit starkem Glanz, sie sollen so hart sein, daß sie sich mit dem Staube farbloser Diamanten gar nicht schleifen lassen. Bei manchen schwefelgelben scheint sich die Färbung bloß auf die Oberfläche zu concentriren, sie werden daher durch den Schliff klarer, eine den Händlern wohlbekannte Thatsache. In Paris (Pogg. Ann. 128. 190) zeigt man einen bräunlichen Brillant von 4 Gramm im Werth von 60,000 Franken, derselbe bekommt im Feuer eine rosenrothe Farbe, die er 10 Tage beibehält, und in dieser Zeit 200,000 Fr. werth ist.

Diamantglanz und starke Farbenzerstreuung, deßhalb zeigen die geschliffenen Facetten das lebhafteste Farbenspiel. Starke Strahlenbrechung 2,47, d. h. die vergrößernde Kraft der Diamant- zur Glaslinse wie 5 : 3, daher ist er auch zu mikroskopischen Linsen benützt worden, die aber sehr schwer vollkommen zu machen sind, so daß nur wenige gute existiren pag. 121. Newton schloß 1675 daraus, daß es eine brennbare Substanz sein müsse. Er machte nämlich zwei Klassen von Körpern: feuerbeständige mit schwächerer und brennbare mit stärkerer Brechkraft, die bei beiden einem eigenen Gesetze, aber so ziemlich dem Verhältniß zur Dichtigkeit folgt. Nun verhält sich die Dichtigkeit vom Diamant zum Quarz = 4 : 3, aber die Brechkraft = 5 : 3, daher konnte Diamant kein feuerbeständiger Stein sein. Setzt man zum Oliven- und nach Cassia- oder Saffranöl, so kann man ächte Steine unsichtbar machen. Merkwürdig sind die „Sterndiamanten“, welche auf

der Otktaederfläche einen sechsstrahligen Lichtschein zeigen (Descloizeaux Ann. Phys. 1845. XIV).

Sollte das Licht zwar nicht doppelt brechen, also auch nicht polarisiren, allein nach Brewster finden sich im Innern Luftblasen, um welche herum wie im Bernstein das Licht etwas verändert wird (Pogg. Ann. 15. 518). Da nun außerhalb dieser Blasenphäre das Licht vollkommen unpolarisirt durchgeht, so scheint die Masse ursprünglich weich gewesen zu sein, so daß eingeschlossene Luft durch Expansion die ihr nächstliegenden Theile verändern konnte, wie man etwa durch Druck auf Glas und Harz ähnliche Erscheinungen hervorbringt! Die Höhlen haben öfter sehr bizarre Formen, sind auch wohl, wie schon Tavernier erzählt, mit einer schwarzen Materie (*boue végétale*) erfüllt. Manche sollen durch Insolation (Pogg. Ann. 64. 524) oder Bürsten phosphoresciren. Bose hat das 1745 in einer schwülstigen Rede (von dem Lichte der Diamanten im Finstern) vor dem durchlauchtigsten Churprinzen von Sachsen behandelt. Durch Reiben stets + elektrisch.

Reiner Kohlenstoff C, seine Oberfläche wird in der Oxydationsflamme matt, durch langes Glühen „schwarz und undurchsichtig, was nur von einem Uebergange in den amorphen Zustand herrühren kann.“ Obgleich sein Pulver schon bei Anwendung einer Spirituslampe brennt, so kann er doch in Kohlenpulver verpackt der größten Hitze ausgesetzt werden, wie das die Pariser Steinschleifer schon 1771 wußten. Endlich freilich bläht er sich, wird grauschwarz, färbt ab wie Graphit. Auch zwischen den Kohlenspitzen einer stark elektrischen Säule wird er zu Coaks. Sobald aber Sauerstoff hinzutritt, so stößt er Gas aus. (Boyle), und 1694 wurden auf Veranlassung Cosmus III. von Florenzer Akademikern die ersten Diamanten in einem großen Tschirnhausischen Brennspiegel verflüchtigt: sie behielten zwar ihre Form bei, wurden aber immer kleiner, und verschwanden zuletzt ganz. Jetzt kann man sie schon im Glasgebläse auf Platinblech verflüchtigen, ohne daß die Oberfläche ihren Glanz verliert (Compt. rend. 70. 599), sie nehmen dabei Aefffiguren an pag. 193. Schon Lavoisier fand, daß sie dann Kohlen Säure entwickeln; Guyton, daß sie mit Eisen zusammengeschmolzen (cementirt) Stahl erzeugen. In Wien wollte Kaiser Franz I. 1750 im Ofenfeuer kleine zu einem großen zusammenschmelzen, aber die Sache gelang nicht. Pechhold glaubte in kleinen Rückständen Kieselerde mit Pflanzenzellen gefunden zu haben, auch Göppert (Pogg. Ann. 92. 622) bildet so etwas ab, aber Wöhler konnte das nicht bestätigen. Der Aschengehalt beträgt zuweilen bis 2 p. C. Vergleiche auch Graphit, welcher es wahrscheinlich macht, daß die Kohle dimorph sei.

Bildung. Einige haben gemeint, er möchte sich auf organischem Wege gebildet haben, wie etwa Tabascher im Bambus, worauf auch die Polarisationserscheinungen hinweisen könnten, ganz abgesehen von den Zellen. Andere suchten ihn auf unorganischem Wege durch Schmelzen von Kohle darzustellen. Silliman und Cagniart de Latour bekamen so auch wirklich farblose Kügelchen, welche Glas ritzten, es war aber nach

Thenard geschmolzene Kiesel-erde. Auch die Liebig'sche Ansicht, sie als Verwesungsprodukt anzusehen, soll nicht Stich halten. Simmler (Pogg. Ann. 105. 400) meinte, Kohlenstoff in flüssiger Kohlen-säure gelöst, was bei einem Druck von 36 Atmosphären geschieht, könnte Diamant werden. Seit man im Quarz, Topas zc. wirklich flüssige Kohlen-säure fand pag. 212, ist die Hypothese nicht ganz grundlos. Dagegen verflüchtigte Desprez (Compt. rend. Sept. 1853. pag. 369) Kohle mittelst eines elektrischen Stroms über einen Monat hindurch. Es setzten sich an den Platindrähten kleine schwarze mikroskopische Octaeder an, die Rubin polirten, was bekanntlich nur mit Diamantpulver geschieht. Leider ist Kohlenstoff ein zu schlechter Leiter der Electricität. Gannal ließ Phosphor, Wasser, Schwefel und Kohle etliche Monate auf einander wirken, und bekam Dodecaeder!

**Vorkommen.** Lange kannte man ihn nur auf sekundären Lagerstätten: im tertiären „Diamantensandstein“ oder im lockern und harten Diluvialgebirge (sogenannte Diamantsaifen). Dann fand man ihn jedoch nördlich Tejuco in Brasilien in einem glimmerhaltigen Quarzgestein (Itacolumit), das mit Hornblende-schiefeln in inniger Verbindung steht. Darnach scheint das Urgebirge die Bildungsstätte zu sein (Girard Leonh. Jahrb. 1843 pag. 308). Edle Metalle und Steine, wie Gold, Euklas, Topas, Chrysoberyll, durchsichtiger Andalusit, Turmalin, Amethyst, Anatas, Rutil, Granat, Diaspor, Zirkon, Zinnstein, Tantalit zc. (Bullet. géol. 1857. XIV. 449) sind häufige Begleiter. Das Vorkommen im Xanthophyllit pag. 193 bestätigt sich nicht.

**Vorderindien** der älteste und berühmteste Fundort. Nach Ritter (Asien 6, pag. 343) gibt es daselbst fünf Hauptpunkte: 1) Cuddapah am Pennar bis Gandicotta, die südlichste Gruppe; 2) Randial-Gruppe auf der Westseite der Nalla Nalla-Berge, welche sich von Cuddapah nördlich bis zur Kistna ziehen. Hier sollen die größten Indischen vorgekommen sein; 3) Golconda (Bergfeste  $\frac{1}{2}$  Stunde WNW Hyderabad) hat keine Gruben, sondern ist für die Gruppe der Umgegend nur der Markt, welcher durch den Franzosen Tavernier (Six voyages en Turquie 1669) so berühmt geworden ist: An der untern Kistna bei Ellore, das im Basalttuff auf Granit die größten liefert, waren allein 60,000 Menschen mit Bochen und Wägen eines harten eisenschüssigen Gesteins beschäftigt, das bis zu 14' tief ausgebeutet wurde. Zu Raolconda war es ein Sandstein, wie bei Fontainebleau, in dessen kaum fingerbreiten Spalten ein feiner Sand sich findet, worin die Diamanten lagen. Da der Stein hart ist, so mußte der Sand mittelst zugespitzter Eisenstangen mühsam herausgeholt werden (Voyages II. 27); 4) Sumbhulpur-Gruppe am mittlern Mahanadi, wo man sie hauptsächlich im Schlamm-bette der Nebenflüsse auf der nördlichen Seite sammelt; 5) Panna-Gruppe in Bundelkhand zwischen Sonar und Sone (25° N. Br.) in eisenhaltigem Kiese über Bunten-sandstein bildet die nördlichste. Schon Ptolemäus erwähnt hier einen Adamasfluß. In heutiger Zeit hat das Suchen sehr abgenommen. Ceylon liefert trotz seines Edelstein-reichthums keine Diamanten,

dagegen findet man sie an der Südostspitze von Borneo, Tanah Lant (Seeland) genannt, in einem rothen Thone von Gold und Platin begleitet. Der Thon ruht auf Serpentin- und Hornblendegestein (Pogg. Ann. 55. 596). Das Vorkommen in der alten Welt wurde durch

Brasilien überflügelt und zwar in der Provinz Minas Geraes durch die unwirthliche Serra do Frio mit dem Hauptort Tejuco, 1801 noch ein trauriger Flecken, jetzt zu einer Stadt „Diamantina“ erhoben, worin sich seit dem Freigeben der Wäsche Negerbanden herumtreiben. Südöstlich erhebt sich der 5600' hohe Itambé, woran der Fluß Jequetinhonha in 2 Armen entspringt. Hier auf Itacolumit liegt die Hauptgrube Mandanga, in einem eisenküssigen gerollten Kies (Cascalho) mit großen Quarzgeschieben, Topasen und Goldblättchen. Man sucht sie jetzt auch tiefer unter dem Kiese der Flußbetten, wo nach Agassiz die Brasilianische Eiszeit ihre Spuren hinterließ. Die feinsten Stücke liefert der Gurgulho aus eckigen Quarzbrocken bestehend. Ein Spanier erkannte 1727 die glänzenden Steine, während die Neger sie schon längst als Spielmarken benützt hatten. Später fand man sie tiefer im Innern im Flußgebiete des Rio San Francisco, aber erst 1839 auf der ältesten Lagerstätte in einem „glimmerhaltigen Sandsteine“ am linken Ufer der Corrego dos Moisés in der Serra de Santo Antonio de Grammaçoa, 36 Meilen nördlich Tejuco. Da dieser nach Claussen über der dortigen Grauwacke liegen soll (Leonhard's Jahrb. 1842. pag. 459), so wäre auch hiermit das ursprüngliche Lager nicht gefunden, so ähnlich das Gestein dem Glimmerschiefer auch sein mag. Nach Heusser (Zeitschr. deutsch. geol. Gesellsch. 1859. XI. 101) soll jedoch gemäß den praktischen Erfahrungen der Diamantensucher kaum Zweifel sein, daß nicht auch der Hornblendschiefer zu den Muttergesteinen gehöre. Martius berechnete, daß in den 46 Jahren von 1772—1818 3 Millionen Karat = 1300  $\mathcal{R}$  im Werthe von 70 Millionen Gulden nach Europa gekommen seien. Man rechnet jährlich immer noch 190  $\mathcal{R}$ . Bahia allein führte 1856 über 300,000 Karat aus. Die reichen Diamant Händler sollen immer bessere Stücke zum Verschachern in der Westentasche führen. Neuerlich werden auch die Sierra Madre südwestlich Acapulco in Mexico, die Grasschaften Butte in Californien (Jahrb. 1867. 100), die Itacolumitregion der Goldwäschchen des Hrn. Twitty in Nordcarolina, die von Georgien und Virginien u. a. aufgeführt.

Am Cap 1200 Kilometer von der Capstadt im Gebiet des Baalflusses unter 29° südlicher Breite und 23° östlicher Länge hat ein Fleck von bloß 2 Kilometer Ausdehnung im Grand, Sand und Letten bis zu 120' Tiefe seit März 1867—1875 eine auf 12 Millionen Pfund Sterling geschätzte Ausbeute geliefert, wovon der »Stewart Diamant« 288 k., ein etwas gelbliches Pyramidenoktaeder von 1½ Zoll Durchmesser, auf der Wiener Ausstellung paradierte, und schon soll er von einem noch größern mit 300 k. überflügelt sein. Die Geschichte der Erfunde (Westermann's Monatsb. 1875. 100) beginnt, wenn wir ältere nicht geglaubte Sagen seit 1667 übergehen, 1867 mit einem Straußenjäger, der im Sande des

Oranje, wo Kinder mit Achaten und Granaten spielten, ein Oктаeder von 20 k. erhielt, was in Grahamstown erkannt wurde. Ein Jahr später brachte ein Hottentotte den „Stern des Südens“ 83 k., wofür 12000 £ Sterling gelöst wurden. Das erzeugte plötzlich ein „Diamantenfieber“, die Farmer mit Vieh und Familie zogen zum Baal und Oranje, um gemüthlich im Sande des herrlichen Stroms die glänzenden Steine zu suchen. Anfangs zahlten die Capbewohner ungeheure Preise, jeder wollte reich werden, und als nun von London der wirkliche Preis bekannt wurde, brach ein allgemeiner Panterott aus. Mit dem Einwandern der californischen und australischen Goldgräber begannen die Wäschereien (River Diggings) am Baalfluß, dann wurden in Pniel auf dürrer Kalkgrande die ersten Trockengruben (Dry Diggings) errichtet, worauf die Berliner Missionsgesellschaft Ansprüche machte. Auf einmal verbreitete sich Ende 1870 ein Gerücht, daß die Kinder des Boers Dutoit aus dem Mörtel des Hausputzes ganze Haufen von Diamanten herausgeklaubt hätten. Nun begann ein Auszug (rush) nach Dutoitpan, welches 25 miles vom Baal und 20 vom Modder entfernt bei der außerordentlichsten Hitze weder Schatten noch Wasser bietet, der feine Kalkstaub dringt durch Nase und Mund, die Leibesporen bedecken sich mit einer Schmutzkruste, und 50,000 Digger stehen bei verfälschtem Brantwein in steter Gefahr von den trocknen Geröllen verschüttet zu werden. Leider spalten sich gerade die großen und scharfeckigsten, wenn sie eine Zeitlang liegen, nach dem blättrigen Bruch, wie das auch bei indischen schon Tavernier beklagt, und die Formen des Groß-Mogul, Kohinoor, Orlov u. bestätigen die Thatsache. Man steckt sie daher in Talg. Ja nicht selten kommen schon im Lager „große Spaltungsstücke (splints) vor, deren Ergänzungsstücke niemals gefunden werden“ (Jahrb. 1872. 800). Colesberg Kopje allein soll in wenigen Monaten mehr als die ganze übrige Welt in 20 Jahren geliefert haben (Weil. Aug. Zeit. 1872. 1888). Natürlich haben die Engländer schon im Oktober 1871 das Gebiet in Besitz genommen.

Der Ural lieferte 1829 auf den Ländereien der Eisenwerke von Bissersk in den Goldsaifen Kresstomosdwißenskoj unter dem 59° N. Br. auf der Europäischen Uralseite die ersten Diamanten (G. Rose, Reise Ural I. 88). Rose vermuthete, daß das Muttergestein Dolomit sei: Zerenner, Director der Gruben, nennt Itacolumit (Zeitschr. deutsch. geol. Ges. 1849. I. 88). Der Fund ist aber nur von wissenschaftlichem Interesse, da man bis 1848 bloß 72 Stück von  $\frac{1}{4}$  bis  $7\frac{1}{2}$  Karat gefunden hat (Dr. Zerenner Erdfunde Gouv. Perm. 1852. pag. 220). Neuerlich werden auch in Australien mehrere Punkte genannt, wo sie im Gerölle mit Korund (Rubin, Sapphir), Brookit u. liegen.

**Preis.** Größe, Reinheit (vom 1ten, 2ten und 3ten Wasser) Farbe und Art des Schliffes bestimmen den Werth. Man rechnet nach Karat (= 205,5 mg), deren 72 auf 1 Loth gehen. Roh kostet jetzt das Karat 150 Franken, über ein Karat steigt der Werth nach der Quadratzahl: Brillant früher 1 Karat 216 bis 288 Franken, jetzt 400 Fr., im Mittel

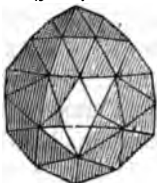
300. k<sup>2</sup>. Neuerlich hat der Vicerönig von Egypten einen von 49 Karat gekauft, derselbe sollte demnach  $49^2 \cdot 300 = 720,300$  Fr. kosten, er wurde aber mit 760,000 Fr. bezahlt. Bei der Revolution fielen sie plötzlich um 50 pC., stiegen aber dann augenblicklich, und bald nachher durch den Zugus Napoleons von 50 Rthlr. auf 90 Rthlr. Die französische Krone besitzt über 2  $\alpha$  d. h. einen Würfel von  $2\frac{1}{2}$  Zoll Kantenlänge. Man rechnet etwa 100 Etr. auf die ganze Welt, und der Diamant soll 90 pC. des Edelsteinhandels in Anspruch nehmen. Amsterdam Hauptmarkt.

Größe. Steine von 12—20 Karat gehören schon zu den schönen, darüber bereits zu den Seltenheiten: so findet man im grünen Gewölbe von Dresden Diamanten von 38, 40 und 48 Karat. Ueber 100 Karat kennt man nur wenige. Der größte Brasilianische war lange einer von 120 Karat, es ist ein rohes ungeschliffenes Oktaeder, neuerlich wurde jedoch zu Bagagem in Minas Geraes der Stern des Südens von  $247\frac{1}{2}$  k gefunden (Jahrb. 1853. <sup>609</sup>), reinsten Wassers lieferte er einen Brillant von 125 k. Die Berühmtesten stammen aus Ostindien, wozu jetzt die Cap'schen kommen.

Der Regent 136 $\frac{1}{2}$  K. in der Französischen Krone ist wegen seines gefälligen Brillantenschliffs der schönste unter allen großen. Ihn kaufte der Herzog von Orleans von einem Engl. Gouverneur Pitt für Ludwig XV. um  $2\frac{1}{2}$  Million Franken. Zur Revolutionszeit wurde er in Berlin beim Kaufmann Treskow versetzt, schmückte dann aber wieder den Degentknopf des Kaisers Napoleon I. Wurde 1702 bei Golconda von einem Sklaven gefunden.



Der Oestreichische Schatz enthält einen gut geformten von 139 $\frac{1}{2}$  Florentiner Karat ( $\approx 197,2$  mg) mit einem Stich ins Weingelbe (Schräuf Sitzb. Wien. Akad. 1866. 54. 1 pag. 479). Karl der Kühne verlor ihn in der Schlacht bei Granson 1476. Im Helme des Herzogs sich vorfindend, wurde er von einem Soldaten für 1 Kronenthaler an einen Geistlichen verkauft und gelangte endlich für 20,000 Dukaten in die Hände des Papstes Julius II. Er gleicht im Umriß dem Sancy 53 $\frac{1}{2}$  Karat, der vom reinsten Wasser noch

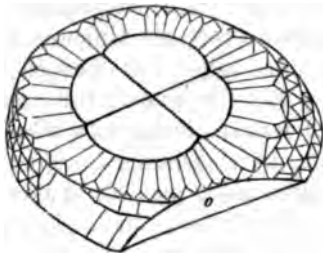


an die Rundung eines Pyramidengranatoeders erinnert. Auch er soll Karl dem Kühnen gehört haben, der ihn in der Schlacht bei Nancy 1477 verlor. Schon früh gerieth er in den Besitz eines französischen Grafen Nicolaus de Sancy, welcher 1589 sich in Werbungsangelegenheiten in Solothurn befand, zu einer Zeit, wo Heinrich III. von Frankreich Unterpfänder zu einer Anleihe bedurfte, um sich gegen das empörte Paris zu verteidigen. Sancy sandte dem bedrängten Könige eiligst einen Boten mit dem Juwel, derselbe wurde aber von Räubern im Juraergebirge erschlagen. Da nun Sancy keine Antwort bekam, und von einem Ermordeten gehört hatte, so schöpfte er Verdacht: der Er-

schlagene war richtig sein treuer Diener, welcher aber zum Glück den Diamant verschluckt hatte, so daß er sich im Magen noch vorfand! Später war er unter den Edelsteinen Ludwigs XIV, verschwand jedoch bei der Revolution 1789, kam bei den Napoleoniden wieder zum Vorschein, und wurde von diesen 1830 für 500,000 Franken an den Kaiser von Rußland verkauft (Schriften Kais. Russ. Gesellsch. für Mineral. I. pag. LXIII). Der Preussische Kronenschatz besitzt einen von 34 k., welchen Napoleon bei Waterloo verlor.

Der größte findet sich unter den Schätzen des Rajah von Matan auf Borneo, er stammt von dieser Insel, hat die Größe und Form eines quergetheilten Hühnerkies, ist von erstem Wasser, und über 2 Unzen schwer, Blum sagt 363 Karat. Er stammt ohne Zweifel von einem querspaltenen wohl doppeltso großen Ei, wovon die andere Hälfte vielleicht niemals gefunden wurde, eine Thatsache, die sich bei andern Riesenformen wiederholt. Ganz besondern Ruf genoß jedoch

der Diamant des Groß-Mogul's in Delhi, der als Koh-i-noor (Berg des Lichtes) auf der Londoner Industrieausstellung eine Rolle spielte. Nach dem Official Catalogue of the Great Exhibition III. 688 geht bei den Indern die Legende, daß ihn bereits vor 5000 Jahren der Held Karna des Sonnengottes Sohn („eine Achilles- und Siegfriedgestalt“) in dem großen Kriege trug, welchen das Epos Maha-Bharata besingt. Jedenfalls erbeutete ihn der kühne Abenteurer Alaeddin 1306 vom Rajah von Malwa. Als 1665 Tavernier, Secuyer Baron d'Aubonne (Voyages II. pag. 278), der 40 Jahre im Orient reiste, um Diamanten und Edelsteine zu kaufen, die Schätze des Groß-Moguls besichtigte, war das erste, was ihm seine goldfüßige Majestät höchst eigenhändig überreichte, der große Diamant von 280 Karat Gewicht, und von der Form eines in der Mitte durchschnittenen Eies. Er soll aber früher 793½ Karat gewogen haben, ein ungeschickter venetianischer Steinschleifer verstümmelte und verkleinerte ihn. Zwar stimmt die Abbildung von Tavernier l. c. II. 372 Nr. 1 nicht ganz mit der unsrigen, wie er in London ausgestellt war, doch seine Länge 1" 6¼"



ist die gleiche, die Höhe 7''' geringer, und 1" 2¼''' die Breite. Nadir Schah, der Eroberer von Delhi 1739, kam in seinen Besitz und gab ihm den heutigen Namen. Später ging er wieder an den Herrscher von Lahore, und als dieser Staat der englischen Compagnie einverleibt wurde, beschloß dieselbe, den Diamanten der Königin als Geschenk zu überreichen, was am 3. Juni 1850 geschah. Er wog damals noch 186 Karat. Nach der Ausstellung ist er abermals von Voorlander in Amsterdam einem Schliiff unterworfen, und auf 106 Karat reducirt, aber dafür ein wohlgeformter Brillant geworden. Seine Unterseite war eben, und entsprach

ohne Zweifel einem Blätterbruch, desgleichen die entstellende Fläche o, obgleich der Winkel beider untereinander am Modell etwas kleiner als  $109\frac{1}{2}^{\circ}$  ist. Auffallender Weise hat der große Russische Diamant Orlov, welcher 194 $\frac{1}{2}$  Karat schwer die Spitze des russischen Scepters schmückt (G. Rose Reise Ural I. pag. 50), gleichfalls unten eine ebene Fläche. Dieser soll nach der Sage das Auge eines Indischen Götzen gebildet haben, ist 10''' hoch und 1"  $3\frac{1}{2}$ ''' lang, und fand sich mit einem andern großen im Thronessel des Schah Nadir von Persien, fiel bei dessen Ermordung in die Hände eines Armenischen Kaufmanns, der ihn in Amsterdam feil bot, und 1772 an Kaiserin Katharina für 450,000 Silberrubel, 4000 Rubel jährliche Leibrente und einen Adelsbrief verkaufte! Dr. Vete (Athenaeum 1851. 718) erzählt uns, daß 1832 bei der Eroberung von Coohä in Rhorassan durch Abbas Mirza ein Diamantstück von 132 Karat erbeutet wurde, was früher ein armer Bewohner in seiner Familie als Feuerstein benützt hatte. Dabei wird die Vermuthung geäußert, daß er vermöge seiner Form ein Stück vom Koh-i-noor sein könnte. Tennant (Athenaeum 1852. 1048) wurde dadurch zu der Ansicht geleitet, daß nicht bloß dieser, sondern auch der Russische ein Stück des vielgenannten Groß-Moguls sein könnte, was er durch eine sorgfältige Nachahmung in Fluspath, der ja die gleichen Blätterbrüche hat, veranschaulicht. Dann hätte dieser gewaltige Diamant die Form eines eiförmigen Granatoeders gehabt, etwa von einer Größe, wie sie Tavernier angibt. Wäre er schon so viele Jahrtausende in den Händen der Menschen gewesen, wie die Legende sagt, so würde das der beste Beweis seiner Außerordentlichkeit sein, da es bis jetzt, trotz des vielen Suchens, nicht gelungen ist, einen zweiten auch nur von annähernder Größe zu finden. Der Schah von Persien trägt einen Daria-i-noor (glänzendes Meer) 252 k am rechten Arm, und einen Koh-i-noor am linken Bein. Vanquier Hope in Amsterdam besitzt als Unicum einen schön blauen Brillant von 77 Karat, und der König von Sachsen einen grünen.

Verworrene krystallinische Massen, die zu vollkommenen Kugeln sich formen, kommen besonders aus Brasilien. Sie haben graue Farbe und Durchscheintheit. Man darf diese nicht mit dem Carbonate (Carbonado) aus dem Sande von La Chapada (Bahia) verwechseln, der graulich schwarz, matt, sogar porös und amorph aussieht, kaum 3,3 Gew. zuweilen Goldblättchen einschließend (Zahrb. 1857. 333). Minder spröde, als der krystallinische Diamant, läßt er sich zu beliebigen Stücken formen, die zum Durchbohren der Edelsteine sehr gesucht werden. Ich habe in Oberstein bei den Steinschleifern Stücke von einer Rinderfaust gesehen, wovon man das Karat mit 7 fl. zahlen mußte. Anfangs zahlte man 20 Sgr., jetzt für Auswahl 7 Thaler, nach Lange (Halbedelst. 1868. 88) wogen die größten Stücke 600 k. Man hält diesen ich möchte sagen smirgelartigen Stein eher für gehärteten Coaks als für Diamant. Ein neues Naturgeheimniß (Zahrb. 1853. 307; 1857. 333). Für Bergbau und



Bohrlöcher sind sie wie die Diamanten überhaupt durch die Amerikaner sehr wichtig geworden.

Bourguigne in Paris macht aus Straß Diamanten täuschend nach, namentlich auch geschliffene Oктаeder. Sie pflegen aber durchsichtiger als die ächten zu sein, und verlieren nach kurzem Gebrauch Glanz und Glätte, abgesehen von der geringen Härte. Die Kiesel Erde dazu wird von Rhode Island geholt. Im Jura wird jetzt ein härteres Glas zu Brillanten bereitet. Künstliche schwarze Diamanten stellt Hygot Lupold in Locle dar, den Karat für 6 Fr., während die natürlichen 27 Fr. kosten. Deville (Compt. rend. März 1867. 447) spricht auch von Diamantmasse in ihrer Entstehung. In Paris sind die großen Diamanten in Straß nachgemacht täuschlich zu haben, bei uns in der Mineralienhandl. von Dr. Schuchardt zu Görlitz, aber ziemlich ungenau.

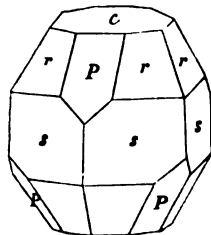
## 2. Korund.

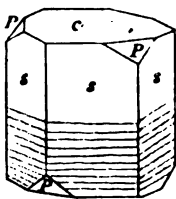
Graf Bournon (Philos. Transact. 1802) vereinigte unter diesem Indischen Worte alle Minerale, die unter dem Namen Sapphir, Rubin, Demantspath, Smirgel u. zerstreut waren. Es sind darunter die werthvollsten Edelsteine begriffen, welche die Juweliere mit dem Beinamen „Orientalische“ auszuzeichnen pflegen. Nach der Intensität ihrer Farben theilt man sie seit ältester Zeit in männliche und weibliche: jene dunkeler, diese lichter. Haüy versuchte sogar für die edlen einen neuen Namen *Télesie* (vollkommener Körper) einzuführen.

Dreigliedriges Krystallsystem, mit stark dihexaedrischer Ausbildung, ganz wie der mit ihm isomorphe Eisenglanz: deutlich blättriges Rhomboeder  $P \ 86^\circ 6'$  in den Endanten, daher

$$a = 0,7344 = \sqrt{0,5393}, \quad lga = 9,86591.$$

Auffallender Weise sind von den drei Blätterbrüchen zwei meist deutlicher als der dritte, oft kann man den dritten kaum finden, was schon Haüy wußte. Die Stücke sehen dann Feldspathartig aus, haben aber auf den beiden deutlicheren Brüchen eine Streifung, so daß sie einem Complex von kleinen rhombischen Säulen gleichen. Bei manchen kann man sich entschieden überzeugen, daß die Streifung mit Zwillingbildung zusammenhängt. Die edlen zeigen den Blätterbruch minder deutlich, dagegen nach der Geradenfläche  $c = c : \infty a : \infty a : \infty a$  gern eine blättrige Absonderung ebenfalls mit Streifung, aber auch hier sucht man die dem dritten rhomboedrischen Blätterbruch entsprechende häufig vergebens. Sehr schöne dreigliedrige Oктаeder kommen beim Rubin vor, die man nicht mit Spinell verwechseln darf. Immer nur die 2te sechsseitige Säule  $s = a : \frac{1}{2}a : a : \infty c$  mit Geradenfläche, woran das Rhomboeder die abwechselnden Ecken abstumpft, wird aber leicht stark bauchig. Sehr schön durch Zonen bestimmbar ist das Dihexaeder  $r = c : \frac{1}{2}a : \frac{1}{2}a : \frac{1}{2}a$  ( $128^\circ 3'$  Endante),





welches in der Diagonalzone des Rhomboeders liegt und zugleich die Endkante der 2ten Säule abstumpft. Die Rubine von Ceylon leicht daran zu erkennen. Wenn das Dihedraeder sich ausdehnt, so stumpft daran das Rhomboeder die abwechselnden Kanten ab. Dihedraeder  $c : \frac{2}{3}a : \frac{2}{3}a : \frac{2}{3}a$ ,  $c : \frac{1}{2}a : \frac{1}{2}a : \frac{1}{2}a$ ,  $c : \frac{2}{3}a : \frac{1}{2}a : \frac{2}{3}a$ .

Zwillinge. Beim grünlichen Korund von China kommen Stücke vor, die nach einer Flächenrichtung e deutliche Blättchen bilden, welche quer dagegen gespalten aus lauter lichten und dunkeln Streifen bestehen. Offenbar Zwillinge, doch kann ich die Stücke nicht so gegen das Licht drehen, daß die dunkeln Streifen lichte, und die lichten dunkel werden.

Härte 9, also nur vom Diamante übertroffen, und von keinem andern erreicht. Darauf beruht die Anwendung der schlechtern Sorten als Schleifmaterial. Gewicht 4 (blaue 3,98, rothe 3,91, weiße 3,98). Allerlei Farben und allerlei Grade von Durchsichtigkeit, wovon ihr Werth abhängt. Manche blaue sehen quer zur Hauptaxe grün aus, besonders mit dem Dichroskop. Strahlenbrechung 1,78, also stärker als bei Glas, daher auch wohl zu mikroskopischen Linsen vorgeschlagen, die Birtchard pag. 121 ausgeführt hat. Natürlich mußte die Axe der Linsen genau mit der optischen zusammenfallen, weil sie nach andern Richtungen doppeltbrechend wirken würden. Die Farbe hat etwas Einfluß auf die Strahlenbrechung. Optisch lagig, aber bei der Drehung geht das Kreuz auseinander.

Al = 53,3 Al und 46,7 O. Die ältern Analysen gaben etwas Kieselersde an, allein H. Rose zeigte, daß er mit  $K_2S^2$  zu einer im Wasser vollkommen löslichen Masse schmilzt, was bei Gegenwart von Kieselersde nicht der Fall sein könnte. Man muß ihn aber zu dem Ende in eisernen Mörsern stoßen, denn in Achatschalen reibt er Kieselersde ab, auch ist das angewandte Kalihydrat leicht Kieselersdehaltig. Das feine Pulver wird mit Kobaltsolution blau. Da Al in Kalilauge sich löst, und das mit ihr isomorphe Fe nicht, so kann man beide dadurch leicht trennen. Brewster fand zuweilen Flüssigkeiten darin.

Vorkommen. Die gemeinen findet man vorzugsweise in Talk- und Hornblendgesteinen, die edlen in Vulkangebirgen, durch deren Verwitterung sie erst in das Schuttland gelangen, so daß sie fast ausschließlich Feuerproducte sind. Diese Ansicht wird durch die Darstellung auf künstlichem Wege sehr gestützt: Gaudin (Compt. rend. 1837. \*\*) bereitete sich aus Ammoniatalaun zunächst ein weißes Pulver von reiner Thonerde, schmolz es in einem Kienrußtiegel im Knallgebläse mit 2—3 p.C. saurem chromsaurem Kali: es floß anfangs zu grüner Masse, dann zu rubinrothen Kügelchen, die blättrigen Bruch zeigten und Topas riethen. Wegen der Schnelligkeit der Krystallisation verloren sie aber alle Durchsichtigkeit. Ebelmen (Compt. rend. 1851. XXXII. \*\*) mischte Thonerde

mit Borax, und um der Masse mehr Festigkeit zu geben, setzte er Kiesel-erde oder Kohlenfauren Baryt zu. Das Ganze wurde mehrere Monate lang der Hitze des Porcellan- oder Steingutofens ausgesetzt, und es erzeugten sich nun meßbare Krystalle, von großer Klarheit und schöner Edelsteinfarbe, roth, blau zc.! Deville verflüchtigte Fluoraluminium und Borsäure in Kohlentiegeln, wo die Dämpfe sich begegnen, entsteht Fluorbor und farbloser Korund. Fluorchrom in kleinen Mengen erzeugte Rubin und Sapphir, in größern gesättigte Smaragdfarbe.

**Rubin**, karmesinroth, aber gern mit weißen Flecken, die man jedoch durch vorsichtiges Glühen nehmen kann. Wirkt stark auf das Dichroskop. Vor dem Löthrohr zeigt er eine höchst merkwürdige Farbenwandlung, die besonders bei klaren Stücken auffällt; macht man nämlich kleine Krystalle glühend, was man dreist thun kann, da sie nicht zerspringen, so werden beim Erkalten dieselben farblos, dann grün, und zuletzt wieder schön roth. Der Spinell zeigt die grüne Farbe nicht. Unstreitig der werthvollste aller Edelsteine, und ohne Zweifel von Theophrast unter Anthrax inbegriffen, der vollkommen unverbrennbar gegen die Sonne gehalten einer glühenden Kohle gleiche, bei Plinius Indischer Carbunculus. Die dunkelfarbigen (männlichen), welche nach Agricola das Auge zittern machen, sind vollkommen rein theurer als Diamanten. Auf der Auction des Marquis de Drée in Paris wurde einer von 2½ Karat für 14,000 Franken verkauft! Pegu in Hinterindien das Land der Rubine. Die Bewohner glauben, er reise in der Erde: anfangs sei er farblos und unreif, werde dann gelb, grün, blau und zuletzt roth, als dem höchsten Punkt der Reise. Die kleinen von Ceylon sind blaß rosenroth (weiblich), man bekommt diese leicht in größern Mengen aus alten Sammlungen, weil sie früher officinell waren. Viele darunter sind so deutlich krystallisirt, daß man sie leicht von den mitvorkommenden Spinellen unterscheiden kann. Sie liegen im Schuttlande, als Muttergestein gibt Tennent den Dolomit von Bullatotte und Badulla an. Schon Marco Polo sah beim König von Ceylon spannenlange Rubine, welche nach dem Ausdrücke der Singalesen die Farbe des Taubenblutes haben müssen. Zu dem Ende sollen sie die bläulichen in gebrannten Kalk hüllen und stark erhitzen. Nach Stephen (Quaterl. Journ. geol. soc. 1854. X. 300) liefert auch Australien vortreffliche, die aus den Diamantjaßen von Neujußwallis und aus den Basalten von Victoria geben an Reinheit den Ceylonischen nichts nach. Rubinglas findet man schon in Celtengravern, und Gläser lassen sich mit Goldpurpur ganz so färben.

**Sapphir** 2 B. Mosiz 24, 10. Das Wort ohne Zweifel hebräischen Ursprungs, doch wurde von Griechen und Römern darunter der Lasurstein begriffen. Unsern nennt Plinius 37. 38 wegen seiner Farbe von Korndblumen Cyanos, und unterscheidet mares und feminas. Seine Farbe kann ihm durch Feuer entzogen werden, und dann steht er im Glanz den geschliffenen Diamanten am nächsten. Das Blau könnte von einem kleinen Eisengehalt herkommen, den schon Klaproth auf 1 p. C. Fe

angab, wenn nicht auch Chrom die Eigenschaft hätte. Auf Ceylon noch häufiger als Rubin. Wir machen gegenwärtig die Farbe mit Kobalt täuschend nach. Die Alten wußten das aber nicht, und doch ist das dunkelblaue Glas der antiken Vase im brittischen Museum mit seinen blendendweißen Vasreliefs von unübertrefflicher Schönheit weltbekannt, auch sagt Plinius ausdrücklich *adulteratur maxime tinctura*, und schreibt diese Kunst des Nachmachens einem Egyptischen Könige zu. Enthält nach Sorby flüssige Kohlensäure.

Sternjapphir (Razenjapphir) von Ratnapura auf Ceylon zeigt symmetrisch über die Axc rundgeschliffen einen sechsstrahligen Lichtstern, der auf der Geradenfläche senkrecht gegen die Seiten steht, und nach Vabinet von einer dreifachen Streifung abhängt. Es kommen auch Rhomboëder vor, deren Endanten leuchten. Geschiebe mit einfachem Lichtschein sind häufig, deutliche Sterne aber selten. Doch scheint schon Plinius hist. nat. 37. 48 ihn unter Astrios (Gütthe, über den Astrios-Edelstein. Dentschr. Münch. Abt. 1809) zu begreifen, denn die Worte in India nascens intus a centro ceu stella lucet passen vortrefflich auf ihn, und Hausmann suchte es wahrscheinlich zu machen, daß der Meonpho-lo-kiu-la-pho der Buddhisten, welcher sich in den Topen der Indo-Bactrischen Königsstraße findet, nicht Razenauge, sondern Sternjapphir sei.

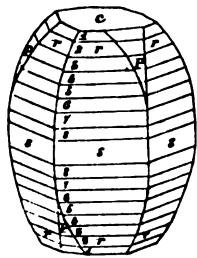
Sapphir spielt leicht in andere Farben über, aber meist blaß, wenn intensiv, so unterscheidet man orientalischen Amethyst, or. Topas, or. Hyacinth; der seltenste aller Steine, besonders mit gesättigter Farbe, ist orientalischer Smaragd 3,95 Gewicht, wahrscheinlich mit viel Chrom gefärbt.

Unter den trüben thun sich besonders die rothen und blauen aus dem Dolomit von Campo longo südlich vom St. Gotthardt hervor, gut krystallisirt, und oft an einem Krystall mit beiden Farben. Eine Seltenheit ist der blaue Sapphir aus dem Basalt von Unkel und der Mühlssteinlava von Niedermendig, Glanz und Härte unterscheidet ihn leicht vom dortigen Gahn. Da sie öfter in eingewickelten Urgebirgsbrocken liegen, so können es Fremdlinge sein. Die Fierziese im Riesengebirge, und der Vulkan Couper bei St. Eble (Haute Loire) liefert blaue und grüne Geschiebe. Letztere bilden wegen ihrer besondern Härte in Genf einen Handelsartikel zu Zapfenlagern in Taschenuhren. Bläuliche fast zum Schmucke taugliche Säulen kommen im Granit von Wolfschau bei Krummhübel in Schlesien, im Talf von Kirchmislau in Mähren, im Ural (1828 entdeckt) an verschiedenen Punkten besonders in den Umgebungen des Ilmensees bei Miassk vor. Blöcke von einem dichten bis feinkörnigen Gestein, das weiß und felspathartig aussieht, aber mit Säure gelatinirt und eine Skapolithartige Zusammensetzung hat, liegen in den Goldsaifen von Barjowskoi bei Kyschimsk südlich Katharinenburg. G. Rose (Reise Ural II. 110) nannte sie Barjowit. Darin sind lange sechsseitige Säulen von Korund bis zu 3 Decimeter Länge in großer Menge eingesprengt.

Besonders berühmt seit Greville (Philos. Transact. 1798) sind die

schönen einfachen Krystalle aus Ostindien und China. Werner begriff diese vorzugsweise unter dem einheimischen Namen

**Korund.** Es sind sehr scharf ausgebildete sechsseitige Säulen mit Geradenfläche, woran der Blätterbruch die Ecken abstumpft. Röthliche und blauliche Farben bei den Ostindischen von Carnatit und Mysore, grünliche mit der bekannten Streifung von Kanton. Letztere liegen im Indianit pag. 282 mit schwarzer Hornblende und sind sehr blättrig. Oft werden die Säulen auch bauchig, was sich theilweis durch über einander liegende Ditzgerader erklärt. Phillips bildet nicht weniger als 8 solche an einem Krystalle ab.



Die über einander gelagerten Blätter der Geradenflächen stehen nach Mohs öfter in abwechselnder Zwillingstellung. Demantspath hieß Werner haarbraune Varietäten von China, die sich auf der Geradenfläche durch Streifen nach zwei Richtungen auszeichnen. Ihre Farbe danken sie lediglich der Verwitterung blauer Stücke. Besonders reich sind die östlichen Staaten von Nordamerika, wo man auf Gängen im Serpentin Krystalle von 3 Centner Schwere findet.

**Smirgel** (*σμίρις*) heißt das feinkörnige bis dichte Vorkommen, was mit Magneteisen verunreinigt zu Pulver gestoßen seit uralter Zeit als Schleifmittel dient. Das hebräische Wort *Schamir* Jerem. 17, 1 (die Sünde Juda sei in seines Herzens Tafeln mit einer Schamirspitze eingegraben) scheint schon auf diesen Stein zu deuten. Gewöhnlich verunreinigt durch Magneteisen 2c. Naxos (Jahrb. 1850. 661) war besonders berühmt, der Pflug fördert ihn dort zu Tage, und noch heute führt man die Blöcke als Ballast ein (*Gemmis scalpendis atque limandis Naxium diu placuit ante alia*, Plinius hist. nat. 36. 10). Am Ochsenkopf bei Schwarzenberg im Erzgebirge findet er sich in einen harten Talkschiefer eingesprengt; den durch Eisenglanz verunreinigten von der Insel Guernsey, in Paris zur Spiegelfabrikation benützt, kann man noch kaum für Korund erkennen, wie es überhaupt mit vielen Smirgelsorten im Handel der Fall ist. Der beste Smirgel wird aus dem Korund gemacht, doch ist auch dieser durch Verwitterung öfter weicher geworden, wie die schmutzig grünlich grauen faustgroßen Krystalle in einem verwitterten Barsowitartigen Gestein von Biella (Mozzo) in Piemont. Dieselben zeigen nicht die Spur von Structur mehr, sind also ganz im Aftersbildungsprozeß begriffene Korunde, und oft so weich wie Speckstein. Der Naxische Smirgel war lange ein Monopol der Engländer, bis er zu Chester in Massachusetts (Compt. rend. LX. 661) seinen Rivalen fand. Die Masse gestoßen und geschlemmt, wie es Hauy (Mineral. IV. 140) beschrieb, wird nach der Zeit sortirt (15, 8, 4, 2, 1,  $\frac{1}{2}$  Minute), welche sie zum Sezen aus dem Wasser braucht.

Anhangsweise erwähnen wir hier auch der Hydrate von Thonerde:

a) **Diaspor** Hauy (Miner. IV. 606)  $AlH = AlO.OH$  (Hydroxyd),

isomorph mit Brauneisenstein. Vanzit ist ein eisenhaltiges Hydrogyl. Von *δαοντιζω* zerstreuen, weil das Haug'sche grünlich graue Exemplar unbekannten Fundortes an der Lichtflamme in feine Stücke zersprang, die flimmernd in der Luft herum flogen. Dieses von Delèbre erhaltene Stück, worin Bauquelin 18 H nachwies, war lange das einzige, bis sich gelblich blättrige Massen 1830 bei Katharinenburg in kleinen Gängen eines smirgelhaltigen Chloritthiefers fanden. Davon sehr verschieden scheinen zwar die klaren grünlich weißen Krystalle vom Kronprinz Ferdinand Erbstollen bei Schemnitz zu sein, die im polarisirten Lichte Trichroismus zeigen (Pogg. Ann. 61. 211), allein auch hier stimmt die Analyse.

Haug beschreibt sie als eine geschobene Säule p/p von  $130^{\circ}$ , deren scharfe Kante durch den deutlich blättrigen Bruch M gerade abgestumpft wird. Letzterer ist gern trummschalig, und gibt der Masse Aehnlichkeit mit breitschaligem Cyanit. Damit stimmt der Schemnitzer Winkel  $129^{\circ} 54'$  (Haidinger) sehr gut, obgleich die Krystalle auffallend sphärisch gekrümmt sind. Ueber Säule p/p liegt ein Oktaeder  $n = a : b : c$ , vorn in der Kante  $a : c$   $151^{\circ} 54'$ . Eine Zuschärfung der scharfen Säulenkante  $s = a : \frac{1}{2}b : \infty c$  macht über dem Blätterbruch M  $109^{\circ} 6'$ , und darüber krümmt sich ein zweites Oktaeder o. Darnach würde das System 2gliedrig sein. Die kleinen tafelförmigen Krystalle von Kossobrod (Kosscharow Mater. Min. III. 173) haben das bestätigt. Sie messen p/p 129.47, n/n 151.31, woraus  $a : b = 1,552 : 3,312$  folgt, mit den Flächen: p 110, n 111, M 010, P 100, x 163, r 512, n 021, m 094, y 120, z 160, 11.10.0. Höchst interessant ist das Vorkommen von perlmutterglänzenden weißen Tafeln, welche den Rubinkrystallen von Campo longo anleben, und von Renugott (Uebers. Min. Forsch. 1859. 44) für Diaspor erklärt werden. Man darf sie nicht mit den dortigen optisch lagigen Perlglimmern verwechseln. Auch Hr. v. Senarmont (Compt. rend. 1851. 32. 133) gelang es, beide, Korund und Diaspor, auf nassem Wege unter Druck darzustellen.



Härte 5—6, Gew. 3,4. Die Russischen durch Brauneisenocker braun gefärbt, derselbe läßt sich aber mit Säuren wegnehmen.

Vor dem Löthrohr anfangs zersplitternd, dann aber widersteht er, und schmilzt kaum an den feinsten Spitzen, die sich mit Kobaltsolution blau färben. Im Mittel 86 Al und 15 H. Die Schemnitzer theilweis ganz klar liegen in einer weißen Steinmarkartigen Gebirgsart, die man Dillnit nach dem Fundorte Dilln genannt hat (Pogg. Ann. 78. 577).

b) Hydrargillit G. Rose (Reise Ural. II. 133), im Talkthiefers mit Magneteisen und Chlorospinell bei Slatoust am Ural. Al  $8^{\circ}$ , 65,5 Al und 34,5 H. Reguläre sechsseitige Säulen, mit blättriger perlmutterglänzender Geradendfläche. Ein Rhomboeder von  $60^{\circ} 11'$  stumpft die Endkanten der Säule ab, Kosscharow (Material. IV. 33 und 333), nach Descloizeaux jedoch gemäß des optischen Verhaltens monoklin, mit einer schiefen Rhombssäule von  $60^{\circ}$ . Die Krystalle aber nur 1—2 Linien groß.

Röthlich weiß, in dünnen Blättchen durchsichtig. Härte 2—3, Gew. 2,35. Gibbsit Emmons aus einer verlassenen Brauneisensteingrube von Richmond kommt in traubigen und stalactitischen Ueberzügen vor (Edinburgh phil. Journ. 1822. VII. 333). Er enthält nach Torrey's ausdrücklicher Untersuchung keine Phosphorsäure, sondern 34,7 H. Der Name von *idow* Wasser und *αργυλλος* Thon ist indessen bezeichnender. Freilich wurde er schon von Davy (Phil. Transact. 1805. 100) für Wavellit vorgeschlagen.

### 3. Chrysoberyll Br.

Der Name kommt zwar schon bei Plin. hist. nat. 37. 20 vor, allein das war nicht der unsrige. Haüy nannte ihn nach seinem innern Lichte-schein *Gymophaen* (κύμα Welle). Die ältern hielten ihn für Chrysolith, aber es ist der dritthärteste Stein.

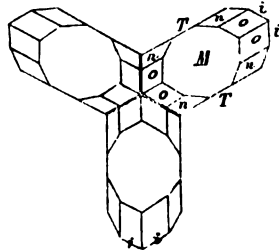
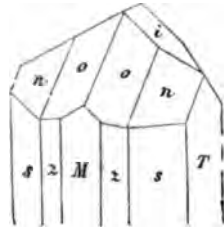
2gliedriges Krystallsystem. Geföhobene Säule  $z = a : b : \infty c$   $129^\circ 38'$ , der scharfe und stumpfe Säulenwinkel gerade abgestumpft, besonders wird die Fläche der stumpfen Säulenkante  $M = a : \infty b : \infty c$  stark längsgestreift, weil eine ganze Reihe von Säulenflächen auftreten,  $T = b : \infty a : \infty c$  nur sehr wenig blättrig. Sehr bestimmt ist das Paar  $i = b : c : \infty a$   $119^\circ 46'$  in der Axe  $c$  bildend. Legt man die Säulenwinkel  $z$  und  $i$  zu Grunde, so ist

$$a : b = \sqrt{0,6571} : \sqrt{2,972} = 0,81 : 1,724$$

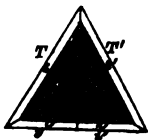
$$la = 9,90881, lb = 0,23652.$$

Zwei Oktaeder  $o = a : b : c$  und  $n = a : \frac{1}{2}b : c$  besonders bei den Sibirischen, zu letzterm bildet  $s = a : \frac{1}{2}b : \infty c$  die zugehörige Säule. Schon Haüy erwähnt einer Fläche  $f = a : b : \frac{1}{2}c$ , auch kommt ein vorderes Paar  $x = a : c : \infty b$  vor, so daß zum Oktaeder  $o$  alle drei Paare vorhanden sind: letzteren  $m$  203,  $r$  130,  $t$  270,  $v$  211,  $w$  122 zc. Lévy und nach ihm die Franzosen stellen die Säule  $i$  aufrecht.

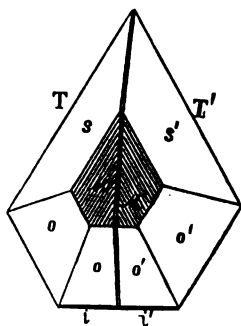
Drillinge fanden sich bei den Smaragdgruben an der Takowaja von ausgezeichnete Schönheit. Dieselben haben  $i = b : c : \infty a$  gemein und liegen umgekehrt. Wäre der Winkel  $i$  genau  $120^\circ$ , wie Haüy annahm, so würde beim Durchwachsen durch die Oktaederflächen  $ooo$  ein vollkommenes Dihexaeder von  $86^\circ 16'$  in den Seiten- und  $139^\circ 53'$  in den Endkanten entstehen. Die kleine Differenz von  $22'$  macht aber, daß zwei anstoßende Flächen  $o/o'$  nicht genau einspiegeln, sondern einen Winkel  $179^\circ 31'$  bilden, ebenso knickt sich die Seitenkante des Dihexaeders um  $179^\circ 18'$  heraus, was aber das Auge bei der Rauhgkeit der Flächen nicht wahrnimmt. (G. Rose Reise Ural II. 270). Wenn  $i = 120^\circ$  ist, so bilden  $o$  111 mit  $s$  120 genau ein



**Dihexaeder.** Dieser Typus macht sich besonders bei den grasgrünen von Haddam geltend, die im Albit mit grauem Bergkrytall und rothen Leucitoedern von Granat liegen. Nebenstehende Figur bildet ein knieförmiges Stück, was aus dem gewöhnlichen Zwilling in Folge von Durchwachsung entsteht, wobei immer die Flächen  $oo'$  und  $ii'$  einspiegeln. Wenn dazu nun  $ss'$  kommt, so entsteht ein förmlich rhomboedrisches Ende, dessen federartige Streifung aber den



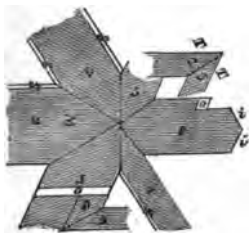
Zwilling beweist. Wie erfinderisch Natur in dieser Art ist, zeigen die Abbildungen von Dana (Hessenberg Abb. Sendenb. Nat. Gesellsch. 1861. IV. 22). Es bleibt immer dasselbe Gesetz, wie das schon Hr. Descloizeaux (Ann. Chim. et Phys. 1845. XIII) ausführlich nachweist. Hr. v. Kokscharow (Mater. IV. 22) will dagegen die **herzförmigen Alexandrite**, die ebenfalls



nichts von einem dritten Individuum zeigen, durchaus einem zweiten Zwillingsgesetze zutheilen, welche in der Doppelte Linie die Fläche  $c : \frac{1}{2}a : oob$  gemein hätten und umgekehrt lägen. Allein es ist das wohl immer wieder der alte Fall, daß in dem Grade wie der Säulenwinkel  $i/i$  sich  $120^\circ$  nähert, die Verwachsungsfläche reciproc wird. Kokscharow fand  $i/i = 119^\circ 46' 34''$ , also  $a : c = \sqrt{3} : 1$ , daher wie beim Humit die Verwachsungsfläche

$$c : \frac{1}{\sqrt{3}} = c : \frac{a}{a\sqrt{3}} = c : \frac{a}{3}.$$

Freilich müßten  $i$  und  $i'$ , sowie die darüberliegenden  $o$  und  $o'$  einspiegeln. Es wird das sofort klar, wenn wir auf das über die zweigliedrigen Zwillinge pag. 97 Gesagte zurücksehen:  $i$  und  $i'$  entsprechen dann  $AA$  bei 3, und wenn sich die Säulenmasse ausdehnte, so entstände mitten zwischen  $BB$  eine Berührungsebene, die sobald die Säule  $120^\circ$  würde genau auf die einspiegelnde  $A$  senkrecht würde. Dieses Herz macht dann auch sofort das Amerikanische Dreieck von Haddam klar. Bei den spar-



gelgrünen Tafeln von Mariendorf in Mähren, ebenfalls mit Granat und 2axigen Glimmern in Gneis und oft dünn wie Papier, findet sich ein förmliches Gewirr, Kniezwillinge und Drillinge, aber es ist kein Theilchen da, was nicht einem der drei Individuen parallel ginge, wie man an der Streifung auf  $M$  leicht sieht. Die äußern Enden verlaufen sich oft unbestimmt im Gestein, und der 2axige Glimmer legt sich gern in die

Fugen von  $60^\circ$ . Durchsichtige Platten haben im polarisirten Lichte einen prächtigen Schein, der das Erkennen erleichtert. Die + optischen Axen liegen in  $T = b : ooa : ooc$ , machen  $45^\circ 20'$ , Axe  $c$  Mittellinie, aber Wärme ändert den Winkel. In geschliffenen Ringsteinen gewahrt man



die herrlichen Farbenringe mit einem tiefblauen Kreuze, und sehr deutlich  $\rho > \nu$ . Trichroismus (Pogg. Ann. 77. 222).

Härte 8—9, folgt auf Korund, Gew. 3,7 (3,73 Brasilien, 3,69 Sibirien). Strahlenbrechung 1,76.

Be Al<sup>3</sup> mit 78 Al, 18 Be, 4,5 Fe. Ebenfalls gänzliche Abwesenheit von Kieselerde. Be scheint nach H. Rose (Pogg. Ann. 1848. Bd. 74. 222) mit Al isomorph zu sein, denn setzt man Kohlen saure Beryllerde dem Feuer des Porzellanofens aus, so bildet sich eine zerdrückbare Masse, die unter dem Mikroskop aus kleinen regulären sechsseitigen Säulen besteht, und Ebelmen (Compt. rend. 1851. XIX. 712 und XX. 222) hat sie sogar in Dihexaedern mit Säule und Geradenfläche dargestellt, indem er Kiesel saure Beryllerde längere Zeit mit Kohlen saurem Kali schmolz. Die Seitenanten der Dihexaeder maßen  $122^{\circ} 44'$  (beim Korund  $122^{\circ} 22'$ ). Schmilzt man dagegen Thonerde und Beryllerde mit Vorfäure, so kommt zweigliedriger Chrysoberyll sowohl einfach als in Zwillingen. Darnach wären also die Erden isomorph und dimorph. Da Beryllerde mit Pulver von Kohlen saurem Baryt in der Kälte nicht gefällt wird, also eine stärkere Basis als Thonerde ist, so wollte man sie eine Zeit lang sogar für einatomig (Be) ansehen. Jetzt kommt man darauf wieder zurück, und schreibt den Chrysoberyll  $\text{Be Al} = \text{Be Al}_2 \text{O}_4$ , und glaubt dadurch zum Isomorphismus mit Chrysolith  $\text{Mg}^2 \text{Si O}_4$  zu gelangen. Sie löst sich in kalter concentrirter Kalilauge, wie die Thonerde, scheidet sich aber in verdünnter durch Kochen aus, wodurch man sie von der Al trennt. Auch Salmiak löst.


a) Spargelgrüner (bis Olivengrüner) als Geschiebe von Ceylon und Brasilien (bis zu 16 Pfund schwer) längst bekannt, aber meist in einfachen Krystallen. Viele darunter zeigen ein bläuliches, wogenbes Licht, besonders wenn man von der Axe b nach c hinaus sieht. Brewster fand auf  $\frac{1}{4}$  Quadratzoll 30,000 feine Höhlungen, die wohl die Ursache sein könnten. Später fand er sich zu Haddam in Connecticut und in Gneißblöcken am Schinderhügel bei Marschendorf in Mähren, gewöhnlich in Zwillingstafeln und ohne Lichtschein. Sehr schön schwefelgelb und von 3,83 Gew. kommen sie in den Goldsajen an der Sanarka am südlichen Ural vor, Rosk. IV. 72.

b) Grasgrüner (bis Smaragdgrüner) 3,64 Gew., am Tage der Volljährigkeit des russischen Thronfolgers in den Smaragdgruben an der Takowaja 180 Werste östlich Katharinenburg mit Phenakit im Glimmerschiefer gefunden, und da er auch die beiden militärischen Hauptfarben des russischen Reichs roth und grün zeigt, Alexandrit genannt (Schrift. Petersb. Mineral. Ges. 1842. I. pag. CXVI). Meist in Drillingen bis zu  $2\frac{1}{2}$  Zoll Durchmesser. Durchscheinend, aber wegen der vielen Sprünge nicht zum Schleifen geeignet. Einem geringen Gehalt von 0,36 Er verdankt er seine grüne am Tage sehr gefällige Farbe, beim Lichte Abends sieht er dagegen dunkelroth wie Pyrop aus, besonders wenn man parallel der Axe a quer durch M sieht. Das Mineral läßt meist nur in den klaren Ecken

rothe und grüne Strahlen durch, die senkrecht auf einander polarisirt sind. Im Tageslicht mischen sich die Farben, und das Grün bleibt überwiegend. Gegen die Flamme oder die untergehende Sonne gehalten, worin die rothen Strahlen vorherrschen, überwiegt dagegen das Roth. Kotscharow sagt, er sei am Tage ein Smaragd, und Nachts ein Amethyst.

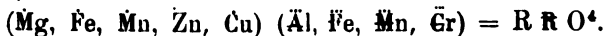
#### 4. Spinell.

Der Name dieses geschätzten Edelsteins stammt aus dem Mittelalter, bei Leonardi (Speculum lapideum 1533. pag. 28) und Agricola pag. 625 finden wir ihn bereits.

 Reguläres Krystallsystem wie Magneteisen. Kleine Oktaeder mit abgestumpften Kanten herrschen bei den edlen, namentlich häufig auch die Zwillinge, welche sich nach einer trigonalen Axe oft auffallend verkürzen. Beim schwarzen Ceylanit kommt das Leucitoid  $a : a : \frac{1}{2}a$  vor, welches die Oktaederflächen vierflächig zuschärft, Fläche auf Fläche aufgesetzt. Selten das Pyramidenoktaeder  $a : a : 2a$ .

Härte 8, Gew. 3,5, Strahlenbrechung 1,7. In der Farbe und der Edelkeit findet eine solche Mannigfaltigkeit Statt, daß man die Sache nur nach ihren Varietäten festhalten kann.

Chemisch steht auf einem Pol die edle  $Mg\text{Al}$ , auf dem andern das unedle Magneteisen  $FeFe$ . Trotz dieses namentlich auch durch die Zwillinge begründeten Isomorphismus müssen wir letzteres doch bei den oxydischen Eisenerzen abhandeln. Die chemische Formel in ihrer ganzen Allgemeinheit wäre



Wenn man bloß die Valenzen ins Auge faßt, so kann man 3 Molecule Spinell dem Granat  $R R Si^3 O^{12}$  gleichsetzen, und Isomorphismus herauskügeln.

a) Edler Spinell  $Mg\text{Al}$ , Bauquelin gab 5,2 Cr an, und Abich hat wenigstens 1,1 Cr nachgewiesen, woraus die rothe Farbe erklärt werden könnte. Die Kiesel-erde soll auch hier nach H. Rose durchaus fehlen. Die ältern Analysen sind sehr ungenau, weil das Mineral den Reagentien starken Widerstand leistet. Klaproth mußte es durch zweimaliges Glühen mit der 10fachen Menge von kauftischem und kohlen-saurem Kali aufschließen, Professor Abich wandte zuerst kohlen-sauren Baryt mit Gluck an, und fand 69 Al und 26 Mg. Die rothen Krystalle erhitzt werden zwar farblos, aber nicht grün, wie der Rubin; erkaltet nehmen sie ihre Farbe wieder an, bekommen jedoch leichte Risse.

Farblose Oktaeder können mit Diamanten verwechselt werden, haben aber nicht den starken Glanz, wohl aber das Gewicht 3,52.

Rubin-Spinell steht in Farbe dem Rubin nahe, kann zwar ganz dunkel werden, aber das Feuer erreicht er nicht, abgesehen von der geringern Härte.

**Balas-Rubin** (rubis balais) ist blaß roth, Ballagius a pallido colore, hat gern einen Stich ins Blau, was namentlich an den Ranten der Oктаeder hervortritt. Schon Marco Polo sammelte davon auf seiner Reise zum Großkan am Ende des 13ten Jahrhunderts in der Provinz Balascia am obern Orus, wo sie in der Erde gesucht wurden. Freilich mögen dabei auch Rubine gewesen sein. Carbunkel, rubein und balastus bilden bei Regenberg pag. 437 die drei Abstufungen des Carbunkelsteins.

**Almandin-Spinell** einen starken Stich ins Violette, aber blaß.

**Rubicell** hyacinthroth, verläuft sich nicht selten ganz ins Strohgelbe.

Man bekommt besonders die rothen sehr leicht, da sie früher officinell waren. Sie sollen meist aus dem Sande von Ceylon stammen, der mitvorkommende Rubin kann oft kaum von ihnen unterschieden werden. Die Oктаeder von allen Graden der Durchsichtigkeit haben meist nur 1—3''' Größe.

b) **Blauer Spinell**, nur halbedel, man kann an ihm den blättrigen Bruch des Oктаeders gut erkennen. Es ist ein mattes Blau. Wurde zuerst bei Aers Eisenwerk in Södermanland gefunden, wo er in Kalkspath eingeprengt vorkommt. Berzelius gab darin 5,5 Si an. Nicht minder schön findet er sich in Sussex-County (New-York) ebenfalls im Kalkspath. Seine oktaedrische Form mit Zwillingen läßt keinen Zweifel über.

c) **Schwarzer Spinell** (Mg, Fe) Al, Ceylanit Br., Pleonast Hy. Der Gehalt an Eisenoxydul steigt zuweilen auf 20 p.C. Im reflectirten Licht sammtschwarz, Splitter zeigen aber oft einen Stich ins Grün. Das Gewicht steigt auf 3,8 und die Härte nimmt ein wenig ab. Zuerst lernte man mehr als Zollgroße Krystalle mit löcheriger Oberfläche aus dem Sande von Candy auf Ceylon (daher Candit) kennen. Bei uns sind die Fassathaler vom Monzoniberg am bekanntesten, auf Drusenräumen eingeprengt in grünen Augit. Die Oктаeder haben die Flächen  $a : a : 4a$ . Es kommen hier Asterskrystalle von einer grauen Meerschäumartigen Masse vor, die 2 Zoll, während die frischen meist nur wenige Linien, Durchmesser erreichen. Glasweg (Kerngott Uebers. Min. Forsch. 1858. 157) hat sie analysirt, aber 31 Si, 30 Ca, 17 Al, 12 Mg, 6 H zc. gefunden. Das Fassagestein hat außerordentliche Aehnlichkeit mit den mehr glasigen Augitblöcken von der Somma am Vesuv, worin die ganz gleichen schwarzen Oктаeder sitzen. Man darf sie nicht mit den gleichglänzenden Granatoedern des Melanit verwechseln. Klein kommen sie in den glasigen Feldspathblöcken am Laacher See vor. Als Geschiebe auf der Fierzweise im Riesengebirge. Ceylanitoktaeder von Amity in New-York erreichen  $3\frac{1}{2}$  Zoll Durchmesser.

**Picotit** wurde schon von Charpentier (Journ. des Mines 1812 Nro. 191) im Thersolit der Pyrenäen ausgezeichnet. Es ist ein Chromceylanit, der sich namentlich auch in den Olivinkugeln unserer Basalte findet, mit 24,6 Fe, 7,9 Cr und 4 Gew. (Jahrb. 1866. 300). Der Chrompicotit vom Dunberge in Neuseeland enthält sogar 56,5 Cr (Jahrb. 1869. 270).

Chlorospinell G. Rose sind grasgrüne an den Ranten durchscheinende Oктаeder aus dem Talkschiefer mit Magneteisen von Slatoust im Ural. Härte 8, Mg (Al, Fe), kann bis 14,7 Fe enthalten, welches die Al vertritt, unwesentlich ein kleiner Gehalt an Kupferoxyd bis 0,62 Cu. Grüne Spinelle kommen in Mähren zc. vor.

d) Zinkspinell (Zn, Fe, Mg) Al mit 30 Zn, 5,8 Fe, 3,8 Mg, 55 Al. Eteberg entdeckte ihn auf der Eric Matts-Grube bei Falun, wo er in grünen Talkschiefer neben Blende und Bleiglanz eingesprengt ist, und nannte ihn Automolit (*αὐτόμολος* Ueberläufer), weil er zu den oxydischen Erzen führt, Hausmann's Gahnit. Die grünlich schwarzen Oктаeder zeigen einen gut erkennbaren Blätterbruch, sind der Härte nach (7—8) noch vollkommene Spinelle, das Gewicht geht bis auf 4,6. Sein Pulver mit Soda auf Kohle behandelt gibt einen Zintrauch. In Nordamerika sind zu Haddam, Franklin zc. ähnliche gefunden. Den grünlich schwarzen von Sterling (New-Yersey) mit gelblich braunem Granat und Hornblende im Kalkspath hat Thomson Dysluit (*δυσλῦσις* schwerlösen) genannt. Er enthält 16,8 Zn nebst Mangan und Eisen, also (Zn, Fe, Mn) (Al, Fe, Mn). Kobell's Kreittonit von Bodenmais (Zn, Fe, Mn, Mg) (Al, Fe) ist grünlich schwarz mit 26,7 Zn. Da wird es wohl nicht möglich, eine feste Grenze zu ziehen.

Zippe's grünlich schwarzer Hercinit von Hoslau ohnweit Ronseberg im Böhmerwald soll Fe Al sein. Blöcke von Trapp in der Dammerde enthalten ihn wie Smirgel eingesprengt, als solcher wird er auch verkauft. Er würde dann zusammengesetzt sein wie Emerit im Smirgel von Chester. Alle diese oktaedrischen Minerale haben Edelsteinhärte, die über Quarz liegt, während das Magneteisen weit darunter bleibt.

Ebelmen hat gezeigt, wie man solche Varietäten künstlich bis ins Endlose vermehren könne (Compt. rend. 1851. XXXII. 300): derselbe setzte Al und Mg mit Bor säure mehrere Tage in Platinkapseln dem Porzellanfeuer aus, und erhielt deutliche Spinelle. Den Zinkspinell Zn Al konnte er auf diese Weise ganz rein, farblos und durchscheinend darstellen und durch etwas Cr schön rubinroth machen. „Kein Zweifel über die Möglichkeit, den Rubinspinell für den Handel zu fabriciren.“ Auf der Industrieausstellung zu Paris 1855 waren sie ausgestellt.

Die Leichtigkeit, mit welcher dieser Edelstein zu einer meerchaumartigen Masse verwittert, fällt auf: Hermann's Böcknerit von Slatoust, Shepard's Houghtite mit 24 Al, 44 Mg, 26 H sollen solche Asterskrystalle sein (Silliman Amer. Journ. 12. 361). Nach Genth (Jahrb. 1874. 84) kommen sie in Nordamerika und Ostindien als Asterskrystalle nach Kordun vor.

## 5. Zirkon.

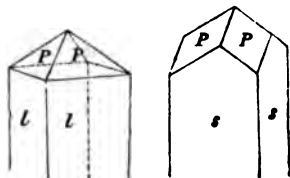
Verstümmelt aus dem französischen Jargon (falscher Edelstein), weil er sich leicht farblos brennt, und dann Diamanten fälschlich untergeschoben

wird. Werner erhob ihn zu seinem Zirkon-Geschlecht, und machte zwei Species Zirkon und Hyacinth daraus. Hyacinthos Plinius hist. nat. 37. 41 war jedoch ein amethystfarbiger Stein. Cappelers Prodr. Crystall. 1723 pag. 29 bildete ihre Formen schon vortrefflich ab.

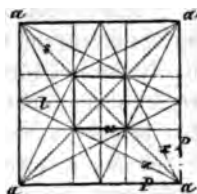
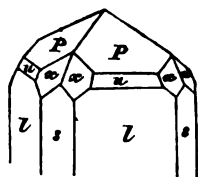
4gliedriges Krystallsystem. Das Quadratoctaeder  $P = a : a : c$  hat  $123^\circ 19'$  Endkanten- und  $84^\circ 20'$  Seitenkantenwinkel, gibt

$$a = 1,561 = \sqrt{2,438}, \lg 0,19354.$$

Dauber (Bogg. Ann. 107. 278) fand nach vielen Messungen  $123^\circ 20'$ . Die Zirkonsäule  $l = a : a : \infty$  herrscht besonders bei den gemeinen Varietäten im Urgabirge, die Hyacinthsäule  $s = a : \infty a : \infty$  bei den edlen im Basalt. Diese sind dem Granatoeder ähnlich. Meist kommen beide Säulen an einem Oктаeder



vor. Dazu tritt bei den gemeinen vom Almgebirge, Friedrichswärn u. noch das dreifach schärfere Oктаeder  $u = 3c : a : a$ ,  $P/u = 153^\circ 15'$ , selten  $v = 2c : a : a$ . Hat man diese durch Messung bestimmt, so läßt sich der Viertantner  $x = c : a : \frac{1}{2}a$  leicht deduciren, weil er die Endkante des Oктаeders  $u$  zuschärft und zugleich in der Endkante des Hauptoktaeders liegt. Seltener sind die Viertantner  $y = a : \frac{1}{2}a$ ,  $z = a : \frac{1}{2}a$ , auch das nächste stumpfere Oктаeder  $c : a : \infty a$  wird angegeben, die Geradenfläche  $c : \infty a : \infty a$  erwähnt Kotscharow.



Härte 7—8, hohes Gewicht 4,68. Es kommen die verschiedensten trüben Färbungen vor, am gewöhnlichsten braungelb und hyacinthroth, aber im Feuer veränderlich. Die von Crpailly und Norwegen phosphoresciren.

Zr Si mit 66,4 Zr und 33,6 Si Klaproth entdeckte darin 1789 die Zirkonerde, welche nach dem Mineral benannt wurde. Unschmelzbar, und selbst von wässriger Flußsäure nur wenig angegriffen. Auffallend ist die Leichtigkeit, mit welcher sich manche edle und unedle weiß brennen. Ceylonische Hyacinthen darf man nur aus der Ferne der Löthrohrflamme nahe bringen, so sind sie mit einem Ruck weiß, es sieht fast aus wie ein leichtes Aufglühen, und Henneberg behauptet, ihr Gewicht steige dann von 4,61 auf 4,71. Es gibt eine lösliche  $\alpha$  und eine unlösliche  $\beta$  Zirkonsäure,  $\alpha$  wird in  $\beta$  durch Erhitzen übergeführt. Das erinnert an Eigenschaften der Kieselsäure pag. 218, und da 2 Vol. Chlorzirkoniumdampf 4 Vol. Chlor enthalten ( $Zr Cl_2$ ), so will man jetzt Zr schreiben, also Zirkon = Zr Si. Auch die spezifische Wärme spricht dafür (Zahrb. 1874. 200).

Ueber die Verbreitung ließ sich Lamnau (Zeitschrift deutsch. geol. Ges. 1854 VI. 200) deß weiteren aus, und nahm mindestens 100 primitive

Localitäten an, die sich vorzugsweis auf Ur- und Vulkangebirge vertheilen.

a) *Hyacinth*, wohl nicht *Hynturion* des Theophrast. Orangefarbig, vom Granat durch stärkern Glanz und höheres Gewicht unterscheidbar. Im Feuer gewinnt er an Glanz, verliert aber auch die Farbe, daher Jargon de Ceylon. Im Flußsande von Ceylon mit Spinell und Rubin, auf der Hferwiese in Böhmen, und besonders in einem Bache bei Expailly ohnweit Puy in der Auvergne, wo sie in einem vulkanischen Muttergestein liegen, doch schließt das Gestein auch Granitbrocken mit Krystallen ein (Gilbert's Ann. 69. 11). Im Basalt von Unkel und des Siebengebirges bei Bonn stecken vereinzelte Hyacinthkrystalle von schönster Farbe. Das fällt auf, da sie sonst im Feuer sich so leicht weiß brennen. Die sächsischen bei Hohenstein kannte schon Agricola (Jah. 1870. 12).

b) Trübfarbige Geschiebe von Ceylon: gelblich, grünlich, bläulich, röthlich bis ins schwärzliche. Die gerundeten sind zwar schwer erkennbar, allein es finden sich darunter immer noch deutliche 1ste quadratische Säulen, auch wohl mit oktaedrischer Endigung, die uns in den Stand setzen, selbst das gänzlich Abgerollte glücklich zu sondern. Auch diese brennen sich vollkommen farblos. Besonders schön kommen ähnliche eingesprengt im Kalkspath des Urgebirges von New-York (Hammond) vor. Willig klar und farblos sind die sogenannten weißen Hyacinthen vom Wildkreuzjoch im Pfitschthal, wo sie auf Allochroit im Chloritschiefer mit Epidolithkrystallen sitzen. Die spektroskopischen Untersuchungen der cingalesischen Zirkone zeigen eigenthümliche schmale Linien, welche auf einen besondern Stoff schließen lassen.

c) Gemeiner Zirkon mit gelblich brauner Farbe, die zweite Säule von eigenthümlicher Rauigkeit. Gew. 4,52. Eingesprengt in den Syenit von Friedrichswärn, und im Gläolithgestein von Laurwig und des Ilmensees bei Miass, die um und um gebildeten Krystalle können 17 Centimeter lang und 8½ Pfund schwer werden. Im Ural sehr verbreitet, daher auch in vielen dortigen Goldsafen, zwar meist nur mikroskopisch, aber wegen ihres großen Glanzes doch leicht erkennbar. Ein höchst bemerkenswerthes Vorkommen bilden die blaßbläulichen Oktaeder im glasigen Feldspathgestein mit Nephelin von der Somma und dem Laachersee. Letztere sollen am Tageslicht bleichen (Jahrb. 1845. 111). Daubrée fand kleine Krystalle im Sande der Mosel bei Metz, und im Granitgrus der Vogesen (Jahrb. 1852. 111 u. 1856. 111). Im Schristgranit vom Berge Zbiar bei Böhmischem Eisenberg liegen schwarze Krystalle mit 110 und 111. Nelfenbraun zu Rossie bei New-York mit Kalkspath und geflossenen Quarz. Rofhe Kryställchen im Eklogit des Fichtelgebirges.

Der Steadtit Forchhammer (Pogg. Ann. 35. 111) auf Augit mit Titanit von Arendal scheint ein in Zerstörung begriffener gemeiner Zirkon, da Form, Glanz und gelbbraune Farbe ganz mit Zirkon stimmen, nur gibt er 5,5 H und hält neben 2 Mg, 2,6 Ca, 69 mit Titansäure gemischte Zirkonerde. Daher auch nur 3,6 Gewicht, und knapp Feldspathhärte. Scheerer's

Malakon (*μαλακός* weich, Pogg. Ann. 62. 100) aus Granitgängen von Gitteröe mit Gadolinit bildet sehr scharfe Krystalle 100 mit 111, hat aber 3 H, daher Gew. 5,9, Härte 6. Nach dem Glühen steigt das Gewicht auf 4,2. Innen die Farbe milchblau. Ohne Zweifel Verwitterungsproducte, obgleich Hr. Descloizeaux im Schriftgranit von Chanteloube (St. Vienne) kleine Krystalle mit  $124^{\circ} 40'$  fand. Auch der Auerbachit  $\text{Zr}^2 \text{Si}^2$  von Mariupol  $122^{\circ} 43'$  scheint dem ächten Zirkon außerordentlich nahe zu stehen, wie der Ostranit von Brevig.

Zirkonerde kommt außerdem gern in Begleitung von Titansäure vor: Aeschinit 17,5, Wöhlerit 17,6, Eudialyt 17, Polymignyt 14, Samarskit 4 Zr, Polytras, Tantalit von Chanteloube. Ewanberg (Pogg. Ann. 65. 117) glaubt, daß Zr aus mehreren Erden bestehe, eine davon nennt er Norerde (Nore der alte Name für Norwegen).

## 6. Topas.

Der Name stammt aus dem Alterthum, Agatharchides 130 ant. Chr. (Periplus Rubri maris) nennt im Rothen Meere eine Schlangensinsel (*ὄφιον*), da suchte man Nachts auf Befehl des Königs den leuchtenden *τοπαζίον*; durchsichtig dem Glase ähnlich habe er in Gold gefaßt ein gar liebliches Ansehen. Plinius hist. nat. 37, 32 versteht darunter einen grünen Stein, der auf jener von Nebel eingehüllten Insel Topazos im Rothen Meere gefunden werde, und davon seinen Namen habe; topazin heiße in der Troglodyten-Sprache suchen. Man hat nun gemeint, dieser Edelstein (suo virenti genere, cum reperta est, praelatae omnibus) sei unser Chrysolith gewesen, dagegen Chrysolithus des Plinius (hist. nat. 37. 42 aureo fulgore translucens . . . in collatione aurum albicare quadam argenti facie cogunt) unser heutiger Topas, Klaproth Beitr. IV. 160. Indes schon Agricola nat. foss. 623 sagt, auri autem fulgor topazion a callaide pallidius virente separat. Dionysius Periegetes (Vers 1121) heißt ihn bläulich und klar. Topazi hilft den Ästeradern, die zu der mistporten niden gënt, Regenbergs 464.

Zweigligedriges Krystallsystem von ausgezeichnete Entwicklung. Rhombische Säule  $M = a : b : \infty$   $124^{\circ} 20'$  (124. 17 Kotsch. 124. 15. 30 Groth) durch Längstreifung oft sehr entstellt. Der Geradenfläche  $P = c : \infty a : \infty b$  entspricht ein Blätterbruch noch deutlicher als beim Kalkspath, derselbe verräth sich gewöhnlich durch Quersprünge in der Säule, und wenn er wie gewöhnlich als Krystallfläche auftritt, so zeigt er eine auffallende Rauigkeit. Noch ausgedehnter als  $M/M$  ist häufig die Zuschärfungsfläche ihrer scharfen Kante  $l = a : \frac{1}{2}b : \infty$  mit  $86^{\circ} 52'$  vorn. Wegen dieser Winkel nannte Weiß passend jene  $M/M$  Hornblendensäule, diese  $l/l$  Augitsäule. Da die Gipfel von den Krystallen wegen des Blätterbruchs gern wegspalten, so trifft man in Brasilien, Muska in Kleinasien 2c. gar gewöhnlich diese einfachen Formen. Bei den Schneckensteinern und Nertschinsk'schen herrscht am Ende ein etwas





Reibungselektricität ist „besonders bei einigen sächsischen Topasen so beträchtlich, daß die geringste Reibung mit dem Finger schon hinreicht, eine kleine kupferne Nadel merklich anzuziehen.“ Thermoelektrisch und terminalpolar nach Hauptaxe c sind die Russischen (Hantel Pogg. Ann. 61. 200), centralpolar nach Seitenaxe a die Brasilianischen: und zwar liegen die antilogen Pole am Ende von a in dem stumpfen Rantenwinkel der Säule, die analogen in der Mitte des Blätterbruchs pag. 164.

Doppelte Strahlenbrechung erkannte schon Haug: er benutzte die Fläche  $n = b : c : \infty a$  und schliß die gegenüberliegende scharfe Säulenkante durch  $b : \infty a : \infty c$  ab, dadurch bekam er ein Prisma mit dem ungefähren Brechungswinkel von  $46^\circ$ , das eine Nadel bei einigen Zoll Entfernung verdoppelte. Die Ebene der optischen Axen liegt in a c, Axe c bildet die + optische Mittellinie. Man darf sie nur nach dem Blätterbruch P spalten, um sofort Lemniscaten im Polarisationsmikroskop zu bekommen. Bei brasilianischen Geschieben kann man auch mit der Turmalinzange Ringsysteme erkennen. Der Axenwinkel variabel. Elasticitätsaxen  $a : b : c = 1,00922 : 1,01186 : 1$  (Rudberg Pogg. Ann. 17. 1).

Vor dem Löthrohr unschmelzbar, nur in strengem Feuer sich mit kleinen Blasen überziehend, dabei milchfarbig und brüchig werdend „mit einem beträchtlichen, bei edlen Steinen ganz ungewöhnlichen, Gewichtsverluste“, welcher vom Fluorgehalte herrührt und die Analyse erschwert. Nach Forchhammer  $5 \text{ Al Si} + 2 \text{ Al Fl}^3$ ; gibt, wenn man das Aluminium als Thonerde in Rechnung bringt, 55 Al, 35,5 Si, 17 Fl (Summa 107,5). Rammelsberg schrieb die Formel  $6 \text{ Al}^3 \text{ Si}^2 + (3 \text{ Al Fl}^3 + 2 \text{ Si Fl}^3)$ , worin im 2ten Theile der Formel der Sauerstoff von Aluminium und Silicium bloß durch Fluor vertreten ist. Nach den neuern Ansichten vereinfacht sich das zu  $5 \text{ Al Si} + \text{Al Si Fl}^3$ . Klaproth (Beitr. IV. 168) wies darin zuerst auf die Flußsäure hin.

Mit dem Topas beginnen wegen der Häufigkeit seines Vorkommens die Edelsteine mittlerer Sorte. Man kennt klare Krystalle von vielen Pfund schwer. Im krystallinischen Urgebirge, auf Erzgängen und in vulkanischen Gesteinen wird er gefunden, und ist von hier auch in das Schuttland gerathen. Nach Farbe und Klarheit macht man etwa folgende Unterabtheilungen:

1) Farblose, Pingos d'agoa (Wassertropfen), von einer Klarheit und Politurfähigkeit, wie sie der Bergkrystall nicht erreicht, finden sich als Geschiebe im mittlern Gebiet des Rio Belmonte (Minas novas), und man weiß nicht wo sie anstehen. Sie haben häufig einen Stich ins Grün. Uebrigens muß man sie vorsichtig von ähnlichen Quarzgeschieben unterscheiden, der Blätterbruch leitet dabei öfter unmittelbar. Es gibt nichts Klareres als solche Wassertropfen, sie werden daher auch zu Brillengläsern zerspalten und geschliffen. Der öfter genannte Diamant im Schatze des Königs von Portugal von Hühnereigröße (1680 Karat), auf 224 Mill. Pfund Sterling geschätzt (R. de l'Isle Essai Crist. pag. 211), soll

nichts weiter als ein solches Topasgeschiebe sein. Auch im Goldsande von Neuhollland kommen bläuliche, grünliche und gelbliche vor. Untersucht man Splitter von letztern, so zeigen sie bei starker Vergrößerung vielerlei Höhlen, aus welchen Flüssigkeiten (Kohlensäure pag. 212) über die Ebene der Bruchflächen fließen (Brewster Pogg. Ann. 7. 402). Ja im Wasser sind sie an den rauhen Geschieben schon mit der Lupe erkennbar. Die kleinen wasserhellen Topase von Miasz im Irtysgebirge „übertreffen durch ihren Flächenreichtum alle andern bekannten.“ Sie stecken im Granit mit Amazonenstein. Aehnliche auf den Verrillen von Nertschinsk um und um krystallisirt.

2. Sibirische Topase von grünlicher Farbe (Aquamarin) und großer Klarheit. Je grüner, desto deutlicher wirken sie auf das Dichroskop. Sie werden in der Umgebung des Dorfes Murzinsk (Alabascha 13 Meil. nördlich Katharinenburg) im Granit gebrochen und in Katharinenburg verschliffen. Auch die Geschiebe bei den Goldwäschen von Miasz werden zu dem Behufe gesammelt. Die Pracht und Größe ist unübertroffen. Im Gebirge Adontschilon 15 Meilen südlich Nertschinsk scheint die Mannigfaltigkeit am größten zu sein. Dort stammen die schönen Drusen mit Rauchtopas durchwoben her, deren schmutziggrünes Dach n/n am Ende vorherrscht. Den schwersten von  $31\frac{1}{2}$  Z bewahrt die Sammlung des Bergcorps zu Petersburg. Besonders prachtvoll sollen die klaren weinbis honiggelben von dort sein. In den Bergen des Flusses Uralga (Transbaikalien) wurde ein solcher von reichlich 10" Länge, 6" Breite und  $25\frac{1}{2}$  Z Schwere gefunden, und vom Kaiser der Sammlung übergeben. Der obere Theil ist vollkommen durchsichtig (Kotsharow Mater. II. 222, III. 272), aber leider entfärben sie sich schon nach wenigen Monaten am Sonnenlicht (IV. 24).

3. Brasilianischer Topas, braungelbe Säulen von verschiedener Klarheit, vorsichtig in Asche geglüht werden sie blaß lilafarbig und roth (Brasilianische Rubine, de l'Isle Essai 216), das färbende Eisenorydhydrat könnte sich dabei in Eisenoryd verwandeln, doch ist Brewster (Gilbert's Ann. 65. 14) gegen diese Erklärungsweise, und Delesse (Compt. rend. 1860. 51. 200) hält es sogar für Bitumen. Sie sind wegen ihres angenehmen Lichtes sehr geschätzt. Für das Dichroskop von hohem Interesse pag. 142. Sie liegen in Steinmarzschneuren der Meiereien von Capão do Lana und Boa Vista bei Villa Rica, wo jährlich an 18 Ctr. bergmännisch gewonnen und in Rio Janeiro und Bahia verschliffen werden.

4. Sächsischer Topas, blaß weingelb, aber sehr politurfähig. In einem Walde auf dem Voigtlande bei Auerbach erhebt sich eine 80' hohe Gneisnadel, der Schneckenstein, worin Bauern (Hentzel Acta physico-medica 1737. IV. pag. 316) den „Schneckenopas“ längst kannten (Reyßler Neueste Reise pag. 1312). Das Gestein ist ganz von Topasmasse durchdrungen, und Krystalle von wenigen Linien Größe liegen in Menge herum. Doch haben sich auch einzelne Individuen von 4" Länge und 2" Breite darunter gefunden. Im grünen Gewölbe von Dresden zeigt

man davon die prachtvollsten Garnituren. Schon in gelindem Feuer brennen sie sich weiß, in starkem verlieren sie Glanz und Durchsichtigkeit, und mehrmals in kaltem Wasser abgelöscht werden sie ganz mürbe. Werner nannte die faserige Gebirgsart von körnigem Quarz und wenig schwarzem Turmalin durchzogen Topasfelsen, Breithaupt (Leont. Jahrb. 1854. 787) zählt sie zur Zinnerzformation, Zinnstein kommt darin wenn auch selten vor. Wie schon Plinius von seinem Chrysolith sagt: *funda includuntur perspicuae* (à jour gefaßt), *ceteris subijcitur aurichaleum*, so legt man noch heute sächsischen Topasen eine Goldfolie unter. In Indien kommen saffrangelbe vor, besonders schön zu Mokka in Kleinasien.

5. Bemerkenswerth aber zum Schliß meist unbrauchbar sind die Drusen auf Zinnsteinstöcken des Erzgebirges (Zinnwalde, Schlaggenwalde, Altenberg) und Cornwallis, im Lithionglimmer von Roschna, mit Zinnstein sogar in Auswürflingen des Vesuv. Sie haben meist schmutzig-weiße Farbe. Nordamerika, Schottland, das irländische Mourne-Gebirge, als Geschiebe in den Australischen Zinnsaifen zc.

6. Gemeiner Topas. Verliert Klarheit und Schönheit der Farbe, aber der Blätterbruch bleibt immer noch deutlich, und derbe Massen gewinnen dann nicht selten ein Feldspathartiges Ansehen: am bekanntesten die graulich weißen mit Andeutungen von rohen Krystallflächen, welche Gahn im Ganggranit des Gneises von Finbo und auf dem mit erratischen Blöcken bedeckten Felde Broddbo bei Falun entdeckte. Es sind daselbst Stücke 27  $\pi$  schwer gefunden. Die feinsten Splitter bedecken sich bei sehr starkem Feuer mit kleinen Blasen, welche zerplatzen, daher *Pyrophysalith* genannt. Daubrée (Compt. rend. 1851 XXXII. 626) glückte es, künstliche Topase darzustellen.

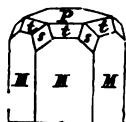
*Phylit Haüy* ( $\pi\upsilon\chi\tau\acute{o}\varsigma$  dicht) wurde lange mit Beryll verwechselt (schörlartiger Beryll Wru.). Er kommt in derben strahligen Massen mit grauen Lithionglimmern gemengt auf Zinnsteinstöcken besonders zu Altenberg auf dem Erzgebirge vor. Derselbe ist grünlich gelb und stellenweis von Eisenoxyd roth geflammt. Den Blätterbruch senkrecht gegen die strahligen Säulen kann man zwar darstellen, allein er ist durch schiefe Quersprünge unkenntlich gemacht, und die spröde Masse läßt sich auf Härte nicht sicher prüfen. Zeigt fast genau die Zusammensetzung des Topases, nur gibt er vor dem Löthrohr leichter Blasen, 18,5 Fl. Ohne Zweifel ein in Bersehung begriffener Topas.

## 7. Beryll.

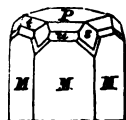
*Beryllus* Plinius hist. nat. 37. 20 *poliuntur omnes sexangula figura artificum ingenio, quidam et angulosos puntant statim nasci* (einige glauben, sie entstünden schon eckig). *Probatissimi ex iis sunt qui viriditatem maris puri imitantur.* Daher nennen ihn die Steinschleifer noch heute vorzugsweise Aquamarin. *Βερύλλιον* Diodorus Si-

culus. „Wurde von den Römern zu Augengläsern verschliffen, daher Brille!“ (Buch der Erfindungen pag. 128).

Sechsgliedriges Krystallsystem mit vollkommener Vollzähligkeit der Flächen, wie es zuweilen vorkommt. Die erste sechsseitige Säule  $M = a : a : \infty a : \infty c$  herrscht immer vor, mit starken Längsstreifen. Die zweite Säule  $n = a : \frac{1}{2}a : a : \infty c$  stumpft öfter die Kanten der ersten bei, den smaragdgrünen ab. Dagegen eine 6 + 6kantige Säule  $i = a : \frac{1}{2}a : \frac{1}{2}a : \infty a$  nur selten bei sibirischen beobachtet. Durch die Fülle dieser Flächen werden sie förmlich cylindrisch, cylindri modo teretes sunt Berylli Gesner de fig. lap. 16. Dagegen fehlt es meist an Endflächen. Der Geradenfläche  $P = c : \infty a : \infty a : \infty a$  entspricht ein schwacher, aber doch gut erkennbarer Blätterbruch. Wenn außerdem Endflächen vorkommen, so ist es das Dihexaeder  $t = a : a : \infty a : c$  mit den Rhombenflächen  $s = a : \frac{1}{2}a : a : c$ , die freilich auch nicht immer vollzählig auftreten. Da das Dihexaeder  $t$   $151^{\circ} 5'$  Endkanten und  $59^{\circ} 53'$  Seitenkanten hat, so ist



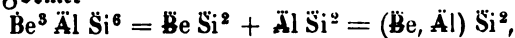
$$a = 2,0057 = \sqrt{4,0139}, \lg a 0,30205.$$



Ein zweites Dihexaeder  $u = a : a : \infty a : \frac{2}{3}c$  liegt unter  $t$  in der Diagonalzone von  $s$ . Selten aber vollständig der 6kantner  $x = a : \frac{1}{2}a : \frac{1}{2}a : c$ , welcher die Kanten  $M/s$  an jedem Ende 12mal abstumpft. In dieser Kantenzone liegen ferner:  $v = a : \frac{1}{2}a : \frac{1}{2}a : c$ ,  $w = a : \frac{1}{4}a : \frac{1}{4}a : c$ ;  $y = a : \frac{1}{4}a : \frac{1}{4}a : c$ ; über  $s$  die  $o = a : \frac{1}{2}a : a : \frac{1}{2}c$ . Dihexaeder  $a : a : \infty a : 2c$ ,  $a : a : \infty a : \frac{2}{3}c$ ; Sechskantner  $k = a : \frac{1}{2}a : \frac{1}{2}a : 2c$ ,  $z = a : \frac{1}{2}a : \frac{1}{2}a : \frac{2}{3}c$ . Kertschinsk und Ural lieferten die flächenreichsten Krystalle. Kotscharow VI. 94 beschreibt einen 2 Fuß langen und  $9\frac{1}{2}$  Zoll dicken aus der Sammlung des Herzogs von Leuchtenberg von spargelgrüner Farbe und vollkommener Durchsichtigkeit, woran außer  $PMtsi$  die Dihexaeder  $a : a : \frac{1}{2}c$ ,  $a : a : \frac{2}{3}c$ ; und Sechskantner  $a : \frac{1}{2}a : \frac{1}{2}a : c$  und  $a : \frac{1}{2}a : \frac{1}{4}a : c$  groß ausgebildet vorkommen. An beiden Enden auskrystallisirte gehören zu den größten Seltenheiten, und wenn wir sie finden, so zeigen sie wie Turmalin Neigung zur Hemiedrie (Kotsch. I. 157).

Seine Härte streift schon an die Quarzhärte 7—8, sie lassen sich sogar noch leichter als Bergkrystall durchschneiden, Gewicht 2,7; Glasglanz, und ob. er gleich noch gemeiner als Topas ist, so nimmt er doch klare Färbungen an, die öfter auf das Mikroskop gut wirken. Schwach thermoelektrisch. Das optische schwarze Kreuz öffnet sich etwas beim Drehen. Es soll nach Pfaff (Pogg. Ann. 124. 440) von Streifen herrühren, die ins Innere dringen.

Vor dem Böhrohr schmilzt er schon wenn auch schwierig zu trübem Glase. Bauquelin entdeckte 1797 darin die Beryllerde, welche er nach den süßen Salzen Glucine nannte. Nach vielem Schwanken gibt man ihm jetzt die Formel



da beide Basen mit einander isomorph sind. Etwa 13,4 Be, 16,8 Al,

69,7 Si. Die Elbaer enthalten nach Bechi (Bolletino Com. geol. d'Italia 1870. 22) 0,88 Cäsium und nur 3,3 Be, manchen fehlt sogar die Beryllerde ganz, und bestehen aus  $Al Si^3$ . Das würde sehr dafür sprechen, nicht Be sondern wie früher Be zu schreiben. Beryllerde trennt sich nach Chr. Gmelin aus ihrer verdünnten Auflösung in Kali durchs Kochen von Thonerde. Häufiger Begleiter des Topases, aber auch sonst reichlich im krystallinischen Urgebirge.

1. **Smaragd**, *σμάραγδος* Herodot, Theophrast, Plinius. Zamarrut der Araber. Emeraude, Emerald. Verdankt seine smaragdgrüne Farbe einem Chromgehalt, der bis auf 3,5 Gr steigen kann, und schon 1 Theil Chromoxyd vermag mehr als 500 Theile Silicatgestein tief grün zu färben. Mit Flußspath zusammen geschmolzen eine Türkisgrüne Perle. Daß die Alten den wirklichen Smaragd kannten, beweisen die in den Ruinen Roms gefundenen Zierrathen, auch kommen sie als Schmuck Aegyptischer Mumien vor, und Plinius sagt eruuntur circa Copton oppidum Thebaidis collibus excavatis, wo Caillaud im Gebirge Zabarah südlich Cossair sogar die alten Gruben wieder gefunden haben wollte. Doch scheint sich die Sache nicht ganz zu bestätigen (Beilage Allg. Zeitung 1844, Nro. 347). Dagegen hat Allen auf einer Insel im Rothen Meere Werkzeuge aus Sesostris Zeiten (1650 a. Ch.) gefunden (Kunngott Uebers. Mineral. Forsch. 1853. 100). Im Alterthum stand er nach Plinius hist. nat. 37. 16 im höchsten Ansehen: *tertia auctoritas* (1 Diamant, 2 Perlen) *zmaragdis perhibetur pluribus de causis, quippe nullius coloris aspectus jucundior est . . . nihil omnino viridius comparatum illis viret. Praeterea soli gemmarum contuitu implent oculos nec satiant . . . non sole mutati, non umbra non lucernis . . . Nero princeps gladiatorum pugnas spectabat in zmaragdo.* Nun werden aber eine Reihe grüner Steine angeführt, die offenbar nicht Smaragde waren, darunter auch die schon von Theophrast genannten Obelisken in einem Aegyptischen Tempel, welche aus 4 Smaragden von 40 Ellen Länge und 2—4 Ellen Breite bestanden! Nach Herodot 3,41 war der Ring des Polykrates pag. 245 ein Smaragd. Auch der 28½ Z schwere Smaragd im Kloster Reichenau oberhalb Chur am Rhein ist Glas.

Im Mittelalter findet man ihn schon in alten Kirchenschätzen des 8ten Jahrhunderts, in der Tiara des Papstes eine Säule von 1 Zoll Länge und ½ Zoll Dicke, die bereits zur Zeit Papst Julius des zweiten sich zu Rom befand. Erst durch die Entdeckung von Peru wurden sie häufiger, daher gewöhnlich Peruanischer Smaragd genannt. Cortez brachte 5 Stück mit, die auf 100,000 Kronen geschätzt wurden. Die Incas verehrten einen in der Größe eines Straußeneis, aber die Spanier bekamen ihn nicht, auch konnten die ergiebigsten Fundorte im Mantathale bei Porto Viego nicht wieder aufgefunden werden. Die Hauptgruben finden sich heutiges Tages im Tunka-Thal (Quindiu- oder Neugranadafette zwischen Cauca und Magdalena ohnweit Carthago), wo er im Kalkspath bricht, der Gänge im Thonschiefer bildet. Die Flußnamen

Esmeraldas weisen wohl meist auf solche Erfunde hin. Eine Handgroße Druse mit noch nicht Fingerdicken Krystallen bedeckt wurde 1818 für 22,000 Rubel in Petersburg ausgebaut. Säulen von 22 Linien Länge und 20 Linien Dicke gehören schon zu den bedeutendsten. Daher war die Freude groß, als ein Köhler 1830 im Waldbistritz 12 Meilen nordöstlich Katharinenburg beim Ausgraben von Baumwurzeln im Glimmerschiefer an der Lakowaja Smaragde entdeckte, die in Begleitung von Beryll, Chrysoberyll und Phenakit bei tiefen Schürfen im schönsten Grün hervorkamen. Nun schienen die Worte des Plinius hist. nat. 37, 17 wahr: *nobilissimi Scythici . . . nullis major austeritas, nec minus vitii. Quantum zmaragdi a gemmis distant, tantum Scythicus a ceteris zmaragdis.* In der Sammlung des Kaiserl. Bergcorps findet sich ein Krystall von 8 Zoll Länge und 5 Zoll Dicke! Kotscharow gibt sie auf 40 Centimeter Länge und 25 Dicke an. Levy (Compt. rend. 1857. 45. 877) leitet die Farbe gewisser Peruanischen vom Bitumen her, wie die des dortigen grünen Gypses! Auffallender Weise liegen sie bei Muso in einem Ammoniten führenden Kalk der Neocomien-Formation (Jahrb. 1862. 254). Es stimmt das Uralische Vorkommen mit jenem an der Sedl-Alpe im Habachtale des obern Pinzgau (Salzburg), wo sie 7000' über dem Meer am „Smaragd-Palzen“ mit Lebensgefahr herabgeholt werden. Man hat ihr Lager bergmännisch verfolgt (Jahrb. 1864. 232), und Farben gefunden, die auf der Londoner Ausstellung sich Anerkennung erwarben. Wille (Bulet. geol. Franc. 1855. XIII. 20) entdeckte Smaragdlager im Kalkstein des Harrachthals zu Algier.

Das Dichroskop zerlegt die Farbe deutlich in Smaragd- und Meergrün, wodurch man sie leicht von gefärbten Gläsern unterscheidet. Auch ist die Farbe in den Säulen oftmals schichtenförmig parallel der Geradenfläche so vertheilt, daß verschiedene Schichten weit schöner gefärbt sind, als die übrigen Stücke, und die Farben gränzen in scharfer Ebene ab. Der Werth hängt wesentlich mit von der Reinheit der Krystalle ab. Namentlich leiden sie sehr an Trübe und Sprüngen.



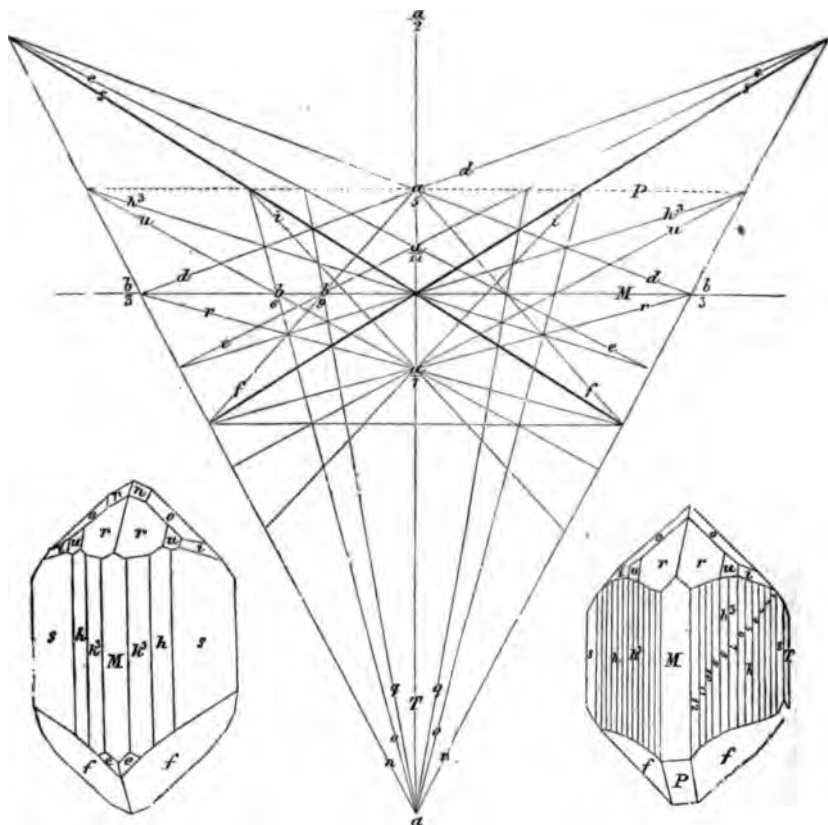
2. Edler Beryll, hauptsächlich von Meergrüner Farbe, *aqua marina* Gesner de fig. lap. 57, der im Seewasser nicht unterschieden werden kann, verläuft einerseits stark ins Blau, andererseits stark ins Gelb. Pallas machte besonders auf die prachtvollen Krystallsäulen des Gebirges Adontschilon aufmerksam, von woher ihn vielleicht schon die Alten über Bactrien holten. Seit 1723 werden sie im dortigen Granit geschürft, sind mit Eisenocker überzogen und vom Topas, schwarzen Bergkrystall, Arsenikkies, Wolfram zc. begleitet. Die himmelblauen vom Altai zeichnen sich durch Größe (1 Meter lang) aber nicht durch Schönheit aus. Am Ural von gelber und Meergrüner Farbe sitzen die schönsten in Drusenräumen des Schriftgranits von Murzinsk neben Schörl und Topas; bei Schaitansk werden die kurzen Säulen rosenroth bis farblos, und neben den Topasen der Miasker Hütte liegen wieder große aber

minder klare. Diese haben scharfe Dihedraeder  $2a : a : 2a : mc$ , die Hr. Kotscharow jedoch nicht genau bestimmen konnte. Solche „Bunten Steine“ sammeln die dortigen Bauern, und verkaufen sie an Schleifer und Mineralogen: 1828 wurde bei Mursinst ein gelblich grüner vollkommen klarer Krystall gefunden von 10" Länge und  $11\frac{1}{2}$ " Umfang. Er liegt in der Sammlung des Bergcorps und ist auf 42,830 Rubel Silber geschätzt! Das gibt für die Schleifereien zu Katharinenburg ein vortreffliches Material. Die geschliffenen Gemmen sind gewöhnlich länglich, indem man von der größern Ausdehnung der Säule profitirt. Bereits viel gemeiner als Topas. In Brasilien hat man eine durchsichtige Säule von 15  $\mathcal{Z}$  Schwere gefunden. Ledy (Descr. min. II. 67) rühmt die Grube Gangayum, im Distrikt Coimbatore von Ostindien. Ein geschliffener Stein von 6 Unzen habe 500  $\mathcal{Z}$  Sterling gekostet, lasse aber in Beziehung auf Klarheit nichts zu wünschen über. Allerdings muß man ihre große Politurfähigkeit bewundern. Die stärker gefärbten wirken auch sichtlich auf das Dichroskop, und man kann mittelst desselben die Richtung der Hauptaxe selbst an geschliffenen Steinen noch bestimmen. Auf Elba, im Granit des Schwarzwaldes bei Schramberg (Jahreshefte Nat. Württ. 1856. 63).

3. Gemeiner Beryll, zwar noch krystallisirt in einfachen Säulen mit Geradenfläche, aber vollkommen trüb, von schmutziger Farbe und häufig sehr rissig. In Deutschland sind besonders die grauen und ölgrünen Säulen im Quarz vom Rabenstein bei Bodenmais bekannt, die schon Sturl 1792 beschreibt (Bezt. Deutsch. Münch. Abad. 1809. 118). Ähnlich zu Rosenbach (Langenbielau) in Schlesien. Selten im Granit von Heideberg. Zu Limoges in Centralfrankreich sind armdicke Krystalle schon von Lelièvre (Ann. Miner. IV. 311) entdeckt; man benutzte sie zur Darstellung der Beryllerde, ihre Streifung läßt sie leicht mit Pyrit verwechseln. Blöcke von Broddbo, Sätersberg bei Modum, Mournegeb. in Irland. Zu Ponserada in Gallicien sollen sie so kolossal sein, daß man die Krystalle wie Basaltsäulen zu Thürpfosten benutze, ja in den Granitadern von Grafton (N. Hampshire) finden sich Säulen mit Dihedraederenden von 6' Länge, reichlich 1' Dicke und gegen 3000  $\mathcal{Z}$  Schwere! Die gemeinen werden durch Verwitterung zu Rosenbach talkartig weich.

Gullas hat *εὐκλειω* leichtbrechen, weil er wegen seines ausgezeichneten Blätterbruchs leicht zerspringt. Wir verdanken Weiß eine ausführliche Darstellung dieses verwickelten 2 + 1gliedrigen Krystallsystem's (Abb. Berl. Abad. 1841. 240). Derselbe entwirft unabhängig von allen Winkeln eine Projectionsfigur, entwickelt ganz allgemein die Ausdrücke der Flächen mit Buchstaben bloß aus den Zonenverhältnissen, und zeigt dann, welchen Werth  $\mu$  und  $\nu$  haben müsse, um zu den einfachsten Agnenausdrücken zu kommen. Damit ist der Beweis geführt, daß nicht Grundformen, sondern der Zonenzusammenhang der Flächen das Wesen bilden. Schabus (Denkschriften Wien. Abad. Wiss. 1852, Band VI. 67) liefert

eine Monographie. Seine gefundenen Winkel weichen nur wenig von den bekannten ab.



Eine Säule  $s = a : b : \infty$  macht  $114^\circ 50'$  ( $115^\circ$  Schabus), ihr stumpfer Winkel vorn ist zwar durch viele Flächen zugespitzt, Phillips gibt allein 12 an, aber keine spärst den scharfen zu, dieser bleibt selbst mit dem Handgoniometer gut meßbar. Nur ein Blätterbruch  $T = b : \infty a : \infty$ , deutlicher als beim Topas, stumpft die scharfe Säulentante gerade ab. Haüy läßt ihn in Hinsicht auf Deutlichkeit auf Gyps folgen. Derselbe erzeugt einen starken innern Lichtschein.  $M = a : \infty b : \infty$  stumpft die stumpfe Säulentante ab, allein die Neigung von Flächenbildung zwischen  $s$  und  $M$  ist so groß, daß man öfter auf ihr auch noch eine Knickung längs der Axe  $c$  gewahrt. Von den 12 Flächen zwischen  $M$  und  $s$  zeichnet sich  $h^3 = \frac{1}{2}a : b : \infty$  öfter durch Größe und etwas rauhe Längsfreifung aus, sie macht vorn  $144^\circ 33'$  in der Säule;  $h = \frac{2}{3}a : b : \infty$   $133^\circ 50'$  u.

Am Ende steht auf der Hinterseite (nach Haüy die vordere) ein meist sehr ausgebreitetes augitartiges Paar  $f = \frac{1}{2}a' : \frac{1}{2}b : c$ , seine schiefe



Rante  $c : \frac{1}{2}a' : 106^\circ (105.49\frac{1}{2} \text{ Sch.})$  wird durch den nicht sonderlich deutlichen 2ten Blätterbruch  $P = c : \frac{1}{2}a' : \infty$  gerade abgestumpft. Meist kommt auf dieser Seite nichts weiter vor, nur selten findet sich eine Zuspärführung der Mediankante durch  $d = c : \frac{1}{2}a' : \frac{1}{2}b$ , oder wohl gar  $e = \frac{1}{2}a' : \frac{1}{2}b : c$  die Kante  $M/f$  abstumpfend. Auf der Vorderseite herrschen dagegen zwei Reihen Paare über einander, die untere Reihe:  $r = \frac{1}{2}a : \frac{1}{2}b : c (156^\circ 12')$ ,  $u = \frac{1}{2}a : \frac{1}{2}b : c$ ,  $i = \frac{1}{2}a : \frac{1}{2}b : c$ ; die obere  $n = a : \frac{1}{2}b : c (143^\circ 50')$ ,  $o = a : \frac{1}{2}b : c$ ,  $q = a : \frac{1}{2}b : c$ .

Legen wir bei der Berechnung der Axenelemente den Säulenzwinkel  $s/s = 114^\circ 50'$ , die stumpfen Winkel der Augitpaare  $f/f = 106^\circ$  und  $n/n = 143^\circ 50'$  zu Grunde, so ist  $\text{tg } 57^\circ 25' = \frac{b}{a}$ ;  $\text{tgo } 53 = \frac{b}{9a} \sqrt{(5+k)^2 + a^2}$ ;

$\text{tg}_1 71^\circ 55' = \frac{b}{3a} \sqrt{(1+k)^2 + a^2}$ . Nach Anleitung von pag. 65 folgt

hieraus  $\pm k = \frac{\frac{1}{2}\text{tg}_1^2 - \frac{1}{2}\text{tgo}^2}{\text{tg}^2} + 2$ ,  $a^2 = \frac{9\text{tg}_1^2}{\text{tg}^2} - (1 \pm k)^2$ ,  $b = a \text{ tg}$ .

Folglich

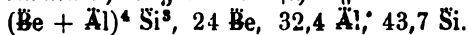
$a : b : k = 5,789 : 9,058 : 0,0178 = \sqrt{33,515} : \sqrt{82,049} : \sqrt{0,00317}$   
 $\text{lga} = 0,76262$ ,  $\text{lgb} = 0,95704$ ,  $\text{lgk} = 8,25042$ .

Da  $k$  positiv ist, so liegt der stumpfe Axenzwinkel  $A/c = 90^\circ 10\frac{1}{2}'$  auf der Vorderseite. Eine so unbedeutende Abweichung darf man ganz vernachlässigen. Dann ist es für die grobe Demonstration ganz passend, bei der Hauy'schen Stellung stehen zu bleiben: eine Säule  $s/s$  mit einer blättrigen Schiefendfläche  $P$ , und einer Abstumpfung der scharfen Kante durch  $T$ .  $P$  und  $T$  bilden die beiden auf einander senkrecht stehenden Blätterbrüche wie  $P/M$  beim Feldspath, nur daß beim Eufas umgekehrt  $T$  deutlicher ist als  $P$ . Da ferner die Augitpaare  $f/f$  und  $r/r$  vorzugsweise herrschen, so würden diese schiefen Axen einen passenden Ausgangspunkt bieten. Dagegen folgen Schabus und Kofscharov (Pogg. Ann. 1858. 103. 47) dem Mohs, und gehen von  $r$  111 und  $d$  1'11 aus, dann ist  $A : b : c = 0,971 : 3 : 1$ ,  $A/c 79^\circ 44'$  auf der Vorderseite.  $M$  100,  $T$  010,  $t$  001;  $P$  1'01,  $n$  011,  $N$  110;  $s$  120,  $L$  130,  $\beta$  230,  $\delta$  320,  $l$  340,  $\varepsilon$  410,  $h$  650,  $z$  910,  $\eta$  16.1.0,  $o$  021,  $q$  031, 041, 061,  $g$  102,  $z$  1'04,  $a$  1'12, 1'21,  $u$  121,  $f$  1'31,  $i$  141,  $b$  1'42,  $e$  2'31,  $c$  1'52,  $\omega$  1'73,  $x$  1'82,  $v$  323,  $m$  5'93,  $k$  2'.23.4,  $p$  2.14.5,  $y$  18'.29.3.  $P/c$  49.8, Kante  $r/r$  zu  $Axe$   $c$   $39^\circ 10\frac{1}{2}'$ .

Härte 7—8, Gew. 3, Strahlenbrechung: gewöhnl. Strahl 1,64, ungewöhnl. 1,66. Farbe Meergrün, Werner sagt licht Berggrün, zuweilen auch farblos und blau. Wirkt ziemlich auf das Dichroskop.

Die optischen Axen liegen nach Biot im 1sten Blätterbruch  $T$ , die Mittellinie geht der Kante  $P/T$ , also dem 2ten Blätterbruch  $P$  parallel. Axenzwinkel  $49\frac{1}{2}^\circ$ . Da Eufas fast so leicht als Gyps springt, so kann man sich die feinsten Lamellen verschaffen, welche die Farbe dünner Gypsblätter zeigen.

Vor dem Löthrohr wird er in starkem Feuer weiß, schwillt an dünnen Kanten etwas blumenkohlartig an und schmilzt.



Nach Damour  $\text{H Be}^2 \text{Al Si}^2$  und isomorph mit Datolith, da bei starkem Erhitzen 6 p. C.  $\text{H}$  zum Vorschein kommen. Auffallend sind 0,7 Zinnoryd. Dombey brachte ihn 1785 aus Peru, soll aber aus der Gegend von Villarica in Brasilien stammen (Lévy Descr. Minér. II. 89), wo er in der Nachbarschaft der Topase auf besondern Steinmarkschnüren vorkommt. Denn in den Topasfäcken, welche die Londoner Juweliere aus Brasilien erhalten, finden sich zuweilen einzelne. Merkwürdig ist der neuere Fund in den Goldsaisfen (Kammeno-Pawlowskaja) am Flusse Sanarka Gouv. Orenburg, wo er wie in Brasilien mit gelben und rosenrothen Topasen, Rutilzwillingen, Korund, Chrysoberyll, Amethyst zc. vorkommt (Kotscharow Mater. III. 97, IV. 101), sie sind grasgrün, farblos und blau, wie die mitvorkommenden Cyanite. Ein russisches Brasilien, die Gebirgskette schließt sich südlich an den Kimentau.

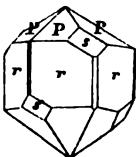
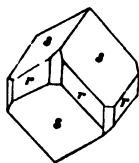
**Phenakit** (φένας Lügner, weil man ihn anfangs für Quarz gehalten). Nordenstjöld (Pogg. Ann. 31. 57) erkannte ihn in den Smaragdgruben an der Lakowaja im Ural, Beyrich (Pogg. Ann. 34. 519 und 41. 322) zu Framont im obern Breuschthal im Brauneisenstein der Grube Mine jaune. Am flächenreichsten sind die kleinen Krystalle von Miasit mit Amazonenstein. Vergleiche auch die Angabe von der Cerro del Mercado bei Durango (Jahrb. 1858. 733).

3 und 6gliedriges Krystallsystem. Ein etwas blättriges Rhomboeder  $s = a : a : \infty a$  von  $116^\circ 40'$  ( $116.36$  Kotsch.) in den Endkanten würde

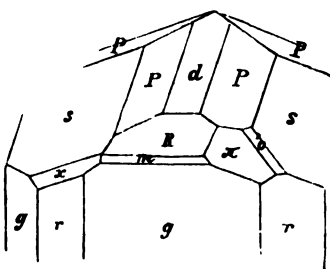
$$a = \sqrt{2,295} = 1,515, \lg a = 0,18040$$

geben. Daran stumpft stets die 2te Säule  $r = a : \frac{1}{2}a : a : \infty c$  die Zickzackanten ab, während die erste  $g = a : a : \infty a : \infty c$  nur ausnahmsweise und schwach auftritt. Solche einfachen Krystalle kommen von mehr als Faustgröße und rings ausgebildet im Glimmerschiefer des Urals vor. Bei den viel kleinern Vogesischen herrscht als Ende der Säulen ein matted Dihexaeder  $P = 3a : \frac{1}{2}a : 3a : c$  mit  $156^\circ 46'$  in den Endkanten, welches die Endkanten des Rhomboeders zuschärft. Niemals eine Geradenfläche vorgekommen, und da sich  $s$  zu  $P$  wie die Rhombenfläche zum Dihexaeder beim Quarz verhält, so ist eine auffallende Analogie zwischen beiden nicht zu verkennen.

Beyrich glaubt sogar Trapezflächen beobachtet zu haben, was die Miasiter Krystalle vollkommen bestätigen: außer den gewöhnlichen Flächen  $s$  111,  $r$  120,  $g$  110,  $P$  123, wies Hr. Kotscharow (Mater. II. 322) wirkliche Trapezflächen  $x = a : \frac{1}{2}a : \frac{1}{2}a : c$  nach, die Kante  $r/s$  zur Linken abstumpfend, und in die Diagonalzone von  $m = a' : a' : \infty a : 2c$  fallend. Auch das Gegenrhomboeder  $R = a' : a' : \infty a : c$  ist



da, und  $d = a' : a' : \infty a : \frac{1}{2}c$  stumpft die abwechselnden Endkanten von P ab. Fläche  $\pi = a' : \frac{1}{2}a' : \frac{1}{2}a' : \frac{1}{2}c$  in Zone s'm und R/g kommt auch tetartoedrisch vor, höchstens bildet es mit seinem andern Viertel einen Dreikantner 2ter Ordnung, der seine stumpfe Endkante wie die Flächen R liegen hat, dagegen wird  $o = a' : \frac{1}{2}a' : a' : \frac{1}{2}c$  in Zone  $\pi/s$  und P/r nur viertelflächig angegeben.



Zwillinge: zwei Individuen haben die Axe c gemein und durchgewachsen sich. Das Dihexaeder kann zwar in diesem Falle keinen Zwilling geben, aber die Rhomboeder zeigen einspringende Winkel. Zwillinge bei Framont häufig. Wollte man  $P = a : a : \infty a$  und  $s = a : \frac{1}{2}a : a$  wie beim Quarz schreiben, so müßte die Dihexaederaxe  $A = a\sqrt{3} = \sqrt{6,885}$  sein, wie man leicht aus einer Projection sieht.

Härte 8, Gew. 2,98, gewöhnlich trübfarbig, bei Framont gelblich von Brauneisen, am Ural selten blaß rosenroth, wasserhelle haben starken Glanz. Ein dunkel weingelber Krystall vom Ural wurde auf der Pariser Ausstellung in 2 Monaten völlig farblos.

Be Si = Be<sup>3</sup> Si O<sup>4</sup> mit 55 Si und 45 Be, das Beryllerreichste Mineral, nach neuern isomorph mit Dioptas und Willemit.

Beryllerde (Wolfejew Pogg. Ann. 56. 101) spielt außer in vorstehenden 3 Edelsteinen und dem Chrysoberyll mit 18 Be noch im Leucophan 11,5 Be, Helvin 10 Be, Gadolinit 9,6 Be eine Rolle.

## 8. Turmalin.

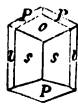
Turmala Arabisch, Turnamala Hindostanisch. In einem merkwürdigen Buche (Curiose Speculationes bey Schlaflosen Nächten — zu eigener nächtlicher Zeitverkürzung, aufgezeichnet von einem Liebhaber, der Immer Gern Speculiret. Leipzig 1708) wird erzählt, daß Anno 1703 die Holländer einen von Zeylan kommenden Edelstein, Turmalin oder Turmale genannt, mitbrachten, welcher die Eigenschaft habe, daß er die Turfasche auf der heißen Turfstohle nicht allein, wie ein Magnet das Eisen, an sich ziehe, sondern auch solche Asche zu gleicher Zeit wieder von sich stoße. Er wurde deswegen von den Holländern *Aschentrecker* genannt, rund geschliffen in den Handel gebracht, um das Phänomen zu zeigen, da er für Juwelen zu wenig Glanz hatte (de l'Isle Essai 268). Schörl ist der alte bergmännische Name für die schwarzen undurchsichtigen. Doch verstand man darunter auch Basalt, Hornblende u. Brückmann (Beitr. Edelst. 2te Forts. 1783. 100).

Rhomboedrisch.  $P = a : a : \infty a$  133° 26' in den Endkanten nach Hauy gibt

$$a = \sqrt{5,077}.$$

Da aber die neuern Angaben zwischen  $132^{\circ} 50'$  und  $133^{\circ} 50'$  schwanken, so könnte man  $a = \sqrt{5}$  setzen, was  $133^{\circ} 10'$  geben würde. Blättriger Bruch kaum wahrnehmbar. Das nächste stumpfere und schärfere Rhomboeder  $n = 2a' : 2a' : ooa$  und  $o = \frac{1}{2}a' : \frac{1}{2}a' : ooa$  häufig; seltener das 2te schärfere  $r = \frac{1}{2}a : \frac{1}{2}a : ooa$ ; noch seltener aber das Gegenrhomboeder  $z = a' : a' : ooa$ , und dessen stumpferes  $g = 2a : 2a : ooa$ , doch gibt sie Haüy bei grünen Brasilianischen an. Bei einem Brasilianischen maß G. Rose  $\frac{2}{3}a' : \frac{2}{3}a' : ooa$ , bei einem hyacinthrothen von Gouverneur in New-York  $\frac{1}{2}a' : \frac{1}{2}a' : ooa$ . Geradenfläche  $k = c : ooa : ooa : ooa$  findet sich besonders ausgezeichnet bei den großen Krystallen von Zwiesel und Hörberg im Bayerischen Walde. Beide Säulen  $l = a : a : ooa : ooc$  und  $s = a : \frac{1}{2}a : a : ooc$  fehlen nie, allein sie werden häufig durch Streifung entstellt und cylinderförmig. Selten ist eine 6+6kantige Säule meßbar, wie  $a : \frac{1}{2}a : \frac{1}{2}a : ooc$  an norwegischen Turmalinen (Aphrizit). Dagegen kommen mehrere ausgezeichnete Dreikantner vor:  $t = a : \frac{1}{2}a : \frac{1}{2}a$ ,  $u = \frac{1}{2}a : \frac{1}{2}a : \frac{1}{2}a$ , beide die Kante  $P/s$  abstumpfend und erster Abtheilung;  $x = a' : \frac{2}{3}a' : 2a'$ ,  $v = a' : \frac{1}{2}a' : \frac{1}{2}a'$ , beide aus der Diagonalzone des Hauptrhomboeders  $P$  und zweiter Abtheilung.

Hemiedrie, schon von Haüy erkannt, bildet eine der merkwürdigsten Erscheinungen am Turmalin, und steht ohne Zweifel mit der Pyroelectricität in engstem Zusammenhange. Zunächst wird die 1ste sechsseitige Säule  $l$  dreiseitig, indem die parallelen fehlen und die 2te Säule nur untergeordnet auftritt, es ist das berühmte prisma enneaëdron von Linné.

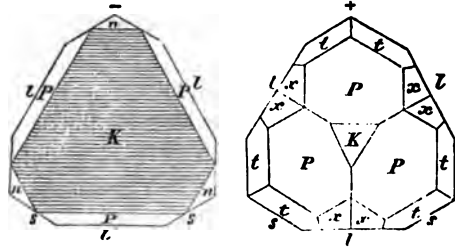


Kommt dazu dann das Hauptrhomboeder, so bildet dasselbe am analogen (—) Ende gleichschenklige Dreiecke, am antilogen (+) symmetrische Trapeze. Einen solchen Krystall beschreibt G. Rose von Ceylon. Häufig kommen schwarze von der gleichen einfachen Form zu Haddam in Connecticut und auf Rhode Island vor. Indes gilt das Gesetz nicht durchgreifend, wie die kleinen ringsum ausgebildeten Krystalle im Granit am



Sonnenberge bei Andreasberg beweisen. Man hat früher Bergbau darauf getrieben, weil sie Linné noch für Zinnstein hielt. Hier herrscht nun zwar die 2te sechsseitige Säule  $s$ , allein bei vielen sind nur die abwechselnden Kanten durch  $l$  abgestumpft, welche in der Deutung der Pole leiten sollten. Aber hier liegt umgekehrt der analoge Pol an dem Ende des drüsigen Hauptrhomboeders  $P$ , während der antiloge dem flächenreichern Ende mit  $o$  und  $P$ , wozu öfter auch noch  $r$  kommt, angehört. Sobald nun Krystalle diesem ähnlich sind, wie die von Haddam in Connecticut, besonders aber die prachtvollen über Zoll großen von Wovey Tracy in Devonshire, so findet man leicht, unbekümmert um die dreiseitige Säule, das drüsige Ende mit  $P$  als dasjenige, welches dem negativen Pole entspricht.

Je complicirter die Krystalle, desto auffallender werden die Unterschiede an beiden Enden. Beistehende Horizontalprojection gehört zu kleinen grünen Krystallen von **Chursdorf** in Sachsen P 111, k 001, l 110, s 120, n 1'12, t 131, x 2'32. Das analoge (—) Ende zeigt vorherrschend die Geradendfläche, welche sogar schon ein anderes Aussehen hat, als die vom + Pole. Die scharfe Ausbildung der dreiseitigen Säule l leitet uns auch hier zur richtigen Beurtheilung. Haüy meinte, daß das flächenreichere Ende stets + sei, und das trifft hier wie oben zu. Fast nur krystallinisch bekannt, aber mit der größten Neigung zum Strahligen und Fasrigen. Quarzhärte, etwas weicher, Gewicht 3—3,3. Farblos bis Sammtschwarz, dazwischen allerlei bunte Farben, und selbst an verschiedenen Theilen eines und desselben Krystalls verschieden gefärbt. Optische Axe negativ, das Kreuz spaltet sich bei der Drehung (Jenzsch Pogg. Ann. 108. 648).



Gewisse Turmaline polarisiren das Licht vollkommen, daher früher Turmalinangen pag. 132 so wichtig. Mit dem Dichroskop kann man die gut polarisirenden sogleich erkennen, von den gelben und grünen wird das eine Bild ganz dunkel und selbst undurchsichtig, bei farblosen und lichtgefärbten tritt nur eine lichtere Trübung ein, bei verschiedener Färbung. Auffallend ist auch der Grad der Durchsichtigkeit schon mit bloßem Auge: quer gegen die Hauptaxe c sind die Krystalle am durchsichtigsten, schief oder parallel der Hauptaxe werden sie trüb und opak, was schon Rinman an brasilianischen fand. Nimmt man z. B. eine Platte aus der Turmalinange, und dreht sie während des Durchsehens um die Axe c, so bleibt sie immer gleich durchsichtig, aber um eine Linie senkrecht darauf gedreht, wo man allmählig nach der Richtung c durchsieht, wird sie schnell dunkel. Es ist dieß das einfachste Mittel, um die ungefähre Richtung der optischen Axen zu finden, und geschliffene Gemmen sofort zu unterscheiden.

Pyroelectricität pag. 163. Turmalin erlangt zwar auch durch Reiben positive Electricität, allein wichtiger als dieß ist die polare des edlen, welche viele Physiker beschäftigt hat. Schon Theophrast 50 spricht von einem Lynx, der kleine Spähne anziehe, doch war das wahrscheinlich feuerfarbiger Bernstein. Lémery (Histoire Acad. roy. scienc. 1717. pag. 7) nennt ihn zwar Magnet, hebt aber die Unterschiede von gewöhnlichem Magnet schon richtig hervor, Linné gab 1747 zuerst den Namen Lapis electricus, und Wepinus (Brewster Pogg. Ann. 2. pag. 297) wies 1756 die Richtigkeit der Linné'schen Benennung durch genauere Versuche nach. Haüy deutete bereits auf den Zusammenhang der Krystallform mit dieser

Eigenschaft hin. In neuern Zeiten haben sich Röhler, Hantel und G. Rose (Pogg. Ann. 39. 202, Abh. Berl. Akad. Wissensch. 1843. 66) der Untersuchung zugewendet, und im allgemeinen den Haüy'schen Satz bestätigt, daß am flächenreichern Ende **positive**, am flächenärmern **negative Elektricität** entstehe, woraus denn auch hervorgeht, daß die elektrische Axe mit der krystallographischen  $c$  zusammenfällt. Uebrigens sind die farbigen, rissfreien, besonders die klaren (von Elba) viel stärker elektrisch, als die schwarzen rissigen. Werner unterschied daher gemeinen und elektrischen Schörl. Nach Haüy ist zwischen  $30^{\circ}$ — $80^{\circ}$  R. die Elektricität am stärksten, weiter erhitzt hört alle Elektricität auf, was man leicht wahrnimmt. Natürlich muß, wie schon Bergman und Becquerel gezeigt haben, die Temperatur im Stein sich verändern, also entweder ab- oder zunehmen. Bricht man ihn während des Experiments entzwei, so ist jedes Stück gleich wieder polarelektrisch. Gaugin (Ann. Chim. Phys. 57. 1) zeigt, daß die Menge der Elektricität dem Querschnitt der Säule proportional sei, unabhängig von der Säulenlänge und Abkühlungszeit.

Vor dem Löthrohr verhalten sich die Varietäten verschieden: die schwarzen schmelzen leicht an, blähen sich aber zu einer unschmelzbaren Schlacke auf, die farbigen sind streng flüssig und selbst unschmelzbar. Schmilzt man Flußpath mit  $Ka\ S^2$  zusammen, und bedeckt die Oberfläche des Flusses mit Turmalinpulver, so wird beim ersten Zusammenschmelzen die Flamme grün; Reaction von Bor säure, die sich in allen findet, und durch Borfluoralkalium direkt bestimmt bis auf 11,6 B steigt. Thonerde 31—44 Al und Kieselerde 33—42 Si halten sich meist das Gleichgewicht. Dazu kommt aber ein Gehalt an Eisenoxydorydul, der bis auf 23,5 Fe Fe steigend die Sammtschwarze Farbe erklären würde, doch nehmen die neuern volumetrischen Bestimmungen nur Eisenoxydul an. Die Tonerde kann auf 14,9 Mg steigen, außerdem K, Na, Li, ein mit Wasser gemischter Fluorgehalt bis auf 3,5 p.C., worunter aber nur 0,8 Fl, erklärt die Glühverluste. Wägbare Spuren von Phosphorsäure, die mit der Thonerde fällt, und durch Molybdänsaures Ammoniak sich nachweisen läßt. Es gibt Turmaline mit 14 verschiedenen Bestandtheilen, daher ist auch wie beim Glimmer eine chemische Deutung lange nicht geglückt. Schon Bergman und Wiegand haben sich an ihm versucht, aber erst 1818 fand Lampadius die B und 1820 Arfvedson das Li. Lange galten die Untersuchungen von Chr. Smelin 1815—1827 als Muster, und Rammelsberg (Pogg. Ann. 80. 400 und 81. 1) glaubt, gestützt auf Hundert eigene Analysen von 30 verschiedenen Fundorten, zu Formeln gelangt zu sein. Er fand, daß nach starkem Glühen das feine Turmalinpulver durch Flußsäure vollkommen gelöst werde, was die Analyse wesentlich erleichterte. Freilich konnten nicht alle unter eine Formel gebracht werden, doch richtet sich ihre Zusammensetzung im Ganzen nach den Farben. Nur ein durchgreifendes Gesetz sprach er aus: daß sich der Sauerstoff der Basen und Bor säure  $R + R + B$  zum Sauerstoff der Si verhalte = 4 : 3, die neuere Chemie (Pogg. Ann. 1870. Bd. 139. 170) brachte in jedoch wieder auf ganz

andere Ansichten: nimmt man als einwerthig H, K, N, Li, Fl; zweiwerthig Mg, Ca, Mn, Fe, O; dreiwertig B; vierwertig Si; sechswertig Al, und stellt die Balenzen zusammen, so kann man sie in zwei Abtheilungen bringen;  $R^3 Al B Si^2 O^{10}$  und  $R^6 Al^6 B^4 Si^8 O^{48}$ , die beide Drittsilicate sind. Denn wenn man R einwerthig nimmt, so vertheilt sich der Sauerstoff auf Basen und Säure im Verhältniß  $6 : 4 = 27 : 18 = 3 : 2$ .

Vorkommen. Der edle Thonerbereich findet sich im Flußlande der Tropen, ganz nach Art anderer Edelsteine, daher können wir ihn auch von den Edelsteinen nicht gut trennen. Der gemeine durch Eisen dunkelgefärbte bildet oftmals einen untergeordneten Gemengttheil der Granite, Gneise, Glimmer-, Chlorit- und Talkstiefer, besonders in den Alpen. Dagegen scheint er in Augitischen und Vulkangesteinen zu fehlen. In Amerika ist er einer der gewöhnlichsten Begleiter des Korundes, und tritt sogar in Austerkrystallen desselben auf (Jahrb. 1874. 888). Ein Versuch, sie künstlich darzustellen, wie andere Edelsteine, wollte daher nicht recht gelingen, nur Hr. Daubrée pag. 203 hat sie mit Chlorkiesel bekommen. Nach ihren Farben und Werth zeichnen sich etwa folgende aus:

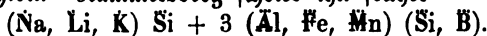
1. Farblose von St. Pietro auf Elba, im jüngern Ganggranit mit weißem Feldspath, Lithionglimmer, Beryll etc. Die durchsichtigen Krystalle nehmen dann auch mannigfaltige Farben an vom Schwarz, durchs Braun, Grün, Blau, Violet, Roth. Im reflectirten Licht nicht selten anders farbig als im durchfallenden. Die Vertheilung der Farbe längs der Säule fällt auf: man kann an einem Krystalle oft drei- bis viererlei unterscheiden, die entweder wolkig in einander verschwimmen, oder scharf parallel der Geradenfläche absetzen, das Durchsichtige kann plötzlich ins Undurchsichtige übergehen. Klare (Achroit) haben ein sehr edles Aussehen, wirken auf das Dichroskop, indem das eine Bild wenigstens dunkeler wird, auch treten dann die verschiedenen Farbenstreifungen deutlicher hervor. Besonders zierlich sind die Säulen, welche oben, wo die Endflächen sitzen, plötzlich ein dunkles Köpfchen bekommen. Schaitansk im Ural, Paris in Maine. Stark elektrisch, schmilzt vor dem Löthrohr nicht, sondern brennt sich nur weiß.

(Na, Li, K) Si + 4 (Al, Mn) (Si, B) 7,8 B, 1,2 Li. Die grünen von Elba nach der neuern Formel  $A (Na, Li) R B^2 Al^6 Si^6$ .

2. Rubellit, nach seiner rothen Farbe genannt, die er einem Gehalte von Mangan verdankt. Am bekanntesten sind die Pyritartigen Strahlen von Rozna im Fettquarz des Lepidoliths. Sie fangen auch hier öfter unten blau an, werden in der Mitte roth, und am obern Ende grün. Zuweilen findet sich ein blauer Kern, der von einer rothen Hülle umgeben wird. Aber die Masse ist trüb und weich mit vielen Quersprünngen, Folge anfangender Verwitterung. Paris in Maine, Granit von Penig, Eulenlohe bei Wunsiedel, Granitgrus von Sarapulsk im Ural etc., überall mit Lithionglimmer:  $H^3 (K, Na, Li)^2 R B^4 Al^{12} Si^{12}$ .

3. Grüne. Vor allem gehört hierhin der sogenannte Brasilianische

Smaragd, der am stärksten elektrisch besonders aus der Gegend von Villarica in großer Menge eingeführt und verarbeitet wird, sein dunkles Grasgrün gibt im Dichroskop bei aufrechter Axe ein ganz opakes orb. Bild. Hat neben etwas Mangan schon einen Gehalt von 7 Fe, aber auch noch Lithion. Rammelsberg schrieb ihn früher

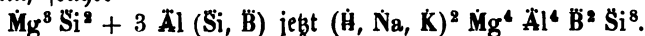


Setzt, wo das Eisen als Oxydul gedacht wird, und H die Stelle alkalischer Basen vertritt, kommt die ungefällige Formel  $\text{H}^{16}[(\text{K}, \text{Na}, \text{Li})^{10} \text{Fe}^7 \text{Al}^{21} \text{B}^{17} \text{Si}^{36} \text{O}^{180}]$ . Vergißt man nicht, daß Bor drei- und die Alkalien einwerthig genommen sind, so haben wir damit das freilich nicht viel sagende Resultat eines Drittelsilicats  $\text{R}^{108} \text{Si}^{36} = \text{R}^3 \text{Si}$ .

Schmilzt zwar schwer, bläht sich aber schon stärker auf als die vorigen. Der Lithiongehalt ist auch hier aus dem Vorkommen erklärlich. Bekannt sind die schönen grünen Krystalle zwischen Albittafeln von Chesterfield (Massachusetts), die einen rothen Kern haben, welchen man heraus schlagen kann, und umgekehrt; merkwürdig die grasgrünen aus dem Dolomit von Campo longo südlich vom St. Gotthardt und im Binnenthal. Diese wirken nur wenig auf das Dichroskop.

In Brasilien gibt es auch blaue (Brasilianischer Sapphir). Manche Krystalle sollen sogar längs der Axe gesehen schön purpurroth, und quer sapphirblau aussehen. Am bekanntesten ist der Indicolith, Indigoblau, mit Lithionmineralen auf der Schwedischen Insel Utön, daher fand Arfvedson 4,3 Lithionhaltige Alkalien darin.

4. Braune. Dazu scheinen die ersten Ceylanischen gehört zu haben, denn die „Curiose Speculationes“ sagen, ihre Color sei Pomeranzroth, mit Feuerfarbe erhöht. Zu Turmalinzen sind es die besten, denn selbst sehr klare geben im Dichroskop schon ein opakes Bild. Sie finden sich auch ausgezeichnet in den Talk- und Chloritschiefern der Alpen (Zillerthal), worauf schon Müller (Nachricht von den in Tyrol entdeckten Turmalinen. Wien 1778) aufmerksam machte. Dieselben sehen öfter im reflectirten Lichte ganz schwarz und opal aus, indeß gegen das Sonnenlicht gehalten, oder mit dem Dichroskop untersucht, bekommt man ein durchsichtiges braunes Bild, Splitter parallel der Axe schmutzig bouteillengrün, in dünnen Platten smaragdgrün, ein auffallender Dichroismus, ähnlich dem Pennin. Rammelsberg fand 11 Mg und nennt sie daher Magnesia-Turmalin, früher



Der Talkgehalt ließe sich leicht aus der umgebenden Gebirgsmasse erklären. Auch die Nordamerikanischen braunen gehören hierhin, einer von Gouverneur (New-York) mit Strahlstein hatte sogar gegen 15 Mg.

5. Gemeiner Schörl, Samtschwarz, nur in den dünnsten Splintern noch an den Ranten durchscheinend, leicht schmelzend und sich dabei wurmförmig krümmend, doch wird die Schlacke wie beim Epidot schnell hart, porös und Bimsteinartig. Rammelsberg gab ihm zweierlei Formeln:



Magnesia-Eisen-Turmalin =  $\text{Mg}^3 \text{Si}^2 + 4 (\text{Al}, \text{Fe}) (\text{Si}, \text{B})$ ,  
zu ihm gehört besonders der Grönländische im Glimmerschiefer, von  
Havrebal bei Krageroe, Haddam z., jetzt  $\text{H R Al B Si}^2 \text{O}^{10}$  geschrieben, und

Eisen-Turmalin =  $\text{Fe}^3 \text{Si}^2 + 6 (\text{Al}, \text{Fe}) (\text{Si}, \text{B})$ ,

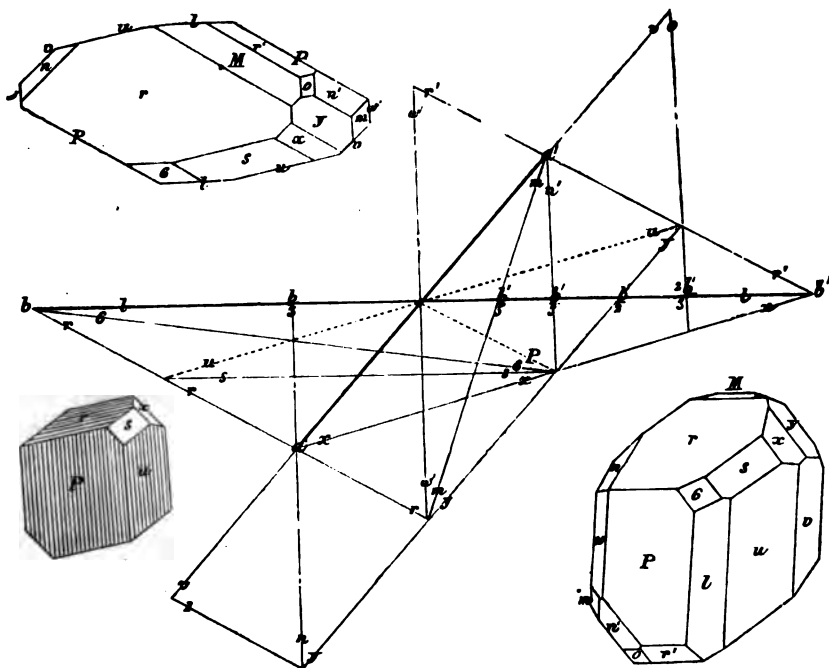
das Fe Fe steigt bei denen von Bovey Trach und vom Sonnenberge bei  
Andreasberg auf 19 p.C., was etwa 17 Fe entspricht. Wahrscheinlich  
gehören zu ihm die meisten schwarzen, namentlich auch die in den Granit  
eingesprenkten, deren Fundorte unzählbar sind, unter andern kamen Kry-  
stalle von mehr als Fuß Länge und drei Zoll Dicke im Quarz von Hörl-  
berg im Bayerischen Walde vor, ganz wie im Quarz der Feldspathbrüche  
von Rosenbach (Reichenstein-Frankenstein) mit Beryll. Mecklenburger  
Granitblöcke von Satow haben armdicke Krystalle geliefert, kleine mehr  
strahlige Massen auch der Granit des Schwarzwaldes bei Alpirsbach,  
des Odenwaldes bei Heidelberg zc. Der von Bovey Trach in Devon-  
shire bei der Colonie Godhaab (gute Hoffnung) entdeckt und ausgebeutet,  
an einem Steilstrande mußte gesprengt werden, wobei viel ins Meer fiel.

### 9. Xinit Hy.

Asim Beil, wegen seiner schneidenden Kanten. Saussure entdeckte  
ihn 1781 in Gängen der Hornblendeschiefer an der Balme d'Auris bei  
Bourg d'Oisan südöstlich von Grenoble, und Romé de l'Isle (Crystall.  
II. 101) nannte ihn Schorl lenticulaire, weil er seine Krystalle fälschlich  
für rhomboedrisch hielt. Werner fand ihn bei Thum in Sachsen, daher  
der Name Thumerstein (Bergmänn. Journ. I. 1. 101). Glasstein Klaproth Beitr.  
II. 118; Glaschörl Widenmann Hdb. Miner. 1794. 294, weil er leicht  
schmilzt. Die ausführlichste Darstellung gibt F. v. Rath (Pogg. Ann. 1866  
Bd. 128. 10).

Eingliedriges Krystallsystem, verwandt mit dem des Kupfer-  
vitriols. Neumann (Pogg. Ann. IV. 61) hat zwar versucht, das verwickelte  
System auf rechtwinklige Axen zurückzuführen, allein für die gemeine  
Vorstellung scheint es bequemer, die Flächen bloß nach ihrem Zonen-  
verhältniß aufzufassen. Darnach haben wir eine rhomboidische Säule  
 $P/u = 135^\circ 24'$  (135.31 R), beide Flächen sind (stark) gestreift parallel  
ihrer Kante, was vortrefflich zur Orientirung dient. Auch ist ihre scharfe  
Kante durch einen blättrigen Bruch  $v$  abgestumpft,  $P/v = 102^\circ 30'$   
(102.44 R), derselbe gibt durch einen innern Lichtschein sich deutlich zu  
erkennen. Doppelschiefendfläche  $r$  parallel Kante  $r/P = 134^\circ 48'$  (134.5 R)  
gestreift,  $r/u = 115^\circ 39'$  (115.38 R). Dieses eingliedrige Hexaid  $P$   $u$   
bildet die vorherrschenden Flächen, und da die stumpfe Kante  $P/r$  nie-  
mals, die  $u/r$  aber meist durch eine sehr glänzende ungestreifte Fläche  $s$   
abgestumpft ist, so erleichtert das die Erkennung der Krystalle außer-  
ordentlich. Häufig findet sich auch noch  $x$ , welche die scharfe Kante  
 $P/s = 33^\circ 18'$  sehr schief abstumpft. Ueber die Stellung sind die Schrift-  
steller nicht in Uebereinstimmung. Folgen wir Naumann, so bilden  $P/u$

die Skale, was praktisch ist, weil beide die gleiche Streifung haben. Nehmen wir dazu die Einzelflächen  $r$  und  $x$ , und gingen vom Octaid



Par  $x$  aus, so wären auch die drei zugehörigen Hexaidflächen  $M$  vs vorhanden. Naumann wählte aber nur  $M$  und  $v$  als Axenebenen, zur dritten dagegen die Dodekaidfläche  $l$ . Projiciren wir nun das System auf  $M$ , so steht  $M$  auf  $P$  senkrecht, denn  $M/P = 90^\circ 5'$  und  $M/u = 97^\circ 46'$ . Zur Anlegung der Figur müssen wir noch  $P/l = 151^\circ$  und  $v/u = 147^\circ$  kennen, dann ziehen wir die Sectionslinien  $P/u$   $135^\circ$  gegen einander, machen  $P/l = 151^\circ$  und  $u/v = 147^\circ$ . Nehmen wir nun einen beliebigen Axenpunkt  $b$  an, und ziehen dadurch  $r$  parallel  $P$ , so bestimmt diese Linie die Länge von  $a$ . Wir haben dann die Sectionslinie  $v$  als Axe der  $a$ , und  $l$  als Axe der  $b$  gewählt. Das gibt

$P = a : b : c$ ;  $u = a : b' : c$ ;  $r = a : b : c$ ;  $x = a : b' : c$ ;  $M = c : oa : ob$ ;

$v = b : oa : oc$  in Zone  $P/u$  und  $r/x$ ,  $P/v$  102.44

$l = a : ob : oc$  in Zone  $M/s$  und  $P/u$ ,  $l/v$  131.39

$s = \frac{1}{2}a : ob : c$  in Zone  $P/x$  und  $r'u$ ,  $s/u$  152.3

$y = \frac{1}{2}b' : c : oa$  in Zone  $x/s$  und  $M/v$ ,  $y/v$  139.9

$w = a : \frac{1}{2}b : oc$  in Zone  $P/u$  und  $y/r$ ,  $w/y$  123.2

$n = a : \frac{1}{2}b : c$  in Zone  $M/w$  und  $v/r$ ,  $v/r$  93.14

$o = 2a' : \frac{2}{3}b' : c$  in Zone  $M/w$  und  $u/y$ ,  $u/y$  130.16

(e)  $r' = a' : b' : c$  in Zone  $P/r$  und  $l/x$ ,  $P/r$  134.48

$n' = a : \frac{1}{2}b' : c$  in Zone  $v/r'$  und  $P/s$ ,  $P/s$  146.39

$m = a' : \frac{1}{2}b' : c$  in Zone  $v/r'$  und  $y/r$ ,  $P/w$  119.50

$\sigma = \frac{1}{2}a : b : c$  in Zone  $P/s$  und  $l/r$ ,  $P/\sigma$  155.27

$z = 2a : 2b : c$  in Zone  $P/r$  und  $n/y$ ,  $M/x$  115.3.

Zu Botallack in Cornwall kommen an sehr unzugänglicher Meeresküste (Pogg. Ann. 128. 44) flächenreiche Krystalle vor, die H. v. Rath genau bestimmt hat. Er fand

$$a : b : c = 0,493 : 1 : 0,451$$

$$M/v = A = 82.10; M/l = B = 86.11; v/l = C = 131.39.$$

Daraus folgt für die Axenwinkel

$$b/c = \alpha = 82.54; a/c = \beta = 88.9; a/b = \gamma = 131.33.$$

Neue Flächen waren  $\delta = 2a : \frac{1}{2}b : c$ , das Gegenstück zu  $o$ ;  $b = \frac{1}{2}b : c : \infty a$ , das Gegenstück zu  $y$ ; Säulenflächen  $h$  310,  $h$ , 83°0,  $\beta$  51°0; in der Axenzone  $a$  liegen  $f$  01'1' und  $g$  02'3; endlich noch die ungewöhnlichen  $k$  261,  $d$  241,  $t$  371. Websky fand bei Striegau in Schlesien in den Zonen  $\omega/r$  und  $n/u$  eine Fläche  $s = \frac{1}{2}a : \frac{1}{2}b : c$ ; Hesseberg (Abhand. Sendenberg. Nat. Ges. 1873 VIII. 20) bei Botallack in Zone  $n/u$  und  $y/v$  Fläche  $\mu = \frac{1}{2}b : c : \infty a$  und in Zone  $P/r$  und  $n/l$  Fläche  $\varphi = a : b : 3c$ . Letzterer stellte dann 42 Flächen nach Schrauf (Sitzb. Wien. Akad. 1870 Bd. 62) zusammen, und geht dabei vom Oktaeder  $u$  111,  $r$  11'1,  $\omega$  1'11,  $e$  1'1'1 aus; dann bilden  $y$  001,  $b$  010,  $P$  100 das zugehörige Hexaeder;  $v$  011,  $m$  01'1,  $d$  11'0,  $s$  101, 101' fünf zugehörige Dodekaeder;  $g$  01'2,  $n$  12'0,  $x$  102,  $c$  1'02,  $f$  01'3,  $\sigma$  203 Pyramidenhexaeder;  $l$  211,  $h$  311,  $h^2$  322,  $\beta$  533,  $\alpha$  433, 977,  $\pi$  21'1,  $z$  12'2,  $L$  45'5,  $\xi$  32'1,  $\tau$  42'1,  $\delta$  13'1,  $k$  2'31,  $t$  3'31,  $\vartheta$  1'51,  $\eta$  23'12.1,  $q$  1'13,  $o$  1'1'3,  $\rho$  3'13,  $\psi$  1'1'4,  $\zeta$  1'2'7,  $\varphi$  31'1,  $\mu$  031,  $\varepsilon$  33'1. H. v. Rath gieng vom Hexaeder  $u = a : b : \infty c$ ,  $r = a : b' : \infty c$ ,  $y = a : c : \infty b$  aus, wozu  $s$  100,  $b$  010,  $c$  001 das Axenkreuz liefern. Da er nun auch seinen Bildern eine gute Projection beifügt, so kann man die Ausdrücke leicht ableiten. Bei solch willkürlicher Wahl der Axen erkennen wir immer wieder, wie das Wesen der Darstellung auf dem Zonenzusammenhange beruht, wie ich das im Grundriß der Krystallographie pag. 374 an mehreren Beispielen zeigte. Für unser Projectionsbild hätten sich  $\omega$  und  $l$  in ihrem Durchschnitt mit  $M$  am besten zum Axenkreuz geeignet, da  $\omega/l = 90^\circ 36'$  sich dem rechten Winkel sehr nähert.

Neumann schlug sogar vor, dem Systeme rechtwinklige Axen zulegen. Denn da  $P/M$  nur 5' vom rechten Winkel abweicht, so nahm er denselben rechtwinklig. Wählt man nun die Säulenante  $P/u$  als Axe  $c$ ; die Senkrechte auf  $P$  als Axe  $b$ : so wird,  $a$  senkrecht gegen  $b$  und  $c$  gedacht,  $P = b : \infty a : \infty c$ ,  $u = a : b' : \infty c$ ,  $M = a : c : \infty b$  und  $y = \frac{1}{2}a' : \frac{1}{2}b : c$ . Aus  $P$  u y  $M$  kann ich aber leicht deduciren, denn  $v \times r'$  sind die zugehörigen Dodekaederflächen zc.  $a : b : c = \sqrt{51} : \sqrt{49} : 1$ . Die Flächen werden dann  $v = \frac{1}{2}a : \frac{1}{2}b' : \infty c$ ;  $w = \frac{1}{2}a : \frac{1}{2}b : \infty c$ ;  $l = \frac{1}{2}a : \frac{1}{2}b' : \infty c$ ;  $r = a : \frac{1}{2}b : c$ ;  $r' = a : \frac{1}{2}b' : c$ ;  $o = \frac{1}{2}a' : \frac{1}{2}b' : \frac{1}{2}c$ ;  $n' = \frac{1}{2}a' : \frac{1}{2}b' : c$ ;  $x = \frac{1}{2}a' : \frac{1}{2}b' : c$ ;  $s = \frac{1}{2}a' : \frac{1}{2}b : c$ ;  $\sigma = \frac{1}{2}a' : \frac{1}{2}b : c$ ;  $n = \frac{1}{2}a : \frac{1}{2}b : c$ ;  $m = \frac{1}{2}a' : \frac{1}{2}b' : c$ .

Fast Quarzhärte, Gew. 3,2. Rauchgrau bis Violblau, die Alpenischen oft zufällig durch Chlorit gefärbt. Dauphinéer zeigen einen ziemlich deutlichen Trichroismus: stellt man die scharfe Säulenkante  $P/u$  aufrecht, und hält dieses Prisma schief gegen die Felle, damit das abgelenkte Licht gerade ins Auge falle, so ist der Krystall bis zur Kante  $r/u$  hin schön violblau; stellt man dagegen die scharfe Kante  $P/r$  aufrecht, so ist bis zur Kante  $r/u$  kein Violblau zu finden. Das Dichrostop gibt ein prachtvolles violettes Bild, parallel mit Kante  $P/r$  schwingend, besonders senkrecht gegen Fläche  $r$  gerichtet. Auch die optische Mittellinie soll senkrecht gegen  $r$  stehen. Pyroelektrisch, aber nicht sonderlich stark, und merkwürdiger Weise mit zweierlei Aren; die an beiden Enden antilige Aze (+) geht von  $n$  zu  $n$  (stumpfe Ecke), die analoge (—) trifft in die scharfe Ecke des Krystalls, etwa wo  $u$  und  $x$  mit dem hintern  $P$  zusammen stoßen.

Vor dem Löthrohr schmilzt er leicht unter Aufblähen zu einem dunkelgrünen Glase, das in der äußern Flamme durch  $Mn$  schwarz wird. Die geschmolzene Masse wird durch Salzsäure zerlegt, wobei sich  $Si$  gallertartig ausscheidet. Zeigt deutlich Reaction auf Borsäure s. B. Ramsdelsberg gab ihm früher die zweifelhafte Formel  $(Ca, Mg)^2 (Si, B)^2 + 2 (Al, Fe, Mn) (Si, B)$ . Jetzt (Zeitsch. deutsch. Geol. Ges. XXI. 689) hat sich gezeigt, daß wie beim Turmalin gar kein Eisenoryd, sondern bloß Eisenorydul vorhanden ist zugleich mit einem kleinen Wassergehalt. Es wird daher als ein Halbsilikat angesehen, worin der Sauerstoff der Basen mit dem der Kieselsäure ins Gleichgewicht tritt,  $H R^3 Al B Si^4 O^{16}$ .

In den Alpen (Tyrol ausgenommen) sehr verbreitet, besonders mit Bergkrystall, Adular etc. Die schönsten brechen zu Disans mit den Zwillingen von Bergkrystall, Epidot und Prehnit. Auf dem Harze und Taunus (Jahrb. 1859. 209) finden wir sie auch in derben krystallinischen Massen, die mit Prehnit Gänge im Grünstein bilden. In Cornwall auf der Grube Botallack mit Turmalin. In Sachsen auf Erzgängen mit Arsenikfies und Blende (Breithaupt Paragenesis 115). Am Onegasee. Nordamerika.

## VII. Zeolithe.

Gronstedt erkannte sie schon 1756 (Abh. Schwed. Akad. der Wiss. pag. 120), nannte sie von *Zeō* siedend, weil sie für sich leicht unter Aufschäumen zu einem Glase schmelzen, das aber wegen der Menge von Luftblasen schwer zur Klarheit zu bringen ist. Sie zeigen dabei eine eigenthümliche Phosphoreszenz. Eine Feldspathartige Zusammensetzung aber mit Wasser, dessen Entweichen jedoch nicht die Veranlassung zum Schäumen sein soll (Berzelius), wie die ältern Mineralogen annahmen (Hoffmann Miner. II. a. pag. 245). Von Salzsäure werden sie vollkommen zerlegt, wobei sich, wenn nicht Wasser genug vorhanden ist, die Kieselerde als Gallerte oder

schleimiges Pulver ausscheidet, was ihre Untersuchung sehr erleichtert. Geglüht lösen sie sich nicht mehr, weil ein Theil des Wassers die Stelle der Basen vertritt. Unverwitterte Krystalle besitzen Edelsteinartige Klarheit, allein es tritt leicht eine Trübung ein, wahrscheinlich in Folge eines kleinen Wasserverlustes, und dann werden sie schneeweiß. Damour (Ann. Chim. Phys. 53. 488) zeigte, daß sie schon in trockner Luft Wasser langsam verlieren, was sie in feuchter schnell wieder aufnehmen. Zur Aufnahme von Farbstoffen im höchsten Grade ungeeignet: denn wenn z. B. Eisenfärbung vorkommt, so sieht man nicht selten, wie diese die Substanz nur stellenweis durchtüncht, und wenn der Krystall sich weiter von seiner durch Farbe getrübten Unterlage entfernt, so kann er an seinem Oberende wieder ganz Wasserklar werden. Leider sind die Krystalle selten groß, auch übersteigen sie gewöhnlich nicht einmal die Glashärte, doch sind sie entschieden härter als Kalkspath. Sie gehören zu den leichtesten Steinen, denn sie bleiben wegen ihres Wassergehalts um das 2fache herum. Daher nannte sie Mohs Kuphonspathe (*κοινος* leicht). Die ältern Vulkanherde, vor allem die Höhlen der Mandelsteine und Basalte, bilden ihre Hauptfundstätte. Von Island, wo sie auf Doppelspath sitzen, erhielt sie schon Cronstedt, nicht minder berühmte die Faröer Inseln nördlich Schottland, in Deutschland Oberstein an der Nahe und das Fassathal in Südtirol. Bemerkenswerth das Vorkommen auf den Silbererzgängen von Przibram und Andreasberg, wo sie selbst bis auf die größten Tiefen des Samsen hinabgehen. Selbst die Hochalpen zeigen auf Klüften der Protogine und Diorite an zahlreichen Punkten sparsam angeflogene Krystalle. Wegen ihres Wassergehaltes wird man sehr versucht, sie für secundäre Bildungen auf nassem Wege zu halten, zumal da sie gern in verwittertem Gebirge liegen, dem durch langjährige Auslaugung Stoffe mittelst Wasser entzogen sind, wie aus der Art des zerfallenden Tuff- und Wackengesteins deutlich hervorleuchtet. Auch Bischof hat dieß mehrfach zu begründen gesucht. Dagegen behauptet Bunsen (Leonhard's Jahrb. 1851. pag. 861), daß den Zeolithbildungen Island's weder rein neptunische, noch rein plutonische Vorgänge zu Grunde liegen. Vielmehr erlitten rein plutonische Gesteine von überbasischer (augitischer) Zusammensetzung eine neptunische Metamorphose zu Palagonit, indem heiße Wasser vulkanische Tuffe auslaugten, und durch Wegführung von Al und Si kieselsäurearm machten. Diese wurden nun abermals von Feuersteinen durchbrochen, und dadurch in zeolithische Mandelsteine verändert. Räthselhaft scheint es dabei, wie Hydrate sich bei so hoher Temperatur bilden konnten. Allein Bunsen glaubt auch das lösen zu können: läßt man nämlich 0,2 Theile Ca, 1 Si und 9 Aequale in einer Silberchale eine Zeit lang roth glühen und dann langsam erkalten, so findet sich darin nach dem Auflösen im Wasser ein Negwerk von 4—5'' langen Krystallnadeln eines wasserhaltigen Silicates  $\text{Ca}^3 \text{Si}^2 \text{H}$ , das in der Glühhitze entstand und sich erhielt, das aber nach dem Abscheiden aus seiner Umgebung schon bei  $109^\circ$  vier Fünftel seines Wassers abgibt, und noch unter der Glühhitze alles Wasser

wieder verliert. Hr. Daubrée (Bulletin géol. Franc. 1859. 16. 333) fand in den heißen Bädern von Plombière und Bourbonne-les-Bains (Jahrb. 1875. 140) verschiedene kleine Krystalle (Ichthyophthalm, Chabasit, Kreuzstein), welche sich in dem alten römischen Mauerwerk abgesetzt hatten. Kleine fasrige Warzen erhielten den Namen Plombierit  $\text{Ca}^2 \text{Si}^2 \text{H}^6$ . Auch auf dem Samson kamen die Zeolithe erst mit dem jüngern Kalkspath. Für die wichtigsten führte schon Werner (Verzeichniß Minert. Pabst v. Ohain 1791. 22) die passendsten Namen fasriger, strahliger, blättriger Zeolith ein.

### 1. Faserzeolith Wr.

Weil sie sich zu den feinsten Fasern zertheilen. Auch schlechthin Zeolith genannt, da er als der gewöhnlichste zuerst die Aufmerksamkeit Cronstedt's auf sich zog. Er kommt meist in excentrisch strahligen Massen vor, die an ihrem schmalen Ende ganz dicht werden, und bei Verwitterung zu Mehl zerfallen, daher Mehlzeolith Wr. Die freien Krystallnadeln hieß Werner Nadelzeolith, Haüy Mesoloth (Mittelgestalt), worin er die quadratische Säule mit Geradenfläche als Kernform nahm, die zwischen dem Würfel des Analcims und der Oblongsäule des Strahlzeoliths gleichsam mitten inne steht. Nach ihm wäre also das

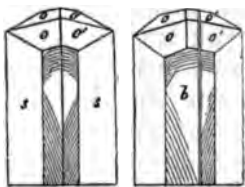
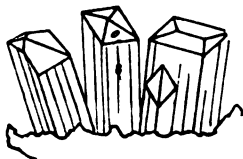
Krystallsystem 4gliedrig, und zwar meist eine einfache quadratische wenig blättrige Säule  $s$  mit oktaedrischer Endigung  $o$ . Später fand Gehlen, daß die Säule nicht quadratisch, sondern zweigliedrig und ein wenig geschoben sei  $91^\circ$  (vorn), daraus folgen für das Oktaeder ebenfalls  $2 + 2$  Endkanten, die nach Haibingers Messungen über der stumpfen Säulenkante  $143^\circ 20'$  und über der scharfen  $142^\circ 40'$  betragen, gibt die Axen

$$a : b = 2,79214 : 2,84108.$$

Zu diesem Systeme scheinen die Federkielblüthen Krystalle aus der Auvergne (Puy de Marmant bei Clermont), von Auffig und Hohentwiel zc. zu gehören. Ihre scharfe Säulenkante ist gewöhnlich nicht abgestumpft, auch kennt man sie nicht als Zwillinge. Merkwürdiger Weise stimmen damit die klaren Nadeln von Berufjord auf Island nicht, welche Fuchs als Scolecit und Mesolith getrennt hat. G. Rose zeigt (Pogg. Ann. 28. 424), daß hier die seitlichen Endkanten  $143^\circ 29'$  nur noch einander gleich bleiben, die vordere Endkante  $o/o$   $141^\circ 40'$  sich dagegen von der hintern  $144^\circ 20'$  um  $20'$  unterscheidet. Der vordere Säulenwinkel  $91^\circ 35'$ . Wir hätten also ein  $2 + 1$ gl. System vorn mit einem stumpfen Winkel  $90^\circ 54'$  der Axe  $c$  gegen  $a$ , und

$$a : b = 2,87 : 2,95.$$

Die scharfe Säulenkante ist gewöhnlich stark abgestumpft durch  $b : \infty a : \infty c$ , und auf dieser Abstumpfungsfläche gewahrt man eine zarte Längslinie in der Richtung von  $c$ , welche eine Zwillingsgrenze andeutet. Es ist das Gesetz



der Karlsbader Feldspathzwillinge pag. 306: beide Individuen haben die Säule gemein und liegen umgekehrt. Geht die Zwillingsgrenze genau durch die seitlichen Endkanten des Oktaeders, dann wird eine förmlich 2gliedrige Ordnung hergestellt, indem das eine Individuum seine Vorderseite hinlegt, wo das andere seine hintere hat. Dester geht aber die Zwillingsgrenze über die Fläche weg, und dann sieht man in der Zone der seitlichen Endkanten auf dem hintern Paare einen auspringenden Winkel von  $178^{\circ} 28'$ , am gegenüberliegenden Ende müßte der gleiche Winkel einspringen, allein dieß ist immer angewachsen. Umgekehrt ist die Sache am vordern Paare, hier wird oben der Winkel einspringend. Die Abstumpungsfläche *b* zeigt häufig am abgebrochenen Ende der Krystalle eine federartige Streifung, welche beiderseits von der Zwillinglinie ausgeht und sich in scharfem Winkel nach oben lehrt. Davon muß man ein zweites viel schwerer sichtbares System von Federstreifen unterscheiden, was oben am austrystallisirten Ende beginnt und den vordern Endkanten der Oktaeder parallel geht. Blätterbruch der Säule nicht ausgezeichnet. Gew. 2,2; Härte 5. Glasglanz auf dem kleinsmuscheligen Bruch sich etwas ins Fette neigend. In den Basalten Krystalle bis zu den feinsten Nadeln, welche aus einer dichten Masse von Glasfopfstructur entspringen. Pyroelektrisch. Schon Haüy fand, daß das freie Krystallende Glas- und das aufgewachsene Harzelektricität nach gelindem Erwärmen zeige, aber nicht bei allen Krystallen. Nach Rieß und Rose (Abh. Berl. Ak. Wiss. 1843 pag. 75) werden nur die Zwillinge (Scolecit) elektrisch, antilog am freien und analog am verwachsenen Ende.

Die chemische Zusammensetzung variirt zwar außerordentlich, doch sind sie im Wesentlichen Labrador mit Wasser. Kleine Abweichungen in der Form und Analyse haben zu vielen Zersplitterungen und lokalen Benennungen geführt.

a) Natrolith Klaproth Beitr. V. 44, wegen des Natrongehalts, Höganit Selb. *Rejottp.* Na Si + Al Si + 2 H, 47,2 Si, 25,6 Al, 16,1 Na, 8,9 H, 1,3 Fe, bei  $300^{\circ}$  geht alles Wasser gegen 10 p.C. fort, wird aber wieder aufgenommen, zuweilen ersetzt ein wenig Ca das Na. Er schmilzt ruhig zu einem Glase, ohne sich dabei aufzublähen, und bildet mit Salzsäure nach etwa 24 Stunden eine steife Gallerte. Vor allem bekannt sind die daumendicken Platten im Klingstein des Hohentwiel am Bodensee von ächter Isabell-Farbe, nach einer Spanischen Prinzessin Isabella benannt, die gelobte, ihr Hemde nicht eher abzulegen, bis ihr Gemahl Albert von Oestreich Ostende 1604 erobert habe, aber das währte 3 Jahr 2 Monat 17 Tage (Verkenmeier's curieuseur Antiquarius. Hamburg 1712 pag. 193). Die Platten zeigen ausgezeichnete Glasfopfstructur mit fein concentrischer Streifung und excentrischer Faserung, zerspringen daher zu keilförmigen Stücken. Da sie eine gute Politur annehmen, so sind sie zur Tafelung von Zimmern im Königl. Schloß zu Stuttgart benutzt. Die Anwendung ist aber nur vereinzelt: wie einst Friedrich der Große seine besondere Freude am Schlesißen Chrysopras hatte, so König Fried-

rich an diesem württembergischen Producte. Schon im vorigen Jahrhundert erregten sie die Aufmerksamkeit (Bergm. Journ. 1792. VI. 1. 180). Brevicit von Brevig; Bergmannit von Laurvig und Fredrikswärn, Spreustein und Radiolith, sämmtlich in den dortigen Zirkonsyeniten von Südnorwegen strahlige Massen bildend, scheinen mit Natrolith zu stimmen. Von Brevicit zeichnet G. Rose Krystalle von  $1\frac{1}{2}$ " Länge und  $\frac{1}{2}$ " Dicke mit den Oktaedern  $a:b:c$  und  $a:\frac{1}{3}b:c$ , deren Winkel gut stimmen. Ihres alten frischen Ansehens wegen nannte sie Scheerer (Pogg. Ann. 91. 186) Paläonatrolith. Nach Blum (Pogg. Ann. 105. 180) Afterskrystall von Nephelin und Oligoklas.

b) Scolecit Fuchs, *σκολεκίτης* wurmähnlich, weil er vor dem Schmelzen sich ziemlich bläht. Ein Kalkmesotyp  $\text{Ca Si Al Si} + 3 \text{H}$  mit 13,7 Wasser. Der Kalk zeigt sich mit Oxalsäure, ein kleiner Natrongehalt durch Würfelchen von NaCl, welche sich nach einiger Zeit in der Gallerte der Lösung finden. Nur dieser soll pyroelektrisch und  $2 + 1$ -gliedrig sein, was auffällt. Schneeweiße excentrisch-strahlige Massen füllen besonders die Mandeln der vulkanischen Gesteine von Island und der Faröer-Inseln. In den Alpen am Biescher Gletscher (Jahrb. 1860. 780). Wo die Strahlen fein schneeweiß beginnen, zeigt sich die negative Electricität, aber erst dann, wenn sie etwas dicker und getrennter werden. Die dichte Masse ist vollkommen unelektrisch. Je weiter die Strahlen zum positiven Ende fortlaufen, desto dicker werden sie, sie verlieren an Schneefarbe, und endigen nicht selten wasserhell. Brooke's Poonahtit  $91^{\circ} 49'$  mit Ichthyophthalm und Strahlzeolith von Poona bei Bombay in Ostindien; Thomson's Antrimolith  $92^{\circ} 13'$  und Harringtonit  $90^{\circ} 54'$  aus den Basalten der Grafschaft Antrim sind alle reich an Kalk.

c) Mesolith Fuchs (Schweigger's Journ. Chem. 1816. 18. 16) steht chemisch zwischen Natrolith und Scolecit mitten inne, denn der aus dem hornblendehaltigen Basalt von Hauenstein bei Schönwald nordöstlich Schlackenwerth in Böhmen hat 7,1 Ca und 7,7 Na. Berzelius Mesole von den Faröer-Inseln und andere zeigen ebenfalls diese zwei Basen, welche sich in den verschiedensten Verhältnissen gegen einander vertreten. Opisch 1gliedrig Descloizeaux Manuel 390.

d) Comptonit Brewster (Edinburg. phil. Journ. IV. 181). Compton brachte ihn 1817 nach England, er fand sich in Höhlen Vesuvischer Mandelsteine und scheint dem von Seeberg bei Raden in Böhmen sehr ähnlich. Letzterer, in deutschen Sammlungen sehr verbreitet, bildet  $1-2'''$  lange Oblongsäulen mit Geradenfläche, die häufig etwas bauchig wird. Die schmale Fläche der Oblongsäule glatt und schön, die breite aber garbenförmig aufgeblättert, ihr entspricht ein nicht sonderlich deutlicher Blätterbruch. Die Kanten der Oblongsäule durch eine rhombische Säule von  $90^{\circ} 40'$  abgestumpft. Man will auch Zwillinge, wie beim Kreuzstein gefunden haben, woran das eine Individuum seine schmale Seite hinlegt, wo das andere die breite hat. Vor dem Löthrohr blättert er sich stark auf, und enthält 12 Ca neben 6,5 Na. Einstimmig wird Thomsonit,

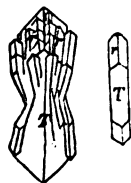


welchen Brooke in den schönsten faserzeolithischen Varietäten im Mandelstein der Kilpatrickhügel bei Dumbarton im südwestlichen Schottland fand, für das gleiche Mineral gehalten.  $\text{Ca Al Si}^2 \text{H}^2$ . In der vesuvischen Lava zierliche Oblongtafeln. Wenn dieser feinfaserig bis dicht wird, so hat man dafür den alten orpheischen Namen Galactit hervorgezogen, der im Wasser geschliffen Milch gab (Jahrb. 1856. 44).

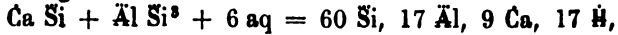
**Optisch** steht beim Comptonit die + Mittellinie senkrecht auf dem Blätterbruch, die Xyenebene fällt mit a b zusammen. Durchsichtige Kryställchen von der Größe einer Löthrohrprobe lassen sich daran sofort unterscheiden. Beim Mesotyp ist nach Descloizeaux die Mittellinie auch +, fällt aber mit Xy c zusammen, und a c ist Xyenebene. Scolecit ist —, Xyenebene eine Schiefendfläche, welche mit c etwa  $12^\circ$  macht. Beim Mesolith verhindern eigenthümliche Zwillingsthroughwachungen das Bestimmen der optischen Xyen.

## 2. Strahlzeolith.

Die 2gliedrigen excentrischen Strahlen haben einen ausgezeichneten Längsblätterbruch, bleiben breiter und werden daher nicht so faserig, als der vorige. Neigung zu strahligen Ablagerungen, was der eigentliche Blätterzeolith, mit dem er so oft verwechselt wird, nicht hat. Hauy nannte ihn dodekaedrischen **Stilbit** (*στίλβος* glänzend), weil das 2gliedrige Dodekaeder vorherrscht: denkt man sich nämlich das Granatoeder nach einer seiner drei rechtwinkligen Säulen in die Länge gezogen und breit tafelartig werdend, so hat man die richtige Vorstellung der gewöhnlichsten Krystalle. Oblongsäule wird ganz dünnblättrig und hat stets auf der breiten Fläche ihren deutlichen Blätterbruch M mit starkem Perlmutterglanz, die schmale Fläche T mit Glasglanz blättert sich garbenförmig auf, einzelne Krystalle, namentlich auf den Erzgängen von Andreasberg, in den Mandelsteinen von Island &c., gleichen dann Bündeln, worauf der Breithaupt'sche Name *Desmin* (*desquis* Bündel) anspielt. Wenn die Krystalle durch Wasserverlust matt werden, so beginnt die Mattigkeit vom Blätterbruch aus, denn bei den Andreasbergern sieht man auf der Mitte der schmalen Oblongsäulenfläche T einen dunkeln glasigen Streifen, der seine Durchsichtigkeit noch bewahrt hat. Auch vor dem Löthrohr geschieht das Blättern immer garbenförmig, wobei der Blätterbruch unverkennbar eine Rolle spielt. Trotz der dicken Köpfe kann man am Oberende der Säule immer noch das Oktaeder erkennen, die seitlichen Endkanten messen  $114^\circ$ , die andern über dem blättrigen Bruche  $119^\circ 15'$  (Brooke Edinb. Phil. Journ. VI. 114). Das gäbe die Xyen  $a : b = 1,2285 : 1,3232$ . Oftmals findet sich die Gerabendfläche  $c : \infty a : \infty b$ , dagegen die Säulenflächen  $a : b : \infty c$  ( $94^\circ 15'$ ) selten. Flußpathhärte 4, also entschieden weicher als der Faserzeolith, dagegen ebenfalls so schwer, Gew. 2,2. Xy c — optische Mittellinie, der blättrige Bruch Xyenebene. Vor dem Löthrohr blättert er sich stark



auf, krümmt sich wurmförmig und viel stärker als *Scolecit*. Berzelius gab ihm die Formel



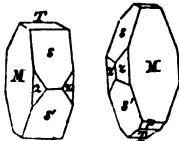
nach neuern soll etwas Wasser basisch sein  $\text{H}^2 \text{Ca Al Si}^4 + 4 \text{aq}$ .

In Salzsäure wird Kieselersde als schleimiges Pulver ausgeschieden. Mit Faserzeolith zusammen. Ungewöhnlich ist ein Vorkommen auf Bergkry stall und Abular mit Chlorit am St. Gotthardt. In Masse auf den Krystallflächen des Isländischen Doppelspathes, in den sie förmliche Löcher bohren. *Forssit* Jahrb. 1874. 518, welcher Turmalin, Strahlzeolith u. mit weiß überrindet, 2,4 Gew. soll mit letzterm isomorph sein. Pufferit vom Puffer an der Seisseralp (Jahrb. 1859. 17) ist chemisch und optisch Strahlzeolith.

### 3. Blätterzeolith Br.

Noch stärker blättrig als Strahlzeolith, gruppirt sich aber nur körnig, was ihn leicht unterscheiden läßt. Man wird durch den ausgezeichneten Perlmutterglanz an Glimmer erinnert, Werner konnte daher keinen bessern Namen wählen. Man hat ihn deshalb auch wohl *Euzeolith*, *Eustilbit* genannt, was wenigstens mehr bezeichnet als der Englische *Glenlandit* (*Brooke* Edinb. Phil. Journ. VI. 118). *Hauy* nannte ihn *Stilbite anamorphe* u., und wegen des stärksten Perlmutterglanzes, der überhaupt bei Zeolithen vorkommt, hat man sich in Deutschland daran gewöhnt, ihn vorzugsweise unter *Stilbit* (Glänzer) zu verstehen (*G. Rose*, *Raumann*, *Hausmann*), während man in Frankreich und England umgekehrt den Strahlzeolith so heißt (*Dufrenoy*, *Phillips*). Diese Namenverwirrung ist um so störender, je näher sich beide chemisch und physikalisch stehen.

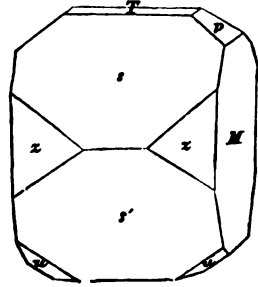
*Hauy* beschreibt ihn 2gliedrig: geschobene Säule s/s' mit Glanz misst  $130^\circ$  in der vordern stumpfen Kante; Geradenfläche M Hauptblätterbruch; die vordere stumpfe Ecke durch ein Paar z, welche den blättrigen Bruch unter  $112^\circ$  schneiden, und die scharfe Säulenkante durch T abgestumpft. Diese einfachen Krystalle mit sMTz kommen nach der Säule s langgezogen ausgezeichnet auf den Andreasberger Erzgängen vor. Die bekannten ziegelrothen vom Fassathal, durch Blättchen von Eisenglanz gefärbt sind tafelförmig, da sich der blättrige Bruch sehr aus-



dehnt, allein es gesellt sich noch ein drittes Paar p dazu, welches mit z und s parallele Kanten bildet. Daher sind szp drei zugehörige Paare  $s = a : b : \infty$ ,  $z = a : c : \infty$  und  $p = b : c : \infty$  ein zweigliedriges Dodekaeder, an welchem M und T je eine oktaedrische Ecke in c und b abstumpfen, nur die Ecke a zeigt sich nie abgestumpft. So weit wäre die Ordnung der Flächen durchaus zweigliedrig. Nun kommt aber bei Isländischen Exemplaren eine Fläche  $u = c : \frac{1}{2}b : a$  vor; sie stumpft die Kante p/s ab, und läßt sich zuweilen auch deutlich durch die Zone T/z verfolgen. Man findet sie an Tausenden

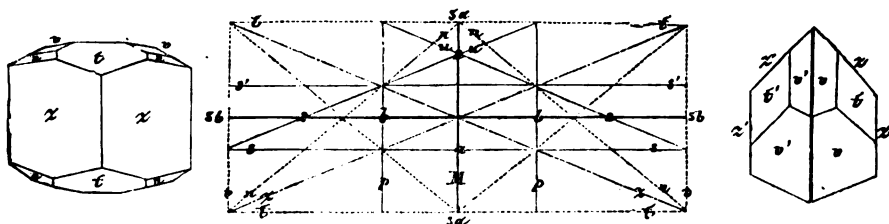
aber stets nur an einem Ende und zwar wenn vorn links, so rechts hinten, das ist entschieden 2 + 1gliedrige Ordnung. Scharfe Messungen haben dieß nun auch bestätigt: T stumpft die scharfe Kante  $s/s'$  nicht gerade ab, sondern schneidet  $s$  unter  $116^\circ 20'$  und  $s'$  unter  $114^\circ$ . Eben so wenig bildet  $z$  ein gleichschenkliges auf die stumpfe Säulenkante gerade aufgesetztes Dreieck, sondern die beiden Schenkel sind etwas verschieden, weil der Randwinkel mit  $s$  ( $148^\circ$ ) etwas anders ist als mit  $s'$  ( $146^\circ 30'$ ). Daher, wie Epidot, gewendet 2 + 1gliedrig. Wir müssen das Paar  $z = a : b : \infty c$  zur Säule ( $136^\circ 4'$ ) nehmen, dann stumpft der blättrige Bruch  $M = b : \infty a$  die scharfe Säulenkante gerade ab;  $s = a : \infty b$  vorn macht  $24^\circ 54'$  und  $s' = a' : \infty b$  hinten  $25^\circ 26'$  gegen die Axe  $c$ , daher

$$a : b : k = 0,4698 : 1,1643 : 0,0529.$$



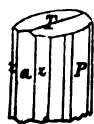
Der stumpfe Winkel der Axen  $a/c$  beträgt vorn  $91^\circ 25'$ ;  $p = b : \infty a$  und das Augitartige Paar  $u = 2a' : 2b$ . Härte = 4 und Gew. 2,2 stimmen vollkommen mit Strahlzeolith. Blättchen von den Faröer Inseln zeigen mikroskopische Bergkristalle eingesprengt (Jahrb. 1872. 11). Auch die chemische Zusammensetzung sollte ehemals nach Rammelsberg (Pogg. Ann. 110. 111) die gleiche sein:  $\text{Ca Si} + \text{Al Si}^3 + 6 \text{H}$ , jetzt geht man wieder auf die 5 Atome H zurück, und schreibt  $\text{H}^2 \text{Ca Al Si}^4 + 3 \text{aq}$ , so daß ein kleiner Unterschied vom Strahlzeolith bliebe. Spaltet man ein durchsichtiges Blättchen ab, so erscheinen im Polarisationsmikroskop Dmischcaten, denn T ist die Ebene der optischen Axen, die — Mittellinie fällt mit Axe  $b$  zusammen, steht also senkrecht auf dem Blätterbruch M. Die rothen Blättchen im Basalt von Sasbach am Kaiserstuhl erinnern zwar an Fassaer Blätterzeolith, sind aber aus Hyalofiberit entstanden (Jahrb. 1865. 111).

**Spießbit** (G. Rose Pogg. Ann. VI. 100) aus den Mandelsteinen vom Ufer des Berufjord am Fuße des Wulandstint, der Faröer Inseln und vom Finkenbühl bei Glas (Zeitschr. d. geol. Ges. 1869. 100) mit Blätterzeolith in ein und demselben Blasenraume. Es könnten dieß wohl Blätterzeolithkristalle sein, welche sich nach der Säule  $z/z'$  ausgedehnt haben. G. Rose gibt  $z/z' = 135^\circ 10'$ , was von Brooke nur  $20'$  abweicht, der erste Blätterbruch stumpft auch hier die scharfe Kante ab. Allein das Ende der Säule wird bestimmt 2gliedrig beschrieben: ein Paar  $t = a : \infty b$  auf die stumpfe Kante, und ein anderes  $v = b : \infty a$  auf die scharfe Kante aufgesetzt, und dann noch ein Oktaeder  $n = a : \frac{1}{2} b$  aus der Diagonalzone des vordern Paares. Einfache Kristalle selten, gewöhnlich Zwillinge, welche wie beim Weißbleierz die Fläche  $z$  gemein haben und umgekehrt liegen. Das ist zwar sehr ungewöhnlich, allein die Winkel der Endflächen passen zu gut, als daß man die Vereinigung läugnen



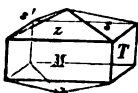
möchte. Nimmt man nämlich  $v = 3b : \infty a$  als die dreifach stumpfere von p am Blätterzeolith, so gibt das einen Winkel  $v/o = 147^\circ 2'$ , der von der Rose'schen Messung nur um  $38'$  abweicht. Ebenso gibt  $t = 3a : \infty b$  mit  $t' = 3a' : \infty b$  einen Winkel von  $108.21$ , den Rose 109.46 fand,  $u = 3a : \frac{1}{2}b$ . Vorstehende Projection zeigt uns alle diese Flächen, die des Epistilbits sind punktirt. Die chemische Formel ist genau die gleiche  $(Ca, Na) Si + Al S^3 + 5 H$ , zeichnet sich nur durch etwas Na aus, aber die Ebene der optischen Axen liegt im blättrigen Bruch, und nicht senkrecht dagegen. Sartorius (Pogg. Ann. 99. 170) nennt noch einen Parastilbit von Island, Mallet einen zuckerkörnigen Hypostilbit von Skye, Deudant die kleinen Zeolithkugeln von den Faröerinseln Sphaerostilbit.

**Breusterit** (Brooke Edinb. Phil. Journ. IV. 119) 2 + 1gliedrig von Strontian im westlichen Schottland. Hat ein Comptonit-artiges Ansehen, allein es ist ein ausgezeichnete Blätterbruch P da, so deutlich als beim Strahlzeolith, mit einem blaulichen Lichtschein. Gespaltene Blättchen zeigen Lemniscaten, daher steht die Ebene der optischen Axen senkrecht gegen P und Axe b ist die Mittellinie. Brooke gab vielerlei Säulenflächen an,



deren scharfe Kanten durch den Blätterbruch 010 gerade abgestumpft werden, und deren stumpfe durch a 100. Hauptsäule  $z/z = 136^\circ$ . Eine Endfläche, etwa so schief wie T, ist nach ihrer Diagonale unter einem Winkel von  $172^\circ$  geknickt, aber sie neigt sich oft zum bauchigen Ansehen. Im Ganzen dürfte das Krystallsystem nicht wesentlich vom Blätterzeolith abweichen. Dafür scheint auch die chemische Formel zu sprechen  $(Sr, Ba) Si + Al Si^3 + 5 H$  (G. Rose Kryst. Chem. Miner. pag. 40), Thomson gibt 9 Sr, 6 Ba an, und nur 0,8 Ca. Er bläht sich vor dem Löthrohr stark auf, und blättert dabei nach der Richtung des Hauptblätterbruchs.

Lévy's gelblicher Beaumontit (Znst. 1839. 486) mit Haydenit zusammen in Baltimore vorkommend, scheint ein Blätterzeolith, wofür auch das optische Verhalten spricht. Zwar wird er als ein stumpfes Quadratoctaeder von  $147^\circ 28'$  in den Endanten beschrieben, dessen Seitenkanten durch



die erste quadratische Säule  $a : a : \infty$  abgestumpft würden, allein es wird auffallender Weise hinzugefügt, daß die eine Säulenfläche viel blättriger sei, als die andere. Wenn man nun bedenkt, wie nahe die Winkel des Blätterzeolith's  $z/s = 148^\circ$  und  $z/s' = 146^\circ 30'$  jenem Octaeder-

winkel stehen, so ließe sich der Irrthum leicht erklären. Die zierlich kleinen Krystalle sind um und um ausgebildet, was die Täuschung noch vermehrt. Hier steht auch Häidingers Edingtonit (Pogg. Ann. V. 100) aus dem Mandelstein der Kilpatrickhügel bei Dumbarton in Schottland. Raum 2''' große Krystalle liegen auf Thomsonit



pag. 404. Auf einer blättrigen quadratischen Säule  $m = a : a : \infty c$  erheben sich zweierlei Flächen:  $P = a : a : c$  und  $n = 2a : 2a : c$ . Man könnte diese als

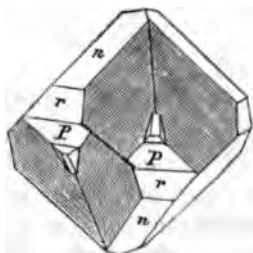
Oblongoktaeder nehmen, und so beschreibt sie auch Descloizeaux. Allein die Messungen geben dann  $m/P = 133^\circ 34'$  und  $m/n = 115^\circ 26'$ , daraus folgt  $a : b = 1,05 : 2,1$ ,  $b$  ist also genau  $2a$ . Häidinger nahm daher  $P$  als ein viergliedriges Tetraeder vom Oктаeder  $a : a : c$ , das wegen der Aze  $a = 1,05$  in den Endkanten  $121^\circ 40'$  mißt, während dann  $n$  das Tetraeder vom zweiten stumpferen Oктаeder  $2a : 2a : c$  sein muß. Die Sache würde ausgemacht sein, wenn das Unterende wirklich die andere Hälfte der Tetraeder zeigen würde, wie das Häidinger beschreibt. Hätte das Oктаeder  $120^\circ$  in den Endkanten, so wäre es das Oктаeder des Granatbeders und würde dann mit dem regulären System in Verbindung stehen. Nach Hebble (Jahrb. 1856. 33) soll er 26,8 p.C. Baryterde enthalten, mit der ungefügen Formel  $Ba^3 Al^4 Si^7 H^{12}$ .

#### 4. Chabasit.

Der Rhomboedrische Zeolith wurde in den Mandelsteinen bei Oberstein von einem Franzosen Boëc d'Antic gefunden und nach dem leibbesungenen Stein des Orpheus ( $\chiαραιοιν$ ) genannt. Dr. Tamnau (Leonhard's Jahrb. 1836. 333) lieferte eine Monographie, die von seiner großen Verbreitung zeugt. Das wenig blättrige Rhomboeder  $94^\circ 46'$  in den Endkanten gibt  $a = 0,92083 = \sqrt{0,84793}$ , stimmt fast mit Quarz pag. 222. Kleine wasserklare Krystalle kommen in porösen Laven von Sicilien vor, man kann die einfachen Rhomboeder leicht für Würfel halten, daher auch der Name Cuboicit. Die größten von 2" Breite stecken in Blasenräumen des Basalt's von Dembio bei Oppeln. Zu Oberstein und Rübenbüchel bei Aussig in Böhmen, wo Krystalle in Menge Drusen eines Klingsteintuffs erfüllen, ist noch das nächste stumpfere und nächste schärfere Rhomboeder, die schöne Haug'sche Trirhomboidale Varietät mit  $P = a : a : \infty a$ ,  $n = 2a' : 2a' : \infty a$  und  $r = \frac{1}{2}a : \frac{1}{2}a : \infty a$ . Höchst selten sind die Seitenkanten des Rhomboeders durch die 2te Säule  $\infty c : 2a : a : 2a$  abgestumpft. Auch Dreieckantner erscheinen ungewöhnlich, doch kannte schon Haug  $B^4 = x = \frac{1}{2}c : a : \frac{1}{2}a : \frac{1}{2}a$ ; Tamnau Böhmisches mit  $o = \frac{1}{2}c : a : \frac{1}{2}a : \frac{1}{2}a$  und vom Westertal mit einem Dihexaeder  $t = \frac{1}{2}c : a : \frac{1}{2}a : a$ . Alle liegen in der Endkantenzone des Rhomboeders. Bei den Krystallen von Oberstein zeigen die Rhomboederflächen eine ausgezeichnete Federstreifung, die einen sehr stumpfwinkligen Dreieckantner andeutet. Phillips maß einen stumpfen Winkel von  $173^\circ 46'$  an Krystallen

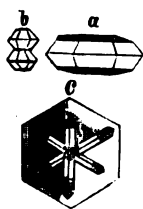
von Giants Causeway in Nordirland, das entspräche ungefähr einem Dreikantner  $B^{12} = \frac{1}{12}c : a : \frac{1}{12}a : \frac{1}{12}a$  ( $173^\circ 14'$ ).

Zwillinge die Age c gemein und um  $60^\circ$  im Azimuth verdreht kommen ganz gewöhnlich vor. Beide Individuen durchwachsen sich in größter Unregelmäßigkeit, gewöhnlich sticht aus der Fläche des einen die Seitenecke des andern hervor, dessen Kanten wie 2 : 1 geschnitten werden, d. h. nennen wir die Stücke der beiden scharfen Kanten 1, so ist die Länge der stumpfen doppelt so groß. In Mengen aber gewöhnlich klein zu Oberstein und am Millefleur im Böhmischem Mittelgebirge. Im Uebrigen ein ausgezeichnete Zeolith mit reichlich Flußspathhärte = 4 und Gew. 2,2.



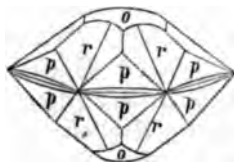
Vor dem Löthrohr bläht er sich äußerst wenig, vielleicht weil es ihm an deutlichem Blätterbruch fehlt. Gepulvert mit Salzsäure übergossen gelatinirt die Kiesel Erde nicht. Ueber seine chemische Formel ist man noch nicht ganz einig, ich wähle die einfachere  $Ca Si + Al Si^2 + 6 H$ , mit etwa 50 Si, 17 Al, 10 Ca, gewöhnlich enthalten sie auch etwas Na und Ka, was die Kalkerde in der Formel ersetzt. Rammelsberg (Zeitschr. deutsche geol. Ges. 1869. 9.) möchte, um ein Silicat zu bekommen, ihm etwas basisches Wasser zutheilen, ( $H, K$ )  $Ca Al Si^5 + 6 aq$ . Die rothen von Neuschottland sind sehr unrein. Bei Plombieres hat er sich im Römischen Mauerwerk gebildet.

Phakolith Breith. (Linsenstein, *φάκος*), aus den Basalten von Leipa und Lobositz in Böhmen, bildet kleine linsenförmige Zwillinge, die aber so wirr sind, daß sie sich kaum entziffern lassen. Nach Descloizeaux (Manuel Minér. I. 400. Fig. 192) erinnern sie an die Trirhomboidale Varietät. Hat sonst auch ganz das Aussehen normalen Chabasits. Doch gibt Rammelsberg's Analyse  $2 R Si + Al^2 Si^3 + 10 H$ , was kaum abweicht, daher wird er auch mit Recht für Chabasit gehalten. Diese Zusammensetzung nähert ihn dem Le vy n von den Faröer Inseln, die ebenfalls Zwillinge bilden, aber eine ausgezeichnete Geradenfläche haben. Von ganz vor-

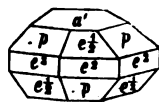


züglicher Schönheit kommt Phakolith in Drusenräumen eines feinkörnigen Basaltes zu Richmond bei Melbourne vor. H. Ulrich (Contributions on the Mineralogy of Victoria 1870. 11) hat sie vortrefflich beschrieben, und mehreren Europäischen Sammlungen davon reichlich mitgetheilt. Am einfachsten sind die sechsseitigen Täfelchen a, welche sich oben flach wölben und seitlich eine Kante zeigen, zum Zeichen, daß sie dihexaedrische Tafeln sind, die uns nur wegen der Kleinheit öfter entgehen. Ein Plättchen zeigt schon für sich im Polarisationsmikroskop ein mattes dunkles Kreuz, nimmt man durch einen Schliff die Endwölbung weg, so wird das Kreuz noch deutlicher. Wir haben also einfache Dihexaeder vor uns, deren Wölbung selbst unter dem Mikroskop ganz gleichförmig die Linsengestalt einleitet. Ein anderes

Vorkommen b zeigt, wie sich zwei solcher etwas anders aussehender Plättchen aufeinander legen, und ein Sanduhrförmiges Aussehen annehmen. Ja wieder andere zum Theil größere Tafeln c setzen sich schief aneinander, so daß man anfangs an Zwillingbildung denkt, allein die Sachen entwickeln sich dann zu wirren Haufen, worin man keine Regel zu finden vermag. Einspringende Winkel und Knicke zeigen sich selbst bei den größern Krystallen, doch meine ich auch diese eher für *sechsgliedrig* als für *Rhomboeder* zu nehmen zu sollen: wir hätten dann ein Dihexaeder  $p = a : a : \infty a : c$  mit etwa  $134^\circ$  in den Seitenkanten, sie glänzen und zeigen nur unregelmäßige Knicke. Das zweite Dihexaeder  $r$  ist matt und bauchig, gleichsam ein Uebergang zur obern völlig gerundeten Linsenfläche o. Ulrich nannte die Krystalle zwar *Herschelit*, allein der größere Kalkgehalt 7 Ca bei 5,5 Na und 0,9 Ka bestimmte ihn, es dem *Phacolit* von Leipa zur Seite zu stellen, und mit Recht nennt es *H. v. Rath* (*Monatsb. Berl. Akad.* 1875. 221) „das herrlichste Vorkommen dieses seltenen Minerals“, das zum *Seebachit* (*Göttinger Gel. Anz.* 1872. 200) Anlaß gab.



*Gmelinit* (Jahrb. 1833. 100, *Leman's Hydrolith*, *Thomson's Sarkolith*) aus dem Mandelstein im *Vicentinischen*, später von *Glenarm* in *Nordirland*, von fleischrother Farbe, bildet reguläre sechseckige Säulen mit Geradenfläche, deren Endkanten durch ein Dihexaeder von  $80^\circ 54'$  in den Seitenkanten abgestumpft werden. Die kleinen Krystalle liegen gewöhnlich durcheinander, wobei die schmale sechseckige Säule  $e^2$  am deutlichsten auftritt. Nach *Descloizeaux* sind es zwei *Rhomboeder*  $p = a : a : c$  und  $e^2 = a' : a' : 2c$ . *Breithaupt* fand sogar nur  $79^\circ 44'$  also  $a = 1,3826$  genau gleich  $\frac{2}{3}a : \frac{2}{3}a$  vom *Chabasit*. Nach *G. Rose* soll ein sehr deutlicher Blätterbruch parallel der 6seitigen Säule gehen, was beim *Chabasit* nicht der Fall ist. Dagegen stimmt die Analyse von *Rammelsberg*, nur daß er bloß 3,9 Ca, dagegen 7,1 Na, und 1,8 K hat.



*Herschelit* *Lévy* (*Ann. of phil.* X. 261) aus alten Laven von *Acicastello* am *Aetna*, gleicht nach *Damour's Analyse* (*Ann. Chim. et Phys.* 3 sér. XIV. 97) dem *Gmelinit*, (Na, K, Ca)  $Al Si^4 H^5$  mit 8,3 Na, 4,4 K, 0,3 Ca. Es sind kleine weiße blättrig-sechseckige Tafeln, die sich gern kugelförmig gruppieren. *Lévy* maß eine dihexaedrische Endkante von  $124^\circ 45'$ . Härte 4—5, Gew. 2,1. *Cleveland's Haydenit* aus dem *Gneis* von *Baltimore* stimmt nach *Dana* mit *Chabasit*. Die spatheisenfarbigen *Rhomboeder* sollen aber nach *Lévy* einen Winkel von  $98^\circ 22'$  und zwei von  $95^\circ 5'$  haben, also *Hendyhoeder* sein.

## 5. Analcim Hy.

*Analcim* kraftlos, weil er durch Reiben nur schwach elektrisch wird. *Rubizit* *Br.* Reguläres Krystallsystem vorherrschend das *Leucitoeder*

$a : a : \frac{1}{2}a$ , besonders ausgezeichnet in den augitischen Mandelsteinen des Fassathales (Seisser Alp), wo Krystalle von mehr als Faustgröße vorkommen. Wenn die Leucitoeder in vulkanischen Gesteinen eingesprengt sind, muß man sich vor Verwechselung mit Leucit hüten. Gewöhnlich kommt aber noch die Würfelfläche vor, welche die vierkantigen Ecken des Leucitoeders abstumpft und sich leicht an ihren rechten Winkeln unterscheiden läßt. Emmerling nannte daher das Mineral Würfelzeolith. Doch ist der Würfel kaum selbstständig zu finden, immer sind seine Ecken durch Dreiecke zugespitzt. Besonders schön in dieser Beziehung die wasserhellen Krystalle in alten Lavas der Cyclopischen Inseln bei Catania, wo sie schon Dolomieu sammelte, oder in den Mandelsteinen von Montecchio-Maggiore bei Vicenza. Sie kommen im Gegensatz zum Leucit nicht eingesprengt sondern in Drusen vor, daher zeigen z. B. die Cyclopischen alle eine Ansatzstelle.

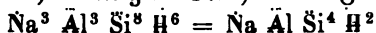
Die klaren haben die Aufmerksamkeit der Optiker auf sich gezogen. Legt man nämlich durch die Ape und durch 4 Längsdiagonalen eine



Fläche, so geht diese einem Paralleelpaare von Granatoederflächen parallel, und die Granatoederebene halbiert den Krystall. 6 solcher Ebenen sind bekanntlich möglich. Parallel diesen Ebenen soll nach Brewster (Edinb. phil. Journ. 10. 200) die brechende und polarisirende Kraft fast Null sein, die gebrochenen Würfelfanten und langen Diagonalen erscheinen daher ganz

schwarz. Allein je mehr ich das Auge von diesen Ebenen im Winkel entferne, desto stärker polarisiren und brechen sie doppelt. In der Mitte der gebrochenen Octaederkanten erscheinen die feinsten Farbentinten. Das wäre eine merkwürdige Ausnahme, Biot's Lamellarpolarisation. Nach Dr. Hirschwald (Eschermat Mineral. Mitth. 1875. 242) läßt sich am Analcim von Jalesl in Böhmen im Polarisationsmikroskop mittelst Einschaltung eines dünnen Gypsblättchens eine granatoedrische Lamellentextur nachweisen. Härte 6, wird kaum noch mit dem Messer angegriffen, deßhalb nannte ihn schon Dolomieu Zéolithe dure; Gew. 2,2.

Vor dem Löthrohr bläht er sich nur wenig auf, wie gewöhnlich bei Zeolithen mit undeutlich blättrigem Bruch. Die Formel



stimmt vortrefflich mit H. Rose's Analyse von Fassathälern: 55,1 Si, 23 Al, 13,5 Na, 8,2 H. Gelatinirt in Säure, während Leucit nur Kieselpulver gibt. In der Gabbro rosso von Toscana kommt ein Magnesia-analcim vor. Krystalle finden sich auch auf den Silbererzgängen von Andreasberg, in Drusen des Zirkonshenits, auf Magneteisensteinlagern in Schweden, im Kalkspath des Basaltes von Baranetz bei Alt-Titschein in Mähren. Die braunen von Tschina bei Neu-Titschein sind nach Eschermat mit Kalkspath durchdrungen. Die grünlichen Massen mit ziemlich deutlichem Würfelbruch im Magneteisenerz vom Berge Blagodat im Ural hat Breithaupt zwar Kuboit genannt, sind aber nach G. Rose (Reise Ural



I pag. 347) ausgezeichnete Analcime. Weyhe's Eudonohit (Pogg. Ann. 79. 333) mit schönen nebeligen Zeichnungen aus dem Syenit von Lamö im südlichen Norwegen (59 Breite-Grad) ist nicht 2gliedrig, sondern hat Form und Zusammensetzung des Analcim (Zährb. 1859. 622).

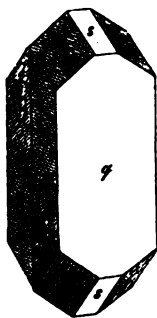
### 6. Kreuzstein Br.

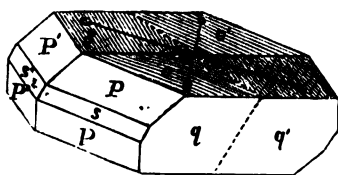
Schon L. Bergman Opusc. II. 1780 pag. 7 Fig. 5 kannte die figura hyacinthica crucis forma. Kreuzkrystallisation von Trebra (Erfahr. im Inn. Geb. 1785. 30). Harmotom (ἀρμός Fuge) was sich parallel der Zwillingssuge schneiden läßt, denn Haüy (Zährb. Min. II. 333) hielt sie für einfache viergliedrige Krystalle, doch erkannte Weiß schon den 2gliedrigen Zwilling. R. de l'Isle (Christall. II. 333) nannte die Andraßberger Hyacinthe blanche cruciforme, und Gillot (Journal de Physique, August 1793) zeigte zuerst den Unterschied vom Hyacinth. 1794 schrieb L. v. Buch Beobachtungen über den Kreuzstein und 1831 Köhler über die Naturgeschichte des Kreuzsteins, Schulprogramm. Vorn hielt ihn noch für Kalkspath.

Krystallform hielt man lange für 2gliedrig: darnach bildeten einfache Krystalle, wie sie sich auf Kalkspath mit Brewsterit zu Strontian finden (Morvenit) ein Granatoeder zu einer Oblongsäule mit aufgesetztem Ottaeder ausgedehnt, wie beim Strahlzeolith. Die Oblongsäule o/q nur wenig blättrig, doch hat die breite q stärkeren Perlmutterglanz als die schmale Fläche o, obgleich diese etwas stärker blättrig scheint als jene. Die Endkantenwinkel des Ottaeders P fand Köhler beim Barytkreuzstein über der breiten Säulenfläche q  $120^{\circ} 1'$ , über der schmalen o  $121^{\circ} 27'$  (Pogg. Ann. 37. 561) das gäbe

$$a : b = 1,43 : 1,462; a^2 = 2,045, b^2 = 2,137.$$

Darnach würde b senkrecht gegen die breite Säulenfläche q stehen. Die scharfe seitliche auf die breite Säulenfläche aufgesetzte Endkante ist gewöhnlich durch  $s = b : \infty a$  gerade abgestumpft, die stumpfe vordere dagegen nie. Nach diesem Paare ( $s/s = 111^{\circ} 15'$ ) richtet sich die Streifung sämtlicher Flächen: die deutlichste geht parallel der Kante P/s über die Ottaederflächen P und die schmalen Oblongsäulenflächen weg, auf dieser o entsteht daher eine federartige Streifung mit einem Rhombus von  $111^{\circ} 15'$  in der Mitte. Wenn die breite Säulenfläche Streifung hat, so ist sie horizontal parallel der Axe a. Flächen s sind öfter nach einer deutlichen Linie gebrochen, als wären es Zwillingartige stumpfe Winkel. Die Schottischen Krystalle stark verzogen, doch findet man die Oblongsäule leicht, weil darauf Newtonianische Farben gut hervortreten, obgleich der blättrige Bruch nicht stark ist. Lévy und Dufrenoy haben die Krystalle daher auch nach der Säule s/s aufrecht gestellt, doch spricht das ganz gegen die bisher übliche Anschauung. Herr Descloizeaux (Manuel Minér. 1862. I. 418) erklärte schon diese scheinbar einfachen Kryst-

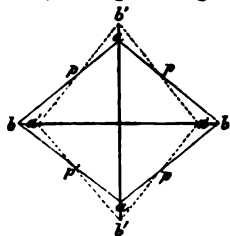




stalle für **Zwillinge**, weil er darin zwei Ebenen positiver optischer Axen fand, die nach seinen Messungen den stumpfen Winkel  $q/s = 124^\circ 50'$  halbirten. Er hielt daher diese  $q$  und  $s$  für gleichwerthige Flächen, nahm sie als rhombische Säulen, mit welchen die Oktaederflächen  $P$  hemiedrisch austräten, weil sie über  $q$  allgemein fehlten. Später (Manual II pag. XL1) wurde die richtige Stellung erkannt, die optischen Farben zeigten eine dispersion tournante, wie am Feldspath, und die wirkliche Säule liefern  $P/P = P'/P' = 120^\circ 1'$ , welche wie beim Manebacher Zwilling Fläche  $q$  gemein haben, umgekehrt gegen einander liegen, und sich durchwachsen, was dann auch die Streifung auf  $o$  vortrefflich erklärt. Die Krystalle sind also **Zweiundeingliedrig**, und bilden ein förmliches Gegenstück zu den Feldspathen: das Hendyoeber  $PPq$  mit  $P/P = 120^\circ 1'$  und  $P/q = 120^\circ 28'$  nähert sich einem Rhomboeder, worin  $q$  gegen die Hauptaxe  $c$   $55^\circ 10'$  geneigt ist. Rammelsberg (Ztschr. deutsch. geol. Ges. 1868 XX. 500) gibt ihm die schiefe Axe

$$a : b : c = 0,703 : 1 : 1,231, \text{ Axe } a/c = 124^\circ 50'.$$

Die früher als **Zwillinge** genommenen Krystalle vom Samson bei Andreasberg, Andreasbergit genannt, sind also **Vierlinge**, deren Verständniß uns durch die Axulare leicht wird. Bleiben wir bei der alten Vorstellung von **Zwillingen** stehen, so kreuzen sich zwei Individuen so,



daß das eine seine schmale hinlegt, wo das andere seine breite Fläche hat. Dadurch entsteht ein ausgezeichnetes Kreuz. Da die Säule  $a : b : \infty$  nur  $91^\circ 15'$  beträgt, so könnte man meinen, sie hätten wie im 2gl. System eine Säulenfläche gemein, und lägen umgekehrt. Spiegelt man die Oktaederflächen im Licht oder in der Sonne, so kommt nie von zwei anliegenden Zwillingflächen zugleich ein Bild ins Auge, was sein müßte, wenn die Oktaeder viergliedrig wären, wie sie Haüy nahm. Es zeigt sich vielmehr in der Zwillingstante ein ein- oder ausspringender Winkel von  $179^\circ 23'$  (Phillips maß  $178^\circ 45'$ ). Man sieht dieß leicht durch eine kleine Projection ein, worin  $a : b$  das eine, und  $a' : b'$  das andere Oktaeder bezeichnet, beide schneiden sich in  $p$ . Der Brennpunkt

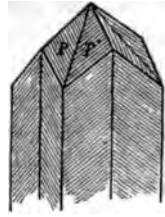
$$p = \frac{1}{\frac{1}{a} + \frac{1}{b}} = \frac{ab}{a+b}, \quad \mu = \frac{1}{a}, \quad \nu = \frac{1}{b};$$

dieß in die Winkelformel der Rantenzone des regulären Systems pag. 59 gesetzt, gibt

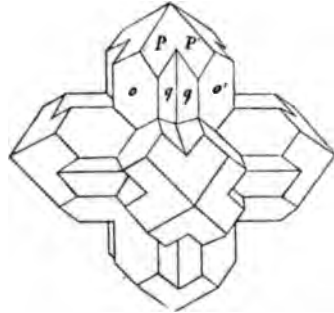
$$tg = \sqrt{a^2 + b^2 + 2ab + 2a^2b^2} : b - a = 89^\circ 34' 12''$$

Der einspringende Winkel häufig auf der angewachsenen Seite. Füllen

die Fugen der gekreuzten Säulen sich aus, so entsteht ein scheinbar einfacher Krystall mit Federstreifung auf den Oktaederflächen: wir haben eine quadratische Säule mit einem sehr stumpfwinkligen 4+4kantner, wenn die auspringenden Winkel zum Vorschein kommen. Uebrigens sind diese kleinen Winkelunterschiede durch Streifung so versteckt, daß man noch gegründete Zweifel haben kann, ob die Form des einfachen Krystalls nicht doch ein Granatoeder sei, dessen Flächen  $Poq$  nur unbeschadet der Winkel physikalisch different geworden sind, und die nun ein Bestreben zeigen, durch den Zwilling diese Differenz wieder auszugleichen.



Vierlinge und Sechslinge entstehen, wenn sich Zwillinge zwei oder dreifach rechtwinklig wie das Azenkreuz untereinander kreuzen, die  $P$  so gestellt, daß je zwei möglichst einspiegeln. Beim Sechsling (Zwölfling nach der neuern Anschauung) sind dann auf diese Weise die Differenzen vollkommen wieder ausgeglichen. Würden sich die Fugen ausfüllen, so entstünde ein vollkommenes Granatoeder, woran jede Fläche bloß einen stumpfen Knick nach den beiden Diagonalen zeigte, wie dies Streng (Jahrb. 1875.



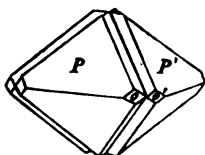
1884) vom Stempel bei Marburg abbildet. So sehen wir, wie aus einer zwei- und eingliedrigen Ordnung die reguläre durch Vermehrung der Zwillinge hergestellt werden kann. Vorstehenden schönen Zwölfling bildet Köhler von Andreasberg ab. Weiß, Abh. Berl. Akad. 1831. pag. 328.

Farblos oder schneeweiß, zuweilen auch blaß rosenroth, wie das neuere Vorkommen zu Andreasberg, Härte zwischen Flußspath und Apatit (4,5). Gewicht 2,4 bei dem Barytkreuzstein, die Kalkkreuzsteine leichter. Beim Erwärmen nehmen die optischen Azen eine andere Lage an, analog den Feldspäthen.

a) Barytkreuzstein  $Ba Si + Al Si^2 + 5 H$ , nach Köhler etwa 46,1 Si, 16,4 Al, 20,8 Ba, 15,1 H, Spuren von Ca fehlen nicht. Vor dem Löthrohr fällt er mehrlartig auseinander, und läßt sich schwer schmelzen. Die gewöhnlichste und schönste Abänderung. Vorzugsweise auf Erzgängen (Andreasberg, Strontian, Dumbarton) wahrscheinlich weil hier die Schwereerde eine Hauptrolle spielt; seltener im Mandelstein bei Oberstein, wo auch der Schwerepath in den Mandeln nicht ganz fehlt.

b) Kalkkreuzstein (Phillipsit)  $(Ca, K) Si + Al Si^2 + 5 H$ , nach L. Gmelin vom Stempel bei Marburg 48 Si, 22,6 Al, 6,5 Ca, 7,5 K, 16,7 H. Die Neuern schreiben  $Ca Al Si^4 H^4$ , so daß gegenüber dem  $Ba Al Si^5 H^5$  er H Si weniger hätte. Die schönen Zwölflinge, welche Ulrich im Basalte von Victoria entdeckte, enthalten neben 6,4 K noch

5 Na, und geben keine gute Formel. Annerode bei Gießen, Habichtswald bei Cassel, im Mörtel von Plombières. Findet sich nicht auf Erzgängen, sondern in Drusen vulkanischer Gesteine, zeigt große Neigung zu Zwölflingskristallen, die aber selten klar, sondern meist schneeweiß sind. Wegen des Mangels an Baryterde haben sie ein Gew. von 2,2. Die Endkantenwinkel des Oktaeders betragen nach Haidinger  $123^{\circ} 30'$  und  $117^{\circ} 30'$ ,  $s/s = 111^{\circ} 15'$ . Die Ebene der optischen Axen liegt nicht in  $q$ , sondern in  $o$ . Denken wir uns das System wieder 2 + 1gliedrig, so fällt sie in die Medianebene, wie bei geglähten Feldspäthen. Das könnte eine Einwirkung von Feuer verrathen. In den Basaltischen Laven von Capo di Bove bei Rom und Aci Reale am Aetna kommen Zwillinge vor (Tredner Leonh. Jahrb. 1847. 550), an denen sich nur die eine Hälfte der Oktaederflächen  $P$  und  $P'$  ausdehnt, während die Säule  $o$  sehr zurück bleibt. Es entsteht dann das Oktaeder des



Granatoeders mit fast rechtwinkligen Seitentanten, dessen Ecken kaum abgestumpft werden. In den Ranten sieht man aber noch die Zwillingssugen. Zuletzt sollen auch diese nebst den Abstumpfungsflächen ganz verschwinden und ein glänzendes Oktaeder übrig bleiben, an dem man nicht mehr die Spur eines Zwillinges wahrnehme. Descloizeaux (Manuel I. 170) beschreibt solche Oktaeder viergliedrig mit  $92^{\circ} 30'$  in den Seiten- und  $118^{\circ} 34'$  in den Endkanten. G. Rose (Ar. Ch. Miners. pag. 93) glaubt jedoch, daß diese Oktaeder ein anderes Mineral, als der auf andern Drusen des Fundorts vorkommende Kalkkreuzstein seien, und beschränkt darauf den vielfach verwechselten Gismondin (Abrazit, Zeagonit), zumal da die Zusammensetzung  $(Ca, Ka)^2 Si + 2 Al Si + 9 H = Ca Al Si H^4$  etwas abzuweichen scheint. Wie complicirt die Sachen werden, zeigen die Zwölflinge aus den Basalten von Gießen, welche nach Streng (Jahrb. 1874. 178) entschieden Bestreben zeigen, nur reguläre Ordnung anzunehmen. Renngott (Leonhard's Jahrb. 1853. 100) glaubt sogar, daß Zeagonit und Gismondin von einander verschieden seien. Lévy (Descr. Min. II. 4) vergleicht den unschmelzbaren Zeagonit mit Birkon. Der ähnliche Verzelein mit Hauyn am Albaner-See kristallisirt regulär mit Zwillingen wie Spinell. Descloizeaux (Ann. mines 1847. XII.) nannte dem König von Dänemark zu Ehren den Kalkkreuzstein von Dnyrefjord auf Island Christianit.

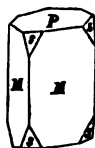
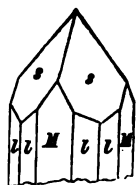
## 7. Zöthophthalm.

Der Portugiese d'Andrada gab ihm diesen auffallenden Namen (Scheerer's Journ. IV. 55), weil der blättrige Bruch silberartig wie „Fischaugen“ glänzt. Er fand ihn auf Utö. Doch ist Rinman's Zeolith von Hällefors in Schweden schon das Gleiche. Haüy sich an dem Namen stoßend nannte ihn Apophyllit (*ἀποφυλλίζειν* abblättern).

Der 4gliedrige Zeolith findet sich in ausgezeichneten farblosen und durch Kobalt blaß rosenrothen Oktaedern auf den Erzgängen des

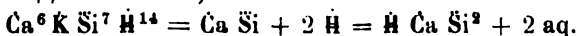
Samson von Andreasberg in größten Teufen. Oktaeder  $s = a : a : c$  sehr scharf, und schon Haüy gab den Seitentantenwinkel  $121^\circ$ , folglich den Endkantenwinkel  $104^\circ 2'$  an; Dauber (Pogg. Ann. 107. 200)  $121.8$  Seiffersalp,  $120.30$  Andreasberg,  $119.43$  Poonah;  $a = 0,80012$ . Sieht man schief gegen die Endspitze, so kommt ein Abularartiger Lichtschein heraus, welcher mit der Stärke des Blätterbruchs der Geradendfläche  $P = c : \infty a : \infty a$  zusammenhängt. Nie ist die erste quadratische Säule da, und nie fehlt die 2te  $M = a : \infty a$ , welche die Seitenecken des Oktaeders abstumpft. Eine 4und4kantige Säule  $l = a : \frac{1}{2}a$  gern angedeutet, dehnt sich die quadratische  $M$  mit der Geradendfläche  $P$  aus, so entsteht ein 2+1flächiges Hexaid (Drauwiza im Banat), dessen Kanten den Axen parallel gehen. Wenn nun das Oktaeder die Ecken abstumpft, so bilden die Abstumpfungsflächen gleichschenklige Dreiecke, weil die Würfelkanten in dem Verhältniß  $4 : 4 : 5$  geschnitten werden, da sich  $a : c = 0,8 : 1 = 4 : 5$  verhält. Oft werden die Krystalle durch Ausdehnung des Blätterbruchs tafelförmig (Fassathal mit Analcim), dann schärft das Oktaeder die Ecken der rechtwinkligen Tafeln zu. Seltener Flächen finden sich besonders an Krystallen von Utö. Es kommen dort neben den genannten die Oktaeder  $3a : 3a$ ,  $5a : 5a$ ,  $2a : \infty a$ ,  $5a : \infty a$  vor. Haüy gab noch  $\frac{1}{2}a : \infty a$ ,  $\frac{1}{2}a : \infty a$  an, auch eine vier- undvierkantige Säule  $a : \frac{1}{2}a : \infty c$ , und unter mehreren 4+4kantnern einen sehr einfachen  $a : 2a$ . Derbe Ichthyophthalme (Fassathal) haben große Neigung zu schaaligen Absonderungen, wenn sie dann mit rothem Eisenoxyd durchzogen sind, so kann man die trüben beim ersten Anblick für Schwerspath halten, allein es fehlt der blättrige Querbruch. Die klaren in Hornbleidgestein und Magneteisen eingesprenkten Stücke von Utö gleichen Adular. Aber geringere Härte = 4—5 und geringeres Gewicht = 2,4 lassen sie nicht verwechseln.

Die optischen Eigenschaften haben schon die Aufmerksamkeit Brewsters in hohem Grade auf sich gezogen (Edinb. Transact. 1816 und 1821). Die meisten sind + einaxig: man sieht im Polarisationsmikroskop ein schwarzes Kreuz ohne deutliche Farbenringe, daher von Herschel *Neuchocochelit*, von Brewster *Oghaverit* (Oghaver auf Island) genannt. Die klaren Blätter von Utö, Poonah und Fassa gehören dazu. Die Banater zeigen dagegen im blauen Felde ein schwaches — Kreuz. Soleil der Vater besaß früher noch andere negative Blättchen von unbekanntem Fundort. Zwischen + und — finden sich dann alle möglichen Uebergänge, und beim *Tessellit* von Ralsjö (Faröer Ins.) sogar 2axige Andeutungen: die kleinen quadratischen Säulen mit Geradendfläche sind außen zwar klar, innen jedoch streifig und schuppig, und lassen einaxige und zweiaxige Stellen wahrnehmen. Sieht man im polarisirten Lichte senkrecht auf die quadratische Säule, und dreht in dieser Lage den Krystall so, daß die Axe  $c$   $45^\circ$  mit der Polarisationsebene macht, so kommen



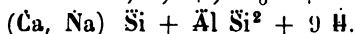
höchst eigenthümlich symmetrisch gruppirte Farbenercheinungen. Biot (Mémoire de l'Institut. 1842. XVIII. 672) erklärt die scheinbare Doppelaxigkeit aus der Lamellarpolarisation. Er behauptet, daß die Oktaeder aus lauter feinen Schichten beständen, welche sich parallel den Oktaederflächen auflagerten. Allerdings scheint die fortificationsartige Streifung abgebrochener Krystalle dafür zu sprechen. Da nun das Mineral ein sehr schwach polarisirender Körper ist, so ließe sich daraus die Erscheinung erklären.

Vor dem Löthrohr schmilzt er sehr leicht, noch etwas leichter als Natrolith, blättert sich dabei wenig auf, und färbt die Flamme etwas violet, Reaction des Kali. Im schwachen Feuer wird er trüb weiß, wie Werner's Albin von Mariaberg an der Elbe bei Auffig, der also ohne Zweifel hierhin gehört, aber in Säuren braust, da er mit mehr oder weniger Ca C geschwängert ist. Bei 10 Atmosphären Druck in Wasser von 180° löslich, krystallisirt beim Erkalten wieder heraus (Wöhler Ann. Chem. Pharm. LXV. 80).



Von Utö gibt Berzelius 52,13 Si, 24,71 Ca, 5,27 K, 16,2 H und 0,82 Flußsäure, deren Reaction sich beim Blasen in offener Glasröhre zeigt. Die Blasenräume der Mandelsteine, die Magneteisenlager Schwedens und die Erzgänge des Samson sind Hauptfundgruben. Als Seltenheit auch im Maderanerthale am St. Gotthardt in Begleitung von Adular (Jahrb. 1873. 725). Mit Poonaolith bei Bombay schön bläulich. Die kleinen grünen Oktaeder (Kjuchlor Jahrb. 1856. 187) im fossilen Holze isländischer Tuffe stehen dem achten Ichthyophthalm sehr nahe.

Faujasit (Damour. Ann. des mines 1842. 4 ser. I. 298) in Höhlen der argitischen Mandelsteine von Sasbach am Rhein. Anfangs 4gliedrig, jetzt regulär beschrieben, worauf auch der Zwilling und das optische Verhalten deutet.  $\text{H} = 5$ ,  $\text{G} = 1,92$ . Merkwürdiger Weise kommen auf ein und demselben Handstück Krystalle von zweierlei Aussehen vor: die häufigern farblos und glasglänzend und die seltenern braungelb mit Diamantglanz. Die Krystalle haben innen ähnliche Streifenbündel mit starkem Lichtschein, wie der Ichthyophthalm, an den sie auch sonst sehr erinnern. Allein vor dem Löthrohr schmelzen sie viel schwerer,



16,7 Thonerde entfremdet das Mineral dem Ichthyophthalm. Annerod bei Gießen, Pflasterkaute bei Eisenach. Deister in Palagonit verwandelt. Schöne durchkreuzte Oktaederzwillinge zu Großenbuseck (Jahrb. 1874. 577).

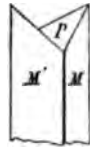
Ofenit (Kobell Kastner's Archiv XIV. 223) aus dem Mandelstein von der Insel Disko an der westgrönländischen Küste bildet Faserzeolithartige Massen. Breithaupt beschreibt 2gliedrige Säulen von 122° 19', auch seine übrigen Kennzeichen stimmen gut mit Faserzeolith, allein der Mangel an Thonerde fällt auf, und gibt ihm mit Ichthyophthalm Verwandtschaft,  $\text{Ca}^3 \text{Si}^4 \text{H}^5$  bei gewöhnlicher Temperatur, bei 100° hat er nur  $\text{H}^4$ , ist

aber hygroskopisch wie Laumontit (Schmid, Pogg. Ann. 126. 140). Connel's Disclafit von den Faröer Inseln hat ganz die gleiche Formel. Der mattweiße Pektolith vom Monzoniberge im Fassathal mit Na und Ca möchte vielleicht das gleiche nur mehr verwitterte Mineral sein. Es bricht zwischen langstrahligem Faserzeolith. Im frischen Zustande soll er nach Groth ein Natronhaltiger Wollastonit sein (Ca, Na) Si. Andersons Gyrolit (γυρός gerundet, Erdmann's Journ. 52. 332) bildet kleine Kugeln im Mandelstein von Skye, nicht selten auf Ichthyophthalm sitzend  $2 \text{ Ca Si}^2 + 3 \text{ H}$ . Auch Blombierit hat keine Thonerde.

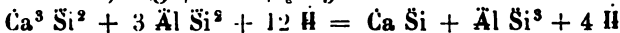
### 8. Lomonit Br.

Eigentlich Laumontit, nach Gillet Laumont, der ihn 1785 in den Bleierzgängen von Huelgoët in der Bretagne entdeckte. Wegen seiner großen Verwitterbarkeit (man muß ihn schon in den Gruben mit Firniß überziehen) nannte ihn Haüy anfangs Zéolithe efflorescente.

$2 + 1$ gliedrige Säule M/M von  $84^\circ 30'$  (Dufrénoy) mit einer auf die scharfe Kante aufgesetzten Schiefendfläche P, P/M  $114^\circ 30'$ , seltener die hintere Gegenfläche  $x = a' : c : \infty b$ , P/x  $= 104^\circ 20'$ . Säule M deutlich blättrig mit einem eigenthümlichen Seidenglanz, die Abstumpfungsläche der scharfen Säulenkante  $b : \infty a : \infty c$  soll auch noch etwas blättrig sein. Eine dreifach schärfere  $y = \frac{1}{2} a' : \infty b$ . Gewöhnlich finden sich nur die einfachen Hendyöeder, aber diese in großer Schönheit, z. B. in den Mandeln von Oberstein, wo sie die neue Eisenbahn zum Vorschein brachte. Leonhardt (Blum Pogg. Ann. 59. 336) mit den Hendyöedervinkeln  $96^\circ 30'$  und  $114^\circ$  von Schminz ist ohne Zweifel das Gleiche. Kommt dort in schönen Zwillingen in Schwalbenschwanzform vor. Verwittern leicht, werden brüchig, weich und mehlsartig; frisch mögen sie wohl Flußpathhärte und darüber erreichen, Gew. 2,34. Eigenthümlicher Seidenglanz. Das leichte Zerfallen an der Luft soll von hygroskopischem Wasser herrühren, was sie in trockener Luft abgeben. In feuchter Luft sollen sie nicht zerfallen, am schnellsten aber im luftleeren Raum (Ann. des min. 4. ser. IX. 336).



Vor dem Löthrohr blättern sie sich etwas nach der Säule auf, geben schon bei  $100^\circ \text{ C}$ . Krystallwasser ab, und schmelzen schwerer als Faserzeolith, mit dem ihre Zusammensetzung



große Verwandtschaft hat. Es kann daher in einzelnen Fällen schwer werden, sie richtig zu trennen. Wenn Krystalle die Schiefendfläche P haben, dann ist es leicht, werden sie aber langstrahlig, wie gewisse Abänderungen aus dem Fassathal, so kann man sie leicht mit dem dortigen Faserzeolith verwechseln, wofür sie neuerlich Kennigott (Ueberf. Miner. Jorisch. 1858. 71) auch wirklich genommen hat. Bekannt sind die schneeweißen Nadeln zwischen den farblosen Apatiten auf körnigem Feldspath vom St.

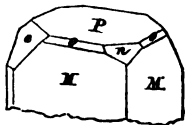
Gotthardt. Röthliche sehr verwitterte Krystalle kommen in großen Massen im Grünsteine von Dillenburg vor. Der fleischrothe Caporcianit (Silliman Amer. Journ. XIV. 66) nebst Schneiderit von Toscana gehört auch dahin (Bolletino Com. geol. d'Italia 1871. 140). In den Mandeln vom Hüttenberge bei Weiffig soll sich der Lomonit in Feldspath (Weiffigit) verwandelt haben.

### 9. Prehnit Br.

Werner (Bergm. Journ. 1790. III. 1 pag. 69) nannte ihn nach dem Holländischen Gouverneur am Cap, Obristen v. Prehn, der ihn von Südafrika mitbrachte. Er war den Franzosen schon seit 1774 von dort bekannt, nur wegen seiner grünen Farbe von Sage und Delisle Chrysolithe du Cap genannt. Hat nicht mehr das Aussehen eines ächten Zeolithes.



2gliedrige rhombische Tafeln M/M von  $100^\circ$ , Geradenfläche P recht blättrig, aber immer krummschalig, unregelmäßig geknickt und muldenförmig. Bei den gelblichen Krystallen von Zordanzmühl östlich des Zobten ist alles rau, nur der stumpfe Säulenwinkel zeichnet sich spiegelglänzend aus. Von M her gesehen haben sie daher ein garbenförmiges ausgeblättertes Aussehen, wie der Strahlzeolith, und wenn die Säulen hoch sind, so können sie eine vollkommene Rinsenform (Hahnenkammform) annehmen, in welcher man sich aber immer leicht mittelst des blättrigen Bruchs orientirt. Längs der stumpfen Säulenkaute blättern sie sich leichter auf als längs der scharfen. Die scharfe Säulenkaute durch  $b : \infty a$  häufig abgestumpft, das gibt zu Varez in den Pyrenäen äußerst dünne Täfelchen (Rupholit). Zu Ratschinges bei Sterzing in Tyrol kommt auch ein Paar auf die scharfe Kante  $e = \frac{1}{2}b : c : \infty a$ ;  $n = a : \infty b$  und  $\frac{1}{2}a : \infty b$  auf die stumpfe Säulenkaute aufgesetzt vor. Selten ein Octaeder  $o = a : b : c$ , was die Kanten P/M abstumpft.



Pyroelektrisch und zwar centralpolar (Abh. Berl. Akad. Wiss. 1843. 66). Erwärmt man sie bis  $130^\circ$ — $140^\circ$  R., so sind die stumpfen Säulenkanten antilog, die Mitte der Tafel aber analog elektrisch, die scharfen Seitenkanten unelektrisch. Es gehen also gewisser Maßen längs  $a$  zwei Axen, deren analoge Pole sich zu- und deren antiloge sich abkehren. Eine Fläche  $a : \infty b$  trifft den analogen Pol nur dann, wenn sie durch die Mitte geht, dagegen  $b : \infty a$  denselben immer, d. h. sie ist bei abnehmender Temperatur immer in der Mitte — elektrisch. Die Ebene der optischen Axen liegt in der kleinen Säulendiagonale, bei Farmington in Connecticut jedoch in der großen.

Farbe gewöhnlich lichtgrün, wie bei Eisenoxydulsalzen, Feldspathhärte 6, Gew. 2,9. Das stimmt wenig mit Zeolithen. Doch gibt seine Chemische Zusammensetzung  $H Ca^2 Al Si^2$ , also etwa 4,2 H,



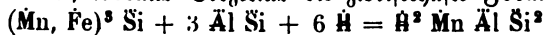
44 Si, 24,2 Al, 26,4 Ca. Hat nur basisches Wasser, was er schwer abgibt und nicht wieder aufnimmt. Einem geringen Eisengehalt verdankt er wohl seine Farbe. Vor dem Löthrohr kann man ihn leicht von andern Zeolithen unterscheiden, er schmilzt nämlich noch leichter als Natrolith, bläht sich dabei auf, und bildet eine Menge kleiner Blasen gerade wie ein Seifenschaum. Gelatinirt nicht vor dem Glühen.

Fasriger Phehnit, wie er z. B. so ausgezeichnet im Mandelstein von Reichenbach (südlich Oberstein an der Nahe) mit gebiegenem Kupfer vorkommt, wird dem Faserzeolith so ähnlich im Aussehen, daß außer der grünlichen Farbe und der größern Härte das Löthrohrverhalten ein willkommenes Unterscheidungsmittel ist. Häufig bildet er nierenförmige Massen, auf deren Kugelrundung die Säulenflächen liegen; der blättrige Bruch geht längs der Strahlen, es sind daher nichts weiter als stark ausgebildete Hahnenkämme. Schon bei den Krystallen sieht man auf dem Blätterbruch Streifen vom Centrum nach den Ranten P/M strahlen, wenn sich die Krystalle nun aneinander verschränken und die Säulenflächen krümmen, wie man das so schön bei den fast smaragdgrünen Drusen vom Cap findet, so entsteht nach und nach nierenförmiger Bau, der sich bei Campitello (Tassa) zu eleganten Kugeln abschließt.

Krystalle, wenn auch meist gekrümmt, finden sich besonders schön zu St. Christoph und Armentières unfern Bourg d'Oisans in der Dauphiné mit Epidot und Aeginit zusammen. In Klüften des Hornblendegesteines von Ratschinges bei Sterzing, im Asbest des Monte Rosa und in andern Gegenden der Alpen. Bei Jordansmühl in Schlesien fand sie Hr. Dr. Thalheim in smaragdgrünen und rosenrothen Oктаedern mit blättrigem Querbruch. Die scharfen Oктаeder nehmen nicht selten eine Wehsteinform an. Bei Harzburg im Rabauthale durchsetzt er in Gängen die Gabbro (Jahrb. 1870. 114), im Gneuse von Gengenbach im Rinzigthale des Schwarzwaldes ist er mit Wollastonit eingelagert (Jahrb. 1867. 111). In der Kupferregion des Lake Superior durchsetzt er schön grünfarbig in Gängen die Mandelsteine, Silber und Kupfer führend, und deren Massen verrathend.

Asterkrystalle nach Lomonit beschreibt Blum (Pseudom. pag. 104) aus Spalten eines Diorits von Niederkirchen bei Wolfstein in Rheinbaiern. Die Krystalle sind sehr schöne Nadeln mit Schiefendfläche, und zeigen das Schäumen gut. Eben daselbst kommen sie nach Alalim vor, wie im Trapp von Dumbarton (Pogg. Ann. 11. 111). Vielleicht steht hier auch der

Karpholith W. (καρπος Stroh) nach seiner strohgelben Farbe genannt, auf Klüftflächen des Greifen von Schlackenwald in Böhmen mit amethystfarbigem Flußspath. Excentrisch strahlig,  $\bar{H} = 5$ , Gew. = 2,9. Schäumt nur wenig vor dem Löthrohr, gibt mit Borax ein amethystfarbenes Glas, denn Stromeyer fand 19,1 Mn neben 2,3 Fe, 10,7 H, 1,5 Flußsäure 2c., woraus Berzelius die zweifelhafte Formel



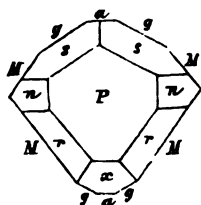
ableitete, die mit Phehnit vollständig stimmt, wenn man das Wasser basisch

nimmt. Eine zweite Fundstelle erwähnt Loffen (Ztschr. deutsch. geol. Ges. 1870. XXII. 446) im Quarz des Thonschiefers von Wippra auf dem Unterharze, aber derselbe grüngelb und parallelsäfrig gleicht im Ansehen mehr Chrysotil, doch die chemische Formel ist im Wesentlichen gleich. Man muß sich hüten, ihn nicht mit verwittertem Wavellit zu verwechseln. Prehnitoid von Wixjö (Jahrb. 1857. 66) hat kein Wasser. Thomson's Glottalith von Glotta am Elbde soll kleine reguläre Oktaeder bilden.

### 10. Datolith.

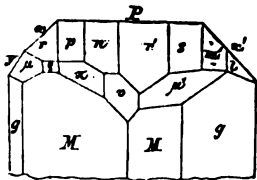
Gsmark fand matte grünlüche Krystalle 1806 auf den Magneteisenschlagern bei Arendal, und nannte sie nach ihrer körnigen Absonderung (*δατόμα* absondern), Werner schrieb Datolith. Man hat ihn daher auch wohl als Gsmarkit aufgeführt. Die Klaren später bei Theiß gefundenen nannte Lévy Humboldt. Eine Methode der Berechnung gab ich Pogg. Ann. 36. 245.

Bisher 2 + 1gliedrig beschrieben, a/c  $91^{\circ} 41'$ . Doch stellte ihn Miller (Elem. intr. miner. pag. 406) schon 2gliedrig dar, auch Heß (Pogg. Ann. 1854. 93. 200) fand a/c  $90^{\circ}$ . Dem widersprach Schröder (Pogg. Ann. 98. 200), er wollte mindestens eine Schiefe von 6 Minuten (a/c  $90^{\circ} 6'$ ) retten. Dauber (Pogg. Ann. 1858. 103. 116) maß 64 Krystalle von Andreasberg, 67 von Toggiana mit vielen Repetitionen, kam auf manche Widersprüche, aber glaubte denn doch mittelst des höhern Calcul a/c  $90^{\circ} 8' 40''$  annehmen zu sollen. Wir erscheinen das Minutiositäten, auf welche der Mineraloge nur geringes Gewicht zu legen hat. Gehen wir aus von der Säule  $M = a : b : \infty c$ , vorn  $M/M 76^{\circ} 38'$ , und von der Schief-



endfläche  $x = a : c : \infty b$ , x/P  $135^{\circ} 13'$ , so ist unter der Voraussetzung rechtwinkliger Axen  $a : b = 1,0076 : 0,7962$ , würde Axc  $c = a = 1$ , so könnten daraus viergliedrige Eigenschaften gefolgert werden. Die Geradendfläche  $P = c : \infty a' : \infty b$  dehnt sich bei den schönen Formen aus dem Grünstein des Wäschgrundes von Andreasberg sehr aus, das gibt ihnen nebst dem Paare  $n = c : 2b : \infty a$  zwar ein zwei-

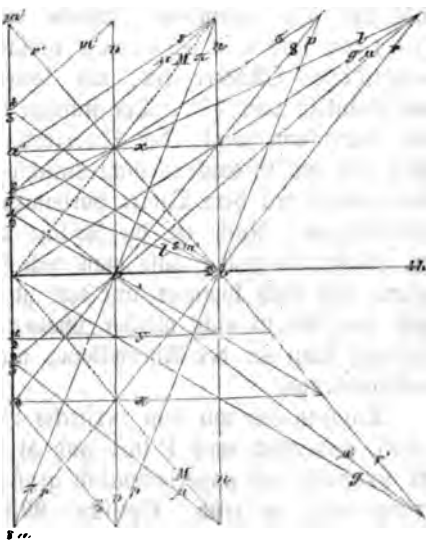
gliedriges Ansehen, allein den hintern Augitpaaren  $s = a' : c : 2b$  correspondirt vorn stets ein anderes Paar  $r = 2a : 2b : c$ , was dem Ganzen sichern 2 + 1gliedrigen Charakter ausdrückt. Man kann  $M P n r s$  unbedingt als die Hauptform ansehen, die sich überall wiederholt, und der sich die andern zahlreichen Flächen unterordnen. Gern gefällt sich noch



die Säule  $g = a : 2b : \infty c$  und die Abstumpfung der vordern Säulenkante  $a = a : \infty b : \infty c$  dazu, welcher ein schwacher Blätterbruch entspricht. Im Wäschgrunde wurden noch nebenstehende Flächen gefunden:  $h = b : \infty a : \infty c$ ;  $y = c : \frac{1}{2}a : \infty b$ ;  $v = b : c : \infty a$ ;  $x' = a' :$

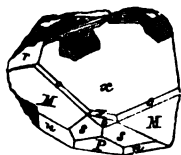
$c : \infty b$ ;  $r' = 2a' : 2b : c$ ;  $\rho = a : b : c$ ;  $\sigma = \frac{1}{2}a' : b : c$ ;  $\pi = 2a : b : c$ ;  
 $p = 4a : 2b : c$ ;  $\mu = \frac{3}{2}a : b : c$ ;  $\mu' = \frac{3}{2}a' : b : c$ ;  $m' = \frac{1}{2}a' : 2b : c$ ;  
 $l = \frac{3}{2}a' : 2b : c$ .

Uebersicht der Flächen: Ge-  
 raid P 001, a 100, b 010 voll-  
 ständig; Dodekaed M 110, v 011,  
 x 101, x' 1'01 vollständig; Ok-  
 taed  $\rho$  111 hälftig; Pyramiden-  
 heraide g 210, n 012, y 201,  
 $\phi$  102,  $\phi'$  1'02; t 310, 103;  
 $\psi$  104,  $\psi'$  1'04, 410; f 203,  
 302; 034. r 112, r' 1'12,  $\sigma$  2'11;  
 $\pi$  122, s 2'12, 221; p 124,  $\beta$  214;  
 l 3'12,  $\omega$  213;  $\mu$  322; 4'12;  
 k 5'12; 134; 216; 4.3.10. Pracht-  
 volle klare Krystalle kamen im  
 Tunnel von Bergenhill (New-  
 Jersey) vor, wo sie mit Zeolithen  
 vergesellschaftet schmale Gänge in  
 Grünstein füllten. Sie sind ge-  
 wöhnlich sehr verzogen, daher



stellte sie Dana (American Journ. 1872 3 ser. IV. 18) nach der Geraden-  
 fläche P aufrecht, was für den Leser nicht angenehm ist (Jahrb. 1874. 889).  
 Die Andreasberger zeigen sehr entwickelte Säulen und sind darnach leicht  
 zu erkennen; in den Tyroler Schattugeln (Theiß bei Klausen) trifft man  
 dagegen kurze verzogene Säulen und eine drusige Schiefendfläche, aber  
 doch orientirt das Paar n. Mit diesen haben die prachtvollen Quarz-  
 krystalle, die Tripe (Bogg. Ann. 10. 221)

Gaytorit nannte, weil sie sich bis jetzt einzig in den Magnet-  
 eisengruben in der Nähe der Gay-Tor-Granitbrüche in Devonshire fanden,  
 die größte Aehnlichkeit. Es ist ein Hornsteinartiger durch Eisen oder  
 braun gefärbter Quarz mit einem Gehalt von 98,6 Si. Die oft mehr  
 als Zollgroßen Krystalle sind in mächtigen Drusen versammelt, und zeigen  
 abgebrochen starke Fortificationsartige Streifung. Weiß  
 (Abhandl. Berl. Akad. Wiss. 1829. pag. 63) hat dieselben aus-  
 führlich beschrieben, ihr Flächenreichthum ist wo mög-  
 lich noch größer, als beim unveränderten Datolith:  
 Fläche b = a :  $\infty b$  :  $\infty c$  bildet wegen der Kürze der  
 Säulen gewöhnlich nur ein gleichseitiges Dreieck; die  
 ausgedehnte Schiefendfläche x läßt sich an der Rauigkeit ihres Aus-  
 sehens leicht erkennen; o 312 =  $\frac{3}{2}a : 2b : c$  stumpft die stumpfe Kante  
 M/x ab, und ist beim Datolith nicht bekannt; y unter der Schiefendfläche  
 und über dem kleinen Dreieck b ist gewölbt, „gleichsam mit geringerem  
 Erfolg den allgemeinen Gravitationskräften abgewonnen.“ Hinten noch  
 ein Paar u =  $\frac{1}{2}a' : 2b : c$ . Das System hat Aehnlichkeit mit dem de



Wolframs, da  $\text{Age } a = 1,008$ , also fast  $1 = c$  ist. Daher muß denn auch der Winkel der Schiefenfläche  $a : c : \infty$  gegen die Age fast genau  $45^\circ$  betragen, und weiter hängt damit die Gleichheit der Winkel zwischen  $M/M$  und  $v/v$  zusammen. Würde man also diese vier Flächen  $M = a : b : \infty$  und  $v = b : c : \infty$  verlängern, so schloßen sie ein nahezu viergliedriges Oktaeder ein, mit seiner Enddecke in  $b$  und den Seitenkantenwinkeln von  $77^\circ$ . Der stumpfe Säulenwinkel  $M/M$  von  $103^\circ$  steht dem Seitenkantenwinkel des Quarzdihexaeders ( $103^\circ 35'$ ) so nahe, daß Weiß sich des Gedankens nicht entschlagen konnte, hier möchten irgend Beziehungen mit dem Quarz vorhanden sein. Jedenfalls seien es keine Asterkrystalle. Auch ist die Frische des Aussehens sammt dem Glanz der Flächen so groß, daß man sich sträubt, sie für Asterbildungen zu halten, und doch kommen auf den gleichen Gruben z. B. Kalkspathkrystalle vor, die in nicht minder schönen Chalcedon sich verwandelt haben. Deshalb kann an der Asterbildung nicht gezweifelt werden, trotz ihrer Vollkommenheit.

Datolith hat nur sehr versteckte Blätterbrüche ziemlich deutlich nach  $a$  100, undeutlich nach  $P$  001 und  $M$  110, seine Klarheit ist am Ende der Krystalle oft außerordentlich groß, nach unten und durch Verwitterung wird er trüb. Optische—Mittellinie ungefähr senkrecht auf  $P$ , und ihre Axen fallen in die Symmetrieebene  $ac$ , welche den scharfen Säulenwinkel halbt. Glashärte 5, Gewicht 3.

Vor dem Löthrohr schmilzt er sehr leicht unter geringem Schäumen zu einer klaren Perle, und färbt dabei die Flamme etwas grün, ein Zeichen der Vorsäure. Auch mit Gyps schmilzt er leicht zusammen.

$\text{Ca}^6 \text{Si}^4 \text{B}^3 \text{H}^3 = \text{H Ca}^2 \text{B Si}^2$  mit 21 B, 38 Si, 35 Ca, 5,6 H.

Mit Salzsäure gelatinirend, wie die übrigen Zeolithe, dann mit Alkohol behandelt die bekannte grüne Flamme. Isomorph mit Eufas, wenn man die sechswerthige Vorsäure der Thonerde gleichstellt. Freilich stimmen Textur und Winkel schlecht mit einander, was auch durch Veränderung der Stellung, wie es Rammelsberg (Ztschr. d. geol. Ges. XXI. 111) versuchte, nicht recht einleuchtet.

Wegen seines großen Vorsäuregehaltes könnte man ihn auch zu den Boraten stellen. Indes Kieselerde und Art seines Vorkommens in den Achattugeln vom Fassathal, im Grünsteine von Andreasberg zc., so wie sein ganzes chemisches Verhalten erinnern an Zeolith. Besonders prachtvoll zu Toggiana im Modenesischen (Pogg. Ann. 78. 76) im Serpentin (sogenannte rothe Gabbro), in Nordamerika hat er sich an mehreren Punkten um New-York gefunden, besonders schön im Grünstein von Bergenhill auf der rechten Seite des Hudson. Einige darunter stimmen in ihren Beziehungen trefflich mit Haytorit (Hessenberg (Abh. Send. Ges. 1861. IV. 26). Spuren im Grünstein am Roßkopf bei Freiburg (Jahrb. 1860. 706), gern in Begleitung von Brehnit (Jahrb. 1862. 110).

Botryolith Hausmann (*Βοτρυς* Traube) bildet dünne kleintraubige Ueberzüge auf Kalkspath, Quarz zc. in dem Magneteisenlager der

Grube Vestre-Rienlie bei Arendal. Dickere Lager sind deutlich concentrisch schaalig und feinsäfrig. Fahl, perlgrau, gelblich zc. Ein Datolith mit Glasopffstructur, aber nach Rammelsberg 6 H, was vielleicht in einer Veränderung schon seinen Grund hat. Vor dem Löthrohr wirft er starke Blasen und gibt gelbliche Gläser.

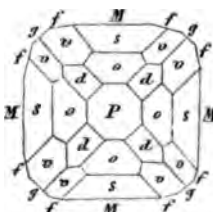
## VIII. Skapolithe.

Sie haben ein feldspathartiges Aussehen und ähnliche Zusammensetzung, kommen glasig und frisch vor, gehören aber immer zu den selteneren Fossilien. Es ist nicht viel Gemeinsames darüber festzustellen, doch lieben sie Feuergesteine. Scheerer (Pogg. Ann. 89. 11) sucht sogar nachzuweisen, daß Stapolith häufig in Feldspath umgestanden sei (Paramorphose). Bei Kragerö finden sich im Gneise Stapolithkrystalle, die innerlich aus körnigem Feldspath bestehen. Er wagt sogar die Behauptung, daß Feldspathsubstanz dimorph sei.

### 1. Stapolith Andr.

Von *σκάπος* Stab, auf die säulenförmigen Krystalle anspielend. Die glasigen kannte schon Delisle, die frischen unterschied zuerst Andrada (Scheerer's Journ. 1800. IV. 11. 11) als Stapolith und Wernerit aus den Arendaler Magneteisengruben. Werner hat jedoch lehtern immer abgelehnt, und da man gleich frühzeitig zu viel Species machte, Paranthin Hy., Rapidolith Abilgaard, Artizit Wr., so hat der Name Wernerit in Deutschland nicht durchgeschlagen. Glaukolith, Paralokit, Stroganomit zc. Viele Namen pflegen Unsicherheit der Sache zu verrathen. Hermann (Hermann's Journ. prakt. Chem. 1851. 54. 110) und G. vom Rath (Pogg. Ann. 99. 111) gaben umfassende Analysen.

Viergliedriges Krystallsystem, ein stumpfes Oktaeder  $o = a : a$  von  $136^{\circ} 7'$  Endkt. (Mohs),  $136^{\circ} 11'$  (Kokscharow), andere geben bis  $136^{\circ} 38'$  an, folglich Aze  $a = 2,273$ . Meistens kommt die 1ste und 2te quadratische Säule vor, beiden entspricht ein blättriger Bruch, eine davon kann man in großen Arendaler Stücken noch gut darstellen. Zuweilen findet sich auch die 4+4kantige Säule  $f = a : \frac{1}{2}a : \infty c$ , und ein Vierkantner  $v = a : c : \frac{1}{2}a$ , welch beide Neigung zur Häuflichkeit zeigen, nach Zippe (Leis 1833. 111) in gyrovdrischer Ordnung, nach Kokscharow (Water. II. 11) ist die Hemiedrie am Basalkalischen parallelflächig, so daß bloß Oktaeder von Zwischenstellung entstehen. Am Flüsschen Skudjanka in Daurien kommen prachtvolle Krystalle von Zoll-dicke vor mit allen genannten Flächen nebst  $d = a : c : \infty a$  und  $s = c : \frac{1}{2}a : \frac{1}{2}a$ . Die Krystalle zeigen große Neigung zu langen Säulenbildungen, die strahlig durcheinander liegen, und denen meistens die End-



Krystallisation fehlt, oder wenn sie da ist, so zeigt sie sich nicht scharf ausgebildet. Man muß sich übrigens durch die künstlich angefressenen nicht täuschen lassen, denn da sie im Norden häufig in Kalkspath liegen, so nimmt man den Kalkspath mit Säure weg, welche auch die Silicate angreift. Die Oberfläche bekommt dadurch, wie auch durch Verwitterung, einen eigenthümlich seidenartigen Glanz, an was der Hauy'sche Name Paranthine (*παρανθίνω* verblühen) erinnern soll.

Gew. 2,6, Härte 5—6. Berggrün zu Arendal, schmutzig rosenroth zu Bolton in Massachusetts, blau am Baikalsee u. Trübe Farben, Querbruch etwas Fettglanz.

Chemisch macht er viel zu schaffen, wegen der großen Abweichungen der Analysen von einander. Bischof (Chem. Phys. Geol. II. 100) sucht den Grund in einer spätern Zersetzung, indem durch Kohlensäurehaltige Wasser Kalkerde und Alkalien in Carbonate zersetzt und fortgeführt werden, so daß die Kieselsäure auf 62 p.C. (Arendal), ja sogar 93 p.C. (Bargas) steigen könne. In New-Jersey kommen daher auch Afterskrystalle nach Speckstein und bei Arendal nach Epidot und Glimmer vor, der Glimmer steckt körnig darin. G. Rose blieb bei der Formel  $R^3 Si + 2 K Si$  stehen, die zugleich die des Epidotes wäre. Gerhard vom Rath nimmt drei verschiedene chemische Species mit Entschiedenheit an: 1) Mejonit  $Ca^3 Al^2 Si^3$ ; 2) Stapolith  $R^3 Al^2 Si^4$ ; 3) Wernerit von Gouverneur  $R^3 Al^2 Si^5$ . Doch darf man solche künstliche Deutungen nicht etwa als Beweis für Dimorphismus nehmen. Das Pulver wird von Salzsäure vollkommen zersetzt, ohne zu gelatiniren, vor dem Löthrohr schmelzen sie leicht mit Schäumen.

1. Mejonit Hy. aus den Marmorblöcken (wie in den Silicatblöcken) der Somma, selten am Lachersee, wasserklar, aber häufig mit einer oberflächlichen Trübung. Fläche 311 gern hemiedrisch. R. de V'Isle nannte ihn weißen Hyacinth, Hauy zeigt jedoch, daß die Hauptaxe viel kürzer sei, daher der Name (*μείον* kleiner). Er schäumt vor dem Löthrohr auffallend, und ist der reine Kalkstapolith  $Ca^3 Al^2 Si^3$  mit der Formel des Zoisit, etwas Na K und 1 p.C. Wasser. Die Art des Querbruchs erinnert an Lencit. Scacchi's Mizzonit 135° 58' kommt nur selten im Feldspathgestein der Somma vor, zeigt gewöhnlich die erste quadratische Säule, während beim Mejonit die 2te herrscht (Pogg. Ann. 119. 100), löst sich schwerer und schäumt weniger vor dem Löthrohr. Außerdem brechen daselbst noch eine ganze Reihe viergliedriger Krystalle, die ihrer Zusammensetzung nach zwar etwas von Mejonit abweichen, in ihren Winkeln aber auffallend stimmen, nur daß eine Geradenfläche  $c:∞a:∞a$  herrscht, die dem Mejonit fehlt, und an Vesuvian erinnert.

Humboldtilit Covelli und Monticelli (Miner. Vesuv. pag. 375)  $2 Ca^3 Si + Al Si$ , aber etwas Mg und Na enthaltend. Die etwas blättrige Geradenfläche herrscht stark, Oктаeder  $a:a$  135° in den Endkanten. Gern gelbliche Farbe. Künstlich in den Schlacken pag. 312. Thomson's fleischrother Sarkolith in den Silicatblöcken der Somma mit grünem

Augit gehört nach Breithaupt ihm an, die Stoffe  $(\text{Ca}, \text{Na})^3 \text{Si} + \text{Al Si}$  stimmen jedoch nicht ganz. Koltcharow (Nat. Min. Rußl. II. 109) fand aber dieselbe Form mit Hemiedrie. Die kleinen, schmutziggelben Melilithe aus dem Nephelingestein vom Capo die Bove bei Rom, welche schon Fleriau de Bellevue (Journal de Physique II. 459) entdeckte, mögen wohl damit zu vereinigen sein, sie bilden einfache quadratische Säulen mit Geradenfläche. Sommervillit. Zursit ein Gemenge mit Augit (Jahrb. 1853. 361).

2. Skapolith, darunter versteht man mehr die trüben kaum an den Kanten durchscheinenden Vorkommnisse, namentlich des nordischen Urgebirges, wo sie hauptsächlich bei Korilafare in Finnland von ganz besonderer Pracht vorkommen. Neben Ca ist ihnen ein Gehalt an Na wesentlich, also  $(\text{Ca}, \text{Na})^3 \text{Si} + 2 \text{Al Si}$ , in offener Röhre etwas auf Flußsäure reagirend. Doch stimmen die Analysen sehr wenig unter einander überein, man muß sich daher mehr auf die naturhistorischen Kennzeichen verlassen. Sein Aussehen ist Feldspathartig, aber er schmilzt leicht unter Schäumen zu Glase. Haüy legt ein Gewicht darauf, daß sein Pulver auf Kohlen geworfen ein wenig leuchte, namentlich der Dipyrr, welchen Gillet Laumont bereits 1786 in einem fetten Steinmark von Mauléon in den Pyrenäen entdeckte. Haüy zeigte, daß er ganz die Structur des Skapoliths habe, und konnte so wenig Ausgezeichnetes daran finden, daß er mit dem Namen nur auf die doppelte Wirkung des Feuers hinweisen wollte, welches ihn schmilzt und phosphorescirend macht. Delesse gibt ihm nun zwar die Formel  $4 (\text{Ca} + \text{Na}) \text{Si} + 3 \text{Al Si}$ , allein bei so veränderbaren Mineralen gilt offenbar Structur mehr als Formeln. Der frische Eckbergit von Pargas, der verwitterte Paralogit vom Baikal, der spangrüne Atheriaстит Weibye (Pogg. Ann. 1850. 308), eigentlich Atheristit (*ἀθήριστος* nicht beachtet), aus der auflässigen Näsgrube bei Arendal mit der Krystallform des Skapoliths gehören hier hin. Vesterer hat aber 7 H und daher ein etwas anderes Löthrohrverhalten. Gleiche Form ist auch hier wieder die Hauptsache.

Gehlenit (Zuchschweigger's Journ. XV. 377) kommt bei Vigo am Monzoniberg in Südtirol in derben mit Kalkspath bedeckten Massen vor. Im Spathen stecken würfelige Krystalle von 3'''—6''' Durchmesser, da sie aber weiter keine Fläche haben, auch die Blätterbrüche außerordentlich versteckt liegen, so läßt sich über das System schwer entscheiden. Haüy nahm es als quadratische Säule mit Geradenfläche, die man durch ihren etwas stärkeren Blätterbruch von den beiden Säulenflächen unterscheiden zu können meint. Descloizeaux (Ann. des min. 1847. XII) hat das bestätigt, und mehrere Flächen gemessen:  $g^3 120$ ,  $a^1 401$ ,  $a^2 16.0.7$ ,  $b^3 773$ . Schwacher Fettglanz, dunkel ölgrün,  $\text{Sp.} = 6$ , Gew. 3.  $3 (\text{Ca}, \text{Mg}, \text{Fe})^3 \text{Si} + \text{Al}^3 \text{Si}$ , doch stimmen die verschiedenen Analysen nicht sonderlich. Salzsäure zerlegt ihn selbst noch nach dem Glühen, und scheidet Si galertartig aus. Man muß sehr kleine Splitter wählen, wenn man sie vor

dem Löthrohr an den Ranten zum Schmelzen bringen will. Barsowit von der Barsowka am Ural schmilzt ebenfalls schwer,  $\bar{S} = 6$ , Gew. = 2,7, von Stapolithartigem Ansehen  $\text{Ca}^3 \text{Al}^3 \text{Si}^5$ .

## 2. Nephelin Hy.

*Νεφέλη* Nebel, weil glasige klare Stücke in Salpetersäure im innern trübe werden. Lametherie entdeckte ihn an der Somma, daher Sommit genannt. Bauquelin analysirte ihn zuerst, übersah jedoch das Natron.

Krystallsystem 6gliedrig, eine reguläre sechsseitige Säule mit Geradenfläche, durch die zweite sechsseitige Säule zwölfseitig gemacht. Dihexaeder  $a : a : \infty a$  hat Seitenkanten  $88^\circ 40'$  Bhill. ( $88^\circ 6'$  Haib.), gibt  $a = 1,182 = \sqrt{1,397}$ . Dihexaeder nicht häufig, stumpft die Endkante der Säule ab; noch seltener ein zweites  $\frac{1}{2}a : \frac{1}{2}a : \infty a$  (Davyh).

Man kennt ihn frisch und glasig, Härte 5—6, Gew. 2,5—2,7. Vor dem Löthrohr schmilzt er schwer aber ruhig zu einem Glase, gelatinirt mit Salzsäure  $(\text{Na}, \text{Ka})^2 \text{Si} + 2 \text{Al Si} = \text{Na}^2 \text{Al}^2 \text{Si}^3$ . Setzen wir  $3 \text{Si} = 4 \text{Si}$ , so käme  $\text{Na Al Si}^2$  Natronanorthit.

1. Glasiger Nephelin. Am ausgezeichnetsten in den Somma-Auswürflingen (Sommit) mit schwarzer Hornblende, Granat und glasigem Feldspath, dieser gleicht ihm außerordentlich, doch ist er blättrig und schmilzt noch schwerer. In Drusenräumen der Laven von Capo di Bove mit Melilith läßt er sich leichter erkennen, weil darin kein glasiger Feldspath herrscht. Nach Scheerer 44 Si, 33,3 Al, 15,4 Na, 4,9 Ka. Man hüte sich vor Verwechselung mit Apatit. Cavolinit und Preubantit die gleichen.

Nephelingestein. Auf dem Gipfel des Odenwaldes (Ragenbuckel) bei Eberbach kommt ein basaltisches Gestein vor, in welches röthliche und grünliche Krystalle von trüber Farbe und Fettglanz in größter Menge eingesprengt sind. Am Rande beginnt gewöhnlich Verwitterung, in der Mitte haben sie dagegen mehr frisches als glasiges Aussehen, nähern sich daher den frischesten Gläolithen. Die Krystalle wittern schwierig heraus, ihr Durchschnitt auf der Bruchfläche des Gesteins ist ein Sechseck oder Bierdeck, sie müssen also reguläre sechsseitige Säulen mit Geradenfläche sein. Später haben sich verwandte Gesteine bei Löbau in der Oberlausitz, zu Meiches am Vogelsgebirge, im Böhmischem Mittelgebirge, im Teschinit bei Neutitschein, in Italien zc. wieder gefunden (Zapf. 1869. 403), worin die Krystalle mit dem Mikroskop zu suchen sind.

2. Frischer Nephelin, nach seinem ausgezeichneten Fettglanz Gläolith (*ἐλαϊον* Del) Fettstein genannt. Von grün-blauer Farbe mit einem eigenthümlichen Lichtschein wurde er 1808 in einem sehr grobkörnigen Zirkonsyenit von Laurvig in faustgroßen Klumpen eingesprengt nach Freiberg gebracht. Der rothe von Friedrichswärn ist seltener. G. Rose (Reise Ural II. 47) fand das Mineral in ähnlicher Schönheit im *Mias-*



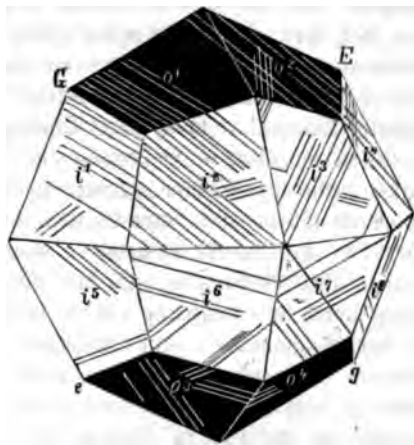
cit in den Umgebungen des Almenssee's bei Miasz, und zwar gab es dort Gläolithhaltige und Gläolithfreie Miascite, die beide durch ihre eingesprenkten Minerale berühmt geworden sind. Ditro in Ostfriesenbürgen (Jahrb. 1867. 615). Analyse weicht nicht wesentlich von den glasigen ab. Das Mikroskop zeigt darin Hornblendenadeln und Flüssigkeits einschlüsse (Jahrb. 1870. 612). Siehe Giesekit und Libenerit pag. 331. Microsommit (Pogg. Ergänz. 1873. VI. 572) ist Nephelin + Na Cl.

### 3. Leucit W.

*Λευκός* weiß, Ferber's weißer Schörl, denn Sage (Elém. de Minér. docimast. 1772. I. 217) hielt ihn für durch vulkanisches Feuer gebleichten Granat, Romé de l'Isle (Cristall. II. 225) glaubte sogar noch Exemplare mit rothen Flecken zu besitzen, er fand sich in den Laves à oeil de perdrix. Saussure (Voy. dans les Alpes I. 121) erkannte jedoch schon die Unschmelzbarkeit, weshalb sie weder Granat noch Schörl sein könnten.

Krystallisirt nur im Leucitoeder  $a : a : \frac{1}{2}a$ , das nach ihm den Namen bekam, ohne Spuren einer andern Fläche, wodurch er sich von Analcim unterscheidet, der gewöhnlich Würfelflächen hat. Nur höchst selten sah man Granatoederflächen angedeutet. Haug glaubte daran die Entdeckung zu machen, daß man diesen Körper mit seinen symmetrischen Trapezen aus dem Würfel und aus dem Granatoeder ableiten könne, und nannte das Mineral daher Amphigen (doppelten Ursprungs). So wenig war damals noch die Ableitung der Körper klar! Jetzt glaubt man sogar, die so einförmig erscheinenden Körper seien nicht regulär, sondern **viereckig**, denn Hr. v.

Rath (Monatsh. Berl. Akad. 1872. 622) fand in Drusenräumen der Sommas auswürflinge zart gestreifte Krystalle, die sich nur durch Zwillingbildung erklären ließen. Darnach zerfiel das Leucitoeder in ein Oktaeder  $o = a : a : c$ , welches ich dunkel gehalten habe, und in ein Diktaeder  $i = \frac{1}{2}a : \frac{1}{2}a : c$ . Die Streifen darauf deuten auf Zwillinge, welche die Granatoederfläche, die nun zum nächsten schärfern Oktaeder  $\frac{1}{2}a : \infty : c$  wird, gemein haben und umgekehrt liegen. In den Streifen kamen Knickungen



vor, die fast bis  $5^\circ$  von  $180^\circ$  abwichen. Es berechneten sich darnach die Axen  $c : a = 1 : 1,9$ , statt  $1 : 2$ ; so daß der Endantenwinkel  $o/o = 130^\circ 2' 58''$  statt  $131^\circ 48' 37''$  im wahren Leucitoeder; die „primäre“ Diktaederendflante (unter der Oktaederflante)  $131^\circ 23' 16''$ , die „secundäre“

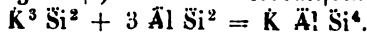
unter der Oктаederfläche  $146^{\circ} 9' 28''$  (statt  $146^{\circ} 26' 34''$ ); Dioктаederseitenkante  $133^{\circ} 58'$ . Es werden nun mehrere einfache Zwillinge abgebildet, die aber eigenthümlicher Weise sich nach der Zwillingssage nicht verkürzen, und daher in rohen Krystallen so leicht zu übersehen sind. Am merkwürdigsten sind die vielstreifigen, welche sogar auf „Fünflinge“ wie beim Scharfmangan hindeuten, freilich mit zahllosen Wiederholungen der Zwillingeblättchen. Um dieß sich klar zu machen, bleibe man bei der einfachen Vorstellung des regulären Leucitoeders stehen, denke sich durch den Mittelpunkt eine Granatoederfläche Gg gelegt, welche in ihrer Parallelbewegung die 2 + 2kantigen Ecken Ee abstumpfen würde. Man sieht dann leicht ein, daß vier Flächen parallel den Kanten  $i^1/o^1$  und  $i^5/o^4$ , und zwei  $i^2$  und  $i^7$  nach den medianen Diagonalen (Kanten des eingeschriebenen Granatoeders) geschnitten werden. Würde man eine Gg nach den Ecken E und e rücken, so schnitte sie  $i^4/o^3$  und  $i^5/o^3$  ebenfalls in den medianen Diagonalen, wie aus der Abstumpfung der Ecken Ee durch das Granatoeder folgt, dagegen werden  $i^3$  und  $i^6$  in der Querdiaagonale (Kante des eingeschriebenen Würfels) geschnitten. Es sind daher überhaupt nur drei Systeme von Schnittrichtungen, parallel den (gleichwerthigen) Kanten und parallel den beiden Diagonalen möglich. Zerlegt sich nun aber das Granatoeder in 4 + 2 Flächen, wobei 2 der aufrechten quadratischen Säule entspricht, welche im Biergliedrigen keinen Zwilling gibt, so können auf den o keine Streifen nach der Querdiaagonale, und auf den i keine nach den Kanten des Dioктаeders vorkommen. Man sieht auf der Figur keine Streifung nach irgend einer Dioктаederkante, freilich auch keine nach einer Querdiaagonale, die zwar auf dem Oктаeder unmöglich, aber auf dem Dioктаeder nicht fehlen sollte. Rath gesteht selbst ein, daß hier „noch nicht alles völlig klar ist, daß namentlich das Vorkommen großer, scheinbar regulärer Krystalle recht seltsam bleibt.“ Scacchi hat es daher durch „Polyhymmetrie“ erklären wollen, wornach ein und dasselbe Mineral, analog dem Dimorphismus, in zweierlei Systemen krystallisirt, die aber in Beziehung auf ihre Winkel sehr nahe liegen, und daher mehrfache Symmetrie, als sonst einem Gezeze zukommt, erzeugen. Darnach würde also immer noch ein regulärer Leucit vorhanden sein. Hr. Dr. Hirschwald (Ischermat's Min. Mitth. 1875. 233) legte sich polyhymmetrische Bildung so aus, daß quadratische Lamellen die reguläre Ordnung durch ihre Lagerung wieder herzustellen suchen. Er fand (l. c. 235) in den Sommaalaven große Krystalle, die nur an einer Stelle angewachsen waren, während das Uebrige wohl 1 mm vom Gestein entfernt blieb, doch so, daß man den scharfen Flächeneindruck noch deutlich in der Lava wahrnahm, die jetzigen Flächen aber den Abdrücken nicht mehr parallel gingen. Ist das Factum richtig, so sollte man freilich meinen, „daß die Leucite eine stärkere Contraction durch Abkühlung erfahren haben, als die sie umgebende Lava“, und durch das ungleichförmige Anhaften Winkelstörungen eintreten konnten.

Die ausgezeichnete Lamellarpolarisation kannte schon Biot und Des-

cloiszeaux (Mém. Inst. France 1867 XVIII pag. 3) bestätigte es, daß Amphigen sich optisch durchaus nicht regulär verhält, ja jenes Fachwerk von dunkeln Streifen pag. 211 ist jetzt bei Schliften für das Erkennen des Leucits selbst in Felsen ein wichtiges Kennzeichen geworden. Die zahlreichen zum Theil regelmäßig gelagerten Einschlüsse sieht man bei großen Krystallen nicht nur mit bloßen Augen, sondern sie lassen sich mit dem Mikroskop durch die kleinsten Stücke verfolgen. Birtel (Mitrosk. Sig. Min. 1873) spricht jetzt von Leucitbasalten in der Rhön, im sächsischen Erz- und Böhmischem Mittelgebirge.

Härte 6, das Gewicht 2,5 wird auch nach dem Glühen nicht kleiner. Der Bruch hat häufig einen opalartigen Glanz, der selbst Bruchstücke leicht unterscheiden läßt. Weiße trübe Farbe.

Vor dem Löthrohr unschmelzbar, trotz seiner neutralen alkalischen Composition. Das feine Pulver wird von Salzsäure zersetzt, wobei sich Si pulverig ausscheidet. Mit Kobaltsolution blau.



Klaproth (Beitr. II. 11) entdeckte darin 21,3 Pflanzensalkali, das erste was im Steinreich aufgefunden wurde, welches von da an einfach Kali hieß, während das Mineralalkali wieder zum alten Namen Natron zurückkehrte. Mag auch in dem zersetzten häufig ein bedeutender Natrongehalt sein (10 p.C.) so gehört sein Boden doch zu den Kalireichsten, worauf der berühmte Wein Lacrymae Christi gedeiht.

Die um und um geschlossenen Krystalle spielen in ältern vulkanischen Laven eine solche Rolle, daß man die Gesteine wohl Leucitophyre genannt hat. Die alten schlackigen Laven des Vesuvus, Albanergebirges und der Rocca Monfina enthalten sie in zahlloser Menge von der kleinsten Form bis zu Faustgröße. Sie sondern sich scharf aus der Grundmasse ab, daher hielt man sie früher für fremde von der Lava nur eingewickelte Körper (Dolomieu). Aber L. v. Buch zeigte, daß die Krystalle selbst nicht selten Lavatheile einschließen, weshalb sie in der Lava gebildet sein mußten (Gübert's Ann. 1800. VI. 55). Die Straßen von Pompeji wurden mit Leucitlaven gepflastert, aber auch in den heutigen Laven (1822, 1832) fehlen sie nicht. In einem Tuffartigen Gestein von Nieden am Laacher See liegen erbsengroße und kleinere in Menge, gelbliche von Analcimartigem Aussehen am Eichelberg bei Rothweil (Kaiserstuhl). Letztere enthalten jedoch Wasser und Natron statt Kali, wie die verwitterten der Rocca Monfina (Jahrb. 1858. 201), schälen sich aber vollkommen aus dem Muttergestein, was nach G. Rose gegen Analcim spricht pag. 412, wofür sie lange gehalten wurden. Vergleiche auch die freien Aelterkrystalle von Oberwießenthal zwischen Annaberg und Elbogen (Raumann Jahrb. 1860. 61 und 1861. 59). Lange kannte man außer Europa kein Leucitgestein (Humboldt Kosmos IV. 479), doch hat Frazer in den Trachyllaven von Colorado (Hayden, Survey Color. 1869. 107) Krystalle gefunden, und nach Vogelfang (Jahrb. 1875. 176) kommen sie auch bei Java vor. Man findet sie an der Somma sowohl in den Kalk- wie Sanidinblöcken. Am

Befuv regnet es sogar zuweilen (1845) Leucite, die wie die Augite im Innern gebildet oder losgerissen sein müssen. Am unerwartetsten kommt die Vermuthung, daß sie sogar auch durch Sublimation entstanden sein könnten (Ztschr. deutsch. geol. Ges. 1873. 227).

## IX. Sapoide Steine.

Sie haben Al und neben der Si noch eine besondere Säure, wie Chlor, Schwefelsäure, und nähern sich dadurch den Salinischen Steinen.

### 1. Lasurstein.

Nach seiner Farbe genannt, ohne Zweifel *Σαφφειρος* des Theophrast, Sapphirus des Plinius hist. nat. 37. 39: „in den blauen Sapphiren leuchtet Gold in Punkten, . . . er gleicht dem heitern Himmel, aber wegen der Goldpunkte dem mit Sternen geschmückten“. Die Araber nannten ihn Azul (blau), darnach Lapis Lazuli, Lazulith Haup, doch versteht man in Deutschland darunter den Blauspath. Wegen seines Verhaltens im Feuer nannte ihn Cronstedt Zeolithes lapis lazuli, zumal da er auch mit Säure gelatinirte.

Er soll in Granatoedern krystallisiren (Dufrénoy Trait. Min. III. 675), die Ohermina 1805 aus Transbailalien mitbrachte. Den Flächen entspricht ein 6fach blättriger Bruch (Hoffmann Miner. II. 270). Violblaue Granatoeder mit Würfelflächen, die im Feuer hoch blau werden, erhielt Berowsky aus der Bucharei. Sie finden sich dort auch grün und roth (Jahrb. 1858. 686). Gewöhnlich findet man ihn nur in derben Stücken von feinkörniger Structur, prachtvoll lasurblau (auch grünlich) in allen Graden der Höhe. Härte 5—6, Gewicht 2,96, das Pulver nur 2,76. Die prachvollste Phosphorescenz mit grünem Schein zeigt die mit Schwefelkies durchmengte Abänderung aus der Cordillera d'Ovalle bei Coquimbo in Chili. Man darf sie nur in die Weingeistflamme halten. Nach Bergeron (Jahrb. 1860. 571) sollen sie beim Schleifen so stark elektrisch werden, daß sie zwischen den Fingern förmlich kriebeln.

Vor dem Löthrohr schmilzt er nicht sonderlich schwer zu einem Glasknöpfchen, und entfärbt sich dabei. In Salzsäure entwickelt sich etwas Schwefelwasserstoff, der Schwefelgehalt gibt sich auch durch eine Heper mit Soda zu erkennen. Analyse von Warrentrapp 45,5 Si, 31,7 Al, 9,1 Na, 3,5 Ca, 5,9 Schwefelsäure, 0,86 Eisen und 0,95 Schwefel. Also im Wesentlichen  $\text{Na Al Si}^2$ . Wasser zieht Gyps aus.

Marco Paolo auf seiner berühmten Reise zum großen Tartarenfürsten (1271) fand am Westrande des Belur-Tag (Nebelgebirge) im obern Flußgebiet des Orus (Budaschan) diesen merkwürdigen Stein, welcher wie das Eisen in Bergwerken gewonnen wurde. Armenische Kaufleute bringen ihn in den Handel (Orenburg). Reich ist auch ein Kalksteinlager am Baitalsee, wo er mit Lasurfeldspath, Kotscharowit und

Paralogit bricht. Ditro in Ungarn. Aber diese Varietäten phosphoresciren nicht wie der Chilenische. Wird zu Tafeln geschnitten in Italien und Rußland zum Schmuck der Kirchen verwendet, wie die Säulen der Isaakskirche zu Petersburg. Das kaiserliche Schloß von Zarstojeselo südwestlich Petersburg schmückt ein Zimmer mit Bernstein und Lasurstein getäfelt. Bei Mosaitarbeiten wird die schöne Bläue zum Himmel verwerthet. Unter den Alterthümern findet man sie mit vertieften Figuren. Besonders wichtig war früher ihre Anwendung als Ultramarin: so heißt das geschlämmte Pulver desselben, wovon das Loth des feinsten auf 12 Thaler kam. Es verschießt fast gar nicht, tritt daher nach einiger Zeit mit den andern Farben in Disharmonie. Durch Chr. Gmelin (Naturwissenschaftliche Abhandlungen, herausgegeben von einer Gesellschaft in Württemberg 1828. II. 191) scheint man auf die künstliche Vereitung dieser schönsten aller blauen Farben geführt zu sein. Wenn gleich schon N. Fuchs (Gesammelte Schriften pag. XVI) 1819 blaue Striche an die Wand des Laboratoriums zu Landshut machte, und die Franzosen der Sache vorher nachgingen. Jetzt stellt man in Paris, Meissen, Nürnberg das schönste Blau und Grün außerordentlich billig dar. Man macht eine Hauynmischung und erhitzt in Schwefeldampf (Jahrb. 1875. 78). Es kommt wahrscheinlich (Barretrapp Pogg. Ann. 49. 521) vom Schwefel: der blaue  $\text{Na}^4 \text{Al}^4 \text{Si}^6$  soll von  $\text{Na} \text{S}^5$  (Quintisulfuret), der grüne von  $\text{Na} \text{S}^2$  (Bisulfuret) gefärbt sein (Journ. prakt. Chem. 1861. 84. 200). Durch Ueberschuß von Kieselerde entsteht Violet (Ber. deutsch. Chem. Ges. 1875. 979).

Hauyn nannte Bruun Neergaard das lichtblaue 6fach blättrige Fosfil, welches Abt Gismondi nach dem Mte Lazio Latiolith nannte (Hauyn, Min. IV. 613), sich in den Auswürflingen des Vesuvus, am Vultur bei Melfi, im Albaner Gebirge findet, in Siebenbürgen bei Ditro Felsen (Ditroit) bildet. Gew. 2,8. In Salzsäure entwickelt er ebenfalls Schwefelwasserstoff, hat aber einen wesentlichen Gehalt von 15,4 Kali. Whitney gibt ihm die Formel



denn L. Gmelin fand darin 12,4 Schwefelsäure und 12 Ca. Die blauen im glasigen Feldspathgestein mit gelben Titaniten vom Laachersee und besonders aus den berühmten Mühlsteinlaven von Niedermendig sind dagegen nur Natronhaltig (9,1 Na). Im Mühlstein kann man den 6fach blättrigen Bruch fast so leicht darstellen als beim Flußpath. Die Stücke sehen außen wie angeschmolzen aus. Gew. 2,5. Whitney sah diese für 1 Atom Rosean + 2 Atom Albaner Hauyn an. Rammelsberg (Pogg. Ann. 109. 577) fand dagegen an der Somma auch 11,8 Na und 5 K. Durch mäßiges Glühen wird er blauer, zeigt öfter zahllose Gasporen (Jahrb. 1870. 618). Das Mikroskop will sogar Hauynbasalte nachweisen, die sich im Schwarzwalde am Hohenstein bei Hornberg durch sichtbare Krystallchen verrathen (Jahrb. 1873. 230).

Rosean Klapproth. Rose (Möggerath Mineral. Studien pag. 109 und 162) entdeckte ihn in den Fündlingen des glasigen Feldspathgesteins am Laa-

hersee. Die granatoedrischen Krystalle haben eine graue Farbe, vielleicht weil ihnen Schwefelnatron fehlt. Da am Granatoeder auch Oктаeder und Würfel vorkommt, so nannte sie Moze Spinellan. Durch Zwillinge entsteht. Auffallender Weise beträgt das specifische Gewicht nur 2,26. Barrentrapp gibt 17,8 Na bei 1,1 Ca an, darnach die zweifelhafte Formel



Auch sie sind außen wie angeschmolzen, und werden in Schwefelhaltiger Kohle geglüht ebenfalls grün und blau, was uns kaum verwundern darf, da alle genannten Species unter einander innig verwandt sind, sammt dem folgenden

**Ittnerit** Ch. Gmelin (Schweigg. Journ. 1822. 36. 74). Fand sich derb nesterweis mit eingesprenktem schlackigem Magnet Eisen im Melaphyr bei Ober-Bergen am Kaiserstuhl. Die faustgroßen Stücke zeigen eine körnige Structur mit 6fach blättrigem Bruch, der die Körner sehr hervorhebt. Gew. 2,37 und graue Farbe erinnern an Rosean, die Analyse gab 34 Si, 28,4 Al, 12,1 Na, 1,6 Ka, 7,3 Ca, 2,9 S, 10 H, etwas Schwefel und Chlornasserstoff. Vor dem Löthrohr schmilzt er nicht sehr schwer zu einem Perlsteinartigen Glase. Er gab 1822 den Anstoß zu jener Entdeckung des künstlichen Ultramarins. Chr. Gmelin bemerkte nämlich, daß das Mineral nach dem Glühen an den meisten Stellen eine schöne blaue Farbe angenommen hatte, und da dasselbe mit Säuren unter augenblicklichem Verlust der Farbe Schwefelwasserstoff entwickelte, was auch beim Ultramarin Statt findet, so wurde es ihm sehr wahrscheinlich, daß Schwefel das färbende Princip des Ultramarins sei.

## 2. Sodalith.

Gieseke entdeckte das grüne etwas fettglänzende Mineral in einem Feldspathgestein mit Eudialyt und Arfvedsonit zu Rangerdluarfik in Grönland. Chemiker hielten es anfangs für Natrolith, später fanden sich aber farblose Granatoeder in den Somma-Auswürflingen, nun gab ihnen Thomson den Namen Sodalith, um dadurch an den Natrongehalt zu erinnern.

**Regulär.** Den Granatoederflächen entspricht ein 6fach blättriger Bruch, das hält sie in großer Verwandtschaft mit Lasurstein. Hesseberg (Abh. Sendeb. Nat. Gesell. 1858. II. 172) beschreibt von der Somma Granatoederzwillinge mit Oктаeder, Würfel und Leucitoeder. Härte 6, Gew. 2,3.

Vor dem Löthrohr soll der Grönländische leichter schmelzen als der Vesuv'sche. Sie bestehen aus Gläolithartiger Masse + Stein Salz =  $\text{Na}^3 \text{Si} + 3 \text{Al Si} + \text{Na Cl}$ . In Säure bilden sie eine Gallerte. Dieses Natronreichste Silicat mit 25 Na soll sich durch Sublimation in Laven erzeugen können, indem sich H und Na Cl zu H Cl und Na zerlegen (Pogg. Ann. 146. 567).

Im Almengebirge bei der Miasker Hütte bildet in dem Gläolithhaltigen Miascit ein lasurblaues sechsachblättriges Fossil kleine Gänge,

2,29 Gew., früher Cancrinit genannt, nach G. Rose (Reise Ural II. 55) aber ganz von der Zusammensetzung des Sodaliths. Es entwickelt in Salzsäure durchaus keinen Geruch nach Schwefelwasserstoff, daher leitet Rose wie im blauen Steinsalz die Farbe von organischer Materie her. In einem ähnlich blauen von Vitchfield (Maine), in allen Säuren mit größter Leichtigkeit löslich, vermuthet Whitney Eisen Säure als Färbendes (Pogg. Ann. 70. 488). An der Somma pseudomorph nach Nephelin, Strüver Atti Accad. Turino VII.

### 3. Cancrinit.

Zu Ehren des Russischen Finanzministers Grafen von Cancrin. G. Rose (Reise Ural II. 55) trägt den für den blauen uralischen Sodalith gebrauchten Namen auf dieses licht rosenrothe Mineral über, welches ebenfalls im Gläolithhaltigen Miascit des Ilmengebirges eingesprengt ist und aus Gläolith + Kalkspath =  $\text{Na}^2 \text{Si} + 2 \text{Al Si} + \text{Ca C}$  zu bestehen scheint, abgesehen von 4 p.C. Wasser (Kotzcharow Mater. III. 78). Ein dreifach blättriger Bruch bildet eine reguläre sechsseitige Säule, mit starkem Perlmutterglanz, im Querbruch Fettglanz.

Härte 5—6, Gew. 2,45. Vor dem Löthrohr schmelzen sie mit Schäumen, und mit Salzsäure brausen sie. Der Gehalt an Ca C ist um so merkwürdiger, als derselbe frei im Miascit nicht vorkommt. Struve (Pogg. Ann. 91. 613) gibt bei den gelben vom Tunkinskischen Gebirge westlich Irkutsk noch ein Atom Wasser an. Hermann's lichtgrüner Stroganowit aus Gekhibien der Südjänka soll zwar auch Kohlensäure enthalten, gehört aber zum Stapolith pag. 425. Sämann (Ann. Chim. Phys. 3 ser. Bd. 67) hielt den Bergmannit pag. 404 für eine Epigenie des Cancrinit.

## X. Metallsteine.

Haben neben der Kieselsäure einen metallischen Gehalt, folglich höheres Gewicht, dunkle Farbe und sind ihrem Ansehen nach mit mehreren Erzeisen leicht verwechselbar.

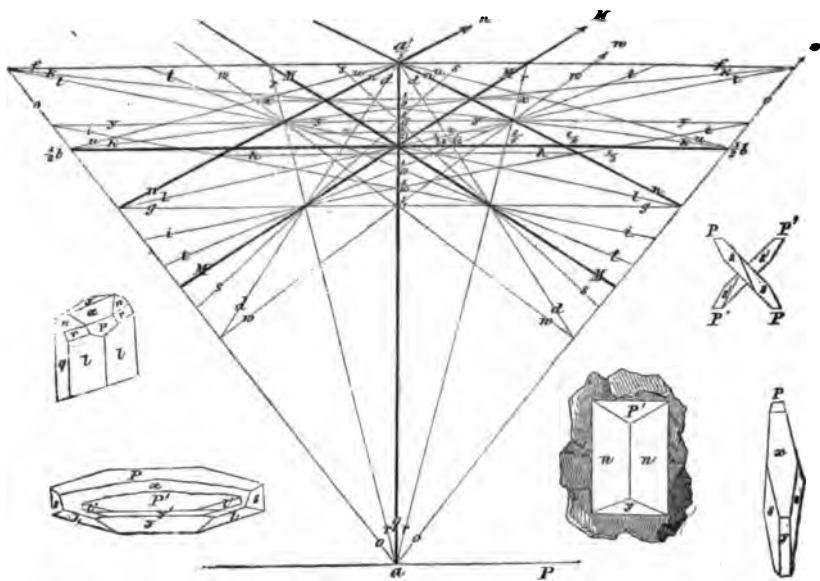
### 1. Titanit.

Klaproth (Beitr. 1795. I. 225) nannte die braunen einfachen Krystalle von Passau nach dem Titangehalt. Werner unterschied nach der Farbe Braun- und Gelb-Menakerz. Schon Saussure kannte die grünen alpinen Zwillinge unter Rayonnante en gouttière, welche Haüy (Miner. III. 144) als Sphen (σφην Keil) beschrieb; später (Min. IV. 400) nahm er jedoch den ältern Namen Titane silicéocalcaire von Daubenton an. Ihre Form hat G. Rose 1820 in seiner Doctor-dissertation (de Sphenis atque Titanitae systemate crystallino) festgestellt.

Zweieindeingliedriges Krystallsystem. Eine geschobene

schiefgestreifte Säule  $l = a : 3b : \infty c$  macht vorn einen Winkel von  $133^\circ 48'$ . Die Schiefenfläche  $P = a : c : \infty b$  scheint etwas, aber doch nicht bedeutend blättrig;  $P/l = 94^\circ 30'$ , daraus ergibt sich die Neigung von  $P$  gegen Axe  $c$   $85^\circ 6'$ . Hinten liegt  $x = \frac{1}{4}a' : \infty b : c$  (früher  $\frac{1}{2}a'$ ), sie ist meist bauchig gekrümmt und läßt sich daran sehr leicht erkennen; Hessenberg fand im Tavetsch  $P/x = 140^\circ 34'$ . Legt man diese drei Winkel zu Grunde, so macht der Axenwinkel  $a/c$  auf der Seite von  $x$   $89^\circ 59'$ , weicht also nur um  $1'$  vom rechten Winkel ab, was offenbar vernachlässigt werden kann. Wir haben daher die rechtwinkligen Axen  $a:b = 11,664 : 9,116 = \sqrt{136,06} : \sqrt{83,095} = \lg 1,06686 : \lg 0,95979$   $y = \frac{1}{4}a' : \infty b : c$  sehr glänzend, macht mit der darunter liegenden  $P$   $60^\circ 27'$ ; ein augitartiges Paar  $n = \frac{1}{4}a' : \frac{1}{2}b$  mit der anliegenden  $l$   $79^\circ 5'$  ( $l/n$ ) und der anliegenden  $P$   $144^\circ 53'$  ( $P/n$ ).

Projection auf die Geradenfläche  $c : \infty a : \infty b$ .



Diese fünferlei Flächen  $l P x y n$  bilden in den Spalten des Schweizer Urgebirges die gewöhnlichsten Zwillinge, statt  $n$  tritt auch  $s = \frac{1}{4}a' : \frac{1}{2}b : c$  in der Diagonalzone von  $y$  auf,  $s/s = 112^\circ 14'$ . Sie ziehen sich gern nach der Vertikalzone  $Pxy$  in die Länge. Hat man diese Flächen einmal erkannt, dann bleibt für die Bestimmung der übrigen wenig Schwierigkeit:  $q = b : \infty a : \infty c$  stumpft die scharfe Kante der Säule  $l$  gerade ab, und in der Zone von  $q$  nach  $l$  sieht man öfter kleine Abstumpfungsflächen, von welchen G. Rose als Säule  $M = a : b : \infty c$  ausgeht, die vorn einen scharfen Winkel  $M/M = 76^\circ 2'$  macht. Diese Flächen erscheinen



jedoch so untergeordnet, daß Andere l/l als Säule nahmen, dann darf man die Rose'schen Anzeichen b nur mit  $\frac{1}{2}$  multipliciren. Bei Tyroler Krystallen findet sich oft in der Diagonalzone von P die Fläche  $r = a : \frac{1}{2}b : c$ ,  $r/r$  113.28, sie stumpft die Kante l/n ab und bildet bei den dortigen Zwillingssplatten die gemeinsame Säule. Da ferner vorn auch öfter die Kante l/r durch  $t = \frac{1}{2}a : \frac{1}{2}b : c$  abgestumpft ist, so machen y/ltrn eine der wichtigsten Zonen des Titanit'systems, welche sich namentlich auch durch die ihr folgende Streifung auf l und r leicht verrieth. Unter P kommt vorn öfter eine sehr deutliche Schiefendfläche vor, welche meist  $v = \frac{1}{2}a : c : \infty b$  zu sein scheint, sie wird durch das Augitpaar  $i = \frac{1}{2}a : \frac{1}{2}b : c$  bestimmt, welches die Kanten P/l abstumpft. Es liegen folglich l/vir in einer Zone.

Rose zeichnete noch mehrere Flächen aus. Unter andern liegen:  $f = \frac{1}{2}a' : c : \infty b$ ,  $g = \frac{1}{2}a : c : \infty b$ ,  $z = \frac{1}{2}a' : c : \infty b$ ,  $h = \frac{1}{2}a : c : \infty b$  in der Verticalzone. Das Augitpaar  $o = a : \frac{1}{2}b : c$  in der Diagonalzone von P;  $u = \frac{1}{2}a' : \frac{1}{2}b : c$ ,  $d = \frac{1}{2}a' : \frac{1}{2}b : c$ ,  $w = \frac{1}{2}a : \frac{1}{2}b : c$ ,  $k = \frac{1}{2}a' : \frac{1}{2}b : c$ .

Alpinische Krystalle bilden fast immer Zwillinge: gekreuzte Blätter, in denen P ein spiegelt. Sie haben also P gemein und liegen umgekehrt. Dieses Zwillingsgesetz erleichtert das Erkennen außerordentlich. Wenn die Krystalle sich kreuzen, so entstehen zweierlei Rinnen: die Rinne y/y' hat einen einspringenden Winkel  $120^\circ 54'$ , den man leicht mittelst einer regulären sechsseitigen Säule controlirt; die Rinne zwischen den einliegenden P und P' macht durch die bauchigen  $x/x' = 94^\circ 36'$ , so daß langgezogene Krystalle sich fast rechtwinklig zu kreuzen scheinen. Manchmal sind es nur die unscheinbarsten tafelartigen Splitter, wie die von Dissentis, und doch kann man sie an dem Einspiegeln von P mit P' leicht erkennen. Wenn die Krystalle tafelartig werden, wie die gelben Tyroler, so kreuzen sie sich nicht, und die Rinne  $x/x'$  fällt weg, wohl aber bleibt der einspringende Winkel zwischen y/y', der dann orientirt. Fläche q spiegelt bei beiden ein, aber die schiefgestreiften l/l' machen einen stumpfen Winkel von  $170^\circ 12'$ . Nach dieser Saussure'schen Rinne unterschied Haüy eine Varietät canaliculé und cruciforme. Dagegen bildet Werners

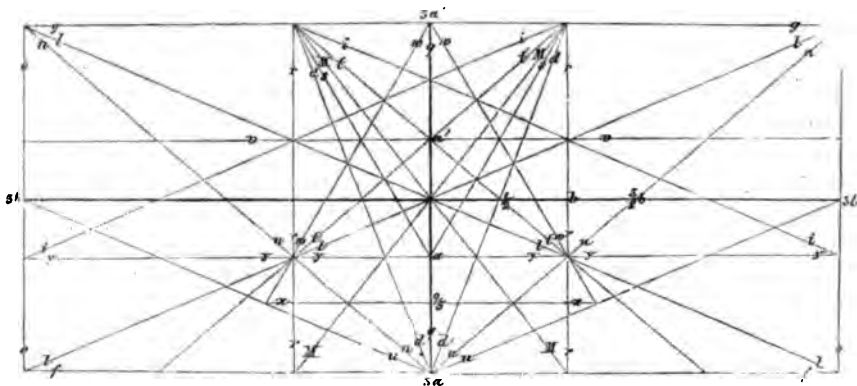
Braun-Menakerz, eingesprengt in den Sphenit von Sachsen, Passau, Norwegen zc. nie Zwillinge: es herrscht  $n/n = 136^\circ 6'$  als Säule, welche am Ende durch  $P/y = 60^\circ 27'$  zugespitzt wird. Haüy nahm sie zweigliedrig, da  $P/n = 144^\circ 53'$  und  $y/n = 141^\circ 35'$  nur um  $3^\circ$  von einander abweichen. Es gesellt sich dazu gern das kleine Dreieck x, auch pflegen öfter die Flächen r aus der Diagonalzone vor P sammt t und l nicht zu fehlen. Selbst die in vulkanische Gesteine eingesprengten schließen sich diesem Gesetz an, wie die meist winzigen weingelben Krystalle selbst in der neuesten Lava von Santorin beweisen.

Welches Ende man für das vordere oder hintere nehme, scheint ziemlich gleichgültig. Ich habe die Schiefendfläche P nach vorn gestellt, Rose nach hinten. Letztere Ansicht hat Analogieen beim Epidot und

Feldspath für sich, wo auch  $\frac{1}{2}$  vorn und  $\frac{1}{2}$  hinten liegt, doch scheint sich die Sache nicht ganz durchführen zu lassen. Bringt man übrigens die Flächen zu Papier, wie in obiger Projection geschehen, so tritt das Ganze in seiner wundervollen Harmonie klar zu Tage. Mit Hilfe der Rantenzonen kann man die schwierigsten Ausdrücke durch bloße Addition finden: die Fläche  $y$  geht z. B. durch  $\frac{1}{17}a'$ , weil  $12 + 5 = 17$ , die Fläche  $s$  schneidet in  $\frac{1}{21}b$ , weil sie durch  $\frac{1}{17}a'$  und durch die Rantenzone  $\frac{1}{2}$  geht, denn  $7 + 17 = 24$ .

Nachdem nun alle Zonen controlirt und richtig befunden sind, kann man leicht jede beliebige andere Fläche zur Projectionsebene wählen. Raumann nimmt  $P = c : \infty a : \infty b$  an, und bestimmt aus Oktaeder  $yvrr$  die Axen  $a : b : c = 1 : 2,342 : 1,537$ , Axenwinkel  $a/c$  vorn  $85^\circ 6'$ . Damit ist dann aber der Vortheil rechtwinkliger Axen aufgegeben: so viele Oktaide, so viele Ausgangspunkte sind möglich. Raumann's Zeichen aller bekannten Flächen sind:

Projicirt auf die Schiefendfläche  $P$ .

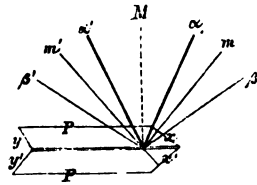


$P = oP = oc : a : b = 001;$	$l = \infty P = \infty c : a : b = 110;$
$y = P\infty = c : a : \infty b = 101;$	$v = -P\infty = c : a' : \infty b = 1'01;$
$r = (P\infty) = c : b : \infty a = 011;$	$q = (\infty P\infty) = \infty c : b : \infty a = 010;$
$i = -\frac{1}{2}P = \frac{1}{2}c : a' : b = 1'12;$	$g = -\frac{1}{3}P\infty = \frac{1}{3}c : a' : \infty b = 1'03;$
$t = -(2P2) = 2c : b : 2a' = 1'21;$	$f = \frac{1}{4}P\infty = \frac{1}{4}c : a : \infty b = 103;$
$x = \frac{1}{2}P\infty = \frac{1}{2}c : a : \infty b = 102;$	$u = \frac{1}{3}P = \frac{1}{3}c : a : b = 113;$
$M = (\infty P3) = \infty c : b : 3a = 130;$	$o = (\frac{1}{3}P\infty) = \frac{1}{3}c : b : \infty a = 013;$
$s = (4P4) = 4c : b : 4a = 141;$	$n = (\frac{2}{3}P2) = \frac{2}{3}c : b : 2a = 123;$
$z = -\frac{1}{8}P\infty = \frac{1}{8}c : a : \infty b = 14.0.9;$	$d = (2P6) = 2c : b : 6a = 163;$
$\omega = -(\frac{4}{3}P4) = \frac{4}{3}c : b : 4a' = 1'43;$	$k = \frac{3}{2}P2 = \frac{3}{2}c : a : 2b = 213;$
$\pi = \frac{1}{2}P = \frac{1}{2}c : a : b = 112;$	$p = \frac{1}{2}P2 = \frac{1}{2}c : a : 2b = 214;$
$h = \frac{3}{2}P\frac{1}{2} = \frac{3}{2}c : a : \frac{1}{2}b = 527;$	$m = \frac{3}{2}P = \frac{3}{2}c : a : b = 227;$
$n' = -(\frac{2}{3}P2) = \frac{2}{3}c : b : 2a' = 1'23;$	$\varepsilon = (2P2) = 2c : b : 2a = 121;$
$\zeta = (8P8) = 8c : b : 8a = 181;$	$\eta = (\frac{4}{3}P4) = \frac{4}{3}c : b : 4a = 145;$

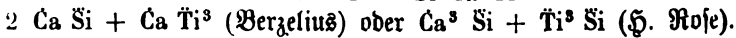
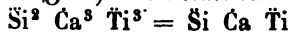
$x = \frac{2}{3}P = \frac{2}{3}c:b:a = 223$ ;  $\delta = \frac{2}{3}P = \frac{2}{3}c:b:a = 227$ ;  
 $\chi = (\frac{2}{3}P3) = \frac{2}{3}c:b:3a = 132$ ;  $\vartheta = \frac{2}{3}P\frac{2}{3} = \frac{2}{3}c:\frac{2}{3}b:a = 436$ .  
 Noch weitere Flächen führte Hessenberg (Abh. Sendeb. Nat. Ges. 1873 VIII. 22) an, der die Zahl der Symbole auf 44 brachte.

Die Zeichen sind allerdings einfacher, weil sie mehr dem allgemeinen Deductionsgange vom Oктаide  $yrrr$  zum Hexaide  $P11$  und Dodekaide  $qii$  sich fügen; besser wären noch die Oктаide  $ygr$  oder  $ttr$  gewesen, weil deren Rantenzonen reicher entwickelt sind: aber die Entwicklung ist, möchte ich sagen, nicht so interessant, und der Vortheil der rechtwinkligen Axen muß entscheiden.

Härte 5–6, Gew. 3,4–3,6. Zuweilen stark glänzend. Grüne und gelbe Farbe bei Alpinischen vorherrschend, braune bei den im Urgebirge eingeprengten. Pyroelektricität. Von optischem Interesse sind besonders die Tyroler Zwillingstafeln, 2 + 1gliedrige Dreiecke mit  $Pny$  oder vierseitige Platten mit  $Pryn$ , spargel- bis smaragdgrün von Edelsteinartiger Durchsichtigkeit. Die klaren Stellen zeigen in der Medianebene zwei undeutliche Farbenbilder bei gewisser Stellung je mit einem schwarzen Streif, aber stets ohne Lemniscaten und ohne schwarzes Kreuz. Vom Augit her wissen wir, daß das Folgen der Zwillinge sind, ein **Aufriß** in der **Medianebene** macht das sogleich klar: nach Miller steht die Mittellinie  $m$  und  $m'$  senkrecht auf  $x$  und  $x'$ , Axen  $\alpha\beta$  machen etwa  $30^\circ$ ,  $P/x$   $140^\circ$ , daraus folgt  $\beta\beta' = 110^\circ$  und  $\alpha\alpha' = 50^\circ$ , welche durch die senkrechte  $M$  halbirt werden. Man sieht also im Polarisationsmikroskop gleiche Axen d. h. 2gliedrige Ordnung.



Vor dem Löthrohr schmilzt er schwer, wälzt und sprüht dabei etwas auf, mit Phosphorsalz kann man auf Kohle im guten Reduktionsfeuer (besonders auf Zusatz von Zinn) Titanreaction bekommen.



Der Zillerthaler hat 32,3 Si, 41,6 Ti, 26,6 Ca, 1 Fe.

Alpinischer oder edler Titanit (Sphen) mit Chlorit, in der ganzen Alpenkette als Zwilling verbreitet, hat öfter Farbe und Klarheit des Chrysoliths, und kann dann verschliffen werden. Solche Gemmen vom Rothen Kopf im Zillerthal zeigen ganz eigenthümliche Regenbogenfarben und andere Reflexe. Die Krystalle von den verschiedensten Fundorten des St. Gotthardt sind ringsum krystallisirt, weil sie oft kaum auf dem Muttergestein haften, erreichen aber selten Zolllänge. Greenovit (Descloizeaux Ann. Chim. 1847. XX) aus den Mangangruben von St. Marcel verdankt seine rosenrothe Farbe einem Mangangehalt. Wie Hessenberg (Abh. Send. N. G. 1868. VII. 22) dargethan hat, kommen darunter Durchkreuzungszwillinge vor, wovon sich nur die oberen Arme links und rechts ausbilden, und die untern verkümmern. Es hat dann den Anschein als wenn die Zusammenwachungsfläche, welche Descloizeaux auf  $10c:b:\infty a$

bestimmt, Zwillingsebene sei, zumal da  $P/P' = 179^\circ$  sein sollten. Natürlich wird diese vermeintliche Zwillingsebene  $\infty c : b : \infty a$ , sobald  $P$  und  $P'$  einspiegeln.

Syenitischer oder gemeiner Titanit findet sich in braunen einfachen Krystallen im weißen Feldspathgesteine mit Hornblende bei Passau, bei Weinheim im Odenwalde zc. Im Syenit des Blauischen Grundes bei Dresden enthalten sie 5,8 Fe, 2,3 Al (Zahrb. 1866. 40), und wurden daher von Dana Grothit genannt. Der Granit der Normandie welcher in Paris zum Straßenpflaster dient, und der Obelisk von Luxor enthält ihn in zahlloser Menge. Besonders groß bei Arendal, wo sie mit Skapolith, Gläolith, Epidot zc. oder auch im dortigen Zirkonsyenit brechen, wie im Almgebirge. Sie sind aber dunkelfarbiger als die Zirkone. Daran schließen sich die Vorkommen in vulkanischen Gesteinen: wie die kleinen weingelben aus dem Feldspathgestein vom Laacher See (Rose's Spinellin, Fleuriau's Sémeline) und aus dem Klingstein des Mariaberges bei Auffig. Mit honiggelben Titaniten kommt in Blöcken glasigen Feldspath der Somma schwefelgelber 4gl. (nach v. Lang 2gl.) **Guarinit** (Zeitschr. deutsch. geol. Ges. X. 14) vor, scheinbar von der gleichen Zusammensetzung.

Gelbmenakerz nannte Werner die grüngelben späthigen Massen im Magneteisenerz von Arendal, aus den Hornblendegeschieben von Villerupspitz im Stubathal. Ihr Aussehen erinnert an Spatheisenstein, allein wir haben nur zwei blättrige Brüche, die sich etwa unter  $125^\circ$  schneiden, aber mehr schaligen Absonderungen gleichen. Der dunkelbraune Vederit von Canada erzeugt mehrere Quadrat Zoll große Krystalle von blättriger Textur.

**Silicate mit Titanoglyd** sind folgende seltene Sachen:

a) Schorlamit Magnet-Cove bei den heißen Quellen in Arkansas, glänzend schwarz, aber meist derb. Nach Shepard  $\text{Ca}^4 \text{Si}^2 \text{Ti} \text{Fe}$  und 6gl., nach Rammelsberg regulärer Ferro-Titanit. Indifferent gegen polarisirtes Licht, deshalb vielleicht titanhaltiger Granat. Auch Titanit soll geschmolzen regulär erstarren.

b) Mosandrit Erdmann im Syenit auf Samanskfäret bei Brevig eingesprenkt. Ein deutlich blättriger Bruch, Augitähnliche Form, dunkelroth braun, Gew. 3, Sp. 4. Si, Ti, Ca, La, Ce, Mn, K, H.

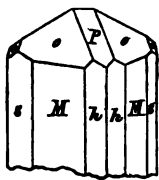
c) Pyrotitanit Scherer Bogg. Ann. 63. 459 (Reilshaut) im Gneise von Buö bei Arendal eingesprenkt. Ein blättriger Bruch, braunroth, G. = 3,7, Sp. = 6—7. 30 Si, 29 Ti, 18,9 Ca, 9,6 Y, 6,3 Fe, 6,1 Al. Wahrscheinlich bloß Pytererdehaltiger Titanit.

d) Tschewkinit G. Rose Bogg. Ann. 48. 551 im Miascit des Almgebirges. Gadolinitartig schwarz. Gew. 4,5. Härte = 5. Mit 21 Si, 20,2 Ti, 47,3 Ce La Di, welche nicht von einander getrennt wurden, 11,2 Fe, 3,5 Ca. Hermann gibt sogar 21 Thorerde an. Sehr selten, wird aber häufig mit Ural-Orthit verwechselt.

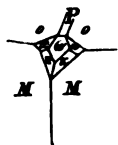
## 2. Jlvait Steffens.

Lelièvre (Gehlen, Journ. Chem. Phys. 1807 III. 88) untersuchte und nannte es 1806 Yenit nach der Stadt Jena, nach einer Angabe (Gehlen l. c. IV. Heft 1) um dadurch auf jene unglückliche Schlacht anzuspielen; nach einer andern, weil er Mitglied der dortigen Mineral. Gesellschaft war, und verkaufte es dabei zu ungeheuren Preisen (Rüppell Miner. Taschenbuch 1825. b. 289). Steffens Dryctogn. I. 256 schlug daher den passenderen Namen nach seinem Fundorte Elba vor, den Werner mit Liëbrit vertauschte, denn D'Aubisson's Lepor (Lepus Haase) fand keinen Anklang.

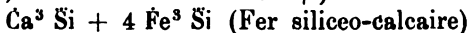
2gliedrige durch Längsstreifen entstellte Säulen, mit einem Paare  $P = a : c : \infty b$  auf die vordere Säulenkante aufgesetzt  $P/P = 112^\circ 40'$ ; von der Säule nimmt man  $M = a : b : \infty c$   $111^\circ 12'$  gewöhnlich als Ausgangspunkt, obgleich diese meist durch  $s = a : \frac{1}{2}b : \infty c$  verdrängt ist, welche vorn in  $a$   $72^\circ 16'$  macht. Hauptging vom Oblongottaeder  $PPMM$  als Primitivform aus, das gibt die Axen



$a : b = 1,501 : 2,193 = \sqrt{2,254} : \sqrt{4,808} = \lg 0,17647 : \lg 0,34097$ . Ottaeder  $o = a : b : c$  hat  $138^\circ 26'$  und  $117^\circ 34'$  in den Endkanten; die drei zugehörigen Hexaëdflächen  $p = a : \infty b : \infty c$ ,  $q = b : \infty a : \infty c$  und  $r = c : \infty a : \infty b$  kommen vor. Außerdem noch  $e$  021,  $h$  210,  $t$  130,  $d$  140,  $f$  230,  $n$  012,  $g$  121,  $i$  131,  $\pi$  311. Wie complicirt die Säulen zuweilen abgestumpft sind, zeigte Hesseberg (Abh. Sendenb. Nat. Ges. III. 288) an Elbaer Krystallen mit  $\omega$  301,  $x$  211 und  $k$  411. Die Säulen immer durch viele Streifungen entstellt, doch orientirt man sich leicht entweder durch das ausgebreitete Paar  $P$ , oder durch die nicht abgestumpfte seitliche Endkante des Ottaeders, die sich gut mit dem Handgoniometer auf  $117^\circ$  messen läßt. Blätterbrüche nicht sonderlich deutlich, aber die Krystalle zeigen nach der Geradenfläche öfter einen eigenthümlichen gelblichen Schiller. Weböky (Monatsber. Berl. Akad. 1876. 201) sucht einen Isomorphismus mit Humit nachzuweisen.



Schwarz, mit halbmatalischem Fettglanz im Querbruch. H. 5–6, Gew. 4. Leicht durch einen Brauneisenerz-Beschlag zu erkennen, wodurch er sich schnell vom Turmalin unterscheidet.



war die älteste Formel von Berzelius. Löst man indessen das Mineral in Salzsäure, wobei die Kieselerde sich als gelbe Gallerte ausscheidet, so wird mit Kohlensaurem Baryt nur ein Theil des Eisens, das Fe gefällt, während noch viel Fe in der Lösung bleibt; auch gibt die Behandlung mit Schwefelwasserstoff einen weißen Niederschlag von Schwefel, was auf Eisenoxyd deutet ( $\text{Fe} + 3 \text{HS} = 2 \text{FeS} + 3 \text{H} + \text{S}$ ). Daher änderte Berzelius später die Formel in  $\text{Ca}^3 \text{Si} + 3 \text{FeSi}$ , wobei ein Theil der Ca durch Fe vertreten wird. Aber auch diese ist jetzt aufgegeben, denn

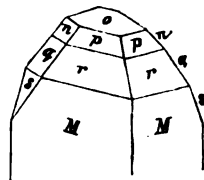
Rammelsberg fand  $\text{Si}^4 = 29$ ,  $\text{Fe}^2 = 24,6$ ,  $\text{Fe}^6 = 33,1$ ,  $\text{Ca}^2 = 13,4$ , abgesehen von dem geringen Gehalt an Manganoxydul, das gäbe  $3 (\text{Fe}^2, \text{Ca})^2 \text{Si} + \text{Fe}^2 \text{Si}$ . Da nun aber etwas Wasser vorhanden ist, so wird er jetzt  $\frac{1}{2} \text{Ca}^2 \text{Fe}^4 \text{Fe} \text{Si}^4$  geschrieben. Wegen des bedeutenden Eisengehaltes schmilzt er leicht zu einer magnetischen Kugel. Hauptfundort Elba, wo er südlich von Rio im „strahligen Augit“ der dortigen auf Marmor ruhenden Glimmerschiefer Drusenräume füllt, die kleinen Krystalle im Kalkspath und Quarz sind prachtvoll. Auch zu Kupferberg in Schlesien kam er vor. Schneeberg, Norwegen, Rhode-Island, Grönland, Nassau von Herborn bis Roth auf kieseligen Eisenerzlagerstätten zwischen Culm und Melaphyr in Begleitung von Babingtonit. Dimagnetit (Shepard Amer. Journ. 13. 333) von Monroe wurde Anfangs für 2gliedriges Magnet-eisen gehalten, ist aber nach Blake Irvait oder Asterkrystall nach Magneteisen von  $1\frac{1}{2}$  Zoll Länge mit  $130^\circ$  Säulenwinkel. Fisingerit Berzelius von Riddarhyttan bildet derbe Ueberzüge mit muscheligen Bruch,  $\text{H.} = 3-4$ , Gewicht 3. Fettglanz, pechschwarz mit grünlich braunem Strich. Nach Rammelsberg (Pogg. Ann. 75. 333)  $\text{Fe}^2 \text{Si} + 2 \text{Fe} \text{Si} + 6 \text{H}$ . Der von der Gillingen Grube hat 9 H. Kobell's Thraulit von Bodenmais liegt auf Magnetkies mit Dichroit und Vivianit, außerordentlich spröde, Opalbruch, pechschwarz mit auffallend ockergelbem Strich. Breithaupt's Thuringit soll ein wasserhaltiger Irvait  $3 \text{Fe}^2 \text{Si} + \text{Fe}^2 \text{Si} + 9 \text{H}$  sein. Der safrige Anthosiderit aus dem Magneteisen von Brasilien zc. hier zu vergleichen. Chlorophäit Maculloch  $(\text{Fe}, \text{Mg}) \text{Si}^3 + 6 \text{H}$ , derbe Punkte im Mandelstein auf den Faröer Inseln, zu Gill in Massachusetts, schwarz, serpentinarartig mild, Härte 3, Gew. 2. Soll frisch pistaciengrün aussehen, aber schon nach wenigen Stunden schwarz werden. Manche auch strahlig blättrig. Wahrscheinlich zu den Asterbildungen der Serpentine gehörig. Den Krokydolith siehe beim Asbest pag. 332.

### 3. Gadolinit.

Arrhenius entdeckte ihn im Granit von Ytterby bei Stockholm, und Geyer (Crelle's Ann. 1788) machte ihn zuerst bekannt. Wegen seines schwachen Anschwellens vor dem Löthrohr hielt man ihn im Cronstedt'schen Sinne für schwarzen Zeolith. Gadolin fand (K. Vet. Acad. Handl. 1794) aber eine neue Erde (Gadoliniterde) darin, welche Gscheberg nach dem Fundorte des Minerals Yttererde nannte. Die erste jener merkwürdigen Erden der nordischen Minerale. Daher auch Ytterit, Ytterbyt genannt.

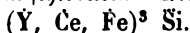
Krystalle zwar sehr selten, doch gab schon Haüy einen Oktaederwinkel von  $109^\circ 28'$ , und Phillips einen Säulenwinkel von  $115^\circ$  an, weshalb man lange an die gleichen Epidotwinkel und an gewendetes  $2+1$ gliedriges Krystallsystem dachte. Nordenfjöld konnte jedoch Krystalle von Kararsfvet genau messen, fand allerdings  $\text{M/M } 116^\circ$  und  $\text{n/n } 110^\circ 52'$ , aber  $\text{M/o } 90^\circ$ , was für Zweigliedrigkeit spricht, dem Scheerer (Zahrb.

1861. 1864) bestimmt: r 111, M 110, q 011, p 112, n 012, s 021. Da die Krystalle nur selten gut ausgebildet und häufig verdrückt sind, so lassen sich daraus die scheinbaren Widersprüche verschiedener Ansichten genügend erklären. Dagegen konnte Prof. Waage in Christiania (Jahrb. 1867. 1868) kleine Krystalle von Gitteröe messen, die vollständig mit Epidot stimmten. Vollkommen ausgebildete Krystalle erreichen dort über  $1\frac{1}{2}$  & Schwere. Dagegen schienen die Krystalle mit Orthit in Granitgängen des Nabantales am Oberharze nach Rath (Pogg. Ann. 144. 178) zweigliedrig zu sein. Nach Descloizeaux (Ann. Chim. Phys. 1869 4 ser. XVIII) sind sie stark doppeltbrechend mit »dispersion inclinée«, daher suchte Rammelsberg (Ztschr. deutsch. geol. Ges. XXI. 107) einen Isomorphismus mit Datolith und Euklas nachzuweisen.



Schwarz, Obsidianartiger Bruch, Splitter grünlich durchscheinend, daher auch mit grünlich grauem Strich. Härte 6—7, Gew. 4,1—4,35.

Vor dem Löthrohr nur an dünnen Ranten schmelzbar. Nimmt man etwas größere Stücke in die Platinzange, und nähert sich aus größerer Ferne allmählig der Flamme, so überziehen sie sich schnell mit einem hellen Schein (Aufglühen). Der Lichtschein geht aber schnell vorüber, und dann zeigen es die Stücke nicht wieder. Man erklärt es als ein Abgeben latenter Wärme. Es tritt kein Unterschied im absoluten, wohl aber im specifischen Gewicht ein, indem sich letzteres von 4,157 auf 4,319 (Ytterby, Pogg. Ann. 103. 318), sogar von 4,35 auf 4,63 erhöht (Gitteröe, Pogg. Ann. 51. 102). Die Stücke brennen sich gelblich. Die mehr unreinen Varietäten mit splittrigem Bruch sollen das Aufglühen nicht zeigen, dafür aber blumenkohlartig anschwellen. Man gibt ihm die Formel



Berzelius fand in dem glasigen von Finbo 25,8 Si, 45 Yttererde, 16,7 Ceroydul, 10,3 Fe, und 2,2 Verlust; Scheerer im glasigen von Gitteröe 9,6 Beryllerde, und nach Mosander (Pogg. Ann. 60. 211) besteht die Yttererde aus dreierlei Basen: Yttererde, Terbium- und Erbiumoxyd. Das Ceroydul enthält Lanthan und wahrscheinlich auch Didym. Optisch unterscheidet Descloizeaux zwei Varietäten: eine 2axige krystallinische mit Beryllerde, welche selbst nach dem Glühen noch durchscheinend bleibt und eine amorphe Beryllerde freie mit und ohne Lichtschein, ohne die geringste Spur von Polarisation. Gewöhnlich sollen die Stücke aus einem Gemisch von amorpher und krystallinischer Masse bestehen. Nach Bunsen gibt Chloryttrium die schönsten linienreichen Funkenspectra Pogg. Ann. 155. 101), außerdem konnte mittelst solcher elektrischer Spectra Erbium, Didym, Cer, Calcium, Natrium nachgewiesen werden.

Vorkommen in grobkörnigen Graniten Schwedens, die unregelmäßige Gänge im Gneise bilden: Insel Ytterby bei Stockholm in einem Feldspathbruch, Yttergrufva genannt (Jahrb. 1860. 100); östlich von Falun der Steinbruch Finbo, westlich das Feld Broddbo mit seinen berühmten er-

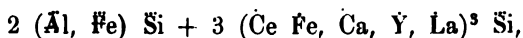
ratifischen Blöcken und der Hof Kararfvet. Die Stücke erreichen nicht selten Faustgröße, sind gewöhnlich gerundet, und von einer unreinern Rinde umhüllt. An der Südküste Norwegens zeichnet sich westlich von C. Lindesnaes besonders die Insel Hitteröe aus. Yttererdehaltig sind außerdem: Phosphorsaure Yttererde 62 Y, Fergusonit 42 Y, Ytrotantalit 30 Y, Ytrotitanit 9,6 Y, Ytrocercit 9 Y, Samarskit 11 Y.

#### 4. Orthit Verz.

Berzelius analysirte ihn 1815 von Finbo, wo er in demselben Feldspath wie Gadolinit vorkommt. Er bildet lange schmale plattige Strahlen, wornach er den passenden Namen bekam ( $\delta\phi\gamma\delta\varsigma$  grad). Melanerz Mohs.

Epidotkrystallisation pag. 347, was nicht blos der Winkel  $M/T = 115^\circ$  beweist, sondern zu Sillböle bei Helsingfors bestehen auch die wahren Epidote innen häufig noch aus Orthit. Nach Descloizeaux (Ann. Chim. 1860. 59. 300) gibt es jedoch auch hier, wie beim Gadolinit amorphe und krystallinische Varietäten, und die amorphen könnten möglicher Weise Austerkrystalle sein. Die Formen sind nicht schön und selten. Doch haben Pokischarow (Mat. Miner. Rußl. III. 300) und G. vom Rath (Pogg. Ann. 113. 301) einen großen Flächenreichtum nachgewiesen. Gewöhnlich erscheinen nur Strahlen im Granit, die auf dem Querbruch Gadolinit gleichen, aber leichter sind, Gew. 3,6, Härte 6. In Salzsäure geben sie oft eine Gallerte.

Vor dem Löthrohr schmelzen sie leicht und werfen dabei lange Zeit hindurch Blasen, ohne sich wie der Epidot in eine unschmelzbare Schlacke zu verwandeln. Berzelius fand in denen von Finbo 36,2 Si, 14 Al, 17,4 Ce, 3,8 Y, 11,4 Fe, 1,3 Mn, 4,8 Ca, 8,7 H. Das Cer hat sich auch hier Lanthan-Didymhaltig gezeigt, Yttererde ist minder wesentlich. In den großen Krystallen der Räsgrube bei Arendal fand Strecker sogar 17,5 Cu. Lange tastete man nach passenden Formeln, bis endlich die Formgleichheit mit Epidot, wie es scheint, auf den richtigen Weg geleiten mochte. Th. Scheerer (Dissertatio de fossilium Allanit, Orthit, Cerit, Gadolinitque natura et indole. Berlin 1840 pag. 27) nahm zwar noch die Formel an:



doch da man Lanthan und Didym von Cer noch nicht quantitativ trennen konnte, auch die beiden Oxydationsstufen des Eisens nicht genau bestimmt waren, so könnte wohl die 3 vor dem zweiten Gliede wegfallen, und wir hätten dann genau die Epidotformel pag. 346. Rammelsberg (Pogg. Ann. 76. 30) wählte dagegen die Granatformel  $R^3 \text{Si} + R \text{Si}$ , außerdem schien ihm ein Atom H wesentlich, und im Orthit von Hitteröe mit 1017 Atomvolumen fand sich 8 Fe und 8 Fe. Der Orthit vom Ural (1921 Atomvol.) mit dem Arendaler Epidot (1268 Atv.) verglichen gibt das Verhältniß  $1017 : 1268 : 1921 = 3 : 4 : 6$ , woraus man den Isomorphismus



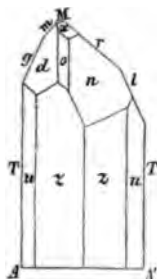
erklären wollte. Seit man auf das Wasser mehr Gewicht legt, wählt man die Formel  $H^2 Ce Ca Fe Al Si^6$ .

Verbreitung ist viel größer als vom Gadolinit. In der Scandinavischen Halbinsel gibt Scheerer allein 60 Stellen an, und darunter die kolossalen Exemplare von Hitteröe, die mehrere Fuß im Ganggranit fortsetzen. Die Strahlen gehen drüsenartig von einem Punkte aus, und mögen eher erhärtet sein, als der sie umgebende Granit, da dieser sich abermals in strahliger Anordnung auf sie als Unterlage ansetzt (Zschau, Leonhard's Jahrb. 1852. 686, 1855. 518). Lange glaubte man, daß nur der Norden (Nordamerika, Grönland, Finnland) jene merkwürdigen Gerhaltigen Fossile liefere. Dann fand aber Breithaupt im Oligoklas von Boden bei Marienberg im Erzgebirge (Bodenit Leonhard's Jahrb. 1849. 688) ein strahliges dunkelfarbiges Fossil mit 10,5 Ce, 17,4 Y, 10,3 Al, 26 Si, was also allem Anschein nach mit dem nordischen Fossile übereinstimmt. Credner (Jahrb. 1848. 199) glaubt ihn im Thüringer Wald bei Brotterode und an andern Punkten im Granit gefunden zu haben, Zschau (Jahrb. 1852. 688) beschreibt zolllange Strahlen aus den granitischen Bändern der Titanit-Syenite des Plauischen Grundes bei Dresden, G. Leonhard (Jahrb. 1853. 654. 1856. 598) ähnliche in Granitgängen der Syenite von Sulzbach bei Weinheim im Odenwald, F. Sandberger (Jahrb. 1857. 608) sogar aus dem Granit des Blauen bei Badenweiler. Speßart, Harz, Riesengebirge 2c.

**Allanit** untersuchte Thomson schon 1808. Allan kaufte ihn aus einer von Engländern gekaperten Sammlung, die ohne Zweifel von Gieseke stammte, der das Mineral im Grönländischen Granit von Iglosoit 2c. entdeckte. Die schwarzen dicken unreinen Säulen zeigen ziemlich genau einen Winkel von  $115^\circ$ , und da schon Thomson 31,5 Ce und 4,1 Al, Stromeyer dagegen 21,6 Ce und 15,2 Al darin fanden, so hält man ihn trotz seines verschiedenen Aussehens für wasserfreien Orthit, und sucht so gut es eben geht die Analysen anzupassen. Am schwarzen Krug bei Schmiedefeld im Thüringer Walde häufig (Dr. Bauer, Württ. Jahresh. 1872. 246). Der schwarze

Cer in Hisingers mit Cerit zusammen von Riddarhyttan hat 26,2 Lanthanhaltiges Ceroxydul, die Yttererde soll ihm fehlen, und die 6,5 Al werden durch 25 Fe Fe verstärkt. So wenig die Analyse stimmt, so scheinen doch die kleinen tafelförmigen Krystalle, die sich besonders im Kupferiefe finden, genau Epidot zu sein; gewöhnlich als Zwillinge, die T gemein haben, und umgekehrt liegen, wurden sie anfangs zweigliedrig beschrieben, doch sollen sie nach G. Rose (Kryst. Chem. Miner. pag. 85) vollkommen mit Epidot stimmen! Hermann's pechschwarzer **Ural-Orthit** im Miascit des Uralengebirges wurde lange mit Tschewkinit verwechselt. Vor dem Löthrohr schwellt er blumenkohlartig auf. **Bagrationit** (Pogg. Ann. 73. 199) fand der Fürst Bagration in den Halben von Achmatowsk, nur dieses einzige flächenreiche und meßbare Exemplar (Kotlscharow

(Nat. Min. Aufl. III. 1857) existirt, und kam durch den Herzog von Leuchtenberg nach München. **Buddandit** wurde 1824 aus dem Kalkspath von Arendal beschrieben, sein Name dann auf mehrere Epidot- und Orthit-



artige Minerale übergetragen. Die **flächenreichsten Täfelchen** hat Hr. v. Rath (Pogg. Ann. 113. 181) aus Drusen der trachytischen Auswürflinge des Laacher See's beschrieben. Sie gehören aber zu den größten Seltenheiten. In der Stellung von Marignac pag. 345 genommen erhalten wir  $z\ 110$ ,  $u\ 210$ ,  $T\ 100$ ,  $M\ 301$ ,  $m\ 701$ ,  $g\ 11.0.1$ ,  $r\ 5'01$ ,  $l\ 13'.0.1$ ,  $o\ 381$ ,  $d\ 11.8.1$ ,  $n\ 5'81$ ,  $x\ 1'41$ ;  $z/z\ 109^\circ\ 8'$ ,  $M/r\ 116^\circ\ 36'$ ,  $M/T\ 115^\circ\ 1'$  gibt  $A:b:c = 6,355:4,528:1$ , vorn macht  $A/c\ 89^\circ\ 41'\ 30''$ .

Frisch rein schwarz, kurze Zeit dem Lichte und der Luft ausgesetzt, wird die Oberfläche stellenweis irisirend. Die Analyse gab 20,89 Co, „das erste in vulkanischen Gesteinen“, später auch in den Sommaauswürflingen (Pogg. Ann. 138. 182).

Ein Grund warum diese „**Erhaltigen Epidote**“ sich so hartnäckig der wahren Deutung entzogen haben, liegt theilweis auch in ihrer leichten Verwitterung: sie nehmen Wasser auf, ja Berzelius untersuchte einen **Pyrrorthit** von Karasvet, der obgleich sehr dem Orthit jener Gegend gleichend, weicher als Kalkspath war, nicht bloß 26,5 H., sondern sogar 31,4 Kohle und Verlust zeigte, daher auf Kohle förmlich Feuer fing und fortglimmte. Asphalt zwischen den Glimmerplatten der Ganggranite kommt in Schweden oft vor.

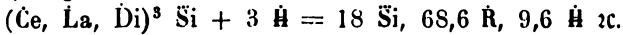
### 5. Cerit Verz.

Schon von Cronstedt 1751 als Bastnäs-Zungsten gekannt. Hisinger und Berzelius entdeckten darin 1804 ein neues Metall, was sie nach dem Planeten Ceres Cerium nannten, und darnach das Mineral Cerit, was Klaproth (Beitr. IV. 110) in Cererit veränderte, „damit man nicht an Wachs denke“! Werner nannte es Cerinstein, den man mit Cerin nicht verwechseln darf.

Die Krystalle sollen zwar nach Haidinger niedrige reguläre sechseckige, nach Nordenskiöld rhombische Säulen von  $90^\circ\ 4'$  sein, allein er findet sich gewöhnlich nur in derben feinkörnigen röthlichen Massen, die an dichten Granat erinnern. Obgleich im Ganzen matt, so zeigen doch gute Stücke einen starken innern Glanz. Knapp Feldspathhärte und Gew. 5.

Das Gestein brach früher auf der neuen Bastnäs-Grube bei Riddarhyttan in Westmanland auf einem Kupferfieslager mit Strahlstein im Gneis. Feine Erzkunkte von Molybdän sind vielfach eingeprengt, die man wegen ihrer Feinheit leicht mit Bleiglanz verwechseln kann. Außerdem ziehen sich zwischen dem rothen Cerit schwarze Wolken durch, die mehr Cerinhaltig scheinen, und stellenweis ganz zu schwarzem Cerin werden.

Gerade aus diesen Massen, rothen wie schwarzen, kann der Chemiker sich Cerium am leichtesten in größern Portionen verschaffen. In ihnen wurde daher nicht bloß das Cerium, dessen rothbraunes Oxyd Klaproth *Chroiterde* nannte, entdeckt, sondern 1839 fand Mosander, daß sich im Ceriumoxyd etwa  $\frac{2}{3}$  eines neuen Metalls verstecke, welches die Eigenschaften des Ceriums nur wenig abänderte. Er nannte es daher *Lanthan* (*λανθάνω* verborgen). 1842 entdeckte derselbe sogar, daß das Ceroyd und Lanthanoyd stets noch ein anderes Oxyd enthalte, für dessen Metall er deshalb den Namen *Didym* (*δίδυμοι* Zwillinge) wählte. Chlorlanthan gibt ein linienreiches Linienspectrum (Pogg. Ann. 155. 270).



ein Gehalt an Fe und Ca unbedeutend. Rammelsberg fand 64,5 Ceroydul, 7,3 Lanthan- und Didymoyd und nur 5,7 Wasser, was die Formel  $\text{R}^2 \text{Si H}$  gäbe. Unschmelzbar, brennt sich aber gelb, löst sich nicht sonderlich schwer im Borax, gibt dunkelgelbe Gläser, die kalt lichter werden.

Durch Zersetzung bildet sich Cerhaltiges  $\text{La}^3 \text{C} \text{H}^3$  (*Lanthanit* Haid.), was Berzelius früher für kohlen-saures Ceroydul hielt. Gelblich weiße blättrige Täfelchen, früher quadratisch jetzt rhombisch  $92^\circ 46'$  genannt, unter Kalkspathhärte. Bastnäs-Grube. Bethlehem in Pennyslvanien.

**Tritomit** Weibye (Pogg. Ann. 79. 200) aus dem Ehenit von Lamö bei Brevig, wahrscheinlich tetraedrisch, weil es beim Zerschlagen immer dreiseitige Durchschnitte bildet. Dunkelbraun, Härte 6—7, Gew. 4—5. Enthält 20 Si, 40,3 Ce, 15 La, Yttererde, Wolfram säure, Zinn zc.

**Parisit** aus den Smaragdgruben des Hrn. Paris im Russothale von Neugranada, wird als scharfes Dihexaeder von  $120^\circ 34'$  in den Endkanten beschrieben, was einer sechsseitigen Säule sehr ähnlich sieht, Geradenfläche blättrig. Optische Axe +, bräunlich gelb, Gew. 4,3, Flußspathhärte.  $8 \text{R} \text{C} + \text{R} \text{H}^2 + 2 \text{Ca Fl}$ , worin  $\text{R} = \text{Ce, La, Di}$ . Nehmen wir dazu Fluorcerium mit 82 p. C. Ce, Monazit 50 Ce La, Tschernit 47 Ce La Di, Ytrocirit 18 Ce, Aeschinit 11 Ce La, so haben wir die wichtigsten Cerossilien beisammen. Der dunkelbraune Kischtim-Parisit (Kotscharow Mater. IV. 40) von der Hütte Kischtimst am Ural steht damit in naher Beziehung, 37,5 La, 26,8 Ce, 6 Fl, nur Ca fehlt. Im Wasit (Pogg. Ann. 119. 572) aus den Scheeren von Stockholm wollte Bahr ein neues Metalloxyd Wasium entdeckt haben, was sich nicht bestätigt hat Pogg. Ann. 155. 283.

## 6. Thorit Verz.

Wurde von Pastor Csmarck 1828 in einem bräunlichen Faserzeolith (Bergmannit), der im Zirkon-Ehenit auf Insel Lövön bei Brevig im südlichen Norwegen bricht, entdeckt. Berzelius fand darin die seltene Thorerde, welche er nach dem nordischen Gott Thor nannte (Pogg. Ann. 15. 633 und 16. 300). Wie der Gadolinit gleichen die kleinen zerbröckelten Stücke

einem schwarzen Obsidian, mit rostfarbenem Ueberzuge, graulich rothem Strich, Gew. 4,6, vom Messer leicht gerist.

Im Löthrohr unschmelzbar, und sich gelb brennend,  $\text{Th}^3 \text{Si} + 3 \text{H}$  mit 19 Si, 58 Th, 2,6 Ca, 3,4 Fe, 2,4 Mn, 1,6 Uranoxyd, 9,5 H, etwas Blei, Zinn, Kali, Natron u., das Spectrum gibt Di, Ce, La an. Oxalsaures Ammoniak löst Oxalsaure Thorerde, dagegen Ce, La, Di, Y, Er nicht, aber dieselbe gibt weder in Flamme noch Funkenstrom brauchbare Linien, Pogg. Ann. 155. 383.

Orangit Krantz (Pogg. Ann. 82. 386), nach seiner Pomeranzengelben Farbe genannt, in der gleichen Gegend des Langesundfjord, öfter ganz von Thorit umgeben, ist ohne Zweifel dasselbe nur reinere Mineral. Nach Zschau Quadratoctaeder von  $123^\circ 15'$ , wie beim Zirkon. Asterskrystalle nach Feldspath (Pogg. Ann. 92. 381). Splittiger Bruch, Härte 4—5, Gew. 5,3. Bergemann wollte darin ein neues Metall Donarium gefunden haben, es hat sich aber bald gezeigt, daß es nur durch Uran, Vanadin, Zinn u. verunreinigte Thorerde war (Pogg. Ann. 85. pag. 555)  $\text{Th}^3 \text{Si H}^2$ . Nordenskjöld vermuthet, daß Thorerde mit Zinnoxyd isomorph sei, doch sind die Formen der künstlich krystallisirten Thorerde nicht ganz entscheidend. Man würde dann Th Si schreiben, und das Wasser als Folge der Verwitterung ansehen.

Die der Yttererde so verwandte Thorerde ist außerdem bekannt im Pyrochlor 13 Th Ce, Monazit 18 Th, Tachyphastit 12 Th, Samarskit 6 Th, und nach Hermann sogar im Tschernkinit 21 Th und Meschynit 22,6 Th.

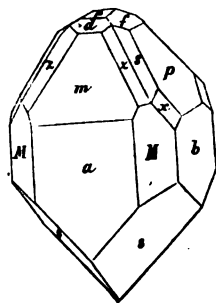
## 7. Kieselzinkterz.

Werner hatte es vorzugsweise beim Galmei, wo man es auch abhandeln könnte, wegen der Zinkischen Basis. Schon Bergman 1779 erkannte darin die Kieselerde, doch gab erst Smithson (Philos. Transact. 1802) eine brauchbare Analyse. Hauy (Miner. IV. 214) beschrieb es unter Zinc oxydé. Sein Aussehen ist schwerspathartig, daher Zinkbaryt Mohs, unpassender Zinkglas Hausmann. Kieselzinkspath, Hemimorphit, Calamine, da es früher nicht vom Galmei unterschieden werden konnte.

Zweigliedriges System, aber meist in kleinen Krystallen, nur bei Nertschinsk erreichen die oblongen Tafeln  $1\frac{1}{2}''$  Länge, woran die lange Seite eine deutlich blättrige Säule  $M = a : b : \infty$  von  $103^\circ 56'$  bildet, die Zuspärfung auf die scharfe Kante  $f = b : c : \infty$  hat  $128.28$  nach den Messungen von Lévy, das gibt

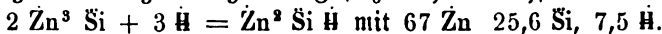
$a : b = 1,62 : 2,072 = \sqrt{2,626} : \sqrt{4,292}$ , lga 0,20965, lgb 0,31632. Dauber (Pogg. Ann. 92. 348) fand dagegen  $a : b = 1,633 : 2,098$  und Schrauf (Sitzungsber. Wien. Akad. 1859. 38. 15)  $a : b = 1,64 : 2,093$ . Die Fläche  $b = b : \infty a : \infty$  gewöhnlich übermäßig ausgedehnt, und nach ihr breiten sich die Krystallgruppen fächerförmig aus, so daß man sie

leicht entziffern kann. Das dritte zugehörige Paar  $d = a : c : oob$  mit der dreifach schärfern  $m = a : 3c : oob$  fehlen fast nie, und auf die stumpfe Kante findet sich kein anderes Paar aufgesetzt. Dagegen kommen auf die scharfe eine ganze Reihe vor  $2b : ooa$ ,  $\frac{1}{2}b : ooa$ ,  $p = \frac{1}{2}b : ooa$ ,  $\frac{1}{4}b : ooa$ ,  $\frac{1}{8}b : ooa$ , und da nun auch  $P = c : ooa : oob$  nicht fehlt, so scheint diese Zone nicht selten ganz gerundet. In der Säulenzone liegen  $a = a : oob : ooc$ ,  $a : \frac{1}{2}b : ooc$  und  $a : \frac{1}{4}b : ooc$ . Ohtaeder finden sich selten, doch kommen am **Altenberg** bei Aachen kleine ringsum ausgebildete Krystalle vor, welche am untern sonst immer aufgewachsenen Ende das vollständige Ohtaeder  $s = a : \frac{1}{2}b : c$  zeigen ohne  $P$  und alle andern Nebenflächen, während oben  $P$  oder die Paare herrschen, und die  $s$  entweder ganz fehlen, oder doch nur untergeordnet auftreten. Das nicht selten sehr complicirte Oberende zeigt öfter noch  $z = \frac{1}{2}a : b : c$ ,  $x = a : \frac{1}{2}b : c$  und  $n = \frac{1}{4}a : \frac{1}{2}b : c$ , so daß also das Hauptohtaeder nicht vorkommen würde (G. Rose Abb. Berl. Akad. 1848 pag. 70). Mit dieser merkwürdigen von Mohs entdeckten polaren Hemiedrie scheint auch die schon von Haüy entdeckte Pyroelectricität im Zusammenhange zu stehen, denn die (untere) Ohtaeder Spitze zeigt sich immer antilog, und das freie Oberende analog elektrisch. Es kommen auch Zwillinge vor, welche die Geradenflächen  $P$  ihrer Ohtaederspitzen gegen einander kehren, sonst aber ganz parallel stehen, wenn hier die einspringenden Winkel von  $s/s'$  sich ausfüllen, so sind es einfache an beiden Enden gleich ausgebildete Krystalle, die an ihren Axenpolen  $c$  nur analoge Electricität zeigen, während in der Mitte die antilogenen Pole liegen. Einen flächenreichen Krystall bildet Hesseberg (Abb. Sendenb. Mus. 1858. II. 77) ab.



Leicht und stark durch Erwärmen elektrisch. Rieß erhitzte es bis auf  $40^\circ$ , nach Haüy zeigte es sogar noch bei  $-6^\circ$  eine bemerkbare Einwirkung auf die Magnetnadel von Coulombs Drehwage. Farblos bis weiß, oder doch nur mit zufälligen Farben, etwas stark glänzend,  $\rho = 5$ , Gew. 3,38. Durch Reibung phosphorescirend. Optisch +, Axenebene liegt in  $bc$ , Axe  $c$  Mittellinie.

Vor dem Löthrohr zerspringt es stark, besonders nach der Geradenfläche, auch kann man es kaum zum Schmelzen bringen, doch leuchten die Proben mit grünlichem Lichte; auf Kohle bekommt man einen schwachen Zinkbeschlag, besonders mit Soda behandelt. Mit Schwefel- und Salzsäure gelatinirt es stark. Daher wurde das lamellenförmige von Freiburg im Breisgau lange mit Faserzeolith verwechselt.

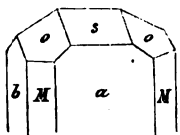


Kieselzinkerz kommt mit Galmei auf Spalten im Rastgebirge vor: der Uebergangskalk von Büttich, Aachen, Herlohn u., der Muschelskalk von Tarnowitz in Schlesien und Wiesloch am Südbhange des Odenwaldes, der Jurakalk von Bleiberg und Raibell ohnweit Villach und

Rärnthén sind berühmte Punkte. Gewöhnlich von Bleiglanz begleitet. Auch auf Bleiglangzügen, wie z. B. zu Matlot in Derbyshire oder Hofsgrund auf dem Schwarzwalde zeigt es sich. Zuweilen auch traubig, wie die schön himmelblauen von Cumberland. Uebrigens muß man sich bei der Säureprobe in Acht nehmen, denn das Kieselzinkerz löst sich auch leicht und bildet dabei viel Bläschen, die man leicht als Brausen auslegen könnte, so wie man jedoch mit etwas größern Proben Versuche anstellt, so kommt gleich eine steife Gallerte, die nicht aus dem Glase geschüttet werden kann. Derbe Massen pflegen viel mit Galmei verunreinigt zu sein. Blende ist meist die Mutter derselben, nach Dr. A. Schmidt kommt es in Südwest-Missouri sogar wieder in Austerkrystallen derselben vor.

Willemit Lévy, fand sich am Altenberge bei Aachen, wo er in kleinen gelben regulären sechsseitigen Säulen mit einem stumpfen Rhomboeder von  $128^{\circ} 30'$  in den Endkanten vorkommt. Ein deutlicher Blätterbruch nach der Geradenfläche. Krystalle klein. Gew. 4,1, denn es ist wasserfreies  $\text{Zn}^3 \text{Si}$ . Shepard's röthlicher Troostit mit Franklinit zu Sterling vorkommend, soll ein Rhomboeder von  $124^{\circ}$  haben, und aus  $(\text{Zn}, \text{Mn}, \text{Mg})^3 \text{Si}$  bestehen. Beide lassen sich mit den ebenfalls rhomboedrischen Phenakit und Dioptas unter die Formel  $\text{R}^3 \text{Si}$  bringen.

Hopeit Brewster, ebenfalls vom Altenberge, aber noch seltener.



Er wird 2gliedrig beschrieben. Nach Lévy eine geschobene Säule  $\text{M} = a : b : \infty c$  von  $120^{\circ} 26'$ ; ein Paar auf die stumpfe Säulentante aufgesetzt  $s = a : c : \infty b$  macht  $101^{\circ}$  in c, dieser Winkel steht dem Säulenwinkel M/M des Kieselzinkerzes nahe. Doch

soll das zugehörige Oктаeder  $o = a : b : c$  eine vordere Endkante von  $140^{\circ}$  und eine seitliche von  $106^{\circ} 22'$  haben, was mit Kieselzinkerz nicht stimmt. Von den drei Hexaidflächen  $c : \infty a : \infty b$ ,  $b = b : \infty a : \infty c$  und  $a = a : \infty b : \infty c$  ist letztere so blättrig, daß der Perlmutterglanz an Strahlzeolith erinnert. Immer an beiden Enden gleich ausgebildet. Kalkspathhärte, Gew. 2,7. Zn, H und eine unbekannte Mineralsäure. Jacquot's Mancinit von Mancino bei Livorno soll zwei ungleiche Blätterbrüche von  $92^{\circ}$  haben, und Zn Si sein.

### 8. Dioptas Haüy.

Werner's Kupfer-Smaragd, nach seinem prachtvollen dunkeln Smaragdgrün. Er kommt fast nur in einem dreigliedrigen Dodekaid vor, mit  $3+3+6$  Kanten: die drei Endkanten des Rhomboeders  $r = a : a : \infty a$  messen  $95^{\circ} 33'$ , was einem Würfel nahe kommt, daher die 6 Zickzackanten, welche die 2te Säule  $s = a : \frac{1}{2}a : a : c$  mit dem Rhomboeder macht,  $132^{\circ} 14'$ . Folglich



$$a = 0,9385 = \sqrt[3]{0,8808} = \lg 9,97243.$$

Gegen die Endkanten des Rhomboeders sehend bemerkt man in der Richtung des nächsten stumpfern Rhomboeders ein starkes Licht, was auf einen blättrigen Bruch hinweist, der sich mit dem Federmesser darstellen läßt, aber noch nicht ganz so deutlich als beim Flußspath ist. Hauy gründete auf dieses innere Licht den Namen Dioptas. Das Rhomboeder des blättrigen Bruchs hat in den Endkanten  $126^{\circ} 1'$ , nach Kosscharov (Mater. VI. 235)  $125^{\circ} 55'$ . Bergmeister Credner (Leonhard's Jahrb. 1839 pag. 404) fand von den 6 Zickzackkanten  $r/s$  die eine durch  $c : a : \frac{1}{2}a : \frac{1}{2}a$  abgestumpft, die andere nicht, was auf eine merkwürdige Hemiedrie (Rhomboider von Zwischenstellung) hinweisen würde. Webösty (Pogg. Ann. 69. 333)  $x = c : a : \frac{1}{2}a : \frac{1}{2}a$ ,  $z = \frac{1}{2}c : a : \frac{1}{2}a : \frac{1}{2}a$  2c. Die Sache scheint dadurch noch ein Gewicht zu bekommen, daß ihr eine wenn auch undeutliche Streifung auf der Rhomboederfläche parallel geht. Es fällt übrigens auf, wie so selten untergeordnete Flächen an diesem merkwürdigen Dodekaeder vorkommen.

Dunkel smaragdgrün mit geringer Durchsichtigkeit, Härte 5, Gew. 3,2. Vor dem Löthrohr färben sie die Flamme grün, besonders wenn man sie in Borax löst, das deutet auf Kupfer- und nicht auf Chromfärbung. Mit Soda auf Kohle kann man das Kupferkorn auch darstellen. Sie schmelzen nicht, färben sich aber schnell schwarz. Säure läßt ein Kiesel skelet zurück.



Das Wasser gibt er erst in der Glühhitze ab, muß daher stärker chemisch gebunden sein, als gewöhnliches Krystallwasser. Lange war das Land der mittleren Kirgisenhorde zwischen Ural und Altai einziger Fundort. Die Hügel heißen Altyn-Tubeh am Flüßchen Altyn-Szu. Netze über  $\frac{1}{2}$ " große Krystalle brechen in einem dichten Kalkstein mit Kalkspath, und bröckeln gern von ihrer Unterlage ab. Hermann erstattete am 23. Januar 1800 der Petersburger Akademie den ersten ausführlichen Bericht darüber und nannte ihn Achirit, nach einem Bucharischen Kaufmann Achir Mehmed, welcher 1785 einen ganzen Sack voll aus der Steppe nach Semipalatinsk am Irtysh brachte, und für Eisenvitriol hielt, während Ferber darin Smaragde erkennen wollte, Nova Acta Acad. Petropolitanae XIII. pag. 339. Heuland zahlte für eine Stufe 2000 Franken (Lévy III. 99). Neuerlich finden sie sich auch in den Sibirischen Goldsaisan am Oni im Jeniseischen Gouvernement (Jahrb. 1875. 740).

**Kupfergrün** Br.  $\text{Cu Si H}^2$  (Kieselpupfer) bildet feintraubige Massen, mit opalartigem Bruch und spangrüner Farbe. Härte 2—3, Gew. 2,2. Verhält sich chemisch wie Dioptas. Stücke in heiße Salzsäure geworfen werden bald an den Ranten durchscheinend, weil die Kieselerde zurückbleibt, die zwischen den Zähnen noch knirscht. Ausgezeichnet kam das spangrüne auf dem Herrensegen im Schwarzwalde mit Ziegelerz und Kupferkies vor, nicht minder schön das von Boloma in Ungarn. Wenn sie Eisen aufnehmen, so werden sie pistacien- und dunkelolivengrün (Wer-

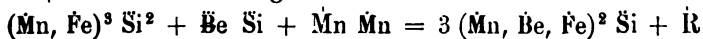
ner's Eisenschüssiges Kupfergrün). Höchst interessant in dieser Beziehung ist das Kupfergrün und Kupferblau aus den Turjinschen Kupfergruben bei Bogoslovsk zwischen dem 59° und 60° Breitengrade im Ural. Die lasurblaue dichte Substanz ist matt, und erinnert nicht bloß durch ihre Farbe an erdige Kupferlasur, sondern sie braust auch noch stark in kalter Säure, läßt aber bereits ein Kiesel skelet zurück. Dieses schöne Blau wird nun rings von lauchgrünem „eisenschüssigem Kupfergrün“ umgeben, das Opalglanz hat, und mit Salzsäure durchaus nicht mehr braust. Grün und Blau setzen scharf aneinander ab, sind nur durch einen engen lichtern Streif von einander getrennt. Das so gebildete Lauchgrün wird dann wieder zersezt, und nimmt ein erdiges himmelblaues Aussehen an. Man sieht hier also ganz klar, wie die grüne Masse durch Umwandlung aus der blauen entsteht. Das Kupfergrün kommt noch in scheinbar 2gliedrigen Asterskry stallen von 112° vor, die Säulen sind lang, aber durch die stark ausgedehnten Abstumpfungsflächen der scharfen Kanten sehr breit gedrückt (G. Rose Reise Ural I. pag. 412). Man weiß nicht, welchem Mineral sie angehören. Haüy scheint schon dieselben gekannt zu haben, hielt sie aber für wirkliche Kry stallen des Kupfergrüns. Demidovit (Zschr. 1857. 44) bildet himmelblaue Ueberzüge auf Malachit von Nischne Tagilsk, und scheint ein Gemenge von Kieselkupfer mit Phosphorsäure zc. zu sein.

### 9. Helvin Br.

Von Mohs in Null's Mineralien-Kabinet I. 92 als Anhang zum gemeinen Granat von Annaberg beschrieben. Später gab ihm Werner den Namen nach seiner gelben Farbe (*ήλιος* Sonne). Hoffmann Mineral. IV. b. pag. 112.

Tetraedrisch, die kleinen nur wenige Linien großen Kry stallen zeigen fast immer das einfache reguläre Tetraeder. Spuren vom Gegentetraeder bringen das Oktaeder nie ins Gleichgewicht. Sie liefern daher für die nicht gewöhnliche Tetraederform ein vortreffliches Beispiel. Nicht sonderlich blättrig. Wachs gelb. Härte 6, Gew. 3,2. Erinnert wohl durch sein Aussehen an Granat, daher von Mohs tetraedrischer Granat genannt.

Höchst merkwürdige chemische Zusammensetzung von Ch. Gmelin (Chemische Untersuchungen des Helvins. Tübingen 1825) nachgewiesen. In Salzsäure erhitzt entwickelt er einen deutlichen Geruch nach Schwefelwasserstoff, was auf eine Schwefelverbindung hinweist, bildet dabei aber auch eine Kieselgallerte. Vor dem Löthrohr auf Kohle schmilzt er in der innern Flamme zu einer gelben Perle. Mit Borax Manganreaction. Die zwei Analysen ergaben: 33,2 und 35,3 Si, 12 und 9,5 Thonerdehaltige Verryllerde, 31,8 und 29,3 Mn, 14 Mn S, 5,6 und 8 Fe. G. Rose construirte daraus die Formel



nach Rammeisberg (Ztschr. d. g. Ges. XXI. 188).



Kam früher auf einem Lager im Gneise von Schwarzenberg im Sächsischen Erzgebirge vor: das Gestein, worin er eingesprengt ist, sieht unrein und verwittert aus. Auch im Zirkonsyenit von Norwegen bestätigte Rammelsberg (Pogg. Ann. 93. 452) die sonderbare Verbindung eines Schwefelmetalls mit Silicaten. Breithaupt vermuthet, daß Ahtaragdit mit dem Wisni-Grossular an der Ahtaragda vorkommend Ahtarkrystall vom Helvin sei, weil er den Pyramidentetraedern des Helvins auf Unverhofft-Glück an der Achte bei Johann-Georgenstadt gleiche (Leonhard's Jahrb. 1853. 598). Der fleischrothe Danalit aus dem Granit von Rockport (Jahrb. 1867. 194) enthält noch 17,6 Zinkoryd.

### 10. Wismuthblende Brth.

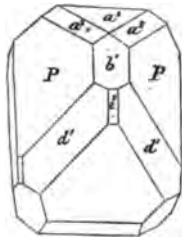
Kieselwismuth. Könnte man bei der Blende abhandeln. Denn die kleinen braungelben Krystalle haben ebenfalls einen sechsfachen Blätterbruch, und Breithaupt fand ein Pyramidentetraeder  $a : a : \frac{1}{2}a$  mit  $146\frac{1}{2}^\circ$  in den Pyramidenkanten. Die Tetraederkanten durch die Würfel Flächen gerade abgestumpft. Ausgezeichnete Zwillinge, worin die Tetraederkanten sich rechtwinklig kreuzen. Darunter sonderbarer Weise auch Drillinge mit Kreuzung unter  $60^\circ$ , welche von der Würfel Fläche her gesehen einen sehr regelmäßigen sechsstrahligen Stern bilden. Demantglanz.  $\rho = 5$ , Gew. 6. Von Blende unterscheidet sie sich schnell durch ihre leichte Schmelzbarkeit (Eulhytin), wobei sich auf Kohle gelblichbrauner Wismuthbeschlag um die Probe ablegt. Nach früherer Ansicht  $2 \text{ Bi}^2 \text{ Si}^5 + \text{Bi}^2 \text{ P}$  mit 22,2 Si, 69,4 Bi, 3,3 P, Fl, Fe etc., neuerlich im Wesentlichen für  $\text{Bi}^2 \text{ Si}^3 = \text{Bi Si}$  gehalten mit 82 Bi (Pogg. Ann. 136. 421). Auf Kobaltgängen zu Schneeberg mit gediegenem Wismuth und Wismuthocker. Rein schwefelgelbe spphenartige Krystalle dabei nannte Breithaupt Atelestiit, sie sind monoklin (Pogg. Ann. 136. 422) aber in der Hauptsache  $\text{Fe Bi P As}$  (Jahrb. 1873. 794). Röttisfit und Konarit (Jahrb. 1859. 184) sind kiesel saure Nickelalze von schön grüner Farbe ( $\chi\omicron\nu\alpha\rho\omicron\varsigma$ ) aus den Nickelfiesen im Grünstein von Röttis entstanden.

### 11. Eudialyt Weiß.

Verh. Berl. Ges. Nat. Freunde I. 197 (*ευδιάλυτος* wohlflüchtig, weil er in Salzsäure sich auflösen läßt). Krystalle selten. Nach Lévy (Edinb. phil. Journ. 1825. XII. 81) ein scharfes Rhomboeder P mit  $73^\circ 40'$  in den Endkanten gibt

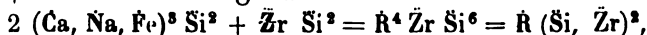
$$a = 0,477 = \sqrt{0,228}, \lg 9,67865.$$

Geradenfläche  $a^1$  deutlich blättrig. Außerdem die beiden sechsseitigen Säulen 1ste  $e^2 = a : a : \infty a : \infty c$ , zweite  $d^1 = a : \frac{1}{2}a : a : \infty c$ , und noch drei Rhomboeder: das nächste schärfere  $e^1 = \frac{1}{2}a' : \frac{1}{2}a' : \infty a$ , das nächste stumpfere  $b^1 = 2a' : 2a' : \infty a$  und das 2te stumpfere  $a^2 = 4a : 4a : \infty a$ .



Granatartige Farbe mit einem stärkern Stich ins Blau als Colombinroth, daher von Rohs auch rhomboedrischer Almandinspath genannt.  $\bar{h} = 5$ , Gew. 2,9.

Schmilzt zu einem lichtgrünen Email. Wenn man 1,2 Cl vernachlässigt, so kommt etwa die Formel



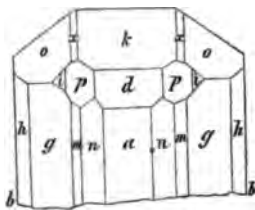
da sich der Sauerstoff nahe 1 : 4 verhält. Die 16,9 Zirkonerde erklärte schon Haüy aus dem brechenden Zirkon, und wegen des 13 Na, das etwas Kalihaltig ist, hielt er das Mineral für Sodalit, mit welchem es zusammen im Zirkonsyenit von Rangerbluarsuk in Grönland bricht, wo es Gieseke fand. Es darf uns daher nicht verwundern, wenn das Mikroskop Sodalit und Arfvedsonit fein eingesprengt findet, was einen Theil des Eisen- und Natrongehalts erklären könnte. Auch etwas Cl beachtet die Formel nicht. Der braune bis kirschrothe **Eufolit** aus dem Zirkonsyenit von Lamö gelatinirt ebenfalls leicht mit Salzsäure, hat eine ganz ähnliche Zusammenfügung und Krystallform. Aber sonderbarer Weise sind nach Hrn. Descloizeaux die Blättchen optisch negativ, während Eudialyt sich positiv erweist. In Südgrönland gibt es sogar prachtvollen „Eudialytsyenit“ Jahrb. 1875. 96.

## 12. Leutophan.

Esmark fand ihn im Syenit von Lamö. Soll nach Weibye (Jahrb. 1849. 772) eingliedrig ähnlich dem Kupfervitriol krystallisiren. Zwei ungleich blättrige Brüche M/T schneiden sich unter  $115^\circ$ , gegen diese neigt sich unter verschiedenen Winkeln eine sehr deutlich blättrige doppelschiefe Endfläche. Nach Hrn. Ingenieur Bertrand (Ann. des mines III. 1873) ist er jedoch 2gl. mit einer Säule von  $91^\circ$ , worin sich  $b : h$  d. h. Seitenhöhe: Endkante = 1 : 0,921 verhält. Grünlichgelbe Farbe, in gewissen Richtungen mit einem weissen Lichtschein, Härte 4, Gew. 3. Schmilzt zu einer schwach violblauen Perle

$\text{Ca}^3 \text{Si}^2 + \text{Be Si} + \text{Na Fl} = 3 \text{Na Fl} + 13 \text{R Si} + \text{R}^2 \text{Si}$  mit 11,5 Be, 6,1 Fl. Nach Descloizeaux genügen abgespaltene Blättchen der Geradenfläche, um sofort die 2axigkeit zu erkennen, die Ebene liegt in der langen Diagonale  $bc$ ,  $\varphi = 75^\circ$ , die positive Mittellinie ist Axe  $c$ ; während der begleitende **Melinophan**, obgleich ähnlich zusammengesetzt, zu den 1axigen gehört. Die schönen wachsgelben Tafeln haben oft Durchscheintheit genug, um das schwarze Kreuz deutlich erkennen zu lassen. Härte 5. Rammelsherg (Monatsber. Berl. Akad. 1876. 22) construirte die Formel  $3 \text{Na Fl} + \text{R Si} + \text{R}^2 \text{Si}$ . Der honiggelbe **Wöhlerit** Scheerer (Pogg. Ann. 59. 227) ist ein dritter, 30,6 Si, 26,2 Ca, 15 Zr, 14,5 Niobsäure, 8 Na zc. lassen keine gute Formel zu. Er schmilzt ruhig zu einem gelblichen Glase, Härte 5, Gew. 3,4. Krystalle bilden dicke **Oblongtafeln**, welche Dauber (Pogg. Ann. 92. 222) ausführlich beschreibt:  $a$  100,  $b$  010,  $x$  111,  $m$  110,  $k$  101,  $n$  210,  $g$  120,  $h$  130,  $d$  301,  $o$  121,  $p$  321,  $i$  341; Säule  $m/m$   $90^\circ 18'$

weicht wenig von der quadratischen ab, und  $k/k$   $140^{\circ} 18'$ . Optisch 2axig (Descloizeaux Ann. des min. 1859. XVI), doch deutet das Polarisationsinstrument eigenthümliche hemiedrische Verziehungen an. Der dihexaedrische Kataplejit (Pogg. Ann. 79. 300 und 92. 229), Gew. 2,8, wird hellgelb und braun beschrieben mit 30 Zr, 10,8 Na, 46,8 Si zc. Tachyaphaellit (Pogg. Ann. 88. 100) soll sogar 12,3 Thonerde, 39 Zr zc. enthalten. Alles das im Langesundfjord und besonders auf dem äußersten Felsen Samö.



### 1. Anhang. Thone.

Als Verwitterungsprodukte verschiedener Gesteine und Gebirgsarten gehören sie eigentlich nicht in die Mineralogie. Doch wurden sie von jeher darin abgehandelt, und praktisch sehr ausgezeichnet. Der Name scheint mit Dehnen (Argilla Than Agricola pag. 703) zusammenzuhängen. Im Wesentlichen bestehen sie aus kieselhafter Thonerde mit Wasser, sind aber durch Sand, Eisenoxyd, Schwefelsäure, Kalk zc. nicht selten und stark verunreinigt. Auch kommen allerlei in Wasser lösliche Salze darin vor, Kali (0,5—1 p.C.) fehlt niemals ganz. Sie kleben etwas an der Zunge, und zeigen beim Anhauchen einen eigenthümlichen bitteren Thongeruch. Mit Wasser geben sie bald leicht bald schwer einen Teig, der geformt werden kann (plastisch), und der im Feuer erhärtet, daher für die Töpferei seit uralter Zeit ein so wichtiges Material. Vieler Thon nimmt bis 75 p.C. Wasser auf, und was darüber geht läßt er nicht durch, was technisch und für den Lauf der Quellen Bedeutung hat. Ein kleiner Theil des Wassers ist nicht hygroskopisch, sondern geht erst bei der Glüh Hitze fort, wobei der Thon sich brennt, d. h. seine Plasticität verliert. Die Thonerde wird dann leichter von Schwefelsäure aufgenommen, als aus frischem ungebranntem Thon, doch bei stärkerem Glühen mindert sich die Löslichkeit wieder. Gehörig behandelt lassen sie dann etwas Alaun auskrystallisiren. Sind organische Substanzen färbend, so brennt er sich weiß, sobald aber Eisen zugegen ziegelroth. Nach ihrem Vorkommen kann man zweierlei unterscheiden: auf ursprünglicher Lagerstätte, wie Kaolin, Steinmark, Grünerde; und angesammelte, die dann nach dem Grade ihrer Erhärtung wieder viele Unterabtheilungen bilden. Letztere können auch durch Sickerwasser in die Poren der Gesteine geführt werden. So findet man z. B. auf nassen Wiesen die eichenen Särge altdeutscher Gräber ganz mit dem feinsten Thonschlamm erfüllt, wie bei Oberflacht jüdl. Spaichingen; andere sind erst in der Erde fett geworden, indem circulirende Wasser die löslichen Salze wegnahmten und unlösliche kiesel-

saure Thonerde zurückließen. Die Ackertrume dankt ihm die Feinerde, welche specifische Absorptionsfähigkeit für Kali, Phosphorsäure und Ammoniak hat, während die Pflanzen selbst die Thonerde nur ausnahmsweise in sich aufnehmen (Flechten). Rammelsberg (Ztschr. d. geol. Ges. XXI. 88) hält

Thon =  $\text{H Al Si}^2 \text{O}^8 + \text{H}$  und Serpentin =  $\text{H Mg}^3 \text{Si}^2 \text{O}^8 + \text{H}$  für geologisch und chemisch äquivalente Verbindungen, für Signosilicate, worin Al und  $\text{Mg}^3$  sich vertreten.

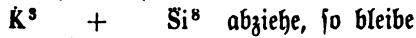
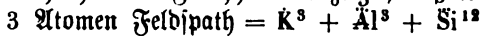
**Palagonit** nannte Sartorius von Waltershausen eine amorphe braune wachsglänzende Verwitterungsmasse von Palagonia im Val di Noto südwestlich Catania auf Sicilien, welche Bunsen auf Island (Ann. Chem. Pharm. 61. 388), und Fr. Sandberger (Jahrb. 1850. 88) bei Limburg in Nassau wiederfanden. Die Masse gleicht Vulkanischen Verwitterungsprodukten mit dem gewöhnlichen Thongeruch. Das eigentliche Mineral ist leicht zersprengbar, fast Glashart, 2,43 Gew., und besteht wesentlich aus  $\text{Ca}^3 \text{Si}^2 + 2 \text{Al Si} + 9 \text{H}$  mit 37,4 Si, 14 Fe, 11 Al, 8,7 Ca, 6 Mg, 17 H. Zerfällt sich in verdünnter Salzsäure leicht unter Gallertbildung. Wie der Thon durch Auslaugung von Kohlensäure, hauptsächlich Kalk- und Bittererde verlor, so der Palagonittuff durch heiße Wasser die kiesel-sauren Alkalien, Mohr Jahrb. 1866. 426. Die Zeolithbildungen pag. 401 stehen damit in engster Beziehung.

### Porzellanerde.

Chinesen nennen sie Kaolin, und den Feldspath, durch dessen Verwitterung sie entsteht, Pe-tun-se. Nach Helmen und Salvétat (Schneidermann, Polyt. Centraltb. 1852. VI. 44) soll dieß ein dichter Feldstein sein, der fein gerieben und in Backsteinform gebracht wird: nach Richterhofen ein in Thonschiefer eingelagerter Jaspisartiger Stein, der zu Mehl zerklopft seit 3000 Jahren zum Porzellanmachen diene. Er gibt in der Sprache der Chinesen wegen seiner Schmelzbarkeit dem Porzellan „Fleisch,“ das unschmelzbare Kaolin dagegen „Gebein“. Die reinste Porzellanerde bildet ein schneeweißes Mehl, das man nicht selten erst aus dem Felsen heraus-schlemmen muß. Gew. 2,2. Hält das Wasser nicht an sich, gibt daher keinen plastischen Teig. Unter dem Mikroskop erscheinen viele feine sechs-seitige Blättchen (Kaolinit Jahrb. 1870. 338).

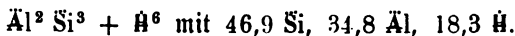
Nach Forchhammer's Untersuchung (Pogg. Ann. 35. 331) besteht die von Gebirgsart gereinigte aus  $\text{Al}^3 \text{Si}^4 + 6 \text{H}$  mit 47 Si, 39,2 Al, 13,7 H. Zum Unterschied von Thonen enthält sie stets freie in Schwefelsäure lösliche Thonerde und aufgeschlossene in Alkali lösliche Kiesel-erde. Man kann sie daher auch auf Alaun technisch verwenden. Nach Schlösing (Compt. rend. 8b. 79. 378. 478) ein Gemisch verschiedener Silicate, die durch Schlemmen getrennt werden können. Daß Kaolin ein Product der Feldspathzersehung sei, das zeigt die von Aue bei Schneeberg in Sachsen (Klaproth VI. 375), welche in Meissen verarbeitet wird, ganz entschieden (Nau-mann, Geogn. Besch. Königr. Sachsen II. 188). „Das dortige Kaolinlager ist

„nichts anderes als eine den feinkörnigen Granit umhüllende Schale sehr „großkörnigen Granits, dessen Feldspath sich in einem mehr oder weniger aufgelösten Zustande befindet.“ Die Schale ist nur 1 Fuß bis 2 Lachter mächtig. Es liegen noch Feldspathkrystalle darin, die alle Stadien der Zersetzung von blättrigem Spath bis zum zähen Kaolin durchgemacht haben. Forchhammer zeigte, daß wenn man von



hat aber bekanntlich das Fuchsiſche Kaliwasserglas, welches sich im Wasser löst, die Zusammensetzung  $\text{K}^3 \text{ Si}^8$ , so daß die Zersetzung nichts Auffallendes haben würde. Auch manche Thone, wie z. B. der Thon von Groß-Almerode, woraus die bekannten Hefſiſchen Tiegel bereitet werden, der sogenannte Lenzin von Kall in der Eifel zc. weichen in der Zusammensetzung von der Porzellanerde nicht ab. Zu St. Priestz südlich Limoges in Centralfrankreich ist der Gneis in Kaolin verwandelt, welcher die Porzellanfabrik von Sevres bei Paris versieht. Die Lager erreichen bis 20 Meter Mächtigkeit und liefern so viel Vorrath, daß er bis nach Amerika ausgeführt werden kann. Nach Alexander Brongniart (Archives du Museum 1839. I. 228 und 1841. II. 217) findet die Ablagerung stets sehr unordentlich statt, eine Menge Gebirgsarten: Schristgranit, Diorit, rothe Porphyre mit Quarz und Eisenerzgängen pflegen sich zu durchdringen, worzwischen dann sehr unregelmäßig die thonige Substanz ihre Stelle einnimmt, so daß die elektro-chemische Wirkung der ungleichen Felsarten auf einander nicht ohne Einfluß sein dürfte. Die Umgegend von Passau (Unter-Griesbach zc.) dankt ihre Porzellanerde nicht bloß den vermittelten Granuliten, sondern es kommt bei Obernzell sogar ein besonderes Mineral vor, durch dessen Verwitterung das Material entsteht, woraus in München Porzellan bereitet wird. Fuchs (Denkschriften der Akad. Wissenschaften, München 1818–20, Band VII. 85) nannte dasselbe

Porzellanspath. Er bricht in stets verwitterten geschobenen Säulen von ungefähr  $92^\circ$ , deren scharfe Kante durch einen ziemlich deutlich blättrigen Bruch abgestumpft wird; der in der stumpfen Kante ist undeutlich. Von Stapolithartigem Aussehen, Härte 5–6, Gew. 2,6. In der Wärme phosphorescirend. Schmilzt vor dem Löthrohr. Starke Säuren zersetzen ihn, aber ohne Gallertbildung. Fuchs fand 49,3 Kieſelerde, 27,9 Thonerde, 14,4 Kalk, 5,5 Natron, 0,9 Wasser. Schafhäutl gibt auch 0,9 Chlor an. Die daraus entstandene Porzellanerde hat nach Forchhammer



Passauer Porzellanerde wurde schon um das Jahr 1735 bei Lemmersdorf gegraben, und in bedeutenden Quantitäten nach Nord-Deutschland geführt. Der Hauptabsatz geht jetzt nach Nymphenburg und Regensburg, die geschlemmte auch nach Wien. Die Truhe von etwa 12 Ctr.

kostet 8—14 fl. In kleinen Mengen als erdiges Mehl ist die aus Feldspath entstandene Porzellanerde außerordentlich verbreitet, nicht bloß im Urgebirge (Hornberg Select. phys. med. I. 368), sondern auch in den daraus entstandenen Sandsteinen, z. B. im Kohlen sandstein, im weißen Keuper sandstein etc. Allein ihre Masse ist zu zerstreut, um durch Schlemmen gewonnen werden zu können, oder auch häufig zu eischüssig, so daß das Material zu feinem Porzellan immerhin ein kostbares bleibt.

Porzellan ist die feinste unter den Thonwaaren, von den Chinesen erfunden, woher es durch die Portugiesen nach Europa kam. Ja nach Buttmann (Museum Alterth. 1808. II. 512) brachte Pompejus Teller und Schüsseln davon massenhaft aus Parthia und Karmania nach Rom, die Properz murrea in Parthis pocula cocta focis nannte, so daß die vasa murrina Porzellan gewesen wären. Es wurde aber von einem Apotheker Böttcher 1706 beim Goldmachen, das ihn in Schulden und Gefängniß gebracht hatte, auf der Festung Königstein nachentdeckt. Anfangs braun und roth, 1709 schon weiß, worauf Böttcher durch das Pudermehl geführt wurde, das man mit weißer Porzellanerde von Aue verfälschte. Die erste Fabrik in Meißen 1710 angelegt. Das Porzellan bildet keine geschmolzene, sondern nur eine gefrittete, hin und wieder mit kleinen Poren versehene Masse mit schimmerndem Bruch. Seine Härte ist so groß, daß es mit dem Stahle Funken gibt. Halbdurchsichtig, weiß und wenig spröde. Beim letzten Brennen schwindet das Porzellan, dem ungeachtet vermindert sich sein Gewicht (Erdmann's Journ. prakt. Chem. 36. 109), statt daß es höher werden sollte. Nach dem Brennen sollte es die Summe der Dichtigkeiten des Feldspathglases und der Porzellanerde besitzen, in der Berliner Fabrik also = 2,518 sein, während sie in Wirklichkeit = 2,452 ist, eine Erscheinung, die man lange nicht erklären konnte (Pogg. Ann. 93. 74), woran aber wahrscheinlich der Uebergang der krystallinischen Kiesel Erde in die amorphe Schuld ist. Da nämlich die Porzellanerde weder schmilzt noch frittet, so muß sie noch mit einer schmelzbaren Substanz versehen werden, reinem Feldspath oder Gyps (Chesao der Chinesen), wozu man noch etwas Quarz thut. Dieser „Fluß“ durchdringt nun das unschmelzbare Kaolin, wie Del das Papier, und macht die Masse haltbar und durchscheinend. Beides geschmolzenes und ungeschmolzenes, von den Chinesen schon so schön als „Fleisch und Gebein“ bezeichnet, läßt sich unter dem Mikroskop noch unterscheiden. Außerdem versieht man es mit einer Glasur, die aus denselben Substanzen wie der Fluß besteht, nur mit mehr Gyps, weil die Glasur in völligen Fluß kommen muß. Der Glasur verdannt das Porzellan seinen Glanz, das unglasirte (Bisquit) ist matt. Wegen der geringen Bildsamkeit der Masse muß das Material auf das sorgfältigste geschlemmt und Monate lang in feuchten Gruben abgelagert (gebeizt) werden. Dies und die starke Fenerung nebst der sorgfältigen und wiederholten Behandlung machen das Porzellan theuer. Es kann zugleich mit den schönsten Farben versehen werden: mit Scharff Feuerfarben, welche die größte Hitze ertragen, wie das Blau des Kobalt,

das Grün des Chroms, das Gelb des Titanoxyds, das Schwarz des Frittdiumoxyds; und mit Muffelfarben, welchen starkes Feuer schadet. Diese viel mannigfaltiger muß man mit besondern Flüssen auftragen.

England macht nur Frittporzellan, dazu kommen Kaolin von Cornwallis, Plastischer Thon, ein halb verwitterter, glimmerfreier Granit (Cornishstone), Feuerstein und gebrannte Knochen. Die Masse ist viel plastischer, leicht flüssig durch die Knochenasche, und gibt doch eine weiße, klingende und gleichartige Waare wie wirkliches Porzellan. Die Glasur ist Blei- und Boraxhaltig. Das Frittporzellan, was man in Frankreich vor dem Meißner Porzellan machte, enthielt gar keine Thonerde, und war ein vollkommenes Glas.

### Steinmark.

Steinomarga i. e. medulla saxi (Agricola pag. 578) nannte der alte Bergmann eine ganze Gruppe von Thonen, die nicht Schichtweis vorkommen, sondern isolirt im Felsen wie das Mark in den Knochen stecken. Sie lassen nicht mehr so unmittelbar wie die Porzellanerde ihren Ursprung erkennen, sind theils weich und flüssig, theils fest und homogen. Da auch einzelne Sorten von Speckstein nesterartige Ablagerungen lieben, so ist ein Verwechseln damit gar nicht zu umgehen. Nur die chemische Analyse kann dann unterscheiden, oder wenigstens die Stoffe quantitativ angeben, wenn auch nicht genügend deuten. Werner nahm verhärtetes und zerreibliches an.

Gelblichweißes Steinmark aus den Zinnsteingängen (am Sauberge bei Ehrenfriedersdorf), vom Schneckenstein mit Topas zc. fühlt sich fettig an, läßt sich mit dem Nagel zerdrücken, und erscheint unter der Loupe feinschnuppig, wie dichter Talkschiefer. Die Analyse von Clar gab 47,3 Kiesel-erde, 39 Thonerde, 13,5 Wasser und nur 0,9 Talkerde, was der Formel des Kaolins sehr nahe kommt. Gilbertit (Jahrb. 1873. 100) ist das bekannte weiche Mineral, was zwischen Zinnstein und Wolfram sitzend glänzende Eindrücke von deren Krystalle annimmt. Natrit (Jahrb. 1866. 51) bildet sechsseitige Schüppchen auf Klüften des Freiburger Gneises, ganz von der Zusammensetzung des Kaolin.

Fleischrothes Steinmark aus dem verwitterten Porphyr von Rochlitz an der Mulde, Breithaupt's Carnat, läßt sich mit dem Nagel nicht zerdrücken, Härte 2—3, Gew. 2,6. Fühlt sich sehr fein und zart an. Der Bruch erinnert an Kugelsapir, hat aber mehr Glanz. Wahrscheinlich aus Quarz entstanden. Nach Klaproth (VI. 100) 45,2 Kiesel-erde, 36,5 Thonerde, 14 Wasser, 2,7 Eisenoxyd. In demselben Porphyr kommt auch Freiesleben's Talksteinmark vor, es ist mehr weißlich, und hat nach Karstens Untersuchung die Formel des Cyanit,  $\text{Al}^3\text{Si}^2$  mit 60,5 Thonerde, 37,6 Kiesel-erde. Doch gibt es auch Wasserhaltiges.

Collyrit Karsten Tabell. pag. 73, Collyrium nannte Plinius 35. 51 eine der beiden Samischen Erden: prioris laus, ut recens sit et levis, linguaeque glutinosa. Klebt also an der Zunge, wie vieles

Steinmark. Auf dem Stephanischacht zu Schemnitz in Ungarn bildet der Schneeweisse mit Druckflächen versehene Thon Trümmer und Nester im Diorit-Porphyr. Klaproth Beitr. I. 258 fand darin 45 Al, 14 Si, 42 H =  $Al^3 Si + 15 H$ . Im weißen bunten Sandsteine von Weissenfels an der Saale kommt auf einem Gange ein Thon vor, den Karsten dazu stellte. Nester und Gänge im Flözgebirge pflegen übrigens immer sehr feingeschlemmte Thone von solcher Mannigfaltigkeit zu führen, daß es gewagt scheint, denselben besondere Namen geben zu wollen.

Lavendelblaues Steinmark von Planitz bei Zwickau bildet Lager im Steinkohlengebirge. Härte 2. Es gleicht einem blaumarmorirten Thonstein, fühlt sich mager an, und enthält nach Schüler 41,7 Si, 22,8 Al, 13 Fe, 2,5 Mg, 3 Ca, 1,7 Mn, 14,2 H. Wegen des Eisenreichthums hat es Breithaupt Eisensteinmark genannt. Es ist die berühmte sächsische Wundererde (Ch. Richter, Saxoniae electoralis miraculosa terra. Schneeberg 1732). Die Drechsler von Zöblitz poliren damit den Serpentin.

### Bol.

Von *βῶλος* Scholle. Agricola pag. 708 übersetzt eine Terra alana ins Deutsch Geeler bolus. Wallerius spricht von siebenerei Bolus in Apotheken, „die im Munde wie Butter schmelzen.“ Werner beschränkte dagegen die Benennung auf die steinmarkartig vorkommenden Thone im Basalt und Mandelstein. Dieselben haben einen vollkommen muscheligen Bruch, schimmern stark auf der Bruchfläche, springen sehr scharfkantig, fühlen sich fettig an, und hängen stark an der Zunge. Im Wasser zerspringen sie mit Geräusch zu eckigen Stücken. Gewöhnlich eine von Eisenoxydhydrat herrührende braune Farbe. Bekannt sind die isabellgelben bis schwarzbraunen, sie scheinen verwitterter Opal zu sein. Die von Säsebühl bei Dransfeld haben 41,9 Si, 20,9 Al, 12,2 Fe, 24,9 H; die blaß rosenrothen aus den Klüften zwischen den Basaltsäulen von Stolpe mit 45,9 Si, 22,1 Al, 3,9 Ca, 25,9 H, schmelzen unter Blasenwerfen zu Email. Der kastanienbraune Bol von Siena in Toscana (terra de Siena) wird zu Frescomalereien benützt. Den lichtbraunen Bol aus der Basaltwacke von Striegau westlich Breslau, brachte der Kaiserl. Leibarzt Scultetus Montanus 1508 als terra sigillata Strigonensis in den Handel (J. Montanus, breve, sed exquisitum, vereque philos. judicium de vera nativa sigillata Strigonii a se inventa. Norimb. 1585).

*Terra sigillata* Agricola Bermannus 699 nannten die alten Mediciner einen feinen Thon, der als Universalheilmittel seit Homer's Zeiten in Brauch und Ansehen stand, »Turcae eam unicum pestis remedium esse asserantes«. Plinius 35. 14 führt sie unter den rothen Erden an: palmam enim Lemniae dabant. Minio proxima haec est, multum antiquis celebrata, cum insula, in qua nascitur. Nec nisi signata venundabatur: unde et sphragidem appellavere (*σφραγίς* Siegel). Nach Galen scheint es aber nicht die rothe, sondern eine andere weißlich-graue gewesen zu sein, welche noch heute am Tage von Mariä Himmel-



fahrt mit großer Feierlichkeit gesammelt wird und mit einem türkischen Siegel versehen in den Handel kommt. Klaproth (Beiträge IV. 337) gab davon eine Analyse, der Thon war mager, und zerfiel im Wasser wie Wallererde: 66 Si, 14,5 Al, 6 Fe, 3,5 Na, 8,5 H, war daher kein Bol im Werner'schen Sinne. Wie ursprünglich nur der „Lemnischen Erde“ so wurde später vielen andern Thonen eine Heilkraft beige-schrieben, man schnitt sie zu cylindrischen Platten, und versah sie als Zeichen ihrer Aechtheit mit einem Siegel. Wallerius und Cronstedt rechnen alle diese Siegelerden zum Bolus, klagen aber schon, daß sie so viel verfälscht würden. Die gelbe Siegelerde von Striegau hat drei Berge als Siegel, auf den Namen des Entdeckers Montanus anspielend. Nach der Farbe hatte sie den bedeutungsvollen Namen *axungia solis* (Sonnenschmalz), die säch-sische Wundererde von bläulich grauer Farbe hieß dem entgegen *axungia lunae* (Mondschmalz). Die Weiße von Malta wurde in Form von Kugelfalotten mit dem Bildniß des Apostel Paulus versendet. Besonders häufig findet man auch die rothen, weil Plinius die ächte Lemnische Erde als *Rubrica* beschreibt. Von diesen war die Württembergische in Apotheken beliebt, sie findet sich nicht bloß in den rothgefärbten Keuperletten, sondern kommt auch nesterweis von ausgezeichnete Feinheit und intensiver Farbe auf den Brauneisensteingängen von Neuenbürg vor. Cronstedt § 86 übersetzt daher Bolus geradezu in Eisenthon, „ein solcher scheint mir auch in der Medicin dienlicher zu sein, als andere Thonarten.“ Wer feine Thonsorten finden will, muß gerade den Klüften der Gesteine nachgehen, hier schlagen sie sich noch fortwährend aus den circulirenden Wassern nieder, sind schmierig, und erhärten erst an der Luft. Eine solche zufällig angehäuften Schmiere scheint der Pholerit im Kohlengebirge zu sein, ob er gleich die Zusammensetzung der Porzellanerde hat. Im Alterthum genoß besonders die

Sinopische Erde als rothe Malerfarbe großen Ruf. Theophrast § 94 unterscheidet dreierlei, die besten Sorten kamen von der Stadt Sinope mitten am südlichen Ufer des Schwarzen Meeres. Plinius 35. 13 sagt ausdrücklich *Sinopis . . . . in Cappadocia effossa a speluncis. Quae saxi adhaesit, excellit.* Es war also ein nesterartiges Vorkommen. Klaproth (Beiträge IV. 335) fand darin 32 Kiesel-erde, 26,5 Thon-erde, 21 Eisenoxyd, 17 Wasser, 1,5 Kochsalz. Die prächtig rothen Wände von Pompeji sind damit gemalt. Hier würde sich dann der Röthel anschließen, wie andererseits an den Brauneisenerde die Gelberde. Ein Theil der letztern kommt nesterförmig vor, in den Bohnerzen; andere ist Zerlegungsprodukt von Eisensäuerlingen bei Canstatt. Die Sachen kommen geschlemmt in den Handel. Die Werner'sche war ein Töpferthonflöz aus den jüngsten Formationen von Wehrau. Bei Amberg lagert im untern braunen Jura eine Erde, die nach Ruhn 33,2 Si, 37,1 Fe, 14,2 Al, 13,2 H, 1,4 Mg enthält. Von Formeln kann da nicht die Rede sein. Durch Brennen wird sie roth, durch Mangangehalt braun, wie die sogenannte Cyprische (türkische) *Umbra* von der Insel Cypern, nach

Klaproth (Beiträge III. 140) 48 Fe, 20 Mn, 13 Si, 5 Al, 14 H. Kaffeebraune Manganhaltige Thone enthält auch der Keuperletten vom Vogelsang bei Stuttgart. Der zeisiggrüne Montronit aus den Braunksteinlagerstätten über Vias von St. Pardoux bei Montron (Dordogne) hat bei Andreasberg eine gelbbraune Farbe, und besteht im Wesentlichen aus (Fe, Al)  $\text{Si}^2 + 3 \text{H}$ .

Intensiv gefärbte Thone gibt es noch eine ganze Reihe, besonders schön die grünen. Grünerde pag. 295 vom Monte Baldo mit seldougrüner Farbe schließt sich an Chlorit an. Durch Brocchi wurde 1811 die sogenannte krySTALLisirte Grünerde im Melaphyr des Gebirges Pozza im Fassathal bekannt, aus den schönsten und schärfsten ringsum gebildeten Afterskrystallen von Augit bestehend. Rammelsberg (Pogg. Ann. 49. 391) fand darin 39,5 Kieselerde, 10,3 Thonerde, 8,9 Eisenoxyd, 15,7 Eisenoxydul, 1,7 Magnesia, 8,7 Alkali nebst Wasser und Verlust. Mehrere hatten sogar bis 15,2 p.C. Ca C, an die Feldspathafterskrystalle aus dem rothen Porphyr von Immenau pag. 263 erinnernd, in welchen Crasso (Pogg. Ann. 49. 396) sogar 49,5 Ca C neben 23,2 Si, 12,5 Fe, 7,3 Al, 2,1 K, 0,2 Na u. fand. Eisenoxydul scheint in Fassathalern die grüne Farbe zu erzeugen. Im Handel kommt auch eine berggrüne Thonsteinartige Masse unter dem Namen Grünerde vom Monte Paterno bei Bologna vor; oder aus den Alpen, woran der eingesprengte Bergkrystall öfter noch den chloritischen Ursprung verräth. Der weiche zeisiggrüne Pinguat im Schwerspath von Wolfenstein in Sachsen ist im Wesentlichen 37 Si, 30 Fe, 25 H, Jahrb. 1833. 427.

Wolchonskoit (Pogg. Ann. 29. 400) in Nestern und schmalen Gängen des Kreises Ochauss Gouv. Perm scheint ein frautgrüner Thon zu sein, worin die Thonerde hauptsächlich durch 34 Chromoxyd und 7,2 Eisenoxyd vertreten ist, neben 27,2 Si und 23,2 H. Wird ebenfalls als Farbmateriale von den Russen benützt. Auch Pimelith pag. 250 ist hier wegen seiner schön grünen Farbe zu vergleichen, allem Anschein nach verwitterter Chrysopras, der aber schmilzt und mit Kobaltsolution schön blau wird. Auffallender Weise gibt Schmidt (Pogg. Ann. 61. 398) in den Steinmarkartigen sich fettig anführenden 32,7 p.C. Ni nebst 54,6 Si, 5,9 Mg, 5,2 H, so daß er im Wesentlichen 2 Ni Si + H sein würde. Die Talkerde läßt sich leicht aus dem Muttergestein, dem Serpentin, erklären.

Perolith (Wachstein, *ηρός*) von weißem wachsartigem Aussehen, Härte 2, aus dem Serpentin von Baumgarten in Schlesien 36,8 Si, 12,2 Al, 19 Mg, 32 H. Bildet schmale Gänge wie der dortige Opal, und ist daher offenbar nur ein in Aftersbildung begriffenes Quarzgestein. Saugt Wasser ein.

Alumocalcit aus dem quarzigen Rotheisensteine von Eibenstock in Sachsen, weiß, weich, spröde, ist nicht sowohl ein unreifer, als ein überreifer Opal mit 86,6 Si, 2,2 Al, 6,2 Ca, 4 H. Hier hatte das Gebirge nur Talkerde abzugeben. Klebt nicht an der Zunge.

Allophan (*αλλοφανής* andersscheinend) von Gebersdorf bei Gräfenenthal im Saalfeldischen bildet traubige himmelblaue Ueberzüge und Schnüre in einem eisenküssigen Thon. Die verberbten Parteen zeigen einen ausgezeichneten Glasglanz und muscheligen Bruch, Gew. 1,9, Härte 3. Seinem Aussehen nach sollte man es für lichten Kupfervitriol halten, dennoch fand Stromeyer 41,3 H, 21,9 Si, 32,2 Al, 0,7 Ca und nur 3 p.C. kohlensaures Kupfer darin. Andere sind reicher. Auf alten verlassenen Gruben bildet er öfter secundäre Niederschläge, die frisch noch schmierig sind, wie auf dem blauen Stollen von Zuckmantel in Destr. Schlesien. Er färbt die Flamme grün, scheint aber nicht vitriolisch, sondern thonig.

Hallosit nannte Berthier die wachsartigen aus den Salmeilagern von Angleure bei Lüttich mit 45 Si, 39 Al, 16 H. Dufrenoy vereinigte unter diesem Namen eine ganze Reihe Steinmarkartiger Thone, die besonders in der Artoise von Centralfrankreich, welche zwischen dem Granit und Secundärgebirge (Lias) ihr Lager hat, sich eingesprengt finden. Der glänzendschwarze dichte Sordawalit von den Saalbändern eines Doleritganges im Finnländischen Gneuse und der ähnliche Wichtisit werden als „hyalin erstarrte Parteen des einstigen Trappmagmas“ aufgefaßt (Jahrb. 1875. 552). Die Zahl der Namen wird hier endlos und wenig erfreulich.

### Plastische Thone.

Kommen in größerer Menge schichtenweis eingelagert vor. So lange sie ihre Bergfeuchtigkeit enthalten, geben sie eine mehr oder weniger knetbare Masse, das macht sie für die Töpferei wichtig (Töpferthon). Trocken haben sie einen glänzenden Strich, ins Wasser gelegt zerfallen sie und werden wieder plastisch. Zeigen eine große Neigung besonders beim Trocknen Fett aufzunehmen. Die meisten sind zusammengeflözt, und finden sich namentlich in jüngerer Zeit, im Braunkohlengebirge. Im Pariser Becken hat A. Brongniart sogar die ältere Tertiärformation unter dem Grobkalke, Formation des plastischen Thones genannt. Chemisch weichen sie kaum wesentlich von dem Kaolin ab, wenn man ihre mechanische Verunreinigung gehörig berücksichtigt, wie das z. B. Fresenius (Erdmann's Journ. prakt. Chem. 57. 66) bei den Nassauischen Thonen nachwies: 100 Theile lufttrockenen Thones von Hilscheid enthielten 24,7 Streusand, 11,3 Staubsand, 57,3 Thon und 6,2 Wasser, und das ganze analysirt gab 77 Kieselersde, während der Thon nach Abzug des Sandes nur 45,3 Kieselsäure, 34,1 Thonerde, 3,3 Eisenoxyd, 3 Kali, 12,3 Wasser zc. enthielt, was der Zusammensetzung von Kaolin schon nahetritt. Auch sieht man bei dem Verfahren sogleich ein, welches bedingte Gewicht auf Analysen solcher Sache zu legen ist, wenn von der mechanischen Scheidung so viel abhängt, die bei vielen Analysen früher fast ganz vernachlässigt wurde. Der stets vorhandene kleine Kaligehalt deutet den Ursprung aus Feldspath an.

**Töpferthon** *Terra figularis Agric.* 708, *Argile glaise Haub Traité* IV. 557, *Potter's Clay*. Eine sehr plastische Masse, die vorzüglich zur Töpferei dient, und da fast kein Bezirk ohne Töpfer ist, so muß natürlich das verschiedenste Material angewendet werden. Die meisten plastischen Töpferthone werden von der Oberfläche genommen, es scheint die Circulation des atmosphärischen Wassers zu ihrer Präparation wesentlich beigetragen zu haben. Die feinste Abänderung nannte Werner erdigen Töpferthon, meist von graulicher und weißlicher Farbe, und zwischen den Zähnen knirschend von beigemengtem Sande. Gew. 2. Zu Tillendorf unweit Bunzlau in Schlessien fand Klaproth VI. 281 61 Si, 27 Al, 1 Fe, 11 H; Thon von Gr. Allmerode, woraus die berühmten Hessischen Ziegel gemacht werden, ein ausgezeichnete graulichweißer Braunkohlenthon, hat nach Salvetat 47,5 Si, 34,4 Al, 1,2 Fe, 0,5 Kalk, 1 Magnesia, 14,5 H. Die Analysen verschiedener Töpferthone schwanken zwischen 46—66 p. C. Kiesel Erde und 18—38 Thonerde. Durch Salze verunreinigte Thone fangen im Feuer an zu schmelzen, aber auch die unschmelzbaren verlieren ihre Plasticität. Sie liefern das Material zur gröbern und feinem Töpferwaare. Oben an steht

Steingut, dessen harte Masse porzellanartig zusammenbäckt, daher klingt. Vor der Erfindung des Porzellans diente es zu Luxusgegenständen, und der Stiel ist ein interessanter Beweis deutschen Kunstsinnes. Feines Steingut wird in unzähligen Varietäten hauptsächlich noch in England gemacht. Die Potteries in Staffordshire und Newcastle an der Tyne beziehen einen Theil ihres Thones dazu von Teignmouth in Devonshire. Gewöhnlich färbt man die ganze Masse: grün mit Chrom, blau mit Kobalt &c. Die Französischen Fabrikate von Saargmünd werden geschliffen und polirt, ahmen Jaspis und Porphyrr nach &c. Gemeines Steingut dient zu Töpfen, Sauerwasserkrügen und andern wasserdichten Gefäßen. Es besteht aus verschiedenen plastischen Thonen, die mit einem Cement (gestoßenen Steinscherben, Sand) gemischt werden. Nächst dem Porzellan bedürfen die Steingutöfen des stärksten Feuers, zur Glasur braucht man bloß Salz in den Ofen zu werfen, das Natron bildet dann mit Kieselensäure ein Glas. Daher werden in Nassau ganze Schiffsladungen von Scherben ausgeführt, um sie gestoßen als Zusatz für feuerfeste Ziegeln und Gefäße zu benutzen. Das Steingut von Bunzlau in Schlessien, Vallendar (Coblenz gegenüber) &c. ist berühmt. In England benutzt man Steingut wie Glas, und verfertigt Gefäße bis zu 6 Ohm Größe. Die Scherben von Steingut und Porzellan kleben nicht an der Zunge, die nachfolgenden kleben: das Kleben und Nichtkleben liefert ein Hauptmerkmal für Praktiker.

Fayence (*Majolica*) schmilzt und sintert nicht mehr zusammen, sondern ist bloß stark gedörrt, und wird dann mit einer bleihaltigen Glasur überzogen, die von ganz anderer Beschaffenheit als die Masse ist. Was das Porzellan für die Malerei, das ist heute die Fayence für den Farbendruck. Früher wurde sie auch bemalt, die Malereien von Rhabphael,

Titian, Michel Angelo verschafften ihr großen Ruf. Feine Fayence hat eine durchsichtige Glasur, gemeine dagegen undurchsichtige und gefärbte. In Württemberg wird zu Schramberg im Schwarzwalde der schwarze Schieferthon der Steinkohlenformation mitbenützt, der sich ganz weiß brennt. Zu Schrezheim bei Ellwangen gibt man ihm eine smaltblau Glasur, so kommen wir durch zahllose Abstufungen zur

Gemeinen Töpferwaare. Sie ist uns aus dem Alterthume überliefert, ihre Form kam bei Griechen und Römern zwar zur größten Vollendung, allein die Scherben kleben an der Zunge. Schon die Alten führten die größten Werke aus, wie die sogenannten Terracotten beweisen: auf dem Capitol stand ein Jupiter sammt Viergespann in Thon ausgeführt und mit Zinnober angestrichen. Kaiser Vitellius ließ eine Schüssel machen, welche eine Million Sesterzien (über 33,000 fl.) kostete. Die Etrurischen Vasen mit ihren eigenthümlichen Malereien waren so geschmackvoll und beliebt, daß sie zur Zeit August's den silbernen und goldenen Gefäßen den Rang streitig machten. Diese feine Töpferwaare des Alterthums, wovon wir so häufig Scherben auf unsern Feldern finden (Rottweil, Rottenburg), wurde von den Römern gern aus rothem Thon gemacht, man sagt aus Terra sigillata. Der Thon ist geschlemmt, das Roth durch Zusatz von Eisen erzielt. Grobe schwarze Töpferwaare (Thronen- und Aschenkrüge) wurde auch im Großen ausgeführt, wie das noch heute in warmen Ländern der Fall ist. So war das bekannte Faß des Diogenes ein solcher Topf. Unsere gemeine Töpferwaare verträgt den Temperaturwechsel, wie das Porzellan, um aber Flüssigkeiten halten zu können, muß sie mit einer Bleiglasur, die gleich auf die lufttrockenen Gefäße aufgetragen wird, überzogen werden. In warmen Gegenden macht man auch eigene Kühlkrüge ohne Glasur, wo der Thon sogar, um recht porös zu werden, noch mit einer verbrennbaren Substanz gemischt wird.

Pfeifenthon nennt man die weißen Thonabänderungen, welche dabei so rein sind, daß sie zwischen den Zähnen gar nicht knirschen. Sie liefern das Material zu den kölnischen Pfeifen, welche in Frankreich beliebt sind.

Waltererde terra fullonum Agricola 708, Fouller's earth, Argile smectique. Die ächte englische Waltererde von Nutfield bei Riegate in Surrey ist ein muschelführender blaßgrünlich bis gelblich grauer schiefriger Thon des mittlern braunen Jura. Sie war früher so berühmt, daß man die Güte englischer Tücher ihr zuschrieb, und sie durfte daher nicht ausgeführt werden. Nach Klaproth (Beitr. IV. 334) zerfällt sie im Wasser geräuschlos und schnell „wie Urfsand auseinander.“ Sie fühlt sich nur mäßig fett an: 53 Si, 10 Al, 9,7 Fe, 1,2 Mg, 24 H, Spuren von Kali; also wesentlich Thonerdearm. Solche zusammengeschwemmte Gebirge unter allgemeine Begriffe bringen zu wollen, möchte vergebliche Mühe sein, zumal da die verschiedensten Thone zum Entfetten benützt werden können. Die Alten bedienten sich dazu besonders der γῆ κυμώλια Theophr. § 110, Plinius 35. 57 nennt sie Creta Cimolia, nach der

Cycladischen Insel Cimolus (Argentiera). Plaproth (Beiträge I. 201) beschreibt den Cimolus perlgrau, er nimmt aber an der Luft eine röthliche Schattirung an (Cimolia ad purpurissimum inclinans Plin.), gibt Späne wie Speckstein, im Wasser blättert er sich krummstiefzig, die Masse wird im Wasser nicht recht schlüpfrig, gerade wie die Walfererde, was das Abwaschen der damit befestigten Tücher offenbar erleichtert: die erste Analyse gab 63 Si, 23 Al, 1,2 Fe, 12 H; eine zweite spätere (Beitr. VI. 204) dagegen 54 Si, 26,5 Al, 5,5 K, 12 H. Zwischen den Schieferletten der braunen Juraformation kommen wiederholt solche zähen Thonschichten vor, die im Wasser nicht so schmierig sich anfühlen, als feiner Töpferthon, und die wohl alle zum Walzen sich eignen werden.

Bergseife nannte Werner den fettesten aller Thone, in Böhmen als „schwarze Backseife“ zum Waschen grober Tücher dienend. Sie kam von Ostucz in Polen, und Werner hielt sie für eine große Seltenheit: pechschwarz, sehr glänzend im Strich, färbt nicht ab, aber schreibt wie schwarze Kreide. Später hat man dann Thone anderer Fundorte dazu gezählt, sonderlich den schwarzen von Waltershausen bei Gotha, der ebenfalls schreibt und auf der schreibenden Spitze großen Glanz annimmt.

Bunte Thone hieß Werner die durch Eisen intensiv gefärbten, sie verlieren dadurch an Plastizität. Bei Wehrau kommt mit der dortigen Gelberde ein sehr ausgezeichnete rother vor. Der unreinste heißt

Lehm, jene gelben Lager, die besonders stark durch Sand, Kalk und im Wasser lösliche Salze verunreinigt sind, häufig Mammuthsknochen enthalten, und sich wo nicht Flugsand vorhanden unmittelbar unter der Ackertrume finden. Zusammensetzung und Färbung hängt in Gebirgsländern mit von dem Gebirge ab, auf welchem sie liegen. Lehm hat eine außerordentliche Verbreitung. Da die gelbe Farbe von Eisenoxydhydrat herrührt, so brennt er sich im Feuer roth. Backsteine und Ziegeln werden aus Lehm gemacht. In südlichen Ländern, oder da wo es keine Steine gibt, trocknet man bloß die geformten Stücke (Klino, Babylon), sie werden dann aber nicht so hart, wie die gebrannten. Lehm ist ein sehr wichtiges Baumaterial, der magere im Rheinthale (Löß) fällt leicht zu feinem Staub auseinander, und geht zuletzt vollkommen in den Tripel über. Letten terra lutosa Agric. 707 ist fetter Lehm.

Schieferletten werden ins Wasser geworfen nicht plastisch, sind im Gebirge steinhart, durch Verwitterung zerfallen sie aber zu lauter kurzen Plättchen, welche schüttig an steilen Gehängen herunterrutschen. Die meisten brausen mit Säuren stark, schmelzen vor dem Löthrohr, gehen also in Mergel über. Indes da sie nach langer Verwitterung einen zähen plastischen Dreck geben, so pflegt man sie nicht den Mergeln sondern den Thonen zuzuschreiben. Hausmann nennt sie Mergelthon. Bei der Zufälligkeit der Bildung ist es freilich nicht möglich, hier überall die richtige Grenze zu stecken. Werner scheint sie hauptsächlich unter seinen verhärteten Mergeln begriffen zu haben, während der eigentliche

Schieferthon *Argilla indurata* fast ausschließlich dem Steinkohlengebirge angehört. Er ist von kohligen Theilen schwarz gefärbt, seltener grau, hat aber einen grauen Strich. Vor dem Löthrohr schmilzt er nicht, brennt sich aber weiß, und wenn Eisen da ist, roth. Denn die schwarze Farbe rührt lediglich von Kohle her. Er ist auch steinhart und gibt mit Wasser angemacht keinen plastischen Thon, er müßte denn vorher fein gestoßen, geschlemmt und gebeizt sein. An der Luft der Verwitterung von Regen und Sonnenschein ausgesetzt, zerfällt er bald zu „unbestimmt eckigen“ Stücken. Die Analyse einer Abänderung aus der Grafschaft Mark von Brandes gab 67,5 Si, 11,3 Al, 4,2 Fe, 4,9 H, Schwefelkies, Kohle, Alaun, Ammoniak zc. Wegen seiner häufigen Pflanzenabdrücke heißt er auch Kräuterschiefer, welcher besonders das Dachgestein der Steinkohlen bildet. Wie der Plastische Thon die Braunkohle, so begleitet der Schieferthon die Steinkohle. Wenn Schieferthon viel Bitumen enthält, so brennt er, dieser heißt dann auch wohl Brandschiefer, Klaproth Beitr. V. 182 hat einen solchen von Wologda untersucht. Mineralogisch kann man die Sache kaum festhalten. Zeichenschiefer (schwarze Kreide) heißen die im Handel vorkommenden milden Schieferthone, welche so viel Kohle haben, daß sie einen schwarzen Strich machen, und wegen der Milde des Schiefers auf Papier schreiben. Die beste soll aus Spanien von Marvilla in Andalusien und aus Italien stammen, daher auch *pierre d'Italie* genannt. In Deutschland ist besonders Oberhüttendorf und Dünahof bei Ludwigstadt im Bayreuthischen als Fundort bekannt. Man präparirt auch künstlich Schreibstifte daraus.

Thonschiefer *Phyllites* gehört vorzugsweise der Uebergangsformation an. Er ist ein Reibungsprodukt des Urgebirges, wie es sich noch heute an den Küsten Norwegens oder bei Gletschern bildet. Farbe schwarz, grau, grünlich, röthlich zc. Hart und steinartig sondert er sich in den ausgezeichnetsten Platten ab, die aber nicht Folge der Schichtung sind, da sie nicht der Schichtung parallel gehen, sondern Folge einer durch Druck erzeugten Absonderung. Griffelschiefer von Sonneberg südwestlich Saalfeld, läßt sich in stängliche Stücke spalten, woraus die Griffel zu Schiefertafeln geschliffen werden. Er ist etwas weicher als der Tafelschiefer, und an der Luft sondert er sich von selbst stänglich ab, wird aber dadurch auch brüchig. Daher muß er frisch gebrochen gleich sorgfältig in feuchten Kellern zur weitem Bearbeitung aufbewahrt werden. Die Anwendung zu Schiefertafeln und zum Dachdecken kennt schon Agricola, er nennt ihn *Saxum fissile* Schiefer pag. 707, aber versteht darunter die verschiedensten plattigen Steine. Die Schiefertafeln von Lehesten im Thüringer Walde sind berühmt. Dachschiefer dürfen in kochendem Wasser lange Zeit nicht zerfallen, und müssen Jahrhunderte der Verwitterung widerstehen. Nicht alle sind „klastischer Natur“, sondern zeigen viele mikroskopische Krytallnadeln.

## 2. Anhang. Gläser.

Die Gläser bilden eine amorphe spröde Masse mit vollkommen muscheligen Bruch. Besonders homogen erscheinen die künstlichen und doch bestehen sie nach Leydolt (Pogg. Ann. 86. 404) aus durchsichtigen Krystallen, die wie beim Porphyr in eine amorphe Grundmasse eingeknetet sind. Bei der Behandlung mit Flußsäure kommen die Krystalle zum Vorschein. Glas entsteht durch Schmelzen und schnelles Erkalten der verschiedensten Minerale und Gebirgsarten. Schon Klaproth (Beiträge I. 4) hat darüber umfassende Versuche angestellt. In der Natur im Großen sind ganz besonders die Trachyte und Feldspathgesteine zur Glasbildung geeignet. Glas hat die merkwürdige Eigenschaft, daß es, ehe es in Fluß kommt, in der Rothglüh Hitze sich formen, schweißen und kneten läßt wie Wachs. Das ist für die Technik von ungemeiner Wichtigkeit. Der Glasfluß löst übrigens Basen und Kieselsäure im Ueberschuß, so daß er keine bestimmte chemische Verbindung zu sein braucht.

### Obsidian.

Lapis Obsidianus Plinius 36. 67, quem in Aethiopia invenit Obsidius, nigerrimi coloris, der erste Personennamen im Alterthum. August stellte 4 Elephanten von Obsidian im Tempel der Concordia auf. In Rom wurde überhaupt ein großer Luxus damit getrieben, man machte Trinkschalen daraus, die ganz die Stelle unseres Glases vertraten, Kugeln mit Wasser gefüllt gebrauchte man als Brenngläser und dergleichen mehr. Theophrast § 25 nennt ihn *λεπαράλιος*, weil er von den Liparischen Inseln kam, und beschreibt seinen Zusammenhang mit dem Bimstein vortrefflich. Anthrakion diente zu Spiegeln.

Obsidian bildet das vollkommenste unter den natürlichen Gläsern, er zeigt den vollkommensten muscheligen Bruch, und ist so spröde, daß man mit dem kleinsten Hammer die größten Blöcke zerbrechen kann. Diese auffallende Sprödigkeit rührt vom schnellen Erkalten her: die Theilchen sind gezwungen, an der Oberfläche schnell eine Lage einzunehmen, welche sie vermöge ihrer Krystallisation nicht nehmen würden, den inneren Schichten bleibt dagegen mehr Zeit zur Krystallisation. Das erzeugt eine Spannung der äußern gegen die innern Theile, die man beim künstlichen Glase durch möglichst langsame Abkühlung sorgfältig zu vermeiden sucht. Glastropfen in kalt Wasser geträpelt (Glasihränen) bilden daher das allersprödeste Glas. Sammt schwarze Farbe herrscht vor, doch geht dieselbe in's Grüne und Farblose. Auch die Durchscheinendheit ist sehr verschieden, und hängt namentlich auch von der mehr oder weniger vollkommenen Glasbildung ab. Manche Mexicanische haben einen eigenthümlichen gelblichen Schiller, der von innern Blättchen herzurühren scheint (Jahrb. 1872. 1). Härte 6, Gew. 2,4. Brechungscoefficient 1,48. Ist mit ausgezeichnete Fluidaltextur pag. 213.



Vor dem Löthrohr entfärbt er sich und schmilzt zu einem schwammigen Glase, was bei größern Stücken an Bimsteinbildung erinnert. Da Knor (Philos. Transact. 1823. pag. 520) im Obsidian von der Insel Ascension 0,2 p.C. bituminöses Wasser und im Feuer 1,75 p.C. Verlust bekam, so hat man die schwarze Färbung und das Aufschäumen wohl daraus erklären wollen, Abich (Geol. Beob. pag. 62) dagegen, der die vorzüglichste Arbeit darüber geliefert hat, leitet das Ausblähen von einem Kaliverlust her. Die Analyse fällt natürlich sehr verschieden aus, je nachdem man Sorten vor sich hat. Der Obsidian von

Lipari hat 74 Kieselerde, 13 Thonerde, 2,7 Eisenoryd, 5,1 Kali, 4,1 Natron, 0,3 Chlor, 0,2 Wasser, so daß man ihm die Formel  $K Si + K Si^2 + 5 Si$  geben könnte. Der Ueberschuß von 5 Si über glasigen Feldspath deutet auf einen Kieselereichen Trachyt (Trachyt-Porphyr) hin. Der Obsidian von Island, Ponza, Cerro del Quinche nördlich Quito gehören zu den gleichen, sowie überhaupt diejenigen, welche das Phänomen der Entglasung oder sogenannte Krystalliten zeigen: das heißt graue ungeschmolzene Flecken, die in der glasigen Grundmasse schwimmen. Auf der nordöstlichen Spitze von Lipari im Gebiete der kieselreichen Trachtytporphyre erheben sich weiße Bimsteintrümmer im Monte Campobianco zu einem der „prachtvollsten Kratere, die es geben mag.“ Auf seinem Boden bricht 500' über dem Meere in furchtbar schöner Rauheit ein Glaslavenstrom hervor, der in 100' betragender Mächtigkeit und  $\frac{1}{2}$  Meile Breite dem Meere zustürzt. Ueber diesen Strom, sowie über einen kleinen zweiten schweigt die Geschichte, obgleich die Glasnatur des Gesteins jedem atmosphärischen Angriff trockgeboten hat; die Ströme überzogen sich nur mit einer eigenthümlichen emailartigen Kruste, „welche ihre perenne Dauer noch mehr sichern zu wollen scheint.“ Zur zweiten Sorte gehören die blaßgrünen von

Teneriffa und die dunkelbraunen von Procida und Ischia. Ersterer hat 61,2 Kieselerde mit etwas Titansäure, 19 Thonerde, 4,2 Eisenoryd, 0,2 Talkerde, 10,6 Natron, 3,5 Kali, etwa mit der Formel  $K Si + K Si^2$ . Der Krater von Caborra bildet einen Damm von Trachyten, der aus einem wahren Meere von Bimstein emporsteigt. Ungeheure Ströme verglaster Laven von Pechstein- und Obsidiangrundlage umgeben den Pic.

Bouteillenstein (Pseudochrysolith) findet sich zu Theil an der Moldau und Budweis in Böhmen auf den Feldern in einer Art von Geschieben im Sande und in der Dammerde (Zippe, Leonhard's Jahrb. 1841. pag. 115). Er scheint wie bouteillengrünes Glas durch, ist aber an der Oberfläche eigenthümlich rauh und zerhackt. Man hat ihn wohl für Kunstprodukt gehalten. Die Analyse gab 82,7 Kieselerde, 9,4 Thonerde, 2,6 Eisenoryd, 1,2 Talkerde, 1,2 Talkerde, 2,4 Natron u. (Gauer Jahrb. geol. Reichs. V. 1888). Zeigt unter dem Mikroskop „eine unermessliche Menge von Dampfsoren“.

Marekanit vom Bache Marekanka bei Ochotsk in Ostsibirien bildet

dunkelfarbige Kugeln, von allen Graden der Durchsichtigkeit. Die undurchsichtigen erinnern auffallend an Perlstein, welcher zugleich ihr Lager bildet. Klaproth fand in den durchsichtigen 81 p. C. Kieselerde. Aus Indien kommen bouteillengrüne Kugeln von 2—2½ Zoll Durchmesser, die so hart wie Quarz sind. Als ein Pariser Steinschleifer eine solche in Platten zerschneiden wollte, zersprang die eine unbefestigte Hälfte mit Rischen und Detonation. Das erinnert an das Zerspringen der Glaskugeln. In der Mitte finden sich Höhlungen von Erbsengröße. Stumpfeckige Einschlüsse birgt in großer Menge der Ungarische Perlstein (Teltöbanya, Glinicker Thal). In Nordisland kommen Obsidiane vor, welche den Ungarischen in Beziehung auf Glanz und blauschwarze Farbe gleichen: sie halten offenbar die Mitte zwischen Pechstein und ächtem Obsidian, und schließen eigenthümlich excentrisch faserige Kugeln ein (Aequinolith), die an Sphärolith erinnern.

Auch in den Basalten lagern zuweilen Glasflüsse: so erwähnt Hausmann einen Tachylit aus den Absonderungsflächen des Basaltes vom Säsebühl bei Dransfeld. Er zeigt die prachtvollste Fluidaltextur (Jahrb. 1871. 888). Ein augitisches Bisilicat mit 55,7 Si, daher leichter schmelzbar als die Kieselerdereichen, worauf der Name anspielt. Zu Babenhausen im Vogelsgebirge finden sich bläulich schwarze Stücke, worin Ch. Gmelin (Pogg. Ann. 49. 220) nur 50,2 Si, 17,8 Al, 10,3 Fe, 8,2 Ca, 5,2 Na, 3,8 K, 1,4 Ti fand, was also noch nicht einmal Bisilicat ist  $R^3 Si + Al Si^2$ . Der Hydrotachylit (Jahrb. 1869. 22) von Roßdorf bei Darmstadt hat sogar 12 Wasser. Silliman spricht von einem Obsidian auf den Sandwichsinseln, der 51,2 Kieselerde, 30,3 Eisenoxydul, 18,2 Magnesia hatte, also ganz die Zusammensetzung des Augites zeigt. Besonders benennen sollte man solche zufälligen Schmelzprodukte nicht. Denn sonst müßte man auch die überglasten Bomben, welche z. B. so ausgezeichnet zu Vos in der Eifel vorkommen, müßte die schönen grünen Gläser, welche aus Gneis, Granit, weißem Keuper sandstein u. in unsern Hochöfen sich bilden, besonders benamen. Buchit hat man die von Basalt geschmolzenen bunten Sandsteine in Hessen genannt, welche sich besonders ausgezeichnet am Wildenstein bei Büdingen finden (Epochen der Natur 154). Sie gleichen einem schwarzen Pechstein.

Achten glasartigen Obsidian, der nur mit Bimstein zusammen lagert, benützten schon die Griechen zu Pfeilspitzen (Marathonsteine), die Römer zu Spiegeln und Gemmen, denn man trifft ihn nicht bloß auf Lipari, sondern auch auf den Griechischen Inseln Milo und Santorin an, dagegen haben die berühmten Feuerberge Vesuv und Aetna keinen. Nach Humboldt verfertigten sich die alten Mexicaner selbst Rasiermesser daraus, was durch geschickten Schlag geschah. Jetzt dient er zu Trauerschmuck. Blöcke von reinsten Beschaffenheit sind übrigens selbst bei Strömen nicht gewöhnlich, und müssen sorgfältig ausgewählt werden.

## Bimstein.

Pumex Plinius hist. nat. 36. 42 probatio in candore minimoque pondere, et ut quam maxime spongiosi aridique sint, ac teri faciles, nec arenosi in fricandō. *Κίσσους*, Theophrast § 33—40 läßt sich darüber weitläufiger als gewöhnlich aus, begreift aber alle porösen Laven darunter und sagt ausdrücklich, daß sie nur um die Mündung brennender Berge vorkämen. Agricola natur. foss. pag. 614 kennt sie bereits vom Rhein, und schließt daraus, daß es dort gebrannt haben müsse. Erdbeben, Vulkane, Bitumen und vor allem der Bimstein waren auch für Leibnitz (Protogaea § 19) der sicherste Beweis, daß im Erdbinnern Feuer sei. Ponce, Pumice.

Bimstein ist nichts weiter, als ein schaumig aufgeblähter Obsidian. Gew. 2,2—2,3, so schwer wie geschmolzener Trachyt. Es gibt einen glasigen (schaumigen) mit mehr runden Poren, an deren Seitenwänden man auch die Glasnatur noch erkennt. Er ist wie der Obsidian blaßgrün auf Teneriffa, und dunkelbraun auf Procida und Ischia, und entspricht der kieselärmern Obsidianabänderung mit 61—62 p. C. Kiesel Erde; der faserige (gemeine Bimstein) hat etwas Seidengänzendes, besonders wenn die Fasern parallel gehen, und blüht am meisten von seiner Glasnatur ein. Muster ist besonders der von den Liparischen Inseln, worin Klaproth (Beitr. II. 66) schon 77,5 Kiesel Erde, Abich 73,7 Si nachwiesen, neben 4,5 Natron und 4,7 Kali. Gehört also zur kieselreichen Abänderung. Der Bimstein der Eifel ist Kiesel Erdeärmer, wasserhaltig, und sehr dickflüssig. Das Fadige ist der Bildung der Fäden des sogenannten gesponnenen Glases analog, und darf nicht mit faseriger Structur verwechselt werden. Viele poröse sind schwimmend leicht, aber nur in Folge der Poren, denn das Pulver hat fast das Gewicht des entsprechenden Obsidians. Ein Licht auf die Bildung werfen manche Hochofenschlacken, welche mit Wasser schnell abgekühlt ein poröses Gefüge annehmen, ganz dem des schaumigen Bimsteins ähnlich. Namen wie Bimsteinporphyr, Obsidianporphyr u. erklären sich von selbst. Die Vulkanische Asche, welche 29ten März 1875 von dem 170 Meilen fernen Island in Norwegen ankam, bestand aus Obsidian (Jahrb. 1875. 666). Noch zarter ist „Pele's Haar“, welches aus den Vulkanen von Howai wie „Spinnweben“ durch Windwehen weit zerstreut wird.

## Künstliches Glas.

Plinius 36. 65 erzählt uns zwar die berühmte Geschichte Phöniciſcher Kaufleute, welche an den Ufern des Helus auf den Glasfluß kamen, allein man weiß, daß offenes Feuer zur Erzeugung von Glasflüssen kaum hinreicht. Das Glas war schmutziggrün, und zu Noths Zeiten theurer als Gold. Damit das Glas möglichst klar werde, muß man es schnell abkühlen, weil sonst Entglasung eintritt, die auf Bildung von Augitkry-

stallen beruhen soll (Compt. rend. 78. 300). Da das schnelle Abkühlen aber große Sprödigkeit erzeugt, so muß man diese wieder durch Anwärmen in besondern Ofen nehmen. Durch Ablöschen in besonderer Flüssigkeit (Öl) will man neuerlich sehr zähe Gläser erlangt haben. Der Satz guten Glases ist sehr verschieden. Gewöhnlich wendet man Sand an, weil damit das Pulvern des harten Quarzes erspart ist. Die Engländer führen sogar einen solchen als Ballast und Rückfracht von Sidney in Neuholland ein. Das feinste Glas gibt freilich der Feuerstein und Bergkry stall, die man glüht, ablöscht und dann pulvert. Aber auch Feldspath, Klingstein, Trachyt, Bimstein, Basalt, Lava, Lehm, Mergel u. können gebraucht werden. Kali und Natron befördern die Flüssigkeit, aber Natron theilt ihr eine bläuliche Färbung mit. Kalkerde vermehrt die Härte, und gibt mit Kali das weißeste Glas; Thonerde erhöht die Strengflüssigkeit; Bleioryd macht es weich (schleifbar), glänzend und stark lichtbrechend; Eisen gibt ihm grüne nicht gern gesehene Färbung; daher sind Thonerde und Eisen die hauptsächlichsten Feinde eines guten Satzes. Zu dem gemeinsten Glase der Champagnerflaschen nimmt man 200 Feldspath, 125 Hochofenschlacken, 20 Kalkerde, 15 Kochsalz. Dasselbe ist zwar grün, kann aber durch Braunstein entfärbt werden. Zum Fensterglase braucht man schon einen feinern Satz von der Formel  $3 \text{ Na} + 5 \text{ Ca} + 12 \text{ Si}$ , mit etwa 69,6 Kiesel-erde, 15,2 Natron, 13,3 Kalk, 1,8 Thonerde. Ohne Kalk würde es der Verwitterung nicht widerstehen, und ohne Natron zu leicht kry stallinisch und trüb pag. 269 werden. Spiegelglas besteht aus der Formel  $2 \text{ Na} + \text{Ca} + 6 \text{ Si}$ , etwa mit 72 Kiesel-erde, 17 Natron, 6,4 Kalk, 2,6 Thonerde, ist also ein Bisilikat. Das zu Luxuswaaren verschliffene Kry stallglas enthält  $3 \text{ Ka Si}^3 + 4 \text{ Pb Si}^3$  mit 59,2 Kiesel-erde, 9 Kali, 28,2 Bleioryd, 1 Manganorydul; wegen des Bleies ist es außerordentlich schwer. Als Entfärbungsmittel nimmt man nicht mehr Braunstein, sondern Salpeter oder Arsenik. Das kostbare Flintglas (so genannt, weil man früher dazu den Flint pag. 249 benützte), enthält  $6 \text{ K} + 9 \text{ Pb} + 20 \text{ Si}$ , der Bleigehalt erzeugt die starke Strahlenbrechung, leider aber auch eine starke Farbenzerstreuung. Die reine Darstellung hat große Schwierigkeit: die Salze mischen sich ungleich, es bilden sich leicht Blasen und Streifen, die nur durch vieles Rühren mühsam fortgeschafft werden können, was mit der Zunahme der Größe des Schmelzgefäßes immer schwieriger wird, da nicht in allen Theilen die Hitze gleich gemacht werden kann. Crown glass  $\text{K} + \text{Ca} + 3 \text{ Si}$  zerstreut die Farben nicht so stark.

Straß heißt man das Material für künstliche Edelsteine,  $3 \text{ K} + 9 \text{ Pb} + 16 \text{ Si}$ . (Glasner chem. techn. Mittheil. 1853. III. 11). Hier kommt es hauptsächlich noch darauf an, die Farbe der Edelsteine nachzuahmen, außerdem spielt die Färbung der Gläser in der Glasmalerei eine wichtige Rolle:

Gelb erzeugt man unter anderem mit Silber: man mischt Chlor-silber mit gepulvertem Thon, bestreicht damit die Oberfläche der Waare, und wärmt wieder auf ohne zu schmelzen. Dann zieht sich das Silber

in das Glas, und schabt man den Thon ab, so kommt die schöne Farbe zum Vorschein. Die gelbe Farbe der gemeinen Flaschen rührt von Zusatz von Birkenrinde, Ruß, Kohle 2c. her: die Masse kann in den bedeckten Glasgefäßen nicht verbrennen und vertheilt sich daher darin. So können Bitumina in Obsidianströme kommen, die über Pflanzen hinströmen. Pelouze (Compt. rend. 60. 1865) meint jedoch, die Kohle wirke nur reducirend, das färbende Princip seien darin vielmehr die entstehenden Schwefelalkalien.

Roth durch Kupferoxydul (Cu) ist das seit ältester Zeit bekannte prachtvollste Roth der Glasfenster. Da Kupferoxyd (Cu) grün färbt, so setzt man Desoxydationsmittel, wie Kohle, Zinn, Eisenhammerschlag zu. Nach der Schmelzung ist das Oxydulglas farblos, wird aber beim Wiederanwärmen tief roth, indem sich das Kupferoxydul ausscheidet. Die färbende Kraft ist so stark, daß es selbst in geringen Mengen bis zur Undurchsichtigkeit röthet. Um daher die Töne in der Hand zu haben, überzieht (überfängt) man farblose Gläser mit einer dünnen Schicht, und erzeugt dann durch Abschleifen die gewünschte Intensität. Schon die Römer (Plinius XXXVI. 67) machten solche Glaspasten, worin Klaproth (VI. 143) 15 Cu und 20 Pb nachwies. Goldoxydul Au gibt rubinrothe Gläser. Früher wendete man den schon von Cassius entdeckten Goldpurpur an. Nach Fuß braucht man jedoch das Gold nur in Königswasser zu lösen, und zum Glasfasse zu gießen. Auch dieses ist nach dem ersten Schmelzen farblos, und wird erst beim Wiedererhitzen das beliebte Rubin glas. Man darf es aber nicht zu schnell erkalten, sonst geht es durch, d. h. es bleibt ungefärbt. Die Färbung scheint durch eigen thümlichen Aggregatzustand des Goldes hervorgerufen zu werden.

Blau ist die Farbe des Kobaltoxydul (Co), 1807 Kobalt färbt schon merklich. Die Kobaltgläser wurden seit 1540 in Sachsen bekannt. Der Smaltefasse darf weder Erden noch Natron haben, daher wendet man gereinigte Pottasche mit gereinigtem Quarz an. Da das Kobalterz stets eisenhaltig ist, so muß Gistmehl (Arsenige Säure) hinzu, das Eisenoxydul unschädlich macht. Die Alten färbten auch mit Eisen blau, Klaproth VI. 147 fand in solchen sapphirfarbigen Glaspasten 10 Fe. In unsern blauen Eisenschlacken ist ebenfalls keine Spur von Kobalt.

Amethystfarbe kann, da sie rothblau ist, durch Kobalt und Gold erzeugt werden. Doch nimmt man gewöhnlich Manganoxyd, man muß sich aber versehen, daß durch einen Kohlengehalt des Sazes kein Manganoxydulsalz sich bilde.

Grün ist die Farbe des Kupferoxyds Cu, doch darf kein Eisenoxydul zugegen sein, was sich sonst auf Kosten des Kupferoxyds oxydirt. Die Bleigläser werden am schönsten grün, weil sie einen Stich in's Gelb, und das Kupfer einen Stich in's Blau hat. Eisenoxydul liefert nur eine geringe bouteillegrüne Farbe. Das schönste aber theuerste liefert Chromoxyd (Cr).

Braunstein mit Zaffer gibt Granatfarbe; Eisenoxyd mit Thonerde,

beide durch Glühen eines Gemenges von Eisenvitriol und Alaun erzeugt, geben fleischroth, ebenso Gold mit Silber; Eisenoxyd mit Silber gibt orange; ebenso Selen; schwarz erzeugt man aus je zwei sehr färbenden Stoffen. In Böhmen schmilzt man aus Hochofenschlacken und Basalt schwarze Gläser.

**Schmelzglas** (Email) entsteht, wenn ein Bestandtheil des Glasfases unfähig ist in den Fluß einzugehen, oder wenn er sich im Verlaufe der Schmelzung ausscheidet. Es wirkt ein in der Glasmasse schwebender Niederschlag so eigenthümlich auf das Licht, daß das Glas milchig erscheint, sobald der Niederschlag weiß ist. Weinglas bildet man mit Knochenasche: geschmolzen ist der Saß vollkommen klar, die Milchfarbe tritt erst beim Anwärmen hervor. Mit Kupferoxyd nimmt das Weinglas merkwürdiger Weise keine grüne, sondern eine türkisblaue Farbe an. Email bildet also eine Zwischenstufe zwischen Glas und Stein. In der Natur haben wir hauptsächlich zwei solche unvollkommene Gläser, Perlstein und Pechstein, die mehr den ältern vulkanischen Gebirgen angehören (Knapp, Chem. Technol. I. pag. 380).

**Perlstein** (Perlit) wurde schon 1791 von Fichtel als Vulkanischer Zeolith aus dem Teltchaner Gebirge in Oberungarn beschrieben, und richtig für ein Feuerprodukt gehalten. „Nachdem aber erfahrene Mineralogen jenes Gebirge untersucht, und diese Behauptung als grundlos anerkannt haben,“ nannte es Werner Perlstein. Hält die Mitte zwischen Pechstein und Obsidian, wie ein ausgezeichnetes Emailglas, meist von perlgrauer Farbe. Er sondert sich zu lauter runderförmigen Stücken ab, und fällt auch in solche auseinander. An dem ächten kann man gar keine ordentliche Bruchfläche darstellen, es zeigt alles perlartige Absonderung. Klaproth fand 75,12 Si, 12 Al, 4,5 K; 4,5 A, 1,6 Fe. Auch nach neuern Analysen zeigen sie sich kieselreicher als Obsidiane. Sie scheinen mehr Kali- als Natronhaltig. Auffallend sind nicht bloß diese gewöhnlichen runderförmigen bis runden Obsidiankugeln, die zu Ochotsk, Cabo de Gata in Spanien u. ganz durchsichtig werden, sondern in den Ungarischen Perlsteinen kommen sehr zierliche Kugeln vor, die Werner Sphärolit nannte (Goffmann Mineral. IV. b. 151). Die Kugeln sind innen dicht, zeigen kaum einen Anfang von excentrischer Faserung, auf der Oberfläche gewahrt man viele kleine blasenförmige Erhöhungen, nach der Art der Glasköpfe. Im Mittelpunkt findet sich zuweilen ein kleines Korn von blättrigem glasigem Feldspath. Ihre gelbe Farbe unterscheidet sie zwar sehr von der Perlgrauen des Muttergesteins, auch sind sie härter, fast Quarzhart, aber in der Zusammensetzung scheinen sie nur unwesentlich abzuweichen. Erdmann fand 77,2 Si, 12,5 Al, 4,3 K, 3,3 Ca, 0,7 Mg, 3,3 Fe. Besonders ausgezeichnet in den Perlsteinen des Slinidder Thales, worin Schmölnitz nordwestlich Kaschan liegt. Tofay, Teltchanya. Der graue Meteorstein von Shalka in Ostindien, 30. Nov. 1850 gefallen, hat zwar ein perlsteinartiges Ansehen, soll aber dennoch aus Olivin und Bronzit bestehen, Rammelsberg Monatsber. Berl. Akad. 1870. 321.

**Pechstein** bekam von Werner wegen des ausgezeichneten von kleinen Nadeln herrührenden Pechglanzes seinen Namen. Die grünliche Farbe herrscht vor, dann gehen sie ins Gelbe, Rothe. Die schwarzen treten dem Obsidian, die grauen dem Perlstein nahe. Auch von Halbopaln sind sie äußerlich oft kaum zu unterscheiden. Haüy nannte sie Feldspath résinite, allein zur Feldspathigen Zusammensetzung fehlt es bedeutend an Aftalien. Klaproth fand in dem von Garzebach im Triebisch-Thale bei Meissen (Beiträge III. 207) 73 Kiesel-erde, 14,5 Thon-erde, 1 Kalk-erde, 1 Eisenoxyd, 1,7 Natron und 8,5 Wasser. Knor gibt zwar 2,8 Natron an, aber immer bleibt die Kiesel-erde außerordentlich überwiegend. Hauptfundort ist das Triebischthal, wo sie in Gesellschaft von Pechthonstein den Porphyr durchbrechen, sie kommen zwar außerdem noch an andern Orten vor, sind hier aber zuerst 1759 durch einen Dresdener Mineralogen Schulze beschrieben, und anfangs für Opale gehalten, bis man die Schmelzbarkeit erkannte. Nach Raumann (Geogn. Besch. Königr. Sachsen V. 107) sollen sie schon in der mittlern Periode des Rothliegenden hervorgebrochen sein. Die ächten sind daher dem jüngern Perlstein- und Obsidiangebiet fremd. Pechstein steht ganz an der Grenze der Gläser, welche auf der Insel Arran den Kohlen-sandstein durchbrochen haben, sogar dazwischen gelagert sind, Jahrb. 1871. 207.

Porzellanjaspis, besonders von lavendelblauer und ziegelrother Farbe, entstand durch Brände im Braunkohlengebirge aus plastischem Thon. Hessen und Böhmen.

## Zweite Klasse.

### Salinische Steine und Erze.

Silicate sind freilich auch Salze, und folglich salinisch. Allein da die Kieselsäure jene auffallenden Unterscheidungsmerkmale hat, so scheint es nicht unpassend, unter dem Namen salinisch vorzugsweis alle diejenigen Verbindungen zusammenzufassen, deren Sauerstoffsäure nicht Kieselerde ist. Zu weitem Unterabtheilungen böten sich dann die Säuren oder die Basen dar. Nun vertreten aber viele Basen sich so leicht unter einander, daß es nicht möglich ist, ihnen allseitig sichere Grenzen zu ziehen, so annehmen es auch sein mag, besonders bei den technisch wichtigen Substanzen, die Basen nicht zu trennen. Kalk, Baryt, Eisen-, Kupfer- und Bleierze zc. würden gute Gruppen bilden, und Weiß hat auch in seinen Vorträgen die salinischen Steine von den salinischen Erzen scharf getrennt gehalten. Andererseits sind die Säuren, wenn gleich von geringerem technischen Nutzen, für die Formbildung der Krystalle von größter Bedeutung, oft scheint es, als wenn die Basis sich bloß passiv und nur die Säure activ verhalte. Dazu kommt, daß in Beziehung auf Basen sich diese Klasse von der vorigen kaum unterscheidet. Zwar kommt die Al und ihre Verwandten nicht häufig, Ca, Ba, Sr herrschen mehr, allein das sind Sachen von sehr untergeordneter Bedeutung. Dagegen treten die Säuren, kaum bei den Silicaten angedeutet, in geschlossenen Reihen hier und nicht wieder auf. Oben an steht

1. **Kohlensäure C.** Sie dringt als schweres erstickendes Gas aus unzähligen Spalten der Erde hervor: der Rißfingcr Riesensprudel 75' hoch steigend und aus 2000' Tiefe kommend liefert in der Minute mit 100 Cubikfuß Wasser 200 C. Sie war daher in den Sauerlingen schon lange Zeit als „Luftsäure“ den Mineralogen bekannt, ehe man ihre Eigenschaften kannte. Auch in Vulkanen spielt sie eine große Rolle. Wird sogar tropfbarflüssig von Mineralen (Quarz, Topas, Olivin zc.) eingeschlossen. Die Kalkgebirge binden sie in ungeheuren Mengen, was sich hier leicht mit Brausen durch Säure erkennen läßt, und schon Agricola als Kennzeichen anführt. Trotz ihrer Gasform frist sie die verschiedensten Steine und Erze an, und wirkt zersetzend ein. In den obern Teufen der Gänge spielen daher Carbonate der verschiedensten Art eine Hauptrolle. Denn Kohlensäure treibt bei Gegenwart von Wasser Kieselerde aus, es bilden sich Carbonate von Kalk, Magnesia, Eisen zc. Steigt dagegen die Temperatur über 100° C dann schlägt der Prozeß um, es entstehen Silicate, die im Marmor des Urgebirges so viel angetroffen werden.



2. **Schwefelsäure S** findet sich in größerm Vorrath immer an Kalk gebunden und trägt so zur Bildung von Gyps- und Anhydritgebirgen wesentlich bei. Diese scheint meist aus dem Urmeere zu stammen. Vereinzelt aber sehr verbreitet bindet sie der Schwer- und Strontspath. Außerdem entsteht sie durch Zersetzung der Schwefelmetalle in Bergwerken, als Sublimationsprodukt der Vulkane u.

3. **Phosphorsäure P**, merkwürdig durch ihren Isomorphismus mit  $\text{As}$ , die man daher auch neben einander auführen muß, ist in Hinsicht auf Masse den beiden genannten weit untergeordnet. Sie nimmt aber wegen ihrer Rolle, welche sie im thierischen Organismus spielt, unsere Aufmerksamkeit in doppeltem Anspruch, und tritt in der Natur gewöhnlich dreibasisch auf.

4. **Salzbilder** Fluor  $\text{Fl}$ , Chlor  $\text{Cl}$ , Jod  $\text{J}$ , Brom  $\text{Br}$  spielen eine sehr ungleiche Rolle. Das Fluor schon bei vielen Silicaten wichtig, lagert sich im Flußspath in größern Mengen ab, während das Chlor hauptsächlich an Steinsalz gebunden ist.

5. **Borsäure B** bildet zwar nur eine kleine, aber interessante Gruppe. Wie die neuern Chemiker diese Namen ummodelten, haben wir pag. 183 erwähnt.

Von Metallsäuren sind Chromsäure  $\text{Cr}$ , Wolframsäure  $\text{W}$ , Molybdänsäure  $\text{Mo}$  insonders wegen der Bleisalze aufzuführen, während ihre Oxyde wohl bei den Oxydischen Erzen die bessere Stelle finden, wenn gleich über Oxyd oder Säure eine richtige chemische Deutung nicht immer möglich ist. Das sind Schwierigkeiten, wovon keine Systematik sich befreien kann. Uebrigens darf man auch hier das Bestreben nicht aufgeben, so viel als möglich das Aehnliche zusammen zu bringen. Dieß gelingt namentlich bei den künstlichen Salzen am wenigsten, denen im Grunde genommen unter den Mineralen ihr Platz nicht versagt werden kann.

Weil es dieser Klasse an Kieselersäure fehlt, so sind die dahin gehörigen Minerale im Allgemeinen leicht aufschließbar, das erleichtert die chemische Untersuchung auf nassem Wege außerordentlich.

## Kohlensaure salinische Steine.

### 1. Kalkspath.

Calx ( $\chi\alpha\lambda\iota\varsigma$ ) hieß bei den Lateinern im Allgemeinen Stein, Plinius hist. nat. 36. 53 braucht es dann ausdrücklich für unsern Kalkstein: mirum, aliquid, postquam arserit, accendi aquis (wunderbar, daß etwas, nachdem es gebrannt, durch Wasser angezündet werden kann). Die krystallinischen zählten bei den Vergleuten schlecht hin zum Spath, Spatum Agricola pag. 701, und es nimmt Wunder, daß wir diesen bei den Alten nicht sicher wieder erkennen. Scheuchzer glaubt, es sei Androdamas (quadrata semperque tessulis similis Plinius hist. nat. 37. 54), Agricola pag. 634 begreift ihn unter Marmor der Erzgänge, welcher von

Natur so glänze, als wäre er polirt. Später hieß er auch wohl Selenites rhomboidalis, und seit Bartholin am Crystallus Islandicus die doppelte Strahlenbrechung erkannte, beschäftigten sich die ausgezeichnetsten Physiker mit der Winkelfestimmung. Seine Figuren haben das Auge der Bergverständigen auf sich gezogen, und obgleich Cronstedt noch 1758 „keine große Hoffnung hegte, daß etwas Wesentliches daraus werde“, so hatte doch Bergman 1773 schon den Schlüssel gefunden, welcher Haüy zu seinen bewunderungswürdigen Entdeckungen führte. Dieser begann sein Mineralsystem nicht nur mit dem Chaux carbonatée, sondern setzte daran auch seine ganze Theorie auseinander: ohne Kalkspath würde die Krystallographie vielleicht noch lange verborgen geblieben sein. Carbonate of Lime. Calcit. Ueber die heteromorphen Zustände der Kohlensauren Kalkerde verdanken wir G. Rose (Abh. Berl. Akad. Wissensch. 1856. 1. und 1859. 2.) eine Reihe der interessantesten Experimente und Präparate.

Rhomboeder  $P = a : a : \infty a : c$  sehr blättrig, und so leicht darstellbar, daß der Spath nur in Parallelepipede von  $105^{\circ} 5'$  in den Endkanten zerspringt, daraus folgt

$$\text{Seitenaxe } a = 1,1705 = \sqrt{1,3702} = \lg 0,06839.$$

Neigung  $P$  gegen Axe  $c$   $45^{\circ} 24'$ ; Endkante  $P/P$  gegen  $c$   $63^{\circ} 44'$ , also der stumpfe Winkel des Hauptschnitts  $109^{\circ} 4'$  (fast Oktaederwinkel), der stumpfe Flächenwinkel  $101^{\circ} 55'$ . Schon Huggens fand die Rhomboederkante zu  $105^{\circ}$ , Romé de l'Isle nahm den ebenen Winkel zu  $102^{\circ} 30'$ , Haüy rechnete die Kante zu  $104^{\circ} 28' 40''$ , und die Ebene zu  $101^{\circ} 32' 13''$ , von der Voraussetzung ausgehend, daß  $P$  mit der sechsseitigen Säule und Geradenfläche gleiche Winkel mache, sich also unter  $45^{\circ}$  zur Axe  $c$  neige, woraus  $c : s = 1 : 1$  folgt, während dieß Verhältniß  $1 : 1,0137$  ist, wie Wollaston (Phil. Transact. 1802 pag. 385) bewies. Das Rhomboeder tritt selten selbstständig auf und wenn es vorkommt, sind seine Flächen matt. Man findet es im Maderaner Thal (Uri), bei Neuborf auf dem Unterharz auf Bleiglanzgängen, in 3" großen Krystallen im Silurischen Kalk von Slichow bei Prag. Einen der unerwartetsten Fundorte bilden die Schwedischen Echinosphäriten, Petrefaktenkunde Deutschlands tab. 114 fig. 20, woran alle nach innen gerichteten Strahlen entsprechend dem späthigen Bruche der Tafeln mit dem Hauptrhomboeder endigen. Sehr merkwürdig ist das Gegenrhomboeder  $e^{\frac{1}{2}} = a' : a' : \infty a : c$ , das rauchflächig bei Andreasberg vorkommt, und neuerlich im Basalttuff am Bülle bei Owen gar zierlich sich zeigte. Der blättrige Bruch durch  $c$  gelegt halbirt die Zickzackanten. Die Verbindung des Haupt- und Gegenrhomboeders gibt ein Dihexaeder von  $138^{\circ} 51'$  in den Endkanten.

Geradenfläche  $a^1 = c : \infty a : \infty a : \infty a$  stumpft die Endede mit gleichseitigem Dreieck ab, sie hat gewöhnlich ein mattweißes schiefrißes Aussehen, ist sogar nicht selten weicher als die übrigen Flächen. Haüy nahm sie für blättrig, und im Schieferspath von Norwegen, schneeweiß und krummblättrig, meint man wirklich einen blättrigen Bruch annehmen

zu sollen, während der zerreibliche Schaumkalk (Kersten's Apherit) aus dem Zechstein von Gera und Eisleben nichts als in  $\text{Ca C}$  (Aragonit) verwandelter Gyps ist. Wenn sich die Geradendfläche mit dem Rhomboeder verbindet, wie im Maderaner Thal, so entstehen ausgezeichnete dreigliedrige Ottaeder.

Erste sechsseitige Säule  $e^2 = a : a : \infty a : \infty c$  stumpft die Seitenecken des Rhomboeders ab, indem es die 2 Zickzackanten in 1 und die Endkante in  $\frac{1}{2}$  schneidet. Mit Geradendfläche kommt sie ausgezeichnet bei Andreasberg vor, wo die langen Kanonenspath heißen, die papierdünnen mit weißer wie durch Verwitterung erzeugter Farbe, die nicht ganz zur Mitte der Säule vordringt, Schieferspath. Der blättrige Bruch stumpft daran die Endkanten abwechselnd ab. Viel seltener findet man die 2te sechsseitige Säule  $d^1 = a : \frac{1}{2}a : a : \infty c$ . Dufrenoy bildet sie von Cumberland mit dem Hauptrhomboeder ab; da sie die Zickzackanten desselben gerade abstumpft, so entsteht ein ausgezeichnetes dreigliedriges Dodekaid. Der blättrige Bruch stumpft dann die Ecken abwechselnd ab. 6 + 6-kantige Säulen sind selten, doch findet man an den Dreikantnern von Andreasberg und Cumberland hin und wieder  $a : \frac{1}{2}a : \frac{1}{2}a : \infty c$ , selten die Haap'sche Fläche  $a : \frac{1}{2}a : \frac{1}{2}a : \infty c$ . Sie runden die Seitenkanten der Rhomboeder und Dreikantner oft ganz cylindrisch, und sind daher gewöhnlich keiner scharfen Bestimmung fähig.

Von den Rhomboedern zieht vor allem die sogenannte Hauptreihe das Augenmerk auf sich. Dahin gehört das

erste stumpfere  $b^1 = 2a' : 2a' : \infty a$  ( $134^\circ 57'$ ),

welches gewöhnlich in symmetrischen Pentagonen die Enden der ersten seitigen Säule bildet. Man erkennt es sehr leicht an der Lage des Blätterbruchs, welcher in die Diagonalzonen fällt, denen gewöhnlich eine auf fallende Streifung entspricht, wodurch die Pentagone bauchig werden. Schon Linné war auf diese Pentagone aufmerksam, denn sie gehören mit zu den verbreitetsten auf Erzgängen, in Spalten des Kalkgebirges, in Achatdrusen von Oberstein, Waldshut am südlichen Schwarzwalde etc. Zu Drusen gruppiert kommen die Rhomboeder selbstständig vor (Neudorf auf dem Unterharz). Bei mittlerer Ausdehnung bilden auch die Säulenflächen symmetrische Pentagone, wir haben dann ein 3 + 3flächiges Pentagondodekaeder.

2tes stumpfere Rhomboeder  $a^2 = 4a : 4a : \infty a$  ( $156^\circ 2'$ ) wird zwar erwähnt, gehört aber zu den Seltenheiten.

1tes schärfere  $e^1 = \frac{1}{2}a' : \frac{1}{2}a' : \infty a$  ( $78^\circ 51'$ ) fällt in die Diagonalzone des blättrigen Bruchs, derselbe muß also seine Endkanten gerade abstumpfen, woran man es leicht erkennt. Man findet es häufig aufgewachsen, besonders in Kalkgebirgen der Jura- und Muschelkalkformation. Am merkwürdigsten sind aber die sogenannten kry-kalkifirten Sandsteine von Bellecroix bei Fontainebleau, Kramp's Sandspath, worin der Kalkspath nur  $\frac{1}{4}$ , der Quarzsand dagegen  $\frac{3}{4}$  beträgt, dennoch kommen die Rhomboeder in größter Regelmäßigkeit vor, auch

verrät der Spiegel in den Kanten das Wesen der Form. Es sind eigentlich Kalkconcretionen in einem Tertiärlande, daher bilden sie große Knollen aus verwachsenen Rhomboedern, worunter sich auch viele Einzelkrystalle, regelmäßig wie Modelle, zeigen. Haüy nannte es Rhomboëdre inverse (Invertirungsrhomböeder), weil es nach seiner Rechnung den stumpfen Flächenwinkel von  $104^{\circ} 28' 40''$  und den stumpfen Seitenkantenwinkel von  $101^{\circ} 32' 13''$  mit den Kanten- und Flächenwinkeln des Hauptrhomböders vertauschte. Auch der Hauptschnitt hat die gleichen Winkel von  $108^{\circ} 26' 6''$ , nur fällt jetzt der stumpfe Winkel nicht in die End- sondern in die Seitenecke. In gleicher Verwandtschaft steht das 1te stumpfere mit dem 2ten schärfern, überhaupt das nte stumpfere mit dem  $(n+1)$ ten schärfern. Dieses schöne Verhältniß fällt aber, sobald P gegen c nicht mehr  $45^{\circ}$  geneigt ist: denn nach Wollaston beträgt die Endkante des Rh. inverse  $78^{\circ} 51'$ , während der scharfe Flächenwinkel des blättrigen Bruchs  $78^{\circ} 5'$  macht, so daß eine kleine Differenz bleibt. In unsern Zeiten sind noch mehrere andere Fundorte bekannt geworden, Grünstadt in der Pfalz, Brilon in Westphalen, besonders niedlich bildet sie Brezina (Jahrb. Geol. Reichsanst. XX tab. 6) von Siebring bei Wien ab, wo die kleinen Rhomböeder  $\frac{1}{4}a' : \frac{1}{4}a' : \infty a$  an 60 p. C. Quarzsand einschließen. In im Buntensandstein von Ziegelhausen bei Heidelberg lösen sich aus Kugeln Krystalle heraus, die gänzlich frei sind von Kalk; wenn auch nicht scharfkantig, so erweisen sie sich doch als rohe Dreikantner, Jahrb. 1867. 322. .

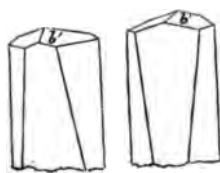
$$2tes\ schärfere\ e^3 = \frac{1}{4}a : \frac{1}{4}a : \infty a\ (65^{\circ} 50')$$

bindet sich hauptsächlich an den gewöhnlichen Dreikantner  $d^3$ , in dessen je zwei scharfen Endkanten es liegt; der Dreikantner muß folglich die Endkanten zuschärfen. In unsern schwäbischen Muschelsalten (besonders an der Wutach) herrscht häufig dieses Rhomböeder vor. Da es mit dem ersten stumpfen Rhomböeder die Winkel vertauscht, so beträgt der ebene Winkel in der Endecke ungefähr einen halben rechten, was das Auge leicht beurtheilt.

$$3tes\ schärfere\ e^{\frac{5}{2}} = \frac{1}{8}a' : \frac{1}{8}a' : \infty a\ (61^{\circ} 33')$$

findet sich nur untergeordnet meist am ersten schärfern, woran es die Seitenecken abstumpft. Dagegen ist

$$4tes\ schärfere\ e^{\frac{11}{2}} = \frac{1}{16}a : \frac{1}{16}a : \infty a\ (60^{\circ} 20')$$



dilaté  
Blaubeuren.

contracté  
Waldbhut.

in Verbindung mit dem erstern stumpfern  $b^1$  gar nicht ungewöhnlich in Spalten des schwäbischen Zursalktes etc. Beim ersten Anblick kann man es für eine Säule halten, allein die Kanten convergiren, obgleich sie vom Winkel der regulären sechsseitigen Säule nur  $\frac{1}{4}$  abweichen ( $119^{\circ} 40'$ ). Haüy unterscheidet zwei Rhomböeder dieser Art: ein

$$contracté\ e^{\frac{2}{3}} = \frac{1}{12}a : \frac{1}{12}a : \infty a\ (60^{\circ} 36'),$$

weil die Flächen sich unter der Basis des Endpentagons verengen und ein

$$dilaté\ e^{\frac{2}{3}} = \frac{1}{12}a' : \frac{1}{12}a' : \infty a\ (60^{\circ} 36'),$$

weil die Flächen sich unter der Basis erweitern. Wenn diese Convergenz oder Divergenz sich immer so deutlich beobachten ließe, als sie gezeichnet wird, so folgte daraus, daß beide Rhomboeder verschiedenen Ordnungen angehören müßten. Haüy konnte die Sache nicht durch Messung bestätigen, sondern er schloß es nur, weil hierauf die einfachsten Ausdrücke  $\frac{2}{3}$  und  $\frac{2}{5}$  führten. Bei Seitenkantenwinkeln, die sich so nahe liegen, wie  $119^{\circ} 24'$ ,  $119^{\circ} 29'$  und  $119^{\circ} 40'$ , kann auch heute das Reflexionsgoniometer um so weniger entscheiden, als der Glanz der Flächen sich gewöhnlich nicht sonderlich zum Messen eignet. Man könnte daher alle unter dem 4ten Schärfern vereinigen, das vermöge seiner Ableitung die Wahrscheinlichkeit für sich hat. Rhomboëdre dilaté  $e^{\frac{2}{3}}$  könnte dann das Gegenrhomboeder  $e^{\frac{1}{3}} = \frac{1}{18}a' : \frac{1}{18}a' : \infty a$  sein. Zippe ging sogar noch weiter, und unterschied ein  $e^{\frac{1}{3}} = \frac{1}{24}a : \frac{1}{24}a : \infty a$  mit  $60^{\circ} 9'$  in den Endkanten, und folglich  $119^{\circ} 51'$  in den Seitenkanten.

Von Rhomboedern außer der Hauptreihe führe ich nur noch zwei als wichtig an: Haüy's

$$\text{mixte } e^{\frac{3}{2}} = \frac{1}{3}a' : \frac{1}{3}a' : \infty a \quad (63^{\circ} 51').$$

Da es die stumpfen Kanten des gewöhnlichen Dreikantners abstumpft, so findet es sich öfter. Von dem 2ten Schärfern  $\frac{1}{2}a$  unterscheidet man es leicht durch die Lage des blättrigen Bruchs, der wie die Kanten liegt. Das

cuboide  $e^{\frac{1}{2}} = \frac{2}{3}a' : \frac{2}{3}a' : \infty a$  ( $88^{\circ} 18'$  in den Endkanten) unterscheidet sich daher nur um  $1^{\circ} 42'$  vom Würfel. Es kommt bei Andreasberg, mit Ichthyophthalm auf den Färder Inseln zc. vor. Letztere, Brunerit genannt, könnte man wegen ihrer röthlichen Farbe für Flußspath halten. Von genauer Bestimmung kann aber wegen der bauchigen Flächen kaum die Rede sein.

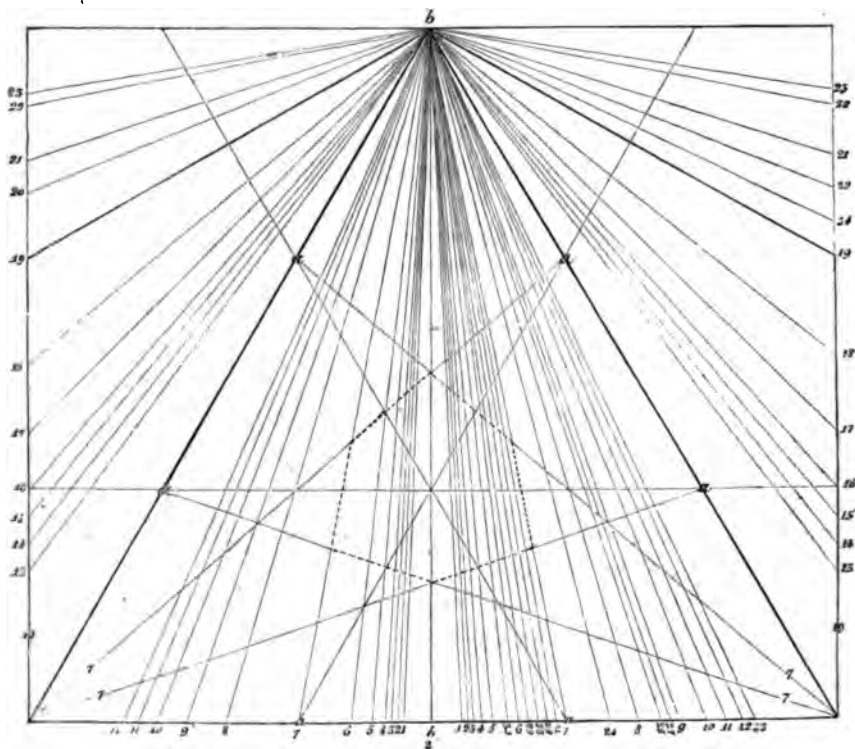
**Dreikantner** spielen selbstständig und untergeordnet eine überaus wichtige Rolle. Die Vergleute nannten sie Schweinszähne, daher *Natrum hyodon* de Lisle Essai 127. Scalenoeder nach den ungleichseitigen Dreiecken (*scalène*). Am gewöhnlichsten

$$\text{Haüy's } \text{métastatique } b^2 = a : \frac{1}{2}a : \frac{1}{2}a : c.$$

Er schärft die Zickzackkanten des Hauptrhomboiders im Verhältniß 2 : 1 zu. Daher fällt der blättrige Bruch in die Zickzackkanten von  $132^{\circ} 58'$ ; die stumpfen Endkanten  $144^{\circ} 24'$ , die scharfen  $104^{\circ} 38'$ . Nach Haüy'scher Rechnung stimmen die Zickzackkanten mit den Endkanten des Hauptrhomboiders, und der stumpfe ebene Winkel mit dem stumpfen des Hauptrhomboiders; dieses schönen Verhältnisses wegen nannte er den Körper *métastatique* „winkelübertragen“.

Sehen wir auf die Projectionsfigur pag. 88, so tritt das Verhältniß der vier Rhomboeder zum Dreikantner sogleich in die Augen: zwei davon stumpfen die abwechselnden Endkanten gerade ab, und zwei gehen den abwechselnden Endkanten parallel (liegen auf der Projection in den abwechselnden Endkanten). Nehmen wir den

Hauptdreikantner  $a : \frac{1}{2}b : \frac{1}{2}a : \frac{1}{2}b : \frac{1}{2}a : b$ ,  
 so wird die scharfe Endkante in  $\frac{1}{2}b$  durch das nächste schärfere Rhomboeder  $\frac{1}{2}a' : \frac{1}{2}a' : \infty a$ , und die stumpfe in  $\frac{1}{2}b$  durch  $\frac{2}{3}a : \frac{2}{3}a : \infty a$  gerade abgestumpft, man darf also den Coefficienten von  $b$  nur mit 2 multiplizieren. Dagegen liegt in den abwechselnden scharfen Endkanten das 2te schärfere  $\frac{1}{2}a : \frac{1}{2}a : \infty a$ , und in den abwechselnden stumpfen  $\frac{1}{2}a' : \frac{1}{2}a' : \infty a$ , beider Zeichen entsprechen daher den Coefficienten von  $b$ . Da nun ferner in den Seitenkanten das Hauptrhomboeder liegt, von der 2ten sechsseitigen Säule nicht zu sprechen, so haben wir die Reihe  $a : a : \infty a$ ,  $\frac{1}{2}a' : \frac{1}{2}a' : \infty a$ ,  $\frac{1}{2}a : \frac{1}{2}a : \infty a$  und außerdem  $\frac{1}{2}a' : \frac{1}{2}a' : \infty a$  mit dem zugehörigen stumpferen  $\frac{2}{3}a : \frac{2}{3}a : \infty a$ . Zippe hat diese Rhomboeder nicht unpassend die verhüllten genannt, und da er 85 verschiedene Dreikantner zusammenbringt, so kann man daraus auf den Reichthum schließen, wenn auch darunter gar manche unsicher sein mögen. Uebrigens kommen die genannten des Hauptdreikantners auch häufig (enthüllt) vor, und je häufiger ein Dreikantner, desto wahrscheinlicher auch seine enthüllten Rhomboeder. Wir wollen nach der Methode von Weiß einmal die wichtigsten Dreikantner aus der Kantenzone des Hauptrhomboeders zusammenstellen. Die Sache ist sehr erleichtert durch die gelehrte Abhandlung des Prof. Zippe (Uebersicht der Krystallgestalten des rhomboedrischen Kalispathes, Deutschr.



Kais. Akad. Wiss. 1850. III), welcher 700 Varietäten mit 42 Rhomboedern, 85 Dreikantnern, 7 Dihegaedern und mehreren Säulen mathematisch bestimmte. Dr. Ferd. Hochstetter hat dann im VI. Bande derselben Denkschriften den ganzen Reichthum von Flächen in einer großen Projectionsfigur zusammengefaßt, die dem Manne vom Fach um so willkommener sein muß, als derartige Arbeiten bei tiefer Sachkenntniß auch technische Fertigkeit verlangen. Noch vollständiger ist der Quadro delle forme Crystalline dell' Argento rosso, del Quarzo e del Calcare von D. Sella (Accad. Sc. Torino 1856). Uebrigens genügt zum schnellen Verständniß auch eine kleine Figur, wie vorstehendes Stück zeigt, worin nur eine Kantenzone etwas vollständiger ausgeführt wurde.

	Weiß				Grau		Mohs
	$\frac{1}{\infty}a$	$:\frac{b}{\infty+1}$	$:\frac{1}{\infty+1}a$	$:\frac{b}{\infty+2}$	$:\frac{1}{\infty+1}a$	$b = d^{\infty+1}$	$S_{\infty+1}$
	$\vdots$	$\vdots$	$\vdots$	$\vdots$	$\vdots$	$\vdots$	$\vdots$
1)	$\frac{1}{2}a$	$:\frac{1}{2}b$	$:\frac{1}{2}a$	$:\frac{1}{2}b$	$:\frac{1}{2}a$	$b = d^{\frac{1}{2}} =$	S 15
2)	$\frac{1}{3}a$	$:\frac{1}{3}b$	$:\frac{1}{3}a$	$:\frac{1}{3}b$	$:\frac{1}{3}a$	$b = d^{\frac{1}{3}} =$	S 13
3)	$\frac{1}{4}a$	$:\frac{1}{4}b$	$:\frac{1}{4}a$	$:\frac{1}{4}b$	$:\frac{1}{4}a$	$b = d^{\frac{1}{4}} =$	S 11
4)	$\frac{1}{5}a$	$:\frac{1}{5}b$	$:\frac{1}{5}a$	$:\frac{1}{5}b$	$:\frac{1}{5}a$	$b = d^{\frac{1}{5}} =$	S 9
5)	$\frac{1}{6}a$	$:\frac{1}{6}b$	$:\frac{1}{6}a$	$:\frac{1}{6}b$	$:\frac{1}{6}a$	$b = d^{\frac{1}{6}} =$	S 7
6)	$\frac{1}{7}a$	$:\frac{1}{7}b$	$:\frac{1}{7}a$	$:\frac{1}{7}b$	$:\frac{1}{7}a$	$b = d^{\frac{1}{7}} =$	S 5
7)	$\frac{1}{8}a$	$:\frac{1}{8}b$	$:\frac{1}{8}a$	$:\frac{1}{8}b$	$:\frac{1}{8}a$	$b = d^{\frac{1}{8}} =$	S 3
8)	$2a$	$:\frac{2}{3}b$	$:\frac{2}{3}a$	$:\frac{2}{7}b$	$:\frac{2}{3}a$	$b = d^{\frac{2}{3}} =$	S 2
9)	$3a$	$:\frac{3}{8}b$	$:\frac{3}{8}a$	$:\frac{3}{8}b$	$:\frac{3}{8}a$	$b = d^{\frac{3}{8}} =$	S $\frac{5}{8}$
10)	$4a$	$:\frac{4}{7}b$	$:\frac{4}{7}a$	$:\frac{4}{11}b$	$:\frac{4}{7}a$	$b = d^{\frac{4}{7}} =$	S $\frac{5}{7}$
11)	$5a$	$:\frac{5}{6}b$	$:\frac{5}{6}a$	$:\frac{5}{13}b$	$:\frac{5}{6}a$	$b = d^{\frac{5}{6}} =$	S $\frac{7}{6}$
12)	$6a$	$:\frac{6}{5}b$	$:\frac{6}{5}a$	$:\frac{6}{17}b$	$:\frac{6}{5}a$	$b = d^{\frac{6}{5}} =$	S $\frac{8}{5}$
	$\vdots$	$\vdots$	$\vdots$	$\vdots$	$\vdots$	$\vdots$	$\vdots$
	$\infty a$	$:\frac{\infty b}{\infty+3}$	$:\frac{\infty a}{\infty+3}$	$:\frac{\infty b}{\infty+3}$	$:\frac{\infty a}{\infty+1}$	$b = \infty a : a : a$	
13)	$9a$	$b$	$:\frac{9}{15}a$	$:\frac{9b}{15}$	$:\frac{9}{7}a$	$\frac{9}{8}b = b^{\frac{9}{8}} =$	$\frac{9}{8}S_{\frac{8}{9}}$
14)	$8a$	$b$	$:\frac{8}{7}a$	$:\frac{8b}{13}$	$:\frac{8}{5}a$	$\frac{8}{3}b = b^{\frac{8}{3}} =$	$\frac{8}{3}S_{\frac{3}{8}}$
15)	$7a$	$b$	$:\frac{7}{6}a$	$:\frac{7b}{11}$	$:\frac{7}{4}a$	$\frac{7}{2}b = b^{\frac{7}{2}} =$	$\frac{7}{2}S_{\frac{2}{7}}$
16)	$6a$	$b$	$:\frac{6}{5}a$	$:\frac{6b}{9}$	$:\frac{6}{4}a$	$\frac{6}{3}b = b^{\frac{6}{3}} =$	$\frac{6}{3}S_{\frac{3}{6}}$
17)	$5a$	$b$	$:\frac{5}{4}a$	$:\frac{5b}{7}$	$:\frac{5}{3}a$	$\frac{5}{2}b = b^{\frac{5}{2}} =$	$\frac{5}{2}S_2$
18)	$4a$	$b$	$:\frac{4}{3}a$	$:\frac{4b}{5}$	$:\frac{4}{2}a$	$\frac{4}{1}b = b^{\frac{4}{1}} =$	$\frac{4}{1}S_3$
19)	$3a$	$b$	$:\frac{3}{2}a$	$:\frac{3}{2}b$	$:\frac{3}{1}a$	$\frac{3b}{0} = b^{\frac{3}{0}} =$	P
20)	$4a'$	$\frac{4}{3}b$	$:\frac{4}{3}a'$	$b$	$:\frac{4}{3}a'$	$8b = b^{\frac{8}{3}} =$	$\frac{4}{3}S'_{\frac{3}{8}}$
21)	$5a'$	$\frac{5}{2}b$	$:\frac{5}{2}a'$	$b$	$:\frac{5}{2}a'$	$5b = b^{\frac{5}{2}} =$	$\frac{5}{2}S'_{\frac{2}{5}}$
22)	$8a'$	$\frac{8}{11}b$	$:\frac{8}{11}a'$	$b$	$:\frac{8}{11}a'$	$\frac{8}{3}b = b^{\frac{8}{3}} =$	$\frac{8}{3}S'_{\frac{3}{8}}$

Stellen wir einige dieser Rhomboeder zusammen, so fällt gleich die Hauptreihe  $\frac{1}{8}a, \frac{1}{4}a', \frac{1}{2}a, \frac{1}{2}a', a, 2a', 4a, 8a', 16a$  in die Augen. Zu gleicher Zeit finden sich auch die Gegenrhomboeder  $\frac{1}{2}a, a', 2a, 4a',$  vor. Eine zweite Reihe bilden  $\frac{1}{8}a', \frac{1}{4}a, \frac{1}{2}a', \frac{3}{4}a, \frac{1}{2}a, \frac{1}{4}a', \frac{1}{8}a', \frac{1}{4}a,$  die schon beim Hauptdreikantner Nro. 7 durch  $\frac{1}{2}a'$  eingeleitet ist. Dann folgt an die Reihe  $\frac{1}{4}a', \frac{1}{2}a, \frac{3}{4}a', \frac{1}{2}a, \frac{1}{4}a', \frac{1}{8}a,$  durch die Dreikantner 2. u. 6 und Nro. 8 eingefügt. Die kleine Reihe  $\frac{1}{4}a', \frac{1}{2}a, \frac{1}{4}a'$  mit den Gegenrhomboedern  $\frac{3}{4}a'$  und  $\frac{1}{2}a$  führt uns zu dem würfelartigen Rhomboeder. Anderer nicht zu gedenken.

Von nächster Wichtigkeit zeigt sich die Diagonallzone des Hauptrhomboiders, d. i. die Rantenzone  $\frac{1}{2}b$  des nächsten schärfern ( $\frac{1}{2}a' : \frac{1}{2}a$ ). Da dasselbe gestrichelt ist, so müssen die Dreikantner 1ster und 2ter Abtheilung auch gestrichelt sein. Es gehören dahin

	Weiß	Haupt	Mohs
35)	$\frac{1}{2}a' : \frac{b}{11} : \frac{1}{2}a' : \frac{b}{13} : \frac{1}{2}a' : \frac{b}{2} = e_{\frac{1}{2}} = 2 S' 4.$		
36)	$\frac{1}{2}a' : \frac{b}{8} : \frac{1}{2}a' : \frac{b}{10} : \frac{1}{2}a' : \frac{b}{2} = e_{\frac{1}{3}} = 2 S' 3.$		
37)	$a' : \frac{b}{5} : \frac{1}{2}a' : \frac{b}{7} : \frac{1}{2}a' : \frac{b}{2} = e_{\frac{1}{2}} = 2 S' 2.$		
38)	$2a' : \frac{2b}{7} : \frac{1}{2}a' : \frac{2b}{11} : \frac{1}{2}a' : \frac{b}{2} = e_{\frac{2}{3}} = 2 S' \frac{1}{2}.$		

Weitere Glieder der Reihe nicht bekannt. Mit Nro. 5 bis Nro. 7 verglichen gibt die Reihe im mittlern  $a$  gerade diejenigen Coefficienten  $\frac{1}{8}, \frac{1}{4}, \frac{1}{2}$ , welche zwischen  $\frac{1}{9}, \frac{1}{7}, \frac{1}{5}$  liegen. Einige Zwischenglieder

39)	$\frac{3}{4}a' : \frac{2b}{18} : \frac{1}{2}a' : \frac{2b}{17} : \frac{1}{2}a' : \frac{b}{2} = e_{\frac{2}{3}} = 2 S' \frac{1}{2}.$
40)	$\frac{5}{4}a' : \frac{b}{4} : \frac{1}{2}a' : \frac{b}{6} : \frac{1}{2}a' : \frac{b}{2} = e_{\frac{3}{2}} = 2 S' \frac{1}{3}.$

fügen sich gut.

Aus der Endkantenzone sind etwa bekannt:

	Weiß	Haupt	Mohs
41)	$9a' : \frac{b}{2} : \frac{9}{17}a' : \frac{9b}{33} : \frac{9}{18}a' : \frac{9b}{5} = e_{\frac{9}{8}} = \frac{1}{3} S' \frac{1}{12}.$		
42)	$5a' : \frac{b}{2} : \frac{5}{17}a' : \frac{5b}{17} : \frac{5}{8}a' : \frac{5b}{7} = e_{\frac{5}{2}} = \frac{1}{2} S' \frac{2}{7}.$		
43)	$4a' : \frac{b}{2} : \frac{4}{7}a' : \frac{4b}{13} : \frac{4}{8}a' : \frac{4b}{5} = e_{\frac{4}{3}} = \frac{1}{4} S' \frac{7}{3}.$		
44)	$3a' : \frac{b}{2} : \frac{3}{5}a' : \frac{b}{5} : \frac{3}{4}a' : b = e_{\frac{3}{2}} = S' \frac{5}{2}.$		
45)	$2a' : \frac{b}{2} : \frac{2}{3}a' : \frac{2b}{5} : a' : 2b = e_{\frac{1}{2}} = \frac{1}{2} S' 3.$		

Projicirt man diese Körper wieder, so kann man leicht das Wahrscheinlichere vom Unwahrscheinlichen unterscheiden. Eine der schönsten Lagen hat Nro. 45, sie führt uns zum Wendepunkte, zum Dihexaeder

$$46) \frac{1}{2}a : \frac{b}{2} : \frac{1}{2}a : \frac{b}{2} : \frac{1}{2}a : \infty b,$$

das Lévy angibt. Zwischen Dihexaeder und Rhomboeder beginnt die 3te Abtheilung, wieder mit ungestrichelten  $a$ , weil sie ihre scharfen Endkanten wie die Endkanten des Hauptrhomboiders legen.



$$47) 2a : \frac{4b}{7} : \frac{4}{3}a : \frac{b}{2} : \frac{4}{3}a : 4b = e_4 = \frac{1}{4} S \ 5.$$

$$48) \frac{4}{3}a : \frac{5b}{8} : \frac{4}{3}a : \frac{b}{2} : \frac{4}{3}a : \frac{5b}{8} = e_5 = \frac{1}{8} S \ 3.$$

Man erkennt darin gleich wieder das Reihengesetz  $\frac{4}{3}a$ ,  $\frac{4}{3}a$ ,  $\frac{4}{3}a$  u.

Die Kantenzone des nächsten stumpfern Rhomboeders 2b hat ebenfalls eine Reihe aufzuweisen:

$$49) \frac{4}{3}a' : \frac{2b}{19} : \frac{4}{3}a' : \frac{b}{10} : \frac{4}{3}a' : 2b = d^1 d^{\frac{1}{2}} b^{\frac{1}{2}} = \frac{1}{2} S' \ 13.$$

$$50) \frac{4}{3}a' : \frac{2b}{13} : \frac{4}{3}a' : \frac{b}{7} : \frac{4}{3}a' : 2b = d^1 d^{\frac{1}{2}} b^{\frac{1}{2}} = \frac{1}{2} S' \ 9.$$

$$51) a' : \frac{2b}{7} : \frac{4}{3}a' : \frac{b}{4} : \frac{4}{3}a' : 2b = d^1 d^{\frac{1}{2}} b^{\frac{1}{2}} = \frac{1}{2} S' \ 5.$$

$$45) 2a' : \frac{b}{2} : \frac{4}{3}a' : \frac{2b}{5} : a' : 2b = e_3 = \frac{1}{2} S' \ 3.$$

$$52) 3a' : \frac{2b}{3} : \frac{4}{3}a' : \frac{b}{2} : \frac{4}{3}a' : 2b = e_6 = \frac{1}{2} S' \ \frac{7}{3}.$$

Dabei ereignet es sich zuweilen, daß Dreikantner der einen Reihe auch zu denen einer andern Reihe gehören, so liegt Nro. 45 sowohl in der Kantenzone des stumpfern 2b, als in der Kantenzone des nächsten schärfern  $\frac{1}{2}b$ .

Auffallender Weise stellen sich darunter auch Gegendreikantner ein; so ist Nro. 44 der Gegendreikantner von Nro. 9, denn beider Zeichen unterscheidet sich nur durch die Striche. Unter andern merkwürdigen Gegendreikantnern erwähne ich nur:

$$53) a' : \frac{b}{4} : \frac{4}{3}a' : \frac{b}{5} : \frac{4}{3}a' : b = d^1 d^{\frac{1}{2}} b^{\frac{1}{2}} = S' \ 3,$$

dieser entspricht dem Hauptdreikantner Nro. 7, der Nro. 6 dagegen

54)  $\frac{4}{3}a' : \frac{b}{7} : \frac{4}{3}a' : \frac{b}{8} : \frac{4}{3}a' : b$ . Ebenso haben Nro. 24, Nro. 29, Nro. 36 u. ihren Gegendreikantner.

Hat man auf diese Weise eine Uebersicht der Dreikantner gewonnen, so ist es nicht uninteressant, sich alle diejenigen herauszusuchen, welche parallele Sectionslinien auf der Projectionsfigur bekommen. Nehmen wir die Sectionslinien des Dreikantners Nro. 7 =  $a : \frac{1}{3}a : \frac{1}{3}a$  und des Gegendreikantners Nro. 53 =  $a' : \frac{1}{3}a' : \frac{1}{3}a'$ , so gehen diesen Sectionslinien die von Nro. 45 =  $\frac{1}{2}c : a' : \frac{1}{3}a' : \frac{1}{3}a'$ , Nro. 18 =  $\frac{1}{2}c : a : \frac{1}{3}a : \frac{1}{3}a$ , Nro. 36 =  $2c : a' : \frac{1}{3}a' : \frac{1}{3}a'$ ,  $4c : a : \frac{1}{3}a : \frac{1}{3}a$  parallel, so daß bei gleicher Basis die Axe c in der Progression  $\frac{1}{2}c$ ,  $\frac{1}{2}c$ , c, 2c, 4c geschnitten wird.

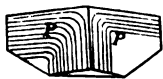
Was endlich das Vorkommen in der Natur betrifft, so ist ein scharfes Erkennen ohne Winkelmessung häufig nicht möglich, und gerade die complicirtesten und lehrreichsten Krystalle entziehen sich nicht selten auch den scharfen Winkelmessungen, doch kann man mit einem Handgoniometer sich leicht im Großen orientiren. Das soll an einzelnen Beispielen klar gemacht werden.

1. Reguläre 1ste sechsseitige Säule  $e^2$  von Andreasberg. Sie herrscht durchaus vor, zeichnet sich durch Glanz und geringe Querstreuung aus. Der blättrige Bruch P stumpft die abwechselnden Endkanten ab, und erzeugt eine



markirte Streifung auf dem nächsten stumpfern Rhomboeder  $b^1$ , die senkrecht gegen die Endkante der Säule steht, und eine schiefe Streifung auf der 2ten Säule  $d^1$ , die dem Durchschnitt der Säule mit dem Blätterbruch entspricht, folglich auf den abwechselnden Flächen  $d^1$  sich abwechselnd neigt.

#### 2. Hauptrhomboeder vom Maderaner Thal. An einem Ende



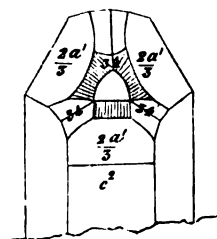
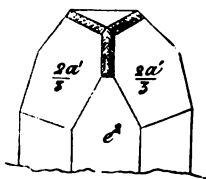
(Untereinde) herrscht die Geradendfläche vor, und diese hat an kleinen Krystallen eine Querstreifung, was Andeutung eines vierten Blätterbruchs zu sein scheint, der die Endcke gerade abstumpft. Sonst ist die Oberfläche des Rhomboeders matt, und wegen der zarten Streifung mit dem Fingernagel rigbar. Bei größern Krystallen bemerkt man eine sehr regelmäßige Bogenstreifung, die Seitenarme der Bogen gehen der Rhomboederkante parallel, in der Mitte längs der schiefen Diagonale gewahrt man eine breite Einknickung: der erste Anfang einer Dreikantnerbildung, der aber der Hauptrhomboederfläche möglichst nahe liegt, also über unseren stumpfsten  $\text{Pro. } 13 = 9a : \frac{2}{3}a$  noch hinaus geht. Es kommen auch sehr complicirte Formen vor, woran aber meist die Geradendfläche einer Seite sich auszeichnet.

#### 3. Im Muschelkalk findet man gar häufig das zweite



schärfere Rhomboeder  $\frac{1}{4}a$ , dessen scharfe Endkanten der Hauptdreikantner  $a : \frac{1}{4}a$  zuspitzt. An der Endspitze fehlt gewöhnlich das nächste stumpfere Rhomboeder  $2a'$  nicht. Dehnt sich der Dreikantner aus, so wird er nicht selten bauchig, es treten zwar noch allerlei Abstumpfungen hinzu, im Ganzen bleibt sich aber der Typus sehr gleich, und da er im Kalkgebirge der verschiedensten Formationen sich häufig findet, so verdient er hervorgehoben zu werden.

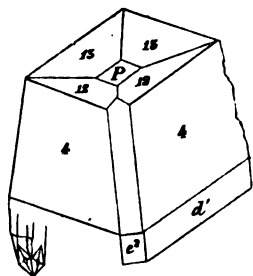
#### 4. Die Andreasberger bilden eine große Familie. Schon oben bei



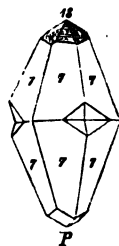
der sechsseitigen Säule (1) ist sie angedeutet. Hier haben wir auf der zum Theil langen 1sten Säule das würfelfartige Rhomboeder  $\frac{1}{4}a'$  vorherrschend, aber mit matter drüsiger Fläche. Es kann daher kaum genau gemessen werden. Die Endkante erscheint gerade abgestumpft durch eine federartig gestreifte Fläche, was auf einen Dreikantner hinweist. Wenn die Fläche gerade abstumpfte, so müßte sie einem Rhomboeder  $\frac{1}{4}a : \frac{1}{4}a : \infty a : c$  angehören, doch ist sie so eng mit dem Blätterbruch verbunden, daß man sie häufig anzweifelt. Sie setzt offenbar den Dreikantner ein, der bei jenen großen mit Kauschroth übertünchten Krystallen deutlich hervortritt. Hier macht das matte Rhomboeder  $\frac{1}{4}a'$  mit dem Blätterbruch  $80^\circ$ , das nächste stumpfere läßt sich darüber leicht an der starken diagonalen Streifung erkennen. In der Diagonalzone des letzteren

liegt ein Dreikantner, der sich aber im weitem Verlaufe ganz abrundet. Zippe bestimmt ihn  $\frac{1}{3}a : \frac{1}{7}a : \frac{1}{2}a$  (Nro. 34). Gerade die Menge ganz flacher Dreikantner aus der Endkantenzone des Hauptrhomboeders sind für die Erzgänge von Bedeutung.

5. Haüy's Quintidodécaèdre von Andreasberg ist zwar außerordentlich verzogen, allein man orientirt sich leicht an der Enddecke, die dem Hauptrhomboeder gleicht, nur daß sich ein Dreikantner (13) flach aus der Ebene des Blätterbruchs P erhebt. Derselbe hat in der scharfen Endkante ungefähr  $116^\circ$ , was etwa auf ein Zeichen  $11a : \frac{1}{10}a : \frac{1}{5}a$  hindeuten würde. Darunter in der Seitenkante erhebt sich ein zweiter (12) nur wenig steiler, als ersterer, Haüy nannte ihn  $d^5 = 4a : \frac{2}{3}a$ , allein dem Augenmaß nach muß er der Rhomboederfläche viel näher liegen, etwa  $8a : \frac{7}{8}a : \frac{9}{8}a$  (Nro. 14) haben. Beide Dreikantner bilden öfter ein ganz flaches Pyramidenrhomboeder, die Pyramiden Spitze durch das Rhomboeder P abgestumpft, wodurch die Zonen scharf in die Augen treten. Darunter herrscht gewöhnlich ein Dreikantner  $d^{\frac{1}{2}} = \frac{1}{4}a : \frac{1}{4}a$  Nro. 4, der der Kante des blättrigen Bruchs parallel geht. Der Winkel der scharfen Endkante beträgt etwa  $114^\circ$ , daraus folgt, daß er innerhalb des Dreikantners Nro. 7 liegt, dessen scharfe Endkante reichlich  $104^\circ$  macht. Dem Winkel zufolge könnte es auch Nro. 3 oder eine dem Mittelpunkte noch näher stehende sein. Die untergeordneten Abstumpfungen beider Säulen und des Rhomboeders, worunter auch das würfelfartige nicht fehlt, übergehen wir.



6. In Derbyshire erscheint der Fußgroße Dreikantner Nro. 7 =  $a : \frac{1}{4}a : \frac{1}{4}a$  scharf meßbar. Uebergehen wir die kleinen Abstumpfungen der Seitenecken, und lenken die Aufmerksamkeit auf die Enddecken, so kann man durch Wegsprengen des Blätterbruchs sich bald überzeugen, daß der Dreikantner der Kantenzone desselben angehört (Unterecke), denn der Blätterbruch bildet mit den Dreikantnerflächen Rhomben. Am Ende findet sich der matte Dreikantner  $b^3 = 4a : \frac{1}{3}a$  (Nro. 18) mit etwa  $138^\circ$  in den scharfen Endkanten, vierfach stumpfer ( $\frac{1}{4}c : a : \frac{1}{4}a : \frac{1}{4}a$ ) als der Hauptdreikantner. Bei andern noch mattern Flächen wird der Kantenwinkel sogar  $145^\circ$ , was etwa auf  $\frac{1}{3}a : \frac{1}{7}a : \frac{1}{2}a$  schließen ließe. Gewöhnlich Zwillinge.

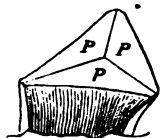


der Haupt-  
scharfe End-

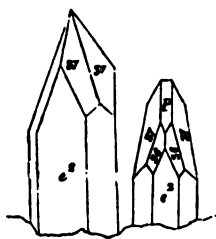


7. Im Teufelsgrunde des Münsterthals bei Stausen herrscht das Hauptrhomboeder mit dem nächsten stumpferen vor, allein die Krystalle sind durch Dreikantner aus der Endkantenzone nicht selten ganz kufenförmig zugrundet, was die Krystalle der Erzgänge so bezeichnet.

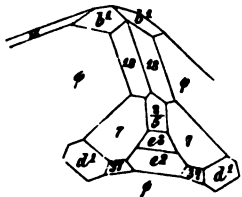
Auch der gewöhnliche Dreikantner mit dem Rhomboeder am Ende kommt vor. Man findet auf letzterem aber immer Andeutungen von Dreikantnern, die sich dem Blätterbruch möglichst nahe anlegen. Die Säulen machen die Ränder oft ganz cylindrisch, wie bei Neudorf auf dem Unterharze.



8. Das Hauptrhomboeder P kommt auch in Spalten des Kalkgebirges vor, und zwar mit glänzenden Flächen, ohne Spur eines Dreikantners, Höhlen auf der schwäbischen Alp. Darunter liegt die verdrückte Form eines Haüy'schen dilatée, aber nicht sehr deutlich. Die Kanten der drei breiten Flächen convergiren deutlich nach unten, sehen jedoch physikalisch anders aus als die drei schmalen, welche nicht so deutlich convergiren.



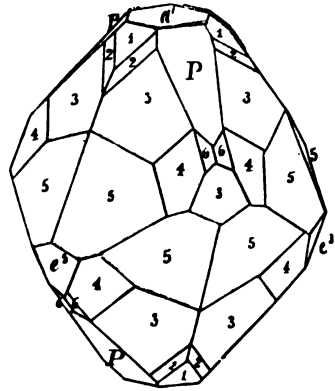
9. Alston Moor in Cumberland zeigt uns an der regulären sechsseitigen Säule einen Dreikantner aus der Diagonalzone des Hauptrhomboeder. Derselbe stumpft die Kante zwischen Hauptrhomboeder und erster sechsseitiger Säule ab, muß also auf der Projection zwischen den Sectionslinien dieser beiden liegen d. i. Nro. 37. Zersprengt man nun von einem die Spitze, so stumpft der blättrige Bruch die Kante zweier gegenüberliegender Flächen ab, folglich muß der Körper in der Diagonalzone liegen, es ist also der Dreikantner  $a : \frac{1}{2}a' : \frac{1}{2}a'$ . Dester sitzt daran auch der Dreikantner  $\frac{1}{2}a' : \frac{1}{2}a' : \frac{1}{2}a'$  Nro. 36.



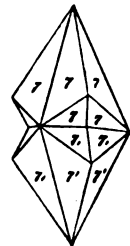
10. Im Fassathal kommen mit Analcim sehr flächenreiche Krystalle vor  $\varphi = \frac{1}{2}a' : \frac{1}{2}a' : \infty a$  (Zippe) herrscht daran. Der Hauptdreikantner Nro. 7 =  $a : \frac{1}{2}a : \frac{1}{2}a$ , dessen stumpfe Kante durch Rhomboeder  $\frac{1}{2}a : \frac{1}{2}a$  gerade abgestumpft wird, leitet auf den blättrigen Bruch, dessen rhomboedrische Endkanten  $b^1 = 2a' : 2a'$  gerade abstumpfen würde. Zweites schärfere Rhomboeder  $e^3 = \frac{1}{2}a : \frac{1}{2}a$  muß in den scharfen Endkanten von Nro. 7 liegen. Nro. 18 =  $4a : \frac{1}{2}a : \frac{1}{2}a$  schärft die Endkante  $\varphi/\varphi$  zu, denn  $\varphi$  gehört zu dessen verhüllten Rhomboedern. Aus der 1sten Säule  $e^2 = a : a : \infty a$  folgt, daß Nro. 37 =  $a' : \frac{1}{2}a' : \frac{1}{2}a'$  zur 2ten Ordnung gehöre. Zweite Säule  $d^1 = a : \frac{1}{2}a : a : \infty$  macht nach drei Seiten hin parallele Kanten, woraus man sogleich ihren Ausdruck errathet.

11. Am Obern See von Nordamerika find aus den Kupfergruben außerordentlich flächenreiche Krystalle vorgekommen, die von Rath (Pogg. Ann. 132. 300) und Hefenberg (Abb. Sendenb. Nat. Ges. VII. 257) ausführlich beschrieben wurden. Einfache Dreikantner  $a : \frac{1}{2}a : \frac{1}{2}a$  lassen sich leicht nach den Sprüngen des Blätterbruches, in deren Kantenzonen sie fallen, beurtheilen. Ihre scharfen Endkanten sind durch das nächste schärfere Rhomboeder  $\frac{1}{2}a' : \frac{1}{2}a'$  gerade abgestumpft, doch zeigt das Rhomboeder

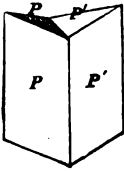
eigenthümliche Streifen, und sonderbarer Weise ist die eine Seite matt, die andere glänzend. Solche Krystalle von Hühnereigröße senkten sich mit der einen Seite unmittelbar über das gediegene Kupfer hinab. Freilich sind dabei noch eine Menge unsicherer Abstumpfungen, die Weibsky (Zeitschr. d. geol. Ges. XV. 679) **Vielflächchen** nannte, welche bei den Abularen in der Schweiz sich häufig finden, und dort bis zu den ungefügten Ausdrücken  $\psi = \frac{1}{8}a : \frac{1}{8}b : c$ ,  $\varphi = \frac{1}{2\frac{1}{2}a} : \frac{1}{2\frac{1}{2}b} : c$  etc. gehen. Dasselbe wiederholt sich bei den Kalkspathen, besonders wenn sie mit Zeolithen vorkommen, wie im Basalte von Gran Canaria, oder im kupferhaltigen **Mandelstein** vom Obersee, was beistehende Copie zeigt. Unter der Geradenfläche  $a'$  dehnt sich das blättrige Hauptrhomboeder  $P$  aus; das zweite schärfere  $e^3 = \frac{1}{2}a : \frac{1}{2}a'$  darunter verräth sich schon durch die symmetrische Lage. Ein glänzendes Rhomboeder  $1 = \frac{2}{3}a' : \frac{2}{3}a'$ , würde man gern für das Gegenrhomboeder nehmen, allein die Messungen ergaben die Endkante von  $99^\circ 55'$ , und damit ein neues Rhomboeder zweiter Ordnung. Daran schließen sich dann fünf ebenfalls neue Dreikantner: der erste  $3 = \frac{2}{3}a' : \frac{2}{3}a' : \frac{2}{3}a' : c = 395$  hat noch eine gefüggige Zahl; desto ungefügter ist schon  $5 = \frac{1}{2}a' : \frac{1}{2}a' : \frac{1}{2}a' : c = 56.189.88$ , welcher die größte Ausdehnung hat; die beiden  $4 = \frac{2}{3}a' : \frac{1}{2}a' : \frac{1}{2}a' : c = 56.154.81$  und  $2 = \frac{1}{2}a' : \frac{1}{2}a' : \frac{1}{2}a' : c = 55.286.200$  erscheinen zwar auch sehr complicirt, aber dennoch findet ein Zonenzusammenhang  $P1234$  Statt, wie die Parallelität der Linien unten zeigt. Alle diese Dreikantner gehören der zweiten Ordnung, erster ist nur  $6 = \frac{1}{2}a : \frac{1}{2}a : \frac{1}{2}a : c = 9.23.15$ , aber diese fallen keineswegs mit den anlagernden  $4$  in eine Zone, sondern nach der Darstellung von Hesselberg würde in die Kanten  $e^3/6$  je eine  $2$  oben neben  $P$  fallen. Solche Krystalle zu entziffern macht wenig Freude. Vielleicht kommt bald eine Zeit, wo man erkennt, daß die vermeintlichen Messungen nicht zu weit getrieben werden dürfen.



**Zwillinge.** 1stes gewöhnlichere Gesetz: Die Rhomboeder haben die Geradenfläche  $a'$  gemein und liegen umgekehrt. Sie sind daher um  $60^\circ$  gegeneinander verdreht. Besonders findet man es bei Dreikantnern von Derbyshire, Traversella, auch in einem Thonletten des Muschelkaltes bei Cannstadt ohnweit der Ziegelei in den ersten Kalkwänden, welche der Fluß auf dem rechten Ufer trifft. Letztere sind um und um ausgebildet, an den Seiten kommen drei Mal einspringende Winkel, und wenn diese sich auch ausfüllen, so passen scharfe Kanten unten und oben aufeinander, welche bei einfachen Formen bekanntlich abwechseln. Bei Auerbach

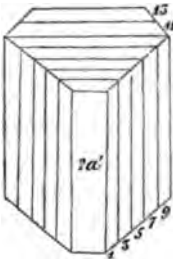


an der Bergstraße in Hessen-Darmstadt konnte man früher einmal späthige Stücke von Fuß Durchmesser schlagen, die zwei dreiseitigen Pyramiden mit einander zugekehrten Basen gleichen (Trigonoeder), die einspringenden Winkel, welche durch den Blätterbruch an den Seitenecken kommen, erinnern aber leicht an den Zwilling.



2 tes seltenere Gesetz: die Krystalle haben die Fläche des nächsten stumpfern Rhomboeder  $b^1$  gemein und liegen umgekehrt. Man darf nur das Rhomboeder parallel der Fläche des nächsten stumpfern halbiren, und die Stücke gegeneinander um  $180^\circ$  verdrehen. Zwei blättrige Brüche machen dann eine rhombische Säule von  $105^\circ 5'$ , während der dritte beider Individuen ein Paar einerseits mit aus-

springendem, andererseits mit einspringendem Winkel von  $141^\circ 52'$  bildet. Die späthigen Stücke finden sich bei Auerbach sehr schön, auch verrathen



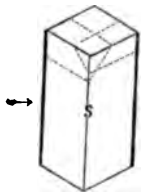
oft Streifungen das Gesetz, wie unter andern die prachtvollen Stücke vom Sigmundstollen im Rathhausberge bei Gastein: letztere erscheinen in rhombischen Säulen mit Schiefendfläche. Die stumpfe Kante der Säule ist durch eine matte Fläche des Rhomboeder  $2a' : 2a' : \infty a : c$  stark abgestumpft, und parallel ihnen sondert sich die späthige Masse in zahlreiche Blättchen von  $\frac{1}{4}''$ — $1''$  Dicke. Alle diese Blättchen 1 bis 13 gehören zwar ein und

demselben Individuum, allein zwischen je zwei schieben sich papierdünne Blättchen des andern Individuum's ein. Solche Einschießel von Blättchen sind beim Isländischen Doppelspath besonders merkwürdig und



ziemlich häufig: die geschlagenen Stücke erscheinen zwar einfach, aber bei genauer Untersuchung merkt man einen zarten Strich (2), den Zwillinge-Einschießel. Beim Durchsehen verräth er sich sogleich durch prachtvolle Farben, welche von den Newtonianischen verschieden sind. Es wirken

dabei die Stücke 1 und 3 wie Turmalinplatten. Natürlich kommen auch Drillinge und Vierlinge vor. Wie solche Gesetze durchgreifen, hat Oschaz (Zeitsch. deutsch. geol. Ges. 1855. VII. 8) an Schliften des Carrarischen Marmors nachgewiesen, die im Mikroskop an den kleinsten Körnern solche Zwillingstreifen zeigen. Pfaff (Pogg. Ann. 107. pag. 338) zeigte, daß man solche Streifen auch künstlich erzeugen könne: schleife man parallel eines



Hauptschnittes an die gegenüberliegenden Kanten Flächen und übe darauf einen senkrechten Druck in der Richtung der Pfeile aus, so kämen plötzlich Zwillingstreifen, wie bei feinen Labradorkrytallen zum Vorschein. Reusch (Pogg. Ann. 187. 440) verfolgte das weiter, und wies die punktirte Lage der Zwillingsebenen nach, die er Gleitflächen nannte. Längs der Kante s, gegen welche der Druck senkrecht wirkt, entstehen sie. Die Streifen kommen

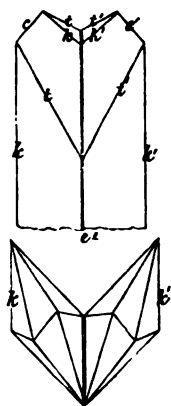
auch zum Vorschein, wenn man an die Säule  $s$  eine Geradenfläche schleift, und auf diese einen Druck ausübt (Monatsb. Berl. Akad. 1867. 224). Später konnte Reusch sogar die Sprünge in zierlichster Weise auf dünneren Platten durch bloßen Druck mit einem Stifte bei gehöriger elastischer Unterlage darstellen, wie nebenstehende Probe zeigt: man sieht an der kleinen Verletzung, wo der Stift angelegt wurde, und auf der schmalen Seite  $s$  erscheint das Plättchen schwach wellenförmig gebogen, so daß wir die „Gleitfläche“ noch mit den Augen verfolgen können.



Wird man darnach nicht läugnen, daß auch in der Natur solche Zwillingsslamellen durch ähnlichen Druck und Widerstände verschiedener Art erzeugt wurden, so ist damit doch das Zwillingsgesetz nicht aufgehoben: die großen Kalkspathplatten ( $a^1$  PPP) im Maderaner Thal kreuzen sich oft unter 2mal  $63.44 = 127^\circ 28'$  mit vielen Wiederholungen. Dabei erheben sich auf der Geradenfläche  $a^1$  zahlreiche Rhomboeder  $P$  buckelförmig, die häufig gegeneinander in dieser Zwillingstellung stehen, wie das Einspiegeln zweier Blätterbrüche zeigt. Das konnte nur durch freies Wachsen in diese Lage gelangen.

3tes Gesetz findet sich zu Andreasberg und Derbyshire, hauptsächlich bei Dreikantnern, welche den Blätterbruch  $P$  gemein haben und umgekehrt liegen. Es sind gewöhnlich knieförmige Anlagerungen oder Durchkreuzungen, wobei die Axen  $c$  sich unter 2mal  $45.20 = 90^\circ 40'$  schneiden. Endlich kann auch in einem

4ten Gesetz das nächste schärfere Rhomboeder  $e^1$  Zwillingsebene werden. Scherer (Pogg. Ann. 65. 200) weist das an großen Krystallen von Alten's Kupfergrube in Norwegen nach: die Dreikantner  $a: \frac{1}{2}a: \frac{1}{2}a$  haben sich zu einer Säule  $kk' = 104^\circ 38'$  verzogen, welche der scharfen Endkante entspricht, während  $t$  der stumpfen; ihre Gipfel liegen in den Linien  $c$  und  $c'$ . Daraus geht sofort hervor, daß  $e^1 = \frac{1}{2}a': \frac{1}{2}a'$  gehen müsse. Im Wallis kommen die Verwachsungen so deutlich, wie die darunter stehenden Modelle von Dreikantnern vor, welche die scharfe Kante  $kk'$  gemein haben, und umgekehrt liegen. Immer ist es wieder die Einfachheit des Gesetzes, welche uns anzieht. Das



Fortwachsen der Krystalle dürfte sich kaum irgendwo schöner finden: verwitterte rauchflächige Stücke haben zumal auf Erzgängen (Samson) sich mit einer klaren glänzenden Hülle umgeben, woran nur stellenweis das alte Kleid noch frei liegt. Häufig bildet das neue nur die Fortsetzung des alten, es können aber auch neue Flächen eintreten und alte verschwinden. Doch ordnet sich alles so sicher, daß man deutlich sieht, der alte Krystall hat seine vollkommene Anziehungskraft auf die Substanz bewahrt. Mit dem älteren Kalkspath kommen die Erze, mit

dem jüngern die Zeolithe vor, Jahrb. 1866. 220. Bei Reichenstein in Schlesien bilden die nächsten stumpferen Rhomboeder breite Rappen auf langstrahligen scharfen (Glocker, Nov. Act. phys. med. 1851. XXIII. 2. pag. 803). Gewisse Anziehungskraft üben auch andere Unterlagen, wie z. B. die Affeln der hohlen Spatangen und Ananchiten der Kreideformation (Weiß Berh. Gesellsch. nat. Freunde zu Berlin 1836 pag. 12), oder die Echinosphäriten des Uebergangsgebirges 2c.: jede Affel hat auf der Innenseite ihren Krystall, dessen Axe senkrecht gegen sie steht und dessen Größe genau mit ihr stimmt. Da die Affel selbst aus späthigem Kalk besteht, dessen Axe mit dem des Krystalls zusammenfällt, so mag darin der theilweise Grund zur Anziehung gelegen haben. Sie endigen daher auch häufig mit dem Hauptrhomboeder pag. 478. Echinitae favoginei (binnenzellige) Walch Naturg. Verst. II. 1 pag. 177 tab. E. 1. a fig. 3 hießen die Feuerstein-echiniten mit Rhomboedereindrücken, welche schon richtig aus den hohlen Mastrichter Exemplaren (Naturforsch. Stüd 9 pag. 270) erklärt wurden. Stelzner Jahrb. 1866. 418.

Zu späthigem Kalk bilden sich oftmals fossile Muschelschalen um, insonders Echinodermen, und wenn diese Theile in die Länge gestreckt sind, so fällt die Axe des Blätterbruchs mit der Längslinie zusammen. Sehr schön findet man das bei Eibaritenstacheln, die innerlich den vollkommensten Blätterbruch eines einzigen Kalkspathrhomboeders haben. Bei Krinoidenstielen entspricht die Hauptaxe zwar der Richtung des Stieles, aber die Blätterbrüche der einzelnen Glieder sind gegeneinander spiralförmig verdreht (Epochen der Natur pag. 558), doch dürfte der Drehwinkel gesetzlich kaum festgestellt werden können (Hessel, Mineral. Taschenb. 1825. 2. pag. 152). Gar zierlich sind nach Turpin die mikroskopischen Rhomboederchen in den Eierschalen der Weinbergsschnecke.

Außere Kennzeichen. Härte 3, Normalhärte. Grailich pag. 155 hat ihn „sklerometrisch durchforscht“, und die Flächen der 1sten Säule am härtesten, die des Hauptrhomboeder am weichsten gefunden. Gew. 2,7. Selten schön gefärbt, und dann meist gelbbraun von Eisenorydhydrat. Seine ausgezeichnete doppelte Strahlenbrechung ist bekannt pag. 123, daher für Optik unentbehrlich. Dünne Scheiben sollen schon durch den Fingerdruck elektrisch werden. In der Temperatur des kochenden Wassers wird nach Mitscherlich der Endantenwinkel  $8\frac{1}{2}$  Minute kleiner (von  $105^{\circ} 5'$  geht er auf  $104^{\circ} 56\frac{1}{2}'$ ), er muß sich also beim Erwärmen nach der Hauptaxe stärker ausdehnen, als nach den Nebenagen. Optische Axe —, wie bei allen rhomboedrischen Carbonaten. G. Rose (Abh. Berl. Akad. 1868. 27) beschrieb die schon von Blücker entdeckten hohlen Kanäle, welche entweder der horizontalen Diagonale der Blätterbrüche, oder den Endanten des nächsten stumpfern Rhomboeders parallel gehen, und mit Zwillingslamellen zusammenhängen, die man auch künstlich durch Druck oder Schlag erzeugen kann.

Chemische Eigenschaften. Ca C, Stromeyer fand im Isländischen Doppelspath 43,7 C, 56,15 Ca, 0,15 Mn und Fe, was gut den



Atomzahlen  $28 \text{ Ca} + 22 \text{ C}$  entspricht. Für die Ackertrume wichtig, da die Pflanzen ihn aufnehmen. Die reinsten enthalten bloß 0,01 Procent fremder Stoffe. Bei anderen darf ein kleiner Gehalt an Magnesia, Kiesel Erde, Fluor zc. wohl nicht auffallen. Große Stücke brausen stark mit Salzsäure, indem Kohlensäure entweicht und  $\text{Ca Cl}$  sich löst. Vor dem Löthrohr brennt er sich kaustisch, die  $\text{C}$  entweicht und Aetzkalk  $\text{Ca}$  bleibt zurück, der bei fortgesetztem Glühen blendend leuchtet, und in Unschlitt getaucht gelbe Flammen gibt. Nur etwa 0,1 p.C. Kohlensäure hält er hartnäckig fest. In einer Atmosphäre von Kohlensäure gibt er dagegen seine  $\text{C}$  gar nicht ab, daher hört in geschlossenen Gefäßen die Versehung gleich auf sobald sich das Gefäß mit Kohlensäure gefüllt hat. Auf diese Weise ist er krystallisir- und selbst schmelzbar. Dieser alte Versuch von Hall gelang endlich auch dem G. Rose (Mon. Ber. Berl. Akad. 1862. 666). Aetzkalk soll sogar in der Weißglühhitze aus einem Strome von  $\text{C}$  so viel aufnehmen, daß er wieder mit Säuren braust. Daher muß beim Brennen vorzüglich darauf gesehen werden, durch guten Zug die freie  $\text{C}$  möglichst zu entfernen. Gebrannter Kalk mit Wasser übergossen erhitzt sich, und wird zu Kalkhydrat  $\text{Ca H}$ . Dieß ist eine im Wasser wenig lösliche stark ägende Basis, daher für die Technik so wichtig, namentlich in der Baukunst. Luftmörtel findet sich bei den ältesten Baudenkmälern (cyclopischen Mauern, Aegyptischen Tempeln, Cloaca maxima in Rom) nicht, die Babylonier bedienten sich des Erdspechs, verwendeten aber bei ihren Königspalästen schon Gyps und Kalk. Später hatten die Römer vorzüglichen Mörtel, und schon Cato (de re rustica) beschreibt 200 a. Ch. Kalköfen. Das  $\text{Ca H}$  zieht aus der Luft  $\text{C}$  an, und verwandelt sich außen in  $\text{Ca C}$ , während das Innere bei dicken Wänden Jahrhunderte lang kaustisch bleibt. Aber nur dünne Lagen haften, daher muß er mit fremdartigen Massen stark gemischt werden. Klaproth (Beiträge V. 61) untersuchte einen blauen Kalk vom Vesuv, der 11 H und nur 28,5 C enthielt, er hatte dabei aber die Bittererde übersehen, Roth nennt ihn Pencilit  $\text{Ca C} + \text{Mg H}$ . Daran würde sich unmittelbar der Predazzo  $2 \text{ Ca C} + \text{Mg H}$  (Journ. prakt. Chem. 52. 666) schließen, ein Marmorähnlicher Kalk von Predazzo im Fleimserthal, welcher von Syenit durchbrochen wird. In Dünnschliffen unter dem Mikroskop besteht er aus Kalkspath und Brucit (Tschermak). Auch die dichten gelblichen Kugeln von Hydrodolomit an der Somma beweisen, daß Feuer und Wasser ihren zufälligen Einfluß auf Kalksteine oft noch in der Natur geltend machen. Pelouze's künstlich darstellbarer rhomboedrischer Hydroconit ( $\text{Ca C} + 5 \text{ H}$ ) erzeugt sich dagegen auf nassem Wege, und wurde in kupfernen Pumpen auf dem Grunde Norwegischer Bäche (Pogg. Ann. 68. 661) gefunden.

In den Mörteln spielt auch die Kiesel Erde und Thonerde noch eine bedeutende Rolle, zumal im Wassermörtel, von dem schon Plinius hist. nat. 35. 47 sagt: Selbst die reine Erde habe bemerkenswerthe Eigenschaften . . . , quis enim satis miretur pessimam ejus partem, ideoque

pulverem appellatum in Puteolanis collibus, opponi maris fluctibus: mersumque protinus fieri lapidem unum inexpugnabilem undis, et fortiozem quotidie, utique si Cumano misceatur caemento? Das ist die berühmte Pozzulanerde von Pozzuoli bei Neapel und der Truf des Brohlthales an der Eifel (den ebenfalls die Römer schon fanden), welcher dem gelöschten Kalk hälftig beigemischt, eine Masse erzeugt, die unter Wasser hart wird: das Erstarren geht schnell, aber das Verhärten langsam. Jetzt weiß man, daß auch thonige und bittererdehaltige Kalksteine, aus weißem Zura, unterm Lias, Muschelschalke zc., für sich gebrannt, schon hydraulischen Kalk geben. Löst man die gebrannte Masse in Säure, so scheidet sich die Kieselserde gallertartig aus, sie findet sich also wie bei den Zeolithen in ihrer löslichen Modification darin, die Si mag daher beim Zutritt des Wassers auf Ca und Mg wie bei der Zeolithbildung wirken. Ja Deville (Compt. rend. 1865. LXI. 778) zeigte, daß schon Magnesia mit Marmorpulver zu einem Brei gemischt vortrefflich cementirt, indem festes  $MgH$  entsteht, das keine Kohlensäure aus der Luft aufnimmt.

Vorkommen. Kalk findet sich auf der Erdoberfläche in ungeheuren Massen. Er fehlt dem Urgebirge zwar nicht, doch ist er hier nur sparsam, und mag auch ein Theil auf trockenem Wege gebildet sein, was unter einem starken Drucke möglich scheint, so verdankt doch der Meiste dem Wasser seinen Ursprung: mit Kohlensäure geschwängert löst dies Kalk, man sagt, er sei als doppelt-kohlensaurer Kalk ( $CaC^2$ ) im Wasser löslich. Wenn nun die Wasser verdunsten oder unter geringerem Druck ihre C abgeben müssen, so scheidet sich der  $CaC$  wieder aus. Auf diese Weise haben sich Krystalle in den verschiedensten Spalten und hohlen Räumen der Gesteine, selbst im Granite, erzeugt. Besonders häufig aber in den Kalkgebirgen. Namentlich gern krystallisirt er, wenn die Wasser durch fremde Gegenstände, wie durch ein Filtrum durch mußten: so findet man in gewissen Kalkschlammern keine unverletzte Ammonitenkammer (Epochen der Natur pag. 106), die nicht innen mit Krystallen tapezirt wäre, aber nur so weit, als die unverletzte Kammer die hohlen Räume nach außen abschloß; die Schale wirkte hier offenbar wie ein Filtrum. Der Kalkschlamm selbst mag wegen seiner vielen Schalenreste der Hauptsache nach ein thierisches Product sein. Erwähnen wir einige Hauptvarietäten:

1. Krystalle. Die schönsten findet man auf Erzgängen: so wurde 1785 auf der Grube „fünf Bücher Moses“ bei Andreasberg ein 5 Lachter großes Drusenloch mit den prächtigsten Krystallen eröffnet, seit der Zeit wird dieser Fundort immer erwähnt. Nicht minder schön und mehr als Fuß groß kommen sie in Derbyshire vor. Flächenreich auf den Magnet-eisenlagern von Traversella, und besonders reizend auf gediegenem Kupfer vom Lake Superior. Die späthigen Stücke von mehr als Quadratsfuß Fläche bei Auerbach sind nichts als innere Theile verdrückter Krystalle. Damit können sich die Spalten des Kalkgebirges selten messen.

2. Späthige Massen heißen solche, an welchen man keine äußern Flächenunriffe mehr bemerkt, obgleich viele derselben in Sammlungen nur

von zerشلagenen Krystallindividuen stammen. Am berühmtesten ist der Isländische Doppelspath, so genannt, weil man dadurch die Gegenstände doppelt sieht. Nach Kotscharow *Mat.* VII. 79 mit  $105^{\circ} 3'$  in den Endkanten. Er kommt in einer 3' breiten und 25' langen Spalte am nördlichen Ufer des Rodesfiordes auf der Ostküste von Island vor, die Spalte setzt im Dolerit zu unbekannter Tiefe fort. Alte Angaben sagen 7 Ellen dick, wovon die vier obern brauchbar, *Naturforsch.* 1799 Stüd 28 pag. 141. Ein darüber hinfließender Bach verunreinigt die schöne Masse von grobkörnigem Gefüge, worin für Krystallisationen kaum Raum blieb; zierliche Krystalle von Strahl- und Blätterzeolith sind eingeschlossen. Kaufmann Siemens in Hamburg gräbt darauf. Halbklafe Krystalle kommen zwar auch in andern Gegenden vor, allein für Stücke von solcher Durchsichtigkeit war Island bis jetzt einzig. *Frenzel (Mineral. Lexicon pag. 55)* nennt ein graulichweißes Vorkommen von Niederrabenstein in Sachsen, was auch zu optischen Zwecken verwendet werden könne.

Späthige Kalkmassen werden öfter ausgezeichnet krummschalig, die Krystalle bekommen dann eine glasstopfartige Oberfläche von höchst eigenthümlichem Aussehen: auf Bleiglanz der Friedrichsgrube bei Tarnowitz sitzen gelbe runde Tropfen wie Kirschharz. Vergleiche auch die sogenannten Krähenaugen von Andreasberg. Die schwarzen krummschaligen nennt man Anthraconit, besonders schön in der Abtenau bei Salzburg, und im schwedischen Alaunschiefer.

3. Strahliger Kalkspath durchzieht häufig das Kalkgebirge gangförmig, wie z. B. in den Bohnerzspalten der Alp. Solches Gefüge hängt mit der Krystallbildung auf das Engste zusammen: es sind nichts anderes als parallel gelagerte Säulen, die sich in ihrer Ausbildung gegenseitig störlen. Die fortificationsartig gestreiften Stücke fallen leicht auseinander, und die Endede des blättrigen Rhomboeders liegt nie anders, als am Ende dieser Strahlen. Werden die Strahlen zu feineren Fasern, so muß man sich vor Verwechslung mit Aragonit hüten. Man nennt das feinere auch Faserkalk. Besonders interessieren in dieser Beziehung die Belemnitensteine: ihre Strahlen entspringen fein im Mittelpunkt, und werden nach außen immer breiter. Auch hier fällt die Aze des blättrigen Bruchs genau mit der Strahlenaxe zusammen. Ebenso werden die Muschelschalen, wie von *Inoceramus*, *Pinna* etc., oft fasrig, die Faser steht senkrecht gegen die Fläche, aber auch bei diesen vermißt man trotz der Feinheit das späthige Gefüge niemals.

Dutenmergel (Nagelkalle) bilden Platten in dem Schieferthone der verschiedensten Formationen, besonders aber im Steinkohlengebirge und Jura. Die Eisenbahn hat hinter Balingen bei Frommern aus den Thonen des Braunen Jura  $\alpha$  mehrere Zoll lange Regel herausgefördert, die vollständig einem Kreisel gleichen. Der späthige Bruch ist bei ihnen unverkennbar, allein es scheiden sich zahlreiche kleine Regel aus, die ihre Basis in der Plattenwand haben, und ihre Spizen gegeneinander verschränken. Längstreifen und wellige Querstreifen gehen durch die ganze,

theilweis sehr unregelmäßig abge sonderte Masse: eine Bildung, die man noch nicht hat erklären können. Concretionen waren es jedenfalls.

4. Körnigblättriger Kalkstein, das krystallinische Gefüge der einzelnen Körner sehr deutlich, aber die Individuen verschränken sich so ineinander, daß sie compacte feste Gesteine bilden. Zunächst gehören dahin Stalactiten und Kalksinter, welche die Wände der Höhlen und Spalten im Kalk- und Dolomitgebirge überziehen, und die in frühern Zeiten in hohem Grade die Aufmerksamkeit auf sich lenkten. Sie hängen entweder wie Eiszapfen (Stiriae Gesner de fig. lap. 1565 pag. 58) von den Wänden herab (Stalactiten), oder ragen säulenförmig vom Boden in die Höhe (Stalagmiten), zeichnen sich durch concentrische Schichtung aus, zeigen aber beim Zerschlagen meist ein deutliches Korn. Wie schnell solche Zapfen gebildet werden können, sieht man unter neuen Brückengewölben. Die dünnen sind öfter röhrenförmig hohl, haben aber eine sehr späthige Hülle. Durch die Höhle lief das Wasser herab. Auch bei compacten Stalactiten findet man am Ende öfter eine Grube, wo die Wassertropfen hängen bleiben und wieder etwas von der Masse auflösen. Wells (Silliman Amer. Journ. 1852. XIII. 11) hat im Widerspruch mit Liebig darin Quellsäure nachgewiesen, wovon er sogar die gelbe Farbe ableitet, da selbst bei ganz dunkeln die Lösung kein Eijen zeigte!

### Marmor.

Schon bei Homer heißt *μάραρος* jeder glänzende (besonders bearbeitete) Stein, daher begreifen spätere, wie Plinius und andere, unter marmor die verschiedensten Felsarten, namentlich auch Granite. Gegenwärtig jedoch hat man den Namen bloß auf Kalksteine beschränkt. Obenan steht

5. Statuen-Marmor, Salinischer Marmor älterer Mineralogen. Pychnites, weil er nach Varro auf Paros bei Licht unterirdisch gewonnen werden mußte. Verhält sich zum Doppelspath, wie Schnee zum Eise. Die reinsten sind vollkommen schneeweiß, nur in großen Stücken häufig durch Flecken und flammige Streifen verunreinigt. Der blättrige Bruch des feinen Kornes glänzt aus dem Innern heraus, zeigt häufig Zwillinglinien, die geschliffene Oberfläche hat daher nicht das matte Aussehen des Alabasters. Mit der Zeit vergilben sie, wie das die antiken Statuen, und die Marmorpaläste von Venedig, Genua, Florenz, Rom u. zeigen. Mögen auch solche zuckerförmigen Gesteine in den krystallinischen Gebirgen Nordeuropas, der Alpen und Pyrenäen eine bedeutende Rolle spielen, so stehen doch noch heute Italien und Griechenland unerreicht da. Seit der römischen Kaiserzeit übertrifft der Lunensische (Carrarische) Marmor an blendender Weiße, Fleckenlosigkeit, Gleichheit und Härte des Kornes alle bekannten. Er bricht auf der Westseite der Apenninischen Alpen, die im Golf von Spezzia steil an das Meer treten, und bis zum Gipfel von 5000' Höhe aus purem Marmor bestehen. Früher für metamorphosirten Lias, jetzt für Bergkalk erklärt. Er enthält 0,4 Mg. Künstler aller Nationen haben hier ihre Werkstätte aufgeschlagen, um gleich an Ort und

Stelle durch Bearbeitung im Rohen sich von der Brauchbarkeit und Fehlerlosigkeit der Blöcke überzeugen zu können. Magazine davon sind in Florenz, und man wird keine selbst der kleinern Hauptstädte Deutschlands besuchen, wo man nicht mehrere Denkmale aus diesem merkwürdigen Gesteine fände. Der eigentliche Statuario kommt aber nur in großen Linsen vor, deren Produktion abnimmt. Der Cubikmeter kostet bis zum Strande schon 2000 Lire. Die Waterloo-Base auf dem Trafalgar Plage ist 16' hoch und 10' breit, Napoleon sah die riesigen Blöcke vor dem Russischen Feldzuge, und bestimmte sie zu einem Siegesdenkmal! Der Parische Marmor, das Material der griechischen Künstler in ihrer höchsten Blüthe, ist etwas grobkörniger, und (wohl nur in Folge dessen) nicht so blendend weiß. Er bricht auf der Insel Paros, die außer Gneis und Glimmerschiefer wohl zu drei Viertheilen aus diesem kostbaren Material besteht. Die unterirdischen Brüche sind durch König Otto wieder eröffnet. Er ist so grobkörnig als der Tyroler von Schlanders, und an der Luft haltbarer als der Carrarische. Hohen Ruf genoss auch der Pentelische nördlich Athen, woraus die Akropolis gebaut ist; Abern von grünem Talc durchziehen ihn. Solchen findet man häufig im Hochgebirge, die Alten wählten ihn gern zu Säulen, wie den Cipollino unserer Künstler, dessen Streifen mit den Häuten einer Zwiebel verglichen werden. Die sogenannten Kalkstöcke im Urgebirge (Breithaupt Paragenesis 89) bilden besonders in Norwegen und Nordamerika die reichsten Fundstätten für Silikate, welche gleichsam darin „schwimmen“. Malbasterartige halbdurchsichtige Marmor von Tebris am Urmia, womit die Perser seit Jahrhunderten ihre Palläste und Gräber schmücken, sollen ein Produkt der Tuff-erzeugenden Quellen am trachytischen Sahand sein. Noch mannigfaltiger und minder kostbar ist

6. **Bunter Marmor (versicolor).** Ihn lieferten zuerst die Steinbrüche von Chios. Dieß sind nichts weiter als dichte Kalksteine mit flachmuscheligen Bruch. Doch nennt man nicht jeden Kalkstein Marmor: er muß sich entweder durch schöne Farben oder doch einen höheren Grad von Reinheit auszeichnen. Letzterer bildet, wie die Dolomite, plumpe Felsen, und findet sich besonders in Hochgebirgen oder ältern Formationen. Die Künstler bezeichnen ihn gern nach der Farbe: Marmo bianco (weiß), nero (schwarz wie der Aegyptische Luculleum durch  $\frac{1}{2}$  p.C. Kohle), rosso (roth neuerlich in Böotien gefunden), verdello (grün), giallo (isabellgelb); setzen auch wohl den Fundort zu, giallo de Siena. Wenn dieser aber nicht bekannt ist, wie das bei den Alterthümern Griechenlands und Italiens häufig vorkommt, so setzt man noch antico hinzu, was in Italien freilich oft, wie schon Ferber (Briefe aus Welschland) bemerkt, betrügerisch geschieht, um dadurch den Werth der Sache zu erhöhen. Es gibt auch vielfarbige mit flammigen Zeichnungen, wovon die Techniker das Wort „marmorirt“ entlehnt haben, wie der schwarze von Dinant und Namur im Belgischen Bergtalke. In Deutschland ist der rothe Marmor vom Rübeland auf dem Harz, aus dem Fichtelgebirge bei Bay-

reuth, von Abneth bei Salzburg, am Untersberge bei Reichenhall (zur Walhalla verwendet) zc. bekannt. Sonderlich stark braun- und gelbgeflamnte kommen an den Grenzen der Böhmerze auf der Alp vor, sie werden zu Briefbeschwerern, Pfeisentöpfen zc. benützt (Mineralogische Beschreibungen 1770. V pag. 202).

Muschelmarmor (Lumachelle) nennt man die Kalksteine, worin die organischen Einschlüsse, hauptsächlich Muscheln, scharf hervortreten. Einen der schönsten bildet der triasische Muschelmarmor (Naturforscher 16 Stück 1781 p. 160) vom Bleiberge in Kärnthen. Zwischen zahllosen Muscheln des schwärzlichen Gesteins liegen Schalenrümmer von Ammoniten, die in den prachtvollsten Regenbogenfarben strahlen, besonders nach gewisser Richtung, wie die Perlmutterchale. In der Gegend von Ischl werden Ammoniten polirt, woran die Loben auf das Zierlichste hervortreten. Der Alttorfer Muschelmarmor ist ein bituminöser Liaskalk mit *Ammonites communis*, dessen Kammern sich mit Kalkspath erfüllt haben. Ueberhaupt wird der Effect dieser Gesteine durch das späthige Gefüge der darin eingesprenkten Petrefacten erzeugt. Die Alten kannten sie von Megara. Paris treibt großen Luxus in Marmor.

7. Dichte Kalksteine nehmen Thon auf, verlieren dann zwar an Schönheit, gewinnen aber gewöhnlich an Schichtung. Der berühmteste aller geschichteten findet sich zu Solnhofen an der Altmühl (Bayern) im obern Weißen Jura ζ von bewundernswürdiger Gleichartigkeit: es ist ein homogener Kalkschlamm mit ebenem Bruche, der auf Schuhweite dem Schläge folgt, man kann Platten von mehreren Quadratuß gewinnen, die nicht den geringsten Fehler haben, die Bruchfläche mit der Hand überfahren erregt das sanfteste Gefühl. Am geschätztesten sind die blauen von Mörnsheim. Feine dienen zur Lithographie, kleine Fehler schaden nicht; gröbere zu Fußplatten, Dachziegeln zc. Die Ziegelpplatten sind oft durch schwarze Dendriten, welche von einer Spalte aus sich blumig ins Gestein verbreiten, geschmückt. Diese Manganfärbungen hielt man früher irrthümlich für Pflanzen, sie zogen daher in ungehörlichem Grade die Aufmerksamkeit der Geologen auf sich; heute betrachtet sie nur der Laie mit Wohlgefallen. Obgleich das Legen der Kalkplatten in Augsburg schon im 16ten Jahrh. bekannt war, so ist doch erst Senefelder 1796 der eigentliche Entdecker (Frischmann, Zusammenstellung foss. Ueberreste lith. Kalksch. Eichstädt Schulprogramm 1853 pag. 4). Auch zu Cirin (Ain Dép.) werden kleine Platten gewonnen, zu Essingen im Aargau dienen die wohlgeschichteten Kalle des weißen Jura β.

8. Mergel (marga. Plin. 17. 4). Nimmt der Kalk immer mehr Thon auf, so verwittert und versiert er um so leichter, das Produkt ist eine Mergelerde. Der Kalk kann nicht durch Schlemmen getrennt, sondern muß mit Säuren ausgezogen werden. Wir kommen so durch alle möglichen Abstufungen über den Lehm hinweg zu den Thonen. Von einer mineralogischen Classification darf hier nicht mehr die Rede sein, man kann sie nur chemisch festhalten. Viele derselben sind bituminös, na-

mentlich wenn sie Petrefacten zum Bett dienen: so der berühmte Mansfeldische „Vituminöse Mergelschiefer“ der Bechsteinformation, von schwarzer Farbe, die er im Feuer verliert, und wegen seines Gehalts von Schwefelkupfer und Silber ein wichtiger Gegenstand des Bergbaues; Posidonien-schiefer des Lias mit seinen harten Stinksteinplatten, der wegen seines Deles mit hoher Flamme brennt, und in Schwaben technisch ausgebeutet wird. Durch Erdbrände werden sie ziegelroth, Ceramites Gesner de fig. lap. 1565 pag. 85. Noch fetter ist der Seesfelder in Tyrol; Süßwasserkalke der Tertiärformation (Volca, Denningen, Aiz. c.) geben gerieben oder geschlagen wenigstens noch einen starken ammoniakalischen Geruch aber mit specifischer Eigenthümlichkeit von sich. Erwärmt und mit Leinöl getränkt werden sie haltbar.

Ein besonderes Wort verdienen die Mergelknollen: rundliche Concretionen in allerlei mergeligen Gebirgsarten liegend. Viele erinnern an Kieselknollen, und bahnen den Weg zu den eigentlichen Feuersteinen. Andere sind aber wahre Mergel, wie die Imatrasteine, nach den Stromschnellen des Wuogen in Finnland benannt (Parrot, Bulletin Acad. Petersb. 1839, VI. 100), die in einem Lehm liegen, und wegen der welligen Petrefacten nachahmenden Form fälschlich für Petrefacten gehalten sind. Ehrenberg beschreibt ähnliche Dinge aus den Mergeln von Dendera in Aegypten (Abhandl. Berlin. Akad. 1840) und nennt sie Krystalloide, so wenig sie auch mit Krystallen gemein haben. Von besonderer Regelmäßigkeit sind noch die Schwedischen Marlefor (Leonhard's Jahrbb. 1850 pag. 34), die schon Linné als Tophus Ludus kannte, und die mährischen Laufasteine (Epochen der Nat. pag. 196). In deutschen Lehmbildungen fehlen ähnliche Knollen nicht, z. B. bei Cannstadt, sind hier aber viel erdiger. Etwas eigenthümlicher Art ist der bekannte Florentiner Ruinenmarmor, ebenfalls Nieren im tertiären Mergel des Arnothales, la Fay (Hist. de l'Acad. roy. 1717). Man darf solchen Concretionen doch nicht zu große Wichtigkeit beilegen, und sie bis in alle Einzelheiten verfolgen wollen. Auch der chemische Gehalt hat nur ein untergeordnetes Interesse, denn im Grunde gehören auch die Sandzapfen aus der Molasse Oberschwabens und Oberbayerns hierhin, die in den wunderbarsten zigenförmigen Auszackungen sich im Sande verbreiten. Wie die Stalactiten und die runzeligen Wülste gefrorenen Wassers sich bilden, so mögen auch diese Figuren im Erdinnern zusammengefloßen sein, ohne daß dabei besondere Attractionsgesetze im Spiele waren.

9. Kreide, Blanc de Meudon, amorpher Kalk, erdig und von schneeweißer Farbe, bildet im Norden ganze Felsenmassen. Sie besteht bei 300maliger Vergrößerung aus Körnern von elliptischem Umriß, wozwischen mikroskopische Schalen von Foraminiferen liegen (Ehrenberg, Abhandl. Berlin. Akad. 1838 und 1839). Die Körner unorganischen Ursprungs sind nichts weiter als ein feiner Kalkschliff des Urmeers, der von Neuern mit den Coccolithen des Bathybius, aus Kügelchen von Schleim bestehend, in Verbindung gesetzt wird. Montmilch (Bergmilch) kommt nester-

förmig vor, ist freideartig, aber weicher und zarter im Anfühlen. Manchmal erscheint sie als ein besonderer Niederschlag, dann aber auch wieder als ein Ferkungsprodukt. G. Rose fand einzelne Aragonitnadeln darin. Man muß sich hüten, sie nicht mit Infusorienerde zu verwechseln. Bildet sich in Stalactitenhöhlen, am Pilatus, Gesner de fig. lapid. 1565 pag. 50.

10. Kalkuff (Travertino, tofus Plin. hist. nat. 36. 40), ein grauer poröser erdiger diluvialer Kalk, secundäres Produkt der Kalkgebirge, in deren Thalsöhlen und Quellenabhängen er sich absezt. In der schwäbischen Alp ist er öfter nichts als lebendig begrabenes Moos, daher das Zackige und unregelmäßig Löcherige. Feucht läßt er sich sägen (*dentata serra secatur*), und liefert unter Dach (*sub tecto dumtaxat*) ein leichtes, festes und trockenes Baumaterial. Der römische, der zum Bau der Peterskirche diente, wird durch Verwitterung röthlich, was den „Denkmälern des Alterthums den Charakter der Majestät mittheilt.“ Auch *Osteocolla* (Weinbruch), meist Pflanzenwurzeln, die im tiefen Mergel oder Sandgrunde verfault erdigen Kalk aufgesogen haben, möge man hier vergleichen. Spielte früher in den Officinen eine Rolle.

11. Dolith (Kogenstein), *Hammitis ovis piscium similis* Plin. hist. nat. 37. 60, bildet kleine regelmäßige Kugeln von Hirsekorn- bis Erbsengröße, sieht daher versteinerten Fischrogen sehr ähnlich, wofür man ihn früher hielt. Allein die Körner sind concentrisch schalig und excentrisch fafrig, und ihre Aehnlichkeit mit Erbsensteinen ist zu groß, als daß man sie nicht für unorganische Bildungen halten müßte. Die mächtigsten Lager kommen im Braunen und Weißen Jura vor, oft von außerordentlicher Regelmäßigkeit der Körner, wie z. B. am Wartenberge südöstlich Basel. Sie liefern gute Bausteine. Ein anderes weniger mächtiges aber meist von größerem Korn findet sich im Bunten Sandsteine am Fuße des Harzes, die größern lösen sich bei der Verwitterung in kleinere Körner, auch gehen die Bänke stellenweis geradezu in Faserkalk über, so daß man sie für ein Produkt heißer Quellen halten möchte.

Erbsenstein, im Thale des Karlsbader Sprudels mächtige Lager bildend, glänzt an der Oberfläche wie Erbsen, ist sehr deutlich concentrisch schalig, und beim Zerschlagen findet man innen ein fremdartiges Korn, was ohne Zweifel zur Bildung die erste Veranlassung gab: der heftige Sprudel spielte mit dem Sande, um welchen sich der Kalk so lange concentrisch ablagerte, bis die Erbse, zu schwer, sank und sich zur Seite legte. Der Erbsenstein ist übrigens Aragonit. Eigenthümlich sind die *Piselli del Vesuvio* aus der Fossa Grande, aneinander gebackene Kugeln von der Größe einer Erbse. In Mexicanischen Seen sollen sogar Insekteneier Veranlassung zu Dolithbildung geben.

Krystallinischer und dichter Kalk hat in hohem Grade die Eigenschaft, sich mit fremden Substanzen zu mischen. Vor allem durchdringt ihn die Kiesel Erde, und diese scheidet sich in Knollen oder in den Schalen der Thierreste aus; mit Säure behandelt gelatiniren solche Kasse. So führt Hausmann einen Braunkalk von Ahlesfeld an, krumm-



blättrig und kohlschwarz von Braunstein; einen Hämatokonit blutroth von Eisenoxyd, und körnig blättrig, wie der dichte Marmo rosso antico; einen Siderokonit ochergelb von Eisenoxydhydrat, wie der Numidische Marmo giallo antico. Verschieden von solchen fremden Beimischungen sind dann diejenigen, welche als kohlensaure Verbindungen hinzutreten, und verändernd auf die Form einwirken. Diese haben noch darum ein wissenschaftliches Interesse, da es bei den rhomboedrischen öfter den Anschein gewinnt, als könnte man aus der Form auf den Inhalt und umgekehrt schließen. Wir wollen diesen

### Einfluß des Inhalts auf die Form

etwas näher auseinanderlegen. Man weiß, daß die reine  $\text{Ca C}$  einen Endantenwinkel von  $105^\circ 5'$ , und die reine  $\text{Mg C}$  von  $107^\circ 25'$  hat. Nun zeigt aber der Dolomitspath =  $\text{Ca C} + \text{Mg C}$  einen Endantenwinkel von  $106^\circ 15' = \frac{1}{2} (105^\circ 5' + 107^\circ 25')$ , der also genau in der Mitte von beiden liegt. Darnach scheint es, daß beide gemäß ihrer Atomzahl in der Mitte zusammentreffen. Deubant (Lehrb. Mineral. übersetzt von Hartmann 1826 pag. 41) machte zuerst darauf aufmerksam.

Sind daher die Winkel  $w$  und  $w'$  zweier Stoffe bekannt, und weiß ich, welchen Winkel  $w''$  das Doppelsalz hat, so kann ich daraus den Atomgehalt berechnen. Denn es ist

$$xw + yw' = w''; \quad x + y = 1 \quad \text{oder} \quad y = 1 - x, \quad \text{folglich}$$

$$xw + (1 - x)w' = w'', \quad x = \frac{w'' - w'}{w - w'} = \frac{w' - w''}{w' - w}$$

Beispiel. Beim Dolomitspath habe ich  $w'' = 106.5$  gefunden, und weiß aus qualitativer Analyse, daß nur  $\text{Ca C} = w = 105.5$  und  $\text{Mg C} = w' = 107.25$  darin ist, so wird

$$x = \frac{w' - w''}{w' - w} = \frac{107.25 - 106.5}{107.25 - 105.5} = \frac{1.10}{2.20} = \frac{1}{2},$$

folglich  $\frac{1}{2} \text{Ca C} + \frac{1}{2} \text{Mg C}$  vorhanden.

Wäre  $w'' = 106.29$  gefunden, so gäbe

$$x = \frac{107.25 - 106.29}{107.25 - 105.5} = \frac{56'}{140'} = \frac{2}{5} \text{Ca C},$$

folglich muß  $\frac{2}{5} \text{Mg C}$  dabei sein.

Spatheisenstein hat  $107.6 = w$ , Manganspath  $106.51 = w'$ . Es zeigte aber der Spatheisenstein von Ehrenfriedersdorf  $107^\circ = w''$ , und hatte außer  $\text{Mg C}$  keinen andern Bestandtheil, folglich ist

$$x = \frac{w'' - w'}{w - w'} = \frac{107 - 106.51}{107.6 - 106.51} = \frac{10}{11} = \frac{2}{3} \text{Fe C},$$

und es bleibt  $\frac{1}{3} \text{Mg C}$ .

Man könnte hiernach sogar voraussagen, unter welchem Winkel eine bis jetzt noch nicht selbstständig krystallisirte Gestalt krystallisiren müßte. So soll Johnston's Plumbocalcit aus den alten Grubenhalben von Wanlockhead in Dumfriesshire zwar einem blättrigen Kalkspath durch-

aus gleichen, aber neben 92,2 Ca C noch 7,8 Pb C enthalten, von der Formel 31 Ca C + Pb C. Nun fand Brewster, trotz des geringen Bleigehaltes, einen Endantenwinkel von  $104^{\circ} 53' 30''$ , wäre dies richtig, so müßte

$$\frac{31.105^{\circ} 5' + x}{32} = 104^{\circ} 53\frac{1}{4}', x = 98^{\circ} 57'$$

sein. Das Pb C, würde es dereinst rhomboedrisch gefunden, müßte also etwa  $99^{\circ}$  in den Endanten haben. Freilich fand Descloizeaux Manuel II. 124 den Winkel  $105^{\circ} 7'$  an dem gleichen Mineral.

Kohlensäurer Kalk ist dimorph: rhomboedrisch als Kalkspath und zweigliedrig mit besonderer Neigung zu Zwillingbildungen als Aragonit, und diesen beiden Typen folgt eine ganze Reihe Salze, deren Hauptglieder folgende sind.

Rhomboedrisch.	Zweigliedrig.
1. Ca C $105^{\circ} 5'$ Kalkspath;	Ca C $116^{\circ} 16'$ Aragonit.
2. Mg C $107^{\circ} 25'$ Bitterspath;	Mg C künstlich G. Rose.
3. Ca C + Mg C Dolomitpath;	Pb C $117^{\circ} 14'$ Weißbleierz.
4. Fe C $107^{\circ} 6'$ Spath Eisen;	Ba C $118^{\circ} 30'$ Witherit.
5. Mn C $106^{\circ} 51'$ Manganspath;	Sr C $117^{\circ} 19'$ Strontianit.
6. Zn C $107^{\circ} 40'$ Zinkspath;	Ba C + Ca C Alstonit.

## 2. Bitterspath Hausm.

Reine Mg C ohne Kalk, aber mit Fe C, von Werner unter Nautenspath mit begriffen; wegen des stumpfen Winkels nannte es Mohs Brachytypes Kalkhaloid, Häubinger Breunnerit (Pogg. Ann. 11. 107), Stromeyer Magnesitpath. Ohne chemische Analyse und genaue Lokalkennntniß ist ein sicheres Erkennen nicht mehr möglich, und wir halten sie blos der Theorie wegen scharf auseinander. Beim Verdunsten des lösenden Wassers durch Abkühlung schlägt sich Mg C + 3 H nieder; erhält man dagegen die Lösung auf constanter höherer Temperatur, so sollen wasserfreie Krystalle kommen.



$a = 1,233 = \sqrt{1,521}$ ,  $lga = 0,09107$ ,  $107^{\circ} 25'$  Endantenwinkel. Er wächst nur in glatten Rhomboedern mit deutlich blättrigem Bruch, zu Hall meist das 2te schärfere Rhomboeder  $\frac{1}{2}a : \frac{1}{2}a$  mit Geradenfläche. Härte = 4, Gew. 2,9, Glanz stärker als bei Kalkspath, die aus dem Alpinischen Talkgebirge sind stark gelb gefärbt durch Eisenoxydhydrat.

Hauptsächlich zwei Vorkommen zu unterscheiden: der am leichtesten erkennbare findet sich im Steinsalzgebirge von Hall in Tyrol in Anhydrit (Hallit Lévy I. 124) eingeprengt: kleine schwarze scharfe Rhomboeder mit Geradenfläche, aber auch in großen späthigen Massen, die durch ihre Schwärze dem Anthraconit gleichen, aber mit Säuren nicht brausen, und durch ihre Geradenfläche sich verrathen. Stromeyer fand darin 89,7 Mg C, 8 Fe C, 2,4 Mn C, 0,11 Kohle. Schwerer zu unterscheiden sind die aus

dem Alpenischen Hochgebirge, eingesprengt in Talk- und Chloritgiefen, es sind die um und um gebildeten einfachen Hauptrhomboeder, gewöhnlich von weingelber Farbe, durch das oxydirte Eisen, welches bei den Fassa-thälern auf 17 Fe C steigt. Die Mg C fällt dann zwar auf 83 p. C., allein der Kalk soll gänzlich fehlen, während die ganz gleich vorkommenden Dolomitspathen wieder bedeutende Mengen davon haben. Breithaupt (Pogg. Ann. 80. 111) bestimmte einen aus dem Serpentin vom Hofe Dofthaus bei Snarum zu  $107^{\circ} 28'$ , der nur 0,78 Fe neben 47,3 Mg enthielt. Auch im Meteorstein von Orgeuil, gefallen 14ten Mai 1864, finden sich kleine Rhomboeder.

In kochender Salzsäure lösen sie sich leicht, und wenn man die Lösung mit Ammoniak neutralisirt, so gibt Oxalsäure keinen Niederschlag, wegen Mangel an Kalkerde. In Säuerlingen viel löslicher als Kalkspath. Das schwankende des Eisengehaltes fällt sehr auf und führt uns unmittelbar zum

Mesitinspath Breith., in Drusenräumen mit Bergkry stall und weißem Dolomitspath zu Traversella in Piemont, bildet linsenförmige Kry stallen, indem zum Blätterbruch P scheinbar noch das nächste stumpfere Rhomboeder mit starker Diagonalfstreifung kommt, in Folge von treppenförmigem Zurücktreten des Hauptrhomboeders. Die gelblich braune Farbe nähert ihn schon dem Spath-eisenstein. Das höhere Gewicht 3,4 rührt vom Eisen. Stromeyer gab darin Mg C + Fe C an, was 56 Fe C geben würde; Fritsche fand nur 48 Fe C, d. h. 2 Mg C + Fe C. Immer aber bleibt er Vermittler zwischen Bitterspath und Spath-eisenstein (*μεικτός*). Dagegen fand sich zu Thurnberg bei Glachau im Salzburgerischen ein stark gebräuntes Fossil mit  $107^{\circ} 18'$  in den Endkanten, was nun Mg C + Fe C sein soll, und daher von Breithaupt Carbonites Pistomesites (Pogg. Ann. 70. 111, *πικρός* gewiß) genannt wird. Es sind dieß alles Eisenbitterspätze, die gegläht dem Magnete folgsam werden, aber stark verknistern. Die Salpetersäure-Lösung gibt mit Ammoniak einen starken Niederschlag von Fe, Oxalsäure keinen wegen des Mangels an Kalk, dagegen Phosphorsaures Natron beim Zusatz von Ammoniak einen weißen krystallinischen Niederschlag von basischphosphorsaurer Ammoniak-Talkerde (Struvit).



Magnesit heißt die dichte Mg C, mager, nicht selten von schneeweißer Farbe, erdig oder homogen wie Kalkstein, Gew. 2,8—3, Härte 0—5. Mit Meerschäum und Serpentin in engster Beziehung, wenigstens scheint er durchgängig ein Verwitterungsprodukt aus Silicaten zu sein. Daher neben Kohlensäure auch noch Kiesel-erde, denn opake Stücke in Säure geworfen werden unter Entwicklung von C gallertartig durchsichtig, indem die Kiesel-erde (in Verbindung mit etwas Talkerde) zurückbleibt. Hier hat sich die C noch nicht der ganzen Base bemächtigt. Doch findet man an demselben Fundorte Stücke, die in heißer Säure plötzlich

auseinanderfahren und sich vollkommen lösen, in solchen von Baumgarten, die Gänge im Serpentin bilden, fand Stromeyer 50,2 C, 47,3 Mg, 1,4 H. Sie liegen dort in Löchern, worin Hornblende, Bronzit, Feldspath zc. ursprünglich das Material hergaben (Jahrb. 1875. 230). Dieselben sind zuweilen so rein, daß Scheerer und Marchand (Journ. prakt. Chem. L. 222) darnach das Atomgewicht des Magnesium bestimmen konnten. Da nun auch der Serpentin und Meerschaum Kohlensäure aufnimmt, so ist ein vollkommener Uebergang unlängbar, zumal da das Serpentinegebirge von Schlesien (Baumgarten), Mähren (Grubschitz), Steiermark (Kraubat) zc. das Muttergestein bildet. Die Mährischen gleichen zum Theil einem dichten Kalkstein von gelblicher Farbe, aber brausen nicht in kalter Säure. Kieselmagnetit aus dem Serpentin von Valdissero und Castellamonte in Piemont soll 12 H, 14,2 Si, 26,3 Mg und 46 C haben. Ausgezeichnete schneeweiße Knollen in den Spalten des Basaltes von Sasbach am Kaiserstuhl enthalten 47,7 Mg, 4,6 H und nur wenig Kalk, heißen daher Hydromagnetit. Pinolit (Rumpf, Mineralog. Mitth. 1873. 223) kommt in linsenförmigen krystallinischen Einlagerungen des alpinen Thonschiefers von Steiermark und Salzburg vor, hat auch 45 Mg mit etwas Eisen. Er bildet reguläre sechsseitige Säulen mit Geradenfläche. In Persien wird nach Göbel viel kalk- und wasserhaltiges Bitterspathmehl (Thon von Givéh) gegessen (Jahrb. 1865. 224). Im tertiären „Pföfande“ von Oberschwaben liegen Massen schneeweißer „Brauseknollen“, die wesentlich kohlensaure Magnesia enthalten.

### 3. Dolomitspath.

Seine ideale Formel  $\text{Ca } \bar{\text{C}} + \text{Mg } \bar{\text{C}}$  bildet die Mitte zwischen Kalk- und Bitterspath, Hausmann nannte ihn daher nicht unpassend Bitterkalk. Ursprünglich wurde der Name zu Ehren Dolomieu's in Saussure's Alpenreise für Gesteine gebraucht, allein da sich in deren Drusenhöhlen unsere Krystalle finden, so ist eine Uebertragung des Namens nothwendig geworden. Uebrigens mischt sich Bitter- mit Kalkerde in so mannigfachen Graden, daß auch hier eine scharfe Trennung unmöglich scheint, trotzdem daß sie sich künstlich nur schwer zusammenbringen lassen, und reine  $\text{Mg } \bar{\text{C}}$  in der Natur so außerordentlich selten ist, Silliman Amer. Journ. XXVII. 170.

$$a = 1,2016 = \sqrt{1,444}, \lg a = 0,07975, 106^{\circ} 15' \text{ Endf.}$$

Die einfachen Rhomboeder kommen eingesprenkt im Chloritschiefer der Alpen vor, und sind dann schwer von den gleich gelagerten Bitterspathen zu unterscheiden, nur pflegen sie wegen geringeren Eisengehalts unfärbter zu sein. Werner vermischte alle unter dem Namen Kautenspath, auch Bitterspath wird für sie gebraucht. Leichter zu unterscheiden sind dagegen die Exemplare in Drusenräumen, wie die prachtvollen Krystalle von Traversella. Das Hauptrhomboeder hat sehr glänzende Flächen,

was beim Kalkspath nicht leicht vorkommt, dazu gesellt sich an den Kanten die 2te Säule und der gewöhnliche Dreikantner  $a : \frac{1}{2}a : \frac{1}{2}a$ . Dufrénoy maß auch das nächste stumpfere Rhomboeder  $2a' : 2a' : \infty a$   $135^{\circ} 37'$  und das nächste schärfere  $\frac{1}{2}a' : \frac{1}{2}a' : \infty a$   $77^{\circ} 22'$ , was genau zum Haupt-rhomboederwinkel stimmt. Sella (Mem. Accad. Torino. 1856 XVII) gibt die erste Säule  $a : \frac{1}{2}a : a : \infty c$ , Rhomboeder  $\frac{1}{2}a : \frac{1}{2}a$ ,  $\frac{2}{3}a' : \frac{2}{3}a'$ ,  $\frac{1}{4}a : \frac{1}{4}a$ , Dreikantner  $\frac{2}{3}a : \frac{1}{4}a : \frac{2}{3}a$ , und besonders verwickelte Zwillinge an, welche die Geradenfläche gemein haben. Etwas härter 3—4 und schwerer 2,85—2,9 Gew. als Kalkspath.

In kalter Salzsäure entwickeln größere Stücke nur wenige Blasen, das unterscheidet ihn leicht vom Kalkspath, während die ammoniakalisch gemachte Lösung sowohl mit Oegalsäure (Kalk), als mit phosphorsaurem Natron (Magnesia) einen Niederschlag gibt. Auch fehlt es gewöhnlich nicht an etwas Fe und Mn. Normaldolomit sollte  $54,35 \text{ Ca C} + 45,65 \text{ Mg C}$  enthalten. Je nach dem Vorkommen hat man viele Varietäten zu machen.

Die glattflächigen Rhomboeder kommen eingesprengt in dem Talk- und Chloritiefiefer des Alpinischen Hochgebirges, oder auf Gangklüften mit Bergkry stall in Tyrol, der Schweiz, Piemont u. v. Zu Traversella brechen sie mit Mesitinspath. Besonders wichtig sind die kleinen Krystalle in Drusenräumen der Dolomitfelsen. Lokalnamen wie Tharandit von Tharand in Sachsen, und der ältere M i e m i t von M i e m o in Toskana erregen kein Interesse.

Dolomitfelsen, zuerst in der Schweiz von Dolomieu (Journ. phys. 1791) ausgezeichnet, der darunter jene weißen Gebirgsarten von feinem sandartigem Korn, das gleich dem Cipollino pag. 499 von Streifen grünen Talkes durchzogen wird, verstand. Bei Campolongo und im Binnenthal (Hugard Compt. rend. 1858. 47. 1361) das Muttergestein der seltensten Minerale. Vieler sogenannter Urkalk ist mehr oder weniger dolomitisch, ja Klaproth (Beitr. IV. 333) fand sogar eine antike Statue von schneeweißem Marmor mit  $48 \text{ Mg C}$ , nach Jnostranzeff (Jahrb. 1872. 77.) sollen in Dünnschliffen nur die Kalkspathkörner Zwillingstreifen zeigen, die Bitterspathkörner nicht. Besonderes Interesse bekam der Dolomit des Flözgebirges durch die klassische Arbeit L. v. Buch's (Abh. Berl. Akad. 1822), diese Felsen pflegen mehr gelblich durch Eisenoxyd (Fassathal), oder grau und dunkelfarbig durch Bitumen (Muggendorf) zu sein. Sie haben ebenfalls ein feines Zuckerkorn, und sind von Drusenräumen durchzogen, in welchen kleine aber sehr deutliche Rhomboeder liegen. Wegen ihres mageren Ansehens hat sie der Bergmann Raunkalk genannt, und in England heißen sie nach ihrem Gehalt Magnesia-Limestone. Sie sind häufig von Höhlen durchzogen, denn viele werden durch Verwitterung so mürbe, daß man sie mit dem Finger zerdrücken kann. Dadurch entsteht Dolomit sand. Kein Gestein ist zu kühnen Felsenbildungen geneigter, als dieses: im Fassathal finden sich 2000' hohe Steinwände; historisch berühmt der Dolomitpaß von Pancorbo nordöstlich Burgoß, der aus dem Ebros in das Duerogebiet führt; im kleinen aber kühnen

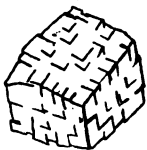
Maßstabe finden wir es in der fränkischen Schweiz (Wiesent) und in der schwäbischen Alp. Man kommt hier öfter auf die Vermuthung, als wenn durch Auslaugung und Quellenzufuhr das Gestein seinen sporadisch sandigen Charakter angenommen hätte.

Dichter Dolomit vom Aussehen des Kalksteins theils mit ebenem, theils mit splittrigem Bruch, aber braust nicht stark mit Säure und ist schwerer als Kalk. Zu Aggsbach ohnweit Gurhof (Land unter der Ems) und Grubshiz kommt er im Serpentinegebirge vor (Gurhofian 30 Ca, 22 Mg, 16 C). Die dichten Steinmergel des Keuper mit feinsplittrigem Bruch enthalten 41 Ca C, 25 Mg C. Ja die Bittererde scheint so verbreitet, daß man ähnliche Gesteinsreihen, wie beim Kalkstein aufstellen könnte; noch in den jüngsten Kalkbildungen, den tertiären Süßwassertallen, fehlt sie nicht: bei Dächingen (Oberamt Ehingen) auf der Alp findet sich ein zerreibliches Gestein, aus welchem eine schneeweiße Kreide abgeschlämmt wird, die nach Dr. Leube (Leonh. Jahrb. 1840 pag. 373) 45 Mg C auf 54 Ca C enthält, also ein normaler Dolomit ist. Man merkt dies auch schon mit Säure, da sie nicht so stark als Kreide braust. Es kommen in dem Zechstein auchoolithische Bittertalle vor und was dergleichen mehr.

Der Bittererdegehalt der Kalksteine wechselt außerordentlich, und man kann das durch chemische Formeln nicht festhalten. Die meiste dieser Bittererde hat das Gebirge wohl gleich aus dem Urmeer bekommen, welche die Niederschläge erzeugten. Andere Male gewinnt die Sache jedoch den Anschein, als wäre Bittererde dem Gebirge erst auf irgend eine Weise zugeführt: ältere Hypothesen sagten, aus dem Innern der Erde, wo das Centralfeuer wahrscheinlich so heiß sei, daß mit Hilfe glühender Wasserdämpfe Magnesia verflüchtigt werden könnte, was directen chemischen Versuchen gerade nicht widerspricht, denn Durocher (Compt. rend. 33. 66) konnte Chlormagnesium in glühendem Flintenlauf verflüchtigen und aus Kalkstein eine Art Dolomit erzeugen. Nach Hoppe-Seyler (Ztschr. d. geol. Ges. 1875. 330) erforderte er wenigstens eine Temperatur von 200°, wobei Vulkane die Hitze, das Meer Kalk und Magnesia lieferten. Dagegen hat Morlot (Haidinger, Naturwiss. Abh. Wien. 1847) geltend gemacht, daß wenn man unter einem Druck von 15 Atmosphären Bittersalzhaltiges Wasser (Mg S) über Kalkspath gieße, so bilde sich Gyps (Ca S), also auch Mg C, die dann mit Ca C zusammen krystallisiren könnte. Das Experiment fällt auf, da bei gewöhnlichem Luftdruck der Prozeß bekanntlich umgekehrt ist: Dolomit wird durch Gypswasser zerseht, es bildet sich Ca C und Bitterwasser geht fort, weil Bittersalz löslicher als Gyps ist. Letztere Zersehung geschieht besonders lebhaft, wenn man den Dolomit vorher glüht, und aus der Luft wieder Kohlensäure anziehen läßt, worauf neuerlich eine Methode zur Bittersalzbereitung gegründet ist. Dolomit schwach erhitzt, so daß nur Magnesia ihre C abgibt, cementirt unter Wasser schnell zu einem harten Stein pag. 496.

**Braunspath** Werner, eines der merkwürdigsten Minerale der Erz-

gänge; Bitterkalk, der wegen seines bedeutenden Gehaltes an Eisen und Mangan den Uebergang zum Spath-eisenstein bildet, daher durch Verwittern auch leicht braun und schwarz wird, was der Name andeutet. Rhomboeder gewöhnlich **sattelförmig** gekrümmt, weil sie trotz ihrer geringen Größe aus lauter kleinen ungefähr parallel nebeneinander gelagerten Individuen bestehen. Sie sind daher selten meßbar.



Wenn andere Formen vorkommen, so krümmen sich auch diese zu Nieren- und **Garbenförmigen** Gestalten. Der Glanz ist häufig stark perlmuttartig, *Perlspath* Haüy Mém. de l'Acad. roy. 1782. Härte und Gewicht weicht nicht wesentlich vom vorigen ab, nur was der größere Erzgehalt mit sich bringt.



Auf Erzgängen überkrusten sie alles, was im Wege liegt, besonders Kalkspath, Quarz und Flußspath, aber mit so dünner Rinde, daß die Krystallform darunter noch kenntlich bleibt. An Kalkspäthen ordnen sich die kleinen Braunspathrhomboeder immer so, daß der Spiegel des blättrigen Bruchs mit dem des Kalkspaths fast zusammenfällt. So kamen sie außerordentlich schön auf der Silbergrube Wenzel im Schwarzwalde vor. Häufig widersteht nun der Braunspath den Zersetzungsprozessen mehr als die Unterlage, dann entstehen Krystallhöhlen, die zu den sogenannten „Verdrängungs-Pseudomorphosen“ den Anlaß gaben, aber kein sonderliches Interesse weiter bieten. Auffallend sind außerdem die verschiedenen Niederschläge auf einer Stufe: man kann nicht selten dreierlei bestimmt von einander gesonderte Varietäten erkennen, dazu nimmt denn wohl noch der Kalkspath etwas im Ansehen von ihnen an, so daß eine ganze Gangformation im Kleinen uns vor Augen gelegt ist. Diese Bildung mit so schlagenden Kennzeichen zeigt sich auch in Drusenräumen des Flözgebirges, besonders in Rammern von Ammoniten, die nur auf nassem Wege erzeugt sein können, was ein bedeutendes Licht auf die Entstehung der Erzgänge wirft.

Vor dem Löthrohr brennen sie sich schwarz, auch die weißen thun dies, obgleich im mindern Grade. Es gehört aber ein nicht gewöhnlicher Eisengehalt dazu, wenn die gebrannten Stücke dem Magnete folgen sollen. Man gibt ihm die Formel  $(Ca, Mg, Fe, Mn) \dot{O}$ . In kalter Salzsäure braust er nicht, neutralisirt man die Lösung mit Ammoniak, so fällt Schwefelammonium Eisen und Mangan als  $Fe S$  und  $Mn S$ . Der Eisen- und Mangangehalt ist sehr verschieden, denn manche werden durch Verwitterung ganz schwarz, wie Spath-eisenstein. Von festen Grenzen kann nicht die Rede sein.

Sattelförmige Krystalle unter allen die verbreitetsten und gewöhnlichsten. Der stängliche hat gern nieren- und traubenförmige Oberfläche. Zu Rapnit und Schemnitz kommen eigenthümlich safrige vor. Blättriger Braunspath in derben etwas krummflächigen Stücken, die zwar Kalkspath auffallend gleichen, aber viel schwächer brausen. Dazu gehören besonders die rothen von Freiberg. Der weiße oder rosenrothe

Spartait, mit  $104^{\circ} 57'$  in der Rhomboederkante nach Breithaupt, bildet das Ganggestein des Franklinit in New-Jersey. Häubinger's Ankerit, der auf den Lagern des Spath Eisensteins von Steiermark (Eisenerz) häufig gestreifte Zwillinge mit Wiederholungen macht, hat schon  $35,3 \text{ Fe } \bar{C}$ ,  $3 \text{ Mn } \bar{C}$ ,  $11,8 \text{ Mg } \bar{C}$ ,  $50 \text{ Ca } \bar{C}$ . Der dortige Bergmann nennt den oft kaum gefärbten Spath Rohwand, Wandstein. Lokal mag man das unterscheiden, aber Mineralspecies darf man daraus nicht machen. Haub. Lehrb. Min. IV. 143 hielt die Dinge für verunreinigten Kalkspath, der wie beim krystallisirten Sandstein von Fontainebleau pag. 479 die Form hergab, während er den Spath Eisenstein l. c. pag. 154 für Austerkrystalle von Kalkspath hielt, wozu der Spath perlé die Brücke bildete.

#### 4. Spath Eisenstein $\text{Fe } \bar{C}$ .

Eisenpath, Stahlstein, Siderit (*σίδηρος* Eisen), Sphärosiderit, Chalybit, Fer carbonaté. Enthält etwa 48 p. C. Ferrum.

$a = 1,2246 = \sqrt{1,5}$ ,  $lga = 0,08800$ ,  $107^{\circ} 6'$  Endl. Wollaston.

Selten etwas anderes als das Hauptrhomboeder  $c : a : a : \infty a$  und das nächste stumpfere  $c : 2a' : 2a' : \infty a$ , und auch diese gern krummschlägig. Zuweilen reguläre sechsseitige Säulen mit Geradenfläche und Dreifantner  $c : a : \frac{1}{2}a : \frac{1}{2}a$ , Lévy beschreibt von Cornwallis sogar ein scharfes Rhomboeder  $c^{\frac{2}{3}} = \frac{1}{2}a' : \frac{1}{2}a'$ , Breithaupt an Lobensteinern ein Dihexaeder  $c : \frac{2}{3}a : \frac{2}{3}a : \frac{2}{3}a$ . Das unveränderte Erz sieht zwar lichtfarbig aus, allein durch die leichteste Verwitterung tritt gleich ein opales Gelb und Braun ein, das sich bis ins Braunschwarze steigert, was in der Erkennung sehr leitet. Glanz und Härte 4 nicht bedeutender als bei den Bittererdehaltigen Rhomboedern, dagegen deutet das höhere Gewicht 3,8 auf eine Metallbasis.

Vor dem Löthrohr brennen sie sich daher nicht bloß schwarz, sondern folgen auch dem Magnete, und fast alle zeigen eine starke Reaction auf Mangan, das sich in den seltenen Vorkommen von den Zinnsteingängen zu Ehrenfriedersdorf im Erzgebirge auf  $25,3 \text{ Mn}$  steigert, was etwa zur Formel  $3 \text{ Fe } \bar{C} + 2 \text{ Mn } \bar{C}$  führt. Im Durchschnitt haben sie aber viel weniger, 10 p. C. das berühmte Erz von Stahlberg bei Müsen im Siegenschen und Neudorf auf dem Unterharz, also etwa  $4 \text{ Fe } \bar{C} + \text{Mn } \bar{C}$ , während der Sphärosiderit von Steinheim bei Hanau nur  $1,9 \text{ Mn}$  hat, also fast reines  $\text{Fe } \bar{C}$  ist. Außer Mangan kommt auch Ca und Mg vor. Die schönen Krystalle von Neudorf enthalten  $7,6 \text{ Mg } \bar{C}$  und  $5,4 \text{ Ca } \bar{C}$ . Rolle spielt die Talkerde in den Spath Eisensteinen des Hochgebirges, die von Allevard Dep. Isère haben  $15,4 \text{ Mg}$ , und führen dann zum Mesitinspath pag. 505. Talkerde wird meist in geringern Portionen angegeben. Wenn man nun bedenkt, wie oft Analysen, selbst bewährter Chemiker, zu auffallend andern Resultaten führen, so kann von einer sichern Feststellung nicht die Rede sein.

Das Hauptgewicht beruht auf dem Mangangehalt, und da sich das



Mineral in kochender Salzsäure leicht löst, so darf man die Lösung nur schwach ammoniakalisch machen, so fällt Schwefelammonium Schwefeleisen und Schwefelmangan. Das frische Erz sieht immer lichtfarbig aus, allein durch Verwitterung und besonders durch den Einfluß von Regen und Sonnenschein wird es bald braun, und zuletzt bei bedeutendem Mangangehalt ganz schwarz: es werden Austerkrystalle von Manganhaltigem Brauneisenstein. Die Arbeiter nennen es in diesem Zustande reif, und die mächtigsten Gänge sind auf solche Weise zersetzt worden. Bei Gängen, wo die Erze noch nicht reif sind, schüttet man dieselben auf-Haufen und läßt sie Jahrelang verwittern.

Späthige kommen in sparsamer Menge auf Erzgängen vor, wie die schönen Krystalle von Neuborf, Stollberg, Lobenstein zc. Dieselben haben jedoch gewöhnlich eine körnige Erzmutter, die den Gang in größern Massen erfüllt, und die dann zu mächtigen Bergstöcken anschwellen kann, wie das weiße unreife Erz vom Stahlberge bei Müsen im Grauwacken-gebirge und das schwarze reife vom Knappenberge bei Hüttenberg in Kärnthén. Cornwallis und Sommersetshire geben besonders gute Erze zum Bessmerproceß, sie enthalten 29 Fe und 23 Mn. Der Erzberg bei Eisenerz in Steiermark, 2,600' über der Thalsohle, besteht zwischen Uebergangsgebirge und buntem Sandstein bis zu 90 Klafter aus diesem wichtigen Erz, daher rühmt schon Plinius das Norische Eisen, und noch heute genießt Steiermark in der Eisenhüttenkunde eines hohen Rufes. Zu Grun an der Videssa am östlichen Ende der Pyrenäen setzt ein 4 m mächtiger Gang im Syenit auf, frei von Phosphor und Schwefel dient er vorzüglich zum Bessmerstahl. Da es in Deutschland kein besseres Eisenerz gibt, so wird es allgemein als Stahlerz ausgezeichnet. Bei mächtigen Stöcken erreicht das Korn die Feinheit des Marmor. Die Eisenindustrie von Siegen, Collingen, Remscheid, Altena, Suhl, Schmalkalden beruht auf dem aus dem Stahlerz von Müsen mit Holzkohle und kalter Luft erblasenen Roheisen. Das Spanische Spiegeleisen mit 13 Mn und 5 C macht jetzt Concurrenz.

Sphärosiderit nannte Hausmann den „strahligen Spatheisenstein“ (Klaproth Beitr. VI. 515) von Steinheim bei Hanau, Blasenräume im Basalte erfüllend. Darin bilden sich fasrig-frummlättrige Parthieen mit halbtugeligter Oberfläche aus, die zu dem Namen veranlaßten.

Thoneisenstein (thoniger Sphärosiderit) heißt die dichte homogene durch Thon verunreinigte Masse, welche plattig und in Geoden besonders zwischen dem Schieferthon der jüngern Steinkohlenformation sich einlagert. Unverwitterte gleichen einem fahlgrauen Steinmergel, durch Verwitterung werden sie aber braun und roth. Schon das höhere Gewicht, was meist über 3fach hinausgeht, läßt ihren Werth vermuthen. Geoden pflegen reicher zu sein, als zusammenhängende Platten. Im Durchschnitt geben sie 33 p. C. Eisen, das aber zur Stahlbereitung nicht brauchbar ist. Lehbach und Börschweiler im Saarbrücken'schen sind reich, ärmllicher die Geoden in der Jura- und Kreideformation. Das Cleavelanderz

8'—10' mächtig im obern Lias  $\delta$  unter dem Posidonien-schiefer von Yorkshire mit grünen oolithischen Punkten gibt der am Tees neuerstandenen Stadt Middleborough heutiges Tages das Uebergewicht, wo in 120 Hochöfen, jeder täglich 1000 Ctr. Roheisen liefernd, ein Drittel sämmtlichen Eisens der Welt gewonnen wird, wodurch der Schwerpunkt von Süd-Schottland nach Yorkshire verrückt ist. Ein Deutscher Volkswirth machte die Entdeckung. Thoneisenstein kommt in dem Kohlengebirge von Südwallis, Dudley und Glasgow gerade nicht in solchem Uebermaß, aber doch in genügender Menge vor, so daß England mehr Eisen erzeugen kann als die ganze übrige Welt. Schon 1853 gewann es in 400 Hochöfen 50 Millionen Centner Roheisen, 1860 80 Millionen im Werth von 12 Millionen Pfund Sterling, 1872 sogar 135 Millionen Centner, wovon  $\frac{2}{3}$  auf Thoneisenstein kommen. In Schottland allein wurden 1852 in 143 Oefen über 15 Mill. Centner producirt, der Centner kostete 1851 ungefähr  $\frac{2}{3}$  Thlr. oder 1 fl. 11 kr. Im Clyde-Thal zählt man 64 Schichten übereinander. Besonders verunreinigt aber sehr lagerhaft ist das Schottische

Blackband (Kohleneisenstein), beliebig gemengt mit Schieferthon und Kohle, aber sehr arm an Mangan. Es liefert vorzügliches Gußeisen, was Schottland den Weltruf gab, das Maximum mit 1,200,000 Tons wurde 1870 gewonnen, jetzt geht es aus. Bei Bochum in Westphalen sind die Flöze, 16"—66" mächtig, lange übersehen und mit verhärtetem Schieferthon verwechselt. Manche halten 50—78 p. C. dichten Spatheisenstein.

Mischt sich zu den Krystallen  $Mg\ C$ , so knüpfen sie an den Mesitinspath an, wie Breithaupt's Sideroplesit aus dem Grünstein des Voigtlandes. Gew. 3,6, Endantenwinkel  $107^{\circ} 6'$ , Zusammensetzung  $Fe^2 Mg\ C^2$ .

### 5. Manganspath $Mn\ C$ .

Nicht zu verwechseln mit Mangankiesel pag. 315, nach seiner Farbe rother Braunstein, Rosenspath, Rhodochrosit genannt. Diallogit.

$$a = 1,204 = \sqrt{1,483}, \lg a = 0,08057, \text{Endf. } 106^{\circ} 51' \text{ Phill.}$$

Das nächste stumpfere Rhomboeder  $c : 2a' : 2a' : \infty a$  nicht selten, auch ein Dreikantner  $c : a : \frac{1}{2}a : \frac{1}{2}a$  wird angeführt. Im Eisenstein von Oberneisse in Nassau kommen rothbraune dreigliedrige Octaeder im völligen Gleichgewicht vor, woran die gleichschenkligen Dreiecke einem dritten schärferen Rhomboeder anzugehören scheinen. Je rosenrother die Farbe, desto reiner mögen sie sein, doch kommen auch rosenrothe Kalkspathe, die aber stark braunen. Härte 4, Gew. 3,5.

Findet sich nicht häufig. Chemisch scheint nur der dunkelrothe von Vieille in den Pyrenäen mit 97 p. C.  $Mn\ C$  ächt zu sein, schon die schönen auf den Goldgängen von Kapnik und Naghyag in der nördlichen Gebirgsgrenze von Siebenbürgen gehen auf 90 p. C. herab, ja die Freiburger erreichen nicht einmal so viel. Prachtwoll rosenroth zu Niederscheld in

Nassau. Farbe und sattelförmige Krystalle spielen in den Braunspath über, wozu an letztem Orte die Beimischungen von Fe, Ca und Mg beitragen. Auffallender Weise wird in den Ungarischen gar kein Fe angegeben, wohl aber an 10 Ca C, daher pflegt man sie auch (Mn, Ca) C zu schreiben, während die Freiburger mehr Manganhaltige Braunspäthe sein dürften. Wie diese zeigen sie dann auch Neigung, nierenförmig sich auszubilden. Solche Sachen sondern sich schalig ab, auch mischen sie sich, wie z. B. am Büchenberge bei Elbingerode, mit Kiesel-saurem Mangan-orydul, welches Werner ursprünglich Manganspath nannte.

### 6. Galmei Zn C.

Cadmia fossilis Calmei Agricola pag. 609 und 704. Calamine, Gialla mina gelbes Erz. Zinkspath. Man darf ihn nicht mit Kieselzinkerz pag. 448 verwechseln, das Werner auch zum Galmei rechnete.

$a = 1,24 = \sqrt{1,538}$ ,  $lga = 0,09348$ , Endf.  $107^{\circ} 40'$  Wollast.

Schwer meßbar, weil der blättrige Bruch selten große Ausdehnung hat, doch kommen bei Chessy grasgrüne durchsichtige Rhomboeder von 13 mm Durchmesser vor. Selbst die kleinsten Krystalle sind gewöhnlich rauchflächig. Man kennt schärfere und stumpfere Rhomboeder nebst der 2ten Säule, welche die Seitenanten des Rhomboeder abstumpft. Diese Krystalle jammeln sich in kleinen Drusenräumen der Zinkhaltigen Gesteinsmasse. Ihr Glanz stark, Härte 5 und Gewicht 4,45, so daß die Hauptkennzeichen das Maximum der ganzen rhomboedrischen Gruppe erreichen. Farbe nicht lebhaft. Am Altenberge bei Aachen Asterkrystalle nach Kieselzinkerz.

Vor dem Löthrohr schmilzt es nicht, der Zinkgehalt läßt sich aber sogleich an dem schönen grünlichen Lichte erkennen, und die Kohle zeigt einen Zinkbeschlag, der kalt wie weißgraue Asche aussieht, warm aber gelblich ist, und beim Daranblasen leuchtet. Schon in kalter Salzsäure werfen sie viele Blasen, wodurch sie sich von Kieselzinkerz leicht unterscheiden. Die reinen Abänderungen haben 65 Zn und 35 C. Allein es kommt öfter etwas Fe, Mn und Pb, da Bleiglanz die Erze gern begleitet. Selten ein kleiner Gehalt an Cadmium, nur in dem wachsgelben von Wiesloch fand sich 3,36 p. C. Cd C, solcher Cadmium-Zinkspath vererzt sogar die Muschelschalen (Jahrb. 1858. 222).

Traubiger Galmei von weißlicher, blaulicher, grünlicher Farbe, welcher das Gestein zellig macht, pflegt am reinsten zu sein. Durch die krumme Oberfläche scheint der Blätterbruch durch und da der Querbruch keine Fasern zeigt, so mag auch hier, wie beim strahligen Ralspath, die Faser der Säulenrichtung entsprechen. Die edlen krystallinischen und traubigen Ausscheidungen werden vom feinkörnigen und dichten Galmeigestein umhüllt. Dasselbe hat häufig ein dolomitisches, aber



stärker glänzendes Aussehen, ist nicht selten durch Eisen oder braun und roth gefärbt, kann aber stellenweis schneeweiß wie Magnesit werden (Kärnten, Tyrol). Dieses dichte durch Beschreibung wegen seiner vielen Modificationen kaum festzustellende Gestein liefert in Verbindung mit Kieselzink das wichtigste Zinkerz. Das berühmteste bricht im Muschelkalk von Tarnowitz und Beuthen in Oberschlesien, der daher bislang das meiste Zink in Europa lieferte: der Galmei bildet ein mächtiges Lager zwischen Sohlen- und Dachgestein (Epochen der Natur pag. 493), letzteres ist dolomitisch. Reines kohlensaures Zink selten, gewöhnlich mit kiesel sauren gemischt. Die Hauptsache ist zinkhaltiges Brauneisen. Der zinkhaltige eisenschüssige Dolomit heißt rother, das zinkhaltige Sohlengestein weißer Galmei. Die Scarleggrube bei Beuthen liefert im Tagebau jährlich  $1\frac{1}{2}$  Millionen Centner, Römer Geol. Oberschles. 1870. 545. Preußen gewinnt hier allein  $3\frac{1}{2}$  Millionen Centner Schmelzerz im Werthe von 8 Silbergroschen den Centner, die im Durchschnitt 18—19 p. C. Rohzink geben. Bei guten Zinkpreisen (pro Centner 6 Thlr.) können noch Erze von 6 p. C. Gehalt mit Vortheil verschmolzen werden, während der beste Stüdgalmei 40 p. C. gibt. Auch bei Wiesloch am Südrande des Oberrheins kamen reiche Anbrüche im Muschelkalk vor, die im weißen Galmei 50 p. C. Zink lieferten. Im Uebergangsgebirge von Aachen (der Altenberg) bildete das Erz eine große Linse, vereinzelt Lager gehen noch längs der Maas tief nach Belgien hinein, und erscheinen auch in Westphalen bei Herlohn wieder. In England sind besonders die Mendip-Hills südlich Bristol berühmt, anderer Punkte wie Raibl und Bleiberg in Kärnten zc. nicht zu erwähnen. Sardinien erzeugt jährlich 600000 Ctr. Zink, Santander in Nordspanien führt viele gute Erze aus, weil es dort an Brennmaterial fehlt. Laurium bei Athen liefert blaugrüne Stufen. Großen Reichtum finden wir in Wisconsin. Die Carbonate scheinen meist aus Blende entstanden zu sein. Die Alten verstanden es unter *cadmia* Plinius hist. nat. 34. 22, zählten dazu aber auch den zinkischen Ofenbruch, der sich bei Hüttenprozessen an den Wänden der Hochofen absetzt, und aus unreinem Zinkoxyd besteht, *cadmia fornacum* Agricola 609. Früher benutzte man das eisenfreie geröstete Erz gleich zur Messingfabrikation, schon Aristoteles sagt, daß das Messingöfische Erz glänzend sei wie Gold vermöge einer Erde, womit Kupfer zusammengeschmolzen werde, nur habe es einen andern Geruch. Sage bekam in Pisa Galmei mit Kupferlasur, der im Kohlenpulver sofort Gelbkupfer gab, Haug Lehrb. Min. IV. 222. Gegenwärtig stellt man aus dem gerösteten Erz erst das regulinische Zink dar. Durch die Röftung wird C und Wasser ausgetrieben, das Gestein mürbe gemacht, setzt man nun Kohle zu, so reducirt dieselbe das Zinkoxyd,  $ZnO + C = Zn + CO$ . Da aber Zink in der Hitze bei  $800^{\circ}$  flüchtig ist, und sich leicht an der Luft wieder oxydirt (*lana philosophica*), so muß die Destillation in verschlossenen Gefäßen vor sich gehen. Die ersten Portionen setzen ein braunes Oxyd ab (braun durch den größern Cadmiumgehalt), weil das Cadmium flüchtiger als

Zink ist. Cadmium wird als Farbmateriale benutzt. Indium ist Begleiter des Zinks.

Zinkblüthe  $\text{Zn}^3 \text{C} + 3 \text{H}$  mit 71 Zn, 13 C, 16 H scheint ein Zersetzungspröduct, das schneeweiße Kügelchen auf dem Gestein bildet. Die von Dravida im Banate haben einen seidenglänzenden Faserbruch, und bilden stellenweis kleine Strahlen und Fasern, welche an Pharmatolith erinnern. Kapnit nannte Breithaupt einen Eisenzinkspath ( $\text{Zn}, \text{Fe}$ ) C, der am Altenberge bei Aachen vorkommt, oft mit Brauneisen überzogen ist, Endkanten  $107^\circ 7'$ . Kupferhaltig ist Herrerit; Aurichalcit von Matlock hat sogar neben 42 Zn noch 32 Cu. Die Messingblüthe füllt bei Santander mit ihren himmelblauen Strahlen Hohlräume im Galmei, Jahrb. 1866. 599.

Merkwürdiger Weise enthalten auch mehrere Pflanzen der Galmeigebirge Zink (Pogg. Ann. 92. 176): das Galmeiveilchen (*Viola calaminaria*) bei Aachen ist constant an den Galmeiboden geknüpft, „daß selbst bergmännische Versuche auf die bloße Anzeige dieses Weilchens mit Erfolg unternommen worden sind.“

## 7. Aragonit.

Werner nannte ihn Arragon, weil die ersten Krystalle aus dem Gypse und den rothen Mergeln von Aragonien (Molina) am Südbahge der Pyrenäen kamen, die bereits Romé de l'Isle 1772 unter dem Kalkspath aufführt. Laproth wies darin 1788 bloß Ca C nach, Bernhardt (Gehlen's Journ. Chem. 1809 VIII. 122) wollte daher beide Kalkspath und Aragonit von einer Primitivform ableiten. Haüy Min. IV. 480 erkannte das nicht an. Zwar fand Stromeyer 1813 noch einen kleinen Gehalt an Sr C, allein nicht in allen, und das Mineral wurde daher bald ein Hauptbeweis für Dimorphismus.

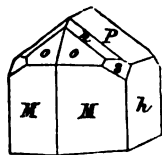
Zweiggliedriges Krystallsystem mit vorwiegender Zwillingbildung. Geschobene Säule  $M = a : b : \infty 116^\circ 16'$  herrscht vor, daran fehlt selten die Abstumpfung der scharfen Kante  $h = b : \infty a : \infty c$ , an ihren Querstreifen erkennbar. Ein auf die scharfe Säulenkante aufgesetztes Paar  $P = b : c : \infty a 108^\circ 28'$  (Haüy nahm für dieses genau den Winkel des regulären Oктаeders  $109^\circ 28'$ ), daraus findet man

$$a : b = 0,863 : 1,388 = \sqrt{0,7447} : \sqrt{1,927};$$

$$\lg a = 9,93600, \lg b = 0,14246.$$

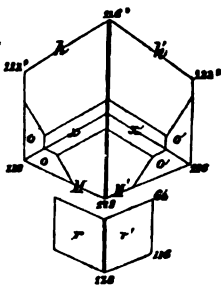
Den Böhmischen fehlt das Oктаeder  $o = a : b : c$  selten, ist aber etwas rauh;  $s = a : c : \frac{1}{2}b$ ;  $n = b : c : 2a$ ; häufig über P noch  $x = c : 2b : \infty a$ ; auch die vordere Kante  $o/o$  wird durch  $u = a : c : \infty b$  abgestumpft; selten über n in der Diagonalzone von x noch  $g = \frac{1}{2}a : b : \frac{1}{2}c$ , welche Grailich bei Horschens nachwies. An Spanischen gibt Haüy ein Paar  $i = c : \frac{1}{2}b : \infty a$ , welche mit M zusammen ein einfaches Oblongoktaeder

33\*

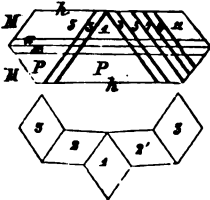
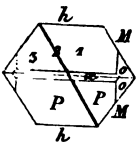


machen; gewöhnlich herrscht aber bei diesen die Geradenfläche  $r = c$ :  $\infty a : \infty b$ , welche alle andern Endflächen verdrängt. Sehr eigenthümlich sind die spießigen Krystalle (Hauy's Var. apotome), besonders schön auf dem Spathkalksteinlager des Jberges bei Grund am Oberharz, in der Serpentinbreccie des Aostathales. Hauy nahm sie als scharfe Oktaeder  $a : b : 6c$ , mit dem Paare  $c : \frac{1}{2}b : \infty a$ , allein von scharfen Messungen wird kaum die Rede sein können: es sind vielleicht nichts weiter als bauchige Säulen, daher sieht man öfter auch Zwillinge darunter. Schrauf (Sitzb. Wien. Akad. 1870 Bd. 62) geht sogar bis  $a : b : 20c$  und  $a : b : 48c$ , und bei den „Brachydomen“ bis  $b : \infty a : 32c$ ,  $b : \infty a : 40c$ ,  $b : \infty a : 48c$ . Der „Nabelspath“ von Großkamsdorf bei Saalfeld (Pogg. Ann. 126. 147) hat  $a : b : 6c$ ,  $a : b : 9c$ ,  $b : \infty a : 9c$ . Die Verticalzone der Axe  $a$  zeigt noch 1032,  $v$  031,  $e$  051,  $q$  061; Larnowitzit 112, 123, 126, 215, 243, 425, sogar  $w$  25.27.24 und  $z$  25.27.2 (Websky Zeitschr. deutsch. geol. Ges. 1857. 9. 187).

Zwillinge haben die Säule gemein, und liegen umgekehrt. Am leichtesten kann man sie bei den blaß weingelben aus Böhmen studiren, die für den Optiker so wichtig geworden sind. Wir nehmen dabei den Säulenwinkel  $116^\circ$ .



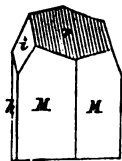
Durch das Hinzutreten von  $h$  hat sich die Lücke zwischen den beiden Individuen ausgefüllt, und  $h h'$  muß wieder den Säulenwinkel einschließen. Dagegen convergiren  $h'M$  und  $h'M'$  unter  $6^\circ$  über dem Säulenwinkel von  $116^\circ$ , denn  $128^\circ + 116^\circ + 122^\circ = 366^\circ$ . Sehe ich daher durch zwei solche nicht parallele Flächen gegen ein Licht, so treten die beiden Bilder um so mehr auseinander, je weiter ich mich davon entferne. Da die Zwillingengränze nur selten genau durch die Säulenkanten geht, so findet sich auf einer der Säulenflächen öfter ein einspringender Winkel von  $180^\circ - 6^\circ = 174^\circ$ .



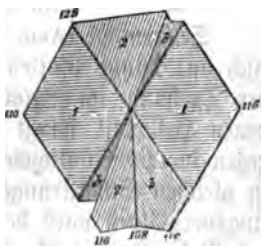
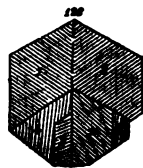
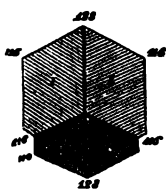
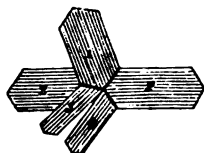
Deister legen sich ganze Reihen von Individuen an einander, aber so, daß die ungeraden und geraden unter sich parallel gehen: es ist das einfache Folge des gleichen Gesetzes, und man darf solche Reihen nur als Zwillinge nicht als Viellinge betrachten. Die Zwillingstreifen werden nicht selten so fein, daß man sie mit keiner Lupe zählen kann. Es kommen gar häufig scheinbar ganz einfache Individuen vor, und genau untersucht findet man doch einen Strich 2 durchgehen, dem die beiden Enden 1 und 3 das Einspiegeln ihrer gleichnamigen Flächen verdanken, da 2 sowohl gegen 1 als gegen 3 die Zwillingstellung einnimmt. Zugleich liegt darin der sichere Beweis, daß der Strich, wie beim Doppelspath, ein besonderes Einschießel bezeichnet. Selbst Drillinge 122' lenten gleich wieder zum

Zwilling ein, wie die Flügel 33 beweisen, die der Drillingsstern gleichsam vermittelt.

Vierlinge von Leogang und Herrengrund. Bei diesen schneeweißen bis wasserhellen Krystallen herrschen die Flächen Mhr nebst der Zuschärfung  $i = c : \frac{1}{2}b : \infty a$ , welche auf r eine ausgezeichnete Streifung parallel der Aze a erzeugt, nach der man sich leicht in den Zwillingungsverwachsungen orientirt. Bei Leogang kommen treffliche Durchwachsungen

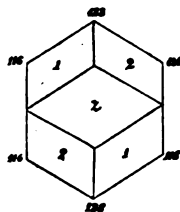


vor, darunter zeichnet sich ein Individuum gern durch Größe aus (2), 1 legt sich daran als Zwilling; 3 und 4 sind zuweilen klein und haben dann auf den Säulenflächen von 1 und 2 Platz, ihre Flächen h schneiden sich unter  $12^\circ$ . Gewöhnlich füllen sich jedoch die einspringenden Winkel aus, und man muß dann vorsichtig auf die Streifung der Geradendfläche merken, die so vortrefflich bei den Krystallen von Herrengrund ausgedrückt ist. Am einleuchtendsten wird die Sache, wenn wir in den Zeichnungen auf der Geradendfläche die Zwillingsgrenze zweier anliegenden Individuen durch zwei Linien angeben, um sie von den Grenzen der Ausfüllungen zu unterscheiden. Nebenstehende Figur (Hauy's symétrique basé) wird sogleich klar: die Hauptindividuen sind 1 und 2, sie setzen sich unten in den parallelen Stücken gleicher Zahl fort. Dazwischen haben sich zwei Streifen 3 und 4 eingeschoben, die man sich hüten muß für parallele Individuen anzusehen, da ihre Streifen sich unter  $12^\circ$  schneiden. Der darunterstehende weitere Vierling weicht zwar nur wenig ab, allein er ist nicht mehr so symmetrisch gebaut, indem drei Individuen (1, 2, 4) sehr groß werden. Die Säule schließt sich nicht immer in allen ihren Theilen gut, und man muß in Beurtheilung der Streifen äußerst vorsichtig sein. Zuweilen sind auch nur drei Individuen vorhanden, wie beistehende Figur (Hauy's contourné basé) zu beweisen scheint. So viel verschiedene Streifen sich darauf auch finden mögen, so bilden doch 1 mit 2 und 1 mit 3 bloß Zwillingstellungen, alles Uebrige ist Fortsetzung. Man sieht daraus deutlich, zu welcher Mannigfaltigkeit das einfache Gesetz führen kann. Diese Mannigfaltigkeit ist bei den



Spanischen Zwillingen häufig gar nicht mit Gewißheit zu ergründen, weil wir hier neben M und h nur noch eine matte ungestreifte Geradendfläche haben. Es bleiben zum Erkennen bloß die Säulenwinkel, aber diese zum Glück selbst mit dem Reflexionsgoniometer gut meßbar. Hauy maß sie und construirte dann die Rhomben hinein:

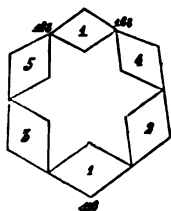
symétrique basé bildet Säulen von  $128^\circ$  mit abgestumpften scharfen Säulenkanten; wodurch vier Mal  $116^\circ$  entstehen müssen. Haüy nahm sie als Zwilling, wovon 1 sich in 1 und 2 in 2 fortsetzt, die Zwischenmasse z dachte er sich dann beliebig ausgefüllt. Es mag solche geben, gewöhnlich sind aber noch Zwischstücke von Drillingen zc. da, wie das Herrengrunder Exemplar beweist.



Contourné basé hat einen Winkel von  $128^\circ$  und fünf von  $116^\circ$ . Da die Summe nur  $708^\circ$  statt  $720^\circ$  beträgt, so muß eine Seite nach innen um  $12^\circ$  geknickt sein. Dieser Knick braucht übrigens nicht immer auf der gleichen Fläche zu liegen. Haüy dachte sich es als Drilling, indem er an der Stelle eines Winkels  $128^\circ$  des symétrique ein drittes Individuum einflachte. Endlich kommen die prachtvollen dicken von Bastennes mit 6 gleichen Winkeln von  $116^\circ$ , die folglich zwei nach innen geknickte Flächen haben müssen. Es sind dreierlei Fälle

möglich, je nachdem die geknickten Flächen einander an-, gegenüber- oder zwischenliegen. Im ersten Fall,

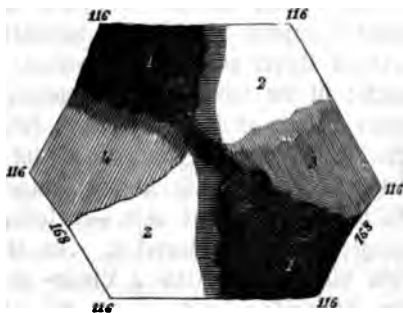
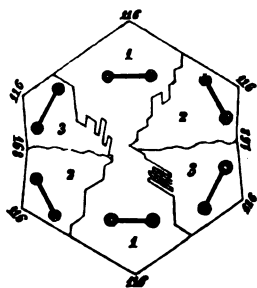
émergent basé, flachte Haüy im symétrique statt der  $128^\circ$  zwei Rhomben ein; es kam dann, wie die eingeschriebenen Zahlen zeigen, ein Fünfling. Fünf ist ja das Maximum von Säulen, welche mit ihrer scharfen Kante um einen Punkt möglich sind. Für das 6te bleibt nur noch  $40^\circ$  Raum, den Parallelmasse ausfüllt. Erweist sich nun auch die Natur im Allgemeinen erfinderischer, namentlich in der Ausfüllung, so kann man doch dem Gange die consequente Methode nicht absprechen.



Senarmont (Ann. Chim. 1854. tom. 41. 62) griff die Sache zuerst optisch an: dünne Platten, senkrecht gegen die Axe c geschliffen, werden bei der Drehung im Azimuth hell und dunkel. Der Grad dieser verschiedenen Helligkeit hängt von der Lage der horizontalen Axen a und b gegen die Polarisationsebene ab. Alle parallelen Theile zeigen sich daher in gleichen Schattirungen, alle nicht parallelen in ungleichen. Das Zwillingungsverhältniß wird bei guten Stücken mit einem Blick klar; mittelst des Polarisationsmikroskops läßt sich die Richtung der Axe b durch die Lemniscaten leicht bestimmen, und nimmt man dann noch ein gewöhnliches Mikroskop mit Polarisationsapparat zu Hilfe, so können die kleinsten Details erforscht werden. Endlich hat auch Leybold (Sitzungsber. Wien. Akad. 1856. 19. 10) die Endfläche mit schwachen Säuren (Essigsäure zc.) geätzt, und Abgüsse von Hausenblase für das Mikroskop gemacht. Nebenstehendes mésotome basé ist durch die Lage der Lemniscaten sogleich klar, und man sieht, daß der alte Meister doch nicht so Unrecht hatte, denn bei allen aus dem Gypse strahlen die Röhre von den Seiten nach dem



Centrum. Die Individuen 1/2 und 1/3 haben die äußere Seite gemein: in diesem Falle pflegen die Nähte (Kammnähte Leydolt) etwas anders auszufehen, als die, wo sie nicht in Zwillingungsverbindung (2/3) stehen. In der Kammnaht suchen sich sichtlich die Säulenflächen gegenseitig geltend zu machen, was nicht selten in tausenden von Streifen geschieht, etwa wie nebenstehendes meißogene basé mit vier Individuen zeigt, wo die zwei geknickten Seiten nur durch 4 Individuen erklärt werden können, und wo in 1/3 und 2/4 wieder keine Kammnähte erscheinen, weil diese sich nicht in Zwillingstellung finden, wie neben den Kammnähten 1/2, 2/3 und 1/4. Freilich kommen in der Praxis allerlei Schwierigkeiten.



Afterkrystalle, wobei die Aragonitform von Kalkspath erfüllt wird (Paramorphose) fand Mitscherlich (Pogg. Ann. 21. 158) in Vesuv'schen Laven; Haibinger im Basalttuff von Schlackenwerth und zu Herrengruno; auf der Emericusgrube zu Offenbanga, wo die Zwillingssäulen nach Fichtel 1 Fuß lang und  $\frac{1}{4}$  dick werden, erkannte G. Rose (Pogg. Ann. 91. 147) noch deutlich die Zwillingsgrenzen, auch behält der Blätterbruch des Kalkspaths im Ganzen eine bestimmte Lage bei; in der Lettentohle von Obervern bei Schweinfurth (Jahrb. 1872. 339) sind die zweigliedrigen Krystalle zu lauter kleinen Rhomboedern gleichsam umgestanden. Seltner findet das Umgekehrte statt, wo Kalkspath in Aragonit umsteht, Jahrb. 1867. 359.

Härte 3, härter als Kalkspath, Gewicht 2.945, also auch um 0,2 den Kalkspath übertreffend. Ein schwacher Blätterbruch wird zwar parallel  $h = b : \infty a : \infty c$  angegeben, allein man hat große Mühe, sich nur von seinem Dasein zu überzeugen, geschweige, daß er sich darstellen ließe. Fettglanz, Farben zufällig, wie beim Kalkspath. Starke doppelte Strahlenbrechung, ordentl. Strahl 1,69, außerordentl. St. 1,53, also dem Kalkspathe in Stärke kaum nachstehend. Die beiden — optischen Axen machen mit  $c$   $10^\circ$  und mit  $b$   $80^\circ$ , liegen also in den Axenebenen  $bc$ , und ihre Ebene halbirt den scharfen Säulenwinkel. Ein Paar  $c : 4b : \infty a$ , gegen Axe  $c$   $79^\circ 48'$  geneigt, steht senkrecht gegen die optischen Axen. Um die conische Refraction zu zeigen, schleift man die Böhmschen Krystalle nach dieser Richtung an. Von Rudberg (Pogg. Ann. 17. 1) genau untersucht. Nach Hantel thermoelectrisch, Abh. Math. Cl. Säch. Ges. Wiss. 1872. X. 373.

In einer Glasröhre über der Weingeistlampe erhitzt schwillt er etwas an und zerfällt plötzlich zu einem weißen Pulver, ohne dabei vorher

Kohlensäure abzugeben, denn ein daneben gelegtes Stück Kalkspath wird bei dieser Temperatur noch gar nicht verändert: er soll zu Kalkspath-rhomboedern zerfallen (Haidinger, Pogg. Ann. 11. 177). Ca C ganz wie Kalkspath, aber ein wenig unlöslicher in Säure. Der kleine Gehalt an Strontianerde (4 p.C. Sr C) bei spanischen muß unwesentlich sein, da die böhmischen nur 1 p.C., die von Gey (Dep. l'Alin) und Herrengrund keinen mehr zeigen. Obgleich geschmolzener Ca C zu Kalkspath gesteht, so soll doch aus heißen Lösungen im Wasser sich vorzugsweise Aragonit niederschlagen (G. Rose Pogg. Ann. 42. pag. 353), während es bekannt ist, daß kalte Quellen meist Kalkspath erzeugen. Indes findet sich auch in Absätzen kalter Quellen Aragonit, wie z. B. auf Drusenräumen des Dolomites unserer schwäbischen Lettenkohle in deutlichen Zwillingen. Wiederholte Experimente haben gezeigt, daß auch der Sättigungsgrad einwirkt: ist die Lösung schwach genug, so können bei gewöhnlicher Temperatur Aragonitkrystalle entstehen (G. Rose Monatsber. Berl. Akad. 1860. 579). Wie Aetzkalk so ist auch Ca C im warmen Wasser unlöslicher als im kalten, das gibt vielleicht den Fingerzeig (Bischof Lehrb. chem. Geol. II. 1089). Nach Credner (Zahrb. 1870. 608) sollen auch geringe Beimengungen fremdartiger Lösungen einwirken. Im Kesselstein eines Dampfkessels zu Neurode bildeten sich nette 2 Linien große Zwillingsskrystalle von der Form der Spanischen (Zschr. d. geol. Ges. 1869. 493).

Krystalle weingelb bis lilafarbig in den Basaltgebirgen des böhmischen Mittelgebirges um Bilin (Horschenz, Liebshausen, Rosel, Luschitz, Seblig, Seidschütz etc.) für den Optiker die wichtigsten Fundorte, nicht selten in armdicken Strahlen, aber dann unklar; auch die Auvergne bietet in ihren vulkanischen Gesteinen schöne Fundorte. Besonders bekannt sind die Zwillinge aus dem (tertiären) Gyps von Bastennes ohnweit Day am nördlichen und Molina in Aragonien am südlichen Abhange der Pyrenäen. Bei Bastennes stecken in den Krystallen rothe Eisentiesel. Helle Stellen Neigung zur Lilafarbe, doch nicht so schön amethystfarbig wie bei Walsch in Böhmen. Becquerel (Compt. rend. XXXIV. 574) beweist, daß Aragonit entstehe, wenn eine 5- bis 6gradige Lösung von doppelt kohlensaurem Natron auf Gyps wirke, Kalkspath dagegen, wenn die Lösung schwächer (zweigrädig) sei. In Leogang östlich Saalfelden im Salzburgerischen finden sich klare Zwillinge auf Erzgängen im Gneis, ebenso und wegen der Deutlichkeit ihrer Zwillingformen besonders wichtig war der Fund zu Herrengrund nördlich Neusohl in Ungarn, 1840 auf einer 3¼ Lachter langen Druse in der Kupfererzlagerstätte angefahren: oben in der Druse waren es Aetzerkrystalle nach Kalkspath, unten standen die frischen weißen Säulen, mit Kalkspath überflogen, eigenthümlich schwefelgelb schielend, was ihnen beim ersten Anblick Aehnlichkeit mit den bekannten Cölestindrufen von Sicilien gewährt. Aragonitkrusten auf Meteorsteinen der Mexicanischen Wüste am Rio Grande hängen vielleicht mit der Hitze des Eisens beim Fall zusammen, Compt. rend. 82. 1898.

Nadel förmige Krystalle finden sich in der Serpentinbreccie

des Aosta-Thales, auf Erzgängen von Iglo in Ungarn (Igloit), besonders aber in verwitterten Spath Eisensteinlagern des Harzes (Iberg) und Thüringens (Saalfeld), Whitehaven in Cumberland, als Seltenheit im Viasfalt (Neunheim bei Ellwangen). In den vulkanischen Gesteinen am Hohenhöwen am Bodensee, Saszbach am Kaiserstuhl, alten Laven vom Vesuv, und vielen Basalten, man muß sich hüten, es nicht mit Faserzeolith zu verwechseln. Häufig ist auch Kalkspath dabei, sehr schön sogar in den Mandeln von Walsch.

Strahliger Aragonit ist außerordentlich verbreitet, wird aber häufig in Sammlungen mit Kalkspath verwechselt. Hauptunterscheidungsmerkmal bleibt der Mangel der Blätterbrüche am Ende der Strahlen; erwärmt zerfallen sie nicht mehr so auffallend zu Pulver als die krystallinischen Massen. Zuletzt wird der Strahl feinsten

Fasriger Aragonit. Dahin gehören besonders die schneeweißen Platten in den sogenannten „Schachklammern“ (Klüften) der zersetzten Spath Eisensteine des Erzberges bei Eisenerz in Steiermark. Buchholz gibt darin 99 Ca C und 1 H ohne Spur von Eisen an, ob sie gleich ein Produkt der in den Erzen circulirenden Wasser sind. Es kommen zackige, korallen- und baumförmige Verzweigungen vor (Eisenblüthe, flos ferri), die zwar nach Art der Stalactiten sich gebildet haben mögen, aber auffallender Weise wie bei Korallenstöcken gegen das Geß der Schwere verlaufen. Von der innern Axe zieht sich die zarte Faser excentrisch schief nach oben. Auf andern Eisenerzspalten, wie z. B. zu Wasseralfingen, findet man auch baumartig verzweigten Kalkspath von gleicher Schneeweße. Auf den Malachitgängen von Ringenwechsel in Tyrol sind sie schön spangrün gefärbt. Der Satin-Spar (nach G. Rose Kalkspath) im Schieferthon von Mton-Moor Schnüre bildend wird zu Seidenglänzenden Perlen verschliffen, enthält 4 p. C. Mn C. Fein fasrige Platten findet man öfter mitten im Kalkgebirge: im braunen Jura der Porta Westphalica oberhalb preußisch Minden, im Vias von Remmuth bei Stuttgart, mit traubiger Oberfläche im Süßwasserkalk von Steinheim, Canstatt u., doch ist der Beweis für Aragonit nicht immer zu führen. Hauptunterscheidungsmerkmal bleibt das specifische Gewicht, aber er darf nicht in Stücken, sondern gepulvert gewogen werden (G. Rose, Abh. Berl. Akad. Wiss. 1856. 1 und 1858. 11). Leydolt (Sibber. Wien. Akad. 1856 XIX. 10) ähte Schliffflächen mit Essigsäure, und suchte so die Form zu ermitteln.

Karlsbader Sprudelsteine, obgleich durch Eisenoxer roth, braun bis schwärzlich gefärbt, sind meist Aragonit. Sie bestehen aus concentrischen Lagen häufig mit traubiger Oberfläche. Zwischen der feinsten Faser finden sich zuweilen gröbere Strahlen, an denen man deutlich den Mangel des Blätterbruchs nachweisen kann. Der heiße Sprudel von 60°—74° R. scheint hier offenbar der Grund zu sein. Daher wird auch der dortige Erbsenstein pag. 502 Aragonit sein. Wo der Ursprung nicht so sicher ist, wie z. B. bei dem Rogensteine aus dem Buntensandsteine von Thüringen, läßt sich die Frage, ob Kalkspath oder Aragonit, kaum

entscheiden. Der wolzig honiggelb durchscheinende Onyxmarmor von Oran, welchen schon die Römer und jetzt die Franzosen bearbeiten, ist Sprudelstein. Ein großes Werk mit 39 Kupfertafeln in Folio lieferte F. Nibelaer, System des Karlsbader Sinters 1781.

Tarnowitz in Schlesien mit Bleiglanz verwachsen ist ein strahliger grünlich grauer Aragonit von Witheritartigem Ansehen, der 2,98 wiegt, und 2—3,8 Pb C enthält (Böttger, Pogg. Ann. 47. 497), also auf Kohle einen gelben Bleibeschlag gibt. Manganoalcit nannte Breithaupt (Pogg. Ann. 69. 499) den nierenförmigen röthlich weißen Braunspath von Schemnitz in Ungarn, mit 67,5 p. C. Mn C, 3,04 Gewicht, seinem Blätterbruch nach 2gliedrig; Werner zählte ihn zum safrigen Braunspath. Hier würde also das kohlen saure Manganoxydul in der 2gl. Form auftreten.

Funderit von Poullaouen in der Bretagne wurde länger für einen zweigliedrigen Spathisenstein gehalten, bis Breithaupt (Pogg. Ann. 58. 779) bewies, daß es verzogene Rhomboeder seien, doch hat Dufrénoy (Traité minér. II. 507) davon keine Notiz genommen. Optisch einaxig. Auch das Eisen in den Sprudelsteinen findet sich nicht als Oxydul, sondern als Oxyd. G. Rose glaubt, daß neutrale kohlen saure Talkerde abgedampft auch eine aragonitartige Structur besitze.

### 8. Witherit W.

In der Umgegend von Anglezarf (Lancashire) benutzen die Bewohner längst einen gelblichen Stein als Mattengift, worin Dr. Withering (Phil. Transact. 1784. pag. 296) zuerst luftsaure Baryterde nachwies, daher nahm Werner (Bergm. Journ. 1790. III. 1. pag. 216) den Namen.

Zweigliedrig, aber von sechs gliedrigem Aussehen, wie es Haüy beschrieb. Rhombische Säule  $M = a : b : \infty$  bildet  $118^\circ 30'$ , durch die Abstumpfungsfäche der scharfen Säulenkante  $h = b : \infty a : \infty$  entsteht daher eine fast reguläre sechs seitige Säule mit Querstreifen auf allen Flächen,  $i = c : \frac{1}{2}b : \infty a$  macht über  $c$  einen leicht meßbaren Winkel von  $69^\circ$ , wornach

$$a : b = 0,818 : 1,375 = \sqrt{0,6687} : \sqrt{1,889},$$

$$\lg a = 9,91263, \lg b = 0,13816.$$



tritt zu  $i$  das Rhombenoktaeder  $o = a : b : c$  mit  $130\frac{1}{2}^\circ$  in der vordern Endkante, so bekommen wir eine scheinbar dihexaedrische Endigung, die mit der des gemeinen Quarzes große Ähnlichkeit hat. Doch findet man am Ende gewöhnlich Spuren eines weitem Oktaeders. Vorzüglich zu Alston in Cumberland und Hexham in Northumberland auf Bleiglanz. Die Ähnlichkeit mit dem sechs gliedrigen System setzt sich noch weiter in Haüy's triannulaire fort. Hier tritt zu  $M$ ,  $h$ ,  $o$ ,  $i$  noch  $f = 2a : 2b : c$ ,  $d = 4a : 4b : c$ ,  $P = b : c : \infty a$ ,  $x = c : 2b : \infty a$

und  $r = c : \infty a : \infty b$ . Eigenthümlich sind die gewölbten sechseckigen Tafeln von Bromley-Hill bei Alston, welche Thomson Sulphatocarbonate of Barytes nannte, die aber im Wesentlichen zum Witherit gehören. Auf der Wölbung erheben sich sechs zarte Linien von den Säulenanten aus, die ihrem Ansehen nach auf complicirte Zwillinge deuten. In nach Senarmont (Ann. Chim. 1854. 41. 64) sind selbst die scheinbar einfachen Dihexaeder Sechslinge, welche sich mit ihrem scharfen Säulenwinkel um einen Mittelpunkt legen, was die Lemniscaten im polarisirten Lichte so gleich zeigen, die aber jetzt nicht wie beim Aragonit in  $Ag$  b sondern in  $a$  liegen. Aehnlich mögen auch die gewölbten Platten sein. Die — optischen Axen schneiden sich in Ebene  $ac$  unter  $6^\circ - 8^\circ$ ,  $c$  Mittellinie.

Härte 3—4, Gewicht 4,3, etwas zum Fettglanz sich neigend. Gelblich grüne Flamme vor dem Löthrohr, schmilzt auf Kohle nicht schwer zu einer klaren Perle, die plötzlich stark zu brausen anfängt, Kohlensäure fahren läßt, und sich dann als künftige Baryterde ausbreitet. Dieses merkwürdige Verhalten brachte Blach auf die Vermuthung, daß beim Kalkstein auch wohl etwas Aehnliches Statt finden könnte.

Ba C mit 77,6 Ba 22,4 C

Das Pulver fällt in der Kälte dreiatomige Basen K, dagegen einatomige K nicht. In kalter concentrirter Salzsäure braust es nicht, sobald man aber die Säure (sogar sehr stark) verdünnt, so fängt es heftig an zu brausen. Das sich bildende Chlorbarium ist nämlich in Salzsäure unlöslich, im Wasser dagegen löslich. Die Zersetzung beginnt daher erst dann, wenn gehörige Wassermenge zur Aufnahme des sich bildenden Salzes vorhanden ist. Wegen seiner Löslichkeit ein so starkes Gift, weil sich daraus im Blute unlöslicher Ba S bildet, der die Capillargefäße verstopft.

Die Bleierzgänge des nördlichen England, welche im Bergkalk und Steinkohlengebirge aufsetzen, sind theilweis reich an diesem bei uns seltenen Mineral, besonders schön die halbtrübweißen Krystalle von Alston-Moor in Cumberland, dann die grünlichweißen derben Massen mit feinstrahligem Bruch von Shropshire &c. Das excentrisch strahlige des Längsbruchs erinnert in etwas an den muscheligen Bruch des Gypses. Unbedeutend sind die Fundorte von Leogang, in den Schwefelgruben Siciliens, zu Schlangenberg am Altai &c. Keiner kohlen-saurer Baryt findet sich in allen Stufen der Zersetzung durch Schwefelsäure bis zum völligen Uebergange in Schwerspath. Thomson's Sulphato-Carbonate of Barytes von Bromley-Hill in Cumberland gehört zu solchen Aftersbildungen.

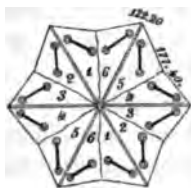
**Barytocalcit** Ba C + Ca C. Kommt zu Alston-Moor mit Witherit vor. In concentrirter Säure brausen sie anfangs, hören dann aber auf, und wenn man darauf verdünnt, so fangen sie nochmals stark an. Die Substanz scheint dimorph:

1) zweigliedriger Barytocalcit (Alstonit), sieht dem Witherit sehr ähnlich, und zeigt namentlich keinen ausgezeichneten Blätterbruch. Die Säule  $M = a : b : \infty c$   $118^\circ 50'$  weicht unwesentlich vom



Witherit ab. Interessant sind Drillinge, die zu Alston mit den Witheritafeln vorkommen, scheinbar scharfe Dihexaeder, deren Querstreifung in der Mitte durch eine Diagonale unterbrochen ist. Nach den Messungen von Descloizeaux sind es drei Oblongoktaeder  $\frac{1}{2}a : \frac{1}{2}b : c$ , die sich parallel der Hauptaxe dem Zwillingsgesetze gemäß durchdrungen haben.

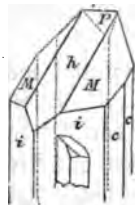
Die optischen Axen liegen sehr genähert und wie beim Aragonit in der Agenebene b c. Der Querschnitt von Senarmont macht



im Polarisationsmikroskop das Verhältniß sogleich deutlich: von den 12 Lemniscaten gehören je zwei miteinander parallele einem Individuum an, es ist also ein Sechsling. Da jedoch 6 Individuen nicht völligen Platz um einen Punkt haben, so scheint die Sache durch regelmäßige Knickung der Seiten-Flächen ausgeglichen zu sein. Flußspathhärte, Gew. 3,6.

Bromley-Hill bei Alston-Moor (Bromlite) und Gallowfield in Northumberland. Thomson glaubte anfangs  $2 \text{ Ca C} + \text{Ba C}$  gefunden zu haben, und nannte ihn daher Vibarytocalcit; Johnston (Pogg. Ann. 34. 666) weist dagegen vollkommene Uebereinstimmung nach mit Brookes

2) zweiundeingliedrigem Barytocalcit. Die kleinen Krystalle zeigen beim ersten Anblick einen Gypsartigen Habitus. Eine geschobene Säule  $i = a : b : \infty$  hat vorn ihren scharfen Winkel von  $84^\circ 45'$  (Brooke, Pogg. Ann. 5. pag. 160), die Säule stark längsgestreift, und mit ihrem Unterende aufgewachsen. Es kommen noch Zuschärfungen der seitlichen Kante vor ( $c = a : \frac{1}{2}b : \infty$ ), die häufig herrschend werden und



die sichere Bestimmung der Säule sehr erschweren. Eine matte Schiefendfläche  $h = a : c : \infty$  gegen die Axe c  $61^\circ$ , in ihrer Diagonalzone ein Angitpaar M/M  $106^\circ 54'$  so deutlich blättrig als beim Kalkspath; h und M nehmen gewöhnlich das ganze Ende ein, und bilden hinten eine scharfe Ecke, die sich auch leicht wegsprengen läßt, und dann glänzt ein dritter deutlicher Blätterbruch P hervor,

$45^\circ$  gegen Axe c geneigt. Da P/M  $102^\circ 54'$  machen, so kann man die drei Blätterbrüche ihrem Glanze und Winkeln nach mit Kalkspath verwechseln. Härte 4, Gew. 3,7. Durchaus von Kalkspathartigem Aussehen. Negative optische Axen liegen nach Hrn. Descloizeaux in einer hintern gegen Axe c nur  $3^\circ 22'$  geneigten Schiefendfläche. Alston-Moor, die Krystalle oft mit Kalkspath wie überzuckert, wodurch ihr Glanz nicht gelitten hat. Wenn aber Schwerspath darauf sitzt, so sollen sie trübe sein, weil derselbe sich auf Kosten ihrer Substanz bildete.

## 9. Strontianit.

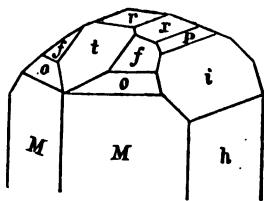
Sulzer in Ronneburg brachte ihn von Strontian in Schottland (Argyleshire), wurde mit Witherit verwechselt. Allein das mit seiner salpetersauren Lösung getränkte Papier gab eine rothe Flamme, und

Blumenbach bemerkte, daß er auf Thiere nicht giftig wirke, Klaproth Beitr. I. 260. Deshalb vermuthete Cramford schon 1790 eine neue Erde darin, die sich auch bald fand (Strontium, Bergmänn. Journ. 1791. IV. 1. pag. 433). Durch Schmeißer (Philos. Transact. 1794. pag. 418) wurde das interessante Mineral zuerst genauer bestimmt.

Zweigliedrige Säule  $M = a : b : \infty c$   $117^{\circ} 19'$  und  $P = b : c : \infty a$   $108^{\circ} 12'$ , daraus folgt

$$a : b = \sqrt{0,654} : \sqrt{1,808}.$$

Die Krystalle gewöhnlich unbestimmbar nadelförmig, doch führt schon Haug von Leogang die Flächen  $h = b : \infty a : \infty c$ ,  $o = a : b : c$  und  $f = 2a : 2b : c$ , also ganz wie beim Witherit an, und da nun auch die Zwillinge nicht fehlen, so ist der Isomorphismus mit Aragonit vollkommen. Dieß bestätigen namentlich auch die kleinen 2 mm großen Krystalle von **Glausthal** (Hessenberg, Abh. Sendeb. Nat. Ges. 1870 VII. 257). Man findet daran außer  $MPhof$  noch die Geradenfläche  $r = c : \infty a : \infty b$ , das vordere Paar  $t = 2a : c : \infty b$  „einziges Macrodoma“; außer  $P$ ,  $i = \frac{1}{2}b : c : \infty a$ ,  $x = 2b : c : \infty a$  noch fünf „Brachydomen“ 032, 041, 061, 081, 0.12.1, und außer  $of$  noch sechs „Pyramiden“: 332, 221, 331, 441, 881, 445. Der blättrige Bruch der Säule  $M$  vielleicht etwas deutlicher als beim Witherit, im übrigen ein sehr ähnliches Aussehen. Härte 3—4, aber etwas leichter. Gew. 3,6. Die optischen Axen schneiden sich unter  $6^{\circ} 56'$ , und liegen wieder wie beim Aragonit in der Agenebene  $bc$ .



Vor dem Löthrohr vortrefflich erkennbar: er schmilzt kaum, die Probe verliert ihre Kohlenäure, es schießen kurze blendend weiße Stäbe daraus hervor, stärker leuchtend als Kalkspath, und die Flamme purpurroth färbend.

Sr C mit 70 Sr, 30 C,

gewöhnlich etwas Ca C dabei, bis 6,5 p.C. Er braust selbst in concentrirter Säure stark. Zu Bräunsdorf bei Freiberg mit Braunspath auf Quarz mit schönen Krystallnadeln, auf Bergwerkswohlfahrt zu Glausthal in garbenförmigen Krystallen auf Schwerspath angeflogen, die schönsten Krystalle auf den Erzgängen von Leogang (Salzburg). Auf den Erzgängen von Strontian kommen sie in derben strahligen Massen vor, von grünlicher Farbe, andere sind gelblich, aber nicht so safrig als Witherit. Merkwürdig sind die 1" bis 2 Fuß mächtigen Gänge auf dem Kreideplateau von Beckum bei Hamm (Pogg. Ann. 50. 100), wohl die größten bis jetzt bekannten Massen, die jährlich gegen 1000 Ctr. in den Handel brachten. Bei Drensteinfurth werden sie bergmännisch gewonnen, und beim Raffiniren des Zuckers verwendet. Am Monte Paterno bei Bologna finden sich Mergelkugeln mit feinen Krystallnadeln im Innern. Auch in den Kammern von Ammonites angulatus des Lias  $\alpha$  kommen sie in mehrligen Halbkugeln vor.

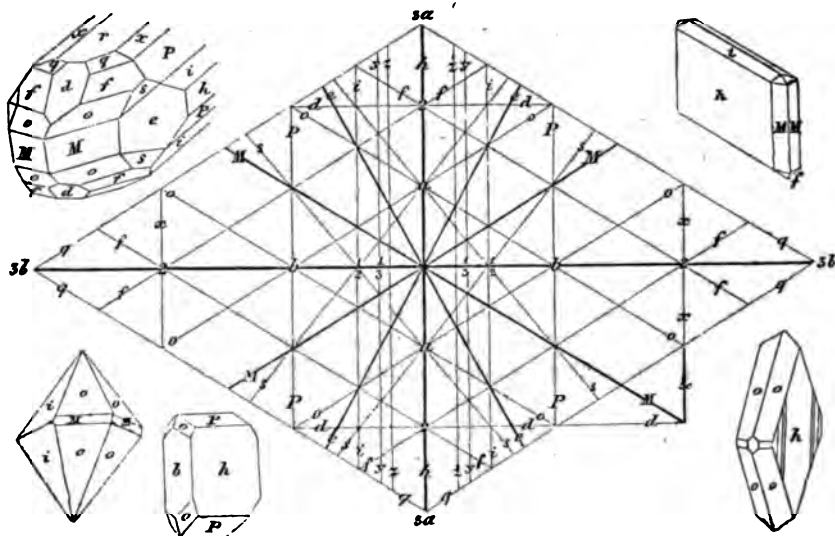
Strom mit Traill von der Insel Stromneß in den Orfaden hat

68,6 Sr C und 27,5 Ba C. Emmonsit von Massachusetts ist ebenfalls kalkhaltig. Da Baryt- und Strontianerde gewöhnlich zusammen vorkommen, so sind solche Gemische leicht erklärlich, nur die Schwierigkeit bleibt, wo die neue Species anfängt.

### 10. Weißbleierz.

Die Vergleute aus der ersten Hälfte des vorigen Jahrhunderts kennen es bereits unter dem Namen Bleispath, obgleich nicht sonderlich späthig, so „zerspringet er doch im Feuer wie Spath.“ Wallerius 1747 hat beide Namen, Cronstedt heißt es *Cerussa indurata* (verhärteter Bleiocher), woher der Name Cerussit. Romé de l'Isle kennt schon 1772 die Uebereinstimmung der Krystallisation der la Mine de Plomb-blanche mit Salpeter. Kirwan wies darin Luftsäure nach, und Klaproth Beitr. III. 167 gab davon die erste noch gültige Analyse.

Weißbleierz projectirt auf die Geradenfläche r.



Zweigliedrig mit aragonitartiger Zwillingbildung. Geschobene etwas blättrige Säule  $M = a : b : \infty$   $117^\circ 14'$ , ein auf die scharfe Kante aufgesetztes Paar  $P = b : c : \infty$  macht unter sich  $108^\circ 14'$ , gibt

$$a : b = 0,8432 : 1,382 = \sqrt{0,71} : \sqrt{1,911},$$

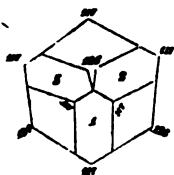
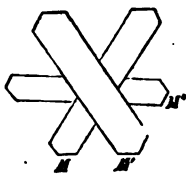
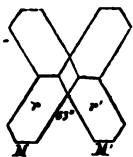
$$lga = 9,92593, lgb = 0,14060.$$

Gewöhnlich herrscht die längs- und quergestreifte Fläche  $h = b : \infty : \infty$  und das Oktaeder  $o = a : b : c$  mit dem vordern Endantenwinkel von  $130^\circ$ . Wenn zum Oktaeder  $o$  die Zuspitzung  $i = c : \frac{1}{2}b : \infty$  tritt, so entstehen dihexaederartige Endigungen;  $h$  wird durch Querstreifen häufig bauchig, weil außer  $P$  und  $i$  noch  $x = c : 2b : \infty$ ,  $y = c : \frac{1}{2}b : \infty$



und  $z = c : \frac{1}{2}b : \infty a$  sich einzusetzen streben. Wenn  $o$  zurücktritt, so entstehen vierseitige Tafeln. Die Geradenfläche  $r = c : \infty a : \infty b$  und die Abstumpfungsfäche der stumpfen Säulentaute  $b = a : \infty b : \infty c$  kommen auch häufig vor;  $b$  mit  $h$  bilden bei Badenweiler eine Oblongsäule, die senkrecht gegen die Axe  $c$  gesehen einen auffallenden Seidenglanz zeigt. Ein vorderes Paar  $d = c : 2a : \infty h$  etwas drusig traf man oft bei Lacroix in den Vogesen und Przißram in Böhmen. Besonders flächenreich sind die schönen schottischen von Leadhills (Lanarkshire) und Nertschinsk, woran nicht bloß alle genannten, sondern auch noch die Flächen  $e = a : \frac{1}{2}b : \infty c$ ,  $f = c : 2a : 2b$ ,  $q = c : 3a : 3b$ ,  $s = a : \infty : \frac{1}{2}b$ . Kotscharov (Water. 1874. VI. 100) fand an den großen Krystallen vom Ural, Altai und aus Transbaikalien die zahlreichen Flächen: 100, 010, 001; Säulen 110, 310; ein einziges vorderes Paar 102, viele seitliche Paare 012, 011, 021, 031, 041, 051, 061, 071 und sechs Oктаeder 114, 113, 112, 111, 211, 121. Nimmt man dazu noch die seltene Fläche, welche B. v. Lang maß: 302, 313, 322, 324, 352, 134, 394, 173, so kann der Reichthum zum Muster dieser merkwürdigen zweigliedrigen Gruppe (Aragonit, Witherit, Strontianit) dienen.

Zwillinge so vorherrschend, daß nur selten einfache Krystalle vorkommen. Bei Lacroix fanden sich früher einfache Zwillinge in Säulen von  $117^\circ$  und  $121\frac{1}{2}^\circ$  mit den Endigungen  $d$  und  $x$ , die Flächen  $x$  und  $x'$  unten zwischen den Rhombenflächen  $d$  bilden einen einspringenden Winkel. Scheinbar einfache Individuen haben öfter Zwillinglinien. Die meisten Zwillinge zeigen jedoch stark einspringende Winkel in der Säule, der häufig jede Ausfüllung fehlt. Gar gern bilden sie stumpfe Haken von  $117^\circ$ , an denen nichts ein spiegeln will, weil an der Zwillingsgrenze sich alles ausfüllt. Wenn jedoch diese Haken sich durchwachsen, so spiegeln im scharfen Zwillingswinkel von  $63^\circ$  Säulen- ( $M$  mit  $M'$ ) und Oктаederflächen ( $o$  mit  $o'$ ) ein, weil für diesen die gemeinsame Zwillingsebene nicht dazwischen, sondern quer ( $M$  und  $M'$ ) liegt. Gewöhnlich ist ein Individuum kräftiger, und das dient dem andern zur Stütze. Kommt ein drittes hinzu, so setzt sich das in den stumpfen Winkel dem einen oder dem andern als Zwilling an, und nun entsteht wie beim Aragonit *mésotome* pag. 518 beim Durchwachsen im Querschnitt der Säule ein Sechseck mit 6 Winkeln von  $117^\circ$ , deren eines Paar gegenüberliegender Flächen  $171^\circ$  einspringt. Wenn in den Drillingen die Oктаeder herrschen, wie bei mehreren Schwarzwäldern, so entstehen förmliche Dihexaeder, bei denen man nicht selten Mühe hat, den einspringenden Winkel zweier gegenüberliegender Dihexaederflächen zu finden, weil der Knick durch Verkümmern einer Fläche genau in die Endtaute des Dihexaeder gerückt sein kann. Durchwachsen die



Individuen sich nicht, so hat bei der Ausfüllung der Querschnitt der Säule 4mal  $117^\circ$  und 2mal  $126^\circ$  Grad. Die beiden Individuen 2 und 3 sind in den Krystallen von Wies öfter schwach gegen 1; da sich nun der Winkel von  $9^\circ$  ausfüllt, so scheinen die quergestreiften Flächen h sich unter  $126^\circ$ , statt unter  $117^\circ$  zu schneiden. Ein zweiter Zwilling mit der Zwillingsebene  $a : \frac{1}{2}b : \infty$ , welcher sich am Altai, zu Leadhills und Aachen (Pogg. Ann. 156. 666) fand, würde sich auch hier zur ersten Zwillingsebene nahezu reciproc verhalten.

Raum härter als Kalkspath 3—4; Gew. 6,4—6,7. Farblos bis weiß, nur zufällig schwarz oder laurbau, sogar schwefelgelb auf Goldgängen von Verejow. Diamantglanz oft in ausgezeichnetem Grade. Starke Strahlenbrechung 2. Die — optischen Axen liegen (dem Aragonit nicht entsprechend) in der Axenebene  $ac$  und machen mit  $c$  einen Winkel von  $2^\circ 37'$ , unter sich also  $5\frac{1}{2}^\circ$ ,  $\rho > \nu$  mit sehr starker Dispersion der Farben. Wärme vergrößert den Axenwinkel.

Vor dem Löthrohr decrepitiert es heftig, wenn man aber die Kohle aus großer Entfernung nähert, so wird es anfangs roth (Mennige), etwas stärker erhitzt bleibt zwar die Masse auch roth, wird aber beim Erkalten gelb (Pb), erst dann fängt es an zu schmelzen und reducirt sich gleich zu Blei, das verflüchtigt die Kohle mit gelber Bleiglätte beschlägt.

Pb C mit 83,5 Pb, 16,5 C.

Ein kleiner Gehalt an kohlensaurem Silberoxyd bis 0,1 p. C. rührt ohne Zweifel vom Bleiglanz. Igleciasit (Zinnbleispath) vom Berge Ponì bei Iglecias auf Sardinien enthält bis 7 p. C. Zn C, also (Pb, Zn) C. Weißbleierz wirft in kalter Salpetersäure nur wenige Blasen, löst sich aber vollkommen.

Ohne Zweifel Zersetzungspoduct von Bleiglanz. Die Krystalle sitzen daher nicht bloß auf angefressenem Bleiglanz, sind durch Bleimulm noch schwarz gefärbt (Schwarzbleierz), sondern die ganze Gangmasse zeigt ein zerfressenes Ansehen gemengt mit Mangan- und Brauneisenoxyd. Häufig ein strohgelber Ocker (zerreibliche Bleierde), es ist Bleioxyd, das zur Salzbildung nicht Kohlensäure genug fand. Nur der Quarz leistete der Zersetzung Widerstand, so zerfressen er auch aussehen mag. Nach H. v. Dechen geht im alten Elisabethstollen am Bleiberge von Commern die Bildung noch vor sich: es setzen sich an den Seitenwänden des Schachtes fortwährend feine Krystallnadeln ab, wobei Kohlensäurehaltige Wasser mithelfen (Jahrb. 1858. 110). Auf den Goldgängen von Verejow in Afterskrystallen nach Bleiglanz, auf Friedrichsseegeen bei Oberlahnstein in der Region des Eisernen Gutes nach Brauneisenstein (Jahrb. d. geol. Ges. XXI. 66), das Blei wurde durch Eisen vertreten, und das oxydirt sich in Fe H.

Krystalle finden sich besonders schön auf ockerfarbigem Quarz bei Freiberg (Isaak, Romm Sieg mit Freuden), Bernkastel an der Mosel; früher auf der Grube Hausbaden bei Badenweiler, Friedrich Christian

in der Schappach; Mies und Przibram in Böhmen auf Bleiglanz sitzend. Zu Barnaul am Altai werden 20 Pud schwere Drusen aufbewahrt.

Stangenförmiges Weißbleierz ist auf dem Oberharze bei Clausthal und Zellerfeld zu Hause: cylinderförmige Säulen mit kleinschelligem Querbruch und faseriger Längsstructur, die Faser hat Seidenglanz und entspricht der Hauptaxe c. Auf der Grube Glückstad im Schulenburg'schen Zug bei Zellerfeld kamen sie vormalig mit Malachit überzogen vor, doch bringt die Smaragdgrüne Farbe nicht ein. Vorzüglich schöne schneeweiße Nadeln im braunen Eisenocker auf dem blauen Stollen von Zuckmantel, aber zerbrechlich.

Bleierde ist nichts weiter, als eine von Weißbleierz durchdrungene Thon- oder andere Gebirgsart: solche wird im rothen Letten und Sandstein von Rast an der Röhre in der Eifel und auf den Galmeylagern von Tarnowitz gewonnen; auf dem Harze die Grauwacke durchdrungen; auf der Grube Hausbad im rothen Thon, der förmlich glänzt. Auch die bauchigen Säulen des Hornblei von Beuthen sind in solche schmutzig gelbe Bleierde verwandelt. Davon ist das schon oben genannte strohgelbe Pulver zu unterscheiden (zerreibliche Bleierde), welches neben Krystallen auf dem zerfressenen Quarz liegt, und nichts als Bleiorhyd zu sein scheint, das etwas Kohlensäure angezogen hat.

Sehr bemerkenswerth sind die Doppelsalze mit C und S von Leadhills, die wir unten nach dem Bleivitriol anführen werden. Carbonate überhaupt finden wir mit Hydraten nochmals bei den salinischen Kupfererzen, dann besonders bei den in Wasser löslichen Salzen, die alle zu dieser Reihe nicht gehören.

Krystallographisch erinnert an die Kalispathreihe noch Natronsalpeter  $\text{Na} \overset{+}{\text{N}}$  und Rothgülden  $\text{Ag}^+ \overset{+}{\text{Sb}}$ ; an die Aragonitreihe Kalisalpeter  $\text{K} \overset{+}{\text{N}}$  und Bournonit ( $\text{Pb}^+ + \text{Cu}$ )  $\overset{+}{\text{Sb}}$ .

Als seltene unwichtige Carbonate nenne ich hier kohlen-saures Silber  $\text{Ag} \overset{+}{\text{C}}$  (Grausilber, Selbit) von der Grube Wenzel, welches schon Walchner als ein Gemenge von Braunsphat und Silbererz erkannte, Jahrb. 1864. 221. Kohlen-saures Wismuth (Wismutit, Breithaupt Pogg. Ann. 53. 622) von Ullersreuth im Voigtlande, Afterskrystalle von schmutzig zeisiggrüner Farbe im verwitterten Spath-eisenstein, scheint aus Wismuthglanz entstanden zu sein. Wismuthsphat  $\text{Bi}^+ \text{C}^+ \text{H}^+$  aus den Goldgruben von Chesterfield in Südkarolina gleicht nach Rammelsberg dem Weißbleierz. Soll in Mexico in Centnerschweren Blöcken vorkommen, Jahrb. 1873. 801. Ein Wismuth Hydrocarbonat ist in Frankreich (Corrèze) Gegenstand des Bergbaues. Der zweigliedrige Schröding'erit (Jahrb. 1873. 646) von Joachimsthal ist ein wasserhaltiges Kohlen-saures Uran. Tengerit auf Gadolinit von Ytterby soll im Wesentlichen Kohlen-saure Yttererde sein.

## Schwefelsaure salinische Steine.

## 1. Gyps.

*Γύψος* Theophrast *περι λίθων* 110, gypsum Plin. hist. nat. 36. 59 „wird gebrannt und aus der Erde gegraben, angefeuchtet muß er sogleich benutzt werden, weil er schnell gesteht (coit)“. Spät bei Regenberg 453 „durchsichtig sam ein Glas, macht in für die venster, sam in Dürgen (Thüringen). Spartacus Agricola 705. Chekao der Chinesen, zur Porzellanglasur verwendet. Selenites (Mondstein) bei Wallerius. Marggraf *Mém. Acad. roy.* 1750 erkannte darin schon die Vitriolsäure.

2 + 1gliedrig, späthige Stücke zeigen dreierlei Brüche:

1) blättriger Br.  $P = b : \infty a : \infty c$  mit Perlmutterglanz gibt an Deutlichkeit nur dem Glimmer nach und entspricht der Mediaebene des Systems, daher stehen beide andere auf ihm senkrecht;

2) muscheliger Br.  $M = a : \infty b : \infty c$  leicht erkennbar an dem Glasglanz, an der Sprödigkeit und den excentrischen Strahlen, welche von unregelmäßig zerstreuten Punkten ausgehen;

3) safriger Br.  $T = \frac{1}{2}a' : c : \infty b$  mit Seidenglanz und gemeiner Biegsamkeit, und deshalb unter allen dreien am schwersten darzustellen.  $M/T$   $113^\circ 8'$  nach Haüy, Neumann berechnet  $113^\circ 46'$ , G. Rose maß  $114^\circ 24'$ . Die fetten Thonmergel der Juraformation (Oxford) schließen um und um gebildete „Decaeder“ ein, Haüy's *trapéziennes* von außerordentlicher Schönheit,  $P$  bildet daran rhomboidische Tafeln mit  $127^\circ 44'$ , deren scharfe Zuschärfung  $f = a : b : \infty c$  den Säulenwinkel  $111^\circ 26'$  macht, von dem man auszugehen pflegt, und deren stumpfe  $l = c : \frac{1}{2}a : \frac{1}{2}b$  sich unter  $143^\circ 42'$  schneiden (Weiß *Abh. Berl. Akad. Wiss.* 1821. 186 und 1834). An diesen Krystallen stumpft der muschelige  $M$  den vordern stumpfen Säulenantenwinkel  $f$  ab und der safrige  $T$  hinten die scharfe Ecke. Häufig ist außerdem ein hinteres etwas blättriges Augitpaar  $n = \frac{1}{2}a' : \frac{1}{2}b : c$ , dessen stumpfer Winkel von  $138^\circ 28'$  durch den safrigen Bruch  $T$  abgestumpft wird. Auch die Schlagfigur pag. 159 gibt auf der Hinterseite noch einen schwachen Blätterbruch. Gehen wir von den Winkeln

$$f/M = 55^\circ 43'; \quad \frac{a}{b} = \operatorname{tg} 55.43;$$

$$l/M = 71^\circ 51'; \quad \frac{b}{4a} \sqrt{(5+k)^2 + a^2} = \operatorname{tgo} 71.51;$$

$$n/M = 69^\circ 14'; \quad \frac{b}{4a} \sqrt{(3+k)^2 + a^2} = \operatorname{tgi} 69.14 \text{ aus:}$$

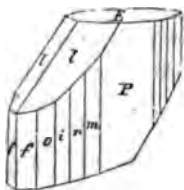
so findet sich  $+k = 1 + \frac{\operatorname{tg}_1^2 - \operatorname{tgo}^2}{\operatorname{tg}^2} = -0.092$ , der stumpfe Winkel

$\frac{c}{a} = 90^\circ 48' 20''$  liegt daher auf der Vorderseite und weicht kaum vom rechten ab.

$$a : b : k = 6,577 : 9,648 : 0,0925 = \sqrt{43,26} : \sqrt{93,09} : \sqrt{0,0085}.$$

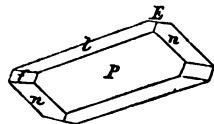
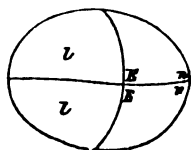
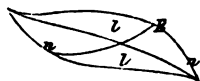
$$\lg a = 0,81805, \lg b = 0,9844, \lg k = 8,96614.$$

Die Krystalle aus den Salzgebirgen von Berg im untern Wallis zeichnen sich nicht bloß durch besondere Klarheit aus, sondern zeigen auch in der Säulenzone eine ganze Reihe meßbarer Flächen:  $o = a : \frac{1}{2}b : \infty c$ ,  $r = a : \frac{1}{2}b : \infty c$ ,  $m = a : \frac{1}{2}b : \infty c$ , zwischen  $r/o$  noch  $i = a : \frac{2}{3}b : \infty c$  u. Bei verkürzten Säulen (Dürrenberg) entsteht eine förmliche gestreifte Kreislinie in dieser Zone. Dazu kommt auf der Hinterseite eine eigenthümlich gerundete Fläche  $E = o : 3a' : \infty b$ , die sich am Mont Martre, bei Berchtesgaden u. zeigt, und die erste Veranlassung zur Linsenbildung gibt. In ihrer Diagonalzone liegen selten  $u = 3a' : \frac{1}{2}b : c$  und  $\omega = 3a' : \frac{2}{3}b : c$ . In der Diagonalzone von T werden außer  $n$  noch  $x = \frac{1}{2}a' : \frac{1}{2}b : c$  und  $s = \frac{1}{2}a' : \frac{1}{3}b : c$  angegeben. Nehmen wir dazu  $r = a : \frac{1}{2}b : c$ ,  $k = \frac{1}{2}a : \frac{1}{3}b : c$  und die seltene Schiefenfläche  $q = a : c : \infty b$ , so sind das die wichtigsten Flächen.



Raumann nimmt 1111 und n1'11 als Octaeder, dann ist  $a : b : c = 2,4 : 1,666 \dots : 1$ ,  $a/c$  vorn  $99^\circ 4'$ . Die Flächenausdrücke werden deshalb einfacher: P 010, M 100, T 1'01, q 001, f 110, r 011, z 101, o 120, r 130, m 140, i 250;  $\lambda$  230,  $\mu$  470,  $\rho$  270,  $\pi$  290, E 1'03, k 131, s 1'31, x 1'21,  $\omega$  1'13, u 1'33. Auf den Schwefelbrüsen von Gircenti nach Hefenberg die seltenen  $\beta$  509 und  $\delta$  5'10.12. Dr. Brezina (Eisenerz Mineral. Mitth. 1872. 10) fügte dazu noch 111, 1'11, 1'13, 310, 210, 320, 490, 023, 103, 995, 733, 2'34.

Linsenförmige Krystalle lassen sich deutlich verfolgen: zu-



nächst verkürzt sich die Säule, man erkennt aber noch sehr deutlich Pfln, wiewohl die Augitpaare l und n schon eine starke Rundung angenommen haben, so findet man sie am Mont Martre bei Paris. Dann aber verschwindet jede Spur von Säulenfläche, kaum bleibt in der Gegend von P bei unversehrten noch ein Schiller, die Buchstaben von c zeichnen sich aus, und von hier fällt dann die Linse nach allen Seiten hin schön gerundet ab: besonders instructiv in den Mergeln der Vaculitenschichten von Veneschiß an der Eger, groß und prächtig zu Ratscher bei Ratibor.

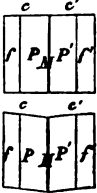
Zwillinge gibt es zweierlei, bei beiden spielt aber der Perlmutterbruch P ein. Am verbreitetsten finden sich

1. Die Zwillinge des Salzgebirges auf Druserräumen: sie

haben die Säule ff gemein und liegen umgekehrt. Gewöhnlich legen sie sich genau mit dem muscheligen Bruch M an einander, und da sie nun mit einem Ende aufwachsen, so ragt bald ein zweigliedriges Oktaeder, oder eine Gabel hinaus, die man gern mit einem Schwalbenschwanz vergleicht (Schwalbenschwanzzwillinge). Wer auch die feine Linie der Zwillingsgrenze auf P übersähe, den leitet doch der safrige Bruch T, welcher durch P durchscheint, und in beiden Individuen an der Zwillingsgrenze plötzlich aufhört. Bei Berg bilden umge-

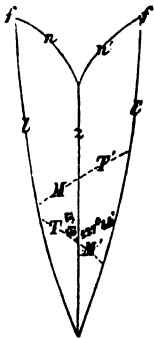


kehrt die Flächen n den Schwanz (Hessenberg). Man findet häufig handgroße Platten, worin die Faserbrüche durch ihren Schnitt unter  $132^{\circ} 28'$  noch deutlich die Zwillingungsverwachsung anzeigen. Mitscherlich bediente sich dieser Krystalle auf ingeniöse Art (Abh. Berl. Akad. 1825 pag. 212), um



zu beweisen, daß sie durch Wärme nach verschiedenen Richtungen sich verschieden ausdehnen. Er schloß eine Geradenfläche c daran, die senkrecht gegen P und f steht, erwärmte oder erkältete, so kam oben am Schwanzende ein einspringender und unten ein auspringender Winkel cc'. Bei  $8^{\circ}$  R. Temperaturdifferenz ändert sich der Winkel um  $1\frac{1}{4}'$ . Dieß könnte nicht der Fall sein, wenn die Krystallsubstanz sich nach allen Richtungen gleich ausdehnte. Nach Pfaff (Pogg. Ann. 107. 101) übertrifft er sogar noch die Metalle. In der nördlichen Sahara liegen Schwalbenschwanzzwillinge die 37 p. C. Sandkörner einschließen.

2. Pariser Zwillinge eingewachsen und nicht in Drusenräumen: es sind jene großen dem Optiker wohl bekannten weingelben Linsen, die



schon de la Hire (Mém. Acad. roy. 1710 pag. 342) stübirte und Tale de plâtre nannte. Bei ihnen spiegelt auch P ein, allein sie haben nicht ff sondern das Augitpaar l/l gemein; die Abstumpfungsfäche z der stumpfen Kante dieses Paares bildet immer die scharf erkennbare Zwillingsgrenze, f ist der zur Schneide gewordene Säulrand, l und n die Region der Augitpaare. Das Hauptkriterium liefern jedoch die Lagen des muscheligen und safrigen Bruchs, die man sich leicht an einem abgespaltenen Zwillingenblatt durch Querbruch verschaffen kann: der safrige Bruch T schneidet die Zwillingsebene z unter einem Winkel von  $61^{\circ} 31'$ , der muschelige M' dagegen unter  $127^{\circ} 44'$ : der Winkel zwischen M' und T beträgt also  $170^{\circ} 45'$ , daher liegen M und T' in einer Flucht, die nur um  $9^{\circ} 15'$  auf der Zwillingsgrenze geknickt ist. Es kommen nun freilich in Beziehung auf die Zwillingsgrenze und Größe der Individuen gar manche Modificationen vor, doch selten Schwierigkeiten. Lehrreich sind in dieser Beziehung die Zwillinge von

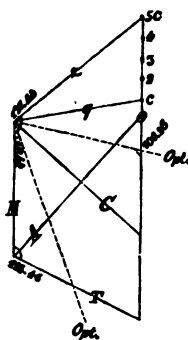
Worl bei Halle an der Saale, wahrscheinlich in die dortige Porzellanerde eingesprengt, die um und um ausgebildeten Individuen durch-

wachsen sich so, daß an beiden Enden ein schönes Oblongottaeder  $fff'f'$  entsteht. Nur mit Mühe finden sich die vollständigen Zwillingsgrenzen. An der Stelle des Paares 1 lagert sich eine drusige Schiefenfläche  $z = \frac{1}{2}a : c : \infty b$ , die mit P eine Oblongfäule bildet.



Die optischen Azen liegen im Blätterbruch P. Neumann (Pogg. Ann. 27. 240) suchte zu beweisen, daß die thermischen, optischen und krystallographischen Azen rechtwinklig seien und zusammenfallen; unter optischen die Fresnel'schen Elasticitätsazen verstanden. Aber dann muß man die drei neuen krystallographischen Azen  $AbC$  auf folgende Weise wählen:

Aze  $b$  bleibt wie vorher, und steht wie immer senkrecht auf die Medianebene P, in welcher auch A und C liegen. Verzeichnen wir uns nun die Tafel der drei Brüche von  $113^\circ 46'$ , so macht Kante  $l/l = z = a : 5c$  mit M  $127^\circ 44'$ ; Schiefenfläche  $q = a : c$  mit M  $99^\circ 28'$  und halbirt man diesen Winkel, so gibt das die optische Mittellinie C, welche Neumann als seine krystallographische Hauptaxe nimmt. Sie liegt im scharfen Winkel des Rhombus MT, und macht mit dem muscheligen Bruch M  $49^\circ 41'$  und mit dem fastrigen T  $16^\circ 30'$ . Zieht man nun A auf C senkrecht, so sind die neuen Azen für

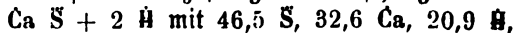


$$f = A : b : C = 1,18 : 1,12 : 1.$$

$$M = A : C : \infty b, T = \frac{1}{2}A' : C : \infty b \text{ u.}$$

Der Winkel der optischen Azen beträgt  $60^\circ$ , sie schneiden also C unter  $30^\circ$ . Beim Erwärmen nähern sich beide gegen einander jedoch in ungleichem Schritt pag. 127. Mittelft dieses Schemas kann man leicht die optischen Azen auf dem Blätterbruche P finden, man darf die Blätter nur auf unsere Figur legen. Prachtvoll sind die Farben dünner Blättchen im polarisirten Licht pag. 140, einfarbig, wenn gleich dick, mehrfarbig bei ungleicher Dicke. Die Newtonianischen Farbenringe zwischen dem Blätterbruch P, nicht selten beweglich beim geringsten Druck, sieht man oft.

Härte noch nicht 2. Mit einer geschnittenen Schreibfeder leicht in die Hand genommen bemerkt man deutlich, daß auf P parallel dem Faserbruch T die Feder nicht so stark wirkt als senkrecht dagegen. Gemein biegsam parallel dem fastrigen Bruch, und da er außerdem milde ist, so sind die Krystalle nach dieser Richtung oft auffallend gekrümmt. Parallel dem muscheligen Bruch ist er spröder, was man beim Zerbrechen dünner Blätter deutlich merkt. Fühlt sich wenig kalt an. Gew. 2,3. Oft ganz wasserhell, Farben stets von zufälligen Beimischungen.



was schon Bergman 1788 fand. Gibt 18,6 Schwefel, so daß die Natur im Gyps den meisten Schwefel niedergelegt haben dürfte. Mittelft Chlor-

blei könnte die Schwefelsäure vielleicht gewonnen werden (Eisner chem. tech. Mittb. 1857. V. 100). Auf Kohle in der innern Flamme reducirt er sich zu Schwefelcalcium. Schmilzt wegen der dünnen Blättchen nicht sonderlich schwer zu einem weißen Email. In 408 Theilen Wasser, also 0,24 p. C., löslich, daher Quellen der Gypsformation stets gypshaltig. In Alkohol unlöslich. Säuren, namentlich auch etwas Kochsalz, vermehren die Löslichkeit, dennoch scheidet sich Gyps in concentrirter Soole aus, wie die schönen Krystalle in den Salzburger Soolenleitungen zeigen. Schon bei 109° R. gibt der Gyps alles Wasser ab, und erhitzt man ihn darüber, so brennt er sich todt, d. h. er nimmt kein Wasser wieder auf. Daher gibt er auch in concentrirter Salzlösung gekocht sein Wasser ab, und wird Anhydrit. Erhitzt man ihn darunter, etwa bis 90°, wo er noch  $\frac{1}{2}$  Atom Wasser hält, so nimmt er, mit Wasser gemischt, schnell das Wasser wieder auf, erhärtet und erwärmt sich dabei. Voraglösungen verzögern die Erhärtung. Darauf beruht seine vielfache technische Anwendung. Die feinsten besonders zu Statuen brauchbaren Sorten liefert der blättrige farblose Gyps (*omnium autem optimum fieri compertum est e lapide speculari Plin.*), dieser kommt daher auch ungebrannt in den Handel. Man brennt ihn so lange, als das Aufwallen dauert. Der angemachte Gyps kocht zwar beim Brennen nicht auf, wird aber doch wieder brauchbar, Dingler Polyt. Journ. 180. 471. Gyps ist auch in der Dekonomie wichtig geworden: man streut ihn gepulvert roh oder besser gebrannt sparsam auf Futterkräuter (Klee, Lucerne, Esparsette), Wein und Hülsenfrüchte. Hauf und sumpfige Wiesen vertragen ihn nicht. Leguminosen und Cruciferen enthalten daher etwas Schwefel. Er wirkt auch gegen die Verunkrautung.

Seine Bildung findet sowohl auf trockenem als nassem Wege statt, Dr. Schacht fand sogar, daß in den Zellen, welche die Bastbündel unmittelbar umgeben, die häufigen Krystalle gewöhnlich Gyps seien, besonders schön bei Welwitschia. In vulkanischen Gegenden, wo Schwefelwasserstoff und schweflichte Säure fortwährend entweichen, kann es an Zersetzung der Kalkfelsen nicht fehlen, und wo Schwefelmetalle auf Erzgängen, besonders aber Schwefelkies in den Thonmergeln verwittern, tritt gern Gyps als Nebenprodukt auf. Doch spielt er auf Erzgängen als Ganggestein niemals eine Rolle, so schön andererseits die Krystalle in den Thonmergeln der Jura- und Kreideformation vorkommen, die lediglich dem dortigen Schwefelkies ihr Dasein verdanken dürften. Aber alles dieses sind verschwindende Mengen gegen die Stöcke und Lager sonderlich des Felsgebirges. Könnten wir auch für den fälschlich genannten Urgyps mit eingesprengtem Glimmer im Glimmerschiefer der Alpen (Val Canaria) oder für die mit Serpentin vorkommenden Stöcke der Pyrenäen die Schwefelsäurequelle im Innern der Erde suchen, so muß doch wohl die große Menge der folgenden Lager gleich aus dem Meerwasser, woraus sie sich niederschlugen, ihren Schwefelsäuregehalt bezogen haben. In Amerika finden sich Gypslager mit Salz schon unter der Steinkohlen-



formation, bei uns ist der von großen „Schloten“ durchzogene Bechsteingyps am Rande des Harzes der älteste, dann hat aber auch der Buntsandstein, Muschelkalk und Keuper bedeutende Lager, bis in das Tertiärgebirge herauf, ja die weiße Asche im Krater von Vulcano soll wesentlich aus Gyps bestehen.

Das Gypsgebirge ist nicht bloß durch den Einschluß von Thierresten, besonders der Wirbelthiere, merkwürdig: Säugethierknochen bei Paris, Schildkröten am Hohenhörn, Fischschuppen im Keupergyps zc., woher der nicht seltene Gehalt an Bitumen erklärt werden könnte, sondern es bildet auch eine Fundgrube für ganz eigenthümliche Minerale: Boracit von Lüneburg, Aragonit und rothe Quarzkrystalle in Spanien und Südf Frankreich, Bitterspath bei Hall in Tyrol, Schwefel, Cölestin zc., und noch unbeantwortet ist die Frage, in welchem innern Zusammenhang er mit Anhydrit stehe.

Gypskrystalle schließen öfter bewegliche Wassertropfen ein. Sie tapeziren vor allem die Wände größerer und kleinerer Höhlen im Gypsgebirge aus, Wölbungen von mehreren Hundert Fuß Durchmesser findet man in den Alpen überkleidet, der kleinste Spalt reicht zu ihrer Bildung hin. Viele dieser Krystalle sind offenbar ganz neuern Ursprungs, denn in Bohrlöchern zu Wilhelmshütten bei Hall am Roder fanden sich in Räumen, wo die Soole im Gebirge nur wenige Jahre stand, die schönsten Krystalle unter Verhältnissen, die es ganz außer Zweifel setzen, daß diese Soole selbst erst die Veranlassung zu jenen Krystallbildungen gegeben hat. In den Dornsteinen der Saline Rehme oberhalb Preussisch- Minden kann man die Gypskrystalle von mehr als  $\frac{1}{2}$  Zoll Größe sehr deutlich erkennen. Riesige Krystalle füllen nicht selten große Spalten aus: prachtvoll die schenkelbilden wasserhellen Zwillinge von Friedrichroda im Bechstein am Nordrande des Thüringer Waldes, die Flächen trotz der Größe scharf und meßbar, durch Druck oft wellig auf P senkrecht gegen c. Dann nimmt aber die Deutlichkeit der Krystallflächen ab, höchstens zeigt die Oberfläche linsenförmige Rundung, so findet man sie in riesenhafter Größe in einer Muschelkalkspalte des Siwedenberges bei Quedlinburg, weingelb oder wasserhell erfüllen sie in verworrener Masse Theile der Spalten, man kann hier die Blätter von mehr als Fuß Durchmesser bekommen, sie sind aber nicht ganz so hart und glasig, als die Pariser Zwillinglinsen, welche im Klebschiefer oder dichten Gypsgebirge eingesprengt liegen. Bei Wielezka spricht man von Dachtergroßen Krystallen. Lehrreich sind die kleinen Krystalle aus dem Muschelkalkgyps von Felschausen bei Nagold, woran so ausgedehnt ist, daß man mittelst Erwärmen die Veränderung des optischen Axenwinkels unmittelbar wahrnehmen kann pag. 127.

Frauen eis (Marienglas) heißen in der Volkssprache schon längst die farblosen späthigen Massen. Da das Klare derselben ein Sinnbild der Keuschheit bot, so liebt man es, die Marienbilder damit zu schmücken, wie schon bei den Circensischen Spielen der Boden damit bestreut wurde »ut sit in commendatione candor.« Ohne Zweifel das Fensterglas,

*lapis specularis* (faciliore multo natura finditur in quamlibet tenues crustas Plinius hist. nat. 36. 48), das vorzugsweise aus Spanien kam, und 5' Durchmesser haben konnte. Auch von ihm glaubten die Alten, daß es wie der Bergkry stall gefrorenes Wasser sei, „denn wenn Thiere in solche Quellen fielen, so sei schon nach einem Jahre das Mark ihrer Knochen in den gleichen Stein verwandelt (hier schwebten dem Schriftsteller vielleicht die Kalkspäthe vor, welche man z. B. in den Marktröhren bei Marathon findet), jetzt ertragen sie die stärksten Sonnenstrahlen.“ Er diente zu Bienenkörben, um die Bienen darin arbeiten zu sehen, Plin. 21. 47. Uebrigens verwechselten die Alten nicht bloß den Glimmer damit, sondern alles was klar und blättrig war, namentlich Kalkspath und Schwerspath. So könnte Plin. 36. 48 schon auf den Schwerspath von Bologna (in Bononiensi Italiae etc.) angespielt haben, freilich kommen dort auch die klarsten Gypse der Welt in großen Linsen vor. Agricola deutet das griechische *σεληνίτης* (Mondstein) auf Gyps, und Plinius hist. nat. 37. 67 sagt: *Selinitis ex candido translucet melleo fulgore*, das könnte wohl auf die beim Gyps so häufige weingelbe Eisensfärbung anspielen, aber von einer Sicherheit kann bei solchen Deutungen entfernt nicht die Rede sein.

Faser gyps durchschwärmt gern das Gestein in Platten nach verschiedenen Richtungen. Parallel der Faser sieht man oft noch den ersten Blätterbruch P, ja in der Dauphiné finden sich handhohe Bänke, woran der muschelige Bruch noch schief die Faser schneidet, so daß die Faser ohne Zweifel mit der Bildung des faserigen Bruchs T in engster Beziehung steht. Wird die Faser fein, so nimmt sie den schönsten Seidenglanz an, wie der Seidengyps von Ellrich bei Nordhausen, im Reuper der Schweiz u., zu Perlen geschliffen zeigen diese einen innern beim Drehen beweglichen Lichtschein. Der Querbruch senkrecht gegen die Faser ist matt. Uebrigens findet man in denen von schneeweißem Schiller blättriges farbloses Fraueneis, das seine Hauptaxe gern der Faser parallel stellt, und in diesen Fällen werden auch die Kry stalle mit vom Schiller ergriffen. Als Federweiß im gemeinen Leben häufig mit Asbest verwechselt.

*Alabaſter* (*ἀλαστροίτης* Theophrast), von der Stadt Alabaſtron, schneeweiße feinkörnige bis dichte Gypsmassen, die besonders schön am Fuße der Schweizerberge vorkommen. Noch heute werden sie in Italien vielfach verschliffen, vorzüglich der Genuesische. Im Alterthum diente der von Volterra zu Salbenbüchsen. Besonders schön sind die durch Eisengyps blaßroth gefärbten. Weicher als Marmor, aber auch zerbrechlicher. Hier schließen sich dann die dichten Gypsfelsen aller Art an, durch Thon und Bitumen dunkel gefärbt, wie der Thon- und Stückgyps im Mansfeldischen Bechstein; auch wohl mit Säuren braunend, wie der feinkörnige *Pierre à platre* von Paris mit 7,6 Ca C, 3,2 Thon, der aber gerade wegen dieses Gehaltes ein so vortreffliches technisches Material gibt. Im Schwäbischen und Fränkischen Reuper liegt sogar ein Dolithgyps, worin zierliche Kalkförner von der Größe des Schießpulvers zahlreich einge-

sprenkt sind. In Babel und Ninive dienten die grauen Gypsmassen zu Königsgräbern und Riesenstatuen, wozu sie sich durch ihre Weichheit besonders empfehlen mochten.

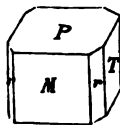
Schaumkalk pag. 479 aus dem Zechstein gleicht einem gebrannten blättrigen Gypse, besteht aber aus reinem kohlensaurem Kalk, und ist ohne Zweifel eine Asterbildung, G. Rose meint nach Aragonit. Nach Sorby werden Gypskrystalle in einer Lösung von Soda zu kohlensaurem Kalk, und dieser in einer Lösung von Eisenchlorür zu kohlensaurem Eisenoxydul. Bei Meisdorf am Unterharz deutet man hohe Wände davon technisch aus. In Salzpfannen sondert sich Gyps (und Anhydrit) körnig ab. Auch kommt er erdig, gefäßförmig, in Kugeln zc. vor.

## 2. Anhydrit.

Der Name „wasserfrei“ im Gegensatz von Gyps sehr bezeichnend. Nach Fichtel (Mineral. Aufsätze. Wien 1794 pag. 228) kannte schon Abt Boda die späthigen Sorten von Hall in Tyrol. Mit Salz zusammen dort vorkommend, hielt man sie deshalb für salzsauren Kalk, daher Muracit, was Klaproth schon 1795 Beitr. I. 310 widerlegte. Gemäß der Analyse von Hauy nannte ihn Hauy Mineral. IV. 487 Chaux sulfatée anhydre, was Klaproth Beitr. IV. 225 in Anhydrit verkürzte. Für die blättrigen wählte Werner anfangs Würfelspath, Hausmann Karstenit.

Zweigliedriges Krystallsystem, denn die Stücke zeigen deutlich dreierlei blättrige Brüche, die sich unter rechten Winkeln schneiden. Bei aufmerksamem Studium kann man diese selbst an Bruchstücken mit Sicherheit unterscheiden. Folgen wir Hauy (Mém. du Muséum d'hist. nat. 1815 I. 31) so ist der

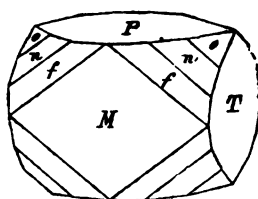
1ste Blätterbruch  $T = b : \infty a : \infty c$  durch seinen schwachen Perlmutterglanz, der sich durch Erwärmen erhöht, und die Menge Newton'scher Farben leicht zu erkennen, er ist so deutlich als beim Cyanit und hat auch ähnliche Querstreifen parallel Axe a. Der



2te Blätterbruch  $P = c : \infty a : \infty b$ , die Geradendfläche, ist ebenfalls parallel a gestreift, hat aber nur Glasglanz. Man kann zwar bei kleinen Stücken in augenblicklichen Zweifel gerathen, allein im Ganzen gewinnt er beim Zerbrechen nicht die Breite, wie der erste. Der

3te Blätterbruch  $M = a : \infty b : \infty c$  tritt in den Krystallen immer als matte Fläche auf, was ihn auszeichnet, springt auch noch sehr glatt weg, zeigt aber keine Streifung. Schon der feine Beobachter Hauy bemerkt auf dem 2ten Blätterbruch P, wenn man quer durchsieht, öfter deutliche Streifen, die sich ungefähr unter  $100^\circ$  ( $96\frac{1}{2}$ ) und  $80^\circ$  schneiden, sie entsprechen ohne Zweifel versteckten blättrigen Brüchen der rhombischen Säule  $r = a : b : \infty c$ , deren vorderer stumpfer Winkel durch die matte M, und deren scharfer durch den 1sten Blätterbruch T gerade abgestumpft wird.



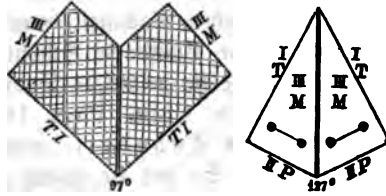


Man findet diese Säule recht ausgezeichnet bei den oft mehr als Zollgroßen blaurothen Krystallen von Hallein. Haüy beschrieb wahrscheinlich von Austerlitz eine seltene Varietät progressive mit  $PMT$ , und 3 Oktaedern  $o = a : b : c$ ,  $n = b : c : \frac{1}{2}a$ ,  $f = b : c : \frac{1}{2}a$ . Die Krystalle dehnen sich häufig nach der Axe  $a$  ( $P/T$ ) strahlenförmig aus (Berchtesgaden), so daß die matte  $M$  als Geradenfläche erscheint.

Die Lage der + optischen Axen läßt sich mit dem Polarisationsmikroskop sofort entscheiden: man darf nur von den Strahlen bei Berchtesgaden parallel der matten Geradenfläche  $M$  ein Stückchen abspalten, so zeigen sich senkrecht gegen  $M$  in der Ebene des 2ten Blätterbruchs  $P$  die Lemniscaten. Folglich ist wie bei Schwerspath  $a$  optische Mittellinie, aber  $ab$  Ebene der optischen Axen. Hiermit hat man zugleich ein praktisches Mittel, die drei blättrigen Brüche  $TPM$  von einander zu unterscheiden. Miller (Pogg. Ann. 1843. 55. 330) und Grailich haben leider die Haüy'schen Buchstaben verstellt, was nothwendig verwirren muß. Descloizeaux (Ann. min. XI) blieb richtig beim Alten. Hesseberg (Abh. Senckenb. Nat. Ges. 1871 VIII. 1) nennt diese Polemik zwar unberechtigt, indem er den Haüy anders verstehen will, nimmt aber richtig, wie ich, unsern dritten Blätterbruch  $M$  als Ebene der optischen Axen, nur daß er ihn  $P$  heißt. Prüfen wir in dieser Beziehung die Oblongoktaeder im Rieserit von Staßfurt (Jahrb. 1862. 101): Säule  $x/x = 96^\circ 30'$  lehrt ihren stumpfen Winkel nach vorn, und wie schon die Querstreifung auf  $s$  andeutet so stumpft der erste Blätterbruch  $T$  dieselbe ab, das Licht aus dem Innern zeigt ihn auf das Bestimmteste; Risse quer dagegen deuten den zweiten Blätterbruch  $P$  an, er tritt auch als Geradenfläche an der Säule auf. Da nun die Oktaeder senkrecht nach dieser Richtung verlängert sind, so kann man mit dem Messer sich leicht Platten heranspalten, die aber nie Lemniscaten zeigen. Vom dritten Blätterbruch  $M$  nimmt man an wohlerhaltenen Oktaedern äußerlich durchaus nichts wahr, aber er läßt sich mit dem Messer darstellen, und zeigt dann die Lemniscaten. Uebrigens nimmt man bei klaren Krystallen schon unmittelbar, auf jeder Säulenfläche ein Auge wahr. Der Streit, ob  $M$  oder  $P$  deutlicher blättrig sei, ist ein ziemlich unnützer, das Wesen bleibt, sich durch den bloßen Anblick sofort in die Lage der optischen Axen hineinzufinden, dann folgt alles von selbst. Wenn also Axe  $a$  die optische Mittellinie bildet, so könnte, mit dem Haüy'schen Krystalle verglichen,  $x$  nicht gut  $r$  entsprechen, da der erste Blätterbruch  $T$  an  $r$  den scharfen und nicht den stumpfen Winkel abstumpft. Uebrigens kommen in der Zone  $x/x$  außerordentlich viele Flächen vor, worunter auch die  $r$  noch stecken könnte, während Säule  $s/s$  matt und quergestreift wohl vielerlei Winkel zeigt, sich aber nicht messen läßt.



**Zwillinge** von Berchtesgaden aus dem Salzgebirge und von Santorin aus einem Lavablock sind interessant, obwohl man nur Spaltstücke kennt: bei Berchtesgaden haben die Stücke  $r = a : b : \infty$  gemein, und liegen umgekehrt. Die Streifen von  $r$  auf  $P$  schneiden sich unter  $97^\circ$ , und legen ihren stumpfen Winkel wie der dritte Blätterbruch (III) M, während der erste (I) T den scharfen abstumpfen würde.



Die Santoriner kehren dagegen ihren dritten Blätterbruch (III) M nach oben, haben eine Säule  $c : 2b : \infty a$  gemein, und liegen umgekehrt. Die Brillen deuten die Lage der optischen Agenebenen an.

Reichlich Kalkspathhärte, Gew. 2,9. Feuchten Glasglanz und trübe zufällige Farben, worunter sich besonders Smalteblau auszeichnet, das von einem kleinen Bitumengehalt herzurühren scheint. Stark diamagnetisch.

Vor dem Löthrohr wird er nicht schnell weiß wie Gyps, schmilzt aber zuletzt ebenfalls zu Email, denn er besteht aus Ca S mit 58,5 S, worin 23,4 Schwefel enthalten. Anhydrit, besonders pulverisirt, hat Neigung Wasser aufzunehmen, sich also in Gyps zu verwandeln. Bei Berg im Wallis soll das Gebirge an der Luft in wenigen Tagen aufschwellen und gypsig werden (Charpentier Mineral. Taschenb. 1821. 256). Man ist daher ziemlich allgemein der Ansicht, daß der meiste Gyps im Gebirge durch Aufnahme von Wasser aus Anhydrit entstanden sei. Anhydrit selbst sei gerade wegen seines Wassermangels auf heißem Wege gebildet. Erweisen läßt sich das aber nicht, denn wenn im Innern des Salzgebirges das Gypsgestein häufig in Anhydrit übergeht und sich damit auf das mannigfachste mischt, so könnte man eben so gut die Erklärungsweise umdrehen, und den Gyps als das ursprüngliche Wassergebilde ansehen, welcher durch das lange Lagern in der früher viel höhern Erdwärme langsam sich gebrannt und Wasser abgegeben habe. Uebrigens scheint es noch gar nicht so ausgemacht, ob der schwefelsaure Kalk sich aus dem Wasser unter allen Umständen wasserhaltig niederschlagen müsse, denn Johnston fand, daß in einem Dampfkessel, der unter einem Druck von 2 Atmosphären arbeitete, sich schon Krystalle von  $\text{Ca S} + \frac{1}{2}\text{H}$  bildeten, und in der Chemie gibt es gar manche Beispiele, wo Nebenumstände auf den Wassergehalt eines Salzes den wesentlichsten Einfluß haben. Wertwürdiger Weise scheint auch der Pfannenstein, welcher sich beim Salz siedern niederschlägt, Anhydrit zu sein, denn Prof. Fehling (Württ. Jahresh. 1849. 27) fand in den Sudpfannen von Hall bei einem Gehalt von 63 Ca S noch nicht 3 p. C. H, und da zugleich 14,3 Na S darin vorkommt, das zu seiner krystallinischen Constitution auch des Wassers bedarf, so kann das kein Gyps sein. Durch Kochen in Salzsoole gibt Gyps sein Wasser ab pag. 534. Benetzt man die Stückchen wieder mit Wasser, so sieht man unter dem Mikroskop, wie sich die Partikeln wieder in Gyps-

Krystalle umsetzen, Monatsber. Berl. Akad. 1871. 278. Zuweilen, wie am Harze, ist der Gyps mit Anhydrit gemengt, wenn jedoch die Beimengung gewisse Portionen nicht übersteigt, so kann er ebenfalls gebrannt und ohne sonderlichen Nachtheil benutzt werden. Der reine Anhydrit ist unbrauchbar. Eine Pumpe in Schöningen bildete auf ihrer innern Röhre Anhydrit, so lange sie gesättigte Soole hob, als zufällig Süßwasser hinzukam, Gyps, Ann. Chim. Phys. 1873 Avril 504.

Blättriger Anhydrit, grau, schneeweiß, röthlich, bläulich, aber stets mattfarbig. So wie sie jedoch nur einigermaßen stark gefärbt sind, so wirken sie gleich auf das Dichroskop. Besonders reich sind die Alpinischen Salzwerke: Ber, Berchtesgaden, Hallein 2c., wo sie der Bergmann lange vor den Gelehrten als schuppigen Gyps unterschied. Auf Erzgängen finden sie sich nur selten (Andreasberg, Kapnit), zuweilen sogar in den Laven der Somma und auf Santorin, wo sie durch Einwirkung von Fumarolen entstanden. Eingewachsen in Alpinischen Bergkrystallen und Lüneburger Boraciten.

Körniger Anhydrit zeigt einen eigenthümlichen feuchten Glasglanz, noch in dicken Stücken Durchscheinendheit, wie z. B. die grauen von Tiede bei Braunschweig, Ber, Vulpino östlich Bergamo (Vulpinit). Dieselben haben ganz das Korn des Statuenmarmors, und werden noch heute in Italien als Marmo bardiglio di Bergamo zu Raminbekleidungen verwendet, enthält nach Vauquelin 8 p. C. Kieselerde, Kaup, Min. IV. 501. Plinius hist. natur. 37. 46 erwähnt eines *Phengites* (Leuchstein), von der Härte des Marmor, weiß und durchscheinend, woraus Nero der Fortuna einen Tempel baute, der bei verschlossenen Thüren durch die Mauersteine Licht fallen ließ. Schon Agricola nat. foss. VII. 621 scheint diesen für körnigen Anhydrit gehalten zu haben, und die Ansicht hat allerdings große Wahrscheinlichkeit. Werner nannte bloß den smaltblauen Anhydrit, und hier genoßen die aus den Salzbergwerken von Sulz am obern Neckar, auf welche Rösler 1801 die Aufmerksamkeit lenkte, eines besondern Rufes (Dr. Lebrecht, dissert. inaug. sistens examen phys. chem. gypsi caerulei Sulzae ad Nicrum nuper detecti. Tubingae 1803). Sie kommen im dortigen Salzthon in Platten von mehreren Fuß Durchmesser vor, aber nur nesterweis. G. Rose beschreibt Stücke, welche noch die rohen Formen von Gyps erkennen lassen. Die schöne blaue Farbe schießt leider ab, und erinnert sehr an die gleiche Farbe des Cölestins. Am Sommeraufogel bei Hallstadt sogar in Ammonitenkammern.



Dichter Anhydrit, in derben Massen, matt mit feinsplittrigem Bruch, meist grau und mit dichtem Fluß verwechselbar. Sehr eigenthümlich ist der Gekröstein von Wieliczka und Bochnia, im reinen Steinsalze oder Salzthone sich ausscheidend. Eine blaßblaue dichte Substanz, die sich entweder kugelig zusammen-

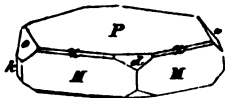
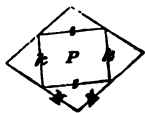
zieht, oder faltige schnirtelförmig gekrümmte Platten bildet. Sie erinnern an den sogenannten Schlangenalabaster im Gypssteingyps des Harzes, der vielleicht ursprünglich auch Anhydrit war. Eine Spur von Faserung ist zwar da, aber dieselbe spricht sich doch nicht sicher aus, wie überhaupt fasrige Anhydrite zu den größten Seltenheiten gehören, denn die rothen von Berchtesgaden und Ischl sind mehr strahlige Krystalle, als eigentliche fasrige Bildungen.

### 3. Schwerspath.

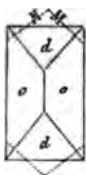
Ein alter passender bergmännischer Name, denn das Mineral ist auf Erzgängen so häufig, daß es nicht übersehen werden konnte, daher sagt schon Hentel in seiner Pyritologia, es gebe so „schweren Spat, daß man einen metallischen Körper fast gewiß darinnen vermuthen sollte.“ Wie Plinius so stellte Wallerius ihn wegen seiner Blättrigkeit zum Gyps, Cronstedt um so mehr, weil er darin die Schwefelsäure bereits erkannte. Als nun aber Bergman 1781 die Baryterde darin entdeckte, so wurde er von Romé de l'Isle als Spath pesant ou séléniteux schon gut beschrieben. Baryt, Baryte sulfatée, Wolynyn. Kupfer hat ihn in seinem Handb. rechn. Krystallogr. pag. 358 ausführlich berechnet.

Zweigliedriges Krystallsystem mit großer Neigung zur Tafelbildung, immer leicht erkennbar an seinem dreifach blättrigen Bruch. Der 2te und 3te Blätterbruch  $M = a : b : \infty$  bilden eine rhombische Säule von  $101^\circ 40'$ , gegen welche der 1ste Blätterbruch  $P = c : \infty a : \infty b$  rechtwinklig steht. Haüy (Ess. cryst. 1.1) nahm den Rhombus  $P$   $101^\circ 32' 13''$  wie beim Kalkspath. Er sondert sich häufig schaalig ab, was seine Erkennung erschwert, und dadurch entstehen auf der Säule oft Sprünge, die nicht einander parallel gehen. Die einfachen Tafeln  $PM$ , Haüy's Primitivform, finden sich besonders ausgezeichnet zu Ungarn, Schennitz, Felsöbanya, ohne Spur einer andern Fläche.

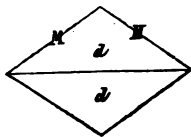
Durch gerade Abstumpfung der scharfen Kante  $k = b : \infty a : \infty c$  entstehen auf dem Pacherstollen bei Schennitz einfache sechsseitige Tafeln, ebenso wird durch die Abstumpfung der stumpfen Kante  $s = a : \infty b : \infty c$  eine andere sechsseitige Tafel erzeugt. Außerst selten herrschen  $k$  und  $s$  mit  $P$  allein, dann entstünden Oblongtafeln. Fläche  $k$  findet sich häufiger als  $s$ , aber beide gewöhnlich untergeordnet. Dazu treten dann Paare: auf die scharfe Säulenkante aufgesetzt  $o = b : c : \infty a$  bildet in  $b$  den stumpfen Winkel  $105^\circ 24'$ , auf die stumpfe  $d = 2a : c : \infty b$  bildet in  $a$  den scharfen  $77^\circ 43'$ ; auch stumpft das Oktaeder  $z = a : b : c$  nicht selten, wenn auch ganz fein, die Kanten  $P/M$  ab. Aber trotz aller Abstumpfungen bleiben die Tafeln  $MMP$  noch so vorherrschend, daß man sich leicht zurecht findet. Legt man die Winkel  $M/M = 101^\circ 40'$  und  $o/o = 74^\circ 36'$  in  $c$  zu Grunde, so kommt



$a:b = \sqrt{0,3851} : \sqrt{0,5803} = 0,6206 : 0,7618$ ;  $lga\ 9,79279$ ,  $lgb\ 9,88184$ .  
Dauber (Pogg. Ann. 108. 440) fand o/o 105.22, d/d 77.44. Die Flächen M bekommen nur selten eine etwas größere Ausdehnung, doch findet man zuweilen solche im Jurakalke der schwäbischen Alp. Dagegen dehnen sich oftmals die Paare o und d zu Oblongoktaedern aus, wie die großen gelben Krystalle von Roya (Puy-de-Dôme), welche schon de l'Isle Essai 160 beschrieb. Die Flächen P stumpfen daran die Endecken, und MM die Seitenecken ab, und der stumpfe Säulenwinkel liegt wie die scharfe Seitenkante d/d des Oblongoktaeders. Fläche o hat meist

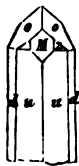


das Uebergewicht über d, daher entsteht eine geschobene Säule o/o  $74^\circ 36'$ , auf deren scharfe Kante das Paar d aufgesetzt ist. Doch kann auch umgekehrt d sich zu langer Säule entwickeln. Wenn P herrscht, wie auf der Grube Fabian bei Marienberg, Schriesheim im Odenwald, oder in den prachtvollen fußlangen und breiten Krystallen von Dufton zc., so entstehen Oblongtafeln, worin durch Sprünge sich die Blätterbrüche M verrathen. Eine andere seltenere Art Oblongoktaeder



(Horzewiz in Böhmen) entsteht durch Ausdehnung von d und M, es macht sich vorzugsweise d als Säule von  $102^\circ 17'$  geltend, auf deren scharfe Säulenkante der Blätterbruch M aufgesetzt ist, die Sprünge verrathen M gleich, P stumpft die stumpfe Säulenkante

d/d ab. Dagegen herrschen o und M, wie beim Cölestin, selten beim Schwerspath.

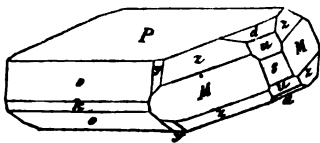


In der Zone der Axe b trifft man häufig außer d noch mehrere  $m = 4a : c : \infty b$ ,  $r = 5a : c : \infty b$ ,  $8a : c : \infty b$ , endlich auch das zugehörige Paar  $u = a : c : \infty b\ 116^\circ 21'$ , welches sich bei den wasserhellen Krystallen von Westphalen zu langen Aragonitartigen Säulen entwickelt, dessen scharfe Kanten P abstumpfen würde, woraus die Lage von M auf die stumpfe Säulenkante aufgesetzt folgt. Trotz der kleinen Oктаederflächen z bemerkt man doch deutlich, daß u M o in eine Zone fallen, also ein zweigliedriges Dodekaëd bilden.

In der Zone der Axe a herrscht meist das zugehörige Paar o, selten die Flächen  $s = 2b : c : \infty a$  und  $p = \frac{1}{2}b : c : \infty a$ ,  $c : 8b : \infty a$ .

In der Zone der Axe c liegen:  $t = a : \frac{1}{2}b : \infty c$ ,  $l = a : \frac{1}{2}b : \infty c$ ,  $b : \frac{1}{2}a : \infty c$ ,  $b : \frac{1}{4}a : \infty c$ ,  $b : \frac{1}{4}a : \infty c$ ,  $2a : 3b : \infty c$ ,  $3a : 2b : \infty c$ .

Außer dem Hauptoktaeder z findet sich häufig  $y = 2a : b : c$ , die



Kante zwischen o und z abstumpfsend, wie bestehender kleiner Krystall aus der Kammer eines großen Ammonites amaltheus des mittlern Lias beweist. Ueber z gibt außerdem Haupt  $f = a : b : \frac{2}{3}c$  und  $g = a : b : \frac{1}{2}c$  an. Auf Gängen



im Gneise am nördlichen Odenwalde (N. Umstadt, Ob. Oßern) zwischen Darmstadt und Aschaffenburg liegen flächenreiche Krystalle von großer Schönheit. Hefenberg maß daran über f und 3 sogar noch 4 Octaeder  $a:b:\frac{1}{2}c$ ,  $a:b:\frac{1}{4}c$ ,  $a:b:\frac{1}{4}c$ ,  $a:b:\frac{1}{4}c$ . Selten beim Wolyn  $v=a:2b:c$ . Besonders flächenreiche Krystalle kommen zu Biala, Dep. Lozère (Jahrb. 1871. 788) und in den Eisensteine führenden unterjurassischen Diabas bei Komarow in Böhmen (Jahrb. 1872. 878), so daß jetzt der Flächenreichtum noch Gestein und Bitriolblei übertrifft, die man zur gegenseitigen Erläuterung benutzen kann.

Die + optischen Aen (Vogg. Ann. 82. 488) liegen in der Ebene  $a,c$ , doch ist nicht Aen  $c$ , sondern die kurze vordere Seitenaxe  $a$  die optische Mittellinie, mit welcher sie  $19^\circ$ , also unter sich  $38^\circ$  machen. Genaue Untersuchungen stellte Heusser an (Vogg. Ann. 87. 488). Wenn die Krystalle nach der Aen  $b$ , besonders nach Säule  $u$  langgezogen sind, wie obiger Westphälische, so darf man sie bloß unter den Nicol halten, um so fort quer durch  $u$  die Bilder zu sehen. Sie haben starke Aenzerstreuung, denn das Centrum zeigt bei Mediaustellung Roth außen und Blau innen scharf getrennt, woraus  $\rho > v$  folgen würde. Schleift man sie dagegen senkrecht gegen die Mittellinie  $a$ , so ist umgekehrt  $\rho < v$ . Auch Gestein und Bitriolblei lassen sich so unmittelbar durch  $u$  betrachten. Auf das Dichroskop wirken namentlich die gelben aus der Auvergne, das eine Bild wird auf Kosten des andern ganz asfrangelb; vergleiche ferner die himmelblauen von Naurod bei Wiesbaden. Thermoelektrisch.

Gew. 4,48, Härte 3—4. Glasglanz und farblos, weiß, grau, gelb, fleischroth, smaltblau, aber stets nur blasser Farben. Die Fleischrothen kann man mit Feldspath verwechseln. Leuchtet im Finstern, de l'Isle Crist. I. 582.

Vor dem Löthrohr schmilzt er schwer, leuchtet stark, färbt die Flamme gelblich grün, und reducirt sich zu Schwefelbarium, besonders mit Kohle, Zucker und einem Tropfen Steinöl in Pulverform gemischt.

Ba S mit 65,6 Baryterde und 34,4 Schwefelsäure.

In Wasser, Säuren und Alkalien gänzlich unlöslich, daher Chlorbarium ein so empfindlich Reagenzmittel auf Schwefelsäure, und doch haben wohl alle Schwerpätthe sich nur auf nassem Wege gebildet, wenn gleich Manroß sie auch durch Zusammenschmelzen von K S mit Ba Cl erhielt. In heißen Quellen bildet er sich erst bei einer Temperatur unter  $30^\circ$ , ja er ist sogar in überhitztem Wasser von  $240^\circ$  C. löslich. K Cr gibt mit Baryterdesalzen einen gelben Niederschlag von Ba Cr, Strontian nicht. Baryterdehydrat reinigt die Melasse von Phosphorsäuren Salzen, indem sich  $Ba^3 P$  bildet; Schwefelbaryum die Schwefelsäure von arseniger Säure. Die Meeresqualster von Callosphaera Huxleyi (Abh. Berl. Akad. 1858. 88) bei Messina enthalten kleine Krystalle von Gestein oder Schwerpätth. Man findet ihn hauptsächlich als Gangmittel: Grube Clara am Montachthale (Nebenbach der Wolfach) auf dem Schwarzwalde baut auf einem Gange von 20'—40' Mächtigkeit, der durch Gneis in den Buntensand-

stein aufsteht. Nur der jüngere bläuliche ist rein, der ältere enthält Kalk und Strontian. Das schneeweiße Mineral wird zur Versehung des Bleiweiß, das mehr Del aufnimmt, benutzt, aber theilweis durch Kuhlmanns künstliches Barytmehl (*blanc fixe*) verdrängt, das man als Nebenprodukt bei der Darstellung des Salpeters aus Chilisalpeter gewinnt, und in Amerika zur Vereitung von Papiertragen verwendet wird. Chilisalpeter mit Ba Cl gibt Baryumnitrat, und dieses mit schwefelsaurem Kali Salpeter und Ba S. Besonders lieben Kobalt-, Manganerze und gediegenes Silber dieses Ganggestein. Zu Schemnitz in Ungarn durchdringt das so leicht schmelzbare Graupießglang und Kauschroth die schönsten Schwerspath tafeln, so daß dort eine Bildung auf heißem Wege zur Unmöglichkeit wird. Dazu kommt noch das häufige Auftreten von krystallinischen Massen in Kammern von Ammoniten, man zerschlägt wenige *Ammonites angulatus*, *arietis*, *amalthei* etc. des Lias vergeblich nach ihnen, selbst in den Terebrateln des braunen Jura habe ich die schönsten Krystalle gefunden. Baryterdehaltig sind ferner ganze Schichtensysteme des Keuper und Buntensandstein, so daß wir nach der Quelle von Schwererde nicht weit zu suchen haben. Eigentliches Versteinerungsmittel von Petrefakten ist Schwerspath selten, er tritt meist wohl nur in die hohlen Räume, welche die Petrefakten früher einnahmen, so z. B. in die Knochenzellen von Ichthyosauren. Auch bei Asterkrystallen spielt er keine sonderliche Rolle, obgleich beschrieben werden, z. B. von Quarz bei Schriesheim im Odenwalde.

Krystalle bildeten sich überall, wo Schwerspath nur Platz hatte zum freien Anschuß, wenigstens ist die Masse späthig, doch zeigt der erste Blätterbruch häufig Neigung zum Krümmen, was vielleicht auch mit der vorherrschenden Tendenz, Tafeln zu erzeugen, in innerem Zusammenhange steht. Je dünner die Tafeln, desto lieber stellen sie sich auf die Kante, dieß hat Naumann bewogen, von der Haupt'schen Stellung abzuweichen, und a als Säule, folglich b als Hauptaxe zu wählen. Allein wenn man einmal abweichen will, so müßte a Hauptaxe sein, damit die optische Mittellinie damit zusammenfiel. Die Tafeln gruppiren sich zu halbkugeligen Rosetten, die sich auf das Mannigfaltigste in einander verschränken, aber in diesen Verschränkungen immer Büchel erzeugen. Es war dies Werner's „krummschaliger Schwerspath“, kammförmiger de l'Isle, *Natrum cristatum* Linné. Oft nur von Papierdicke gruppiren sie sich wie Tropfen auf Flußspath, kommen auch leicht ziegelroth gefärbt in den dolomitischen Steinmergeln des Keuper vor.

Der graue Bologneser Spath aus dem Thone des Monte Paterno bei Bologna genoß bei den ältern Mineralogen einen gewissen Ruf, seit ein Schuster 1604 daselbst entdeckte, daß er mit brenzlichen Substanzen geglüht in der Finsterniß leuchte, wenn er vorher vom Sonnenlichte beschienen ist. Man setzt das Pulver mit Tragant schleim gemischt einer schwachen Rothglühitze aus. Doch muß man die Temperatur genau treffen (Pogg. Ann. 138. 44). Der berühmte Daguerre füllte gestoßenen

Schwerspath in vorher entfettete Markröhren und glühte sie mehrmals in starker anhaltender Hitze. Er bekam dann eine schwefelfarbige Masse, die das ganze Zimmer erhellte, leider verminderte sich die Empfindlichkeit schon nach 48 Stunden sehr bedeutend (Pogg. Ann. 46. 111). Es sind geodensförmige Auscheidungen, einige sehr spätig, doch neigen sie sich meistens in auffallender Weise zum Fasrigen, die Faser strahlt vom Innern der Kugel nach allen Seiten, senkrecht gegen die Faser scheint meistens P zu liegen, gern trunnuschalig werdend, und die beiden M gehen der Faser parallel. Ein kleiner Gehalt an schwefelsaurem Kalk (3—4 p. C.) ist wohl unwesentlich. Von dieser Faser verschieden ist Werner's

Stangenspath vom Lorenz Gegentrum an der Halsbrücke bei Freiberg. Dies sind gestreifte Säulen nach der Axe a ausgedehnt, den Streifen geht P parallel, und die Blätterbrücke M bilden am Ende ihre stumpfe Kante. Sie haben manchmal starken Seidenglanz, und könnten dann leicht für stangensförmiges Weißbleierz pag. 529 gehalten werden. Wenn die Masse ganz feinsasrig wird (fasriger Schwerspath), so nimmt sie eine ausgezeichnete Glasopffstructur an (Chaude-fontaine bei Lüttich, Neu-Leiningen in der Rheinpfalz), aber selbst in diesen ist der Blätterbruch oft noch gut zu erkennen, er scheint die Lage wie beim Stangenspath zu haben. Die Farbe gewöhnlich nelfenbraun wird durch Verwitterung an der Oberfläche weiß, und zerfällt dann leicht zu

Schwerspatherde, die wie Bergmilch aussieht, aber durchaus nicht braust. Sie kommt gern auf Erzgängen vor (Freiberg, Derbyshire, Silberfeld bei Hoheneggeroldsee u.), und läßt trotz des Erdigen ihre concentrisch schalige und fein fasrige Structur oft noch deutlich erkennen. Andere entsteht aus dem dichten Schwerspath mit splittrigem Bruch. Zuweilen kommt er auch in zuckerförmigen Massen vor (Aischaffenburg) von feinem Korn wie carrarischer Marmor, aber nicht von der Weiße. Gewöhnlich zeigen sich jedoch derbe Massen etwas trunnblättrig auf P und strahlig nach M, wie die schön fleischrothen auf den Kobaltgängen des Schwarzwaldes. Zuweilen auch blumig blättrig. Stalactitisch in Höhlen von Derbyshire.

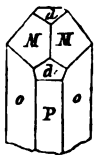
Hepatit hat man dunkelfarbige bituminöse von den Rongaberger Silbergängen und aus dem Alaunschiefer von Andrarum in Schonen genannt. Allomorphit aus den Ochergruben von Unterwiesbach (Jahrb. 1839. 111) ist gestreifter Schwerspath mit eingesprengtem Kupferfies. Dreelit von der verlassenen Grube Russière bei Beaujeu, Dep. Saône-et-Loire, hat 9,7 Si, 8 Ca C, 14,3 Ca S, 61,7 Ba S; sind erstere Substanzen unwesentlich, so kann man ihn für 3 Ba S + Ca S ansehen. Er hat nach den Sprüngen zu urtheilen drei Blätterbrüche, die sich unter 93°—94° schneiden sollen, also auf ein Rhomboeder hinweisen würden. Calstronbaryt von Schoharie enthält sogar ansehnliche Mengen von Cölestin und Anhydrit, ohne an seiner Blättrigkeit einzubüßen.

## 4. Gölstein

wurde von Werner nach seiner himmelblauen Farbe benannt, welche die ersten saßrigen Abänderungen aus dem Kalkstein von Frankstown in Pennsylvanien zeigten, auch Schükit nach dem Entdecker Schütz (Beschreibung einiger nordamerikanischer Fossilien, Leipzig 1791. 85). Zwar kannte schon Dolomieu die schönen farblosen aus dem Schwefelgebirge von Sicilien, doch verwechselte diese Romé de l'Isle noch mit Schwerspath (Sitzb. Wiener Akad. 59. 40).

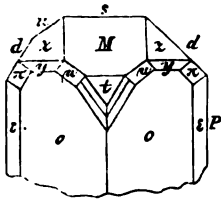
Zweigliedrig wie Schwerspath aber aufrecht nach der optischen Mittellinie  $a$ . Der zweite und dritte Blätterbruch  $M = a : b : \infty c$  machen  $104^\circ$ , gegen welche der erste  $P = c : \infty a : \infty b$  senkrecht steht. Das auf die scharfe Säulentante aufgesetzte Paar  $o = b : c : \infty a$  macht in  $Age$   $b$   $103^\circ$ , daraus folgt:

$$a : b = \sqrt{0,3862} : \sqrt{0,6326}, \lg a = 9,79341, \lg b = 9,90060.$$



Ein kleiner Kalkgehalt scheint verändernd auf die Winkel zu wirken, doch besteht zwischen Calciumgehalt und Winkeländerung kein Gesetz (Jahrb. 1873. 186). Die farblosen Krystalle von Girgenti dehnen  $o$  zu einer langen Säule aus, deren scharfe Kante von  $77^\circ$  der erste Blätterbruch  $P$  abstumpft, die stumpfe Kante  $M/M$  schließt die Säule, denn

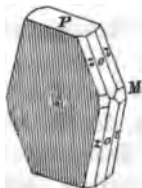
das nicht zugehörige Paar  $d = 2a : c : \infty b$  tritt nur klein auf, macht aber die Fläche  $P$  zu einem Rechteck, wornach man sich leicht orientirt.



Der erste Blätterbruch  $P$  ist ausgezeichnet als beim Schwerspath, während der 2te und 3te  $M$  sich nicht so leicht darstellen lassen. Im tertiären Kalksteine von Pishow bei Ratibor kommen sehr flächenreiche Krystalle in ansehnlicher Menge vor (Borne Zeitschr. deutsch. geol. Ges. 1855. VII. 484, IX. 308).

Auch sie sind nach  $Age$   $a$  verlängert  $P$  001,  $s$  100,  $M$  110,  $o$  011,  $u$  101,  $d$  102,  $t$  120;  $\mu = a : \frac{1}{2}b : \frac{1}{2}c$

liegt in Zone  $M/o$  und Diagonalzone  $d$ ; wahrscheinlich  $e = 2b : c : \infty a$ ,  $y = 2a : b : c$ , dann müßte  $\pi = \frac{1}{2}c : \frac{1}{2}b : a$  sein, da es in Zone  $d/o$  und  $y/e$  fällt. Tafeln bilden die blauen Krystalle von Regang, deren breite Fläche nicht  $P$ , sondern  $s = a : \infty b : \infty c$  ist, bauchig matt und parallel der  $Age$   $c$  gestreift;  $o = b : c : \infty a$  und Oktaeder  $z = a : b : c$  nebst  $P$  die Randflächen.



Die smalteblauen Krystalle aus den Kammern des Ammonites Parkinsonii und seiner Begleiter haben eine stark quergestreifte Säule  $M/M$ ,  $P$  und  $o$  herrschen, letztere aber ist matt. Ueber  $d$  liegt noch  $l = 4a : c : \infty b$ , und wenn diese richtig ist, so kommt außer dem gewöhnlichen Oktaeder  $z$  noch ein Oktaeder  $v = 2b : \frac{1}{2}a : c$  vor, da es in den Zonen  $z/d$  und  $M/l$  liegt. Im Uebrigen sind die verschiedenen Krystalle dem Schwerspath so ähnlich, daß man äußerst vorsichtig in der Unterscheidung

sein muß. Wir erwähnen daher nur noch der Hauy'schen Varietät Apotome: es ist die Säule  $a = b : c : \infty a$ , auf welche ein spitzes Octaeder  $n = b : c : a$  gerade aufgesetzt ist. Kleine Krystalle kommen in den Mergellagern des Tertiärgebirges von Paris vor, wo sie auf Sprüngen und Klüften der dortigen Cölestinkugeln sitzen. Auch bei Jena fand Suckow öfter (Pogg. Ann. 29. 504). Descloizeaux hat daher gemeint, daß der Calcit von Sangerhausen Austerkrystalle von ihm seien. Renngott (Jahrb. 1875. 392) spricht auch von sicilianischen „Berührungszwillingen“.

Gew. 3,9, Härte 3—4. Eine blaß smalteblaue Farbe verräth ihn öfter, dieselbe verschleift aber am Lichte, und ist wohl bituminös, wie bei Anhydrit. Axe  $a$  ist optische Mittellinie, nach welcher sich die Sicilianer ausgedehnt haben.

Vor dem Löthrohr verknistert er stark, schmilzt leichter als Schwerspath, und färbt die Flamme purpurroth, besonders wenn man ihn geglüht in Salzsäure taucht, wodurch er sich von Schwerspath unterscheidet. Kalksalze färben zwar ähnlich, aber nicht so schön. Mit Lithion kommt man nicht leicht in den Fall sie zu verwechseln. Der Rückstand auf Kohle ist Schwefelstrontium, welches in Salzsäure gelöst, abgedampft und mit Alkohol übergossen eine schön rothe Flamme gibt.

Sr S mit 56,5 Strontianerde und 43,5 Schwefelsäure.

Freilich oft verunreinigt. Diente früher in der Feuerwerkerei zu den bekannten Strontianpräparaten.

Dem Vorkommen nach ist er zwar bei weitem nicht in den Mengen als Schwerspath zu finden, doch trifft man ihn im Flözgebirge an den verschiedensten Orten. Die blauen Krystalle von Leogang und Herrengrund auf Erzgängen sind sehr bekannt, dann die farblosen mit Schwefel, Kalkspath und Gyps im Tertiärgebirge von Sicilien (Schwefelgruben von Girgenti, Cattolica &c.) Mottatam, Kirgijensteppes (Kotischarow Mater. V. 7). In Kammern der Ammoniten des schwäbischen Jura sehr schöne blaue Krystalle, strahlig blättrige Massen im Muschelfalke und Jurafalke (Aarau), im Alpenfalte des Fassathales, im Muschelfalke von Rüdersdorf (Jahrb. d. geol. Ges. XXIV. 477), selbst in Höhlen der Mandelsteine von Montecchio Maggiore bei Vicenza. Breithaupt (Paragenesis 12 und 106) legt auf das Vorkommen über dem Kalkspath großes Gewicht.

Faseriger Cölestin fand sich 1819 (Pogg. Ann. 29. 504) vorzüglich schön in den mergeligen Lagen des untersten Muschelfalkes von Dornburg bei Jena, wo er früher gewonnen wurde (Pogg. Ann. 120. 687), und Platten von blauer Farbe wie Faserghypsbildet, aber die Faser ist wellig gekrümmt. Es gibt Stücke, woran der erste Blätterbruch senkrecht gegen die Faser in der Richtung der Platte steht, und dies sind die blauesten, bleicher werden die schiefen; auch sieht man auf der Platte selbst, daß sie aus in einander verschränkten Krystallen besteht. Die Farbe soll von  $\text{Fe}^3 \text{P}$  kommen. Ähnliche Platten zu Bouvron bei Toul, Frankstown in Pennsylvanien im Kalkstein. Excentrisch faserig findet man ihn zuweilen in den Ammonitenkammern des untern Lias. Bemerkenswerth ist der

frische und verwitterte von Nörten bei Hannover, welcher den dortigen Jurakalk in 3 Trummen von 2 Zoll Mächtigkeit durchsetzt. Gruner (Gilbert's Ann. 1819. Bd. 60. 72) hat gezeigt, daß dieser neben 73 Sr S 26 Ba S enthalte. Die meisten werden durch Verwitterung ganz mehlig, dann steigt umgekehrt die schwefelsaure Baryterde auf 75 p. C., wahrscheinlich weil der etwas löslichere Cölestin vorzugsweise von dem Tagewasser ausgelaugt wird. Thomson hat aus einem solchen von Ringstown in Ober-Canada eine besondere Species *Baryt ocölestin* gemacht, die Hr. Sartorius auch im Dolomit des Binnenthal's krystallisirt nachwies. Solche Mittelbdinge kommen auch in den Nummulithenkalen der Milberge vor: in Wabi el Tih beträgt der Säulenwinkel  $103^\circ$ , liegt also zwischen Baryt und Cölestin. Die Schalen des *Cerithium giganteum* sind darin verwandelt (Württ. Jahresh. 1867. 100).

Cölestinknollen von Paris sehen zuckerförmig wie Dolomit aus, und brausen etwas mit Säuren, weil sie bis 17 p. C. Ca C enthalten. Andere gehen in's Dichte über. Ihr starkes Gewicht läßt sie ziemlich sicher erkennen. Bei Bristol kommt auch eine Abänderung mit 16,7 p. C. Ca S vor, und was dergleichen Verunreinigungen mehr sind.

### 5. Vitriolblei W.

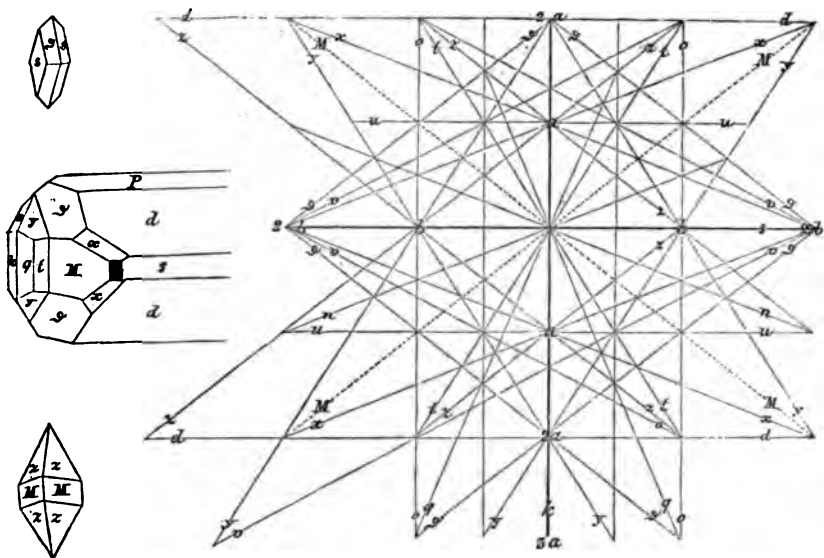
Andere drehen den Namen in Bleivitriol um, was nicht so passend scheint, denn zu den wahren Vitriolen würde Wasser gehören, Vitriol de Plomb (Proust Journ. phys. 1787 pag. 394). Der Oberhärzer Bergmann nannte es Bleiglas, wurde aber chemisch falsch gedeutet, bis Withering ihn auf der Insel Anglesea erkannte, daher von Deudant auch *Angle-site* genannt. Sulphate of lead. Plomb sulphaté.

Zweigliedriges Krystallsystem mit großem Flächenreichtum, aber ganz nach Art der vorigen gebildet.  $P = c : \infty a : \infty b$  deutlich blättrig, auch die Säulen  $M = a : b : \infty c$   $103^\circ 42'$  verrathen sich nicht selten durch Sprünge. Das auf die scharfe Säulenkante aufgesetzte Paar  $o = b : c : \infty a$  macht in der Axe  $b$   $104^\circ 30'$ , daraus ergibt sich

$$a : b = 0,608 : 0,774 = \sqrt{0,37} : \sqrt{0,6}, \lg a = 9,78405, \lg b = 9,88890.$$

Roschmarow (Pogg. Ann. 91. 150) fand  $M/M = 103^\circ 43' 30''$ ,  $o/o = 104^\circ 24' 30''$ . Hr. v. Lang (Sitzungsb. Wien. Akad. 1859. 36. 241) weist in seiner ausführlichen Monographie 89 Parallelräume nach, unter den schwerspathartigen Krystallisationen lange der größte Reichthum. Jetzt weist ihm Helmhacker (Jahrb. 1872. 276) 36 Formen, dem Cölestin 47 und dem Baryt 59 an. Die Erfahrung wird das ohne Zweifel mit der Zeit immer mehr ausgleichen. Die kleinen wasserhellen Krystalle von Hausbad, dem Herrnsfergen auf dem Schwarzwalde und Monte Ponì auf Sardinien gleichen brillantirten Diamanten: wir machen daher die wichtigsten Flächen in nachfolgender Projection auf P übersichtlich, stets die Buchstaben wie beim Schwerspath und Cölestin brauchend:

Bitrioblei auf  $P = c : \infty a : \infty b$  projectirt.

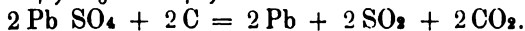


Bei Müsen findet sich die Säule  $M$  mit Geradenfläche  $P$ , und in den großen Stücken vom Herrenseegen kann man namentlich den ersten blättrigen Bruch so deutlich erkennen, daß man sich nach ihm orientirt. Das Paar  $d = 2a : c : \infty b$  auf die stumpfe Säulenlante aufgesetzt macht in  $d/P$   $140^\circ 34'$ . Dasselbe dehnt sich häufig zur Säule von  $78^\circ 48'$  aus, deren stumpfe Kante der Blätterbruch  $P$  gerade abstumpft. Bei complicirten Krystallen des Schwarzwaldes findet sich die Säulenzone  $M/M$  stark ausgebildet, darunter erkennt man  $s = a : \infty b : \infty c$  und  $k = b : \infty a : \infty c$  leicht. Säule  $M$  muß man sich durch Messung bestimmen, zwischen ihr und  $k$  liegen dann noch zwei gut spiegelnde Flächen  $t = a : \frac{1}{2}b : \infty c$  und  $q = a : \frac{1}{2}b : \infty c$ . Oktaeder  $z = a : b : c$  scheint bei Müsen selbstständig mit der Säule  $M$  vorzukommen; Dufrénoy gibt es von der Grube Hausbadan an, ich kenne von dort nur das selbstständige  $\vartheta = c : 2a : 2b$  mit  $s = a : \infty b : \infty c$ , was man freilich leicht damit verwechseln kann, allein man kennt es an den Streifen, die sich auf den Krystallen jener eingegangenen Grube zwischen  $M/s$  finden. Ueberhaupt herrscht in den Schwarzwälder Krystallen selten  $z$ , sondern außer  $\vartheta$  noch  $y = 2a : b : c$ , beide aus der Diagonalzone von  $d$ . Eine kleine Oktaederfläche, die Kante  $d/o$  abstumpft, wird ohne Zweifel Naumann's  $v = 2b : \frac{1}{2}a : c$  sein. Unter  $z$  kommt noch eine kleine Abstumpfung vor, sie mag  $a : b : 2c$  gehen, während Naumann darüber eine  $a : b : \frac{1}{2}c$  angibt. Dazu kommen weiter  $x = a : c : 2b$ ,  $a : c : \frac{1}{2}b$ ,  $a : \frac{1}{2}b : \frac{1}{2}c$ ,  $a : \frac{1}{2}b : \frac{1}{2}c$ ,  $a : \frac{1}{2}b : \frac{1}{2}c$ ; die gestreifte  $n = a : 2b : \infty c$ ,  $\frac{1}{2}a : \frac{1}{2}b : \infty c$ ,  $m = 4a : c : \infty b$ ,  $p = \frac{1}{2}b : c : \infty a$ ,  $\frac{1}{2}b : c : \infty a$  und andere Paare.

Zuweilen zeigt das Hauptstaedter 111 auch tetraedrische Verziehungen. In Transbaikalien Asterskrystalle von 6 cm Durchmesser, die sich in Pb C verwandelt haben, Kotscharow Mater. VI. 115.

Diamantglanz, muscheliger Bruch ohne Neigung zum Seidenglanz, wodurch es sich vom Weißbleierz unterscheidet. Härte 3, Gew. 6,4. Axe a optische Mittellinie.

Vor dem Löthrohr verknistert es bei weitem nicht so stark als Weißbleierz, weil es schon auf Kohle in mehreren Zoll Entfernung von der Flamme schmilzt und sich reducirt:

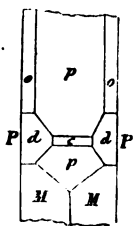


Pb S mit 73,6 Bleioxyd und 26,4 Schwefelsäure.

In Salpetersäure nur wenig löslich, und dadurch vom Weißbleierz unterscheidbar.

Kommt wie Weißbleierz in zersektem Bleiglanz vor. Auf den Schwarzwälder Gängen und am Monte Ponì (Prov. Iglesias Sardinien) haben sich die Krystalle nicht selten Gruben in den frischen Bleiglanz gefressen, man kann wohl gar das Vitriolblei herausnehmen, es zeigt sich dann ein mit Bleimulm austapezirtes unregelmäßiges Loch, wie wenn Säure lokal auf die Stücke gewirkt hätte. Bei Müssen, Zellerfeld, in der Parys-Grube auf Anglesea, die keine Ausbeute mehr gibt, ist das Gebirge so stark zerfressen, daß vom Kupferkies nur ockeriger Brauneisenstein übrig blieb. Leadhills und Wanlockhead in Schottland, Linares in Spanien, Nerischiinst, Goldgänge von Beresowsk. Fällt auch als wohlfeiles Nebenprodukt bei Rattunfärbereien.

Bleisulfur Breith. von Leadhills und Linares (Linarit), auch im Rinzigthal vom Herrenseegen und bei Müssen, zeichnet sich durch seine prachtvoll lafurblaue Farbe aus. Uebrigens im wesentlichen Pb S + Cu H, 20 Cu, 5 H. Von Brooke 2 + 1gl. beschrieben: eine geschobene Säule M/M macht vorn  $61^\circ$ , die blättrige Schiefendfläche P macht mit M  $96^\circ 25'$ . Den deutlichsten Blätterbruch soll jedoch die Abstumpfungsfäche der vordern scharfen Kante a = a : oob : ooc bilden, und die beiden Blätterbrüche a/P schneiden sich vorn unter  $102^\circ 45'$ . Auf der hintern Ecke mehrere Abstumpfungen. Hessenberg (Abh. Sendenb. Nat. Ges. 1864. V. 303) bestimmte noch eine ganze Reihe neuer Flächen. Nach Lévy (Descr. min. II. 455) häufig Zwillinge, welche die Säule gemein haben und umgekehrt liegen. Mit Soda auf Kohle reducirt es sich leicht, das Blei verflüchtigt sich, und eine kleine Kupferkugel bleibt zurück.

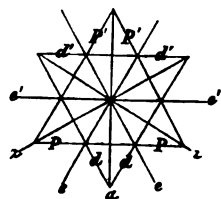


Bleisulfurcarbonat (Zanarkit) Pb S + Pb C, daher auch Halbvitriolblei genannt. Reichlich Gypshärte, Diamantglanz im Querbruch, und hohes Gewicht 6,5—7. Eine geschobene Säule M = a : b : ooc macht vorn  $130^\circ$ , der ausgezeichnete Blätterbruch P = b : ooa : ooc stumpft die scharfe Kante ab. Die Geradendfläche c = c : ooa : oob weicht nicht viel vom rechten Winkel gegen Axe c ab ( $91.49^\circ$ ). Das Paar p = a : c : oob auf die stumpfe Säulenkante



aufgesetzt schneidet sich in  $c$  unter  $120^\circ 30'$ , ein anderes  $d = b : c : \infty a$  stumpft die Kante  $P/c$  ab, daher die Geradenfläche  $c$  ein Rechteck. Anderer kleinerer Abstumpfungen nicht zu erwähnen, die allerdings eine  $2 + 1$ gliedrige Ordnung haben könnten. Er stammt von Leadhills, diese Schottischen sind häufig grünlich und zeigen sich meist in dünnen perlmutterglänzenden Tafeln, in Salpetersäure entwickeln sie Luftblasen, zerfallen und hinterlassen einen weißen Rückstand. Nach Descloizeaux zeigen die Nadeln »une magnifique dispersion inclinée«. Nach Pisani  $Pb^2 S$ , Kohlensäure soll nur zufällig sein. Vergleiche auch Schrauf, Jahrb. 1873. 645.

**Zernärbleierz** (Leadhillit, Sulphato-tricarbonat of Lead)  $PbS + 3 Pb C$ , nach Hünge (Pogg. Ann. 152. 300) jedoch  $2 PbS + 4 PbC + Pb + 2 H$ . Erscheint in perlgrauen bis grünlichen Tafeln, gypsartig, weich und blättrig, Diamantglanz, Gew. 6,4 und Vorkommen in zerfressenem Gestein von Leadhills (Brooke Edinburgh Phil. Journ. 1820. III. 117) läßt es leicht erkennen. Mit Salpetersäure behandelt gibt es einen weißen pulverigen Rückstand von Schwefelsaurem Blei. Lévy (Descr. min. II. 461) beschreibt in Uebereinstimmung mit Brooke 3gliedrige Rhomboeder  $P = a : a$  von  $72^\circ 30'$  in den Endkanten, mit Gegenrhomboeder  $d = a' : a'$ , 1ste Säule  $e = a : a : \infty c$ . Der blättrige Bruch  $c = c : \infty a : \infty a$  ist so deutlich, daß man beliebige Blätter abspalten kann, die Brewster (Phil. 1824. 1155) — optisch 2axig fand mit einem blauen Centralfelde, also  $v > q$ . Das ist ein außerordentlich praktisches Hilfsmittel. Auch auf dem Herrenseegen kamen im zerfetzten Kupferkies farblose Platten wie Fraueneis vor, die dasselbe optische Verhalten zeigen. Der Winkel der optischen Axen ist klein, Descloizeaux gibt  $2V = 10^\circ 35'$  an, aber durch Erwärmen wird der Winkel schnell kleiner fast bis zur Einaxigkeit. Haibinger fand ebenfalls Winkelunterschiede, wornach es  $2 + 1$ gliedrige Tafeln wären:  $e = a : b : \infty c$  macht eine rhombische Säule von  $59^\circ 40'$  durch  $e' = a : \infty b : \infty c$  gerade abgestumpft. Das Hauptrhomboeder zerfiel in  $P = \frac{1}{2}a : \infty b : c$  und  $P' = a' : b : c$  in der hintern Kante  $72^\circ 10'$ , der blättrige Bruch  $c$  macht mit  $e'$ -vorn  $90^\circ 29'$ , der Winkel, unter welchem sich die Axen  $a/c$  vorn schneiden würden. Das Gegenrhomboeder  $d = a : b : c$  macht daher vorn eine etwas größere Kante  $72^\circ 37'$  als  $P'/P'$  hinten,  $d' = \frac{1}{2}a' : \infty b : c$ . Auffallend sind die bei  $2 + 1$ gliedrigen Systemen ungewöhnlichen Drillinge: dieselben haben die Säulenfläche  $z = b : \frac{1}{2}a : \infty c$  gemein, welche 3gliedrig genommen der 2ten sechsseitigen Säule entspricht. Da dieselbe in ihrem stumpfen Winkel  $119^\circ 40'$  macht, so füllen drei Individuen einen Raum von  $359^\circ$ , und die ganze Anordnung sieht auffallend dreigliedrig aus. Auch das polarisirte Licht läßt deutliche Zwillingstreifen wie beim Aragonit hervortreten. Dagegen sollen die kleinen grünen Krystalle des Susannit vom Susannen-Gänge bei Leadhills



rhomboedrisch bei gleicher Zusammensetzung sein. Descloizeaux (Manuel II. 188) fand den scharfen Endkantenwinkel 79.29. Magit (Jahrb. 1872. 300) von Iglesias soll nach Herrn Bertrand veränderter Leadhillit sein.

Obiges Bleisulphatocarbonat kommt in Begleitung des Leadhillit in Lanarkshire vor, und scheint mehr Stängel und Strahlen als deutliche Krystalle zu bilden. Auch Häubinger beschreibt es augitisch mit einem „sehr vollkommenen“ Blätterbruch. Zepharovich gibt es aus Tyrol an. Die Dinge sind mit andern Bleierzen so durchwachsen, daß es schwer hält, sich ohne chemische Analysen durchzufinden. Kotscharow erwähnt den Leadhillit auch von Nertschinsk, wo bekanntlich Weißbleierz so vorzüglich bricht.

Galblasurblei (Caledonit)  $3 \text{ Pb S} + 2 \text{ Pb C} + \text{Ca C}$ , Cupreous sulphatocarbonate of lead, spangrün. Wird 2gliedrig beschrieben: eine blättrige rhombische Säule von  $95^\circ$  mit Geradenfläche und abgestumpfter scharfer Säulenfante. Entwickelt sich daher schwerspathartig. Leadhillit. Hessenberg Abh. Sendeb. N. Ges. 1870 VII. 305.

Selenigsaures Bleioryd  $\text{Pb Se}$  (Glasbachit) führt Kersten von Tannenglasbach bei Gabel ohnweit Hildburghausen an (Pogg. Ann. 46. 300). Es scheint durch Verwitterung des mitvorkommenden Selenkupferblei's entstanden zu sein. Kleine schwefelgelbe fastrige Kugeln mit einem deutlich blättrigen Bruch, Kalkspathhärte. Schmilzt leicht unter starkem Selengeruch. Die löslichen schwefelsauren Salze später.

## Fluoride.

Fluor ist zwar hauptsächlich im Flußpath niedergelegt, allein es gibt namentlich unter den Silicaten mehrere mit einem nicht unwichtigen Flußsäuregehalt: die verschiedenen Glimmersorten 0,1—10,4 Fl, Hornblende 1,5 Fl, Chondroit 7—10 Fl, Topas 14 Fl, Scthyphophthalm  $\frac{1}{4}$ —1,5 Fl, Rarpholit 1,5 Fl, Parisit 2,5 Fl, Leucophan 6,2 Fl. Unter den salinischen Steinen hat Fluorapatit 1,25 Fl, Wagnerit 6,2 Fl, Wavellit 3 Fl, Amblygonit 8,1 Fl; unter den oxydischen Erzen Pyrochlor 3,23 zc. Frei wie Kohlen säure in manchen Wassern, namentlich auch im Meere. „Seine Gegenwart durch das Röthrohr zu erforschen, ist minder leicht bei solchen Verbindungen, wo es einen wesentlichen Bestandtheil ausmacht, z. B. beim Flußpath, Kryptolith zc., weil die Fluorwasserstoffsäure hier von der Hitze nicht so ausgejagt wird, wie da, wo sie bloß ein zufälliger Bestandtheil zu sein scheint, wie z. B. im Glimmer, in der Hornblende zc., bei welchen zufolge der veränderten relativen Lage der Bestandtheile die Fluorwasserstoffsäure gewöhnlich mit Kiesel Erde entweicht. In diesem Falle braucht man bloß die Probe in einer zugeblasenen Glasröhre zu erhizen, in deren offenes Ende man ein befeuchtetes Zernambulpapier einschiebt, das gelb wird. Im ersten Falle mengt man die Probe mit vorher geschmolzenem Phosphorsalz, und erhitzt sie am Ende einer offenen Glasröhre, so daß ein Theil von dem Luftströme der Flamme in

„die Röhre getrieben wird. Dadurch wird wasserhaltige Fluorwasserstoffsäure gebildet, die das Glas angreift.“ Mischt man das Pulver mit Silicaten, übergießt es mit Schwefelsäure und erhitzt, so geht Kiesel-fluorwasserstoffsäure fort, und die Vasen bleiben als schwefelsaure Salze zurück.

### 1. Flußpath.

Gefannt, so alt der Bergbau ist. Denn Agricola Bermannus pag. 701 heißt sie *Fluores Flüsse* (fluor fließen): *lapides sunt gemmarum similes, sed minus duri fluores (ut nostri metallici appellant), varii autem et jucundi colores eis insident.* Wegen seiner schönen Farben nannten ihn die alten Bergleute *Erzblume* oder auch *marmor metallicum*, Marmor, der Erz bringt. Boetius de Voot 1647 kennt bereits seine Phosphorescenz *»igne admoto noctulucens«*, und schon Schwanhard in Nürnberg benutzte ihn 1670 zum Glasäßen, aber erst Scheele wies 1771 darin eine besondere Säure, Flußpathsäure, nach. Werner nannte die dichte Abänderung schlechthin *Fluß*, und nur die späthigen Flußpath. *Chaux fluatée*.

Reguläres Krystallsystem mit vorherrschenden Würfeln, aber octaedrisch blättrig so deutlich, daß man die Körper leicht heraus schlagen kann. Am leichtesten bekommt man Tetraeder, in dem die Parallelen fehlen, und Rhomboeder mit den Winkeln des Tetraeder, worin ein blättriger Bruch zurücktritt.

Würfel treten am häufigsten auf; im Teufelsgrunde des Münsterthales am Belchen erreichen sie über 1 Fuß Durchmesser. Daran stumpft der Blätterbruch die Ecken gerade ab, so daß gleichseitige Dreiecke entstehen.

Octaeder kommen zwar sehr schön selbstständig vor (grün zu Moldawa, Andreasberg; rothe Baveno, St. Gotthardt, Derbyshire, Guanguato zc.), sind aber gewöhnlich mattflächig; mattflächig zeigen sie sich auch, wenn sie untergeordnet an den Würfecken auftreten, Cubooktaeder von Derbyshire, Hall, Zinnwalde. Zu Ehrenfriedersdorf findet man auch kleine blaue *treppenförmige*, welche aus lauter Würfelchen zusammengesetzt sind, die ihre Ecken zur Octaederfläche kehren, namentlich endigen die Ecken mit einem großen Würfel. Es ist das Hauy'sche Decrescenzgesetz, worauf schon frühzeitig Gewicht gelegt wurde. Zu Beeralstone ist das Octaeder öfters hohl, und durch Zwischenlager von Kiesel gestört (Lévy Min. I. 182).



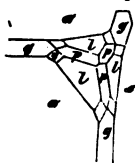
Granatoeder stumpfen die Würfelfanten gerade ab, kommen bei Englischen sehr schön vor. Selbstständig erwähnt sie Hauy von Chalucey (Dep. Saône et Loire), Becker von Striegau, Werner von Marienberg. Diese grünen sächsischen haben öfter auf der Octaederseite einen kleinen blauen Würfel, was ein Fortwachsen bezeichnet. Zinnwalder, Bavenoer zc. zeigen alle drei Körper.

Pyramidenwürfel schärfen die Würfelfanten zu, sie gehören gerade nicht zu den gewöhnlichen Erscheinungen, doch findet man sie auf den Zinnsteingruben von St. Agnes in Cornwall ganz selbstständig, daher hat auch Haidinger den Körper *Fluorid* genannt: gewöhnlich  $a : \frac{1}{2}a : \infty a$ , höchst selten  $a : \frac{1}{2}a : \infty a$  zu Matlock in Derbyshire. Sonst noch 730, 520, 410, 920, 610 angegeben.

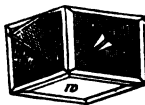
Leucitoeder  $a : a : \frac{1}{2}a$  selten, etwas häufiger noch das Leucitoid  $a : a : \frac{1}{2}a$ , sie schärfen Würfelecken dreiflächig zu, Fläche auf Fläche aufgesetzt. Sonst noch 833, 722, 811 bekannt.

Pyramidenoktaeder  $a : a : 2a$  kommt bei Rongßberg vor; bei Striegau  $a : a : 4a$ , auch 332, 331 bekannt. Am häufigsten unter allen Abstumpfungen der Würfelecken finden sich jedoch

Achtundvierzigflächner, welche die Würfelecken sechsflächig zuschärfen. Auf der Grube Friedrich Christian im Schappachthal brechen faustgroße Würfel mit ganz kleinen, aber sehr glänzenden Eckenflächen. Die bekannten Krystalle aus dem Teufelsgrunde sind dagegen sehr drusig, zuweilen tritt der Würfel bedeutend zurück, wie bei den honiggelben von der Grube Hansbad:  $a : \frac{1}{2}a : \frac{1}{2}a$  soll ihr Ausdruck sein. Seltener ist



321. G. Rose (Pogg. Ann. 12. 44) bestimmt an den blauen Cumberlandischen Würfeln  $a : \frac{1}{2}a : \frac{1}{2}a$ , an einem weißen Würfel  $\frac{1}{2}a : \frac{1}{2}a : \frac{1}{2}a$ . Wie complicirt die Abstumpfungen der Ecken werden können, zeigt die schöne Modification, die Lévy von Rongßberg abbildet: Würfel  $w$ , Granatoeder  $g$ , Leucitoid  $l = a : a : \frac{1}{2}a$ , Pyramidenoktaeder  $p = a : a : 2a$  und ein 48flächner mit dem seltsamen Ausdruck  $a = \frac{1}{2}a : \frac{1}{2}a : \frac{1}{2}a$  wird angegeben. Noch viel flächenreichere bildet Phillips von Devonshire ab. Dr. Klocke in Freiburg erwähnt noch 10.4.3, 821, 25.6.2.



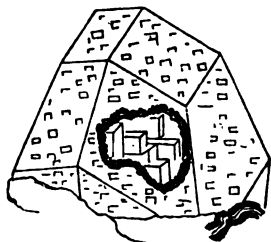
Zwillinge kommen besonders schön unter den amethystblauen und grünblauen von Cumberland und Durham (Weerdale) vor: zwei Würfel durchdringen sich, und die Ecke des einen tritt aus der Fläche des andern so heraus, daß ihre drei Kanten im Verhältniß 1 : 1 : 2 geschnitten werden, was den Beweis für den Zwilling liefert. Auch spiegelt ein blättriger Bruch in beiden ein. Von einem Durchstoßungspunkte der Kante gehen vier Linien aus, die Andeutungen eines sehr flachen Pyramidenwürfels sind, wie auch die Streifung parallel den Würfelfanten zeigt. Wo solche Ecken nicht durchstoßen (wie Fläche  $w$ ), sind die Flächen häufig außerordentlich spiegelflächig ohne Spur einer Streifung. So daß man vermuthen muß, das Durchstoßen der Ecken habe den Impuls zur Streifung gegeben.



Mißbildungen. Im Teufelsgrunde werden einzelne Würfelflächen in auffallender Weise bauchig, was eine Verziehung der Würfelfanten zur Folge hat. Besonders interessant sind die grünen vom Dreifaltigkeits-Erbstollen bei Zschopau in Sachsen:

dieselben verziehen sich zu scharfen Rhomboedern, auf deren Flächen sich ein bauchiges Paar erhebt, wodurch Dreiunddreikantner öfters in solcher Regelmäßigkeit entstehen, daß man sie für Hälftflächner eines Pyramidenwürfels um so mehr ansehen muß, als die Blätterbrüche vortrefflich ein- spiegeln. Stellt man sich also den Pyramidenwürfel  $a : \frac{1}{2}a : \infty a$  nach einer trigonalen Axe aufrecht, so wachsen nicht die sechs um die Azen- ecke, sondern die darunter gelagerten. Die stumpfen Endkanten des Drei- kantners öfter etwas abgestumpft. Auch Zwillinge kommen vor, kurz die ganze Entwicklung erscheint dreigliedrig. Grailich (Kryst. opt. Untersuch. pag. 72) gibt auch Dreikantner vom Leucitoeder an.

Afterkrystalle nach Kalkspath. Im Teufelsgrunde kommen Flußpathhüllen des Kalkspathdreikantners mit dem Hauptrhomboeder vor. Diese Hüllen be- stehen aus zwei Lagen kleiner Flußpathwür- felchen, die innere hat sich daher wahrscheinlich erst gebildet, als der Kalkspath schon weg war. In die Hüllen drangen dann größere Würfel von Flußpath, die dem Raume sich möglichst accommodirten. Wir haben also 5 Formationen:



- 1) Bildung von Kalkspath; 2) Niederschlag einer dünnen Haut auf den Kry stallen; 3) Wegführung des Kalkspaths; 4) Bildung der kleinen Würfel auf beiden Seiten der Haut No. 2; 5) Ausfüllung des hohlen Raumes durch große Flußpathwürfel.

Flußpathhärte = 4; Gew. 3,18, ein eigenthümlicher feuchter Glas- glanz, und die Schönheit der Farbenreihe so groß, daß er an Mannig- faltigkeit unter den salinischen Steinen obenan steht, ja vielleicht von keinem Minerale übertroffen wird, daher auch der alte bergmännische Name Erzblume so bezeichnend. Farblose von großer Klarheit finden sich in den Drusenräumen des Buntensandsteins von Waldbhut, zu Derby- shire, Gersalco in Toskana; roth rosenfarbig und intensiv besonders im Granit der Hochalpen am St. Gotthardt bis zum Mt. Blanc; gelb in allen Tönen, besonders wein- und honiggelb bis gelblichbraun von Gers- dorf und Annaberg in Sachsen, schon Agricola beschrieb sie als Chry- solith; allerlei grün, fast in das Smaragdgrün verlaufend, Derbyshire, Herrenseegen auf dem Schwarzwalde, Sentis im Kanton Appenzell u.; blau vom Ton des Sapphir kommen sie im Salzgebirge von Hall in Tyrol vor, auf Zinnstein- und Kobaltgängen nicht selten ganz in schwarz übergehend, die amethystblauen gleichen den Quarzame- thysten in auffallender Weise, und kommen besonders klar aus Cumber- land. Häufig bituminös, daher sollen auch die Farben herrühren, welche beim Erwärmen schnell verschwinden. Von den ältern Mineralogen wurden sie zu den falschen Edelsteinen gezählt, daher glaubte Hensdel, alle Edelsteine müßten cubisch oder dihexaedrisch krystallisiren, de l'Isle, Essai Crist. 1772. 150.

Gewisse Cumberlandische zeigen eine eigenthümliche Art von Dichrois-

mus: im reflectirten Lichte erscheint die Oberfläche amethystblau, im durchfallenden meergrün. Man hat daher diese Erscheinung bei andern Körpern nicht unpassend *Fluoriren* genannt, pag. 145. Zuweilen schließen sie Flüssigkeiten ein.

Vor dem Löthrohr phosphoresciren anfangs besonders die grünen und rothen mit einem schönen bläulichen Schein, und schmelzen dann schwer. Die Phosphorescenz soll mit dem Entfärben zusammenhängen, Jahrb. 1867. 478. Legt man aber Gyps, Baryt oder Cölestin daneben, so fließen sie flugs damit zu einer klaren Perle zusammen, die kalt trüb wird.

Ca Fl mit 52,3 Calcium und 47,7 Fluor, meist nicht viel verunreinigt. Mit den farblosen von Derbyshire konnte sogar Bouhet (Ann. Chim. 70. 224) das Atomgewicht des Fluor bestimmen. In concentrirter erhitzter Schwefelsäure wird er vollkommen zersetzt, entwickelt Fluorwasserstoff, was Glas ätzt. Kann wie Schwerspath im überheizten Wasser erzeugt werden, Jahrb. 1873. 755. Da Flußsäure die Kiesel Erde leicht angreift und fortnimmt, so bildet er bei Hüttenprocessen ein wichtiges Flußmittel, das schon den ältesten Hüttenleuten bekannt war. Wärmeres Gebläse mit höherem Druck machen ihn jedoch immer entbehrlicher. Flußsäure läßt sich in Gefäßen von Blei, Kautschuk zc. aufbewahren.

Flußspath kommt besonders mit Schwerspath auf Erzgängen vor, ist aber der Masse nach seltener als dieser. Eine der mächtigsten Ablagerungen bildet der grünlichweiße von Stollberg auf dem Unterharz, der eine stockartige Erweiterung von 14—16 Lachter erreicht und für den Zuschlag auf den Mansfelder Kupferhütten von Wichtigkeit ist. Die Gewerkschaft gewinnt dort jährlich 50,000 Etr. à 3 Egr. im Werth. Untergeordnet finden wir ihn auf den verschiedensten Erzgängen Deutschlands, Harz, Thüringerwald, besonders aber auf dem Erzgebirge und Schwarzwalde. Die im Bergstalt aufstehenden Bleierzgänge von England sind ausnehmend reich: Castleton in Derbyshire, Alston Moor in Cumberland, Beeralstone in Devonshire, St. Agnes in Cornwall zc. viel gerühmte Punkte. Aus Derbyshire erwähnt schon Bournon eines Crinoideenstieles, der auf der einen Hälfte aus Kalkspath, auf der andern aus blauem Flußspath bestand, doch ist es auch dort ungewöhnlich, ihn als Versteinerungsmasse von organischen Resten zu finden, obwohl einzelne Vorkommen bis in das Tertiärgebirge reichen, wie z. B. beim Jardin des Plantes zu Paris.

Kryalle herrschen überall vor, oder wenigstens körnige krystallinische Strukturen. In Derbyshire (Nam Tor bei Castleton) werden solche derbe Massen strahlig und concentrisch violblau und weiß gezeichnet. Man erwärmt und betupft sie mit Colophonium, der sie zusammenhält, und schleift daraus allerlei schöne Arbeiten, Vasen, Leuchter, Kaminplatten zc. Dieß hat zu der Vermuthung verleitet, die im Alterthum so hoch geschätzten vasa murrhina pag. 297 hätten aus Flußspath bestanden, doch geben dafür die Worte des Plinius hist. nat. 37. 8 keine Handhabe. Im Granit von Wölfsendorf bei Schwarzenfeld an der Naab findet

man ganz ähnliche strahlige Massen (*Antozonit*, *Jahrb.* 1862. 488): die blauen werden stellenweis ganz schwarz, brennen sich aber wie die Englischen sehr leicht farblos, sind daher durch Bitumen gefärbt, welches Schafhäutl auch chemisch nachwies. Der bituminöseste darunter wird ganz schwarz, die Vergleute bekommen Uebelkeit, und heißen ihn **Stinkfluß**. Beim Reiben in einer Schale riecht er nach Chlor, deshalb glaubte man lange, es sei unterchlorigsaure Kalkerde dabei im Spiel, jetzt wird der Geruch für Ozon erklärt, was bis auf 0,2 p.C. steigen kann, Schrötter (*Sitzungsb. Wien. Akad.* 1860. 10. Juli XLI). Mit Kochsalz zusammengerieben treibt er Chlor aus, was nur „Sauerstoff in seiner allotropen Modification als Ozon vermag“.

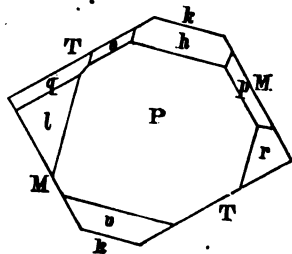
Dichter Fluß hat einen feinsplittrigen sehr matten Bruch, trübe Farben, aber wie der *Phengit* pag. 540 in großen Handstücken oft noch Durchscheintheit. Derbe Handstücke von Stollberg auf dem Unterharz. Im verwitterten Gebirge wird er auch erdig. Bei Buxton in Derbyshire finden sich Krystalle mit 40—50 p.C. Thon, die aber seine Krystallisationskraft nicht behindert haben. Auch der *Katoffit* von Moskau ist ein blauer Flußspath mit Mergel gemischt. Manche sind auch durch *Schwerpath* verunreinigt, der bis zur Hälfte steigen kann.

*Ottrocerit* *Verz.* (*Otterspath*) aus dem Granit von Finbo und Broddbo bei Falun, eine violblaue sich gewöhnlich ins Erdige neigende Masse. Derbe Stücke scheinen den blättrigen Bruch des Flußpathes beizubehalten. *Verzelius* hielt es für ein Gemisch von Ca Fl mit Ce Fl und Y Fl. Es fanden sich blaue Oктаeder im Goldsand von Georgia und Nordcarolina. *Fluocerit* von dem gleichen Fundort soll reguläre sechsseitige Tafeln mit Geradenfläche bilden. Blau ziegelroth ins Gelbliche, Gew. 4,7. Im wesentlichen Ce Fl. *Fluocerin* daher ist wasserhaltig.

## 2. *Kryolith*.

Ein dänischer Grönlandsfahrer brachte ein großes Stück nach Kopenhagen, wovon 1795 die erste Kunde kam; da er vor dem Löthrohr wie gefrorene Salzlauge schmilzt, so nannte ihn *Abilgaard* (*Schreer's Journ. Chem.* 2. 102) nach dem griechischen Wort *κρύος* Eis.

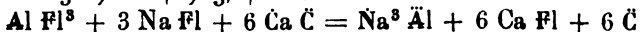
Drei scheinbar rechtwinklige Blätterbrüche erzeugen würfelige Stücke wie beim *Anhydrit*, aber nicht so deutlich, einer zeichnet sich etwas vor den übrigen aus, doch ist das System optisch wie krystallographisch 1gliedrig, *Websky Jahrb.* 1867. 110. Die kleinen klaren Krystalle mit *Eisenorydhydrat* überzogen gleichen Würfeln mit abgestumpften Ecken, oder wenn sie hervortreten quadratischen Säulen mit Geradenfläche. Es scheint T = 1ster, M = 2ter, P = 3ter Blätterbruch zu sein. Dennoch läßt sich in derben Stücken P am leichtesten dar-



stellen, weil ihr Absonderungsflächen parallel gehen.  $P/T = 90^\circ 2'$ ,  $P/M = 90^\circ 24'$ ,  $M/T = 91^\circ 57'$ . Man könnte es darnach für dieclino-metrisch halten. Doch nach ihrem Aufwachsen haben wir eine rhomboïdische Säule  $T = a : b : \infty c$  und  $M = a : b' : \infty c$  von  $91^\circ 57'$ , woran  $P = c : \infty a : \infty b$  fast gerade auf- und angelegt ist. Die vier Eckflächen sind dann der vierte Blätterbruch  $v = a : c : \infty b$ ; ferner  $h = a' : c : \infty b$ ,  $r = b : c : \infty a$ ,  $l = b' : c : \infty a$ . Die vordere stumpfe Säulentante ist öfter durch  $k = a : \infty b : \infty c$  abgestumpft. Auch die Oктаederflächen  $p = a' : b : c$  und  $o = a' : b' : c$  pflegen nicht zu fehlen; zuweilen sind sogar auch vorn angedeutet, und leicht zu bestimmen, da sie in die Diagonalzone der Eckflächen fallen. Seltener ist  $q = a' : c : \frac{1}{2}b'$ , die auch in die Diagonalzone von  $k$  fällt. Die Ebene der optischen Axen „geht ungefähr durch die lange Diagonale der Basis“ etwa senkrecht gegen  $v$ . Webster meint aus den Lichtreflexen auf den drei Blätterbrüchen auf zweierlei Zwillinge schließen zu müssen: Zwillingssare entweder senkrecht auf  $k$  oder  $P$ . Letzterer würde in derben Stücken obige Absonderungen erklären. Je mehr  $PMT$  sich dem Würfel nähern, desto mehr müssen die Abstumpfungen der Ecken und Kanten dem regulären Oктаeder und Granatoeder gleichen. Gew. 2,95, Härte 3, Schneeweiß, mit einem feuchten Glasglanz, der an Eis erinnert.

Schmilzt leicht zu einer klaren Perle, breitet sich aber bald auf der Kohle zu einer schneeweißen unschmelzbaren Schlacke aus, die mit Kobalt-solution innen blau wird.

$3 \text{ Na Fl} + \text{Al Fl}^3$  mit 53,6 Fl, 33,3 Na, 13,1 Al, Vanadinsäure 2c. Gieseke (Edinburgh Phil. Journ. 1822 VI. 140) war so glücklich, bei Svitaet (Svität) 30 Meilen von Julianeshaab an der Südseite des Arktus Fiord vom Meere bespült mehrere Lager im Gneise aufzufinden. Eines war ganz bunt von Schwefelmetallen durchzogen. In der Nähe und darin fand sich sogar Binnstein mit Wolfram. Die krystallisirten enthalten Spath-eisenstein. Auch Bleiglanz, Blende, Kupferties, Arsenitties, blauer Flußspath, Tantalit 2c. bricht mit ein. Jetzt ist es Gegenstand des Bergbaues und das Lager zwischen Urgebirge soll auf 80' anschwelleu, 40' ist ein Schacht darin abgeteuft, 150 Bergleute gewinnen 11,000 Tons. Nach innen wurde das Mineral immer dunkeler, zuletzt ganz schwarz (Pogg. Ann. 98. 111). Mit Kalium oder Natrium und Zusatz von Steinsalz als Flußmittel gibt es sofort Aluminium. Aber hauptsächlich dient er zur Darstellung von  $\text{Na}^3 \text{Al}$ , woraus Soda und sogenannter „concentrirter Alaun“ unmittelbar gewonnen werden kann. Zu dem Ende mischt man ihn gepulvert mit Kreide, und glüht vorsichtig, so kommt



(Amtl. Ber. Wien. Weltausst. 1875 III. 1 pag. 672). Nach Deville bildet  $\text{Al Fl}^3$  Rhomboeder von  $88^\circ 30'$  in den Endkanten, also scheinbar isomorph mit Thonerde. Dem Glasfluß zugelegt gibt es prachtvolle Milchgläser. Aluminium, nahezu silberweiß, dehnbar, fest und von 2,6 Gew. kostete schon



1858 bloß 100 Franken das Kilogramm, dem Gewicht nach noch nicht halb, dem Volumen nach  $\frac{1}{16}$  so theuer als Silber.

Im Schriftgranit der Topasgruben von Mias mit Amazonenstein und Flußspath bemerkte Hermann (Erdmann's Journ. prakt. Chem. 1846. 37. 188) den Gang eines weißen Minerals, worin sich später dreierlei Fluoride auszeichneten (Pogg. Ann. 83. 187), die äußerlich von einander kaum unterschieden werden können: eines ist wahrhafter Kryolith, das andere aber

Chiolith Hermann ( $\chi\iota\omicron\upsilon\rho$  Schnee)  $3 \text{ Na Fl} + 2 \text{ Al Fl}^3$ , nach Roschardow viergliedrige Oktaeder mit einem Endkantenwinkel von  $108^\circ 23'$ , Seitenkanten  $111^\circ 40'$ , Zwillinge haben Oktaederfläche gemein, nähert sich also dem regulären, aber negativ optisch einaxig. Flußspathhärte, Gew. 2,7—2,9. Die „ganze Masse sieht einem Schneeklumpen nicht unähnlich.“ Hermann erwähnt zweier Blätterbrüche, die sich unter  $114^\circ$  schneiden. Das dritte (Chodnewit) hat 3,07 Gew. und die Formel  $2 \text{ Na Fl} + \text{Al Fl}^3$ . Es kommt mit vorigen auf ein und demselben Stück vor. Im Grönländischen Kryolith stecken noch eine Reihe Fluat: **Pach-nolith** (Jahrb. 1863. 188) feine klare zgl. Säulen ( $98^\circ 30'$ ) liegen wie Thau ( $\pi\acute{\alpha}\chi\eta$ ) in Drusenräumen des Kryoliths, meist zu klein, um besonderes Interesse zu erregen. Nach Dana monokline Zwillinge mit einem bedeutenden Kaltgehalt  $3 (\text{Ca}, \text{Na}) \text{ Fl} + \text{Al Fl}^3 + 2 \text{ H}$ . **Thomsenolith**  $2 (\text{Ca}, \text{Na}) \text{ Fl} + \text{Al Fl}^3 + 2 \text{ H}$  scheint ihm sehr nahe zu stehen. Er bildet quadratische Säulen aber mit schiefer deutlich blättrigem Querbruch, der von einer gelben Rinde umhüllt links und rechts die Säulenflächen unter  $92^\circ$  schneidet. Nordenskiöld heißt es daher klinoquadratisch, wie Schrauf (Mineral. Mitth. 1874. 182) den Klinochlor klinohexagonal. Zuweilen sollen darauf farblose reguläre Oktaederchen (Kallstonit Jahrb. 1872. 92) von ähnlicher Zusammensetzung liegen. Hagemannit (Jahrb. 1867. 193) mit 40 Fl bildet dagegen nur dichte wachsgelbe Schnüre im weißen Kryolith. Der Wassergehalt von allen diesen zeigt, daß es Zersetzungserzeugnisse sind. Dagegen ist der körnige **Artutit**  $(\text{Ca}, \text{Na}) \text{ Fl} + \text{Al Fl}^3$  (Jahrb. 1866. 188) mit einer deutlichen Spaltungsfläche wasserfrei. Die Zersetzung des Kryolithes geht soweit vor sich, daß zuletzt eine Masse entsteht, welche die Grönländer „natürliche Seife“ nennen.

Wollaston's Fluellit von Steennagryn in Cornwallis, kleine glänzende Rhombenoktaeder (Lévy I. 189) auf Quarz mit Wavellit und Uranglimmer sollen im wesentlichen Fluoraluminium sein.

## Phosphorsäure und Arseniksäure.

Phosphorsäure P kommt auf primärer Lagerstätte im Steinreiche nur untergeordnet vor, obgleich sie in der Asche der Pflanzen und Thiere eine so wichtige Rolle spielt. Deshalb, als Düngungsmittel von großer praktischer Bedeutung, haben die Chemiker ihr längst die gebührende Aufmerksamkeit zugewendet. Schon ehe Ewanberg und Strube

(Erdmann's Journ. prakt. Chem. 44. 201) den gelben Niederschlag mit Molybdänsaurem Ammoniak kennen lehrten, war ein geringer Gehalt von  $\text{P}$  in den Graniten, Gneisen, Porphyren, Mandelsteinen, Basalten, Laven u. nachgewiesen, daher die vulkanischen Böden, welche in der Auvergne bis 0,742 p. C. zeigen, so besonders fruchtbar. Später gaben selbst die Meteorsteine von Juvinas (Rammelsberg) 0,28  $\text{P}$ . Häufig ist es jedoch so wenig, daß Daubeny Keimen und Wachsen von Samen zu Hilfe nahm, um die Existenz nachzuweisen (Zahrb. 1858. 114). Da die Phosphorsäure von den höchsten Wirbelthieren bis zu den niedrigsten Korallenstöcken ( $\frac{1}{4}$ —2 p. C.) nirgends fehlt, und die Asche der Fucusarten noch über 1 p. C. phosphorsaure Kalkerde enthält, so kann uns ihr Vorkommen auf secundärer Lagerstätte im Flözgebirge nicht verwundern, wo besonders Knochen und Koprolithen nicht selten noch 65—85 p. C. phosphorsauren Kalk (Eisen) zeigen. Forchhammer wies Phosphorsäure im Meerwasser nach, das Selterswasser enthält ein Zehntausendstel  $\text{H Na}^2 \text{P}$ , die Pyrmonter Quelle 2 Millionentel phosphorsaure Thonerde, und die Karlsbader könnte jährlich nach Berechnung von Bischof 55  $\text{Z}$  Apatit erzeugen. Wenn man nun bedenkt, daß die Phosphate in den Gängen vorzugsweise in den obern Teufen, in den sogenannten Rasenläufern vorkommen, oder daß sie sich gern auf Spalten der secundären Gebirge sammeln, so mögen die organischen Wesen viel zu ihrer Anhäufung beigetragen haben. Zu einer der merkwürdigsten Erscheinungen gehören die drei isomeren Modificationen (Bogg. Ann. 76. 1): die gewöhnliche

c Phosphorsäure, in welche beide andere bei Behandlung mit Säuren übergehen, ist dreibasisch, und gibt mit salpetersaurem Silberoxyd einen gelben Niederschlag von  $\text{Ag}^3 \text{P}$ . Daher schreiben die neuern Chemiker  $\text{PO}^4 \text{H}^3$  pag. 183. Dahin gehört das vom Löthrohr her bekannte Phosphorsalz ( $\text{H} + \text{Am} + \text{Na}$ )  $\text{P} + 8 \text{H}$ . Das c phosphorsaure Natron ( $\text{H} + 2 \text{Na}$ )  $\text{P} + 24 \text{H}$  wird durch Glühen zweibasisch, es entsteht

b phosphorsaures Natron  $\text{Na}^2 \text{P}$  (Pyrophosphorsäure). Löst man das Salz in Wasser, so krystallisirt pyrophosphorsaures Natron heraus,  $\text{Na}^2 \text{P} + 10 \text{H}$ , das mit salpetersaurem Silberoxyd einen weißen Niederschlag von  $\text{Ag}^2 \text{P}$  gibt. Glüht man dagegen das Phosphorsalz, so entweicht Wasser und Ammoniak und eine einbasische Masse  $\text{Na P}$  bleibt zurück, dies ist die

a Phosphorsäure oder Metaphosphorsäure, ihre Auflösung im Wasser fällt das Eiweiß, was die andern beiden nicht thun.

Phosphorsäure steht bei gewöhnlicher Temperatur der Schwefelsäure, Salzsäure und Salpetersäure zwar nach, allein wegen ihrer großen Feuerbeständigkeit treibt sie in der Hitze dieselben aus. Darauf beruht ihre Wichtigkeit als Löthrohrreagens. Phosphorsaure Verbindungen mit Schwefelsäure befeuchtet färben die Löthrohrflamme blaßgrün. Essigsaures Bleioxyd gibt einen Niederschlag von  $\text{Pb}^3 \text{P}$ , das vor dem Löthrohr mit polyedrischen Flächen erstarrt.

**Arseniksäure  $\ddot{A}s$ .** Arsenit spielt besonders bei den Schwefelmetallen auf Erzgängen eine wichtige Rolle, wo Phosphor kaum vorkommt. Im oxydischen Zustande ist dagegen das Arsenit weniger verbreitet als Phosphor. Doch machte Walchner im Ocker der Ganstatter Heilquelle 1844 einen merkwürdigen wenn auch geringen Fund von arseniger Säure  $\ddot{A}s$  (0,8 p. C. nach Fehling, was etwa auf 10 Millionen Theile Wasser  $1\frac{1}{2}$   $\ddot{A}s$  betragen würde), seit der Zeit fand sich dieses starke Gift in den verschiedensten Quellsenniederschlägen, aber in so geringer Menge, daß der Genuß des Wassers nicht nachtheilig wirken kann. Daubrée will im Meerwasser Arsenit nachgewiesen haben, selbst aus Pflanzen und Thieren wird er angegeben. Jedenfalls liefert er ein wichtiges Beispiel für die große Verbreitung der Stoffe überhaupt. Vor dem Löthrohr ist die Säure sehr flüchtig, sie entwickelt auf Kohle im Reductionsfeuer einen graulich weißen Rauch, welcher knoblauchartig riecht. Der Isomorphismus von  $\ddot{P}$  und  $\ddot{A}s$  ist außer den natürlichen Salzen noch durch viele künstliche erwiesen (Pogg. Ann. 18. 600). In neuern Zeiten wird auch das Vanadium mit Bestimmtheit dazugesellt.

### 1. Apatit Br.

Trügling (*apatite*), weil die Ehrenfriedersdorfer lange mit Schörl, Beryll, Chrysolith zc. verwechselt wurden, bis Werner 1788 (Bergmännisches Journal I. 70) sie feststellte, und Phosphorsäure darin vermuthete, die Klaproth auch sofort fand. Den gelben Spargelstein erkannte Wauquelin. Fluor fand Pelletier schon 1790 im Phosphorit von Estremadura.

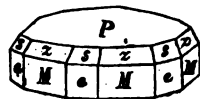
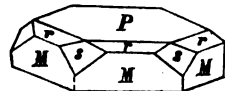
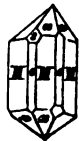
Sechsgliedrig: Vorherrschend erste 6seitige Säule  $M = a : a : \infty a : \infty c$  mit einer ziemlich blättrigen Geradendfläche  $P = c : \infty a : \infty a$ . Die Endkanten  $P/M$  durch das Dihexaeder  $x = a : a : \infty a$  abgestumpft, mit  $80^\circ 25'$  in den Seiten- und  $142^\circ 20'$  in den Endkanten, gibt

$$a = 1,366 = \sqrt{1,866}, \lg a = 0,13545.$$

Hr. Kotscharow fand  $x/x$   $142^\circ 15' 30''$  Tasowaja,  $142^\circ 19' 20''$  Sumilla,  $142^\circ 25'$  Achmatowsk. Der Winkel soll sich mit Zunahme von Chlor verkleinern, daher die Seitenkante vergrößern.

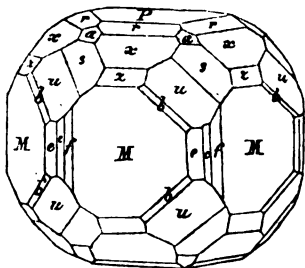
Spargelstein von Sumilla und Miask, Moroxit von Arendal zeigen auf der Säule eine vollkommene dihexaedrische Endigung, dazu gesellt sich häufig die Rhombenfläche  $s = a : \frac{1}{2}a : a : c$  und die 2te sechseckige Säule  $e = a : \frac{1}{2}a : a : \infty c$ . Nach Hessenberg bildet am Wildkreuzjoch im Pfischthal zuweilen sogar  $s$  eine vollständige dihexaedrische Endigung.

Auf Zinnsteingängen herrschen die beiden sechseckigen Säulen mit Geradendfläche gewöhnlich, die Krystalle werden tafelartig, und wenn die Endkanten der Tafeln abgestumpft sind, so zunächst durch das Dihexaeder  $r = 2a : 2a : \infty a : c$ , wie man am leichtesten aus der Rhombenfläche  $s$



sieht. Oder es findet sich  $z = \frac{1}{2}a : \frac{1}{4}a : \infty a : c$ , zu welchem die Rhombenfläche  $s$  das nächste stumpfere Dihexaeder bildet. Das Dihexaeder  $x$  ist nicht gewöhnlich, aber es kommt namentlich bei den grünen von Johann Georgenstadt mit  $a = 2a : a : 2a : c$  vor, eine obere Rhombenfläche, die seine Endkanten abstumpft, und sich zu  $r$  verhält wie  $s$  zur  $x$ ,  $a$  gewöhnlich matt. Selten  $d = \frac{1}{2}a : \frac{1}{4}a : \frac{1}{4}a : c$  und  $u = c : a : \frac{1}{4}a : \frac{1}{4}a$ , letztere bei Schlaggenwalde vollflächig.

Am St. Gotthardt (Val Maggia) zeichnen sich die farblosen in

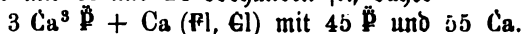


Spalten des körnigen Feldspathes durch ihren übermäßigen Flächenreichtum aus. Im Ganzen herrscht die Säule (Haidinger, Edinburgh phil. Journ. 10. 140)  $M$  öfter mit einem eigenthümlichen Seidenglanz, die Geradenfläche  $P$  verräth sich wegen ihres ziemlich deutlichen Blätterbruchs durch Quersprünge. Häufig drei Dihexaeder  $z$ ,  $x$ ,  $r$  über einander, dazu die beiden Rhombenflächen  $a$  und  $s$ , aber selten vollflächig,

doch herrscht darin kein Gesetz, dagegen treten die 6 + 6kantner  $u = c : a : \frac{1}{2}a : \frac{1}{4}a$  aus der Rantenzone  $M/s$  mit großer Gesetzmäßigkeit parallelflächig hemiedrisch auf, wodurch Dihexaeder von Zwischenstellung entstehen. Eine ganz kleine Abstumpfungsfläche  $b = c : a : \frac{1}{2}a : \frac{1}{4}a$  liegt oft noch unter  $u$ . Die Hemiedrie setzt sich auch auf die Säulen fort: wir finden die Kanten zwischen den beiden sechsseitigen Säulen  $M$  und  $e$  häufig fein abgestumpft, aber immer auf der Seite der Kante, wo die hemiedrischen Sechskantner nicht liegen:  $c = a : \frac{1}{2}a : \frac{1}{4}a : \infty$ ,  $f = a : \frac{1}{2}a : \frac{1}{4}a : \infty$ . Ausnahmsweise finden sich am Wildkreuzjoch die Sechskantner auch vollflächig, wie überhaupt auf die Hemiedrie nur ein bedingtes Gewicht zu legen ist. Mit Epidot im Oberfußbachthale vortreffliche Krystalle, woran Klein  $c : a : \frac{1}{2}a : \frac{1}{4}a$  bestimmte. Negativ optisch lagig, wie alle 6gliedrigen Phosphate und Arseniate, was man an Alpinischen Krystallen unmittelbar beobachten kann.

Apatithärte = 5, Gew. = 3,2, aber zuweilen durch eingesprengte Quarzkrystalle herabgedrückt. Fett- bis Glasglanz, und schöne zum Theil fluspathartige Farben, wornach man den verschiedenen Varietäten besondere Namen gegeben hat. Farblose und trübweiße findet man sehr häufig in den Alpen; Spargelstein hieß Werner den gelben (spargelgrünen) aus dem Talkschiefer des Zillertales und dem Vulkangestein von Sumilla, die von Miask brennen sich leicht weiß; Moroxit die eitenblauen von Arendal mit gerundeten Kanten, und besonders groß an der Glüdianka in Transbailalien; ausgezeichnet amethystblau kommen sie auf den Zinnsteingängen von Ehrenfriedersdorf in Sachsen vor, und prächtig auf einer alten verlassenen Kupfergrube von Kiräbinsk bei Miask; himmelblau in Neuholland, am Baikalsee, auf Pargas (Vasur-Apatit); anderer grüner, rother aber meist trüber Farben nicht zu erwähnen.

Nähert man sich mit Splittern der Löthrohrflamme, so phosphoresciren mehrere mit einer prachtvollen grünen Farbe; in höchstem Grade zeigen dies die durch Eisenoxyd roth gefärbten sechsseitigen Tafeln aus dem Granit von Schlackenwalde in Böhmen: der Lichtschein läuft über die Probe hin, und schwindet nach stärkerem Erhitzen, ohne wiederzulehren. Aber nicht alle Varietäten phosphoresciren. Schmilzt ziemlich schwer. In Salz- und Salpetersäure leicht auflöslich, nach Liebig löst er sich sogar im Wasser mit schwefelsaurem Ammoniak so leicht als Gyps. Schwefelsäure gibt einen Niederschlag von  $\text{Ca S}$ , besonders bei Verdünnung mit Alkohol, salpetersaures Silber gibt Chlorsilber, und das Mineral mit Schwefelsäure übergossen und erwärmt ätzt häufig Glas. Arseniksäure fehlt. Klaproth hielt ihn für bloßen phosphorsauren Kalk, bis G. Rose (Pogg. Ann. 9. 100) zeigte, daß analog dem Buntbleierz noch ein zweites Glied mit Cl und Fl vorhanden sei, daher



Fluorapatit enthält gegen 7,7 Ca Fl mit 2,1 Fl, und nur unbedeutenden Chlorkalk: dahin gehört der von Werner zuerst erkannte Apatit von Ehrenfriedersdorf, wo er in Gesellschaft von andern Fluoriden (Flußspath, Topas, Glimmer) auf Zinnsteingängen vorkommt, und der farblose vom St. Gotthardt. Beide zeichnen sich durch großen Flächenreichtum aus. Aber auch die einfachern zeigen gewöhnlich mehr Fluor als Chlor. Als Muster eines

Fluorchlorapatit gilt der grünlich gelbe derbe aus dem Glimmerschiefer von Snarum in Norwegen, welcher etwa 2,6 Cl und 1,2 Fl d. h. 40 Chlor- und 60 Fluorapatit enthält. Fast reiner weißer Chlorapatit kommt bei Kragerö vor. Die Masse, welche man beim Anrühren der frischgefällten phosphorsauren Kalkerde mit Chlorcalcium in der Glühhitze bekommt ist  $\text{Ca}^3 \text{P} + \text{Ca Cl}$ , also für Apatit zu reich an Chlor. Dagegen will Daubrie (Compt. rend. 32. 005)

künstlichen Apatit dargestellt haben: er leitete über dunkelroth glühenden Aetzalk Chlorphosphordämpfe, wodurch ein Theil zu kleinen mikroskopischen Apatitfäulen wurde, das müßten reine Chlorapatite mit 10,6 Ca Cl sein. Forchhammer (Jahrb. 1855. 100) schmolz phosphor. Kalk mit Kochsalz zusammen. Verunreinigungen der Apatite sind nicht bedeutend, Bischof wies einen kleinen Magnesiumgehalt nach, Weber etwas Cer und Yttererde in denen von Snarum, das erinnert an Wöhlers Kryptolith in den röthlich grünen Apatiten von Arendal und in den Morogiten vom Baikalsee (Kochscharow Mater. IV. 40).

Krystallinischer Apatit bricht hauptsächlich schon auf den Zinnsteingängen des Erzgebirges und Cornwallis; einfache Säulen von Dovey Trach mit Turmalin, Kozna, Marschendorf zc. könnte man leicht mit Beryll verwechseln; grünliche Krystalle von Gouverneur in New-York liegen im Kalkspath wie die von Arendal, Pargas zc., zu Hammond sollen sie sogar fußgroß vorkommen, in Norwegen  $1\frac{1}{2}'$ . Der Ural hat besonders im Almengebirge bei Miasst mehrere ausgezeichnete Fundorte,

am Baikalsee einen schön blauen Lasurapatit. In den Alpen sind es die farblosen vom St. Gotthardt, die edelsteinartig glänzenden vom Rothen Kopf im Zillertal, der rundliche Spargelstein mit Bitterspath im Talschiefer des Greiner, die grünlich weißen trüben aus dem Glimmerschiefer von Faltigl. Die Auswürflinge des Laachersees und der Somma zeigen stellenweis viele lange Säulen; im Nephelinfels vom Meises und Lössau winnelt es von feinen Apatitnadeln; das Mikroskop weist sie in zahllosen Basalten und Grünsteinen nach; mit Essigsäure kann man sie aus dem Kalkstein von Schelingen am Kaiserstuhl abscheiden (Jahrb. 1869. 100). Sogar aus dem Meteorstein von Richmond führt sie Shepard (Silliman Amer. Journ. 2. 100) wenn auch etwas zweifelhaft an. Hydroapatit aus den Pyrenäen, Pseudoapatit vom Churprinz bei Freiberg leiden an Zersetzung. Francolit von Devonshire bildet kugelige Aggregate mit krummen Dihedraedern  $a : a : \infty a : \frac{1}{2}c$ ; ähnlich der phosphorescirende Euphyroit von Hurdstown in New-Jersey.

**Phosphorit** nannte Werner den blumigstrahligen, etwas schaligen, erdig matten von Vogrosan südöstlich Trugillo. Es herrscht darin deutlich ein blättriger Bruch, und auf der Oberfläche krystallisiren (scheinbar) sechsseitige Tafeln aus, welche wie beim schaligen Schwerspath auf der schmalen Kante stehen. Vor dem Löthrohr kann man sie leicht erkennen, da die Splitter trotz ihrer Undurchsichtigkeit mit prachtvollem grünem Lichte phosphoresciren. Die Masse hat offenbar schon durch Zersetzung gelitten, daher mag denn auch der größere Gehalt von 14 p. C. Ca Fl rühren. Er bildet Gänge von 1'—16' Mächtigkeit in der Nähe von Granit und Thonschiefer, aber nur die mittlern 3' enthalten 81 p. C. phosphorsaure Kalkerde, das andere ist von Ca C verunreinigt, der beim Aufschluß eine Menge Säure nöthig macht. Daher haben es englische Speculanten lange nicht der Mühe werth gehalten, ihn für Landwirthschaft zu benützen. Jetzt bildet er nebst den Lagern von Cáceres in Estremadura eine wahre Goldgrube für Spanien. Der traubige von Amberg liegt in gelben Knollen auf der Oberfläche der Eisenerze des braunen Jura von Amberg, aber phosphorescirt nicht, doch zeigen Proben in Schwefelsäure getaucht die grüne Flamme, 2 p. C. Fluor und etwas Jod. Erdigen Apatit untersuchte schon Klaproth Beitr. IV. 377 von Szigeth in Ungarn. Ein eigenthümlich weißes steinmarkartiges Ding bildet *Osteolith* auf Klüften zersetzter Basalte. Ursprünglich von Bromeis (Jahrb. 1853. 100) bei Ostheim in der Wetterau bestimmt, fand er sich später auch in Böhmischem und andern Basalten, und enthält 86 p. C. Ca<sup>3</sup> P, Kieselerde, Wasser, Spuren von Jod, aber wie es scheint weder Chlor noch Fluor. Bei Pilgramsreuth am Südbahange des Fichtelgebirges (Rand Zeitschr. deutsch. geol. Ges. 1850. II. 10) liegen ähnliche Massen unter Braunkohle auf Uebergangsgebirge. Der Phosphorit von Quercy (Garonne) im untern Miocen enthält eine Menge Knochen der merkwürdigsten Thiere (Compt. rend. 1876. 100). Es ist daran zu erinnern, wie noch heute Guano auf Felsen Ueberzüge von Pyroklasit, Glaubapatit,

Epiglaubit erzeugt (Shepard, Journ. prakt. Chem. 70. 211) mit wesentlichem Gehalte an Phosphor. Kalk.

Die Knochen der Wirbelthiere bestehen zwar aus phosphorsaurem Kalk, aber einige behaupten im Verhältniß  $\text{Ca}^3 \text{P}^3$  (v. Vibra Chemische Untersuchungen über Knochen und Zähne. Schweinfurt 1844), andere nahmen auch  $\text{Ca}^2 \text{P}$  an. Etwas phosphorsaure Talkerde bis 2,5 p. C. fehlt fast nie, und dazu kommt kohlensaurer Kalk, der selbst bei Säugethieren 10 p. C. übersteigen kann. Dagegen findet sich in den Knochen so wenig Fluor, daß ihn manche Chemiker gelängnet haben, und wenn Chlor vorkommt, so scheint es an Natron gebunden. In den Zähnen ist zwar die Fluorreaction entschiedener, aber zur Constitution eines Apatit scheint Fluor auch hier nicht hinzureichen. Dagegen sollen die fossilen Knochen oft übermäßig reich an  $\text{Ca Fl}$  (Erdmann Journ. prakt. Chem. 29. 214) sein. Girardin und Preisser behaupten, daß unter dem Einflusse der Fäulniß sich  $\text{Ca}^3 \text{P}^3$  in  $\text{Ca}^2 \text{P} + 2 \text{Ca}^3 \text{P}$  zersehe, ohne eine Zu- oder Abnahme an Stoffen, und letzteres Salz bilde dann mit  $\text{Ca Fl}$  Apatit, der sich an der Oberfläche solcher veränderten Knochen sogar in kleinen sechsseitigen Säulen noch erkennen lasse. Laffaigne fand in den Zähnen von Anoplotherium 37  $\text{Ca}^3 \text{P}$  und 15  $\text{Ca Fl}$ , und man hat wohl behauptet, je älter die Knochen, desto fluorreicher. Hr. Prof. Hoppe-Seyler konnte jedoch in unsern schwäbischen Mastodon- und Paläotherienzähnen nur die gewöhnlichen Spuren finden; auch darf man bei Vergleich mit frischen Zähnen die organische Substanz nicht außer Acht lassen, welche das procentische Verhältniß wesentlich ändert. Eine Menge Phosphorsäure kam durch organische Wesen ins Gebirge: nicht bloß fossile Knochen, Schilber und Excremente enthalten sie, sondern man findet auch ganze Schichten eigenthümlicher Knollen, die besonders in der Kreideformation von Frankreich und England von Landwirthern ausgebeutet werden. Bei Avallon rühmt man die schwarzen Steinkerne der Muscheln des Gryphitenalkes, im Gault nennt sie Delanoue (Compt. rend. 1859. 49. 74) phosphates ferrico-calciques, ihr Mehl auf Felder gestreut soll nach Molon (Compt. rend. 49. 222) viel besser düngen als gebrannte Knochen, obwohl diese phosphorhaltiger sind. Englische Speculanten haben daher sogar bei Kragerö Apatitnesten auf Hornblendegängen im Granit eine Zeitlang mit Vortheil ausgebeutet (F. Römer Zeitschr. deutsch. geol. Ges. 1859. XI. 222), und Tausende von Tonnen den Feldern zugeführt, wobei besonders schöne Titaneisen und Massen von Rutil zum Vorschein kamen.

Talkapatit mit 7,7 Mg untersuchte Hermann (Erdmann Journ. prakt. Chem. 31. 121) in kleinen matten erdartigen Krystallen aus Gängen im Talkschiefer von Slatoust, wo er mit Chlorospinell und Apatit zusammen vorkommt. Er ist so stark zersezt, daß er dem Phosphorit von Estremadura gleicht. Auch die schönen Krystalle von Snarum in Norwegen haben auf der Oberfläche von ähnlicher Verwitterung gelitten.

Wagnerit (Fuchs Schweigger's Journ. 33. 222)  $\text{Mg}^3 \text{P} + \text{Mg Fl}$  enthält nach Rammelsberg (Pogg. Ann. 64. 222) 40,6 P, 46,3 Mg, 4,6 Fe, 2,4 Ca,

9,4 Fl, wozu freilich die Formel nicht recht stimmt. H. v. Kobell (Sitzb. Münch. Akad. 1873. 100) wies darin nicht bloß 5,1 Natron nach, sondern schrieb auch  $2 \text{Mg}^3 \text{P} + (\text{Na}, \text{Ca}) \text{Fl}^2$ . Es sind undurchsichtige röthlich bis weingelbe Brasilianischem Topas gleichende Krystalle von 3 Gew. und Härte 5, welche zusammen mit verwittertem Bitterspath, fleischrothem Gyps und Quarz auf Klüften eines glimmerigen Thonschiefers im Höllengraben bei Werfen (Salzburg) selten vorkommen. Lévy (Pogg. Ann. 10. 200) hat die Krystalle 2 + 1gliedrig beschrieben: die Säule  $M = a : b : \infty$  bildet  $95^\circ 25'$ , eine Schiefendfläche  $P = a : c : \infty$  macht mit  $M$   $109^\circ 20'$ . Die Fläche  $a : \infty b : \infty$  etwas blättrig. Ein hinteres Augitartiges Paar  $a' : c : \frac{1}{2}b$  macht in der Medianante  $138^\circ 53'$ , außerdem aber noch ein großer Flächenreichtum. Schmilzt schwer. Der Ajerulfin von Bamle in Norwegen (Jahrb. 1873. 100) derb fettglänzend und röthlich steht ihm nahe  $2 \text{Mg}^3 \text{P} + \text{Ca Fl}$ , ist aber nach Kobell'scher Ansicht fluorärmer.

**Eisenapatit**  $(\text{Fe}^3, \text{Mn}^3) \text{P} + \text{Fe Fl}$  (Zwieselit) nannte Fuchs (Journ. prakt. Chem. 18. 400) eine derbe etwas blättrige nelfenbraune fettglänzende Masse, von 3,9 Gew. und Härte 5, welche zuweilen in 2gliedrigen Säulen von  $129^\circ$ , woran der blättrige Bruch die Geradendfläche bilden soll, gefunden wird. Aeußerlich ähnlich dem Triplit von Limoges, namentlich eben so leicht schmelzend. Fund sich im Granit von Zwiesel, hat mit dem Apatit keine Verwandtschaft, sondern kommt vom Triphylin her.

Deville (Compt. rend. 1858. 47. 200) hat sich mit der künstlichen Bereitung der Apatite beschäftigt, und zwei Reihen unterschieden: die Hauptreihe  $3 \text{R}^3 \text{P} + \text{R El}$  enthält Kalk-, Blei-, Baryt- und Strontian-Apatite und solche Basen, die mit Kohlensäure Aragonitartig krystallisiren; die Nebenreihe  $\text{R}^3 \text{P} + \text{R El}$  enthält Talk-, Kalk-, Mangan- und Eisen-Wagnerite, und solche Basen, die mit Kohlensäure kalkspathartig krystallisiren. Die eine Hälfte kommt in der Natur vor, die andere Hälfte wurde künstlich dargestellt.

Künstlich wurden dann weiter mit Arseniksäure Arsenikapatite und Arsenikwagnerite (Compt. rend. 65. 170) von Lechartier dargestellt, ja Hautefeuille (Compt. rend. 77. 200) bekam sogar Chlorovanadate von Kalk in sechsgliedriger und rhombischer Form, d. h. einen Vanadinapatit und Vanadinwagnerit, wodurch der vollständige Isomorphismus von  $\text{P}_2 \text{O}_5$ ,  $\text{As}_2 \text{O}_5$ ,  $\text{V}_2 \text{O}_5$  bewiesen wäre. Freilich würde dazu die neue Formel von Kobell nicht angenehm passen.

Apatite und Phosphorite dienen heute den Landwirthen. Sie werden durch Schwefelsäure aufgeschlossen:

$\text{Ca}_3 \text{P}_2 \text{O}_8 + 2 \text{H}_2 \text{SO}_4 + 4 \text{H}_2 \text{O} = 2(\text{Ca SO}_4 2 \text{H}_2 \text{O}) + (\text{Ca H}_4) \text{P}_2 \text{O}_8$ , wobei sich Gyps niederschlägt und Superphosphat  $(\text{Ca H}_4) \text{P}_2 \text{O}_8$ , Eisen und Thonerde bedingen dabei ein Zurückgehen der löslichen Phosphorsäure in unlösliche, wie beim Lahnphosphorit, der zu Staffel (Staffelit Jahrb. 1866. 110) im Strigocephalenkalk gewonnen wird, wo sogar die Petrefacten (Jahrb. 1870. 100) in Phosphorit verwandelt sind. Som-



brerit von der Insel Sombbrero im Caraischen Meere ist ein weißer Muschelhaltiger Korallenfels, der durch Infiltration von Guanosalzen allmählig 75 % phosphorsauren Kalk erhielt (Jahrb. 1864. 661). Kleine glänzende monokline Krystalle  $(\text{Ca}^2 + \text{H}) \text{P} + \text{H}$  heißen die Amerikaner Brushite, die amorphe Masse in den Klüften Kollophan  $\text{Ca}^2 \text{P} \text{H}$ , Sandberger Jahrb. 1870. 308. Auf Navassa hat selbst der Kalkspath Phosphorsäure aufgenommen, und ist zu Austerkrystallen geworden. Die kleinen Krystallhäufchen von monoklinen sechsseitigen Säulen des Bobierit im Peruanischen Guano sind wasserhaltige  $\text{Mg}^2 \text{P}$  ohne Spur von Kalk. Die schwarzen und grauen Knollen im Lias und Braunen Jura enthalten nach Gümbel (Sitzb. Münch. Akad. 1867. 147) ebenfalls wesentlich Phosphorsäure. Die Kreide von England, Frankreich, Gallicien, Rußland 2c. liefert Massen Coprolithenartiger Knollen, so daß jetzt schon viele Millionen von Centnern, die früher durch den Leib der Thiere gingen, zur Verwerthung kommen. Die Trilobiten-schalen im ältesten Uebergangsgebirge enthalten 40 bis 50 p. C.  $\text{Ca}^2 \text{P}$ , daher geht ein großer Phosphorgehalt bis in das tiefste Cambrische System hinab.

## 2. Buntbleierz Weiß.

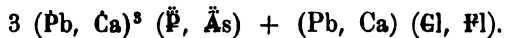
Daß es unter den Bleispathen einen schön grünfarbigen gebe, weiß schon Fentel in seiner Pyritologia, der Bergmann konnte es kaum übersehen, daher nannte es Linné *plumbum virens*, woraus dann die Werner'sche Benennung Grünbleierz entstand. Da sich aber auch andere Farben, gelb, braun 2c. finden, so ist der Weißische Name passender. Als Klaproth 1785 darin die Phosphorsäure nachgewiesen hatte, nannte es Karsten Phosphorblei. War auch von Sage (1775) und Klaproth die Salzsäure nicht übersehen, so zeigte doch erst Wöhler (Pogg. Ann. 4. 161) ihre Wichtigkeit, und Hausmann schlug darauf den Namen Pyromorphit vor, der auf das Verhalten vor dem Löthrohr anspielt. *Plomb phosphaté*, *Phosphate of lead*. Ein Bleiapatit.

Sechsgliedrig und vollkommen isomorph mit Apatit. Gewöhnlich herrschen die einfachen sechsseitigen Säulen mit Geradenflächen, die Säulen werden durch Querstreifen gern bauchig, aber ein Blätterbruch nach der Geradenfläche läßt sich nicht wie beim Apatit wahrnehmen. Das Dihexaeder, die Endkanten der Säule abstumpfend,  $x = a : a : \infty a : c$  hat nach Haidinger  $80^\circ 44'$  in den Seitenkanten, darnach  $a = 1,358$ . Bei den Arsenik-säurehaltigen geht der Winkel bis auf  $81^\circ 47'$  hinauf, also  $a = 1,333$ . Auch die 2te sechsseitige Säule kommt zu Huelgoat und Johann Georgenstadt vor. Von letztem Orte stammen die schönsten Krystalle, sie zeigen sogar die drei Dihexaeder  $rxz$  des Apatits, allein von den hemiedrischen Flächen (u) wurde noch nichts beobachtet.

Härte 3—4, Gew. 7, Diamantglanz mit geringer Durchscheinendheit, doch wirken feine Krystalle sichtlich auf das Dichroskop. Unter den

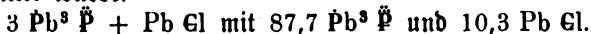
Farben herrschen vorzugsweise Grün und Gelb, seltener Braun, was zuletzt ganz ins Weiße übergeht.

Vor dem Löthrohr schmelzen sie leicht, geben in der innern Flamme einen Bleirauch, und was an arseniksaurem Bleioxyd vorhanden, reducirt sich, zuletzt bleibt eine Kugel von  $Pb^s \text{ P}$ , die beim Erkalten polyedrische aber auf keine bestimmte Krystallformen zurückführbare Facetten bekommt, obgleich man oft Pentagonalflächen sieht. Dieses sonderbare Krystallisiren fiel schon Cronstedt (Versuch Miner. 300) in hohem Grade auf. Eisenbraut in die schmelzende Perle gesteckt bildet brüchiges Phosphoreisen, und metallisches Blei wird niedergeschlagen. Schmilzt man eine Perle von Phosphorsalz, und setzt eine kleine Probe zu, so entweicht die Salzsäure unter Brausen und Geruch. In Salpetersäure und Kalilauge löslich. Das Chlor erkennt man durch salpetersaures Silber, und wenn bloß Blei vorhanden, so fehlt Fluor, weil dieses sich immer an Kalk bindet; bei Gegenwart von  $Ca \text{ Fl}$  fehlt dagegen gewöhnlich Arseniksäure. Obgleich der Centner Grünbleierz oft nur  $\frac{1}{4}$  Lth. Silber enthält, so kann man dieß doch durch Cupellation entdecken. Zu Verejowst, wo es mit Rothbleierz vorkommt, hat es einen Chromgehalt, denn es gibt mit Phosphorsalz außen eine smaragdgrüne Perle. Die allgemeinste Formel würde sein:



Buntbleierz hat sich aus dem Bleiglanz in den obern Teufen der Gänge gebildet, auf dem Herrenseegen fraß es förmliche Löcher in den Bleiglanz, zu Mies in Böhmen bildet es Aterkrystalle nach Bleiglanz, bei Markirch in den Vogesen sogar nach Weißbleierz, das selbst erst aus Bleiglanz entstand. Die Phosphorsäure muß daher wohl von außen in den Gang gerathen sein. Das Bestreben dieses Bleisalzes, sich zu constituiren, ist so groß, daß es Heinz (Pogg. Ann. 72. 110) einmal als das beste Mittel vorschlug, um Phosphorsäure aus ihren Verbindungen von Alkalien und alkalischen Erden zu trennen. So mag es auch in die Spalten des Buntensandsteins am Commersehen Bleiberge, zu Jägerthal in den Vogesen, Sulzbach bei Amberg 2c. gekommen sein. Als Hauptvarietäten sind etwa folgende zu merken:

1. Grünbleierz von Schopau in Sachsen und Hofgrund auf dem südlichen Schwarzwalde von Smaragd-, Gras- und Zeisiggrüner Farbe: dort zuerst gekannt, hier so mächtig gefunden, daß es längere Zeit verhüttet wurde.



Klaproth Beitr. III. 146 erkannte darin die Phosphorsäure, hielt die Salzsäure aber für unwesentlich. Im Augenblicke des Krystallisirens glüht die Kugel etwas auf. Ohne Arseniksäure. Von Kransberg bei Ufingen in Nassau kennt man es in derben schweren Stücken mit bauchigen Säulen. Diese besonders groß bei Ems und Bernkastel an der Mosel, hier aber meist in Aterkrystallen, indem die mehr als Zollgroßen Säulen durch Schwefelwasserstoff wieder in Bleiglanz zurückgeführt wurden.

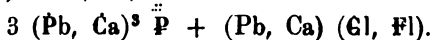
Auf dem Herrenseegen kam es traurig vor mit einem schimmernden Falschbruch. Nach Nöggerath (Leonhard's Jahrb. 1847. 21) fanden sich auf der Asbacher Eisenhütte in den Ofenbrüchen künstliche Krystalle so schön als von Hoßgrund.

2. Braunbleierz Werner. Von nelfenbrauner bis weißer Farbe. Ein Theil derselben enthält keine Arseniksäure, wie die bekannten von Poullaouen und Huelgoët in der Bretagne, Ems, Rheinbreitenbach u. Andere aber, darunter das weiße von Bschopau, breiten sich auf der Kohle aus, riechen nach Arsenik, dabei zeigen sich kleine Bleireguli, allein es bleibt noch eine ansehnliche Perle zurück. Wöhler gibt beim Bschopauer  $2,3 \text{ As}$  auf  $14,1 \text{ P}$  an, also  $3 \text{ Pb}^3 (\text{P}, \text{As}) + \text{Pb Gl}$ . Auf der Grube Friedrichseegen bei Oberlahnstein kam eine 4 m lange, 3 m hohe, 1 m breite Druse vor (Zeitschr. d. g. Ges. 1868. 240).

Blaubleierz Werner, brach ehemals auf der Dreifaltigkeit zu Bschopau, Farbe zwischen indigblau und bleigrau (Bergm. Journ. II. 1 pag. 347). Nach Haibinger sind die regulären sechsseitigen Säulen Asterskrystalle der dortigen Grünbleierz nach Bleiglanz, die auch zu Huelgoët vorkommen (Pogg. Ann. 11. 211).

3. Arseniksaures Bleierz von Johann-Georgenstadt (Breithaupt's Mimetesit,  $\mu\mu\eta\tau\epsilon\varsigma$  Nachahmer), von wachsgelber Farbe in den ausgezeichnetsten Krystallen, worin schon Valentin Rose Arseniksäure erkannte, und Wöhler 21,2 Arseniksäure neben nur 1,3 Phosphorsäure nachwies, daher  $3 \text{ Pb}^3 (\text{As}, \text{P}) + \text{Pb Gl}$ . Vor dem Löthrohr reducirt es sich schon in Entfernung von der Desoxydationsflamme zu kleinen Bleireguli, und so wie man nur einigermaßen der innern Flamme sich nähert, zerstäubt die Probe plötzlich zu kleinen Bleifügelchen. Bei sorgfältiger Behandlung bemerkt man aber einen kleinen Rückstand. Zu Keswich in Cumberland krümmen sich die wachsgelben Säulen wurmförmig, und auf der Grube Hausbadon bei Badenweiler kommen garbenförmig eingeschnürte Säulen vor, welche sich dann zu strohgelben Trauben gruppieren. Die Trauben sind mit lauter kleinen Warzen bedeckt, und solche Warzen überziehen auch die Quarze. Vor dem Löthrohr hinterlassen sie übrigens schon einen bedeutenden Rückstand. In Cumberland kommen auch orangengelbe bauchige Säulen vor (Rampylit,  $\kappa\alpha\mu\pi\iota\lambda\omicron\varsigma$  gekrümmt), sie sollen ihre Farbe einem kleinen Chromgehalt verdanken. Rammelsberg (Pogg. Ann. 91. 210) fand darin  $3,3 \text{ P}$ ,  $18,5 \text{ As}$ ,  $2,4 \text{ Cl}$ ,  $76,5 \text{ Pb}$ .

4. Polysphärit Breithaupt (Pogg. Ann. 26. 400) von den Gruben Sonnenwirbel und St. Niclas bei Freiberg. Kugeln und Tropfen von nelfenbrauner bis isabellgelber Farbe gruppieren sich traurig. Ihr spezifisches Gewicht nur 6,1, wegen einer Beimischung von 12 p. C. Fluorapatit, folglich ohne Arseniksäure:



Die Löthrohrperle krystallisirt nicht. Die grauen Trauben von Mies in

Böhmen haben nach Kersten nur 7,7 Apatit, daher hieß sie Breithaupt Riesit.

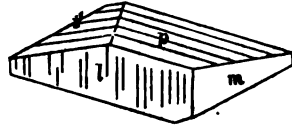
Traubige Bleierze sind überhaupt leicht verunreinigt. Schon Romé de l'Isle erwähnt eines Plomb rouge en stalactites von Huelgoët, was Gillet Laumont Plomb gomme (Bleigummi) nennt, weil es das Ansehen von Arabischem Gummi hat. Berzelius fand darin 37 Al, darnach wäre die Formel  $Pb \bar{Al}^2 + 6 H$ . Andere fanden auch wahrhaft Buntbleierz eingemengt  $3 Pb^5 \bar{P} + Pb Cl + 18 H^3 \bar{Al}$ . Kobaltsolution färbt die Perle schön blau. Solche blauen Perlen gibt auch der Ruffierit von den Galden der Grube Ruffière bei Beaujeu im Dep. Rhone, hier bekommt man selbst von den krystallisirten sechsseitigen Säulen schöne blaue Farben, ein Beweis, daß die Thonerde nur Beimischung sein dürfte. Breithaupt's

Hedynphan (*ἡδυφανής*, lieblich glänzend) mit Diamantglanz von Langbanshytta in Wärmeland, eine derbe graulichweiße blättrige schwach krystallinische Masse, von nur 5,5 Gew., bildet fingerbreite Trümmer im braunen Granate und Mangankiesel aus den dortigen Eisenerzgruben. Nach Kersten  $3 (Pb, Ca)^5 (\bar{As}, \bar{P}) + Pb Cl$ . An derselben Stelle kommt auch Kühn's Berzeliit vor, eine derbe gelblichweiße durchscheinende fettglänzende Masse, Härte 5—6, Gew. 2,5.  $Ca^5 \bar{As} + (Mg, Mn)^5 \bar{As}$ . Sandberger's Carminspath (Pogg. Ann. 103. 100) von Horthausen nördlich Sayn auf Brauneisenstein ist  $Pb^5 \bar{As} + 5 Fe \bar{As}$ , feine carminrothe Nadeln.

### 3. Amblygonit Breith.

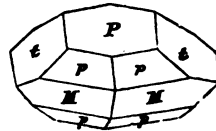
*Ἀμβλυγόνιος* stumpfwinklig, weil man ihn anfangs für rechtwinklig hielt und mit Stapolith verwechselte, Hoffmann Handb. Mineral. IV. b. 159. Zwei scheinbar gleiche Blätterbrüche schneiden sich unter  $106^\circ 10'$ , etwa so deutlich wie M Feldspath, erweisen sich optisch aber eingliedrig. Härte 6, Gew. 3, trüb und Feldspathartig aussehend. Allein vor dem Löthrohr schmilzt er außerordentlich leicht, und in günstigen Fällen nimmt man dabei eine grünliche Phosphorescenz wahr. Berzelius wies darin  $\bar{P}$ , Al, Li und Fl nach und gab ihm darnach die ungefähre Formel  $Li^2 \bar{P} + Al^4 \bar{P}^3$ , da es aber die Flamme nicht roth sondern gelb färbt, so läßt das auch auf einen Natrongehalt schließen. Rammelsberg (Pogg. Ann. 64. 100) schrieb ihn  $R^5 \bar{P}^3 + Al^5 \bar{P}^3 + R Fl + Al Fl^3$  mit 5,7 Li, 0,5 Li, 5 Na, 0,7 Na 47,8  $\bar{P}$  2c., was er jetzt zu  $2 Al PO^5 + 3 R Fl$  vereinfachte; nach Weissbach (Synopsis 34) sogar blos fluorhaltig  $Li Al \bar{P}$ . Das Fossil kommt zu Chursdorf und Arnsdorf ohnweit Penig in Sachsen in Steinbrüchen des Granits mit Topas, Turmalin, grünem Talcglimmer vor. Später fand es sich zu Hebron (Maine) massenhaft im Lepidolith, und zwar in eingliedrigen Krystallen (Dana, Syst. Mineral. 1868 pag. 545). Dazu kam dann der Montecrasit Descl. Compt. rend. 73. 308 und 325

aus den Zinnsteinlagern von Montebras im Creuse-Depart. Nicht bloß die Zusammensetzung, sondern auch die Form stand jedenfalls dem Amblygonit nahe: m ist der deutlichste Blätterbruch; p minder deutlich,  $p/m = 105^\circ 44'$ ; noch undeutlicher i;  $m/l = 151^\circ 4'$ ,  $p/l = 95^\circ 20'$ . Desclouzeaux (Ann. Chim.



Phys. 4 ser. XXVII) gestand bald selbst zu, daß es sich hier um das gleiche Mineral handle. Allein es fand sich bei Hebron und Montebras noch ein zweites Wasserhaltiges (4,7 H) und Natronfreies wenn auch sonst sehr verwandtes Fossil mit 9,8 Li, auf welches nun der neue Name übertragen wurde, zumal da sie sich auch optisch unterschieden. Denn beide verbinden zwar als eingliedrige Krystalle die dispersion tournante mit der inclinée, allein schneidet man an die Rhomboedrische Säule p/m eine Endfläche s, so wird diese von der Ebene der optischen Axen in einer Linie geschnitten, die am Amblygonit sich der Kante m/s, beim Montebrasit der p/s unter scharfem Winkel nähert. Zwillingsslamellen, welche einer Abstumpfungsfäche der Kante p/m parallel gehen, entstehen die optischen Bilder.

Herderit (Allogonit), welchen Breithaupt schon im Jahre 1813 im Flußspath der Zinnsteingruben von Ehrenfriedersdorf entdeckte, und an Werner verschenkte. Lange war dieß das einzige Stück, welches Werner selbst für Apatit hielt, weil es namentlich dem Spargelstein vom Zillertal sehr gleichen soll. Allein Haidinger's (Pogg. Ann. 13. 555) Messungen zeigten, daß es 2gliedrig sei: eine rhombische Säule  $M = a : b : \infty c \ 115^\circ 53'$  ist blättrig, darauf ein Octaeder  $p = a : b : c$  mit  $141^\circ 16'$  und  $77^\circ 20'$  in den Endkanten aufgesetzt, eine Fläche  $t = c : \frac{1}{2}b : \infty a$  macht diese Endigung scheinbar dihexaëdrisch, und da nun auch die Geradenfläche  $P = c : \infty a : \infty b$  nicht fehlt, so konnte man dabei wohl an Apatit denken, Härte 5, Gew. 3. Mit Kobaltsolution schön blau, und der wesentliche Gehalt ist Ca, Al, P und Fl.



#### 4. Türkis.

Ein alter Edelsteinname, der aus Persien kam, und nicht von den Türken, sondern vom Chaldäischen Torteja abstammen soll. Turquesia Leonardi Speculum lapidum 1533 pag. 43. Agricola 626 sagt von ihm: alii boream, juniores Turcicam nominant. Ohne Zweifel Jaspis Persae Persischer Jaspis Plin. hist. nat. 37. 27 aeri similem. Dagegen hat Fischer in Moskau ihn auf den Callais Plinius 37. 22 und 26 mit solcher Bestimmtheit bezogen, daß ihn viele Mineralogen seitdem Kalait nennen. Calchihuitl der alten Mexicaner (Silliman Amer. Journ. 1858. XXV. 227). Arabisch Firuzeh, der das Unglück abwendet.

Man kennt ihn nur derb und unkrystallinisch, höchstens in traubigen Ueberzügen. Wachsglanz. Himmelblau bis berggrün. Gew. 2,7—3, Härte 6. Vor dem Löthrohr schwärzt er sich und ist unschmelzbar, einem Kupferoxydgehalt von 1,5—2 p. C. scheint er seine schöne Farbe zu danken, färbt daher schon für sich die Flamme grün. Hermann (Journ. prakt. Chem. 33. 304) gibt dem orientalischen die Formel  $\text{Al}^3 \text{P} \text{H}^5$ , er fand im schönsten blauen 47,4 Al, 27,3 P, 18,2 H, 2 Cu, 3,4  $\text{Ca}^3 \text{P}$ .

Der ächte orientalische Türkis (de la vieille roche) kommt als Gesteine und oberflächlich anstehend zwischen Nischapur und Mesched im nordöstlichen Persien vor. Die Bucharen bringen ihn aus dem Muttergestein herausgeschlagen nach Moskau in den Handel: er bildet dünne Adern im Kiefelschiefer, und wenn er in dickern Massen vorkommt, so ist er unrein. Major Macdonald hatte auf der Londoner Industrieausstellung 1851 die feinsten Türkise aus dem Megarathal auf der Halbinsel Sinai vorgelegt, wo die reinsten Massen bis zur Haselnußgröße in Spalten der Porphyre ausbrechen, Fraas Württ. Jahresh. 1867 pag. 153. Die grüne Farbe herrscht vor, aber nur die blauen werden geschätzt, unter Erbsengröße haben sie geringen Werth, allein darüber steigen sie schnell im Preise, doch kommt es dabei wie beim edeln Opal wesentlich auf die Schönheit der Farbe an. Muggelich geschliffen benützt man ihn hauptsächlich zum Einfassen werthvoller Edelsteine. Die Mexicaner gruben ihn in den Regalbergen von Santa Fé. Glocker fand spangrüne traubige dünne Ueberzüge auf Klüften des Kiefelschiefers von Steine bei Jordansmühle (Mineral. Taschenb. 1827. b. 100, Pogg. Ann. 64. 333) und an andern Punkten Schlesiens. Breithaupt's

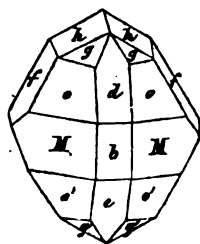
Variscit (Erdmann's Journ. prakt. Chem. 10. 500) aus dem Kiefelschiefer von Reßbach bei Blauen im Voigtlande wird apfelgrün und zuletzt ganz mattfarbig.  $\text{Al} \text{P} \text{H}^4$ , während der bläulich milchweiße Coeruleoactin von Ragenellnbogen in Nassau  $\text{Al}^3 \text{P}^2 \text{H}^{10}$  ist, Peterfen Jahrb. 1871. 353. In den Geltengravern von Morbihan fanden sich mit Steinwaffen zusammen durchbohrte apfelgrüne Perlen, die nach Damour (Compt. rend. 59. 300) aus  $\text{Al} \text{P} \text{H}^5$  bestanden, also saurer als Türkis sind, aber dennoch muthmaßlich aus Persien eingeführt sein sollen. Was im Grunde genommen wenig Wahrscheinlichkeit hat. Dana nannte es Callinit.

Zahntürkis, Turquoise de nouvelle roche. Darunter begreift man besonders den Schmelz von Mastodon- und Dinotheriumzähnen, welche die Härte des edlen Türkises haben. Im südlichen Frankreich (Simorre) wurde früher ein förmlicher Bergbau darauf getrieben; der Schmelz war zwar nur graublau, etwa wie man ihn hin und wieder in den Bohnerzen der Schwäbischen Alp findet, allein durch Erhitzen wurde er schöner. In Sibirien werden auch Mammuthszähne, welche durch Blau eisenerde gefärbt sein sollen, verwendet.

Blauspath Wern., Lazulith Karsten (nicht mit Lasurstein zu verwechseln, den die Franzosen auch Lazulite nennen), Klaproth's Deudant.

Derselbe wurde zuerst von Widenmann (Bergmänn. Journ. 1791. Bb. 1. 244) im Freßnitzgraben, welcher sich in das Mürzthal ohnweit Krieglach in Obersteiermark öffnet, bemerkt, wo er derb in einem schneeweißen Quarz mit silberfarbigem Glimmer vorkommt, weshalb ihn Werner anfangs für Feldspath hielt; blaß smalteblau bis berggrün, mit splittrigem Hornsteinartigem Bruch und wenig innerm Glanz, Härte 5—6, Gew. 3. Klaproth übersah die Phosphorsäure, doch geben sie mit Schwefelsäure befeuchtet eine schwachgrüne Flamme, mit Kobaltsolution ein schönes Blau, Brandes wies 43,3 P, 34,5 Al, 13,5 Mg, 6,5 Si und 0,5 H nach. Schon im Anfange des Jahrhunderts fand sich die Lasurblaue Abänderung im glimmerhaltigen Thonschiefer vom Nadelgraben bei Werfen (Klaproth Beitr. IV. 288), sie kommt dort zwar selten aber schön krystallisirt vor, und soll 2 + 1gliedrig sein:

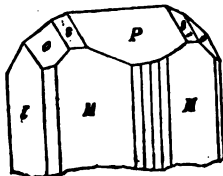
Eine geschobene Säule  $M = a : b : \infty 91^{\circ} 30'$ ;  $b = a : \infty b : \infty$  stumpft die vordere stumpfe Säulenkante gerade ab;  $P = c : \infty a : \infty b$  macht  $88^{\circ} 2'$  gegen die Axe c, daher können  $o = a : b : c$  vorn in Kante  $a : c 100^{\circ} 20'$  und  $o' = a' : b : c$  hinten in Kante  $a' : c 99^{\circ} 40'$  kein Rhombenoktaeder bilden, wie man es früher ansah, obgleich der Typus häufig ein zweigliedriges Ansehen hat. Dann kommen auch  $d = a : o : \infty b$ ,  $e = a' : c : \infty b$ ,  $f = b : c : \infty a$ ,  $g = a : b : \frac{1}{2}c$ ,  $g' = a' : b : \frac{1}{2}c$ ,  $h = b : \frac{1}{2}c : \infty a$  vor. Einfache Krystalle mit fast quadratischer Säule M/M und Augitpaare liegen im Sandstein (Itacolumit) der Vereinigten Staaten (Georgia im Graves-Gebirge) in Gesellschaft mit Diamanten und riesigen Rutilen. Zwillinge. Meist derb mit Glasglanz. Nach Rammelsberg Al P Mg H.



### 5. Wavelit

wurde von Dr. Wavel im Uebergangsgebirge von Barnstaple in Devonshire entdeckt, und von Bavington nach ihm benannt. Davy (Philosoph. Transact. 1805. pag. 155) und Klaproth (Beitr. V. 106) übersahen darin die Phosphorsäure, daher hieß er anfangs Hydrargillite. Erst 1816 fand Fuchs im Lasionit von Amberg Phosphorsäure, und vermuthete, daß sie auch im Wavelit sein möchte, was er 1818 bestätigte, wodurch sich beide als gleich erwiesen. Kapnicit.

Zweigliedriges System. Krystalle bilden gewöhnlich nur sehr kleine Nadeln, nach Phillips und Dufrenoy sollen die von Quelgac in Südamerika meßbar sein: eine blättrige Säule  $M = a : b : \infty$  macht  $122^{\circ} 15'$ , deren scharfe Kante durch  $l = b : \infty a : \infty$  gerade abgestumpft wird. Ein Paar  $P = a : c : \infty b$  soll nach Phillips in der Axe c sich unter  $107^{\circ} 26'$ , nach Dufrenoy unter  $94^{\circ} 10'$  schneiden. Mehrere

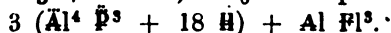


Zuschärfungen der stumpfen Säulenkaute. Senff (Pogg. Ann. 18. 414) hat Nadeln von höchstens  $\frac{1}{4}$  Linie Dicke von Frankenberg in Sachsen unter dem Mikroskop gemessen, er fand  $M/M = 126^{\circ} 25'$ ,  $P/P = 106.46$ , und bestimmte darnach  $a : b : c = 1 : 1.98 : 0.743$   $s = a : b : c$ ,  $o = a' : c : \frac{1}{2}b$ . Kommt meist nur concentrisch faserig vor, die Fasern begränzen sich nicht selten unter markirten Linien, und werden so den Zellen gewisser Sternkorallen nicht unähnlich. Wo die Masse Platz hatte zum Krystallisiren, endigen die Fasern nach außen immer breiter werdend auf der kugeligen Oberfläche gewöhnlich mit dem Paare P, das herausragt, und dann an Schwerspath tafeln erinnert, oder sich kugelförmig rundet.



Härte 3—4, Gew. 2,3—2,5. Weiße Farbe herrscht vor. geht aber nicht selten auch in's Grün und Blau. Glasglanz.

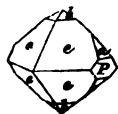
Vor dem Löthrohr selbst in feinen Splintern unschmelzbar, färbt aber für sich schon die Flamme deutlich grün, dazu mag ein kleiner Flußsäuregehalt mit beitragen, der nach Berzelius 2 p. C. beträgt:



Zu den schönsten Vorkommen gehören die zuerst genannten aus dem Thonschiefer von Barmstaple, aus dem Kieselstiefen von Langenstriefis bei Freiberg, und aus einer sehr sandigen Grauwacke des ältern Uebergangsgebirges von Zbirow bei Beraun, und hier nur in den der Oberfläche nahen Klüften. Auch zu Diensberg bei Gießen kommt er auf Klüften des Thonschiefers vor. Dieses Auftreten im Thonschiefergebirge hat große Verwandtschaft mit dem des Türkises. Zu Amberg findet er sich in weißen Kugeln mitten im Eisenerz des braunen Jura (Lasionit, *laouus* behaart). Am Vesuv kommt er sogar auf ausgeworfenen Marmorblöcken vor, doch sind die Anflüge hier sehr zart. Breithaupt's Striegisan, grauliche halbzersehte Kugeln in Klüften des Kieselstiefens von Langenstriefis, soll chemisch nicht verschieden sein.

Pegauit Breithaupt (Schweigger Journ. 60. 100) mit Wavelit auf der Höhe zwischen Langenstriefis und Frankenberg bei Freiberg, geht bis ins Smaragdgrüne. Soll nach Hermann (Erdmann Journ. prakt. Chem. 33. 107)  $\text{Al}^2 \text{P}^3 \text{H}^6$  sein, doch weicht die Krystallisation nicht ab,  $M/M = 127^{\circ}$ , nur ist er minder faserig. Ihm gleicht der Fischerit  $\text{Al}^2 \text{P}^3 \text{H}^8$  Hermann l. c. 33. 286 von Grasgrüner Farbe, rindenartige Ueberzüge auf Klüften von Sand- und Thoneisenstein zu Nischnei Tagilst bildend, zuweilen auch feine sechsseitige Nadeln, die Kotscharow (Min. Ruß. I. 11) als 2gl. Säulen  $M/M 118^{\circ} 32'$  beschreibt. Die optischen Axen liegen im matrodiagonalen Hauptschnitt.

Childrenit Lévy (Pogg. Ann. V. 100) ist auf einem Spathisenstein- gange zu Tavistock in Devonshire vorgekommen, worauf die kleinen Krystalle Drusen machen. Zweigliedrige Oktaeder  $e = a : b : c$ , Kante  $a : c 130^{\circ} 20'$ ,  $b : c 102^{\circ} 30'$  und  $a : b 97^{\circ} 50'$ , daraus folgt  $a : b = \sqrt{1,103} : \sqrt{2,448}$ . Ein



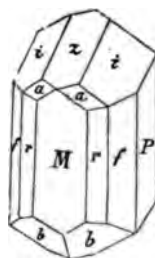


stumpferes Oktaeder  $b = a : b : \frac{1}{2}c$  schärft die Endede zu;  $P = b : \infty a : \infty c$  etwas blättrig,  $a = b : 3c : \infty a$ .  $H = 5$ , Gew. = 3,26. Durchsichtige glasglänzende gelblichbraune bis schwarze Krystalle, die zuweilen nur krystallinische Häutchen auf Spathisenstein bilden. Nach Rammelsberg (Pogg. Ann. 85. 400)  $2 (Fe, Mn)^{\frac{1}{2}} P + Al^{\frac{1}{2}} P + 15 H$  mit 29 P, 14 Al, 30 Fe, 9 Mn, 17 H. Auch auf Thonschiefer von Crinnis in Cornwall. Ebenfalls unschmelzbar, färbt aber die Flamme grünlich.

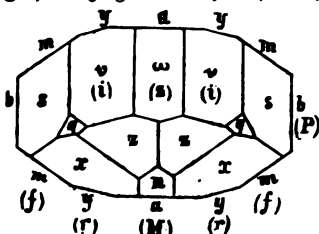
## 6. Vivianit Bern.

Werner bekam die erste krystallisirte Blaueisenerde durch Vivian aus Cornwall, wo sie auf der Grube Suelkind zu St. Agnes mit Magnetkies vorkommt. Die Franzosen (Laugier Ann. du Muséum 1804. III. 400) kannten das Phosphate de fer schon früher von Isle de France und Brasilien. Uttinger erkannte bereits 1807, daß das von Bodenmais sein Cyanit sei (Deutschr. Münchener Abh. Wissensch. 1817. 222). Das erdige Eisenblau kannte man längst vorher, denn schon Wallerius nannte es Coeruleum Berolinense nativum, aber erst Klaproth wies 1784 in Cress's chem. Annalen darin die Phosphorsäure nach. Isomorph mit Kobaltblüthe und Pharmatolith.

2 + 1gliedrig, und so genau Gypsartig, daß Breithaupt schon 1818 den Namen Eisengyps in Vorschlag brachte:  $f = a : b : \infty c$   $111^{\circ} 6'$  (108.2);  $P = b : \infty a : \infty c$  so deutlich blättrig als Gyps;  $M = a : \infty b : \infty c$  stumpft die stumpfe Säulenante  $f/f$  ab, und würde dem muscheligen Bruche des Gypses entsprechen, der aber nicht vorhanden zu sein scheint. Die beim Gyps seltene  $z = \frac{1}{2}a : c : \infty b$  ist gewöhnlich, und  $z/M$  bilden eine rhomboidische Säule von  $125^{\circ} 18'$  (125.22), gegen welche  $P$  rechtwinklig steht. Ein faseriger Bruch auf der Hinterseite ist vorhanden, er macht aber gegen Axe  $c$  einen Winkel, der nur wenige Grade kleiner ist als der rechte. Entspräche er der Fläche  $T = \frac{1}{2}a' : c : \infty b$ , welche Dufrénoy  $109^{\circ} 5'$  gegen  $M$  angibt, so wäre das eine auffallende Analogie. Sein Vorhandensein merkt man besonders an der verschiedenen Härte auf  $P$ , denn mit einer feinen Nadel spürt man, daß das Mineral senkrecht gegen die Faser entschieden ritzbarer ist, als parallel derselben. Außerdem ein Paar aus der Diagonalzone von  $z$ , wahrscheinlich  $i = c : \frac{1}{2}a : \frac{1}{2}b$   $119^{\circ} 4'$  (120.26) in der Medianante, ein Paar  $b$  aus der Diagonalzone von  $T$  gibt schon Phillips an. In der Säulenzone zwischen  $f$  und  $M$  die  $r = a : 3b : \infty c$ , und eine seltene Fläche  $a$  scheint nach Phillips die Kanten  $i/M$  abzustumpfen. Krystalle von  $1\frac{1}{2}$  Zoll Länge und  $\frac{1}{2}$  Zoll Dicke mit den ausgedehnten Flächen  $MzP$  bildet Hr. Ulrich (Contributions Miner. Victoria. 1870. 11) vom Buckland River ab. Leider sind gute Krystalle nicht gewöhnlich. Doch konnte sie Hr. Des-



cloiseau (Mém. Inst. France 1867 XVIII. 104) optisch genau untersuchen, fand aber auffallender Weise, daß die Ebene der optischen Axen, nicht wie beim Gyps mit der Medianebene, sondern mit einer Schiefendfläche zusammenfällt, die gegen die Hauptaxe  $c$   $61\frac{1}{2}$  Grad geneigt ist. Abgesehen von den vielen neuen Flächen bestimmte er den Säulenwinkel  $f/f = 108^\circ 10'$ , Hr. v. Rath (Pogg. Ann. 136. 100) sogar nur  $108.2$ , während die andern Hauptwinkel gerade nicht wesentlich abweichen, wie die eingeklammerten Zahlen zeigen. Ich copire hier die Rath'sche Hauptfigur, um zu zeigen,



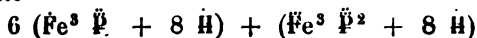
daß die frühere Darstellung im Wesentlichen blieb, nur ist die Flächenzahl vermehrt und die Stellung verkehrt, wie die eingeklammerten Buchstaben sofort zeigen. Da  $w(z) 54^\circ 40'$  und Kante  $z/z 53^\circ 29'$  gegen Axe  $c$  macht, so schließen  $a/c 90.54\frac{1}{2}$  ein, wenn man von den Axen

$$a : b : c = 0.726 : 1 : 5.262 = 1,377 : 1,9 : 1$$

ausgeht. Die Schiefendfläche  $w = a' : c : \infty b$  ist häufig die größte und glänzendste, wie unter andern auch die einfachen Krystalle aus dem Goldsande von Alexandria in Südastralien beweisen. Legt man sie auf einen Gypskrystall aus dem englischen Oxfordthon, so kommt man immer wieder zu der alten Idee des Gypses. Die andern Flächen werden  $m 110$ ,  $y 310$ ,  $n 503$ ,  $v 3'43$ ,  $s 1'41$ ,  $z 323$ ,  $q 163$ ,  $x 543$  etc. Für schiefe Axen vereinfachen sich die Flächensymbole, weil man gewöhnlich einfachere Grundformen wählen kann: darnach haben wir ein zweispaltiges Oktaid  $x 111$  und  $v 1'11$ ; das dreispaltige Hexaid  $a 100$ ,  $b 010$ ,  $c 001$ ; und das vierispaltige Dodekaid  $m 110$ ,  $e' 011$ ,  $n 101$ ,  $w 1'01$ ; Pyramidenwürfel in Unzahl  $g 012$ ,  $o^2 102$ ,  $a^2 2'01$ ,  $y 310$ ,  $a^3 1'03$ ,  $o^2 401$ ,  $a^2 4'01$ ,  $o^3 109$ ,  $a^2 7'04$ ,  $e^2 023$ ; Leucitoide  $z 112$ ,  $r 1'12$ ,  $s 1'31$ ,  $8'33$ ; Polyeder  $q 1'32$ ,  $836$ ,  $3.5.14$ . Da gute Krystalle selten sind, so sind Verwechselungen einzelner Flächen kaum zu vermeiden. Nur die Schiefendfläche leitet, daher stellte sie Weiß nach vorn. Obiger Winkel von  $109^\circ$  für T scheint mit der Kante  $q/q$  zu stimmen, welche dieselbe Neigung gegen Axe  $c$  hat, freilich nach Rath auf der entgegengesetzten Seite.

$H = 2$ , Gew. 2,6. An sich farblos und durchsichtig, durch Verwitterung aber smalte- bis indigblau, und dann sehr an Durchsichtigkeit verlierend. Milde und etwas biegsam.

Vor dem Löthrohr schmilzt er leicht zu einer magnetischen Kugel, und färbt die Flamme grün. Das ursprüngliche farblose Salz soll  $Fe^3 P H^3$  sein, so fand es Fischer im Sande von Delaware; allein nach Kammelsberg tauschen von je 8 Atomen des Salzes 2 Atome die Hälfte ihres Wassers gegen 3 Sauerstoff aus, wodurch die blaue Farbe und die complicirtere Formel



entstehen soll. Vivianit ist im Wasser unlöslicher als phosphorsaurer Kalk, wenn daher kohlensaures Eisenorydul zu Lösungen des letztern kommt, so bildet sich Vivianit. Daraus läßt sich das Eisenblau in Torfmooren, in Markröhren lange gelegener Leichname auf Gottesäckern und in Bergwerken z. B. auf der Scharley-Galmei-Grube in Oberschlesien (Jahrb. 1848. 617) erklären.

Der krystallisirte kommt auf Gängen des Thonschiefers von Cornwallis und des Granites von Bodenmais vor, insonders auf Thraulit mit Magnetkies. Höchst eigenthümlich sind die prachtvollen Nadeln und Blätter in Höhlen der Steinkohlenschladen eines unterirdischen Brandes von la Bouiche (Allier), Commentry und Transac (Aveyron). Zu Schungulud bei Kertsch in der Krimm lagern in einem tertiären Thoneisensteinsfösz weißschalige Muscheln des *Mytilus Brardii*, die im Innern gänzlich mit Blau-eisenerde erfüllt sind, in welcher krystallisirte Strahlen von Vivianit liegen. Aehnlich der Mullicit in den Mullica-Hills von New-Jersey, wo die Blau-eisenerde in fingersgroßen Röhren sich ablagert. Auf der Lava von Isle de France kommt er safrig wie Fasergypsz vor, und der Faser geht auch der blättrige Bruch P parallel (Dufrénoy, Trait. Minér. II. 66). Der Anglarit von Anglar Dep. Haut Vienne ist strahlig.

Erddiger Vivianit, Blau-eisenerde, fer azuré Hauy IV. 167. Finden wir am häufigsten in Torfmooren und Tertiären Thonen. Frisch gegraben verräth er sich gewöhnlich noch nicht durch blaue Farbe, diese tritt erst an der Luft ein. Resterweis eingesprengt, aber auf mannigfache Weise verunreinigt. Macht die Sumpferze kaltbrüchig. Die Schwedischen Moore mit 7 p. C. Phosphorsäure werden gebrannt als Düngmittel verwerthet.

Katogen  $\text{Fe}^2 \text{P} \text{H}^{12}$ , aus den Brauneisenerzen von St. Benigna im Beraunerkreise, wo es safrige Ueberzüge von strohgelber Farbe bildet, und die Erze kaltbrüchig macht ( $\kappa\alpha\iota\omicron\varsigma$  schlecht,  $\xi\epsilon\upsilon\omicron\varsigma$  Gast), scheint mit Wavelit und Vivianit verschwifert, vorzugsweise aber durch Verwitterung des letztern entstanden zu sein. Dasselbst findet sich Breithaupt's Beraunit, mit gelbem Strich, der nur durch Verwitterung von Vivianit hervorging. Dabei liegen ferner kleine grünliche Kugeln von Varrandit ( $\text{Fe, Al} \text{P} \text{H}^4$ , die schon 12,7 Thonerde enthalten, sich aber mit gelben Fäserchen von Katogen überziehen, der offenbar auch durch Verwitterung hervorgeht. Der fleischrothe blättrige Sartopsid (Zeitschr. d. geol. Ges. XX. 266) im Gneise der Hohen Eule in Schlesien scheint ebenfalls mit der Bildung des dortigen blauen Vivianits in Verbindung zu stehen, enthält aber etwas Fluor. Etwas eigenthümlich ist der Calcoferrit (Blum, Jahrb. 1858. 617) von Wattenberg bei Leiningen in der Rheinpfalz, der ebenfalls blättrig ist, aber schwefelgelbe Nieren bildet, Gew. 2,5, Härte 2—3, 34 P, 24 Fe, 15 Ca, 20 H 2c.

Es gibt noch eine ganze Reihe meist seltener phosphorsaurer Eisen-erze theils wasserhaltig, theils wasserfrei. Zu den wichtigsten zählt:

a) Grüneisenstein (Auriferit, Dufrenit), zuweilen in kleinen Ob-  
longoctaedern, gewöhnlich aber von ausgezeichneter Glasopfstructur (grüner  
Glasopf), die Faser scheint blättrig, dunkel lauchgrün, aber mit zeisig-  
grünem Strich,  $H = 3-4$ , Gew. 3,3. Schmilzt leicht zu einer  
schwarzen Schlacke. Karsten fand in dem vom Hollerter Zuge bei Siegen  
63,4 Fe, 27,7 P, 8,5 H, das gäbe  $2 \text{ Fe}^2 \text{ P} + 5 \text{ H}$ . Andere fanden  
aber auch Fe, daher könnte er schon oxydirt sein. Ausgezeichnet zu Göriz  
bei Hirschberg an der Saale im Fürstenthum Neuh.

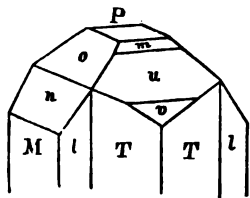
b) Suralit Alaud, phosphorsaures Eisenmangan, kleine Gänge  
im Granit von Suralit bei Limoges in Centralfrankreich bildend. Hauy



IV. 333 „theilbar nach Ebenen, welche auf ein rechtwinkliges  
Parallelepiped zu führen scheinen“. Dufrenoy beschrieb die  
Kristalle  $2 + 1$ gliedrig, eine Säule M/M macht vorn einen  
scharfen Winkel  $62^\circ 30'$ , die scharfe Kante gerade abgestumpft  
durch h, ein Augitpaar e macht  $88^\circ$  untereinander, ihre Me-  
dianfante  $68^\circ$  gegen Axe c geneigt. Glasartiger Bruch, hell hyacinth-  
roth und sehr durchsichtig, daher Hyacinthen gleichend, aber nur Apatit-  
härte und Gew. 2,3. Leicht zu einer schwarzen Kugel schmelzend.  
 $(\text{Mn}, \text{Fe})^2 \text{ P}^2 + 5 \text{ H}$ . Mit ihm kommt der derbe Heterosit vor,  
zwei Blätterbrüche schneiden sich unter  $100^\circ$ . Ihre bläulichgrüne Farbe  
erinnert sehr an Triphylin, allein diese verschiebt an der Luft ins Violett.  
Er ist sichtlich ein Verwitterungsproduct, schmilzt sehr leicht, und färbt  
die Flamme grün.

c) Triphylin (Fuchs Erdmann's Journ. prakt. Chem. 1834. III. 66), *φυλίη*  
Stamm, also dreistämmig, weil er aus drei Phosphaten besteht. Zu  
Rabenstein bei Zwiesel auf Nestern des Granits mit Albit und gemeinem  
Beryll in derben Feldspathartigen Stücken vorkommend, die man nicht  
für das halten sollte, was sie sind. Zwar steckt dazwischen ein sehr  
ähnlich aussehender weißer Albit, allein derselbe hat Zwillingsstreifen  
auf P und schmilzt sehr schwer zu weißem Glase, während der bläuliche  
Triphylin außerordentlich leicht zu schwarzem schmilzt, und in gün-  
stig verwitterten Proben die Flamme roth (Lithion) und grün (Phos-  
phorsäure) färbt.

Zwei ungleiche Blätterbrüche, wenn auch nicht so deutlich als beim  
Feldspath, lassen sich mit ziemlicher Sicherheit erkennen, sie schneiden sich  
unter rechten Winkeln. Fuchs gibt sogar noch zwei andere an, die sich  
ungefähr unter  $132^\circ$  in einer rhombischen Säule schneiden sollen, allein  
man kann sich an derben Stücken kaum von ihrer Existenz überzeugen,  
der 2te Blätterbruch wird dann die scharfe Säulenkante dieser Säule



abstumpfen, und der erste ungefähr gegen sämt-  
liche senkrecht stehen. Frische Kristalle sind zwar  
selten, dagegen kommen verwitterte von ansehn-  
licher Größe vor, die Hr. Eschermat (Sigg. Wien.  
Akad. 47. 302) zweigliedrig fand: eine blättrige  
Säule  $T = a : b : \infty$  von  $133^\circ$  wird in der

scharfen Kante durch den 2ten Blätterbruch  $M = b : ooa : ooc$  gerade abgestumpft, der erste  $P = c : ooa : oob$  bildet die Geradenfläche. Setzt man  $u = a : c : oob$  mit  $40^\circ$  gegen  $Axe\ c$  geneigt, so ist  $o = b : 2c : ooa$ ,  $n = b : 3c : ooa$ ;  $v\ 302$ ,  $w\ 102$ ,  $l\ 120$ . Grünlichgrau, aber vielfach von schmalen dunkelblauen Trümmern durchzogen, die ihrer Farbe nach an Vivianit erinnern und einzelnen Stellen auch ihr Blau mittheilen. Härte 4–5, Gew. 3,6. Schwacher Fettglanz. Durch Verwitterung wird es eine schwarze bröckliche Masse.

(Fe, Mn, Li)<sup>3</sup> P mit 41,5 P, 48,6 Fe, 4,7 Mn, 3,4 Lithion, Rubidium, Spuren von Cæsium, Magnesia &c. Rammelsberg nimmt R<sup>5</sup> P<sup>2</sup> an. Oesten (Pogg. Ann. 107. 430) fand 7,7 Lithion. In Salzsäure leicht löslich; wird diese abgedampft und dann mit Weingeist digerirt, so brennt er mit purpurrother Flamme. Die Lithionflamme mit dem Grün der Phosphorsäure gemischt zeigt sich schon unmittelbar namentlich bei halbverwitterten Proben in der Platinzange. Das Lithion geht durch Verwitterung leicht verloren, es oxydirt sich Fe und Mn zu Fe<sup>3</sup> und Mn<sup>3</sup>, die Masse nimmt dabei Wasser auf, wird schwarz und es entsteht (Fe, Mn)<sup>3</sup> P<sup>2</sup> + 3 H. Die schwarzgrünen Verwitterungsrinden nannte Fuchs Melanchlor. Berzelius (Pogg. Ann. 36. 474) erwähnt von Riethö bei Tammela in Finnland eines gelben Tetraphyllin, der auch leicht schwarz wird, und vier Basen Fe, Mn, Mg, Li hat. Er gehört wie die schwarzen Krystalle der »Phosphate of Iron, Manganese and Lithia« von Norwich in Massachusetts hierhin.

d) Triplit Hausmann mit gemeinem Beryll aus einem Quarzgang des Granites von Limoges. Bräunlich schwarze Masse mit Fettglanz, die Splitter scheinen lichtbraun durch. Es werden öfter auch dreierlei auf einander rechtwinklige Blätterbrüche angegeben. Doch konnte Descloizeaux von la Vilate bei Chanteloube nur zwei ungleiche finden, in dem schwächern lag senkrecht gegen den deutlichen die Ebene der optischen Axen. Härte 5, Gew. 3,7. Schmilzt leicht zu einer magnetischen Perle, und besteht aus Fe<sup>4</sup> P + Mn<sup>4</sup> P. Vergleiche auch den Eisenapatit pag. 566. Delvauxit Ca Fe<sup>2</sup> P H<sup>3</sup> fand Delvaux auf den Halben von Verneau bei Visé, eine kastanienbraune Masse von schwachem Wachsglanz, Gew. 1,8, Härte 2, zerspringt wie Bol im Wasser mit Geräusch; offenbar Verwitterungsprodukt, Jahrb. 1875. 317.

Phosphorsaure Eisenerze, so weit sie in derben unkrystallisirten Massen vorkommen, lassen sich äußerlich nicht scharf trennen. Ihre Neigung zur Verwitterung macht sie auch chemisch unsicher. An Handstücken von Triphylin sieht man deutlich, wie sie schwarz werden, und in eine Masse wie Eisenapatit und Triplit übergehen. Schmelzbarkeit und Färbung der Löthrohrflamme scheint bis zu einem gewissen Verwitterungsgrade zuzunehmen. Davon muß der Phosphoreisensinter (Diadochit) aus dem Alaunschiefer von Arnsbach im Saalfeld'schen unterschieden werden, welcher gleich dem Arseniseisensinter durch Auslaugung der Gebirge entsteht. Die Bestimmungen werden hier sehr unerquicklich.

7. Kobaltblüthe  $\text{Co}^3 \text{As} + 8 \text{H}$ .

Ein alter Bergmännischer Name. Unter Blüthe versteht der Bergmann Minerale, die strahlig und haarförmig aus den Felsen (nicht selten unter seinen Augen) hervorbrechen. Erythrin.

2 + 1 gliedrig, isomorph mit Vivianit. Säule  $f = a : b : \infty$   $111^\circ 8'$ , dieser Winkel wie beim Vivianit wahrscheinlich kleiner;  $P = b : \infty a : \infty$  sehr blättrig und der Länge nach weicher als quer;  $M = a : \infty b : \infty$  macht mit  $z = \frac{1}{4}a : c : \infty b$  vorn  $124^\circ 51'$ ;  $i = c : \frac{1}{4}a : \frac{1}{4}b$  in der Mediankante  $118^\circ 23'$  stumpft die Kante  $P/z$  ab. Meist starke Streifung parallel dem blättrigen Bruch auf allen Flächen. Dünne Platten geben im polarisirten Licht schöne Farben. Härte 2, Gew. 3, pfirsichblüthroth mit Durchscheinheit und Milde.



Vor dem Löthrohr entfärben sie sich bei der geringsten Annäherung augenblicklich, und schmelzen gerade nicht sonderlich leicht. Geben auf Kohle einen deutlichen Arsenitgeruch, und die feinsten Splitter schon sehr deutlich blaue Gläser. Erzeugt sich hauptsächlich auf Kobaltgängen durch Berzezung arsenithaltiger Kobalterze, die durch ihren rothen Beschlag oft verrathen werden.

Kry stall e nadelförmig und excentrisch strahlig, besonders schön zu Schneeberg auf Quarz; zu Wittichen im Schwarzwalde auf Schwerspath; zu Riechelsdorf in Hessen Schnüre im grauen Sandstein des Todtliegenden; zu Gaier in Tyrol auf Kalkstein mit Kupferschaum. Die Fasern werden endlich so fein, daß sie ein sammtartiges Aussehen erhalten, wie zu Wittichen, doch pflegen dann Nadeln von Pharmakolith sich beizumischen, die man nicht leicht mineralogisch trennen kann.

Kobaltbeschlag nennen die Bergleute den rothen Erbkobalt, welcher in staubartigen Ueberzügen sich meist da einfindet, wo schwarzer Erbkobalt verwittert. In einzelnen Fällen, besonders wenn Pharmakolith zugegen ist, bilden sich auch feintraubige Ueberzüge mit einer brennenden blauröthen Farbe, innen aber sind die Kügelchen excentrisch strahlig und weißlich, auch wird der Strich, welchen man durch die schönrothe Farbe der Oberfläche macht, auffallend weiß. Man möchte sie demnach für Pharmakolith halten, welcher blos von einer dünnen Haut Kobaltbeschlag übertüncht wurde, allein mit Borax geben sie sehr intensiv blaue Gläser, und erhitzt man sie nur schwach, z. B. auf einem Blech, so nehmen sie eine prachtvoll blaue Farbe an. Kersten (Pogg. Ann. 60. 256) wies in den Schneebergern 29,2 Co, 8 Ca nach, so daß sie die Formel  $(\text{Co}^3, \text{Ca}^3) \text{As} + 8 \text{H}$  zu haben scheinen, und machte darauf aufmerksam, wie wenig constant die Mischung sei, glaubt auch Lévy's

Roselit (Pogg. Ann. 5. 171) hier hinstellen zu sollen, der in kleinen rosenfarbigen Kry stallen zu Schneeberg früher äußerst selten war, neuerdings jedoch häufiger vorkam, Weissbach Jahrb. 1874. 46. Seine Formel ist  $(\text{Co}, \text{Ca}, \text{Mg})^3 \text{As} + 2 \text{H}$ . Im Kolben erhitzt werden sie prachtvoll

lasurblau, viel schöner blau, als Kobaltblüthe. Schrauf (Miner. Mitth. 1874. 188) lieferte eine sehr ausführliche Monographie davon, wornach sie eine unangenehme eingliedrige Form haben. Gew. 3,5, Härte 3—4. Auf der Grube Sophie zu Wittichen im Schwarzwalde sind die traubigen in großer Schönheit vorgekommen, sie sitzen meist auf einer braunen rissigen Vorker von braunem Erbkobalt, doch scheint bei vielen die Vorker auf den rothen Schwerspath und verwitterten Granit künstlich bereitet und aufgeschmiert. Denn früher ließ ein dortiger Bergmann das Mineral in einem feuchten Keller wachsen. Der rothe erdige Beschlag ist auf Kobaltgruben viel verbreiteter, aber nur Zersetzungserzeugniß des Spieskobalts, wo nicht des Glanzkobalts. Sie bestehen aber nach Karsten oft aus mehr als der Hälfte arseniger Säure, die man mit Wasser ausziehen kann.

Nickelocker Br.  $\text{Ni}^2 \text{As} + 8 \text{H}$  (Annabergit) kommt als apfelgrüner Beschlag auf Weisnickelerz und Kupfernickel vor, namentlich wenn man sie an feuchte Orte stellt. Beim Schmelzen des Smaltglases erzeugen sich sogar krystallinische Nadeln von Nickelblüthe (Hausmann Abb. Mineral. II. 1013), die isomorph mit Kobaltblüthe sein könnten, wie der blättrige apfelgrüne Craberit aus der Sierra Crabrera, worin Ni durch 7 p. C. Mg ersetzt ist, Jahrb. 1874. 688.

Röttigit  $\text{Zn}^2 \text{As} + 8 \text{H}$  von der Grube Daniel Spat bei Schneeberg bildet weiße bis pfirsichblüthrothe Nadeln; letztere Farbe kommt von einem kleinen Gehalt Co, das Zn ersetzt. Bildet sich noch durch trübende Grubenwasser.

Rhagit  $\text{Bi}^2 \text{As}^2 \text{H}^2$  kommt in weinbeergrünen (δαξ) Kugeln mit den Uranerzen in Neustädte vor, Jahrb. 1874. 802.

### 8. Pharmakolith Karsten.

Φάρμακον Gift, wegen seines Gehaltes an Arseniksäure; Werner's Arsenikblüthe. Bergrath Selb erkannte sie zuerst auf der Grube Sophie zu Wittichen (Scheerer Journ. Chem. 1800, IV. pag. 537). Es kommen daselbst auf ein und derselben Stufe zweierlei vor: das eine ist schneeweiß, kugelig. Die kaum erbsengroßen Kugeln sind innen excentrisch faserig, und blühen oft in mehrere Linien langen höchst zarten Fasern aus. Das ist das bekannteste Vorkommen, aber secundären Ursprungs, da es sich nach Selb meist erst auf „dem alten Manne“ in den Gruben erzeugt; das andere ist das primäre aber leichter übersehbare Erzeugniß, welches in kleinen Gypsartigen Strahlen zwischen den Haaren zerstreut liegt, und zu diesen wahrscheinlich erst Veranlassung gegeben hat. Diese Krystalle sind halb durchsichtig, Gypshart und milde, Gew. 2,7. Einen deutlich blättrigen Bruch nimmt man wohl daran wahr. Haidinger hatte sogar Gelegenheit, in der Sammlung des H. Ferguson zu Rath ¼ Zoll lange und 1 Linie dicke Krystalle unbekannten Fundortes (Joachimsthal?) zu messen und zu zeichnen (hemiprismatisches Gypshaloid

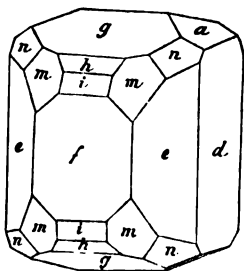
Pogg. Ann. 5. 181). Darnach sind es 2 + 1 gliedrige Säulen  $f = a : b : \infty c 117^\circ 24'$ , die sehr blättrige  $P = b : \infty a : \infty c$  stumpft ihre scharfe Kante ab;  $g = \frac{1}{2}a : b : \infty c$  schärft die stumpfe Säulenkante zu, und macht  $157^\circ 5'$ . Das vordere Augitpaar  $l = c : \frac{1}{2}a : \frac{1}{2}b$  macht in der Medianante  $139^\circ 17'$ . Die Schiefendfläche  $q = a : c : \infty b$  dehnt sich sehr aus, und ist gegen  $Agc 65^\circ 4'$  geneigt, in ihrer Diagonalzone liegt  $v = a : \frac{1}{2}b : c$  mit  $141^\circ 8'$  in der Medianante. Wenn auch die Winkel etwas abweichen, so ist doch eine Gypsartige Entwicklung unverkennbar. Vergleiche Schrauf, Jahrb. 1873. 646.

Vor dem Löthrohr schmilzt er nicht sonderlich schwer auf Kohle unter Arsenitgeruch, die zurückbleibende Glasperle leuchtet stark. In Säure leicht löslich. Nach Rammelsberg

$Ca^2 \ddot{As} + 6 H$  mit 50 Arsenik., 25 Kalk, 24 Wasser.

Doch könnte bei der Gypsähnlichkeit die Frage entstehen, ob nicht 8 H vorhanden seien. Denn die schneeweißen Nadeln, wovon die Analysen meist ausgehen, haben ganz den Anschein, als hätten sie durch Verwitterung Wasser verloren, oder stimmten sie gar nicht im Wassergehalt mit den durchscheinenden Kristallen. Kommt mit Kobaltbeschlag besonders auf Kobaltgängen vor: Wittichen, Markirch, Richelsdorf, Joachimsthal, Andreasberg u. Der etwas Magnesiabaltige Pikropharmakolith von Richelsdorf erhielt die Formel  $Ca^5 \ddot{As}^2 H^{12}$  (Jahrb. 1873. 107). Der eigenthümlich gekrümmte Rößlerit von Biber (Jahrb. 1861. 333) enthält nur Magnesia  $Mg^2 \ddot{As} H^{12}$ , und soll zum Theil verwitterter Wapplerit sein. Dieses farblose Mineral bildet zu Joachimsthal, Wittichen u. glasglänzende Krusten, woraus der Pharmakolith hervorschießt, und ist wesentlich Magnesiabaltig,  $(Ca, Mg)^2 \ddot{As} + H^8$ , Jahrbuch 1875. 316. Dazu kommt dann noch Turner's

Haibingerit (Diatomes Gypsäloid, Haibinger Pogg. Ann. 5. 181), der auch im Aeußern dem krystallinischen Pharmakolith sehr gleicht, aber weniger Wasser enthält  $Ca^2 \ddot{As} + 3 H$  und zweigliedrig krystallisirt:



Säule  $e = a : b : \infty c 100^\circ$ ,  $d = b : \infty a : \infty c$  stumpft ihre scharfe Kante ab und war sehr blättrig, ein Paar  $a = b : c : \infty a$  auf diese scharfe Säulenkante aufgesetzt macht in  $c$  den Winkel  $126^\circ 58'$ ,  $g = 2a : c : \infty b$ ,  $h = a : 2c : \infty b$ ,  $i = a : 4c : \infty b$ ,  $f = a : \infty b : \infty c$ ,  $m = \frac{1}{2}a : \frac{1}{2}b : c$  und  $n = \frac{2}{3}a : \frac{1}{2}b : c$ . Kam mit Pharmakolith auf obiger Ferguson'schen Stufe vor. Sandberger (Jahrb. 1875. 333) erwähnt auch einfache Krystalle 110, 011, 010 von Wittichen mit Wapplerit zusammen. Wäh-

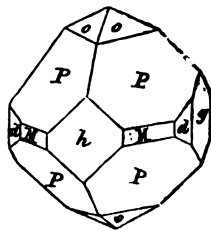


rend die kalkigen in ihrer chemischen Constitution sich nicht recht an Kobaltblüthe und Vivianit anschließen wollen, machte uns Hädinger mit einem Hörnefit  $\text{Mg}^3 \text{As} \text{H}^8$  (Sitzungsab. Wiener Akad. Wiss. 1860. 40. 18) bekannt, ganz von Form einfacher Gypskrystalle Pfl, f/f  $107^\circ$ , l/l  $143^\circ 42'$ , nur der Rhombus auf dem blättrigen P beträgt  $144^\circ$ , ist also beträchtlich größer als beim Gyps (127.44). Talkhärte, Gewicht 2,47. Das Stück in der von der Kull'schen Samml. stammt wahrscheinlich von Tzitzlowa im Banate, und wurde von Mohs für Talk gehalten. Auch der Sympleksit mit Spathisen und Nickelglanz von Kl. Friesa bei Lobenstein im Voigtlande blaß blau bis grün soll gypsartig blättrig sein, und wird von Renngott  $\text{Fe}^8 \text{As} \text{H}^8$  geschrieben, wodurch die Vivianit-Formel immer mehr Bedeutung bekommen würde.

### 9. Skorodit $\text{Fe} \text{As} \text{H}^4$ .

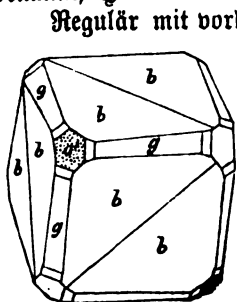
*Σκορόδιον* Knoblauch, auf den Arsenitgeruch vor dem Löthrohr anspielend. Breithaupt bestimmte ihn (Hoffmann Handb. Miner. 1814. Band IV. b. pag. 182) nach einem Vorkommen auf Stamm Affer am Graul bei Schwarzenberg im Schneeberger Revier. Doch hat ihn Graf Bournon schon viel früher als Cupreous Arseniate of Iron aus den Zinnsteingängen von St. Austle beschrieben (Philos. Transact. 1801. 101), wo er mit Arseniksaurem Kupfer vorkommt. Die schönen Krystalle von San-Antonio-Pereira in Brasilien nannte Deubant Néoctèse, sie liegen, wie zu Montabaur in Nassau, in Drusenlöchern von Brauneisen. Bei Verejowski im Fahlz. Auf den Goldfeldern von Victoria in Menge.

2gliedrig, Oktaeder  $P = a : b : c$  hat in Kante  $a : c$   $115^\circ$ , in Kante  $b : c$   $103^\circ$ , die zugehörige Säule  $M = a : b : \infty c$   $99^\circ 30'$  kommt nur untergeordnet vor, dagegen herrscht bei Brasilianischen die etwas blättrige  $d = a : \frac{1}{2}b : \infty c$ , die ihren scharfen Winkel von  $59^\circ 50'$  vorn hat. Diese scharfe Kante wird durch die ziemlich blättrige  $h = a : \infty b : \infty c$  gerade abgestumpft;  $g = b : \infty a : \infty c$ , selten  $o = c : 2a : 2b$ , und  $a = c : \frac{1}{2}a : \infty b$ . Am Graul kommen öfter einfache Dodekaeder Phg vor. Zuweilen geht die Masse ins fasrige und dichte, wird dann aber unrein. Härte 3—4, Gew. 3,2, Glasglanz mit der gras- bis lauchgrünen Farbe der Eisenoxydulsalze, durch Verwitterung aber leicht ockerig werdend. Vor dem Löthrohr leicht schmelzbar, auf der Kohle nach Koblauch riechend und sich zu einer magnetischen Kugel reducirend. Ohne alles Eisenoxydul, da die Lösung mit Kaliumgoldchlorid keinen Niederschlag gibt. Scheint hauptsächlich durch Zersetzung des Arsenikfieses zu entstehen, und bildet sich auf alten Halben noch fortwährend. Hermann's Arsenikfinter (Erdmann's Journ. pr. Chem. 33. 10), der zu Nertschinsk Beryll, Topase und Bergkrystalle überzieht, scheint nicht wesentlich verschieden zu



sein. Arseniseisensinter auf den Freiburger Gruben ist weich und butterartig und enthält Arsen- und Schwefelsäure (Jahrb. 1873. 107).

Würfelerz ( $\text{Fe Fe}$ )  $\text{As} + 6 \text{H}$ , wurde auf den Kupfererzgängen von Cornwallis entdeckt, von Graf Bournon als Arseniate of Iron beschrieben (Philos. Transact. 1801. 100), und nach seinen schönen Würfeln von Werner benannt, Hansmann's Pharmatosiderit.



Regulär mit vorherrschenden wenig blättrigen Würfeln, das Granaetoe der *g* stumpft die Kanten schwach ab, die Octaederflächen treten aber nur zur Hälfte auf, wie beim Boracit die abwechselnden Ecken abstumpfend, nach Lévy soll es daher auch Pyroelectrisch sein. Das Gegentetraeder kommt auch vor, aber physikalisch verschieden. Phillips zeichnet ein Pyramidentetraeder *b*, welches in seinen Tetraederkanten  $176^\circ 30'$ , in seinen Pyramidenkanten  $93^\circ 40'$  hat, also sich dem Würfel sehr nähert: es ist ein Würfel mit häßlichen Diagonalen, der aber gerade für das Durchgreifen der tetraedrischen Hemiedrie spricht.

Härte 2—3, Gew. 3, lauchgrün, auf Brauneisenstein von Görz sogar honiggelb. Die kleinen Würfel haben ein Flußpathartiges Ansehen. Schmilzt leichter als Skorodit und zu einer stärker magnetischen Schlacke, Kali zieht etwas Arseniksfäure heraus unter Ausscheidung von schwarzem Eisenorydorydul. Sie entstanden auch durch Verwitterung des Arseniktiefes, am schönsten und in Menge auf den Kupfergruben von Hucl Gorland und Hucl Unithy in Cornwall, auch am Graul mit Skorodit, selten auf den Halben von Neu-Bulach und Freudenstadt auf dem Schwarzwalde. St. Leonard Dep. St. Vienne, Nordamerika, Neuholland. Durch Verwitterung gehen sie leicht in braunen Eisenoxyd über, wie schon Bournon weiß. Lévy's

Beudantit von Horrhausen bei Altenkirchen, Montabaur in Nassau und Cork in Irland, 4 Gew., kam neuerlich in schönen olivengrünen Krystallen vor, die würfelförmliche Rhomboeder von  $91^\circ 18'$  bilden, mit blättriger Geradenfläche (Pogg. Ann. 100. 179). Wurde lange für Würfelerz gehalten, scheint aber mehr phosphorsauer und stark mit Blei versetzt. Gleich krystallisiert ist der rosenrothe Euanbergit von Horrsjöberg in Wermeland mit 17,8 Phosphorsäure, 17,3 Schwefelsäure, 37,8 Thonerde, 12,8 Natron, 6 Kalk, 6,8 Wasser.

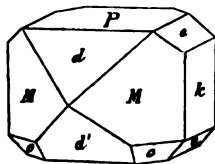
Durangit (Jahrb. 1870. 100) aus den Zinnseifen von Mexico mit saffrangelbem Strich und Apatithärte, Gew. 4; bildet kleine monokline Krystalle mit einer blättrigen Säule von  $110^\circ 10'$ , und einem Augitpaar mit der Mediankante von  $112^\circ 10'$ , welche kleine schiefe Octaeder von rhombischem Ansehen machen. Die Ebene der optischen Axen liegt in einer Schiefenfläche, Descl. Ann. Chim. Phys. 1875 IV. Statt des Eisenoryds kommt im Wesentlichen 20,7 Thonerde und 5,7 Fl von der Formel  $\text{Al As} + \text{Na Fl}$ .

Eisensinter Br., Arseneisensinter, Pittizit Hausm., Eisenpfecherz Karsten. Schon Freiesleben, Ferber und Andere beobachteten auf Grubenbauen eine braune syrupartige Flüssigkeit, die durch Zersetzung von Eisenerzen entsteht, und allmählig zu einer braunen, halbdurchsichtigen Masse erstarrt mit vollkommen opalartigem Bruch. Von einer bestimmten Zusammensetzung kann man bei so zufällig zusammenfließenden Sachen wohl kaum noch reden. In den Freiburger Gruben enthält er 26 Arsenik-säure, 10 Si, 33 Fe, 29 H. Am Graul bei Schwarzenberg sieht er ganz Kolophoniumartig aus. Erinnert an Diadochit und Bissophan der Braunkohlengebirge.

Arseniosiderit  $2 \text{Ca}^3 \text{As} + 3 \text{Fe}^3 \text{As} + 12 \text{H} + \text{Fe H}$  oder nach neuern  $\text{Ca}^3 \text{As} + \text{Fe As} + 2 \text{Fe H}^3$  auf Manganerzen von Romanèche bei Maçon, ockerfarbig, wie dichter Asbest sich schuppig faserig theilend, weich, Gew. 3,8.

Ser und Yttererde kommen wenn auch als Seltenheiten an Phosphorsäure gebunden vor. Meßbare Krystalle lieferte

Monazit ( $\mu\alpha\upsilon\alpha\zeta$  Einzelwesen) Breithaupt (Schweigger's Journ. 55. 201), Mengit Brooke (Pogg. Ann. 23. 202) aus dem Granit des Fiemengebirges. Die Flächen lassen sich wegen ihrer Mattigkeit nur annäherungsweise messen, sind aber 2+1gliedrig.  $M = a : b : \infty c$   $95^\circ 30'$ , die blättrige  $P = c : \infty a : \infty b$  macht  $100^\circ$  mit  $M$ ;  $k = b : \infty a : \infty c$  stumpft die scharfe Kante gerade ab; die vordere Schiefenfläche  $d = a : c : \infty b$  macht mit  $P$   $140^\circ 30'$ , die hintere  $d' = a' : c : \infty b$  mit  $P$   $129^\circ$ ;  $e = b : c : \infty a$ ,  $o = a' : b : c$  tritt nur hinten auf,  $i = a : \frac{1}{2} b : \infty c$ . Kotscharow (Water. IV. 2) erwähnt an den glänzenden Krystallen aus den Goldsaifen an der Sanarfa nebst vielen Flächen auch Zwillinge. Meist röthlichbraune bis hyacinthrothe Tafeln, etwas Fettglanz,  $H = 5$ , Gew. 5,1. Unschmelzbar, nach Kersten  $R^3 P$ , 28,5 P, 26 Cerogyd, 23,4 Lanthanogyd, Didym, 17,9 Thorerde, 2,1 Zinnogyd u. Den Gehalt der so seltenen Thorerde hat Wöhler bestätigt, Hermann (Journ. prakt. Chem. 33. 90) nicht. Nach G. Rose (Pogg. 49. 222) ist Shepard's Edwarzit aus dem Gneis von Norwich in Connecticut das Gleiche. Ebenso der Eremit. Hermann's Monazitoid von 5,28 Gew. scheint wenig verschieden, die schwankende Zusammensetzung rührt davon her, daß alle „in schwarzen Columbit und Samarskit eingewachsen sind“. Lévy erwähnte schon 1823 (Ann. of phil. V. 241) aus den Dauphinéer Alpen einen Turnerit, den G. vom Rath (Pogg. Ann. 119. 242) am Oberrhein im Tavetsch wieder fand. Sie gleichen im Glanz kleinen Titaniten, aber mit Winkeln des Monazit. Argon  $a : b : c = 0,46912 : 0,52162 : 1$ , Argonwinkel  $a/c = 90^\circ 42'$  vorn. Flächen 110, 120, 210, 010, 101,  $4'01$ , 601, 353, 252, 151, 1.10.1,  $4'51$ ,  $4'.10.1$ ,  $2'53$ ,  $3'52$ , 651. Auf der Alp Lerscheltini im Binnenthal kommen auch Zwillinge



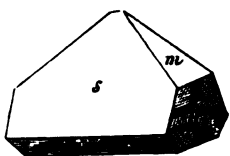
vor, welche  $a : \infty b : \infty c$  gemein haben und sich kreuzen (Jahrb. 1876. 100 und 101).

Kryptolith ( $\kappaρυπτός$  verborgen) fand Wöhler 1846 in feinen grünen und röthlichen Nadeln im Apatit der Magneteisengruben von Arendal. Die Nadeln traten erst zum Vorschein, wenn man Stücke von Apatit in verdünnter Salpetersäure löste, 27,4 P und 73,7 Ceroydul, also Phosphocerit  $Ce^3 P$ .

Phosphorsaure Yttererde (Xenotim) wurde 1824 von Berzelius untersucht (Pogg. Ann. 3. 100 und 60. 101) und findet sich mit Orthit in einem Gange grobkörnigen Granits von Hitteröe (Jahrb. 1855. 112). Man kennt nur viergliedrige Oktaeder mit  $82^\circ$  in den Seitenkanten, etwa Linienlang. Deutlich blättrig nach der ersten Quadratischen Säule  $a : a : \infty c$ . Chocoladenbraun, dünne Splitter bräunlichroth, durchscheinend, Fettglanz, reichlich Flußspathhärte, Gew. 4,5. Unschmelzbar. 62,6 Y, 33,5 P, also  $Y^3 P$ . Die kleinen Körner von Castelnau dit aus dem Diamantsande von Bahia scheinen nach Rammelsberg dasselbe Mineral zu sein. Wisserin nannte Kenngott (Minerale der Schweiz 1866. 100) gelbe Zirkonähnliche Krystalle vom Berge Fibia südwestlich vom Hospiz des St. Gotthard.  $Yx a : c = 1,589 : 1$ . Ausgezeichnete Combination 111, 110, 313 Hessenberg (Send. Nat. Ges. 1875 X. 1). Nach Wartha (Pogg. Ann. 128. 100) Xenotim.

Monazit und Xenotim wurden von Radominski (Compt. rend. 80. 104) künstlich dargestellt: Phosphate lösen sich in den geschmolzenen Chlorüren, schmilzt man also  $R^3 P$  mit dem entsprechenden R Cl, und läßt erkalten, so kommen beim Auflösen in kochendem Wasser Krystallnadeln zum Vorschein.

**Struvit Ulex.** Nach dem großen Brande in Hamburg fanden sich 1845 beim Grundbau der dortigen Nicolairche in einer aus Viehmist gebildeten 10'—12' mächtigen Moorerde, die bei 26' Tiefe auf Sand ruht, schöne gelbe bis farblose oft sehr durchsichtige Krystalle, die bis 1 Zoll Größe erreichten. Die Analyse gab die bekannte Phosphorsaure Ammoniak-Erde ( $N H^4 + Mg^2$ ) P + 12 H, Magnesiumammoniumphosphat  $Am Mg PO^4 + 6 aq.$ , welche die Chemiker zwar als feines Pulver, das nur in 1000 Theilen Wasser löslich, schon längst dargestellt hatten, man kannte die Verbindung auch aus Kloaken zc.: aber solche prachtvollen Krystalle kamen unerwartet. Der Mist konnte wohl höchstens 1000 Jahre alt sein, in dieser Zeit mußten sie sich gebildet haben. Es entspann sich darüber ein Streit, ob es ein Mineral sei (C. Marg, zur Charakteristik des Struvits) oder nicht. Wir nehmen dasselbe als eine Bereicherung der Krystalle mit Freuden auf.



Zweigligedrig mit einer an die des Rieselzinkerzes erinnernden Hemiedrie. Das Oberende wird durch ein glattschlägiges meßbares Ob-longoktaeder gebildet, worin  $s = a : c : \infty b$  in  $Yx c 63^\circ 30'$  und  $m = b : c : \infty a$  daselbst

95° machen, daraus folgt  $a : b = 0,6188 : 1,0913$ . Ein kleiner Gehalt an Fe und Mn vergrößert den Winkel.

Den Flächen  $s$  fehlen unten zwar die Parallelen  $s'$  nicht, allein sie sind gewölbt und unmeßbar, oft meint man sogar, daß sie einem stumpfern Paare  $a : \frac{1}{2}c$  oder  $a : \frac{1}{4}c$  angehören. Ihre Kante ist immer stark durch die ebenfalls unebene Fläche  $r = c' : \infty a : \infty b$  abgestumpft, die oben gewöhnlich fehlt, und wenn sie vorkommt, glatter ist als unten. Endlich noch eine hauchige etwas blättrige Fläche  $o = b : \infty a : \infty c$ , die einzig unter allen immer links und rechts gleich auftritt, und senkrecht gegen sie steht die optische Mittellinie; daher hat Marx  $b$  als aufrechte Hauptaxe genommen. Allein beim starken Erhitzen im Licht werden die Krystalle pyroelektrisch, wobei die elektrische Axe mit Axe  $c$  zusammenfällt und die drusige Fläche  $r$  unten sich analog zeigt. Die Krystalle sind also oben anders als unten, dagegen vorn wie hinten und links wie rechts ausgebildet. Auch Zwillinge werden angeführt, sie haben  $r = c' : \infty a : \infty b$  gemein und liegen umgekehrt. In der Skiptonhöhle bei Ballarat haben die Fledermäuse den Boden mit 20 Fuß Guano bedeckt, worin flächenreiche Krystalle von Struvit liegen, welche diese Hemiedrie nicht zeigen (Ulrich, Contr. Miner. of Victoria 1870. 12).

Leider verwittern diese schönen gelben Krystalle, sie überziehen sich mit einer weißen Hülle, die zuletzt die ganze Masse durchdringt. Härte = 2, Gewicht 1,7.

Vor dem Löthrohr schmilzt es unter stark ammoniakalischem Geruch. In Ammoniakhaltigem Wasser vollkommen unlöslich. Bräunlich olivengrün kamen sie später in der Schauenburger Straße in einer verschütteten Schlächter-Schranke (Zeitschr. deutsch. geol. Ges. 1854. VI. 441) vor, auf Feder aufgewachsen in altrömischen Niederlassungen bei Mainz, in den Kloaken von Dresden, Kopenhagen 2c., besonders im Guano der Insel Schaboe an der Westafrikanischen Küste (Guanit), zusammen mit Stercorit von der Zusammensetzung des Phosphorsalzes pag. 189. Da phosphorsaure Magnesia sich im Samen der Getreidearten findet, so ist ihre Bildung um so leichter erklärt, als Ammoniak, Phosphorsäure und Talkerde bekanntlich eine große chemische Verwandtschaft zu einander haben.

## Kupfersalze.

Kupfer läßt sich meist leicht durch Behandlung auf Kohle reduciren, gewöhnlich leitet schon die Flamme und die grüne Farbe der Minerale zum Erkennen. C, P, As sind die wichtigsten Säuren, davon gibt sich die Kohlensäure durch Brausen kund.

### 1. Kupferlasur.

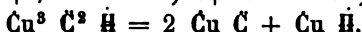
Die blaue Farbe konnte den Alten nicht entgehen, Theophrast § 97 und Plinius 37. 28 begreifen sie unter *Κυανός*. *Coeruleum montanum*



vorn, und  $n'$  hinten;  $r = a' : \frac{1}{8}c : \infty b$ . G. Rose (Reise Ural I. 211) gibt in der prachtvollen Kupferlasur vom Altai noch  $a' : \frac{1}{8}c : \infty b$ ,  $a' : \frac{1}{2}c : \infty b$  und  $a' : \frac{1}{2}c : \infty b$  an. In der Diagonalzone oh liegen außer dem Blätterbruch P noch  $f = b : \frac{1}{2}c : \infty a$ ,  $l = b : \frac{1}{2}c : \infty a$  und  $q = b : \frac{1}{2}c : \infty a$ . Augitpaare in der Rantenzone M/h sind vorn  $k = a : b : c$  und  $x = a : b : \frac{1}{2}c$ ; hinten außer  $k'$  und  $x'$  noch  $u = a' : b : \frac{1}{2}c$  und  $t = a' : b : \frac{1}{2}c$ . Zwischen ph vorn:  $c = 2a : b : c$  und  $d = 2a : b : \frac{1}{2}c$ ; hinten dagegen  $d' = 2a' : b : \frac{1}{2}c$ ,  $b = 2a' : b : 2c$  und  $e = 2a' : b : \frac{1}{2}c$ . Endlich hinten noch die Paare  $y = a' : c : 2b$  und  $z = \frac{1}{2}a' : b : \frac{1}{2}c$ ; bei Schlangenbergr fand Rose  $\lambda = a' : \frac{1}{2}b : \frac{1}{2}c$ . Die optischen Axen liegen nach Descloizeaux in der Medianebene, Mittellinie vorn etwa  $12^\circ$  gegen Axe c geneigt.

Lasurblaue Farbe (mit einem Stich ins Roth), Strich smalteblau,  $\mathfrak{H} = 4$ , Gew. 3,6. Undurchsichtig und dann zuweilen ins schwärzlich blau gehend, manche werden an den Ranten durchscheinend, und dann wird Farbe und Glanz höher.

Vor dem Löthrohr reducirt sie sich leicht zu einem Kupferregulus, in Salzsäure braust sie, indem Kohlensäure entweicht.



Klaproth (Beiträge 4. 21) fand 56 Cu, 14 Sauerstoff, 24 C, 6 H. Entspricht dem Bleiweiß  $2 (\text{CO}^2 \text{Pb}) + \text{Pb} (\text{OH})^2$ .

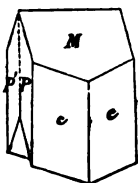
Kommt nicht sonderlich häufig vor. Romé Delisle (Essai 1772. 200) kannte nur die Krystalle von Bulach und Saalfeld. Die schönste wurde 1812 zu Chessy bei Lyon im rothen Sandsteine bekannt, nur die vom Altai kann mit ihr wetteifern, einzelne Krystalle erreichen 1 Zoll Größe. Dieselben sind öfter in Malachit verwandelt. Am reinsten sind daselbst die kugeligen Congregationen von Walnußgröße, aus einem Haufwerk von Krystallen mit den vorherrschenden Flächen Mh, an ihnen kann man den Blätterbruch P durch Wegsprengen der scharfen Ecken leicht darstellen. Niedziana Gora in Polen, Cornwall, Banat, Tyrol, Zinnwald. Vordem war Bulach auf dem Württembergischen Schwarzwalde berühmt, wo sie schon seit 1326 (Select. phys. oecon. 1752. I. 210) auf den Schichtflächen des obersten Bunten Sandstein in strahlig blättrigen zum kugeligen geneigten Massen bekannt sind. An den seltenen Krystallen treten die Säulenflächen zurück, und durch Vorherrschenden mehrerer Schiefendflächen (h, a) werden sie länglich tafelförmig.

Erdige Kupferlasur (Bergblau) mit ihrer viel lichtern Farbe darf man nicht mit Vivianit pag. 577 verwechseln. Früher war die Bereitung des Bergblau's aus Krystallen wichtig, weil man keine andere feine blaue Farbe hatte. Plinius 33. 57 nennt sie schon Caeruleum. Man war an das Vorkommen in der Natur gebunden, da die künstliche Bereitung noch heute Schwierigkeiten hat. Durch Ueberheizung des Marmors mit Kupfervitriol bildet sich grüner Malachit, der nach einiger Zeit in eine blaue Masse umsteht, Wibel Jahrb. 1873. 247.

## 2. Malachit.

Molochites Plinius 37. 36. Soll nach seiner grünen Farbe (*μαλάχη* Malve) benannt sein. Agricola erwähnt ihn beim Jaspis. *Χρυσόμλλα* Theophrast 70, Goldloth, weil er ein sehr reines Kupfer zum Löthen des Goldes gab. Die alten Bergleute hießen es Berggrün. *Cuivre carbonaté vert*. Schreddenstein *Selecta Physico-oeconomica* 1750 III. 130, „weil sie kleinen Kindern wider den Schrecken angehängt werden“.

Krystalle sehr selten, doch soll man an den feinen Nadeln zuweilen Flächen beobachten. Phillips beschreibt sie zweigliedrig: eine sehr blättrige Säule  $M = a : b : \infty c$  bildet  $123^\circ 35'$ , dagegen steht der zweite Blätterbruch  $P = c : \infty a : \infty b$  rechtwinklig. Auch  $T = b : \infty a : \infty c$  soll etwas blättrig sein,



und das auf die scharfe Säulenkante aufgesetzte Paar  $c = b : c : \infty a$   $107^\circ 16'$  in der Axe b haben. Nach Hesseberg (Abb. Send. Ges. 1864. V. 333) betrug jedoch an den schönen Krystallen von Rheinbreitenbach dieser Winkel  $c/c = 104^\circ 20'$ . Nun kommen aber bei Terruel in Aragonien Zwillinge mit einspringenden Winkeln vor, die T gemein haben und umgekehrt liegen. Darnach ist das

System  $2 + 1gl.$ ,  $c/c$  die Säule von  $104^\circ 20'$ , M Schiefendfläche, und die Gegenfläche M durch den Zwilling zu erklären. Lang (Philos. Mag. 4 ser. 25. 21 und 28. 55) und Zepharovich (Sitzb. Wien. Akad. Bd. 51) haben das an den Krystallen von Rezbanya, Kärnten, Nischneitagitst, Australien 2c. bestätigt. Wenn die Zwillinge durchwachsen, haben sie scheinbar eine Geradenfläche gemein. Dispersion inclinée. Gewöhnlich bekommt man im günstigsten Falle nur grobe excentrische Strahlen zu Gesicht mit dem prachtvollsten Seidenglanz, wie z. B. auf den Kupferkiesgängen vom Herrenseegen in der wilden Schappach oder von Nenzenbach bei Dillenburg. Hebt man solche smaragdgrünen Strahlenbüschel ab, so zeigen sie auf dem Querbruch einen schwarzen Schimmer, in welchem das Grün fast ganz verschwindet. Das ist ein sehr auffallender unerwarteter Dichroismus! Querbruch deutlich blättrig, aber concav nach der Seite der convergirenden Strahlen, was auf Glasopffstructur hinweist, welche bei derben Massen so gewöhnlich gefunden wird.

Im Dichroskop zeigen feine Strahlen im extraordinären Bilde einen äußern gelben und innern blauen Rand, die grüne Farbe wird also in ihre Elemente zerlegt, der blättrige Querbruch ist dagegen im ordentlichen Bilde schwarz, im außerordentlichen indigblau.

§. = 3—4, Gew. 4. Smaragd- bis Spangrün. Die Glasstöpsel concentrisch schaalig, fein faserig und in den grünen Farben vom licht Spangrün bis zum Rauchgrün wechselnd.

Vor dem Löthrohr reduciren sie sich wie Kupferlasur, in Säure brausen sie stärker.





Maproth (Beiträge II. 227) fand im Sibirischen 58 Cu, 12,5 Sauerstoff, 18 Kohlenäure, 11,5 Wasser.

Malachit ist bei weitem das gewöhnlichste unter den salinischen Kupfererzen. Als erdiger Beschlag (Kupfergrün) kommt er gar häufig im Flözgebirge vor: die Keupermergel, der Muschelkalk, Buntsandstein zeigen ihn. Im Gouv. Perm ist die Zechsteinformation stellenweis grün davon gefärbt. In Bergwerken, auf alten Wäffen (aerago nobilis) erzeugt er sich unter unsern Augen. Auf Erzgängen kommt er besonders in den obern Teufen vor, wo er durch Zersetzung der geschwefelten Kupfererze (Kupferkies, Buntkupfer- und Fahlerz) entstanden ist: an verwitterten Kupferkiesstufen (Herrenseegen, Nenzenbach) kann man den Zersetzungsprozeß mit großer Bestimmtheit verfolgen: der Kupferkies wird zu Ziegelerz, zwischen welchem die smaragdgrünen Büschel liegen. Ein sehr schönes Vorkommen findet sich im Kalkstein von Ringenwechsel bei Schwarz in Tyrol, dasselbe zeigt keine Spur von Faser und hat einen jaspisartigen Bruch wie Rieselkupfer pag. 451, löst sich aber in Säuren vollkommen. Unübertroffen sind dagegen die glaskopfartigen Malachitmassen vom Ural, die auf geschliffenen Flächen im reflectirten Licht eine eigenthümliche Farbenwandlung zeigen. Sie kommen dort klumpenweis in Klüften des krystallinischen Uebergangskalkes auf der Grenze von Grünstein vor, und scheinen aus gebiegenem Kupfer, das sich mit Rothkupfererz überzog, entstanden. Die Sammlung des Bergcorps in Petersburg bewahrt aus der Gumeschewitschen Grube ein Stück von  $3\frac{1}{4}'$  Länge und Breite, 90 Pud schwer, vom schönsten Smaragdgrün, dessen Werth auf 525,000 Rubel geschätzt wird. Auf den Demidow'schen Gruben von Nischne-Tagilsk hat man sogar einen reinen Block von  $16'$  Länge,  $7\frac{1}{2}'$  Breite,  $8\frac{1}{4}'$  Höhe bloßgelegt. Wegen des prachtvollen Grün und der Politurfähigkeit ist das Mineral außerordentlich geschätzt zu Fournierarbeiten, indem man Basen, Toiletten, Tischplatten, Zimmer zc. damit täfelt, selbst die Säulen der Isaakskirche zu Petersburg prangen in diesen Farben. In den letzten 50 Jahren wurden über 4 Millionen Pud (à 16 Kilogr.) gewonnen, doch nimmt heute die Ausbeute sehr ab. Die Malachitsäulen des Dianentempels von Ephesus wurden nach der Sophientirche in Constantinopel geführt. Aus der Peat Downs Copper Mine von Queensland waren dicke Mannshohe Stufen auf der Wiener Ausstellung. Gestoßen dient es auch als grüne Farbe (Berggrün), die haltbarer ist als Bergblau, denn der blaue Himmel auf alten Gemälden soll grün werden, indem sich die Kupferlasur in Malachit verwandelt. Darauf beruht auch die Bildung von

Asterkrystallen. Die Kupferlasurkrystalle von Chessy bestehen häufig im Innern aus strahligem Malachit, nicht selten hat der Angriff stellenweis stattgefunden, als hätte sich nicht alle Substanz zur Veränderung gleich geeignet. Zu Bogoslowk haben sich große Krystalle von Atacamit in Malachit verwandelt (Jahrb. 1873. 222). Es besteht aber

Kupferlasur aus  $\text{Cu}^2 \text{C}^2 \text{H} = 6 \text{Cu} + 4 \text{C} + 2 \text{H}$ ;

Malachit aus  $\text{Cu}^2 \text{C} \text{H} = 6 \text{Cu} + 3 \text{C} + 3 \text{H}$ ;

es darf daher die Kupferlasur gegen C nur H austauschen, so muß sie in Malachit übergehen. Vergleiche auch die Umwandlung des Rothkupfererzes Cu in Malachit. Becquerel machte künstlichen Malachit (Pogg. Ann. 37. 220). Kupfervitriol mit Soda gefällt gibt Bremer Blau  $\text{Cu}^2 \text{C} \text{H}^2$ , das sich durch Glühen in Braunschweiger Grün verwandelt.

Malachit und Kupferlasur gehören zu den geschätztesten Kupfererzen, namentlich weil sie von Schwefel und Eisen frei sind, welche den Schmelz- und Reinigungsprozeß sehr erschweren. Zu Chessy wurde früher Kupferlasur zu gute gemacht.

Aurichalcit nannte Böttcher (Pogg. Ann. 78. 400) die spangrünen nabelsförmigen Krystalle von Lotewsk am Altai, sie geben auf Kohle einen Zinkbeschlag,  $2 (\text{Zn}, \text{Cu}) \text{C} + 3 (\text{Zn}, \text{Cu}) \text{H}$  mit 45,6 Zn, 28,3 Cu, 16 C, 9,9 H. Buralit hat sogar Zink und Kalk. Mysforin (Phil. Trans. 1814. 40) von Mysore in Ostindien soll  $\text{Cu}^2 \text{C}$  mit 60 Cu, 19 Fe, 16,7 C sein.

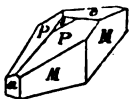
### Phosphor- und arseniksaure Kupfererze

gibt es eine ganze Reihe, die man unter einander zuweilen schwer vom Malachit, womit sie wegen ihrer grünen Farbe allein verwechselt werden können, aber schon dadurch unterscheiden kann, daß sie sich in Säuren zwar lösen, aber nicht brausen. Die Phosphorsäure lehrte Berzelius durch Zusammenschmelzen mit Blei erkennen, es bildet sich dann phosphorsaures Blei, was den Kupferregulus einschließt, und sich an den Facetten beim Erkalten erkennen läßt. In Cornwall jetzt schwerer zu bekommen, als in früherer Zeit, weil sie hauptsächlich in den obern Teufen lagen.

#### 3. Phosphorkupfererz Wr.

Von Birneberg bei Rheinbreitenbach oberhalb Bonn. Wurde von Rose für Malachit gehalten, daher nennt es Hausmann Pseudomalachit. Klaproth entdeckte darin die Phosphorsäure. Phosphorochalcit Kobell's. Cuivre hydro-phosphaté, Hydrous Phosphate of copper. Lunnit. Dihydrit.

Krystalle sollen 2 + 1gl. sein: eine geschobene Säule  $M = a : b : \infty$  bildet vorn den scharfen Winkel von  $39^\circ$ , der durch  $a = a : \infty b : \infty$  gerade abgestumpft wird. Geradenfläche  $c = c : \infty a : \infty b$  steht rechtwinklig gegen M. Augitpaar  $P = a : 2b : c$  macht in der Medianante  $a : c$   $117^\circ 49'$ , und Schiefenfläche  $t = 2a : c : \infty b$  liegt mit PM in einer Zone. Natürlich könnte bei der Seltenheit guter Krystalle ein solches System auch 2gliedrig werden, wenn die hintere Gegenfläche sich einmal zeigen sollte. Krystalle lagen auch auf alten Halben am Silberbrunnen süd-



westlich Oppenau, im obern Haigerachthal (Beiträge Statist. Verm. Baden 1863 XVI. 38) wahrscheinlich in der Fortsetzung des mächtigen Gangzuges, worauf in der Wilden Schappach der Herrenseegen und Friedrich Christian bauten.

In der Regel findet man nur malachitartige Ueberzüge, deren smaragdgrüne Farbe aber eigenthümlich schwarzgrün gesprenkelt ist.  $\rho = 4$ , Gew. 4,2.

Vor dem Löthrohr kugelt es sich leicht, darin schwimmt ein kleiner Regulus von unreinem Kupfer. Die Kugel zeigt beim Erkalten eine eigenthümliche Rinde, während die innere Masse noch längere Zeit flüßig bleibt.

$\text{Cu}^6 \text{P} \text{H}^3$  mit 68 Cu, 21,5 P, 8,6 H.

Die Kupfererzlagerstätte des Birneberges, wo es Rose zuerst fand, ist noch heute der Hauptfundort. Nischne-Tagilst, Libethen.

Breithaupt's Ehlit von Ehl bei Linz am Rhein sieht wegen eines deutlichen Blätterbruchs dem Kupferschaum ähnlich, hat sonst aber eine höchst nahe Zusammensetzung  $\text{Cu}^3 \text{P} + 2 \text{Cu} \text{H}$ . Nur fand Bergemann neuerlich 7 p. C. Vanadinsäure. Schrauf (Jahrb. 1873. 666) beschreibt von dort eingliedrige Krystalle. Der amorphe Thrombolith auf Kalkstein von Mezbanja soll  $\text{Cu}^3 \text{P} + 6 \text{H}$  sein. Hermann's Tagilit wird als  $\text{Cu}^4 \text{P} + 3 \text{H}$  gedeutet. Nirgends sollen sich nach Nordenstjöld (Journ. pract. Chem. 73. 218) die Kupferphosphate zahlreicher finden, als zu Nischne-Tagilst. Aber sie sind chemisch kaum zu erkennen.

#### 4. Olivenerz Wr.

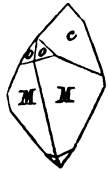
Olivenit nach seiner Farbe. Werner begriff darunter zwar verschiedene Dinge, hatte aber doch hauptsächlich dieses im Auge, Hoffmann (Mineral. III. b. 170). Von allen das gewöhnlichste.

1) Phosphorsaures (Libethkupfer, Libethenit, blättriges Olivenerz)  $\text{Cu}^4 \text{P} \text{H}$  mit wenig Arseniksäure, 66,5 Kupferoxyd, 30 Phosphorsäure, 4 Wasser. Dunkel olivengrün bis schwärzlich grün von Libethen bei Neusohl in Oberungarn auf quarzigem Glimmerschiefer. Wurde 1810 bei der Schürfung einer alten Beche entdeckt (Mineral. Taschenbuch 1813. 274).

Zugliedrige Oblongoktaeder, die man beim ersten Anblick für regulär hält. Eine geschobene Säule  $M = a : b : \infty c$  macht vorn  $109^\circ 52'$ , sie ist häufig etwas gekrümmter als das auf die scharfe Säulentante aufgesetzte Paar  $c = b : c : \infty a$  mit  $92^\circ 20'$  in der Kante über Age c, hin und wieder gewahrt man in den 4 gleichen Ecken die ganz kleine Oктаederfläche  $o = a : b : c$ . Härte = 4, Gew. 3,7.

Vor dem Löthrohr kugeln sie sich, sollen in der Pincette geschmolzen Facetten bekommen, doch sind die jedenfalls undeutlich.

Hauptfundort Libethen, meist krystallisirt, doch kommen auch nieren-

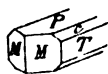


förmige (Brsin Breith.) daselbst vor, die von dem dortigen dunkelgrünen Malachit äußerlich nicht unterschieden werden können.

2. Arseniksaures (Olivenit, Pharmakochalcit, saßriges Olivenerz, dritte Species des Arseniate of Copper bei Bournon Phil. Transact. 1801. 177)

$\text{Cu}^4 \text{As} \text{H}$  mit 57 Cu, 40 As, 3,5 H.

Aber nie ohne Phosphorsäure, welche die Arsensäure in allen Verhältnissen vertritt. Pistaziengrüne Nadeln von Cornwallis. Phillips be-



schreibt sie als blättrige Säulen  $M = a : b : \infty$   $110^\circ 50'$  mit dem Paare  $c = b : c : \infty$   $92^\circ 30'$ ,  $P = c : \infty : \infty$ ,  $T = b : \infty : \infty$ . Sehr selten die Fläche  $a = \frac{1}{2}a : b : \infty$ . M unter  $132^\circ 7'$  schneidend.

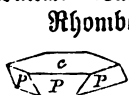
H. = 3, Gew. 4,4. Strich lichter, spröde.

Die Analyse von Robell (Pogg. Ann. 18. 111) gab 36,7 As, 3,3 P, 56,4 Cu, 3,5 H. In der Pincette schmilzt es leicht, und „krystallisirt beim Abkühlen eben so schön, wie das phosphorsaure Bleioxyd. Man erhält aber keine Perle mit größern Facetten, sondern eine strahlige Masse, deren Oberfläche mit prismatischen Krystallen netzförmig bedeckt ist“. Auf Kohle reducirt es sich mit Detonation zu einem unreinen Kupferkorn. Bildet meistens feine Nadeln, die man für Pistazit halten könnte, manche werden saßrig wie der feinste Amianth mit nierenförmiger Oberfläche z., im Quarz der Gruben von Cornwall. Schwarz, Zinnwald, Nischne-Tagilsk. Der dunkelgrüne amorphe Cornwallit  $\text{Cu}^5 \text{As} \text{H}^5$  kommt mit ihm vor.

3. Adamite (Compt. rend. 1867. Bd. 62. 691) von Chanarcillo in Chili, honiggelb zusammen mit Embolit. Härte 3–4, Gew. 4,34. Zwei Blätterbrüche schneiden sich unter  $107^\circ$ ,  $c/c = 91^\circ 33'$ , also isomorph mit Libethenit, aber  $\text{Zn}^4 \text{As} \text{H}^2$ . Eine rothe Abänderung kommt auf der Mine de la Garonne (Var) vor, die optische Mittellinie fällt mit Axe c zusammen, beim Libethenit dagegen mit b.

## 5. Kupferglimmer Br.

Chalcophyllit, Cuivre arseniaté lamellaire, 2te Species von Bournon's Arseniate of Copper (Phil. Trans. 1801. 176), ausgezeichnet in Cornwallis. Tamarit.



Rhomboeder P  $69^\circ 12'$  im Endantenwinkel, aber die Endante ist durch einen deutlichen glimmerartigen Blätterbruch  $c = c : \infty : \infty : \infty$  so stark abgestumpft, daß dünne sechsseitige Tafeln entstehen, woran die P abwechselnd convergirende Kanten bilden. Auch stumpfere Rhomboeder kommen vor. Negativ optisch einaxig, brechen das Licht viel stärker als Uranglimmer, daran sofort zu unterscheiden.

Bläulich smaragdgrün ins Spangrüne sich neigend, Uranglimmer

hat nicht so viel Blau. Starker Perlmutterglanz auf dem Blätterbruch, Härte = 2,3, Gew. 2,6.

Vor dem Löthrohr Arsenikgeruch, allein er verknistert stark zu kleinen Glimmerchen, doch gelingt es durch langsames Erhitzen aus Stücken ein Kupferforn zu bekommen.

$\text{Cu}^6 \text{As} + 12 \text{H}$  mit 52,9 Cu, 19,3 As, 23,9 H, nach Damour kommt zuweilen auch etwas Phosphorsäure vor. Cornwallis. Nischnetagilsk.

Kupferschaum Wern. ist durch seinen Blätterbruch dem Kupferglimmer sehr ähnlich, geht aber mehr ins Spangrün, und soll 2gliedrig sein. Die aus der Gegend von Schwaz in Tyrol (Tyrolit) bilden strahlblättrige Halbkugeln; in Ungarn, zu Bulach auf dem Schwarzwalde u. einen blättrigen Anflug. Chemisch sind nach Kobell (Pogg. Ann. 18. 188) die von Faltenstein bei Schwaz durch 13,6 Ca C verunreinigt, auf Kohle geben sie daher eine strengflüssige Schlacke. Mit Ammoniak und kohlen-saurem Ammoniak digerirt löst sich das Kupfersalz, und der kohlen-saure Kalk bleibt zurück. Sie scheinen darnach ein Gemeng zu sein von

$\text{Cu}^5 \text{As} + 10 \text{H} + \text{Ca C}$  mit 43,9 Cu, 25 As, 17,5 Wasser.

Vergleiche auch den Kupferschaumartigen Trichalcit  $\text{Cu}^5 \text{As H}^5$  auf sibirischen Fahlerzen. Ronchalcit  $(\text{Cu}, \text{Ca})^5 (\text{As}, \text{P})^2 \text{H}^5$  von Andalusien ist dagegen mehr malachitartig (Pogg. Ann. 77. 188).

## 6. Einsenerz Wr.

Erste Species von Graf Bournon's Arseniate of Copper (Phil. Trans. 1801. 174) in Begleitung des Kupferglimmer von Cornwallis. Virokonit.

Kleine himmelblaue niedrige Oblongoktaeder  $s = a:b:\infty$   $119^\circ 45'$ , mit einem auf die stumpfe Säulenlante aufgesetzten Paar  $o = a:c:\infty b$   $71^\circ 50'$ . Nach Descloizeaux macht Kante  $s/s$  mit  $o/o$   $91^\circ 27'$ , dann ist es 2+1gliedrig. Auch die optischen Aen liegen in einer Schiefenfläche. Härte 2—3, Gew. 2,9. Hermann fand 36,4 Cu, 23 As, 3,7 P, 10,8 Al, 25 H, was keine schöne Formel gibt:

$\text{Cu}^8 \text{As} + \text{Al As} + 24 \text{H}$ .

Redruth, Herregrund; Ullersreuth im Voigtlande mit andern verwandten Kupfersalzen zusammen. Haibinger's (Pogg. Ann. 14. 228)

Erinit von Limerick in Irland (Erin), smaragdgrün,  $\text{H} = 4-5$  Gew. 4, nicht krystallisirt in Gesellschaft von Einsenerz  $\text{Cu}^5 \text{As} + 2 \text{H}$ .

## 7. Strahlerz Wr.

Vierte Species des Arseniate of Copper Bournon (Phil. Trans. 1801. 181), Klinoklas, Abicht, Aphanese. Kleine schwärzliche Krystalle zusammen mit Einsenerz in Cornwall vorkommend. Mit der Nadel



gerichtet werden sie fast so schön himmelblau, als das Lin-  
senerz, woran man sie leicht erkennt. 2 + 1gliedrige Säule  
 $M = a : b : \infty$  vorn  $56^\circ$ , die auf die scharfe Säulenkante auf-  
gesetzte Schiefendfläche  $P = a : c : \infty$  soll sehr blättrig sein,  
 $P/M$   $95^\circ$ , eine hintere Gegenfläche  $x$  zc. Optische Axen in der  
Medianebene, Mittellinie senkrecht zum Blätterbruch  $P$ . Härte = 3,  
Gew. 4,3, schwärzlich grün an der Oberfläche, im durchscheinenden Licht  
heller.

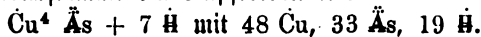
$\text{Cu}^6 \text{As} \text{H}^3$  mit 62,6 Cu, 30,3 As, 7 H,  
also von der Zusammensetzung des Phosphorkupfererzes, auffallender  
Weise erinnert auch das 2 + 1gliedrige System mit dem scharfen Säulen-  
winkel daran.

### 8. Eudroit Breith.

Passend nach seiner schönen dioplasartigen Farbe genannt. Gehört  
zu den ausgezeichneten, schon wegen seiner mehrere Linien großen



2gliedrigen Krystalle. Eine Säule  $M = a : b : \infty$  bildet  
 $117^\circ 20'$ , die Geradenfläche  $P = c : \infty : \infty$ , beide nicht  
blättrig; dagegen schimmert  $n = b : c : \infty$   $87^\circ 52'$  deutlich  
und noch deutlicher  $b = b : \infty : \infty$  vom inneren Lichte  
des Blätterbruchs. In der Säule  $M/M$  kommen noch mehrere  
Zuschärfungen der scharfen Kante vor. Smaragdgrün,  $H. =$   
3—4, Gew. = 3,4. Vor dem Löthrohr reducirt er sich mit  
Detonation zu röthlich weißem Arsenikkupfer, das bei längerem Behandeln  
in der Oxydationsflamme ein Kupferkorn wird:

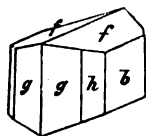


Einzig zu Libethen mit feintraubigem Erbkobalt auf Glimmerschiefer.

Chlorotil (Zahrb. 1875. 117) kommt in blaßgrünen Härchen bei  
Schneeberg und Binnwalde auf Quarz mit Lungstein vor,  $\text{Cu}^3 \text{As} \text{H}^6$ .

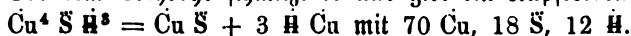
### 9. Brochantit Heuland.

Von Lévy (Ann. of Phil. 1824. 111) aus dem Ural 2gl. beschrieben  
worden:  $g = a : b : \infty$   $104^\circ 10'$  hat nur Spuren von Blättrigkeit,



dagegen ist  $b = b : \infty : \infty$  die Abstumpfungsfäche der  
scharfen Säulenkante deutlich blättrig und glänzend,  $f =$   
 $b : c : \infty$  macht die stumpfe Kante von  $151^\circ 52'$ ,  $h =$   
 $a : \frac{1}{2}b : \infty$ . Kosscharow (Min. Rußl. III. 114) fand 104.31  
und 152.37. Nach Schrauf (Zahrb. 1873. 111) 2 + 1gliedrig,  
fogar mit Hineigung zum 1gliedrigen, und wie Malachit  
zur Zwillingbildung geneigt.

Smaragdgrün, zuweilen ins Schwärzliche gehend, Gew. 3,9,  $H. =$   
3—4. Vor dem Löthrohr schmilzt er und gibt ein Kupferkorn.

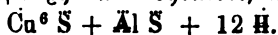


Er löst sich in Säuren, aber nicht im Wasser, wie der Kupfervitriol.

Bildet sich künstlich aus Kupfervitriollösungen, wenn man Kupferoxydhydrat hinzusetzt.

Ein seltenes Fossil. Zu Nezbanya in Siebenbürgen bricht es mit Kupferlasur und Malachit (Pogg. Ann. 14. 141) und gleicht dem Malachite, ist nur etwas dunkeler und glänzender. G. Rose (Reise Ural I. 107) beschreibt kleine Krystalle von den Gumeschewskischen Kupfergruben, wo sie mit Malachit und Rothkupfererz brechen. Forchhammer's Krisuvigitt bildet zu Krisuvig auf Island ein kleines Lager. Königin in Sibirien, Warringtonit von Cornwall schließen sich eng an. Dagegen soll der schön grünlich blaue Langit aus dem Kilaas von Cornwall (Compt. rend. 1864 Bd. 59. 633) Zwillinge des Aragonits bilden, und ein Wasseratom mehr haben  $\text{Ca}^4 \text{S} \text{H}^4$ . Devillin (Jahrb. 1865. 631), welcher damit zusammen vorkommt, scheint nur mit Gyps gemischter Langit zu sein.

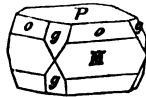
Kupferhammeritz (Zettfomit) nannte schon Werner die prachtvollen himmelblauen sammtartigfasrigen Halbkugeln, welche mit Malachit in Drusen von Brauneisenstein zu Moldawa im Banat vorkommen. Percy zeigte, daß so sehr ihr Aussehen auch an Kupferlasur erinnert, sie doch nur Spuren von Kohlensäure haben, dagegen vielmehr 15,4 Schwefelsäure, 48,2 Ca, 11,7 Eisenoxyd und Thonerde, 23 H, also etwa



## 10. Uranglimmer Br.

Grünglimmer von Johann-Georgenstadt Alaproth (Beitr. II. 110). Uran oxyd. Werner wollte ihn anfangs nach Bergman Torberit (Emmerling, Lehrb. Min. 1796. II. 584) nennen, was großen Widerspruch erfuhr. Es wäre damals nach Obsidian pag. 468 der erste Personennamen gewesen (Bergm. Journ. 1789. 170).

Kleine viergliedrige Tafeln, deren Geradenfläche  $P = c : \infty a : \infty a$  sehr blättrig ist, während das Oktaeder  $o = a : a : c$  die Seiten der rechtwinkligen Tafeln unter  $143^\circ$  zuspärft,  $o/P = 108.29$  bis  $108.54$ . Diese einfache Form  $Po$  ist am häufigsten, es kommt aber auch die erste  $M = a : a : \infty a$  und 2te quadratische Säule  $h = a : \infty a : \infty c$ , das nächste stumpfe Oktaeder  $g = a : c : \infty a$  vor. Schon Phillips bildete noch viele andere Flächen ab.



Die prachtvoll smaragdgrünen Krystalle sind fast so deutlich blättrig, jedoch spröder, als Glimmer, so daß sie quer gar keinen muscheligen Bruch zeigen. Werner (Cronstedt 217) stellte sie daher geradezu zum Glimmer.  $\text{Sp.} = 2$ , Gew. 3,2—3,6. Nach der Zusammensetzung unterscheidet Berzelius (Pogg. Ann. 1. 174) zweierlei:

a) Kupferuranglimmer (Chalcolith)

$\text{Cu} \text{U}^2 \text{P} \text{H}^8$  mit 60 Uranoxyd, 9 Cu, 16 P, 14,5 H, mit Salzsäure befeuchtet färbt er die Flamme blau, und gibt mit Soda auf Kohle ein Kupferkorn. Smaragdgrün. Das gewöhnliche. Johann-

Georgenstadt, Schneeberg, Joachimsthal, Grube St. Anton auf dem Schwarzwalde, Hedruth, Nordamerika, Wolskinsel im Onegasee mit Amethyst. Häufig in Gesellschaft mit Uranpecherz. Negativ optisch einaxig.

b) Kalkuranglimmer (Uranit, Autunit).

$\text{Ca } \bar{\text{U}}^2 \bar{\text{P}} \bar{\text{H}}^8$  statt Kupfer 6,2 Ca,

zeisiggrün bis citronengelb. Das seltenere. Besonders bei Autun und St. Yrieux ohnweit Limoges. Zu Chesterfield in Massachusetts von Turmalin eingeschlossen. Optisch 2axig, und Messungen kleiner Krystalle von Cornwall geben die Säule  $M/M \ 90^\circ 43'$  (Ann. min. 1858. XIV.),  $\alpha/P = 109.6$  und  $109.17$ . Der Isomorphismus findet daher nur annähernd statt. Etwa ähnlich, wie bei der künstlichen viergl. Be  $\bar{\text{S}} \bar{\text{H}}^4$  und der zweigl. Be  $\bar{\text{Se}} \bar{\text{H}}^4$  (Topik. Sitzb. Wien. Akad. 1872. Bd. 66. 2. pag. 5). Zweierlei Systeme mit so nahe liegenden Winkeln gehen gleichsam in einander über.

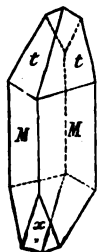
Auf der Grube Weißer Hirsch zu Neustadt bei Schneeberg fand Prof. Weißbach in Gesellschaft von Uranpecherz eine Reihe sekundärer Produkte, worunter ein viergliedriger Zennnerit  $\text{Cu } \bar{\text{U}}^2 \bar{\text{As}} \bar{\text{H}}^8$  dem Kupferuranglimmer, ein zweigliedriger Uranospinit  $\text{Ca } \bar{\text{U}}^2 \bar{\text{As}} \bar{\text{H}}^8$  dem Kalkuranglimmer entspricht, nur daß Arsenit die Stelle des Phosphors vertritt (Jahrb. 1873. 214). Dazu kam noch citronengelber blättriger Trögerit  $\bar{\text{U}}^3 \bar{\text{As}} \bar{\text{H}}^{12}$  und wachsgelber diamantglänzender Walpurgin  $\bar{\text{U}}^3 \bar{\text{Bi}}^5 \bar{\text{As}}^2 \bar{\text{H}}^{10}$  mit  $60,7$  Wismuthoxyd (Jahrb. 1873. 214).

## Bleisalze.

Das Bleioxyd verbindet sich außer mit  $\bar{\text{P}}$  und  $\bar{\text{As}}$  noch mit einer Reihe anderer Säuren, Cr V M W, zu schönfarbigen Salzen, die wir hier folgen lassen, indem wir an jede Säure die wichtigsten isomorphen Basen anschließen.

### 1. Rothbleierz Br.

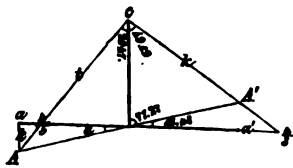
Chromsaures Blei, wegen seiner schönen Farbe von Hausmann Kalkochrom genannt. Aus den Goldgängen von Beresowsk 1766 von Lehmann in einem Briefe an Buffon (Delisle Essai 1772. 253) de nova minerae plumbi specie crystallina rubra erwähnt, daher Lehmannit. Chromate of lead. Krofoit ( $\kappa\rho\omicron\omicron\omicron\omicron$  Saffran). Roscharow Material. VI. 27.



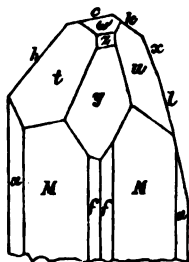
2 + 1gliedrig, Säule  $M = A : b : \infty$  bildet vorn  $93^\circ 30'$  ( $93.40$ ), ist erkennbar blättrig und fein längsgestreift. Gewöhnlich auf der Vorderseite nur ein Augitpaar  $t = A : b : c$  in der Medianante  $119^\circ$ . Interessant ist hinten die matte Schiefendfläche  $x = \frac{1}{2} A' : c : \infty b$ . Eine Zuspärfung der scharfen und stumpfen Säulenteile sieht man öfter, auch wohl die Fläche  $c = c : \infty A : \infty b$ . Hefenberg (Abh. Sendenb. Ges. 1860. III. 221) und Dauber (Sitzungs. Wien. Akad. 1860.



42. 10) haben sich mit den kleinen Krystallen ausführlich beschäftigt. Dauber's sorgfältige Messungen ergaben die Axen  $A : b : c = 1,047 : 1,09 : 1$ ,  $A/c$   $77^{\circ} 27'$ . Die Zahl der Flächen ist außerordentlich; ich will nur einen Theil aufzählen:  $P$  001,  $b$  010,  $a$  100;  $M$  110,  $z$  011,  $h$  101,  $k$  1'01;  $t$  111,  $v = 1'11$ ; Säulenzonen  $f$  120,  $d$  210,  $\alpha$  310,  $g$  320,  $z$  350, 230. Diagonalzonen  $\omega$  012,  $y$  021; Schiefendflächen  $x$  3'01,  $l$  4'01,  $e$  201,  $n$  401,  $\chi$  801,  $\rho$  502; Augitpaare  $u$  2'11,  $\gamma$  3'11,  $\beta$  3'12,  $r$  6'12,  $s$  441,  $\mu$  154,  $\pi$  221,  $\sigma$  352,  $g$  '841,  $H$  435 *ic.* Wollte man möglichst rechtwinklige Axen haben, so würden wir wie beim Gyps  $t = \frac{1}{4}a : \frac{1}{4}b : c$  setzen. Dann ist in nebenstehendem Aufriß  $k = \frac{1}{4} = A \cdot \sin \alpha$ ,  $\alpha = 13^{\circ} 48'$ ; es weicht also die rechtwinklige Axe  $a$  nur  $12^{\circ} 33' - 13^{\circ} 48' = -1^{\circ} 15'$



$ab$ , d. h.  $a/c$  bildet  $91^{\circ} 15'$  und Fläche  $t$  hat nach unserm Bilde  $c : \frac{1}{4}a : b$ ,  $k = c : \frac{1}{4}a' : \infty b$ . Nehmen wir nun einen complicirten Krystall zur Hand mit den Zonen  $c$  *wz y*,  $t y M$ ,  $y u l$ ,  $k u M$  *ic.*, so können wir die Flächen hinschreiben  $\omega = 4a' : 2b : c$ ,  $z = 4a' : b : c$ ,  $u = \frac{1}{4}a : b : c$ . Man sieht da bald, daß wenn wir die Axen  $a$  und  $b$  viermal länger nehmen, die Ausdrücke an Einfachheit gewinnen: für  $a : b : c : k = 4,088 : 4,362 : 1 : 0,089$  wird dann  $t = \frac{1}{4}a : \frac{1}{4}b$ ,  $k = \frac{1}{4}a' : \infty b$ ,  $c = a : \infty b$ ,  $x = \frac{1}{4}a' : \infty b$ ,  $l = \frac{1}{4}a' : \infty b$ ,  $w = a : \frac{1}{4}b$ ,  $z = a : \frac{1}{4}b$ ,  $y = a : \frac{1}{4}b$ ,  $u = \frac{1}{4}a' : \frac{1}{4}b$ . Die Säulen  $M f a$  behalten ihre Ausdrücke.



Hauptaxe  $c$  halbirt den Winkel der optischen Axen (Bogg. Ann. 37. 174). Wirkt ziemlich stark auf das Dichroskop. Das extraordinäre Bild färbt sich mit einem gelben und blauen Saume. Demantglanz insonders auf dem Querbruch der Säule. Schöne morgenrothe Farbe mit oranien-gelbem Strich. Härte 2—3, Gew. 6.

Auf Kohle decrepitirt es zu stark, man muß es daher erst pulverisiren, dann schmilzt es leicht und reducirt sich mit Detonation zu einer Schlacke, unter welcher die Bleireguli verborgen liegen. Die Schlacke gibt wie das Erz selbst die prachtvollsten grünen Gläser.

Pb Cr mit 31,7 Chromsäure und 68,3 Pb.

Es kann leicht künstlich dargestellt werden, indem man schwefelsaures Blei mit chromsaurem Kali übergießt. Geschmolzen und langsam abgekühlt gibt es eine braune krystallinische, rasch im Wasser abgekühlt eine rothe amorphe Masse. „Drehirt in der Hitze alle organischen Körper vollständig.“ Macht daher in der Rattundruderei die organischen Farben haltbar. Gibt das prachtvolle Chromgelb, wozu man auch das natürliche im Ural benützt. Die Chemie kennt keinen zweiten so färbenden Stoff. Vauquelin entdeckte 1797 darin das Chrom ( $\chi\rho\omicron\mu\alpha$  Farbe), er behandelte das Mineral mit Salzsäure und Alkohol, welcher be-

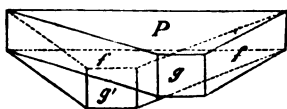
oxydirend wirkt, unlösliches Pb Cl gibt und Cr, welches die Flüssigkeit grün färbt. Es kommt daselbst bei Veresowsk ohnweit Katharinenburg in den dortigen Goldgängen auf Quarz im verwitterten Granit (Veresit) vor, und ist durch Verwitterung von Bleiglanz entstanden, mit dem es einbricht. Ein zweiter wichtiger Fundort ist Minas Geraes in Brasilien auf Quarz im Talkschiefer. Neuerlich ist ein dritter von der Grube Labo bei Luzon in den Philippinen durch die Oesterreichische Novara bekannter geworden. Zu Rezbanja scheinen 1833 einmal einige kleine Krystalle im Letten gefunden zu sein.

Melanochroit Hermann (Pogg. Ann. 28. 181), Phoenicit (*φαινικίτης* purpurroth), von Veresowsk ist basischer:

$\text{Pb}^3 \text{Cr}^2$  mit 23,3 Cr und 76,7 Pb,

fächerförmig gruppirte fast rechtwinklige Tafeln, metallischer Diamantglanz, dunkelfarbig bis kirschroth, und ziegelrother Strich, Gew. 5,75,  $\text{H.} = 3-4$ . Cr decrepitirt nicht so stark. Findet sich mit dem vorigen bei Veresowsk in kleinen derben Parthieen sonderlich auf Bleiglanz. Rothbleierz bedeckt oder umhüllt ihn gewöhnlich. Die derben Parthieen sonderlich auf Bleiglanz. Rothbleierz bedeckt oder umhüllt ihn gewöhnlich. Die derben Parthieen sind nach einer Richtung spaltbar. Noch basischer als dieses ist Chromroth  $\text{Pb}^2 \text{Cr}$ , jene prachtvolle Zinnoberähnliche Farbe, welche man durch Zusammenschmelzen des Chromgelbs mit Salpeter erhält (Pogg. Ann. 21. 180). Chromroth und Chromgelb gemischt gibt Chromorange; mit Kreide, Thon, Gyps vermischt, erzeugt man blässere Farben.

Vauquelin und Berzelius (Afhandl. i Fys. VI. 180) stetiger Begleiter des Rothbleierz von Veresowsk ( $2 \text{Pb} + \text{Cu}$ )  $\text{Cr}^2 = (\text{Pb}, \text{Cu})^3 \text{Cr}^2 \text{O}^9$  also ein durch 10,8 Cu verunreinigter Melanochroit. Hädinger (Pogg. Ann. 5. 173) beschreibt die kleinen Krystalle 2 + 1gliedrig: eine geschobene Säule  $f = a : b : \infty$ , deren vordere Kante durch  $g = a : \infty b : \infty$  gerade abgestumpft wird. Die Schiefendfläche  $P = a : c : \infty b$  macht nach Lévy mit g einen Winkel von  $120^\circ$ . Gewöhnlich

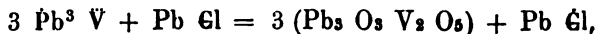


unregelmäßig durcheinander gewachsen oder Zwillinge g gemein und umgekehrt liegend. Schwarzgrün, aber zeisiggrüner Strich, daran leicht erkennbar.  $\text{H.} = 2-3$ , Gew. 6. Dreierlei Vorkommen: a) kleine schwarzgrüne Krystalle haufenweis durcheinander gewachsen; b) kleine Kugeln von Hirsekorngröße aus Krystallnadeln bestehend; c) dichte erdige zeisiggrüne Massen. Nordenstjöld (Pogg. Ann. 1869 Bd. 137. 100) unterscheidet darunter noch einen Lagmannit mit 8 Phosphorsäure und der Formel  $2 \text{R}^3 \text{Cr}^2 + (\text{R}, \text{H})^3 \text{P}$ . Aber die Krystalle scheinen den gleichen Habitus zu behalten, nur mit andern Winkelangaben:  $f/f' = 110\frac{1}{2}$ ,  $P/f = 134.25$ , worauf  $P/g = 148.25$  betragen würde, also  $28^\circ$  mehr, als Lévy angibt.

## 2. Vanadinbleierz.

Vanadinit. 1801 von Del Rio zu Zimapan in Mexico entdeckt, schon er glaubte darin ein neues Metall, Erythronium zu erkennen, was aber in Frankreich fälschlich für Chrom ausgegeben wurde. Als nun Sessström 1830 im Stabeisen von Taberg Vanadium entdeckt hatte (Pogg. Ann. 21. 48), zeigte Wöhler, daß es die Säure in unserm Bleierz sei. Aber erst durch die Entdeckung im unreinen Uranpecherz kann man es in größern Mengen bekommen (Sitzungsber. Wien. Akad. 1858. 33. 2).

Bildet wie Buntbleierz reguläre sechsseitige Säulen mit Geradenfläche. Die Säule gern bauchig. Kotscharow am russischen Dihexaeder  $80^{\circ} 1'$  Seitenkanten, Schabuz an kärntenschen (Berg Obir bei Windischkappel)  $78^{\circ} 46'$ . Gelblich braune Krystalle mit Fettglanz, sogar morgenrothe Nädelchen kamen am Obir vor.  $\text{Sp.} = 3$ , Gew. 7. Berzelius fand in dem von Zimapan 10 Pb Cl, 70 Pb, 22 V, ohne Phosphorsäure, welche die andern so gerne enthalten. Das führt wahrscheinlich zu der Formel



der Constitution des Buntbleierzess, wie namentlich auch die künstlich dargestellten Krystalle (Compt. rend. 77. 200) beweisen. Natürlich muß für  $\text{V}^2 \text{ O}^5$  das Atomgewicht auf  $52,5 = \text{V}^2$  erniedrigt werden, denn für  $\text{V} = 68,5$  ist  $\text{V} + \text{O}^5 = 68,5 + 24 = x + \text{O}^5 = x + 40$ ,  $x = \text{V}^2 = 52,5$ , was nach neuern Untersuchungen auch wohl  $51,3$  angenommen wird. Schmilzt leicht und reducirt sich unter einem Rückstande zu Blei, der Rückstand gibt smaragdgrüne Gläser, kann daher leicht mit Chrom verwechselt werden, allein mit 3 bis 4 Theilen doppelt schwefelsaurem Kali im Platinlöffel geschmolzen bekommt man eine pomeranzengelbe Masse, während Buntbleierz weiß, Rothbleierz grünlichweiß wird. Außer Zimapan fand es G. Rose bei Beresowsk (Pogg. Ann. 29. 400) mit Buntbleierz zusammen in bräunlicher Farbe, die größern Krystalle enthalten daselbst öfter einen Kern von grünem Buntbleierz, was auf Isomorphismus deuten könnte, Kotscharow Mater. III. 44. Zu Wanlockhead in Dumfriesshire bildet es kleintraubige Massen auf Galmei, die man lange für arseniksaures Blei gehalten hat, bis Thomson darin  $23,4 \text{ V}$  nachwies.

Dechenit Bergemaun (Pogg. Ann. 80. 200) aus dem Buntensandstein von Nieder-Schlettenbach bei Weisenburg (Pfalz) in Brauneisensteinlagern: Pb V mit  $52,9 \text{ Pb}$ ,  $47 \text{ V}$ , gewöhnlich zinhaltig. Die krystallinische Masse hat Aehnlichkeit mit dem Sibirischen Rothbleierz, gelber Strich, Fettglanz,  $\text{Sp.} = 3$ , Gew.  $5,8$ . Eusynchit von Fossgrund bei Freiburg in unansehnlich kleintraubigen Ueberzügen von rothgelber Farbe, nicht selten von schmutzigem Buntbleierz bedeckt, sollte neben Vanadinsäure noch vanadinige Säure (V) enthalten, was sich nicht bestätigt hat. (Pb, Zn) V mit  $16,8 \text{ Zn}$  (Pogg. Ann. 120. 20). Kobell's Aräogen von Dahn in Rheinbaiern ist ebenfalls Vanadinzinkblei aber mit etwas Arseniksäure. Ein Vanadintupferblei erwähnt Domeyko von Chili.

Descloizit (Damour Ann. Chim. Phys. 3 sér. 41. 71) aus den Gruben von La Plata  $\text{Pb}^2 \text{V}$ , 2gliedrige Säulen von  $116^\circ 25'$  mit einem Paar auf die scharfen Kanten aufgesetzt, und kleine Oktaederflächen. Glänzende schwarze Krystallchen mit einem Stich ins Olivengrün. Zippe's Vanabit vom Berge Obir soll krystallisirter Dechenit sein, und auch Eusynchit chemisch damit stimmen, sie würden dann beide zum Descloizit gehören (Jahrb. 1862. 728 und 1000).

Volborthit (Bulletin Acad. Imp. St. Petersburg IV. 2)  $(\text{Cu}, \text{Ca})^4 \text{V} \text{H}$  auf den Kupfergruben am Ural, höchst seltene olivengrüne sechsseitige Tafeln, die sich kugelig häufen, gelber Strich,  $\text{H} = 3$ , Gew. 3,5, Kofscharov Mater. IV. 145. Zu Friedrichroda am Nordrande des Thüringer Waldes fand Credner im Manganerz ein zeisiggrünes Salz von  $(\text{Cu}, \text{Ca}, \text{Mg}, \text{Mn})^4 \text{V} + \text{H}$  mit 39 V, wie es scheint einen Kalzvolborthit. In der Zechsteinformation von Perm sollen Sandsteine und Holzstämmen von Volborthit gelbgrün gefärbt sein. Die kleinen starkglänzenden röthlichbraunen 2gl. Krystalle des Böhmerit von Schneeberg haben einen gelben Strich, 6,2 Gew., und bestehen aus  $\text{Bi}^2 \text{V}^2 \text{O}^8 = \text{Bi VO}^4$  mit 73 Wismuthoxyd, 22,2 Vanadinsäure, Spuren von Arsenik- und Phosphorsäure. Es sind rhombische Säulen  $t = a : b : \infty$  von  $124^\circ$  mit einer blättrigen Geradenfläche, und mehreren kleinen Abstumpfungen der Ecken. Hr. Prof. Websky (Mineral. Mitth. 1872. 246) konnte sie messen, stellte aber die Säule  $t = c : \frac{1}{2} b : \infty$ , um gewisse Aehnlichkeiten mit Brookit und Niobit nachzuweisen. Die Grubenverwaltung verkaufte davon 1871—73 für 1500 Mark. Kann auch künstlich dargestellt werden, Jahrb. 1875. 680. Vanadolith vom Vaisalsee (Jahrb. 1870. 700) mit 44,8 Untervanadinsäure soll durch grüne Augitmasse verunreinigt sein. Der neuerlich viel besprochene Ardennit von Ottrez in Belgien (Jahrb. 1872. 600) von Kolophoniumfarbe, ziemlich Quarzhärte und 3,6 Gew., wird in der Form mit Ilvaite verglichen, Jahrb. 1873. 126. Einige haben über 9 p. C. Vanadinsäure, andere eben so viel Arseniksäure, Jahrb. 1876. 666. Ronichalcit enthält 1,8 V, die Böhmerze von Frankreich (Ann. Chim. Phys. 1861. 61. 600), Norddeutschland und der Alp (Bromm's Jahrb. 1853. 64 und 462), die Hochofenschlacken von Steiermark, der Kupferschiefer von Mansfeld, das unreine Uranpecherz u. geben Reactionen auf Vanadin. Am Obern See soll Vanadinsäure einen gelben pulverigen Ueberzug auf gebiegenem Kupfer bilden. Eine chocoladenbraune Erde auf Isle royale, die Rutile von St. Yrieux, und die dortigen Thone (Beauvallet, Ann. Chim. Phys. 1861. 61. 600) halten ansehnlich Vanadium. Spuren kommen sogar in Laven und Basalten vor (Jahrb. 1870. 771). Vanadin liefert die beste schwarze Dinte, welche durch Säuren nicht ausgelöscht, sondern nur blau gefärbt wird. Für Porzellanmalerei gäbe es eine Reihe schöner Farben. Zu wissenschaftlichen Zwecken wird es als Nebenprodukt bei Verarbeitung der Jodchimsithaler Uranerze mittelst Galläpfelaufguß gewonnen.

## 3. Gelbbleierz Br.

Weligelb, Wulfenit, denn Wulfen machte 1781 auf das Kärnthische Vorkommen aufmerksam, das man bis auf Klaproth (Beitr. II. 100) fälschlich für Wolframkalk hielt. Molybdänblei. Molybdate of lead, Plomb molybdaté

4gliedrig, ein etwas blättriges Oktaeder  $P = a : a : c$ , Endf.  $99^\circ 40'$  und Seitenf.  $131^\circ 55'$  gibt  $c : a = 1 : 0,636$ . Dauber (Pogg. Ann. 107. 110) fand  $131^\circ 49'$ . Gewöhnlich herrscht die Geradenfläche  $c = c : ooa : oob$  so vor, daß die Krystalle tafelartig erscheinen, selbst zu den dünnsten Blättchen werden, auf welchen sich auch wohl ein ganz flaches Oktaeder mit unendlich kurzer Axe erhebt. Kommt zur Geradenfläche



die 1ste quadratische Säule  $m = a : a : ooc$ , so entstehen einfache quadratische Tafeln, wie man sie bei den wachsgelben häufig findet. Doch wird  $m$  gern bauchig, es gesellt sich eine 8seitige Säule  $r = a : \frac{1}{2}a : ooc$  dazu, und statt  $P$  tritt gar häufig  $b = a : a : \frac{1}{2}c$ ,  $73^\circ 7'$  in den Seitenkanten mit glänzenden Flächen auf. Die 2te quadratische Säule  $n = a : ooa : ooc$  ist übermäßig rauh, aber inneres Licht deutet auf Blättrigkeit. Matt ist auch  $o = \frac{1}{2}c : a : ooa$ , welche oftmals mit  $b$  die Tafeln zuschärft. Deister gewahrt man auf der Geradenfläche ein kleines glänzendes Viered, es wird durch ein mattes ganz flaches Oktaeder  $3a : ooa : c$  erzeugt. Am flächenreichsten sind die kleinen citronengelben Krystalle, welche scheinbar als eine jüngere Bildung zwischen den wachsgelben zerstreut liegen, daran kommt namentlich das nächste stumpfere von  $P$  vor,  $e = a : c : ooa$ , und das nächste schärfere von  $b$ ,  $d = a : ooa : \frac{1}{2}c$ . Nach Schrauf (Jahrbuch 1871. 101) kommt bei „Chromwulfenit“ auch die  $4+4$ kantige Säule  $2a : 3a : ooc$  hälftflächig vor. Die wachsgelben Tafeln wachsen sogar durch die neue Masse fort, indem sich lauter Spitzen vom Oktaeder  $P$  regelrecht darauf setzen.

Wachs-, Honig- bis Citrongelb; von Mezbanja, Pennsylvanien und der Kirgisensteppes (Pogg. Ann. 46. 100) auch morgenroth durch einen kleinen Chromgehalt. Diamantglanz besonders im Innern.  $H. = 3$ , Gew. 6,9.

Vor dem Löthrohr verknistert es außerordentlich stark, schmilzt aber leicht, ein Theil zieht sich schnell in die Röhre, und kleine Bleireguli bleiben zurück. Die äußere Flamme mit Borax gibt gelbliche Gläser, welche beim Erkalten schnell farblos werden; die innere macht das Glas sogleich schwarz, hält man es einen Augenblick wieder in die äußere, so gewahrt man darin schwarze Flocken von Molybdänsäure, die aber bei weiterem Blasen schnell verschwinden. Phosphorsalz gibt ein grünes Glas, was kalt stark bleicht.

Pb Mo mit 60 Pb und 40 Mo.

Das Pulver in concentrirter Schwefelsäure gelöst und ein wenig Alkohol hinzugesetzt, gibt eine prachtvolle lasurblaue Farbe von Mo Mo<sup>4</sup>. Da schon beim Zutritt der Luft die blaue Farbe eintritt, so erklärt das den Issemannit (Jahrb. 1871. 600), der schwarzblaue Anflüge auf Schwerspath von Kärnthén darbietet. Molybdänsaures Ammoniak gibt bei Gegenwart von Phosphorsäure oder Kieselsäure einen gelben Niederschlag, daher wird jetzt essigsaures Uranoryd als Reagenz auf Phosphorsäure vorgezogen. Gelbbleierz von Garmisch bei Partenkirch in den Bairischen Alpen kam eine Zeit lang in Handel, wovon das Pfund 48 fr. kostete (Pogg. Ann. 1852. 85. 600). Es lagert im Wettersteinkalke (Unterer Keuper) des Höllenthal's in blattförmigen Gängen. Die schönsten Vanadiumhaltigen Varietäten kommen im Kalkstein von Bleiberg und Kappel in Kärnthén, Rezbanya, Przibram, Mexiko, Massachusetts. Seltenheit bei Badenweiler am südlichen Schwarzwalde. Der morgenrothe Cojit von Leadhills (Jahrb. 1871. 100) hat ebenfalls viergliedrige Octaeder, soll aber seines bedeutenden Vanadinegehaltes wegen zwischen Molybdän- und Vanadinblei stehen.

#### 4. Scheelbleierz Breith.

Wolframbleierz, Bleischeelat, Scheelitin. Tungstate of lead, Stolzit, nach Dr. Stolz, der zuerst die Zusammensetzung erkannte. Isomorph mit Gelbbleierz (Pogg. Ann. 8. 510), aber mit einer eigenthümlichen Hemiedrie.

4gliedrig, auf Quarz von Zinnwalde liegen kleine graue langgezogene



Octaeder  $P = a : a : c$  mit  $99^{\circ} 43'$  Endkante und  $131^{\circ} 30'$  Seitenkante, Säule  $m = a : a : \infty c$ , Octaeder  $e = a : c : \infty a$  und unter  $P a : a : 2c$  kommen daran vor. Auch eine Hemiedrie wie beim Tungstein hat Raut-

mann (Pogg. Ann. 34. 570) an glänzenden Krystallen beobachtet, die 1832 auf dem Zwieseler Stollen bei Berggießhübel vorkamen. Schon die einfachen Octaeder zeigten eine eigenthümliche feine einseitige Streifung parallel der Octaederkante. Hauptsächlich war aber die 4 + 4kantige Säule  $r = a : \frac{1}{2}a : \infty c$  nur hälftig da, das wäre also eine quadratische Säule von Zwischenstellung. Dem entsprechend stumpfte dann der wahrscheinliche Vierkantner  $v = c : \frac{1}{2}a : \frac{1}{2}a$  bloß einseitig die stumpfe Kante  $P/r$  ab, bildete daher ein Quadratoctaeder von Zwischenstellung. Die drei Flächen  $r$ ,  $P$  und  $v$  dehnen sich öfter stark aus. Es kommen sogar Krystalle vor am einen Ende mit dem glänzenden Hauptoctaeder  $P$ , am andern mit dem nächsten stumpfern matten  $e$ ; dazwischen liegen dann  $r$ ,  $v$  und  $s = a : c : \frac{1}{2}a$  aus der Endkantenzone des Hauptoctaeder.

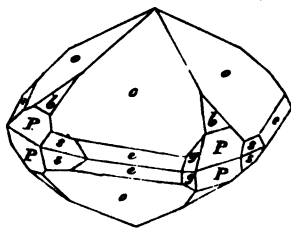
Gewöhnlich garbenförmig und kugelig. Etwas Fettglanz, und vorherrschend grau oder bräunlich.  $H. = 3$ , Gew. 8,1.

Pb W mit 51,7 Wolframsäure, 48,3 Bleiorz, schmilzt leicht und erstarrt bei der Abkühlung zu einem krystallinischen Korn, dabei beschlägt sich die Kohle mit Bleiorz; zeigt Reaction der Wolframsäure. Die Zinnsteingänge von Zinnwalde der Hauptfundort, auch zu Coquimbo in Chili. Derb rothbraun im Goldführenden Quarze von Domo d'Ossala in Piemont.

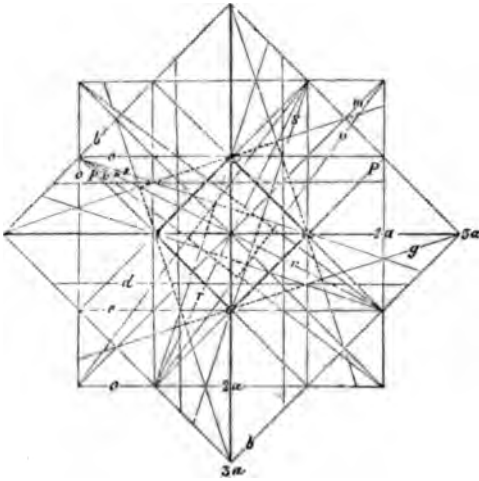
### 5. Tungstein.

Im perlfarbigen Tungstein (Schwerstein, lapis ponderosus) der schwedischen Magnetisenlager von Riddarhyttan und Bisberg entdeckte Scheele schon als junger schüchterner Apotheker 1781 die Wolframsäure, daher hieß es Karsten Scheelerz, Leonhard Scheelit, eine Benennung, die vielen „ein Stein des Anstoßes“ war, Wiedenmann Handb. oryktogn. Theils der Mineralogie 1794 pag. 980. Die Bergleute kannten ihn schon längst als „weiße Zinngrauen“, die Cronstedt 1758 § 208 noch zu dem Eisentalt stellte. Chaux tungstatée. Dr. Max Bauer, Württ. naturw. Jahressheft 1871. 129.

4gliedrig und isomorph mit Scheelbleierz. Ein blättriges **Okttaeder**  $P = a : a : c$  mit  $100^\circ 40'$  in den Endkanten und  $129^\circ 2'$  in den Seitenkanten ist in den großen Stücken von Schlackenwalde in Böhmen zwar gut erkennbar, aber nicht mehr recht darstellbar. Dauber (Pogg. Ann. 107. 111) maß  $130^\circ 33'$  Seitenkante, was  $c : a = 1 : 0,651 = \sqrt{0,424}$  gibt. Das nächste stumpfere ebenfalls blättrige Okttaeder  $e = a : c : \infty a$  mit  $108^\circ 12'$  in den Endkanten und  $112^\circ 2'$  in den Seitenkanten herrscht gewöhnlich vor, und sieht bei den kleinen Krystallen von Zinnwalde dem regulären Okttaeder sehr ähnlich. Es hat öfter feine Streifen nach der Diagonale d. h. nach einer Linie  $P/e$ ; größere aber sehr charakteristische Streifung kommt bei Zwillingen nach  $s/e$  vor. Die Geradenfläche  $c = c : \infty a : \infty b$  scheint am blättrigsten zu sein, sie macht mit  $P$   $115\frac{1}{2}^\circ$ . Schon Lévy (Pogg. Ann.

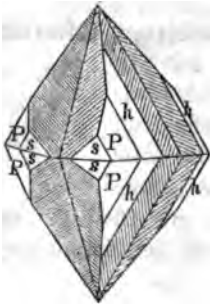


8. 110) erwähnt der Flächen  $b = a : a : \frac{1}{2}c$ ,  $o = a : \infty a : \frac{1}{2}c$  und des Vierkantners  $s = a : c : \frac{1}{2}a$ , welcher aber nur, gerade wie beim Scheelbleierz, auf der einen Seite des Quadranten vorkommt, auf der andern nicht; ebenso die seltenere  $g = a : c : 2a$ , welche gewöhnlich durch  $h = a : c : 3a$  vertreten sein soll. Beide stumpfen die Kante zwischen  $P/e$  ab, und sind Quadratoctaeder von Zwischenstellung, wie die punctirten Linien beistehender Projection deutlich zeigen. Die andere Hälfte

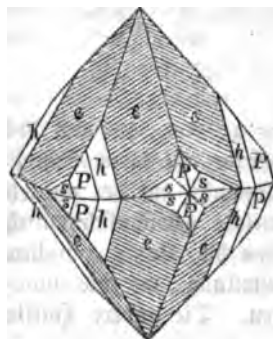


$d = 5a : \infty a$ ,  $i = a : 4a$ ,  $k = a : 5a$ ,  $l = a : 12a$ ,  $t = 2a : \frac{1}{2}a$ ,  
 $w = 3a : \frac{1}{2}a$ ,  $x = \frac{1}{2}a : 6a$ ,  $y = 5a : \frac{1}{2}a$ .

### Zwillinge.



Höchst eigenthümlich ist die Art, wie sich die Hemiedrie der kleinen Dioктаeder wieder ausgleicht; man hat das auch Zwillinge genannt, obwohl es Zwillinge ganz besonderer Art sind. Es kommen davon gewöhnlich bloß die Oктаeder e, P und die Hälften der Dioктаeder s, h vor. Leider sind gute Krystalle selten, und meist mit der Hinterseite angewachsen, so daß man nur das Vorderende sieht. Nach nebenstehender Darstellung von **Naß** bilden die Flächen s und h je ein Rhombenoktaeder. Es sind also nicht zwei Individuen, die sich durchdrangen, sondern ein und dasselbe Individuum hat seine je vier



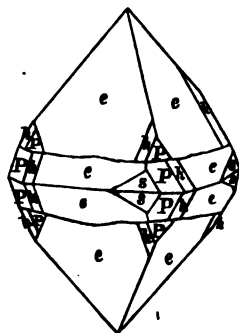
hemiedrischen Flächen s und h in **zweigliedrige** Ordnung gelegt. Oктаeder e ist gleichsam ein Oblongoktaeder geworden, wie aus der verschiedenen Winkelrichtung der Streifung e/s folgt. Durch einfache Juxtaposition der Oктаederhälften kann das nicht erreicht werden, sondern man muß den Krystall parallel der zweiten Säule  $n = a : \infty a : \infty$  in vier Viertel schneiden, und diese dann gemäß der Figur ordnen. Dagegen gibt **Bauer** ein Bild von **zweiundeingliedriger** Ordnung, was durch Hemitropie nach einer ersten Säulenfläche  $m = a : a : \infty$  entstanden sein würde: der Krystall ist jetzt vorn, wo die s/s, anders als hinten, wo die h/h neben P auftreten, während links und rechts Phs in ihrer gewöhnlichen Ordnung

des 4 kantners g würde Kante P/s abstumpfen, die Hemiedrie der beiden Vierkantner ist folglich entgegengesetzter Ordnung. Die kristallographische Uebereinstimmung dieser drei viergliedrigen Minerale ist folglich unverkennbar. Auffallender Weise werden Säulenflächen selten gefunden, doch gibt **Bauer**  $m = a : a : \infty$ ,  $n = a : \infty a : \infty$ ,  $q = a : 2a : \infty$ ,  $r = 3a : 4a : \infty$  an. Dazu kommen dann noch die seltenen Flächen  $v = 2a : 2a$ ,  $f = 4a : 4a$ ,

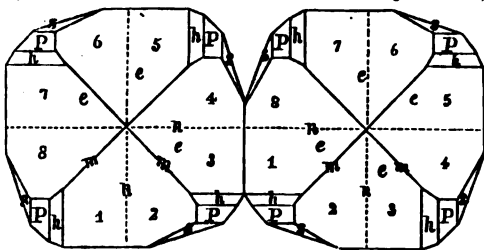


bleiben. Der Krystall ist unwahrscheinlich, denn hier ist einer Fläche  $m$  widerfahren, was der andern gleichwerthigen  $m$  auch hätte widerfahren sollen. Dächten wir uns das Exemplar nach  $m$  geviertelt, so könnten wir die vier Stücke wieder so in einander bringen, daß das Rhombenoktaeder  $s/s$  vorn und hinten, und das Rhombenoktaeder  $h/h$  links und rechts in den Ecken aufträte.

Die Ueberschiebungen zeigen in interessanter Weise, wie selbstständig die Hemiedrieen sind: das abgestumpfte Mittelstück zeigt seine Flächen  $ePsh$  in gewöhnlicher Ordnung, woran die Flächen  $s$  und  $h$  nur einseitig auftreten; die Spitzen oben und unten dagegen gehören einem zweiten Individuum an, das seine  $h$  in denjenigen Oktanten legt, wo das Mittelstück seine  $h$  nicht hat. Es sollen nun sogar, wie bei den sogenannten Biellingen, Beispiele vorkommen, woran sich die wechselseitige Lagerung mit  $n$  Individuen wiederholt, wobei dann die Oktaederflächen von  $PP_1 P_2 \dots P_n$  und  $ee_1 ee_2 \dots e_n$  ein- spiegeln, von den Dioctaedern dagegen nur  $h h_1 h_2 \dots h_n$  und  $h_1 h_2 h_3 \dots h_{n+1}$  u. Hier hätten wir also dann zwei Individuen, die sich in zahllose Platten zerschlagen, wovon die geraden und die ungeraden mit allen ihren Gliedern absolut parallel lägen.



Einen wirklichen Zwilling bekommt man nur, wenn man zwei Individuen je in acht Theile nach den Säulen  $m$  und  $n$  theilt, und sie zurecht schiebt, wie es nebenstehendes Schema zeigt: setzen wir z. B. 1 an 1, 3 an 3, 5 an 5, 7 an 7 mit  $m$  aneinander, so geben  $h/h$  an den vier Ecken aus- springende, und wenn  $s/s$  auf- treten einspringende Winkel. Die Zahlen 2, 4, 6, 8 liefern dagegen umgekehrt für  $s/s$  auspringende und für  $h/h$  einspringende Winkel. Für den Kenner sind keine Schwierigkeiten, durch parallele Verrückung dieser Stücke können alle möglichen Bilder erzeugt werden.



Die Zahlen 2, 4, 6, 8 liefern dagegen umgekehrt für  $s/s$  auspringende und für  $h/h$  einspringende Winkel. Für den Kenner sind keine Schwierigkeiten, durch parallele Verrückung dieser Stücke können alle möglichen Bilder erzeugt werden.

Jetztlanz, meist weiß oder braun, durchscheinend. Härte 4—5, Gew. 6,02. Asterkrystalle nach Wolfram, Jahrb. 1868. 802.

Ca W nach Klaproth (Beiträge III. 4) mit 77,7 W und 17,6 Ca; die Schlesiſchen haben 80,1 W. Die Formel verlangt 80,6 W. Vor dem Löthrohr schmilzt er nur an den Kanten, und gibt keinen Bleibeschlag, wodurch er sich leicht vom Scheelbleierz unterscheidet. Die in Alkalien lösliche Wolframsäure erkennt man auf nassem Wege: Salzsäure zieht aus dem gepulverten Mineral Kalk aus und gibt einen citrongelben Niederschlag von W, der durch Lichteinwirkung grün wird. Wirft

man einen Eisendraht hinein, so erzeugt sich blaues  $W\bar{W} = W^2 O^5$ . Nach Bernoulli Metavolframsäure, die sich auf nassem Wege gebildet habe (Pogg. Ann. 111. 602).

Auf dem Quarz von Zinnwalde finden sich mehrere Linien lange diamantglänzende braune Krystalle. Schön weiß sind die derben bis faustgroßen späthigen und krystallisirten Stücke von Schlackenwalde, die sich zuweilen wie Rappquarz schaalig absondern; bei Neuborf auf dem Unterharz kommen kleine oraniengelbe Ottaeder  $oP$  mit Wolfram in den Spath Eisenstein eingesprenkt vor; auf den Zinngruben von Cornwallis, Monroe-Grube in Connecticut, hier in solcher Menge, daß man die Wolframsäure als schöne gelbe Farbe in den Handel zu bringen versucht hat. Schöne Zwillinge zu Framont in den Vogesen (Jahrb. 1861. 104); im Sulzbachthal am Fundorte der Epidote; 4" große scharfe Ottaeder zu Traversella, die wohl 1  $\mathcal{R}$  wiegen könnten (Jahrb. 1861. 100); gelbe Krystalle im Riesengebirge am Riesberge bei Groß-Rupa (Jahrb. d. geol. Ges. 19. 100). Schriesheim am Odenwalde (Jahrb. 1864. 119). Mit Wolframsaurem Natron, Rochsalz und Chloriden der Basen bekommt man im Feuer eine Schmelze, die mit Wasser ausgelaugt  $Ba\bar{W}$ ,  $Mg\bar{W}$ ,  $Zn\bar{W}$ ,  $Cd\bar{W}$ , Scheelblei und Tungstein in Krystallen zurückläßt (Götting. Gelehrte. Anz. Nachr. 1861. 227).

Roméit (Pogg. Ann. 56. 104) von St. Marcel in Piemont in Gesellschaft des Manganepidot, nach Romé de l'Isle genannt. Kleine hyacinthrote viergliedrige Ottaeder mit  $110^\circ 50'$  in den Seitenkanten; scheint isomorpher  $Ca\bar{Sb}$  zu sein. Radorit (Jahrb. 1871. 630) in einem braunen Galmeilager des Kummulithentalkes vom Gebel Rador in Constantine bildet blättrige Massen von röthlich brauner Farbe, die durch Verwitterung schwefelgelb wird, und dann leicht für Gelbbleierz gehalten werden kann. Härte 3, Gew. 7,02. Enthält viel Blei, 37,4 Antimonoxyd, 9 Cl nach der Formel  $Pb\bar{Sb} + Pb\bar{Cl}$ .

## Vorsäure Salze.

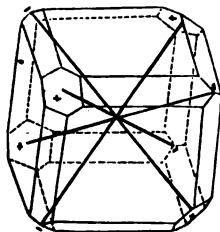
Vorsäure B haben wir schon oben beim Datolith pag. 424, Turmalin 394 und Arinit pag. 400 kennen gelernt, wo sie neben Kieselsäure auftrat, mit der sie in merkwürdiger chemischer Verwandtschaft steht. Die grüne Farbe, welche sie der Löthrohrflamme ertheilt, läßt sie im Allgemeinen leicht erkennen. Nach Simmler (Pogg. Ann. 115. 250) zeigt das Spectrum 4 gleich breite Linien in gleichen Abständen, wovon 3 grün und 1 blau. Damit fand sich die Vorsäure im Cyanit und namentlich auch in den Muttergesteinen von Arinit, Turmalin, Cyanit zc. am St. Gotthardt.

## 1. Boracit Wr.

Zu Lüneburg waren sie längst unter dem Namen Würfelsteine bekannt, und Lefius beschrieb sie 1787 als cubischen Quarz, worauf dann Westrumb die Borsäure darin nachwies. Magnésie boratée, Borate of Magnesia. Volger Monographie über den Boracit.

Reguläres Krystallsystem mit tetraedrischer Hemiedrie. Im Allgemeinen herrscht der Würfel vor, doch finden sich auch vollständige Granatoeder, so schön als irgend wo; dagegen das Oktaeder nur untergeordnet und zwar hälftflächig (tetraedrisch), die eine Hälfte der Würfel-ecken abstumpfend, die andere nicht, oder wenn die andere auch abgestumpft, so sind dieselben physikalisch verschieden (matt) von den erstern. Meist verbinden sich alle drei Körper mit einander. Andere Flächen selten und klein. Doch findet man eine feine Abstumpfung der abwechselnden Granatoederkanten, welche dem hälftflächigen Leucitoeder  $a:a:\frac{1}{2}a$  angehört. Pyramidenwürfel 130. Haidinger (Pogg. Ann. 8. 311) gibt auch die tetraedrische Hälfte des 48flächner  $a:\frac{1}{2}a:\frac{1}{2}a$  an. Zwillinge. Flächeneindrücke rühren von Anhydrit her.

Für Physiker sind die „Lüneburger Würfel“ seit Haüy besonders interessant, weil sie vier thermoelektrische Aen haben, welche den 4 Dimensionen von Würfel-ecke zu Würfel-ecke entsprechen: die Ecken mit großen glänzenden Flächen antilog (+), die ohne oder mit kleinen matten Flächen analog (—). Beim Erwärmen werden alle Ecken zugleich erregt. Nach Hankel sollen während ununterbrochen steigender wie sinkender Temperatur die Pole wechseln (Pogg. Ann. 74. 321).



Farblos, graulich, grünlich u., aber nie intensiv gefärbt, Härte = 7, Gew. 2,955. Glasglanz. Die verwitterten werden innen excentrisch strahlig, besonders bei matten Granatoedern. Diese Strahlen sollen wasferhaltig sein, und sind von Volger (Pogg. Ann. 92. 36) Parasit genannt. Sie sind zugleich der Grund, daß die Krystalle das Licht polarisiren.  $2 \text{ Mg}^3 \text{ B}^4 + \text{Mg Cl}$  mit 62,5 Borsäure, 26,9 Magnesia, 8 Chlor, 2,7 Magnesium. In der Pincette färbt er die Flamme deutlich grün. Auf Kohle kugelt er sich unter Schäumen zu einer krystallinisch strahligen Masse. Das Chlor wurde lange übersehen, bis der Staßfurtit darauf führte (Jahrb. 1866. 334). Es gibt auch gelbe und grüne Eisenstaßfurtite mit  $\text{Fe}^3 \text{ B}^4$ , Jahrb. 1865. 329.

Um und um krystallisirt im Gypse von Lüneburg (am Kalkberge und Schildsteine) und des Seegeberges in Holstein, für Krystalle lange die einzigen Fundorte, bis sich neulich auch sehr klare Würfel im Salze von Staßfurt fanden, die aber das Licht polarisiren. Strahlig fasrige Massen, seidenglänzend und rundlich gruppiert im Keupergyps von Lüneville. Bei Staßfurt (Provinz Sachsen) hat sich in einem Bohrloche des

Salzgebirges ein fast schneeweißes Lager von herbem Borazit gefunden (Pogg. Ann. 70. 282). Die dichte Masse schmilzt leichter, wiegt 2,91, enthält 1 Atom Wasser, und erscheint gepulvert unter dem Mikroskop säulenförmig. G. Rose (Zeitschr. deutsch. geol. Ges. 1856. VIII. 100) nannte sie daher Staßfurtit. Doch soll das Wasser von anhängendem Chlormagnesium herrühren, und da die Blättchen das Licht nicht doppelt brechen, so werden die kreideweißen Knollen wieder für Boracit gehalten. 1872 gewann man davon 500 Ctr. Der Lüneburgit von Lüneburg (Jahrb. 1871. 175) hält ansehnliche Phosphorsäure. Der schwarzgrüne Ludwigit von Morawitz im Banat (Tschermak, Mineral. Mitth. 1874. 80) ist mit Magneteisen versetzt,  $3 \text{ Mg B} + \text{Fe Fe}$ . Der Szajbelvit von Cyclowa (Peters, Sitzb. Wien. Acad. 47. 247) ist im Wesentlichen Hydrat  $3 \text{ Mg}^5 \text{ B}^2 + 4 \text{ H}$ , und kommt sporadisch im Marmor eingesprengt vor. Warwidit von Newyork im körnigen Kalk ist  $\text{Mg}^5 \text{ B}^2 + (\text{Mg, Fe}) \text{ Ti}$ , Jahrb. 1875. 89.

Rhodizit, *Родизит* röthen, Pogg. Ann. 33. 252, kleine weiße Granatoeder mit Tetraeder auf rothem Lithionturmalin von Schaitansk und Sarapulsk am Ural, färben die Löthrohrflamme grün (B) und später roth (Li), in Salzsäure gelöst und mit Ammoniak und Oxalsäure versetzt, erfolgt ein Niederschlag von Kalkerde. Härte 8, Gew. 3,4. Sie sind auch thermoelectrisch (Pogg. Ann. 59. 202), daher ein Kalkboracit. Feinß (Monatssb. Berl. Akad. 1860. 400) stellte Boracit auf trockenem Wege dar.

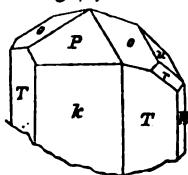
## 2. Borax.

Agricola 587, soll aus dem arabischen Wort Baurach (Encolius de re metallica 1551. 112) entstanden sein. Die Indier nennen es Tincal (Tincar Agricola 587), unter welchem Namen es Wallerius aufführt. Soude boratée. Nach Agricola Chrysocolia der Griechen. Uralter Handelsartikel, gebrauchten schon die Babylonier zum Brodbacken.

2 + 1gliedriges Krystallsystem von augitischem Habitus: eine gestohbene Säule  $T = a : b : \infty$ , die vorn einen scharfen Winkel von  $87^\circ$  hat, geringer Perlmutterglanz deutet blättrigen Bruch an. Durch die Abstumpfung der scharfen  $k = a : ob : \infty$  und der stumpfen Kante  $M = b : oa : \infty$ , ebenfalls blättrig, wird die Säule achtfseitig; die blättrige und leicht darstellbare  $k$  herrscht in der achtfseitigen Säule stets vor, was für optische Untersuchungen von großer Bequemlichkeit ist. Am Ende auf der Hinterseite herrscht das Augitpaar  $o = a' : c : \frac{1}{2}b$  mit  $122^\circ 34'$  in der Mediankante. Die vordere Schiefendfläche  $P = a : c : ob$  macht mit den Säulenflächen  $T$   $101^\circ 20' = P/T$ , mit  $o$   $139^\circ 30' = P/o$  und ist daher  $73^\circ 25'$  gegen Hauptaxe  $c$  geneigt. Darnach finden sich die Axen

$$a : b : k = \sqrt{14,014} : \sqrt{12,619} : \sqrt{0,0132}$$

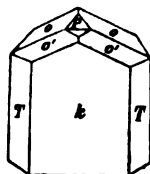
$$lga = 0,57328, lgb = 0,55053, lgc = 9,06009.$$



Wir setzen nämlich  $\operatorname{tg} 43.30 = \frac{b}{a}$ ,  $\operatorname{tg}_1 73.25 = \frac{a}{1+k}$ ,  $\operatorname{tgo} 61.17 = \frac{b}{2a} \sqrt{(1-k)^2 + a^2}$ . Daraus folgt, wenn wir  $a = \operatorname{tg}_1 (1+k)$  setzen,

$$k = -\frac{\operatorname{tg}_1^2 - 1}{\operatorname{tg}_1^2 + 1} + \sqrt{\left(\frac{\operatorname{tg}_1^2 - 1}{\operatorname{tg}_1^2 + 1}\right)^2 + \frac{4 \operatorname{tgo}^2 - (\operatorname{tg}_1^2 + 1) \operatorname{tg}^2}{(\operatorname{tg}_1^2 + 1) \operatorname{tg}^2}}.$$

Daß die Aze A sich nach vorn neige, folgt aus der Vergleichung mit Augit sogleich, A/c macht  $91^\circ 45'$ . Deßter wird die Kante o/T durch ein unteres Augitpaar  $u = \frac{1}{2}a' : \frac{1}{2}b : c$  abgestumpft, und in der Diagonalzone von P liegt die steile Fläche  $r = a : c : \frac{1}{2}b$ , die Kante u/T abstumpfend. Diese Flächen, welche man bei vieler tibetanischer Handelswaare findet, kommen ebenfalls bei den raffinierten in Apotheken käuflichen vor, allein ihnen fehlt häufig die Säule T, statt dessen dehnen sich k und M zur Oblongsäule aus, worauf o/o und P das Ende bilden. Da wird man dann leicht versucht, o/o als Säule zu nehmen, gegen welche k eine vordere Schiefendfläche und P eine hintere schärfer laufende Gegenfläche bilden, analog den Flächen TPx beim Feldspath, und das würde ganz wohl gehen, wenn die Aehnlichkeit mit Augit nicht auch durch die Zwillinge unterstützt würde, welche die Säulenflächen k TM gemein haben und umgekehrt liegen. Sie kommen in großer Schönheit vor.



Optisch hat Borax ein hohes Interesse: die Ebene der optischen Azen (Pogg. Ann. 82. 88) entspricht nicht der Medianebene M, sondern einer vordern unter P gelegenen Schiefendfläche, welche mit der Hauptaxe c  $55^\circ$  macht, folglich wird Aze b, welche die stumpfen Säulenkantenvinkel T/T verbindet, zur optischen Mittellinie, die den Winkel der optischen Azen von  $28^\circ 42'$  halbiert. Aber merkwürdiger Weise haben die Azebenen der verschiedenen Farben eine verschiedene Neigung gegen c (Pogg. Ann. 26. 888).

Graulich weiß, oft etwas ins Grünliche, durchscheinend.  $\bar{H} = 2-3$ , Gew. 1,7. Na  $\bar{B}^2$   $\bar{H}^{10}$ , Klaproth (Beiträge IV. 350) fand 37 Vorsaure, 14,5 Natron und 47 Wasser. An der Oberfläche verwittert er ein wenig. Feine Netzfiguren Pogg. Ann. 153. 76.

Vor dem Löthrohr mit Schwefelsäure befeuchtet eine deutlich grüne Flamme. Löst sich in 10 Theilen kalten und 6 Theilen warmen Wassers.

Früher kam er in großen Mengen aus Centralasien in den Handel. Er setzt sich daselbst besonders am Rande tibetanischer Seen (Teschu Lumbu) mit Steinsalz ab. Nach Oldham (Memoirs geol. Surv. India V. 161) brechen im Pugathal um die Quellen des Indus Wasser von  $65^\circ$  R hervor, denen er seine Existenz dankt. Die rohe Waare besteht aus Krystallen und Krystallgeschieben, welche in einer mit Fett gemischten Erde liegen, und in Venedig und Amsterdam raffiniert wurden. Seit jedoch die Vorsaure in den Lagunen von Toscana gewonnen wird, bezieht man sie von

dort. Ungewöhnlich große Krystalle liefert neuerlich Californien, Jahrb. 1874. 716. Der geschmolzene Borax löst viele Metalloxyde, darauf beruht seine Anwendung beim Löthrohr und Löthen: zwei Metallstücke lassen sich nämlich durch Löthen nicht vereinigen, wenn die Löthflächen mit Oxyd bedeckt sind, Borax nimmt dieses weg. Auch in der Arzneikunde, Färberei, in der Gegend von Potosi (Duemafon) sogar als Flussmittel von Kupfererzen angewendet. 1 Etr. 60—65 Thlr.

Zwischen  $79^{\circ}$ — $56^{\circ}$  C erhält man oktaedrischen Borax  $\text{Na B H}^5$  (Pogg. Ann. 12. 402) in dreigliedrigen Oktaedern, die daher optisch lagig sich verhalten. Im Handel Juwelierborax genannt.

Borocalcit  $\text{Ca B}^2 \text{H}^6$  (Hydroborocalcit, Tiza, Hagefin) mit Natriumsalpeter von Tiquie, schneeweiße seidenglänzende 2 + 1gliedrige Krystallnadeln mit 46 Bor säure. In den Lagunen von Toscana enthält er 4 Atom Wasser. Von demselben Fundorte stammt der höchst ähnliche Boronatrocalcit  $\text{Na B}^2 \text{H}^{10} + 2 \text{Ca B}^2 \text{H}^4$  (Ulegit), zarte knollige Massen, welche oft Glauberitkrystalle einhüllen (Pogg. Ann. 1856. 97. 100). Sehr schwer im Wasser, leicht in Säure löslich. Von der Westküste Afrika's kommt neuerlich ein zur Boraxbereitung besonders wichtiger (1 Etr. 30 fl.) sogenannter Rhodicit (Boraxkalk, Tincalcit) in Handel. Er ist ebenfalls zart blendend weiß und seidenglänzend, 1,9 Gew. und enthält 53 Borax, 41 Bor säure, Kalk, 3 Wasser, 2 Kochsalz, Glaubersalz 2c. Aus unbekannter Stelle im Kaukasus analysirte Hefz (Pogg. Ann. 31. 40) ein Stück Hydroboracit  $\text{Ca Mg B}^2 \text{H}^6$ , strahlig blättrigem Gyps ähnlich und auch so hart, Gew. 1,9. Scheint 2 + 1gl. zu sein. Boromagnesit  $3 \text{Mg}^5 \text{B}^2 + 4 \text{aq}$ . Silicoborocalcit (Jahrb. 1868. 100) im Gyps von Brookville in Neuschottland enthält 15 Kieselsäure, Winkworthit von dort ist Schwefelsäurehaltig 2c.

### 3. Saffolin.

H<sup>3</sup> B. Höfer in Florenz gab 1778 schon Nachricht davon, daß er sich an den Rändern der heißen Quellen von Saffo und Travale bei Siena in Toscana bilde. Karsten nannte ihn nach dem Fundorte. Klaproth (Beitr. III. 66) wies darin nach Abzug der erdigen Theile 86 p. C. Bor säurehydrat nach, welches sich vor dem Löthrohr an der schön grünen Flamme leicht kenntlich macht.

Der vulkanische bildet kleine krystallinische Schüppchen von Perlmutterglanz, schneeweiße Farbe, Talthärte, und Gew. 1,5. Fühlt sich fettig an. Hat einen deutlichen Blätterbruch, aber die Form ist noch nicht sichergestellt. Die künstlichen Krystalle von Saffo, welche in den Handel kommen, bestehen aus kleinen körnigen Krystallen, die wegen ihres deutlichen Blätterbruchs ein auffallend gypsartiges Ansehen haben. Es schimmert noch ein zweiter Blätterbruch heraus, aber die Krystallflächen sind durchaus undeutlich. Vergleiche übrigens Miller (Pogg. Ann. 23. 557), der künstliche Krystalle in sechsseitigen Säulen mit Geradenflächen und

bihexaedrischen Abstumpfungen bekam, die aber **eingliedrig** sind (Rammelsberg, Handb. krystall. Chemie 33). Optisch lassen sich die Blättchen bequem untersuchen, sie verhalten sich ungefähr wie einaxiger Glimmer, mit einer entschiedenen Hinnéigung zum 2axigen.

Borsäure verflüchtigt sich unter Mitwirkung der Wasserdämpfe ein wenig, daher bedecken im Krater von Vulcano „die seidenartig glänzenden Schüppchen wie frischgefallener Schnee den rothgelben Selen-Schwefel“ auf den dortigen Laven. Technisch wichtig sind die  $90^{\circ}$ — $120^{\circ}$  C heißen Wasserdämpfe und Gasströme von Saffo (Suffioni), welche auf einem Gebiete von 2 Quadratmeilen aus 159 Boragseen in weißlichen Wirbeln sich in die Luft erheben (Pogg. Ann. 57. 601), und aus 57 Bohrlöchern im eocenen Gypsgebirge mit der Gewalt eines geöffnerten Dampfkesselventils hervorbrechen. Man errichtet darüber künstliche Wasserbeden (Lagoni), die durch die Dämpfe mit Borsäure angeschwängert werden. Die Wasser dampft man dann wieder mittelst der heißen Gase ab, und erhält so jährlich über 2 Millionen Kilogramm krystallisirter Säure, die Livorno ausführt. Das wirft ein Licht auf die Bildung von Borag in den hochasiatischen Seen. Dort erzeugt sich auch der gelbe erdige Lagonit  $\text{Fe B}^3 \text{H}^3$ , es efflorescirt der Larberellit  $\text{Am B}^4 \text{H}^4$  und andere Dinge mehr. Bis jetzt hatte Toscana das Monopol. Doch gewinnen die Amerikaner aus dem Clear Lake, einem 4000' langen und 1800' breiten Kratersee, bereits täglich 1500 Kg. rohen Borag, indem sie eiserne Kästen einsenken, und auspumpen, um zum Boragreichen Schlamm zu gelangen. Der Boronatocalcit von den Hot Springs nahe der Eisenbahn in Nevada bietet ebenfalls ein gutes Boragfeld. Auch in Chili und Peru fängt man an denselben an Ort und Stelle zu verarbeiten, obschon der Kalk darin die Ausbeute beeinträchtigt. Das Meer mit seinem geringen Borgehalt ist wahrscheinlich die Mutterstätte dieses für Industrie so wichtigen Stoffes.

## Chloride.

Nebst Bromiden und Jodiden. Das Hauptlager von Chlor bildet Stein Salz; auch spielt es in den Fumarolen der Vulkane eine Rolle. Direkte Versuche haben es zwar in Graniten und Laven nachgewiesen, aber doch nur in geringen Portionen, obwohl das Salz mit dem Wasser alle Klüfte und Fugen des Erdkörpers durchdringt. Im Buntbleierz, Apatit, Boracit, Sodolith war es ein wichtiger Beigehalt, der unwichtigen nicht zu gedenken. Auf trockenem Wege sucht man es durch die blaue Flamme des Kupfers kennbar zu machen pag. 186.

### 1. Hörnerz Ag Cl.

Kerat. Ein reiches Silbererz, das schon Fabricius 1566 nur meinen konnte, wenn er von einem leberfarbenen Silbererze spricht, „was

in Stücken gegen das Licht einen Schein als Horn hat.“ Matthefius 1585 nennt es Glaserz, „es ist durchsichtig wie ein Horn in einer Laterne“ und schmilzt am Lichte. Pabst von Ohain nannte es daher und wegen der Ähnlichkeit mit dem künstlichen Hornsilber Hornerz. Silberhornerz. Argent muriaté. Fr. Moesta über das Vorkommen der Chlor-, Brom- und Jod-Verbindungen des Silbers in der Natur, Jahrb. 1870. 489.

Regulär in kleinen grauen Würfeln zu Johann-Georgenstadt. Schöner sind die künstlichen Otaeder und Granatoeder aus einer Lösung von Ammoniat. Geschmeidig, durchscheinend, frisch farblos, wird aber am Lichte gelb, violett und zuletzt schwarz. Fettiger Diamantglanz.  $\text{H.} = 1$ , Gew. 5,5.

Klaproth (Beiträge IV. 10) wies bei dem muscheligen Hornerz von Peru 76 Ag und 24 Cl nach, was mit dem künstlichen vollkommen stimmt. Viele neuere Chemiker schreiben Ag Cl, weil sie das Atomgewicht des Silbers halbiren. Verunreinigungen an Thon, Eisenoxyd u. fehlen bei dem natürlichen nicht. Schmilzt sehr leicht, und reducirt (in der innern Flamme) sich leicht zu Silber. Das Schwärzen am Lichte erklärte Gay-Lussac durch Austreten von etwas Chlor, was jedoch H. Rose läugnet. In kochender Soole löslich, was im Mansfeldischen zur Ausscheidung des Silbers benutzt wird. Auch in Wasser leichter löslich als in Salz- und Salpetersäure. Daher gibt Salzsäure mit Silbersalzen einen käsigen Niederschlag.

Mit gebiegenem Silber hauptsächlich in den obern Teufen der Gänge, daher kam es dann auch im 16ten Jahrhundert auf dem Erzgebirge in reichen Anbrüchen vor. Im Mineralienkabinet von Dresden bewahrte man einst ein würflich geschnittenes Stück von mehreren Pfunden auf, was aus jener guten Zeit stammen mag. Ebenso liefern Mexiko, Peru, Chili Mengen zum Verhütten. In der Nevada liegen Chloride, Bromide, Jodide und Selenide in den Gängen über der Wasserlinie, darunter geht Schwefel in alle Verbindungen ein. Zu Schlangenberg im Altai bildet es blechartige Anflüge auf Hornstein. Die große Verwandtschaft von Chlor zum Silber ist davon die Ursache. Silbermünzen im Erdboden, auf dem Meeresgrunde u. sollen häufig Chlor anziehen. Salpetersaures Silber bildet daher ein so wichtiges Reagenzmittel für Chlor, Ammoniat löst das Chlor Silber; ebenso unterschwefelsaures Natron, während Jod- und Bromsilber davon nicht angegriffen wird, worauf die Photographie beruht. Es schmilzt bei  $260^{\circ} \text{C.}$ , und liefert erkaltet eine ganz ähnliche Masse, wie das derbe natürliche Vorkommen.

Das Buttermilchsilber (Klaproth Beitr. I. 128) ist ein mit Thon gemengtes Erz von 33 p. C. Hornerzgehalt, von bläulichgrauer Farbe und glänzendem Strich. Es kam schon 1576 und 1617 auf der Grube St. Georg zu Andreasberg mit Kalkspath und Kreuzstein vor. Auf Jakobsglück mußte es mit Rellen geschöpft werden, und die Stollenwasser incrustirten die Pflanzen. Gänseblüthsilber scheint nur unreines Chlor-



silber zu sein. Dagegen kommen im südlichen Peru bei Huantajaya kleine glänzende Würfel vor mit 89 Na Cl und 11 Ag Cl, Huantajayit (Jahrb. 1874. 174).

## 2. Jodsilber Ag J.

Jodargyrit. Jodit. Vauquelin (Pogg. Ann. 4. 105) fand das Jod zuerst im Silbererz der Provinz Zacatecas in Mexiko, nachdem es vorher schon Fuchs (Schweigger's Journ. 37. 415) im Stein Salz von Hall in Tyrol und Angelini in der Soole von Sales in Piemont nachgewiesen hatten. Denn nach Stromeyer zeigt Stärkemehl noch einen Gehalt von  $\frac{1}{100000}$  Jod an, ja nach Chatin läßt sich selbst ein Zehnmilliontel Jodkalium im Wasser nachweisen. Jod fand sich seit der Zeit nicht nur in den verschiedensten Quellen, in Gebirgsarten (Posidonien-schiefer des Lias in Schwaben, Württemberg. Jahreshfte VI. 140), im Nassauer Phosphorit, im Ruß der Steinkohlen, sondern selbst in der Luft. Auch das Silber ist ein empfindliches Reagenz für den merkwürdigen Stoff, der wegen seiner Veränderung gegen Licht in der Daguerrotypie eine so wichtige Rolle spielte. Ohne Zweifel ist das Meer die Quelle, wenn man es auch darin noch nicht direct nachweisen konnte (Vischof chem. Geol. II. 1508). Daher findet es sich auch in der Mutterlauge des Chilisalpeters.

Nach Descloizeaux (Ann. Chim. phys. 3. sér. 40. 88) bei Chanarcillo in Chili dihexaedrische Tafeln, sehr deutlich blättrig nach der Geradenfläche. Ein Dihexaeder mit  $118^\circ$  in den Endkanten stumpft die Endkanten in der regulären sechsseitigen Säule ab. Von der Form des Greenockit.

Die Farbe des Jodsilbers ist gelblich, durchscheinend, mit Geschmeidigkeit und glänzendem Strich, Härte = 1, Gew. 5,5. Ertheilt der Flamme Purpurfarbe, und schmilzt sehr leicht unter Entwicklung von Joddämpfen. Vauquelin fand im Mexikanischen 18,5 Jod, es kommt daselbst im Serpentin vor; Domeyko im Chilenischen 46,9 Jod (Ann. des mines 4. sér. 1844. tom. VI. 100), dasselbe verändert am Licht nicht seine Farbe, wie das künstliche, ist nicht so geschmeidig, und von blättriger Structur. Guadalupe in Spanien, Coquimbo, Copiapo, Mexico.

Jodquecksilber, von del Rio zu Casas Viejas in Mexiko gefunden, und daselbst als rothe Farbe benutzt, wird jetzt bezweifelt, und für Chlorfelenquecksilber gehalten, Jahrb. 1866. 418. Das künstliche Quecksilberjodid  $\text{Hg J}$  zeigt nach Mitscherlich (Pogg. Ann. 28. 110) einen interessanten Dimorphismus und Farbenwechsel: sublimirt man nämlich Quecksilberjodid, so bekommt man zweigliedrige rhombische Tafeln von  $114^\circ$ , warm sind sie schön gelb, kalt werden sie aber plötzlich und ruckweise intensiv roth. Einige Blätter, die gelb zurück bleiben, nehmen auch bei geringer Erschütterung die rothe Farbe an. Die rothen Krystalle bekommt man, wenn man in einer nicht zu concentrirten Auflösung von Jodkalium Quecksilberjodid beim Kochpunkt desselben auflöst. Es sind viergliedrige Tafeln von  $141^\circ$  in den Seitenkanten. Jodblei

Pb J + Pb<sup>2</sup> von Chanarcillo bildet gelbe Massen im Bleiglanz, Jahrb. 1867. 159. Jod wird hauptsächlich aus Kelp (*Fucus*) in England und Frankreich dargestellt, eine Industrie, die durch das Sinken der Kalipreise sehr gelitten hat.

### 3. Bromsilber.

Bromargyrit, Bromit, das unreine wird als Plata verde (grünes Silber) im Distrikt von Plateros bei Zacatecas verhüttet (Pogg. Ann. 54. 505). Isomorph mit Hornerz, und auch in kleinen Würfeln und Octaedern bekannt. Stark glänzend, olivengrün bis gelb,  $\rho = 1-2$ , Gew. 6,3. Auch im Hornerz von Huelgoeth in der Bretagne verrathen kleine grünliche Körner den Bromgehalt. Nach Domeyko kommt in den Pacos (eiserne Hut) von Chanarcillo bei Coquimbo in Chili reines Bromsilber Ag Br mit 57,5 Brom vor, gewöhnlich sind es aber Chlorobromure, und eines davon nannte Breithaupt

Embolit (*Εμβόλιον* Einschießel, Pogg. Ann. 77. 104), das nach Plattner aus 2 Ag Br + 3 Ag Cl mit 20 Br und 13 Cl besteht. Feste Verhältnisse scheinen nicht Statt zu finden, daher unterschied Breithaupt auch einen Megabromit und Mikrobromit mit viel und wenig Brom. Zu Troitz in Drenburgischen 3 Ag Br + 2 Ag Cl, Jahrb. 1876. 107.

Die Verbreitung des Broms knüpft sich eng an die des Jod's und Chlor's, namentlich kommt es auch in dem Meere und Steinsalzbildungen vor. Brühl fand in alten griechischen, römischen und sächsischen Münzen des 13ten Jahrhunderts neben Chlor auch einen Bromgehalt. Bekanntlich nennen die mexikanischen Bergleute die obern Teufen der Silbergänge Colorados (Pacos der Peruaner), wo die Erze in Folge von Zersetzung gefärbt sind, im Gegensatz von den tiefern Negros, wo die geschwefelten Erze (Bleiglanz, Blende, Glaserz etc.) noch unzersezt liegen. Aber gerade in den veränderten Colorados spielen neben gediegenem Silber die Chlor-, Brom- und Jodverbindungen ihre Rolle. Es ist daher mehr als wahrscheinlich, daß diese im heutigen Meere noch vorhandenen Substanzen den Gängen von außen zugeführt wurden. Hier kommt auch das Grausilber Ag C pag. 529 vor.

Das Brom, in der Natur viel verbreiteter als Jod, wurde früher auch aus Kelp dargestellt, und namentlich aus den französischen Salinen bezogen. Doch seit man es als Nebenprodukt bei der Stassfurter Kalindustrie gewinnt, sind die Preise schnell auf 3 M. das Pfund gesunken, da es in der Großindustrie noch keine Anwendung findet. Freilich ist auch schon jetzt Amerika ein gefährlicher Concurrent geworden. Jod-, Brom- und Chlorsilber mit Schwefelwismuth auf Kohle oder in Glasröhren behandelt gibt rothen, gelben und weißen Beschlag, respective von Jod, Brom- und Chlornwismuth, die sehr flüchtig sind, Berg- und Hüttenz. 1876. 108.

## 4. Hornquecksilber.

Quecksilber-Hornerz Werner's, Mercure muriaté. Quecksilberchlorür  $\text{Hg}^2 \text{Cl} = \text{Hg Cl}$  von der Zusammensetzung des künstlichen Kalomel.

4gliedrig. Die künstlichen bilden lange blättrige 2te quadratische Säulen  $a : ooa : ooc$  mit einem Oктаeder  $a : a : c$  von  $136^\circ$  in den Seitenkanten, also ähnlich dem Zirkon. Am Landsberge bei Moschel (Hessenberg Abb. Send. Nat. Ges. 1854. I. pag. 24) in der Rheinpfalz kommen sie mit gediegenem Quecksilber in kleinen Drüsenhöhlen von Brauneisensteinhaltigem Kalkstein vor, welche Schrauf (Jahrb. 1874. 11) sehr flächenreich fand, und worunter auch die gewöhnlichen Zwillinge sich finden. Die kurzen kleinen perlgrauen Krystalle gleichen dem Hornerz, lassen sich aber zu Pulver zerbrechen, obgleich sie mild sind.  $\text{H.} = 1-2$ , Gew. 6,5.

85,1 Quecksilber, 14,9 Chlor. Vor dem Löthrohr verflüchtigen sie sich, ohne nur vorher zu schmelzen, und bedecken die Kohle mit Sublimat stark weiß. Die complicirten Krystalle, welche Brooke maß, stammten von Almaden. Ein wichtiges pharmaceutisches Präparat.

Das giftige künstliche Quecksilberchlorid  $\text{Hg Cl}$  ist dimorph (Pogg. Ann. 28. 110): das aus einer Alkohollösung krystallisirte hat 2gliedrige Tafeln  $M = a : b : ooc$   $108^\circ 5'$ , Oктаeder  $a : b : c$ , Zuspitzung auf die scharfe Säulenkante aufgesetzt,  $A = b : c : ooa$  mit  $93^\circ 48'$  im Azimutpunkte  $c$ , Geradenfläche  $P = c : ooa : oob$ . Das aus  $\text{Hg S} + \text{Na Cl}$  durch Erhitzen dargestellte Sublimat ist zwar auch zweigliedrig, aber in andern Winkeln. In Wasser und Weingeist leicht löslich.

## 5. Hornblei Karsten.

Bleihornerz, Phosgenit. Es wurde zu Matlock in Derbyshire gefunden, und schon von Klaproth Beitr. III. 141 analysirt, Murio-carbonate of lead.

Viergliedrig. Die quadratische Säule  $M = a : ooa : ooc$  ist blättrig, auch die Geradenfläche  $P = c : ooa : ooa$ , und diese beiden herrschen vor. Das Oктаeder  $a = a : a : c$  mit  $113^\circ 48'$  in den Seitenkanten stumpft die Ecken ab;  $d = a : a : ooc$ ,  $e = a : \frac{1}{2}a : ooa$ ,  $b = a : c : \frac{1}{2}a$ ,  $n = a : a : 8c$ ,  $r = a : a : \frac{7}{2}c$ ,  $a : a : \frac{1}{2}c$ . Nach Kokscharow  $c : a : a = 1,0876 : 1 : 1$ , Jahrb. 1866. 226.

Diamantglanz, grau, gelblich und grünlich, milde,  $\text{H.} = 2-3$ , G. 6,3.  $\text{Pb Cl} + \text{Pb C}$  mit 51 Chlorblei und 49 kohlen-saurem Blei. Im Dachletten der Galmeigrube Elisabeth von Niechowitz bei Beuthen pag. 529 kommen nach Krug v. Nidda (Zeitschr. deutsch. Geol. Ges. II. 111) bis 3 Zoll große, trübe, bauchige Krystalle vor, die sich theilweis oder ganz in kohlen-saures Blei verwandelt haben. Monte Ponì auf Sardinien, zu Cromford in Derbyshire in den herrlichsten durchsichtigen Krystallen von 2 Zoll Breite und  $\frac{1}{2}$  Zoll Höhe. Dufrenoy bildete sie auch von der Grube Hausbadon am südlichen Schwarzwalde ab. In den Laven des Vesuv. In

den Thermen von Bourbonne les Bains haben sie sich seit Römerzeit gebildet.

Das reine künstliche Chlorblei  $\text{Pb Cl}$  ist von Schabus (Sitzungsbericht Kais. Akad. Wiss. Wien 1850, April pag. 456) 2gliedrig beschrieben worden. In den Laven des Vesuv kommen kleine weiße Krystalle vor (Cotunnia Monticelli Miner. Ves. 47, Cotunnit), die vor dem Löthrohr leicht schmelzen, die Kohle weiß beschlagen, aber zugleich einen Bleirauch geben. Wahrscheinlich Sublimation von Chlorblei, das sich bei dem großen Ausbruch 1822 am Vesuv erzeugte, 1855 in der Fossa Betrana wieder in ansehnlicher Menge gebildet wurde, aber mit dem dortigen Hornblei nicht zu verwechseln ist.

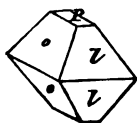
Mendipit (Verz. 269y II. 44) aus den Mendip-Hügeln bei Churchill in Somersetshire ist  $\text{Pb Cl} + \text{Pb}^2$ . Strohgelbe derbe Stücke mit zwei deutlich blättrigen Brüchen, welche eine rhombische Säule von  $102^\circ 27'$  bilden, Demantglanz, Gew. 7,  $\rho = 2-3$ . Kommt auch neuerlich in weißen derben blättrigen Stücken zu Brilon in Westphalen vor. Scheint im Jodblei pag. 616 ein Seitenstück zu finden.

Matlockit  $\text{Pb Cl} + \text{Pb}$  (Rammelsberg Pogg. Ann. 85. 144) auf alten Halben von Cromford Level bei Matlock sparsam gefunden. 4gliedrig, etwas blättrige quadratische Säule mit Geradenfläche, und Oктаeder  $136^\circ 19'$  in den Seitenanten. Darf nicht mit Hornblei verwechselt werden.

Chlorblei schmilzt bekanntlich leicht mit Bleioxyd zusammen, und zwar in den verschiedensten Verhältnissen, dahin gehört unter anderen das Casseler Gelb  $\text{Pb Cl} + \text{Pb}^2$ , eine strahlig blättrig gelbe Masse.

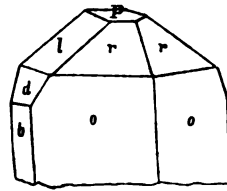
## 6. Salzkupfererz Br.

Dombey brachte aus den Bergwerken von Copiapo einen grünen Streusand (Arenilla) mit, welchen Blumenbach Ataca mit nannte, weil ihn die Indianer in der Wüste Atacama gefunden haben wollten (Mémoire de l'Academ. des Sc. Par. 1786. pag. 153). Schon Vauquelin wies darin Salzsäure nach, daher Cuivre muriaté. Smaragdochalcit Hausmann. Dazwischen findet sich auch Brochantit. Besonders schön und krystallisiert sind die mit Ziegelerz vorkommenden von Los Remolinos: 2gliedrige Oblongoktaeder ooll mit  $112^\circ 20' = \text{o/o}$  und  $105^\circ 40' = \text{l/l}$  in



der Basis, die Enden durch einen etwas blättrigen Bruch P abgestumpft. Farbe der Krystalle öfter innen eigenthümlich schwärzlich grün, während die Oberfläche eine Kruste von prachtvollstem Smaragdgrün überzieht, das auch stellenweis durch das Schwärzliche in's Innere zieht.  $\rho = 3-4$ , Gew. 4,4, das grobe Pulver wog nach Breithaupt bloß 3,7. Von niegesehener Pracht fanden sie sich auf der Burra-Burra-Grube bei Adelaide, die mit ihren reichen Kupfererzlagerstätten zu „den größten der Welt“ gehört (Zahrb. 1876. 333): es sind lange Säulen  $\text{o} = \text{a} : \text{b} : \infty$   $112.48$ , mit dem Oктаeder  $\text{r} = \text{a} : \text{b} : \text{c}$ , dem zuge-

hörigen Paare  $l = b : c : \infty a$  106.13, und dem dreifachschärfern  $d = 3c : b : \infty a$ , woraus Zepharovich (Sitzb. Wien. Acad. 1871 Bd. 63. 1 pag. 7) die Axen  $a : b : c = 1 : 1,496 : 1,123 = 0,89 : 1,308 : 1$  berechnete. Descloizeaux und Klein (Jahrb. 1871. 400) kamen wieder zu etwas andern Winkeln. Es kommen zwar noch einige andere Flächen vor, namentlich



$z = a : b : 3c$ , Kante  $o/r$  abstumpfsend;  $n = a : c : \frac{1}{2}b$ ,  $y = \frac{1}{2}a : \frac{1}{2}b : c$ ,  $s = a : \frac{1}{2}b : \infty c$  u., aber sonderlich Flächenreich werden sie nicht.

Vor dem Löthrohr färbt es die Flamme prachtvoll blau, Folge vom Chlorgehalt.  $3 \text{ Cu II} + \text{Cu Cl}$  Klaproth (Beiträge III. 100) mit 73 Cu, 17 H, 10 Salzsäure. Chili, Peru, Bolivia haben viele Fundorte. Hier in der Algodon Bai bricht es in solcher Menge, daß es von dort nach England und Hamburg eingeführt und verhüttet wird. Denn an jener Küste, wo es nie regnet, fehlt es gänzlich an Holz. Die Grube Atacamita steht 200' tief fast ganz in diesem Erz, und der Gang Atacamita ist 2 Meter mächtig, Jahrb. 1866. 227. Das Meerwasser hat ohne Zweifel zur Bildung beigetragen. Der aerugo nobilis auf Aegyptischen Antiken soll öfter Chlorkupfer enthalten. Auch in den Laven des Vesuv und Aetna findet man smaragdgrüne Nadeln und Anflüge. Percylit von Sonora in Mexico bildet blaue Würfel von



Das künstliche Kupferchlorür  $\text{Cu}^2 \text{Cl}$  ist weiß, Mitscherlich stellte es in bestimmbarern Tetraedern dar, die sich im Sonnenlicht bläulich färben (Pogg. Ann. 49. 401). In der Tiefe sollen die chilenischen Gruben aus verberb diamantglänzenden Massen bestehen, die würflich blättrig sind, von Salzhärte und 3,9 Gewicht. Breithaupt (Jahrb. 1872. 114) nannte ihn nach dem Fundorte Nantokit, woraus wahrscheinlich Atacamit entstand.

Eisenchlorid  $\text{Fe}^2 \text{Cl}^3$  kommt öfter in den Vulkanen vor, es hat eine braunrothe Farbe, zerfließt aber an der Luft zu Oleum martis, was wir auf Meteoreisen so oft sehen. Erstirbt die Fumarole, so bleibt ein weißes Fleckchen von Kieselmehl zurück (Jahrb. 1870. 202). Gewöhnlich mit Salmiak verbunden verläuft die Farbe dann in's Pommeranz- bis Schwefelgelbe. Wo am Vesuv und Aetna Fumarolen hervorbrechen, finden sich diese Farben, welche man nicht mit Schwefel verwechseln darf.

Kremersit ( $\text{K}, \text{Am}$ )  $\text{Cl} + \text{Fe Cl}^3 + 3 \text{ H}$  bildet am Vesuv kleine rubinrothe zerfließende Ottaeder.

## 7. Steinsalz.

Sal Plinius 31. 39, Strabo's  $\alpha\lambda\varsigma \sigma\alpha\lambda\alpha\varsigma$ ; Muria (Soole) Plin. 31. 40, Natürliches Kochsalz Wr. Soude muriatée, Sel gemme. Vorzugsweis Salz genannt. Der Mensch hat zu seiner Befriedigung vier Vorräthe: Steinsalz, Steppensalz in Binnenseen (Elton), Quellsalz und Meersalz, das in Salzgärten vorzugsweise noch ausgebeutet wird.

Reguläres Krystallsystem: drei gleiche Blätterbrüche, leicht darstellbar, schneiden sich unter  $90^\circ$ . Solch spätthige Salzblöcke kommen in bedeutender Größe vor. Die Würfelform selbst findet sich ausgezeichnet schön (Hallein) und groß (Wieliczka), allein andere Flächen sind selten. Schon Haug erwähnt, daß wenn man es in frischem Urin krystallisiren läßt, Oktaeder entstanden, sie bilden sich natürlich erst, nachdem der  $2 + 1$ gliedrige Chlornatrium-Harnstoff sich ausgeschieden hat. Oktaeder im Carnallit bei Staßfurt können mit concentrirter Kochsalzlösung ausgewaschen werden. Eigenthümlich sind die trichter- oder treppenförmigen Krystalle, welche in den Salzpfsannen bei starkem Erwärmen entstehen: es sind lauter kleine Würfel, die sich parallel über einander lagern. Die Trichter gleichen zwar einem halben Oktaeder, das aber gegen die Würfelfanten die Lage der Granatoberflächen hat, daher nicht mit dem regulären Oktaeder verglichen werden kann. Gahrlep machte schon 1691 darauf aufmerksam (Grundriß Kryst. pag. 11). An der Soolpumpe von Wilhelmshäfen bei Rottweil fand sie Hr. Dr. Barth von wunderbarer Zartheit: dieselben zeigen das Bestreben Würfel zu bilden, woran jeder der sechs Würfelflächen ein solcher Trichter entspricht. Oder denkt man sich die sechs Reductionsebenen des Granatoeders durch den Mittelpunkt des Würfels gelegt, so haben wir ein allgemeines Bild, welches sich dann frei nach allen Richtungen gestaltet. Die Pumpe war ein Vierteljahr im Gange. Fast noch sonderbarer sind die hohlen Stalactiten, welche sich beim Austrocknen warmer Soole in den Siebhäusern bilden. Ich kann sie nicht besser, als mit einer quergestreiften Gurgel vergleichen, längs welcher stellenweis vier glatte Würfelflächen einspielen, und eine quadratische Säule herzustellen suchen, die aber immer durch Rundung wieder gestört wird. In alten Sinkwerken von Berchtesgaden fand H. v. Kobell (Jahrb. 1862. 100) hälftflächige Pyramidenwürfel 102, welche einen Dreikantner mit drei abgestumpften Endfanten vorstellten. Bei Berchtesgaden, Hall zc. kommen in den rothen Thonmergeln des Salzgebirges ringsum gebildete verschobene Würfel mit eingedrücktten Flächen vor, die satt im Gebirge liegen. Nur das Wasser kann zur Zeit als der Thon noch nachgab die Oberflächen abgenagt haben, denn die Blätterbrüche spiegeln scharf unter  $90^\circ$  ein. Zu Gößling an der Ips südöstlich Waidhofen im obern Wiener Wald liegen in grauem Mergel ganz die gleichen Asterkrystalle von Gyps in großer Menge (Epochen der Natur pag. 109), die lebhaft an die Sandsteinwürfel im Keuper (krystallisirter Sandstein, Denkschriften Kert. Nat. Schwabens I. 100), Buntensandstein, Zechstein zc. erinnern. Bei Westeregeln kommen Asterkrystalle nach Carnallit, sogar Salz nach Salz vor.

Süß salziger Geschmack, etwas spröde, Normalhärte = 2, Gew. 2,25. An der Luft wird es leicht feucht, wegen eines Gehaltes an Chlormagnesium und Chlorcalcium, die Wasser anziehen. Das reine Salz ist farblos, kommt aber häufig grau durch Thon, oder roth durch Eisenoxyd vor, welches in Dünnschliffen in zarten sechsseitigen Tafeln zerstreut liegt. In

im Salze von Cardona soll die rothe Farbe von Monaden und Bacillarien herrühren, die auch den unterliegenden Thon erfüllen (Pogg. Ann. Ergänzungsbb. 51. 111). Nach Marcel de Serres sind die Salzinfsorien zuerst farblos, werden dann grün (Grünes Salz von Spanien), und im reifen Alter roth. Berth (Mitth. naturf. Ges. Bern 1862. 111) konnte es jedoch nicht bestätigen. Die Lösungsrückstände des rothen Salzes von Berchtesgaden fangen schnell an zu gähren und zu stinken. Selbst das safrige violette (Halluin) und das prachtvolle blaue, welches in schönen Wolken das farblose und weiße Salz durchzieht (Hallstadt, Hall in Tyrol), mag seine Farbe dem Bitumen danken, da diese beim Erhitzen leicht verschwindet, die gesättigte Lösung farblos erscheint, und keine Metallreaction zeigt. Da Bunsen durch Schmelzen des K Cl mit K eine schönblaue Masse bekam, Pogg. Ann. 120. 15, so hat man auch daran gedacht, allein durch Lösen im Wasser müßte der Ueberschuß an Kalium Wasserstoff entwickeln, was nach G. Rose (Jahrb. 1862. 111) nicht der Fall ist, obwohl die schön blauen Parthien bei Staßfurt und Kalucz in Galicien von Kalisalzen umhüllt werden.

Diatherman pag. 166, von 100 Wärmestrahlen läßt es 92 durch, und da man es wegen seines Blätterbruchs leicht in großen Platten gewinnen kann, so ist es in dieser Hinsicht von hohem Interesse, namentlich auch wichtig für Linsen, um schwache Wärmestrahlen zu sammeln.

Für die Körnerprobe pag. 159 liefert das blättrige Steinsalz die besten Belegstücke, es bekommt Risse parallel dem Granatoeder. Mit diesen „Gleitflächen“ scheint seine „außerordentliche Compressibilität und Deformirbarkeit zusammenzuhängen“ (Monatsber. Berl. Akad. 1867. 111). Vielleicht finden darin auch die schiefen Würfel und Asterskristalle theilweis ihre Erklärung.

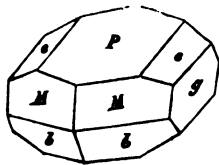
Das krystallinisch ziemlich grobkörnige Knistersalz von Wieliczka enthält nach Dumas (Pogg. Ann. 18. 111) Wasserstoff eingepreßt, der sich in kleinen Höhlungen befindet. Wirft man nur ganz kleine Stücke davon in eine große Schüssel mit Wasser, so entsteht von Zeit zu Zeit ein ganz unerwartet starkes Knacken: das gepreßte Gas entweicht, und erzeugt Bewegungen im Wasser. Beim Zerschlagen riecht es stark bituminös, weil auch Kohlenwasserstoff sich dabei findet. Auch bei Hallstadt soll vorkommen.

Vor dem Löthrohr in der Pincette schmilzt es sehr leicht und hängt in großen Proben wie Wassertropfen hinab, die beim Erkalten zu vielen kleinen Würfeln krystallisiren. Es decrepitiert nicht, während das treppenförmig gebildete Rochsalz stark verknistert, weil dasselbe viele Bläschen von Mutterlauge einschließt. G. Rose (Pogg. Ann. 48. 111) folgerte daraus, daß das Steinsalz nicht auf nassem Wege sich gebildet habe. Krystallinisches Salz zeigt Lamellarpolarisation. Da es im Wasser leicht, in reinem Weingeist und Aether nicht löslich ist, so kann es sich in kleinen Mengen nur halten, wo Wasserzutritt fehlt. An der Amerikanischen Westküste z. B. in der Algodon-Bai, wo es nie regnet, vertritt Salz die

Dolomit- und Porphyrbreccien. Es scheint hier noch vom Meeresrückzuge her zu stammen, v. Vibra, Reise in Südamerika II. 185.

Na Cl mit 60,34 Cl, 39,66 Natrium, wird durch Schwefelsäure leicht zerlegt unter Bildung von Glaubersalz  $\text{Na Cl} + \text{H}_2\text{S} = \text{H Cl} + \text{Na S}$ . Das beste „Grünsalz“ von Wieliczka hat kaum Spuren von Mg Cl. Berflüchtigt sich bei Rothglühhitze, doch nicht so leicht als Chlorkalium. Daher pflegt das Vulkanische Salz Kaliumreicher zu sein, als Meer- und Steinsalz, zumal da K Cl leichter löslich ist, als Na Cl. Vogel fand zuerst das Kalium im Steinsalz von Berchtesgaden (Gübert's Ann. 64. 180). Chlormagnesium und Chlorkalium häuft sich in unregelmäßigen Höhlungen im Salze von Cheshire (Pogg. Ann. 18. 180) an. Das Jod hat Fuchs im Steinsalz von Hall in Tyrol erkannt, außerdem sind die Quellen von Sales, Halle, Rehme, Kreuznach u. durch ihren Jodgehalt berühmt. Brom findet sich viel häufiger, namentlich auch in den Württembergischen Soolen (Fehling, Württ. Jahresschfte 1848. 10), bei Staßfurt, im Englischen Steinsalz u. Des Salzhones, Gypses und anderer schwefelsaurer Salze nicht zu gedenken. Alle diese fremdartigen Beimischungen geben dem Steinsalz eine gewisse „Schärfe“; beim Sieden bleiben sie jedoch in der Mutterlauge zurück, darunter auch Brom und Jod. Zu Münster am Stein bei Kreuznach kommen die Gypsfreien Soolquellen aus Porphyr (Laspeyres Ztschr. deutsch. geol. Ges. 1868. 180), ihre Mutterlauge enthält in 1000 Theilen 6,89 K Br, und nur 0,08 K J, dagegen neben Spuren von Cäsium und Rubidium noch 14,5 Chlorkalium. Man rechnet im Durchschnitt nach den Quellenanalysen auf 2952 Theile Chlor 19 Br und 1 J. Den ähnlichen Dürkheimer Quellen, worin 1860 das Cäsium und Rubidium entdeckt wurde, fehlt dagegen Jod.

Salz ist bei Abwesenheit von Kalk und Bittererde im kalten wie warmen Wasser fast gleich löslich: 100 Wasser bei gewöhnlicher Temperatur nehmen 35,9, bei 100° C 39,9 Salz auf, d. h. 2,7 Wasser, 1 Salz; oder 100 Theile Sool können 27 Theile Salz enthalten. So reich sind die Wasser unserer Bohrlöcher auf Salz, die natürlichen Salzquellen pflegen ärmer zu sein, sie haben weniger Grade, wie man zu sagen pflegt: Lüneburg 25½ Grad, Halle in Sachsen 21°, Schönebeck 11,5°, Kreuznach an der Nahe 1,5°, was man kaum noch schmeckt. Die schwachen Soolen müssen daher der Holzersparniß wegen durch Luftverdunstung gradirt werden: die Schönebecker Gradierwerke, aus Dornen aufgerichtet, waren früher 6000' lang, 50' hoch und 8' breit. Bei gewöhnlicher Temperatur krystallisirt das Chlornatrium ohne Wasser, es unterscheidet sich dadurch vom Na Br, welches erst bei + 30°, und vom Na Cl, welches bei 40° bis 50° sich ohne Wasser in regulären Würfeln ausscheidet. Beide letztere Salze nehmen vielmehr bei gewöhnlicher Temperatur 4 Atom Wasser auf, was das Chlornatrium erst bei – 10° thut (Mitscherlich, Pogg. Ann. 17. 180), es bilden sich dann 2 + 1gliedrige Tafeln von  $\text{Na Cl H}_2\text{O}$  (Hydrohalit)





mit 45,8 Å:  $M = a : b : \infty 118^{\circ} 32'$ , Schiefenfläche  $P = a : c : \infty$  macht vorn in  $P/M$   $109^{\circ} 48'$ , ein hinteres Augitpaar  $b = a' : c : \frac{1}{2}b$  in der Mediankante  $123^{\circ} 45'$ ,  $g = b : \infty a : \infty$  stumpft die scharfe Säulenkante ab, ein vorderes Augitpaar  $e = a : c : \frac{1}{2}b$  in der Diagonalszone von  $P$  bildet in  $P/e$   $149^{\circ} 47'$ . In strengen Wintern setzen sich solche Krystalle in den großartigen Soolenleitungen ab, welche im Salzburgerischen über Berg und Thal setzen, um die Soole in holzreichere Gegenden zu führen. Soll das Seewasser gefrieren, so muß sich das Salz vorher ausscheiden, darauf beruht die Gewinnung des Seesalzes in kalten Zonen (Ochotskischen Meerbusen), hier muß also das Salz unter Umständen auch 2 + 1gliedrig werden. Brangel fand Meersalz (Rassöl) auf dem Polareis in der Gegend von Neu-Sibirien ausgeschieden (Reise längs der Nordküste von Sibirien und auf dem Eismeer, herausgegeben von Engelhardt II. 256), das könnte Hydrohalit sein.

Vorkommen. Das Salz findet sich stets in Gesellschaft von Salthon und Gyps (Anhydrit) unter Verhältnissen, die es fast außer Zweifel setzen, daß es Niederschläge ausgetrockneter Meere waren. Denn bekanntlich versalzen alle Meere und Seen ohne Abfluß. Ein Beispiel ist das Tote Meer, und der durch viele Reisende bekannt gewordene Eltonsee (Altan Nor goldne See) auf der linken Seite der untern Wolga. Dieser obgleich nur 3 Meilen lang,  $2\frac{1}{4}$  Meile breit, und so flach, daß man überall durchwaten kann, liefert dennoch den Russen alljährlich 4 Millionen Pud des besten Salzes. Die Charisacha Sommers mit 4 p. C. Na Cl bildet den Hauptzufluß, und speist den See hauptsächlich mit Salz: die oberste 1—2 Zoll mächtige Schicht besteht aus schneeweißen Würfeln, im innern des Sees wird diese Schicht oft 5 Zoll dick, man hebt sie mit langen Stangen auf, wäscht sie ab und führt sie auf Kanälen an's Ufer. Aber nur Sommers erzeugen sich diese Niederschläge, im Herbst und Winter tritt dagegen Chlormagnesium an die Stelle. Dieses ist nämlich im warmen Wasser viel löslicher als im kalten, während Wärme auf die Rochsalzlösung nur wenig Einfluß übt. Sommers wird also alles Chlormagnesium gelöst, nur Steinsalz schlägt sich nieder, im Herbst und Winter dagegen schlagen sich die Magnesiaalze nieder, und es ist mehr Salz im Wasser, das überhaupt einer förmlichen Salzlake mit 30 p. C. festen Theilen gleicht. So ist es möglich, daß das gewonnene Salz 98,8 p. C. reines Na Cl und nur 0,13 p. C. Mg Cl enthalten kann. Und wenn man dann bedenkt, daß in diesem kleinen See die über einander geschichteten Salzlager, von einander durch dünne Schlammniederschläge getrennt, sich 14 Fuß tief in den Boden verfolgen lassen (O. Rose Ural. Reis. II. 201), so sind das schlagende Analogien für die Bildung unserer Salzgebirge. Der große Bittersee auf der Landenge von Suez 20 Km breit, ist an seinen Ufern von einem 8 m dicken Salzlager begrenzt, das wahrscheinlich im Laufe früherer Jahrhunderte durch Uebersfluthung des Rothenmeeres entstand (Jahrb. 1870. 207). Das Humboldt-Salzwerk zu Ausiti in Nevada 20 englische Meilen lang und 12 breit gleicht einem gefrorenen See.

An die Tagesoberfläche treten Salzstöcke nur selten. Der berühmteste Punkt in Europa, welchen schon Plinius 31. 33 erwähnt, liegt bei Cardona in Catalonien: jener Salzessen ist 550' hoch, hat eine Stunde-Umfang, und gleicht einem Gletscher mit seinen Pyramiden und Hörnern des reinsten Salzes. Obgleich vegetationsleer, so dürften dennoch nach Cordier die Berge in 100 Jahren durch den Regen kaum  $4\frac{1}{2}$  Fuß erniedrigt werden (Leonhard Taschenb. Min. 1821. 30). Die Salzbrüche am Rief bei Orenburg, welche den Russen jährlich 700,000 Pud liefern, liegen schon jenseits des Uralflusses auf Asiatischer Seite. Im Centrum von Siebenbürgen liegt das Salz in den Thalsohlen an mehreren Punkten zu Tage, wo es schon die alten Römer ausbeuteten (Berg- und Hüttenztg. 1871. 103). Zu den großartigsten unterirdischen Strecken gehören die Lager im Tertiär von Wieliczka am Rande der Karpathen, eine wahrhaft unterirdische Stadt, zu welcher eine breite Wendeltreppe führt. Wollte man die Baue alle durchschreiten, so müßte man 86 deutsche Meilen machen. Das Salz stellenweis 1200' mächtig. Davon wird jährlich 1 Million Centner gewonnen, theils so rein, daß es gestoßen als bestes Tafelsalz dient. Leider wurde beim Suchen nach Kalisalzen das Werk durch Wassereinbruch gefährdet (Jahrb. 1869. 100). Der Reichthum setzt über Bocknia nicht bloß den Karpathen entlang bis nach Ona in der Wallachei fort, sondern wiederholt sich auch in der Trias der östlichen Alpen, woher Salzburg seinen Namen hat (Hallstadt, Ischl, Hallein), Hall in Tyrol, Berchtesgaden in Oberbayern und endigt bei Berg im Canton Waadt. Ueberall wird es zum Theil durch großartigen Bergbau gewonnen. Der vielen Salzquellen wie Reichenhall, wo die reichste Soole in Strömen hervorsießt, nicht zu gedenken. Auch in den nördlichen Vorlanden der Alpen gehört das Salz der großen rothen Sandsteinformation zwischen Steintohlen- und Liasgebirgen an. Lange hat man zu Sulz am Neckar einen ärmlichen Bergbau darauf getrieben, bis die reichen Lager im Frühjahr 1816 am untern Neckar bei Friedrichshall in 475' Tiefe mitten im Muschelkalk erbohrt und 1826 oberhalb Hall am Kocher (Wilhelmsglück) durch Bergbau aufgedeckt wurden, darunter sehr schöne cubisch blättrige Stücke, mit noch nicht  $\frac{1}{4}$  p. C. fremdartiger Theile. Im Schachte von Friedrichshall steht das reinste Salz 47' mächtig an (Württ. Jahresh. 1860. 31), und man fördert jährlich über 1 Million Centner. An der Seile bei Wie in Lothringen lagert das Salz im Keuper. Reich und alt sind die Salzwerke von Halle an der Saale, die ganze Umgegend über Muschelkalk gelegen hat kaum einen Brunnen, der nicht salzig schmeckt, ein einziger von Salza bei Schönebeck liefert soviel Soole, daß daraus jährlich 600,000 Ctr. Salz gewonnen wurden, ja bei Frankenhäusen bringen aus den Gypsbergen Thüringens „der Salzquellen so viele hervor, daß man glaubt, ganz Deutschland lasse sich aus ihnen mit Salz versehen.“ Dennoch wurde erst am 25ten November 1837 in 986' Tiefe im Bockstein von Artern das erste Stück Salz im Preussischen Staate erbohrt, dem dann später die reichen Erfunde von Staßfurt, Erfurt 2c. folgten. Als

man dann an dem Gypshügel bei Sperenberg 5 Meilen südlich Berlin in 89 m Tiefe Steinsalz erreichte, und nach 4 Jahren in 1271,6 Meter (4051' Rhein.) nicht durchbohrt hatte, versuchte man am Seeberge in Pöls, zu Inowocław im Brombergischen, Wapno bei Guxin zc. sein Glück, und bekam überall in geringer Tiefe massenhaft Salz, welches wahrscheinlich der Zechsteinformation angehört. England hat seinen großen Salzschatz bei Liverpool zu Northwich, Middlesborough, Cheshire (Quart. Journ. geol. soc. IV. 200) ebenfalls im Newredsandston über der Steinkohle, die zahlreichen Gruben stehen über 60' im reinen Salzfelzen, und das späthige hält 98,3 Chlornatrium. In Nordamerika haben die Salzquellen am Ohio, die Onondaga Salt Group zwischen Michigan- und Huron-See mit Gyps und Soolquellen, die salzföhrnden Schichten von New-York mit den hohlen vierseitigen Pyramiden (sogenannte hoppers) zc., merkwürdiger Weise ihren Sitz unter der Steinkohlenformation im Uebergangsgebirge. Am Huallaga in Südamerika hat Pöppig (Reise in Chili, Peru und auf dem Amazonasstrom II. 111) die prachtvollen Salinas de Pilluana beschrieben und abgebildet: indigoblaue, rosenrothe und weißliche wohlgeschichtete Salzfelzen steigen in Pyramiden und Kegeln unmittelbar neben dem Spiegel des gewaltigen Stromes empor. In Asien sind die obern Gegenden des Indus (Plinius 31. 10) berühmt, wo bei Karabagh der süße Strom die „Salzkette“ durchbricht (Mitter Asien 7. 10): große Steinbrücke im rothen Boden geben hier gewaltige Blöcke von Steinsalz. Das Rhenra Salzbergwerk gewinnt allein jährlich für 6 Millionen Mark. Nördlich der Sahara bauen die Völker mit Salz, Herodot 4. 185, aber südlich im Centrum von Afrika ist es nach Mungo Park einer der größten Bederbissen, nach welchem z. B. die Mandingoneger schmerzliche Sehnsucht tragen.

Varietäten, 1) Blättrig bricht es in großen cubischen Stücken, worin man öfters Blasen sieht; 2) körnig sind bei weitem die meisten Massen, das Korn häufig grob; 3) faserig, erinnert an die Faser des Gypses, und durchschwärmt in ganz ähnlicher Weise den Salzthon. UnkrySTALLINISCH dicht und mehlig pflegt es nur in Folge secundärer Niederschläge zu sein. Dagegen spielt der Salzthon (Hallerde), woraus sich das Salz am leichtesten löst, eine wichtige Rolle. Bei Sulz am Neckar wird er für die Landwirthschaft ausgebeutet, um damit die Felder zu düngen. In den Alpen (Hallein, Hallstadt) drückt man Wasserstrahlen hinein, die ihn leicht durchbohren. Da die Wiederkäuer, welche wegen ihrer Kalihaltigen Grasnahrung sehr des Natrons bedürfen, haben am Altai sich förmliche Grotten in den weichen Thonschiefer gelect (Leдебур, Reise Altai 1830 II. 44).

Obwohl das Meer und die Salzquellen noch immer den meisten Bedarf decken, so wird doch das Steinsalz mit jedem Jahre, namentlich auch für die Industrie, wichtiger. Seine Löslichkeit erleichtert den Abbau, indem man durch Gummischläuche Wasser hinzuföhrt, und damit die Felzen langsam schligt. England gewann 1868 bei Liverpool, wo ihm

Kohle, Salz und Schiffahrt zu Gebote stehen, 30 Mill. Etr. meist Siedesalz, und erschwerte dadurch den Festlandsstaaten die Concurrenz. Im deutschen Reich gibt man 1874 über  $11\frac{1}{2}$  Millionen Etr. an, worunter  $3\frac{1}{2}$  Mill. Steinsalz waren. Auf Württemberg allein kamen 1,600,000 Etr. In Staßfurt wird das reine Krystallsalz in großen Kaffeemühlen gemahlen, und als Tafelsalz in den Handel gebracht, es geht aber schlechter, als das Siedesalz. Das Viehsalz wird wegen der Steuer unnatürlicher Weise vorher mit Bermuth und Eisenoryd „denaturirt“.

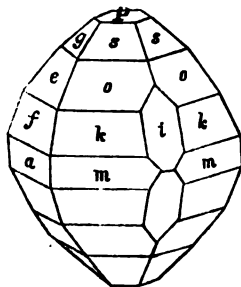
Sylvin (Sal Sylvi) nannte Deudant das Salz, welches sich in Vulkanen sublimirt, es soll am Vesuv öfter aus reinem K Cl bestehen, was bekanntlich flüchtiger und isomorph mit Steinsalz ist: 1822 warf derselbe eine solche Menge aus, daß die benachbarten Dörfer damit ihren Hausbedarf befriedigten, bis die Zollbehörde es in Besitz nahm. Daugier fand darin 62,9 Na Cl und 10,5 K Cl, Bischof in einem vom 5. Febr. 1850 53,8 K Cl und 46,2 Na Cl. Auch in Hochöfen soll es sich bilden. Woraus folgt, daß keine scharfe Trennung zwischen dem Kalium- und Natriumsalze stattfindet, aber daß man auch das Steinsalz wegen seines geringen Gehaltes an Kalium nicht als Feuerprodukt ansehen darf. In unserer Zeit sind in den mächtigen Abraumsalzen von Staßfurt und Kalusz (Sitzb. Wien. Akad. 63. 300) die prächtigsten Würfel, sogar mit zahlreichen Flächen in den Ecken, vorgekommen. Sie haben alle Farben des Natronsalzes, lassen sich aber davon sofort durch den **scharfen brennenden Geschmack** unterscheiden, Gew. 2. Bei manchen scheinen die blauen Flecke aus eingesprengetem Na Cl zu bestehen. Selbst aus der Indischen Salzkette, die sogar dem Silur angehören soll, war auf der Wiener Weltausstellung Sylvin aufgelegt (Jahrb. 1873. 333). Diese Ablagerungen sind für die so wichtige Kaliindustrie von größter Wichtigkeit geworden. Bei Kalusz kommen im Haselgebirge (Salzhon) 33 m dicke Linsen von fast reinem Chlorkalium vor, und wenn sie durch Chlornatrium verunreinigt sind, darf man das Rohsalz nur mit heißem Wasser ansaugen, da Chlorkalium darin viel löslicher ist als im kalten, während die Lösungsfähigkeit des Chlornatriums bei verschiedenen Temperaturen sich nicht wesentlich ändert. Dazu kommen nun aber noch zwei wichtige Salze:

Carnallit  $\text{K Cl} + 2 \text{Mg Cl} + 12 \text{H} = \text{K Cl} + \text{Mg Cl} + 6 \text{H}$  mit 26 K Cl

Rainit  $\text{K Cl} + 2 \text{Mg S} + 6 \text{H} = \text{K Cl} + \text{Mg S} + 3 \text{H}$  mit 27 K Cl  
jenes bei Staßfurt, dieses bei Kalusz vorzugsweise vertreten.

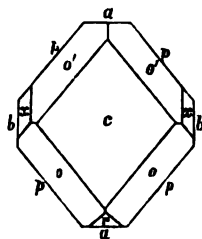
**Carnallit** (v. Rose, Zeitschr. deutsch. geol. Ges. 1856 VIII. 117) bildet wasserklare, krystallinische Aggregate, die aus der Luft viel Feuchtigkeit anziehen, und daher in wohlverschlossenen Gläsern aufbewahrt werden müssen, aber selbst so noch fließen. Viele sind durch Eisenoryd roth gefärbt, geben dann unter dem Mikroskop ganz prächtige Bilder von braunen, gelben und rothen sechsseitigen und rhombischen Eisenglanztafeln (Bischof, Steinsalzwerke bei Staßfurt 1864 Fig. 4), und bekommen das Ansehen von Avanturin. Manche sind milchweiß und opalisiren etwas. Sie stimmen mit Kalium-Magnesiumchlörud überein, welches Liebig aus Meerwasser

und Salzsoole darstellte, die von Rammelsberg (Hdb. Krystall. Chem. 1855. 111) als sechsgliedrige Dihexaeder beschrieben werden, aber einen zweigliedrigen Säuleneinkel von  $118^{\circ} 31'$  enthalten, und daher optisch zweiaxig sind. Aus den abtropfelnden Laugen in den untern Kalisalzbauen bilden sich noch fortwährend die klarsten Kry-  
**stalle** bis zu Taubeneigröße, deren 2gl. Säulen  
 Hessenberg (Abh. Senk. Nat. Ges. 1866 VI. 11) im  
 Mittel  $115^{\circ} 37'$  fand. Trotz des so auffallenden  
 dihexaedrischen Aussehens, zerfallen die meßbaren  
 Flächen doch in  $m = a : b : \infty c$ ,  $a = b : \infty a : \infty c$ ,  
 $p = c : \infty a : \infty b$ ,  $o = a : b : c$ ,  $k = a : b : 2c$ ,  
 $s = a : b : \frac{2}{3}c$ ,  $e = b : 2c : \infty a$ ,  $f = b : 4c : \infty a$ ,  
 $g = b : \frac{4}{3}c : \infty b$ . Zu Westeregeln, wohin die  
 Staßfurter Abraumsalze fortsetzen, kamen ver-  
 drückte Aterkrystalle vor, welche vom rothen Steinsalz körnig erfüllt sind.  
 Letzteres konnte daher bloß die Hohlräume einnehmen. Optische Ären-  
 ebene in  $ac$ , Äxe  $a$  optische Mittellinie. Gewicht 1,618.



Carnallit konnte sich nur aus Lösungen niederschlagen, welche Chlor-  
 magnesium im Ueberschuß enthielten. Daher läßt er sich auch nicht um-  
 krystallisiren, sondern bei Behandlung mit Wasser bleibt Chlormagnesium  
 gelöst, und Chlorkalium scheidet sich aus. Als solche Ausscheidungen  
 wird auch der heibrechende Sylvin betrachtet, der auf der Anhaltiner  
 Grube Leopoldshall in derben Massen (Leopoldit) von mehreren Pfunden  
 vorkommt. Man will organische Substanzen, sogar Zellgewebe darin ge-  
 funden haben, Jahrb. 1866. 226. Bei Kalusz fehlt Carnallit, dagegen  
 ward er im Persischen Salz von Maman und in den Salt-works des  
 Südparks von Colorado gefunden.

Rainit (xavos neu, Jahrb. 1865. 110) kam auf Leopoldshall zuerst  
 vor. Von Salzhärte und 2,13 Gew. bildet er derbe körnig durchschei-  
 nende gelbliche Lager, die bei Kalusz 60'—70' mächtig werden. Kleine  
 Krystalle in Drusenräumen beschrieb P. Groth (Pogg. Ann. 1869 Bd. 137. 441)  
 2 + 1gliedrig: die scharfe Säule  $p = a : b : \infty c$   
 $78^{\circ} 57'$  wird durch eine ausgedehnte Endfläche  $c =$   
 $c : \infty a : \infty b$ , gegen Äxe  $c$   $85^{\circ} 5'$  geneigt, tafelförmig, woran vorn  $o/o = a : b : c = 125.59$ , hinten  
 $o'/o' = a' : b : c = 122.49$ ,  $r = a : 2c : \infty b$ ,  $x =$   
 $a' : c : \frac{1}{3}b$ ,  $a = a : \infty b : \infty c$ ,  $b = b : \infty a : \infty c$ ,  
 wie nebenstehende Horizontalprojection zeigt. In  
 Wasser gelöst, scheidet sich Chlormagnesium ab, und  
 schwefeljaures Talkerde-Kali mit  $H^6$  und von ähn-  
 licher Form krystallisirt aus, deßhalb schreibt man auch wohl  $K S +$   
 $Mg S + Mg Cl + 6 H$ . Ja schon an der Luft fließt das  $Mg Cl$  ab,  
 und es bleibt jenes Salz  $K Mg S^2 H^6$  zurück, welches man Schönit ge-  
 nannt hat, der daher meist den Rainit nach Art der Aterkrystalle über-



zieht. Diese Eigenschaft macht das Mineral zur Darstellung von Kalisalzen brauchbar, wozu es zu Kalusz im Großen benutzt wird.

**Tachydrit**  $\text{Ca Cl} + 2 \text{Mg Cl} + 12 \text{H}$  (Kammelsberg, Pogg. Ann. 98. 261) correspondirt dem Carnallit. Die runden gelblichen Kugeln lagern in dichtem Anhydrit, verwachsen aber auch mit Carnallit. Sie sind blättrig nach einem Rhomboeder, das dem Würfel nahe kommt. Gew. 1,67. Zerfließen schnell (*ταχὺς*) an der Luft. Erwärmt bei Lösungen das Wasser um  $7^{\circ}$ – $8^{\circ}$ , während die Kalihaltigen Kochsalze im Allgemeinen bedeutende Kälte erzeugen: eine Flüssigkeit von  $18^{\circ}$  kann auf  $7^{\circ}$  herabgedrückt werden. Letztere werden daher von Conditoren zur Eisbereitung benutzt. Ein Theil des Chlormagnesiums wird in vorstehenden drei Salzen durch Brommagnesium vertreten.

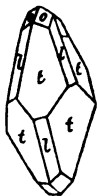
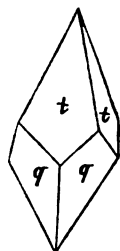
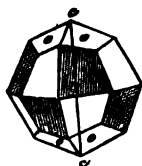
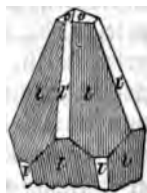
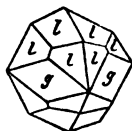
Die Mutterlauge in den Salzgärten der französischen Küsten wird neuerlich ebenfalls technisch ausgenutzt. Da stellt es sich immer deutlicher heraus, daß die 30 m mächtigen Abraumsalze von Staßfurt nichts als der Niederschlag aus solchen Resten sind, die bei andern Salzlageren abfloßen. Im Durchschnitt sollen sie 55 Carnallit, 25 Kochsalz, 16 Kieserit, 4 Chlormagnesium enthalten, wovon 1872 über 10 Millionen Str. in 33 Fabriken verarbeitet wurden. Darunter folgt dann der Reihe nach die Kieserit-, Polyhalit- und Anhydritregion. Abgesehen von den Kalipräparaten und vielen andern chemischen Produkten dienen die Abfälle besonders mit als Düngmittel für Zuckerrüben, Wein und Tabak. Da es den Torfböden, wovon namentlich in Hannover und Oldenburg noch viele Quadratmeilen brach liegen, gewöhnlich an Kali fehlt, so hofft man, daß sie den lästigen Moorbränden, welche den ungesunden Höhenrauch erzeugen, allmählig eine Grenze setzen werden. An dem Zerfließen ist Chlormagnesium  $\text{Mg Cl}$  Schuld, welches im Salzgebirge sehr verbreitet aus der Luft begierig Wasser anzieht. Mit Magnesia  $\text{Mg}$  bildet es Oxychloride, die leicht zu Magnesiacement erhärten, und künstlichen Marmor liefern.

### 8. Salmiak.

Soll zuerst durch Armenische Kaufleute aus der Hohen Bucharei in den Handel gebracht sein, daher *Sal ammoniacum* (verstümmelt aus *Sal armeniacum*) genannt. Bei Agricola *Salarmoniac*. Indeß nennt Plinius 31. 39 schon ein *Hammoniacum* nach dem Tempel des Jupiter Ammon, und da in Aegypten die Salmiakbereitung aus Kameelmist uralt ist, so könnte das den Namen erzeugt haben. Bergsalmiak Wallerius, *Ammoniaque muriatée*.

Regulär und scheinbar isomorph mit Steinjalz. Der rohe Salmiak, welcher bei der Blutlaugensfabrikation aus thierischen Substanzen gewonnen wird, ist stark braun durch Brenzöl gefärbt, krystallisirt aber in den prachtvollsten Würfelzwillingen, die man überhaupt kennt. Ihre Substanz besteht aus lauter Blättchen, die den Würfel Flächen parallel

gehen, daraus entsteht ein Perlmutterglanz auf den Flächen, welchen man für den Blätterbruch halten möchte. Schleift man sie senkrecht gegen die Zwillingssage, so zeigt sich ein dunkles Kreuz, welches den drei Granatoberflächen entspricht, die in der Zone der Zwillingssage liegen. Oft wiederholen sich 6—8 Zwillingssindividen in einer Reihe übereinander, die aber alle parallel stehen. Bei der Sublimation der Steinkohlenbrände zu St. Etienne, Duttweiler, selbst bei künstlichen Hüttenprocessen (Deide Jahrb. 1860. 70) entstehen wasserhelle Leucitoeder  $l = a : a : \frac{1}{2}a$ , „die man mit dem Analcim der Cyclopischen Inseln verwechseln könnte.“ Auffallender Weise zeigen dieselben Neigung zur Hemiedrie, indem sich von den Granatoberflächen  $g$  nur zwei mit einer Quadratischen Säule hinzugesellen. Ja Köllner in Hamburg (Erdmann's Journ. prakt. Chem. 50. 11) hat neben der Darstellung des Leuchtgases Salmiakkrystalle erhalten, die eine höchst merkwürdige hemiedrische Gyroedrie zeigen: die Sache pflegt mit der einfachen Verziehung des Leucitoeders  $a : a : \frac{1}{2}a$  zu beginnen. Anfangs bleibt das Oktaeder  $o$  noch deutlich und das Auge kann zwischen  $l$  und  $l'$  noch den stumpfen ebenen Winkel der Deltoide ( $117^\circ 2'$ ) gut beurtheilen, aber  $l'$  zieht sich auf Kosten von  $l$  als eine schmale Abstumpfungsfäche hinab, verschwinden dann  $o$  und  $l'$  ganz, so meint man Quadratoctaeder mit Endantenwinkel  $l/l$  von  $99^\circ 35'$  vor sich zu haben. Stoßen die Flächen  $l$  unten dagegen, so entsteht ein vollständiges Trapezoeder. Leider sind die Krystalle meist abgerundet, was eine scharfe Bestimmung erschwert, doch hat Naumann die Sache genau zu verfolgen gesucht, und meint sogar ein Trapezoeder nachweisen zu können, das einerseits  $t = a : a : \frac{1}{2}a$ , andererseits  $q = a : a : \frac{2}{3}a$  als Endigung habe. Auch Abstumpfungen der Endanten des Trapezoeders  $t/t$  kommen vor, welche einem Trapezoeder vom Leucitoeder  $l = a : a : \frac{1}{2}a$  entsprechen. Eine Oktaedrische Zuschärfung des Endes gehört ebenfalls dem gewöhnlichen Leucitoeder  $o = a : a : \frac{1}{2}a$  an, was wesentlich dafür zu sprechen scheint, daß diese merkwürdigen Körper nicht dem wirklich 4gliedrigen Systeme, sondern einer Theilflächigkeit des regulären Systems angehören, welche sich gyroedrisch gruppirt. Ja Wöhler hat einmal (Erdmann's Journ. prakt. Chem. 50. 110) scharfe meßbare Rhomboeder von  $67^\circ 7'$  bekommen, die dem untern Rhomboeder des Leucitoeder  $a : a : \frac{1}{2}a$  in seiner 3gliedrigen Stellung angehören, deren Endanten durch einen Dreikantner zugeschärft werden, welche vom Pyramidenwürfel  $a : \frac{1}{2}a : \infty a$



abzuleiten sind. Eine kleine Projection wird die Sache sofort deutlich machen. Knop (Molecularconst. und Wachsthum der Krystalle 1867 pag. 46) bekam beim künstlichen Chlorkalium ähnlich verzerrte Bilder, die zur Wachsthumtheorie benützt werden.

Für ein so klares Salz auffallend mild, pommeranzengelb durch Eisenchlorid, stechend salziger Geschmack,  $S. = 1-2$ , Gew. 1,6.  $NH^4Cl = NH^4Cl$ , in Wasser leicht löslich, und verflüchtigt sich ohne vorher zu schmelzen vollständig im Kolben, setzt sich aber unverändert wieder ab. Mit Soda starken Ammoniakgeruch. Concentrirte Laugen von Salmiak lösen heiß die Verrillerde, worauf das beste Trennungsmittel von der Thonerde beruhen soll (Dr. Weeren Pogg. Ann. 92. 101), seine Gegenwart befördert auch die Löslichkeit von kohlen-, schwefel- und phosphorsauren Salzen wesentlich. Bei Kohlen- und Erdbränden sublimirt es leicht, da Ammoniak besonders in den Steinen des Flözgebirges sehr verbreitet ist, wie der Geruch der Stinksteine, Belemniten, Solnhoferschiefer zc. deutlich genug zeigt. Wahrscheinlich haben die Vulkane auch nicht einmal lediglich im Erdinnern ihre Ammoniakquelle; Bunsen meint sogar (Erdmann's Journ. prakt. Chem. 56. 55), daß Salmiak erst außerhalb der Vulkane erzeugt werde, indem die Salzsäure auf die Vegetation einwirke, was freilich manche Gründe gegen sich hat, Jahrb. 1870. 258. Doch entsteht am Vesuv und Aetna im zweiten Stadium der Fumarolen öfter soviel, daß ein kleiner Handel damit getrieben wird, und die Umwohner des Vulkans von Tursan (Hotischeou) und Kutsche (Pe-Schan) in Hochasien müssen sogar dem Kaiser von China ihren Tribut damit zahlen. Es sollen rauchende Solfataren von mehreren Stunden Durchmesser sein, welche das weiße Salz fortwährend bilden. Mit Eisenchlorid färbt er die Laven pommeranzengelb. Früher versah Aegypten, wo er seit alter Zeit aus Rameelmist bereitet wird, ganz Europa mit diesem wichtigen Arzneimittel, gegenwärtig hat man viel Mittel ihn darzustellen, doch da er auch in der Färberei, beim Löthen und Verzinnen, beim Goldschmelzen zc. Anwendung findet, so war er lange ein kostbares Material. Gegenwärtig bieten die Ammoniakwasser der Gasfabriken eine reichliche Quelle, die auch dem Ackerbau zu gute kommt, dem er als schwefelsaures Ammoniak zugeführt wird. Durch Verwesung der Thiere entsteht auf dem Lande und im Meere Ammoniak, was durch die Luft und Regen den Pflanzen wieder zu gute kommt.

Die Würfelform der Krystalle kommt bei einer Reihe von künstlichen Salzen vor, die in ihrer Constitution große Aehnlichkeit haben. Wie Salz, Salmiak, Chlorkalium, hat auch Chlorkalium L Cl Würfel vom Geschmack des Kochsalzes. Jodnatrium, Jodkalium, Bromnatrium, Bromkalium, Fluornatrium, Fluorkalium, Cyankalium, Jodammonium zc. treten alle würfelig auf. Platinsalmiak und Iridsalmiak sind wenigstens regulär. So ließe sich die Sache noch weiter ausdehnen.



## Nitate.

Das Radical der Salpetersäure ( $\ddot{N}$ ) ist Stickstoff. Wenn es schon beim Salmiat unwahrscheinlich war, daß der Stickstoff aus dem Erdinnern stamme, so ist es bei der Salpetersäure noch unwahrscheinlicher, da ihre Salze immer nur als Ausblühungen oder in oberflächlichen Erdschichten eine Rolle spielen. Nicht bloß Pflanzen und Thiere erzeugen Stickstoffverbindungen, sondern auch der Blitz kann auf direktem Wege den Sauerstoff und Stickstoff der Luft miteinander vereinigen. Zwar fördern auch heiße Quellen (Aachen, Wildbad, Wiesbaden etc.) Stickstoff als Gas, oder gar in Verbindungen, die man nach einer Quelle bei Barèges in den Pyrenäen Barègine genannt hat, wodurch heiße Quellen überhaupt etwas nach Fleischbrühe riechen und schmecken sollen. Allein das läßt sich leicht durch Eindringen der Tagewasser erklären, deren Luft desoxydirt wird.

## 1. Salpeter.

Sal petrae schon von Geber im 8ten Jahrhundert erkannt. Darunter versteht man vorzugsweise den Kalisalpeter  $K \ddot{N} = N K O^3$  (Kaliumnitrat), dem das zerfließliche Kaliumnitrit ( $N K O^2$ ) zur Seite steht. Die Alten und noch Agricola begreifen ihn unter Nitrum, Potasse nitratée. Den künstlichen bekommt man in schönen Krystallen, daher legte schon Linné ein besonderes Gewicht auf seine Krystallisationskraft, und nannte den Quarz Nitrum quartzosum.

Zweigliedrig wie Aragonit: eine geschobene Säule  $M = a : b : \infty$  macht  $119^\circ 24'$ , deren scharfe Kante durch  $h = b : \infty a : \infty$  gerade abgestumpft wird. Beide sind etwas blättrig, und gleichen regulären sechsseitigen Säulen, wie sie Hauy und seine Vorgänger nahmen. Als Zuspärführung herrscht gewöhnlich  $i = c : \frac{1}{2}b : \infty a$   $71^\circ$  in der obern Kante, kommt dazu noch das Oктаeder  $o = a : b : c$ , so hat die scheinbar reguläre sechsseitige Säule auch noch ein scheinbares Dihexaeder  $io$  zur Endigung aber mit 4 + 2 Endkanten:  $i/o = 132^\circ 28'$ , und  $o/o = 131^\circ 27'$ . Daraus folgen die Axen

$$a : b = 0,8403 : 1,426 = \sqrt{0,7061} : \sqrt{2,035},$$

$$\lg a = 9,92445, \lg b = 0,15430.$$

$P = b : c : \infty a$   $109^\circ 56'$  liegt klein über  $i$ ,  $x = b : \frac{1}{2}c : \infty a$ ,  $z = b : 4c : \infty a$ ,  $f = a : b : \frac{1}{2}c$ . Auch die Zwillinge haben die Säulenfläche  $M$  gemein und liegen umgekehrt. Nach Frankenheim (Pogg. Ann. 92. 356) zerfällt er durch Erhitzen in kleine Rhomboeder.

Optische Axen (Pogg. Ann. 50. 376) liegen wie beim Aragonit in der Agnerebene  $b c$ , machen einen Winkel von  $5^\circ 20'$ , welchen die Hauptaxe  $c$  halbt. Schneidet man die Säule senkrecht gegen die Mittellinie, so bekommt man in der Turmalinscheere Nenniscaten zu Gesicht. Da durch-

sichtige Stücke leicht zu erwerben sind, so war Salpeter einer der ersten, den Brewster (Phil. Trans. 1814. 208) untersuchte. Vergleiche auch Schrauf Jahrb. 1865 pag. 46.

Der Querbruch der Säulen zeigt einen eigenthümlichen starken Fettglanz, Härte = 2, Gew. 1,9. Geschmack scharf bitterlich kühlend. Krystalle in die Hand genommen zeigen am Ohr ein auffallendes Knistern. Auf Kohle schmilzt er anfangs wie Eis, so bald aber die Kohle glühend wird, verpufft er wie Pulver. In 2 Theilen heißen und 3 Theilen kalten Wassers löslich. Die Krystalle haben viele Höhlungen, welche Mutterlauge einschließen. Durch Schmelzen nimmt die Masse daher ein kleineres Volumen ein.

Salpeter erzeugt sich auf der Erdoberfläche besonders nach Regen als flockige oder mehligte Anflüge, in warmen Gegenden mehr als in kalten, zumal wenn der Boden mit organischen Theilen angeschwängert ist (Kuh- und Pferdebeställe). Man legte daher früher künstliche Salpeterplantagen an. In den Gangesebenen kann der Boden stellenweis bis auf 150' Tiefe ausgelaugt werden, im Tirhut, am Norduferlande der Ganges-Mittelstufe bis zu der Vorkette des Himalajah zerfrißt der wollige Mauerfalpeter alle Häuser bis zum Dach hinauf, so daß die Ausfuhr von Indien jährlich über 2 Mill. Centner betragen haben soll. Die Ebenen der untern Wolga, Donau, des Ebro sind nicht so reich. In Ungarn, wo Mist zur Last wird, finden sich in der Nähe der Dörfer Salpeterquellen, die bei ihrem Heraustreten alle Vegetation vertilgen, und in Pflügen zur trocknen Jahreszeit Salpeter austrystallisiren. Er entsteht hier offenbar durch Fäulung stickstoffhaltiger Substanzen, frißt wie ein Schorf in die Wände der Felsen und Mauern, anfangs zeigt sich nur ein runder Fleck, der immer weiter um sich greift, die Masse lockert, und endlich zusammengekehrt werden kann (Rehrsalpeter). Salpeter in Trinkquellen durch Auflösung von Diphenylamin in concentrirter Schwefelsäure erkannt, liefert ein wichtiges Zeichen von Verunreinigung. Ein zweites eigenthümliches Vorkommen bilden die

Salpeterhöhlen, die fast ausschließlich dem Kalk- und Dolomitgebirge angehören. Das erste Aufsehen unter den Gelehrten erregte der Pulo bei Molfetta in Apulien, welchen Fortis 1783 entdeckte (Klaproth Beitr. I. 217). Dort in den verschlossenen Räumen, vor Regen gesichert, bildet der Salpeter eine mehrere Linien dicke Kruste auf weißem Kalkstein, die abgenommen nach einigen Monaten sich wieder ersetzt. Ceylon, Tejuco in Brasilien, und die Kalksteine im Missouri und Mississippi Gebiet haben ähnliche Vorräthe. Die Bernhardsöhle bei Homburg am Main westlich Würzburg liegt auf Buntensandstein im Kalktuff, der nach Riebt 1 p. C. Salpeter enthält, und daher längst berühmt war. Die Schwierigkeit der Frage dreht sich allein darum, woher kommt die Salpetersäure? Schon Humboldt (Gilbert's Ann. I. 219) hegte die Vermuthung, daß die Hauptquelle in der atmosphärischen Luft liege. Dr. Goppelsröder (Pogg. Ann. 115. 120) zeigte, daß sich in der Atmosphäre von Viehställen

gar bald salpetrichsaure Salze (Nitrite) bilden, die dann weiter zu salpetersauren (Nitraten) fortschreiten. Nach Schönbein bildet sich schon bei bloßer Verdunstung des Wassers salpetrichsaures Ammoniak.

Kalksalpeter  $\text{Ca } \ddot{\text{N}} \text{ H}$  (Mauersalpeter) besonders an Mauern von Viehställen, zuweilen in kleinen haarförmigen Krystallen. Shepard fand in den Höhlen von Kentucky 10 p. C. Wasser. Er und Magnesiumsalpeter  $\text{Mg } \ddot{\text{N}} \text{ H}$  können zur Darstellung des ächten Salpeters benutzt werden.

75 Theile Salpeter, 13 Kohle und 12 Schwefel geben das Schießpulver, welches entzündet sich zu N, C und KS zerlegt. Mittelft Destillation mit Schwefelsäure erhält man Salpetersäure daraus. Gebrauch in der Arzneikunde, als Heizmittel von Schnupftabak, in der Färberei.

## 2. Natronsalpeter $\text{Na } \ddot{\text{N}}$ .

Nitre cubique de L'Isle Essai Cryst. 72. Im Handel nach seinem Fundort Chilisalpeter genannt, Rhomboedrisch wie Kalkspath, die schönen künstlichen Krystalle haben einen Endkantenwinkel von  $106^{\circ} 33'$ , sie sind deutlich blättrig, und zeigen starke doppelte Strahlenbrechung, können also optisch wie Kalkspath angewendet werden. Gew. 2,1, Härte = 2. Gewöhnlich farblos. Hat 9 p. C. Salpetersäure mehr als Kalisalpeter.

Auf glühender Kohle weniger lebhaft verpuffend als Kalisalpeter, wird von der Luft leicht feucht, ist daher zur Pulverfabrikation nicht brauchbar. Besonders schön in Körnern mit kalkigem Sand gemischt am Chilenischen Küstenstrich südlich Tarapaca in 4000' Höhe. Durch 1000' bis 3000' steile Klippen gefährdet erleichtert jetzt eine Eisenbahn den Verkehr. Eine ganz oberflächliche bis 8 Fuß mächtige Schicht zwischen Thon mit gefärbten Muscheln erstreckt sich wohl 30 Meilen weit fort, und wird im Hafen von Iquique ausgeführt, hauptsächlich nach England, Frankreich, Deutschland, 1859 etwa  $1\frac{1}{2}$  Millionen Centner à 6 fl., 1873 schon 4 Millionen. Man schätzt den ganzen Vorrath auf etwa 1200 Millionen. Dient hauptsächlich als wirksames Düngungsmittel (Bous-singault Compt. rend. 41. 666). Da es an dieser tropischen Küste nie regnet, so ist die Bildung aus dem Meere erklärlich (Leonhard's Jahrb. 1853. 666). Der Boden von Ceylon und Bengalen war lange Monopol, erst durch Staßfurt wurde England gezwungen den Zoll aufzuheben, der Centner fiel von 48 schnell auf 25 Mark, und jetzt beherrschen Chili und Staßfurt den Markt, da mit Chlorcalcium leicht ein „Conversionssalpeter“ dargestellt werden kann.

An den scheinbaren Isomorphismus zwischen  $\text{Ca } \text{C}$ ,  $\text{Na } \ddot{\text{N}}$ ,  $\text{K } \ddot{\text{N}}$ , Bournonit und Rothgülden, unter Dimorphismus versteckt, wurde oben schon erinnert pag. 179. Nach Frankenheim (Pogg. Ann. 40. 441) soll auch der Kalisalpeter, besonders aus der Weingeistlösung, in Rhomboedern

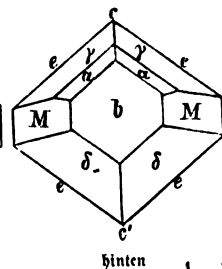
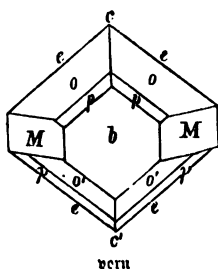
von  $106^{\circ} 36'$  sich bilden, die Rhomboeder liegen zwischen den zweigliedrigen Nadeln, und die Nadeln verzehren gewöhnlich die Rhomboeder.

Pb  $\ddot{N}$ , Ba  $\ddot{N}$ , Sr  $\ddot{N}$ , bilden sich in sehr schönen regulären Krystallen mit Oктаeder, Würfel und Pyritoeder. Das Pyritoeder tritt sehr bestimmt untergeordnet am Oктаeder in gleichschenkligen Dreiecken auf. Nach Scacchi (Pogg. Ann. 109. 300) können auch Tetraeder entstehen. Unter andern künstlichen Stickstoffverbindungen zeichne ich nur die zwei so gewöhnlichen Blutlaugensalze aus:

Gelbes Blutlaugensalz, Kalium-Eisenchyanür  $2 K Cy + Fe Cy + H^3$ , bildet ausgezeichnete 4gliedrige Tafeln, der blättrige Bruch der Geradenfläche  $c : \infty a : \infty a$  ist so deutlich als beim Uranglimmer, das Oктаeder  $a : a : c$  hat nach Bunsen (Pogg. Ann. 36. 404)  $97^{\circ} 56'$  End- und  $136^{\circ} 24'$  Seitenkante; sein nächstes stumpferes  $a : c : \infty a$  ist seltener und nicht ganz sicher, ebenso die 2te Säule  $a : \infty a : \infty c$ . Daher trifft man meist nur einfache Tafeln des Blätterbruchs, an welchen das Oктаeder die Seiten unter gleichen Winkeln zuschärft. Sehr leicht in den schönsten Krystallen aus Fabriken zu erlangen. Optisch von Interesse, da es stellenweis 2agig wirkt. Isomorph mit Ammonium-Eisenchyanür.

Roths Blutlaugensalz, Kaliumeisenchyanid  $3 K Cy + Fe Cy^3$  kann man 2gliedrig stellen. Es bildet ganz eigenthümlich bauchige Säulen  $M = a : b : \infty c$  von etwa  $104^{\circ}$  in der vordern Kante, die man an allen Krystallen wegen ihres absonderlich rundlichen Aussehens sogleich wieder erkennt.

Durch die blättrige Abstumpfung der scharfen Säulenkante  $b = b : \infty a : \infty c$  werden die Krystalle zuweilen tafelförmig. Das Oктаeder  $o = a : b : c$  fehlt nie, auch ist gern der Anfang eines Paares  $e = a : c : \infty b$  vorhanden, ebenfalls mit ungefähr  $103^{\circ}$  in der Axe  $c$ . Ropp (Einleitung § 357) nimmt das Oктаeder  $o$  als zwei augitartige Paare, und stellt den scharfen Winkel  $M/M$  vorn, wie in unserer Figur, und allerdings scheinen Zwillinge vorzukommen, welche  $b$  gemein haben und umgekehrt liegen. Wie nahe übrigens das Zweigliedrige dem Zweieingliedrigen kommen kann, zeigt unser künstliches Salz: Descloizeaux (Mémoires Inst. impér. France 1867 Bd. 18 pag. 158) zeigte, daß die Kante



e/e gegen  $b$   $90^{\circ} 6'$  mache, also kaum um 6 Minuten abweiche, und geht wieder von  $o = d^{\frac{1}{2}} = a : b : c$  und  $o' = b^{\frac{1}{2}} = a' : b : c$  aus, stellt aber den Blätterbruch  $b = a : \infty b : \infty c$  nach vorn, und  $e = b : c : \infty a$  seitlich.

Die übrigen Flächen sind  $\gamma = (b^{\frac{1}{2}} d^{\frac{1}{2}} g^{\frac{1}{2}}) = b : c : 2a$ ;  $\alpha = (b^{\frac{1}{2}} b^{\frac{1}{2}} h^{\frac{1}{2}}) = b : c : \frac{2}{3}a'$ ;  $\delta = (d^{\frac{1}{2}} d^{\frac{1}{2}} h^{\frac{1}{2}}) = b : c : \frac{2}{3}a$ ;  $p = (d^{\frac{1}{2}} d^{\frac{1}{2}} h^{\frac{1}{2}}) = b : c : \frac{1}{4}a$ .

Das Merkwürdige daran ist, daß bloß zu  $b$ ,  $M$ ,  $e$  und  $\gamma$  die Parallelen vorhanden sind, von allen übrigen Paaren dieselben fehlen, wie eine Vergleichung der beiden nebeneinander gestellten Hälften zeigt. Denn hinten hat zwar  $\alpha = b : c : \frac{2}{3}a'$  in  $\delta = b : c : \frac{2}{3}a$  ein Gegenstück, aber vorn fehlen von beiden die Parallelen, sie bilden zusammen nur ein Halbes Oktaeder; ebenso sind  $o$ ,  $o'$  und  $p$  nur vorn und fehlen hinten. Nach den Winkeln könnte man daher über das System schwanken, optisch dagegen fallen zwar die Axen in die Medianebene senkrecht zum Blätterbruch, allein die Mittellinie (*Bissectrice aigue*) fällt nicht mit Axe  $c$  zusammen, sondern macht damit nach vorn einen kleinen Winkel von  $3^{\circ} 53'$ . Für die Orientirung genügt die **bauchige Säule**, welche zuweilen so vorherrscht, daß sich die Säulenflächen an beiden Enden allmählig zuspitzen, und scheinbar ein bauchiges zweigliedriges Oktaeder bilden, wie der Calcit von Sangerhausen. Wenn statt Eisen Mangan, Kobalt und Chrom kommt, so ändert das die Form nicht. Cyan ist Kohlenstoff  $C^2 N^2$ , die beide im Statu nascente sich leicht verbinden. Auf frischen Metakalven wird sogar silberglänzendes Stickstoffeisen  $Fe^6 N^2$  mit 9,2 N gefunden.



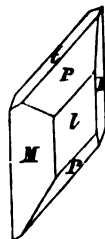
## Carbonate.

Vergleiche oben pag. 477—529. Hier nur die im Wasser löslichen, welche künstlich schöner werden, als sie in der Natur vorkommen.

### 1. Soda $Na C + 10 H$ .

War das Nitron des Herodot 2,86, womit die Aegyptier Monate lang ihre Leichen beizten, das Hebräische Neter, unser Natron. Plinius 31. <sup>46</sup> beschreibt die Gewinnung aus den Aegyptischen Natronseen.

Die großen künstlichen Krystalle der Fabriken bilden scheinbare Rhombenoktaeder PPMM, ähnlich dem Schwefel, mit abgestumpfter stumpfer Ecke 1, allein nur die Kante P/P ist durch die Schiefendfläche  $t$  abgestumpft, daher ist es  $2 + 1$ gliedrig (Pogg. Ann. 5. <sup>100</sup>). Die Säule M/M =  $79^{\circ} 41'$  hat vorn ihren scharfen Winkel, und der Medianwinkel der Augitpaare P/P =  $76^{\circ} 28'$  ist durch die Schiefendfläche  $t$  gerade abgestumpft, welche gegen Axe  $c$  sich unter  $57^{\circ} 40'$  neigt. Leider zerfallen die Krystalle leicht zu Mehl in Folge von Wasserverlust.  $H. = 1-2$ , Gew. 1,4.



Vor dem Löthrohr schmilzt es in schwachem Feuer in seinem Krystallwasser, in dem zuletzt ein Sodamehl  $Na C H$ , zurückbleibt. Die zu Mehl verwitterten Krystalle liefern die bekannte Soda zu Löthrohrversuchen. Als wasserfreie Efflorescenz wird sie aus dem Thonschiefer der Grube Neue Margarethe bei Clausthal aufgeführt. Das Natron zur

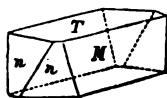
Soda wird vom Steinsalz genommen, welches sich mit  $H\ S$  leicht zerlegt pag. 622;  $Na\ S$  wird nun mit  $C$  und  $Ca\ C$  geglüht, es bildet sich  $Na\ S$ , welches  $Na\ C$  und unlösliches  $Ca\ S$  liefert. Ein anderes Verfahren ist mittelst Kohlensäure und Ammoniak: eine ammoniakalische Rochsalzlösung mit Kohlensäure gesättigt gibt Ammoniumbicarbonat, das sich mit Salz in Salmiak und Natriumbicarbonat umsetzt.

Kommt in der Natur meist nur als mehliges Beschlag vor. Der altbekannte Fundort des Natrons sind die Natronseen in Unterägypten (Ritter Erdkunde I 300) in einem ausgetrockneten Nilarm im Westen des Deltalandes (Thal der Natronseen), ein etwa 4 Stunde langer und  $\frac{1}{2}$  Stunde breiter Winters 6' tiefer Graben mit violettem Wasser (großer Natronsee), das Wasser verdunstet und läßt die Soda in 4'—5' mächtigen Schichten fallen, gemischt mit 36  $Na\ Cl$  und 16  $Na\ S$ . Der kleine Natronsee liegt eine Tagereise westlich Alexandrien. Aegypten führte 1820 gegen 200,000 Etr. Soda aus. In Ungarn bedeckt sich während der heißen Jahreszeit die Haide von Debreczin (Jahrb. 1865. 300) mit blendend weißen Krystallnadeln, man glaubt ein Schneefeld zu sehen. Das kohlensaure Kali, was mit Wasser leicht zerfließt, bleibt dagegen im Boden, und dient zur Salpeterbildung. Auch die Vulkane auf ihren Lavaströmen (Jahrb. 1870. 300) produciren. Wie die Asche der Binnenpflanzen Kali, so liefert die der Strand- und Seepflanzen Soda. Gegenwärtig wird die meiste aus Rochsalz und Glaubersalz dargestellt. In der Seifensiederei und Glasfabrication wichtig, Plinius 36. es erzählt: *appulsa nave mercatorum nitri, cum sparsi per litus epulas pararent, . . . glebas nitri e nave subdidisse. Quibus accensis permixta arena litoris, translucens novi liquoris fluxisse rivos, et hanc fuisse originem vitri.*

## 2. Trona $Na^2\ C^3 + 4\ H$ .

Ein Sesquicarbonat kommt unter diesem arabischen Namen von Fezzan in den Handel, in Columbien heißt es *Urao*, Klaproth Beitr. III. 88 nannte es strahliges Natrum. Nach Haidinger (Pogg. Ann. 5. 307)

2 + 1gliedrig: eine geschobene Säule  $n/n$  vorn  $132^\circ 30'$ , auf deren scharfe Kante der deutlich blättrige Bruch  $M$  gerade aufgesetzt ist, gegen  $Age\ c\ 49^\circ 25'$  geneigt,  $T/n\ 103^\circ 45'$ , die rhomboidische Säule  $M/T\ 103^\circ 15'$ .



Härte = 2—3, Gew. 2,1. Weiß, der Blätterbruch neigt zum Perlmutterglanz. Kommt in Platten vor, gegen welche die excentrisch strahligen Blättchen quer stehen. Braust stark mit Säure, hält sich aber an der Luft, und dient daher zu Bausteinen. In der Provinz Suchena zwei Tagereisen von Fezzan als jüngeres Gebilde, ebenso zu Lagunilla bei Merida in Columbien. Auch die Natronseen in Aegypten erzeugen dasselbe meist mit Zwischenlagen von Steinsalz, aus welchen die Mauern eines alten Kastells Quasser erbaut sein sollen, wozu sich Soda unmöglich eignen würde. Schon Plinius 31. 88 sagt, Gerrhis

Arabiae oppido muros domosque massis salis faciunt, aqua ferruminantes. Die Darstellung der künstlichen Krystalle gelingt nicht immer, man bekommt sie in Sodafabriken mehr durch Zufall (Pogg. Ann. 34. 100), auch kann man die natürlichen nicht umkrystallisiren lassen. Der Wassergehalt der kohlen sauren Natronsalze ist sehr verschieden, je nach der Temperatur, unter welcher sie krystallisiren:

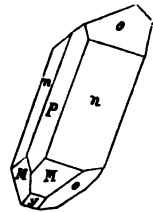
Thermonitrit, prismatisches Natronsalz Häubinger (Pogg. Ann. 5. 300)  $\text{Na C} + \text{H}$ , bildet sich beim Abdampfen der gesättigten Lösung zwischen  $25^{\circ}$ — $37^{\circ}$  C (Pogg. Ann. 6. 87) in 2gliedrigen Tafeln  $\text{M} = \text{a} : \text{b} : \infty \text{c}$   $96^{\circ} 10'$ , die scharfe Kante durch  $\text{b} = \text{b} : \infty \text{a} : \infty \text{c}$  gerade abgestumpft,  $\text{d} = \text{c} : \frac{1}{2} \text{b} : \infty \text{a}$   $72^{\circ} 10'$  in Axe c, das Oктаeder  $\text{o} = \text{a} : \text{b} : \text{c}$ , auf M gerade aufgesetzt. Soll sich auch in warmen Gegenden finden.

$\text{Na C} + 5 \text{H}$  (Pogg. Ann. 32. 303) bildete sich in der Alaunfabrik zu Burgweiler im Elsaß zufällig in „hemiprismatischen Oктаedern“.

$\text{Na C} + 7 \text{H}$  sind luftbeständige 2gliedrige Oblongtafeln, krystallisiren aus einer Lösung, die Natronhydrat enthält. Sind luftbeständig.

### 3. Gaylussit Boussingault.

Natrocaltit.  $\text{Na C} + \text{Ca C} + 5 \text{H}$  mit 33,8 kohlenf. Kalk. Findet sich in großer Menge zu Lagunilla südöstlich Merida in Columbien über der Trona im Thon um und um krystallisirt, Pogg. Ann. 7. 97, und in Nevada bei Ragtown, Jahrb. 1867. 211. Nach Phillips (Pogg. Ann. 17. 300) 2 + 1gliedrig: eine blättrige Säule  $\text{M} = \text{a} : \text{b} : \infty \text{c}$  bildet vorn  $68^{\circ} 50'$ ; Schiefendfläche  $\text{P} = \text{a} : \text{c} : \infty \text{b}$  dehnt sich gewöhnlich lang aus, macht vorn in  $\text{P/M}$   $96^{\circ} 30'$  und ist  $78^{\circ} 27'$  gegen die Axe c geneigt; ein augitartiges Paar  $\text{o} = \text{a}' : \text{c} : \frac{1}{2} \text{b}$   $110^{\circ} 30'$  in der Medianante auf der Hinterseite;  $\text{n} = \text{a} : \text{c} : \frac{1}{2} \text{b}$  aus der Diagonalzone von P bildet über P  $70^{\circ} 30'$ ; eine dreifach schärfere  $\text{y} = \text{a}' : 3\text{c} : \infty \text{b}$ . Alle diese Flächen stehen in einem schönen Deductionsverhältniß, wie beim Feldspath. Optische Axen liegen in einer Schiefendfläche, die im Mittel  $16^{\circ}$  gegen Axe c macht, b optische Mittellinie.  $\text{H.} = 2$ —3, Gew. 1,9. Frisch sind sie klar, nach ein paar Monaten verlieren sie aber Krystallwasser und werden trüb. Vor dem Löthrohr schmelzen sie leicht zu trüber Perle, im Wasser löst sich das Natronsalz, und der Kalk bleibt zurück, daher ist er zu Aetzerkrystallen besonders geeignet.



Calcit von Oberndorf bei Sangerhausen in Thüringen besteht aus trüben weißen Krystallen, die man für bauchige Rhombenoktaeder nehmen kann, ähnlich den Mißbildungen des rothen Blutlaugensalzes pag. 635. Sie sind auch in Ungarn und Schleswig vorgekommen und enthalten nach Karsten 94,4 Ca C. Man sah sie als Gaylussit an, der sein kohlen saures Natron und Krystallwasser abgegeben hat.



## Sulphate.

10.

Die wasserbeständigen schwefelsauren Salze haben wir pag. 530—551 aufgeführt. Die Schweflige Säure und Schwefelsäure spielt aber in Vulkanen und bei Zersetzungsprozessen der Schwefelmetalle noch eine bedeutende Rolle, wodurch eine Reihe von Salzen erzeugt wird, die jedoch meistens die Schönheit der künstlichen nicht erreichen. Mitscherlich (Pogg. Ann. 18. 188) hat gezeigt, daß besonders die Selenensäure Se, Chromsäure Cr und Mangansäure Mn isomorph mit Schwefelsäure sind.

## 1. Schwefelsaures Kali K S.

Arcanit und Glaeserit, denn es ist das Arcanum duplicatum oder das Sal polyohrestum Glaseri der alten Chemiker, was man in so schönen künstlichen luftbeständigen Krystallen bekommt, und das als große Seltenheit in dünnen Krusten die Laven des Vesuvius von Zeit zu Zeit überzieht, Smithson's Vesuvian Salt, Potassa Solfata Covelli Miner. Vesuv. 316. Bei der Bereitung der Salpetersäure, Essigsäure und englischen Schwefelsäure wird es als Nebenprodukt bekommen. Schon Romé de l'Isle (Essai Cryst. 1772. 88) beschrieb es vortrefflich, nannte es *un vrai Prothée dans la génération de ses Cristeaux*, die er dem Cristal de roche verglich.

2gliedrig mit auffallend dihexaedrischem Typus, wie Witherit:  $M =$



$a : b : \infty c \ 120^\circ \ 24'$ ,  $h = b : \infty a : \infty c$  stumpf die scharfe Säulentaute ab, und ist blättrig, was sich beim Zersprengen mit dem Messer erkennen läßt. Oktaeder  $o = a : b : c$  nebst dem hauchigen Paare  $i = c : \frac{1}{2}b : \infty a$ , mit  $67^\circ \ 38'$  in der Axe c, bilden eine scheinbar dihexaedrische Endigung.

Daraus folgt  $a : b = 0,7674 : 1,34$ . Verschwinden die Säulen, so entstehen förmliche ringsum gebildete Dihexaeder. Ja die Täuschung geht noch weiter: es kommt noch ein oberes Oktaeder  $f = 2a : 2b : c$  mit der Zuspitzung  $P = b : c : \infty a$ , die unter sich wieder ein scheinbares Dihexaeder bilden, ganz wie beim Witherit pag. 522. Ebenso eine scheinbar 2te sechsseitige Säule  $e = a : \frac{1}{2}b : \infty c$  und  $h = a : \infty b : \infty c$ . Dieß



alles kann zu Mißdeutungen verführen, aber schon die Zwillinge weisen zur richtigen Erkenntniß, sie haben die Säulenfläche M gemein und liegen umgekehrt. Schließen sich also auch in dieser Beziehung an die Aragonitgruppe an.

Die Ebene der optischen Axen ist  $bc$ , sie machen  $67\frac{1}{2}^\circ$ , welcher Winkel durch die Hauptaxe c halbiert wird. Man kann daher unmittelbar durch i die Farbenringe im Polarisationsmikroskop wahrnehmen.

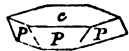
$\rho = 2-3$ , Gew. 2,7. Es leuchtet, wenn es aus dem glasartigen Zustand in den krystallinischen übergeht (Pogg. Ann. 52. 481). Enthält 54 Ka,



verknistert leicht, schmilzt, und zieht sich in die Kohle, wo sich Schwefelkalium reducirt, wie man mit dem Pulver auf besendtetem Silberblech erkennt. In Roccamuto bei Girgenti meßbare Krystalle im Miocenen Steinsalz (Pogg. Ann. Ergänz. VI. 1873 pag. 359).

Selensaures Kali hat eine Säule von  $120^{\circ} 25'$ , Chremsaures Kali  $120^{\circ} 41'$ , Mangansaures Kali  $121^{\circ} 10'$ .

Schwefelsaures Kali kommt auch **rhomboedrisch** vor (Mitscherlich Pogg. Ann. 58. 100): wie Kupferglimmer und Eisenglanz bildet es Tafeln durch Ausdehnung der Geradenfläche c, gegen welche die Rhomboeberflächen P einen Winkel  $P/c = 124^{\circ}$  machen. Sind optisch einaxig, und bilden sich in Seifenfiederlauge. Nach Scacchi hat das Vulkanische Salz einen bedeutenden Gehalt an Na S, das auf 40 p. C. gehen kann, und rhomboedrisch krystallisirend als **Aphthalos** (Jahrb. 1875. 100) vom Arcanit getrennt wird. Es ist gleichsam ein Uebergang zum Polyhalit unserer Salzgebirge.

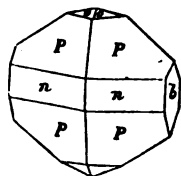


Misenit (Scacchi Erdmann's Journ. 55. 55)  $K S^2 + H$ , bildet sich als seidenglanzende Fasern im vulkanischen Tuff der Grotte von Misene. Es ist das bekannte saure schwefelsaure Kali, welches aus der wässrigen Lösung 2gliedrig wie Schwefel, beim Erkalten nach dem Schmelzen zweideingliedrig ähnlich dem Feldspath krystallisirt.

## 2. Schwefelsaures Natron Na S.

Thenardit. Casaseca (Ann. chim. phys. XXXII. 300) fand es in den Salinas d'Espartinas bei Aranjuez, wo es sich Sommers in den aus dem Boden quellenden Salzwässern bildet.

Die künstlichen Krystalle sind nach Mitscherlich (Pogg. Ann. 12. 100) 2gliedrig, vorherrschend ein. blättriges Rhombenoktaeder  $P = a : b : c$ , in der vordern Endkante  $a : c = 135^{\circ} 41'$ , seitlichen Endkante  $b : c = 74^{\circ} 18'$ , Seitenkante  $123^{\circ} 43'$ ; die rhombische Säule  $u = a : b : \infty$  macht vorn  $129^{\circ} 21'$ ; die Abstumpfung der scharfen Seitenecke  $b = b : \infty a : \infty$  sehr deutlich blättrig; Oktaeder  $o = a : b : c$  schärft die Endecke zu.



In der Bolivischen Salpeterwüste kommen undurchsichtige gelbe Oktaeder vor (Jahrbuch 1863. 100), die mit dem Anlegegoniometer sich sicher bestimmen lassen. Darunter finden wir häufig **Zwillinge**, welche sich mit der Seitenkante von  $123.43$  aneinander legen, und oben Aehnlichkeit mit den Schwalbenschwänzen des Gypses zeigen. Unser Bild zeigt die Individuen von der scharfen Kante  $p/p = 56^{\circ} 17'$ , dieselben schmiegen sich so aneinander, daß man eine einfache Säule zu haben meint, woran die seitlichen Oktaeder-ecken nach entgegengesetzten Richtungen gehen. Eine ungewöhnliche Erscheinung, die aber dennoch dem gewöhnlichen Geseß, Säule  $n/n$  gemein und umgekehrt, entspricht. Zu-



weilen durchkreuzen sie sich, und zeigen dann oben und unten einen Schwanz.

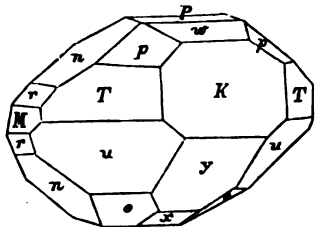
Härte 3, Gew. = 2,7. Zieht aus der Luft Wasser an, und überdeckt sich mit einem mehligem Beschlag, welcher die weitere Veränderung hindert. Wenn man dann die Krystalle bürstet, so werden sie wieder für eine Zeit lang glänzend. Wasserfreies Salz.

Schwefelsaures Silberoxyd  $\text{Ag S}$ , selsensaures Natron  $\text{Na Se}$  und selsensaures Silberoxyd  $\text{Ag Se}$  sind damit isomorph. Auch der übermangansaure Baryt  $\text{Ba O M}^2\text{O}^7$  hat die gleiche Form. Wird die heiße Lösung bedeckt, so krystallisirt sie sonderbarer Weise nicht; erst nach Abnahme der Bedeckung findet bei Berührung Krystallisation unter schwachem Leuchten Statt.

Schwefel- und Selsensaures Natron haben die merkwürdige Eigenschaft, daß sie bei  $33^\circ \text{C}$  am löslichsten sind, erhitzt man stärker, so krystallisiren sie wasserfrei heraus, daher muß in Spanien das Wasser Sommers über  $33^\circ \text{C}$  warm sein, denn unter dieser Temperatur erhält man wasserhaltiges

Glaubersalz  $\text{Na S} + 10 \text{H}$ , Sal mirabile Glauberi, daher Mirabilit Haubinger. Man bekommt es in ausgezeichneten künstlichen Krystallen, die aber durch 8 Atom Wasserverlust zu Mehl von  $\text{Na S} + 2 \text{H}$  zerfallen. Wie das Chromsaure Natron  $\text{Na Cr} + 10 \text{H}$  krystallisirt es

2 + 1gliedrig: Säule  $\text{T} = \text{a} : \text{b} : \infty$  bildet vorn den scharfen



Säulenwinkel von  $86^\circ 31'$ , der deutliche Blätterbruch  $\text{M} = \text{b} : \infty \text{a} : \infty$  stumpft die stumpfe seitliche Säulenkante gerade ab, am größten pfeilt  $\text{k} = \text{a} : \infty \text{b} : \infty$  zu sein, welche die scharfe vordere Säulenkante gerade abstumpft. Die vordere Schiefenfläche  $\text{P} = \text{a} : \text{c} : \infty \text{b}$  neigt  $72^\circ 15'$ , und die hintere Gegenfläche  $\text{x} = \text{a}' : \text{c} : \infty \text{b}$

$75^\circ 19'$  gegen die Axe c; das hintere Augitpaar  $\text{o} = \text{a}' : \text{c} : \frac{1}{2} \text{b}$  fällt in die Diagonalzone von x und die Kantenzone T/P;  $\text{y} = \frac{1}{2} \text{a}' : \text{c} : \infty \text{b}$ ,  $\text{n} = \text{a} : \text{c} : \frac{1}{2} \text{b}$ ,  $\text{u} = \frac{1}{2} \text{a}' : \frac{1}{2} \text{b} : \text{c}$ , alles Ausdrücke wie die gleichnamigen Buchstaben beim Feldspath;  $\text{w} = \frac{1}{2} \text{a} : \text{c} : \infty \text{b}$ ,  $\text{p} = \frac{1}{2} \text{a} : \frac{1}{2} \text{b} : \text{c}$ ,  $\text{r} = \text{a} : \text{c} : \frac{1}{2} \text{b}$ .

Härte = 2, Gew. 1,5. Man muß es in feuchten Gläsern bewahren, wenn die Krystalle nicht zerfallen sollen. Als mehliges Beschlag von bitter kühltem Geschmack auf Gyps und Steinsalz häufig. Meerwasser und Salzseen enthalten es.  $\text{Mg S}$  und  $\text{Na Cl}$  zerlegen sich bei  $-3^\circ$  so, daß Glaubersalz entsteht, und  $\text{Mg Cl}$  in der Flüssigkeit bleibt (Eton-See), daher läßt man es Winters aus der Soole auskrystallisiren, bei Staßfurt, Berchtesgaden zc. In einer Höhle von New-Albany (Indiana) in großer Menge, bei Logrono am Ebro mit Steinsalz wechseltlagernd. Der Bittersee am Neusiedler See, welcher 1865 im Juli gänzlich verschwand,

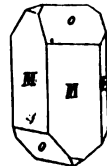
Jahrb. Geol. Reichsanst. 1866. 340, besteht aus verunreinigtem fatescirten Glaubersalz. Auch finden wir es unter den Efflorescenzen des Jelsus. Als Arzneimittel und für Glasbereitung wichtig.

Mascagnin  $\text{Am S}^{\text{H}}$ , Schwefelsaures Ammoniak mit einem Atom Wasser, kommt wie Salmiak als Sublimat bei Steinkohlenbränden und in Vulkanen hin und wieder vor. Die künstlichen Krystalle sind 2gliedrig, rhombische Säule  $a : b : \infty c$   $107^{\circ} 40'$ ,  $b : \infty a : \infty c$  etwas blättrig, Octaeder  $a : b : c$ , und Abstumpfung der vordern Endkante des Octaeders  $a : c : \infty b$ . Lecontit  $\text{Na Am S}^2 \text{H}^4$  kommt 2gliedrig in Höhlen von Honduras vor, die Schwärmen von Fledermäusen zum Aufenthalt dienen, aus deren Excrementen entsteht (Silliman Amer. Journ. 26. 354).

### 3. Bittersalz $\text{Mg S}^{\text{H}}$ .

Magnésie sulfatée, Haarsalz, Epsomit. Als wichtiges Arzneimittel schon lange gekannt, aber schwer bei ältern Schriftstellern von andern Salzen zu scheiden. Hippocrates erwähnte *Mayvrola Mros* als Abführungsmittel, und der Engländer Lister kannte schon 1684 die Krystalle (Grundriß Krystall. pag. 13), die Romé de l'Isle (Essai Crist. 1772 pag. 49 tab. III fig. 11) unter dem Namen Natron ganz vortrefflich abbildete. Die „Löslichkeit des Salzes gegenüber dem Gyps hat viel dazu beigetragen, die Kalkerde von der Kalkerde zu unterscheiden“: Black nannte 1755 die Erde Magnesia.

Zweigliedrig mit scheinbar tetraedrischer Hemiedrie.  $a : b = \sqrt{3,008} : \sqrt{3,068}$ . Säule  $M = a : b : \infty c$  macht vorn  $90^{\circ} 38'$ ,  $B = b : \infty a : \infty c$  in der scharfen Kante ist etwas blättrig, und da sie gesetzmäßig erscheint, so geht schon daraus hervor, daß die Säule nicht quadratisch ist, wie Haüy Miner. II. 377 nahm. Man darf sie übrigens bloß unter das Polarisationsmikroskop bringen, um sogleich den Irrthum zu erkennen. Das Octaeder  $o = a : b : c$  dehnt sich gar gern tetraedrisch aus, wie aus der Dachkante  $o/o = 101.54$  an beiden Enden folgt, die kreuzweis einander gegenüber stehen. Es sind rechte und linke Krystalle möglich. Klein sind übrigens auch die Flächen des Gegentetraeders vorhanden, und da dieselben das gleiche physikalische Aussehen haben, so erscheint die Hemiedrie nicht recht durchgreifend. Im vollständigen Octaeder schneiden sich die Kanten  $a : c$  fast genau unter  $120^{\circ}$ , da das Verhältniß  $1 : \sqrt{3}$  gibt. An künstlichen Krystallen kommt r 101, q 011, 211, 121, 021, 201 zc. vor.



Die optischen Axen liegen ungewöhnlicher Weise in der Geradenfläche  $c : \infty a : \infty b$ , die senkrecht auf den Blätterbruch B steht, Axe b fällt mit der optischen Mittellinie zusammen, welche den Winkel der Axen von  $37^{\circ} 24'$  halbirt (Pogg. Ann. 82. 11), jede Säulenfläche zeigt daher einen Axenring.

Härte = 2—3, Gew. 1,8. Salzig bitter, von anhängendem Chlor-

magnesium feucht mit 51 p. C. Wasser. Zu Schemnitz etwas Kobalt-haltig, Bogg. Ann. 31. 144. Auf glühende Kohlen geworfen schmilzt es zu einer weißen schwammigen Masse, darauf geblasen schmilzt der Schwamm zu einer Kugel, die schön leuchtet. Künstlich kann man sehr große wohlgebildete Krystalle haben, in der Natur aber kommen sie meist nur als haarige Ausblühungen vor. In den Kohlengruben bei Offenburg am Schwarzwalde fliegen kleine Flittern in der Luft herum, die sich fortwährend im Schieferthon zwischen dem Anthracit erzeugen. Das Haarsalz aus dem Alaunschiefer der Quecksilberguben von Idria (Laprotz Beiträge III. 104), die schneeweißen Nadeln aus den Gypsbrüchen von Calatayud in Arragonien, die safrig derben von Szamobar in Kroatien zc. sind bekannt. Stalactitisch zu Herrengrund bei Neusohl von schöner blaß rosenrother Farbe, die von Kobaltvitriol herrührt. Beim Reiben wird es naß von eingeschlossener Mutterlauge. Die Steppen von Sibirien decken sich damit nach Regen wie mit Schnee. In den Talkschiefern von Oberitalien entsteht das Salz durch Zersetzung von Schwefelkies. Gypslösungen im Dolomit erzeugen Bittersalz, ebenso die Seen ohne Abfluß, besonders bei Kälte, weil das Salz dann viel unlöslicher im Wasser ist. Die Schweizer sammeln es daher auch an den Gletschern (Gletschersalz), obwohl es hier sehr unrein schon an Federalaun erinnert. Besondern Ruf haben die Bittersalzquellen von Epsom in England (daher Epsom-salz), Saidschütz und Seidlitz in Böhmen zc. In den Abraumsalzen von Staßfurt kommen im Carnallit dünne Schichten von amorphem Bittersalz vor, die man Reichardtit genannt hat. Wohl zu unterscheiden von

**Kieserit**  $Mg\ S\ H$  mit 13 p. C. Wassergehalt, was einem bei 100° getrockneten Bittersalz entspricht. Die derben gelblichgrauen Massen von 2,5 Gew. kommen bei Staßfurt unter den Abraum-Salzen in der 90' mächtigen „Kieseritregion“ vor. An der Luft bläht er sich durch Aufnahme von Wasser, und zerfällt. Er ist immer durch Chlormagnesium und Steinsalz verunreinigt. Solche Gemische wurden beim Niederbringen des Bohrlochs schon **Martinfit** ( $10\ Na\ Cl + Mg\ S$ ) genannt, bis man endlich das wahre Verhalten richtig erkannte. Obwohl die Angaben über den Wassergehalt etwas schwanken, so liefert er doch unverkennbar ein Gegenstück zum Anhydrit: beide danken wohl diese merkwürdige Wasserarmuth der gleichen Ursache. Wie bei gebranntem Gyps findet mit Wasser auch ein schnelles Erhärten (Jahrb. 1866. 44) unter Erwärmen Statt, es bildet sich „Kieseritstein“, ein wichtiges Rohmaterial für Bittersalzfabriken. In den grobkörnigen Linsen des Salzthons von Hallstadt fanden sich sogar 2 + 1gliedrige Octaeder, Jahrb. 1871. 759.

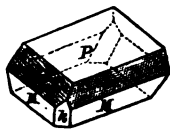
**Zinkvitriol**, Weißer Vitriol, Goslarit, Atramentum album Goslarianum Gesner und Agricola nat. foss. 589.  $Zn\ S\ H^7$  krystallisirt genau wie Bittersalz. Säule 90° 42' (91.5)  $a : b = 1,787 : 1,75$ . Außerlich dem Bittersalz vollkommen gleichend, vor dem Löthrohr auf Kohle leuchtet die Probe grünlich. Mischt sich leicht mit Bittersalz. In der Natur entsteht er durch Verwitterung der Blende, besonders wo die

Erze durch Feuersetzen gewonnen werden, wie zu Falun, Göslar, Schemnitz. Neuerlich auch bei Freiberg, Jahrb. 1875. 675. Im Rammelsberge meist stalactitisch, Klaproth Beitr. V. 193.

**Nickelvitriol**  $\text{Ni S } \bar{\text{A}}^7$ , krystallisirt unter  $15^\circ \text{ C}$  2gliedrig in schön grünen Säulen von  $91^\circ 10'$ , wie die vorigen; über  $15^\circ$  aber in scharfen viergliedrigen Oktaedern mit einem Seitenkantenwinkel von  $139^\circ 18'$ . Setzt man daher 2gliedrige Krystalle in verschlossenen Gefäßen der Sonnenwärme aus, so stehen sie um, indem sich innen lauter kleine Quadrat-oktaeder bilden, und werden dadurch matt und brüchig (Pogg. Ann. 12. 140). Bei  $30^\circ$  sogar 2 + 1gliedrig, daher **trimorph**! In der Natur selten zu Niehelsdorf. Kobell's Pyromelin von der Friedrichsgrube bei Lichtenberg im Bayreuth'schen enthält etwas Arsenichte Säure. Wie die Temperatur auch in der Natur einwirkte, beweist der interessante

**Tauriscit** (Volger Jahrb. 1855. 100), welchen Dr. Lusser zu Altdorf in einem großen körnigen Klumpen auf der Windgälle etwa 7000' hoch fand. Lockere hellgrüne scheinbar viergliedrige Säulen sind mit einzelnen Krystallen von monoklinem Eisenvitriol gemischt. Das Polarisationsmikroskop beweist sofort durch die Lage der Axen, daß wir es mit Bittersalzform zu thun haben. Volger fand die Flächen 111, 100, 010, 110, 101, 011, 120, 211, 121, 221. Es liefert das eine der interessantesten Bereicherungen dieser Gruppe. Zweigliedrig und isomorph mit Bittersalz sind Selen- und Chromsaure Bittererde und Zinkoxyd u., versteht sich alle mit 7 Atom Wasser. Nach Häubinger (Pogg. Ann. 6. 101) bilden sich Bittersalz und Zinkvitriol aus concentrirten Lösungen bei höherer Temperatur in 2 + 1gliedrigen boraxartigen Krystallen. Hr. Prof. Ries in Hohenheim sucht hier auch den sehr Manganhaltigen Fauserit (Jahrb. 1865. 100) von Herrngrund in Ungarn hinzustellen und den türkischen Pisanit, obwohl letzterer monoklin die optischen Axen in der Medianebene hat (Descloizeaux Mém. Inst. France 1867. 107). Es sind neben Bittersalz noch eine ganze Reihe zusammengesetzter Salze zu nennen. Darunter zeichnen sich folgende drei aus:

a) **Glauberit** (Brongniart Journ. min. 1808. XXIII. 2), Brongniart in Leonh.  $\text{Na S} + \text{Ca S}$ . Zweiundeingliedrige ringsum gebildete Krystalle:  $M = a : b : \infty$  bildet eine kurze Säule vorn mit  $83^\circ 20'$ . Schiefendfläche  $P = a : c : \infty$  ist blättrig und  $68^\circ 16'$  gegen die Axe  $c$  geneigt. Kante  $P/M$  wird durch ein Augitpaar  $m$  abgestumpft,  $116^\circ 36'$  in der Medianante machend, und stark gestreift parallel der Kante  $P/M$ . Meist zur Hauptsäule ausgebehnt, und daran leicht erkennbar. An der kurzen Säule liegt  $k = a : \infty : \infty$ . Die Krystalle sind klar und gelblich weiß, überziehen sich aber an der feuchten Luft mit einer mehligten Rinde von Glaubersalz. Härte = 2—3, Gew. 2,8. Ebene der optischen Axen liegt fast senkrecht auf dem leicht darstellbaren Blätterbruch und geht Axe  $b$  parallel. Man darf daher nur Stücke abspalten. Der Axenwinkel ist sehr klein, auf

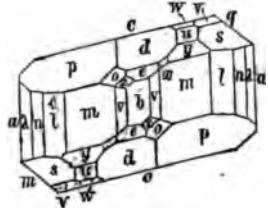


warmes Glas gelegt gehen die Azen zusammen, und dann nach der Azenlinie *a* auseinander. Eignet sich daher zu diesem Experiment ganz vortrefflich. Vor dem Löthrohr schmilzt er leicht, verliert im Wasser seine Durchsichtigkeit, weil 51 Na S ausgezogen werden und 49 Ca S sich zum größten Theil ausscheiden. Besonders schöne Krystalle im Steinsalz von Billarubia bei Ocana, Provinz Toledo; bei Vic, Varengeville bildet es unreine knotige Concretionen im Salz, zu Aussee und Berchtesgaden sehr schöne fleischrothe blättrige Massen, die aber optisch nicht stimmen wollen. In den Abraumsalzen zu Westeregeln ein 4' mächtiges Lager, Jahrb. 1874. 618, 543. Künstliche Krystalle Journ. pr. Chem. 72. 291.

b) **Polyhalit** Stromeyer (Commentationes Soc. Reg. Götting. rec. 1820. IV. 100) *πολύ* viel, *ἅλς* Salz, weil er aus drei Salzen  $K\ S + Mg\ S + 2\ Ca\ S + 2\ H$  besteht. Er bildet im Steinsalz von Fischl, Aussee, Berchtesgaden derbe rothe Massen von gelblich grauen Strahlen durchzogen, die äußerlich an undeutlichen Faserghypss erinnern, aber vor dem Löthrohr leicht zu einer Perle schmelzen. Nach längerem Blasen bleibt eine weiße Schlacke zurück. Haidinger (Pogg. Ann. 11. 408) wies darin zwei gleiche Blätterbrüche nach, die sich unter  $115^\circ$  schneiden, und deren scharfe Kante durch eine dritte Fläche gerade abgestumpft wird. Härte 3, Gew. 2,8. Die violette Kalifarbe vor dem Löthrohr durch Kobaltglas unzweifelhaft. Bei Staßfurt bildet er über der Anhydritregion graue Schnüre, welche den Fallwinkel des Salzlagers angeben. Sie haben sich durch Aufnahme von K und Mg allmählig aus Ca S herausgebildet, und bezeichnen dort die „Polyhalitregion“, der dann allmählich die „Kieserit- und Carnallitregion“ folgt. Tritt Mg aus, so entsteht **Syngenit**  $K\ S + Ca\ S + H$ , das künstlich längst bekannte schwefelsaure Kalkerde-Kali, Rammelsberg Hdb. Krystallgr. Chemie pag. 235. Es fand sich mit Sylvin bei Kalusz in klaren Gypsähnlichen Blättern, deren chemische Reaction auf Polyhalit hinwies, und daher den Namen (*ορυζήνης* verwandt) bekam, Jahrb. 1872. 537. Da die Tafeln (*a* : oob : ooc) in der Medianebene *b* : ooa : ooc scheinbar gleiche Augen der optischen Azen zeigen, so wurden sie für zweigliedrig gehalten, bis Hr. Prof. Rumpf (Zschem. Mineral. Mitt. 1872. 117) sie unter einem zweiten Namen Kaluszit 2+1gliedrig beschrieb: eine blättrige Säule  $p = a : b : ooc$  vorn mit  $106^\circ 32'$  wird in ihrer stumpfen Kante durch  $a = a : oob : ooc$  tafelartig, eine Schiefenbläche  $c = c : ooa : oob$  macht damit  $104^\circ$ , so daß die schiefen Azen *a/c* sich hinten unter  $76^\circ$  schneiden. Etwas härter als Gyps und 2,7 Gew. Fläche 100, 010, 001, 110, 120, 210, 310, 011, 101, 1'01, 1'11, 2'21.

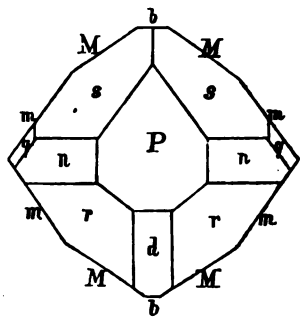
c) **Afsranit** G. Rose (Reise Ural II. 270) Na S + Mg S + 4 H, von unbekannter Krystallform, bildet sich auf dem Boden der Karrduanschen Seen an der untern Wolga unter einer Kochsalzschicht, verwittert vollständig an der Luft, und war früher Handelsartikel. Aehnliche Bildungen scheinen zu Seidlitz und Saidschütz (Neussin) vorzukommen. Auch der krümmliche Blödit John 1811 (Chemische Schriften VI. 240) von Fischl hat

dieselben Bestandtheile. Er sitzt auf Anhydrit wie der ähnliche aber wasserärmere Löweit. Endlich kamen bei Hallstadt (Sitzb. Wien. Acad. 18. November 1869) monokline Krystalle vor, die von der gleichen Zusammensetzung aber luftbeständig waren. Ischermat nannte sie daher nach dem Entdecker Simon hit. Da fanden sich zu Leopoldsdall bei Staßfurt mehr als Zollgroße klare luftbeständige Krystalle (Jahrb. 1871. 300), die es wohl außer Zweifel stellen, daß alle Namen einer Species angehören. Nach der übereinstimmenden Darstellung von Groth (Zeitschr. d. geol. Ges. 1871. 270) und v. Rath (Pogg. Ann. 144. 300) bilden die monoklinen freilich oft sehr verzogenen Krystalle eine Säule



$m = a : b : \infty$   $74^\circ$  mit dem scharfen Winkel nach vorn, und einer ausgedehnten Endfläche  $c = c : \infty a : \infty b$ , welche sich  $79^\circ 16'$  gegen Axe  $c$  neigt. Ein Augitpaar  $p = a : b : c$  findet hinten in  $u = a' : b : c$  sein kleineres Gegenstück. Sie führen auf die schiefen Axen  $a : b : c = 1,489 : 2,009 : 1$ . In Zone  $p/u$  und  $e/c$  liegt das seitliche Paar  $d = b : c : \infty a$ ; in  $p/p$  und  $m/d$  vorn  $o = a : c : \frac{1}{2}b$ , und hinten ergibt sich das entsprechende  $x = a' : c : \frac{1}{2}b$  in  $m/d$  und  $e/o$  durch den Zonenconnex mit  $e = c : \frac{1}{2}b : \infty a$  in  $c/d$  und  $a/o$  gelegen. Bei gehörigem Material braucht man nur selten Messung zu nehmen. Besonders reich ist die hintere Region entwickelt durch die Flächen  $y = \frac{1}{2}a' : \frac{1}{2}b : c$ ,  $s = \frac{1}{2}a' : b : c$ ,  $q = \frac{1}{2}a' : c : \infty b$ ,  $w = 2a' : 2b : c$ ,  $v = a' : 2b : c$ ,  $t = \frac{1}{2}a' : b : c$ ,  $z = a : c : \frac{1}{2}b$ . In der Säule sind viele Flächen kaum angedeutet, am größten  $n = a : 2b : \infty c$ ,  $l = a : \frac{1}{2}b : \infty c$ ,  $\lambda = a : 3b : \infty c$ ,  $v = a : \frac{1}{2}b : \infty c$ . Die optischen Axen liegen in der Medianebene.

**Warthit.** Ehe ich diese flächenreichen Krystalle kennen lernte, sandte mir Herr Dr. Warth, Director der Salinen in der Indischen Salzketten, eine Menge luftbeständiger Krystalle von 3—6 Linien Größe, die einmal mitten im reinsten Indischen Steinsalz drüsenförmig eingebrochen waren. Sie erinnerten mich durch ihren Habitus an Datolith, und boten ein willkommenes Lehrmaterial: ich gieng ohne zu messen von der Säule  $M = a : b : \infty c$  aus, und nahm  $d = a : c : \infty b$  als vordere Schiefenfläche. Dann waren vorn  $r = a : b : c$  einfache Oktaeder,



wozu das seitliche Paar  $n = b : c : \infty a$  vorzüglich paßte. Obwohl  $P = c : \infty a : \infty b$ , gewöhnlich stark ausgedehnt, bei flüchtigem Anblick einer Geradenfläche gleich, so konnte man doch bei schärferer Betrachtung eine sichtliche Neigung nach hinten wahrnehmen, wodurch sich das System als 2 + 1gliedrig ergab. Die Zuschärfung  $m = a : \frac{1}{2}b : \infty c$  mußte durch Messung festgestellt werden. Daraus folgte dann in den Zonen  $n/r$  und  $P/m$  das große hintere Augitpaar  $s = 2a' : b : c$ . Alle andern Flächen,

wie  $q = 2a' : c : \frac{1}{2}b$ ,  $b = a : \infty b : \infty c$  sind klein, auch die Seitenkanten der Säule  $a = b : \infty a : \infty c$  nur klein abgestumpft, und zwischen  $m/a$  liegt eine Säulenfläche, die der  $v$  von Staßfurt entsprechen würde. Dann fehlen kleine Abstumpfungen zwischen  $P/n$ ,  $n/s$  und  $m/r$  nicht, wovon letztere sich durch Zone  $P/m$  als  $b : 2a : c$  ergibt. Da die Krystalle wegen ihrer Löslichkeit durch Anfassen leiden, so lege ich auf die kleinen Flächen keinen Werth, sie deuten nur an, daß auch bei diesen indischen Blöden der deutsche Flächenreichtum nicht fehlt. An der Identität ist nicht zu zweifeln, ich habe nur nach hinten gestellt, was Groß und Rath vorn heißen, und die stumpfe Säule  $M$  zum Ausgang genommen d. h. Aze  $a$  verdoppelt: Aze  $a$  (Q) =  $2a$  (Gr). Den Buchstaben nach ist unser  $M = n$ ,  $m = m$ ,  $P = c$ ,  $d = q$ ,  $r = s$ ,  $n = d$ ,  $s = p$ ,  $q = o$ , zu setzen, und die Horizontalprojection im Azimuth  $180^\circ$  zu drehen, so stehen die Bilder parallel. Die Messung gab  $M/M = n/n = 112^\circ 30'$ ,  $M/m = n/m = 160^\circ 30'$ ,  $M/s = n/p = 132^\circ 53'$ ,  $P/s = c/p = 143^\circ$ ,  $PM = c/n = 98^\circ 30'$ ,  $P/n = c/d = 146^\circ 37'$  zc.

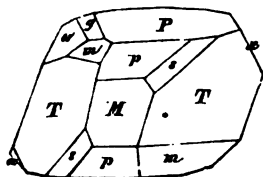
Da die Endfläche  $P$  häufig auf beiden Enden ausgedehnt ist, so bekommt man im Polarisationsmikroskop ein Augenbild, das auf die Lage in der Medianebene hinweist. Sie schmelzen leicht, verlieren dabei ihr Wasser und blähen sich. Von der Schwefelsäure und dem Kali kann man sich vor dem Löthrohr leicht, und von der Bittererde schon durch den Geschmack überzeugen.

Pikromerit  $K Mg S^2 H^6$  steckt in den Salzkrusten der Fumarolen des Bessubs (Noth der Bessub ...), wie das blaue Cyanochrom  $K Cu S^2 H^6$ . Bei Staßfurt (Jahrb. 1865. ...) findet sich eine dichte graue Pikromeritmasse, die 19 p. C.  $Mg Cl$  enthält.

#### 4. Eisenbitriol $Fe S H^7$ .

Suckow will nur 6 H. Fer sulfaté. Grüner Bitriol. Bei Dioscorides *μελαντηρία* (Schuster schwarz), daher Melantherit. Atramentum sutorium viride bei Agricola. Mit Bestimmtheit läßt er sich erst bei Albertus Magnus im 12ten Jahrh. erkennen. In künstlichen Krystallen vorzüglich zu haben.

Zweieindeingliedriges Krystallsystem, von rhomboedrischem Habitus. Haüy und Mitscherlich nahmen ihn daher noch rhomboedrisch, was für die Orientirung oftmals auch gar nicht unzuwennig ist:  $T = a : b : \infty c$  bildet vorn die scharfe Säulenkante  $82^\circ 21'$ ; Schiefendfläche  $P = a : c : \infty b$  ist  $75^\circ 40'$  gegen Aze  $c$  geneigt, und bildet hinten die scharfen Kanten  $P/T$   $80^\circ 37'$ , die nur  $1^\circ 44'$  vom vordern Säulenwinkel  $T/T$  abweichen. Nun ist  $P$  zwar blättriger als  $T/T$ , allein bei künstlichen Fossilien bleibt die scharfe Unterscheidung der Blätterbrüche immerhin eine mißliche Sache. Daher konnte  $TTP$  wohl für ein





Rhomboeder gehalten werden. Die hintere Gegenfläche  $x = a : c : \infty b$ ,  $43^\circ 32'$  gegen Axe  $c$ , bildet zum Rhomboeder die Geradenfläche. Eine vordere Schiefenfläche  $w = \frac{1}{2}a : c : \infty b$  und das Augitpaar  $p = a : c : \frac{1}{2}b$   $69^\circ 17'$  in der Mediankante erzeugen das nächste schärfere Rhomboeder.  $M = b : \infty a : \infty c$  stumpft die stumpfe Säulenkante gerade ab, auch fehlt  $m = \frac{1}{2}a : \frac{1}{2}b : c$  die stumpfe Kante  $P/T$  abstumpfend gewöhnlich nicht, und eine kleine Schiefenfläche  $g = \frac{2}{3}a : c : \infty b$  Kante  $P/w$  vorn abstumpfend ist höchst wichtig für die Orientirung. Oft ist die hintere Kante  $T/p$  durch  $s = a' : \frac{1}{2}b : c$  abgestumpft. Selten stumpft  $n = a : c : \frac{1}{2}b$  die Kante  $M/p$  ab.

Wenn wir hinten  $x = a' : c : \infty b$  setzen, so schneiden sich die Axen  $a$   $c$  vorn unter dem sehr schiefen Winkel von  $68^\circ 25'$ . Setzen wir dagegen die Fläche  $x = \frac{1}{2}a' : c : \infty b$ , und führten in dieser Weise eine Projection aus, so bekämen die Bitriolflächen  $PTM \times pws$  die Ausdrücke  $PTMyntv$  vom Feldspath. Allein auch in diesem Falle ist der Axenwinkel  $a/c$  vorn immer noch  $85^\circ 30'$ . Setzen wir dagegen  $x = \frac{1}{2}a' : c : \infty b$ , so kommt nach der Basalformel pag. 66 Axenwinkel  $a/c$  vorn  $89^\circ 43'$ , der also kaum vom rechten abweicht. Darnach würde  $p = a : c : \frac{1}{2}b$ ,  $m = \frac{1}{2}a : \frac{1}{2}b : c$ ,  $s = \frac{1}{2}a' : \frac{1}{10}b : c$ ,  $n = g : \frac{1}{10}b : c$ ,  $w = \frac{1}{4}a : c : \infty b$  und  $g = \frac{2}{3}a : c : \infty b$ .

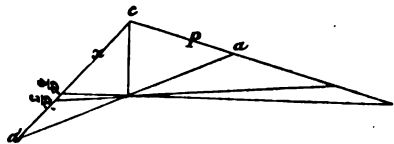
Geht man dagegen mit Naumann von  $P = a : \infty b : \infty c$  als Geradenfläche aus, so ist  $x = a' : c : \infty b$ ,  $m = a : b : c$ ,  $w = a : c : \infty b$ ,  $p = b : c : \infty a$ ,  $s = a' : c : \frac{1}{2}b$ ,  $g = 3a : c : \infty b$ ,  $n = c : \frac{1}{2}b : \infty a$ , freilich einfachere Ausdrücke, die aber doch den Vortheil rechtwinkliger Axen nicht aufwiegen. So ist es also immer nur der Zusammenhang der Zonen, wovon das Wesen des Verständnisses abhängt. Denn dieser bleibt für jede Ansicht gleich.

Die optischen Axen liegen in der Symmetrieebene  $M = b : \infty a : \infty c$  auf einander senkrecht, und zwar macht, durch den Mittelpunkt gelegt, die vordere etwa  $75^\circ$  mit  $c$ , die hintere  $15^\circ$  mit  $c$ : durch  $P$  sieht man die hintere, durch  $w$  die vordere, man kann daher den Blätterbruch bequem zu Hilfe nehmen,  $\rho < v$ .

Grün die charakteristische Farbe der Eisenoxydulsalze, Härte = 2, Gew. 1,8. Ein zusammenziehender Dintengeschmack. Beschlägt sich an der Luft mit einer Schicht von schwefelsaurem Eisenoxyd, die ihn vor weiterer Verwitterung schützt.

Vor dem Löthrohr gibt er schnell sein Wasser unter Kochen ab, und reducirt sich dann zu einer schwarzen magnetischen Schlacke. In Kolben entweicht, so lange Eisenoxydul vorhanden, schweflige Säure. Erzeugt auf Eichenrinde schwarze Dintenflecke, daher Utramentstein.

Auf Erzgruben ein häufiges Berseungsprodukt, wo er sich zu Goslar, Falun, am Graul zu Schwarzenberg zc. nicht selten in großen Sta-



lactiten bildet. Berühmt wegen ihrer mit dicker Kruste überzogenen Krystalle ist die Grube Gießhübel bei Bodenmais, wo sie sich durch Zersetzung des Magnettiefes erzeugt haben. Wenn fein vertheiltes Schwefeleisen den Boden durchzieht (Maunschiefer), so erzeugen sich gern weißgrüne haarige Auswüchse, die schon durch ihren Dintengeschmack sich als Eisenvitriol zu erkennen geben, namentlich entstehen solche unangenehme Krystallisationen auch noch in unsern Mineraliensammlungen, zerfressen die Schachteln, und disponiren nebenliegende Schwefeltiefe ebenfalls zur Zersetzung. Wegen seiner Anwendung in der Färberei wird er besonders aus Schwefeltief im Großen dargestellt, und hier kann man daher die vortrefflichsten Krystalle bekommen, die luftbeständig sich blos an der Oberfläche braun beschlagen. Die Nordhäuser Schwefelsäure heißt Vitriolöl, weil sie aus ihm dargestellt wird, im Gegensatz zur Englischen aus Schwefel bereiteten.

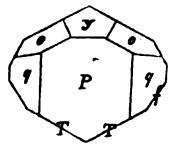
**Kobaltvitriol**  $\text{CoS} + 7\text{H}$  bildet sich in rosenrothen traubigen Ueberrügen zu Viber in Hessen (Viberit), als Seltenheit auch zu Wittichen, selbst in alten Mineraliensammlungen auf Speiskobald (Pogg. Ann. 60. 200). Die künstlichen haben eine Säule von  $82^{\circ} 25'$ , sind folglich isomorph mit Eisenvitriol.

**Manganvitriol**  $\text{MnS} + 7\text{H}$  krystallisirt bei einer Temperatur unter  $5^{\circ}$  in denselben Krystallen, wie Eisenvitriol, bei höherer jedoch werden sie eingliedrig, aber von anderer Form als Kupfervitriol (Mitscherlich Pogg. Ann. 11. 200).

Besonders leicht mischt sich Eisenvitriol mit Kupfervitriol, ohne dabei seine Form einzubüßen. Es bilden sich dann große scheinbare Rhomboeder PTT, die schön zu Buxweiler im Elsaß dargestellt werden. Wallet gibt bei Irländischen 65,7 Kupfervitriol an. Sie haben eine blaue Färbung, und man darf sie nur in Wasser lösen, so beschlägt sich Eisen mit Kupfer. Rammelsberg (Pogg. Ann. 91. 200) hat die Sache weiter verfolgt. Reine Eisenvitriole zeichnen sich schon durch ihren größern Flächenreichtum vor diesen veredelten aus.

Mitscherlich (Pogg. Ann. 11. 200) hat bei  $80^{\circ}$  zweigliedrige Krystalle bekommen, die nur halb so viel Wasser als der Eisenvitriol hatten. Durch Auflösen von Eisenvitriolkrystallen in Schwefelsäure will er sogar gypsartige mit  $2\text{H}$  dargestellt haben.

**Botryogen** Haubinger (Pogg. Ann. 12. 401) in der Kupfergrube von Falun als rother Eisenvitriol bekannt:  $\text{Fe}^2\text{S}^2 + 3\text{Fe}^2\text{S}^2 + 36\text{H}$  gemengt mit  $\text{MgS}$ . Hat große Neigung, kleine Kugeln zu bilden, die sich wie Traubenbeeren an einander häufen. Die kleinen monoklinen Krystalle zeigen kurze Säulenflächen  $\text{T} = \text{a} : \text{b} : \infty c$   $119^{\circ} 56'$ , die etwas blättrig sein sollen, Schiefenfläche  $\text{P} = \text{a} : \text{c} : \infty b$  macht mit  $\text{T}$   $113^{\circ} 37' = \text{P/T}$ , das hintere Augitpaar  $o = \text{a}' : \frac{1}{2}\text{b} : \text{c}$  in der Mediankante  $125^{\circ} 22'$ , alles Winkel, die dem Feldspath nahe



stehen: aber es ist  $q = \text{a} : \text{b} : \text{c}$ ,  $f = \text{a} : \frac{1}{2}\text{b} : \infty c$  und  $y = \text{a}' : \frac{3}{2}\text{c} : \infty b$ . Dunkelhyacinthoth ins Ockergelbe mit Durchscheintheit. Härte = 2, Gew. = 2.

In der Provinz Coquimbo Distrikt Copiapo, dem nördlichsten der Republik Chili, kommen in einer Gegend, wo es niemals regnet, dem Granit nachbarlich Vitriolsalze vor, die H. Rose analysirte (Pogg. Ann. 27. 300), am häufigsten darunter ein neutrales schwefelsaures Eisenoxyd, der

**Coquimbbit**  $\text{Fe} \bar{\text{S}}^3 \text{H}^9$ , feinkörnige Masse von weißer Farbe mit einem Stich in's Violett: reguläre sechsseitige Säulen mit Dihexaeder von  $128^\circ$  in den Endanten und Geradenfläche, auch eine Rhombenfläche kommt hin und wieder vor. Das Salz bedeckt sich mit basisch schwefelsaurem Eisenoxyd  $\text{Fe}^2 \bar{\text{S}}^5 \text{H}^{12}$  (Copiapit), gelbe durchscheinende Kry-  
stalle, von sechsseitigen Tafeln, die wahrscheinlich rhomboedrisch sind, und einen Blätterbruch mit Perlmutterglanz wie Gyps haben. Dazwischen lagert **Stypticit**  $\text{Fe} \bar{\text{S}}^2 \text{H}^{10}$  in gelblichgrünen seidenglänzenden Fasern, die sich zu Kugeln gruppiren, und safriger Fibroferrit  $\text{Fe}^3 \bar{\text{S}}^5 \text{H}^{27}$ . Wässrige Lösungen von Eisenvitriol lassen bekanntlich einen gelben oderigen Niederschlag von basisch-schwefelsaurem Eisenoxyd fallen. Ähnliche Vitrioloeder bilden sich in den Gruben von Goslar und Falun. Berzelius untersuchte einen von  $\text{Fe}^2 \bar{\text{S}} \text{H}^8$ . Bei der Zersetzung von Schwefelkies entsteht nicht bloß Vitriol, sondern nebenbei ein gelbes Mehl, welches ohne Zweifel zu solchen basischen Salzen gehört. Auch der **Apatelit**  $\text{Fe}^3 \bar{\text{S}}^5 \text{H}^8$  im Thone von Auteuil bei Paris hat ähnlichen Ursprung. Das merkwürdigste Ding dieser Art bildet der noch von den heutigen Vergleuten so genannte

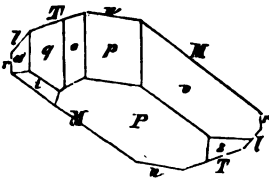
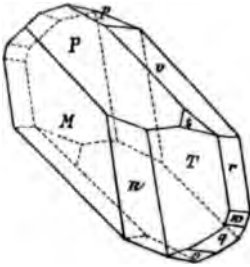
**Misy** Plinius 34. 31, Galenus simpl. med. temp. et fac. 9. 31 und 9. 34, Agricola 589 (Gel Atrament), gelber Atramentstein Wal-  
lerius Spec. 178, ein schwefelgelbes körnig krystallinisches Mehl, das im Wasser sich nicht löst. Nach Hausmann kommt es in kleinen vierseitigen Tafeln im Rammelsberge bei Goslar vor. Soll im Wesentlichen schwefelsaures Eisenoxyd sein ( $\text{Fe}^2 \bar{\text{S}}^5 \text{H}^6$ ), mit etwas Zinkvitriol und Bittersalz gemischt. Also wasserarmer Copiapit. Verwandt damit scheint auch **Römerit** (Grailich Sitzungsber. Wien. Akad. 1858. XXVIII. 373), röthlichgelbe sechsseitige Tafeln von etwa  $100^\circ$ , mit einer blättrigen Schiefendfläche. Im kalten Wasser lösen sie sich, und lassen Misy fallen. Er findet sich auf den alten neuerlich wieder durchwühlten Halden des Rammelsberges, und ist offenbar aus Eisenvitriol entstanden.  $\text{Fe} \bar{\text{S}}^3 + (\text{Fe}, \text{Zn}, \text{Mn}, \text{Mg}) \bar{\text{S}} + 12 \text{H}$ . Möglicher Weise mit Coquimbbit stimmend. Auch der Spanische Jarosit, Jahrb. 1864. 303, ist im Wesentlichen schwefelsaures Eisenoxyd, aber mit 6 p. C. Kali. Rotscharow (Material. VI. 337) fand bei Beresowsk kleine braune Rhomboeder mit  $89^\circ 10'$  in den Endanten, was an Alunit erinnern würde.

**Uranvitriol** (Johannit) lebhaftes Grasgrün. Gew. 3,2,  $\bar{\text{S}} = 2$ , 2 + 1gliedrig, ähnlich der Trona pag. 636. Fund sich 1819 bei Wiedereröffnung einer alten Strecke der Elias-Beche bei Joachimsthal nierenförmig auf Uranpecherz. Johanngeorgenstadt.

## 5. Kupfervitriol.

$\text{Cu S A}^5$ , blauer Vitriol, Chalcanthum oder Atramentum sutorium Plin. 34. 22, weil die Schuster damit das Leder schwarz färbten. Agricola nat. foss. 589 unterscheidet drei: candidum (Zinkvitriol), viride (Eisenvitriol) und caeruleum (Kupfervitriol). Cyanose.

Eingliedriges Krystallsystem (Kupfer Pogg. Ann. 8. 110) vom Typus des Arzinit. Künstlich kann man die schönsten Krystalle haben:



$T = a : b : \infty c$  bildet nahezu ein Rechteck ( $88^\circ 48'$ ), weshalb man sie leicht findet, und macht mit  $M = a : b' : \infty c$  eine rhomboidische Säule  $M/T = 122^\circ 31'$ . Eine Doppelschiefendfläche  $P = a : c : \infty b$  bildet in Kante  $P/T$   $127^\circ 24'$ , in  $P/M$   $108^\circ 12'$ ; eine hintere Gegenfläche  $p = a' : c : \infty b$  liegt mit  $P$  und  $n = a : \infty b : \infty c$ , welche die stumpfe Säulenkante  $T/M$  abstumpft, in einer Zone;  $P/n = 120^\circ 51'$ ,  $T/n = 148^\circ 47'$ . Die Abstumpfungssfläche der scharfen Säulenkante  $r = b : \infty a : \infty c$  bestimmt in  $P$  und  $p$  die Diagonalzone. Daraus ergibt sich in Zone  $p/r$  und  $P/T$  die  $o = a' : \frac{1}{2}b' : c$  und in Zone  $p/r$  und  $P/M$  die  $v = a' : \frac{1}{2}b : c$ . Vorn dagegen in  $P/r$  und  $v/n$  die  $s = a : \frac{1}{2}b : c$ . Die Säulenfläche  $l = a' : \frac{1}{2}b' : \infty c$  stumpft die

Kante  $T/r$  ab und liegt zugleich in  $o/s$ . Daraus folgt  $q = a' : c : \frac{1}{2}b'$  in  $P/l$  und  $r/p$ . Fläche  $i = a : c : \frac{1}{2}b'$  stumpft  $P/r$  und  $q/M$  ab, endlich  $w = a' : \frac{1}{2}b' : c$  Kante  $q/r$  und fällt dabei in Zone  $i/n$ .  $P/w$   $101^\circ 54'$  leicht controlirbar, da sich  $P$  und  $a$  nicht selten gleich einem augitartigen Paar stark ausdehnen. Stellen wir also die Säule  $M/T$  aufrecht,  $P$  nach vorn, und  $s$  nach rechts, so ist die Diagonalzone von  $p$  hinten links am reichsten entwickelt, aber alle Flächen lassen sich aus den Zonen bestimmen. Die Größe der Axen und Axenwinkel haben kein Interesse, denn am bequemsten kommt man durch Triangulation zur Kenntniß der Winkel, wobei einem die Projection fast unentbehrlich wird. Von den

Optischen Axen pag. 127 (Pogg. Ann. 82. 68 und Ergänzb. 1873 VI. 25) geht eine der Kante  $P/T$  parallel; die andere liegt in  $n = a : \infty b : \infty c$ , und halbirt fast genau den stumpfen Winkel ( $112^\circ 56'$ ), welchen Kante  $P/n$  und  $n/T$  mit einander machen. Die Axen schneiden sich unter  $45^\circ$  und ihre Ebene steht senkrecht auf  $P$ . Lasurblau bis Spangrün, Gew. = 2,25, Härte 3. Bildet sich auf Grubenbauen durch Zersetzung des Kupferkieses, doch bedarf man derselben wegen der Pracht der künstlichen nicht. Da er sich im Wasser leicht löst, und sich auf hineingehaltenem Eisen das Kupfer gediegen niederschlägt, so werden die Vitriolwasser auf den Gruben in Goslar, Falun, Herrengrund (Klaproth Beitr. VI. 177) auf

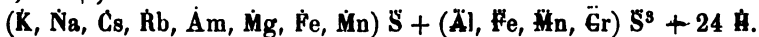
Cementkupfer benutzt. Findet besonders in der Färberei Anwendung. Schon Plinius 34. 52 erzählt seine Vereitung in Spanien ausführlich, und sagt, daß man die Lauge in Bottige schütte und Stricke hineinbänge, quibus adhaerens limus, vitreis acinis imaginem quandam uvae reddit . . . , color est caeruleus, vitrumque esse creditus, woher der Name vitriolum Agricola 589 seinen Ursprung hat. Das Schwefelsaure Silber krystallisirt ohne Wasser, und bildet sich erst mit concentrirter Säure in hoher Temperatur und beim Rösten der Schwefelerze. In der Hitze zerlegt es sich schwerer als Eisen- und Kupfervitriol, kann daher nach dem Rösten mit heißem Wasser ausgelaugt werden. In der Mutterlauge der Zink- und Kupfervitriolsiederei des Rammelsberges findet sich Lithium, Thallium, Indium, Cadmium. Ein Cubikmeter Lauge enthält 8,2 g Cd und 1,2 g Tl.

## 6. Alaun.

Alumen Plinius 35. 52, Alaun Agricola 703, englisch Alum, französisch Alun.

Reguläre Oktaeder mit abgestumpften Ecken und Kanten; Oktaeder und Würfel kommen jedes für sich selbstständig vor, das Granatoeder aber nicht. Schon Haüy kannte Zwillinge, sind aber nicht gewöhnlich. Gew. 1,7—2,  $\rho$  = 2—3, Geschmack süßlich zusammenziehend. Da Kalialaun in heißem Wasser 25mal löslicher als im kalten ist, so eignet er sich ganz besonders zur Vereitung künstlicher Krystalle. Gewöhnlich krystallisiren Oktaeder, allein von Tolsa und Beglückte Hoffnung im Bayreuthischen bekommt man vollständige Würfel. Gießt man nämlich zur Lösung Soda, so bildet sich ein Niederschlag, der wieder gelöst wird, wenn man nicht zu viel Soda hinzusetzt; man nennt das neutralen Alaun, der basisch schwefelsaure Thonerde enthält ( $\text{Al}^2 \text{S}^3$ ), und läßt man das verdampfen, so krystallisiren Würfel. Schon Dr. Leblanc beschäftigte sich mit Vereitung von Krystallen (Annales phys. 1788. XXIII. 375): läßt man sie mehrmals umkrystallisiren, so kommen Oktaeder mit abgestumpften Kanten; setzt man aber phosphorsaures oder salpetersaures Natron zu, so kommen vollkommene Oktaeder ohne abgestumpfte Kanten; auf Zusatz von salpetersaurem Kupfer kommen Oktaeder mit Würfel. Macht man die Lösung durch K C basisch, so krystallisiren Würfel heraus. Und für Haüy war es kein geringer Triumph, daß ein Alaunoktaeder in eine Flüssigkeit gelegt, welche Würfelflächen liefert, die Würfelflächen gemäß seiner Decreßenzgesetze bekam. Vendant (Annal. chim. phys. VIII. 6) suchte zu zeigen, daß die Krystalle einfach würden, wenn in der Lauge keine fremdartige Theile suspendirt sind. In verschlossenen Gefäßen über 100° C. erhitzt, bekam er einfache Granatoeder, selbst Leucitoeder! Weber (Pogg. Ann. 109. 300) bekam sogar in concentrirter Salzsäure untergeordnete Pyritooberflächen  $\frac{1}{2}$  (a : 2a :  $\infty$ a). Schon Leblanc brachte es durch Umräumen der Krystalle dahin, ganz beliebige Ausdehnungen einzelner Flä-

den zu erlangen. Setzt man einen Chromalaun aus seiner Flüssigkeit und überfirnißt ihn, so wächst er in derselben Lauge nicht mehr fort; doch macht die kleinste Lücke im Firniß, daß er sich wieder überzieht, Rohr Gesch. Erde 1866. 414.



Die Formel ohne Wasser hat die Form des Feldspaths, und liefert ein wichtiges Beispiel für Isomorphismus. Vor dem Löthrohr entweicht das Wasser, es bildet sich gleich eine weiße aufgeblähte Schlacke, die mit blendendem Lichte leuchtet, und mit Kobaltlösung blau wird, was die Thonerde anzeigt.

Bildet sich in der Natur in Schieferthonen und Kohlengebirgen, welche von fein vertheiltem Schwefelkies durchdrungen sind (Alaunschiefer), bei Andrarum in Norwegen ist es Uebergangsgebirge, zu Döbendorf bei Hall Vettentkoble, zu Whitby unterer Brauner Jura, bei Freienwalde und Burgweiler Braunkohleng Gebirge 2c. Frisch gegraben zeigt der Schiefer oft nicht die Spur von Alaun, allein an der Luft, namentlich durch Feuer unterstützt, erzeugt der Schwefelkies Schwefelsäure, die an K, Fe, Al tritt; das schwefelsaure Eisenoxydul wird leicht zu basischem Oxydsalze, wodurch wieder verwendbare Schwefelsäure entsteht. Kalkreichthum wird nicht gern gesehen, weil sich daraus auf Kosten des Alauns Gyps bildet. Gewöhnlich ist Mangel an Alkali, was durch Zusatz verbessert wird. Vergleiche auch den Alaunstein.

Hauptanwendung in der Färberei als Beizmittel. Man macht daraus einen neutralen Alaun, der beim Erhitzen seine Thonerde leicht an vegetabilische Faser oder thierische Kohle abgibt.

**Kalialaun**  $K S + Al S^3 + 24 H$ . Weil Kali die stärkste Basis, so ist der unreine im Flözgebirge und in Vulkanen am gewöhnlichsten. In  $\frac{1}{2}$  Theilen heißem Wasser löslich. Berühmt seit 1458 und für Färber wichtig der römische Alaun von Tolfa, zwar trüb und röthlich von Eisenoxyd, allein die Unreinigkeit ist nur mechanisch darin enthalten und schlägt sich in den Waschgefäßen zu Boden. Früher von Rocca (Gessa) in Spanien bezogen. Kalialaun der Solfatara von Pozzuoli bei Neapel und in der Grotte Capo di Miseno führte, ehe man etwas von der Gegenwart des Kali im Steinreich wußte, zu der damals schwierigen Frage, woher bekommen die Vulkane dieses „Gewächsalkali“? Laproth Beitr. I. 315.

**Natronalaun**  $Na S + Al S^3 + 24 H$ , ist im Wasser viel löslicher, man kann ihn daher nur aus sehr concentrirten Lösungen, am besten unter einer Weingeistschicht, die der Lösung Wasser entzieht, darstellen. Deshalb muß auch Kali- und Ammonialalaun frei von Natron sein. Obgleich eben so brauchbar, so verwittern doch seine Krystalle. Weiße seidenartige Fasern kommen in der Solfatara auf Milo und bei Mendoza 30° S. B. auf der Ostseite der Anden vor.

**Ammonialalaun**  $Am S + Al S^3 + 24 H$  (Ischermigit) bildet im Braunkohleng Gebirge von Ischermig an der Eger bei Raden in Böhmen

fettglänzende querstrahlige Platten, die das Braunkohlenlager nach Art des Faserghypses durchschwärmen. Streut man das Pulver mit Soda gemischt auf glühende Kohlen, so zeigt sich ein ausgezeichnete Ammoniakgeruch. Nach Lampadius (Silbert's Ann. 1823 Bd. 74. pag. 304) durch einen Erbbrand entstanden. Künstlich bekommt man ihn durch Zusatz von gefaultem Urin, wie er zu Bugweiler gemacht wird. Nur der Ammoniakalaun zeigt nach Biot Lamellarpolarisation, die nach Neusch (Monatsber. Berl. Akad. 1867. 44.) beim Wachsthum der Krystalle durch innere Spannungen hervorgebracht wird. Der Böhmishe hat schon einen Talkerdegelhalt, welcher das Ammoniak ersetzt, die Analysen geben bis 6,6 p. C. Ammoniak.

Unter den künstlichen kann man etwa erwähnen:

Lithionalaun  $\text{Li S} + \text{Al S}^3 + 24 \text{ H}$ ;

Manganalaun  $\text{K S} + \text{Mn S}^3 + 24 \text{ H}$ ;

Chromalaun  $\text{K S} + \text{Cr S}^3 + 24 \text{ H}$ , tief purpurroth;

Eisenalaun  $\text{K S} + \text{Fe S}^3 + 24 \text{ H}$ , farblos.

Eisenammoniakalaun  $\text{Am S} + \text{Fe S}^3 + 24 \text{ H}$ , wird im Großen für Färbereien dargestellt, wo man ein vollkommen neutrales Eisenoxyd in Anwendung bringen muß. Er krystallisirt leicht.

Volztait bildet sich in schwarzen Oktaedern mit grünlichem Strich in der Solfatara und soll nach Scacchi  $\text{Fe S} + \text{Fe S}^3 + 24 \text{ H}$  sein, während Abich andere Verhältnisse fand. In den alten Halben des Rammelsberges sind es dunkelgrüne Krystalle, mit Oktaeder, Granatoeder und Würfel. Fast wasserfrei sind die kleinen schwarzen Würfel des Pettkoitt (Jahrb. 1867. 457) von Kremnitz in safrigen Eisenvitriol eingesprengt.

Federalaun findet sich in sehr feinen gelblich weißen seidenglänzenden Fasern, welche sehr an Asbest erinnern, aber auf der Zunge zergehen. Besonders ausgezeichnet auf den Quecksilbergruben von Mörsfeld bei Zweibrücken, wo die Analyse von Rammelsberg (Pogg Ann. 43. 404.)  $\text{Fe S} + \text{Al S}^3 + 24 \text{ H}$  gab. Noch schöner ist die schneeweiße  $\frac{1}{4}$  Fuß lange Faser aus einer Höhle am Bosjesmans River, welche ein  $1\frac{1}{4}$  Zoll dickes Lager von Bittersalz deckt, und die nach Stromeyers Analyse (Pogg. Ann. 31. 157)  $(\text{Mg}, \text{Mn}) \text{ S} + \text{Al S}^3 + 24 \text{ H}$  Mangantalkalaun ist. Einen reinen Manganoxydulalaun ohne Magnesia fand Apjohn in der Algoa-Bay. Ohne Mangan, auch weiß und seidenglänzend, ist der Magnesiaalaun (Pickeringit) von Iquique; traubig und nabelsförmig das  $\text{H}$  versetzt von Kriuvig auf Island an der Oberfläche vulkanischer Gesteine, nach Forchhammer's Analyse  $(\text{Fe}, \text{Mg}) \text{ S} + (\text{Al}, \text{Fe}) \text{ S}^3 + 24 \text{ H}$ .

Halotrichit (Thonerde-Sulphat) hat man die safrigen Salze genannt, welche sich in den Braunkohlengebirgen und besonders in den Fumarolen bilden, wenn Schwefelsäure auf Thonerde wirkt. Sie gleichen dem Federalaun vollkommen, namentlich auch in Beziehung auf die gelbliche Farbe, allein sie bestehen nur aus schwefelsaurer Thonerde  $\text{Al S}^3 + 18 \text{ H}$ , die man künstlich durch Auflösen von Thonerde in Schwefelsäure und Abdampfen in dünnen biegsamen Blättchen mit Perlmutterglanz gewinnen

kann, wie sie H. Rose (Pogg. Ann. 27. 517) von Copiapo nachwies. Bei ihrer Aehnlichkeit mit Federalsaun können sie leicht damit verwechselt, auch verunreinigt sein. Werner begriff sie unter seinem Haarsalz. Wird die künstliche Schwefelsaure Thonerde mit Ammoniak gefällt, so erhält man

Aluminit  $\text{Al S H}^9$ , schneeweiße Knollen, mit unebener Oberfläche, die kreideartig abfärben. Sie fanden sich zuerst in großer Menge im botanischen Garten von Halle, von wo sie Berche in der *Oryctographia Halensis* 1730 bereits als *Lac lunae* erwähnte. Lange hielt man sie für reine Thonerde, selbst Werner und Klaproth, bis Simon (Scheerer allgem. Journ. Chem. IX. 137) Schwefelsäure darin fand, die auf 23,6 p. C. geht. Werner sprach sogar die Vermuthung aus, daß es ein Kunstprodukt der dortigen Waisenhausapotheke sein könne, allein es entstand im Braunkohlensande durch Verwitterung von Schwefelkies (Jahrb. 1872. 551), am Götschenberge bei Morl,  $1\frac{1}{2}$  Stunde von Halle, so häufig, daß es fast den Sand verdrängt; im Tertiärfalke von Auteuil, in der Lettenkohlenformation von Friedrichshall am Neckar. Zu Newhaven in Sussax (Webssterit) liegen die nierenförmigen Knollen in eisenhäufigem Thon auf Kreide, füllen darin bei Brighton sogar drei Fuß mächtige Spalten (Jahrb. 1871. 501). Löst sich in Wasser nicht, wohl aber in Salpetersäure, und leuchtet vor dem Löthrohr fast so stark, als die Schlacke des Alauns. Freilich häufig verunreinigt durch Thon.

Im Alaunsgiefer kommen noch allerlei unwichtige Verbindungen vor, die kaum ein chemisches Interesse haben, wie die von Werner so genannte Bergbutter Klaproth VI. 340, welche aus dem Alaunsgiefer in butterartiger Consistenz von gelblicher Farbe hervortritt, und erst später rigid wird. Braun und pechartig ist Bissophan; Tecticit vom Graul zerfließt an der Luft (*σχητικός* schmelzend). Diadochit hat sogar 15 Phosphorsäure, und schließt sich dadurch an die Eisensinter pag. 585 mit Arseniksäure an (Jahrb. 1845. 100). Sie können alle zur Alaunbereitung verwerthet werden. Den besten Alaun liefert jedoch der

### Alaunstein.

Alunit. Darunter verstand man seit langer Zeit grauliche poröse trachytische Gesteine und Breccien, welche durch Schwefelsäure zerlegt die Bestandtheile des Alauns erlangt haben. Die Felsenmassen enthalten daher immer einen bedeutenden Gehalt an Kieselerde, bis auf 50 p. C. (Klaproth Beitr. IV. 333), neben den Bestandtheilen des Kalialauns, besonders in den harten und schweren Massen. Aus dem derben Stein selbst würde man keine Mineralspecies zu machen wagen, denn jedes Feldspathgestein, mehr oder weniger lang von Schwefelsäure angegriffen, kann Gelegenheit zu Alaunbildung geben. Allein es finden sich kleine Drusenräume darin, deren Wände mit kleinen Rhomboedern von  $92^{\circ} 50'$  in der Endkante ausgekleidet sind, oft gesellt sich die Geradenfläche hinzu, dann kann man sie leicht für Ottaeder halten. Nach Breithaupt (Leonhard's Jahrb. 1853. 470)



haben die Ungarischen Rhomboeder in der Endkante  $89^{\circ} 10'$ , würden also dem Würfel sehr nahe stehen. Er glaubt auch das sechste stumpfere Rhomboeder  $\frac{1}{4}a : \frac{1}{4}a : \infty a : c$  mit  $177^{\circ} 46'$  in den Endkanten noch bestimmen zu können! Von den Krystallen konnte man noch nicht genug zur Analyse bekommen, und das Gestein selbst aber, dessen Gewicht etwa 2,7 und dessen Härte von 3—6 wechselt, ist zu sehr gemengt, als daß man auf die Formel  $K Al^3 S^4 H^6$ , welche man nach Abzug der Kiesel-erde bekommt, einen sonderlichen Werth legen dürfte. Vor dem Löthrohr zerknistern die kleinen Krystalle sehr stark, der Stein jedoch nicht, beide schmelzen nicht, werden aber mit Kobaltsolution blau. Erst nach dem Brennen kann man Alaun ausziehen. Die berühmtesten Gruben finden sich in der Tolfa bei Civitavecchia im frühern Kirchenstaate. Man übergießt den gebrannten Stein 40 Tage lang mit Wasser, wobei er zerfällt und dann erst ausgesiedet wird. In Oberungarn bei Rusay und Beregszaz wurde er lange als Mühlstein verwendet, bis man 1795 den Alaungehalt erkannte. Die Abfälle werden geröstet und ausgelaugt (Jahrb. Geol. Reichsan. 1858. 117). Auch am Mont Dore (Gilbert's Ann. 68. 88) hat sich gefunden. Zu Breuil bei Yffoir ist er erdig (Jahrb. 1875. 114). Auf Java werden selbst Sandsteine darin umgewandelt, da dieselben ja oft Porzellanerde enthalten. Die Zersetzung des Schwefelschiefes spielt dabei eine Rolle.

Eine dichte amorphe Masse nannte Alex. Mitscherlich Löwigit  $K Al^3 S^4 H^9$  (Journ. prakt. Chem. 1861. 83. 414), die sich nur durch einen größern Wassergehalt unterscheidet, und sich unter einem Druck von 9 Atmosphären bei  $180^{\circ}$  Wärme auch künstlich darstellen läßt. Dieser unterirdische Wasserdruck zeigt sich bei Bohrlöchern in der Tolfa. Auffallend ist das Vorkommen im Steinkohlengebirge von Zabrze in Oberschlesien, wo die Knollen lithographischem Kalk von Solnhofen gleichen (Zeitschr. deutsch. geol. Ges. VIII. 146). Im Thonschiefer der Sierra Almagrera bildet der weiße Alumian  $Al S^2$  ein Zersetzungsprodukt.

### Wasser H.

Das tropfbare und feste Wasser wird zwar von vielen Mineralogen nicht abgehandelt. Indesß wenn irgend eine chemische Verbindung die Aufmerksamkeit des Mineralogen in Anspruch nimmt, so diese.

**Eis.** Das homogenste ist dennoch krystallinisch, denn eine Eisplatte von 3—4 Linien Dicke in die Turmalinzange gebracht zeigt deutlich ein schwarzes Kreuz, und entfernt davon Ringe; je dicker die Platten, desto mehr Ringe treten ins Feld. Daher muß es optisch einaxig sein, und die Hauptaxe senkrecht gegen die Wasserfläche stehen. An flachen Wassertümpeln, in Fahrwegen zc., wo der Wasservorrath bis auf den Grund ausgefroren ist, findet man häufig reguläre sechsseitige Säulen mit Geradenflächen. Die Masse besteht aus zarten Fäden, die sich auf dem regulären Sechseck der Geradenfläche unter  $60^{\circ}$ , auf dem Viereck der Seiten unter  $90^{\circ}$  schneiden. Die Säulenflächen verjüngen sich auch hin

und wieder treppenförmig zu einer Art von Dihæraeder, dessen Winkel verschieden angegeben werden: nach Smithson  $80^\circ$ , nach Galle (Pogg.



Ann. 49. 112)  $59^\circ 21'$  in den Seitenkanten. Auch Ledybolt (Sitzungsber. Kais. Akad. Wissensch. Wien VII. 67) beobachtete im Eise-Höhlen, die einer regulären sechsseitigen Säule mit Geradenfläche entsprachen, und zuweilen an den Endkanten noch dihedraedrische Abstumpfungen hatten.

Clarke will Rhomboeder mit  $120^\circ$  in den Endkanten gesehen haben. Jedenfalls gehört das Eis dem 3 + 12igen Systeme an, und in Eisplatten stehen sämtliche Hauptaxen  $\circ$  einander parallel. Beim Schmelzen zeigt sich daher auch eine Neigung, parallel dieser Art in stängliche Stücke zu zerfallen. Bei Eiszapfen stehen die Axen  $\circ$  senkrecht gegen die Längsrichtung des Zapfens.

Farblos in kleinen Stücken, in großen grünlich blau, wie das Gletschereis zeigt. Auf die Regelatio, wonach gebrochene Stücke wieder zusammenfrieren, machte Faraday aufmerksam. Daraus erklärt sich die Plastizität, man kann es in Formen pressen und durch Oeffnungen drücken. Gew. = 0,9175, entspricht einer Volumenzunahme von  $\frac{1}{11}$ . Es setzt sich daher glücklicher Weise meist an der Oberfläche ab, und schützt als schlechter Wärmeleiter das darunter fließende Wasser vor dem Ausfrieren. Doch kommt auch

Grundeis vor, welches sich besonders an rauen Gegenständen der Tiefe absetzt, und Steine, Anker, selbst große Lasten vom Boden empor hebt (Pogg. Ann. 28. 104). Eis ohne Luftblasen soll unter sinken (Pogg. Ann. 104. 107), was jedoch den Wägungen von Brunner (Pogg. Ann. 64. 110) widerspricht.

Das Wasser gefriert bei  $0^\circ$ , besonders wenn eine kleine Erschütterung eintritt, ganz ruhiges Wasser kann viel kälter werden. Freischwebende Wassertügelchen in einem Gemisch von Chloroform und Del können  $-20^\circ$  ertragen (Pogg. Ann. 114. 154). Es scheidet dabei alle gelösten Salze aus, daher lassen sich Wein, Bier, Salzsoolen durch Frost concentriren. Doch schließt das Eis immer kleine Blasen ungefrorenen Wassers ein, besonders wenn es schnell gefriert, und nach Brewster soll dieser Einschluss selbst bei der stärksten Kälte flüssig bleiben (Pogg. Ann. 7. 100). Daraus erklärt sich ein kleiner Salzgehalt des Meereises.

Die hohe See gefriert selbst in den kältesten Gegenden nur an den Küsten des Festlandes und der Inseln. Tiefe Wasser brauchen überhaupt längere Zeit zum Gefrieren als flache, weil die ganze Masse erst auf einen niedern Temperaturgrund gebracht werden muß, ehe die Oberfläche sich verdichten kann. Das Maximum der Dichtigkeit des Süßwassers tritt bei  $+4^\circ \text{C.}$  ein, alle kältern Mengen schwimmen daher oben. Das Meerwasser hat dagegen bis an das Eis hin ( $-3,1 \text{ R.}$ ) kein Maximum (Erman Pogg. Ann. 12. 100). Nach Neumann (Pogg. Ann. 113. 100) bei  $-4^\circ,7 \text{ C.}$ , und gefriert bei  $-2^\circ,6 \text{ C.}$ , wenn es steht, bewegt bei  $-2^\circ$ . Die Mächtigkeit des Gletschereises erreicht in den Alpen

bis 1000 Fuß. Die Gletscher bewegen sich in Folge des Druckes unter Beihilfe von Wärme, Sommers stärker als Winters, und gleich dem Strome innen und am Rande langsamer, als an der Oberfläche und gegen die Mitte. Das Gletschereis entsteht aus Firn, eine körnige Masse, welche sich, wie unsere „Schneewölfe“ im Frühjahr, aus dem feinen Schnee der Alpengipfel heraus bildet. Merkwürdig und von den Ungarn bewundert ist die Eishöhle von Dobschau in 1150 m Höhe des Gölüniger Thales. In einer Umgebung von  $+3,5^{\circ}$  C. mittlerer Temperatur hat sich ein Eismassiv von 20 Meter Dicke gebildet mit den bizarrsten Staunen erregenden Formen.

**Hagel.** Bei starkem Hagelwetter fällt er in regelmäßigen Kugeln, die einen Durchmesser von  $\frac{1}{2}$ "—1" haben, und viel Durchscheinendheit besitzen. Schneeweiße Stellen geben ihm öfter ein wolftiges auch concentrischschaliges Aussehen. Gewöhnlich fällt er jedoch in pyramidenförmigen Stücken, deren Basis sich kugelförmig rundet, und deren Spitze wie es scheint von undeutlichen Flächen begrenzt wird. Ihre Zahl möchte man zwar gern auf sechs bestimmen, weil man beim Eise überhaupt an dihexaedrische Bildungen denkt, doch gelingt ein scharfes Zählen nicht. Es mag diese Zuspitzung zur falschen Vorstellung, als seien sie „birnförmig oder pilzartig“ (z. v. Buch Abb. Berl. Akad. Wiss. 1814. 76) geführt haben. Cap. Delcroix (Gilbert's Ann. 68. 222) hielt diese Pyramiden für Theile gesprengter Kugeln. Doch schwebt über der Sache noch ein Dunkel. Die Oberfläche ist bei frischfallenden auch wohl wie bepudert, aber der Schneepuder schmilzt schnell ab. Hagelkörner von Faustgröße und darüber mögen immer Conglomerate von mehreren an einander gebundenen Kugeln und Pyramiden sein, daher ist auch ihre Oberfläche nicht rund, sondern unregelmäßig höckerig. Arago (Pogg. Ann. 13. 247) erwähnt Klumpen von 4" Durchmesser und 14" Umfang. Zu Tippoo Sahib's Zeit soll bei Seringopatam in Indien eine Masse von Elephantengröße herabgefallen sein! Nach dem Berichte der Offiziere wirkte sie auf die Haut wie Feuer! (Eis ist nämlich in Indien ein sehr unbekanntes Ding). Wenn aber Knollen zersprengt werden und sich ballen können, so setzt das großen Sturm voraus, welcher die kalten Luftschichten mit den warmen mischt. Große Hagelkörner fallen nur zur heißen Jahreszeit, und zwar geht ihre Bildung in den tiefern Regionen der Atmosphäre vor sich. Der Luftschiffer Barrel fand im Hochsommer bei 21000' Höhe  $-39^{\circ}$ . Diese kalten Schichten können unter Umständen in ruhigen Thalbecken labil werden, und die mit Wasserdünsten gesättigten Regionen unter den Gefrierpunkt herabdrücken (Württ. nat. Jahresh. 1873 Bd. 29. 401). Dihexaeder mit Säulen ähnlich dem Quarz fielen in Italien, Compt. rend. 53. 1010. Graupeln (Grésils), kleinere Körner, aber häufig auch noch von pyramidalen Form, fallen zur kältern Jahreszeit; cf. Nov. Act. Leop. 1823. XI. 2; Bericht Leipz. Soc. 1853. pag. 133; Pogg. Ann. 102. 246; 114. 559; 117. 91.

**Schnee** ist gefrorener Wasserdunst, der in seinen sechsseitigen Stern-



den aus der Luft zu Boden fällt. Je trockener die Luft, desto kleiner, aber auch desto zierlicher sind die Figuren. Der Reif hat dieselbe Form, und auch am blumigen Beschlage gefrorener Fensterscheiben findet man sie zuweilen: so habe ich im Winter 1853/54 mehrere Male mit großer



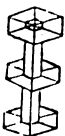
Deutlichkeit beistehende Tafeln an den Fensterscheiben der hiesigen mineralogischen Sammlung beobachtet, drei Haupt-  
 argen zeichnen sich durch Dicke aus, davon gehen dann feinere Nebenlinien in großer Zahl ab, aber alle schneiden sich in der Ebene der Azen unter  $60^\circ$  und  $120^\circ$ . Die Mannigfaltigkeit, welche aus so einfacher Lineation entstehen kann, hat seit Olaus Magnus, Kepler (de nive sexangula 1611), Cartesius, E. Bartholinus (de figura nivis 1661) etc. die verschiedensten Köpfe angezogen. Krystallographisch bieten sie wenig Schwierigkeit. Vielleicht kann man zuweilen etwas wesentlichere Unterschiede festhalten: gepuderte und eisige.



Die **eisigen** bilden durchsichtige Platten mit gezackten Rändern, die 6zahl herrscht zwar, doch kommen auch 12strahlige, ganzrandige u. dgl. vor. Gewöhnlich ist keine Linie daran, die nicht einer der Hauptaxen parallel ginge. Sie scheinen so homogen, daß man sie wohl durch polarisirtes Licht dürfte prüfen können. Die **gepuderten** sind durch die Menge der Linien und Schneeflocken, welche auf ihnen



haften, viel complicirter und häufig dadurch undeutlich. So lange man aber Lineationen verfolgen kann, gehen sie immer den Hauptaxen parallel. Alle diese Sterne sind tafelförmig und äußerst selten anders. In Größe übersteigen sie wenige Linien nicht, und je kleiner, desto bestimmter und zierlicher. Die großen Schneeflocken sind bloß Hauptwerke von kleinern, und zur Beobachtung der Formen weniger geeignet. Merkwürdiger Weise finden sich bei ein und demselben Schneefall nicht nur verschiedene Formen, sondern auch gepuderte und eisige durcheinander: offenbar aus verschiedenen Regionen, die eisigen vielleicht aus den höhern Luftschichten. Vierstrahlige hat schon Wallerius (Wasserreich 1751. fig. 4) beobachtet, es sind aber Seltenheiten, und ich möchte daraus nicht gleich auf Dimorphismus schließen. Zeichnungen verdankt man dem Prediger Scoresby, der als Capitain eines Walfischjägers in dem Po-



larmeer zur Beobachtung vielfache Gelegenheit hatte. Neben vielerlei Sternen hat derselbe auch halbe Dihexaeder, wie beim Hagel, gesehen (vielleicht waren es Graupeln), und einmal bedeckte sich das Schiff mit eigenthümlichen sechsseitigen Prismen, die sich an den Enden, und zuweilen auch in der Mitte zu sechsseitigen Platten ausbreiteten (Kämpf, Vorlesungen über Meteorologie. 1840. pag. 154). Dr. Schuhmacher (die Krystallisation des Eises 1844) hat den Gegenstand monographisch behandelt. Viele Figuren zeichnete der Hof-Rücheneister Franke zu Dresden im Winter 1845/46 auf (Festschrift zur 25jähr. Feier der Ffs. 1860).

G. Rose (Ural Reise I. 408) macht bei Beschreibung der dendritischen

Zwillinge des Kupfers auf die Aehnlichkeit mit Schneekrystallen aufmerksam, und hält es für wahrscheinlich, daß auch sie zum regulären Krystallssysteme gehören. Unmöglich ist eine solche Ansicht der Sache nicht. Auch könnte man von chemischer Seite geltend machen, daß ein Krystallisiren durch Destillation gar wohl eine andere Form erzeugen dürfte, als das Krystallisiren durch Erkalten. Aber direct beweisen kann man es für den Schnee nicht. Dagegen zeigte Prof. Dogiel (Bull. Acad. Petersb. 1875. XX), daß man mit Fodors Form  $\text{CH}_2\text{I}_2$  ganz dieselben Bilder erzeugen könne, die aber optisch einzig, wie Eis, sind.

**Wasser.** Ob das reine Wasser eine Farbe habe oder nicht, ist nicht so leicht ausgemacht. Hr. Bunsen (Viebig Ann. Chem. 62. 44) zeigte jedoch, daß destillirtes Wasser in einer 2 Meter langen Röhre rein blau erscheine, wenn man eine weiße Porzellanplatte betrachte. Beech (Pogg. Ann. 115. 109) versah einen Kasten sinnig mit Spiegeln, welche den Lichtstrahl zwingen auf langem Birkzackwege durchzugehen. Damit lassen sich sofort die verschiedenen Farben des Wassers, welche von geringen Beimengungen herkommen, ermitteln. Die alte Halley'sche Behauptung, daß das Wasser im reflectirten Lichte anders aussehe als im durchgehenden, bestätigt sich nicht. Das Caraibische Meer soll so klar sein, daß das Hinabschauen Schwindel erzeuge. Sieht man durch eine enge Oeffnung auf das tiefe klare Meer, so erscheint es gesättigt Ultramarinblau. Die schöne blaugrüne Farbe der Rhone bei Genf, des Rheins bei Schaffhausen, des Doubs im Jura, des Alantopfs bei Blaubeuren u. sind bekannt. Flüsse der Mooregegenden sind braun: die Schussen in Oberschwaben. In den Urwäldern des Orinoco führen die Wasser so viel humus-saure Salze, daß sie eine Kaffeebraune Farbe annehmen, im Glase goldgelb, im Schatten tintenschwarz aussehen.

Das Wasser absorbiert Luftarten, und zwar um so mehr, je stärker der Druck. Bei gewöhnlichem Druck nimmt 1 Volumen Wasser 1,06 Volumen Kohlen-säure auf, bei 7 Atmosphären Druck (gleich einer Wassersäule von  $32' \cdot 7 = 224'$ ) dagegen schon 5mal so viel, also 5,3 Vol. C. Läßt dieser Druck nach, tritt z. B. solches Wasser aus dem Erdbinnern an die Oberfläche, so muß die Kohlen-säure entweichen, was meist mit starkem Brodeln geschieht. Es enthalten die Quellen von Niedernau, Cannstadt, Selters 1 Vol. C, Imnau  $1\frac{1}{2}$  Vol., Gailnau 1,6 Vol., Burgbrohl in der Eifel 5,3 Vol, ungefähr das bekannte Maximum.

Bestandtheile: Natron ( $\text{Na C}$ ,  $\text{Na Cl}$ ,  $\text{Na S}$ ) gehört bei weitem zu den gewöhnlichsten, seltener schon Kali an Chlor gebunden z. B. in der Soole von Berchtesgaden. Lithion im Karlsbader Sprudel, der Kreuzbrunnen zu Marienbad enthält  $\frac{70}{100000}$  Li C. Caesium in der Dürkheimer Soole. Kalkerde und Talkerde sehr verbreitet. Strontianerde ist zwar selten, doch kommt sie im Karlsbader-, Pyrmonters-, Selters-Wasser vor, noch seltener Baryterde, wie zu Ems und Pyrmont. Thonerde an Alaun gebunden zu Bath in England, Halle an der Saale. Unter den Metallen finden sich nicht bloß die ganz gewöhn-

lichen Eisenoxydul, Manganoxydul, Zinkoxyd u. häufig, sondern auch seltenere sind besonders in den Quellenabflüssen gefunden worden: Arsenik und Kupfer in den Schwarzwaldquellen, Antimon in den Thermen von Wiesbaden, Zinn in dem Saibschüger Bitterwasser, wohl aus dem dortigen Olivin stammend, Blei im Säuerlinge von Rippoldsau. Von den Säuren spielen besonders Kohlensäure, Phosphorsäure, Kieselsäure, Bor säure, Chlor, Brom, Jod, Fluor eine Rolle; Quellsäure, Stickstoffverbindungen (Barégine). Ja man wird bald sagen können, es kommen mit Wahrscheinlichkeit alle Substanzen gelöst im Wasser vor. Prof. Ludwig in Jena (die natürlichen Wasser in ihren chemischen Beziehungen zu Luft und Gesteinen. 1862) gibt über die große Verbreitung der Stoffe bequeme Zusammenstellungen.

### Meerwasser

nimmt an der Erdoberfläche den größten Antheil, denn es verhält sich Land : Meer = 10 : 27, und das Senkblei will man im Atlantischen Ocean auf 43,000' hinabgelassen haben, welche ungeheure Tiefe die Höhe der Berge noch ein Bedeutendes übertreffen würde. Unter den Tropen beträgt in der Tiefe die Temperatur nur 2° Reaum., während die Oberfläche 22° zeigt, der kalte Polarstrom ist daran schuld. Wegen des Salzgehaltes ist sein Gewicht 1,028. Mulder (Erdmann's Journ. prakt. Chem. 55. 1861) fand in 5000 Theilen Flußwasser aus den Niederlanden 1 Theil Salze, während in derselben Menge Meerwasser 185 Theile vorkamen, und wo die Nordsee 3,187 feste Theile hat, hat das Mittelmeer 4,1; noch salziger ist das Rothe Meer; beim warmen Golfstrom zieht schon die Verdunstung einen stärkern Gehalt nach sich. Das Salz des atlantischen Oceans besteht in 100 Theilen aus 78,5 Chlornatrium, 9,4 Chlormagnesium, 6,4 schwefelsaurer Magnesia, 4,4 schwefelsaurem Kalk, 1 Chlorkalium, 0,17 Brommagnesium, 0,04 kohlensaurem Kalk, 0,009 Kieselsäure, 0,13 Ammoniak. Lithium und Strontium weisen die Spectralanalysen besonders in den Kesselsteinen der Seedampfschiffe nach. Borsäure fand Strecker, sogar Metallsuren von Silber, Kupfer, Blei, Zink, Kobalt, Nickel, Mangan u. fehlen nicht. Das Meerwasser schmeckt daher bitter.

Meere und Seen ohne Abfluß zeigen gewöhnlich einen großen Gehalt an Chlormagnesium. Chr. Smelin (Pogg. Ann. 9. 177) fand im Wasser des Todten Meeres von 1,21 specifischem Gewicht 11,77 Mg Cl, 7,07 Na Cl, 3,21 Ca Cl, 0,44 Mg Br im Ganzen 24,54 Salz und 75,46 Wasser. Es ist also eine wahre Salzlake. Aehnlich der Eltonsee mit 19,7 Mg Cl, 5,3 Mg S, 3,8 Na Cl, zusammen 29,2 fester Bestandtheile. Vergleiche pag. 623.

Die Soolquellen, meist im Steinsalzgebirge entspringend, haben mit dem Meerwasser Aehnlichkeit, nur schlägt Chlornatrium vor, während Bittersalz zurücktritt. Dagegen findet sich gern ein größerer Gyps-

gehalt. Das Fundbohrloch zu Friedrichshall am untern Neckar, seit 1816 im Betrieb, hat eine 26gradige Soole mit 25,56 Na Cl, 0,437 Ca S, 0,01 Ca C, 0,006 Mg Cl, 0,002 Mg S. Die beim Salz- kochen gewonnene Mutterlauge enthält: 24,5 Na Cl, 0,025 Na Br, 0,23 Ca Cl, 0,52 Mg Cl, 0,42 Ca S. Für medicinische Zwecke hat man sie durch Eindampfen concentrirt, wobei sich vorzugsweise Na Cl ausscheidet, und eine Lauge mit 10 Na Cl, 0,75 Na Br, 9,8 Mg Cl, 4,9 Ca Cl, 1,23 K Cl bleibt. Es entsteht auf diese Weise wie in den Bitterseen eine an Chlormagnesium reiche Mischung.

### Quellwasser

sind meist hart, d. h. sie zerlegen die Seife, weil sie nämlich Salze gelöst halten. Die gewöhnlichsten Bestandtheile sind Kohlensäure, entweder frei oder an Kalkerde gebunden, als sogenannte doppelkohlensaure Kalkerde. Bei Verlust der Kohlensäure lassen sie den Kalk fallen (incrustirende Quellen). Kommen solche zufällig heiß aus der Erde, so geht die Ueberfrierung fremder Gegenstände mit Kalkstein schnell von Statten. Das Wasser bekommt durch den kohlensauren Kalk einen angenehmen Geschmack, wie an der schwäbischen Alp. Die reinsten Quellen findet man im Urgebirge, Buntensandstein u., aber diese schmecken etwas fade, wie z. B. auf dem Schwarzwalde. Herrscht die Kohlensäure so weit vor, daß sie beim Einsinken stark perlen, so heißt man sie

**Säuerlinge** (Sauerwasser). Es ist dieß die größte Klasse der Heilquellen. Die einen schmecken äußerst angenehm, und werden mit großer Vorsicht gefüllt und versendet. Das Selterwasser füllt man Nachts, weil es dann die meiste Kohlensäure halten soll. Wenn sie nur wenige feste Bestandtheile haben, so heißen sie ächte Säuerlinge, sie trüben Kalkwasser stark, lösen aber im Ueberschuß den Niederschlag wieder, indem sich saurer kohlensaurer Kalk bildet. Nach ihren festen Bestandtheilen hat man sie in verschiedene Unterabtheilungen gebracht, am erkennbarsten darunter sind die sogenannten Stahlwasser oder Eisensäuerlinge, weil ein unbedeutender Gehalt an Fe C der Quelle einen Dintengeschmack gibt: Struve fand in der Pyrmonter Trinkquelle in 1  $\mathcal{R}$  = 7680 Gran nur 0,49 Gr. Fe C, die Dintenquelle von Teinach im Schwarzwalde enthält  $\frac{1}{2}$  Gran. Besonders heilkräftig erweisen sich die Natronen, worin die Kalk- und Magnesiasalze zurücktreten: in 10,000 Theilen hat in Frankreich Vichy 38 Na C und nur 0,48 Ca C; in Böhmen die Biliner Josephsquelle 31,2 Na C und 3 Ca C; im Brohthal der Heilbronnen 17,5 Na C und 3,7 Ca C. Die Alkalischen Salze sind an sich schon löslich, allein Kalk und andere Erd- und Metallbasen bedürfen dazu einen Ueberschuß an Kohlensäure, sie sind erst als doppelkohlensaure Basen (B C<sup>2</sup>) löslich, diese Kohlensäure nennt man, gegenüber der freien, halbgebunden. Bei der künstlichen Bereitung der Mineralwasser scheint die quantitative Menge der Bestandtheile allein nicht zu genügen, sondern es kommt auch auf die Gruppierung an, welche freilich schwer zu ermitteln ist, Zahresb.

der Gesellsch. Nat. Heilk. Dresden 1875/76. pag. 29. Wie wesentlich der Gehalt der Wasser von dem Boden abhängt, aus welchem die Quelle hervorkommt, das zeigt in auffallendem Grade die

Schwefelwasser (aquae hepaticae). Sie verbreiten einen Geruch nach faulen Eiern, haben einen widrigen Geschmack, hineingeworfene Silbermünzen werden schwarz. Am stärksten sind die kalten, welche in 100 Maß Wasser 4 Maß Schwefelwasserstoff enthalten können. Am Fuße der schwäbischen Alp treten aus den Liasschiefern eine ganze Reihe solcher Quellen hervor, worunter Vöhl die berühmteste: zunächst zerfällt sich der fein vertheilte Schwefelkies des Gebirges zu schwefelsauren Salzen; da nun aber zugleich Bitumen vorkommt, so wirkt derselbe desoxydierend, erzeugt Schwefellebern, die Schwefelwasserstoff geben, was die Quellen aufnehmen. Selbst Gyps kann solchen desoxydierenden Einwirkungen nicht widerstehen. Die heißen Schwefelwasser von Aachen und in den Pyrenäen sind zwar nicht so stark als die kalten, aber auch hier scheinen organische Stoffe auf schwefelsaure Salze eingewirkt zu haben, wie schon der Gehalt an Barégine in den Pyrenäenbädern beweist. Dazu kommen dann aber noch Schwefellebern in Lösung. Selbst der HS in Vulkanen könnte in den mit organischen Substanzen geschwängerten Meerwassern seinen Grund haben. Auch die

Gypshaltigen Wasser, welche sich auf Zusatz von Alkohol trüben, haben ihren Sitz vor allen im Gypsgebirge, man findet sie besonders in der Unterregion des Keupers von Schwaben, wo das anstehende Gypsgebirge über den Ursprung gar keinen Zweifel läßt.

Es gibt noch eine Menge mineralischer Wasser, welche in unmittelbarem Zusammenhange mit chemischen Processen im Erdbinneren stehen, so die Eisenvitriolwasser von Alexisbad am Unterharze, welche aus einem alten verlassenen Stollen kommen; die Cementwasser in großen Grubenbauen von Goslar, Falun, Neusohl u., welche Kupfer- und Eisenvitriol enthalten, daher auf Eisen Kupfer absetzen; Wasser mit freier Salzsäure (Rio Vinagre) kommt in einem gewaltigen Strome von der Höhe des Vulkans von Purace bei Popayan herab: in seinen weitberühmten Wasserfällen wird der Wasserstaub dem Auge beschwerlich, und beim Eintritt in den Rio Cauca vertreibt er auf 4 Meilen alle Fische, obgleich 1000 Theile Wasser nur 6,8 freie Salzsäure enthalten.

Das Wasser enthält außer den Bestandtheilen, welche sich durch direkte Analyse nachweisen lassen, noch andere Beimischungen, aber in so kleinen Mengen, daß man lange von ihrer Existenz darin nichts wußte. Prüft man dagegen die Quellenabjäge, so kommen sie zum Vorschein! Walchner fand 1844, daß eine große Reihe von Mineralquellen Arsenik und Kupfer in ihrem Quellenschlamm bergen (Cannstadt, Rippoldsau, Ems, Wiesbaden, Pyrmont u.). Der Ocker von Cannstadt (Jahreshefte vaterl. Naturk. Württemb. III. 1887) enthält 60,9 Eisenoxydhydrat, 9,4 kohlensauren Kalk, 5,4 Kieselsäure u. und 0,8 p. C. arsenige Säure. Der Sprudelstein von Karlsbad 0,27 Arsenik. Im Sprudel sind überhaupt



30 Stoffe nachgewiesen, und darunter Antimon, Gold, Kupfer, Chrom, Zink, Kobalt, Nickel, Titan zc. Nähme man an, daß im Wasser Arsenit und Eisen in demselben Verhältniß enthalten seien, wie im Absatz, so kämen bei Cannstadt auf 10 Millionen Theile Wasser 1,5 Arsenit, oder auf 220 Maas 1 Gran. Will berechnete im Wasser der Josephsquelle von Rippoldsau auf 1000 Millionen Theile Wasser 600 As, 104 Cu, 25 Sn, 16 Sb; der Ocker enthält 50,6 Fe und 1,13 p. C. Metalle, im metallischen Zustand berechnet. Derartige Untersuchungen zeigen zu deutlich, wie durch die Wasser seltene Stoffe nach den verschiedensten Gegenden hingeführt werden können. Sie werfen in sofern Licht auf die Möglichkeit der Bildung selbst seltener Mineralstoffe im Schooße der Erde auf nassem Wege pag. 200.

Regenwasser hat die wenigsten Bestandtheile, daher ist auch das trübe Fluthwasser, wenn man es von den mechanisch suspendirten Theilen befreit, reiner, als der klare Fluß, welcher bloß aus Quellen gespeist wird. Bei der Wichtigkeit des Wassers zum Gebrauch hat man Methoden erfunden, die schneller zu Resultaten führen, als mühsame Analysen. Trommsdorff (die Statistik des Wassers und der Gewässer 1869) setzte das auseinander, man nennt es Hydrotimetrie (Wasserwerthmessung), sie beruht hauptsächlich auf Titiren. Trink- und Flußwasser enthalten die Kohlensäure gewöhnlich nur gebunden, da sie mit Koksäure geröthet werden (Ztschr. Biol. 1875 XI. 110). Spuren von salpetersauren Salzen fehlen zwar selten, aber sie dürfen ein gewisses Maß nicht überschreiten, sonst sind sie (durch Cloaken verunreinigt) der Gesundheit schädlich. Man spricht jetzt viel von Grundwassern, d. h. Brunnenständen im Diluvium und Alluvium. In ältern Gebirgen pflegt der Quellenlauf an gewisse Schichten (Schichtenwasser) gebunden zu sein.

---

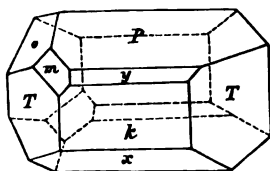
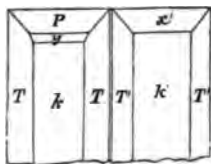
## Anhang.

### Künstliche Krystalle

(Chemikalien) gehören im Grunde genommen, wenigstens was Form und äußere Kennzeichen betrifft, ins Gebiet der Mineralogie. Mit jedem Jahre wird es schwerer die Gränze zu ziehen, auch mehrten sich die systematischen Vorarbeiten, wie Kopp (Einleitung in die Krystallographie 1849), Schabus (Sitzungsber. Wiener Akad. Wiss. 1855. X. 717), Rammelsberg (Handbuch der krystallographischen Chemie 1855). Ich hebe nur beispielsweise Einiges hervor, namentlich um zu zeigen, daß es oftmals nicht der mühsamen Messungen und Rechnungen bedarf, sondern des Blickes zur richtigen Orientirung: denn was thut es, ob ein Winkel ein Paar Grade größer oder kleiner ist, das Wesen bleibt immer das Erkennen des Systems. Ja ich kann mit einer Krystallbildung vortrefflich vertraut sein, ohne auch nur ein Mal an eine Winkelgröße gedacht zu haben. Das war der Standpunkt der Weißfischen Zonenlehre.

#### 1. Zucker $C_{12}H_{22}O_{11}$ .

Sucre candi R. de Lisle Essai 103, Kandisz-Zucker (Rohrzucker), welcher braun bis farblos käuflich zu haben ist, kann man sich leicht in Krystallen verschaffen. Prof. Hanke (Pogg. Ann.



49. 498) hat ihn beschrieben und Kopp (Krystallogr. S. 358) mit dem Reflexionsgoniometer gemessen. Oberflächlich angesehen erscheinen die Krystalle als Oblongoktaeder  $TPx$ , mit abgestumpfter Enddecke  $k$ . Allein es gibt öfter **Zwillingsstafeln**, welche die Säule  $T/T$  gemein haben, und deren Endflächen ( $P$  mit  $x'$ ) nicht einspiegeln. Damit ist sogleich ohne irgend eine Messung das  $2 + 1$ gliedrige System bewiesen (Weinstein säure): eine geschobene Säule  $T = a : b : \infty$  macht vorn über  $k$   $78^\circ 30'$ , ihr seitlicher Winkel von  $101^\circ 30'$  kann wegen seiner guten Ausbildung mit dem Anlegego-

niometer leicht controlirt werden. Durch Abstumpfung der vordern Säulenlante  $k = a : \infty b : \infty c$  werden die Krystalle häufig tafelartig. Diese  $k$  ist deutlich blättrig, läßt sich mit dem Messer spalten, und so fort zur optischen Untersuchung anwenden. Von den Schiefendflächen ist die etwas drusige  $P = a : c : \infty b$ ,  $76^\circ 30'$  gegen Axe  $c$ , häufig etwas stärker ausgedehnt, als die glattere hintere Gegenfläche  $x = a' : c : \infty b$ ,  $64^\circ 30'$  gegen Axe  $c$ . Da also  $P/k = 103^\circ 30'$  und  $x/k = 115^\circ 30'$  ist, so kann man beide mit dem Anlegegoniometer nicht verwechseln. Bei guten Krystallen findet sich unter  $P$  noch eine deutliche Abstumpfung  $y = c : \frac{1}{2}a : \infty b$ , welche auf der Hinterseite nicht ist, und daher die Zwillinge so augenfällig macht. Höchst eigenthümlich ist eine Fläche aus der Diagonalzone von  $P$  die zugleich  $T/x$  abstumpft, folglich  $o = a : c : \frac{1}{2}b$ . Sie kommt nur einseitig links unten und links oben vor, weshalb die Parallelen fehlen, gerade wie bei der Weinsäure. Dasselbe gilt auch von der noch seltneren  $m = \frac{1}{2}a : \frac{1}{2}b : c$ . Nach diesen Flächen richtet sich nun auch die Thermoelectricität: Axe  $b$  bildet die Thermoelectrische Axe, und da nur an einem Ende von  $b$  die Flächen  $o$  und  $m$  auftreten, so zeigt sich dieses bei abnehmender Wärme als das antiloge (negative). Setzt man nach E. Wolff (Journ. prakt. Chem. 1848. 28. 120)  $x = \frac{1}{2}a' : c : \infty b$ , so sind die Axen  $a : b : c = 3\sqrt{2} : \sqrt{3} : 1$  fast genau rechtwinklig, und die Flächenausdrücke werden  $T\ 110$ ,  $P\ 101$ ,  $x\ 2'01$ ,  $y\ 401$ ,  $o\ 131$ ,  $m\ 431$ .

Zwillinge legen sich gewöhnlich mit der stumpfen Säulenlante am Ende  $b$  aneinander, und zwar so, daß die beiden gleichnamigen Pole sich einander zu- und abwenden. Es begränzen sich also die Zwillinge-individuen entweder mit ihren positiven oder negativen Polen. Durchwachsen sie sich in dieser Lage, so heben sich die Electricitäten auf.

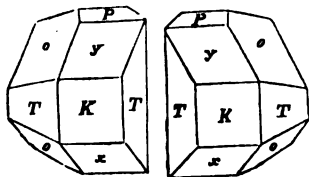
Krystallisirter Zucker steht nicht um, wie die unkrystallinischen Bonbons pag. 206. Die optischen Axen orientirt man nach dem blättrigen Bruch  $k$ : die Ebene der optischen Axen mit der Medianebene zusammenfallend steht senkrecht auf  $k$ , und die eine optische Axe steht auch fast senkrecht auf diesem Blätterbruch. Nach Miller (Pogg. Ann. 55. 600) weicht sie von der senkrechten auf  $k$  nur  $1^\circ 26'$  nach unten ab, die andere optische Axe liegt ungefähr  $50^\circ$  darüber. Sie zeigen conische Refraction.

Zuckerlösungen haben rechts drehende Circularpolarisation (Pogg. Ann. 28. 100), was sich sogar schon beim frischen Saft der zuckerbildenden Pflanzen zeigt. Das geht selbst soweit, daß man aus der Größe der Drehung auf den procentischen Zuckergehalt schließen kann, was für die Runkelrübenzuckerfabrikation von praktischer Wichtigkeit ist. Stellte man  $P$  hinten hin, so würden  $o$  und  $m$  auch rechts liegen.

## 2. Weinsäure $C_4 H_4 O_6 + HO$ .

Wird aus Weinstein bereitet, heißt daher auch Weinsäure, ein wichtiges Reagens für Kali, da sie in nichtsauren Lösungen von Kali-

salzen Weinstein (saures weinsaures Kali) niederschlägt. Sie stimmt mit Rechts-traubensäure überein, die durch die Untersuchungen von Pasteur (Pogg. Ann. 80. 117) höchst interessant ward. Ihre Form gleicht auffallend dem Zucker, dabei ist sie besser ausgebildet. Hankel (Pogg. Ann. 49. 600) beschreibt sie bereits richtig. Wir haben wieder eine Säule  $T = a : b : \infty$  seitlich in Axe  $b$   $102^\circ 54'$  also nur unwesentlich vom Zucker abweichend; ihre vordere scharfe Kante von  $77^\circ 6'$  wird durch die blättrige  $k = a : \infty b : \infty$  gerade abgestumpft. Schiefendfläche  $P = a : c : \infty b$  ist  $79^\circ 28'$  gegen Axe  $c$  geneigt, und steht rechtwinklig gegen die Medianebene. Die hintere Gegenfläche



$x = a' : c : \infty b$   $57^\circ 30'$  gegen Axe  $c$ , und vorn unter  $P$  noch eine Fläche  $y = c : \frac{1}{2}a : \infty b$   $45^\circ$  gegen Axe  $c$ . Gewöhnlich dehnen sich  $x$  und  $y$  so stark aus, daß  $P$  kaum sichtbar wird. In solchen Fällen läßt uns jedoch das Handgoniometer nicht

irren, da  $k/x = 122^\circ 30'$  und  $k/y = 135^\circ$  beträgt. Von dem Augitpaare  $o = a : \frac{1}{2}b : c$  tritt nur die eine Hälfte auf der rechten Seite auf, sie liegt in der Diagonalzone von  $P$  und in Zone  $Ty$ , daher sind  $x$  und  $y$  meist Rhombenflächen. Schwindet  $P$ , so machen  $ko$  eine wenig geschobene Säule  $97^\circ$ , worauf  $xyTT$  Rhomben bilden würden, wenn die Parallele von  $o$  da wäre. Zwar sieht man auch die linke  $o$  öfter, aber bloß klein. Selbst  $m = \frac{1}{2}a : \frac{1}{2}b : c$  stumpft zuweilen Ecke  $Toyk$  ab. Wir hätten dann genau den Zonenzusammenhang wie beim Zucker, nur  $o$  und  $m$  rechts, statt links, was übrigens bei der viel seltenern Linkstraubensäure vorkommt. Auch Zwillinge und Thermoelctricität sind wie beim Zucker. Die Winkel weichen zwar etwas ab, doch nimmt Wolff ganz denselben Säulenwinkel  $78^\circ 30'$  an, und fand  $P$  genau  $\frac{2}{3}$ fach stumpfer als beim Zucker. Conische Refraction, Regel doppelt so offen als bei Aragonit Pogg. Ann. 1875 Bd. 156. 675. Löst man Rechts-traubensäure (Weinsäure) in Wasser, so zeigt die Flüssigkeit rechte Circularpolarisation, die Linkstraubensäure dagegen linke.

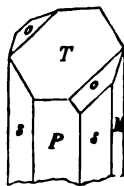
Traubensäure  $C_4H_4O_6$  1gliedrig, wurde zu Thann in den Vögefen bei der fabrikmäßigen Bereitung der Weinsäure bekannt (Pogg. Ann. 19. 110).



Die säulenförmigen Krystalle in nebenstehender Horizontalprojection könnte man als eine geschobene Säule  $d/e$  nehmen, deren scharfe Kante  $g$  abstumpft. Am Ende zeigt sich ein Augitpaar  $b/c$ , das mit  $g$  in eine Zone fällt. Fläche  $a$  ist blättrig und steht schief gegen die Kante  $b/c$ . Man erkennt die Blättrigkeit leicht, sobald man die Säule von den Drusen herunterbricht. Da nun in der Säule öfter noch  $f$

die Kante  $g/e$  abstumpft und mit Kante  $a/c$  in einer Zone liegt, und ferner  $b$  sich verkleinert oder ganz fehlt, so kann man die Krystalle beim ersten Anblick für eine achtsseitige Säule  $defg$  mit einem aufgesetzten Augitpaar  $c/a$ , ähnlich wie bei der Augitkrystallisation, nehmen.

**Trauben-saures Natron-Ammoniak.** Sättigt man gleiche Theile Traubensäure durch Natron und Ammoniak, und mischt die beiden Flüssigkeiten mit einander, so setzen sich beim Erkalten nach mehreren Tagen große 2gliedrige Krystalle ab, theils mit rechts-, theils mit links-hemiedrischen Flächen: rechts- und links-traubensaures Natronammoniak. Es sind oblonge Säulen P/M mit Geradenfläche T. Die geschobene Säule s stumpft die Kanten P/M ab. Das Oktaeder o = a : b : c am Ende ist aber nur zur Hälfte da: bei unserm rechten Krystalle ist die Kante T/s rechts abgestumpft; bei den linken muß es die linke T/s sein.



Behandelt man nun solches rechts-traubensaure Natronammoniak mit salpeterfaurem Bleioxyd, so schlägt sich rechts-traubensaures Bleioxyd nieder, aus welchem man dann mit Schwefelsäure die Rechts-traubensäure darstellen kann. Ebenso stellt man sich die Links-traubensäure aus den linken Krystallen dar. Die Traubensäure ist auf diese Weise in eine rechte und linke zerlegt. Daß die Säure in den sich wie Bild und Spiegelbild gleichenden Krystallen verschieden sei von der Traubensäure, davon kann man sich leicht durch chemische Reaction überzeugen: man löse einen linken oder rechten Krystall und behandle ihn mit der Lösung eines Kalksalzes, so bekommt man nach einiger Zeit isolirte glänzende Krystalle von links-traubensaurem oder rechts-traubensaurem Kalk, je nachdem man Krystalle wählt. Löst man dagegen beide Krystallarten, die rechts- und die links-hemiedrischen, gemeinschaftlich auf, so ist der Niederschlag verschieden und hat die Kennzeichen des traubensauren Kalkes.

Neuerlich hat auch Pasteur (Pogg. Ann. 90. 604) den Weg gefunden, Weinsäure in Traubensäure umzuwandeln. Weinsäures Cinchonin wird langsam einer Temperatur von 170° C ausgesetzt, es bildet sich theilweis Traubensäure, die durch Chlorcalcium fixirt werden kann.

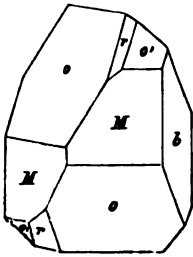
Das Links und Rechts der Säuren trägt sich auch auf die Krystalle der Salze über, wie das links-traubensaure und weinsäure Ammoniak; das links- und rechts-traubensaure Antimonoxyd-Kali (Brechweinstein); der links- und rechts-traubensaure Kalk zc. beweisen. Letztern den

**Weinsäuren Kalk** Ca T + 4 aq bekommt man sehr schön krystallisirt aus alten Weinfässern, wo glänzende Krystalle auf einer Kruste von Weinstein sitzen. Es sind ausgezeichnete 2gliedrige Dodekaide aus drei zugehörigen Paaren a : b : ∞c, b : c : ∞a, a : c : ∞b bestehend. Die zwei matten-Paare schneiden sich als Oblongoktaeder genommen in ihren Seitenkanten unter 80° und 82°, man könnte sie daher für ein viergliedriges Oktaeder halten, woran das glänzende dritte Paar Rhomben bildet, und die Seitenecken abstumpft. Aber da dieses Paar sich unter 92° schneidet, so kann das System nicht viergliedrig sein. Nun sind aber die Dodekaidflächen keiner Hemiedrie fähig pag. 75, und da andere hemiedrische Flächen nicht vorkommen, so kann man den weinsäuren Kalk (rechts-traubensauren) vom links-traubensauren an den Krystallen nicht

unterscheiden. „Dennoch ist gewiß, daß der links- und rechts- und weinsäure Kalk vom rechts- und weinsäure Kalk verschieden ist, denn mit diesem gemischt bildet sich sogleich traubensaurer Kalk, der sich von beiden leicht und wohl unterscheiden läßt.“

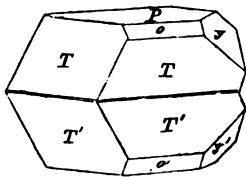
**Seignettesalz**, weinsaures Kalinatron =  $K T + Na T + 8 H$ , isomorph mit dem traubensauren und weinsauren Natron-Ammonial, zeichnet sich durch die Größe und Klarheit seiner luftbeständigen Krystalle aus, ist daher von Optikern gesucht. Die Säule s/s mißt  $100^{\circ} 30'$ , ihre scharfe Kante wird durch  $P = b : \infty a : \infty c$  gerade abgestumpft, diese Abstumpfung herrscht meist auf einer Seite so vor, daß der Krystall dadurch wie halbirt erscheint. Nicht weniger herrscht die Geradenfläche  $T = c : \infty a : \infty b$ ;  $M = a : \infty b : \infty c$  klein, aber zwischen M und s liegt noch eine zweite Säulenfläche  $a : 2b : \infty c$ . An den Enden sind zwischen P und T zwei Paare  $b : c : \infty a$  und  $b : 2c : \infty a$ , das Oktaeder  $o = a : b : c$  ist häufig hemiedrisch. Die optischen Axen liegen in der Ebene P, welche die scharfe Säulenkante abstumpft.

**Weinstein** (Tartarus), zweifach weinsaures Kali  $K T^2 H$ . Hier ist das 2gliedrige Tetraeder (Tetraid), öfter ganz vorherrschend, daher schlug Häubinger vor, es Tartaroid zu nennen. Wir sahen pag. 31, daß die zwei Tetraide einer und derselben Oblongsäule mit Geradenfläche einander nicht congruent sein können, sondern sich wie Bild und Spiegelbild verhalten. Dr. Hankel (Pogg. Ann. 53. 330) hat die Krystalle beschrieben. Man erhält bei der Verdunstung einer nicht sehr concentrirten Lösung von käuflichem Weinstein an der Luft „leicht Krystalle, die mehr als einen Zoll in der Länge, und die Hälfte in der Breite“ betragen: geschobene Säule  $M = a : b : \infty c$   $109^{\circ}$ ,  $a = a : \infty b : \infty c$ , und  $b = b : \infty a : \infty c$ , nebst einem Tetraid  $o = a : b : c$  mit  $77^{\circ}$  in Axe c. Auch das Gegentetraid  $o'$  ist da, nebst dem Paare  $r = a : c : \infty b$ .



#### 4. Grünspan $Cu \dot{A} H$ .

**Essigsäures Kupferoxyd**. Spangrün. 2 + 1gliedrige Krystalle:



Säule  $T = a : b : \infty c$  bildet nach Kopp vorn  $72^{\circ}$ , sie ist ziemlich deutlich blättrig. Schiefendfläche  $P = a : c : \infty b$  macht  $63^{\circ}$  gegen die Axe c, hinten die dreifach schärfere  $y = 3a' : c : \infty b$   $56^{\circ}$  gegen Axe c, endlich noch das Augitpaar  $o = a' : c : \frac{1}{2}b$ , das mit Ty und PT Zonen bildet. Interessant sind die häufigen Zwillinge, welche die Schiefendfläche P gemein haben, und umgekehrt liegen; sie haben also die analoge Lage, wie die Individuen 1 und 3 oder 2 und 4 beim Feldspathvierling.

Wöhler Pogg. Ann. 37. 166 lehrte auch einen zweigliedrigen Grünspan  $\text{Cu } \bar{\text{A}} \text{ H}^5$  kennen, er bildet 2gliedrige Dodekaide, die durch Wasserverlust in den gewöhnlichen Grünspan umstehen.

Essigsaures Natron  $\text{Na } \bar{\text{A}} \text{ H}^6$ , was in den schönsten weingelben 2 + 1gliedrigen Säulen krystallisirt, die Säule  $\text{T} = \text{a} : \text{b} : \infty \text{c}$  macht vorn  $81^\circ 30'$ , ihre stumpfe Seitenkante wird durch  $\text{M} = \text{b} : \infty \text{a} : \infty \text{c}$  gerade abgestumpft. Am Ende herrscht die Schiefendfläche  $\text{P} = \text{a} : \text{c} : \infty \text{b}$ ,  $68^\circ 16'$  gegen  $\text{Axe c}$ ; meist noch die vordere stumpfe Kante  $\text{P/T}$  durch  $\text{m} = \frac{1}{2} \text{a} : \frac{1}{2} \text{b} : \text{c}$  abgestumpft.

Bleizucker, Essigsaures Bleiorhyd  $\text{Pb } \bar{\text{A}} \text{ H}^3$  isomorph mit  $\text{Ba } \bar{\text{A}} \text{ H}^3$ . Ebenfalls 2 + 1gliedrig. Die Säule  $\text{T} = \text{a} : \text{b} : \infty \text{c}$  macht vorn  $52^\circ$ . Ihre scharfe Kante ist durch  $\text{k} = \text{a} : \infty \text{b} : \infty \text{c}$  gerade abgestumpft. Diese nebst der Schiefendfläche  $\text{P} = \text{a} : \text{c} : \infty \text{b}$  sind blättrig und stark ausgebeut, wodurch die Krystalle ein gewendet 2 + 1gliedriges Aussehen haben. Die Blätterbrüche  $\text{k/P}$  schneiden sich unter  $109^\circ 48'$ . Ihre scharfe Kante stumpft die hintere Gegenfläche  $\text{x} = \text{a}' : \text{c} : \infty \text{b}$  ab. Ueber essigsauren Baryt siehe Pogg. Ann. 90. 25.

### 5. Doppelsalze $\text{Me } \bar{\text{S}} + \text{Ak } \bar{\text{S}} + 6 \text{ H}$ .

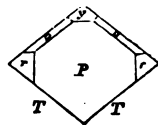
Worin  $\text{Me}$  die Metalloxyde Eisenoxydul, Manganoxydul, Zinkoxyd, Cadmiumoxyd, Kobaltoxydul, Nickeloxydul, Kupferoxyd, Magnesia; und  $\text{Ak}$  Kali und Ammoniak bedeuten. Diese bilden unstreitig eine der merkwürdigsten Gruppen isomorpher Krystalle, und da sie so leicht krystallisirt zu bekommen sind, so liefern sie ein vortreffliches Uebungsbeispiel.

Nach Graham zerfallen die einbasischen Salze in Beziehung auf Wassergehalt in zwei Gruppen. Unter den schwefelsauren Salzen sind es die

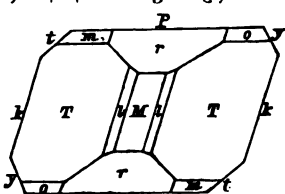
1) Gypsgruppe mit geraden Atomen Wassers, im Wasser wenig löslich und nicht geneigt zur Bildung von Doppelsalzen:  $\text{Ca } \bar{\text{S}} + 2 \text{ H}$ ,  $\text{Ca } \bar{\text{S}} + 4 \text{ H}$ ,  $\text{Mg } \bar{\text{S}} + 6 \text{ H}$ ; und

2) die Eisenvitriolgruppe mit ungeraden Atomen Wassers, wie Eisen- und Kupfervitriol pag. 650. Alle sind im Wasser sehr löslich, und bilden mit schwefelsaurem Kali oder schwefelsaurem Ammoniak leicht Doppelsalze. Bei solchen Doppelsalzen vertritt das  $\text{K } \bar{\text{S}}$  ein Atom Wasser, ohne daß dadurch die Form wesentlich verändert würde. Daher haben sie die 2 + 1gliedrige Form des Eisenvitriols mit 7 Atom Wasser. Die Winkel der verschiedenen Salze weichen zwar untereinander ab, der Typus ist aber bei allen unverkennbar: z. B. das schön grünfarbige

Schwefels. Nickeloxyd-Kali  $\text{K } \bar{\text{S}} + \text{Ni } \bar{\text{S}} + 6 \text{ H}$ . Eine etwas blättrige Säule  $\text{T} = \text{a} : \text{b} : \infty \text{c}$  hat vorn etwa  $109^\circ$ . Die herrschende Schiefendfläche  $\text{P} = \text{a} : \text{c} : \infty \text{b}$  macht die Krystalle nicht selten tafelförmig, und dann pflegen sie parallel der Diagonale  $\text{a} : \text{c}$  gestreift zu sein. Ungefähr  $73^\circ$  gegen die  $\text{Axe c}$  geneigt. Die hintere Ecke



PTT ist durch ein kleines glänzendes Dreieck  $y = a' : 3c : \infty b$  abgestumpft, woraus sich  $o = a' : \frac{1}{2}b : c$  in Zone P/T und T/y ableitet. Fläche  $r = a : \frac{1}{2}b : c$  liegt in der Diagonalzone von P. Schwefelf. Kobaltoryhdul-Ammoniak ist hochroth, schwefelf. Kupferoryhd-Kali blau, schwefelf. Manganoryhd-Ammoniak blaß rosenroth, schwefelf. Zinkoryhd-Kali farblos.

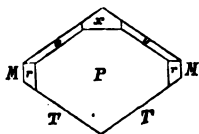


Besonders schön geräth meergrünes Schwefelf. Eisenoryhdul-Ammoniak, woran sich die fast rechtwinklige P so ausdehnt, daß man sie für 4gliedrige Tafeln hält, allein man sieht in der Medianebene nur optisch-zweizellige Ringe. Häufig ist auch  $m = \frac{1}{2}a : \frac{1}{2}b : c$  die vordere Kante P/T abstumpfend. Mit

ihrer Hilfe lassen sich die Flächen leicht deduciren. Denn setzt man  $m = 111$ , und  $o = 1'11$ , so ist T 110, P 001, r 011, y 2'01, t 201, k 100, M 010, l 120; wir haben also Hexaid PMk, Oktaid om, Dodekaid Tr, Pyramidenhexaid ytl. Schwefelf. Magnesia-Kali und schwefelf. Magnesia-Ammoniak zeichnen sich durch ihre Farblosigkeit und Klarheit aus: bei jenen wird k 100 breit und läßt das vordere optische Axenbild sofort sehen; bei diesen ist dagegen gewöhnlich nur die linke scharfe Säulenlante durch M 010 gerade abgestumpft. Heusser (Pogg. Ann. 91. 300) hat es optisch untersucht. Alle diese Krystalle haben noch die vortreffliche Eigenschaft, daß man sie wie Minerale aufbewahren kann, ohne daß sie sich verändern. Ob Ammoniak oder Kali darin sei, macht äußerlich keinen wesentlichen Unterschied, vor dem Löthrohr auf Kohle mit Soda zusammen erhitzt erkennt man das Ammoniak leicht am Geruch.

## 6. Asparagin $C_8 N_2 H_{10} O_8$

wurde schon 1805 von Robiquet in jungen Spargeltrieben entdeckt (Pogg. Ann. 28. 184), dann in allen Kartoffelarten zc. gefunden. Die Reichtigkeit seiner klaren luftbeständigen Krystalle fällt in hohem Grad auf. Miller (Pogg. Ann. 36. 477) hat sie zweigliedrig, Kopp (Eint. Kryst. 212) 2 + 1gliedrig beschrieben. Und allerdings ist auch ihr Habitus oft 2 + 1gliedrig, erinnert sogar auffallend an Feldspath. Säule  $T = a : b : \infty c$  macht vorn  $116^\circ 50'$ ; Schiefendfläche  $P = a : c : \infty b$   $64^\circ 29'$  gegen Axe c läßt sich von der hintern Gegenfläche  $x = a' : c : \infty b$   $64^\circ 46'$  gegen Axe c nicht unter-



scheiden. TTPx bilden nicht selten ausgezeichnete Oblongoktaeder. Dazu kommt noch, daß auch die Augitpaare  $o = a' : c : \frac{1}{2}b$  und  $r = a : c : \frac{1}{2}b$  vorn wie hinten erscheinen.  $M = b : \infty a : \infty c$  gewöhnlich nur klein, auch  $b : 2a : \infty c$  ist angedeutet. Nun ist zwar meist eine Schiefendfläche ausgedehnt, allein man weiß nicht, ohne vorherige genaue Messung mit dem Reflexionsgoniometer, ob die ausgedehnte P oder x sei. Das Auftreten von r, die dem Feldspath so fremd ist, erinnert an die vorige Gruppe, dagegen trifft man statt y dort hier stets x. Merkwürdig ist

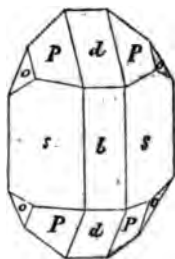


das einseitige Auftreten der Flächen  $r$  und  $o$ , an meinen Krystallen kommen nur die linken vor.

Für die äußerliche Orientirung ist es gleichgültig, ob man sich die Krystalle 2gliedrig oder  $2 + 1$ gliedrig denken wolle. Selbst die Augenzeichen bleiben die gleichen, es fällt bloß der Unterschied zwischen vorn und hinten weg. Solche Beispiele weisen aber auch evident genug, wie unzumuthmäßig die Mohs'sche und Naumann'sche Bezeichnung sein muß, wenn es auf einmal beliebt, von der Fläche  $P$  oder  $x$  eine zur Endfläche zu nehmen: so bequem es auch vielen Krystallographen beim ersten Anblick scheinen mag.

### 7. Unterschwefelsaures Natron $\text{Na}_2\text{S}_2\text{O}_3 \cdot \text{H}_2\text{O}$ .

Isomorph mit unterschwefelsaurem Silberoryd. Schon Dr. Heeren hat sie untersucht und beschrieben (Pogg. Ann. 7. 70). Es sind zweigliedrige wasserhelle luftbeständige Krystalle, die den klarsten Bergkrystallen gleichkommen. Die blättrige geschobene Säule  $s = a : b : \infty$  macht  $90^\circ 38'$ , gleicht daher einer quadratischen, aber nur der vordere stumpfe Winkel ist stets durch  $b = a : \infty b : \infty$  gerade abgestumpft, auch sieht man wie beim Bittersalz quer durch jede Säulenfläche ein Bild der optischen Augen, daher  $ab$  Augenebene. Ein Paar  $d = a : c : \infty b$  auf die vordere stumpfe Säulenkaute aufgesetzt macht  $118^\circ$  in Axe  $c$ . In ihrer Diagonalzone liegen zwei Oктаeder  $P = a : c : b$  und  $o = a : c : \frac{1}{2}b$ . Die Endflächen sind zwar etwas verzogen, aber so constant vorhanden, daß über die Deutung des Systems, auch wenn man die Winkel nicht kennt, kein Zweifel herrschen kann.

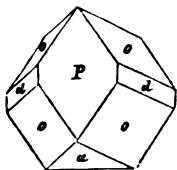


Das Unterschwefelsaure Silberoryd hält sich an der Luft ebenfalls vollkommen, nur daß es am Lichte ein wenig grau anläuft. Es hat eine Fläche  $a = b : \infty a : \infty c$  mehr. Unterschwefelsaures Strontian  $\text{SrS}_2\text{O}_3$  ist isomorph mit unterschwefelsaurem Kalk. Heeren bekam es in 6gliedrigen Tafeln: ein Dihexaeder  $a : a : \infty a : c$  hatte in den Seitenkanten etwa  $120^\circ$ , die Endcke durch  $c : \infty a : \infty a : \infty a$  stark abgestumpft. Es werden außerdem noch eine Reihe anderer unterschwefelsaurer Salze beschrieben, die meist aus heißen Lösungen in einem Glaskolben dargestellt wurden, welcher leicht verkorkt in einem Kasten mit Baumwolle umhüllt schon nach 12 Stunden die schönsten Krystalle gab (Pogg. Ann. 7. 71). Unterschwefelsaures Bleioryd  $\text{PbS}_2\text{O}_3 + 4\text{aq}$  ist rhomboedrisch und circularpolar, Brezina Sitzb. Wien. Akad. 1871 Bd. 64.

### 8. Salpetersaures Uranoryd $\text{UO}_2 \cdot \text{N}_2\text{O}_5$ .

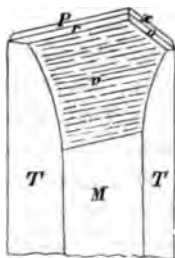
gibt prachtvolle gelbe an den Ranten ins Grüne schillernde Krystalle. An der Luft überziehen sie sich mit gelbem Ocker, halten sich aber dann.

Es sind ausgezeichnete 2gliedrige Dodekaeder mit einem Paar abgestumpfter Kanten, doch halbiren sie sich in der Regel mittelst der Ansatzfläche, welche dem blättrigen Bruche  $P = b : \infty a : \infty c$  parallel geht. Senkrecht dagegen steht  $a = a : \infty b : \infty c$ . Das Oktaeder  $o = a : b : c$  bildet Rhomben, deren Kante  $b : c$  durch  $d = b : c : \infty a$  abgestumpft wird,  $d/d$  macht über  $P$  in  $Age$   $b$   $62\frac{1}{2}^\circ$ , welchen man leicht mit dem Handgoniometer controliren kann. Es ist natürlich in solchen Fällen gleichgültig, welche  $Age$  man als aufrechte  $c$  nehmen will. Ich bin Ropp in voriger Bezeichnung gefolgt. Man könnte füglich auch in diesem Falle von der Säule  $d = a : b : \infty c$  ausgehen, dann wäre  $P = b : \infty a : \infty c$ , da sie die scharfe Säulentante  $d/d$  abstumpft. Fläche  $a = c : \infty a : \infty b$  würde zur Geradendfläche, und  $o$  behielte ihren Ausdruck.



### 9. Oxalsaures Chromoxydali.

$\bar{E}r \bar{O}^3 + 3 K \bar{O} + 6 H$ . Dieses Doppelsalz bildet den Ausgangspunkt einer ganzen Reihe, worin die Base Chromoxyd durch Eisenoxyd oder Thonerde, und das Kali durch Ammoniak vertreten werden kann. Die nadelförmigen Krystalle sind 2 + 1gliedrig. Eine geschobene Säule  $T = a : b : \infty c$  macht vorn  $70^\circ$ , ihre stumpfe Kante ist durch  $M = b : \infty a : \infty c$  gerade abgestumpft. Am vordern Ende herrscht die Schiefendfläche  $P = a : c : \infty b$   $70^\circ$  gegen  $Age$   $c$  geneigt. Die hintere Gegenfläche  $x = a' : c : \infty b$  macht einen kleinern Winkel. Augitpaare  $o = a' : c : \frac{1}{2}b$  und  $r = a : c : \frac{1}{2}b$  kommen zwar vorn und hinten vor, allein meist nur einseitig. Die allereigenthümlichsten Flächen



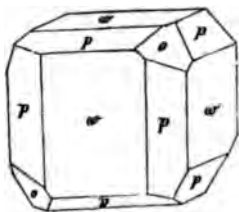
bilden jedoch die bauchigen Paare  $v = a : c : \frac{1}{x}b$ , wo  $x$  eine sehr große Zahl ist. Dieselbe verschimmt so gleichartig mit  $M$ , daß man ihr kaum einen festen Ausdruck wird geben dürfen. Für die Orientirung ist sie außerordentlich wichtig und macht, daß die Krystalle an ihrem Oberende schneidig und dünn werden. Das liefert wieder für ihr interessantes optisches Verhalten eine willkommene Bequemlichkeit (Pogg. Ann. 76. 107).

Die Krystalle sehen nämlich im reflectirten Lichte ganz dunkel schwarzgrün aus und haben wenig Durchscheinheit; auch das Pulver bleibt Berggrün. Im durchfallenden Licht nehmen sie dagegen ein brennendes Saffirblau an, wie die schönste Kupferlasur. Bei der geringen Durchscheinheit sieht man den Farbenwechsel jedoch nur an den Kanten, und besonders quer durch das Augitpaar  $v$ , weil an dieser Stelle die Krystalle am dünnsten sind. Im Dichroskop bekommt man ein blaues und grünes Bild: rein blau ist dasjenige, was parallel der  $Age$   $c$  schwingt, also

bei aufrechter Axe c das extraordinäre, bei horizontaler das ordinäre; das grüne schwingt senkrecht gegen Axe c, es spielt stark in das Smaragdgrün besonders an der untern Kante, dazwischen liegen rothe Streifen und Flecken, welche bei kleinen Drehungen lebhafter hervortreten. Und dieser Gegensatz der farbigen Bilder schwindet gänzlich in der Zwischenstellung, d. h. sobald die Axe c  $45^\circ$  gegen die längere Linie des Lichtoblongums macht pag. 141. Beide Bilder sind dann rein blau, nur etwas blasser als das Blau der differenten Bilder.

### 10. Chlorsaures Natron.

Na Cl isomorph mit Na Br. Mitscherlich (Pogg. Ann. 17. 386) bekam sie in Tetraedern, deren Kanten durch die Würfel Flächen abgestumpft, und deren Ecken durch die Granatoederflächen je dreiflächig zugescharft waren. Würfel und Granatoeder müssen ja bei allen hemiedrischen Systemen vollständig auftreten. Rammelsberg pag. 78 fand Würfel w, woran die abwechselnden Ecken durch das Tetraeder o abgestumpft waren, und neben diesem Tetraeder zeigten sich noch einseitige Abstumpfungsflächen der Würfelkanten durch eine Fläche, die gegen die anliegenden Würfel Flächen sich unter  $116^\circ 20'$  und  $153^\circ 20'$  neigte. Da nun das Pyritoeder  $p = 2a : a : \infty a$  mit den Würfel Flächen  $116^\circ 34'$  und  $153^\circ 26'$  machen muß, so konnte das keine andere Fläche sein. Zwar kam in den schief abgestumpften Würfelkanten noch eine zweite Fläche zuweilen vor, allein diese neigte sich  $135^\circ$  gegen w, mußte also dem Granatoeder angehören. Rammelsberg fährt nun fort:



„Die Beobachtung des Pentagondodecaeders an einer künstlichen Verbindung ist zwar an sich nicht neu (pag. 634), aber deswegen besonders interessant, weil diese Form hier in Combination mit dem Tetraeder vorkommt, während man bisher niemals eine geneigtflächige (tetraedrische) und eine parallelflächige (pyritoedrische) Form zusammengefunden hat.“ Durch Anschneiden der Würfel und Beschnitzen mit den Fingern kann man die hemiedrischen Flächen beliebig herbeiführen (Pogg. Ann. 95. 465; 113. 498).

Chlorsaures Kali K Cl, welches in der Technik vielfach verwendet fabrikmäßig dargestellt wird, sollte isomorph mit chlorsaurem Natron sein. Allein seine luftbeständigen Tafeln gehören dem  $2 + 1$ gliedrigen Systeme an, haben jedoch mit Rhomboedern so auffallende Aehnlichkeit, daß sie einen vortrefflichen Beweis liefern, wie nahe überhaupt beide Systeme einander werden können. Nach Miller (Pogg. Ann. 55. 681) bilden die niedrigen Hendyoeder eine geschobene Säule  $T = a : b : \infty c$  von  $104^\circ$  in der vordern Säulenante, und die Schiefendfläche  $P = a : c : \infty b$  macht  $105^\circ 30'$  in der vordern Kante P/T, so daß sie von

der Säulenkante nur  $1^{\circ} 30'$  abweichen, was das bloße Auge nicht unterscheidet. Dazu kommt noch, daß alle drei Flächen blättrig sind. Ropp erwähnt auch Zwillinge, welche P gemein haben und umgekehrt liegen, selbst dieses ist dem Rhomboedrischen Zwillingengesetz analog. Indes bemerkt doch schon das bloße Auge Unterschiede: nicht nur sind die Säulenflächen häufig klein und die P tafelartig ausgebehnt, sondern P hat auch parallel den Hendyoederkanten eine federartige Streifung, welche man auf T vergeblich sucht.

### 11. Magnesium-Platin-Cyanür.

Mg Pt Cy<sup>2</sup> H<sup>3</sup>. Dies ist das prachtvoll grünschillernde rothe Salz, was zu dichroskopischen Untersuchungen sich vor allem trefflich eignet (Saibinger Pogg. Ann. 68. 302). Dasselbe ist luftbeständig, und verändert sich jahrelang in offenen Rapseln aufbewahrt nicht. Die Krystallisation bildet quadratische Säulen mit Geradenbfläche. Die Säulenflächen zeigen im reflectirten Licht einen grünen metallischen Schimmer, die Geradenbfläche hat dagegen diesen Schiller nicht, sondern ihre rothe Farbe nimmt bloß im reflectirten Lichte einen starken Stich in's Blau an, im durchfallenden verschwindet der Schiller und das Blau gänzlich, die Farbe ist hochroth. Im Dichroskop bekommt man bei aufrechter oder horizontaler Augenstellung von c stets ein schillerndes Bild: das schillernde schwingt parallel der Axe c, das nicht schillernde senkrecht darauf. Schief gegen die Endfläche des schillernden Bildes gesehen nimmt dieselbe eine prachtvolle Schattirung von Blau an. Nur wenn ich senkrecht gegen die Geradenbfläche sehe, sind beide Bilder gleich. Es bilden diese Salze die schönsten Beispiele für physikalische Flächen Differenz. Grailich (Krystall. opt. Unterj. pag. 99–126, hat eine ganze Reihe hierher gehöriger Salze zusammengestellt.

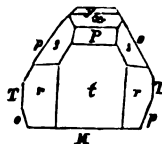
Kalium-Platin-Cyanür K Pt Cy<sup>2</sup> H<sup>3</sup> ist gelb durchsichtig, schillert aber im reflectirten Licht blau. Die Säulen mit Geradenbfläche werden auch quadratisch beschrieben (Pogg. Ann. 71. 224), nach Gmelin zweigliedrig.

Baryum-Platin-Cyanür Ba Pt Cy<sup>2</sup> H<sup>3</sup> bildet prachtvolle goldgelbe Krystalle mit einem bläulichen Schiller im reflectirten Lichte. Scheint 2 + 1gliedrig zu sein (Schabus, Sitzungsb. Wiener Akad. 1850. Mai 308). Strontiumplatincyanür Sr Pt Cy<sup>2</sup> H<sup>3</sup> und Calciumplatincyanür Ca Pt Cy<sup>2</sup> H<sup>3</sup> sind wieder 2gliedrig.

### 12. Doppelschromsaures Kali K Cr<sup>2</sup>.

Jenes prachtvolle morgenrothe Salz, was farblos im Natronlicht erscheint, und fabrikmäßig aus dem Chromeisenstein dargestellt wird, gibt die Quelle aller übrigen Chromverbindungen ab. System 1gliedrig, aber von ganz besonderem Interesse wegen seiner Verwandtschaft mit Cyanitkrystallisation. Meist Zwillinge, und zwar nach dem dritten

Cyanitzwillingsgesetz pag. 350: sie haben nämlich trotz der Eingliedrigkeit alle Flächen der Säule  $MT$  o gemein, nur ihre Enden liegen umgekehrt. Man kommt zu dieser Stellung, wenn man das eine Individuum  $180^\circ$  gegen das andere um die Kante  $M/T$  dreht. Der 1ste Blätterbruch  $M$  läßt sich leicht an seinem Perlmutterglanz erkennen, nach ihm werden die Krystalle tafelartig, und sein ebener Winkel fast ein Rechter. Der 2te Blätterbruch  $T$  schneidet ihn unter  $98^\circ = M/T$ . Der 3te Blätterbruch  $P$  gibt sich zwar nicht immer durch eine Krystallfläche zu erkennen, allein man kann auch nach ihm die Krystalle leicht zerbrechen, zumal da er den kürzesten Dimensionen der Individuen zu folgen pflegt:  $P/M = 84^\circ$ ,  $P/T = 91\frac{1}{2}^\circ$ . Der scharfe Säulenwinkel  $M/T$  wird durch o abgestumpft, und zwar macht o/M  $114\frac{1}{4}^\circ$ , folglich o/T  $149\frac{1}{4}^\circ$ . Ausnahmsweise wird auch die stumpfe Säulenkante  $M/T$  durch p abgestumpft. Am Ende herrscht meist die Fläche t mit  $67^\circ$  gegen den hintern Blätterbruch  $M$ , sie stumpft die scharfe Kante der Blätterbrüche  $P/M$  ab, während die stumpfe hinten durch zweierlei Fläche x und y abgestumpft wird, was die Zwillinge leicht erkennen läßt. In der Diagonalzone von t findet sich links und rechts r, in der ersten Kantenzone hinten dagegen s. Würde man  $o = a : b' : \infty$ , und  $p = a : b : \infty$ , ferner  $t = a : c : \infty b$ ,  $P = a' : c : \infty b$  setzen, so ist  $M = a : \infty b : \infty$ ,  $T = b : \infty a : \infty$ ,  $r = a : \frac{1}{2}b : c$ ,  $s = a' : c : \frac{1}{2}b$ . Häufig findet man die Flächen r. Eine der optischen Azen durch den blättrigen Bruch sichtbar macht mit Kante  $M/T$  einen scharfen Winkel. Conische Refraction.



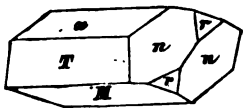
Einfaches Chromsaures Kali  $K Cr$  pag. 639 ist das schöne schwefelgelbe Salz, was nach Mitscherlich mit  $K S$ ,  $K Se$  und schwefelsaurem Ammoniak isomorph ist (Pogg. Ann. 18. 100). Es bildet lange rhombische Säulen  $a : b : \infty c$  von  $120^\circ 41'$ , worauf das 2gliedrige Oktaeder  $a : b : c$  aufgesetzt ist. Mit besonderer Zierlichkeit zeigt sich vorn ein kleiner matter Rhombus, welcher wechselseitig mit Säule und Oktaeder in Zonen fällt, daher den Ausdruck  $\frac{1}{2}a : c : \infty b$  hat.

### 13. Oxalsäure $C_2 H^2$ .

Gewendet 2 + 1gliedrig, wie Epidot pag. 340. Die Krystalle verwittern zwar an freier Luft etwas, zerfallen aber nicht, und da man sie leicht von außerordentlicher Schönheit bekommt, so sind sie ein willkommenes Beispiel für jenes von Weiß so glücklich gelöste verwickelte Krystallsystem. Gewöhnlich bilden sie lange rhomboidische Säulen  $M/T$  von etwa  $102^\circ$ , deren scharfe Kante durch x ungefähr gerade abgestumpft wird. T ist deutlich blättrig, und nach M werden die Krystalle oft tafelartig, diese ist in vielen Fällen auch nicht rein ausgebildet. Am Ende herrscht ein Augitpaar  $n/n$  von  $117^\circ$  in der Kante, es ist ziemlich blättrig,

aber wird schief auf sämtliche Säulenflächen aufgesetzt. Wesentlich für die Orientirung ist öfter noch ein kleines Flächenpaar  $r$ , welches die  $n$  in Rhomben verwandelt, woraus folgt, daß  $nn\ rr\ Tx$  ein Dodekaëd bilden. Nimmt man schiefe Axen, so kann man dann schreiben:

$n = a : b : \infty$  vorn mit scharfer Säule von  $63^\circ$ . Dazu bildet die blättrige  $T = a : b : \infty$  die Schiefendfläche, die

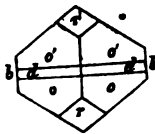


häufig verschwindende  $x = a' : c : \infty$  die hintere Gegenfläche,  $r = b : c : \infty$  ein Paar auf die stumpfe Säulenkante aufgesetzt. Da nun ferner  $M$  in Zone  $T/x$  und  $r/r$  liegt, so muß  $M = c :$

$\infty a : \infty b$  sein, obwohl man die Zone  $r/r$  selten gut beobachten kann.

#### 14. Taurin $C^4 H^7 N O^6 S^2$ .

Jene merkwürdigen klaren luftbeständigen Krystalle, welche Prof. Strecker aus Ochsen-galle darstellte, erscheinen beim ersten Anblick zweigliedrig: Oktaeder  $o = a : b : c$ , scheinbar gerade auf die Säule  $p = a : b : \infty$   $111^\circ 28'$  aufgesetzt;  $b = b : \infty a : \infty$  stumpft die scharfe Säulenkante gerade ab; darüber  $d = b : c : \infty$ ; vorn und hinten ein schöner Rhombus  $r = a : c : \infty$ . Bricht man jedoch kleine Säulen entzwei, so bekommt man parallel der hintern  $r'$  einen deutlich blättrigen Bruch als



Schiefendfläche, das System kann nicht 2gliedrig, sondern muß **zweigliedrig** sein. Damit stimmt auch die Polarisation: man sieht durch  $b$  zwei optische Axen, deren Ebene etwa  $45^\circ$  gegen  $c$  geneigt ungefähr senkrecht auf dem Blätterbruch steht, +  $b$  ist optische Mittellinie. Fr. Descloizeaux fand  $\rho < \nu$ ,  $2E = 113^\circ$ . Was die physikalische Betrachtung lehrt, bestätigen auch die Messungen von Kopp (Kryst. 219).

## Dritte Klasse.

### Gediegene Metalle.

Man stelle zu dieser nicht eben umfangreichen Klasse alle Stoffe, die sich in der Natur frei, d. h. chemisch unverbunden, vorfinden. Es hat das immerhin ein besonderes Interesse, wenn gleich eigentlich dahin nur die Metalle gehören, die sich durch hohes Gewicht, Metallfarbe und Metallglanz auszeichnen. Stein schmilzt, legt aber bei dem Erkalten seine alten Eigenschaften ab (Agricola nat. foss. 575), Metalle behalten sie dagegen bei. Letztere zerfallen in

edle und unedle.

**Edle Metalle**, Gold, Silber, Platin, Quecksilber rosten nicht, weil sie nur ungern chemische Verbindungen eingehen, oder wenn sie solche eingegangen sind, sich leicht wieder scheiden lassen: ihre Oxyde reduciren sich im bloßen Feuer. Sie besitzen dabei einen hohen Grad von Dehnbarkeit.

**Unedle Metalle**, welche nur im Feuer mit Kohle reducirt werden, gehen zwar leicht Verbindungen ein, sind sie aber einmal isolirt, so leisten sie den atmosphärischen Einflüssen Widerstand. Einige derselben, wie Kupfer, Eisen, Blei, Zinn (Cadmium, Nickel, Kobalt, Zink, Aluminium), sind noch geschmeidig und dehnbar; andere, wie Antimon, Arsenik, Tellur, Wismuth, spröde, aber leicht schmelz- und verdampfbar.

Metalle haben die bemerkenswerthe Eigenschaft, sich in allen Verhältnissen mit einander mischen (legiren) zu lassen. Die Legirungen nehmen auffallend andere Eigenschaften an, die ihren technischen Werth erhöhen. Namentlich werden sie härter. Carlvert und Johnson (Pogg. Ann. 108. 575) haben durch ein besonderes Instrument die relative Härte genauer festzustellen gesucht, und fanden die Reihe: Stahl, Stabeisen, Platin, Kupfer, Aluminium, Silber, Zinn, Gold, Cadmium, Wismuth, Zinn, Blei.

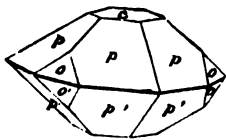
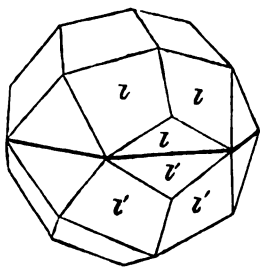
**Regulär**: Gold, Silber, Quecksilber, Platin, Iridium, Palladium, Kupfer, Blei, Cadmium, Zink, Eisen; **rhombodrisch**: Wismuth, Antimon, Arsenik, Tellur, Osmium, auch das dimorphe Palladium, Iridium und Zink (Pogg. Ann. 107. 400, 120. 66; Weiß, Sitzungsbb. Kais. Akad. Wiss. 1860. XXXIX. 600).

## 1. Gold.

Der König der Metalle, und den ältesten Völkern bekannt. Das hebräische *Sahab* (vom Sonnenlicht beschienen) und *Aurum* erinnern an Or (Licht), weil seine Farbe und Glanz mit der Sonne (☉) verglichen ward, dem alten alchemistischen Zeichen. Nach der Edda sind die Menschen zuerst in Hader gerathen, als sie Gullweig (Goldmaterie) gruben, und in der hohen Halle brannten. Schon Rebecca (1 Moses 24, 22) trägt goldne Armringe. Goldne Münzen reichen bis ins 7te Jahrhundert a. Chr. hinauf.

Reguläres Krystallsystem (G. Rose, Pogg. Ann. 23. 100), wie Silber und Kupfer, aber die Formen meist nicht recht scharfkantig. Oktaeder o, Würfel h, Granatoeder d kommen gut ausgebildet vor. Californische Oktaeder erreichen 10 Linien Durchmesser (Sillimann Amer. Journ. 2. ser. X. 107). Hauy's Cristaux triformes von Matto Grosso zeigen alle drei Körper im Gleichgewicht, ob sie gleich auch nach einer Würfelfläche tafelartig werden. G. Rose führt aus dem Waschgolde vom Ural selbstständige Pyramidenwürfel  $a : \frac{1}{2}a : \infty a$  an; Dufrenoy von der Provinz Goyaz in Brasilien, wo auch das Leucitoeder  $a : a : \frac{1}{2}a$  vorkommen soll, gewöhnlicher ist aber das Leucitoide  $a : a : \frac{1}{2}a$ . Ja an einem uralischen Krystalle finden sich am Oktaeder neben untergeordneter Granatoeder- und Würfelfläche das Leucitoide  $a : a : \frac{1}{2}a$  und zwei 48flächner, wovon einer  $a : \frac{1}{2}a : \frac{1}{2}a$  gut meßbar war; der andere vielleicht  $3a : \frac{1}{2}a : \frac{1}{2}a$  sein könnte. Am bekanntesten in Deutschland sind die kleinen bläsfarbigten rauchflächigen Krystalle von Böröspatak in Siebenbürgen, meist Oktaeder mit Würfel, woran aber auch der Pyramidenwürfel und das Leucitoide nicht fehlen. Besonders schön trifft man in dieser Gegend

Zwillinge, sie haben wie immer die Oktaederfläche gemein, und



liegen umgekehrt: schön am selbstständigen Leucitoide  $l = a : a : \frac{1}{2}a$  von Böröspatak, deren Zwillingegränze oft sehr regelmäßig durch die Mitte des Individuums geht. Beim Pyramidenwürfel  $p = a : \frac{1}{2}a : \infty a$ , dessen sämtliche Kanten  $143^\circ 8'$  messen (pag. 69), kann sich die Zwillingegruppe so verkürzen, daß ein förmliches Dihedraeder entsteht, und da die Zwillingegränze sich bis zur Unkenntlichkeit vermischt, entsteht leicht Täuschung. Gewöhnlich tritt das Oktaeder untergeordnet hinzu, und gibt

man dem Pyramidenwürfel das Zeichen  $p = a : a : \infty a : c$ , so bildet die Oktaederfläche der Zwillingegränze die Geradenfläche  $c = c : \infty a : \infty a : \infty a$ , während die drei andern einem Rhomboederzwilling  $o = \frac{1}{2}a : \frac{1}{2}a : \frac{1}{2}a : c$  angehören würden, wie die Projection pag. 88 sogleich ergibt. Zu Boiça



ist sogar ein Fünfling vorgekommen, indem sich 5 Oктаeder wie beim Binarkies mit ihrem scharfen Säulenwinkel von  $70^{\circ} 32'$  im Kreise an einander legten, sämtliche Individuen hatten daher in der Geradenfläche eine Granatoederfläche gemein, nur zwischen dem ersten und fünften Individuum mußte eine Lücke von  $7^{\circ} 20'$  bleiben, die sich ausfüllte.

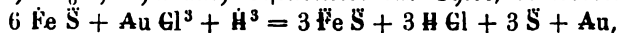
Diese Herrlichkeiten findet man freilich nur in großen Sammlungen, aber schon das Wissen um das Gesetz erfreut, und wir würden es vielleicht nicht kennen, wenn nicht der Werth des Goldes auch auf das Suchen solcher Dinge seine Macht ausgeübt hätte. Gewöhnlich kommt dieses edle Metall in Blechen, in draht- und zahnförmigen, seltener in dendritischen Gestalten vor. In im Sande wird es meist in Körnern und Glittern gefunden.

Goldgelb, in dünnen Lamellen aber grün durchscheinend (Newton), wie das ächte Blattgold zeigt; auch geschmolzen hat es einen grünlichen Lichtschein. Das Ungarische Gold ist messinggelb, und je mehr es in der Natur Silber enthält, desto bleicher wird seine Farbe. „Berggold“ pflegt lichter zu sein als „Waschgold“. Das sogenannte „schwarze Gold“ von Ostibirien (Jahrb. 1876. 111) soll bloß eine dunkle allerdings auffällige Rinde haben.

Härte 2—3, geschmeidig, mit glänzendem Strich und größter Dehnbarkeit. Ein Dukaten kann zu 20 Quadratfuß ausgeschlagen, feines Blattgold auf  $\frac{1}{1000000}$  Zoll Dicke gebracht werden, so daß  $7\frac{1}{2}$  Blatt erst der Wellenlänge des rothen Lichtes gleichkommen (Faraday, Pogg. Ann. 101. 117). Auf vergoldetem Silberdraht bringt man es bis auf ein zwölftmilliontel Zoll! In schneiden wir eine vergoldete Silbermünze durch, so scheint sie auch auf der Schnittfläche vergoldet, indem selbst das schärfste Messer eine Goldhaut darüber zieht. An vergoldetem Silberdraht ist mit 1000facher Vergrößerung noch ein Fünfundzwanzigtausendmilliontel Gran erkennbar.

Das Gewicht wechselt in der Natur je nach dem Grade der Reinheit zwischen 12—19. G. Rose (Pogg. Ann. 73. 6) fand das geschmolzene Gold 19,28, das gestempelte 19,33.

Vor dem Löthrohr läßt sich das natürliche Gold nicht sonderlich schwer zu einer Kugel schmelzen, obgleich das reine Gold erst bei  $1200^{\circ}$  C. fließt. Dasselbe ist in Chlorgas oder Salpetersalzsäure (Königswasser) löslich, indem sich Goldchlorid bildet, was Nägel und Haut purpurroth färbt; aber schon am Lichte scheidet sich wieder metallisches Gold aus, namentlich entzieht ihm auch Eisenvitriol das Chlor, es werden



indem die drei Oxygen des Wassers die 6 Fe zu 3 Fe machen. Gold färbt das Glas purpurroth. Verdünnte Kupferchloridlösung erzeugt auf Gold keinen Fleck.

Das natürliche Gold ist durch Silber in allen Verhältnissen verunedelt, es wird dadurch lichter, leichter und härter (Pogg. Ann. 23. 161), unbedeutend ist der Gehalt an Kupfer und Eisen; Australisches und Cali-

fornisches enthält Iridium, daher wies letzteres die Bank von England zurück (Ann. min. 1854. VI. 510). Das Gold aus dem Goldsande von Schabrowskoi bei Katharinenburg hielt 98,96 Au, 0,16 Ag, 0,35 Cu, 0,05 Fe. Gewöhnlich beträgt aber das Kupfer bei den Uralischen viel weniger bis 0,02 p. C. Boussingault fand 98 Au, 2 Ag von Bucaramanga in Südamerika; Kerl 95,48 Au, 3,59 Ag im Australischen; Dswald 93 Au, 6,7 Ag im besten Californischen Golde. Hr. Bergrath Keller (Frage der intern. Münzeinigung 1869 pag. 34) nimmt durchschnittlich auf 1 p. C. Silber in Australien 33 Au, im Afrikanischen Goldstaube 20 Au, in Sibirien 10 Au, in Californien 8 Au an. Aber von diesem Minimum im Feingoldgehalt scheinen nun noch alle möglichen Abstufungen vorzukommen: schon Klaproth (Beiträge IV. 1) nannte eine

**Electrum** mit 61 Au und 36 Ag, es bricht auf Silbergängen bei Schlangenberg am Altai, und ist viel blasser, als das goldreichere Metall. Plinius 33. 23 sagt ausdrücklich: omni auro inest argentum vario pondere. Ubique quinta argenti portio est, electrum vocatur. Herodot I. 50 heißt es λευκὸς χρυσὸς weißes Gold. Im Golde von Böhmen fand G. Rose sogar 38,74 Ag. Das schließt sich dann an das Gildische Silber von Kongsberg an. Schon mit 40 p. C. Silber legirt sieht die Mischung weiß aus. Es fand sich im Alterthum vorzüglich in Gallicien.

Den Silbergehalt des Goldes kann man vor dem Löthrohr mittelst Phosphorsalz prüfen: die Glasperle opalisirt unter der Abkühlung in Folge von aufgenommenem Silberoxyd. Beträgt das Silber nicht über 15 p. C., so löst sich aus Blechen mittelst Salpetersalzsäure das Gold; ist jedoch mehr Silber, so umhüllt das entstehende Chlorsilber die Goldtheile, und bewahrt sie vor Lösung. Steigt dagegen das Silber auf 80 p. C., so zieht reine Salpetersäure es vollkommen heraus, das Gold bleibt metallisch zurück. Legirungen von 15—80 p. C. Silber können mit 3 Theilen reinem Blei (geglühtem eissigsaurem Blei) zusammengesmolzen und dann mit Salpetersäure behandelt werden. Die Praktiker bedienen sich des Probiersteins pag. 251. Sie haben bekannte Legirungen von Silber und Gold (goldene Probirnadeln), machen auf den Stein einen Strich, und können schon aus der Färbung auf den Goldgehalt schließen. Tröpfelt man dann Salpetersäure darauf, so löst diese das Silber, und läßt das Gold zurück. Gold hat so wenig Verwandtschaft zum Sauerstoff, daß man es im Knallgebläse, mit Brenngläsern zc. verdampfen, und im Dampfe Silber vergolden kann.

Die Goldmacherkunst (Alchemie) wird seit alter Zeit vergeblich getrieben. Im Mittelalter trachtete man hauptsächlich nach dem Stein der Weisen, dem großen Elixir oder Magisterium (Meisterstück), das die Eigenschaft hatte, schmelzendes Metall in Gold zu verwandeln (Kopp, Geschichte der Chemie). Noch im Jahre 1597 wurde der Alchymist Honauer in Schwaben gehängt.

Verbreitung des Goldes ist außerordentlich groß. So enthalten

3. B. die Erze des Rammelsberges bei Goslar nach Hausmann in 5,200,000 Theilen 1 Theil Gold, der gewonnen wird, weil er mit dem Silber fällt. Alle alten Silbermünzen enthalten noch Gold, aber seitdem man weiß, daß Silber in concentrirter Schwefelsäure gelöst werden kann, lohnt es sich selbst noch  $\frac{1}{3000}$  Gold abzuscheiden, so viel enthielten die herabgesetzten Koburger Sechser. Die Kronenthaler haben sogar  $\frac{1}{1300}$  Gold d. h. 12000 fl. in der Million fl. (Pogg. Ann. 74. 310). Das Silber schlägt man aus der schwefelsauren Lösung durch Kupferplatten nieder. Die Schwefelkiese auf den Gängen und Lagern von Freiberg haben bis ein 400 Milliontheil Gold; die von Marmato bei la Vega de Supia (Provinz Popayan) nach Boussingault  $\frac{1}{3000}$ , in Colorado liefern sie sogar mit Kupferkies reichen Goldertrag. Auch der Arsenikalkies von Reichenstein in Schlesien wurde früher auf Gold ausgebeutet (Abh. Berl. Akad. 1814. 20), 1853 lieferten die Sublimationsrückstände mittelst Chlorgas 18 Mark. Auf der Südseite der Karpathen sind die Breccien der Syenit-Porphyre so vom Golde durchdrungen, „daß jeder Stein auf der Kapelle ein Goldkorn hinterläßt“. In Böröspataf, wo sich noch riesige Halben aus Römerzeit finden, liegt es im Karpathensandsteine am Fuße eines Trachtytporphyr 1 Meile nordöstlich Abrudbanya (Jahrb. Geol. Reichsanst. 1851. 24). Zu Königsberg sollen früher die Arbeiter mit dem Staube bezahlt worden sein, der in ihren Kleidern hängen blieb. Hier in dem Ungarisch-Siebenbürgischen Gränzgebirge setzen sich die kostbaren Gold-erze mit Tellur verbunden an: Schrifterz mit 30 Au und Blättererz mit 9 Au. Sie waren lange die einzig bekannten, bis sie in unsern Zeiten auch Californien und Colorado lieferte. Alles übrige Gold kommt auf ursprünglicher Lagerstätte, hauptsächlich eingesprengt, in krystallinischen Silicatgesteinen vor, aber so fein vertheilt, daß die Arbeit darauf nur selten, wie jetzt in Nevada, lohnt. In den Dauphiner Alpen bei la Gardette hat man es bis 1835 zu wiederholten Malen vergeblich versucht. Am Rathhausberg bei Gastein, am Hainzenberg im Zillertal u. ist der Ertrag auch nur unbedeutend. Besonders gern sammelt sich das Gold auf Quarzgängen: so ward es früher zu Beresowsk nördlich Katharinenburg, dem einzigen Goldbergbau im Ural, in kleinen Mengen gewonnen. In Ungarn zu Naghag, Offenbanya, Kremnitz ist es mehr Erz, als gediegenes Gold, was man ausbeutet. Werden nun aber diese goldhaltigen Gesteine zertrümmert, wie das zur Diluvialzeit vielfach der Fall gewesen sein muß, und wie es jetzt noch durch unsere Flüsse in kleinem Maßstabe geschieht, so wird das schwere Gold ausgewaschen und zurück bleiben, es bilden sich

Goldseifen, lockere Gebirge, die mit Wasser behandelt einen kleinen Theil ihres Goldgehaltes fallen lassen, was in Tüchern oder haarrigen Fellen (das goldene Fließ des Jafon) aufgefangen wird. So unvollkommen diese Methode auch sein mag, so weiß man doch bis jetzt nichts besseres. Im Durchschnitt gab der Uralische Goldsand  $\frac{1}{300000}$ , d. h. 100 Pud 1 Solotnik ( $\approx 3840$  Sol.). Und das ist erst noch viel.

Jetzt begnügt man sich schon mit  $\frac{1}{4}$  Solotnik. Ein Kubitsaden Sand gibt etwa 1 Fingerhut Gold. In Ostibirien rechnet man  $\frac{1}{4}$  Loth auf 100 Pud. Am Rhein, wo der Mann mit Waschen einen kärglichen Tagelohn verdienen kann, ist der Sand noch schlechter, es würde sich hier gar nicht lohnen, wenn nicht das Gold mehr in Blättchen, die sich leichter anhängen, vorkäme. Im Ural und in den meisten goldreichen Gegenden sind es vielmehr Körner mit rundlichen Oberflächen und allerlei Unebenheiten. Das russische Riesenstück, welches 1842 in den Goldwäschern bei Niasst gefunden wurde, wiegt 88  $\pi$  russisch (151 Mark), ist 15 Zoll lang und 10 Zoll hoch, gleicht dem geschmolzenen schnell erstarrten Metall, mit großen wulstigen Unebenheiten, in deren Tiefen Spuren von Krystallisation sichtbar werden. Quarz und Titaneisen sitzt stellenweis daran (Verhandl. Kais. Russ. Mineral. Gesellsch. 1843. pag. 70). Das Museum des Berg-Instituts bewahrte damals aus dem Ural 236 Goldklumpen von 463  $\pi$  Schwere und 168,000 Silberrubel Werth! Das größte Stück in Deutschland fand sich im Mühlbach bei Entirch an der Mosel ohnweit Bernkastel  $3\frac{1}{2}$  Loth, und wurde im Berliner Museum aufbewahrt (Vogg. Ann. 10. 128), ist aber durch Diebstahl abhanden gekommen. In Californien und Neuhoiland sind die Verhältnisse anfangs zwar günstiger gewesen, allein jetzt liegt der »auriferous gravel« meist unter einer mächtigen Decke von vulkanischem Gebirge, was die Gewinnung erschwert. In Californien weiß man sich durch riesenhafte Sprengungen und durch große Wasserleitungen mit 150 Fuß senkrechtem Gefälle zu helfen (Berg- und Hüttzt. 1871. 100). Der goldhaltige Quarz von den Gängen kann sogar mit Vortheil gepocht und geschlemmt werden.

Der Goldwerth schwankt immer etwas, je nach dem Gewinn und den politischen Zuständen, Hefserich period. Schwant. Werth edl. Metalle, 1843. Gold lieferte schon zur Zeit des Moses in vielen Centnerschweren Massen das Hauptschmuckwerk beim jüdischen Cultus (2 Moses 38, 24), der Gnadenstuhl und die Cherubim waren aus massivem Gold. David vermachte dem Tempel 3000 Talent Goldes (1 B. Chron. 30, 4), und Salomo holte auf eigenen Schiffen 420 Talente (nach Weston's Berechnung 3 Millionen Pfund Sterling) aus Ophir (Solfala oder Malacca) 1 Kön. 9, 28, und bekam überhaupt in einem Jahr 666 Talente Gold, 1 Kön. 10, 14. Schon zu Plato's Zeit wurde der Werth auf das 12fache des Silbers gesetzt, wie es etwa noch heute in der Türkei ist. Alexander erbeutete in Persopolis 120,000 Talente (150 Mill. Thaler). Die Römer trieben einen ungeheuren Goldzug besonders mit Ringen, Plin. 33. 5. Nach der Schlacht bei Cannae sandte Hannibal der Vaterstadt über drei »modii« anulos aureos von den gefallenen Equites, Livius XXIII. 12. Dennoch hatte Cäsar in Gallien so viel erbeutet, daß es plötzlich nur  $7\frac{1}{2}$ mal theurer als Silber wurde, während es unter Justinian wieder auf 22 stieg. Zu unsern Zeiten schwankte die Goldwährung zwischen 14—15, d. h.  $14\frac{1}{2}$   $\pi$  Silber gelten so viel als 1  $\pi$  Gold, in Frankreich 1 : 15 $\frac{1}{4}$ , fiel dann aber 1875 auf 1 : 17. Da das

Silber reichlich ein Halbmal so schwer als Gold ist, so haben Goldstücke von gleicher Größe mit Silberstücken ungefähr einen 27—30fachen Werth. Die feine Mark 360 fl., oder das Pflund 1392 Mark werth.

Asien war nach alten Angaben das goldreichste Land der Erde, und schon Herodot sagt, daß im Lande der Dardi (Kaschmir) Ameisen größer als Füchse goldhaltigen Sand aus der Erde werfen. Noch heute sind alle Zuflüsse des obern Indus so goldhaltig, daß Ritter (Erdbunde 14. 110) dahin das Land Ophir versetzte. Verschiedene asiatische Völker bedienen sich der rohen Goldkörner als Tauschmittel. Besonders viel Goldstaub liefern die großen Inseln Celebes, Borneo, Sumatra u. Malacca hieß bei den Griechen und Römern die goldne Halbinsel. Es scheint bis jetzt noch wenig ausgebeutet, denn ein Fürst von Celebes versprach mal einem amerikanischen Kaufmann, binnen Jahresfrist eine beliebige Menge in Stücken von 6—12  $\pi$  zu liefern. In Persien sollen nach den dortigen Sagen die Gräber des hohen Elwund die gemeinsten Metalle in Gold verwandeln. Aehnlichen Reichtum birgt das noch unbekanntere

Afrika. Südlich den Katarakten des Nil, noch südlich von dem alten Meroe (Sennaar), wird das Gold im Strom gefunden, Fazoglo, Scheibom und das Mondsgebirge ist den Sagen nach so reich, daß Nehmet Ali Expeditionen dorthin anrüstete. Weiter südlich im Reich Batua sollen Madagaskar gegenüber in der goldreichen Ebene von Manica die Goldkörner aus flacher Erde gegraben werden. In ein Theil der Westküste hat von den Kaufleuten den Namen Goldküste, wo schon nach Herodot IV. 198 die Karthager handelten, erhalten, weil die Mandingo-Neger den Goldstaub aus dem Quelllande des Senegal und Gambia hier absetzen. Man hat daher wohl gemeint, daß Ophir die Küstländer von Afrika oder des glücklichen Arabien waren. Doch lieferte die alte Welt heute nicht mehr die Schätze in dem Maße, wie es im hohen Alterthum der Fall gewesen zu sein scheint. Zwar machten die

Russischen Besitzungen von Nordasien am Ural und Altai in unserm Jahrhundert große Ausbeute, aber nicht ohne Anstrengung. Der Ural schien darnach das Land der Scythen Herodots zu sein, „wo die einäugigen Arimaspen das Gold unter den Greisen hervorziehen“. Noch heute ist es dort ein einträglich Geschäft, den Goldschmuck zu suchen, welchen die alten Tschuden ihren Todten mit ins Grab gaben. Dennoch wurden erst 1819 die Goldwäschchen im Ural wieder eröffnet. Die Goldseifen, unsern Lehmbildungen überaus ähnlich, ziehen sich auf der Ostseite des von Nord nach Süd reichenden Gebirges wohl 150 Meilen weit in gerader Linie fort, die größten Stücke kommen im Süden, in der Gegend von Miasch (Werchno-Uralsk das südlichste Werk) vor, je weiter nach Nord, desto feiner das Goldkorn. Die Kosten betragen  $\frac{2}{3}$  des Goldwerthes. 1843 gewannen Privaten und Krone 1342 Pud im Werth von 16 Mill. Silberrubel (à 1 fl. 50 fr.). 1847 1722 Pud, und von 1819—1851 etwa 18,400 Pud oder 460 Mill. Gulden. Nördlich vom Altai, in den mittlern Flußgebieten des Obi, Tom, Jenissej bis zur Lena,

wird das Gold durch Verbrecher gewonnen. 1841 und 42 zogen 350 Expeditionen im Gouvernement Jeneseisk in die Taigas (finstere Wälder) und fanden nichts, solche Mühe kostet das Aufsuchen neuer reicher Lager! Dennoch stieg dort der Goldertrag so schnell, daß er den am Ural bald zu überflügeln drohte, allein schon 1847 erreichte er seinen Höhenpunkt 1396 Pud, 1850 nur noch 1031, 1852 bloß 818. Es stieg dann aber wieder, und 1871 gewannen Ural und Sibirien 2400 Pud = 39312 Kilogramm, 1873 2024 Pud à 16,38 Rg. 1844 sollen im Gouvern. Jeneseisk 150,000 Bouteillen Champagner getrunken worden sein! Das gibt uns das beste Bild von den Goldsuchern.

In der *Neuen Welt* war es zuerst Brasilien, was die Goldgier in Aufregung brachte. 1590 sah man beim Sklavensfang Indianische Weiber und Kinder mit Goldblättchen geschmückt und nun drangen ganze Karawanen in die Urwälder, die in den Bächen von St. Paulo pfundschwere Stücke fanden. In Minas Geraes fischten 1680 die Indianer mit goldenen Angelhaken, und noch heute ist daselbst die Stadt Villaricca der Hauptort. Ein schieferiger Quarzfelsen mit Eisenglimmer (Itutinga) enthält das Gold in Blättchen, die zuweilen  $\frac{1}{2}$  Fuß lang werden, aber immer sehr dünn bleiben. Man treibt Versuchsrörter in das 60' mächtige Lager, und leitet Wasser hinein, welches das Gebirge zernagt und Gold auswäscht (Gibert's Ann. 59. 100). Eine einzige Mine (Gongo-Socco) hat in 12 Jahren den Engländern 20 Millionen Gulden Goldes geliefert. 1785 fand sich bei Bahia ein Goldklumpen von 2560 Pfund im Werth von  $1\frac{1}{2}$  Mill. Gulden! Die ganze Cordillere von Chili bis zur Landenge von Panama liefert theils in Quarzgängen auf Thonschiefer und Gneis, theils in Seifen und im Flußsande viel Gold. In La Paz am Titicacasee stürzte im vorigen Jahrhundert ein Thonschieferfels herab, worin Goldstücke von 50  $\mathcal{R}$  steckten, und der Felssturz brachte in wenigen Tagen 80,000 Piafter ein. Erst im Sommer 1852 kam die Bevölkerung Peru's in Aufregung, es hatte sich nördlich Lima in der Cerro de Sanu an der Küste von Huacho in Quarzadern des Porphyr ein ungeheurer Reichtum an feinstem Gold gefunden, muß aber bergmännisch gewonnen werden. Wenn die Küstenketten so viel Gold bergen, so läßt sich daraus auch der Reichtum weiter nördlich im Schuttlande von Choco wohl erklären. Großes Aufsehen machte in unsern Tagen

Californien. Schon lange war der Goldreichtum des nördlichen Mexiko's bekannt, denn in den Gruben des Trachyts von Villalpondo nördlich Guanajuato enthält nach Humboldt der thonige Schlamm der Goldgänge eine solche Menge unsichtbarer Goldtheilchen, daß die nackt arbeitenden Grubenleute nach gethaner Arbeit gezwungen sind, sich in großen Gefäßen zu baden, damit der kostbare Staub ihres Leibes nicht verloren gehe. In der nördlichen Provinz Sonora entdeckte man 1836 nördlich Arispe am Flusse Gil einen Sand, der täglich 16  $\mathcal{R}$  Gold lieferte. Die Arbeiter durchwühlten mit einem Stock den Boden, um die sichtbaren Körner aufzusuchen. Aber was war das gegen den Reich-

thum am Rio Sacramento in Obercalifornien, wo man im Frühjahr 1848 beim Graben eines Mühlbachs das erste Goldforn fand (Silliman Amer. Journ. 1849. 2 ser. VII. 132). Nach 3 Monaten sammelten sich schon 4000 Menschen, von denen der Mann täglich gegen 2000 fl. erbeuten konnte, obgleich nur Nägel, Taschenmesser u. die rohen Werkzeuge bildeten. Schon im Jahre 1848 sollen 5 Mill. Dollar, 1849 aber 40 Mill., 1850 50 Mill., 1851 56 Mill. ausgeführt sein. Genaue Angaben sind bei der Gewinnungsart nicht möglich. Doch scheint die Furcht, als würde das Gold plötzlich entwerthet, auch diesmal nicht begründet, denn 1860 wurden nur 47 Mill. erbeutet: die Glücksfunde ließen längst nach, obwohl der Sand mit 1—2 Franken im Cubikmeter uner schöplich sein soll. An den Küsten hat selbst das Meer den Waschproceß übernommen, und den goldhaltigen Magneteisensand 100' hoch über dem heutigen Spiegel abgelagert. Die Vereinigten Staaten haben außerdem im Osten längs des Alleghani-Gebirges in Virginien, Nordcarolina über die Westcke von Südcarolina hinweg bis Georgien hinein, auf einer Längenerstreckung von 100 Meilen Goldseifen und Goldgänge auf Quarz im Talkschiefer. Beim Graben von Brunnen sind in Nordcarolina Stücke bis zu 53  $\mathfrak{z}$  schwer gefunden worden. Man schätzt daher die dortige Goldausbeute von 1848—74 rund auf 5400 Millionen Mark.

Australien (Athenaeum 1849 Nro. 1132) hat im Gebirge des Bathurst-Distrikts westlich von Sydney durch die Entdeckung eines Schäfers Gold in solcher Menge geliefert, daß es sogar 1869 mit 380 Millionen Mark Californien in Schatten stellte. In der Victoria-Colonie fanden sich gleich anfangs Goldklumpen im Werth von 5500 Dollar (Leonhard's Jahrb. 1853. 72), bei Bathurst von 106  $\mathfrak{z}$  und 48,000 fl. Werth, bei Ballarat sogar von 184  $\mathfrak{z}$ , das eingeschmolzen für 55,840 Thlr. Gold lieferte! 1852 sollen in der Provinz Sydney und Victoria für 75 Mill. Gulden gewonnen sein. 1859 führte Australien 2½ Mill., 1860 nur noch 2 Mill. Unzen aus. Die Goldtrophäe von Victoria, welche in der Londoner Industrieausstellung das Auge auf sich zog, war ein 70' hoher Obelisk, der ein Gewicht von 16,000 Ctr. und einen Werth von 100 Mill. Pfund Sterling repräsentiren sollte;  $\frac{1}{4}$  der englischen Nationalschuld! Das beste Victoriagold enthält bis 99,9 p. C. fein, der Goldquarz aber Arsenikkies, Bleiglanz, Graupießglanz u. Gewöhnlich hat es aber 5—10 p. C. Silber, das Neuseeländische sogar 25—33 p. C. Letzteres wird geschmolzen und mit Chlordämpfen gereinigt, Berg. Hütt. Zeit. 1875. 315. Clarke (Silliman's Amer. Journ. XIII. 118) macht darauf aufmerksam, daß das Australische Gold genau im Meridian 149° östlich Greenwich liege, während 90° westlich davon das Uralische und 90° östlich das Californische sich aufgehäuft habe.

Die Europäischen Länder sind dagegen arm, aber vielleicht nur, weil die Ausbeute schon längst gemacht wurde. So spricht Plinius 33. 21 von einem Goldreichtum Spaniens, ganze Berge wurden in Gallicien, Lusitanien und Asturien mit Feuer und Wasser zerstört, und

noch sieht man im Guaderamagebirge die deutlichen Spuren davon, Berg. Hütt. Zeit. 1867. 12. In Italien verbot ein Gesetz, daß nicht mehr als 5000 Arbeiter aufgestellt werden dürften. In Frankreich (Reaumur. Mém. de l'Acad. 1718) werden die Ariege in den östlichen Pyrenäen, die obere Garonne bei St. Beat, der Gardon in den Sevennen, die Rhone 2c. als goldführend zum Theil noch ausgebeutet. Unerwartet kam die Ausbente im Sutherlandgoldfeld bei Kildonnau in Schottland (Jahrb. 1871. 71.). Selbst in Lappland am Fluß Kenna wurde 1837 entdeckt, wegen ungünstiger klimatischer Verhältnisse 1870 die Arbeit wieder eingestellt (Berg. Hütt. Zeit. 1873. 22.). In Deutschland (Naturforscher 1780 Stüd 14 pag. 37) gibt der Rhein noch eine kleine Ausbente von Waschgold, namentlich bei Wittenweier und Philippsburg, woraus die Badische Regierung alljährlich etwa 2000 Ducaten schlägt, obgleich Daubrée ausgerechnet hat, daß zwischen Basel und Mannheim 80 Millionen Gulden im Rheinbett liegen (Bullet. geol. Franc. 1846. 408.). Zwischen Waldshut und Aarau an der Aar gibt nach Mösch (Geol. Beschreib. Umgeb. von Brugg 1867. pag. 73) der Sand kaum mehr als ein Dreihundertmilliontel (52 Gold in 10,000,000,000 Rohmaterial), dennoch kam der Wäscher bei billigen Lebensmitteln auf guten Tagelohn. Die Goldblättchen scheinen aus der Molasse zu stammen. Zwar führt auch die Mosel in den Vogesen Gold, aber so wenig, daß ein Tagewerk nur 3 Centimen liefert. Auch in Württemberg hat man 1818 versucht, aus dem weißen Keupersandsteine von Sternenfels (Ob. Maulbronn) Gold zu gewinnen, aber die Kosten konnten nicht gedeckt werden. Aus der Donau (Jahrb. geol. Reichsanst. IX. 10), Inn, Isar, Salzach waren in München 1854 Goldsande ausgestellt; der Diluvialboden bei Bodenmais, der Schwarza-Grund am Thüringer Wald, die Edder im Waldeck'schen (Jahrb. 1854. 224), der Diemel bei Stadlberge (Jahrb. 1856. 21) 2c. haben zeitweilig Ausbente gegeben. Vereinzelt steht auf dem Unterharze der Fund von gebiegen Gold bei Tillerode in den Eisenerzen auf der Gränze zwischen Grünstein und Thonschiefer. Nur Oesterreich gewinnt in Ungarn und Siebenbürgen jährlich 6—7000 Mark, aber meist durch Bergbau. Ungarn war in frühern Zeiten sehr berühmt, Gold in Quarz wurde selbst auf dem Gipfel des Tatra-Gebirges, dem Krivan, gewonnen. Aus Siebenbürgen stammen die meisten Goldstufen unserer Sammlungen, wo auf schmalen Quarzschnüren des alttertiären Karpathensandsteins, durchbrochen von Daciten (Quarzandesiten), in vielen hundertn kleiner Baue das edle Metall gewonnen, und im Gebiete des Aranyos (Arany Gold), des goldreichsten Flusses Centraleuropas, auf zahllosen Hoch- u. d. Waschwerken ausgebracht wird (Zuflr. Zeit. 1862. 100): bei Bördöspatak (Alburnum majus) enthält das lichte bis ein Drittel Silber, dann sinkt sein Gewicht bis auf 12 herab, während das dunkle, welches dort bei Offenbanya mit Schrifterz einbricht, auf 92 Au steigen soll. Ein Glücksfund förderte im September 1862 im „Feldsteinporphyr“ (Dacit) 26 Münzpfund „Freigold“, das aus dem weichen Gestein zum Theil in den schönsten Krystallen herausfiel. Sogar goldhaltiges ver-



sohltes Holz kommt vor. Wo sich die Goldklüfte scharen, sind zuweilen in ein bis zwei Jahren über Millionen Gulden erbeutet. Ungarn gewann 1872 2868 Münzpfunde. Daher haben schon die Römer die großartigsten Spuren hinterlassen. „Dort fanden sich in einem alten Römerbau jene berühmten Wachs tafeln, welche in Pest und Berlin aufbewahrt werden, für die Culturgeschichte eine der kostbarsten Reliquien“. Vom Goldreichtum des Böhmerwaldes (Jahrb. geol. Reichs. 1854. 268) wird noch heute dort viel gesprochen. Auch die Alpen sind nicht zu vergessen: es finden sich nicht bloß am Rathhausberge in Salzburg, am Feinzen im Zillertal, an der Galanda bei Felsberg Goldstufen, sondern auch die Bäche führen Gold, wie die beiden Emmen am Pilatus, Reuß, Aar &c.

Die Goldproduction während der 5 Jahre von 1848—53 ergab einen Werth von 2 Milliarden Franken. Davon kamen im Jahre 1852 etwa 300 Mill. auf die Californischen Wäschereien, 160 Mill. auf Australien, 90 Mill. auf Ural und Altai, und die übrigen 50 Mill. auf sämtliche andere Länder. Zippe nimmt jährlich 4000 Etr. an, d. h. einen Würfel von 8' Kantenlänge. Schätzt man den ganzen Goldvorrath im Handel auf 500 Mill. Pfund Sterling, so gäbe das nur einen Würfel von 20' (v. Kobell, Min. popul. 1862. 179). Natürlich schwanken Angaben und wirkliche Ausbeute jährlich: 1869 wurde die Goldproduction auf 400 Millionen Thaler geschätzt, worunter Australien mit 127 oben ansteht; dann folgte Californien 100, Nordamerika 45, Mexico 35, Rußland 31, Südamerika 20, Europa 10. Sachsen gewann 1867  $159\frac{1}{4}$  Z = 73942 Thaler, aber das kommt nicht gediegen, sondern als Beigehalt anderer Erze vor.

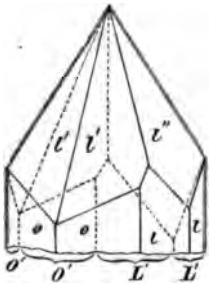
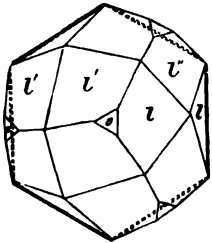
Man darf aus dieser großen Verbreitung nicht etwa voreilig schließen, daß das Gold sich vor andern Stoffen auszeichne. Nur sein Werth hat zu der Entdeckung geführt, und seine ungeheure Dehnbarkeit in Verbindung mit seinem Glanz macht, daß es wie das Sonnenlicht selbst bis in die Hütte der Armuth bringt (v. Kobell, Skizzen aus dem Steinreich 1850. pag. 138), und aller Augen auf sich zieht. Berthollet wies es sogar in der Pflanzenasche nach.

Anwendung. Feines (reines) Gold kann weder zu Münzen, noch zu Geräthschaften angewendet werden, weil es zu weich ist, aber schon  $\frac{1}{12}$  Blei macht es glasartig spröde, selbst schon  $\frac{1}{100}$  Wismuth wirkt deutlich ein. Bei dem mit Schwefelsäure geschiedenen Silber findet sich gewöhnlich Selen, schon  $\frac{1}{1000}$  ist schädlich. Mit Silber und Kupfer bleibt es dagegen geschmeidig. Zu dem Ende wird die Mark = 16 Loth in 24 Karat getheilt: nimmt man nun z. B. 22 Karat Feingold und mischt dazu 2 Karat Silber, so heißt solche Legirung 22karätig. Die rothe Karatirung geschieht mit Kupfer:  $\frac{1}{4}$  Kupfer gibt die härteste Masse, und die Farbe wird dabei röthlich gelb, also höher, und die Dichtigkeit etwas größer. Die weiße Karatirung geschieht mit Silber, aber die Farbe wird blasser, daher ist das nicht gewöhnlich. Am leichtesten schmilzt die gemischte Karatirung mit Kupfer und Silber.

## 2. Silber.

Schon bei Uffilas findet man Silubr, bei Ottfried Silabar, lateinisch Argentum, mit dem Zeichen des Mondes ☾, Hebräisch Keseph (vom Mondlicht beschienen). So lange als Gold gekannt, obgleich Plinius 33. 31 noch die Existenz des gebiegenen Silbers in der Natur läugnet. Native Silver, Argent natif.

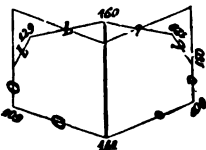
Es hat die reguläre Krystallform des Goldes. Würfel, Oktaeder und Granatoeder kommen in Sachsen bis zu  $\frac{1}{4}$  Zoll Durchmesser vor, der größte Würfel von Rongsberg hat  $\frac{3}{4}$  Quadratzoll Fläche. Lencitoid  $a : a : \frac{1}{2}a$  (Pogg. Ann. 64. 533). Naumann gibt noch Pyramidenwürfel  $a : \frac{1}{2}a : \infty a$  und  $a : \frac{1}{4}a : \infty a$  bei sächsischen Krystallen an, wo auch das Granatoeder keine seltene Erscheinung ist. Besonders schöne Krystalle zu Rongsberg, nebst Zwillingen von einfachen Würfeln und Lencitoiden, wie beim Golde pag. 678. Dasselbst dehnen sich zuweilen die Lencitoidzwillinge l, parallel einer Oktaederfäule o/o in zweigliedriger Stellung übereinander aus. Die Zwillingsebene ist bei unsern Figuren die Ebene des Papiers, und die unbezeichneten Flächen oben sind weggefallen. Von den zweigliedrigen Ären geht die Hauptaxe c der Oktaederfäule parallel, und die Nebenären liegen in der Granatoederfläche, welche die Enden gerade abstumpft. Sehen wir zunächst von dem Zwillinge ab, und gehen von dem 2gliedrigen Oktaeder l'l' aus, so ist



$$a : b : c = \frac{1}{2}\sqrt{2} : 3 : \frac{1}{2}\sqrt{2} = \frac{1}{2} : \sqrt{2} : 1,$$

wie sich nach dem Kantenzonengesetz pag. 49 leicht ergibt. Folglich ist auf diese Ären bezogen  $l' = a : b : c$ , in der vordern Endfäule  $148^\circ 54'$ ; das Paar  $l'' = c : \frac{1}{2}b : \infty a$  schneidet  $l'$  unter  $117^\circ 2'$ . Die Oktaederflächen o/o bilden die Säule  $o = 2a : b : \infty c$  vorn mit dem Oktaederwinkel  $109^\circ 28'$ , deren scharfe

Kante das zweite Paar von Lencitoidflächen  $l = 6a : b : \infty c$  zuschärft, folglich ist  $l/l = 129^\circ 31'$  und  $l/o = 150^\circ 20\frac{1}{2}'$ . Wenn nun diese 2gliedrigen Krystalle einen Zwilling bilden, wie der Fall ist, so haben sie die Säule o gemein und liegen umgekehrt. Aber dieser Zwilling der zweigliedrigen Stellung ist zugleich auch der der regulären. Beistehende

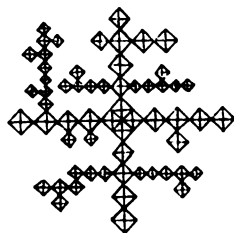


Horizontal-Projection der Säulen macht dies sogleich klar: wo sich l und l' in der Zwillingsgrenze begegnen, entsteht ein auspringender Winkel  $160^\circ 18'$ ;  $l/l = l'/l'$  sind  $129^\circ 31'$ ;  $o/o = o'/o' = 109^\circ 28'$ ;  $o/O = 141^\circ 4'$ , doch kann an dieser Stelle auch der einspringende

$L/l = 160^\circ 18'$  sich einstellen. Man findet diese Sachen besonders schön in den herrlichen Sammlungen von Kopenhagen: dicke Silberbleche,

worauf an beiden Seiten Würfel in gegenseitiger Zwillingstellung hervorrage; verzogene Dreikantner in Zwillingen 2c.

Keine Krystalle haben so entschiedene Neigung, dendritische Formen zu bilden, als das gediegene Silber, man hat daher den deutschen Namen sogar von *Silviger* ableiten wollen. Diese Dendriten sind z. B. im Schwerspath der Grube Sophie zu Wittichen auf dem Schwarzwalde nichts weiter als ein Proliferiren des Oktaeders nach allen Seiten: es setzt sich immer ein Oktaederchen auf das andere, und jeder Nebenstrahl kann wieder zu einem Hauptstrahl werden. Im Querschnitt (untere Figur) haben daher die Äste 4 Arme. Aber denke man sich auch noch so viele Verzweigungen, alle schneiden sich in der Richtung der Oktaederachsen unter rechten Winkeln, und das Ganze bildet ein einziges Oktaeder. Anders ist es, wenn die Strahlen sich unter  $60^\circ$  schneiden (Farrenkrautartiges), wie es auch auf der Sophie aber selten vorkommt, und von ganz besonderer Pracht zu Rongsberg. Dann entstehen Zwillingverzweigungen, wie beim Kupfer. Auch Austerkrystalle nach Rothgülden und Spröbglaserz gibt es, da dieselben sich schon durch heiße Wasserdämpfe reduciren.



Sehr ausgezeichnet sind die Haar-, Draht- und Zahnförmigen Bildungen, besonders schön bei Schneeberg und Rongsberg. Die Zahnförmigen sind wegen ihrer Aehnlichkeit mit Stoßzähnen von Elephanten benannt. Zu Rongsberg brach 1834 ein solcher Zahn von  $7\frac{1}{2}$  Etr. Gewicht! Diese äußern Gestalten sind auffallend gedreht und gekrümmt, „und es ist sehr gemein, daß weiß Silber aus gediegen Glaserz spreißet.“ So daß letzteres wahrscheinlich aus ersterem entstand. Bleche und Platten, letztere mit unregelmäßigen Eindrückern und zackigen Auswüchsen, kommen vor. Silberweiß, rein ist es das weißeste Metall, hat aber doch einen Stich ins Gelb und läuft an der Oberfläche gelb, roth, braun bis schwarz an, in Folge einer Aufnahme von Schwefel oder Chlor. Härte 2—3, etwas härter als Gold, geschmeidig mit sehr glänzendem Strich und hartem Bruch. Durch Hämmern wird es härter und spröder, und läßt sich zu Blattsilber von 100000 Zoll ausdehnen. Gegossenes wiegt 10,478, gehämmertes 10,6.

Vor dem Löthrohr schmilzt es leicht zu einer Kugel. Bei langsamem Erkalten krystallisirt es in Oktaedern. Das feine Silber nimmt beim Schmelzen Sauerstoff auf, und gibt diesen beim Erkalten unter Spritzen ab, treibt dabei mehrere Zoll lange Bäumchen, sogar krystallisirt, heraus. In Salpetersäure löst es sich bei der Wärme unter Entwicklung von Stickstoffoxyd zu salpetersaurem Silberoxyd, was fast in glänzenden weißen zgliedrigen Tafeln sich ausscheidet. Auch in concentrirter Schwefelsäure löst es sich unter Bildung von schweflichter Säure. Salzsäure gibt einen

läufigen Niederschlag von Ag Cl, der am Lichte violett und schwarz wird. Ammoniak löst den Niederschlag leicht, indem sich Chlorsilber-Ammoniak bildet. Saures chromsaures Kali und Salpetersäure erzeugen auf Silber einen rothen Fleck. Vollständig ist Silber schwer zu reinigen, namentlich nimmt es etwas Silicium auf (Stas, Bull. Acad. Brux. 1860. X). Die Salze schwärzen sich am Licht, d. h. es scheidet sich Silber aus, worauf die Photographie beruht.

Goldhaltig ist das meiste Silber, bei Rongsberg kommt eines mit 72 Ag und 28 Au vor (Fordyce, Phil. Trans. 1776. 222), man hat es wohl als guldisch Silber unterschieden. Gewöhnlich ist aber der Goldgehalt viel geringer pag. 680. Kupfer gibt Berthier 10 p. C. neben 90 Ag von Turcy Dep. Calvados an. Das Silber von Johanns-Georgenstadt enthält 99 p. C. fein. Außerdem kommt es aber meist

vererzt vor. Diese Silbererze (Gültigerze) brechen auf schmalen Gängen, wie schon Hiob 28, 1 weiß, die seit alter Zeit den Bergbau angeregt haben: Glaserz enthält 87 Ag, Antimon Silber 84 Ag, Hörnerz 75,2 Ag, Sprödglasserz 70,4, Polybasit 72, Rothgülden 65, Silberkupferglas 53, Amalgam, Wismuth Silber 60, Tellur Silber 61, Selen Silber 73, Brom Silber 58, Jod Silber 46, Rhargyrit 35,9, Sternbergit 33, Schilfglasserz 24, Silberfahlerz 31,8. Besonders aber sind es die in größeren Mengen brechenden Blei- und Kupfererze, welche durch einen kleinen Silbergehalt angereichert werden. Der Hüttenmann hat sich im Abscheiden dieses edlen Metalls eine solche Fertigkeit erworben, daß er weniger als  $\frac{1}{10}$  Loth im Centner, also  $\frac{1}{1000}$  tel, nachweisen kann (Blattner's Probierkunst 37), und zwar mit dem Lölthrohr! Da man aber mit dem Lölthrohr nicht leicht mehr als 1 Decigramm ( $\frac{1}{10}$  Quentchen) bewältigt, so läßt sich weniger als 1 Milliontel Quentchen Silbers nachweisen. Eine Wage reicht da nicht mehr hin, und Harfort kam auf den ingeniösen Gedanken, die kleine abgetriebene Silberkugel zwischen zwei feinen convergenten Linien auf Elfenbein zu messen, was vollkommen gelang. Silber wurde sogar in Meerwasser nachgewiesen, da Chlorsilber im Salzwasser sich löst (Pogg. Ann. 79. 400). Die Alten konnten nur reichere Erze verhütten, daher werden jetzt alte Halben und Bergversatz nochmals verwerthet, trotzdem daß das Silber einen viel geringern Werth bekam. Freilich hat sich auch der technische Zustand der Werke um das Vierfache verbessert.

Die Verbreitung des Silbers ist in Beziehung auf Menge 24mal stärker als die des Goldes. Das edle Metall würde aber in seinen schmalen Gängen lange verborgen geblieben sein, wenn nicht gerade die obersten Theile, die bis über den Boden in früherer Zeit emporragten, am reichsten wären. So fanden schon die Phöniciier bei ihren ersten Fahrten nach Spanien so viel Silber, daß nach der Sage ihre Schiffe es nicht fassen konnten, selbst Anker machten sie aus Silber. Bei einem Waldbrande in den Pyrenäen floß sogar ein Strom geschmolzenen Silbers aus der Erde (Diod. Sic. V. 24). Auch Hannibal hat mit spanischem Silber seinen zweiten Punischen Krieg geführt, die Grube Vebulo in

Aquitanien lieferte ihm nach Polybius täglich 300  $\mathfrak{z}$  (Plinius hist. nat. 33. 11). Dem Fugger brachten die Spanischen Silberbergwerke jährlich 6 Mill. Pfister ein. In Griechenland waren besonders die Silberbergwerke von Laurion bei Athen berühmt, welche durch Sklaven betrieben wurden. Sie gaben dem Themistokles die Mittel zu seiner Flotte (Völk. Abh. Berl. Akad. 1814. 88). Die mächtigen Schlackenhaufen bei Sunium haben sich zu festen Mühlsteinen verbunden (Jahrb. 1865. 99), welche von den Franzosen abermals auf Blei ausgebeutet werden. So kam es, daß schon zu Plinius Zeit bei reichen Römern Bildsäulen, Wagen, Bettstellen, Kochgeschirre u. von gebiegenem Silber waren, ja in Rom gab es 500 silberne Becken à 100  $\mathfrak{z}$ , und Drusillanus hatte eines von 550  $\mathfrak{z}$ .

Im Mittelalter gieng der Silberbergbau in Deutschland hauptsächlich vom Rammelsberge bei Goslar 960 aus; die Silberausbeute erreichte aber vor der Entdeckung von Amerika im sächsischen Erzgebirge ihren Höhenpunkt bei Schneeberg. Schon 1471 wurde hier ein „mächtig Erz“ gefunden, 1477 auf der St. Georgenzsche ein Stück von 7 Ellen hoch und  $3\frac{1}{4}$  Ellen breit (es war Glaserz mit gebiegenem Silber), woraus 400 Centner Silber geschmolzen wurden. Herzog Albert stieg selbst in die Grube hinab, speiste darauf mit seinen Begleitern, und soll nach Agricola Bermannus pag. 693 ausgerufen haben: Fridericus imperator potens et dives est, ejusmodi tamen mensam hodie non habet. Albinus (Reisniſche Bergsch. pag. 27) weiß nicht genug von dem Silberreichtum des Schneebergs zu rühmen. Er rechnet uns vor, daß in den ersten 79 Jahren von 1471 bis 1550 über zehn Millionen Centner Silber gewonnen seien. Das scheint nun zwar unmöglich (Bergm. Journ. 1794. VI. 1, pag. 151), doch entstand in Schneeberg ein so unsinniger Luxus, daß besondere Gesetze dagegen gegeben werden mußten. „Zum anderm „ist dieses in gemeinen Geschrey, und von vielen alten Gewercken vnd „Vergleuten auffgeschriben, vnd bericht geschehen, das man in der blüet „des Schneebergischen Bergwercks nicht gnug münzen können, vnd der- „halben nicht allein münze, Sondern auch Silberbüchen ausgetheilet, wie „denn auch Mathesius in seiner Sarepta schreibt, daß man auf S. Georgen „auf einmal hundert marc Silbers, vnd 600 fl. auf einen Ruz ausge- „theilet.“ Die Zsche wurde in 128 Ruz getheilt (Star und Wahr pag. 2). Ja nicht bloß ungemünztes Silber, sondern selbst rohes ungeschmolzenes Erz mußte man anfänglich abgeben! Und als Simon Rößler die Werke von Marienberg, die 1540 um Trinitatis 113,000 fl. Ausbeute geliefert hatten, vor allen sächsischen Werken rühmt, setzt er hinzu:

Den Schneeberg lassen wir bleiben,  
Da brach's gewaltiglich,  
Gott thue sein gnad verleihen,  
Das es hie auch so bricht.

Die Gesteine auf Fabian Sebastian in Marienberg verbreiteten sogar Wohlgerüche „lieblicher als Gewürze“, so daß Herzog Heinrich ausrief, hier ist das indische Calcut! Auf Neu-Morgenstern kamenachterlange

Drusen vor, woraus Haar Silber „kübelweis“ gewonnen wurde. Silber bleibt in Sachsen überall die neueste Bildung, es sollen in mehreren Revieren Silberzähne sogar über dem Rasen abgehauen sein, und zu Rautenberg fand man die gebiegenen Barren zwischen den Wurzeln der Bäume. Heute ist der Himmelsfürst bei Freiberg die reichste Grube: im Quartal Luciae 1857 hatte man in 6 Wochen 19 Ctr. erbeutet, darunter Platten von 60  $\mathfrak{z}$ !

Der Schwarzwald im Gebiete der Kinzig stand besonders im vorigen Jahrhundert in großem Ruf, Grube Sophia bei Wittichen lieferte dendritisches Silber im Schwespath, der im verwitterten Granit aufsteht. Die Grube Anton im Heubachthale hat noch in den Vierziger Jahren auf einen Schuß 50  $\mathfrak{z}$  gebiegen Silber geliefert, und als ein Bauer 1845 nahe der verlassenen württembergischen Grube Dreikönigstern sich im Granit einen Keller grub, erschürfte er unter dem Rasen 14  $\mathfrak{z}$  gebiegen Silber (Geol. Ausflüge Schwab. 1864. 100). Aber alles bricht nur sporadisch: so brachte es auch die Grube Wenzel im Schappacher Thal in ihrer besten Zeit mal eines Monats bis auf 24 Ctr. Silbererz, an wenig Antimon und Schwefel gebunden (Denkschr. Aerzte Schwab. I. 110).

Die Ungarischen Werke sind nicht minder silberreich, man rechnete früher den jährlichen Ertrag gegen 100,000 Mark, während der Oberharz nur 50,000, etwa eben so viel Sachsen und Przibram in Böhmen lieferten. Jetzt hat sich das freilich wesentlich gebessert: Sachsen allein gewann 1867 82700  $\mathfrak{z}$  =  $2\frac{1}{4}$  Million Thaler. In Preußen stand besonders der „Seegen des Mansfelder Bergbau's im Ruf, wo bei Eisleben sich gebiegen Silber sogar auf den Schuppen der Zechsteinfische niedergeschlagen hat; 1873 erbeutete der erweiterte Staat allein 231920  $\mathfrak{z}$  =  $6\frac{1}{2}$  Mill. Thaler, also ansehnlich mehr, als man früher für ganz Europa nebst Sibirien annahm. In Norwegen blüht Rongsberg, was früher sehr heruntergekommen war, und jetzt zu den reichsten Fundorten gehört. In Rußland ist es besonders die Ausbeute bei Schlangenberg am Altai mit jährlich 1000 Pud. Auffallend arm ist Frankreich, dagegen bekam England 1868 in Cornwall und der Insel Man 841,000 Unzen, wozu dann noch etwa 100000 Mark aus dem Bleiglanz des Bergtalles zu rechnen sind. Wenn man daher früher die ganze europäische Ausbeute nebst Sibirien nicht über 300,000 Mark schätzte, so darf man jetzt mindestens das Dreifache annehmen. Die Neue Welt liefert dagegen davon mehr als den zehnfachen Betrag. Vor allem

Mexiko, das 1803 allein 2,340,000 Mark gewann. Denn obgleich die Gruben seit 1584 Eigenthum des Entdeckers sind, so ist doch die Ausbeute wegen der Abgaben genau controlirt. Ein einziger Gang im Thonschiefer und Trachytporphyr, die Veta grande bei Zacatecas, lieferte jährlich 172,000 Mark, und doch sind die meist in Quarz eingesprenkten Erze so fein vertheilt, daß der Silbergehalt im Durchschnitt nur  $\frac{1}{88}$  beträgt, selten enthalten sie  $\frac{1}{18}$ , und bei  $\frac{1}{111}$  werden die Kosten nicht mehr gedeckt. Aber die Gänge halten gleichmäßig aus, was

allein die große Ausbeute erklärlich macht. 1841 wurden 74 Mill. Franken gemünzt, die besonders auf die Distrikte Zacatecas und Guanajuato kommen. Peru liefert 600,000 Mark, die Gruben von Guantahaya, Pasco u. liegen 12,000' über dem Meer, wohin Holz und alle Bedürfnisse nur auf dem Rücken der Saumthiere hingeschafft werden können. Böppig (Reise Chil. Peru Amazonenst. II. 51) gibt uns ein vortreffliches Bild von der Unvollkommenheit dortiger Gewinnungsart: wie Maulwürfe wühlen die ärmlichen Bewohner in der Oberfläche herum, denn wenn man den kurzen Nasen wegnimmt, so hängen auf Flächen von  $\frac{1}{2}$  Quadratmeile überall Glaserz und Haarsilber an den Grasswurzeln. Noch heute holen Eigenlöhner in der Argentinischen Republik aus 4500 Meter Höhe mit Maulthieren die edelsten Erze, um sie in ihren Behmütten mit Salz und Quecksilber zu Gute zu machen, Berg. Hütt.-ztung. 1872. 2. Der Reichthum im Thonschiefer von Potosi ist sprüchwörtlich geworden, wo nach Acosta's Bericht ein Hirt eine 9' hohe, 13' breite, 102' lange Erzmauer entdeckte, die über das Gebirge hinausragte. Helm hat daher wohl mit einiger Uebertreibung behauptet, daß bei gehöriger Ausbeutung der Cordillere das edle Metall so gemein als Kupfer sein würde. In Chili brechen in der Provinz Copiapo, welche 1850 gegen 335,000 Mark lieferte, die Silbergänge mit Hornerz hervor, darunter folgt erst das gebiegene Silber, und tiefer die geschwefelten Erze. 1831 ruhte bei Chanarcillo ein Jäger auf einem Felsblock aus, der sich wie Käse schneiden ließ. Es war Hornerz! Humboldt hat ausgerechnet, daß das Silber der Neuen Welt in 300 Jahren eine Kugel von 63 Fuß Durchmesser gegeben habe; Mexico allein vermünzte von 1537—1853 2500 Millionen Dollar. Amerika überhaupt soll von 1492—1848 schon 1500 Millionen Pfund Sterling in Gold und Silber nach Europa versandt haben (Berg. Hütt. Zeit. 1876. 212). Wunderbar schön sind auch die Klumpen und Knollen gebiegenen Silbers, welche an dem Kupfer am Lake Superior warzenartig haften und auffallender Weise sich ganz rein vom Kupfer ausschieden. Jetzt scheint Californien am Ostabhange der Sierra Nevada Peru und Chili noch zu übertreffen (Jahrb. 1861. 222). Die Erze liegen unter dem 40ten Breitengrade im Gebiete des Carsonflusses, und haben seit 1859 einen Strom von Auswanderern nach den Washoe-Minen gelockt. Anfangs wurden die reichen Stufen auf dem Rücken der Maulthiere über die Cordillere 320 miles weit geschafft und in Europa verhüttet (Preuß. Handelsarch. 14. Febr. 1862). Jetzt liegen sie in der Nähe der großen Eisenbahn; schon wird der Ertrag an Gold- und Silberbarren westlich vom Missouri auf 90 Millionen Dollar jährlich geschätzt, welchen man bei dem schwunghaften Betrieb noch in diesem Jahrhundert auf 150 Mill. zu erhöhen hofft; und daran liefert Nevada die Hälfte. Quarz bildet im „Comstock lode“ das wichtigste Ganggestein, worin neben gediegenem Gold und Silber, Glaserz, Bleiglanz, Blende, Kupfer- und Schwefelkies eingesprengt sind, als Seltenheit auch wohl Polybasit und Sternbergit u. Die Quarzmassen „sind durch Erdbeben so zersplittert,

daß man sie mit den Fingern theilen kann" (Compt. rend. 61. 1867). Sie liegen zwischen Hornblendereichem Granit und verschiedenen Trachyten. Hr. v. Richthofen (Pettermann's Mitth. 1864 Ergänz.) erkannte darunter die Ungarischen „Propylite“ wieder. Die Masse des Gebirges wird von dem Staatsgeologen Ch. King für metamorphosirte Zuraformation gehalten, welche beim Durchbruch dieser tertiären Feuergesteine von Dämpfen und heißen Quellen mit den edlen Metallen angereichert sein sollen. Der Werth des Quarzes steigt für die Tonne auf 25—150 Dollar, derselbe streicht aber in V förmiger Gestalt 22,000' weit fort, geht auf 1200' hinab, und ist am Oberende 800' dick. Nesterweis kommen Erzanhäufungen von 300—400, sogar 8000 Dollar per Tonne d. h. mit 20 p. C. Silber! Daher ist dann auch selbst der Straßenbrez der neu erstandenen Stadt Virginia, welche mit den Abfällen beschottert wird, so silberreich, daß er öfter noch zu Gute gemacht werden kann. »The Great Basin« mit seinen Seen und Salzwüsten 4000' über dem Meere wird nicht nur links von der Nevada und rechts von der Wahsatchkette im Felsengebirge plötzlich von mehr als 10,000' hohen Bergzügen überragt, sondern auch die Wüste selbst ist von zahllosen Meridianketten mit grünen Wäldern durchschnitten, an deren Gehänge auf den verschiedensten Plätzen in Nevada, Oregon, Idaho, Colorado u. ähnlicher Reichthum sich zeigt. Wenn man nun bedenkt, daß gerade unter dem 40ten Breitengrade die Berglandschaft von Westen nach Osten über 1000 englische Meilen erreicht, so kann man sich vorstellen, was hier noch im unerforschten Schoße an Schätzen verborgen liegen mag. Besonders viel verspricht Gilpin Cty in Colorado zwischen den Geiserrreichen Nationalparken am Ostrande gelegen, dort ist nicht bloß der goldreiche Schwefelkies in zahllosen Gängen von feldspathhaltigem Quarz eingeprengt, sondern bei Georgetown gehen auch besonders einträgliche Silberbergwerke um. Der International lode, ein 6' mächtiger Bleiglanz, durch Rothgülden, gediegen Silber, Fahlerz u. angereichert, bricht in 12800' Höhe hoch über der Baumgrenze hervor, die Erze sind fast stets gefroren, aber auch die Nährung der Bergleute kann Monate lang aufbewahrt werden, ohne zu verderben. Alles das wird in einem großen Prachtwerke vom Gouvernment von Washington (Report of the geological Exploration of the fortieth Parallel 1870 Vol. III) ausführlich dargestellt, und mit seltener Freigebigkeit an auswärtige Gelehrte verschenkt.

Faucher nahm den Gesammtwerth der Silberproduktion im Jahre 1851 auf 230 Mill. Franken an: Mexiko 133 Mill., Peru 25 Mill., Chili 22 Mill., Spanien 16 Mill., Neu-Granada 12 Mill., Ungarn 7 Mill., Böhmen und Sachsen 5 Mill., Rußland 5 Mill., und das übrige Europa 5 Mill. 1852 soll sich die Ausbeute auf 250 Mill. gesteigert haben, so daß im Jahre 1852 der Gold- und Silberwerth 850 Mill. betrug. Wenn man dagegen bedenkt, daß die 30 Milliarden, welche das spanische Amerika bis zum Anfange des 19ten Jahrhunderts nach Europa lieferte, schon heute fast gänzlich aus dem Umlauf verschwunden sind, so erklärte



das früher das Stationäre des Werthes hinlänglich. Jetzt steht die Sache freilich anders, wo Nevada allein eine größere Menge bietet, Deutschland und andere Staaten zur Goldwährung schreiten, und die Nachfrage in Indien sich sehr vermindert hat.

Der Werth des Silbers, welcher früher 24—25 fl. die feine Mark = 16 Loth betrug, das Zollpfund 30 Thaler, ist daher gesunken. Wegen seiner Weiße und großen Politurfähigkeit eignet es sich besonders zu Geräthschaften. Zu dem Ende legirt man es mit Kupfer, wodurch es härter und klingender wird. Es heißt das Löthigkeit. Ist die rauhe Mark 14löthig, wie die Kronenthaler, so hat sie 14 Loth Feinsilber und 2 Loth Kupfer; das zwölflöthige der preussischen Thaler 12 Loth Silber und 4 Loth Kupfer, diese Mischung wird hauptsächlich verarbeitet. Schon Newton fiel es auf, daß das Silber dabei so wenig von seiner Farbe verliere. Die frühern österreichischen Zwanzigkreuzerstücke sollten nicht viel über 10löthig sein, diese nehmen dann bedeutend Roth an, was aber durch Weißsieden im Wasser mit Weinstein und Rochsalz an neuen Münzen nicht sichtbar ist. Das specifische Gewicht fällt niedriger aus, als es nach der Rechnung sein sollte. Zur Prüfung bedient man sich der Probiernadeln: man macht einen Strich auf den Probierstein, und tröpfelt verdünnte Salzsäure darauf, welche das Kupfer und die unedlen Metalle nimmt, das Silber aber nicht angreift. Merkwürdig ist die Beobachtung, daß 0,0035 Eisen, 0,002 Kobalt und 0,0005 Nickel das Silber so hart machen, daß man es zu Messerklingen und Feilen benützen kann (Pogg. Ann. 88. 176).

### 3. Quecksilber.

Quicken oder Berquicken heißt der Bergmann das Amalgamiren, *ὁραργυρος*, *argentum vivum* Plinius 33. 32, Mercure, Quicksilver.

Es haftet in kleinen zinnweißen Kugeln meist zwischen Zinnober auf dem Gestein. Kommt in den Carpathen mit Quellen heraus, und die Quarzgeoden der Californischen Zinnobergruben enthalten öfter mehrere Pfund. Dünne Schichten auf Wassertropfen scheinen blau durch mit einem Stich ins Violet. Gewicht 13,54. Bei — 32° R. erstarrt es zu einer wie Blei geschmeidigen Masse, die auf der Haut Brandblasen erregt. Es zieht sich dabei plötzlich zusammen und wiegt 15,6. Die Petersburger Akademiker machten am 25. December 1759 diese merkwürdige Entdeckung. Es soll dann in regulären Oktaedern krystallisiren. Bei 288° R. siedet und verdampft es stark. Von — 32° bis + 80° dehnt es sich vollkommen gleichförmig aus,  $1^\circ = \frac{1}{1110}$ . Reines Quecksilber oxydirt sich nicht an der Luft, allein das verunreinigte bezieht sich mit einer grauen Haut. Von den mechanisch beigemengten Theilen wird es mittelst Pressen durch Leder gereinigt. Siedepunkt 360° C. nahe darunter wird es rothes Oxyd, darüber gibt es den Sauerstoff wieder ab, wie Bristley 1774 fand.

**Amalgamation.** Das Quecksilber löst gebiegene Metalle, und

da es sich beim Ausglühen verflüchtigt, so bleibt das Metall zurück. Daher ist das Quecksilber für das Ausbringen von Gold und Silber von der höchsten Wichtigkeit. Der gewaschene Goldsand wird mit Quecksilber angequikt. Da das Silber meist vererzt vorkommt, so müssen die Erze mit Salz gemischt werden, damit sich Chlorsilber bilde, dieß geschieht in Amerika nach 2 Monaten an der Luft, in Europa durch Rösten in wenigen Stunden am Feuer. Wird die so beschickte Masse mit Eisen und Wasser behandelt, so bildet sich Chloreisen, Silber wird frei, und kann so vom Quecksilber aufgenommen werden. In Potosi wurden von 1570 bis 1830 7060 Mill. Gulden vermint, dabei gingen 280 Mill. Pfund Quecksilber im Werthe von 700 Mill. Gulden verloren, die im Schlamme des Pilcomayo liegen. Der Quecksilberverlust beträgt daselbst das anderthalbfache Gewicht des Silbers, 11mal mehr als früher auf dem jetzt eingegangenen Halsbrüchner Werk bei Freiberg; zu Washoe sogar noch ein Drittel mehr! Dequereul (Compt. rend. Juin. 1854) schlug für die Zugutemachung ein elektrochemisches Verfahren vor.

Zinnober mit 86,2 Hg ist das einzig wichtige Quecksilbererz, denn Horn-, Jod- und Selenquecksilber sind nur Seltenheiten. Quecksilberfahlerz von Ungarn und Schwarz 15,6 Hg.

Almaden (früher 22,000 jetzt 6000 Ctr. jährlich liefernd) in der Sierra Morena, Provinz la Mancha, und Almadenejos (5000 Ctr.) sind die unerschöpflichen Quellen, wo schon 700 Jahre v. Ch. die Griechen ihr Minium (Plinius hist. nat. 33. 37) holten: es sind lagerartige Gänge, die 24'—50' mächtig mit Zinnober erfüllt im Sand- und Thonschiefergebirge aufsetzen. Idria im Krainschen Kalkgebirge ein 2800' langes und 280' mächtiges gehobenes Lager der Kohlenformation. Eine Quelle soll gediegenes Quecksilber heraus gebracht haben, 1497 trieben schon die Venetianer dort Raubbau. Zu Kaiser Josephs Zeit 1786 lieferten sie an Spanien contractmäßig jährlich 9000 Ctr. à 98 fl., gegenwärtig soll der Ertrag auf 3000 Ctr. herabgesunken sein. In manchen Bauen kann gediegenes Metall geschöpft werden. Seit einer Reihe von Jahren liefert auch Ballasta bei Agordo in den Venetianischen Alpen im rothen Sandstein 800 Ctr. (34jhr. d. geol. Ges. 1864. 111). Die Rheinpfalz (Stahlberg und Landsberg bei Moschel) gab uns die besten Quecksilberstufen, der Bergbau schon seit 1410 im Betrieb, aber unzuverlässig. Die Gänge setzen im Kohlengebirge auf, selbst die Steinkohlen und die Fische im Schiefer sind mit Zinnober bedeckt. 1836 haben die Engländer die meisten Gruben an sich gebracht, der Ertrag war aber schon auf 130 Ctr. gesunken. Lange war nur noch der Vogberg bei Kusel mit 90 Ctr. im Betrieb (Epoch. d. Nat. 1778). Gering der Ertrag von Horzewiz in Böhmen. Guanaca Velica in Peru lieferte 1802 an 3300 Ctr. Auch in der Küstenskette von Californien bei St. José ist ein New-Almaden etablirt (Silliman's Amer. Journ. VIII. 170) mit einem 42' mächtigen Zinnoberlager, ohne welches das dortige Gold gar nicht hätte gewonnen werden können. Dazu kamen dann weitere Gesellschaften New Idria und Redington, welche

1869 25,000 Etr. = 34,000 Flaschen à  $76\frac{1}{2}$   $\pi$  producirten. Spanien und Californien theilten sich daher in den Welthandel. Doch da Neu-almaden schon wieder sehr nachläßt, und die westpazifischen Staaten ihren Bedarf zum Silberausbringen kaum decken können, so stieg der Preis von 60 Ets per Pfund schnell auf das Doppelte, und die Ausfuhr ließ nach, Berg. Hütt. Zeit. 1869. 298 und 1874. 89. Auffallend ist das Vorkommen von gebiegenem Quecksilber in der Diluvialformation: am Tajo bei Lissabon, und neuerlich im Lehm von Silber bei Linneburg in bedeutenden Mengen (Hausmann Pogg. Ann. 92. 100). In den Ebenen (Hérault, Aveyron) fanden es die Bauern unter der Ackerkrume, Kinder spielten damit, und die Schaafe wurden vom Futter krank (Compt. rend. 82. 1418).

Amalgam nennt man vorzugsweise die Verbindung mit Quecksilber. Reguläre Krystalle fanden sich ausgezeichnet zu Moschel-Landsberg. Es herrscht daran meist das Granatoeder, dessen Kanten das Leucitoeder  $a : a : \frac{1}{2}a$  gerade abstumpft. Octaeder und Würfel untergeordnet. Gar nicht selten ist der Pyramidenwürfel  $a : \frac{1}{2}a : \infty a$ , am seltensten das Pyramidengranatoeder  $a : \frac{1}{2}a : \frac{1}{2}a$ , die Kanten zwischen Granatoeder und Leucitoeder abstumpfsend. Man findet oftmals alle diese 6 Körper an einem Krystall, den schon Haüy deswegen Sextiforme nannte. Es kommen Granatoeder von fast 1 Zoll Größe vor. Ausgezeichnet sind auch die Bleche, welche wie Platinblech aussehen. Silberweiß, Härte 4, auffallender Weise spröde, erregt auf der Haut ein angenehmes schlipfriges Gefühl. Gewicht 14,1; die Masse muß sich daher stark verdichten, da das Silber nur 10,5, das Quecksilber 13,5 wiegt.

Vor dem Löthrohr entweicht das Quecksilber leicht, es bleibt ein Silberschwamm, der sofort zur Kugel schmilzt. Klaproth (Beitr. I. 182) fand 64 Hg und 36 Ag ungefähr der Formel  $\text{Ag Hg}^2$  entsprechend. Mehr Silber kann das Quecksilber nicht aufnehmen, und dieß scheint eine feste Verbindung zu sein, die sich auch bei überschüssigem Quecksilber zuweilen erzeugen soll. Darunter nimmt das Quecksilber das Silber in allen Verhältnissen auf, es wird nur dickflüssiger. Auf der Amalgamationshütte zu Joachimsthal haben sich auch künstliche Krystalle ausgebildet (Leonhard's Jahrb. 1849. 317). Moschellandsberg, Almaden, Szlana in Ungarn.

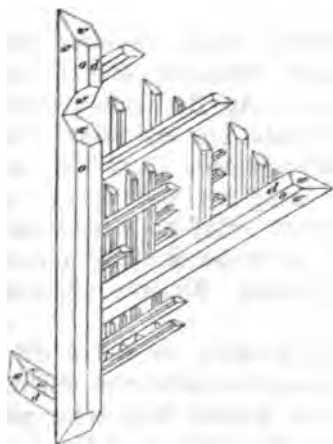
Arquerit (Compt. rend. XIV. 307), früher Haupterz der reichen Silbergrube Arqueros in Coquimbo, gleicht ganz dem gebiegenen Silber in Form, Farbe und Geschmeidigkeit, wurde deshalb lange dafür gehalten, bis Domeyko 13,5 Hg nachwies, was der Formel  $\text{Ag}^6 \text{Hg}$  entspricht. Bei Kongäberg haben manche nur 5 p. C. Hg, was etwa  $\text{Ag}^{18} \text{Hg}$  geben würde.

Goldamalgam kommt in kleinen zerdrückbaren Kugeln mit Columbischem Platin vor, und enthält 57,4 Hg, 38,4 Au, 5 Ag. Findet sich in Californien fast in allen Districten im flüssigen Zustande (Zeitschrift deutsch. geol. Ges. IV. 713).

## 4. Kupfer.

Aes cyprium, das Cypriſche Erz Plinius 34, nach der Inſel Cypern, wo es ſchon die Phönicier herholten. Zu Tamaffus (Strabo 14. 6) und Chalcis auf Euböa hatte es zu Alexanders Zeiten reiche Minen. Thubalkain ſchmiedet Kupfer (Rechoſchet) und Eiſen 1 Moſ. 4, 22 (Meteor-eiſen?). Beim Orte Meſta auf der Halbinſel Sinai ſollen die Erbauer der Pyramide Gizeh im 3ten Jahrtauſend vor Chriſtus ſchon Kupfer abgebaut haben. Χαλκός, bei Agricola 643 ſchlechthin aes genannt. Cuivre, Copper. Altdeuſch Kuphar.

Regulär wie Gold und Silber in Oktaedern, Würfeln und Granatoedern. Am Lake Superior kommen die prachtvollſten Granatoeder von mehr als Zoll Durchmeſſer vor, ſie übertreffen alles, was man biſher von Formen aus den reichen Kupfergruben von Cornwallis und am Ural kannte. Beſonders groß iſt die Neigung zu Zwillingen. G. Roſe beſchreibt von Rißne-Tagilk den einfachen Zwilling des Leucitoeders  $a : a : \frac{1}{2}a$  wie beim Silber von Kongsberg und Elektrum von Böröspatak. Aber vor allen berühmt wurden durch Pallas (Reiſe 2. 144) die ſchönen Kryſtalle der Turjiniſchen Gruben bei Bogoslowſk am nördlichen Ural, die G. Roſe ſo trefflich beſchrieben hat (Reiſ. Ural. I. 401). Sie liegen im Kalkſpath, der durch reine Salzsäure aufgelöst werden kann. Ein Würfel  $w$  pflegt daran wenigſtens auf einer Seite vorzuherrſchen, Oktaeder  $o$  und Granatoeder  $d$  ſtumpfen Ecken und Kanten ſehr ungleich ab, und hin und wieder ſieht man zwiſchen Granatoeder und Würfel noch eine



Pyramidenwürfelſche, die Roſe als  $a : \frac{1}{2}a : \infty a$  beſtimmt, parallel der Würfelkante geſtreift ſpiegelt ſie nicht ſcharf, und ſie könnte daher wohl mit den gewöhnlichen beim Gold und Silber beſannten  $a : \frac{1}{2}a : \infty a$  übereinſtimmen. Schrauf (Jahrb. 1872. 300) fand am Kupfer von Wallaroo in Südaſtralien Pyritoeeder d. h. Hälftſlächner vom gewöhnlichen Pyramidenwürfel  $a : 2a : \infty a$ . Häufig bilden ſie Zwillinge, und ſolche Zwillinge lagern ſich in den ſchönſten dendritiſchen Formen an einander, ſie werden dabei zwar ſehr verzogen, allein ſämmtliche Arme ſchneiden ſich unter  $60^\circ$ , wie bei Schneefternen. Sie müſſen daher

drei Granatoederflächen mit einander gemein haben, denn Granatoeder kann man in ſechsſeitigen Sternen an einander reihen, wie die Bienenwaben zeigen. Der ganze Stern bildet alſo im Grunde genommen ein einziges Zwillingſindividuum, die allen gemeinſame Ebene iſt die Oktaederfläche, zugleich die Fläche

des Sterns, in welcher die Individuen sich gegenseitig um  $60^\circ$  verdrehen. Die Arme des Sternes gehen daher den Oктаederkanten parallel, und in der Zone der Oктаederkante liegen w o d (Würfel, Oктаeder, Granatoeder); d läßt sich stets durch die rechten Winkel erkennen, unter welchen sich die Kanten d/o und d/w mit einander schneiden. Schwieriger ist der Beweis, daß es Zwillinge seien: allein man sieht es schon an den Hauptstrahlen, die sich gewöhnlich in schmalen Lamellen erheben. Wenn die Lamellenfläche oberhalb der Sternfläche w ist, so ist sie auch unterhalb w', w/w' bilden aber keinen rechten Winkel, sondern den Oктаederwinkel  $109^\circ 28'$ , das kann nur Zwilling sein. Oder wenn man die äußern Endspitzen der Sternarme genau untersucht, so findet man öfter einspringende Winkel von  $109^\circ 28'$ , unter welchen sich die Würfelflächen w/w' des Zwillings schneiden. Oft erscheint aber auch ein 2gliedriges Oктаeder ww w'w' mit Endkantenwinkel  $w/w = 90^\circ$  und  $w/w' = 109^\circ 28'$ , was man sogar mit dem Anlegegoniometer messen kann. Das ist der Würfelzwilling in zweigliedriger Stellung, woran durch Vergrößerung der Flächen die einspringenden Winkel verschwinden. Es kommen Stücke vor, woran die Unterseite des Sterns ein einfacher vielzackter Würfel ist, während die Oberseite sich sternförmig gruppiert. Zu Corocoro in Peru gibt es auch Asterkrystalle scheinbar nach Aragonit (Pogg. Ann. 104. 22.), sogar von Holztextur.



Zahn-, draht-, haarförmige Gestalten, Bleche und Platten, ganz wie beim Silber. Kupferroth und Metallglanz, aber meist angelauten durch Kupferoxydul und Kupferoxyd. Dünne Blättchen scheinen wie Gold grün durch. Härte 3, an Geschmeidigkeit und Dehnbarkeit das Eisen übertreffend, daher mit hackigem Bruch, körnig, gehämmert aber sehnig werdend. Gew. 8,58, bearbeitetes Kupfer 8,89. Nach Berzelius gegossenes 8,83, gewalztes 8,95. Bester Leiter der Electricität, daher Kupferdraht früher für Telegraphen wichtig, aber das Kupfer muß rein sein. Jetzt nimmt man dazu Eisen.

Schmelzbarkeit 3, es verflüchtigt sich in gutem Löthrohrfeuer mit grüner Flamme. Größere Kupfermassen spritzen vor dem Erstarren: es bildet sich ein feiner Kupferregen, der kleine Körner mit großer Gewalt umherstreut (Spritzkupfer). Fremde Metalle und Kupferoxydul verhindern das. Die geschmolzene Kugel überzieht sich beim Erkalten mit Kupferoxyd, im schwächern Feuer mit Kupferoxydul. Kupferspäne erglühen in Schwefeldämpfen. Salpetersäure wirkt schon kalt auf Kupfer, es bildet sich eine himmelblaue Flüssigkeit von  $\text{CuONO}^5$ . Auch schwächere organische Säuren z. B. Essigsäure wirken, wenn Luft hinzu kann, unter Bildung von Grünspan. Man darf daher saure Speisen in blanken Kupfergefäßen kochen, weil der Dampf die Luft nicht zutreten läßt, nur nicht kalt werden lassen. Kupfer lange feuchter Luft ausgesetzt, oder in die Erde verscharrt bedeckt sich mit einem spangrünen Ueberzug von Malachit ( $\text{Cu}^2 \text{C A}$ ), der durch Alter gleichförmiger und dichter wird. Es

ist der edle Rost (*aerugo nobilis*), welcher die Aechtheit alter eherner Waffen beweist. Wasserfreie Salze farblos, wasserhaltige blau und grün.

Gebiegenes Kupfer ist meist nur wenig verunreinigt. Nicht nur verbreitet in der Asche der Pflanzen, selbst im Blute des Menschen (*Ulex*, Journ. pract. Chem. 94. 276), und namentlich in Leber und Nieren, wo sich alle mineralischen Gifte abzuscheiden pflegen, sondern man findet es auch in viele Centner schweren Massen, und nimmt man dazu noch den Reichthum an Kupfererzen, so wird es erklärlich, wie man schon längst in Europa (den Ural miteingerechnet) allein jährlich über 500,000 Ctr. gewann. Dabei ist es nächst Eisen das passendste Metall für schneidende Geräthschaften: es erscheint in der Kulturgeschichte als der Vorläufer des Eisens. Die Bibel erwähnt schon dritthalbtausend Jahr vor Christi Geburt kupferner Gefässe. Die Phönicier machten aus Legirungen mit Zinn Schneideinstrumente, die Trojanischen Helden kämpften mit ehernen Waffen, die Sabiner hatten kupferne Messer, und auch in unsern Celtengräbern findet man allerlei Kupfergeräthschaften. Aber noch im 10ten Jahrhundert konnte man für 7 Kupferpfennige (reichlich 2 Kreuzer Werth) 60  $\mathcal{A}$  Waizen kaufen, und die Maurer am Straßburger Münster begnügten sich mit  $1\frac{1}{2}$ —2 Pfennige Tagelohn.

England hat in Cornwallis einen ungeheuren Schatz an Kupfererzen aller Art in Gängen der Granite und Thonschiefer, wobei auch gebiegenes Kupfer nicht fehlt; 1873 schmolz es aus 80,000 Tonnen Erz 10,000 Kupfer. Außerdem führt es noch Erze aus fremden Welttheilen ein (Chili, Bolivia, Cuba, Spanien u.), um sie mittelst Steinkohlen zu verhütten: in Südwallis zwischen Swansea und Neath liegen über 20 Kupferhütten. Jährlicher Ertrag 300,000 Ctr. Das Hamburger Elbkupferwerk verhüttete Erze aus Chili, Australien, Nassau, Hessen mit englischen Kohlen, 25,000 Ctr.

Der Mansfeldische Kupferbergbau, seit Jahrhunderten (1196) blühend, zieht seine Erze aus dem 8—16 Zoll mächtigen Flöze bituminösen Mergelschiefers der Jechsteinformation aus niedrigen Bauen von 22" bis 28" Strebhöhe. Das Kupfer ist daselbst meist an Schwefel gebunden, aber dabei Silberreich. Carnall (Zeitschrift für das Berg-, Hütten- und Salinentwesen in dem Preussischen Staate 1853. I. pag. 106) berechnete die Kupferplatte in dem ganzen Lager auf 0,3''' Dicke, und doch gewann man 1852 gegen 27,000 Ctr. Garkupfer und 31,800 Mark Silber. Seit 1863 ist die Gewerkschaft frei, und vermehrte allmählig den Betrieb bedeutend (Berg. Hütt. Ztg. 1870. 100): 1872 wurden 109,500 Ctr. Kupfer und 45,800  $\mathcal{A}$  Silber aus 473 Millionen Ctr. Schiefer gewonnen. Die Extractionsmethoden des Silbers beruhen auf Erzeugung von Chlorsilber, welches sich in concentrirter kochender Soole löst, und beim Erkalten als Doppelsalz ausscheidet; oder es wird durch vorsichtiges Rösten der Schwefelmetalle  $\text{Ag}_2\text{S}$  neben Kupfer- und Eisenvitriol dargestellt. Die Vitriole werden wegen ihres Wassergehaltes bei gelindem Erhitzen schon zersezt,

während Silberfultat noch erhalten bleibt, und durch Wasser ausgezogen werden kann.

In Deutschland ist sonst gebiegenes Kupfer nicht häufig, es kam zu Birneberg bei Rheinbreitenbach auf Gängen in Grauwacke mit dem bekannten haarförmigen Rothkupfererz vor, auch auf dem Schwarzwalde bei Rippoldsau fand es sich ein Mal. Die Kupferklippen  $\frac{1}{4}$  Stunde nördlich Helgoland (Gilbert's Ann. 70. 408) liefern größere Geschiebe, freilich durch Drydul angefressen. Besonders hervorzuheben ist das Vorkommen im Brehnit des Mandelsteins von Reichenbach, ähnlich auf den Faröer Inseln mit Chabasit. Blattig im rothen Mandelstein von Zwickau, auch die Grünerde der Mandeln pflegt etwas Kupfer zu halten.

Am Ural kommt das gebiegene Kupfer mit Malachit in großen Nestern im Thon vor, schon Pallas erwähnt von der Turja Massen von 4000  $\mathcal{A}$ . Die Demidov'schen Gruben von Nischne Tagilsk lieferten 1849 allein 170,000 Pud. Blöcke von 16 Ctr. haben die Kalkspathgänge der Kirgisensteppes geliefert, und das russische Bergcorps bewahrt ein Stück von 52 $\frac{1}{2}$  Pud. Nördlich von Bogoslawsk kommt es im Trapp vor, wie auf der Bären-Insel und den Kurilischen Inseln, wo es als Geschiebe am Strande aufgefunden wird. Schon längst erhielten die Kupfer-Indianer am Kupferminenfluß in Nordamerika ihren Namen von dem Metall, was sie auf der Oberfläche auflösen, und nach Quebeck auf den Markt brachten. Die alten Bewohner des Mississippithales haben dasselbe schon kalt gehämmert, wie das anhängende Silber beweist. Obwohl der Kupferblock auf dem westlichen Ufer des Ontonagon von 11 Cubikfuß Inhalt (Gilbert's Ann. 70. 342) längst bekannt war, so wurde doch die rechte Fundstelle erst 1845 von einem Häuptling verrathen (Berg. Hütt. Ztg. 1873. 208), und nun entwickelte sich am Vorgebirge Keweenaw auf gebiegenem Kupfer ein Bergbau, der alles übertrifft, was man bislang erfahren hat (Silliman Amer. Journ. X. 88). Das reine Metall, an welchem öfter Klumpen von gebiegenem Silber hängen, kommt wie auf Nova Scotia und bei Reichenbach mit Brehnit im Mandelsteingebirge vor, das mit Potsdamsandstein wechsellagert; Platten bis 3' dick setzen gebiegen in die Tiefe. Die unbedeutendsten Anzeichen von Brehnit auf der Oberfläche führen innen zu gewaltigen Ellipsoiden, die an einem Stück gebiegene Massen von 80 Tonnen (160,000  $\mathcal{A}$ ) des feinsten Metalles liefern! Conglomerate, ähnlich unserm Todtliegenden, sind durch Kupfer cementirt und liefern gestampft 20—50 p. C. Kupfer, ein Stück 45' lang, 22' breit und 8' dick, wog 420 Tonnen. Stücke von 15,000 Ctr., ja 20,000 Ctr. (Zahrb. 1869 tab. 1) sind im Kalkspath gefunden worden. Die überspanntesten Erwartungen der Bergleute und Geologen wurden durch die Cliff Mine am Keweenawpoint 1 Stunde vom Seeufer in der Tiefe weit übertroffen. 1871 gewann man 257,000 Ctr., und davon kann vieles gleich roh versandt werden. Solche gebiegenen Massen zu gewinnen, macht Schwierigkeit: man muß soviel als möglich ihre Oberfläche bloß legen, und wenn sie nicht mit Hebeln zu bewältigen sind lossprengen, der Block von

200 Ton's bedurfte einer Charge von 21 Pulversäcken (Berg. Hütt. Zt. 1876. 133). Und wie kam dieser Reichtum in den Mandelstein? Man hat kaum eine andere Antwort, als durch Galvanische Prozesse oder durch Desoxydation des Ca El mittelst Wasserstoff. Da ist der Kupferblock von Cochocira (Provinz Cerro do Frio) 2616  $\text{kg}$  in der Sammlung zu Ajuda bei Lissabon, nur noch ein kleines Stück.

Neuerlich spricht man auch von Kupferbergen im Felsstein von Texas, die alles Bekannte übertreffen sollen. Außerordentlich reich ist Chili in der Wüste Atacama, und im Handel berühmt die Varilla de Cobre, im Sandstein zu Corocoro in Bolovia. Daher konnte Chili 1873 850,000 Ctr. Kupfer erzeugen.

Auch Neuhoolland droht uns mit seiner Ausbeute zu überschütten, 1845 zog die Bergwerksgesellschaft Adelaide mit einem Kupferblock von 24 Ctr. ein, und schon wird die jährliche Masse auf 200,000 Ctr. taxirt. Besonders geschätzt ist das Japanische schön roth angelaufene Kupfer, soll wegen eines kleinen Goldgehalts streckbarer sein. Auch von Yunnan wird auf dem Hsi Chiang viel Kupfer nach Kanton geführt.

Cementkupfer wird aus den Kupfervitriolhaltigen Grubenwässern gewonnen, indem man alt Eisen hineinwirft, wodurch sich Kupfer vermöge der Wahlverwandtschaft niederschlägt. Dieser Niederschlag ist öfter krystallinisch: Rammelsberg bei Goslar, Falun in Schweden, Rensohl in Ungarn u. Die Vitriole erzeugen sich besonders durch das Feuerfeßen in den Gruben.

Der Werth von 1 Ctr. Kupfer wird etwa auf  $2\frac{1}{2}$  Loth Gold oder  $2\frac{1}{2}$  Mark (35 Rthlr.) Silber gesetzt. Das Chilenische Kupfer und die Gußstahl-Kanonen hatten die Preise eine Zeitlang sehr gedrückt. Allein die Verwerthung zu Patronenhülsen, die jährlich 150,000 Ctr. verschlingen, hoben die Preise wieder, das Pfund auf eine Reichsmark. Rom hatte Anfangs Kupfergeld, und gieng dann durch die Silber- zur Goldwährung über. Im Technischen hängt viel von der Beschaffenheit ab; das Uralische soll nächst dem Mansfeldischen das beste sein. Im Großen dient es besonders zum Beschlagen der hölzernen Schiffe, die sonst sehr von See- thieren (*Teredo navalis*) zerstört würden. Da nun Seewasser Kupfer leicht angreift, so fand Davy das sinnreiche Mittel, es durch eiserne Nägel galvanisch zu schützen. Wenn man Silberdraht in Kupfervitriollösung bringt, so geschieht nichts, verbindet man aber Zink damit, so überzieht sich das Silber mit Kupfer. Jacobi zeigte 1840, daß ein solcher Kupfer- niederschlag genau die Unterlage kopirt (Galvanoplastik). Senft (*Synopsis* pag. 300) bildet einen Apparat ab, worin man schöne Krystalle erzeugen kann.

Messing = 25 Cu + 75 Zink (Aurichalcum, Gelbkupfer), messing- gelb, zwar weniger dehnbar, aber desto leichter schmelzbar, läßt sich also besser in Formen gießen, nimmt stärkere Politur an, und rostet weniger. Physikalische und Astronomische Instrumente, Dampfmaschinen u. Weniger Zink gibt Tombak d. h. goldgelbe Leguren, z. B. das Mann-



heimer Gold ist  $4 \text{ Cu} + 1 \text{ Zn}$ , das Blattgold zc. Die größere Härte kommt vom Zink (Pogg. Ann. 108. 572). Unter 50 p. C. Zink macht es spröde. Besonders werthvoll sind die Aluminiumbronzen, die bei 5—10 p. C. Aluminium eine goldähnliche Farbe haben, und in Paris verarbeitet werden. Schon 1 p. C. macht das Kupfer zäher und widerstandsfähiger.

Bronze, wahrscheinlich von den Etruskern nach Deutschland gebracht, ist die seit alter Zeit berühmte Composition von  $9 \text{ Cu} + 1 \text{ Sn}$ , die wegen ihrer bedeutenden Härte eine Zeit lang das Eisen ersetzte. Ihre Zähigkeit empfiehlt sie zu Kanonen, und das Klangvolle zu Glocken: die Kaiserglocke aus französischem Kanonengut wiegt 500 Ctr. Das Glockenmetall  $4 \text{ Cu} + 1 \text{ Sn}$  hat umgekehrt wie Stahl die Eigenschaft, beim Ablöschen im Wasser zu erweichen, wodurch man den Gymbeln das Uebermaß von Sprödigkeit nimmt. Beisatz von Zink soll auf Römischen, Blei auf Griechischen, und Nickel auf Celtischen Ursprung deuten. Schon Klaproth VI. 21 analysirt eine Menge hierher gehöriger Münzen. Goldgelb ist  $10 \text{ Cu} + 1 \text{ Sn}$ ; ein Zusatz von 0,76 Phosphor erzeugt die Phosphorbronce von der Farbe des rothcaratirten Goldes, die sehr dünnflüssig an Elasticität und Festigkeit die gewöhnliche Bronze weit übertrifft, sich besonders zu Drahtseilen eignet, welche 7fach größere Dauer als Stahlseile haben sollen. Von den antiken „ehernen Waffen“ gab Klaproth VI. 76 Analysen, wir finden sie unter den Geräthen unserer Pfahlbauern, da sie sich im Wasser und Torf vortrefflich erhalten. Ueber den Luxus mit Statuen füllt Plinius ein ganzes Buch: Jupiter auf dem Marsfelde war 60' hoch, der Koloss auf Rhodus 105'. Dagegen erscheinen die Bavaria 17 m in München, und Arminius 17,26 m auf dem Teutoburger Walde bei Detmold noch klein.

Weißkupfer eine Legirung von Arsenikkupfer, wenn man es unter einer Decke von Kochsalz zusammenschmilzt, wurde früher zu Schuhsehnallen, Pferdegeschirr zc. verwendet: Agricola (de nat. foss. I. 272) nannte es *aes candidum*, quod Virgilius *album orichalcum* nominat. Auch Nickel, Titan, Mangan zc. gehen nützliche Legirungen ein, von Silber, Gold, Quecksilber nicht zu reden.

Kupfererze liefern bei Weitem das meiste Metall. Vor allem die Schwefelverbindungen des Kupferkieses  $34,4 \text{ Cu}$ , Buntkupfererz  $55 \text{ Cu}$ , Kupferglas  $80 \text{ Cu}$  und was sich daran anschließt. Dann folgen die verschiedenen Fahlerze, die bis 40 p. C. Kupfer haben. Selen- und Arsenkupfer sind nur Seltenheiten. Das oxybirte Kupfer besonders Rothkupfererz  $88,7 \text{ Cu}$  und die Salinischen Kupfererze Malachit, Kupferlasur stehen bergmännisch auf zweiter Linie, obgleich die Erze besser sind. Phosphor- und Arseniksaure Verbindungen erscheinen selten in Menge. Dioplas, Kupfervitriol. Nicht zu übersehen ist auch das Kupfer in Quellen, im Boden, im Meteorstein zc. (Pogg. Ann. 69. 227).

## 5. Platin.

Hat von dem Spanischen Wort *platinja* (silberähnlich) seinen Namen bekommen. *Platinum* englisch. Schon J. C. Scaliger († 1558) erwähnt von Darien eines weißen Metalls, was durch keine spanischen Künste geschmolzen werden könne. Ulloa, Mitglied der berühmten Gradmessung am Aequator 1735, brachte es aus den Goldwäschern am Fluß Pinto in Thoco bei Popayan mit, beschreibt es aber als einen so harten Körper, der selbst auf dem Ambos nicht zerschlagen werden könne (*Voyage hist. de l'Amerique* 1752. I. 278). Gleichzeitig bekam Wood 1741 etwas von Jamaica (*Philos. Transact.* 1750. 284). Der Schwede Scheffer erkannte es 1752 als ein eigenes Metall (Weißgold), während Buffon es als Gemisch von Eisen und Gold betrachtete. Da das natürliche sehr unrein ist, so wollte das Hausmann *Polygen* nennen. Berzelius *Pogg. Ann.* 13. 435 und 527, Claus Beiträge zur Chemie der Platinmetalle. 1854. Kopp Geschichte der Chemie. Bd. 4. Amtl. Ber. Wiener Ausstellung 1873. 993.

Bei dem Uralischen kommen kleine Würfel vor (*Pogg. Ann.* 8. 202), besonders wenn die Stücke in Chromeisenstein eingesprengt sind; Ebelmen erhielt zufällig künstlich ausgezeichnete Oktaeder mit Würfelflächen (*Compt. rend.* XXXII. 712), Gew. 21,5 (*Compt. rend.* 81. 225). Farbe mehr stahlgrau als silberweiß, und daher unansehnlich, namentlich fehlt auch der Glanz. Härte 5—6, seine Dehnbarkeit gibt der des Goldes nur wenig nach. Iridium soll die Härte vermehren, aber die Dehnbarkeit mindern. Das Gewicht des rohen Platins bleibt gewöhnlich unter dem des Goldes 17,5—18, nur verarbeitet geht es darüber hinaus 21—21,7. Ein kleiner Theil des Platins ist magnetisch, sogar attractorisch, denn es bleibt am unmagnetischen Federmesser hängen, und zieht aus dem Waschgolde noch Magneteisenkörner, wo das Bлагобатер Magneteisen nicht mehr wirkt; nach Kotscharow (*Mater.* V. 120) ist das Eisenplatin. Wenn man den Platinsand von Nischne-Tagilsk mit Salzsäure wäscht, so bekommt man ungefähr 80 p. C. weiße Körner, 15 graue und 5 schwarze. Letztere zerfallen beim Zerschlagen zu schwarzem Pulver, und sind die eisenreichsten, Kotscharow *Mater.* V. 124.

Vor dem Löthrohr unschmelzbar, doch konnte es Plattner in feinsten Drähten schmelzen; dagegen schweißbar wie Eisen, so daß es in der Weißglühhitze sich kneten läßt. Deville (*Ann. Chim. Phys.* 1861. LXI. 99) lehrte es mit Leuchtgas- und Sauerstoff in Tiegeln von gebranntem Kalk schmelzen; Kalk ist ein schlechter Wärmeleiter, erzeugt leicht flüssige Schlacken, die sich in den Tiegel hineinziehen. Das flüssige Platin spritzt dann wie Silber. Mit Bleiglanz zusammengeschmolzen kann es gereinigt werden, weil Osmiridium gegen Blei indifferent ist. Wie das Gold im Königswasser löslich, doch bleibt ein Rückstand vorzugsweis von Osmiridium. Ätzende Alkalien greifen Platin an, sie müssen daher in Silbertiegeln erhitzt werden. Legierungen mit Silber sind sogar schon in Salpetersäure löslich. Die gelbliche Lösung von  $\text{Pt Cl}_2$  gibt mit  $\text{Ka C}$  einen

gelben im Ueberschuß unlöslichen Niederschlag von Kaliumplatinchlorid,  $K_2PtCl_6$ ; ebenso Ammoniak das bekannte Ammoniumplatinchlorid, was sich zu Xacala in Mexico als ein grünes Mineral mit Wachsglanz im verwitterten Schwefelkies gefunden hat, Jahrb. 1874. 595. Erhitzt man dieses, so kommt Platinchwamm, der in starkem Feuer gepreßt und geschmolzen werden kann (Wollaston Pogg. Ann. 16. 155). Früher schmolz man das Platin mit Arsenik zusammen, was leicht geschieht, und verschaffte sich dann durch Rösten den Platinchwamm.

Berunreinigt ist das rohe Platin meist durch Eisen, nach Berzelius bis 13 p. C. gehend. Doch kann man daraus den Magnetismus einiger Stücke nicht immer ableiten, weil es auch nichtmagnetische mit 11,04 Fe gibt. Die eisenreichen sind leichter, gehen bis 14 Gew. herab, und Breithaupt nannte sie Eisenplatin. Sie sollen sich nur im Chromeisen finden, und könnten der Formel  $FePt_2$  entsprechen, Jahrb. 1874. 684. Osann (Pogg. Ann. 11. 118) fand sogar magnetische Körner, die 86,3 Eisen und 8,1 Platin hatten. Der Iridiumgehalt geht bis 4,97 p. C. Rhodium 3,46, Palladium 1,66, Osmium 1,03. Spuren von Kupfer fehlen nicht, die bei dem Magnetischen sogar auf 5,2 p. C. Cu steigen. Silber und Gold ist ihm mehr fremd, ob es gleich mit letzterem zusammen vorkommt. Dagegen hat Claus in den Rückständen ein neues Metall Ruthenium (Pogg. Ann. 64. 192 und 65. 220) entdeckt, dessen Oxyd Ru wie Zinnstein krystallisirt, und alle Eigenschaften eines Edelsteins hat. Platin von Borneo enthält nach Bleekrode 71,9 Pt, 7,9 Ir u.; von Choco 86,2 Pt, 7,8 Fe u.; von Californien 57,7 Pt, 27,6 Osmiridium, 7 Fe, 2,4 Rh u.

Platin scheint verbreiteter, als man lange vermuthete, denn Bettenkofer hat im Scheidegolde der Kronenthaler 0,2 p. C. nachgewiesen, also etwa  $\frac{1}{500}$  im Silber (Pogg. Ann. 74. 110). Bauquelin (Gilbert's Ann. 24. 400) fand es im Graugültigerz von Guadalcanal. Die Brauneisensteine im Dep. Charente enthalten  $\frac{1}{10000}$  (Pogg. Ann. 31. 100), im Golde von Tilsenerode auf dem Unterharz, in Erzen und Gesteinen der Alpen, in den Goldseifen von Ohlapian. Roh kommt es in Geschieben mit unregelmäßigen Eindrücken in den Platinseifen vor. Zuerst wurden die Spanier in den Goldwäschen von Choco und Barbacoas an der Columbischen Westküste bei Popayan damit bekannt, allein es wurde öffentlich vernichtet, weil die Regierung eine Entwerthung des Goldes dadurch befürchtete. Auf dem rechten Gehänge des Rio Cauca scheint es sogar auf Gängen im Grünstein mit Gold zu brechen (Pogg. Ann. 7. 222). Die Seifengebirge nehmen etwa eine Fläche von 350 Quadratmeilen ein, Gold, Magneteisen und Zirkon die Begleiter. 1800 erhielt Humboldt ein Zoll großes Geschiebe, das damals größte Stück, aus den Seifenwerken von Taddo 1088,8 Gran (gegen 4 Loth) schwer. Von 18,94 specifischem Gewicht mit blank geschliffener Oberfläche ist es noch heute eines der schönsten Stücke des Berliner Museums. 20 Jahre später erhielten die Spanier ein Stück von 40 Loth. Es kam weiter im Sande

des Jakiflusses auf der Ostseite von St. Domingo und in sehr schwammigen Stücken in den Brasilianischen Goldgruben vor. Am Trinityfluß in Oregon wird es von Gold und Diamanten begleitet. 1808 fing man in Paris an, chemische Geräthschaften daraus zu machen (Schwefelsäurefabriken bedurften großer Kessel), doch betrug die ganze Amerikanische Ausbeute nicht viel über 8 Etr. jährlich. Platin im Goldsande von Nordcarolina, Californien. Erst 1822 fanden sich Stücke in den Goldwäschen des Ural, und als man 1825 auf den Hütten von Nischne-Tagilsk (15 Meilen nördlich Katharinenburg) nach Goldsand suchte, fand sich statt dessen Platin auf Europäischer Uralseite. Dieß ist noch heute die Hauptfundstätte am Ural, obgleich es in allen Goldwäschen in geringer Menge vorkommt. Der geringe Goldgehalt der Platinwäusche fällt auf. Man gewann früher jährlich 6 bis 7000 Mark, und in den ersten 10 Jahren von 1824—1834 etwa 230 Etr.; das größte Stück von mehr als 20  $\mathfrak{z}$  (23 $\frac{1}{4}$  russ. Pogg. Ann. 33. 101) wurde 1843 gefunden. Sie haben an ihrer Oberfläche schwarze Eindrücke von Chromeisenstein (Frit), zuweilen sogar Serpentin, und da der reichste Sand am Ausgange der Serpentinthäler mit Serpentineingeschieben und Chromeisenstand sich abgelagert hat, so ist Serpentin wohl ohne Zweifel das Muttergestein, worin neuerlich auch Olivin und Sahlit (Jahrb. 1875. 303) erkannt wurde. Fein eingesprengt kommt es auch im Dioritporphyr von Laja vor (Pogg. Ann. 20. 303), Helmersen fand auch Körner im Goldquarz von Verelowsk. Bis 1850 sind 2050 Pud (683 Etr.) gewonnen, als aber 1845 die Russische Krone die Annahme des rohen Platins zur Vermünzung verweigerte, ist der Waschbetrieb fast ganz eingestellt. Die Münze war zu hoch tagirt und wurde beim Sinken des Platinwerthes im Auslande nachgemacht: die Regierung mußte sie aus der Circulation zurückziehen; Folge davon war Entwerthung und flauer Betrieb, doch sind 1871 schon wieder 125 Pud gewonnen. Im Goldsande von Ava (Pogg. Ann. 31. 301). In den durch Chinesen bearbeiteten Diamant- und Goldwäschen von Borneo (Pogg. Ann. 55. 306) sollen jährlich 625  $\mathfrak{z}$  Platin weggeworfen werden. Rohes Platin ist etwa dreimal theurer als Silber, gereinigtes aber Smal, so daß etwa

$$\text{Silber : Platin : Gold} = 1 : 8 : 15$$

sich im Werth verhält. Da man jedoch jezt 1 Gramm Platindraht um 1 Franken kauft, so ist es gewöhnlich noch billiger. Die Schmuckfachen sind wieder abgenommen, aber zu chemischen Geräthschaften ist es unersetzlich. Es dient zum Platiniren von Metallen, Porzellan, Glas u., welche dadurch einen ausgezeichneten Glanz bekommen. Auch Legirungen könnten von Wichtigkeit sein, 1 $\frac{1}{2}$  p. C. Platin soll Stahl sehr veredeln, <sup>Tob</sup> Silicium dagegen Platin schon brüchig machen; 16 Kupfer mit 7 Platin und 1 Zink gleicht dem Golde; Legirungen mit Silber finden namentlich auch in der Zahntechnik statt Palladium Anwendung u. Platinrückstände kommen im Handel vor.

### 6. Palladium.

Nach dem kleinen Planeten Pallas benannt. Das Metall entdeckte Wollaston 1803 im rohen Platin von Choco, was 1,66 p. C. enthält. Dann fand er es gebiegen in excentrisch safrigen Stückchen im Goldsande Brasiliens zu Cornego dos Lagens (Philos. Transact. 1809. 100). Es soll daselbst regulär krystallisiren. Dagegen liegen auf den Goldblättchen in Trümmern von Bitterspath des Grünsteins von Tillerode kleine mikroskopische Krystalle, die G. Rose (Pogg. Ann. 55. 200) für 6gliedrig hielt, wie das Osmiridium. Darnach wäre Palladium dimorph. Das Metall hat die Farbe des Platin, Härte = 5, aber nur 11,3 und geschmiedet 11,8 Gewicht. Fast eben so streng flüssig als Platin, läßt sich aber leichter schweißen. Wird schon von Salpetersäure zu einer braunrothen Flüssigkeit, Salpetersaures Palladorydul, aufgelöst. Im Scutunga-Gestein von Congo-Socco in Minas Geraes wird ein blaßes Pallad-Gold gewonnen, das 25 p. C. Palladium enthält. Das Ouro poudre (faules Gold) von Porpez enthält 9,85 Pd. In Paris wurde im Großen aus 1 Etr. Platin wenig über  $\frac{1}{4}$  Loth Palladium geschieden, es kam daher 6mal theurer als Gold. Die Meßinstrumente für den Seebienst werden mit Palladblech versehen; mit Silber legirt soll es einen zum Einsetzen der Zähne vortrefflichen Draht geben. Graham fand, daß Palladium auf elektrolytischem Wege 200 Volumen von Wasserstoff aufnehmen kann, Draht verlängert und Blech krümmt sich dabei, Monatsb. Berlin. Acad. 1869. 116.

### 7. Iridium.

Tennant entdeckte 1803 das Metall, und benannte es nach den bunten Farben seiner Salze, die noch Chrom übertreffen. Rohes Platin mit Königswasser digerirt hinterläßt ein unlösliches schwarzes Pulver, das hauptsächlich aus Osmium und Iridium besteht. Endlich fand Breithaupt (Schweigger Jahrb. Chem. Phys. IX. pag. 1 und 90) gebiegene Körner im Platinsande des Ural. Iridium im Californischen Golde (Ann. des mines 1854. VI. 518).

Reguläre Oktaeder mit Würfel Flächen, letztere Spuren von Blättrigkeit zeigend. Silberweiß, fast Quarzhärte, und dabei zähe, so daß die Körner sich in den Stahlmörser hineinschlagen lassen. Gewicht 22,8 (G. Rose), nach Breithaupt sogar 23,46. Also das härteste Metall und der schwerste aller bekannten Körper. Die Analyse gab jedoch nur 76,85 Iridium mit 19,64 Pt, 0,89 Pd und 1,78 Kupfer, daher mußte sich das Gewicht des reinen Iridiums, wenn anders die Legirung sich nicht verdichtet, dem 25fachen nähern, allein Deville (Cmpt. rend. 81. 200) fand nur 22,4. Das Platin von Goroblagodat enthält gar kein Iridium; zu Nijsche Tagilsk 5 Jr; auf Borneo 7,2 Jr.

Noch strengflüssiger als Platin, doch kann man durch Druck des Iridiumschwammes und starke Weißglühhitze eine politurfähige Masse er-

langen. Selbst in Königswasser nicht löslich, daher bleibt es bei den Lösungen des Platins in schwarzen Schuppen zurück. Unter allen Platinerzen das seltenste. Das internationale Metermaas ist eine Legirung von 9 Pt + 1 Jr, wozu Deville 5 Gtr. schmolz. Sie ist härter als Platin, elastisch wie Stahl und schwerer schmelzbar. Iridiumoxyd erzeugt auf Porzellan eine tiefe und reine schwarze Farbe, wie Tusch auf Papier (Pogg. Ann. 31. 17). In Petersburg wurde 1843 zu diesem Behuf aus alten Platinrückständen 122  $\mathcal{R}$  Jr gewonnen, die Drachme zu 80 Franken (Verh. Russ. Kais. Mineral. Gesellsch. 1844. 109).

**Osmiridium.** Osmium selbst kommt nicht gediegen vor, Deville stellte es aber in schön blauen (beau bleu) Würfeln von 22,47 dar (Cmpt. rend. Bd. 82 pag. 1035), also noch etwas schwerer als Iridium! Im Sauerstoff verflüchtigt es sich schon bei 100° als Osmiumsäure Os O<sup>4</sup>, das heftigste unter den Metallgiften, denn mit 20  $\mathcal{R}$  „könnte man die ganze Menschheit tödten“. Desto häufiger findet es sich aber an Iridium gebunden im Platinjande, in manchen Seifengebirgen sogar mehr als das Platin selbst. Daher war es auch das erste neue Metall, was dem französischen Chemiker Descotils im rohen Platin auffiel, und was Bouquelin Ptène nannte (Ann. du Mus. 1804. III. 109 und 1806. IV. 401), in welchem dann gleichzeitig Tennant die zwei nachwies. Auf das Mineral war schon Wollaston (Gilbert's Ann. 24. 111) aufmerksam. „Beide Metalle halten mit einer Festigkeit zusammen, über die man sich mit Recht verwundern muß“ (Pogg. Ann. 13. 464). Beim Glühen mit Salpeter gibt es die bekannten in den Augen stechenden Osmiumdämpfe. Die krystallographische Kenntniß verdanken wir G. Rose, Pogg. Ann. 29. 452.

a) Leichtes Osmiridium Jr Os mit 46,7 Jr, 49,3 Os, 3,1 Rhodium, 0,7 Fe, das gewöhnlichste. Diheraedrische Tafeln: die reguläre sechsseitige Säule  $g = a : a : \infty a : \infty c$  mit einer deutlich blättrigen Geradenfläche  $c = c : \infty a : \infty a : \infty a$ . Ihre Endkanten  $g/c$  werden durch das Diheraeder  $r = a : a : \infty a : c$  abgestumpft, mit 124° in den Seiten- und 127° 36' in den Endkanten. Ein Rhomboeder, was die abwechselnden Endkanten des Diheraeders abstumpfte, würde 84° 52' in den Endkanten haben. Zinnweiß, etwas dunkeler als gediegen Antimon, Metallglanz, spröde, so daß man es pulverisiren kann. Quarzhärte, Gew. 19,47. Vor dem Löthrohr auf Kohle unveränderlich und entwickelt für sich keinen, selbst mit Salpeter im Glascolben geschmolzen nur wenig Osmiumgeruch. Letzteres bildet nach dem Erkalten eine grüne Masse. In Königswasser unlöslich. Das Uralische schön blättrig, die Brasilianischen mehr körnig. Findet sich auch im Californischen Golde, welches mit Silber zusammengeschmolzen das Osmiridium zu Boden fallen läßt. Auch bei der Legirung des Platins mit Blei verhält es sich indifferent, worauf die Trennung beruht. Es wird zu Spitzen von Schreibfedern benützt, die aus Legirungen von Platin und Silber bestehen.

2) Dunkles Osmiridium (Iridoosmium), Osmiumreicher. Kommt mit dem lichten zusammen vor, hat dieselbe Form, den gleichen

Blätterbruch, aber bleigraue Farbe, und etwas höheres Gewicht 21,2. Vor dem Löthrohr in der Platinzange erkennt man es gleich an den durchdringenden Osmiumdämpfen, die besonders die Augen angreifen. Es wird dabei etwas dunkler. Die Weingeistflamme macht es leuchtend. Berzelius (Pogg. Ann. 32. 220) fand zweierlei  $\text{Jr Os}^3$  mit 25 Jr, 75 Os und  $\text{Jr Os}^4$  mit 20 Jr, 80 Os. Das Osmiumreichere zerlegt sich leichter und schneller.

Ein drittes Osmiumarmes fand Claus bei Nischnetagilf ( $\text{Jr, Pt, Ru, Rh}$ )<sup>3</sup> Os mit 27,3 Os, 55,2 Jr; 10,1 Pt, 5,8 Ru, 1,5 Rh. Dazu scheinen auch gewisse Brasilianische Blättchen zu gehören.

**Iridplatin** in Körnern von Brasilien, silberweiß, enthält 55,4 Pt, 27,8 Jr, 6,8 Rhodium, 4,1 Fe, 3 Cu, 0,5 Pd. In Aqua nach Prinssep sogar 60 Jr, 20 Pt.

**Rhodium** hat seinen Namen nach den schönen rothen Salzen. Kommt dem rohen Platin beigemengt vor, 3 p. C. in dem von Barbacoas. Del Rio erwähnt auch von Mexico ein Rhodiumgold mit 34—43 p. C. Rhodium (Pogg. Ann. 10. 222). Da es sich im Königswasser löst, so findet es sich nicht in den Rückständen, sondern in den Lösungen, aus welchen es durch Alkohol gefällt wird; das feine Pulver hat die merkwürdige Eigenschaft denselben in Wasserstoff und Kohlensäure zu zerlegen.

**Ruthenium** ist ihm sehr verwandt (Pogg. Ann. 65. 220), und kommt besonders im Laurit vor. Unter den Platinkörnern von Borneo fand nemlich Wöhler (Gött. Gel. Anz. Nachricht. 1866. 155) kleine blättrige reguläre Octaeder mit hohem Stahlglanz, Härte 7—8, Gew. 7. Erwärmt decrepetirten sie wie Bleiglanz, schmolzen nicht, rochen nach schwefliger Säure, später nach Osmium. Lösten sich nicht in Königswasser. Mit Salpeter und Kalihydrat zusammengeschmolzen gab die orangefarbige Lösung mit Salpetersäure einen schwarzen Niederschlag von Rutheniumsesquioxyd: 62,9 Ruthenium, 5 Osmium, 32,1 Schwefel gaben im Wesentlichen Rutheniumsesqui-Sulfür  $\text{R}^2 \text{S}^3$ . Man hat daraus die Formel  $12 \text{R}^2 \text{S}^3 + \text{Os S}^4$  abgeleitet. Später fand sich das sonderbare Erz freilich in winzigen Körnern im Platinerz von Oregon (Jahrb. 1869. 268), und Deville (Cmpt. rend. 1875. 80. 447) behauptet sogar in allen Rückständen der Platinfabrikation.

Daß Platin, Palladium, Iridium, Osmium isomorph seien, beweisen die regulären Octaeder von  $\text{K Cl} + \text{R Cl}^2$ , worin R diese vier Stoffe bedeutet. Iridium, Osmium, Palladium sind außerdem auch 6gliedrig, also dimorph.

## 8. Eisen.

### Tellurisches und Siderisches.

Thubalkain schmiedet Kupfer und Eisen (Barfel). Goliath 1 Samuel. 17. 7 trug ehernen Helm und eisernen Spieß. Bei der Leichenfeier des Patroklus setzt Achill (Ilias 23. 220) als Kampfpreis eine eiserne

Kugel (*σόλος αυτοχόωνος*) aus, welche den Sieger wohl 5 Jahre mit Ackergeräthten versehen könne. Noch machen die Indier den besten Stahl (Wuz). Ba na pe Eisen vom Himmel war nach Lepsius bei den Aegyptiern schon 4000 a. Chr. bekannt.

a) **Tellurisches Eisen.** So wichtig es technisch ist, so selten findet man es gebiegen in der Erde. Das künstliche Eisen scheint nach Wöhler (Pogg. Ann. 26. 182) regulär zu krystallisiren: beim Gießen starker Walzen entstehen innen Höhlen mit Skeleten von regulären Oktaedern. Halbverbranntes Eisen, was im Hochofen lange Zeit hindurch einer Weißglühitze ausgesetzt war, bekommt einen würfelig blättrigen Bruch so deutlich wie Bleiglanz. Auch das Meteoreisen von Seeläzgen und Braunau ist ausgezeichnet würfelig blättrig. Angaben von oktaedrischer Blättrigkeit finden meist ihren Grund in Absonderungsverhältnissen, wie das Hädinger vom Meteoreisen zu Braunau so schön nachweist (Pogg. Ann. 72. 582). Merkwürdiger Weise wird auch das beste zähe safrige Schmiedeeisen durch fortwährende Torsionen und Erschütterungen körnig und blättrig, in Folge dessen es leicht bricht (Erdmann's Journ. pr. Chem. 54. 22). Die Theile stehen also krystallinisch um, ohne daß man außen etwas merkt, was für Eisenbahnen von größter Gefahr ist. Fuchs (Pogg. Ann. 86. 150) hielt das Eisen für dimorph: das geschmeidige Stabeisen sei wie die geschmeidigen Metalle regulär, das spröde Roheisen dagegen 3 + 1axig, und allerdings scheint das weiße Spiegeleisen nur einen blättrigen Bruch (Absonderungsfläche?) zu haben. Härte 5—6, Gew. 7—8. Geschmeidig, daher hactiger Bruch. Das reine Eisen ist stahlgrau mit viel Weiß. Magnetisch. Merkwürdig seine Passivität (Pogg. Ann. 55. 437) d. h. es wird durch dunkle Rothglühitze oder Eintauchen in sehr concentrirte Salpetersäure unangreifbar durch gewöhnliche rauchende Salpetersäure.

Sehr streng flüßig, läßt sich aber schweißen wie Platin. Die Oxydischen Eisenerze werden nämlich bei hoher Temperatur durch glühende Kohle desoxydirt, die befreiten Eisentheile bilden einen unschmelzbaren Eisenschwamm, der sich durch Hämmern compact machen läßt. Dieß ist die älteste Methode das Eisen zu gewinnen, sogenannte Kennarbeit. Davon verschieden ist die Roheisenproduktion, wovon die ersten Spuren erst am Ende des 15ten Jahrhunderts im Elsaß sich finden. Das glühende Eisen geht nämlich mit Kohle, Silicium u. schmelzbare Verbindungen ein. Man mischt daher in Hochofen Kohle, Kieselerde, Kalk und Eisenerz in gehörigem Verhältniß. In der Hitze bemächtigt sich die Si des Kalkes und anderer verunreinigenden Erden, bildet leichtfließbare Schlacke, und das reducirte kohlenstoffreiche Roheisen sinkt zu Boden. Man sammelt es im untersten Theile des Herdes, und sticht es da von Zeit zu Zeit ab, während die leichtere Schlacke stetig darüber herausfließt. Kaltgeblasenes Eisen ist besser als warmgeblasenes.

a) **Koh- oder Gußeisen** kann 5 p. C. Kohle haben, ist körnig und spröde, und nicht schmiedbar. Weißes Roheisen ist silberweiß, bricht spiegelglänzig (daher Spiegeleisen), und gibt einen vorzüglichen Stahl,



wozu besonders auch Manganreichtum beitragen soll. Die Kohle mehr chemisch gebunden, daher schwerer 7,7 Gew. Graues Roheisen ist kohlenstoffärmer, entsteht aus dem weißen, fließt aber leichter, und eignet sich mehr zu Gußwaaren. Kohle freier, daher leichter 7 Gew. Thon- und Raseneisensteine fließen am besten. Eine gußeiserne Kugel sinkt im Fluß unter, kommt aber nach einiger Zeit, wenn sie stark durchwärmt ist, wieder empor. Daher erfährt geschmolzenes Eisen im Momente der Erstarrung eine starke Ausdehnung (Berg. Hütt. Zt. 1876. 4). Heutige Hochöfen sind 90' hoch, ersparen Brennmaterial, verbessern das Produkt, und vergrößern den Betrieb. Ein Clevelandofen erzeugt täglich 1000 Ctr.

b) Stab- oder Schmiedeeisen hat am wenigsten Kohlenstoff, das weiche nur 0,02 p. C., ist sehnig und zähe, läßt sich zu Draht ziehen, Blech walzen, schmieden, wenn auch nicht schmelzen. Heiß abgelöscht wird es nicht spröde. 1 Phosphor macht es in der Kälte brüchig (kaltbrüchig), 0,03 Schwefel in der Hitze (rothbrüchig), so daß es sich im letztern Falle nicht schweißen will. Ueberhaupt machen es unedle Metalle schlechter, edle aber besser. Doch ist für Gußeisen Phosphor, für Nägel eine gewisse Menge von Schwefel nicht schädlich, weil es dadurch zäher wird. Magnet- und Spath Eisen reduciren sich schwer, geben aber besseres Eisen.

c) Stahl ist Schmiedeeisen mit 0,9—1,9 Kohle läßt sich daher noch schmieden, und ist leichter schmelzbar als Stabeisen. Auf der Bruchfläche zeigen sich bei starker Vergrößerung kleine parallel hervorragende Spitzen, welche man für Otaeder hält. Wird durch rasches Abkühlen hart und spröde (Dömer Dvss. 9. 111), aber durch Erhitzen wieder weich. Dabei läuft es von einer dünnen Oxydschicht anfangs blaßgelb, dann goldgelb, braun, purpurfarbig, hell- bis dunkelblau an. Je dunkeler desto mehr hat es die Sprödigkeit wieder verloren. Deshalb sind die Uhrfedern blau. Da nun Stahl in Beziehung auf Kohlengehalt in der Mitte steht, so bekommt man durch Entkohlen des Gußeisens sogenannten Roßstahl, und durch längeres (wochenlanges) Glühen von Stabeisen in kohligem Substanzen Cementstahl. Neuerlich macht man auch Guß- und namentlich Bessemerstahl. Nach Fremy (Compt. rend. 1861. LII. 100) wirkt Stickstoff wesentlich mit: Silicium könne Kohle, Phosphor Stickstoff ersetzen. Man kann sogar geschmolzenem Stahl Phosphor unbeschadet zuführen, wenn man nur statt dessen Kohle entfernt. Stahl läßt sich nach Deville (Dingler Polyt. Journ. 168. 125) dem Glase vergleichen: langsam erkaltet krytallisirt Kohle und Eisen besonders, die Masse erlangt das Maximum von Dichtigkeit, und in der Lösung mit Säure bleibt Graphit als Rückstand; rasch erkaltet bleibt die Kohle an Eisen gebunden, die Masse ist härter, spröder, leichter und gänzlich in Säure löslich. Bessemer-Stahl ist der beste, er läßt sich kalt biegen, und zu den vorzüglichsten Blechen walzen; die Entkohlung des Gußeisens geschieht hier durch direkte Zuführung von Luft, aber man kann dazu nur gute Erze brauchen. Ueber die „enormen Fortschritte der Eisenindustrie in unserer Zeit siehe

Amtl. Ber. Wiener Weltausst. 1873 pag. 757. Man rechnet auf die ganze Welt  $9\frac{1}{2}$  Millionen Tonnen Roheisen: davon kam auf Widdlesbrogh allein 1874 über 2 Millionen Tons; Amerika 1872 2,8 Mill. Deutschland hatte 1874 69 Bessemer-Converters, man macht statt Eisen jetzt Stahlschienen.

Die wichtigsten Erze zur Gewinnung des Eisens sind oxydisch: Magneteisen, Eisenglanz und Brauneisenstein; unter den Salinischen Spath-eisenstein. Geschwefelte wie Schwefelkies zc. konnte man lange nicht brauchen, jetzt wird nach gewonnenem Schwefel der Rückstand noch ausgebracht. Vererzung des Eisens findet sich auf der Erdoberfläche so gewöhnlich, daß Eisen unter den Metallen einzig dasteht. Gerade in dieser Verwandtschaft namentlich zum Sauerstoff und Schwefel liegt auch der Grund, warum es regulinisch zur Seltenheit gehört.

Das gebiegene Eisen vom eisernen Johannes bei Ramsdorf (Klaproth Beitr. IV. 100) in Sachsen mit Oxyd überzogen hatte 92,5 Fe, 6 Blei und 1,5 Cu, Breithaupt (Hoffmann's Miner. III. b. 100) hielt es für Kunstprodukt; was auch Hr. v. Seebach bestätigt (Zeitschr. deutsch. geol. Ges. XII. 100). In der Lettentohle von Thüringen fand Bornemann (Pogg. Ann. 88. 100). Neumaun (Jahrb. geol. Reichsanst. VIII. 351) in der böhmischen Kreide bei Chochen; wird für vorweltliches Meteoreisen gehalten! Schreiber (Journal de physique 1792. XLI. 2) führt Eisen in stalactitischer Form aus dem Gebirge von Duille bei Grenoble auf, wo es 12' tief auf einem Gange von oxydischen Eisenerzen im Gneise brach, doch war dabei auch fer hépatique d. h. zersehter Schwefelkies; das von Labouiche (Allier) und la Salle (Aveyron) läßt sich durch Steinkohlenbrände erklären, da es im Steinkohlengebirge liegt. Die Eisenschüppchen im Platinfande rühren von den gebrauchten Werkzeugen her, wenn sie nicht Eisenplatin sind. In Nordamerika hat sich im Canaangebirge bei South-Meeting-house in Connecticut ein einzigmal ein Stück gefunden (Silliman, Amer. Journ. V. 202), man meint im Glimmerschiefer; es wurde vom Funder für Graphit gehalten, allein die Analyse wies 91,8 Fe und 7 Kohle nach und da Quarz daran hängt, schien es weder meteorisch noch künstlich zu sein, dennoch nennt es Dana (Syst. Miner. 1868. 10) artificial. Minas Geraes im Eisenglimmerschiefer zc. Bei der Colonie Liberia in Westafrika wird auf gebiegen Eisen ein förmlicher Bergbau getrieben. In seinen Theilen findet es sich im Basalt (Pogg. Ann. 88. 321), wenn man denselben pulverisirt und mit Kupfervitriollösung übergießt, so schlägt das Metallische Eisen gebiegen Kupfer in Blättchen nieder. Magneteisen kann auf die Weise nicht wirken. Selbst in der Sonne hat die Spectralschöpfung 450 Linien nachgewiesen, die mit Eisen stimmen.

b) **Siderisches Eisen** (Meteoreisen). Hammer behauptet, daß die ersten Damascenerklingen aus Meteoreisen geschmiedet seien: Schwerter der Kaliphen werden als solche besungen (Gilbert's Ann. 50. 220). Agricola 526 erzählt, zu Zeiten Avicenna's sei in Persien eine Eisenmasse 50  $\mathcal{A}$  schwer niedergefallen, aus welcher der König sich Schwerter machen ließ,

»Arabes autem dicunt, enses Alemannicos, qui optimi sunt, ex ejusmodi ferro fieri.« Agricola fügt nun zwar hinzu, die Araber würden in diesem Punkte von den Kaufleuten belogen, denn den Germanen fiel das Eisen nicht vom Himmel, aber immerhin ist es auffallend, daß um das Jahr 1000 bei den Arabern noch solche Sagen giengen. Als Ross auf seiner berühmten Polarreise 1818 mit den Eskimo's in der Baffinsbay zusammenkam, hatten sie Messer aus Meteoreisen, wie der Nickelgehalt bewies. Sie erzählten, daß auf der Westküste von Grönland 76° N.Br. zwei Blöcke gebiegenen Eisens lägen, von welchen sie es mit zähen Grünsteinen losgeschlagen und bearbeitet hätten! Das Wiener Kabinet besitzt eine solche Klinge. Aus dem Eisen am Senegal, was Adanson mitbrachte, machten sich die Mauren Gefäße (N. de l'Isle Cristallographie III. 108).

Daß eigenthümliche Gesteine aus der Luft (vom Himmel) fallen, davon war man seit alter Zeit, mit Ausnahme des vorigen Jahrhunderts, überzeugt. Die Namen Brontia, Ceraunia, Baetilia u. bezeichneten sie, nur wurde vieles falsche damit vermischt. Der Jakobsstein im Krönungsstuhle der Könige von England sollte schon dem Erzvater Jakob (1 Mos. 28, 11) als Ruhelissen bei seinem Traume gedient haben, doch ist er kein Meteorstein (Abb. Sendeb. Ges. III. 102). In Thracien fiel am Fluß Megos 465 Jahr vor Christi Geburt ein Stein nieder, den Plutarch im Leben des Lysander und Plinius hist. nat. II. 59 erwähnen, qui lapis etiam nunc ostenditur magnitudine vehis, colore adusto, comete quoque illis noctibus flagrante . . . . Ego ipse vidi in Vocontiorum agro (Vaison im jüdl. Gallien) paulo ante delatum. Daß solche Vätilien verehrt wurden, hat Münter (Gilbert's Ann. 21. 21) hinlänglich bewiesen, auch vermuthete schon Seegen, daß der schwarze Stein im Thurne (Kaaba) des Tempels von Mekka, welchen der Engel Gabriel hineingetragen haben soll, ein Meteorstein sei (Gilbert's Ann. 54. 132). Mehmed Ali, Vicetönig von Aegypten, besitzt ein Stück davon, welches nach dem englischen Residenten Lyons über allen Zweifel stehe (Partsch, Denkschr. Wien. Akad. 1857. XIII). Dann würde das unter den aufbewahrten Stücken das älteste sein. Denn das vermeintliche Meteoreisen von Pompeji mit einer Karneolplatte, worauf ein Stern und Viertelmond eingeschnitten ist, enthält nach G. Rose etwas Kupfer, wie das gewöhnliche Eisen der Römer. Wenn man die schmucklose Erzählung über den Stein von Ensisheim liest (Gilbert's Ann. 15. 213 und 18. 100), welcher 1492 am 7ten November mit großem „Donnerklapff“ von den Lüften herabfiel, 260  $\mathfrak{z}$  wog, und auf Befehl Königs Maximilian in der Kirche aufbewahrt wurde, so muß es verwundern, daß Naturforscher nicht schon früher der Sache ernstlich nachgiengen. Erst die berühmte 40 Pnd (1400  $\mathfrak{z}$ ) schwere Eisenmasse (Pallasit) südlich Krasnojarsk am Jenisei, worauf Pallas (Reise durch verschiedene Provinzen des Russischen Reichs III. 411) 1772 die Aufmerksamkeit lenkte, gab dazu den Impuls. Sie lag auf der Höhe eines Bergrückens zwischen den Gebirgsflüssen Ubei und Sifim wenige Meilen rechts

vom Strom. „Die ganze Wacke scheint eine rohe eisensteinartige Schwarte gehabt zu haben, das innere Wesen derselben ist ein geschmeidiges, weißbrüchiges, wie ein grober Seeschwamm löchericht ausgewebtes Eisen, dessen Zwischenräume mit runden und länglichten Tropfen“ des schönsten, flächenreichsten Olivins erfüllt sind, welchen man kennt. Obgleich die Tartaren es „als ein vom Himmel gefallenes Heiligthum betrachteten,“ so dachte doch Pallas nicht entfernt an meteorischen Ursprung, er hielt es nur mit Entschiedenheit für ein merkwürdiges Naturprodukt, und schickte daher die ganze Masse der Petersburger Akademie. Chladni war der erste, welcher 1794 dasselbe für außerirdisch erklärte, und, obgleich Naturforscher, dennoch an Meteorsteine glaubte. Lichtenberg sagte darüber: es sei ihm beim Lesen dieser Schrift so zu Muth gewesen, als wenn ihn selbst ein solcher Stein an Kopf getroffen hätte, und habe gewünscht, daß sie nicht geschrieben wäre. Besonders eiferten die Gebrüder de Luc dagegen, und Franzosen erklärten es für ein phénomène physiquement impossible! Nach Chladni's Bericht sollen die Gelehrten in Dresden, Wien, Kopenhagen, Bern u. c., aus Beschämung solche Steine in aller Stille weggeworfen haben. Aber noch in demselben Jahr 1794 am 16ten Juni Abends 7 Uhr ereignete sich der merkwürdige Steinregen von Siena in Toskana aus heiterem Himmel (Gilbert's Ann. 6. 100), von dem die ganze Provinz Zeuge war, denn die Steine fielen unter schreckbarem Rischen zur Erde. Doch erklärte sie Hamilton für Auswürflinge des 50 Meilen entfernten Vesuv's, der zufällig 18 Stunden vorher einen furchterlichen Ausbruch erlitten hatte. Als nun aber am 13. Dec. 1795 bei Wobbeottage in Yorkshire ein 56  $\mathcal{R}$  schwerer Block niederfiel, der von dem 170 Meilen entfernten Hekla hätte kommen müssen, so wurde glücklicher Weise Howard zu einer genauen Prüfung veranlaßt (Phil. Transact. 1802). Er fand überall nickelhaltiges gebiegen Eisen darin. Setzt trat auch Laproth (Abh. Berl. Akad. Wiss. 3. Januar 1803) mit seinen Analysen hervor: die Eisenmasse, welche 1751 am 26ten Mai Abends 6 Uhr unter starkem Krachen in einer feurigen Kugel bei Fraschina zwischen Agram und Warasdin in Croatien 71  $\mathcal{R}$  schwer herniederfuhr, enthielt 96,5 Fe und 3,5 Ni. Sie findet sich im Kaiserl. Mineral. Cabinet zu Wien, nur ein kleineres Stück von 16  $\mathcal{R}$  gieng davon verloren (Sigg. Wien. Akad. 1860 Bd. 39 pag. 519). Auch La Place (Zach, Monatl. Correspond. 1802. 277) warf die Frage auf, ob es nicht vielleicht Produkte von Mondsvulkanen sein könnten, die mit einer Geschwindigkeit von 7800' (5mal größer als ein 24 Pfänder) in die Höhe geworfen nicht wieder auf den Mond zurückfallen könnten, eine Ansicht, die Olbers schon 1795 gelegentlich aussprach (Gilbert's Ann. 14. 38). Endlich machte der große Steinfall von l'Aigle in der Normandie 1803 den 26ten April Nachmittags gegen 1 Uhr allem Zweifel ein Ende: eine 30 Meilen weit sichtbare Feuerkugel erschien aus heiterem Himmel, gestaltete sich zu einer kleinen Wolke, die 5—6 Minuten ein schreckliches Getöse wie Kanonendonner und Gewehrfeuer erzeugte, und 2000—3000 zischende Steine,

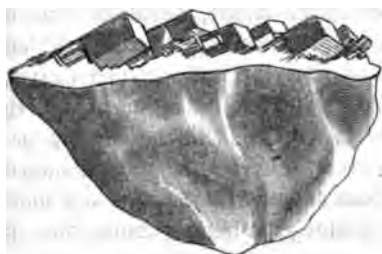
der größte bekanntgewordene  $17\frac{1}{2}$   $\mathcal{R}$ , fielen auf einer Ellipse von  $2\frac{1}{2}$  Längen und 1 Längs Breite nieder (Memoires de l'Institut nat. scienc. math. et phys. 1806. VII). Der Mineralienhändler Lambotin ließ gleich so viel als möglich aufkaufen, und machte gute Geschäfte, während die Zeitungen sich über den Maire des Ortes, der es officiell nach Paris meldete, be- lustigten, und der Minister der Aufklärung erst nach 2 Monaten am 26ten Juni den Physiker Biot an Ort und Stelle sandte. Die Sache war wahr: sie kommen mit planetarischer Geschwindigkeit an, erhizen sich durch Reibung in der Luft (Jahrb. 1857. 200) und fallen schief zur Erde, was ihr Anprallen vermindert. Der Norwegische von Dalsplads fiel am 27ten December 1848 zufällig aufs Eis: obgleich von der Größe eines Kindsstopfs hat er das Eis nicht zersprengt, sondern war mehrmals darüber hingehüpft, und endlich liegen geblieben (Pogg. Ann. 96. 311). Der Stein von Dhurinsfälla in Indien gelangte am 14ten Juli 1860 entzündet und geschmolzen zur Erde, und war innen nach Art des gebackenen Eises chinesischer Küche kalt. Er brachte die Temperatur des Weltraumes ( $-50^{\circ}$  C.) mit (Pogg. Ann. 115. 170).

Vom gebiegenen Eisen war lange Zeit das durch Klaproth analysirte Agramer mit 3,5 Nickel das einzig constatirte. Alle andern wurden wegen ihrer Aehnlichkeit mit diesem für meteorisch gehalten. Der verwünschte Burggraf (Gilbert's Ann. 42. 107) 191  $\mathcal{R}$  schwer, scheint am Ende des 14ten Jahrhunderts bei Elbogen in Böhmen, wo er auf dem Rathhause aufbewahrt wurde, gefallen zu sein. Es herrschten darüber im Volke auffallende Sagen; 1811 wurde Prof. Neumann in Prag darauf aufmerksam, und jetzt liegt das größte Stück davon (140  $\mathcal{R}$ ) in Wien: 88,2 Fe, 8,5 Ni, 0,7 Co, 2,2 Phosphormetalle. 1814 fanden Rußniatische Bauern auf einem granitischen Gipfel der Karpathen bei Lenarto (Sarosser Comitatz) eine 194  $\mathcal{R}$  schwere Masse, welche das Nationalmuseum von Pesth bewahrt; sie zeigt außen tafelförmige Structur, ähnlich dem 103  $\mathcal{R}$  schweren Eisen im Nationalmuseum von Prag, welches 1829 beim Schlosse Bohumilitz im Prachiner Kreise auf einem Acker gefunden wurde. Im Dorfe La Caille bei Grasse (Dep. Var) lag am Eingange der Pfarrkirche ein Block von 625 Kilgr., der den Einwohnern 200 Jahre als Sitz gedient hatte, und nach einer Tradition aus der Luft gefallen war; seit 1828 in der Pariser Sammlung enthält er, von langen Cylindern Schwefeleisens durchzogen, über 6 Ni. 1805 fand sich in der Eifel bei Wittburg nördlich Trier eine 3400  $\mathcal{R}$  schwere Masse, die ein nachbarlicher Eisenhüttenbesitzer verfrachten wollte, allein die Ruchen konnten nicht geschweißt werden, und zur Verhinderung von Unterschieb wurden sie vergraben (Schweigger Journ. 1825 Bd. 43). In Europa (Trier, Berlin, Wien) existiren von den unveränderten nur noch wenige Loth (Partsch Meteoriten Wien 1843. pag. 96), aber schon der Nickelgehalt des geschmolzenen stellt den meteorischen Ursprung außer Zweifel. Dagegen soll die 10,000  $\mathcal{R}$  schwere Masse von Aachen (Gilbert's Ann. 48. 110) nicht meteorisch sein. Neuerlich hat sich bei Seeläsgen ohnweit Schwiebus in

Brandenburg eine 218  $\mathcal{Z}$  schwere Eisenmasse auf einer feuchten Wiese gefunden (Pogg. Ann. 73. 220) mit 5,3 Ni und 0,4 Co, liegt in Breslau. Eine andere beim Eisenbahnbau von Schweß an der Weichsel 43  $\mathcal{Z}$  schwer mit 5,8 Ni und 1 Co liegt in Berlin (Pogg. Ann. 83. 504).

Noch großartiger sind die Massen fremder Welttheile, namentlich in Amerika, wo Sonnenschmid in der Straße von Zacatecas in Mexico ein Stück von 2000  $\mathcal{Z}$  sah (Jahrb. 1836. 200), Humboldt bei Durango von 40,000  $\mathcal{Z}$  (Klaproth Beiträge IV. 101). Neuerlich wird das Thal von Toluca westlich der Hauptstadt Mexico viel genannt, wo seit langen Jahren die Indianer des Dorfes Xiquipilco das Eisen auffuchen und verschmieden (Buxart Jahrb. 1856. 200). Viele Centner sind davon nach Europa gelangt, was einen der größten Eisenfälle voraussetzt. Bei St. Jago del Estero mitten in der großen Ebene von Südamerika fand Don Rubin de Celis 1783 eine Masse von 30,000  $\mathcal{Z}$  (Phil. Transact. 1788); 1784 entdeckte man am Flüsschen Bemdego 50 Meilen von Bahia in Brasilien ein 7' langes Stück von etwa 14,000  $\mathcal{Z}$  (Gilbert's Ann. 56. 220). Boussingault traf 1825 zu Santa Rosa nördlich St. Fe de Bogota einen Grobschmidt, der sich eines Ambosses von 1500  $\mathcal{Z}$  aus Meteoreisen bediente, es fanden sich in der Gegend noch mehrere Klumpen, sogar 12 Meilen davon bei Názgata ganz die gleichen Massen, so daß man glauben muß, hier habe ein förmlicher Eisenregen stattgefunden (Sitzungsber. Wien. Akad. Math. Class. 1852. VIII. 200). Ein Stück von 171  $\mathcal{Z}$  findet sich im Museum von Harlem, das 1793 im östlichen Theile der Cap-Colonie aufgehoben wurde, und ursprünglich 300  $\mathcal{Z}$  wog.

In Nordamerika allein wurden schon 1846 von Shepard (Simman's Amer. Journ. 2 ser. II. 200) 22 verschiedene Fundorte angeführt, darunter ein 1700  $\mathcal{Z}$  schweres von den Indianern verehrtes Stück am Red River in Texas, was man für Platin hielt. Zwei kostspielige Expeditionen in die von feindlichen Indianern bedrohte Wildniß gesandt brachten endlich auf einem 400 deutsche Meilen langen Landweg das Stück zum Mississippi. Jetzt wird es in New-York aufbewahrt: ein förmlicher Magnet, dessen größter Durchmesser in der Meridianlinie liegt. Der blättrige Bruch soll octaedrisch sein (Amer. Journ. II. 270). Das von Coxe in Tennessee wiegt 2000  $\mathcal{Z}$ , und ein kleines 9  $\mathcal{Z}$  schweres fiel sogar 1835 Ende Juli oder Anfangs August auf den Feldern von Dickson im Staate Tennessee (Amer. Journ. 1845. Bd. 49 pag. 336) vor den Augen mehrerer Arbeiter aus einem explodirenden Meteor auf ein Baumwollensfeld nieder, wurde



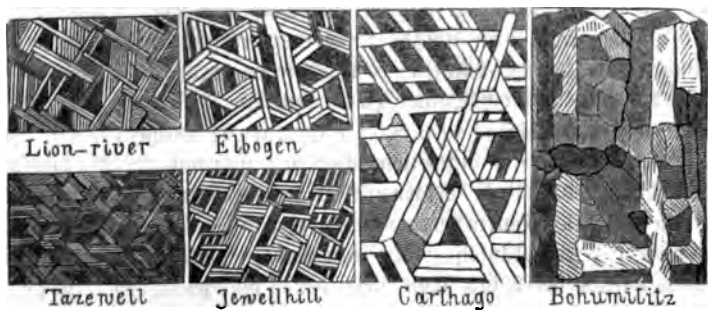
aber erst später durch den Pflug gefunden. Es wäre dies seit Agram der zweite Fall, dem Zuschauer beigewohnt hätten. Der dritte unter allen constatirteste ereignete sich bei Hauptmannsdorf und Braunau auf der Böhmischeschlesischen Grenze 1847 den 14ten Juli Morgens 3½

Uhr (Pogg. Ann. 72. 170 tab. IV): es bildete sich eine Wolke, die mit einem Male erglühete, Blitze zuckten nach allen Richtungen, und zwei Feuerstreifen fielen von ihr zur Erde, unter zwei heftigen Kanonenschüssen, die alle Bewohner weckten. In einem 3 Fuß tiefen Loch fand sich das eine 42  $\mathcal{A}$  6 Loth schwere Stück, nach 6 Stunden noch so heiß, daß es Niemand anfassen konnte. Es ist zerschnitten. Das zweite 30  $\mathcal{A}$  16 Loth schwere fiel dagegen durch das Schindeldach eines armen Mannes in das Schlafzimmer seiner Kinder, ohne zu zünden. Der Mann meinte der Blitz habe eingeschlagen, und ahnete nichts von der Sache, erst nach fleißigem Suchen wurde das Stück den folgenden Tag am 15ten Juli unter den Trümmern der Kammerwand gefunden! Es ist von dem Prälaten für 6000 fl. zu einer frommen Stiftung verkauft. Die Außenseite zeigt unregelmäßige Eindrück, eine dünne schwarze Brandrinde, welche durch Oxydation noch nicht gelb geworden ist. Beim Zerreißen kommt ein würfelig blättriger Bruch zum Vorschein, der an Bleiglanz erinnert, wie vorstehendes 3  $\mathcal{A}$  schwere Stück in  $\frac{2}{3}$  nat. Größe unserer Tübinger Sammlung zeigt. Das Wiener Museum besitzt 1  $\mathcal{A}$ , die fast aus einem einzigen Würfel bestehen. Es kommen daran auch Trennungsflächen nach dem Oktaeder vor, das sind aber mehr Absonderungen. Härter als die besten Stahlmeißel läßt es sich leicht strecken und schmieden. Gew. 7,7. Der sonderbarste Fund wurde 1870 unter dem 70ten Breitengrade auf der Insel Disko in der Baffinbay bei Dvissak gemacht: dort entdeckten Grönländer am Strande unter Granitblöcken neben einem hohen Basalt Rücken in Begleitung von Enkrit riesige Eisenklumpen mit 5 p. C. Nickel und eigenthümlicher schalenförmiger Textur. Ein Kronendampfer und ein Kriegsschiff wurden von Stockholm hingesandt, welche die drei Stücke von 500 Ctr., 200 Ctr. und 90 Ctr. abholten, das größte mißt im Querschnitt 42 Quadratuß. Leider oxydiren sie an der Luft und zerfallen, und müssen daher hermetisch umschlossen werden, was viel Geld kostet. Dazu kommt nun noch der merkwürdige Umstand, daß auch in dem nahen Basaltberge Massen vom Ansehen grauen Roheisens stecken, die nach der Analyse von Wöhler (Gött. Gel. Anz. 1872 Nachr. 197) 80,6 Fe, 1,2 Ni, 0,47 Co, 0,15 P, 2,8 S, 3,7 C, 11,8 O enthalten, die etwa auf 40 Fe Fe und 7,5 Fe S hinweisen würden, wornach dann immer noch 40,6 Fe übrigblieb. Prof. Nordenskjöld meinte daher, sie seien während der Eruption des Basaltes vom Himmel hineingefallen. Freilich könnten sie in diesem Falle ebenfogut aus dem Erdinnern stammen, was der allgemeinen Ansicht über den Ursprung der Meteoriten sich sehr gut fügen würde. Ja diese Meinung soll in allernuester Zeit (Cmpt. rend. 1876 Bb. 83. 917) durch einen Brasilianischen Fund von San-Francisco in der Provinz Santa-Catharina unterstützt werden, wo ein rissiges Eisen mit 64 Fe und 36 Ni auf dem Boden im Gestein zu stecken scheint. Das Nickel wurde aus der salzsauren Lösung nach Zusatz von etwas Salpetersäure mittelst Ba C getrennt, wobei das dreiatomige Eisenoxyd niederfiel.

Die Brasilianischen Gelehrten denken sogar daran, das mit jedem Jahre wichtiger werdende Nickel daraus technisch zu gewinnen. Unter den

Eigenschaften des Meteor Eisens verdienen noch die Widmanstätten'schen Figuren besonders erwähnt zu werden. Wenn man nämlich Flächen polirt und mit schwacher Säure ätzt (Erdmann's Journ. pr. Ch. 12. 301), so entsteht eine eigenthümliche Damastbildung von Strahlen, die sich ungefähr unter Winkeln von  $60^\circ$  aber auch schärfer und stumpfer schneiden. Die dunkeln Stellen wurden stärker angegriffen, als die lichtern Streifen, und die Aetzung ist so vollkommen, daß Shepard, Rose zc.

die schönsten Bilder davon unmittelbar abklatzten: unsere Figur ist das Stück eines solchen von Texas, was Silliman (Amer. Journ. II. pag. 376) abgebildet hat. Nach Partsch entspricht die Lage der Strahlen den Flächen von Oktaedern. Früher sah man die Zeichnung als Folge des Nickeleisens an, zumal da sich auch künstliche Legirung von Nickel und Eisen besonders zur Damascirung eignen soll. Allein Berzelius fand im Eisen von Bohumilz (Pogg. Ann. 27. 138) schwarze unlösliche Schüppchen von Phosphor-Nickel-Eisen (Dyskytit, Schreiberit), welche sich parallel an die Oktaederflächen anlagern, und zu den Streifen die Veranlassung geben sollen. Uebrigens haben nicht alle diese Eigenschaft, die Figuren werden immer undeutlicher (Zacatecas, Rasgata) und verschwinden zuletzt ganz (Arva, Senegal, Braunan). Man hat daher ihre Bedeutung unterschätzen wollen (Ztschr. d. geol. Ges. VI. 304), allein wenn man sich an die deutlichen hält, so sind und bleiben die Figuren eines der wichtigsten Merkmale. Beistehende kleine Musterkarte, die ich aus meiner populären Abhandlung



(Mar und Wahr pag. 313) entnehme, gibt mit einem Blick etwas von der Mannigfaltigkeit. Der einfachste Fall ist der, wenn die Blätter alle den Flächen eines Oktaeders parallel gehen, ein solches soll der Block von La Caille sein, schneidet man dann parallel den Oktaederflächen, so müssen die Balken sich alle genau unter  $60^\circ$  treffen; nach jeder andern Richtung ändert sich das, bis parallel dem zugehörigen Würfel genau  $90^\circ$  ent-



stehen. Ich gebe nebenbei ein Bruchstück von Toluca, woran auf einer mehr als Handgroßen Schlißfläche sämtliche Balken sich unter  $90^\circ$  schneiden, während an der dunkeln Seite rechts sich schon die schiefen Winkel einstellen. Das ganze Stück überzeugt uns noch auf der natürlichen Oberfläche, daß keine Platte anders als nach den Oktaederflächen orientirt sei. Anders verhalten sich dagegen manche großen Stücke, woran öfter Balkensysteme



Toluca Tezupilco.

sich einschieben, die auf Verwachsungen von Oktaedern schließen lassen, wie die Schnittflächen von Carthago in Tennessee und Claiborne in Alabama der Reichenbach'schen Sammlung zeigen, die 0,34 m lang und 0,2 breit sind. Die Balken haben hier mittlere Dicke. Freilich hat die genaue Verfolgung ihre große Schwierigkeit. Reichenbach (Pogg. Ann. 1861. Bd. 114) unterscheidet Balkeneisen (Ramacit), Bändeisen (Tänit), Fülleisen (Pleßit); Glanzeisen (Lamprit), Nadeleisen (Rhabbit) und Mohr. Das lichtgraue Balkeneisen pflegt vorzuherrschen, es bildet die Balken der Widmannstätten'schen Figuren bis zu 1' Länge 1" Breite und 2''' Dicke, Braunau besteht fast ganz daraus, und bei Pallas hüllt es in gekrümmten Lagen die Olivinkugeln ein. Nach außen folgt dann das dunkelgraue Fülleisen, welches am Cap gänzlich vorherrscht, sonst aber nur die Zwischenräume der Balken füllt. Es wird vom Balkeneisen durch eine dünne Lage isabellgelben Bändeisens getrennt, - das am meisten der Verwitterung und Aetzung Widerstand leistet, und wesentlich zur Markirung der Figuren beiträgt. Fast gibt es der Edelkeit des Glanzeisens (Schreibersit) nichts nach, nur daß dieses sich in zerstreuten Blättchen (Lenarto, Arva) eingesprengt findet, welche durch die Aetzung nicht gelb werden, sondern zinnweiß bleiben. Auch die zarten Fäden des Nadeleisens (Cap, Braunau), welche in parallelen Bügen das Ganze durchziehen, widerstehen der Säure, und geben sich im Querschnitt durch seine mikroskopische Pünktchen zu erkennen, die man nicht mit den Eisenkugeln (Durango, Schwef) verwechseln darf. Mohr (moiré métallique), ein eigenthümlicher Wechselstimmer, kommt nur in der Brandrinde vor, und bei Amerikanischen Stücken, die häufig Behufs der Zertheilung im Feuer behandelt wurden. Es lassen sich diese Unterschiede auch durch Anlaufen im Feuer sichtbar machen, wobei Balkeneisen dunkelblau, Fülleisen bläulichroth, Bändeisen goldgelb wird. Ja bei hoher Politur, welche Stahlarbeiter Schwarz nennen, treten die Figuren von selbst (Burlington) oder beim Anhauchen (Agram) hervor. Vieles Meteoreisen (Braunau, Bohumilz, Krasnojarsk, Red River) verhält sich gegen Kupfervitriollösung passiv, das Kupfer schlägt sich erst darauf nieder, wenn man etwas Säure zusetzt, oder gewöhnliches Eisen unter der Flüssigkeit damit in Berührung bringt. Durch ihre

Zusammensetzung schließen sich die Meteoreisen fast in einer

zusammenhängenden Reihe an die Meteorsteine an. Vor allem fällt selbst im reinsten Eisen der große Nickelgehalt auf: Bohumilz 5,6 Ni, Elbogen 8,5 Ni, Krasnojarsk 10,7, ja Jackson fand in einem von Claiborne (Alabama) 27,7 Ni (Amer. Journ. 34. 554), und doch wird nach Rammelsberg (Monatsh. Berl. Akad. 1870. 441) wegen schlechter Methoden häufig zu wenig angegeben. Den Nickelgehalt erkennt man schon durch bloßes Auflösen in Salzsäure, indem sich eine schöne gelblich- bis smaragdgrüne Flüssigkeit bildet, während bloßes Eisen nur gelb färbt. Auch findet man nicht selten an der verrosteten Oberfläche Flecke von grünem Nickelocker. Unwichtiger ist Kobalt, doch fehlt er selten: 0,2 Co Bohumilz, 0,76 Co Elbogen, 1 Co Schweß, 2,5 Co Cap. Mangan nur wenig, noch weniger Kupfer und Zinn. Tarapaca (Chili) hat in innern Höhlen gediegen Blei. Auffallend ist der geringe Gehalt an Kohle, Berzelius gibt von Krasnojarsk nur 0,04 C und Rammelsberg von Seeläsgen 0,5 C an. Reichenbach (Pogg. Ann. 108. 457) fand zwar Knollen von Graphit zu Seeläsgen, Arva, Toluca zc. eingeschlossen, aber das Eisen unmittelbar daneben war kohlenstofffrei. Es ist daher nur ein sehr kleiner Theil des Kohlenstoffs an das Eisen gebunden, welcher beim Auflösen Kohlenwasserstoffgas von demselben üblen Geruch wie Roheisen liefert. Ebenso kommt auch etwas Silicium vor. Daraus leuchtet allein schon ein, daß es kein geschmolzenes Kunstprodukt sein kann. In allen Fällen bleibt ein Rückstand, in welchem Phosphor-Nickel-Eisen vorwaltet, das metallisch weiße magnetische Schuppen bildet, die besonders glänzend auf geätzten Flächen von Arva hervortreten. Der Rückstand betrug bei Braunau 1,3 p. C., worin 56,4 Fe, 25 Ni, 11,7 Phosphor, 1,1 Kohle, 1 Si, 2,8 Chrom. Wöhler glaubte im Rückstande des Eisens von Kaskaga kleine Krystalle von Olivin, selbst Rubin und Sapphir zu erkennen! Im Tolucathal kam außer diesen bunten Steinen in der Schwarte noch ein Quarzdihegaeder vor (G. Rose Pogg. Ann. 113. 184).

Schwefeleisen sammelt sich öfter in Höhlen und Klüften, bei Bohumilz bis zu Haselnußgröße, ebenso zu Lockport. Bei Caille, Toluca, Seeläsgen zc. bildet es zum Theil lange cylindrische Kerne, welche die Eisenmasse in paralleler Lage durchsetzen. Hier ist ihr Gewicht 4,78 und dem Gehalte nach soll es nach Rammelsberg nicht Magnetties, sondern einfaches Schwefeleisen  $\text{Fe S}$  sein. Aber auch der ächte Magnetties fehlt nicht: aus dem Eisen von Sevier in Tennessee fallen unmagnetische Knollen heraus, aber tombackbraun und blättrig wie bei Bodenmais.

Graham (Pogg. Ann. 131. 151) fand im Eisen von Venarto das 2,86fache Volumen Gas, welches außer Kohlenoxyd und Stickstoff aus 86 p. C. Wasserstoff bestand. Da nun das irdische Eisen nur Kohlenoxyd, etwa 1 Vol. unter gewöhnlichem Druck enthält, „so muß das Meteor Eisen aus einer dichtern Wasserstoffatmosphäre stammen: es ist der Wasserstoff irgend eines Fixsterns, welchen uns der Meteorit in seinen Poren mit „bringt“. Leider konnte Mallet (Proceedings of the Roy. Soc. of London,

XX. 368) die Sache nicht bestätigen, er fand es annähernd wie bei den »common wrought iron«.

Aestiges Meteorstein schließt in seinen Zwischenräumen Mineralmasse ein. Obenan stehen Pallasit von Sibirien und der Wüste Atacama (Pogg. Ann. 14. 469; Cmpt. rend. 81. 500) mit ihren schön gelben Olivinen pag. 321. Gew. 7. Die Krystalle haben sich ganz in die rundlichen Räume eingefügt, und gleichen auf der Oberfläche Mandelausfüllungen. Brahin, Gouv. Minsk (Pogg. Ann. 2. 101), Pittsburg Gew. 6,5 gehören dahin; die Oberfläche des geätzten Eisens fortificationsartig gestreift. Von ganz besonderem Interesse sind die Erzgebirger, welche in der Gegend von Johann Georgenstadt bei Breitenbach, Steinbach und Rittersgrün gefunden, vielleicht Pfingsten 1164 gefallen sind. Unser Stück zeigt rechtwinklige Balken, die dunkle Zwischenmasse früher für Olivin, jetzt für Bronzit pag. 317 gehalten, schließt die Kügelchen von Asmanit pag. 254 ein. Ein 173 & schweres Stück 1833 bei Rittersgrün von einem Walдарbeiter gefunden, lange



unbekannt, und 1861 von Breithaupt angekauft, zeigt auf einer Schnittfläche von 0,44 m Länge und 0,32 m Breite schiefe Balken, die nach Herrn Prof. Weissbach einem Krystall anzugehören scheinen. Das Stück ist in Farbendruck (der Eisenmeteorit von Rittersgrün 1876) zu Freiberg trenn dargestellt. Das Eisen von 7,6 Gew. enthält 87,3 Fe, 9,6 Ni, 0,58 Co, 1,4 P cc. Bei Hainholz im Paderbornschen fand Dr. Mühlenpfordt (Pogg. Ann. 1857, 100 300 und 101. 311) auf freiem Felde einen 33 & schweren Stein von 4,6 Gew. mit einem nickelhaltigen Eisenkies, das auf der Schlifffläche zwischen grüner Gesteinsmasse mit Augit und Olivin gestreut hervortritt. Der Fund war lange einzig in seiner Art, und dazu lieferte er ein merkwürdiges Mittelglied zwischen Eisen und Stein (Mesosiderit), bis sich endlich auch in der Wüste Atacama (Rose, Monatsb. Berl. Akad. 1863) in der Sierra de Chaco etwas Aehnliches fand. Leider schmilzt der Hainholzer viele Tröpfchen von Eisenchlorid aus, was ihm schnell ein rostiges Ansehen gewährt, und beim Chilener nicht der Fall ist.

## Meteorsteine.

Fallen ungleich häufiger, und so ähnlich wie auch manchen vulkanischen Gesteinen sehen mögen, so machte doch schon Werner gleich bei ihrem ersten Anblick die Bemerkung, daß es auf Erden keine solche gäbe. Vor allem fällt darin das gebiegene Eisen auf, was körnig eingeprengt sich leicht an Rostflecken erkennen läßt. Dasselbe ist ebenfalls Nickelhaltig,

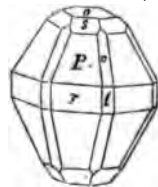
und insofern Vermittelungsglied des Meteorereisens mit den Meteorsteinen. Bei den eisenreichen (Aigle) bildet das Eisen sogar stellenweis noch ein vollständiges Skelet, zwischen welches die Steinmasse sich eingelagert hat, zuletzt tritt auch das Eisen ganz zurück und fehlt sogar gänzlich (Stannern). Bei der Analyse pflegt man daher zu pulverisiren und mit dem Magnet herauszuziehen, was ihm folgt, um beides Magnetisches und Unmagnetisches getrennt zu behandeln. Die Brandrinde (Reichenbach Pogg. Ann. 104. 100) glasglänzend, matt oder ruffig entstand muthmaßlich beim Durchgang durch die Atmosphäre. Je leichter schmelzbar die Masse, desto ausgesprochenener die Rinde (Stannern und Juvinas glänzen wie schwarzer Firniß), sie kann durch Schmelzen künstlich erzeugt werden. Die Rinde von Bishopville ist „farblos durchsichtig und wasserhell“. Frisch haben einige Steine geschmugt wie Ruß. Reichenbach (Pogg. Ann. 107. 100) sucht sie in mehrere natürliche Gruppen einzutheilen. Darunter zeichnen sich die beiden Abtheilungen von G. Rose (Pogg. Ann. 4. 100) aus:

1) **gewöhnliche (Chondrite)** bestehen aus einer grauen trachytischen Hauptmasse, in welcher man außer dem gediegenen Eisen mit bloßen Augen keine weiteren Gemengtheile erkennen kann. Rinde mattschwarz, und wenig glänzend. Hin und wieder sind kleine Kugeln (*χρόδοι*) meist kleiner als Schrotkörner eingesprengt, die man mit dem Messer herausnehmen kann, die aber im Ganzen aus der Grundmasse bestehen, nur etwas härter sind, auch wohl einen etwas andern Farbenton haben. Ensisheim Gew. 3,48, Mautkirchen Gew. 3,45, Siena Gew. 3,39, l'Aigle Gew. 3,43 und Blaustö Gew. 3,7 gehören dahin. Letzterer fiel in Mähren 1833 den 25. November Abends 6½ Uhr, ist besonders durch die Bemühungen des Freiherrn von Reichenbach und die Analyse von Berzelius (Pogg. Ann. 33. 7) berühmt geworden. Mit dem Magnet konnten 17,1 p. C. aus dem Pulver ausgezogen werden, diese bestanden hauptsächlich aus Nichteisen und magnetischem Schwefeleisen, nämlich 93,8 Fe, 5 Ni, 0,3 Co, 0,3 S, 0,4 Zinn und Kupfer. Die 82,9 p. C. unmagnetischer Grundmasse gelatinirten theilweis mit Salzsäure, und zerfielen in 51,5 p. C. zersehbare und in 48,5 p. C. unzersehbare Silicate: die zersehbaren enthielten 33 Si, 36,1 Mg, 26,9 Fe, 0,5 Mn, 0,5 Ni, 0,3 Al, 0,8 Na, 0,4 K. Verlust 1,3 p. C. ist hauptsächlich Schwefel. Der Sauerstoff der Basen zur Kieselersäure = 20,5 : 17,2. Man nimmt das Silicat  $R^3 Si$  als Olivin und das Schwefeleisen als Magnetkies. Der unzersehbare Theil wurde mit Ba C geglüht und lieferte dann 57,1 Si, 21,8 Mg, 3,1 Ca, 8,6 Fe, 0,7 Mn, 0,02 Ni, 5,6 Al, 0,9 Na, 1,5 zinnhaltiges Chromeisen, Fe Gr. Die Thonerde darin könnte verleiten, es zum Theil für eine feldspathartige Masse, vielleicht für Labrador mit Augit, zu nehmen. Im ganzen Stein wäre also 17,1 Nichteisen mit Kobalt-, Zinn-, Kupfer-, Schwefel- und Phosphorgehalt, 42,7 Olivinartige  $R^3 Si$ , 39,4 Augitartige Substanz  $R^3 Si^2$  (Bronzit, Monatsb. Berl. Akad. 1870. 101) und 0,75 Chromeisen mit Zinnstein verunreinigt. Das wird freilich solange Deutung bleiben, bis das Mikroskop genügende Aufklärung gibt. Jedenfalls

machen Talkerdehalfe einen wesentlichen Bestandtheil in der steinigen Masse (29 p. C. Mg). Unter den neuern Fällen ist besonders Pultusk bei Warstau 30ten Jan. 1868 merkwürdig, wo viele Tausend kleine runden mattschwarzen Steine zu Boden fielen. Sie waren Gegenstand mehrerer Analysen, das Resultat bei Rammelsberg (Monatsh. Berl. Akad. 1870. 472) gab 21,8 Nischeisen, 2,8 Fe S, 1,3 Chromeisen, 33,1 Olivin, 41 Broncit. In diesem Jahr wurden 9 Fälle beobachtet, und gleich der Neujahrstag 1869 ließ viele Hunderte auf das Eis von Häfle bei Upjala herabfallen, wobei auf dem weißen Schnee sich ein schwarzes kohliges Pulver abhob, das auf gewöhnlichem Boden leicht übersehen wird (Öst. Gel. Anz. 1869. 200). Dasselbe Jahr ereigneten sich nochmals 7 Fälle!

2) **Ungewöhnliche** (Enfrite) Thonerdehaltig, unter 150 Fällen vier, haben kein metallisches Eisen; Talkerde fehlt zwar nicht, herrscht aber nicht vor, und in der wenn auch feinkörnigen Masse lassen sich einzelne Mineralspecies mit Bestimmtheit erkennen. Geben beim Schmelzen ein leichtflüssiges schwarzes Glas, daher ist die Rinde sehr glänzend und zeigt innen schon mit der Lupe erkennbare Bläschen. Es soll das auf Feldspathsubstanz deuten.

Juvinas (Dep. Ardèche) fiel 1821 am 15. Juni Nachmittags 4 Uhr unter gewaltigem Donner vor den Augen zweier Bauern in ein Kartoffelfeld. Die Bauern hielten die Erscheinung für eine Rote von Teufeln, welche in die Erde gefahren, und faßten erst nach 8 Tagen den Entschluß, das Wunderding auszugraben. Es fand sich nun 5½' tief unter lockerer Erde ein 220  $\mathcal{R}$  schwerer runder Stein, der zerbrochen verkauft wurde (Gübert's Ann. 69. 11.), Paris besitz 42 Kilogramm. Es ist ein körniges ziemlich bröckliges Gemenge, das Moß mit dem Dolerit am Meißner in Hessen verglich, und das hauptsächlich aus brauner (Augit) und weißer Substanz (Anorthit) besteht. In kleinen Höhlungen ist der grünlich braune Augit in Krystallen ausgebildet, mit den meßbaren Flächen T M k o u'. Der weiße Gemengtheil, die größere Hälfte einnehmend, zeigt einen Blätterbruch deutlich, allein die Krystalle in den Höhlen sind zum Meßen zu klein, doch sah G. Rose einspringende Winkel, daher kann es kein gewöhnlicher Feldspath sein, wie Haüy annahm; der große Talkerdegehalt weist eher auf Anorthit oder Labrador. Auch gibt Shepard den Winkel P/M 94° an. Kleine Körner und Krystalle von stahlgrauer bis kupferrother Farbe, obgleich nicht magnetisch, zeigen sich doch nach ihrem chemischen Verhalten und ihrer Form als Magnetkies, mit meßbaren dihexaedrischen Endkanten von 126° 29', und einem Flächenreichtum, wie man ihn früher nicht kannte. Shepard bildet sie auch aus einem grobkörnigen Stein von Richmond (Silliman Amer. Journ. 2 ser. II. 200) ab, der 4  $\mathcal{R}$  schwer am 4. Juni 1828 fiel. Kleine strohgelbe Blättchen (Sphenomit Shepard's), die an den Kanten zu einem magnetischen schwarzen Glase schmelzen, konnten kryсталlographisch nicht bestimmt werden, ob Titanit? Nach



Rammelsberg (Pogg. Ann. 73. 585) enthalten die Steine 36,8 p. C. durch Säuren zersehbare und 63,2 unzersehbare Theile, zusammen mit 49,2 Si, 12,5 Al, 1,2 Fe, 20,3 Fe, 0,16 Fe, 10,2 Ca, 6,4 Mg, 0,6 Na, 0,1 K, 0,28 P, 0,1 Titan Säure, 0,24 Chromoxyd, 0,09 Schwefel. Daraus leitet der Chemiker 36 Anorthit, 60 Augit, 1,5 Chromeisen,  $\frac{1}{4}$  Magnetkies und vielleicht kleine Mengen von Apatit und Titanit ab. Der Steinfall bei

Stannern, 2 Meilen südlich Jglau auf der Mährisch-Böhmischen Grenze, ereignete sich eines Sonntagmorgens gegen 6 Uhr am 22. Mai 1808. Leute, welche nach Stannern in die Kirche giengen, hörten einen heftigen Kanonenschuß, und darauf ein Gerassel wie von kleinem Gewehrfeuer, das 8 Minuten anhielt. In einem Radius von 3 Stunden um Stannern sind mehr als 100 Steine aufgelesen, im Mittel 1—3 Z. schwer. Sie wurden zum Theil noch warm aufgenommen, und fielen mit Zischen in's Wasser. Sehr auffallend an ihnen ist die glänzend schwarze Rinde, welche nach Aussage eines Mannes heiß noch schmierig gewesen sein soll. Darunter findet sich eine weißgraue feinkörnige Gesteinsart, zwischen welcher stellenweis Magnetkies sich durchzieht. Die weißen schmalen Strahlen scheinen auch hier Anorthit, und die schwarzen Stellen dazwischen Augit zu sein. Er bildet den Typus der *Stannerite*, wozu außer Zubinas noch Constantinopel 1805, Jonzac 1819, Petersburg 1855 gehören. Merkwürdig grobkörnig und bröcklich ist der Stein von

Bishoppville in Südcarolina, im März 1843 gefallen, welchen G. Rose Chladnit benannte. Unvollkommene schneeweiße rauhe Krystalle mit rhomboidischer Säule, werden, zuweilen Zollgroß, von zwei deutlichen Blätterbrüchen durchschnitten, die sich unter  $120^\circ$  schneiden,  $\rho = 6$ , Gew. 3,1. Schmilzt schwer zu einem wie seine Brandrinde weißen Email, und besteht im wesentlichen aus Mg Si (Chladnit) mit 67,1 Si und 27,1 Mg, wozu noch ein Thonerdehaltiges Silicat, Magnetkies zc. kommt. Man wird dabei an Wollastonit erinnert. Der Perlsteinartige Chassignit von Chassigny 1815 bei Langres mit schwarzen Körnern von Chromeisen scheint im Wesentlichen Olivin zu sein, er gleicht dem grauen von Chalka 1850 durch seine glatt abgeforderten Stücke. Auch Luotosar 1813 hat Glanzrinde, Rose stellt ihn an die Spitze seiner Howardite, die feinkörnigen Olivin mit einem weißen Silicat zeigen, Mäffing 1803 in Baiern und Bialystock 1827 in Polen zählen dazu. Der weißgraue Stein von Jbbenbühren 1870 (Monatsb. Verh. Akad. 1872. 27) mit gelblich grünen Krystallen ohne Nickelseisen soll lediglich aus Bronzit bestehen, wie der ostindische von Manegaum 1850 (Manegaumit). Eine

**Kohlenhaltige** Sippe beginnt der Stein von Mais (Dep. Gard), 15ten Mai 1806 gefallen. Der leichteste von allen, 1,7 Gew., riecht beim Brennen schwach bituminös und hat Spuren von Ammoniak. Er gleicht einem schwarzen Thone mit glänzendem Strich, und zerfällt im Wasser zu graugrünem Brei (Pogg. Ann. 33. 113). Einer ähnlichen schwarzen Bolartigen Masse gleicht der Aerolith vom kalten **Dollefeld** bei Tulsbagh

am Cap. Man würde ihn nicht für das halten, was er ist, wenn er nicht den 13. Oktober 1838 Morgens 9 Uhr unter furchtbarer Explosion mit einer dünnen Brandrinde herabgefallen wäre. Obgleich beim Anhauchen von bitterem Thongeruch, so hat er doch nur 2 Al, dagegen 33,2 Fe, 22,2 Mg, 30,8 Si, 1,67 Kohle, 0,25 Bitumen zc. Erhitzt entwickelt er bituminösen Geruch, und enthält nach Wöhler (Journ. Pratt. Chem. 77. 66) eine wachsartige Substanz, welche sich mit Alkohol ausziehen läßt. Selbst nach dem Trocknen bei 100° hält er noch Wasser zurück, und seine Färbung rührt von Kohle. Der Stein von Kaba bei Debreczin 15ten April 1857 gehört zu derselben Sippschaft, ist dunkelgrauerdig mit grünlichen Olivinkörnern und zahlreichen schwarzen hohlen Kügelchen. Alkohol zieht eine Paraffinartige Substanz aus. Orgueil 1864, bei Montauban (Tarn et Garonne) eine schwarze zerreibliche Masse mit 6 p. C. Kohle, 2,3 Gew. (Pogg. Ann. 122. 66). Darnach sollte man in jenen Räumen organische Substanzen vermuthen, falls sie nicht erst auf der Erde hinein geriethen.

Chautonnay bei Nantes 5ten Aug. 1812 ist schwarz und hart wie Basalt, aber mit weißen glänzenden Eisenflecken, stellenweis auch braungeflammt, und Breccienartig wie Ensisheim 1492 und Orvinio 31. Aug. 1872 bei Rom. Von gleicher Art ist das auf einem Ackerfelde bei Mainz (Jahrb. 1859. 194) gefundene Stück, das äußerlich „einem armen Brauneisensteine“ gleicht. Renazzo Provinz Ferrara 15. Jan. 1824 hat sogar etwas Mandelsteinartiges. Die Menge der herabgefallenen Steine überflügelt die des gefundenen Eisens noch immer bedeutend, auch nur die wichtigsten davon anzugeben, würde zu weit führen. Für ältere Niederfälle dient Chladni (über Feuermeteore und über die mit denselben herabgefallenen Massen, Wien 1819) und Schreiber (Beiträge zur Geschichte und Kenntniß meteor. Steine und Metallmassen. Wien 1820), worin auch mehrere gute Abbildungen sich finden. Nicht bloß haben sich, seitdem man daran glaubt, jährlich vor Augenzeugen solche Steinfälle ereignet, sondern sind auch äußerst sorgfältig gesammelt. Nach Parisch (die Meteoriten oder vom Himmel gefallene Steine und Eisenmassen im k. k. Hof-Mineralien-Kabinete in Wien) bewahrte die Wiener Sammlung schon 1843 aus 94, 1858 aus 137 verschiedenen Lokalitäten, die sich unter Tschermak's Leitung 1872 auf 182 Steine und 103 Eisen, also auf 285 Nummern erhoben hatte; die Berliner 1852 aus 97, 1862 aus 142; es findet sich dabei die berühmte Chladni'sche Sammlung. London und Paris hatten lange viel weniger, allein die ungeheuern Mittel des Britischen Museums werden bald alle Sammlungen weit überflügeln, denn 1869 zählte London schon 249, wo Wien nur einen mehr 250 hatte; Paris brachte es dagegen 1863 erst auf 86 Fundorte. Das Museum of the geological Survey in Calcutta machte 1867 ein Register von 152 Steinen und 95 Eisen bekannt; Göttingen 1869 105 Steine und 81 Eisen; Bonn 1875 63 Steine und Eisen; München 1868 11 Steine und 11 Eisen. Von Privatsammlern brachte in Amerika Shepard seine

211 Lokalitäten in eine besondere Classification (Jahrb. 1867. 710); in England hat Herr W. Reville seinen Katalog vom May 1872 auf 88 Eisen und 140 Steine gebracht. In Deutschland stand die Sammlung des Freiherrn von Reichenbach auf Schloß Reichenberg bei Wien, 1858 mit 114 Lokalitäten lange oben an. Sie ist mit größter Liberalität unserer Universität Tübingen geschenkt, wodurch 1871 unser Katalog auf 120 Steine und 80 Eisen gebracht wurde. Dr. Reichenbach durch den Fall von Blansko angeregt, scheute keine Mühe und Kosten, um eine so unvergleichliche Privatsammlung der Wissenschaft weihen zu können. Einer unserer ersten Kenner hat er die reichen Früchte seiner Beobachtungen in Poggendorfs Annalen seit 1857 (Band 101. 311; 102. 611; 103. 678; 104. 478; 105. 486, 551; 106. 470; 107. 156, 359; 108. 291, 432; 111. 359, 387; 114. 99, 250, 477; 115. 148, 320) in geistreicher Weise dargelegt, Brandrinde, inneres Gefüge und chemische Analyse ausführlich abgehandelt; sogar die Zeitfolge der Substanzen und Meteoriten in Meteoriten glaubt er nachweisen zu können. Ein merkwürdiger Regen meteorischer Eisen-Kügelchen, welche den Capitän Galloway 60 geographische Meilen südwestlich von Java in der Sternschnuppennacht vom 14 Nov. 1856 überraschte, brachte ihn auf den Gedanken, daß der Schweif der Cometen nur Meteorstaub sei; daß in jeder Feuerkugel und Sternschnuppe ein Meteorstein stecke, aber die meisten würden in der Luft durch die ungeheure Reibung spurlos verbrannt, bloß die größern vermöchten etwas zur Erde zu bringen. Tiffandier (Cmpt. rend. 81. 570) fand in der Atmosphäre überall magnetische Kügelchen von  $\frac{1}{10}$ — $\frac{1}{100}$  Millimeter Durchmesser. Factisch sind in unserm Jahrhundert jährlich 2 Steinfälle beobachtet: mit Berücksichtigung aller Umstände werden täglich 12 und jährlich 4500 Fälle à 1 Ctr. angenommen, so daß der Erde alljährlich ein kleiner Zuwachs würde. Unter den neuern zeichnete sich New-Concord im Staate Ohio (Pogg. Ann. 112. 400) 1. Mai 1860 aus: Mittags 12 Uhr ereignete sich die gewaltige Explosion, worunter ein Stein von 103  $\mathcal{R}$ , mehrere von 50  $\mathcal{R}$ , im Ganzen 700  $\mathcal{R}$  gesammelt worden sind. Den größten Stein von 280 Kilogramm bewahrt das Wiener Museum, der mit vielen andern am 9ten Juny 1866 bei Rnyahinga an der Ungarisch-Gallicischen Grenze fiel. Eine ausführliche Monographie gaben Buchner und Kesselmeyer in den Abh. Senckenb. nat. Ges. 1859—61. III. 318, worin auch eine Karte die Uebersicht sämtlicher Steinfälle erleichtert. Nachträge erschienen Pogg. Ann. 122. 317; 124. 569; 132. 311; 136. 437 2c. Nach Shepard und Rammelsberg sind folgende Verbindungen aus den Meteoriten bekannt:

1. Nickel-Eisen etwa 9 Theile Eisen mit 1 Theil Nickel und etwas Kobalt, was freilich dann bei verschiedenen sehr variirt. Das ältere Grönländische enthält nur 1,5 p. C. Nickel. Shepard glaubt, daß eine 165  $\mathcal{R}$  schwere Eisenmasse von Walker ohne Zweifel meteorisch sei, obgleich das Nickel gänzlich fehle.

2. Kohle kommt als Graphit im Eisen zwar vor, aber in Klumpen und runden Röhren ausgeschieden und mit Troilit vergesellschaftet. Man



kann ihn leicht mit Daubreilit (Cmpt. rend. 88. 74) verwechseln, der in ähnlichen schwarzen Blättchen den Troilit umgibt, aber Cr S mit 62,4 Cr und 37,6 S enthält. Schon früher hat Shepard ein Schwefelchrom Schreibersit genannt, was Haidinger in Shepardit änderte (Abh. Berl. Akad. 1868. 111), es findet sich in kleinen Gängen und Körnern von Bishopville. Das meteorische Petroleum hat man Kabait genannt.

3. Phosphornickeleisen  $P Ni^2 Fe^4$  (Schreibersit Jahrb. 1848. 600), zuweilen mit Magnesium. Die Verbindung bleibt bei der Lösung des Eisens als Rückstand, glänzt stark metallisch und sollte nach frühern Ansichten die Widmannstätten'schen Figuren bedingen. Glänzend zinnweiß wird es selbst beim stärksten Ätzen nicht angegriffen.

4. Schwefeleisen (unmagnetisch), als Krystalle von Magnetkies bei Juvinas, Sevier 2c. Oft erscheint es wie einfaches Schwefeleisen  $Fe S$ , da sich nach Rammelsberg beim Lösen in Salzsäure kein Schwefel ausscheidet. Beim derben Troilit, der hauptsächlich im Eisen Röhren ausfällt, scheint ein Ueberschuß von Schwefel vorhanden zu sein. Reichenbach fand im Blansko und Lockport auch Schwefelkies und noch ein viertes weißgelbliches Schwefeleisen (Pogg. Ann. 115. 600).

5. Magneteisen  $Fe Fe$  fand Berzelius in den Steinen von Alais und Luotala in Finnland, vorzugsweise secundär in der Brandrinde. Ovisat scheint ausnahmsweise viel zu haben. Das damit isomorphe Chromeisen  $Fe Cr$  ist ebenfalls sehr im Meteor Eisen verbreitet. Shepard bildete sogar kleine Krystalle davon ab.

6. Olivin  $Mg^2 Si$  enthält gleich dem tellurischen eine kleine Menge von Nickel- und Zinnoryd. Im Eisen von Krasnojarsk und Otumpa (Provinz Gran Chaco in Laplata) sind 8 At. Mg. gegen 1 At. Fe, wie beim basaltischen Olivin, im Stein von Luotala hat er die Zusammensetzung des Hyalosiderits 2c. Theile der Meteorsteine kann man öfter als Olivin deuten. Dazu kommt jetzt noch das Bisilicat Broncit, der wenn er eisenarm wird in Enstatit übergeht, und das Trisilikat  $Mg Si$  Chladnit (Jahrb. 1852. 618).

7. Feldspäthe. Nur der Anorthit von Juvinas scheint außer Zweifel. Bei andern ist man noch nicht sicher, doch da man es stets mit durch Säuren zerlegbaren Feldspäthen zu thun hat, so können es nur Plagioklase sein.

8. Augitkrystalle sind bei Juvinas gefunden. Sonst bleibt es immer zweifelhaft, ob Augit oder Hornblende. Im Stein von Al. Wenden bei Nordhausen, gefallen 16. September 1843, scheint sogar mit einiger Sicherheit die Analyse auf Labrador und Augit zu weisen, so meinte wenigstens Rammelsberg früher. Hornblende wird jetzt mehr auf Blätteraugite zurückgeführt, und es fällt auf, daß in der Gesteinsmischung Quarz, Kalifeldspath und Glimmer so gänzlich zurücktreten.

Shepard führt außerdem noch eine Menge Minerale in nordamerikanischen Aerolithen an, die man in der alten Welt nicht kennt. Apatit, Glimmer, Granat, Schwefel, eine Reihe schwefelsaurer Salze, auch neue

Minerale Apatoid, Zobolith, Chantonit u. werden gemacht. Als unzweifelhaft kann man folgende 20 Elemente annehmen: Aluminium, Blei, Calcium, Chrom, Eisen, Kalium, Kiesel, Kobalt, Kohlenstoff, Kupfer, Magnesium, Mangan, Natrium, Nickel, Phosphor, Sauerstoff, Schwefel, Titan, Zinn, Spur von Lithium und Strontian hat die Spectralanalyse nachgewiesen. Zweifelhafter sind schon Antimon, Arsenit und Chlor. Auffallend ist die Seltenheit an Wasserstoff, denn das Wasser im Steine von Alaiz und selbst im Meteoreisen von Lenarto könnte terrestrischen Ursprungs sein. Man wollte daraus den Schluß ziehen, daß sie aus einem Gestirn kommen, das kein Wasser enthält, wie man das vom Monde glaubt. Immerhin ist es auffallend, daß Zeolithen, die in unsern vulkanischen Gesteinen eine so große Rolle spielen, fehlen.

### Blei und Zinn.

Blei krystallisirt bei Hüttenprozessen zuweilen in regulären Oktaedern. Auch ist der Bleibaum seit alter Zeit bekannt, welcher sich aus essigsaurem Blei auf Zinkstäben niederschlägt. Was Wallerius von Maslau in Schlesien, Haub aus den Bivaraiz anführen, scheinen Kunstprodukte; in die Laven von Madera soll es künstlich hineingeschossen sein (Jahrb. 1861. 120), dagegen am Stügerbach in Thüringen Hohlräume im Mandelstein erfüllen, Zemann Mineral. Nachr. 1869. 33. Zu Alston Moor in Cumberland kam es eingeprengt im Quarz mit Bleiglanz am Ausgehenden eines Ganges vor, aber zugleich mit Schlacke und Bleiglätte, was die Sache auch wieder verdächtigt; doch erkennen Greg und Lettsom dieses natürliche Vorkommen an. Hr. Prof. Röggerath (Zeitschr. deutsch. geol. Ges. VI. 674) macht ein Gemenge von Bleiglanz, Bleiglätte und gebiegenem Blei von Zomelahuacan im Staate Vera Cruz bekannt, auf welches förmlicher Bergbau getrieben wird. In den manganreichen Magneteisenlagern am Pajsberge in Schweden zeigen sich oxybirte Bleche bis  $\frac{1}{4}$  Zoll dick (Jahrb. 1866. 226). Auch die kleinen Bleikörner in den Goldwäschen von Slavonien und Siebenbürgen bezweifelt Zepharovich nicht. Ebenso am Ural und Altai. Kosscharow (Material VI. 226) erwähnt es auch aus der Kirgisiensteppe. Meteorblei pag. 720.

Rein Bleigrau, mit starkem Metallglanz, Härte 1—2, Gew. 11,4. Schmilzt bei  $325^{\circ}\text{C}$  und verdampft; beim Erstarren zieht es sich beträchtlich zusammen, so daß gegossene Kugeln nicht vollkommen rund bleiben. Das Schrot wird daher mit 2 Arsenit versetzt, damit es sich besser rundet. Es überzieht sich leicht mit einer grauen Oxydationshaut, welche es vor weiterm Angriff schützt, wie man aus dem Schleuderblei der Alten sieht, was hin und wieder noch in eiförmigen Stücken gefunden wird. England gewann 1854 gegen 64,000 Tonnen, Deutschland 1874 1,400,000 Ctr. Europa zusammen über 5 Mill. Ctr., darunter Spanien mit  $1\frac{1}{4}$  Mill. Es findet vielfache Anwendung, ist aber giftig. Harte Wasser hindern in Röhrenleitungen die Lösung, welche dagegen mit Luft lösen etwas Pb A.

Zinn soll geschmolzen unter günstigen Umständen auch in regulären Oktaedern (?) krystallisiren. Dagegen sind die Krystalle, welche man auf galvanischem Wege aus Zinnchlorür darstellt, viergliedrig (Pogg. Ann. 58. 600): Oktaeder  $o = a : a : c$  mit  $57^{\circ} 13'$  Seitfl. und  $140^{\circ} 25'$  Endfl. herrscht vor,  $a = \sqrt{6,723}$ . Die erste quadratische Säule  $q = a : a : \infty c$  fehlt auch selten. Miller gibt noch das nächste stumpfere Oktaeder  $a : c : \infty a$ , dann  $a : a : 3c$ ,  $a : 3c : \infty a$  und  $a : \infty a : \infty c$  an. Auffallender Weise bilden sie lange Stäbe nach Art der britischen Metallbäume, die aus aneinander gereihten Zwillingen bestehen. Die Reihen kleiner Oktaeder haben  $o$  gemein und liegen umgekehrt, nicht selten geht wie beim gebiegenen Kupfer eine Hauptlamelle ganz durch. Isomorph mit Bor.



Zinnweiß, die Farbe läuft nicht an. Beim Biegen zeigen Zinnstangen einen eigenthümlich knirschenden Ton (Zinneschrei),  $\delta. = 2$ , Gew. 7,29. Schmilzt bei  $225^{\circ} \text{C.}$ , ist daher das schmelzbarste unter den dehnbaren Metallen. Bei starker Kälte zerfällt es dagegen zu edigen Stängeln, die schon bei schwachem Drucke zerbröckeln. Bildet in Salzsäure leicht lösliches Zinnchlorür  $\text{Sn Cl}$ . Es wird fast einzig und allein aus Zinnstein gewonnen, hier wurde auch von den ältern Mineralogen gebiegenes Vorkommen angegeben, und es soll wirklich mit dem Golde von Mias (Journ. prakt. Chem. 33. 100) und Guhana (Compt. rend. 52. 600) sich finden. Romé de l'Isle wollte es von Cornwall besitzen (Gauy Mineralog. IV. 177), und in Mexico kommen ductile Metallplättchen mit Wismuthspath pag. 529 vor. Nimmt den Metallen die Geschmeidigkeit, und macht sie klingend und hart.

**Titan.** Dafür hat man lange die kleinen kupferrothen Würfel gehalten, welche sich in der sogenannten Sau der Hochöfen bilden, und welche Wollaston (Phil. Transact. 1823) zuerst in den Schlacken von Merthyr-Tydvil in Südwallis erkannte. Sie haben über Feldspathhärte, Gew. 5,3. Nach Wöhler (Pogg. Ann. 78. 401) enthalten sie jedoch neben 78 Ti noch 18,1 Stickstoff und 3,9 Kohle, bestehen daher aus Cyan-Stickstoff-Titan mit 16,2 Titancyanür und 83,8 Stickstofftitan,  $\text{Ti Cy} + 3 \text{ Ti}^{\circ} \text{N}$ . Vorzügliche Krystalle zu Schussenried in Oberschwaben.

**Spröde Metalle,** gehören nicht mehr dem regulären sondern dem rhomboedrischen Systeme an. Schon oben haben wir dieß beim Osmiridium pag. 708 gesehen. Auffallender noch ist es beim gebiegenen Wismuth, Antimon, Arsenik und Tellur, die rhomboedrisch und zugleich isomorph sind (G. Rose Pogg. Ann. 77. 149).

### 9. Wismuth.

Bisemutum Agricola Bermannus pag. 693; Plumbum cinereum Snebergi effoditur e fodina, cui nomen inde Bisemutaria, de natura foss. 575 und 644. Tectum argenti der alten Bergleute, weil

das Silber darunter lag. Bismuth natif. Es wurde früher als regulär beschrieben. Besonders schön bekommt man die künstlichen Krystalle in zelligen scheinbaren Würfeln, deren sämtliche Ecken durch vier sehr deutlich blättrige Brüche abgestumpft werden, die einem regulären Oktaeder von  $109^{\circ} 28'$  entsprechen würden, wenn die genannten Krystalle wirklich Würfel wären. Zu Schneeberg kommt auch das scheinbare Granatoeder vor. G. Rose zeigt aber, daß jener Würfel ein etwas scharfes Rhomboeder mit  $87^{\circ} 40'$  in den Endkanten sei, also für  $c = 1$  ist die Nebenaxe  $a = \sqrt{0,588}$ . Dem zufolge soll der blättrige Bruch  $o' = c : \infty a : \infty a : \infty a$  in der Geradenfläche etwas deutlicher sein, als die drei andern des nächsten schärfern Rhomboeders  $o = \frac{1}{2}a' : \frac{1}{2}a' : \infty a : c$ , die Seitenkante  $o/o = 110^{\circ} 33'$  und die Kanten  $o/o' = 108^{\circ} 23'$  liegen den Winkeln des regulären Oktaeders so nahe, daß sie leicht zu verwechseln waren. Auch das nächste stumpfere Rhomboeder  $d = 2a' : 2a' : \infty a : c$ , dem Rhomboeder des Granatoeder nahe, ist etwas blättrig, wie man bei den sächsischen Krystallen sieht. Den wichtigsten Beweis für das rhomboedrische System bilden jedoch die Zwillinge: zwei Hauptrhomboeder haben die Fläche des nächsten stumpfen Rhomboeders  $d$  gemein, und liegen umgekehrt. Wir haben dann rhombische Säulen von  $87^{\circ} 40'$  mit einem Paare auf die scharfen Kanten aufgesetzt, das sich unter  $173^{\circ} 16'$  schneidet. Wären die Hauptrhomboeder Würfel, so könnte dieses Geseß gar keinen Zwilling geben, denn es würden alle Flächen einspiegeln. Die krystallinische Masse findet sich in der Natur häufig in gestrickten, schmalstrahligen Massen im Gestein eingesprengt.

Röthlich silberweiß, aber gern grün und roth d. h. taubenhäßig angelassen, woher es sogar seinen Namen haben soll, bunt wie eine „Wiesenmatte“. Härte 2—3, milde wie Glas Erz, aber nicht mehr dehnbar, Gew. 9.8. Es ist am stärksten diamagnetisch pag. 161.

Schmilzt sehr leicht  $264^{\circ} \text{C}$  schon auf einem stark geheizten Ofen, brennt aber nicht fort, und beschlägt die Kohle gelb. Es dehnt sich dabei aus, und hat wie Wasser bei  $+ 4^{\circ}$  seine größte Dichtigkeit. In Salpetersäure löslich, aber die Lösung gibt durch Zusatz von viel Wasser einen weißen Niederschlag, weil sie sich in ein basisches Salz (Schminkeweiß) zerlegt, das niederschlägt, und in freie Säure, welche einen Theil des Salzes in Lösung erhält. Mit Salzsäure fällt unter gleichen Umständen Oxychlorür  $\text{Bi}^2 + \text{Bi Cl}^3$  nieder, worauf in Freiberg die Gewinnung geringer Mengen beruht, Berg. Hütt. Zt. 1876 pag. 80. Man kann Rhomboeder von Zollgröße in den prachtvollsten stahlgrauen, purpurrothen oder smaragdgrünen Farben krystallisiren lassen (Pogg. Ann. 31. 402), wenn man das künstliche Metall längere Zeit mit Salpeter schmilzt, bis die Probe nicht mehr roth oder blau, sondern grün und gelb anläuft. Gießt man es dann in einen erwärmten Mörtcherben, läßt es langsam erkalten, stößt die obere erstarrte Kruste mit einer glühenden Kohle durch, gießt das innere flüssige Metall ab, und zerbricht nach einer halben Stunde, so kommen die schönsten Krystalldrusen zum Vorschein,

die besonders prachtvoll in Paris gemacht werden. Newtons leichtflüßiges Metall, bei  $94\frac{1}{2}^{\circ}$  C. schmelzbar, besteht aus 8 Theilen Wismuth 5 Blei und 3 Zinn; 8 Bi 4 Pb 2 Sn mit 2 Cadmium schmilzt schon bei  $70^{\circ}$  C. (Pogg. Ann. 112. 406); die Legirung von Lipowitz 15 Bi 8 Pb 4 Sn 3 Cd schmilzt sogar schon bei  $65\frac{1}{2}^{\circ}$ . Dient zum Abnehmen der Winkel großer Krystalle, zu Sicherheitsventilen bei Dampfesseln, zc. Statuenmetall besteht aus Kupfer, Zinn und Wismuth. Schnellloth, Arzneimittel. Dem Glase ertheilt es ein stärkeres Lichtbrechungsvermögen, als das Blei, und macht es dabei minder weich.

Das sächsische Erzgebirge hatte früher das Monopol, es wurden 800 Ctr. durch Auslaigern gewonnen, und zwar nur aus dem gediegenen Vorkommen in den Erzen der Blaufarbenwerke. Neuerlich hat sich der Preis sehr gesteigert, da es als basisches Wismuthnitrat besonders in warmen Gegenden gegen Cholera und chronische Diarrhöen dient, und 1866 „der größte weißgeschminkte Clown die stehende komische Figur der Arenen ward“. Auch zu Britanniametall findet es neuerlich Verwendung: 1869 stieg in Paris das Kilogramm von 11 auf 55 Franken! Bricht zusammen mit Speiskobalt und Kupfernickel auf den silberhaltigen Kobaltgängen, und ist daher der Aufmerksamkeit der ältesten Bergleute nicht entgangen. Besonders reich ist Sachsen: Schneeberg, wo das ältige in einem rothen Jaspis brach; Annaberg, Johann-Georgenstadt, sehr schön blättrig auf den Zinnstockwerken zu Altenberg. Fürstenbergische Gruben auf dem Schwarzwalde, Bieber in Hessen im Zechstein zc. Mt. Ramsay in Tasmanien. Bolivia führt Erze mit 23 p. C. Bi aus.

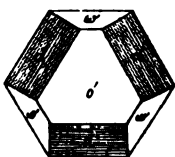
Wismuthgold  $\text{Au}^2 \text{Bi}$  (blackgold) nach dem Fundorte Maldonit genannt, wurde von Herrn Ulrich in Melbourne fein in Quarz mit Gold und Arsenikfließ eingesprenkt gefunden, es hat die Farbe des Arsenikfließes, ist aber geschmeidig, Jahrb. 1875. 287.

Vererzt kommt es vor im Wismuthglanz Bi, Wismuthsilber, Tetradymit; als Wismuthocker nimmt es auch wohl Kohlensäure auf (Wismutit, Wismuthspath pag. 529), Wismuthblende pag. 453. Während des Krieges 1870 war es für Frankreich *«inabordable même pour les médecins»* (Ann. Chim. Phys. 1874. III. 484), jetzt haben sich Erze bei Meymac (Corrèze) in Quarzgängen des Granites gefunden, zusammen mit Wolfram und Lungstein: metallisch, oxydisch, geschwefelt und hydratisch kohlenauer.

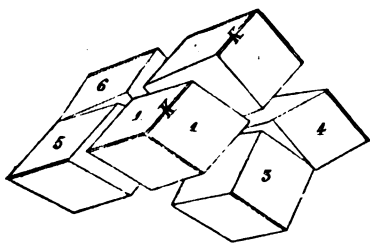
## 10. Antimon.

Der Name Antimonium kommt schon um das Jahr 1100 bei Alchymisten vor, ja nach einigen schon im Sten Jahrhundert; nebenbei lief aber auch *stibium stibi*, Stibium, doch wurde unter letzterm mehr Graupießglanz verstanden, woraus Basilius Valentinus den regulus Antimonii (curriculus triumphalis antimonii, Amsterdam 1685) darstellte. Der Stern des Antimoniums, das Wunder der Alchymisten, entsteht durch Deubriten auf der Oberfläche des Regulus bei langsamem Erkalten. Es lieferte die

„ewigen Pillen“, die immer wieder unverbaut durch den Leib gehen sollten. Gebiegen wird es zuerst von Swab im Kalkspath der Silbergruben von Sala in Schweden erwähnt (Abhandl. Schwed. Akad. 1748), 1780 kam es Arsenithaltig zu Allemont in der Dauphiné vor (Mémoires de l'Acad. Sc. Par. 1781), und Laproth (Beitr. III. 100) analysirte es von Catharine Neufang bei Andreasberg. Insel Borneo. Kopfgroße Stücke auf der Kuffelmine bei Quebeck, Berg. Hüttz. 1867. 144. Kleine Mengen die Quellen von Rippoldsau, Rissingen, Brückenau, Mondorf. Kein zweites Erz hat in der Satrochemie eine solche Rolle gespielt.



Rhomboeder  $\omega 87^\circ 36'$  in den Endkanten,  $a = \sqrt{0,586}$ , Gemisch kann dieses dargestellt werden (Gessel Jahrb. 1833. 88). Der deutlichste Blätterbruch  $o' = c : o'a : o'a : o'a$  stumpft die Endcke ab, er herrscht entschieden vor, wie man beim Zerbrechen wahrnimmt. Etwas weniger blättrig sind ferner die Flächen des nächsten stumpfern Rhomboeder  $d = 2a' : 2a' : o'a : c$ , welche Streifen auf dem ersten Blätterbruch erzeugen. Mohs fand bei körnigen Stücken von Allemont den Endkantenwinkel  $d/d 117^\circ 15'$ . Das nächste schärfere Rhomboeder  $o = \frac{1}{2}a' : \frac{1}{2}a' : o'a : c$  ist dagegen nur wenig blättrig, ebenso die zweite sechsseitige Säule. Die Sache verhält sich daher anders als beim Wismuth, wo die drei Flächen des Rhomboeder  $o$  noch sehr deutlich blättrig sind. Bei Andreasberg kommt auch das zweite stumpfere Rhomboeder  $4a : 4a : o'a : c$  vor. Einen flächenreichen Krystall bildete Römer ab (Jahrb. 1848. 110). Häufig Zwillinge: zwei Individuen haben die Fläche des nächsten stumpferen Rhomboeder  $d$  gemein und liegen umgekehrt. G. Rose (Pogg. Ann. 77. 145) bildete nach diesem Zwillingsgesetz Sechslinge von Andreasberg ab, darin legen sich je zwei Rhomboeder so an einander, daß ihre gemeinsamen Endkanten ( $kk$  1 und 2) in eine Flucht fallen, ihre Angränzungsfläche aber senkrecht gegen diese gemeinsame Kante steht. Haben sich nun so die Individuen 1 und 2 zu einander gestellt, so bleiben von jedem noch zwei freie Kanten für die übrigen vier über: 3 liegt gegen 1, wie 4 gegen 2. Da der ebene Winkel der Rhomboederfläche  $87^\circ 28'$  beträgt,



so bleibt in der Ebene der Flächen 1 2 3 4 rechts, wie in der 1 2 5 6 links zwischen den Kanten angränzender Individuen ein Winkelraum von  $5^\circ 4'$ , der sich ausfüllt. Wenn links und rechts vier Individuen 1 2 3 4 und 1 2 5 6 einpiegeln, so spiegeln vorn und hinten quer gegen die gemeinsame Kante  $kk$  nur drei: 1 3 5 und 2 4 6. Der Winkel zwischen 3/5 und 4/6 beträgt in letztern  $87^\circ 28'$ . Es ist uns dadurch eine förmliche zweigliedrige Ordnung geworden. Man kann dieselbe aus zwei Vierlingen 1 2 3 5 und 2 1 4 6 entstanden denken, die sich zwillings-

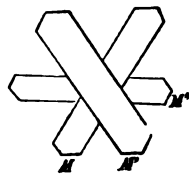
artig an einander lagerten. Jeder Vierling bildet eine dreigliedrige Ordnung, z. B. das Hauptindividuum 1 nimmt die Mitte ein, in dessen Endkanten-Verlängerung die Zwillingskanten von 2 3 5 liegen. Alles aber ist nur Folge des einen einfachen gewöhnlichen Zwillingsgesetzes. Natürliche Krystalle sind selten schön, dagegen kommen sie zufällig bei Hüttenprozessen vor; wie z. B. auf der Bleihütte Münsterbusch bei Aachen, wo Laspeyres (Jahrb. 1876. 400) den Endkantenwinkel des Rhomboeder  $87^{\circ} 6' 50''$  fand, sie waren nur etwas durch Blei verunreinigt.

Zinnweiß, in derben körnigen Stücken. Härte 3—4, wenig spröde, Gew. 6,6.

Vor dem Löthrohr geschmolzen glüht es fort, raucht stark und bedeckt sich dabei mit weißen Krystallnadeln von Antimonoxyd. Es verbrennt im Chlorgas schon bei ganz mäßiger Wärme. Arsenigeruch fehlt nicht. Ein kleiner Silbergehalt läßt sich mit Blei abtreiben. Künstlich kann man es amorph und krystallinisch darstellen (Gore, Pogg. Ann. 103. 400).

Arsenantimon von Allemont (Allemontit) ist dunkelfarbiger als das reine, soll nach Kammelsberg 37,8 Sb und 62,2 As haben, könnte also  $\text{Sb As}^3$  sein.

Antimon Silber (Diskrasit)  $\text{Ag}^2 \text{Sb}$  mit 77 Ag, 23 Sb. Zweigliedrig. Die großblättrigen bilden vielfach gestreifte Säulen, deren Geradenfläche B deutlich blättrig wegbriecht. Es scheint dieß der am leichtesten darstellbare Blätterbruch. Die gestreiften Säulen schneiden sich öfter in Drillingen unter ungefähr  $60^{\circ}$ . Wenn man daher die Stellung mit Mohs Aragonitartig nimmt, so würden die Individuen die Säulenfläche  $M = a : b : \infty c$  gemein haben, und umgekehrt liegen, die Streifen der Säule giengen der Axe a parallel, und es müßte der blättrige Bruch  $B = a : \infty b : \infty c$  die stumpfe Säulenkante von M/M gerade abstumpfen. Die Geradenfläche  $c : \infty a : \infty b$  ist auch blättrig. Schon Haüy glaubte am Ende der gestreiften Säule den blättrigen Bruch eines stumpfen Rhomboeders beobachtet zu haben, und allerdings kommen außer der Säule M noch mehrere schiefe vor, doch hält es schwer, sie darzustellen. Nach Hausmann (Handb. Mineral. 58) soll  $b : c : \infty a$   $112^{\circ} 14'$  deutlich blättrig sein, derselbe gibt von Andreasberg noch mehrere andere Flächen an.



Farbe steht zwischen Zinnweiß und Bleigrau in der Mitte, auf der Oberfläche laufen die Krystalle aber silberweiß an, so daß man sie mit Silber verwechseln würde, allein beim Schlage zerspringen sie längs der Blätterbrüche, obgleich der Strich milde ist. Eigenthümlich ist an manchen Stellen, besonders wenn sich Bleiglanz daran legt, ein messing- bis goldgelber Anflug, der nach Hausmann von Manganoxyd herrühren soll. Härte 3—4, Gew. 9,8.

Vor dem Löthrohr schmilzt es leicht, und reducirt sich nach einigem Blasen zu einem Silberkorn.

Im vorigen Jahrhundert kam es auf der Grube Wenzel bei Wolfach im Schwarzwalde in centnerschweren Blöcken vor, mit Bleiglanz, Fahlerz und gediegenem Silber, die eine große Silberausbeute gaben. Schon Alaprotz (Beiträge II. 300) unterschied ein feinkörniges mit 84 Ag und 16 Sb und ein grobkörniges mit 76 Ag und 24 Sb. Letzteres ist das krystallisirte und daher wahrscheinlich die bestimmtere chemische Verbindung, während ersteres sich so eng an das mitvorkommende gediegene Silber anschließt, daß man öfter an ein und demselben Stücke die Grenzen nicht ziehen kann. Am ausgezeichnetsten auf Katharina Neujang und Samsen bei Andreasberg. Manche sind auch mit Arsenik gemischt.

Antimon wird aus Graupießglanz dargestellt: man löst in Salzsäure, fällt durch Zink oder Eisen das Metall als Pulver, welches gewaschen unter Kohlenstaub leicht zusammenschmilzt. Hartblei zu Buchdruckerlettern enthält 20 Antimon: si Stibi in catinis excoctum additur in plumbum album, libraria fit temperatura, Agricola nat. foss. pag. 575. Wichtig in der Arzneifunde zc. Antimoniete werden wir bei den geschwefelten Metallen kennen lernen, wo nicht bloß Sb S<sup>3</sup> die Stelle der Säure vertritt, sondern auch im Nickelantimonglanz, Antimonnickel zc. geradezu an die Stelle des Schwefels Antimonmetall kommt. Das oxydische Vorkommen (Weißpießglanz) ist unwichtig.

### 11. Arsenik.

Kurz Arsen, *ἀρσενικόν*. In der Natur findet man selten meßbare Krystalle, dagegen kann man sie durch Sublimation erhalten, der Endkantenwinkel des Hauptrhomboeder beträgt  $85^{\circ} 4'$ , daher  $a = \sqrt{0,508}$ , doch ist dieses nicht blättrig, sondern wie beim Antimon das nächste stumpfere  $d = 2a' : 2a' : \infty a : c$  ( $113^{\circ} 56'$ ). Aber auch diese Winkel konnte G. Rose nicht messen. Dagegen sind die Geradenflächen  $o' = c : \infty a : \infty a : \infty a$  noch blättriger und glänzender als beim Antimon, und da diese Blättchen sich immer zu Zwillingen, die  $d$  gemein haben und umgekehrt liegen, verbinden, so wurde aus dem leicht meßbaren Zwillingwinkel  $o/o = 77^{\circ} 1'$  der Winkel des Hauptrhomboeders berechnet. Ein Rhomboeder  $3a' : 3a' : \infty a : c$  kommt bei künstlichen Tafeln vor. Nach Coose (Silliman Amer. Journ. 1861. XXXII. 119) künstlich auch regulär.

In der Natur findet gediegen Arsenik sich gewöhnlich in feinkörnigen Massen mit nierenförmiger Oberfläche und schaaliger Absonderung, daher von den Vergleuten Scherbenkobalt genannt. Die Oberfläche schwärzt sich in feuchter Luft schnell mit Suboxyd  $As^2 O$ , schlägt man jedoch ein Stück ab, so tritt eine leicht bleigraue Farbe vor, die sich in trockener Luft hält, in feuchter aber bald wieder anläuft. Härte 3—4, zwar spröde, aber doch noch mit glänzendem Strich. Gew. 5,8. Man hüte sich, den eingesprenkten Bleiglanz von Joachimsthal und Andreasberg nicht für blättrigen Arsenik zu nehmen.



Auf Kohle glimmt es nach dem Anzünden fort, und verflüchtigt sich ohne vorher zu schmelzen unter einem unangenehmen knoblauchartigen Geruch. Nur unter einem Luftdruck ist es schmelzbar. Da die arsenige Säure  $\text{As}$  geruchlos ist, so kommt der Geruch von flüchtigem gebiegenem Arsenit, was durch Kohle und Metall immer wieder aus  $\text{As}$  reducirt wird. Er findet sich hauptsächlich auf Kobalt- und Silbergängen in Sachsen, auf dem Harz bei Andreasberg, auf dem Schwarzwalde bei Wittichen, in den Vogesen bei Martirch u. Derbe Massen kommen auch als „Fliegenstein“ roh in den Handel. Antimon gewöhnlicher Begleiter, der sich daher auch mit ihm legirt. Breithaupt's Arsenitglanz von der Grube Palmbaum bei Marienberg im Gneis hat 96,8 Arsen und 3 Wismuth, dunkelbleigrau, mit einem deutlichen Blätterbruch, etwas niedrigerem Gew. 5,4, ist verunreinigtes Arsenit, Jahrb. 1874. 677.

Arsen ist nicht bloß von Walschner (Pogg. Ann. 69. 667) in den Niederschlägen der Quellen aller Orte gefunden, sondern Daubrée weist es mittelst des Marsh'schen Apparates im Basalt, selbst im Meerwasser nach, Otto fand es sogar im Kesselstein seines Theeessels. Es verbindet sich nemlich mit Wasserstoff im Statu nascente leicht, zerfällt sich aber in der Hitze wieder, und gibt dann auf einer Porzellanschale einen metallischen Beschlag. In Stein- und Braunkohlen hängt es offenbar mit dem Schwefelkies zusammen. Auch ist die rohe Schwefelsäure arsenhaltig, was sich mit Chlorbaryum entfernen läßt, indem sich flüchtiges Arsenschlorid bildet, was Landwirthe zu beherzigen haben. Unter den Erzen ist besonders Arsenitkies hervorzuheben; Arseniksäure haben wir schon bei der Phosphorsäure kennen gelernt; unwichtiger ist arsenige Säure  $\text{As}$ . Dagegen spielt Schwefelarsenit  $\text{As S}^3$  unter den Sulphorsäuren eine wichtige Rolle.

## 12. Tellur.

Man kannte es schon längst als Aurum paradoxum oder Metallum problematicum von der Grube Mariahilf zu Facebay bei Zalatna in Siebenbürgen, aber erst Klaproth (Weitr. III. 1) entschied im Jahre 1798 über seine chemischen Eigenschaften. Phillips beschrieb es als ein Diedereder von  $130^\circ 4'$  in den End- und  $115^\circ 12'$  in den Seitenkanten, dessen Seitenkanten durch die erste sechsseitige Säule abgestumpft sind: kleine glänzende Krystalle, in Drusenräumen von Quarz, G. Rose fand den Seitenwinkel  $113^\circ 32'$ , und nimmt man das Diedereder als ein Diedereder, so würde das Rhomboeder  $86^\circ 57'$  in den Endkanten haben, folglich  $a = \sqrt{0,5656}$  sein. Die Structur kann wegen der Kleinheit nicht beobachtet werden. Mohs gab auch ein Rhomboeder von  $71^\circ 51'$  Endk. an, welches einer Rhombenfläche  $a : \frac{1}{2}a : a : c$  entspricht, und mit seinen Flächen auf die Seitenkanten der sechsseitigen Säule aufgesetzt ist. Auch das Tellur erhält man durch Schmelzen wie das Antimon in Rhomboedern von  $85^\circ - 86^\circ$ , allein der Blätterbruch entspricht daran der ersten sechsseitigen Säule  $a : a : \infty a : \infty c$ ; auch die Geradenfläche  $c$ :

00a : 00a : 00a ist etwas blättrig. Das sind bei Gleichheit der Form immerhin merkwürdige Unterschiede von Antimon und Arsen. Rammelsberg (Monatsber. Berl. Akad. 1875. 279) nimmt es daher, wie Schwefel und Selen, zweiwertig.

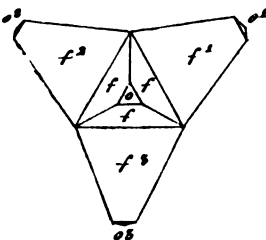
Zinnweiß bis Stahlgrau, Härte 2—3, milde, Gew. 6,3.

Auf Kohle schmilzt es so leicht wie Antimon, brennt aber mit grünlicher Flamme. Ein Rettiogeruch kommt vom beigemischten Selen. Nach Bez 97,2 Te und 2,8 Gold. Die jetzt verlassene Grube zu Facebay auf Gängen im Karpathensandstein war lange der einzige Fundort, dann entdeckte es Genth (Silliman Amer. Journ. May 1868 Ab. 45) auf der Stanislausgrube von Californien, Bertrand (Jahrb. 1870. 400) bekam es von Sacramento in Chile, und besonders bedeutend scheint nach Dr. Endlich (Hayden, Annual Report of Territories for the Year 1873. pag. 355 und 688) der Reichthum an den edelsten Tellurerzen auf der Red Cloud mine von Colorado zu sein. Beim Verhütten der Erze werden Tellurdämpfe als giftig gefürchtet.

**Tellurwismuth** (Pogg. Ann. 21. 600) aus einer Lettenkluft der Grünsteinformation von Schoubkau bei Schemnitz in Ungarn, wird von G. Rose wegen seiner rhomboedrischen Form hierhin gesetzt. Die Kristalle sind nur mit ihrem ausgezeichneten Blätterbruch  $o = c : 00a : 00a : 00a$



in Zwillingen meßbar. Darnach berechnet hat das gewöhnlich vorkommende Rhomboeder  $f = \frac{1}{2}a' : \frac{1}{2}a' : 00a : c$   $66^\circ 40'$  in den Endkanten, mit ihm verbindet sich  $m = \frac{1}{2}a : \frac{1}{2}a : 00a : c$ , doch sind  $m$  und  $f$  häufig so krumm, daß man sie für Säulenflächen nehmen könnte. Haupt-rhomboeder  $a : a : 00a : c$   $81^\circ 22'$  Endkant. kommt



nicht vor, allein es bestimmt die Zwillinge: wie beim Antimon legen sich die Endkanten der Hauptrhomboeder in eine Flucht, die Grenzen der Zwillingeindividuen stehen senkrecht gegen die Endkante. Zwei Rhomboederflächen  $f$  und  $f'$  kehren sich folglich gegen einander, und die meßbaren Blätterbrüche  $o/o'$  schneiden sich unter  $95^\circ$ . Häufig bilden sich Vierlinge, indem an ein Hauptindividuum  $f$  sich drei Individuen  $f'$   $f''$   $f'''$  an-

legen. Man darf sich nur das Hauptrhomboeder, welches das nächste stumpfere je von  $f'$   $f''$   $f'''$  bildet, hinzudenken, so liegen mit den Endkanten des Hauptindividuum je eine Endkante der drei Nebenindividuen in einer Flucht. Damit ist eine dreigliedrige Ordnung geschlossen. Hädinger, dem wir die Bestimmung danken, hat wegen der Häufigkeit von Vierlingen (*τετραδύμος*) das Mineral Tetradymit genannt. Blättriger Tetradymit (Bornin) mit Schwefelwismuth zu Reswick in Cumberland, Lumphin-County in Georgia (Amer. Journ. 1859. XXVII. 80), namentlich mit Gold im Talonischen System (Jahrb. 1867. 400), auf dem Atlantischen Abhange des Felsengebirges (Jahrb. 1873. 400), auf der berühmten

Red Cloud Grube in Colorado, großblättrig und in ansehnlicher Menge auf der Uncle Sams Grube in Montana mit eingeprengtem Gold im Dolomit (Jahrb. 1875. 197).

Licht bleigraue Farbe mit starkem Glanz auf frischem Blätterbruch, die Oberfläche matt wie Blei.  $H. = 2$  und milde, Gew. 7,5.

Vor dem Löthrohr schmilzt es leicht, verbreitet einen schwachen Selengeruch, und beschlägt innen die Kohle gelb (Wismuth), außen weiß. Dabei glänzt ein Metallkorn, was immer kleiner wird: 58,3 Bi, 36 Te, 4,3 S führt vielleicht zu der Formel  $Bi^2 Te^2 S$ . Zu Highland auf Uncle Sams Grube in Montana hat sich nach Genth die Oberfläche zu Montanit  $Bi Te H^2$  oxydirt, welchen man mit Salzsäure wegnehmen kann. Auf den Goldlagern von Virginien kommen Blätter im Glimmerschiefer vor (Silliman Amer. Journ. 2 ser. 10. 76). Dagegen weicht Werner's

Molybdänsilber von alten Halden zu Deutsch-Pilsen ohnweit Gran im Gehalte etwas ab: 61,1 Bi, 29,7 Te, 2 Ag, 2,3 S. Zu San José bei Villaricca in Brasilien kommt im Marmor der Goldlager etwas ganz ähnliches vor, man könnte es mit glimmerigem Eisenglanz verwechseln (Hausmann Leonhard's Jahrbuch 1852. 608), es sind blättrige sechsseitige Tafeln. Die Analyse von Damour gab aber 79,1 Bi, 15,9 Te, 3,1 S, 1,5 Se.

Tellursilber  $Ag Te$ , Hessit (G. Rose Pogg. Ann. 18. 66) bricht nesterweis im Talkschiefer auf der Grube Samodinskoi bei Barnaul am Altai in Centnerschweren Blöcken, ist körnig, Gew. 8,5, etwas weniger geschmeidig und lichter (ins Stahlgrau) als Glaserz, 62,4 Ag, 36,9 Te. In Chili (Jahrb. 1876. 664) mit 5 p. C. Blei. Peters fand es bei Rezbanha und meint isomorph mit Kupferglas; Pex (Pogg. Ann. 57. 41) in den Goldgängen bei Naghag in Siebenbürgen, wo es in Begleitung von

Tellursilbergold, Pexit ( $Ag, Au$ )  $Te$  sich fand. Dieses hat 46,7 Ag, 18,3 Au, 35 Te. Gew. 8,8, Farbe dunkeler und Geschmeidigkeit noch geringer als bei  $Ag Te$ . Auf der Stanislausgrube in Californien kamen auch Spuren von reinem Tellurgold, Calaverit  $Au Te^4$  vor (Jahrb. 1873. 600). Auf der Grube Red Cloud bei Goldhill in Colorado fand sich Pexit in solchen Mengen, daß er dort wichtiger als das fein vertheilte gediegene Gold ist. Der Gold- und Silberwerth der Tonne à 20 Ctr. stieg bei dem besten Erze auf 26000 Dollar, Jahrb. 1873. 494.

Tellurblei  $Pb Te$  (Altait), auf der Grube Samodinskoi in kleinen zerbrochenen Parthien dem Tellursilber beigemischt, hat einen dreifachen Blätterbruch, wie Bleiglanz. Läßt sich zu Pulver reiben, gelblich zinnweiß, Härte 3. Bricht auch in größern Mengen auf den Gruben Stanislaus in Californien und Red Cloud in Colorado. Durch die Entdeckung der Tellurerze in Amerika überhaupt sind noch eine ganze Reihe neuer Verbindungen gefunden worden, wovon ich nur das Tellurnickel  $Ni^2 Te^3$  (Melonit) von der Stanislausgrube in Californien erwähne, mit 21 Ni, 73,4 Te, 4 Ag, von Wismuthähnlicher Farbe und einem deutlichen Blät-

terbruch, Jahrb. 1873. 489. Ein Tellurwismuthsilber  $\text{Ag S} + 2 \text{ Bi Te}$  mit 48,5 Bi, 24,1 Te, 23,3 Ag, 3,3 S analysirte Rammelsberg (Ztschr. d. geol. Ges. 1869 XX. 22) von der Sierra de Tapalpa zwischen Guadalupe und Colima in Mexico, Gew. 7,8, grau und mild.

Tellur steht zum Golde in einer merkwürdigen Beziehung, wie Schrifterz und Blättererz beweisen, worin neben Gold das Tellur einen wesentlichen Bestandtheil bildet. Auch soll zuweilen Tellurige Säure (Te) das gebiegene Tellur begleiten. Zur Gewinnung des Tellur dient vorzüglich Tellurwismuth, in Beziehung auf Menge das wohlfeilste.

**Zink**, bläulich weiß. Steht zwar zwischen Spröde und Geschmeidig, allein sein deutlich blättriger Bruch stellt es zu den rhomboedrischen. Auf der Zinkhütte bei Aachen kommen nach Röggerath reguläre sechsseitige Säulen mit blättriger Geradendfläche vor; in Oberschlesien erzeugen sich dagegen durch Sublimation Zinktropfen mit vielen Facetten ähnlich den Polyedern des Buntbleierzses pag. 518. Mitsch. hielt sie mit Unrecht für pentagondodeaëdrisch. Ähnlich Cadmium (Journ. prakt. Chem. 55. 222). Da Messing zuweilen in gestrickten Formen vorkommt, so könnte Zink nach G. Rose auch noch regulär krystallisiren. Das elektropositivste Metall, daher überzieht es sich schnell mit Oxyd, das vor weiterer Zersetzung schützt. Nach Becker soll der Basalt von Victoria in Australien gebiegene Stücke enthalten (Jahrb. 1857. 212), auch im Goldsande des Mittamittafusses (l. c. 699) sei es gefunden in faustgroßen Stücken bedeckt mit Blende. Vor dem Löthrohr gibt es ein blendendweißes Licht, daher für Feuerwerker wichtig. Schmelzpunkt  $433^{\circ} \text{C.}$ , die Dehnbarkeit steigt bis  $150^{\circ}$ , in diesem geschmeidigen Stadium läßt es sich zu Blech walzen und zu Draht ziehen. Dann wird es wieder spröde, und kann bei  $200^{\circ}$  zu Pulver gestoßen werden. Zinkweiß verdrängt das Bleiweiß. Deutschland gewann 1874 1,408,529 Ctr. Im Durchschnitt rechnet man auf Europa  $2\frac{1}{2}$  Millionen Centner.

### 13. Schwefel.

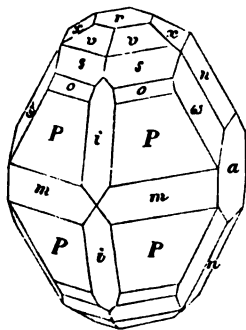
Swibla Uffilas, *ἑλὼν* göttliches Räucherwerk, weil man bei Opfern dem angezündeten Schwefel reinigende Kraft zuschrieb. Sulphur Plinius 35. 50.

Dimorph 2gliedrig und 2 + 1gliedrig. In der Natur fand sich lange nur 2gliedriger, welcher durch Sublimation aus Schwefelgas in Spalten der Vulkane, brennender Steinkohlen, oder in den Röstthäufen der Schwefelerze sich bildet. Auch Schwefelwasserstoff gibt in Verührung mit Sauerstoff Schwefel ab,  $\text{H}_2 \text{S} + \text{O} = \text{H}_2 \text{O} + \text{S}$ . Seltener im Schmelzfluß bei Grubenbränden auf Sicilien, Rath Bogg. Ann. 1873 Ergänzb. VI. 257. Besonders schön erhält man die künstlichen aus Auflösungen im Schwefelkohlenstoff  $\text{CS}_2$ , der sich bei glühenden Kohlen im Schwefeldampf bildet. Diese farblose Flüssigkeit löst das Doppelte ihres Gewichts vom Schwefel auf, und läßt, da sie schnell verdampft, den gelösten Schwefel in schönen 2gliedrigen Krystallen fallen. Es herrscht

Oftaeder  $P = a : b : c$ , vordere Endkante  $a : c$   $106^{\circ} 38'$ , seitliche Endkante  $b : c$   $84^{\circ} 58'$ , Seitenkante  $a : b$   $143^{\circ} 17'$ , gibt

$$a : b = \sqrt{0,1825} : \sqrt{0,2781}, \lg. a = 9,63065, \lg. b = 9,72213.$$

Flächen  $P$  sehr undeutlich blättrig. Die gerade Abstumpfung der seitlichen Endkante  $n = b : c : \infty a$  findet sich fast immer, seltener dagegen die Abstumpfung der Seitenkante  $m = a : b : \infty c$   $101^{\circ} 56'$ , welche auch etwas blättrig sein soll. Geradendfläche  $r = c : \infty a : \infty b$  hat die Winkel der Säule, sie dehnt sich zuweilen sehr stark aus. Aber selten fehlt zwischen  $P$  und  $r$  das stumpfere Oftaeder  $s = a : b : \frac{1}{2}c$  mit  $90^{\circ} 15'$  in den Seitenkanten. Durch seine Ausdehnung werden die Kryskalle sehr verzogen;  $a = b : \infty a : \infty c$  findet sich öfter. Seltener  $v = a : b : \frac{1}{2}c$ ,  $o = a : b : \frac{1}{2}c$ ,  $x = b : \frac{1}{2}c : \infty a$ ,  $w = b : c : 3a$ ,  $b : c : \frac{1}{2}a$ ,  $i = a : c : \infty b$ . Dr. Brezina (Jahrb. 1870. 251)

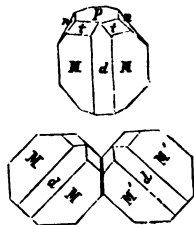


gab  $a : b = 0,4266 : 0,5263$  an, und fand noch die Oftaeder 117, 131, 311, 433. Die Oftaeder auf Sicilien zuweilen so verzogen, daß sie ein tetraedrisches Ansehen bekommen (Sphenoide Jahrb. 1876. 41). Auch Zwillinge, welche  $m = a : b : \infty c$  oder  $i = a : c : \infty b$  gemein haben und umgekehrt liegen, kommen in seltenen Fällen vor (Solfatara, Zeitschr. deutsch. Geol. Gesellsch. IV. 167).

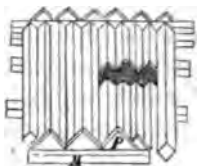
2 + 1gliedriger Schwefel von 1,96 Gew. entsteht nach Mitscherlich (Abh. Berl. Akad. Wiss. 1822. pag. 45), wenn man größere Mengen schmilzt, langsam erkalten läßt, die Kruste nach einiger Zeit durchschlägt, und den flüssigen abgießt. Es zeigt sich dann im Innern ein Gewirr von Strahlen  $M$ , längs welchen sich dünne Tafeln  $P$  sägeförmig anlagern, die sich mit den Strahlen in Zwillingsstellung befinden nach dem Gesetz der Bavenzer Zwillinge des Feldspath. Eine geschobene Säule  $M = a : b : \infty c$  bildet vorn  $90^{\circ} 32'$ . Schiefendfläche (breite Fläche der Tafeln)  $P = a : c : \infty b$   $84^{\circ} 14'$  gegen  $Ac$   $c$  macht vorn die stumpfe Kante  $P/M = 94^{\circ} 6'$ . Blättrige Brüche sollen vorhanden sein, aber sie sind nicht deutlich. Setzen wir aus der Diagonalzone von  $P$  die Fläche  $n = a : c : \frac{1}{2}b$ ,  $90^{\circ} 18'$  über  $P$  bildend, so ist die Abstumpfungsfäche der vordern stumpfen Endkante  $t = c : \frac{1}{2}a : \frac{1}{2}b$ . Häufig ist auch Fläche  $d = a : \infty b : \infty c$ , die vordere Säulenkante abstumpfend. Flächen  $d$   $t$   $n$  liegen in einer Zone. Nach G. Rose (Vogg. Ann. Erg. 1873. VI. 369) kommt monokliner Schwefel auch auf Java vor.



Zwillinge haben  $n$  gemein und liegen umgekehrt (aber nicht wie bei Mitscherlich l. c. Fig. 11); d. h. legt man zwei Individuen mit  $n$  parallel, und



verdreht senkrecht auf  $n$  das eine um  $90^\circ$  gegen das andere, so kommt das Bavenoer Zwillingsgesetz pag. 263. Beide nicht einspringenden  $n$  müssen sich dann unter  $179^\circ 24'$  schneiden. Es fanden sich bis jetzt noch keine Vierlinge. Die Zwillinge dagegen bilden nicht selten ein ganzes



Getäfel, an dem die Strahlen der einen Seite quer gegen die der andern stehen. Senkrecht aus den Strahlen erheben sich dann Täfelchen. An diesen Täfelchen, die durch Ausdehnung von  $P$  geworden sind, beobachtet man sämtliche Flächen leicht. Auch ist die Richtung der Tafeln auf beiden Seiten gegen einander senkrecht, wenn man von wenigen Minuten absieht.

Frisch sind diese Krystalle klar, sie werden aber schnell undurchsichtig, wie der geschmolzene Schwefel, weil selbst im festen Zustande die einzelnen Atome sich noch zu der Form gruppieren, welche ihrem Temperaturzustande entspricht. Deshalb scheint auch der 2gliedrige Schwefel undurchsichtig zu werden, wenn man ihn in einer Salzlauge ( $111^\circ$ ) kocht, denn  $111^\circ$  ist der Schmelzpunkt, worin die 2gliedrige Form zur 2 + 1gliedrigen wird, sogar bei  $60^\circ$  soll das Umstehen schon beginnen (Cmpt. rend. 83. 117). Indes will Pasteur (Pogg. Ann. 74. 94) auch aus Schwefelkohlenstoff 2 + 1gliedrige Krystalle erhalten haben; Brame (Erdmann's Journ. prakt. Chem. 55. 100) behauptet, daß auch der geschmolzene Schwefel beständig 2gliedrig krystallisire, und nur dann 2 + 1gliedrig, wenn flüssiger im Ueberschuß vorhanden sei. Beim Uebergang aus einer Form in die andere wird Wärme frei. Nach Gernez (Cmpt. rend. 1874. Bd. 79. pag. 219) hat man es sogar in der Hand aus Lösungen von Benzol oder Schwefelkohlenstoff 2gl. oder 2 + 1gl. Krystalle zu erzeugen: man führt in dieselbe Flüssigkeit nur einen kleinen der einen oder andern Art ein, so wachsen sie in ihrer Weise fort.

Härte 2, milde, Gew. 2,07. Vollkommen muscheliger Bruch mit Fettglanz, und fettig, denn es haftet kein Wasser darauf. Beim Reiben entwickelt er einen eigenthümlichen Geruch, besonders bei großen Vorräthen merklich, und das Silber läuft von ihm an. In der warmen Hand an das Ohr gehalten erregt er ein starkes Knistern und Knacken. Gelbe Farbe (Schwefelgelb) mit einem Stich ins Grün, der geschmolzene wird oraniengelb bis braun, und nach Schönbein erscheint der krystallisirte gelbe Schwefel bei  $-50^\circ$  fast farblos. Künstlich kann man ihn ziegelroth und schwarz machen; Fett, Zucker u. färben ihn außerordentlich stark (Journ. prakt. Chem. 67. 100). Durchsichtigkeit ist sehr verschieden, die klaren zeigen eine starke Strahlenbrechung, Brechungsexponent = 2. Axe  $c$  + optische Mittellinie,  $ac$  Ebene der optischen Axen.

Brennt mit blauer Flamme unter Geruch von schwefliger Säure  $SO_2$ , die sich selbst im Sauerstoff nur bildet, aber in Bleikammern durch Salpetersäure zu Schwefelsäure oxydirt wird. Bei  $111^\circ C.$  schmilzt er zu einer klaren bernsteingelben Flüssigkeit; bei  $160^\circ C.$  fängt er an dickflüssig und braun zu werden. Gießt man solchen dickflüssigen ins Wasser,

so bildet er einen elastischen Teig, der sich nach Art des Gutta Percha in Fäden ziehen läßt, nach einigen Tagen ist er aber wieder spröde, wie Stangenschwefel. Bei  $200^{\circ}$  fließt er nicht mehr aus dem Gefäß, bei  $250^{\circ}$  wird er wieder flüssiger, bis er endlich bei  $420^{\circ}$  C. mit orangefarbigem Dampf kocht, der in geschlossenen Gefäßen unverändert überdestillirt. Läßt man ihn von hier ab erkalten, so geht er wieder die verschiedenen Grade der Flüssigkeit hindurch bis zum Schmelzpunkte. Bei der ganzen Operation dehnt er sich gleichmäßig aus. Etwas Job  $\frac{1}{100}$  macht ihn biegsam, sogar  $\frac{1}{1000}$  Ruß bewirkt schon ähnliche Umwandlungen, Bogg. Ann. 124. 644. Berthelot (Bogg. Ann. 100. 622) unterscheidet einen amorphen in Schwefelkohlenstoff unlöslichen Gew. 1,91, und einen krystallinischen, Magnus (Bogg. Ann. 92. 308 und 99. 145) sogar 4 allotropische Zustände: 2gl., 2 + 1gl., unlöslichen und krümlichen.

Fundorte des gebiegenen Schwefels sind hauptsächlich zweierlei:

1) mit Gyps und Bitumen besonders der tertiären Formation. Hier durchdringt Schwefel die Thonschichten, aus welchen er abgeseigert wird. Sicilien, was allein jährlich  $1\frac{1}{2}$  Millionen Centner liefert, ist besonders damit bedacht. Der alttertiäre Schlamm ruht auf Hippuritentalf in Nachbarschaft von Gypsgebirgen, und wenn Klüfte darin entstehen, so sind sie mit Krystallen von Silestin, Gyps, Kalkspath und Schwefel ausgekleidet, letztere können eine Größe von 5 Zoll erreichen. In Spanien wiederholt sich diese Lagerung in ähnlicher Weise: die Krystalle von Conil bei Cadix sind berühmt, und bei Teruel in Aragonien sind Myriaden von Lymnäen, Paludinen und Planorben mit Schwefel erfüllt, ohne daß man den Faden zur Tiefe der Erde fände. Zu Radoboj in Croatien nicht weit von Warasdin ist der durch seine Pflanzen und Insekten so berühmte Tertiärschlamm mit „rehbraunen“ Schwefelkugeln bis zu 14 Z Gewicht bereichert. Noch bekannter sind die Lager von Smosowice bei Krakau über Jurakalk und Karpathensandstein zwischen Pflanzen- und Thierresten (Jahrb. 1851. 102). Sogar im Mississippidelta sollen mächtige Lager in 543' Tiefe erhoben sein! Gemmellaro (Jahrb. 1835. 1) hat behauptet, daß dieser Schwefel versauften Seethieren seinen Ursprung verdanke, und allerdings ist das Albumin schwefelhaltig; Eiweiß, Faserstoff enthalten 1 p. C. Theilweis mag das wahr sein, vorzüglich gleiches es aber durch Vermittlung von Schwefelwasserstoff, der in so vielen Quellen sich findet, und bei Berührung mit dem Sauerstoff der Luft Schwefel ausscheidet. Daher das Vorkommen von Schwefel in alten Kloaken, an schlammigen Seefküsten 2c. Da nun ferner das Bitumen auf Gyps (so wie überhaupt auf schwefel'aure Salze) zersetzend einwirkt, es bilden sich C und Ca S, welche bei Gegenwart des Wassers zu Ca C und H<sup>2</sup> S werden, so mögen dem viele Vorkommen ihren Ursprung danken, wie z. B. die Berben krystallinischen Ueberzüge im Kalkspath des Salzgebirges von Enblin bei Veg. Gebiegener Schwefel dringt auf diese Weise in die verstecktesten Fugen der Berge.

2) Vulkanischer Schwefel, der sich in Vulkanen und bei

Erdbbränden aller Art erzeugt, kann zwar zum Theil im Schwefelwasserstoff und in der schwefligen Säure seinen Grund haben, welche bekanntlich einen Gehalt der Fumarolen bilden, allein einiger scheint sich entschieden durch Sublimation des gebiegenen Schwefels gebildet zu haben, doch folgt daraus keineswegs sein Sitz im Erdbinnern, tief unter allem Flözgebirge. Nach 25 bis 30 Jahren ist der destillirte Sand der Solfatara bei Pozzuoli wieder voll und zu gebrauchen. Auch heiße Quellen und Geyser setzen viel ab, was für die Tschertessen in Daghestan von Wichtigkeit war, Jahrb. 1875. 60. Shepard hat auch im Meteorstein von Bishopville ein wenig gebiegenen Schwefel entdeckt (Pogg. Ann. 115. 610). Als Unterarten kann man etwa auszeichnen:

a) Krystallinischen Schwefel. Glanz im Maximum und schöne schwefelgelbe Farbe. Girgenti, Conil, Czarkow in Galicien, Bez, Kalinka.

b) Muscheligen Schwefel amorph, von strohgelber bis brauner Farbe, die bei bituminösen sich ins Braungraue zieht (Radoboj). Der Glanz hat sehr abgenommen. Bildet auf Schwefellagern das wesentlichste Material. Verbrennt nicht ohne Rückstand.

c) Mehlschwefel, eine zerreibliche Masse, die wie die Schwefelblumen aus lauter kleinen Krystallen besteht. Der meiste vulkanische Schwefel, besonders von Island, gehört dahin. Im Braunkohlengebirge von Atriern, sogar in den Feuersteinen von Poligny (Dep. Jura). Von ganz besonderer Schönheit mit einem starken Stich ins Grün ist der von Ignazi-Stollen zu Chotta, Lunstadter Herrschaft in Mähren. Auf der Insel Vulcano schmilzt er wieder zu einer orangenfarbigen Masse (Stalactitischer Schwefel). In Schwefelquellen (Nachen, Bez) hängen solche Stalactiten von weißer Farbe in die Wasserleitungen hinab. Und was dergleichen Abänderungen mehr sind.

Obgleich auf Erzgängen die Metalle der Tiefe hauptsächlich an Schwefel gebunden sind, so findet er sich daselbst doch nur äußerst selten gebiegen, und auch dieser wohl nur in Folge späterer Zersetzung: mit Kupferties und Bleiglanz auf Gängen im Grauwackengebirge bei Siegen, früher bei Rippoldsau mit Kupferties im Granit, in kleinen Kryställchen im Ziegelerz. Schwefelmetalle (Schwefelties) werden auf den Hütten hin und wieder schon längst zur Gewinnung des Schwefels benutzt, in neuern Zeiten sogar massenhaft zur Darstellung von Schwefelsäure, die billiger ist als die aus Schwefel dargestellte, aber Arsenik enthält. Daher liefert Sicilien jährlich immer noch an 6 Millionen Centner à 12 Franken, Jahrb. 1874. 170. Dient überdies zur Vereitung des Schießpulvers, des Bündmaterials für Schwefelhölzer, gegen Traubenkrankheit zc., Jahrbuch 1853. 273.

Selen Schwefel Stromeyer (Pogg. Ann. 2. 410) färbt den Salmiak der Insel Vulcano oraniengelb. Del Rio will sogar gebiegen Selen zu Gulebrass in Mexiko gefunden haben. Nach Mitscherlich sollen die stark glänzenden roth durchscheinenden Krystalle 2 + 1gliedrig sein.

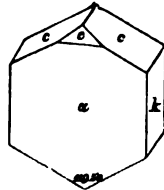


## 14. Graphit.

Werner gab ihm den einfachen Namen, von *γραφειν* schreiben, Linne's Graphites plumbago. Früher wurde er mit Wasserblei (Molybdän) verwechselt, bis Scheele 1779 zeigte, daß er ein brennbarer Körper sei, und mit Salpeter gebrannt sich in Kohlensäure verwandle. Die Engländer nennen ihn noch heute Plumbago (Bleischweiß, Reißblei), und Haüy IV. 120 hielt ihn anfangs für fer carburé getohtes Eisen.

Reguläre sechsseitige Säulen mit stark blättriger Endfläche, wornach er ein glimmerartiges Aussehen bekommt. Mohs gibt ein Dihexaeder an. Nordenstiöld (Pong. Ann. 96. 110) fand bei Pargas (Eräby, Storgard) meßbare Krystalle mit vielen Flächen, die er für 2 + 1 = **gliedrig** erklärte: der blättrige Bruch wird gesetzt a 100, und k 010, c 122, e 201; c/c 122° 4', a/c 106° 1'.

Die Rechnung gibt den ebenen Winkel auf a 119° 50'. Wahrscheinlich wird es auch hier, wie beim Glimmer sein, das Sechsgliedrige ist durch ungleiche Ausdehnung der Flächen versteckt. Krystalle sehr selten: in



Geschieben von Grönland mit Granat, Quarz und Adular; im labradorisirenden Feldspath von Friedrichswärn, auf dem Magneteseisenlager des Gneißes von Arendal. Eisenschwarz bis dunkel stahlgrau, milde, fettig, abfärbend. Opak mit Metallglanz. Härte 2, Gew. 2,4, aber meist leichter wegen innerer Luftblasen. Geglühter Kienruß wiegt nur 1,7. Leiter der Electricität. Findet Anwendung bei der Galvanoplastik.

Vor dem Löthrohr brennt er außerordentlich schwer, sogar schwerer als Diamant, verpufft aber mit Salpeter. Ein kleiner Ammoniakgehalt. Brodie (Ertenmeyer's Zeitschrift 1860. III. 81) vermuthete darin ein neues Element Graphon. Sonst wird er als reiner Kohlenstoff angesehen, also dimorph mit Diamant, auch hatte der Barrowdaler in den besten Sorten 96 p. C. Kohle, der aus dem körnigen Marmor von Wunsiedel gibt sogar nur 0,33 p. C. Asche, andere scheinbar sehr reine haben dagegen 20 und mehr p. C. Asche. Sehr merkwürdig ist die Leichtigkeit, mit welcher die schwarzen Graphitblättchen bei Hochöfen aus der Schlacke wie aus dem Roheisen krystallisiren. Cyan C<sub>2</sub> N<sub>2</sub> scheint die Ursache zu sein, dasselbe zerlegt sich in C und N, letzteres bildet Ammoniak, welches entweicht. Ältere Chemiker hielten ihn für Carburet des Eisens, da er viele Eisenschüppchen einschließt; allein Karsten zeigte, daß man ihnen mit Salzsäure das Eisen entziehen kann, ohne Gasblasen zu entwickeln. Es ist daher ohne Zweifel krystallisirte Kohle, nur nicht so krummblättrig, als der natürliche Graphit. In der Natur ist er entweder dicht oder blättrig, jener dient hauptsächlich als Farbmateriale, dieser zu Schmelztiegeln.

Graphitpartikel eingesprengt in Gneiß von Passau, Feldspathporphyr von Elbingerode, Marmor von Untersteiermark etc.; lagerartige Massen, an Steinkohlenbildungen erinnernd, am Col du Chardonnet bei Briançon

sogar von Pflanzenabdrücken begleitet, so daß Dufrenoy sämmtlichen Graphit für durch Feuer veränderte Kohle ansah. Die unreinen Lager in dem verwitterten Granit von Pfaffenreuth nördlich Griesbach bei Passau liefern das Material zu den Passauer Tiegeln, die schon Agricola lobt, bei Schwarzbach in Böhmen, das jährlich 180,000 Etr. gewinnt, auch Bleistifte. Für letztere hoch berühmt und wahrscheinlich schon vor 1667 im Gange waren die Gruben aus dem Thonschiefergebirge von Barrowdale bei Keswick in Cumberland, da Gesner (fig. lapid. 1565. 101) einen »Stylus ad scribendum factus« abbildete, der aus »Stimmi Anglicum« gemacht sein sollte. Die Gruben wurden nur einmal jährlich auf wenige Wochen geöffnet, und für 40000  $\mathcal{L}$  Sterling auf den Londoner Markt geworfen. Allein der jetzige ist schlecht (Pogg. Ann. 72. Ergänzungsband pag. 362). In neuern Zeiten steht besonders der Ceylanische im hohen Ansehen, derselbe ist krystallinisch blättrig, die Blätter gemein biegsam wie Talc. Auch das südliche Sibirien liefert vorzügliche Waare, wo besonders westlich von Irkutsk am Nordabhange des Sajanskischen Gebirges, das die Grenze gegen China bildet, die Alibertschen Gruben das Material zu den Faberschen Bleistiften liefern, wovon der Centner loco Stein bei Nürnberg auf 600 fl. kommt. Kokscharow (Water. IV. 101) unterscheidet daselbst dichte, safrige, stängliche, nierenförmige und krystallisirt-blättrige Abänderungen, der Kohlenstoffgehalt steigt auf 94,8. In Südafrika soll Anthracit durch Basalt in Graphit verwandelt sein. Unser deutscher ist in Lagern schuppig und feinkörnig, der gute Englische dagegen ganz dicht. Durch starken Druck (von 20,000 Etr.) kann man das Pulver in sägbare Massen verdichten. Ofenanstrich, Friktionschmiere, Schmelztiegel. Zu Bleistiften mischt man das gereinigte Graphitpulver mit feingeschlemmtem Thon. 1  $\mathcal{L}$  Englischer 3 Rthlr., Spanischer 4 Sgr. Der Meteorstein von Alais 15. März 1806 enthält kosmischen Kohlenstoff (Berzelius Pogg. Ann. 33. 122), das Eisen von Tennessee Graphit.

**Phosphor.** Mitscherlich erhielt aus einer Lösung in Phosphorschwefel Granatoeder (Abh. Berl. Akad. 1822. 47), Pelletier in ätherischen Oelen Octaeder.

Job bildet 2gliedr. Dodekaide wie Strahlzeolith, nach Wollaston  $a:b:c = 4:3:2$ . Marchand (Pogg. Ann. 31. 66) gibt es auch 2gliedrig an.

Kalium krystallisirt bei der Sublimation in Würfeln, auch die Schnittflächen zeigen Würfelzeichnungen. Silicium regulär (Pogg. Ann. 97. 66). Sehr merkwürdig ist der sogenannte

**Diamantbor B**, welchen Wöhler (Pogg. Ann. 100. 66) in viergliedrigen Octaedern, isomorph mit Zinn, erhielt. Amorphes Bor wird nämlich von schmelzendem Aluminium wie Kohle vom Eisen aufgenommen, und scheidet sich dann beim Erkalten krystallinisch aus. Die Krystalle haben Glanz, Härte und Strahlenbrechung wie Diamant. Aehnlich dem Kohlenstoff zeigt Bor einen amorphen, graphit- und diamantförmigen Zustand.

## Vierte Klasse.

### Oxydische Erze.

Es zählen dahin die verschiedenen Oxydationsstufen namentlich der schweren Metalle entweder für sich allein, oder mit Wasser (Hydrate).

Alkalien (K, Na, Li) und alkalische Erden (Ca, Mg, Ba, Sr) sind zu starke Basen, als daß sie ohne Säure in der Natur sich halten könnten. Nur als Seltenheit findet sich Magnesia ohne und mit Wasser. Selbst die eigentlichen Erden (Zr, Be, Th, Y) sind mit Ausnahme der Al (Korund) nicht indifferent genug gegen Säuren und Basen. Alle diese Stoffe zeichnen sich dadurch aus, daß sie sich in sehr beschränkten Grenzen mit Sauerstoff verbinden.

Anders verhalten sich die Metalle. Zwar lieben die edlen (Au, Ag, Hg, Pt, Pd, Jr, Os, Rh) auch die Verbindung mit Sauerstoff nicht, schon schwacher Temperaturwechsel desoxydirt sie, oft unter starker Detonation. Desto gewöhnlicher treffen wir gewisse Oxydationsstufen der unedlen Metalle, namentlich wenn sie schwache Basen oder Säuren vertreten können, oder wenn der Sauerstoff sich so vertheilen läßt, daß man einen Theil als Säure, den andern als Base ansehen darf, z. B.  $\text{Fe}^3 \text{O}^4 = \text{Fe Fe}$ ,  $\text{Mn}^3 \text{O}^4 = \text{Mn Mn}$ .

Die oxydischen Erze haben fast alle Charakterfarben pag. 151, aber dunkle und metallische, auch ist die Farbe des Striches nicht zu übersehen. Das Gewicht hoch. Ihre technische Brauchbarkeit macht sie zum Gegenstand des Bergbaues. Nach ihrem Metallgehalt lassen sie sich sehr bequem unterabtheilen, was schon Agricola (Nat. foss. lib. X.) vorschlug, der Erz mit rude (roh) übersetzt, im Gegensatz von coctum (geschmolzen).

#### a) Eisenerze.

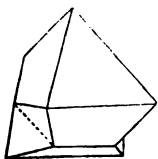
Mit und ohne Wasser. Unter allen Erzen der Erde die verbreitetsten, und für Eisengewinnung die besten. Im Feuer- und Wassergebirge, beim Zerlegen und beim Entstehen der Felsen spielen sie eine Rolle, wenigstens verdankt ihnen die größte Zahl der Minerale ihre Farbe. Denn Eisen färbt schwarz, braun, gelb, roth, selbst blau: die antife Base im brittischen

Museum, 36,000  $\pi$  Sterling geschätzt, besteht aus dunkelblauem Glase, worauf sich blendend weiße Reliefs erheben von unübertrefflicher Schönheit. Kupferfärbung ist es nicht, Kobalt kannten die Alten nicht, folglich wird es Eisen sein, wie im Sapphir. Eisen färbt auch das Blut der Thiere. Die Massengewinnung ist nächst Kohle die größte, Preußen allein gewann 1872 73½ Millionen Etr.

### 1. Magneteisen Fe Fe.

Der berühmte Magnes masc. oder Magnetis fem. der Alten Plinius hist. nat. 36. 25, nach einem Hirten genannt, der ihn auf dem Berge Ida entdeckte: clavis crepidarum et baculi cuspidē haerentibus, cum armenta pasceret (weil die Nägel seiner Schuhe und die Spitze seines Stabes hängen blieben). Nach Aristoteles soll der Name von Magnesia am Berge Siphylus nordöstlich Smyrna stammen, allein hier kam Zist vor, daher die häufige Verwechselung beider. Vielleicht hängt er mit μάγανον Zaubermittel zusammen. Die Griechen nannten ihn ἑρμακλεια den Herculischen Stein, was wieder an den Probierstein pag. 251 erinnert. Agricola 603 beginnt damit sein 5tes Buch de natura fossilium. Fer oxydulé, oxydulated Iron. Magnetit.

Reguläres System, isomorph mit Spinell. Einfaches Octaeder nebst Zwilling gewöhnlich im Chloritschiefer der Alpen eingesprengt.



Granatoeder  $a : a : \infty a$  stark nach der langen Diagonale gestreift mit sehr glänzenden kleinen Octaederflächen, welche die dreikantigen Ecken, auch wohl raue Leucitoederflächen  $= a : a : \frac{1}{2}a$ , welche schwach die Kanten abstumpfen, sogar selbständige Polyeder  $a : \frac{1}{2}a : \frac{1}{2}a$  kommen ausgezeichnet bei Traversella in Drusenräumen vor. Die Streifen deuten zwar auf eine Blättrigkeit der Octaederflächen, doch sind dieselben sehr undeutlich. Zuweilen tritt daran auch der Würfel auf, Graubath in Steiermark. Bei Schwedischen schärft nach Dufrénoy am Granatoeder auch das Leucitoid  $= a : a : \frac{1}{2}a$  die vierkantigen Ecken zu, Flächen auf Granatoederkanten aufgesetzt. Pyramidenoctaeder  $= a : a : 2a$  und Pyramidenwürfel  $= a : \frac{1}{2}a : \infty a$  sind selten. Breithaupt (Pogg. Ann. 54. 163) gibt bei Schwarzenberg sogar ein Leucitoid  $a : a : \frac{1}{2}a$  zc. an, was fast einem Würfel gleicht, auf dessen Flächen sich die Diagonalen parallel den Würfelfanten etwas erheben. Zu Achmatowsk am Ural kommen stark gestreifte Octaeder vor mit den seltenen Flächen  $a : \frac{1}{2}a : \frac{1}{2}a$  und sogar  $\frac{1}{2}a : \frac{1}{2}a : \frac{1}{2}a$ , Koksharow Mater. III. 57. Zwillinge, fer oxydulé trasposé, sind häufig, sogar mit Wiederholung „polyynthetisch“ Jahrb. 1875. 684. Shepard's Dimagnetit pag. 442 sind raue mit Magneteisen erfüllte Pseudomorphosen.

Eisenschwarz selbst in den dünnsten Blättchen, und daher mit schwarzem Strich, die Oberfläche besonders auf frischem Bruch gern etwas bräunlich anlaufend. Metallglanz unvollkommen, nur die Octaederflächen

der Granatoeder von Traversella glänzen stark. Härte 6, Gew. 5, die reinsten Zillerthaler sogar 5,18, die im Kalkspath gehen auf 4,9 herab.

Stark magnetisch. Nur das Eisenplatin pag. 704 soll ihn noch übertreffen. Frische Krystalle sind es aber weniger, als derbe rostige Massen. Greif (Pogg. Ann. 98. 478) stellte Versuche an: Octaeder verhielten sich wie weiches Eisen, derbe Stücke wie Stahl. Es ist der natürliche Magnet, welcher feinen Magneteisenstaub in dendritischen Figuren festhält. Schon die ägyptischen Priester setzten ihren Götzenbildern mystische Augen ein, die so befestigt waren, daß sie vermöge ihrer Polarität nach Osten, dem astrologischen Paradiese, blickten (Pogg. Ann. 76. 302). Im 12ten Jahrhundert wird in einem provençalischen Gedichte von Guiot (Sonst und Jetzt pag. 95) eine Nadel beschrieben, die auf Stroh im Wasser schwimmend sich gegen den Polarstern wende, und Marco Polo sah bei den Chinesen schon Magnetenadeln. Agricola (Nat. foss. lib. V.) nennt einen Stein Theamedes, der das Eisen abstoße: von zwei gegenüberliegenden Bergen am Flusse Indus hielte der eine das Eisen fest, der andere stieße es ab. Ja Albertus Magnus kannte einen Magnet, der auf der einen Seite das Eisen anzog, auf der andern abstieß.

Vor dem Löthrohr sehr schwer schmelzbar, mit Borax im Oxydationsfeuer wird das Glas gelblich oder farblos, im Reductionsfeuer bouteillengrün. Eisenoxydorydul, die Analysen der Magneteisensteine von Nora durch Berzelius lieferten 71,86 Fe und 28,14 O oder 31 Fe und 69 Fe, was sehr genau mit der Formel stimmt. Die schaligen von Arenbal hatten 2 p. C. Mn. Daß es keine feste Verbindung von  $\text{Fe}^2 \text{O}^4$  sei, zeigt schon die Auflösung des schwarzen Pulvers in wenig Salzsäure, wodurch vorzugsweise Fe ausgezogen wird und Fe als bräunlicher Rückstand bleibt, der sich erst in mehr Säure löst. In einer Flasche mit Kohlensäure fällt dann luftfreie Natronlauge grünliches Oxydulhydrat. Es bildet sich daher  $\text{Fe Cl} + \text{Fe}^2 \text{Cl}^3$  und erhitzt man mit ein wenig Salpetersäure, so wird das Ganze zu Eisenchlorid, welches durch Ammoniak als  $\text{Fe H}$  gefällt und durch Waschen und Glühen in Fe verwandelt wird. Aus der Zunahme des Sauerstoffs kann man berechnen, wie viel Fe vorhanden war. Löst man es unter einer Atmosphäre von Kohlensäure, damit sich nichts oxydire, und digerirt die Flüssigkeit bei 100° C. mit Silberpulver, so gibt das Eisenchlorid an das Silber Chlor ab, es muß also Eisenoxyd enthalten. Gießt man umgekehrt zur gleichen Lösung Kaliumgoldchlorid ( $\text{K Cl} + \text{Au Cl}^3$ ), so verwandelt sich das Eisenchlorid auf Kosten des Goldchlorids in Eisenchlorid, und metallisches Gold wird ausgeschieden. Es muß also Oxydul enthalten. Auch kohlensaurer Baryt fällt aus der Lösung nur die dreiatomigen Basen, also Eisenoxyd, die einatomigen dagegen, also Fe, nicht (Pogg. Ann. 23. 340, S. Rose Handb. Analys. Chem. 1851. II. 170).

Beim Rösten schwedischer Eisenerze und beim Schmelzen französischer, überhaupt bei Hüttenprozessen, erzeugen sich öfter Octaeder von Magneteisen. Der Hamburger Brand hatte die Nägel einer Schmiede in Magnet-

eisen verwandelt. Die Backsteine im Feuergewölbe der Subpfannen bei Salinen (Friedrichshall) überkleiden sich mit den schönsten Ottaedern. Das erinnert lebhaft an die Bildung in Laven des Vesuv und Aetna: Eisenchlorid verflüchtigt sich, und wird beim Zutritt von Wasserdämpfen zersetzt, es entsteht Eisenoxyd, was bei starker Hitze Sauerstoff fahren läßt. Denn in der Weißglühhitze fallen vom Eisen Tropfen von  $\text{Fe Fe}$  herab, die man nicht für geschmolzenes Eisen halten darf. Eisenhammerschlag enthält aber um so mehr  $\text{Fe}$ , je weniger er erhitzt wird. Deville ließ sogar bloß einen langsamen Strom von Chlornasserstoffgas auf Eisenoxydul wirken, und bekam dann reguläre Krystalle, ohne Wasserdampfentwicklung, weil der Wasserdampf immer wieder hinreicht, das gebildete Eisenchlorür zu zersetzen, Jahrb. 1862. 80. Darnach sollte man das Magneteisen wesentlich für ein Feuerprodukt halten; auch danken die schwarzen Laven und Basalte ihm die Farbe.

Krystalle finden sich besonders schön im Chloritschiefer und in andern talkigen Gesteinen der Alpen. Kleine scharfe Ottaeder mit abgestumpften Kanten im Gyps von Valencia. Gneis und Glimmerschiefer umschließen nicht bloß Lager, sondern ganze Stückgebirge. Unsere deutschen Urgebirge sind daran nicht reich: beim Hofgut des Röchlesbauer im Hölenthal bei Freiburg liegen derbe Stücke im Gneis, größere Mengen schon am Harze, in Nassau zc., bei Schmiedeberg im Riesengebirge 12 Lager zusammen 70'—80' mächtig im Granit-Gneis. Traversella nordwestlich Ivrea in einem Seitenthale der Dora Baltea hat ein 90' mächtiges Lager mit Kupfererzen gemischt, was nach alten Bauern sich 9 Meilen lang erstreckt, und schon von den Römern ausgebeutet wurde. Neuerlich wird das Erz durch Elektromagnete geschieden (Carnall Zeitschr. Berg. Hüttenk. 1861. IX. 111). Aber noch reicher ist Schweden. Aus dem überall zu Tage tretenden Gneise der skandinavischen Halbinsel beißen nicht bloß Lager, sondern ganze Magnetberge hervor, an ihren Grenzen reich von Mineralien durchzogen, Arendal, Utön; der Taberg (südlich Jönköping am Wettersee) ist ein wahrer 400' hoher „Eisentoloß“ von frischem nur wenig serpentinisirtem Olivin durchzogen. Das Erz ist körnig bis dicht, zwischen die Körner liegen stellenweis blättrige Ottaeder von dunkelerer Farbe eingesprengt, auch mischt sich die Erzmasse mit Feldspath, Strahlstein, Augit, Epidot, Granat, Kalkspath zc., und bildet „Selbstgehendes Erz“, was ohne Zuschlag verhüttet wird. Breite Löcher (Pingen) von schauerlicher Tiefe führen vom Tage hinab: so stehen die altberühmten Gruben (25) von Danneborra nördlich Upsala auf einem 180' breiten Stock, den Chlorit und Kalkspath durchwärmen. Einzelne derselben haben  $\frac{1}{2}$  Stunde Umfang bei 400' Tiefe! Die Persberger Gruben sind sogar über 600' tief, 500' reicht das Tagelicht, auf dem Grunde häuft sich das Eis zu 90' Mächtigkeit an, was herausgeschafft werden muß! In Norbotten 67°—68° N. Br. finden wir die Lager von Svappavara, von Kerunavara (800' dick und 5000' lang), am Berge Gellivara sogar 10,000' breit und 16,000' lang mit Eisenglanz gemischt. Dieses schwedische Erz

liefert das beste Eisen zur Stahlbereitung, daher wird es auch von den Engländern in großer Menge ausgeführt. Schon Agricola 526 sagt: *ferrum Suedorum praestans*. Auch der Ural hat Magnetberge: der Wissokaja Gora erhebt sich westlich Nischne-Tagilsk aus der Ebene eines tauben Augitporphyrs, sein löcheriges Erz ist über dem Hüttenteiche 1800' lang, 1500' breit und 250' hoch; mehrere Meilen nördlicher der Magnetberg Blagodat (Seegen), welcher schon 1730 von einem Bogulen den Russen verrathen wurde; der Vorkommen in Nord- und Südamerika zu geschweigen, wo sich z. B. in der Kupferregion am Lake Superior ebenfalls mehrere Tausend Fuß mächtige Eisenberge im Glimmerschiefer finden, welche aus Magneteisen bestehen, das in Rotheisenstein verwandelt ist. Das Amerikanische Erz ist so rein, daß es zum Ausfüttern der Puddelöfen benützt wird, in deren Bade es sich löst und so den Djen bereichert. Man setzt es sogar unmittelbar dem Gußeisen zu, pudzelt, und kann dann gleich walzen. Es ist das billiger, und bedarf ungeübter Arbeiter.

Martit von San Paulo in Brasilien. Breithaupt (Schweigger Journ. 1828 Bd. 24 pag. 158) „da Mars und Eisen einerlei Wappen führen“. Gew. 4,8, gleicht vollkommen den Magneteisenoctaedern vom Zillerthal, hat aber einen rothen Strich, ist folglich Fe, ohne Zweifel aber in Folge von Usterbildung durch Aufnahme von Sauerstoff, Jahrb. 1871. 70. Auch bei Framont und am Puy-de-Dôme kommen solche Usterkrystalle nach Dufrénoy vor. Daher mögen auch die von Mourao in New-York dahin gehören. Selbst die Krystalle beim Hamburger Brande bekamen einen rothen Strich (Kranz Jahrb. 1859. 103), während die Vesuv'schen Magnosferit sind.

**Magneteisensand**, fer oxydulé titanifère, wohl zu unterscheiden vom schwach magnetischen rhomboedrischen Titaneisen. Hauptsächlich im Sande der Flüsse, und hier außerordentlich verbreitet. Das Muttergestein sind Basalte und Laven, aus deren Ackerfrume sie sich oft noch mit dem Magnete ausziehen lassen, in größern Mengen sind sie dem Boden schädlich. Da Magneteisen in schmelzenden Gesteinen gelöst wird, so sind die Umrisse gerundet, und erscheinen wie eingewickelte Reste, die nicht ganz gelöst wurden. Die Körner haben einen stark glänzenden muscheligen Bruch, an Obsidian erinnernd, daher auch schlackiges Magneteisen genannt. Selten Krystallflächen, doch gibt schon Cordier in den Bächen von Epailly bei le Puy Octaeder und Granatoeder an. Hauptunterscheidungsmerkmal vom Titaneisensand bleibt der starke Magnetismus. Vor dem Löthrohr verhalten sie sich wie Magneteisen, mit Borax und Phosphorsalz bekommt man im Reductionsfeuer besonders auf Zusatz von Zinn ein unter dem Abkühlen rothes Glas. Cordier fand 12—16 p. C. Titanoxyd. Klaproth zog mit dem Magnet kleine Körner aus dem Sande der Ostseeküste und fand 14 Ti. Rammeisberg wies im schlackigen Magneteisen aus dem Basalte von Unkel bei Bonn 11,5 Ti, 39 Fe, 48 Fe nach, es ist stark magnetisch. Ganz gleiches findet man im Basalttuff der Alp (Mekinger Weinberg), das bei

der Verwitterung herausfällt. Der Sand zahlloser Flüsse, darunter auch Goldsand, gibt beim Waschen einen schwarzen Rest solchen Eisenerzes, besonders wenn die Flüsse aus vulkanischen oder basaltischen Gebirgen herkommen.

Isferin nannte Werner die Körner im aufgeschwemmten Lande der Hferwiese bei Marklissa und Flinsberg (Böhmisches Gehänge des Riesengebirges) mit Korund, Granat, Rutil zc. gemischt. Schon Laproth (Beiträge V. 100) hat ihn analysirt und 28 Ti angegeben. Ein Theil davon ist stark magnetisch, und in diesem gibt H. Rose (Pogg. Ann. 3. 100) sogar 50 Ti an; ein anderer nur sehr schwach magnetisch. Beide sehen sehr gleich aus, und unterscheiden sich namentlich durch den inneren Glanz nicht vom schlackigen Magneteisen, auch werden Würfel und Granatoeder angegeben. Den schwach magnetischen Menakanit rechnet man dagegen besser zum Titaneisen. Taranaki-Stahl wird an der Küste des Vulkanberges Egmont auf Neuseeland aus dem zarten Titaneisen-Staube gemacht, welchen zur Belästigung der Bewohner der Wind landeinwärts treibt. Der Titangehalt soll das trefflichste Stahl bedingen.

**Franklinit.** Von Berthier (Ann. des mines IV. 100) in der Franklin-Grube zu New-Yersey mit Rothzinkerz entdeckt. Krystallisirt regulär; Oktaeder, Granatoeder und Leucitoeder kommen vor, bei Sibach in Nassau auch Würfel und sogar Pentagonodoktaeder. Fettglanz, Eisenschwarz aber mit rötlich grauem Strich. Härte 6, Gew. 5,1. Fast gar nicht magnetisch.

(Zn, Fe, Mn) (Fe, Mn) nach Abich (Pogg. Ann. 23. 111) etwa 10,8 Zinkoxyd, 18,2 Manganoxyd. Salzsäure zerlegt das Pulver zu einer grünlich gelben Flüssigkeit unter Entwicklung von etwas Chlor, Beweis, daß ein Theil des Mangans höher oxydirt sein muß als Oxydul. Ramsdelsberg (Pogg. Ann. 107. 111) fand sogar über 25 Zinkoxyd und glaubt (Fe, Zn)<sup>3</sup> (Fe, Mn) schreiben zu müssen. Kleine Splitter im starken Feuer leuchten stark und sprühen feine Funken, wie das Roheisen. Mit Soda im Reduktionsfeuer einen schwachen Zinkbeschlag auf Kohle. Hier würde sich dann weiter Zinkspinell pag. 376 anschließen. Ebelmen stellte künstlich kleine Oktaeder von Zinkferrit Zn Fe dar (Erdmann's Journ. prakt. Chem. 54. 111).

### Chromeisen.

Eisenchrom, Chromit, fer chromaté, Chromate of Iron. Nach Haüy kennt man es schon seit 1710 von den Parethills bei Baltimore, wo es derb und in regulären Oktaedern vorkommt. Später fand es sich nesterweis in Serpentin von Frejus Dep. Var, und Bauquelin wies darin das Chrom nach, Laproth (Beiträge IV. 111) analysirte es von Krieglach in Steiermark, was mit rötlichem Talk bricht. Dann hat es sich in den verschiedensten Serpentinien gefunden. Das wichtigste Chromerz.



Blättriger Bruch unvollkommen, nach Mohs soll am Oktaeder einer vorherrschen, dann müßte es rhomboedrisch sein. Neigt sich etwas ins Pechschwarze mit gelblich braunem Strich, mehr Fettglanz als Metallglanz. Härte 5, Gem. 4,5. Manche magnetisch, andere fast gar nicht, werden es aber nach dem Glühen in der innern Flamme.

Von Borax und Phosphorsalz langsam aufgelöst, heiß hat die Glasperle die Farbe des Eisens, kalt aber die smaragdgrüne des Chroms, die auf Zusatz von Zinn lebhafter wird. Säuren lösen das feinste Pulver nicht, sondern ziehen nur etwas Eisen aus.

Fe Er, reine Abänderungen haben bis 60 Chromoxyd, fast alle einen Gehalt an Al, auch Mg vom Muttergestein, also (Fe, Mg) (Er, Al). Das Chromeisenerz von Texas in Pennsylvanien ist öfter mit einer stactitischen Kruste von Emerald-Nickel (Nickelsmaragd)  $N^2 C H^6$  (Silliman's Americ. Journ. 2. ser. VI. 248) von smaragdgrüner Farbe bedeckt, und enthält selbst 2,3 Ni. Chrommetall rikt gehärteten Stahl, Chromstahl dagegen ist weich und biegsam.

Auffallend bindet sich das Chromeisen stets an Serpentin und die ihn begleitenden Talk- und Chloritschiefer (Dieffenbach, Jahrb. 1855. 882), worin es eingesprengt vorkommt. Auf dem Schwarzwalde bei Todtnoos, im Serpentin des Fichtelgebirges (Kupferberg), Schlesien, Alt-Orsowa in Ungarn, den Schottischen Inseln, Griechenland, Ural, Gipszland (Victoria), besonders aber von Nordamerika (Hoboken) zc. Die schwarze Rinde am Platin des Urals (Trit) enthält nach Hermann bis 13,7 Chromoxyd; sie sondert sich öfter in kleinen schwarzen graphitartigen Schuppen (Journ. prakt. Chem. 23. 276) ab, welche vielleicht eine Zusammensetzung von (Ir, Os, Fe) (Ir, Os, Er) haben könnten. Durch einen großen Gehalt von Chromeisensand zeichnen sich Platin- vor Goldsaften aus. Böhnerze (Hannover, schwäbische Alp zc.), selbst Meteorsteine pag. 720 halten etwas Chrom. Kleine Beimischungen in Eisenerzen erkennt man durch Verwandlung des Chroms in Ueberchromsäure mittelst Wasserstoffsuperoxyd. Aether wird dadurch prachtvoll blau (Erlenmeyer Zeitschr. Chem. Pharm. 1860. III. 888).

Obgleich Wauquelin das Chrom im Sibirischen Rothbleierz entdeckte pag. 599, so wurde seine schöne Farbe doch erst technisch wichtig durch das Chromeisen. Man mischt das feingeschlammte Pulver mit Pottasche ( $Ka C$ ) und Salpeter, und erhitzt stark. Es oxydiren sich dann Fe und Er zu Fe und Er, gebildet wird  $K Er$ , was durch Behandeln mit Essigsäure die schönrothen Krystalle von  $K Er^2$  liefert, das zur Darstellung von Chromgelb  $Pb Er$  und Chromroth  $Pb^2 Er$  benutzt wird. Chromgrün Er gibt mit Glasflüssen eine smaragdgrüne Farbe, die so feuerbeständig ist, daß sie selbst im Feuer des Porzellanofens nicht verschiebt.

Chromoxyd Er hat Wöhler aus der Chlorchromsäure ( $Cr Cl$ ) in kleinen harten Rhomboedern dargestellt, indem er dieselbe langsam durch eine schwachglühende Glasröhre streichen ließ, wobei sie sich in O, Cl und

Er zerfällt. Swanberg (Journ. prakt. Chem. 54. 100) setzte 18 Stunden lang saures chromsaures Kali der Hitze des Porzellanofens aus, dabei verflüchtigte sich Kalium und Er reducirte sich zu kleinen krystallinischen Flitterchen von Er. Dadurch scheint es bewiesen, daß Al, Fe, Er (auch Be) isomorph krystallisiren.

Magnetferrit Rammelsberg (Pogg. Ann. 1859. 107. 404)  $Mg^{2+} Fe^{3+}$  regulär und mit Magneteisen verwechselbar. Gew. 4,65. Stets in Begleitung des Besuv'schen Eisenglanzes. Ja man findet Oktaederflächen (Jahrb. 1876. 300) mit zahllosen Eisenglanzen, die sich mit ihrer Geradenfläche auflagern, aber dergestalt in Zwillingstellung befinden, daß ihre Begrenzungsebene einer der Höhenlinien der Oktaeder parallel geht d. h. mit einer der Linien im gleichseitigen Dreieck von Eisenglanz zusammenfällt. Die Fumarolen enthalten Eisenchlorür, Eisenchlorid und Chlormagnesium, woraus sich die Bildung erklärt. Daran schließt sich dann unmittelbar der

Periklas  $Mg$  an, welchen Scacchi in Dolomitblöcken der Somma fand: kleine grüne reguläre Oktaeder mit blättrigem Bruch der Würfelflächen. Härte 6, Gew. 3,7. Damour fand 93,8 Talkerde und 5,9 Eisenoxydul. Ebelmen (Compt. rend. 33. 300) stellte ihn künstlich dar, indem er große Stücke Kalk auf Vorsaure Magnesia in der Hitze wirken ließ. Auf gleiche Weise läßt sich auch Ni, Co, Mn in Krystallen bekommen. Daubrée ließ bloß Dämpfe von Chlormagnesium auf Kalkstein einwirken, Deville Chlornasserstoffgas auf Magnesia (Compt. rend. 1861. LIII. 100). Auch Chlormagnesiumdämpfe geben durch Einwirkung von Wasserdampf schöne durchsichtige Oktaeder.

## 2. Eisenglanz Fe.

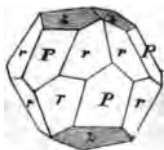
Ein altdeutscher Name. Hämatit. Minera ferri specularis Wallerius, mine spéculaire de l'Isle, fer oligiste Haüy, weil es weniger Eisen hatte als Magneteisen, und doch würfelig erschien. Ferrum refractarium (hartnäckig) von Linne, weil es dem Magnete nicht folgte. Specular Iron. Dem Plinius hist. nat. 34. 41 ist zwar der Eisenglanz von Elba bekannt, allein er unterscheidet die ferra metalla nicht von einander.

Hauptrhomboeder  $P = a : a : \infty a : c$   $85^{\circ} 58'$  Endkante Mohs, gibt  $a = 0,7316 = \sqrt{0,5352}$ ,  $la = 9,86427$ . Haüy sah sie anfangs wie Steno für Würfel an, später nahm er das Verhältniß der horizontalen zur schrägen Diagonale  $\sqrt{9} : \sqrt{10}$  an, was einen Endkantenwinkel von  $87^{\circ} 9'$  gab. Die einfachen Rhomboeder kommen schön auf den Zinnsteinstöcken zu Altenberg in Sachsen vor, und zwar parallel der langen Diagonale gestreift. Da es dem Würfel außerordentlich nahe steht, und auch bei den prachtvollen Krystallen von Elba herrscht, so leitete schon Steno pag. 3 scharfsinnig die Flächen durch Abstumpfungen eines Wür-

fels ab. Der blättrige Bruch des Rhomboeders schwer wahrzunehmen, wodurch es sich wesentlich vom Korund unterscheidet.

Geradenfläche  $c = c : \infty a : \infty a$  sondert sich dagegen so stark ab, daß man sie für deutlich blättrig zu halten oft versucht wird, doch gelingt es nicht, den Blätterbruch darzustellen. Besonders vorherrschend bei den vulkanischen und mit Rutil bedeckten alpinischen, sie läßt sich an ihrer dreiseitigen Streifung leicht erkennen. Sehr ausgezeichnet ist auf Elba ein quergestreiftes Rhomboeder, welches für das 2te stumpfere  $z = 4a : 4a : \infty a : c$  gehalten wird, und das am meisten zur Orientierung in die verzogenen Krystalle beiträgt, denn darunter liegt die glänzende P, in deren Diagonalzone das

Dihexaeder  $r = \frac{2}{3}c : a : \frac{1}{2}a : a = \frac{1}{2}P$  mit  $128^\circ$  in den Endanten fällt, welche das Hauptrhomboeder P abwechselnd abstumpft. Dasselbe dehnt sich öfter bedeutend aus, und kommt mit der Geradenfläche selbständig vor (Framont, Reichenstein). Auch bei Elbaern fehlt es selten, tritt aber in Verbindung mit P und z, wovon schon Steno sagte: *sex extrema sunt et striata (z), alia sex intermedia et polita (P)*. Diese rhomboedrisch dihexaedrische Entwicklung hat Eisenglanz mit Korund gemein, was die Grenzen zwischen rhomboedrisch und dihexaedrisch bedeutend verwischt. Selten ist  $g = \frac{1}{2}a : \frac{1}{2}a : \frac{1}{2}a : c$  die Kante zwischen P/r abstumpfsend; wenn also P nicht da wäre, so würde der Dreikantner die abwechselnden Dihexaedern zuspitzen. Nach Hauy kommt auch das

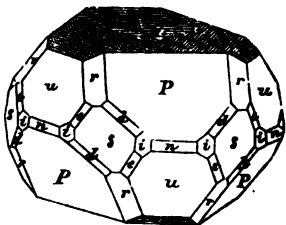


Gegenrhomboeder  $l = a' : a' : \infty a : c$  bei den vulkanischen Tafeln vom Mont-Dore vor, dasselbe tritt mit P vollkommen ins Gleichgewicht, so daß ein Dihexaeder von  $130^\circ 2'$  in den Endanten entsteht, welches selbständig von dem Dihexaeder r freilich wenig abweicht.

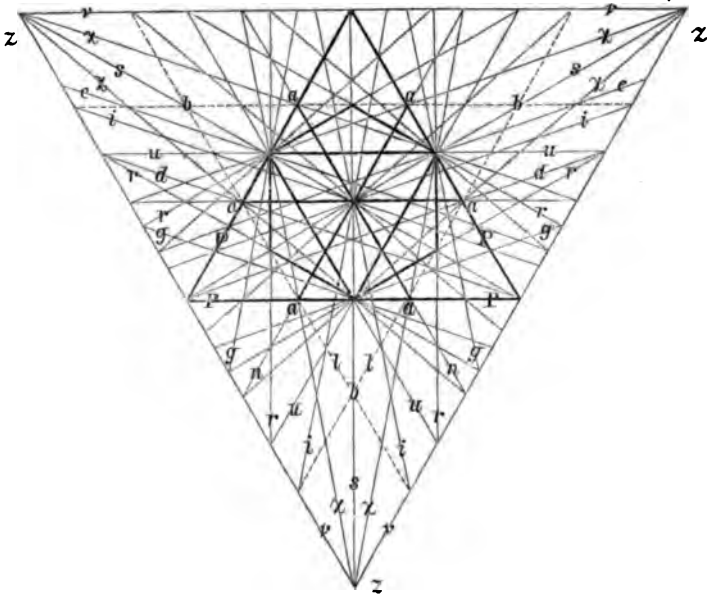
Zweite sechsseitige Säule  $s = a : \frac{1}{2}a : a : \infty c$ , die Seitenkante des Dihexaeders r gerade abstumpfsend, ist häufig; bei den vulkanischen Dirhomboedern stumpft sie die Seitenecken ab, auch die erste sechsseitige Säule  $n = a : a : \infty a : \infty c$  kommt bei Framont 2c. vor. Zu Reichenstein in Schlesien findet man die einfache Säule s mit Geradenfläche, gewöhnlich treppenförmig wie beim Korund. Auch das herrschende Dihexaeder r erinnert an diesen Edelstein. Gewöhnlich noch das nächste stumpfere Rhomboeder  $v = 2a' : 2a'$ , und andere Flächen. Am complicirtesten sind die



Eisenrosen der Alpen (St. Gotthard, Mt. Rosa, Cavradi, Buxterthal). Sie werden zwar durch die übermäßig ausgedehnte Endfläche tafelartig, allein am Rande prägen sich die Zonen scharf aus. Auch hier orientirt die Streifung der Geradenfläche, doch das Hauptrhomboeder P liegt nicht wie bei Elbaern unter den Seiten, sondern unter den Ecken



des gestreiften Dreiecks  $c$ , unter den Seiten liegt das nächste schärfere Rhomboeder  $u = \frac{1}{2}a' : \frac{1}{2}a'$  und das nächste stumpfere  $v = 2a' : 2a'$ ; letztere zwar sehr klein, aber gerade durch ihren Conflict mit der Geradendfläche entsteht die Streifung auf ihr wie auf der Geradendfläche. Dihexaeder  $r$  stumpft die Kante  $P/u$  ab, und ein Rhombus  $P/P$  und  $u/u$  gehört der 2ten Säule  $s$ , während die erste  $u$  zwischen  $P/u$  meist kaum durch eine feine Linie angedeutet wird. Auch der beim Kalkspath gewöhnliche Dreikantner  $d^2 = a : \frac{1}{2}a : \frac{1}{2}a : c$  stumpft die Kante  $P/s$  ab. Selten ist die Kante  $u/s$  durch den Dreikantner zweiter Ordnung  $e_2 = a' : \frac{1}{2}a' : \frac{1}{2}a' : 2c$  abgestumpft, und eben so selten kommt die sechsundsechskantige Säule  $i = a : \frac{1}{4}a : \frac{1}{4}a : \infty c$  vor. Noch seltener ist  $x = 2a' : \frac{2}{3}a' : a' : c$ , welche ebenfalls in die Diagonalzone von  $P$  fällt. Bei so viel Flächen den Zonenzusammenhang festzuhalten, wird beifolgende kleine **Projection** schon genügende Dienste leisten. Um die Figur nicht

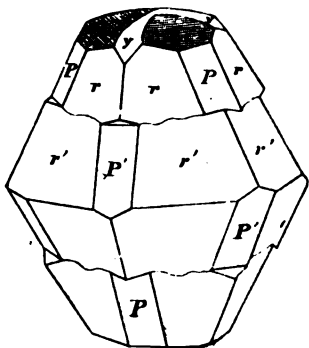


zu überladen, habe ich die Lage von  $d$  und  $e$  nur durch je zwei Sectionslinien angedeutet. In frühern Auflagen habe ich irrthümlich  $g = a : \frac{2}{3}a : \frac{2}{3}a : c$  gesetzt, und dabei doch die Zone  $P/r$  angegeben: ein Blick auf die Projection zeigt, daß diese nicht in  $\frac{1}{2}b$ , sondern in  $\frac{2}{3}b$  fallen müßte. G. Strüver (Eratite di Traversella, Atti Accad. real. Torino 1871. VII) gibt 67 Symbole an, darunter allein 16 Dihexaeder  $2a : a : 2a : mc$ , wo  $m$  zwischen 9 und  $\frac{1}{2}$  schwankt.

Linseförmige Krystalle brechen recht ausgezeichnet auf Elba: das quergestreifte Rhomboeder  $z = 1a : 1a$  gibt dazu die erste Veran-

lassung, die Rundung entsteht jedoch hauptsächlich durch das dritte stumpfere Rhomboeder  $y = 8a' : 8a'$ , welches oben sehr deutlich die Endkanten von  $z$  abstumpft, nach unten jedoch in continuirlicher Conexität in das Gegenrhomboeder  $4a' : 4a'$  übergeht.

Zwillinge haben Axe  $c$  gemein und sind gegen einander  $60^\circ$  verdreht; sie durchwachsen sich. Elba, Altenberg. Das eine Dihexaeder legt dann seine abgestumpfte Kante hin, wo das andere die nicht abgestumpfte hat. Bei Traversella haben sie auch  $P$  gemein und lagern sich umgekehrt.



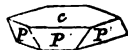
Eisenschwarz und stahlgrau, häufig bunt angelauten (nur die Geradenfläche nicht). In Dünnschliffen roth durchscheinend, daher Kirschrother Strich. Starker Metallglanz. Härte reichlich 6, spröde, Gew. 5,23, also trotz des geringern Eisengehaltes doch schwerer als Magneteisen.

Äußerst schwach magnetisch. Meteoreisen, in Salzsäure gelöst, mit Ammoniak niedergeschlagen und bis zur Rothgluth erhitzt gibt zwar magnetischen Eisenglanz, aber daran ist Nickel und Kobalt schuld, Cmpt. rend. LXXX. 301.

Vor dem Löthrohr schmilzt es in der innern Flamme öfter unter Funkensprühen und wird magnetisch, von Salzsäure nur langsam gelöst. Eisenoryd mit

69,34 Fe und 30,64 O.

In Vulkanen, deren Laven es so häufig in blättrigen Krystallen führen, ist es offenbar aus verflüchtigtem Eisenchlorid entstanden, was durch Wasserdämpfe in Regionen zerlegt wurde, wo es für Magneteisen nicht mehr heiß genug war. Es sind einfache dreigliedrige Oktaeder, welche H. de l'Isle für Segmente von regulären nahm. Mitscherlich wurde auf den Gedanken durch Krystalle geführt, welche sich in einem Töpferofen von Oranienburg gebildet hatten (Pogg. Ann. 15. 680). Deville leitete über Pulver von Eisenoryd



in einer rothglühenden Porzellanröhre einen ganz langsamen Strom von Salzsäuredämpfen, und bekam sofort die schönsten Eisenglanzkrystalle. Es bildet sich dabei kein Eisenchlorür, wie bei einem schnellen Strome (Cmpt. rend. LII. 1364). Darnach scheint bloß die Gegenwart von Salzsäure nothwendig, um die Atome des Eisenorydes umzusetzen. Das Vorkommen in Massen, wie in Brasilien und auf Elba, kann man aber wohl nicht in gleicher Weise erklären. Hier begleitet der Eisenglanz häufig das Magneteisen, wie z. B. am Eisensteinberge von Gellivara in Lulea-Lappmark. Ein Gemisch von Eisenglanz, Magneteisen und eingesprenktem Golde bildet der Eisenglimmer von Brasilien (Minas Geraes). In vielen Gneisen vertritt glimmeriger Eisenglanz die Stelle des Glimmers. Die

sogenannten Specks in den Cap'schen Diamanten sollen nach Dr. Cohen (Jahrb. 1876. 722) sogar Eisenglanzkrystalle sein. Der berühmteste Fundort ist jedoch seit Etrurier- und Römerzeit Elba:

*Insula inexhaustis chalybum generosa metallis* Virgil. Aen. X. 174. Das *Ferrum popolonicum* an der Etrurischen Küste rühmte schon Aristoteles. Hier in dem Erzreichen Toskanischen Gebiete bei Campiglia liegen überhaupt die großartigsten vorrömischen Reste uralten Bergbaus. Noch heute wird an der Ostküste bei Rio, wo die alten Halden noch 56 p. C. Eisen halten, in einer großen Pinge auf der Grenze zwischen Kalkstein und Glimmerschiefer das Erz gewonnen. Frisch ist es aber schwer zu beschicken, und nicht in dem Maße gesucht, als das zersetzte. Allein stellenweis ist das ganze Gebirge bis zur Tiefe in Brauneisenstein ungesetzt, und gerade hier baut man. Die schönen Krystalle finden sich an der östlichen Wand jener Pinge, wo das Erz überdies durch Quarz noch verschlechtert wird. Als Napoleon König von Elba war, ließ er an dieser Wand besonders auf „Stufen“ brechen, und machte damit bevorzugten Personen ein Geschenk! Als Varietäten etwa auszuzeichnen:

1) krySTALLISIRTER Eisenglanz, wie er sich findet auf Elba, zu Altenberg in Sachsen, Framont im obern Breusdthal der Vogesen in Drusenräumen des dortigen Rotheisensteins. Interessant sind auch die kleinen Krystalle in den Achattugeln von Oppenau, die ohne Zweifel auf nassem Wege entstanden. In den Alpen thun sich besonders die

Eisenrosen durch Glanz und Schönheit hervor, sie sind gewöhnlich leicht an dem fuchsrothen Rutil erkennbar, welcher auf der Geradendfläche ausschwipzte. Auf der Fibia westlich vom Gotthardt-Hospiz liegt der Diamantglänzende äußerst seltene Hefenbergit (Keningott, Minerale der Schweiz 208) darauf. Kobell hat sogar darin 9,66 Ti neben 5 Fe nachgewiesen, und sie deshalb *Bajanomelan* genannt. Allein sie haben noch einen rothen Strich. Gruppiren sich öfter förmlich in Kreisen wie Blumen. Capao in Brasilien. Für

Vulkanischen Eisenglanz ist die Auvergne (Puy de Dôme, Mont d'Or, Volvic etc.) berühmt: Tafeln, die an die Eisenrosen erinnern, liefern auf Ascension und Pernambuco handgroße Spiegel. Daher sahe sie Delarbre „als Produkte vulkanischen Feuers an, welches das Eisen ebenso, wie die ammoniakalischen Salze, den Schwefel 2c. verflüchtigt habe“, Haüy IV. 54. Es war das eigentliche *fer spéculaire*, das rechtwinklig auf den Wänden haftete. Neuerlich auch bei Blaidt (Andernach), in alten Fumarolen des Großen Eiterkopfs mit kleinen aufstehenden gelben Augiten pag. 313, Prof. vom Rath Monatsb. Berl. Akad. 1866. 222. Am Vesuv sind die neuesten Bildungen von Rhomboeder mit Geradendfläche zellig, und die Tafeln nicht selten durch Schmelzung stark geflossen. Beim Ausbruche 1817 füllte sich ein Spalt von 3' Mächtigkeit in 10 Tagen mit Eisenglanz (Breithaupt Paragenesis 124). Schon Haidinger (Pogg. Ann. 11. 128) beschreibt reguläre Oktaeder mit rauhen Flächen, die aus lauter kleinen Eisenglanzkrystallen bestehen, und die Bildung des

Martit erklären sollen. Scacchi hat die Sache weiter verfolgt (Dufrenoy *Traité Min.* II. 478, Roth *Besuv* pag. 313), wie wir beim Magnoferrit pag. 752 sahen.

2) Eisenglimmer nannte Werner die frummlättrigen stark glänzenden Massen, welche lagerartig besonders im Urgebirge vorkommen. Der blättrige Bruch kann nur von der Geradenfläche herrühren, da er blos einzig ist. Es muß das sehr auffallen, da man von einer Blättrigkeit der Geradenfläche an Krystallen nichts merkt. Man kann sich leicht die dünnsten Schuppen verschaffen, welche in einzelnen Flittern vom Magnet zwar angezogen werden, aber immer nur undentlich. Nimmt man dagegen solche Blättchen vor das Löthrohr, so sprühen sie in der innern Flamme Funken, und werden sogleich stark magnetisch. Ungarn (Dopschan und Poratsch) und Mähren liefern schöne Vorkommen, vor allen aber Brasilien. Im Granit des Gleissinger Fels im Fichtelgebirge. Werden die Blätter ganz fein, so scheinen sie roth durch und beschmutzen die Hand (schuppiger Eisenglimmer, Rotheisenrahm), ohne ihr metallisches Aussehen aufzugeben, Suhl, Murgthal bei Schönmünznach. Bei Staßfurt färben zierliche sechsseitige Tafeln den Carnallit roth, was man in Dünnschliffen leicht findet. Bei Altenberg in Sachsen, Bützberg in Schweden zc. wird er ausgezeichnet strahlig blättrig. Der Eisenglimmerschiefer (Itabirit) vom Pic Itabira in Brasilien wird ganz verb; der von Al. Mora in Oestreichisch Schlessien, Blansko zc. verliert sich sogar ganz in einem schiefrigen Aussehen, und glänzt auf der Schieferfläche noch stark, nur sein Querbruch wird matt.

3) Körniger Eisenglanz ist oft die Mutter der Krystalldrusen. In Schweden (Wärmeland) kommen Lager vor, die feinkörnig wie Magnet Eisen, aber mit rothem Strich nur als Staub vom Magnet bewegt werden. Das scheint wie der Martit oxydirtes Magneteisen zu sein. Schöne Austerkrystalle bildet er auf Elba vom Schwefelfies. Noch bekannter sind die aus den Eisensteingruben des Uebergangskalkes von Sundwig in Westphalen, rohe Dreikantner von Kalkspath am Ende mit dem Hauptrhomboeder. Die Krystalle sind häufig hohl, doch hat körniger Eisenglanz (mit Quarz und Kalkspath gemischt) wesentlich zur Ausfüllung beigetragen. Die dickschaligen Muscheln des Lias  $\alpha$  von Semur (Côte d'Or) sind in körnigen Eisenglanz verwandelt. Bei Altenberg gruppiren sich kleine Eisenglanzrhomboeder nach der Form des Kalkspathes (Pogg. Ann. 91. 152).

#### 4) Rother Glaskopf.

Hängt entweder mit Glanzkopf oder Glaskopf (Kalkkopf) zusammen: „Vergleute nennen es Glaskopf, Materialisten Blutstein“, ein altes bergmännisches Wort Henkel *Pyritologia* pag. 227; *cerebri speciem prae se fert*, Agricola 606. Der berühmte *αἷματης* Theophrast 66, den man aus geronnenem Blute entstanden dachte, und daher wieder für blutstillend ausgab. Agricola pag. 707 sagt: Schistos Glasköpfe oder Blutstein, nam multi Germani non distinguunt eum ab haematite.

Excentrisch faseriges und concentrisch schaliges Erz, meist mit halbkugelter (traubiger und nierenförmiger) Oberfläche, nach Art des Chalcidons. Aber die Faser ist so ausgebildet, daß man die feinsten Nadeln abspalten kann, an welche leicht eine stark magnetische Kugel schmilzt. Die Probe weiter in die Flamme gehalten sprüht Funken. Im compacten Zustande sind sie noch stahlgrau und die Stücke zeigen dann öfter an ihrem Unterende eigenthümliche Absonderungsflächen, welche man nicht mit Krystallflächen verwechseln darf. So wie die Faser lockerer wird, tritt auch die firschrothe Farbe hervor, und gewöhnlich haben sie noch einen rothen ockerigen Ueberzug. Der Glanz geht dann verloren, die Masse wird weicher (unter Feldspathhärte) und leichter (unter 5). Beim Schlagen brechen sie meist so gegen Willen, daß man schwer gute Handstücke erhält. Er liefert ein gutes Eisen, der Frische eignet sich sogar zum Bessern, gehört aber schon zu den seltenen Eisenerzen. Bildet Gänge im rothen Porphyr und Lager im Todtliegenden, welches überhaupt seine firschrothe Farbe dem beigemischten Eisenoxyd dankt. Thesfeld am Harz, Framont in den Vogesen, „in Sachsen ist er der gemeinste Eisenstein“. Gibt zu Afterskrystallen viel Veranlassung, wie z. B. die ausgezeichneten Würfel vom Rothenberg bei Krahndorf, welche innen hohle Quarzdrusen bilden, die der schönfasrige Glaskopf überzieht. Gepulvert dient er zum Poliren und Glätten von Metallarbeiten.

5) Dichter Rotheisenstein bildet gewöhnlich die Mutter des edlern Glaskopfs. Es gibt compacte reine Abänderungen mit mattem Bruch, der rothe Strich sehr lebhaft. Viele derselben werden aber durch Quarz und Thon verunreinigt; jene in Jaspis, diese in Thon übergehend. Bildet gewöhnlich Flöze, die eine Anlage zum Schiefer haben. Es kommen darin die prachtvollsten Spiegelflächen vor, wie zu Reichmannsdorf bei Saalfeld, zwei solcher Spiegel sollen immer aufeinander liegen. Als die ausgezeichnetste Varietät sah Werner die von Schellerhan bei Altenberg an. Nassau gewann 1858 6 Mill. Centner, die nach Saarbrücken und Dortmund giengen, und gutes weiches Stabeisen gaben. Jetzt macht Luxemburg Concurrenz.

6) Rother Thoneisenstein geht ins Erdige über, doch gibt es noch sehr eisenreiche Abänderungen, so daß die Grenze zwischen Erz und Thon nicht gezogen werden kann. Viele Abänderungen:

Röthel (*μῆλος*, *rubrica*), der durch Glühen schwarz und dem Magnete folgsam wird. Er schreibt, nimmt mit dem Finger gerieben Glanz an, und der Strich ist viel lichter als sein frischer Bruch. Der vom Rothenberge bei Kaulsdorf ohnweit Saalfeld kommt viel in Handel, er wiegt 3,1—3,8. Nach Theophrast kam der beste aus Keos (*Zeä*), doch wußte man ihn auch durch Glühen der Gelberde (*ὄρεα*) sich zu verschaffen. Unsere Rothstifte sind künstlich aus Gummi und geschlämmtem Blutstein bereitet.

Stänglicher Rotheisenstein ist ein Produkt von Braunkohlenbränden, besonders im Leitmeritzer und Saager Kreise Böhmens.



Gleicht Basaltsäulen im Kleinen, welche von der Dicke eines Nadelknopfs und darüber mit außerordentlicher Regelmäßigkeit sich über einander lagern: Folge von Absonderung durch Feuer (Epochen der Natur pag. 155).

Körniger Rotheisenstein zeigt ähnliche runde Absonderungskörperchen, wie Dolith pag. 502. Im Uebergangsgebirge des Prager Beckens haben die Körner eine ausgezeichnete Linsenform, und sind viel größer, als die im Jura Deutschlands und Lothringens. Sie gleichen hier feinen runden Pulverkörnern, die Gegenstand eines wichtigen Bergbaues sind. In Preußen bei Sommerschenburg zwischen Helmstedt und Seehausen schwellt das Flöz im Lias  $\alpha$  zu 80' Mächtigkeit an. Bei Wasseralfingen in Württemberg werden im Braunen Jura  $\beta$  alljährlich über 300,000 Ctr. gewonnen, die ein Dritteltheil Rotheisen liefern. Besonders zu Gußwaaren geeignet. Das Cleavelanderz pag. 512 scheint sich mehr an das Kohlensäure Eisen anzuschließen.

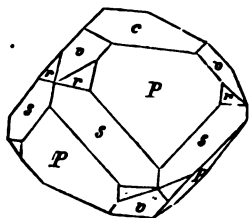
Die Farbe in der großen Rothem Sandsteinformation vom Oldred bis zu den obersten Gliedern des Keupers kommt von Eisenoxyd, das sich auch in Geoden und Lagern darin vielfach ausscheidet. Obgleich diese Gesteine ein entschiedenes Wasserprodukt sind, so hat sich doch auffallender Weise das Eisen nicht als Hydrat niedergeschlagen. Man kommt hier auf die Meinung, das Roth könne in der Erde durch Veränderung herbeigeführt sein. Man weiß ja, daß gelber Eisenrost mit dem Alter roth werde (Bischop Geol. II. 110); ja Volger behauptet, in der Kapelle von Kappel (Schweiz) habe selbst die gelbe Ocherfarbe alter Freskomalde sich geröthet!

### Rhomboedrisches Titaneisen

im Gegensatz von oktaedrischem pag. 749. Die Kenntniß eisenhaltiger Titanerze datirt von Klaproth 1797 (Beiträge II. 110), der im Menaccanit von Cornwallis 45,25 Ti nachwies. Es wurde dann weiter bei Aschaffenburg, Ohlapiau, Disans, Gastein u. gefunden. Nach Sandberger (Sitzb. Münch. Akad. 1873. 110) soll es in Anamesiten und Doleriten eine Rolle spielen. Haüy (Traité Min. 2. ed. 4. 11) erkannte zwar am Erichtonite von Disans die rhomboedrische Form, indessen wies erst Mohs (Grundriß II. 111) die Uebereinstimmung der Form mit Eisenglanz nach. Ribbelophan, Hystatit, Almenit. Washingtonit.

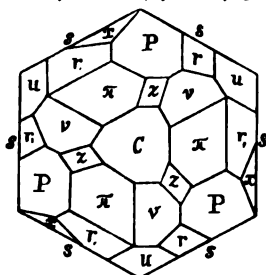
Rhomboedrisch und schwach magnetisch, dadurch vom regulären stark magnetischen wohl unterschieden.  $P = a : a : \infty a : c$   $85^{\circ} 58'$ , wie beim Eisenglanz; nach Kokscharow (Mater. VI. 111) nur  $85^{\circ} 30' 56''$ . Bei den Zollgroßen Rhynfallen aus dem edlen Serpentin von Modum geht der P ein erkennbarer Blätterbruch parallel. Daran ist die Geradenfläche  $c = c : \infty a : \infty a : \infty a$  mit P  $122^{\circ} 22'$  machend, nicht gestreift, was das Erkennen erschwert. Sie ist vielleicht noch etwas blättriger als P, daher Mohs Name Argotomes Eisenerz. Die 2te sechsseitige Säule  $s = a : \frac{1}{2}a : a : \infty c$  ist rauh, und stumpft die Bückackanten von

P ziemlich stark ab. Rauh ist auch das nächste stumpfsere Rhomboeder  $v = 2a' : 2a' : \infty a : c$ , leicht erkennbar an den rechten Winkeln, unter



welchen die Kanten  $c/v$  und  $P/v$  auf den Flächen sich schneiden. Das Dihexaeder  $r = \frac{2}{3}c : a : \frac{1}{2}a : a$  in der Diagonalzone von P kommt vollflächig vor, allein wegen ihrer Kleinheit fehlt öfter die Fläche einer Seite. Bei Gastein ist die Hemiedrie so gewöhnlich, daß sie Mohs geradezu dafür nahm, allein die Krystalle von Modum und Miasl beweisen, daß die Sache sich ganz wie beim Eisenglanz und Korund verhält. Bei Miasl auch das nächste schärfere Rhom-

boeder  $u = \frac{1}{2}a' : \frac{1}{2}a' : \infty a : c$  (Pogg. Ann. 9. 186). Krystalle von Kopfgröße kamen beim Gewinnen des Apatits auf Kragerö vor. Mohs gibt zu Gastein Zwillinge an, die parallel ihrer Axe  $c$  so durchwachsen, daß das hemiedrische Dihexaeder  $r$  wieder vollzählig wird. Roschmarow bekam



aus den Goldsais von Atlianskoj bei Miasl einen glänzenden 3 mm großen Krystall, welcher außer den Rhomboedern,  $Pv$  noch ein viertes durch die Zonen  $P/c$  und  $\pi/v$  bestimmbares Rhomboeder  $z = c : \frac{2}{3}a : \frac{1}{2}a : \infty a$  zeigte. Die Dihexaederflächen  $r$  waren zwar vollflächig vorhanden, aber ungleich in  $r + r$ , ausgedehnt. Dagegen erschien von dem stumpfern Dihexaeder  $\pi = c : 3a : \frac{2}{3}a : 3a$  nur die eine rhomboedrische Hälfte, die andere fehlte ganz; und dieser He-

miedrie fügte sich auch das Scalenoeder  $x = c : \frac{2}{3}a : \frac{1}{2}a : \frac{1}{2}a$ , wovon über der Säule  $s$  nur ein Rhomboeder von Zwischenstellung vorkam.

Eisenschwarz mit schwarzem Strich, wodurch es sich so gleich vom Eisenglanz unterscheidet. Dünne Blättchen scheinen braun durch. Auch ist der Glanz sehr schwach, schwächer als bei mattem Magneteisen, deßhalb kann es leicht mit Magneteisen verwechselt werden. Allein es ist nur schwach magnetisch. Härte reichlich 5 und spröde, Gewicht 4,8.

Unschmelzbar, wird aber unter Funkensprühen magnetisch. Mit Phosphorsalz gibt es beim Abkühlen ein vorübergehend rothes Glas. In Salzsäure und Königswasser unter Zurücklassung von Ti nur schwer löslich.

Die Deutung des Titangehalts macht viel Schwierigkeit. Mosander (Pogg. Ann. 19. 119) meinte, da sich neben Fe und Ti auch stets Eisenorydul finde, daß Fe Ti mit Fe isomorph sei, weil darin auch 2 Atom Radical mit 3 Sauerstoff wie im Eisenoryd stecken, allein solche Erweiterungen des Isomorphismus sind eine gewagte Sache. Fuchs behauptete dagegen, daß es wie beim Zinn eine Verbindung von Ti gäbe, die beim Lösen in Salzsäure sich auf Kosten des Eisenoryds in Ti verwandeln könnte: diesem schloß sich H. Rose (Pogg. Ann. 62. 120) an. Nun fand aber Rammelsberg zu Layton's Farm (New-York) 13,7 Magnesia, was

auf eine Formel  $\text{Fe Ti} + \text{Mg Ti}$  (Picrotitanit) ohne Eisenoryd und zu der Ansicht  $\text{Fe Fe}$  führte. Aber da Friedel (Ann. Chim. Phys. 1876 Bb. 8 pag. 38) kleine kupferrothe Kryställchen mit violettem Schein von  $\text{Ti}^2\text{O}^3$  darstellte, deren Winkel vom Eisenglanz wenig abweichen, so bleibt ein Sesquioryd das Wahrscheinlichere. Dana schreibt sogar  $(\text{Ti, Fe, Mg})^3\text{O}^3$ . Einige wichtige Vorkommen sind folgende:

1) Menaccanit von Menaccan in Cornwallis, worin Gregor 1791 ein neues Metall entdeckte, welches sich später als identisch mit Klaproth's Titanium erwies. Es kommt im Sande der Bäche vor, ganz nach Art des Magneteisensandes pag. 749 in gerundeten Stücken, deren Form man daher auch nicht kennt, allein da sie schwach magnetisch sind, so könnten sie möglicher Weise hierher gehören. Klaproth fand darin 51 Fe, 42,2 Ti. Vergleiche hier auch den schwach magnetischen Iserin von 4,68 Gew. =  $\text{Ti} + \text{Fe}$  und den stark magnetischen Iserin von 4,76 Gew. =  $3 \text{ Ti} + 4 \text{ Fe}$ .

2) Titaneisen von Gastein (Ribbeslophan) im Talkstiefer, 4,66 Gew. =  $\text{Ti} + 4 \text{ Fe}$  mit 53,7 Titanoryd und 46,3 Eisenoryd nach Kobell. Von Mohs krystallographisch beschrieben, zeigt das Diheraedert r hemiedrisch.

3) Titaneisen vom Ilmensee bei Mias, Kupfer beschrieb sie als Ilmenit  $2 + 1$ gliedrig, aber G. Rose zeigte, daß ihre Winkel vom Gasteiner nicht abweichen. Gew. 4,8 =  $4 \text{ Ti} + 5 \text{ Fe}$  mit 42,6 Titanoryd und 57,4 Eisenoryd. Sie kommen im dortigen Miascit bis gegen 10 Zoll Größe vor, Geradenfläche und Querbruch glänzend. Massenhaft in Capada und südlichen Norwegen, brauchen aber zur Verhüttung zuviel Brennmaterial.

4) Titaneisen von Egersund in Norwegen, in großen derben bräunlich schwarzen Stücken, ist von G. Rose (Pogg. Ann. 3. 100) zuerst untersucht. 4,7 Gew. =  $2 \text{ Ti} + 3 \text{ Fe}$  38,3 Titanoryd und 61,7 Eisenoryd. Das von Krageröe liegt im röthlichen schön gestreiften Albit.

5) Titaneisen von Tvedestrand bei Arendal (Hystatit), im rothen Granat eingesprengt. Die kleinen Krystalle haben gerundete Kanten, doch fand G. Rose sämtliche Kanten des Rhomboeders P durch v und s abgestumpft, und außer ihnen noch die Geradenfläche c. Einige wenige Körner werden vom Magnet angezogen und haben 4,74 Gew., die unmagnetischen 4,49 Gew.  $\text{Ti} + 3 \text{ Fe}$  mit 23,6 Titanoryd.

6) Titaneisen von Aschaffenburg im Quarz des dortigen Granits, schon von Klaproth (Beiträge II. 333) untersucht, nach Kobell 4,78 Gew. =  $\text{Ti} + 6 \text{ Fe}$  mit 13,4 Titanoryd.

Klaproth untersuchte auch die Körner aus den Goldwäschen von Ohlapian in Siebenbürgen, wo sie zwischen Quarzsand und Granat zu liegen pflegen. Die meisten Körner sind darunter stark magnetisch. Die ältesten krystallographisch bekannten stammen von Bourg d'Oisans in der Dauphiné, welche Graf Bourmon nach einem Russischen Arzte

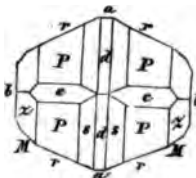
**Erichtonit** (Erichtonite) nannte. Nach Marignac einfach  $\text{Fe Ti}$ . Sie kommen daselbst mit Anatas und Bergkrystallen in kleinen scharfen Rhomboedern vor, mit etwa  $61\frac{1}{2}^\circ$  in den Endkanten, so daß es ein Rhomboeder  $a : a : \infty a : 5c$  sein könnte, ihre Endkante ist durch  $c = c : \infty a : \infty a : \infty a$  gerade abgestumpft. Andere Krystalle bilden ganz dünne Blätter, und gleichen durch die Menge ihrer Flächen Eisenrosen pag. 756, aber der Winkel  $P/P$  soll nach Lévy  $73^\circ 43'$  betragen, er heißt daher **Mohsit**. Vor dem Löthrohr zeigen sie Reaction von Titaneisen.

Die Titansäure  $\text{Ti}$  ist in kleinen Mengen in der Natur sehr verbreitet, da sie aber mit Kiesel- und Thonerde gewöhnlich fällt, so wird sie leicht übersehen. Mit Natrium behandelt kommt unlösliches Titan-saures Natron, Knop, Jahrb. 1876. 757.

### 3. Brauneisen.

Ein wichtiges Eisenerz besonders in Glaskopfstruktur, daher möchte Xanthus (Theophrast \*\*), was braungelb bedeutet, diesen Glaskopf bezeichnen, da er dem Blutstein zur Seite gestellt wird, während Plinius 36. 37 ihn Schistos heißt, schistos et haematites cognationem habent. Limonit. Schistos croceum reddit succum Agricola 572.

2gliedrig, isomorph mit Diaspor pag. 369 und Braunmangan, aber gute Krystalle selten und verschieden benannt: die schönsten maß Phillips aus Drusenräumen des quarzigen dichten Brauneisensteins von der Grube Botallack in Cornwallis. Es sind wenige Linien lange glänzende Individuen, welche stellenweis als die Enden von Glasköpfen er-

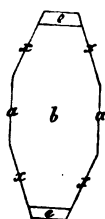


scheinen, und durch ihre Schwärze an Braunmangan erinnern. Säule  $r = a : 2b : \infty c$  bildet vorn  $130^\circ 40'$ , ihre scharfe Kante ist durch den Blätterbruch  $b = b : \infty a : \infty c$  gerade abgestumpft, wodurch bei allen eine sechsseitige Säule entsteht. Oktaeder  $P = a : b : c$  bildet mit der Säulenkannte  $r$  keine rechten Winkel; das zugehörige Paar  $M = a : b : \infty c$   $94^\circ 51'$  stumpft gewöhnlich die Kante  $b/r$  nur sehr undeutlich ab. Die seitliche Endkante des Oktaeders  $P$  wird durch das zugehörige Paar  $e = b : c : \infty a$  mit  $117^\circ 30'$  in der Age  $c$  gerade abgestumpft, daraus folgt

$$a : b = 1,514 : 1,648, \text{ lga} = 0,18015, \text{ lgb} = 0,21702.$$

Außer diesen kommen noch mehrere kleine Abstumpfungen vor:  $a = a : \infty b : \infty c$ ,  $d = a : c : \infty b$  und eine ganze Reihe von Flächen zwischen  $P/d$ , worunter  $s = a : c : 2b$ . Unter  $P$  noch  $z = a : c : \frac{2}{3}b$ . Zu Clifton bei Bristol liegen Oblongtafeln von  $reb$  gebildet in Quarzgeoden. G. Rose (Kryst. chem. Min. pag. 70) zeigte, daß auch die kleinen diamantglänzenden hyacinthroth durchscheinenden Blättchen (**Göthit**), welche am Brauneisen vom Hüllerterzug und von andern Orten im Siegenschen haften, den blättrigen Bruch  $b$  zur Tafel haben; statt der Säule kommt nur  $a$  vor, dagegen schneidet  $e$  die  $b$  unter  $121^\circ 20'$ , was für  $e/e$  in  $c$   $117^\circ 20'$

gibt,  $x$  gegen  $x$  etwa  $42^{\circ}$ — $43^{\circ}$ . Die meßbaren äußerst seltenen Krystalle stammen von der Eisenzeche bei Elberfeld ohnweit Siegen. Ähnliche Blättchen stecken in den Markröhren des Plateosaurus im obersten Keuper von Heroldsberg bei Nürnberg (Hr. v. Meyer Muschelkalksaurier pag. 158). Hefsenberg maß daran sogar eine neue Fläche  $c : b : \frac{1}{2}a$ .



Nelken- bis schwärzlichbraun, ochergelben Strich. Glanz unvollkommen metallisch, weil dünne Stücke durchscheinen.

Härte 5. Die reinsten Abänderungen sollen bis auf 4,4 Gew. hinaufgehen, gewöhnlich stehen sie aber unter dem 4fachen.

Vor dem Löthrohr schmilzt er an den Ranten mit Funkensprühen in der innern Flamme und wird magnetisch. Im Kolben hinterläßt er rothes Eisenoxyd und gibt Wasser. Schwer löslich in Salzsäure.

Chemisch unterscheidet H. v. Kobell (Journal prakt. Chem. 1. 181 und 219) zweierlei Varietäten:

$\text{Fe H}$  mit 89,7 Fe und 10,3 H. Dahin gehören alle krystallisirten Varietäten und die meisten Asterkrystalle mit 62,7 Ferrum; zum

$\text{Fe}^2 \text{H}^3$  mit 85,3 Fe und 14,7 H gehört der braune Glasstopf mit 59,7 Fe. Wenn man jedoch mit diesen Normen den Wassergehalt verschiedener Analysen vergleicht, so will eine Bestimmtheit der Verbindung nicht immer einleuchten. Der Mangangehalt ist in der Verbindung selbst nicht groß, da sich dasselbe gern selbständig auf dem Erzlager ausscheidet. Brauneisen bildet sich gar leicht an Quellen aus kohlensaurem oder schwefelsaurem Eisenoxydul, die sich durch Aufnahme von Sauerstoff in Dryd verwandeln. Daher ist es in der Natur verbreiteter als irgend ein anderes Erz. Ganze Massen von Spath Eisen und Schwefelkies sind darin verwandelt. Ehrenberg glaubte außerdem, daß häufig die Gallionella ferruginea, welche auf der Freiburger Grube Bescherer-Glück in 1106' Tiefe noch lebend vorkommt, zur Bildung beitrage, wenigstens spielt sie bei Raseisensteinlagern eine nicht zu übersehende Rolle.

Brauneisen von der Formel  $\text{Fe H}$  (Pyrrhosiderit).

1) Nadeleisenerz findet sich in kleinen schwarzbraunen Büscheln in den Kammern des Ammonites macrocephalus, triplicatus u. des braunen Jura. Bei Oberstein sind die sammtförmigen Büschel zum Theil mitten in den Amethyst eingewachsen, ebenso am Finkenhubel bei Glaz, zu Nieder-Planitz bei Zwickau, auf der Wolfsinsel im Onega-See (Onegit). Alle diese krystallinischen Vorkommen (flèches d'amour) sind jedoch nicht meßbar, wie bei Bottallack.

2) Göt hit (Rubinglimmer) bildet durch Vorherrschen des blättrigen Bruchs Tafeln. Leider sind die Krystalle vom Westertalbe, Madabula in Ungarn und Raschau in Sachsen nur klein, sonst würde die prachtvolle hyacinthrothe Durchscheinheit sie den schönsten Mineralen zur Seite stellen.

3) Lepidokrokit (λεπίς Schuppe, κροκίς flockig) derbe Massen von röthlich braunen Schuppen liegen im Innern der braunen Glasstöpsel

und wechseln mit Graumanganerz. Ausgezeichnet bei Neuenbürg auf dem Württembergischen Schwarzwalde, Harz, Westerwald, Bieber in Hessen 2c. Kobell gibt bei dem vom Hollerter Zug auf dem Westerwalde 2,5 Mn an. Theilweis finden sie sich locker und schmelzend. Der Wassergehalt wechselt zwischen 9,5 und 12,7.

4) Sammtblende hat man die Kastanien- bis Nußbraunen Glasköpfe genannt. Nußbraun sind z. B. die Anfänge der Strahlen, worauf die Krystalle von Botallact sitzen. Zu Al. Schmalkalden bei Gotha kommt diese Farbe an Erzen mit ausgezeichnete Glaskopfstructur vor. Zartfaserig, seidenglänzend und von einer Byssusfarbe, wie gewisse fahlfarbige Rutile, in Siebenbürgen mit Amethyst, zu Przibram mit Bleiglanz, Hüttenberg.

Xanthosiderit Schmid (Pogg. Ann. 84. 100) aus den Manganerzen von Ilmenau am Thüringer Walde mit goldig-gelbbrauner Faser und Seidenglanz soll  $\text{Fe} \text{H}^2$  sein.

5) Afterkrystalle. Spath Eisenstein und Schwefelties verwittern gar leicht zu Brauneisenstein, und dieselben sollen dann nach Kobell reines  $\text{Fe} \text{H}$  geben. Unter fer cubique verstand de l'Isle die verwitterten Schwefelties im Quarz der Goldgänge von Beresowal, worin die Analyse 86,9 Fe und 11,1 H gab. Dagegen muß man dann wieder die Afterkrystalle des Schwefelties aus dem Keupermergel von Winden zum  $\text{Fe}^2 \text{H}^3$  setzen, denn Kobell fand darin 85,2 Fe und 13,3 H. Und doch widerstrebt es, diese gleichen Dinge an verschiedenen Punkten aufzuführen. So enthalten die durch Verwitterung schwarz gewordenen Spath Eisensteinrhomboeder von Hüttenberg in Kärnten nach Karsten 77,5 Fe, 2,7 Mn, 14,5 H. Es ist eben alles Brauneisenstein, der mehr nach dem äußern Ansehen, als nach seiner chemischen Constitution festgehalten werden kann. Afterkrystalle von Brauneisen nach Gyps siehe Pogg. Ann. 78. 82.

6) Brauner Glaskopf  $\text{Fe}^2 \text{H}^3$ . Sollte 85,3 Fe und 14,7 H haben, wovon aber auch die meisten Analysen nicht unwesentlich abweichen. Unter den Glasköpfen der häufigste und ausgezeichnetste. Er hat eine zarte dunkel nelfenbraune Faser, deren traubige, nierenförmige, stalactitische 2c. Oberfläche aber meist schwärzer gefärbt ist, als das Innere, was wahrscheinlich von einem etwas reichern Mangangehalt herrührt. Das Metallische verräth sich auch durch ein starkes Buntanlaufen, obgleich das Innere nur von einem schwachen Seidenglanz schimmert. Die feinen Splitter schmelzen unter Funkenprühen in der innern Flamme zu einem magnetischen Korn. Es gibt ein weiches leichtflüssiges Roheisen, was namentlich zur Stabeisenbereitung sehr brauchbar ist. In Württemberg wurde es früher in Gängen des Buntensandsteins bei Neuenbürg auf dem nördlichen Schwarzwalde gewonnen, und als das beste Erz des Landes Stahlerz genannt; die letzten Gruben bei Langenbrandt waren sehr Manganhaltig, was ein vortreffliches Spiegeleisen gab. Ganze Stücke mehrere Tage in Salzsäure gelegt, hinterlassen öfter ein Kiesel skelet, die Kieselerde geht über 4 p. C. hinauf. Unwillkommen ist Phosphorsäure.

Glasfopf bildet stets den letzten Ueberzug auf der matten, porösen, unreinern Erzmutter, und verhält sich daher wie die Krystalle zu ihrer Unterlage auf Gängen. Reich ist das Uebergangsgebirge, wo er häufig in breiten Klüften lagert: bei Grund und Elbingerode auf dem Harze, Schmalkalden und Camsdorf am Thüringer Walde, im Rheinischen Uebergangsgebirge und auf dem Westerwalde. Aus den Pyrenäen und Vassischen Provinzen erwähnte es schon Plinius hist. nat. 34. 43: und heute führt Carthagena 800,000 Tonnen Manganreicher Erze aus, die dort in Zechstein liegen sollen. Aus dem Oberschlesischen Muschelkalk gewinnt man jährlich 8½ Mill. Centner. Da durch Verwitterung alles was Eisen enthält die Neigung zeigt, sich mit Wasser zu verbinden, so muß schon deshalb Eisenoxydhydrat zu den verbreitetsten Eisenerzen gehören. Auf Elba hat sich der Eisenglanz, in Steiermark der Spath-eisenstein darin umgekehrt.

7) Dichter Brauneisenstein. Der gewöhnliche ist matt, mit unvollkommenem splütrigem und unebenem Bruch, und einer Farbe, die stellenweis ins Ochergelbe übergeht. So bildet er in unzähligen Abänderungen die Wurzel der Glasföpfe. Zuweilen kommen auch Stücke vor, die ohne Spur von Faser im Innern doch äußerlich die Glasfopfoberfläche zeigen. Man könnte öfter versucht sein, sie für Asterbildungen von wirklichen Glasföpfen zu halten. Seltener hat die Masse einen opalartigen Glanz und Bruch, Glanzeisenstein, Stilpnosiderit; dieselbe ist spröde, und zeichnet sich auffallend von ihrer Umgebung aus. Einen Theil davon (Amberg) hat man dichten Gölthit genannt, weil er 86,2 Fe und 10,7 H zeigte; der meiste hat jedoch mehr Wasser. Ein kleiner Phosphorsäuregehalt, bis 3 p. C., fällt darin auf, die Ungarischen sind auch von Grüneisenerde durchzogen. Man muß sie daher vorsichtig vom Triplit pag. 579 und andern ihnen sehr ähnlichen phosphorsauren Eisenerzen unterscheiden. Uebrigens wiederholt sich die Bildung im Werner'schen Wiesenerz, wo das sogenannte „muschelige Wiesenerz“ ganz dem Glanzeisenstein gleicht. Hausmann hat diese jüngsten Ablagerungen unter dem Namen Limonit zusammengefaßt, Werner nannte sie

Raseneisensteine (Sumpfeisensteine). Sie sind entschieden oderig, aber in aller Weise verunreinigt. Man schreibt sie  $\text{Fe H}^2$ , was einen Wassergehalt von 18,7 p. C. voraussetzen würde. Werner unterschied schon frühzeitig Wiesenerz, Sumpferz und Morasterz, aber mehr nach ihrer Formation, als nach ihrer Beschaffenheit, die unter Umständen bei allen dreien die gleiche sein kann. „Das Bruchwasser enthält eine Pflanzensäure, welche es aus den niedergefallenen Holzblättern, Wurzeln u. in sich aufnimmt. Dadurch wird das Wasser geschickt, die zerstreuten Eisentheile aus den Steinen, über welche es fließt, über denen es steht, auszulaugen. Es führt dieselben in die niedrigsten Gegenden, wo das Bruchwasser meist stille steht, das Eisenerz häuft sich dort an, und fällt nach und nach nieder. Davon entsteht auf dem Boden der Brüche eine Schicht gelblich braunen Eisenoxyds (Morasterz), die anfangs sehr

schwach ist, aber durch die Länge der Zeit immer stärker, wie auch fester und fester wird, und das Sumpferz ausmacht. Trocknen endlich die Brüche zu Wiesen aus, so erhärtet auch der Eisenstein noch mehr, und wird zu Wiesenerze.“ Daß Verunreinigungen aller Art darin vorkommen, namentlich Sand, kann bei der Art der Ablagerung nicht anders sein. Klaproth Beitr. IV. 125 wies darin sogar 8 p. C. Phosphorsäure nach, was das Stabeisen kaltbrüchig macht, indessen gibt es ein sehr leicht flüssiges zur Gießerei besonders geschicktes Eisen. Linné glaubt daher, daß es wegen seiner leichten Gewinnungsweise das erste Eisenerz gewesen sei, woraus der Mensch versucht habe es darzustellen (*Tophus Tubalcaini*). Die große Nordeuropäische Niederung: Holland, das Münsterland, Pommern, die Niederlausitz, Preußen, Polen, Rußland zc. sind reich an diesem Erzeugniß, 46 Ferrum haltend liefern sie dort das kaltbrüchige Landeisen. Man gewinnt es nicht bloß trocken als Wiesenerz, für dessen schönstes Vorkommen Werner's Geburtsort Wehrau in der Niederlausitz angeführt zu werden pflegt, sondern man schöpft es als flüssigen Morast aus dem Grunde der Brüche, wo es sich dann immer wieder nach 8—10 Jahren in hinlänglicher Menge erzeugt. Nach Ehrenberg nimmt auch die Gallionella ferruginea wesentlichen Antheil daran, ja die Seeerze von Finnland, die ein vorzügliches weißes Eisen liefern, sollen fast ganz daraus bestehen, Berg. Hüttz. 1871. 174. Hermann's Turgit von den Turginskischen Kupfergruben am Ural soll sogar  $\text{Fe}^2 \text{H}^3$  sein, und hat dennoch kaum 3,7 Gew.

Es würde zu weit gehen, wollten wir sorgfältig, etwa wie Hausmann im Handbuche der Mineralogie pag. 354—387, alle die kleinen Abweichungen aufzählen, welche das ockerige Eisenerz eingeht. Nur folgende wenige können wir nicht mit Stillschweigen übergehen:

Gelber Thoneisenstein von ockergelber Farbe ist in den verschiedensten Verhältnissen durch Thon und Sand verunreinigt. Man findet ihn besonders schön in verschiedenen Lagern der Flözgebirge. Häufig zeigt er rundlich ellipsoidische Absonderungen von Nuß- bis Kopfgröße (Eisennieren), die gewöhnlich in großer Menge sich finden (Brauner Jura). Der innere Kern ist stets etwas lockerer, sondert sich auch wohl ganz ab, und dann klappern die Steine. Das sind die im Alterthum so berühmten

Alderssteine, Aetites Plinius 36. 39, magnam famam habent, reperiantur in nidis aquilarum. Ajunt binos inveniri, marem et feminam: „im Bauche haben sie einen harten Stein, oder einen zarten Thon, daß es klappert, wenn man sie schüttelt.“ Noch heute hat die Bildungsweise etwas Auffallendes. Die Dicke der Rinde beträgt nur wenige Linien, und besteht bei denen jüngerer Formationen häufig aus Quarzsand, der durch eingefickertes Brauneisen cementirt wurde. In den schaaligen Bohnerzen der Alp findet man sie stellenweis, der Braunkohlen sand von Briesen unterhalb Aussig in Böhmen liefert besonders schöne Exemplare.



Bohnerz gleicht in ſeiner vollkommenſten Bildung runden Erbsen, die innen aus mehreren concentriſchen Lagen beſtehen, und zwar ſo regelmäßig, daß beim Darauffchlagen ſich immer kleinere Erbsenformen mit glänzender Oberfläcche herauſſchälen, nur der innerſte Kern iſt etwas verworren, und auch dieſer nicht bei allen. Die ſchlechten ſind innen hohl und löſer, wie Adlerſteine, aber wahrſcheinlich auch nur in Folge von Umbildung. Solche regelmäßige Körner wachſen und fließen zwar zu compacten bis Centnerschweren Erzklumpen mit unregelmäßiger Rundung zuſammen, allein man erkennt darin häufig die einzelnen concentriſch ſchaligen Körner wieder, woraus ſie entſtanden. Alles liegt in einem intenſivgeſärbten ockergelben thonigen Lehm, der vor der Benutzung abgeſchlämmt werden muß. Das Ganze erinnert zu lebhaft an Erbsenſteinbildung pag. 502, als daß man ihre Entſtehung anders erklären dürfte, wenn es auch heute da, wo ſie lagern, an Quellen fehlt. Sie finden ſich beſonders ausgezeichnet auf dem Juraſtück in Deutſchland und Frankreich, erfüllen hier entweder ſehr unregelmäßige Spalten, die erſt durch die Waſſer ausgefreſſen ſind, in welchen ſie lagern, oder bilden Lager, die ſich in flachen Vertiefungen nach Art des Lehms ausbreiten. In den Spalten werden ſie gern von ſtrahligem Kalkſpath begleitet. Stellenweis ſind die Erze ſelbſt reiche Fundorte für foſſile Säugethiere. Schon länger iſt in Süd- wie Norddeutſchland ein kleiner Chromgehalt nachgewieſen (Pogg. Ann. 55. 663), ſeltener Vanadium. Daß auch Zink und Titan darin enthalten ſein muß, beweiſen die Hüttenprodukte. Schon Klaproth (Beiträge IV. 125) hat das „Eiſen-Bohnerz“ aus dem Högau analyſirt, was im obern weißen Jura lagert: 53 Fe, 14,5 A, 23 Si, 6,5 Al, 1 Mn. Meiſt bildet die Kieſelerde mit der vorhandenen Thonerde Thon, welcher mechaniſch hineingeführt ſein dürfte. Walchner (Schweigger's Journ. 51. 300) fand im Albinger Stollen, wo der Kugeljaspis pag. 248 lagert, olivengrüne Abänderungen, welche mit Säure gelatiniren; ein Theil der Kieſelerde müßte daher an Baſen gebunden ſein. Sind die Bohnen innen hart und nicht ockerig, ſo liefern ſie 30—36 p. C. eines leicht flüſſigen Eiſens. In Württemberg gewinnt man allein 150,000 Ctr. alljährlich, beſonders in der Umgegend von Rattheim und Tuttlingen. Auch der franzöſiſche Jura, Haute Saone, Berry &c. iſt reich daran. Die Bildung der Bohnerze iſt eine noch viel beſtrittene Frage: Greſſly (Neue Denſchr. allg. Schweizer Geſ. Naturw. 1841. V. Tab. 14. Fig. 8) dachte ſich geradezu Erup-tionskrater; Hr. Deſſner (Württ. Jahreshfte 1859. 207) ſieht es als Aſter-bildungen von Schwefelkies an; am wahrſcheinlichſten ſind es Concre-tionen aus Eiſenſäuerlingen, die heute nicht mehr fließen.

Gelber Eiſenoolith im Braunen Jura beſteht aus kleinen runden concentriſch ſchaaligen Kugeln oder zuſammengedrückten Linſen, in einen mergeligen Kalk eingeprengt. Manche Schichten ſind ſo reich und grobkörnig (Schicht des Ammonites macrocephalus bei Geiſingen an der Donau), daß ſie früher gewaſchen und verſchmolzen wurden. Die Fürſtenbergiſche Schmelzhütte Thiergarten an der Donau, am 5ten Auguſt

1863 nach 192jährigem Bestehen eingestellt, hat viel davon verschmolzen. Kleinkörniger ist Deubant's Berthierine aus dem Braunen Jura von Hayange bei Metz. Die braunen Eisenooolithe liegen in einer grünen chloritischen Grundmasse, wie man sie in den Eisensteinen des Braunen Jura  $\beta$  häufig trifft. Sie bilden den Grundstock der Lothringer Erze. Im Tertiärgebirge (am Kressenberge bei Traunstein in den Bayerischen Alpen) sind die Körner schwärzlichbraun, gehen sogar in's Grün, was von Verunreinigung herrührt. In der Kreideformation der Alpen kommen grünlich schwarze bis grüne Oolithe vor, die mit Säure eine Kieselgallerte geben. Am Berge Chamoison bei St. Maurice im Wallis werden diese auch auf Eisen benutzt (Chamoisit). Die Analyse gab 60,5 Eisenorydul, 17,4 Wasser, 14,6 Si und 7,8 Al.

Brauneisenocker ist der erdige zerreibliche Zustand von intensiv gelber Farbe, aber meist verunreinigt durch Thon. Schließt sich an die Gelberde an, diese brennt sich aber roth, während der ächte Ocker in starkem Feuer noch schwarz wird in Folge des Eisenreichtums.

Beauxit (Berthier, Ann. des mines 1821. VI. 331) von Beaug bei Arles, gern oolitisch von weißer, gelber und brauner Farbe, ein Mittelglied zwischen Diaspor und Brauneisen, ist in neuerer Zeit technisch wichtig geworden. Deville (Ann. Chim. Phys. 1861 LXL 333) schrieb ihn Baugit und zeigte, daß er Kieseldefrei sei, und im Feuer Korund gebe. Sie werden zur Darstellung des Aluminiums (Jahrb. 1871. 333) und besonders des Alauns benutzt. Die reinern Varietäten dienen wegen ihrer Strengflüßigkeit zum Futter von Ziegeln. Die unreinen, welche auf der Grenze zwischen Kreide und Tertiär ganze Lager bilden, enthalten noch Thon, folglich auch verschiedene Mengen von Kieselerde. Ein Wassergehalt ist allen wesentlich. Die eisenreichen von Beaug haben 52 Al, 27,6 Fe, 20,4 H; am Senegal sogar 33,6 Fe. Die lichtern Thonreichen von Wochein (Wocheinit) in Krain haben etwas Kaolinartig Erdiges, die Thonerde geht bis auf 73 p. C., das Eisenoryd auf 2 p. C., bildet Lager zwischen Keuper und Jura. Titan- und Vanadinegehalt bemerkenswerth.

## b) Manganerze.

Ihr Vorkommen ist viel beschränkter, als das der Eisenerze. Doch sollen Geschiebe Amerikanischer Flüsse besonders an Wasserfällen sich mit einer glänzenden Schicht von Braunstein bedecken. Quell- und Humussäure lösen Manganorydul, das sich an der Luft dann oxydirt (Silliman's Amer. Journ. 1852. XIII. 3). Der Hauptsache nach sind sie auf schmale Gänge und Nester beschränkt, welche im rothen Porphyrt und dessen Sandsteinen am liebsten mit Schwerspath aufsetzen. Kleinere Mengen finden sich häufig in Begleitung von Brauneisenstein. In der Lahngegend kommen sie als Manganseifengebirge (Zerrenner, Manganerzbergbaue 1861) in ungeahnter Menge vor. Die Farben aller oxydischen Manganerze sind schwarz.

Glaszopf bildet stets den letzten Ueberzug auf der matten, porösen, unreinern Erzmutter, und verhält sich daher wie die Krystalle zu ihrer Unterlage auf Gängen. Reich ist das Uebergangsgebirge, wo er häufig in breiten Klüften lagert: bei Grund und Elbingerode auf dem Harze, Schmalkalden und Camsdorf am Thüringer Walde, im Rheinischen Uebergangsgebirge und auf dem Westerwalde. Aus den Pyrenäen und Basatischen Provinzen erwähnte es schon Plinius hist. nat. 34. 43: und heute führt Carthagena 800,000 Tonnen Manganreicher Erze aus, die dort in Bächstein liegen sollen. Aus dem Oberschlesischen Muschelkalk gewinnt man jährlich  $8\frac{1}{2}$  Mill. Centner. Da durch Verwitterung alles was Eisen enthält die Neigung zeigt, sich mit Wasser zu verbinden, so muß schon deshalb Eisenoxydhydrat zu den verbreitetsten Eisenerzen gehören. Auf Elba hat sich der Eisenglanz, in Steiermark der Spath-eisenstein darin umgesezt.

7) Dichter Brauneisenstein. Der gewöhnliche ist matt, mit unvollkommenem splittrigem und unebenem Bruch, und einer Farbe, die stellenweis ins Ockergelbe übergeht. So bildet er in unzähligen Abänderungen die Wurzel der Glaszöpfe. Zuweilen kommen auch Stücke vor, die ohne Spur von Faser im Innern doch äußerlich die Glaszopfoberfläche zeigen. Man könnte öfter versucht sein, sie für Aftersbildungen von wirklichen Glaszöpfen zu halten. Seltener hat die Masse einen opalartigen Glanz und Bruch, Glanzeisenstein, Stilpnosiderit; dieselbe ist spröde, und zeichnet sich auffallend von ihrer Umgebung aus. Einen Theil davon (Amberg) hat man dichten Gölthit genannt, weil er 86,2 Fe und 10,7 H zeigte; der meiste hat jedoch mehr Wasser. Ein kleiner Phosphorsäuregehalt, bis 3 p. C., fällt darin auf, die Ungarischen sind auch von Grüneiserde durchzogen. Man muß sie daher vorsichtig vom Triplit pag. 579 und andern ihnen sehr ähnlichen phosphorsauren Eisenerzen unterscheiden. Uebrigens wiederholt sich die Bildung im Werner'schen Wiesenerz, wo das sogenannte „muschelige Wiesenerz“ ganz dem Glanzeisenstein gleicht. Hausmann hat diese jüngsten Ablagerungen unter dem Namen *Vimonit* zusammengefaßt, Werner nannte sie

*Maseneisensteine* (Sumpfeisensteine). Sie sind entschieden ockerig, aber in aller Weise verunreinigt. Man schreibt sie  $\text{Fe H}^2$ , was einen Wassergehalt von 18,7 p. C. voraussetzen würde. Werner unterschied schon frühzeitig Wiesenerz, Sumpferz und Morasterz, aber mehr nach ihrer Formation, als nach ihrer Beschaffenheit, die unter Umständen bei allen dreien die gleiche sein kann. „Das Bruchwasser enthält eine Pflanzensäure, welche es aus den niedergefallenen Holzblättern, Wurzeln u. in sich aufnimmt. Dadurch wird das Wasser geschickt, die zerstreuten Eisentheile aus den Steinen, über welche es fließt, über denen es steht, auszulaugen. Es führt dieselben in die niedrigsten Gegenden, wo das Bruchwasser meist stille steht, das Eisenerz häuft sich dort an, und fällt nach und nach nieder. Davon entsteht auf dem Boden der Brüche eine Schicht gelblich braunen Eisenoxyds (Morasterz), die anfangs sehr

schwach ist, aber durch die Länge der Zeit immer stärker, wie auch fester und fester wird, und das Sumpferz ausmacht. Trocknen endlich die Brüche zu Wiesen aus, so erhärtet auch der Eisenstein noch mehr, und wird zu Wiesenerze.“ Daß Verunreinigungen aller Art darin vorkommen, namentlich Sand, kann bei der Art der Ablagerung nicht anders sein. Klaproth Beitr. IV. 123 wies darin sogar 8 p. C. Phosphorsäure nach, was das Stabeisen kaltbrüchig macht, indessen gibt es ein sehr leicht flüssiges zur Gießerei besonders geschicktes Eisen. Linné glaubt daher, daß es wegen seiner leichten Gewinnungsweise das erste Eisenerz gewesen sei, woraus der Mensch versucht habe es darzustellen (*Tophus Tubalcaini*). Die große Nordeuropäische Niederung: Holland, das Münsterland, Pommern, die Niederlausitz, Preußen, Polen, Rußland zc. sind reich an diesem Erzeugniß, 46 Ferrum haltend liefern sie dort das kaltbrüchige Landeisen. Man gewinnt es nicht bloß trocken als Wiesenerz, für dessen schönstes Vorkommen Werner's Geburtsort Wehrau in der Niederlausitz angeführt zu werden pflegt, sondern man schöpft es als flüssigen Morast aus dem Grunde der Brüche, wo es sich dann immer wieder nach 8—10 Jahren in hinlänglicher Menge erzeugt. Nach Ehrenberg nimmt auch die *Gallionella ferruginea* wesentlichen Antheil daran, ja die Seeerze von Finnland, die ein vorzügliches weißes Eisen liefern, sollen fast ganz daraus bestehen, Berg. Hüttz. 1871. 174. Hermann's Turgit von den Turginskischen Kupfergruben am Ural soll sogar  $\text{Fe}^2 \text{H}^3$  sein, und hat dennoch kaum 3,7 Gew.

Es würde zu weit gehen, wollten wir sorgfältig, etwa wie Hausmann im Handbuche der Mineralogie pag. 354—387, alle die kleinen Abweichungen aufzählen, welche das ockerige Eisenerz eingeht. Nur folgende wenige können wir nicht mit Stillschweigen übergehen:

Gelber Thoneisenstein von ockergelber Farbe ist in den verschiedensten Verhältnissen durch Thon und Sand verunreinigt. Man findet ihn besonders schön in verschiedenen Lagern der Flözgebirge. Häufig zeigt er rundlich ellipsoidische Absonderungen von Nuß- bis Kopfgröße (Eisennieren), die gewöhnlich in großer Menge sich finden (Brauner Jura). Der innere Kern ist stets etwas lockerer, sondert sich auch wohl ganz ab, und dann klappern die Steine. Das sind die im Alterthum so berühmten

Adlersteine, Aetites Plinius 36. 39, magnam famam habent, reperiuntur in nidis aquilarum. Ajunt binos inveniri, marem et feminam: „im Bauche haben sie einen harten Stein, oder einen zarten Thon, daß es klappert, wenn man sie schüttelt.“ Noch heute hat die Bildungsweise etwas Auffallendes. Die Dicke der Rinde beträgt nur wenige Linien, und besteht bei denen jüngerer Formationen häufig aus Quarzsand, der durch eingefickertes Brauneisen cementirt wurde. In den schaaligen Bohnerzen der Alp findet man sie stellenweis, der Braunkohlenland von Briesen unterhalb Aussig in Böhmen liefert besonders schöne Exemplare.

Böhnerz gleicht in seiner vollkommensten Bildung runden Erbsen, die innen aus mehreren concentrischen Lagen bestehen, und zwar so regelmäßig, daß beim Darausschlagen sich immer kleinere Erbsenformen mit glänzender Oberfläche herausschälen, nur der innerste Kern ist etwas verworren, und auch dieser nicht bei allen. Die schlechten sind innen hohl und locker, wie Adlersteine, aber wahrscheinlich auch nur in Folge von Umbildung. Solche regelmäßige Körner wachsen und fließen zwar zu compacten bis Centnerschweren Erzklumpen mit unregelmäßiger Rundung zusammen, allein man erkennt darin häufig die einzelnen concentrisch schaligen Körner wieder, woraus sie entstanden. Alles liegt in einem intensivgefärbten ockergelben thonigen Lehm, der vor der Benutzung abgescblämnt werden muß. Das Ganze erinnert zu lebhaft an Erbsensteinbildung pag. 502, als daß man ihre Entstehung anders erklären dürfte, wenn es auch heute da, wo sie lagern, an Quellen fehlt. Sie finden sich besonders ausgezeichnet auf dem Jurafall in Deutschland und Frankreich, erfüllen hier entweder sehr unregelmäßige Spalten, die erst durch die Wasser ausgefressen sind, in welchen sie lagern, oder bilden Lager, die sich in flachen Vertiefungen nach Art des Lehms ausbreiten. In den Spalten werden sie gern von strahligem Kalkspath begleitet. Stellenweis sind die Erze selbst reiche Fundorte für fossile Säugethiere. Schon länger ist in Süd- wie Norddeutschland ein kleiner Chromgehalt nachgewiesen (Vogg. Ann. 55. 683), seltener Vanadium. Daß auch Zink und Titan darin enthalten sein muß, beweisen die Hüttenprodukte. Schon Klaproth (Beiträge IV. 133) hat das „Eisen-Böhnerz“ aus dem Hügau analysirt, was im obern weißen Jura lagert: 53 Fe, 14,5 H, 23 Si, 6,5 Al, 1 Mn. Meist bildet die Kieselserde mit der vorhandenen Thonerde Thon, welcher mechanisch hineingeführt sein dürfte. Walchner (Schweigger's Journ. 51. 200) fand im Aldinger Stollen, wo der Kugelsapiss pag. 248 lagert, olivengrüne Abänderungen, welche mit Säure gelatiniren; ein Theil der Kieselserde müßte daher an Basen gebunden sein. Sind die Bohnen innen hart und nicht ockerig, so liefern sie 30—36 p. C. eines leicht flüssigen Eisens. In Württemberg gewinnt man allein 150,000 Ctr. alljährlich, besonders in der Umgegend von Rattheim und Tuttlingen. Auch der französische Jura, Haute Saone, Berry u. ist reich daran. Die Bildung der Böhnerze ist eine noch viel bestrittene Frage: Greßly (Neue Deutschl. allg. Schweizer Ges. Naturw. 1841. V. Tab. 14. Fig. 8) dachte sich geradezu Eruptionstrater; Hr. Deffner (Württ. Jahreshfte 1859. 207) sieht es als Asterbildungen von Schwefelkies an; am wahrscheinlichsten sind es Concretionen aus Eisenäuerlingen, die heute nicht mehr fließen.

Gelber Eisenoolith im Braunen Jura besteht aus kleinen runden concentrisch schaaligen Kugeln oder zusammengedrückten Linsen, in einen mergeligen Kalk eingesprengt. Manche Schichten sind so reich und grobkörnig (Schicht des Ammonites macrocephalus bei Geislingen an der Donau), daß sie früher gewaschen und verschmolzen wurden. Die Fürstenbergische Schmelzhütte Thiergarten an der Donau, am 5ten August

1863 nach 192jährigem Bestehen eingestellt, hat viel davon verschmolzen. Kleinkörniger ist Deudant's Berthierine aus dem Braunen Jura von Sahange bei Metz. Die braunen Eisenoolithe liegen in einer grünen chloritischen Grundmasse, wie man sie in den Eisensteinen des Braunen Jura  $\beta$  häufig trifft. Sie bilden den Grundstock der Lothringer Erze. Im Tertiärgebirge (am Kressenberge bei Traunstein in den Bayerischen Alpen) sind die Körner schwärzlichbraun, gehen sogar in's Grün, was von Verunreinigung herrührt. In der Kreideformation der Alpen kommen grünlich schwarze bis grüne Oolithe vor, die mit Säure eine Kieselgallerte geben. Am Berge Chamoison bei St. Maurice im Wallis werden diese auch auf Eisen benutzt (Chamoisit). Die Analyse gab 60,5 Eisenorydul, 17,4 Wasser, 14,6 Si und 7,8 Al.

Brauneisenoder ist der erdige zerreibliche Zustand von intensiv gelber Farbe, aber meist verunreinigt durch Thon. Schließt sich an die Gelberde an, diese brennt sich aber roth, während der ächte Oder in starkem Feuer noch schwarz wird in Folge des Eisenreichtums.

**Beaugit** (Berthier, Ann. des mines 1821. VI. 331) von Beaug bei Arles, gern oolitisch von weißer, gelber und brauner Farbe, ein Mittelthing zwischen Diaspor und Brauneisen, ist in neuerer Zeit technisch wichtig geworden. Deville (Ann. Chim. Phys. 1861 LXXI. 333) schrieb ihn Baugit und zeigte, daß er Kieseldefrei sei, und im Feuer Korund gebe. Sie werden zur Darstellung des Aluminiums (Jahrb. 1871. 210) und besonders des Alauns benutzt. Die reinern Varietäten dienen wegen ihrer Strengflüßigkeit zum Futter von Ziegeln. Die unreinen, welche auf der Grenze zwischen Kreide und Tertiär ganze Lager bilden, enthalten noch Thon, folglich auch verschiedene Mengen von Kiesel Erde. Ein Wassergehalt ist allen wesentlich. Die eisenreichen von Beaug haben 52 Al, 27,6 Fe, 20,4 H; am Senegal sogar 33,6 Fe. Die lichten Thonreichen von Wochein (Wocheinit) in Krain haben etwas Kaolinartig Erdiges, die Thonerde geht bis auf 73 p. C., das Eisenoryd auf 2 p. C., bildet Lager zwischen Keuper und Jura. Titan- und Vanadinegehalt bemerkenswerth.

## b) Manganerze.

Ihr Vorkommen ist viel beschränkter, als das der Eisenerze. Doch sollen Geschiebe Amerikanischer Flüsse besonders an Wasserfällen sich mit einer glänzenden Schicht von Braunstein bedecken. Quell- und Humus-säure lösen Manganorydul, das sich an der Luft dann oxydirt (Silliman's Amer. Journ. 1852. XIII. 5). Der Hauptsache nach sind sie auf schmale Gänge und Nester beschränkt, welche im rothen Porphyr und dessen Sandsteinen am liebsten mit Schwespath aufsetzen. Kleinere Mengen finden sich häufig in Begleitung von Brauneisenstein. In der Lahngegend kommen sie als Manganseifengebirge (Zerrenner, Manganerzbergbau 1861) in ungeahnter Menge vor. Die Farben aller oxydischen Manganerze sind schwarz.

Wenn die verschiedenen Oxydationsstufen lange den Einflüssen der Luft ausgesetzt sind, so gehen sie in schmutzendes Manganhyperoxyd (Mn) über, daher das Unbestimmte im Sauerstoffgehalt. Sie sind unschmelzbar, und die höhern Oxydationsstufen lösen sich unter Entwicklung von Chlor in Salzsäure. Im Oxydationsfeuer bekommt man ein schönes amethystblaues Glas, das in der Reductionsflamme farblos geblasen werden kann, besonders wenn man nur wenig Manganerz im Phosphorsalz schmilzt. Spuren entdeckt man mit Soda in der äußern Flamme: es entsteht Manganjaures Natron, das grünlich aussieht. Nach Simmler färbt Chlormangan die Flamme grün (Pogg. Ann. 115. 488). Scheele entdeckte darin gleichzeitig mit Priestley durch Erhitzen den Sauerstoff.

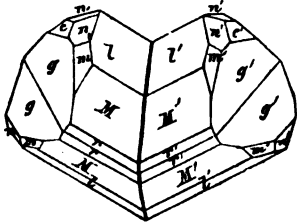
Der alte bergmännische Name für alle ist Braunstein, wahrscheinlich weil sie in der Töpferei eine braune Glasur geben. „Rein Fossil hat die Caprice der Mineralogen so empfunden als eben der Braunstein“ sagte Werner bei Cronstedt 249: Die einen hielten es für Stein, die andern für Erz. *Magnesia nigra* ist der alte chemische Name, was wahrscheinlich mit den Zaubersteinen des Magnets pag. 746 zusammenhängt, und schon Plinius hist. nat. 36. 88 scheint die Anwendung zum Entfärben des Glases zu kennen, wenn er sagt, daß der schlaue Scharfsinn bald nicht zufrieden war, nitrum zum Glasatz zu mischen, sondern *coeptus addi et magnes lapis*. Auch das von *manganizo* (reinigen) abgeleitete Wort deutet darauf. Die Glasmacher des 16ten Jahrhunderts nennen ihn *Mandagesum*, Mercati sagt schon *Manganesa*. Das Mangametall (Brunner Pogg. Ann. 101. 304), anfangs *Manganesium* genannt kam erst 1808 durch Klaproth in dem verkürzten Wort Mangan in Aufnahme, es gleicht hellem Gußeisen, ist sehr politurfähig, spröde, und schneidet Glas und Stahl mit Leichtigkeit. Gibt mit Kupfer dem Neusilber ähnliche Legirungen. Braunsteinhaltige Eisenerze dienen besonders zur Stahlfabrikation, sie geben eine leichtflüssige Schlacke, welche die Eisentheichen umhüllt, und die Ausscheidung der Kohle hindert, was die Bildung von reichgefohten Spiegeleisen zur Folge hat.

### 1. Braunnangan Mn H.

Nach seinem braunen Strich genannt. Dem Brauneisen Fe H genau entsprechend, wornach der Name leicht behalten wird. Werner vermischte die Sache noch, aber nannte dieses vorzugsweis blättrigen grauen Braunstein. Noch unsicherer ist zwar Haüy IV. 322, doch begriff er die Säulen von 100° mit unter seinem *Manganèse oxydé*. Erst Haüdinge (Pogg. Ann. 7. 325 und 14. 199) unterschied es schärfer unter dem neuen Namen *Manganit*. Es ist nicht nur das gewöhnlichste, sondern auch das schönste unter den Manganerzen. Nimmt aber leicht Sauerstoff auf, und verliert dadurch an Glanz.

2gliedrig und isomorph mit Brauneisen, aber Krystalle schöner und immer vorhanden, wo es auftritt. Die Säule M = a : b : ∞

99° 40' in der vordern Kante, gewöhnlich durch Längsstreifen entsteht. Ihr blättriger Bruch tritt mehr oder weniger deutlich hervor. Dagegen stumpft ein leicht darstellbarer Blätterbruch  $b : \infty a : \infty c$  die scharfe Säulenkaute ab, also genau wie beim Brauneisen. Am Ende herrscht die Geradenfläche  $o = c : \infty a : \infty b$  mit Streifungen parallel der Aze  $b$  vor, was zu einem Paare  $d = a : c : \infty b$  mit 114° 10' in  $c$  führt, woraus

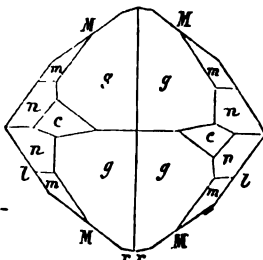


$$a : b = 1,5489 : 1,8354 = \sqrt{2,4} : \sqrt{3,369};$$

$$lga = 0,19011, lgb = 0,26373.$$

Auch ein drittes zugehöriges Paar  $e = b : c : \infty a$  mit 122° 50' in Aze  $c$  kommt sehr bestimmt vor, nach ihm richten sich die so häufigen Zwillinge, welche dieses  $e$  gemein haben und umgekehrt liegen, sich daher unter 122° 50' mit den Säulenstreifen schneiden. Deister meint man zwar wegen der vielen unbestimmten Säulenflächen, das Paar sei nicht gerade auf die scharfe Säulenkaute aufgesetzt, aber wenn man vorsichtig den Blätterbruch  $b$  darstellt, so fällt er genau in die Kante  $e/e$ , also kann es nur ein Paar aus der Zone der Aze  $a$  sein.

In der Säulenzone findet sich öfter  $s = a : \frac{3}{2}b : \infty c$  mit 76° 37' vorn, und so stark ausgedehnt, daß man leicht Aze  $a$  für  $b$  nehmen kann, allein die Streifung auf der Geradenfläche parallel der Aze  $b$  und der blättrige Bruch  $b : \infty a : \infty c$  leiten. Denn nach Haidinger soll zwar die Abstumpfungsfläche der stumpfen Säulenkaute  $a : \infty b : \infty c$  auch etwas blättrig sein, aber jedenfalls undeutlich;  $r = a : 2b : \infty c$  die stumpfe Säulenkaute und  $l = a : \frac{1}{2}b : \infty c$  die scharfe zuschärfend machen die Erkennung der Säulenflächen unsicher. Als Endigung findet sich in der



Diagonalzone von  $d = a : c : \infty b$  häufig ein sehr stumpfantesiges Oктаeder  $g = a : c : 3b$  mit 162° 39' in der vordern Endkaute, durch sein oscillatorisches Auftreten erzeugt es starke Streifen auf  $d$ . Daneben in der Ecke liegt in der gleichen Diagonalzone  $n = a : c : \frac{1}{2}b$ , wie man leicht aus dem stumpfen Winkel sieht, den sie auf  $M$  mit der scharfen Säulenkaute macht. Das sogenannte Grundoktaeder  $P = a : b : c$  kommt

fast nicht vor, in günstigen Fällen als eine feine Abstumpfung der Kante  $g/n$ . Dagegen tritt  $m = \frac{1}{2}a : \frac{1}{2}b : c$  mit der seitlichen Endkaute von  $n/n$  und der Seitenkaute von  $P/P$  in eine Zone fallend recht bestimmt wenn auch klein auf. Am interessantesten jedoch ist eine hemiedrische Fläche  $c = \frac{2}{3}a : \frac{2}{3}b : c$ , die mit der horizontalen Kante  $l/n$  in eine Zone fällt. Ihre Lage in den abwechselnden Quadranten ergibt wie beim Bittersalz pag. 641 ein zweigliedriges Tetraid. Haidinger bildet sogar Zwillinge ab, worin beide Individuen sämtliche Flächen gemein haben, nur in Beziehung auf die Tetraidflächen  $c$  liegen sie dergestalt umgekehrt, daß



die 6 Flächen sich zu einem vollständigen Oktaeder ergänzen. Alle diese schönen Krystalle finden sich zu Izhfeld am Harz, wo sie mit Schwesphat Gänge im Porphyrgebirge bilden.

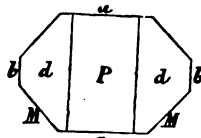
Eisenschwarz, je veränderter desto stahlgrauer. Rötlich brauner Strich. Stärkster Metallglanz unter den Manganerzen. Härte 4, Gewicht 4,3. Manganoxydhydrat mit 89,8 Mn und 10,2 H. Unschmelzbar, gibt aber 3 p. C. Sauerstoff ab, indem es sich in rothes Oxyd (Mn Mn) verwandelt. Izhfeld, Ilmenau, Neufkirchen im Elsaß, Neuenburg auf dem Württembergischen Schwarzwalde, Graham bei Aberdeen u. Verwandelt sich leicht durch Aufnahme von Sauerstoff in

## 2. Graumangan Mn.

Nach seinem schwarzgrauen Strich genannt, vorzugsweis unter Werner's strahligem grauem Brauneisen begriffen, Hausmann's Weichbrauneisen, das abfärbt. Von den Franzosen Savon de verriers (de l'3ste Crispall. III. 88) genannt, weil es wegen seines Sauerstoffreichthums besonders sich eignet, das Glas von der durch kohlige Substanzen oder Eisenoxydul erzeugten braunen oder grünen Farbe zu befreien. Deshalb Pyrolujit (πύρ Feuer, λούω wasche, Haidinger, Pogg. Ann. 14. 204). Varietstein der Ungarn, dessen Sauerstoff die Hitze des Ofens vermehrt, die Eisenmasse flüssiger macht (der „Ofen lagirt“).

Asterkrystalle nach Braunmangan häufig, ächte Krystalle finden sich meist mit Brauneisenstein zusammen in kurzen Säulen, deren Winkel sich aber nicht scharf bestimmen lassen. Die ersten maß Haidinger aus dem Brauneisen von Eiserfeld bei Siegen, sie finden sich ferner schön bei Hirschberg in Westphalen, im Brauneisen von Bülden bei Peine in Hannover, Platten in Böhmen, besonders aber zu Schimmel und Osterfreude bei St. Georgenstadt im Erzgebirge. Die annähernden Winkel betragen in der Säule  $M = a : b : \infty c \ 93^\circ 40' (92^\circ 52' \text{ Breithaupt})$ , deren stumpfe Kante durch  $a = a : \infty b : \infty c$  und deren scharfe durch  $b = b : \infty a : \infty c$  gerade abgestumpft wird, alle vier etwas blättrig aber stark faserig. Außer der Geradenfläche  $P = c : \infty a : \infty b$  findet sich auf die scharfe Kante aufgesetzt ein Paar  $d = b : c : \infty a \ 140^\circ$  in c, was man zwar durch eine Annahme von  $2b : c : \infty a$  auch dem Braunmangan annähern könnte, doch scheint es eine besondere Krystallisation zu sein. Das dürfte auch aus der Eigenthümlichkeit der Blätterung und Verschiedenheit der Farbe hervorgehen, mit welcher sie sich z. B. bei Elgersburg an ein und demselben Handstücke von dem in Graumangan verwandelten Braunmangan unterscheiden. Breithaupt hielt diese unter den Superoxyden allein für frisch, und nannte sie Verwechslungen zu verhüten Polianit (πολιός grau).

Eisenschwarz, aber lichter grau als Braunmangan, und mit geringerem Glanz. Graulich schwarzer Strich. Härte 2, stark abfärbend, Gew. 4,9.



Manganhyperoxyd, unsmelzbar, verwandelt sich in der Hitze in  $Mn Mn$ , und gibt dabei 12 p. C. Sauerstoff ab. Ein geringer Wassergehalt 1—2 p. C. rührt wahrscheinlich vom Braunnanganerz her.

Die langstrahligen bis feinfasrigen Abänderungen, wie man sie z. B. zu Dehrenstock und Elgersburg bei Ilmenau, Friedrichroda, Reinsweide etc. am Thüringer Wald findet, sind ohne Zweifel verändertes Braunnangan, nicht selten haben auch dicke Krystalle innen noch einen braunen, dagegen außen schon einen grauen Strich. Solches strahlige Erz scheidet sich in kleinen Mengen auch im Brauneisenstein (Neuenbürg, Siegen) oder verwitterten Spatheisen (Hüttenberg) aus. Besonders interessant ist das Vorkommen in Centralfrankreich (Dufrenoy *Traité Miner.* II. 418), wo Gesteine mit Pyrolusit und Psilomelan einen Gürtel um das krystallinische Urgebirge machen, die Jurafornation lagert sich an, und beide werden durch einen Sandstein (Arkose) getrennt. Die Manganerze schweifen nur nesterweis begleitet von Schwerspath auf der Grenze herum, bald aus dem Urgebirge durch die Arkose ins Flözgebirge und umgekehrt tretend. Wie der Schwerspath, so kann auch das Manganerz erst später eingebrungen sein. In den Eisengruben von Beauregard (Dep. Yonne) sind die Liasmuscheln, besonders die dickschaligen Thalassiten, in Eisenglanz verwandelt, der von Manganerz begleitet wird. Die Grube von Romandé bei Maçon ist ein Tagebau im Porphyr, der 60' tief auf 2 Gängen von 3—4 Meter Dicke mitten im Ort hinabgetrieben wird, und darauf lagert sich dann der untere Lias. Zu St. Christoph (Cher. Dep.) ist die Arkose förmlich mit Manganerz geschwängert. Zu St. Martin de Fressengas bei Thiviers kommt das Erz in Knoten und kleinen Gängen im untern Dolith bis in den Gneis hinab vor. Delanoue glaubte daher, daß das Mangan in der Dolithenformation abgelagert, und dann erst durch Lösung und Schwemmung den tiefern Schichten zugeführt wurde. Das Manganerz von Montbron (Dordogne) auf Lias enthält etwas Kobalt, den man mit Nutzen herausziehen kann. Spanien trat bei Huelva Westsüdwest Sevilla plötzlich mit 500,000 Etr. auf den Europäischen Markt und zwar mit dem besten Pyrolusit und Psilomelan, im Lager scharf vom rothen Eisentiesel getrennt, wahrscheinlich weil Kieselsäure mindere Verwandtschaft zum Mangan als zum Eisen hat. Das machte den Lahnerzen in Hessendarmstadt und Nassau, wo man jährlich 550,000 Etr. à 1 Thaler gewann, die sogar 1857 einmal auf 670,000 Etr. stiegen, jetzt auf 241,000 Etr. gesunken sind, empfindliche Konkurrenz. Diese Erze liegen 10'—40' mächtig unter Thon ganz an der Oberfläche des kalkigen und kiesigen Uebergangsgebirges, und bestehen aus Mulm, Wasch- und Stückerz, was mit Dampfmaschinen aufbereitet wird. Graumangan ist das gewöhnlichste und technisch wichtigste, gerade weil es so leicht durch Oxydation entsteht. Phillips

Warvicit von Warwickshire, später auch von Ihlesfeld und Leyssa in Hessen erinnert durch seine kurzstrahlige Blättrigkeit zwar an das krystallinische Graumangan, allein nach der Analyse will man  $Mn + Mn H$  an-

nehmen, und nach Breithaupt (Pogg. Ann. 61. 187) soll es entschieden nur verändertes Braunmangan sein. Die sehr deutlichen Austerkrystalle von Dehrensstock in Dreikantnern von Kalkspath sind durch mechanische Erfüllung von strahligem Braunmangan entstanden, das sich dann später in Graumangan verwandelte (Epochen der Natur pag. 110).

### 3. Hartmangan Mn.

Brachytypes Manganerz Mohs (Pogg. Ann. 7. 224), Braunit Häidinger (Pogg. Ann. 14. 222). In großer Menge zu Dehrensstock bei Ilmenau im Porphyr brechend. Kleine viergliedrige Oktaeder, die man aber von regulären im Ansehen nicht unterscheiden kann, Endkanten  $109^{\circ} 53'$  und Seitenkanten  $108^{\circ} 39'$ , also nur wenig stumpfer als das reguläre Oktaeder. Die Flächen meist gekrümmt und etwas blättrig.

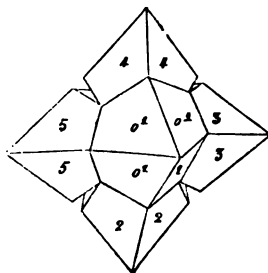
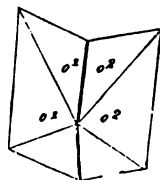
Schwarz und viel dunkler als die genannten. Das Pulver ein Stich ins Roth. Unvollkommener Metallglanz. Härte 6—7, daher unter allen Manganerzen das härteste, Gew. 4,8.

Unschmelzbar besteht aus Manganoryd Mn, durch 2,6 Baryterde verunreinigt. Es fällt bei dieser Zusammensetzung allerdings auf, daß es nicht mit Eisenglanz isomorph ist, da Mangan das Eisen doch so häufig vertritt, Hermann will es daher als Mn Mn betrachtet wissen, was man in neuern Zeiten zu den Formeln (Mn, Ba) Mn oder gar (Mn, Ba) (Mn, Si) erweitert hat, worin Baryterde das Manganorydul, und Kieselersbe, die sich mit concentrirter Salzsäure gelatinös ausscheidet, Mangansuperoryd vertreten würde. Auch an die Gruppierung  $3\text{Mn} + \text{Mg Si}$  hat man gedacht. Thlefeld, Leimbach, St. Marcel (Marcelin).

### 4. Scharfmangan Mn Mn.

Schwarzer Braunstein Werner's, die scharfe Form des Oktaeders schon von Haüy (Traité IV. 222) erkannt, daher von Mohs pyramidales Manganerz genannt, Häidinger schlug den Namen Hausmannit vor, Hausmann selbst nannte es aber Glanzbraunstein.

Viergliedrige Oktaeder  $105^{\circ} 25'$  in den Endkanten und  $117^{\circ} 54'$  in den Seitenkanten, gibt  $a = \sqrt{0,7249}$ . Quer gegen die Hauptaxe, also parallel einer Geradenfläche  $c : \infty a : \infty a$ , deutlich blättrig. Auch das nächste stumpfere Oktaeder  $a : c : \infty a$  und ein dreifach stumpferes  $a : a : \frac{1}{2}c$  kommt untergeordnet vor. Häufig und höchst ausgezeichnet sind Zwillinge, welche die Fläche des nächsten stumpferen Oktaeders gemein haben und umgekehrt liegen. Man darf das Oktaeder nur in einer 2 + 1gliedrigen Säulenstellung nehmen, parallel dieser stumpfen Säulenkante von  $117^{\circ} 54'$  in der Mitte durch-



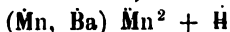
fägen, und die beiden Hälften um  $180^\circ$  gegeneinander verdrehen, so kommt ein Schwalbenschwanzzwilling ähnlich dem Gyps, nur daß die scharfe Säulenkante  $0\frac{1}{10}^\circ$  nicht abgestumpft ist, wohl aber sind die sämtlichen Flächen dieser Säule in beiden gemein, während die Augitpaare  $1\frac{1}{2}$  unter  $165^\circ 38'$  und ihre Mediankante oben unter  $161^\circ 38'$  einspringen. Eine förmliche  $2 + 1$ gliedrige Ordnung. Gewöhnlich sind es Zünflinge, indem um ein mittleres Hauptindividuum (1) sich 4 Nebenindividuen lagern (2—5). Sie erscheinen wie ein Oktaeder mit eingeknickten Kanten von  $161^\circ 38'$ , und dreimal eingeknickten Flächen, wovon zwei an der Zwillingsgrenze ( $1/2, 1/3, 1/4, 1/5$ )  $165^\circ 32'$  betragen, während die Nebenindividuen 2—5 untereinander sich nicht berühren, sondern in der geknickten Oktaederfläche ( $2/3, 3/4, 4/5, 5/2$ ) einen Winkel von  $22\frac{1}{4}^\circ$  offen lassen, der sich aber mit Masse ausfüllt. Die ganze nicht gezeichnete Unterseite geht respective den Flächen von 1 parallel, da je zwei Flächen der Nebenindividuen mit einer des Hauptindividuums parallel gehen müssen, vermöge des Zwillingsgesetzes.

Bleichschwarz mit röthlich braunem Strich und unvollkommenem Metallglanz. Härte 5, Gew. 4,8, ist also etwas leichter als Hartmangan, obgleich es weniger Sauerstoff hält. Manganorydorydul von der Zusammensetzung des Magneteisens, aber doch damit nicht isomorph, deßhalb wollte es Hermann als  $M^2 Mn$  ansehen. Itzenau und Thlefeld. Bei Pajsberg in Schweden bildet es theils rein, theils mit Magneteisen und Eisenglanz vermischte ganze Lager im Dolomit, von Schnüren gediegenen Bleis durchzogen pag. 728. Daubrée hat es künstlich aus Manganchlorür mit Wasserdampf in der Rothglühhitze dargestellt.

### 5. Schwarzer Glaslopf.

Schwarzeisenstein Werner, untheilbares Manganerz Mohs, Psilomelan Haidinger ( $\psi\lambda\acute{o}s$  fahl,  $\mu\epsilon\lambda\acute{o}s$  schwarz). Ein Manganglaslopf mit traubiger und nierenförmiger Oberfläche, aber innen nicht faserig, sondern mit Spaltbruch. Der Strich hat etwas Glanz. Bläulichschwarze Farbe, Härte 5—6, Gew. 4.

Unschmelzbar. Es scheint keine bestimmte chemische Verbindung zu sein, was den dichten Zustand erklärlich macht. Nimmt man das Mangan als rothes Oxyd ( $Mn Mn$ ), so bleibt noch ein Ueberschuß an Sauerstoff. Turner (Pogg. Ann. 14. 222) analysirte den von Schneeberg und Romanèche und fand 69,8 rothes Oxyd, 7,3 Sauerstoff, 16,4 Baryterde, 6,2 H, Rammelsberg (Pogg. Ann. 54. 356) möchte daraus die Formel



construiren. Auffallender Weise fand Fuchs in einem vom Fichtelgebirge keine Baryterde, sondern 4,5 Kali, was nach dem Glühen mit Wasser herausgezogen werden kann. Der von Forhausen im Siegenischen hat 3 K. Kali- und Barytphilomelane lassen sich durch Spectralanalyse unterscheiden. Sogar an Natron- und Lithionphilomelanen (Lithiophorit) fehlt es nicht, Jahrb. 1873. 108.

Er gehört zu den verbreitetsten Manganerzen, namentlich gern mit Brauneisenstein, wie zu Neuenbürg im Schwarzwalde, und auf der Grube Löh bei der Rothen Mühle südlich Olpe in Westphalen. List (Pogg. Ann. 110. 331) fand im letztern neben Kali, Kalk, Kupfer, Kobalt  $Mn^2$   $Mn^3$  H, sogar Nickel ist eine nicht ungewöhnliche Beimischung. Die Schneeberger zeichnen sich durch besondere Schönheit und Tiefe der Einschnitte aus. Durch Verwitterung überziehen sie sich mit einer nelfenbraunen Schicht, die man unter dem Namen

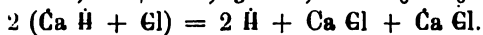
Wad begreift. Die ganz verwitterten Stücke sind färbend, aber schwimmend leicht. Turner wies in mehreren etwas Baryterde nach, was auf den Ursprung von schwarzem Glaskopf deutet, auch zeigen derbe Stücke noch die Glaskopfstructur. Er besteht im wesentlichen aus  $Mn$  H, wie Berthier's stänglich abgesonderter Grorosit von Groroi (Dep. Mayenne). Die Flecke des Tigersandstein im Quader, Keuper und Buntensandstein gehören dazu.

Manganschaum hat mehr Glanz und mehr Roth, er überzieht den Brauneisenstein (daher auch Brauneisenrahm genannt). Schwarzes erdiges Manganerz findet man gar häufig in Eisengruben, in den Bohnerzen, als Zersetzungprodukt salinischer Eisenerze zc. Naß sind sie schmierig. Man vergleiche hier auch schwarzen Erbkobalt und Kupfermanganerz. Crednerit von Friedrichsrode  $Cu^2$   $Mn^2$  (Pogg. Ann. 74. 331) kommt zwischen schwarzem Glaskopf in körnigen Partien vor mit blättriger schiefer rhombischer Säule. Härte 4, Gew. 5.

Vorstehende Manganerze gelangen entweder als reine Erzstufen oder auf Mühlen zu Pulver gestoßen als Braunstein in den Handel. Ihr Werth hängt lediglich von dem Sauerstoffgehalt ab. Doch sollen die besten Braunsteinforten nur 89—92 p. C. Mn enthalten. Der Str. kostet etwa 1 Rthlr. Sie dienen zur

1) Darstellung des unreinen Sauerstoffs. Man glüht sie, das reine Superoxyd gibt dann ein Drittel seines Sauerstoffs ab, also  $Mn^6 + O^{12}$  zerfallen in  $O^4$  und  $Mn^6 + O^8 = 2 (Mn^3 + O^4) = 2 Mn Mn$  (rothes Oxyd). Daraus folgt, daß Scharfmangan gar keinen Sauerstoff, Hart- und Braunmangan dagegen  $\frac{1}{3}$  abgeben.

2) Darstellung des Chlors. Man mischt in Fabriken 2 Na Cl + 2 S H + Mn, es bildet sich dann 2 Na S + 2 Cl H; letztere Salzsäure zersetzt das Mangansuperoxyd, es wird von 2 H + Mn Cl + Cl das eine Atom Chlor frei. Dasselbe leitet man allmählig über Kalkhydrat, um den für die Bleicherei so wichtigen Chlorkalk zu erzeugen:



Bei dem Massenverbrauch ist es jetzt der Industrie gelungen, aus Oxydulsalzen mittelst Einpressung von Luft Superoxyde zu erzeugen (Weldon, Chem. News 23. Sept. 1870).

3) Entfärbung des Glases. Eisenoxydul färbt stärker als Eisenoxyd, umgekehrt Manganoxyd stärker als Manganoxydul. Hat man daher im Glase  $Fe^2 + Mn$ , so setzt sich das in  $Fe + 2 Mn$  um, welche

beide weniger färben. Ebenso werden kohlige Theile, die braun färben, zerstört. Nach Liebig heben sich dagegen die Complementärfarben von Grün und Roth auf, was Kohn (Eisner Chem. techn. Mittheil. 1857. V. 22) bestätigt. Bekanntlich kann man auch die Auslöschung der Farben durch Zusammengießen rother Kobalt- und grüner Nickellösungen leicht bewerkstelligen.

Als Manganhaltige Fossile hatten wir oben Manganepidot pag. 346, Mangangrauat pag. 337, Mangantiesel pag. 315, Helvin pag. 452, Manganspath pag. 512, Braunspath 509, Franklinit pag. 750 u. Auch Wolsfram, Hauerkit enthalten wesentlich Mangan.

### c) Zinnerze.

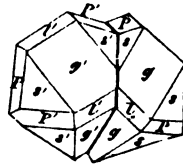
Ihr Vorkommen ist sehr beschränkt. Denn abgesehen vom Zinnies gibt es kaum noch etwas Wichtiges außer dem Oxydischen Erz. Kleine Mengen im Olivin pag. 321, Eufas pag. 390, Manganepidot pag. 347, in den Tantalserzen, im Saidischüger Bitterwasser und in Quellen-Nieder-schlägen sind zwar gefunden, doch beweist das nur, daß auch die Verbreitung des Zinns eine große ist. Neuerlich blieben sogar kleine Zinnsteinkrystalle in den auf Kali ausgelaugten Abraumsalzen von Staßfurt zurück.

### Zinnstein Sn.

Schlechtlin Zinnerz, Black Tin, weil es fast das einzige ist, woraus das Zinn gewonnen wird. Zinnzwitter, Zinngrauen der Bergleute. Schon von den Phöniciern und Römern gekannt. Etain oxydé, Oxide of tin. Kassiterit. Hauy IV. 182 nahm anfangs den Würfel als Kerngestalt, weil er  $120^\circ$  in den Endkanten und  $70^\circ 32'$  ebene Winkel in den Endspitzen des Oktaeders fand.

Viergliedrig und isomorph mit Rutil. Oktaeder  $s = a : a : c$  hat  $121^\circ 35'$  in den End- und  $87^\circ 17'$  in den Seitenkanten, folglich  $a = \sqrt{2,199}$ . Das nächste stumpfere Oktaeder  $P = a : c : \infty a$  ist gewöhnlich durch Streifung entstellt, aber dennoch ging Hauy von ihm aus, zumal da er meinte, Spuren von Blätterbrüchen daran entdeckt zu haben. Die erste quadratische Säule  $g = a : a : \infty c$  ist immer da, und ihr entsprechen, wenn auch unentliche Blätterbrüche, schmaler pflegt die 2te quadratische Säule  $l = a : \infty a : \infty c$  zu sein. Eine Abstumpfung zwischen beiden Säulen gl ist  $r = \frac{1}{2}a : \frac{1}{2}a : \infty c$ , und ein Vierkantner zwischen  $P/g$   $z = \frac{1}{2}a : \frac{1}{2}a : c$  kommt häufig in Cornwallis vor. Das sogenannte Needle Tin von Polgooth im grünen Chlorit der dortigen Zinnsteingänge zeigt bloß die achteitige Säule  $r$  mit dem Vierkantner  $z$  in der Endigung (Dufrenoy). Eine Fläche  $i = a : c : 3a$  stumpft die Kante  $P/s$  ab. Zu Monte del Rey in Spanien findet sich sogar die Geradenfläche  $c = c : \infty a : \infty a$ . Phillips gibt noch andere Flächen

w 051, h 120, y 335, t 552 an. Namentlich ist die Säulenzone oft stark entwickelt. In England finden sich zwar einfache Krystalle, ja zu Pittäranda in Finnland (Jahrb. 1836. 107) kennt man nur diese, aber bei uns im Erzgebirge herrschen die Zwillinge vor, dieselben haben eine Fläche des nächsten stumpfern Oктаeders P gemein, und liegen umgekehrt. Hauptaxen c beider Individuen (also auch die Säulentanten) schneiden sich unter  $112^{\circ} 1'$ . Eine Fläche l der 2ten Säule wird zur Medianebene, sie spiegelt in beiden ein. Die erste Säule herrscht gewöhnlich, doch so, daß die Oктаeder s und P noch einspringende Winkel (Bisir) machen können, daher heißt sie der sächsischen Bergmann Bisirgraupe, die Bisirante s/s' springt  $136^{\circ}$  einwärts. Das Bisir kann jedoch auch ganz verschwinden, namentlich wenn sich die zweite Säule stark ausdehnt, höchstens daß eine kurze Streifung die Stelle der einspringenden Winkel noch andeutet. Es entstehen dann wie beim Rutil knieförmige Krystalle, das Knie macht mit seinen Kanten immer  $112^{\circ} 1'$ . Bei den Bisirgraupe wächst gewöhnlich ein Individuum durch, man kann das leicht für Drillinge halten, allein das Einspiegeln sämtlicher Flächen läßt das wahre Sachverhältniß bald erkennen. Es kommen freilich auch Drillinge, Bierlinge zc. vor, es scheint aber in dieser Mehrzahl nichts Gesetzmäßiges zu sein. Siehe Rutil.



Unvollkommener Metallglanz in Fettglanz sich neigend. Im reflectirten Licht sind die Sächsischen schwarz, auf Sprüngen scheinen sie aber gelblichroth, wie Colosonium, durch. Die Englischen zeigen häufig ganz die Colosoniumfarbe, welche sich sogar bis zum fast farblosen steigern kann. Daher geben selbst die dunkelsten fein gestoßen ein lichtaschgraues Pulver. Kleinmuscheliger Bruch. Härte 6—7, noch etwas härter als Hartmangan, daher unter den oxydischen Erzen das härteste, das mit dem Stahle Funken gibt. Gew. 6,97, aber gewöhnlich etwas leichter, kaum  $\frac{1}{5}$  geringer, als das gebiegene Metall (7,29 Gew.), während andere schwere Metalle  $\frac{1}{3}$  bis  $\frac{1}{2}$  verlieren, Haüy IV. 198.

Zinnoxyd mit 78,6 Zinn und 21,4 Sauerstoff, schon Klaproth (Beitr. II. 240) kam zu diesem Resultate sehr annähernd. Hat zu Basen größere Verwandtschaft als zu Säuren. Eisenoxyd, Manganoxyd und etwas Kieselersde sind die gewöhnlichen Verunreinigungsmittel, zu Finbo auch 2,4 p. C. Tantalssäure. Vor dem Löthrohr ist er für sich unveränderlich, auf Kohle in gutem Reductionsfeuer kommt ein Zinnforn, besonders auf Zusatz von Soda. Berzelius lehrte zwei isomere Zustände des Zinnoxydes kennen (Pogg. Ann. 75. 1): eines (Metazinnssäure) ist selbst in kalter Salpetersäure löslich, das andere aber unlöslich. Zur unlöslichen gehört der Zinnstein, der hartnäckig allen Säuren widersteht, Klaproth mußte ihn daher mit Alkali im Silbertiegel aufschließen. Daubrée will durch Zersetzung des Zinnchlorids mittelst Wasserdampf Zgliebrige Krystalle erhalten haben. G. Rose setzte dieselben zur Form des Brookits. Deville (Compt. rend. 1861. LIII. 161) ließ Dämpfe von

Salzsäure langsam über amorphes Zinnoryd streichen, und bekam die schönsten Krystalle.

**Vorkommen** des Zinnsteins gehört zu den ältesten, denn wenn mit ihm andere Erzgänge, wie z. B. in Cornwallis die Kupfererzgänge, zusammenreffen, so durchsetzen und verwerfen sie die Zinnsteingänge (Epochen der Natur 268). Der Bergmann unterscheidet Strom- und Gangzinn. Dieses bricht meist nur auf schmalen Gängen, die kein bestimmtes Streichen einhalten, sondern das Gebirge in kleinen Trümmern neßförmig durchschwärmen. Man muß das ganze Gestein abbauen, was zuweilen nicht mehr als  $\frac{1}{4}$  p. C. Erz enthält; daher heißt das Ding „Zwitter“, der Bau, etagenförmig übereinandergeführt, Stockwerk (Zinnstockwerke). Da man jedoch, um den Einsturz zu hindern, große Mittel stehen lassen muß, so gewinnt man z. B. auf der Carclaze-Grube bei St. Austle das Zinnerz geradezu in großen offenen Tagebauen (Pingen). Diese Art der Vertheilung hat der Zinnstein mit dem Golde gemein, wo die Natur daher die Zertrümmerung und Auswaschung übernommen hat, da erzeugten sich die sogenannten Zinnseifen, die ohne Zweifel zuerst auf die Entdeckung des Erzes geführt haben, und auf Banka das reine, weiche, leicht streckbare Stromzinn liefern. Die Flöze 3"—22" mächtig liegen 9'—30' tief im Lehm und Sande, und werden mit Bohrern gesucht, Berg. Hüttz. 1873. 81. Schon Plinius 34. 47 sagt ausdrücklich *gigni in Gallaeia summa tellure arenosa, lavant eas arenas metallici, et quod subsidit, coquunt in fornacibus*. Begleiter des Zinnsteins sind Quarz, Wolfram, Tungstein, Topas, Beryll, Apatit, Arsenikkies, Lithionglimmer, Turmalin, Flußspath u. Zuweilen sogar Feldspath (Breithaupt Paragenesis 115).

1. Krystallinischer Zinnstein, bei weitem der häufigste. Im Erzgebirge werden jährlich etwa 4000 Ctr. Zinn erzeugt. Hauptpunkte sind a) Böhmisches und Sächsisches Zinnwalde, wo das Erz in ein körniges Quarzgestein (Gneisen) eingesprengt ist, nördlich dabei die berühmten Altenberger Stöcke, im Feldspathporphyr, aber die Gänge zersetzen das Gestein zu einem harten Quarz. Man muß hier jährlich 1 Mill. Ctr. Wismuthhaltiges Erz abbauen, um daraus 3000 Ctr. Zinn zu gewinnen. Am südlichen Abhange des Erzgebirges Graupen (Zinngraupen) nordöstlich Tepliz. b) Ehrenfriedersdorf und Geyer zwischen Chemnitz und Annaberg liegen stark nördlich vom Ramm des Erzgebirges, hier Gänge im Gneise. c) Cybenstock und Johann-Georgenstadt in Sachsen, Platten und Joachimsthal in Böhmen, vier Städte, welche in einer Linie von Nordwest nach Südost quer über das Erzgebirge liegen. d) Die schönsten Krystalle brechen jedoch in gangförmigen Zügen südlich Elbogen an der Eger bei Schlaggenwalde und Schönsfeld. Pittsaeranda am Ladogasee liefert jetzt 5000 Pud, die Erze liegen im Salit, der Gänge im Granit bildet. Ungleich reicher als dieses alles ist die südwestliche Halbinsel Englands Cornwallis und Devonshire, wo 1874 aus 148 Gruben mit 14000 Tonnen Erz 10,000 White Tin erblasen wurde. Es sind hier wieder quarzige Zinnsteingänge, die Thonschiefer und Granit nach außen



Richtungen durchschwärmen. „Die äußere Ansicht gleicht einer zusammenhängenden Kette von Ruinen, auf den Spitzen der Berge mit den ehrwürdigen Denkmälern alter Druiden. Eine einzige Grube nimmt mit ihren überstürzten Halben, Erzhausen, Pochhütten 2c. nicht selten eine halbe englische Quadratmeile ein“ (Bergm. Journ. 1790. III. 2. pag. 21). St. Austle, St. Agnes, St. Just, Redruth, Polgooth und viele andere Gruben haben die schönsten Krystalle geliefert, worunter namentlich auch häufig einfache, die durch ihre Form an die Mannigfaltigkeit von Zirkon- und Hyacinthkrystallisation erinnern. In Spanien gedenkt schon Plinius des Vorkommens in Lusitania (Portugal) und Gallaecia (Galicien, der nordwestlichen Ecke der Halbinsel), auch fing man 1787 im Granit von Monte-del-Rey dieselben wieder abzubauen an, und die Londoner Industrie-Ausstellung 1851 hatte Erzproben aus den Provinzen Drense, Lugo und Zamora. Beweise genug für ihr Vorhandensein. Ebenso kann man aus Frankreich, Schweden (Finbo mit Pyrophysalit und Tantalit), Mexiko 2c. Punkte nennen, selbst in den vom Aetna ausgeworfenen Granitbruchstücken ist zuweilen Zinnoryd eingesprengt. Tschudi (Jahrb. 1860. 41) nennt das Hochland Bolivia „das zinnreichste Land der Welt.“ Allein das Erz kann nur auf dem Rücken der Lamas durch monatelangen Landtransport ausgeführt werden. Günstiger liegt die Halbinsel Malacca, welche mit Bangla und Zunkceylon auf einem Gebiete von 17 Breiten- und 10 Längengraden so viel Zinn liefert, als England und Sachsen zusammen; auf den Bangla-Inseln von Chinesen, auf Zunkceylon von Siamesen betrieben. Der Reichthum ist daselbst so ungeheuer, daß bis jetzt bloß die Zinnseifen ausgebeutet werden, worin natürlich die Krystalle gelitten haben müssen. Unter den Geschieben gehören viele zu dem edelsten Erz, wie z. B. die fast farblosen aus den Seifenwerken von St. Agnes. Die Masse dagegen bildet dunkelfarbigen aus körnig krystallinischer Substanz (Granular-Tin) bestehenden Grus, welcher auf reichen Gängen die Krystallmutter bildete. Zu diesem kam dann Australien, wo Victoria 1861 schon 556 Tonnen Erz gewann, die sich 1871 bereits auf 7000 steigerten, eine gefährliche Concurrenz für Cornwallis, wo in Folge dessen viele Gruben erliegen, Berg. Hüttz. 1875 pag. 2. Das meiste aus Zinnseifen, doch kennt man auch Gänge im Granit.

2. Holz-zinn (Wood-Tin), Kornisch-Zinnerz Werner. In deutlichen Stücken ein ächter Zinnglaskopf. Nach seiner holzbraunen Farbe und saßrigen Structur genannt. Die Oberfläche geht nicht selten ins schön Kastanienbraune, das Innere ist jedoch matt. Das excentrisch saßrige und concentrisch Schalige in Verbindung mit Anfängen von Glaskopf-structur erinnert an lichte Brauneisensteine. Gewicht geht auf 6,4 hinab, Härte 5—6. Verunreinigung von Eisenoryd bis auf 9 p. C. Es kommt in den Seifenwerken von St. Austle, Xerez in Mexiko, Warwick in Queensland vor, 89,4 Sn, 6,6 Fe, 2,2 Si, 1,2 Al, Bergemann (Jahrb. 1857. 300).

Asterkrystalle nach Feldspath pag. 263 sind auf der Grube Huel Coates bei St. Agnes Beacon auf einem Gange in verwitterten

Granit eingesprengt. Es ist eine feinkörnige mit Quarzsand gemengte Masse, welche die Räume vorher zerlegter Carlsbader Zwillinge erfüllt.

Die Kenntniß des Zinn's pag. 729 knüpft sich durchaus an die des Zinnsteins. Kein Erz ist daher seit dem grauen Alterthum so berühmt, als dieses. Schon Homer (Ilias 18, 474. 612. 20, 271) nennt es *κασσίτερος*, und die Phönicier holten es von den Kassiteriten. Da es die Eigenschaft hat, Metalle (besonders Kupfer) zu härten, so war es in einer Zeit, wo Eisen fehlte, von besonderer Wichtigkeit, und daher ist auch Verwechslung gar nicht möglich. Plinius nennt es *Plumbum candidum* im Gegensatz von *nigrum* dem Blei, und Aristoteles wußte schon, daß es leichter als Blei schmilzt pag. 169. Daher unterscheidet Plinius weißes Blei vom schwarzen daran, daß das weiße in geschmolzenem Zustande das Papier nicht durch seine Hitze, sondern durch sein Gewicht zerreiße. Zugleich erzählt er die griechische Fabel, daß das *pretiosissimum candidum a Graecis appellatum cassiteron* aus Inseln des Atlantischen Oceans geholt werde, und zwar auf geflochtenen mit Fellen umnähten Schiffen. Gedenkt aber nicht, wie Caesar de bello gall. V. 12, Englands, sondern meint, das sei das spanische Gallicien gewesen; während Spätere sogar Malacca als das Land jenseits der Säulen des Hercules ansahen, wo die Phönicier das hochgeschätzte Metall holten. Denn das Land heißt im Sanskrit *Rastira*, und liefert an vielen Punkten Metall (Mitter Asien VI. 555). An der Toskanischen Küste kennt man noch die *Cento Camerelle* (Hundert Kammern), die vielleicht schon von den alten Etruskern herrühren. Um Christi Geburt nannte Diodorus V. 22 ausdrücklich die Insel *Ictis* (St. Michael's Mount), die bald Insel bald Halbinsel sei (Lyell, Principles of Geology, 10te Aufl. I. 559), wo das Zinn verhandelt und in 30 Tagen auf Pferden nach dem Ausfluß der Rhone gebracht werde.

Zinn aus seinem Erze zu gewinnen, macht einige Mühe. Es muß geröstet, gepocht und geschlämmt werden. Beim Schlämmen fällt auch Tungstein pag. 608 mit, welcher lange für weiße Zinngrauen gehalten wurde. Dann wird das reinere Erz in Hoch- oder Flammenöfen unter starkem Gebläse mit Kohle reducirt.

Abgesehen von Bronze pag. 703 wird es besonders mit Blei legirt (3—50 p. C.). Proust hat gezeigt, daß darin das Blei weniger angegriffen werde als das Zinn. Da Zinn von Luft und Wasser nicht angegriffen wird, so dient es hauptsächlich zum Verzinnen von Eisen- und Kupfergefäßen, bei Eisenbahnen zu den Lagern der Wagenachsen, als Zinnamalgalam zu Spiegeln. Schon im Alterthum waren die Spiegel von Brundisium geschätzt, „bis silberne zu gebrauchen selbst Mägde angefangen haben.“ Die größte Anwendung findet das Zinnchlorür  $\text{Sn Cl}_2$ , womit die Holländer seit 1630 aus der Cochenille ein prachtvolles Scharlachroth herstellten.

Kieselzinn mit 51,6 Si und 39 Sn (Bischof Chem. Geol. II. 2027) findet sich unter den derben weißen Geschieben von Cornwall. Aber nicht rein.

## d) Titanerze.

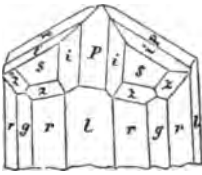
Sind gerade nicht selten, aber doch meist nur in kleinen Mengen gefunden. Schon beim Titanit pag. 440 wurden eine ganze Reihe titanhaltiger Fossile mit Kiesel-erde verbunden genannt. Den Titangehalt der Eisenerze beweist nicht bloß das Titaneisen pag. 759, worin der englische Geistliche Gregor 1791 zuerst das Titanmetall erkannte, sondern vor allem auch das in der sogenannten Eisensau der Hochofen gefundene Stickstofftitan pag. 729. Da geschwefelte Verbindungen gar nicht vorkommen, so haben wir hier die letzten, aber auch wichtigsten. Das reine Titanogyd  $Ti$  ist nicht bloß interessant durch seinen Isomorphismus mit Zinnstein, sondern es scheint sogar als Rutil, Anatas, Brookit trimorph aufzutreten, fast einzig in seiner Art. Es kann zu einem schönen arsenikfreien Grün benutzt werden (Glasner, chem. techn. Mittheil. 1861. 46), in der Porzellanmalerei zu Gelb. Titan schadet zwar dem Eisen nicht, verbessert es sogar, aber die Erze sind viel strengflüssiger. Viel rühmend machte man vom Muffel-Steel (Titanstahl), allein da Titan großes Bestreben hat, sich mit Stickstoff und Cyan zu verbinden, so wird daran gezweifelt, Berg. Hüttz. 1873. 143.

1. Rutil  $Ti$ .

Der passende Werner'sche Name bezieht sich auf die rothe Farbe, rutilus. Da er so häufig und ausgezeichnet in den Alpen vorkommt, so konnte er den ältern Mineralogen nicht entgehen, sie nannten ihn aber rothen Schörl oder schörlartigen Granat. Bis endlich Klaproth (Beiträge I. 238) in den Ungarischen von Poinst das Titanium fand, welches sich später als identisch mit dem Stoffe im Menaccanit pag. 761 erwies. Titane oxyd.

4gliedrig, isomorph mit Zinnstein. Nach Miller (Pogg. Ann. 57. 470) mißt das Oктаeder  $s = a : a : c$   $123^{\circ} 8'$  in den End- und  $84^{\circ} 40'$  in den Seitenkanten, folglich  $a = \sqrt{2,41}$ .

Kotscharow (Pogg. Ann. 91. 184) fand durch viele Messungen im Mittel  $123^{\circ} 7' 30''$ . Das erste stumpfere Oктаeder  $P = a : c : \infty a$  gewöhnlich gestreift. Die erste quadratische Säule  $g = a : a : \infty c$  zeichnet sich vor allen durch ihren deutlich blättrigen Bruch aus, und liefert für die Blättrigkeit quadratischer Säulen das beste Beispiel. Die beiden gleichen blättrigen Brüche erreichen fast die Deutlichkeit der Hornblende. Auch die zweite quadratische Säule  $l = a : \infty a : \infty c$  läßt ihre Blättrigkeit nicht verkennen, wenn auch nicht so deutlich als die erste. Durch Auftreten der 4 + 4kantigen Säule  $r = \frac{1}{2}a : \frac{1}{2}a : \infty c$  wird die Schärfe der quadratischen häufig ganz entstellt, es bildet sich ein System von Streifen, welche die Säulen cylindrisch machen. Die kleinen zierlichen Krystalle auf den Eisenrosen pag. 756 vom St. Gotthardt scheinen in sehr unregelmäßiger Weise einzelne Flächen dieser  $r$  zu haben, woran

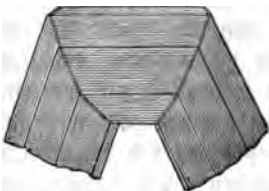


dann das nächste stumpfe Oktaeder P die Endigung bildet, wie trotz des Glanzes eine feine Streifung zeigt. Jedoch da als Säulenflächen auch noch  $a : \frac{1}{2}a : \infty c$ ,  $a : \frac{1}{2}a : \infty c$ ,  $a : \frac{1}{2}a : \infty c$ ,  $a : \frac{1}{2}a : \infty c$  angegeben werden, so kann in diesen unwichtigen Bestimmungen meist nur Messung leiten. Die Geradendfläche  $c : \infty a : \infty a$  ist zwar selten, aber öfter beobachtet. Dagegen kommt wie beim Zinnstein der Kantner  $i = a : c : 3a$ , die Kante P/s und  $z = \frac{1}{2}a : \frac{1}{2}a : c$  die Kante r/s abstumpfend, ausgezeichnet vor. Unter P das Oktaeder  $y = a : \infty a : 3c$  und unter s gibt Hessenberg im Binnenthal  $a : a : 2c$  an. Da die Ausbildung der Ecken aber oft fehlt, so bilden die Zwillinge, welche P gemein haben und umgekehrt liegen, ein einfaches Knie von  $114^\circ 25'$ , welcher Winkel durch die den Axen c entsprechenden Säulenkanten gebildet wird, während die Flächen des Knies, wenn sie den Blätterbrüchen der ersten Quadratischen Säule g entsprechen, sich in g/g' unter  $134^\circ 58'$  schneiden, denn dieser Winkel stimmt mit dem Endkantenwinkel des nächsten stumpfern Oktaeder P überein. Bei Durchwachsung würde dann das Supplement von  $65^\circ 35' = 180^\circ - 114^\circ 25'$  entstehen. Solche spizen Knien sieht man öfter auf den Geradendflächen des Eisenglanzes liegen. Sie sind auch in den Goldsaifen von Brasilien und der Sanarka im Gouvernement Orenburg (Kotschar. Mater. III. 114) vorgekommen, werden aber dort als ein besonderes Zwillingsgesetz betrachtet, nach welchem die Individuen die Fläche  $y =$



$c : \frac{1}{2}a : \infty a$  gemein hätten und umgekehrt lägen; in letztem Falle ist der Winkel um  $11^\circ$  kleiner, als vorhin, und beträgt bloß  $54^\circ 43'$ , eine Differenz, die man in den meisten Fällen schon mit dem Anlegegoniometer unterscheiden kann: so ist unter andern in dem Mehrgewebe (a) aus dem Lavetscher Thal der Winkel des Knies deutlich  $65\frac{1}{2}$  Grad, während der einfache Hacken (b) von einer Eisenglanzrose daselbst nur  $54\frac{1}{2}$  Grad mißt.

Das stumpfe Knie wiederholt sich nicht selten mehrfach nach Art der „Viellinge“, indem sich zahllose Individuen gegenseitig zu verdrängen suchen, was durch plötzliches Aus- und Einbiegen angedeutet ist, die Streifen der Säulen können dann nur zwei Richtungen befolgen, indem alle von den ungeraden, und alle von den geraden Individuen respective einander parallel gehen. Entsteht jedoch ein Drilling, so haben wir zwei



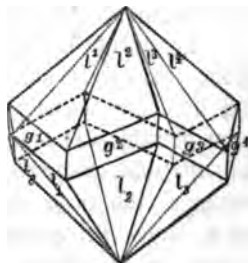
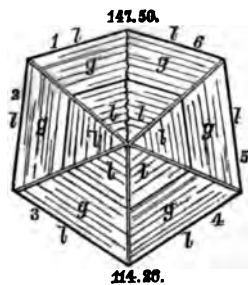
Knien und dreierlei Strahlenrichtungen. Kommt ein drittes Knie durch ein viertes Individuum hinzu, so legt sich dieß gewöhnlich dem ersten parallel, das neue Knie bildet also  $131^\circ 10'$ . So ist es bei den schönen fast ringsum abgeschlossenen Stücken im Zillertal. Doch gibt es Vierlinge mit einem 3ten Knie von  $114^\circ 25'$ ,

Individuum 1 und 4 convergiren dann unter  $16^\circ 45'$ , bei Fünflingen mit 4 Knien convergirt 1 und 5 unter  $82^\circ 20'$ , endlich bei Sechslingen

mit 5 Knieen convergirt 1 und 6 unter  $147^{\circ} 55'$ . Construiren wir uns darnach das ideelle **symmetrische Sechseck**, so bilden die sechs Individuen fünf Zwillingssknen von  $114.26$ ; das sechste Knie, in welchem die Enden von 1 und 6 zusammenstoßen, mißt  $147.50$ . Der Monte Rosa und das Zillerthal liefern dazu vortreffliche Beispiele, nur daß die Natur erfinderischer ist, als unsere steifen Bilder. Am prachtvollsten und riesigsten kamen sie jedoch von Graves' Mount in Lincoln County (Georgia) im eisen-schüssigen Cyanit mit Quarz und Phrophyllit. Es ist die merkwürdige Gegend, wo im Itacolumit Gold, Diamanten und Blauspathkrystalle pag. 573 gefunden werden. Faustgroß und bis  $1\frac{1}{2}$   $\mathcal{R}$  schwer zeigen sich Drillinge bis Sechsklinge. Die einfachen Zwillinge gleichen den Zinngrauen: beide Individuen schließen an dem freien Ende mit den Oктаedern s 111 und P 101. Auffallender Weise bildet Haidinger (Sitzungsb. Wien. Akad. 1860. 39, a) Stücke ab, wo die scheinbare P sich gegen die anstoßenden Oктаederflächen s nicht gleich neigt, sondern ein Hälftflächner von i 133 ist. G. Rose (Pogg. Ann. 115. 66) machte uns endlich noch mit regelmäßig abgeschlossenen **Achtlingen** bekannt, welche durch zickzackförmige Lagerung im Kreise möglich werden. Wenn dabei sich gewisse Flächen aus der Säule ausdehnen, so können scheinbare viergliedrige Trapezoeder entstehen, wie nebenstehendes Bild zeigt: wir verfolgen hier im Zickzack die acht Individuen mit je einer ihrer blättrigen Säulenflächen  $g^1 g^2 g^3 g^4$  zc., die sich siebenmal unter  $134^{\circ} 58' = g^1/g^2 = g^2/g^3$  zc. schneiden, folglich bleibt für das achte Knie

$$1080^{\circ} - 7 (134^{\circ} 58') = 135^{\circ} 14',$$

ein Winkel, der nur um  $16'$  abweicht. Das wird sofort klar, wenn man an eine kurze Quadratische Säule unten und oben auf die abwechselnden Kanten Schiefendflächen mit  $\frac{1}{2} (114^{\circ} 25') = 57^{\circ} 13'$  gegen die Säulengaze legt, sich vier rechte und vier linke gleiche Stücke macht, und diese in der erforderlichen Zwillingungsweise zusammenstellt. Dann gehen die Kanten zwischen g parallel, und bilden eine achtschlächtige Zone, da die Differenz von den wenigen Minuten in der achten gar nicht in Betracht kommt. Legen sich daran oben und unten die Säulenflächen l, so spiegeln respective die  $l^1 l^2, l^3 l^4, l_1 l_2, l_3 l_4$  zc. ein, wir sehen bei gehöriger Ausdehnung oktaedrische Enden, d. h. ein viergliedriges Skalenoeder mit abgestumpften Seitenkanten. In Arkanzas kommen solche Achtlinge vor, woran die quadratischen Säulen gänzlich fehlen, und statt dessen 4 + 4 kantner auftreten: in diesem interessanten Falle dürfen wir uns von der Figur nur die Abstumpfungsfächen g weg und auf den Oктаederenden nach  $l^1/l^2, l^3/l^4, l_1/l_2, l_3/l_4$  zc. Knicke denken, so erhalten wir bei



gehöriger Ausfüllung oben wie unten 4 + 4 kantige Enden mit unglei-  
 chseitigen Dreiecken, die in uns völlig das Bild eines Skalenoebers er-  
 wecken, nur daß statt 3 die Zahl 4 eintritt. Die Kniestelle verräth sich  
 dabei meist durch glänzende Bänder, welche wie beim Zinnstein auf Flä-  
 chen am Ende der Säulen hindeuten.

Im Quarz und Bergkryſtall vom St. Gotthardt findet man zarte  
 (gestricke) Fäden, die sich nach drei Richtungen scheinbar unter  $60^\circ$  schnei-  
 den, allein es möchte doch wohl nur der Zwillingwinkel von  $63^\circ 34'$   
 sein (Nezwillinge). Miller nimmt zwar ein **2tes Gesetz** an, nach wel-  
 chem die Individuen sich mit  $c : \frac{1}{2}a : \infty a$  an einander legen, und sie  
 würden dann einen Winkel von  $54^\circ 43'$  bilden, wie zu Cerro do Frio  
 in Brasilien, allein auch dieser Winkel kommt dem  $60^\circ$  nicht näher. Auf  
 den Geradenflächen der Eisenrosen kann man drei Richtungen in den  
 Individuen wahrnehmen, und diese scheinen senkrecht gegen die dreiseitige  
 Streifung zu liegen, dann müßten sich die Individuen unter  $60^\circ$  schneiden.  
 Vielleicht kommt diese Ungleichheit von der Anziehung des Eisenglanzes her.

Fuchsr oth mit einem schönen innern Lichtschein nach der Lage  
 des Blätterbruchs. Einerseits gehen die Fäden ins Strohgelbe, anderer-  
 seits ins Blutrothe, selbst ins Schwärzliche, besonders bei unreinen Va-  
 rietäten. Das Pulver gelblich grau. Die edlen stark durchscheinend,  
 daher metallähnlicher Diamantglanz. Härte 6, Gew. 4,3. Optisch po-  
 sitiv, während Anatas negativ.

Titanorhd Ti (Titanäure) ist vor dem Löthrohr unschmelzbar, mit  
 Soda schmilzt es wie die Kiesel Erde unter Brausen zusammen, sammelt  
 sich über der Kohle zu einer schmutzig braunen unklaren Perle, welche  
 beim Abkühlen etwas aufglüht. Mit Phosphorsalz in der Spitze der  
 äußern nicht leuchtenden Flamme schwer löslich, aber einmal gelöst re-  
 ducirt es sich in der innern leicht zu Sesquiorhd Ti, und färbt das Glas  
 schön violet, bei größerer Menge ganz schwarz. Bringt man dies nun  
 wieder an die Spitze der blauen Flamme, d. h. an die heißeste Stelle,  
 so oxydirt es sich abermals zu Titanorhd Ti, und das Glas wird wasser-  
 hell. Weiter hinaus an die Spitze der größern Flamme gehalten opa-  
 lisirt die Kugel, in Folge von Ausscheidung kleiner vierseitiger Tafeln



(**Anataskryſtalle**), die bei längerem Blasen größer werden  
 (G. Rose Monatsb. Berl. Akad. 1867. 131). Man kann auf diese  
 Weise das Titan auch im Titaneisen erkennen. Durch Lösen  
 der Probe in Salzsäure bleiben die kleinen Täfelchen sehr  
 deutlich zurück, und prangen im polarisirten Licht in den schönsten Farben.  
 In concentrirter Schwefelsäure ist das feinste Pulver löslich, besser je-  
 doch wird es mit zweifach schwefelsaurem Kali aufgeschlossen. Ti nach  
 der chemischen Form des Zinnorhds Sn, Heinrich Rose fand in den  
 großen äußerlich dunkelfarbigen Krystallen des Quarzes von St. Vrieng  
 (Haute-Vienne) 1,5 Fe (Pogg. Ann. 3. 100). Deville Vanadium, Molybdän  
 und Zinn. Mit Soda auf Platinblech öfter eine Manganreaction, der  
 von Kåring-Brida in Westmanland hat neben 97 Ti sogar 3 Cr.

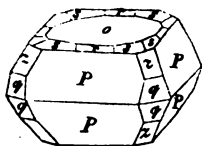
In den Hochalpen mit Quarz, öfter sogar nadelförmig in den Bergkrystall eingewachsen, wobei man sich dann vor Verwechslung mit Turmalin hüten muß. Außerordentlich schön in dem Bergkrystall von Vermont in Nordamerika, zu Graves' Mount in Georgia und Magnet Cove in Arkansas, und hier auch als Austerkrystalle nach Arkanfit. In den Smaragdgruben des Ural, auf Apatitlagern von Krageröe. Höchst eigenthümlich ist die so gewöhnliche Ablagerung auf den Eisenrosen, die zu Capao in Brasilien sich in die Eisenmasse tief hineinfrißt, als wollte sie Austerkrystalle bilden. Lose Krystalle und Geschiebe finden sich zu St. Vrieux Dep. St. Vienne auf der Erdoberfläche; oft von mehr als Zollgröße bei Rosenau in Ungarn, Schinzthal in Tyrol u., Aschaffenburg, Arendal, Buitrago in Spanien, Villa Rica in Brasilien, zu River Fort in Tasmanien. Im nordamerikanischen Urgebirge an zahllosen Stellen. Immer wie der Binnstein eng an das krystallinische Urgebirge geknüpft.

Nigrin nannte Werner eine Zeitlang die dunkelfarbigen Geschiebe aus den Goldseifen von Orlápián in Siebenbürgen, worin Klaproth (Beiträge II. 222) 14 Fe gefunden haben wollte. Da aber daselbst verschiedene Titanisen vorkommen, worunter auch echter Rutil ist, so muß man sich vor Verwechslungen hüten. Der dunkle Ilmenorutil (Kotscharow Min. Rußl. I. 552) mit Amazonenstein im Niascit bildet einfache Oktaeder s 111, die sich nach einer Kante in die Länge ziehen und scheinbar 2 + 1-gliedrige Zwillinge bilden. Enthält 10,7 Fe.

## 2. Anataß, Ti.

R. de l'Isle Crist. II. 406 kennt ihn schon unter dem Namen schorl bleu, Saussure Voyages dans les Alpes Nro. 1901 nannte ihn Octaedrit, was Werner beibehielt. Nach seinem ersten Fundort Disans hießen ihn die Franzosen auch Disanit, indeß hat der Haüy'sche Name von der gestreckten Form der Oktaeder entnommen (*ἀνάταξις* Ausstreckung) durchgeschlagen. Haüy schloß schon aus der Leitungsfähigkeit der Elektricität, daß er eine metallische Substanz enthalten müsse, was Bauquelin bestätigte.

Viergliedrige Oktaeder P mit  $97^{\circ} 56'$  in den End- und  $136^{\circ} 22'$  Seitenk. ( $136^{\circ} 36'$  Kotscharow), daher  $a = \sqrt{0,3205} = 0,5661$ ,  $lga = 9,75291$ . Oktaeder auf Bruchflächen deutlich blättrig, weniger deutlich die Geradendfläche  $o = c : \infty a : \infty a$ ; sie dehnt sich bei den brasilianischen stark aus, so daß viergliedrige Tafeln entstehen. Oktaederflächen fein quergestreift parallel der Seitenkante. Häufig kommt das nächste schärfere Oktaeder  $q = \frac{1}{2}a : c : \infty a$  (301 Hesseberg) in den Diagonalzonen von P untergeordnet vor, viel seltener das nächste stumpfere  $z = a : c : \infty a$ . Im Lavetsthal (Vorderrhein) sogar das 2te stumpfere  $a : a : \frac{1}{2}c$  in kleinen gelben selbständigen Oktaedern mit  $113^{\circ}$  Endkante. Dagegen ist bei den Brasilianischen die Kante P/o gar oft durch  $r = a : a : \frac{1}{2}c$  ( $a : a : \frac{1}{2}c$  Hess.) abgestumpft. Am zierlichsten ist aber ein



fast bei allen sichtbarer niedriger Vierkantner  $s$ , den schon Haüy kannte, und der nach Mohs pag. 84 das Zeichen  $s = \frac{1}{2}a : \frac{1}{2}a : \frac{1}{2}c$  ( $19a : \frac{1}{2}a : c$  Hefß.) haben soll, wenigstens wird seine Endkante (im Quadranten), welche von  $\frac{1}{2}c : \frac{1}{2}d$  geht, durch das Oктаeder  $r = a : a : \frac{1}{2}c$  gerade abgestumpft. Vom Berge Cavrabi bei Chiamut maß H. v. Rath (Pogg.

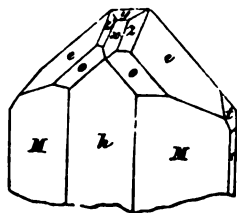
Ann. 158. 100) ein vorherrschendes Oктаeder  $x = \frac{1}{2}a : \frac{1}{2}a : c$  mit  $117^\circ 18'$  in den Endkanten, und Hr. Prof. Klein (Jahrb. 1872. 900) vom Kollerhorn und der Alp Vercheltiny im Binnenthal des Oberwallis eine ganze Reihe seltner Flächen, worunter Formen  $\frac{1}{4}P$ ,  $\frac{1}{8}P$ ,  $\frac{1}{16}P$ ,  $\frac{1}{32}P$ ,  $\frac{1}{64}P$ ,  $\frac{1}{128}P$ ,  $\frac{1}{256}P$ ,  $\frac{1}{512}P$ ,  $\frac{1}{1024}P$ ,  $\frac{1}{2048}P$ ,  $\frac{1}{4096}P$ ,  $\frac{1}{8192}P$ ,  $\frac{1}{16384}P$ ,  $\frac{1}{32768}P$ ,  $\frac{1}{65536}P$ ,  $\frac{1}{131072}P$ ,  $\frac{1}{262144}P$ ,  $\frac{1}{524288}P$ ,  $\frac{1}{1048576}P$ ,  $\frac{1}{2097152}P$ ,  $\frac{1}{4194304}P$ ,  $\frac{1}{8388608}P$ ,  $\frac{1}{16777216}P$ ,  $\frac{1}{33554432}P$ ,  $\frac{1}{67108864}P$ ,  $\frac{1}{134217728}P$ ,  $\frac{1}{268435456}P$ ,  $\frac{1}{536870912}P$ ,  $\frac{1}{1073741824}P$ ,  $\frac{1}{2147483648}P$ ,  $\frac{1}{4294967296}P$ ,  $\frac{1}{8589934592}P$ ,  $\frac{1}{17179869184}P$ ,  $\frac{1}{34359738368}P$ ,  $\frac{1}{68719476736}P$ ,  $\frac{1}{137438953472}P$ ,  $\frac{1}{274877906944}P$ ,  $\frac{1}{549755813888}P$ ,  $\frac{1}{1099511627776}P$ ,  $\frac{1}{2199023255552}P$ ,  $\frac{1}{4398046511104}P$ ,  $\frac{1}{8796093022208}P$ ,  $\frac{1}{17592186044416}P$ ,  $\frac{1}{35184372088832}P$ ,  $\frac{1}{70368744177664}P$ ,  $\frac{1}{140737488355328}P$ ,  $\frac{1}{281474976710656}P$ ,  $\frac{1}{562949953421312}P$ ,  $\frac{1}{1125899906842624}P$ ,  $\frac{1}{2251799813685248}P$ ,  $\frac{1}{4503599627370496}P$ ,  $\frac{1}{9007199254740992}P$ ,  $\frac{1}{18014398509481984}P$ ,  $\frac{1}{36028797018963968}P$ ,  $\frac{1}{72057594037927936}P$ ,  $\frac{1}{144115188075855872}P$ ,  $\frac{1}{288230376151711744}P$ ,  $\frac{1}{576460752303423488}P$ ,  $\frac{1}{1152921504606846976}P$ ,  $\frac{1}{2305843009213693952}P$ ,  $\frac{1}{4611686018427387904}P$ ,  $\frac{1}{9223372036854775808}P$ ,  $\frac{1}{18446744073709551616}P$ ,  $\frac{1}{36893488147419103232}P$ ,  $\frac{1}{73786976294838206464}P$ ,  $\frac{1}{147573952589676412928}P$ ,  $\frac{1}{295147905179352825856}P$ ,  $\frac{1}{590295810358705651712}P$ ,  $\frac{1}{1180591620717411303424}P$ ,  $\frac{1}{2361183241434822606848}P$ ,  $\frac{1}{4722366482869645213696}P$ ,  $\frac{1}{9444732965739290427392}P$ ,  $\frac{1}{18889465931478580854784}P$ ,  $\frac{1}{37778931862957161709568}P$ ,  $\frac{1}{75557863725914323419136}P$ ,  $\frac{1}{151115727451828646838272}P$ ,  $\frac{1}{302231454903657293676544}P$ ,  $\frac{1}{604462909807314587353088}P$ ,  $\frac{1}{1208925819614629174706176}P$ ,  $\frac{1}{2417851639229258349412352}P$ ,  $\frac{1}{4835703278458516698824704}P$ ,  $\frac{1}{9671406556917033397649408}P$ ,  $\frac{1}{19342813113834066795298816}P$ ,  $\frac{1}{38685626227668133590597632}P$ ,  $\frac{1}{77371252455336267181195264}P$ ,  $\frac{1}{154742504910672534362390528}P$ ,  $\frac{1}{309485009821345068724781056}P$ ,  $\frac{1}{618970019642690137449562112}P$ ,  $\frac{1}{1237940039285380274899124224}P$ ,  $\frac{1}{2475880078570760549798248448}P$ ,  $\frac{1}{4951760157141521099596496896}P$ ,  $\frac{1}{9903520314283042199192993792}P$ ,  $\frac{1}{19807040628566084398385987584}P$ ,  $\frac{1}{39614081257132168796771975168}P$ ,  $\frac{1}{79228162514264337593543950336}P$ ,  $\frac{1}{158456325028528675187087900672}P$ ,  $\frac{1}{316912650057057350374175801344}P$ ,  $\frac{1}{633825300114114700748351602688}P$ ,  $\frac{1}{1267650600228229401496703205376}P$ ,  $\frac{1}{2535301200456458802993406410752}P$ ,  $\frac{1}{5070602400912917605986812821504}P$ ,  $\frac{1}{10141204801825835211973625643008}P$ ,  $\frac{1}{20282409603651670423947251286016}P$ ,  $\frac{1}{40564819207303340847894502572032}P$ ,  $\frac{1}{81129638414606681695789005144064}P$ ,  $\frac{1}{162259276829213363391578010288128}P$ ,  $\frac{1}{324518553658426726783156020576256}P$ ,  $\frac{1}{649037107316853453566312041152512}P$ ,  $\frac{1}{1298074214633706907132624082305024}P$ ,  $\frac{1}{2596148429267413814265248164610048}P$ ,  $\frac{1}{5192296858534827628530496329220096}P$ ,  $\frac{1}{10384593717069655257060992658440192}P$ ,  $\frac{1}{20769187434139310514121985316880384}P$ ,  $\frac{1}{41538374868278621028243970633760768}P$ ,  $\frac{1}{83076749736557242056487941267521536}P$ ,  $\frac{1}{166153499473114484112975882535043072}P$ ,  $\frac{1}{332306998946228968225951765070086144}P$ ,  $\frac{1}{664613997892457936451903530140172288}P$ ,  $\frac{1}{1329227995784915872903807060280344576}P$ ,  $\frac{1}{2658455991569831745807614120560689152}P$ ,  $\frac{1}{5316911983139663491615228241121378304}P$ ,  $\frac{1}{10633823966279326983230456482242756608}P$ ,  $\frac{1}{21267647932558653966460912964485513216}P$ ,  $\frac{1}{42535295865117307932921825928971026432}P$ ,  $\frac{1}{85070591730234615865843651857942052864}P$ ,  $\frac{1}{170141183460469231731687303715884105728}P$ ,  $\frac{1}{340282366920938463463374607431768211456}P$ ,  $\frac{1}{680564733841876926926749214863536422912}P$ ,  $\frac{1}{1361129467683753853853498429727072845824}P$ ,  $\frac{1}{2722258935367507707706996859454145691648}P$ ,  $\frac{1}{5444517870735015415413993718908291383296}P$ ,  $\frac{1}{10889035741470030830827987437816582766592}P$ ,  $\frac{1}{21778071482940061661655974875633165533184}P$ ,  $\frac{1}{43556142965880123323311949751266331066368}P$ ,  $\frac{1}{87112285931760246646623899502532662132736}P$ ,  $\frac{1}{174224571863520493293247799005065324265472}P$ ,  $\frac{1}{348449143727040986586495598010130648530944}P$ ,  $\frac{1}{696898287454081973172991196020261297061888}P$ ,  $\frac{1}{1393796574908163946345982392040522594123776}P$ ,  $\frac{1}{2787593149816327892691964784081045188247552}P$ ,  $\frac{1}{5575186299632655785383929568162090376495104}P$ ,  $\frac{1}{11150372599265311570767859136324180752990208}P$ ,  $\frac{1}{22300745198530623141535718272648361505980416}P$ ,  $\frac{1}{44601490397061246283071436545296723011960832}P$ ,  $\frac{1}{89202980794122492566142873090593446023921664}P$ ,  $\frac{1}{178405961588244985132285746181186892047843328}P$ ,  $\frac{1}{356811923176489970264571492362373784095686656}P$ ,  $\frac{1}{713623846352979940529142984724747568191373312}P$ ,  $\frac{1}{1427247692705959881058285969449495136382746624}P$ ,  $\frac{1}{2854495385411919762116571938898990272765493248}P$ ,  $\frac{1}{5708990770823839524233143877797980545530986496}P$ ,  $\frac{1}{11417981541647679048466287755595961091061972992}P$ ,  $\frac{1}{22835963083295358096932575511191922182123945984}P$ ,  $\frac{1}{45671926166590716193865151022383844364247891968}P$ ,  $\frac{1}{91343852333181432387730302044767688728495783936}P$ ,  $\frac{1}{182687704666362864775460604089535377456991567872}P$ ,  $\frac{1}{365375409332725729550921208179070754913983135744}P$ ,  $\frac{1}{730750818665451459101842416358141509827966271488}P$ ,  $\frac{1}{1461501637330902918203684832716283019655932542976}P$ ,  $\frac{1}{2923003274661805836407369665432566039311865085952}P$ ,  $\frac{1}{5846006549323611672814739330865132078623730171904}P$ ,  $\frac{1}{11692013098647223345629478661730264157247460343808}P$ ,  $\frac{1}{23384026197294446691258957323460528314494920687616}P$ ,  $\frac{1}{46768052394588893382517914646921056628989841375232}P$ ,  $\frac{1}{93536104789177786765035829293842113257979682750464}P$ ,  $\frac{1}{187072209578355573530071658587684226515959365500928}P$ ,  $\frac{1}{374144419156711147060143317175368453031918731001856}P$ ,  $\frac{1}{748288838313422294120286634350736906063837462003712}P$ ,  $\frac{1}{1496577676626844588240573268701473812127674924007424}P$ ,  $\frac{1}{2993155353253689176481146537402947624255349848014848}P$ ,  $\frac{1}{5986310706507378352962293074805895248510699696029696}P$ ,  $\frac{1}{11972621413014756705924586149611790497021399392059392}P$ ,  $\frac{1}{23945242826029513411849172299223580994042798784118784}P$ ,  $\frac{1}{47890485652059026823698344598447161988085597568237568}P$ ,  $\frac{1}{95780971304118053647396689196894323976171195136475136}P$ ,  $\frac{1}{191561942608236107294793378393788647952342390272950272}P$ ,  $\frac{1}{383123885216472214589586756787577295904684780545900544}P$ ,  $\frac{1}{766247770432944429179173513575154591809369561091801088}P$ ,  $\frac{1}{1532495540865888858358347027150309183618739122183602176}P$ ,  $\frac{1}{3064991081731777716716694054300618367237478244367204352}P$ ,  $\frac{1}{6129982163463555433433388108601236734474956488734408704}P$ ,  $\frac{1}{12259964326927110866866776217202473468949912977468817408}P$ ,  $\frac{1}{24519928653854221733733552434404946937899825954937634816}P$ ,  $\frac{1}{49039857307708443467467104868809893875799651909875269632}P$ ,  $\frac{1}{98079714615416886934934209737619787751599303819750539264}P$ ,  $\frac{1}{196159429230833773869868419475239575503198607639501078528}P$ ,  $\frac{1}{392318858461667547739736838950479151006397215279002157056}P$ ,  $\frac{1}{784637716923335095479473677900958302012794430558004314112}P$ ,  $\frac{1}{1569275433846670190958947355801916604025588861116008628224}P$ ,  $\frac{1}{3138550867693340381917894711603833208051177722232017256448}P$ ,  $\frac{1}{6277101735386680763835789423207666416102355444464034512896}P$ ,  $\frac{1}{12554203470773361527671578846415332832204710888928069025792}P$ ,  $\frac{1}{25108406941546723055343157692830665664409421777856138051584}P$ ,  $\frac{1}{50216813883093446110686315385661331328818843555712276103168}P$ ,  $\frac{1}{100433627766186892221372630771322662657637687111424552206336}P$ ,  $\frac{1}{200867255532373784442745261542645325315275374222849104412672}P$ ,  $\frac{1}{401734511064747568885490523085290650630550748445698208825344}P$ ,  $\frac{1}{803469022129495137770981046170581301261101496891396417650688}P$ ,  $\frac{1}{1606938044258990275541962092341162602522202993782792835301376}P$ ,  $\frac{1}{3213876088517980551083924184682325205044405987565585670602752}P$ ,  $\frac{1}{6427752177035961102167848369364650410088811975131171341205504}P$ ,  $\frac{1}{12855504354071922204335696738729300820177623950262342682411008}P$ ,  $\frac{1}{25711008708143844408671393477458601640355247900524685364822016}P$ ,  $\frac{1}{51422017416287688817342786954917203280710495801049370729644032}P$ ,  $\frac{1}{102844034832575377634685573909834406561420991602098741459288064}P$ ,  $\frac{1}{205688069665150755269371147819668813122841983204197482918576128}P$ ,  $\frac{1}{411376139330301510538742295639337626245683966408394965837152256}P$ ,  $\frac{1}{822752278660603021077484591278675252491367932816789931674304512}P$ ,  $\frac{1}{1645504557321206042154969182557350504982735865633579863348609024}P$ ,  $\frac{1}{3291009114642412084309938365114701009965471731267159726697218048}P$ ,  $\frac{1}{6582018229284824168619876730229402019930943462534319453394436096}P$ ,  $\frac{1}{13164036458569648337239753460458804039861886925068638906788872192}P$ ,  $\frac{1}{26328072917139296674479506920917608079723773850137277813577744384}P$ ,  $\frac{1}{52656145834278593348959013841835216159447547700274555627155488768}P$ ,  $\frac{1}{105312291668557186697918027683670432318895095400549111254310977536}P$ ,  $\frac{1}{210624583337114373395836055367340864637790190801098222508621955072}P$ ,  $\frac{1}{421249166674228746791672110734681729275580381602196445017243910144}P$ ,  $\frac{1}{842498333348457493583344221469363458551160763204392890034487820288}P$ ,  $\frac{1}{1684996666696914987166688442938726917102321526408785780068975640576}P$ ,  $\frac{1}{3369993333393829974333376885877453834204643052817571560137951281152}P$ ,  $\frac{1}{6739986666787659948666753771754907668409286105635143120275902562304}P$ ,  $\frac{1}{13479973333575319897333507543509815336818572211270286240551805124608}P$ ,  $\frac{1}{26959946667150639794667015087019630673637144422540572481103610249216}P$ ,  $\frac{1}{53919893334301279589334030174039261347274288845081144962207220498432}P$ ,  $\frac{1}{107839786668602559178668060348078522694548577690162289924414440996864}P$ ,  $\frac{1}{215679573337205118357336120696157045389097155380324579848828881993728}P$ ,  $\frac{1}{431359146674410236714672241392314090778194310760649159697657763987456}P$ ,  $\frac{1}{862718293348820473429344482784628181556388621521298319395315527974912}P$ ,  $\frac{1}{1725436586697640946858688965569256363112777243042596638790631055949824}P$ ,  $\frac{1}{3450873173395281893717377931138512726225554486085193277581262111899648}P$ ,  $\frac{1}{6901746346790563787434755862277025452451108972170386555162524223799296}P$ ,  $\frac{1}{13803492693581127574869511724554050904902217944340773110325048447598592}P$ ,  $\frac{1}{27606985387162255149739023449108101809804435888681546220650096895197184}P$ ,  $\frac{1}{55213970774324510299478046898216203619608871777363092441300193790394368}P$ ,  $\frac{1}{110427941548649020598956093796432407239217743554726184882600387580788736}P$ ,  $\frac{1}{220855883097298041197912187592864814478435487109452369765200775161577472}P$ ,  $\frac{1}{441711766194596082395824375185729628956870974218904739530401550323154944}P$ ,  $\frac{1}{883423532389192164791648750371459257913741948437809479060803100646309888}P$ ,  $\frac{1}{1766847064778384329583297500742918515827483896875618958121606201292619776}P$ ,  $\frac{1}{3533694129556768659166595001485837031654967793751237916243212402585239552}P$ ,  $\frac{1}{7067388259113537318333190002971674063309$



## 3. Brookit, Ti.

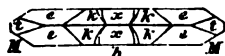
Der seltenste unter den dreien. Die Krystalle wurden von Soret bei Bourg d'Oisans in Begleitung von Anatas entdeckt, als sie aber im Grünstein des Snowdon von Nordwallis in Platten von mehr als  $\frac{1}{4}$  Zoll Durchmesser gefunden wurden, gab ihnen Lévy (Pogg. Ann. 5. 188) den Namen. 1848 kamen sie in der Atliansköfischen Goldseife bei Miasst klein aber vortrefflich krystallisiert vor, Hr. v. Roschmarow (Pogg. Ann. 79. 454) hat sie genau bestimmt. Ebenso kennt man sie aus dem Diamantdrift von Mudgee in Neusüdwallis. Sartorius fand sie im Trachyt von Autun. Zu Sorge auf dem Harz kommen sie im Diabas mit Anatas vor. Papierdünne ziegelrothe Tafeln auf dem Pfiffcher Joch in Tyrol &c.

Ausgezeichnet 2gliedrig.  $M = a : b : \infty 99^\circ 50'$ , parallel der Axe c stark gestreift, die Abstumpfungsfäche der vordern stumpfen Säulenante  $h = a : \infty b : \infty$  dehnt sich bei den Englischen so übermäßig aus, daß sie dünne Tafeln bilden, die bei Zolllänge gewöhnlich noch nicht die Dicke von  $\frac{1}{2}$  Linien erreichen. Ihre Längsstreifung dient zur leichten Orientirung. Am Ende dieser Tafeln glitzen viele kleine schmale Flächen, darunter herrscht  $e = 2a : b : c$ , welche auf der Säule M einen scharfen ebenen Winkel neben der Kante M/h macht, ihr vorderer Endkantenwinkel beträgt  $101^\circ 3'$ , ihr seitlicher  $135^\circ 37'$ , daraus folgt



$$a : b = 0,891 : 1,059.$$

Das Hauptoktaeder  $o = a : b : c$  stumpft die Kante h/e ab, und wird bei den Englischen gar nicht angegeben. Ueber e in der Zone M/e liegt eine weitere Oktaederfläche  $k = c : \frac{1}{2}b : 6a$ , welche nach Dufrenoy mit der unter ihr folgenden e den sehr stumpfen Winkel  $k/e = 170^\circ 45'$  macht, sie ist parallel ihrer seitlichen Endkante gestreift, und tritt durch diesen stumpfen Knick immer sehr bestimmt hervor. Hesselberg maß



aus dem Waderanerthal eine  $\vartheta = \frac{1}{2} P \frac{1}{2} = \frac{1}{2} a : \frac{1}{2} b : \frac{1}{2} c$  von ähnlicher Lage. Besonders entwickelt ist bei andern Krystallen die Zone in der vordern stumpfen Endkante e/e, es kommt nicht nur das vordere Paar  $x = c : 2a : \infty b$  vor, sondern zwischen x/e die  $z = a : b : \frac{1}{2}c$ , welche also aus der Zone M/o sich leicht bestimmen läßt. Lévy gibt sogar zwischen z/x eine Abstumpfung an. Auch das Paar  $t = c : \frac{1}{2}b : \infty a$  auf die scharfe Säulenante aufgesetzt, und  $y = a : \frac{1}{2}c : \infty b$  über x gelegen, finden sich bei Englischen und Russischen. Roschmarow hat noch die Oktaeder  $r = a : b : 2c$ ,  $n = a : \frac{1}{2}b : c$ ,  $s = \frac{2}{3}a : b : c$ ,  $m = \frac{2}{3}a : \frac{1}{2}b : c$ ,  $u = \frac{2}{3}a : \frac{1}{2}b : c$ ,  $\frac{2}{3}a : \frac{1}{2}b : c$ . Außer h kommen auch die andern beiden Einzelflächen  $P = c : \infty a : \infty b$  und  $e = b : \infty a : \infty c$  vor, ferner in der Säulenzone  $l = a : 2b : \infty c$ ,  $g = a : 8b : \infty c$ , und das Paar auf der scharfen Säulenante  $d = c : \frac{1}{2}b : \infty a$ . Die Uralischen sind stets zu 2 parallel

einer Fläche  $h$  verwachsen, dieß könnte eine versteckte Hinneigung zum  $2 + 1$ gliedrigen Systeme andeuten, wie Schrauf (Jahrb. 1873 p. 100) aus optischen Gründen annimmt. Doch widerspricht dem H. v. Rath (Monatsber. Berl. Akad. 1875. 334), der aus den Goldseifen von Altiansf bei Miasf einen 11 mm langen und 4 mm breiten Krystall maß, der die neuen Flächen  $i = 4a : b : 2c$  und  $q = 3a : b : \frac{3}{2}c$  darbot; der Herzog v. Leuchtenberg fand noch  $2a : b : \frac{1}{2}c$  und  $a : 7b : \infty c$ .

Fuchsröthe Farbe des Rutil's, manche in dieser Beziehung gar nicht unterschieden. Diamantglanz. Härte 5—6, Gew. 4,19. Ebene der + optischen Axen liegt sehr bequem in  $a b$ , also senkrecht gegen die Längsstreifen von  $h$ , a Mittellinie. Die Farbenzerstreuung so stark, daß die Ebene der Axen von den grünen Strahlen senkrecht gegen die Geradenfläche  $c : \infty b : \infty a$  parallel  $b : \infty a : \infty c$  liegt. Shepard's

Arkansit bei den Hot Springs in Arkansas (Pogg. Ann. 77. 309) hat zwar eine eisenschwarze Farbe, 3,9 Gew., und ein dihexaedrisches Aussehen, indem sich das Oktaeder  $e = 2a : b : c$ , nebst einem sonst nicht bekannten Paare  $i = a : c : \infty b$ , vor allem ausdehnt. Allein er besteht nach Rammelsberg (Pogg. Ann. 78. 300) lediglich aus Ti. Oester kommen große scheinbare Dihexaeder vor, die Rutilkrystalle zeigen, welche sich auf den Flächen durch wirres oder auch paralleles Einspiegeln verathen, und eigenthümliche Rauigkeiten an den Krystallen erzeugen (Jahrb. 1876. 307). In den Goldseifen von Victoria und auf dortigen Quarzgängen erwähnt sie H. Ulrich.

Nach H. Rose (Pogg. Ann. 61. 307) gibt es chemisch zweierlei Titansäuren (Ti): a) die mit Ammoniak gefällte und schwach getrocknete ist im Wasser löslich, allein jede Temperaturerhöhung erzeugt b) die unlösliche Modification, man bekommt diese auch durch starkes Kochen der wässrigen Lösung, das Wasser treibt dann die Ti aus. Titansäure durch Ammoniak gefällt und schwach geglüht bekommt Anatasgewicht 3,59, durch stärkeres Glühen steigt sie durch das Brookitgewicht 4,19 zum Rutilgewicht 4,24, so daß die verschiedenen Wärmegrade den Trimorphismus erzeugen könnten. Daubrée erhielt künstlich Brookit, indem er Wasserdampf über Titanchlorid oder Titanchlorid über Kalk leitete, und Ebelmen Rutilnadeln von 4—5 Linien Länge, indem er 5 Theile Phosphorsalz mit 1 Theil Titansäure der Hitze des Porzellanofens aussetzte (Erdmann's Journ. prakt. Chem. 1851. 54. 173), während G. Rose im Phosphorsalz vor dem Löthrohr mikroskopische Anatase darstellte pag. 784. Da das Anatasoktaeder sich durchaus nicht recht auf das Rutiloktaeder zurückführen läßt, auch Anatas in seinen übrigen Kennzeichen von Rutil und Brookit sich am meisten entfernt, so mag ein Trimorphismus der Titansäure wohl begründet sein.

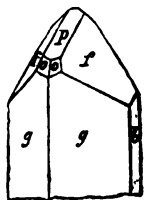
### Titanate

haben wir außer den Kieselergebaltigen pag. 440 noch eine ganze Reihe, die wir hier kurz zusammenstellen:

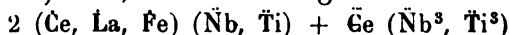
1. Perowskit  $\text{Ca Ti}$ , 58,9 Ti und 41,1 Ca (G. Rose Pogg. Ann. 48. 558) im Kalk mit Knochlor von Achmatowsk bei Slatoust am Ural. Blättrige Würfel bis Faustgröße, an welchen untergeordnet zuweilen Oktaeder, Granatoeder und Pyramidenwürfel vorkommen. Descloizeaux (Ann. Chim. Phys. XII. 1845) beschreibt Würfel mit 7 Flächen in den Kanten, und 10 in den Ecken, zusammen 164 Flächen. Dunkelröthlich braun bis schwarz, Härte 5—6, Gew. 4. Vor dem Löthrohr unschmelzbar. Kleine Würfel, ähnlich verwittertem Schwefelties, finden sich im körnigen Kalkspath von der Bogtsburg bei Oberbergen am Kaiserstuhl, der mitten im vulkanischen Gestein liegt, sowie im benachbarten Schelingen (Jahrb. 1865. 400) zusammen mit Pyrochlor und unzähligen Apatitnadeln. Die Cubooktaeder von Arkansas gleichen verwittertem Schwefelties mit brauner Oberfläche. Sie enthalten oft graue weichere Parthieen, welchen durch Umwandlung alle Kalkerde entzogen ist, es entsteht dann der Hydrotitanit (Jahrb. 1876. 74) mit 82,2 Titan säure, 7,7 Eisenoxyd, 5,5 Wasser. Im Wallis bei Zermatt, auf dem Wildkreuzlioch im Zillertal mit weißem Zirkon. Die durchsichtigen sind auffallender Weise stark doppelbrechend, dann könnten sie nicht regulär sein (Ann. Min. 1858. XIV). Edelmen hat ihn künstlich dargestellt.

2. Polymignyt (*μλννυμ* mischen). Berzelius (Pogg. Ann. 3. 505) fand ihn im Zirkonsyenit von Frederiksvärn, er bildet in diesem schönen Gestein lange krystallinische Strahlen, die nach G. Rose (Pogg. Ann. 6. 500) 2gliedrig sind: eine geschobene Säule  $n = a : b : \infty 109^{\circ} 46'$ , deren scharfe und stumpfe Kante abgestumpft wird,  $s = a : \frac{1}{2}b : \infty$ ,  $t = a : \frac{1}{4}b : \infty$ , das Ende hat dagegen ein einfaches Oktaeder  $P = a : b : c$  mit  $136^{\circ} 28'$  in der vordern und  $116^{\circ} 22'$  in der seitlichen Endkante,  $a : b = \sqrt{2,1} : \sqrt{4,25}$ . Ein sehr glänzender kleinmuscheliger Bruch, schwärzlich braune Farbe, halbmetallicher Glanz, Härte 6—7, Gew. 4,8. Vor dem Löthrohr unveränderlich, concentrirte Schwefelsäure löst das Pulver: 40,3 Ti, 14,1 Zr, 11,5 Y, 12,2 Fe, 5 Ce, 4,2 Ca, 2,7 Mn. Scheerer's Polykras  $\text{Y}^4 \text{Ti}^4 \text{Nb}$  von Gitterö und Eugenit  $\text{Y}^2 \text{Ti}^2 \text{Nb}$  (Pogg. Ann. 72. 500) von Tvedestrand und Tromöe bei Arendal sind dagegen Niobhaltig, doch hat der Polykras noch 4,2 Tantal säure. Im letztern fand schon Strecker (Journ. prakt. Chem. 64. 84) vorherrschend Niob säure, die Rammelsberg (Ztschr. d. geol. Ges. 1869. pag. 561) auf 32 p. C. bestimmt, neben 19,2 Ti, 19,5 Ü, 18,2 Y, 2,8 Ce. Wegen ihrer 2gl. Krystallform stellte sie G. Rose zum Columbit (Pogg. Ann. 150. 115).

3. Aeschynit Berz. (Pogg. Ann. 23. 501) von *αισχυνί* Schaam, weil man chemisch Zirkonerde von Titanoxyd noch nicht trennen konnte. Wurde von Menge im Gläolithfreien Granit bei Miasz entdeckt und für Gadolinit gehalten. 2gliedrig, Säule  $g = a : b : \infty 127^{\circ} 19'$  herrscht,  $b = b : \infty a : \infty$  stumpft die scharfe Kante ab, auch zwischen  $b/g$  liegt zuweilen noch eine schmale Fläche



$a : \frac{1}{2}b : \infty c$ . Das Ende der Säule schließt  $f = c : \frac{1}{2}b : \infty a$   $73^{\circ} 44'$  in Axe  $c$ . Zu diesem Oblongoktaeder  $fg$  kommt zuweilen noch das Okttaeder  $o = a : b : c$  mit  $136^{\circ} 36'$  in der vordern Endkante, und eine Geradenfläche  $p = c : \infty a : \infty b$ , welche Lévy für etwas blättrig ausgibt.  $a : b = 0,74 : 1,5$ . Bräunlich schwarz, mit gelblich braunem Strich, schwach hyacinthroth, an den äußersten Kanten durchscheinend, Fettglanz. Härte 6—7, Gew. 5,1. Vor dem Löthrohr schwillt er zwar auf und wird rostbraun, schmilzt aber nicht. Hartwall fand 56 Ti, 20 Zr, 15 Ce. Hermann gab dagegen nach mehreren schwankenden Analysen als Endresultat 25,9 Ti, 33,2 Niobsäure, 22,2 Ceroryd, 5,1 Cerorydul, 6,2 Lanthanerde, woraus er die Formel



construirte. , Endlich zum 4ten Mal analysirt, fanden sich 22,9 Thorerde, Flumensäure *zc.* Marignac gab um 15,7 Thorerde, 22,6 Ti, 28,8 Niobsäure an, neben Ce, La, Di, Fe, Ca, Y, woraus etwa die Formel  $\text{Ca}^3 \text{Ti Th Nb}$  folgen würde.

Mengit G. Rose's (Reise Ural II. 88) ist Brooke's Fluminit (Pogg. Ann. 23. 200) mit Aeschnit zusammen. 2gliedrig, die rhombischen Säulen bilden  $136^{\circ} 20'$ . Eisenschwarz, kastanienbrauner Strich, Härte 5—6, Gew. 5,48. Im Wesentlichen Ti, Zr, Fe. G. Rose (Kryst. chem. Mineral. 44) schreibt ihn  $\text{Fe Zr}$ , und isomorph mit Columbit. Brooke's Mengit ist Breithaupt's Monazit pag. 585.

Warwickit Shepard (Pogg. Ann. 52. 242) von bräunlicher Farbe in einem körnigen Kalk von Warwick in New-York zusammen mit Spinell. Rhombische Säulen von  $93^{\circ}$ — $94^{\circ}$ , deren stumpfe Kante durch einen deutlich blättrigen Bruch abgestumpft wird. Schwärzliche Splitter scheinen röthlichbraun durch, Härte 3—4, grauer Strich. Die Analyse gab 64,7 Ti, 7,1 Fe, 27,3 Fl. Schon Berzelius hielt das für ein wenig wahrscheinliches Resultat, und Smith (Compt. rend. 1874 Bd. 79 pg. 696) fand nur 23,8 Ti, 36,8 Mg, und statt des Fluor 30,6 Bo.

### e) Wolframerze.

Für Gewinnung des Wolframmetalls lange das wichtigste. Denn Tungstein, worin 1781 Scheele die Wolframsäure entdeckte, ist nicht nur auf Kosten des Wolframs entstanden, sondern auch erst in unsern Zeiten in größern Mengen gefunden pag. 608.

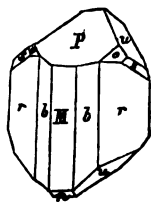
#### 1. Wolfram.

Ein altes bergmännisches Wort, Henkel Pyritologia pag. 199, von frühern Mineralogen wörtlich *Spuma lupi* übersetzt. Agricola 609 gibt ihn zwar für einen sehr leichten Stein aus, allein vergleicht ihn doch mit dem Zinnstein, und Albinus nennt ihn *Ragenzinn*, was auf sein stetiges Vorkommen mit Zinnstein hindeutet. „Wolfrig heißt so viel als

fressend, da das Mineral den Zinngehalt beim Zinnschmelzen vermindere.“ *Magnesia crystallina*. Eine treffliche Monographie danken wir Dr. Schneider (Erdmann's Journ. prakt. Chem. 49. 321). Wolframit. Schéelin ferruginé, Tungstate of Iron. Schorl Romé de l'Isle Crist. II. 311. Kerndt Journ. prakt. Chem. 42. 81; Bernonissi Pogg. Ann. 111. 573.

Hält eine merkwürdige Mitte zwischen dem zwei- und eingliedrigen und zweigliedrigen System (G. Rose Pogg. Ann. 64. 171). Die gewöhnlichen

Zinnwalder Krystalle zeigen ausgezeichnet 2 + 1gliedrige Ordnung. Eine gestohene Säule  $r = a : b : \infty c$  vorn  $101^\circ 5'$  herrscht; ihre scharfe Kante wird durch den ausgezeichneten Blätterbruch  $T = b : \infty a : \infty c$  gerade abgestumpft, derselbe tritt aber selten als Krystallfläche auf.  $M = a : \infty b : \infty c$  und  $b = a : 2b : \infty c$  entstellen die Säule. Die auf die scharfe Säulenkante gerade auf-

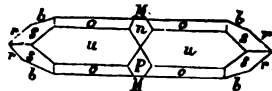


gesetzte Zuspärfung  $u = b : c : \infty a$  macht in  $c$   $99^\circ 12'$ . Haüy nahm beide Winkel  $r/r = u/u = 98^\circ 12'$  an, und da keine ganz scharfe Messungen wegen der Streifung und schaligen Absonderung möglich sind, so würden  $rruu$  ein viergliedriges Oktaeder bilden, dessen scharfe Endecke der blättrige Bruch  $T$  gerade abstumpft. Da sie nun gewöhnlich seitlich mit dem Blätterbruche aufwachsen, so könnte das auf ein Streben zur Viergliedrigkeit hinweisen. Die krummschalige Schiefenbfläche  $P = 2a : c : \infty b$  bekommt gegen die hintere Gegenfläche  $u = 2a' : c : \infty b$  meist entschieden das Uebergewicht. Dem entsprechend treten die beiden augitartigen Paare  $o = a : b : c$  und  $s = a : c : \frac{1}{2}b$  immer nur auf der Vorderseite auf, und zwar bildet  $o$  am viergliedrigen Oktaeder  $rruu$  das halbe nächste schärfere und  $s$  das halbe nächste stumpfere Oktaeder. Nimmt man dazu nun den so häufigen Schwalbenschwanzzwilling, worin die Individuen  $M$  (sammt den Säulenflächen) gemein haben und umgekehrt liegen, und zwar so, daß dann  $o$  und  $s$  in vollzähliger 2gliedriger Ordnung auftreten, so sollte man an einem 2 + 1gliedrigen Systeme mit rechtwinkligen Axen

$$a : b : c = 0,9671 : 1,175 : 1$$

nicht zweifeln. Nun zeigte aber G. Rose, daß bei Ehrenfriedersdorf nicht bloß die bei 2 + 1gliedrigen Systemen ungewöhnliche Geradendfläche  $c = c : \infty a : \infty b$  vorkomme, sondern daß bei Schlaggenwald in Böhmen  $s$  und  $o$  als vollschalige Oktaeder auftreten. Ebenso vollzählig sind die Krystalle, welche bei Nertschinsk mit Beryll vorkommen.

Damit würde dann auch das von Naumann beobachtete Zwillingsgesetz sich besser vertragen, nach welchem die Individuen eine auf



die scharfe Säulenkante aufgesetzte Fläche  $\frac{1}{2}b : c : \infty a$  gemein haben, und die Axen  $c$  (folglich auch die Streifen der einspiegelnden  $M$ ) sich unter  $120^\circ 52'$  schneiden. Hr. Descloizeaux (Ann. Chim. Phys. 1850. XXVIII) maß die dünnen Täfelchen von Chanteloube (St. Bienne), und fand  $M/u$  vorn  $91^\circ 30'$ , hinten  $88^\circ 30'$ , das wäre entschieden 2 + 1gliedrig.

Vergleiche auch Columbit. Die Krystalle haben große Neigung zu schaligen Absonderungen, was die Beobachtung der Flächen sehr erschwert. Die dünnen durchsichtigen Platten von Bagewka im Ural und Nevada haben sich optisch als monoklin erwiesen.

Bleichschwarz mit röthlichbraunem Strich, in dünnen Blättchen nicht ganz undurchsichtig, daher nur halbmetallicchen Glanz, Härte 5—6, Gew. 7,3.

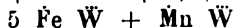
Vor dem Löthrohr schmilzt er schwer, bedeckt sich undeutlich mit Krystallen und wird magnetisch. Mangan- und Eisenreaction. Salzsäure zerlegt ihn schwer, es scheidet sich Wolframsäure als gelber Rückstand aus. Schon 1786 wurde von den Spanischen Gebrüdern de Luyart 65 p. C. gelber Stoff nachgewiesen, der mit Scheele's im Tungstein entdeckten Säure übereinstimmte. Später gab man ihm die allgemeine Formel  $(\text{Fe}, \text{Mn}) \text{W}$ , und zwar bewies Berzelius direct, daß gelbe Wolframsäure (W) und nicht braunes Wolframoryd (W) darin sei. Demungeachtet kam Graf Schaffgotsch (Pogg. Ann. 52. 400), gestützt auf viele Analysen, auf die ältere Ansicht von W wieder zurück. Indes da nach Ebelmen bei der Zersetzung des Wolframs durch Salzsäure sich kein Wasserstoff entwickelt, was bei Vorhandensein von Wolframoryd der Fall sein müßte, da sich Wolframsäure ausscheidet, so bleibt man bei der Ansicht von Berzelius stehen, wornach etwa 75 p. C. W vorhanden ist. Auch hat Dr. Lehmann nachgewiesen, daß ein Gemisch von Wolframsäure und Eisenvitriol in Schwefelsäure erwärmt augenblicklich in blaues Wolframoryd  $(\text{W W})$  umgewandelt werde, was sich dann schnell wieder zu gelber Wolframsäure oxydirt. Bernouilli (Pogg. Ann. 111. 600) nimmt noch eine grüne Modification (Pyrowolframsäure) an, welche im Wolfram steckt, und wornach er sich auf heißem Wege gebildet haben müßte. Der Gehalt an Eisen- und Manganorydul verbunden mit etwas Kalkerde variirt außerordentlich bei den verschiedenen Fundorten. Die Krystalle von **Ehrenfriedersdorf** und Monte Video haben viel Fe, nämlich



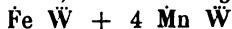
Der in Sammlungen gewöhnliche von **Binnwalde** hat dagegen mehr Mangan als Eisen



- Der strahlig blättrige Wolfram im Spatheisenstein von **Neudorf**



scheint noch mehr Fe als die Ehrenfriedersdorfer Krystalle zu haben, während die bräunlichrothen Nadeln aus dem Steinmark der Zinnsteingänge von Schlaggenwalde nach Rammelsberg 23,1 Mn enthalten, also



sein würden. Da der Hübnerit von Anstin in Nevada auf einem Quarzgange des Thonschiefers hat gar kein Eisen, sondern ist  $\text{Mn W}$  mit etwas Kalk (Jahrb. 1866. 67). Diesem würde dann Ferrowolframit  $\text{Fe W}$  ohne Mangan gegenüberstehen (Weisbach, Synops. miner. 43), welchen Ferber aus Südspanien bekam (Berberit, Jahrb. 1863. 611). Nach Dr. Ber-

nouilli (Pogg. Ann. 111. 608) find die Krystalle von Chanteloube und Zinnwalde Niobhaltig, Hoppe-Sehler (Ann. Ch. Pharm. 91. 247) fand fogar 0,228 p. C. Zndium. Dr. Geuther (Göttinger gel. Anz. 1861. Nachr. pag. 227) bekam durch Zusammenschmelzen von Wolframsaurem Natron, Chlormangan, Eifenchlorür und Kochfalz vortreffliche Krystalle. Mn W war hell granatbraun, durch Zufag von Eifen wurden die Krystalle erst fchwarz.

Wolfram ift der fte und ausgezeichnete Begleiter des Zinnfteins in Sachfen, Böhmen und Cornwallis. Ausnahmssweise findet er fih in ftrahligen Krystallen auf dem Unterharz bei Reudorf in Anhalt Bernburg auf den dortigen Bleiglanzgängen, zu Abontschilon bei Nertschinsk, Limoges (Chanteloube) auf Quarzgängen im Granit. Auf Lane's Mine bei Monroe in Connecticut im Quarz mit gediegen Wismuth, auch häufig in Afterskrystallen nach Tungstein. Der großartige Tagebau im Trachyt von Felsö-Banya auf Kiefe fördert dünne Blättchen aus Licht, die nach Dr. Krenner (Ischermat min. Mitth. 1875. 9) zwei- und eingliedrige Formen haben. Es ift das eine jüngere Bildung, wo es gänzlich an Zinnstein fehlt.

Wolfram oder W (Tungftit) kommt als grünlichgelbes Verwitterungsproduct in einem Quarzgange zu Huntington (Connecticut) vor.

Wolframsaures Natron wird in den Wafchhäusern der Königin von England vorzugsweise gebraucht, um Gewebe unverbrennlich zu machen. Besonders wichtig die Anwendung zum **Wolframftahl**:  $\frac{1}{4}$ —25 p. C. Wolframmetall mit Stahl zufammengeschmolzen erzeugen eine Härte, die man bisher nicht für möglich hielt. Vielleicht ift die große Dichtigkeit des Wolframmetalls 17,5 Gew. der Grund. Wolframeifenftahl bewahrt den Magnetismus länger. Mit 3 p. C. Zufag hat der Stahl auch große Zähigkeit, bleibt gefchmeidig und leicht fchweißbar. Daher haben fih seit einer Reihe von Jahren eine Menge Fabrikanten dem Wolframzufag heimlich zugewendet, Berg. Hüttz. 1873. 215.

### f) Tantalerze.

Sind dem Wolframerze äußerlich sehr ähnlich, nur fehlt der blättrige Bruch. G. Rose (Pogg. Ann. 64. 171) hat fogar zu beweifen gefucht, daß der häufigfte unter allen, der Columbit, ifomorph mit Wolfram fei, trotz dem Mangel des Blätterbruchs. Sie finden fih feltener, und jeder Fundort zeigt einen etwas andern Gehalt. Hatchett entdeckte 1801 im Amerikanifchen den neuen Stoff, welchen er Columbit nannte; und Ekeberg 1802 im Finnländifchen das „Tantalum“, nach dem Phrygischen König Tantalus, Vater des Pelops und der Niobe, um damit auf die bekannte Mythe anzufpielen, da der Stoff die Unfähigkeit befaß, selbst im Ueberfluß von Säuren etwas an fih zu reißen. Wollaston zeigte 1809, daß beide mit einander übereinstimmen. Erst G. Rose (Pogg. Ann. 63. 317) fand 1844 in den Bayerifchen nochmals ein zweites Niobium

Nb, und bald darauf (Pogg. Ann. 69. 118) ein drittes Pelopium Pe. Wenn man nemlich die metallischen Säuren der Tantalzerze mit Kohle in Chlor erhitzt, so kommt ein gelbes flüchtigeres und ein weißes minder flüchtiges Chlorid, letzteres war Niobchlorid, das mit Wasser Niobsäure gibt, ersteres dagegen sollte Pelopchlorid sein, was aber in der That nichts als ein Gemisch von Tantal- und Niobchloriden ist. Niobium und Pelopium mußten daher wieder zusammenfallen (Pogg. Ann. 90. 471), doch erschienen beide als verschiedene allotropische Modificationen, die nicht unmittelbar in andere übergeführt werden konnten (Pogg. Ann. 108. 272). Nun hieß die Pelopsäure Niobsäure ( $\text{Nb}$ ), die frühere Niobsäure wurde dagegen zur Unterniobsäure ( $\text{Nb}$ ). Niobsäure ist der Tantsäure außerordentlich ähnlich, ihr Pulver wird durch Glühen nur stärker gelb. Endlich fügte Hr. v. Kobell im Tantalit von Tammela noch Dian hinzu, welches mit Salzsäure und Stanniol gekocht verdünnte Lösungen lasurblau färbt (Journ. pratt. Chem. 1860. 79. 221, 83. 100 und 449), aber sich ebenso wenig zu bewahrheiten scheint, wie das Hermann'sche Itmenium (Zach. 1870. 467). Sämmtliche stehen in ihren Eigenschaften dem Titan- und Zinnoxyd sehr nahe, welches letzteres sich gar häufig auch zugesellt. Tantalit kristallisirt nach Nordenfischöld zwar zweigliedrig, aber die Säule macht  $100^\circ 42'$ , stimmt also nicht zu Ti, wohl aber zum Wolfram. Man war daher lange geneigt, Tantal- und Wolframoxyde wie Zinnstein und Rutil zu schreiben. Marignac zeigte nun, daß die Wolframoxyfluoride  $\text{WO}^2\text{F}$  isomorph seien mit den Doppelfluorüren von Si, Zr, Ti, Sn; zugleich stieß er dabei auch auf Nioboxyfluorüre, denen aber die Zusammensetzung von  $\text{NbO}^2\text{F}$  zukam, während das gelbe Niobchlorid nach seiner Dampfdichte  $\text{NbCl}^3$  sein mußte. So kamen Niob und Tantal sammt dem Vanadin zu den fünfwerthigen Elementen des N, P, As, Sb (Rammelsberg, Monatsber. Berl. Akad. 1871. 161). Für Sauerstoff = 8, muß dann Ta = 91 und Nb = 47,5 angenommen werden, da die Tantsäure  $\text{Ta}^2\text{O}^5$  18 p. C. Sauerstoff, und Niobsäure  $\text{Nb}^2\text{O}^5$  29,85 Sauerstoff enthält.

Tantal- und Nioberze finden sich nur sparsam im Granit (S. Rose, Pogg. Ann. 99. 63), doch haben Scandinavien, Finnland, Miasz, Bodenmais, Limoges, Grönland, die Nordamerikanischen Staaten 2c. Beispiele geliefert. Schon bei den Silikaten fielen im Wöhlerit pag. 454 14,5 p. C. Niobsäure auf; beim Aeschnit pag. 789, Polykras und dem seltenen Eugenit herrscht Titanoxyd vor. Columbbit, Samarskit, Tantalit, Fergusonit, Pyrochlor 2c. bilden die eigentliche Gruppe der Tantalate. Schon Berzelius schloß sie durch Zusammenschmelzen mit saurem schwefelsaurem Kali auf, und Rammelsberg zeigte, daß sie fast alle die isomorphe Tantal- und Niobsäure zugleich enthalten.

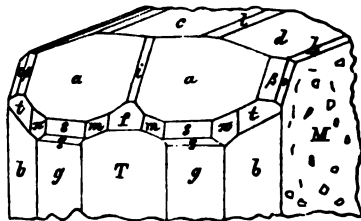
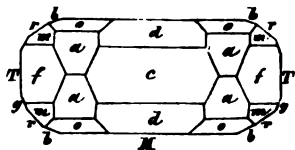
### 1. Columbbit ( $\text{Fe}$ , $\text{Mn}$ ) ( $\text{Nb}$ , $\text{Ta}$ )

nannte Hatchett das schwarze Mineral aus dem Granit von Connecticut (Haddam), worin er sein neues Metall Columbium entdeckte, von welchem



Wollaston bewies, daß es mit Eteberg's Tantal identisch sei. Man spricht daher noch heute in Amerika von Columbaten ( $\text{Cb}^2 \text{O}^5$ ). Gehlen erkannte ihn bald darauf (Schweigger's Journal VI. 256) im verwitterten Ganggranit bei Rabenstein zwischen Zwiesel und Bodenmais, wo er sich so häufig findet, daß diesen Dufrenoy Baiérine nannte. Früher begriff man ihn unter dem Eteberg'schen Namen Tantalit, und nannte ihn dann zum Unterschiede Bodenmais-Tantalit. Grönlandit, Niobit, weil man lange meinte, daß sie nur Niobsäure enthielten, gegenüber dem reinen Tantalit, bis Rammelsberg dieser Ansicht entgegentrat. Monographie von Schrauf (Sitzungsab. Wien. Akad. Wiss. 1861. 44. 416).

Ausgezeichnet 2gliedrig, von den Winkeln des Wolframs, aber mit größerem Flächenreichtum, jedoch gute Krystalle seltener. Vorherrschend  $M = a : \infty b : \infty c$ , sich durch Längsstreifen auszeichnend, dazu kommt  $T = b : \infty a : \infty c$ . Keine Fläche dieser Oblongsäule  $M/T$  zeigt sich sonderlich blättrig, daher hielt man auch anfangs die Bodenmaier für Pechblende, so sehr die Streifung von  $M$  auch an Wolfram erinnern mag. Am Ende dehnt sich die Geradenfläche  $c = c : \infty a : \infty b$  immer stark aus. Untergeordnet finden sich in der Oblongsäule  $r = a : b : \infty c$  mit  $100^\circ 40'$  im vordern Säulenwinkel, also vom Wolfram nur  $25'$  abweichend,  $b = a : 2b : \infty c$  ( $134^\circ 58'$ ) und  $g = 3a : b : \infty c$  ( $136^\circ 12'$ ). Bei allen ein Oktaeder  $a = 3a : b : c$ , Fläche  $g$  zu einem Rechteck machend, die von Haddam haben sogar blos dieses Oktaeder zur Endigung, die Bodenmaier mit sehr vorherrschender Geradenfläche  $c$  dagegen noch das Paar  $f = c : \frac{1}{2}b : \infty a$ ,  $59^\circ 20'$  in  $c$ , und zuweilen das Oktaeder  $m = 3a : \frac{1}{2}b : c$ . Krystalle von Middleton (Connecticut) erreichen nicht blos ein Gewicht von 14  $\pi$ , sondern zeigen auch noch das Paar  $d = 3a : c : \infty b$ , und selbst das Oktaeder  $o = a : b : c$  mit  $117^\circ 53'$  in den vordern und  $102^\circ 58'$  in den seitlichen Endkanten. Die wesentlichste Bereicherung lieferten jedoch die schönen Krystalle aus dem Kryolith von Grigol (Ivikaet Descloizeaux, Ann. mines. 1856. VIII. 300), worunter einige reine Niobate ( $FeNb^2O^6$ ) stecken sollen: um und um krystallisirt mit Eindrücken von verwittertem Feldspath täuschen sie durch ihren ganz verschiedenen Habitus. Zwar ist  $M$  100 noch breit aber nicht längsgestreift, sondern mit löcherigen Eindrücken. Die Säulenzone zeichnet sich durch ihren Glanz auf den Flächen  $b$  210 und  $g$  130 aus;  $T$  010 tritt häufig ganz zurück, und da sich vorzugsweise  $a$  133 und  $d$  103 ausdehnen, so gieng Schrauf nicht von  $o$  sondern von  $a$  als Hauptoktaeder aus, zu



welchem  $g$  die zugehörigen Dodekaëderflächen bilden. Eine Menge kleiner Abstumpfungen gesellen sich dazu:  $s$  263,  $q$  391,  $\pi$  121,  $t$  463,  $\beta$  233. Die Verticalzone  $M/c$  läßt sich durch ihre matten Flächen  $d$  103,  $h$  203,  $l$  106 leicht erkennen. Nimmt man dazu zwischen  $M/o$   $x$  211, zwischen  $u/d$   $\alpha$  115, zwischen  $o/d$   $\sigma$  213 und zwischen  $T/m$   $\varphi$  1.12.3, so haben wir eine Einsicht von dem ungewöhnlichen Flächenreichtum.

$$a : b = 0,9447 : 1,139 = \sqrt{0,8924} : \sqrt{1,2979}$$

$$\lg a = 9,97529, \lg b = 0,05661.$$

Bei Rabenstein finden sich auch Zwillinge, welche  $f = c : \frac{1}{2}b$  gemein haben und umgekehrt liegen, die Axenrichtungen  $c$  schneiden sich daher unter  $59^\circ 20'$ , was man an den Streifungen der einspiegelnden  $M$  annähernd erkennen kann.

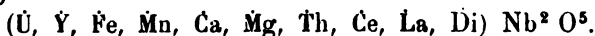
Farbe pechschwarz mit schwarzem bis rothbraunem Strich, Fettglanz auf dem kleinschuppigen Bruche. Härte 6, Gewicht variiert sehr, woran nicht sowohl Verwitterung sondern viel mehr das Schwanken zwischen Niob- und Tantalgehalt schuld ist, im Mittel kann man 6 annehmen, zwischen den Grenzen 5,4 und 6,3 liegend. Zu schälicher Absonderung geneigt.

Vor dem Löthrohr unveränderlich, auch von Säuren werden sie wenig angegriffen, Berzelius schloß sie daher mit  $K\ S^2$  auf.

Columbit im Ganggranit von Rabenstein Gew. 6,39, Strich schwarz, sollte nach H. Rose keine Tantal- sondern 81 Unterniobsäure, 14,3 Fe, 2,8 Mn, 0,45 Sn, 0,13 Cu enthalten; jetzt zeigt sich, daß der Gehalt an Tantalsäure bis auf 35 p. C. steigen kann, und die Formeln zwischen  $Nb^8Ta$  und  $Nb^2Ta$  schwanken. Der Amerikanische von Middleton (Connecticut) mit 5,8 Gew. und dunkelbraunrothem Strich nach Hermann 78,2 Metallsäure, wovon 30 p. C. auf Tantal kommen. Der Grönländische hatte kaum 5,4 Gewicht und 78,7 Unterniob-, und in der That sind nach Blomstrand (Jahrbuch 1870. 400) einige darunter, die 78 Niobsäure und keine Spur von Tantal haben, sie sind daher die leichtesten. Chanteloube 78,7 p. C., im Schriftgranit von Tirschenreut an der Rab 78,6. Früher hielt man die Säure für Tantalsäure, bis H. Rose Niob und Pelop darin zu entdecken meinte, das sich in verschiedenen Quantitäten gegenseitig vertreten sollte (Pogg. Ann. 71. 100). Später (Pogg. Ann. 1859. 107. 400) zeigte sich, daß Niobsäure Nb gar nicht vorkomme, sondern nur Unterniobsäure Nb, wenigstens im Columbit, Samarskit, Eugenit, Fergusonit, Thrit. Jetzt spricht man nur von Niobsäure  $Nb^2O^5$ , welche Tantalsäure  $Ta^2O^5$  vertritt.

**Samarskit** (H. Rose Pogg. Ann. 71. 107) ist Uranotantal (H. Rose Pogg. Ann. 48. 550) und Nitroilmenit Hermann's, mit Aeschnit im Granit des Elmengebirges bei Miasz. Scheint die Krystallform des Columbit's zu haben. Sammtschwarz, dunkelröthlich brauner Strich, unvollkommener Metallglanz. Härte 5—6, Gew. 5,6. Schmilzt an den Kanten zu schwarzem Glase, und glüht auf wie Gadolinit pag. 443, wird aber umgekehrt nach dem Aufglühen specifisch leichter (Pogg. Ann. 72. 473). Die

Analyse gab 56 metallische Säure, die hauptsächlich aus Unterniobsäure mit etwas Zinn- und Wolframsäure bestand, 15,9 Fe, 16,7 Uranoxyd, 11 Yttererde, R (Nb, U). Herrmann glaubte darin einen neuen Stoff Zlmenium entdeckt zu haben, was jedoch H. Rose (Pogg. Ann. 73. 449) widerlegte, während H. v. Kobell wieder darin seine Diansäure erkennen wollte. Merkwürdig ist die Menge seltener Stoffe, worunter Herrmann sogar 2,8 Thorerde aufführte. Da das Uranoxyd auf 20,5 p. C. hinaufgeht, so war der Name von G. Rose im Grunde passender, H. Rose wollte ihn daher auch in Uranoniobit umwandeln. Jetzt gibt man ihm die Formel

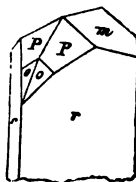


Hier ist auch der röthlichbraune fettglänzende Eugenit pag. 789 zu vergleichen, Gew. 4,9 mit 37,1 „Unterniobsäure“, 16,3 Titanoxyd, 8,4 Uranoxydul, 26,5 Cer-, Erbin- und Yttererde, 5,2 Kalk, 3 Eisenoxydul, Wasser 2c. Spätere Analysen (Pogg. Ann. 150. 100) bestätigen im Allgemeinen, daß nur Niobsäure vorhanden ist. Das Funken spectrum (Pogg. Ann. 155. 101) zeigte auch noch Lanthan und Didym an.

## 2. Tantalit (Fe, Mn) (Ta, Nb).

Der Ekeberg'sche Name für den Finnländischen, wo er im Kirchspiel Rimito und Lammela im Gang-Albit (Oligoklas) der dortigen Granite mit Turmalin und Smaragd vorkommt. Nach H. Rose (Pogg. Ann. 104. 101) enthalten sie entschieden Tantalsäure. H. v. Kobell will darin einen neuen Stoff Dianium Di gefunden haben. Nordenstiöld (Pogg. Ann. 50. 100) beschreibt ihn zwar auch

2gliedrig, aber verschieden von Columbit. Das Octaeder  $P = a : b : c$  hat in der vordern  $126^\circ$  und in der seitlichen Endkante  $112^\circ 30'$ . Daraus folgt  $a : b = 1,253 : 1,534$ . Die seitliche Endkante ist durch  $m = b : c : \infty a$  abgestumpft. Unter  $P$  liegt  $o = b : c : \frac{1}{2}a$ , seltener zwischen  $P$  und  $o$  noch  $v = b : c : \frac{2}{3}a$ . In der Säule herrscht  $r = 9a : 4b : \infty c$  mit  $57^\circ 6'$  in der vordern Endkante, freilich ein nicht sehr wahrscheinlicher Ausdruck.  $s = a : \infty b : \infty c$  stumpft die vordere und  $t = b : \infty a : \infty c$  die seitliche Säulenkante ab. Unter andern kommt auch noch  $q = c : \frac{1}{2}b : \infty a$  und darüber  $n = c : 6b : \infty a$  vor. Die Krystalle sind selten einfach, sondern verwickelte Zwillinge. Beim Rimito-Tantalit herrscht die Oblongsäule  $s/t$ , also wie beim Columbit. Sie stammen von Härkäsaari bei Torro im Kirchspiel Lammela, wo sie mit Rosenquarz und Gigantolith brechen. Stark zinnhaltig, Gew. 7,1, also entschieden schwerer als die Columbite. Die von Rimito, wo bei Fogbölle die reichste finnländische Fundgrube ist, wiegen 7,93, Zinnarm, Eisenschwarz, brauner Strich, bei manchen Abänderungen bis ins Zimmtbraun gehend (Pogg. Ann. 101. 100).



Ein Lammela-Tantalit enthielt 83,9 Tantalsäure, 13,8 Fe, 0,7 Mn,

0,66 Zinnoryd; Kimito-Tantalit (Zirolit) 75,7 Tantal säure, 9,8 Fe, 4,3 Mn, 9,6 Sn. Zinn soll das Tantal vertreten; ein Theil des Eisens scheint bei den verwitterten ausgelaugt zu sein, daraus erklärt H. Rose den Mangel an Basen.

Finbo-Tantalit bei Finbo und Broddbo ist krystallinisch, Gew. 6,2—6,5. Der chemische Gehalt 67 Tantal säure, 16,7 Sn, 6,9 Fe, 7,1 Mn, 2,4 Ca. Mit ihnen kommt dann ein Tantal säurehaltiger Zinnstein (93,6 Sn, 2,4 Ta) vor, so daß zwischen Zinnstein und Tantalit ein förmlicher Uebergang Statt findet. Damour fand bei Chanteloube Tantalit mit einem Zirkonerdegehalt, der bis auf 5,7 p. C. stieg, und vielleicht auch Ta vertritt. Sjölmit (Pogg. Ann. 111. 290) aus dem Schriftgranit von Rararvet enthält 62,4 Tantal säure. Neuerlich haben sich auch in Nordcarolina (Yancey Cty.) Pfundschwere Krystalle von 5,8 Gew. gefunden mit 76,6 Tantal säure, 14 Fe, 7,7 Mg, Jahrb. 1876. 807.

Ytter-Tantalit wurde schon 1802 von Ekeberg (Kongl. Vetensk. Acad. Handl. 1802. XXIII. 10) aus dem rothen Granit von Ytterby unsern Wagholms-Festung bei Stockholm entdeckt. Derbe eingesprengte Massen mit Fettglanz, Apatithärte. Berzelius unterschied Abänderungen von dreierlei Farben: schwarze, braune, gelbe. Alle drei finden sich auf dem gleichen Stükk. Der schwarze wiegt 5,39, der gelbe 5,88. Den schwarzen kann man leicht mit Gadolinit verwechseln, allein er hat keine Kieselsäure. Nach Nordenstjöld (Pogg. Ann. 111. 290) 2gliedrig. Vor dem Löthrohr unschmelzbar, gibt aber einen Glühverlust und wird specifisch schwerer. H. Rose (Pogg. Ann. 72. 155) wies im schwarzen abgesehen vom Wasser 58,6 Tantal säure, 21,2 Yttererde, 7,5 Ca, 3,9 U, 6,3 Fe, 0,6 W, 0,4 Ca nach. Nach neuern Untersuchungen (Pogg. Ann. 150. 200) enthält die Yttererde, 11 Y, 7,2 Erbinerde und 2,4 Cerorydul; die Tantal säure 13,1 Niob säure 2c. Der gelbe von 4,77 Gew. soll meist amorph sein (Pogg. Ann. 111. 290); der braune von 5 Gew. enthält Niob säure und viergliedrig, wie Fergusonit, war er das erste Niobhaltige Mineral Schweden's (Nordenstjöld (Pogg. Ann. 111. 290). Später hat sich auch im schwarzen 14 titanhaltige Niob säure gefunden (Ztschr. d. g. Ges. XXI. 500), in Norwegen wurde sie schon im Eugenit pag. 789 bekannt.

Dianit nannte Hr. v. Kobell (Jahrb. 1860. 440) einen Lammela-Tantalit mit grauem Strich, und von 5,5 Gew., also wesentlich leichter als die andern finnländischen Tantalite, denen er sonst außerordentlich gleicht. Die Sache liegt noch im Streit, doch behauptet Kobell (Journ. prakt. Chem. 83. 440) im Columbit, Eugenit, Samarskit, Aeschnit, Polykras, Fergusonit, Thyril Dian säure nachgewiesen zu haben.

Tapiolit (Pogg. Ann. 122. 604) Fe Ta von Nordenstjöld nach einem finnischen Gott genannt, fand sich im Granit von Sulkula im Kirchspiel Lammela in viergliedrigen dem Zirkon ähnlichen Oktaedern von 123° 1' in den Endkanten. Das schwarze stark glänzende Mineral hatte 15,8 Fe, 83,2 Metallsäure, welche sich als 73,9 Tantal- und 11,2 Niob säure erwies (Monatsh. Berl. Akad. 1871. 101), schon das hohe Gew. 7,37 ließ darauf

schließen. Der Rochelit (Ztschr. d. geol. Ges. XX. 1880) im Ganggranit von den Rochelwiesen bei Schreiberhau in Schlesien steht dem Yttrotantalit nahe, bildet krustenartige Ueberzüge über Titan Eisen und Fergusonit in Begleitung von Gadolinit, Xenotim, Monacit, und enthielt 29,5 Niobsäure, 17,2 Y, 12,8 Zr, 1,2 Th, 7,7 H u.

### 3. Fergusonit $Y^3 Nb$ .

Wurde zu Kifertaursaß am Cap Farewell im Quarz gefunden (Haidinger Pogg. Ann. 5. 186). Er gleicht dem Yttro-Tantalit im Aussehen, daher beschrieb ihn Mohs (Grundriß II. 688) unter diesem Namen. Nordenfjöld fand ihn bei Ytterby zwischen den Yttro-Tantaliten, und Webster in Schlesien mit Rochelit.

Viergliedrig, aber mit jener merkwürdigen Hemiedrie des Scheelsbleierzses pag. 604. Geht man vom Oктаeder  $s = a : a : c$  aus mit  $100^\circ 28'$  in den Endkanten, wornach  $a = \sqrt{0,444}$ , so haben dazu die quadratische Säule  $r$  und das Quadratoctaeder  $z$  nicht die verlangte symmetrische Lage. Man muß vielmehr beide als die Hälfte von der vierundvierkantigen Säule  $r = a : \frac{1}{2}a : \infty a$  und von dem Vierkantner  $z = c : a : \frac{1}{2}a$  betrachten. Geradenfläche  $i = c : \infty a : \infty a$ .



Pechschwarz, an den Kanten rötlich durchscheinend, blaßbrauner Strich, Härte 5—6, Gewicht 5,84 (der schwedische nur 4,89). Vor dem Löthrohr unschmelzbar. Nach Hartwall (Pogg. Ann. 16. 483) 47,7 Tantal säure, 41,9 Yttererde, 4,7 Cerorydul, 3 Zirkonerde, 1 Zinnoryd, 0,95 Uranorydul. F. Rose zeigte, daß sie keine Tantal-, sondern „Unterniob säure“ halten, was die schwedischen bestätigten, obwohl die spätern Analysen (Pogg. Ann. 150. 208) selbst bei den Grönländischen 6,4 Tantal säure fanden, die bei den schwedischen auf 28,5 Tantal säure neben 29,7 Niob säure steigen kann. Teschenmacher's Azorit im Trachyt der Azoren bildet kleine grünlich gelbe Quadratoctaeder, die im wesentlichen Unterniobsauren Kalk zu enthalten scheinen. Tyr it (Norwegischer Kriegsgott Tyr) mit Eugenit auf Tromsø, Gew. 5,55, hat nach Kenngott die Form des Fergusonits, und besteht auch im wesentlichen aus „Unterniobsaurer Yttererde“, die wie gewöhnlich ansehnliche Mengen von Erbin und Cer, und auch etwas Lanthan und Didym enthält. Bragit ist davon nicht verschieden. Durch die neue Schreibweise der Niob säure ist Fergusonit  $Y^3 Nb^2 O^8$  mit Xenotim  $Y^3 P^2 O^8$  isomorph. Dagegen läßt sich Tapiolit  $Fe Nb^2 O^6$  damit nicht in Uebereinstimmung bringen, obwohl die Kristallform die gleiche ist, und noch mehr fällt die gleiche Form beim Scheelsblei, Lungstein, Gelbblei, Zinnstein, Rutil, Zirkon auf.

### 4. Pyrochlor.

Im Zirkonspenit von Frederiksvärn entdeckt, und da er im Feuer sich gelb brennt, von Wöhler (Pogg. Ann. 7. 417) so benannt. Mikrolith von Chesterfield. Auch Koppit scheint ihm nahe zu stehen.

Reguläre Oktaeder, zuweilen Granatoeder und Leucitoeder  $a : a : \frac{1}{2}a$  und  $a : a : \frac{1}{2}a$  untergeordnet (Miaßf). Die Oktaeder sehr scharf ausgebildet, und dadurch meist leicht vom begleitenden Polymignit unterscheidbar. Röthlichbraun durchscheinend. Härte 5, Gew. 4,2.

Vor dem Löthrohr wird er gelb und schmilzt schwer zu einer schwarzbraunen Schlacke. Die Uralischen zeigen ein Aufglühen, und Wöhler fand darin 13,1 Gerhaltige Thorerde, 11 Ca, 5,3 Na, 3,2 Fluor, 67,3 titanhaltige Tantsäure, welche sich später als „Unterniobsäure“ erwies (Pogg. Ann. 48. 11). Die Krystalle erreichen im Ural bis  $\frac{1}{2}$  Zoll Größe. Bei dem in Albit eingewachsenen Mikrolith von Chesterfield geht die Metallsäure auf 80 p. C. Die gelben, scheinbar regulären Oktaeder des Pyrrhit (Pogg. Ann. 48. 111) auf Feldspath von Alabaskha finden sich nur in einer einzigen Stufe vor (Kotscharow Miner. Aufl. I. 111), und dürften dem Pyrochlor verwandt sein. Auf den Azoren fanden sich solche Oktaeder, die aus Niobsaurer Zirkonerde bestehen sollen. Die Seltenheit des Minerals und die Schwierigkeit der Analyse haben seit 1826 eine Menge verschiedener Resultate zu Wege gebracht (Rammelsberg, Monatssb. Berl. Akad. 1871. 111), und noch jetzt wollen sie sich einer guten Formel nicht fügen. Doch enthalten sie keine Tantal- sondern nur Niobsäure, neben Titansäure Ti; Miaß hat 7,8 Thorerde und kein Uranoxydul, bei Brevig nimmt die Thorerde ab, und bei Frederiksvärn fehlt sie ganz, statt dessen stellt sich 5,2 Uranoxydul ein. Das Fluor wird wahrscheinlich einen Theil des Sauerstoffs ersetzen, dann könnte man ungefähr die Formel  $(Ca, Ce, U, Fe) N^2 O^3 + (Ca, Ce) (Ti, Th)$  herausbringen. Der Koppit (Jahrb. 1875. 11) kommt mit Apatit und Magneteisen im Kalkstein von Scheelingen bei Freiburg vor. Er ist frei von Titan, hat 61,9 Niobsäure, 10,1 Gerhaltige Thorerde, 16 Ca, 7,5 Na, 4,2 K. Für Niobsäure = Nb, würde nach Knop das Verhältniß zu der einfachen Formel  $R Nb$  führen, oder  $R^5 Nb^2$ , wo  $R = Ce, La, Di, Ca, Na, K, Fe, Mn$  gesetzt ist. Neuerlich glaubt man gemäß der specifischen Wärme das Atomgewicht des Cer um die Hälfte vergrößern zu müssen, also für  $O = 8$  statt 46 nur 69 zu setzen, dann würde  $Ce = Ce$ , ebenso Zanthan und Didym, was die Formeln grade nicht einfacher machen würde, Rammelsberg, Berichte deut. chem. Ges. 1876. 1580.

### g) Uranerze.

Sie sind die einzigen, aus welchen das Uranmetall leicht in größerer Menge zu gewinnen ist. Klaproth (Beiträge II. 111) entdeckte 1789 das neue Metall in der von den Bergleuten längst bekannten Pechblende, die nun den neuen Namen Uranit oder

Uranpfeferz erhielt. Werner nannte es schlechthin Pfeferz, Hausmann Pechuran, Häubinger Uranin. Toracit vom Lake Superior. Findet sich meist in derben aber großen unkrystallinischen Massen, ohne Blätter-

bruch, daher nannte es Mohs untheilbares Uranerz. In Deutschland sind keine Krystalle bekannt. Dagegen glaubt Scheerer in Norwegen, wo er stets in Begleitung von Niob- und Tantal-saurem Uran-Manganoxydul vorkommt, reguläre Oktaeder mit Würfel deutlich beobachtet zu haben (Pogg. Ann. 72. 571).

Ein halbpalartiger Bruch mit Fettglanz, zuweilen gerundete nierenförmige Oberfläche. Pechschwarz mit bräunlich schwarzem Strich. Härte 5—6, Gew. 6,46.

Vor dem Löthrohr unschmelzbar, in der Oxydationsflamme gelbe und in der Reductionsflamme grüne Gläser. In Salpetersäure löst es sich leicht zu einer grünlich gelben Flüssigkeit. Als wesentlichen Gehalt sieht Kammelsberg das Uranoxydorydul  $UO_2$  an; er fand davon in der Pechblende von der Grube Tanne bei Joachimsthal 79,1 p. C. neben 6,2 Blei, 3 Eisen, 1 Arsenik, 2,8 Kalkerde, 5,3 Kieselsäure u. Darnach könnte man wäghen, daß sie isomorph mit Magneteisen pag. 746 sei. Karsten (Pogg. Ann. 26. 491) wies Spuren von Selen nach, das er bei der von Schneeberg mit dem Löthrohr noch erkannte, Wöhler (Pogg. Ann. 54. 600) einen Vanadiumgehalt. Ueber Spuren von Kupfer, Wismuth u. darf man sich nicht verwundern, da sie namentlich von kleinen Kupferkiesstrümmern häufig durchzogen wird. Noch weniger fällt ein Gehalt von Phosphorsäure auf, denn sie ist die Mutter des Uranglimmer pag. 597. Das krystallisirte Uranpecherz, was sich bei Valle in Sätersdalen zusammen mit „Niob-Pelopsäurem“ Uran-Manganoxydul (Pogg. Ann. 72. 569) findet, hatte sogar einen bedeutenden Gehalt jener merkwürdigen Metallsäuren, neben denen Uranoxyd auch im Samarskit eine Rolle spielt, wie es überhaupt in der ganzen Gruppe der Tantalate vorkommt.

Breithaupt unterscheidet Pechblende mit schwarzem, olivengrünem und pomeranzengelbem Strich. Letzteres (Uranisches Gummierz) gleicht der Gummigut, sieht hyacinthroth aus, und hat nach Karsten die Formel  $4 UO_2 + Ca_3 P_2$ . Es kommt zu Johann-Georgenstadt vor, und ist wahrscheinlich schon Zerlegungsprodukt. Haidingers Eliafit von Joachimsthal ist amorph und dunkel pechfarbig (Pogg. Ann. Ergänz. IV. 240).

**Uranocer**, ein wasserhaltiges Uranoxyd, das in Schnüren die Pechblende durchzieht und in schmalen Bändern einhüllt, von gelber Farbe. In den Stücken von Johann-Georgenstadt kann man den Prozeß von Pecherz, durch das Gummierz zum Ocker vollständig verfolgen. Der prachtvoll citronengelbe von Joachimsthal entsteht durch Zerlegung des dortigen Uranvitriol, wie schon die mitvorkommenden kleinen Gypstrystalle beweisen. Er besteht daher nach Kennigott aus mikroskopisch feinen Krystallen. Vergleiche auch den zeisiggrünen Uranophan im Granit von Kupferberg in Schlesien (Zeitschr. deutsch. geol. Ges. XI. 334; XXII. 99), der Kieselersäurehaltig von Webster als Thomsonit gedeutet wird, in welchem  $\frac{1}{2}$  des Aluminiums durch Uran vertreten sind. Der Uranotil von Wölfsendorf, citronengelbe zweigliedrige Nadeln, enthält neben 13,8 Si 66,7 Uranoxyd, 5,3 Ca, 12,6 H, Jahrb. 1870. 780.

Liebigit Smith (Liebig's Ann. Chem. u. Pharm. 66. 111) mit Uranpfecherz von Adrianopel, eine grüne Färbungssubstanz, die aus  $\text{U}^2 \text{C} + 2 \text{Ca C} + 36 \text{H}$  bestehen soll, mit 38 U, 45,2 H, 8 Ca, 10,2 C. Der smaragdgrüne Voglit (U, Ca, Cu) C + H kommt in zarten Schuppen auf Uranpfecherz der Gliazeehe zu Joachimsthal vor. Uranvitriol pag. 649.

Uranpfecherz bricht hauptsächlich im Erzgebirge: Johann-Georgenstadt, Schneeberg, Annaberg. In Böhmen zu Joachimsthal, Przibram, Nebruth in Cornwall. Die großen derben Stücke finden wir in allen Sammlungen. Es dient in der Porzellanmalerei zum Schwarz und Gelb, und zum Färben des Glases. Essigsaures Uranoxyd gilt als das beste Reagenzmittel auf Phosphorsäure. Die Joachimsthaler enthalten 0,2 Vanadinsäure, man verarbeitete daselbst seit 1852 jährlich 30—50 Ctr., die 10  $\mathcal{R}$  dieses seltenen Stoffes lieferten. Jetzt kommen die Präparate hauptsächlich als Urangelb  $\text{Na U}^2 \text{H}^6$  in den Handel, jährlich etwa 70 Ctr. im Werthe von 170,000 Reichsmark. Zu Joachimsthal bricht das Uranerz in größern Mengen mit Silber-, Wismuth-, Nickel- und Kobalterzen, aber sie wurden über die Halde gestürzt, oder in den Gruben als Versatz zurückgelassen. Darin bildeten sich dann durch Jahrhundert lange Einwirkung der Atmosphären jene zahlreichen Kohlen-, Schwefel-, Phosphorsäuren 2c. Salze.

## h) Kupfererze.

Sie gehören zwar zu den edelsten für die Gewinnung des Kupfers, haben aber gegenüber den geschwefelten Kupfererzen eine geringe Bedeutung für den Bergbau. Mineralogisch interessant ist vor allem das

**Rothkupfererz.** Kupferroth nach seiner Farbe. Aes sui coloris Rothkupfer Agricola 702. Als stetiger Begleiter des gediegenen Kupfers konnte seine Beschaffenheit den ältern Mineralogen kaum entgehen. Ohne Zweifel ist bei Theophrast 70, wo er von einem Steine redet, der dem Carbunculus ähnlich, aber schwerer sei, unser Erz gemeint, da er zwischen andern salinischen Kupfererzen eingeprengt war. Vielleicht auch Caldarius Plinius 34. 20. Cronstedt § 193 nannte es rothes Kupferglas, daher bei R. de l'Isle Essai 1772. 364 noch für Cuivre vierge gehalten, dem nur die Malleabilität fehle, erst später hieß es III. 331 Cuivre vitreuse rouge, Cuivre oxydulé. Red oxide of Copper. Cuprit.

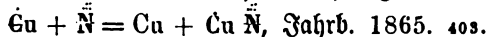
Reguläres System in ausgezeichneten Formen. Das Oktaeder herrscht, und zwar deutlich blättrig, seltener das selbständige Granatoeder, doch kommen beide von Zollgröße um und um gebildet bei Chessy und auf den Gumeschewsk'schen Kupfergruben am Ural vor. Noch häufiger finden sich beide Oktaeder und Granatoeder in Verbindung, woran bald das eine, bald das andere sich mehr ausdehnt. Der Würfel ist schon viel ungewöhnlicher, aber am Ural sind ihm Oktaeder, Granatoeder und Pyramidenwürfel  $a : \frac{1}{2}a : \infty a$  untergeordnet, eine Form,



die auffallend an dortige Kupferkrystalle durch ihren ganzen Habitus erinnert. Kleine selbständige Würfel finden sich auf den Kupfergruben von Cornwallis, und zu Moldawa im Banat. Das Leucitoeder  $a : a : \frac{1}{2}a$  stumpft die Kanten des Granatoeders ab. G. Rose erwähnt von den Gumeschewsk'schen Gruben auch eine Abstumpfung zwischen Granatoeder und Oктаeder, einem Pyramidenoktaeder  $a : a : 3a$  angehörend. Der Pyramidenwürfel  $a : \frac{1}{2}a : \infty a$ , das Pyramidengranatoeder  $a : \frac{1}{2}a : \frac{1}{2}a$ , also sämtliche 7 reguläre Körper sind vertreten. Dagegen Zwillinge nicht bekannt, wohl aber gestrichelte Formen (G. Rose Reise Ural I. 104) von großer Schönheit und zart wie das haarförmige Rothkupfererz von Rheinbreitenbach: es sollen dünne Würfel sein, die sich nach der oktaedrischen Axe verlängert haben.

Dunkel Cochenillroth mit blutrothem Strich. Viele Krystalle scheinen stark durch, und zeigen dann Diamantglanz, und den starken Brechungscoefficienten 2,849. Verräth sich gewöhnlich durch Malachit. Härte 3—4, Gew. 6.

Kupferoxydul Cu mit 88,8 Cu und 11,2 Sauerstoff. Semioxyd, G. Rose (Pogg. Ann. 120. 1) hat auch ein grünliches Quadratoxyd  $\text{Cu} + \frac{1}{2}\text{O}$  hergestellt. Kupferhammerschlag besteht vorzugsweise daraus, man hat es auf nassem und trockenem Wege krystallisirt bekommen (Pogg. Ann. 49. 409). Die Löthrohrflamme färbt es deutlich grün, schmilzt und reducirt sich zu Kupfer, was beim Erkalten von Kupferoxyd schwarz anläuft. Kupferoxydul gibt in der innern Flamme farblose Gläser, die erst beim Erkalten schmutzig ziegelroth werden, in der äußern dagegen smaragdgrüne von Kupferoxyd. Mit verdünnter Schwefelsäure übergossen scheidet sich Kupfer aus, ohne daß die Krystalle ihre Form verlieren



Rothkupfererz zeigt sich häufig als Zersetzungsprodukt von gediegenem Kupfer, das beim Zerschlagen nicht selten noch unzerseht darin steckt. Nach Wibel erzeugt es sich nicht durch unmittelbare Oxydation des Kupfers, sondern durch Reduction vorher gebildeter Oxydsalze. Man findet es nicht bloß auf den verschiedensten Gruben, wo gediegen Kupfer vorkommt, sondern auch an alten Geräthschaften, die lange in der Erde begraben waren, wie z. B. den Waffen und Schmucksachen der Kelten, die entweder ganz aus Kupfer oder aus Bronze bestehen. In beiden Fällen durchzieht das entstandene Rothkupfererz die Masse. Schon R. de l'Isle (Crist. III. 333) erkannte in dem Pferdehuße einer antiken Bronzestatue, welche 1777 bei Lyon ausgegraben wurde, kleine Cubo-Oктаeder. Erst aus ihm entstand der Aerugo nobilis, ganz in derselben Weise, wie am Ural die Malachite aus dem gediegenen Kupfer durch Verwitterung des Kupferoxyduls (G. Rose Reise Ural I. 272). Dadurch sind dann auch die schönen

Afterkrystalle mit Malachit erklärt, welche zu Chessy bei Lyon und auf den Gumeschewsk'schen Gruben am schönsten vorkommen.

Schlechter kennt man sie von der Grube Käusersteimel bei Sayn-Altenkirchen auf dem Westerwalde, auch im untern Keupermergel von Heilbronn. Ringsum wie Modelle ausgebildet liegen sie im Letten oder anderm Muttergestein, sind an der Oberfläche grün, auch safrig, bald ganz bis zum Mittelpunkte, bald aber bleibt auch noch ein innerer unzersehter Kern. In Dünnschliffen kann man den Umwandlungsprozeß genau verfolgen, die grünen Fasern des Malachits fressen sich allmählig in die dunkle Oxydulmasse ein.

KrySTALLISIRT oder doch blättrig krySTALLINISCH ist das meiste. So gewinnt man es in vielen centnerschweren Blöcken am Ural, in deren innerstem Kern die hohle Druse sich findet. Schon Pallas beschreibt von dort 30  $\mathcal{A}$  schwere Kry stallstücke: Gumeschewskoi, Nischne-Tagilsk und die Turjinskter Gruben bei Bogoslawsk sind die drei Hauptpunkte. Vereinzelte Kry stallen kommen am Altai vor und besonders große Drusen auf der Grube Migry (Karabach) im Kaukasus. Die Kupfergruben von Cornwallis sind längst berühmt, wo es ebenfalls gern mit gebiegenem Kupfer bricht. Erst 1812 wurden die schönen Kry stallen von Chessy bei Lyon gefunden. Noch später wurden die Massenfunde von Chili, Peru, Bolivia, Südastralien u. bekannt. Auch das Banat ist reich. Auf dem Schwarzwalde kam es früher auf der Leopoldsgrube bei Rippoldsau mit gebiegenem Kupfer vor. Am Besuv zuweilen als Ueberzug schlackiger Auswürfe.

**Kupferblüthe** als haarförmiges Rothkupfererz bildet prachtvolle farminrothe Fasern, kurz und zart, von Haardicke, für reguläres Kry stallsystem allerdings etwas sehr Ungewöhnliches. Auch glaubte Suckow (Pogg. Ann. 34. 394) bei Rheinbreitenbach ein blättriges Rhomboeder von  $99^{\circ} 15'$  in den Endanten nachweisen zu können. Gewöhnlich seien es aber reguläre sechsseitige Säulen mit Geradendfläche, woran das Rhomboeder die abwechselnden Enden abstumpfen würde. Um die Rheinbreitenbacher Nadeln, welche in den obern Teufen des Ganges vorkamen, zu erkennen, darf man sie nur auf Wachs stecken, und mit der Lupe im reflectirten Lichte betrachten, sie spiegeln dann nur vier- und nicht sechs Mal. Da nun auch die schönen Haare im Brauneisenerz von Nischne-Tagilsk (G. Rose Kry st. Chem. Min. 63) deutlich verlängerte Würfel mit Octaeder und Granatoeder sind, so hat man wenigstens bis auf weiteres keinen Grund, dieses reine haarförmige Kupferoxydul für anders als regulär kry stallisirt zu halten. Moldawa, die Gruben von Cornwallis liefern Beispiele. Das Rheinbreitenbacher soll etwas Selen halten. Dichtes Rothkupfererz wird gern unrein und geht dann über in

**Ziegelerz.** Dasselbe hat seinen Namen von der dunkel ziegelrothen Farbe. Es kommt dicht und erdig vor, die Farbe des letztern ist höher. Chemisch besteht es aus einem Gemisch von  $\text{Fe H}$  mit  $\text{Cu}$ . Es hat in sofern einiges Interesse, als man häufig mit Entschiedenheit nachweisen kann, daß es lediglich ein Verwitterungsproduct des Kupferkieses sei, so zu Manzenbach bei Dillenburg, auf der Grube Herrenseegen im

Schwarzwalde zc. Kupferkies  $\text{Cu Fe}$  durchzieht in unzersehten Fäden noch die Masse, es durfte nur der Schwefel durch Sauerstoff ersetzt werden um sich in  $\text{Cu Fe}$  umzuwandeln. Ein Theil des Kupferoxydul wurde zum Malachit verwendet, der sich auf gleichen Erzstufen findet. Kommt das Ziegelerz in Gesellschaft von Rothkupfererz vor, wie auf den Turjinsten Gruben, so scheint das Eisenoxydhydrat zum Rothkupfererz hinzutreten zu sein.

Kupferpecherz oder Pechkupfer entsteht ebenfalls durch Zersetzung des Kupferkieses, hat aber ein ganz Pechartiges Aussehen, Pechglanz und Pechschwarz mit braunem Strich. Härte 4—5. Im Sibirischen von den Turjinsten Kupfergruben ist 12 Cu, 20,6 H, 17,7 Si, 49 Fe. Das Kupfer ist also stärker oxydirt. Ohne Zweifel entstehen zunächst Vitriole, welche durch kohlensaure Alkalien ihrer Säure beraubt werden. Auch Condurrit von der Condurra Grube in Cornwall ist augenfällig ein Zersetzungsprodukt von Rassebrauner Farbe, was bei Verwitterung ins Erdige übergeht. Nach Rammelsberg (Pogg. Ann. 71. 305) im Wesentlichen ein durch Arsenik, Schwefel zc. verunreinigtes Kupferoxydul. Arsenige Säure durch Wasser ausziehbar. Delafossit von Katharinenburg bildet Graphitartige Blättchen mit 47,4 Cu und 48 Fe, Jahrb. 1873. 872. Der Taltalit von den Taltalgruben in Chili ist ein saftiges Turmalin- und Hornblendegestein, worzwischen zahlreiche rothe Flecke von Kupferoxydul und Ziegelerz eine Verhüttung ermöglichen.

Kupferschwarze (Black oxyd of Copper) nannte Werner den schwarzen erdigen Beschlag des Kupferkieses. Man findet ihn häufig, er zeigt aber neben Kupferoxyd auch Manganoxyd und Wasser. Die von Herrensegen auf dem Schwarzwalde gibt die ausgezeichnetste Reaction von Kupferoxyd, sie muß sehr rein sein. Auch das künstliche Cu ist ein schwarzes Pulver. Uebrigens muß man es nicht mit dem blauen Kupferindig verwechseln. Nach Rammelsberg (Pogg. Ann. 80. 333) kommen in den reichen Kupfergruben am Lake Superior braunschwarze, theils sogar blättrige schwer zersprengbare Massen von 5,9 Gew. vor, die 99,4 p. C. Kupferoxyd enthalten (Melakonit). Kennigott bekam sie in regulären Krystallen (Asterkrystallen), die in himmelblaues Kieselkupfer eingewachsen waren. Jedenfalls sind die blauen und grünen Flecke mit der schwarzen Masse so innig verwachsen, daß das eine aus dem andern entstanden sein muß. Da man schon mit der Lupe erkennt, wie schwarze Risse in das Blaue eindringen, ähnlich dem Serpentinisirungsprozeß, so wird Kieselkupfer wohl das Ursprüngliche sein. Das künstliche Kupferoxyd krystallisirt nach Zenzsch 2gliedrig (Pogg. Ann. 107. 667). Interessant ist auch Semmola's

Tenorit auf Lavenauswürflingen des Vesuvius besonders an den Boccoli von 1760. Es sind starkglänzende äußerst dünne schwarze Blättchen, mit schwarzem Strich, die mit Flüssen smaragdgrüne Gläser geben. Es soll krystallisiertes reines Kupferoxyd sein (Bulletin géol. de France

1842. tom. 13. 100), und optisch zweigliedrige Eigenschaften haben (Zahrb. 1867. 716). Die *Melaconisa* (Roth, der Vesuv pag. 312) bildet ein schwarzes Pulver auf der Lava in der Fossa Betrana. Erhitzt man  $3 \text{ Cu} + 2 \text{ Fe Cl}$  mit einander, so kommt  $\text{Fe} + \text{Cu Cl} + \text{Cu Cl}$ . Letztere lösen sich in heißer Salzsole, woraus Eisen das Kupfer fällt. Darauf beruht der Hunt-Douglas Prozeß, Verg. Hütt. Zeit. 1876. 257.

### 1) Zinkerze.

Sind bei uns zwar äußerst unbedeutend, aber Amerika hat ein interessantes Vorkommen in *Rothzinkerz* oder besser *Zinkoxyd*. Zinkit, Red oxide of Zink (Bruce Silliman Amer. Journ. 1. 90). Die rothe Farbe dankt es bloß einem zufälligen Mangangehalt, Hayes meint kleinen Schuppen von Eisenglanz. 6gliedrig mit den Winkeln des Korundes pag. 365. Das natürliche findet sich zwar nur in späthigen Stücken, allein so groß, daß man eine reguläre sechsseitige Säule von  $120^\circ$  daraus spalten kann, so deutlich sind die 3 Blätterbrüche der Säule, und noch etwas deutlicher ist die Geradenfläche. An künstlichen sehr glänzenden Krystallen, welche sich bei verschiedenen Hüttenprozessen bilden, kommt die Säule mit Endfläche sehr schön krystallisirt vor, ihre Endkanten werden durch ein Dihexaeder  $a : a : \infty a : c$  abgestumpft, und zeigen  $127^\circ 40'$  in den Endkanten ( $23'$  von 1 Korund abweichend), indeß stumpft das nächste stumpfere Dihexaeder  $2a : a : 2a : c$  sämmtliche Endkanten ab, was beim Korund das blättrige Rhomboeder bildet. Bei den künstlichen von Vorbeck kommen auch Didodekaeder vor, Pogg. Ann. 122. 408. Das natürliche Vorkommen ist hoch morgenroth mit oraniengelbem Strich, starker Glanz mit Durchscheinendheit. Härte 4, Gew. 5,5.

Vor dem Löthrohr schmilzt es nicht, gibt aber einen deutlichen Zinkbeschlag. Nach Whitney (Pogg. Ann. 71. 109) enthält es 96,2 Zn, und 3,7 Manganoxyd. Mit Franklinit pag. 750 bei Franklin und Sparta zu Suffex County in New-Jersey, zu Sterling in blättrigen Massen mit Magneteisen. Es kommt daselbst in krystallinischen Kalklagern des Laurentischen Gneuses in solchen Mengen vor, daß es zur Darstellung des Zinkes benutzt wird: nach Credner (Peterm. Geogr. Mittb. 1871. 48) werden jährlich 560,000 Ctr. Erze gewonnen, die 160,000 Ctr. Zinkweiß und 12,000 Ctr. Zink geben. Das Zink wird abdestillirt, und der Rest im Hochofen auf Eisen verschmolzen. Der weiße Beschlag auf dem Franklinit soll kohlen-saures Zinkoxyd sein. Das reine Zinkoxyd ist an sich weiß, allein die künstlichen Krystalle sind auch gewöhnlich durch etwas Eisenoxydul gelb gefärbt, und erinnern durch ihren Glanz an gelbes Buntbleierz. Am häufigsten sieht man es in zoll-dicken Krusten als unkrystallinische gelbgrüne Masse, welche sich an den Wänden des Hochofenschachtes ansetzen (Gichtenschwamm), z. B. zu Ludwigsthal bei Tutt-

lingen. Denn das Zink findet sich in den verschmolzenen Eisenerzen sehr verbreitet.

Kadmiumoxyd bildet sich in Schlesien in Rissen schadhafter Destillationsgefäße des Zinkes in glänzend schwarzbraunen Oктаedern des regulären Systems, 8,1 Gew. (Erdmann's Journ. prakt. Chem. 55. 110).

### k) Antimonerze.

Sie finden sich zwar auch nur sparsam, sind aber wegen ihres Isodimorphismus mit den entsprechenden Arsenerzen von Bedeutung.

Weißspießglanz Sb. Dieser alte Werner'sche Name ist gegenüber dem Röth- und Grauspießglanz vortrefflich gewählt, daher sollte man den umgekehrten Namen Spießglanzweiß oder Antimonblüthe nicht annehmen. Es wurde zuerst von Mongez (Journ. de Phys. 1788 pag. 66) zu Allemont als Chaux d'antimoine native bezeichnet, und weiter 1787 aus den Bleierzgruben bei Przibram von Rößler in Prag beschrieben. Klaproth (Beiträge III. 100) erkannte das reine Spießglanzoxyd darin. Antimoine oxydé. \* Valentinit. Exitèle.

Zweigliedrige Oblongtafeln, woran die Endfläche h sich durch starken Perlmutterglanz auszeichnet, man kann diese daher als den Hauptblätterbruch betrachten, obgleich sie sich in Blätter absondert. Die schmale Seite dieser Tafeln wird durch  $M = b : \frac{1}{2}a : \infty$  mit Winkeln von  $136^{\circ} 58'$  ( $137.42$  Groth) zugespitzt; diese Säule zeigt zwar Blätterbrüche, aber die Faserung längs der Axe c stellt sie sehr. Der Hauptblätterbruch  $h = b : \infty a : \infty c$  stumpft die scharfe Säulenkante gerade ab. Am langen Ende der Tafel herrscht gewöhnlich eine Endfläche  $c = c : \infty a : \infty b$ , doch gibt Mohs auch ein Paar  $p = c : 2b : \infty a$   $70^{\circ} 32'$  an. Selten die Oктаederflächen  $o = a : b : c$ , welche Rechtecke bilden, weil sie in der Zone M/p liegen. Die Blätter auf dem Bleiglanz von Przibram mit kleinen rothen Blendekristallen sächern sich häufig, indem die langen Axen a der Tafeln sich unter verschiedenen Winkeln von einander entfernen. Man muß sich hüten, sie nicht mit dem dortigen Weißbleierz zu verwechseln, dem sie im Demantglanz und weißer Farbe gleichen. Allein sie haben Gypshärte, und nur 5,5 Gew. Die beiden optischen Axen liegen einander »excessivement voisins.«



Schmilzt schon im bloßen Kerzenlicht unter Bildung von schweren weißen Antimondämpfen, welche die Flamme grünlich färben. In Salzsäure leicht löslich, doch wird die Auflösung mit Wasser verdünnt milchig, weil das Wasser  $SbCl^3$  theilweis wieder zu Sb zersetzt, welches mit einem Theil des unzersetzten Antimonchlorids ein unlösliches Salz bildet. Reines Antimonoxyd mit 84,3 Sb und 15,7 Sauerstoff.

Das blättrige Weißspießglanz findet sich zu Przibram, Allemont, Sudham in Ostkanada etc.; das excentrisch strahlige dagegen ausgezeichnet zu Malaczka in Ungarn und auf der neuen Hoffnung Gottes zu Bräunsdorf bei Freiberg. Hier liegt nicht selten auf einem einzigen Handstück das graue ( $\text{Sb S}^3$ ), weiße ( $\text{Sb}$ ) und rothe Spießglanz ( $2 \text{ Sb S}^3 + \text{Sb}$ ) nebeneinander.

**Senarmontit**, Oktaedrisches Antimonoxyd, in regulären Oktaedern von 4—5 Linien Durchmesser fand Senarmont (Ann. chim. phys. 3. ser. 31. 100) bei Qued-Hamimim in der Provinz Constantine in einem mergeligen Gestein, worin es wahrscheinlich durch giftige Quellen, wie das 2gliedrige bei Ain-el-Bebbuch abgesetzt ist. Die Oktaeder sind etwas blättrig, ihre stark lichtbrechende Kraft mit lebhaftem fettartigem Diamantglanz macht sie dem Weißbleierz ähnlich, aber sie haben nur reichlich Gypshärte und 5,3 Gew. Sie polarisiren wie Boracit das Licht, was vielleicht von eingesprengten Blättchen arseniger Säure herrührt. Vor dem Löthrohr verhält es sich vollkommen wie das 2gliedrige. Es kommt in solcher Menge vor, daß man es bergmännisch gewinnt und wie Bleiweiß zur Farbe benutzt. Auch zu Perned bei Böding in Ungarn mit Weiß- und Rothspießglanz.

Schon lange wußte man, daß beim Saigern des Grauspießglanzes von Wolfsberg auf dem Unterharze sich neben dem 2gliedrigen auch oktaedrische Krystalle von Sb bilden (Pogg. Ann. 26. 100). Mitscherlich (Pogg. Ann. 49. 400) stellte sogar beide auf nassem Wege dar: löst man Sb in wässrigem kochendem Natron, und läßt die Sache beim Ausschluß der Luft erkalten, so erhält man zuweilen meßbare reguläre Oktaeder. Setzt man dagegen zur kochenden Auflösung von  $\text{Na C Antimonchlorid}$  ( $\text{Sb Cl}^3$ ), so scheidet sich Sb in 2gliedrigen Säulen aus.

**Spießglanzocher**. Eine Werner'sche Species. Bildet strohgelbe Ueberzüge auf Grauspießglanz, das ihn leicht verräth. Zuweilen füllt er, wie zu Kremnitz und Felsöbanya, sogar die Stelle der Krystalle vollkommen aus (Stib lith), und diese unkrystallinische Masse kann sogar Apatithärte erreichen. Das Gewicht variiert von 3,7—5,3. Dem ockrigen Vorkommen scheint neben Antimoniger Säure ( $\text{Sb O}^4$ ) ein Wassergehalt wesentlich. Die dichten haben zwar auch Wasser, allein es scheint nicht immer nothwendig.

Bei Cervantes im Spanischen Galicien sind durch Zersetzung des Grauspießglanzes hellisabellgelbe blättrige Massen von 3—4 Härte und 4 Gew. entstanden, die aus reiner wasserfreier Antimoniger Säure  $\text{Sb O}^4 = \text{Sb O}^3 \text{ Sb O}^5$  bestehen. Zu Pereta in Toskana fand sie sich in dünnen Krystallnadeln, die Dana Cervantit nennt (Silliman Amer. Journ. 2. ser. 14. 61). In der Provinz Constantine sollen sogar Verbindungen wie  $2 \text{ Sb O}^3 + 3 \text{ Sb O}^5 + 15 \text{ H}$  etc. vorkommen. Sonst spielt die Antimoniger- und Antimonisäure keine sonderliche Rolle; sie scheint noch in dem seltenen Romeit pag. 608 zu stecken.

## 1) Arsenikerze.

Sind in der Natur noch seltener als die Antimonerze, weil sie sich schon im bloßen Wasser wenn auch schwer lösen. Die künstlichen nehmen jedoch durch ihre Parallele mit den genannten die Aufmerksamkeit in Anspruch.

**Arsenige Säure**  $\text{As}$  (Weißarsenik), das unter dem Namen Rattengift wohlbekannte Ding. Man hat es auch Arsenitblüthe genannt, doch verstand Werner darunter besser den Pharmakolith pag. 581, denn die Ausblühungen der Arsenigen Säuren auf Erzgängen sind eine seltene Erscheinung, sie kommt höchstens als mehligter Beschlag oder in feinen Nadeln da vor, wo in alten Grubengebäuden gediegen Arsenik, Arsenitkies oder Speiskobalt verwittern. Cronstedt (Mineral. § 238) nannte sie *Calx arsenici nativa pura*, Romé de l'Isle Crist. III. 40 erwähnt die *octaëdres aluminiformes*, die auf den Gifthütten zu Andreasberg und in Sachsen so bekannt sind. Diese kleinen künstlichen Oktaeder haben blättrige Brüche, und gehören dem regulären System an. Weiß, durchsichtig, mit starkem Glanz, Härte 2—3, Gew. 3,6. Geschmack herbe, süßsalzig. In Kolben sublimirt sie sich stets in kleinen Oktaedern. Indeß erwähnt Wöhler (Pogg. Ann. 26. 170) eines Sublimationsproductes aus einem Kobalt-Röstofen von Schwarzenfels in Kurhessen mit Liniengroßen Krystallen von ausgezeichnetem Perlmutterglanz wie beim Strahlzeolith. Das schien mit Weißspießglanz zu stimmen. Neuerlich finden sich auf alten Römerwerken von San Domingos in Portugal Zollange rhombische Krystalle, die durch Selbstentzündung der Erze entstanden, sie setzten sich an heißen Wänden bei  $200^{\circ}$  ab, im kalten dagegen Oktaeder, Berg. Hüttz. 1869. 216. Auf der Halsbrücker Hütte zu Freiberg kamen flächenreiche Krystalle vor, die Groth (Pogg. Ann. 137. 422) gemessen hat, Säule  $\text{MM}$  betrug  $138^{\circ} 48'$ . Demnach sind  $\text{Sb}$  und  $\text{As}$  isodimorph, mit dem Unterschiede, daß sich beim Weißspießglanz gewöhnlicher das 2gliedrige, bei der Arsenigen Säure dagegen das reguläre System ausbildet. An sich eine schwache Säure, gegen Weinstein- und Traubensäure sogar Basis. Der Dampf reducirt sich auf glühender Kohle leicht zu Arsenik.

Wenn künstliche Arsenige Säure nicht Zeit zum krystallisiren hat, so bildet sie ein Opalartiges Glas (amorphe, glasige), das nach einiger Zeit porzellanartig undurchsichtig, matt und etwas unlöslicher wird; sie steht um, d. h. sie geht aus dem unkrystallinischen Zustande in den krystallinischen über. Löst man solche unkrystallinische in verdünnter siedender Salzsäure, so setzen sich beim langsamen Erkalten Krystalle unter Lichtschein ab (S. Rose Pogg. Ann. 35. 481). Der Lichtschein findet nicht statt, wenn man zur Lösung krystallinische nimmt. Daher bleiben auch die Krystalle durchsichtig und glänzend. Merkwürdig sind die Arseniteffer in Steiermark (Journ. pract. Chem. 1861. 82. 100), welche Stücke von

Erbsengröße ( $5\frac{1}{2}$  Gran) genießen, fett werden, allmählig aber doch wie Branntweintrinker herunterkommen.

### Ocher.

Unter *ωχρα* verstanden schon Griechen und Römer erdige Producte, besonders Brauneisenocher pag. 768. *Ochra nativa sive Sil*, Berggeel oder schmilin Agricola 708. Nach Senkel Pyritologia 713 bedeutet es „nach unserer Materialisten Verstande niemals was anders, als eine gegrabene gelbe Erde.“ Wallerius definirt Ocher allgemein als *terrae metallica*, in diesem Sinne wird es heute genommen. Es sind erdige Beschläge, Zersetzungsproducte oxybischer Erze, wovon wir die meisten an der betreffenden Stelle angeführt haben. Man schreibt auch Ocher.

Eisenerze geben gelbe und rothe Ocher, jenes das Hydrat, dieses das reine Oxyd.

Manganerze geben schwarze Ocher, weil der gewöhnliche höchste Oxydationszustand, Mangansuperoxyd Mn, schwarz ist. Wenn solche kobalthaltig werden, heißen sie

Schwarzer Erdkobalt. Als Muster gilt der von Saalfeld. Derselbe kommt in derben Massen vor, hat die Consistenz des trocknen plastischen Thons, bläulich schwarz mit einem glänzenden Strich, der an dichten Graphit erinnert. Rammelsberg wies darin 40 Mn nebst 9,5 Sauerstoff, 19,4 Co, 4,3 Cu, 21 H nach, und hält ihn deshalb für  $(Co, Cu) Mn^2 + 4 H$ . Das Kupfermanganerz von Ramsdorf (Pogg. Ann. 54. 647) sieht auch bläulich schwarz aus, bildet öfter kleine traubige Ueberzüge, hält bis 14,6 Cu, und soll  $R Mn^2 + 2 H$  sein. Der Schwarzwälder schwarze Erdkobalt auf Silbergängen mit Schwerspath ist ein Verwitterungsproduct des dortigen Speiskobaltes, und daher stark arsenikhaltig bei wenig Mangan. Manche halten etwas Lithion, Lithiophorit pag. 774. Werner unterschied auch einen braunen und gelben Erdkobalt, was nur unreine Gemenge sind, namentlich mit wasserhaltigem Arseniksaurem Eisenoxyd. Unter andern kamen sie auch auf Grube Wolfgang bei Alpirsbach zum Vorschein, sie gaben sogar ungeröstet vortreffliche Smalte. Den rothen Erdkobalt haben wir pag. 580 genannt.

Chromocher von Kreuzot bei Autun ist ein durch Er blaß apfelgrün gefärbtes Thongestein, was als Bindemittel von Quarz dient, es werden an 13 p. C. Chromoxyd darin gefunden. Wolchonskoit pag. 462 von Oschansk Gouv. Perm ist ein krautgrüner Thon, der an 34 p. C. Er enthalten kann. Zwischen den Fingern gerieben wird er wie Bol glänzend, und dient als Farbe. Werner verstand unter Chromocher fälschlich das verwitterte Nadelerz.

Bleiocher, Oxydationszustand des Bleis, findet sich häufig auf Gängen, wo Bleiglantz in salinische Erze verwandelt worden ist. Am häufigsten der gelbe Bleiocher Pb, ein blaßgelbes Mehl, was die Drusen von Weißbleierz zu Freiberg, Hausbadon 2c. bepudert. Wenn



man es mit Gummi in der Hand anmacht, damit es auf der Kohle festliege, so bekommt man sogleich kleine Bleireguli und einen gelben Bleibeschlag. Die künstliche Bleiglätte krystallisirt in gelben und rothen rhombischen Tafeln des zweigliedrigen Systems (Pogg. Ann. 49. 400). Ulrich (Sitzungsber. Wien Akad. 1858. XXVIII. 17) erwähnt auch pentagonale Polyeder. Soll sich in Mexicanischen Vulkanen erzeugen. Seltener ist die Mennige  $Pb^2 Pb$  von hoch morgenrother Farbe. Sie kommt auf alten Halben einer verlassenen Bleigrube zu Bleialf bei Trier vor, kann hier aber Kunstprodukt sein. Schlangenberg, Insel Anglesea, Badenweiler in Baden zc. werden angegeben. Gewöhnlich als Oker. Bleisuperoxid  $Pb$  (Plattnerit) kommt in kleinen sechsseitigen Tafeln des sechsgliedrigen Systems von 9,4 Gew. und Diamantglanz zu Leadhills in Schottland vor.

Wismuthocker Bi mit 89,8 Bi findet sich als gelbgrüner Beschlag auf gediegenem Wismuth, besonders schön zu Johann-Georgenstadt. Manchmal wird die Masse kohlenfauer, wie die grüngelben Nadeln im Thoneisenstein von Ullersreuth (Fürstenthum Neuß), die Asterkrystalle von Schwefelwismuth sein, sollen pag. 529. Hermann's Rareinit von der Grube Sawobinsk am Altai ist ein verbes Oxydphuret Bi Bi.

Tellurocker Te soll in kleinen gelblichweißen Halbfugeln zu Facebay mit Tellur vorkommen.

Molybdänocker Mo als schwefelgelbes Pulver mit Schwefelmolybdän, Linnas in Smaland zc. Vanadinocker V soll auf gediegenem Kupfer am Obernsee liegen.

Wolframocker pag. 793, Uranocker pag. 801, Ziegelerz pag. 804 zc. haben wir schon oben erwähnt. Hypochlorit (Grüneisenerde) bildet erdige zeisiggrüne Beschläge auf Quarz mit gediegenem Wismuth zu Schneeberg. Nach Schüler 50 Kieselersde, 14,6 Thonerde, 13 Wismuthoxyd, 10,5 Eisenoxydul, 9,6 Phosphorsäure. Verhärtet erinnern sie lebhaft an Chloropal pag. 257, wie zu Ullersreuth, Schindelshoh in der Oberpfalz, Bodin bei Neusohl. Vergleiche Frenzel Jahrb. 1872. 220.

## Fünfte Klasse.

### Geschwefelte Metalle.

Diese letzte Klasse ist in Hinsicht auf Mannigfaltigkeit der Verbindungen den Silicaten an die Seite zu stellen. Sauerstoff fehlt ganz, an seine Stelle tritt vorzugsweise Schwefel, welchen man durch einen über die Symbole gestellten Strich bezeichnet pag. 173. Statt des Schwefels können nun zwar auch Selen, Arsenik, Antimon, Tellur auftreten, allein diese Selenete, Arseniete, Antimoniete, Tellurete zc. sind ungleich seltener als die Sulphurete, daher dürfte man wohl nach dem Schwefel vorzugsweise den Namen der Klasse bezeichnen. Zum Selen hat die Spectralanalyse noch Thallium gefügt, nach seiner grünen Linie im Spectrum genannt (*Sallös*).

Was die Sulphobasen (Fe, Zn, Pb, Cu, Ag zc.) und Sulphosäuren (Sb, As, Bi zc.) betrifft, so richten sie sich genau nach den entsprechenden Sauerstoffverbindungen, jedoch treten schon die einfachen (binären) viel leichter selbständig auf, als das bei den einfachen Sauerstoffverbindungen der Fall ist. Man könnte darnach versucht sein, die Verbindungen in zwei Gruppen zu bringen.

1) Einfach binäre: Cu, Pb, Zn, Fe, Sb, PbSe, Ni As, Ni Sb zc.

2) Doppelt binäre:  $\text{Co S}^3 + \text{Co As}^2$ , Cu Fe, Ag<sup>3</sup> Sb, R<sup>4</sup> R. Allein beide sind einander so ähnlich, daß die Eintheilung naturhistorisch nicht gerechtfertigt scheint. Es dürfte daher auch hier, wie bei den organischen Erzen, angemessener sein, sie nach ihrem wichtigsten Metalle zu gruppieren.

Geschwefelte Metalle spielen besonders in den untern Teufen der Erzgänge eine Rolle, wo sie der wichtigste Gegenstand des Bergbaues sind. Die gewöhnlichen findet man auch eingesprengt im Flözgebirge, wo besonders der Bitumengehalt nicht bloß zu ihrer Bildung, sondern auch zu ihrer Erhaltung beigetragen hat. Münzen im Meere nehmen noch heute Schwefel auf, in Folge von Reduction der Schwefelsäure durch organische Materie; während in Gängen umgekehrt die Schwefelerze von oben herein sich zersetzen, der Gang bekommt einen „eisernen Hut“ von organischen und salinischen Erzen aller Art.

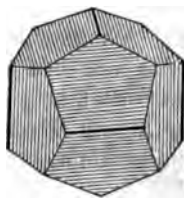
## Eisenerze.

Das Eisen vorzüglich mit Schwefel, seltener mit Arsenik verbunden. Sie gehören zu den gemeinsten, aber auch zu den schönsten. Das Eisen darin kann erst in neuern Zeiten verwerthet werden, dagegen schon längst der Schwefel und das Arsenik.

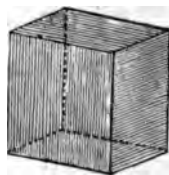
### 1. Schwefellies Fe.

Der Schwefel ist darin wichtiger als das Eisen, daher der Name Eisentlies nicht so gut. Von Plinius 36. so unter Pyrites (*πυρίτης*) begriffen, und weil er starke Funken mit dem Stahle gibt, auch Feuerstein genannt. Er verdrängte als „Karabinerstein“ die Luntenschlösser, bis Feuerstein (Flint) und endlich Zündkapseln an die Stelle traten. Schlechthin Kies, weil er unter den Kiesen der gemeinste ist. Das Wort Kises gebraucht schon Agricola 689 für den Reichensteiner Arseniklies. Fer sulfuré, Marcasites der Araber. Inca-Spiegel, weil man sie geschliffen in den Gräbern der Inca von Mexico findet. Für Schwefelliespendel als Wünschelruthe haben sich noch in unserm Jahrhundert Philo sophen (Baader, Schelling) begeistert.

Pyritoedrische Krystallisation pag. 76, wie Glanzkobaalt. Pyritoeder  $p = a : \frac{1}{2}a : \infty a$  mit  $126^{\circ} 52'$  in den 6 Würfelkanten und  $113^{\circ} 34' 41''$  in den 24 Würfelkanten am gewöhnlichsten. Auf Elba 6" Durchmesser. Flächen gewöhnlich parallel den Würfelkanten (horizontal), auf Elba zuweilen auch vertical gestreift. Man nahm es früher für das Platonische Dodekaeder, erst Hany erkannte das Richtige. Berührt man mit den Kupferdrähten des Galvanometer irgend eine Fläche, so weicht beim Erwärmen des einen Drahts die Magnetnadel zur rechten oder zur linken ab. Darnach zerfallen die Krystalle in Gruppen erster (+) und zweiter (—) Stellung (Monatssb. Berl. Akad. 1870. 117). Schon Hany kannte Leucitoeder, deren gebrochene Oktaederkanten sämmtlich abgestumpft waren, so daß Pyritoeder und Gegenpyritoeder vorhanden sind. Strüver (Mem. Acc. Sc. Turino 1869 2 ser. XXVI. fig. 110) hat beide von Brosso abgebildet, doch ist auch hier »la forma inversa più rara«. Die Leucitoederflächen pflegen darauf verticale Streifungen in der Richtung der Medianlinie zu erzeugen.



Würfel  $a : \infty a : \infty a$  ebenfalls parallel seinen Kanten gestreift, so daß auf je einen Parallelraum eine Streifenrichtung fällt. Die Streifen correspondiren mit den horizontalen am Pyritoeder. Schon Steno (Grundriß Kryst. pag. 4) lenkte darauf die Aufmerksamkeit. Es kommen auch unter diesen + und — vor, letztere die seltneren sind weniger gestreift und haben quadratische Eindrücke, deren



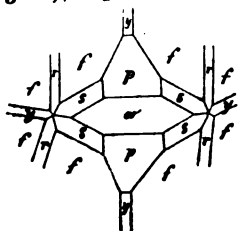
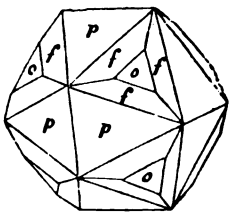
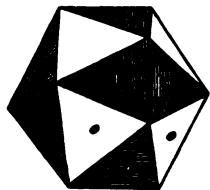
Seiten den Diagonalen des Würfels parallel gehen (Traversella, Strüver l. c. fig. 174); während die gleichen Eindrücke bei den + nach den Kanten des Würfels orientirt sind. Beide Pyritoeder und Würfel treten nicht bloß aneinander auf, sondern finden sich auch selbständig um und um krystallisirt, eingesprengt in Schieferthon und Mergel.

Okttaeder  $o = a : a : a$  (Gr. Almerode), mit untergeordnetem Pyritoeder findet es sich in den Alpen und zwar + und —: die positiven haben dreieckige Eindrücke von derselben Lage wie die Okttaederdreiecke; die negativen dagegen Dreiecke von entgegengesetzter Lage, wie bei Diamanten pag. 193. a. Okttaeder stumpfen gar häufig die Ecken der Würfel ab, solche Cubookttaeder, im Glas gewöhnlich, waren schon dem Camerarius 1712 (Eph. Nat. Cur. Cent. III. pag. 18) von Boll bekannt. Wenn das Okttaeder am Pyritoeder mit den Pyritoederflächen ins Gleichgewicht tritt, so entsteht das sogenannte

Icosaeder mit 12 + 8 Flächen: die 8 dem Okttaeder  $o$  angehörigen bilden leicht erkennbare gleichseitige Dreiecke, die 12 Pyritoederflächen  $d$  dagegen gleichschenklige, die parallel ihrer Basis gestreift zu sein pflegen. Das Granatoeder  $a : a : \infty a$  stumpft die 2 + 1 kantigen Ecken am Pyritoeder ab, und kommt im Banat, Piemont, Siciliene im Isère Dép.; Pfitzthal, in der Wälderföhle von Böhmer bei Minden zc. auch selbständig

vor. Im Banat bilden sogar Würfel und Granatoeder 18 Rechtecke, woran auch das Leucitoeder  $a : a : \frac{1}{2}a$  nicht fehlt. Letzteres gibt bereits Haüy selbständig aus einem Talkstücker von Corsica an. In den Piemontesischen Alpen kommen Leucitoederflächen vor, die sich kaum über den Okttaederflächen erheben, aber durch eine ganz bestimmte Streifung angedeutet werden. Wenn das Okttaeder herrscht, so findet man auch zuweilen Andeutungen von Zuschärfungen der Kanten, die einem Pyramidenokttaeder  $a : a : 2a$  angehören.

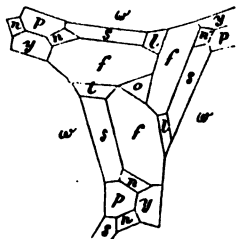
Das gebrochene Pyritoeder (Diploeder)  $f = a : \frac{1}{2}a : \frac{1}{2}a$ , gewöhnlich positiv, spielt besonders an den schönen Krystallen von Elba und Traversella eine Hauptrolle, es stumpft die Kante  $p/o$  zwischen Pyritoeder und Okttaeder ab, und da letzteres ein gleichseitiges Dreieck bildet, so findet man sich leicht zurecht. Zuweilen ist es sogar selbständig (Traversella). Die von Brozzo in Piemont zeigen ein gebrochenes Pyritoeder aus der Diagonalzone vom gewöhnlichen Pyritoeder  $p$ , und da es zugleich die Kante zwischen Okttaeder und Würfel abstumpft, so ist sein Ausdruck  $s = a : \frac{1}{2}a : \frac{1}{2}a$ , es soll für die negativen Krystalle charakteristisch sein. Unter  $p$  liegt noch ein Pyritoeder  $y = a : \frac{1}{2}a : \infty a$  die Mediananten, und ein gebro-



genes Pyritoeder  $r = \frac{1}{2}a : \frac{1}{2}a : \frac{1}{2}a$  die Würfelkanten abstumpfend. Letzteres fällt zugleich noch in die Diagonalzone des Oktaeders. Sämmtliche Flächenansdrücke folgen aus den Zonen. Wenn zum Diploeder bloß der Würfel tritt, so entsteht das Haüy'sche (Min. IV. 66) Triacotaeder mit 6 Rhomben und 24 Trapezoiden.

Es werden unter den Pyritoedern noch andere unwahrscheinlichere Ausdrücke aufgeführt  $\frac{1}{2}a : \frac{1}{2}a : \infty a$ ;  $\frac{1}{2}a : \frac{1}{11}a : \infty a$  zc.

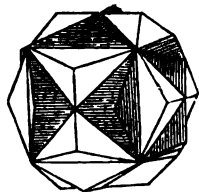
Der flächenreichste Körper ist jedoch die Var. parallélique von Petorca in Peru (Haüy Traité Minér. IV. 67): es herrscht daran Würfel  $w$  vor. Das kleine gleichseitige Dreieck  $o$  gehört dem Oktaeder, und die Kante zwischen Oktaeder und Würfel stumpft das vollflächige Leucitoeder  $l = 2a : 2a : a$  ab. Alle andern Flächen sind hemiedrisch:  $p = a : 2a : \infty a$  stumpft die gebrochene



Oktaederkante des Leucitoeders ab. In seiner Diagonalzone liegen die gebrochenen Pyritoeder  $s = a : \frac{1}{2}a : \frac{1}{2}a = a : 2a : 4a$  und  $f = a : 2a : \frac{3}{2}a = \frac{1}{2}a : a : \frac{1}{2}a$ , folglich  $pslfs$   $w$  der Reihe nach in einer Zone;  $y = a : \frac{3}{2}a : \infty a$  stumpft die Medianante  $l/f$  ab. Endlich noch die kleine Fläche  $n = a : \frac{1}{2}a : \frac{1}{2}a$ , sie liegt in der Zone  $p/s$  aber nicht in der Zone  $s/y$ , sonst würde sie  $\frac{1}{2}a : \frac{1}{2}a$  haben. Es ist dieses der aus der Deduction so wohl bekannte Körper (Methode der Kystallographie pag. 66). Strüver l. c. pag. 6 führt 48 verschiedene Symbole auf, worunter Ausdrücke wie 10.6.1, 10.8.7, 11.5.2, 16.6.3 zc. zu den complicirtesten gehören.

Zwillinge des Eisernen Kreuzes (Weiß, Magazin Berl. Gesellsch. Naturforschender Freunde VIII. 66) aus dem Keupermergel

von Blotho bei Preußisch Minden, hatte schon R. de l'Isle (Essai 306) Croix de Malthe genannt. Zwei Pyritoeder  $p = a : \frac{1}{2}a : \infty a$  durchwachsen einander vollständig, so daß die Würfelkanten sich rechtwinklig kreuzen, welche Kreuzung mit dem Preußischen Orden des eisernen Kreuzes Aehnlichkeit hat. Der gemeinsame Kern beider ist dann wieder der ursprüngliche



Pyramidenwürfel. Das ganze kann man als einen Pyramiden-Pyramidenwürfel betrachten, indem bei der Vollkommenheit der Durchwachsung auf jeder Pyramidenwürfel Fläche nochmals eine 2 + 1flächige Pyramide entsteht. Auch die Elbaer complicirtern Krystalle durchkreuzen sich auf gleiche Weise, namentlich schön bei Traversella (Sella, Mem. Accad. Torino 1856 XVII tab. 8), Dana (Mineralogie 5. ed. pag. 62) bildet sie von Schoharz in New-York ab. Hier würde man nun erwarten, daß ein positives Individuum sich mit einem negativen verbunden hätte, allein das ist nicht der Fall, sondern die Individuen sind entweder beide negativ — (Blotho) oder beide positiv + (Elba). Dagegen kommen in Italien scheinbar einfache, aber gefleckte Krystalle vor, die unerwarteter Weise aus +

und — Masse bestehen, sich daher parallel und nicht in Zwillingstellung durchdrungen haben.

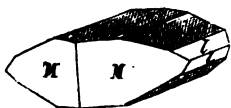
Blätterbruch nach Würfel und Oktaeder ist sehr versteckt. Farbe speisgelb (zwischen metallischem Gelb und Grau), mit ausgezeichnetem Metallglanz, aber häufig durch eingetretene Zersetzung angelauten. Opak. Bräunlichschwarzer Strich. Nicht magnetisch. Härte 6, aber dennoch starke Funken gebend, welche von dem verbrennenden Schwefel herrühren. Konnte daher bei Erfindung der Schießgewehre als Büchsenstein benutzt werden. Gew. 5. Zersetzt sich leicht zu Brauneisenstein (Göthit), wobei die alpinen (Tavetsch) einen besonders schönen braunen Glanz annehmen.

Auf Kohle im Oxydationsfeuer brennt er mit blauer Flamme, unter Entwicklung und Geruch von schwefliger Säure (S). Im Reduktionsfeuer schmilzt er leicht zu einer magnetischen Kugel, es entweicht schweflige Säure und Schwefeldampf, da er die Hälfte seines Schwefels abgibt und zu Magnetkies wird, der bei fortgesetztem Rösten endlich in Eisenoxyd übergeht. Im Kolben gibt er Schwefel ab, und große Haufen einmal angezündet brennen fort. Man kann ihn daher zur Gewinnung von Schwefel benutzen, der eine orangefarbene Farbe hat, die von einem kleinen Thalliumgehalt herrühren soll. Salzsäure greift ihn nicht an, wohl aber Salpetersäure unter Auscheidung von Schwefel. Doppelt Schwefeleisen mit 45,7 Fe und 54,3 S. Eine Analyse von Berzelius gab 53,9 Schwefel. Spuren von Selen, Arsenik, Kupfer. Auch Silber und Gold veredeln ihn. Schon Plinius 37. 64 spricht von einem Mineral *Amphitane auro similis quadrata figura*, das in Indien mit Gold vorkomme, und wohl unser Mineral sein könnte. Die Schwefelkiese von Berejowsk, Marmato pag. 681 enthalten gebiegen Gold eingesprengt. Fundorte für schöne Krystalle sind Elba mit Eisenglanz, Traversella mit Dolomit, Brosso mit Schwerspath, Waldenstein in Kärnten mit Eisenglimmer &c.

Zur Pyritoidischen Formation gehören in der Natur außer dem Schwefelkies der Hauert  $Mu S^2$ , Glanzkobalt  $Co S^2 + Co As^2$ , Nickelglanz  $Ni S^2 + Ni As^2$ , Nickelantimonglanz  $Ni S^2 + Ni Sb^2$ . Auch beim künstlichen Salpetersauren Blei pag. 634 kann man das Pyritoider schön beobachten.

### Binar kies Fe Weiß.

2gliedriger Schwefelkies. Werner's Spär- und Ramkies, Hausmann's Wasserkies. Lange mit Schwefelkies verwechselt, bis Haüy die Form Namens *fer sulfuré blanc* richtig erkannte. Haüdingen will ihn unter dem arabischen Worte *Marca sit* (Senzel Pyritol. 66) begreifen, weil er leichter verwittert als Schwefelkies.



$M = a : b : \infty 106^\circ 2'$  (Phillips). Auf die scharfe Säulenkante das Paar  $r = b : \frac{1}{2}c : \infty$  gerade aufgesetzt, welches parallel der kurzen Säulenaxe  $a$  so stark gestreift ist, daß es sich gewölbt

in der Geradenfläche  $P = c : \infty a : \infty b$  allmähig verliert. Darunter liegt jedoch eine schärfer meßbare Fläche  $l = b : c : \infty a$  in Axe  $b$   $100^\circ$  bildend. Daraus folgt

$$a : b = 0,6323 : 0,839 = \sqrt{0,3998} : \sqrt{0,7041}.$$

$$lga = 9,80093, lgb = 9,92381.$$

Undeutlicher und seltener ist das auf die stumpfe Säulenkante aufgesetzte Paar  $g = a : c : \infty b$   $115^\circ 30'$  in Axe  $a$ . Auch die kleine Oктаederfläche  $o = a : b : c$  in der Diagonalzone von  $g$  und  $l$  sieht man öfter bei denen aus dem Böhmischem Braunkohlengebirge. Da sich im Ob-longoktaeder  $g/l$  unter  $110^\circ 5'$  schneiden (nach Haüy unter  $110^\circ 48'$ ), so könnte dieses mit dem regulären Oктаeder vermöge seiner Endkanten verwechselt werden, allein die Seitenkanten lassen keinen Zweifel über. Haüy sah die regulären Oктаeder aus dem Braunkohlenthon von Groß Allmerode in Hessen, weil sie so stark verwittern, fälschlich für Binar kies an. Da diese bestimmt Schwefelkies sind, so wird der Binar kies meist in

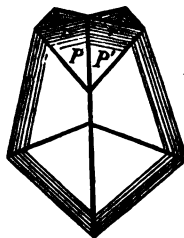
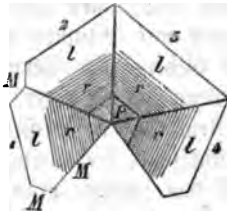
Zwillingen angetroffen: Krystalle haben Säule  $M$  gemein und liegen umgekehrt. Nach der Art der Ausdehnung entsteht aber ein verschiedenes Aussehen. An Werner's

Rammkies, Pyrites en crête de Coq de l'Isle Essai 308, der besonders auf Bleierzgängen zu Clausthal und Zellerfeld auf dem Oberharz, Przibram, Freiberg, Derbyshire u. bricht, herrschen die verschälerten Säulenflächen  $M$ , und stehen eckig mit ihrem scharfen Winkel hinaus. Da sich nun häufig die Flächen runden und zackig wiederholen,



so entstehen nicht selten auffallend Hahnenkammähnliche Tafeln, welche sich in senkrechten Platten erheben. Die Zwillingsgrenze der parallel nebeneinander gelagerten Individuen wird besonders durch die Streifung auf  $P$  und  $r$  parallel der Axe  $a$  markirt, doch kann sie auch ganz vermischt sein. Der

Spär kies geht auf Erzgängen aus dem Rammkies hervor, indem die Säulenflächen durch Ausdehnung der Paare  $l$  und  $r$  gänzlich verdrängt werden. Es entsteht dann durch  $l^1 r^1 l^2 r^2$  die Spärspitze, welche durch das Auftreten von  $M$  zweispitzig wird. Am schönsten kommen dieselben im Böhmischem Braunkohlengebirge (Littmitz und Altsattel) zusammen mit Schwefelkiespyritoedern vor; hier legen sich meist Vierlinge im Kreise aneinander, so daß drei Spärspitzen entstehen. Solche Vierlinge wiederholen sich in langen Reihen parallel hintereinander. Da  $4 \cdot 74^\circ = 296^\circ$  machen, so blieben für ein etwaiges 5tes Individuum nur noch  $64^\circ$  Platz, was sich daher nicht vollständig ausbilden kann. Sonderbarer Weise kreuzen sich solche Böhmishe Vierlingstafeln abermals zu je zwei, und zwar sollen sie nach Mohs eine Fläche  $g = a : c : \infty b$  gemein haben und umgekehrt liegen. Da sämtliche



Geradendflächen der Vierlinge einspiegeln, so schneiden sie sich unter  $115^{\circ} 30'$ , dem Säulenwinkel des Paares g/g. Von den Vierlingsindividuen kann natürlich nur jederseits eines sich in dieser Zwillingstellung befinden: und zwar diejenigen, deren Kanten  $1/1$  sich ebenfalls unter  $115^{\circ} 30'$  schneiden und folglich in eine Ebene fallen, die senkrecht gegen die Zwillingsebene steht (in unserer Figur die obere P und P'). Gerade das Fallen der Kanten in eine solche Ebene liefert den wichtigsten Beweis für die Richtigkeit des Gesetzes. Das Zusammenvorkommen mit Schwefelkies ist merkwürdig, wie zu Tavistock unter Childrenit; in der Kreide von Wollin waren sie sogar Gegenstand des Bergbau's. Ausgezeichnet in den grauen Mergeln des Gault von Folkestone. Nur ein einziges Mal bekam ich ein Stück aus unserm schwäbischen Weißen Jura-kalk mit vielen frischen und deutlichen Krystallen, zum Zeichen, daß sie da sind, und vielleicht sogar in Masse.

Hahnenkämme entstehen auch durch Mißbildung der Säulen M/M mit der Geradendfläche P, indem sämtliche Flächen sich krümmen, die Säulen mit ihren stumpfen Kanten parallel an einander wachsen und die scharfen Winkel zackig herausstellen. Die Streifung auf P parallel der Axe a bildet dann nicht selten bogenförmige Linien.

Farbe zwar auch speisgelb, aber etwas grauer, daher fer sulfuré blanc oder White iron pyrites, wie man an den Böhmischen leicht erkennt, wo der gelbere Schwefelkies unmittelbar darauf liegt. Härte 7, Gew. 4,7—4,88. Folglich ein wenig leichter als Schwefelkies.

Die Analyse von Bergelius gab 53,3 Schwefel, 45 Eisen, 0,7 Mangan, also Bisulfuret wie beim Schwefelkies, nur meint man, daß ihm etwas Eisensulfuret  $\text{Fe S}$  beigemischt sein könnte, wodurch sich die leichtere Verwitterbarkeit erklären ließe. Allein diese vermeintliche leichtere Verwitterbarkeit ist noch gar nicht sicher erwiesen. Schwefelkies verwittert unter Umständen mindestens eben so leicht. Die Verwitterung beider ohne Unterschied scheint hauptsächlich dann Statt zu haben, wenn dieselben mit Bitumen gemengt sind, oder wenn ihr feinvertheilter Zustand im Gebirge der Verwitterung mehr Angriffspunkte gibt. So z. B. verwittern die Oktaeder im tertiären Thon von Groß Almerode oder in der Lettenkohle des weißen Keuper meist an ihrer strahligen unreinen Anwachsstelle, die compacten Oktaeder selbst liegen lange unangegriffen und auf das schönste glänzend zwischen der mit Eisenvitriol überschwängerten Masse. Ja wenn man die Oktaeder sorgfältig ausliest und reinigt, so verwittern sie nicht weiter, und lassen sich wie andere Schwefelkiese aufbewahren. Bei Böllnig kommt ein sehr rein aussehender Schwefelkies in Milchquarz eingeprengt vor, welcher eine solche auffallende Neigung zur Verwitterung zeigt, daß man fast das Mitvorkommen des Quarzes als Grund nehmen möchte. Bei der Verwitterung bildet sich Eisenvitriol, auf welchem ein gelbes Mehl von basisch schwefelsaurem Eisenoxyd liegt, das an erdigen Misch pag. 649 erinnert. Man darf dieß gelbe Mehl nicht mit Schwefel verwechseln. Aus dem Eisenvitriol erzeugt sich Braun-



eisenstein pag. 764: indem Eisenorydul durch Oxydation in die schwächere Basis Fe übergeht, wird die Schwefelsäure leicht von stärkern Basen (namentlich Ca) angezogen, und Fe H muß zurückbleiben. Daher findet man den Verwitterungsprozeß so gern von kleinen Gypskrystallen begleitet. Die vertieften Petrefakten im Flözgebirge geben dafür den besten Beweis: frisch gegraben sind sie gelb, nach wenigen Tagen an der Luft fangen sie schon an zu rosten. Schon Agricola (de nat. foss. V. 610) weiß uns davon aus der Hildesheimer Gegend zu erzählen, indem er über das Ammonshorn sagt: ubi in terra aluminosa reperitur, aureo colore splendet: ubi in alterius generis terra, ferreo. Es kommen ganze Schichten vor, wo einem alles von Schwefeleisen Gebildete noch in der Sammlung zerfällt, nur im Wasser kann man es mit Mühe aufbewahren; während anderes ganz von gleichem Ansehen sich immer frisch hält. Und beides ist derselbe Schwefellies. Nach Berzelius soll sich beim Verwittern auch Schwefel ausscheiden können, und G. Rose (Reise Ural I. 11.) nimmt bei den bekannten Afterskrystallen im Quarz der Goldgruben von Beresowsk an, daß 2 Atome Schwefellies durch 3 Atome Wasser ( $\text{Fe}^2\text{S}^4 + 3\text{H}^2\text{O}^2$ ) in 1 Atom Eisenoryd Fe, 3 Schwefelwasserstoff 3 H S und 1 Schwefel zerlegt wären. Der Schwefel sitze noch in dem zelligen Quarze, und das Eisenoryd habe sich mit Wasser zu Hydrat verbunden. Wenn dieser Prozeß überhaupt vorkommt, so ist er wenigstens ungewöhnlich.

Benutzung des Schwefel- und Binarklieses beruht hauptsächlich auf ihrer leichten Verwitterbarkeit. Denn häufig in thonigen Gesteinen feinvertheilt liegend erzeugen sie Bitriolschiefer, aus welchem man Eisenvitriol, und Alaunschiefer, aus welchem man Alaun gewinnen kann. Das Uebergangsgebirge (Andrarum in Norwegen), die Lettenkohle (Gaildorf in Württemberg), der untere Jura (Whitby), besonders aber das Braunkohlengebirge (Burgweiler, Freienwalde) liefern Beweise. Im Steinkohlengebirge wird bei dem Verzeßungsprozeß so viel Wärme erzeugt, daß das Kohlentlein in Brand geräth und dem Bergbau Gefahr bringt. Zur Darstellung des Schwefels und der Schwefelsäure dient er bis jetzt nur wenig, dennoch kann der Schwefellies aus dem Dep. Gard sogar in Marseille mit Sicilianischem Schwefel concurriren. Leider ist aber die daraus gefertigte Säure arsenithaltig. Auf Wollin kostete der Centner 20 Silbergroschen. Er gibt beim Destilliren die Hälfte seines Schwefels, also gegen 27 p. C. ab. Der Rückstand kann durch Liegenlassen an der Luft zur Darstellung von Eisenvitriol oder rauchender Schwefelsäure benutzt werden. Im letztern Falle bleibt ein rothes Eisenoryd, das als Colcothar in den Handel kommt, und als Polirmittel für die Spiegel-schleifereien gesucht ist. Auf Elba finden sich Afterskrystalle in solches Eisenoryd verwandelt.

Bildung und Verbreitung. Doppelschwefeleisen gehört zu den verbreitetsten Schwefelmetallen, denn es findet sich nicht bloß auf Erzgängen im Hoch- und Niedergebirge, und zwar, wie schon Hentel sagte, in den größten Tiefen, in welche der Mensch hat dringen können;

sondern auch lagerartig und eingesprengt in den verschiedenen Ur- und Flözgebirgen, im letztern besonders, wenn sie einen Bitumengehalt zeigen. Bischof (Lehrb. Geolog. I. 117) hat daher auseinandergelegt, daß bei Gegenwart von faulenden organischen Substanzen dem Eisenvitriol der Sauerstoff entzogen und Schwefelkies gebildet werden könne. Faulungs- und Verwesungsprozesse wirken so desoxydirend, daß nach Bateman die Reste von einigen Mäusen, die zufällig in eine Lösung von Eisenvitriol gefallen waren, zum Theil mit kleinen Schwefelkieskrystallen bedeckt wurden. Die blaue Farbe des Mergels an Meeresküsten soll daher von Schwefelkies herrühren. In Sandalluvionen geht das nicht, da hier das Eisen leicht oxydirt. Wo in Schieferthonen und Mergeln hohle Räume besonders gekammerte Cephalopodenschalen sind, da hat sich der Schwefelkies innerhalb der Schalenwände in dicken Krusten abgesetzt, die Schale selbst wird dagegen nur in Ausnahmssälen angegriffen. Auch zieht sich der krystallinische Kies in mehr als faustdicke Knollen zusammen, so daß der Einfluß des Bitumens nicht in unmittelbarer Nähe des Kieselstättigkeits haben kann. Bonsdorf (Pogg. Ann. 40. 111) ging zu weit, wenn er an der Bildung der bekannten Helgoländer Schwefelkiespetrefakten, die so leicht verwittern, daß sie nur unter Wasser aufbewahrt werden können, noch heute das Meer theilnehmen lassen wollte. Künstlich hat Böhler (Pogg. Ann. 37. 111) den Schwefelkies in kleinen glänzenden Ottaedern und Würfeln dargestellt, indem er Eisenoxyd, Schwefel und Salmiak recht langsam miteinander glühte. Hauptabänderungen sind etwa:

Krystallisirter. Abgesehen von Elba und den Alpen pag. 816 finden wir ringsum ausgebildete Würfel und Pyritöeder besonders in den Schiefen älterer und neuerer Formation. Die Letten- und Braunkohle bildete häufig das einfache Ottaeder in Drusen aus, im Lias namentlich in dessen Amaltheenthonen herrscht das Suboktaeder. Nicht selten, wie auf dem Herrenseegen im Schwarzwalde, gibt derber Kupferkies das Muttergestein der schönsten Krystalle ab. In den Keupermergeln von Westphalen sind sie so häufig, daß man sie fast an allen Straßen findet, wo der Mergel zur Beschotterung dient.

Strahlkies heißen vorzugsweise strahlige und faserige, die nicht selten auf der Oberfläche sich glaskopfartig runden, und einen förmlichen gelben Glaskopf bilden (Memendorf bei Oederan). Ausgezeichnet im untern Lias der Gegend von Aalen und Ellwangen, im Braunkohlengebirge 2c. Solche strahlige Massen verwittern leicht, und man sah sie fälschlich für Binarkies an. Ihre Farbe wird zwar grauer, aber man findet nie zweigliedrige wohl aber reguläre Formen häufig dabei.

Körnig bis dicht. Derselbe geht ganz ins Weißgrau, und hat besonders Neigung zur Kugel- und Knollenbildung. Man findet unzählige im schwarzen und braunen Jura. Im Braunkohlengebirge von Schraplau am Salzsee zwischen Halle und Eisleben kommt man zuweilen auf ganze Lager von der schönsten Citronen- und Pommeranzenform, so daß man sich in der That hüten muß, dieselben für Früchte zu halten.

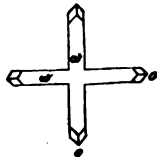
Beste Früchte von Sheppy im Londonthon können ebenfalls nur unter Wasser aufbewahrt werden.

Dendritisch bildet er sich zuweilen auf bituminösen Schiefen aus. Leberkies und Zerkies nannte Werner die unreinen besonders auf Silber- und Bleierzgängen der Umgegend von Freiberg, wo sie mit verhüttet werden. Denn da Schwefelkies ein häufiges Gangmittel ist, so mischt er sich in verschiedenen Verhältnissen mit andern geschwefelten Metallen, z. B. am Rammelsberge bei Goslar, zu Falun in Schweden. Kupfer- und Schwefelkies kann man oft gar nicht von einander äußerlich unterscheiden. Breithaupt's

Kyrosit (Pogg. Ann. 58. 111) derb von der Grube Briccius bei Annaberg hat neben 45,6 Fe, 53 S, noch 1,4 Cu und 0,9 As, und doch ist seine Farbe schon übermäßig grau geworden, trotz des starken Glanzes. Der Zgliedrige

Kausimkies auf Kupferkies vom Kurprinz bei Freiberg hat sogar schon 4,4 Arsenik, ist bereits zinnweiß, also ein Gemisch von Binar- und Arsenikkies mit etwas Kupfer und Blei. Thomsons

Crucit aus einem rothen Thonschiefer von Clomnell in Irland soll nach Dufrenoy (Traité Minéralog. II. 111) zu Eisenoxyd verwitterter Schwefelkies sein: Zwillinge kreuzen sich unter  $60^\circ$ , was der Name andeutet. Es erinnert die Sache an die merkwürdigen Schwefelkieskrystalle auf Spathisenstein von Lobenstein; Würfel a erscheint daran in langer quadratischer Säule, schwach an den vier Kanten durch das Granatoeder abgestumpft, darauf ist das Oktaeder o aufgesetzt. Dester kreuzen sich zwei solcher Krystalle rechtwinklig, da aber daran die quadratischen Säulen einspiegeln, so kann es nur ein Fortwachsen und kein Zwilling sein. Ein sehr schönes Beispiel, gleichsam drei dicke auf einander senkrechte Azen, bildet Dana (Syst. Mineral. 1888. 11) von Middletown Cty ab. Neben den rechtwinkligen kommen auch Winkel von ungefähr  $60^\circ$  vor, und öfter hat es wirklich den Anschein, als könnten es Zwillinge sein, und diese würden dann dem Crucit entsprechen. Verzerrungen anderer Art haben Köhler und G. Rose bekannt gemacht (Pogg. Ann. 14. 11). Vergleiche auch Dr. Klocke, Ver. Nat. Ges. Freiburg Bd. VI Heft 4.



Die Anwendung des Schwefelkieses hat in unsern Zeiten großartige Dimensionen angenommen, man benützt ihn nicht bloß zur Darstellung von Schwefelsäure, die billiger ist als aus gebiegenem Schwefel pag. 742, aber etwas Arsenik enthält, sondern man verwerthet auch die Rückstände, die fast aus reinem Eisenoxyd bestehen, zum Heerdfutter der Puddelöfen und Darstellung von Roheisen, da sie sich wegen ihrer feinen Vertheilung durch die Kohle leicht reduciren. Preußen allein gewann 1875  $2\frac{1}{2}$  Mill. Centner à 1 Mark, die Lager im Thonschiefer der Umgegend von Siegen bilden. Im Rhonedepartement brechen an der Brevenne Lager von 40 Meter ein (Cmpt. rend. 1875 Bd. 81 pag. 190). Unerreicht sind jedoch die



(Compt. rend. 1868 Bd. 67 pag. 175) daß man sie mit Rücksichtnahme auf die magnetischen Pole der Erde auch künstlich darstellen könne.

Vor dem Löthrohr kugelt er sich nicht sonderlich schwer und löst sich dann leicht in Salzsäure, ungeschmolzen schwerer unter Entwicklung von Schwefelwasserstoff und Ausscheidung von Schwefel. Auch die Krystalle von Juvinas zeigen dieses Verhalten. Da nun  $\text{El H} + \text{Fe S}$  sich in  $\text{Fe Cl} + \text{H S}$  zerlegt, so muß außer einfachem Schwefeleisen noch ein kleiner Ueberschuß von Schwefel da sein. G. Rose (Pogg. Ann. 74. 111) wollte sämmtlichen Vorkommen die Formel  $\text{Fe}^5 \text{Fe} = \text{Fe}^6 \text{Fe} = \text{Fe}^7 \text{S}^8$  zutheilen, was 60,5 Fe und 39,5 S geben würde. Zwar weicht davon Stromeyer's Analyse von Barèges mit 43,6 Schwefel, was auf  $\text{Fe}^6 \text{Fe}$  führen würde, nicht unbedeutend ab, allein da demselben in Salzsäure unlöslicher Schwefelkies beigemischt ist, so mag allerdings der höhere Schwefelgehalt darin seinen Grund haben. G. Rose fand sogar in denen von Bodenmais nur 39 Schwefel, woraus Graf Schafgotsch (Pogg. Ann. 50. 111) die Formel  $\text{Fe}^9 \text{Fe}$  ableitete, aber hier mag eine theilweise Zersetzung zu Oxyd auf den schalig abgeordneten Blättern der Grund sein. Nur das derbe Schwefeleisen im Meteoreisen scheidet in Salzsäure keinen Schwefel ab, es hat 63,6 Fe und 36,4 S, 4,8 Gew. und da es nicht magnetisch ist, so nannte es Häubinger (Sitzber. Wien. Acad. 1863 Bd. 47. 111) **Troilit** nach Domenico Troili, der 1766 den Meteorolithenfall von Albareto bei Modena beschrieb. Es ist eine graugelbe körnige Masse, die zuweilen in fingerdicken Cylindern das Meteoreisen pag. 720 durchzieht, nicht selten von Graphit und Chromeisen begleitet.

Breithaupt suchte aus krystallographischen Gründen zu beweisen, daß auch der Magnetkies einfaches Schwefeleisen  $\text{Fe S}$  sein könnte, weil folgende in ihrer dihexaedrischen Form dem Magnetkies-Dihexaeder mit  $126^\circ 49'$  in den Endanten sehr nahe ständen:

Osmiridium  $\text{Jr Os}$   $127^\circ 36'$ ; Kupfernickel  $\text{Ni As}$   $127^\circ 32'$ ;

Greenokit  $\text{Cd S}$   $127^\circ 26'$ ; Haarkies  $\text{Ni S}$   $127^\circ 10'$ ;

Antimonnickel  $\text{Ni Sb}$   $126^\circ 56'$ .

Indeß die Sache beweist vielleicht zu viel, da auch Eisenglanz mit  $128^\circ$  nebst Korund  $128^\circ 3'$ , und Antimon pag. 722 mit seinen Verwandten genannt werden müßten.

Magnetkies findet sich sparsamer, als Schwefelkies. Er verwittert ebenfalls wie die Eisenvitriolkryalle von der Grube Gießhübel pag. 648 am Silberberge bei Bodenmais beweisen. Der dichte, gemischt mit Schwefelkies, wird noch heute dort auf Eisenvitriol verwerthet (Wineberger Oegn. Besch. Bay. Waldg. pag. 98). Bildet Lager im Gneis-Granit. Falun, Barèges, Treseburg, Breitenbrunn u. Nach Hausmann kommt er im Andreasberger Erzgebirge so häufig eingesprengt vor, daß beim markscheiderischen Gebrauche des Compasses Vorsicht nöthig werde. Der Magnetkies von Klewa in Smaland wird auf Nickel verwerthet (Erbsmann's Journ. prakt. Chem. 53. 111); bei Snarum 4 Ni, auf der Gap Mine

in Pennsylvanien 5,6 Ni enthaltend hat er neuerlich eine große Nickelproduction ins Leben gerufen, Dana Syst. Mineral. 5 ed. pag. 59. Forbachit bei St. Blasien auf dem Schwarzwalde (Jahrb. 1873. 111), tombakbraune Knollen im serpentinisirten Gneise mit 12 Ni, scheint ebenfalls nur Magnetkies zu sein, der dort eine Zeitlang auf Nickel verwerthet wurde, da bei nasser Aufbereitung sich Nickelsvitriol leichter bildet als Eisenvitriol. Scheerer (Pogg. Ann. 58. 111) erwähnt sogar einen Eisennickelkies  $2\text{FeS} + \text{NiS}$  von Lillehammer im südlichen Norwegen, bronzefarbig wie Magnetkies, aber mit 4fach blättrigem Bruche nach dem regulären Oktaeder. Nicht magnetisch. Gew. 4,6. Enthält 22,3 Ni. Am Besten soll auch ein Sesquisulfid ( $\text{Fe}^2\text{S}^3$ ) krustenartige Ueberzüge bilden.

### 3. Arsenitkies, $\text{Fe} + \text{Fe}$ .

Kurz Arsenkies. Misspikel der Freiburger Bergleute, auch Giftkies, weil er seit alter Zeit hauptsächlich zur Darstellung des weißen Arsens dient. Pyrites argenteo colore Wasser- oder weißer Ritz Agricola 706. Pyrite blanche arsenicale Romé de l'Isle Cristall. III. 17, Fer arsenical, Arsenical iron.

Zweigliedrig dem Binartkies verwandt. Säule  $M = a : b : \infty$   $111^\circ 53'$ , versteckt blättrig, an ihrem Ende herrscht gewöhnlich  $r = c : 4b : \infty$   $146^\circ 52'$ , welche außerordentlich stark parallel der Axe  $a$  gestreift ist, daraus folgt

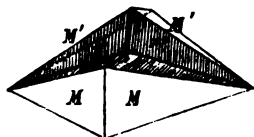
$$a : b = 0,568 : 0,84 = \sqrt{0,3227} : \sqrt{0,7064};$$

$$la = 9,76442, lb = 9,92448.$$

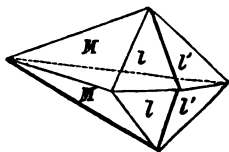


Solche zierlichen Oblongoktaeder  $M\text{Mr}$  (Weißerz) kommen gar häufig um und um krystallisirt im erdigen Talf von Bräunsdorf bei Freiberg vor, freilich mit großer Neigung zur Zwillingbildung. Selten stumpft das Paar  $l = b : c : \infty$   $99^\circ 54'$  in  $b$  bildend die scharfe Ecke  $\text{MrM}$  ab. In den Oblongoktaedern vom Silberberg bei Falun, Tunaberg 2c. pflegt sich das Paar  $l$  stärker auszudehnen als  $M$ , doch ist ihre scharfe Säulenkante häufig durch  $r$  zugescharft, wornach man sich leicht orientirt. Selten ist das für ihre Zwillingbildung so wichtige vordere Paar  $g = a : c : \infty$  mit  $120^\circ 48'$  in Axe  $a$ , und  $59^\circ 12'$  in Axe  $c$ . Auch gibt auch das zugehörige Oktaeder  $o = a : b : c$  an.

Zwillinge, wie beim Binartkies, aber das dort ungewöhnlichere ist hier das gewöhnliche: die Zwillingseindividen haben  $g = a : c : \infty$  gemein, und liegen umgekehrt. Meist durchwachsen sich die Individuen mehr oder weniger vollkommen. Die Axen  $b$  fallen also zusammen, die Axen  $a$  bilden dagegen einspringende Winkel von  $120^\circ 48'$ . Wenn wie bei schwedischen bloß das Oblongoktaeder  $Ml$  herrscht, und



dasselbe parallel der Fläche  $g$  halbiert wird, so machen beim Aneinanderwachsen die Zwillingshälften mit den Flächen  $l$  den dritten Theil eines Dihexaederartigen Körpers, weil sich Kante  $l/l$  mit  $l'/l'$  unter  $120^\circ 48'$  schneidet. Da nun nicht selten sich auch noch ein drittes Individuum  $l''$  anlagert, und die Drillinge durchwachsen, so können scheinbar förmliche Dihexaeder entstehen. Ein 2tes Zwillingsgesetz  $M = a : b : \infty$  gemein und umgekehrt ist nicht sehr häufig. Es entstehen dadurch Binarkiesartige Formen.

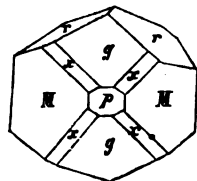


Silberweiß, aber meist grau und gelb angelauten. Metallglanz, Härte 5—6, spröde, Gew. 6,1.

Vor dem Löthrohr schmilzt er unter Arsenitgeruch zu einer magnetischen Kugel. Im Glascolben gibt das Pulver anfangs rothes Sublimat von Schwefelarsen, dem bald ein schwarzes krystallinisches von Arsenit folgt. Salpetersäure greift ihn stark an, unter Ausscheiden von Schwefel und arseniger Säure. Mit feinem Pulver gefülltebeutel ins Wasser gelegt lassen bald Reactionen auf Arsenit, Eisen und Schwefel wahrnehmen, zum deutlichen Beweise, daß er vom Wasser angegriffen werde.

$\text{FeS}^2 + \text{FeAs}^2 = \text{FeSAs}$  mit 46,6 Ar, 19,9 S, 33,5 Fe, also von der Formation des Schwefelkieses. Den Schwefelgehalt längneten die alten Mineralogen lange, Haüy Miner. IV. 72, und leiteten ihn durch Beimischung von Schwefelkies ab. Da Arsenit gern auf Kobaltgängen vorkommt, so geben die gerösteten Proben häufig blaue Gläser. Am interessantesten darunter ist Scheerer's

Kobaltarsenikies (Pogg. Ann. 42. 110), der mit Glanzkobalt auf den Gruben von Stutterud in Norwegen bricht. Die Farbe gleicht vollkommen dem Arsenikies, das Gew. 6,2 kaum bedeutender. An den Krystallen herrscht die Säule  $M/M$   $111^\circ 40' - 112^\circ 2'$ ,  $r/r$  ist gestreift, und  $g/g$   $58^\circ 30'$  scheint etwas kleiner, als beim Kobaltfreien zu sein. Auch eine Fläche  $p = a : \infty b : \infty$  und  $x = b : \frac{1}{2}a : \frac{1}{2}c$  kommt vor. Die Analyse gab 9 p. C. Kobalt, welches das Eisen ersetzt, also  $(\text{Fe}, \text{Co})\text{S}^2 + (\text{Fe}, \text{Co})\text{As}^2$ . Breithaupt's



Glaufodot im Chloritschiefer mit Glanzkobalt von Huasteco in Chili hat eine blättrige Geradenfläche, dunkel zinnweiße Farbe, und nach Plattner sogar 24,8 p. C. Kobalt neben 11,9 Fe, also  $(\text{FeS}^2 + \text{FeAs}^2) + 2(\text{CoS}^2 + \text{CoAs}^2) = 1$  Arsenikies + 2 Glanzkobalt. Ähnlich der Dana it von Franconia (New-Hampshire). Solche Mittelverbindungen zwischen Arsenikies und Glanzkobalt führen auf die Vermuthung, daß die Masse des Glanzkobaltes dimorph sein möchte. Dazu kommen noch kleine stahlgraue Krystalle von Oraviczka im Banat, die im Kalkspath mit kleinen Abularen, in Gesellschaft von Arsenikies, Wis-muthglanz, Speiskobalt, Gold u. liegen, die lange für Glaufodot gehalten

jetzt als **Mollas** (Tschermal, Sibir. Wien. Ab. 1866 Bb. 53) unterschieden werden: sie haben eine sehr blättrige 2gliedrige Säule von  $106^\circ$ , mit einer deutlich blättrigen Geradenfläche. Während dieser Winkel mit Binarkies stimmt, macht das Paar  $a : c : \infty b$  in Arge  $c\ 58^\circ$ , wie beim Arsenkies. Gew. 6,65. Die Analyse gab 16,2 S, 32,7 As, 30,1 Bi, 10,2 Co, 1,5 Ni, 0,68 Au zc.

Arsenikies bricht besonders auf Zinnsteingängen. In den Freiburger Silbergängen dringt er z. B. auf Grube Morgenstern 20' in das Nebengestein des talkig werdenden Gneises. Munzig pag. 229 mit seinen brechenden Quarzwillingen zeichnet sich aus. In die „edle Quarzformation“ von Bräunsdorf enthält in den glänzenden Krystallen (Weißerz) 6 Loth bis 1 Pfund Silber im Centner, wird daher mit Recht als edler Arsenikies (Mißpikelsilber, Emmerling Lehrb. Miner. 1796 II. 557), worin schon Kirwan 10 p. C. fand, ausgezeichnet. Häufig zeigen die größern Krystalle besondere Neigung zum Krümmen in der Geradenfläche, dabei wird Säule M/M langstrahlig, und leidet sehr durch Verwitterung. Zuletzt erscheinen förmliche Fasern mit Glasopfstruktur (Andreasberg). Der Plinian von Ehrenfriedersdorf ist so stark verzogen, daß Breithaupt die Krystalle für 2 + 1gliedrig hielt. Derbe Massen sind häufig bergestalt mit Speiskobalt gemengt, daß man zwischen beiden nicht sicher unterscheiden kann.

**Arsenikalkies** Fe (Arseneisen, Leucopyrit, Lößingit). Mohs unterschied ihn zuerst als arctomen Arsenikies vom gewöhnlichen, mit dem er zusammen vorkommt im Serpentin von Reichenstein in Schlesien, auf Lagern des Spath Eisensteins von Lößing bei Hüttenberg in Kärnten und Schladming in Steiermark, Andreasberg, Geyer. Seine Farbe ist etwas lichter und glänzender als beim schwefelhaltigen. Gewicht entschieden schwerer 7,3. Im Serpentin von Reichenstein kommen kleine sehr glänzende ringsum ausgebildete Nadeln vor, welche leicht quer brechen, ohne daß der Geradenfläche ein sonderlich deutlicher Blätterbruch entspräche. Daran macht die lange Säule  $M = a : b : \infty c$  einen Winkel von  $122^\circ 26'$ , und das vordere Paar  $g = a : c : \infty b$  nur  $51^\circ 20'$ , woraus folgt

$$a : b = 0,4805 : 0,8747 = \sqrt{0,2309} : \sqrt{0,7651}$$

$$lga = 9,68174, \quad lgb = 9,94187$$

daß Paar  $l = b : c : \infty a$  noch nicht beobachtet.

Nach Hoffmann (Pogg. Ann. 25. 455) hat der Reichensteiner 66 Arsenit, 28 Eisen, 2 Schwefel, was ungefähr zu der Formel von  $Fe As^2$  führt. Im senkrecht stehenden Gneise auf dem Sätersberge beim Hofe Fossium im Kirchspiel Modum fand Scheerer (Pogg. Ann. 49. 555) einen Arsenikalkies mit 70,1 As, 1,3 S, 27,4 Fe. Den Schwefelgehalt leitet man von eingemengtem Arsenikies ab. Die Formel  $Fe As^2$  erfordert 73,5 As und 26,5 Fe. Dagegen gaben die Analysen vom Reichensteiner stets weniger, was auf  $Fe^2 As^2$  deuten könnte; bei Przibram sogar nur  $Fe^2 As^4$ .



während die von Schladming mit 8,7 Gew. wie die vom Sätersberge wieder zur Formel  $\text{Fe As}^2$  führen (G. Rose, Kryst. chem. Miner. pag. 53). Wie ungleich die Arsenikmengen der verschiedenen Fundorte sind, setzte Rammelsberg (Ztsch. d. geol. Ges. 1873 XXV. 111) auseinander.

Im Kolben gibt Arsenikalkies kein rothes Sublimat. Die größte Menge der im Handel vorkommenden arsenigen Säure wird aus dem Reichensteiner dargestellt, den schon Agricola (Bermannus pag. 659) wegen seines Goldgehaltes pag. 681 rühmt; die Arsenitabbrände enthalten  $\frac{1}{10}$ — $\frac{1}{17}$  Loth Gold im Centner, im Mittel 0,312 p. C. (Zahrb. 1871. 81).

Auf Kobaltgängen scheinen Verbindungen von  $(\text{Fe Co, Ni}) \text{As}^2$  vorzukommen, wie auch das von Schladming 13,4 Ni, 5,1 Co (Pogg. Ann. 25. 101) enthält. Man muß dabei immer nur sorgfältig untersuchen, ob man es nicht mit regulären, sondern mit wirklich 2gliedrigen zu thun habe. So soll auch ein Theil des

Weißnickelkieses (Rammelsbergit)  $(\text{Ni, Fe}) \text{As}^2$  von Schneeberg mit 7,1 Gew. zweigliedrig sein, mit einem etwaigen Säulenwinkel von  $123^\circ$ , während der leichtere (Chloanthit) von 6,5 Gew. regulär ist. G. Rose (Kryst. Chem. Miner. 53) vermuthet sogar, daß auch unter den faserigen Abänderungen des Speiskobaltes von Schneeberg ein 2gliedriger  $(\text{Co, Fe}) \text{As}^2$  verborgen sei. Dann wäre die Formation R  $\text{As}^2$  dimorph. Nierenförmige Massen im Kalkspath von Guadalcanal in Andalusien nannte Sandberger (Zahrb. 1870. 100) Glaukophyrit, weil die bleigrauen Massen bläulich anlaufen, neben 66,9 As kommt 3,6 Antimon vor. Sie zeigen deutliche Spuren von zweigliedrigen Zwillingen. Es ist wesentlich Kobalthaltig, wie der Geherit von Wolfsach im Schwarzwalde.

## Manganerze.

Das geschwefelte Mangan spielt keine sonderliche Rolle. Lange hat man es sogar nicht einmal gekannt. Bis endlich in neuern Zeiten die Mineralogie eine höchst interessante Bereicherung erhielt durch den

Sauerit Mn. Häubinger (Pogg. Ann. 70. 140). Isomorph mit dem pyritoedriscen Schwefelkies pag. 813. Meist Hauswerke von durcheinandergewachsenen regulären Oktaedern, deren Ecken von einem sehr deutlichen dreifach blättrigen Bruch abgestumpft werden, welchen man mit dem Messer fast so leicht als bei der Blende darstellen kann. Zuweilen auch Granatoeder, namentlich aber Pyritoeder  $\frac{1}{2}$  ( $a : \frac{1}{2}a : \infty a$ ) und gebrochene Pyritoeder  $\frac{1}{2}$  ( $a : \frac{1}{2}a : \frac{1}{2}a$ ).

Farbe schwärzlich braun, bräunlich rother Strich, Härte 4—5, Gew. 3,46.

Vor dem Löthrohr brennt der Schwefel sogleich ab, wie beim Schwefelkies, allein die Probe ist unschmelzbar, verhält sich aber gut abgeschwefelt mit Flüssen wie Mangan. Im Glaskolben gibt die Probe

Schwefel ab, in einer Glasröhre geröstet wird sie außen braun, innen aber grün. Das Grün verschwindet jedoch mit dem stärkern Rösten. Nach der Analyse von Paterna 63,6 Schwefel, 43 Mangan, 1,3 Eisen, 1,2 Kieselsäure, woraus ein Mangانبisulfuret  $MnS^2$ , analog dem Schwefelkies, folgt.

Kommt mit gebiegenem Schwefel auf dem jetzt aufgelaassenen Schwefelwerke zu Kalinka bei Bégles unweit Altsohl (Sohler Komitat) eingesprengt in Gyps vor. Letzterer hat durch das darin vertheilte Schwefelmetall ein graues Aussehen, wie Trachyt.

**Manganblende  $Mn$ .** Von den Siebenbürgischen Bergleuten schon längst unter dem Namen Schwarzerz bekannt (Klaproth Beitr. III. 22), aber erst Gehlen (Schweigger's Journ. II. 161) erkannte die richtige Zusammensetzung. Wegen seines deutlich blättrigen Bruchs gab ihm Blumenbach den Namen, Leonhard's Manganglanz, Deudant's Alabandine.

Regulär. Hat ebenfalls einen dreifach blättrigen Bruch, entsprechend dem Würfel, wie beim Hauert; da nun auch die Farbe schwärzlich braun ist, so findet allerdings eine große Ähnlichkeit zwischen beiden statt, aber der Strich ist grün, und im Kolben gibt sie keinen Schwefel ab. Härte 4 und Gew. 4. Derb krystallinisch eingesprengt mit Manganspath zu Naghah und Kapnik, auch in Brasilien und Mexiko, in den Gruben am Riß von Orizaba sogar in ausgezeichneten Massen (Jahrb. 1856. 557). Arfvedson's Analyse gab 62,1 Mangan und 37,9 Schwefel bei dem mit Blättererz zu Naghah brechenden. Einfaches Schwefelmangan  $MnS$  erfordert 63,23  $Mn$ , 36,77  $S$ . Auf der Königschütte in Oberschlesien kam ein Halbschwefeleisenmangan  $FeMnS$  in schönen regulären Oktaedern mit Chantitan vor (Gustf. künstl. Mineral. 21).

**Arsenikmangan (Kaneit)  $MnAs$**  erwähnt Kane (Pogg. Ann. 19. 148) aus Sachsen, es glied dem Mangansuperoxyd und saß auf Bleiglanz.

## Kobalterze.

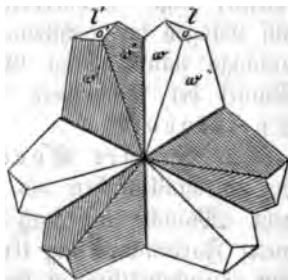
Der Name Kobalt (Cobaltum Agricola 701) oder Kobold soll schon im 14ten Jahrhundert vorkommen, ein Schimpfname für den Berggeist („schwarzen Teufel“) und für Erze, die zwar Giftrauch entwickelten, aber doch kein nützlich Metall gaben. Seit dem 16ten Jahrhundert bedient man sich der Kobalterze zur Bereitung der Smalte, obgleich Brandt erst 1733 das Kobaltmetall, wenn auch unrein, darstellte. Wir haben zwar des Kobaltess schon bei der Kobaltblüthe pag. 580, dem Kobaltvitriol pag. 648, dem Erbkobalt pag. 810 Erwähnung gethan, allein hier finden sich die Haupterze, aus denen fast alle durch Verwitterung entstanden. Da sie schon in geringer Menge dem Boragglase eine schön saphirblaue Farbe mittheilen, so sind sie für die Blaufarbenwerke sehr edle Erze. Aber seit das künstliche Ultramarin pag. 433 so billig dargestellt wird, sind viele Blaufarbenwerke eingegangen, was namentlich den

Schwarzwälder Bergbau drückte, und zum Erliegen brachte. Wasserfreie Salze sind blau, wasserhaltige roth. Alkalische Lösungen geben mit  $\text{H}_2\text{S}$  einen schwarzen Niederschlag. Gewöhnlich ist es mit Nickel vergesellschaftet; beide lösen sich als Cyannickel und Cyankobalt in Cyankalium, aber Cyannickel wird durch Säuren ausgeschieden, Cyankobalt nicht. Fast alles Eisen enthält Kobalt und Nickel, etwa 7 Gramm auf den Centner, Kobalt in den Kupfererzen erschwert den Gewinnungsproceß.

### Speiskobalt Co.

Speise ist der hüttenmännische Ausdruck für jene grauweißen Verbindungen von Arsenit mit Kobalt, Nickel und Eisen, die bei verschiedenen Hüttenprocessen fallen. Werner schrieb Speiskobold. Derselbe ist nicht nur durch seine Farbe der Speise ähnlich, sondern gibt auch wegen seines Arsenitgehaltes auf Blaufarbenwerken besonders viele Speise. Linné und R. de l'Isle (Essai 334) werfen unter *Cobaltum crystallinum* noch alle zusammen. Smaltit.

Reguläres System. Bei Schneeberg in Sachsen, zu Wittichen auf dem Schwarzwalde, Niechelsdorf in Hessen zc. kommen ausgezeichnete Cubooktaeder, aber mit krummen Würfelflächen vor. Dester gesellen sich noch Granatoederflächen hinzu, dann entsteht die Hauptliche Varietät trimorphe. Bei Schneebergern ist auch das Leucitoeder  $a : a : \frac{1}{2}a$  beobachtet. Nach Groth (Jahrb. 1874. 674) kommen auch Pyritoeder und Diploeder vor von positivem und negativem Charakter, wie beim Schwefelkies und Glanzkobalt. Naumann (Pogg. Ann. 31. 637) beschrieb merkwürdige Zwillinge im stängligen Kobaltkies von der Grube Daniel bei Schneeberg. Die Krystalle mit Würfel, Oktaeder und Leucitoeder dehnen sich nach einer trigonalen Axe aus, längs dieser herrscht die reguläre sechsseitige Säule l. Die Zwillinge haben nun die Axe dieser Säule gemein, durchwachsen sich vollkommen, sind aber im Azimuth statt  $60^\circ$  nur um  $38^\circ 11' 48''$  gegen einander verdreht, sie haben nämlich eine Fläche des Pyramidengranatoeders  $a : \frac{1}{2}a : \frac{1}{2}a$ , die auch in der Säulenzone von l sind, mit einander gemein und liegen umgekehrt.



Binnweiß, aber meist angelauten, je unreiner, desto grauer. Die frischen mit starkem Metallglanz; diese nannte man früher Glanzkobalt. Härte 5–6, Gew. 6,5.

Vor dem Löthrohr schmilzt er unter Arsenitgeruch zu einer magnetischen Kugel, die blaue Gläser gibt. In Salpetersäure leicht zu rother Lösung zersetzbar, mit Ausscheidung von arseniger Säure. Da Schwefel mangelt, so bekommt man mit Chlorbaryum einen höchst schwachen Niederschlag. Die Formel  $\text{Co As}^2$  würde 28,2 Co und 71,8 As fordern.

Gewöhnlich enthält er aber noch weniger Kobalt, bis 14 p. C., da Eisen und Nickel seine Stelle vertritt. Kobell analysirte kleine kugelig gruppirte Krystalle von Schneeberg, und fand darin 18,5 Fe mit 9,4 Co, er nannte sie Eisenkobaltkies. G. Rose fand ferner in allen krystallisirten Abänderungen von Schneeberg und Riechelsdorf Nickel, das im sogenannten Stängelkobalt von Schneeberg von 6,5 Gew. sogar auf 12 Ni, 3,3 Co, 6,5 Fe, 0,9 Cu, 75,8 As steigt, also  $(\text{Ni, Co, Fe}) \text{As}^2$ . Das Nickel reducirt sich in der Boraxperle, und kann umgepulvert mit dem Magnet herausgezogen werden. Wenn man nun erwägt, daß andererseits Breithaupt's Chloantit von Schneeberg hauptsächlich  $\text{NiAs}^2$  enthält, so scheint zwischen Nickel- und Kobalterzen die Grenze kaum gezogen werden zu können. Rammelsberg will sogar durch die Formel  $\text{R}^m \text{As}^n$  den wechselnden Arsenitgehalt andeuten.

Die Verbreitung ist unter allen Kobalterzen bei weitem die größte. Es findet sich hauptsächlich auf Gängen im Urgebirge, und in sogenannten Rücken des Kupferschiefers, ist nicht bloß seines Kobalts, sondern auch seines Nickelgehalts wegen werthvoll. Ein Beschlag von rothem Erbkobalt verräth ihn häufig. Gebiegen Arsenik, Wismuth und Silber nebst Arsenitkies sind die gewöhnlichen Begleiter. Nach Strüver (Jahrb. 1871. 144) scheinen schon die Römer im Thale von Lanzo nordwestlich Turin Kobaltbergbau betrieben zu haben. Varietäten unterscheidet man etwa folgende:

1. Weißer Speiskobalt, meist krystallisirt von stärkstem Glanz und größter Reinheit. Er kommt so rein und derb vor, daß er auf den Salbändern der Gänge öfter zinnweiß glänzende Spiegelflächen (Kobaltspiegel) zeigt. Schneeberg, Wittichen, Joachimsthal. Zu Riechelsdorf auf Gängen im Zechstein. Die ältern Mineralogen und selbst Werner anfangs nannten ihn Glanzkobalt. Den stängligen von der Grube Daniel bei Schneeberg beschrieb Werner als strahligen weißen Speiskobold.

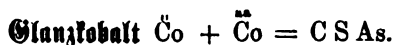
2. Grauer Speiskobalt. Darunter verstand Werner mehr die unkrystallinischen bis dichten Massen, deren Farbe ins Stahlgrau geht. Manche sind auch safrig (Safflorit). Ein Eisengehalt scheint an dieser Farbenänderung Ursach zu sein, man pflegt sie daher auch meist zum Eisenkobaltkies zu stellen. Nach einer Analyse von Zädel enthalten sie gar kein Nickel, sondern 21,2 Co, 11,6 Fe, 1,9 Cu, 66 As. Kupfergehalt und Nickelarmuth schließt den grauen Speiskobalt unmittelbar an den schwarzen Erbkobalt an, der im Schwarzwalde nur ein Zersetzungsproduct desselben ist, wie man aus zahllosen Uebergängen sieht. Doch hielt hier der Silberkobalt im Centner 50—80 Mark Silber!

3. Gestrickter Speiskobalt findet sich dendritisch unter rechtwinklig gegen einander gerichteten Strahlen, wie das gebiegene Silber. Die Dendriten sind bald grau, bald glänzend. Deister möchte man vermuthen, daß es Afterbildungen von gebiegenem Silber seien. Schwarzen-

berg, Johann-Georgenstadt. Der Schneeberger enthält nach Karsten 3,9 p. C. Wismuth (Wismuthkobaltkies) und ist sehr fein würfelig gestrichelt.

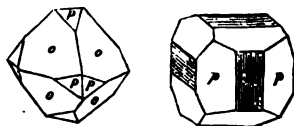
Arsenkobaltkies Scheerer (Pogg. Ann. 42. 309), Stutterubid, Hartkobaltkies, Tesseralkies,  $\text{Co As}^3$  mit 77,8 As, 20 Co, 0,78 S, 1,5 Fe von zinnweißer Farbe, 6,78 Gew., findet sich in regulären Krystallen mit Würfel, Oktaeder, Granatoeder und Leucitoeder eingesprengt im Gneise von Stutterub in Norwegen, zusammen mit Glanzkobalt, sogar damit verwachsen. Gr. v. Rath (Pogg. Ann. 115. 401) fand daran noch Pyramidenoktaeder 332, Pyramidenwürfel 310, Hexakisoktaeder 643.

Spathiopyrit (Quirskies) nannte Sandberger (Sitzb. Münch. Akad. 1873. 109) einen rhombischen Arsenkobalt, der auf weißem Nickelhaltigem Speiskobalt von Wiber in Hessen sitzt. Er selbst ist Nickelfrei, enthält aber 15 Co, 16,4 Fe, 4,2 Cu, 2,4 S, 61,5 As. Der Wolschicht von Wolsch im Schwarzwalde (Leonhard Min. Badens 1876. 47) ist ebenfalls rhombisch, und sitzt auf Speiskobalt, aber enthält 29,5 Ni, 13,1 Co, 3,7 Fe, 38,4 As, 13,1 Sb, 14,2 S.



Kommt schon bei Cronstedt § 249 unter diesem Namen vor. Er wurde lange mit weißem Speiskobalt verwechselt, bis sich endlich Werner veranlaßt fand, den Namen ausschließlich für diesen umzutauschen. Mohs nannte ihn Kobaltglanz, Haüy IV. 272 Cobalt gris, Cobaltit. Nach Klaproth (Beiträge II. 309) übersah den Schwefel, erst Stromeyer erkannte 1817 die richtige Zusammensetzung.

Pyritoedrisch wie Schwefelkies, und zwar das nächst wichtige Beispiel für diese interessante Hemiedrie. Würfel (bei Lunaberg zuweilen  $1\frac{1}{2}$  Zoll groß) ziemlich deutlich blättrig mit dreifacher Streifung auf seinen Flächen. Dieselbe deutet die Lage des Pyritoeder  $p = a : \frac{1}{2}a : \infty a$  an. Sehr schön glattflächig Oktaeder o, es fehlt fast niemals, und wenn es mit dem Pyritoeder ins Gleichgewicht tritt, so bilden sich sogenannte Ikosaeder. Gewöhnlich aber herrscht das Oktaeder vor, dessen Ecken das Pyritoeder zweiflächig zuspitzt, Zuspitzungsfläche auf Oktaederkante aufgesetzt. Nur selten kommt das gebrochene Pyritoeder  $a : \frac{1}{2}a : \frac{1}{2}a$  untergeordnet vor. Sie sind wie der Schwefelkies bald + bald — thermoelectrisch, Zwillinge noch nicht bekannt.



Röthlich silberweiß mit starkem Metallglanz, graulich schwarzer Strich. Härte 5—6, gibt mit dem Stahle Funken, Gew. 6,2.

Vor dem Löthrohr schmilzt es unter Arsenitgeruch zu einer magnetischen Kugel, gibt erhitzt im Glaskolben nur wenig Arsenit ab und kein rothes Sublimat, wie Arsenikkies, aber die rothe Lösung in Salpetersäure erzeugt mit Chlorbaryum einen starken Niederschlag von  $\text{Ba S}$ , denn er besteht aus

$\text{Co S}^2 + \text{Co As}^2$  mit 33,1 Co, 43,5 As, 20 S, 3,2 Fe.

Am schönsten kommt er zu Lunaberg in Södermanland eingesprengt in schwefelkiesreichen Kupferkies vor, der Lager im Gneise bildet. Zu Skuterud bei Modum in Norwegen stehen die quarzigen Gneisschichten, worin er eingesprengt ist, senkrecht. Zu Querbach in Schlesien auf Glimmerschiefer. Zu Drawiza mit gediegenem Gold und Wismuth. Im Siegenschen kommen sie derb und sehr unrein vor. Dr. Siemens (Zsch. d. geol. Ges. XX. 1881) besitzt bei Dschekessan im Caucasus in einem Nebenthal des Kur ein reines Lager von 2 Fuß Dicke unter Magneteisen, die geschmolzenen Erze enthalten 50 p. C. Kobalt, welche an die sächsischen Blaufarbenwerke geliefert werden, da sie die beste Smalte liefern. Es wäre das beste Lager der Welt, wenn es gleichmäßig angehalten hätte. Wenn sie durch Eisen verunreinigt werden, so muß man sie sorgfältig von dem Zgliedrigen Arsenikkies pag. 824 unterscheiden.

### Kobaltkies Co.

Schwabebunden-Kobalt Hisinger. Cronstedt § 248 beschreibt ihn bereits von der Bastnäs-Grube bei der Ritterhütte, „es zeigt derselbe keine Spur von Arsenik“. „Uralte Species, die schon Linné kannte“, daher Linnéit.

Krystallisirt zwar ebenfalls in regulären Octaedern, Würfeln und Octaederzwillingen, zeigt aber keine Spuren vom Pyritoeder. Ebenfalls röthlich silberweiße Farbe, Härte 5—6, Gew. 4,9.

Der Schwedische ist in Kupferkies eingesprengt, welcher mit Strahlstein gemengt Lager im Gneise bildet. Hisinger fand 38,5 S, 43,2 Co, 3,5 Fe, 14,4 Cu. Kupferkies schien nur beigemengt. Berzelius leitete daraus die Formel  $\text{Co}^2 \text{S}^3$  ab. Da er wegen der Zwillinge Analogie mit den Spinellen zeigt, so möchte ihm Frankenheim gern die Formel  $\text{Co S} + \text{Co S}^2$  zutheilen. Das andere bekannte Vorkommen auf der Grube Jungfer (und Schwabengrube) bei Müsen besteht nach neuern Analysen aus 42 S, 33,6 Ni, 22,1 Co, 2,3 Fe, woraus Rammelsberg die Formel  $(\text{Ni, Co, Fe}) \text{S} (\text{Ni, Co, Fe}) \text{S}^2$

construirte. Da es eher ein Nickel- als Kobalterz ist, so heißt man ihn auch Kobaltnickelkies (Siegenit).

Carrollit von Carroll in Maryland soll  $\text{Cu S} + \text{Co S}^2$  sein.

Das einfache Kobaltsulfuret Co (Sjööpöorit) mit 64,6 Co von stahlgrauer Farbe soll bei Rajpootanah in Hindostan vorkommen, und von den dortigen Juwelieren benutzt werden, dem Golde eine Rosenfarbe zu geben.

Alle diese Kobalterze dienen seit der Mitte des 16ten Jahrhunderts zur Darstellung der schönen blauen Farbe, die auf den sogenannten Blaufarbenwerken bereitet wird. Man schmilzt die gerösteten Erze mit Quarz und Pottasche, dann bildet Eisenoxyd und Kobaltoxydul mit Kieselerde und Kali ein blaues Glas (Smalte), während Nickel an Arsen gebunden,

nebst Wismuth, Kupfer, Silber u. als sogenannte Kobaltspeise, die nicht selten über 50 p. C. Nickel enthält, zu Boden fällt. Auch die abgerösteten Erze kommen unter dem Namen Zaffer (verstümmelt aus Sapphir) in den Handel, sie geben für Porzellan-, Fayence- und Glasfabrikate die beste feuerbeständige blaue Farbe. Da Speis- und Glanzkobalt fast ganz Mangankfrei sind, so sind sie dazu besonders brauchbar, der Erzkobalt aber nicht. Bis zum Jahr 1845 warfen die Kobaltgruben hohen Gewinn ab, seitdem hat aber das künstliche Ultramarin die Preise sehr herabgedrückt. Doch kann für Feuerfarben Kobalt nicht entbehrt werden. Daher stehen die Norwegischen Werke noch in gutem Betrieb.

Kobaltmetall ist weiß mit einem schwachen Stich ins Roth, 8,9 Gew. Magnetisch. Noch schwerer schmelzbar als Nickel, aber sehr politurfähig und dehnbar kann es ähnlich wie Nickel zu Ueberzügen verwendet werden.

## Nickelerze.

Nickel ist ebenfalls noch heute bei den Harzbewohnern ein Schatzwort. Der Bergmann trug es auf den Kupfernickel über, der zwar kupferroth ist, aber durchaus kein Kupfer gibt. 1751 entdeckte Cronstedt das Nickelmetall darin. Kobalt und Nickel treten gewöhnlich zusammen auf, beide sind dem Eisen sehr verwandt, und finden sich im Meteoreisen pag. 720. Da es mit Platin sich leicht legirt, so muß man die Glasflüsse vorher auf Kohle behandeln, und dann erst auf das Platindraht nehmen: Nickeloxydul ertheilt dem Boragglase eine violette Farbe, die kalt rothbraun; dem Phosphorsalz eine rothe, die kalt gelb wird. Ist Kobalt zugegen, so bekommt man zuerst blaue Gläser, während das Metallkorn im Flusse schwimmt. Trennt man dasselbe und behandelt es weiter mit Flußmittel, so erhält man dann die Farbe des Nickelglases. Die Nickelsalze sind fast sämmtlich grün, daher geben die Erze in concentrirter Salpetersäure eine smaragdgrüne Lösung, und geröstet reduciren sie sich leicht zu magnetischem Nickelmetall. Der grüne Nickelocker pag. 581, der Emerald-Nickel auf Chromeisenstein pag. 751, die Färbung im Chrysopras pag. 249, Pimelit pag. 462, Röttisit pag. 453, die kleine Menge im Olivin pag. 321, der wesentliche Gehalt im Meteoreisen, Magnetkies pag. 823 sind bekannt. In Amerika ist jetzt sogar auch Tellurnickel  $Ni^2 Te^3$  gefunden.

## Kupfernickel Ni.

Der schwedische Mineraloge Hiärne erwähnt es 1694 zuerst (Sint Philos. Transact. 1726). Cuprum Nicolai vel Niccoli Cronstedt § 254, Nickel arsenical Haüy, Arseniknickel, Rothnickelties, Nickelin, Niccolit.

Sechsgliedrig, aber Krystalle selten. Brooke wies darin eine reguläre sechsseitige Säule nach, und Hausmann fand im Kupferschiefer



von Sangerhausen Dihydrat mit abgestumpften Enden von  $139^{\circ} 48'$  in den Endkanten und  $86^{\circ} 50'$  in den Seitenkanten. Die Dihydratspitzen sind dem Quarz ähnlich. Ohne blättrigen Bruch. Licht kupferroth, gern dunkel anlaufend, kleinschuppiger Bruch. Verräth sich häufig durch mitvorkommenden grünen Nickeloxyd. Härte 5, etwas milde, Gewicht 7,6.

Vor dem Löthrohr schmilzt er unter Abgabe von Arsen zu einer grauen metallischen Kugel. Die geröstete Kugel mit Flüssigkeiten behandelt schwimmt im Glase herum, und gibt Reaction auf Nickel. Mit dem Platindraht legirt sie sich sogleich. Im Kolben gibt das Mineral kein Arsenit ab. Schon in kalter Salpetersäure löst es sich plötzlich zu einer smaragdgrünen Flüssigkeit unter Ausscheidung von Arsenit. Ni As mit 44 Ni und 56 As. Häufig etwas Antimon, der im Kupfarnickel von Allemont und Valen in den Pyrenäen bis auf 28 Sb steigt.

Bei weitem das wichtigste und verbreitetste Nickelerz auf Arsenit- und Kobaltgängen: Schneeberg, Annaberg, Freiberg, Joachimsthal, Riechelsdorf, Saalfeld, Wittichen. Schladming, Cornwall, Chatam in Connecticut, Copiapo, Rioja in den Laplatastaaten u. Auch in den „Rücken“ des Mansfelder Gesteins ward er in neuern Zeiten Gegenstand des Bergbaues.

### Antimonnickel Ni.

Breithauptit. Wurde 1833 in kupferrothen Blättchen zu Andreasberg im Ralkspath mit Speiskobalt eingesprengt gefunden (Pogg. Ann. 31. 100). Nach Breithaupt Dihydrat von  $112^{\circ} 10'$  in den Seitenkanten, und folglich  $130^{\circ} 58'$  in den Endkanten. Bei Sangerhausen im Kupferschiefer kleine Dihydrat. Die Farbe ist lichter und reiner als beim Kupfarnickel, aber Härte 5 und Gewicht 7,5 gleich. Der blättrige Bruch entspricht der Geradenfläche, wird aber nur als Absonderung angesehen. Jedenfalls sollten Ni As und Ni Sb isomorph sein, um so mehr, da der von Valen Ni (As, Sb) als Verbindungsglied beider angesehen werden kann. Vor dem Löthrohr verdampft Antimon und das schwer schmelzbare Nickel bleibt zurück. Nach der Analyse von Stromeyer 31,2 Ni, 68,8 Sb. Auch durch Zusammenschmelzen gleicher Aequivalente von Nickel und Antimon erhält man eine diesem Erze sehr ähnliche rothe Legirung, bei größerm Zusatz von Antimon wird die Legirung aber weiß und schmelzbarer. Der derbe Kr ist in den Basses-Pyrénées (Jahrb. 1873. 66) hat 48,6 Sb, 11,5 As, 37,3 Ni u.

### Arsenitnickel Ni.

Wurde von Hoffmann (Pogg. Ann. 25. 401) benannt und analysirt. Da er zu Schneeberg der stetige Begleiter von Kupfarnickel (Kobaltnickel) ist, so nannte ihn Breithaupt dem gegenüber nicht unpassend Weissnickelkies. Nur dieser verwittert leicht zu grünem Nickeloxyd, nicht der



**KupfERNICKEL.** Als nun später sich zeigte, daß es auch einen zweigliedrigen, dem Arsenikkies verwandten Weisknickies pag. 827 gebe, so machte Breithaupt für unsern den Namen Chloanthit ( $\chi\lambda\omicron\alpha\nu\theta\acute{\iota}\tau\epsilon\varsigma$  aufgrünend), der an den grünen Beschlag erinnern soll.

Regulär wie Speiskobalt, aber Krystalle selten. Doch kommen Würfel, Oktaeder und Granatoeder vor. Zinnweiß, läuft aber leicht grau und schwärzlich an. Härte 5, Gew. 7,1. Der grüne Beschlag läßt ihn leicht von Speiskobalt unterscheiden, dem er im Aussehen sehr gleicht.

Im Kolben gibt er Arsenik ab, und die Probe bedeckt sich mit grünem Ocker. Die Analyse von 28,2 Ni und 71,8 As läßt auf die Formel  $\text{Ni As}^*$  schließen. Wie beim Speiskobalt das Nickel durch etwas Eisen, auch Kobalt vertreten. Schneeberg, Großkamsdorf, Sangerhausen.

### **Haarkies Ni.**

Kam früher auf der Grube Adolphus zu Johanns-Georgenstadt vor, Werner hielt ihn anfangs für Schwefelkies, Klaproth (Beiträge V. 221) für gediegen Nickel, aber Berzelius wies den Schwefel darin nach. Hausmann nannte ihn daher Nickellies. Millerit, Nickelblende.

Kleine Nadeln, die reguläre sechsseitige Säulen zu bilden scheinen, also zur Formation des KupfERNICKELS gehören würden. Miller gibt ein Rhomboeder an, dessen Seitenanten durch die 2te sechsseitige Säule abgestumpft werden (Pogg. Ann. 36. 470). Farbe zwischen Messing- und Speisgelb, daher mit safrigem Schwefelkies leicht verwechselbar. Metallglanz, Gew.  $5\frac{1}{2}$ , Härte 3—4.

Schmilzt unter Spritzen zu einer magnetischen Kugel. Enthält 64,8 Ni, 35,2 S, also Ni S. Joachimsthal, Przibram, Niechelsdorf, Kamsdorf, Cornwallis. Im Thoneisenstein von Werthhrythvöl (Glamorgan) und im Schieferthon von Saarbrücken. In seltener Schönheit findet er sich auf der Gap-Grube in der Grafschaft Lancaster von Pennsylvania, wo er sogar kleine Lager von  $\frac{1}{4}$  Zoll Dicke bildet (Jahrb. 1862. 602). Berychit (Jahrb. 1871. 642) von Lammrichs Kaul Fdgrb. am Westerwald enthält ebenfalls nur Schwefel, und könnte  $\text{Ni}^2\text{S}^4$  sein. Polydymit  $\text{Ni}^2\text{S}^5$  (Jahrb. 1876. 707) aus dem Siegenschen bildet Zwillinge regulärer Oktaeder, und schließt sich daher wahrscheinlicher an den folgenden

### **Nickelglanz $\ddot{\text{Ni}} + \ddot{\text{Ni}} = \text{N S As}$ .**

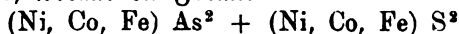
Schon Cronstedt § 254 erwähnt ihn als „schuppenartigen KupfERNICKEL“ von Voos in Helsingeland, den Pfaff (Schweigger's Journ. 22. 200) analysirte und den Namen gab. Nickelarsenikkies, Arseniknickelglanz, Nickelarsenikglanz, Gersdorffit.

Regulär von der Formation des Glanzkobaltes, aber das Pyritoeder nur selten zu beobachten. Würfel ausgezeichnet blättrig, und daran leicht kenntlich. In der Krystallisation herrscht das Oktaeder vor,

daran bildet das Pyritoeder  $a : \frac{1}{2}a : \infty a$  eine untergeordnete Zuschärfung der Ecken (Haueisen).

Silberweiß ins Graue, durch Anlaufen dunkeler werdend. Schwacher Metallglanz. Härte 5—6, Gew. 6,1.

Im Glaskolben verknistert er stark und gibt rothes Schwefelarsenit, auf Kohle Schwefel und Arsen und schmilzt dann zu einer Kugel, welche mit Flüssigkeiten behandelt anfangs Kobalt-, dann Nickelreaction zeigt. Berzelius Analyse des Schwedischen von Loos gab 29,9 Ni, 0,9 Co, 4 Fe, 45,4 As, 19,3 S, woraus die Formel



folgt. Ausgezeichnete Fundorte der Antimonfreien sind Loos, Grube Albertine bei Harzgerode auf dem Unterharz, besonders Haueisen bei Lobenstein im Spatheisenstein, Grube Jungfer bei Müsen, Schlading 2c. Verräth sich öfter durch grünen Nickelocker.

Nickelantimonglanz (Ulmannit)  $\text{NiS}^2 + \text{NiSb}^2$  hat anstatt Arsenit Antimon, im Uebrigen dem Nickelglanz ganz gleich, nur dunkel-farbiger (blei- und stahlgrau). Wurde zuerst von der Grube Landskrone im Siegen'schen (Westermwald) bekannt, wo er wie gewöhnlich mit Spath-eisen und Bleiglanz bricht. H. Rose fand darin 27,4 Ni, 55,8 Sb, 16 S. Die etwas größere Schwefelmenge rührt vom eingeprengten Bleiglanz her. Vor dem Löthrohr geben sie bloß Antimonrauch. Früher hatte Klaproth VI. 329 einen Nickelspießglanz von Freusburg auf dem Westermwalde analysirt, und 25,2 Ni, 47,7 Sb, 11,7 As, 15,2 S gefunden, was  $\text{NiS}^2 + \text{Ni}(\text{Sb, As})^2$  gibt. Wenn man nun bedenkt, daß auf gleichen Gruben bei Harzgerode, Lobenstein 2c. Arsenit- und Antimonnickelglanz neben einander vorkommen, so ist bei der Gleichheit des Blätterbruchs kein Gewicht auf die Unterschiede zu legen. Kobell's Amoebit von Lichtenberg bei Steben im Fichtelgebirge soll  $(\text{Ni, Fe})^2 (\text{As, S})^2$  sein, hat aber den gleichen Würfelbruch. Ulmannit und Korymbit (Sigg. Wien. Abh. 60. 800) vom Rinkeberge in Kärnthen haben sehr wechselnde Mengen von S und As.

Nickelwismuthglanz Kobell (Erdmann's Journ. prakt. Chem. VI. 332) von Grünau, Grafschaft Sayn-Altenkirchen in Westphalen. Kleine reguläre Octaeder mit blättrigem Bruch. Stahlgrau, Härte 4—5, Gew. 5,1. Enthält 40,6 Ni, 14,1 Bi, 38,5 S, 3,5 Fe, 1,7 Cu, 1,6 Pb, woraus Kobell die Formel  $10 \text{NiS}^2 + \text{BiS}^3$  construirt. Soll ein Gemisch von Wismuthglanz und Polydymit pag. 825 sein.

Tombazit Breithaupt (Journ. prakt. Chem. 1883. XV. 330) vom freudigen Bergmann zu Kl. Friesa bei Lobenstein, tombakbraun wie Magnetkies, aber würfelig blättrig, Gew. 6,64. Scheint dem Nickelglanz verwandt und sitzt auf Spatheisenstein.

### Nickelspeife $\text{Ni}^3 \text{As}^2$ .

Ein Kunstproduct (Pogg. Ann. 25. 302 und 28. 403), das bei Blaufarbenwerken in glänzenden Tafeln des viergliedrigen Systems krystallisirt, be-

stehend im Oktaeder  $o = a : a : c$  mit sehr ausgedehnter Geradenfläche  $c = c : \infty a : \infty a$ . Der Seitenkantenwinkel beträgt  $115^\circ 39'$ . Zuweilen noch ein schärferes Oktaeder  $a : a : 2c$ . Die Farbe licht tomabatbraun, mit starkem Glanz, im Aussehen leicht mit einem natürlichen Mineral verwechselbar. Wöhler's Analyse gab 54,1 Ni, 45,9 As. Nickeloxer verräth den Nickelgehalt. Breithaupt's Plakodin (Pogg. Ann. 58. 331) scheint das Gleiche. Vergleiche auch den licht kupferrothen Antimonnickel (Leonhard's Jahrb. 1853. 179). Der Hüttenmann unterscheidet Kobaltspeise  $(Ni, Co)^3$  As, Nickelspeise  $(Ni, Co, Fe)^4$  As, Bleispeise  $(Fe, Ni, Co)^4$  As, Raffinat-speise  $(Ni, Co)^4$  As (Plattner Probierkunst 314), die als Hauptmaterial zur Gewinnung für

Nickel dienen. Dasselbe hat röthlichgraue Farbe, ist vollkommen dehnbar (zwischen Eisen und Kupfer), rostet viel schwerer als Eisen, aber eben so stark magnetisch liefert es vortreffliche Magnetenadeln. Obgleich streng flüchtig, so läßt es sich doch in großen Parthien schmelzen. Gew. 9,2. Das Neusilber (Argentan) von der Farbe des 12löthigen Silbers, aber weniger anlaufend, besteht aus 53,4 Cu, 29,1 Zn, 17,5 Ni. Auch der chinesische Packjong enthält Nickel. Die Nickelspeise mit ungefähr 50 p. C. Nickel steht daher in hohem Werth, der Centner kostete früher 200 fl., jetzt 1500 Mark. Die galvanische Vernickelung des Eisens und anderer rostenden Metalle und die Anwendung zu Scheidemünzen (3 Cu + 1 Ni) hat die schnelle Preissteigerung herbeigeführt. Unser deutsches Reich bedarf dazu allein gegen 4 Millionen Kilogramm á 10 Thaler. Das hat die Nickelwerke in große Thätigkeit versetzt, nicht bloß die Arjeniate und die kleinen Beimischungen in den Schwefelmetallen werden in Pennsylvanien, Brasilien, Schweden, Tyroler Alpen zc. ausgebaut, sondern man greift auch zu den Silicaten, die in Neu-Caledonien 6—20 Ni und im Bimellit von Malaga 9 p. C. enthalten (Cmpt. rend. 83. 330), und das geschmeidigste Kobaltfreie Metall liefern. Ja für die Zukunft scheint sogar noch das Nickel im gebiegenen Eisen pag. 717 in Aussicht zu stehen, wenn sich davon die scheinbar irdischen Funde bewahrheiten sollten.

## M o l y b d ä n e r z e.

*Molybdawa* heißt Graphit pag. 743, weil das Molybdän lange damit verwechselt wurde, bis endlich Scheele 1778 ein eigenthümliches Metall darin entdeckte. Molybdän spielt keine bedeutende Rolle, doch haben wir die Molybdänsäure Mo bei den Bleisalzen pag. 604 und als Molybdänoxer kennen gelernt. Das Hauptvorkommen bleibt immerhin das geschwefelte Molybdän. Von ihm stammen die geringen Mengen in Kupfer- und Zinnhüttenproducten.

**Molybdän** Mo, Molybdänit, Molybdänglanz, Wasserblei.

6gliedrige Tafeln, zuweilen mit dihexaedrischen Abstumpfungen. Die Geradenfläche ist krummblättrig, wie Talc, daher auch von *Romé*

de l'Isle damit zusammengestellt. Man hat zwar gemeint, sie wären wie Klinkchlor  $2 + 1$ gliedrig, doch sollen die Krystalle von Marksa in Grönland entschieden hexagonal sein.

Farbe frisch bleigrau, mit einem starken Stich ins Roth, stärker als beim Bleiglanz. Doch muß man sich bei denen vom Altenberger Zinnstock durch das mitvorkommende erdige Eisenoxyd nicht verführen lassen, die Farbe für röther zu halten als sie ist. Härte 1—2, abfärbend und schreibend wie Graphit. Gew. 4,5. Auf der glatten Glasur von weißem Porzellan gibt es einen grünlich grauen Strich. Gemein biegsam und etwas fettig sich anfühlend. Isolirt gerieben negativ elektrisch.

Vor dem Löthrohr in der Platinzange färbt es die Flamme deutlich zeisiggrün (gelbgrün), auf Kohle schmilzt es nicht, gibt schweflige Säure ab, und erzeugt einen schwach kupferrothen Beschlag von Molybdänoxyd, der sich innerhalb des weißen Beschlages findet. Mit Salpeter im Platinslössel verpufft es zu Molybdänsaurem Kali. Schon Buchholz wies im Altenberger 60 Mo und 40 Schwefel nach, was gut mit der Formel  $\text{Mo S}^2$  stimmt.

Kommt eingesprengt in verschiedenen Urgebirgsgesteinen, Gneis, Granit, Porphyr, Syenit, Chloritschiefer zc. vor. Besonders reich sind die Zinnsteinstöcke von Altenburg in Sachsen, Schlackenwalde und Cornwallis bedacht, wo man es käuflich haben kann. Breithaupt's

Silberphyllinglanz, dem Molybdän ähnlich, aber etwas grauer scheint im Wesentlichen Selenmolybdän zu sein, mit einem kleinen Gehalt an Silber und 4,9 Gold. Eingesprengt im Gneis von Deutsch-Bilsen (Honthor Comitatz). Auch das Molybdän von Schlackenwalde soll etwas Selenhaltig sein.

## Bleierz

gehören zu den allgerewöhnlichsten der Erzgänge, und sind daher ein wichtiger Gegenstand des Bergbaues, wichtig nicht bloß wegen ihres Blei-, sondern namentlich auch wegen ihres Silbergehaltes. Auch das Selen scheint in der Natur an Blei mehr gebunden vorzukommen, als an irgend ein anderes Metall. Wir haben zwar oben an Weißbleierz pag. 526, Bistriolblei pag. 548, Buntbleierz pag. 567, Bleisalz pag. 598, Bleiocher pag. 810, gebiegen Blei pag. 728, Tellurblei pag. 737 schon die Wichtigkeit und Verbreitung gesehen, aber die meisten von diesen scheinen lediglich durch Zerlegungsproceß vom Bleiglanz erst entstanden zu sein, von vielen läßt sich das sogar mit Gewißheit behaupten. Da Blei von Schwefel- und Salzsäure in der Kälte, von verdünnter Schwefelsäure auch in der Hitze nicht angegriffen wird, so schätzt es der Techniker sehr hoch. Europa allein gewinnt im Durchschnitt jährlich über 5 Mill. Centner pag. 728. Preußen hat es sogar in den letzten Zeiten auf mehr als 2 Mill. gebracht; England förderte 1871 94,000 Tonnen Erz, was 69,000 Tonnen Blei und 761,500 Unzen Silber gab.

## Bleiglanz Pb.

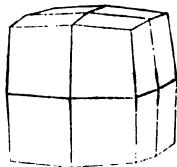
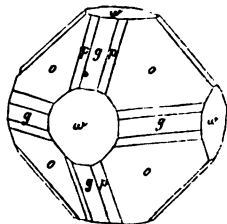
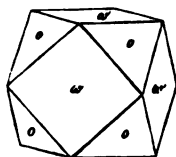
Bei Agricola 705 schlechthin Glantz (lapis plumbarius) genannt. Galena Plinius 33. 31 ist silberhaltiger Bleiglanz, unter demselben Namen führt ihn auch Agricola 705 »Galena Glantz und plei ertz« auf. Plomb sulfuré, Sulphuret of Lead. Galenit. Schrauf (Jahrb. 1873. 110) hat die Flächen zusammengestellt, denen Prof. Sadebeck (Ztschr. d. geol. Gesellsch. 1874. XXVI. 110) noch einige neuere hinzufügte.

Reguläres Krystallsystem. Würfel hat einen so ausgezeichnet dreifach blättrigen Bruch, daß es kein zweites Beispiel gibt, was ihm gleich kommt. Daher bei Wallerius auch Würfel erz genannt. Bei Freiberg die gewöhnlichste Krystallfläche.

Okttaeder stumpft die Ecken ab, dann entstehen ausgezeichnete **Cubooktaeder**; in Sachsen sehr verbreitet. Auf der Albertine bei Harzgerode gesellt sich noch das Granatoeder hinzu. Außerdem werden daran die Kanten zwischen Granatoeder und Okttaeder

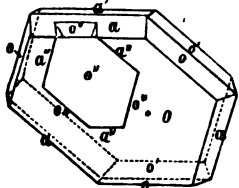
durch das **Pyramidenoktaeder**  $p = a : a : 2a$  abgestumpft, nirgends ausgezeichneter als am Bleiglanz, daher nannte sie Haidinger Galenoid. Zuweilen fast selbständig, Dufrénoy Tab. 97. Fig. 272. Seltener beobachtet man eine Abstumpfung zwischen Okttaeder und Würfel, meist dem Leucitoid  $a : a : \frac{1}{2}a$  angehörend, obwohl noch viele andere 211, 411, 511, 611 &c. gemessen sind. Naumann (Pogg. Ann. 16. 187) führte aus der Werner'schen Sammlung einen Würfel von der alten

Hoffnung Gottes mit Okttaeder, Granatoeder, Leucitoid und zwei Pyramidenoktaedern  $7a : 4a : 4a$ , und  $5a : 4a : 4a$  auf, die zwischen  $p/g$  auftreten, während 133 und 144 die Kanten  $o/p$  abstumpfen. In Cumberland kommen sogar Würfel vor, auf welchen Leucitoidflächen  $a : 12a : 12a$ , selbst  $a : 36a : 36a$  sich kaum erheben, sie lassen sich nur noch durch Erhöhungen längs der kurzen Diagonalen der Würfel Flächen erkennen, und um das scharfe Bestimmen solcher Flächen bleibt es immerhin eine mißliche Sache. Sacchi in Neapel (Ztschr. d. geol. Ges. 1863 XV. 25) hat sich mit solchen Störungsflächen pag. 139 beschäftigt, und die Erscheinung Polyhedrie genannt, wie wir es so ausgezeichnet beim Flußspath pag. 554 finden, wo die Streifungen den Würfelkanten, während sie hier gewöhnlich den Diagonalen (Okttaederkanten) parallel gehen. Die Flächen werden dadurch krumm, spiegeln nicht recht, und gehen dann geradezu in sogenannte »geflossene Krystalle« über, deren Oberfläche mit allerlei bizarren Buckeln bedeckt ist, wie wir das besonders schön zu Gonderbach, bei Saasph

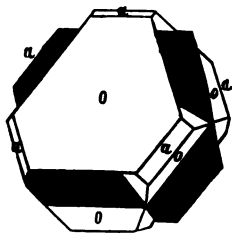


in Westphalen finden. Trotz dem blendenden Glanze der Krystalle von Werlau bei St. Goar spiegeln die Flächen doch schlecht.

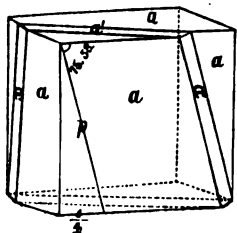
Zwillinge sehr schön bei Freiberg, Neudorf, Clausthal 2c. Die Cubooktaeder haben eine Oктаederfläche gemein, und liegen umgekehrt, aber beide Individuen greifen meist so weit in einander über, daß bei der Verziehung der Flächen das Erkennen Schwierigkeit macht. Indes kann man nach der Lage der blättrigen Brüche sich leicht orientiren. Ob die Individuen nun auf-, durch- oder nebeneinander liegen ist eine ziemlich gleichgültige Sache. Man hat nur auf das Einspiegeln der gemeinsamen Oктаederfläche zu sehen, die gewöhnlich breit wird. Wenn uns aber das verläßt, so muß man die blättrigen Brüche suchen, die wie beim Rhomboederzwilling mit einander correspondiren. Die Schwierigkeit des Erkennens kommt gerade durch das Cubooktaeder: denkt man sich ein solches in der Mitte parallel einer Oктаederfläche durchgefägt, und die Hälften  $60^\circ$  gegen einander verdreht, so correspondiren in dieser rhomboedrischen Lage Würfel mit Würfel und Oктаeder mit Oктаeder. Nebestehende **Zwillingplatte** von Windeck im Bergischen macht das klar: die



sechsseitige Tafel o mit ihren anliegenden ooo (Oктаeder) und aaa (Würfel) wäre leicht verständlich, wenn sich unten die entsprechenden o'o'o' und a'a'a' durchaus gleichmäßig anlagerten. Das ist nun zwar zum Theil der Fall, aber es kommt dann noch eine theilweise Durch-



Fälle ein Trigonoeder



wachung hinzu, wie das Stück o" zeigt, welches seine a" wie die o und seine o" wie die a legt. Auf diese Weise kämen dann im Azimuth der Tafel statt drei nun sechs Blätterbrüche zu liegen, sobald die Durchwachsung eine vollständige wäre, wie sie zuweilen bei **Freiberg** vorkommt, was unsere etwas idealisirte Figur darstellen soll. Wir haben hier ein weißes und ein schwarzes Individuum bloß mit Oктаeder- o und Würfelflächen a. Denken wir uns die obern drei schwarzen Ecken ooo weg, und ebenso die untern weißen, wovon nur zwei oo ins Auge treten, so haben wir drei Ecken, woran wie unten rechts je ein schwarzes und weißes a mit einander correspondiren, die Blätterbrüche bilden in diesem pag. 93. So wie nun aber eine oder die andere Ecke vermöge Durchwachsung wieder zum Vorschein kommt, so erscheint gleich zwischen den dreien im Azimuth ein blättriger Bruch mehr, und bei vollständiger Durchwachsung gibt es sechs, wie die aaaaaa im Kreise zeigen.

**Künte** und Streifen finden wir auf den blättrigen Brüchen gar häufig. Sadebeck (Ztschr. d. geol. Ges. XXVI. 611) vermuthet darin sogar ein

besonderes Zwillingsgesetz, wornach die Individuen eine Pyramidenoktaederfläche  $p = a : \frac{1}{2}a : \frac{1}{2}a$  gemein hätten und umgekehrt lägen. Um sich das klar zu machen, darf man nur einen Würfel parallel dieser Fläche halbiren. Dieselbe ist oben und unten von der medianen Diagonale  $\frac{1}{2}$  entfernt, und halbirt die zwei aufrechten gegenüberliegenden Kanten. Die ein- und ausspringenden Winkel betragen an der Zwillingsslinie  $159^{\circ} 55'$ , eine Knickung, die auf dem Blätterbruch sehr in die Augen fällt. In der Zwillingsskante  $a/a'$  der aufrechten Kante wird der Winkel  $91^{\circ} 44'$ . Während die Zwillingstreifen auf der obern Seite der Diagonale parallel gehen, machen sie seitlich mit den horizontalen Würfelkanten  $75^{\circ} 58'$  oder deren Supplement. Einfache Zwillingbildung sieht man nie, sondern es sind immer nur Einschießel  $a'$ , die sich aber häufig, und zwar auf mehreren Seiten wiederholen. Auch Verziehungen nach vier- und dreigliedriger Art finden sich zuweilen.

Frischbleigrau mit einem Stich ins Roth. Stärkster Metallglanz, der auf frischem Bruch das Auge blendet, und in sofern unerreicht, es ist der Diamant der Erze. Strich gräulich schwarz. Härte 2—3, etwas milde, Gew. 7,5.

Vor dem Löthrohr verknistert er zwar stark, doch zwingt man ihn durch langsames Erwärmen bald zum Bleiben, er schmilzt dann leicht unter Ausscheidung von Blei, während die Kohle einen weißen Beschlag von schwefelsaurem Bleioxyd mit einem innern gelben Kranz von Bleioxyd bekommt. Bei großen Proben schwimmt der Regulus bald in flüssiger Bleiglätte von gelber Farbe. Ist er Antimonhaltig, so setzt sich das Antimonoxyd mit dem weißen Kranze ab. Um geringere Mengen von Antimon zu erkennen, muß man den gepulverten Bleiglanz mit Soda mischen und im Reductionsfeuer behandeln. Der Schwefel zieht sich dann mit dem Natrium in die Kohle, und kommt jetzt noch ein weißer Beschlag, so rührt er vom Antimon her. Durch langes Blasen auf die Probe verflüchtigt sich alles Blei, und zuletzt bleibt ein kleines Silberkorn, was zum Wägen zu klein, aber wohl zu messen ist pag. 690. Nur zuletzt muß man etwas vorsichtig sein, weil die kleine silberreiche Probe leicht von der Kohle springt. In concentrirter Salpetersäure löslich unter Ausscheidung von Schwefel. Zink fällt aus der Lösung Blei.

Pb S mit 86,5 Pb und 13,5 S, der Silbergehalt geht in seltenen Fällen bis auf 1 p. C. Gewöhnlich schwankt er zwischen 0,01 und 0,1 p. C., d. h.  $\frac{1}{4}$ — $3\frac{1}{2}$  Lth. im Centner, 4—9 löthige erklärt der Bergmann für silberreich. Zuweilen Goldhaltig (Kremniz), Platinhaltig in der Charente (Bogg. Ann. 31. 10). Antimon und Arsenik öfter in solcher Menge, daß ein zufälliges Gemenge von Przibram Steinmannit genannt wurde. Eisen, Zink, Kupfer, Selen &c. In der Sierra de Gador in Spanien wird ein glänzender Antozon-Bleiglanz erwähnt, der beim Zerschlagen stark riechen, und beim Reiben phosphoresciren soll.

Verbreitung. Hauptsächlich auf Gängen, die oft mit außerordentlicher Regelmäßigkeit zur Tiefe setzen, wie zu Suelgoat in der Bre-

tagne. Im Gneise von Freiberg, auf dem Schwarzwalde in der wilden Schappach silberarm, im Teufelsgrunde silberreich. Im Uebergangsgebirge des Harzes bei Clausthal, Zellerfeld, Neudorf u., im rheinischen Schiefergebirge zu Müsen, Siegen, Westphalen, Nassau. Besondern Ruf genießen die Bleierzgänge im Bergkalk des nördlichen England, wo sie im Northumberland und den angrenzenden Grafschaften Derbyshire (Castleton, Cromford), Cumberland (Alston Moor) u. 400 englische Quadratmeilen bedecken. Schon Plinius 34. 49 sagt davon, sed in Britannia summo terrae corio adeo large, ut lex ultro dicatur, ne plus certo modo fiat. England stand daher lange an der Spitze der Bleiproducirenden Staaten. Das Ganggestein bilden die schönsten Kalk-, Fluß- und Schwerspäthe.

Ganz verschieden davon ist das Vorkommen im Flözgebirge: krystallinischen Bleiglanz findet man öfter mitten im weißen Keuper sandstein eingesprengt, im Bunten sandstein der Eifel (Bleiberg bei Commern, Bergamtsbezirk Düren) werden die mächtigen „Knottenerze“ theilweis im Tagebau gewonnen: sie liegen mit Weißbleierz gemischt in dem weißen mürben Sandstein in solcher unererschöpflichen Masse, daß die Grube Wein-erzhagen in einem Jahre 16 Mill. Ctr. Knottenerz mit 4—23 p. C. Blei, das 0,8 Loth Silber enthält, liefert. Im Muschelkalk von Tarnowitz finden sich Nester von silberhaltigem Bleiglanz mit Galmei, ähnlich im Dolomite des Kärnthischen Bleiberges (Villach). Aber alle diese halten dennoch keinen Vergleich aus mit den Bleiglanznestern im Kalkgebirge der Alpujarras der südlichen Vorkette der Sierra Nevada in Spanien, besonders bei Berga und Gador: ein Erzfeld mißt  $\frac{1}{4}$  Quadratstunde, worin mehrere Ellen mächtige Erzwände in Lehm gehüllt zu Tage treten. Schon 1822 standen die Gruben wieder in schwunghaftem Betrieb, 1829 waren 80 Schächte und 1500 Schurfversuche gemacht, worin 10,000 Bergleute 1 Mill. Ctr. Erz gewannen, das auf den Rücken von 2000 Maulthierern aus dem wilden Gebirge herabgeführt wurde, und woraus man über eine halbe Million Ctr. Blei gewann. Das drückte die deutschen Werke gewaltig. Zu Carthagera sollen die Alten schon 2000 v. Chr. Gruben gehabt haben, die jetzt wieder aufgenommen jährlich 25,000 Tonnen Blei mit 50,000 Kilogramm Silber liefern. Aber dennoch scheint der Reichthum in

Amerika noch bedeutender. Schon die alten Indianer gaben das glänzende Erz den Todten mit ins Grab. Im Staate Missouri wurde er 1720 entdeckt, er erstreckt sich dann über einen Theil von Illinois, Iowa, besonders aber nach Wisconsin. Der Bleiglanz in Begleitung von Blende und Galmei lagert in oberflächlichen Spalten des Uebergangskalkes (Epochen der Natur pag. 338), ist auch wie Bohnerze in eisen-schüssigen Lehm gehüllt. Auf einer Strecke von 87 engl. Meilen von Ost nach West und 54 Meilen von Süd nach Nord soll kaum eine englische Quadratmeile sein, wo nicht die Spuren von Bleiglanz sich fanden. Die Werke gehen selten über 25 bis 30 Fuß Tiefe hinab. Es gibt Orte,



wo der Mann täglich 8000  $\mathcal{R}$  Erz gewinnt. Auf einem einzigen Flecke von 50 Quadrat-Yards wurden 3 Millionen Pfund gefördert, und die Gruben am obern Mississippi liefern jährlich an 760,000 Pigs (Dana Miner. pag. 489).

Krystallisirter Bleiglanz, nicht selten in mehreren Zoll großen Würfeln, in Amerika bis 60  $\mathcal{R}$  schwer, findet sich gewöhnlich in den obern Teufen der Gänge, wo Drusenräume Platz zum Krystallisiren gaben. Der sogenannte „schillernde Bleiglanz“ vom Himmelsfürst bei Freiberg ist nach Breithaupt eine regelmäßige Verwachsung von gelber Blende und Bleiglanz, deren blättrige Brüche lagern wie es der Krystall verlangt (Jahrb. 1861. 677).

Körniger Bleiglanz füllt dagegen in derben Parthieen die Gänge. Sehr grobkörnig kommt er bei Freiberg, in der Schappach zc. vor. Von mittlerem Korn auf dem Oberharze. Blumig blättrig zu Gersdorf. Bunt angelauten in Derbyshire. Das Korn wird zuletzt so fein und gleichartig wie beim schönsten Dolomit, ohne an frischer Farbe einzubüßen. Endlich beim

Bleichweiß erkennt man das Korn nicht mehr deutlich, die Farbe wird schwärzer, und mit dem dichten Bruch pflegt auch die Verunreinigung durch Antimon, Zink, Eisen zc. zuzunehmen. Die Masse wird striemig, schaalig, traubig, und geht gern in erdigen Bleimulm über. Bleichweiß zeigt oft Spiegelflächen. Wenn das Schwefelantimon zunimmt, so läßt sich die Grenze nach den Spieglanzbleierzen kaum ziehen. Vergleiche auch Weißgiltigerz. Die Afterskrystalle nach Buntbleierz von Bernkastel sind auch gewöhnlich mit Bleichweiß erfüllt, welche Breithaupt (Jahrb. 1862. 400) Serangulit nannte, und für Dimorphismus angab. Zu Wheal Hope und Cornwall besteht dagegen die meist satte Füllung der regulären sechsseitigen Hüllen aus dem glänzendsten körnigen Bleiglanz, der offenbar mit dem Phosphorsauren Blei nichts zu schaffen hatte, sondern nur die Hohlräume einnahm, welche er vorfand.

Silberarmer Bleiglanz kommt roh unter dem Namen Glasurerz (Al-quisour) in den Handel, da ihn die Töpfer zur Glasur ihrer Waare benutzen können. In der wilden Schappach kostete der Etr. 8—10 fl., am Commersehen Bleiberge nur 4 fl. Am silberhaltigsten sind nicht selten die feinkörnigsten, wie z. B. 12löthig auf dem Schindler Gang im Teufelsgrunde im südlichen Schwarzwalde: diese pflegen dann auf besondern Poch- und Waschwerken aufbereitet zu werden, das Erz scheidet sich wegen seiner Schwere als feinstes Bleiglanzand (Schliche) und man kann so die unbedeutendsten Mengen aus den Ganggesteinen gewinnen. Das „Schmelzgut“ mischt man nun entweder mit Eisen und schmilzt, es bildet sich dann Schwefeleisen, und Blei wird frei (Niederzuschlagarbeit); oder man röstet den Bleiglanz an der Luft, ein Theil bildet dann  $Pb$ ,  $PbS$  und schweflichte Säure entweicht. Man setzt die Arbeit so lange fort, bis es zu  $Pb + Pb + S$  geworden ist, diese geschmolzen wirken so auf einander ein, daß  $2 Pb + 2 S$  entsteht, welch letztere entweicht. Das sal-

lende Wertblei enthält neben allem Silber noch Antimon, Arsenik, Kupfer, Zink etc. Da silberhaltiges Blei bei einem gewissen Verhältniß leichter schmilzt als reines, so bringt man nach dem Pattison'schen Verfahren es nochmals in Fluß, und läßt es unter fortwährendem Umrühren erkalten. Jetzt läßt man Wasserdampf durchgehen. Es setzt sich dann eine stets zunehmende Menge silberarmer Krystalle ab, die man abnimmt, so daß die übrige flüssige Masse auf den 10fachen Silbergehalt kommt. Dieses silberreiche Blei bringt man auf einen Treibheerd, und läßt einen Luftstrom darüber fahren, es bildet sich Bleiglätte, die abfließt, und zuletzt bleibt das Silber über. Anfangs hat es noch eine Regenbogenhaut unedler Metalle, mit einem Male zerreißt diese, und das „Silber blickt“ zum Zeichen der Reinheit. Parkes scheidet das Silber durch Zink (Erdmann's Journ. prakt. Chem. 55. 500). Dieses Abtreiben wird jedoch immer mehr verlassen, man sucht vielmehr durch Pattisoniren oder Zinkprozeß gleich ein Handelsproduct zu erzeugen (Verg. Hütt. Ztg. 1869. XXIX. 570). Bleiglanz gepulvert mit Salzsäure und Zink erwärmt fällt Blei, wird auch im Großen angewendet.

In jedem Bleiöfen erzeugen sich in den Ofenbrüchen **Bleiglanzwürfel**, die obchon zellig so doch außerordentlich scharfkantig zu den schönsten krystallinischen Hüttenprodukten gehören. Sie laufen meist bunt an, und bilden sogenannte Kastenbrusen pag. 323, wie nebenstehende Krystalle von der Lautenthaler Hütte auf dem Oberharze zeigen. Man sieht hier deutlich,



daß die Kanten vorauswachsen, und dann wie beim Salz sich die Flächen erst anfüllen (Ulrich, Verg. Hütt. Zeit. XIII. 55). Laurion pag. 691 ist wegen seiner alten Schlacken berühmt, woraus die Franzosen noch jährlich 200,000 Etr. Blei darstellen sollen. Man schätzt die Haufen auf 60 Millionen Etr. im Werthe von 90 Mill. Mark.

Cuproplyumbit  $Pb^2 Cu$  Breithaupt (Pogg. Ann. 61. 67) von Chile. Der würflige Blätterbruch etwas undeutlicher als beim Bleiglanz, schwärzlich bleigrau, wie das ihn umhüllende Kupferglas, Gew. 6,4. Alisonit  $Pb Cu^3$ .

Johnston führt von Dufrenoy auch ein erdiges blaulich graues Supersulphuret of Lead (Ueberschwefelblei, Johnstonit) an, welches am bloßen Kerzenlichte Feuer fängt und mit blauer Flamme fortbrennt. Die Analyse gab 90,4 Pb S und 8,7 Schwefel. Neu-Sina in Siebenbürgen, Grube Victoria bei Müsen (Jahrb. 1834. 55, 1855. 505).

### Selenblei $Pb$ .

Clausenthalit. Berzelius entdeckte 1817 das Selen im Schwefel, der aus den Kiesen von Falun gewonnen wird. Als er sich mit dessen Eigenschaften beschäftigte, fand es sich schon als wesentlicher Gehalt im Selenkupfer und Sulfairit des Serpentin von Eskdrerum. 1825 wurde auf

dem Harze (Pogg. Ann. 2. 403 und 5. 271) das Selenblei erkannt, ohne Zweifel das wichtigste unter allen Selenerzen.

Regulär, würfelig blättrig, wie Bleiglanz und äußerlich davon kaum zu unterscheiden. Kommt meist nur in derben feinkörnigen Massen vor. Die Farbe ein wenig lichter, Härte 2—3, Gew. 8,2—8,8, also entschieden schwerer.

Vor dem Löthrohr raucht es stark, verbreitet einen Rettiggeruch, die Kohle zeigt kalt einen röthlichen Beschlag, auch reducirt sich kein Blei, die Probe schmilzt daher nicht, sondern wird nur allmählig kleiner. Manche geben ein Silberkorn. Salpetersäure greift es an, und Selen scheidet sich mit röthlicher Farbe aus.

Pb Se mit 72,4 Pb und 27,7 Se.

Auf dem Harze in Eisensteingruben, wo die Thonschiefer an den Grünschieferknippen abschneiden. Wurde zuerst von der Grube Lorenz bei Clausthal analysirt (Pogg. Ann. 2. 403), und zeigte neben Blei einen geringen Kobaltgehalt. Auf der Grube Brummerjahn bei Zorge ist es schon im Anfang des Jahrhunderts gewonnen, aber verkannt. Grube Carolina bei Verbach, Tilsrode auf dem Unterharze; obgleich nur nesterweise, so ist doch durch die Bemühungen des Bergraths Zinten auf dem Wägesprunge letzterer Fundort zu dem wichtigsten geworden (Pogg. Ann. 3. 271). Emanuel Erbstolln zu Reinsberg bei Freiberg (Pogg. Ann. 46. 272) ein 2—5" mächtiger Gang im Braunsparth. Auffallender Weise kommt es nie mit Bleiglanz vor, und enthält „keine Spur von Schwefel“. Bleiglanzartig sind ferner noch folgende:

Selenquecksilberblei (Hg, Pb) Se Pogg. Ann. 3. 297 von Tilsrode. Bleigrau und dreifach blättrig.

Selenkobaltblei 6 Pb Se + Co Se von Tilsrode und Clausthal ist nur durch 3 p. C. Kobalt verunreinigt, sonst hat es auch den dreifach blättrigen Bruch.

Selenkupferblei ist nur in dichten unblättrigen Massen von Tilsrode und Tannenglasbach bekannt, letzteres scheint nach Raumann einen dreifach blättrigen Bruch zu haben. Blei- und Kupfergehalt variiren sehr gegen einander. Man nimmt dreierlei an:

Pb Se + Cu Se 47,4 Pb, 15,4 Cu, 1,3 Ag, 34,3 Se, Tilsrode.

2 Pb Se + Cu Se 59,7 Pb, 7,9 Cu, 0,3 Fe, 30 Se, Tilsrode und Tannenglasbach.

4 Pb Se + Cu Se 63,8 Pb, 4 Cu, 2 Si, 29,3 Se, Tannenglasbach. Vielleicht entsprechen sie dem Cuproplumbit. Nehmen wir dazu noch Selen Silber, Selenkupfer Silber (Eufairit), Selenkupfer, Selenkupferthallium (Crocofrit), Selenquecksilber, Selen Schwefel, so sind damit die wichtigsten Selenfossilien zusammengestellt.

## Zinkerze.

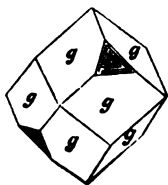
Geschwefeltes Zink ist unter den Zinkerzen bei weitem das verbreitetste, aber wegen seiner schweren Verhüttung lange verkannt. Jetzt wird es nicht bloß auf Zink, sondern sogar auf Schwefelsäure benützt. Preußen allein gewann 1875  $9\frac{1}{4}$  Mill. Ctr. Zinkerze, worunter auch Blende war. In Schlefien ist sie unter dem Galmei gelagert, allein solange man Galmei hat, scheut man den Röstproceß, da sich das Oxyd schwerer reducirt, Römer Geol. Oberschl. 550. Oben wurde bereits Kieselzinkerz pag. 448, Galmei pag. 513, Zinkvitriol pag. 642, Franklinit pag. 750, Rothzinkerz pag. 806 kennen gelehrt, außerdem spielt es noch bei den Fahl-erzen eine Rolle.

### Blende Zn.

Galena inanis Agricola 705. Wegen des Glanzes vermuthete der alte Bergmann ein brauchbares Metall darin, aber der Hüttenproceß ergab nichts, er nannte es eine „zum Schmelzen höchst verderbliche mineralische Aftergeburt.“ Pseudogalena, Sterile nigrum. Erst die neuern Systematiker nannten es zum Ueberfluß Zinkblende. Zinc sulfuré. Sphalerit (*σφαλερός* trügerisch).

Reguläres Krystallsystem mit entschiedener Neigung zur tetraedrischen Hemiedrie: usach blättriger Bruch des Granatoeders, fast von der Deutlichkeit des Bleiglanzbruchs, den Lasurstein pag. 432 weit übertreffend, und daher einzig in seiner Art (Haüy Essai cryst. 186). Aus der schwarzen Blende von Holzappel und aus der gelben von Santander kann man mit dem Messer die schönsten Granatoeder spalten. Dehnt man drei in einer Zone aus, so entsteht eine reguläre sechsseitige Säule mit Rhomboeder; dehnt man zwei in einer quadratischen Säule aus, so ist wie bei der Hyacinthkrystallisation ein Oktaeder auf die Kanten aufgesetzt. Verkürzt man diese quadratische Säule bis zum Verschwinden, so dehnt sich das Oktaeder des Granatoeder zu einem viergliedrigen Oktaeder mit Endkanten von  $120^\circ$  und Seitenkanten von  $90^\circ$  aus. Läßt man eine sechsseitige Säule weg, so bleibt ein Rhomboeder mit  $120^\circ$  in End- und  $60^\circ$  in den Seitenkanten. Alles das sind Übungsaufgaben für Anfänger.

Trotz des einfachen Systems ist es häufig ganz besonders schwer, die Krystalle zu entziffern, wenn gleich die Zwillinge einen Theil der Schuld tragen. Im Ganzen genommen herrscht das Granatoeder auch unter

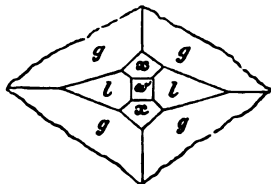


den Krystallflächen vor, aber die abwechselnden dreikantigen Ecken werden durch das gestreifte Haupttetraeder abgestumpft. Die Streifen gehen nicht wie beim Fahlz den Tetraederkanten, sondern entgegenge setzt den Oktaederkanten parallel, das gleichseitige Tetraeder-Dreieck deutet also durch seine Streifung auf die Blätterbrüche des Granatoeders

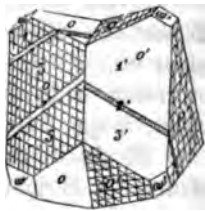
hin. Wenn das Granatoeder zurücktritt, so pflegt das glatte Gegentetraeder die Ecken des gestreiften Tetraeders abzustumpfen (Bacherstollen). Dieser Gegensatz von glatt und gestreift an verschiedenen Tetraedern ist so schlagend, daß z. B. bei den scheinbaren Oktaedern von Rodna in Siebenbürgen man den Unterschied leicht erkennt. Sadebeck (Zeitschr. deutsch. geol. Ges. XXI. 611) nennt umgekehrt die glatten 1ster, und die gestreiften 2ter Stellung. Besonders schön sind die gelben Tetraeder im Dolomit des Binnenthals, woran untergeordnet das Gegentetraeder Würfel Granatoeder, und die Körper 113, 134 hälftflächig vorkommen. Der Würfel tritt ebenfalls häufig und sehr glattflächig auf. Am eigenthümlichsten unter allen ist jedoch die Leucitoidefläche  $l = a : a : \frac{1}{2}a$ , welche hälftflächig aber gewöhnlich bauchig oder parallel der Axe  $a$  gestreift untergeordnet die vierkantigen Ecken des Granatoeders zuschärft. Man erkennt sie sehr leicht an den divergirenden Kanten, welche sie mit den Granatoederflächen  $g$  macht. Da sie am Tetraeder die Kanten zuschärft, so bilden sie zuweilen auch ein Pyramidentetraeder. Sadebeck meint, daß die hälftflächigen Leucitoeder 112 nur bei Tetraedern in zweiter Stellung vorkämen. Allein in dieser Beziehung Sicherheit zu bekommen, scheint mir schwer.



Wie durchgreifend das tetraedrische Gesetz sei, das zeigt z. B. die schön gelbrothe phosphorescirende Blende von Kapnit: bei derselben herrscht das Granatoeder  $g$ , dem der Würfel  $w$  sich unterordnet; zwei Ecken  $ggw$  sind durch  $l = a : a : \frac{1}{2}a$ , die andern beiden zwar auch, aber durch das Pyramidentetraeder  $x = a : a : \frac{1}{2}a$  abgestumpft, wie die Zonen  $gx$  deutlich beweisen. Untergeordnet findet sich zwischen  $w/g$  auch der Pyramidenwürfel  $p = a : 2a : \infty a$ . Hessenberg fand noch  $\frac{1}{2}$  ( $a : a : \frac{1}{2}a$ ) und  $a : 4a : \infty a$ .



Zwillinge außerordentlich gewöhnlich, sie haben wie immer eine Oktaederfläche gemein und liegen umgekehrt. Die schwarze Blende von Rodna mit Schwefelkies und Kalkspath ist wegen der großen Menge von Individuen, welche sich wiederholen, besonders interessant. Es sind Cubooktaeder, hin und wieder mit ganz untergeordneten Granatoederflächen. Nebenstehende Zeichnung gibt einen der einfachern: jedes der beiden Hauptindividuen links und rechts besteht aus verschiedenen ungeraden Stücken, das linke aus 5, das rechte aus 3. Von den 5 sind die geraden 2 und 4 nur sehr schmal, ebenso rechts das mittlere. Solche Zwischenstücke werden oft so dünn, daß sie zur feinsten Linie zusammenschrumpfen. Untersuchen wir die Flächenstreifung genauer, so sind links die 3 Stücke der ungeraden Zahlen gestreift, rechts die 2 ungeraden nicht, und umgekehrt. Betrachten wir das Ganze als einen ein-



fachen Zwilling, so ist die Lage der glatten und gestreiften Tetraederflächen gerade so, als wenn man ein solches einfaches Ditetraeder halbiert und die Hälften um  $60^\circ$  gegen einander verdreht hätte. Es kommen ganze Hauswerke vor, worin aber oft das Bestreben erkenntlich, ein einziges Kubooktaeder zu bilden. Besonders zierlich sind die einfachen Oктаederzwillinge von Laasphe bei Arensburg, die mit einer Kupfertieschhülle überzogen sind. Der Blendebruch in den Zickzackanten spiegelt deutlich ein. Nicht selten durchwachsen sich auch die Granatoeder, wie bei der schönen braunen Blende von der Albertine bei Neudorf auf dem Unterharze, die gemeinsame sechsseitige Säule ist daran verkürzt. Sehr reich für solche Durchwachsung ist auch die schwarze derbe Blende von Holzappel: die den Zwillingindividuen gemeinsame sechsseitige Säule springt glatt weg, wenn man jedoch das Rhomboeder daran schlagen will, so treten aus den Blätterbrüchen desselben dunklere Streifen hervor, die sich nicht in der Flucht blättern, sondern erst bei einer Drehung um  $60^\circ$  ein spiegeln. Es sind das eingewachsene Zwillingstücke.

Der blättrige Bruch greift so durch, daß man gar keinen muscheligen schlagen kann. Dunkle Farben spielen ins Roth, Braun, Gelb, Grün. Haug IV. 244 nahm „Zitronengelb“ als die natürliche Farbe an, doch sind jetzt ganz farblose bekannt geworden. Oft große Durchscheinbarkeit, daher unvollkommener Diamantglanz. Durch Reiben phosphorescirend, besonders die mit Bournonit zusammen von Kapnik pag. 165. Härte 3—4, spröde, Gew. 4. Leitet die Electricität unvollkommen. Die von Pico de Europa bei Santander hat einen Brechungscoefficienten von 2,37.

Verknüpfert vor dem Löthrohr stark, doch bringt man sie durch langsame Erhitzen leicht zum Stillstand, sie gibt dann in der äußern Flamme einen Zinkbeschlag (Zn heiß gelb, kalt weiß), und schmilzt an den Ranten. Große Proben bedecken sich mit einer dicken Schicht von Oxyd. Ein Cadmiumgehalt ist schwerer nachzuweisen. Gut geröstete Proben geben mit Flüssigkeiten Reaction auf Eisen. In Salzsäure löslich unter Entwicklung von Schwefelwasserstoff, in Salpetersäure unter Ausscheidung von Schwefel. Unlöslich in Essigsäure.

Zn S mit 66,7 Zink und 33,3 Schwefel.

Eisen häufig das Verunreinigungsmittel. Die grüne und rothe von Natieborzitz in Böhmen silberhaltig. In der braunen krümeligen Blende von Pierrefitte (Pyrenäen) wurde das Gallium entdeckt, welches schon bei  $30^\circ$  C., also in der warmen Hand schmilzt, und sich außerordentlich leicht in Ueberschmelzung hält, da es Monate lang flüssig bleibt, Bogg. Ann. 159. 649.

Blende ist auf Erzgängen der alten und neuen Welt der stete Begleiter des Bleiglanzes, daher erklärt sich der alte bergmännische Name Galena inanis. In Schweden bildet sie Lager im Gneise, die  $50'$ — $60'$  mächtig weit fortsetzen (Braun Ztschr. deutsch. geol. Ges. IX. 585). Das Flözgebirge hält sie viel häufiger eingesprengt als den Bleiglanz: im Muschel-

kalt (Polstringen bei Tübingen, Grailsheim), in der Lettenkohle, in den Thoneisensteinen des Lias und braunen Jura, besonders aber in den Kammern des Ammonites amaltheus, worin sie nur auf nassem Wege gekommen sein kann. Afterskrystalle nach Dreifantnern des Kalkspathes kommen bei Wisloch vor.

**Blätterblende** in körnigen derben Massen. Werner schied nach der Farbe:

a) **Gelbe Blende**, reflectirt zwar in dicken Stücken dunkle Farbe, in dünnen oder an gesprungenen Stellen zeigt sich eine helle Kolophoniumfarbe, was sich beim Cleiophan von Franklin in New-Jersey (Erbsmann's Journ. prakt. Chem. 52. 1817) bis zum durchsichtigen Weißen steigern kann. Einerseits geht sie bis ins Grasgrün (Gumerud in Norwegen, Böhmen, Santander), andererseits ins Roth. Nicht selten umhüllt die grüne die rothe, und geht darin über, woraus die Unwichtigkeit der Unterscheidung einleuchtet. Sie ist die reinste Abänderung.

b) **Braune Blende**. Ihre Farbe beginnt mit dem Hyacinthroth (Landskrone, Rosenkranz bei Freiberg), man kann sie da fast mit Granat verwechseln. Gewöhnlich nimmt sie aber viel Schwarz auf und geht ins tiefe Braun, wie die schön glänzenden Krystalle von Neudorf bei Harzgerode.

c) **Schwarze Blende** ist die häufigste, aber auch unreinste. Nur in dünnen Stücken gewahrt man noch etwas vom Braun, zuweilen aber auch das nicht, und man muß sich dann vor Verwechselung mit verwittertem Spathisenstein hüten. Die schön krystallisirte von Rodna in Siebenbürgen zeichnet sich durch ihre Schwärze aus. Eine Abänderung von Marmato bei Popayan (Marmatit) soll sogar 23,2 FeS enthalten, also  $3 \text{ ZnS} + \text{FeS}$  sein.

**Strahlenblende** von Przibram in Böhmen. Bildet zwar Diamantglänzende blättrige Strahlen, doch kann man daran den scharf blättrigen Bruch nicht mehr nachweisen, auch scheint sie senkrecht gegen die Strahlen noch einen undeutlichen Blätterbruch zu haben, dießer krümmt sich, und führt zur schaaligen Absonderung. Dünne Splitter scheinen braun durch. Löwe wies darin neben Schwefelzink noch 1,5—1,8 Cadmium nach, was sich auch durch einen braunen Kranz auf der Kohle, wiewohl undeutlich, zu erkennen gibt. Nach Breithaupt (Jahrb. 1863. 1867) soll sie hexagonal sein, und wurde daher Spiauterit (Spiauter altes bergmännisches Wort für Zink) genannt, cf. Wurzit. Noch mehr von der Blendenatur entfernt sich

**Schaalblende**, die früher ausgezeichnet auf der Grube Silberedel bei Hoheneggeroldsack auf dem badischen Schwarzwalde vorkam. Färbt die Flamme gelb, und zeigt im Spectroskop die grüne Linie des Thallium (Robell, Sitzb. Münch. Akad. 1871. 17). Es ist eine dichte concentrisch schaalige Masse mit nierenförmiger Oberfläche, aber ob sie gleich äußerlich dem Brauneisenstein gleicht, so zeigt sie doch innen keine Faser, sondern matten Jaspisbruch. Auch die körnigen derben Blenden gehen, zumal wenn sie unreiner werden, zuletzt ins Dichte über (Holzappel). Sogar das Holzwerk im alten Stollen der Grube Silberfand bei Mayen hat sich im

Laufe der Zeit durch Reduction des Zinkvitriol mit Schaaenblende bedeckt (Jahrb. 1869. 147).

Blende wird in neuern Zeiten auch auf Zink verhüttet. So gewinnt Preußen im Bezirk Siegen allein über 100,000 Etr. à  $4\frac{1}{2}$  Silbergroschen im Werth, bei der Hütte Vorbeck (Westphalen) 56,000 Etr. Um daraus Zink zu scheiden wird die gepochte Masse in einem Flammenofen unter fortwährendem Umrunden geröstet. Das gebildete Zinkoxyd reducirt man durch Kohle (England, Davos in Graubünden) in Retorten, wie beim Galmei pag. 514. Der Cadmiumgehalt geht zuerst über. Die Blende von Eaton (New-Hampshire) soll 3,2 Cadmium halten, die braunen Varietäten vom Oberharz 0,3—0,6.

**Greenockit** Cd, reines Schwefelcadmium, kam zuerst als Seltenheit eingesprengt im Pheunit des Mandelsteins von Bishopston in Renfrewshire (Pogg. Ann. 51. 114) vor, fand sich dann auf Blende von Przibram, Santander, Friedensville in Pennsylvanien zc. Reguläre sechsseitige Säule mit Geradenfläche sind blättrig. Drei bis vier Dihexaeder, über einander, P, 2 P,  $\frac{1}{2}$  P, stumpfen die Endkanten der sechsseitigen Säule ab, + optisch lazig. Dihexaeder P  $140^\circ$  in den Endkanten (Jahrb. 1870. 111), Pomeranzengelbe öfter ins Roth gehende Farbe mit starkem Glanz und großer Durchscheinheit. Härte 3—4, Gew. 4,8. Im Glasrohre erhitzt nimmt er eine schöne karminrothe Farbe an, aber nur so lange er heiß ist. Schwefelcadmium mit 77,7 Cd und 22,3 Schwefel. Der bräunlich schwarze Wurzit von Oruro in Bolivia soll die gleiche Form haben, aber Schwefelzink sein. Dann wäre Blende dimorph (Jahrb. 1861. 111). Deville hat solche „dihexaedrische Blende“ auch künstlich durch Zusammenschmelzen von Zinkvitriol, Flußspath und Schwefelbaryum erhalten (Compt. rend. 1861. LII. 111), später Sidot (Compt. rend. 1866 April) in klaren blättrigen Krystallen von der Form des Greenockit.

Volzkit  $4 \text{ Zn} + \text{Zn}$ , Voltzine Fournet (Pogg. Ann. 31. 68), überzieht in halbkugeligen Würfchen die andern Erze von Roziers bei Pontgibaud (Puy-de-Dôme). Schmutzig rosenroth, Härte 4—5, Gew. 3,6. Es scheint neuerer Bildung und stimmt mit dem Ofenbruch überein, welcher in den Freiberger Hütten beim Verschmelzen zinkhaltiger Erze zuweilen in hohlen sechsseitigen Säulen krystallisirt.

## Quecksilbererze

sind bei weitem die wichtigsten, und alle andern hängen damit auf das Engste zusammen. Aus ihnen entstanden: Hornquecksilber pag. 617, gediegen Quecksilber pag. 695. Eigenthümlich der Quecksilbergehalt gewisser Fahlerze.

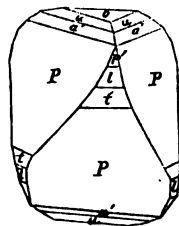
**Zinnob. Hg.** Den Alten von Kschis und Spanien wohl bekannt. Theophrast 103 und Plinius 33. 11 beschrieben ihn, unterschieden schon



zwischen Minium und Cinnabaris. Agricola 706 übersezt Minium nativum mit Bergzinnober, Cinnabaris dagegen mit minium facticium. Hydrargyrum crystallinum Linn. Mercurblende, Mercure sulfuré, Sulphuret of Mercury. J. Schabus (Sigs. Kais. Akad. Wiss. 1851. Bd. VI. pag. 63) lieferte eine Monographie seiner Formen.

Rhomboedrisch, aber Krystalle meist klein und selten schön. Ziemlich häufig kommt er jedoch in derben gestreift blättrigen Stücken vor, aus welchen man eine reguläre sechsseitige Säule  $l = a : a : \infty a : \infty$  spalten kann (Japan). Die Geradenfläche  $o = c : \infty a : \infty a : \infty a$  ist nicht blättrig. Hauptging von dem Rhomboeder  $P = a : a : \infty a : c$  mit  $71^\circ 48'$  in den Endkanten aus, was er auch ein wenig blättrig fand. Schabus maß denselben Winkel zu  $71^\circ 47' 10''$ , gibt für  $c = 1$ , die Seitenaxe  $a = \sqrt{0,19}$ . Selten kommt daran auch das Gegenrhomboeder

$P' = a' : a' : \infty a : c$  vor. Das nächste stumpfere Rhomboeder  $a = 2a' : 2a' : \infty a : c$  mit  $92^\circ 37'$  in den Endkanten steht dem Würfel nahe, wie das Hauptrhomboeder dem Tetraederwinkel. Dazu kommt ebenfalls das Gegenrhomboeder  $a' = 2a : 2a : \infty a : c$ . Die ganze Entwicklung des Systems besteht in Rhomboedern, welche besonders die Kanten zwischen  $P/o$ , weniger die zwischen  $a/o$  abstumpfen, und die sich nicht durch Zonen, sondern durch Messungen bestimmen lassen.  $u = 4a : 4a : \infty a : c$ ,  $k = \frac{1}{2}a : \frac{1}{2}a : \infty a : c$  und  $z = 3a : 3a : \infty a : c$  bestimmte schon Haupt. Schabus weist  $q = \frac{1}{2}a' : \frac{1}{2}a' : \infty a : c$ ,  $t = \frac{1}{2}a : \frac{1}{2}a : \infty a : c$  und viele andere nach. Nur als große Seltenheit findet sich ein Dreiunddreikantner. Zwillinge haben die Geradenfläche gemein und sind um  $60^\circ$  gegen einander verdreht. Sehr merkwürdig ist die Circularpolarisation, 16mal stärker als beim Quarz. Zwillingssplatten zeigen sogar Airysche Spiralen (Descloizeaux Ann. mines XI).



Cochennilroth, aber lichter als Arsenikrothgülden, mit scharlachrothem Strich. Durchscheinend, daher Diamantglanz. Härte 2—3, Gew. 8. Quecksilbersalze geben mit Schwefelwasserstoff unter jeder Bedingung einen schwarzen Niederschlag, ja sogar bloß mit Schwefel gerieben bildet sich amorphes Schwefelquecksilber, was in thönernen Gefäßen sublimirt rother krystallinischer Zinnober wird.

Vor dem Löthrohr auf Kohle verflüchtigt er sich vollkommen. In der offenen Glasröhre zerfällt der größere Theil zu gebiegenem Quecksilber und schwefliger Säure. Von Säuren wird er nicht merklich angegriffen, in Königswasser löst er sich dagegen schnell und vollkommen.

HgS mit 86,2 Hg und 13,8 Schwefel = 100 Hg + 16 S.

Zinnober kommt auf Erzgängen nicht gewöhnlich oder doch nur in kleinen unbauwürdigen Mengen vor: Müsen, Schemnitz, Neumärktel in Krain etc. Nur zuweilen werden diese Gänge mächtig, wie in den berühmten Gruben von Almaden pag. 696, die trotz ihres langjährigen Abbauens noch nicht 1000' Tiefe erreichen. Doch sind es mehr Lager

als Gänge, die mit kohlenhaltigen Gebirgen in Verbindung stehen (Jahrb. 1856. 472), namentlich in der Rheinpfalz; bei Idria sollen sie dagegen bloß vom Kohlengebirge überschoben der Trias angehören (Jahrb. 1876. 89). In neuern Zeiten scheint Neu-Almaden in der Küstenskette südlich San Francisco im S. Clara-Thal bei S. José das ergiebigste Werk zu sein. Die Erze liegen unregelmäßig in verwittertem Schiefer mit Serpentin zu den Seiten. Im Durchschnitt geben die Erze 10 p. C. Quecksilber.

1. Blättrig-körniger Zinnober. Blättrige gerundete Stücke, woraus man Säulen schlagen kann, kommen besonders aus Japan, wie schon R. de l'Isle (Cristall. 1772. 222) und Klaproth (Beitr. IV. 14) berichten. Dann gehören dahin die Krystalle, welche angehängen auf den verschiedensten Erzgängen sich finden. Besonders schön sind die hochrothen dichten körnigen Massen von Almaden, St. Anna bei Klagenfurt, Schemnitz etc. So bald das Korn undeutlich wird, so pflegt auch die Farbe dunkler zu werden, es geht dann in den

2. dichten, doch bleibt der Strich noch hoch scharlachroth. Große Stücke davon brechen bei Almaden.

3. Erdiger, Werner's hochrother Zinnober, von brennend scharlachrother Farbe, ist nichts weiter als der ochrige Zustand, der besonders schön auf zerfressenen Gesteinen bei Wolfsstein in der Pfalz vorkam. Schwarzes amorphes Pulver (Metacinnaberit) kommt in Mexico vor, Asterskrystalle von Grauspießglanz bildend, die dann in Zinnober übergehen, Sandberger Sigb. Münch. Abad. 1875. II. 202.

**Quecksilberlebererz** nennt der Bergmann die durch Bitumen dunkel gefärbten Erze, besonders in Idria. Die besten sind zwar sehr schwer 7,1 Gew., allein ihre äußere Farbe neigt sich schon stark zum Schwarzen, erst im Strich tritt das frischere Roth wieder hervor. Klaproth Beiträge IV. 24 wies darin 81,8 p. C. Quecksilber nach. Noch schwärzer ist das schieferige Quecksilberlebererz, gewöhnlich mit schaaliger Absonderung und glänzenden spiegeligen Druckflächen, ähnlich den Druckflächen in den Schieferthonen und Steinkohlen des Schwarzwaldes. Am allereigenthümlichsten sind jedoch kleine schwarze geodenartige Formen, die im Querbruche wie Gagat aussehen, und als fremdartige Masse sich in Lebererz eingesprenkt finden. Die Bergleute von Idria nennen das

**Korallenerz.** Manche haben sehr deutliche concentrische Runzeln, wie die Anwachsstreifen von Muscheln. Die „Korallen“ möchten daher wohl organischen Ursprungs sein. Darauf deutet auch das Bitumen hin, was Dumas Idrialin genannt hat. Diese Kohlenwasserstoffverbindung findet sich besonders im sogenannten Branderze, welches vor dem Löthrohr mit rußender Flamme brennt, und auch mehr oder weniger mit Zinnober geschwängert ist. Guadalcazarit (Jahrb. 1872. 120) von Guadalcazar in Mexico  $6 \text{ HgS} + \text{ZnS}$  mit 4,2 Zn und 1 Se ist ein von Zink verunreinigter Zinnober, aber von eisen schwarzer Farbe mit schwarzem Strich.

Schon die Alten wußten, daß durch Glühen des Zinnobers mit ge-

branntem Kalk Qued Silber frei werde: es bildet sich in der Retorte Schwefelcalcium mit schwefelsaurem Kalk, und das Qued Silber destillirt über. Auch Eisenhammerschlag kann man anwenden. Beim andern Verfahren erhitzt man das Erz beim Zutritt der Luft, es gehen dann schwefelige Säure und Qued Silberdämpfe über; diese leitet man in Rammern oder Vorlagen, worin sich das Qued Silber verdichtet.

**Selenqued Silber** (Tiemannit) wurde von Römer in Clausthal auf der dortigen Grube Charlotte bemerkt (Pogg. Ann. 88. 110), und schon 1829 von Tiemann bei Zorge entdeckt, kommt auch auf dem Esleborner Stollen bei Tilsrode im Unterharze vor: derb feinkörnig, schwärzlich bleigrau mit Quarz und Rotheisenstein verwachsen. Gew. 7,27. Gibt in offener Röhre einen starken Selengeruch, und enthält nach Rammelsberg 74,5 Hg und 25,5 Se, was zu der Formel  $\text{Hg}^6\text{Se}^5$  führen würde, da die wahrscheinlichere Formel  $\text{Hg Se}$  28,4 Selen erfordert. Jetzt auch bei Clear Lake in Californien gefunden in Gesellschaft von

Selenschwefelqued Silber, das zu San Onofre (Onofrit) in Mexico (H. Rose Pogg. Ann. 46. 110) bekannt wurde. Es gleicht in Farbe und Glanz dem Fahlerz, milde, Härte 2—3. Verbreitet auf Kohle einen starken Selengeruch, obgleich es nur 6,5 Se neben 10,3 S und 81,3 Hg enthält, also  $4 \text{ Hg S} + \text{Hg Se}$  ist. Dasselbst soll auch selenigsaures Qued Silberoxydul  $\text{Hg Se}$  von gelber erdiger Beschaffenheit vorkommen.

## Sulphosäuren Sb, Bi, As.

Sind alle drei unter einander isomorph, und spielen als Säuren bei den geschwefelten Metallen die Hauptrolle, neben welchen etwa noch das Sesquifulfid des Eisens  $\text{Fe S}^3$  genannt werden kann. Man analysirt ihre Salze meist mittelst Chlorgas, wie z. B. die Fahlerze. Mit Schwefelalkalien bilden sie lösliche Salze, wodurch die Zufuhr auf den Erzgängen erklärt werden könnte.

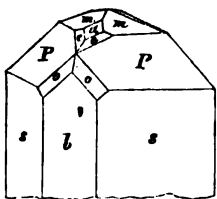
### 1. Grauspießglang Sb.

Lupus metallorum der Alchymisten, die alten Mineralogen nannten es schlechthin Spießglas, an die spießigen Krystalle erinnernd, Stibi Spießglas Agricola 707. Wegen seiner Heilkräfte war es schon frühzeitig als *Stibi*, *Στίβι*, Stibium Plinius 33. 33 berühmt; zur Schminke der Augenbrauen benutzt (*πλατυόφθαλμον*) fand es sich in spartanischen Gräbern (Fis 1876. 10). Erst später wurde der Name Spießglang oder Stibium auf das Antimonmetall übertragen pag. 731. Stibnit. Antimonglang, Antimonit, Antimoine sulfuré, Sulphuret of Antimony. Schon R. de l'Isle (Crist. 328) bildete Antimoine cristallisée vortreflich ab.

Zweigliedriges Krystallsystem, aber gute Krystalle selten. Gewöhnlich in langstrahligen Säulen  $a : b : c$  von  $90^\circ 45'$ , die

durch Längsstreifen entsteht sind. Das beste Kennzeichen bildet der sehr deutliche Blätterbruch  $b = b : \infty a : \infty c$ , welcher die scharfe Säulenkante gerade abstumpft, eine markirte Querstreifung parallel der Axe  $a$  (Wolfsberg) deutet auf eine Geradenfläche  $c = c : \infty a : \infty b$  hin. In Ungarn kommen ausgezeichnete Flächen am Ende vor, darunter herrscht das Oктаeder  $P = a : b : c$  mit  $109^\circ 16'$  in der vordern Endkante,  $108^\circ 10'$  in den seitlichen und  $110^\circ 59'$  in den Seitenkanten, folglich

$$a : b = \sqrt{0,9327} : \sqrt{0,9577}.$$



Darüber liegt ein stumpferes Oктаeder  $m = a : b : \frac{1}{2}c$  zwar mit glänzenden, aber gekrümmten Flächen. Das auf die scharfe Säulenkante aufgesetzte Paar  $a = c : 2b : \infty a$  ist nur klein, und die Kante  $P/a$  durch  $e = a : \frac{1}{2}b : \frac{1}{2}c$  abgestumpft, so daß  $maeP$  in einer Zone liegen. Interessant die Fläche  $o = a : c : \frac{1}{2}b$ , in

o/o die Kante  $119^\circ$  bildend. Bei Wolfsberg dehnen diese allein zu einem spitzen Oктаeder aus, wodurch jene ausgezeichnet spießigen Krystalle entstehen.

Bleigrau mit sehr starkem Metallglanz, der an den des Bleiglanzes heranstreift. Milde und gemeinbiegiam, daher die Säulen häufig krumm (Wolfsberg), wie beim Gyps. Härte 2, Gew. 4,6. Gleich äußerlich dem Braunnangan pag. 769, schon Agricola 657 (Stibi . . . in Herciniis Ilfeldae) verwechselt es wohl damit. Allein vor dem

Ötthrohr schmilzt es außerordentlich leicht, färbt die Flamme deutlich grünlich, und beschlägt die Kohle mit schwerem weißem Antimonoryd. In offener Glasröhre gibt es anfangs antimonige Säure (Sb), später kommt dazu noch Antimonoryd Sb, während der Schwefel als schweflige Säure entweicht. Da die Sb nicht flüchtig ist, so läßt sich das Sublimat nur theilweis verflüchtigen, was bemerkenswerth ist, da gediegen Antimon in gleicher Weise behandelt nur flüchtiges Antimonoryd (Sb) gibt. Reducirt sich in einem Wasserstoffstrom. Schneider (Pogg. Ann. 1856. 98. 200) benutzte den Arnsberger zur Bestimmung des Atomgewichts vom Antimonium, und fand 71,48 Sb, 28,52 S. Er hatte nur  $\frac{1}{2}$  p. C. Quarz, keine Spur von Schwefelarsen, das bei andern bis auf 1 p. C. steigt.

Graupießglang gehört gerade nicht zu den gewöhnlichen Erzen auf Gängen. Einige Hauptgruben sind: Wolfsberg auf dem Unterharz bei Stollberg, Neue Hoffnung Gottes zu Bräunsdorf und Mobendorf bei Freiberg, Wintrop und Untrop bei Arnsberg in Westphalen in sehr mächtigen reinen strahligen Massen, Halbenmondsundgrube in Schleich 1—7' mächtiger Gang im Grauwackenschiefer. Früher ausgezeichnet bei Sulzburg am badischen Oberrhein. Kremnitz und Schemnitz in Ungarn, Felsőbánya in Siebenbürgen mit gediegenem Gold. Allemont in der Dauphiné, Cornwall in Gängen, welche die von Kupfer und Zinnstein durchsetzen.

Auf der Insel Chios  $1\frac{1}{2}$  Meter mächtige Gänge. Nebst Arsenit- und Schwefelties der häufigste Begleiter der Goldgänge im Quarz von Victoria, in Mexico und den Nevadagruben häufig und silberhaltig. England führt besonders gutes Erz von Borneo ein.

Krystalle und blättrige Massen besonders in Ungarn und auf dem Unterharz. Die Krystalle gehen zuletzt in die feinsten Nadeln über, welche sich wegen ihrer Milde ähnlich wie Asbestnadeln verfilzen (Federerz). Doch sind viele derselben bleihaltig, und gehören zur Gruppe der Bleispießglanze. Zuletzt geht die Masse ins Feinkörnige bis Dichte über, wie zu Magurka im Liptauer Komitat und Goldtronaach auf dem Fichtelgebirge. Doch ist das meist nicht mehr rein.

Das Erz wird vom Gestein ausgefaigert, d. h. beim Erhitzen tröpfelt es von der Gebirgsart ab, und kommt als Antimonium crudum mit krystallinischem Gefüge in den Handel. Der Centner früher 6—7 fl. werth kostet jetzt das vierfache. Arsenit, Kalium, Eisen verunreinigen es. Außer den pharmaceutischen Präparaten findet es jetzt in der Technik vielfache Anwendung pag. 731, namentlich macht es auch das Zinn silberähnlicher (Brittania metall). Wenn man Schwefelantimon schmilzt und plötzlich erkalten läßt (Pogg. Ann. 31. 570), so geht es in den amorphen Zustand mit röthlich braunem Strich über, von 4,28 Gew. Dasselbe wird aber bei langsamem Erkalten krystallinisch. Der Regulus wird mit Eisenabfällen unter Bildung von Schwefeleisen erzeugt, schon Plinius 33. 24 sagte, man müsse es vorsichtig brennen, ne fiat plumbum, womit offenbar das gediegene Metall gemeint ist.

Das auf nassem Wege erzeugte Schwefelantimon ist leichter (4,15 Gew.) und rothbraun, man sieht es daher als den amorphen Zustand an. Schmilzt man dasselbe aber in einer Atmosphäre von Kohensäure, so wird es bei langsamem Erkalten schwerer und schwarz wie das wahre Grauspießglanz. Schwefel mit Antimon zusammengeschmolzen gibt ebenfalls Grauspießglanz (Pogg. Ann. 89. 122).

**Rothspießglanz**  $\text{Sb}^2\text{Sb}$ , natürlicher Mineralerz, Antimonblende, Pyrantimonit. Den sächsischen Bergleuten von Bräunsdorf längst bekannt, wo es mit Grau- und Weißspießglanz pag. 807 zusammen vorkommt. Es sind diamantglänzende kirschrothe Nadeln, die nach einer Längsrichtung blättrigen Bruch zeigen. Nach Mohs sollen die Krystalle 2 + 1-gliedrig sein. Gypshärte, milde, 4,5 Gew. Schon Klaproth (Beitr. III. 179) wies darin Schwefel und Sauerstoff nach, und H. Rose (Pogg. Ann. 3. 454) fand die Formel

$\text{Sb}^2 + \cdot \text{Sb}$  mit 69,86 Sb und 30,14 Sb.

Spießglanzglas (Vitrum Antimonii), was durch Zusammenschmelzen von Antimonoxyd und Antimonosulfid entsteht, hat wenigstens eine ähnliche rothe Farbe. Den künstlichen braunrothen Mineralerz hielt H. Rose (Pogg. Ann. 47. 333) für ein Gemisch von beiden.

Das nadel förmige Rothspießglanz findet sich besonders schön auf der

Neuen Hoffnung Gottes zu Bräunsdorf bei Freiberg, in Ungarn zu Malaczka, zu Allemont in der Dauphiné.

Zundererz nannte Werner die verfilzte Faser, welche lappig und leicht wie Zunder ist. Die Farbe hat einen Stich ins Roth, und das erinnert an Rothspießglanz, aber vor dem Löthrohr bekommt man neben Antimonrauch einen deutlichen Bleibeschlag (Neudorf). Die Oberhärzer von Andreasberg und Claussthal werden nach Hausmann sogar zu den Silbererzen gezählt. Auf Bleiglanzgängen von Claussthal sehr licht roth.

### Bleispießglanzerz

gibt es eine ganze Reihe. Sie bestehen wesentlich aus  $\text{Pb S}$  und  $\text{Sb S}^2$ , aber in dem mannigfachsten Verhältnisse. Durch ihr Vorkommen schließen sie sich eng an Grauspießglanz, Bournonit, Fahlerz und Bleiglanz an.

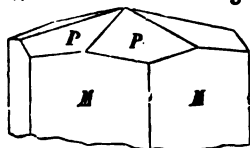
**Federerz**  $\text{Pb}^2 \text{Sb}$  mit 49,9 Blei, 30,9 Antimon, 19,2 Schwefel. Meist in haarförmigen Krystallen von schwärzlich bleigrauer Farbe. Aeußerlich gleichen sie dem Grauspießglanz, auch schmelzen sie eben so leicht, aber geben einen Bleibeschlag. Felsöbánya in Siebenbürgen, Wolfsberg auf dem Unterharz; von diesem zeigte F. Rose (Pogg. Ann. 15. 471) zuerst, daß es wesentlich Schwefelblei enthalte, während man es bis dahin für Grauspießglanz nahm, mit dem es zusammen bricht. Neuerlich hat Rammelsberg zu Wolfsberg auch dichtes unkrystallinisches gefunden von Kalkspathhärte und 5,68 Gew. (Pogg. Ann. 77. 240). Im Seltenthale kam es unterhalb dem Mägdesprunge in größern Krystallen vor, die Strahlen zeigten einen blättrigen Querbruch. Rammelsberg möchte es daher lieber *Heteromorphit* nennen. Von der gleichen Formation ist Damour's

**Dufrenoyit**  $\text{Pb}^2 \text{As}$  (Ann. Chim. Phys. 3 ser. 14. 270), der Bleiarisenglanz aus dem Dolomit des Binnenthales bei Imfeld im Oberwallis mit Schwefelkies und Kauschroth. Wurde bisher für Fahlerz gehalten, dem es in Farbe und feinmuscheligen Bruch gleicht, wiewohl es viel spröder und weicher ist. Gypshärte, milde, Strich fällt deutlich ins Roth, Gew. 5,55. Nach Descloizeaux (Ann. des mines 1856. VIII. 200) sind die 2gliedrigen Krystalle zuweilen außerordentlich flächenreich: Säule  $m = a : b : \infty 118^\circ 1'$ , Geradenfläche  $p 001$ ,  $h 100$ , Spuren von Blätterbruch nach  $g 010$ . Zwischen  $g/p$  in der Zone von  $\text{Axe } a$  sind 13 Flächen gemessen, zwischen  $h/p$  in Zone von  $\text{Axe } b$  7. Heusser (Pogg. Ann. 97. 117) stellte sie anders, und Hr. v. Rath meint, daß die ideale Abbildung bei Descloizeaux zum Skleroklas gehöre. Bei der Seltenheit guter Krystalle, die beim Heraus schlagen gar gerne zerbrechen, fällt das Erkennen freilich schwer. Vor dem Löthrohr außerordentlich leicht schmelzbar unter Arsenitdämpfen mit Bleibeschlag und Bleiforn: 55,4 Blei, 20,7 Arsen, 22,5 Schwefel, 0,2 Silber, 0,3 Kupfer. Es kommen damit noch kleine reguläre Granatoeder vor, die Damour anfangs für die Krystalle der verberben Masse hielt, bis Sartorius (Pogg. Ann. 1855. 94. 116) darin wie im Enargit Kupfer nachwies. Die Franzosen nennen dieses Kupfermineral

jetzt Binnit, und lassen dem Bleimineral den alten Namen Dufrenoyzit; die Schweizer machen es umgekehrt (Renngott, Minerale der Schweiz 1866. 171). Das Mineral würde nach seiner Fundstelle leicht erkennbar sein, wenn damit nicht zwei ähnliche, Sklerotlas  $\text{Pb As S}^4$  und Jordanit  $\text{Pb}^4 \text{As S}^7$ , vorkämen, die H. v. Rath (Pogg. Ann. 122. 171) ausführlich beschrieben hat. Nach ihm bildet der häufigere Dufrenoyzit oblonge Tafeln bis zu ein Zoll Größe mit „vollkommener Spaltbarkeit“ in der Endfläche  $c = c : \infty a : \infty b$ , die kurze Säule m/m würde  $93^\circ 39'$  messen, und die beiden Verticalzonen längs der Axen a und b stark entwickelt sein,  $a : b : c = 0,938 : 1 : 1,531$ . Der bleiärmere Sklerotlas kommt in feineren gestreiften Nadeln vor, die auf einen großen Flächenreichtum in zwei Zonen hinweisen, aber im Reflexionsgoniometer nur schlechte Bilder geben. Auch er ist „recht deutlich spaltbar parallel der Endfläche“  $c = c : \infty a : \infty b$ , Axen  $a : b : c = 0,539 : 1 : 0,619$ , Gew. 5,4, und äußerlich von vorigen nicht zu unterscheiden, doch im Kolben erhitzt decrepitiert er stärker. Am seltensten ist Jordanit, aber durch seinen schwarzen Strich verschieden. Die Axen  $a : b : c = 0,5375 : 1 : 2,0308$  weisen auf eine Säule m/m von  $123^\circ 29'$ , die gewöhnlich in Zwillingen und Drillingen erscheinen, welche m gemein haben und umgekehrt liegen. Die Drillinge verrathen sich durch Sechsecke von 3mal  $123^\circ 29'$ , 2mal  $118^\circ 15'$  und 1mal  $113^\circ 3'$ . Auch diese sind deutlich blättrig, aber nach  $b = b : \infty a : \infty c$ . Später (Pogg. Ann. 1874 Erggb. VI. 100) wurde ein 5 mm langer, 3 mm breiter, 1,5 mm dicker Krystall gemessen, der einer der „flächenreichsten war, welche bisher im rhombischen System gefunden wurden“. Außer dem Kupferhaltigen Binnit kommen Blende, Kauschroth, Kauschgelb, Hyalophan, Turmalin, Bitterspath, Magneteisen, Schwertspath, Rutil, Quarz vor.

**Querspießglanz**  $\text{Pb}^3 \text{Sb}^2$  (Jamesonit), 2gliedrige Säulen  $a : b : \infty c$  mit  $101^\circ 20'$ , die scharfe Kante durch  $b : \infty a : \infty c$  gerade abgestumpft. Geradenfläche  $c : \infty a : \infty b$  sehr deutlich blättrig, daher der passende Weiß'sche Name. Stahl- bis Bleigrau. Härte 2, Gew. 5,6. Metallglanz. Nach H. Rose (Pogg. Ann. 8. 10) enthält er 40,7 Pb, 22,1 S, 34,4 Sb, 2,3 Fe. Die Eisenreaction erkennt man an der zurückbleibenden Schlacke, da alles Uebrige sich verflüchtigt. Große Mengen in Cornwallis, öfter von Bournonit begleitet. Przibram, Nertschinsk, Estremadura, Nevada etc. Durch Verwitterung oxydirt er sich zu wasserhaltigem Antimonsaurem Blei (Windheimit), das ochrige Beschläge darauf bildet.

**Zinkenit**  $\text{Pb Sb O}$ . Rose (Pogg. Ann. 7. 11), ein Bleiantimonglanz mit Federerz zu Wolfsberg auf dem Unterharz. In strahligen krystallisirten Bündeln. Scheinbar dihexaedrisch. Stark gestreifte reguläre sechsseitige Säulen M von ungefähr  $120^\circ$  endigen mit einem sehr stumpfen Dihexaeder zweiter Ordnung von  $165^\circ 26'$  in den Endkanten. Die Di-

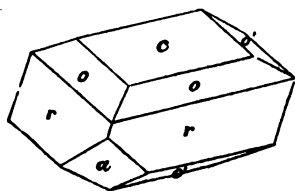


hexaederflächen sind aber unterbrochen gestreift. G. Rose sah sie daher für Drillinge des 2gliedrigen Systems an, wofür das Aus- und Einspringen der Säulenwinkel allerdings zu sprechen scheint. Renngott hält sie für 2 + 1gliedrig. Stahlgrau, entschieden lichter als das mitvorkommende Federerz und Graupiehlglanz. Reichlich Kalkspathhärte, Gew. 5,3. Vor dem Löthrohr verflüchtigt es sich vollständig mit Antimon- und Bleirauch. Nach H. Rose

Pb Sb mit 31,8 Pb, 44,4 Sb, 22,6 S, 0,4 Cu.

Has been reported from St. Trudpert in the Schwarzwald, Dana Syst. Miner. 88, Sandberger fand ihn in „nicht unbedeutender Menge“ auf dem Quarz gange der Grube Ludwig im Andlersbach bei Hausach (Jahrb. 1876. 114). Die gleiche Formation haben Silberantimon glanz (Margarit) Ag Sb, Kupferantimon glanz Cu Sb, Eisenantimon glanz (Verthierit) Fe Sb, Kupferwismuth glanz Cu Bi, Bleiar senglanz (Stleroflas) Pb As.

**Plagionit** Pb<sup>2</sup>Sb<sup>3</sup> G. Rose (Pogg. Ann. 28. 111), Zinken's Rosenit; ebenfalls von Wolfsberg. Von *πλάγιος* schief, weil es sehr schief flächige



2 + 1gliedrige Krystalle hat. Geht man von den schiefen Axen der oo o'o' aus, so ist o = a : b : c vorn, und o' = a' : b' : c hinten, dann stumpft c = c : oo a : oo b die Endecke, a = a : oo a : oo c die vordere Seitenecke ab; r = a : b : 2c. Die Winkel r/r = 120° 49', o/o = 142° 3', o'/o' = 134° 30', c/a vorn = 107° 32'. a : b : c

= 1 : 0,88 : 0,37. Nur Fläche c ist stark glänzend, und r/r etwas blättrig, aber wie die andern Flächen rauch gestreift. Stahlgrau, kaum lichter als Zinkenit, daher in derben Stücken davon nicht zu unterscheiden. Kalkspathhärte, Gew. 5,4. Vor dem Löthrohr verflüchtigt er sich ebenfalls vollständig. Nach H. Rose 40,5 Pb, 37,9 Sb, 21,5 S.

Graupiehlglanz, Federerz, Zinkenit, Plagionit kommen zu Wolfsberg zusammen mit Bournonit vor. Letzterer verflüchtigt sich nicht vollständig, woran man ihn leicht unterscheidet.

**Boulangerit** Pb<sup>4</sup>Sb von Molières Dep. Gard (Pogg. Ann. 36. 111). Die derben Massen von schwärzlich bleigrauer Farbe neigen sich zum seidenartigen Metallglanz. Kalkspathhärte, Gew. 6. Rein verflüchtigt er sich vollständig. Kommt in bedeutenden Mengen vor, 35 Schwefelantimon, 62,1 Schwefelblei, 1,9 Schwefel Eisen, 1,1 Schwefelkupfer. Zinken fand ihn auch bei Wolfsberg in schwarzgrauen safrigen Massen, Thaulow zu Nasafjeld in Lappland (Pogg. Ann. 41. 111), H. v. Rath bei Magden (Jahrb. 1869. 711), Genth in Nevada. Verworren safrig mit Graubraunstein zu Nertschinsk (Pogg. Ann. 46. 111). Die chemische Formation stimmt mit Rothgülden Ag<sup>3</sup>Sb. Der glänzend safrige Meneghininit Pb<sup>4</sup>Sb mit Bleiglanz von Bottino bei Serravezza in den marmorreichen Apua-



nischen Alpen enthält etwas Kupfer. Nach H. v. Roth (Pogg. Ann. 1867 Bd. 132. pag. 372) Klinorhombisch, Nadeln von Grauspießglanzartigem Ansehen bilden eine Säule  $m/m$   $140^{\circ} 16'$ , deren stumpfe Kante vorn durch einen sehr deutlichen Blätterbruch  $a = a : \infty b : \infty c$  abgestumpft wird. Axen  $a : b : c = 0,36 : 1 : 0,117$ , die Schiefe von  $a/c$  beträgt vorn  $92^{\circ} 20'$ . Find sich auch derb von Fahlerzartigem Ansehen im Smirgel am Dohsenkopf bei Schwarzenberg, Pogg. Ann. 141. 448. Da er die Formel des Jordanits hat, so könnte er nach Groth (Tabell. Uebers. Mineral. 1874. 88) damit wohl isomorph sein, dann wäre es ein Antimon-jordanit, wie jener ein Arsenikmeneghinit.

Geotronit  $Pb^5$  ( $Sb$ ,  $As$ ) (Pogg. Ann. 51. 333),  $\gamma\eta$  Erde, *Κρονος* Saturn ist der Alchymistische Name für Blei. Auf den Silbergruben von Sala, wie Fahlerz aussehend, Gew. 5,88; ähnlich Nilbridgenit von Nilbridgen in England  $Pb^6$   $Sb$ . Epiboulangerit auf Bergmannsrost in Schlesien (Ztschr. deutsch. geol. Ges. 1869 XXI. 747), Fahlerzartige excentrisch strahlige Nadeln im Braunsparth  $Pb^3$   $Sb^3$ .

### Eisenspießglanzerze $Fe^2$ $Sb^2$

kommen viel seltener vor. Man faßt sie zusammen unter Hädinger's Namen

Berthierit (Pogg. Ann. 11. 478). Die ersten Anzeichen fanden sich auf einem Gange von Chazelles in der Auvergne, verworren blättrig wurden sie für Spießglanz gehalten, der in jenen Gegenden viel gewonnen wird, allein der matte Regulus wollte keinen Käufer finden, woran das Schwefeleisen die Schuld trug. Das Erz ist dem Grauspießglanz ähnlich, hat aber nach Berthier die Formel  $Fe^3$   $Sb^2$ . Später fand Berthier auf der Grube Marturet daselbst noch eine zweite Verbindung  $Fe^3$   $Sb^4$ , dieselbe war homogen und weniger lebhaft glänzend als Grauspießglanz. Die dritte stammt von Anglar (Dep. la Creuse), kommt auf einem Schwefelkiesgange vor, der nach innen reines Grauspießglanz hat, und zwischen diesem und dem Schwefelkies lagert unser Mineral  $Fe$   $S$   $Sb$   $S^2$  von der Formation des Zinkenits (Pogg. Ann. 29. 433). Darauf wiesen es Breithaupt und Rammelsberg (Pogg. Ann. 40. 133) auch auf der Grube Neue Hoffnung Gottes zu Bräunsdorf bei Freiberg und Pettko zu Arang-Idla in Oberungarn nach, so daß man sich jetzt gewöhnt hat, den

Berthierit von Bräunsdorf  $Fe$   $Sb$  mit 58,5  $Sb$ , 12,3  $Fe$ , 29,2  $S$  nebst einem kleinen Mangan- und Zinkgehalt, die das Eisen ersetzen, als die normale Species anzusehen. Es sind schmalstrahlige bis faserige Massen von dunkel stahlgrauer Farbe, wie beim Grauspießglanz scheint ein blättriger Längsbruch zu herrschen. Läuft gern etwas gelblich an. Härte 2—3, Gew. 4. Vor dem Löthrohr schmilzt er sehr leicht unter Antimonrauch und hinterläßt eine magnetische Schlacke.

Hier würden sich dann weiter Kupferspießglanz  $\text{Cu}^{\text{Sb}}$  und Silberspießglanz  $\text{Ag}^{\text{Sb}}$  (Miargyrit) anschließen, die ich unten bei den Kupfer- und Silbererzen abhandle.

## 2. Wismuthglanz $\text{Bi}$ .

Zwar viel unwichtiger als Grauspießglanz, bildet aber dennoch eine Reihe ähnlicher Verbindungen. Für Wismuthgewinnung spielt er keine Rolle. Das *Vismutum sulphure mineralisatum* von Bastnäs bei der Rittershütte kannte schon Cronstedt § 222. Wallerius nannte es *Galena Wismuthi*, aber erst Werner gab ihm den passenden Namen, doch wurde anfangs viel darunter verwechselt. *Wismutin*. *Bismuth sulfuré*, *Sulphuret of Wismuth*.

Zweigliedrig und isomorph mit  $\text{Sb}$  (Phillips, Pogg. Ann. 11. 476). In Cornwall kommen kleine meßbare Krystalle in stark gestreiften geschobenen Säulen von  $91^\circ$  vor, deren scharfe Kante durch einen deutlich blättrigen Bruch gerade abgestumpft wird, also wie beim Grauspießglanz. Durch Zusammenschmelzen von Schwefel und Wismuth kann es leicht künstlich erhalten werden, Phillips maß auch solche künstliche Krystalle, aber kaum von der Dicke eines Menschenhaares, es waren 8seitige Säulen, die mit den natürlichen in ihren Winkeln übereinstimmten.

Sehr leicht bleigrau, aber leicht etwas gelblich anlaufend. Metallglanz. Härte 2, milde, Gew. 6,5.

Vor dem Löthrohr schmilzt er sehr leicht, die Kugel kocht und spritzt und gibt einen gelben Beschlag von Wismuthoxyd. Die übrigbleibende Schlacke reagirt gewöhnlich auf Eisen und Kupfer. Beim Zusammenschmelzen mit Jodkalium entsteht auf der Kohle ein rother Beschlag von Jodwismuth, v. Kobell, Sitzb. Münch. Akad. 1871. 167. Das von der Bastnäsgrube mit Cerit vorkommende hat nach H. Rose (Gilbert's Ann. 72. 101) 81 Bi, 18,7 S, was ziemlich gut mit  $\text{BiS}^3$  stimmt. In der Reinerzau (württembergischer Schwarzwald) kam er früher in groben krystallinischen Strahlen eingesprenkt im grünen Flußspath vor. Zu Wiber in Hessen finden sich glänzende Nadeln haufenweis in kleinen Drusenräumen des Bechsteins. Uebrigens muß man sehr vorsichtig sein, das Mineral nicht mit Kupferwismuth zu verwechseln. So hielt man bisher die schmalen Strahlen im Hornstein von Schwarzenberg im Erzgebirge für einfaches Schwefelwismuth, bis Schneider bewies, daß es 18,7 Kupfer enthalte, also Kupferwismuthglanz sei. Schwefelwismuthhaltig ist ferner Nadel erz, Wismuthsilber, Wismuthkupfer zc.; Nickelwismuthglanz pag. 836, Karelinit pag. 811. Neuerlich ist auch Bleiwismuthglanz (Rezbanyit, Jahrb. 1874. 661)  $\text{Pb}^{\text{Bi}}$  von der Formel des Dufrenoyit aus Rezbanya beschrieben worden. Die kleinen scheinbar zweigliedrigen Nadeln gaben mit Jodkalium einen gelben Beschlag von Jodblei und einen rothen von Jodwismuth. Cosalit (Jahrb. 1868. 617) von Mexico soll damit übereinstimmen.

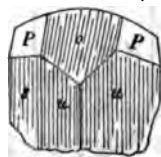
Selenwismuthglanz (Frenzelit) Bis Ses von Guanaguato in Mexico (Jahrb. 1874. 679 und 1875. 688), ebenfalls graue starkglänzende Strahlen mit deutlich blättrigem Bruch, scheint isomorph mit Wismuthglanz zu sein. Siehe Wismuth pag. 731.

### 3. Kauschgelb.

Sandaraca vera Reuschgeel, oder rosgelb, nam Itali colorem rubrum appellant rossum, Agricola 707. „Von denen Krämern und Mahlern Kauschgeel genennet.“ Risigallum Wallerius (Mineralog. Species 222). Stammt aus der italienischen Benennung rosso gelo (rothes Glas), weil man vorzugsweise das rothe einfache Schwefelarsenit  $\text{AsS}$  darunter verstand. Es ist schon im hohen Alterthum gekannt. Das mineralogisch interessantere ist das

**Gelbe Kauschgelb**  $\text{As}$ , schlechthin Kauschgelb,  $\alpha\rho\rho\epsilon\nu\iota\kappa\acute{o}\nu$ , Auripigmentum Plin. 33. 22, quod in Syria foditur pictoribus in summa tellure, auri colore, sed fragili, lapidum specularium (Gyps) modo. Daraus verstümmelt Operment, englisch Orpiment, Arsenio sulfuré jaune. Gelbe Arsenblende.

Zweigliedrig, von Mohs zuerst richtig erkannt. Kleine zum Linsenförmigen sich neigende Krystalle kommen in einem dunkeln Thon, der Stücke von grauem Dolomitfande einwickelt, von Tajowa bei Neusohl in Niederungarn häufig vor. Man darf den Thon nur ins Wasser legen, so fallen knollige Druzen heraus; die Streifung und der geringe Glanz der Flächen lassen jedoch nur annähernde Bestimmung zu. Gewöhnlich herrscht eine stark längsgestreifte Säule  $s = a : b : \infty c$ , die nach dem Augenmaß von einem rechten Winkel nicht stark abweicht. Am freien Ende ist das Octaeder  $P = a : b : c$  gerade aufgesetzt, dessen vordere Endkante durch  $o = a : c : \infty b$  ( $83^\circ 37'$ ) stark, häufig bis zum Verschwinden von  $P$ , abgestumpft wird. Dieses zugehörige Paar ist ebenfalls parallel der Kante  $a : c$  stark gestreift, und da sich auch zwischen  $P$  und  $o$  noch Abstumpfungsfächen einstellen, so erzeugt sich ein Anfang von linsenförmiger Krümmung. In der Säulenzone gibt Mohs noch die Flächen  $u = a : 2b : \infty c$  an, mit  $117^\circ 49'$  in der vordern Säulenkante, daraus würde  $s$ 's  $79^\circ 20'$  im vordern Säulenwinkel folgen, was nicht sehr vom Graupießganzwinkel abweicht. Aber Mohs gesteht selbst zu, daß es nur rohe Näherungswerthe seien. Am wichtigsten ist der ausgezeichnete Blätterbruch  $b = b : \infty a : \infty c$ , so deutlich als beim Gyps, und in den kleinen Krystallen einen starken innern Lichtschein erzeugend. Er ist quer gestreift (parallel der Axe  $a$ ), wie beim Graupießganz. Besonders schön kann man diesen Blätterbruch bei den derben Stücken, die aus Persien stammen sollen (Kurdistan, Ritter Erdkunde XI. 684; Wright Sillim. Amer. Journ. 14. 188), darstellen.



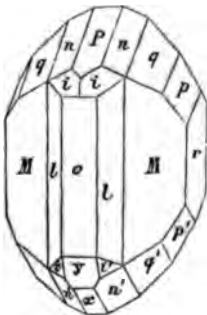
Ausgezeichnet citronengelb, mit Perlmutterglanz, hochgelbem Strich,

baher zu Malerfarbe tauglich. Blättchen und selbst dickere Platten scheinen stark durch, aber wirken nicht sonderlich auf das Dichroskop. Härte 1—2, milde und gemein biegsam, Gew. 3,5.

Vor dem Löthrohr entzündet es sich leicht, und brennt mit weißlicher Flamme unter Entwicklung von schwefliger und arseniger Säure fort. Die ältern Chemiker hielten es für das schwefelärmere, bis Klaproth (Beiträge V. 224) das Gegentheil bewies. Derselbe fand 62 As und 38 S, was ungefähr der Formel  $\text{As S}^2$  entspricht, welche 61 As und 39 S fordert. Seltener als das

**Rothe Kauschgelb** As, Kauschroth, Realgar, *σανδαράκη* schon von Aristoteles erwähnt, Plin. 35. 22; Rubinischwefel, weil er fast so leicht als Schwefel brennt. Arsenic sulfuré rouge, rothe Arsenblende.

Zweiundeingliedrig. Schöne Krystalle brechen auf den Erzgängen von Naghag, Kapnik und Felsöbanya. Sie sind complicirt, aber schon von Haüy richtig erkannt, obgleich gute Exemplare nicht zu den gewöhnlichen Erfinden gehören. Säule  $M = a : b : \infty$  macht vorn  $74^\circ 26'$ , sie ist nur versteckt blättrig. Die matte Schiefenfläche  $P = a : c : \infty$  vorn in  $P/M = 104^\circ 12'$ , ist folglich  $66^\circ 5'$  gegen  $\text{Axe } c$  geneigt. Die hintere Gegenfläche  $x = a' : c : \infty$ , hinten in  $x/M = 99^\circ 52'$  neigt sich  $73^\circ 33'$  gegen  $c$ . Daraus folgt vorn der Axenwinkel  $a/c = 94^\circ 14'$  und



$$a : b : k = 2,7066 : 2,0557 : 0,2003 =$$

$$\sqrt{7,3257} : \sqrt{4,2258} : \sqrt{0,04012}$$

$$\lg a = 0,4324246, \lg b = 0,3129523,$$

$$\lg k = 9,3016809.$$

In der Säulenzone ist die scharfe Säulenante stets durch  $l = a : 2b : \infty$  zugespitzt;  $o = a : \infty b : \infty$  und  $r = b : \infty a : \infty$  gewöhnlich nur untergeordnet die Säulenanten abstumpfend. Bei complicirten Krystallen entwickeln sich vor allem die Diagonalzonen von  $P$  und  $x$  stark: vorn  $n = a : b : c$  und hinten  $n' = a' : b : c$ ; unter  $n$  folgt  $q = a : \frac{1}{2}b : c$  und  $q' = a' : \frac{1}{2}b : c$ . Schon Phillips gibt noch ein drittes Paar  $p = a : \frac{1}{2}b : c$  und  $p' = a' : \frac{1}{2}b : c$  an. Vorn in Kante  $P/l$  und  $n/n'$  liegt  $i = b : c : \frac{1}{2}a$ , oft sehr ausgedehnt. Hinten nicht selten eine dreifach schärfere  $y = a' : 3c : \infty b$ , in deren Diagonalzone  $i' = b : c : \frac{1}{2}a'$ , das Gegenstück von  $i$ , fällt, so daß zwischen Hinten und Vorn eine auffallende Symmetrie herrscht, wenn alle Flächen da sind. Optische Axen liegen in der Medianebene.

Morgenroth ein wenig ins Gelbe gehend, pomeranzengelber Strich. Diamantglanz mit großer Durchscheinheit. Ausgezeichneter kleinschuppiger Bruch, da die Blätterbrüche versteckt liegen. Gypshärte, Gew. 3,5.

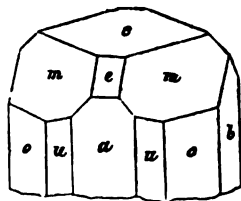
Vor dem Löthrohr entzündet es sich noch leichter als das gelbe und brennt mit weißlicher Flamme fort. Einfaches Schwefelarsen  $\text{As S}$  mit 70 As und 30 S. Man schreibt es auch wohl  $\text{As S}^2$ . Die Krystalle

zerfallen leider im Sonnenlicht nach längerer Zeit zu Pulver, man muß sie daher vorsichtig im Finstern aufbewahren.

Arsenit mit Schwefel zusammengeschmolzen gibt eine glasige Masse, die dem berben Realgar zwar ähnlich sieht, aber geringeres Gewicht (3,3 bis 3,2) und größere Härte (3) hat. An der Härte allein kann man das künstliche schon leicht unterscheiden (Hausmann, Pogg. Ann. 79. 210). Da es zum Entfärben des Glases dient und mit Salpeter und Schwefel gemischt zu dem blendenden indianischen Weißfeuer benützt wird, so kommt es in Handel. Das natürliche unterscheidet sich namentlich auch dadurch, daß es geschmolzen sehr leicht wieder krystallisirt. Das gelbe Kauschgelb  $\text{As S}^3$  geht dagegen in einen völlig amorphen Zustand über, und gleicht insofern der arsenigen Säure  $\text{As pag. 809}$ . Die Chinesen machen sich daraus Gefäße, welche sie mit Citronensaft und Weinessig füllen, und dann verschließen, Haüy Min. IV. 207.

Beide Kauschgelb und Kauschroth, kommen in der Natur wohl zusammen vor, wie z. B. im Thon von Tojawa in Ungarn, aber hier wie es scheint nur sehr oberflächlich (Cotta, Jahrb. 1861. 220). Das rothe findet man jedoch gewöhnlicher auf Erzgängen vereinzelt in Gesellschaft von Graupießglang: Nagayag, Kapnit, Felsöbanya, Joachimsthal u. Auch zu Wittichen und Martfirchen kam es früher vor, zu Wolfsberg auf dem Unterharze in Graupießglang eingesprengt. Auffallend sind die schön rothen Körner im schneeweißen Dolomit des Binnenthal (Wallis), deren Formenreichtum Fessenberg (Sendenb. Nat. Ges. II. 220) beschrieb, und wo auch das gelbe selten vorkommt; im Gyps von Hall in Tyrol; im Kauschfalk von Wiesloch (Jahrb. 1857. 220); in der Braunkohle von Kärnten. Endlich ist es auch ein Product der Vulkane, z. B. des Vesuv und Aetna. Die feinen Spalten der Fumarolen in der Solfatara der phlegreischen Felder sind mit Realgarkrystallen ausgekleidet, darauf finden sich kleine, durchsichtige, gelbe, sehr zerbrechliche Krystalle, die Scacchi

Dimorphin  $\text{As}^4 \text{S}^3$  nennt (Erdmann's Journ. prakt. Chem. 55. 24), ihr Strich ist oraniengelb, aber es fehlt der blättrige Bruch des gelben Kauschgelbs, Gew. 3,58. Es sind zweigliedrige Formen: Oktaeder  $m = a : b : c$



$111^\circ 10'$  in den vordern und  $119^\circ 14'$  in den seitlichen Endkanten;  $o = a : b : \infty c$  hat  $83^\circ 40'$  in der vordern Säulenlante;  $e = a : c : \infty b$ ,  $u = a : 2b : \infty c$ ,  $c = c : \infty a : \infty b$ ,  $a = a : \infty b : \infty c$ ,  $b = b : \infty a : \infty c$ . Daraus folgt das Azenverhältniß  $a : b = 1,287 : 1,153$ . Damit kommt noch eine ganz ähnliche Form vor, aber mit den Azen  $a : b = 1,658 : 1,508$ ,

die respektive 2mal größer sind bei gleicher Aze c. Das wäre ganz etwas Aehnliches wie beim Sumit pag. 324. Eine sehr ungewöhnliche Sache. Vergleiche auch Kennigott Jahrb. 1870. 537.

## Gold er ze.

Spiele n nur eine sehr untergeordnete Rolle. Sie finden sich auf Gängen im Grünsteintrachyt (Dacit) des Ungarisch-Siebenbürgischen Erzgebirges, wo sie in der letzten Hälfte des vorigen Jahrhunderts von einem Wallachischen Bauern entdeckt, aber doch erst durch Klaproth (Beitr. III. 1) chemisch näher bekannt wurden, Jahrb. geol. Reichsanstalt 1857. VIII. 82. Bez in Pesth (Pogg. Ann. 57. 407) hat die Analysen wiederholt. In unsern Zeiten fanden sie sich dann auch in Californien und Colorado pag. 681.

### Blättererz.

Klaproth Beitr. III. 26 von Nagyg (Nodjog gesprochen) und Offenbanya in Siebenbürgen, daher auch von Werner schlechthin Nagygagerz (Nagyagit) genannt. Die Vergleute heißen es blättriges Graugoldserz, Hausmann Blättertellur. Tellure natif auroplumbifere, Black Tellurium. Tellurglanz.

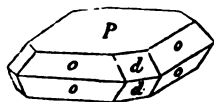
Biergliedrig, aber meßbare Krystalle selten. Es herrscht stets der ausgezeichnete Blätterbruch  $P = c : ooa : ooa$ . Phillips bildet beistehenden Krystall ab, worin die Seitenkanten des Oktaeder  $o = a : a : c \ 140^\circ$ , folglich die Endkanten  $96^\circ 43'$  machen. Dazu kommt noch das nächste stumpfere Oktaeder  $d = a : c : ooa$ . Dieselbe Combination hat auch Häidinger (Hänbbuch best. Miner. pag. 566) und Naumann aber mit Winkeln von  $122^\circ 44'$  in den Seiten- und  $103^\circ 17'$  in den Endkanten, was einem Oktaeder  $a : a : 3c$  entsprechen würde. Es wäre aber auffallend, daß die beiden gleichen Combinationen mit den Winkeln von Phillips und Häidinger neben einander ständen.

Farbe schwärzlich bleigrau, nicht sonderlich starker Metallglanz. Gemein biegsam, milde und schreibend, daher an Molybdän erinnernd, aber minder krummblättrig. Härte 1—2, Gew. 7,2.

Vor dem Löthrohr schmilzt es sehr leicht, gibt einen ausgezeichneten gelben Bleibeslag, und hinterläßt sogleich ein kleines Goldkugelnchen, welches man mit dem Messer auf dem Amboss ausplatteten und leicht erkennen kann. Klaproth fand 54 Pb, 32,2 Te, 9 Au, 0,5 Ag, 1,3 Cu, 3 S. Berthier (Pogg. Ann. 28. 401) wies darin noch 4,5 Antimon nach. Nach Bez variiert der Goldgehalt zwischen 6,5—8,5 p. C., was im beigemischten Gelberz seinen Grund haben soll. Berzelius schlug nachstehende Formel vor:



Blätter, zuweilen von quadratischem oder 8seitigem Umriß, kommen auf Gängen im Grünsteinporphyr, der in Trachyt übergeht (Breithaupt's Timajit), zu Nagyg in Manganspath eingesprengt oder in dessen Drusenräumen in freistehenden Blättchen vor. Seltener zu Offenbanya mit Grauspießglanz. Unter den Goldberzen das häufigste. Die Gruben stehen



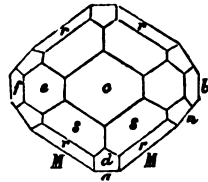
unter Schloß und Niegel, die Vergleute werden bei der Ausfahrt stets untersucht, die „Reicherze“ gleich in lederne Beutel gefüllt, und nach Zalatna auf die Schmelzhütte geschickt.

Gelberz Klaproth Beitr. III. 20, Weißsilvanerz oder Weißtellurerz, begreift das mit Blättererz zu Naghag vorkommende Golberz von silberweißer Farbe, aber gern gelb anlaufend. Es zeigt öfter einen deutlich blättrigen Bruch, wiegt in den reinsten Stücken 8,33. Klaproth fand 44,75 Te, 26,75 Au, 19,5 Pb, 8,5 Ag. Pēz (Pogg. Ann. 57. 475) bestätigt wenigstens den größern Goldreichthum, macht aber auf die Schwierigkeit des sichern Erkennens aufmerksam, und glaubt, daß die reinsten Abänderungen geradezu bleihaltiges Schrifterz seien. Cottonerz. Phillips beschreibt 2gliedrige Krystalle von  $105^{\circ} 30'$  in der Säule.

### Schrifterz.

Das längst bekannte aurum graphicum auf verwittertem Porphyr der Franciscus-Grube zu Offenbanya. Schrifftellur, Sylvanit. Neuerlich im Calaverasgebirge auf der Stanislausgrube in Californien (Jahrh. 1866. 22), und der Red Cloud mine of Gold Hill in Colorado.

Galt lange für 2gliedrig, gute Krystalle sind zwar sehr selten, doch beschrieb Brooke (Mineralogy 135) beistehendes ausgezeichnete Individuum: eine geschobene Säule  $M = a : b : \infty c \ 110^{\circ} 48'$ , ihre scharfe Kante wird durch den deutlichen Blätterbruch  $b = b : \infty a : \infty c$  gerade abgestumpft;  $c = c : \infty a : \infty b, a = a : \infty b : \infty c$ ; zwei Oktaeder übereinander  $r = a : b : c$  und  $s = a : b : \frac{1}{2}c$ ; drei Paare  $d = a : c : \infty b$  (mit  $96^{\circ} 56'$  in  $c$ ),  $e = b : c : \infty a, f = b : 2c : \infty a, i = a : \frac{1}{2}b : \frac{1}{2}c$  und  $n = 2a : b : \infty c$ . Phillips gab wieder andere Winkel an. Kosscharow (Jahrh. 1866. 224) schrieb sie sogar 2 + 1gliedrig, mit Zwillingen, welche eine Säule  $\infty P = 94^{\circ} 26'$  gemein haben, und umgekehrt liegen. Gute Krystalle selten. Gewöhnlich finden sich strahlige Krystalle, welche sich hin und wieder ungefähr unter  $120^{\circ}$  schneiden. Häufig spiegeln die blättrigen Brüche der verschiedenen Strahlen ein, man hat die Ablagerung sonderbarer Weise mit Schriftzügen verglichen.



Silberweiß ins Stahlgraue, besonders auf dem blättrigen Bruch. Sonst die Krystalle mit einem schwarzen Mulm bedeckt. Härte 2, etwas milde, Gew. 8,3.

Vor dem Löthrohr schmilzt es so leicht als Blättererz, gibt aber keinen gelben Bleibeschlag, als Rückstand bleibt ein bedeutendes Korn von Silbergold. Klaproth fand 60 Tellur, 30 Au, 10 Ag; Pēz in den reinsten 59,97 Te, 26,97 Au, 11,47 Ag, 0,76 Cu, 0,25 Pb, 0,58 Sb, und stellte die Formel  $Ag Te + 2 Au Te^3$  auf, welche sich vielleicht in  $(Au, Ag) Te^3$  vereinfachen läßt, da Silber und Gold isomorph zu sein pflegen. Es würde dann mit Tellur Silbergold  $(Au, Ag) Te$  pag. 737 von Naghag in einfachster Beziehung stehen, wie überhaupt die dortigen

Telluride sich an die Golberze auf das engste chemisch anschließen. In Colorado (Red Cloud) und Californien (Stanislaus) sollen sie massenhaft liegen, und der Werth einer einzigen Tonne auf 26,000 Dollar steigen können. Außer Pehit, Hefsit, Altait pag. 737 ist es bronzefarbiger derber Calaverit  $\text{Au Te}^4$ . Auch ein Bismuthgold  $\text{Au}^2\text{Bi}$  pag. 731 wird von Shepard erwähnt.

## Silbererze.

Sind für den Bergbau nebst dem gediegenen Silber pag. 688 und Hornerz pag. 613 die wichtigsten, und daher seit länger Zeit wohl gekannt. Der Bergmann gab ihnen den Beinamen Gilden oder Gültigerz, „roth guldenerz“ Agricola 703, also Erze, die einen großen Werth haben. Vermannus pag. 692 heißt es, Argenti rudis genera, colores distingunt, ruber, plumbeus, niger, purpureus, cineraceus. Vor dem Löthrohr sind sie in der Regel durch ein Silberkorn erkennbar, was man auf Kohle aus ihnen reducirt. Sie brechen in Gesellschaft gediegenen Silbers. Andreasberg auf dem Harz, Himmelsfürst bei Freiberg, die alten Schwarzwälder Gruben im Kinzigthale u. sind berühmte Fundorte. Gar gern brechen diese „edlen Gesichte“ mit Schwerspath, sie zählen zu den jüngern Ganggebilden. In Amerika waren es die Veta madre in Guanajuato, ein Netz von 3000 Gängen und Erzschnüren (Berg. Hüttenz. 1876. 406) und die Veta grande bei Zacatecas, die in früherer Zeit so großes Aufsehen machten, wozu jetzt die alles übertreffenden Washoe-Gruben in Nevada kommen.

### 1. Glaserz Ag.

Argentum rude plumbei coloris Glas erz Agricola 692 und 703: cultro diffinditur perinde ac plumbum, atque dentibus compressum dilatatur. Der Name läßt sich nicht gut erklären, daher wollte ihn schon Henkel in den noch unpassenderen Glauzerz ungeändert wissen, und Klaproth (Beitr. I. 150) nannte es Silberglanzerz. Weichgewächs der Ungarischen Bergleute. Mine d'argent vitreuse R. de l'Isle Cristall. III. 440. Argent sulfuré, Sulphuret of Silver, Argentit.

Reguläres Krystallsystem, doch zeigt es wie das Silber keine vorherrschende Neigung zum Krystallisiren. Würfel, Octaeder und Granatoeder herrschen vor, aber auch Leucitoeder  $a : a : \frac{1}{2}a$  trifft man an. Die Krystalle geflossen und gebogen, auch hebt sich der blättrige Bruch, der nach Angaben dem Würfel und Granatoeder folgen soll, nicht hervor. Es wächst wie das gediegene Silber in Drähten, Zähnen, Blechen, Platten, seltener dendritisch. Auch mögen diese nachahmenden Gestalten öfter Asterbildungen von gediegenem Silber sein.

Farbe schwärzlich bleigrau, oft durch Silberwärze noch schwarz anlaufend. Geschmeidig wie Blei, hat daher einen glänzenden Strich, und läßt sich schneiden, hämmern und prägen. König August von Polen



ließ aus dem sächsischen Glaserz Denkmünzen mit seinem Bildnisse prägen. Härte 2—3, schneidet sich daher etwas schwerer als Blei, Gew. 7,2.

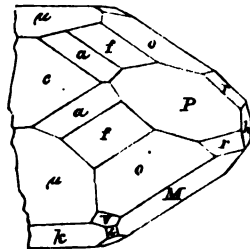
Vor dem Löthrohr schmilzt es leicht und reducirt sich nach einiger Zeit zu einem Silberkorn, namentlich auf Zusatz von Soda. Schon Klaproth gab darin 85 Silber und 15 Schwefel an, die Formel  $\text{Ag S}$  würde 87,1 Silber und 12,9 Schwefel oder  $108 \text{ Ag} + 16 \text{ S}$  verlangen.

Schwefel hat zum Silber eine große Verwandtschaft: einfach durch Zusammenschmelzen des Schwefels mit Silber kann man ein Sulfuret bereiten, ganz von der Beschaffenheit des Glaserzes, auch aus Silberoxydsalzen gibt Schwefelwasserstoff unter jeder Bedingung einen schwarzen Niederschlag von Silbersulfuret, 100 Ag geben 114,85  $\text{Ag S}$  nach Glas. Daraus ist dann auch leicht das Vorkommen des gediegenen Silbers mit Glaserz erklärlich pag. 689.

Auf Gängen und besonders Gangkreuzen: Freiberg, Himmelsfürst, Alte Hoffnung Gottes, Neuer Morgenstern; auf letzterer Grube die schönsten Krystalle und gestrickten Formen. Schneeberg, Joachimsthal. In Ungarn in ausgezeichneten derben Massen mit einer dünnen Kupferliesischicht überzogen und Eindringen von Bergkrystall auf dem Stephansschacht bei Schemnitz, zu Krennitz mit gediegenem Gold. Auf der Grube Wenzel im Schwarzwalde Bleche und Platten zwischen Schwerspath. Mexiko, Peru, Californien u. c.

Silberschwarze heißt die erdige, zerreibliche, häufig schon durch Antimon und Arsenik (Sprödglasserz) verunreinigte Masse, die Drusenräume bepudert oder auch lichte Gesteine schwärzt. Was die sächsischen Bergleute Silberbeslag heißen, ist ein durch Pulverdampf vermittelter silberhaltiger Niederschlag. (Müller, Jahrb. 1856. 400). Im 2gliedrigen Silberkupferglanz von Schlangenberg scheint  $\text{Ag S}$  das  $\text{Cu}^2 \text{S}$  zu vertreten, darnach würde das einfache Schwefelsilber dimorph sein. Was aber bei der Sache auffällt, ist, daß zwei Atome Kupfer ein Atom Silber vertreten sollen. Man hat daher vorge schlagen, das Atomgewicht des Silbers (108) zu halbiren (54), was auch nach der specifischen Wärme sein sollte. Dazu kommt der Homorphismus des Ag mit Na pag. 671. Nach der specifischen Wärme müßte es auch bei den Alkalien nicht Na, sondern K heißen. Freilich würde dann Silberoxydul  $\text{Ag}^4 \text{O}$  werden. Aber H. Rose fand auch beim Kupfer ein „Quadrantoxyd“  $\text{Cu}^4 \text{O}$ .

**Antithit** Ag, zweigliedriges Glaserz, nach den spitzigen Krystallen genannt; wurde von Krennott (Sitzb. Wien. Akad. 1855. XV. 124) zu Joachimsthal entdeckt, und später auf der Grube Himmelsfürst in meßbaren Krystallen (Daubé l. c. 1860. XXXIX. 688) zusammen mit Glaserz und Sprödglasserz gefunden. Säule  $M = a : b : \infty c$  macht  $110^\circ 36'$ , das weicht  $9^\circ$  vom Kupferglas ab. Fläche  $k = a : \infty b : \infty c$



stumpft ihre stumpfe und  $h = b : \infty a : \infty c$  ihre scharfe Kante ab. Hauptoktaeder  $o = a : b : c$  hat in der vordern Endkante  $121^\circ$ , gibt  $a : b = \sqrt{0,475} : \sqrt{0,9774}$ ;  $\mu = a : c : \infty b$  und  $P = b : c : \infty a$  bilden die zugehörigen Paare. Nach  $\mu$ , welche dem Kupferglas fehlt, verlängern sich die Krystalle, daher nahm Dauber  $\mu/\mu$  als Hauptsäule, aber die Zwillinge, welche M gemein haben, und umgekehrt liegen, müssen entscheiden. Zwei Oktaeder  $f = 2a : 2b : c$ ,  $a = 3a : 3b : c$ ,  $r = a : \frac{1}{2}b : \frac{1}{2}c$ ,  $e = a : 3b : \infty c$ ,  $v = \frac{1}{2}a : b : c$ ,  $m = 2a : c : \infty b$ ,  $n = a : \frac{1}{2}b : \frac{1}{2}c$  und andere Flächen kommen vor. Im Uebrigen ganz wie Glaserz. Breithaupt (Jahrb. 1862. 488) sprach sogar noch von einem dritten einfachen Schwefelsilber bei Freiberg (Deleminzit) mit einer rhombischen Säule von  $116^\circ$  und 7,2 Gew.

G. Rose (Kryst. chem. Mineral. pag. 21) setzt mit dem Glaserz noch Bleiglanz pag. 839, Selenblei pag. 845, Mangانبende pag. 828, Tellursilber und Tellurblei pag. 737 isomorph, da sie alle gleiche atomistische Zusammensetzung bei regulärer Krystallform haben. Wie Bleiglanz ist auch das

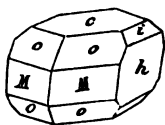
Selen Silber  $Ag\ Se$  (Pogg. Ann. 14. 471), welches bei Tislerode kleine schmale Gänge im Seelenblei bildet, nach drei rechtwinkligen Richtungen vollkommen blättrig. Eisenschwarz, Härte 2—3, Gew. 8. Weniger geschmeidig als Glaserz. Die unvollständige Analyse gab 65,5 Ag, 4,9 Pb, 24 Se.

### Sprödglasserz $Ag^5 Sb$ .

Sprödglasserz ist die Bezeichnung sächsischer Bergleute. Denn es ist zwar milde, aber weniger geschmeidig, als Glaserz, dem es äußerlich sehr gleicht und womit es gewöhnlich zusammen vorkommt. Argentum rude nigrum Gebigen schwarz erz Agricola 703, daher Argent noire Romé de l'Isle Crist. III. 467, Schwarzgülden, Melanglanz, Stephanit. Schon die alten Mineralogen sahen es als ein Mittel Ding zwischen Glaserz und Rothgülden an, was auch die Analyse von Klaproth (Beitr. I. 102) bestätigte, der es sprödes Silberglanzerz nannte.

Zweiggliedrige Krystalle. Säule  $M = a : b : \infty c$   $115^\circ 39'$ , deren scharfe Kante  $h = b : \infty a : \infty c$  gerade abstumpft. Durch Vorherrschen der Geradenfläche  $c = c : \infty a : \infty b$  werden die Krystalle tafelartig und dem Kupferglas ähnlich. Oktaeder  $o = a : b : c$  in der vordern Endkante  $130^\circ 16'$  mit dem Paare  $i = b : 2c : \infty a$  ( $72^\circ 12'$  in  $c$ ) gleichen einem Dihexaeder;  $f = 2a : 2b : c$ . Zwillinge haben die Säule M gemein und liegen umgekehrt. Kein deutlich blättriger Bruch. Schröder Pogg. Ann. 1855. 95. 267) gab eine ausführliche Monographie der Andreasberger Krystalle mit Zugrundelegung von  $a : b : c = 0,918 : 1,459 : 1$ . Er brachte es auf 39 Flächenausdrücke mit 123 Parallelräumen!

Farbe und Strich eisen schwarz, opak, Metallglanz nicht sonderlich stark, Härte 2—2, milde und gibt noch kein rechtes Pulver, Gew. 6,27.



Vor dem Löthrohr schmilzt es leicht mit nur schwachem Antimonrauch, und gibt bald ein unreines Silberkorn, was auf Zusatz von Soda sich reinigt. S. Rose (Pogg. Ann. 15. 474) fand 68,5 Ag, 0,6 Cu, 14,7 Sb, 16,4 S, was der Formel  $6 \text{ Ag S} + \text{Sb}^2 \text{ S}^3$  entspricht. Dasselbe stammte von Schemnitz, wo es als Röschgewächs nebst Glaserz (Weichgewächs) das hauptsächlichste Silbererz bildet. Andreasberg, Freiberg, Joachimsthal, Przibram u. Wenn es nicht deutlich krystallisirt ist, so kann es leicht verkannt werden, weil es oft innig mit Glaserz und Rothgülden verwächst.

**Polybasit** ( $\text{Ag, Cu}$ )<sup>9</sup> ( $\text{Sb, As}$ ) Rose (Pogg. Ann. 15. 475), Eugenglanz Brth., wegen seiner Aehnlichkeit mit Sprödglasserz von jeher damit verwechselt. Allein G. Rose zeigte, daß die sechsseitigen Tafeln von Guanajuato und Durango in Mexiko dem 3 + 1axigen Systeme angehören, denn die Seitenflächen schneiden sich unter  $120^\circ$ . Wie beim Eisenglanz ist die versteckt blättrige Geradenfläche stark gestreift parallel den Kanten eines gleichseitigen Dreiecks, was auf ein Rhomboeder deutet, das nach Breithaupt  $84^\circ 48'$  in den Endkanten hat. Kommt das Gegenrhomboeder hinzu, so entsteht ein Dihexaeder mit  $129^\circ 32'$  in den Endkanten. Dagegen fand Descloizeaux in ganz dünnen Blättchen von Freiberg zwei optische Axen, dann wäre es mit Sprödglasserz isomorph.

Farbe und Strich eisenschwarz, im reflectirten Sonnenlicht scheinen die Blätter der Geradenfläche mit der Farbe des Rothgülden durch. Milde. Härte 2—3, Gew. 6,2.

Vor dem Löthrohr schmilzt er außerordentlich leicht, leichter als Sprödglasserz, und gibt zuletzt ein kupferhaltiges Silberkorn. Im Wesentlichen  $9 \text{ Ag S} + \text{Sb S}^3$ , aber ein Theil des Silbers wird durch Kupfer und ein Theil des Antimons durch Arsenik ersetzt. Der Polybasit von Schemnitz (Pogg. Ann. 28. 110) hatte 72,4 Ag, 3 Cu, 6,2 As, 0,25 Sb; von Freiberg 70 Ag, 4,1 Cu, 8,4 Sb, 1,2 As; von Mexiko 64,3 Ag, 9,9 Cu, 5,1 Sb, 3,7 As. Zink und Eisen verunreinigen ihn. Bei Przibram enthält er gar kein Arsen und statt 9 nur 7 Atom Base (Jahrb. 1860. 710).

### 3. Rothgiltigerz $\text{Ag}^3$ ( $\text{Sb, As}$ ).

Rothgülden. Argentum rude rubrum roth gülden erz Agricola 692 und 703. Rubinblende, Silberblende, Pyrargyrit und Proustite u. Mine d'argent rouge de l'Isle Crisall. III. 447. Argent antimonie sulfuré Haüy, Red Silver. Das schönste aller Silbererze.

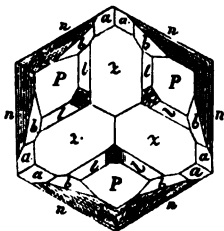
Rhomboedrisch, allein die Krystalle durch Streifung und Krümmung der Flächen häufig entstellt, und die Winkel wegen des wechselnden Antimon- und Arsenitgehaltes nicht ganz constant. Die Formen erinnern sehr an Kalkspath.  $P = a : a : \infty a : c$  in der Endkante beim

dunkeln Rothgülden  $108^\circ 30'$  gibt Seitenaxe  $a = \sqrt{1,596}$ ,

lichten Rothgülden  $107^\circ 36'$  — —  $a = \sqrt{1,533}$ .

Dieses Hauptrhomboeder kommt als alleinige Endfläche schön zu Joachimst-

thal und auf dem Himmelsfürst bei Freiberg vor. Es ist zwar nur schwach blättrig, doch folgt ihm die Flächenstreifung, so daß man sich vornach am leichtesten orientirt, selbst wo sie fehlt, wie bei vielen Andreasbergern. Dazu gesellt sich stets die 2te



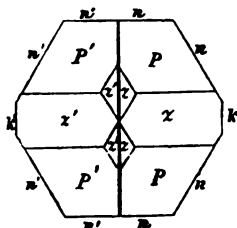
sechseckige Säule  $n = a : \frac{1}{2}a : a : \infty c$ , die mit P ein dreigliedriges Dobelsäulchen machen, wie es bereits Romé de l'Isle gut abbildet. Die Geradenfläche  $o = c : \infty a : \infty a : \infty a$  ist selten, doch kommt sie zu Johann-Georgenstadt als alleinige Endigung der Säule n vor. Die seltenere erste sechseckige Säule  $k = a : a : \infty a : \infty c$  stellt sich

nach Mohs öfter, wie beim Turmalin, nur hälftflächig ein, die abwechselnden Kanten von n abstumpfsend. Das nächste stumpfere Rhomboeder  $z = 2a' : 2a' : \infty a : c$ , häufiger als P, mißt nach H. v. Rath (Pogg. Ann. 158. 433)  $137^\circ 52'$  in den Endkanten. Oftmals herrscht es allein am Ende der 2ten Säule. Am häufigsten trifft man den Dreikantner  $l = a : \frac{1}{2}a : \frac{1}{2}a : \frac{1}{2}c$  mit  $160^\circ 28'$  und  $140^\circ 20'$  in den Endkanten, die Kante zwischen den beiden Rhomboedern P/z abstumpfsend. Seine scharfe Endkante stumpft das nächste stumpfere Rhomboeder z und seine stumpfe über P das Rhomboeder  $x = \frac{2}{3}a : \frac{2}{3}a : \infty a : c$  ab, welches aber durch Diagonalstreifung gewöhnlich entstellt ist. Haüy erwähnt noch eines sehr ähnlichen  $b^4 = c = a : \frac{1}{2}a : \frac{1}{2}a : \frac{1}{2}c$  in der Endkantenzone des Rhomboeder. In der Seitenkantenzone kommt der gewöhnliche Dreikantner  $h = a : \frac{1}{2}a : \frac{1}{2}a : c$  vor, außerordentlich stark gestreift parallel der Seitenkante. Häufig auch  $f = \frac{1}{2}a : \frac{1}{2}a : \frac{1}{2}a : c$ , ihm gehören meist die vorherrschend auftretenden Dreikantner von Churprinz bei Freiberg und von Andreasberg an, an den Enden durch Dreikantner l abgestumpft. Auch ein Dreikantner  $d^5 = \frac{1}{2}a : \frac{1}{2}a : \frac{1}{2}a : c$  wird noch angegeben, und in der Endkantenzone das Dihexaeder  $b^6 = 3a : \frac{2}{3}a : 3a : c$ , welches bei Johann-Georgenstadt mit beiden sechseckigen Säulen und der Geradenfläche vorkommt, die Endkante n/o abstumpfsend, so daß also in der Kantenzone

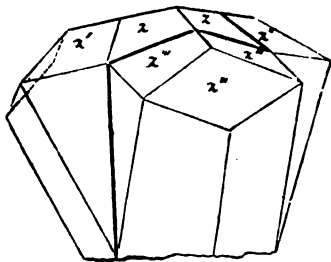
des Rhomboeder P die 8 Flächen  $n f d^5 h c l b^2 z$  beobachtet sind. Bei Andreasberg kommt sehr bestimmt eine Abstumpfungsfläche zwischen l und h vor, sie gehört dem Dreikantner  $b = a : \frac{1}{2}a : \frac{1}{2}a : \frac{1}{2}c$  an. Mohs nennt auch einen Dreikantner 2ter Ordnung  $a = a' : \frac{1}{2}a' : \frac{1}{2}a' : c$ , er ist durch die Zonen z/n und h/b bestimmt, da er die scharfen Endkanten des Dreikantners b zuschärft. Oefter stumpft das nächste schärfere Rhomboeder  $i = \frac{1}{2}a' : \frac{1}{2}a' : \infty a : c$  die scharfe Endkante des Dreikantners h ab. Complicirt sind die Stalenoeder  $\lambda = \frac{1}{2} : \frac{1}{2} : \frac{1}{2} : \frac{1}{2}$  und  $\rho = \frac{1}{2} : \frac{1}{2} : \frac{1}{2} : \frac{1}{2}$ , welche Hr. v. Rath bei Andreasberg fand. Bei Markirsch in den Vogesen ist nach Dufrénoy früher auch das Gegenrhomboeder  $e' = a' : a' : \infty a : c$  am Dreikantner  $d^5$  vorgekommen. Hr. D. Sella (Accademia Scienz. Turino 10. Febr. 1856) gab eine Uebersicht sämtlicher Flächen: von 322 Sym-bolen kamen 175 auf Quarz, 146 auf Kalkspath und 84 auf Rothgülden.

Zwillingsgesetze gibt es drei (vergleiche Kalkspath pag. 492).

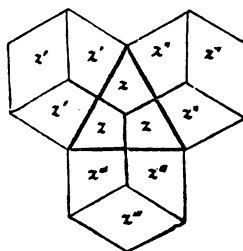
1. Die Individuen haben die Geradenfläche gemein, und liegen umgekehrt: gewöhnlich verwachsen sie mit einer Fläche  $k$  der ersten Säule, die ohnehin nur zur Hälfte austritt, und das eine Rhomboeder legt dann seine Kanten hin, wo das andere seine Fläche hat. Sie erscheinen öfter so, als wenn man ein Individuum parallel  $k$  halbt und die Hälften auf der Halbirungsfläche um  $180^\circ$  gegen einander verdreht hätte, wie vorstehende Horizontalprojection zeigt. Eine ungewöhnliche Art von Zwillingsbildung.



2tes Gesetz. Die nächsten stumpfern Rhomboeder  $z$  haben eine Fläche gemein und liegen umgekehrt. Zuweisen soll es wie beim Kalkspath vorkommen, daß die Zwillingsindividuen mit vielen Wiederholungen mit der Fläche  $z$  an einander grenzen. Viel gewöhnlicher als diese beiden ist jedoch das



3te Gesetz. Die Individuen haben eine Fläche des 2ten stumpfern Rhomboeders  $4a : 4a : \infty a : c$  gemein und liegen umgekehrt. Dabei legen sie sich so an einander, daß die Zwillingsgrenze senkrecht gegen die Kante des nächsten stumpfern Rhomboeders  $z$  steht. Denn Folge des Gesetzes ist, daß die Endkanten des Rhomboeders  $z/z$  mit  $z'/z'$  in einer Flucht liegen, und  $z/z$  mit  $z'/z'$  spiegeln. Man darf ja nur die gemeinsame Fläche hinzu denken, welche beide Kanten  $z/z$  und  $z'/z'$  zugleich abstumpfen muß, um die Sache einzusehen. Gewöhnlich wiederholt sich der Zwilling dreimal, so daß ein Vierling entsteht mit dreigliedriger Ordnung, weil je ein  $z$  mit  $z' z''$ ,  $z' z'''$ ,  $z'' z'''$  einspiegelt. Die drei die gezeichneten Kanten im Centrum sind die, welche von je zwei Individuen in einer Flucht liegen. Vergleiche auch Antimon pag. 732 und Tetradymit pag. 736. Viele der büschelförmigen Gruppierungen haben in solchen Vierlingsbildungen ihren Grund.



Nach der Farbe unterscheidet man ein

**dunkles** oder Antimon-Rothgölben und **lichtes** oder Arsenik-Rothgölben. Dunkel cochenillroth bis bleigrau, aber mit viel lichterm Strich. Halb durchscheinend. Diamantglanz. Härte 2—3, milde. Gew. 5,85. Brechex. 2,96.

Pyrrargyrit  $\text{Ag}^3 \text{Sb}$  mit 59 Silber.

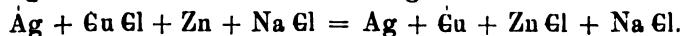
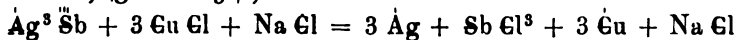
Andreasberg, Himmelsfürst.

Light cochenillroth, fast Realgar ähnlich, Strich lichtroth. Stark durchscheinend. Diamantglanz. Härte 2—3, milde. Gew. 5,55. Brechex. 3.

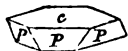
Proustite  $\text{Ag}^3 \text{As}$  mit 65 Silber.

Joachimsthal, Wittichen.

Vor dem Löthrohr decrepitiren sie, geben beide ein Silberkorn, auch reducirt sich Antimonrothgülden leichter als Arsenikrothgülden. Beide kommen zusammen vor, dunkles aber häufiger als lichter. Doch überziehen sie sich gegenseitig, so daß nicht scharf geschieden werden kann, wie das auch in der Natur der Sache liegt. Für den Bergmann ist es ein wichtiges Silbererz, denn das lichte Rothgülden von Wolfach gab im Centner 125 Mark, das dunkle 116 Mark fein Silber. Daher hat man sich auch über die Ermittlung der Zusammensetzung von jeher viel bemüht. Die alten Hüttenleute sahen das lichte für arsenikhaltig an. „Das hochrothe Rothgülden besteht, nebst dem Silber, pur aus Arsenicum.“ Zu dieser falschen Ansicht verleitete die rothe Farbe des Realgar pag. 862, was der Bergmann geradezu „unreifes Rothgülden“ nannte. So kam man überhaupt zu der viel verbreiteten Ansicht, daß Arsenik die Metalle zur Reife bringe, namentlich das Silber. Man war daher nicht wenig verwundert, als Klaproth (Beiträge I. 141) gestützt auf Analysen der Krystalle von Katharina Neufang zu Andreasberg und vom Churprinz Friedrich August bei Freiberg keine Spur Arsenik, sondern bloß Antimon und Schwefel nebst Schwefelsäure fand (ob er gleich hellfarbige gewählt hatte), und folglich das Arsenik ganz darin läugnete. Haüy nannte es daher Argent antimonié sulfuré. Doch zeigte Proust bald darauf, daß es allerdings ein Arsenikhaltiges gäbe, Beudant nannte das Proust i t. Der Zufall hatte gewollt, daß auch das lichte von Andreasberg kein Arsenik enthält. Dagegen fand H. Rose (Pogg. Ann. 15. 472) im lichten von Joachimsthal 15,1 As und nur 0,7 Sb, Bunsdorff im Andreasberger 22,8 Sb, und kaum Spuren von Arsenik. Nach den vorhandenen Analysen halten sich beide Arsenik- und Antimonrothgülden ziemlich scharf getrennt. Himmelsfürst und Churprinz bei Freiberg, Andreasberg, Joachimsthal, Rongberg, Schemnitz. Früher Martkirch im Elsaß, die Grube Wenzel und Sophie bei Wittichen auf dem Schwarzwalde. Rongberg, Guadalcana in Spanien. Zu Potosi Rossiclero genannt, R. Delisle Essai 374. Massen auf der Beta Negra bei Sombrevete in Mexico. Zu Copiapo in Chili wird das Erz gemahlen mit Kupferchlorür und heißer Salzsäure übersättigt (Berg. Hütt. Zeit. 1871. 29), und das Silber sofort durch Zink ausgeschieden:



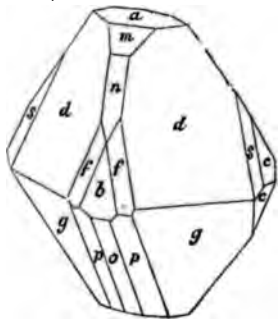
Xanthokon Breith. (Erdmann's Journ. prakt. Chem. 20. 67 und Pogg. Ann. 64. 272, *ξανθός* gelb), von der Grube Himmelsfürst zu Erbsdorf bei Freiberg: dünne pomeranzengelbe Tafeln mit gelbem Strich in Kalkspath eingesprengt, von der Farbe des Greenockit, und von der Form des vulkanischen Eisenglanzes: es herrscht die Geradenfläche vor, an deren Rändern das Rhomboeder  $P = a : a : \infty a : c \ 71^\circ 32'$  in den Endkanten hat, auch das nächste stumpfere  $2a' : 2a' : \infty a : c$  wird gefunden. Härte 2—3, Gew.



5,1. Im Jahre 1797 ist es von brauner Farbe in nierenförmigen Aggregaten vorgekommen, hatte aber auch einen gelben Strich. Plattner fand in diesem letztern 64,2 Ag, 21,3 S, 1 Fe, 13,5 As, und glaubte daraus die Formel  $2 \text{Ag}^3 \text{S}^3 \text{As} \text{S}^5 + \text{Ag}^3 \text{S}^3 \text{As} \text{S}^5$  ableiten zu dürfen, worin neben dem ersten Gliede von licht Rothgülden eine bis dahin nicht gekannte Schwefelungsstufe von  $\text{As} \text{S}^5$  vorkäme. Es wird also  $\text{Ag} : \text{As} : \text{S} = 9 : 6 : 20$  sein, während beim Arsenit-Rothgülden das Verhältniß  $9 : 6 : 18$  ist. Da nun von genauen Messungen wohl kaum die Rede sein kann bei der Unvollkommenheit der Krystalle, so darf man diese Verwandtschaft nicht aus den Augen lassen, Petersen Jahrb. 1870. 459.

Feuerblende vom Churprinz bei Freiberg und Andreasberg kommt in hyacinthrothen Krystallen mit Perlmutterglanz auf dem deutlich blättrigen Bruch vor. Die Tafeln haben ihrer Form nach Aehnlichkeit mit Strahlzeolith (Römer, Jahrb. 1848. 312) 62,3 Ag nebst Antimon und Schwefel. Zippe beschreibt vom Geisberg an der Eliaßzeche zu Joachimsthal kleine tafelförmige schwärzlichbraune Krystalle mit oraniengelbem Strich, Rittingerit (Sitzungsber. Kais. Akad. Wiss. IX. 340), die zwar keinen blättrigen Bruch haben, aber sonst sehr nahe zu stehen scheinen. Beide sind 2 + 1gliedrig.

Miargyrit H. Rose (Pogg. Ann. 15. 400)  $\text{Ag} \text{Sb}$  von der Grube Neue Hoffnung Gottes bei Bräunsdorf (*μείων* weniger, *ἄργυρος* Silber), von Mohs (Grundriß Min. II. 300) zuerst als hemiprismatische Rubinblende erkannt. Gleicht einem dunkeln Rothgiltigerz, ist aber 2 + 1gliedrig (Raumann Pogg. Ann. 17. 140). Die seltenen und complicirten Krystalle beschreibt Mohs als geschobene Säulen  $86^\circ 4'$  mit einer Schiefendfläche b,  $78^\circ 54'$  gegen Axc geneigt, und einer hintern dreifach schärfen  $t = a' : 3c : oob$   $47^\circ 26'$  gegen die Axc. Aehnlich dem Eisenvitriol. Raumann gibt dagegen andere Winkel an, ausgehend von  $a = c : ooa : oob$  mit  $b = a : oob : ooc$  vorn  $98^\circ 24'$  machend;  $d = a : b : c$  in der Medianfante  $d/d = 96^\circ 17'$ , welcher Winkel durch  $n = a : c : oob$  gerade abgestumpft wird;  $m = 3a : c : oob$  findet hinten die Gegenfläche  $o = 3a' : c : oob$ , in deren Diagonalzone  $p = 3a' : c : 6b$  und  $g = 3a' : c : 3b$  fällt. Die Augitpaare  $f = \frac{2}{3}a : b : c$ ,  $s = \frac{2}{3}a : b : c$  und  $c = b : c : ooa$  fallen sämmtlich in die Zone b/d, und dieser Zone folgt auf den Flächen bfd „eine sehr ausgezeichnete und constante Streifung, während m, n und besonders o eine horizontale Streifung parallel der Axc b haben. Ungewiß ist  $e = c : 4b : 5a'$  und  $r = c : \frac{1}{2}a : \frac{2}{3}b$ . Oft werden die Krystalle durch Ausdehnung von a tafelfartig, b und m sind unvollkommen blättrig.



Eisenschwarz und halbmetallicchen Glanz, aber dunkel kirschrothen

Strich, wodurch es sich eng an das Rothgültigerz anschließt. Härte 2—3, milde, Gew. 5,3. Ag S Sb S<sup>3</sup> mit 36,4 Ag, 1 Cu, 0,6 Fe, 39,1 Sb, 21,9 S. Sehr selten.

**Weißgültigerz** (Pb, Ag, Zn, Fe)<sup>4</sup> Sb (Leufargyrit) ist auf den Freiburger Gruben Himmelsfürst und Hoffnung Gottes zc. ein altberühmtes Silbererz, das nur mit Bleiglanz vorkommt, aber sehr feinkörnig und dicht dem Bleischweis ähnlich sieht. G. Rose erwähnt unvollkommene Oblongoktaeder von 100° und 130° in den Seitenwinkeln. Licht bleigrau, milde, glänzender Strich. Gew. 5,4. Man unterscheidet ein lichter und ein dunkles, im erstern fand Klaproth 20,4 Ag, im letztern 9,25 Ag. Rammelsberg hat im lichten von der Grube Hoffnung Gottes nur 5,8 Ag, 38,4 Pb, 6,8 Zn, 3,8 Fe, 22,4 Sb, 22,5 S gefunden. Man hüte sich, es mit kristallisiertem Grau- und Weißgültigerz zu verwechseln, was zu den ächten Fahlserzen gehört. Der seltenere

**Sternbergit** Ag Fe<sup>2</sup> Fe (Said. Pogg. Ann. 11. 488) von Joachimsthal bricht in dünnen gemein biegsamen tombakraunen blättrigen Tafeln, die dem 2gliedrigen System angehören. Der blättrige Bruch  $c = c$ :  $\infty a : \infty b$  herrscht, Oktaeder  $f = a : b : c$  hat 118° in der vordern Endkante. Die Säule  $a : b : \infty c$  kommt nicht vor, sie würde 119° 30' messen, aber die Zwillinge haben diese Säulen gemein und liegen umgekehrt. Gew. 4,2, Härte 1—2. Auf Kohle schmilzt er zu einer mit Silber bedeckten magnetischen Kugel, nach Zippe (Pogg. Ann. 27. 600) enthält er 33,2 Silber, 36 Eisen, 30 Schwefel.

**Silberkies** (Argentopyrit Jahr. 1866. 725) Ag Fe<sup>3</sup> kommt bei Joachimsthal mit Proustit verwachsen vor, bleigrau, Gew. 6,5, Härte 3—4, enthält 26,5 Silber. Sartorius sah sie für „klinorhombisch mit hexagonalem Habitus“ an. Tschermak hält sie für Austerkristalle, die meist regulären sechsseitigen Säulen mit stumpfem Dihedraeder gleichen, und schon von Zippe als Pseudomorphosen von Rothgülden und Sprödglaßerz beschrieben wurden.

## Kupfererze.

Wir dürfen dahin nur diejenigen rechnen, worin Kupfer die Hauptrolle spielt. Denn dieses wichtige Metall kommt außerdem noch untergeordnet in einer Menge geschwefelter Erze vor, und ist dabei so gern in Gesellschaft des Silbers und umgekehrt, daß es nicht möglich ist, zwischen beiden zu trennen, wie Silberkupferglanz und Eufavit zc. beweisen.

### 1. Kupferkies Cu Fe.

Pyrites aureo colore Geelkis oder kupfertis Agricola 706. Es ist eines der gemeinsten Erze, das daher auch den Alten nicht entgehen konnte. Plinius 36. 30 begreift ihn mit unter Pyrites: sed est alius



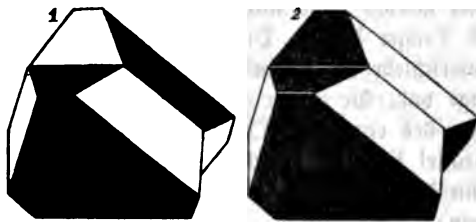
etiamnum pyrites, similitudine aeris . . . colore . . . aureo. Während die Kupfererze überhaupt den griechischen Namen *χαλκίτις* hatten, Plin. 34. 29: Chalcitin vocant lapidem, ex quo ipsum aes (Kupfer) coquitur. Mine de cuivre jaune de l'Isle III. 309, Haüy's Cuivre pyriteux, Copper Pyrites. Chalkopyrit, Tomanit. Selb Kupfererz Walserius. Sadebeck (Ztschr. d. geol. Ges. 1868. XX. 202).

Viergliedrig mit einer Hineineigung zum Tetraedrischen, doch stehen die Winkel dem regulären System so nahe, daß es Haüy für regulär nahm. Erst Haidinger fand den Endkantenwinkel mit dem Reflexionsgoniometer  $109^{\circ} 53'$ , also  $25'$  größer als beim regulären Octaeder, woraus für  $c = 1$  die Seitenaxe

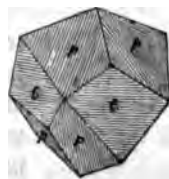
$$a = \sqrt{1,0308} = 1,015, lga = 0,00659,$$

und der Seitenkantenwinkel  $108^{\circ} 40'$  folgt, was auf ein etwas stumpferes Octaeder hinweist. Von den 8 Flächen dehnen sich vier gewöhnlich zu einem Tetraeder aus, sie pflegen matt und durch Streifung entstellt zu sein, während das die Ecken abstumpfende Gegentetraeder stark glänzt. Auch wenn die Flächen beider Tetraeder ins Gleichgewicht treten, kann man die physikalischen Unterschiede oft noch gut erkennen. Daß sie viergliedrig sind, sieht man häufig an der Abstumpfung der horizontalen Endkanten des Tetraeders von  $71^{\circ} 20'$ , während die Seitenkanten von  $70^{\circ} 7'$  nicht abgestumpft erscheinen, wie z. B. auf Friedrich Christian im Schappacher Thal auf dem Schwarzwalde. Gewöhnlich erscheinen diese differentflächigen Octaeder als

Zwillinge: dieselben haben eine Tetraederfläche gemein und liegen umgekehrt, oft mit vielen Wiederholungen. Sie sind zwar ganz denen des regulären Systems analog, aber da wir es mit matten Tetraedern und glatten Gegentetraedern zu thun haben, so kann man zwei Fälle

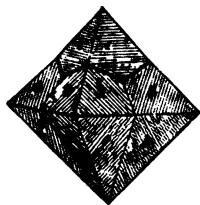


unterscheiden, wie die Figuren zeigen: Fall 1 hat **ungleiche** Flächen gemein, es liegen dann in dem einspringenden Winkel ungleiche Tetraederflächen sich gegenüber. Nach Sadebeck ist das das Gewöhnliche. Fall 2 hat dagegen **gleiche** Flächen gemein, die nun entweder zum Tetraeder oder Gegentetraeder gehören könnten, dann liegen am Zwillingssrande sich gleiche Flächen gegenüber, so meinte ich es an Kristallen von Friedrich Christian zu sehen, wo ganze Reihen parallel liegen. Ich mag mich aber wohl getäuscht haben. Nach dem Sadebeck'schen Gesetz würden sich also Bild und Spiegelbild aneinander lagern. Die Täuschung geht noch weiter: bei Rodna kommen mit der dortigen schwarzen Blende die ausgezeichnetsten **Deltoiddodekaeder** vor, sie sind parallel ihrer unsymmetrischen Diagonale gestreift, und ein



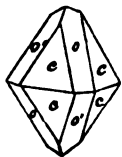
physikalischer Unterschied ist nicht wahrzunehmen. Solche dreifache Streifung findet sich häufig auf den matten (nie auf den glänzenden) Tetraederflächen, wie z. B. zu Ranzbach im Dillenburgerischen, wodurch die Krystalle sehr entstellt werden. Trotzdem können nur die  $t = a : a : 2c$  ein viergliedriges Tetraeder, die  $p = a : c : 2a$  dagegen ein gebrochenes Tetraeder pag. 85 bilden. Dafür spricht auch eine zweite sehr gewöhnliche Art

Zwillinge, die das nächste stumpfere Oktaeder  $b = a : c : \infty a$  gemein haben und umgekehrt liegen. Einmal sind die



Oktaederflächen hier nur parallel den Seitenkanten gestreift, was die Zwillingsgrenzen sehr deutlich hervortreten läßt, sodann aber kommen zwischen den Zwillingseinspringen 1 und 2 einspringende Winkel von  $178^\circ 34'$  vor. Wären die Krystalle regulär, so müßten bei einer solchen Aneinanderlagerung die Flächen 1 und 2 in ein Niveau fallen, es könnte kein Zwilling

entstehen. Gewöhnlich wiederholt sich das Gesetz. Analog dem Scharfmangan pag. 773 würden 5 Individuen (nicht sechs) den Kreis schließen: es könnten dann nur auf der Oberhälfte die Oktaederflächen trapezartig geknickt sein, wie in beistehender Figur, während unten die Flächen o mit p und o mit q in Folge der Zwillingsslage in ein Niveau fallen müßten. So ist es nun aber in der Regel nicht, sondern es zeigen sich überall Knicke, wo sich Flächen von Zwillingseinspringen berühren, wie man das so schön bei den Krystallen von Mendorf am Unterharze sieht. Es muß die Sache durch unregelmäßige Anhäufung der Individuen erklärt werden, wo nicht bloß ein bestimmtes, wie beim Scharfmangan, als Träger dient. Diese Zwillingseinspringen bekundet das Bestreben, die Unterschiede wieder auszugleichen. Auch kommen bei Mendorf solche Fünflinge vor, die zu je zweien wieder nach dem gewöhnlichen Zwillingsgesetz des regulären Oktaeders mit einander verwachsen, und keineswegs parallel liegen. Sadebeck nimmt an den einspringenden Winkeln Anstoß, denn da die Oktaeder stumpfer als das reguläre sind, so sollte man auspringende erwarten. Allein man darf nicht vergessen, daß das Auspringen der einen Seite des Zwillinges ein Einspringen auf der andern erfordert: beim Scharfmangan liegen zwischen den Enden des Oktaeders die einspringenden, und zwischen den Seitenecken die auspringenden Winkel. Da nun wegen der Ähnlichkeit des Kupferkiesoktaeders mit regulären Oktaedern man Seiten- und Enden im Hinblick auf die rohe Ausbildung nur schwer unterscheidet, so könnten uns die Zwillingstücke leicht die Seitenecken und daher den einspringenden Winkel zutheilen.



Aus Cornwallis beschreibt Phillips gar häufig das (etwas blättrige) Oktaeder  $c = a : 2c : \infty a$  mit  $101^\circ 49'$  in den Endkanten, von welchem daher auch die Engländer als Grundform ausgehen, deren Endkanten dann das gewöhnliche Oktaeder o und o'  $= a : a : c$  gerade abstumpft. Kommt dazu die quadratische Säule  $m = a : a : \infty c$

und die Geradendfläche, so ist der Typus durchaus viergliedrig. Mohs führt auch wohl ein drittes gar nicht seltenes Zwillingsgesetz auf, wornach die Individuen die Endkante des Oktaeders  $c$  gemein haben und umgekehrt liegen. Da jedoch die Fläche, welche die Endkanten dieses Oktaeders abstumpft, dem Oktaeder  $o = a : a : c$  angehört, so fällt dieß vermeintliche Gesetz mit dem ersten zusammen. Dagegen soll nach Naumann eines vorkommen, wornach die Individuen  $n = a : a : \frac{1}{2}c$  gemein haben und umgekehrt liegen.

Complicirte oktaedrische Krystalle bildet Haidinger (Pogg. Ann. 5. 177) von oktaedrischem aber viergliedrigem Typus, Phillips (Miner. 3. edit. 1823 pag. 303) von tetraedrischem Typus ab. Diese tetraedrische Form greift so durch, daß nach Naumann auf der Grube Kurprinz bei Freiberg zwei Tetraeder  $o$  und  $o'$  sich wie beim Fahlerz mit ihren Kanten rechtwinklig kreuzen.

Weiß beschrieb den Kupferties in seinen Vorlesungen regulär, und nahm mit als Beweis den merkwürdigen Kupfertiesüberzug, der sich auf dem tetraedrischen Fahlerz des Rosenhöfer Quarzjuges bei Clausthal, und ausgezeichnet bunt angelauten zu Biscard in Cornwall findet, es erscheint dort wie ein Fortwachsen. Nun ist freilich unter dem Kupferties das Fahlerz gewöhnlich zersezt, so daß die Riestruste leicht abspringt, und man versucht wird, dieselbe als ein Verwitterungsproduct des Fahlerzes anzusehen, doch zeigte Osann (Leonhard's Jahrb. 1853. 100), daß sich die Kruste zuweilen auch dort auf Bleiglanz und Blende finde, auf denen nie Fahlerz angetroffen würde. Auch zu Laasphe pag. 848 sind die Kupfertieshüllen auf Blende gar zu schön. Man betrachtet sie als Folge electrolytischer Prozesse.

Messinggelb (hat einen Stich ins Grün, besonders gegen Schwefelties gehalten), starker Metallglanz, grünlich schwarzer Strich. Läuft häufig pfauenschweifig, taubenhäufig bis blaulich schwarz an. Mangel an blättrigem Bruch. Härte 3—4, ein wenig milde, gibt daher mit dem Stahle keine Funken, was ihn leicht vom Schwefelties unterscheidet. Gew. 4,2.

Vor dem Löthrohr decrepitirt es; große Stücke laufen schnell roth an (es bildet sich Ziegelerz), und brennen wie Schwefelties fort. Kleine Proben schmelzen leicht zu einer magnetischen dunkelfarbigen Kugel, die Blasen wirft und endlich rauhe Schlacke wird, die mit Soda behandelt Kupfer gibt, da sich Eisen und Kupfer gesondert reduciren. Soll der Prozeß vollständig gelingen, so muß man gut abschwefeln. Zu rohen Versuchen ist das aber nicht einmal nothwendig, man nimmt da gleich die magnetische Schlacke. Am empfindlichsten ist die Reaction, wenn man die rohe Probe in Salzsäure getaucht ins Feuer bringt, wodurch die Flamme vorübergehend schön blau wird.

$\text{Cu Fe} = \text{Cu Fe}$  mit 34,8 Cu, 35,4 S, 29,8 Fe.

Beim Glühen im Kohlentiegel gibt er den vierten Theil (9 p. C.) seines Schwefels ab. Man zieht die zweite Formel der ersten vor, weil Cu S

eine schwache,  $\text{Cu}^2\text{S}$  dagegen eine starke Basis ist. Kersten (Pogg. Ann. 46. 170) fand im Kupferkies, der in das Selenblei von der Grube Emanuel pag. 845 eingeprengt war, ebenfalls einen nicht unbeträchtlichen Selengehalt. Beim Rösten der Kupfererze entstehen zuweilen künstliche Krystalle (Leonhard's Jahrb. 1853. 177).

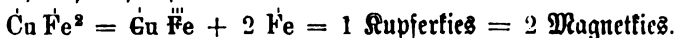
Kupferkies ist das gewöhnlichste Erz auf Erzgängen und Erzlagern, in Verbindung mit Schwefelkies, Bleiglanz, Blende, Fahlerz. Die salinischen Kupfererze sind häufig erst aus ihm entstanden. Er bildet daher einen wichtigen Gegenstand des Bergbaues. Oft brechen große Massen, wie im Uebergangsgebirge von Ranzbach bei Dillenburg, im Gneise des Schwarzwaldes (Grube Herrensegen). Falun, Schemnitz, Goslar, Mansfelder Kupferschiefer. Selbst am Cap (Knop, Jahrb. 1861. 512) gleichen die Kupfererzlagerrstätten den unfrigen. Freilich gewöhnlich sehr verunreinigt. Wenn die Verunreinigung durch Schwefelkies kommt, so ist sie äußerlich wenig erkennbar, allein sie verräth sich nicht selten durch den auskrystallisirten Schwefelkies und durch die grauere Farbe. Je grüner desto kupferreicher. Zu Redruth enthält er oft nur  $\frac{3}{4}\text{ Cu}$ , allein man gewinnt jetzt in den Cornischen Gruben allein jährlich an 160,000 Tonnen, die 12,000 Metall liefern; 1870 gaben 124 Gruben 106,698 Tonnen mit 7175 Kupfer, also nicht ganz  $\frac{1}{4}\%$ . Raum hatten 1861 die Amerikaner den Reichthum an Kupferkies entdeckt, so entstand gleich die Stadt Copperopolis, die 1865 schon 16,000 Tonnen auf den Markt warf. Noch bedeutender durch seine edlen Erträge ist der **Goldkupferkies** (Hayden, Ann. Rep. of the United States 1873. 557) in den verschiedenen Gruben von Colorado »mostly occurring compact, and frequently very intimately intermixed with pyrite«. Wahrhaft großartig sind die Werke von Tharsis pag. 822, aber noch stärker durch Schwefelkies verunreinigt. Bei Massamaritima in Toscana liegt Grube an Grube, wo schon die alten Erzküster zur Zeit der Pfahlbauten ihr Kupfer gewannen; am Monte Valerio bezeichnet sie das Volk noch mit dem Namen Cento Camerelle (Hundert Kammern), bauten die mit den Katakomben den Vergleich aushalten, Bulletin Soc. géol. France 1876. 3. sér. IV. 154.

Krystalle finden sich zwar in Drusenräumen des berben (Ranzbach), am schönsten aber angeflagen auf Quarz, Flußpath, Braunspath, Schwerpath zc. Derb aber von krystallinischem Gefüge kommt er rein in vielen centnerschweren Stücken vor, Glanz und kleinschuppiger Bruch deuten den Grad der Reinheit an. Dichte Massen sind matter und haben einen ebenen Bruch, wie im Rammelsberge bei Goslar, zu Neu-sohl in Ungarn zc. Selten nierenförmig und kleintraubig, Breithaupt's Nierenties von Freiberg und Cornwallis, mit nur 3,9 Gew.

Weißkupfererz nannte Werner ein derbes Vorkommen, was ehemals auf Lorenz Gegentrum zu Halsbrücke bei Freiberg brach, blaß messinggelb und wenig glänzend scheint es zwischen Kupfer- und Schwefelkies zu liegen  $\text{R}^2\text{S}^3$  (Jahrb. 1873. 100), mit 10,7 Cu, 40,5 Fe, 2,6 Co.

Plattner gab neben Schwefeleisen bei einem Chilenischen 12,9 Cu an. Vergleiche auch Kroyssit pag. 821.

Cuban Breithaupt (Pogg. Ann. 59. 222) von Bacaranao auf Cuba. Derb und ziemlich deutlich würfelig blättrig. Blau messinggelb, wie Weiskupfererz. Gew. 4. Die Analyse von Scheidhauer gab 22,9 Cu, 42,5 Fe, 34,8 S, also



Würde FeS das CuS vertreten, so könnte man die Formel auch als ein eisenreiches Buntkupfererz deuten, wofür der würfelig blättrige Bruch des regulären Systems sprechen würde.

## 2. Buntkupfererz $\text{Cu}^2 \text{Fe}$ .

Buntkupferties, Vornit, Cuivre hépatique de l'Isle, Purple copper.

Regulär, aber gute Krystalle selten. Zu Redruth, wo es die Bergleute Horse-flesh ore (Pferdefleischerz) nennen, bauchige Würfel zuweilen mit abgestumpften Ecken und Kanten, auch Zwillinge. Tombakraun, aber nur auf ganz frischem Bruch, schon nach wenigen Tagen läuft es blauröth an, woran nach Hausmann die Feuchtigkeit der Luft Schuld sein soll, nach Böding die große Oxydirbarkeit des Eisen-Sesquisulfurets. Ziehen sich die Farben ins lebhaftere Blau und Grün, so werden sie taubenhäufig, aber stets viel dunkeler als beim Kupferties. Schwarzer Strich und schwacher Metallglanz. Härte 3, milde, Gew. 5.

Vor dem Löthrohr schmilzt es nicht ganz so leicht als Kupferties, enthält aber mehr Kupfer. Nach Berzelius ist es  $\text{Cu}^2 \text{Fe}$ . Allein da es in einem Strome von Wasserstoffgas geglüht Schwefel abgibt, so muß eine höhere Schwefelungsstufe als CuS oder FeS darin sein, deßhalb schlug Plattner (Pogg. Ann. 47. 260) obige Formel vor, seine Analyse gab 56,7 Cu, 14,8 Fe, 28,2 S, es waren Krystalle von der Condurra Grube bei Camborne in Cornwallis. Andere Analysen weichen davon zwar ab, allein da das derbe häufig gemischt mit Kupferglas vorkommt, so ist die Sache daraus wohl sehr natürlich erklärt.

Seltener als Kupferties: Freiberg, Donatska im Banat, Cornwallis, Schnüre im Zechstein von Mansfeld, Würtschenalp in Glarus, Toskana, Chili. Barnhardtit von Nordcarolina hat ähnliche Farbe, aber nach der Zusammensetzung  $\text{Cu}^2 \text{S}^2 \text{Fe S}^3$  scheint er zwischen Kupferties und Buntkupfererz mitten innen zu stehen. Der Julianit (Jahrb. 1872. 110) von Rudolstadt in Schlesien hat statt Eisen Arsenit  $\text{Cu}^2 \text{As}$ , ist röthlich bleigrau, sonst aber isomorph.

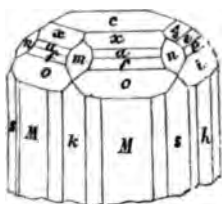
## 3. Kupferglas $\text{Cu}$ .

Aes rude plumbei coloris Kupferglaserz Agricola 702, Cuprum vitreum, Kupferglanzerz Maproth Beitr. II. 276, Cuivre sulfuré, Sulphuret of Copper. Redruthit, Chalcocit.

Zweigliedrig mit dihexaedrischem Typus, auf den Kupfergruben in Cornwallis häufig krystallisiert, in Deutschland nicht. Säule  $M = a : b : \infty c$   $119^\circ 35'$  nach Mohs ist höchst unvollkommen blättrig, tritt dazu nun  $h = b : \infty a : \infty c$  und die Geradenfläche  $c = c : \infty a : \infty b$ , so entstehen scheinbar reguläre sechsseitige Säulen, die auch lange dafür genommen wurden und noch werden. Die Säulen sind gewöhnlich tafelförmig, und an ihren sämtlichen Endkanten durch das Oktaeder  $a = a : b : \frac{1}{2}c$ , und das Paar  $e = \frac{1}{2}c : b : \infty a$  dihexaedrisch abgestumpft. Würde man wie Phillips und Dufrénoy,  $M/M = 120^\circ$  setzen, so gäben  $a$  und  $e$  flache Dihexaeder von  $148^\circ 20'$  in den Endkanten. Nach Phillips wiederholen sich vier solcher dihexaedrischen Endigungen über einander. Mohs geht von dem untern  $o = a : b : c$  mit  $126^\circ 53'$  in der vordern Endkante und  $i = 2c : b : \infty a$  mit  $63^\circ 48'$  in  $c$ , die beide zusammen ein scheinbares Dihexaeder machen, aus, daraus folgen die Axen:

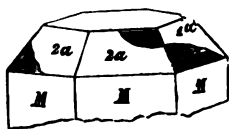
$$a : b = \sqrt{0,3572} : \sqrt{1,0539}, \lg a = 9,77647, \lg b = 0,01139.$$

Zwischen  $a$  und  $o$  liegt noch  $f = a : b : \frac{1}{2}c$  ( $91^\circ 51'$  Seitenkante) und zwischen  $i$  und  $e$  das Paar  $P = b : c : \infty a$  ( $91^\circ 30'$  in  $c$ ), die zusammen wieder ein Dihexaeder machen. Da nun  $k = a : \infty b : \infty c$  mit der Säule  $s = a : \frac{1}{2}b : \infty c$  wieder eine zweite sechsseitige Säule zu bilden scheinen, so wird man allerdings unwillkürlich an 6gliedrige Formen erinnert. Phillips gibt sogar noch ein Dihexaeder  $x = a : b : \frac{1}{2}c$  mit  $y = b : \frac{1}{2}c : \infty a$ , ferner ein Dihexaeder 2ter Ordnung  $m = a : \frac{1}{2}c : \infty b$  die Kante  $sf$  und  $n = a : \frac{1}{2}b : \frac{1}{2}c$



die Kante  $Pf$  gerade abstumpfend. Endlich sogar eine 6 + 6kantige Säule zwischen  $M/k$ ,  $M/s$  und  $h/s$ , die aber nach den Winkelangaben keinen ganz einfachen Ausdruck hat. Dennoch ist das Mineral zweigliedrig, das beweisen hauptsächlich die

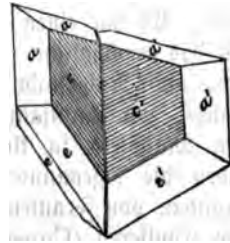
Drillinge; dieselben haben die Säulenfläche  $M$  gemein und liegen umgekehrt. Da der Säulenwinkel fast genau  $120^\circ$  beträgt, so füllen drei



gerade den Raum um einen Punkt aus, und da ferner die Zwillingsgrenzen sich zu verwischen pflegen, so hält man sie beim ersten Anblick für einfache Krystalle. Zu Redruth kommt häufig die Combination  $Mhae$  vor: im Drilling spiegelt nun  $e$  des einen mit einer  $a$  des andern und sofort. Es ist aber  $e$  horizontal der Axe  $a$  etwas gestreift, und diese Streifen kommen nur stückweise auf den Oktaederflächen vor, in neben bezeichneter Weise. Noch auffallender ist die

2te Art von Zwillingen, welche man ebenfalls häufig in Cornwallis findet. Hier kreuzen sich die Zwillingstafeln ungefähr rechtwinklig, und da es gewöhnlich dihexaedrische Tafeln mit  $aec$  sind, in welchen die Zwillingsskante deutlich einer Seitenkante des Dihexaeders parallel geht, so haben sie entweder die Fläche  $f$  oder  $P$  gemein. Ist

das Mineral 2gliedrig, so sollten die Zwillinge-individuen allen Analogien nach  $P = b : c : \infty a$  gemein haben und umgekehrt liegen, sie müßten sich dann unter  $91^{\circ} 30'$  und  $88^{\circ} 30'$  trennen. Dagegen behauptet Mohs ausdrücklich, daß sie eine der  $f = a : b : \frac{1}{2}c$  gemein haben, sich folglich unter  $91^{\circ} 51'$  und  $88^{\circ} 9'$  schneiden, wie in beistehender Figur. Dieß scheint auch (z. B. bei den Exemplaren von St. Just) die Streifung auf  $c$  parallel der Axe  $a$  zu beweisen. Da nun theoretisch genommen zweigliedrige Octaeder gar keine symmetrische Lage gegenseitig einnehmen können, wenn sie eine Fläche gemein haben und sich um  $180^{\circ}$  gegen einander verdrehen sollten, wohl aber bei Dihexaedern, so könnte dieses Ungewöhnliche in dem Dihexaederartigen möglicher Weise seinen Grund finden.



Kupferfulfur bildet sich beim Erhitzen aus Kupfer und Schwefel unter lebhaftem Erglühen, es wird im Großen zur Fabrication des Kupfervitriols dargestellt. Man erhält es dabei häufig in Krystallen (Octaedern), die aber auffallender Weise dem regulären Systeme angehören. Selbst das natürliche Kupferglas schießt geschmolzen in regulären Octaedern an! Diese Octaeder  $\text{Cu S}$  würden also isomorph mit denen des Glaserzes  $\text{Ag S}$  sein, während umgekehrt das Glaserz erst neuerlich zweigliedrig (Akantit) gefunden wurde, und im 2gliedrigen Silberkupferglanz das Kupferfulfur vertritt. Uebrigens hat Durocher durch Einwirkung von Kupferchlorid auf Schwefelwasserstoff auch sechsseitige Tafeln bekommen. Auf der Ockerhütte bei Goslar bilden sich auf der Sohle des Flammeofens auch äußerst schöne Tetraeder. In einem Römerbade bei Plombières hatten sie sich an einem bronzenen Hahn erzeugt, ja selbst auf alten Büchern kommen von den messingenen Spangen Dendriten von Schwefelkupfer vor, Jahrb. 1866. 227.

Schwärzlich bleigrau, Fäherartig, aber milde, geringer Metallglanz, schwarzer Strich. Härte 2—3, Gewicht geht in reinen Abänderungen bis auf 5,8. Allein es verunreinigt sich mit dem leichtern Kupferkies und Buntkupfererz in den verschiedensten Mengen. So kommt auf den Gruben von Cornwall ein »Variegated Vitreous Copper« von der Farbe des angelauten Stahles vor, was als ein inniges Gemisch von Kupferkies und Kupferglas angesehen wird, deren Theile man dazwischen oft noch gut erkennt.

Vor dem Löthrohr schmilzt es leicht ohne Rauch und Beschlag unter starkem Kochen, und gibt nach längerem Blasen auf Kohle für sich ein Kupferhorn. Das Fäherz dagegen raucht, und gibt für sich kein Kupferhorn, auch färbt es in Salzsäure getaucht die Flamme nicht so schön blau als das Kupferglas.  $\text{Cu S}$  mit 79,7 Cu, 20,3 S, etwas Silber, Eisen etc.

Meist derb mit andern Kupfererzen. Bekannt ist das von den Gusewskischen Gruben an der Turga, auf den Ablösungsflächen mit

Kupferlasur und Malachit überzogen, worin Klaproth 78,5 Kupfer nachwies. Es hat einen vollkommen muscheligen Bruch, und glänzt stärker als das gewöhnliche. Im Banat bei Moldawa und Donatka, zu Kupferberg und Rudelstadt in Schlesien. Besonders ausgezeichnet in Cornwallis, wo hauptsächlich die Krystalle gefunden werden. Im Zechstein von Mansfeld in kleinen Partien eingesprengt. Einen gewissen Ruf haben die sogenannten „Frankenberger Kornähren“, welche früher im Zechstein von Frankenberg in Hessen brachen: kleine Zweige und Zapfen von Coniferen (*Cupressites Ullmanni*) sind zu Kupferglas vererzt. Auch im Rothliegenden von Böhmen hat es die Eisenbahn bei Liebstadt aufgeschlossen. Zu Bristol in Connecticut kommt es in großen glänzenden Krystallen vor, die mit Vortheil bergmännisch gewonnen werden.

Kupferindig  $\text{Cu S}$  beschreibt Freiesleben (Geogn. Arbeiten. III. 180) aus einer rückenartigen Flözpartie im Kupferschiefer von Sangerhausen. Es ist eine indigblaue bis schwarze Masse, mit glänzendem blauem Strich, sehr weich, Gew. 3,8. Nach Knop ein Verwitterungsproduct von Kupferglas, aus welchem verdünnte Säuren die Hälfte des Kupfers anziehen. Zu Leogang in Salzburg bricht er sogar in biegsamen regulären sechsseitigen Tafeln (Breithaupt). Auf Kohle brennt er wie Kupferkies. Der Kupferkies von den Gruben Badenweiler und Herrenseegen auf dem Schwarzwalde zeigt öfter einen blauen Ueberzug, der bei seltenen Stücken tief hineinsitzt. Derselbe soll nach Walchner 32,6 Schwefel, 64,8 Cu, 1 Pb enthalten, das gäbe ungefähr 1 Atom Kupfer auf 1 Atom Schwefel. Wie hier aus Kupferkies, so ist er bei Freudenstadt aus Fahlerz (Jahrb. 1866. 300) entstanden, dessen Tetraeder das schwarzblaue Pulver ausfüllt. In den Elstengravern am Salzberge bei Hallstadt kommt er auf alten Bronzen vor (Sitzb. Wien. Akad. März 1872). 1826 fand ihn Covelli auch in den Schlacken des Besuvs (Covellin). Cantonit von der Canton Grube im Staate Georgia enthält ebenfalls 66 Cu und 33 Schwefel, Harrisit von dort wie Kupferglas nur 20 Schwefel, hat aber einen dreifach blättrigen Bruch wie Bleiglanz, aus welchem er entstanden ist (Jahrb. 1862. 600). Digenit  $\text{Cu}^2\text{S} + \text{Cu S}$  (Pogg. Ann. 61. 672) von Chili und Sangerhausen scheint nach Plattner eine Verbindung von Kupferglas und Kupferindig zu sein. Derbe schwärzlich bleigraue Massen von 4,6 Gew. und Härte 2—3. Dieselbe Formel hat auch Carmenit (Jahrb. 1865. 320) im Californischen Meerbusen, wo er mit Rothkupfererz, Malachit und Ziegelerz einen 4' mächtigen Gang erfüllt.

Silberkupferglanz  $\text{Ag Cu}$  wurde von Bournon zu Schlangenberg am Altai erkannt. Stromeyer wies darin 52,3 Ag, 30,5 Cu und 15,8 S nach. Gew. 6,2. Sonst sieht es dem Kupferglas sehr ähnlich. G. Rose (Pogg. Ann. 28. 497) fand bei Rudelstadt in Schlesien Krystalle, die vollkommen mit Kupferglas stimmen: scheinbare reguläre sechsseitige Säulen mit einem Dihexaeder  $x = a : a : \infty a : \frac{1}{2}c$ . Dieß war lange der einzige Beweis für den Isodimorphismus des  $\text{Ag S}$  mit  $\text{Cu S}$ . Umgekehrt ist



Salpait 3 Äg + Cu von Mexiko nach Breithaupt würflich blättrig; auch Lévy erwähnt von Combarvalla in Peru cubische Silberkupferglanze.

Schon vor dem Löthrohr schmelzen nach Hausmann bei gutem Blasen Silberkörner aus dem Kupfer. Löst man den Regulus in Salpetersäure, so gibt Salzsäure einen starken weißen Niederschlag. In Chili mischt sich nach Domeyko derbes Glas Erz und Kupferglas in den verschiedensten Verhältnissen.

Zwei ausgezeichnete wenn auch seltene Selenverbindungen, die erstbekannten dieser Art, fand Berzelius auf den Kupfergruben im Serpentin zu Strikerum in Smaland (Berzelius Abhandl. i Syst VI. 188):

Selenkupfer (Berzelin, Berzelianit)  $\text{Cu}^2\text{Se}$  mit 61,5 Se, 38,5 Cu von silberweißer Farbe, weich und geschmeidig, aber nicht krystallisirt. Auch zu Verbach und Tannenglasbach.

Eufairit (*εὐκαιρος* zur rechten Zeit)  $\text{Cu}^2\text{Se} + \text{AgSe}$  mit 26 Se, 38,9 Ag, 23 Cu, also genau die entsprechenden Selenverbindungen von Kupferglas und Silberkupferglanz. Bleigrau, weich. Auch nicht krystallisirt. Berzelius bekam es gerade zu Handen, als er sich mit den Selenverbindungen beschäftigte, woher der Name.

Crookseit (Jahrb. 1869. 333) fand sich in derben Parthien, ebenfalls zu Strikerum, wo es lange mit Selenkupfer verwechselt wurde. Härte 3, Gew. 6,9, bleigrau, Metallglanz, zerbrechlich. Schmilzt zu grünlich-schwarzem Email, und färbt die Flamme intensiv grün. Enthält 17,25 Thallium, 33,3 Se, 45,7 Cu, 3,7 Ag; gibt die Formel  $(\text{Cu}, \text{Tl}, \text{Ag})^2\text{Se}$ . Nach Crookes benannt, der 1861 das merkwürdige Thallium im Schlamm der Bleikammern auf der Schwefelsäure-Fabrik von Tilsrode im Unterharz an der grünen Linie im Spectrum erkannte pag. 812. Das bleiartige weiße geschmeidige Metall läuft an der Luft an, kann aber in geschlossenen Gefäßen unter Wasser aufbewahrt werden (Lamy, Ann. Chim. Phys. 1863. LXVII. 333). Die kupferhaltigen Kiese, der Lithionglimmer von Zinnwalde, Schalenblende zc. enthalten es. Dem Glase ertheilt es stärkeres Brechungsvermögen, als Blei. Die intensivgrüne monochromatische Flammenfärbung könnte bei Schiffsignalen die gewöhnlichen Barytlichter verdrängen. Descloizeaux (Ann. Chim. Phys. 1869. XVII) hat die Salze optisch und krystallographisch behandelt.

#### Kupferkies, Buntkupfererz, Kupferglas

sind die drei wichtigsten Erze für Kupfergewinnung, aber das Metall ist viel schwerer abzuscheiden, als aus den oxydischen Erzen. Zuerst müssen sie gehörig gattirt und mit Quarz gemischt werden, so daß sie etwa 3 bis 10 p. C. Kupfer enthalten. Durch Rösten entfernt man dann einen Theil des Schwefels, und schmilzt in Schachtöfen. Es fließt nun eine Schlacke  $\text{Fe}^2\text{Si}^2$  ab, und  $\text{CuS FeS}$  (Rohstein) schmelzen abgesondert zusammen. So lange gehöriger Schwefel vorhanden, kann die Schlacke kein Kupfer mitnehmen, weil das Schwefeleisen seinen Schwefel an das Kupferoxydul abgibt, wenn letzteres etwa beim Rösten sich gebildet haben

solte. Der Rohstein wird wiederholt geröstet, bis zuletzt beim Schmelzen ein Kupferstein mit 96 p. C. Kupfer fällt (Schwarzkupfer). Die Beimengungen von Eisen, Zink, Blei u. werden beim Schmelzen an der Luft oxydirt, die gereinigte Oberfläche begießt man mit Wasser und hebt die erkaltete Kupferscheibe ab (Rosettenkupfer). Bei dem Prozeß geht natürlich alles Silber in das Kupfer.

Hat das Schwarzkupfer so viel Silber, daß es die Scheidungskosten trägt, so bringt man es auf die Saigerhütte, wo man es mit Blei zusammen schmilzt, was das Silber aufnimmt, und durch Wärme vom schwer schmelzbaren bleihaltigen Kupfer getrennt werden kann. Neuerlich wendete man auch kochende Steinsalzsoole an: dieselbe zieht aus dem gerösteten und gepochten Kupferstein das Silber, was durch Kupferplatten wieder der Lauge entzogen werden kann. Die Gegenwart von Blei und Wismuth erschweren aber die Arbeit. Nach Rivot kann man aus schmelzenden Kupfersilicaten das Kupfer mit Eisenstäben niederschlagen.

**Arsenkupfer** hat man jetzt eine ganze Reihe nachgewiesen. Rein sind sie weiß und Silberähnlich. So der Domeykit  $\text{Cu}^{\text{As}}$  von Coquimbo und im Thonsteinporphyr von Zwickau mit 71,7 Kupfer. Dort auf der Grube Algobones bricht auch der Algodonit  $\text{Cu}^{\text{As}}$  mit 83,7 Kupfer, und dennoch so weiß, daß man es anfangs für gediegen Silber hielt. Ja der Darwinit (Journ. prakt. Chem. 1861. 84. 22) hat sogar  $\text{Cu}^{\text{As}}$ , wie der rüthlichweiße Whitneyit von Soughton in Michigan mit 88 Cu und 12 As (Jahrb. 1873. 22 und 24). Condurrit pag. 805 ist sichtlich ein Zersetzungproduct vielleicht aus Tennantit.

## Fahlerze.

Fahl heißt so viel als Grau. Daher nannte sie Wallerius (Mineralreich 1750. 222) noch Graukupfererze. Unter diesem gemeinsamen Namen werden eine Menge complicirter Verbindungen begriffen, die man nicht gut besser unterbringt. Bergmännisch haben sie ebenfalls wegen des Kupfergehaltes Werth. Doch sind einige darunter noch so durch Silber angereichert, daß sie als Giltigerze cursiren. Es sind verwickelte Schwefelsalze. „Bei der Analyse ist eine der größten Schwierigkeiten die Bestimmung der Menge des Schwefels und des Antimons, wenn in der Verbindung zugleich Silber oder auch Blei enthalten ist. Am vortheilhaftesten ist es, den Schwefel und die Metalle durch Chlorgas in Chlorverbindungen zu verwandeln, und die flüchtigen Chlorverbindungen von den nicht flüchtigen durch Destillation zu trennen“ (Pogg. Ann. 15. 222). Die Zerlegung durch Chlorgas geschieht bei keinem Schwefelmetalle so leicht und in kürzerer Zeit als bei denen, in welchen Schwefelantimon und Schwefelarsenit mit basischen Schwefelmetallen verbunden sind.

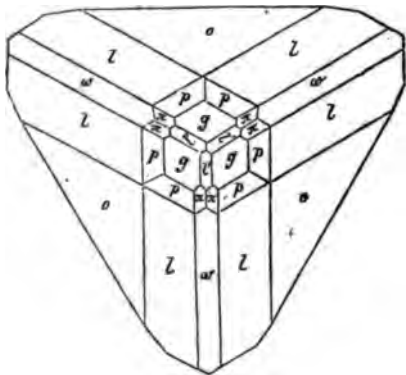
## 1. Fahlerz.

Ein alter bergmännischer Name. Nach Henkel verstand man darunter hauptsächlich die silberreichen, *Argentum nigrum cineraceum* Gediegen graverz Agricola 703. Dient hauptsächlich zur Kupfergewinnung, daher *Cuivre gris*, Grey Copper. Tetraedrit, Fahlit. Sadebeck, Zeitschr. d. geol. Ges. 1872. XXIV. 427.

Das ausgezeichnetste unter den tetraedrischen Krystallsystemen, und da es häufig krystallisiert, so ist es leicht an der Form erkennbar. Tetraeder  $o = a : a : a$  herrscht bei weitem vor; eine Streifung parallel den Kanten führt auf das Pyramidentetraeder  $l = a : a : \frac{1}{2}a$ , bestimmt durch das selten fehlende Granatoeder  $g = a : a : \infty a$ , welches vollständig die Tetraedercken zuschärft. Kante  $g/l$  steht senkrecht gegen die Richtung der Tetraederkante. Außer diesen dreierlei Flächen  $o$   $g$   $l$  stumpft öfter der Würfel  $w$  die Kanten, und das Gegentetraeder  $o'$  die Ecken des Tetraeders  $o$  ab. Letzteres ist zwar gar nicht gewöhnlich und nur klein, so daß das tetraedrische Aussehen dadurch nicht gestört wird.

Eine wichtige Rolle spielt auch das Granatoeder, welches sich im Tennantit zur herrschenden Form ausdehnt, daran stumpft dann das Tetraeder  $o$  die Hälfte der dreikantigen Ecken gerade ab, und das Pyramidentetraeder  $l$  die Hälfte der Kanten. Letztere pflegen oft sehr glänzend und scharf ausgebildet zu sein (Kapnit, Müßen), und bilden dann einen Gegensatz zum mattern Gegenpyramidentetraeder  $l'$ , welches öfter (Kapnit) untergeordnet die zweite Gehenhälfte der Granatoederkanten abstumpft. G. Rose (Pogg. Ann. 12. 486) machte auf bestehende complicirte Krystalle auf einer Quarzdruse von Obersachsen bei Ilanz am Vorder-Rhein aufmerksam.

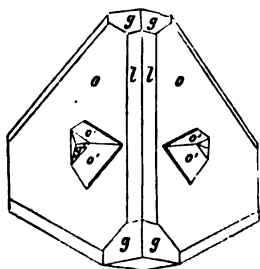
Daran herrscht das Tetraeder  $o$ ; Pyramidentetraeder  $l$  schärft die Kanten  $o/o$  zu; Würfel- fläche  $w$  stumpft die Tetraeder- kante  $o/o$  (respective  $l/l$ ) gerade ab; drei Granatoederflächen  $g$  schärfen die Tetraedercken zu, woran dann das Gegenpyramidentetraeder  $l'l'$  diejenigen Granatoederkanten abstumpft, welche  $l$  noch nicht abgestumpft haben. Zwischen  $g$  und  $l$  liegt das gebrochene Pyramidentetraeder  $p = a : \frac{1}{2}a : \frac{1}{2}a$ , der Hälfte-



flächner vom gewöhnlichen Pyramidengranatoeder. Kleine Abstumpfungen in dieser Art findet man auch bei Kapnit. Endlich der vollständige Pyramidenwürfel  $\pi = a : \frac{1}{2}a : \infty a$  durch die Zonen  $g/w$  und  $p/p$  bestimmt. Derselbe kommt zu Gerßdorf, bei Dillenburg auf der Grube Aurora, zu Müßen 2c. vor. Außerst selten eine gerade Abstumpfung der Pyramidenkanten von  $l$ , dieselben würden einem Deltoeder  $a : a : \frac{1}{2}a$  angehören

(Naumann). Auch bei Rahl im Speßart kamen früher sehr flächenreiche Krystalle vor, woran Hesseberg Pyramidentetraeder + 559, — 114, und Hexakistetraeder — 5. 7. 12 bestimmte. Seltene Pyramidentetraeder 113, 114 und Gegenpyramidentetraeder — 116 zc. kommen vor.

Zwillinge finden sich unter andern sehr schön auf der Grube Aurora bei Dillenburg, es treten daselbst aus den Tetraederflächen Ecken heraus, die ihre Tetraederflächen lagern, wie das Hauptindividuum seine Gegentetraederflächen hat. Wenn die Zwillingeindividuen ins Gleichgewicht treten, so bilden sie die bekannte Form pag. 79, wo sich die Tetraederkanten rechtwinklig kreuzen, und der gemeinsame Kern ein Oktaeder ist. Sadebeck machte außerdem mühsame Zeichnungen, wonach die Zwillingstetraeder eine Fläche gemein haben, und umgekehrt liegen. Auch hier zieht,

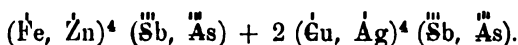


wie bei der Blende pag. 847, das Haupttetraeder wieder das Gegen-tetraeder an, so daß beide sich wie Bild und Spiegelbild verhalten.

Stahlgrau bis eisen-schwarze Farbe, die Krystallflächen außerordentlich stark glänzend, kleinschuppiger Bruch. Strich schwarz, häufig auch mit einem mehr oder weniger starken Stich ins Roth. Härte 3—4, mäßig spröde, Gew. 4,5—5,2, daher vom Schwer-spath durch nasse Aufbereitung nicht zu trennen, wohl aber durch Erhitzen, wobei der Schwer-spath zu Mehl verfällt.

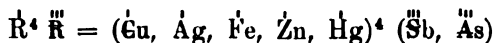
Vor dem Löthrohr raucht es stark und schmilzt leicht zu einer Kugel, die bei Gegenwart von Eisen etwas magnetisch wird. Die Kohle beschlägt sich dabei weiß von Antimonoxyd, nahe an der Probe häufig mit einem gelblichen Zinkbeschlag, der kalt wieder weiß wird. Das Blei ist ihm fremd, wenn es nicht zufällig durch den mitvorkommenden Bleiglanz verunreinigt ist. Den Arsenitgehalt erkennt man am Geruch, besonders wenn man das fein gepulverte Erz mit Soda auf Kohle in der Reductionsflamme schmilzt: der Schwefel wird dadurch zurückgehalten und das Arsen allein verflüchtigt, der Geruch also nicht durch Schwefel verdeckt. Reactionen mit Flüssigkeiten werden nur rein, wenn man es vorher gepulvert sorgfältig röstet.

Chemisch bildet es zahlreiche Varietäten, die so merklich von einander abweichen, „daß, wenn sie nicht alle dieselbe Krystallform hätten, man sie nicht für eine Species gehalten haben würde. Denn das Verhältniß der Bestandtheile in den Fahlerzen wechselt dergestalt, daß es nicht zwei Fahlerze von verschiedenen Fundorten gibt, welche ganz dieselbe Zusammensetzung haben.“ Klaproth (Beiträge IV. 10) gab zuerst eine gründlichere Analyse, wies wenigstens den Mangel des Bleies nach, wodurch es so leicht von Spießglanz-Bleierz chemisch unterschieden werden kann. Durch J. Rose (Pogg. Ann. 15. 176) ist die Formel festgestellt:

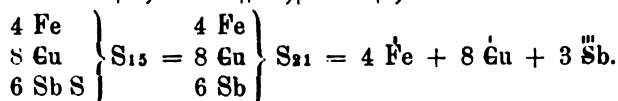


Viel Eisen (4 bis 27 Fe) setzt wenig Zink (0 bis 5 Zn), viel Silber (31 bis 0,5 Ag) wenig Kupfer (25 bis 48 Cu), und viel Arsenik (24 As) wenig Antimon voraus. Höchst eigenthümlich ist ein Quecksilbergehalt, der nach Klaproth bei Boratsch in Oberungarn 6,25 p. C. beträgt, Hauer fand sogar bei dem von Gustav-Friderici daselbst 16,7 Hg, Weidenbusch bei dem von Schwarz in Tyrol 15,6 Hg. Solches wird daher auf Quecksilber verthittet. Es gibt in offener Glasröhre einen Beschlag kleiner Quecksilbertropfen. Sandberger (Jahrb. 1865. 334) wies auf dem Schwarzwalde bei Freudenstadt und in der Schappach 4,5 Bi und 4,2 Co nach.

Seiner Häufigkeit nach gehört Fahlerz zu den gewöhnlichsten Erzen. Sadebeck zeichnete für die guten Krystalle nachstehende Fundorte aus: Kapnik in Siebenbürgen; Baigori in Navarra, wo sogar Kupferkies-tetraeder mit Fahlerz sich in Zwillingstellung finden; Meiseberg bei Harzgerode; Zilla bei Clausthal mit Kupferkies überzogen, wie zu Lis-teard in Cornwall; Obersachsen bei Ilanz; Aurora bei Dillenburg; Gersdorf und Weichert Glüd bei Freiberg; Schönborn bei Wittweida; Monzaia in Algier; Gottesgabe bei Biedenkopf in Hessendarmstadt; Vorforg Gottes bei Ramsdorf; Stahlberg bei Müsen; Horhausen bei Neuwied; Schemnitz in Ungarn; Framont in den Vogesen; Falkenstein bei Schwarz in Tyrol. In den Thermen des Buntensandsteins von Bourbonnes-les-Bains (St. Marne) haben sich aus Rötermünzen Antimonfahlerze in kleinen Krystallen gebildet von Kupferkies überzogen, und dabei noch Buntkupfererz und Kupferglas, Compt. rend. 22ten Febr. 1875. Durch Zersetzung sind ebenfalls, wie aus den geschwefelten Kupfererzen, salinische Kupfererze entstanden, wie z. B. bei Bulach auf dem Schwarzwalde. Nach ihren Sulphobasen unterscheidet man Kupfer- und Silber-, nach den Sulphosäuren aber Antimon-, Arsen- und gemischte Fahlerze. In-deß liegt es in der Natur der Sache, daß die Unterschiede nicht streng festgehalten werden können. Da ferner sämtliche Basen sich unter ein-ander ersetzen, und das Atomverhältniß von (Fe, Zn) S zum (Cu, Ag) S nicht immer in dem Verhältniß von 1:2 steht, so hat Frankenheim die einfachere Formel



in Vorschlag gebracht. Die neuern Chemiker wollten es als Kupferarsen-antimonjulfid von 15fachem Wassertypus ansehen:



Die Rechnung kommt im ersten Satze heraus, wenn man Sb S als ein-werthiges Radical annimmt; im zweiten muß man dagegen Sb drei-werthig nehmen, denn die Atomzahl darf nicht alterirt werden. Einfacher wären die Anschauungen dadurch nicht geworden. Man tritt daher all-mählig den Rückzug wieder an!

Kupferfahlerze sind bei weitem die gewöhnlichsten, ihr Silbergehalt geht meist unter 1 p. C. hinab, und man kann sie ziemlich gut in drei Unterabtheilungen bringen:

a) Antimonfahlerz, Schwarzerz,  $(\text{Cu}, \text{Fe}, \text{Zn}, \text{Hg})^4 \text{Sb}$ . Eisen-schwarze Farbe. Nach Kerl enthält die derbe Masse im Rammelsberge bei Goslar gar kein Arsenit, sondern 28,8 Sb, 37,9 Cu, und nur 0,67 Silber. Derbe Stücke von Durango in Mexiko hatten ebenfalls kein Arsenit, und 1,1 Ag. H. Rose analysirte die mit Kupferkies überzogenen pag. 877 von Zilla bei Clausthal, unter der Kupferkiesbede ist die Krystalloberfläche rauh, unzerseht hat die Masse einen dunkelrothen Strich, und enthält kein Arsenit, 28,2 Sb, 34,5 Cu, aber schon 5 Ag. Die zu Zwillingen so geneigten prachtvollen Krystalle von der Grube Aurora bei Dillenburg haben bereits 2,3 As, 34,4 Cu und nur 0,8 Ag. Die mit gelber Blende brechenden Siebenbürgischen (Kapnik) Krystalle 2,9 As, 38 Cu, 0,6 Ag. Die Quecksilber-Fahlerze von Toscana (2,7 Hg), Boratsch und Schwarz enthalten ebenfalls kein Arsenit.

b) Mischfahlerz, worin Arsenit wesentlichen Antheil nimmt, ist zwar nicht so gewöhnlich, aber doch von mehreren Orten bekannt. So enthalten die Krystalle von Gersdorf bei Freiberg mit Flußspath brechend nach H. Rose 7,2 As, 16,5 Sb, 38,6 Cu, 2,37 Ag. Gbelmen analysirte ein reines derbes Vorkommen von Mouzaia in Algerien, 4,7 Gew. ohne Silber mit 9,1 As, 14,7 Sb. Auf den verlassenen Gruben von Markirchen in den Vogesen brachen früher Krystalle mit 10,2 As, 12,5 Sb, 0,6 Ag. So daß dieses als Muster dienen kann.

c) Arsenikfahlerz (Tennantit) kommt zu Rebruth und St. Day in Cornwallis in kleinen Granatoedern vor, die bloß Arsenit und kein Antimon enthalten, schwarzer Strich. Tetraedersflächen sind oft kaum daran merklich. Rudernatsch (Pogg. Ann. 38. 397) fand darin 19,1 As, 48,9 Cu, 3,6 Fe. Da die Formel  $\text{Fe}^4 \text{As} + 2 \text{Cu}^4 \text{As}$  nur .43 Cu erfordern würde, so glaubt er einen Theil des Kupfers als Cu S annehmen zu sollen, welches das Fe S ersetzen würde, also  $(\text{Fe}, \text{Cu})^4 \text{As} + 2 \text{Cu}^4 \text{As}$ . H. Rose war auch bei den andern Fahlerzen schon zu einer ähnlichen Ansicht gekommen. Indes da Cu S eine ungewöhnliche Basis ist, so bleibt man gegenwärtig bei der einfachern  $(\text{Cu}, \text{Fe})^4 \text{As}$  stehen. Breithaupt's

Kupferblende von der Grube Prophet Jonas bei Freiberg mit rothem Strich, 4,2 Gew., enthält nach Plattner (Pogg. Ann. 67. 422) 8,9 Zink, 2,2 Fe, 41,1 Cu, 18,9 As, und nur Spuren von Antimon und Silber, es ist daher ein zinkischer Tennantit.

Silberfahlerz, Polytellit (polytellurisch kostbar), bildet seit alter Zeit einen wichtigen Gegenstand des Bergbaues, Werner begriff es hauptsächlich unter dem Namen Fahlerz. Klaproth (Beiträge I. 181 und IV. 54) nannte das derbe von Kremnitz in Ungarn, wo es fälschlich „Weisgülden“ hieß, Graugiltigerz, und rechnete dahin alle Fahlerze, wenn sie auch nur

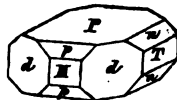
wenig Silber hatten, wie z. B. Kapnit, Poratich, Annaberg, Zilla. Uebrigens ist es bemerkenswerth, daß bei solchen der Arsenit fast ganz fehlt. Auch variirt der Silbergehalt außerordentlich. So untersuchte Rammelsberg (Pogg. Ann. 77. 447) die schönen Tetraeder vom Weisberge bei Harzgerode auf dem Unterharze, wo sie öfter mitten im Bleiglanz stecken, sie enthielten 7,3 bis 10,5 p. C. Silber und kein Arsenit. Berühmt waren im vorigen Jahrhundert die Krystalle und derben Massen von der Grube St. Wenzel bei Wolfach auf dem Schwarzwalde, „die etliche und 20 Mark Silber per Centner“ gaben. Sie brachen mit Schwefspath im talkigen Gneiß. Klaproth fand darin 13,25 Ag, 25,5 Cu, 5. Rose sogar 17,7 Ag und 25,2 Cu nebst 26,6 Antimon, aber kein Arsenit. Am silberreichsten sind die Krystalle von der Habacht-Fundgrube bei Freiberg, welche dort unter dem Namen „krystallisiertes Weißgiltigerz“ gewonnen werden, allein sie enthalten kein Blei pag. 874, aber 31,3 Ag, 14,8 Cu, 24,6 Sb zc. und kein Arsenit. Grube Juliane bei Gohrwitz im Ramsdorfer Revier (Sachsen-Meiningen).

Derbe Fahlzerze gibt es noch viele, wo jede Analyse etwas andere Stoffe findet: bei Reubulach auf dem nördlichen Schwarzwalde enthielt das Wismuthfahlerz 6,3 Bi, 41,4 Cu, 3,8 Zn, 1,5 Pb zc., bei Gremenz im Einsiedthale (Canton Wallis) sogar 13 Bi, 1,2 Co, 37 Cu zc. (Jahrb. 1870. 464 und 500). Die schalig blättrigen im Dolomit von Außersberg in Oberwallis, von Fellenberg Studerit (Jahrb. 1865. 477) genannt, haben nur Spuren von Wismuth, dagegen 5,8 Zink, 2,7 Fe, 38 Cu, 15,6 Sb, 11,5 As zc., sind also ein stark zinkhaltiges Mischfahlerz.

## 2. Bournonit.

Von Graf Bournon (Philos. Transact. 1804 pag. 30) unter Sulphuret of Lead, Antimony and Copper aus der verlassenen Grube Suel Boys bei Endellion (Endellionit) im nördlichen Cornwallis beschrieben, und von Hattehet daselbst pag. 63 als »triple Sulphuret« erkannt. Das Erz war schon längst bekannt und sogar von Rashleigh beschrieben. Klaproth (Beitr. IV. 44) analysirte es als Spießglanzbleierz, Werner nannte es in seinen letzten Jahren nochmals Schwarzspießglanz. Rädelerz der Bergleute von Kapnit. Haüy's Antimoine sulfuré plumbo-cuprifère. Zirkel, Sitzb. Wien. Akad. 1862 Bd. 45 pag. 433.

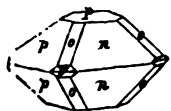
Zweigliedrig, aber die Krystalle oft schwierig zu entziffern. Schon Phillips gibt die Säule  $d = a : b : \infty c$   $93^{\circ} 40'$  an, sie kommt häufig nur sehr untergeordnet vor, was das Erkennen erschwert. Dehnen sie sich dagegen aus, wie zu Waldenstein in Kärnthén, so entstehen nicht selten förmlich würfelfartige Formen. Das auf die stumpfe Säulenkante aufgesetzte Paar  $n = b : 2c : \infty a$  mit  $83^{\circ} 29'$  über T in b glänzt stark, und kann bei den großen Krystallen von Neudorf leicht mit dem Anlegoniometer controllirt werden. Ein auf die stumpfe Kante aufgesetztes



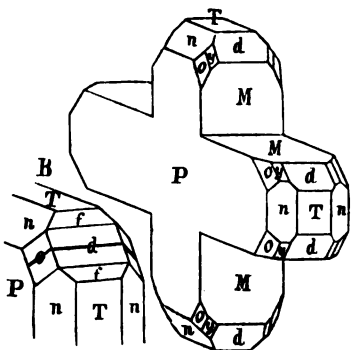
Paar  $p = a : 2c : \infty b$  mit  $87^\circ 8'$  über  $M$  in  $a$  ist meist matt und unförmlich, und daran öfter leicht zu erkennen. In den vorstehenden Krystallen von Bräunsdorf dehnen sich  $P = c : \infty a : \infty b$ ,  $M = a : \infty b : \infty c$ , und die etwas blättrige  $T = b : \infty a : \infty c$  zum Tafelartigen aus. Vergrößern sich dagegen die beiden Paare  $n$  und  $p$ , wie bei Neudorf, so gleichen sie einem viergliedrigen Oктаeder, an welchem das Hauptoktaeder  $o = a : b : c$  die Endanten abstumpft. Dasselbe hat für  $c = 1$  die Axen

$$a : b = \sqrt{4,421} : \sqrt{5,925}; \lg a = 0,32272, \lg b = 0,35035.$$

Die vordere Endante mißt  $136^\circ 7'$ , die seitliche  $133^\circ 3'$ ; Differenz beider nur  $3^\circ$ . Darunter kommen gewöhnlich kleine Oктаederflächen  $y = a : b : 2c$  vor. Faßt man diese Krystalle übrigens näher ins Auge, so sieht man besonders auf der matten  $p$  einspringende Winkel und Ungleichheiten: es zeigt das Zwillingungsverhältnisse an, indem zwei Individuen die



Säulenfläche  $d = a : b : \infty c$  gemein haben und sich durchkreuzen. Da die Säulenwinkel nur um  $3^\circ 40'$  vom Rechten abweichen, so verwechselt man sie leicht mit einfachen Individuen. In England dagegen durchkreuzen sich die Individuen, wie das schon Bournon beschreibt, und erinnern dann durch ihr Bild an Staurolith pag. 348, wie der Krystall von Naghag

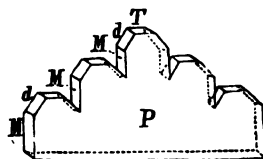


zeigt, der sich durch den Weißbleierz-zwilling pag. 527 sofort erklärt, denn es spiegeln hier wie dort unten am schärfern Winkel die Säulenflächen  $dd$  vollkommen ein, und daher auch die darüber liegenden  $yy$  und  $oo$ , während im stumpfen Winkel rechts oben  $d/d$  sich unter  $172^\circ 40' = 180^\circ - 2(3^\circ 40')$  treffen würden, sobald sie an einander wüchsen. Auf dem **Reiseberge** bei Harzgerode kommt das Zusammenwachsen nun häufig vor, man sieht hier auf

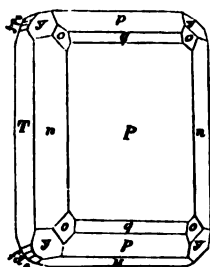
$d$  und  $o$  einspringende Winkel: denkt man sich das Kreuz von Naghag oben rechts ausgefüllt, so erscheint das Harzer Bild B. Es ist eben immer wieder das alte Gesetz: die Zwillingseindividen haben eine Säulenfläche gemein, und liegen umgekehrt. Auch Hessenberg (Abb. Sendenb. Nat. Ges. Frankfurt. 1863 IV. 32) gab eine Reihe von Zeichnungen, die meist mit Aragonitzwillingen übereinstimmen, namentlich in Beziehung auf Wiederholung der Individuen. Bei den Faustgroßen Stücken von Neudorf bei Harzgerode unterscheiden sich die eingelagerten Streifen sehr deutlich, je nachdem man sie dreht, durch Licht und Schatten, ohne daß man bestimmte Flächen erkennt. Bei vielen Stücken übersieht man den Zwilling gar leicht, denn in dem Maße, wie die Rhombäule sich dem Rechtwinklichen nähert, müssen die ein- und auspringenden Zwillingswinkel immer mehr  $180^\circ$  gleichkommen. Dagegen liefert das sogenannte **Rädelerz** nur parallel aneinander gelagerte Individuen, wie sie neben-



stehendes Stück von **Kapnit** schon auf den ersten Blick zeigt. Es spiegeln in diesem Falle alle Flächen ein. Wenn die Individuen sich nach der Axe  $c$  verlängern, so gleichen sie Nadeln, die aber nirgends excentrisch nach Außen strahlen. Schöne Beispiele kommen auch in Cornwall bei Liskeard vor.



Es kommen zumal in England sehr complicirte Krystalle vor, meist mit Neigung zur Tafelform. Beistehender von Häidinger abgebildeter Krystall hat außer  $PM T n p o y$ , die Säule  $d = a : b : \infty c$  nur sehr klein, daneben kommt noch  $e = a : 2b : \infty c$ , und  $f = 2a : b : \infty c$ ,  $q = a : c : \infty b$ . Zwischen  $q/o$  liegt öfter  $a : c : 2b$ . Phillips gibt noch viele andere an, namentlich auch in der Verticalzone  $M/P$ . Hessenberg führt 48 verschiedene, meist wenig complicirte Flächenandrücke auf, die man leicht in die unsrigen übersezt, wenn man erwägt, daß er Hauptaxe  $c$  doppelt so groß als wir nimmt: wir brauchen bloß den Ausdruck vor  $c$  mit 2 zu multipliciren, dann wird z. B.  $r$  Hessenberg  $= 12a : 4b : 3c$  in unserem Zeichen  $12a : 4b : 2 \cdot 3c = 6a : 2b : 3c$ .



G. Rose (Pogg. Ann. 76. 201) suchte die Form des Bournonit's mit Aragonit in Beziehung zu bringen, man muß dann aber die Krystalle nach der Verticalzone  $p/p$  aufrecht stellen. Da nun eine beim Bournonit vorkommende Fläche  $t = \frac{2}{3}a : c : \infty b$  in der Axe  $a$  den Winkel  $115^\circ 16'$  macht, welcher vom Aragonit nur  $1^\circ$  abweicht, so müßte man dieser Säule die neuen Axen  $A : B : \infty c$  geben, dann würde  $p = A : \frac{2}{3}B : \infty c$ . Eine beim Aragonit nicht häufige  $l = c : \frac{2}{3}b : \infty a$  macht in  $c$   $85^\circ 33'$ , und da die scharfe Säulenkante des Bournonit's  $d/d$   $86^\circ 20'$  beträgt, so wäre  $d = C : \frac{2}{3}B : \infty a$  zu setzen. Dann ließe sich Uebereinstimmung annähernd in den Winkeln herausbringen. Allein die Zwillinge passen nicht, das macht schon die ganze Sache unwahrscheinlich, so interessant der Vergleich mit Nothgülden ist.

Dunkel bleigrau, kaum dunkler als Antimonfahlerz, innerlich einen stark glänzenden kleinschuppigen Bruch. Einzelne Krystallflächen haben sehr starken Glanz, andere wieder auffallende Mattigkeit. Härte 2—3, spröde, namentlich Krystalle leicht zerspringend, Gew. 5,8.

Vor dem Löthrohr stark verknisternd, doch kann man ihn mit Gummilösung halten, er schmilzt dann außerordentlich schnell, gibt sogleich einen weißen Antimonbeschlag, dem dann sofort ein gelber von Bleioryd folgt. Die Probe nimmt daher schnell an Größe ab, wird zuletzt geschmeidig, und gibt mit Soda ein kleines Kupferkorn.

$6u Pb^2 Sb = 6u^3 Sb + 2 Pb^3 Sb = (6u + 2 Pb)^3 Sb$ ,  
mit 40,8 Blei, 12,6 Kupfer, 26,3 Antimon, 20,3 Schwefel von Neu-

dorf (H. Rose Pogg. Ann. 15. 572.) Wie die Antimonfahlerze, so enthält auch er kein Silber, sofern er frei von brechendem Fahlerz ist.

Da beim Euprolymit pag. 844 Cu mit Pb isomorph zu sein scheint, so stimmt seine Formel mit der des Rothgülden pag. 871. G. Rose macht nun auf das interessante Verhältniß aufmerksam, daß wie Rothgülden dem Kalkspath so Bournonit dem Aragonit ähnlich krystallisire.

Mit Fahlerz und Kupferkies zusammen zu Neuborf auf dem Unterharz bis zu faustgroßen Krystallen, Wolfsberg bei Stollberg, Bräunsdorf bei Freiberg, Andreasberg, Rosenhöfenzug bei Clausthal. Das Kädelerz von Schemnitz bildet einfache Primitivformen PMT mit der Säule dd. Cornwall, Mexiko, Peru, Goldgänge von Victoria.

Prismatoidischer Kupferglanz (Mohs Grundr. Min. II. 580) Antimontkupferglanz, Wölchit, vom Berge Wölchan im Lavantthale (Kärnten), wo er mit Malachit und Weißbleierz vorkommt, sieht dem Bournonit sehr ähnlich, 2gliedrig, Härte 3, Gew. 5,7. Enthält aber neben 17,6 Antimon, 10,3 Arsenik, 26,2 Schwefel, 28,4 Blei, 17,5 Kupfer. Nach Rammelsberg verwitterter Bournonit.

Schilfglasberg (Freieslebenit) vom Himmelsfürst bei Freiberg wird schon von Romé de l'Isle Cristall. III. 54 als mine d'argent grise antimoniale deutlich beschrieben. Phillips (Mineralogy 1823 pag. 290) hat die Krystalle gemessen, darnach würden sie 2gliedrig sein; Miller (Mineralogy 100) nahm sie 2 + 1gl., was Zepharowich (Jahrb. 1870. 600) bestätigte; zwei blättrige Brüche  $M = a : b : \infty c$  bilden eine geschobene Säule von  $100^\circ$ . Ihre vordere stumpfe Kante wird durch eine Reihe unbestimmter Flächen abgestumpft, die den Säulen ein längsgestreiftes schilffartiges Aussehen geben. Drei Paare sind auf die scharfe Säulenkante aufgesetzt, wovon das obere (nach Lévy II. 367 blättrige) in c den Winkel von  $130^\circ 8'$  macht. Da diese Beschreibung jedoch mit der von Hausmann (Pogg. Ann. 46. 146) gar nicht stimmt, so meint G. Rose, Phillips habe Krystalle von Weißgiltigerz pag. 874 vor sich gehabt. Nach Hausmann's Angaben bilden die Krystalle Oblongoktaeder mit  $91^\circ$  und  $68^\circ$  in den Seitenkanten. Die Endede gerade abgestumpft. Der Winkel  $91^\circ$  erinnert an d/d vom Bournonit. Wöhler's Analyse gab 23,7 Ag, 30,1 Pb, 27 Sb, 18,7 S, also ungefähr  $5 \text{ AgS} + 7 \text{ PbS} + \text{SbS}^3$ ; eine andere Analyse auch etwas Schwefelkupfer. Daher glaubt G. Rose ihn als Silberbournonit, worin das Schwefelkupfer durch Schwefelsilber vertreten wäre, ansehen zu dürfen, also  $(\text{Ag}, \text{Pb})^3 \text{ Sb}$ .

Weisbach schreibt ihn  $\text{Ag}^2 \text{ Pb}^3 \text{ Sb}^3$ , wie den zweigliedrigen Diaphorit von Przibram. Dann würden diese höchst seltenen Massen dimorph sein.

Schwarzlich bleigrau, Härte 2—3, Gew. 6,19. Vor dem Löthrohr auf Kohle verhält es sich wie Bournonit, hinterläßt aber ein Silberkorn.

Kupferantimonglanz pag. 858 (Chalcostibit) von Wolfsberg (Wolfsbergit) auf dem Unterharz (Zinken Pogg. Ann. 35. 337) bildet breitstrahlige, blättrige Massen von 2gliedriger Krystallform. Eine Säule

$g = a : b : \infty c$   $135^\circ 12'$ ,  $b = b : \infty a : \infty c$  sehr blättrig und längs gestreift, die Geradenfläche  $c = c : \infty a : \infty b$  undeutlich blättrig,  $\frac{1}{2}g = a : \frac{1}{2}b : \infty c$ . Bleigrau, Härte 3—4, Gewicht 4,7. Vor dem Löthrohr auf Kohle leicht schmelzbar, mit starkem Antimonrauch, ohne Bleibeschlag, zuletzt mit Soda ein kleines Kupferkorn:

$\text{Cu}^{\text{III}}\text{Sb}$  mit 24,5 Cu, 1,4 Fe, 46,4 Sb, 26,3 S,

Spuren von Blei. Bricht auf Spießglanzgruben gewöhnlich mit Kiez überkleidet. Guadiz in Spanien.

Enargit (*εναργης* deutlich, Breith. Pogg. Ann. 80. 333; 92. 287) bricht in großen derben Massen zu Morococha in Peru mit Tennantit und Kupferkies, 14,000' hoch auf der Cordillere: 2gliedrige deutlich blättrige Säulen von  $98^\circ 11'$  mit Endfläche und beide Säulenanten abgestumpft, wovon  $a : \infty b : \infty c$  auch noch blättrig bricht. Eisen schwarz, Härte 3, Gew. 4,4. Die Blättrigkeit der Säulenflächen auffallend deutlich, woher der Name. Leicht schmelzbar. Plattner fand 32,2 S, 17,6 As, 1,6 Sb, 47,2 Cu. Daraus die Formel  $\text{Cu}^3 \text{S}^3 \text{As} \text{S}^5$ , woran die ungewöhnliche Schweflungsstufe von Arsen wie beim Xanthokon pag. 873 auffällt. Lieferte in einem Jahre für 90,000 Thaler Schwarzkupfer. In der Sierra de Famatina (Provinz la Rioja der Argentinischen Republik) erfüllt es an den Grenzen ewigen Schnees im Thouschiefer zahlreiche Gänge, begleitet von derbem graurothem Famatinit, der im Wesentlichen ein Antimonenargit  $\text{Cu}^3 \text{S}^3 \text{Sb} \text{S}^5$  sein soll, mit nur wenig Arsenit (Jahrb. 1874. 337). Aber da ihm jede Spur von Blätterbruch fehlt, so ist er nicht gut mit Enargit zu vereinigen. Dazu kommt nun von Manila ein Luzonit (Jahrb. 1874. 373), äußerlich vom Famatinit nicht zu unterscheiden, aber in der Zusammensetzung vollständig mit Enargit  $\text{Cu}^3 \text{As} \text{S}^4$  stimmend. Hier sind auch die bleigrauen Nadeln vom Clarit zu vergleichen, welcher Büschel in den großen Schwerspathtafeln der Grube Clara in Hinterrantach (Schappach) bildet. Sie werden monoklin beschrieben und blättrig nach den Flächen  $b : \infty a : \infty c$  und  $a : \infty b : \infty c$ , Sandberger Jahrb. 1875. 333, der blättrige Bruch der Säule fehlt aber, trotzdem scheinen sie ganz die Zusammensetzung des Enargit zu besitzen. Der seltene Epigenit von der Grube Neuglück im Bückelsbach bei Wittichen (Jahrb. 1869. 303 und 302) mit dünnen Ueberzügen von Kupferkies in Gesellschaft von gelbem Flußspath und Dreikantnern von Kalzspath, wurde immer mit Wismuthkupfer verwechselt, hat aber 12,8 As, 14,2 Fe, 40,7 Cu, 32,3 S, woraus man die Formel  $(\text{Cu}, \text{Fe})^3 \text{As} \text{S}^5$  construirt hat. Rammeisberg (Hdb. Mineralchem. 122) meint es dagegen als  $\text{K}^3 \text{Sb}$  deuten zu sollen, dann muß aber ein Theil des Kupfers als Sulfid genommen werden. Sandberger (Jahrbuch 1868. 410) fand an den zweigliedrigen Säulen den Winkel  $110^\circ 50'$ .

Binnit  $\text{Cu}^3 \text{As}^2$  pag. 857 ist das vielgenannte Kupfermineral von fahlerzartigem Ansehen, was, mit den ähnlichen Bleiarfenglangen im

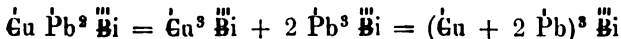
Dolomit von Imfeld lange verwechselt, von vielen noch jetzt unter Dufrenoyit beschrieben wird, Kenngott, Min. Schweiz pag. 379. Es krystallisirt aber in Granatoedern, mit vielen Flächen überladen: 100, 111, 112, 114, 116, 441, 332, 321 (Hessenberg Abh. Senk. Nat. Ges. 1875 X. 9). Die Krystalle häufig geflossenem Bleiglanz ähnlich, sitzen nicht selten mitten in der gelben Blende. Härte 4—5, Gew. 4,5.

### 3. Nadel erz.

Auf Goldgängen im Quarz von Katharinenburg. Soll schon 1786 von Patrin für Wismuthglanz gehalten sein, wurde dann aber für gediegenes Chrom angesehen, und von Werner zu den Chromerzen gestellt, bis John 1811 (Gehlen Journ. Chem. V. 227) den Irrthum aufdeckte. Mohs (v. d. Aufl. Miner. Tab. III. 720) beschrieb es 1805 unter diesem Namen ausführlich. Needle Ore, Bismuth sulfuré plumbo-cuprifère. Patrinit. Belonit (Βελόνη Nadel).

Scheinbar 2gliedrige längsgestreifte nadelförmige Säulen von etwa 110° mit einer blättrigen Abstumpfung ohne bekannte Endflächen. Selten einige Linien dick, meist feiner bis haarfein. Schwärzlich bleigrau, aber fast immer tombakraun bis messinggelb angelauten, woran man es leicht erkennt. Härte 2—3, Gew. 6,7.

Schmilzt auf Kohle leicht, raucht und setzt einen weißen an den innern Ranten gelben Beschlag ab, hinterläßt ein Wismuthähnliches Metallhorn, mit Soda ein Kupferhorn. Frick (Pogg. Ann. 31. 220) fand 10,6 Cu, 36 Pb, 36,4 Bi, 16,6 S, was ungefähr zu der Formel des Bournonits



führen würde, worin statt Schwefelantimon Schwefelwismuth steht. Der einzige sichere Fundort ist der Quarz auf den Goldgängen von Veresowsk, das gebiegene Gold kommt sogar in den Krystallen vor. Durch Verwitterung entsteht Kupferlasur und Malachit, welche letzterer fälschlich für Chromocker ausgegeben wurde. Bei fortschreitender Zersetzung bleibt zuletzt noch eine gelbe erdige Masse von unreinem Wismuthocker pag. 811 zurück.

Der Schwarzwald ist am Ende des vorigen Jahrhunderts durch die Bemühungen des Bergraths Selb in Wolfach wegen einiger seltenen Wismutherze bekannt geworden. Auf der verlassenen Grube Königswart unterhalb Schönmünznach an der Murg auf der badisch-württembergischen Grenze kamen feine Nadeln in Quarz eingesprengt vor, ihre Farbe ist schwarz, doch laufen sie an der Oberfläche schwach messinggelb an. Das erinnert an Nadel erz, als welches sie auch Kurr (Grundzüge Miner. 3. Aufl. pag. 310) auführte. Sandberger (Jahrb. 1866. 221) zählt es zum Wismuthkupfer. Der Gang setzt in der Arkose des Steigkohlengebirges auf. Chemisch nahe steht ihm das

**Wismuthische Silber erz** Klaproth (Crel's Chem. Ann. 1793. 1. B. pag. 10), Wismuthsilber, Wismuthblei, was auf den nebeneinander liegenden Gru-

ben Friedrich-Christian und Herrenseegen in der wilden Schappach ohnweit Wolfach auf dem Schwarzwalde noch bis in die neuere Zeit gewonnen und verhüttet wurde. Eine kleinförnige, feinspeisige, in Quarz eingeprengte Masse, licht bleigrau, milde, Härte 2 bis 3. Man kann es durchaus nicht recht rein bekommen. Selb sah es nur ein einziges Mal fein nadelförmig krystallisirt in einer Drusenhöhle von Quarz.

Vor dem Löthrohr schmilzt es leicht, wobei dann aber sogleich die schmelzende Probe von quarziger Bergmasse bedeckt wird. Nimmt man letztere mit Soda weg, so bleibt nach längerem Blasen ein Wismuthähnliches Metallkorn zurück, während die Kohle sich mit Blei und Wismuthoxyd beschlägt. Auch Antimonrauch fehlt nicht. Wie es überhaupt schwer hält, auch nur kleine von Bleiglanz, Kupferkies oder Fahlerz freie Proben zu erhalten. Klaproth (Beiträge II. 201) fand darin 33 Blei, 27 Wismuth, 15 Silber, 0,9 Kupfer, 4,3 Eisen, 16,3 Schwefel. Obgleich Selb das beste Material dazu geliefert hatte, so war die Probe doch noch bis gegen den 4ten Theil mit quarziger Gangart verunreinigt, die in Abzug gebracht werden mußte. Demnach scheinen  $\text{Ag S}$ ,  $\text{Pb S}$  und  $\text{Bi S}^2$  die wesentlichen Bestandtheile zu sein. Vielleicht ein Silbernadlerz. Sandberger hält es für ein Gemisch von Wismuthglanz und silberreichen Bleiglanz. Ausgesuchte Stücke halten wohl 20 Mark Silber per Centner. Der mitvorkommende Bleiglanz ist auffallend silberarm und wird an die Töpfer verkauft. Der derbe Schirmerit im Quarz von Colorado, bleigrau, Gew. 6,7 gab  $\text{Pb S}$ ,  $\text{Ag}^2 \text{S}$ , 2  $\text{Bi S}^2$ , Jahrb. 1875. 189. Nicht mit dem eisenhaltigen Tellurblei  $3 \text{ Pb Te} + \text{Fe Te}$  gleichen Namens von dort zu verwechseln (Annual Report of the United States, embracing Colorado by Hayden 1874 pag. 355).

**Wismuthkupfer.** Selb (Denkschriften Aerzte und Nat. Schwabens I. 311 u. 419) Kupferwismutherz, Wittichenit (Pogg. Ann. 97. 400), auch Wittichit genannt. Ist auf der Kobaltgrube Neuglück bei Wittichen im Anfange dieses Jahrhunderts im fleischrothen Schwerspath vorgekommen. Bleigrau wie Fahlerz, aber röthlich anlaufend. Wenig glänzend. 4,5 Gew., Härte 3—4. Bildete Gänge von etwa 1 Zoll Dicke im verwitterten Granit. Selb legte selbst nur wenige Stufen zurück, und meinte, daß es 1715 auf der dortigen Danielsgrube vorgekommen sein möchte, wo aus mehreren Centnern Kupfer- und Wismuthhaltiger Erze 133  $\mathcal{A}$  Gaarkupfer und 36  $\mathcal{A}$  Wismuth geschmolzen sein sollen. Klaproth (Beitr. IV. 91) fand darin 47,3 Wismuth, 34,7 Kupfer, 12,6 Schwefel, was nach neueren Analysen (Pogg. Ann. 136. 400) zu der Formel  $\text{Cu}^{\text{III}} \text{Bi}$  führt, während der gelbgraue Kupferwismuthglanz von der Grube Tannebaum-Stollen bei Schwarzenberg  $\text{Cu Bi}$  pag. 860 geschrieben wird. Dauber und Weisbach (Pogg. Ann. 92. 241 u. 128 400) fanden letztere Nadeln mit einem Blätterbruch  $a : \infty b : \infty c$  in 2gliedrigen Säulen von  $102^\circ 42'$ , auch die Endfläche ist blättrig. Härte 2—3, Gew. 5,2, läuft gelb an. Der ähnliche

Klaprothit (Jahrb. 1868. 444) von der Grube Daniel in Gallenbach bei Wittichen ist Wismuthreicher  $\text{Cu}^3 \text{Bi}^2$ .

Robellit J. Setterberg (Pogg. Ann. 55. 635) aus den Jena-Robaltgruben in Nerike mit Glanzkobalt, Kupferkies und Arsenikkies brechend. Strahliger Bruch und von Grauspießglanzartigem Ansehen, aber 6,3 Gew.

Die Formel  $4 \text{Pb}^3 \text{Bi} + \text{Fe}^3 \text{Sb}^2$ , vielleicht  $(\text{Pb}, \text{Fe})^3 (\text{Bi}, \text{Sb})$ , gäbe ein Nadel Erz, welches statt Kupfer Eisen hätte, und statt des Wismuth etwas Antimon.

Chiviatic (Pogg. Ann. 89. 220) von Chivato in Peru, Gew. 6,9, bleigrau, stark metallglänzend, dem Wismuthglanz ähnlich, drei blättrige Brüche in einer Zone, wovon zwei mit  $153^\circ$  und  $133^\circ$  sich gegen den dritten Hauptblätterbruch neigen. 60,9 Wismuth, 18 Schwefel, 16,7 Blei, 2,4 Kupfer, etwaige Formel  $(\text{Pb}, \text{Cu})^2 \text{Bi}^3$ .

#### 4. Zinnies Br.

Das Bell-metal ore (Glockenmetall) der englischen Bergleute bricht auf einem 9 Fuß mächtigen Gange zu Huel Rod im Kirchspiel St. Agnes. Etain sulfuré, Tin Pyrites. Stannin. Haüy IV. 207.

Regulär, aber äußerst selten in Würfeln krystallisirt. Die Farbe liegt zwischen licht stahlgrau und messinggelb. Schwarzer Strich. Nicht stark glänzend. Härte 4, Gew. 4,35. Gewöhnlich stark durch Kupferkies verunreinigt, dessen Beimengung man zuweilen noch erkennt, das erschwert auch die genaue Kenntniß der Zusammensetzung. Klaproth hat ihn zweimal analysirt (Beiträge II. 267 und V. 229) und Rudernatsch (Pogg. Ann. 39. 146) schlägt die Formel vor



Lehterer fand 29,6 S, 25,5 Zinn, 39,4 Cu, 12,4 Fe, 1,8 Zn. Kinnigott meint, es sei bloß ein Schwefelzinnhaltiger Kupferkies  $\text{Cu S R S}^2$ , worin das Schwefeleisen durch Schwefelzinn ( $\text{Sn}^2 \text{S}^2$ ) vertreten wäre. Rammelsberg (Handb. Mineralch. 1875. 70) erklärt es für eine isomorphe Mischung einfacher Schwefelmetalle R S. Vor dem Löthrohr schmilzt es leicht, und gibt einen Zinkbeschlag, der in der Hitze leuchtet. Als einziges Erz mit Schwefelzinn hat es Interesse. Soll auch bei Zinnwalde vorkommen.

Zum Schluß will ich noch nach der Berg. Hüttenztg. 1876. 410 die Pariser Metallpreise für 1 Kilogramm in Franken hinfügen: Indium 29150; Vanadium 28680; Ruthenium 16600; Rhodium 8030; Palladium 7490; Uranium 6610; Osmium 3730; Iridium 3643; Gold 3459; Platin 1322; Thallium 1215; Chrom 666; Magnesium 543; Kalium 264; Silber 216; Kobalt 90; Cadmium 68; Wismuth 42; Natrium 37; Nickel 28,50; Quecksilber 17,25; Antimon 4,70; Zinn 3,75; Kupfer 2,85; Arsenik 1,20; Zink 1,20; Blei 0,77; Eisen 0,22 Franken.

## Sechste Klasse.

### Inflammabilien.

Von inflammare verbrennen. Eine Klasse, die schon von den ältesten Mineralogen (Avicenna) gemacht ist, doch stellte man vieles dahin, was nicht dahin gehört, wie Schwefel, Diamant. Lassen wir dieß weg, so bilden die Inflammabilien eine sehr natürliche Gruppe, die aber keine Mineralien im Sinne der ersten 5 Klassen enthält, nämlich keine unorganischen Verbindungen, die sich bloß nach chemischen Gesetzen bilden: sondern organische Producte, ursprünglich Pflanzen (seltener Thieren) angehörend, die sich im Schoße der Erde in scheinbar mineralische Substanz veränderten. Vor allem gehören dahin Kohlen, Oele, Harze. Auch Salze mit organischen Säuren kommen hin und wieder vor. Solche Inflammabilien brechen deßhalb auch nicht mehr (oder doch nur sehr vereinzelt) weder im krystallinischen Urgebirge, noch in vulkanischen Gesteinen oder Gängen, sondern auf Lagern und eingesprengt in das Flözgebirge.

Ihr chemischer Hauptgehalt ist Kohlenstoff, weil die gegen Agentien indifferente Kohle unter den festern Theilen der Pflanze (Cellulose) vorherrscht. Ueberall wo Pflanzen so begraben wurden, daß der Kohlenstoff nicht verwehen konnte, ist der Rest Kohle untergeordnet mit Sauer- und Wasserstoff in den complicirtesten Verbindungen.

#### 1. Kohlen.

Man versteht darunter schwarze und braune Kohlen, die so viel zum Brennmaterial dienen. Sie sind mehr oder weniger reiner Kohlenstoff, und knüpfen nicht sowohl an Diamant pag. 358, als vielmehr an den Graphit pag. 743 an, dessen organischen Ursprung man aber nicht mehr direct nachweisen kann, während er sich auch auf chemischem Wege bei Güttenprocessen leicht bildet: „Sonnenträfte, die aus geologischer Zeit die Natur uns sammelte“. Wenn Kohlen an der Luft liegen, verlieren sie an Brennwerth. Man unterscheidet eine trockene und nasse „Finde“: „trocken oxydirt sich der Kohlenstoff, und geht als Kohlen säure fort, trotzdem nimmt das Gewicht zu, weil Feuchtigkeit aus der Luft angezogen wird; naß in freier Lagerung tritt eine Art Gährung ein, Kohle oxydirt, und Wasserstoff verflüchtigt sich.

## a) Steinkohle.

Werner nannte sie *Schwarzkohle*. Houille. Common Coal.

Unkrystallinisch und dadurch im Gegensatz mit Graphit stehend. Mit muscheligem Bruch, aber glattflächig zerklüftet. Vollkommen schwarz, sammtschwarz, mit schwarzem Strich. Halbmetallischer starker Glanz bis matt. Bunt angeläufen durch Vitriolwasser, die sich aus Schwefelkies erzeugen. Gyps- bis Kalkspathhärte, meist sehr spröde. Gew. 1,3 bis 1,8. Durch Reiben negativ elektrisch. Leiten nur die Electricität, wenn sie vorher stark erhitzt sind. Fühlen sich nicht kalt an. Das Pulver färbt Aetzkali nicht, oder doch nur unbedeutend.

Chemische Bestandtheile sind Kohlenstoff, Sauerstoff und Wasserstoff; Schwefelkies und Bergart unwesentlich. Allein das Verhältniß der drei Bestandtheile wechselt außerordentlich. Es gibt (magere) Kohlen, die fast rein aus C bestehen, andere (fette) haben außer C noch einen wesentlichen Gehalt an O und H, welche sich zu Bitumen verbunden haben, das mit lichter Flamme brennt, und woher der beim Verbrennen so eigenthümliche gerade nicht unangenehme Geruch kommt. Fleck (Jahrb. 1871. III) nimmt auch etwas freien Wasserstoff an. Die Elementaranalyse geht aus Folgendem hervor:

Holzfaser	Braunkohle	Steinkohle
C 51,4—52,6;	55 —76;	73 —96,5.
O 43 —42;	26 —19;	20 — 3.
H 6 — 5,5;	4,3— 2,5;	5,5—0,5.

Der Gehalt an Kohle nimmt von der Holzfaser bis zur Steinkohle zu, Sauerstoff dagegen ab. Die Entstehung beruht ohne Zweifel auf einem einfachen Verwesungsproceß, der unter dem Abjchluß der atmosphärischen Luft vorgieng: die Kohle fand nicht Sauerstoff genug, um gänzlich verschwinden zu können. Ja Dr. Kremers (Pogg. Ann. 84. 74) weist den Zusammenhang nach, in welchem die Holzfaser mit der Kohlenbildung zu stehen scheint: die Holzfaser veranlaßt nämlich bei der Destillation des Holzes wesentlich die Bildung von Essigsäure. Nun zeigt sich, daß unter den Producten der trockenen Destillation von Braunkohle, auch wenn sie noch so zersezt sein mag, entschieden Essigsäure vorkommt, es scheint also noch unzersezte Holzfaser darin zu sein, während bei ächten Steinkohlen solche Anzeichen gänzlich fehlen. In der Steinkohle sind also alle Spuren unversehrter Holzfaser geschwunden, was directe Untersuchungen mit dem Mikroskop auch bestätigt haben. Der Druck der Wasseräule und des später darauf abgelagerten Gebirges trugen dann noch das ihrige bei, daß das Ganze sich zur homogensten Masse vereinigte. In Beziehung auf den Gehalt an Asche muß man wesentlich zweierlei unterscheiden: der größte Theil stammt vom Gebirge, und besteht dann aus Thon und Schwefelkies; ein kleiner gehört dagegen schon der Pflanze als solcher an. Dieser beträgt aber in der Asche lebender Pflanzen meist unter  $\frac{1}{2}$  p. C., und besteht hauptsächlich in Kali- und Natronsalzen, mit etwas Phosphor-



säure, Kiesel-erde zc., kann daher auch für die Steinkohlen keine große Bedeutung haben. Die Kohlen kommen übrigens so rein vor, daß die Asche mancher Cannelkohle nur 0,5 p. C., von Commentry sogar nur 0,24 p. C. beträgt. Man glaubt den Beweis führen zu können, daß die ursprünglichen Aschenbestandtheile aus der Braun- und Steinkohle gänzlich entfernt seien: dieß zeigen nicht bloß die sehr geringen Spuren von Phosphorsäure, sondern die unlöslichen Silicate selbst in der compactesten Kohle.

Der Bitumengehalt ist bei der Anwendung als Brennmaterial von dem größten Einfluß, denn derselbe brennt mit ruhiger Flamme, läßt sich daher vor dem Löthrohr leicht nachweisen. Der Rückstand, englisch Coaks genannt, verhält sich verschieden: bei den fetten glänzenden Kohlen bläht und krümmt er sich, und backt zuletzt zu einer porösen Masse zusammen; bei den fetten matten und bei den mageren bleibt die Probe unverändert. Zwischen beiden Extremen kommen aber alle Mittelstufen vor. In verschlossenen Gefäßen erhitzt geben besonders dieselben mehrere ausgezeichnete Destillationsproducte: brennbare Gase (worunter auch Leuchtgas), bituminöses Del und Theer, ammoniakalische Wasser, als Rückstand Coaks. Das Theer der Gasfabriken gibt Benzol, Anilin, Carbonsäure zc., welche zu den herrlichsten Farbestoffen verwendet werden.

Bei der Eintheilung darf man die mineralogischen Kennzeichen nicht mit denen der Structur vermischen, wie das seit Werner so viel geschieht. Denn der Structur nach zählen Kohlen zu den Gebirgsarten.

A. Mineralogisch kann man etwa folgende 5 Varietäten unterscheiden:

1. **Anthracit** Haüy, Kohlenblende Karsten. Werner begriff ihn unter seiner Glanzkohle. Vollkommen muscheliger Bruch. Am härtesten und schwersten. Gew. 1,3—1,75. Die Farbe eigenthümlich graulich schwarz (Eisenschwarz), besonders wenn man die Stücke neben Glanzkohle legt. Der Glanz neigt etwas zum Matten. Färbt nicht ab. Bitumen fehlt ihm, daher brennt er vor dem Löthrohr nicht, bedeckt sich aber mit Asche (Si, Al, Fe), die in Amerika als vorzügliches Düngmittel dient. Bei dem ersten Anwärmen verknistert er stark, das wirkt auf den Luftzug in Hochofen sehr nachtheilig. Der reine Kohlengehalt geht bei einigen westphälischen Abänderungen auf 96 p. C. Er schließt sich durch diese Kennzeichen unmittelbar an den Graphit an. Haüy glaubte sogar, daß er krystallinisch sei und blättrigen Bruch habe. Derselbe beschreibt reguläre sechsseitige Säulen und Octaeder (*Traité de Minéral.* IV. 441). Doch mögen wohl Absonderungsverhältnisse den großen Meister im Erkennen der Blätterbrüche getäuscht haben. Das alpinische Kohlengebirge von La Mure in Frankreich, Fering in Tyrol, der Thonschiefer von Ebersdorf im Voigtlande liefern gute Beispiele für die Charakterfarbe.

Gewöhnlich nimmt man jedoch den Begriff im weitern Sinne, und nennt auch die sammtschwarze Kohle noch Anthracit, wenn sie nur mager genug ist, und vor dem Löthrohr nicht brennt: so die 30'—50' mächtigen

Pennsylvanischen Schichten zwischen Susquehanna und Delaware mit Thonschiefer und Grauwacke wechselnd; die mächtige Kohle in Südwallis, Schottland u., die Becken von Mons und Anzin. Das kleine Lager am Hagenbach bei Zunsweier an der untern Rinzig, was neuerlich wieder in Baden Hoffnungen erregte. Die Franzosen nennen diese jedoch passender Houille sèche. In Südwallis und Pennsylvanien ist sie so mager, daß sie lange nicht gebraucht werden konnte, weil sie zu schwer brennt. Allein mit warmem Gebläse gibt sie ein vortreffliches Feuer, und kann direct zur Hochofenfeuerung angewendet werden. Sie raucht beim Brennen nicht. Der Pennsylvanische Anthracit liefert die Hälfte aller amerikanischen Kohlen, 1874 gegen 22 Millionen Tonnen d. h. eine 7 miles lange Mauer von 100' Höhe und Breite.

Wenn Gänge von Porphyr und Basalten Kohlenlager durchsetzen, so haben sie öfter den nächstgelegenen Kohlen das Bitumen entzogen. Auf diese Weise können selbst Braunkohlen (am Meißner in Hessen) in Anthracit verwandelt werden. Die Liaskohle von Richmond in Virginien wurde dadurch so porös, daß sie auf Wasser schwimmt.

2. **Glanzkohle** besitzt einen geringen Aschengehalt, und „ging aus den aufquellenden nicht löslichen Fäulnißproducten hervor“. Gew. 1,25 bis 1,4. Zeigt ebenfalls vollkommen muscheligen Bruch, ist aber samtschwarz (kaum einen Stich ins Graü), und mit dem stärksten Glanz, der überhaupt bei Kohlen vorkommt. Sie ist spröde und zerbrechlich. Es gibt eine magere und fette. Die magere flammt nicht, bildet den Uebergang zum Anthracit, und wird, wie wir soeben sahen, auch häufig schon so genannt. Die fette dagegen brennt wegen ihres großen Bitumengehaltes mit ruhiger Flamme, dabei krümmt sich die Probe nicht selten ganz wurmförmig, und verwandelt sich in Coaks, der um so poröser ist, je mehr Bitumen entwich. Diese spielt im Kohlengebirge bei weitem die wichtigste Rolle, besonders in den Lagern, die man Schiefer- und Grobkohle nennt. Sie dient in Deutschland vorzugsweise zur Gasbereitung (Gaskohle). Bei der Heizung von Hochöfen ist das Bitumen und der Schwefelkies hinderlich; sie werden vorher im Großen durch Brennen weggeschafft. Coaks bleiben zurück.

Eine ausgezeichnete Glanzkohle kommt auch hin und wieder untergeordnet im Braunkohlengebirge vor, wie z. B. am Meißner in Hessen. Ihr Strich ist zwar nicht vollkommen schwarz, doch kann man sie im Mörser nicht braun reiben. Sie bildet Concretionen in der erdigen Braunkohle, und geht dann über in die

3. **Werkkohle**. Dieselbe hat ein durchaus pechartiges Ansehen, sehr homogenen großmuscheligen Bruch, die Farbe geht ins Braun, und der Glanz ins matte Halbopalartige. Nicht sehr spröde, kann daher verarbeitet werden. Wegen ihres großen Bitumengehaltes brennt sie mit starker Flamme. In der Steinkohlenformation ist sie noch nicht gewöhnlich. Dagegen kommen ausgezeichnete Holzstämmen schon im weißen Keuper sandstein vor. Die besten Kohlenparthieen der Braunkohlenformation

neigen sich meist zur Pechkohle. Eine Pechkohle ist ohne Zweifel auch der im Alterthume so berühmte

Gagat Plinius hist. nat. 36. 34: *Gagates lapis nomen habet loci et amnis Gaxis Lyciae... niger est, planus, pumicosus, non multum a ligno differens.* Zu Lencolla wurde er vom Meere ausgeworfen, wie der Bernstein, daher auch schwarzer Bernstein genannt. Wahrscheinlich war es der schwarze Edelstein bei Plin. hist. nat. 37. 67: *Samothracia insula ejusdem nominis gemmam dat nigram, ac sine pondere, ligno similem.* Seit uralter Zeit knüpfte sich besonders in der Medicin viel Aberglaube daran. Es ist in solchen Fällen immer schwer, das rechte Ding für den Namen zu finden: Hausmann (Handb. Mineral. II. 1889) nimmt die Braunkohle dafür, allein diese hat gerade das am wenigsten edle Ansehen; Emmerling (Lehrb. Mineral. II. 60) das Judenpech, doch das ist zu bröcklich. Agricola de natur. foss. IV pag. 596 hält ihn für Bitumen, was in der Erde hart und politurfähig geworden sei. Seit Bauhin (Hist. font. Boll. pag. 23 *succinum nigrum seu gagates*, deutsch schwarzer Agstein) begreift man in Schwaben sehr passend unter Gagat die schwarzen Platten aus dem Posidonien-schiefer des Vias, welche beim ersten Anblick nichts weiter zu sein scheinen, als verhärtetes Bitumen. Auch das Jet der Engländer stammt aus den gleichen Schichten von Whitby, wo es gegraben wird, und zu einer sehr einträglichen Industrie den ersten Anstoß gab. Sie haben Bruch und matten Glanz der Pechkohle, und brennen fast so lebhaft als Asphalt, aber tröpfeln nicht von der Pincette ab, und hinterlassen sehr poröse schaumige Coaks. Ein solcher Gagat ist schon wegen der Seltenheit feines Vorkommens etwas Gesuchtes, und die Mitte zwischen Bitumen und Steinkohle haltend auch etwas Eigenthümliches. Nach Dufrenoy (Traité. Minér. III. 727) gewinnt man im Grünsand von St. Colombe Aude Dep. einen »Jaïet«, der zu allerlei Schmuckstücken (Trauererschmuck) verarbeitet wird, enthält 61,4 C, 38 Bitumen. Zu Dourban und Ségure sind noch 1200 Menschen damit beschäftigt. Besonders großartig sind die Schleifereien in Whitby, wozu jetzt das Material hauptsächlich aus Spanien eingeführt werden soll, da die Vorräthe im dortigen Posidonien-schiefer viel zu gering sind.

3. **Cannelloh** hat einen matten Taspisbruch, matter als Pechkohle, mit glänzendem Strich, daher politurfähig. Da sie zugleich schwer zersprengbar ist, so wird sie ebenfalls verarbeitet. Im Großen schieferig, was man in Handstücken gewöhnlich nicht wahrnimmt. Unter den Kohlen des Steinkohlengebirges die bituminöseste, daher sehr leicht, Gew. 1,2, und mit loher Flamme brennend, woher der Name stammt (Candle Licht). Der Rückstand bläht sich vor dem Löthrohr nicht, oder doch nur wenig. Die Analyse gibt 74,5 C, 5,4 H, 19,6 O. Ihr großer Reichthum an Wasserstoff deutet auf Reichthum an Bitumen, und beim Erhitzen geben sie 44 p. C. flüchtige Theile ab. Trotz ihres dichten Zustandes gehören sie doch zu den reinsten Abänderungen, denn der Aschengehalt sinkt bis

auf 0,5 hinab. Das macht sie besonders beliebt zum häuslichen Gebrauch. In England findet sie sich hauptsächlich in den obern Schichten zu Wigan in Lancashire, Cleehill in Shropshire, bei Newcastle in Durham, Gilmeston bei Edinburg, zu Essen in Westphalen, Nordamerika, Neu-südwallis mit *Glossopteris*, Tula 2c. In Frankreich heißt sie *Houille maigre* und bricht zu Epinac, Blanzh 2c. In Pilsen heißt sie *Plattelskohle*, und gehört dort den obersten Schichten an, die in Boghead übergehen. Dosen, Tintefässer, Leuchter, Knöpfe 2c. werden besonders aus der Schottländischen verfertigt. Zur Gasbeleuchtung die beste, aber die Coaks sind schlecht. Sie vermittelt durch Boghead den Uebergang zu den Schiefen.

5. **Faserkohle**, Werner's mineralogische Holzkohle, bildet erdige schmutzende Schichten zwischen Glanzkohle, im Querbruch von grauschwarzer matter Farbe. Blättert man aber die Glanzkohle ab, so treten fasrige, etwas seidenglänzende eckige Platten zum Vorschein, die verdrückter Holzkohle gleichen, und vielleicht die Reste großer Waldbrände sind, Epoch. Nat. pag. 391. Zerrieben sehen sie wie Ruß aus, daher die damit reich angeschwängerten Kohlen auch wohl als Rußkohle angeführt werden. Eine ganz magere Substanz, deßhalb auch fasriger Anthracit, *Rahm*, *Gisch* genannt. Die Gluth des Hochofens, welche das Roheisen flüssig macht, reicht nicht hin, sie zu verbrennen, denn sie kommt mit der Schlacke unverändert wieder heraus. In größerer Menge verhindert sie das Zusammenbacken der Glanzkohle bei der Verforung. Für das Erkennen der ächten Steinkohle ist dies die wichtigste Substanz, und Göppert hat dargethan, daß sie unter dem Mikroskop die wohlerhaltene Structur von *Arancarien* zeige, die wegen ihres häufigen Vorkommens in der Steinkohlenformation den Namen *Araucarites carbonarius* tragen.

B. Geognostisch, d. h. nach ihrer Structur im Lager, unterscheidet man folgende Abänderungen:

1. **Schieferskohle**, bei weitem die häufigste. Sie bildet geschichtete Kohlenflöze, in denen strichweis die Faserkohle mit der Glanzkohle wechselt, wie man besonders auf dem Querbruch sieht, die daher auch **Streifkohle** genannt wird. Die Glanzkohle hat dabei bei weitem das Uebergewicht. Die Schichtung ist nicht selten so regelmäßig, daß man sie mit Jahresringen der Bäume verglichen, auch sogar in allem Ernste dafür gehalten hat. Von dem Irrthum überzeugt man sich jedoch leicht. Solche Anordnung kann nur Folge eines regelmäßigen Niederschlags sein. Eigenthümlich sind die senkrechten spiegelglänzigen Querklüfte; häufig mit Kalkspath, Schwefelfies 2c. erfüllt, sollen sie an der Faserkohle absetzen.

2. **Grobkohle**. Werner (*Emmerling Mineral*. II. 63) hat schon frühzeitig diesen Unterschied gemacht unter Widerspruch von Voigt. Und ein Fehler war es allerdings, wenn man die Verschiedenheit in der mineralogischen Beschaffenheit suchte, da sie doch einzig und allein in der Structur liegen kann. Die Faserkohle trägt hier nicht mehr zur Schichtung bei,

die Stücke springen vielmehr unbestimmt eckig und nach keiner geraden Flucht weg. Häufig zeigen sie krumme Spiegelflächen, welche durch Druck des Gebirges entstanden sind. Mit einem Worte: die ganze Kohlenmasse ist verworren gelagert. Ein ganz vortreffliches Beispiel liefert die kleine Ablagerung magerer Kohle bei Zunsweier an der untern Rinzig im Schwarzwalde. Die 77 Meter mächtige Ablagerung von bald fetter, bald magerer Kohle zu Kreuzot liegt ebenfalls ungeschichtet und wirr durcheinander. Wenn man in dieser Weise den Begriff der Grobkohle festhält, so steht sie allerdings mit der Schieferkohle im Gegensatz. An der Verwerfungsstelle mächtiger Flöze geht die Schiefer- in Grobkohle über.

Stangenkohle nannte Werner die stangenförmig abgesonderte Pechkohle aus dem Braunkohlengebirge vom Meißner. Der Basalt, welcher das dortige Braunkohlengebirge überlagert, scheint seinen Antheil daran zu haben. Doch leitet sie die Electricität nicht, kann daher nach Hr. v. Kobell nicht erhitzt sein. Die Säulen, zuweilen von außerordentlicher Regelmäßigkeit, sondern sich gerade wie die Basaltsäulen ab, sind aber meist nur daumendick. Auch in dem Steinkohlengebirge kommen in der Nähe der durchbrechenden Porphyre und Mandelsteine ähnliche Absonderungen vor, wie z. B. auf dem Brunosföz bei Mährisch-Ostrau, wo die Stangen die Electricität leiten, Jahrb. 1875. 325. Der Name

Blätterkohle wird doppelsinnig gebraucht: einmal versteht man darunter im Braun- und Steinkohlengebirge kohlige Brandischiefer. Die geognostische Schichtung ist hier so vollkommen und dünnflächig, daß namentlich bei der Verwitterung das Ganze sich in papierartige Blätter sondert. Das anderemal meint man die reinste Steinkohle, welche sich nach Art des mineralischen Blätterbruchs schief gegen die Lagerungsfläche schuppt. Man kann das in der That mit einem wirklichen Blätterbruch verwechseln (Epochen der Natur pag. 391).

Die Augenkohle (Epoch. Nat. pag. 392) ist Glanzkohle mit kreisförmigen Spiegeln, welche zwar Holzästen gleichen, aber vielleicht doch nur durch Absonderungen entstanden, Berg. Hüttzt. 1870. 371. Ueber die

Bildung der Steinkohlen ist man zwar noch nicht ganz im Klaren, allein daß sie Pflanzenproducte seien, kann man kaum streitig machen: die im Wasser löslichen Theile, Gummi und Schleim sind freilich verschwunden, aber die unlöslichen, Cellulose und Stärke, gaben das Material her. Denn abgesehen von der Faserkohle, welche offenbar aus Trümmern untergegangener Coniferenwälder besteht, die meist immer an der Schieferkohle Theil haben, zeigt nach Hutton selbst die compacteste Kohle Northumberland's kein pflanzenartiges Zellgewebe, zwischen welchem eine zweite Art von Zellen bituminöser Natur sitzt, die sich beim Verbrennen schon verflüchtigen, noch ehe die übrige Kohle angegriffen wird. Ja entfernt man nach Goppert's Beobachtung mit Salpetersäure das Kali und seine Salze, damit sie im Feuer behandelt mit der Kiesel-erde nicht zusammen schmelzen können, so finden sich in der Asche selbst der dichtesten

Kohle Parenchym- und Prosenchymzellen. Schulze weist noch Cellulose nach. Es fällt freilich auf, daß in den Kohlen selbst sich so wenig Pflanzenabdrücke zeigen, allein sie fehlen nicht ganz, auch mögen sie durch den Verkohlungsprozeß verwischt sein. Daß der Verkohlungsprozeß Pflanzenstructur mit Leichtigkeit dem Auge entziehe, das zeigen die Pechkohlenstämme des weißen Keuper sandsteins in Schwaben: ihr äußerer Umriß und die lenticellenartigen Eindrücke ihrer Oberfläche deuten den Baumstamm unwiderleglich an, aber innerlich ist die ganze Masse so homogen, daß man mit der Loupe vergeblich nach den Spuren der Holzstructur sucht. Und doch ist dies nur Pechkohle, die Glanzkohle scheint noch mehr Zerstörungskraft besessen zu haben.

Ueber den Kohlen-schichten liegen dagegen die Pflanzen in großen Massen angehäuft; unter ihnen herrschen die Sigillarienstämme, zu welchen die Stigmarien die Wurzel gebildet haben sollen. Araucariten und Calamiten stehen in Beziehung auf Menge in zweiter Linie. In dritter Farren und Lepidodendren. Ja in neuern Zeiten spricht man auch von Sporen und Sporangien, die wesentlich zur Anhäufung beigetragen hätten. Der Schieferthon, in welchen die Flöze eingebettet sind, scheint häufig sogar der Boden gewesen zu sein, worauf die Pflanzen wuchsen: denn wenn die Beobachtung der englischen Vergleute richtig ist, daß die wurzelartig verzweigte Variolaria bei Newcastle wiederholt unter den Kohlenflözen unverletzt ihre Stelle einnimmt, und wenn ferner es keinem Zweifel unterliegt, daß sie die Wurzeln von den Sigillarien waren, so bildete der Schieferthon den alten Waldboden. Die Stämme selbst wurden zerstört und gaben das Material zur Kohle, während die schwimmenden Blätter und Hölzer im Schieferthon über den Kohlen ihr Lager fanden. Jedenfalls weist die Schieferkohle auf ruhigen Absatz hin. Nun hat zwar Chevandier ausgerechnet, daß unsere Wälder 9 Jahre an dem Kohlengehalt des Luftprismas der Atmosphäre zu zehren hätten, und daß 100 Jahre dazu gehören würden, um auf der Waldfläche eine Steinkohlen-schicht von 7 Linien (16 Millimeter) zu erzeugen: eine einzige Kohlen-schicht von 1 Fuß Mächtigkeit hätte nach solchen Daten schon 2000 Jahre Zeit verlangt. Allein mögen auch diese Voraussetzungen nicht ganz richtig sein, so kommt man bei der Mächtigkeit der Kohlen immerhin zu Zeitläufen von schwindelnder Größe. Um die Zeiträume doch nicht gar zu groß zu erhalten, nahm schon A. Brongniart an, daß die Atmosphäre der Steinkohlenzeit reicher mit Kohlensäure geschwängert war, als die heutige: ein feuchtes tropisches Inselklima mochte die Sache beschleunigen. Auch ist die Natur der Pflanzen sehr in die Waagschale zu legen: es sind vorherrschend kryptogamische Gefäßpflanzen mit Mangel an Holzgefäßen und Vorherrschen eines schwammigen Zellgewebes, was der Aere nicht genug Festigkeit gewährte, schwere Zweige zu tragen. Solche Stangenwälder bedurften nicht wie unsere Hölzer Jahrhunderte, sondern wenige Monate reichten hin, um die Sumpffläche mit einem dichten Waldgrün zu decken. So schnell das empor-schoß, eben so schnell sank es in sich

wieder zusammen: in kürzerer Zeit als heute häuften sich Pflanzenreste an, welche dann von Strömen tiefern Stellen zugeführt und ausgebreitet wurden. Auch konnte etwas wie Torfbildung die Sache beschleunigen.

Bei der Grobkohle, wie wir sie oben festgestellt haben, wirkten vielleicht Anschwemmungen großer Ströme mit, darauf scheint schon das Durcheinander im Lager der Kohlensubstanz hinzuweisen. Wie noch heute in den Deltaländern sich Massen von Vegetabilien in den Grund versenken, besonders wenn sie wie der Mississippi aus Urwäldern herkommen, so wird es auch bei jenen ersten Landbildungen nicht an fortführenden Kräften gefehlt haben. Wenn noch zur Diluvialzeit die sogenannten „Adamsbölzer“ am Eismeer ihren Weg bis zu Gegenden fanden, wo heutiges Tages die Vegetation aufhört, so wäre es gegen alle Wahrscheinlichkeit, wenn man nicht auch schon früher solche Anhäufungen annehmen sollte. Die Dicke der Kohlenschicht darf daher nur bedingt als Zeitmaß genommen werden.

Practisch unterscheidet man die Kohlen nach ihrem Verhalten im Feuer. In England hauptsächlich vier Sorten:

1. **Caking-Coal** (Backkohle, Houille grasse) schmelzen und backen zu einem schwanmigen Coaks, welcher grauen metallischen Glanz hat. Selbst zu Pulver gestoßen, backen sie wieder zusammen, und fließen wie Lava aus dem Ofen.

2. **Splint-Coal** (Houille sèche), bläht sich beim Erhitzen nicht, sintert höchstens zusammen (Sinterkohle), es ist die Kohlenstoffreichste und Bitumenärmste, sie wird daher nicht zur Gasbereitung benutzt, kann aber gleich direct zur Schmelzung des Eisens und Heizung von Dampfmaschinen angewendet werden.

3. **Canal-Coal** (Houille maigre), eine dichte Kohle mit mattem Bruch, schmutzt aber nicht. Sie ist sehr reich an Bitumen, brennt mit der stärksten Flamme, läßt aber nur Asche und keine Coaks zurück.

4. **Cherry-Coal** ist sehr bröcklich, zerfällt beim Druck zu Sand, welcher die Luftwege stopft. Muß daher beim Gebrauch mit Splintkohle gemischt werden. Im Mittel geben die Kohlen 64 p. C. Coaks.

Technisch und nationalökonomisch ist die Steinkohle nicht bloß wichtig, weil sie ein Brennmaterial gibt, was nicht auf der Erdoberfläche vorher zu wachsen braucht: sondern mit Steinkohlenfeuer kann auch der größte Effect erreicht werden. Die Brennkraft guter Kohle ist dreimal stärker als die von Buchenholz, und 1 Cubitfuß Kohle kommt 7 Cubitfuß Buchenholz gleich. Der Effect der Hitze hängt lediglich von der Menge Kohlenstoff ab, welcher in einer gewissen Zeit verflüchtigt wird: nun brennen die Holzkohlen dem Volumen nach zwar schneller als Coaks, der Masse nach aber langsamer. Die vorherige Verfozung hat den Zweck, schädliche Theile, wie Schwefel im Schwefelties, wegzuschaffen, Gase zu entfernen, die bei ihrer Expansion nicht bloß Wärme binden, sondern bei Hochöfen auch den Desoxydationsproceß stören. Auf 1 Ctr. Roheisen wird  $1\frac{1}{2}$  Ctr. Coaks, zuweilen noch weniger gerechnet.

Bei der Gewinnung vermeidet man es so viel als möglich, daß die Stücke zerbröckeln, denn im Handel unterscheidet man zwischen Stückkohle und Kohlentklein. Das Kohlentklein ist nicht bloß für den Zug bei der Feuerung nachtheilig, sondern bewirkt auch, daß die aufgehäuften Kohlen sich erhitzen und sogar entzünden. Denn da den Kohlen meist etwas Schwefelsäure im fein vertheilten Zustande beigemischt ist, so oxydirt sich derselbe beim Zutritt der Luft. Dabei wird Wärme frei, und wird diese nicht durch Luftwechsel entfernt, so steigert sie sich bis zum Anzünden. Die Kohlenbrände bilden einen der größten Feinde beim Abbau. Man rechnet in Amerika 20 p. C. Kohlentklein, das bisher verloren ging, jetzt aber in besondern Fabriken mit Lehm und Kalkmilch in rundlichen Formen von der Größe eines Hühnereies zu Gute gemacht wird, Berg. Hüttzt. 1875. 189. Bei der Londoner Gewerbe-Ausstellung war ein Kohlenblock von 270 Ctr. aus Staffordshire, einer von 325 Ctr. aus Südwales, sogar einer von 500 Ctr. aus Derbyshire.

Der Vorrath von Kohlen im Innern der Erde ist unerschöpflich. England steht in dieser Beziehung oben an, und verdankt ihnen einen großen Theil seines industriellen Uebergewichts. Es gewann schon 1852 740 Millionen Centner, am Ausgangsorte 10 Mill., am Consumtionsorte 20 Mill. Pfund Sterling werth! Die Kohlenfelder nehmen über 500 Quadratmeilen, also fast den 10ten Theil des Landes ein. In dem Decennium 1851—1861 schätzt man die Ausbeute auf 605 Millionen Tonnen! 1873 erreichte es seinen Höhenpunkt mit 127 Mill. Das berühmteste Feld von Northumberland und Durham, worauf Newcastle liegt, versieht London, was allein über 70 Mill. Ctr. bedarf. An der Meeresküste ist es zur Ausfuhr besonders günstig gelegen, welche allein gegen 1400 Schiffe beschäftigt. Ja in diesen nördlichen Grafschaften sollen mehr Personen unter als über der Erde leben. Man zählt 40 Flöze von einer Gesamtmächtigkeit von 44', worunter zwei Hauptflöze, das High Mine- (6') und Low Mine-Flöz (6¼'), am meisten in Angriff genommen sind. In Centralengland versammelt besonders Dudley bei Birmingham die großen Eisenwerke um sich. Von 11 bauwürdigen Flözen ist das mittlere 30'—40' mächtig und erstreckt sich über einen Raum von 60 englischen Quadratmeilen. Das erst später bekannter gewordene Südwalliser Kohlenbecken übertrifft an Reichthum noch alle, man rechnet auf 1 Morgen (Acre) 2 Millionen Centner. Viele Schichten über einander sind 3' bis 9', das mächtigste sogar 20'. Im Südschottischen Kohlengebirge bei Paisley westlich Glasgow haben 10 Lager übereinander eine Gesamtmächtigkeit von 100'. Hull (The Coal. Fields of Great Britain 1873) nimmt an, daß wenn man mit dem Abbau bis auf 4000' hinabgehe, noch 140,000 Mill. Tons Vorräthe vorhanden sind, die etwa 1200 Jahre ausreichen! Freilich gibt es auch Hauptreviere, die in 100—200 Jahren ausgebeutet sein werden; was dann?

Preußen hat in Deutschland und auf dem Continente den wichtigsten Antheil an der Kohलगewinnung: 1852 wurden über 103 Mill. Ctr.



gefördert (26 Mill. Tonnen à 4 Ctr. Preuß.), der Ctr. 9 fr. am Gewinnungsort. Sie haben eine Brennkraft von 10 Mill. Kaster Kieferholz, deren nachhaltige Hervorbringung 1200 Quadratmeilen, also mindestens  $\frac{1}{3}$  der Monarchie, verlangen würde. 1860 über 212, 1875 668 Mill. Centner. Nach Göppert ist Oberschlesien das reichste Kohlenrevier in Europa, von Tost bis Alvernia 14 Meilen lang, und von Hultschin bis Vierwitz 12 Meilen breit. Die Kohlen liegen in der Ebene, und gehen an vielen Stellen zu Tage aus. Das Kavernflöz bei Bendzin in Polen 5—7 Lachter (sogar bis 60') mächtig, wird durch Tagebau getrieben. Die Königsgrube in Preußen förderte 1842 aus 4 Flözen von 4'—15' Mächtigkeit 300,000 Tonnen Preuß. Das Niederschlesische Kohlengebirge liegt auf dem Gebirgssattel von Waldburg zwischen dem Riesengebirge und den Sudeten: die Fuchsgrube baut auf 19 Flözen, hat einen schiffbaren Stollen und lieferte 1844 355,000 Tonnen Kohlen. Porphyre haben das Gebirge gehoben und zerrissen. Oestreich fand auf der Böhmischen Seite bei Schaklar und Schwadowitz zwar auch eine Reihe von Flözen, aber minder günstig (Zoteli Jahrbuch Geol. Reichsanst. XII. 1862. 100). Am Rhein liefert besonders die Grafschaft Mark (Dortmund) die für Südwestdeutschland so wichtige Ruhrkohle. Bei Essen wird sie unter der Kreide verfolgt, und hängt vielleicht unterirdisch mit der Kohle von Ibbenbüren zusammen. Selbst im Rheinthale bekommt man immer mehr Hoffnung sie zu finden. Sie setzt dann nördlich des rheinischen Schiefergebirges auf der linken Rheinseite über Aachen, Eichweiler, durch die Südspitze von Holland, wo sie neuerlich bei Heerlen erbohrt wurde, nach Belgien fort. Südlich vom Hundsrücken zeichnet sich das Kohlenbecken von Saarbrücken durch seinen ungeheuern Reichtum aus. Unter mächtigen rothen Sandsteinen liegen zwischen Wölklingen an der Saar und Verbach in Rheinbayern 5 Meilen lang 167 verschiedene Flöze, darunter das Blücherflöz 14' mächtig. 77 Flöze von 2'—14', zusammen 238' mächtig, werden abgebaut, würde man auch die kleinern mitzählen, so käme eine Gesamtmächtigkeit von 375' heraus. Der Preussische Antheil zwischen Saar und Bliess beträgt allein über 800,000 Millionen Ctr.! Davon wurden früher jährlich 9, später 36 und 1874 schon gegen 97 Mill. Ctr. gewonnen. Bayern hat bei Verbach und St. Ingbert nur einen geringen Antheil daran, etwa 3 Mill. Ctr., das anschließende Lothringen 7,7 Mill., so daß 1875 das ganze Saarbecken 102 Mill. Ctr. förderte, wozu 259 Dampfmaschinen mit 11,878 Pferdekraften und 569 Grubenpferde gehörten. In

**Belgien**, wo  $\frac{1}{3}$  der Grundfläche den Steinkohlenfeldern angehört, woraus 1858 über 180, 1874 etwa 340 Mill. Centner gefördert wurden, sind die Flöze durch die Hebung des rheinischen Schiefergebirges sehr zerrissen, selbst zickzackförmig gebogen, was den Abbau sehr erschwert, und die Werke reichen über 1000' unter den Meerespiegel. Bei Lüttich zählt man 61, bei Bergen sogar 115 baumwürdiger Flöze von 1'—3' Mächtigkeit. In

**Frankreich** verdeckt die Kreideformation diesen Kohlenzug, allein unter der Kreideformation wird das kostbare Material wie in Westphalen noch gewonnen: in der Umgegend von Valenciennes standen schon frühzeitig 4000 Hüttenwerke mit Kohlen in Betrieb. Es setzt von hier wahrscheinlich quer durch das Meer unter London weg nach Südwallis fort (Epoch. Nat. pag. 240). Das wichtigste Kohlenbecken Frankreichs ist jedoch das Revier der Loire (Rive de Gier und St. Etienne) südwestlich von Lyon, was allein  $\frac{2}{3}$  der französischen Kohlenaussbeute liefert. Die 6,2 Meilen lange Mulde ist zwischen krystallinisches Urgebirge eingeklemmt. Auf der Loireseite kommen 12 Flöze von 150' Mächtigkeit vor, drei messen 18', 30' und 50', das mittlere allein soll sogar stellenweis 100' erreicht haben. St. Etienne steht mitten auf diesem Kohlenreichthum, aber unter der Stadt darf nicht gebaut werden. Die aufrechten Sigillarienstämme in den dortigen Sandsteinbrüchen, sind längst berühmt. Selbstkosten war früher für den Centner 7 fr. Das Revier des Centrumkanals (Creuzot und Blancy) liegt westlich Chalons sur Saone, wo der Kanal beginnt und zur Loire geht. Die Wasserscheide im Kohlengebirge versammelt in einem künstlichen Bassin die Kohlenschiffe. Das große Eisenwerk Creuzot sichert allein eine jährliche Consumtion von  $1\frac{1}{2}$  Mill. Centner, und ob es gleich sein Erz als Bohnerz aus der Juraformation und aus dem Alluvialboden des Berry bezieht, so liefert es doch die Anter und riesigen Maschinen für die Häfen von Marseille und Toulon. Es ist aber auch eine der mächtigsten Kohlen auf Erden. Das Flöz von Creuzot ist in der Streichungslinie auf 1000—1700 Meter bekannt, und 20 bis 60 Meter mächtig. Bei Montchanin geht sogar ein Querschlag 110 Meter lang ununterbrochen in der Kohle fort, und da das Flöz ungefähr  $45^\circ$  einfällt, so ist es 77 Meter = 237' mächtig. Freilich verändert sich das bald wieder, doch wird die durchschnittliche Mächtigkeit immerhin 25 Meter = 77' angegeben! Man hat dieses Flöz über 1 Stunde weit (4000 Meter) verfolgt. Nach der Breite der Mulde und dem Einfallswinkel der Schichten wurde der tiefste Punkt auf 27,000' berechnet, allein directe Erfahrungen bei Saarbrücken haben in neuern Zeiten gezeigt, wie trügerisch solche Berechnungen sind. Frankreich hat außerdem noch mehr als 40 kleinere Kohlenreviere, häufig zwischen Urgebirge eingeklemmt, ist aber dennoch im Ganzen arm zu nennen, denn es gewinnt jetzt kaum mehr als das kleine Belgien, 1870 etwa 378 Mill. Ctr. Auch das

**südliche Deutschland** theilt dieses Schicksal. Zwar tritt wie an den Vogesen, so auch am Schwarzwalde Kohlengebirge in ausgezeichnete Deutlichkeit zu Tage, wie an der untern Murg, im Gebiete der Kinzig bei Junsweier und Schramberg, aber unter der Last des Bunten Sandstein können die vielleicht kohlenreichen Glieder nicht recht zu Tage treten. Nur auf badischem Gebiet im Hagenbach findet sich ein kleiner Kohlenbergbau. Das Kohlengebirge ist etwa 480' breit zwischen Gneis eingeklemmt, man zählt 6 Flöze, darunter Nester von 18' Mächtigkeit (Epochen der Natur pag. 416). Auch am Südrande des Frankenwaldes und

längs des Böhmer- und Bayerischen Waldes tritt das Kohlengebirge an verschiedenen Stellen zu Tage: bei Stockheim im nördlichen Bayern und in dem anliegenden Meiningerischen Gebiet Neuhaus wird Bergbau darauf getrieben (Leonhard's Jahrb. 1853. 1), die geringste Mächtigkeit des Kohlenflözes beträgt 6', allein die Kohle hat so viel Schwefelkies, daß sie erst gewaschen werden muß, bevor man sie zu metallurgischen Prozessen verkoken kann. Der kleinen Becken im Thüringer Wald (Manebach), am Harze (Wettin, Lößejn, Opperde, Meisdorf, Ihlefeld) nicht zu gedenken. Solche vereinzeltte Erscheinungen des ächten Kohlengebirges führen zu der Vermuthung, daß im kohlenarmen südwestl. Deutschland das reichere Becken unter dem Buntensandsteine verborgen liege. Doch ist bis jetzt alles Bohren vergeblich gewesen. Das

**Königreich Sachsen** hat zwar nur drei kleine, aber ausgezeichnete Ablagerungen am nördlichen Rande des Erzgebirges: 1) Zwickau an der Mulde mit 8—9 Flözen im Durchschnitt je 6—8' stark, das sogenannte tiefe Planitzer Flöz ist 20—24', das Rußkohlenflöz sogar 30' mächtig. Gewann 1856 schon 15 und 1871 schon 40 Mill. Ctr. Der Erdbrand auf dem linken Muldeufer südlich von Planitz bei Zwickau, „wo der Erdboden so warm ist, daß längere Zeit ein Treibhaus für exotische Pflanzen darauf angelegt war“, stand seit Agricola (de ortu et causis Subterraneorum lib. II. pag. 505) in hohem Ruf: mons carbonum, qui abest a Zuicca oppido ad duo millia passuum, ardet. Cum enim suo tempore vireat, tamen semper continet in se ignem comburentem saepe numero substructiones eorum qui id genus bitumen effodiunt; interdum betullas, quibus mons est vestitus, me autem puero per aliquot dies magno arsit incendio. Jetzt ist der Brand längst bewältigt, man sieht nur noch an den Bergen rother Schiefer, wie weit er einst um sich gegriffen hat. 2) Im Chemnitzer Revier unterscheidet Raumann eine ältere Kohle bei Ebersdorf und Haynichen, und eine jüngere bei Flöha, Niedermies, Gießelsberg. Bohrversuche haben in neueren Zeiten bei Lugau günstige Erfolge gehabt. 3) Das Döhlener Bassin im Plauischen Grunde bei Dresden, zwar nur mit 4 Flözen, das bedeutendste aber in einer Mächtigkeit von 12'—20'. Im Ganzen wurden 1872 gegen 59 Mill. Ctr. gewonnen, während auf ganz Deutschland 666 Mill. Ctr. fallen, woran Preußen mit 590 Mill. Theil hatte, Schaumburg-Lippe 2 Mill., Baden nur 234,300 Ctr., Berg. Hüttzt. 1875. 192.

**Oesterreich** gewann 1842 nur 12 Mill. Centner Stein- und Braunkohlen zusammen, worüber eine lehrreiche Uebersicht in den „Tafeln zur Statistik der österreichischen Monarchie für das Jahr 1842“ zusammengestellt ist. Seit der Zeit hat es aber bedeutende Fortschritte gemacht, 1858 waren es schon 29 und 1874 über 90 Mill. Ctr. Steinkohlen allein. Das Hauptsteinkohlenfeld, durch Graf Caspar von Sternberg so bekannt geworden, liegt in Böhmen im Gebiet der Beraun zwischen Prag und Mies, ein anderes bei Brünn in Mähren. Im Banat zu Porcar zc.

kommt im Lias eine Kohle vor, welche man in Stücken von 3—4 Ctr. gewinnen kann, sie ist nicht brennend, und soll an Heizkraft selbst die beste englische Steinkohle übertreffen, sich ganz besonders zur Feuerung von Dampfschiffen eignen, was der Entwicklung der Dampfschiffahrt auf der Donau sehr zu Statten kommt.

Rußland hat in seinem großen europäischen Centralbecken nicht bloß ausgezeichneten Bergkalk, sondern darin auch die beste Kohle: am Donez sind schon 225 Flöze über einander nachgewiesen, die im Durchschnitt eine Mächtigkeit je von 2' haben. Im Wolga-Donbecken sollen von 297 Flözen 98 abbauwürdig sein, und 22 Milliarden Pud Kohle enthalten. Es erinnert dieser Reichthum an den Oberschlesischen. Er setzt auch auf die Nordküste von Kleinasien über, wo die Türken an den Küsten des schwarzen Meeres bei Tyrta-Ash (Eregli, Heraclea pontica) Kohlenflöze von 120 Zoll Mächtigkeit ausbeuten (Ztsch. d. geol. Ges. IV. 26). Neuerlich haben sie sich auf beiden Abhängen des Ural in und unter dem Bergkalk gefunden (Panzer, Verhandl. Mineral. Gesellsch. Petersb. 1862).

In den Vereinigten Staaten von Nordamerika treten hauptsächlich 4 gewaltige Kohlenfelder auf, die auf Uebergangsgebirge und Bergkalk lagern. Es gewann 1874 schon 1000 Mill. Ctr., wovon fast die Hälfte Anthracit; ist also nächst England der productivste Staat. Am größten unter allen das

Appalachische Kohlenfeld in Pennsylvanien, Ohio und Virginien schließt sich mit seinem südöstlichen Flügel unmittelbar an das Alleghanygebirge an, ist hier gehoben, gefaltet und zer schlagen, reicht dann aber nach Westen in einer Breite von 36 Meilen über den Ohioanal hinaus, seine Länge beträgt aus der Gegend von Bloßburg im nördlichen Pennsylvanien bis Huntsville in Alabama gegen 150 Meilen, und das Oberflächen-Areal über 2500 deutsche Quadratmeilen. In den Urwäldern der drei großen schiffbaren Ströme Alleghany und Monongahela, die bei Pittsburg den Ohio bilden, streichen überall die horizontalen Kohlenflöze an den Abhängen der Ufer nahe am Rande des Wassers zu Tage. Das berühmte Pittsburger Flöz am Ohio von 10' Mächtigkeit mit den besten bituminösen Kohlen kann man auf 10 deutsche Meilen weit den Monongahela hinauf bis Brownsville verfolgen. Die Kohlenwagen liefern aus ihren horizontalen Gängen die Ladung unmittelbar in die Barken, welche am Flußufer vor Anker liegen. Bequemer konnte es die Natur nicht bieten. Die amerikanischen Geologen machen die interessante Bemerkung, daß die horizontal gelagerte Kohle im Westen bituminös sei, je näher aber den Bergen, desto mehr nimmt der Bitumengehalt ab, in den Bergen selbst kommt der ausgezeichnetste Anthracit vor, wie z. B. Pottsville am Schytkill westlich Philadelphia: 12 Flöze folgen nach einander in senkrechter Schichtenstellung, worunter einige 8'—10' mächtig, die Kohle schmußt nicht, und die Schornsteine der Fabriken rauchen nicht. Auf der Lehigh-Summit-Grube haben sich sogar mehrere Flöze zu einer 50' dicken Masse geschaart. Nicht minder bedeutend ist das

Illinois-Kohlenfeld, bei St. Louis das Mississippithal erreichend, im Süden vom Ohio und im Norden vom Mississippi durchschnitten gleicht es einer Ellipse von 65 Meilen Länge und 50 Meilen Breite, so groß als die Insel Britannien. Owen zählt 7 gute und 10—12 schlechte Schichten. In den obern Schichten kommen Kohlen vor, woran man die Holzstructur noch so gut sehen kann, wie an Holzkohle. Mitten zwischen beiden Feldern liegt die Silurische Kalkstein-Insel von Cincinnati, mit ihren Gipfeln 1400' über dem Meere, während genau nördlich von dieser Centralinsel sich das dritte

Michigan-Kohlenfeld zwischen Michigan- und Huronen-See gegenüberlegt. Alles ist in diesen großen Kohlenfeldern mit bewunderungswürdiger Regelmäßigkeit abgelagert, gewöhnlich über dem Kohlenflöz die Blätter und Stämme, und unter ihm die Wurzeln (Variolarien). In dieser Beziehung ist besonders das vierte

das Neu schottische Kohlenfeld instructiver, als irgend eines auf dem Continent, da in der durch seine Hochfluthen so berühmten Fundy Bay und nördlich von der Halbinsel Neu schottland die Kohlenformation an das Meer stößt. Sydney, die Haupthafenstadt von Cape Breton, liegt im Herzen der Steinkohlenflöze, die so gut sind, als die besten von Newcastle, vier davon von 4'—7' Mächtigkeit werden abgebaut. Lyell beobachtete 1842 in der Fundy Bay zehn über einander stehende Wälder, Brown an der Küste von Cap Breton sogar 17 Stockwerke stehender Bäume! Man kann bei dem zerschnittenen Terrain die Erscheinung auf viele Stunden Entfernung verfolgen, so daß darüber kein Zweifel sein kann. Die amerikanischen Geologen haben nun sogar vermuthet, die drei Centrakohlenfelder hätten vielleicht einst zusammengehungen, und wären erst durch Fluthen von einander getrennt, dann hätte der alte Kohlenwald eine Fläche von 150 Meilen Breite, und am mindesten 20,000 Quadratmeilen bedeckt. Immerhin beträgt in den 12 Staaten, welche hauptsächlich Kohlen produciren, das Kohlenareal 133,000 englische Quadratmeilen, oder  $\frac{1}{4}$  der ganzen Fläche. Das können unmöglich Anschwemmungen sein. Wunderbar genug kehrt die Steinkohlenbildung an den nördlichsten Spizen und Inseln Nordamerika's wieder, wie die Inseln Melville, Grinnel zc. beweisen. Auch Vancouver's Eiland im Westen, und Chili, Peru im Süden haben Kohlen, von Spanien und der Türkei, von Korea, China, Japan, Borneo, Port Hunter in Neu-Südwallis nicht zu reden. Endlich drängt sich am Schluß noch die Frage auf, was wir Steinkohlen und was wir Braunkohlen nennen sollen. Chemisch in der Behandlung mit dem Löthrohr oder mit Kali kann man sie in einzelnen Fällen zwar sicher entscheiden, aber im Ganzen nicht, so leicht es auch der Technik wird, das Brauchbare herauszufinden. Selbst das Vorhandensein von freier oder an Ammoniak gebundener Essigsäure pag. 893 in den Destillationsproducten wird man nicht als absolutes Merkmal nehmen wollen. Mineralogisch stellte man früher alles zur Steinkohle, was keine Holzstructur zeigte und

kommt im Lias eine Kohle vor, welche man in Stücken von 3—4 Ctr. gewinnen kann, sie ist nicht brennend, und soll an Heizkraft selbst die beste englische Steinkohle übertreffen, sich ganz besonders zur Feuerung von Dampfschiffen eignen, was der Entwicklung der Dampfschiffahrt auf der Donau sehr zu Statten kommt.

Rußland hat in seinem großen europäischen Centralbecken nicht bloß ausgezeichneten Bergkalk, sondern darin auch die beste Kohle: am Donez sind schon 225 Flöze über einander nachgewiesen, die im Durchschnitt eine Mächtigkeit je von 2' haben. Im Wolga-Donbecken sollen von 297 Flözen 98 abbauwürdig sein, und 22 Milliarden Rub Kohle enthalten. Es erinnert dieser Reichthum an den Oberschlesischen. Er setzt auch auf die Nordküste von Kleinasien über, wo die Türken an den Küsten des schwarzen Meeres bei Tyrta-Ashy (Eregli, Heraclea pontica) Kohlenflöze von 120 Zoll Mächtigkeit ausbeuten (Ztsch. d. geol. Ges. IV. 96). Neuerlich haben sie sich auf beiden Abhängen des Ural in und unter dem Bergkalk gefunden (Pander, Verhandl. Mineral. Gesellsch. Petersb. 1862).

In den Vereinigten Staaten von Nordamerika treten hauptsächlich 4 gewaltige Kohlenfelder auf, die auf Uebergangsgebirge und Bergkalk lagern. Es gewann 1874 schon 1000 Mill. Ctr., wovon fast die Hälfte Anthracit; ist also nächst England der productivste Staat. Am größten unter allen das

Appalachische Kohlenfeld in Pennsylvanien, Ohio und Virginien schließt sich mit seinem südöstlichen Flügel unmittelbar an das Alleghanygebirge an, ist hier gehoben, gefaltet und zer schlagen, reicht dann aber nach Westen in einer Breite von 36 Meilen über den Ohiotanal hinaus, seine Länge beträgt aus der Gegend von Bloßburg im nördlichen Pennsylvanien bis Huntsville in Alabama gegen 150 Meilen, und das Oberflächen-Areal über 2500 deutsche Quadratmeilen. In den Urwäldern der drei großen schiffbaren Ströme Alleghany und Monongahela, die bei Pittsburg den Ohio bilden, streichen überall die horizontalen Kohlenflöze an den Abhängen der Ufer nahe am Rande des Wassers zu Tage. Das berühmte Pittsburger Flöz am Ohio von 10' Mächtigkeit mit den besten bituminösen Kohlen kann man auf 10 deutsche Meilen weit den Monongahela hinauf bis Brownsville verfolgen. Die Kohlenwagen liefern aus ihren horizontalen Gängen die Ladung unmittelbar in die Barken, welche am Flußufer vor Anker liegen. Bequemer konnte es die Natur nicht bieten. Die amerikanischen Geologen machen die interessante Bemerkung, daß die horizontal gelagerte Kohle im Westen bituminös sei, je näher aber den Bergen, desto mehr nimmt der Bitumengehalt ab, in den Bergen selbst kommt der ausgezeichnetste Anthracit vor, wie z. B. Pottsville am Schykill westlich Philadelphia: 12 Flöze folgen nach einander in senkrechter Schichtenstellung, worunter einige 8'—10' mächtig, die Kohle schmußt nicht, und die Schornsteine der Fabriken rauchen nicht. Auf der Lehigh-Summit-Grube haben sich sogar mehrere Flöze zu einer 50' dicken Masse geschaart. Nicht minder bedeutend ist das

Illinois-Kohlenfeld, bei St. Louis das Mississippithal erreichend, im Süden vom Ohio und im Norden vom Mississippi durchschnitten gleicht es einer Ellipse von 65 Meilen Länge und 50 Meilen Breite, so groß als die Insel Britannien. Owen zählt 7 gute und 10—12 schlechte Schichten. In den obern Schichten kommen Kohlen vor, woran man die Holzstructur noch so gut sehen kann, wie an Holzkohle. Mitten zwischen beiden Feldern liegt die Silurische Kalkstein-Insel von Cincinnati, mit ihren Gipfeln 1400' über dem Meere, während genau nördlich von dieser Centralinsel sich das dritte

Michigan-Kohlenfeld zwischen Michigan- und Huronen-See gegenüberlegt. Alles ist in diesen großen Kohlenfeldern mit bewunderungswürdiger Regelmäßigkeit abgelagert, gewöhnlich über dem Kohlenflöz die Blätter und Stämme, und unter ihm die Wurzeln (Variolarien). In dieser Beziehung ist besonders das vierte

das Neu-schottische Kohlenfeld instructiver, als irgend eines auf dem Continent, da in der durch seine Hochfluthen so berühmten Fundy Bay und nördlich von der Halbinsel Neu-schottland die Kohlenformation an das Meer stößt. Sydney, die Haupthafenstadt von Cape Breton, liegt im Herzen der Steinkohlenflöze, die so gut sind, als die besten von Newcastle, vier davon von 4'—7' Mächtigkeit werden abgebaut. Lyell beobachtete 1842 in der Fundy Bay zehn über einander stehende Wälder, Brown an der Küste von Cap Breton sogar 17 Stockwerke stehender Bäume! Man kann bei dem zerschnittenen Terrain die Erscheinung auf viele Stunden Entfernung verfolgen, so daß darüber kein Zweifel sein kann. Die amerikanischen Geologen haben nun sogar vermuthet, die drei Centraalkohlenfelder hätten vielleicht einst zusammengehungen, und wären erst durch Fluthen von einander getrennt, dann hätte der alte Kohlenwald eine Fläche von 150 Meilen Breite, und am mindesten 20,000 Quadratmeilen bedeckt. Immerhin beträgt in den 12 Staaten, welche hauptsächlich Kohlen produciren, das Kohlenareal 133,000 englische Quadratmeilen, oder  $\frac{1}{4}$  der ganzen Fläche. Das können unmöglich Anschwemmungen sein. Wunderbar genug kehrt die Steinkohlenbildung an den nördlichsten Spizen und Inseln Nordamerika's wieder, wie die Inseln Melville, Grinnel zc. beweisen. Auch Vancouver's Eiland im Westen, und Chili, Peru im Süden haben Kohlen, von Spanien und der Türkei, von Korea, China, Japan, Borneo, Port Hunter in Neu-Südwallis nicht zu reden. Endlich drängt sich am Schluß noch die Frage auf, was wir Steinkohlen und was wir Braunkohlen nennen sollen. Chemisch in der Behandlung mit dem Löthrohr oder mit Kali kann man sie in einzelnen Fällen zwar sicher entscheiden, aber im Ganzen nicht, so leicht es auch der Technik wird, das Brauchbare herauszufinden. Selbst das Vorhandensein von freier oder an Ammoniak gebundener Essigsäure pag. 893 in den Destillationsproducten wird man nicht als absolutes Merkmal nehmen wollen. Mineralogisch stellte man früher alles zur Steinkohle, was keine Holzstructur zeigte und

gemacht, geknetet, in Formen gestrichen, an der Luft getrocknet, und so zur Feuerung angewendet. Trotz dieses erdigen Aussehens ist der Aschengehalt, so lange sie keine Schichtung zeigt, nicht übermäßig. Lavoisier (Beitr. III. 110) bekam bei der erdigen Braunkohle von Schraplau bei Eisleben 11,5 p. C. Asche, gewöhnlich beträgt sie aber noch weniger. Mit mäßig starker Aetzlauge digerirt „scheint sich fast die ganze verbrennliche Substanz derselben gleichsam zu einer flüssigen schwarzen Kohle aufzulösen, mit 16 Theilen Wasser verdünnt und filtrirt erscheint die Flüssigkeit immer noch mit gesättigter dunkel schwarzbrauner Farbe.“ Man benutzt sie zu einem braunen Farbmittel der Haare (Eisner chem. techn. Mittheil. IX. 11).

3. **Bituminöses Holz** kommt in ganzen Stämmen mit mehr oder weniger erhaltenen Verästelungen besonders in die Moorkohle eingebettet vor. Stehen diese Stämme aufrecht, so sind sie weniger verdrückt, als wenn sie liegen. Ihre Textur ist noch so deutlich, als bei lebenden Hölzern, sie lassen sich sägen und spalten, und werden in manchen Gegenden zerstückelt wie Holz zu Markte geführt (Riesfeldt). Die schwarzen Hölzer zeigen nicht selten auf dem Querbruch einen deutlichen Anzatz von Verkohlung, bei den nußbraunen (Salzhäuten) ist es jedoch weniger der Fall. Letztere sind schwimmend leicht, können wie Holz gehobelt und geglättet werden. Trotz dieser Wohlerhaltenheit konnte doch schon Hartig in den Hölzern von Bovey kein Kali mehr finden. Die zerreiblichen geben eine schöne braune Farbe (Eölnische Umbra), und beweisen, daß der größte Theil der dichten Braunkohle nichts als ein solches Reibungsproduct sei, wie es bereits ältere und neuere Naturforscher (Hartig) ansehen. Es sind darunter Laub- und besonders Coniferenhölzer. Letztere gehören aber nicht mehr bei uns lebenden an, sondern meist Thuja- und Cypressenarten von riesenhafter Größe. Einigen Ruf hat in dieser Beziehung die Grube Bleibtreu an der Harzt im Siebengebirge, die Stämme liegen mitten in der dortigen Moorkohle. Dr. v. Dechen erwähnt eines liegenden Stammes (*Pinites ponderosus*) von 39½' Länge, 14—15' Breite und 17" Dicke, so stark war derselbe gepreßt. Seltener sind aufrechte Stämme, wie sie Möggerath 1819 zuerst vom Büßberge bei Frieddorf auf der linken Rheinseite beschreibt, es war darunter ein Stamm mit Wurzeln von 12' Durchmesser in der Brusthöhe. In neuerer Zeit fanden sich auf Bleibtreu in einem Raume von 22 Morgen 35 solcher Baumstämme von 2½—9' Durchmesser, sie hatten noch deutliche Wurzel- ausläufer, und waren in einer Höhe von 12—16' gewaltig abgebrochen. Oester findet man große Stämme daneben, „als wenn dieß Stücke des abgebrochenen Baums wären.“ Dr. Hartig (Botan. Zeitung 1853 pag. 604) hat die Jahresringe eines solchen aufrecht stehenden Stammes genau gemessen, und da die durchschnittliche Jahrringbreite  $\frac{1}{4}$  Zoll betrug, das Alter auf mehr als 3000 Jahre geschätzt. „Solcher Braunkohlenflöze, wenn auch minder mächtig, finden sich dort dreizehn über einander. Da nun ohne Zweifel die Bäume an Ort und Stelle wuchsen, so gibt uns



das einen Maßstab des Alters. Denn das einzige erdige Hauptflöz ist schon 10'—14' mächtig, und in der Mitte findet sich eine etwa 3' dicke Lage, die fast ganz aus bituminösem Holze in großen Stücken und ganzen Stämmen besteht. Ein Theil desselben sieht frisch hellbraun aus, trocken wird es aber öfter im Querbruch schwarz wie Pechkohle. Die Analyse gab nur 1,24 Asche, 64,3 Kohlenstoff, 5,5 Wasserstoff und 29 Sauerstoff. In den Spalten des Jura, in der diluvialen Braunkohle von Aynach u. kommen ästige Hölzer vor, die noch ganz zähe Holzfaser zeigen.

Wie das Holz, so haben sich nun auch die verschiedensten Pflanzentheile erhalten: Bast, Tannenzapfen, Früchte aller Art. Die sogenannten „Kiefernadeln“ bestehen in Thüringen aus sehr deutlichen Gefäßbündeln von Palmenhölzern, die im Querbruch wie Pechkohle glänzen, und bei ihrer großen Verbreitung den besten Beweis für ein wärmeres Klima in jenen Zeiten liefern. Besonders reich an solchen Pflanzentheilen ist die sogenannte

4. **Blätterkohle**, eine dünnengeschichtete, biegsame, lederartige Substanz, die ihre zähe Consistenz hauptsächlich dem starken Bitumengehalte verdankt. Die Schieferung selbst rührt von der großen Beimischung von Thon her, so daß der Aschenrückstand oft mehr als die Hälfte beträgt. Zwar kommen in der obern Steinkohlenformation, im Posidonien-schiefer des Liass u. Schiefer vor, die bei der Verwitterung ein höchst verwandtes Ansehen annehmen, allein bis zu dem Grade der Feinheit, als die Braunkohlenschiefer, zertheilen sie sich nicht. Ueberdies scheinen auch mehrere dieser Blätterkohlen mit dem zarten Polir- und Klebschiefer in Verwandtschaft zu stehen, denn Ehrenberg wies in der Blätterkohle von Rott im Siebengebirge ebenfalls Kieselinfusorien nach. Wenn die Blätter ganz zart werden, heißt man sie wohl Papierkohle (Pappendeckel), und da solche in die bloße Flamme gehalten schon mit Gestank brennt, so belegte sie Cordier (*Journ. de Phys.* 1808. 277) mit dem Namen *Dysodil*, der sich in ganz dünnen grünlich grauen Blättchen im Kalkstein von Melili bei Syracus auf Sicilien fand, wo ihn die Einwohner Merda di Diavolo nannten. Das pappige versilzte Wesen fällt in hohem Grade auf. Sie enthalten nicht bloß Insekten, Fische, Frösche, sondern auch Krokodilreste, Vogelfedern und Knochen von einem Moichthysier u. Besonders aber bilden sie das sanfte Bett für die Dicotyledonenblätter aller Art, Käzchen mit Blütenstaub, in der Wetterau hat man sogar Weinbeeren (Rosinen) mit den deutlichsten Kernen gefunden. Das Siebengebirge bei Bonn, die Wetterau bei Salzhäusen, der Westerwald, der Ochsenwanger Wasen bei Kirchheim, das Ries bei Nördlingen (*Jahrb.* 1875. 100), Ménat in der Auvergne liefern ausgezeichnete Beispiele dieser merkwürdigen Kohle, welche bei Bonn auf Del benutzt wurde. Einen weißen Schiefer hat man in Australien Tasmanit genannt, die mehrere Fuß dicke meilenweit fortsetzende Schicht soll fast gänzlich aus Sporen bestehen, und ist nicht mit dem gleichnamigen Harze von dort zu verwechseln, *Jahrb.* 1875. 227 u. 1865. 280.

5. **Alaunerde**, *Argilla aluminaris*. Obgleich der Alaun auch aus den härtern Alaunschiefern dargestellt wird pag. 652, so ist doch die weichere Alaunerde des Braunkohlengebirges auch ganz gut dazu geeignet. Bugweiler im Elsaß, Freienwalde an der Oder, Alsfattel in Böhmen und viele andere deutsche Alaunwerke beziehen ihr Material aus der Braunkohlenformation. Es ist eine grauschwarze zum Schieferigen geneigte Masse, welche leicht an der Luft zerfällt und gewöhnlich die Braunkohlenflöze begleitet. Der fein vertheilte, dem bloßen Auge nicht sichtbare Schwefelkies und auch der Mangel an kohlensaurem Kalk, welcher die Schwefelsäure binden würde, machen sie brauchbar. Durch jahrelange Verwitterung bildet sich schwefelsaure Thonerde, Alkali ist gewöhnlich nicht hinlänglich vorhanden, und muß daher zugelegt werden. Man braucht die so lockere Erde nicht wie den Alaunschiefer vorher zu rösten. Es fehlt ihr an Bitumengehalt. Bei Freienwalde werden jährlich über 32,000 Tonnen à 2 Egr. gefördert. 4 Tonnen geben 1 Etr. Alaun. Klaproth (Weitr. IV. 100) fand darin 40 Kiesel Erde, 16 Thonerde, 19,6 Kohle, 10,7 Wasser, 1,5 schwefelsaures Kali, 2,8 Schwefel, 6,4 Eisenoxyd u.

Die Braunkohle ist besonders in dem norddeutschen Flachlande zu Hause, wo sie an zahllosen Punkten oft unmittelbar an der Oberfläche liegt, so daß sie durch Tagebau gewonnen werden kann. Der preußische Staat allein gewann jährlich über 50 Mill. Etr., der Etr. 1 Egr. Den vierten Theil davon lieferte die Gegend von Halberstadt,  $\frac{2}{3}$  Theile die Gegend von Halle. Jetzt hat sich die Ausbeute auf 167 Mill. Etr. gehoben. In der Mark zwischen Elbe und Oder ist die Kohle wohl an 20 Punkten durch Tiefbau aufgeschlossen. Ihre Schichten fallen steil ein, und sie wird nicht bloß vom Diluvium, sondern auch vom Septarienthon bedeckt, der der jüngern Eocenformation angehören soll (Plettner, Zeitschr. deutsch. geol. Gesellsch. IV. 100). Von Bonn und Köln, wo die berühmte Kölner Umbra 6—10' mächtig durch Tagebau gewonnen wird, zieht sich die Ablagerung über den Westerwald bis in die Frankfurter Gegend. Besonders reich und unerschöpflich ist auch das nördliche Böhmen, namentlich zwischen Eger und Tepliz, lange wurde hier die Ausbeutung nicht so schwunghaft betrieben als in Preußen, 1874 hat es sich schon zu 112 Mill. Etr. emporgeschwungen, die ihren Absatz bis zu uns nach Süddeutschland finden. Reich sind ferner die österreichischen Alpen, während das südwestliche Deutschland auch in dieser Beziehung keine Bedeutung hat. Es kommen in den Spalten der Juraformation, in der Molasse u. wohl Nester und Flöze vor, aber nur sehr untergeordnet. In Frankreich ist Braunkohle öfter in den Süßwasserkalk eingelagert, wie bei Marseille, wo sie daher den Namen Houille des calcaires erhalten hat. Auch Nordamerika ist östlich des Felsengebirges zwischen 38°—73° Breitengrade auf einer Fläche von 12,000 Quadratmeilen reichlich versehen.

Die Nachbarschaft der Basalte zu den Braunkohlen fällt in den

deutschen Hügelländern, Böhmen, Hessen und in Centralfrankreich oft sehr auf. So kommen auch auf dem westlichen und nördlichen Island mächtige Lager unter dem Namen Surturbrand vor, worin nach Olafsen ganz gewaltige Baumstämme liegen (Steffens vollst. Handb. der Dryognosie II. 271), so wohl erhalten, daß in Kopenhagen daraus allerlei kleine Geräthschaften gemacht werden. Auf dem Oberharz hat sich das Fichtenholz der Schachtzimmerung in 400 Jahren zu Pechkohle verwandelt, Hirschwald, Ztschr. d. geol. Ges. 1873. 384.

Die Bildung der Braunkohle erinnert in auffallender Weise schon an unsern heutigen Torf, der dem Alluvium angehört, und sich unmittelbar an die jüngsten Braunkohlen anschließt. Wenn man dabei an die Mächtigkeit der Torflager in Irland erinnert, die zuweilen aufbrechen und in Schlammfluthen die Gegend verwüsten und bedecken; an den Baggertorf niedriger Seeküsten in Holland; an die untermeerischen Wälder von Nordfrankreich und Großbritannien (Handbuch der Geognosie von de la Beche, übersetzt von Dechen pag. 158): so wird uns manches klar, was beim ersten Anblick Staunen erregt. Zeigte doch Carnall bei der Versammlung der deutschen Naturforscher in Tübingen 1853 eine feinerdige kaffeebraune Masse vor, die sich in einem Dampfkessel, der mit bituminösen Wassern gespeist war, gebildet hatte, und in auffallender Weise einer feinen Eölnischen Umbra glich. Auch der Dopplerit (Jahrb. 1851. 104) in den Torfmooren bildet eine amorphe Concretion, welche getrocknet mit Kohle große Aehnlichkeit hat, aber mineralogisch kaum festgehalten werden kann. Er ist in Aetkali löslich, und erhöht die Güte des Torfes, Kaufmann im Jahrb. geol. Reichsanst. 1865. XV. 283.

## 2. Bitumen,

in seinem flüssigen Zustande unter dem Namen **Steinöl** bekannt, kommt nicht bloß untergeordnet in Kohlen und Schiefen der verschiedensten Art vor, sondern hat sich auch an vielen Punkten zum Theil in großer Menge selbstständig ausgeschieden. Sehr kohlenstoffreich brennt es mit ruhiger Flamme, und leuchtet bei gutem Luftzuge stark. Man begreift oft nicht, wie das Del in viele dieser Schiefer kam. Am merkwürdigsten und ölreichsten von allen ist der schottische

**Boghead** (Epochen der Natur pag. 392) aus dem Bergkalk von Bathgate in Schottland, wo er 20" mächtig auf feuerfestem Thon mit Stigmara sicoides ruht, kommt zur Bereitung von Leuchtgas und Naphtha in Handel. Dem äußern Ansehen nach gleicht er zwar der Cannelkohle, allein ist minder schwarz, hat sogar einen gelblich braunen Strich, und mindestens 25 p. C. Asche. Solche „Gaschiefer“ fanden sich später bei Pilsen, Tula, Murajewna im Moskauer Becken (Jahrb. 1870. 100; 1871. 110. 532), Australien (Jahrb. 1867. 402), wo in Neu-Südwallis der Brown und Chalby Cannel hierher gehören, überall auf das Engste mit Cannelkohle pag. 901 vergesellschaftet. Wo die Kohle aufhört, fängt dieser an,

man zählt ihn daher schon zu den Schiefeln, die sich noch mehr als Kohle zur Aufnahme von Del eignen, wie das die Brandschiefer der Steinkohlenformation (Autun) und die Blätterkohlen (Ménat, Rott) des Tertiärgebirges beweisen. Seitdem Selligue daraus Leuchtgas und Del mit Vortheil darstellte (Dumas Traité de Chim. 1844. VII. 300, Compt. rend. 1840. X. 331), haben die fetten Schiefer vielfach die Aufmerksamkeit auf sich gezogen, aber auch praktisch manche Verluste gebracht. Dumas fand in einzelnen Schieferthonlagern des Steinkohlengebirges von Bouvant in der Vendée 14,5 p. C. Del, 3,2 Wasser, 7,7 Kohle, 17,5 flüchtige Materie und 61,6 Asche. Das hat zur Anlage der französischen Delhütten in der Umgegend von Autun ermuthigt. In Deutschland gab die Blätterkohle im Braunkohlengebirge von Rott bei Bonn (Zeitschr. deutsch. geol. Gesellsch. 1850. II. 330) einen weitem Anstoß, der besonders in der preuß. Provinz Sachsen viel mißglückte Nachfolge fand, bis endlich die

**Wachskohle** (Pyropissit) von Gerstewitz bei Weissenfels (Jahrb. 1867. 400) den kostspieligen Unternehmungen neues Leben gab, das aber durch die Billigkeit des amerikanischen „Petroleum“ wieder ins Stocken gerieth. Diese lockere gelbliche bis weiße Masse (Freieslebens graue Erdkohle) theilweis von tuffartigem Ansehen und schwimmend leicht hat einen glänzenden etwas fetten Strich, und schmilzt wie Wachs zu einer schwarzen asphaltartigen Masse. Die Destillation liefert einen Paraffinhaltigen „Theer“, der kalt gesteht, aber mit Del getränkt ist. Ohne Zweifel dankt dasselbe mehr Pflanzen als Thieren seinen Ursprung, daher auch die Ablagerung über der dortigen Braunkohle (Heine, Jahrb. 1845. 140). Wir sind damit gewissermaßen schon an die Grenze der Harze gelangt. Mitten inne stehen die

**Bituminösen Schiefer**, welche fern von allen Pflanzenablagerungen zwischen Meerformation ihre Stelle einnehmen, wie unter andern im süddeutschen Lias. Die Destillationsproducte liefern hier nicht „Theer“, sondern bei allen Temperaturen flüssiges „Rohöl“, was schon auf eine Armuth von Paraffin hindeutet, und den Blick mehr auf das Fett der gestorbenen Thiere lenkt, welche an jenen Urküsten ihren Tod fanden. Schon Chr. Gmelin wies in den fettesten Lagern der Posidonienschiefer Württembergs  $7\frac{1}{4}$  p. C. Rohöl nach. Dasselbe konnte wenigstens zum Theil mit Aether ausgezogen werden, muß sich also im Schiefer schon fertig vorfinden. Es bleibt daher kaum eine andere Erklärungsweise übrig, als daß die Gesteine sich mit dem Del der gestorbenen und dort verfaulten Thiere getränkt haben. Was die Kohle für die Heizung ist, das dürfte dieses Del einst für die Beleuchtung werden, wenn man der Sache die gehörige Aufmerksamkeit zuwendet, da es an Leuchtkraft das beste Del- und Wachslicht übertrifft. Bloss der stark bituminöse Geruch erregt noch einigen Anstoß, doch auch dieß wird mit Hilfe der Chemie überwunden werden. Es ist wirklich erstaunlich, wie die Natur durch scheinbar Kleines so Großes zu Stande gebracht hat: in den Posidonienschiefeln des Lias in Schwaben liegen auf einer Quadratmeile (zum

großen Theil ganz oberflächlich), gering berechnet, über 200 Millionen Centner des feinsten Deles, ja man übertreibt nicht, wenn man die Mächtigkeit der zu gewinnenden Oelschicht auf 1 Pariser Fuß schätzt.

Man muß beim Bitumen überhaupt wohl unterscheiden zwischen freiem und gebundenem. Das freie kann man durch einfaches Kochen im Wasser, wie zu Lobsann im Elsaß, herausziehen, das gebundene dagegen nur zum Theil durch Aether. Erst durch Erhitzen der Schiefer in Retorten destillirt Del mit Wasser, Ammoniak, Leuchtgas zc. über, gerade wie bei den Kohlen. Das Del selbst scheint also vorzugsweise erst ein Destillationsproduct zu sein. Dieses

Schieferöl hat einen starken empirevmatischen Geruch, sieht im reflectirten Licht mehr oder weniger dunkelfarbig vom beigemischten Theer aus, und zeigt das Fluoriren pag. 145 in ausgezeichnete Deutlichkeit. Chemisch besteht es aus einer ganzen Menge leichter und schwererer Oele, die man durch unterbrochene Destillation von einander trennen kann. Schon bei 60° Wärme gehen Oeldämpfe über, andere widerstehen noch einer Temperatur von 400°, und diese erkalten zu einem schwarzen feinen Theer. Ueberhaupt sind die flüchtigern Oele farblos, je weniger flüchtig, desto gelber werden sie, bis sie sich zuletzt im Braunen und Schwarzen verlieren.

Augenscheinlich haben wir hiemit die Orte angedeutet, wo das Steinöl seinen Ursprung nahm: es ist ein natürliches Destillationsproduct aus organischen Ueberresten. Daraus erklärt es sich dann, wie wir auf Fugen des Stinksteins, in hohlen Räumen der Muscheln zc. unverhofft auf Ansammlungen schwarzen flüssigen Theeres stoßen können. Die chemische Deutung soll sich freilich auf das große Gebiet der organischen Analyse stützen, was aber bis jetzt bezüglich der Fossile noch unvollkommen durchgearbeitet ist. Wir müssen daher in vielen Stücken noch mit der äußern Beschreibung uns begnügen.

### Steinöl.

Petroleum, Erdöl, Naphtha. Eines der merkwürdigsten Producte des Erdbodens, das zugleich in der Culturgeschichte des Menschen eine wichtige Rolle spielt. Schon die Babylonier bedienten sich des warmen Asphaltens als Mörtel zu Mauerwerk (Herodot I. 178), und die alten Aegyptier balsamirten ihre Todten damit ein. Plinius erwähnt die Abänderungen an verschiedenen Stellen: bei den Quellen lib. II. cap. 109 spricht er vom Naphtha, ita appellatur circa Babyloniam; lib. 35 cap. 51 werden dagegen alle drei Varietäten vortrefflich beschrieben: et bituminis vicina est natura, alibi limus, alibi terra: limus e Judaea lacu emergens (Asphalt) . . . Est vero liquidum bitumen, sicut Zacynthium (Zante), et quod a Babylone invehitur. Ibi quidem et candidum gignitur (Naphtha). Liquidum est et Appolloniaticum: quae omnia Graeci pissasphaltos (Bergtheer) appellant, ex argumento picis et

bituminis. Gesner (de sig. lap. 1565. 44) setzt noch hinzu: „das den Fingern nachgibt, aber sie nicht beschmutzt“.

Diese bituminösen Oele, im Allgemeinen leichter als Wasser Gew. 0,7—1,2, bestehen aus Kohlenstoff, Wasserstoff und Sauerstoff. Siedepunkt veränderlich. Brennen leicht mit einem nicht gerade unangenehmen Geruch, zumal beim ersten Anzünden. Mit Wasser mischen sie sich nicht. In Alkohol nur wenig löslich, dagegen in Aether, in flüchtigen und fetten Oelen. Eigentlich haben wir nur zwei feste extreme Punkte: Naphtha und Asphalt, jene das reinste flüchtige und farblose Del, dieser der möglichst entöltte schwarze verhärtete Theer. Da nun Theer vom Oele in allen Verhältnissen gelöst wird, so entstehen durch solche Mischungen Zwischenstufen. Auch verwandelt sich das Del durch Aufnahme von Sauerstoff theilweise selbst in Theer.

a. **Naphtha** Strabo Geogr. 16. 1 (Bergbalsam) heißt das dünnflüssige im reinsten Zustande farblose Del, was man aus dem gefärbten durch Destillation darstellen kann. Gew. 0,7 bis 0,8, wie das Petroleum des Handels. Sie kocht schon bei 70° C, und besteht nach Saussure (Pogg. Ann. 36. 417) aus C H mit 85,9 C und 14,1 H, was gegenwärtig allgemein angenommen wird. Dagegen gab Dumas (Pogg. Ann. 26. 541) 87,3 C, 12,3 H an, was etwa der Formel  $C^6 H^5$  entspräche. So rein kommt es aber in der Natur kaum vor, da es an der Luft sich leicht (in Folge von Oxydation?) gelb, braun bis schwarz färbt. Die farblose Naphtha im Handel ist künstlich gereinigt, und zeichnet sich durch Leichtigkeit und niedrigen Siedepunkt aus: bei Amiano in Parma 0,75 Gew. und 70° Siedepunkt. Das Erdböl von Sasso in Toscana hat weingelbe Farbe mit einem blaugrünen Schein wechselnd (Breislal Lehrb. Geogn. III. 44), d. h. es fluorescirt gerade wie unser rohes Schieferöl. Je länger es steht, desto dickflüssiger wird es, so kommt man durch viele Modificationen hindurch zum

b. **Steinöl**. Bei gewöhnlicher Temperatur noch flüssig, aber braun bis schwarz gefärbt in Folge von Vertheerung. Gew. 0,8—0,9, schwimmt daher noch auf Wasser, mit welchem es gewöhnlich aus der Erde hervorquillt. Bergtheer hat man das dickflüssige genannt, welches durch alle Stufen der Verhärtung mit dem Asphalt in Zusammenhang steht. Steinöl hat wie das Schieferöl keinen festen Siedepunkt: anfangs kommt Kerofelen 0,65 Gew. (Petroleumäther, Gasoline), dann Benzin 0,7 Gew. Man trennt diese leichtern von den schwerern, um Explosionen der Lampen zu verhüten. Dann erst kommen die Brennöle 0,78—0,83 Gew., welchen die Schmieröle 0,84—0,9 Gew. folgen, bis zuletzt ein dicker schwarzer Theer überbleibt, der warm fließt, und kalt dem Judenpech gleicht. Das Pennsylvanische „crude oil“ (rohes Del) gibt im Durchschnitt 70 pCt. Brennöl. Das gewöhnlich im Handel vorkommende Petroleum von Amiano und Vafu ist bereits mit Wasser überdestillirt, wodurch eine etwaige Zersetzung in erhöhter Temperatur vermieden wird. Je reiner dieses Del ist, desto weniger rußt es beim Brennen. Ja Dr. Reichen-

bach (Pogg. Ann. 24. 178) hat nachgewiesen, daß sich unter den verschiedenen Destillationsprodukten auch Paraffin und Eupion befänden. Ersteres zeichnet sich durch eine merkwürdige Indifferenz gegen Säuren und Basen aus (parum affinis). Aus dem norddeutschen Braunkohlentheer, der von butteriger Consistenz dem indischen Manguntbeer gleicht, gewinnt man es in großer Menge, macht Kerzen daraus, die Wachskerzen ähneln. Eupion ( $\mu\omega\nu$  Fett) ist noch bei  $-20^{\circ}$  C flüssig, farblos, wasserklar, geruch- und geschmacklos. Beide bestehen merkwürdiger Weise wie das Steinöl aus C H. Im Steinöl läßt sich Kalium und Natrium aufbewahren. Da es Schwefel, Phosphor, Jod, namentlich aber Harze löst, so dient es zur Bereitung von Firnissen. Auch ist es seit uralten Zeiten officinell. Seitdem es zum Beleuchten benutzt wird, hat die Gewinnung ungeheuren Aufschwung genommen. Es gehören aber Lampen mit doppeltem Luftzug dazu. Je niedriger das specifische Gewicht desto niedriger liegt im Allgemeinen der Siedepunkt. Leichte Oele brennen leichter und schneller, schwere schwerer und langsamer. Je Kohlenstoffreicher desto stärker die Leuchtkraft. Die Heizkraft ist achtmal größer, als von Steinkohle, was bei billigen Preisen die Verwendung als Brennmaterial ermöglicht. Schon das Rohöl von Pennsylvanien gibt 2½mal mehr Hitze als der dortige so vortreffliche Anthracit. Sehr wesentlich ist noch die Mischung: denn Oele von gleichem specifischem Gewichte 0,82 können auf alle mögliche Weise aus der Reihe von 0,75 bis 0,89 zusammengesetzt sein. Am besten sind die, welche bei mittlern Siedepunkte von  $150^{\circ}$ — $160^{\circ}$  das meiste Destillat geben. Diese Andeutungen zeigen, mit welcher complicirten Dingen wir es zu thun haben. Ein Gegensatz scheint sich jedoch herauszustellen: paraffinreiche und paraffinarme Kohproducts; jene weisen auf pflanzlichen Ursprung hin, und führen nach Williamson (Ann. Chem. Pharm. CII. 100 und CXIII. 102.) auf die Alkoholradicale  $C_n H_{n+1}$  wie Propyl, Butyl, Amyl, Caproyl 2c. (Voghead- und Wachsöl); diese auf thierischen nach Dr. Harbordt (Unters. des Mineral. Leuchtstoffes der Württemb. Posidonien-schiefer. Dissert. 1862) mit der kohlenstoffreichern Formel  $C_n H_{n-1}$  (Württemberg. Schieferöl). Darnach sollte man auch in der Urwelt den thierischen Producten den Vorzug geben.

c. Asphalt (Erdspeck, Judenpeck) heißt der feste Zustand, mit einem obsidianartigen Bruch, pechschwarz, Gypshärte und schwerer als Wasser bis 1,2 Gew. Durch Reiben stark negativ elektrisch. Ist mit dem Bergtheer durch alle Uebergänge verbunden: es gibt Bergtheer, was Winters in der Kälte ganz starr ist, Sommers dagegen, wenn auch äußerst langsam fließt. Andererseits ist er wieder mit Gagat verschwistert pag. 901. Im Feuer schmilzt er nicht bloß, sondern tröpfelt auch von der Zange herab, und verbreitet dabei einen ziemlich angenehmen bituminösen Geruch. Der Bentheimer wird nur weich wie Wachs (Jahrb. 1861. 100). Die Flamme rußt stark, und es bleibt wenig Asche und Kohle als Rückstand. In Steinöl löst er sich leicht. Die Destillationspro-

ducte enthalten bedeutende Portionen bituminösen Oeles. Die Elementaranalyse eines Asphaltes von Cuba gab 75,8 C, 7,2 H, 13 stickstoffhaltigen Sauerstoff und 3,9 Asche; andere Analysen (Jahrb. 1866. 111) weichen davon wieder ab. Auch der Albertit, welcher im Kohlengebirge von Nova Scotia Spalten erfüllt, scheint unwesentlich verschieden. Der Asphalt kann übrigens förmliche Lager, wie die Steinkohlen, bilden. Am berühmtesten ist seit alter Zeit das Vorkommen im todten Meer, woher es bereits die Egyptier holten, und noch heute schwimmt es besonders nach Erdbeben in großer Menge auf dem See, so daß es nach Triest auf den Markt kommt. Zu Strabo's Zeiten sahe man den See zuweilen ganz mit Erdspeck erfüllt: nach Diodor (Bibl. hist. 19. 11) schwammen Massen, kleinen Inseln vergleichbar, auf dem Wasser. Es ist nämlich eine Salzlake pag. 660, nihil in Asphaltite Judaeae lacu, qui bitumen gignit, mergi potest Plinius hist. nat. II. 108. Auf der Insel Trinidad vor den Mündungen des Orinoco in Südamerika kommt ein ganzer See von 1000 Schritt Länge und 120 Schritt Breite vor, an der Küste erheben sich Felsriffe, und auf Fels kaum von Erde bedeckt schreitet man zum See, der drei Viertelstunden von der Westküste, 7 Meilen vom spanischen Hafen, entfernt ist. Am Rande des Sees ist das Fels hart und kalt, nach und nach wird es warm und nimmt Fußendrücke an, in der Mitte fließt und kocht es noch, doch zeigen sich keine vulkanischen Ausbrüche mehr. Zur Regenzeit kann man den ganzen See überschreiten. Admiral Cochrane sandte 2 Schiffsloadungen voll dieses Fels nach England, allein um es brauchbar zu machen, erforderte es einen Zusatz von zu viel Del (Leonhard's Jahrb. 1883. 629). Alle Oele verdicken sich im Schoße der Erde, und können zuletzt verhärten, so liegen sie namentlich auch im Jura von Braunschweig (Zeitschr. d. geol. Ges. 1871. 271) und Hannover (Zeitschr. Berg-Hütt. Preuß. XIV. 216). Asphalt dient vorzüglich zum Theeren der Schiffe, zu wasserfesten Bauten, Dächern, Trottoiren, schwarzem Siegelack 2c. Merkwürdiger Weise vertheert nach Magnus (Pogg. Ann. 90. 1) ölbildendes Gas, ohne Sauerstoff aufzunehmen.

Diese drei bilden zwar die Hauptmasse, doch kommen außerdem noch eine Menge Abänderungen vor, so daß fast jede Localität auch kleine Unterschiede hat, wie das eine genauere chemische Analyse, besonders das Verhalten bei der Destillation, zeigt. Während z. B. beim gewöhnlichen Steinöl, mit Wasser destillirt, der größte Theil sich überführen läßt, geht bei dem Bitumen visqueux (klebriges Bitumen) von Bechelbronn im Elsaß nördlich Straßburg nach Boussingault keine Spur von Naphtha über, erst bei 230° C. bekommt man in der Vorlage etwas flüssiges Del von blaßgelber Farbe, was Boussingault Petrolen nennt, 250° längere Zeit erwärmt bleibt endlich ein fester, schwarzer, sehr glänzender Rückstand, Asphalten C<sup>40</sup> H<sup>16</sup> O<sup>3</sup>. Boussingault glaubte, daß auch bei dem andern Steinöl Petrolen und Asphalten die Hauptmasse bilden (Dumas Traité de Chimie VII. 113). Sauy unterschied eine Malthe ou Poix minérale, auch Bitumen glutineux ge-



nannt (*Traité minér.* IV. 444). Von einer Maltha spricht schon Plinius hist. nat. II. 108: in Commagene urbe Samosata stagnum est, emit-tens linum (maltham vocant) flagrantem. Die Franzosen verstehen darunter eine zähe, klebrige Masse, deren feines Del nie ganz trocknet. Das Bitumen von Puy-de-la-Poiz im Bassalttuff macht den Boden so klebrig, daß er fest an den Sohlen der Fußgänger sitzen bleibt. Das klebrige Wesen zeigt auch der sandige Bergtheer von Neufchatel in auf-fallender Weise; wenn man darin mit einem Stabe rührt, so bewegt sich die ganze Masse eine Zeitlang fort, als wäre sie durch Würmer belebt: und selbst kleine Proben muß man sehr genau ansehen, um sich zu überzeugen, daß die Bewegung nicht von lebenden Geschöpfen aus-gehe.

Elastisches Erbpex (Elaterit) wird schon von Born beschrieben, war lange nur von der Obingrube bei Castleton in Derbyshire bekannt, wo es im Bergkalk mit Bleiglanz, Blende, Kalkspath und Flußspath bricht. Neuerlich fand es sich ausgezeichnet zu Newhaven in Connecticut. Hier in großen Stücken. Dieselben sind stark elastisch biegsam nach Art des Kautschuk, zerreißen aber ungleich leichter. Bei frischem ist die Farbe röthlich braun, durch Verwitterung wird sie aber schwarz. Sie riechen sehr stark bituminös, und sind von einem schwarzen schmierigen Oel durchzogen. Zusammensetzung CH mit nur wenig Sauerstoff.

**Ozokerit** (Glocker Schweigger Journ. Phys. u. Chem. 1893. 69. 111, *ὄζω* riechen und *κηρός* Wachs) findet sich bei Elanik in der Moldau an der Grenze der tertiären Brakischen Bildungen. Wird jetzt geradezu Paraffin genannt. Die frischen Stücke haben einen Serpentinartigen Bruch, sind bräunlich, gelblich, grünlich, und scheinen an den Ranten stark durch. Ziemlich spröde, doch kneten sie sich zwischen den Zähnen etwas, nach Art spröden Wachses, daher *Bergwachs*. Durch Verwitterung wer-den sie schwarz und auffallend wachsartig, man kann von solchen Stücken mit dem Nagel Späne mit glänzenden Schnittflächen abnehmen.  $\rho = 1$ , Gew. 0,94—0,97. Durch Reiben stark negativ elektrisch. Im Feuer fließt er wie Wachs und brennt dann mit nicht stark rußender Flamme. Wie überhaupt die ganze Masse etwas Edles hat, edler als Asphalt. Die Analyse gibt ebenfalls CH mit 85,7 C, 15,1 H, gleichsam verhärtetes Naphtha. In Steinöl leicht löslich. Die Destillationsproducte sind hauptsächlich Paraffin und Del. Wird in der Moldau zu Lichtern be-nutzt. Er kommt an mehreren Punkten im Wiener Sandstein, und stets in der Nähe von Kohlen- und Steinsalzlagern vor. Das *Nest-gil* oder Naphthagil (Steintalg) aus dem Sande der Naphthainsel Tschilefen im Caspisee soll nach Bölkner eine ähnliche Substanz sein. Es liegt stets nachbarlich den Naphthaquellen, (Leonhard's Jahrb. 1839. 449), und scheint nach Frischie (Journ. Pratt. Chem. 72. 311) darin gelöst zu sein. Bei Batu heißt eine ähnliche Masse *Kir*. Zu Vorislav in Ostgalicien fällt es wie weicher Quarz die Delschächte, ausgetrocknet läßt er sich dann schnitzeln wie Wachs.

Gatchettin wurde von Conybeare in Spalten des Thoneisensteins von Werthyr Tydwil im Steinkohlengebirge von Südwallis entdeckt. Flockig wie Wallrath, oder feinkörnig derb wie Wachs; das flockige stark durchscheinend, grünlich gelb, Gew. 0,6. Schmilzt unter der Siebhöhe des Wassers zu einem farblosen Oel, das beim Erstarren trübe wird. Ähnliche Massen kommen auch im Steinkohlengebirge von Glamorgan-shire vor, worin Johnston 85,9 C und 14,6 H nachwies, das würde also ebenfalls C H sein. Künstlich krystallisirtes Paraffin bekommt man jetzt sehr leicht in den sächsischen Oelhütten: es sind farblose glimmerartige Blättchen, welche im Polarisationsmikroskop sofort zwei optische Axen zeigen.

### Bildung und Verbreitung des Steinöls.

Die Oelablagerungen stehen einerseits so innig mit den Stein- und Braunkohlen des Flözgebirges in Beziehung, daß an einem Zusammenhang mit denselben gar nicht gezweifelt werden kann: sie sind Oel und Harz der Pflanzen, an welchen feurige Prozesse nicht den geringsten Antheil haben. Entschieden thierischen Ursprungs ist es viel seltener. Doch findet man z. B. mitten in den bituminösen Rassen des mittlern Lias, Muscheltaltes zc. in rings abgeschlossenen Drüsen homogener Bänke beim Zerschlagen schwarze theerige Ueberzüge, die, wenn nicht durch bituminöse Tagewasser hingeführt, wohl thierischen Ursprungs sein könnten. Andererseits hat sich das Oel, Theer und Pech in manchen Gegenden (Trinidad, Cuba, Baku) in solchen Massen angehäuft, daß man die Sache nicht recht begreiflich finden könnte, wenn nicht Destillationsprozesse im Innern der Erde dazu mitgewirkt haben sollten. Sogar im Meteorstein von Naba pag. 725 fand sich meteorisches Bergwachs (Kobait). Wegen der Wichtigkeit in der Anwendung wird Steinöl überall gesucht, wo es vorkommt. In Europa ist es meist nur als Theer und Asphalt bekannt. In Frankreich genießt das Bitumen von Seyssel (an der Rhone unterhalb Genf) einen Ruf: es erfüllt Molassefand und Nagelflue, das Bitumen löst sich durch Kochen des Gesteins und schwimmt auf dem Wasser. Auch ist daselbst der Kalk im Jura und Neocom (Val de Travers bei Neuchâtel) so durchdrungen, daß er eine kaffeebraune Farbe bekommt. Man kann ihn zwar pulvern und sieben, aber das Pulver ballt sich wieder von selbst. Ein kleiner Ammoniakgehalt läßt auf thierischen Ursprung schließen (Bullet. Soc. Neuchâtel 1869. VIII. 229). Auch das Quirinöl am Westufer des Tegernsees hat unter Schutt im Tertiärgebirge seinen Sitz. Das Bitumen von Besselbrunn und Lobsann im Elsaß nördlich Straßburg bildet im Braunkohlengebirge man kann sagen einen sandigen Theer, der sich in seinen fettesten Schichten wie Wachs schneiden läßt, und ebenfalls abgeseiht und dann weiter behandelt wird. Im Oberschwäbischen Süßwasserkalke kommen Faustdicke Pechlager vor, welche die Sonnenwärme aus dem bituminösen Gestein herauszieht (Begleitworte Geognost. Spezialkarte Württ. Blatt Ehingen 1876. 11), wie aus dem

Kalkgebirge des Rothen Meeres. Bei Darfeld westlich Münster (Bogg. Ann. 47. 187) findet man im mergeligen Kalkstein der Kreideformation ein zähes honigsteifes Harz, was Spalten erfüllt. Man kann dort reine Stücke von 13 & Schwere zu Tage fördern, die ganz dem ächten Asphalt gleichen, nur werden sie bei warmer Witterung gleich pechartig weich, was der ächte Asphalt niemals zeigt. Zu Limmer ohnweit Hannover, Wiege, Hüningsen, Dedesse, Verden, Braunschweig kennt man ähnliche Vorkommen. Bei Seefeld ohnweit Innsbruck wird aus Schiefern zwischen Alpentalkstein ein solcher Asphalt abdestillirt. Den dortigen Bitumenreichtum erwähnt schon Agricola de nat. foss. IV. pag. 595. Häufig fällt die Nachbarschaft der Salzgebirge in hohem Grade auf, ja wir finden mitten im Steinjalz Nester von dem deutlichsten Asphalt (Wilhelmsglück am Kocher). Der salzreiche Karpathenzug ist besonders auf der Nordseite in Gallicien reich an Erdölquellen. Von Lemberg kommt jetzt gereinigte Naphtha als Lampenöl in den Handel, das bei Starasol im Ursprungsgebiet des Dniester aus Sandstein quillt (Jahrb. geol. Reichsanst. VI. 1862). Zwischen Duka und Krosno im Weichselgebiet dringen brennende Gase aus dem Boden, und einige künstliche Brunnen zeigen sich eine Zeitlang ergiebig (Jahrb. geol. Reichsanst. 1862. XII. 107), dann lassen sie aber nach. Merkwürdiger Weise liegt der Quellenzug nur auf der Nordseite der Pestiden, wohin die steilen Schichten fallen, und zwar nur wenige Meilen vom Kamme des Gebirges. Ganz besonders interessant ist Boryslaw bei Drohobicz südwestlich Lemberg, wo auf einem Raum von 2 Millionen Quadratklaftern in kurzer Zeit 12000 Brunnen abgeteuft sind, die Del und besonders Erdwachs liefern, was aus den Brunnenstößen durch den natürlichen Erddruck hervorgepreßt wird, in Gesellschaft von Soole und brennenden Gasen, Prosopny Jahrb. geol. Reichsanst. 1865. 351. Im Alterthume waren auf der griechischen Halbinjel zwei Punkte berühmt: Kudeffi bei Volona am Nordfuße der Acroceraunischen Berge, Nachts tanzen bläuliche Flammen über dem Boden, wo das heilige Nymphäum von Apollonia lag. Klaproth (Beiträge III. 312) analysirte Asphalt von hier, der dem Kalkgebirge angehört, und in solcher Menge vorkommt, daß man ganz Europa mit dieser zum Kalfatern so vortrefflichen Substanz versehen könnte (Birtet Leonhard's Jahrb. 1837. 127). Auf Zante, dem alten Iakynthos, der südlichsten unter den Ionischen Inseln, hatte schon Herodot (IV. 195) die berühmten Quellen besucht, welche noch jährlich 100 Etr. Del liefern. Eines der Delbecken hat 50' Umfang, der Boden tönt hohl und wankt unter den Füßen.

Die Halbinjel Abscheron am südöstlichen Ende des Kaukasus ist wegen ihres Delquellenreichtums der bedeutendste Punkt in der Alten Welt, zumal in der Umgebung von Baku, wo es seit Jahrhunderten den Einwohnern als Brennmaterial dient. Schwarzer Boden liegt auf einer Erdpechschicht, bis zu welcher man Brunnen hinabführt, worin sich dann meistens ein dunkles Del ansammelt, das Sommers am dünnflüssigsten ist. Das Dorf Balaghan hat 25 Brunnen, wovon die besten bis 1500 &

in einem Tage geben sollen, die meisten sind aber viel ärmer, auch läßt man die Brunnen häufig verfallen, und muß an andern Stellen neue machen. Farblose Naphtha findet sich jedoch nur an einer einzigen Stelle, wo sie wahrscheinlich durch eine unterirdische Destillation schon gereinigt wird. Man rechnete schon früher jährlich auf 100,000 Etr. Steinöl in der Umgegend von Baku, das hat sich jetzt noch bedeutend gesteigert, da die Persische Regierung, welche 1875 auf das Pud 25 Centimen Tage setzte, 280,000 Rubel einnahm. Freilich kostet dann der Transport bis Moskau noch 57 Kopeken, was eine Concurrenz mit Amerika ausschließt. Aber für die Heizung der Dampfer auf dem Kaspisee wird die Sache sehr wichtig. Einige der Quellen dünnen zugleich viel Kohlenwasserstoff aus, und bei warmem Herbstregen soll das ganze Feld um Baku in weißblauen Flammen stehen, die aber nicht zünden. Dann können die Gase das Del wohl 80' hoch aus dem Boden empor schleudern. Das ewige Feuer der Parzen, welches schon seit dem Jahre 900 brennt, ist ein solcher angezündeter Kohlenwasserstoff, der wie das Del mit dunkelrother Flamme brennt. Auf der Naphtha- oder Tschileken-Insel im Caspisee gewinnen die Turkmannen jährlich 60,000 Etr., außerdem reichlichen Bergtheer, welcher zum Kalfatern der Schiffe und zur Vereitung von Fackeln dient. Kertsch und Taman am Azowschen Meere sind längst bekannt, und jenseits des Kuban lieferte 1866 ein einziges Bohrloch täglich 360 Etr. (Jahrb. 1876. 80). Ueberall kommt hier Steinsalz, Gyps, Schwefel 2c. in der Nachbarschaft vor. In Persien ist besonders noch Schiras ohnweit der Ruinen des alten Persepolis reich an Theer. In Hinterindien Pegu, woher der Manguon-Theer ausgeführt wird, eine grünlich braune Masse, von der Consistenz des Gänsefettes, was auf großen Paraffingehalt hinweist. Auch China (Humboldt Kosmos IV. 288) hat bedeutende Quellen. Abgesehen von Trinidad bietet in unsern Tagen besonders Nordamerika (Augsburger Allg. Zeit. Beil. 1861. 5218) eine ungeahnte Ausbeute: von Buffalo an der Mündung des Erie-See's nach Pikesville in Alabama zieht sich über dem Kohlengebirge ein 3—6 deutsche Meilen breiter Gürtel fort, der besonders in West-Pennsylvanien im Thale des Alleghanyflusses ein förmliches „Delfieber“ erzeugte, »this is emphatically the Age of Oil« begann der „Mecca Oil Commercial“ 1861. Man machte Bohrlöcher von 150'—500' im Steinkohlengebirge, aus welchen der gepreßte Kohlenwasserstoff Strahlen dunkelbraunen Oels von 0,795—0,881 Gew. wohl 100' hoch empor schleudert. Die Amerikaner rechnen 50,000 Gallonen (à 8  $\pi$ ) täglich, einzelne günstige Löcher gaben 4000 in 24 Stunden! Ausnahmungsweise ist sogar das Del farblos. Die Ausbeute ist gegenwärtig sehr im Zunehmen. 1871 6 Mill., 1875 11½ Mill. Tonnen, seit 1859 über 70 Mill., an Ort und Stelle über 50 Mill. Pfund Sterl. werth (Berg. Hüttzt. 1877. 22). Auch Ober- und Unterkanada, selbst Mexiko und Californien fallen in den Delgürtel, der sich durch mehr als 60 Breitengrade zieht. In Canada, Mecca, Ohio, Titusville ist es, »not coal oil, but coral oil«. Die kleinen nackten Polypen der Corallenriffe des Ueber-

gangsgebirges scheinen in Bitumen verwandelt zu sein. Das Del schwimmt in vielfach communicirenden Hohlräumen des Gebirges auf Salzsoole, und wird oben vom Kohlenwasserstoffgas gepreßt. Je nachdem der Bohrer nun eine der Flüssigkeiten trifft, preßt das Gas Soole oder Del hervor. Läßt die Gasspannung nach, dann hilft man mit Pumpen, bis endlich die Quelle versiegt. Es gibt Flecke, wo das Gas seit Jahrhunderten ununterbrochen hervorströmt, wie zu Burns und Delamete in Buttler Cty, was in Szölligen Höhlen 30 miles weit nach Pittsburg geleitet wird, um Hochöfen und Fabriken als Brennmaterial zu dienen. So lobert in Kleinasien auf der Lycisch-Pamphyliischen Grenze „die unsterbliche Flamme“ der Chimära schon seit Jahrtausenden empor (Klar und Wagh 180). Daß vulkanische Dämpfe oft nach Naphtha riechen, ist eine allgemeine Erfahrung. Schon Strabo spricht von Wohlgeruch, der sich am Hügel von Traezene verbreitete, und die Priester auf Santorin sahen bei dem großen Erdbeben von 1650 ihn als ein tröstliches Zeichen an, „daß Gott seine Heerde noch nicht verlassen wolle“. Auch sind vulkanische Gesteine öfter mit Erdpech überfirnißt, wie der Basalttuff von Pont du Chateau bei Clermont mit dem darin liegenden blauen Chalcedon.

**Paraffinartige Dinge**, die gewissermaßen zwischen Del und Harz mitten inne stehen, gibt es noch eine ganze Menge. Vor allem gehört dahin Dumas **Idrialin** (Pogg. Ann. 26. 100), ein Bitumen in den Quecksilberbranderzen von Idria, welche handhohe Lager von bräunlich-schwarzer Farbe und glänzendem Strich bilden. Sie fangen leicht Feuer, sind schon öfter Veranlassung zu Bränden gewesen, und fließen dann auseinander wie brennender Theer, wobei sich die Luft mit Wallrathartigen Krystallstütern erfüllt, die namentlich auf halbbrennenden Stücken sich stark anhäufen. Mit siedendem Terpentinöl kann man eine weiße krystallinische schwer schmelzbare Masse ausziehen, die sich in concentrirter Schwefelsäure mit blauer Farbe auflöst, dieß ist das Idrialin  $C^8H$  mit 94,9 Kohlenstoff und 5,1 Wasserstoff.

**Scheererit** nannte Stromeyer (Pogg. Ann. 12. 100) die weißen fettigen wie Wallrath krummblättrigen Krystallschuppen, welche Könlein, Director der Braunkohlenwerke von Ugnach am Züricher See, schon 1822 in jenen bekannten grauweissen Kieferstämmen gefunden hatte (Pogg. Ann. 43. 101). Es erscheint dajelbst in Sprüngen der magerigen Wurzeltheile öfter ganz wie aufgetrocknetes Terpentinöl. „Bleibt das Holz, an dem Scheererit sitzt, längere Zeit an der Luft liegen, so verschwindet das Fossil fast gänzlich.“ Die Schüppchen sind oft sehr blättrig, haben einen Perlmutterglanz, und sollen dem 2 + 1gliedrigen Krystallsystem angehören. Gewicht etwas größer als das des Wassers. Auf Papier macht es Fettflecke. Schrötter (Pogg. Ann. 59. 66) will nach dem chemischen Verhalten zweierlei unterschieden wissen: Scheererit nach Macaire Prinzip  $CH^2$  mit 76 C und 24 H, also von der Zusammensetzung des Grubengases. Bei 40° C. wird er flüssig und bei 92° destillirt er unverändert über, wobei sich der weiße Rauch zu durchsichtigen Tröpfchen condensirt, welche bei der Be-

rührung mit einem kalten Körper augenblicklich zu einer feinstrahligen Masse erstarren. Geschmolzen bleibt er noch lange flüssig, selbst nachdem er vollkommen erkaltet ist. Nur bei Ugnach bekannt. Könit nach Kraus  $C_8H$  mit 7,4 H, 92,5 C, von der Zusammensetzung des Benzin (Benzol =  $C^{12}H^6$ ). Schmilzt bei  $114^\circ$ . Läßt sich nicht unverändert überdestilliren. Trommsdorf fand eine ähnliche Substanz auf Fichtenstämmen in einem Torflager von Redwitz am Fichtelgebirge. Dasselbst unterschied Bromeis noch einen

**Fichtelit**  $C_8H_8$  mit 88,9 C, 11,1 H, bei  $46^\circ$  schmelzend, der mineralogisch freilich sehr ähnlich sieht, und noch wie wenig verändertes Fichtenholz mit Harz riecht. Hartit Hädinger (Pogg. Ann. 54. 301) kommt in den Braunkohlenhölzern von Oberhart bei Gloggnitz in Niederösterreich unter ähnlichen Umständen wie der Scheererit vor. Die weißen Krystallschuppen werden bis  $\frac{1}{4}$  Zoll groß, und sind 2 + 1gliedrige rhomboidische Tafeln von  $100^\circ$  mit einer blättrigen Geradenfläche, nach Kumpf (Sitzb. Wien. Akad. 1869. LX. 1) sogar triklin. Gew. 1,04. Schrötter fand  $C_8H_8$  mit 87,8 C und 12,2 H. Schmilzt bei  $74^\circ$ . Teforetin aus Inter-cellulargängen von Fichtenstämmen in dänischen Sümpfen bei Holtegaard hat fast die gleiche Zusammensetzung. Vergleiche auch die glimmerartigen Blättchen des Phylloretin  $C_8H_8$  von dort. Vielleicht gehören alle zum verhärteten Terpentinöl  $C^{10}H^{16}$  ( $= C^{20}H^{16}$ ), deren verschiedener Schmelzpunkt nach Kammelsberg durch ein Gemenge isomerer Verbindungen erklärt werden könnte. Von ächten Harzen unterscheiden sie sich durch Mangel an Sauerstoff.

### 3. Harze

sind nicht sowohl oxybirte Bitumina, sondern der Sauerstoff ist ihnen schon bei der ursprünglichen Bildung in der Pflanze wesentlich geworden, in der Erde sind sie nur bituminisirt. Sie sind spröde, haben einen sehr vollkommen muscheligen Bruch und hellere Farbe. Da sie aber meist getrennt von ihrer Mutterpflanze vorkommen, so liefert die für Chemiker und Naturhistoriker so wichtige botanische Bestimmung gar keinen Anhaltspunkt. Das macht ihr Erkennen unsicher. Bei weitem die meisten fossilen Harze rechnet man zum

### Bernstein.

Vom altdeutschen Wort bören breunen, auf seine Entzündlichkeit hindeutend. Succinum Plinius hist. nat. 37. 11: nascitur autem defluente medulla pinei generis arboribus, ut gummi in cerasis, resina pinis. Geeler und Weißer aidstein Agricola 797. *Ἡλεκτρον* Theophrast de lap. § 53. Schon Herodot 3. 115 sagt, daß Zinn und Elektron aus dem äußersten Westen von Europa kämen. Nach Plinius stammt der griechische Name von der Farbe, die mit der der strahlenden Sonne (*ἡλεκτρον*) verglichen wurde. Lynkurion Dioscorides Mater.

med. 2. 100. Französisch und englisch Amber, Schwedisch Raf (die Wurzel von Raffen), Persisch Karuba Strohräuber. Nur wenige Minerale erfreuen sich eines solchen Rufes, und mit wenigen wurde ein solcher Luxus getrieben. Plinius führt ihn neben Murrinischen Gefäßen und Bergkrystall auf. Lib. 37 cap. 11 beginnt mit den Worten: *proximum locum in deliciis, feminarum adhuc tantum, succina obtinent.* Sacal der alten Aegyptier, Schechelet der Hebräer. Agtstein im Mittelalter, wegen seiner Kraft mit Magnet verwechselt, Buttmann Abh. Berl. Akad. 1818. ss.

Ein Harz, wie Gummi, Mastix, Pirschharz, Copal u., aber von einem vorweltlichen ausgestorbenen Baum der Tertiärzeit (Epoch. Nat. 708). Göppert's Pinites succinifer und 8 andere Coniferen der Abietineen und Cupressineen sollen das Product geliefert haben. So lange es weich war, schloß es Mücken, Ameisen, Käfer, Spinnweben mit Thautropfen u. ein, im Augenblicke des Todes der Insekten erfolgte zuweilen der Abgang von Excrementen, und aus der Begattung kann man schließen, daß im Frühjahr zur Zeit der Blüthe das meiste Harz floß. Plinius 37. 11: *liquidum primo destillare, argumento sunt quaedam intus translucetia, ut formicae et culices, lacertaeque, quas adhaesisse musteo (frisch wie Most) non est dubium, et inclusas indurescenti.* Uebrigens beruhen die Einschlüsse von Eidechsen, wie die von Fröschen und Fischen (*pisciculi Agricola 573*) auf Betrug. Selten hängt noch Holz daran, es faulte ab, doch sind deutliche Belegstücke für die Bäume da, Bod Naturforscher 1781 16. St. pag. 57; Berendt, die im Bernstein befindlichen Reste der Vorwelt, Berlin 1845.

Gelb bildet die Grundfarbe, feuerähnlich, wie gekochter Honig; aber durchgesägt tritt innen meist weiße Farbe auf. In Rom waren die „Falerner“ von der Farbe des Falerner Weins die geschätztesten. Alle Töne von Gelb, einerseits ins Weiße, andererseits ins Braune und Schwärzliche sich ziehend. Grüne und Blaue sind niemals rein. Auf Sicilien sogar sapphirblau, und zuweilen fluorescirend (*Ischermat Min. Mitt. 1871. ss.*). Uebrigens färbten ihn schon die Alten mit Bockstalg, Anchuswurzel, Purpur. Alle Grade der Durchsichtigkeit, wodurch namentlich auch geflammte Zeichnungen erzeugt werden. Der Weiße ist gewöhnlich trüb wie Elfenbein. Vollkommen muscheliger Bruch, wenig spröde. Fettglanz, und in der Hand gerieben stark politurfähig. Zuweilen auch in zapfen-, tropfen- und birnförmigen Gestalten. Härte 2—3, Gew. 1,08, also gerade so schwer als Meerwasser, *ita volubile, ut pendere videatur, atque considerare in vado.* Daher kann er in der Ostsee so leicht mit Bernsteintraut (*Fucus vesiculosus* und *fastigiatus*) ans Land treiben.

Harzelektricität durch Reiben in der Hand wie Asphalt: *ceterum attritu digitorum accepta caloris anima trahunt in se paleas ac folia arida, quae laevia sunt.* Thales (640 a. Ch.) glaubte schon, daß er eine Seele habe, und Buttmann (Abh. Berl. Akad. 1818) leitet davon den griechischen Namen ab (*ἔλκεν*), *ἐλεγον, ἤλεγον* der Zieher.

In Syria quoque feminas verticillos inde facere, et vocare Harpaga, quia folia et paleas vestiumque fimbrias rapiat. Lichtpolarisation ist wie bei Harzen (Brewster Gilbert's Annalen 1820 tom. 65. pag. 20). „In „Stücken, welche voll Luftblasen waren, wurde durch den Druck der in „ihnen eingeschlossenen Luft eine polarisirende Structur rund um die „Blasen hervorgebracht, welche sich durch vier kleine Sectoren polarisirenden Lichtes zu erkennen gab.“

Im Feuer brennt er mit heller weißer Flamme, man kann ihn in großen Stücken anzünden, setzt nur wenig Ruß an, und verbreitet dabei einen angenehmen aromatischen Geruch: candidi odoris praestantissimi. Daher ein berühmtes Rauchwerk, Schechellet 2 Moj. 30, 34. Die Elementaranalyse gibt

$C_{10} H_8 O$  mit etwa 79 C, 10,5 H, 10,5 Sauerstoff.

Auch 0,2 Stickstoff und etwa eben so viel Asche wird angegeben. Löslich im Steinöl, Benzin, Terpentinöl. Im Kolben schmilzt er bei  $287^{\circ}$ , zerfällt sich zu Wasser, brenzlichem, widerlich stinkendem Del und Bernstein-säure, die sich in weißen Krystallen am Rande der Retorte absetzt. Die Bernstein-säure besteht aus  $C_8 H_6 O_8$ , gehört zu den starken Säuren, und ist auch im Terpentin enthalten, abgesehen davon, daß man sie durch Oxydation von Wachs und Fetten zc. und durch Reduction von Weinstein-säure ( $C_8 H_6 O_{12}$ ) und Äpfel-säure ( $C_8 H_6 O_{10}$ ) erzeugen kann. Der Rückstand ist das Colophoniam succini, was zur Bereitung des Bernsteinfirnisses benutzt wird, da dasselbe sich in fetten und ätherischen Oelen löst, was der ungechmolzene Bernstein nicht thut. Aether zieht aus dem gepulverten Bernstein einen hellgelben, stark riechenden, flebrigen Balsam, den Bergelius (Pogg. Ann. 12. 429) für das hält, was der Bernstein ursprünglich war, aber vielleicht jetzt ärmer an flüchtigem Del wie ehemals. Die unlöslichen Bestandtheile des Bernsteins mögen sich durch die Länge der Zeit aus diesem Balsam gebildet, aber allmählig einen Theil desselben so umschlossen haben, daß dessen weitere Veränderung dadurch gehindert worden ist. Man hüte sich vor Verwechselung mit Copal, welcher sich jedoch schon in gewöhnlichem Alkohol löst, während er für Bernstein wasserfrei sein muß.

Vorkommen. Bisher sah man den Bernstein als ein Product der tertiären Braunkohle, sogar der ältesten Braunkohlenformation an. So werden Italien, Spanien, Frankreich, England, selbst die Haseninsel nordwestlich Disco bei Grönland (Jahrb. 1868. 711) als Fundorte angegeben. Man darf bei diesen Angaben dann aber nicht vergessen, daß unter dem Namen alle bernsteinartigen Harze verstanden werden, welche scharf von einander zu scheiden bis jetzt noch nicht gelungen ist. So kommt bei Lemberg im Sandstein der Kreideformation mit riesigen Austern ein ausgezeichnete Bernstein in Faustgroßen Stücken vor: er ist noch edler und glänzender als der Preussische, und duftet beim Anzünden auf das feinste. Aehnlich finden wir ihn im Grünande von Neu-Jersey. In der Pechkohle des Plänerthales von Stutsch bei Riechenburg im Chrudimer



Kreise von Böhmen führt Neuß einen schwefelhaltigen an. Derselbe fand im Gallicischen die Foraminiferen des Wiener Tertiärgebirges. Daubrè fand Bernstein im Braunkohlengebirge von Lobjann im Elsaß (Retinit?), Schubert (Abriss Miner. 1853 pag. 232) sogar von der Alp bei Kirchheim an der Teck. Dieß ist nun jedenfalls nicht Product des Bernsteinbaums der Ostfeeländer. Wenn es sich daher um die Erklärung des Bernsteins handelt, so nennt man dabei immer das Hauptvaterland: die große norddeutsche Ebene, die Mark, Pommern, besonders die Ostfeeländer von Danzig bis Memel. Auch der 2½ Meilen lange Angernsee bei Riga lieferte beim Abgraben zum Austrocknen viel Bernstein. Zu Gr. Schönebeck bei Jehdenitz und bei Brandenburg fand man 1833 ein großes Lager, und grub Stücke bis 4 Z schwer aus. Die pommerschen Bauern graben Winters im Lehm nach Bernstein. Von diesem glaubte Göppert, daß er der Diluvialzeit, der Zeit der Mammuthe in der Alten und der Zeit der Mastodonten in der Neuen Welt angehöre: von Holland über die germanisch-sarmatische Ebene hin durch Sibirien, Kamtschatka bis nach Nordamerika erstreckte sich der Coniferenwald. Ihr Harzreichtum konnte sich jedenfalls mit der Neuseeländischen *Dammara australis* messen, obgleich deren Zweige und Nester von weißen Harztropfen so starren, daß sie wie mit Eiszapfen bedeckt erscheinen (Verl. Atab. 28. Juli 1853). Man hat im Magen des nordamerikanischen Mastodon Reste von *Thuja occidentalis* gefunden, die der im Bernstein vollkommen gleichen soll. Dann hätte die Bildungszeit des Bernsteins bis an die äußerste Grenze der Schöpfungsgeschichte hinaufgereicht. Doch ist es viel wahrscheinlicher, daß dieser jüngere Bernstein auf secundärer Lagerstätte liegt. In neuern Zeiten fand er sich auch bei Catanea an der Sicilischen Küste (Jahrb. 1871. 101), der „im äußern Ansehen mit unserm sehr übereinstimmt, ausgenommen einige seltene Stücke von sapphirblauer, chrysolith- oder hyacinthartiger Farbe“. Die Alten haben ihn wahrscheinlich schon gekannt, aber zu den Steinen gestellt, zumal da auch förmlich schwarze darunter sein sollen. Den berühmtesten Punkt bildet die Samländische Küste von Pillau nördlich bis zum Dorfe Groß-Hubniten, eine Länge von 3 Meilen. Die Küste westlich Königsberg und zwischen dem Kurischen und Frischen Haff geht von Nord nach Süd. In der rauhen Jahreszeit, besonders gegen den Winter, peitschen und unterwühlen die Winde die Küste: die Bernsteinfischer waten hinein, und fangen mit Netzen das Bernsteinkraut, mit welchem eine Welle öfter mehrere Pfund Bernstein auf einmal ins Netz wirft. Die Küste von Strandreitern bewacht, war früher jährlich für 10,000 Rthlr. von der Regierung verpachtet, das machte auf den Tag noch nicht 25 Rthlr., während jetzt die Pacht 200 Rthlr. täglich beträgt (Jfss 1868. 100), so hat sich die Sache gehoben! Was an Bernstein in jener Gegend, selbst von Bauern beim Pflügen, gefunden wird, muß bei Strafe abgeliefert werden, doch erhält der Finder  $\frac{1}{10}$  des Werthes. Die sandigen Ufer sind stellenweis 150'—200' hoch, und an ihrem Fuße liegt ein schwarzer mit Stücken von Braunkohlen gemengter sehr vitrio-

liſcher thonigter Sand, der den Bernstein enthält. Landeinwärts bei Groß-Hubniten und Kraxtepellen ſucht man die Schicht durch oberirdiſche Grabarbeit bis zu 130' Tiefe zu erreichen, jezt ſchritt man ſogar zu unterirdiſchem Abbau vor (Jahrb. 1873. 300): der Landberstein iſt größer als der Seeberstein, an der Oberfläche rauher, und hat die meiſten organiſchen Einſchlüſſe. Zu dieſen ſich immer erweiternden Gräbereien kommt jezt auch noch das Baggern: bei Schwarzenort im Friſchen Haſſ liegen dazu 12 Dampfſchiffe bereit. — Als G. Roſe (Reiſe Ural pag. 4) 1829 durch Königsberg kam, ſah er bei dem Pächter Douglas einen Vorrath von 150,000  $\mathcal{R}$  in einem maſſiven durch eiferne Thüren verſchloſſenen Gewölbe aufgeſpeichert, und in Kiſten und Körbe nach der Größe der Stücke geordnet. Man hat Tabellen, die bis in das Jahr 1535 hinaufreichen, und nach dieſen iſt die alljährliche Ausbeute von 150 Tonnen à 80 Berliner Quart ſich gleich geblieben. Nach Runge (Ausland 1867. 333) beträgt jezt die jährliche Ausbeute 200,000  $\mathcal{R}$ , wovon die Hälfte auf das Schöpfen im See kommt, 70,000  $\mathcal{R}$  gebaggert und 30,000  $\mathcal{R}$  gegraben werden.

Die Größe und der Werth der Stücke iſt ſehr verſchieden: im Berliner Muſeum befindet ſich eines von  $13\frac{1}{2}$ " Länge,  $8\frac{1}{2}$ " Breite und 3—6" Dicke, es wiegt 13  $\mathcal{R}$  15 $\frac{1}{2}$  Lth. und 8 Lth. wurden von dem FINDER abgeſchlagen, derſelbe bekam 1000 Rthlr. Belohnung, ſo daß es auf 10,000 Rthlr. geſchätzt iſt; es fand ſich 1803 in einem Waſſergraben auf dem Gute Schlappachen zwiſchen Gumbinnen und Inſterburg. Neuerlich kam ein unanſehnlicheres weißes 20  $\mathcal{R}$  ſchweres für 2000 Rthlr. bei Cammin angekauft zu. Auch Plinius erwähnt eines Stückes von 13  $\mathcal{R}$  (à 24 Lth.): maximum pondus is glebae attulit XIII librarum. Das Muſeum von Madrid ſoll eines von 8  $\mathcal{R}$  beſitzen. Für den Handel werden ſie in 5 Klaſſen gebracht:

- 1) Sortiment 0,8 p. C., Stücke von 5 Loth und darüber;
- 2) Tonnenſtein 9,6 p. C., 30—40 Stücke auf 1  $\mathcal{R}$  gehend;
- 3) Ferniß 6 p. C., kleine reine Stücke von 1—2 Cubitzoll;
- 4) Sandſtein 64,7 p. C. bildet noch kleinere Stücke;
- 5) Schluck 18,9 p. C. heißt der unreine Sandſtein.

Sandſtein und Schluck, ſowie der Abgang beim Dreher dient größtentheils zur Deſtillation der Bernſteinsäure, welche officinell iſt, und der Rückſtand gibt das Colophonium succini zur Bereitung des Bernſteinfirniſſes und Bernſteinlackſ. Aus dem Tonnenſtein und Ferniß werden hauptſächlich Perlen gemacht, die bei den Negern, Südſeeinſulanern und Oſtaſiaten den reißeſten Abgang finden. Das Sortiment geht meiſt roh nach Conſtantinopel, wo es zu Pfeiſenſpißen verarbeitet wird, weil die Türken glauben, dieſelben nähmen keine anſteckenden Stoffe auf: eine große Spiße von milchweißem Bernſtein ohne Flecken und Adern ſoll daſelbſt mit 40—100 Rthlr. bezahlt werden. — Daher wechſelt denn auch der Werth von 30 Pfennig bis auf mehrere hundert Thaler für 1  $\mathcal{R}$ .

Dieſer Handel mit Bernſtein iſt uralt, und geht noch heute nach Jahrtauſenden ſeinen Landweg über Breslau und Odeſſa nach Conſtantinopel.

Jene kalten Gegenden Germaniens würden für die südlichen Völker wenig Reiz gehabt haben, wenn sie nicht mit diesem kostbaren Product bevorzugt wären. Und gerade der Bernstein gibt uns einen der schönsten Beweise, wie weit schon alte Völker herum kamen. Bei den Griechen wird er bereits mit den Dichtungen und Mythen über die ältesten Nationalgötter in Verbindung gebracht. Die Mythe bezeichnet ihn als Thränen der Schwestern des Phaeton, Sohn des Sonnengottes, der mit dem Wagen seines Vaters fast die Erde verbrannt hätte. Im Westen heruntergeschleudert beweinten ihn seine Schwestern, die Heliaden, und von den mitleidigen Göttern endlich in Bäume verwandelt, hörte der Strom ihrer Thränen noch nicht auf, er wurde zu Bernstein. Bei Homer Odys. 15. 459 bietet ein Phönizischer Schiffer „eine Goldkette, durchreicht mit ἡλεκτροῖς“, zum Verkauf. Schon Pytheas von Massilia 340 a. Ch., der nach Britannien und Thule kam, scheint auch diese Gegenden besucht zu haben: denn nach ihm heißt es bei Plinius 37. 11, der Bernstein werde gefunden bei den Guttonibus (Gothen) Germaniae genti accoli aestuarium Oceani, Mentonomen nomine, spatio stadiorum sex milium: ab hoc diei navigatione insulam abesse Abalum (das Preussische Paradies, Fischhausen, ein Versammlungsort seit Urzeit, weil es fruchtbar ist gegen die öde Küste): illuc vere fluctibus advehi, et esse concreti maris purgamentum: incolas pro ligno ad ignem uti eo, proximiisque Teutonibus vendere. Die Teutonen werden hier zum ersten Male erwähnt. Zu Plinius Zeit wußte man ganz gewiß, wo der Bernstein herkam: certum est gigni in insulis septentrionalis Oceani, et a Germanis appellari *glessum* (Glys schwedisch). Die Stelle lag 600,000 Schritte à 5', also über 100 Meilen, nördlich von Carnatum in Pannonien (Gegend von Preßburg), was vortrefflich auf Königsberg stimmt. Julianus, der dem Nero ein Gladiatorenspiel besorgen sollte, schickte einen römischen Ritter expresse hin, und dieser brachte so ungeheuer viel mit: ut retia arcendis feris, podium protegentia succino nodarentur: arma vero, et libitina (Totenbahnen), totusque unius diei apparatus esset e succino. „Ein kleines Menschenbildniß von honiggelbem Bernstein war dem Römer lieber, als ein lebendiger Mensch. Die Spielwürfel aus dem reinen Bernstein sind so weiß, wie die beinernen.“ Wie sie aus Bergkry stall Röhrlugeln, so machten sie aus Bernstein Riechlugeln. In den Gräbern wird er oft gefunden, bei Ranesken in Schlesien gibt Göppert (Arch. Anthropol. 1867. II. 111) gegen 2 Etr. an. Vieler von dem sogenannten Bernstein aus den Gräbern muß mit Vorsicht aufgenommen werden: so kommen bei Hallstadt in den dortigen mittelalterlichen Gräbern große Ringe, sogenannte Spindeln vor, die innen einen Strohhalm dicken kreisförmigen Kanal haben, der sich nicht anders als durch Guß um einen fremden Gegenstand erklären läßt. Heute werden die klaren Sorten von der sogenannten Kunstfarbe am höchsten geschätzt: man schleift sie mit Trippel auf Bleischeiben, und gibt ihnen durch Reiben in der Hand Glanz. Durch vorsichtiges Glühen und Kochen in Leinöl wird er besser

gemacht. Der nachgemachte aus Terpentin, Gummi, Gummilack zergeht schon in bloßem Wasser. Der Bernstein im Libanon gehört zum

### Retinit.

Als eine gelbliche Erde häufig in der norddeutschen Braunkohle, und wegen ihrer Aehnlichkeit mit Bernstein Bernerde von Werner genannt. Hatchett (Philos. Transact. 1804. 402) fand ihn in der Braunkohle von Dovey in Devonshire, meinte er sei aus Harz und Asphalt zusammengesetzt, nannte ihn daher Retinasphalt (*ῥητιν* Harz), was Breithaupt in Retinit verkürzte. Haüy's Retinit. Er führt uns in das Meer harzartiger Dinge, die in allen Formationen gefunden werden.

Sehr spröde Körner meist in Braunkohle eingesprengt, außen gewöhnlich erdig, innen aber muschelrig und glänzender als Bernstein. Farbe gelblichweiße Farbe und auch das Gewicht 1,08 des Bernsteins, wenn er nicht verunreinigt ist. Verbrennt mit aromatischem Geruche, und wird vor dem Schmelzen erst elastisch wie Gauthuk. Daß wir es hier mit bernsteinartigen Producten zu thun haben, lehrt gleich der erste Anblick. Aber Retinit ist im Alkohol löslicher als Bernstein: Hatchett gibt bei den Englischen 55 p. C. lösliches Harz, 41 unlösliches und 3 erdige Theile. In der Braunkohle von Cap Sable an der westlichen Küste von Maryland kommen Stücke bis zu 5 Zoll Durchmesser vor (Dr. Troost Gilbert's Ann. 1822. Bd. 70. 307), undurchsichtig gelb, graubraun, 1,07 Gew., wenn kein Schwefelkies darin ist, der ihn schwerer macht. Mit 55,5 in Alkohol löslichen und 42,5 unlöslichen Theilen. In der Kohle auf der Haseninsel pag. 930 bei Grönland, selbst im Schwerspath bei Glücksbrunn liegt Retinit eingesprengt. Sehr häufig findet man in den Braunkohlenbrüchen im Stadtgraben von Halle an der Saale, bei Langenbogen, bei Altenburg 2c. klare braungelbe Harzstücke eingesprengt, wovon sich nach Buchholz 91 p. C. in Alkohol lösen. Sie gleichen auffallend den Harzen in der Braunkohle von Meyersdorf in Niederösterreich. Dagegen kommen in der Moorkohle des Grünlandes von Walchow (Walchowit) und Obora bei Boskowitz nördlich Brünn in Mähren sehr reine runde Klumpen von Faust- bis Kopfgröße vor, stellenweis gelb, meist aber graulich gelb und geflammt wie Kugeljaspis, und stärker glänzender als Bernstein. Schrötter (Pogg. Ann. 59. 61) bekam unter den Destillationsproducten Ameisensäure. Alkohol zieht 1,5 p. C. wohlriechendes Harz aus, Naphtha selbst bei der Siedhize nur wenig, concentrirte Schwefelsäure löst ihn dagegen schon in der Kälte:  $C_{12} = 80,4$ ,  $H_2 = 10,7$ ,  $O = 8,9$ . Es ist das ansehnlichste unter den fossilen Harzen, und dürfte in Beziehung auf Menge und Größe selbst den Bernstein noch übertreffen. Durch Glanz und honiggelbe Farbe prangen die Körner in der Quadernkohle von Uttigsdorf, die aber trotz ihrer Bernsteinähnlichkeit keine Bernsteinsäure geben sollen. Der Highgate Resin (Copalin) liegt im alttertiären Thone der Highgate Hills bei London. In der berühmten Woodwardischen Sammlung, die mit großer Sorgfalt zu Cambridge auf-

bewahrt wird, findet sich schon ein Stück aus den Thongruben bei Islington. Die amorphe, hellgelbe bis dunkelbraune Masse erinnert sehr an Walchowit. Gew. 1,04. Erhitzt verbreitet es einen aromatischen Geruch, schmilzt ohne sich zu zersetzen. Alkohol löst wenig. Enthält nur 2,7 Sauerstoff, dagegen 11,7 H und 85,4 C. Siegburgit Jahrb. 1875. 128 bildet im Braunkohlensande von Siegburg bei Bonn knollige tiefgefurchte Concretionen, innen von lichtgelber Farbe, Härte 2, beim Verbrennen mit aromatischem Geruch, mit 85,1 Kohle. Rosthornit Jahrb. 1871. 561 bildet in der tertiären Kohle bei Klagenfurt granatbraune Linsen, die sich mit dem Fingernagel reiben lassen, 84,7 C, 11,1 H, 4,1 O. Bernerde nennt man in Norddeutschland gelbliche Moorkohle, welche von wohlriechenden Harzen durchzogen mit angenehmem Geruch verbrennt. Ihrer Consistenz nach gleicht sie der Wackskohle. Im Lehm der Mark (Kreuzberg bei Berlin) rührt sie nicht selten von verwittertem Bernstein her, was die Arbeiter mit Wohlgefallen in ihren Pfeifen rauchen. Von mineralogischer Bestimmung kann da nicht mehr die Rede sein. In der Hartithaltigen Braunkohle pag. 928 kommt zu gleicher Zeit ein weißes Harz (Hartin  $C_{20} H_{17} O_2$ ) vor, was Schrötter (Pogg. Ann. 59. 45) mit Steinöl ausziehen und krystallisiren lassen konnte. Aether zog dagegen ein Alpha- und Betaharz aus. Aehnlich verhält sich der Faulingit, Harzsubstanzen in der Braunkohle von Fauling bei St. Veit (Sitzber. Wien. Akad. 1855. XVI. 566); der schwärzlich braune Piauzit aus der Braunkohle von Piauze in Krain; der derbe hyacinthrothe Frolht von Oberhart bei Gloggnitz. Thloretin wurde von Forchhammer mit Alkohol aus fossilem Fichtenholz ausgezogen. Ambrit bildet Kopfgröße, gelbe klare Stücke zu Auckland auf Neuzeeland, und können daher leicht mit Dammaraharz verwechselt werden, aber unlöslich in Alkohol, Aether, Benzol etc. Bogbutter (Butyrit) aus irländischem Torf, nähert sich dem Ambrit, riecht aber urinös, ist zerreibbar, und schon in heißem Wasser löslich. Nauckit (Jahrb. 1860. 100) heißt ein krystallisiertes Harz, was sich bei Erefeld aus altrömischem Pech gebildet hatte. Tasmanit (Jahrb. 1865. 160) von Tasman bildet kleine harzige röthlichbraune Linsen in einem sehr blättrigen bituminösen Schiefer. Härte 2, Gew. 1,8. Enthält 79,3 C, 10,4 H, 4,9 O und 5,3 Schwefel. Der Trinkerit (Jahrb. 1870. 770), größere derbe, hyacinthrothe Massen mit parallelen Sprüngen, und starkem Fettglanz in den ältern eocenen Süßwasserablagerungen von Istrien enthält ebenfalls 4,7 S. In der

**Steinkohle** sind die ausgeschiedenen Harzproducte zwar seltener, aber sie kommen vor: Middletonit von Middleton und Newcastle mit Harzglanz, röthlichbraun, tief roth durchscheinend. An der Luft sich schwärzend. Gew. 1,6.  $C^{20} H^{11} O$  (Johnston Philos. Mag. 1838. XII. 261). Bildet dünne Lagen oder gerundete Knollen zwischen Steinkohlen. Scleretinit (Mallet Philos. Mag. 1852. IV. 261) aus der Steinkohle von Wigan, braunschwarz und röthlich durchscheinend,  $C^{10} H^7 O$ . Es läßt sich bei solchen Dingen freilich nicht entscheiden, ob es ursprünglich Harze oder

nur später verhärtete Dele waren. In Sammlungen verhärteten die Sachen häufig. Ein interessantes Beispiel liefert der *Kranzit* aus der Braunkohle von Lattorf bei Bernburg, wo er in großen Massen vorkommt. Darin liegen zigenförmig gerundete Absonderungen, die da zeigen, daß die Masse wie Harz geflossen ist. Er hat wie der Retinit eine schöne honiggelbe Farbe, läßt sich aber wie Kautschuk drücken. Erst an der Luft wird er hart,  $C^{10} H^8 O$  (Journ. Pratt. Chem. 76. 66). Bei Brusterort an der Nordwestspitze des Samlandes bringen die Läufer aus dem Grunde der See Stücke mit runzelig-bröcklicher Kruste hervor, worunter eine völlig weiche elastische Masse von 0,934 Gew. sitzt, die an *Kranzit* erinnert, und wohl für „unreifen Bernstein“ gehalten ist, Jahrb. 1873. 380. Die Sachen scheinen also an die Dele und Copale anzuknüpfen, ähnlich den subfossilen Pflanzenproducten der Tropen.

*Guayaquillit* bildet bei Guayaquil in Columbien „ein mächtiges Lager“. Von hellgelber Farbe, Gew. 1,09, in Alkohol mit gelber Farbe leicht löslich 15 Sauerstoff, 8 Wasserstoff, 76,7 Kohlenstoff. *Berengelit* aus der Provinz St. Juan de Berengela, wo er in so großen Mengen vorkommt, daß er in dem Guano-Hafen von Arica in Süd-Peru zum Kalfatern der Schiffe gebraucht wird, da er die merkwürdige Eigenschaft hat, geschmolzen schmierig zu bleiben. Dunkelbraun mit einem Stich ins Grün, gelber Strich. Im kalten Alkohol löslich  $C_{40} = 72$ ,  $H_{31} = 9,1$ ,  $O_8 = 18,8$ . Scheint mehr zu den Weichharzen zu gehören.

### Nichtfossile Harze

unterscheidet der Botaniker dreierlei: Hart-, Weich- und Federharze. Die *Federharze* (Kautschuk und Guttapercha) werden im Milchsafte verschiedener Pflanzen angetroffen; Kautschuk ohne Sauerstoff in der *Siphonia elastica*; Guttapercha in *Isonandra Gutta* wird erst durch Erwärmen stark elastisch. Weichharze sind schmierig, wie z. B. der Vogelleim. Zu den *Hartharzen* gehört vor allen das Fichtenharz, aus welchem durch Entfernung des flüchtigen Oels das Colophonium (Weigenharz) dargestellt wird. Der Mastix von *Pistacia lentiscus* soll die Zusammensetzung des Bernsteins haben. Besonders aber verdient der *Copal*, hauptsächlich von Hymanäenarten in Guinea stammend, der in großen Mengen im Handel vorkommt, ins Auge gefaßt zu werden. Derselbe hat ein auffallend bernsteinartiges Aussehen, nur ist er klarer und durchsichtiger. Er findet sich oft in Flußanschwemmungen, wie Bernstein, und hat da schon Veränderungen erlitten. Nach Martius kommen an den Pfahlwurzeln der *Hymanaea curbaril* einer brasilianischen Leguminose Klumpen von 6—8  $\mathcal{A}$  Schwere vor, sie sollen aber nie Insekten enthalten. Dagegen trifft man an der südafrikanischen Küste Copale, die von Insekten wimmeln. Manche davon sehen sogar nach der mitvorkommenden rothen Erde halbfossil aus. Ich habe z. B. ein Stück von 1 Cubitzoll vor mir, worin wenigstens 200 kleine Ameisen sitzen, ganz wie im Bernstein. Wenn die Fundorte richtig sind, so würde nicht bloß der ostindische Copal, der

aus der *Vateria indica* fließt, Insekten einschließen. Jedemfalls zeigen diese Harze, die ebenfalls in Weingeist nicht oder doch nur schwer löslich sind, wie leicht man durch das äußere Ansehen irre geführt werden kann. Schrötter (Pogg. Ann. 59. 78) hat die Analyse mehrerer zusammengestellt, um chemisch darzulegen, daß Bernstein und Retinit ebenfalls Harze seien, und daß die Veränderungen, welche sie erlitten haben, sich weit mehr auf ihre nähern Bestandtheile, das ist auf die Art und Weise, wie die Atome ihrer Elemente sich unter einander verbunden haben, als auf die quantitativen Verhältnisse derselben erstrecken:

	C	H	O
Retinit	12	9	1
Bernstein	10	8	1
Copal	10	9	1
Massig	10	8	1
Elemiharz	10	8	1
Fichtenharz	8	6	1
Dammaharz	16	13	1

Copalirniß ist sehr wichtig, aber viele Copale muß man, ehe sie in Alkohol und Terpentinöl gelöst werden können, vorher wie den Bernstein schmelzen. Mehrere Handelswaare zeigt auf der Oberfläche kleine sechsseitige Warzen, eine Gänsehaut, die nach dem Gesetz der Waben neben einander stehen, und deren Entstehung ich mir nicht erklären kann.

#### 4. Organische Salze:

Außer Kohlen, Bitumen und Harzen kommen endlich noch Salze mit organischen Säuren vor, die ebenfalls nicht dem Steinsalz als solchem angehören, obgleich sie im Schooße der Erde sich theilweis erzeugt und erhalten haben. Wie leicht das möglich war, erklären nicht bloß die Anhäufung von Pflanzenstoffen, sondern auch die thierischen Reste, wie sie noch bis in die historische Zeit herauf besonders an Meeresküsten sich ablagern. Man darf nur das Guano anführen, worin Bauquelin und Laproth (Weitr. IV. 100) nicht bloß oxalsauren Kalk, sondern auch concrete Harnsäure als wesentlichen Bestandtheil angeben. Nach Humboldt bedeutet Guano (die Europäer verwechseln immer Gua mit Gna und u mit o) in der Sprache der Inca Mist. Die Guanoinseln und Klippen befinden sich alle zwischen dem 13ten und 21sten Grad südlicher Breite, wo es nicht regnet, und wo sich der Mist der Pelicane, Flamingos, Möven, Taucher 2c. bis 120' Mächtigkeit anhäufen konnte. Bei Arica verbreitete die kleine Isla di Guano einen solchen fürchterlichen Gestank, daß die Schiffe deßhalb sich der Stadt nicht ganz zu nähern wagten, ja selbst auf dem Meere mußte der Schiffer niesen, wenn er einem Guanero (Guano-Fahrzeuge) begegnete. Seit der Regierung der Incas ist Guano ein wichtiges Object der Staatswirthschaft, die Küste von Peru wäre ohne diesen Mist unbewohnbar. In jetzt ist sogar die Bodencultur

Europas davon abhängig geworden. Auf den drei Chincha-Inseln 2 Meilen westlich Pisco etwa  $14^{\circ}$  südlicher Breite liegen ungefähr 12 Millionen Tonnen à 20 Ctr., und davon sind 1840—1860 bereits 3 Millionen ausgeführt (Reise der österr. Fregatte Novara 1862. III. 212). Bis jetzt ist zwar hauptsächlich nur die nördliche Insel in Angriff genommen, allein schon den jetzigen Bedarf können die Inseln nicht lange mehr befriedigen, in dieser Beziehung wurde früher viel übertrieben (Brons's Jahrb. 1859 222). Es gibt freilich noch andere Vorräthe, aber sowie sie in Angriff genommen werden, ziehen sich die Vögel auf einsame unzugänglichere Felsen zurück. Der Africanische Guano südlich Arabien ist nicht so gut. Der Unterschied der Sorten, frische und alte, feuchte und trockene u. machen unsern Oekonomen viel zu schaffen (Compt. rend. 1860. L. 227).

### Honigstein.

Schon lange bekannt, Born hielt ihn für krystallisirten Bernstein, andere für Gyps mit Bergöl angeschwängert. Werner gab ihm den passenden Namen nach seiner honiggelben Farbe (Bergm. Journ. 1789. II. 1, pag. 395), den Haug in Mellite übersetzte: Melichronharz. Die Braunkohle von Artern in Thüringen war lange der einzige Fundort, jetzt sind sie auch ausgezeichnet in der Steinkohlenformation von Lula gefunden. So bernsteinartig sie auch aussehen mögen, so sind sie doch alle krystallisirt, und zwar im

4gliedrigen Krystallsystem. Die glänzenden um und um gebildeten Oktaeder haben nach Kupfer  $93^{\circ} 6'$  in den Seiten- und  $118^{\circ} 14'$  in den Endkanten, folglich

$$a = \sqrt{1,795}, \lg a = 0,12703.$$

Ihre etwas krummen Flächen eignen sich nicht zu scharfen Messungen. Das Oktaeder hat einen versteckten, jedoch gut erkennbaren Blätterbruch, ist aber meist verlegt, zellig und mit fortificationsartigen Absonderungsflächen bedeckt. Doch selbst die zerfressensten und mit Kohlenmulm durchzogenen zeigen Spuren glänzender Krystallflächen. Auch kleine Abstumpfungen der Ecken kommen hin und wieder vor: die zweite quadratische Säule  $a : \infty a : \infty c$  häufiger als die stark gewölbte Geradenfläche  $c : \infty a : \infty a$ . Negative optische Axe, das schwarze Kreuz öffnet sich, so bald die Axenebene  $a c$  mit der Polarisationssebene zusammenfällt. Senzich beschreibt sie daher geradezu als optisch zweiaxig. Wenn die Dreithauptachsen pag. 139 regelmäßigen Einfluß hätten, so könnte auch eine nach einer Axenebene  $a c$  häufig wahrnehmbare Grenze Zwillingssbedeutung haben.

Honig- bis wachsgelb, halbdurchsichtig, Härte 2, Gew. 1,59. Harzglanz. Wenig spröde, starke doppelte Strahlenbrechung. Göppert fand Coniferenzellen darin eingeschlossen.

Vor dem Löthrohr brennt er nicht, sondern wird schnell schneeweiß, darauf schwarz und zuletzt abermals weiß. Diesen Rückstand färbt Ko-



balsfolution schön blau, wie reine Thonerde. Wegen des Weißbrennens hielt man ihn anfangs für Gyps, bis Klaproth 1799 (Beitr. III. 114) die Pflanzensäure darin nachwies, welcher er den Namen Honigsteinsäure (*Acidum melilithicum*) =  $C^4 O^8$  gab, kurz Mellithsäure, die mit Oxalsäure in nächster Verwandtschaft steht. Nach Wöhler (Pogg. Ann. 7. 220) enthalten sie

41,4  $\bar{M}$ , 14,5  $\bar{Al}$ , 44,1  $H$ , etwa  $\bar{Al} \bar{M}^3 + 18 H$ .

Liebig nahm die Honigsteinsäure als eine Wasserstoffsäure

$C^4 O^4 H = C^4 O^3 + H O$ , gibt die Formel  $\bar{Al} \bar{M}^3 + 15 H$ .

Honigstein löst sich in kalter Salpetersäure in großen Stücken, bleibt dabei durchsichtig, nur bleiben Flocken zurück, die sich aber später vollkommen lösen. Die Verbindung ist so schwach, daß kochendes Wasser nach mehreren Stunden aus dem Pulver einen bedeutenden Theil der Honigsteinsäure auszieht, so wurde Klaproth auf die Entdeckung der Säure geführt, die erst jetzt künstlich erzeugt worden ist (Jahrb. 1873. 222): aus Kohle entsteht durch Oxydation mittelst Uebermangansäure in alkalischer Lösung Mellithsäure  $C_6(COOH)_6$ . Gegenwärtig behandelt man den Honigstein mit Ammoniak, zersetzt das gebildete honigsteinsäure Ammoniak durch salpetersaures Silberoxyd, und das honigsteinsäure Silberoxyd durch Salzsäure. Die Honigsteinsäure krystallisirt dann in farblosen, luftbeständigen, scharfsauren Nadeln.

Hauptfundort ist die Braunkohle von Artern am Riffhäuser, wo er gerade nicht selten und zwar bis zu zollgroßen Krystallen vorkommt. Volger gibt ihn auch als zarten honigfarbigen Anflug in der Braunkohle von Dransfeld an. Reuß (Leonhard's Jahrb. 1841. 222) erwähnt rinden- und plattenförmige Ueberzüge, selten in höchst verzogenen Oktaedern aus der Braunkohle von Luschitz südlich Bilin in Böhmen. Derselbe beschlägt sich an der Luft mit bläugelbem Mehle, was man auch bei dem von Artern findet. Glocker (Erdmann's Journ. prakt. Chem. 36. 22) hat Hauswerke kleiner Oktaeder in der Moorkohle von Balchow, wo der Retinit so ausgezeichnet vorkommt, gefunden. Kotscharow beschreibt strohgelbe Krystalle von Nertschinsk und Zula. Hier beim Dorfe Malowka scheint es älteres Kohlengebirge zu sein.

Carolathin (Sonnenstein Zeitschrift Deutsch. Geol. Gesellsch. V. 222) aus den Steinkohlen zu Zabrze bei Gleiwitz in Oberschlesien, honigsteinähnliche Trümmer in den Kohlen bildend, Härte 2—3, Gew. 1,5. Verglimmt vor dem Löthrohr ohne Flamme und läßt 47,25  $\bar{Al}$  und 29,6  $Si$  zurück. Das Uebrige ist eine Huminartige Substanz von 19,4  $C$ , 2,4  $H$  und 1,3 Sauerstoff.

### Oxalit

mit dunkel strohgelber Farbe wurde von Saef 1817 in der Braunkohle auf der Johannismiese von Gr. Almerode in Hessen entdeckt, bald darauf aber deutlicher in der Moorkohle vor Kolosoruk bei Bilin, und von Breithaupt (Gilbert's Ann. 1822, Band 70 pag. 426) Eisenerzin genannt,

weil man ihn für Honigsteinsäures Eisen hielt. Doch zeigte Riviero (Ann. Chim. Phys. 1821. tom. 18. pag. 207), daß es oxalsaures Eisen sei und nannte es Humboldtin, Leonhard Humboldtii, Haüy Fer oxalaté, Phillips Oxalate of Iron.

Es ist das 2te Mineral, worin eine organische Säure nachgewiesen ist, und nimmt deshalb unsere Aufmerksamkeit in besonderen Anspruch, obgleich es an sich nicht bloß zu den Seltenheiten gehört, sondern auch wenig hervorstechende Kennzeichen hat. In Böhmen höchstens in nabelsförmigen Krystallen, die Haüy für 4gliedrig hielt. Meistens bildet es nur traubige, plattige Ueberzüge, die ins Erdige übergehen, und dann wegen ihrer ockergelben Farbe leicht mit Brauneisenerde verwechselt werden können, aber das Gewicht beträgt nur 2,2.

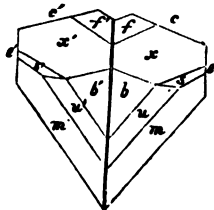
In der Flamme schwärzt er sich sogleich und wird dann roth und magnetisch. In Säuren löslich, von Alkalien wird er zerlegt, indem sich Eisenoxydul mit grüner Farbe abscheidet, welche bald ins Rothbraune übergeht. Nach der sorgfältigen Analyse von Rammelsberg (Pogg. Ann. 46. 200) besteht er aus

2 Fe  $\bar{G}$  + 3 H mit 41,1 Fe, 42,4  $\bar{G}$  und 16,5 H.

Dagegen hat Berzelius geltend zu machen gesucht (Pogg. Ann. 53. 000), daß er kein bloßes Eisenoxydulsalz sein könne, sondern wenigstens einen Theil Eisenoxyd enthalten müsse, da Eisenoxydulsalze, Jahrtausende hindurch mit der Erdfeuchtigkeit in Berührung, nothwendig in Oxydsalze übergehen müßten. Indes zeigte Rammelsberg, daß nicht bloß das Verhalten zu Alkalien auf Eisenoxydul hinweise, sondern er mischte auch Pulver mit klarem frischbereitetem Schwefelwasserstoff, es entstand durchaus keine Trübung, was geschehen müßte bei Gegenwart von Eisenoxyd in Folge von ausgeschiedenem Schwefel. „Außerdem ist Oxalit ohne Zweifel eine sehr neue Bildung „in den Braunkohlen der Tertiärformation des nördlichen Böhmens.“

Oxalsäure pag. 675, durch ihre Zusammensetzung der Honigsteinsäure so nahe stehend, stammt jedenfalls hier aus dem Pflanzenreiche, ob sie gleich auch bei der Kaliumbereitung als Nebenproduct aus rein unorganischen Substanzen gewonnen wird, und sie in sofern zwischen organischen und unorganischen Säuren mitten inne steht. Sie ist nicht bloß die allgemeinste Pflanzensäure, die übrigens auch im Thierreiche vorkommt, sondern auch wohl die stärkste organische Säure überhaupt. Daher darf es uns nicht verwundern, sie hier im Braunkohlengebirge noch anzutreffen.

**Oxalsaurer Kalk** (Whewellit) wird von Broote (Phil. Mag. Juniheft 1840) in kleinen meist Zwillingsskrystallen auf Kalkspath sitzend, der wahrscheinlich von Ungarn stammt, beschrieben. Nach beistehender von Miller (Elem. introd. to Mineralogy pag. 626) entlehnten Horizontalprojection gehört er dem 2 + 1gliedrigen Systeme an: Säule  $m = a : b : \infty c$  macht vorn  $100^\circ 36'$ , ihre scharfe Kante wird durch  $b = \infty a : b : \infty c$  gerade abgestumpft; die vor-



dere Schiefendfläche  $e = a : \infty b : c$ , welche die Zwillinge gemein haben, macht vorn in Kante  $e/m = 128^\circ 2'$ ; die hintere Gegenfläche  $c = \infty a : \infty b : c$  macht in  $c/e = 109^\circ 28'$ ;  $s = a : \frac{1}{2}b : \frac{1}{2}c$ ,  $x = \infty a : b : c$ ,  $f = a' : b : \frac{1}{2}c$ ,  $u = a : \frac{1}{2}b : \infty c$ . Flächen  $cmb$  sind blättrig,  $m$  parallel der Axe  $c$  und  $f$  parallel der Mediankante gestreift. Zwillinge haben  $e$  gemein und liegen umgekehrt,  $c/c' = 141^\circ 4'$ . Kleine farblose stark glänzende Krystalle von 2—3 Härte und 1,8 Gew. Sie bestehen aus

Ca  $\bar{6}$  H mit 49,3  $\bar{G}$ , 38,4 Ca, 12,3 H.

Oxalsaurer Kalk fehlt vielleicht in keiner Pflanze, er ist in Wasser, selbst in Essigsäure nicht löslich, durch Glühen verwandelt er sich in kohlen-sauren Kalk. Daher würde es nicht überraschen, wenn er sich vereinst in größern Mengen wenigstens im Braunkohlengebirge vorfinden sollte. Conistonit soll kein Mineral sein, und Thier sch it (Erdmann's Journ. prakt. Chemie 60. 22) auf den cannelirten Marmorsäulen des Parthenon dankt den lebenden Flechten die Oxalsäure.

## Gebirgsarten.

Darunter versteht man entweder Gemische einzelner Mineralspecies oder Anhäufung eines Minerals in solcher Masse, daß förmliche Gebirge entstehen. Die Sache bringt es mit sich, daß zwischen Gebirgsarten und Mineralen keine feste Grenze gezogen werden kann. Gewöhnlich bilden die Gebirgsarten das Muttergestein der Minerale. Doch stellen sich dabei allerlei Schwierigkeiten ein, die man nicht immer gehörig überwinden kann. Man hilft sich da, so gut es eben geht. Jedenfalls muß ein gebildeter Mineraloge auch mit diesen Gebirgsarten vertraut sein, zumal da sie für die empirischen Kennzeichen die größte Bedeutung haben. Da jedoch die Gebirgsartenlehre (*Petrographie*) heutiges Tages einen wesentlichen Theil der Geognosie bildet, so will ich hier nur einige Andeutungen machen (*Epochen der Natur* pag. 112). Die Eintheilung beruht hauptsächlich auf folgenden drei Gesichtspunkten:

### 1) Ob chemisches Product oder mechanischer Niederschlag.

Die chemischen Producte sind natürlich fester bestimmbar als das zufällig mechanisch zusammengeflözte oder durch Zertrümmerung und Veränderung entstellte Schlamm-, Sand- und Schuttgebirge. Und von den chemischen Producten sind die auf heißem Wege gebildeten wieder viel wichtiger, als die auf nassem Wege ausgeschiedenen. Man hält in dieser Hinsicht dreierlei auseinander:

### Feuer-, Wasser-, Metamorphische-Gesteine.

Luft hat nur wenig zur Felsenbildung beigetragen. Sie dient zur Erzeugung der Gebirgskrume, die den Felsen vor weiterer Zerstörung schützt. Kann man auch die drei Gruppen nicht scharf scheiden, so ist doch an der Bildungsweise nicht zu zweifeln. Eine eigenthümliche Mittelstellung hat das metamorphische Gestein. Die Metamorphose ist eine doppelte: Feuergesteine wie der Granit zerfallen durch Einwirkung von Wasser und Luft zu Grus, der durch Infiltrationen wieder fest zusammenbäckt; Wasserniederschläge wurden durch Feuer erhitzt und nahmen so ein krystallinisches Gefüge an, wie viele Schiefer der Alpen.

## 2) Structur und Textur bezogen auf Felsen und Minerale.

Die Mineraltextur ist **körnig** (Granitisch), **dicht** (Grundmasse), **porphyrisch** (die Vermischung von beiden). Auch kommt es wesentlich darauf an, ob die Minerale sich im glasigen (vulkanischen) oder frischen (urgebirgischen) Zustande befinden. Die Felsstructur ist massig oder geschichtet; compact oder porös. Die porösen haben eckige (Schlacken) oder runde Hohlräume (Mandelsteine). Diese Höhlungen sind frei oder mit fremdartigen Substanzen ausgefüllt. Alles das bestimmt den Namen einer Felsart.

## 3) Mineralspecies-Combination.

In dieser Hinsicht unterscheidet man einfache und gemengte Gesteine. Die Mengung ist willkürlich und hat keine Grenze, doch pflegt man auch hier gern auf ein Mineral das Hauptgewicht zu legen.

Da man bei der Aufzählung kein richtiges Princip festhalten kann, so ist es gut, auf das Alter und die Bedeutung der Gesteine in Beziehung auf Häufigkeit Gewicht zu legen. Im Urgebirge zeigt sich hauptsächlich der Gegensatz von Körnigen und Porphyrischen; höher geht das allmählig ins Dichte und Mandelsteinige über. Basalt und Klingsteine leiten das Glasige ein, was sich dann in den jüngsten Trachyten und Laven zu förmlichen Gläsern ausbildet. Nach und nach verlieren die Massen an mineralischem Charakter, und gehen zuletzt ganz im Flözgebirge auf. Folgende acht Gruppen A bis H werden das darlegen.

## A. Frische körnige Gesteine.

Man kann darunter alle geschichteten und ungeschichteten Silicate begreifen, in denen sich die einzelnen Mineraltheile sicher von einander sondern lassen. Sie gehören hauptsächlich dem ältesten Gebirge an, und haben sich wahrscheinlich trotz des frischen Ansehens auf heißem Wege gebildet. Dennoch schließen sie mechanisch Flüssigkeiten ein. In der Beurtheilung darf man nicht übersehen, daß die Temperatur, bei welcher ein Körper für sich erstarrt, niemals derjenigen gleiche, bei welcher er aus seinen Lösungen fest wird (Dunsen, Zeitschr. deutsch. geol. Ges. 1861. XIII. 61).

### a) Feldspath herrscht vor.

#### 1: Granit.

Feldspath überwiegt, Glimmer wenig aber sichtbarer als Quarz; alle drei liegen körnig nebeneinander und können scharf von einander geschieden werden. Es ist das häufigste, älteste und krystallinischste aller Gebirgsarten. Obgleich der Name von granum das Korn entlehnt ist, so kommt er doch nicht bei den Alten, noch nicht einmal bei Agricola vor. Er schwimmt hier unter marmora und saxa. Erst

Cäsalpinus (de metallicis 1596 lib. II cap. 11) entlehnte ihn von italienischen Künstlern; Hill (History of Fossils 1748 pag. 498) und Guettard (Mém. sur les Granites de France 1751) führten ihn in die Wissenschaft ein. Daher verliert er sich bei Wallerius (Minerae. 1750 pag. 196) noch unter den Felssteinen.

Nach G. Rose (Zeitschr. deutsch. geol. Gesellsch. I. 111) kommt außer Kalispath öfter noch Oligoklas pag. 279 von röthlicher, grünlicher, gelblicher, weißer Farbe mit Zwillingstreifen vor. Neben weißem Kalistellt sich auch schwarzer Magnesiaglimmer ein. Der krystallinische Quarz schließt viel Flüssigkeit ein, muß sich daher unter hohem Druck erzeugt haben. Hornblende fehlt nicht ganz, doch sobald sie in größerer Menge eintritt, nennt man das Gestein Syenit. Turmalin, Granat, Zirkon, Dichroit, Gadolinit, Orthit 2c. und viele andere Minerale bilden darin hin und wieder untergeordnete Gemengtheile. Man kann hauptsächlich zweierlei unterscheiden:

porphyrischen Granit, worin sich eine körnige Grundmasse zeigt, in welcher die großen weißen Karlsbader Zwillinge in Menge zerstreut liegen. Seine kühnen plumpen Felsenmassen sieht man schön auf der Badiſchen Seite des Schwarzwaldes; die Sudeten, das Erz- und Fichtelgebirge, die Roßtrappe auf dem Harze 2c. zeigen ihn in besonderer Schönheit. Die Farbe vorherrschend grauweiß und selten mit Oligoklas. Er geht über in den

gleichkörnigen Granit (Granitit) mit fleischrothem Kalispath und deutlichen Oligoklas von anderer Farbe. Sein Korn ist bald gröber, bald feiner. Gehört mit zu den schönsten Gesteinen, welche wir kennen. Auf Gängen und in kleinen Stückgebirgen bilden sich öfter sehr grobkörnige feldspathreiche Parteen aus (Ganggranit). Da zeigen sich auch krystallinische Massen, wo die Blätterbrüche in großer Flucht aushalten; nehmen dieselben hohle Quarzkrystalle in paralleler Stellung auf (Mufinsit), so hat man das Schriftgranit (Pegmatit) genannt, weil senkrecht oder schief gegen die Quarzsäulen geschnitten schriftartige Züge hervortreten.

Protogin nannte Turine in Genf (Mineral. Taschenbuch 1807. 110) den Granit des Mont-Blanc, worin der Glimmer durch chloritischen Talk vertreten ist, der sich krümmend durch das Gestein hindurchzieht. Saussure's Granite veiné. Am Monte Rosa bildet der Chlorit oft so regelmäßige Schichten, daß man das Gestein mit gleichem Rechte Gneis nennen könnte. Die Blöcke in den Alpen und Oberschwaben heißt das Volk Geisberger.

**Weißstein** Wr. (Granulit Weiß), ein feinkörniger Feldspath mit Quarz, worin ganz kleine Granaten, öfter von Cyanit begleitet, eingesprengt sind. Streifungen erinnern an Schichtung, auch sondert er sich gern in Platten, die nach Dr. Hochstetter der Schichtung nicht conform sind. So kommt er am Nordrande des Sächsischen Erzgebirges und im Böhmerwalde zwischen Prachatic, Krumau und Budweis in den Gneis

eingelagert vor, mächtige elliptische Stückgebirge bildend. Davon verschieden sind die feinkörnigen Ganggranite in den Vogesen und dem Schwarzwalde, die man auch so genannt hat, obgleich ihnen Quarz und Granaten fehlen.

Der eigentliche Granit soll keinen Oligoklas und nur weißen Kaliglimmer haben, und Granitel will man die Abänderungen heißen, welchen einer der drei Bestandtheile fehlt.

## 2. Gneis

nennt der sächsische Bergmann seit alter Zeit sein Erzführendes Gestein. Es ist ein geschichteter Granit, in dem der dunkelfarbige Glimmer zunimmt und sich schichtenweis lagert. Doch kann man den Feldspath zwischen den Glimmerschichten noch deutlich erkennen, auch der Quarz fehlt nicht. Alle sind noch krystallinisch, wenn gleich sie an Schönheit gegen den Granit verloren haben. Einerseits geht er in den Granit, andererseits in den Glimmerschiefer über. Bildet die Hauptmasse des geschichteten Urgebirges von unergründeter Mächtigkeit, und da er vom Granit durchbrochen wird, so ist er selbst älter als viele Granite. Im Allgemeinen möchte er aber, schon wegen seines mehr unkrystallinischen Wesens jünger sein.

Es ist nicht uninteressant, die Entstehung des Gneises aus dem Granite zu verfolgen: anfangs werden die Glimmerblättchen groß, und lagern sich krummflächig zwischen Feldspath und Quarz, sind jedoch noch isolirt. Die Blätter ziehen sich in die Länge (werden flajrig), reichen sich nach dieser Längsdimension einander die Hand, und umhüllen schönblättrige elliptische Feldspathklumpen (Augengneis). In den Alpen ist es oft gar nicht möglich, solche flajrigen Gneise vom Granite veiné zu trennen. Endlich wird der Feldspath so feinkörnig, und die Glimmermasse nimmt so zu, daß im Querbruch sehr regelmäßige Horizontallstreifen entstehen. Dieß ist der normale Gneis, der über die weitesten Strecken herrscht. Er hat an der Zusammensetzung der Erde den wesentlichsten Antheil, und ist von Erzen vielfach angereichert. In den Alpen wird der Glimmer häufig Chlorit und Talk, und dann entstehen eine Reihe von Gesteinen, über deren Namen man in Verlegenheit kommt. Der Feldspath wird endlich immer feinkörniger, verliert an seinen markirten Kennzeichen, und so gelangen wir zu Gesteinen, welche dem Glimmerschiefer zum Verwechseln ähnlich werden, und die sogenannten Phyllite einleiten.

### b) Glimmer herrscht vor.

## 3. Glimmerschiefer.

Folgt seinem Lager nach gewöhnlich über dem Gneise, und ist daher jünger. Nach Werner's Definition soll ihm Feldspath fehlen und zwischen der herrschenden Glimmermasse nur Quarz lagern, der zuweilen sehr sichtbar körnig eingesprengt oder in großen Ellipsoiden hervortritt.

Gewöhnlich hat jedoch der Glimmer seine Form eingebüßt, er ist noch mehr als bei den Lagern des Gneises zu dünnen continuirlichen Blättern gepreßt, denen alles parallel geht. So entstand ein Gestein, dessen regelmäßige Schichtung zu den ausgezeichnetsten gehört, welche wir überhaupt kennen. Bei den ächten Glimmerschiefern glänzt der Blätterbruch noch so stark, daß über das krystallinische Gefüge kein Zweifel walten kann. Trotzdem scheint die ganze Masse wie der feinste Schlamm nachgiebig, sie biegt sich nicht bloß krummflächig, sondern zeigt auch die zarteste Fältelung: die kleinen Falten gehen gewöhnlich einander parallel.

In den niedern deutschen Urgebirgen findet man ächte Glimmerschiefer nicht häufig, ob sie gleich nicht fehlen (Fichtelgebirge, Sachsen, Böhmen). Desto größere Rollen spielen sie in den Alpen, doch machen sie hier die buntesten Gemische und Uebergänge in

Chloritschiefer pag. 295 mit dunkelgrüner und Talkstiefel pag. 296 mit lichtgrüner bis weißer Farbe. Das fettige Anfühlen läßt die letztern oft sicher erkennen. Am allerschwierigsten ist jedoch die Grenze zum Thonschiefer hin (Urthonschiefer, über dem Glimmerschiefer Platz greifend) festzustellen, doch hat letzterer ein mehr schlammiges (plastisches) als krystallinisches Gefüge, auch schließt derselbe, mit Ausnahme des Chl. stolith's pag. 353, keine augenfälligen Silicate ein, oder wo diese vorkommen, rechnet man die Gesteine besser zu der Glimmerschiefergruppe, die in dieser Beziehung am reichsten ist: Granat, Staurolith, Cyanit, Turmalin, Smaragd, Rutil, Magnetkies, Strahlstein und viele andere Minerale werden darin gefunden. Die Thonglimmerschiefer der Alpen sind ein wichtiges metamorphisches Gebilde.

#### c) Quarz herrscht vor.

Da der Quarz sich auch auf nassem Wege krystallinisch bilden kann, so führt er uns theilweis aus dem Urgebirge in das Stöckgebirge hinaus. Indessen genügt bei diesen sogenannten „einfachen Gebirgsarten“ die Cirtung des mineralogischen Namens. Auch ist es geradezu falsch, wenn man Feuerstein pag. 249, Opale pag. 254 u. bei den Gebirgsarten auführt, da diese nie Gebirge bilden, selbst Kieselstiefel pag. 251, Hornstein pag. 250 sind ein- für allemal bei den Mineralien abgemacht, und wenn der reine Quarz, der in Gängen und Lagern das Ur- und Uebergangsgebirge, insonders der Alpen, so häufig durchschwärmt, und gern das Muttergestein des Goldes bildet, einmal als „Gebirgsquarz“ vorkommt, so hat man ihm den passenden Namen Quarzfels (Quarzit) gegeben. Solche Quarzfelsen von mannigfachstem Wechsel in der Masse trifft man besonders schön im Granit des Bayer'schen- und Böhmer-Waldes, wo er ein vortreffliches Material zur Glasbereitung bietet. Der sogenannte Pfahl (Vallum) setzt 28 Stunden weit als „zackiger, oft abentheuerlich geformter Felsenamm“ fort. Von Thierstein südwestlich Cham bis Bruck südöstlich Zwiesel beträgt der Weg im porphyrischen Granit 18 Stunden, und nach Hrn. Dr. Hochstetter setzt er sogar nördlich nach



Böhmen fort. Ganggranit verwandelt sich öfter ganz in krystallinischen Quarz, wozu der schöne Rosenquarz pag. 241 besonders vom Hünertobel bei Zwiesel gehört. Beryll, Turmalin, Triphylin, Columbit kommen in den Quarzfels eingesprengt vor (Wineberger, Versuch geogn. Besch. Bayerischen Waldbirges pag. 50). Bei Böhmischem Neustadt und am Jeschkengebirge im Bunzlauer Kreise nimmt er Blättchen von verhärtetem Talk auf, und zeigt Neigung zum Schieferigen. Im

Greifen der Zinnsteingänge von Altenberg und Zinnwald in Sachsen, Schlackenwalde in Böhmen und in Cornwallis herrscht körniger hellgrauer Quarz, dem Blättchen von talkigem Glimmer beigemischt sind. Der Feldspath tritt zurück, doch läßt die Art des Auftretens noch erkennen, daß das Gestein vom Granite herkomme. Gesellt sich dazu Turmalin, so heißt es Schörlfels, und wenn es sich schichtet, Schörlschiefer. Topasfels pag. 383 nannte Werner die zerstörte Gneisnadel am Schneckenstein bei Gottesberg auf dem sächsischen Voigtlande. Quarz herrscht darin, Turmalin und Topas ist eingesprengt. Der Feldspath verräth sich durch Steinmark. Das Gestein sieht sehr zertrümmert aus. Wichtiger als verbreitete Gebirgsart, wenn auch nicht in Deutschland, ist Schwwegs

Itacolumit in Brasilien, der seinen Namen vom Berge Itacolumi bei Villa Rica bekommen hat: ein feinkörniger weißer Quarz, zwischen welchem äußerst sparsam dünne Chloritblättchen liegen. Man würde ihn geradezu für einen Sandstein halten können, wenn nicht die Körner eine eigenthümliche Rauhgkeit und Eßigkeit zeigten, wodurch sie sich wie die Krystalle des Statuenmarmors in einander fügen. Nach Schwwegs (Gilbert's Ann. 1820. 65. 111) geht er einerseits in Chloritschiefer über, ist aber in Thonschiefer eingelagert. 1780 kam er zuerst nach Portugal, und später in 4'''—6''' dicke Tafeln geschnitten, die eine auffallende Biegsamkeit haben, in den Handel. Diese Biegsamkeit machte ihn berühmt, man nannte ihn „Gelenkquarz“, weil Klaproth (Beitr. II. 111) unter dem Mikroskop die Körner gelenkartig ausgeschweift gefunden hatte. Große Platten schwanen bei aufrechter Stellung mit Geräusch wie dickes Sohlleder hin und her. Uebrigens ist diese Biegsamkeit gerade nicht staunenerregend, man findet sie bei Platten von unsern glimmerigen Sandsteinen, bei Statuenmarmor zc. auch, wenn gleich nicht in so bedeutendem Grade. Als Muttergestein der Diamanten pag. 360 hat es in neuern Zeiten die Aufmerksamkeit auf sich gezogen, das in Brasilien über große Strecken herrscht; mit blättrigem Eisenglanz gemischt entsteht Eisenglimmerschiefer. Auch in Nordamerika (Süd-Carolina), am Ural, und sogar im Rheinischen Schiefergebirge wird neuerlich Itacolumit erwähnt. Man muß übrigens in Uebertragung solcher Namen sehr vorsichtig sein.

d) Hornblende stellt sich ein und herrscht zuletzt.

Sobald die Hornblende in den körnigen Feldspathgesteinen nur einigermaßen sichtbar wird, so hat man den Sachen besondere Namen gegeben.

Auffallender Weise tritt Hornblendereichthum mehr in den Umgebungen des Uebergangsthonschiefer auf, so daß Hornblendgesteine eine Stufe jünger als der ächte hornblendefreie Granit zu sein pflegen. Ihre Farbe ist fast immer rabenschwarz, Gemeine Hornblende pag. 307.

#### 4. Syenit.

Werner begriff ihn anfangs mit unter Grünstein, dann nannte er ihn in seinen Vorlesungen nach der Grenzstadt Syene in Oberägypten, wo schon die alten Ägyptier ihre Obelisten und andere riesigen Monolithen herholten, worunter freilich auch hornblendefreie Granite vorkommen, die Plinius 36. 18 ohne Zweifel unter seinem Syenites mitinbegriffen hat. Da nun der Ägyptische mit rothem Feldspath und schwarzem Glimmer nur sehr wenig Hornblende hat, so daß ihn G. Rose (Zeitschrift deutsch. geol. Gesellsch. I. 188) wieder zum Granitit stellte, so ist der Name allerdings nicht gut gewählt. Rozière wollte ihn daher in Sinait verändern, weil der Berg Sinai aus ausgezeichnetem bestehe, doch ist die Sache mit Recht nicht angenommen. Die Antiquare nennen ihn passend „Rosengranit“, woraus die Riesenstatue des Sesostris in Theben besteht, und der so häufig bearbeitet wurde.

Der Syenit gleicht einem Granit vollkommen, denn er enthält Feldspath (nebst Oligoklas), Quarz und gewöhnlich schwarzen Magnesiaglimmer. Dazwischen liegt aber immer etwas rabenschwarze Hornblende, die sich an ihrer safrigen Säule leicht unterscheiden läßt. Da das Gestein vollkommen körnig ist, und sich die Hornblende nicht fein vertheilt, so bemerkt man von dem Grün letzterer wenig, allein man darf sie nur zwischen Papier zu Pulver zerklöpfen, um das auffallende Berggrün sogleich zu gewahren. Die Gesteine gehören mit zu den schönsten. Bei Todtmoos im südlichen Schwarzwalde und zu St. Maurice an den Quellen der Mosel in den Vogesen sind sie porphyrisch. Am letztern Orte unterscheiden sich die großen rothen Feldspathe auffallend von dem grünlich weißen gestreiften Oligoklas. Besonders reich ist der Odenwald nördlich Weinheim: das Felsenmeer bei Auerbach an der Bergstraße besteht aus Syenitblöcken, und die vielbesuchte Riesen säule und der Riesenaltar sind zugerichtete Steine, welche aus alter Zeit herkommen; die Säulen am Heidelberger Schloßbrunnen, am Kaiserpallast von Ingelheim, der Domstein von Trier u. stammen daher, und wahrscheinlich hatten die Römer dort schon ausgebehnte Steinbrüche, Ausland 1876. 357. Syenit wird zu solchen Arbeiten vorgezogen, weil er zäher und unzertlüsteter zu sein pflegt, als der eigentliche Granit. Das prachtvollste Gestein bildet der Zirkonsyenit von Laurvig und Friedrichswärn, und neuerlich auch von den Canarien, mit seinem Labradorisirenden Feldspathe pag. 271, worin Th. Gmelin (Pogg. Ann. 81. 114) neben 7 Kali noch 7 Natron nachwies, und der sogar in Drusen Faserzeolithen pag. 404 einschließt. Die Hornblende schmilzt oft so leicht wie Arfvedsonit, und die Zirkone liegen hauptsächlich in cerhaltiger Umgebung (Bergemann Pogg. Ann. 105. 110).

Dafür enthalten sie aber weder Oligoklas noch Quarz. Quarzfrei oder wenigstens sehr quarzarm sind auch die meisten übrigen. G. Rose's

Miascit (Pogg. Ann. 47. 276) aus dem Almgebirge bei dem Hüttenwerke Miasch und von Ditro in Siebenbürgen mit weißem Feldspath, dünnen Blättchen von lauchgrünem einzigem Glimmer und Gläolith ist ein quarzfreies ganz ähnliches Gestein, dem wie dem gläolithhaltigen Syenit von Laurvig auch die Hornblende nicht ganz fehlt. Fußbreite Glimmersäulen in den Drusenräumen, Zirkon in großen gelben durchscheinenden Krystallen, Titaneisen (Ilmenit) von  $3\frac{1}{2}$  Zoll Breite, Apatit, Flußspath, Sodolith, Cancrinit sind in den Gläolithhaltigen eingesprengt; in den Gläolithfreien braune Zirkone, Pyrochlor, Aeschynit, Monazit, Titanit, Hornblende, Epidot, Graphit.

Kleine Titanitkrystalle pag. 440 bezeichnen den Syenit ganz besonders.

### 5. Diorit.

Hornblende wird hier herrschender, und gibt dem Gesteine einen entschiedenen Stich in's Grün. Kalifeldspath fehlt, statt dessen findet sich Oligoklas. Freier Quarz ist jedenfalls unwesentlich. G. Rose (Pogg. Ann. 34. 1) hat über die Grünsteine eine besondere Abhandlung geschrieben. Grünstein von Werner nach dem seit alter Zeit in Schweden gebräuchlichen Namen Grönsteen (Cronstedt, Mineral. § 88 und § 267) genannt, und in der That konnte auch keine bessere Bezeichnung gefunden werden. Werner trennt dann den Syenit davon, und Haüy den Diorit, von *διολίτης* unterscheiden, weil man darin noch Feldspath und Hornblende krystallinisch unterscheiden könne, obgleich die Theile sich oft schon sehr verwirren. Etwas Schwefelsies ist außerdem sehr bezeichnend. Diorite gehen unmerklich über in Aphanite (*ἀφανίτης* verschwinden), worin man die Theile nicht mehr unterscheiden könne, wie in den grünen Porphyren, Mandelsteinen 2c. Es ist nicht möglich, die Grenzen nach allen Seiten hin auch nur einigermaßen sicher zu ziehen. Man muß sich mit idealen Bildern begnügen. Besonders reich an solchen Hornblendegesteinen sind die Alpen, der Rhein hat sie nach Oberschwaben geführt, wo sie die Pfahlbauern zu ihren Waffen benutzten. Dann kommen die südlichen Vogesen bei Giromagny, die Granitränder des Harzes, der Ural, die Horditsch bei Schennitz 2c., aber hier schwer von den Hornblende-Trachyten zu unterscheiden. Berühmt ist der Kugeldiorit von Corsica, Hornblende und grünlich weißer Feldspath treten fast ins Gleichgewicht, ein wahres Muster für Diorit. Doch enthält der Feldspath nach Delessé nur 48,6 Kiesel- und 12 Kalkerde, scheint also Anorthit zu sein. An einzelnen Stellen scheiden sich darin kugelförmige Absonderungen aus, die außen eine sehr regelmäßige Hülle concentrisch gelagerter Schichten von Hornblende und Feldspath haben.

### 6. Hornblendschiefer.

Manche derselben bestehen bloß aus rabenschwarzer Hornblende, die

man an ihrer Feinstrahligkeit erkennt, auch wenn sie noch so compact beim ersten Anblick erscheinen: solche Gesteine sind jedoch nur sehr untergeordnet. Werner zeichnete besonders einen Hornblendischiefer von Miltitz südwestlich Meissen aus, wo er mit Urkalk wechsellagert (Hoffmann Handb. Mineral. II. , pag. 157). Dagegen kommen in den Alpen, und folglich auch unter den Oberschwäbischen Geschieben, sehr häufig Felsenmassen vor, die sich zum Diorit und Syenit gerade so verhalten, wie der Gneis zum Granit. Hier bedingt nicht der Glimmer, sondern die rabenschwarze Hornblende die Schichtung. Der Feldspath dazwischen sieht weiß aus, und scheint meist Natronfeldspath. Das Gewicht ruht bei den Hornblende-Gesteinen überhaupt nicht mehr auf den Feldspäthen, denn wenn sie Orthoklas, Albit, Oligoklas und Anorthit sein können, ja wenn in ein und demselben Stein verschiedene vorkommen, dann dürfte man bald einsehen lernen, daß mit solchen minutiösen chemischen Differenzen die Sache nicht getroffen ist. Schon Werner unterschied bei Gersdorf unweit Freiberg einen Syenitischiefer. Auch die Strahlsteinschiefer der Alpen kann man hier vergleichen, die jedoch meist nur als Beimengungen der Glimmer- und Talkschiefer erscheinen. Eines der schönsten aber sehr untergeordneten Gesteine bildet Hauy's

Eklogit (*ἐκλογή* Auswahl), worin sich rother Granat und smaragdgrüne Hornblende mit Augit (Omphacit pag. 318) mischen. Syenit, Glimmer, Quarz und andere Minerale fehlen nicht. Besonders deutlich im Fichtelgebirge. Auch der bläuliche Glaukophan von der Insel Syra (Zischr. d. geol. Ges. 1876) gehört hierhin. So könnte man jedoch in den Alpen noch eine Menge Gesteine unterscheiden.

#### e) Blätteraugit stellt sich ein.

Es ist eine auffallende Erscheinung, daß der ächte schwarze Augit pag. 313 bei Gesteinen, die nur einigermaßen eine Rolle spielen, sich nie mit frischem Feldspath zusammen findet, sondern stets nur mit glasigem. Auch die Diopside in den Alpen sind wie der Strahlstein untergeordnet an Talk, Dolomit zc. gebunden. Dagegen bilden die blättrigen Augite (Diallag pag. 318) mit frischem Alkfeldspath die vortrefflichsten körnigen Gesteine. G. Rose (Pogg. Ann. 34. 1) suchte zu beweisen, daß Augit nur mit Kieselerearmem Feldspath (Labrador) vorkomme, Hornblende dagegen nur mit Kieselereichem (Orthoklas und Albit). Später hat sich dann gezeigt, daß beide Hornblende und Augit auch mit Oligoklas auftreten, und daß der vermeintliche Albit und Labrador gar nicht selten Oligoklas und Anorthit seien. So ist auch diese längere Zeit für so trefflich gehaltene Regel wieder gefallen.

#### 7. Gabbro.

Leopold v. Buch hat im Magazin der Gesellschaft der naturforschenden Freunde zu Berlin 1810. IV. 128 und VII. 234 darüber zwei Abhandlungen geschrieben, und ihren nahen Anschluß an das Serpentinegebirge

bewiesen. Es ist ein körniges Gemenge von Labrador und Diallag, der Diallag häufig prachtvoll grün, darnach nannte Haüy das Gestein Euphotid (*eu* und *phōs* Licht). Der Feldspath ist dagegen grau, nicht selten von zähem splittrigem Bruch (Saufsurit). Seit lange berühmt ist die Verde di Corsica, welche schon 1604 in Florenz zu prachtvollen Tischplatten verschliffen wurde: die breiten smaragdgrünen Blätter des Diallag stechen gegen das schädige Grau des Saufsurit vortheilhaft ab. Bei Le Prese im Weltlin ist der Diallag tombakbraun mit metallischem Schimmer, ebenso von Bolpersdorf bei Neurode in Schlesien (Ztschr. d. geol. Ges. XIX. 110), auf der Wasse am Harz. Eine Unterabtheilung bietet der Hypersthenfels, worin statt Diallag Hypersthen liegt. Das grobkörnige Gestein von der Pauls-Insel bei Labrador, das feinkörnigere von Penig in Sachsen, vom Monzonberge in Tyrol bilden Muster. In Beziehung auf Lagerung schließt sich Gabbro eng an Serpentin, und dieser wieder an Hornblendegesteine.

## B. Porphyre.

Plinius hist. nat. 36. 11 sagt: rubet porphyrites in Aegypto: ex eo candidis intervenientibus punctis Leptosephos vocatur, und Agricola (natura fossil. 631) weiß schon, daß in der berühmten Sophienkirche zu Constantinopel nicht wenige Säulen aus Porphyr bestehen. Man verstand darunter nur den rothen Porphyr, während man die grünen und schwarzen Marmor nannte. Das Wesen eines ächten Porphyr macht die Grundmasse aus, welche durchaus homogen und unkrystallinisch sein muß. Sie kann glasig oder steinig sein, doch stellt man die glasigen besser zu den Gläsern. In der Grundmasse liegen alsdann Krystalle zerstreut, welche das Ganze bunt machen, worauf der Name deutet. Die Porphyre als halbkrySTALLINISCHE Gesteine scheinen entschieden jünger zu sein als die krySTALLINISCHE körnigen Granite und Syenite, welche sie in kegelförmigen Bergen durchbrechen. Werner unterschied die Namen nach der Grundmasse: Hornsteinporphyr, Thonporphyr, Obsidianporphyr und Basaltsteinporphyr.

### 8. Rother Porphyr.

Hat meist eine durch Eisenoxyd röthliche Grundmasse, die den splittrigen Bruch rauher Hornsteine zeigt. Da diese Masse feldspathartig ist, so schmilzt sie vor dem Löthrohr und entfärbt sich, daher auch Curitporphyr genannt. Mehr oder weniger Feldspath scheidet sich in allen krySTALLINISCHE aus, allein in Beziehung auf Kiesel-erde gibt es einen Quarzhaltigen und Quarzfreien.

Quarzhaltiger Porphyr (Felsitporphyr) bildet im Thüringer Wald die höchsten Ruppen, den Schneekopf und Inselberg. Auch der Auersberg auf dem Unterharze, der Petersberg bei Halle, der Donnersberg drüben in der Pfalz, viele Regal im Schwarzwalde namentlich bei

Baden-Baden bilden Muster. Der Quarz tritt außerordentlich hervor, und ist nicht bloß wie im Granit krystallinisch, sondern um und um krystallisirt, so daß man Dihexaeder aus der Grundmasse heraus schlagen kann. Nach G. Rose kommt neben Kalifeldspath auch Oligoklas vor, und wenn Glimmer, so Magnesiaglimmer, so daß es nichts weiter als ein unvollkommen krystallinischer Granit sein würde. Werner unterschied noch einen Feldspathporphyry (Emmerling Mineral. III. 66), der eine kleine und feinkörnige (theilweis schon dichte) Grundmasse von gemeinem Feldspath hat, worin sich dann größere gelblichweiße bis fleischrothe Feldspathkrystalle ausgeschieden haben. Sie sind ganz anders beschaffen als der Porphyrische Granit, und bilden in der That den vollkommensten Uebergang zum ächt körnigen Gestein. Sie treten daher z. B. im Schwarzwalde auf das Engste mit Gneis und Granit in Beziehung, und gar oft kommt man in Verlegenheit, ob man die Gesteine Granit oder Porphyry nennen soll. Und sobald in einem Granit auch nur Spuren dichter Grundmasse vorkommen, so zeigt der Quarz gleich Dihexaederflächen, was bei ächtem Granite nie der Fall ist.

Quarzfreyer Porphyry (Porphyrit) scheint häufig jünger zu sein, als der Quarzhaltige. Seine Grundmasse ist zuweilen in Folge von Verwitterung weicher und rother, als bei vorigem, selbst mit einem Stich ins Schwarz, wie die geschliffenen Stücke von Eisdalen und der Porfido rosso antico zeigen. G. Rose nannte ihn Syenitporphyry. Cotta's Glimmerporphyry, Buch's Rhombenporphyry, nach den großen eingesprengten Feldspathkrystallen genannt, und viele anders benannten gehören in seine Nähe.

Wenn man nun aber auch alles dieses glücklich bestimmen könnte, so kommt dann die Verwitterung dazu, zu welcher der Porphyry ganz besondere Neigung hat: es bildet sich ein grauer, rauher, unansehnlicher Thonstein aus der Grundmasse, und die Krystalle darin zerfallen zu mehlartiger Porzellanerde. Das ist Werner's Thonporphyry, welchen andere Mineralogen vielleicht noch bezeichnender Porphyryartiges Gestein genannt haben. Denn in der That weiß man häufig nicht, ob man es für einen Porphyry halten soll, der von seiner Ursprünglichkeit an Ort und Stelle nur durch Verwitterung gelitten habe: oder ob es schon ein regenerirtes Gebilde (Porphyry-Tuff) sei. Sehr eigenthümlich ist der Kugelporphyry von Corsika, den man nicht mit dem dortigen Kugeldiorit verwechseln darf (Specken pag. 137).

### 9. Grüner Porphyry.

Er schließt sich zunächst eng an den Diorit an (Dioritporphyry G. Rose). Die Grundmasse ist meist schwärzlichgrün, und darin scheiden sich dann die grünlichweißen Oligoklastkrystalle aus. Die Menge der Hornblende ist sehr verschieden, Quarz, Glimmer, Schwefelkies und Magnetkies gehören zu den mehr zufälligen Bestandtheilen. Wo Syenite und Diorite sich einstellen, da pflegen auch diese schönen Porphyre nicht

zu fehlen. Besonders reich ist die Gegend der südlichen Vogesen (Gironmagny). Im Ural bildet der Dioritporphyr im Verein mit Diorit das hauptsächlichste Plutonische Gestein. Der Diorit ist weniger im Süden entwickelt, nimmt aber im mittleren Ural an Menge zu, und bildet im Norden die höchsten Erhebungen. Dioritporphyr kommt meist in seiner Nähe vor, „scheint aber noch verbreiteter am südlichen als am nördlichen Ural zu sein, wo er sich auch nicht zu so großen Höhen als der Diorit erhebt.“ Auch die Amerikanischen Gebirge liefern die vortrefflichsten Abänderungen. Im Alterthum war besonders der Lacedämonische geschätzt, Plinius hist. nat. 36. 11: pretiosissimi quaedam generis, sicuti Lacedaemonium viride, cunctisque hilarius. Das heitere Grün tritt lebhafter bei Benetzung hervor, daher fand er auch zu Brunnen- und Wasserbeden vorzugsweise Anwendung.

Diabas (Uebergangsgestein) nannte Brongniart eine andere Gruppe grüner Porphyre, worin die grüne Farbe von Chlorit herkommen soll, und außerdem finden sich Augitkrystalle eingesprengt, die zu den merkwürdigen Uralitkrystallen pag. 308 gehören. G. Rose nennt sie Augitporphyr (Uralitporphyr), sie sollen unter allen sogenannten Grünsteinen die häufigsten sein, namentlich am Ural in Begleitung der dortigen Magneteisensteine. Die Uralitporphyre charakterisiren den Ural ganz besonders, doch kommen sie auch zu Travignolo bei Predazzo in Südtirol, zu Mysore in Ostindien 2c. vor. Am Harze findet sich der Diabas vorzüglich an der Grenze, wo die Granite vom Thonschiefer absetzen, an der Rosttrappe, im Mühlthal bei Ebingerode 2c. Ueberhaupt bildet der Thonschiefer des Uebergangsgebirges, worauf schon der Name hindeuten soll, die Mutter dieser merkwürdigen Gesteine, so namentlich auch im Dillenburgerischen. Einerseits gehen sie zu den schwarzen Porphyren und wahren Mandelsteinen über, was schon das hohe Gewicht beweist (Uralitporphyr von Miask 3,1 Gew.); andererseits schiefern sie sich, und lagern sich zwischen die Thonschiefer ein, so daß man nicht weiß, ob man sie für Wasser- oder Feuerproducte halten soll.

### 10. Gabbroporphyr.

Schließt sich eng an die Gabbro an, denn wo diese ausgezeichnet vorkommt, wie z. B. an der Wasse im Harzburger Forst am nordwestlichen Fuße des Brockengebirges oder zu Todtmoos (Glatte Stein) südlich vom Feldberge im Schwarzwalde, da fehlen auch diese schönen Porphyre nicht. Die Grundmasse ist außerordentlich homogen, hat einen feinsplittrigen Bruch wie Serpentin, bleibt aber härter; bei dunkelfarbigem wird man wohl auch an Basalt erinnert. Darin scheiden sich dann die halbmetallisch schillernden Flächen des Diallag aus, deren Blättrigkeit an Glimmer erinnert. Durch Verwitterung seiner Grundmasse sind Serpentine entstanden. Vergleiche auch Dr. Weiß in Pogg. Ann. 119. 446.

### C. Dichte Massen.

Dichte unkrystallinische Gebirge, die nicht das deutliche Gepräge eines Wasser- oder Trümmergebirges an sich tragen, kommen gerade nicht viel vor. Oder wenn sie auch vorkämen, so steht bei dem Mangel an krystallinischer Bildung immer für Zweifel ein großer Raum offen. Auch pflegt man die Sachen, wo es nur irgend angeht, immer zu den Porphyren mit überwiegender Grundmasse zu stellen. So hat z. B. Werner's

Thonporphyr häufig das Ansehen eines Porphyrtuffes, der auf secundärem Wege sich gebildet hat. Während andere wie der Hälleflinta pag. 273 von Dannemora so frisch aussehen, daß sie mit den frischesten krystallinischen Graniten wetteifern. Die Franzosen nennen solche Dinge **Gurit**, nach ihrer Schmelzbarkeit vor dem Löthrohr.

Dichter Grünstein, die Grundmasse von den grünen Porphyren, nähert sich in allen möglichen Uebergängen den ächten Porphyren, entfernt sich dann aber durch Schichtung, Aufnahme von Kalkspath (Schalstein) und kugelförmige bis erdige Absonderung so weit von aller ächten chemischen Bildung, daß wir es hier offenbar oft mit Trümmergesteinen zu thun haben. Die Franzosen bezeichnen es passend mit **Alphanit**, worin alle mineralogische Scheidung verschwindet. Auch der alpine Spilit gehört dazu. Nur der

**Serpentin** pag. 299 hat eine Gleichartigkeit des Bruchs und eine Frische des Aussehens, daß er sich den schönsten Gebirgsarten ebenbürtig zur Seite stellt. Um so mehr muß es befremden, daß man ihn seit der Entdeckung der Asterkrystalle von Snarum nicht mehr zu den unmittelbaren chemischen Niederschlägen zählen mag. Durch die Ausdehnung und Verbreitung seiner Bergkuppen, die übrigens zu den unfruchtbarsten gehören, welche wir kennen, spielt er eine nicht unwichtige Rolle auf der Erdoberfläche. Schließt in Schlesien und Böhmen Opale und Kieselmassen verschiedener Art ein, bildet die Mutter der Pyrope, Chromeisensteine, guldigen Arsenitalkiese zc.

### D. Melaphyre und Mandelsteine.

Sie treten hauptsächlich in der Steinkohlenformation auf. Durch ihre schwarze Farbe erinnern sie an den Basalt, daher werden sie auch wohl Basaltit genannt, allein der Olivin ist ihnen noch nicht wesentlich. Wenn Augit sich anscheidet, so ist es gemeinlich der schwarze basaltische Augit. Daher schieben die Gesteine stets zu den Basalten hinüber, und man hat keine Noth, sie davon gehörig zu trennen. Die Schweden nennen sie auch Trapp. Trappa heißt nämlich Treppe, der Name soll auf die kuppelförmigen Gebirge anspielen, welche von den Schichten des Uebergangsgebirges treppenartig umgeben sind, wie z. B. die Kinnefulle am Wenernsee. Werner machte eine besondere Trappformation, die er passend



dem Steinkohlengebirge unterordnete, und rechnete dahin den Grünstein, Mandelstein, Klingstein und Basalt. Der Name Melaphyr stammt von Alexander Brongniart (*μέλας* schwarz, und *phyr* die 2te Silbe von Porphyry), daher übersetzte ihn L. v. Buch in schwarzen Porphyry (Leonhard's Taschenb. 1824. 100), welcher nach seinen theoretischen Ansichten den Jura gehoben haben sollte, und sich besonders im Fassathale geltend macht (Jahrb. 1876. 100). Nicht selten bilden sich darin runde Blasenräume (sogenannte Mandeln), die mit Chalcedon und Amethyst austapezirt zu sein pflegen, worin sich dann Kalkspath und Zeolithe verschiedener Art angehäuft haben. Verwittert das Gestein, wozu es große Neigung zeigt, so fallen die kieseligen Mandeln heraus. Diese sind vortrefflich gerundet, höchstens an einer Kante schneidig, und scheinen Gasentwickelungen ihren Ursprung zu verdanken. Das Kohlengebirge von Oberstein ist besonders reich. Mandeln können zwar auch in andern dichten und glasigen Gesteinen sich zeigen, besonders zahlreich treten sie jedoch nur in diesen Augitischen Bildungen auf. Eine grüne Farbe der Grundmasse ist nicht selten, sie rührt aber von beigemengtem Chlorit, und weniger von Hornblende her. Ja kleinere Mandeln sind zuweilen ganz mit Chlorit erfüllt, so stammt z. B. die Veronesische Erde aus den Mandelsteinen bei Verona. Auch bestehen nicht selten Asterkrystalle von Augit aus solcher Grünerde pag. 295. Alles dies erschwert die scharfe Bestimmung außerordentlich. Auch hat es dann gar oft den Anschein, als wenn die Natur sich nicht so fest an Regeln gebunden hätte, wie wir sie gern in unserm Kopfe wünschten. Der Geognost darf hier nur wie Werner im Großen sondern, und muß das Einzelne der Mineralogischen Analyse überlassen, die dann aber nicht aus jeder Kleinigkeit besondere Felsnamen schaffen darf. Der Anschluß an den quarzfreien Porphyry pag. 952 oft sehr innig.

### E. Basaltische Gruppe.

Sie gehört vorzüglich dem Gebirge nach der Steinkohlenzeit an. Wie bei den heutigen Vulkanischen Gesteinen Trachyt- und Basaltlaven, so gehen hier immer Basalt und Klingstein parallel. Der Feldspath ist, wo er vorkommt, schon *glasig*. Die chemische Analyse unterscheidet zwischen einem in Säure löslichen und einem in Säure unlöslichen Antheil. Letzterer ist der Kieselereichere.

#### Klingstein.

Phonolith, bildet ein ausgezeichnet porphyrisches Gestein mit einer hellfarbigen Grundmasse, worin sich weiße glasige Feldspathkrystalle ausgeschieden haben. Hornblendenadeln, Nephelinblättchen, und häufig Rosen hat das Mikroskop nachgewiesen. Da er nicht selten eine Neigung zum Plattigen zeigt, so nannte ihn Werner Porphyrischer. Die große Homogenität dieser Platten beweist ihr Klang, worauf der Name

des gemeinen Mannes hindeutet. Quarz findet sich nicht mehr frei darin auch soll er nie mal s Augit wohl aber Hornblende enthalten. Neuerlich hat sich auch kleiner gelber Titanit darin gefunden. Gew. 2,57. Schon Klaproth (Beitr. III. 220) lieferte im Anfange dieses Jahrhunderts eine Analyse des Klingstein's vom Donnersberge bei Millefchau, dem höchsten Berge im Böhmischem Mittelgebirge. Er wies 8,1 Natron darin nach, was Aufsehen erregte, da man bis dahin dieses Alkali nur im Steinsalz gekannt hatte. Aber erst Ch. Gmelin (Pogg. Ann. 14. 357) zeigte, daß die Grundmasse einen mit Säure gelatinirenden Bestandtheil enthalte, denn das Pulver 24 Stunden mit Salzsäure übergossen, erzeugt bei manchen eine steife Gallerte, wie der Faserzeolith pag. 403. Daraus läßt sich nun leicht die große Menge von Natrolith erklären, wie er z. B. in den Felsen von Hohentwiel vorkommt. Der unlösliche Rückstand ist Kalifeldspath. Durch Verwitterung soll vorzugsweise die Zeolithmasse ausgelaugt werden. Das quantitative Verhältniß zwischen Zeolith- und Feldspathsubstanz wechselt aber außerordentlich. Der Klingstein vom Hohen-Krähen am Bodensee hatte 55 lösliche und 45 p. C. unlösliche Substanz; der von der Pferdekuppe in der Rhön dagegen nur 16 lösliche und 84 unlösliche Theile. Klingstein bildet häufig auffallend kühne Felsen, so im Höhgau den Hohentwiel und Hohen-Krähen, welche neben dem Basaltischen Hohen-Höwen und Hohenstoffeln jäh aufsteigen, oder geradezu wie im Böhmischem Mittelgebirge und in der Rhön „im Basalte zu schwimmen scheinen“ (Taschenbuch 1827. a. 104). Der Biliner Stein in Böhmen, die Klingsteine im Belay sind ausgezeichnet.

Nephelingestein pag. 428 wurde zuerst von Leonhard auf dem Ragenbuckel, dem höchsten Gipfel des Odenwaldes, erkannt. Seiner Farbe nach steht die Grundmasse zwischen Basalt und Klingstein, es scheiden sich darin aber stellenweis viele mikroskopische Nephelinkrystalle neben etwas Magneteisen und Augit aus. Das Mikroskop zeigt gewöhnlich Nadeln von Apatit, die man am Löbauer Berge in der Oberlausitz schon mit bloßem Auge erkennt. Schließt sich dem Melaphyr an.

### Basalt.

Dieses berühmte Gestein war schon dem Agricola de natura fossilium 631 vortrefflich bekannt: quoddam marmor est ferrei coloris, qualis est basaltus ab Aegyptiis in Aethiopia repertus, cui non cedit Misenus, neque colore, quem eximie ferreum habet: neque duricia, quae tanta est, ut eo fabri ferrarii pro incude utantur . . . super hunc basalten Stolpa arx episcopi Miseni est extructa. Plinius hist. nat. 36. 11 erwähnt den Namen nur einmal, sonst heißt er Basanites Plinius 36. 38 (König Og von Basan, Josua 12. 4). Zu Werner's Zeit war es der wichtigste Streitpunkt, ob Basalt auf heißem oder nassem Wege entstanden sei. Die außerordentliche Häufigkeit, wenn auch nur in isolirten Bergketten, macht ihn zumal bei seiner Lavenähnlichkeit zu

einem der wichtigsten Gesteine. Zirkel, Untersuchung über die mikroskopische Zusammensetzung und Structur der Basalte, Bonn 1870.

Er bildet eine schwarze harte schwere Grundmasse, in welcher sich klarer gelber Olivin pag. 321 krystallinisch ausgeschieden hat. Das Gewicht erreicht 3,1. Wenn Feldspath vorkommt, so ist es glasiger Kalkfeldspath. Gar häufig findet man auch Körner von schlackigem Magneteisen darin, dem er theilweise auch seine Farbe dankt. Basaltischer Augit ist viel häufiger als Basaltische Hornblende. Die Analyse unterscheidet ebenfalls einen in Säure löslichen und einen unlöslichen Theil, jener ist zeolithisch, dieser augitisch, so daß man wohl Augit und Zeolithe mit Magneteisen als die wesentlichen Bestandtheile der Grundmasse ansehen darf, wozu sich Olivin, glasiger tritimer Feldspath und Nephelin gesellt, sogar Leucit, welcher in Dünnschliffen mit dem Mikroskop leicht nachgewiesen ist. Man spricht daher jetzt gern von Feldspath-, Nephelin- und Leucit-Basalten (Zähr. 1870. 333). Letzterer ist selten, dagegen scheinen die Nephelinbasalte in unserer schwäbischen Alp vorzuherrschen, nur daß sie schwer von den harten Tuffen unterschieden werden können: Magneteisen bildet opake Flecke; Olivin hat Risse und eine charakteristische Verwitterungsrinde; und die Massen oblonger klarer Täfelchen sollen Nephelin sein (Dr. Wöhl, Würt. Zähr. 1874. XXX. pag. 238). Zum Verglasen zeigt er keine sonderliche Neigung, wohl aber zum Verschlacken: d. h. es erzeugen sich auf der Oberfläche allerlei gedrängte edige Poren in ihm. Schneeweißer Faserzeolith, krystallisirt bis dicht, bricht öfter auf schmalen Gängen und Drusenräumen. Das merkwürdigste Phänomen ist jedoch die regelmäßige Zerklüftung zu Säulen, die alle parallel neben einander liegen, und die in früherer Zeit wegen ihrer vortrefflichen Ausbildung allgemein für Krystalle gehalten wurden. Die Säulen selbst steigen aus der Tiefe unter den verschiedensten Richtungen heraus, doch behalten sie auf kleine Entfernung und bei kleinen Bergen gern die gleiche Lage bei, bei diesem Berge nur wenige Zoll, bei jenem mehrere Fuß dick. Durch Quersprünge sind sie zergliedert, so daß man leicht Stücke abheben kann. Schreitet die Verwitterung weiter vor, so runden sich die Klustflächen, und wir bekommen dann Kugelformen. Mancher plattet sich auch, wie der im Reiche des Königs Og. Werner unterschied daher einen Säulen-, Kugel- und Tafel-Basalt. Viele zeigen jedoch nichts von solcher Zerklüftung.

Am vorherrschendsten ist homogener Basalt, der sich an zahllosen Punkten findet: in Deutschland sind das Böhmisches Mittelgebirge, die Rhön, der Meißner, das Vogelsgebirge, der Westerwald, das Siebengebirge, die Eifel, das Hühnau bekannt. An der Schwäbischen Alp zwischen Reutlingen und Boll versteckt er sich unter den Basalttuffen. Die regelmäßigen Basaltsäulen der Burg bei Stolpen in Sachsen, mit 6—20 Zoll dicken und 30—40 Fuß langen Säulen, woraus dem Werner zwischen Dresden und Kesselsdorf ein Denkmal errichtet wurde, erwähnt schon Agricola; nicht minder ausgezeichnet finden sie sich bei

Wittgendorf ohnweit Zittau, wovon Reichel (die Basalte und Säulenförmigen Sandsteine der Zittauer Gegend) so schöne Abbildungen gegeben hat. Am großartigsten trifft man sie am Riesenbamm (Giants Causeway) an der nördlichen Küste der Grafschaft Antrim in Irland. Die Säulen der Fingalsgrotte auf Staffa sollen mehr Grünsteinartig sein.

Wenn die Basalte an der Oberfläche verschladen, dann kann man sie nicht von Augitischen Laven unterscheiden. Oft werden sie auch ausgezeichnet porphyrisch, indem sich die Augitkrystalle in großer Regelmäßigkeit ausscheiden, wie z. B. bei Sasbach am Kaiserstuhl im Breisgau, neben welchen krystallinisch ausgebildeter Eisenolivin pag. 322 liegt. Freilich kann man diesen auch wegen der Mandeln zu den Mandelsteinen rechnen.

Dolerit (*doleros* trügerisch) nannte Haüy die krystallinisch körnigen Gesteine, die untergeordnet im Basalte des Meißner in Hessen einbrechen, sie bestehen aus Augit und glasigem Labrador mit schlackigem Magneteisen und können leicht in Handstücken mit Diorit verwechselt werden, worauf der Name deuten soll. Leonhard's

Anamesit (*ἀνήμερος* in der Mitte) soll die feinkörnigen Abänderungen bezeichnen, die mitten zwischen Dolerit und dichtem Basalt inne stehen: dahin gehört z. B. der durch seinen Sphärosiderit pag. 511 berühmte Basaltstrom auf der linken Seite des Mainz unterhalb Hanau, das Straßenpflaster von Frankfurt und das Straßenmaterial für die ganze Umgegend liefernd. Die schwärzliche Masse, in deren Drusen der braune Sphärosiderit liegt, hat ein gleichmäßiges Korn wie Dolomit. Olivin fehlt.

## F. Trachyt und Lava.

Unter der Lava versteht man ursprünglich Gesteine, die in glühendem Strome aus der Mündung eines Kraters hervorgeflossen sind. Da aus dem Strome Gase entweichen, so pflegt nicht bloß die Oberfläche, sondern auch die Tiefe des Gesteins von unregelmäßigen Poren durchdrungen zu sein. Dasselbe ist aber nicht nothwendig. An einem Vulkanberge sollte daher alles geschmolzene Gestein hervorgeflossen sein. So lange die Berge brennen, liefert der Brand ein vortreffliches Bestimmungsmittel. Allein es kommen neben brennenden auch viele ausgebrannte Vulkane vor: Auvergne, Eifel, Kammerbühl bei Eger, in Italien die Rocca mounina, das Albanergebirge 2c. Da ist dann eine Vermischung und Verwechslung mit der Basaltgruppe unvermeidlich. Wie umgekehrt die Basaltgruppe auch viele ausgezeichnete Ströme zeigt.

### Trachyt

(*τραχύς* rauh) nannte Haüy (Traité de Minér. 1822. IV. 270) jene lichtfarbigen mit feinporöser Grundmasse versehenen Gesteine, den deutschen Trappporphyr (Buch Abhandl. Berl. Akad. 1819. 120), worin sich nicht selten

glasige Feldspathkrystalle in großer Schönheit ausscheiden, neben Glimmer, Hornblende und andern Krystallen; nur Augit ist fremd. Das Gestein steht dem Klingstein in der Basaltgruppe parallel, und ist wie diese nicht in Strömen, sondern in Massen hervorgebrochen. Der Feldspath gehört nach Abich (Geol. Beobacht. über die Vulkanischen Erscheinungen und Bildungen in Unter- und Mittel-Italien) der kieselreichen Abänderung  $R\ Si + K\ Si^3$  an. Nach ihm kann sogar zwischen Klingstein und Trachyt keine Grenze gesteckt werden. Bimstein, Obsidian und Perlstein sind wesentliche Begleiter ächter Trachyte. Der Trachyt vom Drachenfels, im Siebengebirge am rechten Rheinufer „kann in jeder Beziehung als eine wahre Normal-Felsart für den Begriff betrachtet werden.“ Es kommt darin großer Kalis- und kleiner Natronfeldspath wie im porphyrischen Granit vor, dem er auch durch seine großen glasigen Feldspathzwillinge so auffallend gleicht. Freier Quarz ist nicht vorhanden, außer in kleinen Klüften. Nach Hr. vom Rath kommen allein in dem kleinen Siebengebirge drei Trachyt-Abtheilungen vor: Drachenfels mit Tridymithöhlen, großen Kaliseldspathen und kleinen Oligoklasen; Wolfenburger, worin nur Oligoklasen mit Hornblende herrschen; Rosenauer mit 78 Si enthält nur glasigen Orthoklasen (Sanidin) mit bläulichem Chalcodon auf den Klüften. Er kommt nur in Gesehien vor, und gleicht einem Klingstein, Jahrb. 1861. 558. Nach H. Mohr (Jahrb. 1866. 188) haben die Trachyte 10% Hohlräume, dieselben sollen durch Auslaugung der Basalte und Melaphyre künstlich hergestellt werden können, was mit eigentlichen Laven, ja selbst mit geschmolzenem Basalte nicht gelänge. Sie könnten daher niemals im Feuer gewesen sein u. Trachyt = Porphyry (Rhyncholith) hat schon Deudant Ungarische Gesteine mit freiem Quarz genannt, welche ältern Porphyren überaus gleichen, aber durch ihr Vorkommen mit Perlstein sich als vulkanisch zu erkennen geben.

Do mit nannte Buch (Geognost. Beobacht. II. 24) die erdigen zerreiblichen Trachyte, in welchen aber kleine glänzende Orthoklasenkrystalle mit Plagioklasen liegen. Neuerlich haben auch die Hauptwerke von Tridymitblättchen pag. 254 noch die Aufmerksamkeit auf sie gelenkt. Das Gestein findet sich besonders ausgezeichnet am Pay-de-Dôme. Nur untergeordnet kommt in vulkanischen Gegenden der Trachyte granitoide (Sanidinit, Sanidinbomben) vor, der wie der Dolerit aus lauter Krystallen besteht, hauptsächlich aus glasigem Feldspath und Nadeln schwarzer Hornblende: die Findlinge am Lachersee mit Hauyn und Rosenau, oder vom Vesuv u. sind sehr bekannt.

Andesit (Buch, Pogg. Ann. 37. 180) hießen früher ausschließlich die amerikanischen Trachyte, welche die gewaltigsten Vulkangipfel der Erde in der Cordillerenkette bilden. „Es sind bald mehr bald weniger dichte, „bisweilen beinahe zerreibliche Gesteine von grobkörnigem Bruch, welche „in einer krystallinischen Grundmasse von dunkelgrauer Färbung eine „große Menge von kleinen, selten die Größe einer halben Linie erreichen-

„den Krystallen, von Albit“ enthalten, wie sie auch im Trachyt des Drachenfels vorkommen. Die vermeintlichen Albite, an dem einspringenden Winkel auf dem Blätterbruch P erkennbar, wurden dann später als kieselsäurere Plagioklase bestimmt. Hin und wieder kommen zwar kleine Feldspäthe vor, aber dem Albit nur untergeordnet. Das Gestein bildet den Dom des Chimborasso, die zerrissenen Gipfel und zackigen Ränder eingestürzter so wie die Regelberge der noch thätigen Vulkane. Hr. Abich fand es dann am Elbrouz, Kasbek, Ararat, wo die Gipfel häufig vom Blitze geschmolzen sind, Fulguritandesit. Damit war dann das vermeintliche Gesetz, daß nur die Neue Welt solche Gesteine haben sollte, wieder aufgehoben.

Trachyt-Dolerit nennt Abich den Kranz von Felsen, der mit einer Höhe von 1000'—1800' den Pic von Teneriffa umgibt. Es ist ein Gemisch von Trachyt- und Augitlaven.

In den Ungarisch-Siebenbürgischen Karpathen und den Nordamerikanischen Cordilleren reicherten die trachytischen Gesteine in ihrer großen Mannigfaltigkeit das Gebirge mit den edelsten Erzen an. H. v. Richter (Jahrb. geol. Reichsanst. 1860. 82) hat zuerst die Ungarischen, und später die Amerikanischen (Jahrb. d. geol. Ges. 1868. 612) zwar einer systematischen Benennung unterworfen, allein ein Blick auf die herrliche Gesteinsammlung, welche wir der Kaiserlichen Geol. Reichsanstalt danken, zeigt wie unendlich schwierig es ist, den Bestimmungen ohne örtliche Vergleichung zu folgen.

**Propylite** (πρόπυλον Vorhof) bahnten gleichsam den folgenden Trachyten den Weg. Sie sehen den Grünsteinen (Diorit) sehr ähnlich, und wurden bei Schemnitz immer dafür gehalten. Die älteren Quarz-Propylit nannte Stache Dacit (Dacia der Römer). Hornblende-Propylit hält wesentlich Oligoklas, und ist den Tescheniten von Teschen und den Timaciten (Banatiten) verwandt. Augit-Propylite mit Hornblende und Augit treten besonders am Ostabhange der Sierra Nevada auf.

**Rhyolithe** (ρύεω fließen) sind äußerst mannigfaltige Quarz-Andesite mit und ohne freie Kieselerde, und einer Grundmasse von Kaliseldspath, worin sich dann auch Oligoklas und andere accessoriische Minerale ausscheiden können. Wie schon Deudant erkannte, gehören dazu die Ungarischen Perlite, Mithlsteine mit ihrem Alaungehalte 2c. Als Unterabtheilungen hebt man dann wieder granitische (Nevadit), porphyrische (Liparit) und lithoidische Rhyolithe hervor, und faßt ebenso die Andesite und Trachyte im engern Sinne als Familiengruppen auf.

Die Massenausbrüche sämtlicher Gesteine werden dann sehr bestimmt dem Alter nach fixirt, sie brachen alle vor dem Basalt hervor, Propylit begann, Andesit, Trachyt und Rhyolith folgten der Reihe nach.

### Lava.

Darunter versteht man hauptsächlich Augitlaven, deren graulich schwarze Masse auffallend an Basalt erinnert. Eine solche ausgezeichnete

Lava bildet der Mühlstein von Niedermending bei Meyen in Rheinpreußen, durch den blauen Haun pag. 433 den Mineralogen so bekannt. Schon Theophrast § 40 nennt solche „schwarze Bimsteine“ von Sicilien lapis molaris, und Agricola 614 unterscheidet sie sehr wohl von den quarzigen Mühlsteinen. Denn Laven mit eckigen Poren eignen sich besonders zum Zermahlen weicherer Substanzen. Wenn Feldspath vorkommt, so ist es Kieselerdeärmer Labrador oder Anorthit; auf Thera soll unter den Mikrolithen Albit dominiren (Jahrb. 1876. 874). An der Somma und im Albanergebirge spielen die Leucitlaven (Leucitophyre) eine bedeutende Rolle. Sehr rauhe poröse Gesteine, in welchen die Leucitoeder ringsum gebildet in großer Menge zerstreut liegen. Unendlich groß ist die Zahl der Analysen, und mannigfach ihre Deutung, im Allgemeinen sind die Augitlaven aber Kieselerdeärmer als die Trachytlaven.

Der Gegensatz von Feldspath- und Augitgesteinen, welcher in der Basalt- und Lavengruppe so deutlich hervortritt, hat in neueren Zeiten Bunsen (Pogg. Ann. 83. 197) zu einer Hypothese verleitet, die viel Lockendes hat, so schwer auch die Durchführung des Beweises werden mag. Der geistreiche Chemiker, gestützt auf zahlreiche Analysen Isländischer Gesteine behauptet, daß es auf jener großen Vulkaninsel trotz der Mannigfaltigkeit der Laven nur zwei Hauptgruppen gebe, deren extreme Glieder seien normal

	trachytisch oder pyrogenisch	
Kieselerde	76,67	48,47
Al und Fe	14,23	30,16
Kalkerde	1,44	11,87
Magnesia	0,28	6,89
Kali	3,20	0,65
Natron	4,18	1,96

Die trachytischen entsprechen fast genau einem zweifach sauren Gemenge von Thonerde- und Alkali-Silicaten, in denen Kalk, Magnesia und Eisenoxydul bis zum Verschwinden zurücktritt. Der Sauerstoff der Säure verhält sich zu dem der Basen wie 3 : 0,596, in den augitischen wie 3 : 1,998, letztere sind also entschieden basisch. Durch Vermischung dieser beiden Extreme sollen nun sämtliche Laven Islands entstanden sein, was auf einen doppelten Heerd in der Tiefe hinweisen würde, deren Spiel seit dem Hervortreten der Insel fortgedauert haben müßte. Ja die Gänge scheinen dieß sogar handgreiflich zu machen: so setzt in einem der südöstlichen Thaleinschnitte des Esjagebirges, Mosfell gegenüber, ein Trachytgang durch das dortige conglomeratische Augitgestein. Der Trachyt in der Mitte des Ganges gehört zum normal trachytischen Gesteine von weißer Farbe, nach der umschließenden Gebirgsart hin wird er allmählig dunkler und eisenhaltig, und am Salbande besteht er deutlich aus einem Gemisch trachytischer und pyrogenischer Masse, wie chemische Analyse und Augenschein bewies.

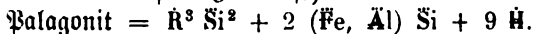
Würde diese Ansicht durchschlagen, die Bunsen noch mit mehreren

Beispielen anderer Orte (Ararat) beweist, so hätte in Zukunft die Gesteinsbestimmung ganz andere Wege einzuschlagen: es käme dann nicht mehr auf diese oder jene unbedeutende Verschiedenheit in der Mengung an, die zu so vielen Namen Veranlassung gegeben hat, sondern man müßte nach möglichst reinen Gesteinen suchen, die durch die Art ihres Auftretens z. B. im Centrum eines großen Gebirgsstockes zugleich einige Bürgschaft gäben, daß sie den ursprünglichen Bildungen möglichst nahe kämen, und von ihnen ausgehend müßte dann die Erklärung erst die minder wichtigen Gebirgsmassen treffen. Indes liegt hierin, wie in allen Hypothesen, die sich auf so schlüpfrigem Boden bewegen, auch wieder eine große Gefahr.

Die Gläser haben wir oben pag. 468 genügend abgehandelt. Sie sind meistens sauer, und schließen sich daher an die Trachyte an, doch kommen auch in den basaltischen Laven vor, wie das berühmte Pele's Haarr auf den Sandwichsinseln, das durch Sturm erzeugt wird, nach Art der Schlackenwolle (Dingler's Polyt. Journ. 1877 Bb. 223 pag. 70), wobei ein bloßer Dampfstrom auf einen Schlackenstrahl bläst. Die elastischen Fäden sinken bis auf 0,01 mm herab, und enthalten wie der Tachylit pag. 470 kaum über 51 Kieselerde.

### G. Tuffe.

Das Wort Tuff wird doppelstimmig gebraucht: einmal versteht man darunter Niederschläge des Wassers, wie Kieletuff pag. 259, Kalktuff pag. 502; dann aber auch die sogenannten Vulkanischen Tuffe, welche in größter Menge und Mannigfaltigkeit auftreten. Speiende Vulkane ergießen nicht bloß glühende Lavenströme, welche zu Stein oder Glas erhärten, sondern sie werfen auch Schlackenstücke als Bomben, Lapilli, Asche in ungeheuren Massen aus, die sich um den Berg herum ablagern, und jene ganz eigenthümliche Art unkrystallinischer Trümmergesteine (Agglomerate) bilden, woran das Wasser keinen unmittelbaren Antheil nahm. Bunsen (Pogg. Ann. 83. 119) glaubt sogar nachweisen zu können, daß die Palagonittuffe pag. 456 metamorphische Bildungen seien, welche durch Einwirkung der glühenden Augitlaven auf Kalk- oder Alkalienreiche Gesteine gebildet würden. Denn es komme Palagonit, wenn man feingeriebenen Basalt in einen großen Ueberschuß von geschmolzenem Kalihydrat einträgt, und das gebildete überschüssige Kalisilicat mit Wasser übergießt. Die ausgelaugte und durch Abschlämmen erhaltene hydratrische nach dem Trocknen pulverförmige, schon mit der schwächsten Säure gelatinisirende, durch Kohlenensäure und Schwefelwasserstoff leicht zersehbare Substanz stimmt mit dem reinsten Isländischen



Dabei entwickelt sich eine namhafte Menge reinen Wasserstoffs, dessen Auscheidung auf der Oxydation der Eisenoxydsilicate zu Eisenoxydsilicaten beruht, und die auf Kosten des im Kalihydrate enthaltenen Wasser-



atomes vor sich geht. Folge davon ist, daß in den Palagoniten jede Spur von Eisenorydul fehlt. Daraus ließe sich das Vorkommen von gebiegenem Kupfer pag. 701 in den Mandelsteinen erklären, was aus flüchtigem Chlorkupfer reducirt sein würde. Wenn also bloß durch Berührung der Augitlaven mit Kalkgebirgen sich Tuffe erzeugen, so würde die Erklärung der mächtigen Basalttuffe unserer schwäbischen Alb nicht mehr so unübersteigliche Schwierigkeiten darbieten.

Bunsen zeigt nun weiter, daß das Palagonitische Tuffgebirge wesentlich ein Gemenge von zweierlei Sachen sei: das eine seien wasserfreie Gebirgsbrocken, deren Zusammensetzung genau mit den normal pyrogenischen Gesteinen pag. 961 übereinstimmt; dieselben wurden von der andern Substanz eingehüllt, die von amorpher Beschaffenheit wesentlich aus zweierlei wasserhaltigen Silicaten von der Form



bestünde. Beide Glieder scheinen sich in verschiedenen Verhältnissen mit einander zu mischen: der Palagonit besteht aus  $R^3 Si^2 + 2 R^3 Si + aq$  und ein Tuff der Chatham-Inseln aus  $R^3 Si^2 + Al Si + aq$ . Sie sind aber alle zwei ohne Wasser genommen nichts anderes als verändertes Phryogengestein.

Wie die Basalte und Basaltischen Laven, so umgeben sich auch die Melaphyre mit Tuffen, was namentlich die zeolithischen Mandelsteinbildungen beweisen. Dieselben seien auf Island lediglich durch glühende Laven erhitzte Tuffe, wobei sich dieselben in ein eisenreiches Silicatgestein verwandelten, welches die Grundmasse der Mandelsteine bildet, und in ein eisenfreies: nämlich die schönen farblosen bis schneeweißen Zeolithe pag. 401. Die Spaltung in eisenfreie und eisenhaltige Silicate hat zwar etwas Auffallendes, läßt sich aber auch künstlich hervorbringen und verfolgen, wenn man Erbsen- bis Haselnußgroße Stücke erhitzt bis sie äußerlich glühen, und dann im Mikroskop bei 40facher Vergrößerung untersucht. Nimmt man dazu nun noch die zersetzende Wirkung der Gase, so sieht man wohl ein, wie Gesteine gänzlich ihren ursprünglichen Charakter aufgeben können, ohne daß Wasser einen wesentlichen Einfluß darauf geübt hätte.

Was den augitischen Gesteinen, Aehnliches widerfährt nun auch den felspathigen. Die Trachyte, die Klingsteine (Oberschwaben) umgeben sich ebenfalls mit ganzen Bergen von Trachyt- und Klingsteintuffen, selbst bei den Gläsern spricht man von einem Pechthoustein, Bimsteintuff zc. Der Traß im Brohl- und Nettetthal der Eifel, schon von den Römern als Baustein verwendet, und die berühmte Pozzolanerde bei Neapel sind solche Tuffgebilde. Je älter jedoch das Gebirge wird, desto mehr wachsen die Schwierigkeiten in der Erklärung, zumal da hier Anzeichen vulkanischer Thätigkeit nicht ausgeprägt sind. Jedenfalls umgeben sich die rothen und grünen Porphyre mit einem ganz tuffartigen Gestein. Die graulich weißen, graulich rothen zc. Thonsteine und Thonporphyre sind solche Dinge, über deren genaue Bestimmung man so häufig in Verlegenheit ist. Nicht min-

der lebhaft wird man bei den Grünsteinen, welche sich zu unförmlichen Kugeln absondern, erdig zerfallen, oder wohl gar geschichtet mit Thonschiefer wechseln (Dillenburg), an solche metamorphischen Gesteine erinnert. Dieselben werden sogar auch porös, nehmen in ihre Poren Kalkspath auf (Blatterstein), und was dergleichen Modificationen mehr sind.

In den Alpen, wo Glimmer- und Talkschiefer eine große Rolle spielen, findet man eine Reihe sogar Petrefactenführender Bildungen, welche einige für durch Feuer verändertes Sedimentgestein halten, andere aber für Gebirgsstrümmergesteine, die unter Einfluß von Wasser sich erzeugt haben. Endlich erleidet auch der

Granit nicht selten sehr großartige Zersetzung: das ganze Gebirge löst sich zu Grus und Sand, der wie Schutt über einander fällt, ohne daß die einzelnen Mineralthteile wesentlich gelitten hätten, obgleich sie dadurch sich etwas aufschließen, denn ein Theil wird bereits in Säure löslich, und kann zur Wassermörtelbereitung benützt werden (Explic. Cart. géol. France I. 121). Wenn solche Trümmer vom Wasser ergriffen aber ganz in der Nähe abgelagert werden, so bilden sich Gesteine, die dem ursprünglichen Granit außerordentlich nahestehen (Arcoise), wie z. B. in Centralfrankreich oder in der Steinkohlenformation des Schwarzwaldes. Das Auffallende bei solchen Verwitterungen ist das, daß nicht selten einzelne Partien der Zerstörung widerstehen, andere nicht, und in Folge dessen die Granitberge sich mit mächtigen Blöcken überdecken (Steinmeere), die man auch wohl als Trümmer des bei der Erhebung zersplitterten Gebirges genommen hat.

Sobald die Feldspaththeile des Granites ihren Kaligehalt verlieren, zerfallen sie zu Porzellanerde, und sind so die Ursache jener weit verbreiteten Thonformation, die im Sedimentärgebirge eine der Hauptrollen spielt.

## H. Sedimentärgebirge.

Dasselbe ist im Wesentlichen ein Wasserablaß aus zertrümmerten und abgerollten Gebirgsstücken, die oft weite Wege gemacht haben, ehe sie zur Ruhe kamen, zumal wenn sie als feiner Sand und Schlamm im Wasser sich suspendirt erhalten konnten. Sehen wir von den Blöcken, Geschieben und Geröllen ab, die nur in einigen wenigen Formationen (Diluvium, Nagelfluhe, Todtligendes) Bedeutung erlangen, so sind es hauptsächlich dreierlei:

Sand, Kalk, Thon,

welche herrschen. Der Sand besteht vorzugsweise aus kleinen abgerollten Quarzstücken, und hin und wieder finden sich Feldspath, Glimmer, Magnet Eisen und andere Mineralreste darin zerstreut. Da der Quarz das härteste und unzerseßbarste unter den gewöhnlichen Gesteinen ist, so war er am geeignetsten, sich durch alle Revolutionen hindurch zu erhalten, und wenn er auch als der feinste Staub in der Braunkohlenformation

und als Flugsand an den Meeresküsten angekommen ist, so bleibt er doch immer Quarz, der vielleicht zum größten Theil schon zur Uebergangszeit krystallisirte. Wenn

Sandsteine, die besonders rein in der Quadersandsteinformation und im Braunkohlengebirge auftreten, nicht Kiesel Erde selbst als Bindemittel haben, so sind die Körner durch Kalk oder Thon aneinander gehftet. Der Sandstein wird dadurch kalkig, thonig, mergelig.

Kalksteine wurden schon pag. 498 weitläufiger erwähnt, sie nehmen an der Bildung des Sedimentärgebirges einen wesentlichen Antheil, sind dann aber mit den Thonen und Sandsteinen auf das mannigfachste gemengt. Endlich kommen die

Thonschichten, welche aus Zersetzung der Silicate hervorgegangen als mechanischer Niederschlag von Schlamm und Schlick hauptsächlich die Schichtung und Schieferung repräsentiren, und gleichsam die Grundmasse des ganzen Flözgebirges bilden. Das Wichtigste davon haben wir pag. 455 abgehandelt, weil die Thone von jeher als eine besondere Sippschaft der Minerale angesehen wurden; und einige darunter treten allerdings so selbstständig auf, daß man sie wenigstens als Vermittler zwischen Felsen und Mineralen ansehen darf. Besondere Schwierigkeit machen die Thonschiefer pag. 467, die sich unmittelbar an die krystallinischen Glimmerschiefer anreihen: dem Auge erscheinen sie wie Schlamm, als mechanische (klastische) Gebilde; aber das Mikroskop entdeckt darin noch feine Krystallspuren, die auf eine chemische Umbildung hindeuten. Die Naturalien schließen sich eben nach keiner Seite hin völlig ab, und machen dem Systematiker um so größere Sorge, je mehr er sich in die Sache vertieft.

---

## Krytallographische Uebersicht.

---

Da die Form den Mineralogen das wesentlichste Kennzeichen liefert, so ist es nicht unpractisch, die Minerale auch nach ihrem Krystallsystem zu classificiren.

### I. Reguläres System.

- 1) Granat pg. 333 Granatoeder herrscht vor. Uwarowit pg. 337.
- 2) Diamant pg. 355, octaedr. Blätterbruch, gerundete 48flächner herrschen.
- 3) Spinell pg. 374, Octaeder, häufig Zwillinge, wie Magneteisen pg. 746.
- 4) Analcim pg. 411, das Leucitoeder herrscht, aber Würfel fehlt nicht.
- 5) Faujasit pg. 418, bildet zierliche Octaeder.
- 6) Leucit pg. 429, nur im Leucitoeder, wird jetzt angezweifelt.
- 7) Lasurstein pg. 432, nebst Sodolith pg. 434 mit sechsfach blättrigem Bruch im Granatoeder. Lehnt sich dadurch an Blende pg. 846.
- 8) Helvin pg. 452 ausgezeichnet tetraedrisch.
- 9) Wismuthblende pg. 453, Pyramidentetraeder mit Zwillingen.
- 10) Flußspath pg. 553, Würfel herrscht, aber mit dem ausgezeichnetsten blättrigen Octaeder. Pyrocerit pg. 557.
- 11) Würfelerz pg. 584, der blättrige Würfel herrscht, Tetraeder untergeordnet.
- 12) Boracit pg. 609, Würfel und Granatoeder mit Anfängen tetraedrischer Hemiedrie. Rhodizit pg. 610.
- 13) Steinsalz pg. 620, Würfel mit deutlich blättrigem Bruch herrscht, Helvin pg. 626. Salmiak pg. 628; Hörnerz pg. 614, Jodsilber pg. 615, Embolit pg. 616.
- 14) Alaun pg. 651, unter den künstlichen Salzen wohl die wichtigsten Octaeder.
- 15) Gold pg. 678, (Electrum) nebst Silber und Kupfer, sich durch dendritische Zwillinge pg. 698, auszeichnend. Platin pg. 704, Palladium pg. 707, Iridium pg. 707 ebenfalls regulär. Eisen pg. 710.
- 16) Amalgam pg. 697, ausgezeichnete Granatoeder mit vielen Flächen, daher auch Quecksilber regulär.
- 17) Magneteisen pg. 746 und dessen Verwandte Franklinit, Chromeisen etc. krySTALLISIREN Spinellartig. Magnoferrit, Periklas pg. 752.
- 18) Pyrochlor pg. 800, ausgezeichnete Octaeder. Pyrrhit pg. 800. Zweifelsch. Uranpfeferz pg. 801.
- 19) Rothkupfererz pg. 802 mit blättrigem Octaeder. Granatoederflächen.
- 20) Weißarsenit pg. 809, Senarmontit pg. 808 ausgezeichnete Octaeder.
- 21) Schwefelkies pg. 813, Typus für Pyritoeder, woran sich

- Glanzkobalt pg. 831, Häuerit pg. 827 (Manganglanz), Nidelglanz pg. 835 und Nidelantimonglanz pg. 836 anschließen. Vergleiche auch Salpeterjaures Blei pg. 634 und Chlorsaures Natron pg. 673.
- 22) Speiskobalt pg. 829 nebst Tesseralkies pg. 831 vorherrschend würflich. Kobaltkies pg. 832 octaedrisch. Arseniknidel pg. 835 selten krystallisiert.
- 23) Bleiglanz pg. 839, würfelig blättrig am ausgezeichnetsten unter allen Mineralen. Octaeder und Würfel herrschen. Cuproplumbit pg. 844. Selenblei pg. 845, Selenqued Silberblei pg. 845 u. ebenfalls würfelig blättrig. Tellurblei pg. 737.
- 24) Blende pg. 846. Sechsfach blättriger Bruch im Granatoeder, die große Deutlichkeit einzig in ihrer Art. Granatoeder, Octaeder mit Neigung zum Tetraedrischen. Meist Zwillinge.
- 25) Glaserz pg. 866, Octaeder und Granatoeder rauhschlig. Selen Silber pg. 868 dreifach blättrig. Tellur Silber? pg. 737. Kupferglas pg. 881, Selenkupfer? pg. 883, Entairit? pg. 883.
- 26) Buntkupfererz pg. 879, bauchige Würfel. Cuban pg. 879.
- 27) Fahlerz pg. 885, das ausgezeichnetste Tetraedrische Beispiel. Winit pg. 894, Zinnkies pg. 896..
- Bergelin pg. 416, Glottalith pg. 422, Tritomit pg. 447, Vostait pg. 653, Perowskit pg. 789, Eijennidelskies pg. 824, Nidelwismuthglanz pg. 836, Kalium, Silicium pg. 744.

## II. Viergliedriges System.

Findet sich nicht besonders häufig. Gewöhnlich gibt man den Endkantenwinkel des Hauptoctaeders an.

- 1) Besuvian pg. 337,  $129^{\circ} 21'$ . Zweite quadratische Säule etwas blättrig. Niemals Zwillinge. Gehört zu den ausgezeichnetsten.
- 2) Zirkon pg. 377,  $123^{\circ} 19'$ , der viergliedrige Edelstein bildet das zweite wichtigste Beispiel des Systems. Derstedtit pg. 378, Thorit pg. 448.
- 3) Achthypothalm pg. 417,  $104^{\circ} 2'$ . Sehr blättrige Geradenfläche, der viergliedrige Zeolith. Edingtonit pg. 409 soll tetraedrisch sein.
- 4) Skapolith pg. 425,  $136^{\circ} 7'$ , man sieht ihn meist nur in etwas blättrigen Säulen ohne Ende. Humboldtith, Sarkolith, Nuttalith, Mizzonit, Dipyrr sind selten ausgezeichnet, und Gehlenit pg. 427 bildet bloß würfelartige Formen.
- 5) Chiolith pg. 559,  $108^{\circ} 23'$ ; Arholith dagegen eingliedrig.
- 6) Kupferuranglimmer pg. 597,  $95^{\circ} 46'$ , ausgezeichnet blättrige Tafeln. Kalkuranglimmer dagegen versteckt zweigliedrig.
- 7) Gelbbleierz pg. 603,  $99^{\circ} 40'$ , meist Tafeln. Homorph mit Scheelbleierz  $99^{\circ} 43'$  und Tungstein  $100^{\circ} 40'$ , welche sich durch eine Hemiedrie ihrer Vierkantner auszeichnen.
- 8) Hornqued Silber pg. 617,  $98^{\circ} 8'$ , künstliche Krystalle in deutlichen Säulen. Cellait Mg Fl,  $122^{\circ} 12'$ , klare Octaeder, Savoyen.
- 9) Hornblei pg. 617,  $107^{\circ} 17'$ , Mallofit pg. 618.
- 10) Zinn pg. 729,  $140^{\circ} 25'$ , künstliche Krystalle, deutliche Octaeder. Einzig unter den gebiegenen Metallen. Homorph mit Bor pg. 744.
- 11) Hartmangan pg. 773,  $109^{\circ} 53'$ , kleine Octaeder den regulären ähnlich.
- 12) Scharfmangan pg. 773,  $105^{\circ} 25'$ , blättriger Querbruch, Fünflinge.

- 13) **Zinnstein** pg. 776,  $121^{\circ} 35'$ , meist Zwillinge. Isomorph mit **Rutil** pg. 781,  $123^{\circ} 8'$ , dessen erste quadratische Säule die blättrigste des ganzen Systems bildet Sechsz- und Achtflinge.
- 14) **Anatas** pg. 785,  $97^{\circ} 56'$ , Oktaeder herrscht. **Titanoglytrimorph**.
- 15) **Fergusonit** pg. 799,  $100^{\circ} 28'$ , hemiedrisch, wie Scheelbleierz und Tungstein. **Tyrit** pg. 799.
- 16) **Nickelspeise** pg. 837, viergliedrige Tafeln, Kunstproduct.
- 17) **Blättererz** pg. 864, ausgezeichnet blättrige Tafeln.  
Die geschwefelten Metalle haben sonst kein sonderlich deutliches viergliedriges System aufzuweisen.
- 18) **Kupferkies** pg. 875,  $109^{\circ} 53'$ , tetraedrisch, streift aber an das reguläre System heran, und überzieht Fäherz, Blende, Bleiglanz.
- 19) **Sonigstein** pg. 938,  $118^{\circ} 14'$ , ausgezeichnete Oktaeder; **Oralit?** pg. 939. **Xenotim** pg. 586, **Romeit** pg. 608, **Azorit** pg. 799, **Melinophan** pg. 454.

### III. Dreiundeinzigiges System.

Zerfällt in eine dreigliedrige (rhomboedrische) und sechsgliedrige (dihexaedrische) Abtheilung, die freilich sich beide nicht immer scharf von einander scheiden lassen.

a) **rhomboedrisch** in ausgezeichnetem Grade sind:

- 1) **Turmalin** pg. 391,  $133^{\circ} 26'$ , mit einer merkwürdigen Hemiedrie. Es ist der rhomboedrische Edelstein.
- 2) **Chabasit** pg. 409,  $94^{\circ} 46'$ , große Neigung zu Zwillingen, der rhomboedrische Zeolith. Vergleiche auch Lebyn, Gmelinit, Herschelit.
- 3) **Dioplas** pg. 450,  $95^{\circ} 33'$ , einfache dreigliedrige Dodekaeder.
- 4) **Kalkspath** pg. 478,  $105^{\circ} 5'$ , das ausgezeichnetste aller rhomboedrischen Systeme, mit sicherer dreigliedriger Entwicklung. Isomorph mit Bitterspath, Spatheisen, Manganspath, Galmei etc.
- 5) **Beudantit** pg. 584, Rhomboeder  $91^{\circ} 18'$ , Ebanbergit.
- 6) **Kupferglimmer**, pg. 594,  $69^{\circ} 12'$ , sehr blättrige Geradenfläche.
- 7) **Natronsalpeter** pg. 633,  $106^{\circ} 33'$ , ausgezeichnete künstliche Rhomboeder. Nächst auf Kalkspath fort.
- 8) **Rhombödrische Metalle** pg. 730: **Bismuth**, **Antimon**, **Arsenit**, **Tellur**. **Tellurwismuth** pg. 736, **Palladium** pg. 707, **Osmiridium** pg. 708.
- 9) **Zinnöber** pg. 851,  $71^{\circ} 47'$ , blättrige Säule, Rhomboeder herrschen.
- 10) **Rothgiltigerz** pg. 869,  $107^{\circ} 36' - 108^{\circ} 30'$ , die Enden der Säulen häufig rundkantig. **Xanthokon** pg. 872.

b) **Dihexaedrisch** in ausgezeichnetem Grade sind:

- 1) **Quarz** pg. 222,  $133^{\circ} 44'$ . Die eigenthümliche Hemiedrie ist stets durch das vollflächige Dihexaeder gestützt, mag dasselbe auch selbst wieder ein Dihexaeder sein.
- 2) **Beryll** pg. 384,  $151^{\circ} 5'$ , Säulen herrschen, doch zeigen die Enden öfter ausgezeichnete dihexaedrische Vollflächigkeit.
- 3) **Rephelin** pg. 428,  $139^{\circ} 19'$ , meist nur in Säulen bekannt.
- 4) **Apatit** pg. 561,  $142^{\circ} 20'$ , bildet das entwickeltste und unzweideutigste sechsgliedrige System, trotz der Anfänge von Hemiedrie. Isomorph mit

Buntbleierz pg. 567 und Vanadinbleierz pg. 601.

5) Magnetkies pg. 822, Krytalle höchst selten. Geradenfläche blättrig.

c) Eine Mitte zwischen Rhomboeder und Dihexaeder bilden:

- 1) Korund pg. 365 mit blättrigem Rhomboeder  $86^{\circ} 6'$ , aber sehr ausgebildetem Dihexaeder. Damit isomorph
- 2) Eisenglanz pg. 752, woran das Rhomboeder  $85^{\circ} 58'$  zwar herrscht, aber das Dihexaeder gewöhnlich nicht fehlt, wie beim Titaneisen pg. 759. Vergleiche auch das künstliche Chromoxyd pg. 751.
- 3) Phenakit pg. 390. Rhomboeder und Dihexaeder mischen sich in ausgezeichneter Weise. Vergleiche auch Willemit pg. 450.

d) Zweifelhafte oder unwichtig sind:

- 1) einziger Glimmer pg. 292: Chlorit pg. 293, Talk pg. 295 scheinen entschieden rhomboedrisch. Margarit pg. 302 und was daran hängt: Cronstedtit, Sideroschistolith, Pyroxmalith pg. 304 u. Prucit pg. 302, Hydrargillit pg. 370.
  - 2) Cancrinit pg. 435, blättrige sechsseitige Säule.
  - 3) Parazit pg. 447, das Dihexaeder  $120^{\circ} 34'$  gleicht einer Säule.
  - 4) Willemit pg. 450 und Troostit sind rhomboedrisch.
  - 5) Endialyt pg. 453, Rhomboeder  $73^{\circ} 40'$ .
  - 6) Kataplejit pg. 455, dihexaedrisch.
  - 7) Fluocerit pg. 557, sechsseitige Tafeln.
  - 8) Coquimbrit pg. 649, Säule mit Dihexaeder.
  - 9) Maunstein pg. 465, kleine Rhomboeder mit Geradenfläche.
  - 10) Eis pg. 655 nebst Hagel und Schnee.
  - 11) Graphit pg. 743, in talkartigen Blättern.
  - 12) Rothzinkerz pg. 806, blättrige Säule mit korundartigem Dihexaeder.
  - 13) Plattnerit pg. 811, sechsseitige Tafeln.
  - 14) Kupfernickel pg. 833, dihexaedrisch, Antimonnickel pg. 834, Sparkies pg. 835.
  - 15) Polybbän pg. 837, krummblättrige Tafeln.
  - 16) Greenockit pg. 850, blättrige Säule. Wurchit, Volkit pg. 850.
  - 17) Polybasit pg. 869, dreigliedrige Tafeln, wie Eisenglanz.
  - 18) Kupferindig pg. 882, sechsseitige Tafeln.
- Schwefelsaures Kali pg. 639, Cerit pg. 446.

#### IV. Zweigliedriges System.

Zur schnellen wenn auch unvollkommenen Einsicht genügt es, bloß den Säulenwinkel anzugeben. Ein wesentliches Beimerkmal liefern die Zwillinge. Das System kommt am häufigsten vor:

- 1) Olivin pg. 320,  $130^{\circ} 2'$ , meist gestreifte Oblongtafeln. Hyalofiberit, Monticellit, Eisenreichschlacke, Sumit pg. 324. Asterkrytalle von Serpentin pg. 299.
- 2) Dichroit pg. 328,  $120^{\circ}$ , daher von dihexaedrischem Aussehen. Pinit pg. 330, Libenerit, Giesekit pg. 331 u.
- 3) Staurolith pg. 347,  $129^{\circ} 20'$ , merkwürdige Durchkreuzungszwillinge herrschen, daher vielleicht hexaedrisch.

- 4) Andalusit pg. 352,  $90^{\circ} 50'$ , die einfachen Säulen erinnern an das viergliedrige System. Chiasolith pg. 353, Couzeranit pg. 354.
- 5) Chrysoberyll pg. 371,  $129^{\circ} 38'$ , auffallend Olivinähnlich, Drillinge.
- 6) Topas pg. 379,  $124^{\circ} 20'$ , der zweigliedrige Edelstein, blättriger Querbruch, großer Flächenreichtum. Gehört daher zu den ausgezeichnetsten Beispielen. Nie Zwillinge.
- 7) Faserzeolith pg. 402,  $91^{\circ}$  (Natrolith, Mesolith, Comptonit), wohl von 2 + 1gliedrigem Scolecit pg. 404 zu unterscheiden. Vergleiche auch Okenit pg. 418,  $122^{\circ} 19'$ .
- 8) Strahlzeolith pg. 405,  $94^{\circ} 15'$ , zweigliedrige Dodecaeder, mit einem ausgezeichneten Blätterbruch, vorzugsweis der zweigliedrige Zeolith.
- 9) Prehnit pg. 420,  $100^{\circ}$ , meist tafelförmig mit Hahnenkamm bildung.
- 10) Zibait pg. 441,  $111^{\circ} 12'$ , langgestreifte Säulen mit oktaedrischen Enden.
- 11) Kieselzinkerz pg. 448,  $103^{\circ} 56'$ , hemiedrisch. Hopeit pg. 450.
- 12) Wöhlerit pg. 454,  $90^{\circ} 18'$ , vielflächige gelbe Oblongtafeln.
- 13) Aragonit pg. 515,  $116^{\circ} 16'$ , Zwillinge bis Vierlinge herrschen, ein ausgezeichnet typisches System, woran sich schließen: Tarnowitzit pg. 522, Manganocalcit, Witherit, Alstonit pg. 523, Strontianit pg. 525, Weißbleierz pg. 526, Zinkbleispath pg. 528.
- 14) Anhydrit pg. 537, würfelige Stücke mit dreierlei Blätterbrüchen.
- 15) Schwerspath pg. 541,  $101^{\circ} 40'$ , tafelförmige Kristalle mit 2 + 1blättrigem Bruch, niemals Zwillinge. Ausgezeichneter Typus, woran sich Celestin pg. 546, Bitriolblei pg. 548 anschließen.
- 16) Herderit pg. 571, blättrige Säule  $115^{\circ} 53'$  mit dihexaedrischem Ansehen.
- 17) Avelit pg. 573,  $122^{\circ} 15'$ , nur excentrisch fasrig, Childrenit pg. 574.
- 18) Triphyllin pg. 578, blättrige Säule  $133^{\circ}$ , verwittert.
- 19) Skorodit pg. 583,  $99^{\circ} 30'$ , meist verzogen. Hädingerit pg. 582.
- 20) Strubit pg. 586, mit auffallender Hemiedrie.
- 21) Olivenerz pg. 593, Oblongoktaeder. Linjenerz pg. 595, Euchroit pg. 596, Brochantit pg. 596, Salzkupfererz pg. 618, Halblasurblei pg. 552, Mendipit pg. 618.
- 22) Salpeter pg. 631,  $119^{\circ} 24'$ , Aragonitartige Zwillinge. Thermonitrit pg. 637.
- 23) Schwefelsaures Kali pg. 638,  $120^{\circ} 24'$ , mit dihexaedrischem Typus. Schwef. Natron pg. 639, chromsaures Kali pg. 675 zc.
- 24) Bittersalz pg. 641,  $90^{\circ} 38'$ , tetraedrische Hemiedrie, wie Tauriscit pg. 643, Zinkvitriol. Nickelvitriol pg. 643 trimorph: 4glied., 2glied. 2 + 1gliedrig!
- 25) Unterschwefelsaures Natron pg. 671,  $90^{\circ} 38'$ . Salpetersaures Uranoxyd pg. 672, Weinsaurer Kalk pg. 667.
- 26) Antimon Silber pg. 733, gestreifte Säulen, öfter Drillinge.
- 27) Schwefel pg. 738,  $101^{\circ} 56'$ , liefert die ausgezeichnetsten Rhombenoktaeder; dimorph. Jod pg. 744.
- 28) Braunnangan pg. 769,  $99^{\circ} 40'$ , gestreifte Säulen, isomorph mit Brauneisen pg. 762, Diaspor pg. 370; cf. Graumnangan pg. 771.
- 29) Brookit pg. 787,  $99^{\circ} 50'$ , gestreifte Tafeln. Arkansit pg. 788. Zweigliedriges Zinnoxyd pg. 777.



- 30) *Columbit* pg. 795,  $100^{\circ} 40'$ , gestreifte Oblongsäulen. Vielleicht isomorph mit *Wolfram* pg. 791, *Samaraskit* pg. 796. Vergleiche *Polychras*, *Eugenit*, *Mengit*, *Aeschynit* pg. 789,  $127^{\circ} 19'$ , *Polymignot* pg. 789,  $109^{\circ} 46'$ , *Tantalit* pg. 797.
- 31) *Weißspießglanz* pg. 807, blättrige Tafeln, isomorph mit zwei- gliedriger arseniger Säure pg. 809.
- 32) *Binar kies* pg. 816,  $106^{\circ} 2'$ , Zwillinge herrschen. Isomorph mit *Arsenikkies* pg. 824,  $111^{\circ} 53'$ . *Kobaltarsenikkies*, *Glaufodot*. *Arsenikalkies* pg. 826,  $122^{\circ} 26'$ , *Weißnickelkies* pg. 827.
- 33) *Grauspießglanz* pg. 853,  $90^{\circ} 45'$ , mit einem Hauptblätterbruch und isomorph mit *Wismuthglanz* pg. 860 und *Kauschgelb* pg. 861. *Dimorphin* pg. 863, *Zinkenit* pg. 857, *Querspießglanz* pg. 857, *Dufrenoyit* pg. 856.
- 34) *Schrifterz* pg. 865,  $110^{\circ} 48'$ , meist fehlen die Enden.
- 35) *Spießglaserz* pg. 868,  $115^{\circ} 39'$ , häufig Zwillinge.
- 36) *Weißgiltigerz* pg. 874, *Sternbergit* pg. 874.
- 37) *Kupferglas* pg. 880,  $119^{\circ} 35'$ , Zwillinge, isomorph mit *Alant hit* pg. 867 und *Silberkupferglas* pg. 882. Scherer vermutet einen Trimorphismus, da das Kupferglas von Bygland in Zellenmarken einen deutlichen Blätterbruch hat.
- 38) *Bournonit* pg. 889,  $93^{\circ} 40'$ , Zwillinge machen die Krystalle schwierig; *Schilfglaserz* pg. 892. *Kupferantimonerglanz* pg. 892,  $135^{\circ} 12'$ , *Enargit* pg. 893,  $98^{\circ} 11'$ . *Fluorit* pg. 559, *Kalkuranglimmer* pg. 598, *Desclouzit* pg. 602, *Weinstein* pg. 668, *Contunnit* pg. 618, *Bleiglätte* pg. 811.

### V. Zweiundeingliedriges System.

Reich an ausgezeichneten Beispielen, und besonders wichtig für das Verständniß der Zonenlehre.

- 1) *Feldspath* pg. 260,  $118^{\circ} 48'$ , blättrige Brüche der Säule ungleich, was dem  $2 + 1$ gliedrigen Systeme widerspricht. Zwillinge und Vierlinge.
- 2) *Glimmer* pg. 291, vermöge der Aefiguren, aber nach den Winkeln nicht sicher. *Klinochlor* pg. 288.
- 3) *Sorublen de* pg. 305,  $124^{\circ} 30'$ , sehr blättrige Säule; *Tremolith*, *Anthophyllit*, *Arfvedsonit*.
- 4) *Mugit* pg. 309,  $87^{\circ} 6'$ . *Almit*, *Rhodonit* schließen sich vollkommen an. *Kastor* pg. 286. Weiter entfernt sind *Spodumen* pg. 286, und noch weiter *Diallag* pg. 318. *Hypersthen* und *Bronzit* scheinen zwei- gliedrig. *Wollastonit* pg. 319, gewendet  $2 + 1$ gliedrig. *Chondroit* pg. 328.
- 5) *Epidot* pg. 340,  $109^{\circ} 20'$ , gewendet  $2 + 1$ gliedrig. *Gadolinit* pg. 443, *Orthit* pg. 444, *Allanit*, *Cerin*, *Bucklandit* pg. 446, *Petalit* pg. 285 schließen sich an.
- 6) *Euklas* pg. 388,  $115^{\circ}$ , der  $2 + 1$ gliedrige Edelstein, mit einem ausgezeichneten Blätterbruch  $T = b : \infty a : \infty c$ .
- 7) *Blätterzeolith* pg. 406, der  $2 + 1$ gliedrige Zeolith. Auch *Epistilbit*

- pg. 407 und Beaumontit pg. 408 zu vergleichen. Unter den Faserzeolithen ist *Scolecit* pg. 402 wohl entschieden 2 + 1gliedrig.
- Brewsterit* pg. 408, *Lomonit* pg. 419, *Saydenit* pg. 411.
- 8) *Kreuzstein* pg. 413, lange für zweigliedrig gehalten, in der That aber feldspathartig, mit *Zwillingen*, *Bierlingen* und *Zwölflingen*, durch letztere sogar mit dem Regulärsystem in Beziehung tretend.
- 9) *Datolith* pg. 422, 76° 38', ausgezeichnete Typus, *Sartorit* pg. 423.
- 10) *Titanit* pg. 358, der *Alpinische* stets in *Zwillingen*.
- 11) *Gyps* pg. 530, 111° 26', drei ausgezeichnete Blätterbrüche. *Schwalbenschwanzzwillinge*. *Barytocalcit* pg. 524.
- Ternärbleierz* pg. 551 von rhomboedrischem Typus.
- 12) *Bivianit* pg. 575, 111° 6', isomorph mit *Kobaltblüthe* pg. 580, *Nickelblüthe* pg. 581. Alle drei Gypsartig. *Pharmakolith* pg. 581. *Monazit* pg. 585, 95° 30'.
- Wagnerit* pg. 566, *Guraulit* pg. 578, *Blauspath* pg. 573.
- 13) *Kupferlasur* pg. 588, 99° 32', kurzsäulige verwickelte Krystalle.
- Malachit* pg. 590. *Phosphorkupfererz* pg. 592, *Strahlerz* pg. 596.
- 14) *Rothbleierz* pg. 598, 93° 30', leicht erkennbare Krystalle.
- Bauquelin* pg. 600.
- 15) *Borax* pg. 610, 87°, auffallend augitartig.
- 16) *Soda* pg. 635, *Trona* pg. 636, *Glaussit* pg. 637, rothes Blutlaugensalz pg. 634, *Glauberit* pg. 643, *Polysialit* pg. 644, *Astrakanit* pg. 644, *Wartit* pg. 645.
- 17) *Eisenvitriol* pg. 646, 82° 21', von rhomboedrischem Typus. *Orthogen* pg. 648, *Uranvitriol* pg. 649.
- 18) *Zucker* pg. 664 und *Weinsäure* pg. 665 mit ihrer eigenthümlichen Hemiedrie; *Grünspan* pg. 668, *Schwefelsaures Nickeloryd* pg. 669 und Verwandte. *Asparagin* pg. 670, *Oxalsaures Chromoxyd* pg. 672, *Oxalsäure* pg. 675.
- 19) *Schwefel* pg. 739 aus dem Fluß erstarrt, feldspathartige *Zwillinge*. *Selen* pg. 742.
- 20) *Wolfram* pg. 791, Verwandtschaft zum Zwei- und Viergliedrigen.
- 21) *Rothspießglanz* pg. 855, *Plagionit* pg. 858.
- 22) *Kauschroth* pg. 862, 74° 26', Krystalle zerfallen am Licht.
- 23) *Hiargyrit* pg. 873, *Feuerblende*? pg. 873.
- 24) *Oxalsaurer Kalk* pg. 940, 100° 36', *Zwillinge*. *Sartit* pg. 928.

## VI. Eingliedriges System.

Bei weitem das ärmste, vielleicht wegen seiner großen Unsymmetrie.

- 1) *Natronfeldspath* pg. 274 und *Kalkfeldspath* pg. 280 schließen sich durch ihren Typus noch an *Kalifeldspath* an.
- 2) *Babingtonit* pg. 316, *Pajsbergit*, *Fowlerit*, *Bustamit*.
- 3) *Arginit* pg. 397 und *Kupfervitriol* pg. 650 bilden einen 2ten Typus.
- 4) *Cyanit* pg. 350 und doppelt chromsaures Kali pg. 674 sind durch einen ihrer *Zwillinge* eng verwandt. *Sillimanit* pg. 352.
- 5) *Sassolin* pg. 613 in künstlichen Krystallen.
- 6) *Ambligonit* pg. 570, 106° 10', verwandt dem *Montebrazit* pg. 571.
- 7) *Roselit* pg. 580, kleine Krystalle lange für rhombisch und monoklin gehalten.

## Literatur.

---

Abhandlungen der Königl. Academie der Wissenschaften zu Berlin. Physikalische Classe. 1700 Leibniz erster Präsident der Academie. Anfangs erschienen die Abhandlungen als *Miscellanea Berolinensia*. Seit 1745 französisch: *Histoire de l'Académie royale des Sciences et belles lettres de Berlin*. Seit 1814 unentbehrlich durch die klassischen Abhandlungen von Prof. Weiß. Davon die wichtigsten:

Jahrg. 1814 pg. 289 Uebersichtliche Darstellung der verschiedenen natürlichen Abtheilungen der Krystallsysteme. 1861 pg. 231 Krystallographische Fundamentalbestimmung des Feldspathes; pg. 286 Bezeichnung der verschiedenen Flächen eines Krystallsystems. 1818 pg. 242 Theorie des Epidotsystems; pg. 270 über eine ausführliche Bezeichnung der Krystallflächen. 1821 pg. 145 Feldspath; pg. 195 Krystallsystem des Gypses. 1823 pg. 261 Theorie der 6+6 und 3+3 Kantner. Fortsetzung im Jahrg. 1840 pg. 137. 1826 pg. 93 Lehrsat über die Theilung des Dreiecks. 1829 pg. 63 Sphärit. 1831 pg. 313 Staurolithsystem. 1834 pg. 623 Projection des Gypses. 1835 u. 1838 pg. 253 Feldspath in verschiedenen Stellungen projicirt. 1837 pg. 139 Theorie des Hexakis-Oktaeders. 1841 pg. 249 Krystallsystem des Euklases. 1843 pg. 171 über das Maß der Körperlichen Winkel.

Adam, *Tableau minéralogique*. Paris 1869.

Agricola, *de natura fossilium*. Ich habe die Baseler Ausgabe von 1657 citirt, worin sämtliche Werke des berühmten Verfassers, der 1494—1555 lebte, abgedruckt sind, nämlich:

- 1) *de re metallica libri XII.*
  - 2) *de animantibus subterraneis liber I.*
  - 3) *de ortu et causis subterraneorum libri V.*
  - 4) *de natura eorum quae effluunt ex terra libri IV.*
  - 5) *de natura fossilium libri X.*
  - 6) *de veteribus et novis metallis libri II.*
  - 7) *Bermannus sive de re metallica dialogus liber I.*
  - 8) *Rerum metallicarum interpretatio*, wegen der deutschen Namen interessant.
- Agricola's mineralogische Schriften, übersetzt und mit Anmerkungen begleitet von E. Lehmann. Freiberg 1806—12. 4 Theile.

Albertus magnus *de mineralibus et rebus metallicis*. 1569.

- Albinus**, Meißnische Bergchronica: darinnen fürnämlich von den Bergwerken des Landes zu Meissen gehandelt wird. Dresden 1590.
- Annalen der Chemie und Pharmacie** von Wöhler und Liebig. Seit 1832. Jährlich 4 Bände in monatlichen Heften.
- Annales de Chimie**, Paris 1789. Sous le privilège de l'Académie. Bis 1815 erschienen 96 Bände. Seit 1816 nehmen sie den Titel an:
- Annales de Chimie et de Physique** von Gay-Lussac und Arago. Bis 1810 erschienen 75 Bände. Seit 1841 folgt die Troisième Série bis zum 65ten Bande. Jährlich 3 Bände in monatlichen Heften.
- Annales des Mines**. Paris 1816. 1827 erschien die 2te ser.; 1832 die 3te ser.; 1842 die 4te ser.; 1852 die 5te ser. 2c.
- Bauhinus**, Historiae fontis Bollensis. Montisbeligardi 1598. Deutsche Ausgabe 1602. Eine dritte lateinische 1612.
- Berzelius**, Jahresbericht über die Fortschritte der Chemie und Mineralogie. 1814 erschien der 23ste Jahrgang. Fortsetzung siehe bei Liebig.
- Bischof**, Lehrbuch der chemischen und physikalischen Geologie 1847—1855; 2te Auflage 1863—1866; Supplementband 1871.
- Blum**, Lehrbuch der Dryktognosie. Mit Holzschnitten. 4te Auflage. Stuttgart 1874. Taschenbuch der Edelsteinfunde. Stuttgart 1832. Die Pseudomorphosen des Mineralreichs. Stuttgart 1843. Zweiter Nachtrag 1852. Dritter Nachtrag 1863. Lithurgie oder Mineralien und Felsarten nach ihrer Anwendung in ökonomischer, artistischer und technischer Hinsicht. Stuttgart 1840.
- Blumenbach**, Handbuch der Naturgeschichte. 12te Aufl. Göttingen 1830.
- Breithaupt**, Vollständige Charakteristik des Mineral-system's. 3te Aufl. Leipzig 1832. Vollständiges Handbuch der Mineralogie. 1. Band. Allgemeiner Theil 1836. 3ter Band 1847. Die Paragenesis der Mineralien. Freiberg 1849.
- Brewster and Jameson**, The Edinburgh Philosophical Journal seit 1819. Beim 11ten Bande 1824 trennten sich die Schriftsteller: Brewster schreibt The Edinburgh Journal of Science und Jameson setzte die Schrift anfangs unter gleichem Titel, seit 1826 aber als Edinburgh new Philosophical Journal fort.
- Brüdmann**, Abhandlung von Edelsteinen. 2te Aufl. Braunschweig 1773. Zweite Fortsetzung 1783.
- Cappeler**, Prodromus Crystallographiae 1723.
- Collini**, Journal d'un voyage. Mannheim 1776. Achatsteile bei Oberstein. Ausführlich Lange, die Halbedelsteine 1868.
- Comptes rendus hebdomadaires des séances de l'Académie des Sciences**. Jährlich 2 Bände. Größere Abhandlungen werden in den Mémoires de l'Académie royale des sciences de l'Institut de France bekannt gemacht. Sie sind die Fortsetzung der Histoire de l'Académie royale des sciences 1666. Anfangs erschienen sie unregelmäßig, seit 1699 aber alljährlich 1 Band, jetzt 2 Bände.
- Crell**, Chemisches Journal 1778. Chemische Annalen. Helmstädt 1784. Schließt 1804.
- Dana**, a System of Mineralogy, 4. ed. New-York 1854, macht uns besonders mit den Amerikanischen Vorkommen vertraut. Das 9te Supplement in Silliman's Amer. Journ. 1861, B. 31 pg. 351; 5te ed. 1868.

- Denkschriften der Kaiserlichen Akademie der Wissenschaften, Wien 1850.  
Nebst Sitzungsberichten der Kais. Akad. der Wissenschaften, Mathem. Cl.  
Wien 1848.
- Des Cloizeaux, Manuel de Minéralogie, 1. Bd. Paris 1862, 2ter Bd. 1874.
- Dufrénoy, Traité de Minéralogie. 3 Bände nebst einem Bande Kupfer-  
tafeln. Paris 1844—47; 2 édit. 1858.
- Emmerling, Lehrbuch der Mineralogie. Gießen 1793—97. Ein Schüler  
Werner's, und Lehrer der Bergwerkswissenschaften auf der Universität  
Gießen. Für seine Zeit sehr vollständig. Der 3te Theil handelt von  
den Gebirgsarten.
- Erdmann, Journal für Technische und Oekonomische Chemie. Leipzig  
1823. Jährlich 3 Bände. Seit 1834 mit Schweigger's Journal für  
Chemie und Physik Nürnberg 1811—1833 verbunden unter dem Titel:  
Journal für praktische Chemie.
- Frankenheim, Zur Krystallkunde. Leipzig 1869.
- Frenzel, Mineralogisches Lexikon für das Königreich Sachsen. 1874.
- Fuchs, die künstlich dargestellten Mineralien 1872. Harlemer Preisschrift.
- Gilbert, Annalen der Physik. Halle 1799—1824. Band 1—76, worüber  
ein vollständiges Sach- und Namenregister von Heinrich Müller existirt.  
Sie bilden die Fortsetzung von Gren's Annalen und sind selbst wieder  
von Poggendorf fortgesetzt.
- Girard, Handbuch der Mineralogie 1861.
- Glocker, Handbuch der Mineralogie. Nürnberg 1831. Grundriß der Mi-  
neralogie mit Einschluß der Geognosi- und Petrefactenkunde. 1839.
- Grailich, Krystallographisch-optische Untersuchungen. Wien. Preisschrift 1858.
- Greg and Lettsom, Manual of the Mineralogy of Great Britain and  
Ireland. London 1858.
- Groth, Zeitschrift für Krystallographie und Mineralogie 1877, 1stes Heft.  
Tabellarische Uebersicht der einfachen Mineralien 1874.
- Gurt, Uebersicht der pyrogeneten künstlichen Mineralien. Freiberg 1857.
- Haidinger, Anfangsgründe der Mineralogie. Leipzig 1829. Handbuch  
der bestimmenden Mineralogie. Wien 1845; 2te Aufl. 1851. Geologische  
Uebersicht der Bergbaue der Oestreichischen Monarchie 1855, wichtig für  
Fundorte.
- Hartmann, Handbuch der Mineralogie zum Gebrauche für Jedermann.  
2 Bde. Weimar 1843. 1850 erschien ein Nachtrag. Nach den Vor-  
lesungen von Prof. Weiß geordnet.
- Haushofer, die Constitution der natürlichen Silicate nach den neuesten  
Ansichten der Chemie 1874.
- Hausmann, Entwurf eines Systems der unorganisirten Naturkörper. Cassel  
1809. Handbuch der Mineralogie. Göttingen 1813. Von der 2ten  
gänzlich umgearbeiteten Auflage erschien der 2te Theil mit 1660 Seiten  
1847, und ist wegen der vollständigen Litteratur geschrieben mit der  
ausgezeichnetsten Sachkenntniß für den Mineralogen von Fach eine un-  
entbehrliche Hilfsquelle.
- Hill, Traité des pierres de Théophrast, traduit du Grec. Paris 1754. A  
history of Fossils 1748. Fol.
- Hoffmann, Handbuch der Mineralogie, 4 Bände 1811—1817. Doch starb  
der Verfasser während der Herausgabe des 2ten Bandes den 15ten

- März 1813; es wurde dann von Breithaupt fortgesetzt. Am Ende ist Werner's letztes Mineralsystem angefügt, aus dessen Nachlasse auf Oberbergamtlische Anordnung herausgegeben. Werner's Art der Darstellung kann man daraus am vollständigsten ersehen.
- Jahrbuch der Kaiserlich-Königlichen Geologischen Reichsanstalt.** Wien 1850. Jahrbuch schlechthin bedeutet Leonhard's Neues Jahrbuch.
- Karsten, Mineralogische Tabellen mit Rücksicht auf die neuesten Entdeckungen.** Berlin 1800. 2te Aufl. 1808.
- Kahler, Beschreibung der Mineralien-Sammlung des H. Medicinalrath Bergemann in Berlin.** Berlin 1834.
- Kenngott, Uebersicht der Resultate mineralogischer Forschungen in den Jahren 1844—49, Wien 1852; in den Jahren 1850 u. 51, Wien 1853; im Jahre 1852, Wien 1854.** Bildet die Beilage zu dem Jahrbuch der K. K. geologischen Reichsanstalt. Erschienen dann als selbstständige Fortsetzungen 1856—61. Die Minerale der Schweiz 1866.
- Klaproth, Beiträge zur chemischen Kenntniß der Mineralkörper.** 6 Bändchen. Berlin 1795—1815. Nicht bloß classisch wegen der ersten gründlichen Analysen, sondern auch für die Geschichte der Mineralogie großes Interesse darbietend.
- Kluge, Handbuch der Edelsteinkunde.** Leipzig 1860.
- Knop, Molecularconstitution und Wachsthum der Krystalle** 1867. **System der Anorganographie** 1876.
- Kobell, Grundzüge der Mineralogie zum Gebrauche für Vorlesungen.** Nürnberg 1838. **Tafeln zur Bestimmung der Mineralien,** 10. Aufl. 1873. **Skizzen aus dem Steinreich.** Geschrieben für die gebildete Gesellschaft. München 1850. **Die Mineralogie. Populäre Vorträge.** Frankfurt 1862. **Geschichte der Mineralogie von 1650—1860,** München 1864.
- Köhler, Bergmännisches Journal** 1788—1815. Werner nahm daran thätigen Antheil. Jährlich 2 Bände.
- Koschkarow, Materialien zur Mineralogie Rußlands.** Petersburg 1853—1875, 7 Bände. Für genaue Messungen wichtig. **Vorlesungen über Mineralogie,** Petersburg 1867.
- Kopp, Einleitung in die Krystallographie.** 2te Aufl. 1862.
- Kurr, Grundzüge der ökonomisch-technischen Mineralogie.** 3. Aufl. Leipzig 1851.
- Leonhard, Taschenbuch für die gesammte Mineralogie mit Hinsicht auf die neuesten Entdeckungen.** Frankfurt a. M. 1807. Jährlich erschien 1 Band. Die ersten 10 Jahrgänge wurden 1817 in einer 2ten Auflage nochmals unverändert abgedruckt. Nach Vollenbung des 18ten Bandes nahmen 5 Bände von 1825—29 den neuen Titel „Zeitschrift für Mineralogie“ an. Seit 1830 hat sich Bromm dabei betheiligt, und es hieß jetzt **Jahrbuch für Mineralogie.** Aber erst seit 1833 nahm es eine vollendetere Gestalt an, und erschien jährlich in 6—8 Hefen unter dem Titel: **Neues Jahrbuch für Mineralogie, Geognosie, Geologie und Petrefactenkunde,** Stuttgart 1833—62. Seit 1863 von G. Leonhard und H. B. Geinitz als **Neues Jahrbuch für Mineralogie, Geologie und Paläontologie** fortgesetzt. Vier Repertorien über die Jahrgänge 1830—39, 1840—49, 1850—59, 1860—69, erleichtern den Gebrauch. Schlechthin als **Jahrbuch** citirt.

- Dr. v. Lasaulx, Elemente der Petrographie, Bonn 1875.
- C. v. Leonhard, Handbuch der Dryctognosie. Heidelberg 1826. Wichtig für Litteratur. Populäre Vorlesungen über Geologie. Stuttgart 1836—44.
- G. Leonhard, Handwörterbuch der Topographischen Mineralogie, Heidelberg 1843.
- Lévy, Description d'une Collection de Minéraux, formée par M. Henry Heuland. Londres 1837. 3 Vol.
- Liebig u. Ropp, Jahresbericht über die Fortschritte der Chemie, Physik, Mineralogie und Geologie. Gießen 1848—61. Ersetzt die von Berzelius.
- Miller, a treatise on Crystallography. Cambridge 1839. Die Mineralogy siehe bei Phillips.
- Mohs, Leichtfaßliche Anfangsgründe der Naturgeschichte des Mineralreichs. 2te Aufl. Wien 1836. Der 2te Theil die Physiographie erschien nach Mohs Tode 1839, bearbeitet von Zippe. Siehe pg. 9.
- Monticelli e Covelli, Prodromo della Mineralogia Vesuviana. Napoli 1825.
- Raumann u. Cotta, Geognostische Beschreibung des Königreichs Sachsen und der angrenzenden Länderabtheilungen. Zweite unveränderte Ausgabe. 5 Hefte. 1845.
- Raumann, Anfangsgründe der Krystallographie. Dresden 1841. Grundriß der Krystallographie 1826. Siehe pg. 9.
- Nicol, Manual of Mineralogy 1849.
- Pfaff, Grundriß der Mineralogie. Nördlingen 1860.
- Phillips, an elementary introduction to the knowledge of Mineralogy. Wegen den mit dem Reflexionsgoniometer ausgeführten Messungen wichtig. Ich habe die 3te Auflage von 1823 benützt. Die neueste von Brooke und Miller, London 1852, hat eine ganz andere Gestalt angenommen. Miller führte darin seine Bezeichnungsweise ein.
- Philosophical Transactions of the Royal Society of London. Der erste Band erschien 1665 u. 1666. Jährlich ein Band.
- Poggendorf, Annalen der Physik und Chemie, schließen sich an Gilbert an. Seit 1824 erschienen jährlich 3 Bände. Ueber die ersten 60 Bände von 1824—43 existirt ein vollständiges Namen- und Sachregister, über die andern im 75ten und 84ten wenigstens Namenregister. Außerdem sind noch 8 Ergänzungsbände und ein Jubelband vorhanden.
- Reuß, Lehrbuch der Mineralogie. Leipzig 1801—1805, 3 Theile.
- G. Rose, Mineralogisch-geognostische Reise nach dem Ural, dem Altai und dem Kaspischen Meere. 2 Bände. 1837 u. 42. Das Krystallo-chemische Mineralienystem 1852. Elemente der Krystallographie, nebst einer tabellarischen Uebersicht der Mineralien nach den Krystalformen, 2. Aufl. 1838; 3. Aufl. 1873 ed. Sadebeck.
- Rosenbusch, Mikroskopische Physiographie der petrographisch wichtigsten Minerale 1873.
- Schrauf, Lehrbuch der Physikalischen Mineralogie. Wien 1866. 2ter Bd. 1868. Handbuch der Edelsteinkunde.
- Schröder, Elemente der rechnenden Krystallographie. Klausthal 1851. Wendet die Projectionsmethode an.
- Scheerer, Allgem. Journal der Chemie. Leipzig 1798. Von Gehlen, Quenstedt, Mineralogie. 3. Aufl.

- Berlin 1803, unter dem Titel: Neues allgemeines Journal der Chemie bis 1810 fortgesetzt.
- Silliman, The American Journal of Sciences and Arts. New-York 1818. Der 49ste Band erschien 1845. Der 50ste bildet den General-Index. Mit 1846 erschien die 2. ser.
- Schubert, Abriss der Mineralogie. Erlangen 1853. Populär. Für biblische Steinnamen ausführlich.
- Steffens, Vollständiges Handbuch der Oryctognosie. Halle 1811—24. 4 Bändchen und 1 Supplementband. Für seine Zeit sehr vollständig. Hebt manche interessante Seite der Wissenschaft hervor.
- Tschermak, Mineralogische Mittheilungen seit 1871.
- Vogelsang, Philosophie der Geologie und mikroskopische Gesteinsstudien 1867.
- Websky, Mineralogische Studien: I. Die Mineralspecies nach dem spec. Gewicht geordnet. 1868.
- Weisbach, Synopsis mineralogica. 1875.
- Wiedenmann, Handbuch des oryctognostischen Theiles der Mineralogie. 1794.
- Birkel, Lehrbuch der Petrographie. 2. Bd. 1866. Die mikroskopische Beschaffenheit der Mineralien und Gesteine. 1873.
- Das Uebrige siehe in der Geschichte der Mineralogie pg. 1—9.



## R e g i s t e r.

### A.

Abichit 595.  
 Abraumfalze 626.  
 Abrazit 416.  
 Achates 243.  
 Achatjaspiß 246.  
 Achirit 451.  
 Achroit 395.  
 Achatragbit 336. 453.  
 Achtundvierzigflächner 69.  
 Actinote 308.  
 Adamas 355.  
 Adamit 594.  
 Adamschölger 905.  
 Adlerstein 766.  
 Adular 271.  
 Adularisfien 144.  
 Aegirin 316.  
 äquatatorial 161.  
 Äquinolith 470.  
 Aerugo nobilis 591. 803.  
 Aes cyprium 698.  
 — rude 745.  
 — sui coloris 802.  
 Aeschynit 789.  
 Aetites 766.  
 Aefffiguren 191.  
 Aeffkalk 495.  
 Aetherkrystalle 206.  
 Agalmatolith 297.  
 Agricola 3.  
 Agstein 901.  
 Agtstein 929.  
 à jour gefaßt 356.  
 Airy 133.  
 Alanthifon 340.  
 Alanthit 867.  
 Almit 315.  
 Alabandine 828.  
 Alabaster 536.  
 Alaun 651.  
 Alaunerde 916.  
 Alaunfchiefer 916.

Alaunstein 654.  
 Albertit 922.  
 Albertus magnus 2.  
 Albin 418.  
 Albit 274. 278.  
 Alexandrit 373.  
 Algodonit 884.  
 Aljionit 814.  
 Aljanit 445.  
 Almontit 733.  
 Allochroit 336.  
 Allogonit 571.  
 Allostas 826.  
 Alomorphit 545.  
 Allophan 463.  
 Almandin 335.  
 Almandinspinell 375.  
 Alquisoug 843.  
 Alstonit 523.  
 Alstait 737.  
 Alum 651.  
 Alumen 651.  
 Alumian 655.  
 Aluminit 654.  
 Aluminium 558.  
 Aluminiumbronze 703.  
 Alumocalcit 462.  
 Alun 651.  
 Alunit 654.  
 Amalgam 697.  
 Amalgamation 695.  
 Amazonenstein 272.  
 Amber 929.  
 Amblygonit 570.  
 Amblystegit 318.  
 Ambrit 935.  
 Amethyst 239.  
 Amiant 331.  
 Ammoniatalaun 652.  
 Ammoniaque muriatée 628.  
 Amöbit 836.  
 Amphibol 305.  
 Amphitane 816.  
 Amphodelit 283.  
 Analcim 411.  
 Analyse 185.  
 Anamesit 257. 958.  
 Anatas 785.  
 Andalusit 352.  
 Andefin 274. 279.  
 Andesit 959.  
 Androdamas 477.  
 Anglarit 577.  
 Anglesit 548.  
 Anhydrit 537.  
 Ankerit 510.  
 Anlaufen 143.  
 Anlegegoniometer 13.  
 Annabergit 581.  
 Anorthit 281.  
 anorthotyp 101.  
 Anthophyllit 309.  
 — blättriger 317.  
 Anthopferit 442.  
 Anthracit 899.  
 — faßriger 902.  
 Anthrakion 468.  
 Anthraconit 497.  
 Anthrax 333. 367.  
 Antigorit 301.  
 Antimoine 731.  
 — cristallisé 853.  
 — oxydé 807.  
 — sulfuré 853.  
 — sulfuré plumbo-cupri-  
 fere 889.  
 Antimon 731.  
 Antimonblende 855.  
 Antimonblüthe 807.  
 Antimonfahlerz 888.  
 Antimonglanz 858.  
 Antimonit 853.  
 Antimontupferglanz 892.  
 Antimonnidel 834.  
 Antimonogyd 807.  
 — oßtaebrisches 808.  
 Antimonrothgölben 871.  
 Antimonfilber 733.

- Antrimolith 404.  
 Apatelit 649.  
 Apatit 561.  
 Apatoid 728.  
 Apphanit 949. 954.  
 Aphanese 595.  
 Apprit 479.  
 Apprit 392.  
 Approbit 298.  
 Appthaloß 639.  
 Aplom 334.  
 Apophyllit 416.  
 Aquae hepaticae 662.  
 Aquamarin 383.  
 Ardoen 601.  
 Aragonit 515.  
 Arcanit 638.  
 Arcanum duplicatum 638.  
 Arcofe 964.  
 Ardenit 602.  
 Arfvebjonit 309.  
 Argent 688.  
   — antimonie sulfuré 869.  
   — muriaté 614.  
   — natif 688.  
   — noir 468.  
   — sulfuré 866.  
 Argentan 837.  
 Argentit 866.  
 Argentoopprit 874.  
 Argentum 688.  
   — nigrum 885.  
   — rubrum 869.  
   — rude 866.  
   — vivum 464.  
 Argile 455.  
   — glaise 464.  
   — smectique 465.  
 Argilla aluminaris 916.  
   — indurata 467.  
 Aristoteles 1.  
 Arkanfit 788.  
 Artjutit 559.  
 Arttigit 425.  
 Arquerit 697.  
 Arragon 515.  
 Arsenantimon 733.  
 Arsenblende 861.  
 Arsenisen 826.  
 Arseneisenfinter 585.  
 Arseniate of Copper 594.  
   — of Iron 584.  
 Arsenical Iron 824.  
 Arsenic sulfuré  
   — jaune 861.  
   — rouge 862.  
 Arsenigsäure 809.  
 Arsenit 734.  
 Arsenikalkfies 826.  
 Arsenitapatit 566.  
 Arsenikblüthe 581.  
 Arseniteisen 826.  
 Arseniteisenfinter 585.  
 Arsenitfablerz 888.  
 Arsenitglanz 735.  
 Arsenitkies 824.  
 Arsenitkobaltkies 831.  
 Arsenitmangan 828.  
 Arsenitnidel 833.  
 Arsenitnidelglanz 835.  
 Arsenitrothgölben 871.  
 Arsenitsäure 561.  
 Arsenitfinter 583.  
 Arsenitwagnerit 566.  
 Arsenosiderit 585.  
 Arsenkies 824.  
 Arsenkupfer 884.  
 Asbest 331.  
   — schillernder 300.  
 Aschentreder 391.  
 Asmanit 254.  
 Asparagin 670.  
 Aspasolith 330.  
 Asphalt 921.  
 Asphalten 922.  
 Asteria 242.  
 Asterismus 191.  
 Astrakanit 644.  
 Astrios 368.  
 Atafamit 618.  
 Atelstit 453.  
 Atheriafit 427.  
 atherman 166.  
 Atomgewichte 171.  
 Atomvolumen 178.  
 Atramentstein 649.  
 Atramentum album 642.  
   — sutorium 646.  
 attractorisch 160.  
 Auerbachit 379.  
 Augengneis 945.  
 Augentofte 903.  
 Augit 309.  
 Augitlaven 960.  
 Augitporphyr 953.  
 Aurichalcit 592.  
 Aurichalcum 702.  
 Auripigment 801.  
 Aurum 678.  
   — graphicum 865.  
   — paradoxum 735.  
 Automolit 376.  
 Autunit 598.  
 Avanturin 241.  
 Avicenna 2.  
 Arit 834.  
 Azen 32.  
   — optische 130.  
 Azenformel 57.  
 Azenelemente 65.  
 Azengerstreuung 135.  
 Azinit 397.  
 azial 161.  
 Axungia lunae 461.  
 Axungia solis 461.  
 Azurit 799.  
 Azul 432.  
 Azurit 588.  
 B.  
 Babingtonit 316.  
 Badstofte 905.  
 Bagrationit 445.  
 Baierine 795.  
 Baifalit 314.  
 Balasrubin 375.  
 Balkeneisen 719.  
 Ballagius 375.  
 Bamlit 353.  
 Banatite 960.  
 Bandachat 244.  
 Banbeisen 719.  
 Bandjaspis 248.  
 Barnhardt 879.  
 Barègine 631.  
 Barranbit 577.  
 Barfel 709.  
 Barfowit 368. 428.  
 Barfolin 3.  
 Barht 541.  
 Baryte sulfatée 541.  
 Barfelfelbpat 284.  
 Barfglimmer 302.  
 Barfkrufstein 415.  
 Barfymehl 544.  
 Barftocalcit 523.  
 Barftocölestin 548.  
 Barfpumplatinganür 674.  
 Bafalt 956.  
 Bafaltit 954.  
 Basanites 956.  
 Bafanomelau 766.  
 Bafler Taufftein 347.  
 Bafit 300.  
 Batrachit 322.  
 Baulit 273.  
 Baurach 610.  
 Beaugit 768.  
 Beaumontit 403.  
 Beinbruch 502.  
 Beinglas 474.  
 Bell-metal ore 896.  
 Belonit 894.  
 Benzin 920.  
 Beraunit 577.  
 Berechnung 45.  
 Berengelit 936.  
 Beresit 600.  
 Bergbalfam 920.  
 Bergblau 589.  
 Bergbutter 654.  
 Bergflach 332.  
 Bergfleifch 332.  
 Berggrün 590.  
 Bergholz 332.  
 Bergfot 332.

- Bergkryſtall 237.  
 Bergman 5.  
 Bergmannit 404.  
 Bergmehl 258.  
 Bergmilch 501.  
 Bergſalmial 628.  
 Bergſeife 466.  
 Bergtheer 920.  
 Bergwachſ 924.  
 Bernerde 935.  
 Bernſtein 928.  
 — ſchwarzer 901.  
 Bernharbi 8.  
 Berthierin 768.  
 Berthierit 859.  
 Beryll 383.  
 Beryllerde 391.  
 Berylluide 87.  
 Berzelianit 883.  
 Berzelit 570.  
 Berzelin 416. 883.  
 Berzelius 8.  
 Beudantit 584. 428.  
 Beyrichit 835.  
 Bibarhytocalcit 524.  
 Biberit 648.  
 Bildſtein 297.  
 Bimſtein 471.  
 Binarkieſ 816.  
 Bindheimit 857.  
 Binnit 857. 893.  
 Biotit 292.  
 Biſcuit 458.  
 Bisemutum 729.  
 Bismuth natif 595.  
 — plumbo-cuprifere 894.  
 — ſulfur 860.  
 Biſmutin 860.  
 Biſmutit 529.  
 Bitterfaß 506.  
 Bitterſalz 641.  
 Bitterſpath 504.  
 Bitumen 917.  
 — glutineux 922.  
 — visqueux 922.  
 Bitumengehalt 899.  
 Bituminöſe Schiefer 918.  
 Bituminöſes Holz 914.  
 Bladband 512.  
 Bladgold 731.  
 Black Oxyd of Copper 805.  
 Black Tellurium 864.  
 Black Tin 776.  
 Blätteraugite 316.  
 Blätterblende 849.  
 Blätterbruch 11.  
 Blättererz 864.  
 Blätterkoble 903. 918.  
 Blättertellur 864.  
 Blätterzeolith 406.  
 blanc fixe 544.  
 Blaubleierz 569.  
 Blaueiſenerde 577.  
 Blaueiſenſtein 338.  
 Blauſpath 432. 572.  
 Blei 728.  
 — arſeniſſaures 569.  
 — chromſaures 598.  
 — eſſigſaures 669.  
 — kohlſaures 528.  
 — molybdänſaures 603.  
 — ſalpeterſaures 634.  
 — ſchwefelſaures 550.  
 — vanadinſaures 601.  
 — wolframſaures 605.  
 Bleiarſenglanz 856.  
 Bleierde 529.  
 Bleierze 838.  
 Bleigels 603.  
 Bleiglätte 810.  
 Bleiglanz 839.  
 Bleiglas 548.  
 Bleigummi 570.  
 Bleiſpornerz 617.  
 Bleiſaſur 550.  
 Bleimulm 843.  
 Bleiocher 810.  
 Bleioxyd 810.  
 Bleiſalze 598.  
 Bleiſcheſſat 604.  
 Bleiſchweiß 843.  
 Bleiſpath 526.  
 Bleiſpießglanzerze 856.  
 Bleiſulphatocarbonat 551.  
 Bleiſulphatotricarbonat 550.  
 Bleiſuperoxyd 811.  
 Bleivitriol 548.  
 Bleiwiſmuthglanz 860.  
 Bleizuder 669.  
 Blende 846.  
 Blittröhren 259.  
 Blöbit 644.  
 Blue carbonate of Copper 588.  
 Blutaugenſalz 519.  
 Blutſtein 757.  
 Bobierit 567.  
 Bodenit 445.  
 Bodenmais-Lantalit 795.  
 Bogbutter 935.  
 Boghead 917.  
 Bohnerz 767.  
 Bol 460.  
 Bologneſer Eſpath 544.  
 Boltonit 323.  
 Bondorffit 830.  
 Bor 744.  
 Boracit 609.  
 Borate of Magnesia 609.  
 Borax 610.  
 — oſtaebriſcher 612. •  
 Boraxfaß 504.  
 Bornin 736.  
 Bornit 879.  
 Borocalcit 612.  
 Boromagneſit 612.  
 Boronatrocacit 612.  
 Borſäure 608.  
 Botryogen 648.  
 Botryolith 424.  
 Boulangerit 858.  
 Bourmonit 885.  
 Bouteillenſtein 469.  
 Bovey-Coal 912.  
 Bohle 3.  
 Brachydiagonale 95.  
 Bragit 799.  
 Brandez 852.  
 Brandſit 303.  
 Brandrinde 722.  
 Brandſchiefer 467. 918.  
 Braunbleierz 569.  
 Brauneifen 762.  
 Brauneifenoder 768.  
 Brauneifenrahm 775.  
 Braunkoble 913.  
 Braunit 773.  
 Braunnangan 769.  
 Braunnanganerz 437.  
 Braunſpath 508.  
 Braunſtein 769.  
 — granatförmiger 837.  
 — grauer 771.  
 — piemonteſiſcher 346.  
 — rother 512.  
 — ſchwarzer 773.  
 Braunſteinfalt 502.  
 Braunſteinkieſ 337.  
 Brauſeknoſſen 506.  
 Brechungsexponent 121.  
 Brechweinstein 667.  
 Breiſſalit 332.  
 Breithaupt 139.  
 Breithauptit 834.  
 Breunerit 504.  
 Brevicit 404.  
 Brewſterit 408.  
 Briefcouverte 823.  
 Brillant 356.  
 Britanniametal 855.  
 Brochantit 596.  
 Bromargyrit 616.  
 Bromit 616.  
 Bromit 524.  
 Bromſilber 616.  
 Brongniartin 643.  
 Bronze 703.  
 Bronzit 317.  
 Brookit 787.  
 Bruch 158.  
 Brucit 802.  
 Brushite 567.  
 Buchſolzit 353.  
 Buchſ: 470.  
 Budſandit 446.  
 Bunſen 961.

Buntbleierz 567.  
 Bunte Thone 466.  
 Buntkupfererz 879.  
 Buntkupferkieß 879.  
 Buratit 592.  
 Bußamit 316.  
 Buttermilchsilber 614.  
 Butyrit 935.  
 Byffolit 332.  
 Bytownit 282.

## C.

Cacholong 246.  
 Cadmia 513.  
 Caeruleum 589.  
 — Berolinense 575.  
 Caking-Coal 905.  
 Calamine 448. 513.  
 Calaverit 737. 866.  
 Calciphuil 571.  
 Calcit 478. 637.  
 Calcoferrit 577.  
 Caldarius 802.  
 Caledonit 552.  
 Callanit 572.  
 Callais 571.  
 Calftrombarth 545.  
 Calx 477.  
 — arsenici 809.  
 Canerinit 435.  
 Canbit 375.  
 Canneffoble 901.  
 Cantonit 882.  
 Caporcanit 420.  
 Carbonat 364.  
 Carbonate of Lime 478.  
 Carbunculus 333. 802.  
 Carchedonius 333.  
 Carment 882.  
 Carminspath 570.  
 Carnallit 626.  
 Carnat 459.  
 Carneol 245.  
 Carolathin 939.  
 Carrollit 832.  
 Cassiteron 780.  
 Castelnaudit 586.  
 Cavolinit 428.  
 Cementkupper 702.  
 Cementkahl 711.  
 Cementwasser 662.  
 Ceramites 501.  
 Cererit 446.  
 Cerin 445.  
 Cerinſtein 446.  
 Cerit 446.  
 Cerium 446.  
 Cerussa indurata 526.  
 Ceruffit 526.  
 Cerbanit 808.  
 Ceylanit 375.  
 Chabaſit 409.  
 Chalcanthum 650.  
 Chalcedon 242.  
 Chalcit 875.  
 Chalcocit 679.  
 Chalcolith 597.  
 Chalcophyllit 594.  
 Chalcopyrit 875.  
 Chalcostibit 892.  
 Chalkos 698.  
 Chalybit 510.  
 Chamoisit 768.  
 Chantonit 728.  
 Charakterfarbe 151.  
 Chaffingit 724.  
 Chaux carbonatée 478.  
 — fluatée 553.  
 — ſulfatée 537.  
 — tungſtatée 605.  
 Cherry-Coal 905.  
 Chekao 458. 530.  
 Chert 250.  
 Cheſſylit 588.  
 Chevreul 147.  
 Chiaſtolith 353.  
 Chibrenit 574.  
 Chilibalteter 633.  
 Chiolith 559.  
 Chiviatit 896.  
 Chladnit 727.  
 Chloanthit 835.  
 Chlor 613.  
 Chlorapatit 568.  
 Chlorblei 618.  
 Chlorchroſmaure 751.  
 Chloride 613.  
 Chlorit 293.  
 Chloritoit 302.  
 Chloritſchiefer 295. 946.  
 Chloritſpath 302.  
 Chloromagneſium 628.  
 Chloromelanit 305.  
 Chloropal 257.  
 Chlorophäit 442.  
 Chlorophyllit 330.  
 Chlorospinel 376.  
 Chlorotil 596.  
 Chlorſaures Kali 673.  
 — Natron 673.  
 Chlorſelenquedſilber\* 615.  
 Chodnewit 559.  
 Chondrite 722.  
 Chondrobit 327.  
 Chriſtianit 416.  
 Chromalaun 653.  
 Chromate of Iron 750.  
 — Lead 598.  
 Chromeiſen 750.  
 Chromgelb 599.  
 Chromgrün 751.  
 Chromit 750.  
 Chromoſcher 810.  
 Chromoglyb 751.  
 Chrompicotit 375.  
 Chromroth 600.  
 Chromſaures Kali 674.  
 Chryſoberyll 371.  
 Chrysocolla 590. 610.  
 Chryſolith 320. 379.  
 Chryſopraß 249.  
 Chryſotil 300.  
 Chrytophyllit 312.  
 Chryſotilbit 313.  
 Cimolit 466.  
 Cinnabaris 851.  
 Cipollino 499.  
 Circularpolarifation 132.  
 Citrin 237.  
 Clarit 893.  
 Clausthalit 844.  
 Cleavelandit 274.  
 Cleoppan 849.  
 Clintonit 303.  
 Coaks 905.  
 Cobalt gris 831.  
 Cobaltit 831.  
 Cobaltum 828.  
 Cöleſtin 546.  
 Coeruleum montanum 587.  
 Coſaſion 155.  
 Colloide 219.  
 Collyrit 459.  
 Columbit 794.  
 Columbium 793.  
 Common Coal 898.  
 Comptonit 404.  
 Condurrit 805. 884.  
 Coniſtonit 941.  
 Controlformel 48.  
 Converſionsſalpeter 633.  
 Copal 936.  
 Copalin 934.  
 Copiapit 649.  
 Copper 698.  
 Copper Pyrites 875.  
 Coquimbbit 649.  
 Coracit 800.  
 Corbierit 328.  
 Corniſhſtone 459.  
 Cornwallit 594.  
 Corundellit 302.  
 Cottonerz 865.  
 Cotunnit 618.  
 Coſalith 860.  
 Cougeranit 354.  
 Covellin 882.  
 Craberit 581.  
 Crednerit 775.  
 Creta Cimolia 465.  
 Crichtonite 762.  
 Cronſtebt 5.  
 Cronſtebtit 303.  
 Croceſit 883.  
 Crown glaß 472.  
 Crucit 821.

Crystalloide 219.  
 Crystallus Islandicus 478.  
 Cuban 879.  
 Cubisystem 68.  
 Cubocit 409.  
 Cuivre 698.  
   — arseniaté 594.  
   — carbonaté 588. 590.  
   — gris 885.  
   — hépatique 879.  
   — hydro-phosphaté 592.  
   — muriaté 618.  
   — oxydulé 802.  
   — pyriteux 875.  
   — sulfuré 879.  
   — vierge 802.  
 Summingtonit 316.  
 Suprit 802.  
 Suproplumbit 844. 892.  
 Cuprum Nicolai 833.  
   — vitreum 879.  
 Cyanit 350.  
 Cyanochrom 646.  
 Cyanos 367.  
 Cyanose 650.  
 Cyan-Stickstoff-Titan 729.  
 Cymophan 371.  
 Cyprin 340.  
 Cyprische Umbra 461.

## D.

Dacit 960.  
 Damourit 296.  
 Dampfdichte 183.  
 Danait 825.  
 Danalit 453.  
 Danburit 283.  
 Darwinit 884.  
 Datolith 422.  
 Daubrelith 727.  
 Davyn 353.  
 Decreescenzen 105.  
 Dechenit 601.  
 Debuction 38.  
 Delafossit 805.  
 Delemingit 668.  
 Delphinit 340.  
 Deltoeder 75.  
 Deltoëdrioböfæder 75.  
 Delvaugit 579.  
 Demantbort 356.  
 Demantspath 369.  
 Demibovit 452.  
 derb 214.  
 Dermatin 301.  
 Desclouzit 602.  
 Desmin 405.  
 Devillin 597.  
 Devittrification 270.  
 Diabas 953.  
 Diabodit 579. 585. 654.  
 Diallag 318.

Diallogit 512.  
 Diamagnetismus 161.  
 Diamant 355.  
 Diamantbor 744.  
 Diamantglanz 145.  
 Dianit 798.  
 Dianium 797.  
 Diaphorit 892.  
 Diaspor 369.  
 diatherman 166.  
 Dichroismus 141.  
 Dichroit 328.  
 Dichroscop 141.  
 dicht 158.  
 Dichtigkeit 153.  
 Dihym 447.  
 Digenit 882.  
 bigonal 49.  
 Dihæder 29. •  
 Dihydrit 592.  
 diklin 101.  
 Dillnit 307.  
 Dimagnetit 442.  
 Dimorphin 863.  
 Dimorphismus 180.  
 Diopsid 314.  
 Dioptas 450.  
 Diorit 949.  
 Dioritporphyr 952.  
 Diphanit 302.  
 Diplagieder 94.  
 Diploit 282.  
 Dipyr 427.  
 Ditomböeder 30.  
 Distasit 733.  
 Dispersion 123.  
 Disphen 85.  
 Disthen 350.  
 Ditroit 433.  
 Dobelaibe 40.  
 Dolerit 958.  
 Dolomit 507.  
 Dolomitspath 506.  
 Domeylit 884.  
 Domit 959.  
 Donarium 448.  
 Doppelbrechung 123.  
 Doppelsalze 669.  
 Doppelschiefendfläche 20.  
 Doppelspath 497.  
 Doppelrit 917.  
 Dornstein 535.  
 Dreelit 545.  
 dreigliedrig 88.  
 Dreikantner 91.  
 Drillinge 97.  
 Drusen 205.  
 Dufrenit 578.  
 Dufrenoisit 856.  
 Dunit 300. 322.  
 Durangit 584.  
 Durchsichtigkeit 146.

Dutenmergel 497.  
 Dyatëbödæder 76.  
 Dysclastit 419.  
 Dysluit 378.  
 Dysobit 915.  
 Dyslytit 718.

## E.

Edebergit 427.  
 Edelopal 255.  
 Edelsteine 354.  
 Edingtonit 409.  
 Edwardsit 585.  
 Egeran 340.  
 Ehlit 593.  
 eingliebrig 101.  
 Einschlässe 209.  
 Eintheilung 214.  
 Eis 655.  
 Eisen 709.  
   — oxalsaures 940.  
   — sibirisches 712.  
   — tellurisches 710.  
 Eisenalaun 653.  
 Eisenamiant 236.  
 Eisenammonialalaun 653.  
 Eisenapatit 566.  
 Eisenaugit 313.  
 Eisenbitterspath 505.  
 Eisenblüthe 521.  
 Eisenchlorid 619. 721.  
 Eisenchrom 750.  
 Eisenerze  
   — geschwefelte 818.  
   — oxydische 745.  
 Eisenfrischschlade 823.  
 Eisenglanz 752.  
 Eisenglimmer 757.  
 Eisenglimmerschiefer 947.  
 Eisengyps 575.  
 Eisenkies 813.  
 Eisentiesel 240.  
 Eisentobakkies 830.  
 Eisennickelkies 824.  
 Eisennoolith 767.  
 Eisenoryz 752.  
   — schwefelsaures 649.  
 Eisenoryzbulammoniat  
   — schwefelsaures 670.  
 Eisenperetz 585.  
 Eisenplatin 705.  
 Eisenschin 939.  
 Eisenrosen 756.  
 Eisensäuerlinge 661.  
 Eisensinter 585.  
 Eisenspath 510.  
 Eisenspießglanzerze 859.  
 Eisensteinmark 460.  
 Eisenthongranat 335.  
 Eisenturmalin 397.  
 Eisenvitriol 646.  
 Eisengintspath 515.

Eispath 273.  
 Eklogit 950.  
 Eläolith 428.  
 Elasticitätsagen 181.  
 Elaterit 923.  
 Electrum 680.  
 Electricität 161.  
 Elektron 928.  
 Elektroskop 161.  
 Eliafit 801.  
 Email 474.  
 Embolit 616.  
 Emerald 385.  
 Emeraldnidel 761.  
 Emeraude 385.  
 Emerit 376.  
 Emerylith 302.  
 Emmonsit 526.  
 Enargit 893.  
 Endellionit 889.  
 Enhydros 246.  
 Enstatit 318.  
 Entglasung 270.  
 Eosit 604.  
 Epiboulangerit 859.  
 Epibosit 346.  
 Epidot 340.  
 Epigenit 893.  
 Epiglaubit 565.  
 Epimorphie 204.  
 Epistilbit 407.  
 Epsomit 641.  
 Epsomfalz 642.  
 Erbium 443.  
 Erbsenstein 502.  
 Erbkobalt 810.  
 — brauner 810.  
 — rother 580.  
 — schwarzer 810.  
 Erbkohle 913.  
 — graue 918.  
 Erbdöl 919.  
 Erbpach 921.  
 — elastisches 923.  
 Eremit 585.  
 Erinit 595.  
 Erbsyit 281.  
 Erphtin 580.  
 Erphtionit 601.  
 Erblume 553.  
 Erze  
 — geschwefelte 812.  
 — oxydische 745.  
 Esmeralit 330. 422.  
 Etain oxydé 776.  
 — sulfuré 896.  
 Eudroit 596.  
 Eudialyt 453.  
 Eudonopht 413.  
 Eugenglanz 869.  
 Eulairit 883.  
 Eullas 387.

Eukolit 454.  
 Eukrite 723.  
 Eulyfit 322.  
 Eulytin 453.  
 Euphotid 951.  
 Euphyllit 302.  
 Eupion 921.  
 Eupyrchroit 564.  
 Eurit 954.  
 Euritporphyr 951.  
 Eustilbit 406.  
 Eusynchit 601.  
 Eugenit 789. 797.  
 Euzolith 406.  
 Exitèle 807.

## F.

Fahlerz 885.  
 Fahlit 885.  
 Falunit 329.  
 Farnatinit 893.  
 Farben 147.  
 Farbenringe 131.  
 Faserquarz 586.  
 Faserkalt 497.  
 Faserkiesel 242.  
 Faserkohle 902.  
 Faserquarz 242.  
 Faserzeolith 402.  
 faserig 158. 206.  
 Fassait 313.  
 Faujasit 418.  
 Fauserit 643.  
 Fayalit 323.  
 Fayence 464.  
 Federalaun 653.  
 Federerz 856.  
 Federharze 936.  
 Federweiß 331.  
 Feldspäthe 260.  
 Feldspathbasalte 957.  
 Feldspathporphyr 952.  
 Feldspaththeorie 283.  
 Feldstein 273.  
 Felsitporphyr 951.  
 Fensterglas 472.  
 Fer arsenical 824.  
 — carbonaté 510.  
 — carburé 743.  
 — chromaté 750.  
 — oligiste 752.  
 — oxalaté 940.  
 — oxydulé 746.  
 — siliceo-calcaire 441.  
 — speculaire 756.  
 — sulfaté 616.  
 — sulfuré 813.  
 — — blanc 816.  
 — — magnétique 822.  
 Fergusonit 799.  
 Ferrowolframit 792.  
 Fetsquarz 241.

Feuerblende 873.  
 Feueropal 256.  
 Feuerstein 249. 813.  
 Fibroferit 649.  
 Fibrolith 353. 242.  
 Fichtelit 928.  
 Finbo-Tantalit 798.  
 Firuzeh 571.  
 Fischerit 574.  
 Flèches d'amour 763.  
 Flint 249.  
 Flintglas 472.  
 Fluellit 559.  
 Flüssigkeitsporen 212.  
 Fluidalstektur 213.  
 Fluocerin 557.  
 Fluocerit 557.  
 Fluor 552.  
 Fluorapatit 563.  
 Fluores 553.  
 Fluoreszenz 145.  
 Fluoride 552.  
 Fluß 557.  
 Flußpath 553.  
 Forefit 406.  
 Forsterit 322.  
 Foulter's earth 465.  
 Fowlerit 315.  
 Francolit 564.  
 Franklinit 750.  
 Frauenz 535.  
 Freiezelebenit 892.  
 Frenzelit 861.  
 Frittporzellan 459.  
 Frugardit 340.  
 Fuchsit 294.  
 Fülleisen 719.  
 Fulguritanbesit 960.

## G.

Gabbro 950.  
 Gabbroporphyr 953.  
 Gadolinit 442.  
 Gadoliniterde 442.  
 Gänseföthigsilber 614.  
 Gagat 901.  
 Gahnit 376.  
 Galaktit 405.  
 Galena 839.  
 — inanis 848.  
 — Wismuthi 860.  
 Galenit 839.  
 Gallium 848.  
 Galmei 513.  
 Galvanismus 164.  
 Ganggranit 947.  
 Garlandia 1.  
 Garnet 333.  
 Gas Kohle 900.  
 Gasoline 920.  
 Gasluffit 637.  
 Gebirgsarten 942.

- Gebirgsquarz 946.  
 Gediogene Metalle 677.  
 Geelit 874.  
 Gegentrapez 225.  
 Gelsenit 427.  
 Geißberger 944.  
 Gekröstein 540.  
 Gelbbleierz 603.  
 Gelberde 461.  
 Gelberz 865.  
 Gelbtupfer 702.  
 Gelbtupfererz 875.  
 Gelbmenakerz 440.  
 Gelsenquarz 947.  
 Gemmen 354.  
 Geokronit 698.  
 Geräbhorffit 835.  
 gesämeibig 157.  
 Gelschwefelte Metalle 812.  
 Gesner 3.  
 Gewicht 153.  
 Geyserit 259.  
 Gibbfit 371.  
 Gichtenschwamm 806.  
 Gieffit 331.  
 Giftkies 824.  
 Gigantolith 330.  
 Gilbertit 459.  
 Gift 902.  
 Gismondin 416.  
 Gläser 468.  
 Glanz 839.  
 Glanz 145.  
 Glanzbraunstein 773.  
 Glanzseifen 719.  
 Glanzseifenstein 765.  
 Glanzerg 866.  
 Glanzkobalt 831.  
 Glanzkoble 900.  
 Glashachit 552.  
 Glasjerit 638.  
 Glaserg 866.  
 — zweigliedriges 867.  
 Glasflüsse 472.  
 Glaslopf  
 — brauner 764.  
 — gelber 820.  
 — grüner 578.  
 — rother 757.  
 — schwarzer 774.  
 Glaslopfquarze 242.  
 Glasporen 213.  
 Glasstör 397.  
 Glasstein 397.  
 Glasurerg 843.  
 Glasstränen 468.  
 Glasbapatit 564.  
 Glasberit 643.  
 Glasberialz 640.  
 Glaslobot 825.  
 Glaslophan 950.  
 Glasolith 425.  
 Glaukonit 295.  
 gleichgliebrig 68.  
 Glessum 933.  
 Gletscherialz 642.  
 Glimmer 287.  
 Glimmerporphyr 952.  
 Glimmerschiefer 945.  
 Glinkit 321.  
 Glockenmetall 703. 896.  
 Glocalith 422.  
 Gmelinit 411.  
 Gneis 945.  
 Gökumit 340.  
 Göthit 762.  
 Gold 678.  
 Goldamalgam 697.  
 Golderg 864.  
 Goldtupferkies 878.  
 Goldloth 590.  
 Goniometer 13.  
 Goslarit 642.  
 Grammatit 309.  
 Granat 333.  
 — schürartiger 781.  
 Granatoeder 40.  
 Granatoid 347.  
 Granit 943.  
 — vainé 944.  
 Granitel 945.  
 Granitit 944.  
 Granular-Tin 779.  
 Granulit 944.  
 Graphische Methode 111.  
 Graphit 726. 743.  
 Grauglitzer 883.  
 Graugolberz 864.  
 Graumangan 771.  
 Graupeln 657.  
 Grausilber 529.  
 Grausilberglanz 853.  
 Graverz 885.  
 Greenodit 850.  
 Greenovit 439.  
 Greisen 947.  
 Grénat 333.  
 Grésils 657.  
 Grey Copper 885.  
 Griffelschiefer 467.  
 Grobkoble 902. 905.  
 Grönländit 795.  
 Grotolith 775.  
 Groffular 336.  
 Grünbleierz 568.  
 Grüneisenberde 811.  
 Grüneisenstein 578.  
 Grünerde 295. 462.  
 Grüner Porphyr 952.  
 Grüner Bitriol 646.  
 Grünglimmer 597.  
 Grünialz 622.  
 Grünspan 668.  
 Grünsteine 949.  
 Grünsteine, dicke 954.  
 Grunbeis 656.  
 Grunerit 318.  
 Guabalcazarit 852.  
 Guanit 587.  
 Guano 564. 937.  
 Guarinit 440.  
 Guayaquilit 936.  
 Glimbelit 354.  
 Gullveig 678.  
 Gummierz, uranisches 801.  
 Gurbosian 508.  
 Gußeisen 710.  
 Gymnit 301.  
 Gyps 530.  
 Gypsaloib  
 — diatomeis 582.  
 — hemiprismatisches 581.  
 Gydrobrie 77.  
 Gysolit 419.  
 G.  
 Gaarkies 835.  
 Gaarialz 641. 654.  
 Gadig 158.  
 Gallefinta 273. 954.  
 Gamatit 752. 757.  
 Gamatofonit 503.  
 Gartelesca 155.  
 Gage 657.  
 Gagemannit 559.  
 Gaidinger 9.  
 Gaidingerit 582.  
 Galblasurblei 552.  
 Galbopal 256.  
 Galbschwefelseisenmangan 828.  
 Galbbitriolblei 550.  
 Galleberde 625.  
 Gallit 504.  
 Galloisit 463.  
 Galoidsteine 432.  
 Galotridit 653.  
 Hammitis 502.  
 Harmotom 413.  
 Harringtonit 404.  
 Harrisit 882.  
 Hartgarz 936.  
 Hartkobaltkies 831.  
 Hartin 935.  
 Hartit 928.  
 Hartmangan 773.  
 Harze 928.  
 Hatgettin 924.  
 Haurit 827.  
 Hausmann 9.  
 Hausmannit 773.  
 Haup 97. 4.  
 Haupn 433.  
 Haupnbasalt 433.  
 Haydenit 411.  
 Hayefin 612.  
 Haytorit 251. 423.

Seidenbergit 313.  
 Sebypphan 570.  
 Seltotrop 246.  
 Selminth 294.  
 Selvin 452.  
 Semiedrie 75.  
 Semimorphit 448.  
 semiorthopy 98.  
 hemiprismatisch 98.  
 hemirhombsisch 98.  
 Senboeber 19.  
 Senhenoeber 20.  
 Senfel 3.  
 Sepatit 545.  
 Serapatit 129.  
 Sercinit 376.  
 Serberit 571.  
 Serrit 515.  
 Serphit 411.  
 Sessit 737.  
 Sessonit 335.  
 Seteromerie 180.  
 Seteromorphit 856.  
 Seterosit 578.  
 Seulanbit 406.  
 hexagonal 86.  
 Sebaide 19.  
 Sebaibrechnung 21.  
 Sebaistocktaeber 69.  
 Sebaistetraeder 76.  
 Sjelmit 798.  
 Highgate Resin 934.  
 Sifingerit 442.  
 Sechsofenstaden 312.  
 Söganit 403.  
 Sörnesit 583.  
 Söhlspath 353.  
 Solobrie 68.  
 Solzopal 257.  
 Solstein 250.  
 Solzinn 779.  
 Sonigstein 938.  
 Sopeit 450.  
 Sorbachit 824.  
 Hornblei 617.  
 Hornblende 305.  
 Hornblendgestein 948.  
 Hornblendstiefer 949.  
 Hornerz 613.  
 Hornfels 305.  
 Hornqued Silber 617.  
 Hornsilber 614.  
 Hornstein 250.  
 Hornsteinporphyr 951.  
 Horse-flesh ore 879.  
 Soughite 376.  
 Houille 898.  
 — des calcaires 916.  
 — grasse 905.  
 — maigre 905.  
 — sèche 905.  
 Quantapayit 615.

Silbnerit 792.  
 Humboldtillit 426.  
 Humboldtlin 940.  
 Humboldt 422. 940.  
 Humit 323. 441.  
 Hureaultit 578.  
 Huhgens 3.  
 Hversalt 653.  
 Hyacinth 378.  
 — Compostella 241.  
 — cruciforme 413.  
 Hyalith 259.  
 Hyalophan 271.  
 Hyalofiberit 322.  
 Hydrargyllit 370. 573.  
 Hydrargyrum crystallinum 851.  
 Hydroapatit 564.  
 Hydroboracit 612.  
 Hydroborocalcit 612.  
 Hydroconit 495.  
 Hydrodolomit 495.  
 Hydrohalit 622.  
 Hydrolith 411.  
 Hydromagnetit 506.  
 Hydrophan 256.  
 Hydrophit 301.  
 Hydrotachylit 470.  
 Hydrotallit 302.  
 Hydrotilanit 789.  
 Hypersthen 316.  
 Hypersthenfels 951.  
 Hypochlorit 811.  
 Hypostilbit 408.  
 Hystatit 761.

## J.

Jade 304.  
 Jadeit 305.  
 Jafet 901.  
 Jalpait 883.  
 Jamesonit 857.  
 Jargon 376.  
 Jarosfit 649.  
 Jaspis 248.  
 Jaspopal 257.  
 Jaulingit 935.  
 Jberit 330.  
 Jchthophthalm 416.  
 Jcositetraeder 68.  
 Jbokras 337.  
 Jbrialin 852. 927.  
 Jefferisit 296.  
 Jefferionit 313.  
 Jet 901.  
 Jglestafit 528.  
 Jgloit 521.  
 Jmenit 761. 790.  
 Jmenium 797.  
 Jmenrutil 785.  
 Jvabit 441.  
 Jncaspiegel 813.

Jnbianit 282.  
 Jndicolith 396.  
 Indium 515.  
 Jnflammabilien 897.  
 Jnfsurionernde 258.  
 Jod 744.  
 Jodargyrit 615.  
 Jodblei 615.  
 Jodit 615.  
 Jodolith 728.  
 Jodqued Silber 615.  
 Jodsilber 615.  
 Jodoform 659.  
 Jodhannit 649.  
 Jodhsonit 844.  
 Jolith 328.  
 Jorbanit 857.  
 Jridium 707.  
 Jridosmium 708.  
 Jridplatin 709.  
 Jris 238.  
 Jrisfren 143.  
 Jrit 751.  
 Jserin 750.  
 isometrisch 68.  
 Jsomerie 184.  
 Jsomorphismus 176.  
 Jtabirit 757.  
 Jtacolumit 360. 947.  
 Jttnerit 434.  
 Judenpech 921.  
 Julianit 879.  
 Junderit 522.  
 Jgrolit 935.

## K.

Rabait 924.  
 Radmiumoxyd 807.  
 Rämmererit 294.  
 Raitit 627.  
 Ralogen 577.  
 Ralait 571.  
 Rali  
 — chlorsaures 673.  
 — chromsaures 639.  
 — doppelchromsaures 674.  
 — manganisaures 639.  
 — schwefelsaures 638.  
 — selenisaures 639.  
 Ralialaun 654.  
 Ralifeldspath 260.  
 Raliglimmer 290.  
 Ralikalpeter 631.  
 Ralium 744.  
 — Platincyanür 674.  
 Ralk, ogalsaurer 940.  
 — weinsaure 667.  
 Ralkboracit 610.  
 Ralkpidot 346.  
 Ralkfeldspath 280.  
 Ralkglimmer 302.



Ralthaloib  
— brachytypes 504.  
Raltkreuzstein 415.  
Raltkalpeter 633.  
Raltfinter 498.  
Raltstapolith 426.  
Raltspath 477.  
Raltstein 500.  
Raltthongranat 335.  
Ralttuff 602.  
Ralturanglimmer 598.  
Raltvolborthit, 602.  
Raltochrom 598.  
Ralomel 617.  
Ralsucit 641.  
Ramacit 719.  
Rammfies 817.  
Rampylit 569.  
Randisjuder 664.  
Ranneelstein 335.  
Raneit 828.  
Rantenschnittformel 101.  
Rantenvinkelformel 54.  
Rantenjoneugeset 49.  
Raolin 456.  
Rapnicit 573.  
Rapnit 515. 888.  
Rarelinit 811.  
Rarpholit 421.  
Rarthenit 537.  
Raruba 929.  
Rastendrusen 323. 844.  
Rastor 286.  
Rataplejit 455.  
Ragenauge 242.  
Ragengold 291.  
Ragensapphir 368.  
Ragensilber 287.  
Ragensinn 790.  
Rausimfies 821.  
Referstein 2.  
Rehrsalpeter 632.  
Reilbauit 440.  
Renntmann 3.  
Reppler 3.  
Rerat 613.  
Rerolith 301. 462.  
Rerofelen 920.  
Reseph 688.  
Ribbelopphan 761.  
Rjerulfin 566.  
Ries 813.  
Rieselerde 218.  
Rieselguhr 259.  
Rieselkupfer 451.  
Rieselmagnetit 506.  
Rieselmergel 257.  
Rieselschiefer 251.  
Rieselsinter 259.  
Rieseltuff 259.  
Rieselsilicium 453.  
Rieseljinkspat 448.

Rieseljinkspat 448.  
Rieseljinn 780.  
Rieserit 642.  
Rieseritstein 642.  
Rilbridenit 59.  
Rillinit 330.  
Rinzigit 335.  
Rir 923.  
Rissaris 471.  
Rischtim-Parisit 447.  
Rissus 813.  
Rlaproth 5.  
Rlaprothin 572.  
Rlaprothit 896.  
Rlastisch 946.  
Rlebschiefer 258.  
Rlingstein 955.  
Rlinochlor 288. 294.  
Rlinoflas 595.  
Rlinometrisch 33.  
Rlinorhombisch 98.  
Rlipsteinit 316.  
Rnebelit 323.  
Rnisterfals 621.  
Rnochen 565.  
Rnollenstein 257.  
Rnorpel 913.  
Rnottenerz 842.  
Robaltarsenitfies 825.  
Robaltbeslag 580.  
Robaltbluthe 580.  
Robalterze 828.  
Robaltglanz 831.  
Robaltfies 832.  
Robaltmetall 833.  
Robaltmiedelfies 832.  
Robaltosolution 189.  
Robaltpeise 833.  
Robaltjulfuret 832.  
Robaltvitriol 648.  
Robellit 896.  
Rochelit 799.  
Rochfals 619.  
Rönlit 928.  
Rönnig 597.  
Rörnerprobe 159.  
Rörnig 205.  
Röttigit 581.  
Rohinoor 363.  
Rohlen 897.  
Rohlenblende 899.  
Rohleneisenstein 512.  
Rohlensäure 212.  
Rokolith 313.  
Rokscharowit 309.  
Roklophan 567.  
Roklophonit 336.  
Ronarit 453.  
Ronichalcit 595. 602.  
Roppit 800.  
Rorallenerz 852.  
Rorund 365.

Rorunit 836.  
Rotschubeit 294.  
Rrablit 273.  
Rrähenaugen 497.  
Rranzit 936.  
Rraurit 578.  
Rreibe 501.  
— schwarze 467.  
Rreittonit 376.  
Rremerzit 619.  
Rreuzkrystallisation 418.  
Rreuzstein 418.  
Rrinoideen 494.  
Rrisubigit 597.  
Rroloit 598.  
Rrolybolith 334. 442.  
Rropolith 557.  
Rryptolith 586.  
Rrystallbildung 200.  
Rrystalldrusen 205.  
Rrystallglas 472.  
Rrystallloide 501.  
Rrystallraum 12.  
Rrystallsystem 20.  
Rrystallsymbole  
— Haug 101.  
— Levy 108.  
— Müller 113.  
— Mohs 84. 91. 96. 100.  
— Neumann 88. 91.  
— Neumann 111.  
Rubigit 411.  
Ruboit 412.  
Rugelborit 949.  
Rugeljaspi 248.  
Rugelporphyr 952.  
Rugelprojection 115.  
Rupfer 698.  
— effiglaures 668.  
Rupferantimonoglanz 892.  
Rupferblau 452.  
Rupferblende 888.  
Rupferbluthe 804.  
Rupferchlorür 619.  
Rupfererze 802. 874.  
Rupferfahlerze 888.  
Rupferglanz 879.  
— prismatobifischer 892.  
Rupferglanzerg 879.  
Rupferglas 879.  
— rothes 802.  
Rupferglimmer 594.  
Rupfergrün 451. 591.  
Rupferindig 882.  
Rupferkies 874.  
Rupferlasur 587.  
Rupfermanganerz 775. 810.  
Rupfernickel 833.  
Rupferoxyd 805.  
Rupferoxydul 803.  
Rupferpecherz 805.  
Rupferroth 802.

Rupferfalze 587.  
 Rupferjammerz 597.  
 Rupferſchaum 595.  
 Rupferſchwarz 805.  
 Rupferſmaragd 450.  
 Rupferuranglimmer 597.  
 Rupfervitriol 650.  
 Ruſſerwiſmutherg 895.  
 Ruſſerwiſmuthglanz 895.  
 Ruſſerit 308.  
 Ruſſolith 420.  
 Ruſſonſpathe 401.  
 Ruſſit 821. 879.

## R.

Rabrador 280.  
 Rabradorſiren 144.  
 Rac lunae 654.  
 Rängſſche 98.  
 Ragonit 613.  
 Ramprit 719.  
 Ranarkit 550.  
 Rangit 597.  
 Ranthan 447.  
 Ranthanit 447.  
 Rapis Comensis 297.  
 — crucifer 347.  
 — electricus 393.  
 — Lacedaemonius 279.  
 — lazuli 432.  
 — Lydius 251.  
 — molaris 961.  
 — mutabilis 256.  
 — Obsidianus 468.  
 — plumbarius 839.  
 — ponderosus 605.  
 — specularis 536.  
 Rardereſit 613.  
 Raſionit 574.  
 Raſurapatit 562.  
 Raſurſtein 432.  
 Raſſolith 433.  
 Ratrobit 282.  
 Raufſteine 501.  
 Raumontit 419.  
 Raurit 709.  
 Rava 960.  
 Ravabrenner 298.  
 Ravzſtein 297.  
 Raworowit 314.  
 Ragierſtein 771.  
 Ragmannit 600.  
 Ragulith 432. 572.  
 Razur 588.  
 Reabhillit 551.  
 Rebertieſ 821.  
 Recontit 641.  
 Reberit 440.  
 Rehm 466.  
 Rehmannit 598.  
 Lemnia 460.

Lemniſche Erde 461.  
 Leonharbit 419.  
 Lepidokroſit 763.  
 Lepidolith 292.  
 Lepolith 282.  
 Lepor 441.  
 Leptopſeophos 951.  
 Letten 466.  
 Lettenkoſtle 912.  
 Lettſomit 597.  
 Leuchtenbergit 294.  
 Leucit 428.  
 Leucitbaſalt 431. 957.  
 Leucitlava 961.  
 Leucitoeder 68.  
 Leucitophyr 431. 961.  
 Leucocyclit 417.  
 Leucopyrit 826.  
 Leucosaphiri 329.  
 Leufargyr 874.  
 Leutophan 454.  
 Levy 108.  
 Libethenit 593.  
 Libethſupfer 593.  
 Lichtbiſber 191.  
 Lichtſchein 144.  
 Liebenerit 331.  
 Liebigit 802.  
 Lievrit 441.  
 Lignites 912.  
 Liſalith 292.  
 Limonit 762. 765.  
 Linarit 550.  
 Lindſapit 283.  
 Linſtraubensäure 666.  
 Linne 4.  
 Linneit 832.  
 Linſenerz 595.  
 Liparit 469. 960.  
 Liſonit 595.  
 Lithionalaun 653.  
 Lithionglimmer 291.  
 Lithionminerale 285.  
 Lithiophorit 774.  
 Lithographie 500.  
 Loboit 340.  
 Löſingit 826.  
 Loh 466.  
 Löthrohr 169.  
 Löweit 645.  
 Löwigit 655.  
 Lomonit 419.  
 Loxoſlaß 271.  
 Luſchſapphit 328.  
 Lüneburgit 610.  
 Luſtmörtel 495.  
 Lumachelle 500.  
 Lunnit 592.  
 Lupus metallorum 853.  
 Luzonit 893.  
 Lychnites 498.  
 Lybiſcher Stein 251.

Lyſurion 928.  
 Lynz 393.

## M.

Macie 353.  
 Magnes 746.  
 Magnesiaalaun 653.  
 Magnesia crystallina 791.  
 Magnesiaglimmer 292.  
 Magnesia-Limestone 507.  
 Magnesiaſalpeter 633.  
 Magnesia boratée 609.  
 — ſulfatée 641.  
 Magnesiit 505.  
 Magnesiſpath 504.  
 Magnesiſupplatinchanſ 674.  
 Magneteiſen 746.  
 Magneteiſenſand 749.  
 Magnetic-iron-pyrites 822.  
 Magnetia 295. 746.  
 Magnetismus 160.  
 Magnetit 746.  
 Magnetieſ 822.  
 Magnoferrit 752.  
 Majolica 464.  
 Malrobiagonal 95.  
 Malachit 590.  
 Malakolith 314.  
 Malakon 379.  
 Malſonit 731.  
 Malta 923.  
 Mancinit 450.  
 Mandelſteine 954.  
 Manegaumit 724.  
 Manganalaun 653.  
 Manganblende 828.  
 Manganſchryſolith 323.  
 Manganepidot 346.  
 Manganerze 768.  
 Manganſe oxyde 769.  
 Manganſchlang 828.  
 Manganſchlöß 774.  
 Manganſgranat 837.  
 Manganit 769.  
 Manganſieſel 315.  
 Manganmetall 769.  
 Manganocalcit 522.  
 Manganoglybulalaun 653.  
 Manganſchaum 775.  
 Manganſpath 512.  
 Manganſtalaun 653.  
 Manganbitriol 648.  
 Marathſonſteine 470.  
 Marcaſit 816.  
 Marcasites 813.  
 Marcelin 773.  
 Marekanit 469.  
 Margarit 302.  
 Marienglaß 291. 535.  
 Marleſor 501.  
 Marmatit 849.  
 Marmolith 301.

Marmor 498.  
Marmor metallicum 553.  
Martinit 642.  
Martit 749.  
Masagnin 641.  
mas 355.  
Masnit 303.  
Matlodit 618.  
Mauersalpeter 633.  
Magit 552.  
Medianebene 98.  
Meersalz 619.  
Meerschaum 297.  
Meerwasser 660.  
Megabromit 616.  
Mehlschwefel 742.  
Mehlsolinit 402.  
Mejonit 426.  
Melaconisa 806.  
Melanotit 805.  
Melanchlor 579.  
Melanglang 868.  
Melanerg 444.  
Melanglimmer 303.  
Melanit 336.  
Melanochoit 600.  
Melanterit 646.  
Melaphyr 955.  
Melichronparz 938.  
Melilit 427.  
Melinophan 454.  
Melinum 297.  
Melit 938.  
Melonit 787.  
Menaccanit 761.  
Menafertz 435.  
Mendipit 618.  
Meneghin 858.  
Mengit 585. 790.  
Menilit 257.  
Mennige 810.  
Mercurblende 851.  
Mercur 695.  
— muriaté 617.  
— sulfuré 851.  
Merde di Diavolo 915.  
Mergel 500.  
Mersinparz 505.  
Mesole 404.  
Mesolinit 404.  
Mesofiberit 721.  
Mesotop 402.  
Messen 15.  
Messing 702.  
Metacinnabarit 852.  
Metalle  
— gebogene 677.  
— spröde 729.  
Metallfarben 151.  
Metallglanz 145.  
Metallpreise 896.  
Metallsteine 435.

Metallum problematicum 735.  
Metagit 300.  
Metazinnfäure 777.  
Meteorstein 712.  
Meteorsteine 721.  
Meulière 251.  
Miargyrit 873.  
Miascit 428. 949.  
mica 287.  
Microsommit 420.  
Middletonit 935.  
Miemit 507.  
Miesit 570.  
Mikrobromit 616.  
Mikrofin 272. 284.  
Mikrolith 799.  
Mikrostop 207.  
Mikrotin 280.  
Mikropal 256.  
Mikroparz 241.  
milbe 157.  
Miller 113.  
Millerit 835.  
Mimetesit 569.  
Mina 1.  
minera ferri specularis 752.  
Mineralfermes 855.  
Mine d'argent grise 892.  
— d'argent rouge 869.  
— de cuivre jaune 875.  
— spéculaire 752.  
Minium 851.  
Mirabilit 640.  
Mischfahlerze 888.  
Mischungsgehalte 171.  
Misenit 639.  
Mispickel 824.  
Misp 649.  
Mitscherlich 8.  
Mizzonit 426.  
Mochasteine 245.  
Mokellin 34.  
Mohr 719.  
Mohs 9.  
Mofit 762.  
Molecule 182.  
Molochites 590.  
Molybdän 837.  
Molybdänblei 603.  
Molybdänglanz 837.  
Molybdänit 837.  
Molybdänocher 811.  
Molybdänfüßer 737.  
Molydate of lead 603.  
Monazit 585.  
Monazitoid 585.  
Mondschmalz 461.  
Mondstein 271.  
monobimetrisch 82.  
monoklin 98.  
monotrimetrisch 86.

Monrabit 301.  
Monrolith 352.  
Montanit 737.  
Montebrafit 570.  
Monticellit 322.  
Montmilch 501.  
Moosach 245.  
Moosfoble 913.  
Morafertz 765.  
Morion 237.  
Morogit 562.  
Morphotropie 178.  
Morvenit 413.  
Mosandrit 440.  
Meloonisa 806.  
Mühlstein 251.  
Mullit 577.  
Murchisonit 262. 272.  
Murgia 619.  
Muriacit 537.  
Murio-carbonate of lead 617.  
Muschelmarmor 500.  
Muskowit 290.  
Muffit 315.  
Myosin 592.  
N.  
Nabeleisen 719.  
Nabeleisen 763.  
Nabeleze 894.  
Nabelezeolith 402.  
Naborit 608.  
Nagefall 497.  
Nagpagit 864.  
Nafit 459.  
Nantolit 619.  
Naphtha 920.  
Naphthagil 923.  
Native Magnesia 302.  
— Silver 698.  
Natocalcit 637.  
Natrolith 403.  
Natron  
— chlorfaures 673.  
— effigfaures 669.  
— schwefelfaures 639.  
— unterschwefelfaures 671.  
Natronalaun 652.  
Natronammoniat  
— traubenfaures 667.  
Natronfeldspath 274.  
Natronfalpeter 633.  
Natronpobumen 279.  
Naudit 935.  
Nebelbild 144.  
Nedofcher 698.  
Needle-ore 894.  
Nestgil 923.  
Negros 616.  
Nemalith 802.  
Néocase 583.

Neolith 300.  
 Nephelin 428.  
 Nephelinbasalt 957.  
 Nephelingsite 428. 956.  
 Nephrit 304.  
 Neter 635.  
 Neze 80.  
 Neumann 7.  
 Neusilber 837.  
 Nevabit 960.  
 Niccolit 833.  
 Nidel 837.  
 Nidelantimonglanz 836.  
 Nickel arsenical 833.  
 Nidelarsenitglanz 835.  
 Nidelarsenitkies 835.  
 Nidelblende 835.  
 Nidelseifen 720. 726.  
 Nidelerze 833.  
 Nidelglanz 835.  
 Nidelin 833.  
 Nidellies 835.  
 Nideloder 581.  
 Nidelogydrali  
 — schwefelsaures 609.  
 Nidelmaragd 751.  
 Nidelspeise 836. 837.  
 Nidelvitriol 643.  
 Nidelwismuthglanz 836.  
 Nicol 129.  
 Nierenkies 878.  
 Nierenstein 301.  
 Nigrin 785.  
 Nilliesel 248.  
 Niobit 795.  
 Nitrate 631.  
 Nitre cubique 635.  
 Nitrite 631.  
 Nitron 635.  
 Nitrum quartzosum 631.  
 Nörrenberg 128.  
 Nonius-Opal 255.  
 Nontronit 462.  
 Norerde 379.  
 Nothan 433.  
 Nourmit 250.  
 Nussierit 570.

## O.

Oblongoktaeder 28.  
 Oblongsäule 19.  
 Obsidian 468.  
 Ocher 810.  
 Ochroterbe 447.  
 Oculus mundi 256.  
 Octaeder 26.  
 — Verfertigung 35.  
 Octaedrit 785.  
 Octaibe 25.  
 Oelacherit 302.  
 Oerstedtit 378.  
 Olsanit 785.

Olenit 418.  
 Oleum martis 619.  
 Oligoilas 279.  
 Olivenery 593.  
 Olivenit 593.  
 Olivin 320.  
 Omphacit 318.  
 Onegit 763.  
 Onofrit 853.  
 Onychel 244.  
 Onyx 244.  
 Onymarmor 522.  
 Oolith 602.  
 Oosit 330.  
 Opal 254.  
 Opalmutter 255.  
 Operment 861.  
 Ophites 299.  
 Optit 124.  
 Orangit 448.  
 Organische Salze 937.  
 Orpheus 1.  
 Orpiment 861.  
 Orthit 444.  
 Orthoklas 260.  
 orthotop 94.  
 Orthotognosie 1.  
 Osmiridium 708.  
 Osteocolla 502.  
 Osteolith 564.  
 Ostranit 379.  
 Otirelit 303.  
 Ouro poudre 707.  
 Oxalate of Iron 940.  
 Oxalit 939.  
 Oxalsäure 675.  
 Oxalsaurer Kalk 940.  
 Oxalsäures  
 — Chromogydrali 672.  
 — Eisen 940.  
 Oxhaverit 417.  
 Oxide of tin 776.  
 Oxidische Erze 745.  
 Oxydulated Iron 746.  
 Ozerit 923.  
 Ozon 557.

## P.

Pachnolith 559.  
 Pacos 616.  
 Pajsbergit 315.  
 Paläonatroilit 404.  
 Palagonit 401. 456.  
 Palagonittuff 962.  
 Palladgold 707.  
 Palladium 707.  
 Pallasit 713. 721.  
 Papiertohle 915.  
 Pappendekel 915.  
 Paraffin 921.  
 Paragonit 291.  
 Paradelstraum 12.

Paralogit 425.  
 Paramorphose 181. 206.  
 Paranthin 425.  
 Parazit 609.  
 Parazitbit 408.  
 Pargazit 307.  
 Parisit 447.  
 Patrinit 894.  
 Paulit 317.  
 Pealith 259.  
 Pechblende 800.  
 Pechery 800.  
 Pechkohle 913.  
 Pechkupfer 805.  
 Pechstein 475.  
 Pechuran 800.  
 Peganit 574.  
 Pegmatit 844.  
 Pektolith 419.  
 Pele's Haar 471. 962.  
 Pelion 328.  
 Pelopium 794.  
 Pencatit 495.  
 Pennin 293.  
 Pentagonoboktaeder 76.  
 Pererino 278.  
 Perchlit 619.  
 Peridot 320.  
 Periklas 302. 752.  
 Periklin 277. 279.  
 Perimorphosen 208.  
 Periglimmer 302.  
 Perlit 474. 960.  
 Perlsinter 259.  
 Perlsphat 509.  
 Perlsstein 474.  
 Peronskit 783.  
 Perthit 278.  
 Petalit 285.  
 Petrefacten 214. 491.  
 Petrographie 942.  
 Petrolen 922.  
 Petroleum 919.  
 Petroleumäther 920.  
 Petrosilex 250. 273.  
 Pettitit 653.  
 Petunse 456.  
 Pehit 737.  
 Pfeifenthon 465.  
 Pfannenstein 539.  
 Phästin 317.  
 Phalolith 410.  
 Pharmakokalcit 594.  
 Pharmakolith 581.  
 Pharmakosiderit 584.  
 Phenakit 390.  
 Phengites 540.  
 Phillipsit 415.  
 Phlogopit 293.  
 Phönicit 600.  
 Phospholith 955.  
 Phosgenit 617.

Phosphate de fer 575.  
— ferro-calcique 565.  
— of lead 567.

Phosphor 744.  
Phosphorblei 567.  
Phosphoreisenfinter 579.  
Phosphorescenz 165.  
Phosphorit 564.  
Phosphorkupfererz 592.  
Phosphornickeleisen 727.  
Phosphorochalcit 592.  
Phosphorsäure 559.  
Phosphorsalz 189.  
Phosphorsäure

— Ammoniakalserde 586.  
— Magnesia 587.  
— Ottererde 586.

Phyllite 467. 945.  
Phylloretin 928.  
Piauzit 935.  
Pidingit 653.  
Picotit 375.  
Piemontit 346.  
Pierre d'Italie 467.

Pikrolith 299.  
Pikromerit 646.  
Pikropharmakolith 582.

Pikrophyll 301.  
Pikrosmim 301.  
Pikrotitanit 761.  
Pimelith 250. 462.

Pinguit 462.

Pingos d'agoo 381.

Pinit 330.

Pinitoid 331.

Pinolit 506.

Pisanit 643.

Piselli del Vesuvio 502.

Pissaspalthon 919.

Pissophan 585. 651. 918.

Pistazit 346.

Pistomestit 505.

Pittizit 585.

Placodin 837.

Plagieder 94.

Plagioklase 260.

Plagionit 858.

Plasma 246.

Plastischer Thon 462.

Plata verde 616.

Platin 704.

Platinum 704.

Plattelschale 902.

Plattner 169.

Plattnerit 811.

Platyophthalmon 853.

Pleochroismus 141.

Pleonast 375.

Pleromorphose 208.

Pleffit 719.

pliant 331.

Plinian 826.

Plinius 2.

Plomb gomme 570.

— molydaté 603.

— phosphaté 567.

— sulfuré 839.

— sulphaté 548.

Plombierit 402.

Plumbago 743.

Plumbocalcit 503.

Plumbum candidum 780.

— nigrum 780.

— virens 567.

Poix minérale 922.

Polarisation 128.

Polarisationsmikroskop 132.

Polianit 771.

Polarischiefer 258.

Polluz 287.

Polyadelphit 316.

Polybasit 869.

Polydymit 835.

Polyedrie 839.

Polyhalit 614.

Polytras 789.

Polyminuit 789.

Polypharit 569.

Polytelit 888.

Polygen 704.

Ponce 471.

Boonastit 404.

Porfido rosso 952.

Porphyrit 951.

— grüner 952.

— quarzfreier 951.

— quarzhaltiger 951.

— rother 951.

— schwarzer 955.

Porphyrit 952.

Porphyrschiefer 955.

Porricin 314.

Porzellan 458.

Porzellanerde 456.

Porzellanjaspis 248. 475.

Porzellanspath 457.

Posidonienische 501. 918.

Potassa solvata 686.

Potasse nitraté 631.

Potter's Clay 464.

Pozzulanerde 496.

Praem 240. 594.

Praeolith 330.

Prafin 594.

Praeopal 256.

Predazit 495.

Prenit 420.

Prenitoid 422.

Primitivform 19.

Prisma 12.

prismatisch 94.

Proberstein 251.

Projectionstische 36.

— Reumann'sche 111.

Propylit 960.

Prosojit 298.

Protobasit 301.

Protopin 944.

Proust 869.

Brunerit 481.

Pseudoapatit 564.

Pseudochrysolith 469.

Pseudogalena 846.

Pseudomalachit 592.

Pseudomorphosen 206.

Pseudopit 318.

Pistoliten 774.

Pucherit 602.

Buddelschale 323.

Pufflerit 406.

Pumex 471.

Pumice 471.

Punamu 304.

Purple copper 879.

Pyknit 383.

pyramidal 82.

Pyramidengranatoeder 69.

Pyramidenostaeber 69.

Pyramidentetraeder 75.

Pyramidenwürfel 69.

Pyramitmonit 855.

Pyrrargillit 330.

Pyrrargyrit 869.

Pyrgom 313.

Pyrite blanche arsenicale 824.

Pyrites 813.

— argenteo colore 824.

— aureo colore 874.

— en crête de coq 817.

— fusca 822.

Pyritoeder 76.

Pyrochlor 799.

Pyrochroit 302.

Pyroelectricität 163.

Pyroffasit 564.

Pyrolusit 771.

Pyromelin 643.

Pyromorphit 567.

Pyrop 335.

Pyrophan 256.

Pyrophyllit 296.

Pyrophysalit 383.

Pyropisit 918.

Pyrothit 446.

Pyrosmalith 304.

Pyrogen 309.

Pyrrhit 800.

Pyrrhoxidit 763.

Pyrrhotin 822.

D.

Quadratssäule 19.

Quarz 221.

— hyalin 237.

— résinite 254.

Quarzandesit 960.  
 Quarzfelz 946.  
 Quarzit 946.  
 Quecksilber 695.  
 Quecksilberbranderg 927.  
 Quecksilberchlorid 617.  
 Quecksilberchlorür 617.  
 Quecksilbererze 850.  
 Quecksilberhernerz 617.  
 Quecksilberjobid 615.  
 Quecksilberlebererz 852.  
 Quellsalz 619.  
 Quellwasser 661.  
 Querspießglanz 857.  
 Quincht 256.  
 Quirinusöl 924.  
 Quirfies 831.

## R.

Radiolith 404.  
 Rädelerz 890.  
 Raf 929.  
 Raffinatpeise 837.  
 Rahm 902.  
 Ralstonit 559.  
 Rammelsberg 8.  
 Rammelsbergit 827.  
 Randanit 258.  
 Ranguntheer 921.  
 Rapakivi 279.  
 Rapidolith 425.  
 Raseneisenstein 765.  
 Rassel 623.  
 Ratoffit 567.  
 Rattengift 809.  
 Rauchquarz 241.  
 Rauchtropas 237.  
 Raufgelb 861.  
 Raufgroth 862.  
 Rautenspath 504.  
 Reactionen 194.  
 Realgar 862.  
 Reichtrauben säure 666.  
 reciprol 120.  
 Red oxid of Copper 802.  
 — — of Zink 806.  
 Redruthit 879.  
 Red Silver 869.  
 Reflexionsgoniometer 14.  
 Regenbogenachst 244.  
 Regent 362.  
 Regenwasser 663.  
 regulär 68.  
 Reichardt 642.  
 Reißblei 743.  
 Refinit 934.  
 Retinalith 301.  
 Retinasphalt 934.  
 Retinit 934.  
 retractorisch 160.  
 Reuffin 644.  
 Rezbantit 860.

Rhabbit 719.  
 Rhäticit 352.  
 Rhagit 581.  
 Rhapodolith 294.  
 Rhodium 709.  
 Rhodiumgold 709.  
 Rhodigit 610. 612.  
 Rhodochrom 299.  
 Rhodochrosit 512.  
 Rhodonit 315.  
 Rhombenporphyr 952.  
 rhombisch 94.  
 Rhomboeder 19.  
 — Hauptschnitte 90.  
 — Verfertigung 35.  
 Rhomboidsäule 13.  
 Rhombsäule 13.  
 Rhyacolith 273.  
 Rhyolith 960.  
 Ringysteme 131.  
 Ripidolith 294.  
 Risigallum 861.  
 Rittingerit 871.  
 Römerit 649.  
 Röschege wächs 869.  
 Röslerit 582.  
 Rötchel 758.  
 Röttfist 453.  
 Rogenstein 502.  
 Rohertsen 710.  
 Rohöl 918.  
 Rohrzucker 664.  
 Rohstahl 711.  
 Rohstein 884.  
 Rohwand 510.  
 Romé de l'Isle 4.  
 Romeit 608. 808.  
 Rose 8.  
 Roselit 580.  
 Rosellan 283.  
 Rosengranit 948.  
 Rosenit 858.  
 Rosenquarz 241.  
 Rosenpath 512.  
 Rosetten 356.  
 Rosettenkupfer 884.  
 Rosit 283.  
 Rossiclero 872.  
 Rothornit 935.  
 Rothbleierz 598.  
 Roth Eisenrahm 757.  
 Roth Eisenstein 758.  
 Rother Porphy 951.  
 Rothgiltigerz 869.  
 Rothgülden 869.  
 Rothkupfererz 802.  
 Rothnickellies 893.  
 Rothspießglanz 855.  
 Rothzinkerz 806.  
 Rubellan 293.  
 Rubellit 395.  
 Rubicell 375.

Rubin 367.  
 — Brasilianischer 382.  
 Rubinblende 869.  
 — hemiprismatische 873.  
 Rubinglas 473.  
 Rubinglimmer 763.  
 Rubinschwefel 862.  
 Rubinspinell 374.  
 Rubrica 461. 758.  
 Ruinenmarmor 501.  
 Rußkohle 902.  
 Ruthenium 705. 709.  
 Rutil 781.

## E.

Sacal 929.  
 Säuerlinge 661.  
 Säulen 12.  
 Safflorit 830.  
 Sahab 678.  
 Sal 619.  
 — Ammoniacum 628.  
 — mirabile 640.  
 — petrae 631.  
 — polychrestum 638.  
 — Sylvii 626.  
 salamanderthar 331.  
 Salarmonia 628.  
 Salinische Steine 477.  
 Salit 314.  
 Salmia 628.  
 Salpeter 631.  
 Salpetersaur. Baryt 634.  
 — Blei 634.  
 — Strontian 634.  
 — Uranoxyd 671.  
 Salz 619.  
 Salzbilder 477.  
 Salzkupfererz 618.  
 Salzthon 625.  
 Samarskit 796.  
 Samische Erde 459.  
 Sammitblende 764.  
 Sancy 362.  
 Sanbarach 861.  
 Sandsteine 965.  
 Sanidin 273.  
 Sanibinit 959.  
 Sappare 350.  
 Sapphir 367.  
 — Brasilianischer 396.  
 Sapphirin 352.  
 Sapphirquarz 241.  
 Sapphirus 432.  
 Sarda 245.  
 Sardonix 245.  
 Sarcolith 411. 826.  
 Saffolin 612.  
 Satin-Spar 521.  
 Sausalpit 346.  
 Sauerwasser 661.  
 Saugschiefer 258.

- Sauffurit 288. 951.  
 Savart 158.  
 Savon de verriers 771.  
 Saxum fissile 467.  
 Schaalenblende 849.  
 Schaffstein 319. 954.  
 Schamir 369.  
 Scharfmangan 773.  
 Schaumkalk 479. 537.  
 Scheelet 930.  
 Scheelbleierz 604.  
 Scheelerz 605.  
 Scheelin ferruginé 791.  
 Scheelit 605.  
 Scheelitin 604.  
 Scheererit 927.  
 Schefferit 316.  
 Schiefenbläße 19.  
 Schiefer 467.  
 — bituminöser 918.  
 Schieferkohle 902.  
 Schieferletten 466.  
 Schieferöl 919.  
 Schiefertthon 467.  
 Schilfgläserz 892.  
 Schillerfels 301.  
 Schillerpath 318.  
 Schirmerit 895.  
 Schistos 757.  
 Schlackenwolle 962.  
 Schlackenalkaster 541.  
 Schliche 843.  
 Schmeltbarkeit 169.  
 Schmeltglas 474.  
 Schmelzeisen 711.  
 Schneedentopas 382.  
 Schnee 657.  
 Schönit 627.  
 Schörl 391.  
 — blauer 350.  
 — rother 781.  
 Schörlfels 947.  
 Schörlschiefer 947.  
 Schorl 791.  
 —, bleu 785.  
 Schorlamit 440.  
 Schredenstein 590.  
 Schreiberzit 719. 727.  
 Schriftez 865.  
 Schriftgranit 944.  
 Schrifttellur 865.  
 Schrödingerit 529.  
 Schüßit 546.  
 Schwalbenchwanz - Zwilling 532.  
 Schwarzbleierz 528.  
 Schwarz Eisenstein 774.  
 Schwarzkreide 467.  
 Schwarzer Porphy 955.  
 Schwarzgerz 828. 888.  
 Schwarzgülden 868.  
 Schwarzkohle 898.  
 Schwarzkupfer 684.  
 Schwarzspießglanz 889.  
 Schwefel 738.  
 Schwefelcadmium 850.  
 Schwefeleisen 720. 727.  
 Schwefellies 813.  
 Schwefelsäure 477.  
 Schwefelsaures Eisenoz. 646.  
 — Kali 638.  
 — Kobaltorybul 648.  
 — Kobaltorybulammonial 670.  
 — Manganoxybul 648.  
 — Natron 639.  
 — Nickeloryb 648.  
 — Nickelorybtali 669.  
 — Silberoryb 640.  
 — Zinkoryb 642.  
 Schwefelwasser 662.  
 Schwerpath 541.  
 Schwerpatherde 545.  
 Schwerstein 605.  
 Schwimstein 257.  
 Scleretinit 935.  
 Scolejit 404.  
 Scorja 346.  
 sechsgliedrig 86.  
 Sectionslinienformel 47.  
 Sedimentärgebirge 961.  
 Seebachit 411.  
 Seifenstein 298.  
 Seignettefalz 668.  
 Selbit 529.  
 Selen 742.  
 Selenblei 844.  
 Selenites 536.  
 — rhomboidalis 478.  
 Selenkobaltblei 845.  
 Selenkupfer 883.  
 Selenkupferblei 845.  
 Selenmolybdän 833.  
 Selenqued Silber 853.  
 Selenqued Silberblei 854.  
 Selen Schwefel 742.  
 Selen Schwefelqued Silber 853.  
 Selen Silber 868.  
 Selenwismuthglanz 861.  
 Sel gemme 619.  
 Sellait 967.  
 Sémeline 440.  
 Senarmontit 808.  
 Serpentin 299. 954.  
 Segangulit 843.  
 Seybertit 308.  
 Siberit 241. 510.  
 — fastriger 333.  
 Siberoplezit 512.  
 Siberofonit 503.  
 Siberophosphit 303.  
 Siegburgit 935.  
 Siegenit 832.  
 Silber 688.  
 — kohlensaures 529.  
 — unterschwefelsaures 671.  
 Silberbeschlag 867.  
 Silberblende 869.  
 Silberbournonit 892.  
 Silbererz 866.  
 Silberfablerz 888.  
 Silberglanz 866.  
 Silberhörnerz 614.  
 Silberlies 874.  
 Silberkupferglanz 882.  
 Silbernabalerz 895.  
 Silberphosphinglanz 838.  
 Silberschwärze 867.  
 Silix 250.  
 Silicate 219.  
 Silicium 606.  
 Silicoborocalcit 612.  
 Silimanit 352.  
 Simonyit 645.  
 Sinaït 948.  
 Sinopische Erde 461.  
 Sinterkohle 905.  
 Siphnos 297.  
 Sismondin 308.  
 Skalenoeber 91.  
 Stapolithe 425.  
 Skleroklas 857.  
 Sklerometer 155.  
 Skorobit 583.  
 Stutterubit 831.  
 Smalte 832.  
 Smaltit 829.  
 Smaragd 386.  
 — Brasilianischer 395.  
 Smaragdbit 318.  
 Smaragdochalcit 618.  
 Smirgel 369.  
 Soda 635.  
 Sodolith 434.  
 Sombrevit 567.  
 Sommerwillit 427.  
 Sommit 428.  
 Sonnenschmalz 461.  
 Sonnenstein 271.  
 Sonnenwandel 246.  
 Soole 619.  
 Solquellen 660.  
 Sorbasalit 463.  
 Soude boratée 610.  
 — muriatée 916.  
 Spadait 302.  
 Spärlies 817.  
 Spargelstein 562.  
 Sparfall 530.  
 Spath 11.  
 — pesant 541.  
 Spatheisenstein 610.  
 Spathiopyrit 831.

Spatum 477.  
 — campestre 260.  
 — scintillans 260.  
 Specificisches Gewicht 153.  
 Spectstein 298.  
 Spectralanalyse 187.  
 Spectrum 122.  
 Specular Iron 752.  
 Speiße 829.  
 Speisfobalt 829.  
 Speffartin 337.  
 sphäroedrisch 68.  
 Sphärofiderit 511.  
 Sphäroftilbit 408.  
 Sphärculit 474.  
 Sphaferit 846.  
 Sphen 435.  
 — schwarzer 347.  
 Sphenomit 723.  
 Spiauterit 849.  
 Spiegelglas 472.  
 Spießglanzbleierz 889.  
 Spießglanzglas 855.  
 Spießglanzocher 808.  
 Spießglanzweiß 807.  
 Spießglas 853.  
 Spilit 954.  
 Spinell 374.  
 Spinellan 434.  
 Spinellin 440.  
 Splint-Coal 905.  
 Spodumen 286.  
 Spreustein 404.  
 Spröbglas 868.  
 Sprubelftein 521.  
 Spuma lupi 790.  
 Stabeisen 711.  
 Stängelfobalt 830.  
 Staffelit 566.  
 Stahl 711.  
 Stahlerz 511.  
 Stahlstein 510.  
 Stahlwasser 662.  
 Stalactiten 498.  
 Stalagmiten 498.  
 Stangenloble 903. 913.  
 Stangenspath 545.  
 Stannerite 724.  
 Stannin 896.  
 Staßfurtit 610.  
 Statuenmarmor 498.  
 Stauroolith 347.  
 Staurostop 138.  
 Staurotide 347.  
 Steatit 298.  
 Steingut 464.  
 Steinheilit 329.  
 Steinfohlen 898.  
 Steinmannit 841.  
 Steinmark 459.  
 Steindl 917. 920.  
 Steinomarga 459.

Steinsalz 619.  
 Steintalg 923.  
 Steno 3.  
 Stephanit 868.  
 Steppensalz 619.  
 Stercorit 587.  
 Sterile nigrum 846.  
 Sternbergit 874.  
 Sternbiamant 357.  
 Sternglimmer 293.  
 Sternsapphir 368.  
 Stibi 853.  
 Stibium 853.  
 Stibilit 808.  
 Stibnit 853.  
 Stidstoffeisen 635.  
 Stidstoffitan 729.  
 Stilbit 405.  
 Stilpnomelan 303.  
 Stilpnofiderit 765.  
 Stintfluß 557.  
 Stintquarz 241.  
 Stöchiometrie 171.  
 Störungsflächen 139.  
 Stolzit 604.  
 Strahlenblende 849.  
 Strahlenbrechung 121.  
 Strahlerz 595.  
 strahlig 205.  
 Strahlstein 820.  
 Strahlstein 308.  
 Strahlsteinschiefer 950.  
 Strahlzeolith 405.  
 Straß 390.  
 Strich 153.  
 Striegisan 574.  
 Strigobit 303.  
 Stroganowit 425. 435.  
 Stromnit 525.  
 Strontianit 524.  
 Strontium 525.  
 Structurlehre 11.  
 Struvit 586.  
 Studerit 869.  
 Stypicit 649.  
 Succinum 928.  
 Süßwasserfasse 501.  
 Sulphate  
 — of lead 548.  
 — tricarconat of lead 551.  
 Sulphosäuren 853.  
 Sulphur 738.  
 Sulphuret of  
 — Antimony 853.  
 — Copper 879.  
 — Lead 839.  
 — Mercury 851.  
 — Silver 866.  
 — Wismuth 860.  
 Sumpferz 765.  
 Sundbilit 283.  
 Superphosphate 566.

Supersulphuret of  
 — Lead 844.  
 Surturbrand 917.  
 Susannit 551.  
 Swanbergit 584.  
 Swibla 738.  
 Syenit 948.  
 Syenitporphyr 952.  
 Syenitschiefer 950.  
 Syepoorit 832.  
 Sulbanit 885.  
 Sylvin 626.  
 Symbole 173.  
 Symmetriegesetz 17.  
 Symplekt 583.  
 Syngenit 644.  
 Systematik 214.  
 Szajbelyit 610.

## Z.

Zabergit 294.  
 Zachapchallit 455.  
 Zachybit 628.  
 Zachyit 470.  
 Zänit 719.  
 Zafesspath 319.  
 Zafelsteine 356.  
 Zagit 593.  
 Zalcosit 296.  
 Zalk 295.  
 Zalkapatit 565.  
 Zalkgranat 387.  
 Zalkschiefer 946.  
 Zalksteinmark 354. 459.  
 Zalktalit 805.  
 Zamarit 594.  
 Zammela-Zantalit 798.  
 Zankit 282.  
 Zantalserz 793.  
 Zantalit 797.  
 Zapiolit 798.  
 Zaranaki-Stahl 750.  
 Zarsapit 299.  
 Zartaroid 32.  
 Tartarus 668.  
 Zarnowikit 522.  
 Zaskmanit 915. 935.  
 Zaurin 676.  
 Zauriscit 643.  
 Zecticit 654.  
 Zeforetin 928.  
 Télésie 965.  
 Zellur 735.  
 Zellurblei 737.  
 Zellurglanz 864.  
 Zellurnidel 737.  
 Zellurocher 811.  
 Zellur Silber 737.  
 Zellur Silbergold 737.  
 Zellurwismuth 736.  
 Zellurwismuth Silber 738.  
 Zenacität 157.



Lennantit 888.  
 Lenorit 805.  
 Lephyroit 322.  
 Lennärbleierz 551.  
 Terra alana 460.  
 — de Siena 460.  
 — singularis 464.  
 — fullonum 465.  
 — lutosä 466.  
 — metallica 810.  
 — sigillata 460.  
 Lefchenit 960.  
 Lefellit 417.  
 Lefseral 68.  
 Lefseralkies 831.  
 Letartin 274.  
 Letartoedrie 77.  
 Letartoide 78.  
 letartoprismatifch 101.  
 tetartorhombifch 101.  
 Tetrahymit 736.  
 Tetraedrit 885.  
 tetragonal 82.  
 Tetraide 31.  
 Tetraifchegeader 69.  
 Tetraphyllin 579.  
 Tegalith 302.  
 Thallit 346.  
 Thallium 883.  
 Tharandit 507.  
 Theamedes 747.  
 Theer 918.  
 Theilung des Dreiecks 72.  
 Thénarbit 639.  
 Theophrast 1.  
 Therbium 443.  
 Thermoellectricität 163.  
 Thermonitrit 637.  
 Thermophyllit 296.  
 Thierfchit 941.  
 Thomfenolith 559.  
 Thomfonit 404.  
 Thone 455.  
 Thoneifenstein 511. 758.  
 Thonerbefulphat 653.  
 Thonglimmerfchiefer 946.  
 Thonporphyr 954. 952.  
 Thonfchiefer 467.  
 Thorerde 448.  
 Thorit 447.  
 Thraulit 442.  
 Thrombolith 490.  
 Thulit 347.  
 Thumerstein 397.  
 Thuringit 303. 442.  
 Tiemannit 953.  
 Timacit 960.  
 Tincal 610.  
 Tincalcit 612.  
 Tin Pyrites 896.  
 Titan 729.  
 Titanate 788.

Titaneifen 759.  
 Titane oxydé 781.  
 — siliceo-calcaire 435.  
 Titanerze 781.  
 Titanit 435.  
 Tiza 258. 612.  
 Töpfertthon 464.  
 Töpferraare 465.  
 Tombat 702.  
 Tombazit 836.  
 Topas 379.  
 Topasfelfen 883. 947.  
 Topazolith 334.  
 Topfstein 297.  
 Tophus ludus 501.  
 — Tubalkaini 766.  
 Torberit 597.  
 Towanit 875.  
 Trachy-Dolerit 960.  
 Trachyt 958.  
 — granitoide 959.  
 Trachytaven 961.  
 Trachytoporphyr 959.  
 Trapezoeber 68. 85.  
 Trapp 954.  
 Trappporphyr 958.  
 Traß 963.  
 Traubensäure 666.  
 Travertino 502.  
 Tremolith 309.  
 Triafifofttaeber 69.  
 Trichalcit 595.  
 Triclasit 329.  
 Tribymit 261. 959.  
 trigonal 49.  
 Trigonobolaeder 75.  
 Trigonoeber 93.  
 tritlin 101.  
 Trimorphifmus 180.  
 Trinkerit 935.  
 Tripel 258.  
 Triphan 286.  
 Triphylin 578.  
 Triplit 579.  
 Tritomit 447.  
 Trögerit 598.  
 Troilit 726. 823.  
 Trona 636.  
 Troofit 450.  
 Trümmerfchat 244.  
 Tifchermalit 284.  
 Tifchermiglit 652.  
 Tifchewinit 440.  
 Türkis 571.  
 Tuff palagonitifcher 962.  
 — vullanifcher 962.  
 Tungstate of Iron 791.  
 — of lead 604.  
 Lungstein 605.  
 Lungfuit 793.  
 Turgit 766.  
 Turmalin 391.

Turmalinze 129.  
 Turnerit 585.  
 Turquesia 571.  
 Turquoise 572.  
 — de la vieille roche 572.  
 — de la nouvelle roche 572.  
 Typen 184.  
 Tyrit 799.  
 Tyrolit 595.

II.

Unterfchwefelblei 844.  
 Ulegit 612.  
 Uimannit 836.  
 Ultramarin 433.  
 Umbra 461.  
 — Eölnifche 916.  
 — Eypriſche 461.  
 Ungghwarit 257.  
 Unterfchwefelfaures  
 — Natron 671.  
 — Silber 671.  
 Uralit 308.  
 Uralitporphyr 953.  
 Ural-Orfkit 440. 445.  
 Uranerze 800.  
 Uranglimmer 597.  
 Uranin 800.  
 Uranifches Gummiert 801.  
 Uranit 598.  
 Uranoder 801.  
 Uranophan 801.  
 Uranofpinit 598.  
 Uranotantal 796.  
 Uranotil 801.  
 Uran oxydé 597.  
 Uranpecherz 800.  
 Uranvitriol 649.  
 Urao 636.  
 Urghyp 53.  
 Urthronfchiefer 946.  
 Uwarowit 337.

B.

Balentin 2.  
 Valentinit 807.  
 Balenz 181.  
 Banadinbleierz 601.  
 Banadinbit 601.  
 Banadinfupferblei 601.  
 Banabinocher 811.  
 Banabiolith 602.  
 Banabinzinkblei 601.  
 Barifcit 572.  
 Baricit 772.  
 Vasa murrina 247. 297. 458.  
 Bauquelinit 600.  
 Verde di Cornica 351.  
 Vermiculit 296.  
 Befan 242.  
 Befuvian 337.

Vesuvian Salt 638.  
 Vicinalflächen 491.  
 viergliedrig 82.  
 Vierkantner 88.  
 Vierzonentkörper 24.  
 Villarzit 300.  
 Violan 347.  
 Visirgraupen 777.  
 Vitriol  
 — blauer 650.  
 — grüner 646.  
 — weißer 642.  
 Vitriolblei 548.  
 Vitriol de Plomb 548.  
 Vitrioloder 649.  
 Vitrum Antimonii 855.  
 Vivianit 575.  
 Völsnerit 302. 376.  
 Voglit 802.  
 Volborthit 602.  
 Vollaft 653.  
 Voltzine 850.  
 Volzit 860.  
 Vulpinit 540.

## W.

Wachstheile 918.  
 Wachsstein 462.  
 Wad 775.  
 Wärme 166.  
 Wärmecapacität 167.  
 Wagnerit 565.  
 Wackomit 934.  
 Walkererde 465.  
 Walpurgin 598.  
 Wandstein 510.  
 Wapplerit 582.  
 Warthit 615.  
 Warnickit 610. 790.  
 Washingtonit 759.  
 Wast 447.  
 Wasser 659.  
 Wasserblei 837.  
 Wasserfies 816.  
 Wassermörtel 495.  
 Wavelit 573.  
 Webserit 654.  
 Weichbraunstein 771.  
 Weichgewächs 866.  
 Weichharze 936.  
 Weinsäure 665.  
 Weinstein 668.  
 Weinstensäure 665.  
 Weisgit 420.  
 Weiß 6.  
 Weißarsenit 809.  
 Weißbleierz 526.  
 Weißerg 824.  
 Weißgiltigerz 874.  
 — krystallisiertes 889.  
 Weißgold 704.

Weißit 330.  
 Weißkupfer 708.  
 Weißkupfererz 878.  
 Weisnickelfies 827. 834.  
 Weißspießglanz 807.  
 Weißstein 944.  
 Weisylvanerg 865.  
 Weistellurerz 865.  
 Weltauge 256.  
 Werner 5.  
 Wernerit 425.  
 Wertigkeit 181.  
 Whewell 111.  
 Whewellit 940.  
 White iron pyrites 818.  
 Whittneyit 884.  
 Wiesen 153.  
 Wiesenerz 765.  
 Willemit 450.  
 Williamsit 299.  
 Wilmnit 339.  
 Winkelberechnung 54.  
 Winkworthit 612.  
 Wiserin 586.  
 Wismut 729.  
 — kohlensaures 529.  
 Wismutblei 894.  
 Wismutblende 458.  
 Wismutglanz 860.  
 Wismutgold 731. 866.  
 Wismutiges Silbererz 894.  
 Wismutkoblaltfies 831.  
 Wismutkupfer 895.  
 Wismutocher 811.  
 Wismutsilber 894.  
 Wismutspath 529.  
 Withamit 347.  
 Witherit 522.  
 Wittichenit 895.  
 Wittichit 895.  
 Wockeinit 768.  
 Wöhlerit 454.  
 Wölschit 892.  
 Wörthit 352.  
 Wolchonskoit 462. 810.  
 Wolfschit 831.  
 Wolfram 790.  
 Wolframbleierz 604.  
 Wolframit 791.  
 Wolframoder 793.  
 Wolframstahl 793.  
 Wolfsbergit 692.  
 Wollastonit 319.  
 Wolnyn 541.  
 Wood-Tin 779.  
 Würfel 19.  
 Würfelerg 584.  
 Würfelspath 537.  
 Würfelstein 609.  
 Würfelzeolith 412.  
 Wulfenit 608.  
 Wundererde 461.

Wurzit 850.  
 Wuz 710.

## X.

Xanthit 340.  
 Xanthokon 872.  
 Xanthophyllit 308.  
 Xanthophyllit 764.  
 Xanthus 762.  
 Xenolith 353.  
 Xenotim 586. 799.  
 Xylochor 418.  
 Xyloretin 935.

## Y.

Yenit 441.  
 Ytterbit 442.  
 Yttererde  
 — phosphorsaure 586.  
 Yttrit 442.  
 Ytterpath 557.  
 Yttrocrit 557.  
 Yttrilmenit 796.  
 Yttrio-Xantalit 798.  
 Yttritanit 440.  
 Yu 304.

## Z.

Zähne 565.  
 Zaffer 833.  
 Zäntfürst 572.  
 Zamarrut 385.  
 Zagonit 416.  
 Zeichensteine 467.  
 Zeolith 821.  
 Zeolith 400.  
 — dure 412.  
 — efflorescente 419.  
 — rhomboedrische 409.  
 Zeunerit 593.  
 Zickstaub 640.  
 Ziegelerz 804.  
 Zinc oxyde 448.  
 — sulfure 846.  
 Zint 738.  
 Zinkarsenit 448.  
 Zinkbleispath 528.  
 Zinkblende 846.  
 Zinkbluthe 515.  
 Zinkenit 857.  
 Zinkerz 806. 846.  
 Zinkferri 750.  
 Zinkglas 448.  
 Zinkit 806.  
 Zinkoxyd 806.  
 — chromsaures 643.  
 — kohlensaures 513.  
 — schwefelsaures 642.  
 — selenisaures 643.  
 Zinkspath 513.  
 Zinkspinel 876.  
 Zinkvitriol 642.

Zinkweiß 806.  
Zinn 729.  
Zinnerz 776.  
Zinngrauen 776.  
— weiße 605.  
Zinniez 896.  
Zinnober 850.  
Zinnseifen 778.  
Zinnstein 776.

Zinnwalbit 292.  
Zinnzwitter 776.  
Zirkon 376.  
Zirkonsphenit 948.  
Zoisit 346.  
Zonenpunktformel 45.  
Zucker 664.  
Zundererz 856.  
Zurliit 427.

Zuschläge 188.  
zweigligedrig 94.  
zweiunbedingtedrig 98.  
Zwieselit 566.  
Zwillinge 79.  
Zwillingsage 86.  
Zwillingsagezet 79.  
Zwitter 778.  
Zygabit 286.







BRANNER EARTH SCIENCES  
LIBRARY

QE 372 .Q3 1877 C.1  
Handbuch der Mineralogie.  
Stanford University Libraries



3 6105 032 896 321

QE 372  
Q3  
1877

DATE DUE

DATE DUE			

STANFORD UNIVERSITY LIBRARIES  
STANFORD, CALIFORNIA 94305

